

АКАДЕМИЯ НАУК СССР  
ИНСТИТУТ НАУЧНОЙ ИНФОРМАЦИИ

# РЕФЕРАТИВНЫЙ ЖУРНАЛ

ХИМИЯ

РЕФЕРАТЫ

68075-70783

\*

№ 21

1957

ИЗДАТЕЛЬСТВО АКАДЕМИИ НАУК СССР  
МОСКВА



ГЛАВНАЯ РЕДАКЦИОННАЯ КОЛЛЕГИЯ  
РЕФЕРАТИВНОГО ЖУРНАЛА

Н. В. Агеев, В. В. Алатов, Е. С. Балакин, Е. Е. Вазаров,  
С. М. Лисичкин (зам. председателя), В. Ю. Ломоносов, А. Н. Михайлов (председатель),  
С. М. Никольский, К. Ф. Огородников, В. В. Похмизинский, Л. Н. Седов,  
В. В. Серпинский, Э. В. Шнольский

СОДЕРЖАНИЕ

<b>ОБЩИЕ ВОПРОСЫ</b> . . . . .	1	Удобрения . . . . .	215
Методологии. История. Научные учреждения и научные решения. Преподавание. Вопросы библиографии и научной документации. . . . .	1	Пестициды . . . . .	215
Новые журналы . . . . .	3	Электрохимические производства. Электроосаждения. . . . .	223
<b>ФИЗИЧЕСКАЯ ХИМИЯ</b> . . . . .	3	Химические источники тока. . . . .	223
Общие вопросы . . . . .	3	Керамика. Стекло. Строительные материалы . . . . .	225
Атомное ядро . . . . .	3	Общие вопросы. . . . .	225
Атом . . . . .	4	Керамика. . . . .	225
Молекула. Химическая связь . . . . .	6	Стекло . . . . .	225
Кристаллы . . . . .	22	Вяжущие материалы, бетон и другие строительные материалы. . . . .	225
Идентичность и аморфные тела. Газы . . . . .	28	Получение и разделение газов. . . . .	240
Изотопы . . . . .	33	Подготовка воды. Сточные воды . . . . .	247
Термодинамика. Термодинамика. Равновесия. Физикохимический анализ. Фазовые переходы . . . . .	35	Переработка твердых горючих ископаемых . . . . .	252
Кинетика. Горение. Взрывы. Топохимия. Катализ. . . . .	42	Переработка природных газов и нефти. Моторное топливо. Смазочные материалы. . . . .	252
Фотохимия. Радиационная химия. Теория фотографического процесса. . . . .	48	Промышленный органический синтез. . . . .	272
Растворы. Теория кислот и оснований . . . . .	51	Промышленный синтез красителей . . . . .	277
Электрохимия . . . . .	54	Крашение и химическая обработка текстильных материалов . . . . .	280
Поверхностные явления. Адсорбция. Хроматография. Ионный обмен. . . . .	58	Взрывчатые вещества. Пиротехнические составы. Средства химической защиты . . . . .	283
Химия полимеров. Дисперсные системы . . . . .	62	Лекарственные вещества. Витамины. Антибиотики . . . . .	283
<b>НЕОРГАНИЧЕСКАЯ ХИМИЯ. КОМПЛЕКСНЫЕ СОЕДИНЕНИЯ</b> . . . . .	65	Фотографические материалы . . . . .	283
<b>КОСМОХИМИЯ. ГЕОХИМИЯ. ГИДРОХИМИЯ.</b> . . . .	70	Душистые вещества. Эфирные масла. Парфюмерия и косметика. . . . .	283
<b>ОРГАНИЧЕСКАЯ ХИМИЯ</b> . . . . .	78	Каучук натуральный и синтетический. Резина . . . . .	283
Теоретические и общие вопросы органической химии . . . . .	78	Синтетические полимеры. Пластмассы. . . . .	283
Синтетическая органическая химия. . . . .	92	Лаксы. Краски. Эмали. Олифы. Синтетика. . . . .	283
Природные вещества и их синтетические аналоги . . . . .	156	Лесохимические продукты. Целлюлоза и ее производные. Бумага. . . . .	283
<b>ХИМИЯ ВЫСОКОМОЛЕКУЛЯРНЫХ ВЕЩЕСТВ</b> . . . . .	178	Искусственные и синтетические волокна. . . . .	283
<b>АНАЛИТИЧЕСКАЯ ХИМИЯ</b> . . . . .	186	Жиры и масла. Воски. Мыла. Моющие средства. Фотореагенты. . . . .	283
Общие вопросы . . . . .	186	Углеводы и их переработка. . . . .	283
Анализ неорганических веществ . . . . .	192	Бродильная промышленность. . . . .	283
Анализ органических веществ . . . . .	204	Пищевая промышленность. . . . .	283
<b>ОБОРУДОВАНИЕ ЛАБОРАТОРИЙ. ПРИБОРЫ. ИХ ТЕОРИЯ, КОНСТРУКЦИЯ, ПРИМЕНЕНИЕ</b> . . . . .	207	Кожа. Мясо. Желатина. Дубители. Технические белки. . . . .	283
<b>ХИМИЧЕСКАЯ ТЕХНОЛОГИЯ. ХИМИЧЕСКИЕ ПРОДУКТЫ И ИХ ПРИМЕНЕНИЕ</b> . . . . .	210	Прочие производства. . . . .	283
Общие вопросы . . . . .	210	<b>КОРРОЗИЯ. ЗАЩИТА ОТ КОРРОЗИИ</b> . . . . .	271
Химико-технологические вопросы ядерной техники. . . . .	211	<b>ПРОЦЕССЫ И ОБОРУДОВАНИЕ ХИМИЧЕСКИХ ПРОИЗВОДСТВ</b> . . . . .	276
Серная кислота, сера и ее соединения. . . . .	211	Процессы и аппараты химической технологии. . . . .	276
Азотная промышленность. . . . .	212	Контрольно-измерительные приборы. Автоматическое регулирование . . . . .	283
Содовая промышленность. . . . .	—	<b>ТЕХНИКА БЕЗОПАСНОСТИ. САНИТАРНАЯ ТЕХНИКА</b> . . . . .	283
Элементы. Минеральные соли. Окислы. Кислоты. . . . .	213	<b>НОВЫЕ КНИГИ, ПОСТУПИВШИЕ В РЕДАКЦИЮ.</b> . . . .	—
Основания . . . . .	213	<b>АВТОРСКИЙ УКАЗАТЕЛЬ</b> . . . . .	283
Люминесцентные материалы . . . . .	—	<b>УКАЗАТЕЛЬ ДЕРЖАТЕЛЕЙ ПАТЕНТОВ</b> . . . . .	283
Производство катализаторов и сорбентов . . . . .	214		

Адрес редакции: Москва Д-219, Балтийский пос., д. 42-Б

610

P

68

68

68

68

68

68

68

68

68

68

68

68

68



# РЕФЕРАТИВНЫЙ ЖУРНАЛ ХИМИЯ

Chem.  
R  
1957

70.68075-73546

ГЛАВНЫЙ РЕДАКТОР В. В. Серпинский, ученый секретарь Е. А. Терентьева

РУКОВОДИТЕЛИ СЕКТОРОВ: Д. А. Бочвар, В. В. Кафаров, В. Л. Кротович,

Д. Н. Курсанов, К. С. Топчиев, Н. А. Фукс

Рефераты 68075—70783

№ 21

10 ноября 1957 г.

## ОБЩИЕ ВОПРОСЫ

### МЕТОДОЛОГИЯ. ИСТОРИЯ. НАУЧНЫЕ УЧРЕЖДЕНИЯ И КОНФЕРЕНЦИИ. ПРЕПОДАВАНИЕ. ВОПРОСЫ БИБЛИОГРАФИИ И НАУЧНОЙ ДОКУМЕНТАЦИИ

Редактор Д. И. Тумаркин

68075. Диалектика и наука. Александров А. Д., Вестн. АН СССР, 1957, № 6, 3—17

68076. Карл Маркс и химия. Грон (Karl Marx und die Chemie. Gronh Hans), Wiss. Z. Pädagog. Hochschule Potsdam. Math.-naturwiss. Reihe, 1955-1956, 2, № 1, 1—10 (нем.)

Более подробное изложение статьи, реф. РЖХим, 1957, 29420.

68077. Вера в успех и ее роль в химическом исследовании. Сейдел (Faith in chemical research. Seidel George R.), J. Chem. Educ., 1955, 32, № 5, 270—272 (англ.)

Общее обсуждение предпосылок прогресса в научной области. Д. Т.

68078. Памятные дни химии в 1957 г. Грин (Chemical anniversaries. Green J. H. S.), J. Roy. Inst. Chem., 1957, 81, Apr., 259—265 (англ.)

68079. Цай Лунь — изобретатель бумаги. Винчакевич (Tsai-Lun wynalazca papieru. Winczakiewicz Andrzej), Przegl. papiern., 1957, 13, № 4, 124—126 (польск.; реф. русск., англ.)

Жизнеописание и портрет. Д. Т.

68080. Учение о сигнатуре в сочинениях Парацельса. Квекке (Die Signaturenlehre im Schrifttum des Paracelsus. Quecke Kurt), Pharmazie, 1955, Beiheft № 2, 41—52 (нем.)

Библ. 17 назв. Д. Т.

68081. Старинная красочная промышленность Заанского района (Сев. Голландия). Смит (De Zaanse verfindustrie, bedreven in de windmolens. Smit P.), Chem. Weekbl., 1955, 51, № 20, 356—361 (гол.)

Историч. очерк (XVII—XIX вв.). Библ. 32 назв. Д. Т.

68082. Очерк из истории масложировой и парфюмерной промышленности Ленинграда. Галушкина Н. А. Маслож.-жир. пром-сть, 1957, № 6, 9—12

68083. Иоганн Рудольф Глаубер. Норрисен (Johann Rudolf Glauber (1604—1670). Jorissen W. F.), Chem. weekbl., 1955, 51, № 5, 69—70 (гол.)

К 350-летию со дня рождения. Дата смерти Глаубера указана (со ссылками на источники) март 1670 г. Д. Т.

68084. Работы С. П. Власова в области учения о гальванических элементах. Мартиненц Н. В., Электричество, 1956, № 12, 68—69

Сергей Прокофьевич Власов (1789—1821) — химик и физик, лаборант Петербургской медико-хирургич. ака-

демии. Рассмотрены его статьи в журнале «Соревнователь просвещения». Д. Т.

68085. Материалистические взгляды Н. Н. Бекетова. Улановская М. А., Уч. зап. Харьковск. ун-та, 1957, 82, Тр. Хим. фак. и Н.-и. ин-та химии, 16, 5—20

68086. Марселен Бертело (К пятидесятилетию со дня смерти). Мусабеков Ю. С., Хим. наука и пром-сть, 1957, 2, № 3, 376—379

68087. Видный деятель русского молочного хозяйства. Коваленко М., Коваленко И., Молочн. пром-сть, 1957, № 7, 47

К 50-летию со дня смерти Николая Васильевича Верещагина (1839—1907). Д. Т.

68088. На заре ядерной химии. Вулфенден (The dawn of hot atom chemistry. Wolfenden J. H.), J. Chem. Educ., 1956, 32, № 5, 276 (англ.)

Воспоминания о первом сообщении Э. Резерфорда в 1919 г. о расщеплении атомных ядер азота под действием  $\alpha$ -частиц. Е. Соколова

68089. Воспоминания о жизни и деятельности профессора Петра Григорьевича Меликишвили (Меликова, 1850—1927). Ланге Н. Н., Тр. Тбилисс. ун-та, 1957, 62, XV—XXIV

См. также РЖХим, 1955, 15642—15645; 1956, 34914.

68090. Полвека после Менделеева. Браунер (Half a century since Mendeleeff. Brauner Bohuslav Jr.), Chem. Prod., 1957, 20, № 7, 285—287 (англ.)

Автор — сын Богуслава Браунера (1855—1935), который был другом Менделеева и много работал над подтверждением и уточнением периодич. таблицы. Дан краткий очерк деятельности Браунера в области химии редкоземельных элементов. Приведены фото-снимок Менделеева и Браунера (1901 г.) и репродукция периодич. таблицы, составленной Браунером в 1881 г. Д. Т.

68091. Торжественное собрание, посвященное А. Н. Баху [Москва, 18 марта 1957 г.].— Вестн. АН СССР, 1957, № 6, 117—121

68092. Генри Стэнли Рейпер. Фолли (Henry Stanley Raper. 1882—1951. Folley S. J.), J. Chem. Soc., 1955, August, 2987—2988 (англ.)

Некролог Г. С. Рейпера (1882—1951), биохимика, проф. Манчестерского ун-та. Д. Т.

68093. Памяти А. К. В. А. ван Лисхаута. Овербек (In memoriam Dr A. K. W. A. van Lieshout. 21 Juni

- 1906—25 November 1954. Overbeek J. Th. G.), Chem. weekbl., 1955, 51, № 11, 195—196 (гол.).  
 Ван Лисхаут (1906—1954) — исследователь в области физ. химии (полиморфные превращения). Д. Т.
68094. Памяти профессора Йозефа Варга. С. Юч (Wspomnienie o profesorze Jozsefie Varga. Szűcs Miklós), Koks, smola, gaz, 1957, 2, № 1, 37—38 (польск.).  
 См. также РЖХим, 1957, 62801. Д. Т.
68095. Геца Земплен. Богнар (Zemplén Géza (1883—1956). Bognár Rezső), Magyar tud., 1956, 63, № 7—12, 427—430 (венг.).  
 См. также РЖХим, 1957, 62801. Д. Т.
68096. Научная деятельность В. И. Михеева — выдающегося представителя федоровской кристаллографической школы. Шафрановский И. И., Стулов Н. Н., Зап. Всес. минералог. о-ва, 1957, 86, № 3, 387—400.  
 См. РЖХим, 1957, 53539. Приведен список научных трудов. Д. Т.
68097. Грачи Хачатурович Бунятян. — Изв. АН АрмССР. Биол. и с.-х. н., 1957, 10, № 6, 3—10.  
 К 50-летию со дня рождения и 28-летию научно-педагогич. деятельности Г. Х. Бунятяна (род. 1907) — действ. чл. АН АрмССР, зав. кафедрой биохимии Ереванского мед. ин-та. Список научных работ. Д. Т.
68098. Поддержка, оказываемая лондонскими гильдиями развитию науки и технологии. Части I, II. Эджерстон (The Livery Companies' support of science and technology. Part I, Part II. Egerton Alfred), J. Roy. Inst. Chem., 1955, 79, Nov., 547—554; Дес., 618—622 (англ.).  
 Краткий историч. очерк о гильдиях (список 80 назв.); данные об их деятельности в поощрение образования, науки, техники (в частности, в области химии). Д. Т.
68099. Институт инженеров газового дела. 31-й отчет Комитета по техническому образованию. Август 1953 г.—июль 1954 г.— (The Institution of Gas Engineers. 31st report of the Gas Education Committee 1953-54.—), Publ. Instn Gas Engrs, 1954, № 454, 29 pp. (англ.).
68100. Краткий очерк научно-исследовательской работы кафедры аналитической химии Казанского университета за 35 лет (1919—1954 гг.). Васильев А. М., Уч. зап. Казанск. ун-та, 1956, 116, № 14, 3—8.
68101. Центральному научно-исследовательскому лесохимическому институту — 25 лет. Фефилов В. В., Гидролизная и лесохим. пром-сть, 1957, № 5, 7—9.
68102. Направления научных работ кафедр химического факультета [Варшавского политехнического института]. Урбанский (Kierunki prac naukowych Katedr Wydziału Chemicznego. Urbański Tadeusz), Zesz. nauk. Politechn. warsz., 1957, № 30, 93—99 (польск.).
68103. В Харьковском областном отделении ВХО им. Д. И. Менделеева. Зелигман Н. А., Хим. наука и пром-сть, 1957, 2, № 3, 388—390.  
 О деятельности отделения в 1956 г. Д. Т.
68104. Преподавание — наиболее благодарная деятельность для химика. Озол (Teaching — chemistry's must rewarding opportunity. Osol Arthur), Chemist, 1955, 32, № 2, 49—54 (англ.).  
 Обсуждаются причины недостаточности преподавательских кадров по химии в США. Д. Т.
68105. Синтетическое моющее средство. Пример для популяризации химических знаний. Банс (A synthetic detergent: A case study for appreciations in chemistry. Bunce Stanley C.), J. Chem. Educ., 1955, 32, № 1, 46—47 (англ.).
- Обсуждается методика построения общеобразовательных лекций о сущности химии и о деятельности химика. Ф. Неволдин
68106. Квантованное обучение. Тамрес (Quantized education. Tamres Milton), J. Chem. Educ., 1955, 32, № 2, 73—75 (англ.).  
 Общесметодическая статья. В. А.
68107. Роль химии в обучении в неполной средней школе. Роже (Le rôle de la chimie dans l'enseignement du second degré. Roger P.), Inform. scient., 1955, 10, № 1, 1—7 (франц.).  
 Обсуждается необходимость переработки программ по химии в неполной средней школе (second degré) и в школе второй ступени (premier degré). Дана разработка нескольких разделов программы с указанием объема и трактовки вопросов. Е. Соколова
68108. Американские средние школы второй ступени и преподавание химии. Симпсон (American high schools and the teaching of chemistry. Simpson O. J.), School Sci. Rev., 1955, 36, № 130, 339—354 (англ.).  
 Более подробное изложение статьи, реф. РЖХим, 1957, 40200. Д. Т.
68109. Координация в преподавании химии в школе второй ступени и в колледже. Лоренс (Articulation of high-school and college chemistry instruction. Lawrence Albert E.), J. Chem. Educ., 1955, 32, № 1, 25—28 (англ.).  
 Отмечается актуальность проблемы; приводятся литературные данные и результаты опроса учащихся по конкретным вопросам преподавания. Библиограф. 14 назв. В. А.
68110. Уменьшение дублирования в преподавании химии в средней школе и на первом курсе колледжа. Клапп (Reducing duplication in high-school and first-year college chemistry. Clapp Leallyn B.), J. Chem. Educ., 1955, 32, № 3, 141—143 (англ.).  
 Доклад рабочей группы, представленный конференцией преподавателей химии в школах и колледжах, организованной Американским хим. об-вом. Предлагается и обосновывается программа курса органич. химии для средней школы 2-й ступени. В. А.
68111. Основное направление в химическом образовании по статистическим данным об окончивших техническую школу второй ступени в Кудамцу (Япония). Ода (本校工業化学科卒業生の現状と化学教育指導. 小田榮), 化学と工業, Какаку то когэ. Chem. and Chem. Ind., 1955, 8, № 2, 70—71 (японск.).
68112. Химическая технология и технические науки. Уайт (Chemical engineering and science engineering. White Robert R.), Chem. Engng Progr., 1955, 51, № 8, 379—381 (англ.).  
 Обсуждается система высшего технич. образования в США в области химии и отмечается несоответствие учебных планов и программ запросам современной пром-сти, а также слишком узкая специализация. Излагаются принципы рационального построения учебных планов (на примере Мичиганского ун-та), обеспечивающих более широкую специализацию. Н. К.
68113. Ошибки в учебниках. I. Механизм понижения давления пара растворителя над раствором. II. Броуновское движение и устойчивость коллоидов. Майселе (Textbook errors. I. The mechanism of vapor-pressure lowering. II. Brownian motion and the stability of colloids. Mysels Karol J.), J. Chem. Educ., 1955, 32, № 4, 179; № 6, 349 (англ.).  
 I. Пониженное давление пара часто объясняют уменьшением скорости испарения вследствие того, что часть поверхности жидкости занята молекулами растворенного в-ва. Приводится ряд доводов против такого объяснения. Д. Т.  
 II. Устойчивость коллоидных р-ров часто объясняют броуновским движением частиц. Однако действитель-

ная причина заключается в крайней медленности их седиментации.

И. Слоним

68114. Законы постоянства состава и кратных отношений. Графический подход. Фикерс (The laws of definite composition and of multiple proportions: A graphical approach. Fiekers B. A.), J. Chem. Educ., 1955, 32, № 2, 89—90 (англ.)

Предлагается учебный график для иллюстрации законов на примере окислов азота.

Д. Т.

68115. Нахождение нулевой точки аналитических весов. Стейсен (Finding the rest point of an undamped analytical balance. Stacy Irving F.), J. Chem. Educ., 1955, 32, № 2, 90—91 (англ.)

Приводятся (для учебных целей) математич. обоснования принятых методов.

Д. Т.

68116. Введение в термодинамику. II. Температура как потенциал. Мак-Рей (The introduction to thermodynamics. II. Temperature as a potential. Mac Rae Duncan), J. Chem. Educ., 1955, 32, № 4, 172—176 (англ.)

Обстоятельная методич. статья. Часть I см. J. Chem. Educ., 1946, 23, 366—374.

Д. Т.

68117. Радиохимическое исследование отделения лантана от бария. Кругер, Корьелл (Radiochemical study of the separation of lanthanum from barium by cation exchanger. Genetic study of  $Ba^{140}$ — $La^{140}$  and a  $La^{140}$  reservoir. Kruger Paul, Coryell Charles D.), J. Chem. Educ., 1955, 32, № 5, 280—284 (англ.)

Предложен (для практикума по радиохимии или по повышению курсу физ. химии) опыт хроматографич. отделения  $La^{140}$  от  $Ba^{140}$  при помощи катионнообменной смолы. Приведены теория, описание эксперимента, истолкование результатов.

Д. Т.

68118. Демонстрация экспоненциального закона изотопного обмена без использования радиоактивности. Кан (A nonradioactive demonstration of the isotopic exponential exchange law. Kahn Milton), J. Chem. Educ., 1955, 32, № 4, 177—179 (англ.)

Описан (для физ.-хим. практикума) опыт, моделирующий закономерности изотопного обмена.

Д. Т.

68119. Линейные полимеры и статистика. Дол (Linear polymers and statistics. Dole Malcolm), J. Chem. Educ., 1955, 32, № 4, 202—205 (англ.)

Описаны опыты для практикума по физ. химии. Темы: распределение по мол. весам в линейном конденсационном полимере; то же — в продукте полимеризации с участием окиси этилена; статистич. длина цепи двумерно ориентированных линейных полиме-

ров и их конфигурационная энтропия (КЭ). Предложен также наглядный лекционный опыт для демонстрации КЭ.

Д. Т.

68120. Учебный абсолютный вискозиметр. Де-Смедт, Де-Бок (Didactical absolute viscosimeter. De Smedt J., De Bock A.), Amer. J. Phys., 1957, 25, № 3, 152—154 (англ.)

Предложен прибор ротационного типа для измерения малых вязкостей (ок. 1 *спуазы*) с погрешностью 1%. Приведены схематич. чертеж, подробное описание, методика расчета.

А. Кислинский

68121. Школьные опыты по определению содержания крахмала в картофеле. Братолюбов А. И., Ахремчик Ф. В., Уч. зап. Гомельск. гос. пед. ин-та, 1957, вып. 5, 199—201

68122. Проведение некоторых опытов на уроках химии. Дистамов Г. К., Арбаев С. А. (Химия сабагындагы айрым тажрыйбаларды өткөрүү. Дистамов Г. К., Арбаев С. А.), Мугалимдерге жардам, 1957, № 5, 16—22 (кирг.)

Описаны 16 опытов по курсу химии VII—X классов средней школы.

Д. Т.

68123. Опыт проведения лабораторных работ на уроках химии. Сабиров Н. (Химия дәрәсләрендә лаборатор эшләр үткөрүү тәҗрибәсеннән. Сабиров Н.), Совет мәктәбе, 1957, № 5, 11—14 (тат.)

Методика работ по теме «Основания, к-ты, соли. Р-ция взаимодействия» (VIII класс, углубленное изучение материала VII класса).

Д. Т.

68124 К. Химия. Учебник для гуманитарной гимназии. Изд. 3-е. Эстергор (Kemi. En laerebog for gymnasiet. 3. udg. Østergaard Anders. Schønberg, 1956, 205 s., ill., 11,00 kr.) (датск.)

См. также: Темпер. шкалы 68346. Новые минералы 68620, 68631, 68632, 68643. Классификация, номенклатура, терминология: электроды 68478; вязкость 69041; угли 69635; пластмассы 70078; лаки и краски 70184. История: керамика 69425. Институты: пестициды 69303; текст. пром-сть 69886; противопожарная защита 70771. Конференции: мол. оптика 68221; дефекты в крист. телах 68256; полупроводники 68272; геология 68605; макромоп. химия 69027; поташ 69283; химия нефти 69694; текст. пром-сть. 69886; целлюл. пром-во 70251; пищевая пром-сть 70455, 70487; коррозия 70635. Учебная лит-ра: органич. химия 68728—68731; общая хим. технология 69257, 69258. Документация: керамич. пром-сть 69410; пищевая пром-сть 70461

## ФИЗИЧЕСКАЯ ХИМИЯ

### ОБЩИЕ ВОПРОСЫ

Редактор А. Е. Нейдинг

68125. Релаксационные процессы и инерциальные эффекты. I. Свободное вращение вокруг фиксированной оси. II. Свободное вращение в пространстве. Сак (Relaxation processes and inertial effects. I. Free rotation about a fixed axis. II. Free rotation in space. Sack R. A.), Proc. Phys. Soc., 1957, B70, № 4, 402—413, 414—426 (англ.)

### АТОМНОЕ ЯДРО

Редактор Г. А. Соколик

68126. Изменение энергий связи нейтронов и протонов в тяжелых ядрах. Раут (Variation of the binding energies of neutrons and protons in heavy nuc-

lii. Raut H. K.), Indian J. Phys., 1956, 30, № 12, 611—619 (англ.)

Приводится таблица энергии связи  $B_n$  последних нейтронов и последних протонов тяжелых ядер от Hg до Cf, вычисленных из масс атомов. Из энергий связи последних нейтронов  $B_n$  и энергий связи последних протонов  $B_p$  вычисляются разности  $D_n$  между энергиями связи данного нейтрона и средней энергией двух соседних  $D_n = B_n - [B_n(N+2) + B_n(N-2)]/2$ . Строятся графики зависимости  $D_n$  от  $N$  и  $D_p$  от  $Z$ . Анализируя эти графики, автор приходит к выводу, что наряду с уже давно известной нейтронной оболочкой при  $N=126$  и протонной оболочкой при  $Z=82$  можно предполагать наличие и других слабо выраженных оболочек.

В. Крацов

68127. Вычитание  $\gamma$ -спектров как метод активационного анализа. Путман, Тейлор (On the subtrac-



tion of gamma-ray spectra as a tool in radioactivation analysis. Putman J. L., Taylor W. H., Internat. J. Appl. Radiat. and Isotopes, 1957, 1, № 4, 315—316 (англ.)

Описан способ измерения конци-и малых включений в основной материал образца. После облучения образца нейтронами снимается спектр его  $\gamma$ -излучения и по характеристич. энергиям производится идентификация примесей. Сплошной спектр комптоновских электронов, возникающих в основном в-ве, может быть исключен путем одновременного измерения кристаллом NaJ  $\gamma$ -спектра и антраценовым счетчиком спектра электронов отдачи и последующего вычитания из первого спектра второго. Приводится пример определения примеси Se к стеклу. Б. Шахбазян

68128. Образование позитрония в газах. Хьюз (Positronium formation in gases. Hughes Vernon W.), J. Appl. Phys., 1957, 28, № 1, 16—22 (англ.)

Образование позитрония в различных газах исследовалось по энергетич. спектру аннигиляционного излучения. Относительная доля позитронов, образующих позитроний, возрастает для He, Ne и Ar соответственно в 1,5, 1,4 и 2,1 раза. Аналогичное увеличение образования позитрония наблюдается в  $H_2$ ,  $D_2$  и  $N_2$ . В случае  $SF_6$  замечено небольшое аномальное уменьшение образования позитрония. Автор считает, что эффект возрастания обусловлен увеличением в электрич. поле числа позитронов с энергией выше порога образования позитрония в газе. В. Филиповский

68129.  $\alpha$ -Распад  $Pu^{240}$ . Кондратьев Л. Н., Новикова Г. И., Соболев Ю. П., Гольдин Л. Л., Ж. эксперим. и теор. физики, 1956, 31, № 5, 771—774. Изучался  $\alpha$ -распад  $Pu^{240}$  и схема уровней дочернего  $U^{236}$ . Найдена  $\alpha$ -линия с  $E$  4,851 Мэв, соответствующая переходу на уровень  $U^{236}$  (энергия возбуждения 313 кэв). Найдены две слабые линии, соответствующие переходам на уровни с энергией 210 и 239 кэв. Итенсивности уровней со спинами 0+, 2+, 4+, 6+ согласуются с ф-лой Ландау:  $\lambda = (2I + 1) \exp(-2I \alpha (I + 1))$ , где  $\lambda$  — вероятность  $\alpha$ -распада на вращательный уровень с угловым моментом  $I$ . Приведена схема распада. Л. Гольдин

68130. О распаде  $W^{185}$ . Марти, Вернь (Sur la désintégration du  $^{185}W$ . Marty Nadine, Vergnes Michel), J. Phys. et Radium, 1956, 17, № 12, 1013—1015 (франц.)

Исследовался распад  $W^{185}$  с  $T_{1/2}$  74,5 дня при помощи  $\beta$ -спектрометра Сзатиса — Зигбана и люминесцентного спектрометра. При распаде  $W^{185}$  имеет место переход на основной уровень  $Re^{185}$  с испусканием простого  $\beta$ -спектра, имеющего выше 125 кэв разрешенную форму.  $\gamma$ -Линия с  $E$  57 кэв является результатом  $K$ -захвата в  $W^{181}$ . Непрерывный  $\gamma$ -спектр, имеющий максимум при  $E \approx 120$  кэв, авторы приписывают внутреннему и внешнему тормозному излучению, сопровождающему  $\beta$ -переход  $W^{185}$ . М. Тиссен

68131. Спектр  $\gamma$ -лучей  $Sb^{124}$ . Дженепов Б. С., Жуковский Н. Н., Недовесов В. Г., Учеваткин И. Ф., Чумин В. Г., Изв. АН СССР. Сер. физ., 1956, 20, № 8, 925—932

Проведено исследование  $\gamma$ -излучения  $Sb^{124}$  на  $\gamma$ -спектрометре по электронно-отдаче (элотроне). Найдены  $\gamma$ -переходы с  $E$  0,600; 0,644; 725; 967; 1,048; 1,330; 1,370; 1,700 и 2,090 Мэв. Помимо этих известных ранее линий, были обнаружены  $\gamma$ -линии с энергией 1,442 Мэв.  $T_{1/2}$  этих линий совпадает с  $T_{1/2}$   $Sb^{124}$ , равным 60 дней. Л. Пекер

68132. Излучение  $Eu^{155}$  и  $Sm^{153}$ . Дьюби, Мандевилл, Ротман (Radiations from  $Eu^{155}$  and  $Sm^{153}$ . Dubey V. S., Mandeville C. E., Rothman M. A.), Franklin Inst., 1956, 261, № 6, 667 (англ.)

Исследовались  $\beta$ - и  $\gamma$ -излучения  $Eu^{155}$  и  $Sm^{153}$ . В  $\beta$ -спектре  $Eu^{155}$  найдены две линии с  $E$  240 и 150 кэв. В  $\gamma$ -спектре — линии с 102, 84 и 18 кэв. В  $\beta$ -спектре  $Sm^{153}$  найдены линии с  $E$  825, 720, 645 и 130 кэв, а в  $\gamma$ -спектре линии 70, 100, 170, 570 и 600 кэв. Г. С.

См. также: Радиоактивные изотопы 68320—68332.

## АТОМ

Редактор Н. М. Яшин

68133. Потенциал отталкивания незаполненных состояний. Антончик (The repulsion potential of unoccupied states. Antončík Emil), Чехосл. физ. ж., 1957, 7, № 1, 118—119 (англ.)

Модель потенциала отталкивания Гельмана применяется для незаполненных состояний; расчеты выполнены для атома H и полученные результаты сравнены с точным решением ур-ния Шредингера. Потенциал отталкивания берется в виде:  $G_p = -\pi^2 e a_0 D_l^2 / 8(2l+1) - (1/4) e a_0 r^{-2}$ , где  $D_l$  — фиктивная радиальная плотность незаполненных состояний с азимутальным квантовым числом  $l$ , энергия которых меньше энергии рассматриваемого состояния. Волновая функция берется в виде  $\psi = \text{const } r^l \exp(-\lambda r)$  с двумя вариационными параметрами:  $\lambda$  и  $k$  (целое). Расчеты показывают, что с ростом главного квантового числа ошибки быстро растут. Полная энергия и волновые функции хорошо согласуются с точными, однако части, из которых складывается полная энергия, сильно отличаются: так, потенциальная энергия равна  $-0,377$  Ry вместо  $-0,5$  Ry и т. д. Сделан вывод, что метод отталкивающего потенциала с учетом незаполненных состояний может быть применен только для нахождения полной энергии и волновых функций в тех случаях, когда процесс ортогонализации волновых функций электронов очень сложен. А. Зимин

68134. Самосогласованное поле Фока в случае положительного иона бериллия. Мартишюс, Мауза, Юцис (Foko suderintinis laukas teigiamo berilio iono atveju. Martišius J., Mauza E., Jucys A.), Mokslo darbai. Vilniaus univ. Matem., fiz. ir chem. mokslo ser., Уч. зап. Вильнюсск. ун-т. Сер. матем., физ. и хим. ян., 1956, 6, 13—23 (лит.; рез. русск.)

Метод В. Фока (Z. Phys., 1930, 61, 126) применен к  $Be^+$  в предположении, что волновая функция внутренних электронов не зависит от степени возбуждения внешнего электрона. Показано, что обменный потенциал весьма слабо зависит от состояния внешнего электрона; с учетом этого обстоятельства получено упрощенное ур-ние Фока, которое решается значительно проще, чем соответствующее точное ур-ие Фока. Нормированные радиальные волновые функции, полученные частично с помощью упрощенного ур-ия Фока, частично с помощью ур-ия Фока, табулированы. Пригодность упрощенного ур-ия Фока подтверждена сравнением значений энергии, вычисленных тем и другим методом. Табулированы также значения множителей Лагранжа, полной энергии и энергии ионизации, полученные в одноконфигурационном приближении с поправкой (по литературным данным) на многоконфигурационное приближение. Последние отличаются от эксперим. данных на 0,005—0,009 ат. ед. А. Алмазов

68135. Предельное поведение атомных волновых функций при больших атомных номерах. Фросе (The limiting behaviour of atomic wave functions for large atomic number. Froese Charlotte), Proc. Roy. Soc., 1957, A239, № 1218, 311—319 (англ.)

С целью разработать способ построения приближенных самосогласованных электронных волновых функций при больших  $N$  исследуется поведение самосогласованных радиальных функций с обменом  $P_N(\gamma nl; r)$  при  $N \rightarrow \infty$  ( $n$  и  $l$  — одноэлектронные квантовые числа;  $\gamma$  — индекс электронной конфигурации атома). Функция  $P_N$  строится в виде разложения по обратным степеням  $N$ :  $P_N(\gamma nl; r) = N^{1/2} [P_n(nl; r) + N^{-1} Q(\gamma nl; r) + N^{-2} R \times (\gamma nl; r) + \dots]$  (1). Первый член разложения  $P_N$  является масштабно-преобразованной волновой функцией атома  $H$  (замена  $r$  на  $r = Nr$ ). Подставив (1) в систему ур-ний Фока — Хартри и пренебрегая членами порядка  $N^{-2}$ , получается обыкновенное неоднородное дифференциальное ур-ние 2-го порядка для определения функции  $Q(\gamma nl; r)$ , коэффициенты и свободный член которого не содержат функции  $Q$ . Функция  $Q(\gamma nl; r)$  находится простым численным интегрированием этого ур-ния (задача эта не носит «самосогласованного» характера и не требует также нахождения собственных значений). Такое численное интегрирование производилось с помощью электронной счетной машины для основных термов 24 электронных конфигураций (начиная от конфигураций  $(1s)^2(2s)^2(2p)^1$  и кончая конфигурацией  $(1s)^2(2s)^2(2p)^6(3s)^2(3p)^6(3d)^{10}$ ). Оказывается, что функция  $N^{1/2} [P_n(nl; r) + N^{-1} Q(\gamma nl; r)]$  сравнительно точно передает ход самосогласованных волновых функций внутренних оболочек: напр.  $2s$ -функция атома Fe ( $N = 26$ ) получается с двумя правильными знаками. Однако ошибка в приближенном представлении  $3s$ -функции Fe<sup>14+</sup> достигает 10% в окрестности ее максимума. Вклад от 3-го члена в разложении функции  $P_N(\gamma nl; r)$  учитывается, если представить приближенную одноэлектронную функцию при больших  $N$  в виде:  $P(nl; r) = N^{1/2} [P_n(nl; r) + (r/r_n) Q(\gamma nl; r)]$  ( $r$  и  $r_n$  — средние значения  $r$ , вычисленные соответственно с самосогласованной волновой функцией и с волновой функцией атома  $H$ ). С помощью найденных функций  $Q(\gamma nl; r)$  вычислены и табулированы предельные значения при  $N \rightarrow \infty$  констант экранирования  $\sigma_0(nl)$  для электрона с квантовыми числами  $n$  и  $l$  в вышеуказанных конфигурациях, определяемые равенствами:  $\sigma(nl) = N - \bar{r}(nl)/r_n(nl)$  и  $\sigma_0(nl) = \lim_{N \rightarrow \infty} \sigma(nl, l)$ . Используя имеющиеся в литературе результаты атомных расчетов по методу Фока — Хартри, составлены сводные диаграммы зависимости  $\sigma(nl)$  от  $\bar{r}(nl)$  ( $(2s)$ ,  $(2p)$ ,  $(3s)$ ,  $(3p)$  и  $(3d)$ ). Зависимости  $\sigma(nl)$  от  $\bar{r}(nl)$  во всех рассматриваемых электронных конфигурациях являются почти линейными во всем промежутке изменения заряда ядра. Т. Ребане

**68136. Теоретическое определение тонкой структуры в двухконфигурационном приближении.** Юцис, Шугров, Мартишюс (Smulkiosios struktūros skaičiavimas dvikonfigūraciniame artutinyne. Jucys A., Sugurovas V., Martišius J.), Mokslo darbai. Vilniaus univ. Matem., fiz. ir chem. mokslų ser., Уч. зап. Вильнюск. ун-т. Сер. матем., физ. и хим. н., 1956, 6, 25—30 (лит.; рез. русск.)

Вычисляется тонкая структура термов атомов В, С и N в двухконфигурационном приближении с учетом взаимодействия спин-спин и спин-орбита. В качестве волновых функций «нулевого» приближения взяты одноэлектронные волновые функции самосогласованного поля Фока. Согласно расчетам, взаимодействие конфигураций  $1s^2 2s^2 2p^q - 1s^2 2p^{2+q}$  ( $q = 1, 2, 3$ ) для В и С уменьшает расщепление, а для N — увеличивает (по модулю) примерно на 70%, причем двухконфигурационное приближение хуже согласуется с экспериментом, чем одноконфигурационное (поправка

дает противоположный знак, чем требуется для согласования). Авторы предполагают, что такой отрицательный результат, возможно, обусловлен недостаточной точностью функций «нулевого» приближения, в частности, тем, что не было учтено магнитное взаимодействие.

А. Зимин  
**68137. Матрицы спин-орбитального взаимодействия электронной конфигурации  $d^4$ .** Бозман, Трисе (Matrices of spin-orbit interaction of the electron configuration  $d^4$ . Bozman W. R., Trees R. E.), J. Res. Nat. Bur. Standards, 1957, 58, № 2, 95—100 (англ.)

Вычислена матрица спин-орбитального взаимодействия по методу Рака для конфигурации  $d^4$  применительно к спектрам атомов TaI и TeI. Состояния классифицированы по LS-связи. Расчеты проведены на электронной счетной машине. Проверка расчетов осуществлена путем сравнения вычисленных собственных значений матрицы с результатами, полученными по  $jj$ -связи.

А. Зимин  
**68138. К теории неупругого рассеяния электронов атомами гелия.** Миллер, Плацман (On the theory of the inelastic scattering of electrons by helium atoms. Miller W. F., Platzman R. L.), Proc. Phys. Soc., 1957, A70, № 4, 299—303 (англ.)

Анализируя сечение рассеяния электронов на атомной системе, полученное Бете в борновском приближении, авторы приходят к выводу, что основные черты дифференциального и полного сечения могут быть получены на основе оптич. данных относительно величин обобщенной силы осциллятора  $f_n(K)$ . В частности, асимптотич. выражение сечения Бете выражается через  $f_n$  с некоторым множителем (под логарифмом) порядка 1, легко вычисляемым по форме  $f_n(K)$ , определяющей экспериментально, а полное сечение рассеяния может быть получено непосредственно по площади кривой  $f_n(K)$ . Оптич. данные могут быть использованы также для получения полуэмпирич. волновых функций, существенно входящих в выражения Бете. В связи с этим обсуждаются некоторые расчеты, а также отмечается, что расчеты Мэсси и Мота дают неправильные результаты, что связано с чувствительностью сечения к волновым функциям начального и конечного состояний. Авторы выражают надежду, что с помощью аналогичного анализа можно рассматривать и оптически запрещенные переходы через величины, аналогичные  $f_n$ .

А. Зимин  
**68139. Конверсия метастабильного гелия из синглетного в триплетное состояние при соударении с электроном.** Марриотт (The conversion of metastable helium from the singlet to the triplet state by electron collision. Marriott R.), Proc. Phys. Soc., 1957, A70, № 4, 288—295 (англ.)

Вычисляется сечение конверсии гелия при соударении с падающим электроном:  $He^*(2^1S) + e^- \rightarrow He^*(2^3S) + e^- + 0,78 \text{ эв}$ , причем учитываются все прямые взаимодействия начального и конечного атомных состояний (поскольку, как показали расчеты автора, приближение искаженных волн совершенно недостаточно). Волновая функция записывается в виде произведения волновой функции свободного электрона, электронов атома и спиновой волновой функции с соответствующей симметризацией. Гамильтониан записывается с учетом всех парных взаимодействий. Ур-ние Шредингера сводится к системе 2-х интегродифференциальных ур-ний относительно электронных функций, решение которых выполнено численным интегрированием для энергий порядка 300° K (тепловые электроны). Расчеты выполнены с точностью до 10%. Правильное решение представлено

в виде линейной комбинации 2-х независимых решений системы ур-ний; параметры найдены с учетом граничных условий (рассеянные волны). Проверка решений выполнена с помощью вычисления определителя Вронского. Согласно расчетам, сечение процесса (в единицах  $a_0^2$ ) уменьшается от 180 (при 0,026 эв) до 14,6 (при 1,210 эв). Теоретич. величина сечения равна  $5 \cdot 10^{-15} \text{ см}^2$  (эксперим.  $3 \cdot 10^{-14} \text{ см}^2$ ). Автор считает, что такое несогласие обусловлено неточным расчетом волновых функций, особенно состояния  $2^1S$ . Как показывают более точные расчеты автора (пока не опубликованы), учет взаимодействия с промежуточными состояниями сильно изменяет результаты, хотя последние еще не получены в конечном виде.

А. Зимин

**68140. Электронное средство легких элементов. Варшни, Срибастава** (Electron affinities of the lighter elements. Varshni Yatendra Pal, Srivastava Surendra Nath), Z. phys. Chem. (DDR), 1957, 206, № 3-4, 221-230 (англ.)

Электронное средство вычисляется с помощью экстраполяцииной ф-лы ионизационного потенциала двух видов:  $I_z = a + bZ + cZ^2 + dZ^3$  и  $I_z = aZ^{-1} + b + cZ + dZ^2$  — аналогично расчетам, в которых используется экстраполяцияная ф-ла в виде полинома 2-й степени (РЖХим, 1954, 15934). Величины электронного средства, вычисленные по экстраполяциянным ф-лам, сильно зависят от заимствованных из эксперим. данных значений высших ионизационных потенциалов. Ввиду малой точности измерений ионизационных потенциалов невозможно предпочесть одну из ф-л для  $I_z$  другой. Рассчитаны величины электронного средства для  $Z = 1-18$ . Согласно расчетам по 2-й ф-ле зависимость электронного средства от  $Z$  представляет собой кривую, колеблющуюся около нуля, причем все величины максимумов положительны (наибольшие из них: 3 эв при  $Z=9$  и 3,5 эв при  $Z=14$ ), а минимумов — отрицательны, за исключением самых больших  $Z$ , для которых величина электронного средства только положительна. Эта область  $Z$  содержит, однако, наибольшие ошибки. Указывается, что полученные этим методом значения электронного средства могут рассматриваться только как нижний предел действительных величин.

А. Зимин

**68141. Отрицательные ионы кремния, германия, олова и свинца. Дукельский В. М., Соколов В. М.**, Ж. эксперим. и теор. физики, 1957, 32, № 2, 394-395

Установлено существование атомных отрицательных ионов элементов подгруппы IV B: Si, Ge, Sn, Pb. Отрицательные ионы получались в ионном источнике при взаимодействии электронов с молекулами галогенида исследуемого элемента, а также методом перезарядки и регистрировались с помощью магнитного масс-спектрометра. Наличие у элементов подгруппы IV B периодической системы средства к электрону авторы объясняют тем, что эти элементы имеют неполные группы эквивалентных  $p$ -электронов.

К. Петров

**68142. Определение силы осциллятора линии железа 3720 Å из длительности затухания резонансного свечения. Цюок** (Die Bestimmung der Oszillatorenstärke der Eisenlinie 3720 Å aus der Abklingdauer des Resonanzleuchtens. Ziock Klaus), Z. Phys., 1957, 147, № 1, 99-112 (нем.)

Идея опыта заключается в следующем. Свет, промодулированный ячейкой Керра, поступает в спектрограф, минуя пары Fe. При этом снимают кривую зависимости тока фотомножителя от фазы импульса напряжения, поступающего на его анод. Затем процедура повторяется, но свет уже пропускают через

пары железа. При этом получается кривая зависимости тока фотомножителя от фазы импульса на аноде несколько иной формы, и максимум ее сдвинут относительно максимума первой кривой. Измеряя этот сдвиг и учитывая изменение формы кривой, вычисляют время затухания резонансного свечения и по известным соотношениям — силу осциллятора. Для линии железа 3720 Å с учетом возможных ошибок опыта получается, что  $f = 0,046 \pm 30\%$ . Напряжение на ячейку Керра поступает от генератора, который через фазовращатель управляется импульсным генератором. Этот последний, с другой стороны, питает анод фотомножителя. Индикатором служит фазочувствительный детектор на выходе фотомножителя. Приведено подробное описание узлов установки и схемы самих измерений. Произведена тщательная оценка результатов измерений и обсуждены возможные ошибки опыта.

М. Бутров

**68143. Об уширении и сдвиге спектральных линий в плазме газового разряда. Мазинг М. А., Мандельштам С. Л.**, Оптика и спектроскопия, 1957, 2, № 2, 276-278

Проведены измерения сдвигов и суммарного уширения нескольких спектральных линий Са в плазме дугового разряда. На основании полученных результатов вычислены величина постоянной Штарка и конца электронов.

М. Б.

## МОЛЕКУЛА. ХИМИЧЕСКАЯ СВЯЗЬ

Редакторы Д. А. Бочвар, А. А. Малыцев, Е. М. Попова

**68144. Расчет матричных элементов собственной функции связи с помощью векторной модели. Симпсон** (Calculation of bond eigenfunction matrix elements with the vector model. Simpson W. T.), J. Chem. Phys., 1956, 25, № 6, 1297-1298 (англ.)

На примере задачи взаимодействия двух канонич. структур Кекуле для молекулы бензола показывается, что уточненная векторная модель, учитывающая неортогональность одноэлектронных функций (РЖХим, 1957, 56766), позволяет вычислить элементы матрицы взаимодействия отдельных приближенных волновых функций, соответствующих различным канонич. структурам в методе валентных схем. Результаты совпадают с результатами, полученными ранее с помощью упрощающих правил: (Eyring H., Kimball G. E., J. Chem. Phys., 1933, 1, 239; Pauling L., J. Chem. Phys., 1933, 1, 280).

Т. Ребане

**68145. Внутримолекулярный потенциал пирамидальных молекул  $M(CH_3)_3$ . Симидзу** ( $M(CH_3)_3$  ピラミッド型分子の分子内ポテンシャル. 清水一宏), 日本化学雑誌, Нихон какаку даасси, J. Chem. Soc. Japan. Pure Chem. Sec., 1956, 77, № 7, 1103-1105 (японск.)

По методу Ури-Брадди вычислены скелетные колебания пирамидальных молекул  $M(CH_3)_3$  ( $M=N, P, As, Sb$  и  $Bi$ ), рассматривая метильные группы как целое. Из известных геометрич. конфигураций этих молекул и наблюдаемых значений частот скелетных колебаний вычислены различные силовые постоянные. Одна из силовых постоянных показывает, что имеет место отталкивание между группами  $CH_3$ , причем сила отталкивания уменьшается с увеличением расстояния между ними, аналогично наблюдавшейся ранее зависимости силовой постоянной в галогидметанах и их аналогов и расстояния между атомами галогенов. Исключение составляет  $N(CH_3)_3$ . Это может быть объ-



яснено внутримолекулярным напряжением, вследствие  $sp^3$  гибридизации, которая не встречается у  $Bi(CH_3)_3$  и т. д.

Chem. Abstrs, 1957, 2, 839. M. Kubo 68146. Электронная структура и спектры симметричного триазины. Пикок (Electronic structure and spectrum of s-triazine. Peacock T. E.), Nature, 1957, 179, № 4561, 684—685 (англ.)

Приведены результаты расчета четырех нижайших синглетных возбужденных состояний молекулы сим-триазины методом МО с учетом взаимодействия конфигураций. Самосогласованные заряды на N и C равны соответственно 1,115 и 0,885, а кулоновские интегралы 0,240 β и —0,065 β. Уровень симметрии  $1A'_2$  расположен на расстоянии 5,31 эв от основного (опыт 5,62 эв), уровень  $1A'_1$  на расстоянии 6,31 эв, уровень  $1E'$  на расстоянии 7,49 эв. Переходам на эти уровни соответствуют полосы поглощения α, β, β'.

О. Пахомова

68147. О применении метода молекулярных орбит и спектрам замещенных ароматических углеводородов. Гудман, Росс, Шалл (On the application of the molecular orbital method to the spectra of substituted aromatic hydrocarbons. Goodman Lionel, Ross Ian G., Shull Harrison), J. Chem. Phys., 1957, 26, № 3, 474—480 (англ.)

Предлагается более строгий подход к влиянию заместителей (X) на спектры ароматич. углеводородов (АУ). Выведены ф-лы для энергий уровней  $\epsilon_i$  и основного состояния E как функций коэф. переноса электронов с X на орбиты АУ:  $\lambda_i = (H_{xi} - S_{xi} H_{xx}) / (H_{xx} - H_{ii})$ ;  $\epsilon_j = H_{jj} - (\lambda_j + S_{jx})^2 (H_{xx} - H_{jj})$ ;  $\epsilon_x = H_{xx} + \sum_{i=1}^N \lambda_i^2 \times (H_{xx} - H_{ii})$ ;  $E = 2 \sum_j \epsilon_j^0 + 2 \epsilon_x$ . Указывается, что существенная часть возмущения, производимого X, заключается в изменении орбит АУ. Поэтому, если представить гамильтониан возмущенной системы в виде  $H^0 + H^x$ , то либо  $H^x$  не имеет прямой связи с потенциалом ионизации X, либо  $H^0$  не имеет прямого отношения к орбитам незамещенного АУ. Другой источник ошибок — применение среднего гамильтониана  $1/2 (H + F)$  вместо самосогласованного F. Обсуждается влияние X на интенсивность перехода  $B_{2u}$  бензола. Показано, что опускать коэф. нормировки и использовать неортогональные функции, как это делали ранее (Sklar A. L., J. Chem. Phys., 1939, 7, 986), недопустимо, так как при этом вносятся ошибки того же порядка ( $\lambda^2$ ), что и наблюдаемый эффект. Члены того же порядка величины в выражения для интенсивности и энергии перехода вносят взаимодействие состояний  $B_{2u}$  и  $E_{1u}$  бензола. Учет интегралов перекрытия в АУ играет большую роль при малой, а интеграла перекрытия орбит АУ и X — при большой электроотрицательности X.

Г. Дядюша

68148. Исследование строения прототипов хлорофилла по методу МО—ЛКАО. Матлоу (An LCAO MO study of the structure of chlorophyll prototypes. Matlow Sheldon L.), J. Chem. Phys., 1955, 23, № 4, 673—680 (англ.)

Произведен расчет 3 возможных изомеров порфирина  $C_{20}H_{14}N_4$  (II) и 5 изомеров дигидропорфирина  $C_{20}H_{16}N_4$  (ДГП). Среди II различаются такие, в которых 2 центральных атома водорода связаны с атомами азота двумя смежными σ-связями (ПС) и двумя противоположными σ-связями (ПП), и II, в котором 2 центральных атома водорода симметрично связаны со всеми атомами азота по типу π-комплексов (ПК). У ДГП 5 изомеров, так как ДГПС и ДГПП могут образовывать по два изомера, различающихся положением гидрированного пиррольного кольца. Изомеры, в кото-

рых водород связан с азотом гидрированного кольца, отмечаются римской цифрой I, остальные — II. При расчете параметр электроотрицательности для атомов N принимался равным 0,8 у простых связей, 1 для N у двойной связи и 0,9 для всех четырех атомов N в ПК и ДГПК. Вычислены 15 нижних уровней для II, 14 для ДГП и порядки связей всех рассмотренных соединений. На полученных уровнях последовательно размещают 26 π-электронов II и 24 π-электрона ДГП. Найдено, что основные состояния ПС и ПП имеют одинаковые энергии, а для ДГП наиболее устойчивым изомером является ДГПСI, а затем ДГПСII и ДГППII с энергиями, отличающимися от энергии ДГПСI на 1,06 и 1,20 ккал/моль соответственно. Сравнение полученных для II и ДГП переходов с имеющимися спектральными данными говорит о том, что пики в спектре II нужно объяснить скорее наложением электронных спектров изомеров ПС и ПП, чем колебательной тонкой структурой единственного электронного перехода. Напротив, пики в спектре ДГП, по всей вероятности, обусловлены колебательной тонкой структурой.

Н. Гамбарян

68149. Строение гетероциклических молекул, содержащих азот. III. О конфигурации азота в сопряженных системах. Хамека, Лигуори (Structure of heterocyclic molecules containing nitrogen. III. On the configuration of nitrogen in conjugated systems. Hamerka H. F., Liquori A. M.), Proc. Koninkl. nederl. akad. wet., 1956, B59, № 3, 242—252 (англ.)

В шестичленных гетероциклич. молекулах с азотом валентные углы у атомов N всегда несколько меньше, а у атомов C — несколько больше  $120^\circ$ . Для объяснения этого факта авторы производят по методу МО расчет угла C—N—C в сим-триаazine путем минимизации энергии по этому углу. Предполагается, что направления гибридных  $sp^2$ -орбит атомов N (с участием неподеленной пары) и C совпадают с направлениями связей. Значение угла C—N—C определяет тогда состояние гибридизации  $sp^2$  атомов C и N однозначно. При расчете не учитывался вклад в π-электронную энергию членов, слабо зависящих от валентных углов (отталкивания электронов, занимающих соседние атомные p-орбиты, энергия перевода атомов в валентные состояния). Распределение электронного заряда на дважды занятой связывающей орбите аппроксимируется распределением заряда на двух однократно занятых АО, из которых строится связывающая МО. Для расчета энергии ковалентных связей C—N и C—H в зависимости от состояния гибридизации атомных орбит, используются полуэмпирич. ф-лы (Mulliken R. S., J. Amer. Chem. Soc., 1950, 72, 4493). Используются атомные орбиты Слейтера с эффективными зарядами ядер  $q_N = 3,90$  и  $q_C = 3,18$ . Найденное авторами значение угла C—N—C в сим-триаazine составляет  $110^\circ$  (опыт  $113^\circ 12'$ ). Сообщ. II см. РЖХим, 1956, 67612.

Т. Ребане

68150. О частоте колебания карбонильной группы в полициклических хинонах. Боде, Бертье, Пульман (Sur la fréquence de vibration du groupement carbonyle dans les quinones polycycliques. Baudet J., M-me, Berthier G., Pullman B.), J. chim. phys. et phys.-chim. biol., 1957, 54, № 4, 282—284 (франц.)

Проведенный авторами ранее (Berthier G. и др., J. chim. phys., 1952, 49, 365) расчет методом МО—ЛКАО частоты колебания  $\nu_{C=O}$  в полициклич. хинонах приведен при распространении на более сложные хиноны в противоречию с опытом. Это противоречие снимается, если улучшить расчет, приняв во внимание зависимость интегралов β связей CC от длины этих связей.

Расчет для пентаценохинона в этом приближении показал, что, несмотря на зависимость порядка связи  $C=O$  от выбора параметров, теория отражает эксперим. изменения  $\nu_{C=O}$  в многоядерных  $n$ -хинонах. По мнению авторов,  $\nu_{C=O}$  определяется в основном порядком связи, а также самополяризуемостью связи, но не ее полярностью; объяснено явление параллелизма между последней и  $\gamma$ .

Н. Гамбарян  
68151. Дисперсионная формула в металлической модели молекулы с сопряженными связями. Адамов М. Н., Милевская И. С., Оптика и спектроскопия, 1957, 2, № 3, 399—401

При использовании металлич. модели  $\pi$ -электронов поправочная функция 1-го приближения при выводе дисперсионной ф-лы с помощью теории возмущений, зависящих от времени, находится в аналитич. виде, а не в виде обычного разложения в бесконечный ряд. Пользуясь полученной при подстановке этой поправочной функции дисперсионной ф-лой, рассчитывается полная продольная поляризуемость для ряда полиенов ( $C_4, C_6, C_8, C_{10}$ ) и полная оптич. поляризуемость бензола для  $D$  линии Na; соответствующие значения поляризуемости (в ат. ед.): 66, 296, 540, 12319, 56,3 — по-видимому, преувеличивают вклад  $\pi$ -электронов в поляризуемость.

Н. Гамбарян  
68152. Анализ и значение химических связей. I. II. Рокка (Analisi e significato dei legami chimici. I. II. Rocca Massimo), Chimica, 1955, 31, № 3, 85—91; № 4, 139—143 (итал.)

I. Автор вводит новые энергетич. характеристики атомов и связей: энергию изоляции атома  $Q_0$ , которую надо затратить для изоляции атома из молекулы соответствующего элемента;  $Q_0$  равна сумме энергий простых полусвязей изолированного атома  $L_0$ ,  $Q_0 = mL_0$ , где  $m$  — число связей, образуемых атомом. Для молекулы  $Q_0$  равна сумме  $Q_0$  всех составляющих ее атомов. Полная энергия любой молекулы  $Q_t = Q_0 + Q_f$ , где  $Q_f$  — теплота образования молекулы из молекул элементов. Составлены таблицы  $Q_0$  и  $L_0$  для элементов периодической системы и таблицы энергетич. характеристик галогенидов, оксидов и сульфидов элементов групп I, II, III и IV, цианидов групп I и II, гидридов щел. металлов и неметаллов.

II. Изучение составленных ранее таблиц (см. выше) привело автора к выводу, что величина  $R = Q_f/Q_0$  не определяет, как это можно было ожидать, скорости р-ции образования гетерогенной молекулы из гомогенных молекул. Автор вводит зависящий от условий р-ции фактор  $p$ , определяемый выражением для скорости р-ции  $dG/dt = a(pR)^b$ , и предлагает характеризовать связь «ионным отношением»  $R_p$ , определяемым как отношение «ионной функции»  $F_i$  к полной энергии связи  $Q_t = a + Q_f + b$ , где  $a$  и  $b$  означают  $Q_0$  отдельно для электроположительных и электроотрицательных элементов молекулы соответственно. «Ионная функция» определяется как  $F_i = a + Q_f - b$ .

Н. Гамбарян  
68153. Зависимость между электроотрицательностями атомов и валентно-электронными зарядами связей. Быков Г. В., Ж. физ. химии, 1957, 31, № 2, 501—504

Предложены понятия  $\pi$ - и  $\sigma$ -электронного заряда связи, под которыми подразумеваются доли  $\pi$ - и  $\sigma$ -электронного облака молекулы, приходящиеся на данную связь  $X'-Y'$ . Подчеркивается, что в общем случае  $\pi$ - и  $\sigma$ -электронные заряды связей не равны целому числу электронов. Связи подразделяются на простые, образованные только  $\sigma$ -электронами, и сложные, образованные  $\sigma$ - и  $\pi$ -электронами, между которыми выделе-

ны 5 подтипов. Предложена схема определения электронных зарядов связей, основанная на положении, что валентно-электронное облако атома распределяется между связями, которые он образует с другими атомами, и прямо пропорционально электроотрицательности последних. Тогда для связи  $X'-Y'$  электронный заряд  $A_{x'y'} = n_x E_{y'}/\Sigma E_y + n_{y'} E_{x'}/\Sigma E_x$ , где  $n_x$  и  $n_{y'}$  — числа электронов, внесенных в систему соответственно атомами  $X'$  и  $Y'$ ,  $E_{x'}/\Sigma E_x$  и  $E_{y'}/\Sigma E_y$  — соответственно отношения электроотрицательностей атомов  $X'$  и  $Y'$  к сумме электроотрицательностей атомов, непосредственно с ними связанных.

В. Алексеева  
68154. Электронная структура и канцерогенная активность ароматических углеводородов. Пюльман (Structure électronique et activité cancérigène des hydrocarbures aromatiques. Pullman Alberte, m-m), Bull. Soc. chim. France, 1954, № 5, 595—603 (франц.)

Обзор результатов исследования зависимости канцерогенной активности (КА) ароматич. углеводородов (АУ) от их электронной структуры (ЭС). ЭС характеризовалась: энергией поляризации атомов углерода (ЭПУ), энергией ортополяризации (ЭОП) и энергией параполяризации (ЭПП). КА определяется наличием и характером двух участков молекулы:  $K$ -области (мезофенантроновая область), имеющей наименьшую ЭОП, и  $L$ -области (мезоантраценовая область), характеризующейся наименьшими значениями ЭПП и ЭПУ. Автор считает, что «взаимодействие» клеточных элементов с молекулой углеводорода, обладающего КА, происходит в  $K$ -области, тогда как активная  $L$ -область изменяет характер взаимодействия, снижая КА.  $K$ -область активна, когда ЭОП + ЭПУ (мин.) меньше или равна 3,31  $\beta$ ;  $L$ -область активна, когда ЭПП + ЭПУ (мин.) больше или равна 5,66  $\beta$ . Произведено сопоставление опытных данных по КА с результатами расчета для большого числа АУ. При введении заместителя или гетероатома ЭС количественно характеризовалась изменением электрич. заряда  $K$ -области ( $\Delta q$ ). Установлено возрастание КА в метилазамещенных 1,2-бензантирацена с возрастанием  $\Delta q$ . Атом N в акридинах снижает  $\Delta q$  и КА.

В. Антонов  
68155. Образование отрицательных ионов кислорода при столкновениях положительных ионов кислорода с молекулами газов. Фогель Я. М., Крупник Л. И., Ж. эксперим. и теор. физики, 1955, 29, № 2, 209—220

При помощи двойной масс-спектрометрии, установки исследованы процессы образования отрицательных ионов при столкновениях ионов  $O_1^+$  и  $O_2^+$  с молекулами  $H_2$ ,  $O_2$  и  $N_2$ , сопровождающихся захватом двух электронов в каждом акте столкновения. Методика описана ранее (см. РЖФиз, 1956, 463). Процесс  $O^+ \rightarrow O^-$  изучен для ионных пучков с энергией 15—41 кэВ,  $O_2^+ \rightarrow O_2^-$  для энергий 18 кэВ. Величина  $\sigma$  для  $O_1^+ \rightarrow O_1^-$  достигает  $10^{-16} \text{ см}^2$  и не зависит существенно от энергии ионов  $O_1^+$  и от рода газа, заполняющего камеру столкновений. Для процесса  $O_2^+ \rightarrow O_2^-$   $\sigma \sim 10^{-18} \text{ см}^2$ . Существует зависимость величин сечения захвата двух электронов от рода сталкивающихся ионов ( $O_1^+ \rightarrow O_1^-$ ;  $H^+ \rightarrow H^-$ ;  $O_2^+ \rightarrow O_2^-$ ): сечение максимально в случае, когда дефект резонанса  $\Delta E = 0$ , и уменьшается при  $\Delta E \neq 0$ . Во всех исследованных процессах  $\Delta E < 0$  и  $\sigma$  растет с уменьшением абс. значения  $\Delta E$ .

Е. Франкевич  
68156. О диссоциации первичных ионов в масс-спектрометре. Тихомиров М. В., Колотыркин В. М., Туницкий Н. Н., Докл. АН СССР, 1955, 101, № 5, 903—905

На масс-спектрометрах двух конструкций исследованы «дробные» пики  $11^{1/3}$  и  $10^{2/7}$  в масс-спектре  $CH_4$

и 30,4 и 31,9 в масс-спектре *n*-бутана (процессы  $\text{CH}^+ \rightarrow \text{C}^+ + \text{H}$ ,  $\text{CH}_2^+ \rightarrow \text{C}^+ + 2\text{H}$ , происходящие при столкновении с молекулами в анализаторе, и процессы  $\text{C}_4\text{H}_{10}^+ \rightarrow \text{C}_3\text{H}_5^+ + [\text{CH}_4]$ ,  $\text{C}_4\text{H}_{10}^+ \rightarrow \text{C}_3\text{H}_7^+ + [\text{CH}_3]$ , которые, как показано, происходят не только спонтанно, но и за счет соударений). Для пиков  $11^{1/3}$  и  $10^{2/7}$  показано, что вероятность диссоциации возрастает в 200 раз при снижении энергии иониз. электронов с 70 до 25 эв, что связано, по-видимому, с возбуждением  $\text{CH}^+$  и  $\text{CH}_2^+$  при низких энергиях электронов. Поперечное сечение диссоциации при 70 эв по порядку величины найдено равным  $1 \cdot 10^{-16}$  см<sup>2</sup>. Относительная интенсивность пика 31,9 растет с увеличением энергии электронов, но зависит от давления, что связано, возможно, с тем, что спонтанный распад ионов и распад их при соударениях по-разному зависят от энергии электронов. Е. Франкевич

**68157. Изучение некоторых ароматических углеводородов методом электронного удара. Реакции ароматических углеводородов. Филд, Франклин** (Electron impact studies of some aromatic hydrocarbons. Implications regarding certain aromatic reactions. Field F. H., Franklin J. L.), J. Chem. Phys. 1954, 22, № 11, 1895—1904 (англ.)

Методом электронного удара измерены ионизационные потенциалы (*I*) некоторых алкилзамещенных бензолов. Результаты измерений подтверждают значения, предвычисленные по методу эквивалентных орбит (см. РЖХим, 1953, 6050). Измерены потенциалы появления различных алкилзамещенных бензил-ионов и показано, что энергия этих ионов не зависит от заместителей в бензольном кольце. Соответствующие значения, полученные для алкилзамещенных фенил-ионов, представляются менее закономерными; они могут быть понятными, если предположить, что эти ионы изомеризуются в бензил-ионы. Обсуждено значение полученных результатов для различных химических реакций. Найдено, что теплоты образования фенильного и этилфенильного радикалов равны соответственно 66 и 49 ккал/моль. Резюме авторов

**68158. Масс-спектрометрическое исследование реакций органических молекул на стенках при высоких температурах. Осбергхаус, Тауберт** (Massenspektrometrische Untersuchungen von Wandreaktionen organischer Moleküle bei hohen Temperaturen. Osberghaus O., Taubert R.), Z. phys. Chem. (Frankfurt), 1955, 4, № 5/6, 264—285 (нем.)

Изучались масс-спектры  $\text{CH}_4$ ,  $\text{C}_2\text{H}_6$ ,  $\text{C}_3\text{H}_8$ , *n*- и *изо*- $\text{C}_4\text{H}_{10}$ ,  $\text{C}(\text{CH}_3)_4$ ,  $\text{CH}_3\text{Cl}$  и  $\text{Pb}(\text{CH}_3)_4$ . Давление исследуемого газа в ионизационной камере подбиралось так, чтобы длина свободного пробега была в ~40 раз больше размеров камеры. Показано, что при повышении *t*-ры от 200 до 1200° ток мол. ионов уменьшается, а осколочных — возрастает. Методом экстраполяции разностей ионизационных напряжений определены (в эв) следующие потенциалы появления:  $\text{CH}_3^+$  [радикал из  $\text{Pb}(\text{CH}_3)_4$ ]  $9,88 \pm 0,05$  (600—900°);  $\text{CH}_4^+$  (метан)  $13,14 \pm 0,06$  (650—890°);  $\text{CH}_3^+$  (метан)  $14,28 \pm 0,09$  (750—1200°);  $\text{CH}_3^+$  (этан)  $14,2 \pm 0,3$  (200—1100°);  $\text{CH}_3^+$  (пропан)  $18,5$  (870—1130°);  $\text{CH}_3^+$  (*n*-бутан)  $16,5$  (250—880°);  $\text{CH}_3^+$  (изобутан)  $16,7$  (200—850°);  $\text{CH}_3^+$  (тетрамethylметан)  $17$  (200—830°);  $\text{CH}_3^+$  (метилхлорид; процесс  $e + \text{CH}_3\text{Cl} \rightarrow 2e + \text{CH}_3^+ + \text{Cl}$ )  $13,8$  (220—1120°). Определен потенциал ионизации радикала  $\text{CH}_3$  ( $9,88 \pm 0,05$  эв). При исследовании *p*-ции на стенке при *t*-рах выше 600° для установления механизма *p*-ции и вычисления энергии активации, методом отклоняющего поля, измерялась начальная кинетика, энергия ионов. См. Berry C. E., Phys. Rev., 1950, 78, 597.

Е. Франкевич

**68159. Изучение масс-спектров бромциклопентана и трех бром-*n*-пентанов. Д'Ор, Хейнс, Моминьи** (Etude du spectre de masse du bromocyclopentane et des trois bromo-*n*-pentanes. D'Or L., Heyns H., Mominji J.), Ann. Soc. scient. Bruxelles, 1957, Sér. 1, 71, № 1, 61—65 (франц.; рез. англ.)

Изучение метастабильных ионов, образующих дробные пики в масс-спектрах бромциклопентана (I) и трех бром-*n*-пентанов (II), а также зависимости относительной интенсивности осколочных ионов от энергии электронов позволили установить схему образования основных ионов в этих масс-спектрах. Показано, что поведение (I) и 1- и 3- (II) под действием электронной бомбардировки, в частности, распределение интенсивностей в группе  $\text{C}_3$  для трех указанных *n*-*п*, сходно. Однако в масс-спектре 2-(II) большой ток ионов  $\text{C}_4\text{H}_7^+$  наблюдается наряду с весьма малым кол-вом ионов группы  $\text{C}_4$  в масс-спектре (I). Е. Ф.

**68160. Электронографическое и магнитное исследование бис-ацетилацетоната никеля (2+). Сибата, Кисита, Кубо** (Electron diffraction investigation and magnetic measurements on nickel (II) bisacetylacetone. Shibata S., Kishita M., Kubo M.), Nature, 1957, 179, № 4554, 320—321 (англ.)

При электронографич. исследовании паров бис-ацетилацетоната никеля при 170° получена кривая радиального распределения с пиками  $1,90 \text{ Ni}-\text{O}$ ;  $2,84 \text{ Ni}-\text{C}^1$ ,  $3,20 \text{ Ni}-\text{C}^2$  и  $4,25 \text{ Ni}-\text{C}^4$ . Теоретич. кривая интенсивности с параметрами в пределах  $< \text{ONiO } 84-110^\circ$ ,  $\text{C}^1-\text{C}^2$   $1,32-1,57$ ;  $\text{C}^1-\text{C}^4$   $1,51-1,54$  лучше совпадает с визуальной кривой, чем рассчитанная для тетраэдрической модели. Для плоской модели найдено  $< \text{ONiO } 94 \pm 4^\circ$ ;  $\text{C}^1-\text{C}^2$   $1,37 \pm 0,05$   $\text{C}^1-\text{O}^1$   $1,30 \pm 0,06$   $\text{C}^1-\text{C}^4$   $1,51-1,54$  А. Однако плоская модель противоречит данным магнитных измерений, которые установили наличие магнитного момента  $3,15-3,22 \text{ м.в.}$  не зависящего от *t*-ры (в интервале *t*-р 19—200°). Возможное качественное объяснение дано в работе Буллена (РЖХим, 1956, 67695), предположившего октаэдрическое строение молекулы. Рентгенографич. исследование порошков, полученных сублимацией в вакууме и нагретых до 170°, показало, что при нагревании происходит изменение кристаллич. структуры. Е. Шутам

**68161. Распределение вращательной интенсивности в полосе ОН. Ниниоми** (Rotational intensity distribution of the OH band. Ninomiya Masayoshi), J. Phys. Soc. Japan, 1956, 11, № 9, 970—974 (англ.)

Исследован спектр полосы (0, 0)  $\text{OH } ^2\Sigma - ^2\Pi$  ( $\lambda = 3064 \text{ А}$ ), возбужденный в тлеющем разряде при наличии паров  $\text{H}_2\text{O}$ . Распределение интенсивностей во всех ветвях спектра имеет, кроме максимума при малых  $K \sim 2-3$ , второй максимум при  $K = 19$ . Максвелл-Больмановское распределение между вращательными состояниями выполняется лишь при малых  $K$ . Отношение высоты двух пиков зависит от давления, радиуса разрядной трубки и типа разряда, но не зависит от разрядного тока. Интенсивность полосы пропорциональна разрядному току. Этот же спектр исследован и при возбуждении электронным ударом при малых энергиях электронов (напряжение 15—75 в). В нем также имеются два максимума в распределении интенсивностей вращательных полос; при этом отношение максимумов резко меняется при напряжении до 20 в (чем ниже энергия электронов, тем больше максимум при малых  $K$ ) и остается почти неизменным при более высоком напряжении. Предложено следующее объяснение наблюдаемой аномалии в распределении интенсивностей (Niiira K., J. Phys. Soc. Japan, 1949, 4, 230; 1952, 7, 193) имеются два нестабильных возбужденных состояния молекулы  $\text{H}_2\text{O}$  ( $^1\text{A}_1$  и  $^3\text{B}_2$ ), через которые  $\text{H}_2\text{O}$  диссоциирует на атом Н и возбуж-



денный радикал  $\text{OH}^*$  в состоянии  $^2\Sigma$ . Сечение возбуждения  $^3B_2$  быстро убывает с ростом энергии электронов, так что при больших энергиях электронов играет роль лишь состояние  $^1A_1$ . Таким образом, оказывается, что вращательный момент радикалов  $\text{OH}^*$ , образовавшихся через состояние  $^1A_1$ , больше, чем образовавшихся через состояние  $^3B_2$ . В цитированной работе предполагалось обратное. В случае вакуумного разряда величина максимума интенсивности при малых  $K$  тем больше, чем больше доля медленных электронов. Т. Бирштейн

**68162. О спектре поглощения азота в дальней ультрафиолетовой области.** Астуэн, Гранье (Sur le spectre d'absorption de l'azote dans l'ultraviolet extrême. Astoin Nicole, M-lle, Granier Janine), C. r. Acad. sci., 1957, 244, № 10, 1350—1353 (франц.)

Изучен спектр поглощения газообразного  $\text{N}_2$  в области 150—1000 Å и обнаружен ряд континуумов, приписываемых либо ионизации, либо диссоциации молекул  $\text{N}_2$ . В. Дианов-Клоков

**68163. Анализ тонкой структуры после поглощения NO в шумановской области.** Барроу, Мишер (Fine structure analysis of NO absorption bands in the Schumann region. Barrow R. F., Miescher E.), Proc. Phys. Soc., 1957, A70, № 3, 219—222 (англ.)

Проведен вращательный анализ полос поглощения NO в далекой УФ-области. Исследованы полосы 0—0, 1—0, 2—0, 3—0 и 4—0  $\epsilon$ -системы ( $D^2\Sigma^+ - X^2\Pi$ ); 4—0, 5—0  $\gamma$ -системы ( $A^2\Sigma^+ - X^2\Pi$ ); 8—0, 13—0 и 17—0  $\beta$ -системы ( $B^2\Pi - X^2\Pi$ ); а также некоторые другие полосы, отнесенные к новым системам. Найдены вращательные постоянные для состояний  $A^2\Sigma^+$ ,  $B^2\Pi$ ,  $D^2\Sigma^+$ . В результате классифицированы все полосы поглощения > 1600 Å. Более коротковолновые полосы 1546 и 1493 Å, возможно, представляют собой члены двух серий Ридберга, сходящихся к одному пределу.

В. Дианов-Клоков  
**68164. Вращательный анализ полос  $A^2\Pi_0^+$ ,  $B^2\Pi_1 - X^1\Sigma^+$  систем монофторида галлия.** Барроу, Додсуэрт, Зеeman (Rotational analysis of bands of the  $A^2\Pi_0^+$ ,  $B^2\Pi_1 - X^1\Sigma^+$  systems of gallium monofluoride. Barrow R. F., Dodsworth P. G., Zeeman P. B.), Proc. Phys. Soc., 1957, A70, № 1, 34—40 (англ.)

Проведен вращательный анализ полос испускания систем  $A^2\Pi_0^+ - X^1\Sigma^+$  и  $B^2\Pi_1 - X^1\Sigma^+$  GaF. Для обеих систем удалось полностью анализировать полосы 0—0 изотопич. молекул  $\text{Ga}^{69}\text{F}$  и  $\text{Ga}^{71}\text{F}$ , и частично — полосы 0—1 системы B—X. Приведены мол. постоянные  $\text{Ga}^{69}\text{F}$ . Межядерное расстояние в основном состоянии равно  $r_e = 1,775$  Å; энергия диссоциации для  $\text{Ga}^{69}\text{F } D_0'' = 143,3$  ккал/моль. В. Дианов-Клоков

**68165. Перенос энергии в органических кристаллах.** Пестей, Змерли (Transfert d'énergie dans les cristaux organiques. Pestel Paul, Zmerli Adnan), C. r. Acad. sci., 1956, 243, № 20, 1506—1509 (франц.)

Высказывается предположение, что при переносе энергии возбуждения в органич. кристаллах имеет место деформация молекул, воспринимающих энергию, в результате чего электрон возвращается не на нулевой уровень основного состояния, а на возбужденные колебательные уровни этого состояния. Потеря на колебательную энергию основного состояния равна кинетич. энергии переноса. Авторы связывают с этой потерей энергии «неполноту» спектров флуоресценции некоторых ароматич. кристаллов, состоящую в отсутствии излучения в области, простирающейся от частоты чисто электронного перехода на расстояние поверхностных и внутренних дефектов в кристаллах

~1500  $\text{cm}^{-1}$  в сторону низких частот. Возникновение при их растрескивании приводит к затруднению переноса энергии и наблюдается «полный» спектр, характерный для непосредственно возбуждаемых молекул. Перенос возбуждения затрудняется также при наличии в кристаллич. решетке кислорода; присутствие гидрохинона, напротив, способствует переносу в кристаллах нафталина. П. Феофилов

**68166. «Ловушки» в органической люминесценции.** Змерли, Пестей (Trappes en luminescence organique. Zmerli Adnan, Pestel Paul), C. r. Acad. sci., 1956, 243, № 22, 1757—1759 (франц.)

Анализируя данные о низкотемпературных спектрах органич. кристаллов, авторы приходят к выводу о том, что в процессе испускания света электроны переходят в основное состояние не с наиболее низкого возбужденного уровня  $O'$ , а с колебательных уровней, расположенных у бензола на 924  $\text{cm}^{-1}$ , а у нафталина на 1023  $\text{cm}^{-1}$  выше уровня  $O'$ . Таким образом, уровень  $O'$  может рассматриваться как «ловушка» для электронов. Высказывается предположение о возможности обнаружения этих ловушек методом термолюминесценции; для бензола можно ожидать появления максимумов на кривых термич. высвечивания при 43 и 86° K. П. Феофилов

**68167. Спектры флуоресценции органических кристаллов при 20° K.** Змерли, Пестей, Пестей (Spectres de phosphorescence de cristaux organiques à 20° K. Zmerli Adnan, Pestel Paul, Pestel Louise), Cahiers phys., 1956, № 71—72, 55—57 (франц.)

Краткий обзор результатов, полученных авторами при исследовании спектров флуоресценции ароматич. кетонов (РЖХим, 1955, 33826), бензола (РЖХим, 1956, 24832, 24834, 60758) и нафталина (Pestel P., C. r. Ac. Sc. 1952, 235, 150; РЖХим, 1956, 35005, 77304; 1957, 7192), при низких  $T$ -рах (РЖХим, 1956, 21703).

П. Феофилов  
**68168. Влияние концентрации на флуоресценцию растворов ароматических соединений при низкой температуре.** Тепляков П. А., Оптика и спектроскопия, 1957, 2, № 2, —19—271

Более подробное изложение этой работы см. РЖХим, 1957, 10870.

**68169. Комплексы металлов второй и третьей переходных групп. I. Спектры кристаллического поля Rh (3+) и Ir (3+). II. Спектры кристаллического поля и миграционных переходов Ru (2+), Ru (3+), Ir (4+) и Pt (4+). III. Спектры поглощения комплексов Rh (3+) и Ir (3+) Марселя Делепина. IV. Полосы миграционных переходов в комплексах Марселя Делепина и перенос заряда от трехвалентного иридия к пиридину. Некоторые замечания относительно промежуточной связи в галогидных комплексах и в ионе уранила. Йоргенсен (Complexes of the 4d- and 5d-groups. I. Crystal field spectra of rhodium (III) and iridium (III). II. Crystal field and electron transfer spectra of ruthenium (II) and (III), iridium (IV) and platinum (IV). III. Absorption spectra of Marcel Delépine's rhodium (III) and iridium (III) complexes. IV. Electron transfer bands with special application to M. Delépine's complexes and a transition from iridium (III) to pyridine, with some remarks about intermediate coupling in halide complexes and the uranyl ion. Jørgensen Chr. Klíxbüll), Acta chem. scand., 1956, 10, N 4, 500—517, 518—534; 1957, 11, N 1, 151—165, 166—178 (англ.)**  
I. Исследованы спектры поглощения октаэдрич. комплексных ионов  $\text{RhBr}_6^{3-}$ ,  $\text{RhCl}_6^{3-}$ ,  $\text{RhO}_6^{3-}$ ,  $\text{Rh}(\text{H}_2\text{O})_6^{3+}$ ,  $\text{Rh}(\text{NH}_3)_6^{3+}$ ,  $\text{Rh}(\text{NH}_3)_5\text{Br}^{2+}$ ,  $\text{Rh}(\text{NH}_3)_5\text{Cl}^{2+}$ ,  $\text{Rh}(\text{NH}_3)_5\text{OH}^{2+}$ ,  $\text{Rh}(\text{NH}_3)_5\text{H}_2\text{O}^{3+}$ ,  $\text{Rh}(\text{NH}_3)_6^{3+}$ ,  $\text{RhEn}_3^{3+}$ ,  $\text{Rh}(\text{NH}_3)_5\text{NO}_2^{2+}$ ,  $\text{IrBr}_6^{3-}$ ,  $\text{IrCl}_6^{3-}$ ,  $\text{Ir}(\text{NH}_3)_6^{3+}$ ,  $\text{IrEn}_3^{3+}$ .

В согласии с теорией в спектрах найдены полосы переходов из основного синглетного состояния (конфигурация  $\gamma_5^6$ ) на уровни  $^3G_4$ ,  $^3G_5$ ,  $^1G_4$  и  $^1G_5$  конфигурации  $\gamma_5^6\gamma_5$ . Изучено поведение перечисленных ионов в HCl и HClO<sub>4</sub>. Показано, что при этом имеет место внедрение воды в координационную сферу с вытеснением первоначальных аддендов. Изменения положения полос поглощения в ряду  $Rh(NH_3)_6^{3+}$ ,  $Rh(NH_3)_5X^{2+}$  ( $X=NO_2^-$ ,  $J^-$ ,  $Br^-$ ,  $Cl^-$ ,  $OH^-$ ,  $H_2O$ ),  $RhOx_3^{3-}$ ,  $RhEn_3^{3+}$ ,  $Ir(NH_3)_6Cl^{2+}$  и  $IrEn_3^{3+}$  находятся в соответствии с положением соответствующих аддендов в спектрохим. ряду. Наблюдающееся увеличение интенсивности интеркомбинационных полос  $^1G_1-^3G_4$  и  $^1G_1-^3G_5$  при переходе от Co (3+) к Rh (3+) и Ir (3+) объясняется соизмеримостью величин  $E_1-E_2$  (разность энергий  $\gamma_5$  и  $\gamma_5$  электронов) и  $\xi_0$  (константы спин-орбитального расщепления) у элементов 4d- и 5d-групп, ведущей к заметным отклонениям от LS-связи.

II. Исследованы спектры поглощения  $IrCl_6^{2-}$ ,  $IrBr_6^{2-}$ ,  $PtCl_6^{2-}$ ,  $PtBr_6^{2-}$ ,  $PtI_6^{2-}$ ,  $Pt(NH_3)_6^{4+}$ ,  $Pt(NH_3)_5Cl^{3+}$ ,  $RuCl_6^{3-}$  (?),  $RuBr_6^{3-}$  (?) и  $Ru(2+)$  в 2 M HCl. В спектре поглощения комплексов Ir (4+) и Pt (4+) наряду со слабыми полосами кристаллич. поля наблюдаются интенсивные полосы поглощения, интерпретируемые как переходы  $\pi$ -электронов аддендов на свободные ячейки  $a^n$ -оболочки центрального иона (миграционные переходы). Подчеркивается аналогия в спектрах поглощения комплексов Pt (4+) с комплексами Ir (3+) и Rh (3+), обусловленная общностью электронных конфигураций центральных ионов. Рассмотрен вопрос о связи теории МО с теорией кристаллич. поля в конкретном применении к октаэдрич. комплексам. Показано, что модель, на которой основана теория кристаллич. поля, и представления Паулига о гибридизации  $d^2sp^3$  являются предельными случаями теории МО. Полосы кристаллич. поля в рамках теории МО эквивалентны переходам между орбитами  $\gamma_{5g}$  и  $\gamma_{5g}$ .

III. Исследованы спектры поглощения р-ров *cis*- $RhOx_2Cl_2^{3-}$ , *trans*- $RhOx_2Cl_2^{3-}$ , *cis*- $Rhpy_2Cl-$  (py — пиридин), *trans*- $Rhpy_2Cl_2-$ ,  $1,2,6-Rhpy_3Cl_3$ ,  $Rhpy_3Cl_2^{2+}$ ,  $IrOx_2Cl_3^{3-}$ , *cis*- $IrOx_2Cl_3^{3-}$ , *trans*- $IrOx_2Cl_3^{3-}$ ,  $IrCl_5(H_2O)^{2-}$ ,  $Irpy_3Cl_3^{2-}$ , *cis*- $Irpy_2Cl_4-$ , *trans*- $Irpy_2Cl_4-$ ,  $1,2,3-Irpy_3Cl_3$ ,  $1,2,6-Irpy_3Cl_3$ ,  $Irpy_3Cl_2^{2+}$ , *cis*- $Irpy_2Cl_3(H_2O)$  (изомер, полученный при освещении солнечным светом водн. р-ра *cis*- $Irpy_2Cl_4-$ , далее солнечный изомер), *cis*- $Irpy_2Cl_3OH-$  (солнечный изомер, из щел. р-ра *cis*- $Irpy_2Cl_4-$ ), *cis*- $Irpy_2Cl_3(H_2O)$  (получен нагреванием водн. р-ра *cis*- $Irpy_2Cl_4-$  в автоклаве при 135° (далее автоклавный изомер)), *cis*- $Irpy_2Cl_3(OH)-$  (автоклавный изомер, из щел. р-ра *cis*- $Irpy_2Cl_4-$ ), *trans*- $Irpy_2Cl_3(H_2O)$ , *trans*- $Irpy_2Cl_3(OH)-$ ,  $Irpy(NH_3)_4Cl^{2+}$ ,  $Irpy_2(NH_3)_3H_2O^{3+}$ ,  $Irpy_2(NH_3)_3OH^{2+}$ ,  $Irpy_2(NH_3)_3Cl^{2+}$ ,  $Irpy_2(NH_3)_3Cl_2^{2+}$ ,  $IrBr_6^{3-}$ ,  $IrBr_5(H_2O)^{2-}$ ,  $Irpy_2Br_4-$ ,  $1,2,3-Irpy_3Br_3$  и  $1,2,6-Irpy_3Br_3$ . В спектрах *cis*-изомеров родневых комплексов 1 полоса поглощения (соответствующая переходу на возбужденный синглетный уровень) расположена при длинах волн, соответствующих вычисленным путем интерполяции между положениями этой же полосы в спектрах комплексов с 6 одинаковыми аддендами. В спектрах поглощения *trans*-изомеров эта полоса расщеплена на 2 компоненты. Объяснение этого факта возможно лишь при допущении, что в поле тетрагональной симметрии имеет место взаимодействие двух  $^1G_5$  уровней. В спектрах комплексов Ir (3+) полосы синглетных переходов перекрыты интенсивными полосами миграционных переходов  $C_2O_4^{2-}$  и поглощением пиридина. Полосы триплетных переходов наблюдаются и они интенсивны, что приписывается наличию промежуточ-

ного типа связи. Кислотность воды, входящей в координационную сферу в комплексах Ir (3+) возрастает с увеличением положительного заряда комплекса, но в меньшей степени, чем это наблюдается для комплексов Co (3+) и Cr (3+).

IV. В исследованных выше комплексах трехвалентного иридия найдены новые широкие полосы в области 29 000—35 000 см<sup>-1</sup>, интерпретированные как полосы переходов с миграцией электрона от иона иридия на возбужденную  $\pi$ -орбиту пиридина. Количественная оценка энергии такого перехода при помощи модельных соединений плохо согласуется с такой интерпретацией, что объясняется изменением равновесных расстрой в возбужденных состояниях и влиянием аддендов на энергии молекулярных орбит. Полосы переходов такого типа найдены в спектрах поглощения  $\alpha,\alpha$ -дипиридиловых и орто-фенантролиновых комплексов Fe<sup>2+</sup> и Ni<sup>2+</sup>. Рассмотрены полосы поглощения в спектрах галогидных комплексов, интерпретируемые как переходы с переносом элемента от иона галогенида к центральному иону. Дублетная структура этих полос ранее приписывалась переходам на два возможных уровня  $^2P_{1/2}$ ,  $^2P_{3/2}$  образующегося атома галогенида. Найденное автором отношение интенсивностей компонент дублета обратно тому, которого следовало ожидать из теоретич. соображений. Предлагается другая интерпретация этих полос как переходов электрона в линейном поле аддендов в приближении связи промежуточного типа. В свете развитых представлений рассмотрены особенности поглощения диоксидионов актинидов.

B. Александрия  
68170. Аномальное спектральное поглощение ионов неодима в комплексах. Викерри (Anomalous spectral absorption of complexed neodymium ions. Vickery R. C.), Nature, 1957, 179, № 4560, 626—627 (англ.)

Исследованы спектры поглощения комплексов Nd<sup>3+</sup> с моно-, ди- и поликарбоновыми к-тами,  $\alpha$ -кетокислотами, оксикислотами и аминокислотами. В спектрах поглощения Nd<sup>3+</sup> в комплексах полосы смещены от нормальных положений, обладают повышенной интенсивностью и уширены за счет штарковского расщепления. Сопоставление смещений,  $\Delta\lambda$ , полосы 576 мμ с lg K к-т показывает на наличие корреляции между  $\Delta\lambda$  и lg K, причем у комплексов с монокарбоновыми к-тами и  $\alpha$ -кетокислотами при понижении lg K  $\Delta\lambda$  растет. При переходе к ди- и поликарбоновым к-там наблюдается разрыв кривой корреляции. Изменяется также характер зависимости  $\Delta\lambda$  от lg K:  $\Delta\lambda$  увеличивается с ростом lg K.

B. Александрия  
68171. Спектры поглощения подкисленных растворов молибдата натрия. II. Куп, Тислетуэйт (The absorption spectra of acidified molybdate solutions. II. Cooper P. J., Thistlethwaite W. P.), J. Inorg. and Nuclear Chem., 1956, 3, № 1, 24—27 (англ.)

Изучены спектры поглощения 0,005—0,1 M р-ров Na-молибдата (I), подкисленных HClO<sub>4</sub> (II) (при конц-ях II 0,04—0,44 M); найдено, что данной конц-ии I соответствует некоторая оптимальная конц-ия II, при которой наблюдается максим. поглощение; оптимальная конц-ия II является линейной функцией конц-ии I. Наблюдаемые факты объяснены в предположении р-ции  $nMoO_4^{2-} + 2nH^+ = (MoO_3)_n + nH_2O$ . Часть 1 см. РЖХим, 1956, 57234. A. Сергеев  
68172. Об интеркомбинационных переходах в спектрах комплексных ионов металлов переходных групп. Хартман, Шлефер (Über Interkombinationspektren von Komplexionen der Übergangsmetalle. Hartmann H., Schläfer H. L.), Recueil trav. chim., 1956, 73, № 6, 648—657 (нем.)

Обзор работ авторов и их сотрудников. Библ. 25 назв.

68173. Связь между спектрами поглощения и химическим строением соединений, содержащих ароматические ядра и сопряженные двойные связи. Пануэ (Corrélation entre les spectres d'absorption et les structures chimiques de composés à noyaux aromatiques et à doubles liaisons conjuguées. Rapouse Jacques J.), Bull. Soc. chim. France, 1956, № 11—12, 1568—1573 (франц.)

Ур-ние Хираяма  $(\lambda_{\text{макс}})^2 = a + B/1 - C^N$  ( $a$ ,  $C$  — эмпирич. коэф.,  $B$  — линейная функция  $n_D^{20}$ ) (РЖХим, 1955, 33821; 1956, 15294, 18499), связывающее  $\lambda$  первого максимума поглощения полиеновых и  $n$ -полифенильных соединений с числом однородных хромофоров в молекуле, усложнено изменением эмпирич. коэф. и введением дополнительных поправочных членов для учета влияния заместителей как у атомов углерода, связанных двойной связью, так и в  $\alpha$ -положении к последней. Введение гетерохромофорной группы или вообще всякой группы, вызывающей батохромный сдвиг, сравнительно с исходной гомохромофорной системой, можно учесть, вводя поправочные факторы  $K$  и  $x$ , зависящие от природы гетерохромофора. Показано, что исправленное ур-ние пригодно также для  $\alpha,\omega$ -дифенил- и  $\alpha,\alpha,\omega,\omega$ -тетрафенилполиенов и  $n$ -фенильных углеводородов, если рассматривать ароматич. соединения как полиены, замещенные гетерохромофорами, причем  $a$ ,  $B$  и  $C$  сохраняют значения, данные Хираяма. Произведен расчет  $\lambda_{\text{макс}}$  70 соединений указанных типов, причем найдено хорошее совпадение с опытными данными (максим. расхождение 5 м $\mu$ ). А. Сергеев

68174. Электронные спектры и структура хинонов. Сидман (The electronic spectra and structure of the quinones. Sidman Jerome W.), J. Amer. Chem. Soc., 1956, 78, № 18, 4567—4572 (англ.)

В продолжение предыдущей работы (РЖХим, 1957, 50424) изучены электронные спектры 9,10-антрахинона (I) и 1,4-нафтохинона (II) при 77° К и 4° К в монокристаллах толщиной 5—30  $\mu$  в поляризованном свете. Спектр поглощения I обнаруживает сильный дихроизм в плоскости спайности, причем поглощение света, поляризованного вдоль направления роста, гораздо слабее, чем для света, поляризованного в перпендикулярном направлении. Это можно объяснить, если момент перехода лежит в плоскости молекулы и перпендикулярен молекулярной оси O—O, как было найдено для  $n \rightarrow \pi^*$ -переходов и для нижнего  $\pi \rightarrow \pi^*$ -перехода в  $n$ -бензохиноне (III). Отвергается утверждение, что для I поглощение, поляризованное в плоскости колец, «батохромно» к свету, поляризованному перпендикулярно к кольцам, так как спектр при низкой  $T$ -ре не обнаруживает дихроизм. расщепления (менее 3  $\text{см}^{-1}$ ). Переходы  $n \rightarrow \pi^*$  в высших хинонах сложнее, чем в III, что, в частности, обусловлено наличием 2 электронных переходов в этой области, так как имеются 2  $n$ -орбиты, которые почти вырождены (случайное вырождение). Основное поглощение I обусловлено двумя синглет-синглетными переходами  ${}^1U \leftarrow {}^1A$ , для которых произведено подробное отношение по аналогии с III. Переходами O—O в I могут быть полосы 23 656 и 23 729  $\text{см}^{-1}$ . Дополнительное поглощение в области низких частот, соответствующее переходу  ${}^3U \leftarrow {}^1A$ , не обнаружено для кристаллов I толщиной в несколько сот  $\mu$ , что позволяет считать сам переход  ${}^3U \leftarrow {}^1A$  в I значительно более слабым, чем соответствующий переход в III. Поглощение, отвечающее переходу  ${}^1U \leftarrow {}^1A$  в кристаллах II не обнаруживает заметного дихроизма в плоскости спайности. Отношение частот в этой области произведено так же, как

для I, причем относительно перехода  ${}^3U \leftarrow {}^1A$  сделано заключение, аналогичное I. Сравнение с III показывает, что замещение в III вызывает сдвиг перехода  $n \rightarrow \pi^*$  в сторону больших энергий из-за повышения возбужденного состояния при смещении электронов от O к кольцам. Переходы  $\pi \rightarrow \pi^*$  в хинонах отнесены в классификации Платта (Platt J. R., J. Chem. Phys., 1949, 17, 484; 1950, 18, 1168) к  ${}^1L_b \leftarrow {}^1A$  (слабое поглощение в области 30 000  $\text{см}^{-1}$ ) и  ${}^1B_b \leftarrow {}^1A$  (сильное поглощение в области 40 000  $\text{см}^{-1}$ ). Е. Шусторович

68175. Влияние растворителя на электронные спектры внутримолекулярно-ионоидных ароматических соединений. Липперт, Молль (Der Einfluß des Lösungsmittels auf die Elektronenspektren innermolekular-ionoider aromatischer Verbindungen. Lippert E., Moll F.), Z. Elektrochem., 1954, 58, № 9, 718—724 (нем.)

Изучалось влияние р-рителя на положение длинноволновых максимумов поглощения и максимумов флуоресценции (Ф) соединений, которые можно разделить на 2 типа в зависимости от соотношения дипольных структур в возбужденном и основном состояниях (первые в основном состоянии преимущественно неполярны, вторые — полярны). Найдено, что влияние р-рителя на положение максимумов поглощения и Ф для всех соединений 1-го типа подобно. Положение максимума Ф более чувствительно к р-рителю, чем максимума поглощения. В смесях из полярных и неполярных р-рителей положение полос Ф зависело также от соотношения компонент смеси: чем больше часть полярного компонента, тем длиннее волны Ф. Число полос Ф не зависело от природы р-рителя, даже в случае образования водородных связей. У соединений 2-го типа найдена сильная зависимость положения полос поглощения от р-рителя. Для соединений 1-го типа обнаружено, что чем более р-ритель способствует образованию полярных структур, тем более батохромно сдвинуто поглощение. Наоборот, при торможении этого образования поглощение сдвинуто гипсохромно. В среднем батохромный сдвиг поглощения увеличивается с ростом показателя преломления р-рителя. Тот же эффект наблюдался при переходе от насыщ. р-рителей к ненасыщенным. В полярных р-рителях Ф соединений 1-го типа, благодаря ориентационной поляризации, сильно сдвинута в красную область спектра, а поглощение соединений 2-го типа в синюю. Средняя энергия присоединения  $n\text{-C}_4\text{H}_9\text{Cl}$  к 4-диметиламино- и к 4-метокси-4'-нитростильбену в изооктане (предполагается, что зависимость сдвига частоты максимума Ф от состава смеси р-рителей может быть представлена гиперболической функцией) оценена в 2 или 1,5 ккал. на 1 моль  $n\text{-C}_4\text{H}_9\text{Cl}$ . О. Гайсинская

68176. Интегралы остова 2-лр-электронов в молекуле кислорода. Монтальди, Фьески (Integrali di «core» per elettroni 2лr nella molecola di ossigeno. Montaldi E., Fieschi R.), Nuovo cimento, 1956, 4, Suppl. № 2, 1057—1058 (итал.)

Для 2лр-электронов остова молекулы  $\text{O}_2$  вычислены кулоновский  $\alpha$  и обменный интегралы  $\beta$ . При этом предполагалось, что гамма-функции 2лр-электронов можно записать в виде суммы операторов кинетич. и потенциальной энергии, не зависящей от координат других электронов. Это эквивалентно предположению, что взаимодействие электронов можно учесть выбором подходящей константы экранирования. Величины  $\alpha$  и  $\beta$  выражаются через потенциал ионизации 2лр-электрона и табулированные интегралы. Е. Никитин

68177. Исследования в области гетероциклов: УФ-спектры поглощения и хромофорные свойства. Часть II. Изатинны. Манджини, Пассерини



(Ricerche sugli eterociclici: spettri di assorbimento p. v. e proprietà cromoforiche. Nota II. Isatine. Mangini Angelo, Passerini Riccardo), Gazz. chim. ital., 1955, 85, № 7-8, 840-880 (итал.)

Изучены спектры поглощения (СП) в УФ- и видимой области: изонитрозоацетанилида (Ia) и его производных: 2-, 3- и 4-CH<sub>3</sub> (Ib-r); 2,4-(CH<sub>3</sub>)<sub>2</sub> (Id); 2-, 3- и 4-Cl (Ie-a); 2-, 3- и 4-OCH<sub>3</sub> (Ih-l); N-метилизонитрозоацетанилида (IIa) и его производных: 2- и 4-CH<sub>3</sub> (IIb-v); 2,4-(CH<sub>3</sub>)<sub>2</sub> (IIg); 2-, 3- и 4-Cl (IIд-ж); 2- и 4-OCH<sub>3</sub> (IIз-и); N-бензилизонитрозоацетанилида (III) и его производных: 4-, 5-, 6- и 7-CH<sub>3</sub> (IVб-д); 5,7-(CH<sub>3</sub>)<sub>2</sub> (IVe); 4-, 5-, 6- и 7-Cl (IVж-к); 5-, 6- и 7-OCH<sub>3</sub> (IVл-н); N-метилизатина (Va) и его производных: 4-, 5-, 6- и 7-CH<sub>3</sub> (Vб-д); 5,7-(CH<sub>3</sub>)<sub>2</sub> (Ve); 4-, 5-, 6- и 7-Cl (Vж-к); 5-, 6- и 7-OCH<sub>3</sub> (Vл-и); о-метилизатина (VI); метилизатина (VII); N-ацетильных производных IVa (VIIIa), IVб (VIIIб), IVв (VIIIв), IVг (VIIIг), IVж (VIIIд), IVз (VIIIе), IVл (VIIIж); 1,3-дикетогидриндена в спирте, в отдельных случаях в кислых и щел. р-рах. Приводятся кривые СП, λ<sub>(макс)</sub> и lg ε. Полоса поглощения (ПП) ~275 мμ у I — модифицированного типа B<sub>21</sub>; влияние заместителей следует порядку CH<sub>3</sub> < Cl < OCH<sub>3</sub>; в Ib отчетливо выражен стерич. эффект; в Ih возможна циклизация за счет N-связи. СП Ia-л в спирте резко отличаются от СП Ia-л малой избирательностью поглощения; в щел. р-ре СП I и II аналогичны, так как обусловлены возбуждением общей системы — N(H, CH<sub>3</sub>)COCH=NO. В СП IVa ПП отнесены: 210-220 мμ к переходу типа E<sub>1u</sub>, 243 мμ — B<sub>1u</sub> (или E<sub>2g</sub>) 296-298 мμ — B<sub>21</sub>; 416 мμ — гликоксамидная ПП (система — NHCOCO); СП IVб-ж аналогичны; в IVн B<sub>1u</sub> гипсохромно смещена вследствие резонанса. VIIa-е обнаруживают гипсохромный сдвиг, сравнительно с соответствующими IV. СП Va-и аналогичны неацетил. IV, VI, будучи химически отличным от Va и IVa, спектрально эквивалентны им. Исследовано влияние полярности р-рителей на ПП B<sub>21</sub> и гликоксамидную у Va-д, к и н. Ia-л получены модифицированным методом Зандмайера (Helv. chim. acta., 1919, 2, 234) из CCl<sub>3</sub>C(OH)<sub>3</sub> (IX), NH<sub>2</sub>OH и ArNH<sub>2</sub> и перекристаллизованы из воды; перечисляются I, т. пл. в °C: Ia, 175; Ib, 120; Ic, 146; Id, 165; Id, 166-168; Ie, 151-152; Iж, 156-157; Ia, 166; Ih, 143-144; Ik, 170; Il, 179. ПП получен следующим образом: к р-ру 8 г IX и 212 г Na<sub>2</sub>SO<sub>4</sub> · 10H<sub>2</sub>O в 100 мл воды прибавлен р-р 5 г N-метил-п-азида в 25 мл воды + 3,7 мл конц. HCl, затем р-р 9,6 г NH<sub>2</sub>OH · HCl в 45 мл воды (100°, 2 мин.), выход ~20%, т. пл. 141°. IIa-з получены аналогично, перечисляются II, т. пл. в °C: IIa, 174-175; IIб, 170; IIв, 173; IIг, 100; IIд, 153-154; IIе, 162; IIж, 150-152; IIз, 162. Аналогично синтезирован III, т. пл. 148°. IVa-м синтезированы по Зандмайеру (Sandmeyer, 1919, 2, 234) циклизацией соответствующих I в конц. H<sub>2</sub>SO<sub>4</sub> (60-75°), перечисляются IV, т. пл. в °C: IVa, 199; IVб, 195,5; IVв, 187; IVг, 191,5; IVд, 266; IVе, 443 (sic!); IVж, 254; IVз, 252; IVл, 258; IVк, 184; IVл, 200; IVм, 229. IVн получен окислением 7,7-диметоксинидного Cr<sub>2</sub>O<sub>3</sub>, т. пл. 241-242° (из спирта). Va-и синтезированы одним из 2 способов: метилированием соответствующего IV, напр., Vб получен действием 5 г (CH<sub>3</sub>)<sub>2</sub>SO<sub>4</sub> на р-р 1,8 г IVб в 18 мл 10%-ного NaOH (~20°, ~0,5 ч.); циклизацией соответствующего II, напр., Ve, получен р-цией 1,8 г IIг и 10 мл конц. H<sub>2</sub>SO<sub>4</sub> (65-80°); перечисляются V, т. пл. в °C: Va, 135,5; Vб, 165; Vв, 152; Vг, 150; Vд, 174-175; Ve, 245; Vж, 192; Va, 171; Vл, 167; Vк, 155; Vл, 170-171; Vм, 183; Vн, 185. VI получен действием 3 г CH<sub>3</sub>J на суспензию 5 г Ag-изатината в 20 мл бензоле (3 сут. в темноте, выход ~1 г, т. пл. 102° (из лигр.), на-

ряду с небольшим кол-вом Va. VII получен из VI 3 способами: кипячением в бензоле; действием паров HCl (1:1) (~20°); действием влаги (несколько суток); т. пл. 232° (разл. из лед. CH<sub>3</sub>COOH или бензола). VIIa-ж получены ацелированием соответствующих IV (CH<sub>3</sub>CO)<sub>2</sub>O, перекристаллизованы из лед. CH<sub>3</sub>COOH, перечисляются VIII, т. пл. в °C: VIIa, 141; VIIб, 145-146; VIIв, 171-172; VIIг, 173-175; VIIд, 167-168; VIIе, 170-172; VIIж, 158-160. Часть I см. РЖХим, 1957, 47065

А. Сергеев

68178. Исследования в ряду диазафенантронов.

Часть IX. Монтанари, Пассерини (Ricerche nella serie dei diaza-fenantreni. Nota IX. Montanari F., Passerini R.), Boll. scient. Fac. chim. Industr. Bologna, 1954, 12, № 3, 141-146 (итал.)

Исследованы спектры поглощения (СП) в ближней УФ- и видимой области 3,4-бензо-9-фенилдиазафенантридона-5 (I) и его производных 1- (II), 3- (III), 2'- (IV), 4'- (V) и 9-н- (VI) CH<sub>3</sub>; 2'- (VII), 4'- (VIII) и 9-н- (IX) OCH<sub>3</sub>; 2'-SCH<sub>3</sub> (X) и 2'SC<sub>6</sub>H<sub>5</sub> (XI); 3,4-бензо-9-фенилдиазафенантридона-5 (XII) и аналогичных CH<sub>3</sub> (XIII-XVII), OCH<sub>3</sub> (XVIII-XXI) и SCH<sub>3</sub> (XXII) производных; 3,4-бензо-9-фенилдиаза-5-хлорфенантрина и его 1- и 9-н-CH<sub>3</sub> и 2'-SCH<sub>3</sub> производных; 3,4-бензо-9-фенилдиаза-5-аминофенантрина (XXIX) и его 1- (XXX), 3- (XXXI), 2'- (XXXII) и 9-н- (XXXIII) CH<sub>3</sub>, 2'- (XXXIV) и 9-н- (XXXV) OCH<sub>3</sub> производных; 3,4-бензо-9-фенилдиаза-5-феноксибензантрина (XXXVI) и его 1- (XXXVII), 3- (XXXVIII), 2'- (XXXIX), 4'- (XL) и 9-н- (XLI) CH<sub>3</sub>, 2'- (XLII), 4'- (XLIII) и 9-н- (XLIV) OCH<sub>3</sub> производных. Приведены λ<sub>(макс)</sub>, lg ε и некоторые кривые СП. XII и его CH<sub>3</sub>, OCH<sub>3</sub> и SCH<sub>3</sub>-производные по сравнению с I и его аналогичными производными обнаруживают батохромный сдвиг и заметное повышение ε (РЖХим, 1954, 28476). У мезозамещенных диазафенантронов λ<sub>(макс)</sub> сдвигается в сторону длинных волн в порядке NHC<sub>6</sub>H<sub>5</sub> > NH<sub>2</sub> > Cl > OC<sub>6</sub>H<sub>5</sub>. СП XXIII-XXIV и производных 5-хлордиазафенантрина имеют 1 максимум и 1 изгиб малой интенсивности, тогда как СП I-XXII обладают 2 разко выраженными максимумами; это объясняется таутомерным равновесием «акридинной» и «акридонной» (или бензидиной и хиноидной для центрального кольца) форм для последних и возможностью только «акридинной» структуры для первых. Исследованные в-ва получены из соответствующих мезохлорпроизводных: I-X — омылением лед. CH<sub>3</sub>COOH (~120°), XI-XXII — действием Na<sub>2</sub>S, XIII-XXVIII — действием C<sub>6</sub>H<sub>5</sub>OH, XXIX, XXXV — действием NH<sub>3</sub> и XXXVI-XXIV — действием C<sub>6</sub>H<sub>5</sub>NH<sub>2</sub>, очищены перекристаллизацией. Приведены т-ры плавления (в °C): I 265, II 298, III 321, IV 257-258, V 326, VI 292-293, VII 231-232, VIII 287-288, IX 259, X 211-212, XI 232, XII 252, XIII 248-249, XIV 241, XV 223-224, XVI 259-260, XVII 245, XVIII 217-218, XIX 263-264, XX 237-238, XXI 225, XXII 206, XXIII 212-213, XXIV 169-170, XXV 210-211, XXVI 171, XXVII 182, XXVIII 198-199, XXIX 244-245, XXX 240, XXXI 188, XXXII 187, XXXIII 198-199, XXXIV 190, XXXV 236, XXXVI 272, XXXVII 269-270, XXXVIII 230, XXXIX 233-234, XL 210, XLI 251-252, XLII 227-228, XLIII 248, XLIV 213. Часть VIII Colonna M., Gazz. chim. ital. 1948, 78, 502; 793, 797

А. Сергеев

68179. Спектры поглощения некоторых олефинов в дальней ультрафиолетовой области при низкой температуре. Потте (Low-temperature absorption spectra of selected olefins in the farther ultraviolet region.



Potts W. J., Jr), J. Chem. Phys., 1955, 23, № 1, 65—72 (англ.)

Исследованы УФ-спектры поглощения *p*-ров тетраметилэтилена (I), триметилэтилена (II), циклогексена (III) и гексена-1 (IV) при комнатной *t*-ре и 77° К (*p*-ритель: 6 ч. изопентана и 1 ч. 3-метилпентана). При комнатной *t*-ре в области 48 000—58 000 см<sup>-1</sup> у всех соединений наблюдается интенсивная широкая полоса поглощения, обусловленная переходом *N* → *V* и смещенная (по сравнению с этиленом) в красную часть спектра. При 77° К эта полоса сужается, а с красной стороны появляются слабые и размытые полосы. Слабые дискретные полосы приписывают синглет-триплетному переходу *N* → *T*. Соответствующая этому переходу (*T* → *N*)-флуоресценция не обнаружена. Ридберговские полосы *N* → *R* не наблюдались. Измерены положения максимумов всех полос поглощения и их коэф. поглощения (при обеих *t*-рах) и вычислены силы осцилляторов (при комн. *t*-ре). Полученные результаты рассматриваются в предположении, что потенциальная энергия различных электронных состояний этилена и его производных является функцией угла поворота вокруг двойной связи. У этилена в основном состоянии минимум потенциальной кривой соответствует плоскому расположению молекулы; в возбужденном состоянии такому расположению соответствует максимум. При низкой *t*-ре увеличение вязкости препятствует повороту и энергия перехода *N* → *V* повышается (по сравнению с комнатной *t*-рой). С увеличением числа алкильных заместителей (от IV к I) увеличивается заселенность крутильно-колебательного уровня, что приводит к расширению основной полосы (с длинноволновой стороны) при комнатной *t*-ре, а также к смещению полосы в коротковолновую часть спектра при низкой *t*-ре. В. Бродде

68180. Структура гидразида малеиновой кислоты на основании ультрафиолетового спектра его метилпроизводных. Миллер, Уайт (The structure of maleic hydrazide as inferred from the ultraviolet spectra of its methyl derivatives. Miller D. M., White Robert W.), Canad. J. Chem., 1956, 34, № 10, 1510—1512 (англ.)

Для решения вопроса о том, какую из возможных таутомерных форм следует приписать гидразиду малеиновой к-ты (I): 1,2,3,6-тетрагидропиридазиндиона-3,6, 6-окси-2,3-дигидропиридазиндиона-3 (Ia) или 3,6-диокси-пиридазина исследованы спектры поглощения в УФ-и частично в видимой области метилпроизводных I: 6-метокси- (II), 2-метил-6-метокси- (III) и 2-метил-6-окси-2,3-дигидропиридазиндиона-3 (IV), 3,6-диметокси-пиридазина (V) и 1,2-диметил-1,2,3,6-тетрагидропиридазиндиона-3,6 (VI) в 0,1 н. HCl при pH 8,4; приведены кривые спектров I—VI. На основании сходства спектров I и IV, а также равенства значений *pK<sub>a</sub>* (5,65 из кривых титрования водн. *p*-ров I и IV) I приписана структура Iб. А. Сергеев

68181. Спектры поглощения поляризованных органических молекул и их закономерности. III. Полиенальдегиды с открытой цепью. Краусс, Грудн (Über die Absorptionsspektren polarisierter organischer Moleküle und deren Gesetzmäßigkeiten. III. Die offenkettigen Polyenaldehyde. Krauss Walther, Grund Harald), Z. Elektrochem., 1955, 59, № 9, 872—876 (нем.)

Изучение закономерностей спектров поглощения в ближней УФ-и видимой области винилогич. ряда полиенальдегидов общей ф-лы CH<sub>2</sub>(CH=CH)<sub>n</sub>CHO (I) с *n* = 1, 3, 5 и 7 показало значительное сходство в поведении I и соответствующих фенилполиенальдегидов (II). Сравнение главных (длинноволновых) полос поглощения I и II показало, что в основном и поляризованных состояниях батохромное влияние бензольного

кольца формально равноценно влиянию 2π-электронов. В отличие от II энергия возмущения в основном состоянии I сохраняет постоянное значение, в среднем ~ 1,78 эв. Влияние неорганич. добавок (BF<sub>3</sub>, FeCl<sub>3</sub>, SbCl<sub>3</sub>) на батохромный сдвиг главных полос I, а также энергия возмущения в возбужденных состояниях соответствуют наблюдаемым для II. Показано, что ко-катализаторы (хлорангидриды жирных к-т) не оказывают влияния на положение и интенсивность главных полос поглощения; сдвиг вызывается неорганич. анионом. Приведены λ<sub>(макс.)</sub>, ε, интегральное поглощение главных полос и кривые спектров I. Часть II см. РЖХим, 1957, 50490. А. Сергеев

68182. Физическое исследование органических азидов. Либер, Рамачандра-Рао, Чжао Дай-сян, Уол (Physical studies on organic azides. Lieber Eugene, Ramachandra Rao C. N., Chao Tai Siang, Wahl Werner H.), J. Sci. and Industr. Res., 1957, BC16, № 2, B95—B97 (англ.)

Определены *t*-ры кипения, мол. рефракции и УФ-спектры поглощения (в сп.) следующих азидов: метил-, этил-, *n*-пропил-, *n*-бутил-, *n*-амил-, *n*-гексил-, *n*-гептил-, *n*-октил-, *n*-децил-, циклопентил-, циклогексил-, фенил- и *R*-фенил, где *R* = 4-CH<sub>3</sub>, 4-Cl, 4-Br, 2-NO<sub>2</sub>, 4-NO<sub>2</sub>, 3-NO<sub>2</sub>, 3-CH<sub>3</sub>, 3-Cl. В ряду алкилазидов *t*-ра кипения при нормальных условиях монотонно возрастает с числом атомов C, причем значения *t*-ры кипения лежат между соответствующими значениями для Br- и J-алкилов. Рефракция азидогруппы, рассчитанная по аддитивному методу, несколько больше в фенилазидах (10,2), чем в алкилазидах (9,4), что объяснено возбуждением сопряженной системы. Все исследованные азиды имеют характеристич. полосу поглощения в области 282—288 мμ. В алифатич. азидах интенсивность этой полосы мала и не меняется с увеличением длины цепи; в то же время в фенилазидах эта полоса имеет значительную интенсивность. Ароматич. азиды имеют полосу поглощения в области 248 мμ, которая в фенилазидах почти не смещается при введении заместителей типа Cl, Br, CH<sub>3</sub>, но смещена в нитрофенилазидах. С. Самойлов

68183. О виниловом сдвиге у несимметричных анизилметинол. Визингер, Кёлликер (Über den Vinylensprung bei unsymmetrischen Anisylmethinen. Wizinger R., Kölliker P.), Helv. chim. acta, 1955, 38, № 1, 372—380 (нем.)

Изучено влияние удлинения цепи сопряженных двойных связей в несимметричных анизилметинах (AM) на положение максимума поглощения. Общая ф-ла исследованных AM: R(R')C=CH—(CH=CH)<sub>n</sub>—C<sub>6</sub>H<sub>4</sub>OSn, где R и R' могут обозначать одну циклич. группировку. Полученные результаты сопоставлены с данными по исследованию несимметричных фенилметинол (ФМ) (РЖХим, 1956, 60741). Установлено, что сдвиг максимума поглощения, вызываемый введением одной виниловой группировки в AM, в общем случае меньше, чем соответствующий сдвиг в ФМ. Исключениями являются производные окситионафена и роданина. Батохромное влияние CH<sub>3</sub>O-группы в AM уменьшается с удлинением полиеновой цепи. В ходе работ были получены: *n*-CH<sub>3</sub>OC<sub>6</sub>H<sub>4</sub>CH=CHCHO (I), т. пл. 57—58°, λ (макс.) 318—319 мμ (в сп.), *n*-CH<sub>3</sub>OC<sub>6</sub>H<sub>4</sub>(CH=CH)<sub>2</sub>CHO (II), т. пл. 198,5—200°, λ (макс.) 442 мμ (в сп.), и продукты конденсации анисового альдегида со следующими в-вами (в скобках *t*-ра плавления продуктов конденсации): с перхлоратом *N*-метилхинона (III) (251—253°), с перхлоратом 2-метилбензоселенола (IV) (236—237°), с барбитуровой к-той (V) (279—280°); продукты конденсации I: с III (230°), с IV (229°), с этиловым эфиром циануксусной

к-ты (121°), с индандионом-1,3 (215°), с V (280°), с 5-метил-2-фенилпразолоном-3 (VI) (173—179°) с перхлоратом 2-метил-4,6-дифенилпирилия (VII) (239°); продукты конденсации II: с V (240°), с VI (189—191°) и с VII (245°).

П. Аронович  
68184. Окраска и строение. III. Поляризующиеся азокрасители. Хюниг, Рекварт. Часть IV. Красители со скрещенными поглощающими системами. II. Хюниг, Шварц (Farbe und Konstitution. III. Polarisierbare Azofarbstoffe. Hünig Siegfried, Requardt Karl. IV. Farbstoff mit gekreuzten Absorptionssystemen. II. Hünig Siegfried, Schwarz Hans). Liebigs Ann. Chem., 1955, 592, № 3, 180—189; 1956, 599, № 2, 131—139 (нем.).

III. Для выяснения влияния степени конденсации ароматич. остатков внутрииноидных красителей, в которых смещение электронных плотностей к отрицательному центру сопровождается переходом ароматич. колец в хиноидную форму, измерены в р-рителях с различной диэлектрической проницаемостью спектры поглощения (СП) диметиламинонитроазокрасителей, содержащих в различных сочетаниях бензольные и нафталиновые кольца, а также их производных, в которых аминогруппа закреплена триметиленовым мостиком. В качестве р-рителей применены циклогексан,  $C_6H_6$ ,  $CHCl_3$ , метакрезол, бензиловый спирт, ацетон и  $CH_3OH$ . Приведены спектры 4-диметиламино-4'-нитроазобензола (I); (1-диметиламинонафталин)-4-(азо)-1-(4-нитробензола) (II); (1-диметиламинобензол)-4-(азо)-1-(4-нитронафталина) (III); (1-диметиламинонафталин)-4-(азо)-1-(4-нитронафталина) (IV); 1-метил-1,2,3,4-тетрагидрохинолин)-6-(азо)-1-(4-нитробензола) (V); (1-метил-1,2,3,4-тетрагидро-7,8-бензохинолин)-6-(азо)-1-(4-нитробензола) (VI); (1-метил-1,2,3,4-тетрагидрохинолин)-6-(азо)-1-(4-нитронафталина) (VII); (1-метил-1,2,3,4-тетрагидро-7,8-бензохинолин)-6-(азо)-1-(4-нитронафталина) (VIII). По мнению авторов, электронное состояние этих красителей ближе к ковалентному. Замена бензольных ядер нафталиновыми во всех случаях приводит к углублению окраски, что находится в соответствии с сравнительно легким переходом в хиноидную форму, характеризующимся более низким окислительно-восстановительным потенциалом нафтохинона по сравнению с хиноном. Замена бензольного ядра нафталиновым в половинные молекулы, содержащей аминогруппу, приводит к заметному снижению  $\epsilon$  (макс.) вследствие пространственных затруднений плоскостному расположению триметиламиногруппы. Закрепление аминогруппы триметиленовым мостиком приводит к углублению окраски, объясняемое наличием в этом случае алкильного заместителя в орто-положении к аминогруппе. Это облегчает переход в хиноидную форму, что видно из снижения окислительно-восстановительных потенциалов соответствующих хинонов по сравнению с незамещ. аналогами. Получены 1-метил-1,2,3,4-тетрагидрохинолин, т. кип. 110°/15 мм; 1-метил-1,2,3,4-тетрагидро-7,8-бензохинолин, т. кип. 104—105°/0,15 мм; I, т. пл. 229—230°; II, т. пл. 160—161° (из смеси бензол-циклогексан, 1:3); III, т. пл. 183—184°; IV, т. пл. 156—157°; V, т. пл. 155—156°; VI, т. пл. 144,5—145,5°; VII, т. пл. 162—163° (разл.); VIII, т. пл. 185—186°.

Н. Спасокукоцкий  
IV. Изучение СП в видимой области красителями со скрещенными поглощающими системами: 4,4'-бис-диметиламинофуксона (IX), его 2',6'- (X) и 3',5'- (XI) диметиламинопроизводных и бис-диметиламиноантрафуксона (XII) показало, что в IX и XI вследствие их плоской структуры активны обе одинаковые аминифуксоновые системы (карбонамидный тип), тогда как в X вследствие пространственных затруднений, а в XII — благодаря склонности к образованию бетаниной фор-

мы — неплоскостное строение обуславливает аллоплярную изомерию (АПИ): появление 2 различных стереоизомеров — мезополярного (формально незаряженного; аминифуксонный тип) и голополярного (биополярного; цианиновый тип). Авторы формулируют условие, необходимое для АПИ: наличие такой разветвленной системы л-электронов, в которой одна ветвь отвечает неполярной, а вторая биополярной предельной структуре, причем строение молекулы должно допускать плоскостность той или другой структуры, но не обеих одновременно. Оба изомера находятся в равновесии, определяемом: 1) природой в-ва (главным образом чувствительностью к к-там вследствие склонности к образованию бетаниной формы); 2) р-рителем (возрастанием содержания голополярного с возрастанием полярности р-рителя), 3) т-рой (уменьшение содержания голополярного со снижением диэлектрич. постоянной р-рителя при повышении т-ры). АПИ XII подтверждена также наблюдением СП в поляризованном свете в полиамидной пленке. X и XII обнаруживают сольватхромно: отрицательно заряженный фенольный кислород в голополярном, негативируя метинный С-атом тем сильнее, чем ниже диэлектрич. постоянная р-рителя, вызывает тем больший гипсохромный сдвиг; авторы аналогично истолковывают эмпирич. правило зависимости поглощения красителей типа маляхитовой зелени от основного характера заместителей (Lewis G. N., J. Amer. Chem. Soc., 1945, 67, 770). Приведены  $\lambda$  (макс.) для IX и XI в  $C_6H_6$  и  $CH_3OH$  и кривые СП X и XII в  $C_6H_6$ , ацетоне  $CHCl_3$ ,  $CH_3OH$  и  $CH_3ON + HClO_4$ , для XII также в *n*-бутаноле при т-рах 4—91° и в полиамидной пленке в поляризованном свете. 3,5-диметил-4-йодфенол (XIII) получен действием 34 г  $KJO_3$  и 55 г KJ в 500 мл воды на р-р 60 г 3,5-диметилфенола в 1 л  $CH_3OH$  и 400 мл конц. HCl (30°, 2 мин.), выход 70%, т. пл. 131° (из лигр.). 4-окси-2,6-диметилбензальдегид (XIV) синтезирован р-цией 0,083 моля  $C_6H_5Li$  и 0,042 моля XIII в 150 мл абс. эфира (~36°, 2 часа) с последующим действием 0,042 моля N-метилформанилида в 50 мл абс. эфира (1 час), выход 63,5%, т. пл. 193° (из лед.  $CH_3COOH$ ). X получен р-цией 0,069 моля  $C_6H_5Li$  и 0,034 моля XIII в 150 мл абс. эфира (~36°, 2 часа), с последующим действием 0,034 моля кетона Михлера в 100 мл тетрагидрофурана (12 час), выделен в виде хлоргидрата, выход 38%; свободный X выделен действием 25 г  $K_2CO_3$  на р-р 0,8 г хлоргидрата в 100 мл воды (+ небольшое кол-во  $CH_3OH$ ) и извлечен 100 мл  $C_6H_6$ , выход 200 мг, т. разл. ~200°. 4,4'-бис-диметиламино-3',5'-диметил-4-окситрифенилметан (XV) синтезирован конденсацией 13,5 г гидрола Михлера и 6,2 г 2,6-диметилфенола в 130 мл конц. HCl (кипение 3,5 часа) выход 95%, т. пл. 140,5° (из  $CH_3OH$ ). XI получен окислением смеси 0,036 моля XV, 100 мл лед.  $CH_3COOH$  и 20 г льда 0,036 моля  $PbO_2$  (3 часа), выход 93% неочищ.; очищен хроматографированием в  $C_6H_6$  на  $Al_2O_3$ , т. пл. (+  $1CH_3OH$ ) 214—215° (из  $CH_3OH$ ). Часть II см. РЖХим, 1957, 36825

А. Сергеев  
68185. Применение правила сумм колебаний к галогенпроизводным этилена. Бернштейн (Application of the Vibrational sum rule to halogenated ethylenes. Bernstein H. J., Canad. J. Chem., 1956, 34, № 5, 617—625 (англ.).

Более подробное изложение опубликованной ранее работы (РЖХим, 1957, 14395).

М. Д.  
68186. «Чувствительные» колебательные частоты метильных групп и их связь с электроотрицательностью и индуктивным эффектом. Уилмхерст («Sensitive» methyl vibrational frequencies — their relation to electronegativity and the inductive effect. Wilmshurst J. K., J. Chem. Phys., 1957, 26, № 2, 426—427 (англ.).

Известно, что между положением частот двух деформационных колебаний галоидметиллов  $X-CH_3$ , а именно: симметричной —  $\nu_d$  (HCH) и несимметричной —  $\nu_r$  (XCH), и электроотрицательностью атома X существует пропорциональная зависимость. Подобная же зависимость может быть получена и для галоидсиланов  $H_3SiX$ . Авторами показано, что и для более сложных соединений этого типа, где  $X-OH, NH_2, NO_2, CCl_3, C \equiv CH$  и др., также наблюдается пропорциональность между  $\nu_d, \nu_r$  и электроотрицательностью группы. Отмечается расщепление частоты  $\nu_r$  на две в результате взаимодействия с другими колебательными координатами.

Ю. Егоров

**68187. Колебательные спектры фосфитного и гипофосфитного анионов и характеристические частоты групп  $PO_3^{2-}$  и  $PO_2^-$ . Цубои** (Vibrational spectra of phosphite and hypophosphite anions, and the characteristic frequencies of  $PO_3$  and  $PO_2$  groups. Tsuboi Masamichi, J. Amer. Chem. Soc., 1957, 79, № 6, 1351—1358 (англ.).

Из полученных автором ИК-спектров и спектров комб. расс.  $K_2HPO_3, BaHPO_3, BaCH_3OPO_3, KH_2PO_3, Ca(H_2PO_3)_2$  и  $Ba[(CH_3O)_2PO_2]_2$  в твердом состоянии и в водн. р-рах, сделано отнесение частот к основным колебаниям анионов  $HPO_3^{2-}$  (I) и  $H_2PO_2^-$  (II). (1-я цифра относится к ИК-спектрам в-в в твердом состоянии, 2-я в-в в водн. р-рах,  $cm^{-1}$ ): I 459, 465 E деф. кол.  $PO_3$ , 550, 567  $A_1$  деф. кол.  $PO_3$ , 993, 979  $A_1$  вал. кол.  $PO_3$ , 1032, 1027 E деф. кол.  $PH$ , 1100, 1085 E вал. кол.  $PO_3$ , 2330, 2315  $A_1$  вал. кол.  $PH$ ; II 467, 469  $A_1$  деф. кол.  $PO_2$ , 822, 811  $B_1$  деф. кол.  $PH_2$ , 924, —,  $A_2$  деф. кол.  $PH_2$ , 1048, 1042,  $A_1$  вал. кол.  $PO_2$ , 1088, 1086  $B_2$  деф. кол.  $PH_2$ , 1157, 1160  $A_1$  деф. кол.  $PH_2$ , —, 1180  $B_2$  вал. кол.  $PH_2$ , 2357, 2363  $A_1$  вал. кол.  $PH_2$ . Показано, что симметричные и антисимметричные вал. кол. групп  $PO_2^-$  и  $PO_3^{2-}$  сохраняют свое значение при замещении атомов H на алкоксигруппы.

Е. Попов

**68188. Исследование инфракрасных спектров поглощения обычной и дейтерированной сульфаминовых кислот и их солей. Дюпюи** (Etude des spectres d'absorption infrarouge de l'acide sulfamique ordinaire, de l'acide sulfamique lourd et de leurs sels. Dupuis Thérèse, C. r. Acad. sci., 1956, 243, № 21, 1621—1623 (франц.).

Получены ИК-спектры поглощения (СП) (700—3500  $cm^{-1}$ ) сульфаминовой к-ты (I) и ее бариевой соли (II), а также продуктов их дейтерирования. Твердая I существует не только в кислотной форме  $NH_2SO_3H$ , но и в аминокислотной форме  $NH_3^+SO_3^-$ , что подтверждается наличием полос поглощения (ПП) 3150 и 1440  $cm^{-1}$ , отсутствующих в СП II, но имеющих в аммониевой соли. В металлич. солях  $NH_2SO_3M$  наблюдались ПП валентных колебаний группы NH у 3366 и 3297  $cm^{-1}$  и деформационных колебаний у 1530 и 900  $cm^{-1}$ , а в СП I сильные ПП наблюдались также у 1440, 2450, 2540 и 3060—3150  $cm^{-1}$ . При дейтерировании замещаются 2 атома H аминной группы и происходит смещение частот в I и II. В случае растворения в  $H_2O$  и  $D_2O$  при различных конц-ях исчезают ПП 2450 и 1000  $cm^{-1}$  и появляется полоса 1180  $cm^{-1}$ . Исчезновение ПП связано с ослаблением водородной связи при растворении кристаллов и переходе к р-ру.

Е. Покровский

**68189. Сравнительное изучение колебательных спектров 1,4-диоксана, хлорной ртути и комплекса диоксан —  $HgCl_2$ . Тарт, Лоран** (Etude comparée des spectres de vibration du dioxanne 1,4, du chlorure mercurique, et du complexe dioxanne- $HgCl_2$ . Tart Pierre, Laurent Pierre A.), Bull. Soc. chim. France, 1957, № 3, 403—406 (франц.).

При изучении  $HgCl_2$  (I), диоксана (II) и их смесей

было установлено по колебательным спектрам, что образуются комплексы I—II. В ИК-спектре поглощения (270—4000  $cm^{-1}$ ) комплекса наблюдается повышение или понижение ряда частот по сравнению со спектрами чистых I и II. Особенно сильное понижение частот характерно для полос поглощения связи C—O при 883 и 1135  $cm^{-1}$ , что объясняется взаимодействием  $Hg...$  O, уменьшающим силу связи C—O. В спектре комб. расс. линия 835  $cm^{-1}$  (824  $cm^{-1}$  в комплексе) связана с колебаниями всего ядра, а линия 1109  $cm^{-1}$  (1088  $cm^{-1}$ ) — с его вытягиванием по направлению осн, проходящей через атомы O.

Е. Покровский  
**68190. Колебательные спектры расплавленных, стеклообразных и кристаллических высокополимерных фосфатов. Бюэ, Герке** (Schwingungsspektren geschmolzener, glasiger und kristallisierter hochpolymerer Phosphate. Bues W., Gehrke H.-W.), Z. anorg. und allgem. Chem., 1956 (1957), 288, № 5-6, 307—323 (нем.).

При остывании расплава  $NaPO_3$  (I) образуется кристаллич. соль  $(Na_2P_2O_6)_n$  модификации A (II), которая после механ. обработки переходит в B (III). Расплав  $KPO_3$  (IV) при охлаждении кристаллизуется в  $(K_2P_2O_6)_n$  (V). С целью выяснения строения этих в-в исследованы спектры комб. расс. расплавов I и IV, полученных при т-рах 630° I и 830° IV, и ИК-спектры III, V,  $Na_3P_3O_9$  (VI) и  $(NaPO_3)_n$  (VII). В ИК-спектрах III и V в области 650—1285  $cm^{-1}$  наблюдаются восемь полос, попарно отнесенных к  $\nu_{as}$  и  $\nu_s PO_2$ ,  $\nu_{as}$  и  $\nu_s POP$ . Сделан вывод, что кристаллы III и V состоят из фосфатных цепочек, которые могут иметь симметрию  $C_2$  и  $C_s$  и составлены из групп  $P_2O_6$ . Спектры комб. расс. I и IV обнаруживают идентичное строение расплавов. В спектре I наблюдаются интенсивные линии 1150 и 678  $cm^{-1}$ , в спектре IV 1141 и 663  $cm^{-1}$ . Сопоставление спектра комб. расс. I с ИК-спектром стеклообразного VII показывает одинаковое строение расплава и стекла, которые состоят из цепочек с симметрией  $C_s$ , нарушенной в I тепловым движением. Молекула VI представляет собой кольцеобразный анион  $P_3O_9^{3-}$  с симметрией  $C_{3v}$ . Дано следующее отнесение полос в ИК-спектре VI ( $cm^{-1}$ ): 635,  $\nu$  (кольцо  $A_1$ ), 684  $\nu_s POP$  ( $A_1$ ), 753 и 770  $\nu_s' POP$  (E) 987 и 996  $\nu_s' POP$  (E), 1110 и 1120  $\nu_s' PO_2$  (E), 1163 и 1169  $\nu_s PO_2$  ( $A_1$ ), 1213  $\nu_{as} PO_2$  ( $A_1$ ), 1297 и 1316  $\nu_{as}' PO_2$  (E). Авторами подробно рассматриваются результаты, полученные ранее в этой области.

Е. Попов

**68191. Инфракрасные спектры поглощения тетрациклина, аурамицина и тетраамицина. Меда, Скрокко** (Spettri di assorbimento infrarosso della tetraciclina, aureomicina e terramicina. Meda Francesco, Scrocco Pietro), Gazz. chim. ital., 1955, 85, № 4, 364—373 (итал.).

Исследованы ИК-спектры поглощения тетрациклина (I), аурамицина (II) и тетраамицина (III) в интервале 2—15  $\mu$ ; приведены кривые спектров и таблицы  $\lambda$  (макс.) I—III. Найдены характеристич. частоты, позволяющие быструю и точную идентификацию. Близость спектров I—III подтвердила наличие общего для них основного скелета — нафтаденового, установленного ранее различными способами.

А. Сергеев

**68192. Инфракрасные спектры некоторых алкокситрихлорсиланов. Веррейн-Стюарт, Ло, Бредервельд** (The infrared spectra of some alkoxytrichlorosilanes. Verrijn Stuart A. A., Lau C. I. A., Brederveld H.), Recueil trav. chim., 1955, 74, № 6, 747—759 (англ.).

Исследованы характеристич. частоты в ИК-спектрах следующих алкокситрихлорсиланов:  $CH_3OSiCl_3$  (I).



$C_6H_5OSiCl_3$  (II),  $(n-C_3H_7)OSiCl_3$  (III),  $(изо-C_3H_7)OSiCl_3$  (IV),  $цикло-C_6H_5OSiCl_3$  (V) и  $цикло-C_6H_{11}OSiCl_3$  (IV). Из сопоставления спектров выделены частоты кол. связей C—H и деф. кол. групп  $CH_2$  и  $CH_3$ . Особое внимание уделяется отнесению частот вал. кол. связей C—O, C—C и Si—O. Полагая, что группа Si—O—C колеблется как целое, авторы выделяют сим. вал. кол. C—O и относят к нему следующие полосы: I 9,05, II 9,20, III 9,25, IV 9,0, V и VI 9,40  $\mu$ , а также сим. вал. кол. Si—O, характеризующиеся полосами I 12,35, II 13,00, III 13,70 и IV 13,50  $\mu$ . Положение полос зависит от числа связей C—C, вал. кол. которых характеризуются поглощением в области 9,65—12,0  $\mu$ . Частоты в области 12—14  $\mu$  отнесены к оборотам или колебаниям углеродной цепочки. В предположении, что колебания группы Si—O—C слабо взаимодействуют с колебаниями остальной части молекулы, вычислены силовые постоянные связи ( $10^5$  дн/см): связь C—C  $f = 4,1$ , связи C—O и Si—O  $f = 4,9$  и постоянные взаимодействия связей C—O и C—C  $f = 0,8$ , связей C—O и Si—O  $f = 1,3$ . Ю. Егоров

#### 68193. Исследование производных ацетиленов.

Часть L. Инфракрасные спектры поглощения некоторых сопряженных этиленовых и ацетиленовых систем. Аллан, Микинс, Уайтинг (Researches on acetylenic compounds. Part L. The infrared absorption of some conjugated ethylenic and acetylenic systems. Allan J. L. H., Meakins G. D., Whiting M. C.), J. Chem. Soc., 1955, June, 1874—1881 (англ.)

Исследованы характеристики частоты в ИК-спектрах 85 сопряженных соединений. Найдено, что в молекулах типа  $R-(C\equiv C)_n-COOR$  ( $R=CH_3$ , H) при  $n=1$  наблюдается одна полоса, 2235—2260  $см^{-1}$ , средней интенсивности, соответствующая вал. кол. связи  $C\equiv C$ ; при  $n=2, 3$  в области 2200—2270  $см^{-1}$  имеются две полосы значительной интенсивности. Полосы  $C\equiv C$  более интенсивны в соединениях типа  $CH_3CH=CHC\equiv C-COONH_4$ , чем в  $CH_3C\equiv C-CH=CH-COONH_4$ , вследствие близости полярной группы  $CO_2$ . При переходе от насыщ. к-т и эфиров к сопряженным непредельным наблюдается понижение частот  $C=O$ , при сопряжении с  $C\equiv C$  до 1685 и 1717  $см^{-1}$  соответственно. При нескольких тройных связях (тип  $(C\equiv C)_nCO_2H$ ) частота  $C=O$  несколько повышается (1722  $см^{-1}$ ). Интенсивность полос  $C=O$  в эфирах зависит от характера сопряженной кратной связи, изменяясь в порядке  $C=C$  (транс)  $> C=C$  (цис)  $> C\equiv C$ . В спектре  $CH_3C\equiv C-CH=CH-COONH_4$  наблюдаются две частоты  $C=O$  1733 и 1718  $см^{-1}$ , что объясняется поворотной изомерией. Частоты связей  $C=C$  располагаются в области 1595—1660  $см^{-1}$ , в некоторых случаях наблюдаются две частоты. Положение частот  $C=C$  (транс) всегда выше  $C=C$  (цис). В транс-конфигурации положение одной из частот  $\delta$  (CH) равно 965  $см^{-1}$  при одной связи  $C=C$ , 990  $см^{-1}$  при двух (сопряженных) и 1000  $см^{-1}$  при большем числе. Тип  $C=CH-CH=C$  характеризуется частотами 985 и 950  $см^{-1}$ , тип  $CH=CH-CO$  980  $см^{-1}$  и тип  $CH=CH-C\equiv C$  950  $см^{-1}$ . При цис-конфигурации эти частоты менее устойчивы и находятся у  $\sim 700$   $см^{-1}$  в соединениях типа  $C=CH-CH=C$ , 820  $см^{-1}$  в  $CH=CH-CO$ , 720  $см^{-1}$  в  $CH=CH-C\equiv C$ . В сложных типах сопряжений, напр.  $C\equiv C-C=C-COONH_4$ , на частоты колебаний CH действуют два противоположных эффекта:  $C\equiv C-C=C$ , понижающий частоту, и  $C=C-COO$ , повышающий ее. В результате этого частота почти не изменяется 958  $см^{-1}$ . У эфиров и к-т с группой  $C\equiv C-COOR$  наблюдаются характерные частоты в области 740—780 (ср.) и 742—757 (сл.)  $см^{-1}$  соответственно. У соответствующих олефиновых молекул этих полос не найдено. Для аллил- и пропарилхлоридов харак-

терны интенсивные частоты 1255 и 700  $см^{-1}$  (C—Cl). У бромидов и йодидов первая частота несколько понижена: 1204 и 1150  $см^{-1}$  соответственно, вторая частота исчезает. Часть XLIX см. РЖХим, 1957, 26682. Ю. Е.

#### 68194. Связь между инфракрасным спектром и строением конденсированных ароматических соединений. II. Соединения антрацена, антрона и антрахинона. Данненберг, Нерланд (Zusammenhänge zwischen Infrarotspektrum und Konstitution von kondensierten Aromaten. II. Mitt. Verbindungen des Anthracens, Anthrons und Anthrachinons. Danenberg Heinz, Naerland Arnijot), Z. Naturforsch., 1957, 12b, № 1, 1—5 (нем.)

В области 11—14  $\mu$  исследованы ИК-спектры антрацена (I) и 26 его производных. Монозамещенные I: 1-метил-, 2-метил-, 9-метил-, 9-этил-, 9-н-пропил-, 9-антракил-, 1-сульфоновая к-та; дизамещенные I: 1,3-диметил-, 1,4-диметил-, 1,9-диметил-, 2,3-диметил-, 2-гидроксис-3-карбоксил-, 3-карбоксис-3-гидрокси-, 9,10-диметил-, 9,10-дихлор-, 9-метил-10-этил-, 9-метил-10-н-пропил-, 9-метил-10-бутил-, 2,6-диметил-, 2,7-диметил-; тризамещенные I: 2,7,9-триметил-, 2,7-диметил-9-этил-, 2,9,10-триметил-; тетразамещенные I: 2,3,6,7-тетраметил-, 2,3,9,10-тетраметил-. Измеренные частоты относятся к неполюсным колебаниям ароматич. связей CH. Все полосы находятся в узком интервале длин волн, характерны для каждого типа замещения и близки к соответствующим полосам замещ. бензолов и других ароматич. соединений. Найденные закономерности не соблюдаются в спектрах замещ. антронов и антрахинонов. Часть I см. РЖХим, 1954, 19498. М. Ковнер

#### 68195. Инфракрасные спектры поглощения карбонильной группы в метоксидантрахинонах и гидрохлоридах 1-метоксидантрахинонов. Уайлс, Томас (The infrared absorption spectra of the carbonyl group in methoxyanthraquinones, and in the hydrochlorides of 1-methoxyanthraquinones. Wiles L. A., Thomas L. C.), J. Chem. Soc., 1956, Dec., 4811—4814 (англ.)

Исследованы ИК-спектры карбонильных групп ряда метоксидантрахинонов (I), дигидрохлоридов (II) и полигидрохлоридов (III) 1-метоксидантрахинонов. Исследовались 1%-ные р-ры I, II и III в  $CCl_4$  или  $CHCl_3$ . Спектры I сравнивались со спектром антрахинона, а спектры II и III со спектрами соответствующих I и непосредственно измерялось смещение карбонильной частоты  $\Delta\nu$ . Для 17 исследованных I  $\Delta\nu$  (в  $см^{-1}$ ) равны (в скобках — положения метоксигрупп): —3 (1), —3 (2), 0 (1,2), —8 (1,3), —6 (1,4), —6 (1,5), —3 (1,8), —14 (2,3), —15 (2,6), —15 (2,7), —11 (1,2,3), —11 (1,2,4), —11 (1,2,7), 0 (1,4,5), —8 (1,2,5,8), 0 (1,4,5,8), —20 (2,3, 6,7). Следовательно,  $\Delta\nu$  велико, если метоксигруппы находятся в пара-положении по отношению к обеим карбонильным группам (замещ. 2,3-, 2,6-, 1,2,3- и 2,3,6,7-) или если метоксигруппа находится в  $\beta$ -положении по отношению к карбонильной группе в другом коле (замещ. 2,7- и 1,2,7-). В несимметрично замещ. I наблюдается расщепление карбонильной полосы. В 4 исследованных II (положения метоксигрупп 1,4-, 1,5-, 1,4,5- и 1,4,5,8-)  $\Delta\nu$  (по сравнению с соответствующими I) весьма малы (1—3  $см^{-1}$ ). На этом основании авторы отвергают предложенную ранее (Roberts, Smiles, J. Chem. Soc., 1929, 1322) структуру этих соединений, согласно которой между карбонильной и метоксигруппой образуется водородная связь. Авторы предполагают образование слабой водородной связи типа  $>C=O \cdots H-Cl$ . В 4 исследованных III (положения метоксигрупп 1,4-, 1,5-, 1,4,5- и 1,4,5,8-)  $\Delta\nu$  (по сравнению с соответствующими I) равны (в  $см^{-1}$ ) соответственно +34, 0, +28 и +8. Наблюдаемое увеличение карбонильной частоты авторы объясняют уменьшением полярности карбонильной группы из-за связи между молекулами HCl и  $\pi$ -электронами ароматич.

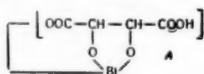


ядер. Из исследованных соединений впервые получен 1,4,5-триметоксинантрахинон (т. пл. 209°) путем нагревания 1 моля 1,4,5-трихлорантрахинона с 12 молями метоксида натрия в метаноле при 165° в течение 9 час. и последующей двукратной рекристаллизацией полученного продукта из р-ра во вторичном бутиловом спирте. II и III получались из I путем пропускания сухого HCl над твердым I, охлажденным твердым CO<sub>2</sub>.

О. Птицын

68196. Попытка классификации обычного рвотного камня и различных сурьяно- и висмутотартратных комплексов с помощью их инфракрасных спектров поглощения. Жирар, Леконт (Essai de classification, au moyen de leurs spectres d'absorption infrarouge de l'émétique ordinaire et de divers complexes antimonio- ou bismuthotarttriques. Girard Maurice, Lecomte Jean), C. r. Acad. sci., 1955, 241, № 3, 292—294 (франц.)

Ранее (РЖХим, 1955, 5469) указывалось на отсутствие в ИК-спектрах рвотного камня частот, характеризующих группы COOH и C=O. Авторы получили ИК-спектры ряда сурьяно- и висмутотартратных



комплексов, а также комплексов между ними и солями некоторых металлов (Na, Ca, Ba и др.) в области 1200—1700 см<sup>-1</sup>. Оказалось, что спектры солей металлов M(OOSSNONHNONHCOO) подобные спектрам рвотного камня и висмутотартратной к-ты А, различаясь лишь в области 1325—1385 см<sup>-1</sup>. В этой области для к-ты характерен один пик поглощения, для солей металлов — два. Это указывает на существование особой связи между атомами Bi (или Sb) и ионизированными карбоксильными группами. Отсутствие частот групп COOH в висмутотартратной к-те, возможно, объясняется видоизменением группы —COOH. Отмечается наличие частоты 670 см<sup>-1</sup> в соединениях, полученных замещением атома H в висмутотартратной к-те на K, Na, Li, пиридин.

Ю. Егоров

68197. Оптический метод исследования углеводов. Сообщение 10. Спектры комбинационного рассеяния некоторых нафенов. Перегудов Г. В., Маркова С. В., Бажулин П. А., Платэ А. Ф., Терентьева Е. М., Изв. АН СССР, Отд. хим. н., 1957, № 1, 37—42

Получены спектры комб. расс. *n*-гексилциклопентана, *n*-гептилциклопентана, *n*-октилциклопентана, дициклогексила, дициклогексилметана, 1,2-дициклогексилэтана, *цис*- и *транс*-декалинов, гидриндана и гидридена. Интенсивность линий оценена в единой шкале, принятой в СССР. Большинство частот *n*-алкилциклопентановых углеводов совпадают между собой, при этом интенсивность частоты полносимметричного колебания 890 см<sup>-1</sup> имеет приблизительно постоянную величину (50 ед.), а интенсивность частоты колебаний группы CH<sub>2</sub> (1305 см<sup>-1</sup>) возрастает с увеличением длины цепочки (напр., у метилциклопентана 6 ед., у *n*-гептилциклопентана 55 ед.). Отмечается понижение частоты интенсивной линии в области 150—600 см<sup>-1</sup> с длиной алкильного радикала (метилциклопентан 534 см<sup>-1</sup>, *n*-октилциклопентан 237 см<sup>-1</sup>). Частоты дициклич. углеводов также близки между собой и монометилциклогексанами. Для *цис*-декалина характерны частоты 378, 597, 1043 см<sup>-1</sup>, для *транс*-декалина 408, 494, 1058 см<sup>-1</sup>. Спектры комб. расс. дициклических и гидринданных углеводов хорошо согласуются с литературными данными. Сообщение 9 см. РЖХим, 1957, 43747.

Ю. Егоров

68198. Спектры поглощения 2-фурфуральдегида в ближнем ультрафиолете. Сантхамма (The near ultraviolet absorption spectrum of 2-furfuraldehyde. Santhamma V.), Proc. Nat. Inst. Sci. India, 1956, A22, № 4, 256—266 (англ.)

Получены спектры поглощения паров 2-фурфуральдегида при различных плотностях и длинах поглощающего слоя, а также спектр комбинационного рассеяния. Обнаружены две области поглощения. Более слабая длинноволновая область (3800—3300 Å) состоит из 11 диффузных полос. В коротковолновой области (2800—2450 Å) расположено 163 большей частью узких полос. За 0,0 выбрана полоса с  $\nu = 37107 \text{ см}^{-1}$ . Приводятся частоты колебаний, полученные из УФ-спектров поглощения, и соответствующие частоты в спектре комбинационного рассеяния. Семь частот колебаний в возбужденном состоянии соответствуют полносимметричным колебаниям фуранового кольца. Идентифицируются колебания группы C—CON.

О. Пахомова

68199. Анализ спектра поглощения ортохлоранизола (1,2, OCH<sub>3</sub>—C<sub>6</sub>H<sub>4</sub>—Cl) в ближнем ультрафиолете. Сурьянараяна, Рао (Analysis of the near ultraviolet absorption spectrum of orthochloroanisole. Suryanarayana V., Rao V. Ramakrishna), Indian J. Phys., 1956, 30, № 3, 117—128 (англ.)

Исследовались спектры поглощения и спектры комб. расс. паров хлоранизола. При  $\tau$ -рах от —18 до +160° в спектре поглощения паров в области 2503—2873 Å наблюдается ~ 66 полос. Полоса 2795 Å принимается за 00-полосу. Максим. поглощение наблюдалось в области 2746—2715 Å. Путем сопоставления полученных данных ультрафиолетовых спектров и спектров комб. расс. установлены колебательные частоты основного и возбужденного состояний и (с помощью теории групп) отнесены к соответствующим колебаниям в молекуле.

В. Еременко

68200. Интенсивности колебаний. VI. Этилен и его дейтеропроизводные. Голик, Миле, Персон, Крофорд (Vibrational intensities. VI. Ethylene and its deuterioisotopes. Golike R. C., Mills I. M., Person W. B., Crawford Bryce, Jr.), J. Chem. Phys., 1956, 25, № 6, 1266—1275 (англ.)

Измерены абс. интегральные интенсивности ИК-полос поглощения основных колебаний C<sub>2</sub>H<sub>4</sub>, C<sub>2</sub>D<sub>4</sub>, *транс*-C<sub>2</sub>D<sub>2</sub>H<sub>2</sub>, *цис*-C<sub>2</sub>D<sub>2</sub>H<sub>2</sub> и *асимм*-C<sub>2</sub>D<sub>2</sub>H<sub>2</sub>, уширенных под давлением до 50 атм в присутствии азота. Полученные данные использованы для вычисления производных дипольного момента по координатам симметрии, из которых затем определялись эффективные моменты связей и их производных для различных типов колебаний. При этом данные по изотопным молекулам позволили исключить возникающие в ходе расчета неопределенности в определяемых величинах. Получены следующие результаты:  $\nu_7$ ,  $\partial \rho_7 / \partial S_7 = 1,805 \pm 0,08$ ;  $\mu / r_0 = +0,638$ ;  $\nu_9$ ,  $\partial \rho_9 / \partial S_9 = -0,725 \pm 0,03$ ;  $\epsilon = -0,419$ ;  $\nu_{10}$ ,  $\partial \rho_{10} / \partial S_{10} = -0,350 \pm 0,10$ ;  $\mu / r_0 = +0,246$ ;  $\nu_{11}$ ,  $\partial \rho_{11} / \partial S_{11} = +0,605 \pm 0,025$ ;  $\epsilon = -0,602$ ;  $\nu_{12}$ ,  $\partial \rho_{12} / \partial S_{12} = -0,268 \pm 0,005$ ;  $\mu / r_0 = -0,219$ . Отмечаются высокое значение  $\partial \rho_7 / \partial S_7$  и противоположность в знаках моментов связей в колебаниях симметрии B<sub>2u</sub> ( $\nu_9$ ,  $\nu_{10}$ ) и B<sub>3u</sub> ( $\nu_{11}$ ,  $\nu_{12}$ ).

В. Александрия

68201. Интенсивности в спектрах комбинационного рассеяния. IV. Измерения интенсивностей для некоторых хлорметанов. Лонг, Миллер, Томас (Intensities in Raman spectra. IV. Intensity measurements for some chloromethanes. Long D. A., Miller D. C., Thomas A. G.), Proc. Soc. Soc., 1956, A237, № 1209, 197—211 (англ.)

Измерены интегральные интенсивности линий в

спектрах комб. ресс.  $\text{CCl}_4$ ,  $\text{CHCl}_3$  и  $\text{CH}_2\text{Cl}_2$  и с их помощью ранее разработанным методом (РЖХим, 1956, 39944) вычислены поляризуемости связей и их анизотропии. При расчете применялись функции потенциальной энергии (ФПП) Дишнуса (Decius J., J. Chem. Phys., 1948, 16, 214), Юри — Брэдли — Симаноти (Urey H. C., Bradley C. A., Phys. Rev., 1931, 38, 1969; Simanouti T., J. Chem. Phys., 1949, 17, 245) и Степанова (Степанов Б. Н., Acta Phys. chim., 1945, 20, 174). Расчет показывает, что значение  $\bar{\alpha}_{\text{C}-\text{Cl}}$  приблизительно одинаково в  $\text{CHCl}_3$  и  $\text{CH}_2\text{Cl}_2$ , заметно ниже в  $\text{CCl}_4$  и мало зависит от примененной ФПП; величины  $\bar{\alpha}'_{\text{C}-\text{H}}$  также не зависят от ФПП. Часть III см. РЖХим, 1957, 63837.

**68202. Переходы между уровнями  $l$ -удвоения в  $\text{ClCN}$ . Ярмус (Direct  $l$ -type doubling transitions in  $\text{ClCN}$ . Yarmus Leonard), Phys. Rev., 1957, 105, № 3, 928—929 (англ.)**

При помощи спектрометра со штарк-модуляцией в диапазоне 2280—4120  $\text{Mc}$  наблюдались переходы между уровнями  $l$ -удвоения в  $\text{ClCN}$ . Получена эмпирич. ф-ла для постоянной, определяющей частоту переходов:  $q = 7,467467 - 1,327 \cdot 10^{-5} J(J+1)$ . Параметр асимметрии равен  $0,0101 \pm 0,0004$ . Резюме автора

**68203. Знак параметра расщепления  $a$  в кубическом кристаллическом поле для  $S$ -состояния. Лоу (Sign of the crystalline cubic field splitting parameter  $a$  in an  $S$  state. Low W.), Phys. Rev., 1957, 105, № 3, 792—793 (англ.)**

Из тонкой структуры спектров парамагнитного резонанса определены  $a$  ( $\text{cm}^{-1}$ ) и  $g$ -фактор  $\text{Mn}^{2+}$  ( $+0,00186$ ;  $2,0014 \pm 5$ ),  $\text{Fe}^{3+}$  ( $+0,0205$ ;  $2,0037 \pm 7$ ) и  $\text{Gd}^{3+}$  ( $+0,0175$ ;  $1,991 \pm 1$ ) в кристаллах  $\text{MgO}$  и  $\text{CaF}_2$ . Опыты проводились при гелиевых т-рах. Наблюдалось исчезновение компонент тонкой структуры  $-3/2 \rightarrow -1/2$  и  $-5/2 \rightarrow -3/2$  для  $\text{Mn}^{2+}$  и  $\text{Fe}^{3+}$  при изменении  $H_0$ . Знак  $a$  указывает, что из 2- и 4-кратно вырожденных уровней 1-й является нижним.

**68204. Квадрупольное взаимодействие ядер  $\text{Na}$ ,  $\text{NaClO}_3$ ,  $\text{NaBrO}_3$ . Гutowский, Вильямс (Sodium nuclear quadrupole interactions in  $\text{NaClO}_3$  and  $\text{NaBrO}_3$ . Gutowsky H. S., Williams G. A.), Phys. Rev., 1957, 105, № 2, 464—468 (англ.)**

Измерено квадрупольное расщепление спектров ядерного магнитного резонанса  $\text{Na}^{23}$  в монокристаллах  $\text{NaClO}_3$  (I) и  $\text{NaBrO}_3$  (II). Изучена зависимость расщепления от давления и т-ры для I и от давления для II. Константы квадрупольной связи равны  $779,2 \pm 4 \text{ кгц}$  и  $842,4 \pm 4 \text{ кгц}$  для I и II соответственно. Зависимость константы квадрупольной связи от давления для I более сильная, чем для II. На основании эксперим. данных, подтвержденных теоретич. расчетами, утверждается, что изменение квадрупольной связи Na под влиянием давления и т-ры обусловлено изменением объема поля кристалла.

**68205. Стандартизация высокоразрешенных спектров ядерного магнитного резонанса. Зиммерман, Фостер (Standardization of N. M. R. high resolution spectra. Zimmerman J. R., Foster M. R.), J. Phys. Chem., 1957, 61, № 3, 282—289 (англ.)**

При измерениях хим. сдвига (ХС) ядерного магнитного резонанса приходится определять интервалы частот или поля, отделяющие резонансные сигналы от ядер элемента, входящего в состав некоторого стандартного и другого исследуемого в-ва. При этом стандартное в-во или растворяется в исследуемом (внутренняя стандартизация), или же эти в-ва берутся в отдельных коаксиальных трубках (внешняя стандартизация). Найденные при помощи этих двух методов значения ХС могут отличаться очень сильно, что может привести к ошибочным и противоречивым

заклучениям. При внутренней стандартизации ошибка в основном возникает от взаимодействия стандартного и исследуемого в-в в смеси. При внешней стандартизации ошибка возникает из-за намагничения образцов; эта ошибка может быть вычислена. Поэтому при внешней стандартизации можно достичь лучших результатов. Автор вычислил ошибку в ХС при внешней стандартизации путем использования коаксиальных стеклянных трубок; из численных оценок следует, что этим методом ошибки могут быть уменьшены до  $1/10^8$  части от внешнего магнитного поля.

К. Валиев

**68206. Спектры ядерного магнитного резонанса некоторых производных фтороуглеродов. Муллер, Лаутербер, Сватос (Nuclear magnetic resonance spectra of some fluorocarbon derivatives. Muller Norbert, Lauterbur Paul C., Svatos George F.), J. Amer. Chem. Soc., 1957, 79, № 8, 1807—1810 (англ.)**

Измерен хим. сдвиг  $\delta$  ядер  $\text{F}^{19}$  в большом числе жидких перфторуглеродных соединений по сравнению с  $\text{CF}_3\text{COOH}$ . Измерения показывают, что значения  $\delta$  для разных радикалов редко перекрываются и имеют более или менее постоянные значения в разных соединениях, в которые входит данный радикал. Поэтому по виду спектров ядерного резонанса можно судить о наличии в некоторой смеси в-в с теми или иными радикалами. Благодаря спин-спиновой связи ядер в ряде случаев наблюдается тонкая структура линий. Спин-спиновая связь ядер  $\text{F}^{19}$ , разделенных группой  $\text{C}-\text{N}-\text{C}$ , очень велика, гораздо больше, чем в случае, когда между ядрами фтора находится группа  $\text{C}=\text{N}-\text{C}$ . Из вида спектров найдено, что  $\text{C}_2\text{F}_5\text{CF}=\text{NCF}_2$  существует в виде смеси двух изомерных форм, в одной из которых группа  $\text{CF}_3$  при атоме N стоит в цис-положении, а в другой — в транс-положении относительно группы  $\text{C}_2\text{F}_5$ .

К. Валиев

**68207. Ядерный магнитный резонанс в гексагидрате алюминий-гуанидин-сульфате. Мак-Коул (Nuclear magnetic resonance in guanidinium aluminum sulfate hexahydrate. McCall David W.), J. Chem. Phys., 1957, 26, № 3, 706—707 (англ.)**

Линия протонного резонанса, наблюдаемая автором в порошке гексагидрата алюминий-гуанидин-сульфата, имеет промежуточную между гауссовой и лорентцовой форму. Ширина линии уменьшается при повышении т-ры: второй момент линии равен  $26,9$ ;  $19,8$ ;  $21,7 \text{ э}^2$  при т-рах  $77$ ,  $199$ ,  $296^\circ \text{K}$  соответственно. По-видимому, наблюдаемое сужение обязано известному эффекту сужения движением. Предполагается, что в данном случае движение заключается во вращении иона гуанидина вокруг своей тригональной оси; оно имеет частоту  $\geq 10^6 \text{ эц}$  и возбуждается при т-рах  $\sim 199^\circ \text{K}$ .

К. Валиев

**68208. Протонный резонанс в гексагидрате алюминий-гуанидин-сульфате. Спенс, Муллер (Proton resonance in guanidine aluminum sulfate hexahydrate. Spence R. D., Muller John), J. Chem. Phys., 1957, 26, № 3, 706 (англ.)**

С целью определения положения протонов в кристаллах гексагидрата алюминий-гуанидин-сульфата, имеющих симметрию  $\text{C}_{2v}$ , изучены спектры протонного резонанса на этих кристаллах. В плоскости (0001), перпендикулярной к оси симметрии кристалла, расположены 6 протонных пар (в элементарной ячейке кристалла), принадлежащих молекулам кристаллизационной воды. Две пары лежат в плоскости, перпендикулярной к оси  $a$  кристалла, четыре другие — в плоскостях, образующих с осью  $a$  углы в  $60^\circ$ . Расстояние  $p-p'$  для одной пары равно  $1,63 \text{ А}$ . Указанные 6 молекул воды расположены вокруг иона

2\*

алюминия, находящегося, таким образом, на оси  $C_2$ . Линии от протонов группы гуанидина  $[C(NH_2)_2]$  перекрываются линиями от протонов молекул воды. Из вида спектров можно заключить, что 1) или векторы  $p-p'$ , соединяющие протонные пары гуанидина, перпендикулярны к плоскости (0001), и расстояния  $p-p'$  равны 2,05 Å, или 2) векторы  $p-p'$  лежат в плоскости (0001) и расстояния  $p-p'$  равны 1,63 Å. Кроме того, во втором случае следует допустить вращение гуанидина в плоскости (0001). К. Валиев

**68209. Частотная зависимость релаксации спинов протонов в водных растворах парамагнитных ионов.** Нолл, Морган (Frequency dependence of proton spin relaxation in aqueous solutions of paramagnetic ions. Nolle A. W., Morgan L. O., J. Chem. Phys., 1957, 26, № 3, 642—648 (англ.))

Обнаружена частотная зависимость времени спин-решеточной ( $T_1$ ) и спин-спиновой ( $T_2$ ) релаксации протонов в водн. р-рах ионов  $Cr(H_2O)_6^{3+}$  (I),  $Mn(H_2O)_6^{2+}$  (II),  $Co(H_2O)_6^{2+}$  (III),  $Nd(H_2O)_9^{3+}$  (IV). Измерения проделаны на частотах 2,70; 5,50; 7,75; 14,0; 28,7 Мгц. Для р-ров I и II величина  $NT_1$  ( $N$  — мол. кон-ция ионов) возрастает с частотой резонанса, тогда как  $NT_2$  практически не изменяется; в результате отношение  $T_1/T_2$  с частотой также возрастает. В р-рах III и IV как  $NT_1$ , так и  $NT_2$  не зависят от частоты резонанса. Полученные результаты объясняются с помощью следующей модели. Тепловое движение протона, находящегося вблизи парамагнитного иона, характеризуется временем корреляции  $\tau_c$ , отличным от времени корреляции более удаленных протонов  $\tau_r$ . Полученные результаты удается объяснить при следующих значениях  $\tau_c \cdot 10^9$  сек.: I 7,6, II 8,8, III < 0,53, IV < 2. К. Валиев

**68210. Непосредственное измерение моментов кривой парамагнитного резонанса. Синусоидальная модуляция и гармонический анализ сигнала.** Эрве (La mesure directe des moments caractéristiques de la structure de raie en résonance paramagnétique: Balayage sinusoidal et analyse harmonique du signal. Hervé Jacques), C. r. Acad. sci., 1957, 244, № 11, 1475—1478 (франц.)

Установлена связь между моментами и компонентами кривой Фурие парамагнитного резонанса (КПР). Разработана техника измерения моментов КПР в случаях, когда ширина кривой больше или меньше амплитуды модуляции статич. магнитного поля.

У. Конвиллем

**68211. Парахоры связей кремний — бром и кремний — углерод (арил) и рефракция связи кремний — бром.** Милс, Беккер (The silicon — bromine and silicon — carbon (aryl) bond parachors and the silicon — bromine bond refraction. Mills Alfred P., Becker Warren E.), J. Phys. Chem., 1956, 60, № 12, 1644—1645 (англ.)

Вычислены парахоры (P) силанов: триметилфенил (I), диметилдифенил (II), триметилбром (III), диметилдифенилбром (IV), диметилбром (V) и метилдифенилбром (VI). Измерены показатели преломления, плотности, вязкости и поверхностных натяжений. С предположенным ранее системами парахоров (РЖХим, 1955, 33870, Vogel A. J., Cresswell W. T., Jeffery Y. J., Leicester J., J. Chem. Soc., 1952, 531) найдены парахоры связей P (мл/моль): Si — Br 74,1, Si — C (аром.) 1,8. При этих значениях и значениях 17,85 для связи C — H и 16,5 для связи  $C_{ар} - C_{ар}$  получено значение 190,0 для группы  $SiC_3H_5$ . Из найденных  $R_M$  и системы рефракций связей (РЖХим, 1954, 42662) получено значение 10,24 для рефракции связи Si — Br. Найдены константы Трутона I — VI в пределах, лежащих от 21,1 до 25,5. Вычислено  $\Delta E$  (испар.)/ $\Delta E$  (вяз.) при допущении, что  $\Delta E$  (испар.) =  $\Delta H$  (испар.) —  $RT$ . Значения  $\Delta E$  (испар.)/ $\Delta E$  (вяз.) составляют от 2,96 до 3,86. С. Барденштейн

**68212. Применение новых теорий поляризации к расчету эффективных дипольных моментов полярных систем.** Бурштейн Л. Л., Михайлов Г. П., Ж. техн. физики, 1957, 27, № 4, 688—693

Проведено исследование диэлектрич. поляризации полярных систем: метилметакрилата (I), фенилметакрилата (II) и его производных о-хлор-(III), дихлор-(IV), п-хлор (V) и их р-ров в бензоле. Значения эффективных дипольных моментов молекул  $\mu$  (эф.) =  $\mu V_g$ , где  $\mu$  — дипольный момент в молекуле в среде,  $g$  — параметр корреляции, вычислялся по ф-лам статистич. теории поляризации. В р-рах при бесконечном разбавлении для всех в-в отношение  $\mu$  (эф.)/ $\mu$  составляет 0,91—0,94,  $\mu$  (эф.)/ $\mu_0$  1,05—1,07. В неразб. полярных системах взаимодействие молекул приводит к уменьшению параметра корреляции: эта величина тем меньше, чем больше  $\mu_0$ . Для I—V соответственно  $\mu_0$  1,79; 1,75; 1,92; 2,34; 2,73;  $\mu$  (эф.)/ $\mu_0$  0,82; 0,76; 0,68; 0,65; 0,65. Т. Бирштейн

**68213. Дипольные моменты тризамещенных бензолов. Часть II. Нарасимха-Рао (Dipole moments of tri-substituted benzenes. Part II. Narasimha Rao D. V. G. L.), Indian J. Phys., 1957, 31, № 1, 60 (англ.)**

В бензоле при 30° измерены дипольные моменты (в D) 2-хлор-4-толуидина 2,35; 2-хлор-6-толуидина 2,81; 4-хлор-2-толуидина 3,07; 3-хлор-2-толуидина 2,08; 5-хлор-2-толуидина 3,26 и сравнены с вычисленными по векторной сумме. В. Казакова

**68214. Диэлектрические свойства четыреххлористого углерода, бензола и о-нитрофенола при высоких радиочастотах.** Рефикулла, Иннас-Али (Dielectric properties of carbon tetrachloride, benzene and orthonitrophenol at high radio frequencies. Refiqualah A. K., Innas Ali Muhammad), Pakistan J. Scient. Res., 1956, 8, № 4, 167—170 (англ.)

Исследованы диэлектрич. проницаемость  $\epsilon$  и тангенс угла потерь  $\text{tg} \delta$   $CCl_4$  (I),  $C_6H_6$  (II) и р-ра о- $O_2NC_6H_4OH$  (III) в II при частотах 108, 143 и 180 Мгц в интервале т-р 10—33°. В I и II  $\epsilon$  и  $\text{tg} \delta$  почти не меняются с частотой и т-рой: для I  $\epsilon = 2,24-2,26$ ;  $\text{tg} \delta = (8,2-9,4) \cdot 10^{-4}$ ; для II  $\epsilon = 2,24-2,30$ ;  $\text{tg} \delta = (8,5-9,6) \cdot 10^{-4}$ . В р-ре III в II  $\epsilon$  растет с ростом конц-ии, стремясь к насыщению. При заданной конц-ии  $\epsilon$  убывает с ростом частоты и не зависит от т-ры.  $\text{tg} \delta$  растет с частотой, линейно растет с конц-ией и уменьшается с т-рой. Время релаксации  $\tau$  для р-ра III в II не зависит от частоты и конц-ии и растет от  $6 \cdot 10^{-10}$  до  $8,9 \cdot 10^{-10}$  при уменьшении т-ры от 33 до 10°. Выполняется ф-ла  $\tau = (B/T) \exp(H/kT)$ ;  $B = 4,3 \cdot 10^{-9}$ ;  $H = 1,6 \cdot 10^{-13}$  эрг. Сравнивая полученные значения со значениями  $A = 8,0 \cdot 10^{-5}$  пуаз;  $H\eta = 1,8 \cdot 10^{-13}$  эрг для бензола ( $\eta = A \exp(H\eta/kT)$ ), авторы заключают, что теория Дебая применима полностью и что перескоки диполей через потенциальный барьер между фиксированными положениями равновесия играют в этом случае большую роль. Оценен эффективный дипольный момент III  $\mu = 1,28$  D. Т. Бирштейн

**68215. Диэлектрические свойства воды при микроволновых частотах.** Грант, Бьюкенен, Кук (Dielectric behavior of water at microwave frequencies. Grant E. H., Buchanan T. J., Cook N. F.), J. Chem. Phys., 1957, 26, № 1, 156—161 (англ.)

Измерены вещественная  $\epsilon'$  и мнимая  $\epsilon''$  части комплексной диэлектрич. проницаемости воды в микроволновом диапазоне. Найдено при 20°  $\epsilon'$  30,8; 61,5; 76,3; 77,2; 79,3; 80,3 и  $\epsilon''$  35,2; 31,4; 15,6; 13,1; 7,9; 2,75 при  $\lambda$  1,260; 3,225; 8,22; 10,00; 17,20; 52,0 см соответственно.



Измерены также  $\epsilon'$  и  $\epsilon''$  при  $\lambda$  17,2 и 52,0 см в интервале  $t$ -р 0°—70°. Величина  $\epsilon'$  при  $\lambda$  52,0 см использовалась в качестве низкочастотного предела  $\epsilon_s$ , который уменьшается от 88,1 до 66,8 при изменении  $t$ -р от 0° до 60°. Построенные кривые  $\epsilon'$  как функции  $\epsilon''$  указывают на распределение времен релаксации:  $\alpha = 0,02$ . Высокочастотный предел  $\epsilon_\infty = 4,2$ . Параметр распределения  $\alpha$  определялся также по величине  $\epsilon''$  при  $\lambda > \lambda_s$ , где  $\lambda_s$  — длина волны, обратной времени релаксации:  $\epsilon''/\epsilon_{\alpha=0} = (\lambda/\lambda_s)^\alpha$ ;  $\epsilon_{\alpha=0} = (\epsilon_s - \epsilon_\infty)(\lambda_s/\lambda)$ ;  $\alpha = 0,02 \pm 0,007$  при  $\epsilon_\infty = 4,5$ . По величине  $\lambda\epsilon''/(\epsilon' - \epsilon_\infty)$ , являющейся функцией  $\lambda$ ,  $\lambda_s$  и  $\alpha$ , найдено  $\alpha = 0,02 \pm 0,01$ . Найдены значения  $\lambda_s$  в см (в скобках  $t$ -р в °C): 3,33 (0), 2,38 (10), 1,74 (20), 1,36 (30), 1,09 (40), 0,89 (50), 0,73 (60). Т. Бирштейн

68216. Водородная связь и основность циклических иминов. Серлс, Тамрес, Блок, Квортман (Hydrogen bonding and basicity of cyclic imines. Searles Scott, Tamres Milton, Block Frank, Quarterman Lloyd A.), J. Amer. Chem. Soc., 1956, 78, № 19, 4917—4920 (англ.).

Электронодонорные свойства этиленмина (азиридина) (I), триметиленмина (азетидина) (II), пирролидина (III), пиперидина (IV) и их N-метилпроизводных (Ia—IVa) изучены 2-мя способами: (1) определением термодинамич. константы  $pK_a$  путем измерения pH водн. р-ров при 25°, а для I—IV также при 35°; (2) спектроскопич. определением склонности к образованию водородной связи с  $CH_3OD$  по величине сдвига  $\Delta\nu$  полосы связи OD. Первым способом показано, что основность изменяется с числом атомов цикла в порядке:  $3 \ll 6 < 4 \leq 5$  для обоих рядов в отличие от циклич. эфиров, для которых ранее найден порядок  $3 \ll 6 < 5 < 4$  (РЖХим, 1955, 5191). Для I—IV рассчитаны свободная энергия, теплота и энтропия диссоциации; значения последней указывают на порядок изменения основности  $3 \ll 6 < 4 < 5$ . Спектроскопич. путь позволяет лишь установить резкое отличие I от II—IV (и аналогично Ia от IIa—IVa). Как и для других гетероциклич. систем, 3-членный цикл обладает весьма слабыми электронодонорными свойствами, что авторы объясняют его ненасыщ. или ароматич. характером, так как для I отношение  $pK_a$  к способности образования водородной связи близко к таковому же для типично ароматич. оснований. Введение группы  $CH_3$  в каждом случае снижает  $pK_a$ , но повышает склонность к образованию водородной связи. II синтезирован видоизмененным способом (Markwald W., Frobenius O., Ber., 1901, 34, 3552); выход 7%, т. кип. 62,5°/747 мм,  $n_D^{20}$  1,4229. Ia получен по методу Элдерфилда (Elderfield R. E., Hageman H. A., J. Organ. Chem., 1949, 14, 622); выход 30%, т. кип. 23,5°/739 мм. IIa синтезирован аналогично Ia из 49 г 3-метиламинопропанола-1; выход 3 г, т. кип. 40°/735 мм; пикрат, т. пл. 135—136°; пикролат, т. пл. 212—213°. Приведены  $\nu$  (OD). А. Сергеев

68217. Ароматические азосоединения. Часть VIII. Исследование внутримолекулярной водородной связи в 8-оксихинолине. Баджер, Баттери (Aromatic azo-compounds. Part VIII. A study of intramolecular hydrogen bonding in 8-hydroxyquinoline. Badger G. M., Buttery R. G.), J. Chem. Soc., 1956, March, 614—616 (англ.).

Исследованы спектры поглощения 8-окси-5-фенилазоксинолина (I) и его N-окиси (II). У I имеются 2 полосы с  $\lambda$  (макс.) 385 мμ (интенсивная) и 470 мμ (слабая), а у II только одна полоса 410 мμ. Сравнение со спектрами 4-фенилазо-1-нафтола (III), имеющего полосы  $\sim$  408 (азоформа) и 462 мμ (фенилгидразон-

ная форма), метилфенилгидразона 1,4-нафтохинона (IV) (одна полоса  $\sim$  460 мμ) и 4-фенилазо-1-метоксинафталина (V) (одна полоса 392 мμ) приводит к выводу, что в I, аналогично III, имеет место таутомерное равновесие между оксизо (A) и хинонгидразонной формами, сдвинутое в сторону A вследствие наличия внутримолекулярной водородной связи между оксигруппой и атомом азота хинолинового кольца, образующей 5-членное кольцо. В II равновесие полностью сдвинуто в сторону A благодаря наличию более прочной внутримолекулярной водородной связи между гидроксильной группой и оксидным кислородом с 6-членным циклом. Сообщение VII см. РЖХим, 1957, 19204. Н. Спасокукоцкий

68218. Инфракрасные спектры газовых смесей при высоком давлении. Кулон, Галатри, Робен, Водар (Infra-red spectra of gaseous mixtures under high pressure. Coulon R., Galatry L., Robin J., Vodar B.), Disc. Faraday Soc., 1956, № 22, 22—29 (англ.).

Обзор. Библ. 50 назв.

Т. Бирштейн  
68219. Одновременные переходы в смесях жидкостей. Хогге (Simultane overgangen in vloeistofmengsels. Hooge F. N.), Chem. weekbl., 1956, 52, № 48, 850—853 (голл.; реж. англ.).

Доклад о работах автора. См. РЖХим, 1956, 15340.

68220. Получение и свойства кристаллических литийалкилов. Браун, Роджерс (The preparation and properties of crystalline lithium alkyls. Brown Theodore L., Rogers Max T.), J. Amer. Chem. Soc., 1957, 79, № 8, 1859—1861 (англ.).

Криоскопич. измерения с р-рами  $C_2H_5Li$  (I) в бензоле указывают на сильную ассоциацию I с вероятным образованием гексамеров. Исследованы ИК-спектры твердых  $CH_3Li$  и I и р-ров последнего в бензоле. В спектре р-ров I найдены две полосы при 920 и 877  $cm^{-1}$ , интерпретируемые как колебания Li—C, вторая из которых усиливается при разбавлении и поэтому отнесена к мономеру. Из эмпирич. кривой зависимости силовой постоянной от энергии связи в металлалкилах для энергии связи Li—C получено 57 ккал/моль. В. Александрия

68221. Конференция по молекулярной оптике и структурной физической химии. — (Colloque national sur l'optique moléculaire et la physicochimie structurale), Cahiers phys., 1956, № 73, 22—48; № 74, 22—23, 30—34, 34—37, 37—38; № 75—76, 60—72 (франц.).

Доклады: Торель (Taurel Lucienne): Исследование рассеяния света монокристаллами фосфата аммония и хлорида натрия; Табури (Taboury Félix-Jean): Экспериментальное исследование ИК-полосы валентного колебания кетонного карбонила; Леконт (Lecomte Jean): ИК-спектры поглощения в области 6-й октавы, полученные в лаборатории физических исследований Сорбонны; Венсан (Vincent Josette): Кажущееся и истинное поглощение в колебательно-вращательных спектрах газов; Леба, Гарригу-Лагранж, Жозьен (Lebas Jeanne-Marie, Garrigou-Lagrange Chantal, Josien Marie-Louise): Исследование колебаний бензольного кольца в области 1400—1600  $cm^{-1}$ ; монопроизводные и пара-дипроизводные; Пиню, Пати, Жозьен (Pineau Paul, Paty Marcel, Josien Marie-Louise): Комплексы пиррола; определение некоторых констант равновесия с помощью ИК-спектроскопии; Чеккальди, Тро, Рот (Cecaldi M., Thro C., Mlle, Roth E.): Влияние растворенных солей на ИК-спектры поглощения изотопных молекул воды в жидком состоянии; Вернью (Vergnoux Anne-Marie): Дисперсия двулучепреломления одноосных кристаллов в ИК-области; Лакомб, Суриссо, Сомань, Кастинель, Дязо, Лейоним, Жозьен (Lascombe Jean, Saurisseau



Gabriel, Saumagne Pierre, Castinel Colette, Dizabo Pierre, Leicknam Jean-Pierre, Josien Marie-Louise): Приложение теории Карквуда — Бауэра — Мага к обнаружению ассоциации молекул; Кастинель, Кала, Жозьен (Castinel Colette, Calas Raymond, Josien Marie-Louise): Поворотная изомерия замещенных эфиров уксусной к-ты по данным ИК-спектроскопии; Оаро, Пако, Паскаль (Hoareu Jean, Pascault Adolphe, Pascal Paul): Магнетохимическая систематика; Жозьен, Жуссо-Дюбьен (Josien Marie-Louise, Jousot-Dubien Monique): Пример образования внутримолекулярной связи  $C=O \dots HN$ , обнаруженной с помощью ИК-спектроскопии; Кала, Дюффо, Жуссо-Дюбьен, Пако (Cala Raymond, Duffaut Norbert, Jousot-Dubien Jacques, Pascault Adolphe): Получение и магнитные свойства некоторых кремнеорганических соединений; Иберсфельд (Uebersfeld Jean): Обнаружение возбужденных состояний химической связи с помощью парамагнитного электронного резонанса; Ренье, Барриоль (Regnier Simone, Barriol Jean): Соответствие между металлической моделью электронов и методом МО в приближении ЛКАО; Лаффитт (Laffitte Elisabeth): Применение линейной металлической модели; Маршан, Пако (Marchand André, Pascault Adolphe): К исследованию металлической модели; Барриоль, Никитин, Эль-Комосс (Barriol Jean, Nikitine Serge, El-Komoss): Попытка интерпретации спектров поглощения кристаллич. фиолетового в приближении металлич. модели с учетом разветвлений; Роже (Roger Frederic): Матричные методы учета взаимодействия составных частей в молекулярной спектроскопии; Дешан, Пати, Жозьен (Deschamps Jean, Paty Marcel, Josien Marie-Louise): Влияние заместителей на колебания  $C=O$  в пара-хинонах. Интерпретация с помощью метода МО в приближении ЛКАО; Маршан, Пако (Marchand André, Pascault Adolphe): Изучение магнетизма двумерного электронного газа; Оаро, Жуссо-Дюбьен, Лемансо, Люмброзо, Пако (Hoareu Jean, Jousot-Dubien Jacques, Lemanseau Bernard, Lumbroso Nicole, Pascault Adolphe): Магнитная анизотропия бензола.

М. Д.

68222 К. Квантовая химия. Введение. Козман (Quantum chemistry; an introduction. Kauzmann Walter, New York, Acad. Press, 756 pp., 12 doll.) (англ.)

68223 К. Дипольные моменты. Барриоль (Les moments dipolaires. Barriol Jean. Paris, Gauthier-Villars, 1957, 186 p., ill., 3000 fr.) (франц.)

68224 Д. Некоторые закономерности в изменении длин связей углерод — галоген (Электроннографическое исследование строения молекул некоторых галогенпроизводных органических соединений). Вилков Л. В. Автореф. дисс. канд. хим. н., МГУ, М., 1957

68225 Д. Спектры комбинационного рассеяния и строение углеводородов. Суцинский М. М. Автореф. дисс. докт. физ.-матем. н., Физ. ин-т АН СССР, М., 1957

См. также: Спектры 68274, 68459, 68580. Магнитные св-ва 68460. Внутр. вращение. Реакц. способность 68698—68702. Межмол. взаимодействие и водородная связь 68288

## КРИСТАЛЛЫ

Редакторы Э. А. Гилинская, А. В. Нейдинг, А. В. Шехтер

68226. Обобщение федоровских групп. Заморзаев А. М., Кристаллография, 1957, 2, № 1, 15—20

Дается метод, его теоретич. обоснование и обзор ре-

зультатов вывода пространственных групп симметрии и антисимметрии (черно-белых, или шубниковских). С помощью теории групп разрабатывается общая теория шубниковских групп, обосновывающая практич. метод их вывода из федоровских групп, примененный ранее А. В. Шубниковым к изучению симметрии и антисимметрии конечных фигур.

По резюме автора

68227. Мозаики для 46 плоских (шубниковских) групп антисимметрии и для 15 (федоровских) цветных групп. Белов Н. В., Белова Е. Н., Кристаллография, 1957, 2, № 1, Библ. 21—22

68228. Симметрия и различного рода антисимметрия конечных фигур. Заморзаев А. М., Соколов Е. И., Кристаллография, 1957, 2, № 1, 9—14

Антисимметрия А. В. Шубникова получает обобщение в виде антисимметрии различного рода, если приписывать точкам фигуры не один знак, а два, три или больше в различных смыслах. Развита общая теория и дана классификация групп симметрии и различного рода антисимметрии, после чего произведен подсчет числа конечных кристаллографич. групп такого рода. Этот подсчет нетривиален для случая двух и трех знаков, но становится тривиальным для конечных фигур в случае четырех и более знаков.

Резюме авторов

68229. К теории метода радиального распределения. Вайнштейн Б. К., Кристаллография, 1957, 2, № 1, 29—37

Для рассмотрения свойств функции радиального распределения использован интеграл Фурье. Предложен новый способ нормировки, позволяющий использовать для этой цели кривую интенсивности в целом, а не только ее дальние области. Показано, что для анализа пиков функции радиального распределения нужно знать лишь относительные значения весов атомов  $K_i$ , а не абсолютные (как, напр., в электронных единицах в рентгенографии). Выяснена зависимость весов пиков от атомного номера в рентгенографии и электронографии. В электронографии  $K_i \sim Z$ .

Резюме автора

68230. Новые атомные форм-факторы для бериллия и бора. Айберс (New atomic form factors beryllium and boron. Ibers James A.), Acta crystallogr., 1957, 10, № 1, 86 (англ.)

Предложенное ранее обобщение метода Хартри — Фока (РЖХим, 1956, 42261, 42262) использовано для расчета форм-факторов Ве и В. Получены данные, хорошо совпадающие с ранее опубликованными (РЖХим, 1956, 67596; McWeeny R., Acta crystallogr., 1951, 4, 513).

Г. Гольдер

68231. Методы подсчета структурных факторов. Рамасешан, Сундара-Рао (Some techniques for structure factor calculations. Ramaseshan S., Sundara Rao R. V. G.), J. Indian Inst. Sci., 1957, AB39, № 1, A34—A40 (англ.)

Рассматриваются рациональные приемы подсчета структурных факторов, значительно ускоряющие вычисления. Подробно описана таблица Пешинского для нахождения структурных факторов типа  $\pm \cos$  (или  $\sin$ )  $2\pi h x_i \cdot \cos$  (или  $\sin$ )  $2\pi k y_i$  и показано, как с помощью вычислительных машин эта таблица может быть использована для подсчета трехмерных структурных факторов типа  $\cos 2\pi(hx_i + ky_i + lz_i)$ .

Т. Тархова

68232. О двух проблемах, связанных с эффектом рассеяния рентгеновских лучей под малыми углами: нахождении распределения частиц по массе и поправки на полихроматичность излучения. Лудзати (Sur deux problèmes relatifs à la diffusion des rayons X aux petits angles: détermination de la di-

tribution des masses et correction du polychromatisme. Luzzati V.), Acta crystallogr., 1957, 10, № 1, 33—34 (франц.)

Показано, что с помощью преобразования Фурье для ур-ния  $f(x) = \int_0^\infty k(x)y(y)dy$ , где  $g(y)$  — неизвестная функция, можно установить распределение частиц по массе в образце, для которого известны данные о рассеянии под малыми углами, а также учесть поправку в кривой рассеяния, обусловленную полихроматичностью излучения.

**Б. Пинес 68233.** Определение кристаллографических направлений векторов в кристалле. Дейвиссон (The determination of the crystallographic directions of paths in crystals. Davisson J. W.), Acta crystallogr., 1957, 10, № 2, 97—98 (англ.)

Дана система линейных ур-ний, которые однозначно связывают кристаллографич. направления векторов с углами  $\theta$  и  $\phi$ , образуемыми этими векторами с кристаллич. пластинкой известной ориентации, причем  $\theta$  — угол между данным вектором и нормалью к пластинке, а  $\phi$  — угол между проекциями данного вектора и вектора известной ориентации.

**Т. Х. 68234.** Расчет поправки на поглощение при измерениях интенсивностей дифракционных отражений от монокристаллов при помощи высокоскоростных вычислительных машин. Бьюсинг, Леви (High-speed computation of the absorption correction for single crystal diffraction measurements. Busing William R., Levy Henri A.), Acta crystallogr., 1957, 10, № 3, 180—182 (англ.)

Предложен метод вычисления поправки на поглощение для кристалла, ограниченного произвольно расположенными гранями (вогнутые углы отсутствуют). Метод основывается на представлении подлежащего вычислению интеграла взвешенной суммой конечного числа  $(m)$  слагаемых (метод Гаусса):

$$\int_a^b dx \int_{c(x)}^{d(x)} dy \int_{e(x,y)}^{f(x,y)} g(x, y, z) dz \approx \\ \approx \sum_{i=1}^m \sum_{j=1}^m \sum_{k=1}^m (b-a) [d(x_i) - c(x_i)] \cdot \\ \cdot [f(x_j, y_j) - e(x_j, y_j)] \cdot R_i R_j R_k g(x_i, y_j, z_k), \\ \text{где } x_i = a + (b-a)u_i; y_j = c(x_i) + [d(x_i) - \\ - c(x_i)]u_j; z_k = e(x_i, y_j) + [f(x_i, y_j) -$$

$- e(x_i, y_j)]u_k; g(x_i, y_j, z_k) = \exp^{-\mu(r_\alpha + r_\beta)} / V$ . Вычисления проводились следующим образом: 1) определялись с помощью измерений коэф. в ур-ниях для плоскостей, ограничивающих образец; 2) измерялся или вычислялся коэф. поглощения ( $\mu$ ); 3) по дифракционным данным определялись угловые координаты плоскости отражения относительно граней кристалла; 4) полученные величины подавались на вход вычислительной машины; вычислялись последовательно: а) пределы интегрирования, б) путь прямого и отраженного пучка в образце  $r_\alpha$  и  $r_\beta$ , в) экспонента и, наконец, сумма. Для ускорения вычисления величины, не зависящие от угла  $\theta$  ( $a, b, c, d, e, f, R$  и др.), вычислялись один раз и затем хранились в памяти машины. При  $m=8$  относительная средняя квадратичная ошибка в вычислении поправки равна 0,2%. Для кристалла с 6 гранями время, затраченное на вычисление поправки, составило несколько десятков секунд на каждое отражение.

**Д. Хейкер 68235.** О приготовлении препаратов волокон для сравнительной рентгенографической оценки степени кристалличности. Краткий, Краусс (Über die Herstellung von Faserpräparaten für die vergleichende röntgenographische Messung des kristallinen Anteiles. Kratky O., Krausz A.), Kolloid — Z., 1957, 151, № 1, 14—18 (нем.)

Указывается, что при сравнительном исследовании

степени кристалличности волокон, напр. текстильных, должны оставаться неизменными геометрия съемки, условия облучения, внешняя форма образца, а также должны быть учтены различия в плотности образцов и ориентировке волокон. Кратко рассмотрено несколько методов, позволяющих преодолеть трудности, связанные с нестабильностью первичного рентгеновского пучка, авторы предлагают новый метод, исключаящий главный источник ошибок, обусловленный невозможностью размеров, плотности и ориентировки в образце. Этот метод основывается на том, что при толщине образца, отвечающей максимуму интенсивности отраженных лучей и определяемой из выражения  $d = 2[\mu(1 + 1/\cos 2\theta)]^{-1}$  ( $\mu$  — коэф. поглощения,  $\theta$  — угол Вульфа — Брэгга), ошибка в толщине или плотности образца очень мало влияет на изменение интенсивности отражения. Для того, чтобы получить изотропный образец, волокна мелко нарезались и с очень малой плотностью помещались в достаточно большой держатель образцов. Измерения, выполненные на отдельных образцах целлюлозы, показали хорошее согласие с результатами других исследователей.

**Д. Хейкер 68236.** Метод фотометрирования рентгенограмм Зеемана — Болина и Гинье. Ланг, Зимон (Eine Methode zur photometrischen Auswertung von Seemann — Bohlin — und Guinier — Röntgenaufnahmen. Lang M., Simon A.), Naturwissenschaften, 1957, 44, № 1, 7 (нем.)

Предложены метод и устройство, позволяющие исключить расширение линий, обусловленное косым падением. Устройство включает поворачивающийся держатель пленки, дающий возможность устанавливать вблизи каждой фотометрируемой линии пленку к лучу фотометра под косым углом, равным углу падения интерференционного луча на рентгенограмму. Во избежание последствий, вызванных смещением пленки из фокальной плоскости, применяется узкая щель, а уменьшение интенсивности света, попадающего в регистрирующее устройство фотометра, компенсируется использованием электронного умножителя.

**Б. Пинес 68237.** Оптический метод изучения дифракции от несовершенного кристалла. I. Модулированные структуры. Уиллис (An optical method of studying the diffraction from imperfect crystals. I. Modulated structures. Willis B. T. M.), Proc. Roy. Soc., 1957, A239, № 1217, 184—191 (англ.)

Соответствие между оптич. дифракционной картиной от 2-мерной решетки и явлением рентгеновской дифракции в кристаллах используется для изучения эффектов дифракции от несовершенных (дефектных) кристаллов. Описан способ изготовления на тонкозернистой фотопластинке 2-мерной дифракционной решетки, имитирующей структуру дефектного кристалла (имеющей одномерно и двумерно модулированную структуру с синусоидальной модуляцией). Решетка помещалась в ванну из кедрового масла между двумя оптически параллельными стеклянными пластинами. Картина дифракции Фраунгофера от нее наблюдалась с помощью усовершенствованного дифрактометра Липсона. Приведены снимки картин оптич. дифракции от модулированных структур с периодич. вариацией параметров решетки (как у сплава  $\text{Cu}_3\text{FeNi}_2$ ), а также одновременной вариацией параметров решетки и структурных амплитуд (аналогично эффекту у старенных  $\text{Cu-Al}$  сплавов). Результаты сравниваются с данными известных расчетов.

**Б. Пинес 68238.** К вопросу об изменении интенсивности рентгеновских линий при деформировании поликристаллов. Смирнов Б. И., Ж. техн. физики, 1957, 27, № 1, 218—220

Исследовано изменение интенсивности интерференционных линий (110), (200), (211), (220) в Fe-K<sub>α</sub>-излучении при деформировании сжатием ступенями (максим. деформация 30%) поликристаллов армо-железа по схеме, которая позволяет исключить влияние текстуры на отношение интенсивностей линий (110) и (220). Установлено, что интенсивность различных линий при деформировании меняется по-разному, вследствие чего изменение интенсивности отдельно взятой линии не может характеризовать искажения 3-го рода, как это принято во многих исследованиях. Вместо ожидавшегося уменьшения отношения интенсивностей  $I_{220}/I_{110}$  в случае роста искажений при деформировании оказалось, что это отношение для всех образцов остается постоянным и не показывает наличия искажений 3-го рода при деформировании железа сжатием после площадки текучести до 30% деформации. П. Павлов

68239. Установка для исследования диффузного рассеяния рентгеновских лучей вблизи узлов обратной решетки. Маненц (Dispositif permettant l'étude aux rayons X par réflexion de la diffusion au voisinage des nœuds du réseau réciproque. Manenc J.), Acta crystallogr., 1957, 10, № 4; 259—260 (франц.)

Описана установка для изучения диффузного рассеяния вблизи отражений Брегга от кристаллов сплава, подвергнутого структурному упрочнению. Применено монохроматизованное излучение, фокусированное отражением. Резюме автора

68240. Рентгенографическое исследование предполагаемой высокотемпературной аллотропии рутения. Холл, Крайг (An X-ray investigation of the reported high-temperature allotropy of ruthenium. Hall E. O., Crangle J.), Acta crystallogr., 1957, 10, № 3, 240—241 (англ.)

Рентгенографически (методом порошка) в вакууме в высокотемпературной порошковой камере Unicam S. 150 (максим. т-ра 1400°) исследованы помещенные в SiO<sub>2</sub>-капилляры образцы Ru высокой чистоты. Найдено постепенное увеличение  $a$  и  $c/a$  при изменении т-ры от комнатной до 1300° с отсутствием аномалий при 1035 и 1190°, что опровергает предположение о наличии структурных превращений при этих т-рах с образованием β- и γ-фазы (Jaeger F. M., Rosenbohm E., Proc. Acad. Sci. Amst., 1931, 34, 808). В. Глазков

68241. Рентгенографическое определение упорядочения и атомных размеров у твердых растворов Co-Pt. Рудман, Авербах (X-ray determinations of order and atomic sizes in Co-Pt solid solutions. Rudman P. S., Averbach B. L.), Acta metallurgica, 1957, 5, № 2, 65—73 (англ.; рез. франц., нем.)

Равновесный коэф. дальнего порядка сплава Co-Pt определялся рентгенографически (с использованием измерений интенсивности и определения степени тетрагональности) на закаленных после выдержки при различных т-рах порошковых прессовках. Крит. т-ра (точка Кюри упорядочения)  $T_c = 833 \pm 2^\circ$ . Дальний порядок исчезает при этой т-ре при нагреве скачком от значения  $S_c = 0,78$ . На образцах неупорядоченных сплавов Co-Pt (полученных закалкой порошковых прессовок) путем измерения диффузного рентгеновского рассеяния определены коэф. ближнего порядка и «коэф. размеров» (КР). Ближний порядок состоит в предпочтительном образовании разноименных соседств и по величине сравним с имеющимся в системе Au—Cu. Для толкования КР, определяющих интенсивность диффузного рассеяния, в связи с отличиями в атомных радиусах (и соответствующими локальными искажениями решетки) проведены некоторые расчеты. С помощью теории упругости из данных о параметре решетки и об упругих константах

определены средние размеры атомов в р-ре. В сопоставлении с КР это позволило выяснить изменение формы атомов в твердом р-ре, а также подсчитать отношение осей  $c/a$ , оказавшееся в хорошем согласии с опытом, в полностью упорядоченном р-ре Co-Pt. Б. Пинес

68242. Трифторид лантана LaF<sub>3</sub>. Трифторид неодима NdF<sub>3</sub>. Старицкий, Аспри (Lanthanum trifluoride, LaF<sub>3</sub>. Neodymium trifluoride, NdF<sub>3</sub>. Staritzky Eugene, Asprey L. B.), Analyt. Chem., 1957, 29, № 5, 856—857 (англ.)

Определены параметры решетки и показатели преломления LaF<sub>3</sub> и NdF<sub>3</sub>. Приведены данные спектра поглощения NdF<sub>3</sub>. Найдена линейная зависимость мол. рефракции от атомного номера лантанида для гексагона. LaF<sub>3</sub> и NdF<sub>3</sub> и ромбич. SmF<sub>3</sub> и YbF<sub>3</sub>. В. Г.

68243. Исследования тройных систем молибден—кремний—бор, вольфрам—кремний—бор и системы VSi<sub>2</sub>—TaSi<sub>2</sub>. Новотный, Димакопулу, Куделька (Untersuchungen in den Dreistoffsystemen: Molybdän—Silizium—Bor, Wolfram—Silizium—Bor und in dem System: VSi<sub>2</sub>—TaSi<sub>2</sub>. Nowotny H., Dimakopoulou E., Kudielka H.), Monatsch. Chem., 1957, 88, № 2, 180—192 (нем.)

Установлена диаграмма состояния тройной системы Mo—B—Si при 1600°. В системе образуется одно тройное соединение Mo<sub>3</sub>Si<sub>2</sub>, находящееся в равновесии с Mo<sub>3</sub>Si и твердыми р-рами на основе Mo, Mo<sub>3</sub>Si<sub>2</sub> (T<sub>1</sub>), Mo<sub>2</sub>B и MoB. Соединение обладает структурой типа T<sub>2</sub> (как Nb<sub>3</sub>Si<sub>2</sub>, Ta<sub>3</sub>Si<sub>2</sub>, α-Ta<sub>5</sub>Ge<sub>3</sub>) тетрагон. сингонии, с параметрами решетки:  $a$  6,001,  $c$  11,01 кЭ, и параметрами:  $x_{Mo}$  0,160,  $z_{Mo}$  0,143,  $x_B$  0,375. Структуру того же типа имеет соединение W<sub>3</sub>Si<sub>1,5</sub>B<sub>1,5</sub> ( $a$  6,035,  $c$  10,97 кЭ). Двойное соединение Mo<sub>3</sub>Si<sub>2</sub> (T<sub>1</sub>) растворяет B, а соединения Mo<sub>2</sub>B и α-MoB—Si. B растворяет небольшое кол-во Si. В системе B—Si образуется соединение SiB<sub>n</sub> ( $n \geq 10$ ) с металлич. свойствами. VSi<sub>2</sub> и TaSi<sub>2</sub> (тип CrSi<sub>2</sub>) образуют друг с другом непрерывный ряд твердых р-ров. П. Крипкевич

68244. Структура кальцевого феррита. Деккер, Каспер (The structure of calcium ferrite. Decker B. F., Kasper J. S.), Acta crystallogr., 1957, 10, № 4, 332—337 (англ.)

Рентгенографически (методы прецессии и Вейссенберга на λ Mo; метод порошка на λ Cr) исследовалась структура CaFe<sub>2</sub>O<sub>4</sub>, полученного из эквимольной смеси CaCO<sub>3</sub> и Fe<sub>2</sub>O<sub>3</sub>, помещавшейся в Zr-тиглы и нагревавшейся в муфеле до 900° на воздухе при последующем быстром повышении т-ры до 1250° (т. пл.); расплав охлаждается затем до 1200° и выдерживается при этой т-ре 20 мин., после чего охлаждается до комнатной т-ры; при этом образуются кристаллы длиной 1—2 и диам. 0,1—0,2 мм. Параметры решетки:  $a$  9,230;  $b$  10,705,  $c$  3,024 А,  $q$  4,53,  $Z = 4$ , ф. гр.  $P_{nct}$ . Структура определена методом проб и знаковых соотношений с применением вычислительной машины IBM. CaFe<sub>2</sub>O<sub>4</sub> изоморфен CaTi<sub>2</sub>O<sub>4</sub> и CaV<sub>2</sub>O<sub>4</sub>. Г. С.

68245. Структура [Fe(H<sub>2</sub>O)<sub>4</sub>Cl<sub>2</sub>]SbCl<sub>6</sub>·4H<sub>2</sub>O. Феррари, Кавалька, Тани (La struttura dell'esacloroantimonato di tetraaquo-dicloro-ferro (III) tetraidrato, [Fe(OH<sub>2</sub>)<sub>4</sub>Cl<sub>2</sub>]SbCl<sub>6</sub>·4H<sub>2</sub>O. Ferrari Adolfo, Cavalca Luigi, Tani Maria Eleonora), Gazz. chim. ital., 1957, 87, № 1, 22—26 (итал.)

Соединение [Fe(H<sub>2</sub>O)<sub>4</sub>Cl<sub>2</sub>]SbCl<sub>6</sub>·4H<sub>2</sub>O образует тетрагон. кристаллы:  $a$  6,97,  $c$  9,85 А,  $q$  (изм.) 2,07,  $Z = 1$ , ф. гр.  $D_{4h}$ . Структура определена по порошковой диаграмме из кристаллохим. соображений (метод проб). Приведены координаты атомов. Расположение аддендов вокруг атомов Sb (6 атомов Cl) и Fe (4 молекулы H<sub>2</sub>O и 2 атома Cl) — октаэдрическое. Кратчайшие расстояния: Fe—Cl<sub>(1)</sub> 2,36 А (сумма ионных радиусов 2,41 А, сумма ковалентных радиусов 2,24 А);



$\text{Cl}_{(3)} \dots \text{Cl}_{(3)}$  в том же октаэдре 3,40 А, между соседними октаэдрами 3,52 А;  $\text{H}_2\text{O}_{(1)} \dots \text{H}_2\text{O}_{(1)}$  в том же октаэдре 2,94 А, в смежных октаэдрах 2,81 А;  $\text{H}_2\text{O}_{(1)} \dots \text{Cl}_{(1)}$  в том же октаэдре 3,15А; миним. расстояние  $\text{H}_2\text{O}_{(3)} \dots \text{Cl}_{(3)}$  3,20А. Т. Хоцянова

**68246. Кристаллическая структура дифенилсульфоксида. Эйбрахамс** (The crystal structure of diphenyl sulfoxide. Abrahams S. C.), Acta crystallogr., 1957, 10, № 6, 417—422 (англ.)

Проведено рентгеноструктурное исследование  $(\text{C}_6\text{H}_5)_2\text{SO}$ . Параметры монокл. решетки:  $a$  8,90,  $b$  14,08,  $c$  8,32 А,  $\beta$   $101^\circ 17'$ ,  $\rho$  (изм.) 1,276,  $Z$  = 4, ф. гр.  $P2_1/n$ . Структура расшифрована методами изоморфного замещения и проб с уточнением координат методом наименьших квадратов. Межатомные расстояния и валентные углы:  $\text{S}-\text{O}$   $1,47 \pm 0,016$ ,  $\text{S}-\text{C}$   $1,76 \pm 0,015$ ,  $\text{C}-\text{C}$   $1,40 \pm 0,008$  А;  $\text{S}-\text{C}-\text{O}$   $106^\circ 10' \pm 40'$ ,  $\text{C}-\text{S}-\text{C}$   $97^\circ 19' \pm 58'$ ,  $\text{S}-\text{C}-\text{C}$   $119^\circ 27' \pm 34'$ . Подтверждено пирамидальное расположение трех связей вокруг атома S. Другой угол между фенильными кольцами составляет  $75^\circ 50' \pm 68'$  и между плоскостями колец и плоскостью  $\text{C}-\text{S}-\text{C}$   $81^\circ 57' \pm 49'$ . Л. Школьников

**68247. Текстура пиррофиллитов и ее влияние на дифференциальную термическую кривую. Орсель, Энен, Кайер** (La texture des pyrophyllites et son influence sur leur courbe thermique différentielle. Orsel Jean, Hénin Stéphane, Caillière Simonne), C. r. Acad. sci., 1957, 244, № 10, 1383—1386 (франц.)

Продолжая изучение термич. кривых пиррофиллита (Orsel J., Congrès Internat. des Mines. Métallurgie et Géologie appliquée 1935, Sect. Géol. appl., p. 365), авторы пришли к заключению, что их различие можно объяснить только размером кристаллов. Рентгенографически установлено, что часто образцы представляют собой псевдомонокристаллы, текстурированные агрегаты чрезвычайно вытянутых вдоль оси  $a$  = 5,17 А кристаллитов с сечень различными сечениями. Н. З.

**68248. Кристаллическая структура дифенила при различных температурах. Кришна-Мурти** (The crystal structure of diphenyl at different temperatures. Krishna Murti G. S. R.), Indian J. Phys., 1957, 31, № 1, 1—5 (англ.)

Из порошковых дифенила определены параметры решетки при  $32^\circ$  ( $a$  8,29,  $b$  5,82,  $c$  9,48 А,  $\beta$   $94^\circ 41'$ ) и при  $-180^\circ$  (7,98, 5,70, 9,37 А,  $95^\circ 21'$ ). Коэф. расширения вдоль осей  $a$ ,  $b$ ,  $c$  равны  $a(a)$   $18,33 \cdot 10^{-5}$ ,  $a(b)$   $9,93 \cdot 10^{-5}$ ,  $a(c)$   $5,54 \cdot 10^{-5}$ . Незначительное изменение  $\beta$  с  $t$ -рой указывает, по мнению автора, на небольшое вращение (при низких  $t$ -рах) молекулы в ячейке. Большое сокращение ячейки вдоль оси  $a$  при низких  $t$ -рах объясняется автором появлением некоторых дополнительных сил взаимодействия, которые вызывают также изменение УФ-спектра поглощения кристалла при низких  $t$ -рах (РЖХим, 1955, 9011). В. Пахомов

**68249. Кристаллографические данные для глицилглицината меди. Хермодесон, Страндберг** (Crystal data of Cu-glycylglycine. Hermodsson Y., Strandberg B.), Acta crystallogr., 1957, 10, № 6, 434—435 (англ.)

Проведено предварительное рентгенографич. исследование  $\text{Cu}(\text{NH}_2\text{CH}_2\text{CONCH}_2\text{COO}) \cdot 3\text{H}_2\text{O}$ . Призматич. синие кристаллы относятся к монокл. сингонии. Параметры решетки:  $a$  14,95,  $b$  7,54,  $c$  15,80 А,  $\beta$   $102^\circ 13'$ ,  $\rho$  (изм.) 1,89,  $Z$  = 8, ф. гр.  $P2_1/n$ . Л. Школьников

**68250. Электрографическое исследование нитридов молибдена. Пинскер З. Г., Каверин С. В., Троицкая Н. В.**, Кристаллография, 1957, 2, № 1, 179—181

Проведено предварительное электрографич. исследование процессов азотирования и структуры нитридов молибдена. Установлены условия получения куб. нитрида  $\text{Mo}_2\text{N}$ , а также существование двух гексагон. фаз (состава  $\sim \text{MoN}$ ) с периодами: (I)  $a$  = 5,72,  $c$  = 5,60 А и (II)  $a$  = 5,665,  $c$  = 5,52. Первая из этих фаз обладает слоистой структурой и, по-видимому, содержит меньшее кол-во азота, чем вторая.

Резюме авторов

**68251. Асимметричные электрограммы от молибденита. Уеда, Мияке** (Asymmetric electron diffraction pattern from molybdenite. Uyeda Ryozi, Miyake Shizuho), Acta crystallogr., 1957, 10, № 1, 53—57 (англ.)

При получении электрограмм на отражение от плоскости скола (0001)  $\text{MoS}_2$  наблюдалось отсутствие симметрии относительно плоскости падения (1010), что является еще одним типом нарушения закона Фриделя. Рассматривая далее случай одновременного прохождения сферы Эвальда вблизи нескольких узлов обратной решетки, авторы получают из основных соотношений динамич. теории Бете для амплитуд рассеянных пучков в кристалле  $U_s = v_s/Q_s$ , где  $v_s \sim V_s$ ,  $V_s$  — коэф. Фурье разложения потенциала и  $Q_s$  — функция (динамич.) резонансной ошибки. Отсюда следует неравенство  $|R| \neq |R'|$  для амплитуд отражений типа  $hohl$  и  $\bar{hohl}$ , расположенных симметрично относительно плоскости (1010) на снимке. Авторы различают 3 случая нарушения закона Фриделя: 1-й характеризуется наличием (энергетически) связанных отражений, причем (в отличие от 2-го и 3-го типов) интенсивность рефлексов соответствует области селективного отражения. 2-й тип нарушений связан с интерференцией рассеянных пучков внутри кристалла и 3-й (электрограммы от  $\text{MoS}_2$ ) с интерференцией вне кристалла двух рассеянных волн, имеющих равные тангенциальные компоненты на границе с вакуумом. З. П.

**68252. Нейтроннографическое исследование железо-никелевых сплавов пермаллоного класса. Лященко Б. Г., Литвин Д. Ф., Пузей И. М., Абов Ю. Г.**, Кристаллография, 1957, 2, № 1, 64—73

Методом однокристалльного нейтронного спектрометра исследованы монокристаллы Fe-Ni-сплавов (50, 70, 75, 80%-ные пермаллой, а также сплавов, легированных Mo, Cr, Cu (Мо-пермаллой, супермаллой, 74%-ный пермаллой с Cr и 75%-ный пермаллой с Cu). По данным исследования намечена концентрационная область существования сверхструктуры. Измерена температурная зависимость интенсивности сверхструктурного отражения и оценены размеры областей дальнего порядка в упорядоченном сплаве стехиометрич. состава  $\text{Ni}_2\text{Fe}$ . Обнаружены также некоторые особенности упорядочения тройного твердого р-ра, содержащего хром.

Резюме автора

**68253. Электронно-микроскопическое изучение минералов. Грицаенко Г. С., Горшков А. И., Зап. Всес. минералог. о-ва, 1957, 86, № 1, 48—51**

Получены негативные электронно-микроскопич. снимки с 8 различных препаратов тонкодисперсных минералов: каолинита, галлуазита, нонтронита, монтмориллонита, асбеста хризотилового и амфиболового, аллофана и ферримоллибдита. Для усиления рельефности и контрастности снимков препараты подготавливались в вакууме тяжелыми металлами. И. Третьяков

**68254. Изучение атомной структуры поверхности металлов в автономном микроскопе. Мюллер** (Study of atomic structure of metal surfaces in the field ion microscope. Müller Erwin W.), J. Appl. Phys., 1957, 28, № 1, 4—6 (англ.)

Рассматриваются отдельные вопросы теории описанного автором ранее (Z. Phys., 1951, 131, 136; РЖХим, 1956, 75440; 1957, 23614) ионного проектора, в котором



изображение создается ионами газа, движущимися в сильном электрич. поле, приложенном между металлич. острием и экраном. Обсуждается влияние т-ры острия, напряженности электрич. поля, радиуса острия и других факторов на разрешающую способность прибора.

И. Я. 68255. Электронная структура донорного состояния в кремнии. Ииуи, Мимура (シリコンの不純物準位の電子的構造. 八井鉄郎, 三村宏), 物性論研究, Буссейрон канкю, 1957, № 105, 62—75 (японск.)

68256. Дефекты в кристаллических телах. Сосновский (Defekty w ciałach krystalicznych. Sosnowski L.), Postępy fiz., 1955, 6, № 2, 258—259 (польск.)

Сообщение о Международной конференции «Дефекты в кристаллич. телах», происходившей 13—17 июля 1954 г. в Бристоле.

А. П. 68257. Соотношение между вероятностью упорядочения и коэффициентом диффузии в  $\text{Cu}_2\text{Au}$ . Шиниуань (有序化率と擴散係數之間的關係. 旋士元), 科學通報, Касю тунбао, 1957, № 3, 84—85 (кит.)

68258. Температурная зависимость предела упругости кристаллов галогидных соединений щелочных металлов. Лужковский В. Г., Уч. зап. Ленингр. гос. пед. ин-та, 1957, 17, 75—84

68259. Определение коэффициентов температуропроводности кристаллов виннокислого этилендиамина. Сильвестрова И. М., Кристаллография, 1957, 2, № 2, 304—307

68260. Кристаллофосфоры, активированные примесями: получение и кривые термолуминесценции. Вжесинская (Impurity-activated crystalline phosphors, their production and thermoluminescence curves. Wrzesińska A.), Acta phys. polon., 1956, 15, № 3, 151—162 (англ.; рез. русск.)

Разработан способ получения фосфоров с ярким и длительным послесвечением на основе  $\text{CaS}$ ,  $\text{SrS}$  и  $\text{BaS}$ , активированных  $\text{Bi}$ ,  $\text{Cu}$ ,  $\text{Tl}$ ,  $\text{Mn}$ ,  $\text{Zn}$  и  $\text{Pb}$ . Исходными материалами служат неочищ. карбонаты  $\text{Ca}$ ,  $\text{Sr}$  и  $\text{Ba}$ . Получены фосфоры:  $\text{CaS-Bi}$  (I) с фиолетовым свечением;  $\text{CaS-BaS-SrS-Bi}$  (II) с зеленым или голубым свечением в зависимости от соотношения сульфидов;  $\text{BaS-Sr}$  с оранжевым свечением и  $\text{CaS-Tl}$  с зеленым. Все фосфоры возбуждаются  $\text{Hg}$ -лампой, а I и II также и дневным светом. Кривые термолуминесценции в интервале 130—600° K получены при скорости нагревания 0,5 и 1 град/сек. Число пиков равно 2—3. Примесь  $\text{MgCO}_3$  сильно влияет на глубину и конц-ию уровней захвата и, кроме того, создает пики при 255—270° K. Из кривых термолуминесценции методами Рэндалла и Уилкинса (Randall J., Wilkins M., Proc. Roy. Soc., 1946, A184, 347) и И. А. Парфиановича (РЖХим, 1955, 13508) вычислены глубины уровней захвата для всех пиков. Результаты, полученные обоими методами, совпадают в пределах точности опытов.

А. Хейман 68261. Сцинтиллирующие щелочногалогидные кристаллы. Ван-Сайвер (Alkali halide scintillators. Van Sciver Wesley), IRE Trans. Nuclear Sci., 1956, 3, № 4, 39—50 (англ.)

Спектры люминесценции  $\text{NaJ}$  и  $\text{NaJ-Tl}$  измерены в области 0,22—0,58  $\mu$  при т-рах от  $-190$  до  $+125^\circ$  и возбуждении  $\gamma$ -лучами  $\text{Co}^{60}$ ,  $\alpha$ -частицами  $\text{Sm}^{242}$  и УФ-лучами с  $\lambda$  вплоть до 0,21  $\mu$ . Чистый  $\text{NaJ}$  характеризуется полосой излучения при  $\sim 0,3 \mu$ , интенсивность которой мала при  $20^\circ$ , возрастая в  $\sim 10$  раз при  $-190^\circ$ . УФ-лучи с  $\lambda > 0,225 \mu$  не возбуждают полосу при 0,3  $\mu$ .  $\text{NaJ-Tl}$  ( $10^{-1}$  мол. %  $\text{Tl}$ ) дает характеристич. полосу излучения при  $\lambda \sim 0,42 \mu$ , интенсивность которой возрастает в  $\sim 1$  раза при понижении т-ры до  $-190^\circ$ .  $\alpha$ -частицы и  $\gamma$ -лучи при  $20^\circ$  дают сходные спектры излучения. УФ-лучи с  $\lambda < 0,25 \mu$  дают спектр, сходный с возбуждаемым  $\alpha$ -частицами во всем интервале т-р. При

возбуждении в 1-м максимуме собственного поглощения  $\text{NaJ-Tl}$   $\lambda$  0,29  $\mu$  полоса излучения  $\sim 0,42 \mu$  максимальна. При возбуждении  $\lambda > 0,29 \mu$  преобладает полоса излучения 0,325  $\mu$ . В  $\text{NaJ-Tl}$  ( $\sim 10^{-4}$  мол. %) конц-ия  $\text{Tl}$  определена по интенсивности полосы поглощения (0,29  $\mu$ ) и излучения ( $\sim 0,42 \mu$ ). В этом фосфоре полоса  $\sim 0,3 \mu$  в  $\sim 10$  раз слабее, чем в чистом  $\text{NaJ}$  (при  $\gamma$ -возбуждении). Кроме того, наблюдается полоса 0,42  $\mu$ , свойства которой при возбуждении  $\alpha$ -частицами,  $\gamma$ - и УФ-лучами  $\lambda$  0,29  $\mu$  такие же, как у этой же полосы в  $\text{NaJ-Tl}$  (0,1 мол. %). Пики спектра возбуждения полосы 0,42  $\mu$  УФ-лучами  $\lambda$  0,21—0,35  $\mu$  совпадают с пиками поглощения  $\text{NaJ-Tl}$ . Интенсивность полос 0,3 и 0,42  $\mu$  возрастает с уменьшением т-ры, достигая при  $-190^\circ$  значения, близкого к интенсивности свечения в  $\text{NaJ-Tl}$  (0,1 мол. %). Предложена качеств. схема свечения.

А. Хейман 68262. Измерение толщины тонких углеродных пленок. Эйгар (The measurement of the thickness of thin carbon films. Agar A. W.), Brit. J. Appl. Phys., 1957, 8, № 1, 35—36 (англ.)

Найдено почти линейное соотношение между оптич. плотностью и толщиной напыленных углеродных пленок. Показано, что определение толщины пленки с помощью измерений плотности имеет ряд преимуществ перед интерферометрич., особенно для очень тонких пленок.

Резюме автора 68263. Экситоны малых радиусов в кристаллах записи меди. Жилич А. Г., Вестн. Ленингр. ун-та, 1957, № 4, 31—49 (рез. англ.)

Произведен теоретич. расчет энергии образования экситона в основном состоянии в кристалле  $\text{Cu}_2\text{O}$ . В спектре поглощения экситона этому состоянию соответствует линия 6125,3А желтой серии с  $n=1$  (РЖХим, 1955, 51367). При отыскании стационарных состояний экситона поляризация кристалла не учитывается. На основании спектральных данных принято, что экситоны образуются при возбуждении одного из электронов 2р-оболочки иона  $\text{O}^{2-}$ . Вычисленная энергия (2,32 эв) совпадает с эксперим. (2,0234 эв). А. Х. 68264. О двух сериях экситонного поглощения света в записи меди. Павинский П. П., Жилич А. Г., Вестн. Ленингр. ун-та, 1957, № 4, 50—52 (рез. англ.)

Две известные водородоподобные серии линий поглощения в  $\text{Cu}_2\text{O}$  приписаны поглощению экситона Ванье-Мотта. Принята следующая модель экситона: возбуждается ион  $\text{O}^{2-}$ , образуя дырку и возбужденный электрон. Уже для возбужденного состояния экситона с квантовым числом  $n=2$  эффективный радиус экситона равен  $\sim 30\text{А}$ , т. е. в  $\sim 8$  раз больше расстояния между ближайшими ионами  $\text{O}^{2-}$  ( $\sim 3,7\text{А}$ ). Как дырка, так и электрон размазаны по всей элементарной ячейке кристалла вследствие частичного перекрывания ионов. Так как ион  $\text{Cu}^+$ , лежащий между ионами  $\text{O}^{2-}$ , которые обмениваются дырками (электронами), является центром инверсии, то возможны два состояния размазанной дырки (электрона) — четное и нечетное, которым соответствуют экситоны двух сортов и, следовательно, две серии линий. Расчет показывает, что разность между энергиями дырки в четном и нечетном состояниях (0,245 эв) близка к разности между границами двух серий (0,131 эв), что подтверждает предложенную модель. Так как радиус основного состояния экситона равен  $\sim 2\text{А}$  (см. пред. реф.), т. е. меньше размеров элементарной ячейки, то дырка локализована только на одном ионе  $\text{O}^{2-}$ . Следовательно, линию  $\lambda$  6125А с  $n=1$  не следует относить ни к одной из серий.

А. Хейман 68265. Оптические и электрические свойства хлористого серебра. Алайн (Optical and electrical properties of silver chloride. Alaine P. G.), Phys. Rev., 1957, 105, № 2, 406—412 (англ.)

68266. Окисление сульфида свинца при низких температурах. 1. Химическое и рентгенографическое исследование. 2. Влияние кислорода на проводимость тонких слоев PbS. Рейтер, Штейн (Die Oxydation von Bleisulfid bei niederen Temperaturen. 1. Chemische und röntgenographische Untersuchungen. 2. Der Einfluß von Sauerstoff auf die Leitfähigkeit dünner PbS-Schichten. Reuter Bertold, Stein Rudolf), Z. Elektrochem., 1957, 61, № 3, 440—449, 450—454 (нем.).

1. Проведено хим. и рентгенографич. изучение окисления PbS (I) кислородом при низких т-рах. Исследованы в основном препараты I, полученные осаждением из уксуснокислого р-ра при действии H<sub>2</sub>S. Показано, что в отсутствие следов влаги при комнатной т-ре р-ция протекает только в поверхностном слое по ур-нию  $2\text{PbS} + \text{O}_2 \rightarrow 2\text{PbO} + 2\text{S}$ ; при повышении т-ры до 200° окисление происходит с заметной скоростью с образованием PbSO<sub>4</sub> (II). В присутствии влаги при комнатной т-ре происходит образование основного тиосульфата  $\text{PbO} \cdot \text{PbS}_2\text{O}_3 \cdot n\text{H}_2\text{O}$ , который при 100° разлагается с образованием I и II, причем I подвергается дальнейшему окислению до II. При повышении т-ры до 400° в тонких слоях I начинается образование  $\text{PbO} \cdot \text{PbSO}_4$ . Более устойчивы к окислению препараты I, полученные при взаимодействии тиомочевины со щел. р-ром пловита. Обсуждаются причины различной реакционной способности I в зависимости от условий приготовления.

2. Исследовано влияние O<sub>2</sub> воздуха на проводимость  $\sigma$  пленок PbS различного стехиометрич. состава, полученных испарением PbS в вакууме.  $\sigma$  пленок, содержащих избыток S, практически не изменяется при доступе воздуха и сохраняет значение  $\sim 10^{-1} - 10^{-2} \text{ ом}^{-1}\text{см}^{-1}$ . При большом избытке Pb в пленке  $\sigma$  ее быстро падает от  $10^{-2} \text{ ом}^{-1}\text{см}^{-1}$  в вакууме до  $10^{-4} \text{ ом}^{-1}\text{см}^{-1}$  на воздухе и в дальнейшем колеблется незначительно,  $\sigma$  пленок, содержащих небольшой избыток Pb, после резкого падения при доступе воздуха до  $10^{-4} \text{ ом}^{-1}\text{см}^{-1}$  возрастает в течение нескольких минут снова до  $10^{-2} \text{ ом}^{-1}\text{см}^{-1}$ . В дальнейшем  $\sigma$  пленок этого типа, волнообразно изменяясь по времени, постепенно уменьшается и через 5 месяцев доходит до  $10^{-4} \text{ ом}^{-1}\text{см}^{-1}$ . Изменение  $\sigma$  во времени объясняется авторами на основе предложенной ими ранее схемы окисления PbS.

Л. Березкина

68267. Фотопроводимость селенидов свинца. Экспериментальные данные. Хамфри, Скэнлон (Photoconductivity in lead selenide. Experimental. Humphrey James N., Scanlon Wayne W.), Phys. Rev., 1957, 105, № 2, 469—476 (англ.).

68268. Электростатические свойства поверхности молибдена. Накада, Моридэнайт (表面の静電的性質. 中田一郎), 小林理學研究所報告, Кобаяси ригаку кэнкюсё хококу. Bull. Kobayashi Inst. Phys. Res., 1956, 6, № 2-3, 180—192 (японск.; рез. англ.).

68269. Электрические свойства германия, содержащего примесь никеля, при низких температурах. Канай, Нии (Electrical properties of nickel doped germanium at low temperatures. Kanai Yasuo, Nii Rigo), J. Phys. Soc. Japan, 1957, 12, № 2, 125—133 (англ.).

68270. Полупроводники. Хатояма (半導體性. 鳩山道夫), 科學, Kagaku, 1957, 27, № 4, 163—166 (японск.).

Обзор.

А. Ш.

68271. Электрические свойства InSb типа p. Фукуро, Ямаути (P 型 In Sb の電氣的性質. 袋井忠夫, 山内陸子), 物性論研究, Буссайрон кэнкю, 1957, № 104, 91—96 (японск.).

68272. Материалы 8-й Всесоюзной конференции по полупроводникам. (Ленинград, 15—21 ноября 1955 г.), Изв. АН СССР. Сер. физ., 1957, 21, № 2, 161—224

68273. Магнитные исследования адиабатически размагниченных хромово-метиламиновых квасцов. Бён, Стенланд, Де-Клерк, Гортер (Magnetic researches on adiabatically demagnetized chromium methyamine alum. Beun J. A., Steenland M. J., Klerk D. de, Gorter C. J.), Physica, 1955, 21, № 10, 767—782 (англ.).

См. РЖФиз, 1956, 28923.

68274. Спектр парамагнитного резонанса хромо-аммониевых квасцов. Дейвис, Страндберг (Paramagnetic resonance spectrum of ammonium chromium alum. Davis C. F., Jr., Strandberg M. W. P.), Phys. Rev., 1957, 105, № 2, 447—455 (англ.).

Произведен расчет спектра электронного магнитного резонанса в Cr-NH<sub>4</sub>-квасцах. Спектр наблюдается в поле с однородностью не ниже 0,1 гс в объеме образца при различной ориентации кристалла в поле. Получено совпадение частот рассчитанных линий с частотами линий, наблюдавшихся экспериментально, с точностью до 0,2% (сильные линии) и до 1% (слабые линии). Н. П.

68275. Эффекты быстрого прохождения в электронном спиновом резонансе. Портис (Rapid passage effects in electron spin resonance. Portis A. M.), Phys. Rev., 1955, 100, № 4, 1219—1221 (англ.).

Опыты на F-центрах в LiF и KCl показали, что сигнал резонанса отстает от модулирующего поля (в LiF на  $\sim 90^\circ$ ). При этом форма дисперсионной кривой изменяется и последняя становится похожей на кривую поглощения. Эти явления автор объясняет эффектами «быстрого прохождения» (в терминах теории Блоха), так как поле проходит резонансную кривую за  $\sim 10^{-5}$  сек., а время релаксации T<sub>1</sub> (определялось из опытов по насыщению)  $> 10^{-4}$  сек. В этих же условиях CuSO<sub>4</sub> · 5H<sub>2</sub>O дала обычные резонансные кривые.

Л. Шекун

68276. Процессы спиновой релаксации в двухпротонной системе. Бломберген (Spin relaxation processes in a two-proton system. Bloembergen N.), Phys. Rev., 1956, 104, № 6, 1542—1547 (англ.).

Общая теория ядерной спиновой релаксации, основанная на ур-нии переноса Больцмана для матрицы плотности, применена к очень простой системе из двух спинов  $I = 1/2$ . Протонная пара, подвергаясь заторможенному вращению вокруг одной оси, показывает разрешимый дублет. Исследованы процессы релаксации в этом дублете. Выведены ф-лы для продольного и поперечного времен релаксации. Даны общие выражения для эффектов Оверхаузера и насыщения при двух приложенных радиочастотных полях, которые могут быть также применены к магнитному иону или ядру с  $I = 1$  и расщеплению кристаллич. поля. Из резюме автора

68277. Ядерные квадрупольные уровни в монокристаллах. Паркер (Nuclear quadrupole levels in single crystals. Parker Paul M.), J. Chem. Phys., 1956, 24, № 5, 1096—1102 (англ.).

Численные методы применены для изучения энергетич. уровней ядра, имеющего квадрупольный момент, не равный нулю, и спин  $I = 1$  или  $3/2$ , находящегося под влиянием постоянного однородного магнитного поля и электрич. кристаллич. поля аксиальной симметрии. Эти методы применимы при таких условиях эксперимента, что теория возмущений не может быть применена для анализа результатов. Резюме автора

68278. О происхождении ферромагнетизма переходных металлов. Фридель (Sur l'origine du ferromagnetisme dans les métaux de transition. Friedel J.), J. phys. et radium, 1955, 16, № 11, 829—838 (франц.). См. РЖФиз, 1956, 31905.

68279. Симметрия, антисимметрия и псевдосимметрия индукционных поверхностей. Мокиевский В. А., Шафрановский И. И., Кристаллография, 1957, 2, № 1, 23—28

Исследованы индукционные поверхности для различных ориентированных срезов кристаллов алюмокалиевых квасцов. Изучены симметрия и антисимметрия этих поверхностей. Отмечены случаи псевдосимметрии с псевдоосью шестого и восьмого порядков. Поставлен вопрос о симметрии, антисимметрии и псевдосимметрии индукционных граней вообще. Отмечено значение понятия об антисимметрии для индукционных поверхностей на кристаллах.

**Резюме автора**  
68280. К вопросу о влиянии механического перемешивания и ультразвуковых колебаний на процесс захвата примесей монокристаллами. Акуленок Е. М., Багдасаров Х. С., Ханмов-Мальков В. Я., Кристаллография, 1957, 2, № 1, 197—198

Исследовано влияние перемешивания на процесс захвата мол. примесей (краситель метиленовый голубой) гранями монокристалла (грань куба алюмокалиевых квасцов). Перемешивание осуществлялось мешалкой и ультразвуком (частота 2 гц, время 8 час., интенсивность 0,1 вт/см<sup>2</sup>). Найден, что с увеличением интенсивности перемешивания р-ра кол-во примесей, захваченных монокристаллом, уменьшается.

**В. Глазков**  
68281. Влияние адсорбции на рост кристаллов. Близнаков, Киркова (Der Einfluß der Adsorption auf das Kristallwachstum. Blisnakov G., Kirкова E.), Z. phys. Chem. (DDR), 1957, 206, № 3-4, 271—280 (нем.)

Проведено колич. исследование линейных скоростей роста ( $V$ ) граней {100} и {111} кристаллов  $\text{NaClO}_3$  и  $\text{Pb}(\text{NO}_3)_2$ , выращенных соответственно в присутствии примеси  $\text{Na}_2\text{SO}_4$  (I) и метиленового голубого (II). Опыты проведены в аппарате оригинальной конструкции, с использованием принципа циркулирующих р-ров, описанного ранее (Buckley H. E., Crystal growth, 1951, (London)), значения  $V$  измерены под микроскопом при помощи винтового окулярмикрометра одновременно для граней обеих форм. Для расчета применена ф-ла  $V = V_0 - (V_0 - V_\infty)(C_a/B + C_a)$ , где  $V_0$  и  $V_\infty$  — линейные скорости роста из чистого р-ра и из р-ра с максим. адсорбцией,  $C_a$  — конц-ия примеси в исходном р-ре. Для  $\text{NaClO}_3$  найдено, что малые (до 0,01%) конц-ии I незначительно влияют на  $V(100)$  и очень сильно понижают  $V(111)$ , которая в чистых р-рах больше  $V(100)$  в ~4 раза. При увеличении конц-ии  $V(100)$  остается постоянной, а  $V(111)$  продолжает уменьшаться, становясь меньше  $V(100)$  при  $C_a > 0,5\%$ . Для  $\text{Pb}(\text{NO}_3)_2$  обнаружено ускоряющее влияние примеси II при малых содержаниях его в р-рах, причем  $V(100)$  возрастает незначительно, достигая максим. значения уже при  $1 \cdot 10^{-3}\%$ , тогда как  $V(111)$  очень сильно возрастает, давая четкий максимум при  $5 \cdot 10^{-3}\%$ . При более высоких конц-иях примеси для граней обеих форм наблюдается постепенное понижение  $V$ . Автор считает, что ускоряющее действие примесей на  $V$  граней может происходить за счет более легкого образования в их присутствии зародышей новых слоев роста.

**Е. Славнова**  
68282. Спайность у хрома высокой чистоты. Мак-Нил, Лим (Cleavage in chromium of high purity. McNeil J. F., Limb H. R.), Nature, 1957, 179, № 4559, 581 (англ.)

68283. Образование кристаллов под микроскопом. Трапп (Kristallbildung unter dem Mikroskop. Trapp Friedrich), Orion, 1957, 12, № 2, 133—136 (нем.)

**Популярная статья.**  
68284. К феноменологической теории скольжения в кристаллах каменной соли. Бобринков В. П., Уч. зап. Ленингр. гос. пед. ин-та, 1957, 17, 54—74

68285. Наблюдение слоисто-спирального роста кристаллов из растворов. Козловский М. И., Кристаллография, 1957, 2, № 1, 153—157

Описываются результаты наблюдений слоисто-спирального роста кристаллов нафталина из р-ра в керосине.

**Резюме автора**

68286 Д. О волновых функциях экситонов малых радиусов в кристалле закиси меди. Жилич А. Г. Автореф. дисс. канд. физ.-матем. н., ЛГУ, Л., 1957

**См. также:** Рентгеногр. исслед. 68569, 68632, 68633, 69029, 69045. Магнитный резонанс 68202, 68204, 68208. Фазовые превращения, полиморфизм 68361. Термодинамика 68337, 68342. Магнитные св-ва 68340. Спектры и др. оптич. св-ва 68165—68167, 68174, 68190. Др. вопр.: конференция по молекулярной оптике и структурной физич. химии 68221.

## ЖИДКОСТИ И АМОРФНЫЕ ТЕЛА. ГАЗЫ

**Редактор А. Б. Алмазов**

68287. Эксп-6-потенциал для различных молекул. Сри-вастава (Intermolecular potential for unlike interaction on exp-6 model. Srivastava K. P.), J. Chem. Phys., 1957, 26, № 3, 579—581 (англ.)

Описанным ранее методом (РЖХим, 1954, 28537) по температурной зависимости термодиффузии определены параметры эксп-6-потенциала (РЖХим, 1956, 15473) в смесях: Ar-He 13,20; 33,59; 3,484; Ar-Xe 13,58; 168,8; 4,152; Ne-Xe 14,15; 93,74; 3,758 (всюду  $\alpha$  — первое число,  $\epsilon/k$  в градусах — второе,  $r_m$  в А — третье). При этих значениях параметров эксп-6-потенциал лучше согласуется с измерениями, чем потенциал Леннарда-Джонса.

**А. Алмазов**  
68288. Потенциал взаимодействия между большими молекулами. Исихара, Кояма (Intermolecular potential between large molecules. Ishihara Akira, Koyama Ryuzo), J. Phys. Soc. Japan, 1957, 12, № 1, 32—39 (англ.)

Вычисляется потенциал взаимодействия между большими сферич. симметричными молекулами. Для взаимодействия между элементарными объемами (атомами) молекулы принимается потенциал Леннарда-Джонса типа  $\phi(s) = \phi_0(s_0/s)^{12} - 2(s_0/s)^6$ , где  $s$  — расстояние между взаимодействующими атомами,  $s_0$  — положение минимума потенциала. Результирующее выражение для потенциала получено для двух распределений атомов в молекуле: однородного, когда функция распределения атомов в молекуле  $g$  не зависит от их расстояния  $r$  от центра тяжести молекулы, и параболического, когда  $g$  — квадратичная функция  $r$ . При расстояниях между молекулами, малых по сравнению с самими молекулами, разложение для потенциала отталкивания начинается с  $r^{-7}$  для однородного и с  $r^{-5}$  для параболич. распределения. В случае однородного распределения глубина потенциальной кривой пропорциональна радиусу молекулы и квадрату плотности атомов в ней. При больших по сравнению с  $s_0$  радиусах молекулы положение минимума почти не зависит от диаметра и равно  $\sim 1/2 s_0$ . Потенциал однородного распределения используется для расчета зависимости 2-го вириального коэф.  $A_2$  высокополимерных р-ров от т-ры и мол. веса. Для слабых р-ров с отрицательной теплотой растворения  $A_2$  возрастает с т-рой в соответствии с опытом. Получено правильное по порядку величины соотношение между длиной полимерной цепи и радиусом сферы, в которой она расположена. Согласуется с экспериментом также ход  $A_2$  вблизи точки Флори (РЖХим, 1954, 17908). В отличие от предыдущих теорий положение точки Флори оказывается, вообще говоря, зависящим от мол. веса и степени полимеризации.

**Л. Вайнштейн**



68289. Точный расчет сил дальнего действия во втором порядке. Далгарно, Линн (An exact calculation of second order long range forces. Dalgarno A., Lynn N.), Proc. Phys. Soc., 1957, A70, № 3, 223—225 (англ.)

Вычислена энергия взаимодействия точечного заряда с водородоподобным ионом во втором порядке теории возмущений. Авторы используют предложенный ранее метод (РЖХим, 1956, 38635, 49809). Результаты сопоставляются с приближением, полученным при пренебрежении экспоненциально затухающими членами и при разложении потенциала в ряд по степеням  $R^{-1}$ . Роль 1-го пренебрежения оказывается более существенной. Сравниваются также энергии  $2s\sigma$ - и  $2p\sigma$ -состояний иона  $HeH^{2+}$  при разных расстояниях и различных методах вычислений. Л. Вайнштейн

68290. Уравнение состояния реальных газов. Хансен (En tilstandsligning for reale gasser. Hansen William W.), Fys. tidsskr., 1956, 54, № 2-3, 72—77 (датск.)

Предлагается уравнение, основанное на модификации представления о мол. группах. В изменении уд. термодинамич. потенциала, связанном с образованием групп, учитывается добавочный член, имеющий смысл поверхностного натяжения. Согласно с опытными данными (при использовании потенциала типа 12-6 Леннард-Джонса) в случаях  $Ar$  и  $N_2$  удовлетворительное. Л. Г.

68291. Квазистационарные процессы. III. Изменение состояния газа путем медленного изменения граничных условий. Фудзита (Quasi-stationary process. III. Changes of state of gas by the slow changes of its boundary conditions. Fujita Shigeichi), Kumamoto J. Sci. A, 1956, 2, № 3, 277—288 (англ.)

Часть II см. РЖФиз, 1956, 34326.

68292. К теории конденсации. Икеда (On the theory of condensation. Ikeda Kazuyosi), Progr. Theoret. Phys., 1956, 16, № 4, 341—388 (англ.)

Обсуждена теория неидеальных газов и явления конденсации с аналитич. (теоретико-функциональной) точки зрения. Используются теории Мейера — Борна — Кана — Уленбека (Mayer J. E., Mayer M. G. Statistical mechanics. J. Wiley and Sons, 1940), разложение конфигурационного интеграла  $\Omega_N = (1/N!) \int \dots \int \exp(-U_N/kT) \times \dots \times d\tau_1 d\tau_2 \dots d\tau_N$ , где  $U_N$  — полная потенциальная энергия системы  $N$  одинаковых частиц, занимающих объем  $V$  при  $T$ -ре  $T$ . В отличие от указанной теории учитывается зависимость введенных Мейером групповых интегралов, входящих в разложение  $\Omega_N$ , от объема  $V$ . Термодинамич. систему, для которой строго учитывается объемная зависимость групповых интегралов, автор называет реальной системой (величины, относящиеся к ней, сопровождаются индексом +), а систему, к которой приложимо рассмотрение Мейера, — идеальной системой (соответствующий индекс (0)). Термодинамич. свойства системы характеризуются предельной функцией  $\omega(v, T) = \lim_{N \rightarrow \infty} (1/N) \ln \Omega_N(Nv, T)$ , где предельный переход  $N \rightarrow \infty$  и  $V \rightarrow \infty$  совершается при фиксированном мол. объеме  $v = V/N$ . В частности, точки нерегулярности  $\omega(v, T)$  как функции  $v$  определяют точки фазового перехода системы. Установлены условия, при которых  $\omega^+(v, T) = \omega^{(0)}(v, T)$  (1). Дано аналитич. (но не колич.) исследование фазовых переходов 1-го рода в реальных системах. Произведена классификация возможных типов аналитич. поведения функций, описывающих конденсирующиеся системы, и приведены типы графиков изотерм, математич. реализации которых допустима. Рассмотрено явление конденсации реальной системы и выяснена связь точки конденсации с точками сингулярности  $\omega^{(0)}(v, T)$  и  $\omega^+(v, T)$ . Функция  $\omega^{(0)}$  регулярна для всех  $v > v_c$  и имеет особенность в точке

$v_c$ , которая соответствует точке конденсации (0)-системы. Если равенство (1) справедливо для всех  $v > v_c$ , то функция  $\omega^+$  также регулярна для  $v > v_c$  и имеет особенность при  $v = v_c$ . В этом случае точка конденсации реальной системы  $v(\text{конд.}) = v_c$  и, следовательно, учет объемной зависимости групповых интегралов не изменяет выводов теории Мейера. Если же (1) справедливо для  $v > v_{\text{конд.}} > v_c$ , то  $\omega^+$  регулярна для  $v > v_{\text{конд.}}$  и имеет особенность при  $v = v_{\text{конд.}}$ , которая определяет точку конденсации реальной системы. В этом случае теория Мейера не справедлива. А. К.

68293. О функции радиального распределения жидкостей. II. Хирокаэ (流體の二體分布函数について. II. 廣池和夫), 物性論研究, Буссэйрон кэнкю, 1956, № 94, 127—137 (японск.; рез. англ.)

Показано, что функция радиального распределения жидкостей может быть выведена из выражения для свободной энергии в форме функциональной производной с учетом парных взаимодействий. В качестве примеров рассмотрены: простая цепочечная модель классич. жидкости, вторичное квантование и ансамбль бесспиновых бозонов, рассмотренный Боголюбовым и Зубаревым (РЖХим, 1957, 22200). Часть I см. РЖХим, 1957, 22200.

68294. Задачи движения неньютоновской вязкой жидкости. Общее рассмотрение. Бхатнагар, Лакшмана-Рао (Problems on the motion of non-Newtonian viscous liquids. General considerations. Bhatnagar P. L., Lakshmana Rao S. K.), Proc. Indian Acad. Sci., 1957, A45, № 3, 161—171 (англ.)

Рассматривается задача о движении неньютоновской жидкости, тензор напряжений  $i_j^i$  которой связан с тензором скорости деформации  $d_j^i$  соотношением  $i_j^i = F_0 \delta_j^i + F_1 d_j^i + F_2 d_j^i d_j^i$ . Для общего трехмерного случая получены уравнения движения и уравнения диссипации энергии. Рассмотрен частный случай плоского движения. В. Анзигитов

68295. Некоторые зависимости для вязкости и теплопроводности жидких и газообразных тел. Новиков И. И., Атомн. энергия, 1957, 2, № 5, 468—469

Предлагается для  $T$ -ре близкая критической следующая зависимость между коэф. вязкости  $\mu'$  жидкой фазы, находящейся в равновесии с насыщ. паром, коэф. вязкости насыщ. пара или паровой фазы  $\mu''$  и константой  $\mu$ , численно равной значению коэф. вязкости и крит. точке:  $1/\mu' + 1/\mu'' = 2/\mu + a(t_{\text{кр.}} - t)$ . На примере  $CO_2$ , когда  $1/\mu = 6330$  и  $a = 13$  (если  $\mu$  вычислять в пуазах) показана справедливость этого соотношения от  $t \approx -15$  до  $30^\circ$ . Аналогичное соотношение имеет место для соответствующих коэф. теплопроводности:  $1/\lambda' + 1/\lambda'' = 2/\lambda + b(t_{\text{кр.}} - t)$ . В. Анзигитов

68296. Явления переноса в плотной жидкости, состоящей из твердых шариков. Лонге-Хиггинс, Поппл (Transport properties of a dense fluid of hard spheres. Longuet-Higgins H. C., Pople J. A.), J. Chem. Phys., 1956, 25, № 5, 884—889 (англ.)

Используя 2 предположения, что парная функция распределения взаимного положения не зависит от скорости деформации или градиента  $T$ -ры и что локальное распределение скоростей является максвелловским, авторы получают выражения для коэф. сдвиговой вязкости  $\eta$ , объемной вязкости  $\kappa$  и теплопроводности  $\lambda$  для жидкостей из «твердых шариков» при высоких плотностях. Из предположения об экспоненциальном спаде функции автокорреляции для скорости данной частицы получено также выражение для коэф. самодиффузии  $D$  при любой плотности. Эти выражения имеют

вид:  $\eta = (4a/5)(mkT/\pi)^{1/2}(P/kT - N/V)$ ;  $\lambda = 2ak(kT/\pi m)^{1/2}(P/kT - N/V)$ ;  $\kappa = (4a/3)(mkT/\pi)^{1/2}(P/kT - N/V)$ ;  $D = (a/2)(\pi kT/m)^{1/2}(PV/RT - 1)^{-1}$ , где  $m$  и  $a$  — масса и радиус шариков.

Резюме авторов  
68297. Уравнение переноса в квантовой статистике для бесспиновых молекул. S a e n z (Transport equation in quantum statistics for spinless molecules. S a e n z A. W.), Phys. Rev., 1957, 105, № 2, 546—558 (англ.)

Выводится уравнение переноса для разреженных невырожденных газов бесспиновых молекул. При выводе используются свойства вигнеровских функций распределения, кирквудовская процедура временного усреднения и общие фаз. допущения (парные столкновения, молекулярный хаос, малое отклонение от равновесных состояний и т. п.). Полученное уравнение сравнивается с результатами других авторов.

Ю. С.  
68298. Молекулярные постоянные и физические свойства жидкостей. IV. Критические температуры. Луцкий А. Е., Ж. физ. химии, 1957, 31, № 2, 377—386 (рез. англ.)

Разница в значениях  $T$  (кр.) жидкостей определяется главным образом различием лишь в форме ( $\Phi$ ), поляризуемости ( $\alpha$ ) и дипольном моменте ( $\mu$ ) составляющих их микрочастиц. Суммарный эффект последних двух свойств для нормальных жидкостей может быть выражен простой зависимостью  $(T \text{ (кр.)})_0 = a^{0.5}(A + B\mu)$  ( $A$  и  $B$  — постоянные). Эта зависимость позволяет объяснить характер изменения  $T$  (кр.) в различных рядах соединений (гомологических, изомеров, замещенных и др.) и характер влияния ассоциации молекул на  $T$  (кр.). Вскрыты причины отсутствия постоянства отношения  $T \text{ (кр.)}/T \text{ (кип.)}$ , невозможности построения широко применимой аддитивной схемы расчета  $T$  (кр.) и др. Данные для  $T$  (кр.) показывают, что суммарный эффект дисперсионных сил зависит от формы и при удлинении углеводородной цепи в гомологич. рядах и от полярности функциональных групп молекул.

А. Луцкий  
68299. О структурной части сжимаемости жидкостей. Венкатасубраманиям (On the structural part of the compressibility of liquids. Venkata-subramanian V. S.), J. Chem. Phys., 1957, 26, № 4, 965 (англ.)

Изотермическая сжимаемость  $\beta_T = -(1/V)(\partial V/\partial P)_T$  жидкостей рассматривается как сумма геометрической  $\beta_T^G = -(1/V) \cdot (\partial^2 H/\partial P^2)_T$  и структурной  $\beta_T^S = (T/V) \cdot (\partial^2 S/\partial P^2)_T$  сжимаемостей. Вклады  $\beta_T^G$  и  $\beta_T^S$  в  $\beta_T \cdot 10$ , определенные по адиабатич. сжимаемости и коэф. объемного расширения, соответственно равны ( $\text{дин}/\text{см}^2$ ): для  $\text{CCl}_4$  — 125; 222;  $\text{C}_6\text{H}_6$  — 125,0; 219,8;  $\text{CS}_2$  — 98,0; 184,5;  $\text{H}_2\text{O}$  80,5; —33,7.

А. Сенкевич  
68300. Развитие удобного и точного метода определения вязкости как функции температуры. Корнелиссен, Ватерман (Développement d'une méthode pratique et précise pour la détermination de la viscosité en fonction de la température. Cornélissen J., Waterman H. I.), Génie chim., 1956, 75, № 5, suppl. 116—121 (франц., рез. англ., исп.)

Указаны недостатки обычно применяемого метода уравнения температурного поведения кинематич. вязкости  $\nu$  разных жидкостей (Dean E. W., Davis G. H. B., Chem. Met. Eng., 1929, 36, 618); значения  $\nu_a/\nu_b$  сильно зависят от выбранной базы т-р  $T_a$  и  $T_b$ , так что при переходе к другой базе последовательность жидкостей расположенных, напр., в порядке возрастания ( $\nu_a/\nu_b$ ), может резко измениться; кроме того, пересчет к другой базе затруднителен. В качестве указателя температурных свойств вязкости данной жидкости предлагается величина  $\ln(\nu_a/\nu_b)$ , более отвечающая истинному тем-

пературному ходу  $\nu: \ln \nu = A \cdot T^{-x} + B$ , где  $A$ ,  $B$ ,  $x$  — константы. При этом производится классификация жидкостей по группам в зависимости от значения показателя  $x$  (который может изменяться от 1 до 5), так что каждая жидкость должна характеризоваться как значением  $\ln(\nu_a/\nu_b)$ , так и значением  $x$ . При переходе к другой базе значение индекса  $\ln(\nu_a/\nu_b)$  меняется, но пересчет легко выполняется:  $\ln(\nu_a/\nu_b) = \ln(\nu_a/\nu_b) \times (T_a^{-x} - T_b^{-x})/(T_a^{-x} - T_b^{-x})$ .

В. Урбах  
68301. Проникновение газов сквозь твердые материалы. Нортон (Permeation of gases through solids. Norton Francis J.), J. Appl. Phys., 1957, 28, № 1, 34—39 (англ.)

Рассмотрено проникновение газов сквозь различные материалы, используемые в качестве стенок вакуумных систем (стекло, металл, органич. полимеры). Этот процесс можно разбить на ряд этапов: адсорбция молекул газа на наружной поверхности материала, их возможная диссоциация, растворение в материале стенки, диффузия сквозь стенку, десорбция с внутренней поверхности. Проникновение сквозь стекло велико для газов с не очень большими мол. радиусами ( $\text{H}_2$ ,  $\text{D}_2$ ,  $\text{He}$ ,  $\text{Ne}$ ) и чрезвычайно мало для газов с большими размерами атомов. Зависимость скорости проникновения от т-ры определяется коэф.  $K = A \exp(-Q/RT)$ , где  $A$  и  $Q$  зависят от природы газа и состава стекла. Инертные газы не способны проникать сквозь металлы. Скорость проникновения остальных газов пропорциональна  $V \sqrt{p}$  ( $p$  — давление), что указывает на диффузию сквозь стенку в диссоциированном состоянии. Сквозь полимеры способны проникать все газы, причем без диссоциации.

В. Б.  
68302. Селективное отражение резонансных линий в парах кадмия. Шпитцер (Réflexion sélective des radiations de résonance sur la vapeur de cadmium. Spitzer Marthe), C. r. Acad. sci., 1957, 244, № 15, 2036—2038 (франц.)

Для резонансных линий кадмия 2288 и 3261 Å измерялась отражательная способность на поверхности стеклообразного кремнезема в присутствии насыщ. паров кадмия как функция давления паров кадмия. Давление паров варьировалось изменением их т-ры. Измерения производились в интервале давл. 37—2350 мм рт. ст., что соответствует изменениям т-ры от 550 до 887°. Для обеих линий наблюдалось селективное отражение при одном и том же давлении, но интенсивность явления гораздо больше для линии 2288, чем для линии 3261 Å.

В. Колесова  
68303. Фтористый водород. I. Теплоемкость, давление паров и плотность при температуре до 300° и давлениях до 300 атм. Франк, Шпальтхофф (Fluorwasserstoff. I. Spezifische Wärme, Dampfdruck und Dichte bis zu 300°C und 300 at. Franck E. U., Spalthoff W.), Z. Elektrochem., 1957, 61, № 3, 348—357 (нем.)

Калориметрическим методом измерена  $C_p$  HF в перегретых парах и на кривой насыщения.  $C_v(T, p)$  и  $P(T, p)$  табулированы. Максимум  $C_p$  достигается при крит. плотности  $\rho_{\text{крит.}}$ . По правилу прямолинейного диаметра  $T_{\text{крит.}} = 188 \pm 3^\circ$ ,  $\rho_{\text{крит.}} = 0,29 \pm 0,03 \text{ г/см}^3$  и  $P_{\text{крит.}} = 66,2 \pm 3,5 \text{ кг/см}^2$ . Энтальпия испарения максимальна при 130°.

А. Сенкевич  
68304. Теплопроводность азота между 75 и 700° и при давлениях до 1000—1600 атм. Жоаннен (Conductibilité thermique de l'azote entre 75 et 700°C et jusqu'à 1000 à 1600 atm. Joannin Pierre), C. r. Acad. sci., 1957, 244, № 22, 2700—2703 (франц.)

Методом коаксиальных цилиндров теплопроводность азота измерена в указанных выше интервалах. Резуль-

таты, представленные графиками, согласуются с одними измерениями (Столяров и др., Ж. эксперим. и теор. физики, 1950, 24, 167—176) и несколько ниже других (РЖХим, 1955, 197).

**В. Анзигитов**  
68305. Вязкость и поверхностное натяжение перхлорфторида. Симкин, Джарри (The viscosity and surface tension of perchloryl fluoride. Simkin Joseph, Jarro Roger L.), J. Phys. Chem., 1957, 61, № 4, 503—504 (англ.)

Вязкость  $\text{ClO}_2\text{F}$  измерена на описанном ранее вискозиметре (Elverum G. W., Jr, Doescher R. N., J. Chem. Phys., 1952, 20, 1834), представлена эмпирич. ф-лой  $\lg \eta (\text{спуаз}) = 299/T - 1.755$  и табулированы (5 значений) в интервале  $t$ -р от  $-77$  до  $54^\circ$ . Измеренная при  $29,9$  и  $53,8^\circ$  плотность равна  $1,390$  и  $1,276 \text{ г/см}^3$ . Поверхностное натяжение при  $-75,2$ ,  $-65,8$  и  $-55,6^\circ$  (по поднятию уровня в капилляре) соответственно равно  $24,1$ ,  $22,3$  и  $21,3 \text{ дин/см}$ .

**А. Сенкевич**  
68306. О графическом методе определения коэффициента вязкости ньютоновских жидкостей на вискозиметре с колеблющимся цилиндром. Али Абдель Керим Ибрагим (A graphical method for determining the coefficient of viscosity of newtonian liquids using an oscillating cylinder viscometer. Ali Abdel Kerim Ibrahim), J. Phys. Soc. Japan, 1957, 12, № 4, 440 (англ.)

Показано, что для вискозиметра с цилиндрами (часть II, РЖХим, 1957, 47283) при достаточно больших  $I_0$ , где  $I$  — момент инерции внутреннего цилиндра,  $\omega$  — угловая частота, вязкость исследуемой жидкости пропорциональна  $\omega$  и выражению  $[\Phi \cos \varphi / (1 - \cos \varphi)]^{0.5}$  ( $\Theta_0$  и  $\varphi_0$  — амплитуды соответственно внутреннего и внешнего цилиндров,  $\varphi = \Theta_0/\varphi_0$ ,  $\varphi$  — фазовый угол внутреннего цилиндра относительно внешнего). Коэф. пропорциональности выражается через параметры прибора. Расчет по этому способу для жидкости, табличная вязкость которой равна  $91,6 \text{ пуаз}$ , дал значение  $81 \text{ пуаз}$ .

**В. Анзигитов**  
68307. Исследование теплопроводности переохлажденных жидкостей. Филиппов Л. П., Текучева А. А., Вестн. Моск. ун-та. Сер. матем., механ., astron., физ., химии, 1957, № 1, 57—62

Относительным методом цилиндрич. слоя (Филиппов Л. П. Установка для измерения теплопроводности жидкостей. Приборы и стенды, № 1156—417) и вариантом относительного метода нагретой нити исследованы теплопроводности переохлажденных  $m$ -крезола и ацетофенона. Вблизи  $t$ -ры кристаллизации в обоих случаях установлен максимум теплопроводности. Результат истолковывается в рамках концепции С. С. Уразовского и др. (Ж. физ. химии, 1949, 23, 1421; Докл. АН СССР, 1949, 67, 343; 1950, 70, 859).

**В. Анзигитов**  
68308. Теплопроводность этилацетата в жидком и парообразном состоянии. Амирасланов А. М., Мэрузалер. Азерб.ССР элмлер Акад., Докл. АН Азерб.ССР, 1957, 13, № 4, 369—374 (рез. азерб.)

Измерения проведены методом нагретой проволоки по линии насыщения в обеих фазах. Теплопроводность жидкого этилацетата падает с  $t$ -рой, а пара растет, плавно сходясь к крит. точке. Результаты представлены графически. Расхождение наблюдений с расчетами по ф-ле А. С. Предводителя  $K = K_0 + Bq^{1/3}$ , где  $K_0$  рассчитано по кинетич. теории,  $q$  — плотность и  $B$  — постоянная, не превышает в среднем  $1,5\%$ .

**А. Сенкевич**  
68309. Электропроводность олова и висмута в расплавленном состоянии. Горяга Г. И., Вестн. Моск. ун-та, 1956, № 1, 79—83

С целью уточнения опубликованных ранее данных (Matujama I., Sci. Repts Tohoku Imp. Univ., 1927, 16,

№ 1, 447) и подтверждения структурных превращений у Sn и Bi в расплавленном состоянии по скачкообразному изменению температурного коэф. электропроводности ( $\epsilon$ ) измерена  $\epsilon$  расплавленного Sn и Bi (содержащего  $\sim 2\%$  свинца) до  $1000^\circ$ . Установлено, что для расплавленного Sn при  $\sim 520^\circ$  наблюдается четкий перегиб политермы  $\epsilon$ . Для Bi изменение наклона политермы  $\epsilon$  происходит при  $\sim 540^\circ$  и менее четко выражено. При переходе в область переохлажд. состояния (переохлаждение до  $20^\circ$ ) для обоих металлов не наблюдается изменения температурного коэф.  $\epsilon$ , что, по мнению автора, свидетельствует об отсутствии структурных изменений в жидкости. Поскольку структурные превращения в атомных жидкостях, происходящие при повышении  $t$ -ры, в ряде случаев сводятся к переходу к более плотной упаковке атомов, то наблюдаемые изменения температурного коэф.  $\epsilon$  (и плотности, по литературным данным) для жидких Sn и Bi автор связывает с изменением ближнего порядка.

**Б. Марков**  
68310. Изучение рэлеевского рассеяния света переохлажденным бензофеноном. Торель, Лоне (Etude de la diffusion Rayleigh par la benzophénone sur-fondue. Taurel Lucienne, Launay Bernadette), C. r. Acad. sci., 1957, 244, № 10, 1354—1355 (франц.)

Изучалось рассеяние света жидким бензофеноном, полученным плавлением различных кристаллич. модификаций этого в-ва. Исходная жидкость предварительно тщательно очищалась многократной перегонкой, вследствие чего могла быть легко переохлаждена. Использовалась поляризованная радиация  $\lambda$  5780, 5460 и 4358 Å. Жидкостью сравнения служил бензол при  $14^\circ$ . Установлено, что интенсивность рассеяния света  $I$  пропорциональна  $\lambda^{-4}$  только в том случае, если жидкость получена достаточно медленным нагреванием любой из кристаллич. модификаций бензофенона, причем  $I$  постоянна во всем интервале  $14$ — $53^\circ$ . Однако от закона рассеяния  $I \approx \lambda^{-4}$  возможны отступления в следующих случаях: 1) если жидкость, полученная плавлением модификации  $\beta$  ( $t$ -ра плавления  $28^\circ$ ), имеет  $t$ -ру на несколько градусов выше  $t$ -ры плавления или в интервале  $28$ — $48^\circ$ , то в ней образуются крупные ассоциации, называемые В, показатель преломления  $n$  которых отличается от  $n$  бензофенона; 2) если жидкость, полученная плавлением модификации  $\alpha$  ( $t$ -ра плавления  $48^\circ$ ), содержится при  $t$ -ре, близкой к  $t$ -ре плавления кристалла, то в ней также образуются ассоциации, но другого типа, названного А.

**В. Колесова**  
68311. Некоторые свойства жидкой серы и наличие длинных цепных молекул. Схенк (Some properties of liquid sulfur and the occurrence of long chain molecules. Schenk J.), Physica, 1957, 23, № 4, 325—337 (англ.)

Некоторые свойства жидкой S, особенно вязкость, обнаруживают резкое изменение при  $160^\circ$ , что можно объяснить превращением кольцеобразных молекул  $S_8$  в очень длинные молекулы  $S_n$ . С этой точки зрения обсуждаются результаты собственных экспериментов автора и литературные данные. Они по большей части подтверждают гипотезу образования цепей и фактически ни в одном случае не противоречат ей. Некоторые явления, напр. образование цепочек S из парообразной фазы, по-видимому, указывают на существование нестабильных небольших молекул особого вида, легко превращающихся в цепочки S. Сама по себе S, состоящая из цепочек, является довольно стабильной; при комнатной  $t$ -ре требуется много дней или даже лет для ее полного превращения в ромбич. S.

Резюме автора



**68312. Гидродинамические свойства чистого  $\text{He}^4$  и смесей  $\text{He}^3\text{-He}^4$  при температурах ниже  $\lambda$ -точки. Вансинк, Таконис (The flow properties of pure  $^4\text{He}$  and of  $^3\text{He-}^4\text{He}$  mixtures at temperatures below the lambda-point. Wansink D. H. N., Tako-nis K. W.), Physica, 1957, 23, № 4, 273—305 (англ.)**

Исследовалось течение жидкого  $\text{He}$  и ряда  $p$ -ров  $\text{He}^3$  в  $\text{He}^4$  под действием гидростатич. давления и термо-механич. эффекта через щели. Приборы позволили проводить исследования при больших перепадах давления на щели (до 7000 и до 2500 см  $\text{He}$  соответственно). На основе ур-ний гидродинамики  $\text{He}$  II типа ур-ний, введенных Гортером и Меллинком (Gorter C. J., Mellink J. H., Physica, 1948—1949, 14, 285), получены данные о вязкости  $\eta$  и об относительной доле  $x$  нормальной компоненты  $\text{He}$  II и смесей  $\text{He}^3\text{-He}^4$  (до конц-ии  $c=6-8\%$   $\text{He}^3$ ) при  $t$ -рах выше  $1,2^\circ\text{K}$  и о смещении  $\lambda$ -точки с ростом  $c$ . Установлено, что  $\eta/\eta_0$  ( $\eta_0$  — вязкость  $\text{He}^4$ ) с ростом  $c$  сначала уменьшается, а затем снова возрастает до значений, больших единицы. При  $1,2^\circ\text{K}$  снижение превосходит почти в 5 раз (минимум лежит при  $c \sim 4\%$ ). Проводится аналогия этого явления с влиянием сжатия  $\text{He}$  II на  $\eta$ . Найденные величины  $x-x_{\text{He}^4}$  обнаруживают быстрый рост вблизи  $\lambda$ -точки. Приведены доказательства того (на основе наблюдений течения под действием термомеханич. эффекта), что силы трения распределены по всей длине щели, а не сосредоточены у ее концов.

Р. Ченцов

**68313. Плотность жидкого  $\text{He}^4$ . Керр (Density of liquid  $\text{He}^4$ . Kerr Eugene C.), J. Chem. Phys., 1957, 26, № 3, 511—514 (англ.)**

На описанной ранее аппаратуре (РЖХим, 1956, 35268) измерена плотность жидкого  $\text{He}^4$ , находящегося в равновесии с собственным паром, при  $1,2-4,4^\circ\text{K}$ . Результаты согласуются с литературными данными.

В. Анзигитов

**68314. Определение поверхностного натяжения насыщенных фракций минеральных масел и скорости ультразвука в них по кинематической вязкости и показателю преломления. Корнелиссен, Харва, Ватерман (Die Bestimmung der Ultraschallgeschwindigkeit in gesättigten Mineralölfractionen und deren Oberflächenspannung aus der kinematischen Viskosität und dem Brechungsindex. Cornelissen J., Harva O., Waterman H. I.), Erdöl und Kohle, 1957, 10, № 2, 80—82 (нем.)**

Составлены таблицы и графики, облегчающие определение поверхностного натяжения различных насыщенных путем гидрирования фракций нефтей Венецуэлы, Борнео, Мексики, Румынии, Суматры, Ирана и Техаса и скорости ультразвука в них по кинематич. вязкости и показателю преломления. См. также РЖХим, 1955, 8236.

В. Анзигитов

**68315. Новый метод определения коэффициента поглощения звука в жидкостях. Каррелли, Гаэта (A new method for the determination of the acoustic absorption coefficient in liquids. Carrelli A., Gaeta F. S.), Nuovo cimento, 1957, 5, № 4, 773—783 (англ.; рез. итал.)**

Описывается новый метод измерения коэф. поглощения ультразвука  $\alpha$  в стоячих волнах по изменению интенсивности дифрагированного света после выключения источника колебаний. При выключении источника звука интенсивность звукового поля меняется со временем по закону:  $E_2 = E_1 \exp \{-b(t_2 - t_1)\}$ , где  $b = V\alpha/2$ ,  $V$  — скорость ультразвука. Спец. устройство позволяло фотографировать дифракционную картину через определенные промежутки времени после выключения кварца. Коэф.  $b$  определялся графически

по измеренным величинам. Полученные таким образом значения коэффициента поглощения ультразвука  $\alpha$  для воды, этилового и изопропилового спиртов согласуются с результатами, полученными другими методами. Для бензола найденное значение  $\alpha/\nu^2$  в 6 раз меньше получаемого другими методами.

А. Сенкевич

**68316. Ультразвуковая релаксация в хлористом метиле. Андреа (Ultrasonic relaxation in methylene chloride. Andreae J. H.), Proc. Phys. Soc., 1957, B70, № 1, 71—76 (англ.)**

Импульсным методом исследовано поглощение ультразвука частоты  $7,5-210\text{ Мгц}$  в  $\text{CH}_2\text{Cl}_2$  при  $25^\circ$ . Результаты описываются ф-лой:  $\alpha c/f = A/[1 + (f/f_0)^2] + B$ , где  $\alpha$  — коэф. поглощения,  $f$  — частота,  $c$  — фазовая скорость,  $A = 1200 \cdot 10^{-12}$  сек.,  $B = 85 \cdot 10^{-12}$  сек.,  $f_0 = 1700\text{ Мгц}$ . Вычислены следующие величины: коэф. теплового расширения  $1,367 \cdot 10^3 \text{ град}^{-1}$ ,  $C_p = 24,18 \text{ кал/моль град}$ , отношение теплоемкостей  $1,516$  и теплоемкость, обусловленная релаксацией,  $2,63 \text{ кал/моль град}$ . Результаты согласуются с другими измерениями (РЖХим, 1956, 64399).

В. Анзигитов

**68317. О природе термических превращений в щелочноборосиликатных стеклах. Добычин Д. П., Киселева Н. Н., Докл. АН СССР, 1957, 113, № 2, 372—375**

С целью исследования кинетики процессов, протекающих в натровоборосиликатном стекле при его термич. обработке, сорбционным методом изучалась структура пористых стекол, получаемых из термообработанного стекла состава 7 мол. %  $\text{Na}_2\text{O}$ , 0,23 мол. %  $\text{B}_2\text{O}_3$  и 70 мол. %  $\text{SiO}_2$ . Установлено, что при термич. обработке такого стекла протекает по крайней мере 2 структурных процесса: 1) более быстрый, проявляющийся в уменьшении величины радиуса и общего объема пор; 2) более медленный, вызывающий непрерывный рост радиуса пор и увеличение их общего объема до некоторого значения. Скорость обоих процессов сильно растет с  $t$ -рой. Процесс 1-й авторы связывают с разрушением имевшихся областей хим. неоднородности, перестройкой пространственной сетки стекла и переориентировкой хим. связей, а процесс 2 — с диффузионным переносом  $v$ -ва в стекле. Т-ра, при которой в боронатриевых областях начинает строиться непрерывный кремнеземистый каркас, не разрушающийся к-той (РЖХим, 1957, 5175), для исследованного стекла равна  $\sim 585^\circ$ . Кинетика процесса укрупнения выщелачиваемых к-той областей хим. неоднородности удовлетворительно описывается ур-нием О. М. Тодеса (Проблемы кинетики и катализа, 1949, 7, 137; РЖХим, 1954, 17899).

В. Анзигитов

**68318. Эффекты оптической и объемной релаксации в стеклах после снятия высокого гидростатического давления. Уир, Спиннер, Малитсон, Родни (Optical and volumetric relaxation effects in glass following removal of high hydrostatic pressures. Weir C., Spinner S., Malitson I., Rodney W.), J. Res. Nat. Bur. Standards, 1957, 58, № 4, 189—194 (англ.)**

Стекло состава (в %):  $\text{SiO}_2$  66,4,  $\text{B}_2\text{O}_3$  12,4,  $\text{Na}_2\text{O}$  8,4,  $\text{K}_2\text{O}$  11,8,  $\text{ZnO}$  0,5 и  $\text{As}_2\text{O}_3$  0,5 на описанной ранее аппаратуре (Weir C. E., J. Res. Nat. Bur. Standards, 1950, 45, 468 RP2160) в течение 4 час. подвергалось давл. 9000 атм при  $21^\circ$ . После снятия давления показатель преломления  $n$  оказался выше первоначального значения; неравномерно уменьшаясь, он через 12 час. достиг первоначальной величины. На одном из образцов повторное испытание дало аналогичный ход изменения  $n$  со временем, на другом, отличавшемся от первого только плотностью, результаты оказались воспроизводимыми. Сходное поведение обнаружено

у стекла состава 30% SiO<sub>2</sub> и 70% PbO. Релаксационный процесс в обоих стеклах является сложным, состоящим по крайней мере из двух процессов.  $n$  расплавленного Si, подвергнутого давл. 11 000 атм в течение 6 час., не изменился. Объемные изменения в исследованных образцах изучались интерферометрически; они оказались в  $\sim 2$  раза меньше предсказываемых эмпирич. ф-лой  $\Delta\rho/\rho = 3,5 \Delta n/n$ , где  $\rho$  — плотность (РЖХим, 1957, 5173). Авторы объясняют это расхождение сдвигом частот поглощения, сопровождающим релаксацию наряду с объемными изменениями. В. Анзигитов

**68319. Определение отражательной способности стекла на основе пентаселенида мышьяка. Девульф, Ган** (Détermination du pouvoir réflecteur du verre à base de pentasélénure d'arsenic. Dewulf Ginette, Gans François), C. r. Acad. sci., 1956, 243, № 23, 1857—1859 (франц.)

На спектрофотометре фирмы Перкин — Эльмер, дополненного отражательным устройством, в области 2—14  $\mu$  измерена отражательная способность  $r$  ArSe<sub>5</sub>. Зеркалами сравнения служили зеркала из алюминия и золота. Приведен график зависимости  $r$  от  $\lambda$  в изучаемой области. По данным, полученным при малом угле падения (не больше 10°), рассчитан показатель преломления  $n$  ArSe<sub>5</sub>;  $n = 2,57$  и мало меняется в области 2—15  $\mu$ . В. Колесова

См. также: Термодинамика 68333—68335, 68339, 68341, 68343, 68346. Межмол. взаимодействия 68200, 68212—68215, 68223. Строение и физ. характеристики 68190, 69040, 69041. Др. вопр. 68120.

## ИЗОТОПЫ

Редакторы В. И. Левин, В. В. Лосев, Г. А. Соколик

**68320. Радиохимическое исследование реакций глубокого расщепления при облучении разделенных изотопов меди протонами энергии 660 Мэв. Мурин А. Н., Ютландов Н. А.**, Изв. АН СССР. Отд. хим. н., 1957, № 4, 408—413

Исследованы препараты следующего состава: Cu<sup>63</sup> 93,2%, Cu<sup>65</sup> 6,8%, Fe 0,06% и Cu<sup>65</sup> 93,7%, Cu<sup>63</sup> 6,3%, Fe 0,06%. Величины сечений образования  $\sigma(A_i, Z_i)$  ядер-продуктов глубокого расщепления изотопов Cu — складываются на плавные кривые зависимости от массовых чисел, которые могут быть совмещены для Cu<sup>63</sup> и Cu<sup>65</sup> при равенстве чисел протонов и нейтронов, попавших в ядра этих изотопов. Некоторые ядра с высокими изотопич. числами значительно отклоняются от плавной кривой.  $\sigma(A_i, Z_i)$ , вычисленные по ф-ле  $\sigma(A_i, Z_i) = \exp [PA_i - Q - R(Z_i - SA_i)^2]$ , где  $P$ ,  $Q$ ,  $R$  и  $S$  — постоянные  $\sigma(A_i, Z_i)$ ,  $A_i$  и  $Z_i$  — массовое число и заряд ядра, в большинстве случаев сходятся с опытными с точностью до множителя 2. Исключение представляет образование Ni<sup>57</sup> из Cu<sup>65</sup>, для которого опытное и вычисленное значение  $\sigma$  соответственно равны  $0,38 \cdot 10^{-27}$  и  $1,95 \cdot 10^{-27}$  см<sup>2</sup>. При энергии протонов 660 Мэв параметры  $P$ ,  $Q$ ,  $R$  и  $S$  для обоих изотопов меди практически одинаковы и соответственно равны 0,15; 5,1; 1,6 и 0,467. Для всех ядер-продуктов, кроме самых тяжелых, можно построить универсальную поверхность выходов, которая, по предположению авторов, пригодна не только для обоих изотопов меди, но и для других ядер с близкими  $Z$  и  $A$  напр. для Co<sup>59</sup>.

**68321. Период полураспада ThC". Болч, Дейвид, Данкан** (The half-life of thorium C". Bulch

D. L., David H. A., Duncan J. F.), Austral. J. Chem., 1957, 10, № 1, 85—87 (англ.)

Препарат ThC" готовился методом активных осадков, экспозицией Ag-пластинки (при  $V = +300$  в) в вакууме над препаратом ThB в равновесии с его продуктами распада. Измерение активности проводилось на торцовом счетчике. В результате статистич. обработки данных измерений (211 опытов) авторы принимают  $T_{1/2} = 3,10 \pm 0,015$  минуты. Л. Сазонов

**68322. Радиоактивность Ti<sup>44</sup>. Хэйзенга, Уинг** (Radioactivity of Ti<sup>44</sup>. Huizenga J. R., Wing J.), Phys. Rev., 1957, 106, № 1, 90—92 (англ.)

Ti<sup>44</sup> получен по р-ции Sc<sup>45</sup> ( $d, 3n$ ) из Sc, предварительно очищенного экстракцией трибутилфосфатом (для отделения Th) и тиофенкарбонилтрифторацетон (для удаления редких земель и Zr). Из солянокислого р-ра, облученного Sc, отделяли Ti<sup>44</sup> повторным осаждением купферовым на носителе Ti (и экстракциями купферового комплекса (KK) хлороформом. KK разрушали горячей H<sub>2</sub>SO<sub>4</sub>. Предложена схема распада Ti<sup>44</sup>; его  $T_{1/2} \sim 10^8$  лет. В. Левин

**68323. Период  $\alpha$ -полураспада Am<sup>241</sup>. Холл, Маркин** (The alpha half-life of americium-241. Hall G. R., Markin T. L.), J. Inorg. and Nucl. Chem., 1957, 4, № 3-4, 137—142 (англ.)

Am<sup>241</sup> выделен из Pu. Главную массу Pu удаляли экстракцией трибутилфосфатом из HNO<sub>3</sub>. Концентрат Am поглощали на анионите деацетат FF в 80%-ной HNO<sub>3</sub> и отмывали от Pu этой же к-той. Исследование  $\alpha$ -спектра указывало на отсутствие Pu в Am. Прimesи Fe, Ca, Mg, Al, B, Pb удаляли на катионите. Для отделения последних следов Al осаждали Am щелочью в виде Am(OH)<sub>3</sub>. Si удаляли отгонкой с HF. Содержание U в Am было  $< 0,02\%$ . Были приготовлены: AmO<sub>2</sub> нагреванием нитрата Am до 890°, Am<sub>2</sub>(SO<sub>4</sub>)<sub>3</sub> нагреванием Am в H<sub>2</sub>SO<sub>4</sub> до 550—650° на воздухе и AmCl<sub>3</sub> по р-ции  $AmO_2 + 2CCl_4 \rightarrow AmCl_3 + 2COCl_2 + 1/2Cl_2$ . Спектрографич. анализ показал чистоту Am в AmO<sub>2</sub>  $99,85 \pm 0,04\%$  ( $\sim 0,15\%$  Mg), в Am<sub>2</sub>(SO<sub>4</sub>)<sub>3</sub>  $99,29 \pm 0,05\%$  ( $\sim 0,55\%$  Mg и  $0,16\%$  Si) и присутствие в AmCl<sub>3</sub>  $0,2\%$  Mg и  $0,2\%$  Al. Содержание сульфата в Am<sub>2</sub>(SO<sub>4</sub>)<sub>3</sub>  $99,7 \pm 0,4\%$  и хлорида в AmCl<sub>3</sub>  $99,7—100 \pm 0,4\%$  от теоретического. Путем измерений уд. активности приготовленных препаратов при помощи пропорционального счетчика найдены величины  $T_{1/2}$   $\alpha$ -распада Am для сульфата  $457,6 \pm 0,8$  года, для хлорида  $458,4 \pm 0,6$  года и для окиси  $461,2 \pm 0,6$  года. Авторы считают менее надежным последнее значение вследствие возможного избытка O в AmO<sub>2</sub>. Среднее взвешенное  $T$  из двух других измерений  $458,1 \pm 0,5$  года. В. Л.

**68324. Изучение давления паров растворов в легкой и тяжелой водах. III. Фактор разделения изотопов водорода при дистилляции растворов солей в смеси легкой и тяжелой воды при комнатной температуре. Гугин, Смит** (Vapor pressure studies involving solutions in light and heavy waters. III. The separation factor for the isotopes of hydrogen during distillation from salt solutions in the mixed waters at room temperature. Googin John M., Smith Hilton A.), J. Phys. Chem., 1957, 61, № 3, 345—350 (англ.)

Исследовалось влияние растворенных солей на разделение (Р) изотопов водорода путем релеевской дистилляции воды. Испарение проводилось при пониженном давлении и  $t$ -ре  $27 \pm 2^\circ$ . Р-р перемешивался, дистиллят вымораживался сухим льдом. Содержание D<sub>2</sub>O определялось в обеих фракциях методом падающей капли. Показана применимость ур-ния  $\Delta\alpha = kN$ , где  $\Delta\alpha$  — разность коэф. Р для чистого р-рителя и р-ра,  $N$  — средняя мол. для растворенного в-ва,  $k$  — коэф. пропорциональности.  $k$  определен для 29 солей.

Показано, что Р изотопов водорода перегонкой р-ров хуже, чем в случае чистого р-рителя. Авторы считают маловероятным улучшение Р при комнатной т-ре путем добавок к водн. фазе. Часть II см. РЖХим, 1955, 45462. И. Кувшинников

**68325. Удаление плутония перед анализом смесей продуктов деления.** Филлипс, Дженкинс (The removal of plutonium before the analysis of mixed fission products. Phillips G., Jenkins E. N.), J. Inorg. and Nucl. Chem., 1957, 4, № 3-4, 220-224 (англ.)

Разработан метод отделения Pu перед анализом на продукты деления (ПД) в облученном Pu или сплаве Pu-U. Pu поглощают на анионите деаидит-FF в виде нитратного комплекса  $\text{Pu}(\text{NO}_3)_6^{2-}$  из 7 н.  $\text{HNO}_3$ , предварительно переведя его в Pu (4+) последовательным восстановлением гидросилилином и окислением р-ром  $\text{NaNO}_2$ . Измерены коэф. распределения (K) (кол-во в-ва на 1 г смолы, отнесенное к кол-ву в-ва на 1 мл р-ра при равновесии) при конц-ях  $\text{HNO}_3$  3, 7 и 11 н. для Pu ( $K > 4000$ ) и для ПД. Емкость анионита по Pu  $\sim 100$  мг на 0,8 г. Pu поглощается на 99,9%, а ПД на 98-100% остаются в р-ре, кроме Zr и Nb, которые поглощаются до 20%. Эти элементы рекомендуется определять после отделения Pu в виде  $\text{Pu}^{3+}$  соосаждением с  $\text{LaF}_3$ . Pu снимают с колонны восстановлением до  $\text{Pu}^{3+}$  гидросилилином. Описана подготовка анионита. В. Левин

**68326. Получение  $\text{In}^{113\text{m}}$  без носителя из облученного нейтронами олова при помощи металлоорганических соединений.** Нефедов В. Д., Лепнев Г. П., Синотова Е. Н., Торопова М. А., Ж. физ. хим., 1957, 31, № 2, 354-361 (рез. англ.)

Рассмотрены образование различных радиоизотопов при облучении Sn нейтронами и схема распада  $\text{Sn}^{113}$  с образованием  $\text{In}^{113\text{m}}$ . Описан метод выделения  $\text{In}^{113\text{m}}$  без носителя из облученного Sn. Последнее превращают в  $(\text{C}_6\text{H}_5)_3\text{Sn}$  (I) или  $(\text{C}_6\text{H}_5)_3\text{SnCl}$  (II) и извлекают  $\text{In}^{113\text{m}}$  экстракцией 0,1 н.  $\text{HCl}$  из бензольного р-ра I или из эфирного р-ра II. Радиохим. чистота выделенного  $\text{In}^{113\text{m}}$   $\sim 99,9\%$ , выход  $\sim 100\%$ . В. Левин

**68327. Получение  $\text{Y}^{90}$ , свободного от  $\text{Sr}^{90}$ , путем электролиза.** Ланге, Герман, Штраасман (Die Darstellung von Strontium-90-freiem Yttrium-90 durch Elektrolyse. Lange Gerald, Herrmann Günter, Strassmann Fritz), J. Inorg. and Nucl. Chem., 1957, 4, № 3-4, 146-154 (нем.)

Исследовано электроосаждение  $\text{Y}^{90}$  из слабоазотнокислого р-ра с целью отделения его от  $\text{Sr}^{90}$ . Осаждение Y на Pt-катоде начинается при pH  $\sim 1,5$ . С увеличением pH катодный выход уменьшается. Оптимальные условия электролиза: pH  $2,5 \pm 0,3$ , т-ра  $\sim 50^\circ$ , плотность тока  $\sim 20$  ма/см<sup>2</sup>. Добавление  $\text{Sr}(\text{NO}_3)_2$  или  $\text{NH}_4\text{NO}_3$  повышает чистоту  $\text{Y}^{90}$ , но замедляет электролиз. Путем повторного осаждения (катод предыдущего осаждения используют в качестве анода) можно снизить конц-ию  $\text{Sr}^{90}$  в  $\text{Y}^{90}$  до  $< 10^{-4}\%$ . В. Левин

**68328. Обогащение радиоактивных изотопов хрома с помощью гексакарбонила.** Торопова М. А., Ж. неорг. химии, 1957, 2, № 5, 1201-1204

Гексакарбонил хрома, облученный медленными нейтронами, растворяли в  $\text{CHCl}_3$  и экстрагировали 0,1 н.  $\text{HCl}$ ;  $\sim 30\%$  радиохрома переходило в водн. фазу с коэф. обогащения  $\sim 1,7 \cdot 10^4$ . Показано, что  $> 85\%$  радиохрома, перешедшего в водн. фазу, находится в виде  $\text{Cr}^{3+}$ . В. Левин

**68329. Определение активности органических соединений, содержащих радиоактивный углерод  $\text{C}^{14}$ .** Коршунов И. А., Аменицкая Р. В., Новторов Н. Ф., Ж. общ. химии, 1957, 27, № 4, 893-896

Показана возможность измерения активности радиоорганич. соединений, меченных  $\text{C}^{14}$ , при их введении в счетчик Гейгера, заполненный Ag или  $\text{CO}_2$ . Измерения возможны при содержании в газе следующих меченных  $\text{C}^{14}$  соединений:  $\text{CH}_3\text{COOC}_2\text{H}_5$  10-40%,  $\text{C}_2\text{H}_5\text{COOC}_2\text{H}_5$  10-25%,  $\text{C}_3\text{H}_7\text{COOC}_2\text{H}_5$  10-12%,  $\text{CH}_3\text{COOH}$  10-12%,  $\text{CH}_3\text{COH}$  до 30%. Ошибка измерений  $\pm 2\%$ . Можно измерять также активность ацетона с точностью  $\pm 3\%$ . При измерении активности всех соединений, кроме  $\text{CH}_3\text{COOH}$ , не требуется введения гасящей добавки. В случае  $\text{CH}_3\text{COOH}$  вводятся пары  $\text{C}_2\text{H}_5\text{OH}$ . В. Левин

**68330. К вопросу о химическом состоянии атомов, получающихся в результате ядерных превращений.** Сообщение II. Несмеянов А. Н., Ипполитов Е. Г., Вестн. Моск. ун-та, 1955, № 10, 87-90

Из облученных нейтронами бензольных р-ров  $\text{AsCl}_3$  и  $\text{SbCl}_3$  выделены на носителях активные фенилпроизводные продукты с содержаниями активности (в %):  $\text{C}_6\text{H}_5\text{AsCl}_2$  3,97;  $(\text{C}_6\text{H}_5)_2\text{AsCl}$  0,14;  $(\text{C}_6\text{H}_5)_3\text{As}$  0,18;  $\text{C}_6\text{H}_5\text{SbCl}_2$  0,30;  $(\text{C}_6\text{H}_5)_2\text{SbCl}$  0,40;  $(\text{C}_6\text{H}_5)_3\text{Sb}$  0,04. При облучении выделяется  $\text{HCl}$ . Предлагается схема р-ции, аналогичная схеме процесса, протекающего в бензольном р-ре  $\text{AsCl}_3$  при  $300^\circ$ . Активные фенилпроизводные получают путем отщепления  $\text{HCl}$  и  $\text{AsCl}_3$  или  $\text{SbCl}_3$  от соответствующих сольватных соединений в результате радиоактивного захвата. Предыдущее сообщение см. РЖХим, 1957, 65634. В. Каплан

**68331. Приложение метода Милликена к исследованию слабой радиоактивности.** Осс, Керри (Application de la méthode de Millikan à l'examen de la radioactivité faible. Hauss J.-L.-de, Kirgyn R. J.), Chim. analyt., 1957, 39, № 4, 150-154 (франц.)

Методом Милликена исследовано изменение скорости оседания частиц дыма в электрич. поле (32 в) в присутствии радиоактивных в-в (PB). Исследование металлич. Sb и ее смеси с Al показало наличие слабого положительного излучения. Метод применим для установления присутствия PB и для определения заряда испускаемых частиц. В. Левин

**68332 Д. Исследование свойств изотопов гелия и их растворов.** Есельсон Б. Н. Автореф. дисс. докт. физ.-матем. н., Харьковск. ун-т, Харьков, 1957

См также: Радиоактивн. св-ва 68129-68132. Введение в молекулу 68931-68934, 68936-68939. Изотопные эффекты 68221, 68411. Изотопный обмен 68118, 68401, 68406, 68407. Измерение активности 69213, 68601. Применения: в исслед. кинетики и механизма р-ций, строение хим. соединений 68433, 68703, 68976; в физ. процессах 68348, 68523; в биохимии 23630Bx, 23660Bx, 23920Bx, 23926Bx, 23988Bx;  $\text{H}^3$  23167Bx;  $\text{C}^{14}$  23202Bx, 23386Bx, 23403Bx, 23532Bx, 23543Bx, 23559Bx, 23576Bx, 23583Bx, 23643Bx, 23673Bx, 23679Bx, 23696Bx, 23715-23717Bx, 23722Bx, 23742Bx, 23752Bx, 23753Bx, 23759Bx, 23864Bx, 24061Bx;  $\text{N}^{15}$  23586Bx;  $\text{S}^{35}$  23384Bx, 23685Bx, 23690Bx, 23728Bx, 23729Bx;  $\text{J}^{131}$  23137Bx, 23226Bx, 23618Bx, 23668Bx, 23696Bx, 23707Bx, 23810-23816Bx, 23865Bx, 23974Bx, 23924Bx, 23947Bx;  $\text{P}^{32}$  23135Bx, 23328Bx, 23342Bx, 23384Bx, 23621Bx, 23637Bx, 23650Bx, 23662Bx, 23918Bx, 23927Bx,  $\text{K}^{42}$  23384Bx;  $\text{K}^{40}$  23397Bx;  $\text{Ca}^{45}$  23653Bx, 23655Bx, 23918Bx;  $\text{Fe}^{59}$  23321Bx, 23910Bx;  $\text{Co}^{60}$  23265Bx, 23778Bx;  $\text{Cr}^{51}$  23172Bx; в пром-сти 69058, 69253, 69255, 69331, 69496, 69517; в аналитич. химии 69192, 68117, 68325; в геохимии 68610, 68613-68617, 68667; в КИП 70709; в оценке моющей способности 70351. Прямое определение  $\text{C}^{14}$  и  $\text{S}^{35}$  в крови 23132Bx. Техника безопасности при работе с радиоактивн. в-вами 70742, 70743



# ТЕРМОДИНАМИКА. ТЕРМОХИМИЯ. РАВНОВЕСИЯ. ФИЗИКО-ХИМИЧЕСКИЙ АНАЛИЗ. ФАЗОВЫЕ ПЕРЕХОДЫ

Редактор В. А. Соколов

68333. Матричное представление основных термодинамических соотношений. Княме (Matrix representation of thermodynamic fundamentals. Kyame Joseph John), Amer. J. Phys., 1957, 25, № 2, 67—69 (англ.)

Показано, что обычные соотношения между дифференциалами термодинамич. переменных, а также соотношения между первыми и вторыми производными термодинамич. потенциалов могут быть записаны в матричной форме, если надлежащим образом определить матрицы, в которых элементами являются термодинамич. переменные. Л. Малкин

68334. К статистике систем, состоящих из одинаковых частиц. Точные динамические уравнения классической статистики. Пюттер (Zur Statistik der Systeme gleicher Teilchen. Die exakten dynamischen Grundgleichungen der klassischen Statistik. Pütter Paul Stefan), Ann. Physik, 1957, 19, № 3—5, 145—165 (нем.)

Статистическими методами рассматриваются системы одинаковых классич. частиц. Развивается общая теория для двух случаев: 1) рассматривается одна система и для каждой точки исследуется среднее поведение системы в окрестности этой точки; 2) рассматривается бесконечное число систем и выясняется усредненное поведение всех систем в определенном месте. Оба типа постановки вопроса приводят к системам ур-ний в частных производных, математически эквивалентных друг другу и системе ур-ний Борна — Грина для жидкостей. И. Ш.

68335. Приближенный метод для проблемы упорядочения. В. Хейманс (An approximation method for order-disorder problems. V. Hijmans J.), Physica, 1956, 22, № 5, 429—442 (англ.)

На основе рассмотрения модели решеточного газа обсуждаются смысл и правомочность аппроксимации, использованной в предыдущей статье (РЖХим, 1957, 63022). Выражение соответствующих величин через  $U$ -функции, введенные Майером для непрерывных систем, дает возможность оправдать сделанное в предыдущей статье обрывание ряда в разложении правой части ур-ний для функций состояний и функций распределения. И. Аптекарь

68336. Влияние граничных условий на функцию распределения Онзагера — Изинга для плоской квадратной решетки. Темперли (The influence of boundary conditions on the Onsager — Ising partition function for the plane square lattice. Temperley H. N. V.), Proc. Phys. Soc., 1957, B70, № 2, 192—197 (англ.)

При использовании модели Онзагера — Изинга для крит. области получаются одинаковые результаты, если атомы считать расположенными на торе, на цилиндре или в плоскости. Введение видоизмененных граничных условий в последнем случае дает возможность при расчете функции распределения эффективно использовать предложенную ранее методику (Кас М., Ward J. C., Phys. Rev., 1952, 88, 1332).

А. Алмазов  
68337. Энтропии решетки — энтропии испарения ионов из кристаллов. Олтуллер (Lattice entropies — entropies of vaporization of ions from crystals. Altshuller A. P.), J. Chem. Phys., 1957, 26, № 2, 404—406 (англ.)

По данным, заимствованным из сводок Келли, Национального бюро стандартов и работ последних лет,

вычислены и табулированы значения изменений энтропии в процессе  $X_m Y_n$  (тв.)  $\rightarrow mX + nY$  (газ) +  $nY - m$  (газ) (энтропия решетки) для 86 солей, а также энтропии испарения 17 катионов и 20 анионов (для 1-, 2- и 3-валентных катионов); энтропии кристаллич. ионов приняты по Латимеру. Рассмотрено влияние величины валентности, размера иона, его заряда и других факторов на значения энтропии решетки и энтропии ионов. М. Карапетянц

68338. Энтропия и урновое моделирование Эренфеста. Клейн (Entropy and the Ehrenfest urn model. Klein Martin J.), Physica, 1956, 22, № 7, 569—575 (англ.)

Обсуждая понятия энтропии по Больцману и по Гиббсу с точки зрения урновой модели Эренфеста показано, что они соответствуют друг другу при равновесии. Энтропия по Больцману претерпевает флуктуации, а энтропия по Гиббсу возрастает монотонно до максим. значения (при равновесии). Сравнены понятия о равновесии, соответствующие двум этим точкам зрения. В. Аносов

68339. Флуктуации во внешних реакциях термодинамической системы. Вергеланд (Fluctuations in the external reactions of a thermodynamical system. Wergeland Harald), Kgl. norske videnskab. selskabs forhandl., 1955, 28, № 21, 106—111 (англ.)

Автор отмечает, что в ф-ле для флуктуации силы в теории Гиббса  $(A - \bar{A})^2 = \Theta (\partial^2 E / \partial a^2 - \partial^2 \Psi / \partial a^2)$  член  $\partial^2 E / \partial a^2$  представляет «упругость, намеренную при таких условиях, что, когда внешний параметр  $a$  меняется, внутренние координаты остаются фиксированными» (Гиббс). Поэтому сила  $A = \partial E / \partial a$ , соответствующая р-ции против столь быстрых изменений, что мол. переменные остаются постоянными, может принимать аномально большие значения, так что и флуктуации будут аномальными. Показано, что флуктуации давления  $(P - \bar{P})^2$  при изменении объема  $\delta V$  идеального газа зависят не только от  $\delta V$ , но и от скорости изменения объема  $\dot{V} = \delta V / \delta t$ . Если  $\delta t$  мало по сравнению с мол. периодами, то  $(P - \bar{P})^2$  может неограниченно расти. В. Урбах

68340. Влияние анизотропии на термодинамические свойства антиферромагнетиков. Эйзел, Кеффер (Effects of anisotropy on thermodynamic properties of antiferromagnets. Eisele J. A., Keffer F.), Phys. Rev., 1954, 96, № 4, 929—933 (англ.)

В антиферромагнетиках небольшая анизотропия оказывает значительное влияние на термодинамич. свойства. Как было показано ранее (Anderson P. W., Phys. Rev., 1952, 86, 694), в общем выражение для энергии спиновой волны входит член, обусловленный анизотропией. Этот член пропорционален корню квадратному из произведения константы анизотропии  $K$  на обменный интеграл  $J$ :  $E_A = 2(z/J/K)^{1/2} S$  ( $z$  — число соседей,  $S$  — спиновое квантовое число). При этом учитывается только анизотропия, обусловленная кристаллич. полями. Повторяя расчеты Кубо (Kubo R., Phys. Rev., 1952, 87, 568), основанные на теории спиновых волн, авторы выяснили влияние анизотропии на температурную зависимость спонтанной намагниченности подрешеток  $M_{ST}$ , теплоемкости  $C$  и параллельной восприимчивости  $\chi_{||}$ . Вводится характеристич. т-ра  $T_{AE} : kT_{AE} = E_A$ . При  $T \gg T_{AE}$  температурная зависимость термодинамич. величин получается такой же, как и без учета анизотропии ( $M_{ST} \sim T^2$ ,  $C \sim T^3$  и  $\chi_{||} \sim T^2$ ). При более низких т-рах в указанные законы температурной зависимости входят дополнительные

множители. Эти множители представляют собой функции отношения  $T/T_{AE}$  и изменяются от 0 при  $T=0^\circ\text{K}$  до  $T>T_{AE}$ . Приводятся графики этих функций для каждой из трех рассматриваемых термодинамич. величин. Обсуждается возможность эксперим. проверки температурной зависимости магнитной теплоемкости. Магнитная теплоемкость будет больше теплоемкости решетки у антиферромагнетиков с низкой точкой Кюри  $T_c$ , такой, что  $T_c < \sim 0.5$  ( $\theta$  — дебаевская т-ра). Однако при т-рах ниже  $T_{AE}$  магнитная теплоемкость должна падать значительно быстрее, чем теплоемкость решетки. Вычисления распространены на случай орторомбич. симметрии. В таких антиферромагнетиках должно быть две характеристич. т-ры  $T_{AE}$ . Сравнение полученных ф-л с известными эксперим. данными для монокристалла  $\text{CuCl}_2 \cdot 2\text{H}_2\text{O}$  дает качеств. подтверждение теории.

А. Боровик-Романов

**68341. О теплоемкости водорода.** Кёппе (Über die spezifische Wärme des Wasserstoffes. Koeper W.), Kältetechnik, 1957, 9, № 2, 30—31 (нем.; рез. англ., франц.)

Теплоемкость водорода (I)  $p$  в области  $36\text{--}80^\circ\text{K}$  и давл.  $\leq 100\text{ атм}$  определена из диаграммы энтальпия—т-ра, построенной на основе измерений эффекта Джоуля — Томсона для I (РЖХим, 1956, 60983; 1957, 11076). Найденные значения  $C_p$  хорошо совпадают с рассчитанными по ур-нию Плянка  $C_p = C_{p0} [1 - (\partial\Delta T / \partial T)_p]$ , где  $\Delta T$  — интегральный эффект Джоуля — Томсона. Вид кривой  $C_p = f(T)$  для I подобен виду кривых  $C_p$  для других в-в (напр., для  $\text{N}_2$ ) и термодинамически заковмерен. Максимумы кривых  $C_p = f(T)$  находятся на продолжении кривых давления пара в закрит. области. Точность значений  $C_p$  для  $50 \leq T \leq 80^\circ\text{K}$  составляет 10%, для  $T < 50^\circ\text{K}$  15%. Результаты автора по определению  $C_p$  значительно отличаются от имеющихся данных (Gutsche H., Z. phys. Chem., 1939, A184, 45) (до 25% при  $35^\circ\text{K}$ ), но совпадают в пределах указанной выше точности с расчетами (РЖХим, 1956, 9230) в интервале  $64 \leq T \leq 80^\circ\text{K}$  и при  $p \leq 200\text{ атм}$ .

Ю. Третьяков

**68342. Низкотемпературная калориметрия семи 1-олефинов.** Эффект ориентационного разупорядочения в твердом состоянии. Мак-Каллох, Финк, Гросс, Мессерли, Уоддингтон (Low temperature calorimetric studies of seven 1-olefins: effect of orientational disorder in the solid state. McCulloch J. P., Finke H. L., Gross M. E., Messerly J. F., Waddington Guy), J. Phys. Chem., 1957, 61, № 3, 289—301 (англ.)

Измерены  $C_p$  1-гексена (I), 1-гептена (II), 1-октена (III), 1-декана (IV), 1-ундекена (V), 1-додекена (VI) и 1-гексадекана (VII). Значения  $S$ ,  $C_p - (F - H_0)/T$ ,  $-(H - H_0)/T$  и  $H - H_0$  табулированы в интервале  $10\text{--}360^\circ\text{K}$ . I, II, III и IV кристаллизуются в упорядоченном состоянии и разность энтропий между  $n$ -парафинами и соответствующими им 1-олефинами от  $C_5$  до  $C_{10}$  равна  $0,19 \pm 0,02$  энтр. ед. V и VI кристаллизуются в частично разупорядоченном состоянии, а VII — в полностью разупорядоченном состоянии и его энтропия на  $R \ln 2$  меньше, чем ожидаемое значение. Для 1-олефинов от  $C_5$  до  $C_{16}$   $S_{298,16}^\circ = 24,349 + 7,725 N$  ( $\pm 0,04\%$ ) энтр. ед., где  $N$  — число атомов C. II существует в двух полиморфных модификациях, IV, V и VI обладают энантиотропией и обнаруживают фазовые переходы первого рода. У VII установлено наличие  $\lambda$ -превращения в твердом состоянии. Теплоты и энтропии фазовых переходов табулированы.

Л. Резницкий

**68343. Термодинамические свойства фторида аммония; теплоемкость от 6 до  $309^\circ\text{K}$ , энтропия, энтальпия и функция свободной энергии.** Бенджамин, Уэстрем (The thermodynamic properties of ammonium fluoride: heat capacity from 6 to  $309^\circ\text{K}$ , the entropy, enthalpy and free energy function. Benjamins Edwin, Westrum Edgar F., Jr), J. Amer. Chem. Soc., 1957, 79, № 2, 287—290 (англ.) В адиабатном калориметре (РЖХим, 1953, 6146) в интервале от 6 до  $309^\circ\text{K}$  измерена теплоемкость  $\text{NH}_4\text{F}$ . Погрешность значений  $C_p$ : выше  $25^\circ$  0,1%, при  $10^\circ$  1% и при  $5^\circ$  5%. Вычислены и табулированы значения  $C_p$ ,  $S^\circ$ ,  $H^\circ - H_0^\circ$  и  $-(F^\circ - H_0^\circ)/T$  в интервале от 10 до  $300^\circ\text{K}$  (от 10 до  $50^\circ$  шаг  $5^\circ$ , выше  $50^\circ$  шаг  $10^\circ$ ), при 273,16 и  $298,16^\circ\text{K}$ . Значения этих функций при  $298,16^\circ\text{K}$  соответственно равны  $15,60 \pm 0,02$  кал/град;  $17,20 \pm 0,02$  энтр. ед.;  $2655 \pm 3$  кал и  $8,297 \pm 0,01$  кал/град. В отличие от исследования Симона и соавторов (Simon F., Cl. von Simson, Ruhemann M., Z. phys. Chem., 1927, 129, 339), в котором сообщалось о наличии максимума на кривой теплоемкости около  $240^\circ\text{K}$ , во всем интервале т-р не было обнаружено каких-либо термич. аномалий. По мнению авторов, указанный максимум мог быть обусловлен наличием воды или других примесей.

М. Карапетянц

**68344. Термодинамика шлаковых систем.** Картер, Макфарлан (Thermodynamics of slag systems. Carter P. T., Macfarlane T. G.), J. Iron. and Steel Inst., 1957, 185, № 1, 54—66 (англ.)

Равновесное содержание S в шлаках  $\text{CaO-Al}_2\text{O}_3$  (I) и  $\text{CaO-SiO}_2$  (II) переменного состава определено экспериментально с точностью  $\pm 3\%$  при пропускании над шлаками смеси газов  $\text{CO}$ ,  $\text{CO}_2$  и  $\text{SO}_2$  при  $1500 \pm 2^\circ$ . Поглощение S шлаком зависит от  $A = (P_{\text{S}_2} / P_{\text{O}_2})^{1/2}$ ;  $A = 350 \pm 15$  для I и  $\sim 1800$  для II. A уменьшается с ростом т-ры. Вычислены активности  $a_{\text{CaO}}$  и  $a_{\text{SiO}_2}$  по отношению к стандартному шлаку;  $a_{\text{CaO}}$  в I в  $\sim 3$  раза выше, чем в II при равной мольной доле  $N_{\text{CaO}}$ . Вычислены при  $1500^\circ$  свободные энергии  $\Delta G$  р-ций:  $12\text{CaO (тв.)} + 7\text{Al}_2\text{O}_3 \text{ (тв.)} = 12\text{CaO} \cdot 7\text{Al}_2\text{O}_3 \text{ (жидк.)}$ ;  $3\text{CaO (тв.)} + \text{Al}_2\text{O}_3 \text{ (тв.)} = 3\text{CaO} \cdot \text{Al}_2\text{O}_3 \text{ (тв.)}$ ;  $\text{CaO (тв.)} + \text{Al}_2\text{O}_3 \text{ (тв.)} = \text{CaO} \cdot \text{Al}_2\text{O}_3 \text{ (тв.)}$ ;  $\text{CaO (тв.)} + \text{SiO}_2 \text{ (тв.)} = \text{CaSiO}_3 \text{ (жидк.)}$  и  $2\text{CaO (тв.)} + \text{SiO}_2 \text{ (тв.)} = \text{Ca}_2\text{SiO}_4 \text{ (тв.)}$ ,  $-140$ ;  $-22,3 \pm 4$ ;  $-14,3 \pm 2$ ;  $-20,2$  и  $-34,0$  ккал/моль соответственно.  $\Delta G$  р-ции образования I и II из окислов минимальны при  $N_{\text{Al}_2\text{O}_3} \approx 0,4$  и  $N_{\text{SiO}_2} = 0,37$ .

В. Колесов

**68345. Термодинамика бромирования толуола и теплота образования бензильного радикала.** Бенсон, Бассе (The thermodynamics of bromination of toluene and the heat of formation of the benzyl radical. Benson Sidney W., Buss Jerry H.), J. Phys. Chem., 1957, 61, № 1, 104—109 (англ.)

При  $150^\circ$  измерена константа равновесия р-ции  $\text{C}_6\text{H}_5\text{CH}_3 \text{ (газ)} + \text{Br}_2 \text{ (газ)} \rightleftharpoons \text{C}_6\text{H}_5\text{CH}_2\text{Br (газ)} + \text{HBr (газ)}$ , равная  $7,2 \cdot 10^4$ , и вычислена величина  $\Delta F_{423}^\circ\text{K} = -9,4$  ккал/моль. Для  $\text{C}_6\text{H}_5\text{CH}_2\text{Br}$  рассчитаны значения  $S_{298}^\circ = 90,8 \pm 1$ ;  $S_{423}^\circ = 102,2 \pm 1$ ;  $\Delta S_{423}^\circ = 3,5$  энтр. ед.,  $\Delta H_f^\circ = 20,0 \pm 0,9$  и  $\Delta H_{298}^\circ = -8,0 \pm 0,9$  ккал/моль. Последняя величина больше вычисленной по энергиям связей  $\text{C}_6\text{H}_5\text{CH}_2 - \text{H}$  и  $\text{C}_6\text{H}_5\text{CH}_2 - \text{Br}$  на 6 ккал. Наиболее вероятное значение  $\Delta H_f^\circ$  для  $\text{C}_6\text{H}_5\text{CH}_2$  лежит в интервале  $38\text{--}44$  ккал, что соответствует  $D \text{ C}_6\text{H}_5\text{CH}_2 - \text{H} \approx 84$  ккал/моль. Анализ кинетики пиролиза дибензила и толуола приводит к заключению, что прежняя его интерпретация является упрощенной, так как необходимо учитывать вторичные процессы. Несмотря на большее значение энергии активации р-ции  $\text{C}_6\text{H}_5\text{CH}_3 \rightarrow \text{C}_6\text{H}_5 + \text{CH}_3$  (1) по сравнению с  $\text{C}_6\text{H}_5\text{CH}_2 \rightarrow$

→  $C_6H_5CH_2 + H$  (2), первая, как показывает энтропийный анализ, идет предпочтительнее. Относительная скорость (1) и (2) согласуется с опытными значениями  $CH_4/H_2$ .

М. Карапетьянц  
68346. Борьба за миллиградус. Келлер (The battle of the millidegree. Keller William E.), Nature, 1956, 178, № 4539, 883—887 (англ.)

Изложены эксперим. и теоретич. основы построения двух температурных шкал, основанных на давлении паров жидкого He и предложенных на Международной конференции по нитам т-рам (Париж, сентябрь, 1955 г.) вместо шкалы 1948 г. для интервала 0—5,2° K.

В. Колесов  
68347. Давление пара фтористого натрия. Сенс, Александер, Боуман, Стоун, Филберт (The vapor pressure of sodium fluoride. Sense Karl A., Alexander C. A., Bowman R. E., Stone R. W., Filbert R. B., Jr.), J. Phys. Chem., 1957, 61, № 3, 384 (англ.)

Описанными ранее методами (РЖХим, 1955, 11281; 1957, 11155) измерено давление пара NaF. Методом наименьших квадратов получено для области 934—996°:  $\lg p$  (мм рт. ст.) =  $11,3315 - 14,853/T$ ,  $\Delta H$  субл = 68,0 ккал/моль и для области 996—1075°:  $\lg p$  (мм рт. ст.) =  $9,4188 - 12,428/T$ ,  $\Delta H$  исп = 56,9 ккал/моль. В предположении, что молекулы NaF существуют лишь в виде мономера, точка плавления найдена равной 996°.

А. Алмазов  
68348. Измерение давления пара хлоридов натрия и рубидия и их бинарных смесей методом радиоактивных индикаторов. Несмеянов А. Н., Сапонов Л. А., Ж. неорган. химии, 1957, 2, № 4, 946—951

Эффузионным методом измерено давление пара NaCl (I) и RbCl (II) и парц. давления пара компонентов системы I—II в эвтектич. точке и в области, далекой от нее, с применением радиоактивных изотопов  $Na^{24}$  и  $Rb^{86}$ . Описаны методика работы и аппаратура. Для I  $\lg p_{м.м.} = -11,410/T + 10,1879$  (743—948° K),  $\Delta H_0^0 = 54,72 \pm 0,3$  ккал/моль, для II  $\lg p_{м.м.} = -9,938/T + 9,4236$  (678—868° K),  $\Delta H_0^0 = 51,63 \pm 0,5$  ккал/моль. В интервале 773—891° K не наблюдается заметного взаимного растворения компонентов системы. Ниже 773° K кривая  $\lg p - 1/T$  для парц. давления пара II в смеси лежит заметно ниже кривой давления пара чистого II.

А. Золотаревский  
68349. Исследование поведения примесей селена, галогенов и железа в процессе вакуумной возгонки теллура. Пашинкин А. С., Меньков А. А., Новоселова А. В., Ж. неорган. химии, 1957, 2, № 4, 826—830

Исследовано поведение примесей Se, Br и Fe в процессе возгонки теллура (I) в вакууме при 400°. Установлены температурные зоны конденсации при возгонке образцов I с содержанием 0,8 и 0,025% Se. Для колич. определения примесей использованы радиоактивные изотопы  $Se^{75}$ ,  $Fe^{59}$  и  $Br^{82}$ . Подробно описаны аппаратура и методика работы. Путем однократной возгонки I с примесью Br можно снизить содержание Br в I в 350—400 раз. Очистка I от Se путем вакуумной возгонки не происходит; Fe практически не возгоняется.

А. Золотаревский  
68350. Давление пара некоторых алкоксильных производных алюминия. Уилхойт (Vapor pressures of some aluminum alkoxides. Wilhoit R. C.), J. Phys. Chem., 1957, 61, № 1, 114—116 (англ.)

Посредством изотензископа (Smith A., Menzies A. W. C., J. Amer. Chem. Soc., 1910, 32, 1412) определено давление пара соединений  $Al(XO)_3$ , где X — алкил; вычислены константы ур-ния  $\lg p = a - b/T$ . Ниже приведены соответственно X, область т-р, т. кип. при давл. 5 мм,  $\Delta H$  (кал/моль),  $\Delta S$

(энтр. ед.): этил, 150—250°, 189,0, 20,2, 43,7; *n*-пропил, 200—270°, 222,7, 22,3, 45,0; изопропил, 115—175°, 139,1, 21,1, 51,2; *n*-бутил, 230—265°, 259,6, 24,9, 46,7; изобутил, 225—280°, 236,2, 33,3, 65,4; втор-бутил, 150—200°, 167,3, 19,5, 44,3. Точность измерения т-ры 0,2—0,4°, давл. 0,1—0,2 мм. Полученные результаты отличаются от литературных данных (РЖХим, 1954, 37603).

Б. Анявер  
68351. Давление паров насыщенных алифатических углеводородов. Сондак, Тодос (Vapor pressures: the saturated aliphatic hydrocarbons. Sondak Norman E., Thodos George), A. I. Ch. E. Journal, 1956, 2, № 3, 347—353 (англ.)

Кратко рассмотрены различные виды приведенных в литературе ур-ний, описывающих зависимость давления насыщ. пара от т-ры. Применительно к насыщ. алифатич. углеводородам рассмотрено ур-ние Фроста и Калкварфа (РЖХим, 1953, 6142)  $\lg P = A + B/T + C/T^2 + DP/T^2$ . На основании эксперим. данных вычислены константы A, B, C и D для всех нормальных парафиновых углеводородов от метана до эйкозана, а также для всех изомеров этого ряда до нонана включительно. Для исследованных 54 насыщ. углеводородов (включая изомеры) вычисленные по ф-ле Фроста значения давления пара показывают среднее отклонение от опытных данных ~ 0,68%. Библ. 61 назв.

С. Бык  
68352. Давление пара диэтиленгликоля. Дейвис (Vapor pressure of diethylene glycol. Davis D. S.), Chem. Engng, 1956, 63, № 8, 232—234 (англ.)

Предложенное ур-ние для коррелирования данных по давлению пара над водн. р-рами диэтиленгликоля (I):  $\lg P = A + B/(t + 273)$ , где P — общее давление в мм рт. ст., t в °C, A и B — константы, зависящие от концентрации I. Приведена номограмма со шкалой т-р от -20 до +250°, шкалой конц-ий I от 0 до 100 вес.% и шкалой давлений от 0,1 до 1000 мм рт. ст.

С. Бык  
68353. Давление пара этилендихлорида. Коля (Determination of the vapour pressure of ethylene dibromide. Call F.), J. Sci. Food and Agric., 1957, 8, № 2, 81—85 (англ.)

Статическим методом найдены следующие значения давления пара этилендихлорида (в скобках т-ра) в мм рт. ст.: 10,83 (25,10); 7,69 (20,00); 6,60 (18,20); 6,45 (17,50); 5,07 (14,45); 4,62 (12,80); 4,52 (12,55); 4,24 (11,10); 4,18 (9,60); 3,97 (8,80); 3,29 (6,35); 3,21 (5,80); 2,61 (2,95); 1,98 (0,00). Результаты измерения динамич. методом (описана аппаратура) лишь в области высоких т-р незначительно выше статич. измерений. Тройная точка ~ 9,7°.

Л. Малкин  
68354. Давление паров и теплоты сублимации *n*-нитроанилина, *NN'*-диметил-*n*-нитроанилина, *n*-аминоазобензола и *NN'*-диметил-*n*-аминоазобензола. Маджури (The vapour pressures and heats of sublimation of *p*-nitroaniline, *NN'*-dimethyl-*p*-nitroaniline, *p*-aminoazobenzene and *NN'*-dimethyl-*p*-aminoazobenzene. Majury T. G.), Chemistry and Industry, 1956, № 17, 349—350 (англ.)

Эффузионным методом при т-рах ниже т-ры плавления измерено давление паров *n*-нитроанилина (I), *NN'*-диметил-*n*-нитроанилина (II), *n*-аминоазобензола (III) и *NN'*-диметил-*n*-аминоазобензола (IV) и из данных по давлению паров рассчитаны теплоты сублимации в-в (L). Для I в интервале 73—93°  $\lg p$  (мм рт. ст.) =  $0,01499 - 5,09/T$ ;  $L = 23,3 \pm 0,4$  ккал/моль; для II при 71—93°  $\lg p$  (мм рт. ст.) =  $0,01509 - 5,16/T$ ;  $L = 23,6 \pm 0,4$  ккал/моль; для III в интервале 83—100°  $\lg p$  (мм рт. ст.) =  $0,01641 - 5,80/T$ ;  $L = 26,5 \pm 0,4$  ккал/моль; для IV при 86—108°  $\lg p$  (мм рт. ст.) =  $0,01757 - 6,31/T$ ;  $L = 28,9 \pm 0,4$  ккал/моль. Подробная методика измерений и оценка полученных величин даны ранее (РЖХим, 1957, 58688).

Л. Белых



68355. Вид кривой взаимной растворимости и ее значение для теории двойных жидких смесей неэлектролитов. Колер (Shape of the consolute curve and its consequences for the theory of binary liquid mixtures of nonelectrolytes. Kohler F.), J. Chem. Phys., 1955, 23, № 8, 1398—1404 (англ.)

Результаты исследования двойных жидких систем с компонентами А и В приводят к выводу, что вид кривой взаимной растворимости (КВР), и особенно куб. зависимость растворимости от  $t$ -ры, обусловлены особенностями в поведении избыточного изобарного потенциала  $\Delta G_{изб} = Wx(1-x)\Psi(x)$ , где  $2W$  может рассматриваться как умноженное на число Авогадро изменение  $G$ , когда  $Z$  пар А и  $Z$  пар В переходят в  $2Z$  пар А—В;  $x$ -мольная доля компонента и  $Z$  — координационное число.  $\Psi(x)$  более чувствительно, чем  $\Delta G_{изб}$ , и пропорционально отношению числа пар А—В в исследуемой системе к их числу в идеальной. При предположении о симметричности системы, в точках КВР  $d\Delta G/dx = 0$ . Если  $\Psi$  выразить степенным рядом от  $s = 2x - 1$ , то и  $T_c - T$  ( $T_c$  — крит.  $t$ -ра) выразится аналогичным рядом. Коэф. этих рядов могут быть определены из эксперим. данных. Предполагается, что 1) коэф. у членов высших степеней обращаются в нули, чтобы можно было воспользоваться соотношением  $\Psi(1) = 1$  и 2) значение  $\Delta G_{изб}$  для  $T = T_c$  и  $x = 0,5$  приблизительно известно. Эти предположения и установленная экспериментально упрощенная часть КВР приводят к кривой для  $\Psi = f(x)$ , имеющей двойной максимум, когда  $\Psi > 1$ , для больших значений  $s$ , т. е. для большого разведения одного из компонентов. Это подтверждает выводы, сделанные ранее на основании данных из измерений давления пара и изменения объема смесей. С мол. точки зрения этот результат означает, что сольватация у разведенного компонента увеличена по сравнению с сольватацией в идеальной системе, если даже смесь настолько эндотермична, что распадается на 2 фазы. Теоретич. интерпретация пока не ясна.

В. Аносов

68356. Гетероазетропные двухкомпонентные системы. II. Влияние давления и теплоты растворения. Стецкий И., Бюл. Польской АН, 1956, Отд. 3, 4, № 5, 283—286

На основании предложенных ур-ний (часть I, РЖХим, 1957, 56990), отражающих для 2-компонентных гетероазетропных систем влияние  $t$ -ры на давление и состав равновесного пара, автором выведены ур-ния, выражающие влияние давления на  $t$ -ру кипения и состав пара в указанных системах. Для 2-компонентных гетероазетропов показана применимость правила Вревского о том, что в результате роста  $t$ -ры газообразная фаза обогащается компонентом с большей теплотой испарения.

С. Бык

68357. Термодинамические свойства и свойства переноса системы изоктан — перфторгептан. Мюллер, Льюис (Thermodynamic and transport properties of the system iso-octane and perfluorheptane. Mueller Charles R., Lewis James E.), J. Chem. Phys., 1957, 26, № 2, 286—292 (англ.)

Исследовано равновесие жидкость — пар системы 2,2,4-триметилпентан (I) — гексадекафтор- $n$ -гептан (II) при 30, 50 и 70°. Измерена плотность 11 смесей переменного состава при 30°. Описаны очистка препаратов и методика измерений. Вычислены вириальные коэф. для 30, 50 и 70° и летучести по виральному ур-нию Гуттенгейма, а также свободная энергия, энтропия и теплота смешения системы. Методом маятника измерена вязкость паров смеси I—II и чистых компонентов при 30, 50 и 60°. На основании эксперим. значений вязкости вычислены параметры

ур-ния Леннард-Джонса для межмолекулярного потенциала.

С. Бык

68358. Растворимость водорода и дейтерия в неполярных растворителях. Кук, Хансон, Олдер (Solubility of hydrogen and deuterium in nonpolar solvents. Cook M. W., Hanson D. W., Alder B. J.), J. Chem. Phys., 1957, 26, № 4, 748—751 (англ.)

Исследована растворимость  $H_2$  и  $D_2$  в  $CS_2$ ,  $CCl_4$ , бензоле, толуоле, фторгептане, октане, изоктане и гептане в интервале от  $-25$  до  $+35^\circ$ . Растворимость  $D_2$  на  $\sim 2,5\%$  выше растворимости  $H_2$ . Проведено коррелирование эксперим. данных по Гильдебранду путем построения прямолинейной графич. зависимости между логарифмом растворимости  $H_2$  и  $D_2$  и параметром растворимости каждого из неполярных р-рителей —  $\delta$ . По ф-лам  $\langle \Delta H_2 \rangle = -d \lg x_2/d(1/T)$  и  $\langle \Delta S_2 \rangle = -R d \lg x_2/d(1/T)$  вычислены парц. молярные энтальпии, энтропии и теплоемкости  $H_2$  и  $D_2$  в р-рителях. Показано, что отношение парц. молярных энтальпий у  $H_2$  и  $D_2$  для всех исследованных р-рителей практически постоянно (0,94—0,97).

С. Бык

68359. Фазовые соотношения в группе пиридиновых соединений. Часть 6. Термодинамические свойства смесей пиридина и трех его гомологов с водой. Андон, Коке, Херингтон (Phase relationships in the pyridine series. Part 6. The thermodynamic properties of mixtures of pyridine, and of three of its homologues, with water. Andon R. J. L., Cox J. D., Herington E. F. G.), Trans. Faraday Soc., 1957, 53, № 4, 410—426 (англ.)

Исследовано равновесие жидкость — пар систем пиридин — вода, 3-метилпиридин — вода, 4-метилпиридин — вода, 2,6-диметилпиридин — вода в изотермич. условиях, при 70 и 90°. Вычислены относительные летучести ( $\alpha$ ), коэф. активности ( $\gamma$ ), избыточные хим. потенциалы ( $\mu_1^E$  и  $\mu_2^E$ ), избыточные свободная энергия смешения ( $G^E$ ), энтропия смешения ( $S^E$ ) и теплота смешения ( $H^E$ ). Термодинамич. соответствие эксперим. данных проверялось методом эквивалентных площадей (Herington J. Inst. Petr., 1951, 160, 610). Приведены составы, давление и  $t$ -ры кипения азеотропных смесей. Построены кривые зависимости давления паров смеси  $P$  и величины  $(\mu - \mu_0)$ ,  $\lg \gamma$ ,  $x_1 x_2 [\partial \ln (\gamma_1 / \gamma_2) / \partial x_1]_T$  от мол. доли пиридина  $x_1$ . Рассмотрены вопросы разделения фаз. Эксперим. результаты сопоставлены с данными других авторов. Ч. 5 см. РЖХим, 1955, 54641. С. Б.

68360. Распределение примеси в медленно затвердевающем сплаве. Мемелинк (The distribution of impurity in a semi-infinite solidified melt. Memelink D. W.), Philips Res. Repts, 1956, 11, № 3, 183—189 (англ.; рез. франц., нем.)

Рассчитывается мгновенное распределение примеси в затвердевающем сплаве для случая присутствия примеси в начальной стадии в гомог. состоянии и постоянной скорости образования поверхности раздела твердое в-во — жидкость. При этом допускается: конц-ия примеси, выделяющейся из жидкости на поверхности раздела, постоянна; перенос растворенного в-ва из жидкости к поверхности раздела осуществляется диффузией. Рассчитано мгновенное распределение для различных значений коэф. сегрегации.

Б. Брук

68361. Фазовые превращения в железо-платиновых сплавах вблизи состава  $Fe_3Pt$ . Берковиц, Донахо, Франклин, Стейн (Phase transformations in iron-platinum alloys near the composition  $Fe_3Pt$ . Berkowitz A. E., Donahoe F. J., Franklin A. D., Steijn R. P.), Acta metallurgica, 1957, 5, № 1, 1—12 (англ.; рез. франц., нем.)

Исследована кинетика процессов упорядочения

в сплавах Fe-Pt вблизи состава Fe<sub>3</sub>Pt при т-рах 450–750° методом измерения электросопротивления поликристаллич. проволок. При 0° сопротивление сплавов линейно зависит от приведенной т-ры  $273/\theta$ , где  $\theta$  — т-ра Кюри. Изменения сопротивления при 0°, вызванные отжигами при т-рах ниже 650°, зависят от длительности отжига  $t$  по закону  $R = (R_0 - R_\infty) \exp(t/\lambda)^{1/2} + R_\infty$  ( $R_0$  — сопротивление закаленного сплава,  $R_\infty$  — сопротивление при очень длительном отжиге, время релаксации  $\lambda = \lambda_0 \exp(e/kT)$ , где энергия активации процесса упорядочения  $\approx 2$  эв/атом). При т-ре отжигов сопротивление почти не зависит от степени упорядочения; степень упорядочения сильно влияет на ферромагнитную точку Кюри. Закаленные сплавы, содержащие платины меньше, чем сплав Fe<sub>3</sub>Pt, состояли из смеси гранецентрированной  $\gamma$ - и объемноцентрированной  $\alpha$ -фаз. Т-ра начала превращения  $\gamma \rightarrow \alpha$  быстро понижается с увеличением степени упорядочения  $\gamma$ -фазы. Заметные изменения точки Кюри  $\gamma$ -фазы и т-ры начала превращения  $\gamma \rightarrow \alpha$  происходят раньше, чем появляются сверхструктурные линии на рентгенограммах. На основании этого авторы делают вывод, что влияние ближнего порядка на указанные свойства сравнимо и взаимосвязано с влиянием дальнего порядка. Предложены уточнения диаграммы состояния сплавов Fe-Pt. Д. Белащенко

68362. Об образовании термодинамически неустойчивых состояний при реакции хлористого калия с гипсом в водно-аммиачной среде. Давьон (Sur la formation d'états thermodynamiquement instables au cours de la réaction du chlorure de potassium sur le gypse en milieu hydroammoniacal. Davion Maurice), C. r. Acad. sci., 1956, 242, № 13, 1726–1729 (франц.)

Для выяснения причины благоприятного действия аммиака на превращение гипса в K<sub>2</sub>SO<sub>4</sub> под действием р-ра KCl были изучены равновесия в системе Ca, K, SO<sub>4</sub>, Cl в водно-аммиачной среде при мол. доле (x) NH<sub>3</sub> от 0,1 до 0,4 (РЖХим, 1956, 25120). Равновесия соответствуют двум этапам превращения с твердыми фазами: 1) CaSO<sub>4</sub> и сингенит (K<sub>2</sub>SO<sub>4</sub>·CaSO<sub>4</sub>·H<sub>2</sub>O) (I); 2) K<sub>2</sub>SO<sub>4</sub> и I. I устойчив при всех конц-ях NH<sub>3</sub>. Если р-ция между KCl и CaSO<sub>4</sub> происходит при  $x > 0,2$ , то сначала образуется K<sub>2</sub>SO<sub>4</sub>, даже в том случае, если эта соль не находится в устойчивом равновесии. I может появиться позднее, причем окончательное равновесие совпадает с устойчивым. Скорость образования очень мала и превращение гипса в K<sub>2</sub>SO<sub>4</sub> приводит к метастабильному состоянию. Преимущественное образование K<sub>2</sub>SO<sub>4</sub> объясняется тем, что фаза, обладающая более простой структурой, образуется скорее. Добавление NH<sub>3</sub> увеличивает скорость образования K<sub>2</sub>SO<sub>4</sub>. В водн. р-ре образуется только I. Приведены графики зависимости свободной энергии р-ций от  $x$  при 0 и 20°. Б. Аппаер

68363. Применение дифференциально-термического анализа для измерения теплот реакций. Добовишек (Uprabnost diferenčne termične analize za merjenje toplotnih efektov. Dobovišek Bogomir), Rud.-metal. zb., 1957, № 1, 29–42 (словенск.; рез. нем.)

68364. Работы Гинцвемета в области химического фазового анализа. Филиппова Н. А., Изв. АН КазССР. Сер. хим., 1957, вып. 1, 102–107 (рез. каз.)

68365. Об использовании дифференциального термического анализа (ДТА) для исследования термических свойств горючих пылей. Мельдау (Über den Nutzen der Differential-Thermo-Analyse (DTA) zur Untersuchung des thermischen Verhaltens brennbarer Stäube. Meldau Robert), Staub, 1957, № 49,

297–298. Bemerkungen, 298, 299 (нем.; рез. англ., франц.)

Накопленный опыт по применению ДТА позволяет использовать этот метод для точного, безопасного и быстрого исследования горючих пылей. Возможно многократное разбавление исследуемой пыли другой, свойства которой уже известны.

В. Дунский  
68366. Криоскопическая постоянная октаметилциклотетрасилоксана. Рэйтер, Розенбаум (Die kryoskopische Konstante von Oktamethylcyclotetrasiloxan. Reuther Helmut, Rosenbaum Elfriede), Chem. Technik, 1955, 7, № 7, 424 (нем.)

Калориметрически определена теплота плавления октаметилциклотетрасилоксана, равная 14,4 кал/г; т. пл. 17,4°. Криоскопич. постоянная  $K$  (на 1000 г р-рителя) равна 11,6 в отличие от величины 11,2, определенной ранее эмпирически (РЖХим, 1957, 58580).

Я. Кантор  
68367. Система уран — цинк. Кьотти, Кленфер, Гилл (Uranium — zinc system. Chiotti P., Klepfer H. H., Gill K. J.), J. Metals, 1957, 9, № 1, Sec. 2, 51–57 (англ.)

Исследована диаграмма состояния системы уран — цинк при 1 и 5 атм рентгенографич., металлографич., и термич. методами и с помощью измерения давления пара. В системе обнаружено соединение UZn<sub>2</sub>. При 910° и 1 атм это соединение находится в равновесии с парами Zn и с богатой Zn жидкостью (14,6 вес.% U). Растворимость U в Zn составляет 0,45 вес.% U при 600° и 0,025 вес.% U при 419°. UZn<sub>2</sub> образует с U эвтектику при 420±0,5 вес.% U и 944±5°. Растворимость Zn в твердом U чрезвычайно низка и не могла быть обнаружена. При давл. 5 атм обнаружен разрыв растворимости в жидкой фазе при т-рах > 1050° в области конц-ий 47–93 вес.% U.

Д. Белащенко  
68368. Оценка активностей жидких систем Ag — Pb, Ag — Al и Fe — Al и приложение результатов к раскислению стали. Цзоу Юань-си, Эллотт (液態鉛—銀, 銀—鋁, 鐵—鋁等二元系内の活度及鋁脫氧常數的計算. 鄒元熾, 伊立奧特), 化學學報 Хуахуэоу сюэбао, Acta chim. sinica, 1956, 22, № 1, 14–23 (кит.; рез. англ.)

Рассчитаны коэф. активности Al в жидком Fe из термич. данных и данных по распределению (стандартное состояние жидкий Al). При этом использовались: 1) равновесная диаграмма системы Ag — Pb для расчета коэф. активности Ag в жидком Pb, 2) данные Райта, Лорентца и Эрбе (Lorentz R., Erbe F., Z. anorgan. Chem., 1929, 183, 311; Wright C. R. A., Proc. Roy. Soc., 1892, 52, 21) по распределению Ag между жидкими Pb и Al для расчета коэф. активности Ag в жидком Al, а затем Al в жидком Ag и 3) данные Чипмана (Chipman J., Trans. Amer. Soc. Metals, 1934, 22, 385) по распределению Al между жидкими Fe и Ag. Вычислена константа равновесия Al<sub>2</sub>O<sub>3</sub> с Al и O в железе.

Резюме авторов  
68369. Электрохимическое исследование тройной системы Cd — Na — Pb в жидком состоянии. Алабышев А. Ф., Морачевский А. Г., Ж. неорг. химии, 1957, 2, № 3, 669–675

Измерена э.д.с. (±0,2 мВ) концентрационных цепей вида: Na|стекло, содержащее NaOH, сплав Na-Cd-Pb переменного состава при 425° в атмосфере очищ. аргона. Вычислены активности и коэф. активности ( $\gamma$ ) Na в жидких сплавах Na-Cd-Pb. По методу Даркена (Darken L. S., J. Amer. Chem. Soc., 1950, 72, 2909) вычислены интегральная избыточная свободная энергия тройной системы и  $\gamma$  Cd и Pb. С ростом конц-ии Pb  $\gamma$  Na резко уменьшается, а  $\gamma$  Cd возрастает. Связи Na — Pb прочнее, чем Na — Cd. Добавление Cd к сплавам Na-Pb почти не влияет на величины  $\gamma$  Na и Pb.

В. Гейдериш

68370. О диаграмме состояния  $V_2O_5 - K_2O$  в области  $V_2O_5 - KVO_3$ . Илларионов В. В., Озеров Р. П., Кильдешева Е. В., Ж. неорган. химии, 1957, 2, № 3, 701

Отмечаются совпадения и расхождения результатов авторов (РЖХим, 1957, 33912) и Хольдберга и др. (РЖХим, 1957, 40600). (В журнальном заголовке статьи ошибочно напечатано  $K_2O_5 - KVO_3$ .) Л. Резницкий 68371. Комплексообразование и обменное разложение во взаимной системе из хлоридов и сульфатов таллия и кадмия. Семенцова А. К., Бергман А. Г., Лесных Д. С., Ж. неорган. химии, 1956, 1, № 1, 163—169

Исследована диаграмма плавкости взаимной системы  $Tl, Cl, SO_4$ . Система отнесена к диагональному типу с подчиненной диагональю. Двумя стабильными сечениями: диагональным  $Tl_2Cl_2 - CdSO_4$  (с эвтектич. перерывной точкой, отвечающей 31%  $CdSO_4$  при 316°) и диагональным  $Tl_2Cl_2 \cdot 2CdCl_2$  (I) —  $CdSO_4$  (с эвтектич. перерывной точкой при 412° и 20%  $CdSO_4$ ) квадрат состава триангулируется на три тройные системы I —  $CdSO_4 - CdCl_2$  (а),  $Tl_2Cl_2 - CdSO_4 - I$  (б) и  $Tl_2Cl_2 - CdSO_4 - Tl_2SO_4$  (в) с тремя тройными эвтектич. точками (соответственно указывается т-ра и состав в экв. %): а) 390°,  $Tl_2Cl_2$  20,  $CdSO_4$  4,  $CdCl_2$  76; б) 290°,  $Tl_2Cl_2$  62,  $CdSO_4$  12,  $CdCl_2$  26; в) 304°,  $CdSO_4$  31,  $Tl_2Cl_2$  57,  $Tl_2SO_4$  12. Ю. Заверняев

68372. Фазовые диаграммы и давление паров в системах  $NaCl - ZrCl_4$ ,  $KCl - ZrCl_4$ ,  $NaCl - KCl$  (1:1 моль) —  $ZrCl_4$ . Хауэлл, Комметр, Келлогг (Phase diagram and vapor pressure in the systems  $NaCl - ZrCl_4$ ,  $KCl - ZrCl_4$ , and  $NaCl - KCl$  (1:1 molar) —  $ZrCl_4$ . Howell L. J., Sommer R. C., Kellogg H. H.), J. Metals, 1957, 9, № 1, Sec. 1, 193—200 (англ.)

Изложены результаты изучения фазовых диаграмм указанных систем. Одной из задач исследования было установление составов, которые могли бы быть рекомендованы для электроосаждения металлич. Zr. Изучены также давления паров  $ZrCl_4$  в равновесии с конденсированными фазами при различных т-рах по методу «точки росы». Сплавы изучались в установке под вакуумом  $ZrCl_4$  при полном отсутствии контакта с воздухом или другим каким-либо газом. В системе  $NaCl - ZrCl_4$  изучена центральная часть диаграммы от 20 до 80%. Найдено соединение  $2NaCl \cdot ZrCl_4$  с явным максимумом при 646° и двумя эвтектиками: при 314° и 62,4 мол. %  $ZrCl_4$  и при 548° и 28%  $ZrCl_4$ ; предположительно указаны еще два соединения:  $NaCl \cdot ZrCl_4$  и  $NaCl \cdot 2ZrCl_4$ . Система  $KCl - ZrCl_4$  исследована в интервале 64—70 мол. %  $ZrCl_4$ . Найдена эвтектика при 235° и 65,5%  $ZrCl_4$ . Изучен псевдо-биннарный разрез через тройную систему  $NaCl - KCl - ZrCl_4$  между  $ZrCl_4$  и смесью  $NaCl - KCl$  (1:1) в интервале конц-ий 48—65,5 мол. %  $ZrCl_4$ . Найден минимум при 260° и 61,8%  $ZrCl_4$ ; наблюдается полное застывание расплава при 220°. Н. Домбровская

68373. Система  $Na_2O - Al_2O_3 - SiO_2$ . Шэппер, Боуэн (The system  $Na_2O - Al_2O_3 - SiO_2$ . Schaeffer J. F., Bowen N. L.), Amer. J. Sci., 1956, 254, № 3, 129—195 (англ.)

Методом закалки на 340 синтетич. образцах исследованы процессы кристаллизации и фазовые равновесия в тройной системе  $Na_2O - Al_2O_3 - SiO_2$  от т-р плавления до полной кристаллизации (описание методики см. РЖХим, 1957, 57024). Определены показатели преломления стекол в богатых  $SiO_2$  сплавах при 25°, а также устойчивость стекол; последние гигроскопичны при содержании  $SiO_2$  менее 40 вес. %. Исследованы 8 сечений тройной системы: альбит —  $SiO_2$ , альбит —  $Na_2Si_2O_5$ , альбит — корунд, альбит — нефелин,  $Na_2Si_2O_5$  — нефелин, карнегиит — корунд, кар-

негиит —  $NaAlO_2$ , метасиликат натрия — нефелин, а также 6 подчиненных тройных систем. Обнаружена чрезвычайная вязкость расплавов составов, близких к альбиту, и в полях кристаллизации корунда и муллита при т-рах ниже ~ 1400°. Приведены составы и т-ры невариантных точек. Библи. 95 назв.

Н. Лужная

68374. Тройная система из йодидов натрия, кадмия и свинца. Ильясов И. И., Бостанджиян А. К., Ж. неорган. химии, 1957, 2, № 1, 167—171

Исследована тройная система  $Na, Cd, Pb$  визуальном-политермич. методом при непрерывном пропускании  $CO_2$  над расплавом во избежание окисления йодидов. На основании 9 внутренних разрезов построена проекция поверхности кристаллизации системы на треугольник состава. Установлено существование трех полей кристаллизации:  $Na_2J_2$ , соединения  $CdJ_2 \cdot 2NaJ$  и поля непрерывных твердых р-ров йодидов  $Cd$  и  $Pb$ , которые близки тройной эвтектич. точки распадаются на ограниченные твердые р-ры. Эвтектика — при 268° и 28%  $Na_2J_2$ , 54%  $CdJ_2$ . Соединение  $CdJ_2 \cdot 2NaJ$  плавится с разложением при 371° в двойной системе, а внутри тройной системы выкипнивается в переходной точке при 310° и 25,5%  $Na_2J_2$ , 42,0%  $CdJ_2$ . В поле  $PbJ_2$  прослеживается полиморфное превращение йодистого свинца при 328°. Н. Домбровская

68375. Взаимоотношение сульфатов щелочных металлов и таллия в расплавах. Тройная система из сульфатов лития, калия и таллия. Акопов Е. К., Бергман А. Г., Ж. неорган. химии, 1957, 2, № 1, 193—200

Визуально-политермич. методом исследована плавкость тройной системы  $Li, K, FeSO_4$  (15 внутренних разрезов). Установлено пять полей кристаллизации:  $Li_2SO_4$ ,  $K_2SO_4$ ,  $Tl_2SO_4$ , двойного соединения  $2Li_2SO_4 \cdot K_2SO_4$  и поле тройных твердых р-ров ( $Li, K, Tl$ )  $SO_4$ . Поля кристаллизации пересекаются в двух невариантных тройных точках: эвтектической — при 497° и 22,5%  $Li_2SO_4$ , 2%  $K_2SO_4$ , и в «точке выклинивания» — при 516° и 76%  $Li_2SO_4$ , 5%  $K_2SO_4$ . В топологии. отношении диаграмма системы не имеет аналогичного примера среди большого кол-ва прежде изученных систем. Н. Домбровская

68376. Диаграмма плавкости взаимной системы из фторидов и силикатов лития и калия. Бергман А. Г., Бычкова-Шульга Н. А., Ж. неорган. химии, 1957, 2, № 1, 179—192

Плавкость диагонально-обратимой взаимной системы  $Li, K, F, SiO_2$  определена визуально-политермич. методом с внесением затравок (четыре двойные системы и 29 внутренних разрезов). Поверхность кристаллизации содержит 11 полей, из которых 6 принадлежат соединениям. Кроме обширных полей двойных соединений  $2LiF \cdot Li_2SiO_3$  и  $Li_2SiO_3 \cdot 3K_2SiO_3$ , имеются поля  $X, B, C$  и  $N$ . Соединение  $X$  разлагается внутри системы. Соединения  $B, C$  и  $N$ , по предположению авторов, представляют тройные гетерокомплексы. Поля кристаллизации в системе пересекаются в 11 невариантных точках, из которых 3 эвтектические, 7 переходных и 1 проходная. Система триангулируется на 10 фазовых треугольников. Н. Домбровская

68377. Эмпирическая формула растворимости глазерита в системе  $Na_2SO_4 - KCl - H_2O$  при 25°. Файзиев М., Докл. АН УзССР, 1957, № 1, 27—31 (рез. узб.)

На основании литературных данных автор предлагает эмпирич. ф-лу растворимости глазерита в системе  $Na_2SO_4 - KCl - H_2O$  при 25°. Технологич. расчеты подтверждают ее справедливость. Результаты работы приводят к заключению, что глазерит в твердой фазе системы при 25° представляет собой непрерывные твердые р-ры. Н. Домбровская



68378. Растворимость соединений двухвалентного кобальта в растворах едкого натра и едкого кали. Гордон, Шрейер (The solubility of cobalt (II) in sodium and potassium hydroxide solutions. Gordon Saul, Schreyer James M.), Chemist-Analyst, 1955, 44, № 4, 95—96 (англ.)

Гидроокись кобальта  $\text{Co}(\text{OH})_2 \cdot (\text{H}_2\text{O})_4$  осаждалась добавлением насыщ. р-ра нитрата кобальта к водн. р-ру  $\text{NaOH}$  и  $\text{KOH}$  с конц-ией 3—12 моль/л при 25°. После достижения равновесия смесь фильтровали через стеклянный фильтр и производили колориметрич. анализ. При малых конц-иях щелочи содержание  $\text{Co}^{2+}$  в р-рах в  $\text{NaOH}$  выше, чем в  $\text{KOH}$ . При конц-иях > 9 моль/л большей становится растворимость в  $\text{KOH}$ . В насыщ. р-рах растворимость лучше в  $\text{NaOH}$ , так как его мол. конц-ия при насыщении больше (18 моль/л у  $\text{NaOH}$  и 14 моль/л у  $\text{KOH}$ ). Л. Васильев

68379. Значение рН начала осаждения гидроокиси галлия и определение ее произведения растворимости. Коваленко П. Н., Ж. прикл. химии, 1957, 30, № 1, 52—58

Поларографическим методом исследованы условия осаждения  $\text{Ga}(\text{OH})_3$  из р-ров  $\text{GaCl}_3$  аммиаком. Величина рН начала образования твердой фазы  $\text{Ga}(\text{OH})_3$  зависит от конц-ий солей  $\text{Ga}^{3+}$ . Осаждение начинается из  $1.60 \cdot 10^{-3}$  М р-ра  $\text{Ga}^{3+}$  при рН 3,04; из  $1.19 \cdot 10^{-3}$  М — при рН 3,0; из  $0.79 \cdot 10^{-3}$  М — при рН 3,08. Оканчивается осаждение при одном и том же значении рН 4,2. Логарифм произведения растворимости ( $P_r$ ) линейно зависит от конц-ии  $\text{Ga}^{3+}$ . Прямые для различных исходных р-ров сходятся в одной точке, соответствующей бесконечно разб. р-ру  $\text{Ga}^{3+}$ . Дана ф-ла для вычисления  $P_r$  в этой точке. Для гидроокиси  $\text{Ga}^{3+}$  произведение активности  $P_a = 1 \cdot 10^{-34}$ .

А. Золотаревский

68380. Об изучении водносолевых систем методом рефрактометрии. Дейч А. Я., Ж. неорган. химии, 1957, 2, № 4, 903—909

Измерены показатели преломления, плотности, вязкости, поверхностное натяжение, кажущиеся объемы осадков системы  $\text{ZnSO}_4 - (\text{NH}_4)_2\text{SO}_4 - \text{H}_2\text{O}$  при конц-иях исходных р-ров 3,5 и 1,5 мол. %. При различных молярных соотношениях компонентов, суммарное мол. содержание солей в смесях было постоянным. Рефрактометрич. метод, наряду с другими методами, устанавливает по максимуму отклонения от аддитивности наличие соединения высшего порядка при молярном соотношении солей 1:1. Этот вывод подтверждается прямым хим. анализом осадка и микрофотоснимками кристаллов. С повышением конц-ии р-ров чувствительность метода резко возрастает. А. Золотаревский

68381. О взаимодействии карбоната кальция с водными растворами едкого натра. Серебрянников О. В., Тр. Уральского политехн. ин-та, 1957, сб. 58, 57—67

Определена растворимость  $\text{CaCO}_3$  в 0,5—10 М водн. р-рах при 25, 100 и 200°. Величина константы гетерог. равновесия р-ции  $\text{CaCO}_3 + 2\text{OH}^- \rightleftharpoons \text{Ca}(\text{OH})_2 + \text{CO}_3^{2-}$  ( $\sim 1 \cdot 10^{-8}$ ) практически не зависит от т-ры. На кривых  $K_c$  — конц-ия  $\text{OH}^-$  обнаруживается максимум при равновесных конц-иях  $\text{NaOH}$  4,5—5,0 М. Рассчитана  $\Delta H$  р-ции, равная —1,35 ккал (25—100°). А. Золотаревский

68382. Растворимость  $\text{U}(\text{OH})_4$  в растворах едкого натра и хлорной кислоты при 25°. Гейер, Лейдер (The solubility of uranium (IV) hydroxide in solutions of sodium hydroxide and perchloric acid at 25°C. Gayer K. H., Leider H.), Canad. J. Chem., 1957, 35, № 1, 5—7 (англ.)

Определена растворимость  $\text{U}(\text{OH})_4$  (I) в р-рах  $\text{NaOH}$  и  $\text{HClO}_4$  при 25°. По мнению авторов, в щел. р-ре I

в интервале изученных конц-ий (от 0,1 до 0,5 М  $\text{NaOH}$ ) происходит р-ция  $\text{U}(\text{OH})_4 + \text{OH}^- \rightleftharpoons \text{H}_3\text{UO}_4^- + \text{H}_2\text{O}$ . Доказательством этого является: 1) постоянство рассчитанной при различных конц-иях константы равновесия ( $K = 1,7 \cdot 10^{-4}$ ), 2) чрезвычайно низкая растворимость I, 3) высокие равновесные конц-ии  $\text{NaOH}$ . При расчете константы равновесия принято, что  $\gamma_{\text{H}_3\text{UO}_4^-} / \gamma_{\text{OH}^-} = 1$  и что весь растворенный уран находится в форме  $\text{H}_3\text{UO}_4^-$ .

Ю. Третьяков

68383. К изучению пиятерной системы  $\text{Ca}^{2+} - \text{NH}_4^+ - \text{H}^+ - \text{NO}_3^- - \text{P}_2\text{O}_5^{3-} - \text{H}_2\text{O}$ . XIX. Растворы, насыщенные при 25° двойным фосфатом кальция и аммония  $\text{Ca}_9(\text{NH}_4)_4\text{H}_{32}(\text{PO}_4)_{18} \cdot 10 \text{H}_2\text{O}$ . Флатт, Брунне-хольц, Хоц (Contribution à l'étude du système quinaire  $\text{Ca}^{++} - \text{NH}_4^+ - \text{H}^+ - \text{NO}_3^- - \text{PO}_4^{3-} - \text{H}_2\text{O}$ . XIX. Les solutions saturées, à 25°, de phosphate double de calcium et d'ammonium  $\text{Ca}_9(\text{NH}_4)_4\text{H}_{32}(\text{PO}_4)_{18} \cdot 10 \text{H}_2\text{O}$ . Flatt R., Brunisholz G., Hotz R.), Helv. chim. acta, 1956, 39, № 5, 1406—1421 (франц.)

Изучена область кристаллизации при 25° соли  $\text{Ca}_9(\text{NH}_4)_4\text{H}_{32}(\text{PO}_4)_{18} \cdot 10 \text{H}_2\text{O}(\text{D}^1)$  в пиятерной системе  $\text{Ca}^{2+} - \text{NH}_4^+ - \text{H}^+ - \text{NO}_3^- - \text{PO}_4^{3-} - \text{H}_2\text{O}$ . Идентификация твердых фаз, граничащих с  $\text{D}^1$ , осуществлялась методом остатков, рентгенографич. и микроскопич. исследованиями кристаллов. Установлено, что объем кристаллизации  $\text{D}^1$  при 25° граничит с объемами  $\text{NH}_4\text{H}_2\text{PO}_4$  ( $\text{NH}_4^1$ ),  $\text{CaH}_4(\text{PO}_4)_2\text{H}_2\text{O}(\text{Ca}^1)$ ,  $\text{CaHPO}_4(\text{Ca}^{11})$ ,  $\text{NH}_4\text{NO}_3$  ( $\text{NH}_4^0$ ). Определены 3 точки насыщения четырьмя солями (в экв. % ионов, вода в молях): 1) 21,6  $\text{Ca}^{2+}$ , 56,5  $\text{NH}_4^+$ , 21,9  $\text{H}^+$ , 73,8  $\text{NO}_3^-$ , 26,2  $\text{PO}_4^{3-}$ , 143,3  $\text{H}_2\text{O}$ ; твердые фазы  $\text{D}^1$ ,  $\text{NH}_4^1$ ,  $\text{Ca}^1$ ,  $\text{NH}_4^0$ ; 2) 21,4  $\text{Ca}^{2+}$ , 68,0  $\text{NH}_4^+$ , 10,9  $\text{H}^+$ , 86,3  $\text{NO}_3^-$ , 13,7  $\text{PO}_4^{3-}$ , 174,0  $\text{H}_2\text{O}$ ; твердые фазы  $\text{D}^1$ ,  $\text{NH}_4^1$ ,  $\text{Ca}^{11}$ ,  $\text{NH}_4^0$ ; 3) 31,7  $\text{Ca}^{2+}$ , 58,1  $\text{NH}_4^+$ , 10,2  $\text{H}^+$ , 87,6  $\text{NO}_3^-$ , 12,4  $\text{PO}_4^{3-}$ , 152,5  $\text{H}_2\text{O}$ ; твердые фазы  $\text{D}^1$ ,  $\text{Ca}^1$ ,  $\text{Ca}^{11}$ ,  $\text{NH}_4^0$ . В объеме кристаллизации  $\text{D}^1$  построены линии изогидр и изонитрат. На нескольких примерах показаны способы применения диаграмм для колич. расчетов, связанных с получением  $\text{D}^1$ . Часть XVIII см. РЖХим, 1957, 63061.

Н. Лужная

68384. Приложение способа двух растворителей к изучению взаимодействия в жидких системах. Крупаткин И. Л., Ж. общ. химии, 1957, 27, № 3, 567—573

Описанным ранее (РЖХим, 1956, 77551) методом двух р-рителей исследовано равновесие жидкость — жидкость в тройных системах: бензойная к-та (I) — антипирин (II) — вода (III) и I — II — бензин (IV). Расслаивание систем изучалось визуально-политермич. методом Алексеева. Системы исследованы по 7 политермич. разрезам. По полученным политермич. для системы I—II—III построены изотермы растворимости при 80, 100, 135 и 145°; для системы I—II—IV — при 100, 130 и 150°. Эксперим. результаты рассмотрены с точки зрения взаимодействия между компонентами. Способ двух р-рителей может служить для устранения искаженного отражения хим. взаимодействия на диаграммах расслаиваемости. С. Бык

68385. Физико-химическое исследование взаимодействия четыреххлористого титана с сложными эфирами одноосновных кислот. Х. Плавкость систем четыреххлористый титан — сложные эфиры одноосновных кислот. Лысенко Ю. А., Осинов О. А., Акопов Е. К., Ж. неорган. химии, 1956, 1, № 3, 536—541

Визуальным методом изучена плавкость 15 систем, образованных  $\text{TiCl}_4$  и сложными эфирами муравьиной, уксусной и хлоруксусной к-т. Во всех системах образуются соединения состава  $\text{TiCl}_4 \cdot \text{Э}$  (Э — эфир). С уве-

личением спиртовых радикалов в молекулах эфиров т-ра плавления этих соединений понижается; т-ры плавления соединений типа  $TiCl_4 \cdot 3$ , содержащих спиртовые радикалы с разветвленной цепью, выше т-р плавления соединений, содержащих в молекулах эфиров нормальные спиртовые радикалы. Увеличение электрофильности кислотного радикала в молекуле сложного эфира снижает устойчивость этих соединений. Часть IX см. РЖХим, 1957, 57044. К. Кранчевич 68386. Вязкость бинарных систем с хлоралем. VI.

Удовенко В. В., Хоменко Р. И., Ж. общ. химии, 1957, 27, № 3, 583—585

Исследована вязкость систем хлораль (I) — муравьиная к-та (II), I — уксусная к-та (III), I — масляная к-та (IV), I — пирометан (V) при 25, 50 и 75°. У систем I—II, I—III, I—IV изотермы вязкости проходят через максимум. У системы I—V изотермы прямолинейны. Показано взаимодействие I с II, III и IV. Авторы утверждают, что при непосредственном взаимодействии I образует хим. соединения лишь с молекулами, содержащими гидроксильную группу; это взаимодействие нельзя рассматривать как кислотно-основное. Сообщение V см. РЖХим, 1957, 63181.

С. Бык

68387. Компоненты внедрения частично-изоморфных смешанных систем из фталевой кислоты и органических красителей. Линденберг (Die Gastkomponenten von partiell-isomorphen Mischsystemen aus Phthalsäure und organischen Farbstoffen. Lindenberger Wernner), Z. Naturforsch., 1956, 11b, № 3, 151—157 (нем.)

Исследованы смешанные системы из фталевой к-ты (I) (основной компонент) и органич. красителей хим., колориметрич. и рентгенографич. методами. В системах I — метиленовый голубой и I — фуксин галогениды красителей не являются компонентами внедрения. Показано, что в смешанных системах с основной решеткой I компонентом внедрения двойного соединения (1:1) является фталат красителя, если молекулы красителя обладают катионным характером. Получены соединения (1:1): I с фталатом метиленового голубого состава  $C_{22}H_{29}O_8N_3S$ , т. пл. 131,5°; I с фталатом кристалл. фиолетового,  $C_{41}H_{41}O_8N_3$ , т. пл. 185—187°; кислый фталат кристалл. фиолетового,  $C_{32}H_{32}O_8N_3$ ; I с фталатом малахитового зеленого,  $C_{39}H_{39}O_8N_3$ , т. пл. 142—144°; соединение I с фталатом малахитового зеленого (1:2) состава  $C_{70}H_{66}O_{12}N_4$ .

И. Верещетина

68388. Данные по равновесию жидкость — жидкость для тройных систем, содержащих  $\alpha$ -пикولين, углеводорода и воду или триэтиленгликоль, при 20°. Чарльз, Мортон (Liquid-liquid equilibrium data for ternary systems containing  $\alpha$ -picoline, hydrocarbons and water or triethylene glycol at 20°. Charles E. J., Morton F.), J. Appl. Chem., 1957, 7, № 1, 39—46 (англ.)

Исследовано при 20° равновесие жидкость — жидкость в тройных системах: углеводород —  $\alpha$ -пикولين — вода и углеводород —  $\alpha$ -пикولين — триэтиленгликоль (углеводород: бензол; «гептан» — углеводородная фракция, кипящая в интервале 94—101°; диизобутилен; метилциклопексан). Указано на применимость триэтиленгликоля для экстракции  $\alpha$ -пиколина из парафинов, олефинов, нефтеов или их смесей. Проведена графич. корреляция полученных равновесных данных. Рассмотрены факторы, вызывающие эффект солотропии. С. Бык

68389. Фазовые равновесия в системе вода — ацетальдегид — метанол. Циклис Д. С., Кофман А. М., Ж. физ. химии, 1957, 31, № 1, 100—108 (рез. англ.)

Динамическим методом измерены парц. давления ацетальдегида (I), метанола (II) и воды (III) над тройными смесями этих в-в. В качестве инертного газа применялась азото-водородная смесь. Определено равновесное содержание компонентов в паре при 10, 20 и 30° и общее давление для 5 р-ров. Данные опытов выражены ур-ниями для парц. давлений ( $P_I$ ,  $P_{II}$  и  $P_{III}$ ). Найдено, что измеренное общее давление ниже суммы рассчитанных парц. давлений, а  $P_{III}$  — выше давления пара над чистой III. Для объяснения авторы предполагают, что I и III в паровой фазе ассоциированы:  $CH_3CHO + H_2O = CH_3CHO \cdot H_2O$ , а при больших конц-ях I в III  $2CH_3CHO + H_2O = (CH_3CHO)_2 \cdot H_2O$ . Добавка II к водн. р-ру I понижает парц. давление I, а добавка I понижает парц. давление II. В. Коган

68390 Д. Хлористый калий как градуировочное вещество для калориметрических исследований в области температур от 12 до 300° К. Мирская Г. Г. Автореф. дисс. канд. техн. н., Всес. н.-и. ин-т метрологии, Л., 1957

68391 Д. Физико-химическое изучение тройной системы  $LiOH-H_2O_2-H_2O$  и синтез перекисных соединений лития. Добрынина Т. А. Автореф. дисс. канд. хим. н., Ин-т общ. и неорган. химии. АН СССР, М., 1957

68392 Д. Изучение системы  $TiO_2-H_2SO_4-(NH_4)_2SO_4-H_2O$  в связи с проблемой переработки титано-ниобатов Кольского полуострова. Мотов Д. Л. Автореф. дисс. канд. хим. н., Ин-т общ. и неорган. химии, АН СССР, М., 1957

68393 Д. Физико-химические исследования систем тетрахлоридов циркония и гафния с метиловым спиртом и хлорокисью фосфора. Войтович Б. А. Автореф. дисс. канд. хим. н., Ин-т общ. и неорган. химии АН УССР, Киев, 1957

См. также: Фазовые переходы 68240, 68241, 68421, 68423. Термохимия 68157. Термодинамика: газов 68292, 68303, 69273; жидк. 68293—68295; р-ров 68455, 68457. Термодинамика в геохимии 68609. Ур-ния состояния 68290. Равновесия 68462, 68467, 68468, 68567, 68573, 68574, 68577, 68584. Физ.-хим. анализ систем: металлич. 68252, 69402; неорганич. 68243, 68476, 69401, 70585; органич. 68456, 68463. Приборы и методы 69224—69226, 69404. Др. вопр. 68152, 68216, 69033, 69048, 69074.

## КИНЕТИКА. ГОРЕНИЕ. ВЗРЫВЫ. ТОПОХИМИЯ. КАТАЛИЗ

Редакторы Х. С. Багдасарьян, А. С. Соколик, А. Б. Шефтер

68394. Свободные радикалы как промежуточные продукты при химических реакциях. Койман (Vrije radicalen als tussenprodukten bij chemische reacties. Kooyman E. C.), Chem. weekbl., 1957, 53, № 23, 307—310 (гол.; рез. англ.)

Популярное изложение механизмов некоторых радикальных р-ций, имеющих промышленное значение.

Х. Багдасарьян

68395. Химия свободных органических радикалов в паровой фазе. I. Определение и реакции свободных алкильных радикалов. Де-ла-Мар, Вон (Chemistry of organic free radicals in the vapor phase. I. Detection and reactions of free alkyl radicals. De la Mare Harold E., Vaughan William E.), J. Chem. Educ., 1957, 34, № 1, 10—21 (англ.)

Обзор. Библ. 66 назв. Х. Багдасарьян

68396. Реакции свободных радикалов в химии углеводородов. Койман Е. С. В сб.: 4-й междунар. нефт. конгресс. 5. М., Госоптехиздат, 1956, 229—239. Обзор. Библ. 13 назв.

68397. Обрыв цепей на умеренно-эффективных поверхностях. Болдуин (The treatment of chain termination with surfaces of intermediate efficiency. Baldwin R. R.), Trans. Faraday Soc., 1956, 52, № 10, 1337—1344 (англ.)

Путем введения ряда упрощающих преобразований в решение дифференциального уравнения баланса активных центров при учете только линейного обрыва цепей (Семенов Н. Н., Acta phys. chim. USSR, 1943, 18, 93; Lewis, Elbe von, J. Amer. Chem. Soc., 1937, 59, 970) получены приближенные выражения для константы скорости обрыва цепей на умеренно-активных поверхностях (т. е. в диффузионно-кинетич. области) в случае цилиндрич. и сферич. реакционных сосудов и обсуждены пределы применимости этих выражений.

Г. Королев

68398. Первый предел при реакции водород + кислород в сосудах с покрытием из хлористого калия. Болдуин (The first limit of the hydrogen + oxygen reaction in potassium chloride-coated vessels. Baldwin R. R.), Trans. Faraday Soc., 1956, 52, № 10, 1344—1354 (англ.)

Путем применения методики, описанной ранее (РЖХим, 1956, 12406), при 500—550° измерены первые взрывные пределы (ВП) для смесей  $H_2$  (0,07—0,28) +  $O_2$  (0,07—0,72) +  $N_2$  (в скобках указаны мол. доли) в реакционных сосудах, покрытых KCl, диам. 14—51 мм. В предположении, что рекомбинация атомов H на поверхности KCl протекает с умеренной скоростью и что радикалы OH и O погيبают на поверхности, рассчитаны величины ВП, причем вычисленные ВП отличаются от эксперим. ВП на  $\leq 1\%$ . При расчете ВП применялись выражения для констант скоростей ( $k$ ) обрыва цепей в диффузионно-кинетич. области (см. пред. реф.). Определены  $k$  для следующих элементарных стадий окисления  $H_2$ :  $R + H_2 = H + OH$  (или  $H_2O$ ), где  $R = O$  или  $OH$ ,  $k_{520}^\circ = 3,4 \cdot 10^{-14} \text{ см}^2/\text{моль сек}$ ;  $H + O_2 = OH + O$ ,  $k_{530}^\circ = 4,5 \cdot 10^{-15} \text{ см}^2/\text{моль сек}$ .

Г. Королев

68399. Скорость и механизм пиролиза некоторых насыщенных углеводородов в газовой фазе. Частный случай неопентана. Анжель, Комб, Летор, Никлоз (Vitesse et mécanisme de pyrolyse, en phase gazeuse, de quelques hydrocarbures saturés. Cas particulier du néopentane. Engel Jean, Combe André, Letort Maurice, Niclaude Michel), C. r. Acad. sci., 1957, 244, № 4, 453—455 (франц.)

Порядок р-ции ( $n$ ) пиролиза пропана,  $n$ -бутана, изобутана и неопентана в отсутствие следов  $O_2$ , определявшийся по влиянию начального давления  $p_0$  на начальную скорость ( $v_0$ ) р-ции, во всех случаях выше 1. Для неопентана ( $n = 1,5$ ,  $v_0 = 1,5 \cdot 10^{18} \cdot \exp(-51500/RT) p_0^{1/2}$ ; продукты пиролиза:  $CH_4$  и  $iso-C_4H_{10}$ ) авторы предлагают ценную схему:  $C_5H_{12} \rightarrow C_4H_9 \cdot + CH_3 \cdot$  или  $C_5H_9 + C_3H_3 \rightarrow iso-C_4H_{10} + C_2H_{11} \cdot$  (1);  $C_5H_{11} \cdot \rightarrow iso-C_4H_9 + CH_3 \cdot$  (2);  $CH_3 + C_5H_{12} \rightarrow CH_4 + C_5H_{11} \cdot$  (3);  $2CH_3 \cdot \rightarrow C_2H_6$  (4), из которой получено  $v_0 = k_2 (k_1/k_4)^{1/2} [C_5H_{12}]^{1/2}$ . Для (4) рассчитана энергия активации  $83 \pm 5 \text{ ккал/моль}$  и предэкспонент  $10^{17} \text{ сек}^{-1}$ .

А. Шиллов

68400. Конкуренция радикальных реакций при хлорировании. Аккерман, Хилль, Дюсолей, Гольдфингер, Мартенс, Вандер-Аувера (Competition in atomic halogenation reactions. Ackerman M., Chiltz G., Dusoleil S., Goldfinger P., Martens G., Vander Auwera D.), Nature, 1957, 179, № 4562, 731 (англ.)

Для фотохлорирования  $C_2Cl_4$  и дегидрохлорирования  $C_2Cl_4H$  предложен цепной механизм с участием радикалов  $Cl$  и  $C_2Cl_5$ . Экспериментально определенные константы р-ции совпали с рассчитанными. Методом прерывистого освещения определено время жизни реакционной цепи р-ции присоединения при низких  $T$ -рах. Для элементарных р-ций  $2C_2Cl_5 \rightarrow C_2Cl_6 + C_2Cl_4$ ;  $C_2Cl_5 + Cl_2 \rightarrow C_2Cl_6 + Cl$ ;  $C_2Cl_5 \rightarrow C_2Cl_4 + Cl$  найдены выражения для  $\lg k$  соответственно  $-150/T + 4,6$ ;  $-810/T + 7,2$ ;  $-4360/T + 13,5$ .

С. Поляк

68401. Спектроскопическое изучение дейтероборана между декабораном и дибораном. Кауфман, Коски (Infrared study of the exchange of deuterium between decaborane and diborane. Kaufman Joyce J., Koski W. S.), J. Amer. Chem. Soc., 1956, 78, № 22, 5774—5775 (англ.)

В результате пиролиза различных дейтерозамещенных диборанов получен набор образцов дейтерозамещенных декаборанов со статистич. распределением в них атомов D. Исследуя ИК-спектры поглощения этих образцов, авторы построили калибровочные кривые зависимости интенсивности пиков поглощения, соответствующих колебаниям групп B—D и B—D—B, от содержания атомов D в этих группах. В результате сопоставления спектров поглощения D-замещенных декаборанов, полученных в р-ции дейтероборана между  $B_2D_4$  и декабораном, с полученными калибровочными кривыми установлено, что на D замещаются лишь концевые атомы H в декаборане, мостиковые атомы H в условиях проведения опытов (100°) на D не обмениваются.

В. Веденев

68402. Диссоциация на свободные радикалы в жидкой фазе при высоких давлениях. Юалд (Liquid-phase free-radical dissociations at high pressure. Ewald A. H.), Disc. Faraday Soc., 1956, № 22, 138—143. Discuss., 144—154 (англ.)

Спектрофотометрическим методом исследованы влияние давл. до 10 000 атм на скорость распада в толуоле динитрила азонизомасляной к-ты (I) при 60—70° и пентафенилэтана (II) при 60°, а также диссоциация  $N_2O_4$  в  $CCl_4$  при 22—52° и давл. до 1500 атм. Разложение I и II проводилось в присутствии йода, уменьшение конц-ии которого, являющееся мерой скорости распада, определялось по изменению поглощения при 500 мμ. В случае  $N_2O_4$  уменьшение конц-ии диссоциирующего соединения определялось по изменению поглощения  $N_2O_4$  при 435 мμ; аналогичный метод был применен и в некоторых опытах с I ( $\lambda$  280, 350 и 370 мμ). Повышение давления снижает скорости распада исследованных соединений, причем в случае I давление сильнее влияет на расход  $I_2$ , чем на расход I. Обсуждается механизм влияния давления на скорость распада I, II и  $N_2O_4$ .

А. Праведников

68403. Кинетика реакции между перекисью бензоила и фенолами. Баттен, Маллах (Kinetics of the reaction between benzoyl peroxide and phenols. Batten J. J., Mulcahy M. F. R.), J. Chem. Soc., 1956, Aug., 2948—2959 (англ.)

Определялась скорость расходования перекиси бензоила (I) в смесях с хинолом,  $n$ -бензохиноном (II) и  $m$ -метоксифенолом (III) в различных р-рителях при 80, 65°. В диоксане увеличение конц-ии II уменьшает кол-во прореагировавшей I до предельного значения, не меняющегося при дальнейшем увеличении [II] и связанного, по мнению авторов, с расходом I на радикалы. В случае хинола и III расходование I с ростом конц-ии этих в-в проходит через минимум при конц-иях  $\sim 15 \text{ ммоль}$ , причем ускоряющее действие пропорционально конц-ии обоих фенолов. В бензоле, ацетофеноне и хлороформе (а также в диоксане при [III]  $> 16 \text{ ммоль}$ ) наблюдается только увеличение рас-



хода I с ростом конц-ии фенола. В этих условиях р-ция нечувствительна к добавкам ингибиторов (*n*-бензохинона,  $O_2$ , антрацена, стирола и пикриновой к-ты), скорость р-ции  $d[I]/dt = k[I][Ph]$  ( $Ph$  — фенол), энергия активации равна 11 ккал/моль. Воздействие УФ-света не влияет на скорость р-ции, тогда как в диоксане и циклогексане скорость фотохим. р-ции превышает скорость темновой р-ции. Авторы делают вывод, что в инертных р-рителях происходит нецепная р-ция прямого взаимодействия фенола с молекулой перекиси, связанная, по-видимому, с образованием водородной связи между фенолом и О карбонильной группы. В реакционноспособных р-рителях эта р-ция конкурирует с ингибирующим действием фенола на индуцированный цепной распад перекиси. З. Майзус

**68404. Влияние строения фенолов на их реакцию с перекисью бензоила. Баттен** (Structural effects in the reaction between benzoyl peroxide and phenols. Batten J. J., J. Chem. Soc., 1956, Aug., 2959—2966 (англ.))

В продолжение предыдущей работы (см. пред. реф.) изучалась кинетика р-ции перекиси бензоила (I) с 1-нафтолом, *n*- и *o*-оксифенолом; 2,4,6-триметилфенолом, *n*-хлорфенолом, фенолом и 2,6-ди-*tert*-бутил-4-метилфенолом при 80°. В инертных р-рителях (бензол, ацетонфенон, хлороформ) кол-во прореагировавшей I растет с увеличением начальной конц-ии фенола до полного израсходования I. В диоксане наблюдается снижение скорости расхождения I за счет ингибирования цепного распада I при малых конц-иях фенолов и увеличение расхода I в результате прямой р-ции I с фенолами при больших конц-иях последних. Скорость обрх процессов зависит от строения фенола, причем фенолы, являющиеся сильными ингибиторами цепного распада I, оказываются наиболее реакционноспособными и в прямой р-ции с I. Различия в реакционной способности фенолов разного строения в этих системах авторы связывают с их крит. окислительными потенциалами (РЖХим, 1954, 28428), т. е. с силой связи О—Н в феноле. Авторы считают, что стадией, определяющей скорость прямой р-ции, является р-ция:  $ArOH + PhCOOOCOPh \rightarrow ArO + PhCOOH + OCOPh$ , где  $Ph$  — фенол. З. Майзус

**68405. О процессах самоокисления в растворах гипохлорита. Флис И. Е., Быняева М. К.**, Ж. прикл. химии, 1957, 30, № 3, 339—345

Исследована кинетика самоокисления  $HClO$  в забуференных (смесь одно- и двузамещ. фосфатов) р-рах при 10—50° и постоянной начальной конц-ии активного хлора в области рН 6—8. Максимум скорости при всех изученных т-рах соответствует рН 7—7.4.

В. Маркович

**68406. Изучение кинетики изотопного обмена центральным атомом в системе  $n-C_3H_7HgBr - Hg^+ Br_2$  — спирт. Синотова Е. Н.**, Ж. неорган. химии, 1957, 2, № 5, 1205—1208

Изучена кинетика изотопного обмена центральным атомом Hg между  $n-C_3H_7HgBr$  и  $Hg^{203}Br_2$  в спирт. р-ре при 80—110°. Р-ция следует 2-му порядку, константа скорости при 100° равна  $3.5 \cdot 10^{-5}$  л/моль час, энергия активации  $\sim 20\,000$  кал/моль. См. также РЖХим, 1957, 44083.

Г. Королев

**68407. Селективная сольватация и диэлектрическое насыщение в реакциях с обменом электрона. Эймс** (Selective solvation and dielectric saturation as related to electron exchange reactions. Amis Edward S.), J. Chem. Phys., 1957, 26, № 4, 880—881 (англ.)

Предлагается теоретич. интерпретация опытов по изотопному обмену ионов  $Np(5+) \rightarrow Np(6+)$  в бинарных р-рителях различного состава (РЖХим, 1956,

25028). Независимость константы скорости обмена от диэлектрич. проницаемости р-ра в широких пределах можно объяснить тем, что активированный комплекс в р-ции обмена состоит из двух ионов и молекул р-рителя с более высокой диэлектрич. проницаемостью (селективная сольватация). При этом следует предположить, что вблизи ионов мол. диполи полностью ориентированы. Е. Никитин

**68408. О скорости гидролиза моноглицеридов. Молчанов И. В.**, Тр. Краснодарск. ин-та пищ. пром-сти, 1956, вып. 14, 103—108

Полнота гидролиза (KP) моноглицеридов жирных к-т, определяется ур-нием  $KP = [KP]_p(1 - \exp[-kt/(KP)_p])$  ( $[KP]_p$  — равновесная полнота гидролиза,  $k$  — константа скорости гидролиза). Отмечена неточность определения полноты гидролиза как отношения кислотного числа пробы к числу нейтр-ции, особенно для гидролиза моноглицеридов. В. Струнин

**68409. Кинетика темнового автоокисления бензальдегида и сульфита натрия. Шваб, Штроемeyer** (Zur Kinetik der Autoxydation von Benzaldehyd bzw. Natriumsulfid im Dunkeln. Schwab G.-M., Strohmeyer M.), Z. phys. Chem. (BRD), 1956, 7, № 3-4, 132—157 (нем.)

Скорость автоокисления бензальдегида при 40°, измерявшаяся по поглощению  $O_2$ , уменьшается в присутствии воды и растет до некоторого предельного значения с увеличением добавки р-ра  $CuSO_4$ . Добавки 10%-ного р-ра поливинилового спирта (I) к бензальдегиду, содержащему  $< 4 \cdot 10^{-2}$  мг  $Cu^{2+}$ , ускоряют р-цию и тормозят ее при больших конц-иях  $Cu^{2+}$ . Аналогичное ускоряющее действие ионов  $Cu^{2+}$  наблюдается при окислении 0,906 M р-ра  $Na_2SO_3$ . В этом случае р-ция ускоряется при разбавлении водой и полностью тормозится динатриевой солью этилендиаминотетрауксусной к-ты. В р-рах 0,37—0,55 M р-ция нулевого порядка, при увеличении конц-ии  $Na_2SO_3$  скорость р-ции уменьшается. Добавки I, в отличие от окисления бензальдегида, замедляют р-цию в р-рах, содержащих  $< 4 \cdot 10^{-2}$  мг  $Cu^{2+}$  и ускоряют ее при больших конц-иях  $Cu^{2+}$ . Авторы предлагают цепной механизм р-ции, объясняющий наблюдающиеся закономерности. Торможение добавками I связывается с комплексобразованием между I и  $Cu^{2+}$ , а катализирующее действие I — с возникновением новой цепи при его р-ции с ион-радикалом  $SO_3^{\cdot -}$  (или  $C_6H_5C^{\cdot}O$ ). З. Майзус

**68410. Влияние атомов галогенов на реакционную способность других атомов галогенов в той же молекуле. VII. Реакция бромистых  $\beta$ -галондэтилов с гидроокисью натрия. Хайн, Лангфорд** (The effect of halogen atoms on the reactivity of other halogen atoms in the same molecule. VII. The reaction of  $\beta$ -haloethyl bromides with sodium hydroxide. Hine Jack, Langford Paul B.), J. Amer. Chem. Soc., 1956, 78, № 19, 5002—5004 (англ.)

Кинетика р-ции  $FCH_2CH_2Br$  (I),  $ClCH_2CH_2Br$  (II),  $BrCH_2CH_2Br$  (III) с NaOH в 50%-ном водн. диоксане измерялась по уменьшению конц-ии NaOH. Для II и III идет в основном р-ция отщепления  $(E2)XCH_2CH_2Br \rightarrow XCH=CH_2$ , а для I — р-ция замещения ( $S_N 2$ ):  $I \rightarrow FCH_2CH_2OH \rightarrow CH_2=CH_2$ . Из значений констант

скоростей р-ций II и III при 30 и 70° и для I при 50 и 70° рассчитаны теплоты активации в ккал/моль (1-я цифра) и энтропии активации в энтр. ед.: для III  $20.2 \pm 0.5$ ;  $-7.8 \pm 1.7$ ; II  $20.1 \pm 0.3$ ;  $-9.0 \pm 1.0$ ; I  $21.1 \pm 2$ ;  $-13.2 \pm 6.0$ . Уменьшение скорости р-ции E2 от III к I связывается с уменьшением в этом ряду кислотности  $\beta$ -атома H. Сообщение VI см. РЖХим, 1957, 37503. А. Шиллов

68411. Эффект изотопного замещения в бромводородных пламенах. Гилберт, Олман (Effect of isotopic substitution in hydrogen bromine flames. Gilbert Mitchell, Altman Davis), J. Chem. Phys., 1956, 25, № 2, 377—378 (англ.)

Из кинетич. ур-ний цепного механизма р-ций  $H_2 + Br_2$  в приближении метода стационарности следует, что отношение скоростей пламен  $U(Br_2 + H_2)$  и  $U(Br_2 + D_2)$  равно корню квадратному из отношения констант скоростей р-ций  $Br + H_2 \rightarrow HBr + H(k_H)$  и  $Br + D_2 \rightarrow DBr + D(k_D)$ . Расчет на основе теории абс. скоростей

р-ций дает для  $(k_H/k_D)^{1/2}$  величину 1,65 в хорошем согласии с опытной величиной  $U(Br_2 + H_2)/U(Br_2 + D_2)$ , равной 1,55—1,59.

В. Веденев

68412. К вопросу о методе определения турбулентной скорости распространения пламени. Власов К. П., Ж. техн. физики, 1957, 27, № 2, 338—344

Из различных методов фиксирования поверхности воспламенения в стационарном турбулентном пламени автор считает наиболее подходящим метод регистрации ионизационного тока (ИТ). Для получения распределения ИТ по сечению пламени применялось быстрое траверсирование ионизационным датчиком факела пламени, с осциллографич. записью ИТ. Приводится соотношение для турбулентной скорости горения  $u_t = Aw' u_n^n$ , где  $w'$  — пульсационная скорость потока,  $u_n$  — нормальная скорость пламени. При  $w' \gg u_n$  и  $l \gg \delta_n$   $n$  0,7—0,8 и  $n$  0,3—0,2, ( $l$  — масштаб турбулентности,  $\delta_n$  — ширина зоны ламинарного пламени).

А. Соколик

68413. Объемная скорость пламени и объемная скорость тепловыделения — характеристики турбулентного горения. Саймон, Уагнер (Characterization of turbulent combustion by flame space and space heating rates. Propane-oxygen-nitrogen flames. Simon Dorothy M., Wagner Paul), Industr. and Engng Chem., 1956, 48, № 1, 129—133 (англ.)

Объемная скорость тепловыделения (энергия, выделенная единицей объема пламени в единицу времени) и объемная скорость пламени (кол-во свежей смеси, сгорающей в единице объема турбулентного пламени за 1 сек.) исследовались для пропано-воздушных смесей на горелке при давлении среды 1 ата. Объем, занимаемый пламенем, определялся фотографически. Теплота, выделявшаяся в зоне горения, вычислялась из газового анализа продуктов. Из эксперим. данных определено, что объемная скорость пламени в пределах точности эксперимента ( $\pm 10\%$ ) не зависит от скорости потока смеси пропана с воздухом, обратно пропорциональна диаметру горелки и прямо пропорциональна скорости ламинарного горения. Скорость объемного тепловыделения ( $\Delta H_2$ ) турбулентного пламени пропорциональна калорийности смеси, скорости ламинарного горения и обратно пропорциональна диаметру горелки. Отмечается, что в камерах сгорания с турбулентным горением уменьшение масштаба турбулентности увеличивает объемную скорость тепловыделения.

С. Зайцев

68414. Эксперименты по механизму срыва пламени за плохо обтекаемыми телами. Зукоский, Марбл (Experiments concerning the mechanism of flame blowoff from bluff bodies. Zukoski Edward E., Marble Frank E.), Proc. Gas Dynam. Sympos. Aerothermochem., 1955, Evanston, Ill., 1956, 205—210 (англ.)

Экспериментально определялись газодинамич. и хим. параметры, влияющие на пределы срыва за стабилизаторами в виде плохо обтекаемых тел. Использовались бензо-воздушные смеси разного состава при скоростях потока  $V = 30$ —210 м/сек. Длина зоны рециркуляции для стержневого стабилизатора  $L \sim D^{1/2}$  при-

чем  $L/D^{1/2}$  слабо возрастает с увеличением  $V$ ; для цилиндра с конич. вершиной  $L \sim D$  ( $D$  — диаметр стержня или цилиндра соответственно) и не зависит от  $V$  и т-ры потока при  $Re\ 10^4$ — $10^5$ . Т-ра в следе, измеренная методом обращения линии Na, постоянна по длине следа, близка к т-ре полного сгорания и не зависит от  $V$  и геометрии стабилизатора. Пределы срыва определяются временем смещения свежего газа с продуктами горения на границе рециркуляционной зоны.

В. Басевич

68415. О точности определения изменения плотности в детонационной волне в газах методом поглощения рентгеновских лучей. Дафф, Найт (Precision flash X-ray determination of density ratio in gaseous detonations. Duff Russell E., Knight Herbert T.), J. Chem. Phys., 1956, 25, № 6, 1301 (англ.)

Изменения плотности  $\rho/\rho_0$  в детонационной волне, измеренные методом поглощения рентгеновских лучей в смесях  $C_2H_2-O_2$ , разб. Kr, сопоставлены с вычисленными для равновесной точки Чепмена — Жуке, для замороженных равновесий хим. р-ции и хим. р-ции вместе с распределением по внутренним степеням свободы (вibrационным и ротационным). Для смеси  $0,3\ C_2H_2 + 0,3\ O_2 + 0,4\ Kr$ , измеренное  $\rho/\rho_0 = 1,66$  меньше, чем в точке Чепмена — Жуке (1,792), и близко к вычисленному при замороженном равновесии хим. р-ции и распределении по вibrационным степеням свободы (1,653). Для бедной смеси  $0,2\ C_2H_2 + 0,45\ O_2 + 0,33\ Kr$  измеренное в достаточно длинной трубке  $\rho/\rho_0 = 1,66$  меньше равновесного (1,829) и совпадает с вычисленным для замороженного равновесия хим. р-ции и вibrационной энергии.

А. Соколик

68416. Некоторые направления в современном развитии физики горения топлива. Тринг (Some recent developments in the physics of fuel combustion. Thring M. W.), Brit. J. Appl. Phys., 1957, 8, № 3, 89—97 (англ.)

Обзор современных работ по горению топлива в промышленных печах главным образом по вопросам моделирования и аэродинамики смешения. Библ. 21 назв.

В. Басевич

68417. Характеристики горения при стабилизаторах типа препятствия, расположенных в диффузорах реактивного двигателя. Френч (Combustion performance of baffle-type flameholders located in jet engine diffusers. French Edward P.), Proc. Gas Dynam. Sympos. Aerothermochem., 1955, Evanston, Ill., 1956, 233—241 (англ.)

Теоретическое исследование возможности размещения стабилизатора в диффузоре реактивного двигателя с оценкой влияния такого размещения на пределы стабильного горения, полноту сгорания, гидравлич. потери, расход топлива, длину и вес двигателя и дальность полета. Расчеты показывают возможность повышения дальности полета на 8,2%, однако при этом пределы горения существенно сужаются.

В. Б.

68418. Сжимаемости твердых веществ и влияние инертных добавок на скорость детонации конденсированных ВВ. Кук (Compressibilities of solids and the influence of inert additives on detonation velocity in solid explosives. Cook Melvin A.), Disc. Faraday Soc., 1956, № 22, 203—211. Discuss., 212—226 (англ.)

Предлагается метод расчета скоростей детонации конденсированных ВВ с инертными добавками, использующий эмпирич. ур-ние состояния  $pV = nRT + a(v)p$  (1), ур-ния гидродинамики и величины коволюма для детонации чистых ВВ. Выведены ур-ния для расчета коволюма примесей. Параметры в ур-нии сжимаемости инертных в-в находятся в хорошем согласии с данными Бриджмана (Bridgman). The physics

of high pressures. New York, MacMillan Co., 1951), а численное общее сжатие согласуется с измеренным ранее (РЖХим, 1956, 21910) до давл.  $\sim 3 \cdot 10^5$  атм. Величины скоростей детонации для гексогена, ТНТ и пентолита, полученные расчетным путем, согласуются с опытными данными. Увеличение внутренней энергии благодаря сжатию составляет для указанных в-в  $\sim 200$  ккал/г. Показано, что ур-ние (1) может быть применено для указанных в-в в широком диапазоне давлений. А. Борисов

**68419. Иницирование взрыва в кристаллах гремучей ртути. Сингх** (Initiation of explosion in crystals of mercury fulminate. Singh Kartar), Trans. Faraday Soc., 1956, 52, № 12, 1623—1625 (англ.)

С помощью оптич. микроскопа изучено термич. разложение кристаллов гремучей ртути. Кристаллы толщиной  $< 23 \mu$  разлагаются при  $170^\circ$  без взрыва. Этот результат согласуется с теоретич. расчетами. Быстрое разложение при  $160^\circ$  вызывает появление равномерно удаленных друг от друга трещин, проходящих параллельно определенным граням, преимущественно (010) и (100). При  $80^\circ$  разложение протекает медленно, распространяясь по фигурам роста, а при их отсутствии — по местам нарушений или дислокаций в кристалле. Растрескивание кристаллов объясняется тем, что при нагревании происходит миграция дислокаций к определенным кристаллографич. плоскостям, где при этом начинается рост новой фазы, отличающейся от исходной фазы более высоким уд. объемом. И. Третьяков

**68420. Обзор топокинетических уравнений и их применимости к кинетике термического распада твердых веществ. Белькевич П. И.** Сб. науч. работ. Ин-т химии АН БССР, 1956, вып. 5 (1), 21—35

На примере данных автора рассматривается применение некоторых топокинетич. ур-ний к изучению термич. распада твердых в-в. Указывается, что для описания кинетики ряда р-ций распада твердых в-в наиболее пригодно выведенное автором ур-ние:  $1/(1-\alpha)^n - 1 = kt^n$ , где  $\alpha$  — доля прореагировавшего в-ва;  $n, k$  — постоянные. Л. Березкина

**68421. Дисперсность твердых фаз в связи с кинетикой их образования. Ерофеев Б. В.** Сб. науч. работ. Ин-т химии АН БССР, 1956, вып. 5 (1), 13—20

Теоретически рассмотрена зависимость дисперсности (Д) продукта твердофазной р-ции от кинетич. характеристик процесса его образования. Показано, что Д продукта р-ции возрастает при увеличении скорости возникновения ядер и уменьшается при увеличении скорости роста отдельного ядра. При изменении формы поверхности ядер от плоской к цилиндрической и далее к сферич. зависимость Д от скорости возникновения ядер усиливается, а зависимость ее от скорости роста отдельного ядра ослабевает. При увеличении числа стадий в процессе возникновения ядра зависимость Д от скорости возникновения ядер становится менее существенной, а зависимость ее от скорости роста отдельного ядра сохраняется. Л. Березкина

**68422. Кинетика термического разложения карбоната магния и величина поверхности твердого продукта реакции (MgO). I. Кинетика термического разложения карбонатов магния  $MgCO_3 \cdot 3H_2O$  и  $MgCO_3 \cdot 4H_2O$ . Ерофеев Б. В., Протазик В. А.** Сб. науч. работ. Ин-т химии АН БССР, 1956, вып. 5 (1), 58—74

Показано, что при  $403,4^\circ$  кинетика термич. распада двух препаратов карбоната магния,  $MgCO_3 \cdot 3H_2O$  (I) и  $MgCO_3 \cdot 4H_2O$  (II), удовлетворительно описывается топокинетич. ур-нием (Белькевич П. И., Ерофеев Б. В., Изв. АН БССР, 1952, № 4)  $1/(\alpha - \alpha^\infty)^s - 1 = kt^n$ , где  $n = 4$ ;  $s = 1,5$  для I и  $s = 4$  для II. Л. Березкина

**68423. Зависимость скорости от глубины превращения в топохимических реакциях на примере полиморфных превращений азотнокислого аммония. Ерофеев Б. В., Мицкевич Н. И.** Сб. науч. работ. Ин-т химии АН БССР, 1956, вып. 5 (1), 3—12

Показано, что ур-ние  $dx/dt = k(1-\alpha)^{1/2} \cdot \alpha^{1/2}$  ( $\alpha$  — доля прореагировавшего в-ва,  $k$  — постоянная) применимо к описанию полиморфных превращений  $NH_4NO_3$ . Выведено приближенное ур-ние типа  $dx/dt = kx^x(1-\alpha)^y$  (2), где значения показателей  $x$  и  $y$  зависят от величины  $\alpha$  в топокинетич. ур-нии  $\alpha = 1 - e^{-kt^n}$ . Показано, что в общем случае ур-ние (1) должно быть заменено ур-нием (2). Л. Березкина

**68424. Механизм и кинетика взаимодействия двуокиси углерода с коксом. Чуханов З. Ф.** В сб.: Газифик. твердого топлива. М., Гостехиздат, 1957, 240—254

На основании собственных и чужих работ рассматриваются механизм и кинетика взаимодействия  $CO_2$  с коксом (I). Показано, что в условиях работы промышленных печей ( $t_{раб} < 2000^\circ$ ) взаимодействие  $CO_2$  с I почти всегда протекает в кинетич. области. Суммарная скорость р-ции в этой области лимитируется как скоростью хим. р-ции на внешней поверхности частиц I, так и диффузией  $CO_2$  в поры I, причем конц-н  $CO_2$  в центре частиц I близка к нулю. Л. Березкина

**68425. О механизме восстановления окислов циркония и титана гидридом кальция. Меерсон Г. А., Колчин О. П.** Атомн. энергия, 1957, 2, № 3, 253—259

На примере р-ции восстановления окислов Zr и Ti рассмотрены теоретич. основы процесса восстановления химически прочных окислов металлов гидридом Ca (I). Вопреки распространенному мнению, что высокая восстановительная активность I объясняется действием выделяющегося при его диссоциации атомарного H, показано, что основным восстановителем является Ca, образующийся при диссоциации I; при  $t_{раб} \geq 1000^\circ$  Ca взаимодействует с окислами не только в жидком, но и в парообразном состоянии. Л. Березкина

**68426. Избирательное окисление при нагревании тонких пленок  $\alpha$ -латуни. Такахаси, Михама** (Oxydation selective due au chauffage des films minces de laiton  $\alpha$ . Takahashi N., Mihama K.), J. chim. phys. et phys.-chim. biol., 1956, 53, № 7-8, 633—638, Discuss., 638 (франц.)

Проведено электронография, и электронномикроскопич. исследование окисления тонких монокристаллич. пленок  $\alpha$ -латуни, полученных последовательным напылением меди и цинка в вакууме на поверхность NaCl (с последующим растворением NaCl в воде). В этих пленках плоскость (100)  $\alpha$ -латуни параллельна грани (100) NaCl. Найдено, что  $Cu_2O$  часто образуется на поверхности пленок уже при растворении NaCl в воде, а также при нагревании до  $t_{р} < 300^\circ$  в самом электронном микроскопе. При этом возможны следующие ориентации пленки  $Cu_2O$  относительно поверхности  $\alpha$ -латуни:  $(001)_{Cu_2O} \parallel (001)_\alpha$  и  $[010]_{Cu_2O} \parallel [010]_\alpha$ ;  $(111)_{Cu_2O} \parallel (001)_\alpha$  и  $[1\bar{1}0]_{Cu_2O} \parallel [110]_\alpha$ ;  $(111)_{Cu_2O} \parallel (001)_\alpha$  и  $[1\bar{1}0]_{Cu_2O} \parallel [110]_\alpha$ . Монокристаллич. пленка ZnO образуется при нагревании  $\alpha$ -латуни до  $t_{р} > 450^\circ$ , причем возможны две ориентации:  $(0001)_{ZnO} \parallel (001)_\alpha$  и  $[11\bar{2}0]_{ZnO} \parallel [11\bar{1}0]_\alpha$ ; или  $(0001)_{ZnO} \parallel (001)_\alpha$  и  $[11\bar{2}0]_{ZnO} \parallel [110]_\alpha$ . При  $600^\circ$  замечено образование нового неизвестного соединения. Авторы считают, что при малых давлениях  $O_2$  и  $t_{раб}$  много меньших, чем  $t_{раб}$  плавления Zn, поверхность  $\alpha$ -латуни обогащается атомами Cu, что благоприятствует образо-



ванню  $\text{Cu}_2\text{O}$ ; при  $t$ -рах  $\sim 419^\circ$  атомы  $\text{Zn}$  становятся более подвижными и легко перемещаются к поверхностному слою, восстанавливая  $\text{Cu}_2\text{O}$ . В. Вассерберг

68427. О зависимости электропроводности окисных катализаторов от хемосорбции газов, являющихся акцепторами или донорами электронов. Хауффе, Микус, Шлоссер (Über die Abhängigkeit der elektrischen Leitfähigkeit oxydischer Katalysatoren von elektronenaufnehmenden und -abgebenden Gasen. Hauffe K., Micus G., Schlosser E.-G., Z. Elektrochem., 1957, 61, № 1, 163—173 (нем.))

Исходя из основных положений контактной теории хемосорбции, авторы выводят приближенные ур-ния для зависимости изменения поверхностной проводимости  $n$ - и  $p$ -полупроводников от давления газов, хемосорбция которых сопровождается электронными переходами между молекулами газа и поверхностью полупроводника. Рассмотрены случаи изменения знака носителей тока и увеличения и уменьшения их концентрации в приповерхностном слое полупроводника при хемосорбции и хемосорбция на полупроводнике с собственной проводимостью. Определены изменения электропроводности  $\text{NiO}$  при повышении давления хемосорбируемых  $\text{O}_2$ ,  $\text{SO}_2$  и  $\text{NH}_3$  при средних  $t$ -рах ( $300$ — $400^\circ$ ); результаты подтверждаются выведенные ур-ния.

М. Сахаров

68428. Электропроводность и каталитическая активность окисных полупроводниковых катализаторов. Белянский, Дерен, Габер (Electric conductivity and catalytic activity of semiconducting oxide catalysts. Bielański A., Dereń J., Haber J.), Nature, 1957, 179, № 4561, 668—669 (англ.)

Изложение содержания ранее опубликованных работ авторов (см. РИХим, 1956, 28534; 39075; 1957, 22434, 53997). А. Ш.

68429. О дублетном механизме мультиплетной теории и принципе детального равновесия. Ерофеев В. В. сб.: Поверхностные хим. соединения и их роль в явлениях адсорбции. М., МГУ, 1957, 324—328

Указано, что дублетная схема мультиплетной теории катализа согласуется с принципом детального равновесия не только, если принять квадрупольную модель А. А. Баладина (РИХим, 1956, 433), но и в предположении, что прямая и обратная  $r$ -ции идут на одном и том же дублете катализатора. Такая возможность, по мнению автора, подтверждается относительно небольшими величинами деформации валентных углов при адсорбции молекул субстрата и продуктов  $r$ -ции на одних и тех же дублетах.

С. Киперман

68430. К вопросу о понятии «области миграции» в теории активных ансамблей. Полторак О. М., Ж. физ. химии, 1957, 31, № 1, 188—194 (рез. англ.)

Указывается, что при малых степенях заполнения поверхности носителя адсорбированным в-вом термодинамически равновесное распределение в-ва на энергетически неоднородной поверхности практически недостижимо, а устойчивое распределение с достаточной точностью может быть описано законом Пуассона. Полученные результаты использованы для обоснования теории активных ансамблей. По мнению автора, математич. и каталитич. аспекты теории не изменяются при переходе от рассмотрения замкнутых «областей миграции» на поверхности носителя к закону «практически устойчивого» распределения в-ва на энергетически неоднородной поверхности.

М. Сахаров

68431. Применение метода сопряжения реакций для сравнений кинетических констант в гетерогенном катализе. Вокке, Юнгере (Utilisation de la méthode de conjugation des réactions pour la comparaison des constantes cinétiques en catalyse hétéro-

gène. Wauquier Jean-Pierre, Jungers Joseph-Charles), C. r. Acad. sci., 1956, 243, № 22, 1766—1768 (франц.)

В автоклаве над скелетным  $\text{Ni}$ -катализатором изучено одновременное гидрирование смесей, содержащих толуол (I), этилбензол (II),  $o$ -крезол (III),  $m$ -крезол (IV),  $p$ -крезол (V), изопропилбензол (VI), тетралин (VII) и бензол (VIII) в следующих сочетаниях: I + V, II + V, II + VI, V + VII, V + VI, V + III, VI + VII, III + IV, III + VIII, VII + VIII и III + IV + V. Для каждого из компонентов бинарных или тройных смесей измерена относительная реакционная способность ( $A_i$ ), определяемая как произведение константы скорости гидрирования соответствующего в-ва на его адсорбционный коэф. Найдено, что отношение реакционных способностей любой пары в-в можно рассчитать, зная относительную реакционную способность каждого из этих в-в по отношению к третьему в-ву, напр.  $A_I/A_{II} = A_I/A_{III} : A_{II}/A_{III}$ .

В. Вассерберг

68432. Влияние внутренней диффузии на протекание гетерогенной каталитической реакции, тормозимой продуктом. Чередищенко В. М., Темкин М. И., Ж. физ. химии, 1957, 31, № 1, 157—164

Для гетерог. каталитич.  $r$ -ции, тормозимой продуктом, протекающей вдали от равновесия на сферич. зернах катализатора с диаметром  $a$ , в области, переходной между кинетич. и внутренне-диффузионной, выведено ур-ние  $dC/dt = (4\pi a^3 k n / 3c_a) \cdot [1 - (ka^2 / 15D^*ca^2)]$ , где  $dC/dt$  — скорость  $r$ -ции в расчете на единицу объема слоя,  $c_a$  — конц-ия продукта  $r$ -ции на поверхности катализатора,  $k$  — константа,  $n$  — число зерен катализатора,  $D^*$  — эффективный коэф. диффузии.  $r$ -ция протекает в кинетич. области, если  $(ka^2 / 15D^*ca^2) \ll 1$ . Для обратной  $r$ -ции, протекающей на пористых зернах бесконечных размеров во внутренне-диффузионной области, при торможении прямой  $r$ -ции продуктом и независимости обратной  $r$ -ции от конц-ии продукта, получено ур-ние  $dC/dt = snV \cdot 2k_1 D^* \{ \ln(C_{\text{равн}} / C_{\text{вых}}) - (1 - C_{\text{вых}} / C_{\text{равн}}) \}$ , где  $k_1$  — константа, пропорциональная константе скорости прямой  $r$ -ции,  $s$  — площадь внешней поверхности зерна,  $C_{\text{вых}}$  и  $C_{\text{равн}}$  — конц-ии продукта у поверхности (в последнем по ходу газа слое катализатора) и равновесная. Если же скорость обратной  $r$ -ции пропорциональна конц-ии продукта, то  $dC/dt = snV k_1 D^* [(C_{\text{пов}} / C_{\text{равн}})^2 - \ln(C_{\text{пов}} / C_{\text{равн}}) - 1]$ .

С. Киперман

68433. К вопросу о каталитических реакциях разложения частично дейтерированных этиловых спиртов. Шваб, Вандингер (Zur Kenntnis der katalytischen Zerfallsreaktionen partiell deuterierter Äthylalkohole. Schwab G.-M., Wandinger L.), Z. Elektrochem., 1956, 60, № 8, 929—938 (нем.)

Для выяснения механизма дегидрирования и дегидратации  $\text{C}_2\text{H}_5\text{OH}$  применен изотопный метод исследования с использованием в качестве частично дейтерированных спиртов смесей 96%  $\text{CH}_3\text{CD}_2\text{OH}$  + 4%  $\text{CH}_3\text{CH}_2\text{OH}$  (смесь А) и 33,65%  $\text{CH}_3\text{CH}_2\text{OD}$  + 66,35%  $\text{CH}_3\text{CH}_2\text{OH}$ . Водород, образующийся при дегидрировании указанных смесей на  $\text{Cu}$  и  $\text{C}_2\text{H}_4$ , образующийся при дегидратации смеси А на  $\text{Al}_2\text{O}_3$ , подвергались масс-спектрометрич. анализу. Изотопный состав образовавшегося  $\text{H}_2$  свидетельствует, по мнению авторов, что при дегидрировании имеет место параллельное протекание двух элементарных  $r$ -ций с образованием молекул  $\text{H}_2$  по одной из них из атомов  $\text{H}$  метиленовой и гидроксильных групп молекулы спирта, а по другой — из атомов  $\text{H}$  метиленовой и метильной групп. Полученные результаты свидетельствуют также о том, что протекающая в условиях дегидрирования  $r$ -ция изотопного обмена  $\text{H}_2$  достигает равновесия.

Изотопный состав образующихся при дегидратации смеси А молекул  $C_2H_4$  указывает, по мнению авторов, на протекание на  $Al_2O_3$  Н—D-обмена между  $C_2H_4$  и  $H_2O$ .

М. Сахаров

**68434. Кинетика каталитического гидрирования бензола на нанесенных никелевом и окисно-никелевом катализаторах. Мотар, Бурке, Каньяр, Бекман** (The kinetics of the catalytic hydrogenation of benzene on supported nickel and nickel oxide catalysts. Motard R. L., Burke R. F., Canjar L. N., Beckmann R. B.), J. Appl. Chem., 1957, 7, № 1, 1—14 (англ.)

В дифференциальном реакторе специальной конструкции с кипящим слоем катализатора при 150—275° и давл. 1—7 атм. изучено гидрирование  $C_6H_6$  в присутствии Ni или окиси никеля, нанесенных на силикагель. Найдено выражение для скорости р-ции (r)  $r = k_p K_N^2 P_{H_2}^3 P_{C_6H_6} / (1 + K_N P_{H_2} + K_B P_{C_6H_6})^3$ , где  $k_p$  — константа скорости,  $K_N$  и  $K_B$  — константы адсорбционного равновесия,  $P_{H_2}$  и  $P_{C_6H_6}$  — парциальные давления, соответственно,  $H_2$  и  $C_6H_6$ . При 170°  $Ni_2O_3$  оказалась более активной, чем Ni. Наблюдалась постепенная дезактивация катализаторов, связанная, по мнению авторов, с капиллярной конденсацией в порах. Значения  $K_N$  и  $K_B$  уменьшаются с повышением т-ры. Энергия активации (кал/моль) в присутствии Ni равна 4796, в присутствии  $Ni_2O_3$  10090—20830. Определены энтропия активации, энтропия и энтропия адсорбции  $H_2$  и  $C_6H_6$ .

С. Киперман

**68435. Парофазный гидролиз хлорбензола. VII. О некоторых фосфатных катализаторах. Тиба (クロールベンゼンの氣相加水分解の研究。(第7報). 磷酸鹽觸媒について. 千葉善隆), 有機合成化學協會誌, Юки госсэй какаку кёкайси, J. Soc. Organ. Synth. Chem. Japan, 1955, 13, № 1, 23—28 (японск.)**

Сообщение IV см. РЖХим, 1957, 34029.

**68436. Парофазная этерификация уксусной кислоты и диэтилового эфира на окисных контактах. Юн-Пин К. В сб.: Поверхностные хим. соединения и их роль в явлениях адсорбции. М., МГУ, 1957, 333—340**

Краткое сообщение о результатах изучения этерификации уксусной к-ты и диэтилового эфира при 300—375° на окиси алюминия (K-I) и на алюмосиликатных катализаторах, содержащих 16%  $Al_2O_3$  (K-II) или 30%  $Al_2O_3$  (K-III). Выход уксусно-этилового эфира (I) проходит через максимум при 338° и при дальнейшем повышении т-ры снижается за счет частичного разложения I. При 310° кол-во I в присутствии K-I вначале монотонно возрастает со временем, оставаясь затем неизменным, в присутствии K-III проходит через резкий максимум, в присутствии K-II — через менее отчетливый максимум; подъем кривых до достижения максимума или точки перегиба наиболее резок в присутствии K-III, наименее резок в присутствии K-I. Кривая выхода I при 310° на K-III, отравленном ионами Na, приближается к кривой выхода на K-I. По мнению автора, результаты показывают, что р-ция идет как на кислотных центрах алюмосиликатов, так и на свободной окиси алюминия  $>Al-OH$ , причем диэтиловый эфир образует с поверхностными OH-группами катализатора поверхностное соединение типа  $>Al-O-C_2H_5$ .

С. Киперман

**68437. Влияние органических сернистых соединений на процесс синтеза над железными катализаторами. Сообщение I. Рапопорт И. Б., Музювская О. А., Химия и технол. топлива и масел, 1957, № 2, 18—24**

Показано, что органич. сернистые соединения, содержащиеся в газе синтеза на основе CO и  $H_2$ , в кол-ве до 50 мг/м³ не снижают активности железо-медных

катализаторов (K), восстановленных при низких т-рах и работающих при давл. 1 и 10 атм, т-ре 225° и объемной скорости 80. К взаимодействуют с органич. сернистыми соединениями, разлагая их с образованием сернистых соединений металлов. В верхнем слое K удерживается 51—80% всей поглощенной серы, в среднем слое 4—25%, в нижнем 1,5—8%; сернистых соединений в жидких продуктах синтеза не обнаружено.

С. Киперман

**68438. Заметка о применении триалкилтиофосфатов как дегидратационных катализаторов. Трухлик, Машек (Príspevok k použitiu trialkyltiofosfátov ako dehydratačných katalyzátorov. Truchlík S., Mašek J.), Chem. zvesti, 1956, 10, № 9, 589—592 (словацк.; рез. русск., нем.)**

Показано, что триалкилтиофосфаты катализируют р-цию синтеза  $N,N'$ -дифенил-*n*-фенилендиамина из гид. рохина и анилина.

А. Ш.

**68439 Д. Исследование физико-химических свойств природных и синтетических металлосиликатных контактов, применяемых в очистке и крекинг неф. тепродуктов. Зулфугаров З. Г. Автореф. дисс. докт. хим. н., Ин-т нефти АН СССР, Баку, 1957**

См. также: Реакционная способность и строение 68152, 68154—68158, 68175, 68216, 68674, 68677, 68698—68703, 68707, 68708, 68710, 68715, 68716, 68721. Кинетика и механизмы р-ций 68440, 68441, 68444, 68480, 68704—68706, 68711—68714, 68717, 68720, 68725, 68726, 68734, 69059, 69062, 69074, 70686

## ФОТОХИМИЯ. РАДИАЦИОННАЯ ХИМИЯ. ТЕОРИЯ ФОТОГРАФИЧЕСКОГО ПРОЦЕССА

Редактор Х. С. Багдасарьян

**68440. О взаимодействии диазометана с органическими соединениями на свету. П. Мервейн, Дисселькёттер, Раппен, Ринтелен, Влуд (Über die Einwirkung von Diazomethan auf organische Verbindungen im Licht. II. Meerwein Hans, Disselnkötter Hans, Rappen Friedrich, Rintelen Harald v., Vloed Herman van de), Liebigs Ann. Chem., 1957, 604, № 1—3, 151—167 (нем.)**

Изучены продукты фотохим. р-ции разных органич. в-в с диазометаном (I) под действием солнечного света и Hg-лампы. При облучении смеси I с ацетоном получены метилэтиленоксид и  $CH_3COC_2H_5$ ; с метилэтилкетонем — 1-этил-1-метилэтиленоксид,  $C_2H_5COC_2H_5$  и  $CH_3COC_2H_5C_2H_5$ ; с метиловым эфиром муравьиной к-ты — метоксиэтиленоксид, метоксиацетальдегид (быстро реагирующий далее с I с образованием метоксиацетона) и 2,4-диметокси-1,3-диоксолан; с метиловым эфиром уксусной к-ты — метоксипропиленоксид, метоксиацетон, метиловый эфир пропионовой к-ты и 2,4-диметил-2,4-диметокси-1,3-диоксолан; с бензолом — циклогептатриен и норкарadiен (до 79% от теоретического на солнечном свете и до 26% на Hg-лампе); с хлорбензолом — хлорциклогептатриен (54%), бензилхлорид (30%) и хлортолуолы (16%); с аниолом — метоксициклогептатриен (до 45% от теоретич.) и метиловые эфиры *o*-, *m*- и *p*-крезола в равных кол-вах. Скорость р-ции для всех ароматич. соединений приблизительно одинакова. Авторы считают, что стадией, лимитирующей скорость р-ции, является фотохимич. распад I на  $N_2$  и метилен, который реагирует далее, по-видимому, как бирадикал. Карбонильные соединения преимущественно реагируют непосредственно с I.

Сообщение I см. Ber. dtsh. chem. ges., 1942, 75, 1610.

А. Ревзин

68441. Исследование радиационной химии урана. I. Окисление сульфата четырехвалентного урана рентгеновскими и  $\gamma$ -лучами. Хайсинский (Recherches radiochimiques sur l'uranium. I. Oxydation du sulfate uranique par les rayons  $\gamma$  et X. Haïssinsky M.), J. chim. phys. et phys.-chim. biol., 1956, 53, № 11-12, 970-978 (франц.)

Изучалось окисление  $U(SO_4)_2$  в водн. р-рах под действием  $\gamma$ -лучей  $Co^{60}$  и рентгеновских лучей с энергией 30 кэ. Выход окисления в дегазированном р-ре в 3 н.  $H_2SO_4$  возрастает при увеличении конц-ии  $U(SO_4)_2$  от  $1,1$  в  $5 \cdot 10^{-4} M$  р-ре до  $2,05$  в  $5 \cdot 10^{-2} M$ ; при мощности дозы  $(0,33-6,4) \cdot 10^{18}$  эв/мл час  $G(H_2)$  практически равен  $G(U(6+))$ .  $H_2O_2$  и  $O_2$  не образуются. Добавление малых кол-в  $UO_2SO_4$  не влияет на  $G(U(6+))$ . В присутствии  $O_2$  выход окисления в 3 н.  $H_2SO_4$  возрастает от  $8,0$  в  $5 \cdot 10^{-4} M$  р-ре до  $13,6$  в  $0,01 M$  р-ре.  $G(U(6+))$  падает с увеличением дозы, если кол-во  $O_2$  ограничено. При барботировании  $O_2$   $G(U(6+))$  не изменяется с дозой. Обнаружен небольшой последующий эффект окисления. Автор считает, что окисление идет по цепному механизму с участием радикалов  $OH$  и  $HO_2$  и соединения  $U(5+)$ . Выведенные кинетич. ур-ния хорошо согласуются с опытными данными.

Л. Бугаенко

68442. Прямое и косвенное действие ионизирующих излучений на водные растворы. I. Изучение прямого действия на хлорную кислоту. II. Изучение косвенного действия на фосфористую кислоту. Коттен (Actions directes et indirectes des radiations ionisantes sur les solutions aqueuses. I. Étude de l'action directe sur l'acide perchlorique. II. Étude de l'action indirecte sur l'acide phosphoreux. Cottin Maurice), J. chim. phys. et phys.-chim. biol., 1956, 53, № 11-12, 903-916, 917-928 (франц.)

I. Изучалось разложение  $HClO_4$  и  $NaClO_4$  в конц. водн. р-рах под действием  $\gamma$ -излучения  $Co^{60}$ . В разб. р-рах ( $\sim 10^{-2} M$ ) анион  $ClO_4^-$  не разрушается под действием излучения. В дегазированных р-рах  $HClO_4$  выход ( $G$ )  $H_2$  и  $H_2O_2$  зависит от конц-ии к-ты и проходит через максимум в  $1,7 M$  р-ре;  $G$  для  $H_2$  и  $H_2O_2$  соответственно  $0,37$  и  $0,74$ . В конц. р-рах  $HClO_4$  анионы  $ClO_4^-$  разрушаются с образованием ионов  $ClO_3^-$  и  $Cl^-$ ,  $G$  которых достигают максим. значения соответственно  $0,97$  и  $0,37$  при конц-ии  $4,2 M$  как дегазированной, так и насыщенном  $O_2$  р-ре. Выход  $ClO_3^-$  и  $Cl^-$  одинаков в замороженной к-те ( $-80^\circ$ ) и при  $t$ -ре  $20^\circ$ . В р-рах  $NaClO_4$   $G(ClO_3^-)$  и  $G(Cl^-)$  пропорциональны конц-ии в интервале  $1-8 M$  и достигают в  $8 M$  р-ре значений соответственно  $1,79$  и  $0,63$ . В р-рах с конц-ией  $< 4,2 M$  выходы  $ClO_3^-$  и  $Cl^-$  одинаковы для  $NaClO_4$  и  $HClO_4$ . Автор считает, что разложение аниона  $ClO_4^-$  происходит в результате прямого действия ионизирующего излучения по схеме:  $ClO_4^- \xrightarrow{\text{излучение}} ClO_3^- + O$  и  $ClO_4^- \xrightarrow{\text{излучение}} Cl^- + 4O$ . На разложение 1 аниона  $ClO_4^-$  затрачивается  $24,7$  эв (рассчитано из данных для  $2 M$  р-ров).

II. При действии ионизирующих излучений на разб. водн. р-ры  $H_3PO_3$  и  $Na_2HPO_3$  наблюдается окисление аниона  $H_2PO_3^-$  в  $H_2PO_4^-$ ; восстановление аниона  $H_2PO_4^-$  обнаружено не было. При действии  $\gamma$ -лучей  $Co^{60}$  и рентгеновских лучей с энергией  $10$  кэ наблюдались одинаковые эффекты. В дегазированных р-рах выход окисления не зависит от дозы почти до полного окисления  $H_2PO_3^-$ .  $G(H_2PO_4^-) = G(H_2)$  и падает от  $3,45$  до  $1,8$  при увеличении pH от  $0,1$  до  $10,8$ .  $G(H_2PO_4^-)$  постоянен в интервале конц-ий фосфита  $0,001-0,1 M$ , но ниже  $0,001 M$  уменьшается при снижении конц-ии. В присутствии  $H_2O_2$   $G(H_2PO_4^-)$  возрастает. В р-рах, содержащих  $O_2$ ,  $G(H_2PO_4^-)$  достигает максим. значения  $30$  при pH  $2,15$ , быстро падает с дозой, растет с увеличением конц-ии фосфита и значительно превышает величину

$G(H_2)$ . Автор считает, что окисление происходит по р-ции  $H_2PO_3^- + H(OH) \rightarrow HPO_3^- + H_2(H_2O)$  с диспропорционированием  $2HPO_3^- + H_2O \rightarrow H_2PO_3^- + H_2PO_4^-$ . В присутствии  $O_2$   $G(H_2PO_4^-)$  увеличивается за счет р-ции  $HPO_3^- + O_2 \rightarrow HPO_3 + O_2^-$ ;  $H^+ + O_2^- \rightleftharpoons HO_2$ ;  $HPO_3 + H_2O \rightarrow H^+ + H_2PO_4^-$ ;  $HO_2 + H_2PO_3^- \rightarrow H_2PO_4^- + OH$ . В случае действия  $\alpha$ -лучей  $Co^{210} G(H_2PO_4^-)$  не зависит от дозы почти до полного окисления. В дегазированных р-рах  $G(H_2PO_4^-) = 0,9$  в  $0,1 M$  р-ре. В присутствии  $O_2$  выход достигает  $10$  в  $0,1 M$  р-ре.

Л. Бугаенко

68443. Природа диффузионных реакций, происходящих вслед за захватом нейтрона в алкилбромиде. Милман, Шоу (The nature of the diffusion-controlled reactions following neutron capture in alkyl bromides. Milman Miriam, Shaw P. F. D.), J. Chem. Soc., 1957, March, 1317-1325 (англ.)

Изучено удерживание ( $Y$ ) при облучении нейтронами в дибромэтилене, 1,1,2-трибромэтано и 1,1,2,2-тетрабромэтано, а также влияние на  $Y$  добавок 1,2-дибромэтилена (I) и  $Br_2$  к  $C_2H_5Br$ , дибромэтилену и перечисленным в-вам. Во всех в-вах с увеличением конц-ии I  $Y$  увеличивается, а с ростом конц-ии  $Br_2$   $Y$  уменьшается. С увеличением кол-ва атомов Br в бромиде  $Y$  увеличивается, но часть  $Y$  за счет р-ций с высокой энергией для всех в-в (кроме  $C_2H_5Br$ ) примерно одинаково. Обсуждается вероятный механизм р-ций, следующих за захватом нейтрона. Авторы считают, что большая часть радиоактивных атомов  $Br^*$ , рассеянных от места захвата нейтрона, получается в диффузионной стадии процесса при р-циях органич. радикалов с  $HBr^*$  или  $Br^*$ , которые образовались при р-циях, протекающих с высокой энергией. А. Ревзин

68444. Негомогенные реакции, происходящие вслед за захватом нейтрона в органических бромиде. Милман, Шоу (The non-homogeneous reactions following neutron capture in organic bromides. Milman Miriam, Shaw P. F. D.), J. Chem. Soc., 1957, March, 1325-1332 (англ.)

Дана колич. обработка кинетики р-ций, происходящих между радикалами и неорганич. соединениями радиоактивного Br, образующимися вблизи места захвата нейтрона в органич. бромидах. Авторы предполагают, что образующиеся радикалы равномерно распределяются в небольшой сфере жидкости, причем радиус сферы увеличивается со временем. На основании некоторых предположений о скорости участвующих р-ций выведено и решено дифференциальное ур-ние скорости р-ций радиоактивных атомов Br, ведущих к удерживанию активности, и показано, что полученные кривые соответствуют эксперим. данным по зависимости удерживания от конц-ии  $Br_2$  в  $C_2H_5Br$ , дибромэтилене, 1,1,2-трибромэтано и 1,1,2,2-тетрабромэтано.

А. Ревзин

68445. Реакция Сциларда — Челмерса в дибромэтилене. Милман, Шоу, Симпсон (The Szilard — Chalmers reaction in ethylene dibromide. Milman Miriam, Shaw P. F. D., Simpson I. B.), J. Chem. Soc., 1957, March, 1310-1317 (англ.)

Удерживание ( $Y$ ) (см. пред. реф.) при захвате нейтрона в чистом дибромэтилене (I) зависит от сроков и условий хранения и разгонки после облучения и количественно не воспроизводится. В присутствии  $10^{-3} M$  винилбромида (II)  $Y$  увеличивается вследствие обмена II с радиоактивными атомами Br, а также изменяется соотношение получаемых продуктов. Среди продуктов найдены I, II,  $C_2H_5Br$ , дибромэтилен,  $C_2H_3Br_2$ , 1,1,2-трибромэтан (III) и 1,1,2,2-тетрабромэтан. Авторы считают, что образовавшийся в р-ции II искажает результаты в чистом I. Это подтверждается тем, что в присутствии  $Br_2$  или  $HBr$  увеличивается выход I и III. Доля  $Y$  исследован р-ций с высокой энергией для I больше, чем в случае  $C_2H_5Br$ , что ука-



зывает на значительную роль столкновений  $\text{Br} - \text{Br}$  в этой стадии процесса. В диффузионной стадии образуются преимущественно I и II, которые затем переходят в III.

**А. Ревзин**  
68446. Реакция Сциларда — Челмерса в бромистом этиле. Милман, Шоу (The Szilard—Chalmers reaction in ethyl bromide. Milman Miriam, Shaw P. F. D.), J. Chem. Soc., 1957, March, 1303—1310 (англ.)

Бромистый этил (I) подвергался облучению нейтронами из источника  $\text{Ra} - \text{Be}$  в 500 мкюри в чистом виде и в присутствии разных конц-ий  $\text{Br}_2$ . I тщательно очищался от примесей. Не наблюдалось переноса активной формы из неорганич. в органич. часть системы; показано, что примеси не оказывали существенного влияния на результаты. Продукты р-ции после экстракции  $\text{Br}_2$  разделялись с помощью фракционированной перегонки и определялась их активность. Удерживание (доля общей образующейся активности, сохраняющаяся в органич. форме) уменьшается от 35—39% в чистом I до 6% в 0,6 M  $\text{Br}_2$ . Среди продуктов р-ции найдены: I  $\text{C}_2\text{H}_5\text{Br}_2$ , дибромэтилен, дибромэтилен,  $\text{C}_2\text{H}_4\text{Br}_2$ , 1,1,2-трибромэтан, 1,1,2,2-тетрабромэтан. Авторы считают, что вслед за захватом нейтрона атомом  $\text{Br}$  р-ция протекает в две стадии: 1) р-ция с высокой энергией, в которых возбужденный атом  $\text{Br}$  теряет энергию путем неупругих столкновений с образованием молекулярных осколков в виде свободных радикалов и неорганич. атомов, и 2) диффузионные р-ции с участием этих осколков. Показано, что в 1-й стадии образуются все продукты р-ции, а во 2-й стадии — только I.

**А. Ревзин**  
68447. Успехи ядерной фотографии. Кюэр (Quelques progrès récents dans le domaine de nos connaissances en photographie corpusculaire. Cüer Pierre), Sci. et inds fotogr., 1957, 28, № 5, 185—190 (франц.)

Критический обзор новейших исследований скрытого изображения, создаваемого заряженными частицами.

**А. Хейнман**  
68448. Фотолитиз  $\text{AgCl}$ . Уэйинфан (Photolytic behavior of  $\text{AgCl}$ . Wainfan Nathan), Phys. Rev., 1957, 105, № 1, 100—102 (англ.)

Недеформированные кристаллы  $\text{AgCl}$  отжигались в вакууме при  $400^\circ$ . При комнатной т-ре свет 416 мμ вызывает высокую начальную скорость окрашивания (полоса с максимумом при 580 мμ). Насыщение наступает при дозе  $\sim 10^{17}$   $\text{hv}/\text{cm}^2$ . Освещение окрашенного кристалла светом 580 мμ сначала вызывает селективное обесцвечивание, а при длительном облучении — полное обесцвечивание. При  $-28^\circ$   $\text{AgCl}$  эффективно окрашивается светом 416 мμ. Образуется очень широкая полоса со слабым максимумом при 560 мμ. Кристалл полностью обесцвечивается светом 580 мμ. При  $-100^\circ$   $\text{AgCl}$  не окрашивается светом 416 и 398 мμ даже большой интенсивности. Кристаллы, окрашенные при комнатной т-ре, не обесцвечиваются оптически при  $-100^\circ$ . Автор допускает возможность образования при фотолитизе различных центров окраски. Почернение кристалла при продолжительном облучении светом 580 мμ связано с появлением поверхностного колл.  $\text{Ag}$ .

**Л. Шамовский**  
68449. Фотолитическое окрашивание и сдвиг электронов в  $\text{AgCl}$ . Браун, Уэйинфан (Photolytic darkening and electronic range in  $\text{AgCl}$ . Brown Frederick C., Wainfan Nathan), Phys. Rev., 1957, 105, № 1, 93—99 (англ.)

Исследовано фотолитич. ( $\lambda$  416 мμ) окрашивание монокристаллов  $\text{AgCl}$  при комнатных т-рах. В кристаллах, отожженных в вакууме при  $400^\circ\text{C}$ , наблюдаются высокие начальные скорости и квантовый выход (0,86) окрашивания. Начальная  $\sigma$   $10^{15}$ —

$10^{16}$   $\text{квант}/\text{см}^2$ , наблюдается насыщение. В спектре поглощения возникает отчетливый максимум при 580 мμ. В образцах, отожженных на воздухе, начальная скорость окрашивания значительно меньше, а максимум менее отчетлив. Кристаллы, отожженные в  $\text{Cl}_2$ , очень слабо окрашиваются только после длительного облучения. В начальной стадии фотолитиза окраска объемная. Далее появляется дополнительная поверхностная окраска, обуславливающая светорассеяние. Она проникает на глубину 0,025 мм. Способность к обесцвечиванию связана со способностью к окрашиванию. По теории Ми полоса при 580 мμ соответствует сферич. частицам  $\text{Ag}$  диам. 600 Å. Так как в образцах, окрашенных в объеме, светорассеяние не наблюдается, то полоса при 580 мμ приписана перекрытию двух или нескольких более узких полос. Это подтверждается селективным характером обесцвечивания кристаллов светом  $\lambda$  580 и 520 мμ. Сдвиг электронов (определен из анализа высоты импульсов проводимости в кристаллич. счетчике из  $\text{AgCl}$  при  $86^\circ\text{K}$  под влиянием  $\gamma$ -лучей  $\text{Co}^{60}$ ) тем больше, чем меньше способность к окрашиванию. Л. Шамовский

68450. О механизме сенсibilизации золотом фотографических эмульсий. II. Влияние золота и соединений золота на фотопроводимость бромистого серебра. I. Ямада, Ока, Мукайбо (Über den Mechanismus von Goldsensibilisierung der Photographischen Emulsion. II. Die Einflüsse von Gold bzw. Goldverbindungen auf die lichtelektrische Leitfähigkeit des Silberbromides. I. Yamada Keiichi, Oka Shumpei, Mukaibo Takashi), Bull. Chem. Soc. Japan, 1956, 29, № 2, 224—227 (нем.)

Измерена фотопроводимость  $\Delta\sigma$  поликристаллов  $\text{AgBr}$ , подвергнутых действию воды, 0,01%-ных р-ров хлорида (I) и роданида (II) золота, бромной воды, а также кристаллов  $\text{AgBr}$ , покрытых тонкой пленкой  $\text{Au}$  или  $\text{Ag}$  путем напыления в вакууме. I, II и пары  $\text{Au}$  сильно уменьшают  $\Delta\sigma$   $\text{AgBr}$  в том случае, если кристаллы имеют поверхностные или глубинные зародыши  $\text{Ag}$ , причем II действует сильнее, чем I. Эти зародыши стехиометрич. избыточного  $\text{Ag}$  образуются в результате улетучивания  $\text{Br}_2$  в процессе выраживания кристалла  $\text{AgBr}$  при высокой т-ре. После обработки кристаллов бромной водой соединения  $\text{Au}$  не влияют на  $\Delta\sigma$ . По мнению авторов, зародыши  $\text{Ag}$  внутри кристалла или на его поверхности замещаются на  $\text{Au}$ , в результате чего глубина потенциальной ямы увеличивается и происходит более эффективный захват электронов или дырок.

**Ю. Мошковский**

68451. Механизм сенсibilизации золотом. Замечания к статье Фаленса того же названия. Эггерт, Фишер (Sur le mécanisme de la sensibilisation par l'or. Remarques sur un travail de même titre du Dr P. Faelens. Eggert John, Fischer H.), Sci. et inds fotogr., 1957, 28, № 5, 190—191 (франц.)

Проверено предположение Фаленса (РЖХим, 1956, 57602), что  $\text{HAuCl}_4$  восстанавливается на поверхности  $\text{AgBr}$  до металличес.  $\text{Au}$ . При взаимодействии р-ра  $\text{HAuCl}_4$  с осадком  $\text{AgBr}$  последний окрашивается в коричневый цвет и из хлопьевидного становится порошкообразным. В фильтрате отсутствует свободный  $\text{Cl}_2$ , но присутствуют ионы  $\text{Cl}^-$ . Сделан вывод, что на поверхности  $\text{AgBr}$  металл.  $\text{Au}$  не образуется. Колич. исследование зависимости конц-ии ионов  $\text{Cl}^-$  в фильтрате от кол-ва  $\text{AgBr}$  показывает, что адсорбат состоит из  $\text{AuCl}_3$  и продуктов его гидролиза  $\text{AuCl}_2(\text{OH})$  и  $\text{AuCl}(\text{OH})_2$ , которые и являются сенсibilизаторами фотоземлюсин.

**А. Хейнман**  
68452. Регрессия скрытого изображения. Гренишии С. Г., Ж. научн. и прикл. fotogr. и кинематогр., 1957, 2, 81—90; Поправка, 2, 320

Исследована регрессия (Р) скрытого изображения (СИ), созданного низирующими частицами или светом на толстослойных фотопластинках. В результате исследования скорости Р в атмосфере влажного и сухого  $O_2$ ,  $N_2$  в вакууме и в насыщ. парах  $H_2O$  установлено, что основной причиной Р является окисление центров СИ в присутствии влаги, содержащейся в желатине. СИ, созданное электронами или протонами, более склонно к Р, чем созданное  $\alpha$ -частицами или светом при оптимальных условиях экспонирования, что приписано большей скорости Р мелких центров СИ с большей уд. поверхностью. Скорость Р велика в начале хранения пластинок, а затем резко уменьшается. Это приписано тому, что сначала разрушаются мелкие и малоустойчивые центры СИ. С ростом чувствительности скорость Р уменьшается.

А. Хейнман  
68453. Использование золота в фотографическом процессе. Химико-фотографическая обработка солей золота. Протас Н. Р., Ж. научн. и прикл. фотогр. и кинематогр., 1957, 2, № 2, 146—148. Обзор. Библ. 11 назв.

А. Хейнман  
68454. О роли электронных и акустических колебаний в кинетике возбуждения молекул в электрических разрядах. Васильев С. С., Ж. физ. химии, 1956, 30, № 10, 2204—2217

Анализ энергетич. баланса и элементарных процессов в электрич. разрядах позволяет выразить мощность, выделяемую движущимся электроном на единицу длины разрядной зоны, в виде произведения из коэф. трения электрона и квадрата направленной скорости электрона. Разряд, в котором электроны испытывают колебательное движение, имеет ту особенность, что выделяемая электронами мощность достигает максим. значения, когда мгновенная направленная скорость колеблющихся электронов оказывается максимальной. Благодаря этому в газе, в котором колеблются электроны, возникают адиабатич. толчки, являющиеся источником возникновения акустич. волн. При синхронизации колебаний электронов и акустич. масс энергии, выделяемая на активном сопротивлении одной из этих систем, служит источником колебаний другой колебательной системы. Такие колебания называются активно связанными. При активно связанных колебаниях происходит частичный возврат к электронам той энергии, которую они теряют при столкновениях с молекулами газа. Этот возврат энергии может рассматриваться как энергетич. цепь в процессе возбуждения молекул. Чем больше коэф. активной связи, тем меньше коэф. трения электронов, тем выше энергетич. выход возбуждения молекул. Частота активно связанных колебаний электронов и акустич. масс также зависит от степени активной связи: интервал возможных частот таких колебаний простирается от  $10^3$  до  $5 \cdot 10^{10}$  1/сек. С. Васильев

См. также: Фотохимия 68724, 69060, 69070. Радиация химия 69057, 69058, 69071—69073. Фотосинтез 23528—23532Бх

## РАСТВОРЫ. ТЕОРИЯ КИСЛОТ И ОСНОВАНИЙ

Редактор М. Д. Сурова

68455. Определение свободных энергий в двухкомпонентных системах, образующих соединения, методом определения температур замерзания. Концентрированные растворы серной кислоты. Гнок, Кунцлер, Хорнунг (The freezing point method of determining free energies in a 2-component system forming compounds. Concentrated aqueous sulfuric acid.

Giauque W. F., Kunzler J. E., Hornung E. W.), J. Amer. Chem. Soc., 1956, 78, № 21, 5482—5486 (англ.)

Предложен метод расчета нарп. мол. свободных энергий для любых конц-ий в 2-компонентной жидкости, находящейся в равновесии с рядом чистых твердых соединений этих компонентов. Метод основан на использовании данных по т-рам замерзания, путем применения ур-ния Дюгема к зонам конц-ий, в которых соединения могут рассматриваться как независимые компоненты. Метод применен для расчета нарп. мол. свободных энергий воды, чистой  $H_2SO_4$  и ее моногидрата  $H_2SO_4 \cdot H_2O$  из данных по т-рам замерзания конц. р-ров  $H_2SO_4$ . Полученные данные приведены в таблице. Отмечается, что системы  $H_2SO_4 - H_2S_2O_7$ ,  $H_2SO_4 - H_2SO_4 \cdot H_2O$ ,  $H_2SO_4 \cdot H_2O - H_2SO_4 \cdot 2H_2O$ ;  $H_2SO_4 \cdot H_2O - H_2SO_4 \cdot 3H_2O$  не дают твердых р-ров и кристаллизуются с образованием эвентик.

Н. Хомутов  
68456. Равновесие пар—жидкость в идеальных растворах при высоком давлении. Система бензол—метанол. Кумаркришна-Рао, Сарма, Свами, Нарасинга-Рао (High pressure vapour-liquid equilibria of non-ideal solutions—benzene-methanol system. Kumarkrishna Rao V. N., Sarma K. J. R., Swami D. R., Narasinga Rao M.), J. Scient. and Industr. Res., 1957, BC16, № 1, B4—B12 (англ.)

Изучалось равновесие пар—жидкость в системе метанол—бензол вплоть до давл. 18 атм. Опытные данные хорошо описываются ур-нием Редлиха—Кистера с тремя константами (Redlich O., Kister A. T., Industr. and Engng Chem., 1948, 40, 345). Отклонения от идеальности велики и возрастают с увеличением давления. С повышением т-ры 1 мол. доля метанола  $x$  в азеотропной смеси возрастает в соответствии с ур-нием  $t = 479,5x - 231,4$ . Зависимость абс. т-ры Т кипения азеотропной смеси от общего давления  $p$  выражена ур-нием  $\lg T = 2,4068 + 0,0938 \lg p$ .

Н. Хомутов  
68457. Изменения объема при смешении циклогексана с циклогексанолом. Раостоги, Варма (Volume of mixing in mixtures of cyclohexane-cyclohexanol. Rastogi R. P., Varma K. T. Rama), J. Chem. Phys., 1956, 25, № 5, 1077 (англ.)

При помощи ур-ния Пригожина (РЖХим, 1957, 18668) вычислены изменения объема при смешении  $V_e$  циклогексана с циклогексанолом и представлены в виде кривой, выражающей зависимость  $V_e$  от мол. доли  $N$  циклогексанола в смеси. Теоретич. и опытная кривые ( $V_e/N$ ) имеют одинаковую форму и расположены близко одна от другой. Авторы рассматривают полученные результаты как подтверждение правильности новой теории р-ров.

Н. Хомутов

68458. Сжимаемости гидроокисей натрия и калия. Бхимаеначар, Субрахманьям (Compressibilities of sodium and potassium hydroxides. Bhimasenachar J., Subrahmanya S. V.), Nature, 1957, 179, № 4560, 627—628 (англ.)

Методом оптич. дифракции определялась скорость  $V$  распространения ультразвука ( $V_3$ ) (5—30 Мгц) в водн. р-рах NaOH и KOH. Адиабатич. ( $\beta$ ) и кажущаяся  $\varphi(k_2)$  (при бесконечном разбавлении она совпадает с изотермической) мол. сжимаемости рассчитывались по ф-лам  $\beta = (V^2 d)^{-1}$ ,  $\varphi(k_2) = (100 \beta/C) - (P_0/d_0)((1000 d/C) - M_2)$ , где  $C$ —мол. конц-ия электролита,  $d$ —плотность р-ра,  $P_0$  и  $d_0$ —значения соответствующих величин для чистой воды,  $M_2$ —мол. вес растворенного в-ва. Для NaOH  $V$  линейно зависит от  $C$  в интервале 0—6,3 моль/л, тогда как график для  $\beta$  состоит из двух прямых линий, подчиняющихся ур-нию  $\beta = \beta_0 + AC + BC^{1/2}$ ,  $C = -9,38 \cdot 10^{-3}$ ;  $B = 2,22 \cdot 10^{-6}$  при  $C = 0-1,5$  и  $A = -8,21$ ;  $B = -1,69$

(все  $\times 10^{-6}$ ) при  $C = 1.5-6.4$ . В случае КОН особая точка имеется и на графике  $\nu(C)$ , который также распадается на две прямые со слегка различающимися наклонами.

С. Френкель  
68459. Исследования поглощения света водно-спиртовыми растворами в ближней инфракрасной области спектра. Сепеш, Часар, Лехотай (Studies on the light absorption of water-alcoholic solutions in the near infrared spectrum range. Szepeszy G. L., Császár J., Lehotai L.), Acta phys. et chem. Szeged, 1956, 2, № 1-4, 149-158 (англ.)

Исследовано влияние добавок спирта и некоторых солей на поглощение света водой в ближней ИК-области. В случае спирто-водных смесей было показано, что полоса при  $1.2 \mu$  может быть приписана мол. ассоциации, тогда как полоса при  $0.99 \mu$  является оборотом какого-то основного колебания OH-групп. Показано, что изменение интенсивности поглощения света водой под влиянием спирта является следствием образования смешанных спирто-водных ассоциатов. В «равновесных» ассоциатах на каждую молекулу спирта приходится 4 молекулы воды. Под влиянием LiCl и CsCl поглощение света водой в спектральном интервале  $1.30-0.99 \mu$  увеличивается, причем сильнее в случае CsCl. Очевидно, ионы  $Li^+$  и  $Cs^+$  играют роль ядер, способствующих образованию ассоциатов, усиливающих поглощение. В р-рах  $Ni(ClO_4)_2$  ионы  $Ni^{2+}$  обладают собственным поглощением в интервале  $1.20-0.99 \mu$ , в котором обнаруживается полоса электронного происхождения. Ионы  $ClO_4^-$  также слегка влияют на поглощение ИК-света водой. С. Френкель

68460. Спирновое эхо при электролизе переменным током. Гейслер, Пфайфер (Spin-Echos bei Wechselstromelektrolyse. Geissler D., Pfeifer H.), Z. Naturforsch., 1957, 12a, № 1, 70-76 (нем.)

Излагается теория метода наблюдения спирнового эхо по методу Хаана (Hahn E. L., Phys. Rev., 1950, 80, 580) при измерениях ядерного магнитного резонанса, применительно к р-рам электролитов при электролизе переменным током, создающим дополнительное переменное низкочастотное магнитное поле. Воздействие последнего на амплитуду эхо объясняется нарушением соответствия между напряженностью постоянного магнитного поля, в которое помещается исследуемый образец, и частотой электромагнитных ВЧ-колебаний, вызывающих переходы между ядерными уровнями. Теоретич. анализ приводит к заключению, что амплитуда эхо должна периодически, с определенной частотой, уменьшаться, причем величина этого уменьшения определяется силой тока, проходящего через электролит. Приводятся эксперим. данные для ряда в-в ( $CuSO_4$ ,  $MnSO_4$ ), хорошо согласующиеся с теорией.

Э. Казбеков  
68461. О концентрированных растворах борной и фосфорной кислот. Рипан Ралука, Литяну Канди, Хим. ж. Акад. Н. РНР, 1956, 1, № 1, 21-30  
Разбавление конц. р-ра  $H_3BO_3$  (I), доведенного до pH 6.0 добавкой конц. р-ра KOH, приводит к повышению pH; по мнению авторов, это явление противоречит гипотезе об образовании сильных полиборных к-т в конц. р-рах и вызвано наличием в конц. р-рах I сильной к-ты  $H_4[BO_6]$  (II), отщепляющей 5 ионов  $H^+$ . Измерения pH р-ров  $H_3PO_4$  (III) в области 0.414-8.514 M указывают, что с ростом конц-ии III pH прогрессирующе уменьшается по сравнению с вычисляемым из первой константы диссоциации: по мнению авторов, это объясняется существованием равновесия  $H_3PO_4 + 2H_2O \rightleftharpoons H_4[PO_6]$  (IV), причем IV отщепляет 3 иона  $H^+$ . Гетерополикислоты  $H_4[B(W_2O_7)_6]$  и фосфорно-12-вольфрамовая (молибденовая) рассматриваются авторами как производные II и IV. И. Рысе

68462. Равновесие между желтым и синим ионами никель (2+)-триэтилентетрамина в концентрированных растворах солей. Йергенсен (The equilibrium between yellow and blue nickel (II) triethylenetetramine ions in strong salt solutions. Jørgensen Chr. Klixbüll), Acta chem. scand., 1957, 11, № 2, 399-400 (англ.)

Изучены спектры поглощения  $0.1 M Ni(trien)_2(NO_3)_2$  (I), где trien — триэтилентетрамин, в воде и в присутствии различных конц-ий  $NaClO_4$ . При повышении конц-ий солей сине-фиолетовый I превращается в желтую форму II. Образование II является эндотермич. процессом. Максимум поглощения II близок к  $443 m\mu$ , коэф. поглощения  $\epsilon$  равен  $50-80$ . Используя представления теории кристаллич. поля, автор сопоставляет спектры поглощения I и II и ряда других комплексов  $Ni(2+)$ . Катион II является ковалентным диамагнитным плоским комплексом типа  $NiA_4^{2+}$ , содержащийся в I катион — парамагнитным октаэдрическим  $chc-NiAX_2$ , где X — вода или анион. Получен желто-розовый  $[Ni(trien)][AgBrJ_2]$ ; прочие соли  $[Ni(trien)]^{2+}$  парамагнитны. Бледно-синий  $Ni(trien)(SCN)_2$  растворим в избытке trien. Описаны (без указания ф-л) продукты взаимодействия  $NiBr_2$  и  $Ni(ClO_4)_2$  с trien. И. Рысе

68463. Диэлектрические свойства систем уксусной кислоты — пиридин (анилин) в бензоле. Шека И. А., Ж. общ. химии, 1957, 27, № 4, 848-856

Изучены диэлектрич. свойства, вязкость и уд. емкости систем, состоящих из уксусной к-ты и анилина или пиридина в бензоле. Максимумы отклонений диэлектрич. постоянных, поляризации и уд. объемов от аддитивных величин и изломы на диаграммах вязкости показывают, что в этих системах образуются мол. соединения уксусной к-ты с аминами, состав которых зависит от конц-ий р-ров. В конц. р-рах имеются соединения  $C_6H_5NH_2 \cdot 2CH_3COOH$  и  $C_6H_5N \cdot 2CH_3COOH$ , в разб. — эквимолекулярные соединения:  $C_6H_5NH_2 \cdot CH_3COOH$  и  $C_6H_5N \cdot CH_3COOH$ . На основании максим. отклонения поляризации сделан вывод, что в безводных р-рах, как и в водных, пиридин является более сильным основанием, чем анилин. Показано, что метод физ.-хим. анализа р-ров, основанный на определении их диэлектрич. свойств, пригоден для изучения систем, компоненты которых ассоциированы, и что им с успехом можно пользоваться при изучении кислотно-основного взаимодействия в невод. средах.

Резюме автора  
68464. Сила некоторых неорганических кислот в уксусной кислоте. Функция кислотности  $(H_0)_I$ . Рошек (The acidities of some mineral acids in acetic acid; the acidity function  $(H_0)_I$ . Roček J.), Сб. чехосл. хим. работ, 1957, 22, № 1, 1-13 (англ.; русск.)  
См. РЖХим, 1957, 14865.

68465. Термическая диффузия в неизотермических цепях. Часть 1. Теоретические соотношения и опыты с растворами солей таллия. Эйгар, Брек. Часть 2. Опыты с растворами солей кадмия. Брек, Эйгар (Thermal diffusion in non-isothermal cells. Part 1. Theoretical relations and experiments on solutions of thallous salts. Agar J. N., Breck W. G. Part 2. Experiments on solutions of cadmium salts. Breck W. G., Agar J. N.), Trans. Faraday Soc., 1957, 53, № 2, 167-178, 179-184 (англ.)

I. Описанным ранее методом (РЖХим, 1955, 34128) исследованы изменения э.д.с. неизотермич. цепи, состоящей из Тl-амальгамных электродов в р-рах солей  $Tl^+$ , вызванные термич. диффузией. Найдено, что ход измерений э.д.с. во времени согласуется с выводами феноменологич. теории термич. диффузии (Haase,



Trans. Faraday Soc., 1952, 48, 893; Темкин, Хорошин, Ж. физ. химии, 1952, 26, 500). Вычислены из опытных данных значения теплот  $Q$  переноса  $\text{TiClO}_4$ ,  $\text{TiNO}_3$ ,  $\text{TiCH}_3\text{COO}$ ,  $\text{Ti}_2\text{CO}_3$  и  $\text{Ti}_2\text{SO}_4$  и энтропии переноса  $S$  катиона  $\text{Ti}^{4+}$ .

II. Аналогичные измерения произведены с цепями, содержащими Cd-амальгамные электроды в р-рах  $\text{CdSO}_4$ ,  $\text{Cd}(\text{ClO}_4)_2$ ,  $\text{Cd}(\text{NO}_3)_2$  и  $\text{CdCl}_2$ . Поведение этих цепей подобно наблюдаемому в  $\text{Ti}$ -системах. Вычислены значения  $Q$  перечисленных солей (в р-рах  $\text{CdSO}_4$ ,  $Q$  сильно зависит от конц-ии) и  $S$  катиона  $\text{Cd}^{2+}$ . Обсуждаются пути дальнейшего усовершенствования эксперим. методики.

А. Попов  
68466. Изучение химии четырехвалентного германия. Часть IV. Химическая природа растворов четырехвалентного германия в соляной или бромистоводородной кислотах. Эверест, Гаррисон (Studies in the chemistry of quadrivalent germanium. Part IV. The chemical nature of solutions of quadrivalent germanium in hydrochloric or hydrobromic acid. Everest D. A., Harrison J. C.), J. Chem. Soc., 1957, Apr., 1820—1823 (англ.)

Изучалась растворимость  $\text{GeO}_2$  и  $\text{GeCl}_4$  в 2—12  $M$   $\text{HCl}$ , а также  $\text{GeO}_2$  и  $\text{GeBr}_4$  в 2—12  $M$   $\text{HBr}$ . В первом случае имеется максимум растворимости при 6—8  $M$   $\text{HCl}$ , гораздо более резко выраженный для  $\text{GeCl}_4$ . С повышением т-ры от -15 до +35° растворимость  $\text{GeCl}_4$  в 6—8  $M$   $\text{HCl}$  падает от 49,3 до 33,5 г/л. В случае  $\text{HBr}$  максимум выражен очень слабо. С целью выявления комплексобразования 6,5—9  $M$  р-ры  $\text{HCl}$ , насыщенные  $\text{GeO}_2$  или  $\text{GeCl}_4$ , встряхивались в течение 24 час. с анионитом амберлит IRA-400 в  $\text{Cl}^-$ -форме. Элюирование производилось 0,1  $M$   $\text{NaOH}$  и в элюате определялись  $\text{Ge}$  и  $\text{Cl}$ . Найдено, что в 6—9  $M$   $\text{HCl}$  германий существует главным образом в виде комплекса  $[\text{Ge}(\text{OH})_x\text{Cl}_{4-x}]^-$  или  $[\text{Ge}(\text{OH})_x\text{Cl}_{6-x}]^{2-}$ , где  $x$  лежит между 3 и 4. При конц-иях  $\text{HCl} < 6 M$  комплексы гидролизуются до  $\text{GeO}_2$ , при конц-иях  $> 9 M$  они превращаются в  $\text{GeCl}_4$ . Не обнаружено никаких бромокомплексов  $\text{Ge}$  в  $\text{HBr}$ . Часть III см. РЖХим, 1956, 50492.

А. Попов  
68467. Кривые, характеризующие электролитическую диссоциацию этилендиаминтетрауксусной кислоты и 1,2-диаминоциклогексан- $N,N'$ -тетрауксусной кислоты. Вандаль (Courbes représentatives de la dissociation électrolytique de l'acide éthylenediamine-tétracétique et de l'acide 1,2-diaminocyclohexane- $N,N'$ -tétracétique. Vandaël C.), Ind. chim. belge, 1957, 22, № 4, 393—408 (франц.; рез. флам., англ., нем.). Критически рассмотрены методы вычисления ступенчатых констант диссоциации этилендиаминтетрауксусной (I) и 1,2-диаминоциклогексан- $N,N'$ -тетрауксусной (II) к-т из кривых потенциометрич. титрования, предложенные некоторыми авторами (Schwarzenbach G., Ackermann H., Helv. chim. acta, 1947, 30, 1798; 1948, 31, 1029, 1949, 32, 1682; Carini Fr. F., Martell A. E., J. Amer. Chem. Soc., 1952, 74, 5745). На основе найденных этими авторами значений констант диссоциации I и II вычислены доли каждого из продуктов ступенчатой диссоциации в функции pH. Результаты вычислений представлены в виде таблиц и графиков. Обсуждено влияние pH на образование комплексов I и II с металлами.

И. Рысс  
68468. Исследование гидролиза ионов металлов. 18. Ион скандия  $\text{Sc}^{3+}$ . Бидерман, Килпатрик, Покрас, Силлен (Studies on the hydrolysis of metal ions. 18. The scandium ion,  $\text{Sc}^{3+}$ . Biedermann George, Kilpatrick Martin, Pokras Lewis, Sillén Lars Gunnar), Acta chem. scand., 1956, 10, № 8, 1327—1339 (англ.)

Произведен пересчет данных о гидролизе иона  $\text{Sc}^{3+}$  (РЖХим, 1953, 8246; 1956, 32085) с помощью разрабо-

танных Силленом методов расчета для многоядерных комплексов. Опытные данные объяснены образованием комплексов общей ф-лы  $\text{Sc} \{[(\text{OH})_2\text{Sc}]_n\}^{(3+n)+}$ . Доказано образование комплексов с  $n = 1$  и 2; есть признаки образования комплексов с более высокими  $n$ . Определены величины констант  $K$  равновесия р-ции  $2\text{Sc}^{3+} + 2\text{H}_2\text{O} \rightleftharpoons \text{Sc}(\text{OH})_2\text{Sc}^{4+} + 2\text{H}^+$  и последующих стадий гидролиза  $\text{Sc} \{[(\text{OH})_2\text{Sc}]_n\}^{(3+n)+} + 2\text{H}_2\text{O} + \text{Sc}^{3+} \rightleftharpoons \text{Sc} \{[(\text{OH})_2\text{Sc}]_{n+1}\}^{(4+n)+} + 2\text{H}^+$ . При наиболее низкой конц-ии  $\text{Sc}$  имеют значение и равновесия  $\text{Sc}^{3+} + \text{H}_2\text{O} \rightleftharpoons \text{ScOH}^{2+} + \text{H}^+$  и  $\text{Sc}^{3+} + 2\text{H}_2\text{O} \rightleftharpoons \text{Sc}(\text{OH})_2 + 2\text{H}^+$ . Часть 17 см. РЖХим, 1957, 57166.

И. Рысс  
68469. Гидролиз тетраалкилтитанатов с точки зрения структурных представлений. Брэдли, Гейза, Уордло (Structural aspects of the hydrolysis of titanium alkoxides. Bradley D. C., Gaze R., Wardlaw W.), J. Chem. Soc., 1957, Jan., 469—478 (англ.)

Продолжено абзлюметрич. изучение гидролиза тетраалкилтитанатов  $\text{Ti}(\text{OR})_4$  в разб. спирте (РЖХим, 1956, 9855, 64688). Учтена возможность образования, помимо  $\text{Ti}_{2(x+1)}\text{O}_{4x}(\text{OR})_{4(x+3)}$  (тип А), также и сольватированных в-в  $\text{Ti}_{2(x+1)}\text{O}_{3x}(\text{OR})_{2(x+4)}(\text{ROH})_{2(x+1)}$  (тип Б) и  $\text{Ti}_{(x+1)}\text{O}_{3x}(\text{OR})_{(4-2x)}(\text{ROH})_{2(x+1)}$  (тип В) и приведены стереохим. модели для типа Б при  $x = 0$  и 2 и типа В при  $x = 1$  и 2 (для этого типа  $x \leq 2$ ) с октаэдрич. размещением 6 атомов О вокруг  $\text{Ti}^{4+}$ . Диспропорционирование соединений типа Б и В может происходить без изменения определяемой степени полимеризации, напр.  $3\text{Ti}_6\text{O}_6(\text{OR})_{12}(\text{ROH})_6 \rightarrow 2\text{Ti}_4\text{O}_3(\text{OR})_{10}(\text{ROH})_4 + \text{Ti}_{10}\text{O}_{12} \times (\text{OR})_{16}(\text{ROH})_{10} + 2\text{Ti}_2\text{O}_3(\text{OR})_2(\text{ROH})_4 \rightarrow \text{Ti}(\text{OR})_4(\text{ROH})_2 + \text{Ti}_2\text{O}_3(\text{ROH})_6$ . Изучен гидролиз  $\text{Ti}(\text{OR})_4$  с  $\text{R} = \text{C}_2\text{H}_5$  (I),  $n$ -(II) и  $\text{iso-C}_3\text{H}_7$  (III),  $n$ -(IV),  $\text{iso-C}_4\text{H}_9$ ,  $\text{втор-}$ (V) и  $\text{трет-}$ (VI)  $\text{C}_4\text{H}_9$  (VII) и  $\text{C}(\text{CH}_3)_2\text{C}_2\text{H}_5$  (VIII); природа  $\text{R}$  существенно влияет на характер гидролиза. Первичная стадия гидролиза протекает быстро во всех случаях, кроме VI. В ряде случаев, напр. IV, связывание воды неполно вследствие обратимости р-ции гидролиза и этерификации. При гидролизе I, III, VII и VIII образуются нерастворимые продукты, соответствующие типу А с  $x = \infty$ . Некоторые продукты гидролиза, напр.  $\text{TiO}(\text{O} - n\text{-C}_4\text{H}_9)_2$  и  $\text{TiO} \{ \text{OC}(\text{CH}_3)_2\text{C}_2\text{H}_5 \}_2$ , имеют низкую степень полимеризации в  $\text{C}_2\text{H}_5$  (3,82 и соответственно 3) и координационное число  $\text{Ti}$  в них отличается от 6.

И. Рысс  
68470. Некоторые особенности кривых титрования угольной и фосфорной кислот едким баритом. Митра, Сингх (On some features of the titration curves of carbonic acid and phosphoric acid with baryta. Mitra R. P., Singh Hakam), J. Indian Chem. Soc., 1957, 34, № 2, 109—113 (англ.)

Потенциометрическим и кондуктометрич. методами исследована нейтр-ция р-ров  $\text{H}_2\text{CO}_3$  (I) и  $\text{H}_3\text{PO}_4$  (II) р-рами  $\text{Ba}(\text{OH})_2$  (III). Уд. электропроводность ( $\kappa$ ) р-ра I сначала проходит через резкий максимум, соответствующий образованию  $\text{Ba}(\text{HCO}_3)_2$ ; затем начинается осаждение  $\text{BaCO}_3$  и избыток III вызывает резкий рост  $\kappa$ . При потенциометрич. титровании I р-ром III наблюдается только один перегиб, соответствующий нейтр-ции до карбоната. При потенциометрич. титровании р-ра II р-ром III проявляются три точки перегиба, соответствующие трем ступеням диссоциации II; на кривой  $\kappa$  также различаются три участка. В отличие от данных Бриттона (Britton, Hydrogen Ions, 1942, part II, p. 118) осаждение  $\text{BaHPO}_4$  наблюдалось при эквимольных кол-вах II и III. В области превращения осадка  $\text{BaHPO}_4$  в  $\text{Ba}_3(\text{PO}_4)_2$  р-н в  $\kappa$  остаются постоянными. Результаты измерений объяснены с точки зрения законов хим. равновесия и правила фаз.

И. Рысс

68471. Реакции в водных растворах. Роттенберг (Reaktionen in wässriger Lösung. Rottenberg W.), Chem. Rundschau, 1956, 9, № 13, 282—285 (нем.)

Популярная статья с изложением физ.-хим. основ методов очистки промышленных сточных вод от загрязнения ядовитыми и вредными примесями  $F^-$ ,  $SO_3^{2-}$ ,  $CN^-$ ,  $CNO^-$  и  $Cr_2O_7^{2-}$ . Е. Ишполитов

- 68472 Д. Исследование неизоэнтальпической диффузии в молекулярных растворах. Лыкова А. В. Автореф. дисс. канд. физ.-матем. н., Моск. гор. пед. ин-т, М., 1957

- 68473 Д. Исследование устойчивости пересыщенных растворов солей. Краснова Б. И. Автореф. дисс. канд. хим. н., Ин-т гидробиол. АН УССР, Киев, 1957

См. также: Растворимость 68358, 68378, 68379, 68382, 68573, 68644. Структура и исслед. состояния в-в 64221. Гидролиз 68408. Твердые р-ры 68377. Криоскопия 68365, 68366

### ЭЛЕКТРОХИМИЯ

Редакторы О. А. Есин, В. В. Лосев

68474. К определению времени ионной релаксации в «безэлектродных» ячейках. Хубер, Крузе (Zur Bestimmung der Ionenrelaxationszeit in «elektrodenlosen» Meßzellen. Huber R., Cruse K.), Z. Elektrochem., 1956, 60, № 9-10, 1049—1053 (нем.)

На основе рассмотрения эквивалентных схем ячеек для ВЧ-измерений конденсаторного и индукционного типов выведены ур-ния для нахождения времени релаксации ( $\tau$ ) по параметрам, отвечающим максим. ВЧ-электропроводности ( $B_3$ ). Указано, что выражение для  $\tau$ , найденное авторами для случая ячейки с погруженными в р-р электродами (ячейка Колярауша), по форме совпадает с ур-нием Дебая и Фалькенхагена, введенным иным способом. Описан метод нахождения  $\tau$  в ячейках конденсаторного типа по зависимости эффективной емкости (находимой из минимума слагаемого  $B_3$ ) от низкочастотной электропроводности или активного сопротивления р-ра

С. Майрановский

68475. Метод исследования процессов диссоциации в жидкостях и твердых телах с помощью постоянного поля. Эйген, Майер (Ein stationäres Feldverfahren zur Untersuchung von Dissoziationsprozessen in Flüssigkeiten und Festkörpern. Eigen M., Maeyer L. de), Z. Elektrochem., 1956, 60, № 9-10, 1037—1048 (нем.)

Обсужден способ исследования скорости процессов диссоциации ( $D$ ) в весьма слабодиссоциированных жидкостях или твердых телах путем измерения тока насыщения (обусловленного  $D$  с образованием ионов), протекающего через очень тонкий слой изучаемого образца при наложении на него высокого постоянного напряжения. Выведены ур-ния для тока при одионовой и различной подвижностях катионов и анионов, а также приведен расчет, учитывающий влияние поля высокой напряженности на скорость  $D$ . Описаны методика эксперимента, способ получения чистейшего льда ( $I$ ) и некоторые результаты измерений с ним. Найденно, что уд. электропроводность льда при  $-10^\circ$  составляет  $\sim 7 \cdot 10^{-10}$  ом $^{-1}$  см $^{-1}$ . Указано на высокую подвижность протонов в  $I$  и их значительно меньшую конц-ию в  $I$ , чем в воде (на 2—3 порядка). Частота перехода протонов в водородных мостиках  $I$  имеет порядок  $10^{14}$  сек $^{-1}$ , а скорость  $D$  молекул  $H_2O$  в  $I$  на несколько порядков ниже, чем в воде.

С. Майрановский

68476. Электропроводность расплавленных солевых смесей. Сандхейм (Electrical conductance in molten salt mixtures. Sundheim Benson R.), J. Phys. Chem., 1957, 61, № 1, 116—117 (англ.)

Понятие о парц. мольных величинах распространено на эквивалентную электропроводность двойных расплавленных солевых смесей; она выражается суммой произведений мольных долей на соответствующие парц. эквивалентные электропроводности ( $\bar{\Lambda}_i$ ). По измерениям электропроводности расплавов  $KCl = LiCl$ ,  $KCl = NaCl$ ,  $KCl = KJ$  (РЖХим, 1956, 6480) определены  $\bar{\Lambda}_1$  и  $\bar{\Lambda}_2$  для этих солей. Во всех случаях  $\bar{\Lambda}_i$  при предельном разбавлении меньше электропроводности чистой соли ( $\Lambda_i$ ). Разность между  $\Lambda_i$  и  $\bar{\Lambda}_i$  возрастает с увеличением различия относительных размеров ионов обеих солей. Энергия активации, найденная из температурной зависимости  $\bar{\Lambda}_i$ , превышает таковую для электропроводности чистой соли.

Б. Марков

68477. Стандартный потенциал электрода  $(Pt)S/S_2^{2-}$ . Маронни, Валанси (The standard electrode potential of the  $Pt-S/S_2^{2-}$  electrode. Maronny G., Valensi G.), Proc. Meet. Internat. Comm. Electrochem. Thermodyn. and Kinet., 1954, London, 1955, 180—188. Discuss., 188—189 (англ.)

Для прецизионного определения стандартного потенциала ( $e^0$ ) электрода  $(Pt)S/S_2^{2-}$  измерены э.д.с. цепей  $(Pt)S | mNa_2S_5 + nKCl || nKCl | AgCl | Ag$ ;  $(Pt)S | mNa_2S_5 || KCl$  (насыщ.)  $| HgCl | Hg$  и  $(Pt)S | mNa_2S_5 |$  амальгама  $Na$  при различных конц-ях  $m$  и  $n$ . Из измерений при 20 и 25° найдено  $e^0 = -0,3403 - 7 \cdot 10^{-4} (t^\circ - 25)$  в и вычислены термодинамич. величины для иона  $S_2^{2-}$ .

И. Зайденман

68478. Определение поляризации и перенапряжения. Нагель (Definition of polarization and overvoltage. Nagel K.), Proc. Meet. Internat. Comm. Electrochem. Thermodyn. and Kinet., 1954, London, 1955, 67 (англ.)

В целях последующей выработки точных определений различных терминов, относящихся к явлениям электродной поляризации, дана сводка основной терминологии для электродов, на которых возможно протекание одной или одновременно двух электродных р-ций в стационарных условиях. И. Зайденман

68479. К вопросу об изучении концентрационной поляризации. Дезидерьев Г. П., Березина С. П., Изв. Казанск. фил. АН СССР. Сер. хим. н., 1957, вып. 3, 41—55

В продолжение работы (РЖХим, 1955, 45568) методом измерения электродного потенциала ( $\varphi$ ) через 2—3 мес. после выключения поляризующего тока измерены  $\varphi$  вращающегося дискового черногого  $Pt$ -катода ( $\varphi_K$ ) в 0,001—0,05 н.  $H_2SO_4$  при скорости вращения ( $\omega$ ) 0—22 000 об/мин и  $Pt$ -анода ( $\varphi_a$ ) в 0,001—0,01 н.  $H_2SO_4$  при  $\omega$  0—21 000 об/мин. При возрастании  $\omega$   $\varphi_K$  снижаются до значений, соответствующих ионов конц-ии  $H^+$  в электролите, что подтверждает возможность вычисления конц-ии потенциалопределяющих ионов в прикатодной зоне описанным методом. Снижение  $\varphi_a$  при росте  $\omega$  значительно ниже ожидаемого; по мнению авторов, это может быть обусловлено неравновесностью электрода и адсорбционными явлениями.

И. Зайденман

68480. Температурная зависимость энергии активации электрохимических реакций. Гутман, Симонс (The temperature dependence of the activation energy of electrochemical reactions. Gutman Felix, Simons L. M.), Proc. Meet. Internat. Comm. Electrochem. Thermodyn. and Kinet., 1954, London, 1955, 201—206. Discuss., 206 (англ.)

С точки зрения теории абс. скоростей хим. р-ций рассмотрены возможные причины экспериментально наблюдаемых отклонений от линейной зависимости между логарифмом константы скорости электродной р-ции и  $1/T$  ( $T$  — абс. т-ра). Математически анализируются 3 случая: 1) одновременно протекает несколько р-ций; 2) предэкспоненциальный множитель зависит от  $T$ ; 3) энергия активации зависит от  $T$ . Каждый из этих случаев, так же как и их комбинации, может обусловить подобные отклонения. В последнем случае отклонения могут быть обоих знаков.

И. Зайденман  
68481. Анализ поляризационных кривых при одновременном выделении водорода и никеля. Рейзер, Фишер (An analysis of the current — potential curve with simultaneous deposition of hydrogen and nickel. Reiser H. J., Fischer H.), Proc. Meet. Internat. Comm. Electrochem. Thermodyn. and Kinet., 1954, London, 1955, 231—237. Discuss., 237—238 (англ.)  
См. РЖХим, 1956, 71303.

68482. Необратимая поляризация при катодном осаждении никеля. Фишер, Зейт, Морлок (Irreversible polarization of the cathodic deposition of nickel. Fischer H., Seipt M., Morlock G.), Proc. Meet. Internat. Comm. Electrochem. Thermodyn. and Kinet., 1954, London, 1955, 239—248. Discuss., 248 (англ.)  
См. РЖХим, 1956, 64597.

68483. О влиянии поверхностно-активных веществ на электрокристаллизацию кадмия. Сообщение I. Тормозящее действие сульфата трибензиламина. Ломкарев М. А., Марк Л. В., Севрюгина М. П., Тр. Днепропетр. хим.-технол. ин-т, 1956, вып. 5, 117—128.

Исследовано катодное осаждение Cd из кислых сульфатных электролитов, содержащих небольшие кол-ва трибензиламина (I) ( $3 \cdot 10^{-5}$ — $1,5 \cdot 10^{-2}$  M). Добавки I приводят к резкому торможению электрокристаллизации Cd, сопровождающемуся увеличением поляризации до 0,8—1,0 в (при конц-ии I  $5 \cdot 10^{-3}$  M) и к изменению характера катодных отложений, которые становятся крайне мелкокристаллическими, ровными и плотными. Обнаружен своеобразный ход кривой ( $i, \varphi$ ), на которой в области малых поляризаций наблюдается значительный пик тока, обусловленный близостью обратимого ф процесса разряда ионов  $Cd^{2+}$  к положительному ф десорбции ионов I с поверхности электрода. Установлено, что тормозящее действие адсорбционных слоев I сохраняется почти полностью даже при т-рах, близких к  $100^\circ$ . Значительная поляризация наблюдается также при осаждении Cd в присутствии добавок диметил- $\alpha$ -нафтиламина, дибензиламинотолуола, тетрабутиламина, бензиламина и других поверхностно-активных в-в катионного типа. Выяснено предположение, что добавки катионного типа влияют не только на электрокристаллизацию металлов, равновесные ф которых лежат отрицательнее их нулевых точек, но и на осаждение Cu, Sn, Cd, Pb и Ti.  
М. Ломкарев

68484. Зависимость анодного растворения железа от концентрации кислоты. Бонхёффер, Хейслер (Abhängigkeit der anodischen Eisenauflösung von der Säurekonzentration. Bonhoeffer K. F., Heusler K. E.), Z. phys. Chem. (BRD), 1956, 8, № 5-6, 390—393 (нем.)

Сняты поляризационные кривые (ПК) ( $\varphi, \lg i$ ) на Fe-электроде в р-рах  $HClO_4$  и  $H_2SO_4$  с добавками, соответственно  $NaClO_4$  и  $Na_2SO_4$  при различных pH (0,9—2,5) в отсутствие  $O_2$  в интервале  $i$  0,1—5  $ma/cm^2$  при  $20^\circ$ . При снятии анодных ПК электрод выдерживался при каждом ф 5 мин. При увеличении pH анодные и катодные ПК сдвигаются параллельно в отри-

цательную сторону, причем стационарная скорость саморастворения Fe не изменяется ( $95 \pm 15 \mu a/cm^2$ ). ПК подчиняются ур-нию Тафеля, коэф. их наклона равны: анодные ПК 0,031 в, катодные ПК 0,140 в в р-ре перхлората и 0,100 в в сульфатном р-ре.

А. Оше

68485. Замечание об анодном растворении железа. Бонхёффер, Хейслер (Bemerkung über die anodische Auflösung von Eisen. Bonhoeffer K. F., Heusler K. E.), Z. Elektrochem., 1957, 61, № 1, 122—123 (нем.)

Постоянство скорости саморастворения (CC) Fe при увеличении pH, сопровождаемое снижением тока обмена р-ции разряда  $H^+$  ( $i_H^0$ ) и повышением тока обмена р-ции разряда  $Fe^{2+}$  ( $i_{Fe}^0$ ) (см. пред. реф.), связывается с ростом адсорбции  $OH^-$  на поверхности Fe, приводящей к снижению работы выхода  $Fe^{2+}$  (Кабанов Б., Бурштейн Р., Фрумкин А., Disc. Faraday Soc., 1947, 1, 264; Кабанов Б., Лейкис Д., Докл. АН СССР, 1947, 58, 1685). Предполагается, что эффект зависит от протекания р-ции  $H_2O$  (адс.)  $\rightleftharpoons OH^-$  (адс.)  $+ H^+$ , равновесие которой сдвигается влево с уменьшением pH. Аналогично объясняется и влияние  $HCOOH$  (I) на растворение Fe. Найдено, что замена  $HClO_4$  на I в 0,5 M ( $H^+ + Na^+$ ) р-рах при pH = const приводит к сдвигу стационарного потенциала Fe на  $\sim 30$  мв в положительную сторону, причем CC Fe почти не изменяется:  $i_H^0$  снижается и  $i_{Fe}^0$  возрастает. Это объясняется снижением кол-ва  $OH^-$  (адс.) вследствие вытеснения  $H_2O$  (адс.) из адсорбционного слоя молекулами I.  
Г. Флориданович

68486. Использование электролитической полировки для изучения механизма электролиза. Эпельбуш (Utilization of electrolytic polishing for the understanding of the mechanism of electrolysis. Epelboin I.), Proc. Meet. Internat. Comm. Electrochem. Thermodyn. and Kinet., 1954, London, 1955, 94—96. Discuss., 97 (англ.)

Исследование процессов в ваннах электролитич. полировки (ЭП) позволяет получить ряд выводов, относящихся к механизму анодного процесса: переменноточные измерения импеданса ячейки, поляризуемой постоянным током, в области оптимальной ЭП дают максим. значения омич. сопротивления и минимум емкости, что соответствует плотнейшему слою адсорбированных анионов на аноде; зависимость оптимальной ЭП от конц-ии  $H_2O$  (определяемой по упругости паров  $H_2O$  над р-ром) позволяет судить о степени гидратации ионов даже в очень конц. р-рах; можно определять валентность образующихся на аноде ионов металла и ее зависимость от т-ры.  
И. Зайденман

68487. Механизм электролитической полировки. Феллиу, Серра (The mechanism of electrolytic polishing. Felli S., Serra M.), Proc. Meet. Internat. Comm. Electrochem. Thermodyn. and Kinet., 1954, London, 1955, 483—491. Discuss., 491 (англ.)

Согласно литературным данным и опытам авторов, процессы электролитич. полировки (ЭП) всегда сопровождаются периодич. колебаниями потенциала. Искусствен. чередование пассивации и активации анодов приводит к появлению эффекта ЭП в р-рах, где обычно ЭП отсутствует (напр. Fe в насыщ.  $Na_2SO_4$ ). По мнению авторов, основной причиной ЭП являются периодич. процессы — чередование насыщения и разбавления (вследствие перемешивания) р-ра в прианодном слое. Математич. рассмотрение таких процессов объясняет специфич. для ЭП эффект выравнивания скорости (BC) анодного растворения на различных частях анода независимо от ориентации его кристаллов, трудно объяснимый в рамках прежних теорий ЭП. Степень BC зависит от плотности тока ( $i$ ): если  $i$  лишь



слегка превышает величину, соответствующую пассивации ( $i_n$ ), ВС выражено слабее. Чем больше  $i - i_n$  тем сильнее ВС; при  $i = 2 - 3i_n$  достигается полное ВС. ЭП никогда не дает 100%-ного выхода по току, так как в конце периодич. пересыщений неизбежно газ-выделение.

И. Зайденоман  
68488. Исследование анодной поляризации циркония.

Скорости роста и толщины очень тонких окисных пленок. Адаме, Марагини, Ван-Рейсселберге (Studies on the anodic polarization of zirconium — Growth rates and thicknesses of very thin anodic oxide films. Adams George B., Jr., Maraghini Mario, Van Rysselberghe Pierre), Proc. Meet. Internat. Comm. Electrochem. Thermodyn. and Kinet., 1954, London, 1955, 249—262. Discuss. 262 (англ.)

См. РЖХим, 1957, 520.

68489. Кривые зарядки при анодной поляризации бензохиноном. Соколовский Д. В., Попова Н. М., Вести. АН КазССР, 1957, № 1, 89—93 (рез. каз.).

Сняты анодные кривые зарядки насыщенных водородом катализаторов-порошков Pt, Pd, Pd/SiO<sub>2</sub> (5% Pd) в 0,1 н. H<sub>2</sub>SO<sub>4</sub> путем медленного прибавления р-ра бензохинона при 20 и 60°. Показано, что в области «центральной задержки» (+600—700 мВ по н. в. э.) с поверхности порошков снимается наиболее прочно связанный водород. По линейному участку кривых зарядки рассчитана истинная поверхность изученных порошков, которая совпадает с найденной электрохим. методом (РЖХим, 1957, 3955). Показано, что соотношение крепко- и слабосвязанного водорода зависит от условий приготовления катализатора.

А. Чемоданов  
68490. Перенапряжение водорода на  $\epsilon$ -фазах. Ота-ни (Hydrogen overpotential of  $\epsilon$  phases. Ohtani Namio), Sci. Repts. Res. Insts. Tohoku Univ., 1956, A8, № 5, 399—405 (англ.)

Прямым методом измерено перенапряжение  $\eta$  водорода при 25° на полированных сплавах Ag-Al, Ag-Zn, Ag-Sn, Ag-Sb, Cu-Sb в 1 н. H<sub>2</sub>SO<sub>4</sub>, на Cu-Sn в р-рах 2 н. H<sub>2</sub>SO<sub>4</sub> и на Cu-Zn в 1 н. KOH. Нерабочая поверхность электродов изолировалась резиной и парафином. Опытные данные приведены в виде зависимостей  $\eta$  (при  $i = 1 \text{ мА/см}^2$ ) от состава сплава, а для сплавов Ag-Al и Ag-Sn приведены также зависимости ( $\eta$ ,  $i$ ). Величины  $\eta$  как функции состава сплава изменяются сложным образом. На  $\epsilon$ -фазах величины  $\eta$  ниже, чем на границах соседних фаз. В области  $\epsilon$ -фазы зависимости  $\eta$  от состава выражаются преимущественно кривыми с минимумом. Отмечается, что наименьшие межкатодные расстояния  $a$  для решеток  $\epsilon$ -фаз сплавов Ag и Cu лежат в интервале 2,6—2,9 Å (Хомутов Н. Е., Ж. физ. химии, 1950, 24, 1201); по мнению автора, это является следствием максим. значения энергии связи металл—водород для  $a = 2,7$  Å (РЖХим, 1956, 60394) и малой сжимаемости и концентрации свободных электронов (РЖХим, 1953, 8260).

Л. Крипталик  
68491. Окислительные и восстановительные свойства диффундирующего атомарного водорода на поверхности поляризованного электрода. Багоцкая И. А. (Propriétés oxydantes et réductrices de l'hydrogene atomique diffusant à la surface d'une électrode polarisée. Bagotskaia I. A.), J. chim. phys. et phys.-chim. biol., 1957, 54, № 4, 269—273 (франц.)

См. РЖХим, 1957, 37293.

68492. Анодная хронопотенциометрия с платиновым и золотым электродами. Система йодид-йод-йодат. Ансон, Лингейн (Anodic chronopotentiometry with platinum and gold electrodes. The iodide—iodine—iodate system. Anson Fred C., Lingane James J.), J. Amer. Chem. Soc., 1957, 79, № 5, 1015—1020 (англ.)

Методом снятия кривых ( $E$ ,  $t$ ) при  $i = \text{const}$  изучено окисление р-ров KJ в 1,0 н. H<sub>2</sub>SO<sub>4</sub> и HClO<sub>4</sub> в атмосфере N<sub>2</sub>. Найдено, что кривые ( $E$ ,  $t$ ) на Pt и на Au имеют две ступени, первая соответствует р-ции J<sup>-</sup> → J<sub>2</sub>, вторая — р-ции J<sub>2</sub> → JO<sub>3</sub>-. При достаточно высоких концентрациях KJ (до 2 ммоль/л) отношение значений переходного времени  $\tau$  для обеих ступеней соответствует процессам с последовательным отщеплением 1 и 5 электронов, тогда как при более низких концентрациях KJ возрастает. Доказано, что увеличение  $\tau_2$  вызвано параллельно протекающей р-цией образования окисной пленки на аноде. Показано, что наблюдавшаяся при окислении J<sup>-</sup> на Pt-электроде (РЖХим, 1954, 14310) вторая ступень на кривых ( $I$ ,  $E$ ) вызвана образованием окисной пленки на электроде. Найдено, что при окислении J<sup>-</sup> на стационарном Au-микроэлектроде ( $I$ ,  $E$ ) имеют две ступени с отношением высот  $\approx 4,4$ ; заниженное значение этого отношения объяснено р-цией между JO<sub>3</sub>-, диффундирующим от электрода и J<sup>-</sup>. На Pt-электроде наблюдается лишь первая ступень и волна окисления анода (вторая ступень скрыта за током окисления воды).

С. Майрановский

68493. Фундаментальное исследование электролитического получения хлоратов. Часть I. Механизм образования хлоратов. Нагаи, Такэи (鹽素ソーダ電解製造の基礎的研究. 第1報. 鹽素酸ソーダ生成の機構. 永井隆, 武井武), 電氣化學, Дэнки кагаку, J. Electrochem. Soc. Japan, 1956, 24, № 12, 557—561 (японск.; рез. англ.)

Изучалось распределение pH, Cl<sub>2</sub> (I), NaClO (II) и NaClO<sub>2</sub> (III) в хлоратных ячейках двух типов (A и B) при проведении электролиза в водн. р-рах 1 M NaCl с применением магнетитовых анодов и катодов из нержавеющей стали при 18—26°. Опытные данные приведены в виде графиков, выражающих зависимости выходов по току I, II и III от pH, изменение pH во времени при различных удалениях от электродов, а также распределение конц-ий продуктов электролиза в межэлектродном пространстве. С возрастанием кол-ва прошедшего электричества pH вблизи анода уменьшается (< 2), вблизи катода увеличивается (> 10) и в центральной части ячейки медленно возрастает. Конц-ия I наиболее высокая вблизи анода, а конц-ии II и III более высокие в средней части межэлектродного пространства, чем в анодном пространстве. Показано, что III с высоким выходом по току образуется в слабосильных р-рах в результате хим. р-ции 2HClO + NaClO = 2HCl + NaClO<sub>2</sub>; а не в результате электрохим. процесса. Авторы считают, что добавка HCl в ванну в ходе промышленного электролиза целесообразно вводить не в анодное, а в катодное пространство.

Н. Х.  
68494. Электролитическое восстановление салициловой кислоты до салицилового альдегида. Удупа, Дей (Electrolytic reduction of salicylic acid to salicylaldehyde. Udupa N. V. K., Deu B. B.), Proc. Meet. Internat. Comm. Electrochem. Thermodyn. and Kinet., 1954, London, 1955, 465—473. Discuss., 473 (англ.)

Более подробное изложение опубликованной ранее работы (РЖХим, 1954, 33934).

68495. Электролиз расплавов CaO — Al<sub>2</sub>O<sub>3</sub> — SiO<sub>2</sub>. Есин О. А., Чечулин В. А., Докл. АН СССР, 1957, 113, № 1, 109—111

Проводился электролиз расплавов CaO — Al<sub>2</sub>O<sub>3</sub> — SiO<sub>2</sub> при 1370—1440°. Катодом служили жидкие чугуны или Cu, анодом — угольные стержни. Найдено, что основными катодными продуктами являются Si и Al. Выход по току (ВТ) для Si изменяется от 38 до 71% и зависит от вязкости плака, а ВТ Al не превышает 24%. Меньший ВТ Al согласуется с большим изобарным потенциалом образования Al<sub>2</sub>O<sub>3</sub> и теплотами образования их интерметаллич. соединений с катодом. Показано также, что анодное растворение Si из сплавов Fe-Si и Cu-Si

в шлаках различного состава происходит с ВТ 90—104%.

Б. Лепинских  
68496. Напряжение разложения окислов металлов, растворенных в расплавленной буре. Делимарский Ю. К., Назаренко Г. Д., Ж. неорган. химии, 1957, 2, 4, 890—896

Методом (I, V)-кривых определены потенциалы разложения (P) окислов CuO, Ag<sub>2</sub>O, MgO, ZnO, CdO, Ti<sub>2</sub>O<sub>3</sub>, SnO<sub>2</sub>, PbO, Sb<sub>2</sub>O<sub>3</sub>, Bi<sub>2</sub>O<sub>3</sub>, Cr<sub>2</sub>O<sub>3</sub>, MoO<sub>3</sub>, WO<sub>3</sub>, Mn<sub>2</sub>O<sub>3</sub>, Fe<sub>2</sub>O<sub>3</sub>, CoO, NiO (5 мол. %), растворенных в расплавленной буре (РБ) при 840—940°. Применялись инертные электроды: W-катод и Pt-анод. При электролизе на катоде выделялись соответствующие металлы. При 840° ряд металлов в РБ имеет вид Na, Cr, Mo, Fe, Mn, W, Zn, Sb, Ni, Sn, Cd, Bi, Ti, Co, Pb, Cu, Ag и отличается от других рядов в расплавах (РЖХим, 1956, 22101; 34131), что объясняется хим. взаимодействием между компонентами расплава. К этому же выводу приводит сопоставление тепло образования чистых окислов с теплотами образования тех же окислов в РБ. Пр окислов металлов в РБ выше ПР чистых окислов. На основании величин ПР следует предположить образование прочных хим. соединений кислых окислов с бурой.

А. Колотий  
68497. Плотности тока, потенциалы и весовые потери металлов в гальванических элементах с акцепторными электронами H<sub>2</sub>O<sup>+</sup> и O<sub>2</sub>. Виккерт, Вир, Ян (Stromdichten, Potentiale und Metallverluste in galvanischen Elementen mit den e-Nehmern H<sub>2</sub>O<sup>+</sup> und O<sub>2</sub>. Wickert K., Wiehr H., Jaar E.), Werkstoffe und Korrosion, 1957, 8, № 1, 6—17 (нем.; рез. англ., франц.) Исследовалась зависимость от pH и от присутствия некоторых ингибиторов плотности тока (i), потенциала (E) и весовых потерь ( $\Delta m$ ) катодов из Fe, Ni, Al, Zn, а также Fe-анодов в 0,1 н. NaCl. Катодит содержал 40 мг/л O<sub>2</sub>, анилит — 0,3 мг/л O<sub>2</sub>. Исследовались также влияние на i и E кон-ции NaCl (C<sub>NaCl</sub>) и O<sub>2</sub> (C<sub>O<sub>2</sub></sub>). Для всех исследованных катодов наблюдается рост i и E с ростом C<sub>O<sub>2</sub></sub>. По виду (i, pH)- и (E, pH)-кривых в цел. области катоды можно разбить на две группы: металлы одной из них характеризуются максимумом i и E при pH ~ 12—13, остальные металлы — падением i и E с ростом pH от 9. До pH 9 металлы обеих групп имеют одинаковую форму (i, pH)- и (E, pH)-кривых: максимум при pH ~ 3—4 и независимость i и E от pH при pH от 4 до 9. Для Fe-анодов (i, pH)- и (E, pH)-кривые имеют различный по направлению ход. На примере Fe-анода показан рост i и падение E с ростом C<sub>NaCl</sub> до 1,5 г/л и независимость i и E от C<sub>NaCl</sub> при ее увеличении до 6 г/л.  $\Delta m$  для всех исследованных металлов в области независимости i и E от pH также не зависят от pH.

Г. Флоранович  
68498. Электродвижущая сила и структурные свойства системы MnO<sub>2</sub>. Максуэлл, Терек (Electromotive force and structural relations in the MnO<sub>2</sub> system. Maxwell K. H., Thirsk H. R.), Proc. Meet. Internat. Comm. Electrochem. Thermodyn. and Kinet., 1954, London, 1955, 390—408. Discuss., 408—409 (англ.) См. РЖХим, 1956, 50375.

68499. Развитие полярографии в Венгрии. Эрдей (Die Entwicklung der Polarographie in Ungarn. Erdey L.), Acta chim. Acad. sci. hung., 1956, 9, № 1—4, 17—25 (нем.; рез. англ.)

Обзор.  
68500. Новые направления в полярографии. Гейровский (Neuere Richtungen in der Polarographie. Heyrovsky J.), Acta chim. Acad. sci. hung., 1956, 9, № 1—4, 3—16 (нем.; рез. англ.)

Обзор. Библ. 41 назв.

В. Ш.  
68501. Общие сведения об осциллографической полярографии. Гейровский (Allgemeines über oszillo-

graphische Polarographie. Heyrovsky J.), Acta chim. Acad. sci. hung., 1956, 9, № 1—4, 73—91 (нем.; рез. англ.)

Обзор. Библ. 10 назв.

В. Ш.  
68502. Применение катодного осциллографа в полярографии с переменным током. Гейровский (Anwendung des Kathodenstrahloszillographen in der Polarographie mit Wechselstrom. Heyrovsky J., Jago-slav), Chem. Technik, 1957, 9, № 5, 257—261 (нем.)

68503. Исследования в области полярографического анализа. Части 25, 26. О полярографии с линейно изменяющейся силой тока. I, II. Исибаси, Фудзанага (ポーログラフによる分析化学的研究.第25報, 電流規正ポーログラフ. その1. 第26報. 電流規正ポーログラフ. その2. 電流. 電位曲. 石橋雅義, 藤永太郎), 電気化学, Дайки кагаку, J. Electrochem. Soc. Japan, 1956, 24, № 8, 375—378; № 11, 525—528 (японск.; рез. англ.)

25(1). Разработан метод полярографирования с линейно изменяющейся силой тока (метод ИФ), при котором в цепь ячейки включено последовательно высокое сопротивление ( $R > 10 \text{ Мом}$ ) и прикладываемое напряжение (V) доходит до нескольких сотен в. Приведено сравнение ИФ-метода с обычным (Гейровского — Шиката (ГШ)), а также с методом Лингейна — Кольтофа (ЛК), в котором V имеет порядок десятка в и R до 100 ком. Путем сравнения полярограмм восстановления O<sub>2</sub> в 0,005 н. KCl, снятых 3 методами, а также на основании осциллографич. наблюдений сделан вывод, что ИФ представляет собой электролиз (Э) при заданной силе тока (i), ГШ — Э при заданном потенциале (E), ЛК — промежуточный случай, когда при Э изменяется как i, так и E; отмечается, что при ИФ-методе на полярограмме O<sub>2</sub> полностью исчезает максимум. В пределах жизни капли при ИФ происходит изменение E с t (t — время) и i = const, при ЛК с t изменяются i и E, при ГШ с t изменяется i, а E = const.

26(11). Приведены полярограммы восстановления Pb<sup>2+</sup> в р-рах HCl (р-р а) и CdCl<sub>2</sub> (р-р б), снятые методами ГШ и ИФ. ИФ-волны в р-рах а и б различны, так как при малых t (когда мала поверхность капли и поэтому велика плотность тока) наряду с Pb<sup>2+</sup> восстанавливается соответственно Cd<sup>2+</sup> или H<sup>+</sup>. Из ур-ния Нернста для случая металла, образующего амальгаму, выведены ур-ния ИФ-волн. Показано, что E<sub>1/2</sub>, найденный по ИФ-волне, при E, отвечающем максим. значению (перед отрывом капли), в пределах нескольких мв совпадает с E<sub>1/2</sub> волн ГШ. Сообщение 24 см.

РЖХим, 1957, 48261.  
С. Майрановский  
68504. Диффузия электролитов и полярографический метод. Коэффициенты диффузии Zn<sup>2+</sup> в водных растворах KCl и KNO<sub>3</sub> различной концентрации. Гохштейн Я. П., Ж. физ. химии, 1957, 31, № 2, 403—409 (рез. англ.)

Коэф. диффузии пона Zn<sup>2+</sup> в р-рах KCl (0,05—4,0 M) и KNO<sub>3</sub> (0,05—2,5 M) измерены дифракционным микрометодом (ДМ) (РЖХим, 1956, 6477) и полярографич. методом. Найденные величины сравниваются со значениями, полученными капиллярным методом (РЖХим, 1955, 54740, 54741) и рассчитанными по теории Озагера. Данные ДМ отличаются от данных полярографич. метода, рассчитанных по ур-нию Ханса и др. (РЖХим, 1956, 9475), на 3—4%, рассчитанных по ур-нию Штакельберга — Штрелова (РЖХим, 1954, 42787), на 4—9% для р-ров KCl и на 18—30% для р-ров KNO<sub>3</sub>. Данные капиллярного метода значительно расходятся с данными ДМ и полярографич. метода; значения, рассчитанные по теории Озагера, совпадают с эксперим. в очень разб. р-рах (до 0,1 M KCl и 0,05 M KNO<sub>3</sub>).

Ю. Плесков

**68505. Полярографическое поведение сульфидных ионов. Трифонов** (Полярографически отношения на сульфидные ионы. Трифонов А. С.), Изв. Хим. ин-т. Българ. АН, 1956, 4, 21—34 (болг.; рез. русск., нем.)

Исследована найденная автором более отрицательная анодная волна сульфидных ионов (СИ). Найденно, что  $i$  (пр.) этой волны изменяется линейно с высотой столба Hg. Доказана адсорбционная природа этой волны, которая обусловлена покрытием электрода пленкой HgS; с ростом концентрации СИ  $i$  (пр.) достигает предельной величины, из которой найдена предельная поверхностная концентрация HgS  $1,2 \cdot 10^{-9}$  моль/см<sup>2</sup>.

С. Майрановский

**68506. Полярографические исследования ароматических комплексов хрома. Фурлани, Фишер** (Polarographische Untersuchungen an den Aromaten-Komplexen des Chroms. Furlani Claudio, Fischer Ernst Otto), Z. Elektrochem., 1957, 61, № 4, 481—483 (нем.)

В безводном метанольно-бензольном (4:1) р-ре на фоне 0,5 н. LiCl, 0,3 н. NaOH и 0,5 н. LiOH + 0,5 н. CH<sub>3</sub>COOH исследовано полярографич. поведение комплексов Cr с бензолом (РЖХим, 1956, 31708; 1957, 30299): (C<sub>6</sub>H<sub>6</sub>)<sub>2</sub>Cr (I) и [(C<sub>6</sub>H<sub>6</sub>)<sub>2</sub>Cr]<sup>+</sup> (II). Показано, что I дает анодную волну (В) с  $E_{1/2} \approx -0,81$  е (относительно 0,5 н. к. э. в том же р-ре), отвечающую окислению в II ( $n = 1$ ); II дает В восстановления (до I) с почти тем же  $E_{1/2}$ . Обе В подчиняются ур-нию Ильковича, при одинаковых конц-ях (С) I и II  $i$  (пр.) одинаковы. Коэф. диффузии I и II при 19,2° равны  $9,1 \cdot 10^{-6}$  см<sup>2</sup>/сек<sup>-1</sup>. При одновременном присутствии в р-ре I и II наблюдается одна анодно-катодная В.  $i$  (пр.) обеих В пропорционален  $Vh$  ( $h$  — высота столба Hg). Показано, что анодная В полностью обратима, ее  $E_{1/2}$  не зависит от С; катодная В не полностью обратима, ее  $E_{1/2}$  становится отрицательнее с ростом С. Установлено, что при окислении на воздухе р-ра I в нем образуется II.

С. Майрановский

**68507. Полярографическое исследование алкалоидов. I. Лавречек, Юкич-Маркушич** (Polarografsko ispitivanje alkaloida. I. Lovreček B., Jukić-Markušić T.), Croat. chem. acta, 1956, 28, № 4, 255—259 (сербо-хорв.; рез. англ.)

Изучена небольшая предволна, появляющаяся перед каталитич. разрядом ионов водорода в присутствии хинидина (I) в 0,1 н. HCl. Установлено, что эта волна является адсорбционной, и по ур-нию Брдички (Brđička R., Z. Elektrochem., 1942, 48, 278) найдено кол-во молекул в слое I на поверхности Hg:  $9,3 \cdot 10^{13}/n$  молекул на 1 см<sup>2</sup>, где  $n$  — число электронов, участвующих в электродном процессе, отвечающем восстановлению адсорбированного I (предполагается  $n = 2$ ).

С. Майрановский

**68508 Д. Исследование кинетики электрохимического окисления бензильного и некоторых других спиртов на платиновом электроде в кислых растворах. Чжоу Шао-минь.** Автореф. дисс. канд. хим. н., Моск. хим.-технол. ин-т им. Д. И. Менделеева, М., 1957

См. также: Электроосаждение металлов 68327. Полярография 68706, 69195, 69196. Электропроводность 68427, 68428. Методика электрохим. измерений 68460, 69242.

## ПОВЕРХНОСТНЫЕ ЯВЛЕНИЯ. АДсорбция. ХРОМАТОГРАФИЯ. ИОННЫЙ ОБМЕН

Редактор Н. А. Фукс

**68509. Изменение во времени поверхностного натяжения водных и неводных систем. Зигнер, Бернейс** (Zum zeitlichen Gang der Oberflächenspannung

wässriger und nicht-wässriger Systeme. Signer R., Bernais K.), Z. Naturforsch., 1957, 12b, № 4, 261—262 (нем.)

При исследовании скорости протекания столба жидкости через узкий капилляр, полностью ею смачиваемый и наклоненный под небольшим углом к горизонтальной плоскости, установлено, что скорость перемещения (V) мениска зависит от времени существования пленки, смачивающей поверхность капилляра. По свежееобразованной пленке мениск перемещается наиболее быстро, по мере же ее старения V постепенно снижается, достигая некоторого постоянного значения, практически не изменяющегося в течение длительного времени. Из исследованных жидкостей такому старению подвергаются пленки водн. р-ра амилowego спирта и нитробензола и не стареют пленки водн. р-ра этанола и петр. эфира. Причина старения, по мнению авторов, связана со снижением во времени поверхностного натяжения пленки (у нитробензола вследствие адсорбции воды, находящейся в нем в виде следов).

А. Таубман

**68510. О возможном различии состава и соотношении вязкостей двухсторонней пленки и поверхностного слоя раствора мыла. Транезников А. А.** Коллоидн. ж., 1957, 19, № 2, 252—255

На основании измерений поверхностной вязкости ( $\eta$ ) сопоставлены структурно-механич. свойства двухсторонних жидких пленок (ДЖП) и адсорбционных слоев (АС), образованных в р-ре смешанного мыла пальмитат Na — олеат Na. Р-р нагревался до 40° и быстро охлаждался до 18°, что позволяло, по мере выпадения пальмитата, наблюдать за объемным старением р-ра и влиянием этого процесса на свойства ДЖП и АС. Показано, что АС свежего р-ра обладают высокой  $\eta$ , которая сохраняется некоторое время на одном уровне, а затем быстро снижается до ничтожно малых значений; у ДЖП  $\eta$  вначале имеет в  $\sim 2$ —3 раза меньшее значение, которое также падает, но значительно медленнее. При некотором времени старения  $\eta$  ДЖП и АС сближаются и, таким образом, соотношение между ними изменяется. Это показывает, что состав АС в ДЖП и на поверхности р-ра заметно отличается, вследствие того что при образовании АС в них может происходить адсорбционное фракционирование компонентов с различными поверхностной активностью и т.

А. Таубман

**68511. Толщина насыщенного гелиевой пленки выше и ниже  $\lambda$ -точки. Хэм, Джексон** (The thickness of the saturated helium film above below the  $\lambda$ -point. Ham A. C., Jackson L. C.), Proc. Roy. Soc., 1957, A240, № 1221, 243—264 (англ.)

Более подробное описание методики и результатов исследований, опубликованных ранее (РЖХим, 1956, 25044).

В. А.

**68512. Введение в изучение адсорбционных явлений. Курти** (Einführung in das Studium der Adsorptionserscheinungen. Courty Clement), Österr. Chem. Ztg., 1957, 58, № 9-10, 117—123 (нем.)

Сокращенное изложение доклада Курти.

Н. Ф.

**68513. Поверхностные химические соединения и их роль в явлениях адсорбции.** Сб. трудов конференции по адсорбции, 19—22 апреля 1955 г. в Москве. М. МГУ, 1957, 1—361

Содержание (цифры указывают №№ страниц оригиналов): Поверхностные окислы и адсорбционные свойства активных углей, Дубинин М. М., 9—33. Влияние химического строения поверхности саж и их графитирования на изотермы и теплоты адсорбции паров, Август Н. Н., 34—52. О значении электрохимических методов для исследования свойств поверхностных соединений, Фрумкин А. Н., 53—58. Исследование адсорбированных газов и поверхностных соединений методом



контактной разности потенциалов, Бурштейн Р. Х., 59—64. Поверхностное окисление углей, Веселовский В. С., 65—68. Об адсорбции неполярных веществ на окисленной и графитированной сажах, Храпова Е. В., 69—72. Адсорбция водорода, этилена и кислорода на конденсированных слоях металлов, Кавтарадзе Н. Н., 73—78. К вопросу о влиянии химии поверхности графитовых тел на адсорбцию веществ разного строения, Киселев А. В., 79—82. Химическое строение силикагеля и его адсорбционные свойства, Киселев А. В., 90—128. Влияние дегидратации и гидратации поверхности пористых стекол на их адсорбционные свойства, Жданов С. П., 129—145. Изотермы адсорбции паров бензола на поверхностях окислов, обработанных фтористым бором, Баллод А. П., Топчиев А. В., 146—154. Дегидратация алюмосиликатных катализаторов и составляющих их гидрогелей, Калико М. А., 155—165. Об абсолютных изотермах адсорбции воды на пористых стеклах, Добычин Д. И., 166—169. Влияние термической и паровой обработки на структуру и адсорбционные свойства алюмосиликатного катализатора, Никитин Ю. С., 170—174. Получение метилированного силикагеля и его адсорбционные свойства, Щербакова К. Д., 175—177. О роли водородной связи в адсорбции, Цицишвили Г. В., 178—179. К вопросу о структуре, химии поверхности и адсорбционных свойствах адсорбированной воды, Жиленков И. В., 251—253. Влияние изменения природы поверхности и структуры туфового материала в процессе выветривания и образования природных сорбентов, Быков В. Т., 184—188. Некоторые особенности сорбции паров опокими Поволжья, Слисарева Ф. А., 189—191. Абсолютные изотермы адсорбции паров бензола на аскангине, аскангеле и гумбине, Цицишвили Г. В., 192—195. Сорбция органических кислот из масел на волжских опоках, Грязев Н. Н., 196—198. Инфракрасные спектры поверхностных соединений на силикатных сорбентах, Теренин А. И., 206—222. Диэлектрические свойства поверхностных гидратов и адсорбционных слоев на силикагеле и аэросиликагеле, Курбатов Л. Н., 223—242. К вопросу о люминисцирующих молекулах воды, Веденеева Н. А., 243—245. О приложениях инфракрасной спектроскопии к изучению явлений адсорбции и катализа, Бабушкин А. А., 246—250. К вопросу о диэлектрических свойствах силикагелей, Дубинин М. М., 180—183. Исследование проблемы разделения и противопоставления различных компонент адсорбционной энергии в рядах теплоты смачивания, Ильин Б. В., 254—256. К вопросу о взаимодействии гидроксидов с молекулами ароматических соединений, Соколов Н. Д., 257—259. К вопросу о кислотно-основном механизме адсорбции углеводородов, Эльтеков Ю. А., 260—264. Структурные особенности пограничных слоев, Дерягин Б. В., 265—267. Об адсорбционных свойствах крахмала, Назаров В. И., 263—270. О промежуточных поверхностных формах в катализе Баландин А. А., 277—310. Роль поверхностных соединений при изучении каталитической дегидратации спиртов над окисью алюминия и алюмосиликатными катализаторами, Топчиев К. В., Юн-Пин К., Смирнова И. В., 311—323. О двойном механизме мультиплетной теории и принципе детального равновесия, Ерофеев Б. В., 324—328. Влияние повышенных давлений на механизм дегидратации этилового спирта, Антипина Т. В., 329—332. Парофазная этерификация уксусной кислоты и диэтилового эфира на окисных контактах, Юн-Пин К., 333—340. Электронномикроскопические данные по строению алюмосиликатов, Берестнева З. Я., 346—348. О хемосорбции и окислении сернистого ангидрида на твердых катализаторах при нормальной температуре, Давтян О. К., 349—356. Н. Ф. 68514. Ступенчатая адсорбция криптона на кристаллическом железе, Хауль, Суорт (Stufenförmige

Krypton-Adsorption an Eisenkristallen. Haul R. A. W., Swart E. R.), Z. Elektrochem., 1957, 61, № 3, 380—384 (нем.)

Объемным методом, позволяющим надежно измерять адсорбцию при  $10^{-4}$  мм рт. ст., при  $t$ -рах —196 и —183° сняты изотермы адсорбции Кг на кристаллич. Fe (I), полученном восстановлением синтетич. магнетита током  $H_2$  при 300°, на образце спеченного при 900° магнетита (II) и на смеси I с синтетич. ферритом магния (III) (Fe:Mg = 9:1). При —196° и  $p/p_s \approx 3 \cdot 10^{-4}$  на изотермах I и II наблюдаются резкие вертикальные скачки; при —183° (выше крит.  $t$ -ры адсорбционного монослоя) в этой области  $p/p_s$  в случае I скачка нет, а в случае II есть слабо выраженная ступенька. В интервале  $p/p_s$  0,2—0,9 на изотерме II наблюдаются, кроме того, менее четкие ступеньки в областях заполнения второго и последующих слоев как при —196, так и при —183°. Эти факты объясняются димерной конденсацией Кг в адсорбционном слое благодаря энергетич. однородности значительной доли ( $\sim 1/3$ ) поверхности I и меньшей однородности поверхности II. Этот вывод подтверждается изотермой адсорбции Кг на заведомо неоднородном образце III при —196°, на которой никаких скачков нет. З. Высоцкий

68515. О влиянии освещения на измерения адсорбции газов, Розенберг, Мартел (Concerning the effect of illumination upon measurements of gas adsorption. Rosenberg Arthur J., Martel Charles S., Jr), J. Phys. Chem., 1957, 61, № 4, 512 (англ.)

Обнаружена десорбция Кг с поверхности порошка Ge при освещении малоомной (0,5 ва) лампой накаливания, помещенной в сосуд Дьюара с жидким  $N_2$ , окружающим адсорбент; десорбция особенно велика при давлениях Кг в несколько  $\mu$  и пропорциональна интенсивности освещения. Этот факт противоречит ожидавшейся фотохим. активации поверхности полупроводника Ge и объяснен нагреванием адсорбента при поглощении им части (по расчету  $\sim 0,6\%$ ) лучистой энергии, исходящей от лампы. Это объяснение подтверждено подобными наблюдениями в случаях Кг и  $O_2$  на окисленном Ge, а также Кг на чистом и окисленном Ge, на графите и  $TiO_2$ . Напр. 50-вт лампа, подвешенная на расстоянии  $\sim 60$  см над сосудом Дьюара диам.  $\sim 7,5$  см, повышает  $t$ -ру 0,17 г графита, находящегося в атмосфере Кг с давл. 3  $\mu$ , с 77,8 до 79,0° К. Сделан вывод о необходимости исключения попадания света в адсорбционное пространство при точных измерениях. З. Высоцкий

68516. Тепловые эффекты при хемосорбции кислорода на никеле; сравнительное исследование на порошкообразном никеле и на полученных сублимацией пленках. Делл, Клемперер, Стоун (Thermal effects in the chemisorption of oxygen on nickel: a comparative investigation using powders and evaporated films. Dell R. M., Klemperer D. F., Stone F. S.), J. Phys. Chem., 1956, 60, № 11, 1586—1588 (англ.)

Изучена при 20° хемосорбция ( $XC$ )  $O_2$  на пленках, полученных испарением и на порошках Ni, полученных восстановлением оксалата Ni (РЖХим, 1955, 20885). Отношение числа хемосорбированных атомов  $O$  к числу поверхностных атомов Ni на порошках 2—3, на пленках  $\sim 1$ ; оно зависит от  $t$ -ры, давления ( $p$ ), пористости и скорости рассеяния теплоты адсорбции  $Q$ . При медленном отводе тепла на поверхности образуются островки полимолекулярных слоев  $NiO$ . При  $p > 50$  мм рт. ст. наблюдается даже пирофорность Ni. В калориметрич. опытах для повышения точности определения  $Q$   $O_2$  разбавлялся слабо хемосорбирующейся  $N_2O$ , медленно разлагающейся в присутствии Ni на  $O_2$  и  $N_2$ . Наблюдавшееся постоянство  $Q$  авторами объяс-

ясняют тем, что вводимая каждый раз порция  $O_2$  (или смеси  $O_2$  и  $N_2O$ ) адсорбируется преимущественно на свободной части поверхности; когда поверхность полностью покрыта хемосорбированным  $O$ ,  $Q$  резко падает от 90 ккал/моль на порошках и 140 ккал/моль на пленках до значения, соответствующего  $Q$   $O_2$  на  $NiO$ . Изменение величины поверхности пленки  $Ni$  по данным адсорбции  $Kr$  до и после  $XC$   $O_2$  свидетельствует о спекании образца при  $XC$ . Различия в значениях  $Q$  на порошках и пленках авторы приписывают не только высокой степени чистоты поверхности пленки, но и значительной степени неоднородности. Ю. Эльтеков

68517. О скоростях диффузии и сорбции газа, подчиняющихся уравнению Еловича. Фрэйнд (Diffusion and gas sorption rates obeying the Elovich equation. Freund Thomas), J. Chem. Phys., 1957, 26, № 3, 713 (англ.)

Проанализированы литературные и собственные данные по скорости сорбции  $H_2$  на пористых катализаторах  $MnO$ ,  $MnO-Cr_2O_3$ ,  $MnO-Al_2O_3$  и  $Ru-Al_2O_3$ . Показано, что константы  $\alpha$  и  $t_0$  ур-ния Еловича, вычисленные по кинетич. ур-нию Сезерленда и Уинфилда (РЖХим, 1955, 28623), выведенному для случая сорбции газа с лимитирующей стадией — кинусеновской диффузией в порах, хорошо согласуются с найденными экспериментально в интервалах давл. 0,15—66 см рт. ст.,  $t$  — 100—218° и времени опыта от 0,3 сек. до 74 час. Сделан вывод о применимости ур-ния Сезерленда и Уинфилда в ряде случаев, когда скорость сорбции газов на пористых катализаторах описывается ур-нием Еловича.

З. Высоцкий  
68518. Давление паров фосфорной кислоты при высоких температурах и давлениях. Хандлос, Никсон (Vapor pressure of phosphoric acid at high temperature and pressure. Handlos A. E., Nixon A. C.), Industr. and Chem., 1956, 48, № 10, 1960—1962 (англ.)

Исследована адсорбция  $H_2O$ ,  $N_2$  и их смесей на целите VIII (ионообменная смола с глинистой связкой), пропитанном  $p$ -ром фосфорной к-ты и применяемом в качестве катализатора для гидратации этилена, полимеризации олефинов и т. д. Кол-во адсорбированного в-ва находится взвешиванием на крутильных весах, помещенных в сосуд из нержавеющей стали, в котором поддерживается  $t$ -ра 300° и давл. до 90 атм, что соответствует условиям работы катализатора. Для сравнения проведены также измерения с целитом до пропитки фосфорной к-той. Результаты в сопоставлении с данными других авторов свидетельствуют о том, что фосфорная к-та находится в виде  $HPO_3$ , а целит является инертной подложкой, покрытой слоем к-ты. А. Лихтер

68519. Исследование поверхностной кислотности катализатора крекинга. Ричардсон, Бенсон (A study of the surface acidity of cracking catalyst. Richardson Ryden L., Benson Sidney W.), J. Phys. Chem., 1957, 61, № 4, 405—411 (англ.)

С помощью кварцевых пружинных весов в интервале 20—300° изучена кинетика десорбции паров органич. оснований — пиридина (I) и триметиламина (II) с образцов синтетич. алюмосиликатного катализатора (K) крекинга. В адиабатич. калориметре измерены теплоты  $q$  адсорбции II на образцах K с различной каталитич. активностью;  $q$  равны 33 и  $38 \pm 6$  ккал/моль, что свидетельствует о сильном кислотно-основном взаимодействии. Адсорбированные I и II состоят из 2 фракций, резко различающихся по скорости десорбции. Поверхностная кислотность (ПК) принималась пропорциональной медленно десорбируемой доле I и II, более прочно связанной с поверхностью K. Показано, что: 1) кинетика десорбции подчиняется ур-нию 1-го порядка; 2) скорость десорбции  $v$  лимитируется диффузионным торможением в порах K ( $v$  зависит от

размера гранул K и мол. веса адсорбата, энергия активации десорбции  $\sim 3$  ккал/моль); 3) ПК слабо зависит от  $t$ -ры, в связи с чем сравнительные измерения ПК можно производить при 20°; 4) ПК увеличивается с ростом остаточной влаги в K; 5) ПК изменяется симбатно с каталитич. активностью K. З. Высоцкий

68520. Свойства жидкостей, содержащихся в капиллярах. Часть I. Прибор для определения температур замерзания и кипения конденсатов в капиллярах. Пурри, Майер (Studies in the properties of capillary-held liquids. Part I. An apparatus for determining freezing and boiling points of capillary condensates. Puri Balwant Rai, Myer Y. P.), J. Scient. and Industr. Res., 1957, BC16, № 2, B52—B57 (англ.)

Измерены  $t$ -ры замерзания  $t_1$  и кипения  $t_2$  жидкостей, сконденсированной в капиллярах сорбента (C). Навеска C (силикагель, бентонит) выдерживалась определенное время в вакуумном эксикаторе в парах жидкости (вода, бензол). Жидкость заполняла поры C до определенного радиуса  $r$  в зависимости от продолжительности конденсации, после чего C помещался в термостатированную колбу, и измерялось давление пара  $p$  над C. Получены кривые зависимости  $p$  от  $t$  при разных степенях заполнения  $\alpha$  капилляров. Экстраполяция этих кривых к  $p$  760 мм дает  $t_2$ , излом на кривой при охлаждении указывает  $t_1$ .  $r$  определялись для каждого  $\alpha$  по ф-ле Кельвина. С уменьшением  $r$   $t_2$  повышалась, а  $t_1$  понижалась. Изменение  $t_2$  доходит до 45—50° для бензола и до 25 для воды при  $r \approx 10$  А независимо от природы C. См. РЖХим, 1956, 21946.

А. Клячко  
68521. Точки кипения адсорбированных жидкостей.

Пурри, Кханна, Майер (Boiling points of adsorbate liquids. Puri Balwant Rai, Khanna Som Nath, Myer M. P.), Sci. and Culture, 1957, 22, № 9, 518—519 (англ.)

Исследовано повышение  $t$ -ры кипения  $C_6H_6$ ,  $CHCl_3$ , диоксана, апетона и  $C_2H_5OH$ , адсорбированных порами различных размеров. Вплоть до радиусов пор  $\sim 16$  А термодинамич. расчеты согласуются с измерениями. В более тонких капиллярах измеренные  $t$ -ры кипения выше теоретических, что объясняется неприменимостью ф-лы Кельвина в этом случае и изменениями в плотности и поверхностном натяжении в очень тонких капиллярах (Emmett P. H., Chem. Rev., 1948, 43, 69).  $T$ -ры кипения незначительно зависят от природы адсорбента. В. Азизитов

68522. Параметр « $k$ » при определении удельной поверхности методом Гаркина. Матьюс (Harkins' parameter 'k' in surface area measurements. Matthews D. H.), Chemistry and Industry, 1957, № 15, 465 (англ.)

По изотермам адсорбции  $N_2$  при 77° K рассчитаны уд. поверхности (методом БЭТ) и определены значения параметра  $k$  метода Гаркина и Джурри для 19 порошков с различными физ. и хим. свойствами. Для испытанных порошков величина  $k$  меняется от 2,13 до 6,32. Сделан вывод, что неопределенность параметра  $k$  требует большой осторожности при пользовании методом Гаркина и Джурри. А. Клячко

68523. Исследование адсорбции анионов на металлических поверхностях с помощью радиоактивных индикаторов. Сообщение 1. Швабе, Вагнер, Вейсмантель (Untersuchung der Adsorption von Anionen an Metalloberflächen mit Hilfe radioaktiver Indikatoren. 1. Mitt. Schwabe K., Wagner K., Weissmantel Ch.), Z. phys. Chem. (DDR), 1957, 206, № 5-6, 309—320 (нем.)

С помощью радиоактивных  $C^{14}$  и  $J^{131}$  и сцинтилляционного счетчика измерена адсорбция  $J^-$  и  $CN^-$  из  $\sim 0,0033$  M  $p$ -ров NaJ и NaCN на пластинках из Pt, Ni и Ag, а также взаимное вытеснение адсорбированных

J- и CN-. Найдено, что CN- адсорбируется в виде прочно связанного с поверхностью монослоя, а J- — в кол-ве, соответствующем 2 монослоям, причем 2-й слой адсорбируется слабо на монослое, имеющем, по-видимому, дисольную структуру. Адсорбция CN- возрастает в ряду Pt, Ag, Ni в ~ 2 раза. Показано, что CN- может полностью вытеснить J- из адсорбционного слоя, но J- не вытесняет CN-. На Ag и Ni адсорбированный J- вступает затем в хим. р-цию с металлом.

З. Высоцкий

68524. Адсорбция катионов пеной анионных веществ. Уоллинг, Рафф, Торнтон (The adsorption of cations by anionic foams. Walling Cheves, Ruff Edgar E., Thornton James L., Jr., J. Phys. Chem., 1957, 61, № 4, 486—489 (англ.))

Исследован состав пены, образованной из водн. р-ров Na-солей пальмитойлметилтаурина и додецилбензолсульфокислоты при конц-ях, превышающих крит. конц-ии мицеллообразования, и содержании в этих р-рах катионов 1-, 2- и 3-валентных металлов. Показано, что эти ионы избирательно адсорбируются в поверхностном слое р-ра, частично замещаая в слоях противоионов мицелл ионы Na. Особенно резко это проявляется у многовалентных ионов ( $Mg^{2+}$ ,  $Zn^{2+}$ ,  $Ca^{2+}$ ,  $Fe^{3+}$ ); 1-валентные ионы по адсорбционной способности располагаются в ряд  $H^+ \sim Ag < Na^+ < K^+ < NH_4^+$ . Степень замещения Na-иона увеличивается с возрастанием отношения конц-ий замещающего иона к конц-ии поверхностно-активного в-ва в мицеллярной форме. Адсорбция катионов заметно изменяет свойства пены, и в присутствии даже небольших кол-в Ca, Mg и Zn-ионов, а также  $NH_4^+$  пена содержит значительно больше жидкости, причем плотность упаковки поверхностно-активных молекул в пленках возрастает.

А. Таубман

68525. Абсолютные величины некоторых металлических поверхностей. О'Коннор, Улиг (Absolute areas of some metallic surfaces. O'Connor Thomas L., Uhlig Herbert H., J. Phys. Chem., 1957, 61, № 4, 402—405 (англ.))

Методом БЭТ при  $-183^\circ$  с этаном в качестве адсорбата определены факторы шероховатости / металлич. поверхности: 1) восстановленного в  $H_2$  железа армоко ( $f = 1,2$ ); 2) шлифованной фольги из нержавеющей стали «18-8» после травления ( $35^\circ$ , 10 мин.) в смеси конц. HCl и  $H_2SO_4$  1:1 ( $f = 4,1$ ); 3) после травления ( $90^\circ$ , 10 мин.) в смеси конц.  $HNO_3$  и HF 3:2 ( $f = 1,4$ ); 4) электрополированной (глицерин-фосфорнокислый электролит) нержавеющей стали ( $f = 1,1$ ); 5) сублимированной в вакууме пленки Fe, испаряющейся с Fe-проволоки, нагретой током до  $1000-1100^\circ$  ( $f$  от 5 до 10 в зависимости от толщины пленки); 6) сублимированной пленки Fe, испаряющейся с Fe-проволоки, намотанной на W-нить и нагретую до  $1300^\circ$  ( $f = 1,8$ ). Уменьшение / в последнем случае объясняется спеканием пленки в результате ее нагревания. Наибольшие отклонения от измеренного среднего значения уд. поверхности не превышают 4%. Полученные результаты согласуются с рядом литературных данных, полученных описанным и другими методами (хемосорбция, радиоактивные индикаторы).

З. Высоцкий

68526. Методика авторадиграфии при исследовании распределения флюотационных реагентов на поверхности частиц сульфидных минералов. Плаксин Н. Н., Старчик Л. П., Тюрникова В. П., Изв. АН СССР, Отд. техн. н., 1957, № 3, 187—189. См. также РЖХим, 1957, 63219.

68527. Газожидкостная хроматография. Филлипс (Gas—liquid chromatography. A review. Phillips Courtenay), Svensk kem. tidskr., 1957, 69, № 4, 199—212 (англ.)

Обзор. Библ. 19 назв.

68528. Теория и практика жидкостной распределительной хроматографии фенолов. Уайт, Вогэн (The theory and practice of liquid-liquid partition chromatography of phenols. White D., Vaughan G. A.), Analyt. chim. acta, 1957, 16, № 5, 439—449 (англ.; рец. нем., франц.)

Процесс разделения фенола и крезолов методом распределительной хроматографии (носитель — силикагель; стационарная фаза — вода; подвижная — циклогексан) осложняется наличием адсорбции, для устранения которой вместо силикагеля применен целит; в этом случае эффективность колонки длиной 20 см достигает 600 теоретич. тарелок, но пики несимметричны. Чтобы достичь полного разделения, следует пользоваться вместо воды буферными р-рами. Дается вывод соотношения между фактором разделения, объемами стационарной и подвижной фаз и числом теоретич. тарелок, на основе которого разработаны методы определения фенола в смеси сырых фенолов и разделения о-, м- и п-крезолов в крезоловой фракции. Б. Аннаер

68529. Исследование поверхностных процессов с помощью ионообменной автохроматографии. Кребиэл, Спинкс (Surface studies using ion exchange autochromatography. Krehbiel Ruth E., Spinks J. W. T.), Canad. J. Chem., 1957, 35, № 4, 294—300 (англ.)

Подробное изложение работы (РЖХим, 1957, 37335).

Н. Ф.

68530. Шкала избирательности поглощения некоторых двухвалентных катионов на дауэкс-50. Боннер, Смит (A selectivity scale for some divalent cations on Dowex 50. Bonner O. D., Smith Linda Lou), J. Phys. Chem., 1957, 61, № 3, 326—329 (англ.)

Приводится сводка результатов определений относительной сорбируемости ряда 2-валентных катионов в зависимости от степени насыщения нонита на образцах дауэкс-50 с содержанием 4, 8 и 16% дивинилбензола. Установлена следующая последовательность относительной сорбируемости:  $UO_2^{2+} < Mg^{2+} < Zn^{2+} < Co^{2+} < Cu^{2+} < Cd^{2+} < Ni^{2+} < Ca^{2+} < Sr^{2+} < Pb^{2+} < Ba^{2+}$ . Вычисления проведены с учетом коэф. активности в р-ре; установлен параллелизм между величинами коэф. активности и сорбируемости. Приводится исправленный ряд относительной сорбируемости 1-валентных катионов:  $Li^+ < H^+ < Na^+ < NH_4^+ < K^+ < Rb^+ < Cs^+ < Ag^+ < Tl^+$ . Измерены максим. величины набухаемости всех образцов катионитов во всех исследованных ионных формах.

В. Аюхин

68531. О равновесии обмена ионов водорода с катионами щелочных металлов на смолах. Гутьеррес-Риос, Пино-Васкес (Sobre el equilibrio de cambio entre iones hidrogeno y cationes alcalinos, con resinas. Gutierrez Rios Enrique, Pino Vazquez Carmen del), An. edafol. y fisiol. veget., 1956, 15, № 11, 725—780 (исп.; рец. нем.)

На основе анализа собственного и литературного эксперим. материала авторы приходят к выводу о существовании линейной зависимости между логарифмом константы обмена  $K_a$  (с учетом коэф. активности в р-ре) и отношением сорбированных катионов  $n_M/n_H$ :  $\lg K_a = \lg \bar{K}_a - \ln n_M/n_H$ , где  $\bar{K}_a$  — предельное экстраполированное значение, равное термодинамич. константе обмена. В свою очередь, величина  $\bar{K}_a$  равна отношению квадратов радиусов  $r$  гидратированных ионов. Величина  $r_H$  зависит от отношения  $n_M/n_H$ , но не зависит от природы катиона  $M^+$ . Авторы заключают, что  $\bar{K}_a = K_a/\beta$ , где  $\beta$  определяется ур-нием  $\lg \beta = -n_M/r_M^3 n_H$ . Изложенные представления дают возможность вычислять значения коэф.



активности 1-валентных катионов, сорбированных фазой смолы. В. Анохин

**68532. Анионный обмен с растворами сульфата уранила. Изучение влияния высоких концентраций и скорости процесса.** Арден, Роули (Anion exchange in uranyl sulphate solution. High-concentration effects and rate studies. Arden T. V., Rowley Marion), J. Chem. Soc., 1957, Apr., 1709—1713 (англ.)

В развитие предыдущей работы (РЖХим, 1957, 4018) исследовано поглощение  $U(6+)$  из р-ров  $UO_2SO_4$  в пределах концентраций 0,0066—1,325 M по  $UO_2^{2+}$  и 0,0081—1,624 M по  $SO_4^{2-}$  на сильноосновном анионите деацитид FF. Кол-во  $U(6+)$ , поглощенного из конц. р-ров, превосходит вычисленное на основе предположения о сорбции комплексных анионов  $UO_2(SO_4)_3^{4-}$ ,  $UO_2(SO_4)_2^{2-}$  или  $U_2O_5(SO_4)_3^{4-}$ . Эта избыточная сорбция может быть отнесена за счет поглощения аниона  $U_2O_5(SO_4)_2^{2-}$  или, более вероятно, недиссоциированных молекул  $UO_2SO_4$ , в дополнение к нормальному механизму ионного обмена. Скорость сорбции  $U(6+)$  из разб. р-ров снижается с повышением pH р-ра вследствие меньшей диффузионной подвижности образующегося при этом аниона  $U_2O_5(SO_4)_3^{4-}$  по сравнению с  $UO_2(SO_4)_3^{4-}$ . В. Анохин

**68533. Сорбция фенолов анионообменными смолами.** Хазанов, Куниц, Мак-Гарви (Sorption of phenols by anion exchange resins. Chasanov M. G., Kunin R., McGarvey F.), Industr. and Engng Chem., 1956, 48, № 2, 305—309 (англ.)

В развитие прежних работ (Куниц Р., McGarvey F. X., Industr. and Engng Chem., 1949, 41, 1265) исследована сорбция фенола на сильноосновных (амберлиты IRA-400, IRA-410, IRA-401 и IRA-411) и слабоосновных (IR-4B и 4 образца новых марок) анионитах при фильтровании воды, содержащей 300 ч. фенола на 10<sup>6</sup> ч. воды при pH 5,9. Изучено влияние на полноту извлечения фенола скорости потока, емкости анионита, изменения pH. Произведены опыты с м-крезолом, бис-фенолом и октилфенолом. Излагаются представления о механизме адсорбции фенолов за счет образования H-связей между N-атомом аминогрупп смолы и N-атомом фенольного гидроксильного или между N-атомом аминогруппы и анионом фенолята. В. Анохин

**68534. Распределение этилового спирта и воды в ионообменниках на смоляной основе.** Рюккерт, Самуэльсон (Die Verteilung von Äthylalkohol und Wasser bei Ionenaustauschern auf Harzbasis. Rückert Heinz, Samuelson Olof), Acta chem. scand., 1957, 11, № 2, 303—314 (нем.)

Исследованы набухаемость и распределение спирта и воды между внешней жидкой фазой и ионитом на образцах катионита дауэкс-50 XI и анионита дауэкс-2 XI в различных их солевых формах. Найдено, что в общем конц-ия спирта в фазе смолы меньше, чем в равновесной с ней жидкой фазе, т. е. что наблюдается эффект высаливания невод. р-рителя из фазы смолы; только при малых конц-иях спирта у  $ClO_4^-$ -формы анионита наблюдается небольшой обратный эффект повышения содержания спирта в смоле. По высаливающей способности катионы располагаются в последовательности:  $Li^+ < K^+ < Na^+$ , а анионы —  $ClO_4^- < Cl^- < SO_4^{2-}$ . По величине набухаемости ионные формы ионитов образуют последовательности:  $Li^+ > Na^+ > K^+$  и  $Cl^- > SO_4^{2-} > ClO_4^-$ . У катионитов наблюдается монотонное уменьшение набухания с ростом содержания спирта в смоле; у анионитов кривая набухаемости проходит через максимум. Предложено эмпирич. ур-ние с двумя параметрами, хорошо описывающее форму кривых распределения спирта в зависимости от его содержания во внешнем р-ре. В. Анохин

**68535. Распределение глюкозы между ионообменниками на смоляной основе и смесями этилового спирта с водой.** Рюккерт, Самуэльсон (Die Ver-

teilung von Glukose bei Ionenaustauschern auf Harzbasis in Äthylalkohol-Wassergemischen. Rückert Heinz, Samuelson Olof), Acta chem. scand., 1957, 11, № 2, 315—323 (нем.)

Исследование произведено на тех же ионитах и в тех же ионных формах, как в предыдущей работе (см. пред. реф.). Наблюдается параллелизм между сорбируемостью глюкозы и содержанием воды в фазе смолы при различных составах водно-спиртовой смеси. Теоретич. расчет кривой распределения глюкозы, на основе данных предыдущей работы и растворимости ее в водно-спиртовых смесях, дает лишь грубое приближение, что указывает на необходимость учета специфики взаимодействия ионов с молекулой глюкозы. В наибольшей степени это взаимодействие проявляется на катионите в  $Na^+$  и  $K^+$ -формах. В. Анохин

**68536. Электрохимическое изучение чистых глинистых минералов и их смесей в присутствии четвертичных аммониевых и пиридиниевых соединений.** Чакраварти (Electrochemical studies of pure clay minerals and their mixtures in presence of quaternary ammonium and pyridinium compounds. Chakravarti S. K.), J. Indian Soc. Soil Sci., 1957, 5, № 1, 65—71 (англ.)

Сняты кривые потенциометрич. титрования суспензий чистых минералов: монтмориллонита, каолинита, слюды, вермикулита, бентонита и их смесей в H-форме в р-рах  $Ba(OH)_2$ , KOH и NaOH в присутствии 1 н.  $BaCl_2$  или органич. четвертичных солей. Показано, что катионообменная емкость (φ) минералов в присутствии  $Ba^{2+}$  выше, чем в присутствии крупных органич. катионов. Это объясняется тем, что большие неполярные группы последних экранируют часть поверхности минерала. φ смесей монтмориллонита с каолинитом линейно зависит от состава смеси, что может быть использовано для колич. анализа глин. И. Слоним

**68537 Д. Поверхностное натяжение и адсорбция в растворах некоторых солей калия при разных температурах и концентрациях.** Лакинская Н. М. Автореф. дисс. канд. хим. н., Одесск. ун-т, Одесса, 1957

См. также: Адсорбция 69092. Хроматография 69185, 69202, 69204, 69211, 69234. Ионный обмен 68556, 70685. Поверхностно-активн. в-ва 68483

## ХИМИЯ КОЛЛОИДОВ. ДИСПЕРСНЫЕ СИСТЕМЫ

Редактор Н. А. Фукс

**68538. Об образовании кристаллических алюмосиликатов.** Берестнева З. Я., Константинопольская М. Б., Каргин В. А., Коллоидн. ж., 1957, 19, № 2, 138—141 (рез. англ.)

Электронно-микроскопич. снимки показывают совершенно одинаковую картину образования алюмосиликатов (АС) при смешении зольей  $Al(OH)_3$  (I) с зольями кремнекислоты и с суспензиями силикагеля или кварца. По-видимому, во всех случаях с I реагирует истинно растворенная кремнекислота. Ускоренное образование кристаллич. АС может быть осуществлено при встречном движении потоков ионов в электрич. поле 300—400 в/см в 5-камерном электродвигателе, средняя и 2 крайние камеры которого заполнены водой. 2-я — зольем кремнекислоты и 4-я — зольем I. Синтез кристаллич. АС того же строения с  $Al_2O_3 : SiO_2 = 3 : 1$  происходит при смешении 0,001 н. р-ров  $Al(NO_3)_3$  и  $Na_2SiO_3$  при 85—100°. При более низких т-рах (или при большей конц-ии р-ров) получают лишь аморфные

алюмокремневые гели с шарообразной формой частиц, из-за недостаточной скорости кристаллизации.

**И. Слоним**  
68539. Изучение структуры в дисперсиях канальной сажи. Вут (Analysis of structure in channel black dispersions. Voet Andries), J. Phys. Chem., 1957, 61, № 3, 301—309 (англ.)

Изучены реологич. и электр. свойства суспензий (С) канальной сажи в минер. масле. Изменение электропроводности и диэлектрич. проницаемости С со скоростью сдвига  $G$  указывает на образование в них агрегатов, значительно больших, чем элементарные частицы, и не распадающихся даже при больших  $G$ . В С с добавкой смеси неонного (гилсонита) и ионного (Ва-соли сульфированных углеводов нефти) стабилизаторов образуются линейные агломераты. В покое они частично свернуты в клубки, при сдвиге разворачиваются и распадаются. В неподвижных нестабилизированных С образуются сетчатые структуры, легко разрушающиеся уже при малых  $G$ ; при нагревании и охлаждении наблюдается сильно выраженный диэлектрич. гистерезис. Микроскопич. и электронно-микроскопич. наблюдения подтверждают образование структур в стабилизированных С, не обнаруживаемое реологич. измерениями: для всех стабилизированных С при конц-ях  $< 16\%$  найдено ньютоновское течение. По-видимому, структуры разрушаются во время самого измерения; поэтому выводы о структурах С, основанные только на реологич. данных, ненадежны.

**И. Слоним**  
68540. Упруго-пластические свойства нефтяных битумов. Михайлов Н. В., Коллоид. ж., 1955, 17, № 3, 242—246

Изучены упруго-пластич. свойства нефтяного битума марки III, полученного из артемовской нефти, путем наблюдений за кинетикой развития деформации при наложении постоянного напряжения. Битум характеризуется как твердообразное условно-пластическое тело.

**Б. Шахельдьян**  
68541. Влияние активного наполнителя и растворителя на структурно-механические свойства битумов. Шалыт С. Я., Михайлов Н. В., Ребиндер П. А., Коллоид. ж., 1957, 19, № 2, 244—251 (рез. англ.)

Изучено влияние добавок в битумы активного наполнителя — высокодисперсной извести-пушонки (I) на наибольшую предельную вязкость ( $\eta_0$ ) (РЖХим, 1957, 30231) при объемной конц-и I  $\varphi = 2-25$  об. % и 65, 75 и 85°. С увеличением  $\varphi$   $\eta_0$  растет сначала линейно по ур-нию типа Эйнштейна, причем коэф. формы  $\alpha = 7,5$ . При  $\varphi > \varphi$  (крит.) = 12,5—16 об. % наблюдается резкое возрастание  $\eta_0$  и коэф. термочувствительности  $K = -d \lg \eta_0 / dT$  вследствие формирования новой пространственной структуры с участием зерен I. Структурирующее действие I, объясняемое образованием Са-мыл асфальтогеновых к-т, ослабевает с ростом т-ры. Растворение битума в зеленом масле (М) пластифицирует структуру, вследствие чего  $\eta_0$  и  $K$  резко падают с увеличением конц-и М. Совместное введение I и М позволяет при определенных соотношениях достигнуть заданной высокой  $\eta_0$  при одновременном снижении  $K$ .

**Б. Шахельдьян**  
68542. К методике определения предельного напряжения сдвига полидисперсных систем высокой концентрации с помощью ротационного вискозиметра. Багров А. А., Уч. зап. Ростовк.-н/Д. гос. пед. ин-т, 1957, вып. 1, 119—125

68543. Изучение электрофореза на модельных частицах. Часть I. Зависимость между подвижностью, рН и ионной силой для капелек, имеющих белковую, липидную или полисахаридную поверхность, и для некоторых комплексов. Дуглас, Шоу (Electro-

phoretic studies on model particles. Part 1. Mobility, pH and ionic strength relations for droplets having protein, lipid or polysaccharide surfaces, and for certain complexes. Douglas H. W., Shaw D. J.), Trans. Faraday Soc., 1957, 53, № 4, 512—522 (англ.)

Модельные частицы (МЧ) получены путем адсорбции белка, липоида или полисахарида на поверхности капелек неполярного углеводорода (масла нуйол) в водн. буферах. Изучена подвижность МЧ в зависимости от рН и ионной силы. С целью определения природы поверхности бактерий изучены электрофорез и поверхностное натяжение капелек нуйола, на поверхности которых адсорбированы полипептиды, синтетич. и природные белковые комплексы. Показано, что свойства МЧ в основном определяются ионизирующими группами, однако электрофоретич. поведение в-в, различных по их хим. структурам, имеет иногда одинаковый характер. По мнению авторов, можно связать подвижность со структурой поверхностей, если учесть ориентирующий характер молекул при адсорбции, влияние рН и адсорбцию ионов  $\text{OH}^-$  в р-ре.

**Т. Крмаян**  
68544. Теоретические исследования рассеяния света коллоидными сферами. II. Точная интерполяция теоретических данных для мутности. Хеллер (Theoretical investigations on the light scattering of colloidal spheres. II. Accurate interpolations of theoretical turbidity data. Heller Wilfried), J. Chem. Phys., 1957, 26, № 4, 920—922 (англ.)

Показано, что при постоянных  $\alpha$  (все обозначения имеют обычный смысл) величина  $\lg \{(\tau/c)_0\}$  линейно зависит от  $\lg (m-1)$ . Это соотношение соблюдается при условии, что  $\alpha$  не превышает  $2/3$  того значения, при котором появляется первый максимум мутности. Оно может быть использовано для точной интерполяции теоретич. значений  $(\tau/c)_0$ , выведенных в части I (РЖХим, 1957, 65830), к любому промежуточному  $m$ . В более ограниченных пределах возможна и экстраполяция  $(\tau/c)_0$  к значениям  $m > 1,30$ , характерным для аэрозолей. Предложенные методы интерполяции и экстраполяции в равной мере применимы для поперечных сечений и коэф. рассеяния. **С. Френкель**

68545. Рассеяние света фракционированным неионогенным детергентом. Кушнер, Хаббард, Дон (Light scattering measurements on a fractionated non-ionic detergent. Kushner L. M., Hubbard W. D., Doan A. S.), J. Phys. Chem., 1957, 61, № 3, 371—373 (англ.)

Технич. неионогенный детергент «Тритон X-100» ( $\text{CH}_3(\text{CH}_2)_2\text{CH}_2\text{C}(\text{CH}_3)_2\text{C}_6\text{H}_4\text{O}(\text{CH}_2\text{CH}_2\text{O})_n\text{H}$  со средним значением  $n \approx 10$ ) подвергался мол. перегонке при давл.  $10^{-4}$  мм рт. ст. Выделены 2 фракции: кипящая ниже  $200^\circ$  с  $n \approx 8$  и кипящая при  $200-220^\circ$  с  $n \approx 12$ . Измерено светорассеяние р-ров низкомолекулярной фракции (I), исходного детергента (II) и высокомолекулярной фракции (III). При конц-и  $c < 0,3-0,4$  г на 100 мл средняя степень ассоциации частиц сильно меняется с  $c$ . Постоянный мицеллярный вес  $M$  достигается у I при меньшей  $c$ , чем у II и III. В области больших конц-ий для I, II и III  $M$  равен соответственно 208 000, 90 000 и 53 500. Очевидно, средняя степень ассоциации молекул в мицеллы возрастает с уменьшением гидрофильной части молекулы. Мицеллы I и II отличаются формой и типом упаковки молекул.

**И. Слоним**  
68546. Влияние солюбилизации на эквивалентную электропроводность и приведенную вязкость полимеров, полученных из поли-2-винилпиридина. Штраусс, Словата (The effect of solubilization on the equivalent conductance and reduced viscosity of a polysoap derived from poly-2-vinylpyridine. Strauss

Ulrich P., Slowata Stanley S.), J. Phys. Chem., 1957, 61, № 4, 411—414 (англ.)

В развитие прежних работ авторов (РЖХим, 1954, 16124; 1955, 42769) исследовано влияние солибилизирующих добавок (*n*-декан (I), бензол (II) и 1-октанол (III)) на вязкость ( $\eta$ ) и электропроводность ( $\lambda$ ) 2%-ного водн. р-ра полимела (ПМ), полученного взаимодействием поли-2-винилпиридина и *n*-додецилбромидом. Установлено, что I, солибилизирующий в липофильной части мицелл ПМ, слабо снижает  $\eta$  и  $\lambda$ , солибилизация же II и III в области, близкой к ионизированным группам, вызывает характерные изменения  $\eta$  и  $\lambda$ . Сопоставление кривых зависимости  $\eta$  и  $\lambda$  от солибилизирующего кол-ва II и III с резко выраженными экстремумами указывает на различные причины, вызывающих появление максимума на кривых  $\eta$ , с одной стороны, и минимума на кривых  $\lambda$  — с другой. Эти причины заключаются в изменении размеров мицелл ПМ при вхождении в них молекул солибилизанта и изменении степени ионизации полярных групп ПМ, вызывающего соответствующее изменение межмолекулярных сил отталкивания. Результаты, полученные с III, позволяют считать, что между числом солибилизируемых молекул III и числом додециловых групп в ПМ существуют стехиометрич. соотношения.

А. Таубман

68547. Ассоциация ионов стронция с частично нейтрализованными поликислотами. Уолл, Эйтел (Strontium ion association with partially neutralized polyacids. Wall Frederick T., Eitel Michael J.), J. Amer. Chem. Soc., 1957, 79, № 7, 4550—4555 (англ.)

Ассоциация ионов  $\text{Sr}^{2+}$  с частично нейтрализованной полиакриловой к-той и сополимером стирола с малеиновым ангидридом исследовалась как функция степени нейтр-ции ( $\beta$ ), конц-ии полимера, т-ры и степени полимеризации. Нейтр-ция производилась р-ром  $\text{Sr}(\text{OH})_2$ . Степень ассоциации / определялась как методом электролитич. переноса, так и методом диффузии с помощью радиоактивного индикатора ( $\text{Sr}^{90}$ ). Найдено, что / возрастает с увеличением мол. веса и  $\beta$ . Последнее обстоятельство отражает конфигурационные изменения макромолекул (ММ): при малых  $\beta$  они сильно развернуты, расстояния между заряженными группами велики, и связывание противоположно ионов умеренно; по мере сворачивания ММ в клубок при увеличении  $\beta$  плотность заряда внутри них резко увеличивается, и ассоциация возрастает. Аналогично объяснено также увеличение подвижности и эквивалентной электропроводности полимеров с ростом  $\beta$ . Колич. теоретич. анализ результатов производится на основе простой модели, приписывающей противополонам лишь два энергетич. состояния — связанное и неассоциированное. При этом предполагается, что связывание происходит внутри сферич. области, занимаемой ММ.

С. Френкель

68548. О значении и применимости некоторых методов определения коэффициентов диффузии в гелях и в гетерогенных средах. Круза-Рен (Sur la signification et la validité de certaines méthodes de détermination des coefficients de diffusion dans les gels et les milieux hétérogènes. Crouzat-Reynes Gérard), C. r. Acad. sci., 1957, 244, № 12, 1641—1643 (франц.)

Классические методы определения коэф. диффузии  $D$  в гелях (Г), при которых на слой Г наливают р-р с постоянной конц-ией  $C_0$ , не могут дать действительных значений  $D$ . В случае проникания электролита в Г полиэлектролита, напр. желатин, благодаря влиянию физ.-хим. факторов равновесная конц-ия диффундирующего в-ва в Г не равна  $C_0$  и обычные

ур-ния диффузии неприменимы. В отсутствие электролитов указанные методы все же дают переменные значения  $D$  вследствие изменения степени гетерогенности Г по мере диффузии. Для определения истинных величин  $D$  в жидкости, занимающей промежуток между частицами Г, могут применяться методы, основанные на скорости выделения в-ва из Г в р-р или же на измерении величины потока через слой Г при известном градиенте.

И. Слоним

68549. Теория строения грубодисперсных двойных систем (квазирастворов). Ротнман Л. А., Ж. неорган. химии, 1957, 2, № 4, 831—835

Автор указывает на большую роль межчастичных сил в «грубодисперсных квазирастворах» — двойных системах с зернами больше, чем  $5 \cdot 10^{-4}$  см. Для характеристики таких систем получены соотношения между величинами уд. объема  $V$ , уд. поверхности  $W$ , «квазиповерхностного натяжения»  $\sigma$ , когезии (сил притяжения между однородными зернами)  $\chi$  и адгезии (сил между разнородными зернами)  $\gamma$ . Из геометрич. соображений и термодинамич. ур-ния, аналогичного ур-нию Гиббса, следует, что  $W$  обратно пропорционально  $V$ ,  $V$  пропорционально  $\sigma$ ,  $\sigma$  обратно пропорциональна  $\gamma$ ,  $\gamma$  обратно пропорциональна  $\chi$ . Введены также ур-ния, связывающие производные  $\sigma$ ,  $\gamma$ ,  $\chi$  и  $V$  по конц-ии одного из компонентов.

И. Слоним

68550. Агрегативная устойчивость пигментных суспензий в низкомолекулярных углеводородах, спиртах и сложных эфирах. Гуревич Я. М., Коллоидн. ж., 1957, 19, № 2, 178—182 (рез. англ.)

Агрегативная устойчивость суспензий 12 неорганич. пигментов в различных средах оценена по времени оседания. Наибольшая стабилизирующая способность (СС), характеризующая отсутствием расслаивания в течение  $> 5$  суток, наблюдается в полярных средах — спиртах и эфирах. Низкая СС углеводородов (время полного оседания  $< 3$  час.) повышается при введении в них олеиновой к-ты или эфиров. Увеличение конц-ии эфира в смесях ксенол + эфир повышает СС и увеличивает число пигментов, образующих в данной среде устойчивые суспензии. СС изменяется также в зависимости от вида эфира, возраста в ряду: бутилацетат, дибутилфталат, трикрезилфосфат, что объясняется увеличением числа полярных групп в молекулах эфиров и, следовательно, повышением прочности связи с поверхностью пигмента. Изученные пигменты различаются по родству к гидроксильным, карбоксильным и сложно-эфирным группам, что определяется соответствием полярности этих групп и активных центров на поверхности пигмента.

Б. Шахельдян

68551. Сорбция полистирольных латексов в зависимости от знака заряда частиц и сорбента. Александрова Е. М., Разумихина Н. С., Коллоидн. ж., 1957, 19, № 2, 148—153 (рез. англ.)

Исследована сорбция латексов (Л) полистирола в зависимости от знака заряда кол. частиц и сорбентов. Показано, что катионоактивные стабилизаторы Л сорбируются на отрицательно заряженных сорбентах. В случае одноименных зарядов заметная сорбция Л имеет место лишь при добавке к системе электролитов. В случае разноименных зарядов гетерокоагуляция не требует добавления электролитов, однако при работе с разбавленными Л ( $\leq 1$  г/л) вместо сорбции (гетерокоагуляции) наблюдается коагуляция Л в объеме (гомокоагуляция).

Резюме авторов

68552. Об эмульсиях в системах из смес органических растворителей, содержащих нитроцеллюлозу, и водного раствора стабилизатора. 1. Устойчивость эмульсий в системах из тройной смеси органиче-



ских растворителей и водного раствора мыла. 2. Устойчивость эмульсий в системах из раствора нитроцеллюлозы в тройной смеси органических растворителей и водных растворов мыла. 3. Эмульсионная нитрокраска для тракторных моторов. Александров Н. В., Зап. Харьковск. с.-х. ин-та, 1957, 14(51), 65—76, 77—82, 83—93.

1. Изучена устойчивость эмульсий (Э), масляной фазой (М) которых служит смесь бутилацетат + *n*-бутанол + толуол (3:4:3) и водн. фазой (В) — *r-r* На-мыла к-т касторового масла. При объемных соотношениях М:В = 3:1, 1:1 и 1:3 оптимальная конц-ия С (опт.) масла, при которой устойчивость Э типа М/В максимальна, равна соответственно 55—75, 15—30 и 10—45 мМ. При старении Э их устойчивость падает, после расслоения и регенерации образуются лишь быстро разрушающиеся Э, что связано с гидролизом мыла, идущим необратимо из-за перехода отщепляющихся жирных к-т в М. Введение в Э, полученную с 0,06 М *r-ром* мыла при отношении М:В = 3:1, небольших конц-ий HCl (0,001—0,01 М) и NaOH (0,001 М) повышает устойчивость и не меняет степени дисперсности Э. Свободные к-ты касторового масла (0,01—0,09 М) и большие конц-ии NaOH ( $\geq 0,01$  М) понижают устойчивость и степень дисперсности Э.

2. Прибавление 0,6—5% нитроцеллюлозы (I) к М при соотношении М:В = 3:1 в случае, когда В не содержит мыла, приводит к образованию конц. Э типа В/М; устойчивость и дисперсность Э возрастают с увеличением содержания I. При соотношении М:В = 1:1 или 1:3 оптимальная конц-ия I равна 1,2%; в присутствии больших конц-ий I наряду с обратной Э типа В/М образуются и Э прямого типа М/В. При одновременном присутствии эмульгаторов-антагонистов (мыла и I) тип образующейся Э, степень дисперсности и устойчивости определяется конц-иями эмульгаторов и, главным образом, отношением объемов М:В. Образующиеся при гидролизе мыла жирные к-ты являются, подобно I, липофильными эмульгаторами, действие их и I аддитивно.

3. Разработаны рецептуры эмульсионных лаков (эмалей) для окраски картеров тракторного мотора. Э с соотношением нитролак: вода = 3:1, стабилизированные добавлением к водн. фазе 1,25—2,5% столярного клея, наносятся пульверизацией. После медленной горячей сушки получают сплошные

пленки, не уступающие по качеству пленкам из обычной нитроэмали.

И. Слоним  
68553. Изокинетические заборники пыли. Деннис, Сампсл, Андерсон, Силверман (Isokinetic sampling probes. Dennis Richard, Samples William R., Anderson David M., Silverman Leslie), Industr. and Engng Chem., 1957, 49, № 2, 294—302 (англ.)

Испытаны заборники, предназначенные для изокINETИЧ. забора проб из потока запыленного воздуха и действующие по принципу измерения и уравнивания внешнего и внутреннего давлений,  $P_1$  и  $P_2$ , или по принципу измерения местной скорости потока. Согласно опытам, условие  $P_1 = P_2$  не эквивалентно изокINETИЧНОСТИ (равенству скоростей в канале заборника и в данной точке потока), так как измеряемые значения  $P_1$  и  $P_2$  зависят от положения измерительных отверстий и могут не соответствовать истинным статич. давлениям,  $P_{1\text{ст}}$  и  $P_{2\text{ст}}$ ; далее, при одинаковых скоростях  $P_{1\text{ст}} \neq P_{2\text{ст}}$ , так как внутри канала заборника часть напора расходуется на увеличение кинетич. энергии вследствие формирования выпуклого профиля скоростей, а также на трение и вихреобразование.

В. Дунский  
68554. Способ измерения скорости падения и удельного веса радиоактивных частиц. Адли, Скотт (Method for measuring terminal velocity and specific gravity of radioactive particles. Adley F. E., Scott R. H.), Internat. J. Appl. radiat. and isotope, 1957, 2, № 1, 88—89 (англ.)

Измерена скорость падения радиоактивных частиц в вертикальной трубе длиной 12 и диам. 0,25 м с закрытыми концами. Частицы вводились в верхнюю часть трубы при помощи вибратора. В щелях в нижней части трубы, отстоящих друг от друга на расстоянии 3 м, были установлены два Г.—М.-счетчика. Импульсы, возникающие в них при прохождении радиоактивной частицы, регистрировались на ленте самописца. Опыты проводились с частицами величиной 0,17—0,9 мкм. Для определения кажущегося уд. веса пористых частиц измерялась скорость их падения в двух жидкостях с различной плотностью.

В. Дунский

См. также: Аэрозоли 68601. Диаграмма состояния мыл 70336.

## НЕОРГАНИЧЕСКАЯ ХИМИЯ. КОМПЛЕКСНЫЕ СОЕДИНЕНИЯ

Редактор А. Б. Нейдине

68555. Получение и свойства редкоземельных металлов. Тромб (Préparation et propriétés des métaux des terres rares. Trombe Félix), Chimie et industrie, 1957, 77, № 2, 277—288 (франц.; рез. англ., исп.). Обзор.

В. Ш.  
68556. Управление разделением редкоземельных элементов путем изменения рабочей температуры ионообменивающей колонки. Стюарт (Controlling rare-earth separations by means of varying resin column operating temperatures. Stewart D. C.), J. Inorg. and Nucl. Chem., 1957, 4, № 2, 131—133 (англ.)

Для повышения эффективности и скорости элюирования (Э) редкоземельных элементов на катионообменивающих колонках в дополнение к ранее описанному методу градиентного Э (РЖХим, 1957, 37064) рекомендуется начинать Э при высокой т-ре, а затем постепенно охлаждать колонку. Повышение т-ры, как

и градиентное Э, обеспечивает постепенное увеличение конц-ии комплексообразующих анионов элюирующей органич. к-ты. Опыты проводились на колонке со смолой дауэкс-50, Э производилось 0,1 М *r-ром* оксиномасляной к-ты, рН которого при комнатной т-ре был равен 4,77. При 25° этот *r-r* пропускаться со скоростью 0,25 мл/мин/см<sup>2</sup>, при 95° — со скоростью 1,2 мл/мин/см<sup>2</sup>. По мере охлаждения колонки скорость пропускания элюирующего *r-ра* уменьшалась. На кривой Э при 25° появляется общий максимум для Sc, Lu и Yb. При Э при повышенной, но постоянной т-ре (95°) появляются отдельные максимумы на кривой Э для Sc, Lu, Yb, Th, Er и Ho. Однако расход элюирующего *r-ра* значительно возрастает, что ведет к понижению конц-ии редкоземельных элементов в элюате. Если же Э начинается при 93°, а по прохождении 1-го максимума кривой Э т-ра непрерывно понижается,

то высокая эффективность разделения смеси достигается при небольшом расходе времени и элюирующего р-ра.

**Н. Полянский**  
68557. Оптимальные условия получения гипохлорита натрия реакцией хлора с едким натром. Phadke (Optimum conditions for preparing sodium-hypochlorite by the chlorine-caustic reaction. Phadke R. J., Current Sci., 1957, 26, № 1, 12—13 (англ.).

Изучены условия получения гипохлорита натрия (I) пропусканием  $\text{Cl}_2$  через р-р  $\text{NaOH}$ . Для предотвращения разложения I в р-ре необходим избыток щелочи не менее 0,8 вес. ч. свободного  $\text{NaOH}$  на 1 вес. ч. I. Оптимальная т-ра проведения р-ции  $\sim 32^\circ$ , при повышении т-ры до  $41^\circ$  разложение I быстро увеличивается.

**И. Слоним**  
68558. Образование пиррофосфата натрия ( $\text{Na}_2\text{H}_2\text{P}_2\text{O}_6$ ) путем пиролиза фосфорноватокислого натрия ( $\text{Na}_2\text{H}_2\text{P}_2\text{O}_6$ ). Колятовская Я. Г., Бюл. Польской АН, 1956, Отд. 3, 4, № 11, 775—779

При  $230^\circ$   $\text{Na}_2\text{H}_2\text{P}_2\text{O}_6$  подвергается превращению, выражаемому упрощенным ур-нием  $2\text{Na}_2\text{H}_2\text{P}_2\text{O}_6 \xrightarrow{(4^\circ)} \text{O}_6 \rightarrow \text{Na}_2\text{H}_2\text{P}_2(3^\circ)\text{O}_6 + \text{Na}_2\text{H}_2\text{P}_2(4^\circ)\text{O}_7$ , не учитывая дальнейшей конденсации  $\text{Na}_2\text{H}_2\text{P}_2\text{O}_7$  до высших полифосфатов.

**По резюме автора**  
68559. Непосредственное образование азотной кислоты в газовой фазе. Катала, Вейнрейх (Formation directe de l'acide nitrique en phase vapeur. Cathala Joseph, Weinreich Guay, C. r. Acad. sci., 1957, 244, № 11, 1502—1505 (франц.).

При смешении нагретых до  $100^\circ$  потоков  $\text{O}_2$ , один из которых содержит  $\text{NO}_2$ , а другой  $\text{H}_2\text{O}$ , происходит частичное образование конденсата  $\text{HNO}_3$ . Конденсат  $\text{HNO}_3$  образуется и при смешении потоков влажного  $\text{O}_2$  и  $\text{NO}$ . По мнению авторов, результаты доказывают протекание в газовой фазе р-ций  $2\text{NO}_2 + \text{H}_2\text{O} + 0,5\text{O}_2 = 2\text{HNO}_3$  и  $2\text{NO} + \text{H}_2\text{O} + 1,5\text{O}_2 = 2\text{HNO}_3$ .

**И. Рысс**  
68560. К вопросу об устойчивости сернокислого гидроксилана при повышенных температурах. Зинovieв А. А., Захарова И. А., Ж. неорган. химии, 1957, 2, № 2, 253—258

Термическое разложение  $(\text{NH}_2\text{OH})_2\text{H}_2\text{SO}_4$  (I) идет одновременно по следующим суммарным ур-ниям:  $4(\text{NH}_2\text{OH})_2\text{H}_2\text{SO}_4 = 4\text{NH}_4\text{HSO}_4 + 2\text{N}_2 + \text{O}_2 + 6\text{H}_2\text{O}$ ,  $(\text{NH}_2\text{OH})_2\text{H}_2\text{SO}_4 = \text{SO}_2 + \text{N}_2 + 4\text{H}_2\text{O}$ , начинается уже при  $130\text{--}140^\circ$ , осуществляется в твердом состоянии и идет с большим выделением тепла. Плавлению подвергается, следовательно, не I, а образующийся из него  $\text{NH}_4\text{HSO}_4$ , т. пл. которого равен  $146,9^\circ$ . Термич. разложение I представляет собой окислительно-восстановительный процесс, заключающийся из внутримолекулярного окисления-восстановления  $\text{NH}_2\text{OH}$ , а также из независимо идущего окисления  $\text{NH}_2\text{OH}$  серной к-той. Уд. вес препарата I 99,4%-ной чистоты равен  $d_{20}^{20} = 1,91$ .

**Из резюме авторов**  
68561. О получении и некоторых свойствах хлорид-фторида. Сикре, Шумахер (Sobre la preparacion y algunas propiedades del fluoruro de clorido. Sicre J. E., Schumacher H. J.), An. Asoc. quim. argent., 1956, 44, № 3, 123—131 (исп.; рез. нем.).

Чистый  $\text{ClO}_2\text{F}$  получают при низкой т-ре р-цией между неразб.  $\text{F}_2$  и жидким  $\text{ClO}_2$ . Снят спектр поглощения  $\text{ClO}_2\text{F}$  и установлены условия аналитич. определения гидролизованного  $\text{ClO}_2\text{F}$  в щел. р-ре.

**Резюме авторов**  
68562. Исследование уранатов лития. Башле, Моэрль (Recherche sur les uranates de lithium. Bachelet Maurice, Moherle Jean), C. r. Acad. sci., 1957, 244, № 9, 1210—1212 (франц.).

$\text{Li}_2\text{UO}_4$  (I) получена взаимодействием  $\text{UO}_3$  с окисью, карбонатом или хлоридом Li при  $600^\circ$ . Избыток  $\text{Li}_2\text{CO}_3$  и  $\text{Li}_2\text{O}$  удаляли нагреванием смеси до  $1000^\circ$ ; непро-

реагировавший LiCl выщелачивали абс. спиртом. I также получают действием большого избытка конц. р-ра LiOH на  $\text{UO}_2(\text{NO}_3)_2$ . Однако потенциометрич. и кондуктометрич. исследованием этой р-ции в разб. р-рах установлено только образование  $\text{Li}_2\text{U}_2\text{O}_7$  (II). По предположению авторов, в этих условиях происходит гидролиз I до II. В то время как различные препараты II дают неидентичные рентгенограммы, все исследованные препараты I рентгенографически неразличимы.

**Н. Полянский**  
68563. Трийодид таллия и другие продукты йодирования таллоидида. Кульба Ф. Я., Мироню В. Е., Ж. неорган. химии, 1957, 2, 244—252

При действии р-ра  $\text{J}_2$  в  $\text{CH}_3\text{OH}$  на  $\text{TIJ}$  при  $25^\circ$  промежуточно образуется труднорастворимый  $\text{TIJ}_3$ ; испарением р-ра выделены кристаллы  $\text{TIJ}_3$ . При отношениях  $\text{J}_2:\text{TIJ} = 2,05\text{--}2,45$  из р-ра выделяются блестящие черные чешуйки  $\text{TIJ}_3$ , хорошо растворимые в спирте, растворимые в эфире и ацетоне и разлагающиеся в вакууме при  $70\text{--}80^\circ$  на  $\text{TIJ}$  и  $\text{J}_2$ .  $\text{TIJ}_3$  образуется и при действии пара  $\text{J}_2$  на  $\text{TIJ}$ . Действием р-ра  $\text{J}_2$  в диоксане на  $\text{TIJ}$  и испарением полученного р-ра выделены гранатовые иголки  $\text{TIJ}_3 \cdot \text{C}_4\text{H}_{10}\text{O}_2$ ; аналогичным методом получен  $\text{KJ}_3 \cdot \text{C}_4\text{H}_{10}\text{O}_2$ . Исходя из свойств соединений, авторы считают  $\text{TIJ}_3$  и  $\text{TIJ}_5$  полийодидами  $\text{TI}$  (1+); в спирт. р-ре  $\text{TIJ}_3$  наблюдается равновесие  $\text{TIJ} \cdot \text{J}_2 \rightleftharpoons \text{TIJ}_3$  в  $\text{TIJ}_3$ ,  $\text{TIJ}_5$  и  $\text{KJ}_3$  происходит полный изотопный обмен между ионами и атомами йода.

**И. Рысс**  
68564. Некоторые общие аспекты неорганической химии фтора. Шарп (Some general aspects of the inorganic chemistry of fluorine. Sharpe A. G.), Quart. Revs. London, Chem. Soc., 1957, 11, № 1, 49—60 (англ.).

Обзор. Библ. 49 назв.  
68565. Молекулярные и ионные формы межгалогенных соединений. Фиалков Я. А. (Молекулярные и ионные формы межгалогенных сполук. Фиалков Я. А.) Наук. зап. Київск. ун-т, 1956, 13, № 13, 75—97 (укр.).

Обзор. Библ. 76 назв.  
68566. Физико-химическое исследование комплексов двухвалентной меди с некоторыми N-замещенными оксэтилламинокислотными кислотами. Паскаль (Étude physicochimique des complexes cuivriques de quelques acides éthylolaminoacétiques N-substitués. Pascal Maurice), Bull. Soc. chim. France, 1957, № 2, 185—191 (франц.).

Нагреванием на водяной бане избытка  $\text{CuO}$  с соответствующими аминокислотами получены внутримолекулярные соли  $\text{Cu}(\text{CH}_2\text{ONCH}_2\text{NHCCH}_2\text{COO})_2$  (I),  $\text{Cu}(\text{CH}_2\text{ONCH}_2\text{N}(\text{C}_2\text{H}_5)\text{CH}_2\text{COO})_2$  (II),  $\text{Cu}((\text{CH}_2\text{ONCH}_2)_2\text{NCH}_2\text{COO})_2$  (III) и  $\text{CuCH}_2\text{ONCH}_2\text{N}(\text{CH}_2\text{COO})_2$  (IV). При комнатной т-ре II, III и IV кристаллизуются соответственно с 4, 1 и 2 молекулами  $\text{H}_2\text{O}$ , легко удаляющимися при сушке. I—IV являются неэлектролитами; мол. электропроводность  $0,0058 \text{ M}$  р-ра IV при  $30^\circ$  равна  $0,2 \text{ ом}^{-1} \text{ см}^2$ . В I—IV координационное число (КЧ)  $\text{Cu}(2+) = 4$ . I, II и III имеют плоское строение (гибридизация  $sp^2$ ), адденды бидентатные, связи  $\text{Cu}\text{--}\text{OCO}$  и  $\text{Cu}\text{--}\text{N}$ . Автор считает, что в IV адденд тетрадентатный, 4 связи (две  $\text{Cu}\text{--}\text{OH}$ ,  $\text{Cu}\text{--}\text{OCO}$  и  $\text{Cu}\text{--}\text{N}$ ) не могут находиться в одной плоскости и IV имеет тетраэдрич. структуру. Кондуктометрич. методом установлено, что I—III реагируют с  $\text{CuCl}_2$  (IV не реагирует) по ур-нию  $\text{CuA}_2 + \text{CuCl}_2 \rightarrow 2\text{CuACl}$ , где A — анионы солей I—III. Из I получена соль синего цвета  $[\text{H}_2\text{OCuA}]$  (V), здесь A — тридентатный адденд ( $\text{Cu}\text{--}\text{OCO}$ ,  $\text{Cu}\text{--}\text{N}$ ,  $\text{Cu}\text{--}\text{OH}$ ). Аналогичное соединение получено из II. Из III получена безводн. соль зеленого цвета  $[\text{ClCuA}]$  (VI); ее водн. р-р голубого цвета ( $\text{H}_2\text{O}$  замещает Cl). Автор считает, что в VI A является тетрадентатным

аддендом: 3 связи с ним (те же, что и в V) и связь Cu—Cl находятся в одной плоскости, а 5-я связь (с —ОН второй оксигенильной группы) перпендикулярна к этой плоскости, КЧ Cu (2+) = 5. Это предположение связывается с тем, что из р-ра VI Cu (2+) не осаждается щелочью и KSCN, напротив, из р-ра V на холоду происходит постепенное осаждение Cu (2+). Кондуктометрич. методом изучалось взаимодействие I—IV и VI с NaOH (осаждения Cu(OH)<sub>2</sub> не происходит), обусловленное кислотными свойствами гидроксильной группы оксигенила. Например, из I (1 моль) и NaOH (2 моля) образуется соль с комплексным анионом

[Cu(ОСН<sub>2</sub>СН<sub>2</sub>ННСН<sub>2</sub>СОО)<sub>2</sub>]<sup>2-</sup> (твердые соли не выделены). Рассмотрено строение комплексных анионов, образующихся из I—IV и VI. Потенциометрич. методом определены константы кислотной диссоциации (оксигенильных радикалов) солей I, II и IV; рK<sub>1</sub> найдены равными соответственно 9,68; 9,69 и 9,15 (при 20° и ионной силе р-ра 0,05). Величины рK<sub>2</sub> близки к 11,0. Л. Волштейн

68567. Координирование ненасыщенных соединений ионом серебра. VIII. Алкины. Хелмкемп, Картер, Лукас (Coordination of silver ion with unsaturated compounds. VIII. Alkynes. Helmkamp George K., Carter Forrest L., Lucas Howard J.), J. Amer. Chem. Soc., 1957, 79, № 6, 1306—1310 (англ.)

Измерена растворимость 3-гексина (I), 2-метил-3-гексина (II), 2,2-диметил-3-гексина (III), 2,2,5-триметил-3-гексина (IV), 2,2,5,5-тетраметил-3-гексина (V) и 2-гептина (VI) в водн. р-рах AgNO<sub>3</sub> при ионной силе 1 в отсутствие O<sub>2</sub> при 25 и 35°. Полученные данные указывают на образование комплексов Un·Ag<sup>+</sup> и Un·2Ag<sup>+</sup>, где Un — алкин. Вычислены константы образования комплексов UnAg<sup>+</sup> K<sub>a</sub> = (Un·Ag<sup>+</sup>)γ<sub>Un·Ag<sup>+</sup></sub> / (Un)(Ag<sup>+</sup>) × γ<sub>Un</sub>γ<sub>Ag<sup>+</sup></sub>, где γ — коэфф. активности. Замещение в 3-гексине каждого атома Н в α-положении на группу СН<sub>3</sub> уменьшает K<sub>a</sub> в ~3 раза. При 25° величины 10<sup>3</sup>·K<sub>a</sub> для комплексов с I, II, III, IV, V и VI равны соответственно 131; 38,6; 13,0; 5,29; 1,91 и 20,4; при 35° 10<sup>3</sup>·K<sub>a</sub> и V для I равны 103 и 1,45. ΔH образования комплексов с I и с II равны —4,5 и —5,0 ккал. Описаны методы синтеза и определены физ. константы (т. кип., n<sub>D</sub><sup>20</sup>, d<sub>4</sub><sup>20</sup>) I—VI, а также ряда промежуточных продуктов их синтеза. Часть VII см. РЖХим, 1957, 18832. И. Рысс

68568. Гидриды бора. Новый класс комплексных соединений. Шёнemann (Boorhydriden. Een nieuwe klasse van complexe verbindingen. Schönneman H.), Analyst (Nederl.), 1957, 12, № 4, 76—78 (гол.). Обзор. Библ. 13 назв. В. III.

68569. Реакции борной кислоты с некоторыми пиридиновыми основаниями. Робинсон (The reaction of boric acid with some pyridine bases. Robinson Mark T.), J. Phys. Chem., 1957, 61, № 1, 120—122 (англ.) Растворимость Н<sub>3</sub>ВО<sub>3</sub> (I) в диоксане при 25,3, 32,5 и 40,0° равна соответственно 0,213, 0,234—0,236 и 0,266—0,274 моль/л. Автор отмечает, что вопреки прежним данным (Астахов К. В. и др., Ж. общ. химии, 1951, 21, 1753) донной фазой остается I. Растворимость I в пиридине (Py) при тех же т-рах равна 1,04—1,08, 1,13—1,19 и 1,32 моль/л. в донной фазе образуется Py·3НВО<sub>3</sub> (II): 1 образец приближался по составу к Py·3НВО<sub>3</sub>·Н<sub>3</sub>ВО<sub>3</sub>. Соединение II образуется при т-рах 0°—115° и устойчиво при 0,01 мм рт. ст. до 120°. Параметры элементарной ромбич. ячейки II: a 16,9, b 16,7, c 14,6 Å, ρ 1,47. В-ва менее определенного состава получены при соединении I с 2-, 3- и 4-пиколи-

нами, 2,3-, 2,4- и 2,6-лутидинами, 2,4,6-колидином, хинолином, изохинолином и пиперидином; все эти в-ва, как и II, бесцветны, негигроскопичны, полностью гидролизуются при растворении в воде (исключение — соединение пиперидина), растворяются в СН<sub>3</sub>ОН, образуя метилборат и воду; параметры a почти всех соединений близки (17—19 Å). Предполагается, что элементарная ячейка содержит чередующиеся слои ионов В<sub>3</sub>O<sub>3</sub><sup>3-</sup> и основания. Аналогичным строением обладает и легко образующееся соединение Py с циануровой к-той. И. Рысс

68570. Комплексообразование между ионами Тl<sup>+</sup> и галогенид-, роданид- и цианид-ионами. Нильссон (The complex formation between thallium (I) ions and halide, thiocyanate, and cyanide ions. Nilsson Rolf O.), Arkiv kemi, 1957, 10, № 4, 363—381 (англ.)

Комплексообразование Тl<sup>+</sup> с галогенид-, роданид- и цианид-ионами исследовано при 25° и постоянной ионной силе. Установлено образование одноядерных комплексов. Константы равновесия найдены потенциометрически и методом определения растворимости ТlCl, ТlBr и ТlSCN в р-рах NaX (0 ≤ c<sub>NaX</sub> ≤ 4M) и растворимости ТlCl и ТlSCN в р-рах ТlClO<sub>4</sub> (0 ≤ c<sub>TlClO<sub>4</sub></sub> ≤ 100 mM). В этой области концентраций образуются только комплексы ТlX. С фторид- и цианид-ионами образование комплексов не установлено. Устойчивость комплексов Тl<sup>+</sup> с галогенид-ионами возрастает в ряду F < Cl < Br < J.

Из резюме автора.

68571. Комплексы гистамина с солями таллия. Хатем (Complexes histamine-sels de thallium. Hatem Simone), C. r. Acad. sci., 1957, 244, № 9, 1190—1192 (франц.)

Методом непрерывных изменений (определялось светопоглощение в УФ-области) изучалось комплексообразование гистамина (I) с нитратом, карбонатом, ацетатом и сульфатом Тl. Установлено образование комплекса ТlNO<sub>3</sub>·С<sub>6</sub>Н<sub>7</sub>Н<sub>3</sub>. Отмечено, что большое сродство Тl к I находится в связи с биологич. действием солей Тl.

Л. Волштейн

68572. Соединения графита. Дзурис, Хенниг (Graphite compounds. Dzurus Marceline L., Hennig Gerhart R.), J. Amer. Chem. Soc., 1957, 79, № 5, 1051—1054 (англ.)

Показано, что Cl<sub>2</sub> играет в р-ции графита (I) с AlCl<sub>3</sub> (II) роль реагента, а не катализатора, как считалось ранее (РЖХим, 1956, 22202). Для р-ции I с II необходимо присутствие в-ва, способных образовывать отрицательные ионы; образующиеся «ламеллярные» соединения содержат чередующиеся слои C<sub>n</sub><sup>+</sup> и отрицательных ионов, разделенных молекулами AlCl<sub>3</sub>. Р-циями I с II при нагревании в присутствии галогенов синтезируются соединения состава C<sub>n</sub><sup>+</sup>X<sup>-</sup>·3AlCl<sub>3</sub>, где X — Cl, Br, J, а n изменяется от 30 до ∞. При р-ции I с FeCl<sub>3</sub> при 300° в течение 48 час. образуется C<sub>n</sub><sup>+</sup>Cl<sup>-</sup>·FeCl<sub>2</sub>·FeCl<sub>3</sub>, превращающийся при нагревании с I и II в C<sub>n</sub><sup>3+</sup>Cl<sup>-</sup>·FeCl<sub>2</sub>·3AlCl<sub>3</sub>. Измерения сопротивления и эффекта Холла подтверждают, что все полученные в-ва являются соединениями графита р-типа, в которых реагирующие с I в-ва являются акцепторами электронов. И. Рысс

68573. Изучение цитрата-свинцовых комплексных ионов по методу растворимости. Панова В. Е., Ж. неорган. химии, 1957, 2, № 2, 330—335

Установлено, что растворение цитрата свинца (I) в р-рах цитрата натрия (II) сопровождается понижением pH. Показано, что в р-рах I и II с установившимися при pH ~ 8 равновесием образуются комплексы состава PbC<sub>6</sub>H<sub>4</sub>O<sub>7</sub><sup>3-</sup> и PbC<sub>6</sub>H<sub>4</sub>O<sub>7</sub><sup>2-</sup>. Определены при 25° константы равновесия р-ции Pb<sub>2</sub>(C<sub>6</sub>H<sub>5</sub>O<sub>7</sub>)<sub>2</sub> (тв.) + C<sub>6</sub>H<sub>5</sub>O<sub>7</sub><sup>3-</sup> + 3ОН<sup>-</sup> ⇌ 3PbC<sub>6</sub>H<sub>4</sub>O<sub>7</sub><sup>3-</sup> + 3H<sub>2</sub>O и Pb<sub>2</sub>(C<sub>6</sub>H<sub>5</sub>O<sub>7</sub>)<sub>2</sub> (тв.) + 4C<sub>6</sub>H<sub>5</sub>O<sub>7</sub><sup>3-</sup> +



$+ 3\text{OH}^- \rightleftharpoons 3\text{PbC}_2\text{H}_3\text{O}_5^{2-} + 3\text{H}_2\text{O}$  соответственно равны  $2,70 \cdot 10^{11}$  и  $1,25 \cdot 10^{10}$ , и растворимость I в воде  $(3,5 \pm 0,1) \cdot 10^{-8}$  моль/л. По резюме автора

**68574. Сравнительное изучение комплексов арсенит-, борат- и теллулат-ионов с многоатомными спиртами.** Рой, Лаферьер, Эдуарде (A comparative study of polyol complexes of arsenite, borate, and tellurate ions. Roy G. L., Laferriere A. L., Edwards John O.), J. Inorg. and Nucl. Chem., 1957, 4, № 2, 106—114 (англ.)

Из изменения рН частично нейтрализованных к-т при введении многоатомных спиртов вычислены значения констант образования  $K$  комплексов борат-, арсенит- и теллулат-ионов со следующими спиртами (1-я и 2-я цифры обозначают  $K_1$  и  $K_2$  для боратных комплексов, 3-я и 4-я —  $K_1$  для комплексов с арсеником и теллуриком): этиленгликоль 1,85; 0,1; 0,07; 16,0; пропиленгликоль 3,10; 1,60; 0,10; 30,0; 2,3-бутандиол 3,45; 4,85; 0,13; 14,5; фенил-1,2-этандиол 7,45; 7,16; 0,23; 45,6; 3-метокси-1,2-пропандиол 18,8; 13,4; 0,66; 25,0; глицерин 16,0; 41,2; 1,15; 73,0; *D*-манноза 50; 490; 2,30; —; *D*-глюкоза 80; 770; 1,45; 14,6; *L*-(+)-арабиноза 130; 675; 1,60; —; *D*-(+)-галактоза 127; 298; 1,95; 39,2; фруктоза —, 95 000; 5,90; 27,8; катехин 7800; 14 200; 110; —; поливиниловый спирт (в расчете на 1 моль мономера в 1 л) 1,80; 4,3; 0,70; 1,00; пентаэритритол 240; 1110; 1,00; —. Величины  $\lg K_1$  комплексов с арсеником связаны линейной зависимостью с  $\lg K_1$  комплексов с боратом, что указывает на сходство пространственных свойств комплексов. Для комплексов с теллуриком подобной зависимости нет; возможно, что причиной этого является другая (октаэдрическая) форма аниона. И. Рымс

**68575. Новый класс комплексных соединений — триосульфатовисмутаты аминокислот металлов.** Спаку, Михаил (O nouă clasă de combinații complexe tritosulfato-bismuto-metalamminele. Spacu G., Mihail Georgeta), An. Univ. «C. I. Parhon», Ser. științ. natur., 1956, № 12, 45—50 (рум.; рез. русск., франц.)

Для доказательства существования комплексного аниона  $[\text{Bi}(\text{S}_2\text{O}_3)_3]^{3-}$  в  $\text{K}_3\text{Bi}(\text{S}_2\text{O}_3)_3$  использован метод, основанный на обмене в водн. р-ре иона  $\text{K}^+$  из  $\text{K}_3\text{Bi}(\text{S}_2\text{O}_3)_3$  с различными аминокислотами Со. Получены комплексы  $[\text{Bi}(\text{S}_2\text{O}_3)_3][\text{Co}(\text{NH}_3)_6]$ ,  $[\text{Bi}(\text{S}_2\text{O}_3)_3][\text{Co}(\text{NH}_3)_5\text{Cl}]$ ,  $[\text{Bi}(\text{S}_2\text{O}_3)_3][\text{Co}(\text{NH}_3)_4\text{Cl}_2]$ ,  $[\text{Bi}(\text{S}_2\text{O}_3)_3][\text{Co}(\text{NH}_3)_3\text{Cl}_3]$ ,  $[\text{Bi}(\text{S}_2\text{O}_3)_3][\text{Co}(\text{NH}_3)_2\text{C}_2\text{O}_4]$ ,  $[\text{Bi}(\text{S}_2\text{O}_3)_3][\text{Co}(\text{NH}_3)_2\text{C}_2\text{O}_4]$ ,  $[\text{Bi}(\text{S}_2\text{O}_3)_3][\text{Co}(\text{NH}_3)_2\text{C}_2\text{O}_4]$ ,  $[\text{Bi}(\text{S}_2\text{O}_3)_3][\text{Co}(\text{NH}_3)_2\text{C}_2\text{O}_4]$ ,  $[\text{Bi}(\text{S}_2\text{O}_3)_3][\text{Co}(\text{NH}_3)_2\text{C}_2\text{O}_4]$ . Во всех полученных соединениях установлено существование иона  $[\text{Bi}(\text{S}_2\text{O}_3)_3]^{3-}$ . В. Штерн

**68576. Отношение пентавалентного ниобия к салициловой и сульфосалициловой кислотам.** Судариков Б. Н., Бусаров Ю. П., Ж. неорг. химии, 1957, 2, № 3, 702—703

В слабокислой среде при рН 4—6 Nb (5+) осаждается салицилатом  $\text{NH}_4$  в виде тяжелого кристаллич. осадка темно-коричневого цвета, который гидролизует при более высоких рН. Показано, что если выделение кристаллов производить из р-ра сульфата Nb (5+), то состав и свойства образующегося соединения, по-видимому, отвечают ф-ле  $\text{NbOSO}_4^+\text{Sal}^-$ , где  $\text{Sal}^-$  — одноосновный ион салициловой к-ты. Растворимость этого соединения в воде равна 0,114 г/л. При повышении конц-ий ионов  $\text{Sal}^-$  в р-ре растворимость осадка возрастает, по мнению авторов, вследствие комплексобразования. Прибавление сульфосалициловой к-ты (I) к солянокислым и сернокислым р-рам Nb (5+) вызывает гидролиз соединений Nb (5+) до

ниобиевой к-ты, если конц-ия Nb (5+) в р-рах > 2—3 г/л. При действии на щавелевокислые р-ры Nb (5+) происходит частичное замещение ионов  $\text{C}_2\text{O}_4^{2-}$  на ионы  $\text{SSal}^{2-}$ , где  $\text{SSal}^{2-}$  — двухосновный ион I. Полное замещение происходит при обработке твердого оксалата Nb (5+) к-той I. При этом образуется соединение, состав и свойства которого отвечают ф-ле  $(\text{NbO})_2(\text{SSal})_3 \cdot 4\text{H}_2\text{O}$ . В. Шмидт

**68577. Крискоскопическое и потенциометрическое исследование образования комплекса фруктозы с теллурической кислотой.** Антикайнен (Cryoscopic and potentiometric studies of the formation of the fructose-telluric acid complex. Antikainen P. J.), Suomen kem., 1957, 30, № 3, B45—B51 (англ.)

По данным исследования крискоскопич. и потенциометрич. методами, теллурическая к-та (I) образует с фруктозой (II) комплекс состава 1:1. Установлено, что константа образования  $K$  комплексной фруктозо-теллурической к-ты (III) зависит от конц-ий I и II. Экстраполированное значение  $K$  для бесконечного разб. р-ров при 0° равно 10,1. При 25°  $K$  равна 0,3. Константа равновесия р-ции образования аниона III из аниона I и II равна 83,0. III несколько превышает по силе маннителлурическую к-ту и равна по силе глицеринтеллурической к-те. Н. Полянский

**68578. О реакциях диметилглиоксима с катионами железа (III) и меди в водных растворах.** Гурвич А. М., Ж. общ. химии, 1957, 27, № 3, 578—582

Методом непрерывных изменений установлено образование соединений диметилглиоксима с Fe (3+) и медью, в состав которых эти металлы входят в отношении 1:1. Обнаружено существование соединения Fe (3+) с диметилглиоксимом, образующегося при отношении компонентов, равном 1. По резюме автора

**68579. Соли бис-(трифенилфосфин)-трикарбонилкобальта-иона.** Сакко (Sali di bis-trifenilfosfina, tris-carbonile-cobalto (I). Sacco Adriano), Atti Accad. naz. Lincei. Rend. Cl. sci. fis., mat. e natur., 1956, 21, № 6, 442 (итал.)

Предварительное сообщение о синтезе устойчивых на воздухе и в р-ре диамагнитных темно-желтых кристаллов йодида и перхлората  $[\text{P}(\text{C}_6\text{H}_5)_3]_2\text{Co}(\text{CO})_3^+$  (I) по р-ции замещения исходя из  $[\text{P}(\text{C}_6\text{H}_5)_3]_2\text{Co}(\text{CO})_3^+ \cdot [\text{Co}(\text{CO})_4]^-$ . Карбонильная группа в катионе I не вытесняется йодом и пиридином. Б. Каплан

**68580. Координационные соединения с олефинами.**

**II. Получение и инфракрасные спектры комплексов олефинов с хлоридом двухвалентной платины.** Йонассен, Филд III. Координационные соединения галогенидов двухвалентных платины и палладия и одновалентной меди с бутadiеном. Слейд, Йонассен. IV. Комплексы двухвалентной платины с *cis*- и *trans*-бутеном-2. Йонассен, Керш (Olefin coordination compounds. II. The preparation and infrared spectral properties of olefin-platinum (II) chloride complexes. Jonassen Hans B., Field Jack E. III. Coordination compounds of butadiene with platinum (II), palladium (II) and copper (I) halides. Slade Philip E., Jr., Jonassen Hans B. IV. Platinum (II) complexes with *cis*- and *trans*-2-butene. Jonassen Hans B., Kirsch Warren B.), J. Amer. Chem. Soc., 1957, 79, № 6, 1275—1276; 1277—1279; 1279—1281 (англ.)

**II. Описано получение  $[\text{PtCl}_2(\text{C}_4\text{H}_6)_2]$  и 2-ядерных комплексов (содержащих  $\mu$ -дихлоро-мостики)  $[\text{PtCl}_2\text{C}_4\text{H}_6]_2$  (I),  $[\text{PtCl}_2\text{C}_4\text{H}_6]_2$  (II),  $[\text{PtCl}_2(\text{изо-C}_4\text{H}_8)]_2$  (III). Изучены ИК-спектры I—III и соли Цейзе  $\text{K}[\text{PtCl}_2 \cdot \text{C}_2\text{H}_4]$ .**

**III. Описаны получение, термич. разложение и ИК-спектры комплексов бутadiена:  $\text{K}_2[\text{Pt}_2\text{Cl}_6\text{A}]$  (IV),  $[\text{PdCl}_2\text{A}]_2$  (V),  $[\text{PtCl}_2\text{A}]_2$  (VI),  $[\text{Cu}_2\text{Cl}_2\text{A}]$  (VII) и  $[\text{Cu}_2\text{Br}_2\text{A}]$**

(VIII). Термич. устойчивость уменьшается в последовательности:  $IV \gg V > VI \approx VII$ , VIII. ИК-спектры показывают, что в 2-ядерных комплексах IV, V и VI мостиками являются соответственно 1 молекула A, 2 молекулы A, 2 атома Cl. Автор полагает, что кирпично-красный VI является изомером описанного ранее (Гельман А. Д., Докл. АН СССР, 1939, 23, 532) зелено-коричневого комплекса, в котором 2 молекулы A являются мостиками. VII и VIII имеют строение  $[XCuACuX]$ , где A является мостиком, или же  $Cu+[CuX_2A]^-$ , где координационное число Cu равно 4 (A — бидентатный адденд, образовавший цикл,  $X=Cl$ , Br).

IV. Действием *цис*- и *транс*-бутена-2 (Б) получены кристаллич.  $[PtCl_2 \cdot \text{цис-Б}]_2$  (IX) и  $[PtCl_2 \cdot \text{транс-Б}]_2$  (X). IX и X — 2-ядерные комплексы с  $\mu$ -дихлоромостиками. Т-ра плавления X 110—115°, т. разл. 125—135°; IX разлагается, не плавясь, при 165—175°. ИК-спектры IX и X различны и показывают, что Б при комплексообразовании не изомеризуется. IX и X разлагались в вакууме при действии 0,2 н. NaCN. Получался Б; как показали результаты изучения ИК-спектров, при разложении IX и X изомеризации Б не происходит. Л. Волштейн

68581. Комплексы платины, палладия и золота с диэтилдитиокарбаматом. Состав, структура и анализ. Гетерометрическое исследование. Бобтельский, Эйзенштадтер (Les complexes du platine du palladium et de l'or avec le diéthylthiocarbamate. Composition, structure et analyse. Étude hétérométrique. Bobtelsky M., Eisenstadter J.), Bull. Soc. chim. France, 1957, № 5, 708—714 (франц.).

Гетерометрическим методом изучалось взаимодействие водн. р-ров  $H_2[PtCl_6]$ ,  $H[AuCl_4]$  и  $PdCl_2$  (в присутствии HCl) с диэтилдитиокарбаматом натрия (NaA). На основании кривых титрования сделаны выводы об образовании при различных рН комплексов, отвечающих отношениям: Pt: A = 1:1 (I), 2:3 (II), 1:2 (III) и 1:3 (IV); Pd: A = 1:2 (V); Au: A = 1:1 (VI), 2:3 (VII) и 1:2 (VIII). Комплексы I, VII и VIII растворимы, остальные — нерастворимы. Авторы полагают, что комплексам I, III, IV, V, VI и VIII отвечают координационные ф-лы соответственно  $[PtCl_4A]^-$ ,  $[PtCl_2A_2]^+$ ,  $[PtA_3]^+$ ,  $[PdA_2]^+$ ,  $[AuCl_2A]^+$ ,  $[AuA_2]^+$ . Предполагается, что VII является 2-ядерным комплексом  $[AClAuAuClA]^+$  или  $[Au(AuA_2)AuCl_2]^+$  с одним или двумя A в роли мостиков. Описаны условия гетерометрич. определения Pt (4+), Au (3+) и Pd (2+) титрованием р-ром NaA. Л. Волштейн

68582. К вопросу о строении аквополи- и гетерополисоединений. Спичин В. И., Ж. неорган. химии, 1957, 2, № 3, 502—509

Методом меченых атомов установлено, что взаимодействие ионов  $HPO_4^{2-}$  и  $WO_4^{2-}$  начинается уже в щел. области (рН 8—9) и приводит к получению непердельных фосфоровольфраматов или их двойных соединений с нормальным вольфраматом. Процесс образования аквополи- и гетерополисоединений связан с возникновением водородных связей между анионами к-т, вступающих в указанное взаимодействие. В структуре аквополианионов следует допустить также наличие оксониевых группировок. Строение гетерополисоединений предельного ряда типа фосфоро-моллибдатов или кремневольфраматов можно выразить общей ф-лой  $H_m[RO_4(H_2MO_4)_n(H_2O)_n]$ , где R — неметаллич. элемент-комплексообразователь;  $m$  — основность отвечающей ему к-ты, M — Mo или W.

По резюме автора  
68583. Координационная теория и рентгеноструктурный анализ в вопросе изучения строения гетеро-

полисоединений. Никитина Е. А., Бурис Е. В., Ж. неорган. химии, 1957, 2, № 3, 510—514

На основании анализа данных рентгеноструктурных работ устранены основные противоречия между ними и координационной теорией в вопросах двухсложного строения гетерополисоединений, координационного числа центрального атома, основности и состава внутрисферных заместителей. Проведено термографич. исследование важнейших насыщ. гетерополиоксидот. На основании полученных данных установлено различие в прочности связи гидратной, солеобразующей и внутрисферной воды. На основании прежних работ показано, что у гетерополисоединений, содержащих в качестве центрального атома группу  $H_2$ , внутрисферная вода связана более прочно, чем солеобразующая, что подтверждается также обменом H на D. Хим. свойства пара- и метавольфраматов, различная прочность связи воды у них заставляют отдать предпочтение координационным ф-лам этих гетерополисоединений. Резюме авторов

68584. Константы устойчивости внутрикомплексных солей двухвалентных металлов с пиколиновой и хинальдиновой кислотами. Судзук, Ясуда, Ямасак (Stability constants of picolinic and quinaldic acid chelates of bivalent metals. Suzuki Keinosuke, Yasuda Motoo, Yamasaki Kazuo), J. Phys. Chem., 1957, 61, № 2, 229—231 (англ.).

Константы устойчивости внутрикомплексных солей пиколиновой (I) и хинальдиновой (II) к-т определены потенциометрич. методом Бьеррума для Ni, Zn, Pb, Cd и спектрофотометрич. методом для Cu. Равновесия  $M^{2+} + A^- \rightleftharpoons MA^+$  и  $MA^+ + A^- \rightleftharpoons MA_2$ , где  $A^-$  — анионы I и II, соответствуют  $K_1$  и  $K_2$ . При 25° и ионной силе 0,1  $\lg K_1$  и  $\lg K_2$  для I равны соответственно: 8,6 и 7,4 (Cu); 6,4 и 5,5 (Ni); 5,12 и 4,30 (Zn); 4,82 и 3,06 (Pb), 4,36 и 3,18 (Cd); для II определены только  $\lg K_1$  для Ni и Pb: 4,19 и 4,0 (Cu, Zn и Cd образуют с II осадки). Для кислотной диссоциации I и II найдены  $pK_2 = 5,44$  и 4,49;  $pK_1$  для I принят равным 1,60, для II имеет место полная диссоциация. Сопоставлены величины отношения  $\lg K/pK_2$  ( $K$  — полная константа устойчивости комплексов, равная  $K_1 \cdot K_2$ ) для I и для других аминокислот с такой же комплексообразующей группировкой в циклах. Для I  $\lg K/pK_2$  значительно больше, чем для гликоля и пролина; упрочнение комплексов с I авторы объясняют резонансом в пиридиновом кольце I. Л. Волштейн

68585. О влиянии анионов внешней сферы на характер замещения во внутренней сфере комплексных соединений. Гринберг А. А., Гильденгершель Х. П., Докл. АН СССР, 1956, 108, № 2, 256—258

На обширном литературном материале и новых опытных данных показано влияние внешнесферных анионов на течение р-ций замещения во внутренней сфере комплексного катиона. При действии  $NH_3$  и большого избытка  $(NH_4)_2SO_4$  (I) на  $[Pt(NH_3)_4Cl_2]Cl_2$  образуется гидроксопентаамминсульфат, при действии на  $[Pt(CH_3NH_2)_4Cl_2]^{2+}$  получен  $[Pt(NH_3)_6]^{4+}$ . При замене I на  $(NH_4)_2HPO_4$  в 1-м случае образуется  $[Pt(NH_3)_5Cl]Cl_3$ , во 2-м ничего не выделяется. Взаимодействие смешанных тетраминов с  $NH_3$  в присутствии  $PO_4^{3-}$  приводит к образованию смесей из пентамина и гексамин. При добавлении  $NH_3$  или NaOH к р-ру полученных продуктов осаждался  $[Pt(NH_3)_5NH_2Cl]Cl_2$ . Выход его возрастает при переходе от  $[Pt(CH_3NH_2)_4Cl_2]Cl_2$  к  $[Pt(CH_3NH_2)_3NH_2Cl_2]Cl_2$  и далее к  $[Pt(CH_3NH_2)_2(NH_3)_2Cl_2]Cl_2$ ,  $[Pt(CH_3NH_2)(NH_3)_3Cl_2]Cl_2$  и  $[Pt(NH_3)_4Cl_2]Cl_2$ . Показано, что под влиянием различных внешнесферных анионов могут возникать различные продукты замещения. А. Аблоу

68586. Исследование процесса осаждения молибдата кальция из растворов молибдата натрия. Лебедев К. Б., Пономарев В. Д., Изв. АН КазССР. Сер. горн. дела, металлургии, стр-ва и стройматериалов, 1957, вып. 1, 12—22 (рез. каз.)

68587. К вопросу о разлагаемости свинцовых концентратов кислотами. Сионова Е. В., Левитская А. В., Изв. АН КазССР. Сер. горн. дела, металлургии, стр-ва и стройматериалов, 1957, вып. 1, 86—91 (рез. каз.)

68588. О взаимодействии двойного фторида урана IV и аммония с растворами карбонатов щелочей. Андреевская О. В., Венедиктова Р. В., Ядрищева А. Д., Лашкова Л. П., Толмачев Ю. М., Тр. Радиев. ин-та АН СССР, 1956, 7, 103—106

Двойной фторид  $U(4+)$  и  $NH_4(I)$  быстро растворяется в холодных конц. р-рах  $Na_2CO_3$ ,  $NaHCO_3$  и  $(NH_4)_2CO_3$ ; максим. растворимость его (в г  $UF_4$  на 100 мл р-ра) при 20° соответственно равна 6,6, 2,4, и 5,0. Разбавление р-ров, а также прибавление к-т или щелочей разлагает комплекс. Параллельно процессу растворения I происходит окисление  $U(4+)$  до  $U(6+)$ ; окисление протекает и в атмосфере  $CO_2$ , способного, по предложению авторов, окислять  $U(4+)$ . И. Рысс

68589 К. Химия боратов. Часть 1. Обзор. Кемп (The chemistry of borates. Part 1. A review. Kemp Peter Hayden. London, Borax Consol. Ltd., 1956, vii, 90 pp., ill., 12sh 6 d. (англ.))

68590 Д. Изучение оксалатных комплексов некоторых металлов в растворе. Дубовенко Л. П. Автореф. дисс. канд. хим. н., Киевск. ун-т, Киев, 1957

68591 Д. Исследование свойств геометрических изомеров трехвалентного кобальта. Ганниев А. Автореф. дисс. канд. хим. н., МГУ, М., 1957

68592 Д. Синтез и физико-химическое изучение гидроксоульфоглицилатов. Сергеева А. Н. Автореф. дисс. канд. хим. н., Львовск. ун-т, Львов, 1957

См. также: Строение и св-ва молекул и кристаллов 68242, 68246, 68249, 68250, 68303, 68305, 68311, 68343, 68466. Кинетика и механизм неорганич. р-ций 68422, 68425. Комплексные соед. 68160, 68169, 68245, 68371, 68462, 68506, 68923; Системы: металлч. 68367, 69402; солевые 68372, 68374, 68375, 70585; силикати. 69401. Др. вопр.: получение  $UF_4$  69263; окисление металлч. сплавов 70591, 70592

## КОСМОХИМИЯ. ГЕОХИМИЯ. ГИДРОХИМИЯ

Редакторы Г. Г. Воробьев, М. С. Яншина

68593. Возраст солнечной системы. Браун (The age of the solar system. Brown Harrison), Scient. Amer., 1957, 196, № 4, 80—84, 86, 89—90, 92, 94 (англ.)

Научно-популярная статья, обобщающая работы по определению возраста Солнечной системы, Земли, древних пород и метеоритов. Наиболее вероятный возраст Земли 4,5 млрд. лет. Элементы вселенной образовались 4,9—6 млрд. лет тому назад.

Р. Хмельницкий  
68594. Образование элементов. Фаулер (Formation of the elements. Fowler William A.), Scient. Monthly, 1957, 84, № 2, 84—100 (англ.)

На основании литературных данных рассмотрены 4 теории образования элементов (равновесия, полинейтронного деления, неравновесного нейтронного захвата и синтеза в звездах). Подробно рассмотрен вопрос образования элементов в звездах, где основными р-циями являются образование гелия из водорода  $4H^1 \rightarrow He^4$  с дальнейшим превращением его в углерод  $3He^4 \rightarrow Be^8 + He^4 \rightarrow C^{12}$ . Представлена схема дальнейшего синтеза элементов на основе ядерных процессов. Возраст Земли и, вероятно, Солнечной системы совпадает с периодом полураспада  $U^{238}$  (~ 5 млрд. лет). Библ. 54 назв. Р. Хмельницкий

68595. Химия космических тел. Часть 2. Пролл (Chemistry in space flight. Part 2. Proell Wayne), J. Space Flight, 1956, 8, № 10, 1—5 (англ.)

Обсужден вопрос образования различных по составу атмосфер планет и спутников солнечной системы. Предлагается схема и модель распределения газов между планетами и Солнцем. Р. Хмельницкий

68596. Число атомов водорода на уровнях  $n=1$  и  $n=2$  в солнечной хромосфере. Пеккер, Пеккер (Le nombre d'atomes d'hydrogène sur les niveaux  $n=1$  et  $n=2$  dans la chromosphère solaire. Pecker Charlotte, m-me, Pecker Jean-Claude), C. r. Acad. sci., 1956, 242, № 9, 1130—1132 (франц.)

68597. Космическая распространенность калия, урана и тория и тепловые балансы Земли, Луны и Марса. Юри (The cosmic abundances of potassium, uranium, and thorium and the heat balances of the Earth, the Moon, and Mars. Urey Harold C.), Proc. Nat. Acad. Sci. U. S. A., 1956, 42, № 12, 889—891 (англ.)

Развитие нейтронно-активационного метода определения позволяет с большей точностью, чем это сделано в предыдущем сообщении (РЖХим, 1957, 26503), определить конц-ию K, U и Th в хондритах ( $8,23 \cdot 10^{-2}\%$ ,  $1,13 \cdot 10^{-8}$  г/г и  $3,8 \cdot 10^{-8}$  г/г). Предполагая, что конц-ия этих элементов на Земле, Луне и Марсе та же, можно допустить, что скорость генерации тепла ( $1,57$  эрг/г за 1 год) не могла обеспечить расплавление минералов метеоритов. А. Чемаданов

68598. Тектиты и утерлианная планета. Стэр (Tektites and the lost planet. Stair Ralph), Scient. Monthly, 1956, 83, № 1, 3—12 (англ.)

Приводится хим. состав тектитов и рассматриваются условия их образования. См. также РЖХим, 1957, 34185. А. Явнель

68599. О замечаниях Бейтса и Моисевича (1956) относительно  $O_2$  и  $O_1^*$ -гипотез возбуждения излучения OH в воздухе. Красовский (On the remarks of D. R. Bates and B. L. Moiseiwitsch (1956) regarding the  $O_2$  and  $O_1^*$  hypotheses of the excitation of the OH airglow. Krassovsky V. I.), J. Atmos. and Terr. Phys., 1957, 10, № 1, 49—51 (англ.)

Предварительное сообщение. На основании литературных данных, в том числе ракетных исследований Кумена, Скольника, Туси (1956), автор критикует  $O_2$  и  $O_1^*$ -гипотезы гидроксильного возбуждения, развитые Бейтсом и Моисевичем (РЖХим, 1957, 34168) в пользу  $O_2^*$ -гипотезы. А. Чемаданов

68600. Дискуссионное замечание к докладу В. Вальхера. Панет (Diskussionsbemerkung zu dem Vortrag von W. Walcher. Paneth F. A.), Naturwissenschaften, 1957, 44, № 6, 145 (нем.)



Подвергается сомнению достоверность приведенных Вальхером (РИХХИМ, 1957, 53860) масс-спектроскопич. данных об обогащении азота в верхних слоях атмосферы легкими изотопами (в результате действия гравитационного поля). По данным Панета даже соотношение между конц-иями  $\text{He}$  и  $\text{Ar}$  вплоть до высоты  $\sim 60$  км не изменяется. Гравитационный эффект в пределах этой высоты маскируется влиянием ветров.

В. Левин

68601. Естественный фон при измерении радиоактивных аэрозолей. Ех (Jech Cestmir), Чехосл. физ. ж., 1957, 7, № 1, 34—44 (рез. англ.)

В феврале — марте 1955 г. двумя методами измерения естественная радиоактивность над Прагой. Получены следующие значения конц-ий:  $C_{\text{Rn}}$   $0,41 \cdot 10^{-13}$  и  $0,2 \cdot 10^{-13}$ ,  $C_{\text{Tl}}$   $2,6 \cdot 10^{-15}$  и  $1,7 \cdot 10^{-15}$  кюри/л. Пределы колебаний активности 35:1. Наклон начальной части кривой распада позволяет грубо оценить содержание в воздухе в-в с более длительным периодом полураспада. 1—4 марта 1955 г. зафиксировано наличие в атмосфере слабой долговременной активности, связанной, по-видимому, с производством опытных взрывов атомных бомб в Неваде.

А. Чемоданов

68602. Кислород в антарктическом воздухе. Канушер (Oxygen in antarctic air. Kanwisher John), Tellus, 1957, 9, № 1, 137—138 (англ.)

Анализ проб воздуха, взятых в различных точках Антарктиды в течение 1954—1956 гг., показали, что содержание кислорода в антарктич. воздухе не отличается от его содержания в низких широтах.

А. Чемоданов

68603. Доказательство существования атмосферного озона на поверхности моря с помощью инфракрасной спектроскопии. Тайлор, Пейте (Infrared evidence for atmospheric ozone as sea level. Taylor J. H., Yates H. W.), J. Opt. Soc. America, 1956, 46, № 11, 998 (англ.)

24 мая 1956 г. в заливе Чезапик ( $38^{\circ}39'$  с. ш.,  $76^{\circ}32'$  з. д.) монохроматором с шириной спектральной щели 0,07 м получены солнечный спектр и спектр угольной дуги; последняя была установлена на уровне моря на расстоянии 16,3 км. В обоих спектрах наблюдаются минимумы в области 9,5 и 9,65 м (поглощение озона). Конц-ия озона над морем равна  $2,6 \cdot 10^{-6}\%$ .

А. Чемоданов

68604. О методах геохимического исследования. Харлаасс (Über geochemische Prospektionsmethoden. Harlass Eberhard), Urania (DDR), 1957, 20, № 3, 111—115 (нем.)

На основании литературных данных рассмотрена возможность исследования физ. хим. и ботанич. аномалий на поверхности, связанных с геохим. изменениями.

Р. Хмельницкий

68605. О XX сессии Международного геологического конгресса в Мексике. Богданов А. А., Вестн. Моск. ун-та. Сер. биол., почвовед., геол., геогр., 1957, № 1, 3—15

68606. О значении минералогических работ для геологической службы. Уклонский А. С., Изв. АН УзССР. Сер. геол., 1957, № 1, 17—22 (рез. узб.)

68607. Химические аргументы касающиеся происхождения Земли. Юри (Evidencias quimicas con respecto al origen de la tierra. Urey Harold C.), Acta cient. venezolana, 1956, 7, № 1, 3—10 (исп.)

Некоторые известные положения могут быть использованы для построения гипотезы о происхождении Земли. Земля и другие планеты прошли короткий этап высокой т-ры. В это время происходило испарение силикатов, инертные газы терялись, изменялся состав атмосферы, но некоторые летучие в-ва вступали в соединения и удерживались. Азот накап-

ливался в виде солей аммония. Одна из возможных р-ций этого процесса:  $\text{Mg}_2\text{SiO}_4 + 2\text{NH}_4\text{Cl} = \text{N}_2(\text{газ}) + 3\text{H}_2(\text{газ}) + \text{MgCl}_2 + \text{H}_2\text{O}(\text{газ}) + \text{MgSiO}_3$ . Углерод при  $>1700^\circ\text{K}$  вступает в р-цию с  $\text{H}_2$ , образуя ацетилен:  $2\text{C} + \text{H}_2 \rightarrow \text{C}_2\text{H}_2$ . При высоких т-рах углерод встречался только в виде  $\text{CO}$  и  $\text{C}_2\text{H}_2$ . Когда т-ра упала, но давление оставалось еще высоким, происходили процессы гидрирования:  $\text{CO} + 3\text{H}_2 \rightarrow \text{CH}_4 + \text{H}_2\text{O}$  и  $\text{C}_2\text{H}_4 + 2\text{H}_2 \rightarrow \text{CH}_4$ . Автором рассчитана летучесть некоторых неорганич. соединений при высоких т-рах. Даны предполагаемые схемы строения Земли и метеоритов. Приводится элементарный состав Земли, планет и метеоритов (исполный).

В. Мухин

68608. Химия земной коры. Полдербарт (Chemistry of the Earth's crust. Poldervaart Arie), Geol. Soc. America Spec. Paper, 1955, 62, 119—144 (англ.)

На основании литературных данных определен средний состав и кол-во главных элементов в гидросфере, атмосфере, биосфере и частично в литосфере, общая масса которых составляет соответственно (в  $10^{15}$  г): 1644; 5,1; 0,1 и 23 000—24 000. Общее кол-во в земной коре (в  $10^{15}$  г):  $\text{H}_2\text{O}$  1800—2700,  $\text{CO}_2$  250,  $\text{Cl}$  35—40,  $\text{N}$  6—8,  $\text{S}$  4—7,  $\text{O}$  10 000—15 000. Обсужден вопрос хим. эволюции земной коры в различные геологич. эпохи. Библ. 103 назв.

Р. Хмельницкий

68609. Термодинамика и кинетика петрогенеза. Рамберг (Thermodynamics and kinetics of petrogenesis. Ramberg Hans), Geol. Soc. America Spec. Paper, 1955, 62, 431—448 (англ.)

С термодинамич. точки зрения рассмотрены основные типы процессов, происходящих в Земле (механич. перемещения, хим. и тепловой переносы). Дискутируется вопрос о возможности уменьшения энтропии Земли.

А. Чемоданов

68610. Радиоактивность и возраст Земли. Хаутерманс (Radioaktivität und Alter der Erde. Houtermans F.), Naturwissenschaften, 1957, 44, № 6, 157—163 (нем.)

Рассмотрены теоретич. основы определения возраста свинцовым методом, проведен анализ данных по возрасту Земли, полученных разными методами на разных объектах. Библ. 21 назв.

Р. Хмельницкий

68611. Наиболее древние породы. Аренс (Oldest rocks exposed. Ahrens Louis H.), Geol. Soc. America Spec. Paper, 1955, 62, 155—168 (англ.)

На основании литературных данных сделан вывод, что наиболее древними породами являются пегматиты из Южной Родезии и юго-восточной Манитобы — 2700 млн. лет. Разница в  $\sim 700$ —1600 млн. лет между этим возрастом и возрастом Земли позволяет думать, что должны существовать более древние породы, хотя результаты статистич. исследования имеющихся данных не подтверждают этого. Путем сравнения данных по возрасту Земли, элементов и метеоритов возраст вселенной оценен в  $\sim 5$  млрд. лет. Показана важность изучения древних пород для геологии, биологии, геохимии, ядерной физики, астрономии.

Р. Хмельницкий

68612. К вопросу об остаточной намагниченности изверженных горных пород в связи с их возрастом. Комаров А. Г., Докл. АН СССР, 1956, 110, № 2, 260—263

Проведено сравнительное изучение магнитных свойств нескольких тысяч образцов горных пород Урала и других регионов. Показано что магнитные характеристики пород, близких по возрасту, но часто различных петрографически, совпадают (и наоборот). Величина отношения остаточного геомагнетизма к индуцированному возрастает с уменьшением возраста породы (и наоборот) и по порядку величины не зависит как от региона, так и от разницы в основно-

сти породы и содержания ферромагнитных минералов. А. Чегоданов

**68613. Определение возраста с помощью изотопов и геологическая шкала времени. Калп (Isotopic dating and the geologic time scale. Kulp J. Laurence), Geol. Soc. America Spec. Paper, 1955, 62, 609—630 (англ.)**

На основании обобщения литературных данных рассмотрены свинцовый, рубидий-стронциевый и калий-аргоновый методы, их историч. развитие, принципы, область применения и ошибки, вызываемые различными факторами. Возраст Земли оценен в ~4,5, а возраст древнейших пород ~3,5 млрд. лет. Библ. 41 назв. Р. Хмельницкий

**68614. Данные Компани Хамбл Ойл по возрасту, полученные с помощью радиоуглерода. I. Браннон, Дотри, Перри, Саймонс, Уитакер, Вильямс (Humble Oil Company radiocarbon dates I. Brannon H. R., Jr, Daughtry A. C., Perry, Simons L. H., Whitaker W. W., Williams Milton), Science, 1957, 125, № 3239, 147—150 (англ.)**

Представлены результаты анализа и характеристики 39 образцов пород с величиной возраста от 250 до 100 до > 37 000 лет. Анализ проведен по методу пропорционального счета  $\text{CO}_2$  (РЖХим, 1957, 16017) с использованием величины периода полураспада радиоуглерода 5568 ± 30 лет. Р. Хмельницкий

**68615. Аргоновый метод определения возраста и его применение. Герлинг Э. К., Яценко М. Л., Ермаков Г. М., Бюл. Комис. по определению абсолютн. возраста геол. формаций. АН СССР, 1957, вып. 2, 8—27**

Приведены результаты работы, проводимой с 1951 г. в Лаборатории геологии докембрия АН СССР. Получено новое значение константы К-захвата  $\text{K}^{40}$ , равное  $(6,02 \pm 0,06) \cdot 10^{-11}$  лет<sup>-1</sup>. На основании анализа ~ 100 образцов установлено, что возрастные значения, полученные аргоновым методом для молодых минералов и пород, хорошо согласуются с величинами возраста по  $\text{He}$ ,  $\text{Pb}$  и геологич. данными. Наиболее подходящими объектами для определения возраста являются слюды. Для древних микроклин-пертитов, микроклиновых гранитов и плагиоклазов, в которых обнаруживаются антипертитовые вроски, получены заниженные данные. Возраст пород 4 магматич. пиклов Балтийского щита (по слюде в млн. лет): I 1860, II 1800, III 1560—1730, IV 1510. См. также РЖХим, 1957, 54180. Р. Хмельницкий

**68616. Тритий. Существует ли в природе исходный материал для получения термоядерной энергии. Блан (Le tritium. Matière première de l'énergie thermonucléaire existe-t-il dans la nature? Blanc Daniel), Age nucléaire, 1957, № 3, 34—39, 1, 3, 5 (франц.; рез. англ., нем., исп.)**

Обзор исследований, посвященных поискам и определению возможных конций трития в природе (в метеоритах, атмосфере, природных водах, горных породах и пр.). В. Левин

**68617. Минералогический подход к усовершенствованию процессов извлечения урана, практикуемых в Витватерсранде. Либенберг (A mineralogical approach to the development of the uranium extraction processes practised on the Witwatersrand. Liebenberg W. R.), J. S. Afric. Inst. Mining and Metallurgy, 1956, 57, № 4, 153—208 (англ.)**

Рассмотрены физ. и хим. свойства уранинита и других урансодержащих минералов в связи с проблемой извлечения их из вмещающих конгломератов и остатков. Р. Хмельницкий

**68618. Методы поисков месторождений урана. Мелков В. Г. (ウラン鉱床の探査法.メルコフ V.G.), 原子**

エネルギー, Гэнси энэруги, Атомн. энергия, 1956, 1, № 1, 106—115 (японск.)

Перевод. См. РЖХим, 1957, 4148.

**68619. Уран Колорадского плато. Линдстрем, Гринслейд (Uranium on the Colorado Plateau. Lindstrom Philip, Greenslade James), Mining Engng, 1957, 9, № 2, 181—182 (англ.)**

**68620. Болтвудит, новый силикат урана. Фрондел, Ито (Boltwoodite, a new uranium silicate. Frondel Clifford, Ito Jun), Science, 1956, 124, № 3228, 931 (англ.)**

Описаны желтые наростообразные агрегаты в песчанике, представляющие продукт окисления первичных урановых руд. Ассоциирующие минералы: бромантит, беккерелит, гипс и неидентифицированный уранил-силикат. Уд. вес нового минерала 3,6. Слабофлуоресцирует в УФ-лучах. Двусный, с прямым погасанием и слабым плеохроизмом;  $n_X$  1,688 (бесцветный),  $n_Y$  1,996? (желтый),  $n_Z$  1,703 (желтый). Минерал орторомбич. или, подобно скловскиту, моноклинный. Результаты хим. анализа образца с бромантитом и небольшим кол-вом неидентифицированного материала (в %):  $\text{K}_2\text{O}$  8,03,  $\text{Na}_2\text{O}$  0,33,  $\text{UO}_3$  58,68,  $\text{SiO}_2$  12,74,  $\text{CuO}$  9,61,  $\text{SO}_3$  2,12,  $\text{H}_2$  7,33, нерастворимый остаток 0,19. Установлена структурная связь со скловскитом. Вероятна ф-ла  $\text{K}_2(\text{UO}_2)_2(\text{SiO}_3)_2(\text{OH})_2 \cdot 5\text{H}_2\text{O}$ . Минерал назван в честь радиохимика Б. Болтвуда (1870—1927) из Пальского ун-та. Р. Хмельницкий

**68621. Формы нахождения редких элементов в земной коре. Абрамович Ю. М., Уч. зап. Молотовск. ун-та, 1956, 10, № 2, 179—184**

Обзор. Рассмотрены следующие формы: 1) самостоятельные минералы; 2) второстепенные примеси в минералах (изоморфные, рассеянные и сорбированные), 3) р-ры (магмы, вулканич. стекла и различные воды), 4) газовые смеси (газовые струи, окклюзия, атмосфера), 5) организмы, 6) искусств. минералы. Библ. 27 назв. Р. Хмельницкий

**68622. Определение распространенности некоторых химических элементов и надежность этих определений. Флейшер (Estimates of the abundances of some chemical elements and their reliability. Fleischer Michael), Geol. Soc. America Spec. Paper, 1955, 62, 145—154 (англ.)**

На основании литературных данных рассмотрены результаты определения  $\text{Ge}$ ,  $\text{Ga}$ ,  $\text{Y}$  и  $\text{Bi}$ , проведенного за последние 20—30 лет различными методами в породах и минералах. Автор считает, что ценные данные по распространенности могут быть получены при дальнейшем систематич. спектроскопич. исследовании многих пород с учетом региональных изменений. Р. Хмельницкий

**68623. К проблеме влияния «лантанидного сжатия» на геохимию гафния, тантала и вольфрама. Пацал (Příspěvek k problému vlivu «lanthanidové kontrakce» na geochemii hafnia, tantalu a wolframu. Pácal Zdeněk), Věst Ústřed ústavu geol., 1957, 32, № 1, 41—47 (чешск.; рез. англ.)**

На основании литературных данных обсужден вопрос геохим. поведения пар элементов  $\text{Zn} - \text{Hf}$ ,  $\text{Nb} - \text{Ta}$ ,  $\text{Mo} - \text{W}$  и их родство, возникшее в результате уменьшения ионных и атомных радиусов более тяжелых элементов в паре. В ряду элементов  $\text{Au} - \text{Bi}$ , кроме «лантанидного сжатия», следует отметить влияние металлов Pt-группы. Р. Хмельницкий

**68624. Геохимия стронция. Турекян, Калп (The geochemistry of strontium. Turekian Karl K., Kulp J. Laurence), Geochim. et cosmochim. acta, 1956, 10, № 5-6, 245—296 (англ.)**

Методами эмиссионной спектроскопии и изотопного разбавления изучено ~ 700 образцов базальтовых (I)

и гранитных (II) пород, известняков (III), сланцев (IV) и пелагич. осадочных образований (V) разных континентов. Среднее содержание Ca (%), Sr ( $10^{-4}\%$ ) и отношение (Sr:Ca)  $\cdot 10^3$  соответственно равны: I 7,1; 46,5; 6,5; II (в двух группах образцов с разным кол-вом Ca) 0,6; 100 16,7 и 1,9; 440; 23,0; III 40,0; 610; 1,5; IV 5,0; 300; 6,0; V 35,0; 2075; 5,9. Среднее содержание Sr в земной коре  $4,5 \cdot 10^{-2}\%$ . Источники осадочных образований в палеозое характеризовались более низким отношением Sr:Ca, чем после палеозоя. Увеличение отношения Sr:Ca в море к концу палеозоя является возможной причиной изменения в эволюции морских беспозвоночных; в связи с этим арагонитовые постройки (или кальцитовые с большим содержанием Sr) начинают преобладать над кальцитовыми.

Р. Хмельницкий

**68625. К вопросу об определении селена.** Чадек, Долежал (Příspěvek ke stanovení a geochemii selenu. Čadek Josef, Doležal Jan), Vest. Ústřed. ústavu geol., 1957, 32, № 1, 28—40 (чешск.; рез. англ.)

Разработан метод определения очень малых кол-в Se, заключающийся в выделении его в виде бромида, восстановлении и полярографич. определении. Содержание Se (в об. %) и отношение Se:S равно: в пиритах высокотемпературного гидротермального происхождения (3 образца) 0,0025—0,0072, 1:6900—1:20 000, пиритах гидротермального (средние т-ры) и осадочного происхождения (4 образца) 0,0011—0,0012, 1:41 600—1:45 000, пирротине (гидротермальный, низкотемпературный) 0,00015; 1:200 000, сфалерите (гидротермальный, высокотемпературный) 0,0067, 1:4500, марказите (осадочный) 0,0004, 1:116 000.

Р. Хмельницкий

**68626. Некоторые вопросы, связанные с утечкой гелия из пород и минералов.** Венкатасубрамания (Some aspects of helium leakage from rocks and minerals. Venkatasubramanian V. S.), J. Indian Inst. Sci., 1956, (A—B)38, № 2, A96—A99 (англ.)

На основании литературных и расчетных данных показана невозможность диффузии He из идеальных кристаллов породообразующих минералов. Диффузия возможна только на границе зерна уранового минерала и связана с нарушением структуры, вызываемым радиоактивными превращениями. Ввиду этого утечка He зависит от величин зерен и увеличивается с их уменьшением. Приведен расчет, показывающий возможность утечки He из зерен циркона размером 0,01—100  $\mu$ .

Р. Хмельницкий

**68627. Содержание и задачи современных экспериментальных исследований в области минералообразования.** Хитаров Н. И., Зап. Всес. минералог. о-ва, 1957, 86, № 2, 281—293

Обзор. Библ. 54 назв.

Р. Хмельницкий

**68628. Анализ минералов на флуоресцентном рентгеновском спектрографе.** Карл, Кемпбелл (The fluorescent X-ray spectrographic analysis of minerals. Carl Howard F., Campbell William J.), ASTM Spec. Techn. Publ., 1954, № 157, 63—68 (англ.)

Разработан быстрый метод анализа различных минералов и руд на флуоресцентном рентгеновском спектрографе. В зависимости от метода стандартизации образцы разбиты на 4 группы: 1. Концы одного элемента меняются в руде с постоянными абсорбционными свойствами; точность анализа 0,01% при концы 0,1% (до 50 анализов в день). 2. Два элемента в виде окислов, легко выделяемые из руд (Nb и Ta); воспроизводимость  $\pm 2\%$  и хуже. 3. Два элемента в руде постоянного состава (Fe и Mn в некоторых марганцевых рудах); среднее расхождение между хим. и рентгеновскими анализами  $< 10\%$  для 40 образцов.

4. Один или несколько элементов в руде разного состава (окислы ниобия в Nb-Ta рудах); при концы  $< 1-2\%$  интенсивность линейно зависит от концы.

А. Чемофанов

**68629. Рентгенометрический определитель минералов.** Михеев В. И., Зап. Всес. минералог. о-ва, 1957, 86, № 2, 245—253; Кристаллография, 1957, 2, № 4, 466—469 (рез. англ.)

**68630. Упрощенный метод идентификации рудных минералов.** Баун, Тейлор (Ore mineral identification simplified. Bowie S. H. U., Taylor K.), Nature, 1957, 179, № 4560, 628—629 (англ.)

Определение производится последовательным измерением отражательной способности с помощью фотометра и измерением твердости на вдавливание с помощью микротвердомера. Приведены результаты определения 25 рудных минералов с величинами отражательной способности от  $\sim 10$  до  $\sim 77\%$  и твердости (в числах Виккерса) от  $\sim 50$  до  $\sim 1500$ .

**68631. Новые минералы. IV. Бонштедт-Куллетская Э. М., Зап. Всес. минералог. о-ва, 1957, 86, № 1, 116—130**

Новые минералы: апсит, аллоцит, беггиллит, бурсант, виноградит, гаррельсит, гидронастуран, гониецит, геллит, даттонит, б-дуфтит, ибонит, карпинскит, карпинскит, клиночеквинит, куллетскит, лимант, неадкевит, мавудзит (ферутит), метатюмунит, неконт, никелевый  $\beta$ -керолит, нолант, осумилит, перрерит, псевдолаузит, смизит, смольяниновит, ториевый флуоресцирующий минерал, ургит, феррикеролит. Новые данные: старкит, линдакерит,  $\alpha$ -дуфтит, тухуалит. Дискредитированные минералы: авелинит (= цирлолит), альваролит (= мангантанталит), арсентсумбит ( $\alpha$ -дуфтит + байлдонит), дирихит (= рётзерфордин), кушоплюмбит (= байлдонит), меланолит (= делессит), трихальцит (= тиролит с Урала, = лангит из Юты), фрейринит (= лавендулан), ферутит (= мавудзит). Часть III см. РЖХим, 1957, 47715.

Г. Воробьев

**68632. Ордоñezит, антимонат цинка — новый минерал из Гуанаято (Мексика).** Сунцер, Фошар (Ordoñezite, zinc antimonate, a new mineral from guanajuato, Mexico. Switzer George, Foshag W. F.), Amer. Mineralogist, 1955, 40, № 1-2, 64—69 (англ.)

Минерал встречается в прожилках рильитовых пород в ассоциации с касситеритом, кристобалитом, тридимитом, гематитом, санидином, топазом и флюоритом в виде друз двойникованных тетрагональных кристаллов до 2 мм. Цвет от светло- до темно-коричневого, блеск алмазный, без спайности, излом раковинистый, твердость 6,5, уд. в. 6,635 (вычисленный 6,657). Одноосный (+),  $n > 1,95$ . Образует плоскости по {01 01} и {110}, обычно двояно по {013}. Размеры ячейки:  $a$  4,67,  $c$  9,24 Å. Пространственная группа  $P4/mnm$ . Структура типа трирутила, изоструктурен с тапиолитом ( $FeTa_2O_6$ ), бистромитом  $MgSb_2O_6$ . Рентгенограмма порошка идентична с синтетич.  $ZnSb_2O_6$ . Спектроскопич. состав (в %): Zn, Sb  $> 1$ ; Al, Si  $n \cdot 10^{-1}$ ; Mg, Sn, Fe, Na, Cu  $n \cdot 10^{-2}$ ; Ca, Mn, Ti, Li, In  $n \cdot 10^{-3}$ . Результаты хим. анализа (в %):  $ZnO$  20,07,  $Sb_2O_5$  80,49, сумма 100,56. Ф-ла  $ZnSb_2O_6$ . Минерал назван в честь Ордоñezы — бывшего руководителя Института геологии, одного из крупнейших геологов Мексики.

Р. Хмельницкий

**68633. Оптические и физические свойства кнебелита.** Хенриквесс (Optical and physical properties of knebelite. Henriques Ake), Arkiv mineralogi och geol., 1957, 2, № 3, 255—269 (англ.)

Приведены результаты физ., оптич., рентгеновского и хим. исследований образцов из 10 месторождений Швеции. Пределы хим. состава (в %):  $SiO_2$  28,24—31,58,



$Al_2O_3$  0,28—0,92,  $Fe_2O_3$  0,66—2,02,  $FeO$  31,87—60,65,  $MnO$  5,75—34,63,  $MgO$  0,97—12,96,  $CaO$  0,02—0,80,  $Na_2O$  +  $K_2O$  до 0,04,  $H_2O^+$  до 0,83,  $H_2O^-$  до 0,07,  $CO_2$  до 0,16.

Р. Хмельницкий

**68634. Эскалемурский толейит и его значение для понимания генезиса толейитов.** Эллиотт (The Eskdalemuir tholeiite and its contribution to an understanding of tholeiite genesis. Elliott R. B.), Mineral Mag., 1956, 31, № 234, 245—254 (англ.)

Толейит Эскалемурской дайки сложен (в %) стеклом (42,2%), плагиоклазом (24,4), пироксеном (30,6), магнетитом (2) и хлоритом (1). Результаты хим. анализа (в %):  $SiO_2$  60,22,  $TiO_2$  0,64,  $Al_2O_3$  14,06,  $Fe_2O_3$  0,90,  $FeO$  6,58,  $MnO$  0,08,  $MgO$  4,28,  $CaO$  7,36,  $K_2O$  1,36,  $Na_2O$  2,95,  $H_2O^-$  0,22,  $H_2O^+$  1,53,  $P_2O_5$  0,11. Хим. состав отвечает андезиту, хотя минер. состав явно базальтовый. Это объясняется гранитным (кислым) составом остаточного стекла (в %):  $SiO_2$  70,58,  $TiO_2$  0,65,  $Al_2O_3$  11,62,  $Fe_2O_3$  1,35,  $FeO$  1,52,  $MnO$  0,02,  $MgO$  0,72,  $CaO$  1,36,  $K_2O$  3,10,  $Na_2O$  3,44,  $H_2O^+$  4,98,  $P_2O_5$  0,18. Автор считает, что это явление обусловлено, как и в других различных толейитовой серии Северной Англии, фракционной кристаллизационной дифференциацией базальтовой магмы.

В. Кудряшова

**68635. О растворении цирконов в изверженных горных породах.** Вахрушев В. А., Докл. АН СССР, 1956, 109, № 3, 601—603

Изучены цирконы (I) в прозрачных шлифах и искусств. протоколочках сиенитов Кондомского р-на Горной Шории (Западная Сибирь). В образцах, отобранных из одного и того же массива, содержание I резко изменяется в зависимости от интенсивности проявления послемагматич. процессов. Максим. кол-во I наблюдается в малоизмененных разностях, миним. — в альбитизированных. Неизмененным I более свойственны идиоморфные или слабо округлые очертания кристаллов, а для сильно альбитизированных разностей характерны округлые (яйцевидные) или интенсивно корродированные зерна, присутствие которых не может быть объяснено захватом их из вмещающих осадочных пород. По-видимому, имел место процесс хим. растворения I цел. послемагматич. р-рами, воздействующими на сиениты.

Р. Хмельницкий

**68636. Редкие минералы гранитных пегматитов Баната. 1. Суперчану (Minerale rare in pegmatite granite din Banat. (I). Superceanu Caius), Rev. minelor, 1957, 8, № 3, 140—154, 105—106 (рум.; рез. русск., англ., франц., нем.)**

Описаны минералы двух месторождений пегматитов в области Банат. В первом месторождении — Терегова присутствуют: колумбит, танталит, монтебранит, сподумен, циркон и молибденит. Результаты хим. анализов (в %): колумбит, ниоботанталит и танталит (2 образца)  $Nb_2O_5$  56,23; 49,85; 12,42; 20,15;  $Ta_2O_5$  17,10; 26,18; 66,21; 57,02;  $FeO$  13,42; 12,14; 12,60; 13,42;  $MnO$  5,32; 5,57; 6,62; 5,61;  $CaO$  1,01; —; —;  $WO_3$  0,13; 0,17; 0,26; 0,20;  $TiO_2$  2,10; 0,21; 0,06; 0,12;  $SnO_2$  0,13; 0,18; 0,46; 0,42;  $SiO_2$  0,47; —; —; 0,62; монтебранит (3 образца)  $P_2O_5$  45,90; 49,05; 47,18;  $Al_2O_3$  31,26; 30,05; 30,81;  $Li_2O$  7,13; 5,62; 5,81;  $Na_2O$  3,66; 6,02; 5,20;  $K_2O$  0,55; 0,62; 0,56;  $CaO$  1,56; 2,46; 1,85;  $MgO$  0,01; —; —; F 1,46; 1,26; 1,32; Fe 0,57; 0,68; 1,15; Mn 0,07; 0,10; 0,11;  $SiO_2$  3,38; 5,41; 5,46; 5,32;  $H_2O^+$  2,55; 1,18;  $H_2O^-$  0,12; 0,08; 0,09. Приведены результаты спектральных анализов. Во втором месторождении Тыла (район Войслова) присутствуют: берилл, фторанатит, турмалин и спессартин.

Г. Воробьев

**68637. Образование ванадийсодержащих титанистых магнетитовых руд Маюрбханж, Индия.** Рой (Origin of the vanadium-bearing titaniferous magnetite ores of Mayurbhanj, India. Roy Supriya), Proc. Nat. Inst. Sci. India, 1956, A22, № 5, 285—293 (англ.)

Руды связаны с серией норит-анортозитовых пород. Рудные тела тесно ассоциируют с дайками и неправильными массивами гранулитовых норитов, которые секут как норито-анортозитовые массивы, так и вмещающие породы. Они сложены плагиоклазом (лабрадор), клино- и ортопироксенами, амфиболом, биотитом, хлоритом, апатитом, кварцем, магнетитом, ильменитом и вторичными минералами. Минералы магнетито-ильменитовой группы выделялись в ходе магматич. процесса в виде нескольких генераций. Ранняя генерация представлена небольшими скоплениями идиоморфных зерен магнетита. Поздние магматич. более значительные выделения окислов Fe и Ti заполнили интерстиции и заместили ранее образовавшиеся минералы — плагиоклазы и пироксены. Т-ра образования различных магнетитов 900—500°. На основании исследований, автор приходит к выводу, что описываемые руды образовались в результате инъекции остаточного рудного р-ра норит-анортозитовой магмы.

В. Кудряшова

**68638. Флюорит и десмин из Режевского района. Шерстюк А. И., Тр. Свердл. горн. ин-та, 1956, вып. 26, 104—107**

Флюорит и десмин приурочены к пегматитовым жилам в порфировидных биотитовых гранитах. Изучение минералогич. состава жил показывает, что названные минералы следует считать гидротермальными, образовавшимися в последнюю стадию пегматитового процесса.

Р. Хмельницкий

**68639. О реликтовом карбонате в скларнах.** Каминская В. И. Сб. тр. научн. конференции. Вып. I. Кемерово, 1957, 92—94

**68640. Минералы золота, теллура и парагенетические ассоциации одного из месторождений Южного Алтая.** Зыков Е. А., Прямоносцев П. С., Научн. работы студ. Свердл. горн. ин-та, 1957, сб. 3, 5—14

Макроскопически и микроскопически исследовались образцы руд из жильного золоторудного месторождения в Южном Алтае. Выделяются следующие парагенетич. ассоциации минералов: 1) карбонат-серпичит-пиритовая, 2) кварцево-шеелитовая 3) кварцево-пиритовая, 4) свинцово-сурьмяно-теллуридовая (фрейбергит, галенит, аланит, нагнит, калаверит, тетрамит, гессит, теллуровисмутит, креннерит, риккардит, самородный теллур, самородное золото), 5) кальцитовая. Серебро вначале отлагалось в форме фрейбергита, а позже в виде теллуридов.

И. Липова

**68641. Геологическая экскурсия по серебро-свинцовым месторождениям Мексики.** Бокий Г. Б., Шаталов Е. Т., Вест. Моск. ун-та. Сер. биол., почвовед., геол., геогр., 1957, № 1, 47—55

**68642. Состав свинцово-цинковых руд месторождения Уайзмен-Крик (Новый Южный Уэльс).** Стантон (The composition of some lead-zinc ores from Wiseman's Creek, New South Wales. Stanton R. L.), Proc. Australas. Inst. Mining and Metallurgy, 1955, № 176, 37—46 (англ.)

Рудные тела месторождения представлены серией линз, залегающих среди сланцев. Минералогич. состав руд: кварц, хлорит, серпичит, пирит, сфалерит, галенит, халькопирит, тетраэдрит, арсенонирит. В незначительных кол-вах присутствуют Ag и Au. Приведены 3 диаграммы состава, построенные на основании 60 хим. анализов.

И. Липова

**68643. О новом минерале — арсенат-беловите.** Яхонтова Л. К., Сидоренко Г. А., Зап. Всес. минералог. о-ва, 1956, 85, № 3, 297—302

В связи с тем, что заявленные новые минералы Е. И. Нефедовым в 1953 г. (Зап. Всес. минералог. о-ва, 1953, 82, № 4, 317) и П. С. Бородиным в М. Е. Казаковой в 1954 г. (РЖГеол., 1955, 1617) получили одно название — «беловит», авторы предлагают назвать пер-

вый из них — арсенат-беловитом, а второй — фосфат-беловитом. В статье сообщается о результатах изучения арсенат-беловита, который встречается в зоне окисления безымянного As-Co-месторождения. Цвет минерала белый (похож на халцедон), розовый (от примеси эритрина) и зеленоватый (от примеси глинистого в-ва); под микроскопом — бесцветный. Образует призматич. кристаллы, иногда в виде агрегатов с роговиковой структурой; наблюдаются полисинтетич. двойники и веерообразные сростки. Угол погасания  $cNg = 12-15^\circ$ , оптич. знак (+). Показатели преломления  $N_g = 1,698-1,704$ ,  $N_p = 1,678-1,697$ . Результаты хим. анализа белой, розовой и зеленоватой разновидностей беловита (соответственно в %):  $SiO_2$  0,14; 0,08; 0,33;  $Al_2O_3$  0,44; 0,12; 1,83;  $Fe_2O_3$  0,21; нет; 0,91;  $MgO$  9,39; 10,53; 9,07;  $CaO$  27,20; 28,11; 26,08;  $MnO$  0,03; нет;  $CoO$  нет; 0,64; следы;  $NiO$  нет; нет; 0,75 (0,65);  $As_2O_5$  52,51; 50,91; 51,85,  $H_2O$  — 1,26; 1,82; 0,44;  $H_2O^+$  7,93; 7,75; 8,18;  $F$  1,12; 1,08; 1,88; сумма (с поправкой  $F_2 = 0$ ) 99,76; 100,58; 100,24. На кривой нагревания отмечены следующие эндотермич. останки: 1)  $100-120^\circ$  (0,60% воды), 2)  $220-240^\circ$  (0,72%), 3)  $330-350^\circ$  (0,44%), 4)  $420-520^\circ$  (7,06%). Из полученных данных выведена новая ф-ла  $H_2Ca_2Mg(AsO_4)_2(OH)_2F_2$ . Таким образом, арсенат-беловит входит в группу розелита (с общей ф-лой  $H_2Ca_2R^{2+}(AsO_4)_2(OH)_2$ ), которая является изоструктурным аналогом группы апатита.

Г. Воробьев  
68644. Растворимость фосфатов. Скорость растворения фосфатов кальция в растворах фосфорной кислоты. Хафман, Кейт, Деминг, Элмор (Solubility of phosphates. Rates of solution of calcium phosphates in phosphoric acid solutions. Huffman E. O., Cate W. E., Deming M. E., Elmore Kelly L.), J. Agric. and Food Chem., 1957, 5, № 4, 266—275 (англ.)

Изучен процесс растворения 8 синтетич. фосфатов кальция и 3 естественных фторапатитов. Хим. состав образцов из Южной Америки, Мексики и Канады и теоретически рассчитанный по ф-ле  $Ca_{10}(PO_4)_6F_2$  соответственно (в %):  $CaO$  55,8; 55,6; 54,3; 55,6;  $P_2O_5$  40,4; 41,3; 40,0; 42,2;  $F$  3,3; 3,3; 3,4; 3,77;  $CO_2$  0,4; 0,1; 0,3. Обнаружены в виде примесей:  $Cl$ ,  $Ag$ ,  $Al$ ,  $Ce$ ,  $Fe$ ,  $La$ ,  $Mg$ ,  $Mn$ ,  $Na$ ,  $Pb$ ,  $Si$ ,  $Sr$ ,  $Yb$ . Y. Скорость растворения обратно пропорциональна  $pH$  р-ра. Рассмотрены влияния  $t$ -ры и перемешивания, сняты кинетич. кривые и обоснован механизм растворения. Растворение ортофосфата кальция определяется диффузией, а стекловодного метафосфата кальция — хим. р-цией, по всей вероятности, гидrolитич. разложением.

Р. Хмельницкий  
68645. Цирконы в породах. 1. Осадочные породы. Полдерваарт (Zircons in rocks. 1. Sedimentary rocks. Polderwaard Arie), Amer. J. Sci., 1955, 253, № 8, 433—461 (англ.)

Описаны размеры и форма зерен циркона (I) в осадках. В процессах осадкообразования I является наиболее устойчивым. Только щел. р-ры могут его корродировать: мельчайшие частички растворяются и получающиеся сложные анионы  $Zr$  адсорбируются на гидратах окислов  $Fe$ . Поэтому в глинистых сланцах только часть общего  $Zr$  присутствует в виде I; а в океанич. глинах I отвечает только небольшой части общего  $Zr$ . В песчаных преобладает I в виде хорошо окатанных зерен, в алевритах увеличивается число угловатых обломков зерен, а в глинистых сланцах хорошо окатанные зерна присутствуют в меньшинстве. Грубые обломки I находятся в осадках в подчиненном кол-ве. Среднее отношение удлиннения таких зерен не превышает 2. Среднее значение размеров зерен I понижается от аренитов к лютитам. Устойчивость малаконов меньше, чем прозрачных I; соответ-

ственно песчаники и алевриты содержат мало малаконов. Приводится ряд примеров, иллюстрирующих роль I в осадкообразовании.

Н. Соколова  
68646. Некоторые закономерности географического распространения современных конкреций в осадках и почвах. Македонов А. В., Изв. АН СССР, Сер. геол., 1957, № 4, 43—58

68647. Расчленение и корреляция отложений с помощью физико-химических показателей. Султанов А. Д., Элми эсэрлэр. Азерб. ун-в., Уч. зап. Азерб. ун-т, 1956, № 12, 43—53 (рез. азерб.)

На основании эксперим. и литературных данных рассмотрено применение методов: электрометрич. определения  $pH$  и  $Eh$  водн. суспензий пород, термич. определения коллоидно-дисперсных минералов, спектроскопич. изучения малых элементов пород, изучения анионов водн. вытяжки пород и органич. углерода.

Р. Хмельницкий  
68648. Байерит в венгерском боксите. Геден (Bayerite in Hungarian bauxite. Gedeon T. G.), Acta geol. Acad. sci. hung., 1956, 4, № 1, 95—105 (англ.; рез. русск.)

Исследовано 12 образцов бокситов из различных месторождений Венгрии. Общий хим. состав:  $Al_2O_3$  35,93—56,56,  $SiO_2$  1,50—12,77,  $Fe_2O_3$  13,41—29,92,  $TiO_2$  2,20—2,95,  $CaO$  0,17—0,87,  $MgO$  0,06—0,23,  $MnO$  0,06—0,34, п. п. п. 12,84—24,61. Термич. анализом в бокситах обнаружены байерит, гидрагиллит, бемит, каолинит, хлорит. По термич. разложению байерит существенно отличается от гидрагиллита: при высушивании в течение 2 час. при  $230^\circ$  из 3 молей воды удаляется 1 моль, при высушивании при  $300^\circ$  удаляется все кол-во воды.

Р. Хмельницкий  
68649. Физико-химические исследования туфовых песков и изыскание новых путей их применения. Хармандарян К. В., Изв. АН АрмССР. Физ.-матем., естеств. и техн. н., 1956, 9, № 10, 13—27 (рез. арм.)

Исследованы туфовые пески 3 месторождений Приереванского р-на: Аванского, Аринджского и Джереванского. Результаты хим. анализа 3 образцов (в %):  $SiO_2$  61,91—63,77,  $TiO_2$  0,55—0,81,  $Al_2O_3$  15,00—16,35,  $Fe_2O_3 + FeO$  3,60—3,81,  $MnO$  0,02—0,03,  $CaO$  3,05—4,92,  $MgO$  1,14—1,98,  $Na_2O$  4,65—4,72,  $K_2O$  2,61—3,88,  $H_2O$  (100°) 0,66—1,03, п. п. п. 2,20—2,66. Пески представляют собой определенную область диаграммы состояния 3-компонентной системы  $SiO_2-Al_2O_3-(Na, K)_2O$ . Большая часть туфовой магмы в виде жидкой полувязкой смеси этих окислов в условиях быстрого охлаждения затвердела в вулканич. стекло, составляющее 80% туфовой породы. Установлены возможности применения туфовых песков в различных отраслях пром-сти.

Р. Хмельницкий  
68650. Нахождение туфитовой брекчи в неокме Малой Фатры к юго-востоку от села Варин. Зорковский (Výskyt tufitické brekcie v neokóme Malej Fatry, juhovýchodne od obce Varín. Zorkovský B. J.), Geol. práce SAV. Zprávy, 1956, № 8, 180—186 (словацк.; рез. русск., нем.)

Петрографическим изучением установлено, что названные туфитовые брекчи, впервые описанные Андрусовым, состоят из обломков не авигитовых пород, о чем свидетельствует наличие кальцитовых псевдоморфоз по оливину, а лимбургитов. Приведен хим. анализ брекчи.

Г. Воробьев  
68651. Морфология монтмориллонита из Унтер-Рупсрот [Германия]. Никсон, Уир (The morphology of the Unter-Rupsroth montmorillonite. Nixon H. L., Weir A. H.), Mineral. Mag., 1957, 31, № 236, 413—416 (англ.)

Произведен электронномикроскопич. и рентгеноскопич. анализ Na-монтмориллонита, представляющего

продукт позднего гидротермального изменения. Результаты хим. анализа (в %):  $\text{Fe}_2\text{O}_3$  0,43,  $\text{FeO}$  0,00  $\text{MgO}$  2,13. Подтверждено наличие псевдогексагональной структуры. Р. Хмельницкий

68652. Изучение почв Гиттия. IV. Краткое сообщение о связывании меди в некоторых почвенных профилях. Шлихтинг, Виландер (Studien über Gytta-Böden. IV. Kurze Mitteilung über die Bindung des Kupfers in einigen Profilen. Schlichting Ernst, Wiklander Lambert), Kgl. lantbrukshögskol. ann., 1956, 22, 93—99 (нем.).

В почвах Гиттия на различных глубинах определялось содержание  $\text{Cu}$  и сульфидов и проводились опыты по извлечению  $\text{Cu}$  комплексобразователями и плесенью *Aspergillus*. В исследованных почвах не наблюдалось прочного связывания  $\text{Cu}$  гумусовыми в-вами или фиксации в виде сульфида. Признано, что кол-во доступной растениям  $\text{Cu}$  является достаточным. Таким образом, причина явления, отмеченного Штенбергом (Stenberg M. и др., Medd. Kgl. lantbruksakad. Vetenskapsavdeln., 1949, № 4; Kgl. lantbrukshögskol. ann., 1949, 16, 545—557, остается невыясненной. Часть III см. Kgl. lantbrukshögskol. ann., 1950. Л. Афанасьева

68653. Изучение глинистого вещества в почвах рисовых полей. Часть 4. Влияние заболачивания и дренажа на глинистые минералы в почвах рисовых полей. Утияма, Онукура (水田土壌における粘土の生成に関する研究. 第4報. 湛水及び落水の影響. 内山修男, 鬼豊), 日本土壌肥科学雑誌, Нихон додзёхирёгакку дзасси, J. Sci. Soil and Manure, Japan, 1956, 27, № 5, 202—206 (японск.; рез. англ.).

Приведены хим. анализы и рентгенограммы глинистого в-ва (фракции  $< 0,15$  и  $< 0,6—1,0$   $\mu$ ) после различных сроков заболачивания и дренажа. Часть 3 см. РЖХим, 1957, 54223. Г. Воробьев

68654. Вопросы теории почвообразования в поймах рек лесной зоны. Добровольский Г. В., Вести. Моск. ун-та. Сер. биол., почвовед., геол., геогр., 1957, № 1, 69—82

68655. Подвижность и восприимчивость ионов фосфора в почвах, исследованные с помощью изотопов. Барбие (Die Beweglichkeit und Aufnehmbarkeit der Phosphorionen des Bodens, untersucht mittels Isotopen. Barbier G.), Atompraxis, 1957, 3, № 3, 80—85 (нем.).

Изложены принципы, область применения и недостатки метода. На основании эксперим. и литературных данных показано, что ионы  $\text{PO}_4^{3-}$ , находящиеся в почвенных водах, усваиваются количественно растениями. Кол-во усвоенных ионов зависит не только от общего кол-ва  $\text{PO}_4^{3-}$  в почве, но и от подвижности этих ионов, связанной со степенью протекания диффузионных процессов в данной почве. Р. Хмельницкий

68656. О содержании ванадия в породах Анперонского полуострова. Векилова Ф. И. (Анперон маёсудлар гаты с сухурларынды ванадиймун яйылмасы багында. Векилова Ф. И.). Маърузалар. АзербСССР элмлар Акад., Докл. АН АзербСССР, 1957, 13, № 3, 305—309 (азерб.; рез. русск.).

Обсуждены результаты определения  $\text{V}$  в 162 систематически отобранных пробах из разреза третичных отложений (продуктивная толща, подстилающие и покрывающие ее свиты). За исключением пород диатомовой, майконской и коушской свит,  $\text{V}$  в осадочных породах распространен равномерно; отношение максим. и миним. содержания  $> 2,5—3$ . Содержание ( $10^{-2}\%$ ): в глинах майконской свиты 8, остальных свит 0,2, среднее в комплексе 2. Более высокое содержание  $\text{V}$  в нефтематеринских породах косвенно указывает на меньшую подвижность  $\text{V}$  в процессе миграции нефти из этих пород. Р. Хмельницкий

68657. К вопросу о возможности установления нефтепроизводящей геохимической фации по химическому составу пород. Юрганов Н. Н., Тр. Всес. нефт. и-и. геологоразвед. ин-та, 1956, вып. 99, 180—200

На примере отложений миоцена и плиоцена различных районов восточного побережья Сахалина сделана попытка использовать знание хим. состава пород для суждения о геохим. фации осадконакопления, а, следовательно, и косвенного решения вопроса о нефтематеринской свите (породе). В качестве геохим. показателей восстановительной геохим. фации принимались: а) высокие отношения  $\text{Fe}^{2+}/\text{Fe}^{3+}$ , высокие величины  $\text{pH}$  и низкие значения расчетной величины окислительно-восстановительного потенциала; б) содержание в породах аутигенного шпирта, битумов,  $\text{Ni}$ ,  $\text{Mn}^{2+}$ ,  $\text{H}_2\text{S}$ ; в) пониженное кол-во гуминовых к-т. С. Коган

68658. Битуминологическая характеристика палеозойских отложений Куйбышевского Поволжья по данным люминесцентных исследований. Копрова Н. А., Сб. науч. тр. Куйбышевск. индустр. ин-та, 1956, вып. 6, кн. 2, 277—280

Вся осадочная толща пород Урало-Поволжья отличается повышенной битуминозностью, возрастающей по мере приближения к продуктивной залежи. Битумы могут быть сингенетичными (бавлинская свита, живейский ярус среднего девона, верхний девон, турнейский ярус, нижняя часть визейского и намюрский ярус нижнего карбона, нижняя часть среднего карбона и нижняя пермь), или вторичными (данково-лебедянские слои верхнего девона, турнейский ярус и серпуховский подъярус нижнего карбона, каширский горизонт среднего карбона и сакмароартинская толща нижней перми) по отношению к вмещающей породе. Качество состав их в девоне и карбоне различен. По совпадению положительных битуминологической и газокротажной характеристик данково-лебедянских и турнейских отложений рекомендуются для промышленного опробования на нефтеносность. С. Коган

68659. К вопросу распределения органического вещества в четвертичных отложениях Бакинского архипелага. Пашалы Н. В., АзербСССР элмлар Акад. хәбәрләри, Изв. АН АзербСССР, 1957, № 1, 53—68 (рез. азерб.).

Изучено 160 образцов из глубоких и крелусных скважин, пробуренных в море, в различных участках бакинского архипелага. Содержание  $\text{C}$  (орг.) и  $\text{N}$  (в %) и величины отношения  $\text{C}:\text{N}$  лежат в пределах: хвалынский ярус 1,11—2,04; 0,06—0,12; 13,0—23,5; хозарский ярус 0,48—2,14; 0,05—0,15; 4,2—26,8; гюрганская свита 0,29—2,08; 0,04—0,15; 8,9—24,2; бакинский ярус 0,78—1,87; 0,05—0,12; 13,0—28,2. Органич. материал по внешним признакам делится на 3 разновидности: коричневую с мелкими остатками растений, черную с диатомеями неправильной формы и третью — с хорошо образованными диатомеями. В верхних трех горизонтах преобладающая роль принадлежит 1-й разновидности. Органич. в-во распределяется в обратной зависимости от среднего диаметра зерен, содержание его уменьшается вниз по разрезу. В породах одного и того же гранулометрич. класса  $E_h$  изменяется обратно изменению содержания органич. в-ва. Р. Хмельницкий

68660. Рациональный комплекс нефтепоисковых геохимических методов в районах Волго-Уральской провинции. Лобов В. А., Сб. науч. тр. Куйбышевск. индустр. ин-та, 1956, вып. 6, кн. 2, 273—276

Для оценки перспектив нефтеносности районов Волго-Уральской провинции вполне оправдало себя комплексирование ряда геохим. методов: газовой съемки, люминесцентного, определения окислительно-восстановительного потенциала, термобитумного и гидрогеохим., взаимно подтверждающих и уточняющих друг



друга. Миним. глубина отбора проб грунтов, по мнению автора, не должна превышать 2—3 м. С. Коган

68661. Геохимические фации и нефтепроизводящие породы девона Урало-Волжской области. Теодорович Г. И., В сб.: Нефтегазосность Урало-Волжск. обл. М., АН СССР, 1956, 212—222

На основании литературных данных и более ранних работ автора приведены основные черты нефтепроизводящих геохим. фаций. Р. Хмельницкий

68662. Основные вопросы по изучению органического вещества в природных водах. Дацко В. Г., Гидрохим. материалы, 1957, 26, 7—18

Обзор. Попутно подсчитан ориентировочный баланс органич. в-ва в Азовском море. Основная приходящая часть баланса — продукция фитопланктона, составляющая ~95—96% общего прихода органич. в-ва за год. Подвляющее кол-во образующегося органич. в-ва в море подвергается минерализации, причем значительная его часть проходит при этом ряд пищевых цепей. Среднее ежегодное изъятие органич. в-ва с вылавливаемой рыбой составляет 0,18% валовой продукции фитопланктона за год. Библ. 44 назв.

Р. Хмельницкий

68663. Режим веществ и седиментация в олиготрофном озере Эгеризее и в эвтрофных озерах Пфеффензее и Грейфензее. Томас (Stoffhaushalt und Sedimentation im oligotrophen Aegerisee und im eutrophen Pfäffiker- und Greifensee. Thomas E. A.), Publ. Union internat. sci. biol., 1955, B, № 19, 357—465 (нем.; рез. англ.) Trans. Mem. Ist. Ital. Idrobiol., 1955, suppl. 8, 357—465

В течение 1951 г. ежемесячно производились хим. исследования воды и отложений в трех поименованных озерах, а также исследования воды притоков и стока этих озер. Различия между олиготрофным (I) и двумя эвтрофными (II) озерами проявляется в том, что за год кол-во соединений N и P вносимых притоками (соответственно в мг/м<sup>2</sup>): N 2,4, 14,7, 31,1; PO<sub>4</sub> 0,5, 4,2, 4,8; выносимых стоком 1,0, 1,2, 5,6 N и 0,2, 1,0, 1,8 PO<sub>4</sub><sup>3-</sup>; остающихся в озере 1,4; 13,5; 25,4 N и 0,3; 3,2; 3,0 PO<sub>4</sub><sup>3-</sup>; потребляемых за летний период в эпилимнионе в мг 1,9, 4,4, 11,1 N и 0,03, 1,7, 3,5 PO<sub>4</sub><sup>3-</sup>; и гипolimнионе 0,2, 0,5, 2,9 N и 0,1, 1,1, 3,1 PO<sub>4</sub><sup>3-</sup>; осаждающихся в отложениях 3,5, 10,2, 9,0 N и 2,6, 6,4, 5,7 мг PO<sub>4</sub><sup>3-</sup>; и возвращающихся отложений в воду 1,6, 6,5, 6,3 N и 0,3, 2,8, 2,0 PO<sub>4</sub><sup>3-</sup> — значительно ниже. Также и поглощение O<sub>2</sub> в гипolimнионе за летнюю стагнацию I гораздо меньше (19% от наличного кол-ва O<sub>2</sub>), чем в II (93—94%). Опыты с поглощением O<sub>2</sub> илами этих озер показали подобную же закономерность.

В. Коншин

68664. Исследование химического состава и антибактериальных свойств паровых дистиллятов и водных экстрактов Хаапсалукской лечебной грязи. Дербенцева Н. А., Фрадник В. А., Eesti NSV Teaduste Akad. toimetus, Изв. АН ЭССР, 1956, № 2, 176—184 (рез. эст., франц.)

В паровых дистиллятах Хаапсалукской лечебной грязи общая кислотность составляет (в мг/л): 8,00, 0,01 н. NaOH, окисляемость 10,30 O<sub>2</sub>, H<sub>2</sub>S 2,34, N 31,24, йодное число 8,80. В водн. экстрактах этой грязи общая кислотность 4,00 мг/л, 0,01 н. NaOH, окисляемость 24,82 O<sub>2</sub>, H<sub>2</sub>S 2,80, азот 78,10, йодное число 3,39. Подсушивание грязи не оказывает существенного влияния на хим. состав полученных препаратов. Установлено присутствие муравьиной, масляной и уксусной к-т, а также небольшого кол-ва летучих органич. к-т. Некоторые препараты стимулировали размножение дрожжевых грибов. Водн. экстракты и, в меньшей степени, паровые дистилляты грязи обладают антибактериальным действием. Л. Листова

68665. Химический состав дождя из Роскхилл в графстве Голвей. Горем (The chemical composition of rain from Rosscahill in county Galway. Gorham Eville), Irish Naturalists. J., 1957, 12, № 5, 122—126 (англ.)

Приведены результаты анализа 10 образцов дождевой воды, собранной в различные месяцы 1955—1956 гг. Величина pH в пределах 5,9—7,6. Содержание катионов и анионов (10<sup>-4</sup>%): Na<sup>+</sup> 0,8—4,3, K<sup>+</sup> 0,05—2,8, Ca<sup>2+</sup> 0,5—4,2, Mg<sup>2+</sup> 0,05—1,0, HCO<sub>3</sub><sup>-</sup> 1,0—16,7, Cl<sup>-</sup> 1,5—7,5, SO<sub>4</sub><sup>2-</sup> 0,8—8,0, NO<sub>3</sub><sup>-</sup> (N) до 0,08. Приведены сравнительные данные по содержанию катионов и анионов из озер и моря для иллюстрации влияния их на состав дождя. Р. Хмельницкий

68666. Геохимическое изучение бора. 11. Источники поступления бора в дождевые осадки. Муро (ホウ素の地球化学的研究. 第11報. 降水中のホウ素の供給源について. 武蔵覚), 日本化学雑誌, Нихон катэку дзасси, J. Chem. Soc. Japan. Pure Chem. Sec., 1956, 77, № 12, 1770—1773 (японск.)

Моделирование проверено справедливость гипотезы Сугахара об увеличении конц-ий Ca и SO<sub>4</sub> по отношению к Cl в дождевых осадках по мере удаления от морского побережья; это объясняется тем, что дождевая вода избирательно растворяет в себе отдельные компоненты взвешенной в воздухе пыли солей морской воды. В первую очередь растворяются неустойчивые компоненты (Na, Cl), а затем устойчивые (Ca, SO<sub>4</sub>) (J. Chem. Soc. Japan Pure Chem. 1948, 18, 485). В результате опытов установлен следующий порядок избирательности Cl > B > Mg > SO<sub>4</sub> > Ca. При продолжительном дожде в его начале улавливаются и растворяются Na, Mg, Cl, а в конце Ca и SO<sub>4</sub>, т. е. в основном подтверждается гипотеза Сугахара. Однако растворимость B оказалась выше ожидаемой, поэтому было предположено попадание в атмосферу соединений В также из растений, что подтверждено моделированием (использованы листья деревьев). Установлено, что содержание В в осадках над низменными районами, имеющими растительный покров (2,7—12,6 мкг/л) выше, чем над высокогорными малолесистыми районами (0,5—2,5 мкг/л). В результате определения В в пробах дождевой воды, взятых в разные периоды выпадения дождя, не обнаружено какой-либо закономерности в его содержании. Часть 10 см. РЖХим, 1956, 61293. Л. Левин

68667. Содержание Be<sup>7</sup> в снеге. Нильссон, Сигбан, Берггрен, Нигельман (Be<sup>7</sup> content in snow. Nilsson Ragnar, Siegbahn Kai, Berggren Adolf, Ingelman Björn), Arkiv fys., 1957, 11, № 5, 445—451 (англ.)

Определена конц-ия радиоактивного Be<sup>7</sup> в 3 образцах (75 кг) свежевыпавшего при различных метеорологич. условиях снега из Упсала, Швеция (февраль—март 1956 г.). Be извлекался из воды с помощью ионного обмена. Активность измерялась спинцилляционным спектрометром. Конц-ия Be<sup>7</sup> в образцах (10<sup>3</sup> атомов на 1 см<sup>3</sup> воды): 3,05 ± 0,15, 3,75 ± 0,14, 6,15 ± 0,18.

А. Чемоданов

68668 К. Формирование химического состава высокогорных рек Центрального Кавказа. Пхалагова Д. М. Орджоникидзе, Сев.-Осетинск. кн. изд-во, 1957, 115 стр., илл., 2 р. 70 к.

68669 Д. Основные типы нефтей месторождений Прибалханского района (Западная Туркмения) и геохимические особенности их распространения. Старобинцев И. С. Автореф. дисс. канд. хим. н. Всес. н.-и. геол.-развед. нефт. ин-т, Туркм. фил. Всес. нефтегаз. н.-и. ин-та, 1956

68670 Д. Кондуктометрическое определение концентраций солей в почвенных водных вытяжках. Кольцов А. В. Автореф. дисс. канд. хим. н., Моск. с.-х. акад. им. К. А. Тимирязева, М., 1957

См. также: Физ. и хим. методы анализа минералов 68253, 69122, 69134, 69184. Радиоактивность 68322, 68323, 68326. Состав и св-ва руд 69104, 69126, 69127, 69152, 69154, 69183; вод 69163, 69181, 69579, 69580, 69584. Распределение элементов в природных объектах 69133, 69138, 69139, 69155, 69165. Микроэлементы и минералы в живых организмах 69132, 69174

68671 Д. Литология и физико-механическая характеристика современных донных осадков северной части Бакинского архипелага. Алиев Ф. С. Автореф. дисс. канд. геол.-минералог. н., Азерб. ун-т, Баку, 1957

## ОРГАНИЧЕСКАЯ ХИМИЯ

### ТЕОРЕТИЧЕСКИЕ И ОБЩИЕ ВОПРОСЫ ОРГАНИЧЕСКОЙ ХИМИИ

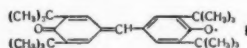
Редактор М. Е. Вольпин

68674. Новые данные о свободных органических радикалах. Тейлаккер, Шульц, Баумгарте, Дресслер, Роде, Татер, Уфман (Neue Ergebnisse über freie Kohlenstoff-Radikale. Teilacker Walter, Schulz Helga, Baumgarte U., Drössler H.-G., Rohde W., Thater F., Uffmann H.), Angew. Chem., 1957, 69, № 10, 322—333 (нем.)

Обзор. Обсуждается применимость данных по магнитной восприимчивости для суждения о кол-ве свободных радикалов. Рассмотрены устойчивость свободных радикалов и ее связь со стерич. эффектами на примере три-бифенил-метильных, три-(*о*-трет-бутил-фенил)-метильных, 3-арилфлуоренильных, ди-(тетраметилфенил)-метильных радикалов и ряда бирадикалов типа углеводорода Чичибабина: 2,2'-дифтор-4,4'-бис-(дифенилметил)-бифенила, 2,5,2',5'-тетраметил-4,4'-бис-(ди-*о*-толилметил)-бифенила, 3,3'-диметил-4,4'-бис-(ди-*о*-толилметил)-бифенила, 3,3'-диметил-4,4'-бис-(фенил-*о*-толилметил)-бифенила, 4,4'-бис-(9-флуоренил)-бифенила. Библи. 53 назв. М. Вольпин

68675. Стабильный кислородный радикал. Джоши (A stable oxygen radical. Joshi B. S.), Chemistry and Industry, 1957, № 17, 525 (англ.)

Окислением 4,4'-диокси-3,5,3',5'-тетра-трет-бутилдифенилметана (т. пл. 154°) щел. р-ром  $K_4Fe(CN)_6$  получен устойчивый радикал (I) — темно-синий осадок, т. пл.



157,5° (из сп.); по данным электронного магнитного резонанса  $g, 2,006 \pm 0,0005$ ; приведены ИК- и УФ-спектры I.

М. Вольпин  
68676. Структура дибензоата йодида серебра. Битти, Брайс-Смит (Structure of silver iodide dibenzoate. Beattie I. R., Bryce-Smith D.), Nature, 1957, 179, № 4559, 577—578 (англ.)

Для  $(C_6H_5COO)_2AgI$  (I) предложена структурная ф-ла (Ia), объясняющая его хим. свойства. I является электрофильным йодирующим и оксидбензоилирующим агентом и образуется легко при действии  $J_2$  на  $C_6H_5-$

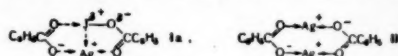
68672 Д. Минеральные воды Нальчика (Кабардинская АССР). Смирнова А. В. Автореф. дисс. канд. геол.-минералог. н., МГУ, М., 1957

68673 П. Метод геохимических поисков. Коггешалл, Хансон (Method of geochemical prospecting. Coggeshall Norman D., Hanson William E.) [Gulf Research & Development Co.]. Пат. США 2767320, 16.10.56

Патентуется метод поисков скрытых месторождений углеводородов с помощью анализа подпочвенных вод на присутствие растворенных углеводородных компонентов, в частности ароматич. углеводородов и особенно бензола. Наличие в воде углеводородов является индикатором нефтесодержащих слоев. После экстрагирования ароматич. соединений изооктаном с последующим хроматографич. концентрированием проводят анализ на УФ-спектрометре в области 220—280 мк.

Р. Хмельницкий

$COOAg$ , имеющий, вероятно, структуру димера (II). Перекристаллизацией из диметилформамида (III) получен I, свободный от примеси  $AgI$ . При действии  $NaI$  на р-р I в III образуется  $AgI$ , однако при добавлении

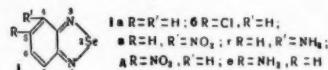


$AgNO_3$  осадок не выпадает, что указывает на присутствие  $Ag^+$  и отсутствие  $J^-$  в согласии со структурой Ia.

А. Савицкий

68677. О строении и реакционной способности пиазселенола. Эфрос Л. С., Тодрес-Селектор З. В., Ж. общ. химии, 1957, 27, № 4, 983—989

Исследованы свойства и строение пиазселенола (Ia), аналога пиазола (II) (РЖХим, 1954, 27044; 1955, 37338). Ia образуется из водн. р-ров  $SeO_2$  и *о*-фенилдиамин (III) (Hinsberg O., Ber., 1889, 22, 2895) через промежуточный *о*-хинондимин (IV), который далее окисляется  $SeO_2$  до Ia. При конденсации IV и  $SeO_2$  в среде конц.  $HCl$  происходит присоединение элементов  $HCl$  по сопряженной системе связей IV с образованием (Ib), что подтверждает предложенный механизм. Ia с конц.  $HCl$  дает только хлоргидрат Ia, т. пл. 159—160°. Легкость синтеза Ia по сравнению с II объясняется большей окислительной активностью  $SeO_2$ . Ia вступает в р-ции замещения аналогично II: при нитровании Ia



получен (Ia), который восстановлен в (Ic). 4- и 5-нитро- и аминопиазселенолы синтезированы из  $SeO_2$  и соответствующих замест. III. Ic и (Ie) интенсивно окрашенные, весьма слабые основания ( $K$  основности Ic и Ie  $10^{-10,8}$  соответствующих производных II  $10^{-11,3}$ ), что свидетельствует о хинондном строении I и его производных. Сравнение восстановительных потенциалов (Ia —1,1 в; II —1,7 в), спектров поглощения Ia и II (сдвиг максимума поглощения Ia в сторону более длинных волн) и дипольных моментов показывает, что у Ia хинондность выражена сильнее, чем в II. Однако Ia, как и II, неспособен к р-циям присоединения, что объясняется дезактивирующим влиянием электрофильных селено- и тиодиазольных колец на систему связей в конденсированном бензольном кольце. К 3 г III в 50 мл

конц. HCl прибавляют 3,08 г SeO<sub>2</sub> в 20 мл конц. HCl. При охлаждении выпадает **16**, после перегонки с водяным паром выход **16** 1,2 г, т. пл. 117,5—118° (возгонка, из водн. сп.). Строение **16** подтверждено встречным синтезом из водн. р-ра 1,65 г дихлоргидрата 4-хлорзамещ. **III** и водн. р-ра 1,28 г SeO<sub>2</sub>, выход 1,6 г. Нитрованием **1a** (1,2 г **1** в 10 мл конц. H<sub>2</sub>SO<sub>4</sub>, 1,8 мл конц. HNO<sub>3</sub> и 2,7 г конц. H<sub>2</sub>SO<sub>4</sub>) получен **1v**, выход 98,5%, т. пл. 216,5—217,5° (возгонка; из сп. с углем). **1v** синтезирован также из р-ра 2,17 г 3-нитрозамещ. **III** в 40 мл воды и водн. р-ра 1,48 г SeO<sub>2</sub>. Аналогично из 2,23 г 4-нитрозамещ. **III** получено 3,12 г **1d**, выход 98%, т. пл. 220—220,5° (возгонка). Кипячением 3,8 г **1v** с 12 г чугунных стружек, 100 мл воды, 2 мл 98%-ной CH<sub>3</sub>COOH (30 мин.) получен **1g**, выход 52%, т. пл. 159—159,8° (из воды с углем). **1g** получен также при сливании водн. р-ров **14** г дихлоргидрата 1,2,3-триаминобензола и 13,9 г Na<sub>2</sub>SeO<sub>3</sub>, выход ~100%. Аналогично синтезирован **1e**, выход ~100%, т. пл. 149—150° (из воды с углем). Восстановление **16** в условиях, предложенных для **1a**, приводит к осмоленю.

В. Райгородская  
68678. О взаимодействии хлористого бензилпиридиния с циклопентадиенилидом, Курсанов Д. Н., Баранецкая Н. К., Сеткина В. Н., Докл. АН СССР, 1957, 113, № 1, 116—119

При взаимодействии хлористого бензилпиридиния (**I**) с циклопентадиенилидом (**II**) получен циклопентадиенилид бензилпиридиния (**III**). **III** имеет строение **IIIa** и **IIIb** и является первым представителем азо-



тистых циклопентадиенилидов (ср. РЖХим, 1957, 30444, 30445), у которого отсутствует непосредственная связь между N<sup>+</sup> и ароматич. циклопентадиенильным анионом. К эфир. суспензии размельченного в сухой камере **I** прибавлена эфир. суспензия **II**, через 20 час. перемешивания смесь обработали водой. Выпал **III**, перекристаллизованный из бензола, выход 24,5%, золотисто-желтые кристаллы, хорошо растворимые в ацетоне, нитробензоле, хлороформе, пиридине, хуже в дioxане, спирте, бензоле, нерастворимые в воде, эфире, петр. эфире. Выше 180° **III** разлагается, не плавясь;  $n_D^{20} = 9,7$ . Исчерпывающее каталитич. гидрирование **III** над Pt-черной в спирте и лед. CH<sub>3</sub>COOH и определение йодного числа показало наличие в **III** 5 двойных связей. Продукт гидрирования (**IV**) был превращен в хлорплатинат и йодметилат (т. разл. 166—170°). **IV** не ацетируется, что доказывает, что **IV** является третичным амином.

З. Парнес  
68679. Определение абсолютной конфигурации некоторых третичных аминов и четвертичных аммониевых солей. Фодор (Die Bestimmung der absoluten Konfiguration einiger tertiärer Amine und quaternärer Ammoniumsalze. Fodor G.), Acta phys. et chem. Szeged, 1956, 2, № 1—4, 62—73 (нем.)

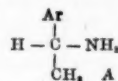
Обзор работ по определению конфигурации при атоме азота третичных аминов и четвертичных аммониевых солей в ряду тропановых и гранатановых алкалоидов и производных пирролизидина и хинолизина. Рассматриваются причины оптич. стабильности указанных соединений на основе понятий о неклассич. пространственном напряжении. Библ. 37 назв.

И. Цветкова  
68680. Общий метод установления абсолютной конфигурации оптически активных бифенилов с помощью асимметрического синтеза. Мислов, Ньюман (A general method for establishing the absolute configuration of optically active biphenyls by asymmetric synthesis. Mislow Kurt, Newman Paul), J. Amer. Chem. Soc., 1957, 79, № 7, 1769 (англ.)

Восстановлением диметилового эфира RS-6,6'-динитро-2,2'-к-ты (LiAlH<sub>4</sub>-AlCl<sub>3</sub>) получен RS-6,6'-динитро-2,2'-бис-(оксиметил)-бифенил (RS-I), т. пл. 142—144° (об обозначениях конфигураций R- и S-, см. РЖХим, 1956, 71531). RS-I превращен (конц. HBr) в RS-6,6'-динитро-2,2'-бис-(бромметил)-бифенил (RS-II), т. пл. 183—185°. Из RS-II действием KCN получен циклич. иминонитрил (**III**), т. пл. 304° (разл.). **III** гидролизован в кислой среде до RS-4',1'-динитро-1,2,3,4-дибензоциклопентадиен-1,3-она-6 (RS-IV), т. пл. 234—236°. RS-IV восстановлен действием изо-C<sub>3</sub>H<sub>7</sub>OH/Al (изо-C<sub>3</sub>H<sub>7</sub>O)<sub>2</sub> до RS-4',1'-динитро-1,2,3,4-дибензоциклопентадиен-1,3-ола-6 (RS-V), т. пл. 199—200°. При действии на 951 мг RS-IV метил-трет-бутилкарбинола (**VI**) (14 г,  $[\alpha]_D^{20} + 7,73^\circ$ , S-конфигурация) в присутствии 717 мг Al(трет-C<sub>3</sub>H<sub>7</sub>O)<sub>3</sub> в 52,4 г дioxана (63°, 7 час.) получен **IV**, выход 139 мг,  $[\alpha]_D^{20} + 136^\circ$  (этилацетат, как и в остальных случаях), и **V**, выход 655 мг,  $[\alpha]_D^{20} - 109^\circ$ . Восстановлением (+)-IV действием изо-C<sub>3</sub>H<sub>7</sub>OH/(изо-C<sub>3</sub>H<sub>7</sub>O)<sub>2</sub>Al получен **V**,  $[\alpha]_D^{20} + 498^\circ$ . Длительное (25 час.) восстановление RS-IV с помощью Al-алкоголята **VI** привело к RS-V. Рассмотрев мол. модель S-IV и учитывая стереохимию переходного состояния р-ции Мейервейна-Пондиффа — Верли (Doering W. von E., Young R. W., J. Amer. Chem. Soc., 1950, 72, 631) и конфигурацию **VI**, авторы заключили, что R-IV должен восстанавливаться быстрее, чем S-IV. Соответственно (+)-IV приписана S-конфигурация, а (—)-V — R-конфигурация. Авторы полагают, что новый метод установления конфигурации пространственно затрудненных бифенилов путем установления соотношений с соединениями с асимметрич. атомом имеет общее значение.

Н. Волькенгау  
68681. Стереохимические исследования. II. Синтез и определение конфигурации некоторых замещенных α-фенилэтиламинов. Терентьев А. П., Потапов В. М., Ж. общ. химии, 1957, 27, № 4, 1092—1100

Описывается синтез и разделение на оптич. антиподы α-(п-ксилил)-этиламина (**I**), α-(м-ксилил)-этиламина (**II**) и α-(п-нитрофенил)-этиламина (**III**). Методом сравнения вращения аминов и их бензоильных производных в разных р-рителях с вращением α-фенилэтиламина (**IV**) и его бензоильного производного, а также прямым нитрованием (—)-IV с образованием (—)-III показано, что относительная конфигурация (+)-форм аминов **I**, **II** и **III** выражается проекционной ф-лой **A**. Изложены основы предложенной авторами «q-σ-системы» для обозначения конфигурации.



K 182 г безводн. AlCl<sub>3</sub>, 360 мл CCl<sub>4</sub> при 10—15° прибавляют 96 мл CH<sub>3</sub>COCl, затем 145 мл п-ксилола, через 2 часа смесь обрабатывают обычным путем, получают 87% метил-п-ксилилкетона, т. кип. 225—226,5°. Аналогично из 1,17 моля AlCl<sub>3</sub>, 450 мл CCl<sub>4</sub>, 82 мл CH<sub>3</sub>COCl и 123 мл м-ксилола получено 87% метил-м-ксилилкетона, т. кип. 228—230°. Из кетонов восстановительным аминированием по Лейкарту (Синтезы органич. препаратов, М., Изд-во ин. лит., 1949, сб. 2, 523) получены **I**, выход 49%, т. кип. 223—225°,  $n_D^{17} 1,5273$  (в оригинале ошибочно  $n_D^{17} 1,4273$ ),  $d_4^{25} 0,9439$ ; бензоильное производное (БП) (по Шоттену-Бауману), т. пл. 143°; **II**, выход 47,8%, т. кип. 224—227°,  $n_D^{16} 1,5272$ ,  $d_4^{18} 0,9487$ . Смесь 41 г п-нитроацетофенона, 30 г мочевины, 100 мл 85% HCOOH нагревают 1 час с обратным холодильником, затем 2 часа в открытом сосуде и еще 2 часа с обратным холодильником; после кипячения с конц. HCl (2 часа, 100 мл) и углем, упаривания, подщелачи-



вания конц.  $\text{NH}_4\text{OH}$ , перегонки получено 47,5% неочищ. III, т. кип. 156—160°/7 мм; БП, т. пл. 151,5 (из бэл.). оксалат, т. пл. 206° (из воды). 32 г Ва-соли ментилсерной к-ты ( $\text{C}_{10}\text{H}_{19}\text{OSO}_3$ )<sub>2</sub>Ва ·  $\text{H}_2\text{O}$  (V) растворяют в 700 мл горячей воды, добавляют эквивалентное кол-во 2 н.  $\text{H}_2\text{SO}_4$  и после отделения  $\text{BaSO}_4$  — 15,6 г I; осадок после 7 перекристаллизаций из горячей воды дал 12,3 г соли (+)-I · V, т. пл. 152—153° [ $\alpha_D^{20}$  —40,8° ( $\text{CH}_3\text{OH}$ ,  $p$  3,7), а из нее разложением 4,2 г Ва(OH)<sub>2</sub> выделено 4,9 г (+)-I, [ $\alpha_D^{20}$  +43,8° (без р-рителя); БП, т. пл. 110—111° (из  $\text{CH}_3\text{OH}$ ), [ $\alpha_D^{20}$  +74,7° (бэл.). Аналогично из 23,52 г V и 10,7 г II получено 4,94 г соли (+)-II · V, т. пл. 168°, [ $\alpha_D^{20}$  —44,3° ( $\text{CH}_3\text{OH}$ ,  $p$  3,4), и из нее 1,8 г (+)-II, [ $\alpha_D^{20}$  +36,1° (без р-рителя); БП, т. пл. 131—133°, [ $\alpha_D^{20}$  +37,7° (бэл.). Из 63,2 г III и 57 г (+)-винной к-ты (VI) (две перекристаллизации из воды) получено 28,5 г соли (+)-III · VI, т. пл. 173—175°, [ $\alpha_D^{20}$  +12,3° (вода;  $p$  2,0), а из нее 17,2 г (+)-III, т. кип. 157—159°/9 мм,  $n_D^{20}$  1,5688,  $d_4^{20}$  1,1764, [ $\alpha_D^{20}$  +13,0° (без р-рителя); БП, т. пл. 156—157° (из бэл.), [ $\alpha_D^{20}$  +19,5° (бэл.), [ $\alpha_D^{20}$  —17,9° ( $\text{CH}_3\text{OH}$ ). При нитровании (—)-IV (Baker, Ingold, J. Chem. Soc., 1927, 262) получена смесь (—)-III с метאיизомером; разделением через оксалаты выделен чистый (—)-III. Предыдущее сообщение см. РЖХим, 1957, 26784.

В. Потапов

**68682. Установление конфигурации через окисные циклы с определенным пространственным строением.**  
**II. Определение конфигурации 1-оксн-1-фенил-2-бромпропана; стереохимический анализ синтеза диастереомеров 1,2-диокси-1-фенилпропана.** Фишер (Konfigurative Zuordnung über sterisch definierte Epoxydringe, II. Konfigurationsbestimmung des 1-Hydroxy-1-phenyl-2-brom-propan; stereochemische Analyse einer Synthese der Diastereomeren des 1,2-Dihydroxy-1-phenyl-propan. Fischer Friedrich), Chem. Ber., 1957, 90, № 3, 357—362 (нем.)  
 Эритро-1-фенил-1,2-дибромпропан (I) при кипячении с водн. ацетоном замещает Br на OH при  $\text{C}_{(1)}$  с сохранением конфигурации; образующийся эритро-бромгидрин  $\text{C}_6\text{H}_5\text{CH}(\text{OH})\text{CHBrCH}_3$  (эритро-II) при дальнейшем кипячении с водн.  $\text{K}_2\text{CO}_3$  замещает второй атом Br также с сохранением конфигурации, образуя эритро-диол  $\text{C}_6\text{H}_5\text{CH}(\text{OH})\text{CH}(\text{OH})\text{CH}_3$  (эритро-III). При кипячении же с  $\text{CH}_3\text{COOK}$  в  $\text{CH}_3\text{COOH}$  I образует трео-III. Показано, что замещение при  $\text{C}_{(1)}$  идет с сохранением конфигурации, а при  $\text{C}_{(2)}$  — с обращением. Конфигурация II и III, а также связанных с ними 1-фенил-1-ацетокси-2-бромпропанов (IV) и 1-фенил-1,2-диацетоксипропанов (V) доказываются превращением эритро-II и эритро-IV в транс-оксн-1-фенил-2-метилэтилена (транс-VI), а трео-II и трео-IV — в цис-VI. Дополнительным подтверждением служит превращение транс-пропенилбензола (VII) при действии  $\text{KMnO}_4$  (цис-гидроксильрование) в трео-III. 15 г I кипятят с 3 г  $\text{CaCO}_3$ , 50 мл воды и 10 мл ацетона, получают 80% эритро-II, т. кип. 88—89°/0,3 мм,  $n_D^{20}$  1,5640. Эритро-II получают с выходом 30% также при обработке 0,185 моля VII-р-ром, полученным действием 34 г HgO на смесь 0,26 моля  $\text{Br}_2$ , 0,26 моля  $\text{CH}_3\text{CONH}_2$  и 120 мл воды. Трео-II получен восстановлением  $\alpha$ -бромпропиофенона по Повдорфу-Мейервейну (Stevens P. G. и др., J. Amer. Chem. Soc., 1940, 62, 1424), выход 60%, т. кип. 91—92°/0,4 мм,  $n_D^{20}$  1,5561, 2,78 г I кипятят 1 час с 10 мл лед.  $\text{CH}_3\text{COOH}$  и 1,67 г  $\text{CH}_3\text{COOAg}$ , получают 80% эритро-IV, т. кип. 96—97°/0,4 мм,  $n_D^{20}$  1,5318. Эритро-IV получен также из эритро-II действием ( $\text{CH}_3\text{CO}_2$ )<sub>2</sub>O в пиридине, аналогично из трео-II образуется трео-IV, т. кип. 98—99°/0,4 мм,  $n_D^{20}$  1,5240. Из 2 г эритро-II при перемешивании 24 часа с 50 мл 20%-ной KOH получают 70% транс-VI, т. кип. 88°/13 мм,  $n_D^{20}$  1,5187, транс-VI образуется также из эритро-II при кипячении с водн. р-ром  $\text{K}_2\text{CO}_3$  или из

эритро-IV и спирт. р-ра KOH. Из трео-II или трео-IV образуется аналогичными способами цис-VI, т. кип. 83—84°/13 мм,  $n_D^{20}$  1,5192, выход 80%. При длительном кипячении с водн. р-ром  $\text{K}_2\text{CO}_3$  транс-VI разлагается в эритро-III, цис-VI не изменяется. 1,5 г трео-IV кипятят 4 часа с 1 г  $\text{CH}_3\text{COOAg}$  и 5 мл лед.  $\text{CH}_3\text{COOH}$ , получают 85% эритро-V, т. кип. 109°/0,4 мм,  $n_D^{20}$  1,4849, аналогично из эритро-IV получают трео-V, т. кип. 112—113°/0,4 мм,  $n_D^{20}$  1,4871, последнее в-во с выходом 70% получают также 10-часовым кипячением 2,5 г эритро-I с 3 г  $\text{CH}_3\text{COOK}$  и 75 мл лед.  $\text{CH}_3\text{COOH}$ . К смеси 0,33 моля VII в 300 мл спирта, 10 г  $\text{Na}_2\text{CO}_3$  20 мл воды при —8—4° приливают 0,33 моля  $\text{KMnO}_4$  в 2,6 л воды, получают 18 % трео-III. Ацетилирование эритро-III (3 г диола, 7 мл пиридина, 8 мл ( $\text{CH}_3\text{CO}_2$ )<sub>2</sub>O 48 час., ~20°) дает 70% эритро-V, аналогично трео-III дает трео-V. Эритро-V и трео-V при стоянии с водно-спирт. KOH превращаются в эритро-III и трео-III. Сообщение I см. РЖХим, 1957, 26618. В. Потапов

**68683. Квазирацемические соединения между энантиомерами в гомологическом ряду 3-метилзамещенных карбоновых кислот с длинной цепью. Халл-Грен (Quasi-racemic compounds between enantiomorphs in the homologous series of 3-methyl-substituted long chain acids. Hallgren Bo), Arkiv kemi, 1957, 10, № 4, 353—361 (англ.)**

Исследована возможность образования квазирацемич. соединений (KPC) между карбоновыми к-тами противоположного знака вращения, отличающимися друг от друга на  $(\text{CH}_2)_n$ . Найдено, что 3-метилтетракозановая к-та (I) образует рацемат с т. пл. 68,6°. (—)-I и (+)-D-3-метилтрикозановая к-та [(+)-D-II] образуют KPC, т. пл. 68,6°; (—)-I-3-метилдокозановая к-та [(—)-L-III], т. пл. 59,1—59,3°, и (+)-D-I образуют KPC, т. пл. 71,4°; (+)-D-3-метилгексадекановая к-та [(+)-D-IV] и (—)-L-I образуют KPC, т. пл. 66°; (+)-D-3-метилдодекановая к-та [(+)-D-V], т. пл. 1,5—2,1°, и (—)-L-III образуют KPC, т. пл. 51,2°. Образование KPC установлено с помощью диаграмм т-р плавления двойных систем (приведены кривые для всех четырех случаев) и с помощью рентгеновского исследования в случаях (+)-D-V и (—)-L-III (приведены кривые). Диаграммы т-р плавления систем (+)-D-II — (+)-D-I, (—)-L-III — (—)-L-I и (+)-D-IV — (+)-D-I имеют эвтектич. точки; диаграмма для (—)-L-V (т. пл. 1,7—2,3°) — (—)-L-III не имеет эвтектич. точки. По методу Кофлера (РЖХим, 1954, 49737) исследованы системы: (—)-L-III — (+)-D-I и (—)-L-3-метилэйкозановая к-та — (+)-D-3-метилгептакозановая к-та. В обоих случаях отмечено образование KPC. Таким образом установлено, что даже при разнице в длине цепи в  $(\text{CH}_2)_{10}$  возможно образование KPC между к-тами разного знака вращения. Это явление поставлено в связь с неполной специфичностью некоторых иммунологич. р-ций.

**68684. Соотношение между конформациями циклогексановых производных и их физическими свойствами.** Келли (A relationship between the conformations of cyclohexane derivatives and their physical properties. Kelly R. B.), Canad. J. Chem., 1957, 35, № 2, 149—155 (англ.)

Критически рассмотрены и сопоставлены приведенные в литературе данные о конформациях и физ. свойствах (уд. вес, показатель преломления) стереоизомерных замещ. циклогексанов, некоторых бицичл. соединений, пергидроантраценов и пиранозидов. Сделан вывод, что, за редкими исключениями, эти данные подтверждают правило Аллингера (РЖХим, 1955, 23571; 1957, 50415), согласно которому для изомерных производных циклогексана и тетрагидропирана, одинаково замещ. у соответствующих C-атомов, показатель преломления и уд. вес. возрастают с уве-

личением числа аксиальных заместителей. Библ. 29 назв. Н. Волькенау

68685. Стереохимия 1-метил-2-карбокситетрагидронафталинов и 5-метилбензобиккло-[0,1,4]-гептен-3-он-2. Жюлиа, Бонне (Stéréochimie des méthyl-1 carboxy-2 tétrahydro-1,2,3,4-naphtalènes et des méthyl-5 benzobicyclo-(0,1,4) heptèn-3 ones-2. Julia Silvestre, Bonnet Yannik, C. r. Acad. sci., 1957, 244, № 20, 2513—2515 (франц.)

Этерификацией смеси *цис*- и *транс*-1-метил-2-карбокситетрагидронафталинов (РЖХим, 1955, 40115) получена смесь стереоизомерных 1-метил-2-карбокситетрагидронафталинов (I, II), разделенная кристаллизацией на I, т. пл. 61°, и II, жидкость. II восстановлен (Rosenmund, Karg, Ber., 1942, 75, 1850) и гидролиззован до 1-метил-2-карбокситетрагидронафталина (IIIa); амид, т. пл. 172°; анилид, т. пл. 160°. Показано, что III имеет *цис*-конфигурацию, так как идентичен в-у, полученному каталитич. гидрированием 1-метил-2-карбокситетрагидронафталина (IV). Восстановлением KBN, этилового эфира  $\alpha$ -ацетил- $\gamma$ -фенилмасляной к-ты и последующим омылением получена  $\alpha$ -(1-оксиптил)- $\gamma$ -фенилмасляная к-та (V), т. пл. 95°. V циклизована в стереоизомер IIIa (IIIb), т. пл. 83°; амид, т. пл. 169°; анилид, т. пл. 164°. *Транс*-конфигурация IIIb установлена следующим образом: из IIIa получен хлорангидрид, из него амид и далее нитрил по методу, описанному ранее (РЖХим, 1957, 37643), щел. гидролиз нитрила привел к IIIb. Наконец, превращением I в IIIb доказана *транс*-конфигурация I. II превращен (последовательное действие: этилортоформат, LiAlH<sub>4</sub>, гидролиз) в *цис*-1-метил-2-оксиптил-4-кето-1,2,3,4-тетрагидронафталин (VI); 2,4-динитрофенилгидразон (ДНФГ), т. пл. 208°; *п*-толуолсульфонат (VIIa), т. пл. 83°. VIIa циклизована (CH<sub>3</sub>ONa) в *цис*-5-метил-[0,1,4]-бензобикциклогептен-3-он-2 (*цис*-VII), т. кип. 143°/12 мм, *n*<sub>D</sub><sup>20</sup> 1,5752; ДНФГ, т. пл. 230°. Показано, что *цис*-VII под действием трет-С<sub>4</sub>H<sub>9</sub>ONa перегруппировывается в 4-метилбензобикциклопентадиен-2,4-он-1 (VIII); семикарбазон (СК), т. пл. 185° (разл.); ДНФГ, т. пл. 202°. Строение VIII доказано каталитич. гидрированием в 4-метилбензобикциклопентен-2-он-1 (IX) (ДНФГ, т. пл. 161°), восстановлением IX до 4-метилбензобикциклопентен-2-ола-1 (X), т. пл. 109°, и получением IX и X встречным синтезом. Из метилового эфира  $\gamma$ -бромкровоной к-ты и ацетофенона по Реформатскому с последующей дегидратацией и омылением получена 4-фенилпентадиен-1,3-карбоновая-1 к-та (XI), т. пл. 141°. Каталитич. гидрированием XI синтезирована 4-фенилпентадиенкарбоновая-1 к-та (XII); анилид, т. пл. 75°. Хлорангидрид XII циклизован (AlCl<sub>3</sub>) в IX, т. кип. 101°/0,15 мм, *n*<sub>D</sub><sup>21</sup> 1,5543; СК, т. пл. 190° (разл.); ДНФГ, т. пл. 161°, имеет вторую форму, т. пл. 171°,  $\lambda_{\text{макс}}$  371 мк (4,41). Восстановление (KBN) полученного IX привело к X. Приведены  $\lambda_{\text{макс}}$  в УФ-свете IV, ДНФГ VI, *цис*-VII, ДНФГ *цис*-VII, VIII, СК VIII, ДНФГ VIII, IX, СК IX, ДНФГ IX и XI.

Н. Волькенау  
68686. Изучение синтетических пиретроидов. Сообщение X. Дополнительное обсуждение вопроса о сохранении  $\alpha,\beta$ -*транс*-конфигурации  $\alpha,\delta$ -диметилсорбинового эфира в процессе присоединения диазоацетата. Иноуэ, Оно (合成ピレスロイドに関する研究. 第X報. 再び  $\alpha,\delta$ -Dimethylsorbic ester へ diazoacetate の附加反応中に於ける *trans*-configuration の保持について. 井上雄三, 大野 隆, 防衛科学, Ботю какаку, Scient. Insect Control, 1956, 21, № 4, 105—106 (японск.; рез. англ.)

Для (CH<sub>3</sub>)<sub>2</sub>C=C(CH<sub>2</sub>COOH)CH=C(CH<sub>3</sub>)COOH (I), близкой по структуре к  $\alpha,\delta$ -диметилсорбиновой к-те (II), доказана *транс*-конфигурация путем рассмотре-

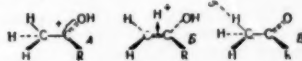
ния атомной модели и изучения УФ-спектра. Поскольку этиловый эфир I образуется присоединением диазоуксусного эфира (III) к (CH<sub>3</sub>)<sub>2</sub>C=CHCH=C(CH<sub>3</sub>)COOC<sub>2</sub>H<sub>5</sub> (IV) в относительно жестких условиях, то *транс*-конфигурация IV сохраняется в процессе р-ции присоединения. Побочно получен с очень малым выходом C<sub>2</sub>H<sub>5</sub>OOCCHC(CH<sub>3</sub>)<sub>2</sub>CH=CHCOOC<sub>2</sub>H<sub>5</sub> (V).

В мягких условиях р-ции между III и IV главным продуктом является V, а этиловый эфир I образуется в качестве побочного продукта, что также подтверждает сохранение конфигурации IV. Эти данные еще раз подтверждают *транс*-конфигурацию II (см. РЖХим, 1957, 19081, 44420). Сообщение IX см. РЖХим, 1957, 47790. Л. Яновская

68687. Стереохимия электрофильного и гомолитического замещения при олефиновом углеороде. Несмеянов А. Н., Борисов А. Е. (Stereochemistry of electrophilic and homolytic substitution at the olefinic carbon. Nesmeyanov A. N., Borisov A. E.), Tetrahedron, 1957, 1, № 1/2, 158—168 (англ.) Обзор исследований авторов. Библ. 17 назв.

68688. Стереохимия енолизации в кислой и в щелочной среде. Шарпантье, Чубар (Considérations sur la stéréochimie de l'énolisation en milieu acide et en milieu basique. Charpentier Micheline, m-me, Tchoubar Bianca, m-lle), C. r. Acad. sci., 1957, 244, № 12, 1655—1658 (франц.)

Для объяснения обнаруженного ранее аномально медленного течения р-ции бромирования и амидирования (1-циклогексилциклогексил-1-метилкетона (I) в щел. среде (РЖХим, 1955, 54960) авторы выдвигают предположение о различных механизмах енолизации в кислой и в щел. среде. В кислой среде енолизация



протекает по типу механизма ступенчатого псевдомомолекулярного элиминирования; при этом стадией, определяющей скорость, является переход структуры A в B. В щел. среде енолизация идет по непрерывному механизму, наподобие бимолекулярной элиминации, и переходное состояние имеет структуру B. Исследование мол. моделей показало отсутствие пространственных затруднений в случае I в структуре B и наличие таковых в структуре B. Последнее обстоятельство и объясняет крайне медленную енолизацию I при действии щел. реагентов. Г. Балуева

68689. Некоторые аспекты *цис-транс*-превращений. Хан (Quelques aspects de l'interconversion *cis-trans*. Khan N. A.), Oléagineux, 1957, 12, № 1, 7—10 (франц.)

Изучено действие окислов азота на метиловые эфиры олеиновой (I), линолевой (II) и линоленовой (III) к-т. NO с I—III не реагирует; N<sub>2</sub>O<sub>3</sub> и N<sub>2</sub>O<sub>5</sub> дают с ними продукты нитрования с неизменной конфигурацией; NO<sub>2</sub> превращает *цис*-изомеры I—III в *транс*-изомеры и одновременно образуются значительные кол-ва продуктов нитрования. Выказано предположение, что N<sub>2</sub>O<sub>3</sub> и N<sub>2</sub>O<sub>5</sub> реагируют с I—III по ионному или по свободнорадикальному механизмам, протекающим с незначительным тепловым эффектом, в то время как р-ция I—III с NO<sub>2</sub> резко экзотермична. Авторы полагают, что последние протекают через стадию образования активных мол. комплексов (МК). МК NO<sub>2</sub> с II имеет полупериод существования (ПС), равный 4 час. и  $\lambda_{\text{анс}}$  249 мк; МК NO<sub>2</sub> с III имеет ПС, равный 1 часу и  $\lambda_{\text{анс}}$  301 мк. Из NO<sub>2</sub> и III образуется лабильный *транс*-изомер, который в высоком вакууме рас-

падает на *цис*-III и продукт нитрования. Изучены *цис*-*транс*-превращения I—III в присутствии  $\text{NO}_2$  в процессе полимеризации. При этом выход *транс*-изомеров возрастает во времени до определенного максимума (у I он наступает через 14–20 час., у II через 7,5–9 час., у III через 2–3 часа), а затем постепенно уменьшается до нуля. Аналогичную изомеризацию I вызывает также  $\text{KNO}_3$ , давая промежуточный МК. В процессе самоокисления мол. кислородом происходит превращение *цис*-изомеров I—III в *транс*-формы через промежуточную стадию образования чрезвычайно неустойчивых МК перекисного характера.

В. Райгородская  
68690. Механизм реакций отщепления типа E2. Стереоспецифичность реакций отщепления в системе 2-бензолсульфонил-3-йодбутана. Скелл, Мак-Намара (Mechanism of E2 elimination reactions. Stereospecificity of elimination reactions in the 2-benzenesulfonyl-3-iodobutane system. Skell Philip S., Mc Namara James H.), J. Amer. Chem. Soc., 1957, 79, № 1, 85–87 (англ.)

Показано, что р-ция отщепления HJ от твердой формы 2-бензолсульфонил-3-йодбутана (I) под влиянием пиридина приводит к *цис*-(IIa) или *транс*-(IIb)-форме 2-бензолсульфонилбутена-2 (конфигурация не установлена), тогда как жидкий изомер I (III) в тех же условиях дает смесь IIa и IIb. Стереоспецифичность этой р-ции показывает, что она представляет собой бимолекулярное отщепление, и следовательно, водород в I и подобных ему соединениях, несмотря на наличие отрицательной  $\text{C}_6\text{H}_5\text{SO}_2$ -группы, недостаточно активирован для образования промежуточного карбаниона. Поэтому переходный комплекс в ранее отмеченных р-циях *цис*-отщепления от циклич. бензолсульфонилных производных (РЖХим, 1956, 43067) должен иметь *цис*-конфигурацию. Р-р 39,8 г  $\text{C}_6\text{H}_5\text{SO}_2\text{J}$  и 28,8 г *цис*-бутена-2 в  $\text{CCl}_4$  освещают 35 мин. при 0° лампой (200 вт), из смеси I и III (48,7 г) выделяют I, т. пл. 70–70,5°. Аналогичный продукт получают с *транс*-бутеном-2. Приведены данные об ИК-спектрах I, смеси I и III и смеси IIa и IIb.

Л. Бергельсон  
68691. Обычные циклы. Часть I. *Цис*-элиминирование. Дев (Common rings. Part I. *cis*-Eliminations. Dev Sukh), J. Indian Chem. Soc., 1956, 33, № 11, 769–777 (англ.)

Обсуждая энергетически наиболее выгодные конформации трех обычных циклов («обычными» называются 5-, 6- и 7-членные циклы; см. Brown, Prelog, J. Amer. Chem. Soc., 1951, 73, 215), автор приходит к выводу, что 1,2-*цис*-элиминирование (E1) должно легче осуществляться для производных циклопентана и циклогексана и труднее — для циклогексановых производных. Причиной этого является то, что в 5- и 7-членных циклах в их наиболее выгодных конформациях два соседние С-атома и два *цис*-заместителя при них могут лежать в одной плоскости, т. е. занимать то же положение, что в переходном состоянии *цис*-элиминирования. Для циклогексановых производных в форме «кресла» это невозможно и переход молекулы в активное переходное состояние требует некоторой затраты энергии. Кроме того, из приведенных в литературе данных по гидрированию циклич. моноолефинов автор делает вывод, что склонность к сохранению двойной связи в цикле возрастает в ряду циклогексан (I) < циклопентан (II) < циклогептан (III). Это тоже говорит за вышеприведенный порядок изменения склонности к 1,2-*цис*-элиминированию (II  $\approx$  III > I). Такой порядок подтвержден и некоторыми качествами. Так показано, что при пиролизе ацетата цянгирина (АЦ) циклогептанона (IV), АЦ циклогексанона (V) и АЦ циклогептанона (VI) выходы непредельных циклич. нитрилов изменяются

следующим образом: при  $440 \pm 2^\circ$  и  $460 \pm 2^\circ$  получено из IV 65,8–92% нитрила (Н) циклопентен-1-карбоновой к-ты (VII); из V—59–80% Н циклогексен-1-карбоновой к-ты (VIII); из VI—82–93,6% Н циклогептен-1-карбоновой к-ты (IX). Найдено, что пиролиз метабората (М) циклопентанола начинается при  $220^\circ$  (идет при  $185$ – $190^\circ$ ); М циклогексанола при  $235$ – $240^\circ$  ( $215^\circ$ ); М циклогептанола — при  $220$ – $225^\circ$  ( $200^\circ$ ). Приведены УФ-спектры VII, VIII, IX; этилового эфира (ЭЭ) циклопентен-1-карбоновой к-ты (X); ЭЭ циклогексен-1-карбоновой к-ты (XI), ЭЭ циклогептен-1-карбоновой к-ты (XII); циклогексен-1-карбоновой к-ты (XIV); циклогептен-1-карбоновой к-ты (XV). Отмечен bathochromный сдвиг ( $\sim 4 \pm 4$  мμ) в спектрах производных II и III по сравнению с производными I. К 1,5 моля охлажд. циклопентанола прибавляют 1,8 моля жидкого HCN, 0,2 г KCN и 0,2 мл  $(\text{C}_2\text{H}_5)_2\text{NH}$  ( $-10^\circ$ , 0,5 часа;  $\sim 0^\circ$ , 24 часа), нейтрализуют 1 мл 85%-ной  $\text{H}_3\text{PO}_4$ , разбавляют эфиром и прибавляют ( $-5^\circ$ ) 240 мл  $(\text{CH}_3\text{CO})_2\text{O}$  и 10 мл  $\text{CH}_3\text{COCl}$  ( $0^\circ$ , 48 час.;  $25$ – $30^\circ$ , 4,5 дня). После фракционирования получают IV, выход 94–97%, т. кип.  $120^\circ/15$  мм,  $137^\circ/30$  мм,  $n_D^{20}$  1,4460,  $d_4^{20}$  1,053. Обработав реакционную смесь до ацетилирования, получают цянгиридин циклопентанола, выход 92–94%, т. кип.  $130^\circ/26$  мм,  $n_D^{21}$  1,4540,  $d_4^{21}$  1,022. V получают вышеописанным методом из циклогексанола, выход 91–94%, т. кип.  $148$ – $149^\circ/35$  мм, т. пл.  $48$ – $50^\circ$  (из *n*-гексана); VI — из циклогептанола (XVI), выход 91–95%, т. кип.  $163^\circ/37$  мм,  $146^\circ/15$  мм,  $n_D^{20}$  1,4650. Пиролиз АЦ циклич. кетонов проводят в пирексовой трубке с электрообогревом (при синтезах с препаративной целью т-ра  $\sim 470$ – $480^\circ$ ). В-во (0,15 моля) прибавляют в течение 11 мин. несколькими порциями, остаток продуктов вытесняют из трубки при  $100^\circ$  *n*-гексаном, получают VII, выход 95–98%, т. кип.  $88$ – $89^\circ/54$  мм,  $75^\circ/35$  мм,  $n_D^{27}$  1,4700; VIII, выход 93–97%, т. кип.  $118^\circ/65$  мм,  $99^\circ/35$  мм,  $n_D^{27}$  1,4780; IX, выход 96–99%, т. кип.  $116$ – $118^\circ/35$  мм,  $n_D^{27}$  1,4850. Из VII, VIII и IX получают (абс. сп.,  $\text{H}_2\text{SO}_4$ ;  $\sim 100^\circ$ , 24 часа) с выходом 70–75% соответственно X, т. кип.  $95^\circ/35$  мм,  $n_D^{27}$  1,4600; XI, т. кип.  $109^\circ/35$  мм,  $n_D^{27}$  1,4695; XII, т. кип.  $125^\circ/35$  мм,  $n_D^{27}$  1,4770. Гидролизом X, XI и XII ( $\text{HCl}$ - $\text{CH}_3\text{COOH}$ ) или VII, VIII и IX (водн. р-р KOH) получают с выходами 75–90% соответственно XIII, т. пл.  $122$ – $123^\circ$  (из *n*-гептана); XIV, т. кип.  $130^\circ/6$  мм, т. пл.  $37$ – $38^\circ$ ,  $n_D^{24}$  1,4990; XV, т. кип.  $117^\circ/1$  мм, т. пл.  $49$ – $50^\circ$  (из *n*-гексана). При щел. гидролизе частично идет изомеризация в  $\Delta^2$ -изомер. Метабораты синтезируют, нагревая 0,5 моля спирта, 0,5 моля борной к-ты и 50 мл толуола. После окончания р-ции и удаления толуола метаборт нагревают до разложения, удаляя циклич. моноолефин: циклопентен, выход 88–90%, собран при  $41^\circ/684$  мм,  $n_D^{25}$  1,4208; циклогексен, выход 90%, т. кип.  $78$ – $80^\circ/684$  мм; циклогептен, выход 85%, т. кип.  $110$ – $111^\circ/684$  мм,  $n_D^{25}$  1,4575. Циклопентанол получают восстановлением XVI: по Мейервейну — Поиндору выход 88–90%; с помощью  $\text{LiAlH}_4$ , выход 97–99%; прибавлением смеси 0,2 моля XVI и 0,6 моля *изо*- $\text{C}_3\text{H}_7\text{OH}$  к 0,6 г-атома расплавленного Na в 80 мл толуола (кипение 1 час;  $\text{N}_2$ ), выход 85–90%, т. кип.  $180^\circ/684$  мм,  $n_D^{26}$  1,4740. Н. Волкенау

68692. Стереохимия и механизм реакции Дильса-Альдера. «Внутренний» механизм взаимопревращения эндо- и экзо-изомеров. Берсон, Рейнольдс, Джоне (The stereochemistry and mechanism of the Diels-Alder reaction. An «internal» mechanism for the interconversion of endo-exo isomers. Berson Jerome A., Reynolds Rosalie D., Jones William M.), J. Amer. Chem. Soc., 1956, 78, № 23, 6049–6053 (англ.)

Изучен механизм взаимных превращений эндо- и

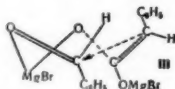


экзо-изомеров аддуктов цикlopentadiена с малеиновым ангидридом. При нагревании эндо-изомера (I), меченного  $C^{14}$  в карбоксильной группе, с немеченым малеиновым ангидридом (II) при  $188,5^\circ$  в декалине найдено, что активность образующейся при этом экзо-формы (III) значительно выше, чем это следует из расчетов при предположении, что изомеризация протекает через предварительную диссоциацию I на кинетически независимые II и цикlopentadiен (IV) с последующей их рекомбинацией в III. Авторы, считают, что наиболее вероятным является протекание диссоциации I на IV и II и превращение их в III в «клетке» р-рителя, либо переход I в III в переходном комплексе без предварительной диссоциации.

В. Антоновский

**68693. Стереохимия реакций Ивана и Реформатского. I. Зиммерман, Тракселер** (The stereochemistry of the Ivanov and Reformatsky reactions. I. Zimmerman Howard E., Traxler Marjorie D.), J. Amer. Chem. Soc., 1957, 79, № 8, 1920—1923 (англ.)

Показано, что при конденсации бензальдегида с феллуксусной к-той в условиях реакции Ивана (Bull. Soc. chim., 1932, 51, 1325) образуется 76% *трео*-2,3-дифенил-3-оксипропеновой к-ты (*трео*-I), т. пл.  $178^\circ$ , и 24% *эритро*-I, т. пл.  $143^\circ$ . Конфигурация доказывалась тем, что изомерные I через метиловые эфиры, гидразиды, азиды с перегруппировкой по Курциусу превращаются: *трео*-I — в *транс*-4,5-дифенил-2-оксазolidон-

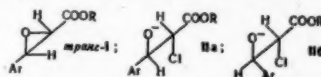


(*транс*-II), *эритро*-I — в *цис*-II. Стереоспецифичность авторы объясняют тем, что образование связей энергетически наиболее выгодно в состоянии (III). При восстановлении метилового эфира 2-бензоилфенилуксусной к-ты (IV) действием  $NaBH_4$  образуются 83% метилового эфира *эритро*-I. К 0,50 моля *изо*- $C_6H_5MgBr$  в 200 мл эфира прибавлено 0,20 моля  $C_6H_5CH_2COOH$  в 75 мл эфира, через 15 час. эфир слит с  $Mg$ -свотля, к последнему прибавлен р-р 0,20 моля  $C_6H_5CHO$  в 50 мл эфира; после 5 час. кипячения добавлено 167 мл 6 н.  $HCl$ , 100 мл воды, выделившийся осадок извлечен 1300 мл эфира, из которого экстрагированием с р-ром 30 г  $Na_2CO_3$  в 600 мл воды с последующим подкислением выделена смесь I. Кристаллизацией из этилацетата-лигроина из смеси выделено 26,18 г *трео*-I; из фильтратов хроматографированием на  $SiO_2$  с вымыванием эфиром-гексаном, 1:1, получены еще *трео*-I (общий выход 69%) и *эритро*-I (выход 22%). Р-р 0,02 моля *эритро*-I и 0,08 мл конц.  $H_2SO_4$  в 50 мл метанола после 5 час. кипячения дал 2,38 г эфира, т. пл.  $87-88^\circ$ . Из 2,00 г последнего, 2,00 мл абс. спирта и 2,50 мл 85%-ного гидразин-гидрата через 7 час. ( $22^\circ$ ) получено 1,65 г гидразида *эритро*-I, т. пл.  $166-167^\circ$  (из  $CHCl_3$ ). Обработкой  $NaNO_2$  получен *цис*-II, т. пл.  $193,5-194,5^\circ$ . Аналогично *трео*-I через метиловый эфир (т. пл.  $98,5-100^\circ$  из этилацетата-лигр.) и гидразид (т. пл.  $175-176^\circ$  (из сл.)) превращена в *транс*-II, т. пл.  $161-162^\circ$ . Метиловый эфир *трео*-I получен также из *трео*-I и  $CH_3N_3$ . Из 0,60 моля фенил-ацетонитрила, 0,60 моля  $C_6H_5COOCH_3$ , 0,60 г-атома  $Na$  в 300 мл жидкого  $NH_3$  (аналогично синтезу ацетилфенил-ацетонитрила (Levine R., Hauser C., J. Amer. Chem. Soc., 1946, 68, 760)) получен 2-бензоилфенилацетонитрил, выход 56,2 г, т. пл.  $96-97^\circ$ . Последний превращен в IV, т. пл.  $70-70,5^\circ$  (из сл.) (метод см. Howk B., McElvain S., J. Amer. Chem. Soc., 1932, 54, 286).

В. Потапов

**68694. Стереоспецифичность при синтезе глицидных эфиров по Дарзану. Дан, Лёне** (Stereospezifität bei der Darzensschen Glycidestersynthese. Dahn H., Loewe Lotte), Chimia, 1957, 11, № 4, 98—99 (нем.)

Установлено, что при взаимодействии хлоруксусного эфира с *м*-нитробензальдегидом с выходом 84% образуется этиловый эфир β-*м*-нитрофенилглицидной к-ты (I), *транс*-конфигурация которого следует из его встречного синтеза (РЖХим, 1954, 14412). Принимая механизм, предложенный ранее (РЖХим, 1954, 25156),



авторы считают, что стереоспецифичность является следствием того, что из двух диастереомерных промежуточных продуктов — IIa и IIb, образование первого предпочтительнее, так как в нем меньше пространственные препятствия. При замыкании цикла IIa превращается в *транс*-I.

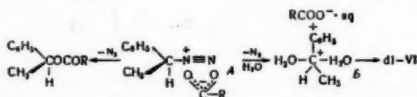
В. Потапов

**68695. Нитрозоациламины и диазоэфиры. XIII. К стереохимии распада алкилдиазоэфиров. Хэйген, Рюггардт** (Nitroso-acyl-amine und diazoester XIII. Zum sterischen Ablauf des Alkyl Diazooester-Zerfalls. Huisgen Rolf, Rüchardt Christoph), Liebigs Ann. Chem., 1956, 601, № 1—3, 21—39 (нем.)

Исследован распад оптически активных *N*-нитрозо-*N*-1,α-фенилэтилациламидов общей ф-лы  $CH_3CH(NO)COOR$ : нитрозо-1,α-фенилэтилацетамида (I), бензамида (II), формамида (III) и нитрозо-*d*- и 1,α-(*п*-метоксифенил)-этилбензамидов (IVa и IVb) в р-рителях разной степени полярности. При распаде I при  $60^\circ$  в циклогексане,  $C_6H_6$ , тетрагидрофуране (THF), метилэтилкетоне, нитрометане (NM) и ацетонитриле (АН) образуется α-фенилэтилацетат (V) с выходом 30—39%, который сохраняет оптич. активность и содержит *l*-формы (в %): 67,9; 68,2; 66,9; 62,1; 61,5; 59,4 соответственно. Выделенный из V (путем щел. гидролиза или при восстановлении V  $LiAlH_4$ ) α-фенилэтиловый спирт (VI) содержал *l*-формы (в %): 68,9; 68,7; 69,4; 61,8; 62,4; 60,1 соответственно. При распаде II в  $C_6H_6$ , THF, NM и АН образуется α-фенилэтилбензоат (VII) с выходом 39—49%, который содержал *l*-формы (в %): 72,2; 72,3; 68,5; 63,1. VI, выделенный из VII, содержал *l*-формы (в %): 71,0; 71,1; 66,6; 64,3 соответственно. Из приведенных данных следует, что при распаде II сохранение конфигурации выше, чем при распаде I, причем в обоих случаях при повышении полярности р-рителя оптич. активность снижается. Наряду с V и VII, при распаде I и II всегда образуются стирол и карбоновые к-ты —  $CH_3COOH$  для I и  $C_6H_5COOH$  для II. В полярных р-рителях образуются также продукты алкилирования р-рителей, напр., в метаноле — α-фенилэтилметиловый эфир (VIII), в водосодержащих средах — VI, причем VIII и VI обладают незначительной оптич. активностью. Установлено, что введение  $CH_3COOH$  при распаде I в неполярных р-рителях, также как и  $C_6H_5COOH$  при распаде II не оказывает влияния на оптич. активность выделенных V и VII. Однако, если распад I вести в присутствии  $C_6H_5COOH$ , то выделенный при этом VII имеет значительно меньшую оптич. активность, чем одновременно образующийся V (напр., процент *l*-формы для V 69,3, для VII 52,0). Аналогичное явление наблюдается при распаде II в присутствии  $CH_3COOH$ , наряду с оптически активным VII (74,5% *l*-формы) образуется мало активный V (57,0% *l*-формы). При распаде III в  $C_6H_6$  при  $70-80^\circ$  образуется *l*-фенилэтилформиат

6\*

(IX), содержащий 67,0% *l*-формы. При распаде IVa и IVb в C<sub>6</sub>H<sub>6</sub> при 40–50° образующиеся соответственно *l*- и *d*-α-(*n*-метоксифенил)-этилбензоаты (Ха и Хб) сохраняют 71,4% исходной оптич. активности. На основании приведенных данных, а также данных, полученных ранее (см. сообщение XII, РЖХим, 1957, 63391), сделано заключение, что стадией, определяющей скорость распада N-нитрозо-N-алкилациламидов, является изомеризация их в алкилдиазоэфиры карбоновых к-т, которые образуют в р-рах ионные пары (ИП) типа (А). При отщеплении N<sub>2</sub> от ИП образуются сложные эфиры той же самой конфигурации.

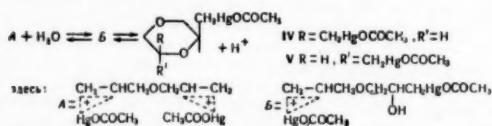


Наблюдаемое снижение оптич. активности образующихся сложных эфиров в полярных р-рителях может быть объяснено, по мнению авторов, двумя причинами: 1) частичной диссоциацией ИП и образованием сольватированных ионов карбония (ИК) типа (Б); 2) увеличением свободного движения ориентированных ИП, что облегчает атаку анионами в ИП «с тыла» и приводит к получению продукта с обратной конфигурацией. Образование VIII и VI при распаде II в метаноле и в воде, средах подтверждает наличие диссоциации ИП и образование сольватированных ИК в этих случаях. Причины частичного снижения оптич. активности V, VII, IX, Ха, и Хб, образовавшихся при распаде I, II, III, IVa и IVb соответственно в неполярных р-рителях, авторы считают не вполне выясненными, они могут быть связаны с: 1) возможностью течения р-ции через стадию образования из нитрозоалкилациламидов диазоалканов и карбоновых к-т; 2) нарушением ориентации ИП при экзотермич. отщеплении N<sub>2</sub> от диазоэфиров и возникновением возможности атаки анионами «с тыла»; 3) возможностью сольватации ИП исходными нитрозоациламинами.

В. Сеткина

68696. Стереоспецифика образования колец с помощью рутных солей. Саммербелл, Лестина, Уэйт (Stereospecific ring formation by means of mercuric salts. Summerbell R. K., Lestina Gregory, Waite Hal), J. Amer. Chem. Soc., 1957, 79, № 1, 234–237 (англ.)

Изучена конденсация аллилового эфира с водн. ацетатом Hg при различных т-рах (25–59°), продолжительности р-ции (0,25–48 час.) и кислотности среды. После обработки реакционной смеси KJ и йодом образуется смесь *цис*-2,6-бис (йодметил)-1,4-диоксана (I)



и *транс*-изомера (II), причем во всех случаях кол-во I больше, чем II. Выход I и соотношение I:II увеличивается при повышении т-ры р-ции, увеличении конц-ии к-ты (HNO<sub>3</sub>) в реакционной смеси и возрастании продолжительности р-ции от 1,8:1 до 16:1. Для объяснения механизма р-ции авторы предполагают, что первоначально быстро образуется стабильный комплекс (А) (что объясняет отсутствие в реакционной смеси иона руты уже через 10 мин. после смешения исходных в-в). А далее гидратируется в (Б) с отщеплением протона, Б может легко с отщеплением про-

тона гидратироваться до O(CH<sub>2</sub>CH(OH)CH<sub>2</sub>HgOCOCCH<sub>3</sub>)<sub>2</sub> (III), либо конденсироваться в (IV) и (V). Так как р-ции B + H<sub>2</sub>O ⇌ III + H<sup>+</sup>; B ⇌ IV + H<sup>+</sup> и B ⇌ V + H<sup>+</sup> обратимы, то образовавшиеся вначале заметные кол-ва III и V медленно превращаются через равновесие с Б в более стабильную форму IV (с этим связано увеличение отношения I:II и выхода I с увеличением продолжительности р-ции). Повышение т-ры р-ции и повышение конц-ии H<sup>+</sup> способствует более быстрому достижению равновесия. Авторам удалось выделить из продуктов р-ции также небольшие кол-ва *цис*- и *транс*-2,5-бис-(йодметил)-*л*-диоксана, причем повышение конц-ии к-ты увеличивает выход *транс*-изомера.

Е. Кронгауз

68697. Стереоспецифичность бромирования дибензила и аценафтена N-бромсукцинимидом. Грин, Ремерс, Вильсон (Stereospecificity in brominations of bibenzyl and acenaphthene with N-bromosuccinimide. Greene Frederick D., Remers William A., Wilson Joseph W.), J. Amer. Chem. Soc., 1957, 79, № 6, 1416–1420 (англ.)

Реакция дибензила (I) или α-бромдибензила (II) с N-бромсукцинимидом (III) в CCl<sub>4</sub> в присутствии C<sub>6</sub>H<sub>5</sub>CO<sub>2</sub>OH (IV) приводит к смеси *мезо*-(V) и *dl*-α,α'-дибромдибензила (VI), содержащей не более 8% VI. Преимущественное образование V не объясняется изомеризацией VI, так как последний в условиях р-ции устойчив. По мнению авторов, стереоспецифичность р-ции вызвана подходом молекулы III к образуемому α-бромдибензильному радикалу (VII) с наименее затрудненной стороны. Р-ция III с аценафтенем (VIII) приводит с выходом 65% к *транс*-1,2-дибром-аценафтену (IX), конфигурация которого подтверждена частичным разделением на антиподы. Эритро-2-дейтеро-1,2-дифенилацетилен (X) реагирует с III медленнее, чем II. Главным продуктом р-ции является V, не содержащий D, откуда следует, что при р-ции II с III стереоспецифично протекает не только стадия бромирования, но и стадия образования VII. Однако стадия разрыва связи C—H менее стереоспецифична, чем стадия образования связи C—Br, что, вероятно, объясняется тем, что последний процесс носит частично ионный характер (дипольное взаимодействие). По мнению авторов, аналогичным дипольным взаимодействием отчасти объясняется стереоспецифичность радикальных р-ций присоединения в ряду циклогексена (см. РЖХим, 1956, 57891, 77938). Смесь 0,67 г I, 1,33 г III и 3 мг IV в 10 мл CCl<sub>4</sub> кипятят 45 мин., фильтруют, после промывания водой остаток представляет собой чистый V, выход 91,5%, т. пл. 238–239° (из бzl.). Из фильтрата выделяют еще 29 мг V. Остаток (0,108 г) содержит VI. Аналогичный результат получают при применении 4 экв III. При проведении р-ции 1,93 г II с 1 экв III в указанных условиях получают V с выходом 89%. Аналогично (кипчение 1 час 45 мин.), 0,623 г X и 0,575 г III дают V с выходом 82%. Смесь 0,77 г VIII, 1,78 г III и 5 мг IV в 10 мл CCl<sub>4</sub> кипятят 30 мин., фильтруют, из фильтрата выделяют IX, т. пл. 124–125° (из пентана) и 1,5 (?)-дибром-аценафтилен (XI) (50 мг), т. пл. 113–114°. Р-р 1,56 г IX и 1,16 г брутана (XII) в 10 мл CHCl<sub>3</sub> выдерживают 64 часа при 20° и выделяют 100 мг IX, т. пл. 125–127°, [α]<sub>D</sub><sup>20</sup> –78° (3,65%; хлф.), и 140 мг с [α]<sub>D</sub><sup>20</sup> –23,3° (2,70%; хлф.). 1,2 г IX и 3 г XII в 10 мл CHCl<sub>3</sub> кипятят 15 час, получают 1-бром-аценафтилен (0,4 г); пикрат (XIII), т. пл. 145–146,5° (из сп.). Приведены данные о УФ-спектрах XI и XIII.

Л. Бергельсон

68698. Пространственное строение и реакционная способность. IV. Кинетика ацилирования 4-амино-2,2'-диметилфенила и *m*-толуидина. Литвиненко Л. М., Греков А. П., Уч. зап. Харьковск. ун-та, 1956, 76, 105–111

С целью более колич. (см. РЖХим, 1957, 22777) оценки влияния пространственных факторов на взаимодействие групп  $\text{NO}_2$  и  $\text{NH}_2$  в положениях 4 и 4' молекулы бифенила исследована кинетика ацилирования 4-амино-2,2'-диметилбифенила (I) и *m*-толуидина (II) *l*-нитробензоилхлоридом в  $\text{C}_6\text{H}_6$ . За ходом *p*-ции, протекающей в соответствии с бимолекулярным законом, следили по изменению конц-ии аминов, определенной потенциометрич. титрованием  $\text{NaNO}_2$ . Константы скорости при 25 и 50° ( $k$ ,  $\text{л моль}^{-1} \text{сек}^{-1}$ ), факторы частоты ( $\text{л моль}^{-1} \text{сек}^{-1}$ ), энергии ( $\text{ккал моль}^{-1}$ ) и энтропии активации ( $\text{кал град}^{-1} \text{моль}^{-1}$ ) соответственно равны: I,  $0,792 \pm 0,028$ ,  $1,79 \pm 0,011$ ,  $3,0 \cdot 10^4$ , 6,2, -40,1; II,  $0,88 \pm 0,12$ ,  $1,93 \pm 0,005$ ,  $2,3 \cdot 10^4$ , 6,0, -40,7. Сопоставлены скорости ацилирования I, II и 4-аминобифенила (III), 4'-нитро-III (IV) и 2,2'-диметил-IV (V). Отношение  $k_{\text{III}}/k_{\text{IV}} = k_I/k_V = f$  (пространственный фактор ослабления сопряжения) характеризует ослабление взаимодействия групп  $\text{NO}_2$  и  $\text{NH}_2$  в V по сравнению с IV.  $f_{25}^\circ = 1,52$  и  $f_{50}^\circ = 2,03$ . Влияние  $\text{CH}_3$ -группы практически не передается из одного бензольного ядра в другое в молекулах рассматриваемых производных бифенила, о чем свидетельствует незначительное различие в скоростях ацилирования I и II. Сообщение III см. РЖХим, 1956, 19118. Л. Литвиненко 68699.

**Пространственное строение и реакционная способность. VI. Кинетика ацилирования 2-аминофлуорена и 2-амино-7-нитрофлуорена.** Литвиненко Л. М., Греков А. П., Ж. общ. химии, 1957, 27, № 1, 234—239

Изучена кинетика ацилирования 2-аминофлуорена (I) и 2-амино-7-нитрофлуорена (II) *l*-нитробензоилхлоридом в *p*-ре  $\text{C}_6\text{H}_6$ . За ходом *p*-ции, протекающей в соответствии с бимолекулярным законом, следили по изменению конц-ии аминов, определяя их потенциометрич. титрованием  $\text{NaNO}_2$ . Константы скорости при 25 и 50° ( $k$ ,  $\text{л моль}^{-1} \text{сек}^{-1}$ ), факторы частоты ( $\text{л моль}^{-1} \text{сек}^{-1}$ ), энергии ( $\text{ккал моль}^{-1}$ ) и энтропии ( $\text{кал град}^{-1} \text{моль}^{-1}$ ) активации соответственно равны: I,  $1,12 \pm 0,01$ ,  $2,33 \pm 0,02$ ,  $1,4 \cdot 10^4$ , 5,6, -41,6; II,  $0,0727 \pm 0,0031$ ,  $0,145 \pm 0,001$ ,  $5,5 \cdot 10^2$ , 5,3, -48,1. Отношение  $k_I/k_{\text{II}} = f$  характеризует силу взаимодействия групп  $\text{NO}_2$  и  $\text{NH}_2$  через мол. систему флуорена, для 50° оно равно 16,1. Значения  $f_{50}^\circ$  в аналогичных условиях для мол. систем бифенила и 2,2'-диметилбифенила (РЖХим, 1957, 22777 и пред. реф.) равны соответственно 9,41 и 4,64. Различия в значениях величин  $f$  находятся в соответствии с тем фактом, что расположение плоскостей бензольных ядер в молекуле флуорена планарное, а в случае двух других систем плоскости указанных ядер образуют между собою угол, причем у 2,2'-производных бифенила значительно больший, чем у аналогичных незамещ. в этих положениях соединений. Восстановлением 7,5 г 2-нитрофлуорена в 150 мл  $\text{CH}_3\text{OH}$  и 10 мл 98%-ного  $\text{N}_2\text{H}_4 \cdot \text{H}_2\text{O}$  над скелетным Ni получен I, т. пл. 128—128,5°. Сообщение V см. РЖХим, 1957, 47800. Л. Литвиненко 68700.

**Пространственное строение и реакционная способность. VII. К вопросу о взаимодействии удаленных друг от друга атомных группировок по данным исследования кинетики реакции ацилирования 4-аминодифенилоксида и 4-амино-4'-нитродифенилоксида.** Литвиненко Л. М., Чешко Р. С., Гофман А. Д., Ж. общ. химии, 1957, 27, № 3, 758—765

Изучена кинетика ацилирования 4-аминодифенилоксида (I) и 4-амино-4'-нитродифенилоксида (II) *l*-нитробензоилхлоридом в *p*-ре  $\text{C}_6\text{H}_6$ . За ходом *p*-ции следили по изменению конц-ии аминов, определяя их потенциометрич. титрованием  $\text{NaNO}_2$ . Константы скорости при 25 и 50° ( $k$ ,  $\text{л моль}^{-1} \text{сек}^{-1}$ ), факторы частоты ( $\text{л моль}^{-1} \text{сек}^{-1}$ ), энергии ( $\text{ккал моль}^{-1}$ ) и энтропии

( $\text{кал град}^{-1} \text{моль}^{-1}$ ) активации соответственно равны: I,  $1,23 \pm 0,03$ ,  $2,60 \pm 0,11$ ,  $1,49 \cdot 10^4$ , 5,55, -41,5; II,  $0,102 \pm 0,003$ ,  $0,273 \pm 0,006$ ,  $3,4 \cdot 10^4$ , 7,5, -39,9. Сравнение значений  $k_{25}^\circ$  для I анилина ( $k_{25}^\circ = 0,580 \pm 0,018$ ) показывает, что *n*- $\text{C}_6\text{H}_5\text{O}$ -группа обладает электронодонорным действием. Отношение  $k_I/k_{\text{II}} = f$  характеризует силу взаимодействия групп  $\text{NO}_2$  и  $\text{NH}_2$  через молекулярную систему дифенилоксида (МСД), для 25° оно равно 12,1. Сопоставление этой величины с аналогичной величиной для молекулярной системы бифенила (МСБ) ( $f = 10,6$ ) свидетельствует о том, что МСД, несмотря на то, что в ней бензольные ядра разчленины между собою мостиковым атомом О, является таким же хорошим проводником электронных взаимодействий заместителей (из одного кольца в другое), как и МСБ, где бензольные кольца связаны друг с другом непосредственно. Своеобразные свойства МСД авторы объясняют наличием при атоме О двух пар *p*-электронов, участвующих в сопряжении с ароматич. ядрами, и тем, что МСД в отличие от МСБ является стерически менее напряженной. I синтезирован восстановлением 10 г 4-нитродифенилоксида в 100 мл  $\text{CH}_3\text{OH}$  и 7 мл 98%-ного  $\text{N}_2\text{H}_4 \cdot \text{H}_2\text{O}$  над скелетным Ni, выход I 85%, т. пл. 85—85,5°. Нагреванием (20 час., 245—250°) 18 г *n*- $\text{NO}_2\text{C}_6\text{H}_4\text{ONa}$  и 90 г *n*- $\text{NO}_2\text{C}_6\text{H}_4\text{Cl}$  в присутствии 2 г порошка Cu получен 4,4'-динитродифенилоксид (III), выход 45%, т. пл. 142—143°. К кипящему *p*-ру 10,4 г III в 120 мл ацетона прибавляют за 10 мин. 80 мл 1 *M* ацетон-води. *p*-ра  $\text{Na}_2\text{S}_2$  кипятят 15 мин., подкисляют  $\text{HCl}$ , упаривают, разб. (1:1)  $\text{HCl}$  извлекают II· $\text{HCl}$ , выход 24%; водн.  $\text{NH}_3$  выделяют II, т. пл. 133—134° (из водн.  $\text{CH}_3\text{OH}$ , 2:1). Л. Л.

**68701. Пространственное строение и реакционная способность. IX. Заторможенное внутреннее вращение и кинетика ацилирования 2,2'-дикарбонпропоксиальных производных 4-аминобифенила и 4-амино-4'-нитробифенила.** Литвиненко Л. М., Цукерман С. В., Греков А. П., Слободкина Э. А., Укр. хим. ж., 1957, 23, № 2, 223—227

Изучена кинетика ацилирования 4-амино-2,2'-дикарбонпропоксибифенила (I) и 4'-нитро-I (II) *l*-нитробензоилхлоридом в  $\text{C}_6\text{H}_6$ . Константы скорости *p*-ции для I и II (при 25°) соответственно равны 0,196 и 0,0451  $\text{л моль}^{-1} \text{сек}^{-1}$ ,  $E$  5700 и 5200  $\text{кал моль}^{-1}$ ,  $PZ$   $2,9 \cdot 10^3$  и  $3,0 \cdot 10^2$   $\text{л моль}^{-1} \text{сек}^{-1}$ ,  $\Delta S_{\text{акт}}$  44,8 и -49,3  $\text{кал град}^{-1} \text{моль}^{-1}$ . Сравнение скоростей ацилирования I и 4-аминобифенила (РЖХим, 1956, 3727, 19118) показывает, что карбонпропоксиальные группы обладают ясно выраженной электроакцепторной природой. Наличие в 2,2'-положениях молекулы II сложноэфирных группировок создает пространственные препятствия внутреннему вращению ароматич. ядер и тем самым значительно ослабляет взаимодействие в ней групп  $\text{NO}_2$  и  $\text{NH}_2$  по сравнению с незамещ. 4-амино-4'-нитробифенилом. 2 г хлоргидрата 4-амино-4'-нитродифеновой к-ты в 60 мл абс. *изо*- $\text{C}_3\text{H}_7\text{OH}$  насыщают сухим  $\text{HCl}$  и затем кипятят 20 час., отгоняют большую часть спирта, добавляют 20 мл воды и подщелачивают конц.  $\text{NH}_4\text{OH}$ , выход II 70%, т. пл. 118° (из 90%-ного водн. *изо*- $\text{C}_3\text{H}_7\text{OH}$ ). Аналогично из хлоргидрата 4-аминодифеновой к-ты получен I, выход 69%, т. пл. 99—100° (из *изо*- $\text{C}_3\text{H}_7\text{OH}$  + вода, 2:1).

**68702. Пространственное строение и реакционная способность. X. Заторможенное внутреннее вращение и кинетика ацилирования 4-амино-1,1'-бинафтила и 4-амино-4'-нитро-1,1'-бинафтила.** Литвиненко Л. М., Греков А. П., Укр. хим. ж. 1957, 23, № 2, 228—232

Для *p*-ции ацилирования 4-амино-1,1'-бинафтила (I) и 4'-нитро-I (II) *l*-нитробензоилхлоридом в  $\text{C}_6\text{H}_6$



найлены следующие значения константы скорости при 25° (л моль<sup>-1</sup> сек<sup>-1</sup>), энергии активации (кал моль<sup>-1</sup>), предэкспонента (л моль<sup>-1</sup> сек<sup>-1</sup>) и энтропии активации (кал-град<sup>-1</sup> моль<sup>-1</sup>): I, 0,0524, 8600, 10,5 · 10<sup>4</sup>, —37,6; II, 0,00983, 9400, 7,8 · 10<sup>4</sup>, —38,2. Сопоставление полученных результатов с аналогичными данными для системы бифенила (см. сообщение IX) показывает, что передача электронных влияний заместителей из одного нафталинового ядра в другое, вследствие наличия в молекуле 1,1'-бинафтила значительных пространственных затруднений, ослаблена по сравнению с передачей в системе бифенила. I синтезирован р-цией 2,5 г 4-нитро-1-1'-бинафтила с 1,3 мл 100%-ного N<sub>2</sub>H<sub>4</sub> · H<sub>2</sub>O в присутствии скелетного Ni. Из реакционной смеси I выделяли в виде хлоргидрата, выход 78%; I, т. пл. 168°. II получен частичным восстановлением (100°, 20 мин.) 4,4'-динитро-1,1'-бинафтила дисульфидом натрия в водн. пиридине, выход 66%, т. пл. 198—198,5° (из бал.). Г. Балуева

68703. Изучение гидролиза сложных эфиров с помощью меченых атомов. Часть IV. Гидролиз дифенилформата и ацетата. Бантон, Дэй, Флауэре, Шил, Вуд (Tracer studies in ester hydrolysis. Part IV. The hydrolysis of diphenylmethyl formate and acetate. Bunton C. A., Day J. N. E., Flowers R. H., Sheel P., Wood J. L.), J. Chem. Soc., 1957, March, 963—967 (англ.)

С помощью O<sup>18</sup> показано, что при гидролизе дифенилметилформата (I) и дифенилметилацетата в кислой или щел. среде происходит разрыв ацилхлоридной связи. Однако при гидролизе I в водной без добавления к-т или щелочей наряду с ацилхлоридным разрывом связи происходит также частично алкилхлоридный разрыв. Часть III см. РЖХим, 1957, 18584.

Р. Кудрявцев

68704. Исследование кинетики щелочного гидролиза некоторых алифатических эфиров. Томас, Уотсон (A kinetic study of the alkaline hydrolysis of some aliphatic esters. Thomas J. D. R., Watson H. B.), J. Chem. Soc., 1956, Oct., 3958—3963 (англ.)

Получены следующие значения параметров у-ри Аррениуса для щел. гидролиза этиловых эфиров карбоновых к-т, RCOOC<sub>2</sub>H<sub>5</sub>, в 85%-ном спирте (указаны R, 10<sup>3</sup> к при 40°, энергия активации E<sub>акт</sub> в ккал · моль<sup>-1</sup>, lg PZ): CH<sub>3</sub>, 23,0, 14,7, 8,6; C<sub>2</sub>H<sub>5</sub>, 11,7, 14,5, 8,2; (CH<sub>3</sub>)<sub>2</sub>CH, 0,107, 17,1, 8,0; CH<sub>2</sub>=CH, 16,3, 15,4, 8,9; CH<sub>2</sub>=CHCH<sub>2</sub>, 11,6, 14,5, 8,2; CH<sub>2</sub>=CHCH<sub>2</sub>CH<sub>2</sub>, 11,8, 14,5, 8,2; CH<sub>3</sub>CH=CH, 2,34, 16,5, 8,9; (CH<sub>3</sub>)<sub>2</sub>CH=CH, 0,322, 18,0, 9,0; C<sub>6</sub>H<sub>5</sub>CH=CH, 2,36, 15,9, 8,5; H<sub>2</sub>C=CHCH=CH, 5,50, 16,8, 9,5; CH<sub>3</sub>CH=CHCH=CH, 1,96, 17,6, 9,6; CH<sub>2</sub>=C(CH<sub>3</sub>), 3,30, 16,0, 8,7; CH<sub>3</sub>CH=C(CH<sub>3</sub>), 0,563, 17,1, 8,7. Рассмотрение полученных результатов и литературных данных показывает, что в целом для эфиров насыщ. к-т энергия активации определяется числом алкильных групп в α- и β-положении. Найденные отклонения (отсутствие возрастания E при переходе от R = CH<sub>3</sub> к R = C<sub>2</sub>H<sub>5</sub>, одинаковое значение E для замещения в α- и в β-положении при наличии уже одной α-группы), по-видимому, обусловлены явлением сверхсопряжения с α-группой, мешающим атаке нуклеофильного реагента. Аномально высокое значение E для R = (CH<sub>3</sub>)<sub>2</sub>CH вызвано наличием пространственных затруднений. Величина E эфиров непредельных к-т, по мнению авторов, зависит от двух противоположных друг другу эффектов — индуктивного эффекта двойной связи и мезомерного эффекта сверхсопряжения двойной связи с карбонильной группой. Влияние структуры на величину lg PZ в общем аналогично влиянию на величину E, но выражено менее резко.

Г. Балуева

68705. Кремнийорганические соединения. Часть XVI. Щелочной гидролиз триорганомоносиланов. Бейне,

Иборн (Organosilicon compounds. Part XVI. The alkaline hydrolysis of triorganomonosilanes. Baines J. E., Eaborн C.), J. Chem. Soc., 1955, Nov., 4023—4024 (англ.)

Изучалась кинетика щел. гидролиза триэтилсилана в 94,5%-ном спирте при 34,9°. При добавке различных кол-в NaI и NaClO<sub>4</sub> обнаруживается солевой эффект. Найдена зависимость уд. константы скорости (k) от полной силы р-ра μ. Для NaOH lg k<sub>1</sub> = —0,79 — 0,55μ<sup>1/2</sup>, для KOH lg k<sub>1</sub> = —0,87 — 0,34μ<sup>1/2</sup>. Показано, что в случае диметиларилсиланов происходит образование силанол-аниона по р-ции (CH<sub>3</sub>)<sub>2</sub>ArSiOH + OH<sup>-</sup> ⇌ (CH<sub>3</sub>)<sub>2</sub>ArSiO<sup>-</sup> + H<sub>2</sub>O. Найден E<sub>акт</sub> ккал/моль и lg A и относительные скорости (при 34,9°) для R = C<sub>2</sub>H<sub>5</sub> 15,9, 10,1, 100; n-C<sub>3</sub>H<sub>7</sub>, 16,8, 10,3, 40; n-C<sub>4</sub>H<sub>9</sub>, 16,8, 10,2, 27; iso-C<sub>4</sub>H<sub>9</sub>, 17,3, 9,7, 4,1; iso-C<sub>3</sub>H<sub>7</sub>, 18,1, 10,0, 2,2. Часть XV см. РЖХим, 1957, 8099.

А. Бочков

68706. Кинетика раскрытия орто-конденсированных циклов. IV. Гидролиз фталимидов в буферной среде. Общие выводы и основы полярографических измерений. Тирюфле, Лавирон (Cinétique de l'ouverture des cycles ortho-condensés. IV. Hydrolyse des phthalimides en milieu tampon. Généralités et principes du dosage polarographique. Tiroufflet J., Laviron E.), Bull. Soc. chim. France, 1957, № 4, 534—537 (франц.)

Рассматривается механизм образования фталиминовых к-т при щел. гидролизе фталимидов XC<sub>6</sub>H<sub>4</sub>(CO)<sub>2</sub>NP (I). В слабо щел. р-ре ионы OH<sup>-</sup> взаимодействуют с диссоциированными I (v = k'<sub>1</sub>[OH][AN]) при больших же значениях pH возможна р-ция между анионами фталимидатов и OH<sup>-</sup> и H<sub>2</sub>O (v = k'<sub>2</sub>[OH][A<sup>-</sup>]). Отсутствие диссоциации N-алкилфталимидов приводит к у-рию v = k'<sub>1</sub>[OH][AR] при любых значениях pH > 7. В общем случае скорость р-ции

$$v = k'_1[\text{OH}^-][\text{AN}] + k'_2[\text{OH}^-][\text{A}^-] = \frac{k'_1[\text{H}^+] + k'_2k}{K + [\text{H}^+]} \times$$

× [OH<sup>-</sup>][A] = K[A] (где K — константа диссоциации I). Кривая зависимости lg k от pH имеет линейные участки при значениях pH, близких к 7 и 14, и точку перегиба в промежуточной области при pH = —lg K + 1/2 × (lg k<sub>1</sub> — lg k<sub>2</sub>). При k<sub>1</sub> ≫ k<sub>2</sub> касательная в точке перегиба параллельна оси абсцисс, вследствие чего k остается постоянным в некотором интервале pH. Влияние заместителей на скорость р-ции в этой области незначительно: lg k<sub>X</sub>/k<sub>H</sub> = (ρ<sub>1</sub> — ρ<sub>2</sub>)σ<sub>X</sub>. Константы Хамметта ρ<sub>1</sub> и ρ<sub>2</sub> имеют близкие значения. Сообщение III см. РЖХим, 1956, 54319.

А. Савицкий

68707. Кинетика раскрытия орто-конденсированных циклов. V. Щелочной гидролиз N-алкилфталимидов. Дабар, Тирюфле (Cinétique de l'ouverture des cycles ortho-condensés. V. Hydrolyse alcaline des phthalimides N-alcoylés. Dabard R., Tiroufflet J.), Bull. Soc. chim. France, 1957, № 4, 565—570 (франц.)

Щелочной гидролиз N-алкилфталимидов (XC<sub>6</sub>H<sub>4</sub>(CO)<sub>2</sub>NR (I)) исследовался полярографич. методом при 25° и при различных значениях pH. Большинство I дает две полярографич. волны, у нитропроизводных I и нитрофталиминовых к-т происходит восстановление нитрогруппы. В каждом случае сила предельного тока пропорциональна конц-ии определяемого в-ва. Показано, что скорость р-ции пропорциональна конц-ии I и lg k линейно зависит от pH (см. часть IV). Заместители у азота R влияют на скорость гидролиза I: k<sub>NH</sub> < k<sub>NC<sub>2</sub>H<sub>5</sub></sub> < k<sub>NCH<sub>3</sub></sub>. При введении электроотрицательных заместителей X в положения 3 и 4 наблюдается увеличение k. Соотношение Хамметта выполняется для заместителей в положении 4, если учиты-

вать возможность разрыва обеих связей  $C-N:\sigma = \frac{1}{2}(\sigma_{\text{мета}} + \sigma_{\text{пара}})$ . При наличии заместителей в положении 3 обнаружены лишь незначительные стерические эффекты, что, по мнению авторов, характерно для р-ций раскрытия орто-конденсированных циклов. Нитро-N-амилфталимиды превращены в амины действием  $SnCl_2/HCl$ , аминогруппа замещается на хлор по р-ции Зандмейера. Ниже указываются  $X$ ,  $R$ , т. пл. в  $^{\circ}C$  и  $k' = k/[OH]$  в л моль/сек: 3- $NO_2$ ,  $CH_3$ , 112—113, —; 3- $NO_2$ ,  $C_2H_5$ , 109, —; 3- $NH_2$ ,  $CH_3$ , 201, —; 3- $NH_2$ ,  $C_2H_5$ , 135, 1,11; 3- $Cl$ ,  $CH_3$ , 103, 82,5; 3- $Cl$ ,  $C_2H_5$ , 76, 31,6; 4- $NO_2$ ,  $CH_3$ , 175—176, 479; 4- $NO_2$ ,  $C_2H_5$ , 110—112, 268; 4- $NH_2$ ,  $CH_3$ , 242, 8,2; 4- $NH_2$ ,  $C_2H_5$ , 172, 2,69; 4- $Cl$ ,  $CH_3$ , 135, 8,37; 4- $Cl$ ,  $C_2H_5$ , 80—81, 41,6. Приводится конструкция полирографии, ячейки, предназначенной для изучения кинетики быстрых р-ций.

А. Савицкий  
68708. Кинетика раскрытия орто-конденсированных циклов. VI. Гидролиз неалкилированных фталимидов. Тирюфле, Дабар, Лавирон (Cinétique de l'ouverture des cycles ortho-condensés. VI. Hydrolyse des phthalimides non alcoylés. Tirouflet J., Dabard R., Laviron E.), Bull. Soc. chim. France, 1957, № 4, 570—576 (франц.)

Изучен щел. гидролиз фталимидов (I) в буферных р-рах (рН 8—14). Зависимость скорости р-ции от рН обусловлена, вероятно, диссоциацией I при повышенных значениях рН (см. часть IV). Найдены константы скорости гидролиза I и ионов фталимидата  $k'_1$  и  $k'_2$  (приводятся заместители в кольце I,  $k_1$  и  $k_2 \cdot 10^6$  в л моль · сек): H, 11,4, 113; 3- $NO_2$ , 548, 2530; 3- $Cl$ , 37,2, 410; 3- $NH_2$ , 0,92, 21; 4- $NO_2$ , 163, 1775; 4- $NH_2$ , 35,5, 410; 4- $Cl$ , 3,73, 19. Влияние заместителей на скорость гидролиза I аналогично случаю N-алкилфталимидов (см. пред. реф.). Константы Хамметта для гидролиза I ( $\rho_1$ ) и гидролиза иона фталимидата ( $\rho_2$ ) имеют следующие значения: при  $R = H$   $\rho_1 = 1,46$ ,  $\rho_2 = 1,78$ ; при  $R = CH_3$   $\rho_1 = 1,46$ ; при  $R = C_2H_5$   $\rho_1 = 1,66$ . В сильно щел. среде сказывается, по-видимому, солевой эффект. Гидролиз I идет с большей скоростью, чем аналогичные р-ции, в которых раскрытие цикла не имеет места. По мнению авторов, это связано с увеличением энтропии активного комплекса.

А. Савицкий  
68709. Механизм гидролиза хлорбензола и галодотолуолов в жидкой фазе. Боттини, Роберте (Mechanisms for liquid phase hydrolyses of chlorobenzene and halotoluenes. Bottini Albert T., Roberts John D.), J. Amer. Chem. Soc., 1957, 79, № 6, 1458—1462 (англ.)

Гидролиз о, м, п-галодотолуолов RX (где X = Cl, Br, J) и 1-хлорбензола-1- $C^{14}$  (I) при действии водн. р-ров NaOH (1—8 M) в интервале т-р 250—360° дает смеси изомерных крезолов, содержащих OH-группу не только в том положении, в котором находился галоген, но и в соседних местах. При 340° продукты гидролиза о-RX образуют смеси приблизительно равных кол-в о- и м-крезолов, п-RX — смеси равных кол-в м- и п-крезолов, м-RX — смеси всех трех изомеров (м 60—66%, о 20—24%, п 14—16%). При 250° относительный выход продукта перегруппировки уменьшается до < 3% в случае п-RJ и до 22—26% в случае п-RBr. Отсутствие о-крезолов при гидролизе п-RX и п-крезолов при гидролизе о-RX свидетельствует о том, что в условиях опытов не происходит изомеризации галодотолуолов или образующихся крезолов. При гидролизе I в 4 M NaOH при 340° образуется смесь из фенолов-1- $C^{14}$  (58%) и фенолов-2- $C^{14}$  (42%). Замена NaOH на KOH увеличивает относительный выход продукта перегруппировки. При действии 4 M  $CH_3COONa$  падают как общие выходы продуктов гидролиза, так и относительные выходы продукта перегруппировки. Полученные данные авторы объясняют тем, что гидролиз идет двумя параллельными путями:

путем прямого замещения ( $S_N2$ ) галогена на гидроксил, чему благоприятствуют понижение т-ры, низкая щелочность р-ра и легкость ионизации галогена в ряду  $RJ > RBr > RCl$ , и путем отщепления HX от молекулы галодобензола с промежуточным образованием де-гидробензола (см. РЖХим, 1957, 11580—1) с последующим присоединением молекулы воды, чему способствует повышение т-ры и высокая щелочность среды. Анализ образующихся крезолов производился с помощью ИК-спектров. Определение местоположения  $C^{14}$  в фенолах, полученных при гидролизе I, см. РЖХим, 1957, 11580.

Н. Высоцкая

68710. Ориентация в ароматическом замещении.

Х. Скорость сольволиза алкилфенилдиметилкарбинилхлоридов. Доказательство значения сверхсопряжения углерод-углеродных связей в алкильных группах. Браун, Брейди, Грейсон, Боннер. XI. Скорость сольволиза  $\alpha$  и  $\beta$ -нафтилдиметил- и -монометилкарбинилхлоридов. Пространственные и электронные влияния в нафталиновой системе. Окамото, Браун. XII. Скорость сольволиза галодифенилдиметилкарбинилхлоридов. Влияние галогенных заместителей на скорость электрофильных реакций. Браун, Окамото, Хэм. XIII. Скорость сольволиза нитро- и метоксифенилдиметилкарбинилхлоридов. Окамото, Браун (Directive effects in aromatic substitution. X. Rates of solvolysis of the alkylphenyldimethylcarbinyl chlorides. Evidence for the importance of carbon-to-carbon hyperconjugative contributions in alkyl groups. Brown Herbert C., Brady James D., Grayson Martin, Bonner W. Hallam. XI. Rates of solvolysis of  $\alpha$ - and  $\beta$ -naphthyldimethyl- and -monomethylcarbinyl chlorides. Steric and electronic effects of the naphthalene system. Okamoto Y., Brown Herbert C. XII. Rates of solvolysis of the halophenyldimethylcarbinyl chlorides. The effect of halogen substituents upon the rates of electrophilic reactions. Brown Herbert C., Okamoto Y., Ham George. XIII. Rates of solvolysis of the nitro- and the methoxyphenyldimethylcarbinyl chlorides. Okamoto Y., Brown Herbert C.), J. Amer. Chem. Soc., 1957, 79, № 8, 1897—1903, 1903—1905, 1906—1909, 1909—1912 (англ.)

Х. С целью исследования эффекта сверхсопряжения определена скорость сольволиза в 90% водн. ацетоне о-(I), м-(II) и п- $RC_6H_4C(CH_3)_2Cl$  (III), где  $R = CH_3$  (а),  $C_2H_5$  (б), изо- $C_3H_7$  (в), трет- $C_4H_9$  (г). Ниже приведены в-во, относительная скорость (ОС) при 25°, энергия активации ( $E$  в ккал моль $^{-1}$ ), предэкспоненциальный фактор ( $Ig A$ ), теплота активации ( $\Delta H_{\text{акт}}$  в ккал моль $^{-1}$ ) и энтропия активации ( $\Delta S_{\text{акт}}$  в энтр. ед.): I ( $R = H$ ), 1,00, 19,5, 10,4, 18,8, —12,4; Ia, 3,63, 19,6, 11,0, 19,0, —10,4; Ib, 2,07, 20,8, 11,7, 20,3, —6,9; Iv, 0,847, 21,2, 11,6, 20,7, —7,5; IIa, 2,00, 19,4, 10,3, 18,6, 11,8; IIb, 1,94, 19,8, 10,9, 19,2, —10,6; IIv, 1,87, 19,4, 11,0, 19,4, —10,2; IIg, 1,85, 19,8, 10,9, 19,3, —10,6; IIIa, 26,0, 17,8, 10,6, 17,3, —12,0; IIIb, 22,0, 18,1, 10,7, 17,5, —11,5; IIIv, 18,8, 18,0, 10,5, 17,4, —12,2; IIg, 14,4, 17,9, 10,3, 17,3, —13,3. Повышение ОС при переходе от II ( $R = H$ ) к III обусловлено индуктивным эффектом (ИЭ)  $CH_3$ -группы. Однако в дальнейшем (IIb — г) ОС практически не изменяется, так как влияние возрастания ИЭ алкилгруппы «нейтрализуется» влиянием эффекта сверхсопряжения (ЭС), который уменьшается в ряду взятых алкилзаместителей. Еще более резко выражено влияние ЭС в ряду Ia — в. Резкое повышение скорости при введении в I ( $R = H$ )  $CH_3$ -группы в пара-положение не может быть объяснено только ИЭ, а является следствием стабилизации образующегося иона карбония за счет сверхсопряжения. Этот ЭС

несколько уменьшается в ряду IIIa—г. Полученные результаты указывают на большое значение сверхсоединения углерод-углерод. Меньшая скорость р-ции Ia по сравнению с IIIa обусловлена пространственными препятствиями резонансу в переходном состоянии. Скорости р-ции подчиняются эмпирич. ур-нию  $\lg P \times \times \lg (P_f m)$ , ранее найденному для р-ций замещения толуола (РЖХим, 1954, 44564). I—III получены действием HCl на соответствующие  $RC_6H_4C(CH_3)_2OH$  (IV). К 1,0 моля трет-бутилбензола и 1,5 моля  $CH_3COCl$  в 200 мл сухого  $CS_2$  постепенно (0—5°) добавляли 1,1 моля  $AlCl_3$ , через 15—17 час. (20°) после гидролиза получили *n*-трет-бутилацетофенон, выход 83%, который действием  $CH_3MgBr$  был переведен в IV ( $R = n-(CH_3)_3C$ ), выход 80%, т. пл. 79°. Аналогично с такими же выходами были получены IV ( $R = n-iso-C_3H_7$ ), т. кип. 120°/10 мм, т. пл. 44°, и IV ( $R = n-C_2H_5$ ), т. кип. 114°/10 мм,  $n_D^{20}$  1,5140. Ряд IV получен из соответствующих *m*-бром- и *o*-йодакилбензолов переводом их в реактив Гриньяра и обработкой ацетоном (приведено R, т. кип. в °C/мм, т. пл. в °C,  $n_D^{20}$ ): *m*-C<sub>2</sub>H<sub>5</sub>, 103/4, —, 1,5152; *m*-изо-C<sub>3</sub>H<sub>7</sub>, 98/1, 36,5, 1,5098; *m*-трет-C<sub>3</sub>H<sub>7</sub>, —, 88,5—89, —; *o*-C<sub>2</sub>H<sub>5</sub>, 90/1,5, —, 1,5251; *o*-изо-C<sub>3</sub>H<sub>7</sub>, —, 68,5—69, —. Попытка получить этим методом IV ( $R = o$ -трет-C<sub>3</sub>H<sub>7</sub>) была безуспешна. В атмосфере N<sub>2</sub> к 0,69 г Li-пропанола в 100 мл эфира постепенно добавляли *p*-р 0,05 моля *o*-бром-трет-бутилбензола в 50 мл эфира, затем кипятили 3 часа при —75° и добавляли 0,05 моля ацетона в 20 мл эфира, выход IV ( $R = o$ -трет-C<sub>3</sub>H<sub>7</sub>) 1,3%, т. пл. 127,5—128° (возгонка при 100° и 1 мм).

XI. Определена скорость сольволиза  $\alpha$ - и  $\beta$ -нафтилдиметилкарбинилхлоридов (Va и Vb) и  $\alpha$  и  $\beta$ -нафтилмонометилкарбинилхлоридов (Vla и Vlb). Ниже приведены относительная скорость при 25° (по сравнению с  $C_6H_5C(CH_3)_2Cl$ ),  $E_{акт}$  в ккал/моль<sup>-1</sup>,  $\lg A$ ,  $\Delta H_{акт}$  в ккал/моль<sup>-1</sup>,  $\Delta S_{акт}$  в энтр. ед. для р-ции V в 90 об. % водн. ацетоне: Va, 4,1, 19,8, 11,2, 19,2, —9,2; Vb, 4,0, 19,5, 11,0, 19,0, —10,0. Аналогично для VI в 80 об. % водн. ацетоне: Vla, 23, 21,7, 11,1, 21,3, —9,6; Vlb, 9,0, 22,3, 11,1, 21,8, —9,4. Повышение скорости р-ции авторы объясняют способностью нафтильной группы больше стабилизировать систему при уменьшении электронной плотности в переходном состоянии (по сравнению с  $C_6H_5$ -группой). Теоретически ожидаемое значительное повышение скорости р-ции  $\alpha$ -нафтилпроизводных сравнительно с  $\beta$ -производными найдено только для VI. В случае V значительные пространственные затруднения приводят к равенству скоростей р-ции Va и Vb. Взаимодействием  $CH_3MgBr$  с  $\beta$ -ацетонафтоном получен  $\beta$ -нафтилдиметилкарбинол, выход 71%, т. пл. 63—64,5°, который с HCl в  $CH_2Cl$  при 0° дал Vb, т. разл. 70°.

XII. Определена скорость сольволиза I—III ( $R =$  галоид) в 90 об. % водн. ацетоне (указаны R, относительная скорость при 25°,  $E_{акт}$ ,  $\lg A$ ,  $\Delta H_{акт}$ ,  $\Delta S_{акт}$ ): H, 1,00, 19,5, 10,4, 18,8, —12,5; *o*-F, 0,0502, 20,9, 10,1, 20,3, —14,4; *o*-Cl, 0,00786, 23,0, 10,8, 20,3, —11,1; *o*-Br, 0,00606, 23,1, 10,8, 22,5, —11,1; *o*-J, 0,0110, 22,7, 10,8, 22,1, —11,4; *m*-F, 0,0251, 20,5, 9,5, 19,9, —17,0; *m*-Cl, 0,0156, 21,3, 9,9, 20,7, —15,1; *m*-Br, 0,0144, 22,1, 10,5, 21,5, —12,7; *m*-J, 0,0233, 20,8, 9,9, 20,2, —16,1; *n*-F, 2,14, 19,4, 10,6, 18,8, —11,7; *n*-Cl, 0,305, 20,0, 10,2, 19,5, —13,6; *n*-Br, 0,208, 19,9, 10,0, 19,2, —15,2; *n*-J, 0,244, 19,5, 9,8, 18,8, —16,0. Скорости р-ции для орто-, мета- и пара-замещ. I—III изменяются в порядке  $F > Cl > Br > J$ . Рассматривая полученные результаты с точки зрения влияния ИЭ и ЭС галоида с  $C = C$ -связью, авторы приходят к выводу, что в р-ции сольволиза мета-I—III преобладает ИЭ. Для пара-I—III ИЭ и ЭС имеют

примерно равную величину, но противоположны по направлению. В случае орто-I—III ИЭ возрастает; кроме того, в промежуточном ионе карбония возникают пространственные затруднения, обусловленные взаимным расположением галоида и плоской диметилкарбинилгруппы. I—III получены действием сухой HCl на IV, которые синтезированы р-цией метиловых или этиловых эфиров галоидбензойных к-т с  $CH_3MgBr$ . Ниже для IV указаны R, т. кип. в °C/мм, т. пл. в °C,  $n_D^{20}$ : *o*-F, 74,8/8, 29—30, —; *m*-F, 87/7, —, 1,4995; *n*-F, 86/8,2, 37,8, —; *o*-Cl, 79,2/2,2, 23,7, 1,5416; *m*-Cl, 88,0/2,2, —, 1,5370; *n*-Cl, 92,5/3, 43,3, —; *o*-Br, 112/5,2, —, 1,5634; *m*-Br, 104,5/3,2, —, 1,5602; *n*-Br, —, 45,6, —; *o*-J, 121/5,5, —, 1,6017; *m*-J, —, 59—61, —; *n*-J, —, 57—57,5, —.

XIII. Измерены константы скорости сольволиза  $\alpha$ -,  $m$ - и  $n$ - $CH_3OC_6H_4C(CH_3)_2Cl$  (VIIa—в) и  $m$ - и  $n$ - $NO_2C_6H_4C(CH_3)_2Cl$  (VIIIa, б) в водн. ацетоне и из полученных данных экстраполяцией вычислена константа скорости в 90 об. % водн. ацетоне при 25°. Ниже указаны относительная скорость (по сравнению с  $C_6H_5C(CH_3)_2Cl$ ),  $E_{акт}$ ,  $\lg A$ ,  $\Delta H_{акт}$ ,  $\Delta S_{акт}$ : VIIa, 105, 15,5, 8,53, 15,0, —21,2; VIIб, 0,610, 20,4, 10,9, 19,9, —11,1; VIIв, 33,60, 13,4, 8,52, 12,9, —21,1; VIIIa, 0,000871, 21,5, 11,1, 21,0, —10,0; VIIIб, 0,000257, 22,5, 11,2, 21,9, —9,3. Резкое повышение скорости р-ции для VIIв авторы объясняют резонансной стабилизацией промежуточного иона карбония, оцененная величина энергии резонанса 5,1 ккал/моль. Нитрогруппа, как сильно электроноакценторный заместитель, вызывает значительное уменьшение скорости р-ции. VII и VIII получены действием HCl на IV или  $RC_6H_4C(CH_3)=CH_2$  (IX), но вследствие малой стойкости в чистом виде выделены не были. IX ( $R = m-CH_3O$ ) синтезирован р-цией  $m-CH_3OC_6H_4COOC_2H_5$  (X) с  $CH_3MgJ$ , выход 78%, т. пл. 34—35° (из петр. эф.). Аналогичная обработка *o*- и *n*-X дала IX ( $R = o-CH_3O$ ), выход 53%, т. кип. 56,5—57°/2 мм,  $n_D^{20}$  1,5340, и IX ( $R = n-CH_3O$ ), выход 45%, т. кип. 99,5—101°/4,5 мм, т. пл. 33,0—33,8°. Р-цией *n*-нитрокумола с *N*-бромсукцинимидом и перекистью бензоила в  $CCl_4$  получен IX ( $R = m-NO_2$ ), выход 60%, т. кип. 95—100°/мм,  $n_D^{20}$  1,5703. Г. Балуева

68711. Кинетические исследования в области производных полициклических ароматических соединений. V. Реакции сольволиза хлорметилпроизводных ароматических углеводородов с конденсированными ядрами. Фиренс, Беркович (Etudes cinétiques dans le domaine des dérivés polycycliques aromatiques. V. Réactions de solvolysse de dérivés chlorométhylés d'hydrocarbures polycycliques aromatiques condensés. Fierens P. J. C., Berkowitch J.), Tetrahedron, 1957, 1, № 1/2, 129—144 (франц.)

Изучен сольволиз бензилхлорида, 1-хлорметилнафталина, 3- и 9-хлорметилфенантронов, 9-хлорметилантрацена и 10-хлорметил-1,2-бензантрацена в смесях воды и диоксиана различного состава. Определены значения констант скорости р-ции, энергии активации и предэкспоненциального фактора. Подробно рассмотрено влияние строения ароматич. радикала на скорость р-ции и эффект сольватации и показано, что полученные данные соответствуют ур-ниям (РЖХим, 1956, 71187) для корреляции скоростей сольволиза р-ции, идущих по механизму  $S_N1$ . Сообщение IV см. РЖХим, 1957, 22797. Г. Балуева

68712. Интерпретация кинетики сольволиза транс-2-хлороциклопентанолов и циклогексанолов. Муссерон, Жюльен, Бодо (Interprétation des cinétiques de solvolysse de chloro-2 cyclopentanols et cyclohexanols trans. Mousseron Max, Julien Jean, Bodot Hubert), C. r. Acad. sci., 1956, 243, № 25, 2077—2079 (франц.)

Кинетика сольволиза транс-2-хлороциклоалканолов (I) в транс-гликоли (II) выражается сложным ур-нием



(Bull. Soc. Chim., 1946, 640; РЖХим, 1955, 16222), что объясняется протеканием р-ции через стадию окиси (III). Этот механизм подтверждается анализом кинетич. системы  $I \xrightarrow{v_1} III \xrightarrow{v_2} II$ . Реакция следует пер-

вому порядку относительно I, если  $v_2$  значительно меньше  $v_1$  ( $v_2 \geq 10 v_1$ ). Это имеет место при  $[Cl^-] \leq 1/10 k_2/k_3$ , что при  $[I]_0 \sim 0,2 M$  справедливо только в начале р-ции (4–5%) или при  $[I] 0,005 M$ . Для полной р-ции применима приближенная ф-ла  $d[Cl^-]/dt = k_1(I_0 - [Cl^-])/1 + k_2/k_3[Cl^-]$ . Ур-ние становится ур-нием первого порядка при  $k_2/k_3[Cl^-] \ll 1$ . Дополнительным подтверждением промежуточного образования окиси является уменьшение значения  $k_3$  при прибавлении большого кол-ва  $Cl^-$  в связи с изменением отношения  $k_2/k_3$ . Это значение получено опытным путем из относительных кол-в I и II; оно зависит от строения III и от содержания воды в р-ителе (диоксане). Из-за малого значения отношения констант скоростей прибавление  $Cl^-$  в случае транс-1-метил-2-хлорциклогексанола незначительно влияет на скорость р-ции. Так как разность между поляриностями I и III (исчезновение зарядов) больше, чем между I и II (дисперсия зарядов), значение  $k_2/k_3$  в соответствии с опытом растет с уменьшением полярности р-рителя (с уменьшением кол-ва воды в диоксане). В случае асимметрич. I р-ция может протекать к изомерам I, что осложняет кинетич. отношения.

Г. Пек 68713. Механизм реакции и структурные влияния в сольволизе транс-2-хлорциклоалканолов. Муссерон, Жюльен, Бодо (Mécanismes et influences structurales dans la solvolysé de chloro-2 cyclanols trans. Mousseron Max, Jullien Jean, Bodo Hubert), C. r. Acad. sci., 1957, 244, № 1, 87–88 (франц.)

Возможны два механизма медленных стадий р-ции сольволиза транс-2-хлорциклоалканолов (см. пред. реф.): 1) медленная ионизация ( $S_N1$ ), а затем быстрое образование окиси, или 2) медленное образование окиси с участием гидроксила в отщеплении хлора ( $S_N1$ ). Авторы считают механизм (2) более вероятным. На основании сравнения скорости гидролиза хлорциклоалканолов и 1-хлорциклоалканолов-2 механизм  $S_N1$  приподнят бы к значительно большему замедлению сольволиза при вступлении группы OH в положение 2, чем это наблюдается. Допущение механизма  $S_N1$  объясняет факт, что в менее ионизирующем р-рителе (смесь вода-диоксан, с меньшим содержанием воды) в соответствии с частичным полярным характером переходного состояния р-ция идет медленнее. Отношение  $k_{30}^0/k_{20}^0$  близко для незамещ.  $C_6$  и  $C_5$  хлорциклинов и почти совпадает в случае их метилпроизводных. Оно зависит главным образом от того, является ли спирт вторичным или третичным, но не от числа атомов C в цикле. Третичные спирты реагируют значительно быстрее, чем вторичные, вероятно, в связи с их большей основностью. Скорости р-ции  $C_6$  во всех случаях выше  $C_5$ . В силу геометрии молекул участие OH в р-ции менее выражено в случае  $C_5$ , чем  $C_6$ .

Г. Пек 68714. Сольволиз некоторых производных 7-хлорнорборнана. Вудс, Карбон, Робертс (Solvolytic reactivities of some 7-chloronorbornane derivatives. Woods William G., Carboni Rudolph A., Roberts John D.), J. Amer. Chem. Soc., 1956, 78, № 21, 5653–5657 (англ.)

Хлор в 7-хлорнорборнана (I), в его насыщ. производных и в син-7-хлорнорборне (II) не подвергается сольволизу в условиях, когда экзо-норборнилхлорид

(III) и циклопентилхлорид легко сольволизуются. Напротив, анти-7-хлорнорборнен (IV) является весьма реакционноспособным и сольволизуется в 56 раз быстрее, чем III, и в 7 раз быстрее, чем α-металлилхлорид (в 80%-ном сп. при 99,7°). Авторы предполагают, что сольволиз IV, го-видимому, облегчается образованием промежуточного карбокатионного переходного состояния — «бисмоциклопропенильного» катиона (V). Произведен расчет энергии V по методу



ЛКАО; максим. энергия стабилизации  $\approx 10,5$  ккал/моль и больше, чем энергия гомоаллильного катиона. Причиной очень низкой реакционной способности I и II, по мнению авторов, могут быть стерич. препятствия при гиперконъюгации. Однако син-7-хлор-экзо-норборнил-п-толуолсульфонат сольволизуется в  $CH_3COOH$  при 78° в 1,25 раза быстрее, чем анти-изомер. Оба изомера реагируют приблизительно в 280 раз медленнее, чем экзо-норборнил-п-толуолсульфонат при 25°. Авторы объясняют это явление промежуточным образованием иона (VI). Изучен также сольволиз син- и анти-7-хлор экзо-норборнеола и их метиловых эфиров. Метиловый эфир син-7-хлор-экзо-норборнеола (VII) получен при добавлении NaOH к р-ру син-7-хлор-экзо-норборнеола в абс. эфире. После перемешивания в течение 6 час. при  $\sim 20^\circ$  добавляется  $CH_3J$  и смесь перемешивается при нагревании еще 12 час. После фильтрования и отгонки эфира перегоняется VII (выход 75%, т. кип. 83–87°,  $n_D^{20} 1,4890$ ). Р. Кудрявцев 68715. Стерический и резонансный эффект в трет-бутил- и изобутилфенолах. Боуман, Стивенс, Болдуин (Steric and resonance effects in the t-butyl and isobutylphenols. Bowman Robert S., Stevens Donald R., Baldwin W. E.), J. Amer. Chem. Soc., 1957, 79, № 1, 87–92 (англ.)

Изучена кинетика пиролиза о-трет-бутилфенола (I), м-трет-бутилфенола (II), п-трет-бутилфенола (III), о-изобутилфенола (IV), м-изобутилфенола (V) и п-изобутилфенола (VI), а также для сравнения изобутилбензола (VII), трет-бутилбензола (VIII), изобутилфенилового эфира (IX) и трет-бутилфенилового эфира (X) (статич. система, пирексовый сосуд, 420°). Скорость распада измерялась по давлению, газообразным продуктам анализировались масс-спектрометрически. При начальном 20–30%-ном увеличении давления разложение I идет по первому порядку. Е акт пиролиза I 58,4 ккал/моль. Стабильность изученных соединений уменьшается в ряду  $II > VIII > III > VII > > V > VI > I > IX > X$  и в ряду  $m > p > o$ . Стерич. «орто»-эффект наиболее четко наблюдается у I и IV, проявляясь в большей скорости диссоциации и большем выходе  $C_3H_6$  по сравнению с мета- и пара-изомерами. Эффект резонансной поляризации фенола проявляется в большей скорости диссоциации пара-изомеров и больших выходах изобутана (из III) и пропана (из VI) по сравнению с их мета-изомерами. При этом предполагается, что распад начинается с отщепления  $H\cdot$  или  $CH_3\cdot$  от алкильной группы. Изучение ИК-спектров 0,01, 0,1 и 1 M р-ров I, II, III, IV, V и VI в  $CCl_4$  показывает, что если мета- и пара-изомеры образуют прочные водородные связи, то в случае I и IV громоздкие алкильные группы в орто-положении сильно ослабляют способность к образованию водородных связей. Синтез изученных в-в осуществлен следующим образом. Прямым алкилированием газообразным изобутиленом из  $C_6H_6$  получен VIII (катали-

затвор  $\text{BF}_3 \cdot \text{H}_2\text{O}$ ; т. кип.  $168,8^\circ/741 \text{ мм}$ ,  $n_D^{20} 1,4880$ ; из  $\text{C}_6\text{H}_5\text{OH}$  синтезированы III (с 5 вес. % конц.  $\text{H}_2\text{SO}_4$  при  $70^\circ$ ; т. пл.  $48,0^\circ$ , т. кип.  $130,0^\circ/20 \text{ мм}$ , т. пл.  $100,0^\circ$ ; ацетат, т. пл.  $96,5^\circ$ ), I (с  $0,1\%$ -ной  $\text{H}_2\text{SO}_4$  при  $40-45^\circ$ ; т. кип.  $113,0^\circ/20 \text{ мм}$ , ацетат, т. пл.  $148,0^\circ$ ) и X (с разб.  $\text{H}_2\text{SO}_4$  в эф. при  $10^\circ$ ; т. кип.  $93,0^\circ/20 \text{ мм}$ ,  $n_D^{20} 1,4929$ ). II (т. пл.  $43,0^\circ$ , т. кип.  $129,5^\circ/20 \text{ мм}$ ; ацетат, т. пл.  $116,5^\circ$ ) синтезирован из VIII по аналогии с синтезом *m-n*-бутилфенола (Read, Mullin, J. Amer. Chem. Soc., 1928, 50, 1763), причем *n*-нитробутилфенол восстановлен в *n*-бутиланилин  $\text{H}_2$  над  $\text{Pd/C}$ . Из фенолового эфира изомасляной к-ты перегруппировкой Фриса получены *o*- и *p*-оксизобутирофеноны, которые восстановлением по Клемменсену превращены в IV (т. кип.  $116,5^\circ/20 \text{ мм}$ ; ацетат, т. пл.  $96,5^\circ$ ) и VI (т. кип.  $131,0^\circ/20 \text{ мм}$ ; ацетат, т. пл.  $109,5^\circ$ ). Восстановлением изобутирофенона (XI) получен VII, т. кип.  $67,5^\circ/20 \text{ мм}$ ,  $n_D^{20} 1,4854$ . Из изобутилбромиды и  $\text{C}_6\text{H}_5\text{ONa}$  синтезирован IX, т. кип.  $80,0^\circ/20 \text{ мм}$ ,  $n_D^{20} 1,4869$ . V синтезирован в 4 стадии: нитрованием XI дымящей  $\text{HNO}_3$  в *p*-ре ( $\text{CH}_3\text{CO}$ )<sub>2</sub>O при  $0^\circ$  получен *m*-нитроизобутирофенон (XII) (выход  $60-70\%$ , т. пл.  $37^\circ$ ). Восстановлением  $\text{H}_2$  над  $\text{Pd/C}$  в лед.  $\text{CH}_3\text{CO}_2\text{H}$  XII превращен в *m*-аминизобутирофенон, который подвергнут (без выделения) диазотированию и гидролизу  $\text{HCl}$ , при этом получен *m*-оксизобутирофенон (выход  $19\%$ ; семикарбазон т. пл.  $188^\circ$ ), из которого восстановлением по Хуан-Минлону получен V, выход  $82\%$ , т. кип.  $129,5^\circ/20 \text{ мм}$ ; ацетат, т. пл.  $90,5^\circ$ .

В. Антоновский

**68716. Влияние молекулярного объема и строения на пиролиз эфиров.** Смит, Уэцел (The effect of molecular size and structure on the pyrolysis of esters. Smith Grant Gill, Wezzel William H.), J. Amer. Chem. Soc., 1957, 79, № 4, 875-879 (англ.)

Влияние мол. объема заместителей на пиролиз сложных эфиров исследовано на примерах циклогексильных эфиров муравьиной к-ты и ее гомологов до декановой включительно. Найдено, что т-ра пиролиза с повышением мол. веса эфира понижается по зигзагообразной кривой, так что эфиры с четным числом С-атомов в ацильной группе показывают большую стабильность, чем с нечетным. Мета- и пара-отрицательно замещ. циклогексилбензойные эфиры пиролизуются легче, чем алифатич. и циклогексилбензойный эфир, причем т-ра пиролиза тем ниже, чем больше сила к-ты, образующей эфир. Отклонение от этого дают орто-замещ. эфиры, так Cl в орто-положении стабилизирует эфиры в отношении пиролиза. Показана связь т-ры пиролиза с волновым числом ИК-спектра для O—C-связи эфира; т-ра пиролиза выше для тех эфиров, которые имеют большее волновое число.

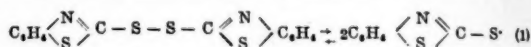
А. Курсанова

**68717. Получение диенов путем пиролиза циклических соединений.** III. Кинетика расщепления циклогексена и ацетата циклогексанола. Краус, Ваврушка, Бахтанг (Diene durch Pyrolyse von cyclischen Verbindungen. III. Die Kinetik der Spaltung von Cyclohexen und Cyclohexylacetat. Kraus M., Vavruška M., Bažant V.), Сб. чехосл. хим. работ, 1957, 22, № 2, 484-488 (нем.; рез. русск.) См. РЖХим, 1957, 15216.

**68718. Реакция дифенилметана с серой.** VI. Пиролиз дибензгидрилдисульфида. VII. Пиролиз дибензгидрилтетрасульфида. Цуруги, Накабаяси. VIII. Пиролиз тиобензифенона. Цуруги, Яманака. IX. Реакция между тетрафенилэтаном и серой. X. Кинетика выделения сероводорода. Цуруги (ジフェニルメタンとイオウとの反応. 第6報.ジベンズヒドрил二硫化物の熱分解. 第7報.ジベンズヒドрил.四硫化物の熱分解. 鈎實夫, 中林武重. 第8報.チオベンゾフェノンの熱分解. 鈎實夫, 山中敏裕. 第9報.テトラフェニルエタンとイオウ

との反應. 第報. 硫化水素發生の動力學. 鈎實夫), Н. 本化學雜誌, Нихон кагаку дзасси, J. Chem. Soc. Japan. Pure Chem. Sec., 1956, 77, № 4, 578-582, 583-586, 586-589, 589-591; № 11, 1716-1720 (японск.).

VI. Для выяснения механизма р-ции дифенилметана (I) с S проведен пиролиз одного из продуктов р-ции — дибензгидрилдисульфида (II) без добавок или в присутствии 2 молей I или 4 молей S при  $180^\circ$  и  $220^\circ$ . В продуктах пиролиза II найдены  $\text{H}_2\text{S}$ , тиобензифенон (III), тетрафенилэтан (IV), тетрафенилэтилен (V), дибензгидрилмоносульфид (VI) (только при  $180^\circ$ ), дибензгидрилполисульфид (VII), I и S. Кол-ва I, III—V и VII увеличиваются с возрастанием т-ры. Аналогичные продукты пиролиза (кроме VI) обнаружены при проведении пиролиза в присутствии I. В этом случае кол-ва III, V,  $\text{H}_2\text{S}$  и S увеличиваются с ростом т-ры, кол-во VII почти не меняется, а кол-во IV уменьшается. При пиролизе в присутствии S IV не образуется вовсе, при  $180^\circ$  не образуется также V. Кол-ва III и I возрастают с увеличением т-ры, а кол-во VII уменьшается. На основании полученных результатов и литературных данных обсужден возможный механизм р-ции пиролиза.  $(\text{C}_6\text{H}_5)_2\text{C} \cdot \text{H}$ ,  $(\text{C}_6\text{H}_5)_2\text{CHS} \cdot$  получаются по схеме:  $\text{II} \rightarrow (\text{C}_6\text{H}_5)_2\text{CH} + \text{SCH}(\text{C}_6\text{H}_5)_2$ ;  $(\text{C}_6\text{H}_5)_2\text{CHSS} \cdot \rightarrow \text{C}_6\text{H}_5\text{CH} + \cdot\text{S} \cdot$ . Распад II под влиянием свободных радикалов по схеме:  $\text{R}' \cdot + \text{II} \rightarrow \text{R}'\text{H} + (\text{C}_6\text{H}_5)_2\dot{\text{C}} - \text{S} + \text{SCH}(\text{C}_6\text{H}_5)_2$ ;  $(\text{C}_6\text{H}_5)_2\dot{\text{C}} - \text{S} + \text{SCH}(\text{C}_6\text{H}_5)_2 \rightarrow (\text{C}_6\text{H}_5)_2\text{C} = \text{S} + \cdot\text{SCH}(\text{C}_6\text{H}_5)_2$  подтвержден проведенным пиролизом II ( $180^\circ$ , 2 часа) в присутствии эквимолярного кол-ва 2,2'-дибензотриазолилдисульфида, который легко распадается (см. схему 1).



При этом получены  $\text{H}_2\text{S}$ , III, S, небольшие кол-ва V и VII, а также 2-меркаптобензотриазол. Бензгидрол нагревают 1 час при  $120-140^\circ$  с  $\text{CS}(\text{NH}_2)_2 \cdot \text{HCl}$ , на другой день измельчают массу и обрабатывают конц.  $\text{NaOH}$ .  $\text{C}_6\text{H}_6$  извлекают тиобензгидрол (IX), выход  $60\%$ , т. кип.  $98-99^\circ/0,03 \text{ мм}$ ; действие на IX дифенилбромметана в  $\text{C}_6\text{H}_6$  приводит к VI, т. пл.  $66,5^\circ$ . IX обрабатывают р-ром йода в спирте и получают II, т. пл.  $152^\circ$ .

VII. Пиролиз дибензгидрилтетрасульфида (X) при  $180^\circ$  или  $220^\circ$  приводит к  $\text{H}_2\text{S}$ , S, I, III, V и VII. Кол-ва  $\text{H}_2\text{S}$ , III, V уменьшаются с ростом т-ры, а кол-ва IV, V, I и S возрастают с повышением т-ры пиролиза. На основании полученных данных обсужден механизм пиролиза X и образования основных продуктов р-ции. Приведены кривые УФ-поглощения для II, VI и X. X получен добавлением к IX в  $\text{CS}_2$   $10\%$ -ного р-ра  $\text{S}_2\text{Cl}_2$  в  $\text{CS}_2$  (соотношение IX :  $\text{S}_2\text{Cl}_2 = 2,3:1$ ) в токе  $\text{N}_2$  с последующим перемешиванием в течение 4 час.

VIII. Проведен пиролиз III без добавок и в присутствии I в различных соотношениях (1:1 и 1:19, 1:23) при  $180^\circ$  и  $220^\circ$ . Пиролиз III без добавок дает V и S, кол-ва которых увеличиваются с ростом т-ры (при  $220^\circ$  пиролиз III проходил надело). Пиролиз III в присутствии I приводит к  $\text{H}_2\text{S}$ , IV, V, VII и S. Кол-ва  $\text{H}_2\text{S}$ , IV и V возрастают при увеличении т-ры, причем кол-ва  $\text{H}_2\text{S}$  и IV увеличиваются также при возрастании соотношения III:I, а кол-во V сильно уменьшается с возрастанием отношения III:I. Кол-ва VII уменьшаются с ростом т-ры, но увеличиваются с ростом соотношения III:I. При больших соотношениях III:I S не образуется вовсе. Обсуждается механизм пиролиза. На основании настоящего и предыдущего сообщений установлено, что р-ция между I и S при низких т-рах ( $180^\circ$ ) является р-цией сульфирования и приводит в основном к VII и III; за счет пиролиза III образуются V и другие продукты. При высоких т-рах ( $220^\circ$ ) основной р-цией между I и S является дегидрирование.

IX. Р-ция между эквимольными кол-вами IV и S при 220° приводит к образованию в качестве основного продукта III, одновременно за 4 часа получаются (в порядке уменьшения кол-в): V, H<sub>2</sub>S и ничтожные кол-ва VII и I или за 10 час. I, V, H<sub>2</sub>S и VII. Таким образом, в отличие от р-ции между I и S при высоких т-рах, р-ция между XI и I не дает продуктов дегидрирования.

Л. Яновская

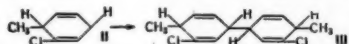
X. Изучена кинетика выделения H<sub>2</sub>S при р-ции дифенилметана с S, присоединения S к *трет*-ароматич. аминам и влияние света на подобные р-ции. Первая из этих р-ций (исследована при 160°, 180° и 200°) протекает по следующему пути:  $S_8 \xrightarrow{k_1} S_2 \cdot$ ;  $(C_6H_5)_2CH_2 + S_2 \cdot \xrightarrow{k_2} (C_6H_5)_2CH \cdot + HS_2 \cdot$ ;  $HS_2 \cdot \xrightarrow{k_3} HS \cdot + S_2 \cdot$ ;  $(C_6H_5)_2CH_2 + HS \cdot \xrightarrow{k_4} (C_6H_5)_2CH \cdot + H_2S$ ;  $(C_6H_5)_2CH \cdot + S_2 \cdot \xrightarrow{k_5} (C_6H_5)_2CHS_2 \cdot$ ;  $(C_6H_5)_2CHS_2 \cdot \xrightarrow{k_6} (C_6H_5)_2C = S + HS_2 \cdot$ ;  $2(C_6H_5)_2CHS_2 \cdot \xrightarrow{k_7} (C_6H_5)_2CHS_2CH(C_6H_5)_2$ .

При низких т-рах:  $[S_2 \cdot] = \frac{k_1[S_8]}{2k_2[(C_6H_5)_2CH_2]}$ ,  $(C_6H_5)_2CHS_2 \cdot = V k_1 S_8 / k_7$ ;  $d[H_2S]/dt = k_4 [(C_6H_5)_2CH_2] \times [HS_2 \cdot] = k_4 [(C_6H_5)_2CH_2] [S_2 \cdot] + k_6 [DS \cdot] = k_4/2 [S_8] + k_6 V k_1 / k_7 [S_8]^{1/2}$ , при высоких:  $V = k_4 V k_1 / k_7 [S_8]^{1/2}$ . Приведены ур-ния для второй р-ции. Сообщение V см. РЖХим, 1957, 66082. Н. Швецов.

68719. Радиальное замещение в ароматическом ядре. Дермер, Эдмисон (Radical substitution in aromatic nucle. Dermer O. C., Edmison M. T.), Chem. Revs, 1957, 57, № 1, 77—122 (англ.) Обзор. Библ. 417 назв.

68720. Реакция хлорбензола с метильными радикалами. Беквит, Уотерс (The reaction of chlorobenzene with methyl radicals. Beckwith A. L. J., Waters William A.), J. Chem. Soc., 1957, Apr., 1665—1668 (англ.)

Изучение продуктов р-ции радикалов CH<sub>3</sub>·, полученных при термич. разложении ди-*трет*-бутилперекиси в C<sub>6</sub>H<sub>5</sub>Cl (I) (РЖХим, 1956, 77937), показало, что CH<sub>3</sub>· вначале присоединяется к I, образуя радикалы (II) (или изомерные), которые димеризуются в (III) и далее дегидрогенизуются в 3,3'-дихлор-4,4'-диметилди-



фенил (IV), небольшие кол-ва которого были выделены из продуктов р-ции. Частично II дегидрогенизируются в хлортолуолы, в том числе в пара-изомер, выделенные с помощью парофазной хроматографии. Отсутствие кислот показывает, что радикалы II не реагируют далее с CH<sub>3</sub>·. Полученные результаты рассматриваются, как подтверждение положения, что гомолитич. ароматич. замещение происходит через стадию присоединения радикала. Сопоставление с литературными данными показывает отсутствие существенной разницы в поведении CH<sub>3</sub>· и фенильных радикалов. Для сравнения с продуктами р-ции синтезированы: 2-хлор-4-йодтолуол (V) — из 3-хлор-4-метиланилина и KJ через диазосоединение; т. кип. 123—124°/20 мм, т. пл. 22°. Нагреванием V над Cu при 220° в течение 1 часа получен IV, выход 90%, т. пл. 92°. 1,2-ди-(*n*-хлорфенил)-пропанол-2 (VI) получен из *n*-хлорфенола и 4-хлорбензилмагнийхлорида, выход 83%, т. пл. 75°. 1,2-ди-(*n*-хлорфенил)-пропанол получен дегидратацией VI серной к-той, т. пл. 110° (из сп.). 1-(*n*-хлорфенил)-этилхлорид (VII) получен

восстановлением *n*-хлорфенола LiAlH<sub>4</sub> с последующей обработкой PCl<sub>5</sub>, т. кип. 58—60°/0,9 мм. 1,2-ди-(*n*-хлорфенил)-пропан получен взаимодействием *p*-ра VII с Mg-органич. соединением из VII, выход 60%, т. пл. 69° (из CH<sub>3</sub>OH). 4,4'-дихлордифенил получен кипячением 82 г *n*-хлортолуола и ди-*трет*-бутилперекиси (22 часа), выход 4,1 г, т. кип. 120°/0,2 мм, т. пл. 102°.

В. Антоновский

68721. Относительное стабилизирующее влияние заместителей на свободные алкильные радикалы. Часть II. Присоединение алифатических альдегидов к β,β-диметилакриловой кислоте и ее производным. Хуан (The relative stabilising influences of substituents on free alkyl radicals. Part II. The addition of aliphatic aldehydes to β,β-dimethylacrylic acid and its derivatives. Huang R. L.), J. Chem. Soc., 1957, March., 1342—1348 (англ.)

Изучено присоединение альдегидов RCHO (R = C<sub>2</sub>H<sub>5</sub> и *n*-C<sub>6</sub>H<sub>13</sub>) в присутствии перекиси бензола к β,β-диметилакриловой к-те, ее этиловому эфиру и нитрилу. (CH<sub>3</sub>)<sub>2</sub>C=CHX + RCHO → (CH<sub>3</sub>)<sub>2</sub>C(COR)CH<sub>2</sub>X (I) + (CH<sub>3</sub>)<sub>2</sub>CHCH(COR)X (II). Колич. отношения изомеров I:II при X = COC<sub>2</sub>H<sub>5</sub>, COOC<sub>2</sub>H<sub>5</sub>, COOH, CN равны 10:1, 3:1, 3:1, ∞:1 соответственно, откуда следует, что стабилизирующие влияния групп X при образовании промежуточных радикалов (CH<sub>3</sub>)<sub>2</sub>C(COR)·CHX и (CH<sub>3</sub>)<sub>2</sub>CH·CH(COR)X имеют следующий порядок CN ≈ CO > COOC<sub>2</sub>H<sub>5</sub> ≈ COOH. Согласно с этими и ранее изложенными данными (см. часть I, РЖХим, 1957, 62816) построен ряд сравнительной стабилизирующей способности: C<sub>6</sub>H<sub>5</sub> > CN ≈ CO > COOC<sub>2</sub>H<sub>5</sub> ≈ COOH > CH<sub>3</sub>. Эти соотношения дополнительно подтверждены опытами. При присоединении C<sub>6</sub>H<sub>5</sub>CHO к CH<sub>3</sub>COCH=CH<sub>2</sub> получен CH<sub>3</sub>COCH<sub>2</sub>CH(COC<sub>6</sub>H<sub>5</sub>)·COOC<sub>2</sub>H<sub>5</sub>, так как стабилизирующее влияние CO > COOC<sub>2</sub>H<sub>5</sub>. Продукт присоединения CCl<sub>3</sub>Br к C<sub>6</sub>H<sub>5</sub>CH=CHCOCH<sub>3</sub> имеет строение C<sub>6</sub>H<sub>5</sub>CHBrCH(CCl<sub>3</sub>)COCH<sub>3</sub> вследствие преобладания стабилизирующего влияния C<sub>6</sub>H<sub>5</sub> над влиянием CO и по той же причине бромирование β-фенилпропионовой к-ты действием N-сукцинимидов происходит в β-положении.

А. Курсанова

68722. N,N-бис-трифторметилгидроксиламин, строение димера трифторнитрозометана и направление присоединения свободных радикалов к нитрозогруппе. Хасельдине, Маттинсон (N,N-bistrifluoromethyl hydroxylamine, the structure of trifluoronitrosomethane dimer, and the direction of free radical addition to a nitroso-group. Haszeldine R. N., Mattinson B. J. H.), Chemistry and Industry, 1956, № 3, 81—82 (англ.)

Подтверждены хим. данные спектрального анализа (РЖХим, 1957, 56793), согласно которым получаемый из трифторнитрозометана (I) под воздействием УФ-света оранжево-красный димер является о-нитрозо-бис-трифторметилгидроксиламином, (CF<sub>3</sub>)<sub>2</sub>NONO (II), а не изомерным CF<sub>3</sub>ON(CF<sub>3</sub>)NO. Взаимодействием димера с CH<sub>3</sub>OH (при непрерывном удалении из реакционной смеси метилнитрита) или 50%-ной HCl (и разложении образующегося NOCl с помощью Hg) получен с хорошим выходом (CF<sub>3</sub>)<sub>2</sub>NOH (III), т. кип. 32,5°, реагирующий с PCl<sub>5</sub> по схеме: III + PCl<sub>5</sub> → (CF<sub>3</sub>)<sub>2</sub>NCl + POCl<sub>3</sub> + HCl; (CF<sub>3</sub>)<sub>2</sub>NCl + HCl → (CF<sub>3</sub>)<sub>2</sub>NH + Cl<sub>2</sub>. Образование из I димера строения II объясняется следующим механизмом р-ции: I → CF<sub>3</sub>· + NO; CF<sub>3</sub>· + I → (CF<sub>3</sub>)<sub>2</sub>NO·; (CF<sub>3</sub>)<sub>2</sub>NO· + I → II + CF<sub>3</sub>· → II или (CF<sub>3</sub>)<sub>2</sub>NO· + NO → II. Отсюда вытекает, что свободный радикал скорее атакует азот группы N=O, чем кислород.

Е. Зальберман

68723. Дегидрирование фенолов. Мюллер, Лей, Шлехте (Zur Dehydrierung von Phenolen. Mül-

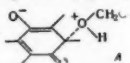


ler Eugen, Ley K., Schlechte G.), Angew. Chem., 1957, 69, № 6, 204 (нем.)

Обесцвечивание окрашенных р-ров ароксиллов (I) при обработке их фенолами (II) или замещ. II (молярное соотношение I:II = 2:1) объясняется де-гидрированием II действием свободных радикалов I с образованием хиноловых эфиров (III) и фенолов по схеме:  $2RO\cdot + R'OH \rightarrow ROH + O = ROH'$  III. III подвергается термич. разложению, давая ароксил, родственный исходному (красное или голубое окрашивание). При р-ции моно-, ди- или три-трет-бутилированных фенолов с  $\beta$ -нафтолом III выделены и идентифицированы по хим. свойствам, т-рам плавления, ИК-спектрам. Полученными данными можно объяснить ингибиторное действие ароксиллов при полимеризации и антиоксидантное действие полученных из ароксиллов фенолов. В. Ягерсон

68724. Окисление спиртов. Кеннер (Oxidation of alcohol. Kenner J.), Nature, 1957, 179, № 4551, 142—143 (англ.)

На основании ряда литературных данных по фотохим. окислению спиртов (ср. РЖХим, 1955, 34339,



54698) отвергается механизм окисления Габер — Вильштеттера (Ber., 1931, 64, 2844), включающий непосредственный отрыв водорода. Иницирование окисления антрахиноном и его 2:6-дисульфатом натрия объясняется действием образующихся при фотохим. возбуждении ароматич. бирадикалов. Молекула спирта приближается перпендикулярно плоскости бирадикала и образует переходное состояние типа A, которое в присутствии O<sub>2</sub> может разлагаться двумя путями: либо с образованием семихинона, CH<sub>3</sub>CHO, HO<sub>2</sub>· и H<sup>+</sup>, либо семихинона, CH<sub>3</sub>CH(OH)OO· и H<sup>+</sup>. В. А.

68725. Кинетика и механизм жидкофазного окисления дибензила и дициклогексилэтана. Сергиенко С. Р., Черняк Н. Я., Докл. АН СССР, 1957, 113, № 2, 351—354

Изучена кинетика окисления дибензила (I) при 110—150° и дициклогексилэтана (II) при 110—140°. На основании опытов с добавками продуктов р-ции (моногидроперекиси I (III), бензальдегида, бензилового сп. и смолистых продуктов окисления (СП)) и хода кинетич. кривых показано, что III является первичным продуктом окисления I и обуславливает автокатализ. характер процесса. Торможение р-ции связано с накоплением СП. Предложена схема радикального механизма окисления I. В случае II торможение р-ции не связано с ингибирующим действием продуктов окисления, нерастворимых в II. Энергия активации начала процесса окисления для I и II равна 29 и 30,7 ккал/моль соответственно. В. А.

68726. Аутоокисление этилциклогексана. Гофман, Бурд (The autoxidation of ethylcyclohexane. Hoffman Joseph, Boord Cecil E.), J. Amer. Chem. Soc., 1956, 78, № 19, 4973—4974 (англ.)

С целью изучения сравнительной реакционной способности Н-атомов этилциклогексана (I) исследовано окисление I O<sub>2</sub> при 120°. Через 30 час. после начала окисления началось выделение CH<sub>3</sub>CHO, а через 48 час. продукт р-ции содержал смесь к-т и кетонов, из которой выделены уксусная, адициновая, валериановая к-ты, циклогексанон (II) (выход 12%), метилциклогексилкетон (20%), 2-этилциклогексанон (31%), 3-этилциклогексанон (32%) и 4-этилциклогексанон (5%). Сравнительная реакционная способность вторичных Н-атомов I C<sup>a</sup>H<sub>2</sub>C<sup>b</sup>H<sub>2</sub>C<sup>c</sup>H<sub>2</sub>C<sup>d</sup>H<sub>2</sub>C<sup>e</sup>H<sub>2</sub>CH<sub>2</sub>CH<sub>3</sub> составляет: а 4,0; б 3,1; в 3,2; г 1. В дру-

гом опыте I был окислен до ~ 1%-ного содержания гидроперекисей, затем смесь восстановлена LiAlH<sub>4</sub> и с помощью ИК-спектров установлены относительные кол-ва образовавшихся спиртов: 1-этилциклогексанола (33,5%), 1-циклогексилэтанола (18,5%), 2-этилциклогексанола (19,5%), 3-этилциклогексанола (23,0%), 4-этилциклогексанола (5,5%). Отсюда относительная реакционная способность вторичных Н-атомов I равна: а 3,4; б 1,8; в 2,1; г 1, а средняя реакционная способность вторичных Н-атомов относится к реакционной способности третичного Н-атома, как 1:6. Вследствие тенденции гидроперекиси, образовавшейся у Н-атомов а, к расщеплению с образованием CH<sub>3</sub>CHO и радикала C<sub>6</sub>H<sub>11</sub>, активность атомов а должна быть выше найденной. Аналогично активность третичного Н-атома также должна быть выше вследствие тенденции соответствующей гидроперекиси к расщеплению с образованием II и радикала C<sub>2</sub>H<sub>5</sub>. В. Андреев

68727. Изотопы в органической химии. Вейганд (Isotope in der organischen Chemie. Weygand Friedrich), Naturwissenschaften, 1957, 44, № 6, 169—176 (нем.)

Обзорный доклад. Библ. 18 назв.

68728 К. Органическая химия. Изд. 2-е. Тьолле (La chimie organique. 2e éd. Tiollais René. Paris. Presses univ. France, 1956, 136 p., ill., 153 fr.) (франц.)

68729 К. Органическая химия. Изд. 3-е. Баха (Organic chemistry. 3rd ed. Bahl Bhim Sen. Chand, 1956, 12 Rs) (англ.)

68730 К. Учебник органической химии. Изд. 5-е. Смит (Lärobok i organisk kemi. 5. uppl. Smith Lennart. Stockholm, Svensk bokförl. (Bonnier), 1956, X, 350 s., ill., 18 kr.) (шведск.)

68731 К. Элементарный курс органической химии. Т. I. Изд. 4-е. Неницеску (Tratat elementar de chimie organică. Vol. 1. Ed. 4-a. Nenițescu Costin D. București, Ed. tehn., 1956, 756 p., il., 32,20 lei) (рум.)

68732 К. Активные промежуточные продукты в органической химии. Лефлер (The reactive intermediates of organic chemistry. Leffler John E. New York—London, Interscience, 1956, IX, 275 pp., ill. 45 sh.) (англ.)

68733 К. Искусство органической химии. Джонсон (The art of organic chemistry. Johnson Alan Woodworth. Nottingham, University, 1957, 20 pp., 1 sh. 6 d) (англ.)

68734 Д. Исследование кинетики и последовательности гидрирования связей в функциональных группах некоторых перекисных соединений. Никифорова Н. В. Автореф. дисс. канд. хим. н., Ин-т орган. химии АН СССР, М., 1957

68735 Д. К вопросу о передаче электронных влияний в ряду 2-арилзамещенных бензимидазола. Захарова Н. А. Автореф. дисс. канд. хим. н., Ленингр. технол. ин-т им. Ленсовета, Л., 1957

См. также: Строение органич. соед. 68149; 68153, 68154, 68180, 68206, 68217. Реакционная способность 68216. Механизмы и кинетика р-ций. см. раздел Кинетика и рефераты: 68154, 68157—68159; 23236Бх

## СИНТЕТИЧЕСКАЯ ОРГАНИЧЕСКАЯ ХИМИЯ

Редакторы М. А. Атабекова, Н. С. Вульфсон, Б. М. Дубинин, В. А. Загорский, Я. Ф. Комиссаров, Г. Я. Кондратьева, И. Ф. Луценко, Л. А. Хейфиц

68736. Успехи электросинтеза в органической химии. Изгарышев Н. А., Фиошин М. Я. (Progresele sintezei electrochimice in chimia organică. Izgar-

sev N. A., Fiosin M. I.), An. Rom.-Sov. Ser. chim., 1957, 12, № 1, 37—73 (рум.)

Перевод. См. РЖХим, 1958, 68240.

**68737. Промотирование органических реакций, протекающих с отщеплением воды.** Коллонич, Вита (A method of promoting water-forming organic reactions. Kollonitsch J., Vita J.), Nature, 1956, 178, № 4545, 1307 (англ.)

Рекомендуется прибавление легко гидролизующихся эфиров борной к-ты (I) при конденсациях, протекающих с отщеплением воды.  $C_6H_5COOR$  (II) в присутствии I образуются быстрее с высокими выходами. Из 0,1 моля  $C_6H_5COOH$ , 0,11 моля  $C_6H_5CH(OH)CH_3$ , 0,2 моля  $H_2SO_4$  и 0,11 моля  $[C_6H_5CH(CH_3)O]_2B$  (Ia) (нагревание 8 час.) образуется II с выходом 82%, без Ia р-ция не идет. Прибавление I облегчает также образование бензиловых эфиров аминокислот, а также ацеталей и кеталей (указано в-во, выход в присутствии I и без них):  $C_6H_5CH(OCN_3)$ , 60, 30;  $C_6H_5CH(OC_2H_5)_2$ , 60, 30; циклогексанондиметилкеталь, 65, 30; -диамилкеталь, 40, 0.

**68738. Гидриды и алкильные соединения алюминия как катализаторы, применяемые в органической химии.** Усон-Лакаль (Hidruros u alquillos de aluminio como catalizadores en quimica organica. Uson Laca l Rafael), Combustibles, 1956, 46, № 83, 24—32 (исп.)

Обзор. Библ. 16 назв.

**68739. Перекристаллизация органических соединений из систем детергент — вода.** Сугихара, Ньюман (Recrystallization of organic compounds from detergent — water systems. Sugihara J. M., Newman Stanley R.), J. Organ. Chem., 1956, 21, № 12, 1445—1447 (англ.)

Применение детергентов при перекристаллизации органич. в-в, имеющих растворимость от 0,03 до 2 г в 100 мл холодной воды, приводит к значительному увеличению растворимости в-ва в горячей воде, увеличению от 1,5 до 3,1 раз кол-ва в-ва, которое можно перекристаллизовать из одной порции воды, значительно повышению чистоты в-ва при однократной перекристаллизации и гипертрофированному росту кристаллов в направлении длинной оси за счет короткой. Кристаллизацию ведут медленно из профильтрованного насыщ. при кипении водн. р-ра в-ва, содержащего 0,05% детергента. Анионные детергенты алкиларилсульфонаты (I) и диоктилсульфосукцинат Na (II) не затрудняют кристаллизацию, а неионный — алкиларилполиэтиленгликолевый эфир (III) несколько затрудняет ее. Приведены в-ва, т. пл. в °C (при однократной перекристаллизации т. пл. в-в выше приведенных в литературе), детергент: ацетанилид, 116,2—117, II; *n*-трет-амилфенол, 93,2—94,3, I; бензиловая к-та, 152,8—153,6, I; *транс*-коричная к-та, 134,8—135,2, II; 2,4-дихлорфеноксиуксусная к-та, 142,9—144,9, I; *m*-динитробензол, 89,9—90,2, I; пентаацетат  $\alpha$ -D-глюкозы, 113,4—113,8, III; гиппуровая к-та, 190,7—191,2, I; *m*-нитробензальдегид, 58,0—58,2, I; фенилуксусная кислота, 77,8—78,2, I; октаацетат сахарозы, 86,3—87,4, I.

**68740. Окислительно-гидролитические превращения органических соединений.** Шемякин М. М., Щукина Л. А., Успехи химии, 1957, 26, № 5, 528—553

Обзор. Библ. 112 назв.

**68741. Окисление органических соединений оксидом серной кислотой.** Шваб, Неувирт (Oxydation organischer Verbindungen mit konzentrierter Schwefelsäure. Schwab Georg-Maria, Neuwirth Otto), Chem. Ber., 1957, 90, № 4, 567—578 (нем.)

Изучено окисление (в скобках приведены т-ры р-ций в °C) муравьиной (I) (72), уксусной (II) (306), про-

пионовой (III) (306), масляной (IV) (306), малоновой (V) (171 и 301), янтарной (VI) (301) к-т; амидов II, III, IV, V (300, 301, 308, 200 и 303), гликокола (VII) (309) и аланина (VIII) (309) с помощью конц.  $H_2SO_4$ :  $C_nH_{2n+1}COOH + 3nH_2SO_4 \rightarrow nCO_2 + CO + 3nSO_2 + (4n + 1)H_2O$ . Анализ газообразных продуктов р-ции показал, что р-ция протекает в случае I на 99,1, II 42,5, III 80,8, IV 79, V 19 и 52,1 (при 171 и 301°), VI 92,8, амидов II, III и IV 46,4, 81,5 и 79,9, амида V 24,9 и 62,8 (при 200 и 303°). VII 72,3, VIII 79,5%. Таким образом, лишь I окисляется полностью, неполное окисление остальных соединений объясняется наличием побочных р-ций конденсации и полимеризации. Побочные р-ции особенно характерны для окисления ароматич. соединений (приведены данные по окислению анилина, салициловой к-ты и нафталина). Небольшая глубина р-ции при окислении II, кроме того, объясняется образованием в процессе р-ции устойчивых метансульфокислоты и метандисульфокислоты. По той же причине не полностью окисляются V, VIII и другие соединения, при взаимодействии которых с конц.  $H_2SO_4$  образуется II в качестве промежуточного продукта р-ции. VII и VIII окисляются быстрее, чем II и III, причем VIII реагирует быстрее, чем VII. Окисление монокарбоновых к-т является р-цией 1-го порядка, скорость ее возрастает с числом C-атомов в молекуле, энергия активации во всех случаях одинакова.  $COOH$ -группа при действии  $H_2SO_4$  дает  $CO$ , а не  $CO_2$ . V и ее амид окисляются в две стадии: при 170° одна из  $COOH$ -групп расщепляется, давая II, которая на второй стадии (при более высоких т-рах) претерпевает дальнейшие превращения. VI окисляется в одну стадию. Рассмотрен механизм окисления конц.  $H_2SO_4$ : вначале к-та превращается по ур-нию:  $2H_2SO_4 \rightarrow H_2SO_4^+ + HSO_4^-$ ; катион может сульфировать

$(H_2SO_4^+ \rightarrow HSO_3^+ + H_2O)$  либо окислять  $(H_2SO_4^+ \xrightarrow{+H_2O} SO_2 + O)$  органич. соединения.

**68742. Ацетилирование кетеном некоторых твердых веществ, нерастворимых в органических растворителях.** Дашкевич Б. Н., Светкина Л. И., Научн. зап. Ужгородск. ун-т, 1955, 12, 9—12

Кетен (I) может быть использован как ацетирующий агент для твердых нерастворимых в неполярных р-рителях в-в при условии добавления небольшого кол-ва воды для инициирования р-ции. I пропускают в суспензию 10 г мочевины в 50 мл  $CCl_4$  и 0,5 мл воды, через 1 час образуется 95,9% моноацетилмочевины, т. пл. 216° (из сп.), которая при кипячении 6 час. с  $CH_3COBr$  и  $C_6H_6$  дает диацетилмочевину, т. пл. 152—153° (из бал.-петр. эф.). Так же из I и 10 г *d*-глюкозы в 50 г  $CHCl_3$  получена дианетилглюкоза, выход 91,7%, т. пл. 121,5° (из сп.).  $(NH_4)_2CO_3$  и I в толуоле дают ацетамид, выход 62,33%, т. пл. 81° (из бал. и этилацетата).

**68743. Сравнение N-бромацетамида и N-бромсукцинимидов как бромлирующих агентов.** Бакле, Джонсон, Прсбет (Comparison of N-bromacetamide and N-bromosuccinimide as brominating agents. Buckles Robert E., Johnson Robert C., Probst William J.), J. Organ. Chem., 1957, 22, № 1, 55—59 (англ.)

Изучена р-ция N-бромацетамида (A), N-бромсукцинимидов (C) и N-бромдианацетамида (D) с 2-метилгексеном-2 (I), циклогексеном (II), стролом (III), 1,3-дифенилпропаном (IV), изобутиленом (V), этиловым (VI) и метиловым эфирами коричной к-ты (VII), *транс*-стильбеном (VIII), толаном (IX), бензальацетофеноном (X) и фенилацетиленом (XI). Найдено, что A бромрует непредельные соединения главным образом по кратной связи, а C — преимущественно в ал-ильное положение. A всегда реагирует быстрее, чем

С, превосходя последний по реакционной способности, в особенности при взаимодействии с III и VI, не способными бромироваться в аллильное положение. Предложенный механизм бромирования: 1)  $>NBr + h\nu \rightarrow \leftarrow N \cdot + Br \cdot$ ; 2)  $>C=CR'CH_2R'' + Br \cdot \rightleftharpoons CBrCR'CH_2R''$ ; 3)  $>C=CR'CH_2R'' + >N \cdot \rightarrow >C=CR'CHN \cdot + >NH$ ; 4)  $R \cdot + >NBr \rightarrow RBr + >N \cdot$ . Различие в поведении А и С объясняется разницей в относительных скоростях р-ций (2) — (4). Д так реакционноспособен, что его не удается приготовить в чистом виде. Он бромует олефины только по кратной связи, причем не исключено, что в р-ции участвует  $Br_2$ , выделяющийся в результате распада Д. На примере р-ции А с III найдено, что если р-ция протекает быстро, радикал  $CH_3CONH \cdot$  почти нацело дает  $CH_3CONH_2$  (XII); предполагается, что источником водорода для этого процесса может быть III или его дибромид (XIII), однако не удается найти продукты дегидрирования III или XIII. Для получения Д прибавляют  $C_6H_5MgBr$  к диацетимиду (XIV) в эфире и затем бромнруют образующийся диацетимидмагнийбромид. Для р-ций бромирования используют р-р Д в  $CHCl_3$  или  $CCl_4$ . При пропускании HCl в р-р 0,067 моля XII в 50 мл безвод.  $CHCl_3$  образуется хлоргидрат XIV, выход 96%, т. пл.  $130-131^\circ$  (из  $CH_3CN$ ). 0,48 моля X в 400 мл спирта гидрируют над хромитом меди ( $140^\circ$ , 109,5 ат) в 1,3-дифенилпропанол-1, выход 81%, т. кип.  $150-152^\circ/2$  мм,  $n_D^{20}$  1,5734,  $d_4^{20}$  1,0594. При перегонке его (0,5 моля) в присутствии 45 мл 85%-ной  $H_3PO_4$  образуется IV, выход 85%, т. кип.  $144-145^\circ/5$  мм. Для бромирования (при кипячении) I — XI берут на 0,1 моля бромирующего агента 50—150 мл р-рителя. Ниже перечисляются исходное неперделное соединение (а), бромирующий агент (б), молярное отношение б:а, р-ритель, продукты р-ции, их выход в %, т. кип. в  $^\circ C/mm$ ,  $n_D^{20}$ ,  $d_4^{20}$ , испр. т. пл. в  $^\circ C$ : I, С, 0,5,  $CCl_4$ , 4-бром-2-метилгексен-2, 27, 43—44/5, 1,4785, 1,1679, дибром-2-метилгексен-2, 14, 90—92,5/5, 1,5333, 1,5269; I, А, 1,25,  $CCl_4$ , 2,3-дибром-2-метилгексан (XV), 50, 73—74/8, 1,4963, 1,5063; I, Д, 0,67,  $CCl_4$ , XV, 29; II, С, 0,2,  $CCl_4$ , 3-бромциклогексен (XVI), 58, 73—76/16, 1,5300, 1,393; II, А, 2,  $CCl_4$ , 1,2-дибромциклогексан (XVII), 47, 99—102/13, 1,5530, 1,780; II, А, 0,25,  $CCl_4$ , XVI, 36; II, Д, 2,  $CHCl_3$ , XVII, 33; III, А, 2,  $CCl_4$ , XIII, 34, 108—110/4, —, 71—72; III, С, 1,  $CHCl_3$ , XIII, 26; III, А, 2,  $CHCl_3$ , XIII, 52; III, Д, 2,  $CHCl_3$ , XIII, 24; IV, А', 2,  $CCl_4$ , 1,2-дибром-1,3-дифенилпропан (XVIII), 23, —, —, 106—108; IV, Д, 2,  $CHCl_3$ , XVIII, 10; V, А, —,  $CHCl_3$ , 1,2-дибром-2-метилпропан, 42, 37—38/9, 1,4800, 1,545; VI, А, 2,  $CHCl_3$ , этиловый эфир 1,2-дибромгидрокориной к-ты (XIX-к-та), 39, —, —, 73—74; VII, А, 2,  $CHCl_3$ , метиловый эфир XIX, 30, —, —, 115—116; VIII, А, 2,  $CHCl_3$ , мезо- $\alpha,\alpha'$ -дибромдигибрил, 42, —, —, 243—244; IX, А, 2,  $CCl_4$ , транс- $\alpha,\alpha'$ -дибромтильбен, 32, —, —, 208—209, XIV, 70; X, А, 2,  $CHCl_3$ , 2,3-дибром-3-фенилпропиофенон, 57, —, —, 158—159; XI, А, 2,  $CHCl_3$ ,  $\alpha,\beta$ -дибромстирол, 37, 101—104/4.

68744. Два новых варианта пропаргильной перегруппировки. Годмар (Sur deux nouveaux exemples de transposition propargylique. Gaudemar Marcel), С. г. Acad. sci., 1956, 243, № 17, 1216—1217 (франц.) Показано, что при взаимодействии  $CN \equiv CCH_2MgBr$  (I) с  $(C_4H_9O)_2SO_2$  образуется 50%-ная смесь  $C_4H_9CH \equiv C=CH_2$  (II) и  $C_4H_9CH_2C \equiv CH$  (III), трудно отделяемая от примеси  $C_4H_9Br$ , получающейся, по-видимому, за счет дальнейших превращений полученного  $C_4H_9OSO_2OMgBr$ . I не реагирует с  $RBr$  (R — аллил или пропаргил). Строение II и III подтверждено ИК-спектром. При действии  $CH_3OCH_2Cl$  на  $BrAl_3CH \equiv C=CH_2$  (20%) (см. РЖХим, 1955, 40019) получена 50%-ная смесь  $CH_3OCH_2CH \equiv C=CH_2$  (IV) и  $CH_3OCH_2CH_2C \equiv CH$  (V) с

хорошими выходами. Строение IV и V подтверждено ИК-спектром.

68745. Очистка, чистота и температуры замерзания двадцати углеводородов стандартной и исследовательской серии Американского нефтяного института. Стрейфф, Шульц, Хьюм, Таккер, Краускоп, Россия (Purification, purity, and freezing points of 20 API standard and API Research hydrocarbons. Streiff Anton J., Schultz Lawrence H., Hulme Aura R., Tucker James A., Krouskop Ned C., Rossini Frederick D.), Analyt. Chem., 1957, 29, № 3, 361—364 (англ.)

Проведена перегонка на колонках 135—200 теоретических тарелок двадцати углеводородов весьма высокой степени чистоты (большинство более 99,5%) и по ходу кризых т-ры замерзания определена чистота стандартной (А) и исследовательской (Б) серий в-в, отобранных при этих перегонках. Большинство углеводородов перегнано в виде азеотропов с  $CH_3OH$ ,  $C_2H_5OH$ , метилцеллозольном или дипропиленгликолем. Исследованы 2,2-диметил-3-этилпентан; 2,4-диметил-3-этилпентан; циклогептан; 3-метилгексен-1; транс-4-метилгексен-2; 2,4-диметилпентен-1; 3,3-диметилпентен-1; цис-3,4-диметилпентен-2; транс-3,4-диметилпентен-2; транс-2-метилгептан-3; транс-2,5-диметилгексен-3; 2-метил-3-этилпентен-1; 3-метилбутадие-1,2; 1-метилциклопентен; 1-метилциклогексен; 1-этилциклогексен; циклогексилциклогексан; циклогексилбензол; 3-циклопентилпропен-1; дифенил. Приводятся следующие данные: кол-во углеводорода в азеотропе в об. %, т. пл.  $^\circ A$ , т. пл.  $^\circ B$ , рассчитанное кол-во загрязнений в мол. % в А и Б, расчетная т-ра плавления в-ва со 100%-ной чистотой, криоскопич. константа. И. Котляревский

68746. К синтезу 7,8-диметилтетрадекана. Усов Ю. Н., Скворцова Е. В., Ж. общ. химии, 1957, 27, № 3, 596—599

Изучался синтез 7,8-диметилтетрадекана (I) по р-ции Вюрца и 2-бромоктана (II) в среде о-ксилола, изоктана, бензина, дибутилового и диэтилового эфиров при т-ре их кипения (3—5 час.). Выход I соответственно 15, 0, 0, 30 и 19%, т. кип.  $270^\circ/760$  мм,  $148^\circ/20$  мм, т. заст.  $-86^\circ$ ,  $n_D^{20}$  1,4382,  $d_4^{20}$  0,7835. На 1 г II брали 0,36 г Na и на 1 объем II 0,75 объема р-рителя.

К. Пузичкий

68747. Электрохимический синтез 1,10-дибромдекана. Коршинг (Elektrochemische Synthese von 1,10-Dibromdecan. Korsching H.), Naturwissenschaften, 1957, 44, № 4, 89 (нем.)

Синтез Кольбе для  $\omega$ -бромкислот с длинной цепью протекает иначе, чем для  $BrCH_2COOH$  и  $Br(CH_2)_2COOH$ . При электролизе  $Br(CH_2)_3COOH$  и  $Br(CH_2)_4COOH$  выделяется  $Br_2$ , а дибромид не осаждается. Электролизом 30 г  $Br(CH_2)_5COOH$  в спирт-води. р-ре ( $75$  мл/см $^2$ ) получено 1,8 г  $Br(CH_2)_6Br$ , т. пл.  $27,3-27,9^\circ$  (из  $CH_3OH$ ).

Г. Крушина

68748. Синтез разветвленных ацетиленовых углеводородов. Получение 2,6,6-триметил-3,3-диизопропилгептина-4. Захарова А. И., Мурашов Г. М., Ж. общ. химии, 1956, 26, № 12, 3328—3331

Конденсацией трет-бутилацетилена (I) с диизопропилкетонем (II) в присутствии KOH получен диизопропил-трет-бутилацетиленкарбинол (III), при действии на него HCl получен 2,6,6-триметил-3-изопропил-3-хлоргептин-4 (IV). При р-ции IV с магниевым хлоридом синтезирован 2,6,6-триметил-3,3-диизопропилгептин-4 (V). Во всех стадиях синтеза в качестве побочного продукта получали 2,6,6-триметил-3-изопропилгептен-2-ин-4 (VI). К смеси 150 г KOH и 200 мл абс. эфира при  $0^\circ$  за 6 час. прибавляли 0,5 моля I и 0,5 моля II в 50 мл эфира. Через 14 час. смесь разлагали водой. Получены неочищ. VI (10 г) и III. Выход III 75%, т. кип.  $75,5^\circ/5$  мм,  $n_D^{20}$  1,44142,  $n_D^{20C}$  1,43900,  $n_D^{20F}$



1,44743,  $d_4^{20}$  0,8506,  $d_4^{20}$  0,8334, 0,27 моля III (порциями по 5 г) насыщали HCl (газом) при охлаждении. Получены сырой VI (20 г) и IV. Выход IV 45%, т. кип. 75,5°/6 мм,  $n_D^{20}$  1,47057,  $d_4^{20}$  0,9100, 0,8943. 6 г Mg и 20 г  $(CH_3)_2CHCl$  растворяли в 125 мл эфира. К р-ру за 2 часа добавляли 25 г IV в 50 мл эфира. Через 12 час. смесь нагревали 2 часа (40°) и разлагали HCl (к-той). Синтезирован V, выход 20%, т. кип. 55°/6 мм,  $n_D^{20}$  1,45807,  $n_D^{20}$  1,45513,  $n_D^{20}$  1,46514,  $d_4^{20}$  0,8374,  $d_4^{20}$  0,8208. Из неочищ. VI выделен VI, т. кип. 58,5°/7 мм,  $n_D^{20}$  1,45183,  $n_D^{20}$  1,44887,  $n_D^{20}$  1,46066,  $d_4^{20}$  0,7930,  $d_4^{20}$  0,7778.

К. Пузницкий

68749. Синтезы в ряду аллилацетиленов. Бертран (Synthèses dans la série de l'allylacétylène. Bertran (and Marcel), C. r. Acad. sci., 1957, 244, № 5, 619—620 (франц.))

Взаимодействием прокарбилмагнийбромида (I) в эфир. р-ре при охлаждении с 1,2-дибром-1-этоксипропаном, 1,2-дибром-1-этоксипропаном и 1,2-дибром-1-этоксипропаном и гидролизом образовавшихся магнийорганич. соединений получают новые в-ва: 1-бром-2-этоксипентин-4 (I), выход 75%, т. кип. 69—70,5°/12 мм,  $n_D^{20}$  1,4740,  $d_4^{20}$  1,2846, 2-бром-3-этоксигексин-5 (II), выход 70%, т. кип. 69—70°/8 мм,  $n_D^{20}$  1,4725,  $d_4^{20}$  1,234, и 5-бром-4-этоксигептин-1 (III), выход 72%, т. кип. 59—60°/2 мм,  $n_D^{20}$  1,4717,  $d_4^{20}$  1,192. Эти продукты трудно реагируют с Zn в  $C_2H_5OH$ , но легко в  $n-C_4H_9OH$ , превращаясь: I — в аллилацетилен, выход 78%, т. кип. 41,5—42,5°,  $n_D^{20}$  1,4152,  $d_4^{20}$  0,7246, II — в 4-гексенин-1, выход 71%, т. кип. 75—76°,  $n_D^{20}$  1,429,  $d_4^{20}$  0,7558, III — в 4-гептенин-1, выход 66%, т. кип. 102°,  $n_D^{20}$  1,4375,  $d_4^{20}$  0,7635.

Б. Мерков

68750. Исследования в области сопряженных систем LXXII. Гидрирование алкенилацетиленов. Балья Х. В., Петров А. А., Порфирьева Ю. И., Ж. общ. химии, 1957, 27, № 2, 365—370

В развитие предыдущих исследований (см. сообщение LXXI, РЖХим, 1957, 63583) изучено гидрирование в  $C_2H_5OH$ , в присутствии коллоидального Pd)  $HC \equiv CCH=CHCH_3$  (I),  $HC \equiv CCH_2CH=CH_2$  (II) и  $HC \equiv CCH=CHCH_2CH_3$  (III). Эти углеводороды гидрируются более избирательно, чем винилалкилацетилены, и образуют большее кол-во диенов; избирательность выше у углеводородов нормального строения. Продукты гидрирования обрабатывали избытком  $Br_2$  в  $CHCl_3$ . Образуются продукты гидрирования (перечислены исходный углеводород, выход диолефинов в %, выход олефинов в %): I, 90, 40; II, 80, 20; III, 90, 10. Е. К.

68751. Селективное и стереоспецифическое *цис*-восстановление ацетиленов с медно-цинковым катализатором. Кларк, Кромби (Selective and stereospecific cis reduction of acetylenes with copperzinc couple. Clarke A. J., Crombie L.), Chemistry and Industry, 1957, № 5, 143 (англ.)

С целью получения *цис*-олефинов из *мечо*-ацетиленов исследовано частичное гидрирование их в кипящем спирте с Cu-Zn-катализатором. В этих условиях нагревание (7 дней) стеароловой к-ты дает олеиновую и < 3% стеариновой к-ты. Cu-Zn-катализатор способствует стереоспецифич. *цис*-присоединению  $H_2$  и восстановление  $C_2H_2$  в этилен происходит значительно быстрее, чем в этан. Получены *цис*-олефины (перечислены исходное в-во, время нагревания; полученное в-во, т-ра плавления в °C):  $CH_3C \equiv CCH_2OH$ , 20 час., *цис*- $CH_3CH=CHCH_2OH$ , —, (3,5-динитробензоат, т. пл. 52—53°);  $ONHCH_2C \equiv CCH_2OH$ , 30 мин., *цис*- $CH_2OHCH=CHCH_2OH$ , 8—10 (дипензоат, т. пл. 67—68°);  $COONHCH_2C \equiv CCH_2COOH$ , —, *цис*- $COONHCH_2CH=CHCH_2COOH$ , 133—134°;  $HOCH_2CH_2C \equiv CCH_2CH_2OH$ , 6 дней, *цис*- $HOCH_2CH_2CH=CHCH_2CH_2OH$ , — (3,5-динитробензоат, т. пл. 49°;  $\sigma$ -нафтилуретан, т. пл. 69—70°). При анало-

гичном восстановлении  $CH_3COOC \equiv CCOOCH_3$  (25 мин.) выделено 10% исходного в-ва и диметилвые эфиры к-т: малеиновой 34%, фумаровой 19% и янтарной 37%.

Г. Крупная

68752. Новый метод синтеза высших третичных спиртов. Псагуляц В. И., Тишкова В. И. В сб.: Хим. переработка нефти. углеводородов. М., АН СССР, 1956, 324—328

Предложен новый метод синтеза высших третичных спиртов гидролизом продуктов гидрохлорирования третичных олефинов, полимеров изобутилена (I) и пропилена (II). Гидрохлорирование олефинов проводят на холоду действием конц. HCl при перемешивании или насыщением HCl-газом. Гидролиз алкилхлоридов проводят в нейтр. среде, постепенно добавляя PhO или 15%-ный р-р  $Na_2CO_3$ . Широкую фракцию димера I (Ia) обрабатывают дважды конц. HCl 13 час., отношение Ia : HCl = 1 : 3, скорость перемешивания 900 об/мин, выход трет- $C_8H_{17}Cl$  (III) ~ 80%. Полученный III гидролизуют 15%-ным р-ром  $Na_2CO_3$  (70—75°, 6—7 час.), сливают  $\frac{1}{2}$  водн. слоя гидролизата, а к остатку добавляют NaOH до образования 10%-ного водн. р-ра его и 0,5% олеинового Na, нагревают (75°, 6—8 час.) при перемешивании и перегоняют с паром (2—3 часа). Выход трет- $C_8H_{17}OH$  70—90%, т. кип. 146—148°, т. заст. < -36°,  $n_D^{20}$  1,4370,  $d_4^{20}$  0,8330. Подобным образом из фракции полимер-дистиллата I с т. кип. 130—210° получают смесь алкилхлоридов (выход 75—85%), 100 мл которой гидролизуют 400 мл воды и 150 мл 15%-ного р-ра  $Na_2CO_3$  (добавляется по 2—40 мл за 6—8 час., pH среды 3—5); после обычной обработки выделяют смесь третичных спиртов, выход 56—60%. Из узкой фракции димера II с т. кип. 63,7—64,5°, содержащей в основном 2-метилпентен-2, получают 2-метилпентанол-2, т. кип. 120,5—121,5°,  $n_D^{20}$  1,4150,  $d_4^{20}$  0,8183; уретан, т. пл. 42°; 3,5-динитробензоат, т. пл. 56°; ацетат, т. кип. 142,5—142,7°/752 мм,  $n_D^{20}$  1,4069,  $d_4^{20}$  0,8757.

О. Нефёдов

68753. Исследования каталитического гидрирования симметричных сопряженных диациетиленов  $\alpha$ -гликолей. Одьё, Дюпон, Дюлу (Recherches sur l'hydrogénation catalytique des  $\alpha$ -glycols diacétyléniques conjugués symétriques. Audier Léon, Dupont Georges, Dulou Raymond), Bull. Soc. chim. France, 1957, № 2, 248—251 (франц.)

На скелетном Ni-катализаторе 2,7-диметиллоктадиен-3,5-диол-2,7 (I) гидрируют (4 моля  $H_2$ ) с образованием 2,7-диметилгександиола-2,7, выход 92%, т. пл. 89—90° (из б-л.). На Pd/CaCO<sub>3</sub>, отравленном Ph(CH<sub>3</sub>COO) (см. Lindlar, Helv. chim. acta, 1952, 35, 446), I гидрируют селективно (2 моля  $H_2$ ), получают два изомера 2,7-диметиллоктадиен-3,5-диола-2,7 (II); *транс-транс*-II, выход 18%, т. пл. 139—140° (из воды), и *цис-цис*-II, выход 70%, т. кип. 81—84°/0,2 мм, 123—125°/12 мм,  $n_D^{20}$  1,480. При дальнейшем гидрировании I на том же катализаторе (3 моля  $H_2$ ) получают два изомера 2,7-диметиллоктен-4-диола-2,7 (III); *транс*, выход 15%, т. пл. 85—86°; гидрат, т. пл. 56—57° (из воды) и *цис*, выход 70%, т. пл. 45°. Озонированием III получают  $\beta$ -оксигидроксиановый альдегид, который с 2,4-динитрофенилгидразином образует 1-(2',4'-динитрофенил)-5,5-диметилпиразолин, т. пл. 178—179° (из сл.). Приведены ИК-спектры *цис-цис*-II и *транс*- и *цис*-III, УФ-спектры *транс-транс*- и *цис-цис*-II и спектр. комб. расс. *транс*-III.

И. Котляревский

68754. Взаимодействие диэтилового эфира пробковой кислоты с хлористым аллилом и магнием. Куришко А. М., Выхованец В. В., Науч. зап. Ужгородск. ун-та, 1955, 12, 39—41

Диэтиловый эфир пробковой к-ты (I) с хлористым аллилом (II) и Mg образует 4,11-диаллилтетрадекадиен-1,13-диол-4,11 (III). К 116,6 г Mg, активизирован-

ного нагреванием с  $J_2$ , добавляют за 10 час. 0,9 моля I и 4,4 моля II в эфире (1:1), через 12 час. кипятят 2,5 часа, разлагают водой и  $H_2SO_4$ , получают 35% III, т. кип. 214—216°/10 мм. А. Занина

**68755. О некоторых бромпроизводных карбинолов, обладающих успокаивающим и снотворным действием. Ди-Пако, Тауро** (Su alcuni bromoderivati di carbinoli ad attività sedativa-ipnotica. Di Paco Gianfranco, Tauro Ceslesio Sonnino), Ann. chimica, 1957, 47, № 2, 118—123 (итал.).

С целью испытания фармакологич. действия получены 4-бром-2-метилбутин-3-ол-2 (I), 3,4-дибром-2-метилбутин-3-ол-2 (II), 1-бром-3-метилпентин-1-ол-3 (III), 1,2-дибром-3-метилпентин-1-ол-3 (IV), 1-бромэтилциклогексанол-1 (V) и 1-(1,2-дибромвинил)-циклогексанол-1 (VI). Введение одного или двух атомов Br в молекулу 2-метилбутин-3-ола-2 (VII) или 3-метилпентин-1-ола-3 повышает наркотич. и токсич. действие карбинолов, причем в случае I и II терапевтич. индекс улучшается, а в случае III и IV — ухудшается. Введение Br в 1-этилциклогексанол-1 резко ухудшает терапевтич. индекс. I, III и V получены бромированием соответствующих карбинолов по ранее описанному методу (Strauss F. и др., Chem. Ber., 1930, 63, 1868). В р-р 100 г  $Br_2$  в 870 мл воды и 250 г NaOH при 0° вводят 42 г VII, через 45 мин. извлекают  $CHCl_3$  77,5 г I, т. кип. 92—93°/22 мм,  $d_4^{20}$  1,4557; аналогично получены III, выход 96%, т. кип. 78—80°/20 мм,  $d_4^{20}$  1,385, и V, выход 96%, т. пл. 57°. К р-ру 42 г VII в 80 мл  $CHCl_3$  добавляют по каплям (т-ра > 20°). 80 г  $Br_2$  в 160 мл  $CHCl_3$  через 1 час выделяют III, выход 91%, т. кип. 117—119°/30 мм,  $d_4^{20}$  1,9443; аналогично получены IV, выход 92%, т. кип. 107—109°/19 мм,  $d_4^{20}$  1,7265, и VI, выход 95%, т. пл. 73—75° (из петр. эф.). Л. Яновская

**68756. 1,1,3,3-тетраалкоксипропанов. Протопопова Т. В., Сколдинов А. П., Ж. общ. химии, 1957, 27, № 1, 57—62**

Взаимодействием  $HC(OR)_3$  (I) с  $CH_2=CHOR'$  (II) в присутствии катализатора  $(C_2H_5)_2O \cdot BF_3$  синтезируют ряд 1,1,3,3-тетраалкоксипропанов  $(RO)_2CHCH_2CH(OR')(OR'')$  (IV), которые в присутствии III реагируют с II с образованием 1,1,3,5,5-пентаалкоксипентанов общей ф-лы  $(RO)_2CHCH_2CH(OR')CH_2CH(OR'')(OR''')$  (V). В качестве катализаторов р-ции могут быть использованы  $SnCl_4$ ,  $FeCl_3$ ,  $(C_2H_5)_2O \cdot AlCl_3$ . В противоположность р-ции II с ацетатами выход IV почти не зависит от избытка I, что объясняется значительно большей легкостью ионизации под действием III ортоэфирной функции, нежели ацетальной. При р-ции I ( $R=CH_3$  (Iб)) с II ( $R'=C_2H_5$  (IIа)) при мол. отношении (МО) 1:1 получен IV ( $R=CH_3$ ,  $R'=C_2H_5$  (IVа)) и 10% IV ( $R=CH_3$  (IVб)) за счет обмена алкоксигрупп между Ia и IVа в присутствии III. В случае синтеза V необходим избыток IV. Исходные II получают переалкилированием II ( $R'=C_4H_9$ ) в присутствии ацетата Hg (см. РЖХим, 1956, 33563). К смеси 0,5 моля I ( $R=C_2H_5$  (Iб)) и 0,35 мл III (33°) прибавляют по каплям 0,25 моля IIа (не > 45°, 15 мин.), через 1 час прибавляют 2,5 г безводн.  $Na_2CO_3$  и через 3 часа (~20°) осадок отфильтровывают, фильтрат фракционируют, получают 31,3 г Iб и 80% IV ( $R=R'=C_2H_5$ ; IVв), т. кип. 87—88°/6 мм,  $n_D^{20}$  1,4105,  $d_4^{20}$  0,9190. Р-цией с применением 0,5 г  $AlCl_3$  в 12 мл эфира, 0,5 г  $SnCl_4$  или 0,25 г  $FeCl_3$  получают выходы IVв соответственно 70, 80 и 72%. К смеси 31,8 г Ia и 0,15 мл III (30°) приливают 21,6 г IIа (35—38°, 8 мин.), добавляют 2 г безводн.  $Na_2CO_3$  и через 3 часа (~20°) фракционируют фильтрат, выделяют 4,5 г неочищ. IVб и 47% IVа, т. кип. 74,5—75°/12 мм,  $n_D^{20}$  1,4077,  $d_4^{20}$  0,9675. При МО Iб:IIа = 4:1 выделяют лишь IVб, выход 55%. Аналогично из смеси 22,2 г Iб, 33 г IVв и 0,25 мл III и 10,8 г IIа (45—50°) выделяют IVв, выход 56%, и V ( $R=R'=C_2H_5$ ), выход 6,4%. Приготов-

лены IV (приведены R, R', выход в %, т. кип. в °C/мм,  $n_D^{20}$ ,  $d_4^{20}$ ):  $CH_3$ ,  $CH_3$ , 60, 66/12, 1,4067, 0,9920,  $iso-C_3H_7$ ,  $iso-C_3H_7$ , 53, 107,5/5, 1,4140, 0,8851;  $C_4H_9$ ,  $C_2H_5$ , 80, 138—139/2, 1,4290, 0,8860; и V ( $R=R'$ ):  $CH_3$ , 24,79—80/3, 1,4238, 1,0080;  $C_2H_5$ , 34, 111—112/2, 1,4212, 0,9316;  $iso-C_3H_7$ , 24, 118—120/2, 1,4238, 0,9030;  $C_4H_9$ , 23, 189—190/3, 1,4386, 0,9020. О. Нефедов

**68757. Получение гексаалкоксистанов. Баганц, Крюгер, Бейер** (Darstellung von Hexaalkoxyäthanen. Baganz H., Krüger K. E., Beier G.), Angew. Chem., 1957, 69, № 5, 178 (нем.).

$Cl_2C(OR)C(OR)Cl_2$  (I) ( $R$  — алкил) получены с выходом 70—80% присоединением  $Cl_2$  к  $Cl(OR)C=CH(OR)Cl$ . Р-цией I с  $C_2H_5ONa$  в безводн. спирте (145°, 50—85 атм, 6—7 час.) синтезированы ортоэфиры палеоловой к-ты  $(RO)_2CC(OR)_2$  (II) (приведены R, выход I в %, т. кип. в °C/мм, выход II в %, т. кип. в °C/мм):  $C_2H_5$ , 74, 100,5/12 (т. пл. 64,5°), 76, 63/0,1;  $C_4H_9$ , 80, 108—110/0,1, 62, 151—152/0,01. Т. Крупина

**68758. Синтез новых представителей гамма-хлорэфиров. Пишнямазаде Б. Ф., Гулиева Ш. Д., Мэрузаалер АзербССР элмлер Акад., Докл. АН АзербССР, 1957, 13, № 3, 271—275 (рез. азерб.).**

Взаимодействием  $n$ -пропилового,  $n$ -гексильного,  $n$ -тепильного и  $n$ -нонильного спиртов с  $CH_2O$  и HCl получены  $ROCH_2Cl$  (I); подвижность Cl в них с увеличением мол. веса уменьшается. Перечисляются R, выход в %, т. кип. в °C/мм,  $n_D^{20}$ ,  $d_4^{20}$ :  $n-C_3H_7$ , 92,3, 108—110/760, 1,4115, 0,9853;  $n-C_6H_{13}$ , 94,01, 180—182/760, 1,4285, 0,9363;  $n-C_7H_{15}$ , 94,83, 95/30, 1,4340, 0,9452;  $n-C_8H_{17}$ , 75,75, 92—95/5, 1,4385, 0,9186. Алкилированием I пропаном, бутеном-1 и изобутеном синтезированы  $\gamma$ -хлоралкилалкиловые эфиры (РЖХим, 1957, 11639). Указаны соединения, выход в %, т. кип. в °C/мм,  $n_D^{20}$ ,  $d_4^{20}$ :  $n-C_3H_7OCH_2CH_2CHClCH_3$ , 53,17, 45—47/4, 1,4170, 0,9155;  $n-C_4H_9OCH_2CH_2CHClCH_3$ , 45,63, 92—95/8, 1,4290, 0,8979;  $n-C_7H_{15}OCH_2CH_2CHClCH_3$ , 43,58, 97—98/2, 1,4350, 0,9011;  $n-C_8H_{17}OCH_2CH_2CHClCH_3$ , 35,13, 123—125/2, 1,4415, 0,8972;  $n-C_3H_7OCH_2CH_2CHClC_2H_5$ , 41,69, 56—59/7, 1,4210, 0,9074;  $n-C_4H_9OCH_2CH_2CHClC_2H_5$ , 42,73, 96—98/4, 1,4315, 0,8926;  $n-C_7H_{15}OCH_2CH_2CHClC_2H_5$ , 47,19, 110—111,5/2, 1,4375, 0,9002;  $n-C_8H_{17}OCH_2CH_2CHClC_2H_5$ , 40,91, 135—138/3,5, 1,4450, 0,8945;  $n-C_7H_{15}OCH_2CH_2CHClC(CH_3)_2$ , 16,97, 115—116/4, 1,4404, 0,8982. К. Пузичкий

**68759. Метил- и этилтрихлорметилловый эфиры. Дугласс, Уорнер** (Methyl and ethyl trichloromethyl ethers. Douglass Irwin B., Warner Glenn H.), J. Amer. Chem. Soc., 1956, 78, № 23, 6070—6071 (англ.).

Действием  $Cl_2$  на бис-(метокситиокарбонил)-дисульфид (I) получен метатрихлорметилловый эфир (II), который с водой, спиртами дает производные угольной к-ты. Аналогично получен менее реакционноспособный  $C_2H_5OCCl_2$  (III). I получают, прибавляя за 1 час при 0° 240 мл  $CS_2$  к смеси 160 г NaOH, 600 мл воды и 800 мл  $CH_3OH$ , затем 0,1 КJ и пропуская  $Cl_2$  до появления окраски J. 212 г I при 0—10° поглощают за 58 час. 420 г  $Cl_2$ , фракцию 48—51°/100 мм перегоняют с циклогексаном, получают II, выход 30%, т. кип. 109,5—110°,  $n_D^{20}$  1,4520,  $d_4^{20}$  1,4349. Смесь 8 г II и 0,94 г воды медленно перегоняют, получают 65%  $CH_3OCOC(II)$ ;  $n$ -нитрофенилметилкарбонат, т. пл. 109—111°. К р-ру 14,3 г  $C_2H_5OH$  и 8 г NaOH в 200 мл воды прибавляют 7,5 г II, эфиром извлекают 64,5% метилфенилкарбоната, т. кип. 212—215°,  $n_D^{20}$  1,4975,  $d_4^{20}$  1,5214. При стоянии несколько дней 16 г  $CH_3SH$  и 15 г II получают 40%  $(CH_3S)_2CO$ , т. кип. 67—69°/20 мм,  $n_D^{25}$  1,5487,  $d_4^{25}$  1,1838. 15 г II кипятят 1 час с 200 мл абс.  $CH_3OH$  и выливают в воду, эфиром извлекают  $(CH_3O)_2CO$ , выход 44%, т. кип. 90—93°,  $n_D^{20}$  1,3680,  $d_4^{20}$  1,0687; выделено также 5 мл  $CH_3Cl$ . Из 15 г II и 19 г абс. спирта получают 28,25%  $(C_2H_5O)_2CO$ , т. кип. 119—122°,  $n_D^{20}$  1,3839,

$d_4^{20}$  0,9746, и 2 мл  $\text{CH}_3\text{Cl}$ . При кипячении 12,2 г  $\text{C}_6\text{H}_5\text{COOH}$  и 15 г II получают 46%  $\text{C}_6\text{H}_5\text{COCl}$  и 37,6% IV. Дифенилмочевина, т. пл. 239° (из сл.) получена при сливании бензольных р-ров II,  $\text{C}_6\text{H}_5\text{NH}_2$  и пиридина. Аналогично II из бис-(этокситиокарбонил)-дисульфида получен III, выход 25%, т. кип. 122—125°,  $n_D^{20}$  1,4457,  $d_4^{20}$  1,2696. Смесь 16,5 г III и 42,8 г  $\text{C}_6\text{H}_5\text{NHCH}_3$  нагревают 1 час, получают  $\text{N,N}'$ -диметилкарбанилид, выход 85%, т. пл. 121—123° (из водн. сл.).

Т. Ермолова

68760. Виниловые эфиры. Сен, Рой-Чаудхури, Бхаттачария (Vinyl ethers. Sen S. N., Roy Chaudhuri D. K., Bhattacharyya S. K.), Sci. and Culture, 1957, 22, № 7, 369—372 (англ.) Обзор. Библ. 11 назв.

68761. Каталитический синтез простых виниловых эфиров. Козлов Н. С., Чумаков С. Я., Ж. прикл. химии, 1957, 30, № 2, 318—321

Под влиянием ацетата Zn или ацетиленида Cu (I) спирты присоединяются к сжатому  $\text{C}_2\text{H}_2$  с образованием виниловых эфиров (II). Выход II повышается с увеличением давления  $\text{C}_2\text{H}_2$  и при 12—13 ат достигает 63,8—67,7% (на вошедший в р-цию сл.). Оптимальная т-ра 200—220°, катализатор за 20 час. не снижает активности. I готовят пропуская  $\text{C}_2\text{H}_2$  через пемазу, пропитанную аммиачной  $\text{Cu}_2\text{O}$  и просушкой в токе  $\text{C}_2\text{H}_2$ , он содержит 1—2%  $\text{CuC}\equiv\text{CH}$ . Получены II (приведены эф., т. кип. в °C,  $n_D^{20}$ ,  $d_4^{20}$ ): винил-*n*-бутиловый, 92—94, 1,4084, 0,7785; винилизобутиловый, 82—83, 1,3984, 0,7660; винилизоамиловый, 110—116, 1,4106, 0,7881.

И. Котляревский

68762. Получение алкиналей по реакции Соммле. Шульте, Гёс (Alkinalen durch Sommelet-Reaktion. Schulte K.-E., Goes M.), Arch. Pharmazie, 1957, 290/62, № 4, 157—160 (нем.)

Алифатические альдегиды, содержащие  $\text{C}\equiv\text{C}$ -связь, синтезированы по р-ции Соммле расщеплением галогенидов алкилгексаметилентетрамина  $(\text{CH}_2)_6\text{N}_4\cdot\text{RX}$  (X — галогид, R — алкинил) (I) нагреванием в 50%-ной  $\text{CH}_3\text{COOH}$ . При попытке получения  $\text{HC}\equiv\text{CCHO}$  из I (X = Br, R =  $\text{HC}\equiv\text{C}$ ), а также октин-3-аль-1 из I (X = J, R = октин-3-ил-1) удалось выделить только полимерные продукты осмоления и  $\text{CH}_2\text{O}$ . 0,1 моля I (X = Br, R = гептин-2-ил-1) в 100 мл воды добавляют по каплям к 75 мл 50%-ной  $\text{CH}_3\text{COOH}$  при одновременной отгонке с паром, дистиллат извлекают эфиром, экстракт промывают р-ром  $\text{Na}_2\text{CO}_3$  и HCl, выход гептин-2-аль-1 (II) 22%, т. кип. 62°/18 мм; 2,4-динитрофенилгидразон (ДНФГ), т. пл. 74° (не испр.). К кипящему р-ру 0,5 моля  $\text{C}_6\text{H}_5\text{C}\equiv\text{CMgBr}$  в 250 мл эфира прибавляют по каплям при перемешивании смесь 0,54 моля  $(\text{C}_2\text{H}_5\text{O})_3\text{CH}$  и 35 мл эфира, смесь кипятят 2 часа, эфир отгоняют, добавляют 50 мл  $\text{C}_6\text{H}_6$  и через 1 час (~100°) твердый продукт смешивают с р-ром 95 г  $\text{NH}_4\text{Cl}$  в 375 мл воды, эфиром извлекают 1,1-диэтоксигептин-2 (III), выход 59%, т. кип. 96°/10 мм. К 200 мл 10%-ной  $(\text{COOH})_2$  добавляют 0,2 моля III, смесь нагревают 2 часа до кипения и перегоняют с паром, из дистиллата эфиром извлекают II, выход 80%, т. кип. 74°/25 мм. Из водн. суспензии 0,059 моля I (X = J, R = нонин-4-ил-1) и 50 мл 50%-ной  $\text{CH}_3\text{COOH}$  аналогично II получают нонин-4-аль-1, выход 21%, т. кип. 81°/12 мм; ДНФГ, т. пл. 123—125° (не испр.). Так же 0,074 моля I (X = J, R = децин-5-ил-1) и 60 мл 50%-ной  $\text{CH}_3\text{COOH}$  дают децин-5-аль-1, выход 17%, т. кип. 95°/12 мм; ДНФГ, т. пл. 72° (не испр.).

Е. Цветков

68763. Получение алкинаминов. Шульте, Гёс (Die Darstellung von Alkin-aminen. Schulte K.-E., Goes M.), Arch. Pharmazie, 1957, 290/62, № 3, 118—130 (нем.)

Первичные алифатич. амины (I), содержащие  $\text{C}\equiv\text{C}$ -связь, синтезированы взаимодействием 1-галонд-

алкинов (II) и гексаметилентетрамина (III) в  $\text{CHCl}_3$  или  $\text{C}_6\text{H}_5\text{Cl}$  с последующим разложением образующейся четвертичной гексаметиновой соли (ЧГС) спирт. р-ром HCl. Исследовано влияние на р-цию длины цепи II и положения  $\text{C}\equiv\text{C}$ -связи. Из 1-галондалкинов-1 ЧГС не образуются ни на холоду, ни при нагревании; из 1-галондалкинов-3 ЧГС образуются лишь на холоду при длительном взаимодействии, а при нагревании получается лишь соль III. ЧГС легко образуются (~20°) с выходом 90% из 1-галондалкинов-2, независимо от длины цепи. При р-ции III с 1-йодалкинами-4 и 1-йодалкинами-5 в  $\text{CHCl}_3$  (~20°) быстро выпадает йодгидрат III. С увеличением длины цепи устойчивость ЧГС падает, что согласуется с поведением ЧГС, полученных взаимодействием III с 1-бромалканами. При расщеплении йодистых ЧГС возможно присоединение HJ по  $\text{C}\equiv\text{C}$ -связи. 1-аминоалкины-2 (IV) с  $\text{CS}_2$  дают 4-алкилдентазолидинтионы-2 (V), что подтверждает строение IV. При расщеплении ЧГС в присутствии  $\text{CH}_2\text{O} + \text{HCOOH}$  получены 1-диметиламиноалкины  $(\text{CH}_3)_2\text{NR}$  (VI). Все опыты проводились в атмосфере  $\text{N}_2$ . Из 2 молей бромистого гексин-1-ил-1-магния и  $\text{CH}_2\text{O}$  методом, описанным ранее (РЖХим, 1955, 45802), получен гептин-2-ол-1 (VII), выход 74%, т. кип. 113—114°/50 мм. Из 2 молей бромистого пропион-1-ил-1-магния и 3 молей окиси этилена получают 215 г смеси этиленбромгидрина и пентин-3-ол-1 (VIII), которую разделяют двумя способами. Метод А. К 55 г смеси прибавляют по каплям 25 г KOH в 35 мл воды и нагревают 10 мин. при 30—50°, эфиром извлекают 7 г VIII, т. кип. 102—104°/120 мм. Метод Б. К 160 г смеси прибавляют 52 г KCN в 80 мл воды, отделяют KBr, эфиром извлекают 31 г VIII. Общий выход VIII 23%. Из бромистого гексин-1-ил-1-магния и окиси этилена получен октин-3-ол-1 (IX), выход 45%, т. кип. 96—98°/15 мм; при этом выделено также 20 г гексина 1. Р-р KBrO (из 180 г KOH, 25 мл  $\text{Br}_2$  и 80 мл воды, 0°) смешивают с 0,55 моля гексина-1, через 18 час. (~20°) петр. эфиром извлекают 1-бромгексин-1, выход 72%, т. кип. 40—41°/15 мм; последий с III не реагирует. К смеси (0°) 4 молей абс.  $\text{HC}\equiv\text{CCH}_2\text{OH}$  и 48 г пиридина прибавляют по каплям 378 г  $\text{PBr}_3$  и 2 мл пиридина нагревают 1 час., отгоняют пропарилбромид (X), выход 59%, т. кип. 84°. Из 1 моля VII, 2 г пиридина, 280 мл эфира и 0,4 моля  $\text{PBr}_3$  получено 70% 1-бромгептина-2 (XI), т. кип. 106—107°/50 мм, и в-во  $\text{C}_7\text{H}_{12}\text{Br}_2$ , т. кип. 134—138°/50 мм. 0,15 моля  $\text{PBr}_3$  и 10 капель пиридина смешивают при охлаждении льдом с солью с 0,86 моля VIII, 4,3 г пиридина и 160 мл эфира, перемешивают 5 час. при охлаждении, нагревают 2 часа, р-р выливают на лед, после отгонки эфира остаток смешивают с 35 мл 10%-ной  $\text{H}_2\text{SO}_4$  и перегоняют с паром, из дистиллата петр. эфиром извлекают 1-бромгептин-3 (XII), выход 30%, т. кип. 94—96°/160 мм, и 14% в-ва  $\text{C}_8\text{H}_{16}\text{Br}_2$ , т. кип. 135—136°/160 мм. Аналогично XII из IX получают 1-бромоктин-3 (XIII), выход 28,5%, т. кип. 96—97°/20 мм, и в-во  $\text{C}_8\text{H}_{14}\text{Br}_2$ , выход 19,7%, т. кип. 125—126°/20 мм. XII и XIII с III дают только III·HBr. К 0,8 моля  $\text{SOCl}_2$  в 75 мл эфира прибавляют 0,73 моля IX, 0,73 моля пиридина и 75 мл эфира, эфир отгоняют, прибавляют еще 10 мл  $\text{SOCl}_2$  и нагревают 1 час, в смесь вливают 400 мл воды, выход 1-хлороктина-3 76%, т. кип. 74°/14 мм. К 0,84 моля NaJ в 250 мл ацетона добавляют при 20° 0,56 моля 1-хлороктина-3, нагревают 20 час., выход 1-йодоктина-3 (XIV) 42%, т. кип. 102—103°/10 мм. К 1,5 моля 1-натрийгексина-1 (XV) в 2,5 л жидкого  $\text{NH}_3$  прибавляют 1,5 часа 1,5 моля  $\text{Cl}(\text{CH}_2)_6\text{Br}$ , перемешивают 3 часа, выход 1-хлоронина-4 (XVI) 30%, т. кип. 115°/40 мм. Аналогично XIV получают 1-йодонин-4 (XVII), выход 63%, т. кип. 119—120°/14 мм. Из 2,7 моля XV в 3,5 л  $\text{NH}_3$  и 2,8 моля



$\text{Cl}(\text{CH}_2)_4\text{Br}$  аналогично XVI получен 1-хлордецин-5, выход 46%, т. кип.  $131^\circ/30$  мм; последний превращают в 1-йоддецин-5 (XVIII), выход 80%, т. кип.  $140-142^\circ/15$  мм. 1-хлордецин-5 с III (19 час., кипение) дает только III·HCl. К р-ру 0,22 моля III в 250 мл  $\text{CHCl}_3$  прибавляют 0,2 моля X, через 24 часа (20°) получают 97% ЧГС III·XIV, т. пл.  $196-197^\circ$  (из сл.). Аналогично получены (приведены ЧГС, время, т-ра р-ции в °C, выход в %, т. пл. в °C): III·XI, 2 часа, 29, 95,  $161-162$ ; III·X, 7 дней, 20, 19,  $136-137$  (14 дней, 20°, выход 50%); III·XVII, 7 дней, 20, 75,  $118-129$  (из хлф.); III·XVIII, 7 дней, 20, 85,  $115-132$  (разл.; из хлф.); III·C<sub>2</sub>H<sub>5</sub>Br, 67 час., кипение, 90, 162 (2 дня, 20°, выход 90%); III·n-C<sub>4</sub>H<sub>9</sub>Br, 10 час., кипение, 43,  $153-158$ ; III·n-C<sub>8</sub>H<sub>17</sub>Br, 12 дней, 20, 60,  $138-156$  (разл.). К 0,11 моля III в 180 мл спирта прибавляют 0,1 моля X, через 4 часа р-р смешивают с 40 мл 38%-ной HCl, выход 1-аминопропина-2 (XIX) 54%, т. кип.  $85^\circ$ ; оксалат, т. пл.  $140-141^\circ$ . Аналогично получены I (приведены выход в %, т. кип. в °C/мм, т. пл. оксалата в °C): 1-аминогептин-2, 63,  $95/50$ ,  $160-161$ ; 1-аминооктин-3, 48,  $66/8$ ,  $153-154$ ; 1-аминононин-4, 14,8,  $86/10$ ,  $143-144$ ; 1-аминодецин-5, 21,  $105/13$ ,  $135-136$ . Смесь 6 мл спирта, 0,02 моля XIX и 0,024 моля CS<sub>2</sub> нагревают 1 час, выход V (алкил = CH<sub>3</sub>) 92%, т. пл.  $124^\circ$  (не испр.: из сл.). Аналогично получен VI (алкил = C<sub>2</sub>H<sub>5</sub>), выход 90%, т. пл.  $93^\circ$  (не испр.: из сл.). 0,1 моля соли III·II растворяют в смеси 1,6 моля 85%-ной HCOOH и 1 моля 35%-ного CH<sub>2</sub>O, нагревают 5-7 час., подщелачивают NaOH, эфиром извлекают VI (приведены R, выход в %, т. кип. в °C, т. пл. оксалата в °C): пропин-2-ил-1, 52,  $78-80$ ,  $122-123$ ; гептин-2-ил-1, 56,  $111/90$ ,  $107-108$ ; октин-3-ил-1, 25,  $81/10$ ,  $136-137$ ; нонин-4-ил-1, 15,  $98/10$ ,  $131-132$ ; децин-5-ил-1, 35,  $110/11$ ,  $128-129$ . Взаимодействием VI с CH<sub>3</sub>I в спирте получены RN(CH<sub>3</sub>)<sub>2</sub>J (приведены R, т. пл. в °C): пропин-2-ил-1, 180 (из сл.); гептин-2-ил-1, 122 (из сл.).

Е. Цветков

**68764. Синтез 9,11-диоксононадеканкарбоновой кислоты. Структура стеркуловой кислоты.** Нараянан, Ундон (A synthesis of 9:11-dioxononadecanoic acid. The structure of sterculic acid. Narayanan V. V., Weedon B. C. L., Chemistry and Industry, 1957, № 13, 394 (англ.)).

9,10-Диоксононадеканкарбоновая к-та (I), образующаяся при озонолизе стеркуловой к-ты, получена следующим образом. Децин-1 с  $\text{ClCO}(\text{CH}_2)_7\text{COOCH}_3$  дает кетозфир  $\text{CH}_3(\text{CH}_2)_7\text{C}\equiv\text{CCO}(\text{CH}_2)_7\text{COOCH}_3$  (выход 40%), который после обработки разб. спирт. КОН и кислотного гидролиза превращается в I, общий выход 20%, т. пл.  $57,5-58^\circ$ ; Cu-соль этилового эфира I, т. пл.  $90-91^\circ$ . Приведен ИК-спектр I.

Н. Куплетская

**68765. Изучение хризантемовой кислоты. Часть V. Синтез цис-кароновой кислоты.** Мацуи, Мияно (Studies on chrysanthemic acid. Part V. A synthesis of cis-caronic acid. Matsui Masanao, Miyano Masateru, Bull. Agric. Chem. Soc. Japan, 1956, 20, № 3, 135-138 (англ.)).

Цис-кароновая к-та (I) получена конденсацией метилового эфира α,β-дибромизовалериановой к-ты (II) с малоновым эфиром (III), ацетоксусным эфиром (IV) или с этиловым эфиром циануксусной к-ты (V) с последующим гидролизом и декарбоксилированием продукта конденсации. II (т. кип.  $96^\circ/12$  мм,  $n_D^{20}$  1,5080) получен действием Br<sub>2</sub> на метиловый эфир диметиллакриловой к-ты в CCl<sub>4</sub>. Смесь 100 г II, 86,3 г III и CH<sub>3</sub>ONa (из 24,8 г Na в 300 мл CH<sub>3</sub>OH) кипятят 10 час., после обычной обработки удаляют р-ритель и нагревают 10 мин. при  $180^\circ$ , получают изопропенил-янтарную к-ту и ангидрид I (VI), который после растворения в горячей воде дает I, т. пл.  $173-174^\circ$  (разл.; из воды). При взаимодействии II с III в при-

сутствии р-ра CH<sub>3</sub>ONa, подкислении и последующем кипячении (1 час) получают не I, а теребиновую к-ту (VII), т. пл.  $174-175^\circ$ . I при перегонке дает VI (т. кип.  $154^\circ/15$  мм, т. пл.  $56^\circ$ ), а при обработке кипящей HBr превращается в VII. При 6 час. кипячения II и IV в присутствии CH<sub>3</sub>ONa получают I и изопропенил-янтарную к-ту. При аналогичном взаимодействии II с V получают только I. Нагревание метилового эфира I (получен из I и CH<sub>3</sub>N<sub>2</sub>) с CH<sub>3</sub>ONa в небольшом кол-ве CH<sub>3</sub>OH до  $160^\circ$  приводит к I, а не к транс-кароновой к-те. Часть IV см. РЖХим, 1957, 15272.

Н. Кологривова

**68766. Получение β-циклопентилпропионовой кислоты. Паикрацио** (Preparazione dell'acido β-ciclopentilpropionico. Paicrazio G.), Boll. chim. farm., 1957, 96, № 4, 145-148 (итал.; рез. англ.).

β-Циклопентилпропионовая к-та (I) получена с высоким выходом из β-(циклопентанон-2-ил)-пропионовой к-ты (II) восстановлением по Хуанг-Мишлону. Из 150 г I, 65 г N<sub>2</sub>H<sub>4</sub>·H<sub>2</sub>O, 96 г КОН в 500 мл HO(CH<sub>2</sub>)<sub>2</sub>OH (т-ра до  $195^\circ$ ) получают 120-125 г I, т. кип.  $146-154^\circ/20$  мм. Восстановление II в I по Клемменсену идет с меньшим выходом и не всегда гладко.

В. Дашунин

**68767. Исследования в области полиметиллиновых циклов. XXIII. Синтез и превращения дигидразонов циклогексан- и циклопентандионов. XXIV. Взаимодействие циклопентан- и циклогександионов с диметилгидразидом.** Домини Н. А., Глебовская Н. С., Ж. общ. химии, 1957, 27, № 3, 656-665; 665-668 XXIII. Синтезированы дигидразоны (ДГ) циклопентандиона-1,2 (I — кетон) (ДГ, выход 93%, т. пл.  $89-90^\circ$  (из баз.), циклогександиона-1,2 (II — кетон) (ДГ, выход 72%, т. пл.  $63-64^\circ$  (из сл.)) и циклогександиона-1,4 (III — кетон) (ДГ, выход 95%, т. пл.  $112^\circ$ , т. возг.  $60^\circ/5$  мм). Показано, что I и II не дают моногидразонов, а III с 1 молем NH<sub>2</sub>NH<sub>2</sub>·H<sub>2</sub>O образует гидразокетазин (IV), т. разл.  $\sim 200^\circ$ .

Циклогександион-1,3 (V) и 5,5-диметилциклогександион-1,3 (VI) с NH<sub>2</sub>NH<sub>2</sub>·H<sub>2</sub>O образуют не гидразоны, а в-ва состава C<sub>8</sub>H<sub>16</sub>N<sub>2</sub> (VII) (т. разл.  $\sim 200^\circ$  (из сл.)) и C<sub>8</sub>H<sub>16</sub>N<sub>2</sub> (VIII) (т. разл.  $\sim 268^\circ$  (из сл.)) соответственно. Характер взаимодействия II, III, V и VI с NH<sub>2</sub>NH<sub>2</sub>·H<sub>2</sub>O авторы объясняют на основании стереохим. факторов. Приведены кривые ИК-спектров IV, VII и VIII, диметилпиразола, 1,3,5-триметилпиразола, ДГ I, III и диацетила.

XXIV. Получены моно-1,1-диметилгидразоны (МДМГ) и бис-1,1-диметилгидразоны (БДМГ) I (МДМГ, выход 23%, т. кип.  $74-75^\circ/2$  мм,  $n_D^{20}$  1,5122,  $d_4^{20}$  1,0262; БДМГ, выход 21,5%, т. кип.  $95-97^\circ/1$  мм,  $n_D^{20}$  1,5278,  $d_4^{20}$  0,9864), II (МДМГ, выход 37%, т. кип.  $86-87^\circ/7$  мм,  $n_D^{20}$  1,5155,  $d_4^{20}$  1,0532; БДМГ, выход 50%, т. кип.  $109-110^\circ/3$  мм,  $n_D^{20}$  1,5243,  $d_4^{20}$  0,9846) и III (БДМГ, т. возг.  $55^\circ/2$  мм, т. пл.  $63-65^\circ$ ). V и VI с (CH<sub>3</sub>)<sub>2</sub>NNH<sub>2</sub> дают МДМГ V (т. пл.  $142-143^\circ$ , т. возг.  $150^\circ/10$  мм) и МДМГ VI (выход 30%, т. пл.  $162-163^\circ$  (из абс. сл.)), но не образуют БДМГ. Характер взаимодействия II, III, V и VI с (CH<sub>3</sub>)<sub>2</sub>NNH<sub>2</sub> также определяется стереохим. факторами. Сообщение XXII см. РЖХим, 1957, 30446.

С. Кустова

**68768. Разложение перекиси 1-фенилциклогексана. Хей, Стерлинг, Вильямс** (The decomposition of 1-phenylcyclohexyl peroxides. Hey D. H., Stirling C. J. M., Williams Gareth H.), J. Chem. Soc., 1957, March, 1054-1058 (англ.).

Синтезированы гидроперекиси 1-фенилциклогексана (I) и перекиси ди-(1-фенилциклогексана) (II) и изучено их термич. разложение. I получена при действии на 1-фенилциклогексанол (III) 86%-ной H<sub>2</sub>O<sub>2</sub> и конц. H<sub>2</sub>SO<sub>4</sub>, выход 75%, т. пл.  $60^\circ$  (из petr. аф.). Получить I окислением III смесью 30%-ной H<sub>2</sub>O<sub>2</sub> и конц. H<sub>2</sub>SO<sub>4</sub> не удалось. Обработка I 15%-ной H<sub>2</sub>SO<sub>4</sub> приводит к

циклогексанону и фенолу. II синтезирован нагреванием 5 час. 1,5 г III с 0,8 г I при 80° в присутствии катализ. кол-ва  $n\text{-CH}_3\text{C}_6\text{H}_4\text{SO}_3\text{H}$ , выход 0,35 г, т. пл. 123—124° (из сл.). При кипячении в р-ре  $\text{C}_6\text{H}_5\text{Cl}$  (6 дней) или  $\text{C}_6\text{H}_5\text{N}$  (2 недели) II разлагается, давая  $n$ -пентилфенилкетон (IV) (выход 37 и 21% соответственно, т. кип. 148°/22 мм; семикарбазон, т. пл. 130°; 2,4-динитрофенилгидразон, т. пл. 166,5°), 1,10-дибензоилдекан (V) (т. пл. 96—97° (из бал.-эф.)) и кетон неустойчивого строения с т. пл. 104,5° (из  $\text{CH}_3\text{OH}$ ). Разложение I при кипячении 60 час. в р-ре  $\text{C}_6\text{H}_5\text{Cl}$  приводит к IV, а при нагревании 2 часа при 100° с  $\text{FeSO}_4$  в водн. спирте образуется V, выход 22%. Авторы считают, что разложение I идет по схеме, ранее предложенной для гидроперекиси 1-метилциклогексана (Hawkins, Young, J. Chem. Soc., 1950, 2804). Приведен ИК-спектр II. Н. Куплетская

68769. Присоединение изопентенилмагнийхлорида к циклогексанону. Манделл (Addition of isopentenyl magnesium chloride to cyclohexanone. Mandell Leon), J. Organ. Chem., 1957, 22, № 2, 150—152 (англ.)

Присоединение  $(\text{CH}_3)_2\text{C}=\text{CHCH}_2\text{MgCl}$  к циклогексанону сопровождается перегруппировкой и приводит не к нормальному аддукту, а к 3-метил-3-(1'-оксидциклогексенил)-бутену-1 (I), выход 40%, т. кип. 93—95°/8 мм. Строение I подтверждено ИК-спектром, озонлизом и образованием 3-метил-3-(циклогексен-1'-ил)-бутена-1 при дегидратации I. Приведены ИК- и УФ-спектры I. С. Кустова

68770. (1'-ацетоксивинил)-циклогексен-1 в реакции диенового синтеза. Муссерон, Винтерниц, Бальмоьер (Quelques condensations diéniques avec 1' (acétoxy-1-vinyl)-1-cyclohexène. Mousseron Max, Winternitz François, Balmossière Claude), C. r. Acad. sci., 1956, 243, № 18, 1328—1329 (франц.)

Действием изопропенилацетата на 1-ацетилциклогексен в присутствии конц.  $\text{H}_2\text{SO}_4$  получен (1'-ацетоксивинил)-циклогексен-1 (I), т. кип. 105—110°/20 мм, который реагирует с этиленовыми соединениями по Дильсу — Альдеру, давая аддукты, гидролизующие в замещ. декалоны-4. I с малеиновым ангидридом дает декалон-4-дикарбоновую-1,2 к-ту, т. пл. 190—193°. Из I метилакрата при 150° с последующим омылением образовавшегося аддукта (т. кип. 105—110°/0,05 мм) получена известная транс-декалон-4-карбоновая-1 к-та (II). Транс-строение аддукта доказано также восстановлением метилового эфира II (т. пл. 54—55°) по описанному методу (J. Amer. Chem. Soc., 1944, 66, 909) и метиловый эфир декагидронафтойной-1 к-ты (III — к-та) (т. кип. 110°/0,03 мм); III (т. пл. 96—98°; амид, т. пл. 206—208°) превращена по Шмидту и Шоттен — Бауману в бензоильное производное описанного транс-1-декалинамина. На основании этих данных авторы полагают, что цел. гидролиз первоначально образовавшихся енолацетатов приводит к декалонам транс-строения, I с акрилонитрилом и акролеином образует с невысоким выходом нитрил декалон-4-карбоновой-1 (или 2) к-ты; динитрофенилгидразон (ДНФГ), т. пл. 160—161° или соответственно 1-(или-2)-формилдекалон-1; бис-ДНФГ, т. пл. 225° (разл.). I с  $n$ -бензохиноном дает моноаддукт, т. пл. 117—119°, восстановленный Zn в  $\text{CH}_3\text{COOH}$  до 9-ацетокси-1,4-диоксо- $\text{C}_{10}\text{H}_{14}\text{O}_4$ -додекагидрофенантрена, т. пл. 116—117°; с большим избытком I получается диаддукт, т. пл. 238—240°. I с пикраоновым ангидридом образует аддукт, т. пл. 142—143°, омылением которого получена 1-(или 2)-метилдекалон-4-дикарбоновая-1,2 к-та (IV), т. пл. 167—169°; ди-S-бензилтиоурониевая соль, т. пл. 147—148°. Действием  $\text{CH}_2\text{N}_2$  на IV получен диметиловый эфир IV (V), т. пл. 101—102°; ДНФГ, т. пл. 212—213°; из IV и

$\text{CH}_3\text{COCl}$  получен ангидрид IV, т. пл. 158—159°; фенилмид, т. пл. 210—211° (разл.), гидролизом которого получена IV. V при обработке N-бромсукцинимидом образует бромид, который при кипячении с коллидным образует смесь оксосоединений. Из этой смеси получены ДНФГ с т. пл. 182—185° (VIa) и с т. пл. 194—195° (VIb). (1'-хлорвинил)-циклогексен-1 дает с акриловой к-той 4-хлор- $\Delta^1(10)$ -октагидронафтойную-1 (или 2) к-ту; S-бензилтиоурониевая соль, т. пл. 131—133°.

В. Дашуниш  
68771. Димеризация окиси мезитила. Новый тип диеновой реакции. Брауде, Гофтон, Лоу, Уэйт (The dimerisation of mesityl oxide. A novel type of diene addition. Braude E. A., Gofton B. F., Lowe G., Waight E. S.), J. Chem. Soc., 1956, Nov., 4054—4060 (англ.)

Окись мезитила (I) при обработке Li наряду с другими продуктами образует димер — 2-ацетил-1,3,3,5-тетраметилциклогексен-5-ол-1 (II), идентичный полученному ранее (Braude, Cole, J. Chem. Soc., 1952, 1425) при действии  $(\text{CH}_3)_2\text{C}=\text{CHLi}$  на I. Строение II вытекает из ИК-спектра, указывающего на присутствие в нем OH-группы и изолированной CO-группы, соединенных H-связью; из гидрирования над Pt (из  $\text{PtO}_2$ ) в этилацетате, приводящего к 2-ацетил-1,3,3,5-тетраметилциклогексанолу-1 (III) (т. пл. 76° (из водн.  $\text{CH}_3\text{OH}$ )); из гидрирования над Pt (из  $\text{PtO}_2$ ) в  $\text{CH}_3\text{COOH}$ , сопровождающегося гидрогенолизом OH-группы и приводящего к 1-ацетил-2,2,4,6-тетраметилциклогексану (IV) (т. кип. 94—96°/13 мм,  $n_D^{20}$  1,4559); из дегидратации перегонкой при 0,2 мм над следами  $\text{I}_2$  с образованием 4-ацетил-1,5,5-триметил-3-метиленилциклогексена (V) (т. кип. 104°/15 мм,  $n_D^{17}$  1,4942) и из дегидратации безводн.  $(\text{COOH})_2$  (100°, 2 часа) с образованием смеси, состоящей из 45% V и 55% 1-ацетил-2,4,6,6-тетраметилциклогексадиена-1,3 (VI). Присутствие изолированной CO-группы в II подтверждено УФ-спектром, а также восстановлением  $\text{LiAlH}_4$ , которое сопровождалось дегидратацией и приводило к 4-(1'-оксэтил)-1,5,5-триметил-3-метиленилциклогексену (VII), т. кип. 76°/15 мм,  $n_D^{20}$  1,4770 и восстановлением III  $\text{LiAlH}_4$  в 2-(1'-оксэтил)-1,3,3,5-тетраметилциклогексанол, т. пл. 104° (из петр. эф.). CO-группа в II сильно экранирована наличием четырех  $\alpha$ -заместителей: II не реагирует с реактивом Бреди и не дает кетонных производных. Структура II окончательно подтверждена дегидрированием тетрахлорбензохиноном-1,2 (VIII) (0,80 г II, 5,0 г VIII, 6 мл  $\text{C}_6\text{H}_6$ , кипячение 20 час.), приведшим к 2,3,4,6-тетраметилацетофенону (IX) (выход 59%,  $n_D^{20}$  1,5256; при окислении  $\text{K}_2\text{Cr}_2\text{O}_7$  дал 2,3,4,6-тетраметилбензойную к-ту, т. пл. 165° (из петр. эф.)), который был синтезирован по Фриделю — Крафтсу из изодурола, выход 61%, т. кип. 135—137°/16 мм,  $n_D^{20}$  1,5248. Образованное II, по-видимому, представляет собой диеновый синтез, при котором одна молекула I реагирует как диенофил, а другая в форме Li-енолята как диен. Аналогичную димеризацию под влиянием Li претерпевает и 3-метилбутен-2-аль (X), образуя (с одновременной дегидратацией) 4-формил-1,5,5-триметилциклогексадиен-1,3 (XI). По мнению авторов, «смешанный» диеновый синтез такого рода может лежать в основе биосинтеза моноциклич. терпенов: так, из X и енолята пентен-3-ола-2 получится оксосоединение, которое при дегидратации превратится в дегидроцитраль. К перемешиваемой суспензии 14 г Li в сухом эфире в атмосфере  $\text{N}_2$  прибавляют 15 г I, затем, когда р-ция начнет, еще 85 г I с такой скоростью, чтобы смесь кипела. Перемешивают 1 час, отфильтровывают непрореагировавший Li, прибавляют 10%-ный  $\text{NH}_4\text{Cl}$  и после перегонки и вымораживания получают II, выход 4 г, т. пл. 73° (из пентана). К перемешиваемому р-ру 100 г I в 500 мл эфира прибавляют 3,5 г Li, кипятят 3 часа и по-

лучают II, выход 10,7 г. Перемешивают смесь 1,8 г X, 0,07 г Li и 25 мл эфира в атмосфере  $N_2$  и получают XI, выход 0,8 г, т. кип.  $80^\circ/20$  мм,  $n_D^{20}$  1,5000; 2,4-динитрофенилгидразон (XII), т. пл.  $200-201^\circ$  (из этилацетата-пентр. эф.). К р-ру  $CH_3MgBr$  (из 6,5 мл  $CH_3Br$  и 2,4 г Mg) в 100 мл эфира при  $0^\circ$  прибавляют р-р 8 г 3-метилциклогексен-2-она в 100 мл эфира и получают 1,3-диметилциклогексен-2-ол (выход 100%, т. кип.  $25-26^\circ/1$  мм,  $n_D^{18}$  1,4764), р-р 4,2 г которого в 10 мл  $C_6H_5N$  обрабатывают смесью 8 мл  $POCl_3$  и 20 мл  $C_6H_5N$  и получают 1-метил-3-метиленилциклогексен (XIII), выход 62%, т. кип.  $135-136^\circ$ ,  $n_D^{20}$  1,4732. Приведены ИК-спектры II—IV, VII и IX и УФ-спектры II, V, VII, IX, XII и XIII.

В. Андреев  
68772. Присоединение насыщенных кетонов к  $\alpha$ -этиленовым альдегидам по реакции Михаэля. Колонж, Дрè, Тьер (Réaction d'addition de Michael entre aldéhydes  $\alpha$ -éthyléniques et cétones saturées. Colonge Jean, Dreux Jacques, Thiers Michel), C. r. Acad. sci., 1956, 243, № 19, 1425—1427 (франц.).

При взаимодействии 0,5 моля акролеина (I) или  $CH_3CH=CHCHO$  (II) с 4 молями  $CH_3COC_2H_5$  (III),  $CH_3COC_3H_7$  (IV) или  $CH_3COCN(CH_3)_2$  (V) при  $50-60^\circ$  в присутствии 10—15 мл 2 н. р-ра КОН в  $CH_3OH$  получены алкиламещ. циклогексен-2-оны, строение которых доказано во всех случаях гидрированием в соответствующие замещ. циклогексанолы. Р-ция протекает через промежуточное образование по Михаэлю  $\delta$ -кетальдегидов  $CH_3COC(RR')CH(R'')CH_2CHO$  ( $R, R'$  и  $R''=H, CH_3$  или  $C_2H_5$ ), которые можно выделить в определенных условиях. Этим методом получены: 1-метилциклогексен-3-он-2 (из I и III), выход 40%, т. кип.  $90-94/18$  мм; 1,2-диметилциклогексен-4-он-3 (VI) (из II и III), выход 35%, т. кип.  $85/18$  мм,  $n_D^{21}$  1,5242,  $d_4^{21}$  0,907 (семикарбазон (СК), т. пл.  $208^\circ$ ); 1-этилциклогексен-3-он-2 (из I и IV), выход 20%, т. кип.  $80-85/15$  мм (динитрофенилгидразон (ДНФГ), т. пл.  $150^\circ$ ); 1-метил-2-этилциклогексен-4-он-3 (VII) (из II и IV), выход 30%, т. кип.  $95-98/15$  мм; ДНФГ, т. пл.  $120^\circ$ ); 1,4-диметилциклогексен-3-он-2 (из I и V), выход 12%, т. кип.  $85-90/20$  мм (ДНФГ, т. пл.  $172^\circ$ ); 1,2,2-триметилциклогексен-4-он-3 (из II и V), выход 22%, т. кип.  $90-95/15$  мм; СК, т. пл.  $174^\circ$ . Строение VI доказано гидрированием в 1,2-диметилциклогексанол-3 (СК, т. пл.  $204^\circ$ ), который при восстановлении Na дал известный 1,2-диметилциклогексанол-1, превращенный в  $\alpha$ -кислот дегидратацией и дегидрированием. VII при гидрировании дает 1-метил-2-этилциклогексанол-3, т. кип.  $106/21$  мм.

В. Дашуни  
68773. Дегидратация циангидрина 2-фенилциклогексана: нитрил 6-фенил- $\Delta^1$ -циклогексенкарбоновой кислоты и нитрил 2-фенил- $\Delta^1$ -циклогексенкарбоновой кислоты. Парем, Моултон, Цуккербраун (The dehydration of 2-phenylcyclohexanone cyanohydrin: 6-phenyl- $\Delta^1$ -cyclohexenecarbonitrile and 2-phenyl- $\Delta^1$ -cyclohexenecarbonitrile. Parham William E., Moulton Wilbur N., Zuckerbraun Alexander), J. Organ. Chem., 1956, 21, № 1, 72—77 (англ.).  
В противоположность прежним исследованиям (Goldschmidt S., Veer W. L. C., Rec. trav. chim., 1948, 67, 489; Boekelheide V., Schilling W. M., J. Amer. Chem. Soc. 1950, 72, 712; РЖХим, 1954, 34109) показано, что дегидратация твердого изомера циангидрина 2-фенилциклогексана (I) (выход из 2-фенилциклогексана 44—46%, т. пл.  $114-115^\circ$  (из бал.-пентр. эф.)) с помощью  $SOCl_2$  и  $C_6H_5N$  или  $POCl_3$  и  $C_6H_5N$  приводит к нитрилу 6-фенил- $\Delta^1$ -циклогексенкарбоновой к-ты (II) (выход в первом случае 66%, во втором 77—83%, т. пл.  $42-43^\circ$ ), а не к нитрилу 2-фенил- $\Delta^1$ -циклогексенкарбоновой к-ты (III). Аналогичная дегидратация жидкого изомера I привела к смеси II и III, выход 31—42%. Строение II установлено по УФ-спектру и окислением

щел.  $KMnO_4$ , приводящим к  $\alpha$ -фениладипиновой к-те. При обработке II 10%-ной  $H_2O_2$  (2 дня при  $30-40^\circ$ ) образуется амид 6-фенил- $\Delta^1$ -циклогексенкарбоновой к-ты (выход 54%, т. пл.  $141-142^\circ$ ), который действием  $HNO_2$  превращен в 6-фенил- $\Delta^1$ -циклогексенкарбоновую к-ту (IV) (выход 100%, т. пл.  $163-164^\circ$ ), полученную также с 78%-ным выходом прямым гидролизом II смесью  $H_2SO_4-CH_3COOH$ . Изомеризация этилового эфира IV в этиловый эфир 2-фенил- $\Delta^1$ -циклогексенкарбоновой к-ты (V-к-та) под влиянием  $C_2H_5ONa$  или  $iso-C_3H_7ONa$  не происходила, но II при кипячении 24 часа с  $iso-C_3H_7ONa$  на 74% изомеризовался в III (т. кип.  $131/1,8$  мм,  $n_D^{25}$  1,5716), который устойчив к окислению  $KMnO_4$  (тетраамещ. олефин). Гидролиз III кипячением (24 часа) с  $H_2SO_4-CH_3COOH$  приводит к смеси неизмененного III (выход 30%), амида V (VI) (выход 11%, т. пл.  $144-145^\circ$  (из бал.)), 1-фенил- $\Delta^1$ -циклогексена (VII) (выход 19%, т. кип.  $69/0,5$  мм,  $n_D^{20}$  1,5663), IV и V (общий выход 6%) и, вероятно, амида 2-фенил- $\Delta^2$ -циклогексенкарбоновой к-ты (VIII), выход 3%, т. пл.  $107-109^\circ$  (из бал.-пентр. эф. и водн. сп.). Строение VI установлено УФ- и ИК-спектрами и гидрированием над скелетным Ni-катализатором в известный амид  $\psi$ -2-фенилциклогексенкарбоновой к-ты, выход 59%, т. пл.  $81-82^\circ$  (из пентр. эф.). Обработка VI  $HNO_2$  привела к чистой V, выход 40%, т. пл.  $133-134^\circ$  (из бал.-пентр. эф. и из водн. сп.). Так как II термодинамически менее устойчив, чем III, то направление дегидратации I является кинетически контролируемым, и конфигурация II и III может быть выведена, исходя из конфигурации исходного циангидрина и стереохимии самой р-ции. Поскольку при дегидратации OH-группа в I с инверсией обменивается на Cl-атом с последующим *транс*-элиминированием HCl, то, вероятно, что твердый I является *транс*-изомером (по отношению к  $C_6H_5$ - и CN-группам), а жидкий I содержит преобладающее кол-во *цис*-изомера. При действии Mg-органич. соединений на III происходит 1,2-присоединение: из  $C_6H_5MgBr$  и III после кипячения 20 час. получен 1-фенил-2-бензоил- $\Delta^1$ -циклогексен (IX), выход 45%, т. пл.  $110-111^\circ$  (из сп.), а из  $C_6H_5CH_2MgCl$  и III — 1-фенил-2-фенилацетил- $\Delta^1$ -циклогексен (X), выход 75%, т. кип.  $150-170/0,03$  мм,  $n_D^{25}$  1,5886; 2,4-динитрофенилгидразон (ДНФГ), т. пл.  $45-58^\circ$  (из сп.). Напротив, р-ция II с Mg-органич. соединениями приводит к продуктам как 1,2-, так и 1,4-присоединения. К 75 мл абс.  $CH_3OH$  насыщ. HCl (газом), прибавляют 0,0055 моля II и 0,1 г воды, кипятят 16 час., барботируя через смесь HCl (газ), разбавляют водой, экстрагируют  $CHCl_3$  и получают метиловый 6-фенил- $\Delta^1$ -циклогексенимидоэфир, выход 38%, т. пл.  $131-132^\circ$ , который при гидролизе водн. р-ром NaOH дал IV. Из II и  $CH_3MgBr$  получают 6-фенил-1-ацетил- $\Delta^1$ -циклогексен (XI), выход 56,5%, т. кип.  $110/1$  мм,  $n_D^{20}$  1,5610; ДНФГ, т. пл.  $164^\circ$  (из водн. сп.); оксим, т. пл.  $123,5-124^\circ$ . Обрабатывают II  $C_6H_5MgBr$  как обычно, эфирный р-р упаривают до небольшого объема, выделившееся масло кипятят 12 дней со смесью лед.  $CH_3COOH-HBr$ , выливают в воду и получают 6-фенил-2-этилциклогексенкарбоновую-1 к-ту, выход  $\sim 3\%$ , т. пл.  $106^\circ$  (из пентр. эф.). Оставшийся эфирный р-р упаривают досуха и получают 6-фенил-1-пропил- $\Delta^1$ -циклогексен (XII), выход 62%, т. кип.  $121/2$  мм,  $n_D^{20}$  1,5500; ДНФГ, т. пл.  $160-161^\circ$  (из сах. хлф.). Из  $C_6H_5MgCl$  и II получают 6-фенил-1-бензоил- $\Delta^1$ -циклогексен (XIII), выход 86%, т. пл.  $95-96^\circ$  (из пентр. эф.); ДНФГ, т. пл.  $195^\circ$  (из этилацетата-пентр. эф.). Из  $C_6H_5CH_2MgCl$  и II получают нитрил 6-фенил-2-бензилциклогексенкарбоновой-1 к-ты (XIV — к-та), выход 42%, т. пл.  $74-75^\circ$  (из сп.); последний при действии  $H_2O_2$  превращается в амид XIV (выход 94%, т. пл.  $189-190^\circ$  (из хлф.-пентр. эф.)), при обработке  $HNO_2$  давший XIV, выход 95%, т. пл.  $143-144^\circ$ . Определены кон-



станты диссоциации IV, V, а также *цис-транс*-коричных, бензойной и фенилпропиоловой к-ты. Приведены УФ-спектры II, III, V—XIII, ДФГ X—XIII и ИК-спектры VI, IX, X. В. Андреев

**68774. Получение гидроароматических соединений на основе продуктов диенового синтеза. IV. Действие магнийорганических соединений на эфиры циклогексен-4-дикарбоновых кислот.** Сопов Н. П., Ж. общ. химии, 1956, 26, № 6, 1602—1609

При действии  $\text{CH}_3\text{MgI}$  (I) на *цис*- и *транс*-диметилэфиры циклогексен-4-дикарбоновой к-ты (*цис*- и *транс*-II) получены соответственно *цис*- и *транс*-1,2-диэтилциклогексены-4 (*цис*- и *транс*-III), которые с избытком I превращаются в соответствующие *цис*- и *транс*-гликоли (*цис*- и *транс*-IV). При синтезе *цис*-III побочно выделен непредельный кетон, которому приписывается строение *цис*-1-ацетил-2-изопропенилциклогексена-4 (*цис*-V). *Цис*-IV легко дегидратируется, давая соответствующий тетраметилгексагидроизобензофуран (VI). При нагревании с  $(\text{CH}_3\text{CO})_2\text{O}$  *цис*- и *транс*-IV отщепляют 2 молекулы воды, превращаясь в *о*-диизопропилбензол наряду с олефинами. Аналогично при действии I на диметилэфир *цис*-4-метилциклогексен-4-дикарбоновой к-ты (VII — эфир, *цис*-VIII — к-та) получен соответствующий гликоль (IX), который при нагревании с  $(\text{CH}_3\text{CO})_2\text{O}$  дает смесь ароматич. и непредельных углеводородов. При перегонке без вакуума IX циклизуется в гомолог VI (X). При действии I на диметилэфир *цис*-3,6-диметилциклогексен-4-дикарбоновой к-ты (XI — эфир, *цис*-XII — к-та) и на диэтиловый эфир *транс*-XII (XIII) получают только непредельные кетоны. Из 6 г Mg, 35,5 г I и 31,5 г *цис*-II получено 3,5 г *цис*-III, т. пл. 70° (из водн.  $\text{CH}_3\text{OH}$ ), и 5,3 г V, т. кип. 93—95°/20 мм,  $n_D^{20}$  1,4908,  $d_4^{20}$  0,9660. Из *цис*-III с I получен *цис*-IV, выход 51%, т. пл. 119,5—120,5° (из водн.  $\text{CH}_3\text{OH}$ ). *Цис*-IV получен также с выходом 76,9% при действии 5 молей I на *цис*-II. При перегонке *цис*-IV с 10%-ным р-ром  $(\text{GOOH})_2$  получен VI, выход 28%, т. кип. 97,5—98,5°/20 мм,  $n_D^{20}$  1,4778,  $d_4^{20}$  0,9441. Из 6 г Mg, 35,5 г  $\text{CH}_3\text{I}$  и 23,5 г *транс*-II получено 5,4 г *транс*-III, т. пл. 114° (из водн.  $\text{CH}_3\text{OH}$ ), и 7 г *транс*-V (т. кип. 91—92°/20 мм,  $n_D^{20}$  1,4872,  $d_4^{20}$  0,9630), строение которого подтверждено ИК-спектром. Действием I на *транс*-III получен *транс*-IV, выход 55,8%, т. пл. 105—106° (из водн.  $\text{CH}_3\text{OH}$ ), который образуется с выходом 66,6% при прямом действии избытка I на *транс*-II. Взаимодействием I с диметилэвон эфиром *цис*-3-метилциклогексен-4-дикарбоновой к-ты (*цис*-XIV — к-та) выделен кетозфир с т. пл. 53—54,5°, diketон с т. пл. 101—102°, *цис*-1-ацетил-2-изопропенил-6-метилциклогексен-4 (т. кип. 100—102°/20 мм,  $n_D^{20}$  1,4838,  $d_4^{20}$  0,9349) и, после нагревания смеси продуктов р-ции с  $(\text{CH}_3\text{CO})_2\text{O}$ , гомолог VI (т. кип. 103,5—104,5°/20 мм,  $n_D^{20}$  1,4745,  $d_4^{20}$  0,9302), образовавшийся в результате дегидратации гликоля. Из пиперилена и диэтилфумарата (XV) синтезирован диэтиловый эфир *транс*-XIV (т. кип. 152—153°/20 мм,  $n_D^{20}$  1,4604,  $d_4^{20}$  1,0409), из которого при действии I получен diketон, т. пл. 97,5—98,5° (из водн.  $\text{CH}_3\text{OH}$ ). При взаимодействии VII с I образовался IX с выходом 61,8%, т. пл. 81,5—82,5° (из водн.  $\text{CH}_3\text{OH}$ ). Нагреванием IX с  $(\text{CH}_3\text{CO})_2\text{O}$  (6 час. при 180—200°) получен X, выход 67%, т. кип. 103—105°/20 мм,  $n_D^{20}$  1,4778,  $d_4^{20}$  0,9268. При взаимодействии VII с меньшим кол-вом I с выходом 42% образуется *цис*-1-ацетил-2-изопропенил-4-метилциклогексен-4 (*цис*-XVI), т. кип. 110—112°/20 мм,  $n_D^{20}$  1,4830,  $d_4^{20}$  0,9355, строение которого не доказывалось. Действием XV на изопрен полу-

чен диэтиловый эфир *транс*-VIII (т. кип. 160—161°/20 мм,  $n_D^{20}$  1,4620,  $d_4^{20}$  1,0480), который с избытком I образует *транс*-IX, выход 95,4%, т. пл. 95—96° (из водн.  $\text{CH}_3\text{OH}$ ), а с меньшим кол-вом I дает *транс*-XVI, выход 52,5%, т. кип. 106—108°/20 мм,  $n_D^{20}$  1,4851,  $d_4^{20}$  0,9432. При действии I на XI выделен *цис*-1-ацетил-2-изопропенил-3,6-диметилциклогексен-4 (*цис*-XVII), выход 37,5%, т. кип. 109—110°/20 мм,  $n_D^{20}$  1,4830,  $d_4^{20}$  0,9297. Из дипропенила и XV синтезирован XIII, т. кип. 148,5—149,5°/10 мм,  $n_D^{20}$  1,4650,  $d_4^{20}$  1,0389, из которого с I получен *транс*-XVII, выход 37,8%, т. кип. 103,5—104°/20 мм,  $n_D^{20}$  1,4905,  $d_4^{20}$  0,9376. А. Кост

**68775. Конденсация окиси мезитила в гетерогенной среде. Виман, Са Лэ Тхи Туань** (Condensation of l'oxyde de mésityle en phase hétérogène. Wiedemann Joseph, Sa-Le Thi Thuan, m-me), Bull. Soc. chim. France, 1957, № 5, 696—697; 697—698 (франц.)

1. Нагревание 200 г окиси мезитила (I) с 150 г безводн.  $\text{Ba}(\text{OH})_2$  (130°, 14 час.) приводит к смеси, из которой выделены 75 г 1-ацетил-2,2,4,6-тетраметилциклогексана-4,6 (II), т. кип. 123—125°/12 мм,  $n_D^{24}$  1,520,  $d_4^{24}$  0,958; семикарбазон (CK), т. пл. 155—156°, 20 г изофорона (III) и ацетон (IV); 30 г I остается неизменной. Строение II доказано: а) расщеплением  $\text{Br}_2$  и NaOH с образованием 2,2,4-триметилциклогексана-4,6-карбоновой к-ты, при озолизе которой получены 2,2-диметил-4-кетопентановая к-та (V) (п-нитрофенилгидразон, т. пл. 176—177°) и  $\alpha,\alpha$ -диметилантарная к-та (VI); б) поглощением 2 молей  $\text{H}_2$  над скелетным Ni; в) положительной йодоформной пробой; г) данными УФ- и ИК-спектров. При озолизе II, помимо V и VI, получена к-та  $\text{C}_{10}\text{H}_{16}\text{O}_4$ , имеющая, возможно, строение  $\text{CH}_3\text{COC}(\text{H})\text{C}(\text{CH}_3)_2\text{C}(\text{CH}_3)_2\text{COOH}$  и обра-

зовавшаяся в результате неполного озонирования II.

2. При нагревании 150 мл I (20—30 час., 95°) с 70 г конообменной смолы «Allasion» образуется сложная смесь продуктов, разгонкой которой выделены 11 г 3,5,5-триметил-4-изопропилиденциклогексен-2-она (VII) (т. кип. 120—122°/12 мм,  $n_D^{22,5D}$  1,5521,  $d_4^{22,5}$  0,942; CK, т. пл. 180°), 10 г III, 70—130 мл IV и ~20% в-ва неустановленного строения, т. кип. 135—137°/15 мм,  $n_D^{2D}$  1,527; CK, т. пл. 156—160°. Строение VII доказано образованием при озолизе IV и к-ты, из которой окислением  $\text{H}_2\text{O}_2$  и затем действием  $\text{Br}_2$  и NaOH получена VI. Приведены УФ- и ИК-спектры II, УФ-спектры VII и СК II. В. Дашунин

**68776. Нитрование циклических кетонов алкилнитратами.** Фьюэр, Шеперд, Савидес (The nitration of cyclic ketones with alkyl nitrates. Feuer Henry, Shepherd James W., Savides Christos), J. Amer. Chem. Soc., 1956, 78, № 17, 4364—4367 (англ.). Найдено, что при нитровании циклопентанона (I), циклогексанона (II), циклогептанона (III) и циклооктанона (IV) алкилнитратами в присутствии шел. агентов образуются гидроскопичные соли циклич.  $\alpha,\alpha'$ -динитрокетонов, которые при действии KOBr превращаются с раскрытием цикла в бромдинитроалканы  $(\text{CH}_2)_n(\text{CNO}_2\text{Br})_2$  (V). На примере I показано, что лучшим нитрующим агентом является амилнитрат (VI), а из шел. агентов лучше всего возогнанный в вакууме (220°/1 мм) трет- $\text{C}_4\text{H}_9\text{OK}$  (VII); р-цию самоконденсации удается свести к минимуму, проводя процесс при -30° и используя 65% избыток шел. агента; избыток VI не влияет на выход, следы спирта влияют отрицательно. Аналогично из  $\alpha$ -тетралона при нитровании и действии KBrO получен *о*-HOOC $\text{C}_6\text{H}_4\text{CH}_2\text{CH}_2\text{CBr}_2\text{NO}_2$  (VIII). К 0,165 моля VII в 90 мл тетрагидро-

фурана (IX) при  $-30^\circ$  за 30 мин. прибавляют по каплям 0,05 моля I в IX, а затем (за 30 мин.) 0,11 моля VI в 35 мл IX; когда т-ра достигла  $25^\circ$  осадок ди-К-эоли 2,5-динитроциклопентанона (X) фильтруют в токе  $N_2$ , промывают 70 мл X, 50 мл эфира, сушат в вакууме и осаждают метанолом из воды, выход 75%, т. вып.  $259-261^\circ$ . При употреблении  $C_6H_5CH_3$ ,  $C_6H_{14}$  или эфира вместо X выходы ниже. Также снижает выходы замена VII на  $NaNH_2$ ,  $KNH_2$ , трет- $C_4H_9ONa$ ,  $C_6H_5N(CH_3)K$ . К р-ру  $KOBr$  (из 27,6 г  $Br_2$  и 24,8 г  $KOH$  в 150 мл воды) прибавляют при  $0^\circ$  0,038 моля X в 75 мл воды и получают Va ( $n=2$ ), выход 72%, т. пл.  $101-102^\circ$  (из  $C_6H_{14}$ ). Также из II получают Vb ( $n=3$ ), выход 53%, т. пл.  $40-41^\circ$  (из  $C_6H_{14}$ ); из III получают Vc ( $n=4$ ), выход 54%, т. пл.  $85-86^\circ$  (из  $C_6H_{14}$ ); из IV получают Vg ( $n=5$ ), выход 35%, т. пл.  $35-36^\circ$  (из  $C_6H_{14}$ ); из  $\alpha$ -тетралона—VIII, выход 40%, т. пл.  $127-128^\circ$  (из  $C_6H_{14}$ ). Если X обработать при  $0^\circ$  р-ром  $Ca(OCl)_2$ , то получают 1,4,4-тетрахлор-1,4-динитробутан, выход 79,3%, т. пл.  $50-50,5^\circ$  (из водн.  $CH_3OH$ ).

Ю. Волькенштейн

**68777. Синтез тропона и трополона с помощью перегруппировки норкаренона в циклогептадиенон. Тамелен, Хилдал** (The synthesis of tropone and tropolone via a norcarenone  $\rightarrow$  cycloheptadienone rearrangement. Tamelen Eugene E. van, Hildahl George T.), J. Amer. Chem. Soc., 1956, 78, № 17, 4405-4412 (англ.)

Ранее (Baeyer A., Chem. Ber., 1894, 27, 810) описано превращение гидробрида карвона непосредственно в 2,6,6-триметилциклогептадиен-2,4-он (I). Авторы осуществили синтез циклогептадиен-2,4-она (II), используя аналогичную перегруппировку. Для этого 3,5-диоксибензойная к-та (III) гидрированием превращена в 3,5-дикетогексагидробензойную к-ту (IV), этерифицированную затем в 3-этоксис-5-карбоксикциклогексен-2-он (V). Обработка V  $LiAlH_4$  привела к 5-оксиметилциклогексен-2-ону (VI), превращенному далее в соответствующий тозилат (VII), который при действии щелочи (вероятно, через промежуточный норкаренон) дал II. Строение II доказано УФ-спектром (аналогичным УФ-спектру I) и гидрированием над Pt (из  $PtO_2$ ) в суберон, выход 85%. При окислении II  $SeO_2$  в  $CH_3COOH$ , воде,  $C_6H_5N$  и спирте (лучше в последнем) получен тропон (VIII), который выделен через пикрат (т. пл.  $100-101,2^\circ$ ) или пикрилсульфонат (т. пл.  $268-270^\circ$  (из воды)), выход VIII 21% (при окислении в  $CH_3COOH$ ) и 71-72% (при окислении в сп.). Попытка окисления II аммиачным р-ром  $AgNO_3$  не дала ни VIII, ни трополона (IX). Образование VIII наблюдалось также при окислении II воздухом в шел. среде (рН 11-12, спектральный выход 38% через 96 час.), при нагревании с хинонами, напр., 2,3-дигидро-5,6-дихлорбензохиноном (выход 9-10%), при каталитич. дегидрировании с Pd-чернью в присутствии малеиновой к-ты (выход 18%) или малеата натрия. При попытке дегидрирования II со скелетным Ni VIII не образовывался. Наибольший выход VIII (выделен в виде бромгидрата, выход 79%) получен при обработке II  $Br_2$  в  $CCl_4$  на холоду с последующим 12-час. кипячением, тогда как при обработке II N-бромсукцинимидом (X) в  $CCl_4$  VIII не образуется. Обработка II изопропенилацетатом (XI) привела к ацетату енольной формы II (XII). Взаимодействие XII с  $SeO_2$  в  $C_6H_5N$ , с  $(CH_3COO)_4Pb$  или с X в  $CH_2=CHCH_2Br$  приводило к VIII с выходами, не превышающими 29%, тогда как при действии на XII 1 моля  $C_6H_5COOH$  в  $CHCl_3$  (6 час. при  $20^\circ$ ) выход VIII составил 55%. При аналогичной обработке XII (или III) 2 молями  $C_6H_5COOH$  сразу образуется IX (выход  $\sim 4\%$ ). При использовании  $CF_3COOH$  в  $CH_2Cl_2$  при  $0^\circ$  выход IX (из XII) составил 26%, т. пл.  $50,4-51,6^\circ$  (выделен через Cu-енолят, т. пл.  $319-320^\circ$ ).

2,0 моля III, 900 мл воды, 4,4 моля NaOH гидрируют при  $50^\circ$  и  $\sim 90$  ат над скелетным Ni пониженной активности (W-1) до поглощения 1 моля  $H_2$  ( $\sim 3,5$  часа) и после подкисления и экстракции этилацетатом получают IV, выход 86%, т. пл.  $178,5-180^\circ$  (из воды,  $CH_3COOH$  или этилацетата). Смесь 1 моля IV, 400 мл абс. спирта, 2400 мл  $C_6H_6$  и 5 г  $n-CH_3C_6H_4SO_3H \cdot H_2O$  кипятят 36 час., отгоняя азеотропную смесь  $C_6H_6$ , воды и спирта, и получают V, выход 86%, т. кип.  $125-130^\circ/0,4$  мм,  $n^{25}_D$  1,4920. Восстановление V  $LiAlH_4$  приводит к VI, спектральный выход 65-75%; 2,4-динитрофенилгидразон (ДФГ), т. пл.  $147,0-148,5^\circ$  (из абс. сп.). Попытки получить из VI бициклич. кетониди нагреванием или обработкой минер. к-тами и щелочами не привели к определенному результату. Смесь VI,  $n-CH_3C_6H_4SO_2Cl$  и  $C_6H_5N$  составляют на 12-24 часа при  $0^\circ$  и после обычной обработки получают VII, выход 56%, т. пл.  $75,0-75,7^\circ$  (из сп., эф. или  $CH_3COOH$ ). К р-ру 0,07 моля VII в 1 л эфира прибавляют р-р 0,085 моля NaOH в 250 мл воды, перемешивают 16 час. при  $\sim 20^\circ$  и после подкисления водн. слоя и экстракции получают II, выход 66%, т. кип.  $40-42^\circ/0,5$  мм,  $n^{25}_D$  1,5337. Смесь 0,15 моля II, 30 мл XI и 1,0 г  $n-CH_3C_6H_4SO_3H \cdot H_2O$  нагревают до отгонки теоретич. кол-ва ацетона, нейтрализуют 1,0 г  $CH_3COONa$  и получают XII, выход 76%, т. кип.  $68-69^\circ/2$  мм,  $n^{25}_D$  1,5117. Приведены УФ-спектры II, VI, VIII, XII и ДФГ VI.

В. Андреев

**68778. Циклооктилалкиламины. Мак-Карти, Каль** (Cyclooctylalkylamines. McCarthy Walter C., Kahl Raymond J.), J. Organ. Chem., 1956, 21, № 9, 985-987 (англ.)

С целью определения фармакологич. активности синтезированы  $\beta$ -циклооктилэтиламин (I), N-метил- $\beta$ -циклооктилэтиламин (II),  $\beta$ -циклооктилизопропиламин (III) и N-метил- $\beta$ -циклооктилизопропиламин (IV), являющиеся аналогами симпатомиметич. препаратов—2-(метиламинопропил)-циклогексана («бензедрекс Р») и 2-(метиламинопропил)-циклопентана («клопан Р»). Циклооктанон конденсируют с  $CNCH_2COOH$  в присутствии  $CH_3COONH_4$ , получают циклооктилдениланукусную к-ту, термич. декарбоксилирование которой сопровождается перемещением двойной связи в цикл (установлено по ИК-спектру) и приводит к циклооктенилацетонитрилу (V), выход 63%, т. кип.  $140,5-141,5^\circ/20$  мм,  $n^{25}_D$  1,4864. Восстановлением V над скелетным Ni ( $\sim 20^\circ$ , 3,5 ат) в абс. спирте, насыщ.  $NH_3$ , получают I, выход 67%, т. кип.  $116-117^\circ/23$  мм,  $n^{25}_D$  1,4884; производное с фенилтиомочевой (ФТМ), т. пл.  $83-84^\circ$  (из сп.). I, взаимодействуя с хлоралем (Blicke, Lu, J. Amer. Chem. Soc., 1952, 74, 3933), дает N-формил- $\beta$ -циклооктилэтиламин (выход 81%, т. кип.  $150-156^\circ/2$  мм,  $n^{25}_D$  1,5043), восстановление которого  $LiAlH_4$  приводит к II, выход 82%, т. кип.  $121-122^\circ/23$  мм,  $n^{25}_D$  1,4821; ФТМ, т. пл.  $106-107^\circ$  (из водн. сп.). При гидролизе V водно-спирт. р-ром NaOH (7 дней кипячения) образуется циклооктенилуксусная к-та (выход 73%, т. кип.  $137-138^\circ/2$  мм,  $n^{18}_D$  1,4939; анидид, т. пл.  $84-85^\circ$  (из водн. сп.), гидрирование которой над скелетным Ni ( $40^\circ$ , 3,5 ат) в абс. спирте приводит к циклооктилукусной к-те, выход 93%, т. кип.  $149-150^\circ/2$  мм,  $n^{25}_D$  1,4800; хлорангидрид (VI), выход 92%, т. кип.  $123-127^\circ/18$  мм; анидид, т. пл.  $130-131^\circ$  (из водн. сп.). VI взаимодействием с малоновым эфиром и Mg по описанному методу (Walker, Hauser, J. Amer. Chem. Soc., 1946, 68, 1386) переводят в циклооктилацетон (VII), выход 81%, т. кип.  $124-125^\circ/15$  мм,  $n^{25}_D$  1,4663; 2,4-динитрофенилгидразон т. пл.  $126-127^\circ$  (из сп.). Оксим VII (некристаллизующееся масло) при восстановлении  $LiAlH_4$  дает III, выход 71%, т. кип.  $126-127^\circ/20$  мм,  $n^{25}_D$  1,4795; ФТМ, т. пл.  $67,5-68,5^\circ$  (из сп.). Гидрирование VII в присут-

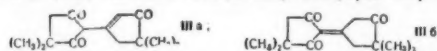
ствии  $\text{CH}_3\text{NH}_2$  над скелетным Ni ( $\sim 20^\circ$ , 3,5 ат) в абс. спирте приводит к IV, выход 58%, т. кип.  $131-132^\circ/20$  мм,  $n_D^{25}$  1,4743; ФТМ, т. пл.  $90,5-91,5^\circ$  (из сп.). Установлено, что III обладает прессорной активностью, сравнимой с активностью «клопана» Рв. Приведен ИК-спектр V.

**68779. Изучение алициклических соединений.** Часть VI. Синтез 2-фенилциклооктен-2-она. Вейль, Гинзбург (Alicyclic studies. Part VI. The synthesis of 2-phenylcyclooct-2-enone. Weil-Th., Ginsburg David), J. Chem. Soc., 1957, March, 1291-1293 (англ.)

2-Фенилциклооктен-2-он (I), являющийся промежуточным продуктом в синтезе аналогов фенантрена, содержащих вместо бензольного ядра циклооктатетраеновый цикл, синтезирован дегидрохлорированием нитрозохлорида 1-фенилциклооктена (II) в оксим I и гидролизом последнего в I. I получен также бромированием 2-фенилциклооктанона N-бромсукцинимидом в  $\text{CCl}_4$  (1,5 часа кипячения) с последующей обработкой коллидином. При гидролизе оксима I щавелевой к-той побочно образуется  $\omega$ -бензоилгептановая к-та (III), т. пл.  $84-85^\circ$  (из воды), возникающая, вероятно, вследствие бекмановской перегруппировки оксима I в 9-членный циклич. ненасыщ. лактам, который после гидролиза (через соответствующую аминокислоту) превращается в III. Строение I доказано гидролизом над 5%-ным Pd/C в 2-фенилциклооктанон (IV) [т. кип.  $115^\circ/0,4$  мм; 2,4-динитрофенилгидразон (ДНФГ), т. пл.  $146^\circ$  (из сп.)], идентичный с заводским образцом, полученным окислением 1-фенилциклооктена (V) 30%-ной  $\text{H}_2\text{O}_2$  в лед.  $\text{CH}_3\text{COOH}$  и конц.  $\text{H}_2\text{SO}_4$  с последующей обработкой спирт. КОН. Строение III подтверждено получением ее при окислении 1-фенилциклооктанола (VI). V (т. кип.  $106^\circ/5$  мм,  $n_D^{20}$  1,5610) синтезирован с катал. выходом дегидратацией VI, т. пл.  $41^\circ$  (из петр. эф.), полученный из циклооктанона и  $\text{C}_6\text{H}_5\text{MgBr}$ . II получают действием  $\text{изв.-C}_6\text{H}_{11}\text{ONO}$  в лед.  $\text{CH}_3\text{COOH}$  при  $6^\circ$  на V или VI, выход 19 г (из 21 г IV), т. пл.  $95^\circ$ . Нагревание II со спирт. КОН (15-30 мин. при  $70^\circ$ ) приводит к оксиму I, т. пл.  $150^\circ$  (из сп.). Р-р 1,8 г оксима I в 50 мл  $\text{CH}_3\text{COC}_2\text{H}_5$  нагревают 20 час. при  $80^\circ$  с 2 мл ацетона, 12 мл HCl (1:1) и 2 г  $\text{Cu}_2\text{O}$  и экстрагируют метилциклогексаном, выход I 0,7 г, т. кип.  $110^\circ/0,4$  мм; ДНФГ, т. пл.  $127^\circ$  (из сп.). Приведены ИК-спектры IV и ДНФГ I и УФ-спектры ДФГ I и ДФГ IV. Часть V см. РЖХим, 1957, 63442.

**68780. Об образовании ангидро-бис-(3,3-диметил-2,5-диоксоциклопентана).** Эскола (Über die Bildung von Anhydro-bis-(3,3-dimethyl-2,5-dioxocyclopentan). Eskola Salli), Suomen kem., 1957, 30, № 3, B52-B56 (нем.)

При нагревании метилового эфира мезитиновой к-ты (т. кип.  $91,5-92,5^\circ/20$  мм) с  $\text{CH}_3\text{ONa}$  (многочасовое стояние при  $\sim 20^\circ$ , 6-10 час. на водяной бане и 4-8 час. при  $130^\circ$ ) образуется  $\alpha,\alpha$ -диметил- $\gamma$ -(3,3-диметил-2,5-диоксоциклопентил)- $\gamma$ -валеролактон (I), выход 52,5%, т. пл.  $154-155^\circ$  (из эф.); ацетильное производное I (II), т. кип.  $166^\circ/8$  мм,  $143^\circ/1,58$  мм, т. пл.



$43-45^\circ$ ; 2,4-динитрофенилгидразон, т. пл.  $266-268^\circ$  (разл.). В качестве побочного продукта образуется небольшое кол-во  $\alpha,\alpha$ -диметил- $\gamma$ -валеролактона, т. пл.  $51^\circ$ . I получают также с выходом 82% при нагревании (14 час.,  $150-160^\circ$ ) лактона  $\alpha,\alpha,\gamma$ -триметил- $\Delta^3$ -кротоновой к-ты с р-ром  $\text{CH}_3\text{ONa}$ . Нагревание I с  $\text{P}_2\text{O}_5$  (3 часа,  $145-150^\circ$ ) приводит к ангидро-бис-(3,3-диметил-2,5-диоксоциклопентану) (III), выход 53%, т. пл.  $225,5-226^\circ$  (из эф. или водн. сп.); 0-метиловый эфир

(IV), т. пл.  $170^\circ$  (из эф.). III образуется также при нагревании I ( $7-20$  час.,  $150-210^\circ$  в присутствии воды, водн. р-ра NaOH или р-ра HCl) или 3,3-диметил-2,5-диоксоциклопентана (10 час.,  $110-115^\circ$  и 18 час.,  $115-120^\circ$  в присутствии пиперидина или 6 час.,  $160-175^\circ$  в присутствии NaOH). III имеет строение (IIIa) или (IIIb). Приведены УФ-спектры I-IV и ИК-спектр II.

**68781. Изомеризация полиметиленовых углеводородов под влиянием хлористого алюминия.** XX. Изомеризация спиро-(4,5)-декана. Турова-Поляк М. Б., Соснина И. Е., Юдкина Т. П., Ж. общ. химии, 1957, 27, № 3, 586-589

Исследована изомеризация спиро-(4,5)-декана (I) при действии  $\text{AlCl}_3$ . Изомеризацию I проводят в приборе, описанном ранее (Турова-Поляк М. Б., Новицкий К. Ю., Ж. общ. химии, 1944, 14, 337); мол. отношение I:  $\text{AlCl}_3 = 3:1$ , смесь перемешивают 15-18 час. Продукты р-ции после разгонки исследуют с помощью спектра комб. расщ. света. I в условиях изомеризации дициклопентила (см. сообщение XIX, РЖХим, 1957, 37550) не изменяется. При  $75^\circ$  I превращается в транс-декалин (II), выход II 93-94%. При  $100^\circ$ , наряду с II, образуются продукты более глубокой изомеризации (в том числе, возможно, 2,2'-диметилбисцикло-(0,3,3)-октан).

**68782. Производные бицикло-(1,2,2)-гептана. I. Конденсация 2-ацил-3-хлорбицикло-(1,2,2)-гептанов с малоновым эфиром и родственным соединениями.** Кочетков Н. К., Хорлин А. Я., Ж. общ. химии, 1956, 26, № 12, 3430-3440

Установлено, что синтезированные по описанному методу (Несмеянов А. Н. и др., Докл. АН СССР, 1952, 82, 409) из цикlopentадена (I) и  $\beta$ -хлорвинилкетона общей ф-лы  $\text{ClCH}=\text{CH}_2\text{COR}$  2-ацил-3-хлорбицикло-(1,2,2)-гептены-5 и полученные гидрированием последних 2-ацил-3-хлорбицикло-(1,2,2)-гептаны нормальным образом алкилируют малоновый (II), этилмалоновый и ацетоуксусный эфиры, образуя соответствующие 2-ацилбицикло-(1,2,2)-гептен-5-ил-(3)-малоновые, 2-ацилбицикло-(1,2,2)-гептил-(3)-малоновые, этил-2-ацилбицикло-(1,2,2)-гептил-(3)-малоновые и 2-ацилбицикло-(1,2,2)-ацетоуксусные эфиры. Строение 2-ацетил-(III)- и 2-бензоилбицикло-(1,2,2)-гептен-5-ил-(3)-малоновых эфиров подтверждено р-цией ретродиенового распада, происходящей при т-рах выше  $200^\circ$ , при которой образуются I и соответствующий  $\beta$ -ацилвинилмалоновый эфир, в условиях опыта циклизующийся в 6-метил-3-карбэтокси- $\alpha$ -пирон [выход 8,1 г (из 20 г III), т. пл.  $87-88^\circ$  (из лигр.)] и соответственно 6-фенил-3-карбэтокси- $\alpha$ -пирон, выход, считая на 2-бензоил-3-хлорбицикло-(1,2,2)-гептен-5 (IV), 38%, т. пл.  $105-106,5^\circ$  (из бал.-петр. эф.). При обработке 2-ацетилбицикло-(1,2,2)-гептил-(3)-малонowego эфира (V)  $\text{C}_2\text{H}_5\text{ONa}$  происходит циклизация с образованием 1,3-дикето-5,8-эндометилдендекалина (VI), который при метилировании  $\text{CH}_3\text{J}$  в присутствии  $\text{C}_2\text{H}_5\text{ONa}$  дал 2-метил-1,3-дикето-5,8-эндометилдендекалин (VII), выход 0,53 г (из 2,5 г VI), т. пл.  $148-149^\circ$  (из водн. ацетона или этилацетата). Аналогичная циклизация 2-пропионилбицикло-(1,2,2)-гептил-(3)-малонowego эфира (VIII) привела к смеси 2-метил-1,3-дикето-4-карбоксы- и 2-метил-1,3-дикето-4-карбэтокси-5,8-эндометилдендекалина (IX - смесь) (выход 5,1 г (из 10,0 г VIII), т. пл.  $116-120^\circ$ ), при нагревании которой с 2 н. р-ром NaOH ( $65-70^\circ$ , 8 час.) получен VII, выход 52,2%. Из 78,0 г этил- $\beta$ -хлорвинилкетона и 100,0 г I получают 2-пропионил-3-хлорбицикло-(1,2,2)-гептен-5 (X) (выход 91-96%, т. кип.  $91-94^\circ/1$  мм,  $n_D^{20}$  1,4985,  $d_4^{20}$  1,1322), гидрированием которого над 6%-ным Pd/BaSO<sub>4</sub> получают 2-пропионил-3-хлорбицикло-(1,2,2)-гептан, выход 90%, т. кип.  $90-92^\circ/5$  мм,  $n_D^{20}$  1,4890,  $d_4^{20}$  1,1137. Ана-



логично готовят 2-бутироил-3-хлорбицикло-(1,2,2)-гептан, выход 92%, т. кип. 108—110°/5 мм,  $n_D^{20}$  1,4860,  $d_4^{20}$  1,0781. К Na-соли II (из 65 г II и 8,5 г Na в 400 мл  $C_6H_6$ ) при 0° прибавляют 25 г 2-ацетил-3-хлорбицикло-(1,2,2)-гептана (XI), кипятят 12 час. (метод А), после чего получают V, выход 57,5%, т. кип. 137,5—139,5°/0,5 мм, 150—154°/1,5 мм, т. пл. 19—21°,  $n_D^{20}$  1,4710; оксим, т. пл. 87—88° (из водн. сп.); 2,4-динитрофенилгидразон (ДНФГ), т. пл. 124—125° (из водн. сп.). К р-ру Na-соли II (из 33 г II и 4 г Na) в 150 мл абс. спирта при ~20° прибавляют р-р 17,3 г XI в 50 мл спирта, нагревают 20 час. при 45—50° (метод Б) и получают V, выход 64,2%. По методу Б получают: VIII (выход 63,5%, т. кип. 148—150°/3 мм,  $n_D^{20}$  1,4710; ДНФГ, т. пл. 118—119,5° (из сп.)), 2-бутироилбицикло-(1,2,2)-гептил-(3)-малоновый эфир (выход 67,5%, т. кип. 154—156°/2 мм,  $n_D^{20}$  1,4698); 2-этил-2-ацетилбицикло-(1,2,2)-гептил-(3)-малоновый эфир (выход 41,5% (по методу А выход 42%), т. кип. 146—147°/0,5 мм, 151—154°/1 мм,  $n_D^{20}$  1,4740 (1,4770); ДНФГ, т. пл. 103—104° (из водн. сп.)), 2-ацетилбицикло-(1,2,2)-гептил-(3)-ацетоуксусный эфир (выход 73,3%, т. кип. 144—146°/1,5 мм,  $n_D^{20}$  1,4803) и III, выход 78%, т. кип. 148,5—149,5°/0,3 мм, т. пл. 19—20°; ДНФГ, т. пл. 126—127° (из водн. сп.). Гидрируют 6,66 г III над 1 г 6%-ного Pd/BaSO<sub>4</sub> и получают 6,5 г V. Смесь 12,6 г IV и Na-соли II (из 2,3 г Na и 25,0 г II в 100 мл  $C_6H_6$ ) нагревают 20 час. при 50—60°, продукт р-ции (8 г) омыляют р-ром 15,0 г KOH в 10 мл воды и 30 мл  $CH_3OH$  (1 час, 100°) и получают 6,2 г 2-бензоилбицикло-(1,2,2)-гептен-5-ил-(3)-малоновой к-ты, т. пл. 135—137° (разл.). Медленно отгоняют спирт от р-ра 10 г V и 1,5 г Na в 30 мл спирта, сначала при ~760 мм, а затем при 10—15 мм (т-ра бани 110—130°), остаток растворяют в воде, подкисляют и после экстракции получают VI, выход 64,7%, т. пл. 159,5—160° (из ацетона). Если при исцелении VIII по методу Б поднять т-ру р-ции до 60°, то получают VIII (выход 56%), а в водн. слое — IX (выход 15,2 г из 37,2 г X), при омылении дающую VII с выходом 33,5%, считая на X. Приведены УФ-спектры III и V. Н. Беликова

**68783.** Некоторые продукты разложения и перегруппировки гидроперекиси декалина. Холмквист, Ротрок, Тнобалд, Энглунд (Some decomposition and rearrangement products of decahydrophthalene hydroperoxide. Holmquist H. E., Rothrock H. S., Theobald C. W., Englund B. E.), J. Amer. Chem. Soc., 1956, 78, № 20, 5339—5341 (англ.)

Установлено, что главным продуктом кислотного характера при окислении декалина (I) O<sub>2</sub> в условиях, способствующих свободнорадикальному распаду промежуточно образующейся 9-гидроперекиси декалина (II) (8-час. нагревание при 120—127° в присутствии Со-соли 2-этилкапроновой к-ты), является 6-оксидекановая к-та (III). Кроме III, при этом в незначительных кол-вах образуются продукты ее дальнейшего окисления (адициновая и масляная к-ты), себадиновая к-та (IV), а также продукты нейтр. характера, из которых главными являются транс-9-оксидекалин и смесь 2 (1 н.)- и 1 (2 н.)-окталонов. Термич. распад транс-II в изопропилбензоле при 152—155° также приводит к III, выход 21%. Образование III из II происходит в результате разрыва C<sub>(9)</sub>—C<sub>(10)</sub>-связи с последующим окислением промежуточно образующегося 2-н-бутилциклогексана (V), что является основным направлением радикального распада II. При восстановлении II FeSO<sub>4</sub> V получается с 80%-ным выходом. Однако образование при окислении I незначительных кол-в IV показывает, что распад II частично идет также с разрывом C<sub>(9)</sub>—C<sub>(10)</sub>-связи и образованием циклодеканона, который окисляется далее в IV. Это

направление становится преобладающим при распаде транс-II по ионному механизму: при нагревании транс-II в трет- $C_4H_9OH$  в присутствии H<sub>2</sub>SO<sub>4</sub> с выходом 25% образуется 6-оксидекаданон. При окислении I при 115—120° в присутствии (CH<sub>3</sub>CO)<sub>2</sub>O образуются ацетат 11-оксабицикло-(4,4,1)-ундеканол-1 (выход 15%) и III (выход 2%). Строение III доказано синтезом ее из хлорангидрида 6-карбометоксивалериановой к-ты и (n-C<sub>4</sub>H<sub>9</sub>)<sub>2</sub>Cd. Восстановление III по Клемменсену приводит к декановой к-те, а при гидрировании III в спирте над скелетным Ni (125°, 166 ат) образуется ε-бутилкапролактон (выход 49%, т. кип. 117°/3 мм,  $n_D^{20}$  1,4464), который омыляется в 6-оксидекановую к-ту, т. пл. 36° (из хлф.-птр. эф.), последняя окисляется K<sub>2</sub>Cr<sub>2</sub>O<sub>7</sub> в III. Гидрирование 6-оксимнодекановой к-ты (получена действием NH<sub>2</sub>OH на III) над скелетным Ni в CH<sub>3</sub>OH (75°, 166 ат) приводит к 6-аминодекановой к-те, т. пл. 196—197° (разл.; из сп. эф.), которая при нагревании (до 225°) дает ε-бутилкапролактан, т. пл. 70° (после возгонки). С. Поддубная

**68784.** Исследования в области стереохимии циклических соединений. Сообщение 17. Конденсация 1-а-ацетоксивинил-Δ<sup>1</sup>-циклогексена с малеиновым ангидридом. Назаров Н. П., Кучеров В. Ф., Андреев В. М., Изв. АН СССР. Отд. хим. н., 1957, № 3, 331—338

Диеновая конденсация 1-а-ацетоксивинил-Δ<sup>1</sup>-циклогексена с малеиновым ангидридом протекает с нарушением правила накопления ненасыщенности. При кипячении (9 час.) этих компонентов в  $C_6H_6$ , а также при 0° (600 час.) образуется аддукт, выход 80%, т. кип. 214—215°/6 мм, обработка которого водой приводит к анти-цис-4-ацетоксиоктальдикарбонной-1,2 к-те (I), т. пл. 211—212° (разл.; из 50%-ной CH<sub>3</sub>COOH); диметилловый эфир I (II), т. пл. 60,5—62° (из эф.-птр. эф.). При обработке 0,05%-ной HCl I дает транс-анти-цис-декалиндикарбонную-1,2 к-ту (III), т. пл. 121—123° (разл.; из воды); ангидрид III, т. пл. 178—179° (из бzl.-ацетона); диметилловый эфир III (IV), т. пл. 100—101° (из эф.); 2,4-динитрофенилгидразон IV, т. пл. 214—215° (из сп.-хлф. 1:1). Восстановлением по Клемменсену из III получают транс-анти-цис-декалиндикарбонную-1,2 к-ту, т. пл. 152—153° (из 20%-ного ацетона). Обработка 5,5 г II 0,5%-ным р-ром CH<sub>3</sub>ONa в абс. CH<sub>3</sub>OH (кипчение 3,5 часа) приводит к 1,4 г метилового эфира (V) транс-анти-транс-4-кетодекальдикарбонной-1,2 к-ты (VI, к-та), т. пл. 89—90° (из эф.); 2,4-динитрофенилгидразон V, т. пл. 178—179° (из сп.-хлф.). В тех же условиях IV также дает V. Восстановлением по Клемменсену из V получают известный диметилловый эфир транс-анти-транс-декалиндикарбонной-1,2 к-ты, т. пл. 53—55° (из птр. эф.). Таким образом были подтверждены предложенные ранее конфигурации для шести изомерных декалиндикарбонных к-т (см. РЖХим, 1956, 39514; 1957, 34310). При кипячении 5,2 г ангидрида I в абс. CH<sub>3</sub>OH образуется смесь изомерных полуэфиров, из которой выделено 3,3 г 2-монометилового эфира I (VII), т. пл. 180—181° (из ацетона), и 0,65 г 1-монометилового эфира I (VIII), т. пл. 144—145° (из 50%-ного ацетона). Строение VII и VIII доказано следующим образом. Кипячением (4 часа) с CH<sub>3</sub>ONa в абс. CH<sub>3</sub>OH VII изомеризуют в 2-монометилловый эфир VI, т. пл. 171—173° (из 50%-ного ацетона), дающий V при обработке CH<sub>3</sub>N<sub>2</sub>. В тех же условиях у VIII происходит только омыление енолацетатной группы с образованием IV. Сообщение 16 см. РЖХим, 1957, 60499.

**68785.** Синтетические сладкие вещества. Рунти (Gli edulcoranti di sintesi. Runti Carlo), Chimica e industria, 1957, 39, № 5, 354—364 (итал.; рез. англ., нем., франц.)

Классифицированы наиболее важные синтетич.

сладкие в-ва, главным образом по их фармакологич. свойствам. Сделана попытка установления зависимости между строением и сладким вкусом, в особенности на примере дульцина, *п*-пропикс-2-амино-4-нитробензола (Р 4000) и 2-(*п*-метоксibenзоил)-бензойной к-ты. В. Загоревский

**68786. Получение ксилолов алкилированием и деалкилированием ароматических углеводородов в присутствии синтетических алюмосиликатов.** Топчиев А. В., Мамедалиев Г. М., Кислинский А. Н., Аникина Г. Н., Докл. АН СССР, 1957, 112, № 6, 1071—1074

Исследована р-ция деалкилирования технич. полиметилбензольной фракции (ПМБ) и сопряженного алкилирования толуола в присутствии синтетич. алюмосиликатных катализаторов с целью получения *п*-ксилола. Содержание триметилбензолов в ПМБ ~ 31%. Толуол неочищ. Соотношение толуола с ПМБ = 2:1. Оптимальные условия р-ции: 480°, 10 ат. скорость пропуска 0,5:1. Из 65,7 г  $C_6H_5CH_3$  и 32,8 г ПМБ получено за 1 проход (1 час) 10,8 г  $C_6H_4$  и 24,8 г ксилолов с содержанием 20—25% пара-, 45—50% мета- и 20—25% орто-изомера и 2—3%  $C_6H_5CH_2CH_3$ . В. Беликов

**68787. Хлорирование трет-бутилбензола. Часть II. Изучение хлорирования ядра.** Лерер, Фабр, Ижель (Chloration du tert-butylbenzène. Deuxième partie. Etude de la chloration nucléaire. Lerer Mofse, Fabre Claude, Hugel Georges), Bull. Soc. chim. France, 1957, № 2, 173—181 (франц.)

Хлорированием трет-бутилбензола (I) в присутствии  $FeCl_3$  получены *о*(IIa)-, *м*(IIб)- и *п*(IIв)-трет- $C_6H_4C_6H_4Cl$ , 2,5 (IIIa)- и 3,4 (IIIб)-дихлорбутилбензол, хлорбензол (IV), *п*- $C_6H_4Cl_2$  (V), *м*(VIa)- и (*п*-VIб)-дигрет-бутилбензол и  $C_6H_6$ . Р-ция протекает в сильно пониженной среде; первичным продуктом р-ции, по мнению авторов, является  $C_6H_9C_6H_5Cl^+$ . При хлорировании I 3 *г*-атома хлора получены 0,024 моля II, 0,175 моля III, 0,475 моля 2,3,6 (VIIa)- и 2,4,5 (VIIб)-трихлор-трет-бутилбензола, 0,059 моля 2,3,4,5- $Cl_4C_6H_4C_6H_5$  (VIII), а также 2,3,5,6-тетрахлор-1,4-дигрет-бутилбензол (IX). При действии 4,6 *г*-атома хлора на 1 моль I, наряду с VIII, выделен также пентахлор-трет-бутилбензол (X). В смесь 5,53 моля I и 0,017 моля  $FeCl_3$  пропускают 4 часа при 30°  $Cl_2$  до поглощения 4,9 *г*-атома хлора, вытесняют HCl током  $N_2$ , прибавляют 10 г соды, смоченной 2 мл воды, высушивают  $MgSO_4$  и перегонкой выделяют 0,255 моля  $C_6H_6$ , 0,15 моля IV, 0,47 моля I, 0,11 моля V, 3,19 моля II (т. кип. 101°/20 мм), 0,58 моля VI (т. кип. 115°/20 мм) и 0,47 моля III (т. кип. 125/20 мм). Изомеры II не удается разделить перегонкой; по данным ИК-спектров определяют, что смесь содержит 39% IIa ( $n_D^{20}$  1,5203,  $d_4^{20}$  1,0293), 23% IIб и 38% IIв. 10 г смеси II растворяют в 5 мл ацетона + 5 мл абс. спирта, охлаждают до —35° и отфильтровывают 3 г IIв, т. пл. 24°,  $n_D^{20}$  1,5108,  $d_4^{20}$  1,0056. При охлаждении смеси VIa и VIб до —2° выпадает VIб. В смесь 17,45 моля I и 20 г  $FeCl_3$  пропускают при 25—28°  $Cl_2$  до привеса 830 г, прибавляют 10 г  $FeCl_3$ , пропускают  $Cl_2$  5 час., прибавляют 5 г  $FeCl_3$  и пропускают  $Cl_2$  3 часа; общее кол-во поглощенного хлора равно 3 *г*-атома на 1 моль I; после обычной обработки перегонкой выделяют: 185 г  $(CH_3)_3CCl$  (XI), 28 г IV, 381 г V, 58 г II, 507 г III, 1792 г VII, т. кип. 142—150°/18 мм, и 261 г VIII, т. кип. 143—146°/5 мм, т. пл. 69° (из ацетона-абс. сп.). Из остатка после перегонки выделяют 69 г IX, т. пл. 63°, который не замедляется при действии  $HNO_3$  или  $KMnO_4$ , а при бромировании дает 1,4-дибром-2,3,5,6-тетрахлорбензол, т. пл. 246,5°. Охлаждением до —30° р-ра 200° г III в 150 мл смеси (1:1) абс. спирта и ацетона выделяют 76 г IIIa,

т. пл. 8,5°,  $n_D^{20}$  1,5375,  $d_4^{20}$  1,1570; при бромировании в присутствии  $FeBr_3$  IIIa количественно превращается в 2,3,5,6-тетрабром-1,4-дихлорбензол, т. пл. 281°. Перегонкой р-ра, оставшегося после выделения IIIa, получают IIIб, т. кип. 122°/17 мм,  $n_D^{20}$  1,5342,  $d_4^{20}$  1,1539; при нагревании (200°, 6 час.) с  $HNO_3$  (d 1,2) IIIб дает 3,4- $Cl_2C_6H_3COOH$ , а при бромировании — 3,4,5,6-тетрабром-1,2-дихлорбензол, т. пл. 284°. Из р-ра 500 г VII в абс. спирте-ацетоне вымораживанием при —30° выделяют 122 г VIIб, т. кип. 276°, т. пл. 30°,  $n_D^{20}$  1,5536, который при окислении  $HNO_3$  дает 2,4,5-трихлорбензойную к-ту, а при бромировании — 3,5,6-трибром-1,2,4-трихлорбензол (XII), т. пл. 265°. Из фильтрата после отделения VIIб получают VIIa, т. кип. 135°/8 мм,  $n_D^{20}$  1,5630,  $d_4^{20}$  1,2932. VIIa при окислении  $HNO_3$  превращается в 2,3,6-трихлорбензойную к-ту, т. пл. 125°, а при бромировании дает XII. Окислением VIII получают 2,3,4,5-тетрахлорбензойную к-ту, а бромированием — 1,2-дибром-3,4,5,6-тетрахлорбензол, т. пл. 251°. К 250 мл  $CCl_4$ , насыщ.  $Cl_2$  при 30°, прибавляют 1 г  $FeCl_3$  и 5 час. приливают по каплям при 30° 536 г I, одновременно пропуская со скоростью 40 л/час хлор и добавляя каждый час по 1 г  $FeCl_3$ , пропускают  $Cl_2$  еще 1 час; кол-во поглощенного хлора составляет 1,52 *г*-атома на 1 моль I; перегонкой выделяют 25 г XI, 22 г смеси IV и V, 338,2 г II, содержащего 59% IIa и 41% IIв, и 226,5 г III. В аналогичных условиях хлорируют 268 г I в 500 мл  $CCl_4$ ; кол-во поглощенного  $Cl_2$  4,6 *г*-атома на 1 моль I; при перегонке получают 28 г IX и из остатка после перегонки выделяют 54 г X, т. пл. 41°. При бромировании IX дает пентахлорбромбензол, т. пл. 236°. Приведены кривые ИК-спектров IIIa, IIIб, VIIa, VIIб, VIII, IX и X. Часть I см. РЖХим, 1957, 19107. П. А. 68788.

**Присоединение галогенпроизводных к аллилбензолам в присутствии перекисей; получение *о*-бромпропилбензолов.** Келе, Дюран-Дран, Пино (Addition de dérivés halogénés sur les allylbénzènes en présence de peroxydes; préparation des *о*-bromopropylbenzènes. Quelet Raymond, Durand-Dran Raymond, Pineau, Robert), C. r. Acad. sci., 1957, 244, № 9, 1218—1220 (франц.)

При насыщении замещ. аллилбензолов сухим HBr при 0—10° в присутствии  $C_6H_5COOOH$  или  $CH_3COOOH$  (4—8% по весу) образуются соответствующие замещ. *о*-бромпропилбензолы (I). Так получены (перечислены заместители, выход в %, т. кип. в °C/мм), —, 80, 113—115/16; *о*-метил, 66, 75—76/0,35; *м*-метил, 80, 85—86/1,1; *п*-метил, 75—78/0,7; *п*-метокси, 70, 85/0,8; 3,4-диметокси, 55, 70, 108—110/0,01. Для доказательства строения I их превращали действием Mg и  $CO_2$  в эфире или тетрагидрофуране в соответствующие замещ. *о*-фенилмасляные к-ты (II). II также образуются при действии на I KCN с последующим омылением нитрилов. Получены следующие II (перечислены заместители, т. пл. в °C): —, 50; *о*-метил, 59—60; *м*-метил, 37,5; *п*-метил, 58; *п*-метокси, 58. В случае 3,4-диметокси-*о*-бромпропилбензола образование Mg-комплекса сопровождается деметилированием. В. Антонов

**68789. Димеризация, сопровождающаяся изомеризацией и гидратацией; продолжение. Димеризация аллилбензола под действием 43%-ной серной кислоты.** Занден, Рикс (Dimerisation of allylbenzene under the influence of 43% sulphuric acid. (Dimerization along with isomerisation and hydration; continued). Zanden J. M. van der, Rix Th. R.), Recueil trav. chim., 1957, 76, № 1, 75—78 (англ.)

При кипячении с 43%-ной  $H_2SO_4$  аллилбензол (I) дает 1-фенилпропанол-2 (II) и пропенилбензол (III). Последний в условиях р-ции димеризуется с образованием 1,3-дифенил-2-метилпентена-1 (IV) (см.

РЖХим, 1957, 48229). 60 г I кипятят 30 час. с 150 мл  $H_2SO_4$  ( $d = 1,84$ ) и 360 мл воды. Извлекают эфиром и фракционированием выделяют 45 г неочищ. II, дибромид, т. пл. 66,5—67,5°; 7 г неочищ. III, фенилуретан, т. пл. 89—89,5° и 3 г IV, т. кип. 193—198°/19 мм,  $n_D^{20}$  1,5742. II получают также восстановлением 10 г фенилацетона в 50 мл  $CH_3OH$  р-ром 11,4 г  $NaBH_4$  в 200 мл  $CH_3OH$  при 0—5°. Выход II 80%, т. кип. 123°/37 мм,  $n_D^{20}$  1,5190. В. Беликов

68790. Некоторые вопросы синтеза фенола II. Тории (フェノール合成における諸問題. 2. 島海雄雄), 化学工学) Кагаку когё, Chem. Ind. (Tokyo), 1955, 6, № 7, 644—646 (японск.)

Продолжение (РЖХим, 1957, 22928) обзора способов получения фенола (I). Описан синтез I из кумола (II), получение II и превращение его в I; развитие произ-ва I из II; баланс  $C_6H_6$  и I. Н. Шевцов

68791. Нитропроизводные 1-фенил- и 1-(*n*-хлорфенил)-2,2,2-трихлорэтанола. Вейхет, Годрова (Über Nitroderivate des 1-Phenyl- und 1-(*n*-Chlorphenyl)-2,2,2-Trichloräthanol. Weichert J., Hodrová J.), Сб. чехосл. хим. работ, 1957, 22, № 2, 508—514 (нем.; рез. русск.)

См. РЖХим, 1957, 34393.

68792. Изучение гидроксилзамещенных соединений ряда гваяцила. Квасничка, Мак-Лафлин (Studies of hydroxyl substituted guaiacyl compounds. Kvasnicka E. A., McLaughlin R. R.), Canad. J. Chem., 1957, 35, № 2, 105—107 (англ.)

Для выяснения строения продуктов разложения лигнина, содержащих гидроксильную группу в боковой цепи, исследованы качеств. р-ции  $\alpha$ -,  $\beta$ - и  $\gamma$ -окси карбонильных замещ. ряда гваяцила (везде далее R = гваяцил).  $\alpha$ -замещ.:  $RCH_2OH$  (I),  $RCH(OH)CH_3$  (II),  $RCH(OH)CH_2CH_3$  (III),  $RCHO$ ,  $RCOCH_3$ ,  $RCOCH_2CH_3$  и  $RCOOH$  дают с диазосульфаниловой к-той (ДС) оранжевое, а с фторборатом диазо-*n*-нитроанилина (ДА) пурпурное окрашивание.  $\beta$ - и  $\gamma$ -Замещ.:  $RCH_2CH(OH)CH_3$  (IV),  $RCH_2CH_2CH_2OH$  (V),  $RCH_2COCH_3$  (VI),  $RCH_2COOH$  и  $RCH_2CH_2COOH$  (VII) дают с ДС красное, а с ДА серо-голубое окрашивание. Правило аддитивности значения  $lg R_f / (1 - R_f)$  (РЖХим, 1955, 51633) в ряду I, II,  $RCH_2CH_2OH$ , III, IV, V (не соблюдается  $R_f$  соответственно 0,06; 0,17; 0,10; 0,39; 0,26; 0,20). УФ-спектры не пригодны для идентификации. Для I, II, V, VI и VII  $\lambda_{max}$  280,5—281,6 мк (сп.) и 294—297 мк (1 п. КОН). Изобестич. точки в пределах 283,2—286,5; 287,7—269,2 и 231—231,8 мк. IV получают из VI. К 6,5 г VI в 50 мл  $CH_3OH$  и 20 мл 2 н. NaOH прибавляют 1 г  $NaBH_4$ , медленно нагревают и кипятят 1 час, упаривают в вакууме, разбавляют водой, подкисляют разб. HCl и извлекают  $CHCl_3$ . Промывают  $NaHSO_3$  и получают IV, выход 80%, т. пл. 36—37°. В. Беликов

68793. Взаимодействие алкилбензола с избытком ацетилирующего агента в условиях р-ции Фриделя—Крафта. Баддели, Ренч (The interaction of alkylbenzenes with excess of Friedel—Crafts acetylating agent. Baddeley G., Wrench E.), J. Chem. Soc., 1956, Dec., 4943—4945 (англ.)

Избыток  $CH_3COCl$  +  $AlCl_3$  (I—смесь) действует на алкилбензолы  $C_6H_5R$  (II) и  $3-C_2H_5C_6H_4COCH_3$  (III) по схеме:  $C_6H_5C_2H_5$  (+I)  $\rightarrow$   $n-C_2H_5C_6H_4COCH_3 \cdot AlCl_3$  (+I)  $\rightarrow$   $n-CH_3CHC_6H_4COCH_3 \cdot AlCl_3 + AlCl_4^- + CH_3CHO \rightarrow n-CH_2=CHC_6H_4COCH_3 \cdot AlCl_3 + HCl + CH_3CHO \cdot AlCl_3$  (+I, —HCl)  $\rightarrow$   $n-CH_3COCH=CHC_6H_4COCH_3 \cdot 2AlCl_3$ . II добавляют к охлажд. смеси 5 молей  $AlCl_3$  и 3 молей  $CH_3COCl$  в  $CH_2Cl_2$ , по окончании р-ции отгоняют в вакууме  $CH_2Cl_2$  и остаток нагревают до полного удаления HCl; разлагают HCl со льдом, экстрагируют  $CCl_4$  и отгоняют в ваку-

уме соответствующие  $n-CH_3COCHC_6H_4R$  (IV) и  $n-CH_3COCHC_6H_4C(R)=CR''$  (V). Приведены R в IV, время р-ции в часах, т-ра р-ции в °C, выход IV в %, т. кип. IV в °C/мм, т. пл. семикарбазона (СК) в °C, R, R' и R'' в V, выход в %, т. кип. в °C/мм, т. пл. в °C (из бзн.):  $C_2H_5$ , 2, 110, 60, —, 153—154, H, H,  $COCH_3$ , 10, 190—210/15, 107;  $n-C_3H_7$ , 2, 110, 40, 84—88/0,5, — (оксим, т. пл. 43—44°), H,  $CH_3$ ,  $COCH_3$ , 15, 135—145/0,5, 120 (СК, т. пл. 274—275° (разл., из водн.  $CH_3COOH$ ));  $изо-C_3H_7$ , 2, 60—70, 70, 120—125/12, — (оксим, т. пл. 70°),  $CH_3$ , H,  $COCH_3$ , 10, 117—120/0,02, 56 (бис-2,4-динитрофенилгидразон (БНГ), т. пл. 276° (из  $C_6H_5NO_2$ ));  $n-C_4H_9$ , 6, 80, 55, 140—146/12, 185,  $COCH_3$ , H,  $C_2H_5$  (?), 35, 145—165/0,5, 152;  $втор-C_4H_9$ , 5, 70, 30, 134—136/14, 190,  $CH_3$ ,  $CH_3$ ,  $COCH_3$ , 25, 140—150/0,2, 162 (БНГ, т. пл. 180° (из  $C_6H_5NO_2$ ));  $изо-C_4H_9$ , 5, 60, 50, 86—90/0,5, 206,  $COCH_3$ ,  $CH_3$ ,  $CH_3$ , 15, 120—135/0,03, 159—160 (БНГ, т. пл. 190° (разл.)). Аналогично из 28 г III, 32 г  $CH_3COCl$  и 84 г  $AlCl_3$  в 100 мл  $CH_2Cl_2$  (нагревание после отгонки р-рителя 2 часа при 80°) получают  $n-CH_3COCHC_6H_4CH=CHCOCH_3$ , выход 30%, т. кип. 120—130°/0,1 мм, т. пл. 76° (из бзн.); БНГ, т. пл. 230°, возвращено 60% III. Приведены УФ-спектры полученных V. Г. Крюкова

68794.  $\alpha$ -Кетоокиси и их превращения. Сообщение 7. О геометрическом изомерии в ряду  $\alpha$ -кетодикетидей. Назаров И. Н., Ахрем А. А., Изв. АН СССР, Отд. хим. н., 1956, № 12, 1457—1461

При окислении щел. перекисью водорода дибензальацетона (I), по-видимому, имеющего *транс-транс*-конфигурацию (по аналогии с бензальацетоном (см. Lutz, Jordan, J. Amer. Chem. Soc., 1950, 72, 4090; Bodfors, Ber., 1916, 49, 2795; РЖХим, 1957, 50433)), выделены два изомера соответствующей  $\alpha$ -кетодикетидей (16 и 16'), что связано, по-видимому, с обращением конфигурации I. Окислением (I-циклогексен-1-ил)-бутен-2-она-1 (II) получены два изомера кетодикетидей 1-(1,2-эпоксидциклогексил)-2,3-эпоксибутанон-1 (IIa и IIb), гидролиз которых привел к двум изомерным 2-метил-3,4а-диоксидхроманонам (IIIa и IIIb). При окислении 1-(циклогексен-1-ил)-3-метоксидбутанона-1 (IV) также получена соответствующая окись (IVa). К р-ру 105 г I в 1200 мл диоксана при 20° прибавляют одновременно за 5 мин. 200 мл 18%-ной  $H_2O_2$  и 40 мл 4 н. NaOH. Через 1 час нейтрализуют 10%-ной  $H_2SO_4$  и разбавляют водой. Получают 95 г смеси Ia и Ib с т. пл. 110—118°. Многократной дробной кристаллизацией из петр. эфира выделено 18 г Ia, т. пл. 119—119,5°, 5 г Ib, т. пл. 99,5°, и 70 г смеси Ia и Ib с т. пл. 86—100°. К р-ру 250 мл 24%-ной  $H_2O_2$  в 750 мл диоксана при охлаждении в течение 2 час. прибавляют одновременно 104 г II и 50 мл 8 н. NaOH; через 5,5 часа нейтрализуют, разлагают избыток  $H_2O_2$   $MnO_2$ , отгоняют диоксан в вакууме и извлекают эфиром. Получают 60 г смеси IIa и IIb, т. кип. 105—107°/2,5 мм, из которой вымораживанием выделено 12 г IIa, т. пл. 54,5° (из петр. эф.), и фракционной разгонкой получено 35 г IIa, т. кип. 105°/2 мм,  $n_D^{20}$  1,4840,  $d_4^{20}$  1,1281. 5 г IIa кипятят 15 час. с 100 мл воды, выпаривают и извлекают  $CHCl_3$ . Получают 3,7 г IIIa, т. пл. 81—82° (из эф.). Гидролиз 20 г IIb в присутствии HCl (к-ты) дал 13 г IIIb, т. кип. 105—106°/1 мм,  $n_D^{20}$  1,5060. К р-ру 45,5 г IV в 350 мл  $CH_3OH$  при —7° прибавляют 50 мл 24%-ной  $H_2O_2$  и 15 мл 4 н. NaOH. Получено 30 г IVa, т. кип. 90°/1,5 мм,  $n_D^{20}$  1,4720,  $d_4^{20}$  1,0314. Сообщение 6 см. РЖХим, 1957, 60490. В. Беликов

68795. Бензониновая конденсация анисового альдегида. Самрелл, Стивенс, Гонн (Benzoin condensation of anisaldehyde. Sumrell Gene, Stevens John L., Goheen Gilbert E.), J. Organ. Chem., 1957, 22, № 1, 39—41 (англ.)



Показано, что бензойная конденсация  $n\text{-CH}_3\text{OC}_6\text{H}_4\text{CHO}$  (I) является обратимой р-цией даже в отсутствие воды. К смеси 11,2 г KCN, 45 мл воды и 75 мл спирта прибавляют 56 г I, кипятят 4 часа, оставляют на ~ 20 час. при 0° и фильтруют, выход анизоина (II) 41%, при 10-часовом кипячении выход II 23%. Смесь 56 г II, 11,2 г KCN, 45 мл воды и 75 мл спирта кипятят 4 часа и на следующий день фильтрованием получают 67% неочищ. II, фильтрат разбавляют водой, обрабатывают эфиром и подкислением воды. р-ра выделяют 3,5 г анисовой к-ты, из эфирного р-ра действием  $\text{NaHSO}_3$  получают I, выход 10%. 2 г NaCN, 28 г I и 40 мл  $\text{CH}_3\text{OCH}_2\text{CH}_2\text{OCH}_3$  кипятят 1,5 часа в атмосфере сухого  $\text{N}_2$ , выход II 35%. При 3-часовом кипячении выход II составляет 15% (неочищ.), после 6-часового кипячения II не обнаруживается. П. А. 68796. Новый метод приготовления ацилгидрохинонов. Куросава (アシルヒドロキノワン—新法), 黒澤俊郎), 日本化学雑誌, Нихон кагаку дзасси, J. Chem. Soc. Japan. Pure Chem. Sec., 1957, 78, № 2, 312 (японск.).

Предложено новый способ ацилирования гидрохинона (I) жирными к-тами в присутствии  $\text{BF}_3 \cdot 50 \text{ г I}$  в 50 г лед.  $\text{CH}_3\text{COOH}$  насыщают при нагревании на водяной бане  $\text{BF}_3$ , нагревают 5 час., выливают в воду, получают ацетилгидрохинон, выход 95%, т. пл. 204°; дианетат, т. пл. 68°; 2,4-динитрофенилгидразон, т. пл. 260°. Аналогично получены (в-во, выход в %, т. пл. в °C), пропониогидрохинон, 67; 96; бутирилгидрохинон, 73, 91; 5-метил-12-ацетилгидрохинон, 85, 141. Л. Я. 68797. О гидрировании оксibenзойных кислот.

Лукеш, Троянек, Блага (Über die Hydrierung der Oxybenzoesäuren. Lukš R., Trojáněk J., Bláha K.), Сб. чехосл. хим. работ, 1955, 20, № 5, 1136—1141 (нем.; рез. русск.) См. РЖХим, 1957, 22939.

68798. Некоторые  $\alpha$ -алкоксинарилукусные кислоты. Рив, Пиккерт (Some  $\alpha$ -alkoxyarylacetic acids. Reeve Wilkins, Pickert Paul E.), J. Amer. Chem. Soc., 1957, 79, № 8, 1932—1934 (англ.).

Для выяснения влияния строения на физиологич. активность в двудольных растениях синтезированы:  $\text{ArCHORCOOH}$  (I), где  $\text{Ar} = \text{C}_6\text{H}_5$ ,  $\text{R} = \text{CH}_3$  (а);  $\text{Ar} = 2,4\text{-Cl}_2\text{C}_6\text{H}_3$ ,  $\text{R} = \text{CH}_3$  (б);  $\text{Ar} = 3,4\text{-Cl}_2\text{C}_6\text{H}_3$ ,  $\text{R} = \text{CH}_3$  (в);  $\text{Ar} = \text{C}_6\text{H}_5$ ,  $\text{R} = \text{C}_2\text{H}_5$  (г);  $\text{Ar} = 2,4\text{-Cl}_2\text{C}_6\text{H}_3$ ,  $\text{R} = \text{H}$  (д);  $\text{Ar} = 3,4\text{-Cl}_2\text{C}_6\text{H}_3$ ,  $\text{R} = \text{H}$  (е), а также  $\text{ArCH}_2\text{COOH}$  (II), где  $\text{Ar} = 2,4\text{-Cl}_2\text{C}_6\text{H}_3$  (а);  $\text{Ar} = 3,4\text{-Cl}_2\text{C}_6\text{H}_3$  (б) и  $(\text{C}_6\text{H}_5)_2\text{C}(\text{OCH}_3)\text{COOH}$  (III). С целью замены  $\alpha$ -С-атома в эфирах к-т типа I на N получены  $3\text{-ClC}_6\text{H}_4\text{N}(\text{OR})\text{COOC}_2\text{H}_5$   $\text{R} = \text{CH}_3$  (IV) и  $\text{R} = \text{H}$  (V). I и III получают превращением соответствующего альдегида в диангидрин с последующим гидролизом до оксикислоты, которую алкилируют диалкилсульфатом. Все соединения, имеющие скелет арилукусной к-ты, обладают физиологич. активностью. Наличие  $\text{CH}_2\text{O}$ -группы сообщает соединению способность перемещаться через растение. Замена  $\text{Ar}$  в I на H или  $\text{CH}_3$ ,  $\text{COOH}$ -группы на H или  $\text{NOSCH}_2$ -группу, а также замена N у  $\alpha$ -С-атома на  $\text{C}_6\text{H}_5$  приводит к дезактивации. Метилловый эфир Ia обладает той же активностью, что и Ia. Ib, в проявляют большую активность, чем Ia. По отношению к двудольным растениям IV и V неактивны. V стимулирует рост трав. К избытку  $\text{CH}_2\text{N}_2$  в  $\text{CH}_2\text{Cl}_2$  медленно добавляют Ia, т. кип. метилового эфира Ia 96—97°/6 мм,  $n_D^{20}$  1,5010. К р-ру 64 г бисульфитного производного 2,4-дихлорбензальдегида в 1 л воды добавляют 25 г NaCN в 100 мл воды, нитрил отфильтровывают, нагревают при 80° с 200 мл конц. HCl несколько часов, упаривают досуха в вакууме, остаток кипятят с 200 мл  $\text{C}_6\text{H}_6$ , удаляя воду, фильтруют горячим, из фильтрата через ~ 12 час. выделяется Id, — выход 28 г, т. пл.

120—121° (из бал.) 22 г Id метилируют  $(\text{CH}_3)_2\text{SO}_4$  по описанному методу (РЖХим, 1957, 60810), Na-солей Id и Ib растворяют в воде, подкисляют, добавляют NaOH до pH 6—7, прибавляют р-р  $\text{BaCl}_2$ , Ba-соль Ib нагревают с 1 н.  $\text{BaCl}_2$ , обрабатывают 3 н. HCl, извлекают эфиром, т. пл. Ib 115° (из  $\text{C}_6\text{H}_{12}$ ). Нитрил Ie, полученный из 31 г 3,4-дихлорбензальдегида аналогично описанному выше, нагревают на водяной бане с 250 мл конц. HCl 10 час., упаривают, полученное масло обрабатывают  $\text{NaHCO}_3$ , подкисляют, эфиром извлекают 29 г Ie, метилируют аналогично Id, Na-соль Iv отфильтровывают, добавляют 6 н. HCl, из к-ты вновь получают соль, к 0,5 M Na-соли Ie прибавляют равный объем 20%-ного NaOH, отфильтровывают соль, растворяют в воде, подкисляют 6 н. HCl и извлекают эфиром, выход Iv 7 г, т. пл. 89° (из петр. эф.). 100 г I (Ar =  $\text{C}_6\text{H}_5$ , X = H) алкилируют  $(\text{C}_2\text{H}_5)_2\text{SO}_4$  при 90°, охлаждают, подкисляют до pH 1, извлекают  $\text{C}_6\text{H}_6$ , удаляют в вакууме  $\text{C}_6\text{H}_6$ , растворяют в 5%-ном NaOH, извлекают эфиром, водн. р-р подкисляют и извлекают эфиром, р-ритель удаляют, масло растворяют в 4%-ном NaOH, добавляя двойной объем 50%-ной NaOH, отфильтровывают Na-соль Ig, повторяют осаждение, подкисляют, эфиром извлекают Ig, выход неочищ. 7%,  $n_D^{20}$  1,5120,  $d_4^{25}$  1,121. 2,4-дихлорбензилхлорид кипятят с экв. кол-вом NaCN в водн. спирте (2:1) 20 час., выход нитрила IIa 75%, т. кип. 145°/13 мм, т. пл. 62—62,5° (из  $\text{C}_6\text{H}_{12}$ ). Нитрил IIa кипятят 6 час. с 25%-ным NaOH, выход IIa 70%, т. пл. 132—133° (из бал.). Аналогично получают IIb, т. пл. 90,5—91,5° (из бал.). Бензильовую к-ту метилируют избытком  $(\text{CH}_3)_2\text{SO}_4$  при 50°, к 0,25 M неочищ. Na-соли III прибавляют двойной объем 25%-ного NaOH, осадок растворяют в 15 ч. воды, добавляют 6 н. HCl, т. пл. III 106,5—107° (из петр. эф.). м-Хлорнитробензол восстанавливают Zn-пылью, выход м-хлорфенилгидроксиламина (VI) 30%, т. пл. 47—49° (из петр. эф.). Из VI по описанному методу (Bamberger E., Tschirner F., Ber., 1919, 52, 1121) получают V, выход 80%, т. пл. 43—44° (из петр. эф.), метилирование которого  $\text{CH}_3\text{J}$  и KOH дает IV, выход 42%, т. кип. 128—130°/3 мм. М. Карпейский

68799. Исследования в области полиенов. V. Синтез кортизалина. Маршалл, Уайтинг (Researches on polyenes. Part V. The synthesis of cortisalin. Marshall D., Whiting M. C.), J. Chem. Soc., 1957, Febr., 537—542 (англ.).

Взаимодействием 2 г 13-н-метоксифенилтридека-2,4,6,8,10,12-гексаеналя с 4 г малоновоу к-ты в присутствии 0,5 г пиридина в 60 мл пиридина (95°, 2 часа) получают замещ. малоновую к-ту,  $n\text{-CH}_3\text{OC}_6\text{H}_4(\text{CH}=\text{CH})_6\text{CH}=\text{C}(\text{COOH})_2$ , которую нагревают 4 часа в смеси 50 мл  $\text{CH}_3\text{COOH}$  и 50 мл  $(\text{CH}_3\text{CO})_2\text{O}$ ; получают 15-н-метоксифенилпентадека-2,4,6,8,10,12,14-пентаен-1-карбоновую к-ту (I), выход 70%, т. пл. 263—265° (разл.; из пиридина, затем м-крезола). Р-цией I с диазометаном получают метиловый эфир I, т. пл. 257—258° (из м-крезола). 600 мг метилового эфира I, 3 г  $\text{AlBr}_3$  и 56 мл «2,4,6-коллина» кипятят 2 часа, охлаждают и выливают в избыток 2 н.  $\text{H}_2\text{SO}_4$ . Выпавший осадок экстрагируют пиридином, а выделенное из пиридинового экстракта в-во обрабатывают 2%-ным р-ром KOH в этиленгликоле. Подкислением цел. р-ра и кристаллизацией из пиридина получают 6 мг кортизалина, т. разл. 300°,  $\lambda_{\text{max}}$  4590 и 4400 Å,  $\epsilon$  70300 и 60000, соответственно в 2%-ном р-ре KOH в гликоле и пиридине. Сообщение IV см. РЖХим, 1957, 44483. Т. Макарова

68800. Исследование в области производных  $n$ -алкоксibenзойных кислот. Сообщение XIV. Синтез некоторых ганглиоблокирующих веществ. Миджоян

А. Л., Африкян В. Г., Оганесян А. Н., Докл. АН АрмССР, 1957, 24, № 3, 105—117 (рез. арм.)

С целью получения ганглиоблокирующих в-в и выяснения зависимости активности от строения синтезированы следующие аминсодержащие *n*-бутоксibenзойные к-ты:  $\text{ROSC}_6\text{H}_4\text{COOCH}(\text{CH}_3)\text{CH}(\text{CH}_3)\text{CH}_2\text{NR}'_2$  (I),  $\text{ROSC}_6\text{H}_4\text{COOCH}_2\text{C}(\text{CH}_3)_2\text{CH}_2\text{NR}'_2$  (II),  $\text{ROSC}_6\text{H}_4\text{COO}(\text{CH}_2)_2\text{CH}_2\text{CH}_2\text{NR}'_2$  (III), где R = *n*-C<sub>4</sub>H<sub>9</sub> (а), *iso*-C<sub>4</sub>H<sub>9</sub> (б), *втор*-C<sub>4</sub>H<sub>9</sub> (в), и их йодметилаты (ИМ) и йодэтилаты (ИЭ), а также хлоргидраты (ХГ). I—III получают р-цией хлорангидридов соответствующих к-т (ХА) с аминспиртами (АС). α,β-Диметил-γ-диалкил- и β,β-диметил-γ-диалкиламинопропанола синтезируются конденсацией  $\text{CH}_3\text{COC}_2\text{H}_5$  или  $(\text{CH}_3)_2\text{CHCHO}$  с параформом и R<sub>2</sub>NH с последующим восстановлением оснований (Манниха амальгамой Na + CH<sub>3</sub>COOH, R<sub>2</sub>NCH<sub>2</sub>CH<sub>2</sub>CON(CH<sub>3</sub>)<sub>2</sub> (IV), где R = CH<sub>3</sub> (а), C<sub>2</sub>H<sub>5</sub> (б), получают взаимодействием соответствующего R<sub>2</sub>NCH<sub>2</sub>CH<sub>2</sub>COCH<sub>3</sub> (Va, б) с CH<sub>3</sub>MgI. Растворимые ИМ, ИЭ и ХГ обладают никотинотитич. и ганглиоблокирующими свойствами. Диэтиламинопроизводные активнее соответствующих диметиламинопроизводных. Активность уменьшается, с одной стороны, в ряду б, а, в, с другой — в ряду I, III, II. Наиболее активными являются ИЭ и ИМ Iб. К CH<sub>3</sub>MgI, полученному из CH<sub>3</sub>I и Mg (по 1,5 моля) в 500 мл эфира, при охлаждении добавляют 1,5 моля Va в 200 мл абс. эфира, перемешивают 1 час, охлаждают, разлагают 500 мл 50%-ной CH<sub>3</sub>COOH, насыщают КОН, отделяют эфирный слой, воды. слой извлекают эфиром, из объединенных эфирных экстрактов выделяют IVа, выход 45,1%, т. кип. 98—105°/30 мм, *n*<sub>D</sub><sup>20</sup> 1,4190, *d*<sub>4</sub><sup>20</sup> 0,8529. Аналогично получают IVб, выход 40,1%, т. кип. 103—110°/30 мм, *n*<sub>D</sub><sup>20</sup> 1,4458, *d*<sub>4</sub><sup>20</sup> 0,8791. К 0,1 моля ХА в 80—100 мл абс. C<sub>6</sub>H<sub>6</sub> прибавляют 0,1 моля АС, кипятят 3—4 часа, охлаждают, добавляют 10%-ную HCl до кислой р-ции, отделяют воды. слой, насыщают Na<sub>2</sub>CO<sub>3</sub>, добавляют 2—3 мл конц. NaOH и извлекают эфиром I—III. К эфирному р-ру I—III приливают избыток R<sub>2</sub>I, при стоянии выпадает йод-алкилат, его перекристаллизуют из ацетона или CH<sub>3</sub>OH. Получены следующие I—III (приводятся I—III, R', выход в %, т. кип. в °C/мм, *n*<sub>D</sub><sup>20</sup>, *d*<sub>4</sub><sup>20</sup>, т. пл. в °C, выход ИМ, т. пл. в °C, выход ИЭ, т. пл. в °C): Ia, CH<sub>3</sub>, 75,5, 193—194/4, 1,4908, 1,0008, 154—155, 96,8, 103—104, 92,3, 89—90; Ib, C<sub>2</sub>H<sub>5</sub>, 73,9, 214—215/4, 1,5010, 0,9848, 90—91, —, —, —; Ic, CH<sub>3</sub>, 88,5, 188—190/5, 1,5032, 0,9964, 160—162, 96,3, 94—95, 91,2, 106—108; Id, C<sub>2</sub>H<sub>5</sub>, 86,7, 200—202/5, 1,5010, 0,9862, 93,7, 113—114, 90,4, 111—112; Iв, CH<sub>3</sub>, 72,2, 189—190/3, 1,5010, 0,9957, 155—156, 96, 136—137, 91,8, 124—125; Iв, C<sub>2</sub>H<sub>5</sub>, 70,0, 194/3, 1,4986, 0,9842, —, 92,7, 107—108, —, —; IIa, CH<sub>3</sub>, 70,7, 212—213/4, 1,5030, 0,9968, 60—61, 95,3, 178—179, 91,6, 111—112; IIa, C<sub>2</sub>H<sub>5</sub>, 70, 223—224/4, 1,4990, 0,9844, 126—127, 93,1, 159—160, 92,4, 93—95; IIб, CH<sub>3</sub>, 76, 205—207/5, 1,4890, 0,9870, 80—81, 94,9, 186—187, 90,9, 158—160; IIб, C<sub>2</sub>H<sub>5</sub>, 70, 210—212/5, 1,4860, 0,9757, 71—72, 92,7, 178—180, 91,6, 166—168; IIв, CH<sub>3</sub>, 81,9, 180/3, 1,5010, 0,9951, 96—97, 94,5, 145—147, 91,3, 101—103; IIв, C<sub>2</sub>H<sub>5</sub>, 73,2, 197—198/3, 1,4983, 0,9836, —, 92,9, 131—132, —, —; IIIa, CH<sub>3</sub>, 52,7, 190—191/4, 1,5060, 1,0054, 157—158, 97,8, 167—168, 95,1, 135—136; IIIa, C<sub>2</sub>H<sub>5</sub>, 56,8, 201—202/4, 1,5055, 0,9994, 123—124, 96,2, 92—93, —, —; IIIб, CH<sub>3</sub>, 69, 182—183/5, 1,5040, 1,0042, 184, 97,1, 145—146, 94,7, 150—151; IIIб, C<sub>2</sub>H<sub>5</sub>, 65, 194—195/5, 1,4980, 0,9869, 124—125, 95,8, 89—91, 93,6, 123—124; IIIв, CH<sub>3</sub>, 54,1, 183—184/3, 1,5041, 1,0046, 155—156, 96,3, 175—176, 93,8, 129—130; IIIв, C<sub>2</sub>H<sub>5</sub>, 57,3, 194—195/3, 1,5020, 0,9893, 135—136, 94,4, 105—106, 93,2, 99—101. Сообщение XIII см. РЖХим, 1956, 74886. М. К. 68801. Реакционная способность монозамещенных ароматических щавелевоуксусных эфиров по отношению к циклическим альдегидам. Хабиб-Лабиб (Réactivité des esters oxalacétiques monosubstitués

aromatiques avec les aldéhydes cycliques. Habib-Labib Georges), C. r. Acad. sci., 1957, 244, № 19, 2396—2399 (франц.)

При нагревании эквимолекулярных кол-в R(CH<sub>2</sub>)<sub>n</sub>-CH(COOC<sub>2</sub>H<sub>5</sub>)COCOOC<sub>2</sub>H<sub>5</sub> (I) с ароматич. альдегидами R'CHO (II) в среде CH<sub>3</sub>COOH — HCl (100°, 6 час.) образуются β,γ-замещ. α-кетобутиролактоны R(CH<sub>2</sub>)<sub>n</sub>-CHCOCOCHNR' (III) с выходом 26—29%. Процесс, по мнению автора, идет либо через промежуточное образование нестойкого диэфиркетоспирта R(CH<sub>2</sub>)<sub>n</sub>-C(COOC<sub>2</sub>H<sub>5</sub>)(COCOOC<sub>2</sub>H<sub>5</sub>)CH(R')OH, его гидролиз и докарбоксилирование, либо через стадию образования α-кетокислоты R(CH<sub>2</sub>)<sub>n</sub>COCOON (IV), которая затем конденсируется с II. Даны R и n исходного I, R' исходного II и т. пл. в °C полученного III (из воды. сл.): C<sub>6</sub>H<sub>5</sub>, 1, C<sub>6</sub>H<sub>5</sub>, 136; C<sub>6</sub>H<sub>5</sub>, 1, CH<sub>3</sub>OC<sub>6</sub>H<sub>4</sub>, 115—116; C<sub>6</sub>H<sub>5</sub>, 1, CH<sub>3</sub>C<sub>6</sub>H<sub>4</sub>, 125; CH<sub>3</sub>OC<sub>6</sub>H<sub>4</sub>, 1, C<sub>6</sub>H<sub>5</sub>, 106; CH<sub>3</sub>OC<sub>6</sub>H<sub>4</sub>, 1, CH<sub>3</sub>OC<sub>6</sub>H<sub>4</sub>, 113; CH<sub>3</sub>OC<sub>6</sub>H<sub>4</sub>, 1, CH<sub>3</sub>C<sub>6</sub>H<sub>4</sub>, 120,5; C<sub>6</sub>H<sub>5</sub>, 2, C<sub>6</sub>H<sub>5</sub>, 135; C<sub>6</sub>H<sub>5</sub>, 2, CH<sub>3</sub>C<sub>6</sub>H<sub>4</sub>, 131; CH<sub>3</sub>C<sub>6</sub>H<sub>4</sub>, 2, C<sub>6</sub>H<sub>5</sub>, 150; CH<sub>3</sub>C<sub>6</sub>H<sub>4</sub>, 2, CH<sub>3</sub>OC<sub>6</sub>H<sub>4</sub>, 119—120; CH<sub>3</sub>C<sub>6</sub>H<sub>4</sub>, 2, CH<sub>3</sub>C<sub>6</sub>H<sub>4</sub>, 122. Последние два лактона при нагревании превращаются в продукты с т. пл. 132,5° и соответственно 135°, остальные разлагаются при нагревании со щелочами на II и IV. При гидрировании III (R = C<sub>6</sub>H<sub>5</sub>, R' = CH<sub>3</sub>C<sub>6</sub>H<sub>4</sub>, n = 1) действием KBH<sub>4</sub> получают C<sub>6</sub>H<sub>5</sub>CH<sub>2</sub>CHCH(OH)-

COOCHC<sub>6</sub>H<sub>4</sub>CH<sub>3</sub>, т. пл. 118°, а над скелетным Ni — его изомер, т. пл. 73—74°. При получении III (R = CH<sub>3</sub>C<sub>6</sub>H<sub>4</sub>, n = 2) после обработки реакционной массы р-ром NaHCO<sub>3</sub> выделены IV (R = CH<sub>3</sub>C<sub>6</sub>H<sub>4</sub>, n = 3), т. пл. 55°, и продукт ее циклизации — 7-метил-3,4-дигидроафтойная-1 к-та, т. пл. 155—156°.

В. Райгородская 68802. Об окислении о-нитроэтилбензола. Каттапан, Ларини, Новара (Sull'ossidazione dell' o-nitroetilbenzolo. Cattapan Domenico, Larini Giovanni, Novara Erminio), Chimica e industria, 1957, 39, № 4, 265—270 (итал.; рез. англ., нем., франц.)

Приводятся данные о получении 2-NO<sub>2</sub>C<sub>6</sub>H<sub>4</sub>COOH (I) окислением 2-NO<sub>2</sub>C<sub>6</sub>H<sub>4</sub>C<sub>2</sub>H<sub>5</sub> посредством Na<sub>2</sub>Cr<sub>2</sub>O<sub>7</sub>, KMnO<sub>4</sub>, HNO<sub>3</sub> и MnO<sub>2</sub> в разных условиях. Максим. выход I 50—60%. Приводятся таблицы и кривые зависимости выхода от кол-ва, конц-ии окислителей и условий р-ции.

В. Скородумов 68803. Замена гидразино-группы в замещенных нитрофенилгидразинах на бром или йод. Джоши, Деорха (Replacement of the hydrazino-group in substituted nitrophenylhydrazines by bromine or iodine. Joshi Shiam, Deorha Daleep Singh), J. Chem. Soc., 1957, May, 2414 (англ.)

Действием брома на CH<sub>3</sub>COOH или йода в спирте на замещ. фенилгидразины (I) получены дигалоиднитро- и дигалоиднитрозамещ. бензолы (II) (приведены заместители в I и II, выход в %, т. пл. в °C): 2-хлор-4,6-динитро, 2-хлор-1-йод-4,6-динитро, 64, 119; 2-бром-4,6-динитро, 2-бром-1-йод-4,6-динитро, 62, 116; 3-метил-4,6-динитро, 1-йод-3-метил-4,6-динитро, 65, 110; 3-метил-2,4,6-тринитро, 1-йод-3-метил-2,4,6-тринитро, 63, 146; 6-хлор-3-метил-2,4-динитро, 6-хлор-1-йод-3-метил-2,4-динитро, 62, 136; 4-хлор-2,6-динитро, 4-хлор-1-йод-2,6-динитро, 55, 129; 4-бром-2,6-динитро, 4-бром-1-йод-2,6-динитро, 54, 125; 3-хлор-4,6-динитро, 3-хлор-1-йод-4,6-динитро, 62, 102; 2-хлор-4,6-динитро, 1-бром-2-хлор-4,6-динитро, 68, 62; 4-хлор-2,6-динитро, 1-бром-4-хлор-2,6-динитро, 60, 106.

Н. Цветкова 68804. Химия N-оксифталимида. Бауэр, Миарка (The chemistry of N-hydroxyphthalimide. Bauer Ludwig, Miarka Stanley V.), J. Amer. Chem. Soc., 1957, 79, № 8, 1983—1985 (англ.)

N-оксифталиимид (фталоксим) (I), получаемый взаимодействием фталевого ангидрида (II) или этилового эфира фталевой к-ты (III) с  $\text{NH}_2\text{OH}$ , растворяется в холодном 10%-ном р-ре соды с красным окрашиванием (по-видимому, изомеризуясь), из которого при подкислении регенерируется бесцветный I. При получении I из II при избытке  $\text{NH}_2\text{OH}$  образуется  $\text{NH}_2\text{OH}$ -соль (IV) o-карбоксибензогидроксамовой к-ты (V), превращающийся при взаимодействии с  $\text{C}_2\text{H}_5\text{ONa}$  в Na-соль V (VI), а при нагревании (45 мин., 180°/30 мм) — в I. V образуется также при гидролизе I 10%-ным р-ром NaOH и при бензоилировании по Шоттен — Бауману дает o-карбоксибензоилгидроксамовую к-ту, т. пл. 157—158° (из этилацетата). При р-ции щел. р-ра I или V с бензолсульфохлоридом (VII) получены бензолсульфокислая соль (VIII) антрапиновой к-ты (IX), o-бензолсульфониланинобензойная к-та (X), N,N'-добензолсульфонилдиантрапил (XI) и ангидрид IX (XII). К р-ру 0,11 моля  $\text{NH}_2\text{OH}$  в 150 мл спирта добавляют при 10° 0,1 моля III, затем р-р  $\text{C}_2\text{H}_5\text{ONa}$  (из 2,3 г Na в 50 мл сп.) и отделяют I, выход 15 г, т. пл. 233° (из воды или  $\text{CH}_3\text{COOH}$ ). 1,85 г Na-производного I в 10 мл воды встраивают при 5—10° с 1,4 мл  $\text{C}_6\text{H}_5\text{COCl}$  и р-ром NaOH и получают N-бензоилоксифталиимид, т. пл. 174—175° (из сп.). К р-ру 0,3 моля  $\text{NH}_2\text{OH} \cdot \text{HCl}$  в 0,1 л абс. спирта приливают р-р  $\text{CH}_3\text{ONa}$  (из 6,9 г Na в 150 мл  $\text{CH}_3\text{OH}$ ), фильтруют, добавляют 15 г II и на следующий день отделяют IV, выход 81%, т-ра плавления в капилляре 188—189°, электропечи — 233°. К IV (из 0,1 моля II и 0,125 моля  $\text{NH}_2\text{OH}$  в 0,2 л сп.) приливают 0,1 моля  $\text{C}_2\text{H}_5\text{ONa}$  в 70 мл спирта и получают VI, выход 85%. К 0,02 моля I в р-ре 5 г NaOH в 50 мл воды приливают по каплям (5 мин., 4—9°) 3 мл VII, размешивают 40 мин., извлекают VII петр. эфиром, подкисляют конц. HCl, добавляют 15,8 г  $\text{C}_6\text{H}_5\text{SO}_3\text{H}$  в 20 мл воды и выделяют VIII, выход 75%, т. пл. 235° (из абс. сп.). К 0,02 моля I в р-ре 5 г NaOH в 75 мл воды приливают (30 мин., 0—20°) 10,2 мл VII, размешивают 1,5 часа при 20°, извлекают VII, р-р подкисляют и отделяют X, выход 81%, т. пл. 211—212° (из 50%-ного сп.); если в аналогичном опыте р-р через 1 час подкисляют 10%-ным р-ром NaOH до pH 13, выделяется XI, выход 0,5 г, т. пл. 264—265° (из  $\text{CH}_3\text{COOH}$ ). К 0,02 моля IV в р-ре 4,5 г NaOH в 75 мл воды приливают при 25° 3 мл VII и из образующегося осадка выделяют XII, т. пл. 236—237°; из р-ра получают VIII и X. Приведены значения  $\lambda_{\text{max}}$  исследованных в-в.

Д. Витковский  
68805. Новый метод приготовления вторичных аминов. VIII. Синтез фенилаланоламинов. Абэ, Ямамото, Мацуи (第二級アミンの新合成法. 第8報. フェニルアルカノールアミンの合成. 阿部久二, 山本成一郎, 松井和夫), 薬学雑誌, Якугаку дзасси, J. Pharm. Soc. Japan, 1956, 76, № 9, 1058—1063 (японск.; рез. англ.)

Ранее разработанные методы (см. сообщение VII, РЖХим, 1957, 11651) использованы для синтеза  $\alpha$ -фенил- $\beta$ -монометиламиноэтанола (I), эфедрина (II) и  $\alpha$ -(3,5-диметоксифенил)- $\beta$ -монометиламиноэтанола (III). Из двух методов синтеза I более выгоден следующий: N-фенилсахарин (IV)  $\rightarrow$  N- $\alpha$ -оксифенилсахарин (V)  $\rightarrow$  N-( $\alpha$ -оксифенил)-o-карбоксибензолсульфамид  $\rightarrow$  N-( $\alpha$ -оксифенил)-N-метил-o-карбометоксибензолсульфамид (VI)  $\rightarrow$  N- $\alpha$ -оксифенил-N-метил-o-карбоксибензолсульфамид (VII)  $\rightarrow$  I; второй путь через щел. гидролиз IV осложняется образованием на первой стадии не только необходимого N-фенил-o-карбоксисульфамида (VIII), но и значительных кол-в S-диоксид 3-бензоил-4-окси-1,2-бензтиазина (IX). Для синтеза II и III также более выгодны пути, аналогичные вышеприведенной схеме, исходя из N- $\beta$ -ме-

тилфенилсахарина (X) и соответственно N-3,5-диметоксифенилсахарина (XI). Кислотный гидролиз N-метил-N-( $\beta$ -метил- $\alpha$ -оксифенил)-o-карбоксисульфамида, помимо II, дает псевдоэфедрин (XII). Щел. гидролиз XI приводит только к S-диоксису 3-(3',5'-диметоксифенил)-4-окси-1,2-бензтиазина (XIII). 34 г K-соли сахарина и 36 г фенилбромиды нагревают 1 час при 140—150°, выход IV 95%, т. пл. 193—194° (из  $\text{CH}_3\text{COOH}$ ). К охлажд. р-ру 48 г KOH в 24 мл воды и 90 мл  $\text{CH}_3\text{OH}$  добавляют понемногу 120 г IV (5—15°), разбавляют водой, фильтруют, подкисляют, кристаллизацией из спирта выделяют легко растворимый VIII, выход 39%, т. пл. 162—164°, и труднорастворимый IX, выход 12,5%, т. пл. 163—164,5°. Гидролиз IV посредством спирт.  $\text{C}_2\text{H}_5\text{ONa}$  (50—60°, 3 мин., или 10—15°, 10 мин.) дал IX с выходом 93,3%. Метилированием VIII получен N-метил-N-фенил-o-карбометоксибензолсульфамид (XIV), выход 91,7%; метилированием IX получена S-диоксис-2-метил-3-бензоил-4-окси-1,2-бензтиазина, выход 90%, т. пл. 159—160° (из  $\text{CH}_3\text{OH}$ ). 8 г XIV нагревают (~100°) с 50 мл конц. HCl и 70 мл лед.  $\text{CH}_3\text{COOH}$  7 час., фильтрат упаривают, обрабатывают насыщ.  $\text{BaCl}_2$ , фильтрат выпаривают досуха, извлекают безводн. спиртом, получают  $\omega$ -метиламиноацетофенон (XV), выход 19%; хлоргидрат (XVI), т. пл. 205—212° (разл.); пикрат, т. пл. 143—145° (из воды). 930 мг XG XV в 10 мл спирта гидрируют в присутствии 30 мг  $\text{PtO}_2$  (2—3 атм 20°), получают XG I, выход 78%, т. пл. 103—107°; пикрат, т. пл. 155° (из воды). 10 г IV восстанавливают посредством (изо- $\text{C}_6\text{H}_7\text{O}_3\text{Al}$ ) + + изо- $\text{C}_6\text{H}_7\text{O}_3\text{Al}$  в  $\text{C}_6\text{H}_6$  (кипение 10 час.), выделяют V, выход 65%. 6 г V кипятят 10 мин. с 24 мл 10%-ного KOH, добавляют 5 г  $(\text{CH}_3)_2\text{SO}_4$ , нагревают (40—50°) 30 мин., получают сиропообразный VI. Кипятят VI с 2,4 г KOH в 50 мл 70%-ного спирта 30 мин., подкисляют, фильтрат выпаривают, получают сиропообразный VII, который нагревают (130—140°) 7 час. с 50 мл 20%-ной HCl и 80 мл лед.  $\text{CH}_3\text{COOH}$ , разбавляют водой, фильтрат упаривают в вакууме, обрабатывают р-ром соды, извлекают эфиром, получают после насыщения вытяжки HCl (газом) XG I, выход 30,2%. 3,3 г сахарина и 5,5 г 3,5-диметоксифенилбромиды нагревают 30 мин. при 100—110° и 1,5 часа при 120—130°, получают XI, выход 79,2%, т. пл. 204—205° (из ацетона). Из XI подобно IX получен XIII, выход 80%, т. пл. 148—149° (из  $\text{CH}_3\text{OH}$ ), метилирование XIII дало S-диоксис-2-метил-3-(3',5'-диметоксифенил)-4-окси-1,2-бензтиазина, выход 90%, т. пл. 150—151° (из  $\text{CH}_3\text{OH}$ ). Из XI подобно V получен N- $\alpha$ -окси-3,5-диметоксифенилсахарин, выход 72,4% (сироп), который аналогично V превращают XG III, выход 22%, т. пл. 125—127°. Подобно IV получен X, выход 73%, т. пл. 156—157° (из  $\text{CH}_3\text{OH}$ ). При щел. гидролизе X дает o- $\text{HOCOC}_6\text{H}_4\text{SO}_2\text{NHCNCH}_2\text{COC}_6\text{H}_5$  (XVI), выход 41,9% (сироп), и S-диоксис-3-бензоил-3-метил-3Н-1,2-бензтиазина-4 (XVII), выход 38,1%, т. пл. 141—143° (из  $\text{CH}_3\text{OH}$ ); при действии на X  $\text{C}_2\text{H}_5\text{ONa}$  образуется XVI с выходом 91%. Метилирование XVI посредством  $(\text{CH}_3)_2\text{SO}_4$  в 10%-ном NaOH (25—30°, 30 мин.) дало сиропообразный o- $\text{CH}_3\text{OCOC}_6\text{H}_4\text{SO}_2\text{NCH}_2\text{CNCH}_2\text{COC}_6\text{H}_5$  (XVIII), выход 95%. Аналогично XVII дал сиропообразную S-диоксис-2,3-диметил-3-бензоил-3Н-1,2-бензтиазина-4, выход 90%. Из X восстановлением по Меервейну подобно V получают N-( $\beta$ -метил- $\alpha$ -оксифенил)-сахарин (XIX), выход 73,1%, сироп. Из XIX, как в случае I, получают II, выход 30%, т. пл. 76—77° (из эф.), и XII, т. пл. 117—118° (из воды). II получен также восстановлением XVIII подобно XV, выход 7,5%. Приведены кривые ИК-спектров IV, VII—XI, XIII, XVI и XVII.

Л. Яновская  
68806. Синтез  $\alpha$ -(3,5-диметоксифенил)-монометил-



аминоэтанола — средства, сокращающего матку. Абэ, Ямамото, Сато (子宮収縮劑α-(3,5-Dimethoxyphenyl) β-monomethylaminoethanol の合成. 阿部久二, 山本成一郎, 佐藤七平), 藥學雜誌, Якугаку дзасси, J. Pharmac. Soc. Japan, 1956, 76, № 9, 1094—1096 (японск.; рез. англ.)

Синтезированы 3,5-(CH<sub>3</sub>O)<sub>2</sub>C<sub>6</sub>H<sub>3</sub>CHONCH<sub>2</sub>NR<sup>2</sup>, где NR<sup>2</sup> = NHCH<sub>3</sub> (I) и N(CH<sub>3</sub>)<sub>2</sub> (II). I оказывает сокращающее действие на изолированную матку кролика (метод Магнуса), аналогичное таковому 6-аллил-2-метоксибензидиэтиламиноэтилового эфира; активность II очень слабая. 360 г C<sub>6</sub>H<sub>5</sub>COOH сульфатируют 1820 г 35%-ного олеума (240—260°, 7 час.), через ~ 12 час. выливают в 5,4 кг ледяной воды, высаливают 1,1 кг NaCl и получают через 2,5 часа 1067 г 3,5-(NaO<sub>3</sub>S)<sub>2</sub>-C<sub>6</sub>H<sub>3</sub>COOH, 200 г которой сплавляют с 150 г КОН и 150 г NaOH 30 мин. при 240—250°, 30 мин. при 280—310°, обрабатывают 700 мл воды, 350 мл конц. HCl, извлекают эфиром, получают 66 г 3,5-(HO)<sub>2</sub>C<sub>6</sub>H<sub>3</sub>COOH, т. пл. 226—229°, ее переводят в 3,5-(CH<sub>3</sub>O)<sub>2</sub>C<sub>6</sub>H<sub>3</sub>COOH, которую превращают в хлорангидрид (III). К р-ру CH<sub>2</sub>N<sub>2</sub> (из 35 г нитрозометилмолекулы) в эфире при 0° прибавляют по каплям 12 г III, перемешивают 2—3 часа при 15—20°, получают 3,5-(CH<sub>3</sub>O)<sub>2</sub>C<sub>6</sub>H<sub>3</sub>COCHN<sub>2</sub> (IV), выход 97%, т. пл. 62—66°. IV (из 12 г III) медленно смешивают с 50 мл конц. HCl, перемешивают 2 часа, извлекают эфиром, получают 3,5-(CH<sub>3</sub>O)<sub>2</sub>C<sub>6</sub>H<sub>3</sub>COCH<sub>2</sub>X (V) (X = Cl) (Va), выход 92,2%, т. пл. 75—76° (из CH<sub>3</sub>OH); аналогично при действии на IV HBr (d 1,49) получен V, X = Br, выход 79,2%, т. пл. 55—56° (из CH<sub>3</sub>OH), последний образуется также из 3,5-(CH<sub>3</sub>O)<sub>2</sub>C<sub>6</sub>H<sub>3</sub>COCH<sub>2</sub> (VI) при бромировании в CS<sub>2</sub>, выход 76%, т. кип. 130—137°/0,3 мм. 20 г III добавляют за 30 мин. к эфирному р-ру Cd(CH<sub>3</sub>)<sub>2</sub> (CH<sub>3</sub>MgBr из 4,6 г Mg и 19,4 г CdCl<sub>2</sub>), кипятят 2 часа, через ~ 12 час. обрабатывают 5%-ной H<sub>2</sub>SO<sub>4</sub>, получают VI, выход 76,4%, т. кип. 117—120°/0,5 мм; семериказон, т. пл. 188—189° (из сп.). К 1,07 г Mg в 4 мл абс. спирта + 0,1 мл CCl<sub>4</sub> и 15 мл абс. эфира при 30—40° вводят 7 г CH<sub>2</sub>(COOC<sub>2</sub>H<sub>5</sub>)<sub>2</sub> в 4 мл абс. спирта и 5 мл эфира, кипятят 4 часа, к полученному Mg-производному добавляют 8 г III в 10 мл эфира, кипятят 1,5 часа, через ~ 12 час. добавляют 10%-ную H<sub>2</sub>SO<sub>4</sub>, от эфирного слоя отгоняют эфир, остаток нагревают 4 часа при 140—150° с 12 мл CH<sub>3</sub>COOH, 1,5 мл конц. H<sub>2</sub>SO<sub>4</sub> и 8 мл воды, получают VI, выход 71%, т. пл. 40—42°. К 30 г Va в 70 мл C<sub>6</sub>H<sub>6</sub> прибавляют 30,6 г C<sub>6</sub>H<sub>5</sub>CH<sub>2</sub>NHCH<sub>3</sub>, через ~ 12 час. получают 3,5-(CH<sub>3</sub>O)<sub>2</sub>C<sub>6</sub>H<sub>3</sub>COCH<sub>2</sub>N(CH<sub>3</sub>)-CH<sub>2</sub>C<sub>6</sub>H<sub>5</sub> (VII), выход 90,6%; хлоргидрат (XG), т. пл. 193—194°; VII восстанавливают кипячением с (изо-C<sub>3</sub>H<sub>7</sub>O)<sub>3</sub>Al + изо-C<sub>3</sub>H<sub>7</sub>OH 20 мин., получают 3,5-(CH<sub>3</sub>O)<sub>2</sub>C<sub>6</sub>H<sub>3</sub>CHONCH<sub>2</sub>N(CH<sub>3</sub>)CH<sub>2</sub>C<sub>6</sub>H<sub>5</sub> (VIII), выход 80,6%, т. кип. 204—206°/1,5 мм; XG, т. пл. 151—153° (из CH<sub>3</sub>OH). 8 г VIII дебензилируют гидрированием в CH<sub>3</sub>OH с 0,88 г 20%-ного Pd/C (4 ат, 100°, 15 час.) и получают I, выход 50%, т. кип. 163—165°/1 мм, т. пл. 83—85°; XG, т. пл. 125—127°; пикрат, т. пл. 144—147°. Из Va и (CH<sub>3</sub>)<sub>2</sub>NH аналогично VII получен 3,5-(CH<sub>3</sub>O)<sub>2</sub>C<sub>6</sub>H<sub>3</sub>COCH<sub>2</sub>N(CH<sub>3</sub>)<sub>2</sub>, выход 75%, т. пл. 140—142°/1 мм; пикрат, т. пл. 152—154°; а из него гидрированием в этаноле над скелетным Ni получен II, выход 72%, т. кип. 144—145°/0,5 мм; XG, т. пл. 160—160,5°.

Л. Яновская 68807. Получение ряда производных мета-ди-трет-бутилбензола и их строение. Бюргере, Хартингсвелдт, Кёлен, Веркаде, Виссер, Вепстер (Preparation and constitution of a number of derivatives of meta-di-tert. butylbenzene. Burgers J., Hartingsveldt W. van, Keulen J. van, Verkade P. E., Visser H., Wepster B. M.), Recueil trav. chim., 1956, 75, № 11, 1327—1342 (англ.)

3,5-R<sub>2</sub>C<sub>6</sub>COOH (I) (везде R = трет-бутил), полученная из 3,5-R<sub>2</sub>C<sub>6</sub>H<sub>3</sub>CH<sub>3</sub> (II) (РЖХим, 1957, 11682) по р-ции Шмидта переведена в 3,5-R<sub>2</sub>C<sub>6</sub>H<sub>3</sub>NH<sub>2</sub> (III). По р-ции Гофмана III не получается. III по Зайдлеру превращен в 3,5-R<sub>2</sub>C<sub>6</sub>H<sub>3</sub>J (IV) и в 3,5-R<sub>2</sub>C<sub>6</sub>H<sub>3</sub>Br (V). Нитрование 3,5-R<sub>2</sub>C<sub>6</sub>H<sub>3</sub>NHCOCH<sub>3</sub> (VI) в CH<sub>3</sub>COOH + (CH<sub>3</sub>CO)<sub>2</sub>O приводит к 3,5-R<sub>2</sub>-2-NO<sub>2</sub>C<sub>6</sub>H<sub>3</sub>NHCOCH<sub>3</sub> (VII), который после деацетилирования и восстановления дает с бензолом соответствующее хиноксалиновое производное (VIII). Нитрование VI в H<sub>2</sub>SO<sub>4</sub> наряду с VII дает 3,5-R<sub>2</sub>-4-NO<sub>2</sub>C<sub>6</sub>H<sub>3</sub>NHCOCH<sub>3</sub> (IX). Восстановление IX приводит к 3,5-R<sub>2</sub>-4-NH<sub>2</sub>C<sub>6</sub>H<sub>3</sub>NHCOCH<sub>3</sub> (X), из которого получен 2,6-R<sub>2</sub>C<sub>6</sub>H<sub>3</sub>(NHCOCH<sub>3</sub>)<sub>2</sub>-1,4 (XI). Строение XI доказано следующим путем: нитрованием 2,4-6-R<sub>2</sub>C<sub>6</sub>H<sub>3</sub>NH<sub>2</sub> (XII) получен 2,6-R<sub>2</sub>-4-NO<sub>2</sub>C<sub>6</sub>H<sub>3</sub>NH<sub>2</sub> (XIII), восстановление последнего и ацетилирование привело к XI. Деацетилирование VII и IX дает соответственно 3,5-R<sub>2</sub>-2-NO<sub>2</sub>C<sub>6</sub>H<sub>3</sub>NH<sub>2</sub> (XIV) и 3,5-R<sub>2</sub>-4-NO<sub>2</sub>-C<sub>6</sub>H<sub>3</sub>NH<sub>2</sub> (XV). При дезаминировании XIV и XV получены 2,4-R<sub>2</sub>C<sub>6</sub>H<sub>3</sub>NO<sub>2</sub> (XVI) и 2,6-R<sub>2</sub>C<sub>6</sub>H<sub>3</sub>NO<sub>2</sub> (XVII). Восстановление XVI и XVII дало соответственно 2,4-R<sub>2</sub>C<sub>6</sub>H<sub>3</sub>NH<sub>2</sub> (XVIII) и 2,6-R<sub>2</sub>C<sub>6</sub>H<sub>3</sub>NH<sub>2</sub> (XIX). Формильное производное XVIII (XX) может быть также получено из XII. Из I через хлорангидрид получают амид I, выход 87%, т. пл. 216—217° (из 75%-ного сп.). К смеси 36 г I, 108 мл конц. H<sub>2</sub>SO<sub>4</sub> и 315 мл CHCl<sub>3</sub> прибавляют 10,8 г NaNO<sub>3</sub> 1 час. при 45°. Через 5 час. при 45° отгоняют CHCl<sub>3</sub> в вакууме, выливают на лед, сульфат III отфильтровывают и разлагают 4 н. NH<sub>3</sub>, выход III 88%, т. пл. 54—55° (из 50%-ного сп.). К горячему р-ру 4 г III в 30 мл лед. CH<sub>3</sub>COOH прибавляют смесь 9 мл конц. H<sub>2</sub>SO<sub>4</sub> и 11 мл воды и диазотируют при 5° р-ром 1,6 г NaNO<sub>2</sub> в 4 мл воды. Прибавляют р-р 4 г KJ в 5 мл воды, через сутки разбавляют водой и отгоняют с паром IV, выход 34%, т. пл. 67—68° (из сп.). Аналогично приготовленное диазосоединение обрабатывают 8 г Cu<sub>2</sub>Br<sub>2</sub> в 40 мл 48%-ной HBr, выход V 15%, т. пл. 64—64,5°. К 5 г VI (т. пл. 145—146°) в 4 мл лед. CH<sub>3</sub>COOH и 5 мл (CH<sub>3</sub>CO)<sub>2</sub>O прибавляют за 20 мин. при -10° смесь 1 мл HNO<sub>3</sub> (d 1,52) и 3 мл CH<sub>3</sub>COOH. Перемешивают 2 часа при -10° и через 24 часа выливают на лед, выход VII 89%, т. пл. 174—175° (из сп.). Смесь 18 мл HNO<sub>3</sub> (d 1,4) и 24 мл конц. H<sub>2</sub>SO<sub>4</sub> прибавляют к 50 г VI в 300 мл конц. H<sub>2</sub>SO<sub>4</sub> при т-ре от -5 до 0°. Через 1 час выливают в воду, нейтрализуют NH<sub>4</sub>OH и через несколько часов отфильтровывают 57 г смеси VII и IX; кристаллизацией из спирта получают VII, выход 60%. Маточные р-ры упаривают в вакууме и экстрагируют 3 раза по 500 мл кипящего петр. эфира, остается IX, выход 21%, т. пл. 241,5—242,5° (из бzl.). 250 мг IX гидрируют в 25 мл абс. спирта над скелетным Ni при 60°, выход X 87%, т. пл. 188,5—189,5° (из бzl. + петр. эф.). Пропусканием кетена в р-р 153 мг X в 20 мл абс. спирта получают XI, выход 83%, т. пл. 309—311° (из сп. + эф.). 1 мл нитрующей смеси (1 объем HNO<sub>3</sub> (d 1,52) на 19 объемов лед. CH<sub>3</sub>COOH) при -10° прибавляют к р-ру 260 мг XII в 2 мл (CH<sub>3</sub>CO)<sub>2</sub>O и 1 мл лед. CH<sub>3</sub>COOH. Через 2 дня разбавляют водой, выход XIII 49%, т. пл. 257—258° (из сп.). 35 мг XIII в 18 мл абс. спирта гидрируют над скелетным Ni при 40°. Полученное масло обрабатывают кетеном и получают XI, выход 67%, 5 г VII кипятят 45 мин. с р-ром 5 экв HCl в 75 мл абс. CH<sub>3</sub>OH. Отгоняют р-ритель и обрабатывают NH<sub>4</sub>OH, получают XIV, выход 98%, т. пл. 97—98° (из разб. CH<sub>3</sub>OH). Аналогично из IX получают XV, выход 70%, т. пл. 115,5—116,5°. Кипячение VII 24 часа с 1 н. CH<sub>3</sub>ONa в CH<sub>3</sub>OH дает XIV, выход 91%; аналогично при кипячении 168 час. из IX получают XV с выходом 86%. 2 г XIV гидрируют в спирте над скелетным Ni и полученный р-р кипятят 5 мин. с 1,7 г бензила, получают 2,53 г VIII, т. пл. 139—139,5° (из сп.). 5 г XIV растворяют в

75 мл лед.  $\text{CH}_3\text{COOH}$ , прибавляют р-р 30 мл конц.  $\text{H}_2\text{SO}_4$  в 100 мл воды и диазотируют при  $0^\circ$  насыщ. р-ром 1,45 г  $\text{NaNO}_2$ . Добавляют 25 г гипосульфита Na в смеси 15 мл конц.  $\text{H}_2\text{SO}_4$  и 25 мл воды. Через 48 час. осадок отфильтровывают и перегоняют с паром XVI, выход 61%, т. пл. 52—53° (из разб.  $\text{CH}_3\text{OH}$ ). XV дезаминируют аналогично, но вместо  $\text{H}_2\text{SO}_4$  берут 40 мл конц.  $\text{HCl}$  в 35 мл воды, выход XVII 83%, т. пл. 61—62° (из разб.  $\text{CH}_3\text{OH}$ ). Обработка XIV в этих условиях приводит не к XVI, а, по-видимому, к 3,5,3',5'-тетра-трет-бутил-2,2'-динитродиазаминобензолу (XVIIa), т. пл. 210—210,5° (разл.; из бэл.+ петр. эф.). 5 г XVI в 50 мл абс. спирта гидрируют при 40° над скелетным Ni, в эфир. р-р полученного масла пропускают  $\text{HCl}$ , выход хлоргидрата XVIII 86%, т. пл. 225—227° (разл.; из 0,5 н.  $\text{HCl}$ ); XVIII, т. кип. 148,5—149°/18 мм т. пл. 18,5—19°,  $n_D^{25}$  1,5202. XVII гидрируют аналогично при 65°. Полученное масло в ацетоне обрабатывают р-ром 6 г нафталинсульфокислоты-2 в ацетоне, получают нафталинсульфонат-2 XIX, выход 58%, т. пл. 181—182° (разл.). При действии щелочи получают XIX, т. пл. 48,5—49° (из разб.  $\text{CH}_3\text{OH}$ ). 2 г XII кипятят 3 часа в 4 мл 95%-ной  $\text{HCOOH}$ , выливают в воду и получают XX, выход 56%, т. пл. 118—119°; ацетильное производное XVIII, т. пл. 153—154,5° (из 50%-ного сл.). Приведен ИК-спектр XVIIa. В. Великов 68808.

**Изучение поведения  $\omega$ -диэтиламиноизобутирофенона по отношению к реактивам Гриньяра и к аллюмогидриду лития. Ривьер-Ларрамона** (Etude du comportement de l' $\omega$ -diéthylamino-isobutyrophénone vis-à-vis des réactifs de Grignard et de l'hydru de lithium et d'aluminium. Rivière-Larmona Henriette, m-me), C. r. Acad. sci., 1957, 244, № 12, 1653—1655 (франц.)

При действии  $\text{C}_6\text{H}_5\text{MgBr}$  (I), хлористого циклогексилмагния (II) и  $\text{LiAlH}_4$  на  $\text{C}_6\text{H}_5\text{COCH}(\text{CH}_3)\text{CH}_2\text{N}(\text{C}_2\text{H}_5)_2$  (III) основным продуктом р-ции является  $\text{C}_6\text{H}_5\text{C}(\text{R})\text{ONCH}(\text{CH}_3)\text{CH}_2\text{N}(\text{C}_2\text{H}_5)_2$  (IV). Наряду с IV выделены 20—25% продуктов дезаминирования. Автор предпологает возможность присоединения I, II и  $\text{AlH}_3$  к амино-группе III, что препятствует более полному отщеплению  $\text{NH}(\text{C}_2\text{H}_5)_2$  (см. РИХим, 1955 2007; 1956, 50682). При р-ции III с  $(\text{CH}_3)_3\text{CMgCl}$  (V) получены IV ( $\text{R}=\text{H}$ ) и  $\text{C}_6\text{H}_5\text{COCH}(\text{CH}_3)\text{CH}_2\text{C}(\text{CH}_3)_3$  (VI). Эфирный р-р 1 моля III прибавляют к эфирному р-ру 1,1 моля I и разлагают р-ром  $\text{NH}_4\text{Cl}$ , выделяют IV ( $\text{R}=\text{C}_6\text{H}_5$ ), выход 70%, т. пл. 65°; хлоргидрат, т. пл. 186—188°, и  $\alpha$ -метилакрилофенон (VII), выход 20%, т. кип. 65°/4 мм,  $n_D^{25}$  1,5358. При действии II на III получают IV ( $\text{R}=\text{цикло-C}_6\text{H}_{11}$ ), выход 60%; хлоргидрат, т. пл. 188—190°, и 20% VII. При действии V на III в тех же условиях 50% III не вступают в р-цию. При взаимодействии 4 молей V и 1 моля III выделяют IV ( $\text{R}=\text{H}$ ) с выходом 50%, т. кип. 120—122°/0,8 мм; хлоргидрат, т. пл. 173°, и неочищ. VI, выход 45%, т. кип. 80—82°/0,5 мм. Действием 2 молей  $\text{LiAlH}_4$  на 1 моль III получают 70% IV ( $\text{R}=\text{H}$ ) и 25%  $\text{C}_6\text{H}_5\text{CHONCH}(\text{CH}_3)_2$ , т. кип. 110—111°/10 мм; фенилуретан, т. пл. 80°.

П. Аронович 68809. **Производные бензойной и феноксиуксусной кислот и их противотуберкулезная и фунгистатическая активность.** Аркамоне, Берти, Карбони, Де-Фази, Ди-Марко, Гьоне (Derivati degli acidi benzoico e fenossiacetico e loro attività antitubercolare ed antifungina. Arcamone F., Berti G., Carboni S., De Fazi R., Di Marco A., Ghione B.), Farmaco. Ed. scient., 1957, 12, № 1, 15—27 (итал.; рез. англ.)

Для исследования противотуберкулезной активности синтезированы 4- $\text{NO}_2\text{C}_6\text{H}_4\text{COOR}$  (I), 4- $\text{NH}_2\text{C}_6\text{H}_4\text{COOR}$  (II), 4- $\text{NO}_2\text{C}_6\text{H}_4\text{OCH}_2\text{COOR}$  (III) и 4- $\text{NH}_2\text{C}_6\text{H}_4\text{OCH}_2\text{COOR}$  (IV). 20 г  $\text{SOCl}_2$  постепенно прибавляют к смеси 25 г

4- $\text{NO}_2\text{C}_6\text{H}_4\text{COOH}$ , 14 г  $\text{C}_6\text{H}_5\text{OH}$  и 120 г  $\text{C}_6\text{H}_5\text{N}$ , через 3 часа сильно разбавляют водой, получают I,  $\text{R}=\text{C}_6\text{H}_5$  (Ia), выход 36 г, т. пл. 129° (из сл.), 5 г Ia в 100 мл спирта гидрируют над 0,05 г  $\text{PtO}_2$ , получают II,  $\text{R}=\text{C}_6\text{H}_5$ , выход 2,9 г, т. пл. 169—172° (из сл.); получают также  $\text{C}_6\text{H}_5\text{OCOC}_6\text{H}_4\text{N}(\text{O})=\text{NC}_6\text{H}_4\text{COOC}_6\text{H}_5$ , выход 1,6 г, т. пл. 206 и 218° (после затвердевания расплава). В взвесь 20 г 4- $\text{NO}_2\text{C}_6\text{H}_4\text{OCH}_2\text{COOH}$  (V) в 60 г  $\text{C}_6\text{H}_{11}\text{OH}$  при  $\sim 100^\circ$  3 часа пропускают  $\text{HCl}$  (газ), по охлаждению прибавляют избыток  $\text{Na}_2\text{CO}_3$  и 100 мл  $\text{C}_6\text{H}_6$ , из фильтрата отгоняют легколетучие продукты в вакууме, остаток промывают бензином, получают III,  $\text{R}=\text{C}_6\text{H}_{11}$  (IIIa), выход 24 г, т. пл. 85,5—86° (из бзн.). Аналогично из 10 г V и 50 г  $\text{C}_6\text{H}_5\text{CH}_2\text{CH}_2\text{OH}$  получают III,  $\text{R}=\text{CH}_2\text{CH}_2\text{C}_6\text{H}_5$  (IIIb), выход 15 г, т. пл. 61—62° (из сл.). К 8 г  $\text{C}_6\text{H}_5\text{CH}_2\text{OH}$  прибавляют 15 г 4- $\text{NO}_2\text{C}_6\text{H}_4\text{OCH}_2\text{COCl}$  (VI), через 1 час выливают в воду, получают III,  $\text{R}=\text{CH}_2\text{C}_6\text{H}_5$  (IIIc), т. пл. 124—126° (из сл.). Аналогично из 11 г  $\text{C}_6\text{H}_5\text{CH}=\text{CHCH}_2\text{OH}$  в 60 г  $\text{C}_6\text{H}_5\text{N}$  и 16 г VI получают III,  $\text{R}=\text{CH}_2\text{CH}=\text{CHC}_6\text{H}_5$ , т. пл. 117—118° (из бзн.). К 20 г V, 10 г безводн.  $\text{C}_6\text{H}_5\text{OH}$  и 50 г  $\text{C}_6\text{H}_5\text{N}$  постепенно прибавляют 11,5 г  $\text{SOCl}_2$ , охлаждая льдом, через 2 часа при  $\sim 20^\circ$  выливают в воду, получают III,  $\text{R}=\text{C}_6\text{H}_5$  (IIIg), выход 16 г, т. пл. 122—124° (из сл.). 10 г V в 200 мл спирта гидрируют над 0,2 г  $\text{PtO}_2 \cdot \text{H}_2\text{O}$ , получают 4- $\text{NH}_2\text{C}_6\text{H}_4\text{OCH}_2\text{COOH}$  (VII), выход 3,5 г, т. пл. 220° (разл.; из воды). Из 10 г IIIa в 150 мл спирта (0,2 г  $\text{PtO}_2 \cdot \text{H}_2\text{O}$ ) получают IV,  $\text{R}=\text{C}_6\text{H}_{11}$  (IVa), выход  $\sim 100\%$ , масло; хлоргидрат (XG), т. пл. 140—141° (из бзн.); ацетильное производное (AII), т. пл. 118,5—119° (из бзн.-бзн.). Аналогично, из 1 г IIIb в 50 мл  $\text{CH}_3\text{OH}$  получают IV,  $\text{R}=\text{CH}_2\text{C}_6\text{H}_5$ ; XG, т. пл. 132—134° (из сл.-эф.); из 16,5 г IIIb в 300 мл спирта получают IV,  $\text{R}=\text{CH}_2\text{CH}_2\text{C}_6\text{H}_5$  (IVb); XG, выход 19 г, т. пл. 185—187° (из воды); AII, т. пл. 123—124°; из 1,2 г IIIg в 50 мл спирта (0,1 г  $\text{PtO}_2 \cdot \text{H}_2\text{O}$ ) получают IV,  $\text{R}=\text{C}_6\text{H}_5$  (IVg); XG, выход 0,98 г, т. пл. 208—210° (разл.); AII, т. пл. 168—169° (из бзн. или из сл.-бзн.). VII, IVa, IVb, IVg и некоторые I и II обладают активностью против *Mycobacterium tuberculosis* H37Rv в среде Dubos, но в среде Petragiani не активны. II,  $\text{R}=\text{CH}_2\text{CH}_2\text{C}_6\text{H}_5$ , и IVa продлевают жизнь инфицированных мышей. VII и IV оказали активными против некоторых видов грибов. В. Скоромухов 68810.

**Фенольный аналог этилендиаминететрауксусной кислоты.** Кролл, Нелл, Пауэрс, Симония (A phenolic analog of ethylenediaminetetraacetic acid. Kroll H., Knell M., Powers J., Simonian J.), J. Amer. Chem. Soc., 1957, 79, № 8, 2024—2025 (англ.)

Для борьбы с хлорозом растений на почвах с различными pH синтезирована этилендиамин-ди-( $\alpha$ -оксифенилуксусная) к-та (I), являющаяся новым агентом, способным к образованию внутримолекулярных соединений с трехвалентным Fe: конденсацией 2 молей  $\text{HCN}$  и шиффова основания из салицилового альдегида получен динитрил I, т. пл. 113—115° (разл.), гидролизированный конц.  $\text{HCl}$  при 40° в моноамид I, выделенный в виде дихлоргидрата, превращенный кипячением в 6 н.  $\text{HCl}$  в I, очищ. переосаждением из разб.  $\text{NH}_4\text{OH}$ . Д. Ватковский 68811.

**Каталитическое восстановление метилового эфира 4-амино-2-оксипбензойной кислоты.** Стелт, Наута (Die katalytische Reduktion des 4-amino-2-hydroxy-benzoesauren Methylesters. Stelt C. van der, Nauta W. Th.), Arzneimittelforsch., 1957, 7, № 4, 278—279 (нем.; рез. англ., итал.)

При гидрировании 4- $\text{NH}_2\text{C}_6\text{H}_4\text{NO}_2\text{COOCH}_3$  на Rh/C (I) или Pt-черни (II) в лед.  $\text{CH}_3\text{COOH}$  при 50° получают 4- $\text{NH}_2\text{C}_6\text{H}_4\text{NO}_2\text{COOCH}_3 \cdot \text{CH}_3\text{COOH}$  (III), т. пл. 136—137° (из ацетона). Трудность выделения и очистки III, по-видимому, зависит от наличия стереоизомер-

ров. Выход III при применении I несколько выше, чем в случае II. Нагреванием III  $> 160^\circ$  получают в-во с т. пл.  $260^\circ$ .

В. Скородумов  
68812. Некоторые шиффовы основания *p*-диметиламино- и *p*-диэтиламинобензальдегида. Накамити, Уэбстер (Some schiff bases of *p*-dimethylamino- and *p*-diethylaminobenzaldehyde. Nakamichi Masumi, Webster George L.), J. Organ. Chem., 1957, 22, № 2, 159—161 (англ.).

С целью получения местных анестетиков, близких по строению к аминифенил-2-оксазолину, конденсацией  $n\text{-R}_2\text{NC}_6\text{H}_4\text{CHO}$  (I) (где  $\text{R} = \text{CH}_3$  или  $\text{C}_2\text{H}_5$ ) с первичными аминоспиртами (AC) и аминэфирами общей ф-лы  $\text{R}'\text{NH}_2$  синтезированы  $\text{RC}_6\text{H}_4\text{CH}=\text{NR}'$  (II), строение которых подтверждено ИК-спектрами. В случае конденсации I с AC производные оксазолидина не образуются. 0,1 моля I, 0,12 моля  $\text{R}'\text{NH}_2$  и 50 мл абс.  $\text{C}_6\text{H}_6$  кипятят 2—3 часа (до постоянного объема воды в водоотделителе), отгоняют в вакууме  $\text{C}_6\text{H}_6$ , масло выливают в воду с льдом. Если органич. слой затвердевает, кристаллич. массу растирают с холодной водой, отфильтровывают, сушат, перекристаллизуют из петр. эфира (уголь) (метод А). Если органич. слой не затвердевает, его извлекают эфиром, эфирный р-р промывают водой, отгонкой эфира выделяют II (метод Б). По методу А получены следующие II ( $\text{R} = \text{CH}_3$ ) (приводятся  $\text{R}'$ , выход в %, т. пл. в  $^\circ\text{C}$ ):  $\text{CH}_3\text{CH}_2\text{OH}$ , 57, 103—104;  $\text{CH}_3\text{CH}(\text{OH})\text{CH}_3$ , 67, 98—99;  $\text{CH}(\text{C}_2\text{H}_5)\text{CH}_2\text{OH}$ , 25, 70—71. По методу Б получены следующие II (приводятся  $\text{R}'$ , выход в %, т. кип. в  $^\circ\text{C}/\text{мм}$  или т. пл. в  $^\circ\text{C}$  (из петр. эф.)), для жидкостей  $n^{20}_D$ ,  $d^{27}_D$ ):  $\text{CH}_3$ ,  $(\text{CH}_3)_3\text{OH}$ , 62, 72—74;  $\text{CH}_3$ ,  $(\text{CH}_2)_3\text{OCH}_3$ , 63, 132—140/0,3, 1,6052, 1,049;  $\text{CH}_3$ ,  $(\text{CH}_2)_3\text{OCH}_3$ , 33, 147—150/0,4, 1,5892, 1,016;  $\text{CH}_3$ ,  $(\text{CH}_2)_3\text{OC}_3\text{H}_7$ -изо, 48, 142—144/0,4, 1,5680, 1,076;  $\text{CH}_3$ ,  $(\text{CH}_2)_3\text{N}(\text{CH}_3)_2$ , 65, 134—140/0,2, 1,5870, 1,073;  $\text{C}_2\text{H}_5$ ,  $(\text{CH}_2)_2\text{OH}$ , 58, 137—142/0,4, 1,6253;  $\text{C}_2\text{H}_5$ ,  $(\text{CH}_2)_3\text{OH}$ , 47, 156—160/4, 1,6120;  $\text{C}_2\text{H}_5$ ,  $\text{CH}_2\text{CH}(\text{OH})\text{CH}_3$ , 39, 56—57;  $\text{C}_2\text{H}_5$ ,  $\text{CH}(\text{C}_2\text{H}_5)\text{CH}_2\text{OH}$ , 30, 67—68;  $\text{C}_2\text{H}_5$ ,  $(\text{CH}_2)_2\text{OCH}_3$ , 70, 132—138/0,3, 1,5910, 1,049;  $\text{C}_2\text{H}_5$ ,  $(\text{CH}_2)_3\text{OCH}_3$ , 36, 142—146/0,5, 1,5818, 1,036;  $\text{C}_2\text{H}_5$ ,  $(\text{CH}_2)_3\text{OC}_2\text{H}_5$ -изо, 67, 152—156, 1,5600, 0,975;  $\text{C}_2\text{H}_5$ ,  $(\text{CH}_2)_3\text{N}(\text{CH}_3)_2$ , 56, 140—144/0,2, 1,5755, 0,976.

М. Карпейский  
68813. Окисление с помощью дибензоата йодистого серебра. Часть II. Получение симметричных азосоединений из некоторых первичных ароматических аминов. Раман (Oxidations with silver iodide dibenzoate. Part II. Preparation of *s*-azo compounds from some aromatic primary amines. Raman P. S.), Proc. Indian Acad. Sci., 1957, A45, № 2, 65—68 (англ.).

$\text{ArNH}_2$  (I) при окислении  $(\text{C}_6\text{H}_5\text{COO})_2\text{AgI}$  (II) (см. предыдущую часть, РЖХим, 1957, 66012), полученным из  $\text{C}_6\text{H}_5\text{COOAg}$  и  $\text{I}_2$ , дают  $\text{ArN}=\text{NAr}$  (III). По мнению авторов, р-ция идет с образованием свободного радикала  $\text{ArNH}^\bullet$ , который димеризуется в гидразосоединение с последующим окислением III. Гидразобензол (IV) легко окисляется II в III ( $\text{Ar} = \text{C}_6\text{H}_5$ ).  $\text{C}_6\text{H}_5\text{NH}_2$  при окислении II дает смолу, из которой выделяют следы III ( $\text{Ar} = \text{C}_6\text{H}_5$ ). 0,04 моля  $\text{C}_6\text{H}_5\text{COOAg}$  и 0,04 г-атома йода в 140 мл абс.  $\text{C}_6\text{H}_6$  нагревают без доступа влаги, добавляют 0,02 моля  $4\text{-ClC}_6\text{H}_4\text{NH}_2$  в абс.  $\text{C}_6\text{H}_6$ , встряхивают 15 мин., фильтрат концентрируют в вакууме до 40 мл, из полученной смеси III и  $\text{C}_6\text{H}_5\text{COOH}$  с помощью  $\text{NaHCO}_3$  выделяют III ( $\text{Ar} = 4\text{-ClC}_6\text{H}_4$ ), выход 40%, т. пл.  $184\text{—}185^\circ$  (из сп., затем ацетона). Аналогично получают следующие III (приводятся заместители в  $\text{Ar}$ , выход в %, т. пл. в  $^\circ\text{C}$ ): 4-Br, 41, 203—205 (из ацетона); 4- $\text{NO}_2$  (нагревание  $75^\circ$  мин.), 44, 223—224 (из ацетона); 2-Cl-4- $\text{NO}_2$  (кипение 90 мин.), 56, 275—276 (из бzl.); 4- $\text{CH}_3$  ( $\text{C}_6\text{H}_5\text{COOH}$  отделяют), 28, 143—144 (из сп.). К II прибавляют 3,7 г IV, встряхивают 15 мин., нагревают 10 мин., фильтрат

упаривают досуха, извлекают эфиром, выход III ( $\text{Ar} = \text{C}_6\text{H}_5$ ) 94%, т. пл.  $67\text{—}68^\circ$  (из водн. сп.).

М. Карпейский  
68814. Противотуберкулезное действие некоторых галогенидов и гидразонов — производных *p*-амино-о-галогенбензойных кислот. Стоическу-Кривец, Мандэшеску (Acțiunea antituberculoasă a unor hidrazide și hidrazone derivate din acizii *p*-amino-*o*-halogeno-benzoici. Stoicescu-Crivetz L., Măndășescu L.), Studii si cercetări de chim., 1956, 4, № 3—4, 175—182 (рум.; рез. русск., франц.).

При поисках новых противотуберкулезных средств из 2-X-4- $\text{NO}_2\text{C}_6\text{H}_3\text{COOCH}_3$  (I) синтезированы 2-X-4- $\text{NH}_2\text{C}_6\text{H}_3\text{COOCH}_3$  (II), 2-X-4- $\text{NH}_2\text{C}_6\text{H}_3\text{CONHNH}_2$  (III), где X = Cl (IIIa) и Br (IIIб) (вместо ожидаемого III), X = J, получается 4- $\text{NO}_2\text{C}_6\text{H}_3\text{CONHNH}_2$  (IV) и 2-X-4- $\text{NH}_2\text{C}_6\text{H}_3\text{CONHNH}=\text{CHC}_6\text{H}_2\text{R}'\text{-R}''\text{-R}''\text{-R}''$  (V). К 6 г 2-Cl-4- $\text{NO}_2\text{C}_6\text{H}_3\text{COOH}$  в 160 мл  $\text{CH}_3\text{OH}$  прибавляют 8 мл конц.  $\text{H}_2\text{SO}_4$ , кипятят 6—8 час., получают I, X = Cl (Ia), выход 6 г, т. пл.  $78\text{—}80^\circ$  (из водн. сп.). Аналогично получают I (приводятся X, т. пл. в  $^\circ\text{C}$ ): Br (Iб), 84; J (Iв) 88. Восстановлением I  $\text{SnCl}_2$  и HCl (к-той) получают II (приводятся X, т. пл. в  $^\circ\text{C}$  (из воды)): Cl (IIa), 104; Br, 94; J, 120. К 3 г Ia при охлаждении постепенно прибавляют 3 г  $\text{N}_2\text{H}_4\cdot\text{H}_2\text{O}$ , при дальнейшем охлаждении холодной водой получают IIIa, выход 1,5 г, т. пл.  $175^\circ$  (из водн. сп.). IIIa получают также из IIa. Аналогично из 4 г Ib получают IIIб, выход 2 г, т. пл.  $210^\circ$ ; из Ib получают IV, т. пл.  $210^\circ$ . Смесением и нагреванием при  $\sim 100^\circ$  эквивалентных кол-в спирт. р-ров IIIa и 2- $\text{HOC}_6\text{H}_4\text{CHO}$  получают V, X = Cl, R = OH, R' = R'' = H, выход 1 г, т. пл.  $190^\circ$ . Аналогично получают V (приводятся X, R, R', R'', т. пл. в  $^\circ\text{C}$ ): Cl, H, H, H, 195; Cl, H, OH, H, 226; Cl, H, N( $\text{CH}_3$ )<sub>2</sub>, —; Cl, H, N, NHCOSi, 255; Br, OH, H, H, 215; Br, H, OH, H, 226; Br, H, N( $\text{CH}_3$ )<sub>2</sub>, 207 (разл.). Эфиры — обладают несколько меньшим противотуберкулезным действием (ПТД), чем исходные к-ты; гидразиды и гидразоны обладают значительно меньшим ПТД.

В. Скородумов  
68815. 1-Арил-3,3-диалкилтриазены как вещества, задерживающие развитие опухолей. Рондестведт, Дейвис (1-Aryl-3,3-dialkyltriazenes as tumor inhibitors. Rondstedt Christian S. Jr, Davis Stanley J.), J. Organ. Chem., 1957, 22, № 2, 200—203 (англ.).

С целью получения в-в, задерживающих развитие опухолей, и выяснения зависимости активности от строения синтезированы  $\text{ArN}=\text{NN}(\text{R})\text{R}'$  (I) сочетанием  $\text{ArN}_3\text{Cl}$  (II) с  $\text{RR}'\text{NH}$  в щел. среде. При сочетании II с  $\text{CH}_3\text{NH}_2$  получают смесь I и  $(\text{ArN}=\text{N})_2\text{N}(\text{CH}_3)$ , который в противоположность I нерастворим в  $\text{CH}_3\text{OH}$ . Некоторые I (R = H) термически неустойчивы, как и продукты сочетания II с этиленмином (III). I ( $\text{RR}' = \text{CH}_2\text{CH}_3$ ) при разложении дают  $\text{ArN}_3$  и  $\text{C}_2\text{H}_4$ . Показано, что I (R =  $\text{CH}_3$ ) активны против саркомы-180 у мышей. I, имеющие в положении  $\text{N}^3$  алкил более высокого мол. веса, а также I с гетероциклич.  $\text{NRR}'$ -группой, неактивны.  $\text{ArNH}_2$  диазотируют в присутствии 3 молей HCl, фильтруют, проводят сочетание с  $\text{RR}'\text{NH}$  по следующим методам: А) К смеси  $\text{RR}'\text{NH}$  с избытком р-ра  $\text{Na}_2\text{CO}_3$ , содержащего лед, за 10—20 мин. прибавляют р-р II, перемешивают 30 мин. при  $5\text{—}10^\circ$ , извлекают эфиром,  $\text{C}_6\text{H}_6$ ,  $\text{CCl}_4$  или петр. эфиром, р-ритель отгоняют в вакууме. Б)  $\text{RR}'\text{NH}$  растворяют в воде с 1 экв HCl, смешивают с II, смесь прибавляют к избытку холодной р-ра  $\text{Na}_2\text{CO}_3$ . В)  $\text{RR}'\text{NH}$  растворяют в р-ре II, при  $5\text{—}10^\circ$  добавляют р-р NaOH до щел. р-ции. Г) Аналогично В, но вместо NaOH используют  $\text{CH}_3\text{COONa}$ . Д) К р-ру II добавляют большой избыток  $\text{CH}_3\text{NH}_2$ , продукт промывают водой, растирают с  $\text{CH}_3\text{OH}$ , к фильтрату прибавляют воду и получают I. Е) К р-ру II добавляют  $\text{CH}_3\text{COONa}$ , затем 2 экв III, снова избы-



III

ский

орых

по-о-

е ец

упот

о-на

и в н-

и в н-

и в н-

и в н-

и в н-

и в н-

и в н-

и в н-

и в н-

и в н-

и в н-

и в н-

и в н-

и в н-

и в н-

и в н-

и в н-

и в н-

и в н-

и в н-

и в н-

и в н-

и в н-

и в н-

и в н-

и в н-

и в н-

и в н-

и в н-

и в н-

и в н-

и в н-

и в н-

и в н-

и в н-

и в н-

и в н-

и в н-

и в н-

и в н-

и в н-

и в н-

и в н-

и в н-

и в н-

и в н-

и в н-

и в н-

и в н-

и в н-

и в н-

и в н-

и в н-

и в н-

и в н-

и в н-

ток  $\text{CH}_3\text{COONa}$ , отфильтровывают **I**, дополнительное кол-во **I** получают прибавлением  $\text{Na}_2\text{CO}_3$  к фильтрату. Ж) Аналогично Г, после  $\text{CH}_3\text{COONa}$  добавлял  $\text{Na}_2\text{CO}_3$ . З) 0,2 моля  $\text{ArNH}_2$  в 150 г конц.  $\text{H}_2\text{SO}_4$  и 70 г воды днаотрируют  $\text{NaNO}_2$ , сочетание проводят по методу В. Получены следующие **I** (приводятся  $\text{Ar}$ ,  $\text{R}$ ,  $\text{R}'$ , метод, выход в %, т. кип. в  $^\circ\text{C}/\text{мм}$  или т. пл. в  $^\circ\text{C}$  (р-ритель)):

$\text{C}_6\text{H}_5$ ,  $(\text{CH}_2)_2\text{OH}$ ,  $(\text{CH}_2)_2\text{OH}$ , **A**, 82, 140—160/1 (разл.);  $\text{C}_6\text{H}_5$ ,  $n\text{-C}_3\text{H}_7$ ,  $n\text{-C}_3\text{H}_7$ , **A**, 82, 100—104/0,5;  $\text{C}_6\text{H}_5$ ,  $изо\text{-C}_3\text{H}_7$ ,  $изо\text{-C}_3\text{H}_7$ , **A**, 69, 40—40,2;  $\text{C}_6\text{H}_5$ ,  $n\text{-C}_4\text{H}_9$ ,  $n\text{-C}_4\text{H}_9$ , **A**, 84, 123—125/0,8;  $\text{C}_6\text{H}_5$ ,  $изо\text{-C}_4\text{H}_9$ ,  $изо\text{-C}_4\text{H}_9$ , **A**, 75, 106—108/0,7;  $\text{C}_6\text{H}_5$ ,  $втор\text{-C}_4\text{H}_9$ ,  $втор\text{-C}_4\text{H}_9$ , **A**, 71, 109—111/0,3;  $\text{C}_6\text{H}_5$ ,  $n\text{-C}_5\text{H}_{11}$ ,  $n\text{-C}_5\text{H}_{11}$ , **B**, 60, 140—141,5/1;  $\text{C}_6\text{H}_5$ ,  $изо\text{-C}_5\text{H}_{11}$ ,  $изо\text{-C}_5\text{H}_{11}$ , **B**, 62, 128—130/1;  $\text{C}_6\text{H}_5$ ,  $n\text{-C}_6\text{H}_{13}$ ,  $n\text{-C}_6\text{H}_{13}$ , **B**, 70, 156—158/0,6;  $\text{C}_6\text{H}_5$ ,  $изо\text{-C}_6\text{H}_{13}$ ,  $изо\text{-C}_6\text{H}_{13}$ , **B**, 48, 144—145/0,7;  $\text{C}_6\text{H}_5$ , циклогексил, циклогексил, **B**, 38, 127—128 (бэл.);  $\text{C}_6\text{H}_5$ ,  $\text{RR}' = (\text{CH}_2)_4$ , **A**, 86, 49—50 (птр. эф.);  $\alpha\text{-толил}$ ,  $\text{CH}_3$ ,  $\text{CH}_3$ , **A**, 86, 78—79/0,5;  $n\text{-толил}$ ,  $\text{CH}_3$ , циклогексил, **B**, 85, 122/0,1;  $n\text{-толил}$ ,  $\text{CH}_3$ ,  $\text{C}_6\text{H}_5$ , **G**, 84, 66,5—68 (птр. эф.);  $n\text{-толил}$ ,  $\text{CH}_3$ , **H**, **D**, 81—82 (водн.  $\text{CH}_3\text{OH}$ );  $n\text{-толил}$ ,  $\text{CH}_3$ ,  $n\text{-толил}$ , **A**, —, **D**, —, 147 (птр. эф.);  $n\text{-толил}$ ,  $\text{NRR}' = 1,2,3,4\text{-тетрагидродиазохиноид}$ , **B**, 66, 75—76 (птр. эф.);  $n\text{-толил}$ ,  $\text{NRR}' = 6\text{-метокси-}1,2,3,4\text{-тетрагидродиазохиноид}$ , **B**, 82, 71,5—72,5 (птр. эф.); 2,3-ксилл,  $\text{CH}_3$ ,  $\text{CH}_3$ , **A**, 79, 120—121/5; 2,4-ксилл,  $\text{CH}_3$ ,  $\text{CH}_3$ , **B**, 90, 53—53,5 (птр. эф.); 2,6-ксилл,  $\text{CH}_3$ ,  $\text{CH}_3$ , **B**, 74, 72—73/0,3; мезитил,  $\text{CH}_3$ ,  $\text{CH}_3$ , **B**, 80, 83/0,4; 2,6-дизтилфенил,  $\text{CH}_3$ ,  $\text{CH}_3$ , **A**, 45, 94,0—94,5/0,3;  $n\text{-НОC}_6\text{H}_4$ ,  $\text{CH}_3$ ,  $\text{CH}_3$ , **B**, 19, 93,5 (разл.; из бэл.);  $\alpha\text{-анизил}$ ,  $\text{CH}_3$ ,  $\text{CH}_3$ , **B**, 86, 89,5—90,5/0,2;  $n\text{-анизил}$ ,  $\text{CH}_3$ , циклогексил, **B**, 80, 152/0,4;  $n\text{-анизил}$ ,  $\text{CH}_3$ ,  $n\text{-анизилазо}$ , **D**, —, 110—110,5 (разл.; птр. эф.);  $\alpha\text{-фенил}$ ,  $\text{CH}_3$ ,  $\text{CH}_3$ , **B**, 90, 104,5/0,4;  $m\text{-фенил}$ ,  $\text{CH}_3$ ,  $\text{CH}_3$ , **B**, 92, 60,5—61,5 (птр. эф.);  $n\text{-фенил}$ ,  $\text{CH}_3$ ,  $\text{CH}_3$ , **B**, 100, 53,5—54 (птр. эф.); 2,5-дизтоксифенил,  $\text{CH}_3$ ,  $\text{CH}_3$ , **A**, 33, 139—140/0,5;  $n\text{-(CH}_3)_2\text{NC}_6\text{H}_4$ ,  $\text{CH}_3$ ,  $\text{CH}_3$ , **B**, 100, 92—93,5 (водн.  $\text{CH}_3\text{OH}$ );  $m\text{-BrC}_6\text{H}_4$ ,  $\text{CH}_3$ ,  $\text{CH}_3$ , **A**, 93, 101—102/0,25;  $n\text{-BrC}_6\text{H}_4$ ,  $\text{CH}_3$ ,  $\text{CH}_3$ , **G**, 59, 63—63,5 (птр. эф.);  $n\text{-BrC}_6\text{H}_4$ ,  $\text{CH}_3$ , **H**, **D**, 86—87 (птр. эф.);  $n\text{-BrC}_6\text{H}_4$ ,  $\text{CH}_3$ ,  $n\text{-бромфенилазо}$ , **D**, 142—142,5 (разл.; бэл.);  $n\text{-BrC}_6\text{H}_4$ ,  $(\text{CH}_2)_2$ , **E**, 33, 56—56,5 (разл.; птр. эф.);  $\alpha\text{-ClC}_6\text{H}_4$ ,  $\text{CH}_3$ ,  $\text{CH}_3$ , **A**, 83, 146,3—146,5/12;  $m\text{-ClC}_6\text{H}_4$ ,  $\text{CH}_3$ ,  $\text{CH}_3$ , **A**, 96, 97—99/0,4;  $m\text{-F}_3\text{CC}_6\text{H}_4$ ,  $\text{CH}_3$ ,  $\text{CH}_3$ , **A**, 87, 76—78/1,3;  $\alpha\text{-NO}_2\text{C}_6\text{H}_4$ ,  $\text{CH}_3$ ,  $\text{CH}_3$ , **B**, 85, 32,5—33,5;  $n\text{-NO}_2\text{C}_6\text{H}_4$ ,  $\text{CH}_3$ , циклогексил, **B**, 87, 81—82 (птр. эф.). Получены также следующие **I**,  $\text{R} = \text{R}' = \text{CH}_3$  (даны  $\text{Ar}$ , метод, выход в %, т. кип. в  $^\circ\text{C}$  или т. пл. в  $^\circ\text{C}$  (р-ритель)): 5-Cl-2- $\text{CH}_2\text{OC}_6\text{H}_3$ , **A**, 74, 56,5—57 (птр. эф.); 2- $\text{CH}_2\text{O}-4\text{-NO}_2\text{C}_6\text{H}_3$ , **B**, 92, 113—113,5 (бэл. + птр. эф.); 2- $\text{CH}_2\text{O}-5\text{-NO}_2\text{C}_6\text{H}_3$ , **B**, 100, 140,5—141 (из  $n\text{-C}_4\text{H}_9\text{OH}$ ); 4- $\text{CH}_2\text{O}-2\text{-NO}_2\text{C}_6\text{H}_3$ , **A**, 75, 57—58 (из бэл.);  $\alpha\text{-нафтил}$ , **Ж**, 48, 38,5—39 (птр. эф.);  $\beta\text{-нафтил}$ , **Ж**, 94, 57—57,2 (птр. эф.); 3- $\text{F}_3\text{C}-4\text{-NO}_2\text{C}_6\text{H}_3$ , **B**, 85, 70,5—71,5 (бэл. + птр. эф.); 2- $\text{CH}_2-4\text{-NO}_2\text{C}_6\text{H}_3$ , **B**, 100, 120—120,5 (птр. эф.); 4,4'-дифениленбис, **B**, 100, 176—176,5 (из бэл.); тиазолил-2, **З**, 33, 75—75,5 ( $изо\text{-C}_3\text{H}_7$ ); хиволил-3, **B**, хороший, 131,5 (из ацетона); пиридил-3, **B**, 76, 81/0,3. **I** ( $\text{Ar} = n\text{-толил}$ ,  $\text{RR}' = (\text{CH}_2)_2$ ), полученный по методу **E**, при перегонке в вакууме дает  $n\text{-CH}_3\text{C}_6\text{H}_4\text{N}_3$ , т. кип. 31,5/0,15 мм.  $n\text{-CH}_3\text{OC}_6\text{H}_4\text{N}_2\text{Cl}$  по методу **E** дает смесь 60%  $n\text{-CH}_3\text{OC}_6\text{H}_4\text{N}_3$  и 40% **I**. Из  $\text{C}_6\text{H}_5\text{N}_2\text{Cl}$  в аналогичных условиях получают  $\text{C}_6\text{H}_5\text{N}_3$ , т. кип. 63—66/21 мм,  $\lambda_{\text{макс}}$  285, 278, 248 мк, ИР-спектр 2120  $\text{см}^{-1}$ .  $n\text{-NO}_2\text{C}_6\text{H}_4\text{N}_2\text{Cl}$  по методу **E** дает, по мнению авторов, **I**, т. пл. 70—70,5 (сильное разл.; из птр. эф.), который при стоянии разлагается с образованием  $n\text{-NO}_2\text{C}_6\text{H}_4\text{N}_3$ .

М. Карпейский

68816.

О бензгидриллаклинах. К вопросу исследования замедляющего митоз действия колхицина. Лотре, Вик (Über Benzhydryllalkylamine. Ein Beitrag zur Analyse der mitosehemmenden Wirkung des Colchicins. Lettré Hans, Wick Kurt), Liebig's Ann. Chem., 1957, 603, № 1—3, 189—199 (нем.)

Описан синтез  $\beta,\beta$ -дифенилэтиламина  $\text{RC}_6\text{H}_4\text{CH}(\text{C}_6\text{H}_5)\text{CH}_2\text{CH}_2\text{NH}_2$  (**Ia**  $\text{R} = \text{H}$ , **16**  $\text{R} = \text{OCH}_3$ ) и  $\beta,\beta$ -дифенилпропиламина  $\text{RC}_6\text{H}_4\text{CH}(\text{C}_6\text{H}_5)\text{CH}_2\text{CH}_2\text{NH}_2$  (**IIa**  $\text{R} = \text{H}$ , **116**  $\text{R} = \text{OCH}_3$ ). При испытании на культуре ткани активность показали **16**, **116** и  $\gamma$ -фенил- $\gamma$ -анизилаллиламин (**III**) — все с метоксилильной группой. **16**, **116** и **III**, приблизительно, в три раза менее активны, чем метокси-стиблиламины. К 0,2 моля бензофенона и 0,22 моля  $\text{CH}_3\text{CN}$  в 150 мл абс. эфира прибавляли по каплям суспензию 0,25 моля  $\text{NaNH}_2$  в 75 мл абс. эфира. Нагревали 1 час, получили  $\beta$ -окси- $\beta,\beta$ -дифенилпропионитрил (**IV**), выход 85%, т. пл. 144—145 (из сп. или циклогексана, или ацетона). Аналогично получены: из пропионитрила (**V**)  $\alpha$ -метил- $\beta$ -окси- $\beta,\beta$ -дифенил-**V**, выход 82%, т. пл. 129—130° (из сп.), из  $n$ -метоксибензофенона  $\beta$ -окси- $\beta$ -фенил- $\beta$ -анизил-**V** (**VI**), выход 84%, т. пл. 135—137° (из сп.). К горячему р-ру 15 г **IV** в 500 мл абс.  $\text{C}_6\text{H}_6$  быстро прибавляли 20 г  $\text{P}_2\text{O}_5$ , кипятили 45 мин., получили  $\beta,\beta$ -дифенилакрилонитрил (**VII**), выход 100%, т. пл. 49—50° (из сп.). Из 20 г **VI** получили аналогично 5,9 г  $\beta$ -фенил- $\beta$ -анизилакрилонитрил (**VIII**), т. пл. 74—76° (из циклогексана). Кроме того получен изомер **VIII** (**VIIIa**) в виде сиропа. 1 г **VII** 14 час. кипятили с 1 г КОН в 6 мл спирта и 1,5 мл воды, получили  $\beta,\beta$ -дифенилакриловую к-ту (выход 27%) и  $\beta,\beta$ -дифенилакриламид, выход 61%, т. пл. 155—157°. 2 г **VIII** кипятили 26 час. с 1,4 г КОН в 9 мл спирта и 2 мл воды, получили: 0,5 г  $\beta$ -фенил- $\beta$ -анизилакриламида, т. пл. 153—155° (из сп.), 1,55 г высокоплавящейся формы  $\beta$ -фенил- $\beta$ -анизилакриловой к-ты (**IX**), т. пл. 184—185° (разл.). 2 г **VIIIa** аналогично омыляли 40 час., получили 2,1 г низкоплавящейся формы **IX**, т. пл. 146—147°. 6 г **VII** в 50 мл абс. эфира прибавили к амальгамированной алюминиевой пудре, приготовленной из 6 г **Al**. В течение 5 час. прибавляли 4 мл воды. Через 20 час. получили  $\beta,\beta$ -дифенилпропионитрил (**X**), выход 98%, т. пл. 91—92° (из сп.).  $\beta$ -Фенил- $\beta$ -анизилпропионитрил (**XI**) приготовлен из смеси **VIII** и **VIIIa** аналогично, выход 93%, т. пл. 48°. К 3 г **VII** в 250 мл спирта в течение 2 час. прибавляли 50 г амальгамы натрия. Через 2 часа получено 2,6 г **VI**,  $\beta,\beta$ -дифенилпропионамида (**XII**), т. пл. 50—52°, и 0,5 г  $\beta,\beta$ -дифенилпропионовой к-ты. **XII** был получен также при омылении **X**, выход 33%. Из **XI** при омылении (как в случае **VII** или **X**) после кипячения 3 часа было получено 70%  $\beta$ -фенил- $\beta$ -анизилпропионамида (**XIII**) и 30% соответствующей к-ты, т. пл. 127—128,5°. **XIII**, т. пл. 143—144° (из сп.). **XI** в 1 г **X**, 50 мл лед.  $\text{CH}_3\text{COOH}$ , 1 мл конц.  $\text{H}_2\text{SO}_4$  гидрировали Pt из 50 мг  $\text{PtO}_2$ . После очистки через оксалат получен хлоридрат **IIa**, выход 56%, т. пл. 215—216° (с окрашиванием, из сп.-эф.);  $N$ -бензоил-**IIa**, т. пл. 105—106 (из сп.). Аналогично **IIa** получен из **VII** (выход 63%) и из **IV**, выход 61%. **IIb** получен аналогично из **VI**, выход хлоридрата 54%, т. пл. 178—179° (из сп.-эф.). 1,13 г **XII** суспендировано в 25 мл 10%-ного р-ра  $\text{NaOH}$ , содержащего 0,37 г хлора. Смесь при хорошем перемешивании медленно нагревали до 70° и выдержали 1 час. Из эфирной вытяжки получили хлоридрат **Ia**, выход 40%, т. пл. 255—256° (из сп.-эф.). **IIb** получили аналогично из **XIII**, через оксалат получен хлоридрат **IIb**, т. пл. 197—199° (из сп.-эф.);  $N$ -бензоил-**IIb**, т. пл. 143,5—144,5°. Кроме того **IIb** получили гидрированием фениланилацетонитрила, выход 60%. 4,1 г **VII** в эфире восстановили 0,76 г  $\text{LiAlH}_4$  при  $t \leq 5^\circ$ , через оксалат получили хлоридрат  $\gamma,\gamma$ -дифенилаллиламина (**XIV**);  $N$ -бензоил-**XIV**, т. пл. 150—151°. При гидрировании **XIV** получается хлоридрат **IIa**. При восстановлении **VIII**  $\text{LiAlH}_4$  получен  $\gamma$ -фенил- $\gamma$ -анизилаллиламин (**XV**) в виде оксалата, выход 70%; хлоридрат **XV**, т. пл. 171—173°.  $\alpha$ -Фенил- $\beta$ -анизилакрилонитрил восстановили  $\text{LiAlH}_4$ , получали  $\beta$ -фенил- $\gamma$ -анизилпропиламин;

8 Химия, № 21

— 113 —

хлоридрат, т. пл. 173—174°; N-бензоил, т. пл. 85—86,5°.

В. Киселев

**68817.** О так называемом монофталонбензидине Б. П. Порай-Кошица. Пищимака П. С., Жуковская О. А., Зап. Харьковск. с.-х. ин-та, 1957, 14(51), 5—7

Авторами доказано, что «монофталонбензидин» (I) (Порай-Кошица Б. А., Мострюков, Ж. общ. химии, 1940, 10, 629) является первичным амином, несмотря на отсутствие диазореакции. Для доказательства была применена характерная р-ция ароматич. и гетероциклич. первичных аминов с Se, в результате которой получаются селеназиновые красители (II). Смесь I,  $(\text{CH}_3\text{CONH})_2\text{Hg}$  и Se нагревают в толуоле, р-ритель удаляют и извлечением  $\text{CHCl}_3$  выделяют II. Тот факт, что р-ция I с Se протекает при 111° вместо 20° подтверждает предположение Б. А. Порай-Кошица о том, что  $\text{NH}_2$ -группа I полусвободна.

Т. Краснова

**68818.** Азосочетание некоторых диметилдитиофенолов. Корделла, Пассерини (Diazoscupolazione di alcuni dimetilditiufenoli. Cordella G., Passerini R.), Boll. scient. Fas. chim. industr. Bologna, 1956, 14, № 4, 104—106 (итал.)

Продолжая исследования  $\text{C}_6\text{H}_5\text{SCH}_3$ , его метокси-производного и фенилалкилселенидов (РЖХим, 1957, 30576), а также в связи с работой по сочетанию в-в общей ф-лы  $\text{C}_6\text{H}_4(\text{OR})_2$  с  $\text{ArN}\equiv\text{NX}$  (Meyer и др., Ber., 1914, 47, 1741), авторы синтезируют ряд сульфидов общей ф-лы  $\text{CH}_3\text{SC}_6\text{H}_4\text{SC}_6\text{H}_3\text{RR}'$  (I) и соответствующих дисульфидов общей ф-лы  $\text{CH}_3\text{SO}_2\text{C}_6\text{H}_4\text{SO}_2\text{C}_6\text{H}_3\text{RR}'$  (II), где R и R' = H или  $\text{NO}_2$ . Диазореакцию в  $\text{CH}_3\text{COOH}$  из 5 г 2,4-( $\text{NO}_2$ ) $_2\text{C}_6\text{H}_3\text{NH}_2$ , полученный ранее (Meyer и др., см. выше), вливают в р-р 2,3 г  $\text{m-C}_6\text{H}_4(\text{SCH}_3)_2$  через 4 часа получают 2,4-( $\text{CH}_3\text{S}$ ) $_2\text{C}_6\text{H}_3\text{N}=\text{NC}_6\text{H}_3(\text{NO}_2)_2$  2',4' (III), выход 2,7 г, т. пл. 204° (из лед.  $\text{CH}_3\text{COOH}$ ,  $\text{C}_6\text{H}_5\text{Cl}$ ). Восстановление III Sn и HCl с последующей экстракцией эфиром получают 2,4-( $\text{CH}_3\text{S}$ ) $_2\text{C}_6\text{H}_3\text{NH}_2$ ; ацетильное производное, т. пл. 114°. Из р-ра 2,3 г  $\text{m-C}_6\text{H}_4(\text{SCH}_3)_2$  (получен из 4- $\text{NH}_2\text{C}_6\text{H}_4\text{SCH}_3$  по Лумброзо, Пассерини (см. РЖХим, 1957, 59956)) в  $\text{CH}_3\text{COOH}$  действием 2 молей  $[2,4-(\text{NO}_2)_2\text{C}_6\text{H}_3\text{N}=\text{N}]_2\text{SO}_4$  (IV) получают  $\text{m-[2,4-(NO}_2)_2\text{C}_6\text{H}_3\text{S}]_2\text{C}_6\text{H}_4$  (V), т. пл. 270—71° (из  $\text{C}_6\text{H}_5\text{N}$ ). V получают также конденсацией  $\text{m-C}_6\text{H}_4(\text{SH})_2$  с 2,4-( $\text{NO}_2$ ) $_2\text{C}_6\text{H}_3\text{Cl}$ . Аналогично, из  $\text{o-C}_6\text{H}_4(\text{SCH}_3)_2$  и IV (16 час.) получают  $\text{o-[2,4-(NO}_2)_2\text{C}_6\text{H}_3\text{S}]_2\text{C}_6\text{H}_4$ , т. пл. 214—215°. 25 г  $\text{o-NH}_2\text{C}_6\text{H}_4\text{SCH}_3 \cdot \text{H}_2\text{SO}_4$  в 7,5 мл конц.  $\text{H}_2\text{SO}_4$  диазотируют при < 5° водн. р-ром 10,6 г  $\text{NaNO}_2$ , прибавляют в р-р 40 г  $\text{C}_6\text{H}_5\text{OCSSK}$  в 180 мл воды при 50°, по окончании выделения газа выдерживают при 50° еще 1 час, экстрагируют эфиром, удаляют эфир, вновь нагревают при ~100° 3 часа с 11 г KOH в 100 мл спирта и 4 г глюкозы, выпаривают до небольшого объема с прибавлением 1 г Zn-пыли, подкисляют  $\text{H}_2\text{SO}_4$ , перегоняют с паром, дистиллят экстрагируют эфиром, получают  $\text{o-HSC}_6\text{H}_4\text{SCH}_3$ , выход 45 г, т. кип. 131—132°/15 мм. Аналогично, из  $\text{m-NH}_2\text{C}_6\text{H}_4\text{SCH}_3$  получают  $\text{m-HSC}_6\text{H}_4\text{SCH}_3$ , т. кип. 136—138°/15 мм. Эти сульфиды характеризуются в виде нитро- и динитрометилдитиофенилсульфидов по ранее известному методу (Bost и др., J. Amer. Chem. Soc., 1932, 54, 1985). Действием 36%-ной  $\text{H}_2\text{O}_2$  сульфиды окисляют до соответствующих дисульфидов. Аналогично получают I [даются положения  $\text{CH}_3\text{S}$ -группы, 2-R, 4-R', т. пл. в °C (из сл.): o,  $\text{NO}_2$ , H, 123; o, H,  $\text{NO}_2$ , 77; o,  $\text{NO}_2$ ,  $\text{NO}_2$ , 125; m,  $\text{NO}_2$ , H, 85; m, H,  $\text{NO}_2$ , 46; m,  $\text{NO}_2$ ,  $\text{NO}_2$ , 112; n,  $\text{NO}_2$ , H, 105—106; n, H,  $\text{NO}_2$ , 71—72; n,  $\text{NO}_2$ ,  $\text{NO}_2$ , 140—141; а также II (даются положения  $\text{CH}_3\text{SO}_2$ -группы, другие показатели те же): o,  $\text{NO}_2$ , H, 154—155; o, H,  $\text{NO}_2$ , 166; o,  $\text{NO}_2$ ,  $\text{NO}_2$ , 193—194; m,  $\text{NO}_2$ , H, 175; m, H,  $\text{NO}_2$ , 224; o,  $\text{NO}_2$ ,  $\text{NO}_2$ , 145; n,  $\text{NO}_2$ , H, 197—198; n, H,  $\text{NO}_2$ , 231—232; n,  $\text{NO}_2$ ,  $\text{NO}_2$ , 235—236.

В. Скородумов

**68819.** Хлорпроизводные о-диметиламинопропилам-нодифенилсульфида. Бергер, Станмайер (Chlorinated o-dimethylaminopropylaminodiphenyl sulfide derivatives. Burger Alfred, Stanmayer Joseph L., Jr), J. Organ. Chem., 1956, 21, № 12, 1382—1385 (англ.)

Синтезированы Cl-производные диметиламинопропиламидифенилсульфида и диметиламиноацетилдифенилсульфида — аналоги с открытой цепью 10-диалкиламиноалкилфенолтиазина и его 2-хлорпроизводного (хлорпромазина). 1 моль  $3\text{-ClC}_6\text{H}_4\text{SO}_3\text{Na}$ , 1 моль  $\text{POCl}_3$  и 0,5 моля  $\text{PCl}_5$  нагревают 15 час. при 170—180°, разлагают 1,5 л ледяной воды, выход  $3\text{-ClC}_6\text{H}_4\text{SO}_2\text{Cl}$  (I) 56—69%, т. кип. 142—145°/16 мм. I восстановлением Sn и HCl превращают в  $3\text{-ClC}_6\text{H}_4\text{SH}$ , выход 31,5%, т. кип. 90—92°/13 мм. 1 моль  $2\text{-ClC}_6\text{H}_4\text{NO}_2$  прибавляют к 0,8 моля соответствующего тиофенола (ТФ) в 5%-ном водн. или спирт. р-ре 1 моля NaOH, кипятят 2,5 часа, осадок промывают горячим спиртом, фильтрат перегоняют с паром, остаток замещ. 2-нитродифенилсульфида (НДС) перекристаллизовывают из спирта (уголь); в случае 1,4- $\text{Cl}_2\text{C}_6\text{H}_3\text{NO}_2$  или 1,2-( $\text{NO}_2$ ) $_2\text{-4-ClC}_6\text{H}_3$  нагревание производят 1 час и осадок перекристаллизовывают из лед.  $\text{CH}_3\text{COOH}$  или спирта (перечисляются заместители в ТФ и хлорнитробензоле, заместители в НДС, выход НДС в %, т. пл. в °C (испр.): 1-SH-2- $\text{NH}_2$ , 1- $\text{NO}_2$ -2-Cl, 2'- $\text{NH}_2$ , 50, 85—86; 1-SH-3-Cl, 1- $\text{NO}_2$ -2-Cl, 3'-Cl, 41, 105—107; 1-SH-4-Cl, 1- $\text{NO}_2$ -2-Cl, 4'-Cl, 48, 95—97; SH, 1,4- $\text{Cl}_2$ -2- $\text{NO}_2$ , 4-Cl, 90, 81,5—84,5; 1-SH-2- $\text{NH}_2$ , 1,4- $\text{Cl}_2$ -2- $\text{NO}_2$ , 2'- $\text{NH}_2$ -4-Cl, 91, 128—130; 1-SH-3-Cl, 1,4- $\text{Cl}_2$ -2- $\text{NO}_2$ , 3',4'- $\text{Cl}_2$  (из  $\text{CH}_3\text{COOH}$ ), 85, 81—83; 1-SH-4-Cl, 1,4- $\text{Cl}_2$ -2- $\text{NO}_2$ , 4,4'- $\text{Cl}_2$ , 99, 159,5—162,5; SH, 1,2-( $\text{NO}_2$ ) $_2$ -4-Cl, 5-Cl, 50, 125; 1-SH-4-Cl, 1,2-( $\text{NO}_2$ ) $_2$ -4-Cl, 4,5'- $\text{Cl}_2$  (из  $\text{CH}_3\text{COOH}$ ), 47, 119—126. Из соответствующих 2'-аминодифенилсульфидов р-цией Зандмейера синтезируют 2- $\text{NO}_2\text{C}_6\text{H}_4\text{SC}_6\text{H}_4\text{Cl-2'}$  и 2- $\text{NO}_2\text{-4-ClC}_6\text{H}_3\text{SC}_6\text{H}_4\text{Cl-2'}$ , выход 36 и 28%, т. пл. 121—122 и 70—71,5° (из сл.). 1 моль НДС восстанавливают 5 молями 100%-ного  $\text{m-NH}_2\text{-H}_2\text{O}$  и скелетным Ni в 4,5 л спирта (50°, затем кипятят 1 час), фильтрат (уголь) выпаривают в вакууме, получают замещ. 2-аминодифенилсульфиды (АДС). Кипятят 0,02 моля АДС с  $(\text{CH}_3\text{CO})_2\text{O}$  в присутствии конц.  $\text{H}_2\text{SO}_4$  2 часа, выливают в воду, подщелачивают  $\text{Na}_2\text{CO}_3$  и перекристаллизовывают полученные ацетамиды (АЦ). 0,1 моля  $\text{ClCH}_2\text{C}_6\text{H}_4\text{COCl}$  в 20 мл ацетона по каплям прибавляют к кипящему р-ру 0,2 моля АДС в 10—200 мл ацетона, кипятят 1 час, выливают в 300 мл 12%-ной HCl, осадок перекристаллизовывают из  $\text{CH}_3\text{OH}$ , получают N-β-хлорпропионамиды (ХПА). 1 моль ХПА и 20%-ный р-р 10 молей  $(\text{CH}_3)_2\text{NH}$  в безводн.  $\text{C}_6\text{H}_6$  нагревают при 100° 24 часа, отгоняют р-ритель, остаток обрабатывают 10%-ным NaOH и экстрагируют эфиром, удаляют эфир, жидкие диметиламинопропионамиды (ПАМ) перегоняют, твердые перекристаллизовывают из гексана или изеооктана; хлоридраты (ХГ) ПАМ получают в эфирном р-ре и перекристаллизовывают из спирта + эфир. 26 ммоль ПАМ в 200 мл эфира прибавляют к р-ру 32,5 ммоль  $\text{LiAlH}_4$  в 200 мл эфира (кипение) и кипятят еще 20 час., получают соответствующие диметиламинопропиламинопроизводные (ППР) (метод А). Или 86 ммоль АДС в 250 мл толуола обрабатывают 2,1 г NaH, кипятят 4 часа, прибавляют 43 ммоль  $(\text{CH}_3)_2\text{N}(\text{CH}_2)_3\text{Cl}$ , кипятят 13 час., получают ППР. Аналогичными способами получены следующие АДС, АЦ, ХПА, ПАМ и ППР (перечисляются заместители в положении 2, положения Cl, выход в %, т. кип. в °C/мм, т. пл. в °C основания или ХГ):  $\text{NH}_2$ , —, 65, 167—168/1, —;  $\text{NH}_2$ , 2', 57, —, 76—77,5;  $\text{NH}_2$ , 3', 76, 169—172/1,9, 173—177 (ХГ);  $\text{NH}_2$ , 4', 74, 164—166/0,45, 172—174 (ХГ);  $\text{NH}_2$ , 4, 74, —, 63—65;  $\text{NH}_2$ , 4,3' (метод А), 43, 194/0,65, 41,5—44

(ХГ, т. пл. 158,5—163°);  $\text{NH}_2$ , 4,4', 183—189/0,7, 71,5—72,5;  $\text{NH}_2$ , 5, 46, 172—174/1, 184,5—189,5 (ХГ· $\text{H}_2\text{O}$ );  $\text{NH}_2$ , 5,4 (метод А), 57, 196/2,5, 169—174 (ХГ);  $\text{NHCOCH}_3$ , 3', 10, —, 104—105;  $\text{NHCOCH}_3$ , 4', 40, —, 118—119;  $\text{NHCOCH}_3$ , 4,4', —, 69,5—71,5;  $\text{NHCOCH}_3$ , 5, —, 68—70;  $\text{NHCOCH}_3$ , 5,4', 58, —, 117—118;  $\text{NHCOCH}_2\text{CH}_2\text{Cl}$ , 4, 97, —, 87—89;  $\text{NHCOCH}_2\text{CH}_2\text{Cl}$ , 4,4', 86, —, 142—143;  $\text{NHCOCH}_2\text{CH}_2\text{Cl}$ , 5,4', 79, —, 129—130,5;  $\text{NHCOCH}_2\text{CH}_2\text{N}(\text{CH}_3)_2$ , 4,4', 45, —, 78—80;  $\text{NHCOCH}_2\text{CH}_2\text{N}(\text{CH}_3)_2$ , 5,4' (II), 36, —, 81,5—83,5;  $\text{NH}(\text{CH}_2)_3\text{N}(\text{CH}_3)_2$ , 4,4' (III), 44, 196—198/0,6, 157,5—159,5 (ХГ);  $\text{NH}(\text{CH}_2)_3\text{N}(\text{CH}_3)_2$ , 5,4' (IV), 31,5, 227—229/2,9, 128—135 (ди-ХГ· $\frac{1}{2}\text{H}_2\text{O}$ );  $\text{NH}(\text{CH}_2)_3\text{N}(\text{CH}_3)_2$ , 4', 38, 198—199,5/1,5, 171—172 (ХГ) (разл.);  $\text{NHCOCH}=\text{CH}_2$ , 4 (из ХПА при действии  $(\text{CH}_2)_3\text{NH}$ ), 40, 211/2,3, 72,5—74. Аналогично получают  $(\text{CH}_3)_2\text{NCH}_2\text{CH}_2\text{CONHC}_6\text{H}_5$ , выход 37%, т. кип. 149°/1,4 мм и 136°/0,25 мм; ХГ, т. пл. 197—199°;  $(\text{CH}_3)_2\text{NCH}_2\text{CH}_2\text{CH}_2\text{NHC}_6\text{H}_5$ , выход 32,4%, т. кип. 83—84°/0,4 мм; ди-ХГ, т. пл. 174,5—178,5° (разл.). 0,303 моля  $2\text{-CH}_3\text{CONHC}_6\text{H}_5\text{SC}_6\text{H}_5$ , 0,303 моля 30%-ной  $\text{H}_2\text{O}_2$ , 50 мл спирта и 10 мл  $\text{CH}_3\text{COOH}$  кипятят 12 час., выливают в 150 мл воды и упаривают до 100 мл, получают  $2\text{-CH}_3\text{CONHC}_6\text{H}_5\text{S}(\text{O})\text{C}_6\text{H}_5$  (V), выход 42,4%, т. пл. 99—101° (из  $\text{iso}-(\text{C}_3\text{H}_7)_2\text{O}$ ). 3,2 г V в 75 мл конц.  $\text{HCl}$  кипятят 2 часа, декантируют, нейтрализуют, экстрагируют эфиром, перегонкой выделяют  $2\text{-NH}_2\text{C}_6\text{H}_5\text{SC}_6\text{H}_5$  (VI), выход 0,3 г, т. кип. 135—140°/0,7 мм; ХГ, 211—214° (разл.). 4,46 г V и 17 мл 24%-ной  $\text{HBr}$  размешивают 30 мин. и кипятят 1 час, получают бромидат VI, т. пл. 213—215° (из сл. + эф.). II значительно увеличивает время выживания мышей, получивших летальные дозы рентгеновских лучей. III и IV *in vitro* активны против значительного числа патогенных грибов. Все т-ры плавления исправлены. В. Скородумов

**68820. О реакции между пиятсериястым фосфором и ароматическими спиртами.** Ямасаки (芳香族アルコールと五硫化リンの反応. 山崎太郎), Япон. Chem. Soc., 1957, 78, № 2, 236—239 (японск.). Изучено действие  $\text{P}_2\text{S}_5$  на первичные (бензилвый спирт (I), 2-фенилэтанол (II)), вторичные (бензгидрол (III),  $\alpha$ -нафтилфенилкарбинол (IV), 1-фенилэтанол (V), этилфенилкарбинол (VI)) и третичные (трифенилкарбинол (VII), три-*n*-толилкарбинол (VIII)) и диметилфенилкарбинол (IX)) ароматич. спирты и пиролиз продуктов р-ции. Р-ция между  $\text{P}_2\text{S}_5$  и первичными и вторичными ароматич. спиртами проходит также как в случае алифатич. спиртов (Пицимука П. А., J. Pr. Chem., 1911, 84, 748) и приводит к эфирам дитиофосфорной к-ты  $(\text{RO})_2\text{PSSH}$  (X), пиролиз которых дает  $\text{H}_2\text{S}$ , меркаптаны, тиоэфиры. К 11 г  $\text{P}_2\text{S}_5$  в 50 мл  $\text{C}_6\text{H}_6$  добавляют по каплям 22 г I в 50 мл  $\text{C}_6\text{H}_6$ , нагревают на водяной бане до выделения  $\text{H}_2\text{S}$ , добавляют р-р  $\text{NiSO}_4$  в метаноле, получают  $\text{Ni}$ -соль X ( $\text{R} = \text{C}_6\text{H}_5\text{CH}_2$ ), т. пл. 137°. Пиролиз X ( $\text{R} = \text{C}_6\text{H}_5\text{CH}_2$ ) при  $t > 95^\circ$  привел к  $\text{H}_2\text{S}$ , бензилмеркаптану, дибензилсульфиду, стилибену (XI) и небольшому кол-ву смол. При нагревании при 120° смеси 9,8 г  $\text{P}_2\text{S}_5$  и 4,4 г II образуется X ( $\text{R} = \text{C}_6\text{H}_5\text{CH}_2\text{CH}_2$ ),  $\text{Ni}$ -соль, т. пл. 84°; пиролиз X ( $\text{R} = \text{C}_6\text{H}_5\text{CH}_2\text{CH}_2$ ) при  $t > 160^\circ$  дал  $\text{H}_2\text{S}$ , дифенилсульфид, фенилэтилмеркаптан, стирол и смолы. Р-ция порошка  $\text{P}_2\text{S}_5$  с III при  $t > 80^\circ$  сразу дала продукт пиролиза — 1,1,2,2-тетрафенилэтан, т. пл. 109—110°; при ведении р-ции в толуоле с использованием кусочков  $\text{P}_2\text{S}_5$  также проходит пиролиз и образуется  $\text{H}_2\text{S}$  (небольшое кол-во) и дифенилметилмеркаптан, т. пл. 151°. Р-ция  $\text{P}_2\text{S}_5$  с IV при  $t > 95^\circ$  также осложняется пиролизом; в результате получен 1,2-динафтил-1,2-дифенилэтан.  $\text{P}_2\text{S}_5$  и V в  $\text{C}_6\text{H}_6$  дают маслообразный X ( $\text{R} = \text{C}_6\text{H}_5(\text{CH}_2)_3\text{CH}$ ), пиролиз его при  $t > 85^\circ$  дал  $\text{H}_2\text{S}$ , метилмеркаптан,  $\alpha$ -метилбензилмеркаптан, XI и смолы.  $\text{P}_2\text{S}_5$  и VI в  $\text{C}_6\text{H}_6$  также дали

маслообразный X ( $\text{R} = \text{C}_6\text{H}_5(\text{C}_2\text{H}_5)\text{CH}$ ), пиролиз его при  $t > 85^\circ$  привел к  $\text{H}_2\text{S}$ , этилмеркаптану (2,4-динитрофенилэтилсульфид, т. пл. 114,5°),  $\alpha$ -этилбензилмеркаптану (2,4-динитрофенил- $\alpha$ -этилбензил)-сульфид, т. пл. 88,5°), XI и смолам. Р-ция между  $\text{P}_2\text{S}_5$  и третичными спиртами при  $t > 95^\circ$  сразу дает продукты пиролиза: трифенилметан (из VII), три-*n*-толилметан (из VIII) и  $\alpha$ -метилстирол (из IX) и небольшие кол-ва  $\text{H}_2\text{S}$ . В случае IX получено немного эфира фосфониевой к-ты, т. пл. 95—95,5°. Л. Яновская

**68821. Перегруппировка ароматических дисульфидов бензидинового типа.** Шайн, Бир (The benzidine-type rearrangement of aromatic disulphides. Shine H. J., Bear J. L.), Chemistry and Industry, 1957, № 18, 565—566 (англ.).

Исследовано взаимодействие дифенилдисульфида (I) с  $\text{H}_2\text{SO}_4$  различной конц-ии при  $t < 100^\circ$ . Показано, что при 20° в зависимости от конц-ии  $\text{H}_2\text{SO}_4$  получены частично сульфированные продукты полимеризации I, отвечающие ф-лам  $(\text{C}_{12}\text{H}_8\text{S}_2)_n \cdot 2\text{SO}_3$  (II) и  $(\text{C}_{12}\text{H}_8\text{S}_2)_n \cdot \text{SO}_3$  (III). Сходство физ. свойств II и III со свойствами продуктов окисления 1,4-димеркаптобензола  $\text{H}_2\text{O}_2$  позволяет предполагать, что I может подвергаться перегруппировке бензидинового типа. Это подтверждено также возможностью получения II и III при окислении полимеров 4,4'-димеркаптодифенила, полученного перегруппировкой I. Т. Краснова

**68822. Синтез арилметилсульфоксидов и определение эффекта сопряжения метилсульфинильной группы.** Бордуэлл, Бутан (Synthesis of aryl methyl sulfoxides and determination of the conjugative effect of the methylsulfinyl group. Bordwell F. G., Boutan Pierre J.), J. Amer. Chem. Soc., 1957, 79, № 3, 717—722 (англ.).

При окислении арилметилсульфидов даже 1 молем  $\text{H}_2\text{O}_2$  получаются трудно разделяемые смеси сульфоксидов и сульфонов; образованию сульфоксидов благоприятствуют низкая т-ра р-ции и электроноакцепторные группы в ядре. При действии  $\text{HNO}_3$  р-ция останавливается на стадии образования сульфоксидов. Присутствие примесей сульфонов к сульфоксидам и наоборот устанавливали на основании ИК-спектров. Приведены соображения об электрохим. характере  $\text{CH}_3\text{SO}$ -группы, о возможности сопряжения типа  $\text{CH}_3\text{S}^+ + (\text{O}^-)\text{C}_6\text{H}_4\text{O} \rightleftharpoons \text{CH}_3\text{S}(\text{O}^-) = \text{C}_6\text{H}_4 = \text{O}$ . При взаимодействии  $\text{m-CH}_3\text{OC}_6\text{H}_4\text{MgBr}$  (I) и  $(\text{CH}_3)_2\text{S}$  (II) образуется  $\text{m-метоксифенилметилсульфид}$  (III); IV — фенилметилсульфид, деметилированный в  $\text{m-окси-IV}$  (V). Из V получены  $\text{m-ацетокси-IV}$  (VI),  $\text{m-3,5-динитробензоилокси-IV}$  (VII) и  $\text{m-метансульфонилокси-IV}$  (VIII). Действием избытка  $\text{H}_2\text{O}_2$  III, VI, VII и VIII превращены в соответствующие сульфоны. Аналогично, из  $\text{n-CH}_3\text{OC}_6\text{H}_4\text{MgBr}$  (IX) и II синтезированы  $\text{n-метокси-IV}$  (X), превращенный далее в  $\text{n-окси-IV}$  (XI). Из XI получены  $\text{n-ацетокси-IV}$  (XII) и  $\text{n-3,5-динитробензоилокси-IV}$  (XIII). При окислении X, XII и XIII образуются соответствующие сульфоны. При действии 1 моля  $\text{H}_2\text{O}_2$  только из VII, X и XIII удалось получить соответствующие сульфоксиды (XIV—XVI). Из III, VIII и  $\text{n-нитро-IV}$  (XVII) лишь при действии  $\text{HNO}_3$  образуются соответствующие чистые сульфоксиды (XVIII—XX). К р-ру I (из 0,5 моля  $\text{m-BrC}_6\text{H}_4\text{OCH}_3$ , 0,6 г атома Mg и 500 мл эфира) прибавлен р-р 0,34 моля II в 300 мл эфира, смесь кипятят 45 мин., выделен III, выход 94%, т. кип. 125—127°/16—17 мм; сульфоксид (XXI), т. кип. 140—150°/0,2—0,3 мм. Р-р 0,38 моля III и 30 мл 48%-ной  $\text{HBr}$  в 400 мл лед.  $\text{CH}_3\text{COOH}$ , содержащей 0,8 моля  $\text{HBr}$  (газа), кипятит 6 час., выход V 92,5%, т. кип. 154—156°/17—18 мм, т. пл. 29—29,5°,  $n_D^{20}$  1,6132. Ацетилированием  $(\text{CH}_3\text{CO})_2\text{O}$  V в водн. щелочи превращен в VI, выход



83%, т. кип. 146—147°/17—18 мм, т. пл. 40—41° (из бал.-гексана); сульфон (XXII), т. пл. 68—69°. Из V и 3,5-(NO<sub>2</sub>)<sub>2</sub>C<sub>6</sub>H<sub>3</sub>COCl (XXIII) в пиридине получен VII, выход 89,5%, т. пл. 140—141° (из бал.); сульфон (XXIV), т. пл. 164,5—165,5° (из CH<sub>3</sub>OH). Так же из V и CH<sub>3</sub>SO<sub>2</sub>Cl получен VIII, выход 86%, т. пл. 38—39° (из водн. CH<sub>3</sub>OH); сульфон, т. пл. 136,5—137,5° (из водн. сп.). При кипячении с 48%-ной HBr из XXI образуется *m*-оксифенилметилсульфон (XXV), выход 60%, т. пл. 83—84°; бензоат, т. пл. 94—95° (из бал.-гексана). Из XXV также получены XXII и XXIV. При взаимодействии IX и II, аналогично III, получен X, выход 94%, т. пл. 25—26°; сульфон (XXVI), т. пл. 121,5—122°. Кипячением с *p*-ром HBr (газа) в лед. CH<sub>3</sub>COOH X превращен в XI, выход 69%, т. пл. 83—84°. Ацетилированием XI получен XII, выход 80%, т. пл. 43,5—44°; сульфон (XXVII), т. пл. 101—102°. Из XI и XXIII в пиридине при 0° получен XIII, выход 88%, т. пл. 171—172°; сульфон (XXVIII), т. пл. 181—182°. Деметилированием XXVI превращен в *n*-оксифенилметилсульфон (XXIX), выход 60%, т. пл. 95—96°, из которого получены XXVII и XXVIII. При гидролизе XXVII дал XXIX. Кроме того XXIX получен щел. гидролизом смеси XXVII и соответствующего сульфоксида, образующегося при действии 1 моля 30%-ной H<sub>2</sub>O<sub>2</sub> в лед. CH<sub>3</sub>COOH, (CH<sub>3</sub>CO)<sub>2</sub>O или ацетоне при 0—20° на XII. К смеси 0,01 моля VII в смеси 50 мл ацетона и 50 мл CH<sub>3</sub>COOH прибавлено по каплям 0,011 моля 30%-ной H<sub>2</sub>O<sub>2</sub> при 5°; через 4—5 дней (25°) *p*-ритель удален в вакууме (< 25°) и выделен XIV, выход 88,5%, т. пл. 135—135,5° (из бал.). Аналогично, из X при < 10—15° получен XV, а из XIII—XVI, выход 80%, т. пл. 156—157° (из водн. CH<sub>3</sub>OH). К *p*-ру 0,089 моля VII в 50 г (CH<sub>3</sub>CO)<sub>2</sub>O при -20° прибавлена по каплям смесь 0,048 моля дымящей HNO<sub>3</sub> и 12,5 г (CH<sub>3</sub>CO)<sub>2</sub>O, через 24 часа (0—5°) смесь вылита в воду со льдом, выделен XIX, выход 90%, т. пл. 89—90° (из CH<sub>3</sub>OH). Аналогично, из III получен XVIII, выход 54%, т. кип. 122—123°/0,7 мм, 111—112°/0,2—0,3 мм, *n*<sub>D</sub><sup>20</sup> 1,5720, а из XVII—XX, выход 70%, т. пл. 152—153° (из водн. сп.). XX также получен окислением XVII H<sub>2</sub>O<sub>2</sub> в присутствии CF<sub>3</sub>COOH. При обработке 10%-ным водн. *p*-ром NaOH (24—48 час., 20—50°) XVI превращен в HOC<sub>6</sub>H<sub>4</sub>SOCH<sub>3</sub> (XXX) (пара-изомер), выход 58%, т. пл. 103,5—104° (из толуола-хлф.), а XIX и XIV — в *m*-XXX, т. пл. 61—62° (из эф.-гексана); бензоат, т. пл. 91—92° (из гексана). При действии CH<sub>2</sub>N<sub>2</sub> в эфире *m*-XXX дал XVIII с выходом 80%. А. Берлин 68823. Изучение реакции сульфирования. XLI. Гидролиз и сульфирование бензолдисульфокислот.

Спрысков А. А., Старков С. П., Ж. общ. химии, 1956, 26, № 10, 2862—2866

Изучались условия гидролиза дисульфокислот бензола (I) и их сульфирования в трисульфокислоту (II). Гидролиз проводился в запаянных трубках рассчитанным кол-вом H<sub>2</sub>SO<sub>4</sub> и воды. По окончании *p*-ции H<sub>2</sub>SO<sub>4</sub> определялась весовым способом. Установлено, что *o*-I гидролизуется легче, а *n*-I труднее, чем *m*-I; при этом в 80%-ной H<sub>2</sub>SO<sub>4</sub> заметный гидролиз *o*-I начинается при *t*-ре немного ниже 180°, *m*-I при 195° и *n*-I при 206°. В ряду замещ. сульфобензойных к-т также пара-изомер наиболее, мета-изомер наименее устойчивы к гидролизу. Увеличение продолжительности нагревания с 10 час. до 20 час. не меняет кол-ва H<sub>2</sub>SO<sub>4</sub>, видимо, из-за достижения равновесия гидролиз = ре-сульфирование. II были получены сульфированием хлорангидридов I и выделены в виде Na-солей с последующим превращением в хлорангидриды II. Показано, что *m*-I заметно сульфорируется 60%-ным олеумом при 200° и быстро при 230°; *o*-I и *n*-I частично дают в этих условиях неидентифицированные в-ва. Сообщение XL см. РЖХим, 1957, 31075. И. Леви

68824. Изучение реакции сульфирования. XLII. Получение и свойства 1,7-нафталидисульфокислот и ее производных. Спрысков А. А., Иванова О. С., Ж. общ. химии, 1957, 27, № 3, 784—788

Найден способ разделения смеси дихлоридов 1,6-(I) и 1,7-нафталидисульфокислот (II) кристаллизацией из органич. *p*-рителей. II получена из 1,7-нафталиамидисульфокислоты (III) замещением аминогруппы на сульфогруппу через (динафтил-1)-дисульфиддисульфокислоту-7,7' (IV). Определена растворимость в органич. *p*-рителях дихлоридов I, II и 1,5-нафталидисульфокислоты. Сульфированием 80 г 2-нафтилсульфоната Na в 160 мл SO<sub>2</sub>OHCl (V) при 60° в течение 2 час. получают смесь дихлоридов I и II, выход 70%, кристаллизацией из C<sub>6</sub>H<sub>6</sub> и дихлорэтана выделяют ~7% дихлорида II (IIa), т. пл. 122—122,5°, и ~58% дихлорида I, т. пл. 127°. Диазотируют 125 г Na-соли III в 1 л воды с 100 мл конц. H<sub>2</sub>SO<sub>4</sub> и соль диазона вносят в *p*-р Na<sub>2</sub>S<sub>2</sub> (из 130 г Na<sub>2</sub>S, 17,5 г S, 150 мл воды и 500 г льда). Полученную IV осаждают 52 г BaCl<sub>2</sub>. Ba-соль IV кипятят с 20 г Na<sub>2</sub>CO<sub>3</sub> 4 часа в 1 л воды, окисляют 66 г KMnO<sub>4</sub> 3 часа и выделяют 59 г Na-соли II. Нагревание 2 часа полученной Na-соли II со 175 мл V приводит к образованию IIa. Т. Краснова

68825. Щелочное разложение *N*-замещенных гидразидов бензолсульфокислот. Дорнов, Барч. (Über die Alkalisplaltung *N*-substituierter Benzolsulfonhydrazide. Dornow Alfred, Bartsch Werner), Liebigs Ann. Chem., 1957, 602, 1—3, 23—36 (нем.)

Вещества общей ф-лы RR'C=NN(CHRR')SO<sub>2</sub>C<sub>6</sub>H<sub>5</sub> (I) получают из гидразонов бензолсульфокислоты RR'C=NNHSO<sub>2</sub>C<sub>6</sub>H<sub>5</sub> (II) действием 0,5 экв CH<sub>3</sub>ONa. При этом часть II, отщепляя бензолсульфиную к-ту (III), переходит в замещ. диазометан RR'CN<sub>2</sub>, который алкилирует оставшийся II с образованием I (ср. РЖХим, 1955, 51897). II → C<sub>6</sub>H<sub>5</sub>SO<sub>2</sub> + N = N + CRR'; II + N = N + CRR' → I. Этот механизм *p*-ции подтверждается способностью II давать с CH<sub>2</sub>N<sub>2</sub>-метилпроизводные. При применении бензолсульфогидразонов α,β-непредельных карбонильных соединений в промежуточные диазосоединения циклизируются в производные пиразола (IV). Так бензолсульфогидразон коричневого альдегида (V) может быть превращен в 3(5)-фенил-IV с выходом 80%. Замещ. II, не содержащие H при азоте, под действием *изо*-C<sub>3</sub>H<sub>7</sub>ONa отщепляют протон от соседней >CH-группы с образованием Na-соли III или (с разрывом N—N-связи) Na-производного сульфамида. Так, напр., C<sub>6</sub>H<sub>5</sub>C(CH<sub>3</sub>)=NN(CH<sub>3</sub>)C<sub>6</sub>H<sub>5</sub>SO<sub>2</sub>C<sub>6</sub>H<sub>5</sub> (VI) дает ани C<sub>6</sub>H<sub>5</sub>C(CH<sub>3</sub>)=NN=C(CH<sub>3</sub>)C<sub>6</sub>H<sub>5</sub> и Na-соль III, а C<sub>6</sub>H<sub>5</sub>CH=NN(CH<sub>2</sub>C<sub>6</sub>H<sub>5</sub>)SO<sub>2</sub>C<sub>6</sub>H<sub>5</sub> (VII) переходит главным образом в бензиламин бензолсульфогидразон (VIII) и бензонитрил. *N*-фенилбензолсульфогидразон ацетофенона (IX) кроме Na-соли III образует в-во C<sub>6</sub>H<sub>5</sub>N=NC(C<sub>6</sub>H<sub>5</sub>)CH<sub>2</sub>CH<sub>2</sub>C-

(C<sub>6</sub>H<sub>5</sub>) = NNC<sub>6</sub>H<sub>5</sub> (X), идентичное с „бензолазостиро-

лом" Гесса (Liebigs Ann. Chem., 1886, 232, 234). Вероятно, *p*-ция идет через промежуточный CH<sub>2</sub>=C(C<sub>6</sub>H<sub>5</sub>)N=NC<sub>6</sub>H<sub>5</sub>. *N*-метил-*N'*-фенил-*N'*-бензилбензолсульфогидразид (XI) дает Na-соль III и *N*-фенил-*N*-бензилгидразон формальдегида (XII), что указывает на атаку *изо*-C<sub>3</sub>H<sub>7</sub>ONaCH<sub>3</sub>, а не CH<sub>2</sub>-группы. Эквивалентные кол-ва C<sub>6</sub>H<sub>5</sub>SO<sub>2</sub>NHNH<sub>2</sub> и карбонильного соединения в CH<sub>3</sub>OH коротко нагревают, упаривают и получают II (перечисляются RR', т. пл. в °C (разл.)): C<sub>6</sub>H<sub>5</sub>, C<sub>6</sub>H<sub>5</sub> (IIa), 189—191; H, *n*-(CH<sub>3</sub>)<sub>2</sub>NC<sub>6</sub>H<sub>5</sub> (IIb), 149—151; H, *o*-ClC<sub>6</sub>H<sub>4</sub> (IIc), 153—154; H, *n*-ClC<sub>6</sub>H<sub>4</sub> (IId), 158—160; CH<sub>3</sub>, *n*-CH<sub>3</sub>OC<sub>6</sub>H<sub>4</sub> (IIe), 162—163; H, (CH<sub>3</sub>)<sub>2</sub>C (IIe), 100—103° (без разл.); C<sub>6</sub>H<sub>5</sub>, C<sub>6</sub>H<sub>5</sub>CH=CH (IIж) (~20°, 3 дня), 141—143; C<sub>6</sub>H<sub>5</sub>CH=CH, C<sub>6</sub>H<sub>5</sub>CH=CH (IIз) (~20°, 4 дня), 152—153 (из бал.). Из II в CH<sub>3</sub>CN, ди-

метилформамиде или смеси  $\text{CH}_3\text{CN}-\text{C}_6\text{H}_6$  и эфирного р-ра  $\text{CH}_3\text{N}_2$  ( $\sim 20^\circ$ , несколько часов) получают N-метил-**II** (перечисляются  $\text{R}, \text{R}'$ , т. пл. в  $^\circ\text{C}$  (из  $\text{CH}_3\text{OH}$ )):  $\text{C}_6\text{H}_5$ , 93–94;  $\text{C}_6\text{H}_5$ ,  $\text{C}_6\text{H}_5$ , 124–126;  $\text{H}$ ,  $\text{C}_6\text{H}_5\text{CH}=\text{CH}$ , 125–127;  $\text{H}$ ,  $\text{o-O}_2\text{NC}_6\text{H}_4$ , 120–122;  $\text{CH}_3$ ,  $\text{n-CH}_3\text{OC}_6\text{H}_4$ , 103–106. 0,05 моля **II** ( $\text{R}=\text{H}$ ,  $\text{R}'=\text{C}_6\text{H}_5$ ) (**II**) и 0,027 моля сухого  $\text{CH}_3\text{ONa}$  кипятят 3 часа в 25 мл  $\text{CH}_3\text{CN}$ , отфильтровывают 4,4 г Na-соли **III** и из фильтрата отгоняют  $\text{CH}_3\text{CN}$ , выход **I** 63%, т. пл. 109–110° (из  $\text{CH}_3\text{OH}$ ) (получен также из бензилденбензилгидразина и  $\text{C}_6\text{H}_5\text{SO}_2\text{Cl}$  в присутствии  $\text{CH}_3\text{ONa}$  или пиридина). Аналогично получают следующие **I** (перечисляются  $\text{II}$ , соответствующий **I**, время нагревания в час., выход в %, т. пл. в  $^\circ\text{C}$ ): **II**, **I**, 1,5, 54, 158–160 (из  $\text{CH}_3\text{OH}$ ); **II**, **I**, 0,5, 58, 153–154 (из  $\text{CH}_3\text{OH}$ ); **II**, **I**, 6, —, 154–155 (из бэл. и  $\text{CH}_3\text{OH}$ ); **II** ( $\text{R}=\text{H}$ ,  $\text{R}'=\text{n-CH}_3\text{OC}_6\text{H}_4$ ) (**II**), **I** (из 5,8 г **II** и небольшого избытка р-ра  $\text{CH}_3\text{ONa}$ , отгоняют  $\text{CH}_3\text{OH}$  в вакууме и прибавляют 5,8 г **II** в 30 мл  $\text{CH}_3\text{CN}$ ), 6, 61, 113–115 (из бэл.-петр. эф.); **II** ( $\text{R}=\text{H}$ ,  $\text{R}'=\text{n-O}_2\text{NC}_6\text{H}_4$ ) (**II**), **I**, 20°, 4 дня, 33, 235–236 (из  $\text{HCON}(\text{CH}_3)_2$ ); **II** ( $\text{R}=\text{H}$ ,  $\text{R}'=\text{o-O}_2\text{NC}_6\text{H}_4$ ) (**II**), **I**, 20°, 70 час, 53, 178–179 (из бэл.- $\text{CH}_3\text{OH}$ , 2:1); **II**, **I**, 13, выход 0,6 г из 8,4 г **II**, 162–163 (получен также из **II** и дифенилдиазометана в  $\text{CH}_3\text{CN}$  при осторожном добавлении  $\text{CH}_3\text{ONa}$ , нагревание 7–8 час). Из смеси 5 г **II** ( $\text{R}=\text{CH}_3$ ,  $\text{R}'=\text{C}_6\text{H}_5$ ) (**II**) в 20 мл  $\text{C}_6\text{H}_5\text{CN}$  и 3,5 мл 2,8 н.  $\text{CH}_3\text{ONa}$  в  $\text{CH}_3\text{OH}$  отгоняют  $\text{CH}_3\text{OH}$ , нагревание (120°, 165 мин.) и выделяют **II**, выход 58%, т. пл. 125–128° (из  $\text{CH}_3\text{OH}$ ). Аналогично (120°, 3,5 часа) из **II** получают **II**, выход 58%, т. пл. 110–112° (из  $\text{CH}_3\text{OH}$ , содержащего  $\text{CH}_3\text{ONa}$ ). 2,7 г **II** и 2,6 г Na-производного **II** в 15 мл  $\text{CH}_3\text{CN}$  кипятят 4,5 часа и выделяют 1,5 г N-бензил-**II**, т. пл. 156–158° (из бэл.-петр. эф.), полученного также из **II** и фенилдиазометана. 16,6 г **V** и 1,89 г  $\text{CH}_3\text{ONa}$  в 25 мл  $\text{CH}_3\text{CN}$  кипятят 45 мин., из фильтрата отгоняют  $\text{CH}_3\text{CN}$ , остаток в  $\text{C}_6\text{H}_6$  экстрагируют  $\sim 15\%$ -ной  $\text{HCl}$  и действием  $\text{KOH}$  при 0° выделяют 2,1 г 3(5)-фенил-**IV**. Из  $\text{C}_6\text{H}_6$ -р-ра выделяют  $\text{C}_6\text{H}_5\text{CH}=\text{CHCN}=\text{NN}(\text{SO}_2\text{C}_6\text{H}_5)_2$   $\text{CH}_2\text{CH}=\text{CHCN}$ , выход 28%, т. пл. 133–135°. 14,3 г **V** и 3,46 г  $\text{CH}_3\text{ONa}$  в 30 мл  $\text{CH}_3\text{CN}$  (1 час) дают 3(5)-фенил-**IV**, выход 83%, т. пл. 78–80°. Из 7,2 г **II** и 1,13 г  $\text{CH}_3\text{ONa}$  в 25 мл  $\text{CH}_3\text{CN}$  (кипение 45 мин.) получают 3,5-дифенил-**IV**, выход 82%. 9,5 г **II** и 1,35 г  $\text{CH}_3\text{ONa}$  в  $\text{CH}_3\text{CN}$  (20 мин.) дают 3(5)-фенил-5-(3)-стирил-**IV**, выход 86%, т. пл. 157–159°; пикрат, т. пл. 182–184°. 7 г **VI** и  $\text{iso-C}_3\text{H}_7\text{ONa}$  (из 0,5 г Na) в 15 мл  $\text{iso-C}_3\text{H}_7\text{OH}$  кипятят 2 часа, отгоняют в вакууме и водой выделяют ацетофеноназин, выход 95%, т. пл. 118–121°. 14,8 г **VII** и 1,32 г Na в 100 мл  $\text{iso-C}_3\text{H}_7\text{OH}$  (30 мин.) дают 2,8 г **VIII**, 3,1 г бензальдеида,  $\text{C}_6\text{H}_5\text{CN}$  и 1,9 г **III**. Из 76 г фенилгидразона бензальдеида, 250 мл  $\text{C}_6\text{H}_6$ , 72 г  $\text{C}_6\text{H}_5\text{SO}_2\text{Cl}$  и 35 мл пиридина ( $\sim 20^\circ$ , 12 час.) выделяют N-фенил-**III**, выход 63%, т. пл. 113–115° (из  $\text{CH}_3\text{OH}$ ); при его разложении  $\text{iso-C}_3\text{H}_7\text{ONa}$  выделяют анид бензолсульфокислоты, **III** и изопропиловый эфир бензойной к-ты. Из 37 г фенилгидразона ацетофенона, аналогично N-фенил-**III**, получают 12 г **IX**, т. пл. 150–151° (из  $\text{CH}_3\text{OH}$ ), который с  $\text{iso-C}_3\text{H}_7\text{ONa}$  дает 4,2 г **III** и **X**, выход 28%, т. пл. 136–137° (из  $\text{CH}_3\text{OH}$ ). Из 25 г N-фенил-N-бензилгидразина, 11,5 г  $\text{C}_6\text{H}_5\text{SO}_2\text{Cl}$  в 200 мл эфира ( $\sim 20^\circ$ , 5 дней) получают 9 г N'-фенил-N-бензилгидразид бензолсульфокислоты (**XIII**), т. пл. 117–119° (из  $\text{CH}_3\text{OH}$ ), с  $\text{CH}_3\text{N}_2$  в эфире ( $\sim 20^\circ$ , 2 дня) дает 3 г **XI** (из 3,2 г **XIII**), т. пл. 100–101°. Из 2 г **XI** при расщеплении  $\text{iso-C}_3\text{H}_7\text{ONa}$  (1,5 часа) выделяют 0,7 г **XII** и **III**, выход 75%. Б. Дубинин

68826. Роль стерического эффекта при образовании 3-метил-2-этилиндианона. Гранже, Корбье, Вина, Но (Rôle de l'effet stérique dans la forma-

tion des méthyl-3 éthyl-2 indanones. Granger Robert, Corbier Monique, m-lle, Vinas Jacques, Nau Pierre), C. r. Acad. sci., 1957, 224, № 8, 1048–1050 (франц.)

При синтезе 3-метил-2-этилиндианона (**I**) тремя различными методами получен только один изомер. Авторы приписывают ему *транс*-конфигурацию, считая, что в этом случае пространственные затруднения будут меньшими, чем при образовании *цис*-изомера. При конденсации  $\text{CH}_3\text{CH}=\text{C}(\text{C}_2\text{H}_5)\text{COCl}$  с  $\text{C}_6\text{H}_6$  в присутствии 2,5 моля  $\text{AlCl}_3$  при 80° получен **I**, т. кип. 139–140°/18 мм; динитрофенилгидразон, т. пл. 145°. В образующейся при этой р-ции в качестве промежуточного продукта  $\text{C}_6\text{H}_5\text{COC}(\text{C}_2\text{H}_5)=\text{CHCH}_3$  группы  $\text{CH}_3$  и  $\text{C}_2\text{H}_5$  находится, вероятно, в *цис*-положении. 2-этил-3-фенилмасляная к-та (**II**) синтезирована по описанному методу (Blicke F. F., Zienty M. F., J. Amer. Chem. Soc., 1941, 63, 2779); амид, т. пл. 135°. Действием полифосфорной к-ты на **II** получен **I**; хлорангидрид **II** также превращен в **I** при действии  $\text{AlCl}_3$ . Вероятно, **II** и ее хлорангидрид имеют ту же конфигурацию, что и полученный **I**. При действии  $\text{NH}_2\text{Na}$  на 3-метил-2-этилиндианон (**III**) и последующей обработке  $\text{C}_2\text{H}_5\text{Br}$  выделен с небольшим выходом **I**. Такие же результаты получены при р-ции **III** с  $(\text{CH}_3)_3\text{CK}$  и последующем действии  $\text{C}_2\text{H}_5\text{J}$ . П. Аронович

68827. Ацилирование и родственные реакции, катализируемые сильными кислотами. XVI. Реакция некоторых  $\omega$ -фенилалканойлперхлоратов. Бертон, Манди (Acylation and allied reactions catalysed by strong acids. Part XVI. The reactions of some  $\omega$ -phenylalkanoyl perchlorates. Burton H., Munday D. A.), J. Chem. Soc., 1957, April. 1718–1726 (англ.)  $\omega$ -Фенилалканойлперхлораты,  $\text{C}_6\text{H}_5(\text{CH}_2)_n\text{CO}+\text{ClO}_4^-$  (**Ia**—**g**; **a**  $n=4$ , **b**  $n=3$ , **v**  $n=2$ , **g**  $n=1$ ) обладают способностью к внутри- и межмолекулярному ацилированию и, в некоторых случаях, к образованию  $\beta$ -дикетон. Так из **Ia**—**v** в  $\text{CH}_3\text{NO}_2$  (**II**) образуются соответствующие фенилалкановые к-ты,  $\text{C}_6\text{H}_5(\text{CH}_2)_n\text{COOH}$  (**IIIa**—**v**), и в 1-м случае—2,3-бензосуберон (**IV**), во 2-м—тетраон-1 (**V**) и в 3-м—ниданон-1 (**VI**) и 2-( $\beta$ -фенилпропионил)-ниданон-1 (**VII**); в толуоле (**VIII**) из **Ia** получены **IIIa** и  $n$ - $\delta$ -фенилвалерилтолуол (**IX**), из **Iv** получены **IIIv** и  $n$ - $\beta$ -фенилпропионилтолуол (**X**) и из **Ig**—фенилуксусная к-та (**IIIg**) и  $n$ -фенилацетилтолуол (**XI**); в смеси **II** и **VIII** из **Iv** образуются **IIIv**, **VII** и **X**; в смеси **II** и анизола (**XII**) **Ia**—**g** дают соответственно  $n$ - $\delta$ -фенилвалерил (**XIIIa**),  $n$ - $\gamma$ -фенилбутирил (**XIIIb**),  $n$ - $\beta$ -фенилпропионил (**XIIIv**) и  $n$ -фенилацетил (**XIIIg**)-анизолы, а **Ib** и **Ig**, кроме того, —**IIIb** и **V**, и **IIIg**. **VII** получен также ацилированием **VI** действием **Iv** в **II**. Аналогично **V**, **VI**, циклопентанон (**XIV**) и циклогексанон (**XV**) превращены с выходами 88, 52, 30 и 13% соответственно в 2-ацетилные производные (**Va**, **Via**, **XIva** и **XIva**), полученные с выходами 14, 9, 7 и 3% при ацилировании тех же  $n$ - $v$  смесью  $(\text{CH}_3\text{CO})_2\text{O}$  и  $\text{HClO}_4$  в **II**. Низкий процент ацилирования **XV** объясняется его склонностью к полимеризации; так, при взаимодействии (30 мин., 18°) 0,2 моля **XV** с 0,05 моля 70%-ной  $\text{HClO}_4$  получен 2-циклогексилдидецилогексанон, выход 5,1 г, т. кип. 144–146°/18 мм; семикарбазон (**CK**), т. пл. 178°. В алкил(арил)цианидах ацилирующая способность **Ia**—**v** значительно снижается, при этом в некоторых случаях образуются амиды **IIIa**—**v**. Так, **Ia** в  $\text{CH}_3\text{CN}$  дает **IIIa** и незначительное кол-во амида **IIIa**; **Ib** дает **IIIb** и **V**; **Iv** дает **IIIv** и N-ацетиламид **IIIb** (**XVI**); в  $\text{C}_6\text{H}_5\text{CN}$  **Iv** дает **IIIv** и N-бензоиламид **IIIv**; **Ig**—N-бензоиламид **IIIg**; в  $\text{C}_6\text{H}_5\text{CH}_2\text{CN}$  **Ib** образует **IIIb**, **V** и фенилацетиламид (**XVII**); **Iv**—дифенилацетиламид (**XVIII**) и **XVI**; **Ig** дает

IIIг и немного XVII и XVIII. В смеси  $\text{CH}_3\text{CN}$  и XII из Ia получен с хорошим выходом XIIIa, в смеси  $\text{C}_6\text{H}_5\text{CN}$  и XII образуется IIIв и с несколько меньшим выходом XIIIв.  $\text{AgCl}$ , по-видимому, образует растворимые комплексы с Ia—в и  $\text{CH}_3\text{CN}$ ,  $\text{C}_6\text{H}_5\text{CN}$  или  $\text{C}_6\text{H}_5\text{CH}_2\text{CN}$ , так как при встряхивании (3,5 часа, 20°) р-р Ia в II с равным объемом взвеси  $\text{AgCl}$  в  $\text{CH}_3\text{CN}$  19%  $\text{AgCl}$  переходит в р-р, такое же уменьшение веса  $\text{AgCl}$  отмечено во всех аналогичных р-циях. Строение IX подтверждено ацилированием VIII в петр. эфире (4 часа, 20°) хлорангидридом (ХА) IIIa в присутствии  $\text{AlCl}_3$ , строение XVI — р-цией ацетамида с ХА IIIв в пиридине. К р-ру 0,05 моля  $\text{AgClO}_4$  в 70 мл II добавляют (25 мин., 0°) 0,05 моля ХА IIIa в 30 мл II, оставляют на 3 часа при 2°, отделяют  $\text{AgCl}$ , р-р выливают на лед, из органич. слоя извлекают р-ром  $\text{NaHCO}_3$  IIIa, выход 1,6 г; остаток встряхивают с р-ром  $\text{NaOH}$  и выделяют 2,4-динитрофенилгидразон (ДНФГ) IV, выход 1,9 г, т. пл. 204° (из этилацетата (XIX)). К 0,05 моля  $\text{AgClO}_4$  в 70 мл II приливают (20 мин., 24°) 0,05 моля ХА IIIб в 20 мл II, через 30 мин. смесь выливают на лед, выделяют IIIб, выход 0,5 г; остаток перегоняют при 1 мм и получают V, выход 5,3 г; ДНФГ, т. пл. 256°. Смешивают при 0—2° 0,05 моля  $\text{AgClO}_4$  в 70 мл II и 0,05 моля ХА IIIв в 30 мл II, через 50 мин. выделяют IIIв, отгоняют р-ритель, продукт обрабатывают насыщ. р-ром  $(\text{CH}_3\text{COO})_2\text{Cu}$  в спирте и из полученной соли выделяют VII, выход 3 г, т. пл. 71°; диоксим, т. пл. 187° (разл.; из сп.); остаток перегоняют с паром и получают VI, т. пл. 39°. К 0,025 моля  $\text{AgClO}_4$  в 40 мл VIII приливают (15 мин., 2°) 0,025 моля ХА IIIa в 20 мл VIII и через 2 часа выделяют IIIa, выход 3,2 г, и IX, выход 2 г, т. кип. 228—230°/2 мм; ДНФГ, т. пл. 156° (из XIX). Аналогично из 0,05 моля Ia и Ia получают X, выход 4,3 г, т. пл. 69° (из сп.), и XI, выход 6,2 г, т. пл. 108° (из сп.). 0,025 моля ХА IIIa в 20 мл II приливают (10 мин., 2°) к 0,025 моля  $\text{AgClO}_4$  в 3 г XII и 40 мл II и через 30 мин. отделяют XIIIa, выход 6,7 г, т. пл. 39° (из сп.); ДНФГ, т. пл. 140° (из XIX); оксим, т. пл. 85° (из сп.-петр. эф.). Аналогично из 0,05 моля ХА IIIб получают (1 час, 23°) XIIIб, выход 9,4 г, т. пл. 59° (из сп.), и V, выход 0,4 г, из 0,05 моля ХА IIIв (45 мин., 25°) — XIIIв, выход 10,7 г, т. пл. 25—26°, и из 0,05 моля ХА IIIг (1 час, 2°) — XIIIг, выход 10,6 г, т. пл. 77° (из сп.-петр. эф.). К 0,05 моля VI и 0,05 моля  $\text{AgClO}_4$  в 70 мл II приливают (25 мин., 18°) 0,05 моля  $\text{CH}_3\text{COCl}$  в 30 мл II, и через 1 час выделяют VIa, выход 7,7 г, т. пл. 77°; диоксим, т. пл. 175° (из XIX). Аналогично получают Va; СК, т. пл. 179°, превращаемый при р-ции с  $\text{NH}_2\text{OH}$  в оксазол, т. пл. 59°; XIVa; дисемикарбазон, т. пл. 215° (из сп.), и XVa, т. кип. 102—111°/2 мм; СК, т. пл. 161°. Сообщение XV см. РЖХим, 1957, 34267.

Д. Витковский  
68828. Ацилирование и родственные реакции, катализируемые сильными кислотами. XVII. Хлорная кислота как катализатор при образовании фталидов из о-арилбензойных кислот. Бертон, Манди (Acylation and allied reactions catalysed by strong acids. Part XVII. Perchloric acid as a catalysts for the formation of phthalides from o-arylbenzoic acids. Burton H., Munday D. A., J. Chem. Soc., 1957, April, 1727—1733 (англ.).

В р-циях образования фталидов из о-бензоилбензойной к-ты (I) и ароматич. соединений в присутствии  $\text{AgClO}_4$  (см. Saugui и др., Bull. Soc. chim. France, 1951, 18, 1373; 1952, 19, 248; РЖХим, 1957, 22941) катализатором является, по-видимому,  $\text{HClO}_4$ , обычно присутствующая в  $\text{AgClO}_4$ . Действительно, при 4-часовом кипячении 1 моля I с м-ксилолом (II) и 0,004 моля  $\text{HClO}_4$  в  $\text{CH}_3\text{COOH}$  получен с 64%-ным выходом 3-фенил-3-(2,4-диметилфенил)-фталид (III); в аналогичном

опыте с эквимольными кол-вами I и очищ.  $\text{AgClO}_4$  III получен лишь с выходом 6,8%, а при предварительном кипячении  $\text{AgClO}_4$  с  $\text{CH}_3\text{COOH}$  выход III снизился до 0,7%. При 20° выход III также значительно снижается. При кипячении I с толуолом и 0,1 моля  $\text{HClO}_4$  образуется с 24%-ным выходом 3-фенил-3-п-толилфталид,  $\text{C}_6\text{H}_6$  не реагирует в сходных условиях, а с анизолом (IV) (6 час., 120—125°) получается с колич. выходом 3-фенил-3-п-метоксифенилфталид (V) даже при применении 72%-ной  $\text{HClO}_4$ ; в кипящем  $\text{CH}_3\text{NO}_2$  выход V составил 58% через 4 часа, а при 20° и равномолекулярных кол-вах I и  $\text{HClO}_4$  через 2 часа получено 60% V. При 6-часовом кипячении I с 0,05 моля безводн.  $\text{CH}_3\text{COOH}$  образуется антрахинон, выход 0,22 г. Ацилирование II, мезитилена (VI) или IV хлорангидридом (VII) фталевой к-ты (VIII) катализируется как  $\text{AgClO}_4$ , так и 72%-ной  $\text{HClO}_4$ , причем образуются соответственно о-(2,4-диметилбензоил)-(IX), 2-(2,4,6-триметилбензоил)-(X)-бензойные к-ты и (вместо ожидаемой о-4-метоксibenзоилбензойной к-ты) ди-О-метилфенолфталенин (XI); в  $\text{CH}_3\text{NO}_2$  из VII в присутствии  $\text{AgClO}_4$  при —15° получают VIII и ее ангидрид; хлорангидрид терефталевой к-ты с 0,05 моля  $\text{AgClO}_4$  и IV в  $\text{CH}_3\text{NO}_2$  при 20° дает 1,4-ди-п-метоксibenзоилбензол, т. пл. 236—238°. При аналогичных р-циях хлорангидрида (XII) янтарной к-ты (XIII) с 1 молем  $\text{AgClO}_4$  и II получена с 47%-ным выходом β-(2,4-диметилбензоил)-пропионовая к-та, т. пл. 110—112°, выход которой снижается при применении 2 молей  $\text{AgClO}_4$ , при взаимодействии XII с 1 молем  $\text{AgClO}_4$  и IV в  $\text{CH}_3\text{NO}_2$  образуется некристаллизующееся в-во, т. кип. 210—280°/1 мм. Хлорангидрид о-бензоилбензойной к-ты (0,025 моля) в аналогичных условиях дает 3-п-метокси-3-фенилфталид, выход 2,8 г, т. пл. 86° (из толуола). Из ангидрида XIII (XIIIa) и IV в  $\text{CH}_3\text{NO}_2$  в присутствии 72%-ной  $\text{HClO}_4$  получается γ,γ-ди-(п-метоксифенил)-γ-бутиролактон (XIV); при повторении опыта в кипящем  $\text{CH}_3\text{NO}_2$  и с безводн.  $\text{HClO}_4$  получена XIII. К 0,025 моля VII в 25 мл II приливают (15 мин., 5°) 0,025 моля  $\text{AgClO}_4$  в 60 мл II, через 30 мин. смесь выливают на лед и извлекают IX, выход 1,4 г, т. пл. 141°, при применении 2 молей  $\text{AgClO}_4$  выход IX снижается до 0,46 г. Аналогично из 0,05 моля VII, 0,05 моля  $\text{AgClO}_4$ , 0,11 моля VI и 90 мл  $\text{CH}_3\text{NO}_2$  (1,5 часа, 5°) получают X, выход 3,1 г, т. пл. 212° (из бзл.-петр. эф.); из 0,05 моля VII, 0,05 моля  $\text{AgClO}_4$ , 60 мл IV (30 мин., 0—5°) — XI, выход 5,0 г, т. пл. 98—99°; из 8 г XIIIa, 10 мл IV и 2,1 мл 72%-ной  $\text{HClO}_4$  в 50 мл  $\text{CH}_3\text{NO}_2$  (4 дня, 20°) — XIV, выход 0,3 г, т. пл. 106° (из сп.). Предполагается ионный механизм р-ций.

Д. Витковский

68829. Опыты с хинонимидами. III. Новый синтез 1,4-дифенилнафталина. Ахмед Мустафа, Мохамед Камель (Experiments with quinone imides. III. A novel synthesis of 1,4-diphenylnaphthalene. Ahmed Mustafa, Mohamed Kamel, J. Organ. Chem., 1957, 22, № 2, 157—158 (англ.).

1,4-дифенилнафталин (I) синтезировал взаимодействием  $\text{C}_6\text{H}_5\text{MgBr}$  с 1,4-нафтохинондибензимином (II) с последующим восстановлением Zn в  $\text{CH}_3\text{COOH}$  +  $\text{HCl}$  в присутствии  $\text{PbCl}_2$ , полученного после гидролиза 1,4-дибензамидо-1,4-дифенил-1,4-дигидрофталена (III). По мнению авторов, I образуется через промежуточный 1,4-дифенил-1,4-диоксид-1,4-дигидрофталенин. о-Бензохинондибензимином при р-ции с  $\text{C}_6\text{H}_5\text{MgBr}$  дает 1,2-дибензамидо-1,2-дифенил-1,2-дигидробензол (IV), тогда как 4-метил-о-бензохинондибензамид (V) с колич. выходом дает 4-метил-1,2-дибензамидобензол (VI). 5,8 г 1,4-дибензамидонафталина и 7 г  $(\text{CH}_3\text{COO})_2\text{Pb}$  в 400 мл  $\text{CHCl}_3$  кипятят при перемешивании 1 час, фильтрат упаривают в вакууме до 15 мл, добавляют 170 мл петр. эфира и отфильтровывают II,



выход ~ 30%, т. пл. 216–217° (из этилацетата). 2,8 г VI и 3,7 г ( $\text{CH}_3\text{COO}$ )<sub>2</sub>Pb в 100 мл  $\text{C}_6\text{H}_6$  кипятят 10 час., фильтрат концентрируют до 10 мл, добавляют петр. эфир, охлаждают смесью  $\text{CO}_2$  и  $\text{CH}_3\text{OH}$ , декантируют, медленно упаривают, выход V 0,3 г, т. пл. 191° (из этилацетата). К р-ру  $\text{C}_6\text{H}_5\text{MgBr}$ , полученному из 0,9 г Mg и 9 г  $\text{C}_6\text{H}_5\text{Br}$  в 50 мл абс. эфира, добавляют р-р 1,5 г II в 50 мл абс.  $\text{C}_6\text{H}_6$ , удаляют эфир, кипятят 3 часа, через ~12 час. выливают в 100 мл насыщ.  $\text{NH}_4\text{Cl}$ , извлекают эфиром, р-ритель отгоняют, полученное масло промывают петр. эфиром, растворяют в 10 мл спирта, добавляют 30 мл эфира и медленно упаривают, выход III 0,7 г, т. пл. 235° (из сл.). Аналогично получают IV, выход 60%, т. пл. 248° (из диоксана + петр. эф.). К смеси I и III, 30 мл лед.  $\text{CH}_3\text{COOH}$ , 5 г Zn-пыли и 2 капель 0,5%-ного  $\text{PtCl}_2$  добавляют 15 мл конц. HCl, нагревают, сливают в 50 мл воды, охлаждают льдом, эфиром извлекают I, выход 80%, т. пл. 136° (из сл.). Сообщение II см. РХХим, 1956, 43140.

М. Карпейский  
68830. Органические катализаторы. XLV. Катализаторское действие  $\alpha$ -хинонов. V. Кассебаум, Лангенбек (Organische Katalysatoren. XLV. Katalytische Wirkungen von  $\alpha$ -Chinonen. V. Cassebaum Heinz, Langenbeck Wolfgang), Chem. Ber., 1957, 90, № 3, 339–346 (нем.).

Измерением скорости поглощения  $\text{O}_2$  при окислении аланина показано, что только  $\alpha$ -нафтохиноны: 4- $\alpha$ -нафтил-(I), 4-(2-оксинафтил-1)-, 4-(2-метокси-нафтил-1)-, 4-(4-оксинафтил-1)-(II) и 4-фенил-(III)-нафтохиноны-1,2, катализируют эту р-цию; соединения  $\alpha$ -хиноидного строения: 3,3'-диметоксидинафтил-1,1'-(IV) и 3,3'-диметилдинафтил-1,1'-(V)-хиноны-4,4', 2,11-диоксипериленихион-3,10, а также 4,4'-диоксидинафтил-1,1 (VI) не обладают этой способностью, что дает возможность полагать, что  $\beta$ -динафтилдихидрион (VII) также катализирующий окисление аланина, существует в данных условиях в  $\alpha$ -хиноидной форме. I и III синтезированы восстановлением 4-( $\alpha$ -нафтил)-(VIII) и 4-фенил-(IX)-2-нитронафтолов-1 Zn-пылью и окислением образующихся аминов  $\text{CrO}_3$ ; II — конденсацией  $\beta$ -нафтохинона (X) и  $\alpha$ -нафтола (XI) в присутствии  $\text{H}_2\text{SO}_4$  и последующим окислением  $\text{FeCl}_3$ ; IV — метилированием 1,2-диоксинафталена ( $\text{CH}_3$ )<sub>2</sub> $\text{SO}_4$  и окислением продукта  $\text{PbO}_2$  в кипящем  $\text{C}_6\text{H}_6$ ; V — окислением 2-метилнафтола-1 5%-ным р-ром  $\text{CrO}_3$  в  $\text{CH}_3\text{COOH}$  при 40–50°. IV восстановлен  $\text{SO}_2$  в 3,3'-диметоксид-4,4'-диоксидинафтил-1,1', т. пл. 269–270°, полученный также окислением 2-метоксинафтила-1  $\text{PbO}_2$  в бензоальном р-ре и метилированный ( $\text{CH}_3$ )<sub>2</sub> $\text{SO}_4$  в 3,4,3',4'-тетраметоксидинафтил-1,1', т. пл. 146°. Динафтил-1,1', т. пл. 160° (из  $\text{CH}_3\text{COOH}$ ), синтезирован дегидрированием 3,4-дигидродинафтила-1,1', т. пл. 140–141° (из бан.), полученного по Гриньяру из  $\alpha$ - $\text{C}_{10}\text{H}_7\text{MgBr}$  и  $\alpha$ -тетралона; аналогично из  $\alpha$ - $\text{C}_{10}\text{H}_7\text{MgBr}$  и циклогексана синтезирован 1-фенилнафталин. 5 г 4-нитродинафтила-1,1' или 4-нитро-1-фенилнафталена в 50 мл диоксана восстанавливают над скелетным Ni, отгоняют диоксан, приливают 12 мл  $\text{C}_6\text{H}_6$  и 9 мл ( $\text{CH}_3\text{CO}$ )<sub>2</sub> $\text{O}$ , кипятят и выделяют 4-ацетамидинафтил-1,1' (XII), выход ~ 100%, т. пл. 256–257° (из водн. диоксана), или 4-ацетамидино-1-фенилнафталена, т. пл. 162–163° (из гексана). 51 г XII в 510 мл  $\text{CH}_3\text{COOH}$  нитруют при 85° смесью 19,7 г  $\text{HNO}_3$  (d 1,4) и 20 мл  $\text{CH}_3\text{COOH}$ , нагревают 10 мин. при 85°, выливают при 20° в 5 л воды, осадок растворяют в 0,7 л спирта, кипятят 16 час. с 1 кг 20%-ного р-ра KOH, выливают в 4 л воды, продукт смешивают с 0,5 л  $\text{CH}_3\text{OH}$ , подкисляют HCl, разбавляют 2 л воды, нагревают при 40°, фильтруют, растворяют в 0,3 л диметилформамида, кипятят с 0,2 л  $\text{CH}_3\text{COOH}$ , выливают в воду и получают VIII, выход 45–46 г, т. пл. 164°

(разл.; из  $\text{CH}_3\text{COOH}$ ). 10 г VIII, 0,5 л  $\text{CH}_3\text{COOH}$  и 50 г Zn-пыли кипятят 10–20 мин., к р-ру добавляют 1 г  $\text{SnCl}_2$  в 0,2 л конц. HCl и 250 мл воды, отделяют осадок, фильтрат концентрируют, продукт растворяют в 0,1 л  $\text{CH}_3\text{COOH}$ , приливают при 30° 5%-ный р-р  $\text{CrO}_3$  в  $\text{CH}_3\text{COOH}$ , нагревают при 50°, разбавляют водой, осадок растворяют в 0,5 л  $\text{C}_6\text{H}_6$ , хроматографируют на  $\text{Al}_2\text{O}_3$  и вымывают I, выход 1–1,5 г, т. пл. 192° (из водн. ацетона); хиноксалиновое производное (XII), т. пл. 195° (из  $\text{CH}_3\text{COOH}$ ). 18 г 3-нитро-4-ацетамидино-1-фенилнафталена и 80 г KOH в 240 мл воды и 0,3 л спирта кипятят 3 часа, смешивают с 250 мл конц. HCl в 2 л воды и отделяют IX, выход 11,5 г, т. пл. 135–136° (из водн.  $\text{CH}_3\text{COOH}$ ). К кипящей смеси 2 г IX в 0,8 л ацетона и 40 г Zn-пыли постепенно приливают 80 мл разб.  $\text{H}_2\text{SO}_4$  (1:2), к р-ру приливают 0,2 л воды и 16 мл 5%-ного р-ра  $\text{CrO}_3$  в  $\text{CH}_3\text{COOH}$ , быстро фильтруют, фильтрат разбавляют 4 л воды и получают III, выход 1 г, т. пл. 120–121° (из ацетона); XII, т. пл. 150,5° (из  $\text{CH}_3\text{OH}$ ); или к 170 мл 4-фенилнафтола-1 в 60 мл ацетона постепенно приливают р-р 0,6 г нитрозодисульфата-K в 60 мл воды и 10 мл 1,66-мольного р-ра  $\text{KH}_2\text{PO}_4$ , оставляют на 12 час. и отделяют III, выход 0,125 г. Р-р 1,6 г X и 1,5 г XI в 16 мл  $\text{CH}_3\text{COOH}$  нагревают (5 мин., 85°) с 0,7 мл 50%-ной  $\text{H}_2\text{SO}_4$ , приливают 15 мл  $\text{CH}_3\text{COOH}$ , встряхивают 3 мин. при 45° с р-ром 3,5 г  $\text{FeCl}_3$  в 10 мл воды, добавляют 0,1 л воды и получают II, выход 0,4 г, т. пл. 246° (из ацетона- $\text{CH}_2\text{BrCH}_2\text{Br}$ ). 50 г XI окисляют 75–80 г  $\text{FeCl}_3 \cdot 6\text{H}_2\text{O}$ , продукт ацетируют ( $\text{CH}_3\text{CO}$ )<sub>2</sub> $\text{O}$  в пиридине и образующийся 4,4'-диакетоксидинафтил-1,1', т. пл. 222° (из  $\text{CH}_3\text{COOH}$ ), гидролизуют метанольным р-ром HCl в VI, выход 10–12,5 г, т. пл. 295–296° (из  $\text{CH}_2\text{BrCH}_2\text{Br}$ -сл.). 1,5 г X, 15 мл  $\text{CH}_3\text{COOH}$  и 0,75 мл 50%-ной  $\text{H}_2\text{SO}_4$  нагревают 15 мин. при 100° и отделяют VII, выход 1 г, т. пл. 256–258°. Д. Витковский

68831. Новый синтез 3-оксид-1,2-бензифлуорена. Кемпбелл, Циганек (A new synthesis of 3-hydroxy-1:2-benzofluorene. Campbell Neil, Ciganek Engelbert), J. Chem. Soc., 1956, Oct., 3834–3836 (англ.).

Синтезированы 2-фенилинданол (I) и 3-оксид-1,2-бензифлуорен (II). I получен из хлористого бензила (III) и Na-производного бензилцианида (IV) с последующим гидролизом образующегося  $\alpha,\beta$ -дифенилпропионитрила (V) до  $\alpha,\beta$ -дифенилпропионовой к-ты (VI) и последующей циклизацией V. I конденсируют с этилбромацетатом (VII) по Реформатскому, полученный 2-фенилинданилацетат (VIII) гидролизуют, к-ту (IX) превращают в хлорангидрид (X), который циклизуют в II. Для сравнения с IX синтезирована 2-метил-2-фенилинданилиденуксусная к-та (XI). 170 г IV добавляют в атмосфере  $\text{N}_2$  к 33 г Na в 600 мл эфира, кипятят до растворения Na, добавляют при ~ 20° 85 г III, через ~16 час. отгоняют эфир, добавляют 600 мл  $\text{C}_6\text{H}_6$ , кипятят 2 часа и добавляют разб. HCl. Из бензоального р-ра после промывания р-ром  $\text{Na}_2\text{CO}_3$ , водой и NaCl выделяют V, выход 63%, т. кип. 138–145°/0,4–0,5 мм. 88 г V, 35 г NaOH, 80 мл воды и 250 мл  $\text{HOCH}_2\text{CH}_2\text{CH}_2\text{OH}$  кипятят 10 час., выливают в воду, экстрагируют  $\text{C}_6\text{H}_6$  V, подкисляют и отделяют VI, выход 88%, т. пл. 95° (из петр. эф.). 50 г VI обрабатывают  $\text{PCl}_5$ , бензоальный р-р X добавляют к 38 г  $\text{AlCl}_3$  в  $\text{C}_6\text{H}_6$ , через 3 часа добавляют эфир, разлагают комплекс и выделяют I, выход 67%, т. кип. 145–155°/0,4–0,5 мм, т. пл. 78° (из петр. эф.). 23 г I, 50 мл  $\text{C}_6\text{H}_6$ , 25 г VII и следы  $\text{J}_2$  добавляют к 20 г амальгамированного Zn в 150 мл  $\text{C}_6\text{H}_6$  и 150 мл эфира, нагревают до начала кипения, по окончании р-ции нагревают 4 часа, добавляя время от времени VII ( $2 \times 10$  г) и Zn ( $5 \times 4$  г), затем приливают немного спирта и  $\text{CH}_3\text{COOH}$ , выливают в разб. (1:1)  $\text{CH}_3\text{COOH}$ . Остаток

после отгонки р-рителя дегидратируют  $J_2$  (200°/10 мм, 30 мин.) и выделяют VIII, т. кип. 168—178°/0,6 мм, гидролизующий (7 г KOH, 50 мл спирта, 50 мл воды, 2 часа) до IX, выход 21,2 г, т. пл. 144° (из бал.-петр. эф.); уренд с карбо-*бис*-*n*-диметиламинофенилидом, т. пл. 245°. X из 1 г IX и  $PCl_5$  растворяют в 50 мл  $C_6H_6$ , медленно добавляют при 0° 0,7 г  $AlCl_3$  в 500 мл  $C_6H_6$ , постепенно нагревают до 20°, комплекс разлагают при 0° эфир-HCl (к-та), 1:1, выход II 42%, т. пл. 215—223° (разл.); ацетат, т. пл. 159—160°; метиловый эфир, т. пл. 142—143°. К 0,37 г Na в жидком  $NH_3$  добавляют кристалл соли Fe, через 1 час для удаления  $NH_3$  добавляют 50 мл  $C_6H_6$ , затем еще 150 мл  $C_6H_6$  и пропускают  $N_2$ ; к суспензии добавляют 3 г I в 20 мл  $C_6H_6$ , кипятят 3 часа, охлаждают до 40° и приливают 10 г  $CH_3J$  в 20 мл  $C_6H_6$ , кипятят 3 часа, обрабатывают разб. HCl, органич. слой промывают р-ром  $NaHSO_3$  и  $Na_2CO_3$  и выделяют 2-метил-2-фенилинданол (XII), выход 44%, т. пл. 110—111° (из петр. эф.). 1 г XII в р-ре  $C_6H_5$ -эфир обрабатывают VII как описано для I, дегидратируют  $J_2$  и выделяют эфир XI, гидролиз которого аналогично VIII приводит к XI, выход 34%, т. пл. 175—176° (из бал.-петр. эф.). Приведены УФ-спектры IX и 2-фенилиндана.

И. Левин  
68832. Реакция нитрометана с флуореноном и бензофеноном в полифосфорной кислоте. Анет, Бей-вин, Дьюар (The reaction of nitromethane with fluorenone and benzophenone in polyphosphoric acid. Anet F. A. L., Bavin P. M. G., Dewar M. J. S., Canad. J. Chem., 1957, 35, № 2, 180—182 (англ.))

С целью получения 9-флуоренилденнитрометана (I) проведена р-ция флуоренона (II) с  $CH_3NO_2$  в полифосфорной к-те (2 ч.  $H_3PO_4$  на 1 ч.  $P_2O_5$ ) (III) при 190—200°, которая с хорошим выходом привела к оксиму флуоренона (IV). Повышение т-ры р-ции до 250° приводит к фенантридону, выход 67%, т. пл. 300—301° (из сп.). В условиях, аналогичных получению IV, бензофенон (V) дает бензанилид (VI). Показано, что гидролиз  $CH_3NO_2$  посредством III приводит к HCOOH и соли  $NH_4OH$  и III. Замена  $CH_3NO_2$  на  $NH_4OH \cdot HCl$  не влияет на выход IV или VI. Восстановлением IV получают 9-флуорениламин (VII). IV не вступает в диеновый синтез с маленовым ангидридом, ацетат (AIC) не циклизуется, тозилат не претерпевает при действии HCOOH расширения цикла. Попытки получить I конденсацией II с  $CH_3NO_2$  в присутствии оснований оказались безуспешными. К 250 мл III при 190—200° и встряхивании добавляют смесь 40 г II и 40 мл  $CH_3NO_2$ , через 1,5 часа выливают на лед, осадок отделяют, растворяют в 60 г KOH + 400 мл воды, р-р перемешивают с углем, фильтруют через целит, фильтрат подкисляют разб. HCl, выход IV 36 г, т. пл. 198° (из ксилола); ацетат, т. пл. 79—80° (из  $C_6H_{12}$ ); О-метиловый эфир, т. пл. 149—150° (из  $CH_3OH$ ); тозилат, т. пл. 168—170° (из  $C_6H_{12}$  + бал.). Аналогично из V получают VI, выход 91%, т. пл. 163—165° (из разб. сп.). Р-р 5 г IV в 200 мл спирта насыщают  $NH_3$ , добавляют 0,3 г 10%-ного Pd/C, гидрируют 24 часа при 4 ат, фильтруют через целит, упаривают, нагревают несколько минут с 10 мл  $(CH_3CO)_2O$ , кипятят с водой, выход AIC VII 3,9 г, т. пл. 278° (из ксилола) AIC VII кипятят со спирт. HCl, выход VII 87%, т. пл. 238—240°. При диазотировании хлоргидрата VII в смеси диоксана,  $H_2SO_4$  и  $CH_3COOH$  образуется флуорантен (по УФ-спектру). Приведен ИК-спектр IV и УФ-спектр AIC VII.

М. Карийский  
68833. Некоторые соединения ряда аценафта. Чарлсворт, Кемпбелл, Конн, Элстон, Стахов (Some acenaphthene compounds. Charlesworth E. H., Campbell H., Conn J. J., Elston C. T., Stachiw D. L., Canad. J. Chem., 1957, 35, № 4, 351—357 (англ.))

При действии монохлормочевин (I) на аценафтилен (II) получен 1,2-дихлораценафтен (III), являющийся новым геометрич. изомером описанного ранее (Campbell B. A., J. Chem. Soc., 1915, 107, 918) 1,2-дихлораценафтена с т. пл. 115° (IIIa). Строение III доказано тем, что при его окислении  $Na_2Cr_2O_7$  получена нафталевая к-та (IV). Попытки определить конфигурацию III и IIIa не удалось, так как оба соединения при гидролизе образуют смесь *цис*- и *транс*-аценафтиленгликолей. Не удалось также получить III и IIIa из этих гликолей обычными методами. Как III, так и IIIa при кипячении с  $CH_3COOK$  в  $CH_3COOH$  превращаются в моноацетат *цис*-аценафтиленгликоля (V), т. пл. 123° (из сп.). Для получения II пары ацетоксинафтена пропускают в токе  $N_2$  через кварцевую трубку при 520°, выход II 80%, т. кип. 135—140°/15 мм, т. пл. 92° (из сп.). 25 г II размешивают с 15 мл лед.  $CH_3COOH$  и 250 мл р-ра I, полученного, как описано ранее (Detoeuf A., Bull. Soc. chim., 1922, (4), 31, 102), через 5 дней извлекают эфиром, промывают вытяжку водой и р-ром  $NaHCO_3$  и при разгонке получают 14,7 г масла с т. кип. 170—180°/15 мм, выделяющего при стоянии в рефрижераторе кристаллы III, выход 4,8 г, т. пл. 64° (из сп.). Остальную часть масла перегоняют и собирают фракцию 165—170°/14 мм, вероятно, являющуюся 1-монохлораценафтиленом; пикрат, т. пл. 152—153° (из сп.). 1 г аценафтена (VI) (семикарбазон, т. пл. 241—243° (из сп.)) и 0,81 г  $o$ - $CH_3OC_6H_4CHO$  растворяют в 50 мл спирта, прибавляют за 2 часа р-р 5 г NaOH в 5 мл воды и через 24 часа отфильтровывают *о*-метоксисбензаль-VI, выход 1,2 г, т. пл. 192—193° (из сп.-хлф.). Аналогично получают 5-нитросалицилаль-VI, т. пл. 242—243° (из  $CH_3COOH$ ), *п*-нитробензаль-VI (VII), т. пл. 242°, *о*-оксисбензаль-VI (VIII), т. пл. 215—216° (из  $CH_3COOH$ ), салицилаль-VI, т. пл. 185—186° (разл.), *п*-метоксисбензаль-V, т. пл. 95°. VII и VIII получены также при конденсации в кислой среде. *о*-Нитробензаль-VI, полученный в щел. среде (IXa), плавится при 242—244°, тогда как *о*-нитробензаль-VI, полученный в присутствии HCl (IXb), имеет т. пл. 163—164°. IXa и IXb являются геометрич. изомерами, а не полиморфными модификациями, так как в УФ-спектре IXb имеется дополнительный максимум при 281—282 мμ. При конденсации VI с  $m$ - $CH_3OC_6H_4CHO$  и  $m$ - $CH_3C_6H_4CHO$  в щел. р-ре получена IV. Конденсация VI с  $n$ - $CH_3C_6H_4CHO$  в тех же условиях приводит к биацинону. Последний является единственным в-вом, выделенным при р-ции VI с  $CH_3CH_2CHO$  или  $CH_3CH_2CH_2CHO$ . 1 г VI и 1,5 г 2-О-бензоилфтороглюциальдегида растворяют в 5 мл безводн. этилацетата, прибавляют несколько капель лед.  $CH_3COOH$ , пропускают в р-р безводн. HCl (1 час), помещают на 4—5 дней в рефрижератор и отфильтровывают хлористый аценафтилено-(1',2'-2,3)-5-бензоилокси-7-оксисбензипирил; сесквигидрат, т. пл. 140—141°, который для очистки растворяют в абс. спирте и насыщают р-р HCl (газ). Приведены т. пл. следующих производных оксинафтена: 3,5-динитробензоил-, 166° (из ацетона), *п*-нитробензоил-, 117—118° (из сп.), производное с  $\alpha$ -нафтилизацианатом, 206° (разл.; из пиридина).

Г. Браз  
68834. Индуцируемое перекисями восстановление антрахинона-9,10 борогидридом натрия в диглиме. Пансон, Уэйлл (Peroxide induced reduction of 9,10-anthraquinone by sodium borohydride in diglyme. Panson Gilbert S., Weill C. Edwin, J. Organ. Chem., 1957, 22, № 2, 120—121 (англ.))

При действии  $NaBH_4$  в очн. диглиме (диетилловом эфире диэтиленгликоля) (I) при 20° в аргоне антрахинон-9,10 (II) не восстанавливается в антрагидрохинон (III). Р-ция идет при применении I, подвинутого действии воздуха, или же при добавлении

перекиси бензоила (IV), перекиси лаурилола или  $(\text{CH}_3)_2\text{COOH}$ , а также при добавлении альдегидов. Восстановление индуцировалось введенным 5 ммоль IV или 0,01 моля  $(\text{CH}_3)_2\text{CHCHO}$  на 1 моль II. Показано, что из I при действии IV образуются альдегиды. Предположено, что восстановителем является алкоксилборгидрид, образующийся из  $\text{NaBH}_4$  и альдегида. Амины также промотируют р-цию. При восстановлении получен III, выделенный в виде диацетата, т. пл. 268—271° (из лед.  $\text{CH}_3\text{COOH}$ ). А. Берлин

68835. Ненормальные реакции замещения у антрацена и фенантрена. Гор (Abnormal substitution reactions of anthracene and phenanthrene. Gore P. H.), J. Organ. Chem., 1957, 22, № 2, 135—138 (англ.)

При сульфировании и ацилировании по Фриделю — Крафту антрацена (I) и фенантрена (II) заместитель первоначально быстро вступает в наиболее реакционноспособные мезоположения, затем медленно отщепляется и переходит в другие положения с образованием термодинамически более устойчивых соединений. Из 54 г I, 72 г  $\text{CH}_3\text{COCl}$ , 300 г  $\text{C}_6\text{H}_6$  и 120 г  $\text{AlCl}_3$  (2,5 часа, 5—10°) получено 36 г 9-антриметилкетона, т. пл. 76° (из бал.), при 20° (20 час.) выделено 4,2 г 2-антриметилкетона, т. пл. 185—186° (из бал.) и 22 г 1-антриметилкетона, т. пл. 105—106° (из этилацетата). 1 г 9-антраляльдегида, 18 мл лед.  $\text{CH}_3\text{COOH}$  и 2 мл конц.  $\text{H}_2\text{SO}_4$  кипятят 80 мин., после разбавления смеси водой выделено 0,4 г I. При обработке Na-соли антраценсульфокислоты-9 3 г. HCl выделяется немного  $\text{SO}_2$  и при кипячении образуется I. Аналогично из Na-соли 9,9-диантрисулфокислоты-10 получен диантрин, т. пл. 311—312° (из  $\text{CH}_3\text{COOH}$ ). К р-ру 114 г  $\text{C}_6\text{H}_5\text{COCl}$  и 150 г  $\text{AlCl}_3$  в 850 мл  $\text{CS}_2$  за 20 мин. прибавлено 175 г II, через 20 мин. смесь охлаждена до 0°; выделено 40,4 г 1-фенантриметилкетона (III), т. пл. 148—149,5° (из ацетона). Действием  $\text{CH}_3\text{COCl}$  на II в  $\text{C}_6\text{H}_5\text{NO}_2$  в присутствии  $\text{AlCl}_3$  при 25° через 6 час. получено 16% 2-фенантриметилкетона (IV), т. пл. 142,5—143,5°, и 62% 3-фенантриметилкетона (V), т. пл. 72,5—73,5°, а через 17 час.—26% IV и 50% V. При кипячении с конц.  $\text{H}_2\text{SO}_4$  в лед.  $\text{CH}_3\text{COOH}$  и III, и 9-фенантральдегид не изменяются. А. Берлин

68836. Каталитическое окисление фенантрена в газовой фазе. Като, Оиси (フエナントレンの接觸気相酸化. 加藤信一郎, 大石康博), 有機合成化学協会誌, Юки госэй катэку кэйкай, J. Soc. Organ. Synth. Chem., Japan, 1957, 15, № 1, 39—41 (японск.)

С целью разработки метода получения фталевого ангидрида (I) и дифеновой к-ты (II) изучено окисление фенантрена (III) в газовой фазе кислородом воздуха с использованием в качестве катализатора 10%-ного  $\text{V}_2\text{O}_5$  на цемазе без добавок или с добавками 0,2—1,5 моля  $\text{K}_2\text{SO}_4$ . Окисление III до II в данных условиях осуществить не удалось. Использование катализатора с добавками  $\text{K}_2\text{SO}_4$  не дало никаких преимуществ. Оптимальные выходы I (55—60%) получены при использовании катализатора без добавок (длина слоя 150—240 мм), скорости введения воздуха 0,5 л/мин., 440°, времени контакта 3 сек., т. исп. III 170°. Нафталин, аценафтен и антрацен образуются при этом процессе в незначительных кол-вах.

Л. Яновская  
68837. Новый метод синтеза ароматических углеводородов с заданным строением. Котляревский Н. Л., Занина А. С., Липович В. Г., Ж. прикл. химии, 1957, 30, № 2, 321—324

С целью получения ароматич. соединений с заданной структурой из замещ. дивинилацетиленов осуществлены превращения дициклогексенилацетилен (I) в фенантрин (II) и диизопропенилацетилен (III) в л-килол (IV). 50 мл 20%-ного катализатора  $\text{Cr}_2\text{O}_3 \cdot \text{Al}_2\text{O}_3$  (V) нагревают 3,5 часа в токе воздуха при 500°,

продувают систему  $\text{H}_2$  и при 400° подают 10 г I за 70 мин., получают II с выходом 73%, т. пл. 99—100° (из сп.). При нагревании с  $\text{CrO}_3$  в  $\text{CH}_3\text{COOH}$  II дает фенантренин. У регенерируют нагреванием в токе воздуха (3 часа, 500°) и при 400° пропускают смесь паров III и  $\text{H}_2$  со скоростью 0,05 л/мин.  $\text{H}_2$  и 8 г III за 1,5 часа; выход катализата 41,4%; в отсутствие  $\text{H}_2$  выход катализата 30%. Катализат содержит 58% IV. Спектры комб. рас. (приведены данные) показывают в IV наличие следов м-килола. Окислением IV  $\text{HNO}_3$  получают терефталевую к-ту. П. Аронович

68838. Ароматическая циклодегидратация. XXXII. Потеря изопропильной группы при циклодегидратации. Бадшер, Биверс (Aromatic cyclodehydration. XXXII. Loss of the isopropyl group on cyclodehydration. Bradsher Charles K., Beavers Dorothy J.), J. Amer. Chem. Soc., 1956, 78, № 13, 3193—3196 (англ.)

Синтезирован 9-изопропил-10-метилфенантрин (I), который теряет  $(\text{CH}_3)_2\text{CH}$ -группу при кипячении (48 час.) с циклизующей смесью  $\text{HBr}$  и  $\text{CH}_3\text{COOH}$  с образованием 9-метилфенантрена (II), выход 73%. Этим объясняются наблюдавшиеся случаи отщепления  $\text{изо-C}_3\text{H}_7$ -группы при циклодегидратации кетонов и оксидов (РЖХим, 1955, 37272), вероятно, вследствие пространственных затруднений, так как изомерный ретен при аналогичной обработке остается неизменным. К  $\text{C}_4\text{H}_9\text{Li}$  (из 6,48 г  $\text{C}_4\text{H}_9\text{MgBr}$ ) добавляют при —10° 5 г 10-бром-II, через 1 час добавляют 11,6 г  $(\text{CH}_3)_2\text{CHJ}$ , перемешивают 12 час. при ~20°, разлагают водой, вместо ожидаемого I образуется 10-бутил-II, выход 26%. К  $\text{NaNH}_2$  (из 9,4 г Na) в эфире постепенно добавляют 31,5 г  $\alpha$ -(2-дифенил)-ацетонитрила, кипятят 1 час, добавляют 39,9 г  $(\text{CH}_3)_2\text{CHCOOC}_2\text{H}_5$ , перемешивают 12 час. при ~20°, выливают на лед, подкисляют HCl, извлекают  $\alpha$ -(2-дифенил)- $\alpha$ -изобутироацетонитрил (III), выход 63%, т. кип. 173—180°/1 мм, т. пл. 83—86,5° (из  $\text{CH}_3\text{OH}$ ). Р-р 5 г III в смеси 100 мл  $\text{CH}_3\text{COOH}$  и 50 мл 48%-ной  $\text{HBr}$  кипятят ~12 час., разбавляют, извлекают эфиром 2,3 г 9-изопропилфенантрена. К 250 мл конц.  $\text{H}_2\text{SO}_4$  добавляют при 0° 24 г III, перемешивают 3 часа, после обычной обработки получен 9-изопропил-10-фенантронитрил (IV), выход 54,5%, т. пл. 134—135° (из сп.). IV получен также нагреванием (28 час., 80—85°) 1 г III с 20 мл полифосфорной к-ты, выход 48%. Аналогично из 1,17 г  $\alpha$ -(2-дифенил)- $\alpha$ -пропионацетонитрила и 12 мл конц.  $\text{H}_2\text{SO}_4$  получен 9-этил-10-фенантронитрил, выход 54%, т. пл. 140—142° (из  $\text{CH}_3\text{OH}$ ). 2,55 г  $\text{LiAlH}_4$  в 500 мл эфира кипятят в аппарате Сокслета, содержащем 11 г IV, перемешивают ~12 час. при ~20°, добавляют 3 мл воды, 4 мл 20%-ного NaOH и 14 мл воды, эфирный слой насыщают HCl (газом), получают хлоргидрат 9-изопропилфенантрин-10-метиламина (V), выход 69%, т. пл. 258,5—259,5° (из абс. сп.-эф.). К охлажд. р-ру 8,5 г V в 35 мл лед.  $\text{CH}_3\text{COOH}$  и 10 мл воды добавляют 5,17 г  $\text{NaNO}_2$  при т-ре до 25°, через 2 часа разбавляют водой, извлекают  $\text{CH}_2\text{Cl}_2$ , вытяжку упаривают, кипятят 3 часа со 125 мл спирт. р-ра KOH (для гидролиза промежуточно образующегося ацетата 9-изопропил-10-фенантринкарбинола (VI—спирт)), разбавляют, извлекают эфиром VI, выход 43%, т. пл. 136,5—138° (из бал.). К 2,5 г VI в 100 мл абс. эфира при 0° прибавляют 2 мл  $\text{PBr}_3$ , через 4 часа добавляют 5 мл  $\text{CH}_3\text{OH}$  и получают 9-изопропил-10-бромметилфенантрин (VII), выход 82,5%, т. пл. 118—119,5° (из бал.- $\text{C}_6\text{H}_{14}$ ). К 220 мг  $\text{LiAlH}_4$  в 25 мл тетрагидрофурана (VIII) добавляют по каплям при нагревании 1,75 г VII в 10 мл VIII, кипятят 2 часа, выливают в разб.  $\text{H}_2\text{SO}_4$  со льдом, извлекают эфиром I, выход 92%, т. пл. 98—100,5° (из сп.). I синтезирован также нагреванием (1 час, 160°) метилдифенил-2-



карбинола (полученного из 14 г метилизобутилкетона и избытка 2-дифенилмалонийдида) с 2-3-кратным избытком  $\text{KHSO}_4$ ; извлекают  $\text{C}_6\text{H}_6$ , образовавшийся олефин (выход 36%, т. кип. 139–145°/9 мм), обрабатывают при 0° избытком  $\text{C}_6\text{H}_5\text{COOH}$  в  $\text{CHCl}_3$ , через 24 часа (охлаждение) промывают р-ром  $\text{NaHCO}_3$ , упаривают, растворяют в 80 мл лед.  $\text{CH}_3\text{COOH}$ , добавляют 40 мл 34%-ной  $\text{HBr}$ , кипятят 24 часа, разбавляют, извлекают эфиром I, выход 0,5 г. Сообщение XXXI см. РЖХим, 1957, 68866.

Т. Амбруш  
68839. Ароматическая циклодегидратация. XXXIII. 2,7-дизамещенные фенантроны. Бадшер, Биверс, Токура (Aromatic cyclodehydration. XXXIII. 2,7-disubstituted phenanthrenes. Bradsher Charles K., Beavers Leo E., Tokura Niichiro), J. Amer. Chem. Soc., 1956, 78, № 13, 3196–3198 (англ.).

Синтезированы 2,7-дибром-9-метил-10-фенил-(I) и 2,7-диметокси-9-этил-10-(*n*-метоксифенил)-фенантрен (II). 10 г 2,7-дибромфлуоренона в 150 мл  $\text{C}_6\text{H}_5\text{OC}_2\text{H}_5$  нагревают при 80°, добавляют 10 г KOH при 100°, нагревают 40 мин. при 160–165°, получают 2R-4-BrC<sub>6</sub>H<sub>4</sub>-C<sub>6</sub>H<sub>4</sub>Br-4 (III) (R = COOH), выход 91%, т. пл. 219–219,5° (из  $\text{CH}_3\text{OH}$ ); III (R = COOCH<sub>3</sub>), выход неочищ. 99%, т. пл. 52,5–54°. Метилированием 7 г 4,4'-диоксидифенилкарбонвой-2 к-ты, 20 г  $(\text{CH}_3)_2\text{SO}_4$  получена 4,4'-диметоксидифенилкарбонвой-2 к-та (IV), выход 64%, т. пл. 153–154° (из разб. сп.). 32 г лактона 2',4'-диоксидифенилкарбонвой-2 к-ты кипятят 7 дней с 60 г NaOH и 75 г  $(\text{CH}_3)_2\text{SO}_4$  в 300 мл воды, получают 2',4'-диметоксидифенилкарбонвой к-ту (V), выход 64%; метиловый эфир (VI), т. кип. 200–202°/4 мм, т. пл. 56–57° (из сп.). К 3,1 г  $\text{LiAlH}_4$  в 300 мл абс. эфира добавляют 12,2 г неочищ. III (R = COOCH<sub>3</sub>) в 200 мл эфира, нагревают 30 мин., после обычной обработки получают III (R = CH<sub>2</sub>OH), выход 89%, т. пл. 137,5–138° (из  $\text{CH}_3\text{OH}$ -воды). В тех же условиях из V или VI получен 2',4'-диметоксидифенилкарбинол-2 (VII), выход 70–81%, т. кип. 185–195°/3 мм,  $n_D^{25}$  1,5963. 7 г IV в аппарате Сокслета извлекают 8 час. р-ром 6 г  $\text{LiAlH}_4$  в 100 мл эфира, далее обрабатывают по предыдущему, получают 4,4'-диметоксидифенилкарбинол-2 (VIII), выход 75,5%, т. пл. 88–89° (из  $\text{CH}_3\text{OH}$ ). К 10 г III (R = CH<sub>2</sub>OH) в 100 мл абс. эфира добавляют при 0° 2,7 г  $\text{PBBr}_3$ , выдерживают 8 час. при 0° и 14 час. при ~20°, добавляют 1 мл  $\text{CH}_3\text{OH}$ , промывают водой и р-ром  $\text{NaHCO}_3$ , упаривают и получают III (R = CH<sub>2</sub>Br), выход 97%, т. пл. 149–149,3° (из бзл.-лигр.), который растворяют при нагревании в 350 мл спирта, добавляют 2,95 г KCN в 10 мл воды, кипятят 5,5 часа, отгоняют 200 мл спирта, разбавляют водой, осадок растворяют в  $\text{C}_6\text{H}_6$ , упаривают до 100 мл, отфильтровывают по-видимому, III (R = CH<sub>2</sub>CONH<sub>2</sub>), выход 3,5%, т. пл. 213–213,5°, из маточного р-ра получают III (R = CH<sub>2</sub>CN), выход 82%, т. пл. 125,3–125,6°. Аналогично из 2 г VII или 5 г VIII получены бромметанпроизводные т-ра плавления неочищ. соответственно 66–67° (из сп.) и 81–82°, которые превращены (в случае VIII в-во в 100 мл спирта нагревают 12 час. при 40–45° с 10 г KCN в 50 мл воды, кипятят 1,5 часа, упаривают, растворяют в  $\text{CH}_2\text{Cl}_2$ ) в  $\alpha$ -(2',4'- и  $\alpha$ -(4,4'-диметоксидифенил-2)-ацетонитрил (IX) (выход в % и т. кип. соответственно в °C/мм): 65, 190–191/3,  $n_D^{25}$  1,5874; 58, 200–203/5, т. пл. 51–52°. К  $\text{NaNH}_2$  (см. пред. реф.) (из 0,58 г Na в жидком  $\text{NH}_3$ ) добавляют 50 мл эфира, по испарении  $\text{NH}_3$  постепенно добавляют 7,1 г III (R = CH<sub>2</sub>CN) в 300 мл эфира, кипятят 30 мин., добавляют по каплям 6 г  $\text{CH}_3\text{I}$  в 25 мл эфира, затем 20 мл эфира, перемешивают 14 час. при ~20°, выливают в разб.  $\text{H}_2\text{SO}_4$  со льдом, из эфирного слоя получают III (R = CH(CH<sub>3</sub>)CN) выход 77%, т. пл.

102,2–103,2° (из бзл.-лигр.). Аналогично из 3 г IX ( $\text{NaNH}_2$  из 1 г Na) и 10 мл  $\text{C}_6\text{H}_5\text{Br}$  получен неочищ.  $\alpha$ -(4,4'-диметоксифенил-2)-бутиронитрил (X), выход 75%, т. кип. 208–210°/6 мм,  $n_D^{25}$  1,5853. К гриньярову реагенту из 36,1 г  $\text{C}_6\text{H}_5\text{Br}$  медленно добавляют 40 г III (R = CH(CH<sub>3</sub>)CN) в 800 мл абс. эфира, кипятят 9 час., охлаждая до 0°, добавляют 50 мл 2 н. HCl, отгоняют эфир, добавляют 800 мл 2 н. HCl, нагревают 3 часа, получают III (R = CH(CH<sub>3</sub>)COC<sub>2</sub>H<sub>5</sub>), выход 64%, т. пл. 131,2–132° (из  $\text{CH}_3\text{OH}$ ). 5 г последнего постепенно добавляют к 200 мл конц.  $\text{H}_2\text{SO}_4$ , перемешивают 6 час. при ~20°, выливают на лед, получают I, выход 83,5%, т. пл. 127–127,5° (из бзл.-сп.). К гриньярову реагенту из 7 г *n*-BrC<sub>6</sub>H<sub>4</sub>OCN<sub>2</sub> добавляют 2,5 г X в 25 мл эфира, кипятят 12 час., разлагают разб. HCl, отгоняют эфир, кипятят 30 мин., извлекают эфиром  $\alpha$ -(4,4'-диметоксидифенил-2)-4-метоксифенол (XI), выход 23%, т. кип. 230–240°/5 мм,  $n_D^{25}$  1,5870. К 10 г полиэфирной к-ты добавляют 0,8 г XI, перемешивают 1,5 часа при 150°, выливают на лед, извлекают эфиром II, выход 65,5%, т. пл. 184–185° (из сп.  $\text{CH}_3\text{COOH}$ ), снят УФ-спектр II.

Т. Амбруш  
68840. Ароматическая циклогидратация. XXXIV. Ангидриды 1-, 2- и 3-метоксифенантредикарбоновых-9,10 кислот. Бадшер, Браун, Лик (Aromatic cyclodehydration. XXXIV. 1-, 2- and 3-methoxyphenanthrene-9,10-dicarboxylic acid anhydrides. Bradsher Charles K., Brown Frances C., Leake Preston H.), J. Amer. Chem. Soc., 1957, 79, № 6, 1471–1473 (англ.).

Циклизация изомерных этиловых эфиров  $\alpha'$ -(3-метокси-2-бифенилил)-(I) и  $\alpha'$ -(4'-метокси-2-бифенилил)- $\alpha$ -кетоянтарной к-ты (II) протекает преимущественно в пара-положение к  $\text{CH}_2\text{O}$ -группе и приводит к смеси ангидридов 3-метокси-(III) и 1-метоксифенантредикарбоновой-9,10 к-ты (IV) и соответственно к ангидридам 2-метоксифенантредикарбоновой-9,10 к-ты (V) и 2-метоксифенантровой-10 к-ты (VI). При аналогичной циклизации ацетильное производное  $\alpha'$ -(3'-метокси-2-бифенилил)-пропионовой к-ты (VII, ЭЭ к-ты — VIII) превращается, по-видимому, в 3-метокси-9,10-диметилфенантрен (IX). К 87 г  $\alpha$ -(*m*-метоксифенил)-циклогексанона (X) и 36 г Zn-фольги в 400 мл  $\text{C}_6\text{H}_6$  добавляют (после отгонки части  $\text{C}_6\text{H}_6$  со следами воды) 85 г  $\text{BrCH}_2\text{COOC}_2\text{H}_5$  и кристалл J<sub>2</sub>, кипятят 4 часа и добавляют разб. HCl, фракцию с т. кип. 172–180°/3 мм (93 г) растворяют в эфире и добавляют при 5° 50 мл пиридина и 50 г  $\text{SOCl}_2$ , через 2 часа (~20°) добавляют воду, остаток после отгонки эфира кипятят 1 час с 250 мл щелочи и 100 мл  $\text{CH}_3\text{OH}$ , щел. р-р выливают в равный объем ледяной воды, промывают эфиром (р-р A), подкисляют водн. слой и экстрагируют эфиром 2-(*m*-метоксифенил)-1-циклогексенилуксусную к-ту (XI) (здесь и далее для полученных жидких в-в указан выход в %, т. кип. в °C/мм и  $n_D^{25}$ ), 50, 199–200/3, 1,5561; ЭЭ XI, —, 170–172/2–3, 1,5298. Из р-ра A выделено 12,3 г X. 77,8 г ЭЭ XI нагревают с 18,2 г S (225–235°, 3 часа), добавляют  $\text{C}_6\text{H}_6$ , 20 мл Hg, кипятят 34 часа, выделен ЭЭ (3'-метокси-2-бифенилил)-уксусной к-ты (XII, к-та XIII), 72, 178/3, 1,5568. XII количественно гидролизует щелочью в XIII, т. пл. 85,5–86,5° (из петр. эф.). К  $\text{C}_2\text{H}_5\text{OK}$  (из 1,95 г K и 9,2 мл спирта в 150 мл эф.) добавляют 14,6 г  $(\text{COOC}_2\text{H}_5)_2$ , через 15 мин. добавляют эфир. р-р 13,5 г XII, кипятят 51 час, после обработки 5%-ным р-ром NaOH в эфир. р-ре остается 4,2 г XII; водн. слой насыщают  $\text{CO}_2$  и экстрагируют эфиром I, выход 10,6 г. 5,9 г неочищ. I и 30 мл 80%-ной  $\text{H}_2\text{SO}_4$  нагревают 10 мин., разбавляют водой и отделили 5,4 г осадка, из которого поперечной кристаллизацией из  $\text{C}_6\text{H}_6$  и  $\text{CH}_3\text{COOH}$  (37 раз) выделено 2,36 г III, т. пл. 221,5–222° и 0,89 г IV, т. пл. 235,5–236°. 300 мг

III, 1,5 г Ва(ОН)<sub>2</sub>, 1,8 г опилок Fe и 0,1 г Cu-бронзы нагревают 30 мин. при 330–350°/2 мм, выделено 97 мг пикрата 3-метоксифенантрена, т. пл. 124–125°. 0,3 г III, 25 мл HBr (к-ты) в 50 мл лед. CH<sub>3</sub>COOH кипятят 6 час., разбавляют водой и отделяют ангидрид 3-оксифенантредикарбоновой-9,10 к-ты, выход 92%, т-ра плавления 395–396° (из диоксана). II синтезирован аналогично I из 2-(*n*-анизил)-циклогексана через 2-(*n*-метоксифенил)-1-циклогексенилуксусную к-ту (XIV), ЭЭ XIV (88, 172/2, 1,5303), ЭЭ (4'-метокси-2-бифенилил)-уксусной к-ты (XV — к-та) (54, 168/1, —), XV (выход 96%, т. пл. 108–109° (из бал.-лигр.) и метилловый эфир (МЭ) XV (91, 146–147/1, 1,5768). 2,4 г МЭ XV конденсируют с (COOC<sub>2</sub>H<sub>5</sub>)<sub>2</sub> как описано для XII (91 час.), и получают 2,9 г III. К 2,9 г неочищ. III в 15 мл кипящей CH<sub>3</sub>COOH добавляют 10 мл 48%-ной HBr, кипятят 10 мин., осадок обрабатывают кипящей лед. CH<sub>3</sub>COOH и отделяют VI; фильтрат упаривают, остаток растворяют в кипящем 5%-ном NaOH, подкисляют, к выделившемуся осадку добавляют р-р NaOH и отфильтровывают 0,4 г V, т. пл. 274–275° (из CH<sub>3</sub>COOH). При подкислении щел. фильтрата осажается VI, общий выход 0,9 г, т. пл. 236–237° (из сп.). VIII (72, 161/3, 1,5479) получен аналогично I из 2-(*m*-метоксифенил)-циклогексана через α-[2-(*m*-метоксифенил)-1-циклогексенил]-пропионовую к-ту (XVI) (60, 187–192/2–3) и ЭЭ XVI (94, 171/3, 1,5250). К 2,84 г VIII в 25 мл эфира добавляют 0,041 моля (C<sub>6</sub>H<sub>5</sub>)<sub>3</sub>CN в 55 мл эфира; через 25 мин. добавляют эфир. р-р 1 г CH<sub>3</sub>COCl, через 0,5 часа после хроматографирования на Al<sub>2</sub>O<sub>3</sub> вымывают 2,8 г (C<sub>6</sub>H<sub>5</sub>)<sub>3</sub>CH, 1,1 г VIII и 0,8 г VII. VII кипятят 10 мин. с 48%-ной HBr: CH<sub>3</sub>COOH (1:1 по объему), выделен пикрат IX, т. пл. 159–160°.

И. Левин

**68841. Синтез 9-метил-3,4-бензпирена и 8,9-диметил-3,4-бензпирена.** Эйделфанг, Доб (The synthesis of 9-methyl-3,4-benzpyrene and 8,9-dimethyl-3,4-benzpyrene. Adelfang Jules L., Daub Guido H.), J. Amer. Chem. Soc., 1957, 79, № 7, 1751–1754 (англ.). Исходя из 3-кето-1,2,3,11b-тетрагидро-7H-мезо-бензантрацена (I) р-цией Реформатского с BrCH<sub>2</sub>COOC<sub>2</sub>H<sub>5</sub> (II) с последующими дегидратацией и омылением получена смесь (1,2,3,11b-тетрагидро-7H-мезо-бензантрилден-3)-уксусной к-ты (III), (1,11b-дигидро-7H-мезо-бензантрил-3)-уксусной к-ты (IV) и (4,5-дигидро-6H-мезо-бензантрил-3)-уксусной к-ты (V). Гидрированием III и IV превращены в (1,2,3,11b-тетрагидро-7H-мезо-бензантрил-3)-уксусную к-ту (VI), из хлорангидрида которой с диазоэтаном (VII) получена β-(1,2,3,11b-тетрагидро-7H-мезо-бензантрил-3)-изомасляная к-та (VIII). Циклизацией VIII превращена в 8-кето-9-метил-1,2,2a,5,8,9,10,10a-октагидро-3,4-бензпирен (IX), из которого получены 9-метил-3,4-бензпирен (X) и 8,9-диметил-3,4-бензпирен (XI). Приведены данные УФ-спектров III, IV, V, X и XI. К р-ру 0,15 моля I в смеси 700 мл C<sub>6</sub>H<sub>6</sub> и 700 мл эфира в N<sub>2</sub> прибавлено 90 г Zn, 55 мл II и следы J<sub>2</sub>, после кипячения 3,5 часа добавлено 45 г Zn и 22 мл II и смесь кипятят еще 2,75 часа, после обработки смесью 35 мл конц. HCl и 350 мл воды продукт р-ции нагревали в 100 мл HCOOH (5 мин., 100°), HCOOH отогнали в вакууме и остаток кипятят 2 часа с р-ром 42 г NaOH в 770 мл воды; получено 83% смеси III, IV и V, т. пл. 151–160°, из которой кристаллизацией выделены III, т. пл. 162–163° (из CH<sub>3</sub>OH), и IV, т. пл. 164–166° (из CH<sub>3</sub>OH). После гидрирования этой смеси в абс. спирте с Pt (из PtO<sub>2</sub>) кристаллизацией из CH<sub>3</sub>OH получены V, т. пл. 218–220° (из этилацетата), и VI, т. пл. 195–196,5° (из этилацетата). К р-ру VII (из 18,2 г C<sub>2</sub>H<sub>5</sub>N(NO) (COOC<sub>2</sub>H<sub>5</sub>)) в эфире при –20° прибавлен по каплям за 15 мин. р-р хлорангидрида VI (из 0,028 моля VI) в 70 мл C<sub>6</sub>H<sub>6</sub>, через 15 мин., после удаления р-рителя в вакууме,

остаток растворен в смеси 28 мл γ-коллиндына и 28 мл C<sub>6</sub>H<sub>5</sub>CH<sub>2</sub>OH и р-р нагрет 5 мин. при 175°, образовавшийся бензильный эфир кипятят 2,5 часа со смесью 42 мл CH<sub>3</sub>OH и 42 мл 45%-ного водн. р-ра KOH; выделена VIII, т. пл. 181,5–183° (из этилацетата). Из 3,26 ммоль VIII и 10 мл безводн. HF получен IX, выход 73%, т. пл. 135,5–137° (из CH<sub>3</sub>OH). Действием 29,4 ммоль (изо-C<sub>3</sub>H<sub>7</sub>O)<sub>2</sub>Al в 100 мл толуола на 13,2 ммоль неочищ. IX (24 часа) получен неочищ. жидкий 8-окси-9-метил-1,2,2a,5,8,9,10,10a-октагидро-3,4-бензпирен, который нагревали (1,25 часа, 270–340°) с 0,5 г 10%-ного PdC; выделен X, выход 57%, т. пл. 176–177,5° (из этилацетата); пикрат (содержит примесь пикриновой к-ты), т. пл. 201,5–202° (из бал.). К р-ру CH<sub>3</sub>MgI (из 16 ммоль CH<sub>3</sub>I и 0,01 г атома Mg в 20 мл эфира) прибавлен р-р 2,2 ммоль IX в 20 мл эфира; получен неочищ. 8-окси-8,9-диметил-1,2,2a,5,8,9,10,10a-октагидро-3,4-бензпирен, который нагревали (0,5 часа, 260–340°) с 0,1 г 10%-ного PdC; выделен XI, выход 72%, т. пл. 214,5–216° (из этилацетата и возгонка); пикрат, т. пл. 217,5–219° (из бал.). А. Берлин 68842. Полициклические ароматические углеводороды. IV. Химия дибенза-[a,h]-пирена. Буу Хои, Лави (Hydrocarbures polycycliques aromatiques. IV. Sur la chimie du dibenzo-[a,h]-pyrène. Buu-Hoi N. P., Lavit Denise), Recueil trav. chim., 1957, 76, № 4, 321–324 (франц.).

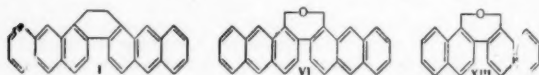
На примере дибенза-[a,h]-пирена (I) продолжено изучение зависимости канцерогенной активности полициклич. углеводородов от их строения (см. сообщение III, РЖХим, 1957, 57799). I легко реагирует с SOCl<sub>2</sub> с образованием 7,14-дихлор-I (II); под действием N-метилформанида (III) I превращается в 7-формил-I (IV), восстановленный затем в 7-метил-I (V). Формилированием V с последующим восстановлением синтезирован 7,14-диметил-I (VI), строение которого принято по аналогии с дибенза-[a,i]-пиреном (VII) (РЖХим, 1957, 34368). Активность V и VI больше, чем I, тогда как мезометилирование VII ее снижает (РЖХимБх, 1957, 14582). По разработанным методам (см. сообщение III) из 25 г дибенза-[a,h]-пиренхинона-7,14 получен I, выход 13,5 г, т. пл. 308° (из толуола); из 5 г I в 1 л о-C<sub>6</sub>H<sub>4</sub>Cl<sub>2</sub> и 5 г SOCl<sub>2</sub> получено 3,5 г II, т. пл. 396° (из о-C<sub>6</sub>H<sub>4</sub>Cl<sub>2</sub>). 14,7 г II обрабатывают 8,5 г III (после нагревания к смеси добавляют 150 мл о-C<sub>6</sub>H<sub>4</sub>Cl<sub>2</sub> и 150 мл конц. р-ра CH<sub>3</sub>COONa и кипятят 30 мин.), выход IV 13 г, т. пл. 284° (из C<sub>6</sub>H<sub>5</sub>Cl). Из 12,6 г IV действием N<sub>2</sub>H<sub>4</sub>·H<sub>2</sub>O в диэтиленгликоле получено 7 г V, т. пл. 329° (из толуола). Аналогично из V (5 г) синтезирован 14-формил-V (4,2 г), т. пл. 350° (из C<sub>6</sub>H<sub>5</sub>Cl), а из 4,5 г последнего — 3 г VI, т. пл. 373° (из C<sub>6</sub>H<sub>5</sub>Cl).

И. Левин

**68843. Синтез полициклических ароматических углеводородов. I. Синтез оптически активных 9,10-дигидродинафто-(2',3'-3,4)-(2'',3''-5,6)-фенантронов и новый синтез пентафена.** Баджер, Джефрис, Кимбер (The synthesis of polycyclic aromatic hydrocarbons. Part I. A synthesis of optically active 9:10-dihydrodinaphtho (2':3'-3,4)-(2'':3''-5,6)-phenanthrene, and a new synthesis of pentaphene. Badger G. M., Jefferies P. R., Kimber R. W. L.), J. Chem. Soc., 1957, Apr., 1837–1841 (англ.).

В связи с исследованием оптически сильно активных полициклич. углеводородов (РЖХим, 1955, 55089) получен 9,10-дигидродинафто-(2',3'-3,4)-(2'',3''-5,6)-фенантрон (I) следующим образом: 1,1'-диантрилдикарбоновую-2,2' к-ту (II) превращают в ее метилловый эфир (III), который восстанавливают в соответствующий диол (IV), превращенный затем в 2,2'-бис-бромметил-1,1'-диантрил (V); циклизацией V получен I. Оптически активные I получают таким же путем из (+)- и (–)-II. При этом кроме (–)-V образуется, по-

видимому, в-во (VI). Активность (—)I не изменяется при кипячении 6 час. в  $C_6H_6$ ; период полусуществования (—)I в кипящем ксилоле  $27 \pm 1$  мин. I дегидрируется над Pd/C до углеводорода, которому приписано строение динифто-(2',3'-3,4) (2'',3''-5,6)-фенантрена (VII), однако возможно, что образуется 1, 12-5, 6-7, 8-трибензперилен. Дегидрирование I N-бромсукцинимидом не удалось. Аналогично через метиловый эфир 2,2-динифтодикарбоновой-3,3' к-ты (VIII), диол (IX),



3,3'-бис-бромметил-2,2'-динифтил (X) и 6,7-дигидро-пентафен (XI) синтезирован пентафен (XII). При синтезе XI образуется примесь циклич. эфира (XIII), который может быть получен также дегидратацией IX. 4 г II в диоксане и р-ра  $CH_2N_2$  в эфире получен III, выход 100%, т. пл. 238—239° (из сп.); (+)-III, т. пл. 228—230°,  $[\alpha]_D^{25} +382^\circ$  (с 0,335; ацетон); (—)-III, т. пл. 228—230°,  $[\alpha]_D^{25} -387^\circ$  (с 0,450; ацетон). Эфир р-р 4 г III и 5,2 г  $LiAlH_4$  кипятят 6 час., выход неочищ. IV 95%; диацетат, т. пл. 232—233° (из петр. эф.). К кипящему р-ру I г IV в 25 мл лед.  $CH_3COOH$  добавляют 7,5 мл 50%-ного р-ра HBr в лед.  $CH_3COOH$ , через 15 мин. добавляют еще 5 мл р-ра HBr и кипятят еще 30 мин., V очищают хроматографированием (XP) в  $C_6H_6$  на  $Al_2O_3$ , т. пл. 217—219° (из метилэтилкетона (XIV)). Аналогично получены (+)-IV,  $[\alpha]_D^{25} +460^\circ$ ; диацетат, т. пл. 180—181° (из петр. эф.),  $[\alpha]_D^{25} +290^\circ$  (с 0,266; ацетон), и (+)-V (вся HBr добавлена сразу, кипятят 5 мин.), т. пл. 224—226°,  $[\alpha]_D^{25} +195^\circ$  (с 0,230; бэл.), а также (—)-IV,  $[\alpha]_D^{25} -471^\circ$ ; диацетат, т. пл. 180—181°,  $[\alpha]_D^{25} -290^\circ$  (с 0,248; ацетон), и (—)-V, т. пл. 224—226°,  $[\alpha]_D^{25} -188^\circ$  (с 0,392; бэл.); дальнейшим вымыванием выделен VI, т. пл. 272—275°,  $[\alpha]_D^{25} -1530^\circ$  (с 0,354; бэл.). К р-ру 2,2 г V в  $C_6H_6$  добавляют за 15 мин. в  $N_2$  р-р 1,2 моля  $C_6H_5Li$  в  $C_6H_6$ , перемешивают 15 мин. и кипятят 30 мин., выход I 75%, т. пл. 303—305° (из бэл.). Аналогично получен (+)-I, т. пл. 295—297°,  $[\alpha]_D^{25} +1980 \pm 40^\circ$  (с 0,072; бэл.), и (—)-I, т. пл. 295—297°,  $[\alpha]_D^{25} -2007 \pm 10^\circ$  (с 0,142; бэл.). 0,5 г I и 0,4 г 10%-ного Pd/C в 30 мл n-цимола кипятят 4 часа и выделяют 0,4 г VII, т. пл. 293—295° (после XP на  $Al_2O_3$ , из бэл.). VIII восстанавливают аналогично III, выход IX 92%, т. пл. 228—229° (из сп.); диацетат, т. пл. 106—106,5° (из сп.); выход X 93%, т. пл. 165—166° (из XIV). Из 2 г X и 2,2 экв  $C_6H_5Li$  (30 мин.) с последующей обработкой реакционной смеси водой и разб. HCl и XP на  $Al_2O_3$  вымывают 250 мл  $C_6H_6$ -гексана (1:4) XI, выход 30%, т. пл. 140—141° (из бэл.), и XIII, т. пл. 223—224° (из бэл.-гексана). XIII образуется также при пропускании сухого HCl через р-р IX в  $(C_6H_5)_2O$  при 100°. 0,3 г XI дегидрируют как описано для I, выход XII 67%, т. пл. 255—257° (из лед.  $CH_3COOH$  и сп.); окисление XII  $OsO_4$  приводит к нестойкому диолу, который затем может быть окислен  $Na_2Cr_2O_7$  в пентафенхинон-6,7 (XV), т. пл. 326—328° (вакууме). Приведены данные УФ-спектров I, XI и XV, кривые спектров I и VII.

И. Левин  
68844.  $\alpha$ -Кетоокиси. Сообщение 8. Превращения  $\alpha$ -диокиси- $\beta,\beta$ -диметилдивинилкетона. Назаров И. Н., Ахрем А. А., Кохомекая В. В., Изв. АН СССР, Отд. хим. н., 1957, № 1, 80—90

Исследованы р-ции  $\alpha,\alpha'$ -диокиси- $\beta,\beta$ -диметилдивинилкетона (I) с  $CH_3COOH$  и  $(CH_3CO)_2O$ , спиртами или вторичными аминами, а также гидрирование I и образующегося при гидролизе I водой 2,2-диметил-3,5-диокситетрагидро- $\gamma$ -пирона (II). При нагревании I с  $CH_3COOH$  и  $(CH_3CO)_2O$  (2 часа, 150°) получается, по-видимому,

диацетат 2-( $\alpha$ -окси)-изопропил-4-оксифуранона-3, т. кип. 131—132°/2 мм,  $n_D^{20} 1,4525$ ,  $d_4^{20} 1,1717$ ; с  $CH_3OH$ , спиртом или  $iso-C_3H_7OH$  I образует в-ва, отвечающие по составу 2-( $\alpha$ -метокси)-(IIIa), 2-( $\alpha$ -этокси)-(IIIb) и 2-( $\alpha$ -изопропокси)-(IIIв)-изопропил- $\Delta^4$ -дигидрофуранона-3; с водн. р-рами пиперидина (IV),  $NH(C_2H_5)_2$  или  $NH(CH_3)_2$  получены 2-( $\alpha$ -N-пиперидино)-(Va), 2-( $\alpha$ -N-диэтиламино)-(Vb) и 2-( $\alpha$ -N-диметиламино)-(Vв)-изопропил-4-окситетрагидрофураноны-3, превращающиеся действием  $C_6H_5Li$  в 2-( $\alpha$ -N-пиперидино)-(VIa), 2-( $\alpha$ -N-диэтиламино)-(VIb) и 2-( $\alpha$ -N-диметиламино)-(VIв)-изопропил-3-фенил-3,4-диокситетрагидрофураны. Ва дегидрирован  $(CH_3CO)_2O$  в 2-( $\alpha$ -N-пиперидино)-изопропил- $\Delta^4$ -дигидрофуранон-3 (VII). Va, б и VII дезаминируются пириновым к-той или HCl. Гидрированием I над скелетным Ni получены 2-изопропил-(VIIIa) и 2-изопропил-4-окси-(VIIIб)-тетрагидрофураноны-3; гидрированием II — 2,2-диметил-3,4,5-триокситетрагидропиран (IX). При нагревании I с  $ZnCl_2$  в эфире образуется в-во, т. кип. 86,5°/1,5 мм,  $n_D^{20} 1,4738$ ,  $d_4^{20} 1,2339$ ; 2,4-динитрофенилгидразон, т. пл. 146—146,5° (разл.), возможно являющееся 6-метилгексантрионом-2,3,4, в нерастворимый в эфире, содержащий Zn-продукт, т. пл. 250—251° (разл.); из 86%-ной  $CH_3COOH$ ; семикарбазон (CR), т. пл. 195—196°. 5 г I и 60 мл  $CH_3OH$ , спирта или  $iso-C_3H_7OH$  нагревают 1 час при 240—250° и получают соответственно IIIa, выход 3 г, т. пл. 125—126° (из  $n-C_6H_{14}$ ), и 4,5 г жидкой фракции, т. кип. 93—94°/3 мм,  $n_D^{20} 1,4960$ ,  $d_4^{20} 1,1195$ ; IIIb, выход 0,5 г, т. пл. 116—117° (из  $n-C_6H_{14}$ ), и 2 г в-ва, т. кип. 91—91,5°/2 мм,  $n_D^{20} 1,4672$ ,  $d_4^{20} 1,0974$ , или IIIв, выход 1 г, т. пл. 128,5—129° (из  $n-C_6H_{14}$ ). К р-ру 1,4 г IV в 1,4 л воды добавляют 2 г I, поддерживая т-ру  $< 60^\circ$ , и через 20 мин. отделяют Va, выход 1,9 г, т. пл. 85—86° (из 50%-ного  $CH_3OH$ ); йодметилат (IM), т. пл. 158—159° (разл.; из ацетона); аналогично (2 часа,  $\sim 30^\circ$ , затем 2 часа, 20°) получают Vb, т. кип. 124°/3 мм,  $n_D^{20} 1,5472$ , и (при  $\sim 52^\circ$ ) Vв, т. кип. 74—75°. 7 г Va и 28 г  $(CH_3CO)_2O$  оставляют на 2 часа при 20° и выделяют VII, выход 3,8 г, т. кип. 131,5°/3 мм,  $n_D^{20} 1,5738$ ; IM, т. пл. 134—135° (разл.; из ацетона-эф.). К 5,3 г Li в 150 мл эфира приливают в течение 2,5 часа 52 г  $C_6H_5Br$  в 0,1 л эфира, смесь кипятят 1 час, добавляют (100 мин.,  $-10^\circ$ ) 45 г Va в 0,1 л эфира, оставляют на 12 час. при 20°, кипятят 3 часа, приливают 80 мл воды и отделяют VIa, выход 15,8 г, т. пл. 169—170° (из  $CH_3OH$ ); аналогично получают VIb, т. пл. 122,5—123,5°, и VIв, т. пл. 148—149° (из сп.). 10 г I в 30 мл спирта гидрируют над 1 г скелетного Ni, продукт перегоняют и получают VIIIa, выход 3 г, т. кип. 166—166,5°/737 мм, 74,5—74,75°/20 мм,  $n_D^{20} 1,4252$ ,  $d_4^{20} 0,9551$ ; CR, т. пл. 127—128° (из ацетона- $n-C_6H_{14}$ ), и VIIIб, выход 3,5 г, т. кип. 97—98°/1,5 мм,  $n_D^{20} 1,4570$ ,  $d_4^{20} 1,1015$ ; CR, т. пл. 186,5° (из сп.). 11 г II в 0,1 л воды гидрируют над 2 г скелетного Ni (98—110°, 120 ат) и получают IX, выход 9,5 г, т. кип. 150—151°/2 мм,  $n_D^{20} 1,4910$ . Сообщение 7 см. РЖХим, 1957, 68794. Д. Витковский

68845. Антибактериальные свойства пиранов. III—IV. Мияки, Ямагиси (抗菌性ピロノ誘導体に関する研究. 第3報, 第4報. 宮本高明, 山岸三郎), 藥學雜誌, Якугаку даэсси, J. Pharm. Soc. Japan, 1955, 75, № 1, 45—46; 47—51 (японск.; рез. англ.)

III. С целью объяснения механизма антибактериальной активности соединений типа трикарбонилметана

взаимодействием  $CH_3C=CHCOCH_2COO$  (I) с соответствующими хлористыми ацилами в присутствии конц.  $H_2SO_4$  получены следующие 3-ацил-6-метил-1,2-пиран-

дионы-2,4  $CH_3C=CHCOCH_2COO$  (II, где а R =  $C_2H_5CO$ , б R =  $(CH_3)_2CHCO$ , в R =  $C_6H_{11}CO$ , г R =  $C_6H_{13}CO$ , д R =  $C_{17}H_{35}CO$ , е R =  $CH(CH=CH)_2CO$ , ж R =  $C_6H_5CH_2CO$ ,



з  $R = C_6H_5CH_2CH_2CO$ , и  $R = C_6H_5CH=CHO$  (указано в-во, выход в %, т. пл. в °C): **IIa**, 46, 104; **IIb**, 52, 76—77; **IIв**, 55, 66—67; **IIг**, 64, 76—77; **IIд**, 43, 93,5—94,5; **IIе**, 23, 157—159; **IIж**, 42, 147—149; **IIз**, 58, 77,5—78,5; **IIи**, 20, 131—132. Кроме того, из **I** с  $C_6H_5NCS$ ,  $Br_2$  и  $SOCl_2$  получены производные **II** с  $R = C_6H_5NHCS$  (**IIк**) и  $R = Br$  (**IIл**); **IIк**, выход 8%, т. пл. 193—194°; **IIл**, выход 83%, т. пл. 200—201° (разл.), и соединение с т. пл. 234—235° (разл.). С  $n-O_2NC_6H_4CH_2COCl$  и  $C_6H_5COCl$  (**III**) в  $(C_5H_5N)$  **I** дает соответственно  $n-NO_2C_6H_4CH_2COOC=CHCOCH=C(CH_3)O$  (**IV**), выход 76%, т. пл.

63—65°, и  $C_6H_5COOC=CHCOCH=C(CH_3)O$  (**V**), выход 23% т. пл. 90—91°, а **I** с **III** (в присутствии  $H_2SO_4$ ) —  $C_6H_5COOC=C(COC_6H_5)COCH=C(CH_3)O$ , выход 3%, т. пл. 242—243°.

**IV**. Приведены результаты сравнительных испытаний биологич. активности **IIa—к**,  $CH_3C=CHCOC(CH_3)COO$  (**IIм**), **IV**, **V**, пиромеконовой и 2-бромпиromeконовой к-ты, этилового и диэтилового эфиров меконовой к-ты и 2,6-диметил-γ-пирона против *Penicillium luteum*, *Aspergillus niger*, *Mucor mucedo*, *Willia anomala*, *Candida albicans* и *Staphylococcus aureus*, *Escherichia coli*, *Shigella dysenteriae*, *Shigella flexneri*, *Salmonella typhi* S<sub>57</sub>, *Salmonella enteritidis* 5168, *Salmonella paratyphi* A1015. Показано, что соединения типа **II** с низшими ацильными группами в боковой цепи замедляют рост плесени, а с высшими — обладают сильными антибактериальными действиями. Сообщение **II** см. РЖХим, 1956, 46942.

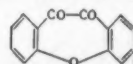
**Р. Жури** 68846. Синтез 5-метокси- и 5,8-диметокси-2-метилхромон. Рамачандра-Рао, Венкатесварлу (Synthesis of 5- and 5,8-dimethoxy-2-methyl chromones. Ramachandra Rao C., Venkateswarlu V.), Recueil trav. chim., 1956, 75, № 11, 1321—1326 (англ.)

Описан новый синтез ряда замещ. 2-метилхромон. Конденсацией 2-окси-6-метоксиацетофенона (**I**) с этилацетатом получен о-ацетил-**I** (**II**), который при действии  $HCl$  циклизуется в 5-метокси-2-метилхромон (**III**). Последний деметилируют и полученный 5-окси-2-метилхромон (**IV**) окисляют в 5,8-диоксид-2-метилхромон (**V**). При действии  $CH_2N_2$  на **V** образуется только 5-окси-8-метокси-2-метилхромон (**VI**), при метилировании  $CH_3J$  получают 5,8-диметокси-2-метилхромон (**VII**). Нагревание **V** с р-ром  $HJ$  в  $(CH_3CO)_2O$  приводит к деметилированию, с последующей изомеризацией **V** в 5,6-диоксид-2-метилхромон (**VIII**). Из **2** г **I** и 10 мл этилацетата с 1 г  $Na$  (100°, 1 час) получено 1,2 г **II**, т. пл. 94—95° (из  $CH_3OH$ );  $Sn$ -соль, т. пл. 226° (из  $CHCl_3$ ). Кипячением (0,5 часа) 1 г **II** с 5 мл спирта и 5 каплями конц.  $HCl$  получают 0,85 г **III**, т. пл. 105° (после кристаллизации из петр. эф.,  $CH_3OH$  и возгонки при 100°/0,01 мм). Смесь 0,5 г **III**, 0,5 г пипероналя и р-ра  $C_2H_5OK$  (из 0,25 г  $K$  и 20 мл абс. спирта) кипятят 0,5 часа; получают 5-метокси-2-(3',4'-метилendioксиэтирил)-хромон, т. пл. 126—127° (из сп.). Аналогично из **IV** и **VII** получают 5-окси-2-(3',4'-метилendioксиэтирил)-хромон, т. пл. 218—220° (из петр. эф.), и 5,8-диоксид-2-(3',4'-метилendioксиэтирил)-хромон, т. пл. 191—192° (из сп.). Р-р 0,5 г **III** в 5 мл  $(CH_3CO)_2O$  кипятят 20 мин. с 10 мл  $HJ$  (d 1,7); получают **IV**, выход 0,4 г, т. пл. 92° (сублимация при 85°/0,01 мм); аналогичный результат получают при кипячении (15 мин.) **III** с  $AlCl_3$  в  $C_6H_6$ ; **IV** синтезирован также кипячением **II** с р-ром  $HJ$  в  $CH_3COOH$ ; ацетат **IX**, т. пл. 111—112°. К р-ру 1 г **IV** в 10 мл 3%-ного р-ра  $NaOH$  и 40 мл пиридина прибавляют при 15—16° за 4 часа р-р 1,5 г

персульфата  $Na$  в 40 мл воды, размешивают 2 часа, оставляют на 24 часа при ~20°, подкисляют при охлаждении конц.  $HCl$ , отделяют осадок, к фильтрату после обработки эфиром прибавляют 1,5 г  $Na_2SO_3$  и 25 мл конц.  $HCl$ , нагревают 0,5 часа при ~100° и извлекают эфиром; получают 0,15 г **V**, т. пл. 214—216° (из смеси этилацетата-петр. эф.); диацетат, т. пл. 147° (из петр. эф.). Действием избытка  $CH_2N_2$  в  $CH_3OH$  на **V** на холоду получен **VI**, т. пл. 139—140° (из  $CH_3OH$ ); ацетат, т. пл. 148—149° (из петр. эф.). Из **V** с избытком  $CH_3J$  и безводн.  $K_2CO_3$  в ацетоне получен **VII**, т. пл. 130—131° (из этилацетата-петр. эф. с последующей возгонкой при 125°/0,01 мм). При деметилировании **VII**, как указано выше для **III**, выделен **VIII**, т. пл. 185—186° (из петр. эф.). Строение последнего доказано его синтезом из 2-окси-5,6-диметокси-ω-ацетилацетофенона при кипячении (20 мин.) с р-ром  $HJ$  в  $(CH_3CO)_2O$ .

**А. Кост** 68847. Гетеротролоны. Рие (Heterotropolones. Rees A. H.), Chemistry and Industry, 1957, № 3, 76 (англ.)

4,5-дигидро-2,3,6,7-добензоксапиндион-4,5 (**I**) получен с хорошим выходом окислением соответствующего монокетона по ранее описанному методу (Hatt, Pilgrim, Hurrant, J. Chem. Soc., 1936, 93), т. пл. 118° (из петр. эф.). Свойства, характерные для производного трополона, у **I** выражены не ярко. Под каталитич.



действием щелочи **I** претерпевает уменьшение цикла и с динитрофенилгидразином дает производное монокетона, т. пл. 267° (из  $CH_3COOH$ ). Попытка получить 4-азатрополон действием диацетила на суспензию  $(HCO)_2NNa$  в  $C_6H_6$  не удалась.

**Г. Бра** 68848. Получение и свойства 1,3-диоксепенов-5. Браннок, Лэппин (Preparation and properties of 1,3-dioxep-5-enes. Brannock Kent C., Lappin Gerald R.), J. Organ. Chem., 1956, 21, № 12, 1366—1368 (англ.)

Конденсацией *цис*-бутен-2-диола-1,4 (**I**) с  $CH_2O$ , изомаляным, 2-метилмаляным или кротоновым альдегидами или циклогексаном в присутствии  $\lambda$ -толуолсульфокислоты (**II**) получены 1,3-диоксепены-5 (**IIIa—г**) и спиро-(циклогексан-1,2'-(1',3'-диоксепен-5')) (**IV**). 4-метилпентанон-2 в аналогичных условиях не реагирует с **I**. **IIIa** гидрируется над скелетным  $Ni$  в 1,3-диоксепан (**V**) и бромруется  $Br_2$  в  $CCl_4$  в 5,6-дибром-1,3-диоксепан (**VI**), превращающийся при нагревании с 1 н. метанольным р-ром  $HCl$  в *dl*-трео-2,3-дибромбутандиол-1,4, выход 72%, т. пл. 86—87° (из бэл.); при кипячении **VI** с  $CH_3ONa$  в  $CH_3OH$  получается смесь 5-бром-1,3-диоксепена-5 (**VII**) и 6-метокси-1,3-диоксепена-4 (**VIII**), строение которых подтверждено данными ИК-спектров; при нагревании **VI** с *изо*- $C_3H_7ONa$  получена нераазделяемая перегонкой смесь в-в. 2 моля **I**, 2 моля  $(CH_2O)_3$ , 25 мл  $C_6H_6$  и 0,25 г **II** кипятят 2—3 часа, удаляя образующуюся воду, продукт перегонки над  $NaOH$  и получают **IIIa**, выход 86%, т. кип. 127—128,2°/734 мм,  $n_D^{20}$  1,4570. Аналогично получают (указано в-во, выход в %, т. кип. в °C/мм и  $n_D^{20}$ ): **IIIб**, 84, 170—170,8°/735, 1,4484; **IIIв**, 75, 190—193°/730, 1,4514; **IIIг**, 25, 54—55,4°/4,5, 1,4739; **IV**, 73, 90/10, 1,4876. 0,9 моля **IIIa** в 60 мл  $CH_3OH$  гидрируют над 5 г скелетного  $Ni$  (1 час, 100°, 70 ат) и выделяют **V**, выход 85%, т. кип. 117,5—118°,  $n_D^{20}$  1,4303. К 0,76 моля **IIIa** в 0,1 л  $CCl_4$  приливают по каплям при 0° 0,76 моля  $Br_2$  в 0,1 л  $CCl_4$ , отгоняют  $CCl_4$  и получают **VI**, выход 76%, т. пл. 36—37° (из сп.). К кипящему р-ру 46 г  $Na$  в 750 мл  $CH_3OH$  приливают в течение 3 час. р-р 1 моля **VI** в 250 мл  $CH_3OH$ , кипятят 42 часа, приливают 100 г  $C_2H_5Br$ , кипя-

тять 3 часа, отгоняют большую часть  $\text{CH}_3\text{OH}$ , остаток разбавляют эфиром, р-р перегоняют и получают VIII, выход 29 г, т. кип. 48—50°/7 мм,  $n_D^{20}$  1,4560, и VII, вы-

ход 43 г, т. кип. 61—61,6°/7 мм,  $n_D^{20}$  1,5128.  $\text{RCHOCH}_2$ -

$\text{CH}=\text{CHCH}_2\text{O}$  III а R = H; б R = *изо*- $\text{C}_3\text{H}_7$ ; в R =  $(\text{CH}_3)_2\text{CHCH}_2$ ; г R =  $\text{CH}_3\text{CH}=\text{CH}$ .

Д. Витковский  
68849. 3-окситиофен. Форд, Маккей (3-hydroxythiophen. Ford M. C., MacKay Donald), J. Chem. Soc., 1956, Dec., 4985—4987 (англ.).

Окислением 3-тиенил-MgBr (из  $\text{C}_3\text{H}_5\text{Br}$  (I), 3-бромтиофена (II) и Mg) в присутствии *изо*- $\text{C}_3\text{H}_7\text{MgBr}$  (III) получают 3-окситиофен (IV). Исследованием ИК-спектра IV установлено, что большая часть его находится в виде фенольной формы, но частично и в виде таутомерной кетонной формы — 2,3-дигидро-3-окситиофена. Р-р 18,5 г I и 37 г II (т. кип. 157—158,5°/759 мм) в 150 мл эфира прибавляют к смеси 18,5 г I и 13,7 г Mg в 200 мл эфира. Через 18 час. кипячения в атмосфере  $\text{N}_2$  к смеси прибавляют р-р 35 г III (из 35 г *изо*-пропилбромид и 7 г Mg) и 100 мл эфира при -10° и пропускают  $\text{O}_2$  при т-ре < 5°. Через 20 час. при 5° смесь выливают на твердую  $\text{CO}_2$ , прибавляют избыток 2 н.  $\text{H}_2\text{SO}_4$  и выделяют IV, выход 5%, т. кип. 38—39°/0,01 мм; бензойный эфир IV, т. пл. 40° (из петр. эф.); 3,5-динитробензойный эфир IV, т. пл. 150° (из  $\text{CH}_3\text{OH}$ ); фенилкарбаминный эфир, т. пл. 120° (из петр. эф.).

Т. Краснова

68850. О некоторых β-аминокислотах ряда тиофена.

Мамаев В. П., Рубина Т. Д., Ж. общ. химии, 1957, 27, № 2, 464—466

По методу Родионова В. М. синтезированы β-(3-тиенил)-(I) и β-(2-этил-5-тиенил)-β-аминопропионовая к-та (II) из β-тиофенальдегида (III) и 2-этил-5-тиофенальдегида (IV) соответственно с малоновой к-той (V) в присутствии  $\text{CH}_3\text{COONH}_4$  (VI). Наряду с I и II были выделены β-(3-тиенил)-(VII) и β-(2-этил-5-тиенил)-акриловая к-та (VIII). Образование I протекает легче, чем образование II. При нагревании воды. р-ра I с мочевиной получен 6-(3-тиенил)-2,4-диоксогексагидропиримидин (IX). 1,12 г III, 1,06 г V и 1,59 г VI в 2,2 мл спирта нагревают (~100°, 6 час.), получают I, выход 54,7%, т. пл. 203° (разл.); перекристаллизацией из хлоргидрата насыщ. р-ром  $\text{CH}_3\text{COONa}$ . Хлоргидрат, т. пл. 187,5—188° (разл.); из сн. эфиром). При разбавлении маточного р-ра водой выделяют VII, выход 10,6%, т. пл. 149—150° (из водн. сп.). N-бензоил-I, т. пл. 188—188,5° (из воды). 0,35 г I, 1,62 г мочевины в 8,2 мл воды нагревают 17 час. при ~100°, охлаждают, фильтрат обрабатывают эфиром, водн. р-р подкисляют и через несколько дней получают 0,29 г IX, т. пл. 248° (из водн. сп.). 6,25 г IV, 4,75 г V и 7,2 г VI в 10 мл спирта нагревают 5 час. при ~100°, прибавляют 9,2 г VI, нагревают еще 9 час., получают II, выход 30,4%, т. пл. 198—199° (разл.; аналогично I). Маточный р-р разбавляют водой, отгоняют примеси с паром, получают VIII, т. пл. 97—99° (из *изо*октана и разб.  $\text{CH}_3\text{COOH}$ ). N-бензоил-II, т. пл. 183—183,5° (из водн. сп.).

М. Линькова

68851. Образование 4-карбоксы-2-азетидинона из аспарагина в фосфатном буфере. Талли, Фицпатрик, Портер (The formation of 4-carboxy-2-azetidinone from asparagine in phosphate buffer. Talley Eugene A., Fitzpatrick Thomas J., Porter William L.), J. Amer. Chem. Soc., 1956, 78, № 22, 5836—5837 (англ.).

Показано, что I и d,l-аспарагин (I) в фосфатном буфере с pH 6,7 при 100° циклизуются в β-лактамы аспарагиновой к-ты (II — к-та) — 4-карбоксы-2-азетидинон (III). Кроме II образуются четыре соединения, дающие положительную нингидринную р-цию, изучение которых продолжается. Смесь 7 г I и 585 мл фос-

фатного буфера с pH 6,7 (24,4 г  $\text{Na}_2\text{HPO}_4 \cdot 7\text{H}_2\text{O}$  и 16,28 г  $\text{KH}_2\text{PO}_4$  в 100 мл р-ра, разведенные в отношении 1:25 водой непосредственно перед употреблением) нагревают 24 часа при ~100°. На колонке с Дауке-50 р-р освобождают от I и II, пропускают через Дауке-2, промывают водой, элюируют адсорбированный III 800 мл 1 н.  $\text{HCOOH}$ , элюат упаривают досуха при т-ре < 45°, остаток растворяют в миним. кол-ве воды при 50—60° и охлаждают, получают III, выход 5%, т. возг. 191—193°. При стоянии с конц.  $\text{NH}_4\text{OH}$  (~20%) III постепенно превращается в I; приведены выходы I в зависимости от продолжительности стояния: 3,1% (6 час.), 11,3% (24 часа), 20,6% (48 час.), 39,2% (96 час.), 86,7% (14 дней), 98% (26 дней). При этом, кроме I, образуется также 2,5—3% II. Р-р I и III в воде кипятят 5 мин. с 1,2 г  $\text{Ag}_2\text{CO}_3$  и горячий р-р фильтруют; при охлаждении получают 1,89 г Ag-соли III. Суспензию последней в  $\text{C}_6\text{H}_6$  нагревают 50 час. при 30° с 50 мл  $\text{C}_2\text{H}_5\text{Br}$ , получают этиловый эфир III, выход 15%, т. пл. 96° (из бzl.).

Л. Яхонтов

68852. D, L-β-оксипирролидин и хлоргидрат β-пирролидона. Кун, Освальд (D, L-Hydroxypyrrolidin und β-Pyrrolidondihydrochlorid. Kuhn Richard, Osswald G.), Angew. Chem., 1957, 69, № 1—2, 60 (нем.).

N-карбэтокс-β-пирролидон (I) в 90%-ном спирте в присутствии щелочи восстанавливают с  $\text{PtO}_2$  в N-карбэтокс-β-оксипирролидин (выход 70—83%, т. кип. 115—116°/0,05 мм; 3,5-динитробензоат, т. пл. 100—102°), который с 10%-ным Ba(OH) $_2$  омыляют при 110—115° в D, L-β-оксипирролидин, выход 73%, т. кип. 102—103°/12 мм; пирролат, т. пл. 228—230° (разл.); хлораурат, т. пл. 197—200° (разл.); тетрафенилборат, т. пл. 160—163° (разл.). При глубоком гидрировании I с LiAlH $_4$  получают D, L-N-метил-β-оксипирролидин, выход 76%, т. кип. 74—75°/12 мм; тетрафенилборат, т. пл. 121—123°. I с 18%-ной HCl при 110—115° образует хлоргидрат β-пирролидона (II), выход 33—34%, т. пл. 143—144°; 2,4-динитрофенилгидразон II (хлоргидрата), т. пл. 189—192° (разл.). II также получают гидрированием N-фенил-3-карбэтоксипирролидона-4 с Pd(OH) $_2$ /BaSO $_4$  с выходом 60%.

Ю. Розанова

68853. К химии индола. Сообщение V. Об окислении производных индола хлорным железом. Добенец, Ленерер (Zur Chemie des Indols. V. Über die Oxydation von Indolderivaten mit Eisen (III)-chlorid. Dobeneck Henning von, Lehnerer Wolfgang), Chem. Ber., 1957, 90, № 2, 161—171 (нем.).

При окислении скатола (I) безвод.  $\text{FeCl}_3$  в эфире получается в-во R(—CH $_2$ R')CH=NR'·HCl, где R = скатолил-1, —CH $_2$ R' = скатолил-1 и R' = индолил-3 (II). Аналогично из 2-метилиндола (III) образуется в-во (C $_8$ H $_7$ N) $_5$ -HCl (IV), построенное подобно II, но содержащее в среднем звене не 4, а 3 метилиндольных остатка. В отличие от II в-во чувствительно к избытку  $\text{FeCl}_3$ . В указанных условиях окрашенные продукты получаются из 1-метил-, 1,2-диметил-, 3-диметил-, 2,2'-диметил-, 3-пиперидинометилиндолов, дискатола, 2,2'-диметилдиндола-3,3' (V) и индолуксусной-3 к-ты (VI), но не из триптофана. При окислении I в присутствии (C $_2$ H $_5$ ) $_2$ NH получают α-(3-R-2,3-дигидро-скатолил-3)-α-(ω-R'-этиламино)-β-(3-R-скатолил-2-этиламин-2)-эфир (VIIa). Вероятно, промежуточным в-вом является винилэтиламин, образовавшийся из 2 молекул (C $_2$ H $_5$ ) $_2$ NH (ср. окисление (C $_2$ H $_5$ ) $_2$ NH  $\text{FeCl}_3$ , РЖХим, 1957, 11604). Строение VIIa подтверждается его устойчивостью к щелочам и расщеплением разб. к-той на I и 3-метилоксииндол. Аналогичные в-ва (VIIb R = CH $_2$ COOCH $_3$ , R' = CH $_3$ ) и эфир (VIIc) получены из метилового эфира VI и (C $_2$ H $_5$ ) $_2$ NH. Из индола и (C $_2$ H $_5$ ) $_2$ NH выделено только немного (VIId, R = R' = H). В отличие от I (C $_8$ H $_7$ ) $_2$ NH и III дают при окис-

ленин 2,2'-диметилиндолен-3,3' (IX), строение которого доказано встречным синтезом из V. К 13 г I в 20 мл абс. эфира при  $\sim 0^\circ$  прибавляют эфир. р-р 32 г  $\text{FeCl}_3$ , выделяющееся масло обрабатывают эфиром и водой и затем разб.  $\text{HCl}$ , получают II, выход 85%, зеленый порошок разлагается при  $240^\circ$  (из  $\text{CH}_3\text{OH}$ ). При восстановлении  $\text{Zn} + \text{HCl}$  или перегонке с  $\text{Zn}$ -пылью дает обратно I. I с  $\text{NaOH}$  в спирте дает желтое основание, темнеет при  $270^\circ$ , не плавится при  $540^\circ$ . Из 10 г III в 50 мл эфира и 40 г  $\text{FeCl}_3 \cdot 6\text{H}_2\text{O}$  ( $\sim 20^\circ$ , 12 час., и встряхивание с водой) получают IV, выход 75%, медного цвета порошок разлагается при  $300^\circ$  (экстракция примесей эфиром; из  $\text{CH}_3\text{OH}$ ) основание красного цвета. С безвод.  $\text{FeCl}_3$  выход плохой. К 3,9 г I и 15 мл  $(\text{C}_2\text{H}_5)_2\text{NH}$  в 70 мл абс. эфира прибавляют ( $\sim 0^\circ$ , 20 мин.) р-р 9,7 г  $\text{FeCl}_3$  в 70 мл абс. эфира, добавляют р-р 10 г  $\text{NaOH}$ , эфирный слой обрабатывают 300 мл 2 н.  $\text{HCl}$  и щелочью выделяют VIIa, выход 8%, т. пл.  $256^\circ$  (из бал. и  $\text{CH}_3\text{OH}$ ). Упариванием эфирного слоя выделяют VIIa, выход 34%, т. пл.  $218^\circ$  (разл.; из бал. и сп.); хлоргидрат, т. пл.  $89^\circ$  (разл.); нитрозопроизводное ( $\text{NaNO}_2 + \text{CH}_3\text{COOH}$ ), спекается при  $180^\circ$ , т. пл.  $192^\circ$  (разл.; из  $\text{CH}_3\text{OH}$ -ацетона). Аналогично из 8 г метилового эфира VI, 12 г  $(\text{H}-\text{C}_6\text{H}_7)_2\text{NH}$  и 12 г  $\text{FeCl}_3$  получают VIIb, выход 4,5%, т. пл.  $114^\circ$ , и VIIb, выход 36%, т. пл.  $232^\circ$ . а из 4,7 г пидола, 15 мл  $(\text{C}_2\text{H}_5)_2\text{NH}$  и 13 г  $\text{FeCl}_3$  — VIIв, выход 3%, т. пл.  $220-221^\circ$  (разл. из бал. в присутствии  $\text{Al}_2\text{O}_3$ ). В этих условиях III и  $(\text{C}_2\text{H}_5)_2\text{NH}$  дают IX, выход 3%, т. пл.  $239,5^\circ$  (из бал. в присутствии  $\text{Al}_2\text{O}_3$ ). 0,4 г V, 6 мл лед.  $\text{CH}_3\text{COOH}$  и 6 мл  $\text{HJ}$  ( $d$  1,7) кипятят 1,5 часа и отфильтровывают 0,46 г в-ва, р-р которого в 40 мл  $\text{CH}_3\text{OH}$  и конц.  $\text{NH}_4\text{OH}$ , дает IX. Все т-ры плавления испр. Сообщения IV см. РЖХим, 1957, 27024.

Б. Д. 68854. Синтез некоторых замещенных индолил-3-масляных кислот. Буллоок, Ханд (Synthesis of some substituted indole-3-butyric acids. Bullock Milton W., Hand John J.), J. Amer. Chem. Soc., 1956, 78, № 22, 5854—5857 (англ.).

Методом Фишера из  $\text{RR}'\text{C}_6\text{H}_3\text{NHNH}_2 \cdot \text{HCl}$  (I) и метилового (II) или этилового (III) эфиров 5-формилвалериановой к-ты (без выделения фенилгидразонов) синтезирован ряд замещ. в бензольном ядре индолил-3-масляных к-т (IV). Смесь 2 молей *o*-толуидина, 750 мл воды и 750 мл  $\text{HCl}$  (к-ты) диазотируют р-ром 2 молей  $\text{NaNO}_2$  в 500 мл воды (при т-ре от  $-15$  до  $-20^\circ$ , 10 мин.), обрабатывают при  $0^\circ$  4,05 моля  $\text{SnCl}_2$  в 1 л  $\text{HCl}$  (к-ты) и оставляют на 12 час., получают I ( $\text{R} = \text{H}$ ,  $\text{R}' = 2\text{-CH}_3$ ) (Ia), выход 56,5%, т. пл.  $195^\circ$  (разл.; из воды). Аналогично получают следующие I (указаны R, R', выход в %, т. пл. в  $^\circ\text{C}$ ): H, 4- $\text{CH}_3$ , 63, 155—160; 2- $\text{CH}_3$ , 4- $\text{CH}_3$ , 31,5—40, 182—184; 2-Cl, 4-Cl, 50,3, 193—194,5 (разл.); 2- $\text{CH}_3$ , 3-Cl, 70, 239 (разл.); 2- $\text{CH}_3$ , 4-Cl, 54,2, 201—202; 2- $\text{CH}_3$ , 5-Cl, 75,5, 215—216 (разл.); 2- $\text{CH}_3\text{O}$ , 5-Cl, 58,6, 192—193 (разл.). Р-р 1 моля *o*-хлоранилина в 250 мл воды и 250 мл  $\text{HCl}$  (к-ты) диазотируют р-ром 1 моля  $\text{NaNO}_2$  в 250 мл воды (при т-ре от  $-5$  до  $-10^\circ$ , 10 мин.), обрабатывают 1 час при  $60-70^\circ$  р-ром 5 молей  $\text{Na}_2\text{SO}_3$ , полученным при точной нейтр-ции  $\text{SO}_2$  р-ром 5 молей  $\text{NaOH}$  в 1,5 л воды, подкисляют  $\text{HCl}$  (к-той) и нагревают 6 час. при  $\sim 100^\circ$ , получают I ( $\text{R} = \text{H}$ ,  $\text{R}' = 2\text{-Cl}$ ), выход 50%, т. пл.  $198-200^\circ$  (разл.). Аналогично получают Ia, выход 13,3%, и I ( $\text{R} = \text{H}$ ,  $\text{R}' = 4\text{-Cl}$ ), выход 67%, т. пл.  $221,5-223^\circ$  (разл.). Р-р 1 моля *m*-хлоранилина в 460 мл б. н.  $\text{HCl}$  диазотируют р-ром 1 моля  $\text{NaNO}_2$  в 150 мл воды при  $0^\circ$  и выливают при размешивании в р-р  $\text{Na}_2\text{SO}_3$ , полученный следующим образом. К р-ру 100 г  $\text{NaOH}$  в 1 л воды прибавляют 225 г  $\text{NaHSO}_3$ , охлаждают до  $25^\circ$ , прибавляют  $\text{NaHSO}_3$  до pH 8 и еще 24 г. Смесь диазорастора с р-ром  $\text{Na}_2\text{SO}_3$  нагревают 1 час при  $\sim 100^\circ$ , подкисляют на лакмус, нагревают еще 4 часа, обрабатывают углем и к фильтрату при-

бавляют 1 л  $\text{HCl}$  (к-ты), получают I ( $\text{R} = \text{H}$ ,  $\text{R}' = 3\text{-Cl}$ ), выход 73,5%, т. пл.  $245-246^\circ$  (разл.). Синтез эфиров IV осуществлен следующими методами: А) к горячему р-ру 0,3 моля I и 0,3 моля II или III в 200 мл  $\text{CH}_3\text{OH}$  прибавляют смесь 30 мл  $\text{H}_2\text{SO}_4$  и 70 мл  $\text{CH}_3\text{OH}$ , кипятят 3 часа, выливают в смесь воды и льда и извлекают эфиром; Б) к горячему р-ру 0,3 моля I в 300 мл  $\text{CH}_3\text{OH}$  прибавляют 0,3 моля II, кипятят несколько минут, отгоняют  $\text{CH}_3\text{OH}$ , остаток растворяют в  $\text{CH}_3\text{OH}$  и обесцвечивают углем; В) к горячему р-ру 0,3 моля I в 300 мл  $\text{CH}_3\text{OH}$  прибавляют 0,3 моля II, кипятят 30 мин., насыщают сухим  $\text{HCl}$ , кипятят 3 часа, оставляют на  $\sim 12$  час., выливают в смесь воды и льда и извлекают эфиром. Сложные эфиры омыляют и получают IV. Методом А получены метиловые эфиры следующих IV (указаны заместитель в бензольном ядре, выход в %, т. пл. в  $^\circ\text{C}$ , выход к-ты в %, т. пл. к-ты в  $^\circ\text{C}$ ): —, 7,2, 72,5—73 (из водн.  $\text{CH}_3\text{OH}$ ), —, —, 7- $\text{CH}_3$ , 10, 112—112,5 (из циклогексана), колич., 154—155; 5-Cl, 13,5, 77,5—78 (из циклогексана), 92, 142,5—143; 4,6- $\text{Cl}_2$ , 3,6, 94—98 (из циклогексана), 84, 125—130; 7-Cl, 16,8, 78—79 (из циклогексана), колич., 137—137,5; 5,7- $\text{Cl}_2$ , 10,4, 107,5—108 (из  $\text{CH}_3\text{OH}$ ), 99, 120—120,5; и этиловые эфиры следующих IV: —, 10,4, 39—40 (из циклогексана); 5-Cl, 18, 67 (из циклогексана); 4,6- $\text{Cl}_2$ , 13, 85—86 (из сп.); 7-Cl, 23, 65 (из циклогексана). Методом Б получены метиловые эфиры следующих IV (указаны заместитель в бензольном ядре, выход в %, т. пл. в  $^\circ\text{C}$ , выход к-ты в %, т. пл. к-ты в  $^\circ\text{C}$ ): 5,7-( $\text{CH}_3$ ), 7,4, 97—98 (из бал.-циклогексана), 94, 101—106; 6-Cl, 7- $\text{CH}_3$ , 16,7, 141 (из  $\text{CH}_3\text{OH}$ ), 96, 158. Методом В получены метиловые эфиры следующих IV (указаны заместитель в бензольном ядре, выход в %, т. пл. в  $^\circ\text{C}$ , выход к-ты в %, т. пл. к-ты в  $^\circ\text{C}$ ): 5- $\text{CH}_3$ , 4, 69 (из циклогексана), 79, 154—154,5; 4-Cl, 7- $\text{CH}_3$ , 12,5, 111,5—112 (из бал.-лигр.), колич., 121—122,5; 5-Cl, 7- $\text{CH}_3$ , 13,7, 118,5—119 (из  $\text{CH}_3\text{OH}$ ), 92, 114—114,5; 4-Cl, 7- $\text{CH}_3\text{O}$ , 5,3, 158—158,5 (из сп.), 73, 247—249.

Л. Яхонтов

68855. Образование осазонов при попытке синтезировать индолы методом Фишера. Кинсли, Плант (The formation of osazones during attempted Fischer indole syntheses. Kinsley D. A., Plant S. G. P.), J. Chem. Soc., 1956, Dec., 4814—4817 (англ.).

Нагреванием *o*-нитрофенилгидразона (НФГ) дезоксибензонина (I) в  $\text{CH}_3\text{COOH}$  вместо ожидаемого 7-нитро-2,3-дифенилиндола (II) получен бензилди-*o*-нитрофенилгидразон (III), идентичный полученному встречным синтезом из бензила и *o*-нитрофенилгидразина (IV). Образование III объясняется взаимодействием I с IV, отщепившимся под действием к-ты от I. Наличие в маточном р-ре  $o\text{-NO}_2\text{C}_6\text{H}_4\text{NH}_2$  (V) доказывает возможность восстановления IV до V. Авторы считают, что таутомерная форма I подвергается перегруппировке типа *o*-семиидиновой, превращаясь в винилид,  $o\text{-NO}_2\text{C}_6\text{H}_4\text{NHC}(\text{C}_6\text{H}_5)=\text{C}(\text{C}_6\text{H}_5)\text{NH}_2$ , гидролиз которого приводит к образованию деамина,  $o\text{-NO}_2\text{C}_6\text{H}_4\text{NHC}(\text{C}_6\text{H}_5)\text{C}(\text{C}_6\text{H}_5)=\text{O}$ , из которого с IV получается III. Аналогично НФГ I, НФГ аценафтенона (VI) превращается взаимодействием с IV в ди-*o*-нитрофенилгидразон (ДНФГ) аценафтенхиона (VII), не образуя соответствующего индола. Исследовано поведение в синтезе индолов по Фишеру НФГ инданона-2 (VIII), инданона-1 (IX), кумаранона (X), и 9-фенантрола (XI). 1,1 г НФГ I, 1,5 г IV, 20 мл  $\text{CH}_3\text{COOH}$  и 10 мл конц.  $\text{HCl}$  кипятят 1,5 часа и получают III, выход 44%, т. пл.  $260-263^\circ$  (из анизола); из маточного р-ра выделяют 0,4 г V. Из 1 г VI, 3 г IV, 100 мл  $\text{CH}_3\text{COOH}$  и 20 мл конц.  $\text{HCl}$  3,5-часовым кипячением получают ДНФГ VII, выход 0,7 г, т. пл.  $299-301^\circ$  (разл.; из анизола), из 0,9 г VII и 1,5 г IV через 50 мин. при  $140^\circ$  получают 0,9 г ДНФГ VII. 1 г НФГ X кипятят с 9 мл  $\text{CH}_3\text{COOH}$  и 5 мл конц.  $\text{HCl}$  40 мин., выделяют 0,5 г



7-нитрокумароно-(3',2'-2,3)-индола, т. пл. 248—251° (из  $\text{CH}_3\text{COOH}$ ). Из 0,6 г VIII и 0,7 г IV 15-минутным нагреванием при 120° получают 0,7 г НФГ VIII, т. пл. 173—176° (из бэл.); аналогично получен НФГ IX, т. пл. 212—214°. Кипятят 1,5 часа 0,6 г НФГ VIII, 10 мл  $\text{CH}_3\text{COOH}$ , 6 мл конц.  $\text{HCl}$  и получают 0,2 г 7-нитроиндено-(2',3'-2,3)-индола, т. пл. 234—237° (из бэл.). 7 г XI, 15 г IV, 130 мл  $\text{CH}_3\text{COOH}$  и 100 мл конц.  $\text{HCl}$  кипятят 3 часа и получают 1,3 г НФГ фенантрахинона, т. пл. 247—249° (из  $\text{C}_6\text{H}_5\text{N}$ ) и 0,9 г 7'-нитроиндоло-(2',3'-9,10)-фенантрена, т. пл. 258—260° (хроматография на  $\text{Al}_2\text{O}_3$ ; из  $\text{C}_6\text{H}_5\text{N}$ ). Т. Краснова

68856. Тринитробензолные аддукты производных индола. Ребсток, Уэллер, Селл (Trinitrobenzene adducts of various indole compounds. Rebstock Theodore L., Weller Lowell E., Sell Harold), J. Organ. Chem., 1956, 21, № 12, 1515—1516 (англ.)

Для идентификации микроколичеств различных индолов, ранее описанным методом (см. Redemann C. T. и др., J. Amer. Chem. Soc., 1951, 73, 2957), синтезированы новые желтые или оранжевые 1,3,5-тринитробензолные аддукты следующих в-в: индол-уксусной-3 к-ты (I) (перечисляются заместители в I, т. пл. аддукта в °C): 4-Cl, 209; 5-Cl, 202; 6-Cl, 160; 7-Cl, 182; 5,7-Cl<sub>2</sub>, 155; 4,7-дихлор-2-метил, 232; аддукты производных эфиров I (перечисляются в-во, т. пл. в °C): гидразид, 169; амид, 165; нитрил, 136; хлорангидрид, 88; н-гексильный эфир, 91; н-гептиловый, 93; н-октиловый, 87; н-нонильный, 97; н-дециловый, 92; н-ундециловый, 102; н-додециловый, 97; н-тетрадециловый, 96; н-гексадециловый, 96. Получены также аддукты: тиосемикарбазола 3-индоладегида, т. пл. 196°; 3-индолуксусногидроксамовой к-ты, т. пл. 144°; карбазола, т. пл. 195°; 1,3-диметилиндола, т. пл. 169; грамина, т. пл. 117°, и метилсульфата триметилскатиламмония, т. пл. 133°.

Б. Дубинин  
68857. О некоторых свойствах оснований Шиффа Риндольдегидов. Родионов В. М., Веселовская Т. К., Тр. Моск. хим.-технол. ин-та, 1956, вып. 23, 25—30

При конденсации скатолиденметиламина (I), 1-метил-(II), или 2-метил-(III)-скатолиденметиламином (синтезированных взаимодействием индол-3-альдегида (IV), 1-метил-(V) или 2-метил-(VI)-индол-3-альдегидов с  $\text{CH}_3\text{NH}_2$ ) с малоновой к-той (VII) в  $\text{C}_6\text{H}_6$  не получаются β-аминокислоты; I и II дают при этом скатолиден-(VIII) и 1-метилскатолиден-(IX)-малоновые к-ты; III — кислоту соль с VII, т. пл. 154—154,5° (из абс. сп.). Смесь IV—VI с 10—15 молекулярным избытком р-ра  $\text{CH}_3\text{NH}_2$  (285 г/л) оставляют на 24 часа и получают (указано в-во, выход в %, т. пл. в °C и т. пл. шкрат в °C): I, 85, 119—120 (разл.; из бэл.), 114—115 (разл.; из сп.); II, ~ 100, 56—57, 185—186 (разл.; из ацетона), или III, ~ 100, 151—152,5 (из бэл.), 245—247 (разл.; из  $\text{C}_6\text{H}_5\text{NO}_2$ ), 5,8 г I в 40 мл  $\text{C}_6\text{H}_6$  и 3,5 г VII нагревают 1 час при 60—70°, затем 1,5 часа при 100°, продукт отделяют и экстрагируют 10%-ным р-ром соды VIII, выход 41%, т. пл. 187—188° (из бэл.). Аналогично из 1,3 г II в 13 мл  $\text{C}_6\text{H}_6$  и 0,8 г VI (2 часа, 100°) получают IX, выход 49,8%, т. пл. 182—183° (из сп.). Д. Витковский

68858. О взаимодействии альдегидов гетероциклического ряда и полициклических хинонов с соединениями, содержащими активные метиленовые группы. Родионов В. М., Бланко Ф., Брагин С. В., Федорова А. М., Эршлер А. Б., Грязнов П. А., Тр. Моск. хим.-технол. ин-та, 1956, вып. 23, 13—20

Показано, что фурфурол (I) и N-метилкарбазол-3-альдегид (II) в присутствии  $\text{CH}_3\text{COONH}_4$  вступают в р-цию Родионова с малоновой к-той (III), образуя, в первом случае β-(α-фурил)-β-аланин (IV), а во вто-

ром — β-(N-метилкарбазил-3)-β-аланин (V) и β-(N-метилкарбазил-3)-акриловую к-ту (VI). Конденсация I с III или ее эфиром не идет в присутствии спирт. р-ра  $\text{NH}_3$ , а из фурфурилиденметиламина (VII) в аналогичных условиях получается кислая соль метиламина с фурфурилиденмалоновой к-той (VIII) или фурфурилиденмалоновый эфир. III не конденсируется также в условиях р-ции Родионова с фенантренином, антрахиноном, β-нафтохиноном или антроном. Фенилуксусная и сульфоксусная к-ты и флуорен не конденсируются в  $\text{C}_6\text{H}_5\text{CHO}$  в спирт. р-ре  $\text{NH}_3$ , с  $\text{C}_6\text{H}_5\text{CHO}$  или гидробензамидом — в присутствии  $\text{CH}_3\text{COONH}_4$  или с бензилденбисацетамидом — в  $(\text{CH}_3\text{CO})_2\text{O}$ . 15 г VII, 14,32 г III, 75 мл  $\text{C}_6\text{H}_6$  и 10 мл метилгидратдиметиланилина нагревают 8 час. при 60—70°, отгоняют р-ритель, остаток извлекают горячей водой, р-р упаривают и получают VIII, выход 59,7%, т. пл. 138—139°. 15 мл I, 20 г III, 35 г  $\text{CH}_3\text{COONH}_4$  и 50 мл спирта кипятят 9 час., приливают 0,5 л воды, осадок экстрагируют горячей водой, вытяжку извлекают эфиром и упаривают, или встряхивают с понообменной смолой «СДВ-3», которую промывают ацетоном, продукт вымывают водой и 5%-ной  $\text{HCl}$ , р-р упаривают и получают IV, выход 32%, т. пл. 205—206°; N-бензоат, т. пл. 179,5—180° (из воды); N-ацетат, т. пл. 171—172° (из ацетона). 26 г N-метилкарбазола, 26 г N-форманилида, 26 г  $\text{POCl}_3$  и 60 мл толуола нагревают 6 час. при 100°, приливают 125 мл 30%-ного р-ра  $\text{CH}_3\text{COONa}$ , отгоняют с паром толуол, остаток нагревают с  $\text{CH}_3\text{COOH}$ , р-р разбавляют водой и извлекают эфиром II, выход 15 г, т. пл. 73—74° (из эф.). 4,2 г II, 2,4 г III, 3,56 г  $\text{CH}_3\text{COONH}_4$  и 40 мл спирта нагревают 10 час. при 100°, отгоняют спирт, приливают при 80° 0,1 л горячей воды, продукт отделяют, извлекают горячим спиртом VI, выход 58%, т. пл. 226—228° (разл.), остаток кипятят со спиртом и отделяют V, выход 25%, т. пл. 232—234° (разл.). Д. В.

68859. Синтезы с помощью нитрила акриловой кислоты. XXX. Некоторые 1-замещенные пирролидина и пиперидина. Терентьев А. П., Кост А. П., Ж. общ. химии, 1957, 27, № 1, 262—263

С целью синтеза в-в с гипотензивным действием из 1-диалкиламинопропиламинов и 1,4-дибромбутана (I) или 1,5-дибромпентана (II) получены 1-диалкиламинопропиламин замещ. пирролидина и пиперидина. Кипятили 8 час. 9,5 г 1-(γ-аминопропил)-пиперидина (Терентьев, Кост, Ж. общ. химии, 1948, 18, 510), 18 г I, 35 мл  $\text{C}_6\text{H}_6$  и 11 г влажного  $\text{K}_2\text{CO}_3$ , смесь разлагают щелочью, перегоняют с водяным паром в  $\text{HCl}$ , дистиллят упаривают, разлагают щелочью, эфиром извлекают 1-(N-пирролидил)-3-(N-пиперидил)-пропан, т. кип. 131,5—132°/11 мм,  $n_D^{20}$  1,4830,  $d_4^{20}$  0,9183; диникрат, т. пл. 176,5° (из сп.); дийодметилат, т. пл. 305° (из сп.). Аналогично из 1-диэтиламино-3-аминопропана (III) и I получен 1-диэтиламино-3-(N-пирролидил)-пропан, выход 48%, т. кип. 74°/3 мм,  $n_D^{20}$  1,4577,  $d_4^{20}$  0,8530; диникрат, т. пл. 165,5° (из сп.). Дийодметилат, т. пл. 272,5° (разл., из сп.); из III и II получен 1-диэтиламино-3-(N-пиперидил)-пропан, выход 62%, т. кип. 124°/17 мм,  $n_D^{20}$  1,4740; диникрат, т. пл. 150°. Из 1,3-ди-(N-пиперидил)-пропана (IV) (Терентьев, Терентьева, Ж. общ. химии, 1942, 12, 415) получен дийодметилат IV, т. пл. 300° (из сп.). Восстановлением β-дифутиламинопирролидина Na в бутаноле получен 1-дифутиламино-3-аминопропан (V), выход 60%; из V и II синтезирован 1-дибутиламино-3-(N-пиперидил)-пропан, выход 56%, т. кип. 140°/1 мм, 167—168°/14 мм,  $n_D^{20}$  1,4610,  $d_4^{20}$  0,8551; диникрат, т. пл. 171—172° (из сп.). Цианэтилированием 2,4-диметилпиррола в диоксане действием акрилонитрила (4,5 часа, 40°) над катализатором Родионова синтезирован 2,4-диметил-1-(2-цианэтил)-пиррол (VI), выход 58%, т. кип. 152—153°/18 мм,

$n_D^{20}$  1,5048,  $d_4^{25}$  0,9878. При гидрировании VI над скелетным Ni диамины выделить не удалось. Сообщение XIX с.м. РИХХИМ, 1957, 37533.

А. Кост 68860. Алкилирование 3-пиколина. Миллер, Левин (Alkylation of 3-picoline. Miller Alfred D., Levine Robert), J. Organ. Chem., 1957, 22, № 2, 168—170 (англ.)

3-пиколин (I) алкилируется по  $CH_3$ -группе галогидными алкилами в присутствии  $KNH_2$  (мол. соотношение 2:1:2) в жидком  $NH_3$ . Установлен следующий порядок метилирования I:  $LiNH_2 < NaNH_2 < KNH_2$  (для  $n-C_4H_9Br$  выходы 3-*н*-амилопиридина (II) соответственно 33,6; 58,8; 72,0%). В р-р  $KNH_2$  (из 0,4 г-атома K и 350—400 мл жидкого  $NH_3$ ) прибавляют 15 мин. 0,4 моля I, размешивают 2 часа, добавляют 20 мин. р-р 0,2 моля  $n-C_4H_9Br$  в равном объеме, размешивают 1 час, разлагают 0,41 моля сухого  $NH_4Cl$  и выделяют II, выход 72%, т. кип. 110—112°/20 мм; пикрат, т. пл. 78,8—79,2°, также 15,5 г I и 1,8 г  $n-C_4H_9Br$ . Аналогично получены следующие 3- $C_6H_4NCH_2R$  из соответствующих  $RBr$  (перечисляются R, выход в %, т. кип. в °C/мм, т. пл. пикрата в °C):  $C_2H_5$ , 49,6, 182—184/753, 99,8—100,4;  $CH_3=CHCH_2$  (применен  $RCI$ ), 13,7, 99, —102/25, 90,6—91;  $n-C_3H_7$ , 60,3, 75—76/7,5, 88—89; *изо*- $C_4H_9$ , 61,1, 85,5—87,5/19, 111,6—112; *изо*- $C_4H_9$ , 46, 107—108/20, 105—105,8;  $(CH_3)_2NCH_2CH_2$  (применен  $RCI \cdot HCl$ ), 34,2, 101—103/4, 161,6—162,2 (дипикрат); диклопентил, 38,8, 149—151/35, 120,5—121,5;  $n-C_6H_{11}$ , 69,6, 128—129/20, 72,4—73,0;  $(C_2H_5)_2NCH_2CH_2$ , 56,3, 111—112/3, 141,6—142 (дипикрат).

Б. Дубинин 68861. Изучение производных 4-оксипиридинкарбоновой-3 кислоты. Хлоридат 4-хлорпиридинкарбоновой-3 кислоты. Нантка-Намирский, Боярская-Далиг (Z badań nad pochodnymi kwasu 4-hydroksy-3-pirydynokarboksylowego. Chlorowodorek kwasu 4-chloro-3-pirydynokarboksylowego. Nantka-Namirski P., Bojarska-Dahlig H.), Roczn. chem., 1956, 30, № 2, 641—642 (польск.; рез. англ.). Действием  $SOCl_2$  на 4-оксипиридинкарбоновую-3-кту получен хлоридат 4-хлорпиридинкарбоновой-3-кты (I, к-та), т. пл. 200—201,5°. Констатируется, что атом хлора в I обменивается на амино-, гидразино- или алкоксигруппу.

Ж. Вольф 68862. Метилирование 3-аминопиридинов и получение 2-амино-3-метиламинопиридина и 2,3-диаминопиридина. Кларк-Льюис, Томпсон (Methylation of 3-aminopyridines and preparation of 2-amino-3-methylaminopyridine and 2,3-diaminopyridine. Clark-Lewis J. W., Thompson M. J.), J. Chem. Soc., 1957, Jan., 442—446 (англ.)

Описаны новые, а также усовершенствованные методы получения 2-амино-3-метиламино- (I) и 2,3-диаминопиридина (II). Эти соединения, как считают авторы, целесообразнее получать из 3-амино- (III), чем из 2-аминопиридина. 35 г 3-бромпиридина, 45 мл 25—30%-ного водн. р-ра  $CH_3NH_2$  и 2 г  $CuSO_4$  нагревают 40 час. при 150°, разбавляют водой, фильтрат (150 мл) сильно подщелачивают и выделяют 3-метиламинопиридин (IV), выход 38%, т. кип. 96°/4 мм. 14,1 г III, 20 мл пиридина и 30 г  $n-C_4H_9SO_3Cl$  (V) нагревают 2 часа при 100°, выливают в воду и отфильтровывают 3-*п*-толуолсульфамидопиридин (VI), выход 97%, т. пл. 191—192° (из сл.). 35 г VI и 40 г безводн.  $K_2CO_3$  сусуспендируют в 650 мл ацетона, при кипячении прибавляют за 30 мин. 19 г  $(CH_3)_2SO_4$  в 75 мл ацетона и кипятят еще 2 часа. Выделенный из упаренного фильтрата маслянистый 3-*п*-метил-*п*-толуолсульфамидопиридин (VII) нагревают 3 часа при ~100° с 60 мл 80%-ной  $H_2SO_4$ , разбавляют водой, подщелачивают  $NH_4OH$  (d 0,88) и извлекают эфиром IV, выход в пересчете на III 72%, т. кип. 110°/7 мм и 76°/3 мм. 14,1 г 2-хлор-3-аминопиридина (полученного хлорированием

III, выход 60—70%, т. пл. 78—79°) нагревают 4 часа при ~100° с 22,5 г V и 25 мл безводн. пиридина, выливают в воду и отфильтровывают 2-хлор-3-*п*-толуолсульфамидопиридин, выход колич. (неочищ.), т. пл. 144—145° (из бал.- $C_6H_{11}$ ). 30 г последнего метилируют, как указано при получении VII, и образовавшееся *N*-метильное производное, выход 63%, т. пл. 119° (из бал.- $C_6H_{11}$ ) гидролизуют как при синтезе IV из VII; выход 2-хлор-3-метиламинопиридина 89%, т. кип. 144°/10 мм,  $n_D^{20}$  1,5945, темнеет при хранении; *N*-ацетильное производное, т. пл. 85—86° (из  $C_6H_{11}$ ); пикрат, т. пл. 123° (из воды). 250 г никотиновой к-ты (VIII) кипятят 3,5 часа с 1 кг очищ.  $SOCl_2$ , отгоняют избыток  $SOCl_2$  в вакууме, приливают постепенно 0,5 л абс. спирта и кипятят 15 мин. Спирт отгоняют в вакууме, остаток разбавляют водой, подщелачивают  $Na_2CO_3$  и извлекают этиловый эфир VIII, выход 90%, т. кип. 130°/40 мм,  $n_D^{20}$  1,5020. 275 г последнего перемешивают при слабом нагревании с 100 мл 100%-ного  $NH_4NH_2$  до образования гомог. р-ра и выпаривают досуха; выход гидразида VIII почти колич., т. пл. 156°. Гидразид растворяют в 350 мл 12 н.  $HCl$  и 200 мл воды, охлаждают до 5—10°, приливают за 1 час р-р 270 г  $NaNO_2$  в 500 мл воды, перемешивают еще 1 час, приливают р-р 100 г  $Na_2CO_3$  в 500 мл воды, отфильтровывают азид VIII, растворяют его в 500 мл  $C_6H_6$ , фильтрат извлекают  $C_6H_6$ , объединенные бензоальные р-ры (1,5 л) высушивают и кипятят 9 час. с 500 мл абс. спирта. Из бензоального р-ра выделяют 3-карботоксинаминопиридин (IX), выход 67% (в пересчете на VIII), т. пл. 86—88°. Р-ры азидов сильно раздражают кожу. 30 г IX обрабатывают смесью 60 мл 98—100%-ной  $H_2SO_4$  и 60 мл  $HNO_3$  (d 1,5) и, после того, как первоначально бурно протекающая р-ция затихнет, нагревают 20 мин. при ~100°. Р-р выливают на лед и отфильтровывают 3-карботоксинамино-2-нитропиридин (X), выход 60%, т. пл. 82—83° (из водн. сл.). При нитровании больших кол-в IX р-ция может стать неконтролируемой. 3 г X восстанавливают в 100 мл  $CH_3OH$  над скелетным Ni-катализатором W7 при ~20°, фильтрат упаривают досуха, получают 2-амино-3-карботоксинаминопиридин, выход 65%, т. пл. 97,5° (из бал.). При нагревании последнего (160—165°) до затвердевания расплава и затем еще в течение 15 мин. образуется 2'-оксимидазоло-(4',5',2,3)-пиридин, выход 58%, т. пл. 265—266° (из воды). 60 г X метилируют  $(CH_3)_2SO_4$ , как указано при синтезе VII, и получают 3-(*N*-карботоксина-*N*-метил)-амино-2-нитропиридин (XI), выход 93%, т. кип. 146°/0,05 мм,  $n_D^{20}$  1,5238, который при каталитич. восстановлении в условиях, аналогичных указанным при восстановлении X, превращается в 2-амино-3-(*N*-карботоксина-*N*-метил)-аминопиридин (XII), выход 82%, т. пл. 129—130° (из бал.). XII сублимируется при 140—150° и после нагревания при 200° (15 мин.) циклизуется с образованием 2'-окси-1'-метилмидазоло-(4',5',2,3)-пиридина, выход 96%, т. пл. 201—202° (из бал. и из воды с последующей возгонкой при 180°/12 мм). 29,7 г XI кипятят 1 час с р-ром 18,5 г KOH в 150 мл воды и 100 мл спирта, выдерживают при 0° и отфильтровывают 3-метиламино-2-нитропиридин, выход 64%, т. пл. 109—110° (из водн. сл.). 7 г этого амина восстанавливают в 100 мл  $CH_3OH$  над скелетным Ni-катализатором W7 при ~20° и получают I, выход 73%, т. кип. 138°/1 мм (перегонка в токе  $N_2$ ), т. пл. 124—125° (из бал.). I синтезируют также следующим образом: а) реакционную смесь, получаемую при восстановлении 11,5 г XI в 100 мл  $CH_3OH$  (см. выше), фильтруют, разбавляют водой, удаляют  $CH_3OH$  в вакууме, выкристаллизовавшийся XII кипятят 2 часа с 100 мл 10%-ного NaOH и извлекают I эфиром, выход 31% (в пересчете на XI); б) 8 г 2-хлор-3-метиламинопиридина нагревают (130°,

30 час.) в запаянной трубке с 40 мл  $\text{NH}_4\text{OH}$  ( $d$  0,88), 20 мл воды и 1 г  $\text{CuSO}_4$ , выход I 54%, т. кип. 134°/1 мм. Р-р 22,5 г X в 200 мл 2,5 н. р-ра NaOH выдерживают 48 час. при 25° и отфильтровывают 2-нитро-3-аминопиридин, выход 86%, т. пл. 195–196° (из водн. сп.). 3 г последнего восстанавливают в 100 мл  $\text{CH}_3\text{OH}$  при ~20° над 3–4 г скелетного Ni-катализатора W7 и выделяют из фильтрата, приобретающего на воздухе интенсивную синюю окраску, II, выход 71%, т. пл. 113–114° (из бэл.). Г. Браз

**68863. Пронзводные пиридина с длинной цепью и их третичные имониевые соли.** Фюрст, Дик (Langkettige Pyridinderivate und ihre tertiären Imoniumsalze. Fürst H., Dietz H. J.), J. prakt. Chem., 1956, 4, № 3, 147–160 (нем.).

Описан синтез 3-замещ. пиридинов  $\text{RC}=\text{CHCH}=\text{CHN}=\text{CH}$  (Ia–п, где а R = OH, б  $\text{H}-\text{C}_3\text{H}_7\text{O}$ , в

$\text{H}-\text{C}_3\text{H}_7\text{O}$ , г  $\text{H}-\text{C}_4\text{H}_9\text{O}$ , д *перв-изо*- $\text{C}_4\text{H}_9\text{O}$ , е *изо*- $\text{C}_5\text{H}_{11}\text{O}$ , ж  $\text{H}-\text{C}_6\text{H}_{13}\text{O}$ , з  $\text{H}-\text{C}_8\text{H}_{17}\text{O}$ , и  $\text{H}-\text{C}_{12}\text{H}_{25}\text{O}$ , к  $\text{C}_2\text{H}_5\text{COO}$ , л  $\text{H}-\text{C}_3\text{H}_7\text{COO}$ , м *изо*- $\text{C}_4\text{H}_9\text{COO}$ , н  $\text{C}_{11}\text{H}_{23}\text{COO}$ , о  $\text{C}_{17}\text{H}_{35}\text{COO}$ , п SH, р *изо*- $\text{C}_5\text{H}_{11}\text{S}$ , с  $\text{H}-\text{C}_6\text{H}_{13}\text{S}$ , т  $\text{H}-\text{C}_8\text{H}_{17}\text{S}$ , у  $\text{H}-\text{C}_{12}\text{H}_{25}\text{S}$ , ф  $\text{H}-\text{C}_{16}\text{H}_{33}\text{S}$ , х  $\text{SO}_3\text{H}$ , ц Br), а также третичных имониевых солей, полученных из I, содержащих длинную боковую цепь, и исследованы бактерицидные и фунгицидные свойства этих солей. При синтезе Iб–з действием галоалкила на Na-соль Ia наряду с алкоксипроизводными образуются побочные продукты, представляющие собой вязкие масла, разлагающиеся при перегонке в вакууме; только при получении Im такой побочный продукт представляет собой кристаллич. в-во, оказавшееся моногидратом гидроокиси N-додецил-3-оксипиридина (II). Авторы предполагают, что образованию II (и аналогичных соединений) в данном случае предшествует образование соответствующего бетанина, который лишь затем при обработке присоединяет воду и переходит в II. На примере 2-йод-Ia показано, что при р-ции 2-замещ. Ia с галоалкилами имеет место только О-алкилирование. Пиридин в присутствии Hg нагревают при 250–270° с большим избытком 20%-ного олеума и полученную Ix выделяют из реакционной смеси прибавлением  $\text{CH}_3\text{OH}$  при охлаждении. Для очистки водн. р-р Ix кипятят, обрабатывают  $\text{H}_2\text{S}$  и к упаренному фильтрату прибавляют  $\text{CH}_3\text{OH}$ ; т. пл. Ix 350–352°. Для превращения в Ia р-р неочищ. Ix подщелачивают KOH, фильтруют от  $\text{HgO}$ , упаривают и фильтрат длительно кипятят; выход чистой K-соли Ix 60–68%. К 300 г KOH приливают 25 мл воды, нагревают до 190° и за 30–40 мин. присыпают 160 г порошкообразной K-соли Ix, затем нагревают 30 мин. при 210–220°, охлаждают, приливают воду, нейтрализуют HCl (к-той) и извлекают Ia эфиром, выход 70–84%, т. пл. 124–126° (из сп.-бэл.). К р-ру  $\text{C}_2\text{H}_5\text{ONa}$  (из 5,8 г Na и 150 мл абс. сп.) прибавляют 24 г Ia, затем 0,25 моля галоалкила, кипятят 4 часа, удаляют из фильтрата спирт и либо отгоняют с паром алкоксипиридин (в случае Iб–д), либо выливают в воду и извлекают эфиром. Этим путем получены (указаны соединения, выход в %, т. кип. в °C/мм и т. пл. пикрата в °C): Iб, 32, 95–96/15, —; Iв, 41, 82–83/12, 125–127; Iг, 20, 107–108/13, 97–99; Id, 18, 115–116/25, —; Iе, 22, 114–116/12, 93–95; Iж, 15, 136–138/14, 81–83; Iз, 34, 164–168/13, 89–91; Im, 24, 205–208/12, 98–100. К водн. р-ру, остающемуся после удаления из реакционной смеси Im, приливают 40%-ный р-р NaOH до выделения маслянистого слоя, прибавляют кол-во воды, необходимое для растворения этого слоя, и при охлаждении (4°, 24 часа) выкристаллизовывают II, т. пл. 69–71° (из сп.-эф.). По отщеплении из II 2 молей воды (70°/0,002 мм) образуется в-во с т. пл.

71–73°, являющееся, по-видимому, соответствующим бетанином, которое легко присоединяет воду и вновь переходит в II. При действии HCl (к-ты) II превращается в хлористый N-н-додецил-3-оксипиридин (III), полученный также нагреванием (165–170°, 36 час.) Ia (12 г) с  $\text{H}-\text{C}_{12}\text{H}_{25}\text{Cl}$  (26 г) с последующим извлечением примесей эфиром, выход 53%, т. пл. моногидрата 71–75° (из этилацетата), т. пл. безводн. в-ва 103–104°. К р-ру  $\text{C}_2\text{H}_5\text{ONa}$  (из 1,25 г Na и 100 мл сп.) прибавляют 12 г 2-йод-Ia, затем 8,6 г *изо*- $\text{C}_5\text{H}_{11}\text{Br}$  и кипятят 6 час.; получают 2-йод-Ie, выход 61%, т. кип. 165–168°/9 мм. С целью синтеза ацильных производных к 24 г Ia приливают 100 мл соответствующего хлорангидрида, для завершения р-ции кипятят еще 2 часа, отгоняют избыток хлорангидрида, растворяют в ледяной воде, прибавляют эфир и нейтрализуют 2 н. р-ром NaOH. При получении In–о 25 г Ia и 30 г соответствующего хлорангидрида нагревают 3 часа при 135°, реакционную смесь измельчают, смешивают с небольшим кол-вом эфира, отфильтровывают Ia и из фильтрата выделяют полученное в-во. Ниже указаны синтезированные таким образом соединения, выход в % и т. кип. в °C/мм: Ik, 85, 100–102/12; Il, 78, 118–120/12; Im, 83, 124–126/13; In, 76, 209–212/12; Io, 32, — (т. пл. 49–51°). Ic получен по описанному ранее методу (Maeyer–Bode H., Ber., 1937, 69, 1535), выход 30%, т. кип. 170–176°, наряду с 3,5-дибромпиридином, выход 24%, т. пл. 109–112°. Ic нагревают (175–180°, 20 час.) с р-ром KSH в гликоле в присутствии Cu, получают Iп, выход 50% (неочищ.), т. пл. 73–76° (из бэл.); Iп синтезируют также восстановлением хлоридрата пиридил-3-сульфоксида действием  $\text{SnCl}_2$  в конц. HCl, выход 33–40%. К р-ру  $\text{C}_2\text{H}_5\text{ONa}$  (из 3,5 г Na и 100 мл абс. сп.) прибавляют 16,5 г Iи, затем 0,15 моля соответствующего алкилбромид и кипятят 3 часа. Этим путем получены (указаны соединения, выход в %, т. кип. в °C/мм и т. пл. пикрата в °C): Ip, 88, 138–140/12, 101–103; Iе, 83 (из  $\text{C}_6\text{H}_{13}\text{Cl}$ ), 160–163/13, 95–98; Iг, 75, 162–166/7, 86–89; Iу (из  $\text{C}_{12}\text{H}_{25}\text{Cl}$ ), 69, 211–215/8 (т. пл. 22°), 92–94; If, 64, — (т. пл. 36–37°), 102–103. 3-алкокси-, 3-ацилоксипиридин или 3-алкилпиридил-сульфид смешивают с эквимолярным кол-вом  $(\text{CH}_3)_2\text{SO}_4$  или  $\text{n}-\text{CH}_3\text{C}_6\text{H}_4\text{SO}_2\text{OCH}_3$  и после замедления самопроизвольно начинающейся р-ции нагревают еще 2 часа при 110°. В некоторых случаях р-цию проводят в толуоле, по отгонке которого вязкий остаток промывают эфиром. Выход N-метилметосульфатов (МС) и N-метил-п-толуолсульфонатов (ТС) почти колич. Для очистки в-ва перекристаллизовывают из этили или бутилацетата. Получены МС следующих соединений (указаны исходный I, т. пл. в °C (расплав мутный; в скобках указана т-ра, при которой расплав становится прозрачным), фенольный коэф. (ФК), вычисленный по данным определения бактерицидного действия на *Staphylococcus aureus* и *Escherichia coli*, конция в %, при которой р-р в-ва угнетает прорастание спор *Aspergillus niger* (K)): Ia, —, 36, 40, 0,1–0,5; Im, 77–79 (259–264°, разл.), 180, 67, 0,01–0,05; Iу, 88–90 (261–265°, разл.), 360, 50, 0,01–0,05; If, 100–103, 360, 14, 0,1–0,5; In, 68–70, 23, 20, 0,1–0,5; Io, 75–77, —, —. Получены ТС (обозначения те же, что и выше): Ia, 70–73, 9, 7, 0,1–0,5; Im, 85–86 (132–135°), 180, 200, 0,01–0,05; Iг, 84–86, 9, 40, 0,1–0,5; Iу, 82–83 (130–134°), 154, 72, 0,005–0,01. Кроме того, приведены ФК III (36, 20), ФК гидрамена, служившего стандартом (180, 250), и в-ва C4 (125, 200), а также K III (0,01–0,05%) и  $(\text{CH}_3)_2\text{NCSSNa}$  (0,01–0,05%). При потенциометрич. титровании 0,5%-ных р-ров МС рН оказалось равным 2,1–2,75, рН таких же р-ров ТС 5,3–6,1.

Г. Браз



## 68864. Производные пирона, пиридоны и пиридина.

VI. Синтез новых веществ типа лобелана. Геб-ки Я., Кейга И., Сб. чехосл. хим. работ, 1957, 22, № 2, 489—496 (рез. нем.)  
См. РЖХим, 1957, 34393.

68865. Действие N-окиси пиридина и N-окисей пиколинов на 2-бромпиридин. Окислительное бромирование бромгидратом N-окиси пиридина. Рамирес, Оствальден (The action of pyridine N-oxide and of the pcoline N-oxides on 2-bromopyridine. Oxidative brominations with pyridine N-oxide hydrobromide. Ramirez Fausto, Ostwalden P. von), Chemistry and Industry, 1957, № 2, 46 (англ.).

При взаимодействии 2-бромпиридина (I) с N-окисью пиридина (II) при 100° после индукционного периода (~ 2 час.) наступает бурная р-ция, сопровождающаяся подъемом т-ры до 250°, и в результате образуются пиридин, N-(пиридил-2')-пиридон-2 (III) и 3-бром-III (IV), т. пл. 129°. Прибавление HBr (к-ты) активизирует I и при нагревании бромгидрата I с II до ~ 100° р-ция наступает без заметного индукционного периода; в этих условиях помимо IV получают также 3,5-дибром-III (V), т. пл. 158°, и 2,5-дибромпиридон-2, т. пл. 207°. Образование IV и V вызывается окислительным бромированием III, наступающим в результате взаимодействия II и HBr. Бромгидрат II реагирует с III при 200° и дает преимущественно IV, пиридин и немного V. Р-ция между I и II протекает более умеренно в толуоле в присутствии HBr (к-ты) в качестве индикатора; в этом случае продукты бромирования почти не образуются и III может быть получен с удовлетворительным выходом. Указанным путем синтезированы из 3-метил-II — 5-метил-III, т. пл. 94°, и 5-метил-IV, т. пл. 152°; из 4-метил-II — 4'-метил-III, т. пл. 114°, и из 2-метил-II — 6'-метил-III, т. пл. 42°. Для сравнения 4'-, 5'-, 6'-, а также 3'-метил-III синтезированы из пиридоны-2 и соответствующих 2-бромпиколинов. Строение V подтверждено тем, что то же соединение получено при действии 2 молей Br<sub>2</sub> на III в CH<sub>3</sub>COOH; при действии 1 моля Br<sub>2</sub> на III в CH<sub>3</sub>COOH с выходом > 90% получен IV. 5-бром-III, синтезированный из I и 5-бромпиридоны-2, в отличие от IV плавится при 134°. N-окись 2,6-диметилпиридина не реагирует с I.

Г. Браз  
68866. Ароматическая циклодегидратация. XXXI. Новые полициклические ароматические системы, содержащие хинолизиновое ядро. Бадшер, Бивере (Aromatic cyclodehydration. XXXI. New polycyclic aromatic systems containing the quinolinizinium nucleus. Bradsher C. K., Beavers Leo E.), J. Amer. Chem. Soc., 1956, 78, № 11, 2459—2462 (англ.).

Используя ранее описанные (см. сообщение XXX, РЖХим, 1956, 46974) методы синтеза бензолов хинолизины, получены соединения, содержащие хинолизиновое ядро, конденсированное с нафталином или фенантроном. К охлажд. р-ру α-LiC<sub>10</sub>H<sub>7</sub> (из 52 г α-бромнафталина) в эфире прибавляют за 1 час 40 г пиридина в 65 мл безводн. эфира, размешивают 5 час., разлагают водой, отделяют эфирный слой, добавляют к нему 40 мл C<sub>6</sub>H<sub>5</sub>NO<sub>2</sub>, высушивают, отгоняют до 150° в парах, кипятят 1,5 часа, осаждают эфиром, фильтрат извлекают 10%-ной HCl, вытяжку подщелачивают NH<sub>4</sub>OH и извлекают эфиром, получают 2-(1-нафтил)-пиридин (I), выход 34%, т. кип. 161—164°/1 мм; пикрат, т. пл. 199,5°. Смесь 0,5 г I и 0,5 г бромацетона (II) выдерживают 5 дней, растворяют в воде, обрабатывают углем и фильтрат упаривают при 80° в вакууме; получают неочищ. бромистый 1-ацетонил-2-(1-нафтил)-пиридин (III); пикрат, т. пл. 172—173° (из сп.). Смесь неочищ. III (из 0,5 г I) и 15 мл 48%-ной HBr нагревают до кипения, отгоняют в токе N<sub>2</sub> 1 мл р-ра, кипятят 7,5 часа и упаривают при 80°

в вакууме, получают бромистый 7-метилнафто-[1,2-а]-хинолизиновый (IV), выход 54%, т. разл. ~ 347° (из сп.); перхлорат (IVa), т. пл. > 340° (из ацетона); пикрат, т. пл. 253,5—254° (разл.; из ацетона). Из 1 г I и 1 г бромистого фенацила получают, как указано для III (стояние в течение 2 месяцев), неочищ. бромистый 1-фенацил-2-(1-нафтил)-пиридин (V); пикрат, т. пл. 160—161° (из сп.). Из V аналогично указанному для IV (кипение в течение 41 часа) получают бромистый 7-фенилнафто-[1,2-а]-хинолизиновый, выход 81,5%, т. пл. 274—276° (разл.; из сп.); перхлорат (VI), т. пл. 267—268° (разл.; из ацетона); пикрат, т. разл. 227—228° (из ацетона). Смесь 5 г 1-фенил-изохинолина, 5 г II и 25 мл ацетона кипятят 30 мин. и оставляют на 2 дня, получают бромистый 1-фенил-2-ацетонилизохинолиновый (VII), выход 92%, т. пл. 226—228° (разл.; из сп.); пикрат, т. пл. 187—188,3° (из сп.). Смесь 4,8 г 6-фенилфенантридина, 15 мл безводн. ацетона и 10 г II кипятят 144 часа, получают бромистый N-ацетонил-6-фенилфенантридин (VIII), выход 81%, т. разл. ~ 220°, пикрат, т. пл. 218,5—219° (разл.; из сп.). Попытка циклизации VII и VIII в присутствии HBr (к-ты) не привела к положительному результату. Смесь 1 г пиридинальдегида-2 (IX) и 2,1 г α-бромметилнафталина нагревают до растворения, оставляют на 8 дней, растворяют в горячем спирте, упаривают до 14 мл и обрабатывают эфиром, получают бромистый N-(α-нафтилметил)-пиридинальдегид-2 (X), выход 2,12 г, т. пл. 127,5—128° (разл.; из сл.). Смесь 1,47 г X и 20 мл 48%-ной HBr кипятят 3 часа в атмосфере N<sub>2</sub>; после обычной обработки получают бромистый бензо-[h]-акридинин, выход 52%, т. пл. 308—309° (моногидрат; разл.; из сп.); перхлорат (XI), т. пл. 291—292° (разл.; из ацетона); пикрат, т. пл. 232° (разл.; из ацетона). Смесь 0,5 г IX, 1,1 г 2-бромметилнафталина и 2 мл C<sub>6</sub>H<sub>6</sub> выдерживают 3 недели, декантируют C<sub>6</sub>H<sub>6</sub> и остаток кипятят с 21 мл 48%-ной HBr (3 часа, в атмосфере N<sub>2</sub>); получают бромистый бензо-[j]-акридинин, выход 72%, т. пл. 302—303° (моногидрат; разл.; из воды); перхлорат (XII), т. пл. 268—270° (разл.; из ацетона); пикрат, т. пл. 259—260° (разл.; из ацетона). Смесь 0,5 г IX, 1 г 9-бромметилфенантрена и 2 мл ацетона оставляют на 9 дней, декантируют, удаляют в вакууме ацетон, остаток растворяют в 10 мл 48%-ной HBr, обрабатывают C<sub>6</sub>H<sub>6</sub>, кислый р-р фильтруют, осадок на фильтре промывают 10 мл HBr (к-та), из объединенного кислого р-ра отгоняют в токе N<sub>2</sub> остаток C<sub>6</sub>H<sub>6</sub>, кипятят 2 часа в атмосфере N<sub>2</sub>, разбавляют, фильтруют и упаривают в вакууме, получают бромистый дибензо-[h,j]-акридинин, выход 24,5%, т. разл. ~ 328° (из воды); перхлорат (XIII), т. разл. ~ 327° (из ацетона); пикрат, т. пл. 336° (разл.; из ацетона). Приведены УФ-спектры IVa, VI, XI, XII и XIII.

Л. Влэдуч  
68867. Синтез производных 1,3,4,6,11,11а-гексагидро-2Н-бензо-[b]-хинолизины. Тани, Исибаши (1, 3, 4, 6, 11, 11a-Hexahydro-2H-benzo [b] quinolizine 誘導体の合成. 谷千秋, 石橋健一), 薬学雑誌, Якугаку дзасси, J. Pharmac. Soc. Japan, 1956, 76, № 9, 1064—1067 (японск.; рез. англ.).

Описан синтез 8,9-метилendioкси-(I) и 8,9-диметокси-1,3,4,6,11,11а-гексагидро-2Н-бензо-[b]-хинолизины (II), исходя из пиколиновой к-ты (III) и пиперона (IV) или III и ватерного альдегида (V). Конденсацией III с IV получен 3',4'-метилendioксифенил-2-пиридилкарбинол (VI), т. пл. 72°; пикрат, т. пл. 164—165°; производное C<sub>6</sub>H<sub>5</sub>CSN, т. пл. 149—150°. Аналогично из III и V получен 3',4'-диметоксифенил-2-пиридилкарбинол (VII), т. пл. 90—91°; пикрат, т. пл. 139—140°. VI окислен KMnO<sub>4</sub> до 3',4'-метилendioксифенил-2-пиридикетона, т. пл. 141—142°; пикрат, т. пл. 180°; семикарбазон, т. пл. 176—177°, который восстановлен до

2-(3',4'-метилendioксбензил)-пиперидина (VIII). Аналогично из VII получены 3',4'-диметоксифенил-2-пиридилкетон, т. пл. 94—95°; семикарбазон, т. пл. 219—220° и 2-(3',4'-диметоксбензил)-пиперидин (IX); пикрат, т. пл. 216—217° (разл.). Формилирование VIII HCOOH, циклизация N-формильного производного с  $\text{POCl}_3$  и восстановление продукта циклизации Zn и HCl (к-те) приводят к I, т. пл. 135—136°; пикрат, т. пл. 164—165° (разл.); йодметилат, т. пл. 293—294 (разл.); N-метилроданид, т. пл. 190—192°. Аналогично IX превращен в II, т. пл. 101—102°; пикрат, т. пл. 209—210° (разл.); пикролонат, т. пл. 230°; йодметилат, т. пл. 251—252°; метилсульфометилат, т. пл. 263°. N-метилроданид, т. пл. 182—183°.

Л. Яхонтов  
68868. Окисление перманганатом 2,4-диоксихинолина и его производных. Стефанович, Прекайский, Михайлович (L'oxydation permanganique de la 2,4-dihydroxyquinoléine et de ses dérivés. Stefanović Gjorgje, Prekajski Petar, Mihailović Mihailo Lj.), С. г. Acad. sci., 1957, 244, № 4, 475—477 (франц.).

При окислении перманганатом 2,4-диоксихинолина (I) образуется не 2,4-диоксипиперидиндикарбоновая-5,6, к-та, как сообщалось ранее (Meyer A., Neimann P., С. г. Acad. sci., 1936, 203, 264), а о-НОСССН<sub>2</sub>ННСОСООН (II). К суспензии I в воде при размешивании и 70° медленно прибавляют 3%-ный р-р  $\text{KMnO}_4$  и выделяют из фильтрата II; выход II при кол-ве  $\text{KMnO}_4$ , эквивалентном 5 атомам O на 1 моль I, составляет 40%, т. пл. 203—204° (разл.); из воды после предварительного переосаждения из р-ра соды). Диметилловый эфир, полученный действием  $\text{CH}_3\text{N}_2$  на II, т. пл. 151,5°. При окислении метилового эфира 2,4-диоксихинолиндикарбоновой-3 к-ты в аналогичных условиях (кол-во  $\text{KMnO}_4$ , эквивалентное 7 атомам O) также получена II, выход 55%.

Г. Браз  
68869. Новый способ синтеза 2-арил-4-оксихинолинов. Стаскун (A new synthesis of 2-aryl-4-hydroxyquinolines. Staskun B.), J. S. Afric. Chem. Inst., 1956, 9, № 2, 89—91 (англ.).

Показано, что α-замещ. производные β-аминокротоновых эфиров  $\text{ArN}=\text{C}(\text{Ar}')\text{C}(\text{COOR})=\text{C}(\text{NH}_2)\text{CH}_3$  (I), получаемые взаимодействием диарилминхлоридов с  $\text{CH}_2\text{C}(\text{NH}_2)=\text{CHCOOR}$  (II), при нагревании до 250—260° почти количественно превращаются в соответствующие замещ. 4-оксихинолина (III). В качестве побочного продукта р-ции образуется  $\text{CH}_3\text{CN}$ . При р-ции с  $\text{POCl}_3$  из III получены их 4-хлораналоги (IV). Взаимодействием эквимолекулярных кол-в II ( $\text{R}=\text{CH}_3$ ) и диарилминхлоридов в  $\text{CHCl}_3$  (0—4°, 3—5 дней) синтезируются следующие I с  $\text{R}=\text{CH}_3$  (указаны Ar, Ar', т. пл. в °C (из разб. сп.)):  $\text{C}_6\text{H}_5$ , 2- $\text{CH}_3\text{C}_6\text{H}_4$ , 126—127;  $\text{C}_6\text{H}_5$ , 4- $\text{CH}_3\text{C}_6\text{H}_4$ , 182—183;  $\text{C}_6\text{H}_5$ , α- $\text{C}_{10}\text{H}_7$ , 147—148. В 30 мл вазелинового масла, нагретого до 250—260°, быстро вносят 2 г I и выдерживают при 250—260° 15 мин.; по охлаждении до ~20° реакционную смесь обрабатывают равным объемом сухого эфира, фильтруют и осадок промывают эфиром; полученные таким образом III очищают кристаллизацией из спирта или растворяют при кипячении в 1%-ном р-ре NaOH, фильтруют и осаждают разб.  $\text{CH}_3\text{COOH}$ . Смесь 0,5—1 г неочищ. III и 5—10 мл  $\text{POCl}_3$  кипятят 20 мин., выливают на лед и подщелачивают; полученные таким образом IV очищают кристаллизацией из водн. спирта. Описанным способом из I ( $\text{R}=\text{CH}_3$  или  $\text{C}_2\text{H}_5$ ) синтезированы следующие III и IV (указаны заместители в III и IV, выход III в %, т. пл. III в °C, т. пл. IV в °C): 2- $\text{C}_6\text{H}_5$ , 81—83, 252—253, 64—65; 2- $\text{C}_6\text{H}_5$ -8- $\text{CH}_3$ , 81—84, 226—228, 84—85; 2- $\text{C}_6\text{H}_5$ -6- $\text{CH}_3$ , 84, 308—310, 111—112; 2- $\text{C}_6\text{H}_5$ -6,8-( $\text{CH}_3$ )<sub>2</sub>, 80, 228—230, 82—83; 2-(o- $\text{CH}_3\text{C}_6\text{H}_4$ ), 82, 214—215, 67—68; 2-(n- $\text{CH}_3\text{C}_6\text{H}_4$ ), 85, 295—296, 79—80; 2-α- $\text{C}_{10}\text{H}_7$ , 80, 294—296, 120—121. А. Т.

68870. Некоторые бромзамещенные производные 8-оксихинолина. Эрвинг, Пиннингтон (Some bromine-substituted derivatives of 8-hydroxyquinoline. Irving H., Pinnington A. R.), J. Chem. Soc., 1957, Jan., 290—295 (англ.).

В связи с изучением свойств 8-оксихинолина (I) и его производных синтезированы новые бромзамещ. I. Полученные соединения образуют с различными металлами нерастворимые комплексы и дают со следами  $\text{Fe}^{3+}$  темно-зеленую окраску. 0,62 г 8-амино-3-бромхинолина нагревают в запаянной трубке с 1,6 мл 98%-ной  $\text{H}_2\text{SO}_4$  и 1,1 мл воды (220°, 8 час.), выливают в воду, слегка подщелачивают р-р и затем слабо подкисляют  $\text{CH}_3\text{COOH}$ . Выделившийся 3-бром-I (II) перегоняют с паром; выход 62%, т. пл. 111° (из водн. сп. с последующей возгонкой в вакууме). К 0,6 г II в 2 мл 50%-ной HBr и 10 мл воды приливают небольшой избыток 0,0166 M р-ра KBr-KBrO<sub>3</sub>, избыток оттитровывают после прибавления KJ 0,1 н.  $\text{Na}_2\text{S}_2\text{O}_3$ , р-р нейтрализуют и отделяют 3,5,7-трибром-I, т. пл. 170° (из водн. сп. с последующей возгонкой в вакууме). 0,34 г II метилируют 0,46 г  $(\text{CH}_3)_2\text{SO}_4$ , получают 3-бром-8-метоксихинолин, т. пл. 83—84° (из водн. сп. с последующей возгонкой в вакууме); пикрат, т. пл. 173—174° (из сп.). 9 г анила, синтезированного из о-анилина и  $\text{C}_2\text{H}_5\text{OCOSOCCH}_2\text{COOC}_2\text{H}_5$ , кипятят 10 мин. с 30 г дифенила, охлаждают до 100°, извлекают кипящей 2 н. HCl и из вытяжки выделяют 3,1 г 4-окси-8-метоксихинальдиновой к-ты (III), т. пл. 259° (из воды). Этерификацией 1,7 г III по методу Фишера — Шпейера получают 1,3 г этилового эфира III, т. пл. 107—108° (из Петр. эф.). 2 г III нагревают с 15 мл  $\text{POBr}_3$  при 100° до образования р-ра и затем еще 1 час, выливают на смесь льда и воды, оставляют на 12 час., отфильтровывают выделившийся осадок от водн. р-ра (р-р А) и извлекают 250 мл кипящей воды (р-р Б). Нерастворимый остаток — 4-бром-8-метоксихинальдиновая к-та (IV), выход 1,2 г (неочищ.), т. пл. 134—135° (из водн. диоксана и из диоксана-Петр. эф.). Из объединенных р-ров А и Б после упаривания выделяется 0,25 г 4-бром-8-оксихинальдиновой к-ты (V), которую очищают переосаждением из 2 н. NaOH, т. пл. 199—200° (разл., из воды или водн. диоксана). После перекристаллизации из водн. спирта т-ра плавления IV и V понижается на 5—15°. 0,5 г ксантуреновой к-ты нагревают 2 часа на водяной бане с 10 г  $\text{POBr}_3$ , выливают на лед и нейтрализуют; получают 0,4 г неочищ. V. 0,45 г IV нагревают 10 мин. при 230° с 10 г дифенила, извлекают 2 н. HCl, вытяжку нейтрализуют и выделившееся в-во переосаждают из 2 н.  $\text{H}_2\text{SO}_4$ ; получают 0,23 г 4-бром-8-метоксихинолина (VI), т. пл. 86—87° (из водн. сп. с последующей возгонкой в вакууме); пикрат, т. пл. 248° (из сп.). 0,12 г VI кипятят 6 час. с 10 мл свежерегенной 48%-ной HBr, выливают в воду, оставляют на ~12 час., нейтрализуют и выделившийся 4-бром-I перегоняют с паром; выход 0,06 г т. пл. 134—135° (из водн. сп. с последующей возгонкой в вакууме). 10,3 г ди-(4-бром-2-метоксифенил)-мочевина, полученной по Герм. пат. 523437 (Friedländer, 1930, 1, 460), т. пл. 260—261° (из водн. ацетона), кипятят 4 часа с 75 мл  $(\text{CH}_3\text{CO})_2\text{O}$  и 20 г свежеплавленного  $\text{CH}_3\text{COONa}$ , выливают в воду и отделяют 11,7 г неочищ. N,N-диатетил-4-бром-2-метоксанилина, т. пл. 96° (из водн. сп. или Петр. эф.). 6,7 г последнего кипятят 1 час со спирт. р-ром HCl, нейтрализуют и отгоняют с паром 4-бром-2-метоксанилин (VII), выход 3,7 г, т. пл. 60—61° (из водн. сп. с последующей перегонкой с паром). 6,7 г VII, 4,6 г  $\text{As}_2\text{O}_3$ , 9,5 г глицерина и 13,2 г 98%-ной  $\text{H}_2\text{SO}_4$  нагревают при 160—170° до начала бурной р-ции, по окончании которой выдерживают 5 час. при 140—150°. Затем выливают в воду, нейтрализуют и отгоняют с паром; нелетучий остаток пред-

ставляет собой 6-бром-8-метоксихинолин (VIII), т. кип. 70–80°/24–28 мм, сесквиэдрат, т. пл. 49–51° (из водн. сп.), пикрат, т. пл. 210° (из бал.-сп.). Тесную смесь 0,6 г VIII и 1,5 г  $AlBr_3$  осторожно нагревают до 120°, выдерживают 4 часа при 140° и извлекают кипящей 2 н.  $HCl$ . К фильтрату прибавляют  $NaOH$  и затем  $KHCO_3$  до начала выделения осадка, приливают 2 н.  $HCl$  до получения прозрачного р-ра и р-ром  $CuSO_4$  осаждают 6-бром-1 (IX) в виде  $Cu$ -комплекса. IX выделяют из комплекса действием  $H_2S$  и перегоняют с паром, выход 0,26 г, т. пл. 138–139° (из водн. сп. с последующей возгонкой в вакууме). Р-р IX в 2 н.  $HCl$  обрабатывают стандартной смесью  $KBr-KBrO_3$  и разбавляют водой; получают 0,8 г 5,6,7-трибром-1, т. пл. 192° (из водн. сп.).

Г. Брау  
68871. Бромирование 8-метоксихинолина. Эрвинг, Пиннингтон (The bromination of 8-methoxyquinoline. Irving H. Pinnington A. R.), J. Chem. Soc., 1957, Jan., 285–290 (англ.).

Бромирование 8-метоксихинолина (I) в зависимости от условий приводит к получению 5-бром-1 (II) или тетрабром-1, оказавшегося 5-бром-8-метоксис-2-трибромметилхинолином (III). При действии  $AlBr_3$  II превращается в 5-бром-8-оксихинолин (IV). 5-бром-8-метоксихинолин (V) при кипячении с  $HBr$  (к-той) образует смесь в-в, содержащую 5,7-дибром-8-оксихинолин (VI) и в меньшем количестве 5-бром-8-оксихинолин (VII) и 8-оксихинолин (VIII). В отличие от этого V не изменяется при нагревании в течение нескольких часов с р-ром  $CH_3ONa$  в  $CH_3OH$  при 120°. К р-ру 0,1 моля I и 50 г безводн.  $CH_3COONa$  в 150 мл лед.  $CH_3COOH$  при 80° приливают за 30 мин. р-р 0,4 моля  $Br_2$  в 150 мл лед.  $CH_3COOH$ , нагревают еще 10 мин. и выделившийся осадок извлекают горячим  $C_6H_6$ ; выход III 45% (неочищ.), т. пл. 202° (разл.; из бал.). 2 г III кипятят 20–30 час. с 320 мл 20%-ной  $H_2SO_4$ ; твердый остаток отделяют и кипятят 6 час. с 60 мл свежей 20%-ной  $H_2SO_4$ . К объединенным р-рам прибавляют конц. р-р  $NaOH$  до почти нейтр. р-ции и отфильтровывают 5-бром-8-метоксихинолинкарбоную-2 к-ту (IX), т. пл. 170–171° (из бал.). После кипячения (2 часа) 84 г III в 70 мл диоксида с 8,4 г  $AgNO_3$  в 2,5 мл воды IX выделяют из упаренного фильтрата с выходом 85%. Р-р IX в водн.  $CH_3COOH$  не дает осадка при прибавлении водн. р-ра  $CuSO_4$ , 1,6 г IX кипятят 5 мин. с 30 г дифенила и извлекают кипящей 2 н.  $HCl$ ; после нейтр-ции вытяжки выделяется V, выход 80%, т. пл. 88° (из водн. сп. и из петр. эф. с последующей возгонкой в вакууме); пикрат, т. пл. 197–198° (из сп.). 1,81 г V кипятят 6 час. с 20 мл 50%-ной  $HBr$ , выливают в 60 мл воды, нейтрализуют, выделившийся осадок растворяют в 65 мл горячего спирта и прибавляют 130 мл горячей воды; получают 1,09 г VI (неочищ.), т. пл. 198° (из водн. сп. после предварительного пересаживания из 10 н.  $HCl$ ). Из первоначального водно-спирт. маточного р-ра выделяют VII, т. пл. 123–124° (из водн. и из водн. сп.), и VIII, т. пл. 72–75°. К р-ру 0,05 моля I и 25 г свежеплавленного  $CH_3COONa$  в 50 мл лед.  $CH_3COOH$  при 15–20° прибавляют за 30 мин. 0,05 моля  $Br_2$  в 25 мл лед.  $CH_3COOH$ , перемешивают еще 2 часа, оставляют на ~12 час. и выливают в 1 л воды. Из выделившегося после нейтр-ции смолистого осадка отгоняют с паром (14 час.) II, который затем перегоняют в вакууме, выход 44%, т. пл. 114° (из петр. эф.); пикрат, т. пл. 238° (из сп.). II получают из IV с выходом 70%. К р-ру 0,05 моля II и 4 г свежеплавленного  $CH_3COONa$  в 30 мл лед.  $CH_3COOH$ , нагретому до ~100°, порциями по 1 мл приливают р-р 0,015 моля  $Br_2$  в 10 мл лед.  $CH_3COOH$ ; получают III, выход 94%. 2,8 г II и 9,2 г  $AlBr_3$  нагревают 4,5 часа при 160°, реакционную смесь кипятят 1 час с 5 мл 50%-ной  $HBr$ , разб. 50 мл

воды, фильтрат нейтрализуют, отгоняют с паром IV и пересаживают его из р-ра в 2 н.  $NaOH$ ; выход 0,88 г, т. пл. 67° (из водн. сп. с последующей возгонкой в вакууме). 0,8 г IV растворяют в 10 мл 6 н.  $HBr$ , количественно титруют стандартным р-ром  $KBr-KBrO_3$ , нейтрализуют и отгоняют с паром 5,7-дибром-8-оксихинолин, выход 81%, т. пл. 125° (из водн. сп. с последующей возгонкой в вакууме). 20 г 4-бром-2-нитрофенола (X) в 100 мл спирта восстанавливают при ~20° над скелетным Ni; выход 2-амино-4-бромфенола 78%, т. пл. 134–135° (из воды), темнеет при хранении. 0,15 моля последнего, 3 г  $As_2O_5$  и 100 мл конц.  $HCl$  нагревают при 120° (т-ра бани), прибавляют за 5 мин. 0,18 моля  $CH_3CH=CHCHO$  и нагревают еще 15 мин. Летучие примеси отгоняют с паром, остаток нейтрализуют и отгоняют с паром полученный IV, выход 37%. 10 г X, 20 мл лед.  $CH_3COOH$ , 20 мл глицерина и 20 мл конц.  $H_2SO_4$  нагревают 6 час., р-р нейтрализуют и отгоняют с паром VII, выход 0,8 г, 0,05 моля хлоргидрата 5-амино-8-оксихинолина диазотируют в 20 мл конц.  $HBr$  и 50 мл воды и прибавляют к кипящему р-ру  $CuBr$  (из 0,06 моля  $NaBr$   $2H_2O$ , 0,125 моля  $CuSO_4 \cdot 5H_2O$ , 1 г медной стружки, 14 мл конц.  $H_2SO_4$  и 50 мл воды); кипятят 30 мин., насыщают  $H_2S$  и из нейтрализованного фильтрата отгоняют с паром VII, выход 36%. VII в 1%-ном р-ре  $NaOH$  метилируют  $(CH_3)_2SO$ ; выход V 65%, т. пл. 88° (из петр. эф. с последующей возгонкой в вакууме); йодметилат последнего получают в  $CH_3OH$  при 80° (1 час), т. пл. 187–188° (из воды).

Г. Брау  
68872. Синтез замещенных хинолил-4-карбинолов.

Делаби, Цакас, Лузинки (Synthèse de quino-lyl-4 carbinols substitués. Delaby Raymond, Tsatsas Georges, Lusinski Xavier), C. r. Acad. sci., 1956, 243, № 25, 2082–2084 (франц.).

Действием  $LiAlH_4$  (I) замещ. в положении 2 эфир хинолинкарбоновой-4 к-ты превращены в соответствующие хинолил-4-карбинолы (II). Р-р 15 г метилового эфира 2-(3',4'-диметилметиленидиокси)-фенилхинолинкарбоновой-4 к-ты в 200 мл безводн. эфира прибавляют при т-ре не выше –10° к суспензии 3 г I в 250 мл безводн. эфира, размешивают 15 мин. и обрабатывают 6 мл воды; получают 2-(3',4'-диметилметиленидиокси)-фенил-II (IIa), выход 70%, т. пл. 140° (из бал.); пикрат, т. пл. 193–194°; *n*-нитробензоат, т. пл. 188° (из этилацетата); *n*-аминобензоат, т. пл. 222–223° (из этилацетата). Аналогично получают 2-метил-II, выход 86%, т. пл. 148° и следующие аналоги IIa (указаны заместители в 3',4'-метиленидиоксигруппе, выход в %, т. пл. в °C, т. пл. пикрата в °C):  $CH_3$ ,  $C_2H_5$ , 46, —, 178–179, 200–201 (из тетрагидрофурана), 213 (из сп.-тетрагидрофурана); *n*- $C_3H_7$ , *n*- $C_4H_9$ , 50, 108–109 (из эф.-петр. эф.), 164, 146–147 (из этилацетата), 154 (из сп.); циклогексилден, 67, —, 202–203, 206 (из этилацетата), 166–167 (из этилацетата). При аналогичном восстановлении 2-фенилхинолинной к-ты (III) получают 2-фенил-II с выходом более низким (26%), чем при восстановлении метилового эфира II (78%).

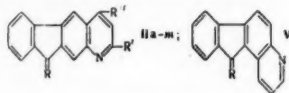
А. Травин

68873. Синтез инденохинолинов. Кембелл, Темпл (The synthesis of indenoquinolines. Campbell Neil, Temple Arthur F.), J. Chem. Soc., 1957, Jan., 207–212 (англ.).

Установлено, что при проведении р-ции Скраупа, Дёбнера — Миллера, Дёбнера или Комба с 2-аминофлуореном (I) замыкание цикла происходит в положении 3 и приводит к образованию индено-(3,2-6,7)-хинолинов (II). Для доказательства строения II ( $R = H$ ,  $R' = R'' = H$ ) (IIa), синтезированного ранее Дильсом (Ber., 1902, 35, 3275) из I по Скраупу, 3-аахризен (III) окислен в 3-аахризенхинон-7,8 (IV). Последний в



щел. среде подвергнут перегруппировке в 1'-оксидено-(2',3',5,6)-хинолины (V R = O) (Va), оказавшийся не идентичным кетопроизводному II (R = O, R' = R'' = H) (IIb), получаемому из Па при окислении. IIb при расщеплении щелочью и последующей циклизации превращается в Va. На основании этих данных сделан вывод, что Па имеет указываемое здесь строение. Этот вывод подтвердился также при сравнении кривых УФ-спектров IIb и 2,3-бензофлуоренона и соответственно Va и 1,2-бензофлуоренона. Превраще-



ние IIb в Va, по-видимому, проходит через стадию образования 6-(о-карбоксибензил)-хинолина, так как в случае промежуточного образования фенилхинолин-карбонной к-ты циклизация привела бы не к Va, а к IIb. При р-ции I с  $\text{CH}_3\text{COCOON}$  (VI) вопреки высказанному ранее предположению (Neish, *Recueil trav. chim.*, 1948, 67, 349) образуется к-та II (R = H<sub>2</sub>, R' = CH<sub>3</sub>, R'' = COOH) (IIв), как это доказано превращением ее в Па. Конденсация 2-аминофлуоренола-9 (VII) с VI приводит к II (R = HOH, R' = CH<sub>3</sub>, R'' = COOH) (IIг). Из I и паральдегида синтезирован II (R = H<sub>2</sub>, R' = CH<sub>3</sub>, R'' = H) (IIд). Найдено, что II (к-та) при действии на бромзамещ. флуорены элиминирует атом Br из положения 3, но не из положения 2. 10 г Fe в виде тонкого порошка прибавляют к кипящей суспензии 12,5 г 2-нитрофлуорена (VIII) в 180 мл спирта, приливают за 1,5 часа 250 мл конц. HCl и кипятят 2 часа; после охлаждения выпадает хлоридрат I, из которого выделяют основание, выход 89–96%, т. пл. 125–126° (из сп.). При гидрировании 5 г VIII в 200 мл этилацетата над скелетным Ni (~20°, 4 ат) получают 2,2'-азоксифлуорен, выход 82%, т. пл. 277–279°. 1 г  $\text{NaN}_3$  прибавляют к 2,2 г 2-ацетилфенантрена в 15 г  $\text{CCl}_3\text{COOH}$  и нагревают 4 часа при 60° (т-ра бани), затем присыпают еще 0,2 г  $\text{NaN}_3$ , нагревают 3 часа, выливают на лед и отфильтровывают 2-ацетамидофенантрин, выход 72%, т. пл. 225–226° (из сп.). При гидролизе последнего смесью 15 мл конц. HCl и 100 мл  $\text{CH}_3\text{OH}$  с последующей обработкой щелочью получают 2-аминофенантрин (IX), выход 92%, т. пл. 85°. 5 г IX, 11 г глицерина, 7 мл конц.  $\text{H}_2\text{SO}_4$  и 9 г  $\text{As}_2\text{O}_3$  кипятят 4 часа, выливают в воду, осадок кипятят с HCl (к-той) и после обработки щелочью получают III, выход 69%, т. пл. 129–130° (из толуола). 0,1 г III окисляют в 5 мл  $\text{CH}_3\text{COOH}$  0,1 г  $\text{CrO}_3$  в 1 мл воды при кипячении (2–3 мин.), р-ритель удаляют и остаток извлекают водой; выход IV 10%, т. пл. 285–286° (из ксилола-петр. эф. или после возгонки при 190°/0,01 мм). Суспензию 0,02 г IV в 6 мл 5%-ного р-ра KOH нагревают 36 час. в токе воздуха при ~100° и по упариванию в вакууме выделяют Va, выход 50%, т. пл. 178–179° (из сп.). 1 г Па понемногу прибавляют при 180° к смеси 3 г KOH и 30 мл ( $\text{C}_6\text{H}_5$ )<sub>2</sub>O, выдерживают 2 часа при этой т-ре, выливают в  $\text{C}_6\text{H}_6$ , выделившуюся К-соль прибавляют к 3 мл конц.  $\text{H}_2\text{SO}_4$ , нагревают 1 час при 100°, выливают в воду и после обработки щелочью получают Va. При восстановлении по Кижнеру — Вольфу Va превращается в V (R = H<sub>2</sub>), который очищают через пикрат и хроматографированием на  $\text{Al}_2\text{O}_3$ , т. пл. 150° (из бал.-петр. эф.). 2 г 2-амино-3-нитрофлуорена, 9 г глицерина, 4,6 г  $\text{As}_2\text{O}_3$  и 2 г конц.  $\text{H}_2\text{SO}_4$  нагревают 3 часа, выливают в воду, полученный осадок извлекают  $\text{C}_6\text{H}_6$  (3 часа) и бензольный р-р хроматографируют на  $\text{Al}_2\text{O}_3$ ; выход IIb 2%, т. пл. 187–189°. IIв, синтезированную, как описано ранее (Neish, см. ссылку выше), для доказательства строения декар-

боксилируют нагреванием с CaO и образовавшееся масло хроматографируют на  $\text{Al}_2\text{O}_3$ , получают IIд, т. пл. 169–170° (из бал.-петр. эф.). 0,5 г IIд кипятят 3 часа с 0,5 г  $\text{SeO}_2$  в 70 мл диоксана и 5 мл воды и из упаренного фильтрата разбавлением водой выделяют осадок, который кипятят 1 час со спиртом в присутствии Hg; получают II (R = H<sub>2</sub>, R' = CHO, R'' = H) (IIе), выход 40%, т. пл. 221–222°. 0,3 г IIе кипятят 3 часа с 2 мл 30%-ной  $\text{H}_2\text{O}_2$  в 200 мл ацетона, р-ритель удаляют и выделяют II (R = H<sub>2</sub>, R' = COOH, R'' = H), выход 57%, т. пл. 238–239° (из  $\text{CH}_3\text{COOH}$ ); эту к-ту декарбоксилируют нагреванием с CaO и после хроматографии очистки на  $\text{Al}_2\text{O}_3$  получают Па, т. пл. 132–133°. 3 г VII кипятят 5 час. с 3 мл VI в миним. кол-ве спирта и выделяют IIг, выход 40% (неочищ.), т. пл. 300–310° (из  $\text{C}_6\text{H}_5\text{NO}_2$ ); метиловый эфир IIг, т. пл. 227–228°. 1 г IIг кипятят 2 часа с 0,01 г Cu в 10 мл хинолина; по удалении хинолина и хроматографировании бензольного р-ра остатка выделено 0,35 г II (R = O, R' = CH<sub>3</sub>, R'' = H), т. пл. 203–204° (из бал.-петр. эф.). При нагревании IIг с CaO образуется IIд; тем самым подтверждается приписанное IIг строение. 2,1 г I нагревают (~100°, 90 мин.) с 4 мл конц. HCl, 3 г паральдегида и 1,5 г  $\text{ZnCl}_2$ , реакционную смесь выливают в р-р 5 г NaOH в 20 мл воды, осадок извлекают  $\text{C}_6\text{H}_6$ , бензольный р-р хроматографируют и выделяют IIд, выход 10%. 1 г ангидра, полученного из I и  $\text{CH}_3\text{COCNH}_2$ , прибавляют к р-ру 10 г  $\text{P}_2\text{O}_5$  в 10 мл безводн.  $\text{H}_2\text{PO}_4$ , нагревают при ~100° до появления темной окраски, выливают в воду, прибавляют избыток щелочи и из осадка извлекают эфиром II (R = H<sub>2</sub>, R' = R'' = CH<sub>3</sub>) (IIж), выход 79%, т. пл. 158° (из бал.-петр. эф.). Для доказательства строения IIж 0,5 г метилового эфира IIв (т. пл. 168–170° (из  $\text{CH}_3\text{OH}$ )) восстанавливают действием  $\text{LiAlH}_4$ , образовавшийся II (R = H<sub>2</sub>, R' = CH<sub>3</sub>, R'' = CH<sub>2</sub>OH), выход 71% (неочищ.), т. пл. 225–227°, нагревают с Zn-пылью и после хроматографирования на  $\text{Al}_2\text{O}_3$  бензольного р-ра продукта р-ции получают IIж, выход 20%. Р-р 3 г I в 10 мл спирта постепенно прибавляют к кипящему р-ру 1,1 г VI и 2 г  $\text{C}_6\text{H}_5\text{CHO}$  в 25 мл спирта, кипятят 1 час и полученную 2-фенилинденодихинолиновую к-ту, выход 65%, т. пл. 265–270°, декарбоксилируют нагреванием с Cu в хинолине или лучше перегонкой с CaO; выход 2-фенилинденодихинолина (X) 40%, т. пл. 222–223°. 3 г 4-аминофлуорентена, 12,6 г глицерина, 4 г конц.  $\text{H}_2\text{SO}_4$  и 6,4 г  $\text{As}_2\text{O}_3$  нагревают 6 час., выливают в воду, обрабатывают избытком щелочи и извлекают эфиром пиридо-(3',2',3,4)-флуорантен, который очищают хроматографированием на  $\text{Al}_2\text{O}_3$ , выход 12%, т. пл. 169–170° (из сп.). 2-бром-(XI) и 2,7-дибромфлуорен (XII) (1 г) при кипячении (4 часа) с HJ (d 1,94; 7 мл) и красным P (0,2 г) и последующем вылинии смеси в 2%-ный р-р KJ (100 мл) выделяются неизменными. 2,3,7-трибромфлуорен при подобной обработке превращается в X, выход 85%, т. пл. 162°; 2-амино-3,7-дибромфлуорен (XIII) дает 2-амино-7-бромфлуорен (XIV), выделенный в виде ацетильного производного, выход 85%, т. пл. 231°. Для получения XIII флуорен бромруют в  $\text{CHCl}_3$  при 0° и получают XI с примесью XII. 60 г неочищ. XI в 500 мл  $\text{CH}_3\text{COOH}$  нитруют при 50° 500 мл конц.  $\text{HNO}_3$ , т-ру постепенно поднимают до 80°, выдерживают 5 мин., охлаждают до ~20° и отделяют 2-бром-7-нитрофлуорен, выход 67%, т. пл. 236°. Последний восстанавливают Fe и конц. HCl как указано при получении I; выход XIV 90%, т. пл. 140–141° (из водн. сп.). 10 г ацетильного производного XIV в 45 мл  $\text{C}_6\text{H}_5\text{NO}_2$  оставляют на 3 часа при ~20° с 7 г Br<sub>2</sub>, отгоняют с паром  $\text{C}_6\text{H}_5\text{NO}_2$  и получают ацетильное производное XIII (XIIIa), выход 80%, т. пл. 272° (из  $\text{CH}_3\text{COOH}$ ). 10 г XIIIa кипятят 1,5 часа с 100 мл 70%-ной  $\text{H}_2\text{SO}_4$  и 50 мл  $\text{CH}_3\text{COOH}$ , выливают на лед, при-

бавляют  $\text{NH}_4\text{OH}$  и выделяют XIII, выход 80%, т. пл. 133—134° (из  $\text{CH}_3\text{COOH}$ ). Приведены положения полос в УФ-спектрах ( $\lambda_{\text{max}}$  в лг е) соединений IIb, Va и X.

Г. Браз  
68874. Синтез 1-замещенных изохинолинов из  $\alpha$ -ациламиникоричных кислот. Накадзима ( $\alpha$ -アシルアミノ桂皮酸より1-置換イソキノリンに到る合成について. 仲嶋正一), 薬學雜誌, Якугаку дзасси, J. Pharm. Soc. Japan, 1956, 76, № 9, 1008—1010 (японск.; рез. англ.)

Описан синтез 1-(3,4-диметоксифенил)-изохинолина (I) по схеме: 2-(3',4'-диметоксифенил)-4-бензилден-5(4Н)-оксазолон (II) (т. пл. 164—169°)  $\rightarrow$   $\alpha$ -вератрамидокоричная к-та (III) [т. пл. 225 (разл.)]  $\rightarrow$   $\beta$ -вератрамидостирол (IV) (т. пл. 182°)  $\rightarrow$  N-фенилвератрамид (V) (т. пл. 121,5°)  $\rightarrow$  3,4-дигидро-I (т. пл. 87°; кип. т. пл. 166—167°)  $\rightarrow$  I (т. пл. 124°). По той же схеме из  $\alpha$ -бензамидокоричной к-ты получают  $\beta$ -бензамидостирол (т. пл. 179°), гидрирование которого приводит к N-фенилбензамиду (т. пл. 117°). Аналогично из 3',4'-диметоксифенилбензиденаналога II получают 3,4-диметокси-III (т. пл. 213—219°), которую превращают в 3,4-диметокси-IV (т. пл. 187°). Гидрированием последнего получают 3,4-диметокси-V (т. пл. 152°). Из 2-(3',4'-диметоксифенил)-4-индолиден-5(4Н)-оксазолон (т. пл. 226,5°), полученного конденсацией индолил-3-альдегида с N-вератроилглицином, синтезированной  $\alpha$ -вератрамидо- $\beta$ -индолилакриловой к-ты, т. пл. 243° (разл.). Попытка превращения последней в 3-замещ. норгарман не привела к положительному результату.

Ю. Волькенштейн  
68875. Диазотирование 3-аминоизохинолина. Бойер, Вулфорд (The diazotization of 3-aminoisochinolone. Boyer J. H., Wulford L. T.), J. Organ. Chem., 1956, 21, № 11, 1297—1299 (англ.)

Диазотированием 3-аминоизохинолина (I) в разб.  $\text{H}_2\text{SO}_4$  получен 3-оксизохинолин (II) наряду с в-вом неустановленного строения (возможно, продукт деградации гетероциклич. ядра) (III), образующимся также при действии  $\text{HNO}_2$  на II. При диазотировании I в разб.  $\text{HCl}$  подтверждены ранее полученные данные (образование 3-хлоризохинолина, кроме неидентифицированных в-в). При обработке I изо- $\text{C}_5\text{H}_7\text{ONO}$  в лед.  $\text{CH}_3\text{COOH}$  неожиданно получено ацетильное производное II (IV). Диазотируют при 0—5° 1,5 ммоль I в 5 мл воды с 5,9 ммоль  $\text{H}_2\text{SO}_4$  водн. р-ром  $\text{NaNO}_2$  (4,5 ммоль) и размешивают 5—10 мин. Выход сульфата II (V) 26,6%, т. пл. 235—236° (из сп.). Получен также обработкой II разб.  $\text{H}_2\text{SO}_4$ , выход 30,0%, т. пл. 240—242°. V переводят через Na-соль II (VI) (в 2 н.  $\text{NaOH}$ ) в II (подкисление VI водн.  $\text{CH}_3\text{COOH}$ ), выход 18% на I, т. пл. 195—196° (из сп.). Из маточного р-ра после отделения V через 12 час. выпадает III (0,14 г), т. пл. 210—211° (разл.; из сп.). В ИК-спектре III имеются интенсивные линии, возможно, ассоциированных OH-групп, а также амидного CO. 5,0 ммоль изо- $\text{C}_5\text{H}_7\text{ONO}$  прибавляют по каплям к р-ру 3,0 ммоль I в 10 мл лед.  $\text{CH}_3\text{COOH}$ , размешивают 15 мин., разбавляют водой и нейтрализуют содой. Выход IV 63,5%, т. пл. 85—86° (из сп.). В водн.  $\text{CH}_3\text{COOH}$  при 0—5° выход IV 39% (кроме неидентифицированного желтого в-ва). IV дает красное окрашивание со спирт.  $\text{FeCl}_3$ , в ИК-спектре имеется линия сложного эфирного CO. При обработке 2 н.  $\text{NaOH}$  (4 часа) IV гидролизует до II, выход 86%, т. пл. 198—199°. Водой IV гидролизует с трудом. II дает цветную р-цию с  $\text{FeCl}_3$ , в ИК-спектре присутствует линия фенольного OH. Из 9,7 ммоль I в 6 мл лед.  $\text{CH}_3\text{COOH}$  и 10 мл воды и 9,7 ммоль  $\text{KNO}_3$  в 10 мл воды синтезирована известным методом («Синтезы органич. препаратов», М. Изд-во ин. лит., 1951, т. 4, 62) 3-изохинолиномочевина (VII), выход 56%, т. пл. 207—210° (из разб. сп.).

При обработке водн.  $\text{NaNO}_2$  в конц.  $\text{H}_2\text{SO}_4$  (1,5 часа при 0—5°) VII дает нитрозопроизводное, т. пл. 162—164° (из разб. сп.). Желтая окраска I и II, в отличие от бесцветных IV, VI и VII, по-видимому, связана с их таутомеризацией.

А. Точиликин  
68876. Карбиноламины из N-ацетил-9- $\omega$ -бромацетил-9,10-дигидроакридина. Перегруппировка галоидметилкетона. Сарджент (Carbinolamines derived from N-acetyl-9- $\omega$ -bromoacetyl-9,10-dihydroacridine. Rearrangement of the halomethyl ketone. Sargent Lewis J.), J. Organ. Chem., 1956, 21, № 11, 1286—1288 (англ.)

В качестве возможных противомаларийных средств синтезированы  $\text{RCHONCH}_2\text{NR}'_2$  (I), (где R = N-ацетил-9,10-дигидроакридил-10) по схеме:  $\text{RCOON}$  (II)  $\rightarrow$   $\text{RCOCl}$  (III)  $\rightarrow$   $\text{RCOCHN}_2$  (IV)  $\rightarrow$   $\text{RCOCH}_2\text{Br}$  (V)  $\rightarrow$   $\text{RCOCH}_2\text{NR}'_2$  (VI)  $\rightarrow$  I. При получении VI, наряду с последними, образуются также  $\text{RCH}_2\text{CONR}'_2$  (VII). При окислении 9-(2'-диметиламино-1'-оксэтил) - 9,10-дигидроакридина (VIII) с помощью  $\text{K}_3\text{Fe}(\text{CN})_6$  (IX) получен акридин (X). Смесь 13,3 г 9,10-дигидроакридинкарбоновой-9 к-ты и 32 мл  $\text{CH}_3\text{COCl}$  кипятят 30 мин., обрабатывают льдом и получают II, выход 11,6 г, т. пл. 219—221° (разл.; из  $\text{CH}_3\text{OH}$ ). Смесь 8 г II, 8 г  $\text{PCl}_5$  и 120 мл петр. эфира (т. кип. 30—60°) кипятят 2,5 часа, получают III, выход 7,8 г, т. пл. 169—171° (разл.; из петр. эф.). К р-ру  $\text{CH}_2\text{N}_2$  (из 15,8 г N-нитрозо-N-метилмочевинки) в 280 мл эфира прибавляют при 0—5° за 45 мин. 7,8 г III, размешивают 1,5 часа при 0° и оставляют на 15 час. при 5°, получают IV, выход 7,2 г, т. пл. 151—153° (разл.). К суспензии 7,2 г IV в 225 мл безводн. эфира прибавляют при 10—15° за 30 мин. р-р 7 мл 48%-ной  $\text{HBr}$  в 7,5 мл безводн. эфира (содержащего несколько капель абс. сп.), размешивают 30 мин., разбавляют 500 мл эфира и получают V, выход 6,8 г, т. пл. 133—134,5° (из безводн. петр. эф., т. кип. 28—38°). К охлажд. р-ру 5 г V в 30 мл ацетона и 100 мл свободного от спирта эфира прибавляют 3,35 мл  $(\text{C}_2\text{H}_5)_2\text{NH}$  (XI), оставляют при 5° на ~12 час., отделяют бромидат XI (XII), фильтрат упаривают в вакууме, прибавляют 100 мл безводн. эфира, отделяют XII, упаривают, остаток растворяют в 30 мл ацетона, обрабатывают при 0° газообразным  $\text{HCl}$ , разбавляют сухим эфиром, отделяют осадок хлоридата VI ( $\text{R}' = \text{C}_2\text{H}_5$ ) (VIa) и обрабатывают его несколько раз эфиром, который объединяют с фильтратом. Выделенное из VIa основание (3,2 г) растворяют в 50 мл  $\text{CH}_3\text{OH}$ , гидрируют 17 час. над 0,15 г Pt (из  $\text{PtO}_2$ ), осадок растворяют в 25 мл  $\text{CH}_3\text{OH}$ , фильтрат упаривают вдвое и разбавляют водой до появления муты; через 48 час. получают I ( $\text{R}' = \text{C}_2\text{H}_5$ ), выход 2,3 г, т. пл. 115—116° (из водн.  $\text{CH}_3\text{OH}$ ); перхлорат, т. пл. 217—218,5° (из эф.-ацетона). Объединенный эфирный маточный р-р обрабатывают 0,5 н.  $\text{HCl}$ , высушивают и упаривают в вакууме, получают VII ( $\text{R}' = \text{C}_2\text{H}_5$ ) (VIIa), выход 0,9 г, т. пл. 135—137° (из 50%-ного  $\text{CH}_3\text{OH}$  и возгонка при 130°/0,04 мм). Аналогично получены следующие I и VII (указаны выход I в г, т. пл. I в °C, т. пл. перхлората I в °C, выход VII в г, т. пл. VII в °C):  $\text{CH}_3$  (Ia), 3,1 (из 5 г V), 134—136 (из водн.  $\text{CH}_3\text{OH}$ ), 241—243 (разл.; из абс. сп.-эф.), 0,8, 148—150 (из водн.  $\text{CH}_3\text{OH}$ );  $n\text{-C}_3\text{H}_7$ , 2 (из 5 г V), 107—109 (из водн.  $\text{CH}_3\text{OH}$ ), 177—179 (из эф.-ацетона), 0,6, 120—122 (из водн.  $\text{CH}_3\text{OH}$ );  $n\text{-C}_4\text{H}_9$ , 0,5 (из 1,5 г V), —, 186—188 (из эф.-ацетона), —, —. Строение VIIa и VII ( $\text{R}' = n\text{-C}_3\text{H}_7$ ) подтверждено их идентичностью с синтетич. образцами, полученными при взаимодействии IV соответственно с XI и ( $n\text{-C}_3\text{H}_7$ ) $_2\text{NH}$ . При нагревании 0,5 г Ia с 4 мл 10%-ного спирт. р-ра KOH получают 0,35 г VIII, т. пл. 163—165° (из водн.  $\text{CH}_3\text{OH}$ ). К суспензии 0,5 г VIII в 25 мл воды прибавляют при размешивании 5 мл 30%-ного р-ра KOH, обрабатывают (10 мин.) р-ром 2,6 г IX

в 20 мл воды, размешивают еще 1 час. и получают X, выход 90%, т. пл. 104—107°.

А. Травин 68877. Молекулярная перегруппировка, происходящая при восстановлении двуокисей тионафенопиразолов. Барри, Файнар, Симмонде (A molecular rearrangement during the reduction of thionaphthenopyrazole dioxides. Barry W. J., Finar I. L., Simmons Alma B.), J. Chem. Soc., 1956, Dec., 4974—4978 (англ.)

1',1'-двуокись 3-метил-1-фенилтионафено-(2',3'-4,5)-пиразола (I) при восстановлении Na в кипящем спирте претерпевает внутримолекулярную перегруппировку и превращается в производное 3'-метилпиразоло-(5',1'-9,10)-фенантридина (II) ( $R = SO_2H$ ) (IIa). Наряду с IIa образуется небольшое кол-во 3-метил-1,5-



дифенил-Δ<sup>2</sup>-пиразолина. В водн. р-ре, особенно в присутствии HCl, IIa отщепляет SO<sub>2</sub>, образуя II ( $R = H$ ) (IIb); Na-соль IIa не реагирует с C<sub>6</sub>H<sub>5</sub>CH<sub>2</sub>Cl (III). Так как по этим свойствам IIa отличается от 2-(3-метил-1-фенилпиразолил-5)-бензолсульфиновой к-ты, авторы считают, что разрыв C—S-связи в I первоначально приводит к образованию 3-метил-1,5-дифенилпиразоло-сульфиновой-4 к-ты (IV). Для изучения свойств IV синтезирована из бензоилацетона (V). Строение IIb подтверждено встречным синтезом. Для получения I 2-ацетил-3-окситионафен, синтезированный по описанному ранее методу (см. Smiles, McClelland, J. Chem. Soc., 1921, 1815), конденсируют с C<sub>6</sub>H<sub>5</sub>NHNH<sub>2</sub>·HCl и затем окисляют образовавшийся замещ. пиразол в двуокись. I кристаллизуется в виде двух модификаций с т. пл. 180 и 187°. Модификация с т. пл. 187° после перекристаллизации плавится при 180°; после длительного хранения т-ра плавления вновь поднимается до 187°. 38,5 г Су-производного V в 180 мл безводн. CHCl<sub>3</sub> охлаждают до 0°, прибавляют 8 мл S<sub>2</sub>Cl<sub>2</sub> в 25 мл CHCl<sub>3</sub>, удаляют избыток S<sub>2</sub>Cl<sub>2</sub> током сухого воздуха и из остатка выделяют ди-(1-бензоилацетонил)-дисульфид (VI), выход 60%, т. пл. 112—114° (из сп.). 1 моль VI и 2 моля C<sub>6</sub>H<sub>5</sub>NHNH<sub>2</sub> нагревают в 200 мл лед. CH<sub>3</sub>COOH (100°, 1 час) и через несколько часов отделяют ди-(3-метил-1,5-дифенилпиразолил-4)-дисульфид (VII), выход 58%, т. пл. 204° (из бутанола). 16 г VII кипятят с 200 мл спирта и 400 мл воды, содержащей 50 г Na<sub>2</sub>S<sub>2</sub>O<sub>6</sub> и 10 г NaOH. Через 1,5 часа почти прозрачный р-р взбалтывают с 10 мл III, нагревают 30 мин. при ~100° и при 0° выделяют 4-бензилмеркапто-3-метил-1,5-дифенилпиразол (VIII), выход 80%, т. пл. 108° (из сп.). 1,5 г VIII растворяют в 10 мл лед. CH<sub>3</sub>COOH, окисляют 5 мл 100%-ной (по объему) H<sub>2</sub>O<sub>2</sub> (100°, 1 час), прибавляют воду и осаждают 1,3 г 3-метил-1,5-дифенил-4-бензилсульфонилпиразола (IX), т. пл. 162° (из сп.). 2 г IX нагревают 5—6 час. в 50 мл кипящего спирта с 50 г 5%-ной HgNa. Реакционный р-р дает цветную р-цию на пиразолин. По удалении спирта остаток растворяют в воде, нагревают несколько минут при ~100°, охлаждают до 0°, осторожно прибавляют HCl (к-ту) и осаждают IV. При подкислении водн. р-ра остатка (см. выше) 3 н. HCl осадок становится маслянистым и выделяет SO<sub>2</sub>. После нагревания (100°, 1 час) масло извлекают CHCl<sub>3</sub>, обрабатывают р-ром Br<sub>2</sub> в CHCl<sub>3</sub> и получают 4-бром-3-метил-1,5-дифенилпиразол, т. пл. 73—74° (из сп.). При нагревании избытка III с IV в разб. спирт. р-ре K<sub>2</sub>CO<sub>3</sub> (100°, 1,5 часа) получают IX. 0,2 г IV нагревают с 25 мл 5%-ного р-ра C<sub>2</sub>H<sub>5</sub>ONa

и за 2 часа прибавляют 5 г Na; разбавляют водой, извлекают эфиром и из водн. р-ра после подкисления разб. HCl и нагревания до 100° выделяют VII. 7 г Na-соли IIa, полученной по описанному ранее методу (Barry, McClelland, J. Chem. Soc., 1935, 471), растворяют в 100 мл 0,5 н. NaOH и медленно приливают 50 мл 10%-ного р-ра NaOCl, получают 5 г II ( $R = SO_2Cl$ ) (IIa), т. пл. 165° (из ацетона). При восстановлении IIa в спирте 5%-ной HgNa с последующим подкислением получают IIb, т. пл. 122°. Гидролиз IIb водно-спирт. р-ром KOH приводит к II ( $R = SO_2K$ ) (IIr). Сплавлением IIr с KOH·NaOH (1:1) получают IIb. При нагревании с избытком PCl<sub>5</sub> (1 мин.) IIr превращается в IIa. 3,1 г V нагревают 30 мин. на паровой бане с 2,9 г о-NO<sub>2</sub>C<sub>6</sub>H<sub>4</sub>NHNH<sub>2</sub> в 50 мл спирта и 6 мл конц. H<sub>2</sub>SO<sub>4</sub>, получают 3-метил-1-о-нитрофенил-5-фенилпиразол (X), выход 96%, т. пл. 104° (из сп.). Аналогично из 6,6 г V и 9,5 г м-NO<sub>2</sub>C<sub>6</sub>H<sub>4</sub>NHNH<sub>2</sub>·HCl в CH<sub>3</sub>COOH получают мета-изомер X, выход 64%, т. пл. 118° (из сп.). Конденсацией 2 г V с 2,1 г п-NO<sub>2</sub>C<sub>6</sub>H<sub>4</sub>NHNH<sub>2</sub> в спирте при нагревании синтезируют пара-изомер X, выход 70%, т. пл. 100°. При нагревании X в лед. CH<sub>3</sub>COOH с Zn и конц. HCl до обесцвечивания р-ра получают 1-о-аминофенил-3-метил-5-фенилпиразол (XI), выход 90%, т. пл. 134° (из сп.); из мета-изомера X аналогично получают мета-изомер XI, выход 74%; бензоильное производное, т. пл. 172°; из пара-изомера X — пара-изомер XI, выход 56%, т. пл. 150° (из сп.); бензоильное производное, т. пл. 170°. X в лед. CH<sub>3</sub>COOH обрабатывают Br<sub>2</sub> при ~20° и получают 4-бром-X, выход 98%, т. пл. 142° (из сп.). Аналогично из пара-изомера X синтезируют его 4-бромпроизводное, выход колич., т. пл. 154° (из сп.). 4-бром-X при нагревании в спирте с 60%-ным NH<sub>2</sub>NH<sub>2</sub>·H<sub>2</sub>O и скелетным Ni восстанавливается в 1-о-аминофенил-4-бром-3-метил-5-фенилпиразол (XII), выход 40%, т. пл. 180° (разл.). 0,3 г XI диалотрируют в конц. HCl, выливают в 15 мл 30%-ной H<sub>3</sub>PO<sub>4</sub>, оставляют на ~12 час. и получают IIb. Из XII аналогично синтезируют II ( $R = Br$ ), т. пл. 139°. Мета- и пара-изомеры XI при подобной обработке превращаются в 3-метил-1,5-дифенилпиразол. Г. Брау 68878. Некоторые 5-(оксоалкил)-2-тиогидантоины и их производные. Арчер, Ансер, Фрелик (Some 5-(oxoalkyl)-2-thiohydantoins and their derivatives. Archer S., Unser Mary Jackman, Froelich E.), J. Amer. Chem. Soc., 1956, 78, № 23, 6182—6185 (англ.)

Конденсацией 1-хлор-2-алканолов (I) с диэтиловым эфиром ацетамидомалоновой к-ты (II) получают эфиры RCOCH<sub>2</sub>C(COOC<sub>2</sub>H<sub>5</sub>)<sub>2</sub>NHCOCH<sub>3</sub> (III), гидролизуемые в соответствующие 2-амино-4-оксоалкановые к-ты (IV). Циклизация IV (Jackman и др., J. Amer. Chem. Soc., 1948, 70, 2884) приводит к 5-(2-оксоалкил)-2-тиогидантоинам (V, где а алкил-гептил; б октил; в нонил; г децил). Аналогично из 1-алкен-3-онов с II синтезированы через эфиры RCOCH<sub>2</sub>CH<sub>2</sub>C(COOC<sub>2</sub>H<sub>5</sub>)<sub>2</sub>NHCOCH<sub>3</sub> (VI) — гомологи III — 2-амино-5-оксоалкановые к-ты и из них — 5-(3-оксоалкил)-2-тиогидантоины (VII, где а алкил-октил; б алкил-гептил). Из V и VII получены изоникотиноил гидразоны

RC(=NNHCOC<sub>5</sub>H<sub>9</sub>N)(CH<sub>2</sub>)<sub>n</sub> CHCONHCNSNH (VIII, а n = 1, R = n-C<sub>4</sub>H<sub>9</sub>; б n = 1, R = n-C<sub>5</sub>H<sub>11</sub>; в n = 1, R = n-C<sub>6</sub>H<sub>13</sub>; г n = 1, R = n-C<sub>7</sub>H<sub>15</sub>; д n = 1, R = n-C<sub>8</sub>H<sub>17</sub>; е n = 2, R = n-C<sub>4</sub>H<sub>9</sub>; ж n = 2, R = n-C<sub>5</sub>H<sub>11</sub>). Некоторые из полученных V, VII и VIII обладают заметной анти-туберкулезной активностью (ср. РЖХим, 1955, 23752). Из 48,8 г Mg и 330,2 г n-C<sub>6</sub>H<sub>13</sub>Br в 1 л эфира готовят реактив Гриньяра, добавляют 1 л эфира и 196 г сухого CdCl<sub>2</sub>, кипятят 1 час и отгоняют эфир, одновременно добавляя 1 л C<sub>6</sub>H<sub>6</sub>, затем при 5° добавляют 226 г



$\text{ClCH}_2\text{COCl}$  в 400 мл  $\text{C}_6\text{H}_6$  (т-ра  $< 45^\circ$ ), перемешивают 3,5 часа, выливают на лед + разб.  $\text{H}_2\text{SO}_4$  и извлекают  $\text{C}_6\text{H}_6$  1-хлор-2-октанон (IX), выход 48%, т. кип.  $58-59/0,2$  мм,  $n_D^{25}$  1,4439. Аналогично получены (перечисляются) хлоркетон, выход в %, т. кип. в  $^\circ\text{C}/\text{мм}$ ,  $n_D^{25}$ : 1-хлор-2-гексанон, 35, 64-67/6, 1,4356; 1-хлор-2-гептанон (X), 46, 79-82/8, 1,4402; 1-хлор-2-нонанон, 48, 69-71/0,3, 1,4448; 1-хлор-2-деканон, 34, 78-80/0,2, 1,4477; 1-хлор-2-ундеканон, 17, 84-86/0,1, —, т. пл.  $38-39^\circ$ . IV получают двумя методами. Метод А.  $\text{C}_6\text{H}_5\text{ONa}$  (из 21,8 г Na и 664 мл сп.) обрабатывают 206 г II, р-р упаривают досуха при  $100^\circ / < 0,5$  мм, остаток покрывают слоем абс.  $\text{C}_6\text{H}_6$ , добавляют 155 г IX в 1325 мл  $\text{C}_6\text{H}_6$ , кипятят 8 час., остаток из упаренного фильтрата кипятят 4 часа с 2,8 л 6 н. HCl, упаривают досуха, растворяют в малом кол-ве воды и слабо подщелачивают  $\text{NH}_4\text{OH}$ , выход 2-амино-4-оксодекановой к-ты (XI) 13,2%, т. пл.  $174-176^\circ$  (из воды). Метод Б. Р-р  $\text{C}_6\text{H}_5\text{Li}$  (из 8,6 г Li и 68 г  $\text{C}_6\text{H}_5\text{Br}$  в эф.) обрабатывают при  $10^\circ$  90 г II в 750 мл  $\text{C}_6\text{H}_6$ , эфир отгоняют, добавляют 67,2 г IX в 600 мл  $\text{C}_6\text{H}_6$ , кипятят 16 час., остаток из упаренного фильтрата кипятят 4 часа с 1 л 6 н. HCl, масло отбрасывают, водн. слой охлаждают по льду, из отфильтрованного хлоргидрата  $\text{NH}_4\text{OH}$  выделяют XI, выход 40%. Р-р  $\text{C}_6\text{H}_5\text{Li}$  (из 15,8 г Li и 169 г  $\text{C}_6\text{H}_5\text{Br}$  в 800 мл эф.) обрабатывают 233 г II в 1,6 л  $\text{C}_6\text{H}_6$ , эфир удаляют, Li-соль конденсируют с 127,5 г X в 215 мл  $\text{C}_6\text{H}_6$ , остаток из фильтрата кипятят с 1,6 л 6 н. HCl (4 часа), выход 2-амино-4-оксононановой к-ты 42%, т. пл.  $173-176^\circ$  (из воды); выход по методу А 14%. Аналогично получают следующие IV (перечисляются IV, метод, выход в %, т. пл. в  $^\circ\text{C}$  (р-ритель)): 2-амино-4-оксооктановая к-та, Б, 30, 167-170 (вода); 2-амино-4-оксоундекановая к-та, Б, 42, 190-191 (вода); 2-амино-4-оксодекановая к-та, Б, 24, 182-183 (водн.  $\text{CH}_3\text{COOH}$ ); 2-амино-4-оксотридекановая к-та, Б, 20, 165-167 (водн.  $\text{CH}_3\text{COOH}$ ). R 120 г II в 445 мл абс. эфира добавляют 3 мл  $(\text{C}_2\text{H}_5)_3\text{N}$  и при  $40^\circ$  по каплям — 68% 1-гептен-3-она, через 12 час. упаривают в вакууме, выделяют 130 г VI (R =  $n\text{-C}_4\text{H}_9$ ), т. пл.  $66-68^\circ$  (из эф. пентана); 110 г эфира кипятят с 650 мл конц. HCl 4 часа и аналогично XI выделяют 2-амино-5-оксононановую к-ту, выход 62%, т. пл.  $122-125^\circ$  (из воды). Аналогично из II и 1-октен-3-она получают VI (R =  $n\text{-C}_5\text{H}_{11}$ ), выход 63%, т. пл.  $60-61^\circ$  (из пентана), и далее — 2-амино-5-оксодекановую к-ту, выход 57%, т. пл.  $132-135^\circ$  (из воды). Из IV и VI получают соответственно V и VII (перечисляются V или VII, выход в %, т. пл. в  $^\circ\text{C}$  (р-ритель)): Va, 52, 98,2-101,2 (водн. сп.); Vb, 40, 100,6-101,5 (сп.); Vv, 61, 110,2-111,8 (сп.); оксим, т. пл.  $135,8-137,2^\circ$  (из сп.); тиосемикарбазон, т. пл.  $175-177^\circ$  (из абс. сп.); Vg, 58, 110,7-112,7 (сп.); VIIa, 63, 106-107,7 (водн. из- $\text{C}_3\text{H}_7\text{OH}$ ); VIIb, 64, 114,1-115,6 (бал.-пентан). 10,65 г Va и 5,48 г изоникотиноилгидразина кипятят в 200 мл  $\text{CH}_3\text{OH}$  15 час.,  $\text{CH}_3\text{OH}$  удаляют в вакууме, остаток обрабатывают гексаном и выделяют VIIb, выход 50%, т. пл.  $101^\circ$  (из  $\text{CH}_3\text{OH}$ ). VIIa, в, г, д получают аналогично; из VII получают VIIIe, г, непосредственно в реакционной смеси. Получены следующие VIII [перечисляются VIII, выход в %, т. пл. в  $^\circ\text{C}$  (р-ритель)]: а, 52, 199,1-202,2 ( $\text{CH}_3\text{OH}$ ); в, 35, 128-140 (затвердевает, вторая т. пл.  $180-185^\circ$ , водн. сп.); г, 61, 196,8-197,5 (из- $\text{C}_3\text{H}_7\text{OH}$ ); д, 64, 185-187 (сп.); е, 77, 237,5-238,6 (водн. диметилформамид (XII)); ж, 86, 228,2-229,4 (водн. XII).

С. Гурвич  
68879. Синтез некоторых кислот — аналогов 2-меркаптобензимидазола. Ребсток, Болл, Хамнер, Селл (The synthesis of several acid analogs of 2-mercaptobenzimidazole. Rebstock Theodore L., Ball Charles D., Hamner Charles

L., Sell Harold M.), J. Amer. Chem. Soc., 1956, 78, № 22, 5831-5832 (англ.)

Для выяснения зависимости биол. свойств от строения синтезирован ряд к-т (I) производных 2-меркаптобензимидазола (II). Замещ. II синтезированы из соответствующих замещ. о-фенилендиамина действием водно-спирт. р-ра KOH и  $\text{CS}_2$ . 2-час. кипячением эквимолекулярных кол-в замещ. II и  $\text{CH}_3\text{ClCOOH}$ ,  $\text{CH}_2\text{BrCH}_2\text{COOH}$ , или  $\text{CH}_3\text{CHBrCOOH}$  в 2 н. водн. р-ре NaOH получены следующие I (приведены заместители в бензольном ядре, кислотный остаток в боковой цепи, выход в %, т. пл. в  $^\circ\text{C}$ ): H,  $\text{CH}_3\text{CHCOOH}$ , 41, 181-182; 5-Cl,  $\text{CH}_2\text{COOH}$ , 68, 193-194; 5-Cl,  $\text{CH}_2\text{CH}_2\text{COOH}$ , 60, 103-108; 5-Cl,  $\text{CH}_2\text{CHCOOH}$ , 39, 166-167; 4,6-дихлор,  $\text{CH}_2\text{COOH}$ , 25, 222-224; 5,6-дихлор,  $\text{CH}_2\text{COOH}$ , 81, 219-221; 5,6-дихлор,  $\text{CH}_2\text{CHCOOH}$ , 69, 230-231; 4,5,6-трихлор,  $\text{CH}_2\text{COOH}$ , 42, 205-207; 4,5,6-трихлор,  $\text{CH}_2\text{CHCOOH}$ , 80, 222-224; 5-Br,  $\text{CH}_2\text{COOH}$ , 70, 194-196; 5-Br,  $\text{CH}_2\text{CHCOOH}$ , 43, 180-181; 5- $\text{NO}_2$ ,  $\text{CH}_2\text{COOH}$ , 69, 191-192; 5- $\text{NO}_2$ ,  $\text{CH}_2\text{CHCOOH}$ , 52, 186-188; 5- $\text{OCH}_3$ ,  $\text{CH}_2\text{COOH}$ , 50, 194-196; 5- $\text{OCH}_3$ ,  $\text{CH}_2\text{CHCOOH}$ , 71, 151-152; 5- $\text{CH}_3$ ,  $\text{CH}_2\text{COOH}$ , 47, 197-200; 5- $\text{CH}_3$ ,  $\text{CH}_2\text{CHCOOH}$ , 55, 160-161; 4,6-диметил,  $\text{CH}_2\text{COOH}$ , 55, 247-249; 4,6-диметил,  $\text{CH}_2\text{CHCOOH}$ , 64, 160-161; 5,6-диметил,  $\text{CH}_2\text{COOH}$ , 85, 207-209; 5,6-диметил,  $\text{CH}_2\text{CHCOOH}$ , 64, 208-210; 5- $\text{C}_6\text{H}_5$ ,  $\text{CH}_2\text{COOH}$ , 74, 215-216; 5- $\text{C}_6\text{H}_5$ ,  $\text{CH}_2\text{CHCOOH}$ , 87, 200-202.

Т. Краснова  
68880. Синтез, свойства и препаративное применение N,N'-карбонилдимидазола. Штаб (Synthese, Eigenschaften und präparative Verwendung von N,N'-carbonyl-di-imidazol. Staab H. A.), Angew. Chem., 1956, 68, № 23, 754 (нем.)

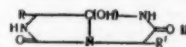
Установлено, что реакционная способность CO-группы у N,N'-карбонилдимидазола (I) (получен из 4 молей имидазола и 1 моля фосгена в безводн. тетрагидрофуране (II) с почти колич. выходом, т. пл.  $112-114^\circ$ ) значительно выше, чем у N-ацилдимидазола. I под влиянием влаги гидролизуетс с образованием имидазола; со спиртами I образует эфиры угольной к-ты: с аминами — производные мочевины. I при р-циях обмена количественно выделяет имидазол, 2 ммоль I в 20 мл II и 2 ммоль о-фенилендиамина в 20 мл II смешивают, через полчаса при  $\sim 20^\circ$  образуется бензимидазолон, выход 87%, т. пл.  $311^\circ$  (из сп.-воды (1:1)). Аналогично I с анилином II образует симм-дифенилмочевину с выходом 91%.

Ю. Розанова

68881. Некоторые реакции 3-замещенных гидантоинов. Коэн, Фрай (Some reactions of 3-substituted hydantoin. Cohen Louis A., Fry Edward M.), J. Amer. Chem. Soc., 1956, 78, № 22, 5863-5868 (англ.)

Установлено, что соединения ряда гидантоинацетамид-3 существуют в моноцикл. форме

$\text{OCNHCNHRCONCHRCOR}$  (I  $\text{R}'' = \text{NH}_2$ ) и взаимодействие  $\text{NH}_2$  и 4-CO-группы с образованием соединения (II) не имеет места. Это подтверждается тем, что при гидрировании I (R =  $\text{C}_6\text{H}_5\text{CH}_2$ , R' = H, R'' =  $\text{NH}_2$ ) (Ia) над  $\text{PtO}_2$  гидрогенолиз не наблюдается, а гидрируется



лишь ароматич. ядро и образуется I (R = циклогексил, R' = H, R'' =  $\text{NH}_2$ ) (т. пл.  $215-216^\circ$ ); циклизация амида (III) карбобензил-оксиглицил-DL-фенилаланина (IIIa) в присутствии  $\text{C}_2\text{H}_5\text{ONa}$  приводит однозначно к I (R = H, R' =  $\text{C}_6\text{H}_5\text{CH}_2$ , R'' =  $\text{NH}_2$ ) (16) (выход 6,5%, т. пл.  $212-214^\circ$  (из воды), тогда как промежу-

точное образование II ( $R = H$ ,  $R' = C_6H_5CH_2$ ) привело бы к Ia. Взаимодействие Ia с  $POCl_3$  в пиридине приводит к соответствующему нитрилу (IV) (выход 79%, т. пл. 110—112° (из разб. сп.)), строение которого подтверждается кислотным гидролизом до Ia. Ацетилирование IV действием  $(CH_3CO)_2O$  в пиридине приводит к его N<sub>1</sub>-ацетилпроизводному (т. пл. 114—115° (из сп.)) (положение  $CH_3CO$ -группы определено на основании отсутствия в ИК-спектре полосы в области 3,0 м), полученному также с выходом 0,08 г при ацетилировании 0,4 г Ia и последующей дегидратации 0,1 г образовавшегося N<sub>1</sub>-ацетилпроизводного (выход 0,35 г, т. пл. 187—189° (из сп.)) действием  $POCl_3$ . Описан ряд методов получения I и их производных, а также некоторые их превращения. I ( $R = C_6H_5CH_2$ ,  $R' = H$ ,  $R'' = OH$ ) (Ib) (выход 71%, т. пл. 180,5—182° (из сп.)) Ia (выход 77%, т. пл. 214—215° (из сп.)) и этиловый эфир Ib (Ic) получены циклизацией соответственно карбобензилокси-DL-фениланилглицина (V), его амида (Va) и этилового эфира (Vb) в присутствии  $C_2H_5ONa$ . Аналогичная циклизация IIIa (0,92 г) приводит к Ib-к-те (Id), выход 0,13 г, т. пл. 187—189° (из воды), метилового эфира карбонил-N-DL-фенилаланиламид-N'-глицина (VI) — к Ib (выход 90%), а 1,5 г карбонил-N-аминоацетонитрил-N'-DL-фенилаланина (VII) (т. пл. 155—157° (разл., из воды); при действии  $CH_2N_2$  образуется IV) — к Id (выход 0,68 г). Ia получен также при циклизации метилового эфира (VIa, 0,1 г) карбонил-N-глицинамид-N'-DL-фенилаланина (VIb) в присутствии  $N(C_2H_5)_3$  (выход Ia 0,08 г), при действии спирта р-ра HCl на 0,36 г Vb (выход Ia 0,17 г), при нагревании (выход 70%) Va (150—160°) или при нагревании Vb (0,1 г, 170°, выход Ia 0,05 г). Взаимодействие IV с разб. р-ром NaOH приводит к VII (выход 94%), идентифицированному получением VIa при гидролизе (конц. HCl) и последующей этерификации образовавшегося Vb. Перегруппировка нитрила Id (получен при действии  $POCl_3$  на Ib с выходом 95%, т. пл. 172—173,5° (из сп.)) в щел. р-ре, протекает по-видимому, с промежуточным образованием карбонил-N-глицин-N'-DL-фенилаланиннитрила и приводит к 4-иминопроизводному Ib, строение которого подтверждается образованием Ib при кислотном гидролизе. К р-ру 0,02 моля карбобензилокси-DL-фенилаланина в 50 мл  $CH_2Cl_2$  прибавляют 0,02 моля  $(C_2H_5)_3N$ , к смеси прибавляют при -5° 0,02 моля  $ClCOOC_2H_5$ , выдерживают 10—15 мин. при -5°, приливают р-р, полученный прибавлением 0,06 моля  $(C_2H_5)_3N$  к охлажд. суспензии 0,04 моля  $C_2H_5OOCCH_2NH_2 \cdot HCl$  в 50 мл  $CHCl_3$  и через час (25°) получают Vb, выход 74%, т. пл. 97—98,5° (из сп.); V (из Ib), выход 93%, т. пл. 152—154° (из водн. сп.); Va (из Vb), выход неочищ. 85—90%, т. пл. ~147°, после перекристаллизации из спирта образуется смесь Va + Ia. Аналогично Vb получают этиловый эфир IIIa (в виде масла) (IIIb), из которого получена IIIa, т. пл. 158—160° (из сп.); III (из IIIb), в 2 формах, т. пл. (из  $CH_3OH$ ) 161—162,5 и 162—163°, 0,025 моля  $HCl \cdot H_2NCH_2COOCH_3$  прибавляют к р-ру 0,05 моля пиридина в 10 мл  $CH_2Cl_2$ ; смесь охлаждают (0°) и насыщают  $COCl_2$ . Через 1 час (~20°) р-р упаривают до т-ры в массе 45°, остаток обрабатывают эфиром, эфир. р-р выпаривают, остаток ( $H_2NCOCl$ , выход неочищ. 0,01 моля) растворяют в 7 мл  $CH_2Cl_2$ , к р-ру прибавляют 0,01 моля  $DL-C_6H_5CH(NH_2) \cdot HBr$   $CH_2CONH_2$  и после охлаждения — 3,1 мл  $(C_2H_5)_3N$ . Через 1 час (~20°) отгоняют р-ритель, остаток обрабатывают разб. HCl и получают VI, выход 56% (в расчете на  $H_2NCOCl$ ), т. пл. 177—179° (из сп.). Аналогично из  $DL-C_6H_5CH(NH_2)CH_2COOCH_3$  и  $HCl \cdot H_2NCH_2CONH_2$  получают VIa, выход 24%, т. пл. 137—140° (из 50%-ного сп.); VIa получают

также при этерификации Vb действием  $CH_2N_2$ . При омылении VI и VIa (NaOH) получают соответствующую к-ту (Vib), выход 92%, т. пл. 171—172°; диэтиловый эфир, т. пл. 107—109° (получен из Vib, а также аналогично VI). К суспензии 1 г Vb в 1 мл абс. спирта прибавляют 2 мл спирта, а через 2 часа — 0,2 мл 3 н. HCl и получают Ic, выход 79%, т. пл. 151—152,5° (из сп.). Ic получен также этерификацией Ib. При обработке Ib 2 н. р-ром NaOH образуется Vb. В. Зарезский 68882. Циклизация производных гистидина. Имидазо-(1,5-с)-тетрагидрооксопиримидин — новая бициклическая система. Шлэгел, Войдих (Über die Cyclisierung von Histidinderivaten. Imidazo (1,5-c) tetrahydro-oxopyrimidin — ein neues bicyclisches Ringsystem. Schlögl K., Woidich H.), Monatsh. Chem., 1956, 87, № 6, 679—694 (нем.).

При конденсации метилового эфира (I) гистидина (II) или гистамина (III) с фениловым эфиром тиолурогольной к-ты (IV) в присутствии  $N(C_2H_5)_3$  получают с хорошими выходами 7-карбетокси-5-оксо- (V) или 5-оксо-(VI)-имидазо-(1,5-с)-тетрагидропиримидины и (в обоих случаях) дифенилдитиокарбонат (VII). V и VI устойчивы к к-там на холоду и только при 4-час. нагревании с HCl при 130° гидролизуются с образованием II или III, которые образуются также при щел. гидролизе V и VI. При нагревании V с избытком бензиламина (VIII) или  $N_2H_4 \cdot H_2O$  образуются 5-(имидазолметил)-3-бензилгидантоин (IX) или дигидразид гистидин-N-карбоновой к-ты, превращающийся при кипячении с водой в 5-(имидазолметил)-3-аминогидантоин (X); VI с VIII дает бензилзамид гистидин-N-карбоновой к-ты (XI).  $LiAlH_4$  восстанавливает V и VI в N-метил-1-гистидинол (XII) и N-метилгистамин (XIII). Аналоги V и VI с открытой цепью, ангидрид (XIV) и α-карбетоксibenзиламид (XV) имидазол-N-карбоновой к-ты обнаруживают значительное сходство с V и VI; так, при р-ции XIV или XV с VIII получают фенилбензилмочевина (XVI) или 5-фенил-3-бензилгидантоин (XVII) и (в обоих случаях) имидазол. Строение XVII подтверждено синтезом из VIII и этилового эфира D,L-фенилглицин-N-карбетоксиамида (XVIII) или из 5-фенилгидантоина (XIX) и  $C_6H_5CH_2Cl$ . При р-ции XV с  $N_2H_4 \cdot H_2O$  получается 5-фенил-3-аминогидантоин (XX). Р-р NaOH гидролизует XIV в дифенилмочевину, а XV — в N-карбетокси-1,1-с-фенилглицин (XXI), т. пл. 118—120° (из эф. п-р. эф.). При восстановлении  $LiAlH_4$  XIV дает имидазол и N-метиланилин, а XV — имидазол (XXII) и 2-метиламино-2-фенилэтанол; пикрат, т. пл. 192—194° (из  $CH_3OH$ ). XV синтезирован нагреванием имидазола с этиловым эфиром N-карбонил-D,L-с-фенилглицина (XXIII) или с этиловым эфиром N-фенилтиокарбонил-D,L-с-фенилглицина (XXIV). Для сравнения с XXI синтезирован карбонил-бис-(D,L-с-фенилглицин) (XXV). 4-аминометилимидазол (XXVI) не циклизуется при р-ции с IV и N( $C_2H_5$ )<sub>3</sub>. При р-ции метилового эфира карбетоксигистидина с  $N_2H_4 \cdot H_2O$  в абс. спирте (16 час., 20°) получен гидразид N-карбетокси-гистидина, т. пл. 200—202° (из сп.). Определены значения R<sub>f</sub> при хроматографировании на бумаге в  $C_4H_9OH$ - $CH_3COOH$ -вода (4:1:5) и  $C_4H_9OH$ -спирт-конц.  $NH_4OH$ -вода (4:4:1:1) следующих соединений: XXII, 0,43, 0,73; III, 0,12, 0,55; II, 0,11, 0,28; V, —, 0,45; VI, —, 0,60; IX, 0,66, 0,80; X, 0,26, 0,40; XI, 0,75, 0,85; XII, 0,12, 0,63; XIII, 0,13, 0,70; XIV, 0,43, 0,73; XV, 0,43, 0,73; XXVI, 0,11, 0,49 и 1-имидазо-(с)-тетрагидропиримидин-карбоновой-5 к-ты, 0,08, 0,29; проявление производилось опрыскиванием бумаги р-ром диазотированной сульфаниловой к-ты и обработкой  $NH_3$ , причем появились желтые и красные пятна. Взвесь 0,01 моля

дихлоргидрата I в 30 мл  $\text{CHCl}_3$  встряхивают с 0,02 моля  $\text{N}(\text{C}_2\text{H}_5)_3$ , добавляют при  $0^\circ$  в 4 приема 0,02 моля IV и 0,025 моля  $\text{N}(\text{C}_2\text{H}_5)_3$ , встряхивают 30 мин. при  $0^\circ$ , оставляют на 2 часа при  $20^\circ$ , отгоняют  $\text{CHCl}_3$  и получают V, выход 72%, т. возг.  $130-140^\circ/0,01$  мм, т. пл.  $168-169^\circ$  (из  $\text{CH}_3\text{OH}$ -эф.-птр. эф.),  $[\alpha]_D^{20} +63^\circ$  (0,1 н.  $\text{HCl}$ ); пикрат (ПК), т. пл.  $203-205^\circ$  (из  $\text{CH}_3\text{OH}$ ); маточные р-ры перегоняют и получают VII, выход 2,4 г, т. пл.  $40-42^\circ$  (из птр. эф.). Аналогично из 1 моля III, 2 молей  $\text{N}(\text{C}_2\text{H}_5)_3$  в тетрагидрофуране получают VI, выход 70%, т. возг.  $150-160^\circ/0,01$  мм, т. пл.  $121-122^\circ$  ПК, т. пл.  $221-224^\circ$  (разл., из сп.). 0,1 г V или VI и 1 мл VIII нагревают 4 часа при  $100^\circ$ , отгоняют VIII и получают IX, выход 87%, т. пл.  $219-221^\circ$  (из сп.), или XI, т. пл.  $117-119^\circ$  (из воды). Смесь V с 10-кратным кол-вом  $\text{N}_2\text{H}_4 \cdot \text{H}_2\text{O}$  нагревают 4 часа при  $100^\circ$ , отгоняют  $\text{N}_2\text{H}_4 \cdot \text{H}_2\text{O}$ , продукт кипятят 1 час с водой, р-р упаривают досуха и получают X, т. пл.  $131^\circ$  (из водн. сп.), вторичная т. пл.  $217-220^\circ$ . 0,34 г V или VI восстанавливают 0,3 г  $\text{LiAlH}_4$  в 50 мл эфира в течение 18 час., приливают 0,5 мл воды, продукт кипятят с ацетоном и из р-ра выделяют XII; ПК, т. пл.  $185-187^\circ$  (из  $\text{CH}_3\text{OH}$ ), или XIII; ПК, т. пл.  $189-190^\circ$  (из воды); хлоргидрат, т. пл.  $173-176^\circ$ . 0,01 моля XXII и 0,012 моля XXIII нагревают 1,5 часа при  $80^\circ$ , продукт перегоняют при 0,01 мм и получают XV, выход 72%, т. пл.  $91-93^\circ$ ; т. пл.  $205-210^\circ$  (из  $\text{CH}_3\text{OH}$ ). 0,02 моля этилового эфира фенилглицина, 0,01 моля IV и 15 мл этилацетата оставляют на 6 час., р-р перегоняют и получают XXIV, выход 82%, т. пл.  $74-76^\circ$  (из эф.-птр. эф.); 3,3 ммольа XXIV, 3,3 ммольа XXII и 5 ммольа  $\text{N}(\text{C}_2\text{H}_5)_3$  в 10 мл дioxана оставляют на 6 час. при  $20^\circ$ , перегоняют и получают XV, выход 78%. 0,5 г XIV или XV и 2 мл VIII нагревают 30 мин. при  $100^\circ$ , приливают эфир и отделяют XVI, выход 83%, т. пл.  $169-171^\circ$  (из сп.), или XVII, т. пл.  $170-173^\circ$  (из водн.  $\text{CH}_3\text{OH}$ ). 0,3 г XVIII, т. пл.  $114-116^\circ$  (из сп.-эф.-птр. эф.) (полученного с 90%-ным выходом р-цией XXIII с 1 молем VIII в  $\text{C}_6\text{H}_6$ ) и 1,5 мл VIII нагревают 3 часа при  $100^\circ$ , отгоняют VIII и извлекают эфиром XVII, выход 90%; р-р Na-производного XIX (полученного из гидантоина и спирта, р-ра  $\text{C}_2\text{H}_5\text{ONa}$ ) и  $\text{C}_6\text{H}_5\text{CH}_2\text{Cl}$  нагревают 3 часа при  $100^\circ$ , отгоняют спирт, приливают воду и получают XVII, выход 66%, 0,27 г XV и 1 мл  $\text{N}_2\text{H}_4 \cdot \text{H}_2\text{O}$  нагревают 5 час. при  $100^\circ$ , отгоняют  $\text{N}_2\text{H}_4 \cdot \text{H}_2\text{O}$ , продукт (т. пл.  $171-174^\circ$  (из сп.)) кипятят с водой и получают XX, т. пл.  $156-157^\circ$  (из воды). 2,8 ммольа XXIII и 2,8 ммольа этилового эфира фенилглицина в 5 мл  $\text{C}_6\text{H}_6$  оставляют при  $20^\circ$ , приливают птр. эфир, растворяют в спирте и гидролизуют (4 часа,  $20^\circ$ ) 1 н. р-ром  $\text{NaOH}$  в XXV, т. пл.  $204-206^\circ$  (из водн.  $\text{CH}_3\text{OH}$ ).

Д. Витковский

68883. Новый синтез 2,3,5,6-замещенных пиримидинов-4. Стаскун, Стивен (A new synthesis of 2:3:5:6-substituted 4-pyrimidones. Staskun Benjamin, Stephen Henry), J. Chem. Soc., 1956, Dec., 4708-4710 (англ.).

2,3,5,6-замещ. пиримидины-4  $\text{N}=\text{CRNR}'\text{COCR}'=\text{CCH}_3$

(I) синтезированы конденсацией имидхлоридов  $\text{RCCL}=\text{NR}'$  (II) с метиловым или этиловым эфиром  $\alpha$ -алкил- $\beta$ -аминокротоновой к-ты  $\text{CH}_3\text{C}(\text{NH}_2)=\text{CR}'\text{COOH}$  (III) с последующей циклизацией, 0,01 моля II и 0,005-0,2 моля III кипятят 3-4 часа в 40 мл  $\text{CHCl}_3$  (метод А) или оставляют при  $\sim 20^\circ$  на 2-3 дня (метод Б). В случае мало реакционноспособных II их нагревают с III в отсутствие р-рителя (метод В). После подкисления разб.  $\text{HCl}$  и отгонки с паром из охлажд. остатка выделяют образовавшийся из неизмененного II амид, а из фильтрата прибавлением  $\text{NH}_4\text{OH}$  осаждают I и перекристаллизовывают его из разб.  $\text{CH}_3\text{OH}$  или спир-

та. Ниже указаны значения R и R' в исходном II, R' и X в III, молярное соотношение II:III, метод, продолжительность р-ции в часах, выход соответствующего I в % и его т-ра плавления в  $^\circ\text{C}$ :  $\text{C}_6\text{H}_5$ ,  $\text{C}_6\text{H}_5$ ,  $\text{CH}_3$ ,  $\text{CH}_3$ , 1:1, В, 0,5 ( $140^\circ$ ), —, —;  $\text{C}_6\text{H}_5$ ,  $\text{C}_6\text{H}_5$ ,  $\text{CH}_3$ ,  $\text{C}_2\text{H}_5$ , 1:1, В, 0,5 ( $140^\circ$ ), 45, 157;  $\text{C}_6\text{H}_5$ ,  $\text{C}_6\text{H}_5$ ,  $\text{C}_2\text{H}_5$ ,  $\text{C}_2\text{H}_5$ , 1:2, А, 4, 79, 159;  $\text{C}_6\text{H}_5$ ,  $o\text{-CH}_3\text{C}_6\text{H}_4$ ,  $\text{CH}_3$ ,  $\text{CH}_3$ , 1:1, А, 3, 53, 114;  $\text{C}_6\text{H}_5$ ,  $o\text{-CH}_3\text{C}_6\text{H}_4$ ,  $\text{C}_2\text{H}_5$ ,  $\text{C}_2\text{H}_5$ , 1:2, А, 4, 80, 152;  $\text{C}_6\text{H}_5$ ,  $m\text{-CH}_3\text{C}_6\text{H}_4$ ,  $\text{CH}_3$ ,  $\text{CH}_3$ , 1:1, В, 0,5 ( $100^\circ$ ), 31, 129;  $\text{C}_6\text{H}_5$ ,  $m\text{-CH}_3\text{C}_6\text{H}_4$ ,  $\text{CH}_3$ ,  $\text{C}_2\text{H}_5$ , 1:1, В, 0,5 ( $100^\circ$ ), 28, —;  $\text{C}_6\text{H}_5$ ,  $m\text{-CH}_3\text{C}_6\text{H}_4$ ,  $\text{C}_2\text{H}_5$ ,  $\text{CH}_3$ , 1:1, В, 0,5 ( $100^\circ$ ), 77, 136;  $\text{C}_6\text{H}_5$ ,  $m\text{-CH}_3\text{C}_6\text{H}_4$ ,  $\text{C}_2\text{H}_5$ ,  $\text{C}_2\text{H}_5$ , 1:2, А, 3, —, —;  $\text{C}_6\text{H}_5$ ,  $n\text{-CH}_3\text{C}_6\text{H}_4$ ,  $\text{CH}_3$ ,  $\text{CH}_3$ , 1:2, А, 3, 77, 146;  $\text{C}_6\text{H}_5$ ,  $n\text{-CH}_3\text{C}_6\text{H}_4$ ,  $\text{C}_2\text{H}_5$ ,  $\text{C}_2\text{H}_5$ , 1:2, В, 3, 75, 152;  $\text{C}_6\text{H}_5$ , 2,4,1-( $\text{CH}_3$ ) $_2\text{C}_6\text{H}_3$ ,  $\text{CH}_3$ ,  $\text{CH}_3$ , 2:1, А, 3, 83, 152;  $\text{C}_6\text{H}_5$ , 2,4,1-( $\text{CH}_3$ ) $_2\text{C}_6\text{H}_3$ ,  $\text{CH}_3$ ,  $\text{C}_2\text{H}_5$ , 2:1, А, 3, —, —;  $\text{C}_6\text{H}_5$ , 2,4,1-( $\text{CH}_3$ ) $_2\text{C}_6\text{H}_3$ ,  $\text{C}_2\text{H}_5$ ,  $\text{C}_2\text{H}_5$ , 2:1, А, 3, 83, 146;  $\text{C}_6\text{H}_5$ ,  $n\text{-CH}_3\text{OC}_6\text{H}_4$ ,  $\text{C}_2\text{H}_5$ ,  $\text{C}_2\text{H}_5$ , 1:2, В, 3, 81, 161;  $\text{C}_6\text{H}_5$ ,  $n\text{-CH}_3\text{OC}_6\text{H}_4$ ,  $n\text{-C}_3\text{H}_7$ ,  $\text{CH}_3$ , 1:2, В, 0,5 ( $155^\circ$ ), 55, 163;  $\text{C}_6\text{H}_5$ ,  $m\text{-NO}_2\text{C}_6\text{H}_4$ ,  $\text{CH}_3$ ,  $\text{CH}_3$ , 1:2, В, 0,5 ( $140^\circ$ ), 62, 159;  $\text{C}_6\text{H}_5$ ,  $m\text{-NO}_2\text{C}_6\text{H}_4$ ,  $\text{CH}_3$ ,  $\text{C}_2\text{H}_5$ , 1:2, В, 0,5 ( $140^\circ$ ), 34, —;  $\text{C}_6\text{H}_5$ ,  $m\text{-NO}_2\text{C}_6\text{H}_4$ ,  $\text{C}_2\text{H}_5$ ,  $\text{CH}_3$ , 1:2, В, 0,5 ( $140^\circ$ ), 24, 160;  $\text{C}_6\text{H}_5$ ,  $m\text{-NO}_2\text{C}_6\text{H}_4$ ,  $\text{C}_2\text{H}_5$ ,  $\text{C}_2\text{H}_5$ , 1:2, В, 0,5 ( $140^\circ$ ), 38, —;  $\text{C}_6\text{H}_5$ , 1- $\text{C}_{10}\text{H}_7$ ,  $\text{CH}_3$ ,  $\text{C}_2\text{H}_5$ , 1:2, А, 3, 64, 174;  $\text{C}_6\text{H}_5$ , 2- $\text{C}_{10}\text{H}_7$ ,  $\text{CH}_3$ ,  $\text{C}_2\text{H}_5$ , 1:2, А, 3, 50, 189;  $\text{C}_6\text{H}_5$ , 2- $\text{C}_{10}\text{H}_7$ ,  $\text{C}_2\text{H}_5$ ,  $\text{C}_2\text{H}_5$ , 1:2, А, 3, 40, 184;  $\text{C}_6\text{H}_5$ ,  $o\text{-ClC}_6\text{H}_4$ ,  $\text{CH}_3$ ,  $\text{C}_2\text{H}_5$ , 2:1, А, 3, 13, 151;  $\text{C}_6\text{H}_5$ ,  $o\text{-ClC}_6\text{H}_4$ ,  $\text{C}_2\text{H}_5$ ,  $\text{C}_2\text{H}_5$ , 2:1, В, 0,5 ( $170^\circ$ ), 32, 192;  $\text{C}_6\text{H}_5$ ,  $m\text{-ClC}_6\text{H}_4$ ,  $\text{CH}_3$ ,  $\text{CH}_3$ , 1:1, В, 0,5 ( $150^\circ$ ), 35, 152;  $\text{C}_6\text{H}_5$ ,  $n\text{-ClC}_6\text{H}_4$ ,  $\text{C}_2\text{H}_5$ ,  $\text{C}_2\text{H}_5$ , 1:2, В, 0,5 ( $185^\circ$ ), 59, 148;  $\text{C}_6\text{H}_5$ ,  $n\text{-ClC}_6\text{H}_4$ ,  $n\text{-C}_3\text{H}_7$ ,  $\text{CH}_3$ , 1:2, В, 0,5 ( $185^\circ$ ), 37, 154;  $\text{C}_6\text{H}_5$ ,  $\text{C}_6\text{H}_5$ ,  $\text{C}_2\text{H}_5$ ,  $\text{C}_2\text{H}_5$ , 1:2, В, 3, 73, 82;  $\text{C}_6\text{H}_5$ ,  $\text{C}_2\text{H}_5$ ,  $\text{CH}_3$ ,  $\text{C}_2\text{H}_5$ , 1:2, В, 3, 51, 118;  $o\text{-CH}_3\text{C}_6\text{H}_4$ ,  $\text{C}_6\text{H}_5$ ,  $\text{CH}_3$ ,  $\text{CH}_3$ , 2:1, А, 3, 80, 112;  $o\text{-CH}_3\text{C}_6\text{H}_4$ ,  $\text{C}_6\text{H}_5$ ,  $\text{C}_2\text{H}_5$ ,  $\text{C}_2\text{H}_5$ , 2:1, А, 3, 74, 137;  $n\text{-ClC}_6\text{H}_4$ ,  $\text{C}_6\text{H}_5$ ,  $\text{C}_2\text{H}_5$ ,  $\text{C}_2\text{H}_5$ , 1:2, В, 0,5 ( $155^\circ$ ), 67, 146;  $n\text{-ClC}_6\text{H}_4$ ,  $\text{C}_6\text{H}_5$ ,  $n\text{-C}_3\text{H}_7$ ,  $\text{CH}_3$ , 1:2, В, 0,5 ( $155^\circ$ ), 24, 151; 3,4,5-( $\text{CH}_3\text{O}$ ) $_3\text{C}_6\text{H}_2$ ,  $\text{C}_6\text{H}_5$ ,  $\text{CH}_3$ ,  $\text{CH}_3$ , 1:2, А, 3, 20, 181; 3,4,5-( $\text{CH}_3\text{O}$ ) $_3\text{C}_6\text{H}_2$ ,  $\text{C}_6\text{H}_5$ ,  $\text{C}_2\text{H}_5$ ,  $\text{C}_2\text{H}_5$ , 1:2, А, 3, 37, 129. Те II, которые трудно синтезировать из амидов, напр. II, где  $\text{R}=\text{CH}_3$ ,  $\text{R}'=\text{C}_6\text{H}_5$ , можно получить действием  $\text{PCl}_5$  на нетоксичные  $\text{RR}'\text{C}=\text{NON}$  (IV) и применять их для дальнейшей работы без выделения из реакционной смеси. К р-ру 0,01 моля IV в 50 мл  $\text{CHCl}_3$  быстро прибавляют при  $0^\circ$  0,01 моля порошкообразного  $\text{PCl}_5$ , взбалтывают 1-2 мин., после чего либо кипятят 15 мин., прибавляют 0,02-0,03 моля III в 10 мл  $\text{CHCl}_3$  и кипятят еще 2-3 часа (метод Г), либо выдерживают 2 часа при  $\sim 20^\circ$ , прибавляют при  $10^\circ$  0,02-0,03 моля III в 10 мл  $\text{CHCl}_3$  и оставляют смесь на 1-2 дня при  $\sim 20^\circ$  (метод Д), либо оставляют на 2 часа при  $\sim 20^\circ$ , отгоняют при  $40-45^\circ/30$  мм р-ритель и  $\text{POCl}_3$ , прибавляют 0,02-0,03 моля III в 30 мл  $\text{CHCl}_3$  и выдерживают 1-2 дня при  $\sim 20^\circ$  (метод Е). Выделение I производится как выше. Ниже указаны значения R и R' в исходном IV, R' в III, метод конденсации, выход соответствующего I в % и его т-ра плавления в  $^\circ\text{C}$ :  $\text{C}_6\text{H}_5$ ,  $\text{CH}_3$ ,  $\text{C}_2\text{H}_5$ , Д, 65, 126;  $n\text{-CH}_3\text{C}_6\text{H}_4$ ,  $\text{CH}_3$ ,  $\text{C}_2\text{H}_5$ , Д, 65, 82;  $n\text{-CH}_3\text{C}_6\text{H}_4$ ,  $\text{CH}_3$ ,  $\text{CH}_3$ , Г, 65, 146; 2- $\text{C}_{10}\text{H}_7$ ,  $\text{CH}_3$ ,  $\text{C}_2\text{H}_5$ , Е, 65, 130;  $\text{C}_6\text{H}_5$ ,  $n\text{-C}_3\text{H}_7$ ,  $\text{C}_2\text{H}_5$ , Д, 72, 106;  $\text{C}_6\text{H}_5$ ,  $n\text{-C}_3\text{H}_7$ ,  $\text{CH}_3$ , Д, 73;  $n\text{-CH}_3\text{C}_6\text{H}_4$ ,  $n\text{-CH}_3\text{C}_6\text{H}_4$ ,  $\text{CH}_3$ , Е, 73, 128;  $n\text{-CH}_3\text{C}_6\text{H}_4$ ,  $n\text{-CH}_3\text{C}_6\text{H}_4$ ,  $\text{C}_2\text{H}_5$ , Е, 60, 140;  $\text{C}_6\text{H}_5$ ,  $\text{C}_2\text{H}_5$ ,  $\text{C}_2\text{H}_5$ , Г, 55, 157. III синтезированы по Конраду и Эпштейну (Conrad, Epstein, Ber., 1887, 20, 3055).

Г. Брау

68884. Получение 1-алкилурамилдиуксусных-7,7-кислот. Стейн, Грегор, Шпёрри (Preparation of 1-alkyluramil-7,7-diacetic acids. Stein Alvin, Gregor Harry P., Spoerri Paul E.), J. Amer. Chem. Soc., 1956, 78, № 23, 6185-6188 (англ.).

В связи с способностью урамилдиуксусной-7,7-к-ты образовывать стабильные внутрикомплексные соединения с щел. металлами (Schwarzenbach G. и др., Helv. chim. acta, 1946, 29, 364) синтезировали ряд ее гомоло-



гов общей ф-лы  $\text{CONHCONRCOCHN}(\text{CH}_2\text{COOH})_2$  (I).

Конденсацией  $\text{RNHCONH}_2$  с малоновой к-той в присутствии  $\text{C}_2\text{H}_5\text{ONa}$  получены 1-алкилбарбитуровые к-ты  $\text{CONHCONRCOCH}_2$  (II), которые через

нитрозосоединения превращены в 1-алкилурамилы  $\text{CONHCONRCOCHNH}_2$  (III). Некоторые III получены

также непосредственно конденсацией  $\text{RNHCONH}_2$  с ацетамидомалоновым эфиром (IV) и последующим омылением образовавшихся 7-Н-ацетил-III. Алкилирование III  $\text{ClCH}_2\text{COOH}$  приводит к I, строение которых подтверждается тем, что 7-Н-ацетил-III ( $\text{R} = \text{C}_6\text{H}_5$ ), также содержащий Н в положении 3, не алкилируется  $\text{ClCH}_2\text{COOH}$  и при щел. разложении I образуется нитрилтриуксусная к-та. Титр водн. р-ров солей I в стеклянных сосудах значительно изменяется вероятно вследствие комплексобразования с щел.-зем. металлом стекла. Отмечается, что получение II ранее описанным методом (Biltz H., Wittek H., Ber., 1921, 54B, 1035) в действительности приводит к смеси II с 5-ацетил-II, 0,395 моля  $\text{CH}_2(\text{COOH})_2$  и 0,34 моля  $\text{CH}_3\text{NHCONH}_2$  в 90 мл  $\text{CH}_3\text{COOH}$  обрабатывают (60–70°, 80 мин.). 0,687 моля  $(\text{CH}_3\text{CO})_2\text{O}$  нагревают (90°, 3 часа), упаривают в вакууме и получают II ( $\text{R} = \text{CH}_3$ ), выход 50%.  $\text{C}_2\text{H}_5\text{ONa}$  (0,15 г-атома Na и 75 мл абс. сп.),  $\text{CH}_2(\text{COOC}_2\text{H}_5)_2$  и бутилмочевину (по 0,125 моля) нагревают (120–130°, 7,5 часа), прибавляют 13 мл конц. HCl и 50 мл горячей воды, фильтрат упаривают в вакууме и получают II ( $\text{R} = \text{C}_6\text{H}_5$ ), выход 65%, т. пл. 109–110° (из воды); 5-бензальное производное (БП), выход 55%, т. пл. 153–154,5°. Аналогично получены следующие II (перечисляются R, выход в %, т. пл. в °C):  $\text{C}_6\text{H}_7$ , 56, 105–106; *изо*- $\text{C}_6\text{H}_7$ , 68, 108–109,5 (высушен в вакууме); БП, т. пл. 169–170°;  $\text{C}_6\text{H}_{13}$ , 94, 131–132;  $\text{C}_7\text{H}_{15}$ , 98, 133,5–134;  $\text{C}_8\text{H}_{17}$ , 83, 131,5–132,5°; БП, т. пл. 143–144,5°;  $\text{C}_{12}\text{H}_{25}$ , 93, 124–125; БП, т. пл. 134,5–136°. К горячему р-ру 0,05 моля II ( $\text{R} = \text{C}_6\text{H}_5$ ) в 500 мл воды прибавляют 0,055 моля  $\text{NaNO}_2$ , затем р-р 30 г гидросульфата Na в 200 мл воды + 50 мл конц.  $\text{NH}_4\text{OH}$  кипятят 35 мин. и получают III ( $\text{R} = \text{C}_6\text{H}_5$ ), выход 65–75% (выход 7-ацетил-1-бутилурамила из IV 50%, т. пл. 186–188°; омыление HCl в водн.  $\text{CH}_3\text{OH}$  идет с выходом 49%), т. пл. 216–221° (разл.; из воды, содержащей  $\text{NaHSO}_3$ ). К 0,013 моля III в 5 мл 5 н. NaOH прибавляют р-р 0,039 моля  $\text{ClCH}_2\text{COOH}$ , нейтрализованный по тимолфталену, нагревают ~100°, 35 мин.), добавляя порциями 3,5 мл 5 н. NaOH для сохранения щел. р-ции, фильтрат при охлаждении подкисляют 5 мл конц. HCl и, полученный при 0°, осадок I очищают пропусканием через ионообменную смолу (сульфокислотного типа). Аналогично получены следующие в-ва (перечисляются R, выход III в %, т. пл. в °C, т. пл. I в °C):  $\text{CH}_3$ , 60–75, 253–256 (разл.), 176 (моногидрат; разл.);  $\text{C}_2\text{H}_5$ , 71, 225 (разл.), 202 (разл.);  $\text{C}_6\text{H}_7$ , 64, 217 (разл.), —; *изо*- $\text{C}_6\text{H}_7$ , 77, 222 (разл.), —;  $\text{C}_6\text{H}_9$ , 65–75, 221 (разл.), 109,5–110,5 (моногидрат);  $\text{C}_6\text{H}_{13}$ , 45, 216 (разл.), > 114° (разл.);  $\text{C}_7\text{H}_{15}$ , 54, 205 (разл.), —;  $\text{C}_8\text{H}_{17}$ , 75 (к 1,5 г II ( $\text{R} = \text{C}_6\text{H}_{17}$ ), 3 мл 5 н. NaOH и 10 мл воды прибавляют 0,5 г  $\text{NaNO}_2$  и затем по каплям 10%-ную HCl, осадок обрабатывают 6 г гидросульфата Na в 50 мл воды и 5 мл  $\text{NH}_4\text{OH}$ , выход III 100%), 203 (разл.), > 80 (разл.). Б. Дубинин

68885. Некоторые хиноксалины, представляющие биологический интерес. Ачесон (Several quinoxalines of biological interest. Acheson R. M.), J. Chem. Soc., 1956, Dec., 4731–4735 (англ.)

Синтезированы производные хиноксалина, являющиеся аналогами итеронной и птерилглютаминной (I) к-т. Одно из этих производных — 4-(хиноксалинил-2')-аминобензойл-(—)-глутаминовая к-та (II) об-

ладает небольшим угнетающим действием на рост *Lactobacillus casei*, подавляемым I. 2-(2'-диэтиламиноэтил)-(III) и 2-(3'-диэтиламинопропил)-аминохиноксалины и (IV) и соответствующие им 6,7-дихлорпроизводные (V и VI) оказались неактивными при испытании на цыплятах, зараженных *Plasmodium gallinaceum*. 0,69 г *n*- $\text{NH}_2\text{C}_6\text{H}_4\text{COOH}$  (VII) и 0,82 г 2-хлорхиноксалина (VIII) кипятят 2 часа в 6 мл *n*- $\text{C}_2\text{H}_5\text{OH}$ , получают 1,12 г 4-(хиноксалинил-2')-аминобензойной к-ты, т. пл. 344–345° (разл.; после перекристаллизации из  $\text{C}_6\text{H}_5\text{NO}_2$  и пересадки из содового р-ра). 0,6 г VIII и 1,18 г этилового эфира *n*-аминобензойл-(—)-глутаминовой к-ты кипятят 4 часа в 5 мл спирта; выход этилового эфира II 79% (неочищ.), т. пл. 168° (из сп.). 0,72 г этого эфира в 12 мл спирта смешивают с 0,24 г NaOH в 2 мл воды и оставляют на 90 мин. при 20°. Из полученной Na-соли выделяют II, выход 86%, т. пл. 252° (разл.). Смесь 59 г *n*-толуолсульфохлорида, 15 г *o*- $\text{C}_6\text{H}_4(\text{NH}_2)_2$  и 75 мл пиридина нагревают 1 час на водяной бане и выливают в 1 л воды; выход  $\text{N,N'$ -ди-(*n*-толуолсульфонил)-*o*-фенилендиамина (IX) 46,2 г, т. пл. 204° (из сп.). 88,2 г IX и 46,25 г 2,3-дибромпропанола в 200 мл спирта последовательно прибавляют к р-ру  $\text{C}_2\text{H}_5\text{ONa}$  (из 9,75 г Na и 1 л сп.), кипятят 6 час. и выделенный осадок кипятят с 100 мл  $\text{C}_6\text{H}_6$ ; выход 1,2,3,4-тетрагидро-2-оксиметил-1,4-ди-(*n*-толуолсульфонил)-хиноксалина (X) 44,5 г, т. пл. 193° (из сп.). 5,08 г X растворяют в 50 мл конц.  $\text{H}_2\text{SO}_4$ , содержащей 0,5 мл воды, оставляют на 2 дня при повышенной т-ре, выливают на лед, подщелачивают и извлекают  $\text{CHCl}_3$ ; выход 1,2,3,4-тетрагидро-2-оксиметилхиноксалина (XI) неопределенный т. пл. 140–141° (из сп.); цикрат, т. пл. 179–180° (разл.). При гидролизе X конц. HCl (170°, 9 час.) выход XI составляет 46%. При окислении XI  $\text{K}_2\text{Fe}(\text{CN})_6$  в щел. р-ре удалось выделить только хиноксалин, т. кип. 130°/10 мм, т. пл. 26°. 5,6 г 2-трибромметилхиноксалина прибавляют к р-ру  $\text{CH}_3\text{ONa}$  (из 1,2 г Na и 30 мл  $\text{CH}_3\text{OH}$ ), кипятят 4,5 часа и получают соответствующий ортоэфир, т. пл. 63–65° (из  $\text{CH}_3\text{OH}$ ). 3,2 г этилового эфира оксиминоацетоксусной к-ты, 2,16 г *o*- $\text{C}_6\text{H}_4(\text{NH}_2)_2$  и 1,14 мл  $\text{CH}_3\text{COOH}$  кипятят 5 час. в 10 мл спирта. По отделении 2-окси-3-метилхиноксалина (XII) (выход 8%, т. пл. 245° (из сп.)) фильтрат подщелачивают, выделившееся масло извлекают эфиром и осаждают цикрат 2-метилбензимидазола (XIII), выход 25%, т. пл. 211–212°. При изменении условий проведения р-ции выход XII и XIII удается повысить соответственно до 31 и 33%. 0,46 г хиноксалинадегида-2 (XIV) и 0,4 г VII нагревают 1 час в 5 мл диоксана; выход анила 89%, т. пл. 286–287° (разл.; из диоксана). 1,9 г XIV и 2 г этилового эфира VII (XV) кипятят 3 часа в 10 мл диоксана и разбавляют водой; выход эфиранила 82%, т. пл. 139°. 0,527 г последнего гидрируют в 15 мл диоксана над Pt (из  $\text{PtO}_2$ ) при ~20° до поглощения 1 моля  $\text{H}_2$ . Фильтрат упаривают в вакууме и при обработке остатка спиртом получают этиловый эфир 4-(хиноксалинил-2-метил)-аминобензойной к-ты, выход 35%, т. пл. 229–232° (разл.; из пиридина); при гидрировании эфиранила из XIV и XV над скелетным Ni выход составляет 33%. 7,5 г XV и 5,9 г  $\alpha$ -дибром- $\beta$ -формилакриловой к-ты кипятят 20 мин. с 40 мл спирта и через ~18 час. отделяют дигидрат бромдигидрата анила из  $\alpha$ -бром- $\beta$ -карбоксианилиноакролеина (XVI) и XV, выход 62% (неочищ.), т. пл. 249–250° (разл.; из водн. сп.). 9,7 г этого бромдигидрата кипятят 45 мин. с 1,5 л воды и через ~18 час. отфильтровывают XVI, выход 99% (неочищ.), т. пл. 159–160° (из сп.). Суспензию 1,39 г  $\text{NaC}(\text{NO}_2)(\text{CHO})_2$  в 5 мл воды прибавляют к смеси 1,65 г XV в 10 мл воды и 1 мл конц. HCl, нагревают несколько минут при ~100° и отфильтровывают  $\beta$ -(4-

карботоксанилино)- $\alpha$ -нитроакролеин (XVII), выход 95% (неочищ.), т. пл. 158—159° (из сп.). 0,88 г XVII и 0,36 г  $\alpha$ -C<sub>6</sub>H<sub>4</sub>(NH<sub>2</sub>)<sub>2</sub> кипятят в 5 мл спирта, по выделении осадка приливают еще 15 мл спирта и нагревают 1 час, получают 3-нитро-6,7-бенз-1,5-дiazepин (XVIII), выход 81% (неочищ.), не плавится до 360° (из хинолина). Из фильтрата реакционного р-ра выделяют XV, выход 67%. 0,32 г NaC(NO<sub>2</sub>)(CHO)<sub>2</sub>, 0,25 г  $\alpha$ -C<sub>6</sub>H<sub>4</sub>(NH<sub>2</sub>)<sub>2</sub>, 0,25 мл конц. HCl и 6 мл воды нагревают 30 мин. при ~100°, получают XVIII, выход 71%. 4,74 г 1,2-дихлор-4,5-динитробензола гидрируют в 30 мл спирта над скелетным Ni до восстановления обеих NO<sub>2</sub>-групп, не отфильтровывая катализатор выливают смесь в 20 мл кипящего спирта, содержащего 3,8 г этилового эфира мезоксалевого к-ты, и кипятят 45 мин. Выход этилового эфира 6,7-дихлор-2-оксикиноксалин-карбонной-3 к-ты (XIX, к-та XIXa) 3,7 г (неочищ.), т. пл. 230° (из этилацетата). 5,1 г XIX нагревают 1 час при ~100° с 2 н. р-ром NaOH, приливают 50 мл воды, кипятят и фильтрат выливают в 50 мл конц. HCl; выход XIXa 4,5 г, т. пл. 340° (разл.; из сп.). 6,1 г XIXa кипятят с 60 мл C<sub>6</sub>H<sub>5</sub>NO<sub>2</sub> до прекращения выделения CO<sub>2</sub>, приливают 200 мл петр. эфира и осаждают 6,7-дихлор-2-оксикиноксалин (XX), выход 4,95 г, т. пл. 343° (разл.; из n-C<sub>3</sub>H<sub>7</sub>OH). 1 г XX кипятят 45 мин. с 10 мл POCl<sub>3</sub>, выпаривают в вакууме досуха, к остатку приливают воду и извлекают эфиром 2,6,7-трихлорхиноксалин (XXI), выход 1 г, т. пл. 147° (из сп.). 0,35 г XXI нагревают (110—140°, 3 часа) с 1 мл (C<sub>6</sub>H<sub>5</sub>)<sub>2</sub>NCH<sub>2</sub>NH<sub>2</sub> и выделяют V, масло, перегоняющееся при 168—173° (т-ра бани)/0,03 мм; моноодметилат, т. пл. 196—197° (из сп.). Аналогично конденсацией 1,2 г XXI с 3,2 мл (C<sub>6</sub>H<sub>5</sub>)<sub>2</sub>NCH<sub>2</sub>CH<sub>2</sub>NH<sub>2</sub> получают 1,15 г VI, перегоняющегося при 183—188° (т-ра бани)/0,05 мм, т. пл. 84—86° (из эф.); пикрат, т. пл. 182° (из сп.); моноодметилат, т. пл. 212° (разл.; из сп.). Сходным образом синтезированы III, выход 72%, т. кип. 140°/0,02 мм; диникрат, т. пл. 185°, и IV, т. кип. 200—205°/0,1 мм; диникрат, т. пл. 164° (из сп.). Г. Браз 68886.

О несимметричных производных пиперазина. Громатка, Грасс, Заутер (Über unsymmetrisch substituierte Piperazine. Hromatka O., Grass I., Sauter F.), Monatsh. Chem., 1956, 87, № 6, 701—707 (нем.).

С целью получения исходных в-в для синтеза 10-производных фентанина, представляющих фармакологический интерес, синтезирован ряд N-алкил-N'-(оксалил)-пиперазинов (Ia—з), которые действием SOCl<sub>2</sub> переведены в соответствующие N-алкил-N'-(хлоралкил)-пиперазины (IIa—е). В ходе работы получен



IX — OH; а R — CH<sub>3</sub>, R' — (CH<sub>2</sub>)<sub>3</sub>; б R — CH<sub>3</sub>, R' — (CH<sub>2</sub>)<sub>4</sub>; в R — CH<sub>3</sub>, R' — (CH<sub>2</sub>)<sub>5</sub>; г R — (CH<sub>2</sub>)<sub>3</sub>, R' — (CH<sub>2</sub>)<sub>3</sub>; д R — C<sub>2</sub>H<sub>5</sub>, R' — (CH<sub>2</sub>)<sub>3</sub>; е R — C<sub>2</sub>H<sub>5</sub>, R' — (CH<sub>2</sub>)<sub>4</sub>; ж R — n-C<sub>4</sub>H<sub>9</sub>, R' — (CH<sub>2</sub>)<sub>3</sub>; з R — n-C<sub>4</sub>H<sub>9</sub>, R' — (CH<sub>2</sub>)<sub>4</sub>; б R — (CH<sub>2</sub>)<sub>3</sub>, R' — (CH<sub>2</sub>)<sub>3</sub>; в R — (CH<sub>2</sub>)<sub>4</sub>, R' — (CH<sub>2</sub>)<sub>3</sub>; г R — (CH<sub>2</sub>)<sub>5</sub>, R' — (CH<sub>2</sub>)<sub>3</sub>; д R — (CH<sub>2</sub>)<sub>6</sub>, R' — (CH<sub>2</sub>)<sub>3</sub>; е R — (CH<sub>2</sub>)<sub>7</sub>, R' — (CH<sub>2</sub>)<sub>3</sub>; ж R — (CH<sub>2</sub>)<sub>8</sub>, R' — (CH<sub>2</sub>)<sub>3</sub>; з R — (CH<sub>2</sub>)<sub>9</sub>, R' — (CH<sub>2</sub>)<sub>3</sub>.

метилловый эфир  $\beta$ -N-метилпиперазино-N-пропионовой к-ты (III) и N-метил-N'-аллилпиперазин (IV). К суспензии 4 г LiAlH<sub>4</sub> в 140 мл абс. эфира прибавляют по каплям (45 мин.) 11,9 г III, размешивают 30 мин. при ~20°, кипятят 45 мин. при ~100°, добавляют 300 мл эфира и при ~0° 20 мл спирта и 15 мл воды, эфирный слой декантируют, осадок растворяют в разб. HCl, добавляют 30 г винной к-ты, подщелачивают 20%-ным р-ром KOH, насыщают K<sub>2</sub>CO<sub>3</sub>, экстрагируют эфиром и получают Ia, выход 72,2%, т. кип. 120—125°/10 мм, т. пл. 30°; пикрат (PK), т. пл. 143—145° (из сп.). Нагревают 50 час. 4 г N-метилпиперазина (V), 3,7 г  $\delta$ -хлорбутанола и 4 г K<sub>2</sub>CO<sub>3</sub> в 60 мл абс. ксилола, филь-

труют, фильтрат упаривают в вакууме, остаток перегоняют и получают Ib, выход 27,6%, т. кип. 140—160°/10 мм; PK, т. пл. 230—231° (из воды). Аналогично из  $\omega$ -бромгексанола, V и K<sub>2</sub>CO<sub>3</sub> в ксилоле (15 час.) получают Ic, выход 48,2%, т. кип. 140—160°/10 мм; PK, т. пл. 245° (из ацетона), и из 3,2 г  $\gamma$ -аминопропанола, 9,4 г бис-( $\beta$ -хлорэтил)-изопропиламина и 3,3 г K<sub>2</sub>CO<sub>3</sub> (15 час. в 10 мл абс. сп.) — Id, выход 42,7%, т. кип. 145—165°/10 мм; PK, т. пл. 233° (разл.; из воды). К р-ру 12,8 г N-карботоксипиперазина в 40 мл CH<sub>3</sub>OH при ~0° 30 мин. прибавляют по каплям р-р 6 г окиси пропилен (VI) в 10 мл спирта, кипятят 30 мин., упаривают в вакууме и из остатка получают Id, выход 86,9%, т. кип. 167—171°/11 мм. Аналогично из N-бензилпиперазина и VI получают Ie, выход 65,2%, т. кип. 195°/12 мм; хлоргидрат (XG), т. пл. 204—206° (разл.; из сп.). Кипятят 48 час. 15,2 г Id в 150 мл конц. HCl, р-р упаривают, остаток растворяют в небольшом кол-ве воды, подщелачивают 50%-ным р-ром KOH, насыщают K<sub>2</sub>CO<sub>3</sub>, экстрагируют эфиром и получают Iж, выход 57,2%, т. кип. 120—122°/21 мм. Кипятят 12 час. смесь 5,8 г Iж, 6 г изо-C<sub>3</sub>H<sub>7</sub>Br и 9 г NaHCO<sub>3</sub> в 20 мл изо-C<sub>3</sub>H<sub>7</sub>OH и получают Ia, выход 49,6%, т. кип. 116—118°/11 мм; XG, т. пл. 235—238° (разл.; из абс. эф.). К р-ру 5 г V в 20 мл CH<sub>3</sub>OH прибавляют по каплям 8,6 г метилакрилата, кипятят 1 час и получают III, выход 98,8%, т. кип. 112°/10 мм; PK, т. пл. 196—197° (из сп.). К смеси 1,94 г V и 2,8 г K<sub>2</sub>CO<sub>3</sub> в 10 мл абс. ксилола прибавляют по каплям (30 мин.) р-р 2,4 г CH<sub>2</sub>=CHCH<sub>2</sub>Br в 10 мл абс. ксилола, кипятят 15 час., отделяют остаток, добавляют 2 н. HCl, нейтрализуют K<sub>2</sub>CO<sub>3</sub>, добавляют ~5 мл конц. р-ра KOH, экстрагируют эфиром и получают IV, выход 71,4%, т. кип. 57—58°/12 мм; PK, т. пл. 278° (разл.; из сп.-вода). Кипятят 3 часа 6 г дихлоргидрата (DXG) Ia с 25 мл SOCl<sub>2</sub>, упаривают в вакууме и получают DXG IIa, выход 77,6%, т. разл. 255—257° (из сп.). Аналогично из DXG Ia и SOCl<sub>2</sub> (8 час.) получают IIб, выход 88,2%, т. разл. 221—224° (из абс. сп.), и из DXG Ie и SOCl<sub>2</sub> (6 час.) — IIв, выход 44%, т. разл. 283—285° (из сп.). К кипящему р-ру 9 г SOCl<sub>2</sub> в 40 мл CHCl<sub>3</sub> 1 час прибавляют по каплям р-р 2,6 г Ib в 50 мл абс. CHCl<sub>3</sub>, кипятят 10 час., р-р упаривают, остаток экстрагируют спирт. р-ром HCl (газа) и получают DXG IIг, выход 98,0%, т. разл. 221—225° (из абс. сп.). Аналогично из Ib и SOCl<sub>2</sub> (14 час.) получают DXG IIд, выход 86,1%, т. разл. 257—258° (из абс. сп.), и из Iг и SOCl<sub>2</sub> (10 час.) — DXG IIе, выход 100%, т. разл. 269—271° (из абс. сп.). Р. Журин 68887.

О некоторых 8-азапиримидолах. Бью Хой, Смейнг (Sur quelques aza-8 pyrimidazoles. Bui-Hoi N. P., Xuong Dat N.), C. r. Acad. sci., 1956, 243, № 25, 2090—2092 (франц.).

При конденсации 2-аминопиримидина (I) с  $\alpha$ -бромкетонами (BK) ( $\omega$ -бромфенонами) образуются 2-арил-8-азапиримидазолы (II), но не шиффовы основания или аминокетоны. Тем самым доказываются таутомерия I  $\rightleftharpoons$  2-амино-1,2-дигидропиримидин, соответствующая таутомерия 2-аминопиримидина. Нагревают несколько часов при 60—70° эквимолярные кол-ва I и BK в абс. спирте, осаждают бромгидрат II сухим эфиром и выделяют II из водн. р-ра бромгидрата K<sub>2</sub>CO<sub>3</sub>. По физ. и хим. свойствам II напоминают соответствующие пиримидазолы (III). Проводятся исследования по выяснению возможной активности II и III, как антагонистов пуринов. Синтезированы II (приведены арил и т. пл. в °C): C<sub>6</sub>H<sub>5</sub>, 202 (из сп.); n-FC<sub>6</sub>H<sub>4</sub>, 238 (из сп.); n-ClC<sub>6</sub>H<sub>4</sub>, 274 (из сп.-бал.); n-BrC<sub>6</sub>H<sub>4</sub>, 279 (из сп.-бал.); 3,4-(CH<sub>3</sub>)<sub>2</sub>C<sub>6</sub>H<sub>3</sub>, 181 (из сп.); 3,4-Cl<sub>2</sub>C<sub>6</sub>H<sub>3</sub>, 286 (из бал.); 3-Br-4-OCN<sub>2</sub>C<sub>6</sub>H<sub>3</sub>, 232 (из CH<sub>3</sub>OH); 2-OH-3-Br-5-CH<sub>3</sub>C<sub>6</sub>H<sub>3</sub>, 264 (из сп.-бал.). А. Т.

68888. Новый синтез кинетина и его аналогов. Бейзер, Кларк, Даб, Лотер (A new synthesis of kinetin and its analogs. Baizer Manuel M., Clark John R., Dub Michael, Loter Athanasios), J. Organ. Chem., 1956, 21, № 11, 1276—1277 (англ.).

Кинетин, 6-(2-фуриламино)-пурин (I) и некоторые его аналоги синтезированы из аденина (II) путем ацилирования II ангидридами к-т (методы А и Б) в 6-ацетиламинопурины (АП) с последующим восстановлением АП  $\text{LiAlH}_4$ . Метод А: смесь 0,01 моля II и 0,015 моля ангидрида фуранкарбоновой-2 к-ты нагревают ( $80^\circ$  1 час,  $140^\circ$  4 часа), разбавляют 50 мл воды, кипятят 1 час, нейтрализуют  $\text{NaHCO}_3$  и охлаждают. Выход 6-(2-фуриламино)-пурина (III) 83,2%, т. пл.  $214-216^\circ$  (из воды). Синтезированные этим методом АП (указаны R в 6-RCONH-группе, выход в %, т. пл.  $^\circ\text{C}$ ).  $\text{CH}_3$ , 75, — (кристаллизация из  $\text{CH}_3\text{COOH}$ );  $\text{C}_6\text{H}_5$ , 93,5, 242—243 (из сп.); 2-тиенил, 56 (очищ.), 248,5—249,5 (из  $\text{CH}_3\text{COOH}$ ); о-толил, 56,5 (очищ.), 194,2—194,8 (из сп.). Метод Б: кипятят 1 час ~ 5 г пиколинового ангидрида с 1,5 г II в 50 мл ксилола, смолистый осадок для выделения продукта кипятят с небольшим избытком  $\text{NaHCO}_3$ . Выход 6-(2-пиридоламино)-пурина 76—80%, т. пл. 285—286,2° (из сп.). I и III прибавляют порциями к р-ру 0,75 г  $\text{LiAlH}_4$  в 70 мл тетрагидрофурана при  $\sim 20^\circ$ , размешивают 4 часа, оставляют на 64 часа и кипятят 2 часа. Разлагают водой и выделяют I, выход 70,4%, т. пл.  $270-272^\circ$  (из сп.; запаянный капилляр),  $\lambda_{\text{max}}$  234,268 мμ (ε 3160, 18700).

Аналогично синтезированы следующие 6-замещ. метиламинопурины (приведены R в 6-RCH<sub>2</sub>NH-группе, выход неочищ. в %, т. пл.  $^\circ\text{C}$ ):  $\text{CH}_3$ , 34, 237—237,5 (из воды);  $\text{C}_6\text{H}_5$ , 87, 232,5 (из 20%-ного сп.); 2-тиенил, 48, 249—249,5 (из сп.); о-толил, 62, 243,6—244,6 (из 90%-ного сп.); 2-пиридил, 20, 236—238 (из сп.). Низкий выход последнего соединения связан с образованием неустойчивого промежуточного в-ва при восстановлении. Описано также восстановление АП в большем масштабе. Все т-ры плавления исправлены. А. Точилкин

68889. О получении некоторых 1-кето-2-арил-1,2-дигидробензотриазинов и их ультрафиолетовых спектрах. Грамматикакис (Remarques sur la préparation et l'absorption dans l'ultraviolet moyen de quelques-1-oxo-2-aryl-dihydro-(1,2)-phénotriazines. Grammaticakis Panos), C. r. Acad. sci., 1956, 243, № 25, 2094—2097 (франц.).

Циклизацией триазенов  $\text{ArNHN}=\text{NC}_6\text{H}_4\text{COOCH}_3$ -о (I) (нагревание в разб. сп.) или солей диазония 2-аминобензоилариламинов (II) синтезированы следующие 1-кето-2-арил-1,2-дигидробензотриазины (N-арилбензотриазоны) (III) (перечислены арил и т. пл. в  $^\circ\text{C}$  (из сп. или разб. сп.)):  $\text{C}_6\text{H}_5$  (IIIa), 151; 2- $\text{CH}_3\text{C}_6\text{H}_4$ , 167; 4- $\text{CH}_3\text{C}_6\text{H}_4$ , 143; 2- $\text{C}_6\text{H}_5\text{C}_6\text{H}_4$ , 183; 2- $\text{ClC}_6\text{H}_4$ , 122; 3- $\text{ClC}_6\text{H}_4$ , 144; 4- $\text{ClC}_6\text{H}_4$ , 186; 2- $\text{OCH}_3\text{C}_6\text{H}_4$ , 153; 4- $\text{OCH}_3\text{C}_6\text{H}_4$ , 157; 2- $\text{CH}_3\text{CONHC}_6\text{H}_4$ , 246; 4- $\text{CH}_3\text{CONHC}_6\text{H}_4$ , 242; 2- $\text{NO}_2\text{C}_6\text{H}_4$ , 184; 3- $\text{NO}_2\text{C}_6\text{H}_4$ , 243; 4- $\text{NO}_2\text{C}_6\text{H}_4$ , 252 (разл.; медленный нагрев; быстрый  $275^\circ$ ); 2,4,6-( $\text{CH}_3$ )<sub>3</sub> $\text{C}_6\text{H}_2$ , 142. Все III бесцветны, кроме  $\text{NO}_2\text{C}_6\text{H}_4$ -замещ. (желтые). Измеренные УФ-спектры III в 95%-ном сп.; приведены кривые) близки друг к другу и более сходны со спектрами соответствующих N-бензоилариламинов (IV) и II, чем со спектрами I. Спектр IIIa сходен с УФ-спектром N-бензоил-о-фенилгуанидина (дана кривая). Аналогично IV заместители в ариле III оказывают в орто-положении сильное гипсохромное, а в пара-положении — слабое bathochромное влияние по сравнению с IIIa; мета-замещение почти не сказывается. Для арила- $\text{O}_2\text{NC}_6\text{H}_4$  разница в спектрах орто-, мета-

и пара-изомеров значительно меньше, чем для соответствующих IV. По интенсивности поглощения изомерные III подчиняются отношению  $m-o \gg m-p$ , за исключением  $\text{CH}_3\text{O}$ - и  $\text{CH}_3\text{CONH}$ -замещ. А. Точилкин

68890. Синтезы некоторых n-нитрофенилзамещенных солей тетразолия в качестве электронных акцепторов для исследования дегидрогеназ. Цзоу Гуань-чжун, Чжэн Чжао-син, Наклас, Селигман (Syntheses of some p-nitrophenyl substituted tetrazolium salts as electron acceptors for the demonstration of dehydrogenases. Tsou Kwan-Chung, Cheng Chao-Shing, Nachlas Marvin M., Seligman Arnold M.), J. Amer. Chem. Soc., 1956, 78, № 23, 6139—6144 (англ.).

Для гистохим. исследования дегидрогеназ в тканях синтезированы n-нитрофенилзамещ. соли тетразолия. Найдено, что хлорид 2,2'-ди-n-нитрофенил-5,5'-дифенил-3,3'-(3,3'-диметокси-4,4'-бифенилен)-дитетразолия (I) является лучшим из тетразолов до сих пор полученных для гистохимии и дает возможность исследовать дегидрогеназы в цитологич. срезах тканей. I легко восстанавливается даже при аэробных условиях сушки дегидрогеназой в замороженных срезах тканей. 0,01 моля хлоргидрата бензидина (II) в 15 мл воды и 2,5 мл конц.  $\text{HCl}$  тетразотируют 0,022 моля  $\text{NaNO}_2$  в 4 мл воды, полученный р-р прибавляют к р-ру 0,02 моля n-нитрофенилгидразона бензальдегида (III) в 40 мл тетрагидрофурана (IV), затем прибавляют р-р 0,04 моля  $\text{KOH}$  в 8 мл воды, перемешивают при  $\sim 20^\circ$  30 мин., 40 мл из- $\text{C}_6\text{H}_5\text{OH}$  выделяют технич. продукт, экстрагируют 90 мл кипящего IV, упаривают до 10 мл, выливают в 50 мл  $\text{CH}_3\text{OH}$ , получают 2-n-нитрофенил-5-фенил-3-n-бифенилформазан, выход 21,6%, т. пл.  $153^\circ$  (разл.); нерастворимая часть в IV — 2,2'-ди-n-нитрофенил-5,5'-дифенил-3,3'-(n-бифенилен)-диформазан (V), выход 10,7%, т. пл.  $234^\circ$  (разл.; из диметилформамида (VI)). Из аналогичного тетразотированного р-ра и III, растворенного в смеси  $(\text{CH}_3)_2\text{SO}$  и спирта, содержащего  $\text{KOH}$  или пиридин, получают 2-n-нитрофенил-5-фенил-3-(4'-этокс-4-бифенилил)-формазан, выход 52,2%, т. пл.  $189^\circ$  (разл.; осаждают нитрометаном из р-ра в хлф.). К 0,005 моля V в смеси 15 мл диоксана и 15 мл IV прибавляют 10 капель изомилнитрита (VII), охлажд. смесь насыщают  $\text{HCl}$  (газ), перемешивают при  $\sim 20^\circ$  20 мин., прибавляют 2 капли VII, получают хлорид 2,2'-ди-n-нитрофенил-5,5'-дифенил-3,3'-(n-бифенилен)-дитетразолия, содержащий 2,5 моля воды, выход 70%, т. пл.  $222-223^\circ$  (разл.; из  $\text{CH}_3\text{OH}$ ). Аналогично V тетразотированный р-р из 0,01 моля II прибавляют к р-ру 0,02 моля n-нитрофенилгидразона n-нитробензальдегида (VIII) в 60 мл VI, затем прибавляют р-р  $\text{KOH}$ , перемешивают полчаса, получают 2,2',5,5'-тетра-n-нитрофенил-3,3'-(n-бифенилен)-диформазан (IX), выход 49,3%, т. пл.  $268^\circ$  (разл.; осаждают  $\text{CH}_3\text{OH}$  из р-ра в VI); из фильтрата выделяют 2,5-ди-n-нитрофенил-3-n-бифенилформазан, выход 49,3%, т. пл.  $171^\circ$  (разл.). При окислении 0,001 моля IX в 15 мл  $\text{CH}_3\text{OCH}_2\text{CH}_2\text{OH}$  VII 4 часа получают хлорид 2,2',5,5'-тетра-n-нитрофенил-3,3'-(n-бифенилен)-дитетразолия, содержащий  $\text{CH}_3\text{OCH}_2\text{CH}_2\text{OH}$  и 2 моля воды, выход 57,4%, т. пл.  $234^\circ$  (разл.; осаждают диоксаном из р-ра в VI). Тетразотированную смесь (0,04 моля хлоргидрата о-данизидина (X) в 60 мл воды и 10 мл конц.  $\text{HCl}$ , 0,088 моля  $\text{NaNO}_2$  в 15 мл воды) прибавляют к 0,08 моля III в 180 мл IV, затем прибавляют р-р 0,08 моля  $\text{KOH}$ , перемешивают полчаса, выделяют 2-n-нитрофенил-5-фенил-3-(3,3'-диметокси-4-бифенилил)-формазан (XI), выход 51,6%, т. пл.  $210^\circ$  (разл.; осаждают водой из р-ра в IV) и 2,2'-ди-n-нитрофенил-5,5'-дифенил-3,3'-(3,3'-диметокси-4,4'-бифенилен)диформазан (XII), выход 18,2%, т. пл.



257° (разл.); осаждают ацетоном из р-ра в VI). При аналогичной р-ции с применением  $\text{CH}_3\text{OH}$  как р-рителя получают 2-*н*-нитрофенил-5-фенил-3-(3,3',4'-триметокси-4-бифенилил)-формазан с выходом 21,2%, т. пл. 206° (разл.; осаждают  $\text{CH}_3\text{OH}$  из р-ра в хлф.), при окислении которого получают хлорид 2-*н*-нитрофенил-5-фенил-3-(3,3',4'-триметокси-4-бифенилил)-тетразолия с выходом 64%, т. пл. 200° (разл.; осаждают бэл. из р-ра в хлф.). При окислении XI получают хлорид 2-*н*-нитрофенил-5-фенил-3-(3,3'-диметокси-4-бифенилил)-тетразолия, содержащий 2 моля воды с выходом 20%, т. пл. 134° (разл.; из воды), а при окислении XII получают I, содержащий 3 моля воды, выход 84,5%, т. пл. 156° (разл.; дважды осаждают абс. эфиром из спирт. р-ра). I кипятят с *изо*- $\text{C}_3\text{H}_7\text{OH}$ , получают I (Ia), содержащий *изо*- $\text{C}_3\text{H}_7\text{OH}$ , т. пл. 211° (разл.). Ia сушат в вакууме при 100° 5,5 часов получают безводн. I. При сублимации I в вакууме при 100° один Cl- замещается на OH- получается в-во с т. пл. 134° (разл.). Из тетраэтированного р-ра из 0,01 моля X и 0,02 моля VIII в 200 мл  $(\text{CH}_3)_2\text{SO}$  получают 2,35 г технич. в-ва, после экстракции которого 200 мл IV остается 2,2,5,5'-тетра-*н*-нитрофенил-3,3'-(3,3'-диметокси-4,4'-бифенилил)-диформазан (XIII), выход 12,2%, т. пл. 300° (разл.; выщелачивание VI); при стоянии из экстракта выделяется 0,2 г 2,5-ди-*н*-нитрофенил-3-(3,3'-диметокси-4-бифенилил)-формазана с т. пл. 239° (разл.); экстракт упаривают досуха, выделяют полиморфную форму (выход 23,4%, т. пл. 185° (разл.)), которая при окислении образует хлорид 2,5-ди-*н*-нитрофенил-3-(3,3'-диметокси-4-бифенилил)-тетразолия, выход 94%, т. пл. 136° (разл. из кипящей воды). При окислении XIII образуется хлорид 2,2',5,5'-тетра-*н*-нитрофенил-3,3'-(3,3'-диметокси-4,4'-бифенилил)-дифтетразолия с выходом 74%, т. пл. 159° (разл.; осаждают *изо*- $\text{C}_3\text{H}_7\text{OH}$  из р-ра в  $\text{CH}_3\text{OH}$ ). 0,01 моля хлористого 2,5-диметокси-4-*н*-нитрофенилазобензодиазона прибавляют к 0,01 моля III в 160 мл пиридина, выделяют 2-*н*-нитрофенил-5-фенил-3-(2,5-диметокси-4-*н*-нитрофенилазо)-фенилформазан (выход 5,1%, т. пл. 228 (разл.)), который при окислении образует хлорид 2-*н*-нитрофенил-5-фенил-3-(2,5-диметокси-4-*н*-нитрофенилазо)-фенилтетразолия с выходом 83,7%, т. пл. 148° (разл.; осаждают петр. эф. из р-ра в хлф.).

Ю. Розанова  
68891. Синтез оксазиранов. Эммонс (The synthesis of oxaziranes. Emmons William D.), J. Amer. Chem. Soc., 1956, 78, № 23, 6208—6209 (англ.)

Азотметины,  $\text{RR}'\text{C}=\text{NR}''$ , устойчивые к кислотному гидролизу, легко окисляются  $\text{CH}_3\text{COOOH}$  в среде  $\text{CH}_2\text{Cl}_2$  в оксазираны,  $\text{RR}'\text{C}=\text{O}-\text{NR}''$  (I) (приводятся R, R', R'', выход в %, т. кип. в °C,  $n_D^{20}$ ): H, H, *трет*- $\text{C}_3\text{H}_5$ , 46, 52/75 мм., 1,4150;  $\text{C}_6\text{H}_5$ , H, *трет*- $\text{C}_3\text{H}_5$  (Ia), 71, 63/0,5 мм., 1,5081; H, H, *трет*- $\text{C}_3\text{H}_7$ , 69, 64/6 мм., 1,4445;  $\text{H}-\text{NO}_2$ ,  $\text{C}_6\text{H}_5$ , H,  $\text{C}_2\text{H}_5$ , 95, —, т. пл. 34—35°;  $\text{CH}_3$ , *изо*- $\text{C}_4\text{H}_9$ ,  $\text{H}-\text{C}_3\text{H}_7$ , 63, 64/7 мм., 1,4277. Строение I основывается на аналитич. данных, переходом при гидролизе в  $\beta$ -алкилгидроксиламины и альдегиды, сравнении с изомерными нитронами  $\text{RR}'\text{C}=\text{N}(-\text{O})\text{R}''$  (II), превращении I в II в кипящем безводн.  $\text{CH}_3\text{CN}$  и р-ции 2-*н*-пропил-3-метил-3-изобутилоксиазирана (III) с брэнцином (IV) в кипящем  $\text{CH}_2\text{Cl}_2$ , причем IV количественно образует N-окись, а III частично разделяется ( $\alpha^{\text{D}}_{20}$  —3,94°) после неполной деградации. I могут применяться при йодметрич. определениях. Ia с  $\text{H}_2\text{SO}_4$  в разб.  $\text{CH}_3\text{OH}$  дает  $\beta$ -*трет*-бутилгидроксил-амин, выход колич., т. пл. 64°, который с  $\text{C}_6\text{H}_5\text{CHO}$  образует II ( $\text{R}=\text{C}_6\text{H}_5$ ,  $\text{R}'=\text{H}$ ,  $\text{R}''=\text{C}(\text{CH}_3)_3$ ) (IIa), т. пл. 76°, отличный по УФ-спектру от Ia. Восстановление Ia  $\text{LiAlH}_4$  приводит к  $\text{C}_6\text{H}_5\text{CH}=\text{NC}(\text{CH}_3)_3$ , а IIa к  $\text{C}_6\text{H}_5\text{CH}_2\text{N}(\text{OH})\text{C}(\text{CH}_3)_3$ , т. пл. 72°.

П. Соков

68892. Производные 2,4-диоксо-3-фенилацетамидо-масляной кислоты. Корнфорт, Корнфорт (Derivatives of 2:4-dioxo-3-phenylacetamidobutanoic acid. Cornforth J. W., Cornforth R. H. Mrs.), J. Chem. Soc., 1957, Jan., 158—162 (англ.)

Возможный промежуточный продукт в синтезе бензиленилциллиновой к-ты — 2,4-диоксо-3-фенилацетамидо-масляная к-та (Ia) была получена из хлорангидрида 2-бензилоксазолкарбоновой-4 к-ты (II, к-та) превращением его в нитрил и далее в 2-бензилоксазолдиглиоксалиламид-4 (III); последний при щел. гидролизе переходит в Ia. Однако наличие полосы при  $1750\text{ см}^{-1}$  (лактольная связь), и отсутствие полосы CO-группы показывают, что к-та Ia существует в лактольной форме  $\text{C}_6\text{H}_5\text{CH}_2\text{CONHC}=\text{C}(\text{OH})\text{CO}-\text{O}-\text{CHOR}$

(16, R = H), что подтверждается также способностью 16 образовывать псевдоэфиры (R =  $\text{CH}_3$ ,  $\text{C}_2\text{H}_5$ , *изо*- $\text{C}_3\text{H}_7$ , и др.) простым нагреванием к-ты со спиртом, даже *трет*- $\text{C}_4\text{H}_9\text{OH}$ . Получен также псевдоанид. Оксозольное кольцо III расщепляется аминами и с образованием N-замещ. 4-амино-2-оксо-3-фенилацетамидобут-3-енамидов  $\text{C}_6\text{H}_5\text{CH}_2\text{CONHC}(\text{CH}=\text{NHR})\text{COCONH}_2$  (IV), которые циклизуются к-той в хлоргидраты оксопирролинов  $\text{C}_6\text{H}_5\text{CH}_2\text{CONHC}=\text{C}(\text{OH})\text{CONHCHNHR} \cdot \text{HCl}$  (V). Горячий спирт превращает V в эфиры  $\text{C}_6\text{H}_5\text{CH}_2\text{CONHC}=\text{C}(\text{OH})\text{CONHCHOR}$

(VI). Для сравнения изучено действие анилина на 2-бензилоксазолальдегид-4 (VII); при этом образуется оксидно дигидрид  $\text{C}_6\text{H}_5\text{N}=\text{CHC}(\text{NHCOC}_6\text{H}_5)=\text{CHNHC}_6\text{H}_5$  (VIII). Приведены данные УФ-спектров 16, IV—VI и VIII. Метилловый эфир II, т. пл. 55—56° (из петр. эф.). 9,5 г II в 95 мл эфира обрабатывают (т-ра < 0°) 5 мл HCN и затем 4,8 мл пиридина в 20 мл эфира, через 12 час. (0°) выделяют нитрил, который немедленно гидролизуют встряхиванием (45 мин.) с 30 мл конц. HCl, получают 2,6 г III, т. пл. 149—150° (обработка  $\text{NaHCO}_3$ ; из этилацетата). 1 г III в 40 мл 0,5 н. NaOH оставляют на 12 час. в вакуум-эксикаторе над  $\text{H}_2\text{SO}_4$ , подкисляют и получают 0,654 г 16, т. пл. 155—156° (из этилацетата-петр. эф.). Кипячением 16 в соответствующем спирте получают псевдоэфиры 16 (перечисляются R, время кипячения в час., т. пл. в °C):  $\text{CH}_3$ , 4, 117—118° (из бэл.);  $\text{C}_2\text{H}_5$ , 4, 175; *изо*- $\text{C}_3\text{H}_7$ , 4, 126—128 (из эф.); *трет*- $\text{C}_4\text{H}_9$ , 3, 136—138 (из эфира),  $\text{C}_6\text{H}_5\text{CH}_2$ , 8 (1,2 мл  $\text{C}_6\text{H}_5\text{CH}_2\text{OH}$  + 12 мл  $\text{C}_6\text{H}_5\text{CH}_2$ , 158—160. Из I (R =  $\text{C}_6\text{H}_5$  и  $\text{C}_6\text{H}_5\text{CH}_2$ ) действием  $\text{CH}_2\text{N}_2$  в эфире- $\text{CHCl}_3$  получены 4-метоксипроизводные, т. пл. 110—111° и 113—114° (из бэл.-петр. эф.) соответственно. Из 50 мг 16 и 3 капль анилина в 2—3 мл спирта (кипчение несколько минут) получают 48 мг 2-анилино-2,5-дигидро-4-окси-5-оксо-3-фенилацетамидофурана, т. пл. 185° (разл.; из этилацетата). III кипятят в спирте-*р*-амина и получают IV (перечисляются кол-во граммов III, время нагревания в мин., амин, R у IV, выход в граммах, т. пл. в °C): 0,5, 15,  $\text{NH}_3$  (насыщ. *р*-р при 0°), H, 0,46, 205—206 (разл.); 0,46, 60, 27 мг бензгидразида,  $\text{C}_6\text{H}_5\text{CONH}$ , 0,027, 193 (из сп.); 0,46, 20, 0,42 г  $\text{HCl} \cdot \text{H}_2\text{NCH}_2\text{COOC}_2\text{H}_5$  (вместо спирта 28 мл 0,1 н.  $\text{CH}_3\text{ONa}$  в  $\text{CH}_3\text{OH}$ ),  $\text{C}_2\text{H}_5\text{OOCCH}_2$ , 0,524, 133—135 (из бэл.); 0,5, 10, 0,4 мл анилина,  $\text{C}_6\text{H}_5$ , 0,704, 189—191. Из 100 мг IV (R = H) и спирт. HCl при прибавлении эфира получают 98 мг V (R = H) (Va), т. разл. 225—230°. Аналогично получен V (R =  $\text{C}_2\text{H}_5\text{OOCCH}_2$ ) (Vb), выход 101 мг, т. пл. 145—147° 660 мг IV (R =  $\text{C}_6\text{H}_5$ ) обрабатывают 5 мл насыщ. *р*-ра HCl в спирте, упаривают в вакууме и растривают с водой, выход VI (R =  $\text{C}_2\text{H}_5$ ) 470 мг, т. пл. 165° (разл.), который при действии  $\text{CH}_2\text{N}_2$  дает 2-этоксипроизводные 4-метокси-5-оксо-3-фенилацетамидопиррол, т. пл. 166—168° (из

этилацетата). VI ( $R = C_2H_5$ ) получен также из хлоргидратов Va, б и горячего спирта. Vб при кипячении 1–2 мин. с водой переходит в VI ( $R = H$ ), т. пл.  $\sim 205^\circ$ , который при кипячении (1 час) со спиртом дает VI ( $R = C_2H_5$ ). VII и 1 экв анилина в спирте через 12 час. (или кипячение 1 час с 2 экв анилина) при прибавлении разб. HCl осаждает монохлоргидрат VIII, т. пл.  $234^\circ$  (разл.; из сп.).

Б. Дубинин

68893. Заметка о 2,3-диоксифенилаланине и 3-оксиг-8-метоксикумарине. Рид, Гебхардтсбрауэр (Notiz über 2,3-Dihydroxy-phenylalanin und 3-Hydroxy-8-methoxy-cumarin. Ried Walter, Gebhardt'sbauer Hans Georg, Chem. Ber., 1956, 89, № 12, 2933–2939 (нем.))

При конденсации 2-оксиг-метоксибензальдегида (I) с гипсуровой к-той (II) получается 2-фенил-4-(2-ацетокси-3-метоксибензаль)-оксазолон-5 (III), побочным продуктом является 3-бензоиламино-8-метоксикумарин (IV). При замене I на 2,3-диметоксибензальдегид (V) образуется только 2-фенил-4-(2,3-диметоксибензаль)-оксазолон-5 (VI). При расщеплении азлактонных колец III и VI с последующим гидрированием образуется 2-оксиг-3-метоксиг-а-бензоиламиногидрокориичная к-та (VIII) соответственно, которые при действии HJ переходят в 2,3-диоксифенилаланин (IX). Попытки получения подобным образом триоксифенилаланина из замещ. I и V не увенчались успехом; так, синтезированные 2-оксиг-3-метоксиг-5-бензолазо-а-бензоиламинокоричная к-та (X) и 3,4-диметоксиг-6-нитро-а-бензоиламинокоричная к-та (XI) не восстанавливаются в гидрокориичные к-ты; 2-фенил-4-(3,4,5-триметоксибензаль)-оксазолон-5 (XII) не расщепляется в соответствующую коричную к-ту; 2-фенил-4-(2-нитро-3-метоксиг-4-ацетоксибензаль)-оксазолон-5 (XIII) разлагается разб. NaOH с выделением  $NH_3$ , а его  $NO_2$ -группа каталитически не гидрируется вследствие стерич. препятствий; 3-метоксиг-4-оксиг-5-бензолазобензальдегид (XIV) с II не образует азлактона. Смесь 17,9 г II, 15,2 г I, 8,2 г безводн.  $CH_3COONa$  и 30 мл  $(CH_3CO)_2O$  нагревают (открытая чашка,  $\sim 100^\circ$ , 45 мин.), после охлаждения осадок кипятят в 1 л воды и кристаллизуют из  $C_6H_6$ , получают IV, выход 8,4%, т. пл.  $204^\circ$  (из лед.  $CH_3COOH$  (XV)), из маточного  $C_6H_6$ -р-ра при упаривании выделяют III, выход 51%, т. пл.  $160^\circ$  (из XV). 15 г III в 1 л 10%-ного NaOH слабо (не кипятить!) нагревают до полного растворения, охлаждают и осторожно подкисляют конц. HCl, получают а-бензоиламино-2-оксиг-3-метоксигоричную к-ту, выход 79%, т. пл.  $228^\circ$  (пересаживание из шел. р-ра; из сп.), которая при гидрировании в 1 н. NaOH в присутствии скелетного Ni дает VII, т. пл.  $201^\circ$  (разл.; из XV). Из V аналогично III (нагревание 20 мин.) получают VI, выход 77%, т. пл.  $165,5^\circ$  (из XV). 10 г VI в 500 мл 1 н. NaOH (слабое нагревание до растворения) дают а-бензоиламино-2,3-диметоксигоричную к-ту, выход 82%, т. пл.  $209^\circ$  (из XV), которую переводят (аналогично получению VII) в VIII, выход  $\sim 100\%$ , т. пл.  $173^\circ$  (из XV). 3 г VII или VIII, 2 г красного P, 15 мл HJ (d 1,7) и 15 мл  $(CH_3CO)_2O$  кипятят 6 час., выливают в 1 л воды, примеси извлекают эфиром, избыток HJ осаждают 20%-ным р-ром  $Pb(CH_3COO)_2$ , фильтрат подщелачивают  $NH_4OH$  и получают Pb-соль IX, которую в воде обрабатывают  $H_2S$ , в фильтрат пропускают  $CO_2$  для удаления  $H_2S$ , затем немного  $SO_2$  и упаривают в вакууме, получают IX, выход 39%, т. пл.  $243^\circ$  (разл.; из воды, содержащей  $SO_2$ ). 20 г неочищ. смеси III и IV в 250 мл 10%-ного NaOH кипятят 15 час.; разбавляют водой (р-р A) насыщают  $SO_2$  до обесцвечивания, через 12 час. фильтруют с 70 мл конц. HCl нагревают ( $\sim 100^\circ$ , 4 часа) и получают 3-оксиг-8-метоксикумарин, выход 45%, т. пл.

$179,5^\circ$  (из XV); ацетильное производное, т. пл.  $119^\circ$ . При окислении р-ра A 20 мл 30%-ной  $H_2O_2$  выделяют 2-оксиг-3-метоксифенилуксусную к-ту, выход 49%. К р-ру 15,2 г I и 8,5 г NaOH в 250 мл воды прибавляют при  $15^\circ$  диазотатор (из 9,3 г анилина, 10 мл конц.  $H_2SO_4$ , 50 мл воды и р-ра 6,9 г  $NaNO_2$ ) и получают 2-оксиг-3-метоксиг-5-бензолазобензальдегид (XVI), выход 92%, т. пл.  $147,5^\circ$  (из  $CH_3OH$ ); 2,4-динитрофенилгидразон (ДНФГ), т. пл.  $249-250^\circ$  (из ацетона в присутствии  $CH_3COONa$ ). XVI метилируют  $(CH_3)_2SO_4$  и получают 2,3-диметоксиг-5-бензолазобензальдегид, выход 82%, т. пл.  $97^\circ$  (из 50%-ного сп.); ДНФГ, т. пл.  $231^\circ$  (из водн. пиридина). Из 18 г XVI, 10 г  $CH_3COONa$ , 9 г II в 100 мл  $(CH_3CO)_2O$  ( $\sim 100^\circ$  до растворения) получают 2-фенил-4-(2-ацетоксиг-3-метоксиг-5-бензолазобензаль)-оксазолон-5 (XVII), выход 64%, т. пл.  $167^\circ$  (из XV). К слабо кипящему 2 н. NaOH (1 л) прибавляют 45 мин. 20 г XVII и фильтрат на холоду подкисляют конц. HCl, отделяют X, выход 81%, т. пл.  $211^\circ$  (из лед.  $CH_3COOH$ ). Аналогично XVII получают: 2-фенил-4-(2,3-диметоксиг-5-бензолазобензаль)-оксазолон-5, выход 80%, т. пл.  $177^\circ$ ; XII (из 3,4,5-триметоксигбензальдегида), выход 87%, т. пл.  $165^\circ$  (из сп.); XIII (из 2-нитроацетиланилина), выход 65%, т. пл.  $169,5^\circ$  (из бал.), и 2-фенил-4-(3,4-диметоксиг-6-нитробензаль)-оксазолон-5, выход 92%, т. пл.  $222^\circ$  (из XV). Последний при осторожном нагревании в 2 н. NaOH дает XI, выход 30%, т. пл.  $210^\circ$  (из сп.). Из 15,2 г анилина и 12 г NaOH аналогично XVI получают XIV, выход плохой, т. пл.  $139^\circ$  (из  $CH_3OH$ ); ДНФГ; т. пл.  $274^\circ$  (разл.; из водн. пиридина).

Б. Дубинин

68894. Синтез замещенных 2-оксазолидонов и их производные. Желязков, Бикова, Зиколова (Синтеза на субституирани 2-оксазолидонови техни деривати. Желязков Л., Бикова Н., Зиколова С.в., Фармация (Бълг.), 1956, 6, № 6, 15–19 (болг.; рез. русск.))

С целью изучения фармакологич. действия синтезированы 3-Р-4-метил-5-фенилоксазолидоны-2 (I), которые при гидролизе образуют 1-фенил-2-алкиламинопропанола-1 (II). Цис- и транс-формы III (алкил =  $CH_2C_6H_5$ ) обладают спазмолитич. действием, одинаковым с папаверином. Na-соль I ( $R = H$ ) (получена растворением 2 г I ( $R = H$ ) в  $CH_3ONa$  (из 0,4 г Na и 15 мл  $CH_3OH$ ) с последующей отгонкой  $CH_3OH$ ) в 150 мл абс. ксилола нагревают до кипения, прибавляют 3,2 г этилового эфира бензосульфокислоты в 10 мл ксилола, кипятят 10 час., из фильтрата выделяют цис-I ( $R = C_2H_5$ ) (Ia), выход 60%, т. пл.  $44-47^\circ$  (из воды). Аналогично получают следующие I (пересчитываются R, выход в %, т. пл. в  $^\circ C$ ): транс- $C_2H_5$ , 65, 42–45; цис-изо- $C_2H_5$ , 70, 40–42,5; транс-изо- $C_2H_5$ , 65, 69–71; цис- $CH_2C_6H_5$ , 65, 99–102; транс- $CH_2C_6H_5$ , 60, 75–78. Технич. Ia растворяют в 250 мл 0,25 н. KOH в 90%-ном спирте, кипятят 8 час., отгоняют спирт, разбавляют водой, экстрагируют эфиром, обрабатывают 10%-ной HCl, затем 30%-ным р-ром NaOH и экстрагируют эфиром dl-цис-II (алкил =  $C_2H_5$ ); хлоргидрат, выход 32%, т. пл.  $150-155^\circ$  (из абс. сп. и абс. эф.).

Ю. Розанова

68895. Изучение серусодержащих гетероциклических соединений. VI. Производные 3-аминоордания. Уэда, Ота (含イオウ複素環式化合物に関する研究. 第6報. 3-アミノロゼン誘導体について. 上田寛寿, 大田正樹), Японская химическая литература, J. Chem. Soc. Japan. Pure Chem. Sec., 1956, 77, № 10, 1628–1629 (японск.)

При р-ции 16,2 г  $ClCH_2COOC_2H_5$  с гидразиновой солью дитиокарбаминной к-ты (из 10 г  $CS_2$  и 16,7 г 80%-ного  $N_2H_4 \cdot H_2O$ ) при  $20^\circ$  в течение 10 мин. образуется н-3-аминоордания (I) (см. предыдущие сооб-

щения, РЖХим, 1957, 63557), а промежуточный  $\text{NH}_2\text{NHCSSCH}_2\text{COOC}_2\text{H}_5$  (II), выход 84%, т. пл. 85–87° (из бзл.); при 0° р-ция не идет. Кипячение II с лед.  $\text{CH}_3\text{COOH}$  (10 мин.) приводит к I. При действии на спирт р-р II  $\text{C}_6\text{H}_5\text{CHO}$  образуется  $\text{C}_6\text{H}_5\text{CH}=\text{NNHCSSCH}_2\text{COOC}_2\text{H}_5$  (III), т. пл. 144–144,5° (из сп.). III получают также расщеплением 3-бензальминороданина 10%-ным NaOH до  $\text{C}_6\text{H}_5\text{CH}=\text{NNHCSSCH}_2\text{COOH}$  и последующей этерификацией этанолом в присутствии 3 капель конц.  $\text{H}_2\text{SO}_4$  (кипчение 4 час.). Л. Яновская 68896.

3-*n*-толил-2,4-тиазолидон и его производные. Бхаргава, Састри (3-*p*-tolyl-2,4-thiazolidione and its derivatives. Bhargava Prithwi Nath, Sastry M. Srinivasa), J. Scient. Res. Banaras Hindu Univ., 1955–1956, 6, № 2, 196–200 (англ.).

Взаимодействием симм-ди-*n*-толилтиомочевны (I) с  $\text{ClCH}_2\text{COOH}$  (II) синтезирован 3-*n*-толил-2,4-тиазолидон (III). При конденсации III с ароматич. альдегидами и  $\alpha$ -нитрозо- $\beta$ -нафтолом получены соответствующие 5-арилден-III (IV) и  $\beta$ -оксинафтил- $\alpha$ -имино-III (V). При р-ции III с солями диазония получены соединения, которым приписывается строение 5-арил-аза-III. При окислении III образуется сульфоксид III (VI). Меркурированием III получен 3-ацетоксиртуть-3-толил-2,4-тиазолидон (VII); причем положение  $\text{CH}_3\text{COOH}$ -группы в толильном радикале не установлено. Смесь 10 г I, 4–6 г II, 12–20 г лед.  $\text{CH}_3\text{COOH}$  (или 28 мл абс. спирта) и 10–20 мл конц. HCl кипятят 16,5 часа; получают III, выход 67,14%, т. пл. 162° (из воды). Строение III подтверждено цел. гидролизом (качественно обнаружены *n*-толуидин и  $\text{HSCH}_2\text{COOH}$ ). Смесь 0,5 г III, 10 мл лед.  $\text{CH}_3\text{COOH}$ , 2 мл  $\text{C}_6\text{H}_5\text{CHO}$  и 1,5 г плавяного  $\text{CH}_3\text{COONa}$  нагревают 4 часа при 130–140° и получают IV (арилден- $\text{C}_6\text{H}_5\text{CH}$ ), выход 70%, т. пл. 208° (из лед.  $\text{CH}_3\text{COOH}$ ). Аналогично получены V, выход 71%, т. пл. 205°, и следующие IV (приведены арилден, выход в %, т. пл. в °C): 2- $\text{NO}_2\text{C}_6\text{H}_4\text{CH}$ , 80, 242; 3- $\text{NO}_2\text{C}_6\text{H}_4\text{CH}$ , 50, 216; 3- $\text{HOC}_6\text{H}_4\text{CH}$ , 82, 222; 2- $\text{HOC}_6\text{H}_4\text{CH}$ , 62, 242; 4- $\text{CH}_3\text{OC}_6\text{H}_4\text{CH}$ , 53, 204; 4-( $\text{CH}_3$ ) $_2\text{NC}_6\text{H}_4\text{CH}$ , 67, 236; 2- $\text{C}_6\text{H}_5\text{CH}=\text{CHCH}$ , 45, 201; 4- $\text{HO}$ , 3- $\text{CH}_3\text{OC}_6\text{H}_4\text{CH}$ , 77, 235; 3,4-( $\text{CH}_3\text{O}$ ) $_2\text{C}_6\text{H}_3\text{CH}$ , 84, 194; 3,4- $\text{CH}_2(\text{O})_2\text{C}_6\text{H}_3\text{CH}$ , 91, 220. К р-ру  $n$ - $\text{CH}_3\text{C}_6\text{H}_4\text{N}_2\text{Cl}$  (из 1 г *n*-толуидина и 1,9 г  $\text{NaNO}_2$ ) приливают при 0° р-р I в III в 20 мл лед.  $\text{CH}_3\text{COOH}$ , выливают на лед и получают 5-*n*-толилазо-III, т. пл. 195° (из сп.). Аналогично получены 5-*n*-сульфамидофенилазо-III, т. пл. > 300° и 5-фенилазо-III, т. пл. 130°. К р-ру I в III в 20 мл лед.  $\text{CH}_3\text{COOH}$  и 15 мл абс. спирта прибавляют 1,5 г ( $\text{CH}_3\text{COO}$ ) $_2\text{Hg}$  в 15 мл воды, подкисленной  $\text{CH}_3\text{COOH}$ , и оставляют на ~12 час.; получают VII, т. пл. 310° (из сп.). При обработке I в III в 20 мл лед.  $\text{CH}_3\text{COOH}$  р-ром I г  $\text{KMnO}_4$  в 40 мл воды при 0° получают VI, т. пл. 182° (разл., из абс. сп.). А. Кост 68897.

Некоторые аналоги 3-бензилроданина. Брайдер, Браун, Синклер (Some analogs of 3-benzylrhodanine. Bradsher Charles K., Brown Frances C., Sinclair E. Faye), J. Amer. Chem. Soc., 1956, 78, № 23, 6189–6192 (англ.).

В связи с выявленной фунгицидной и бактерицидной активностями 3-бензилроданина (I) (РЖХим, 1956, 61577) синтезированы некоторые его аналоги: 3-бензилтиазолидиндионы-2,4  $\text{RC}_6\text{H}_4\text{CH}_2\text{NCOSCH}_2\text{CO}$  (II),

в которых тионовая группа I заменена СО-группой, 3-бензилтиазолидиндионы-2  $\text{RC}_6\text{H}_4\text{CH}_2\text{NCSSCH}_2\text{CH}_2$

(III), отличающиеся от I отсутствием СО-группы в положении 4, изомер I 3-бензилтиазолидон-5-тион-2 (IV) и *n*-хлор-IV (IVa), а также 5-( $\beta$ -оксители)-3-бензил-4-метилтиазолидиндионы-2  $\text{RC}_6\text{H}_4\text{CH}_2\text{NCSSC}(\text{CH}_2\text{CH}_2\text{OR}) = \text{CSCH}_2$  (V), имеющие общие черты I и вита-

мина В. При испытаниях против *Aspergillus niger*, *B. subtilis* и *E. coli* (приведены данные) II–V не показали большей активности чем I. К  $\text{CH}_3\text{ONa}$  (из 0,1 *g*-атом Na и 100 мл  $\text{CH}_3\text{OH}$ ) прибавляют р-р 0,1 моля тиазолидиндиона-2,4 в 50 мл горячего  $\text{CH}_3\text{OH}$ , затем 0,015 моля  $\text{RC}_6\text{H}_4\text{CH}_2\text{Cl}$  и кипятят до образования нейтр. р-ра (5–24 часа).  $\text{CH}_3\text{OH}$  отгоняют, остаток обрабатывают водой и эфиром выделяют II (перечисляются R, выход в %, т. кип. в °C/мм и т. пл. в °C (из сп.): H, 23, 146–149/1, 60,3–61; *n*-Cl, 46, —, 96,5–97,5; *o*-Cl, 15,5, 167–174/3, 49–51; *n*-O $_2$ N, 20, —, 119,8–121; *m*-O $_2$ N, 40, —, 124–125; *n*-CH $_3$ , 45, —, 70,5–72; *o*-CH $_3$ , 26, 165–166/2, 49–49,6; *m*-CH $_3$ , 16, 163/2, 45,5–46,5. К  $\text{RC}_6\text{H}_4\text{CH}_2\text{NH}_2$  (15 *g* для R = Cl) в 75 мл толуола медленно прибавляют 4,6 мл  $\text{CS}_2$ , кипятят до растворения осадка (выделение  $\text{H}_2\text{S}$ ), отгоняют р-ритель и получают  $\text{S}=\text{C}(\text{NCH}_2\text{C}_6\text{H}_4\text{R})$  (перечисляются R, выход в %, т. пл. в °C): *o*-Cl, 75,5, 128–129 (из сп.); *n*-Cl, 75, 140–141 (из сп.); 3,4-дихлор, 94, 139–140 (из  $\text{CH}_3\text{OH}$ ); 2,4-дихлор, 89, 183–184 (из  $\text{CH}_3\text{OH}$ ). Смесь полученных  $\text{N,N'$ -бис-бензилтиомочевны (0,03 моля) и 8 *g* этиленбромида нагревают при 150–165°, отгоняют  $\text{C}_2\text{H}_4\text{Br}_2$  в вакууме; остаток обрабатывают  $\text{CH}_2\text{Cl}_2$ , упаривают и эфиром осаждают бромгидрат  $\text{RC}_6\text{H}_4\text{CH}_2\text{NCH}_2\text{CH}_2\text{SC}=\text{NCH}_2\text{C}_6\text{H}_4\text{R}$  (VI). Нагревание оснований

VI (0,01 моля) с 0,04 моля  $\text{CS}_2$  (запаянная в атмосфере  $\text{N}_2$  трубка, 190–208°, 5 час.) приводит к III (перечисляются R, время нагревания в час., выход бромгидрата VI в %, т. пл. в °C, выход III в %, т. пл. в °C (из сп.)): H, 8,5, 45 (основание, т. кип. 207°–211°/2 мм), 235,5–236, 57, 132,5–133; *o*-Cl, 11, 21 (основание т. кип. 190–220°/2 мм), 202–203, 39, 107,4–108,4; *n*-Cl, 145°, 7 час. и 160–180 26 часа, 46, 156,6–151, 40, 125–126; 3,4-дихлор, 26, 56,5, 189–190,5, 21 (при 190–220°), 137–138; 2,4-дихлор, 14, 77, 222–223, 20 (при 190–220°), 172–173. К смеси 58,5 *g* *n*-хлорбензиламина, 100 мл воды, 28 *g* 37%-ного  $\text{CH}_2\text{O}$  и 170 мл эфира прибавляют (~0°, 20 мин.) р-р 22 *g* KCN в 50 мл воды, через 1 час отделяют эфирный слой и р-ром HCl в эфире осаждают хлоргидрат *n*-хлорбензиламиноацетонитрила (VII), выход 56%, т. пл. 155–156° (из абс. сп.). 10 *g* *N*-бензиламиноацетонитрила (VIII) в 35 мл конц. HCl, насыщ. при 0° HCl выдерживают (~20°, 1 час), разбавляют водой и отделяют хлоргидрат *N*-бензиламиноацетамида (IX), выход 71%, т. пл. 232–233° (из абс. сп.; зависит от скорости нагревания). Аналогично из VII получают *n*-хлор-IX, выход 78%, т. пл. 207–208°. К 4 *g* IX в 3 мл  $\text{CS}_2$  и 3 мл воды, порциями прибавляют 6 *g*  $\text{K}_2\text{CO}_3$ , размешивают (~20°, 8 час.), фильтрат подкисляют конц. HCl и отфильтровывают IV, выход 69,5%, т. пл. 99–99,5° (из хлф.-петр. эф.), который получен из VIII и  $\text{CS}_2$  в  $\text{CH}_3\text{OH}$  при pH > 7. При кипячении с водой дает *N*-бензилглицин. Аналогично IV на *n*-хлор-IX (размешивают 16 час., прибавляют 4 мл воды) получают IVa, выход 65%, т. пл. 139–140° (растворение в  $\text{CHCl}_3$ , промывание 6 *M* HCl; их хлф.-петр. эф.). 0,0155 моля бензиламина, 20,3 мл воды, 0,67 *g* NaOH и 1,27 *g*  $\text{CS}_2$  встряхивают до образования оранжевого р-ра, к фильтрату прибавляют 3 *g* 5-ацетокси-3-хлорпентанона, встряхивают, дитиокарбонат, извлекают эфиром и затем нагревают его (145°, 5–10 мин.) и получают V (R = H, R' =  $\text{COCH}_3$ ), 2 *g* которого при нагревании (~100°, 20 мин.) в 16 мл спирта с 16 мл 6 *M* HCl и упаривании в вакууме дают V (R = R' = H). Аналогично получены другие V (перечисляются R, R', выход в %, т. пл. в °C (из  $\text{CH}_3\text{OH}$  или сп.): H,  $\text{COCH}_3$ , 62, 83–84; *o*-Cl,  $\text{COCH}_3$ , 54, 94–95; *n*-Cl,  $\text{COCH}_3$ , 52, 87–88; *n*-CH $_3$ ,  $\text{COCH}_3$ , 23, 67–67,5; H, H, 99, 73–73,5; *n*-Cl, H, 96, 103–104; *n*-CH $_3$ , H, 72, 109,5–111.

Б. Дубинин

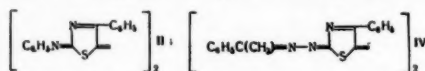


68898. Получение 1,1-диоксидов 2-ацил-3-оксо-4,5-бензо-1,2-тиазолинов (N-ацилсахаринов) для идентификации монокарбоновых кислот. Стивен, Стивен (The preparation of 2-acyl-3-oxo-4:5-benzo-1:2-thiazoline 1:1-dioxides (N-acylsaccharins) for the identification of monocarboxylic acids. Stephen Edith, Stephen Henry), J. Chem. Soc., 1957, Jan., 492—493 (англ.)

N-ацилсахарины (I), легко получаемые из Na-соли сахара (II) и хлорангидрида монокарбоновой к-ты, имеют определенную т-пу плавления и поэтому могут применяться для идентификации к-т. К 18,3 г сахара в 170 мл спирта прибавляют  $C_2H_5ONa$  (из 2,3 г Na и 50 мл сп.) и отфильтровывают II. 0,5 г к-ты (1 моль) нагревают с  $SOCl_2$  (1,5 моля), избыток  $SOCl_2$  отгоняют в вакууме, к остатку прибавляют II (1,25 моля) и нагревают 3 мин. Твердый продукт обрабатывают р-ром  $NaHCO_3$  и отделяют I, выход ~ 100%. Перечисляются ацил, т. пл. в °C (из  $CH_3OH$  или этилметилкетона): ацетил, 196; пропионил, 212; бутирил, 170; изобутирил, 158; валерил, 115; изовалерил, 137; гексанойл, 92; гептанойл, 85; октанойл, 104; нонанойл, 112; деканойл, 91; додеканойл, 94; тетрадеканойл, 96; гексадеканойл, 100,5; октадеканойл, 103; бензойл, 165; о, м, п-толуил, 169, 137, 182 соответственно; о, м, п-хлорбензойл, 196, 154, 205; фенилацетил, 182; 1-нафтоил, 171; 2-нафтоил, 183; п-анизойл, 138; о-метоксibenзойл, 192; вератроил, 192; феноксинацетил, 176. Б. Дубинин

68899. О новой группе хиноидных соединений ряда тиазола. Бейер, Крёгер, Берг, Бишофф, Цандер (Über eine neue Gruppe chinoider Verbindungen der Thiazolreihe. Beyer H., Kröger C.-F., Berg G., Bischoff Ch., Zander M.), Wiss. Z. E. M. Arndt-Univ. Greifswald, 1955—1956, 5, № 3-4, 249—252 (нем.)

При окислении 2-анилино-4-фенилтиазола (I) действием  $PbO_2$  в  $C_6H_6$  или лучше в трихлорэтилене вместо ожидавшегося сим-дифенил-ди-(тиазолил-2)-гидразина образовался окрашенный в синий цвет 4,4'-дифенил-5,5'-тиазолионилдиданил-2,2' (II). С N-ацетильными производными I эту р-цию провести не удалось. Синтез замещ. гидразина мог быть осуществлен лишь после блокирования положения 5 введением заместителя, напр. при применении в качестве исходного в-ва 2-анилино-4,5-диметилтиазола. Окисление I в нейтр. среде, по мнению авторов, протекает аналогично окислению дифениламина в кислой среде: сначала образуется 2,2'-дианилино-4,4'-дифенилдитиазолил-5,5' (III), который затем дегидрируется во II. Выделить III при окислении I не удается и для его получения II вос-



становлен в диоксане Zn и  $CH_3COOH$  или же III синтезирован нагреванием эквимолекулярных кол-в I и II. Для доказательства строения III получен другим путем — сплавлением 2,2'-диамино-4,4'-дифенилдитиазолина-5,5' с 2 молями  $C_6H_5NH_2 \cdot HCl$ . Подобно I с образованием синих «хиноидных» соединений окисляются 2,2'-дитиазолиламины (действием  $PbO_2$  в  $C_6H_6$ ), N,N-дифенил-N'-(тиазолил-2)-гидразины ( $FeCl_3$  в ацетоне или сп.) и (тиазолил-2)-гидразоны некоторых кетонов ( $FeCl_3$  в ацетоне или сп.). Для осуществления этих р-ций необходимо, чтобы положение 5 тиазольного ядра было свободно и чтобы в положении 2 находилась замещ. аминогруппа с одним свободным атомом H; впрочем, 2-метиламинотиазолы окислить подобным образом не удается. Строение «хиноидного» соединения (IV), получаемого при окислении (4-фенилтиазолил-2)-гидразона ацетофенона, доказано синтезом из

1,4-дифенил-2,3-дибромбутандиона-1,4, из которого конденсацией с 2 молями тиосемикарбаза ацетофенона сначала получено соответствующее дигидросоединение, окрашенное в желтый цвет; это дигидросоединение окисляется в IV уже при нагревании с пиридином. Для соединений, основным скелетом которых является 5,5'-дитиазолионилдиданил-2,2', авторы предлагают тривиальное наименование «тиазольный синий».

Г. Браз  
68900. Цианиновые красители ряда нафтодитиазола. Стеценко А. В., Иванова В. И., Укр. хим. ж., 1956, 22, № 6, 772—775

Получены цианиновые красители, содержащие в качестве гетероостатка нафтодитиазол. Исходный 2,2'-диметилбензтиазоло-(5',4',4,5)-бензтиазол (I) получен ацетилированием диаминонафталина (II), сплавлением 1,5-диацетиламинонафталина (III) с  $P_2S_5$  и окислением 1,5-дитиаоцетиламинонафталина (IV) в I по Якобсону. Из йодметилата I (V) обычными способами получены тиацинаны: (3-метил-2'-метилбензтиазоло-5',4',4,5-бензтиазол-2)-(3-метилбензтиазол-2)-метицианиниййодид (VI), бис-(3-метил-2'-метилбензтиазоло-5',4',4,5-бензтиазол-2)-триметицианиниййодид (VII), (3-метил-2'-метилбензтиазоло-5',4',4,5-бензтиазол-2)-(3-этилбензтиазол-2)-триметицианиниййодид (VIII), (3-метил-2'-метилбензтиазоло-5',4',4,5-бензтиазол-2)-(3-метилбензоксазол-2)-триметицианиниййодид (IX), 3-метил-2'-метилбензтиазоло-5',4',4,5-бензтиазол-2)-(3-этил-6,7-бензобензтиазол-2)-триметицианиниййодид (X), 3-метил-2'-метилбензтиазоло-5',4',4,5-бензтиазол-2)-(1-этилхинолин-2)-триметицианиниййодид (XI), йодметилат 2-а-диметиламиностирил-2'-метилбензтиазоло-5,4,4,5-бензтиазола (XII). Теплый бензольный р-р II обрабатывают  $(CH_3CO)_2O$  и получают III, выход 51%, т. пл. 360°. 5 г III, 3,9 г  $P_2S_5$ , 8 мл сухого  $C_6H_6$  нагревают 1,5 часа при 140—150°, экстрагируют 2 н. р-ром NaOH, осаждают  $CO_2$  и получают IV, выход 72%, т. пл. 149°. Р-р 4,5 г IV в 109 мл 2 н. NaOH добавляют по каплям к р-ру 27 г  $K_3Fe(CN)_6$  в 117 мл воды в течение 1 часа при т-ре 3° и через 12 час. получают I, выход 96%, т. пл. 272° (разл., из бзл.). 2,1 г I и 4 г  $(CH_3)_2SO_4$  нагревают при 100° 3 часа, промывают бензолом, осаждают из воды. р-ра KJ и получают V, выход 59%, т. пл. 270° (разл., из водн. сп.). 0,3 г V, 0,2 г метилметосульфата 2-метилмеркаптобензтиазола, 0,15 г безводн.  $CH_3COONa$  (XIII) и 4 мл абс. спирта кипятят 1 час и получают VI, выход 36%, т. пл. 339—340° (из сп.). 0,2 г V, 0,2 г  $HC(OC_2H_5)_3$ , 3 мл  $(CH_3CO)_2O$  кипятят 30 мин. и получают VII, выход 58%, т. пл. 247°. 0,3 г V, 0,36 г йодатилата 2-а-ацетанилидовинилбензтиазола, 0,3 г XIII, 3 мл  $(CH_3CO)_2O$  нагревают при т-ре 100° 30 мин. и получают VIII, выход 25%, т. пл. 216° (разл., из сп.). 0,2 г V, 0,2 г йодметилата 2-а-ацетанилидовинилбензоксазола, 0,15 г XIII и 4 мл  $(CH_3CO)_2O$  кипятят 30 мин. и получают IX, выход 58, т. пл. 207° (из сп.). Аналогично из 0,2 г V, 0,22 г йодатилата 2-а-ацетанилидовинил-6,7-бензобензтиазола, 0,15 г XIII и 4 мл  $(CH_3CO)_2O$  получают X, выход 38%, т. пл. 181° (разл., из сп.). Из 0,2 г V, 0,28 г йодатилата 2-а-ацетанилидовинилхинолина, 0,15 г XIII и 4 мл  $(CH_3CO)_2O$  получают XI, выход 62%, т. пл. 203—204° (разл., из сп.). 0,3 г V, 0,11 г п-диметиламинобензальдегида и 4 мл  $(CH_3CO)_2O$  кипятят 30 мин. и получают XII, выход 83%, т. пл. 241—242° (разл., из сп.). Л. Лукашина

68901. Цианиновые красители из изомерных диметилтиазобензтиазолов. Куприянов А. И., Стеценко А. В., Сыч Е. Д., Укр. хим. ж., 1956, 22, № 6, 760—766

Окислением 2-метил-6-тиоацетиламинобензтиазола (I) получают 2,2'-диметилтиазоло-(5',4'-5,6)-бензтиазол (II). Изомерный ему 2,2'-диметилтиазоло-(4',5'-5,6)-бензтиазол (III) получен окислением дитиаоцетила-

фенилендиамин. Из четвертичных солей (ЧС) II и III, в том числе этил-*n*-толуолсульфонатов II (IV), III (V), 2-метил-5-фенилтиазола (VI), 2-метил-5-*n*-нафтилтиазола (VII), 2-метилмеркаптохинолина (VIII), йод-этилатов 2-метилмеркаптобензтиазола (IX), III (X), метилметосульфата 2-метилмеркаптобензтиазола (XI), ацетанилидвинильных производных йодметилата бензоксазола (XII), бензтиазола (XIII), хинолина (XIV),  $\alpha$ -нафтолтиазола (XV) и этил-*n*-толуолсульфонатов  $\beta$ -нафтолтиазола (XVI),  $\alpha$ -нафтооксазола (XVII), III (XVIII), анилидвинильного производного этил-*n*-толуолсульфоната III (XIX) и дийодэтлата II (XX) синтезированы моно-, три-, пентаметинцианиновые и стироловые красители. 25 г 2-метил-6-ацетаминобензтиазола ссыпают в толуол с 15 г  $P_2S_5$ , 1,5 часа при 130–135°, плав извлекают 10%-ным NaOH, частично нейтрализуют, осаждают  $CO_2$  и получают I, т. пл. 208° (из сп.). 23 г I и 21 г NaOH растворяют в 105 мл воды и 25 мл спирта, добавляют к р-ру 78,4 г  $K_2Fe(CN)_6$  в 300 мл воды, осадок отфильтровывают, промывают водой и получают 16 г II, т. пл. 121° (из сп.). 1 г II и 1 г  $n$ - $CH_3C_6H_4SO_3C_2H_5$  (XXI) нагревают 3 часа при 130° и получают 0,9 г IV. 2 г II и 4 г XXI нагревают 13 час. при 130° и 1 час. при 150°, к водн. р-ру соли добавляют KJ и получают XX, выход 42%, т. пл. 230°. 1,1 г III и 1,4 г  $(CH_3)_2SO_4$  нагревают 2 часа при 100°, водн. р-р осаждают KJ и получают йодметилат III, выход 73%, т. пл. 235° (из воды), аналогично получают X, выход 42%, т. пл. 238°. 1 г V, 1 г  $C_6H_5N=CHNC_6H_5$  и 2 мл  $(CH_3CO)_2O$  (XXII) нагревают до 120° 10 мин., осаждают эфиром, получают XVIII, выход 14%. Аналогично в  $C_6H_5N$  (XXIII) получают XIX, т. пл. 259° (разл., из сп.). Монометинцианины получены нагреванием компонентов в абс. спирте в присутствии безводн.  $CH_3COONa$  (указаны компоненты, время нагревания в мин., выход красителя в %, т. пл. в °C): IV + IX, 60, 28, 273; IV + VIII, 30, 9, —; V + IX, 60, 62, 293–294°. Симметричные триметинцианины получены нагреванием ЧС с эфирами ортоуравниной (XXIV), ортоуксусной (XXV) и ортопропионовой (XXVI) кислот в XXIII или XXII. Несимметричные красители синтезированы из ЧС и ацетанилидвинильных производных ЧС нагреванием их в XXIII или XXII. Указаны компоненты, р-ритель, время нагревания в мин., выход красителя в %, т. пл. в °C: IV + XXIV, XXIII, 40, 62, 267; IV + XII, XXII, 30, 31, 250; IV + XIII, XXII, 25, 58, 251; IV + XV, XXII, 30, 20, 253; IV + XIV, XXII, 20, 38, 264; V + XXIV, XXIII, 40, 60, 270; V + XXV, XXIII, 35, 16, 287; V + XXVI, XXII + XXIII, 45, 19, 267. VI + XVIII, XXIII, 40, —276; VII + XIX, XXII + XXIII, 40, 61, 256; V + XVII, XXII + XXIII, 5, 16, 273; V + XIII, XXII + XXIII, 25, 31, 273; V + XVI, XXII + XXIII, 40, 30, 256, X + XIV, XXII + XXIII, 20, 34, 280. Нагреванием IV с хлоргидратом анилинида акролеина в XXIII с несколькими каплями  $(C_2H_5)_3N$  в течение 10 мин. получен пентаметинцианин с выходом 39%, т. пл. 213°. Аналогично из V получен краситель с выходом 40%, т. пл. 245°. При конденсации V с хлоргидратом анилинида глутаконового диальдегида получен краситель с выходом 12%, т. пл. 212°. Нагреванием V в XXIII с *n*-диметиламинобензальдегидом (XXVII) в течение 20 мин. получен краситель с выходом 29%, т. пл. 234°. Аналогично из VIII и XXVII получен краситель с выходом 92%, т. пл. 255°, а из дучетвертичной соли II и XXVII — *bis*-*n*-диметиламиностириловый краситель с выходом 36%, т. пл. 263°.

Л. Лукашина  
68902. Конденсация азометиннов с сероводородом и альдегидами. Коллинс, Греймор (The condensation of azomethines with hydrogen sulphide and aldehydes. Collins D., Graymore J.), J. Chem. Soc., 1957, Jan., 9–10 (англ.)

В развитие работы авторов (РЖХим, 1954, 44651) из азометиннов общей ф-лы  $цикло-C_6H_{11}N=CHR$  (I, где  $a$   $R=C_6H_5$ ,  $b$   $R=C_6H_4CH_3$ ,  $c$   $R=C_6H_4OCH_3$ ),  $CH_3O$  и  $H_2S$  получены соответствующие 2-*R*-5-циклогексил-5,6-дигидродитиазины 1,3,5  $C_6H_{11}NCH_2SCHRSCH_2$  (IIa—

в). IIa образуется также при конденсации *N*-метиленициклогексиламины (III),  $H_2S$ ,  $CH_2O$  в присутствии бензальдегида. Вероятно в первом случае из Ia образуется сначала III, так как в продуктах р-ции обнаружен  $C_6H_5CHO$ . Метод был применен к бензилиденовым производным  $RN=CHC_6H_5$  (IV, где  $a$   $R=CH_3$ ,  $b$   $R=C_6H_5$ ,  $c$   $R=C_6H_4CH_3$ ), при этом синтезированы соответствующие дигидродитиазины  $RNCH_2SCH(C_6H_5)SCH_2$

(Va—v). Va не удалось разделить на оптич. антиподы, что должно иметь место в случае образования вместо Va изомерного 6-метил-5-фенилпропаноидного. Смесь эквивалентных кол-в ароматич. альдегида и амина растворяют в эфире, промывают 2%-ной  $CH_3COOH$  и р-ром  $NaHCO_3$  и выделяют I (перечисляются т. кип. и т. пл. в °C): а, 280, 17; б, 312, —; в, 319, 12. В р-ре 4 мл 40%-ного  $CH_2O$  и 5 г Ia—v или IVa—v в 25 мл спирта пропускают  $H_2S$  и получают следующие II или V (перечисляются в-во, выход в г, т. пл. в °C (из сп.), т. пл. хлоргидрата (получен в  $C_6H_5 + HCl$ ) в °C): IIa, 6,5, 138, 178; IIb, 6,2, 127, 120; IIв, 6,2, 166, 162; Va, 4, 167, 182; Vb, 1,8, 129, 192; Vв, 0,8, 147, 161. Из 10 г Va и 11,1 г камфорсульфокислоты в кипящем ацетоне получают (+)-камфор-10-сульфонат, т. пл. 175–177° (разл.),  $[\alpha]_D^{25}$  25,5° (в хлф.). IIa при гидролизе 20%-ной  $H_2SO_4$  дает  $H_2S$ ,  $\beta$ -тригидробензальдегид, тритиформальдегид,  $CH_2O$ ,  $C_6H_5CHO$  и  $C_6H_{11}NH_2$ . Б. Дубинин

68903. Получение винильных магнийорганических соединений. Норман (Sur la preparation des organo-magnésien vinyliques. Normant Henri), Bull. Soc. chim. France, 1957, № 5, 728–733 (франц.)

Приведен обзор работ по синтезу в-в типа  $C=C=RMgX$ , в том числе со связью  $C=C$  в цикле. Из  $RC_6H_4Cl$  (I) и Mg в тетрагидрофуране (II) получены  $RC_6H_4MgCl$ , превращенные действием добавленного реагента в следующие в-ва (приведен R, реагент, продукт р-ции, выход в %): H (Ia), вода,  $C_6H_5$ , 95; H,  $C_6H_5CHO$ ,  $C_6H_5CHONHC_6H_5$ , 84–88; H,  $CH(OC_6H_5)_2$ ,  $C_6H_5CH(OC_6H_5)_2$ , 75; H,  $CO_2$ ,  $C_6H_5COONH_3$ , 63; *n*- $CH_3$ ,  $CO_2$ , *n*- $CH_3C_6H_4COONH_3$ , 50; *n*-( $CH_3$ ) $_2CH$  (16),  $CH(OC_6H_5)_2$ , *n*-( $CH_3$ ) $_2CHC_6H_4CH(OC_6H_5)_2$ , 62; 16,  $(CH_3)_2SO_4$ , *n*-( $CH_3$ ) $_2CHC_6H_4CH_2$ , 90; *n*- $CH_3O$ ,  $(CH_3)_2SO_4$ , *n*- $CH_3OC_6H_4CH(OC_6H_5)_2$ , 58; из  $\alpha$ -нафтилхлорида после р-ции с Mg и карбоксилирования получена  $\alpha$ -нафтойная к-та, выход 64%.  $\alpha$ -Хлор (или бром) тиофен и  $\alpha$ -бромфуран нормально реагируют с Mg. Ia взаимодействует с Mg труднее, чем  $C_6H_5Br$ ;  $C_6H_5F$  с Mg не реагирует. При нагревании р-ра  $RMgX$  (R — насыщ. жирный радикал) в II при 190–200° и последующем гидролизе образуются  $R(CH_2)_nOH$ . Так, исходя из  $C_6H_5MgCl$  получен октанол-1, т. кип. 95–96°/19 мм, и из  $C_6H_5MgBr$  — гексанол-1, т. кип. 158–160°. Изучено влияние р-рителей на примере р-ции  $CH_3CH=CHBr$  (III) с Mg (50–60 мл р-рителя на 0,1 г атома Mg) с дальнейшим выделением соответствующего спирта после р-ции с ацетоном или  $C_6H_5CHO$ . Р-рители могут быть разделены на 3 группы: А) II, 2- $CH_3$ -II, тетрагидропиран, диэтиловый или дибутиловый эфир диэтиленгликоля; В) *изо*- $C_3H_7$ ,  $OC_6H_5$ ,  $C_6H_5CH_2OC_6H_5$ , *изо*- $C_3H_7OC_6H_5$ ,  $(C_6H_5)_2O$ ,  $(C_6H_5)_2O$ , анизол, метилацетил, анизол-эфир (3:1), эфир-II (1:1), диметиловый эфир диэтиленгликоля; С) диоксан, диоксолан, диметилацетил, кумол, *N*-метилморфолин и др. Р-ция III с Mg в А начинается легко и идет при 40–50°, при этом образуется прозрачный р-р; в В начало р-ции затруднено (можно начинать р-цию в А, заменив его затем

на В); в С р-ция идет плохо с образованием многих побочных продуктов. В II  $\text{CH}_2=\text{CHMgBr}$  получают с выходом 95—97%. Р-ция  $\text{C}_6\text{H}_5\text{CH}=\text{CHBr}$ ,  $\text{C}_6\text{H}_5\text{CBr}=\text{CH}_2$  и  $\text{C}_6\text{H}_5(\text{CH}_3)\text{C}=\text{CHBr}$  с Mg требует большего разведения и понижения т-ры р-ции до 30—40°. К 0,1 г/атома Mg в виде мелких стружек под 25—30 мл II добавляют  $\text{J}_2$  или  $\text{HgCl}_2$ , или несколько капель  $\text{C}_2\text{H}_5\text{Br}$ ,  $\text{CH}_3\text{J}$  и т. п., а затем 0,5 мл I, после начала р-ции при 40—50° добавляют 0,1 моля I в 25—30 мл II, затем нагревают 0,5—1 час при 70—80°, охлаждают до ~20° при перемешивании. И. Левин

68904. Взаимодействие циклопропановых углеводородов с солями окиси ртути. V. Действие ацетата ртути на метилциклопропан и 1,1-диметилциклопропан. Левина Р. Я., Костин В. Н., Тартаковский В. А., Ж. общ. химии, 1956, 26, № 11, 2998—3004

$\text{Hg}(\text{OOCCH}_3)_2$  (I) в воде или  $\text{CH}_3\text{OH}$  при 18—20° реагирует с 1,1-диметил- (II) и метилциклопропаном (III) с разрывом цикла и образованием γ-меркурированных спиртов  $(\text{CH}_3)_2\text{C}(\text{OR})\text{CH}_2\text{CH}_2\text{HgX}$  (IV) и  $\text{CH}_3\text{CHONCH}_2\text{CH}_2\text{HgX}$  (V). В 150 г изопрена, охлажденном с солью, пропускают HBr до привеса 180 г, спустя сутки выделяют 1-бром-3-метилбутен (VI), выход 82%, т. кип. 60—65°/70 мм. Аналогично из VI синтезирован 1,3-дибром-3-метилбутан (VII), выход 88%, т. кип. 70°/10 мм,  $n_D^{20}$  1,5062. К 450 г Zn-пыли в 1 л 75%-ного спирта при 70—80° прибавляют по каплям р-р VII в спирте и одновременно отгоняют II, который затем встряхивают при 0° с 1%-ным р-ром  $\text{KMnO}_4$  и перегоняют над Na, выход II 68%, т. кип. 20—21°/748 мм,  $n_D^{20}$  1,3658,  $d_4^{20}$  0,8671. Так же получают III, выход 85%. Встряхиванием 25 г II, 110 г I и 400 мл воды до исчезновения иона Hg с последующей отгонкой воды и  $\text{CH}_3\text{COOH}$  в вакууме получен маслообразный IV ( $\text{R} = \text{H}$ ,  $\text{X} = \text{OOCCH}_3$ ) (VIII), выход 75%. Подобным же образом в  $\text{CH}_3\text{OH}$  из I получен IV ( $\text{R} = \text{CH}_3$ ,  $\text{X} = \text{OOCCH}_3$ ) (IX), выход 82%. Обменными р-циями из VIII получены следующие IV ( $\text{R} = \text{H}$ ) (указаны X, выход в %, т. пл. в °C): Cl (X), 92, 59—60; Br, 90, 92—93; J, 80, 119—120. Из IX синтезированы следующие V ( $\text{R} = \text{CH}_3$ ): Cl, 90, 42—43; Br, 85, 45—46; CNS, 75, 37—38; CN, 64, 40—41; J, 62, —. Аналогично IV из III и I в воде получен с выходом 80% V ( $\text{X} = \text{OOCCH}_3$ ) (XI), из которого обменными р-циями получены следующие V: Cl (XII), 85, 95—96; Br, 80, 114—115; CNS, 85, 65—66. VIII и XI симметризованы щел. станнитом Na, получены ди-(3-окси-3-метилбутил)-ртуть, выход 80%, т. пл. 81° (из водн. сп.), и ди-(3-оксипентил)-ртуть, выход 85%, т. кип. 174—176°/12 мм,  $n_D^{20}$  1,5461. К охлажд. эфирному р-ру  $\text{C}_2\text{H}_5\text{MgBr}$  (XIII) (из 12 г  $\text{C}_2\text{H}_5\text{Br}$ ) прибавляют эфирный р-р (1:5) 12 г X, кипятят 1,5 часа, эфир декантируют (р-р A), остаток промывают эфиром и разлагают 2 н.  $\text{CH}_3\text{COOH}$ , получен трет- $\text{C}_2\text{H}_5\text{OH}$ , выход 62%. Из р-ра A выделен  $\text{C}_2\text{H}_5\text{HgCl}$  (XIV) и  $(\text{C}_2\text{H}_5)_2\text{Hg}$  (XV). Аналогично из XII и XIII получены втор- $\text{C}_2\text{H}_5\text{OH}$ , выход 65%, XIV и XV. Сообщение IV см. РЖХим, 1957, 8095.

Ф. Величко  
68905. Свойства этиленовых углеводородов. Получение и кристаллизация 2-оксипропилмеркурипропionato. Мартинес-Кордон (Propiedades de los hidrocarburos etilénicos. Preparación y cristalización del propionato de mercuri-propanol. Martínez Cordon J. L., Combustibles, 1954, 14, № 75-76, 229—234 (исп.))

Изучено действие oleфинов на Hg-соли карбоновых к-т. Описано получение  $\text{C}_2\text{H}_5\text{COOHgCH}_2\text{CH}(\text{OH})\text{CH}_3$  (I) медленным пропусканием  $\text{C}_2\text{H}_4$  через водн. р-р  $(\text{C}_2\text{H}_5\text{COO})_2\text{Hg}$ . К 500 мл 1 M  $\text{C}_2\text{H}_5\text{COOH}$  добавляют HgO и пропускают  $\text{C}_2\text{H}_4$ , фильтрат упаривают в вакууме при 35°, получают 166 г неочищ. I. 7 г неочищ. I

растворяют в 10 мл ацетона, через 24 часа фильтрат охлаждают до —80°, отделяют выделившееся масло, которое снова растворяют в 5 мл безводн. ацетона и повторяют операцию, после чего р-р медленно выливают при непрерывном перемешивании к 6 мл эфира, охлажд. до —15°, через несколько часов выпадает мелкокристаллич. I, т. пл. 54°. Медленно добавляют 1 моль KBr к щел. р-ру I, в фильтрат пропускают  $\text{CO}_2$  и отделяют  $\text{CH}_3\text{CH}(\text{OH})\text{CH}_2\text{HgBr}$  (II), т. пл. 76° (из водн. сп.). Приведено подробное описание анализа I—II. И. Гонсалес

68906. Обменные реакции стереоизомерных ртутных производных стильбена. Несмеянов А. Н., Борисов А. Е., Волькенгау Н. А., Изв. АН СССР, Отд. хим. н., 1956, № 2, 162—171

Подтверждено правило о сохранении геометрич. конфигурации в р-циях электрофильного и радикального обмена (Несмеянов А. Н. и Борисов А. Е., Докл. АН СССР, 1948, 60, 67). При взаимодействии *цис*-(I) и *транс*-α-меркуристильбенов (II) (РЖХим, 1955, 28982) с  $\text{TiCl}_3$  образуются с выходом 87—98% *цис*-α-хлормеркуристильбен (III), т. пл. 130—131° (из I), *транс*-α-хлормеркуристильбен (IV), т. пл. 140—141°, и *транс*-α-хлорстильбен (из II) и  $\text{TiCl}_3$ . Под действием сплава Sn/Na (15% Na) III и IV переходят соответственно в I, выход 97%, и II, выход 77%. Из IV при этом образуется немного *транс*-стильбена (V). С безводн.  $\text{SnCl}_2$  в спирте и без р-рителя II не реагирует, а IV в спирте превращается в II; в ацетоне из II и из IV при действии  $\text{SnCl}_2$  образуется V. I и III в спирте при 80° с  $\text{SnCl}_2$  дают только V; те же в-ва в ацетоне при 80° образуют треххлористое *цис*-α-стильбенилолово (VI), т. пл. 109—110°, и 20—30% *цис*-стильбена (VII), а при ~20° дают смесь VI, VII и двуххлористого ди-α-стильбенилолова (VIII). VI и VIII выделены после гидролиза водн.  $\text{NH}_3$  в виде *цис*-α-стильбенилстанниновой к-ты (IX), т. пл. 157—160°, и окиси *цис*-ди-α-стильбенилолова (X), не плавится выше 300°. При обработке  $\text{SOCl}_2$  из IX и X получается VI. При взаимодействии VI с  $\text{HgCl}_2$  в спирте образуются 87% III. Из IX или X и HgO (кипчение в сп.) получен I (89 и 67%). При взаимодействии II с  $\text{HgBr}_2$  в спирте образуется 98% *транс*-α-броммеркуристильбена, т. пл. 157—158° (XI). В тех же условиях из I получено 99% *цис*-α-броммеркуристильбена, т. пл. 118—120° (XII). Симметризация XI KJ приводит к II (99%), а XII — к I (53%). При симметризации станинитом натрия III и XII превращаются в I (95%), а IV и XI в II (65—70%). Симметризация аммиаком IV и XI дает II (60%), а III и XII — I (88%). I—IV, VI, X—XII превращены с помощью диоксандибромиды (XIII) в исходные α-бромстильбены. Так при взаимодействии II с XIII при ~20° образуется XI и *транс*-α-бромстильбен (XIV), а при кипячении в диоксане — только XIV. IV и XI в тех же условиях образуют XIV. При действии  $\text{Br}_2$  на II уже при ~20° образуется XIV с выходом 91%. При р-ции I с XIII на холоду образует XII и *цис*-α-бромстильбен (XV). III и XII образуют XV на холоду, а VI, IX и X дают XV при нагревании в  $\text{C}_6\text{H}_6$  до 70°. Т. Голстая

68907. Оксимеркурирование алкенов. Райт (Oxymercuration of alkenes. Wright George F., Ann. N. Y. Acad. Sci., 1957, 65, № 5, 436—453 (англ.))

Подробный обзор, посвященный строению продуктов, образующихся при действии солей  $\text{Hg}^{2+}$  на oleфины, в том числе на в-ва типа стильбена, циклогексена и т. д., в водн. и спиртовой среде. И. Комиссаров  
60908. Реакция диазометана с треххлористым бором в газовой фазе. Губо, Роведдер (Die Reaktion von Diazomethan mit Bortrifluorid in der Gasphase. Goubeau Josef, Rohwedder K. H., Liebigs Ann. Chem., 1957, 604, № 1-3, 168—178 (нем.))



При  $r$ -ции  $\text{CH}_2\text{N}_2$  с большим избытком  $\text{BF}_3$  в газовой фазе при  $-40$  до  $-60^\circ$  образуется с почти колич. выходом  $\text{F}_2\text{BCH}_2\text{F}$  (I), т. пл.  $-47^\circ$ , т. кип.  $+7^\circ$  (экстраполировано). I устойчив при хранении в твердом состоянии в стекле. В жидком виде разедает стекло. В газовой фазе I мономерен, в жидком и твердом состоянии I ассоциирован, на что указывает значение константы Трутона и ИК-спектр. На основании ИК-спектра I в твердом состоянии установлено сильное обменное взаимодействие атома F, связанного с C, с атомом B другой молекулы I. Приведены колебательные спектры твердого и газообразного I по сравнению с  $\text{CH}_3\text{BF}_2$ . С. Иоффе

68909. Реакции хлоридов аминов с эфиром трехфтористого бора. Мьютертис (Reactions of amine hydrochlorides with boron trifluoride-etherates. Muettterties E. L., Z. Naturforsch., 1957, 12b, № 4, 265—266 (англ.))

При  $r$ -ции  $\text{BF}_3 \cdot \text{O}(\text{C}_2\text{H}_5)_2$  (I) с хлоридатами (XГ) ( $\text{NH}_2\text{CH}_2$  (II),  $\text{NH}_2(\text{CH}_2)_6\text{NH}_2$  (III) или  $\text{NH}_2\text{NH}_2$  (IV) при  $60-100^\circ$  получены B ( $\text{OC}_2\text{H}_5$ )<sub>3</sub>,  $\text{C}_2\text{H}_5\text{Cl}$  и фторбораты аминов, причем II и III образуют дифторбораты, а IV — монофторборат. Аналогично реагируют XГ аминспиртов. Взаимодействие I с  $\text{NH}_2\text{OH} \cdot \text{HCl}$  протекает значительно быстрее, чем с XГ II—IV, продуктом  $r$ -ции является  $\text{F}_2\text{B} \cdot \text{NH}_2\text{OH}$  (V), который в воде постепенно превращается в  $\text{NH}_2\text{OH} \cdot \text{BF}_3\text{OH}^-$ . (V) гидролизует в  $\sim 5$  раз скорее, чем  $\text{F}_2\text{B} \cdot \text{NH}_2$  (см. РЖХим, 1955, 9547). При  $180^\circ$  V быстро разлагается на  $\text{BF}_3$ ,  $\text{N}_2\text{O}$ ,  $\text{N}_2$ , неидентифицированный газ и твердый остаток, содержащий, вероятно,  $\text{NH}_4\text{BF}_4$ . П. Аронович

68910. Дальнейшие исследования системы бутенильные соединения — треххлористый бор. Джеррард, Ланнерт, Силвер (Further investigations in the butenyl-boron trichloride system. Gerrard W., Lannert M. F., Silver H. B., J. Chem. Soc., 1957, April, 1647—1652 (англ.))

В развитие исследования (см. РЖХим, 1957, 54438, 60619) изучены хим. свойства  $\text{B}(\text{OR})_3$  (I),  $\text{BCl}(\text{OR})_2$  (II) и  $\text{BCl}_2\text{OR}$  (III), в которых  $\text{R} = 1$ -метилаллил ( $\text{R}^1$ ), бутен-3-ил ( $\text{R}^2$ ) или 3-метилаллил ( $\text{R}^3$ ). Введение  $\text{CH}_3$ -группы в 1- или 3-положение аллильной группировки значительно повышает электронодонорные свойства (ЭС) группировки. ЭС  $\text{R}^1$  и  $\text{R}^3$  являются промежуточными между ЭС *втор-* и *трет-*- $\text{C}_4\text{H}_9$ -групп.  $\text{R}^2$  обладает более слабыми ЭС, чем  $\text{R}^1$  и  $\text{R}^3$ , но более сильными по сравнению с ЭС  $\text{н-С}_4\text{H}_9$ -группы.  $r$ -цией  $\text{B}(\text{OR})_3$  с  $\text{BCl}_3$  получены  $\text{BCl}(\text{OR})_2$  (IIб) и  $\text{BCl}_2\text{OR}$  (IIIб). При действии  $\text{BCl}_3$  на  $\text{B}(\text{OR}^1)_3$  (Iа) и  $\text{B}(\text{OR}^2)_3$  (Iв) не удалось выделить соответствующие II и III, которые, по-видимому, распадаются по ур-ниям:  $3\text{BCl}(\text{OR})_2 \rightarrow 3\text{RCl} + \text{B}_2\text{O}_3 + \text{B}(\text{OR})_3$  и  $3\text{BCl}_2\text{OR} \rightarrow 3\text{RCl} + \text{B}_2\text{O}_3 + \text{BCl}_3$ . При действии  $\text{HCl}$  на Iа и Iв при распаде  $\text{RCl}(\text{OR}^1)_2$  (IIа),  $\text{BCl}(\text{OR}^2)_2$  (IIв),  $\text{BCl}_2\text{OR}^1$  (IIIа) и  $\text{BCl}_2\text{OR}^2$  (IIIв) выделяется смесь  $\text{RCl}$ , имеющая постоянный состав:  $66,5 \pm 2,5\%$   $\text{R}^1\text{Cl}$  и  $33,5 \pm 2,5\%$   $\text{R}^2\text{Cl}$ , на основании чего сделан вывод, что указанные  $r$ -ции протекают по механизму  $\text{S}_\text{N} 1$ . При гидролизе и алкоголизе Iа и Iв не наблюдается аллильной перегруппировки, что свидетельствует о разрыве связи  $\text{B}-\text{O}$ , а не  $\text{C}-\text{O}$ , исключением является алкоголиз Iв *н-октанолом* (IV), при котором частично разрывается связь  $\text{C}-\text{O}$ .  $\text{R}^2\text{OH}$  получен из  $\text{CH}_3\text{CH}=\text{CHCHO}$  действием  $\text{LiAlH}_4$ , одновременно образуется  $\text{R}^3\text{OH}$ .  $\text{R}^2\text{OH}$  получен с низким выходом пропусканием паров  $\text{CH}_2\text{O}$  в  $\text{CH}_2=\text{CHCH}_2\text{MgBr}$ . Кипячением 3 молей  $\text{R}^1\text{OH}$ , 1 моля  $\text{B}(\text{OH})_3$  и 30 мл  $\text{C}_6\text{H}_6$  получен Iа, выход 73%, т. кип.  $78^\circ/10$  мм,  $n_D^{20}$  1,4177,  $d_4^{18}$  0,8717. Так же синтезирован Iв, выход 81%, т. кип.  $112/9$  мм,  $n_D^{20}$  1,4428,  $d_4^{18}$  0,9160. К  $r$ -ру 8,1 г  $\text{R}^2\text{OH}$  в 25 мл  $\text{н-С}_5\text{H}_{12}$  прибавляют за 10 мин. при  $-80^\circ$   $r$ -р 4,3 г  $\text{BCl}_3$  в 10 мл  $\text{н-С}_5\text{H}_{12}$ , охлажд. до  $-35^\circ$ , получен  $\text{B}(\text{OR}^2)_3$ , выход 94%, т. кип.  $112^\circ/15$  мм,  $n_D^{20}$

1,4332,  $d_4^{22}$  0,8925. В тех же условиях прибавляют  $\text{BCl}_3$  к  $\text{R}^1\text{OH}$ , через 15 час. ( $20^\circ$ ) выделяют 4,6% Iа и 94%  $\text{B}(\text{OH})_3$ ; в отсутствие  $r$ -рителя и быстрым удалении  $\text{HCl}$  выход Iа 58%. Добавлением  $\text{R}^2\text{OH}$  к  $\text{BCl}_3$  при  $-80^\circ$  получают смесь  $\text{R}^1\text{Cl}$  и  $\text{R}^2\text{Cl}$  с выходом 70% и  $\text{B}(\text{OH})_3$ , выход 98%. Прибавляют 0,03 моля воды к 0,01 моля Iа, выход  $\text{R}^1\text{OH}$  96,3%. При гидролизе Iв выход  $\text{R}^2\text{OH}$  99%. Добавляют 7,8 г IV к 4,48 г Iа и выделяют  $\text{R}^1\text{OH}$  с выходом 97% и ( $\text{н-С}_5\text{H}_{11}\text{O}$ )<sub>3</sub>B (Ir) с выходом 72,3%, т. кип.  $222^\circ/28$  мм. При действии IV на Iв получено 87% смеси  $\text{R}^1\text{OH}$  и  $\text{R}^2\text{OH}$  и Ir, выход 92%. При действии  $\text{HCl}$  (газа) при  $18^\circ$  и при  $120^\circ$  Iа не изменяется. При пропускании  $\text{HCl}$  через Iв ( $110^\circ$ , 4 часа) получено 99%  $\text{B}(\text{OH})_3$  и 70% смеси  $\text{R}^1\text{Cl}$  и  $\text{R}^2\text{Cl}$ . 1 моль  $\text{BCl}_3$  прибавляют к 2 молям Iб при  $-80^\circ$ , выделен Iб с колич. выходом, т. кип.  $47^\circ/0,2$  мм,  $n_D^{20}$  1,4338,  $d_4^{23}$  0,9745. При добавлении 2 молей  $\text{BCl}_3$  к 1 молю Iб получен Iб с колич. выходом, т. кип.  $36^\circ/15$  мм,  $n_D^{20}$  1,4621, при  $20^\circ$  за 24 час. разлагается на 92%. В аналогичных условиях из Iа и Iв не удается получить соответствующие II и III. Смесь 3,44 г пиридина и 5 мл *н-пентана* прибавляют к смеси 6,49 г Iа, 1,7 г  $\text{BCl}_3$  и 5 мл *н-пентана*, охлажд. до  $-80^\circ$ , отгоняют летучие *н-ва* при  $20^\circ/15$  мм и выделяют твердый  $\text{BCl}(\text{OR}^1)_2 \cdot \text{C}_5\text{H}_5\text{N}$ , выход 77%. Аналогичные комплексные соединения IIв, IIIа и IIIв не удается получить. 3,1 г  $\text{BCl}_3$  прибавляют при  $-80^\circ$  к 11,85 г Iа и нагревают 1 час при  $135^\circ$ , выделяют 4,42 г смеси  $\text{R}^1\text{Cl}$  и  $\text{R}^2\text{Cl}$ , 5 г Iа и 1,72 г  $\text{B}_2\text{O}_3$ . 8,56 г Iв прибавляют при  $-80^\circ$  к 1,39 г  $\text{BCl}_3$ , через 20 час. ( $20^\circ/15$  мм) получают 2,38 г смеси  $\text{R}^1\text{Cl}$  и  $\text{R}^2\text{Cl}$  и 5,9 г Iв. К 5 г  $\text{BCl}_3$  прибавляют при  $-80^\circ$  8,07 г  $\text{R}^2\text{O}$ , через 3,5 часа ( $20^\circ/10$  мм) выделено 66% смеси  $\text{R}^1\text{Cl}$  и  $\text{R}^2\text{Cl}$  и 97%  $\text{B}_2\text{O}_3$ . При смешении 1,1 г  $\text{BCl}_3$  и 5,92 г  $\text{R}^2\text{Cl}$  получено 5,92 г полимера, мол. в. 1448. П. Аронович

68911. Получение некоторых димерных *втор-амино*-бордигалогенидов. Масгрейв (The preparation of some dimeric *sec-aminoboron* dihalides. Musgrave O. C., J. Chem. Soc., 1956, Nov., 4305—4307 (англ.))

С целью выяснения факторов, определяющих склонность  $\text{R}_2\text{N}=\text{BX}_2$  к димеризации, получены N-пиридил (I)-, N-пиридил (II)- и N-морфолил (III)-бордихлориды, а также N-пиридил (IV)- и N-пиридил (V)-бордидибромиды. N-морфолидбордидибромид не удалось выделить, вероятно, вследствие расщепления морфолинового кольца. I—III быстро димеризуются при  $\sim 20^\circ$ . Димеры не разлагаются водой при  $20^\circ$ , имеют, вероятно, *бис*-спироциклич. строение типа  $\text{R}_2\text{N}+\text{BCl}_2\text{N}+\text{R}_2\text{BCl}_2$ . Продукты  $r$ -ции  $\text{BCl}_3$

с  $(\text{C}_6\text{H}_7)_2\text{NH}$ ,  $(\text{C}_6\text{H}_5)_2\text{NH}$  и 2-метилпиридином не димеризуются, что обусловлено, вероятно, пространственными затруднениями. Этой же причиной объясняется замедленная димеризация IV и V. К  $r$ -ру 0,2 моля  $\text{BCl}_3$  в 50 мл  $\text{C}_6\text{H}_6$  прибавляют при  $0^\circ$  в течение 15 мин.  $r$ -р 0,2 моля амина в 50 мл  $\text{C}_6\text{H}_6$ , прибавляют 0,2 моля  $(\text{C}_6\text{H}_5)_3\text{N}$  в 75 мл  $\text{C}_6\text{H}_6$ , перемешивают 30 мин. при  $\sim 20^\circ$ , на следующий день из фильтра выделяют продукт  $r$ -ции с выходом 35—50%. Т-ра кипения в  $^\circ\text{C}/\text{мм}$ : I,  $70-74/17$ ; II,  $82-83/20$ ; III,  $88-90/25$ ; IV,  $97-100/15$ ; V,  $105-106/14$ . Через несколько часов после перегонки из I, II и III выделяют кристаллы, через 1—2 недели продукты затвердевают. IV и V нагревают 7 дней при  $80^\circ$  и оставляют при  $\sim 20^\circ$ ; IV затвердевает через 9 дней, а V димеризуется лишь частично через 9 месяцев. Т-ра плавления димеров в  $^\circ\text{C}$ : I,  $131-132$ ; II,  $105$ ; III,  $103$ ; IV,  $157-158$ ; V,  $130,5-131,5$ . П. Аронович

68912. Кремнийорганические соединения. XI. Материальный баланс прямого синтеза метилхлорсиланов. Сетинек, Бажант, Шорм (Organokfemi-

čité sloučeniny. XI. Látková bilance přímé synthesy methylchlorosilanů. Setínek Karel, Bažant Vladimír, Sorm František, Chem. listy, 1956, 50, № 12, 1954—1959 (чешск.)

Установлен состав метилхлорсиланов, образующихся из  $\text{SiH}_3\text{Cl}$  и  $\text{Si}$  при 300—470° (с применением сплава  $\text{Si}$  (86,5%) и  $\text{Cu}$  (9,78%) со следами  $\text{Fe}$ ,  $\text{Al}$  и  $\text{Mg}$ ) в зависимости от т-ры и скорости пропускания  $\text{CH}_3\text{Cl}$ . Дробной перегонкой на колонне (50 теоретич. тарелок) выделены  $(\text{CH}_3)_3\text{Si}$  (т. кип. 20—28°),  $\text{SiHCl}_3$  (28—32°),  $\text{CH}_3\text{SiHCl}_2$  (39—42°),  $(\text{CH}_3)_2\text{SiCl}$  (55—59°),  $\text{SiCl}_4$  (55—59°),  $\text{CH}_3\text{SiCl}_3$  (65—66°),  $(\text{CH}_3)_2\text{SiCl}_2$  (69—70°). Максим. выход метилхлорсиланов при определенной скорости пропускания  $\text{CH}_3\text{Cl}$  зависит от т-ры. При 300—350° преимущественно образуются высокометилированные хлорсиланы. С повышением т-ры общее кол-во силанов уменьшается и возрастает кол-во углеводородов. С повышением скорости пропускания  $\text{CH}_3\text{Cl}$  понижается кол-во углеводородов. Сообщение X см. РЖХим, 1957, 60627. Jaromír Kučera

68913. Дегидрохлорирование дихлоризопренилтрихлорсиланов и метилирование хлоризопренилтрихлорсиланов. Петров А. Д., Миронов В. Ф., Глуховцев В. Г., Докл. АН СССР, 1956, 110, № 1, 93—96

Описано получение изомерных  $\text{ClCH}_2(\text{CH}_3)\text{CClSiCl}_3$  (I),  $\text{CHCl}_2(\text{CH}_3)\text{CHSiCl}_3$  (II) и  $(\text{CH}_2\text{Cl})_2\text{CHSiCl}_3$  (III). Из 1550 г  $\text{SiCl}_4$  в 0,5 л эфира и *изо*- $\text{C}_3\text{H}_7\text{MgBr}$  (из 146 г  $\text{Mg}$  и 780 г *изо*- $\text{C}_3\text{H}_7\text{Br}$  в 1,5 л эф.) получен  $(\text{CH}_3)_2\text{CHSiCl}_3$  (IV) (здесь и далее при описании синтезов перечисляются выход в %, т. кип. в °C/мм.,  $n_D^{20}$ ,  $d_4^{20}$ ): 51, 119—120/745, 1,4335, 1,2024. После фотохим. хлорирования 1051 г IV (148°, 63 часа) из продуктов р-ция выделено 340 г  $(\text{CH}_3)_2\text{CClSiCl}_3$  (V), т. кип. 151°/744 мм., и 560 г  $(\text{CH}_2\text{Cl})\text{CH}_2\text{CHSiCl}_3$  (VI), т. кип. 164°/744 мм.,  $n_D^{20}$  1,4670,  $d_4^{20}$  1,3520. Дальнейшая р-ция 230 г V и 155 г  $\text{SO}_2\text{Cl}_2$  в присутствии 1,5 г  $(\text{C}_6\text{H}_5\text{COO})_2$  (нагревание 10 час.) приводит к I, 61, 188,5/740, 1,4845 (при 30°), —, т. пл. 23—27°. При хлорировании 303 г VI в аналогичных условиях получена смесь II, 116 г, 192,5/754, 1,4863, 1,4760, и III, 117 г, 205/754, 1,4940, 1,4947 (общий выход 85,5%). При перегонке смеси 80 г I и 50 г хинолина получено 18 мл  $\text{SiCl}_4$  и  $\text{CHCl}=\text{C}(\text{CH}_3)\text{SiCl}_3$  (VII), 36, 154/737, 1,4815, 1,3830. Подобным же образом из 116 г II и 73 г хинолина выделено 8 мл  $\text{SiCl}_4$  и 24 г VII. Из 117 г III и 73 г хинолина аналогично получен  $\text{SiCH}_2\text{C}(\text{CH}_3)\text{SiCl}_3$  (VIII), 36,5, 164/750, 1,4794, 1,3967. При перегонке 74 г V и 64 г хинолина до 220° получен  $\text{CH}_2=\text{C}(\text{CH}_3)\text{SiCl}_3$  (IX), 13 г, 113,5/731, 1,4453, 1,2285. Хлорирование 59 г IX (20 час.) приводит к I, выход 91,5%. Метилирование VII и VIII протекает без β-распада. К  $\text{CH}_3\text{MgCl}$  (из 15 г  $\text{Mg}$ ) добавляют 35 г VIII, через 24 часа нагревают 3 часа, выделен  $\text{CH}_3\text{CH}_2\text{C}(\text{CH}_3)\text{Si}(\text{CH}_3)_3$ , 45,5, 110/771, 1,4195, 0,7482. При взаимодействии  $\text{CH}_3\text{MgCl}$  (из 23 г  $\text{Mg}$ ) с 51 г VII получен  $\text{CHCl}=\text{C}(\text{CH}_3)\text{Si}(\text{CH}_3)_3$  (X), 65, 137,5/752, 1,4500, 0,9045. Конденсация 22 г X с 20 г  $(\text{CH}_3)_3\text{SiCl}$  в присутствии 10 г  $\text{Na}$  в эфирной среде (кипение 5 час.) приводит к  $(\text{CH}_3)_3\text{SiCH}=\text{C}(\text{CH}_3)\text{Si}(\text{CH}_3)_3$ , 60, 163,5/759, 1,4435, 0,7809. При дегидрохлорировании V при помощи  $\text{AlCl}_3$  образуется IX, выход 44,5%. VI в этих условиях превращается в полимер IX. Г. М.

68914. Кремнийорганические соединения из ароматических эфиров. Ойта, Гилман (Some organosilicon compounds derived from aryl ethers. Oita Katashi, Gilman Henry, J. Organ. Chem., 1956, 21, № 9, 1009—1012 (англ.))

Из дифенилового (I), 4-хлордифенилового (II) и галаколдифенилового (III) эфиров через их Li-органич. соединения взаимодействием с фенилхлорсиланами или  $\text{SiCl}_4$  получены следующие в-ва (здесь и

далее  $\text{Ar} = \text{C}_6\text{H}_5$ ,  $\text{Ar}' = 2\text{-C}_6\text{H}_4\text{OC}_6\text{H}_4$ ,  $\text{Ar}'' = 2\text{-C}_6\text{H}_4\text{O}-5\text{-ClC}_6\text{H}_3$ ):  $\text{Ar}'\text{SiAr}_3$  (IV),  $\text{Ar}'\text{SiAr}_2$  (V),  $\text{Ar}'\text{SiAr}$  (VI),  $\text{Ar}'\text{Si}$  (VII),  $\text{Ar}'\text{SiAr}_3$  (VIII),  $\text{Ar}'\text{SiAr}_2$  (IX) и  $\text{o-Ar-SiC}_6\text{H}_4\text{OCH}_2\text{CH}_2\text{OAr}$  (X). Необходимый для синтеза IV—VII  $\text{Ar}'\text{Li}$  получен кипячением 24 часа смеси эфирных р-ров 0,2 моля I и 0,21 моля *n*- $\text{C}_4\text{H}_9\text{Li}$  (XI). Для получения IV 0,08 моля  $\text{Ar}'\text{Li}$  в 233 мл эфира прибавляют к 0,08 моля  $\text{Ar}_2\text{SiCl}_2$  кипятят 48 час. и гидролизуют 200 мл разб.  $\text{HCl}$ , выход IV 67,4%, т. пл. 145—146° (из этилацетата), т. исп. 450°. Аналогично из 90 ммоль  $\text{Ar}'\text{Li}$  и 38,4 ммоль  $\text{Ar}_2\text{SiCl}_2$  в эфире (24 часа) получен V, выход 39,5%, т. пл. 164—165° (из этилацетата), т. исп. 470°. При взаимодействии 0,06 моля  $\text{Ar}'\text{Li}$  и 0,02 моля  $\text{ArSiCl}_3$  в эфирном р-ре (72 часа) из продуктов р-ции после гидролиза выделен VI, выход 13,7%, т. пл. 192—193° (из бал.-этилацетата), т. исп. 510°. К 0,02 моля  $\text{SiCl}_4$  добавляют 83 ммоль  $\text{Ar}'\text{Li}$  в эфирном р-ре, смесь кипятят 72 часа, выход VII 12,3%, т. пл. 284—285° (из бал.-этилацетата), т. исп. 540°. VIII—IX получены взаимодействием  $\text{Ar}'\text{Li}$  с  $\text{Ar}_2\text{SiCl}_2$  и  $\text{ArSiCl}_3$ . К охлажд. эфирному р-ру  $\text{Ar}'\text{Li}$  (из 0,1 моля II и 0,1 моля XI) прибавляют 0,1 моля  $\text{Ar}_2\text{SiCl}_2$ , через 18 час. (20°) гидролизуют, выход VIII 36,5%, т. пл. 163—163,5° (из петр. эф.-бал.), т. исп. 450°. Аналогично получен IX, выход 7,34%, т. пл. 151—152° (из петр. эф.), т. исп. 500°. К охлажд. эфирному р-ру  $\text{ArOCH}_2\text{CH}_2\text{OC}_6\text{H}_4\text{Li-O}$  (XII) (из 0,1 моля III и 0,1 моля XI) прибавляют 0,1 моля  $\text{Ar}_2\text{SiCl}_2$ , через 18 час. (20°) выход X 6,55%, т. пл. 112—113,5° (из петр. эф.), т. исп. 430°. При действии  $\text{CO}_2$  на эфирный р-р XII (−72°) после разложения продуктов р-ции разб. к-той выделена  $\text{ArOCH}_2\text{CH}_2\text{O}-\text{C}_6\text{H}_4\text{COOH-O}$ , выход 14,3%, т. пл. 80—80,5° (из смеси эф.-петр. эф.). Строение полученных в-в подтверждено ИК-спектрами. Г. Мочарев

68915. Галлоидацетаты, галлоидпропионаты и акрилаты триэтилолова. Андерсон (Triethyltin haloacetates, halopropionates, and propenoates. Anderson Herbert H., J. Organ. Chem., 1957, 22, № 2, 147—148 (англ.))

Нагреванием органич. к-ты с небольшим избытком  $[(\text{C}_2\text{H}_5)_3\text{Sn}]_2\text{O}$  (I) 10—60 мин. при 100° с постепенным удалением образующейся воды и кристаллизацией из  $\text{C}_6\text{H}_6\text{Cl}$  или петр. эфира синтезированы следующие  $(\text{C}_2\text{H}_5)_3\text{SnOCOR}$  (II) (указаны R, выход в %, т. пл. в °C):  $\text{CH}_2\text{F}$ , 30, 155—156;  $\text{CH}_2\text{Br}$ , 50, 99,5;  $\text{CH}_2\text{I}$ , 60, 94,5;  $(\text{CH}_3)_2\text{CH}$ , 70, 87,5—88;  $\text{CHClCH}_3$ , 70, 90,5—91;  $(\text{CH}_3)_2\text{CH}$ , 60, 84,5;  $\text{CHBrCH}_3$ , 40, 88—89;  $\text{CHBrCH}_2\text{CH}_2\text{Br}$ , 70, 99,5—100;  $\text{CF}_3\text{CF}_2$ , 40, 94,5, т. кип. 216,5°; *n*- $\text{C}_4\text{F}_9$ , 40, 75,5, т. кип. 224°;  $\text{CH}=\text{CH}_2$ , 70, 116—117;  $\text{CH}=\text{CHC}_6\text{H}_5$ , 55, 107—108. II ( $\text{R} = \text{CH}_2\text{C}(\text{CH}_3)=\text{CH}_2$ ) получен взаимодействием I с  $\text{CH}_3\text{OCOC}(\text{CH}_3)=\text{CH}_2$  (1,5 часа, 100°), выход 30%, т. пл. 75,5° (из  $\text{CCl}_4$  при −10°). II ( $\text{R} = \text{CH}_2\text{OH}$ ) не удалось получить из I и 70%-ной водн.  $\text{HOCH}_2\text{COOH}$ . Это в-во синтезировано кипячением 15 мин. 2,25 г  $(\text{C}_2\text{H}_5)_3\text{SnI}$  с 1,8 г  $\text{HOCH}_2\text{COOAg}$  в 15 мл  $\text{CCl}_4$ , выход 25%, т. пл. 106,5—107°.

Ф. Величко

68916. Об аномальной реакции α-галлоидкетонов с полными эфирами фосфористой кислоты. Пудовик А. Н. В сб.: Химия и применение фосфорорганических соединений, М., АН СССР, 1957, 248—260. Дискус., 260—261

См. РЖХим, 1956, 47046.

68917. Перегруппировка с образованием диэтил-1-цианэтилфосфата. Холл, Стивенс, Дрисдейл (A rearrangement to form diethyl 1-cyanoethyl phosphate. Hall Luther A. R., Stephens C. Wayne, Drysdale John J., J. Amer. Chem. Soc., 1957, 79, № 7, 1768—1769 (англ.))

Для в-ва, описанного ранее (РЖХим, 1957, 19267), предложено строение не  $\text{CH}_3\text{C}(\text{OH})(\text{CN})\text{P}(\text{O})(\text{OC}_2\text{H}_5)_2$

(I), а  $\text{CH}_3\text{CH}(\text{CN})\text{OP}(\text{O})(\text{OC}_2\text{H}_5)_2$  (II), т. кип. 91—92°/0,5 мм,  $n_D^{20}$  1,4130. Методом ядерного магнитного резонанса показано, что в-во не содержит OH-группы, что атом Н связан с третичным атомом С. Структура II подтверждена ИК-спектром и образованием  $\text{CH}_2=\text{CHCN}$  при пиролизе. Предложен лабор. метод получения  $\text{RCH}_2=\text{CHCN}$  (III) по схеме:  $\text{RCH}_2\text{COCl} + (\text{R'O})_3\text{P} \rightarrow \text{RCH}_2\text{COP}(\text{O})(\text{OR}')_2$   $\xrightarrow{\text{NaHSO}_3 + \text{NaCN}}$   $\text{RCH}_2\text{CH}(\text{CN})\text{OP}(\text{O})(\text{OR}')_2 \rightarrow \text{III} + \text{NOP}(\text{O})(\text{OR}')_2$ . Сделано предположение, что для описанного ранее в-ва (Кабачник М. И. и др., Изв. АН СССР. Отд. хим. н., 1947, 163) верно строение не типа I, а  $\text{C}_6\text{H}_5\text{CH}(\text{CN})\text{OP}(\text{O})(\text{OCH}_3)_2$ . В. Гиляров

68918. К вопросу о конденсации диалкилфосфористых кислот с замещенными альдегидами и кетонами. Абрамов В. С. В сб.: Химия и применение фосфорорганических соединений. М., АН СССР, 1957, 218—222.

Изучена р-ция  $(\text{RO})_2\text{P}(\text{OH})$  (I) с  $n\text{-CH}_3\text{C}_6\text{H}_4\text{CHO}$  в присутствии  $\text{CH}_3\text{ONa}$ , протекающая с выделением тепла и образованием следующих  $(\text{RO})_2\text{P}(\text{O})\text{CH}(\text{OH})\text{C}_6\text{H}_4\text{-CH}_3$  (приводятся R, выход в %, т. пл. в °C):  $\text{CH}_3$ , 84, 92—93;  $\text{C}_2\text{H}_5$ , 50, 95—96;  $\text{C}_3\text{H}_7$ , 58, 45—52;  $\text{iso-C}_3\text{H}_7$ , 70, 124—125;  $\text{C}_4\text{H}_9$ , 91, —;  $\text{iso-C}_4\text{H}_9$ , 25, 67—68. I с  $\text{NO}_2\text{-C}_6\text{H}_4\text{CHO}$  при ~20° в присутствии  $\text{RONa}$  реагируют медленно, только через 3 месяца получены следующие  $(\text{RO})_2\text{P}(\text{O})\text{CH}(\text{OH})\text{C}_6\text{H}_4\text{NO}_2$  (те же показатели): мета-изомер:  $\text{CH}_3$ , 31,8, 86—87;  $\text{C}_2\text{H}_5$ , 62,8, 92—93;  $\text{C}_3\text{H}_7$ , 49,5, 68—69;  $\text{iso-C}_3\text{H}_7$ , 73, 101—102;  $\text{C}_4\text{H}_9$ , 63,0, 40—42;  $\text{iso-C}_4\text{H}_9$ , 48,9, 80—81; орто-изомер:  $\text{CH}_3$ , 53,2, 109—109,5;  $\text{iso-C}_3\text{H}_7$ , 63,5, 116; пара-изомер:  $\text{CH}_3$ , 50,8, 131—132. При 30—40° р-ция заканчивается через 2—3 недели, а при 100—110° через несколько часов. Ускорение вызывает также добавка Na или  $(\text{RO})_2\text{P}(\text{ONa})$ . Высказаны соображения о механизме р-ции. К. Вацуру

68919. Новые методы фосфорилирования в ядро углеводородов ряда бензола. Сообщение I. Кноц (Neue Wege zur Kernphosphorylierung von Benzolkohlenwasserstoffen. I. Mitteilung. Klotz Florian), Monatsh. Chem., 1956, 87, № 2, 359—366 (нем.).

Описан метод введения Р в ароматич. ядро при помощи каталитич. смеси (КС), приготовленной нагреванием 30—40 мин. Al в порошок,  $\text{PSCl}_2$  и  $\text{S}_2\text{Cl}_2$  в отношении по весу 1:5:20. Расплавленную КС быстро вливают в 20 г  $\text{C}_6\text{H}_6$ , кипятят 4 часа, разбавляют равным объемом  $\text{C}_6\text{H}_6$  и выливают в воду, бензольный слой кипятят 2 часа с 33 г 30%-ного NaOH, после испарения  $\text{C}_6\text{H}_6$  получено 3,1 г дифенилдисульфида, т. пл. 59—60°; водн. слой подкисляют  $\text{CH}_3\text{COOH}$ , извлекают бензолом 1,8 г тиофенола, из уксуснокислого р-ра действием HCl выделяют 8,3 г  $(\text{C}_6\text{H}_5)_2\text{P}(\text{S})\text{OH}$  (I), т. пл. 143—144° (из воды). Из фильтрата после отделения I получено 3,8 г в-ва состава  $\text{C}_{18}\text{H}_{16}\text{O}_4\text{P}_2$  (видимо трифенилди-фосфиновая к-та), т. разл. > 300°. Действием 10 г холодной конц.  $\text{HNO}_3$  на 2 г I получено 1,2 г дифенилфосфиновой к-ты, т. пл. 192—194°. Из смеси продуктов, полученной при действии КС на 33 г хлорбензола, выделено 3,7 г  $(n\text{-ClC}_6\text{H}_4)_2\text{S}$ , т. пл. 70—71°, 4 г  $n\text{-хлортрифенола}$ , т. пл. 53—54°, 6,5 г  $(n\text{-ClC}_6\text{H}_4)_2\text{P}(\text{S})\text{OH}$  (II), т. пл. 97—98°, 4,7 г дихлортрифенилди-фосфиновой к-ты  $\text{C}_{18}\text{H}_{14}\text{O}_4\text{P}_2\text{Cl}_2$ , т. разл. > 300°, и 0,4 г  $n\text{-хлортрифенилди-фосфиновой к-ты}$ , т. пл. 185—186°. Окислением II  $\text{HNO}_3$  получена  $(n\text{-ClC}_6\text{H}_4)_2\text{P}(\text{O})\text{OH}$ . Н. С.

68920. Об имидах алкилфосфорных кислот. Триалкил-N-фенилмидофосфаты. Кабачник М. И., Гиляров В. А., Изв. АН СССР, Отд. хим. н., 1956, № 7, 790—797.

В продолжение работы (РЖХим, 1955, 378) действием  $\text{P}(\text{OR})_3$  на  $\text{C}_6\text{H}_5\text{N}_3$  синтезированы следующие  $\text{C}_6\text{H}_5\text{N}=\text{P}(\text{OR})_3$  (I) (перечисляются R, выход в %, т. кип. в °C/мм,  $n_D^{20}$ ,  $d_4^{20}$ ):  $\text{CH}_3$  80, 44—45/2·10<sup>-4</sup>,

1,5232, 1,1713;  $\text{C}_2\text{H}_5$  (Ia), 63, 118—119/1,5, 1,5022, 1,0743;  $\text{C}_3\text{H}_7$ , 62,8, 122/1, 1,4920, 1,0297;  $\text{iso-C}_3\text{H}_7$ , 64,3, 49—50/2·10<sup>-4</sup>, 1,4880, 1,0116;  $\text{C}_4\text{H}_9$ , 69, 144—145/1, 1,4885, 1,0036. Изучены некоторые свойства I. При взаимодействии 0,03 моля Ia с 0,09 моля  $\text{CS}_2$  расщепляется  $\text{N}=\text{P}$ -связь и образуются  $(\text{C}_2\text{H}_5\text{O})_3\text{PS}$  (выход 47%) и  $\text{C}_6\text{H}_5\text{NCS}$ . При гидролизе Ia водой (1,5 месяца) получен не  $(\text{C}_2\text{H}_5\text{O})_3\text{PO}$ , а  $\text{C}_6\text{H}_5\text{NHP}(\text{O})(\text{OC}_2\text{H}_5)_2$  (II), выход 83%, т. пл. 94—95°. При взаимодействии эквимоларных кол-в Ia с  $\text{C}_6\text{H}_5\text{COOH}$  в ксололе также образуется II, выход 77%. Пропусканием сухого HCl в р-р Ia в изоктаноле получен II, выход 96%. Алкилирование Ia приводит к  $\text{C}_6\text{H}_5\text{NRP}(\text{O})(\text{OC}_2\text{H}_5)_2$  (III). При нагревании 0,02 моля Ia с 0,08 моля  $\text{CH}_3\text{J}$  (7 час., 65—75°) выделен III (R =  $\text{CH}_3$ ), выход 90,5%, т. кип. 101°/1,5 мм,  $n_D^{20}$  1,5030,  $d_4^{20}$  1,1233. Нагреванием 0,015 моля Ia с 0,06 моля  $\text{C}_2\text{H}_5\text{J}$  (6 час., 65—70°) получен III (R =  $\text{C}_2\text{H}_5$ ), выход 92%, т. кип. 91°/0,5 мм,  $n_D^{20}$  1,4972,  $d_4^{20}$  1,0917. III (R =  $\text{CH}_3$ ) получен встречным синтезом из  $(\text{C}_2\text{H}_5\text{O})_2\text{P}(\text{O})\text{Cl}$  и  $\text{C}_6\text{H}_5\text{NHCN}$ , выход 40%. При взаимодействии эквимоларных кол-в Ia с  $\text{CH}_3\text{COCl}$  в изоктаноле (самонагревание до 58°) образуется диэтил-N-ацетилалилдифосфат, выход 68,2%, т. кип. 84—84,5°/0,01 мм,  $n_D^{20}$  1,5038,  $d_4^{20}$  1,1670; строение в-ва доказано выделением ацетанилида при гидролизе.

3. Крайне 68921. Ряд ω-триметиламмонийфосфиновых кислот и диэтиловых эфиров их йодидов. Майерс, Дж. Брил (A series of ω-trimethylammoniumalkylphosphonic acids and their diethyl ester iodides. Myers Terrell C., Jibril Abbas O.), J. Organ. Chem., 1957, 22, № 2, 180—182 (англ.).

Для изучения физиологич. действия получены аналоги бетанинов и эфиров холина —  $(\text{CH}_3)_3\text{N}^+(\text{CH}_2)_n\text{PO}(\text{OH})\text{O}^-$  (I) ( $n=1, 2, 3$ ) и их эфиры, а также  $\text{J}-(\text{CH}_3)_3\text{N}^+(\text{CH}_2)_n\text{PO}(\text{OC}_2\text{H}_5)_2$  (II) ( $n=1, 2, 3$ ). II ( $n=1$ ) получен из 1,1 г  $(\text{CH}_3)_2\text{N}(\text{CH}_2)_n\text{PO}(\text{OC}_2\text{H}_5)_2$  (III) ( $n=1$ ) и 2,3 г  $\text{CH}_3\text{J}$ , выход 70%, т. пл. 128—129° (из  $\text{CH}_3\text{OH}$ -эф.). II ( $n=2$ ) синтезирован аналогично из III ( $n=2$ ) и  $\text{CH}_3\text{J}$  в эфирном р-ре, выход 80,6%, т. пл. 156—157° (из  $\text{CH}_3\text{OH}$ - $\text{CH}_3\text{COOC}_2\text{H}_5$ ). II ( $n=3$ ), выход 61%, т. пл. 109—111° (из  $\text{CH}_3\text{COOC}_2\text{H}_5$ -аcetона, очень гигроскопичен). I ( $n=2$ ) получен гидролизом II ( $n=2$ ) конц. HCl и выделен через Ag-соль аналогично I ( $n=1$ ) (РЖХим, 1954, 23449), выход 80%, т-ра плавления полуhydrата 250—252° (из сп.). III ( $n=3$ ) получен из 6,5 г  $\text{Cl}(\text{CH}_2)_3\text{PO}(\text{OC}_2\text{H}_5)_2$  и 50 мл 25%-ного водн. р-ра  $(\text{CH}_3)_2\text{NH}$ , выход 33%, т. кип. 83°/0,16 мм,  $n_D^{20}$  1,4340. Для I ( $n=3$ ) выход 80%, т. пл. 277—278° (из сп.). В. Гиляров

68922. Действие галоидангидридов и ангидрида уксусной кислоты на гликолевые эфиры фениларсинистой кислоты. Камай Гильм, Чадаева Н. А., Докл. АН СССР, 1956, 109, № 2, 309—311.

В отличие от некоторых эфиров гликольмипьяновистой к-ты, которые реагируют с ацилирующими агентами с сохранением цикла (РЖХим, 1954, 42881)  $\text{C}_6\text{H}_5\text{AsOCH}_2\text{CH}_2\text{O}$  (I) с  $\text{CH}_3\text{COX}$  образует  $\text{C}_6\text{H}_5\text{AsX}_2$  (IIa—б) (а X = Cl, б X = Br) и  $(\text{CH}_3\text{OOCCH}_3)_2$  (III). I с  $(\text{CH}_3\text{CO})_2\text{O}$  (IV) дает  $\text{C}_6\text{H}_5\text{AsO}(\text{OOCCH}_3)_2$  (V) и III. При гидролизе V образуется  $\text{C}_6\text{H}_5\text{AsO}$  (VI). Пирокатехиновый эфир фениларсинистой к-ты с IV дает V и диацетат пирокатехина. Прибавляют постепенно 9,1 г  $\text{CH}_3\text{COCl}$  к 12,3 г I, после нагревания 1 час при 155° выделено 1,8 г IIa и 4,1 г III. Из 12,15 г I и 13 г  $\text{CH}_3\text{COBr}$  получена III и 10,9 г IIб, т. кип. 143—144°/10 мм. Смесь 13,15 г I и 12,7 г IV кипятят 6 час., выход V 7,9 г, т. кип. 128—129°/2 мм,  $n_D^{20}$  1,5485,  $d_4^{20}$  1,4268. 3,2 г V с 50 мл воды нагревают до кипения и через несколько дней выделяют VI, т. пл. 123—125°.

В. Гиляров



**68923.** 8-оксихинолят двухлористой сурьмы. Паттанайк, Пани (A note on dichloro-antimony 8-hydroxyquinolate. Pattanaik R. K., Pani S.), J. Indian Chem. Soc., 1956, 33, № 7, 537 (англ.)

Существование комплексов окситрихлорантимонита в насыщ. водн. р-ре  $\text{SbCl}_3$  подтверждено образованием 8-оксихинолята двухлористой сурьмы (I) при взаимодействии водн. р-ра  $\text{SbCl}_3$  с 8-оксихинолином (II). К 2 мл водн. р-ра I прибавляют избыток II и осторожно нагревают, после охлаждения и промывания эфиром получен кристаллич. II, который частично разлагается при плавлении, водой гидролизует не сразу, растворим в конц.  $\text{HCl}$  и разлагается щелочами.

Ф. Величко

**68924.** Взаимодействие селенистого водорода с  $\alpha$ -оксисилинами и спиртооксисилинами ацетиленового и винил-ацетиленового ряда. Синтез и свойства алкил-, оксип-алкил- и винилселенофенов. Первеев Ф. Я., Глебовский Д. Н., Вестн. Ленингр. ун-та, 1956, № 22, 135—152

При действии  $\text{H}_2\text{Se}$  на ненасыщ.  $\alpha$ -оксис  $\text{RC} \equiv \text{CC}(\text{CH}_3)\text{CH}_2\text{O}$  (I) в атмосфере  $\text{N}_2$  цикл разрывается

у более гидрогенизированного атома С, и промежуточно образующийся  $\alpha$ -оксиселенол циклизуется в соответствующий 2-замещ. 4-метилселенофен (II). Реакционная способность I при R, содержащем третичную спирт. группу, уменьшается с увеличением длины и разветвленности R. Смесь 100—200 мл водн. 30—40 мл  $\text{CHCl}_3$  и 10—15 г  $\text{Ba}(\text{OH})_2$  насыщают  $\text{H}_2\text{Se}$ , медленно прибавляют р-р 15—20 г I в  $\text{CHCl}_3$  и продолжают пропускать  $\text{H}_2\text{Se}$  при 30—40°, выделившийся осадок растворяют прибавлением  $\text{CH}_3\text{COOH}$ , из нижнего слоя выделяют II. Если при I (R = винил) систему не продувать  $\text{N}_2$ , то вместо II (R = винил) (R = заместитель в положении 2) образуется II (R =  $\text{C}_2\text{H}_5$ ). В случае исходных третичных спиртооксисилинов при перегонке продукт р-ции частично или полностью дегидратируется с образованием I с замещ. винильной группой. Исследование ИК-спектров II (приведены кривые) подтвердило, что ароматич. характер селенофена и в-в типа II выражен слабее, чем у бензола, однако гомодиклич. сопряжение у обоих классов соединений выражено одинаково. Получены следующие II (указан R, т. кип. в °С/мм,  $n_D^{20}$ ,  $d_4^{20}$ ):  $\text{CH}_2=\text{CH}$ , 32/0,5, 1,5900, 1,3360;  $(\text{CH}_3)_2\text{C}(\text{OH})$ , 77—78/0,5, 1,5530, 1,3433;  $\text{CH}_2=\text{C}(\text{CH}_3)$ , 72—73/2, 1,5782, —;  $\text{C}_2\text{H}_5\text{C}(\text{CH}_3)\text{OH}$ , 73—74/0,5, 1,5553, 1,3000;  $\text{CH}_2=\text{C}(\text{C}_2\text{H}_5)$ , 61—62/0,5, 1,5785, 1,2740;  $\text{CH}_2=\text{C}(\text{CH}_2\text{CH}(\text{CH}_3)_2)$ , 77—78/0,5, 1,5530, 1,1847;  $(\text{изо-C}_3\text{H}_7)_2\text{COH}$ , 90—91/0,8, 1,5310, 1,2169; 2-циклопентил, 78—80/0,5, 1,6052, 1,3275; 2-циклогексил, 93/1, 1,5960, 1,2990;  $\text{C}_2\text{H}_5$ , 29—30/0,5, 1,5518, 1,3069. Полученные II ядовиты.

Ф. Величко

**68925.** Получение и свойства трифторйодэтана.

Парк, Сеффл, Лачер (The preparation and properties of trifluoroiodoethane. Park J. D., Seffl R. J., Lacher J. R.), J. Amer. Chem. Soc., 1956, 78, № 1, 59—62 (англ.)

Из трифторэтилена (I) через  $\text{CF}_2\text{ClCH}_2\text{F}$  (II) синтезирован трифторйодэтилен (III), который в виде свободного радикала перфторвинила реагирует с олефинами с образованием производных 1,1,2-трифтор-4-йод-бутена-1 (IV). Так из III и этилена получен IV; из  $\text{CH}_2=\text{CHF}$  — 4-фтор-IV (V); из  $\text{CH}_2=\text{CF}_2$  — 4,4-дифтор-IV (VI); из  $\text{CF}_2=\text{CHF}$  — 3,4,4-трифтор-IV (VII); из III — 3,3,4-трифтор-4-йод-IV (VIII); из  $\text{CF}_2=\text{CHCl}$  — 3-хлор-4,4-дифтор-IV (IX); из  $\text{CF}_2=\text{CCl}_2$  — 3,3-дифтор-4,4-дифтор-XI (XII) и 3,4,4-трифтор-XI (XIV). При но 1,1,2-трифторбутандиен-1,3 (XI), 4-фтор-XI (XII), 4,4-дифтор-XI (XII) и 3,4,4-трифтор-XI (XIV). При взаимодействии I с  $\text{JCl}$  в автоклаве образуется II,

выход 72%, т. кип. 77°/630 мм,  $n_D^{20}$  1,4320,  $d_4^{20}$  2,181. К взвеси 0,5 моля КОН в порошке в 45 мл высококипящих углеводородов прибавлено по каплям, 0,197 моля II; смесь нагрета до 95° и продукт р-ции конденсировался в ловушке с  $\text{CO}_2$ -ацетоном; получен III, выход 76%, т. кип. 28°/627 мм,  $n_D^{20}$  1,4143,  $d_4^{20}$  2,284. Смесь 0,1 моля III и 0,15 моля олефина освещали УФ-лучами (ртутная лампа) 7 дней; получены следующие в-ва (перечислены выход в %, т. кип. в °С/мм,  $n_D^{20}$ ,  $d_4^{20}$ ): IV, 67, 112/623, 1,4554, 1,957; V, 50, 107/633, 1,4370, 2,052; VI, 24, 92/633, 1,4118, 2,060; VII, 39, 83/631, 1,4006, 2,103; VIII, 50, 146/622, 1,4794, 2,522; IX, 4, 127/624, 1,4391, 2,177; X, 5, 160/624, 1,4635, 2,232. В условиях получения III дегидрогалогенированием IV—VII получены следующие фторзамещ. бутандиены (перечислены выход в %, т. кип. в °С/мм): XI, 52, 0,5/585; XII, —, (быстро полимеризуется); XIII, —, 10, 2/630; XIV, 67, 3/627. При действии Zn на IX (95°) также образуется XIII. При нагревании (24 часа, 170—180°) III (34 г) получено 7 г перфторциклобутена, т. кип. — 4°, т. зам. от —59,3 до 60,5°. Из 27 г III и 3 г Mg в 100 мл эфира получен реактив Гриньяра, при разложении которого 25 мл 6 н.  $\text{HCl}$  получено 22% I. При р-ции II со спиртом образуется  $\text{CH}_3\text{CH}_2\text{OCF}_2\text{CH}_2\text{F}$  (XV), т. кип. 122°/630 мм, 36°/17 мм,  $n_D^{20}$  1,4189,  $d_4^{20}$  1,8387. При гидролизе XV 90%-ной  $\text{H}_2\text{SO}_4$  получена  $\text{CHF}_2\text{COOH}$ , т. пл. 78,5—79°; амид, т. пл. 93°.

А. Берлин

**68926.** Присоединение спиртов к октафторизобутену. Кошар Симмонс, Гофман (The addition of alcohols to octafluoroisobutene. Kosher Robert J., Simmons Thomas C., Hoffmann Friedrich W.), J. Amer. Chem. Soc., 1957, 79, № 7, 1741—1744 (англ.)

При р-ции  $(\text{CF}_3)_2\text{C}=\text{CF}_2$  (I) со спиртами в нейтр. или слабокислой среде получают в качестве главных продуктов  $(\text{CF}_3)_2\text{CHCF}_2\text{OR}$  (II), наряду с  $(\text{CF}_3)_2\text{C}=\text{CFOR}$  (III).  $\text{CF}_3\text{CH}_2\text{OH}$ ,  $\text{HSC}_2\text{H}_4\text{OH}$  и  $\text{C}_6\text{H}_5\text{OH}$  не присоединяются к I в отсутствие основных катализаторов. Выход III возрастает в ряду радикалов  $\text{C}_2\text{H}_5 < \text{C}_3\text{H}_7 < \text{изо-C}_3\text{H}_7 < \text{C}_4\text{H}_9$ . При р-ции  $\text{CH}_2=\text{CHCH}_2\text{OH}$  и  $\text{CH}_2\text{CH}_2\text{CH}_2\text{OH}$  с I наряду с II образуются с низким выходом  $(\text{CF}_3)_2\text{C}=\text{C}(\text{OR})_2$  (IV). Приводятся для II R, выход в %, т. кип. в °С/мм,  $n_D^{20}$ ,  $d_4^{25}$ :  $\text{CH}_3$ , 70, 68,5/760, 1,2809, 1,4931;  $\text{C}_2\text{H}_5$ , 59, 82/760, 1,2909, 1,3982;  $\text{C}_3\text{H}_7$ , 43, 101,5/760, 1,3047, 1,3463;  $\text{изо-C}_3\text{H}_7$ , 35, 43,5/113, 1,3005, 1,323;  $\text{C}_4\text{H}_9$ , 52, 53, 5/65, 1,3172, 1,3037;  $\text{CH}_2=\text{CHCH}_2$ , 56, 100/760, 1,3135, 1,3893;  $\text{ClCH}_2\text{CH}_2$ , 51, 74/160, 1,3292, 1,5364;  $\text{FCH}_2\text{CH}_2$ , 60, 64/100, 1,3018, 1,540. Также для III:  $\text{C}_2\text{H}_5$ , 6, 114/760, 1,3234, 1,3995;  $\text{C}_3\text{H}_7$ , 14, 129,8/760, 1,3345, 1,339;  $\text{изо-C}_3\text{H}_7$ , 26, 45/50, 1,3302, 1,322;  $\text{C}_4\text{H}_9$ , 27, 75/53, 1,3449, 1,2933. При действии на I трет.  $\text{C}_4\text{H}_9\text{OH}$  получен в качестве главного продукта трет.  $\text{C}_4\text{H}_9\text{OOCCH}(\text{CF}_3)_2$ . Высказаны соображения о механизме образования полученных в-в. При кипячении II при 100° с 15%-ным р-ром NaOH образуются III. В кислой среде II устойчивы. При хранении в стекле II медленно разлагаются. Строение полученных в-в доказано ИК-спектрами и спектрами ядерного магнитного резонанса. При < 40° пропускают I со скоростью 0,1 моля в час в избыток спирта, затем продувают азотом и промывают водой для удаления спирта. К 0,8 моля  $\text{ClCH}_2\text{CH}_2\text{OH}$  прибавляют 0,01 моля  $(\text{C}_2\text{H}_5)_3\text{N}$  и пропускают через р-р 0,3 моля I; получено 29,5 г II (R =  $\text{ClCH}_2\text{CH}_2$ ) и 5 г IV (R =  $\text{ClCH}_2\text{CH}_2$ ), т. кип. 94°/1,7 мм,  $n_D^{25}$  1,4110. Из 0,26 моля I и 1,2 моля  $\text{CH}_2=\text{CHCH}_2\text{OH}$  получено 25 г II (R =  $\text{CH}_2=\text{CHCH}_2$ ) и 6 г IV (R =  $\text{CH}_2=\text{CHCH}_2$ ), т. кип. 79°/40 мм,  $n_D^{25}$  1,3727. Кипячением 20 час. 0,15 моля II (R =  $\text{CH}_3$ ) с 100 мл 15%-ного NaOH при 100° получен III (R =  $\text{CH}_3$ ), выход 47%, т. кип. 101,5—101,8°,  $n_D^{25}$  1,3139,  $d_4^{25}$  1,4973. К 0,08 моля  $\text{Br}_2$  при ~ 20° добавляют по каплям

0,07 моля III ( $R = C_2H_5$ ); получено 10,2 г ( $CF_3$ )<sub>2</sub>CBBr-  
CBBrFOC<sub>2</sub>H<sub>5</sub>, т. кип. 75,5°/35 мм,  $n_D^{20}$  1,3906.

С. Иоффе

68927. Стабильность некоторых фторхлорпропиловых эфиров. Парк, Сунни, Лачер (The stability of some fluorochloropropyl ethyl ethers. Park I. D., Sweeney W. M., Lacher J. R.), J. Organ. Chem., 1956, 21, № 2, 220—222 (англ.)

Присоединением  $Cl_2$  или  $HCl$  к  $CF_3CCl = CClOC_2H_5$  (I) получены  $CF_3CCl_2CCl_2OR$  (II) ( $R = C_2H_5$ ) и  $CF_3CHClCCl_2OC_2H_5$  (III), которые не гидролизуются водой, но расщепляются при нагревании на  $C_2H_5Cl$  (IV) и  $CF_3CCl_2COCl$  (V) или  $CF_3CHClCOCl$  (VI) соответственно. Из V получена  $CF_3CCl_2COOH$  (VII) и из нее эфиры  $CF_3CCl_2COOR$  (VIIIa). Из  $CF_3CCl = CClOC_2H_5$  (VIII) (РЖХим, 1957, 4486) и  $Cl_2$  получен  $CF_3CCl_2CClOC_2H_5$  (IX), расщепляющийся при кипении на  $CF_3CCl_2COF$  (X) и IV. Выказаны соображения о механизме р-ции. 22 г  $Cl_2$  пропускают через 70 г I (при 0° в темноте), непрореагировавший I отгоняют в вакууме, выделено 80 г II ( $R = C_2H_5$ ); нагревают II ( $R = C_2H_5$ ) 2 часа, выход V 62%, т. кип. 80°/630 мм,  $n_D^{20}$  1,3850,  $d_4^{20}$  1,600. II ( $R = CH_3$ ,  $C_2H_5$ ,  $C_3H_7$  и  $C_4H_9$ ) расщепляются так же при перегонке в вакууме. Из 20 г V получено обычным способом 5 г VII, т. кип. 155—156°/625 мм,  $n_D^{20}$  1,3855,  $d_4^{20}$  1,630. К 34,5 г V прибавляют 13 г  $CH_3OH$  (охлаждение льдом и перемешивание 1 час), выход VIIa ( $R = CH_3$ ) 64%, т. кип. 177°/625 мм,  $n_D^{20}$  1,3806,  $d_4^{20}$  1,5092. Так же синтезированы следующие VIIa (перечисляются R, выход в %, т. кип. в °C/мм,  $n_D^{20}$ ,  $d_4^{20}$ ):  $C_2H_5$ , 67, 128,5/625, 1,3822, 1,4116;  $C_3H_7$ , 40, 144, 5/625, 1,3888, 1,3531;  $C_4H_9$ , 58,8, 165/625, 1,3592, 1,3075. Пропускают  $Cl_2$  в VIII до присоединения 1 моля  $Cl_2$ , выход IX 65%, т. кип. 34°/8 мм,  $n_D^{20}$  1,3907,  $d_4^{20}$  1,4965. 50 г IX кипятят 3 часа, выход X 29%, т. кип. 41°/627 мм,  $n_D^{20}$  1,3343,  $d_4^{20}$  1,528. 2 г V осторожно прибавляют к 4-кратному объему конц.  $NH_4OH$ , получен  $CF_3CCl_2CONH_2$ , очнц. возгонкой, т. пл. 80—81°. Этот амид получен также из X. 2 мл V или X приливают к избытку анилина (0°), добавляют воду, отделяют  $CF_3CCl_2CONHC_6H_5$ , т. пл. 83,5—84,5° (из водн. сп.). Пропускают  $HCl$  в смесь 64 г I и 50 г лед.  $CH_3COOH$ , избыток  $HCl$  удаляют пропусканием воздуха, отгоняют в вакууме  $CH_3COOH$ , выделен  $CF_3CHClCOCl$  в виде  $CF_3CHClCONH_2$ , т. пл. 117°;  $CF_3CHClCONHC_6H_5$ , т. пл. 125,5—126,5°.

Э. Углова

68928. Получение N-1,1-ди-Н-перфторалкиламинов. Браун, Тире (Preparation of N-1,1-di-N-perfluoroalkyl amines. Brown Harvey A., Van Dyke Tiers George), J. Organ. Chem., 1957, 22, № 4, 454 (англ.)

При нагревании  $n-C_3F_7CH_2OSO_2C_6H_4CH_3$  (I) (РЖХим, 1954, 39517) с анилином (II) или с пиперидином (III) получены соответственно N-1,1-ди-Н-гептафторбутиланилин (IV) и N-1,1-ди-Н-гептафторбутилпиперидин (V). Из 1 моля I и 2,15 моля II (24 часа, 230°) образовалось 75,5% соли II и  $n$ -толуолсульфокислоты (VI—к-та) и IV, выход 68%, т. кип. 86—95°/7—8 мм, т. пл. 38—39,5° (из 70%-ного сп.). Так же при нагревании 0,036 моля I и 0,073 моля III (20 час., 175°), после отделения соли III и VI, получен V, выход 44%, т. кип. 148—151°,  $n_D^{20}$  1,3576. Смесь 0,07 моля IV и 0,1 моля гептафтормасляного ангидрида кипятят 7 час., выделен N-1,1-ди-Н-гептафторбутилгептафторбутиранилид, выход 61%, т. кип. 90—91°/3 мм, т. пл. 21°,  $n_D^{20}$  1,3834.

А. Берлин

68929. Щелочной алкоголиз трифторметильной группы в 1,1,1-трифтор-2,2-диарилэтанах. Мехоулам, Коэн, Калусинер (Basic alcoholysis of the trifluoromethyl group in 1,1,1-trifluoro-2,2-diarylethanes. Mechoulam R., Cohen S., Kaluszyn A.), J. Organ. Chem., 1956, 21, № 7, 801—803 (англ.)

Изучен гидролиз  $(RC_6H_4)_2CHCF_3$  (I), полученных восстановлением  $(n-RC_6H_4)_2C(OH)CF_3$  (РЖХим, 1956, 25751). I ( $R = F$ ) (Ia) не обладает свойствами, указанными ранее для в-ва, которому было приписано такое строение: Ia не твердое в-во, а жидкость с т. кип. 107°/2 мм; вопреки указаниям Римшнейдера Ia не является инсектицидом (Z. Naturforschung, 1947, 2a, 245). При гидролизе I 1 н. NaOH в спирте образуются  $(n-RC_6H_4)_2CHCOOC_2H_5$  (II) и немного  $(n-RC_6H_4)_2CHCOONa$  (III—к-та). 2 г I ( $R = H$ ) кипятят 3 часа с 30 мл 2 н. спирт. KOH, разбавили водой и экстрагировали эфиром 1 г II ( $R = H$ ), т. пл. 58° (из этилацетата); из щел. р-ра подкислением  $HCl$  и экстрагированием эфиром получено 0,4 г III ( $R = H$ ). Аналогично получены следующие в-ва (указаны R, выход в %, т. кип. в °C/мм или т. пл. в °C): II, F, 50, 186/15 III, F, 15, 138; II, Cl, 65, 89; III, Cl, 18, 165; II, Br, 70, 102,5. При действии  $C_2H_5ONa$  в абс. спирте на I ( $R = H$ ) и I ( $R = Cl$ ) в тех же условиях образуются II ( $R = H$ ) и II ( $R = Cl$ ) соответственно. Аналогично при применении  $CH_3ONa$  в абс.  $CH_3OH$  получены  $(C_6H_5)_2CHCOOCH_3$ , т. пл. 60°, и  $(n-C_4H_9)_2CHCOOCH_3$ , т. кип. 173°/2 мм, т. пл. 35°. 1,6 г I ( $R = Cl$ ) кипятят с 25 мл 1,5 н. р-ра  $C_2H_5ONa$  в абс. спирте 2 часа, р-тель удалили в вакууме, из остатка экстрагировали эфиром 1 г диэтилацетата ди-( $n$ -хлорфенил)-кетена, т. пл. 102,5—103° (из лигр.). Р-р 0,4 г последнего в 3 мл 50%-ного спирта с 0,5 мл конц.  $H_2SO_4$  кипятят 2 часа, через 24 часа (0°) выделено 0,25 г II ( $R = Cl$ ) и осадок III ( $R = Cl$ ).

Ю. Зиновьев

68930.  $n$ -Фтортроповая кислота и  $n$ -фторатрони.

Берджер, Джейкобсон, Кондрицер ( $p$ -Fluorotropanic acid and  $p$ -fluoroatropine. Berger Richard S., Jacobson Arthur E., Kondritzer Albert A.), J. Organ. Chem., 1957, 22, № 4, 451—452 (англ.)

$n$ -Фторатрони (I) синтезирован из  $ArBr$  (II) в (здесь и далее  $Ar = n-FC_6H_4CH_2$ ) через  $ArCN$  (III),  $ArCOOH$  (IV) и  $n$ -фтортроповую к-ту (V). По терапевт. активности I близок атропину. Смесь 0,1 моля  $n$ -фтортолуола, 0,084 моля  $N$ -бромсукцинимиды и 10 мл  $CCl_4$  кипятят 2 часа, из фильтрата выделен II, выход 80,5%, т. кип. 92—102°/27 мм,  $n_D$  1,547. Смесь 0,1 моля KCN в 12 мл воды и 0,063 моля II в 30 мл спирта кипятят 3 часа, выход III 62%, т. кип. 120—129°/25 мм,  $n_D$  1,499. К р-ру  $iso-C_3H_7MgCl$  (из 0,05 г-атома Mg в 30 мл эфира) за 20 мин. прибавлено 21 ммоль IV в 50 мл  $C_6H_6$  и смесь кипятят 3,5 часа, после пропускания  $HCHO$  (из 57 ммоль параформа при 180—200°) и перемешивания 30 мин. смесь обработана обычным способом, выход V 65%, т. пл. 99,5—100° (из бзл.). Гидролизом атропина (РЖХим, 1954, 39558) получен тропин, т. пл. 63—64,5°; бромгидрат (VI), т. пл. 235—260° (разл.; из сп.-петр. эф.). После нагревания смеси 4 ммоль V и 2 мл  $CH_3COCl$  (20 мин., 90—95°) и удаления избытка  $CH_3COCl$  в вакууме к остатку прибавлено 4 мл  $SOCl_2$  и смесь нагревали 1,5 часа при 90—95°; избыток  $SOCl_2$  удален в вакууме, к остатку прибавлено 3,6 ммоль VI, смесь нагревали 1 час, добавили 1 каплю конц.  $HCl$  и 2 мл воды и нагревали 1 час при 90—95°; выделен I, выход 26%, т. пл. 94—95° (из хлф.-петр. эф.); пикрат. т. пл. 181—183° (из сп.).

А. Берлин

68931. Органические дейтеросоединения. XVI. Синтез  $\alpha$ -дейтерированных алилнитрилов. Литч (Organic deuterium compounds. XVI. Synthesis of  $\alpha$ -deuterated alkyl nitriles. Leitch L. C.), Canad. J. Chem., 1957, 35, № 4, 345—347 (англ.)

Описан метод получения ацетонитрила- $D_3$  (I), пропониитрила-1,1- $D_2$  (II),  $n$ -бутиронитрила-1,1- $D_2$  (III) и акрилонитрила-1- $D$  (IV) обменом соответствующих алкилнитрилов с  $D_2O$  на основном катализаторе.

Смесь 50 мл  $\text{CH}_3\text{CN}$ , 40 мл  $\text{D}_2\text{O}$  и 10 г  $\text{Ca}(\text{OD})_2$  кипятят 12 час. и дистиллят перегоняют при  $76^\circ$ , сушат, выход продукта 45 мл. Обмен повторяют дважды со свежей порцией  $\text{D}_2\text{O}$  и  $\text{Ca}(\text{OD})_2$ . Дистиллят перегоняют в вакууме через трубку с  $\text{P}_2\text{O}_5$ , выход  $\text{CHD}_2\text{CN}$  (V) 35 мл. 15 мл V нагревают при  $85^\circ$  в запаянной трубке с 25 мл  $\text{D}_2\text{O}$  (99,6%) и 1 г  $\text{Ca}(\text{OD})_2$  в качающейся печи 12 час., продукт перегоняют через трубку с  $\text{P}_2\text{O}_5$ , выход I 12 мл, содержание  $\text{CD}_3\text{CN}$  93,4 мол. %. II получают при нагревании в качающейся печи ( $120^\circ$ , 12 час.) 25 мл  $\text{C}_6\text{H}_5\text{CN}$ , 25 мл  $\text{D}_2\text{O}$  и 5 г  $\text{Ca}(\text{OD})_2$ , продукт перегоняют в вакууме, сушат, выход II 22 мл. Обмен повторяют. Аналогично получают III. 25 мл  $\text{CH}_3\text{CN}$ , 40 мл  $\text{D}_2\text{O}$  и 5 г  $\text{Ca}(\text{OD})_2$  кипятят 6 час. при перемешивании, дистиллят перегоняют при  $70-72^\circ$ , насыщают  $\text{K}_2\text{CO}_3$  и перегоняют в вакууме над  $\text{P}_2\text{O}_5$ , выход IV 60%. Изотопная чистота после повторного обмена 96 атом. %. Получена Ag-соль пропионовой-1,1- $\text{D}_2$  к-ты, выход 78%. Сообщение XV см. РЖХим, 1956, 78202. Т. Шаткина

68932. Органические дейтеросоединения XVII. Синтез дейтерированного метилхлороформа. Франсис, Литч (Organic deuterium compounds. XVII. A synthesis of deuterated methyl chloroform. Francis J. E., Leitch L. C.), Canad. J. Chem., 1957, 35, № 4, 348—350 (англ.)

1,1,1-трихлорэтан- $\text{D}_3$  (I) синтезирован из трихлорэтилена (II) через трихлорэтилен- $\text{D}$  (III), 1,1,1,2-тетрахлорэтан- $\text{D}_2$  (IV) и 1,1-дихлорэтилен- $\text{D}_2$  (V). 25 мл II, 25 мл  $\text{D}_2\text{O}$  и 4 г  $\text{Ca}(\text{OD})_2$  кипятят при перемешивании 12 час., перегоняют, сушат и повторяют обмен дважды со свежей порцией  $\text{D}_2\text{O}$  и  $\text{Ca}(\text{OD})_2$ , выход III ~ 100%,  $n_D^{20}$  1,4771. К охлажд. смеси 25 мл III и 2 г  $\text{AlCl}_3$  в вакууме прибавляют  $\text{DCl}$  (получен прибавлением  $\text{D}_2\text{O}$  по каплям к  $\text{PCl}_5$  в вакууме) под давл. ~ 1 ат в течение 2 дней, затем смесь переводят в вакууме в ловушку, охлажд. до  $-78^\circ$ , и перегоняют, после 2 перегонок выход IV 58%, т. кип.  $128-129^\circ$ ,  $n_D^{20}$  1,4815. К кипящей перемешиваемой суспензии 28 г Zn-пыли в 50 мл 95%-ного спирта прибавляют по каплям 2 часа 24,8 г IV. IV удаляют из смеси азотом в охлажд. ловушку ( $-78^\circ$ ), перегоняют через трубку с  $\text{P}_2\text{O}_5$  в вакууме, выход V 89%. 6,2 мл V перегоняют в 107 мг безводн.  $\text{AlCl}_3$  при  $0^\circ$  (в вакууме), добавляют  $\text{DCl}$  (1 ат) и перемешивают при  $18^\circ$ , перегонкой в вакууме выделяют I, выход 4,7 г, т. кип.  $73-74^\circ$ ,  $n_D^{20}$  1,4370. Описан также синтез 1,1-дихлорэтилена и 1,1,1-трихлорэтана. Т. Шаткина

68933. Получение 2-метилоктадекановой-(1- $\text{C}^{14}$ ) кислоты. Вестгё (Preparation of 2-methyl (1- $\text{C}^{14}$ )-octadecanoic acid. Westgö Gunnel), Acta chem. scand., 1957, 11, № 1, 204—205 (англ.)

0,91 г этилового эфира кротоновой к-ты в 3,6 мл спирта смешивают с 0,41 г  $\text{NaC}^{14}\text{N}$  в 1 мл воды, кипятят 5 час., упаривают, экстрагируют кипящим ацетоном, выход  $\text{CH}_3\text{CH}(\text{C}^{14}\text{N})\text{CH}_2\text{COONa}$  (I) 67%. 0,64 г I, 7 г гексадекановой к-ты в 75 мл  $\text{CH}_3\text{OH}$  подвергают электролизу на Pt-электроде (см. Stållberg-Stenhagen S., Arkiv. Kemi. 1951, 2, 95), осадок растворяют в кипящем  $\text{CH}_3\text{OH}$ , после охлаждения до  $20^\circ$  фильтруют, р-р упаривают, экстрагируют эфиром, насыщ. водой, пропускают через амберлит IRA-400, упаривают, остаток кипятят со спирт. КОН, экстрагируют лигроном, водно-спирт. слой подкисляют, эфиром извлекают  $\text{CH}_3(\text{CH}_2)_{15}\text{CH}(\text{CH}_3)\text{C}^{14}\text{OOH}$ , выход 46%, т. пл.  $54,5-55,0^\circ$  (из  $\text{CH}_3\text{OH}$  и лигр.). Т. Шаткина

68934. Гетероциклы в обмене веществ. II. Синтез метилового эфира циануксусной-3- $\text{C}^{14}$  кислоты. Кортэ, Баркемейер (Heterocyclen im Stoffwechsel. II. Die Synthese von Cyanessigsäuremethylester-(3- $\text{C}^{14}$ ). Korte Friedhelm, Barkemeyer Hans), Chem. Ber., 1957, 90, № 3, 392—395 (нем.)

Описан микросинтез  $\text{C}^{14}\text{NCH}_2\text{COOCH}_3$  (I) и колориметрич. определение степени чистоты I с м-динитробензолом (II). 16,69 г  $\text{ClCH}_2\text{COOH}$  в 30 мл воды смешивают с 13,05 г  $\text{K}_2\text{CO}_3$  и разбавляют водой до 50 мл; 0,105 мл р-ра прибавляют к 21,5 мг 98%-ного  $\text{KC}^{14}\text{N}$  (уд. акт. 1,5 мюри/ммоль), нагревают 40 мин. при  $95-100^\circ$ , добавляют несколько капель воды, затем 1—2 мл  $\text{CH}_3\text{OH}$ , удаляют жидкость в токе  $\text{N}_2$  и сушат  $\text{C}^{14}\text{NCH}_2\text{COOK}$  (III) в вакууме. III нагревают с 0,06 мл  $(\text{CH}_3)_2\text{SO}_4$  и 0,15 мл диоксана (60 мин.,  $95-100^\circ$ ), выход I 90%. Для очистки I прибавляют 1 мл воды, нагревают 30—60 мин. при  $30-35^\circ$ , экстрагируют 7—8 раз порциями по 5 мл эфира, выход 35—40 мг, чистота 70—80%. Неочищ. I прибавлением 47,1 мг гуанидиннитрата, 1,7 мл  $\text{CH}_3\text{ONa}$  и 1 мл  $\text{CH}_3\text{OH}$  превращен в моногидрат 2,4,5-триамино-6-оксипиридиндисульфата-4- $\text{C}^{14}$ , выход 59%, считая на  $\text{KC}^{14}\text{N}$ . Сообщение I см. РЖХим, 1957, 26906. Т. Шаткина

68935. Синтезы хлоргидрата δ-аминолевулиновой кислоты, меченой изотопами. II. Хлоргидрат δ-аминолевулиновой-4- $\text{C}^{14}$  кислоты. Пича, Херберт (Synthèse du chlorhydrate de l'acide δ-aminolévulique marqué par les isotopes. II. Chlorhydrate d'acide δ-aminolévulique  $^{14}\text{C}$ -4. Pichat L., Herbert M.), Bull. Soc. chim. France, 1957, № 5, 673—677 (франц.)

Изучены два метода (А и Б) синтеза хлоргидрата δ-аминолевулиновой-4- $\text{C}^{14}$  к-ты (I) из хлористого фталилглицила-1- $\text{C}^{14}$  (II). Радиохим. выход определяли графически по хроматограммам на бумаге. Метод А. 2,47 ммольа глицина-1- $\text{C}^{14}$  (III), уд. активност. (а) 3,19 мюри/ммоль, нагревали с 2,75 ммольа фталевого ангидрида ( $105^\circ$ , 1 час), удаляли избыток ангидрида и обрабатывали остаток 1,3 мл  $\text{SOCl}_2$  (кипение 1 час). По охлаждению прибавляли 1 мл безводн.  $\text{C}_6\text{H}_6$ , выпаривали досуха, снова прибавляли  $\text{C}_6\text{H}_6$  и операцию повторяли несколько раз. Остаток возгоняли при  $80-100^\circ$ , выход II 88—92%, т. пл.  $81-83^\circ$ . 5,5 ммольа  $\text{CH}_3\text{N}_2$  в 7,5 мл абс. эфира при  $-10-(-5^\circ)$  прибавляли к эфир. р-ру II, осадок суспендировали в 15 мл лед.  $\text{CH}_3\text{COOH}$  и постепенно добавляли 48%-ную  $\text{HBr}$ , выход 1-бром-3-фталимидпропанона-2,2- $\text{C}^{14}$  (IV) 79% (на исходный III), т. пл.  $168^\circ$  (из бэл.). К 4 ммольа  $\text{NaCH}(\text{COOR})_2$  ( $\text{R} = \text{C}_2\text{H}_5$  или *трет*- $\text{C}_4\text{H}_9$ ) (получены из  $\text{CH}_2(\text{COOR})_2$  в 15 мл  $\text{HCON}(\text{CH}_3)_2$  и 1,95 ммольа  $\text{NaNH}$ , 3 часа,  $20^\circ$ ) добавляли р-р 1 ммольа IV в 15 мл  $\text{HCON}(\text{CH}_3)_2$  или 20 мл *трет*- $\text{C}_4\text{H}_9\text{OH}$ , перемешивали 3 часа при  $20^\circ$ , упаривали досуха, промывали водой, обрабатывали 10 мл диоксана, насыщ. при  $0^\circ$   $\text{HCl}$ -газ ( $20^\circ$ , 15 час.), снова упаривали, остаток растворяли в смеси конц.  $\text{HCl}$ -лед.  $\text{CH}_3\text{COOH}$  (1:1), кипятили 24 часа, затем испаряли досуха. После 3-кратного повторения гидролиза и отделения фталевой к-ты водн. фильтрат очищали пропусканием через колонку с ионообменной смолой (в кислотной форме; лучшие результаты получены на даукс-50 X-4) при  $20^\circ$ , промывая сначала 0,05 н.  $\text{HCl}$ , затем 1 н.  $\text{HCl}$  с объемной скоростью 6 мл/час. Радиохим. выход I 39% (на исходный III), а 450 мюри/ммоль. Из III-2- $\text{C}^{14}$  аналогичным путем можно синтезировать I-5- $\text{C}^{14}$ . Метод Б. II конденсировали с  $\text{ROOCCN}_2\text{CR}''(\text{COOR})_2$ , где  $\text{R} = \text{R}' = \text{C}_2\text{H}_5$  или  $\text{R} = \text{C}_2\text{H}_5$ ,  $\text{R}' = \text{трет}-\text{C}_4\text{H}_9$ , или  $\text{R} = \text{R}' =$  тетрагидропиридил,  $\text{R}'' = \text{Na}$  или  $\text{C}_2\text{H}_5\text{OMg}$ ; дальнейшую обработку проводили как в А. Выход I по методу Б очень мал и его нецелесообразно использовать для синтеза I. Сообщение I см. РЖХим, 1957, 44627. Ю. Сорокин

68936. Синтез уреидо- $\text{C}^{14}$ -янтарной кислоты и урицил-4-карбоновой-2- $\text{C}^{14}$  кислоты из мочевины- $\text{C}^{14}$ . Такэяма, Ногучи, Миура, Исидата (Synthesis of ureide [ $^{14}\text{C}$ ] succinic acid and orotic [2- $^{14}\text{C}$ ] acid from urea [ $^{14}\text{C}$ ]. Takeyama Shigeyuki, Noguchi Teruhisa, Miura Yoshiaki, Ishi-



date Morizo), Pharmac. Bull., 1956, 4, № 6, 492—495 (англ.)

Уреидо-С<sup>14</sup>-янтарная к-та (I) и урацил-4-карбонвал-2-С<sup>14</sup> к-та (II) синтезированы взаимозмененным методом (Nyc. Mitchell, J. Amer. Chem. Soc., 1947, 69, 1382) из мочевины-С<sup>14</sup> (III). 1,65 г аспарагиновой к-ты, 0,75 г III с радиоактивностью 1 мюри, 3,08 г Ba(OH)<sub>2</sub>·8H<sub>2</sub>O в 3,75 мл воды кипятят 4,5 часа, добавляют 3 мл конц. HCl, смесь оставляют на 12 час., выход I 36,2%, т. пл. 178—180° (из воды), уд. активность 77 100 имп/мин/μмоль. 0,75 г I в 2,5 мл 20%-ной HCl упаривают почти досуха, выход 5-карбоксиметилгидантоина-2-С<sup>14</sup> (IV) 91%, т. пл. 210—215° (из воды). Смесь 0,612 г IV, 0,79 г брома и 2,5 мл лед. CH<sub>3</sub>COOH нагревают (100°, 2 часа), осадок суспендируют в 7,7 мл кипящей воды 20 мин., охлаждают, выход 5-карбоксиметилгидантоина-2-С<sup>14</sup> (V) 62%, 0,374 г V в 12,5 мл 1 M KOH оставляют при 64° 2 часа, подкисляют конц. HCl, выход II 77,4% или 15,7%, считая на III, т. пл. 320° (разл.; из воды), уд. активность 72 400 имп/мин/μмоль. Т. Шаткина

68937. Синтез спазмолитина, меченного радиоактивным углеродом С<sup>14</sup> в карбонильной группе. Дашкевич Л. Б., Ж. общ. химии, 1957, 27, № 3, 724—726

Спазмолитин-С<sup>14</sup> (C<sub>6</sub>H<sub>5</sub>)<sub>2</sub>CHNC<sup>14</sup>OO(CH<sub>2</sub>)<sub>2</sub>N(C<sub>2</sub>H<sub>5</sub>)<sub>2</sub> (I) получен р-цией Na-соли дифенилуксусной-С<sup>14</sup> к-ты (II) с Cl(CH<sub>2</sub>)<sub>2</sub>N(C<sub>2</sub>H<sub>5</sub>)<sub>2</sub> (III). II получен взаимодействием (C<sub>6</sub>H<sub>5</sub>)<sub>2</sub>CHNa (IV) с C<sup>14</sup>O<sub>2</sub>. К 6 г Na, измельченного в кислоте, при 110° и перемешивании 5000—6000 об/мин, добавляют в атмосфере N<sub>2</sub> 15 г C<sub>6</sub>H<sub>5</sub>Cl и 65 мл сухого C<sub>6</sub>H<sub>6</sub>, смесь перемешивают 1 час при 20—30°, затем прибавляют 17 г (C<sub>6</sub>H<sub>5</sub>)<sub>2</sub>CH<sub>2</sub>, через 24 часа (~20°) нагревают при 50—60° несколько часов. Через полученную смесь, содержащую IV, пропускают C<sup>14</sup>O<sub>2</sub> + CO<sub>2</sub> 7—8 час. при 60—70°, затем выливают в воду, водн. слой подкисляют H<sub>2</sub>SO<sub>4</sub>, выход II 13 г, радиоактивный выход 50%, т. пл. 136—137° (из горячей воды). 10 г II нагревают 24 часа с 6,5 г III и 40 мл абс. ацетона, пропускают сухой HCl, осадок отделяют, радиоактивный выход I 42%, т. кип. 156—160°/6—8 мм, т. пл. 113—114° (из CH<sub>3</sub>COOC<sub>2</sub>H<sub>5</sub>); пикрат, т. пл. 143—144°; йодгидрат, т. пл. 118—119°. Т. Шаткина

68938. Анальгетики: α-дл-4-диметиламино-1,2-дифенил-3-метил-2-пропионоксипутан-N-метил-С<sup>14</sup>. Поленд, Салливан, Мак-Махон (Analgesics: α-dl-4-dimethylamino-1,2-diphenyl-3-methyl-2-propionoxybutane-N-methyl C<sup>14</sup>. Pohland A., Sullivan H. R., McMahon R. E.), J. Amer. Chem. Soc., 1957, 79, № 6, 1442—1444 (англ.)

Для изучения обменных процессов в организме осуществлен синтез α-дл-4-диметиламино-1,2-дифенил-3-метил-2-пропионоксипутана-N-метил-С<sup>14</sup> (I), обладающего анальгетич. действием. 0,73 моля C<sub>6</sub>H<sub>5</sub>CH<sub>2</sub>NHCH<sub>3</sub>·HCl, 1,1 моля (CH<sub>3</sub>O)<sub>2</sub>, 0,73 моля пропиофенона, 220 мл абс. спирта и 2 мл конц. HCl кипятят 3 часа, охлаждают, после отгонки спирта в вакууме остаток растворяют в 300 мл воды, извлекают эфиром β-бензилметиламино-α-метилпропиофенона (II), выход 49%, т. кип. 147—148°/0,5 мм, n<sub>D</sub><sup>25</sup> 1,5532, 0,4 моля II прибавляют по каплям к р-ру C<sub>6</sub>H<sub>5</sub>CH<sub>2</sub>MgCl (из 0,66 моля C<sub>6</sub>H<sub>5</sub>CH<sub>2</sub>Cl, 1,7 моля Mg и 1,5 л эф.), смесь оставляют на 12 час. и разлагают 140 мл насыщ. р-ра NH<sub>4</sub>Cl, эфирный р-р сушат, насыщают сухим HCl (газ), смесь растворяют в 1,3 л кипящего ацетона, при охлаждении выпадает хлоридат (XG) β-дл-4-бензилметиламино-1,2-дифенил-3-метилбутанола-2 (β-дл-III), выход (после трех кристаллизаций) 39%, т. пл. 114—115° (из CH<sub>3</sub>OH-этилацетата). Из ацетонового р-ра этилацетатом осаждают XG α-дл-изомера III, выход 25%, т. пл. 176—177° (из CH<sub>3</sub>OH-этилацетата-эф.). 0,03 моля

α-дл-III в 100 мл лед. CH<sub>3</sub>COOH восстанавливают над 6 ± 5% Pd/C, выход XG α-дл-4-метиламино-1,2-дифенил-3-метилбутанола-2 (α-дл-IV) 80%, т. пл. 157—158° (из CH<sub>3</sub>OH-этилацетата). Аналогично получают XG β-дл-IV, выход 88%, т. пл. 214—215°. 0,013 моля α-дл-IV, 25 мл 30—40%-ного CH<sub>2</sub>O и 56 мл HCOOH нагревают ~12 час., р-р упаривают, прибавляют NH<sub>4</sub>OH, эфиром извлекают XG α-дл-6-бензил-3,5-диметил-6-фенилтетрагидро-1,3-оксазина (α-дл-V), выход 71%, т. пл. 223—224°. Также получают XG β-дл-V, выход 92%, т. пл. 226—227° (из CH<sub>3</sub>OH-этилацетата). 0,0065 моля XG α-дл-V в 50 мл лед. CH<sub>3</sub>COOH восстанавливают над 2 ± 5% Pd/C, выход XG α-дл-4-метиламино-1,2-дифенил-3-метилбутанола-2 (VI) 65%, т. пл. 231—232° (разл.; из CH<sub>3</sub>OH-этилацетата). Р-р 1,7 моля VI и 1,9 моля C<sup>14</sup>H<sub>2</sub>O с радиоактивностью α 1,3 мюри в абс. спирте гидрируют при 250° и 1 ат над 500 мг 5% Pd/C 7 час. методом, описанным ранее (РЖХим, 1956, 50910), выход XG α-дл-4-диметиламино-1,2-дифенил-3-метилбутанола-2-(N-метил-С<sup>14</sup>) (VII) 100%, т. пл. 229—230°. 0,85 моля VII, 1 мл (C<sub>2</sub>H<sub>5</sub>CO)<sub>2</sub>O и 0,5 мл (C<sub>2</sub>H<sub>5</sub>)<sub>3</sub>N нагревают в атмосфере N<sub>2</sub> 8 час. при 82°, к охлажд. смеси прибавляют 30 мл эфира, 10 мл воды и 700 мг NaHCO<sub>3</sub>, эфирный р-р обрабатывают углем, сушат, упаривают, остаток растворяют в 25 мл эфира и обрабатывают сухим HCl, выход XG I 137 мг, т. пл. 168—170°, радиоактивный выход 40% (считая на C<sup>14</sup>H<sub>2</sub>O), α 1,9 мюри/мг. Т. Шаткина

68939. Синтез антрацена, 9-метилантрацена и 1,2-бензантрацена, меченных С<sup>14</sup>. Хадлер, Раха (Synthesis of C<sup>14</sup> labeled anthracene, 9-methylantracene and 1,2-benzanthracene. Hadler Herbert I., Rahe C. R.), J. Organ. Chem., 1957, 22, № 4, 433—435 (англ.)

Описан синтез антрацена-9,10-С<sup>14</sup> (I), 9-метилантрацена-9,10-С<sup>14</sup> (II) и 1,2-бензантрацена-9,10-С<sup>14</sup> (III) из фталевого ангидрида-7-С<sup>14</sup> (IV). К 1,06 ммоль IV (РЖХим, 1955, 51905) в 2 мл ошп. CH<sub>2</sub>ClCH<sub>2</sub>Cl в атмосфере N<sub>2</sub> при перемешивании прибавляли 10 мин. порциями 0,0022 моля AlCl<sub>3</sub>, при охлаждении 1,15 мл CH<sub>2</sub>ClCH<sub>2</sub>Cl и 0,4 мл CH<sub>2</sub>Cl<sub>2</sub>, затем за 30 мин. 0,044 моля сухого C<sub>6</sub>H<sub>6</sub> (Baddeley G., J. Chem. Soc., 1949, S99). Смесь перемешивали (0°, 30 мин. и 20°, > 20 час.), приливали при 0° 6 мл 6 н. HCl, упаривали, остаток экстрагировали эфиром, щел. вытяжку подкисляли 6 н. HCl и извлекали эфиром о-бензоилбензойную-13,14-С<sup>14</sup> к-ту (V), выход 95%, т. пл. 127—128° (испр., после возгонки). 0,7 ммоль V смешивали с 0,8 мл дымящей H<sub>2</sub>SO<sub>4</sub> (20% ангидрида) («Синтезы органич. препаратов», М. Изд-во ин. лит., 1949, сб. 1, 253), нагревали 15 мин., охлаждали до 0°, прибавляли лед, извлекали CHCl<sub>3</sub>, 9,10-антрахион-9,10-С<sup>14</sup> (VI), выход 84%, т. пл. 282,1—284,3° (после возгонки). 0,3 ммоль VI, 0,007 моля SnCl<sub>2</sub>·2H<sub>2</sub>O, 0,001 моля Sn и 3 мл CH<sub>3</sub>COOH при перемешивании кипятили 1 час, разбавляли 25 мл воды, C<sub>6</sub>H<sub>6</sub> извлекали антрон-9,10-С<sup>14</sup> (VII), выход 88%, т. пл. 150,4—152,7° (после возгонки). 0,263 ммоль VII в 25 мл C<sub>6</sub>H<sub>6</sub> прибавляли 45 мин. в атмосфере N<sub>2</sub> при охлаждении к р-ру Гриньяра (0,0012 моля Mg, 10 мл эфира и 0,0162 моля CH<sub>3</sub>J), перемешивали > 3 час., кипятили 1 час, через 16 час. прибавляли 25 мл воды, C<sub>6</sub>H<sub>6</sub> извлекали II, выход 63%, т. пл. 61—63° (возгонка; из водн. сп.). 0,3 ммоль VII кипятили с 3 мл 3 н. NaOH, 0,013 моля активированного Zn (Woodward R. B. и др., J. Amer. Chem. Soc., 1952, 74, 4223) 90 мин. в атмосфере N<sub>2</sub> при перемешивании, прибавляли 1,1 мл диоксана, свободного от перекисей, кипятили 1 час, охлаждали, добавляли 25 мл воды, C<sub>6</sub>H<sub>6</sub> извлекали I, выход (после возгонки при 215°/35 мм) 82%, т. пл. 210,2—212,1°, без диоксана выход I 55%, в m-C<sub>3</sub>H<sub>7</sub>OH — 62%. К 0,327 ммоль 1,2-бена-9,10-антрахиона-9,10-С<sup>14</sup> (получение см. первую ссылку) в 4 мл лед. CH<sub>3</sub>COOH прибавляли

0,0015 моля  $\text{SnCl}_2 \cdot 2\text{H}_2\text{O}$  в 2 мл 12 н.  $\text{HCl}$ , кипятили 2 часа (через 1 час добавляли  $\text{SnCl}_2 \cdot 2\text{H}_2\text{O}$ , 12 н.  $\text{HCl}$  и лед.  $\text{CH}_3\text{COOH}$ ), разбавляли водой,  $\text{CHCl}_3$  извлекали III, выход 69%, т. пл. 157,5—158° (испр.). Описан также синтез 9,10-антрахинона, выход 88%, окислением 9-метилантрацена  $\text{Na}_2\text{Cr}_2\text{O}_7 \cdot 2\text{H}_2\text{O}$  в  $\text{CH}_3\text{COOH}$ . Приведены значения  $\lambda_{\text{max}}$  в УФ-свете для II.

Т. Шаткина

68940 К. Синтезы гетероциклических соединений. Вып. I. Гл. ред. Миджоян А. Л., Ереван, АН АрмССР, 1956, 84 стр., 5 руб.

68941 Д. Изучение дибензилден- и дианизилден-ятарных кислот. Синтез и гидрирование. Клязель (Contribution à l'étude des acides dibenzylidène et dianisylidène succiniques: synthèse et hydrogénation. Thèse. Cluzel Roger. Clermont-Ferrand, impr. de Mont-Louis, 1955, 54 p., ill.) (франц.)

68942 Д. Аналоги l-адrenalina. Джонсон (Analogues of epinephrine. Johnson William K. Doct. diss., Univ. Michigan, 1954), Dissert. Abstrs, 1955, 15, № 5, 713—714 (англ.)

68943 Д. Применение реакции галоидоарилрования для синтеза ароматических аминокислот. Юркевич А. М. Автореф. дисс. канд. хим. н., МГУ, М., 1957

68944 Д. Синтез и исследование производных 1,2-дифенил-3,5-диоксопиразолидина. Дэн Жунь-сянь. Автореф. дисс. канд. хим. н., Ленингр. хим.-фармацевт. ин-т, Л., 1957

68945 Д. Взаимодействие тетраалкокси- и алкилалкоксиланов и их производных с некоторыми неорганическими соединениями. Хананашвили Л. М. Автореф. дисс. канд. хим. н., Моск. хим.-технол. ин-т им. Д. И. Менделеева, М., 1957

68946 Д. К вопросу о взаимодействии хлорзамещенных третичных спиртов с треххлористым фосфором и изучение свойств получающихся продуктов. Хайруллин В. К. Автореф. дисс. канд. хим. н., Казанск. хим.-технол. ин-т, Казань, 1957

68947 Д. Исследование пентафенилфосфора. Осанова Н. А. Автореф. дисс. канд. хим. н., Горьковский ун-т, Горький, 1957

См. также разделы Промышленный органический синтез и Промышленный синтез красителей и рефераты: общие методы 68440. Соединения: алифатич. 68567, 69992, 70325; ароматич. 68178, 68183, 68184, 69993—69995, 69997, 69998; гетероциклич. 68177, 68484; элементоорганич. 68220, 69360—69363, 70325; с мечеными атомами 68329, 68330.

## ПРИРОДНЫЕ ВЕЩЕСТВА И ИХ СИНТЕТИЧЕСКИЕ АНАЛОГИ

Редакторы Л. Д. Бергельсон, М. М. Ботаник,  
А. Д. Кузовков, В. В. Некрасов, И. В. Торгов,  
Л. М. Уткин, В. В. Шпанов

68948. 1,5-ангидро- $\beta$ -альтрит. Зиссис, Рихтмайер (1,5-anhydro- $\beta$ -altritol. Zissis Emmanuel, Richtmyer Nelson K.), J. Amer. Chem. Soc., 1955, 77, № 19, 5154—5156 (англ.)

Синтезирован 1,5-ангидро- $\beta$ -альтрит (I) по схеме: 1,5-ангидро- $\beta$ -сорбит (II) (тетрабензоат, т. пл. 100—102° (из сп.),  $[\alpha]^{20}_D + 43,4^\circ$  (с 1,1; хлф.))  $\rightarrow$  1,5-ангидро-4,6-бензилден- $\beta$ -сорбит (т. пл. 164—165° (из абс. сп.),  $[\alpha]^{20}_D - 21,2^\circ$  (с 0,5; хлф.))  $\rightarrow$  1:5-ангидро-4:6-бензил-

ден-2, 3-дитозил- $\beta$ -сорбит (т. пл. 185—189° (из ацетона),  $[\alpha]^{20}_D - 48,5^\circ$  (с 1,5; хлф.))  $\rightarrow$  1:5,2:3-диангидро-4:6-бензилден- $\beta$ -аллодульцит (или  $\beta$ -маннит) (выход 91%, т. пл. 129—130° (из сп. и хлф.-пентана),  $[\alpha]^{20}_D + 35^\circ$  (с 0,5; хлф.))  $\rightarrow$  1:5-ангидро-4:6-бензилден- $\beta$ -альтрит (выход 65%, т. пл. 125—126° (из хлф.-пентана),  $[\alpha]^{20}_D + 1,7^\circ$  (с 0,5; хлф.))  $\rightarrow$  I (т. пл. 127—129° (из абс. сп.),  $[\alpha]^{20}_D + 28,4^\circ$  (с 1,2, вода)). I синтезирован также из пентаацетата  $\alpha$ - $\beta$ -альтропиранозы действием  $\text{HBr}$  и затем  $\text{LiAlH}_4$ , выход 1,5%. Из I получены тетраацетат (т. пл. 104—105° (из хлф.-пентана),  $[\alpha]^{22}_D - 22,7^\circ$  (с 1,3; хлф.)) и тетрабензоат (т. пл. 176—177° (из сп. или хлф.-пентана),  $[\alpha]^{20}_D - 6,8^\circ$  (с 1,5; хлф.)). Приведены величины  $[\alpha]^{20}_D$  для ряда ангидроспиртов в 5% молибдате (с 0,40) и в подкисленном молибдате (с 0,32) соответственно: I, +31,4°, +26,6°; II, +41,9°, +40,5°; 1:5-ангидро- $\beta$ -маннит, -51,5°, -48,3°; 1:5-ангидро- $\beta$ -дульцит, +80,3°, +77,7°; 1:4-ангидро- $\beta$ -дульцит, -20,3°, -21,1°. Описан 1:5-ангидро-4:6-бензилден-2- $\alpha$ -толуолсульфо- $\beta$ -сорбит, т. пл. 175—179° (из хлф.-пентана).

В. Векслер

68949. Новый синтез производных  $\beta$ -эритрозы из  $\beta$ -арабинозы. Баллу (A new synthesis of  $\beta$ -erythrod derivatives from  $\beta$ -arabinose. Ballou Clinton E.), J. Amer. Chem. Soc., 1957, 79, № 1, 165—166 (англ.)

Синтезирована 2:3-изопропилиден- $\beta$ -эритроза (I) по схеме:  $\beta$ - $\beta$ -бензиларабинозид  $\rightarrow$  3:4-изопропилиден- $\beta$ - $\beta$ -бензиларабинозид (т. пл. 55—58° (из эф.),  $[\alpha]_D - 209^\circ$  (с 2; сп.))  $\rightarrow$  3:4-изопропилиден- $\beta$ - $\beta$ -арабиноза (т. пл. 82—85°)  $\rightarrow$  I (действием  $\text{NaBH}_4$  и затем  $\text{NaJO}_4$ , выход 77%). I — сироп,  $[\alpha]_D - 78^\circ$  (в метаноле). Из I получена 2:3-изопропилиден- $\beta$ - $\beta$ -метилэритрозид, т. кип. 66—67°/7,5 мм,  $[\alpha]_D - 137^\circ$  (с 1; хлф.), вопреки литературным данным (Overend W. и др., J. Chem. Soc., 1949, 1358) не восстанавливает Фелингову жидкость. Получен также диэтилмеркаптал 2,3-диацетил-4-трифенилметил- $\beta$ -эритрозы (II). Этот путь получения II не имеет преимуществ перед синтезом из 4:6-этилиден- $\beta$ -глюкозы.

В. Векслер

68950. Выделение 2-метил- $\beta$ -ксилозы из геммиллозы листьев сливы. Андрос, Хаф (The isolation of 2-O-methyl- $\beta$ -xylose from plum leaf hemicellulose. Andrews P., Hough L.), Chemistry and Industry, 1956, № 43, 1278 (англ.)

Продолжая изучение биосинтеза геммиллозы из листьев сливы (var. Victoria), авторы подтвердили идентичность моносахаридов, найденных ранее при помощи хроматографии на бумаге, и нашли дополнительно ряд соединений, в том числе 2-метил- $\beta$ -ксилозу (I). Гидролизат (1 н.  $\text{H}_2\text{SO}_4$ , 8 час.; 100°) геммиллозы после нейтрации ( $\text{BaCO}_3$ ) и удаления уруновых к-т был пропущен через колонку с углем (РЖХим, 1957, 15941). Смывание водой дало смесь моносахаридов, которая разделена хроматографией на бумаге. Главные составные части:  $\beta$ -галактоза, L-арабиноза,  $\beta$ -ксилоза (IV) получены в кристаллич. виде. Кроме того изолированы в малых кол-вах L-рамноза, L-фукоза и  $\beta$ -манноза, они были превращены в фенилгидразоны. Дальнейшее смывание угольной колонки 2,5%-ным спиртом дало фракцию с содержанием  $\text{OCH}_3$ -группы 17,2%; в этой фракции выделена хроматографированием на бумаге монометилпентоза, идентичная I, т. пл. 132—133° (из ацетона),  $[\alpha]^{21}_D + 37 \pm 6^\circ$  (с 0,27; вода). Проведено деметилирование  $\text{HBr}$  с последующей хроматографией на бумаге, показано, что I является производным ксилозы. Так как окисление метанперодатом в присутствии  $\text{NaHCO}_3$

дало 1,0 моль  $\text{HCHO}$ , положение метильной группы или  $\text{C}_{(2)}$  или  $\text{C}_{(3)}$ . Физич. константы согласуются с таковыми для 2-метил-D-ксилозы (т. пл. 133—135°), сравнена хроматограмма с подлинным образцом и получена рентгенограмма. Это первая метилированная альдопентоза, найденная в природе. Дан предполагаемый механизм образования I. Л. Михайлова

**68951. Действие пятихлористого фосфора на 1:2; 5:6-диизопропилиден-D-глюкофуранозу. Смит** (The action of phosphorus pentachloride on 1:2:5:6-di-O-isopropylidene-D-glucofuranose. Smith D. C. C.), J. Chem. Soc. 1956, May, 1244—1247 (англ.)

Показано, что монохлордиизопропилиденгексоза (I), т. кип. 120°/0,05 мм,  $n_D^{20}$  1,4734,  $[\alpha]_D^{20} +35,4^\circ$  (с 1,95;  $\text{CH}_3\text{OH}$ ), образующаяся при действии  $\text{PCl}_5$  на 1:2:5:6-диизопропилиденглюкофуранозу, имеет строение 6-дезоксигексозы-6-хлор-1:2, 3:5-диизопропилиденглюкофуранозы, а не 3-дезоксигексозы-3-хлор-1:2, 5:6-диизопропилиденглюкофуранозы, как ранее предполагалось (Allison, Nixon, J. Amer. Chem. Soc., 1926, 48, 406). Строение I доказано окислением  $\text{NaIO}_4$  продукта гидролиза I, т. е. 6-дезоксигексозы-6-хлор-D-глюкозы (II), т. пл. 135—136°,  $[\alpha]_D^{20} +46,6^\circ$  (с 7,6; вода); фенилозазон II, т. пл. 167—171°. Конфигурация I подтверждена превращением II в смесь аномерных глюкопиранозидов. Глюкозиды превращены в ангидрогексапиранозид, т. кип. 90°/0,05 мм, гидролиз которого дал 3:6-ангидро-β-D-глюкофуранозу, т. пл. 122—123°,  $[\alpha]_D^{20} +53,8^\circ$  (с 1,9; вода). Миграция изопропилиденной группы из положения 5:6 в 3:5 происходит при хлорировании. Л. Михайлова

**68952. Образование ациредуктонов. Эйлер, Хаселькист** (Entstehung von aci-Reduktionen. Euler Hans von, Hasselquist Hans), Arkiv kemi, 1955, 8, № 1, 67—72 (нем.)

В продолжение предыдущих исследований (РЖХим, 1957, 48064) описано получение из глюкозы и аскорбиновой к-ты ациредуктона II (APII) и из дегидроаскорбиновой к-ты ациредуктона III (APIII), сохраняющих в кислой среде ендольную структуру и способность восстанавливать реактив Тильманса. APII образует л-нитроанилид, коричневые кристаллы, т. пл. 245° (из  $\text{CH}_3\text{COOH}$ ). APIII, т. пл. 177—178°, идентичен 3,4-диоксигекс-5-метилтетрону (Micheel, Naarhoff, Lieb. Ann., 1940, 545, 28); при действии  $\text{CH}_3\text{N}_2$  образуют эфир  $\text{C}_6\text{H}_5\text{O}_4$ , т. пл. 116—116,5° (из бал.); с  $\text{C}_6\text{H}_5\text{N}_2\text{H}_3$  дает продукт конденсации  $\text{C}_{17}\text{H}_{16}\text{O}_2\text{N}_4$ , красные иголки, т. пл. 184,5—185° (из  $\text{CH}_3\text{COOH}$ ). В. Девятин

**68953. Синтез производных инозамина и инозидина из бромгидринов инозита. Вулфром, Рейделл, Хазбанд, Мак-Касленд** (Synthesis of inosamine and inosadamine derivatives from inositol bromohydrins. Wolfrom M. L., Radell Jack, Husband R. M., McCasland G. E.), J. Amer. Chem. Soc., 1957, 79, № 4, 160—164 (англ.)

Из мио-инозита действием  $\text{CH}_3\text{COBr}$  с последующим ацетилированием получены: пентаацетат 6-бромкверцита (I) (конфигурация мезо-(1,3,5), где в скобках указаны № C-атомов, у которых OH-группы находятся по одну сторону цикла), тетраацетат л-дибромциклогексантаэтраола (D,L-(1,3,4)) (II) и тетраацетат м-дибромциклогексантаэтраола (D,L-(1,3,4)) (III) с выходами 3,1 и 4% соответственно. При нагревании в запаянной трубке 3,8 г I (чистоты 60—70%) с жидким аммиаком в диоксане (13 час., 75—80°) и ацетилировании продукта получены гексаацетаты двух диастереоизомеров инозамина (N-ацетилпента-О-ацетил-6-аминоциклогексантаэтраола-1,2,3,4,5): с т. пл. 275—280° (9 мг) (описанный в литературе мезо-(1,3,5)) и с т. пл. 155—157° (122 мг) (предположительно D,L-(1,2,4)), разделенные кристаллизацией из уксусно-

этилового эфира. Аналогично из II и III получены гексаацетаты диастереоизомеров инозидина. Из 5 г II (68 час., 50—53°) получено 30 мг в-ва с т. пл. 298—303°, из 5 г III (60 час., 75°) 134 мг с т. пл. 170—173° (оба из уксусноэтилового эфира); изомеры, возможно, идентичны описанным в литературе. Описан также продукт р-ции стрептамина с динитрофторбензолом — N,N'-бис-(2,4-динитрофенил)-стрептамин, т. пл. 315—317° (разл.; из нитробензола). Предыдущее сообщение см. РЖХим, 1956, 75088. В. Векслер

**68954. Об аминоксахарах. Сообщение I. О получении 1-амино-1-дезоксикетоз. Дрюэ, Хубер** (Über die Herstellung von 1-Amino-1-desoxyketosen. I. Mitteilung über Aminozucker. Druoy J., Huber G.), Helv. chim. acta, 1957, 40, № 2, 342—349 (нем.; реф. англ.)

Приведен обзор данных о биологич. значении аминоксахаров и путях их синтеза. Разработан метод синтеза изоглюкозаминнов. При нагревании в запаянной трубке (100°, 5 час) 18 г D-глюкозы, 23,6 г дибензилламина и 1 г  $\text{NH}_4\text{Cl}$  в 50 мл спирта в результате перегруппировки Амандори образуется 1-дезоксигексоза-1-дигензилламино-Д-фруктоза (I), выход 67%, т. пл. 172—173° (из сп.),  $[\alpha]_D^{20} -84^\circ$  (с 1,01; пиридин). Аналогично I получена из D-маннозы (кипение 1 час). При гидрировании I с Pd/C в смеси лед.  $\text{CH}_3\text{COOH}$  и спирта образуется с выходом 94% 1-дезоксигексоза-1-амино-Д-фруктоза (II), выделенная в виде ее уксуснокислой соли (III), т. пл. 145—146° (из сп.),  $[\alpha]_D^{20} -63^\circ$  (с 0,964; пиридин); хлоргидрат II, т. пл. 120—121°. β-Гексаацетил-II, т. пл. 139—140° (из сп.),  $[\alpha]_D^{20} -7^\circ$  (с 1,008, хлф.). III получена также гидрированием D-глюкозофенилозамина (IV) в  $\text{CH}_3\text{COOH}$ . Из 2,39 г III и 0,81 г  $\text{KNCN}$  в воде (100°, 2 часа) получен 4-тетраоксипиридинимидазолон, выход 64%, т. пл. 177—179° (из  $\text{CH}_3\text{OH}$  + сп.). Действием  $\text{C}_6\text{H}_5\text{NH-NH}_2$  на II получен IV. Из D-галактозы тем же способом получают 1-дезоксигексоза-1-дигензилламино-Д-сорбозу, выход 51%, т. пл. 132—134° (из сп.),  $[\alpha]_D^{20} +62^\circ$  (с 0,98; пиридин); уксуснокислая соль 1-дезоксигексоза-1-амино-Д-сорбозы, сироп,  $[\alpha]_D^{20} -4,7^\circ$  (с 10,0; вода). (Прим. ред. так у авторов; фактически при данной р-ции из D-галактозы должны образоваться производные не D-сорбозы, а D-галактозы). Н. Сидорова

**68955. Синтез сахаров из меньших фрагментов. Часть X. Синтез L-глюкогептулозы. Джонс, Келли** (The syntheses of sugars from smaller fragments. Part X. Synthesis of L-glucoseptulose. Jones J. K. N., Kelly R. B.), Canad. J. Chem., 1956, 34, № 2, 95—97 (англ.)

По аналогии с предыдущими исследованиями по ферментативному синтезу 5,6-бис-дезоксигексозы из пропионового альдегида и дифосфата гексозы (I) (см. часть IX, РЖХимБх, 1957, 10549) проведен синтез L-глюкогептулозы (II) действием на р-р I (Na-соль, 5 г) и L-эритрозы (2,5 г) в 80 мл воды (рН 6,8, 4 часа, ~20°, 14 час., 37°) мышечной альдолазы, очисти. диализом. После очистки получена II (0,4 г). Из D-эритрозы (3,22 г) и I (6 г) в тех же условиях получен седогептулозан. Из L-эритрозы (4 г) и I (Na-соль, 8 г) в присутствии альдолазы гороха получен сироп, содержащий гептулозу, озазон, т. пл. 202—203°,  $[\alpha]_D^{20} -35^\circ$  (с 5,6; пиридин-сп., 2:3), возможно являющуюся аллогептулозой. В качестве примеси обнаружена фруктоза.

**68956. Химический синтез сахарозы. Конформационный анализ реакций триацетата 1:2-ангидро-α-D-глюкопиранозы. Лемье, Хьюбер** (A chemical synthesis of sucrose. A conformational analysis of the reactions of 1,2-anhydro-α-D-glucopyranose triacetate. Lemie J., Huber G.), Helv. chim. acta, 1957, 40, № 2, 342—349 (нем.; реф. англ.)



Lemieux R. U., Huber G.), J. Amer. Chem. Soc. 1956, 78, № 16, 4117—4119 (англ.)

Описан синтез сахарозы (I) из 1,3,4,6-тетраацетил-D-фруктозы (II) и 1:2-ангидро- $\alpha$ -D-глюкопиранозы (III). Из бензольного р-ра, содержащего 1,4 г II, азеотропной перегонкой удалили воду, затем, добавили 1,16 г III и удалили р-ритель, смесь нагревали в запаянной трубке (100°, 104 часа). Продукт ацетилировали и хроматографией на бумаге выделили ацетат дисахарида, из которого на магнезол-целите выделили октаацетат I, выход 5,5%. Выход I зависит от условий р-ции (определен методом изотопного разбавления): 80°, 168 час., 8,8% I; 120°, 72 часа, 2,2% I. Образование I из III авторы объясняют конформацией ангидрида и стерич. ограничениями при расщеплении эпоксидного кольца.

А. Юркевич

68957. Выделение 5- $\alpha$ -L-арабинозил-L-арабинозы из частично расщепленных камедей вида *Virgilia*. Стивен (The isolation of 5- $\alpha$ -L-arabopyranosyl-L-arabinose from partly degraded gums of *Virgilia* species. Stephen A. M.), J. Chem. Soc., 1957, April, 1919—1921 (англ.)

Камеди *Virgilia oroboides* осаждают из водн. р-ра выливанием в 0,1 н. р-р HCl в спирте, осадок нагревают (6 час., 95°) с 0,01 н. H<sub>2</sub>SO<sub>4</sub>, нейтрализуют BaCO<sub>3</sub>. Из сиропна хроматографией на целлюлозе и угле-целите выделяют 3,3- $\alpha$ -L-арабинозил-L-арабинозы (I),  $[\alpha]^{20}_D$  -14 (с 1,5; вода). Фенилозаон I, т. пл. 198—200°, из него с NaIO<sub>4</sub> образуется 1,2-бисфенилгидразон мезокалевого альдегида. Метилированием I получен сироп, т. кип. 170° (т-ра бани)/0,5 мм,  $n^{20}_D$  1,4615,  $[\alpha]^{20}_D$  -16° (с 4,6; вода), при гидролизе которого выделены 2, 3, 4-триметил-L-арабиноза,  $[\alpha]^{20}_D$  +120° (с 0,86; вода), и 2,3-диметил-L-арабиноза,  $[\alpha]^{20}_D$  +107° (с 1,09; вода).

В. Зеленкова

68958. Структура трисахарида, синтезированного действием *Penicillium chrysogenum* на сахарозу. Баллио, Русси (La struttura di un trisaccaride sintetizzato per azione del *Penicillium chrysogenum* sul saccarosio. Ballio Abessandro, Russi Serep), Gazz. chim. ital., 1956, 86, № 5-7, 476—483 (итал.)

В предыдущей работе (РЖХимБх, 1957, 4915) смесь олигосахаридов:  $\alpha_1$  (I),  $\alpha_2$ ,  $\beta_1$ ,  $\beta_2$  и  $\gamma$ , полученная при действии 65 мл диализованного экстракта *Penicillium chrysogenum* на р-р 10 г сахарозы в 65 мл воды (30°, 11 час.) 2-кратным хроматографированием на колонке со смесью активированного угля и целита 503 (1:1) (Whistler, Durso, J. Amer. Chem. Soc., 1950, 72, 677) и фракционным вымыванием (РЖХим, 1954, 46570) водой и 50%-ным спиртом, разделена на компоненты. Хроматографированием на бумаге (ватман 3ММ, р-ритель: смесь пиридина, *n*-бутанола и воды; 4:6:3; проявитель бензидин и CCl<sub>3</sub>COOH (Vascon, Edelmann, Biochem. J., 1951, 48, 114) выделены чистые компоненты смеси: I,  $\alpha_2$ ,  $\beta_1$ ,  $\beta_2$  и  $\gamma$ . I образуется в наибольшем кол-ве, т. пл. 195—197° (из CH<sub>3</sub>OH-абс. сп.),  $\alpha^{20}_D$  +29° (с 0,5; вода). Гидролиз I (100°, 45 мин., 0,5%-ная щавелевая к-та) привел к фруктозе и глюкозе в отношении 2:1 (выделены и определены хроматографией на бумаге ватман № 1, р-ритель: *n*-бутанол-ацетон-вода; 2:7:1). По физ. свойствам, результатам гидролиза, рентгенограмме, ИК-спектру и R сахара I идентифицирован как трисахарид:  $\alpha$ -D-глюкопиранозил-(1  $\rightarrow$  2)- $\beta$ -D-фруктофуранозил-(1  $\rightarrow$  2)- $\beta$ -D-фруктофуранозид R сахара для I (р-ритель: CH<sub>3</sub>COOH-*n*-бутанол-вода; 1:4:5; пиридин-*n*-бутанол-вода; 4:6:3 и изопропанол-*n*-бутанол-вода; 7:1:2) 0,61; 0,73 и соответственно 0,69.

Л. Яновская

68959. Строение гemicеллюлозы туеги разнолистной (*Tsuga heterophylla*). II. Гидролиз метилированной гemicеллюлозы. Даттон, Смит (The constitution

of the hemicellulose of western hemlock (*Tsuga heterophylla*). II. Hydrolysis of the methylated hemicellulose. Dutton G. G. S., Smith F.), J. Amer. Chem. Soc., 1956, 78, № 15, 3744—3748 (англ.)

Гemicеллюлоза (ГЦ) из туеги разнолистной, полученная шел. экстракцией делигифицированной древесины, содержит полисахарид разветвленного строения — арабометоксиглюкуроноксилан, боковые цепи которого состоят из 4-метил-D-глюкуроновой к-ты и L-арабофуранозы, связанных в положениях 2 и 3 с основной цепью из остатков D-ксилопиранозы. Метилированием ГЦ получено два производных (А и Б), первое из которых  $[\alpha]^{20}_D$  -51° (с 2; хлф.) и эквивалентным в 1220 изучено; его гидролиз дал смесь 2,3,4-триметил-D-ксилозы; 2,3,5-триметил-L-арабинозы; 2,3-диметил-D-ксилозы; 2-метил-D-ксилозы, 3-метил-D-ксилозы, 2,3,4-триметил-D-глюкуроновой к-ты и альдобутироновой к-ты (I). Метилированием I диазометаном и последующим восстановлением LiAlH<sub>4</sub> получен 2-(2,3,4-триметил-D-глюкопиранозил)-3-метил-D-метилксилозид, т. пл. 165—167° (из этилацетата),  $[\alpha]^{20}_D$  +79° (с 0,5; вода). Сообщение 1 см. РЖХим, 1956, 63599.

А. Юркевич

68960. Эфиры глюкозы — производные аминосалициловых кислот. Фой, Фелдман (Glucose ester derivatives of aminosalicilic acids. Foye William O., Feldmann Edward G.), J. Amer. Pharm. Assoc. Scient., 1955, 44, № 8, 467—472 (англ.)

С целью получения аналогов ПАБК действием 2-бензилокси-4-нитробензоилхлорида (I) на диацетонглюкозу (II) в безводн. пиридине (III) при 20° получена 1:2, 5:6-дизопропилиден-3-(2'-бензилокси-4'-нитробензоил)-глюкофураноза (IV), выход 79%, т. пл. 99,5—100° (из CH<sub>3</sub>OH). Восстановлением IV над Pt (из PtO<sub>2</sub>) и последующим действием HCl (газа) получен хлоридат 6-(2'-бензилокси-4'-аминобензоил)-глюкопиранозы, т. пл. 116—119° (разл.) (в результате миграции ацильной группы и перестройки цикла). Аналогично получены 1:2, 5:6-дизопропилиден-3-(2'-бензилокси-5'-нитробензоил)-глюкофураноза, выход 83%, т. пл. 135,5—137° (из CH<sub>3</sub>OH), и хлоридат 1:2-изопропилиден-6-(2'-бензилокси-5'-аминобензоил)-глюкопиранозы, выход 31%, т. пл. 181—183° (разл.; в бутанола). При проведении р-ции в смеси III-C<sub>6</sub>H<sub>6</sub> при 50° получены 1:2-изопропилиден-6-(2'-бензилокси-5'-нитробензоил)-глюкофураноза, т. пл. 172—173° (в хлф.), а также выделен ангидрид 2-бензилокси-4-нитробензойной к-ты, т. пл. 153—153,5° (из бал.-петр. эф.) (I получали из SOCl<sub>2</sub> и соответствующей к-ты и к смеси прибавляли II). Восстановлением IV, осаждением продукта из эфирного р-ра и высушиванием получили 1:2, 5:6-дизопропилиден-3-(2'-бензилокси-4'-аминобензоил)-глюкофуранозу, выход 93%, т. пл. 70—74°. Действием PCl<sub>5</sub> на соответствующие к-ты синтезированы 2-бензилокси-4-нитробензоилхлорид, выход 90%, т. пл. 123—124,5°, и 2-бензилокси-5-нитробензоилхлорид, выход 92%, т. пл. 103,5—104,5°. Получены также метиловый эфир 2-бензилокси-4-нитробензойной к-ты, т. пл. 90—91°, и метиловый эфир 2-бензилокси-5-нитробензойной к-ты, т. пл. 88,5—89,5°.

И. Л.

68961. Об углеродной цепи терпенов (о строении концевой группы терпеновых соединений). Мороз (テルペンの尾はどうなつた? (鎖状テルペン化合物の末端構造をめぐる論争其後). 諸江辰男), 香料 Корё, 1956, № 42, 40—46 (японск.)

Рассмотрены новейшие литературные данные о строении концевой группы терпенов типа динилоли и гераниола. Библ. 12 назв.

Л. Яновская

68962. Синтетические исследования в области полиеновых соединений. X. Направление и стереохимическая специфичность дегидратации эфиров 3,7-диметилктаен-6-ол-3-овой-(1) кислоты ( $\beta$ -окси- $\alpha$ - $\beta$ -дигидрогераниевой) и 5,9-диметилдекадиен-2,8-ол-4

овой-(1) кислоты. Самохвалов Г. И., Миропольская М. А., Преображенский Н. А., Ж. общ. химии, 1956, 26, № 10, 2793-2797

При дегидратации эфиров  $\beta$ -окси- $\alpha$ - $\beta$ -дигидрогериновой к-ты (I, к-та) образуется смесь *цис*- и *транс*-изомерных эфиров 3,7-диметилоткадиен-2,6-овой (II) и 3,7-диметилоткадиен-3,6-овой (III) к-т. При дегидратации I 1) пиролизом ацетата I, 2) действием в пиридине а)  $\text{POCl}_3$  и б)  $\text{PBr}_3$  получают смесь продуктов, содержащую соответственно ~100, 83-85 и 58-60%  $\alpha$ , $\beta$ -изомера при соотношении *транс*- и *цис*-форм 3,7:1; 1:4 и 1:10. Различие в соотношении пространственных изомеров объясняется замещающим галогенированием с обращением конфигурации и последующим отщеплением галогеноводорода при использовании метода 2, а образование  $\alpha$ , $\beta$ - и  $\gamma$ , $\delta$ -изомеров — конкурирующим влиянием  $\text{COOR}$ -группы, повышающей подвижность протона у  $\alpha$ -С-атома и алкильных групп, способствующих образованию этиленов с наибольшим числом заместителей. Введение винильной группы между  $\text{COOR}$  и активизируемой ею  $\text{CH}_2$ -группой повышает выход  $\gamma$ , $\delta$ -изомеров, что обусловлено усилением влияния карбоксила за счет легко поляризующейся двойной связи и эффектом образования конъюгированных двойных связей. При дегидратации эфиров 5,9-диметилдекадиен-2,8-ол-5-овой-1 к-ты по методу 2а или 2б образуются преимущественно эфиры 5,9-диметилдекадиен-2,4,8-овой к-ты (V, к-та). К смеси 0,472 моля  $\text{PBr}_3$  и 1,7 мл пиридина приливают при 50-60° р-р 0,8 моля этилового эфира I, добавляют 5 мл пиридина, перемешивают при 50-60° 30 мин. и выделяют смесь II и III (выход 73,5%), которую разделяют следующим образом. При восстановлении смеси  $\text{LiAlH}_4$  получают смесь 3,7-диметилоткадиен-2,6-ола-1 и 3,7-диметилоткадиен-3,6-ола-1 (IV) (выход 89%), при окислении которой  $\text{MnO}_2$  в петр. эфире (50-60°, 3 часа) получают смесь *цис*- и *транс*-изомеров неокисляемого IV (40%) и цитраля. Последнюю обрабатывают семикарбазидом и хроматографируют на  $\text{Al}_2\text{O}_3$ , разделяя на семикарбазиды нерала, т. пл. 170-171° (из  $\text{CH}_3\text{OH}$ ), и гераниала, т. пл. 162-163° (из  $\text{CH}_3\text{OH}$ ). Аналогично действию  $\text{PBr}_3$  на этиловый эфир I получают этиловый эфир V (выход 77%), который омыляют 10%-ным спирт. р-ром КОН. При действии гл. полученную к-ту  $\text{LiCH}_3$  образуется псевдоинон, выход 86%. Последний переводят в 2,4-динитрофенилгидразон и разделяют хроматографированием на  $\text{Al}_2\text{O}_3$ , получают изомеры с т. пл. 148-149° и 118-119°.

В. Черкаев

68963. Повторное исследование скипидаров: индийского и фторидской скипидарной сосны. Сатерленд, Уэлс (A re-examination of indian and loblolly turpentine. Sutherland Maurice D., Wells J. W.), J. Organ. Chem., 1956, 21, № 11, 1272-1275 (англ.)

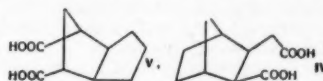
Индийский скипидар содержит 71%  $\alpha$ -пинена (I); аддукт с тиогликолевой к-той (к-та II), т. пл. 161-162° (из ацетона- $\text{CH}_3\text{OH}$ ),  $[\alpha]_D^{20}$  -20,5° (с 0,68;  $\text{CH}_3\text{OH}$ ), 22%  $\beta$ -пинена (III), аддукт с II, т. пл. 156,6-157,5° (из ацетона- $\text{CH}_3\text{OH}$ ),  $[\alpha]_D^{22}$  -16,5° (с 1,56;  $\text{CH}_3\text{OH}$ ), ~1% мирцена (IV), лимонена (V) и  $\alpha$ -цимола, ~1% метилхавиколола, ~1% неидентифицированных сескитерпенов и ~0,5% неидентифицированного кетона, т. кип. 87,5-88,3°/10 мм,  $d_4^{25}$  0,9577,  $n_D^{25}$  1,5055; 2,4-динитрофенилгидразон, т. пл. 210,5-212° (из этилацетата). В скипидаре фторидской скипидарной сосны найдены I, III, IV, V,  $\Delta^3$ -карен,  $\alpha$ -туйен, терпинол и  $\beta$ -карен. Для получения аддукта с II 1 мл фракции скипидара и 2 мл II встряхивают 4 часа с несколькими каплями аскаридола, через 24 часа добавляют эфир, удаляют II экстракцией водой и выделяют аддукт в виде S-бензилтиурониевой соли, выход 83%. В. Ч.

68964. Исследование в области терпина и родственных соединений. II. Действие серной кислоты на лимонен,  $\alpha$ -терпинеол, *цис*-терпин и цинеол-1,8. Ломбар, Гейгер (Etudes dans le domaine des terpenes et des corps apparentes. II. Action de l'acide sulfurique sur le limonène, l' $\alpha$ -terpinéol, la *cis*-terpine et le cinéol 1-8. Lombard René, Geiger Edouard), Bull. Soc. chim. France, 1956, № 11-12, 1564-1567 (франц.)

Обработкой лимонена (I),  $\alpha$ -терпинеола (II), *цис*-терпина (III) и цинеола-1,8 (IV)  $\text{H}_2\text{SO}_4$ , различной концентрации при -10 — +15 получена смесь III и *транс*-терпина (V). Перечисляются: конц-ия к-ты в вес.%, время в час., т-ра в °C, соотношение  $\text{H}_2\text{SO}_4$ /исходное в-во, соотношение III/V, выход V: I, 55, 100, -10, 6, 0,25, 3,8; I, 78, 1, -10, 11, 0,25, 5,3; II, 55, 0,5, 15, 5, 0,53, 26,3; II, 55, 1, 15, 5, 0,44, 22; III, 55, 2, 15, 5, 0,4, 23; III, 64, 0,5, 15, 5, 0,35, 18; IV, 64, 1, 15, 5, 0,66, 14,5; IV, 55, 2, 15, 5, 0,59, 11,5. Водн. р-р содержит моно- и дисульфаты терпина, гидролизом которых получают V. Предыдущее сообщение см. РЖХим, 1954, 39541. С. Кустова 68965. Изомеризация  $\beta$ -пинена. Видмарк (Isomerization of  $\beta$ -pinene. Widmark Gunnar), Acta chem. scand., 1955, 9, № 6, 941-946 (англ.)

Показано, что изомеризация  $\beta$ -пинена (I) в  $\alpha$ -пинен (II) на  $\text{Pd/BaCO}_3$  в атмосфере  $\text{H}_2$  и последующее сорбционнографич. исследование (РЖХим, 1954, 32206) может служить для качеств. и колич. полумикроопределения I. В отличие от ранее опубликованных данных (Richter, Wolff, Ber, 1926, 59, 1733) установлено, что изомеризация сопровождается незначительным гидрированием и вторичными превращениями. Р-ция протекает количественно за 0,5-4 часа, в зависимости от кол-ва и активности катализатора. 5%-ный  $\text{Pd/BaCO}_3$  активнее, чем Pd-чернь и дает более воспроизводимые результаты. При действии катализатора на сорбционнографически однородный или свежеекисленный II без р-рителя или в эфире в его сорбционной программе появляются незначительные изменения (немного усиливающиеся при увеличении продолжительности р-ции от 1 до 12 час.), которые свидетельствуют об образовании побочных продуктов в кол-ве не более нескольких %. Аналогичным изменениям подвергаются  $\Delta^3$ -карен (III),  $\alpha$ -лимонен (IV) и терпинол (V). I и II после воздействия  $\text{Pd/BaCO}_3$  имеют сходные сорбционные программы. Сорбционные бинарные смеси II с III и V сходны с таковыми смесей I с III и V после изомеризации. Присутствие IV мешает определению небольших кол-в I. Для анализа 1 мл образца встряхивают с 50 мг 0,5%-ного  $\text{Pd/BaCO}_3$  в герметичном сосуде (8×50 мм), заполненном  $\text{H}_2$  (в отсутствие последнего изомеризация не происходит). Содержание I определяют способом, описанным ранее (РЖХим, 1957, 60662). Приведена методика приготовления  $\text{Pd/BaCO}_3$ . В. Черкаев 68966. Продукт дегидратации *эзо*-триметилен-2-*эзо*-норборнанола. Шлейер, Дональдсон (The dehydration product of *exo*-trimethylene-2-*exo*-norbornanol. Schleyer Paul von R., Donaldson Malcolm M.), J. Amer. Chem. Soc., 1956, 78, № 21, 5702 (англ.)

При дегидратации *эзо*-триметилен-2-*эзо*-норборнанола (I)  $\text{H}_3\text{PO}_4$  образуется *эзо*-триметилен-8-норборнен (II), т. кип. 180°/760 мм,  $n_D^{25}$  1,4985, а не *эзо*-три-

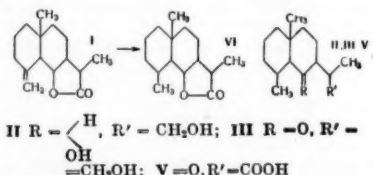


метилен-2-норборнен (III), как предполагалось ранее (Bruson H. A., Riener T. W., J. Amer. Chem. Soc., 1948, 70, 2809). I не реагирует с фенилазидом, окисляется

KMnO<sub>4</sub> в дикарбоновую к-ту (IV), т. пл. 165,1—165,6° (испр.). Дегидриодированием экзотриметил-2-экзо-порборнилодида получен III, т. кип. 176°/760 мм,  $n_D^{25}$  1,4927; аддукт с фенилазидом, т. пл. 144,6—145,1°, окисляется в дикарбоновую к-ту (V), т. пл. 182,9—183,2°, при перегонке над H<sub>3</sub>PO<sub>4</sub> почти нацело превращается в II. Последний получен так же из других стереоизомеров I.

В. Черкаев  
68967. Изучение сесквитерпеноидов. VII. Производные дезокситетрагидросантонина. Иван, Оки, Кандзак (セスキテルペノイドの研究 第 7 報. Desoxytetrahydrosantonin の誘導體. 岩井一成, 大木英二, 神崎敬治), 藥學雜誌, Якугаку дзасей, J. Pharm. Soc. Japan, 1956, 76, № 12, 1381—1384 (японск.; рез. англ.).

Получающийся при восстановлении дезокситетрагидросантонина (I) диол (II), т. пл. 152—153°, был окислен через монобензоат II в кетол (III). При восстановлении III Na в пропаноле или NaBH<sub>4</sub> образуется эфир IV (IV), т. пл. 99—100°. Как показано ранее лактон кетокислоты (V), полученный из тетрагидроалантолактона (VI), при восстановлении амальгамой Na образует изомер VI. При гидрировании же V или при восстановлении его NaBH<sub>4</sub> с последующей циклизацией получается исходный VI. I получали через тиокеталь тетрагидросантонина (VII). К охлажд. до —5° смеси 1 г тетрагидросантонина, 1 г ZnCl<sub>2</sub> и 1 г Na<sub>2</sub>SO<sub>4</sub> прибавили 5 мл CH<sub>3</sub>SHCH<sub>2</sub>SH, оставили на 3 дня при 20° и после обработки получили 0,8 г VII, т. пл. 191°,  $[\alpha]_D^{20}$  +50,8° (с 1,26). Смесь 0,1 г VII, 20 мл диоксана и 2 г скелетного Ni нагревали 8 час. и получили I, т. пл. 154°,  $[\alpha]_D^{20}$  +27,6° (с 2,1). Смесь 1 г бензоата III, 150 мл 20%-ного CH<sub>3</sub>OH и 3 г K<sub>2</sub>CO<sub>3</sub> кипятили 3 часа и получили 0,45 г III, т. кип. 120—140°/6 мм,  $[\alpha]_D^{20}$  —68,2° (с 3,6). К кипящему р-ру 0,75 г III в 100 мл пропанола прибавили постепенно 11 г Na, кипятили 3 часа, добавили еще 35 мл пропанола, кипятили еще 30 мин. и после обработки получили 0,7 г IV, т. пл. 99—100°,  $[\alpha]_D^{20}$  —7,9° (с 2,25), моно-*n*-нитробензоат IV, т. пл. 101°,  $[\alpha]_D^{20}$  —18° (с 1,6).

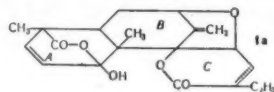


К р-ру 100 мг монобензоата II в 15 мл CH<sub>3</sub>COOH прибавили р-р 37 мг CrO<sub>3</sub> в 10 мл 90%-ной CH<sub>3</sub>COOH, оставили на 4 часа при 20° и получили бензоат III, т. пл. 126°,  $[\alpha]_D^{20}$  —50,2° (с 2,1). Р-р 450 мг V в лед. CH<sub>3</sub>COOH гидрировали в присутствии 0,4 г PtO<sub>2</sub> и получили 400 мг VI, т. пл. 141—143°,  $[\alpha]_D^{20}$  +12,2° (с 3,58). Смесь 1,2 г метилового эфира V, 60 мл CH<sub>3</sub>OH и 400 мг NaBH<sub>4</sub> в 40 мл CH<sub>3</sub>OH, оставили на 2 дня при 20°, добавили 10 мл воды, 20 мл разб. HCl, оставили на 2 часа и получили 0,7 г VI. Сообщение VI см. РЖХим, 1957, 34501.

С. Ананченко  
68968. Горькие начала растений. I. Колумбин: предварительные исследования структуры. Кава, Собоченский (Bitter principles of plants. I. Columbin: preliminary structural studies. Kawa M. P., Soboczenski E. J.), J. Amer. Chem. Soc., 1956, 78, № 20, 5317—5322 (англ.).

Дитерпену колумбин (I) из корней *Jateorrhiza palmata* приписана структура (Ia) со скелетом склареола и экзо-положением метиленовой группы по отношению к тетрагидрофурановому кольцу. При гидрировании I с 10%-ным Pd/C в ацетоне при

0° образуется дигидроколумбин (II), выход 82%, т. пл. 239—240,5° (из CH<sub>3</sub>OH); при гидрировании I или II



в CH<sub>3</sub>OH при 28—32° кольцо C подвергается гидронолизу и образуется октагидроколумбиновая к-та, выход 78%, т. пл. 158—160° (из водн. CH<sub>3</sub>OH). При пиролизе I (220°) образуется декарбоксиколумбин (III), т. пл. 146,8—148,2° (из сл.), у которого мостик в кольце A отсутствует, OH-группа при C(1) переходит в кетогруппу, не дающую обычных карбонильных производных, а Δ<sup>2,3</sup>-двойная связь переходит в положение 3,4. При гидрировании III (10%-ный Pd/C, CH<sub>3</sub>OH, 50°) образуется октагидродекарбокси-колумбиновая к-та, выход 83%, т. пл. 179—181° (из водн. CH<sub>3</sub>OH). При нагревании (5 мин.), 5,12 г I с 45 мл CH<sub>3</sub>OH, 20 мл 5%-ного NaOH и 25 мл воды образуется изоколумбин (IV), выход 81%, т. пл. 183—187° (разл.; из CH<sub>3</sub>OH-CH<sub>2</sub>Cl<sub>2</sub>), отличающийся от I β,γ-положением двойной связи в кольце C. При гидрировании IV с 10%-ным Pd/C в этилацетате при 0° образуется дигидроизоколумбин (V), выход 80%, т. пл. 234—235° (из CH<sub>3</sub>OH), после потери кристаллизационного CH<sub>3</sub>OH т. пл. 107—108°. При ацетилировании V получен ацетилдигидроизоколумбин, выход 46%, т. пл. 279—238° (из CH<sub>3</sub>OH), который при гидрировании на 10%-ном Pd/C дает ацетилдигидроизоколумбиновую к-ту, выход 74%, т. пл. 229—230° (из CH<sub>3</sub>OH). При гидрировании V (10%-ный Pd/C, CH<sub>3</sub>OH, 30°) образуется смесь стереоизомерных октагидроизоколумбиновых к-т с неизменным кольцом A, выход 54%, т. пл. 140—160°. При пиролизе (240°, 10 мин.) IV дает декарбоксиизоколумбин, выход 62%, т. пл. 203—206° (из CH<sub>3</sub>OH), который при нагревании с КОН в CH<sub>3</sub>OH (50°, 15 мин.) переходит в ψ-декарбоксиизоколумбин, содержащий ядро незамещ. при двойной связи циклогексенона, выход 88%, т. пл. 197—200° (из CH<sub>3</sub>OH). Ацетилированием I получен ацетилизоколумбин, выход 60—70%, т. пл. 225—230° (разл.), при пиролизе которого (240°, 5 мин.) образуется декарбоксиацетилизоколумбин, который является енолацетатом, содержащим циклогексаниновую систему, выход 70%, т. пл. 162—163,5°. Метилирование I метилсульфатом в щел. среде приводит к метилизоколумбину (VI), выход 25%, т. пл. 225—229° (разл.; из CH<sub>3</sub>OH). При гидрировании VI (10%-ный Pd/C, CH<sub>3</sub>OH) кольцо C подвергается гидронолизу и образуется октагидрометилизоколумбиновая к-та, выход 47%, т. пл. 182,5—185°. При декарбоксилровании VI (240°, 10 мин.) образуется декарбоксиметилизоколумбин, выход 14%, т. пл. 198,5—200° (из CH<sub>3</sub>OH). В. Черкаев

68969. Строение андрографолида. III. Кондо, Оно (Andrographolid の構造研究 第 3 報. 近藤平三郎, 小野綾緒), 乙卯研究所年報, Ицуу кэнкюсё нампю, Annual Rept ITSUO Lab, 1955, № 4, 36—39 (японск.); 78—83 (англ.).

Продолжалось исследование строения моноциклич. дитерпена андрографолида (I) (см. сообщение II, Annual Rept ITSUO Lab, 1951, 2, 66). Действием CH<sub>3</sub>N<sub>2</sub> на I в среде CH<sub>3</sub>OH-эфир (20°, 40 час.) получено пиразолиновое производное I, т. разл. 230°, идентичное производному, описанному Швицером и Карпером (Helv. chim. acta, 1951, 34, 652). При окислении триацетиладрографолида (II) перманганатом получены нейтр. соединения (III), т. разл. 214—215° (осаждение р-ра в CHCl<sub>3</sub> бензолом), и монокарбоновая к-та C<sub>20</sub>H<sub>30</sub>O<sub>6</sub> (IV), т. пл. 172°, содержащая 2 ацетильные



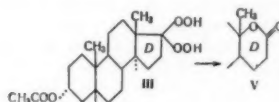
группы и дающая с  $\text{CH}_3\text{N}_2$  метиловый эфир, т. пл. 75–78° (из эф.). К р-ру 6 г II в 10 мл ацетона прибавляют по каплям ацетоновый р-р 3,9 г  $\text{KMnO}_4$  (охлаждение, перемешивание 11 час.). От фильтрата отгоняют ацетон, остаток разбавляют 100 мл воды и подщелачивают  $\text{Na}_2\text{CO}_3$ . Эфиром извлекают 1,8 г сиропа, повторное окисление которого (при нагревании) приводит к IV, выход 0,4 г. При подкислении водн. слоя  $\text{H}_2\text{SO}_4$  получены 3 фракции: 0,35 г III, 0,4 г IV и сироп, повторное окисление которого также приводит к IV.

Р. Топштейн  
68970. Выделение и идентификация таракастерина и  $\beta$ -амирина из птичьего клея растения *Balanophora japonica* Makino. Ягисита (Isolation and identification of taraxasterol and  $\beta$ -amyrin from the bird-lime of *Balanophora japonica* Makino. Yaagishita Kazuyoshi), Bull. Agric. Chem. Soc. Japan, 1956, 20, № 4, 206–210 (англ.)

Показано, что эфир. экстракт неомыляемой фракции растения *Balanophora japonica* Makino (*Balanophora seae*), содержит два тритерпеноидных спирта — таракастерин (I) и  $\beta$ -амирин (II). Строение I доказано его изомеризацией в  $\Psi$ -таракастерин (гетеролупеол, III). Из кислой фракции выделена пальмитиновая к-та (IV) и тем самым показано, что II присутствует в виде пальмитата. Высушенные при 60° (10 час.) 475 г корневищ и цветов растения *Balanophora japonica* Makino экстрагируют эфиром 60 час. и выделенные 71 г экстракта кипятят 60 час. с 15%-ным р-ром КОН в смеси спирт-бензол (1:1). Смесь упаривают, разбавляют водой и экстрагируют эфиром 30 час. После подкисления водн. р-ра получают 21,5 г фракции жирных к-т (А). Из эфир. экстракта после упаривания получают 49 г кристаллов, из которых после кипячения со спиртом выделена желтая сиропобразная фракция (Б) 27,6 г и 21,3 г кристаллов (В), т. пл. 164–166°. К фракции В в 50 мл  $\text{C}_6\text{H}_6$  прибавляют 20 мл  $(\text{CH}_3\text{CO})_2\text{O}$ , кипятят 2 часа, удаляют р-рители, полученный ацетат вновь кипятят с 45–50-кратным по весу кол-вом спирта и выделяют 3,7 г ацетата I, т. пл. 248–249°.  $[\alpha]_D^{25} + 100, 0^\circ$  (с 0,635). Омылением 1 г ацетата I (кипчение с 5%-ным спирт. р-ром КОН, 2 часа) получают 0,8 г I, т. пл. 220–221°,  $[\alpha]_D^{25} + 93,5^\circ$  (с 0,852); бензоат, т. пл. 242°,  $[\alpha]_D^{25} + 106,5^\circ$  (с 0,595). Смесь 1 г ацетата I, 25 мл  $\text{C}_6\text{H}_6$ , 5 мл  $\text{H}_2\text{SO}_4$  и 50 мл спирта кипятят 5 час., получают 0,8 г III, т. пл. 208–209°,  $[\alpha]_D^{25} + 48,5^\circ$  (с 0,65); ацетат, т. пл. 238–240°,  $[\alpha]_D^{25} + 56,2^\circ$  (с 0,75). Смесь 27,6 г фракции Б, 50 мл  $\text{C}_6\text{H}_6$ , 25 мл  $(\text{CH}_3\text{CO})_2\text{O}$  кипятят 2 часа, получают 5,5 г ацетата II, т. пл. 239°,  $[\alpha]_D^{25} + 83,3^\circ$  (с 0,665). 2 г ацетата II кипятят с 5%-ным спирт. р-ром КОН и получают 1,8 г II, т. пл. 196°,  $[\alpha]_D^{25} + 86,2^\circ$  (с 0,583); бензоат, т. пл. 232°. Из фракции А вымораживанием выделено 5,5 г IV, т. пл. 61–62°; амид, т. пл. 106°. Приведены ИК-спектры I, III и их ацетатов.

С. Ананченко  
68971. D-лактонные перегруппировки стероидных бисгидроперексидей. Веллю, Амьяр, Мартель, Вариян (Rearrangements D-lactoniques de bis-hydroperoxydes stéroïdes. Velluz Léon, Amiard Gaston, Martel Jacques, Warnant Julien), C. r. Acad. sci., 1957, 244, № 14, 1937–1940 (франц.)  
Полученные при действии  $\text{H}_2\text{O}_2$  в трет- $\text{C}_4\text{H}_9\text{ONa}$  на 3-ацетат этиохоланол-3 $\alpha$ -диола-11,17 (I) и ацетат эстрола (II) 17,17-бис-гидроперексид 3-ацетата этиохоланол-3 $\alpha$ -она-11 (III) и 17,17-бис-гидроперексид 3-ацетата  $\Delta^{1,3,5}$ -эстратриенола-3 (IV) при нагревании и в условиях р-ции этерификации образуют соответствующие D-лактоны. К р-ру I в 8%-ном р-ре  $\text{H}_2\text{O}_2$  в трет- $\text{C}_4\text{H}_9\text{ONa}$  прибавляют 1 каплю конц. HCl, упаривают в вакууме без нагревания и получают III, выход 83%, т. разл. ~190°,  $[\alpha]_D^{25} 0^\circ$  (с 0,5; тетрагидрофуран).

При аналогичной обработке II образуется IV, выход 90%, т. разл. 125°,  $[\alpha]_D^{25} + 7,5^\circ$  (с 1; тетрагидрофуран). Образующийся при обработке III  $(\text{CH}_3\text{CO})_2\text{O}$  в пиридине при 20° продукт хроматографируют на  $\text{Al}_2\text{O}_3$  и выделяют 3-ацетат этиохоланол-3 $\alpha$ -она-11 (V), т. пл. 182°,  $[\alpha]_D^{25} + 14^\circ$  (с 1; хлф.). Продукт аналогичной обработки IV омыляют, высаживают при помощи HCl и получают эстрололактон (VI), т. пл. 347° (из цикло-



гексана),  $[\alpha]_D^{25} + 33^\circ$  (с 1; пиридин). При кипячении III и IV в ксилоле, дибутиловом эфире, этоксиэтаноле и подобных р-рителях происходит образование C-13 эпимеров V и VI. Суспензию 0,2 г III в 10 мл дибутилового эфира нагревают 30 мин. при 120–125° и получают D-люмилактон, т. пл. 265°,  $[\alpha]_D^{25} + 6^\circ$  (с 1; хлф.). При омылении V и его эпимера образуется одна и та же  $\Delta^{12}$ -кислота. Суспензию 2 г IV в 40 мл толуола кипятят 20 мин. и после щел. омыления и подкисления выделяют смесь VI и эпимерного ему люмиэстрололактона, т. пл. 308°,  $[\alpha]_D^{25} + 10^\circ$  (с 1; пиридин); полученную смесь разделяют при помощи сублимирования при 210°/2–3 мм.

М. Бурмистрова  
68972. Получение и восстановительное расщепление  $\beta$ -оксис эпихолестерина. Снота, Морн (Эпихолестерин  $\beta$ -Оксидов的合成と還元裂解反応. 藤田三千夫, 守和子), 日本化学雑誌, Нихон Kagaku Zasshi, J. Chem. Soc. Japan, Pure Chem. Sec., 1955, 76, № 10, 1192–1194 (японск.)

Показано, что при действии надфталевой к-ты (I) на эпихолестерин (II) образуется смесь  $\alpha$ - и  $\beta$ -оксидов (III и IV) в соотношении 2,4:1, в то время как при действии I на ацетат II соотношение равно 1:2,6. При восстановлении IV с  $\text{LiAlH}_4$  образуются холестеридиол-3 $\alpha$ ,6 $\beta$  (V) и копростандиол-3 $\alpha$ ,5 (VI) в отношении 3:1. Восстановление IV Na в амилловом спирте приводит к холестеридиолу-3 $\beta$ ,6 $\alpha$  (VII). Для доказательства строения V был получен встречным синтезом. При нитровании VIII образуется нитрат 6-нитроэпихолестерина (VIII), который после восстановления по известному методу (Heilbron I. M. и др., J. Chem. Soc., 1938, 102) и гидролиза дал холестеранол-3 $\alpha$ -он-6 (IX). Восстановление IX  $\text{LiAlH}_4$  привело к V. Смесь 1,45 г II, 40 мл абс. эфира и 1,4 г I кипятят 5 час., получают 1,43 г смеси, т. пл. 104–118°, хроматографированием которой получено 262 мг III (из фракции эф.-бал. 6:4, 1:1 и 2:8), т. пл. 122–123°. Из бензольной фракции получено 79 мг IV, т. пл. 165–167°. 100 мг  $\beta$ -оксид I обрабатывают 70 мг  $\text{LiAlH}_4$  в 15 мл эфира, получают 90 мг смеси, т. пл. 160–170°, которую ацетируют и после хроматографирования выделяют 20 мг 3,6-диацетата V, т. пл. 111–112°, и 5,4 мг 3-ацетата VI, т. пл. 146°. К нагретому до 130–140° р-ру 123 мг IV в 10 мл амиллового спирта прибавляют 1 г Na, нагревают при 150–160° 5 час., полученный продукт ацетируют, хроматографируют, восстанавливают  $\text{LiAlH}_4$  и получают VII, т. пл. 215–217°. К суспензии 500 мг II в 1,5 мл  $\text{CH}_3\text{COOH}$  и 0,5 мл  $(\text{CH}_3\text{CO})_2\text{O}$  прибавляют 6 капель  $\text{HNO}_3$ , перегнанной над  $\text{H}_2\text{SO}_4$ , перемешивают 13 мин. при 20°, охлаждают до 0° и прибавляют еще 2,5 мл  $\text{HNO}_3$ . Оставляют при 20° и получают 120 мг VIII, т. пл. 134–134,5°. Обработка VIII по методу Хейльброна (см. ссылку выше) приводит к VI, выход 50%, т. пл. 158–160°. 88,5 мг IX в 7 мл эфира восстанавливают 70 мг  $\text{LiAlH}_4$  и получают 74 мг V, т. пл. 186–187°.

С. Ананченко

68973. Новые производные желчных кислот:  $\Delta^6$ -холеновые и 6,7-диоксихоленовые кислоты. Каган (Nouveaux dérivés d'acides biliaires: acides  $\Delta^6$ -choléniques et acides 6,7-dihydroxy-cholaniques. Kagan Henri B.), C. r. Acad. sci., 1957, 244, № 10, 1373—1376 (франц.).

Описано получение  $\Delta^6$ -холеновых к-т методом восстановления продуктов бромирования 7-кетохолановых к-т при помощи КВН<sub>4</sub> и обработки образующихся при этом 6-бром-7-оксихолановых к-т Zn-пылью. При окислении полученных неопределенных к-т при помощи НСОООН образуются транс-диоли, а при окислении OsO<sub>4</sub> — цис-диоли-6,7. Структура последних подтверждена величинами их мол. вращений. Метилловый эфир 7-кетохолановой к-ты при бромировании дает метилловый эфир 6а-бром-7-кетохолановой к-ты, т. пл. 123—124,5°,  $[\alpha]_D^{20}$  —64°. Последний восстанавливают КВН<sub>4</sub> в метилловый эфир 6а-бром-7а-оксихолановой к-ты, который при обработке Zn-пылью превращается в метилловый эфир  $\Delta^6$ -холеновой к-ты (I, к-та), т. пл. 61—61,5°,  $[\alpha]_D^{20}$  —8,1°, при омылении образующий I, т. пл. 160—162°. Из 3а,12а-диокси-7-кетохолановой к-ты получен этиловый эфир 3а,12а-диацетокси-6а-бром-7-кетохолановой к-ты и затем метилловый (II), т. пл. 86,5—87,5°,  $[\alpha]_D^{20}$  +95,7°, и этиловый (III), т. пл. 83—84,5°, эфиры  $\Delta^6$ -3а,12а-диацетоксихоленовой к-ты, омыленные в  $\Delta^6$ -3а,12а-диоксихоленовую к-ту (IV), т. пл. 188° (нечетко). Окисление метилового эфира IV хромовой смесью дает метилловый эфир  $\Delta^6$ -3,12-дикетохоленовой к-ты (V), т. пл. 157—159°,  $[\alpha]_D^{20}$  0 ± 2° и, после омыления,  $\Delta^6$ -3,12-дикетохоленовую к-ту, т. пл. 178,5—180°. При обработке V этиленгликолем и n-C<sub>7</sub>H<sub>15</sub>SO<sub>3</sub>H в кипящем диоксиде образуется 3-моноэтиленкеталь V, т. пл. 117—119°,  $[\alpha]_D^{20}$  +62,5°. Аналогичным путем приготовлены: метилловый эфир 6а-бром-7а-ацетоксихолановой к-ты, т. пл. 158—159° и 165,5—166°,  $[\alpha]_D^{20}$  —33,6°, этиловый эфир 3а,12а-диацетокси-6а-бром-7а-оксихолановой к-ты, т. пл. 167—168°,  $[\alpha]_D^{20}$  +55,8°; этиловый эфир 12а-ацетокси-6а-бром-3а,7а-диоксихолановой к-ты, т. пл. 175—177°,  $[\alpha]_D^{20}$  +38,1°. При обработке OsO<sub>4</sub> получены: из I метилловый эфир 6β,7β-диоксихолановой к-ты, выход 67%, т. пл. 114—115,5°,  $[\alpha]_D^{20}$  +52°; из II и III соответственно метилловый, выход 83%, т. пл. 174,5—175,5°,  $[\alpha]_D^{20}$  +108°, и этиловый, выход 74%, т. пл. 188—189,5°, эфиры 3а,12а-диацетокси-6β,7β-диоксихолановой к-ты. При окислении I надмуравьиной к-той и последующих омылении и этерификации образуется метилловый эфир 6β,7а-диоксихолановой к-ты, выход 68%, т. пл. 106—107°,  $[\alpha]_D^{20}$  +8,1°.

М. Бурмистрова

68974. Частичная деградация бензольного ядра эстрона. Изолирование 2-го и 4-го атома С. Уэрбин, Холоуэй (Partial degradation of the benzene ring of estrone. Isolation of carbon atoms 2 and 4. Werbin Harold, Holoway Clayton), J. Biol. Chem., 1956, 223, № 2, 651—660 (англ.).

Описано приложение метода «бромпикринового расщепления» к нитроэстроном на примерах 2-(I) и 4-нитроэстронов (II), 2,4-динитроэстронов (III) и 2,4-динитро-17-деоксострона (IV). На основании факта образования бромпикрина в случае расщепления как I, так и II, авторы делают вывод, что бромпикрин образуется за счет атомов C<sub>(2)</sub> и C<sub>(4)</sub> бензольного ядра стероида. Для получения I и II пользуются описанным ранее (Niederl I. B., Vogel H. I., J. Amer. Chem. Soc., 1949, 71, 2566) методом нитрования: 100 мг эстрона (V) растворяют в 3 мл кипящей CH<sub>3</sub>COOH и, когда т-ра р-ра достигнет 45°, медленно приливают 47 мл конц. HNO<sub>3</sub>. Через 12 час. при 20° отфильтровывают II, т. пл. 270—280° (разл.; из водн. CH<sub>3</sub>COOH); ацетат, т. пл. 163—165,5° (из водн. CH<sub>3</sub>OH, после хро-

матографии на Al<sub>2</sub>O<sub>3</sub>). При кипячении со спирт. р-ром C<sub>2</sub>H<sub>5</sub>ONa и CH<sub>3</sub>I II превращается в метилловый эфир II, т. пл. 254,5—257,5° (разл.; из сп.). Фильтрат от II обрабатывают 30 мл воды, выпадающий осадок высушивают, растворяют в C<sub>6</sub>H<sub>6</sub>, хроматографируют на 20 г Al<sub>2</sub>O<sub>3</sub> и выделяют (из бэл. с 1% CH<sub>2</sub>Cl<sub>2</sub>) I, т. пл. 183,5—184° (из 80%-ного сп.); ацетат, т. пл. 174,5—176,5°. К р-ру 200 мг V в 10 мл лед. CH<sub>3</sub>COOH при 45° приливают 100 мл конц. HNO<sub>3</sub>, выдерживают 12 час. при ~20°, выливают в 200 мл воды, экстрагируют эфиром и после упаривания эфир. р-ра выделяют III, т. пл. 185—187° (из 80%-ного сп.); ацетат, т. пл. 185,5—186°. Т. пл. I, II и III сильно отличаются от известных ранее, что авторы объясняют применением лучшей очистки. 93 мг 17-деоксострона нитруют аналогично V и после хроматографирования на Al<sub>2</sub>O<sub>3</sub> получают IV, т. пл. 103,5—104° (из 95%-ного CH<sub>3</sub>OH). К р-ру II в лед. CH<sub>3</sub>COOH приливают при 45° 1 экв конц. HNO<sub>3</sub> и через 12 час. при 20° выделяют III, как описано выше. 2-нитро-(VI), 6-нитро-(VII) и 2,6-динитро-3,4-ксинолен (VIII) приготавливают по описанной ранее методике (Holler A. C. и др., J. Amer. Chem. Soc., 1950, 72, 2034). Смесь 5- и 6-окситетралинов нитруют в лед. CH<sub>3</sub>COOH при ~20° 1 экв конц. HNO<sub>3</sub>, образующуюся смесь нитросоединений хроматографируют на Al<sub>2</sub>O<sub>3</sub> и вымывают смесью петр. эфир-бензол (7:3) 7-нитро-6-окситетралин (IX), т. пл. 88—88,5° (из сп.), а бензол — 5,7-динитро-6-окситетралин (X), т. пл. 140—142° (из сп.). К смеси 0,3 ммоль III или IV (или 0,6 ммоль I или II) и 600 мг прокаленной СаО приливают 3 мл кипящей воды, нагревают при 100° для образования Са-соли нитростероида и при —5° за 10 мин. прибавляют 250 мл Вг<sub>2</sub>. Приливают 5 мл кипящей воды и нагревают на гол. пламени, причем бромпикрин отгоняется с водой (в случае IV перегоняют с водяным паром или в токе N<sub>2</sub>), выделяют и взвешивают обычным образом. Остаток в колбе после отгонки бромпикрина с водяным паром охлаждают до 20°, под давлением N<sub>2</sub> пропущенного через склянку с Ba(OH)<sub>2</sub>, выпускают из капельной воронки 20 мл 50%-ной (по объему) H<sub>2</sub>SO<sub>4</sub> и пропускают N<sub>2</sub>. Проходящие по нисходящему холодильнику продукты поступают в 25-мл склянку для отсасывания, содержащую фенол при 50°, и затем в три 50-мл трубки для центрифугирования, содержащие по 15 мл р-ра Ba(OH)<sub>2</sub> — КОН, 10:1, и 6 мл n-C<sub>4</sub>H<sub>9</sub>ОН. Через 45 мин. осадок BaCO<sub>3</sub> из трубок фильтруют в атмосфере N<sub>2</sub> на стеклянном фильтре со слоем асбеста, промывают, сушат на фильтре при 110° 12 час. и взвешивают. Кроме изложенного выше, рекомендуется следующая модификация метода, описанного ранее (Baddiley I. и др., J. Biol. Chem., 1950, 183, 777): смесь 0,15 ммоль III или IV (или 0,3 ммоль I или II), 600 мг СаО и 3 мл воды нагревают на бане 100°, охлаждают до 0°, приливают 250 мл брома и прибавляют твердую смесь, образующуюся при добавлении 1,8 мл брома к охлажд. до 0° смеси 27 мл воды и 5,1 г СаО. Отгоняющийся при нагревании на гол. пламени бромпикрин выделяют аналогично описанному выше. Приведена таблица результатов, полученных по обоим методам. Обсуждаются приведенные данные УФ- и ИК-спектров I—IV и VII—X.

М. Бурмистрова

68975. Синтез новых 11-оксид- $\Delta^{1,3,5(10)}$ -эстрадиенов. Магерлейн, Хогг (Synthesis of the novel 11-oxygenated  $\Delta^{1,3,5(10)}$ -estradienes. Magerlein Barney J., Hogg John A.), J. Amer. Chem. Soc., 1957, 79, № 6, 1508—1509 (англ.).

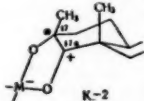
Кратко описано получение ряда 11-оксид- $\Delta^{1,3,5(10)}$ -эстрадиенов и их превращение в 11-оксид-19-норстероиды.  $\Delta^{1,4,17(20)}$ -Цис-прегнатриендиол-11β, 21-он-3 нагреванием до 575° в минер. масле превращают в  $\Delta^{1,3,5(10),17(20)}$ .

19-норпрегнатетраэнтриол-3,11 $\beta$ , 21 (I), выход 15%, т. пл. 200—202°,  $[\alpha]_D + 110^\circ$  (ацетон); 3-метилового эфира (II), т. пл. 143—144°,  $[\alpha]_D + 122^\circ$  (хлф.). При озонировании диацетата II (III) получают ацетат  $\Delta^{1,3,5(10)}$ -3-метоксисэстрадиол, 11 $\beta$ -она-17 (IV), т. пл. 236—238°,  $[\alpha]_D + 117^\circ$  (хлф.). IV при восстановлении LiAlH<sub>4</sub>, а затем по методу Берча дает 11  $\beta$ -оксиг-19-нортестостерон, а при восстановлении действием Li и спирта в жидком NH<sub>3</sub> —  $\Delta^4$ -1-( $\alpha$ -оксипропил)-прегнендиол-11 $\beta$ , 17 $\beta$ -он-3 (V), т. пл. 221—222°, 3,21-диацетат I (из I и 2 молей (CH<sub>3</sub>CO)<sub>2</sub>O в C<sub>6</sub>H<sub>5</sub>N окислением OsO<sub>4</sub> и H<sub>2</sub>O<sub>2</sub> превращают в 3,21-диацетат  $\Delta^{1,3,5(10)}$ -19-норпрегнатетраэнтриол-3,11 $\beta$ , 17 $\alpha$ , 21-она-20 (VI), т. пл. 167—168°, при омылении которого получают  $\Delta^{1,3,5(10)}$ -19-норпрегнатетраэнтриол-3,11 $\beta$ , 17 $\alpha$ , 21-он-20 (VII), т. пл. 256—258°. Аналогично VI из III получают 11 $\beta$ , 21-диацетат 3-метилового эфира VII (VIII), т. пл. 127—133°, разл.,  $[\alpha]_D + 104^\circ$  (ацетон). 21-ацетоксигруппу VIII омыляют действием NaHCO<sub>3</sub>; продукт омыления переводят в 20-этиленкеталь, т. пл. 220—223°,  $[\alpha]_D + 61^\circ$  (ацетон), который при восстановлении LiAlH<sub>4</sub>, затем Li и спиртом в жидком NH<sub>3</sub> и последующем гидролизе к-той дает 19-норгидрокортисон (IX), т. пл. 256—259°,  $[\alpha]_D + 112^\circ$  (CH<sub>3</sub>OH). При озонировании триацетата I и восстановлении продукта р-ции LiAlH<sub>4</sub> получают 11 $\beta$ -оксисэстрадиол (X), т. пл. 285—288°,  $[\alpha]_D + 129^\circ$  (диоксан). Аналогично получают 11 $\alpha$ -оксисэстрадиол, т. пл. 250—251°,  $[\alpha]_D - 63^\circ$  (ацетон). Приведены данные УФ-спектров для I, V и IX. Эстрогенная активность X составляет 0,6 активности эстрадиола. VII равен по активности гидрокортизону при тесте на гранулому.

B. Конторг

68976. Исследования перегруппировок 17-оксиг-20-кетостероидов с помощью меченых атомов и наблюдения над реакцией моноацетата вещества L с изопропилом алюминия. Тернер, Перельман, Парк. (Tracer studies in rearrangements of 17-hydroxy-20-ketosteroids and observations on the reaction of compound L monoacetate with aluminum isopropoxide. Turner Richard B., Perelman M., Park K. T. Jr, J. Amer. Chem. Soc., 1957, 79, № 5, 1108—1114 (англ.))

Изучалась стереохимия и механизм р-ций гомоанилирования 3-ацетата 5 $\alpha$ -прегнандиол-3 $\beta$ ,17 $\alpha$ -она-20 (I) и 3-ацетата (II) и диацетата (III) 5 $\alpha$ -прегнандиол-3 $\beta$ , 17 $\alpha$ -она-20 и доказано строение продуктов перегруппировки, дававшееся ранее неправильно. I с Al (*трет*-C<sub>6</sub>H<sub>5</sub>O)<sub>3</sub> в C<sub>6</sub>H<sub>6</sub> дает 15% 3-ацетата 17 $\alpha$ -метил-D-гомоандростандиол-3 $\beta$ ,17 $\alpha$ -она-17 (IV) и 52% 3-ацетата 17-метил-D-гомоандростандиол-3 $\beta$ ,17 $\alpha$ -она-17 $\alpha$  (V), а с BF<sub>3</sub> в (CH<sub>3</sub>CO)<sub>2</sub>O — диацетат V (VI). I под влиянием



Al (*изо*-C<sub>3</sub>H<sub>7</sub>O)<sub>3</sub> (VII) в C<sub>6</sub>H<sub>6</sub> перегруппировывается в D-гомосоединение с одновременным восстановлением — образуется 3-ацетат 17-метил-D-гомоандростандиол-3 $\beta$ ,17 $\alpha$ ,17 $\alpha$  (VIII). II в этих условиях (а также при действии Al<sub>2</sub>O<sub>3</sub>) дает 3-ацетат 17 $\alpha$ -метил-D-гомоандростандиол-3 $\beta$ ,17 $\alpha$ -она-17 (IX). В этом случае изомеризация проходит без восстановления из-за пространственных затруднений. Принадлежность VIII, а также V и VI, к C(17)-метильному ряду доказана превращением в диметилый эфир 3 $\beta$ -ацетоксигэтиоалло-гомобилиановой к-ты (X). При гидрировании V, а также при восстановлении V в спирте с последующим ацетилированием образуется 17 $\alpha$ -эпимер VIII (XI). 17 $\alpha$ -конфигурация гидроксила в XI придана на основании представлений о стерич. затруднениях при ка-

тализе (J. Amer. Chem. Soc., 1942, 64, 1985) и правила об образовании термодинамически более устойчивых спиртов, т. е. с  $\alpha$ -гидроксильном, при восстановлении Na в спирте. Правильность этих стереохим. обозначений подтверждается сравнением  $[\alpha]_D$  других соединений, а также представлениями о циклич. характере промежуточных координационных комплексов I с VII и BF<sub>3</sub> (K-1 и K-2), фиксирующих C—O связи в одностадийном процессе перегруппировки с разрывом связи C(16)—C(17). Для подтверждения механизма р-ции и однозначного установления направления миграции связей были синтезированы радиоактивные меченные C<sup>14</sup> I (XII) и III (XIII). Из XII при действии Al (*трет*-C<sub>6</sub>H<sub>5</sub>O)<sub>3</sub> и BF<sub>3</sub> получен радиоактивный VIII, а при действии KOH в спирте — смесь меченых IV и IX. XIII под влиянием KOH в CH<sub>3</sub>OH дал меченый IV. При окислительно-гидролитич. расщеплении радиоактивных IV и IX выделен 3-ацетат лактона 13,17-секоандростандиол-3 $\beta$ ,13-овой-17 к-ты (XIV), полученный также окислением надбензойной к-той ацетата андростанол-3-она-17 (XV). Из меченых V, VI и VIII аналогично изолирован 3-ацетат лактона 16,17-секоандростандиол-3 $\beta$ ,16-овой-17 к-ты (XVI). Лактоны оказались нерадиоактивными. Радиоактивность сосредоточена в отщепившейся CH<sub>3</sub>C<sup>14</sup>OOH. Следовательно, C—CH<sub>3</sub>-группировка, присутствующая в I и III, сохраняется и в продуктах изомеризации и перегруппировка осуществляется простой миграцией C(13)—C(17) связи в положение C(13)—C(20—17 $\alpha$ ) (в случае образования IV и IX) или перемещения связи C(16)—C(17) в положение C(16)—C(20—17) (в случае образования VIII). Из 1,3 г I с 2 г VII в 80 мл C<sub>6</sub>H<sub>6</sub> образуется VIII, выход 935 мг, т. пл. 183,5—184°,  $[\alpha]_D - 7,5^\circ$  (в диоксане), 3,17 $\alpha$ -диацетат (XVII), т. пл. 191—191,5° (из CH<sub>2</sub>Cl<sub>2</sub> с петр. эф.), из ацетона с петр. эфиром выделяется кристаллосольват XVII с 1 молекулой ацетона, т. пл. 194—194,5°. Гидролиз VIII и XVII 1%-ным KOH в CH<sub>3</sub>OH дает триол (XVIII), т. пл. 240—240,5° (из CH<sub>3</sub>OH),  $[\alpha]_D + 10,5^\circ$  (в CH<sub>3</sub>OH), который при ацетилировании дает XVII. При окислении 466 мг VIII 252 мг CrO<sub>3</sub> в 6 мл CH<sub>3</sub>COOH с 3 каплями воды (20°, 30 мин.) получено 429 мг ацетата 17,17 $\alpha$ -секо-17-метил-D-гомоандростанол-3 $\beta$ -он-17-овой-17 $\alpha$  к-ты (XIX), т. пл. 147—148° (из ацетона с петр. эф.),  $[\alpha]_D - 10,9^\circ$  (в диоксане). При действии 0,5 г J<sub>2</sub> в р-ре KJ на р-р 100 мг XIX в 0,6 г KOH в 5 мл воды (15 мин. 20°) образуется CH<sub>3</sub> (наличие CH<sub>3</sub>CO-группы) и 85 мг к-ты, которая после обработки CH<sub>2</sub>N<sub>2</sub>, а затем (CH<sub>3</sub>CO)<sub>2</sub>O и C<sub>6</sub>H<sub>5</sub>N дала X, т. пл. 159,5—160°. При гидрировании 60 мг V в 30 мл спирта с 50 мг PtO<sub>2</sub> получен 41 мг XI, т. пл. 244—246°,  $[\alpha]_D + 2,7^\circ$  (в хлф.). XI получен также из 0,1 г V при действии 6 г Na (2 часа) в 35 мл спирта с последующим ацетилированием продукта р-ции. При р-ции 150 мг II с 265 мг VII в 15 мл C<sub>6</sub>H<sub>6</sub> (8 час., 85°) с последующим ацетилированием получено 99 мг IX, т. пл. 157,5—158,5° (из ацетона с петр. эф.). 0,5 г XV с 1,5 г KC<sup>14</sup>N в 12 мл обработан (при 0°) 1,6 мл CH<sub>3</sub>COOH. Полученная смесь эспимеров 3-ацетата 17-циан-C<sup>14</sup> (20)-андростандиол-3 $\beta$ ,17-дегидратирована 0,7 мл POCl<sub>3</sub> в 4 мл C<sub>6</sub>H<sub>5</sub>N (155°) в ацетат 17-циан-C<sup>14</sup> (20)- $\Delta^{16}$ -андростенола-3 $\beta$ , выход 84%, т. пл. 159—160° (из эф.). Последний р-цией с CH<sub>3</sub>MgBr превращен в C<sup>14</sup> (20)- $\Delta^{16}$ -5 $\alpha$ -прегнендиол-3 $\beta$ -он-20, выход 81%, т. пл. 201—203°, гидрирование которого (Pd/CaCO<sub>3</sub>, в сл.) дало C<sup>14</sup> (20)-5 $\alpha$ -прегнанол-3 $\beta$ -он-20, выход 85%, т. пл. 189—192°. Р-цией енолацетата последнего с C<sub>6</sub>H<sub>5</sub>CO<sub>2</sub>H получена окись (XX), гидролиз которой 0,5 н. NaOH в 50%-ном спирте (1 час., 20°) с последующим ацетилированием дал XII (т. пл. 189,5—191°, радиоактивность 4528 имп/мин/ммоль). При нагревании XX (235°, H<sub>2</sub>, 10 мин.) и хроматографированием на Al<sub>2</sub>O<sub>3</sub> полу-



чен XIII (т. пл. 224—227°, радиоактивность 4620 имп/мин/ммоль). Р-р 0,3 г XII в 30 мл  $\text{CH}_3\text{COOH}$  с 0,6 мл  $(\text{CH}_3\text{CO})_2\text{O}$  обработаны 0,6 мл эфира  $\text{BF}_3$  (15 час., 20°). Получен 321 мг  $\text{C}^{14}$  (17) -VI (XXI) (т. пл. 240—241°). XXI гидролизован 400 мг КОН в 40 мл спирта с 14 мл воды (20°,  $\text{N}_2$ , 7 час.). Продукт гидролиза извлечен эфир- $\text{CH}_2\text{Cl}_2$  и ацетилован (3 часа, 20°,  $(\text{CH}_3\text{CO})_2\text{O}$ ,  $\text{C}_6\text{H}_5\text{N}$ ). Получено 284 мг  $\text{C}^{14}$  (17) -V (XXII) (т. пл. 105—107°, радиоактивность 4528 имп/мин/ммоль). Окисление XXII 110 мг  $\text{CrO}_3$  в 6 мл 90%  $\text{CH}_3\text{COOH}$  (2 часа) и этерификация  $\text{CH}_2\text{N}_2$  дали  $\text{C}^{14}$ -XIX (XXIII) (радиоактивность 4366 имп/мин/ммоль). Кипячение 689 мг XII с 1,1 г Al (трет- $\text{C}_4\text{H}_9\text{O}$ )<sub>3</sub> и 55 мл  $\text{C}_6\text{H}_6$  (36 час.), подкисление HCl-к-той дало масло, которое после обработки 4 мл  $(\text{CH}_3\text{CO})_2\text{O}$  и 6 мл  $\text{C}_6\text{H}_5\text{N}$  (20°, 72 часа) дало 325 мг XXI, т. пл. 237—239° (из ацетона с петр. эф.), радиоактивность 4528 имп/мин/ммоль. Из XXI получен XXII, а из него XIX (радиоактивность 4265 имп/мин/ммоль). Несколько больший выход XXI получается при 3-часовом кипячении и хроматографировании. 0,4 г XII с 4 г КОН в 40 мл спирта (4 часа,  $\text{N}_2$ , ~80°) дает после хроматографирования 264 мг  $\text{C}^{14}$  (17a) -IX (XXIV) (т. пл. 152—154°), идентичный в-ву, полученному изомеризацией II на  $\text{Al}_2\text{O}_3$  и 74 мг  $\text{C}^{14}$  (17a) -IV (XXV), т. пл. 229—233°. XXIV окислен  $\text{CrO}_3$  с последующим действием  $\text{CH}_2\text{N}_2$  — получен метиловый эфир ацетата 16,17-секо-17a-метил-D-гомоандростанол-3b-он-17a-овой-17 к-ты (XXVI), т. пл. 102—104°, радиоактивность 4281 имп/мин/ммоль. 264 мг XXIV при гидрировании (Pt, сл.) дает гликоль, р-р которого в 15 мл  $\text{CH}_3\text{OH}$  при действии 450 мг  $\text{HJO}_4$  в 5 мл воды (15 час., 20°), а затем  $\text{CrO}_3$  дает 128 мг к-ты, превращенной в XXVI (радиоактивность 4443 имп/мин/ммоль). Кипячение (1 час,  $\text{N}_2$ ) 152 мг XIII с 0,75 г КОН в 18 мл  $\text{CH}_3\text{OH}$  и ацетилование дало 140 мг XXV (т. пл. 235—237°, радиоактивность 4620 имп/мин/ммоль), превращенный в XXVI (радиоактивность 4787 имп/мин/ммоль). 89 мг XXVI окислены 1,2 моля  $\text{C}_6\text{H}_5\text{CO}_3\text{N}$  (8 дней, 20°). Получено 54 мг метилового эфира диацетата 13,17-секоандростандиол-3b,13-овой-17 к-ты (XXVII), т. пл. 168,5—170°. После 2 часового кипячения XXVII с 290 мг КОН, 4 мл  $\text{CH}_3\text{OH}$  и 1 мл воды и подкисления 1 н.  $\text{H}_2\text{SO}_4$  образовавшаяся  $\text{CH}_3\text{C}^{14}\text{OOH}$  отогнана в р-р NaOH и идентифицирована в виде *n*-фенилфенилацетата- $\text{C}^{14}$  (XXVIII), т. пл. 107—110°, радиоактивность 4120 и 4330 имп/мин/ммоль (в двух опытах). Из остатка от отгонки  $\text{CH}_3\text{C}^{14}\text{OOH}$  выделено 40 мг XIV, т. пл. 160—161,5°,  $[\alpha]_D$  -40° (в хлф.). Из XXIII аналогично получен меченый по одной ацетиловой группе метиловый эфир диацетата 16,17-секоандростандиол-3b,16-овой-17 к-ты, т. пл. 107—108°. Гидролиз его также дал  $\text{CH}_3\text{C}^{14}\text{OOH}$ , выделенную в виде XXVIII, радиоактивность 4120 и 4178 имп/мин/ммоль (в двух опытах), и XVI, т. пл. 168,5—170°,  $[\alpha]_D$  +12,9° (в хлф.). На основании наличия полосы поглощения 1765  $\text{cm}^{-1}$  (пятичленный лактон) в ИК-спектре XVI предполагается примесь 3-ацетата лактона 13,17-секоандростандиол-3b,14e-овой-17 к-ты, появляющегося в чистом XVI под влиянием сильных к-т. Радиоактивность в-в определялась в формамиде по ранее известному методу (РЖХим. 1955, 20737).

Г. Кадатский  
68977. Прямое превращение стероидных  $\Delta^5$ -3-спиртов в  $\Delta^5$  и  $\Delta^4$ -3-кетоны. Дьерасси, Энгл, Бауэрс (The direct conversion of steroidal  $\Delta^5$ -3b-alcohols to  $\Delta^5$  and  $\Delta^4$ -3-ketones. Djerassi Carl, Engle R. R., Bowers A.), J. Organ. Chem., 1956, 21, № 12, 1547—1549 (англ.)

Для получения стероидных  $\Delta^4$ -3-кетонов из соответствующих  $\Delta^5$ -3-спиртов использован метод окисления  $\text{CrO}_3/\text{H}_2\text{SO}_4$  в ацетоне, описанный впервые для ацетиловых спиртов (Bowden и др., J. Chem. Soc., 1946, 39). Образующиеся при этом  $\Delta^5$ -3-кетоны могут быть

легко изомеризованы в  $\Delta^4$ -3-кетоны. Метод описан на примерах получения прогестерона (I), ацетата дезоксикортикостерона (II) и бензоата тестостерона (III). К р-ру 3 г  $\Delta^5$ -прегненол-3b-она-20 (IV) в 400 мл ацетона в токе  $\text{N}_2$  при 10—15° приливают 2,75 мл р-ра  $\text{CrO}_3/\text{H}_2\text{SO}_4$  («р-р А»: 26,72 г  $\text{CrO}_3$  в 23 мл конц.  $\text{H}_2\text{SO}_4$ , разбавляют водой до 100 мл), через 2—5 мин. разбавляют 2 л воды и отфильтровывают  $\Delta^5$ -прегнендион-3,20 (V), выход 2,67 г, т. пл. 139—148° (из этилацетата),  $[\alpha]_D^{25} +60^\circ$ . К р-ру неочищ. V (из 3 г IV) в  $\text{CH}_3\text{OH}$  прибавляют 3 капли 10%-ного КОН, кипятят 5 мин., нейтрализуют  $\text{CH}_3\text{COOH}$  и хроматографируют, получают I, выход 2,31 г, т. пл. 121—123° (из  $\text{CH}_3\text{OH}$ ), и IV, выход 280 мг. Аналогичным окислением 3 г 21-ацетоксипрегненолона получают ацетат  $\Delta^5$ -прегненол-21-дио-на-3,20 (VI), выход 2,69 г, т. пл. 115—126°, который при перекристаллизации из ацетона образует сольват, выход 2,39 г, т. пл. 123—137°,  $\alpha_D^{25} +66^\circ$ ; биол. путем доказано отсутствие в нем примеси II. Из неочищ. VI щел. изомеризацией с последующим ацетилованием получают II, выход 75%, т. пл. 156—157,5°. При окислении дегидроэпиандростерона получают  $\Delta^5$ -андростендион-3,17, выход 76%, т. пл. 119—125°,  $[\alpha]_D^{25} +42^\circ$ . Окисление 17-монобензоата  $\Delta^5$ -андростендиола-3b,17b (VII) дает бензоат  $\Delta^5$ -андростендиол-17b-она-3 (VIII), выход 80%, т. пл. 142—148°,  $[\alpha]_D^{25} +41^\circ$  (хлф.),  $[\alpha]_D^{25} +27^\circ$  (бзл.). К р-ру неочищ. VIII (из 400 мг VII) в горячем  $\text{CH}_3\text{OH}$  приливают 2 мл 10%-ной  $\text{H}_2\text{SO}_4$ , нагревают и упаривают в течение 15 мин., экстрагируют эфиром, хроматографируют на  $\text{Al}_2\text{O}_3$  (промывают к-той) и получают III, выход 320 мг, т. пл. 193—194,5° (из эф.). М. Бурмистрова

68978. Стероиды. LXXXII. Синтез 4-галоидных аналогов гормонов. Ринголд, Батрес, Мансера, Розенкранц (Steroids. LXXXII. Synthesis of 4-halo hormone analogs. Ringold H. J., Batres E., Mancera O., Rosenkranz G.), J. Organ. Chem., 1956, 21, № 12, 1432—1435 (англ.)

Осуществлен синтез потенциальных биологически активных агентов: 4-хлортестостерона (I), 4-бромтестостерона (IIa), 4-хлор-17a-метилтестостерона (II), 4-бром-17a-метилтестостерона (IIa), 4-хлорпрогестерона (III), 4-бромпрогестерона (IIIa), ацетата 4-хлордезоксикортикостерона (IV), ацетата 4-бромдезоксикортикостерона (IVa), 4-хлоргидрокортизона (V) и 4-хлоркортизона (VI). Синтез производился путем окисления исходного стероида и раскрытия 4,5-окиси с помощью HCl или HBr (к-т). Конфигурация окисей установлена на основании сравнения  $\Delta M_D$ . 10 г тестостерона (VII) окислялись  $\text{H}_2\text{O}_2$  и NaOH в водн.  $\text{CH}_3\text{OH}$  (0°, 48 час.) в 8,5 г смеси 4e,5e-оксидоандростанол-17b-она-3 (VIII), т. пл. 138—150° (из ацетона- $\text{C}_6\text{H}_{14}$ ), из которой выделена 4b,5b-окись, т. пл. 157—158° (из эф.).  $[\alpha]_D +136^\circ$ . Обработка 1 г VIII HCl (к-той) в ацетоне (30 мин., 20°) привела к 0,9 г I, т. пл. 184—186°,  $[\alpha]_D +148^\circ$ . Аналогично, 1 г VIII с HBr (к-той) дал 0,52 г IIa, т. пл. 150°,  $[\alpha]_D +113^\circ$ . Подобным образом из 10 г 17a-метилтестостерона получено 7,4 г смеси 4e,5e-оксидо-17a-метиландростанол-17b-она-3 (IX), т. пл. 122—130° (из ацетона- $\text{C}_6\text{H}_{14}$ ), откуда выделены 4a,5a-окись, т. пл. 190—194° (из ацетона),  $[\alpha]_D -88^\circ$ , и 4b,5b-окись, т. пл. 134—136°,  $[\alpha]_D +113^\circ$ . Р-ция 1 г IX с HCl (к-той) привела к 0,8 г II, т. пл. 140—142° (из водн. ацетона),  $[\alpha]_D +90^\circ$ , а с HBr (к-той) к 0,5 г IIa, т. пл. 142—147° (из ацетона- $\text{C}_6\text{H}_{14}$ ),  $[\alpha]_D +87^\circ$ . Из 10 г прогестерона тем же методом получено 8,8 г смеси 4e,5e-оксидопрегненодион-3,20, т. пл. 122—124° (из ацетона- $\text{C}_6\text{H}_{14}$ ),  $[\alpha]_D +157^\circ$ , которая (1 г) с HCl (к-той) дала 0,62 г III, т. пл. 214—217° (из ацетона),  $[\alpha]_D +198^\circ$ , а с HBr (к-той) дала 0,49 г IIIa, т. пл. 180—182° (из эф.),  $[\alpha]_D +192^\circ$ . Обработка 5 г дезоксикортикостерона дигидропираном и *n*- $\text{CH}_3\text{C}_6\text{H}_4\text{SO}_3\text{H}$  в  $\text{C}_6\text{H}_6$  (20°, 20 час.), а за

тем  $H_2O_2$  и NaOH (30 мин.), омыление HCl (к-той), в ацетоне и ацетилирование  $(CH_3CO)_2O$  и пиридином ( $25^\circ$ , 15 час.) привели к 0,91 г IV, т. пл.  $178-179^\circ$ ,  $[a]_D^{25} + 177^\circ$ . Замена HCl на HBr позволила получить IVa, т. пл.  $180-181^\circ$ ,  $[a]_D + 183^\circ$ . Из гидрокортизона при последовательной обработке дигидропираном,  $H_2O_2$  и HCl (к-той) и хроматографирования получен V, т. пл.  $225-227^\circ$ . 20-этиленкеталь кортизона дал при окислении смесь (X) 4 $\beta$ ,5 $\beta$ -окисей, из которой выделена 4 $\alpha$ ,5 $\alpha$ -окись, т. пл.  $235-237^\circ$  (из ацетона),  $[a]_D - 13^\circ$ . Обработка X HCl (к-той) привела после хроматографирования к VI, т. пл.  $210-212^\circ$ . Для I-VI приведены УФ-спектры. Все  $[a]_D$  определены в  $CHCl_3$  при  $20^\circ$ . Сообщение LXIII см. РЖХим, 1957, 30784.

А. Камерницкий

68979. Стероиды мочи и родственные соединения. Часть I. Производные андростерона, замещенные в положении 11. Клайн, Ридли (Urinary steroids and related compounds. Part I. 11-substituted derivatives of androsterone. Klyne W., Ridley Sheila, J. Chem. Soc., 1956, Dec., 4825-4828 (англ.).

11-кетоандростерон (I) и 11 $\beta$ -оксиандростерон (II) были синтезированы из 5 $\alpha$ -прегнантриол-3 $\beta$ ,17 $\alpha$ ,21-диона-11,20 (III). С этой целью III окислялся в 5 $\alpha$ -андростанол-3 $\beta$ -дион-11,17 (IV), который изомеризовался в I и  $\Delta^2$ -5 $\alpha$ -андростендион-11,17 (V). С другой стороны, III при восстановлении дал 5 $\alpha$ -прегнантенол-3 $\beta$ ,11 $\beta$ ,17 $\alpha$ ,20,21 (VI), который был окислен в 5 $\alpha$ -андростанол-3 $\beta$ ,11 $\beta$ -он-17 (VII). Последний превращался в II и  $\Delta^2$ -5 $\alpha$ -андростендион-11 $\beta$ -он-17 (VIII). 5 г ацетата III (IIIa) омылялись HCl (к-той) в  $CH_3OH$  и  $CHCl_3$  ( $20^\circ$ , 48 час., 4°, 24 часа), давая 3,21 г III, т. пл.  $237-244^\circ$  (разл.; из ацетона),  $[a]_D + 70^\circ$  (с 1,1; в сп.). Окисление 1,95 г III с помощью  $NaBiO_3$  в водн.  $CH_3COOH$  (1,5 часа) привело к 1,3 г IV, т. пл.  $167-168^\circ$  (из ацетона-эф.- $C_5H_{12}$ ),  $[a]_D + 124^\circ$  (с 1,47). Обработкой 1,23 г IV  $n$ - $CH_3C_6H_4SO_2Cl$  в пиридине ( $20^\circ$ ) получено 2,16 г 3-тозилата IVa (IVa), т. пл.  $157,5-159^\circ$  (из эф.),  $[a]_D + 64^\circ$  (с 1,42). Кипячение 1,71 г IVa с  $CH_3COONa$  в  $CH_3COOH$  (2 часа,  $20^\circ$ , 12 час.) и последующее омыление с метанольным KOH привело (после хроматографии) к 421 мг V, т. пл.  $190-196^\circ$  (из ацетона),  $[a]_D + 202^\circ$  (с 2,88), и 275 мг I, т. пл.  $150-151^\circ$  (из эф.- $C_5H_{12}$ ),  $[a]_D + 124^\circ$  (с 0,95). Восстановлением 1 г III с помощью  $LiAlH_4$  в тетрагидрофуране (кипячение 2 часа) получен VI, т. пл.  $211-218^\circ$  (из  $CH_3OH$ ),  $[a]_D + 16^\circ$  (с 0,85; в сп.), а 5 г IIIa при аналогичном восстановлении и окислении  $NaBiO_3$  (1,5 часа) дали 1,65 г VII, т. пл.  $234-238^\circ$  (из ацетона),  $[a]_D + 81^\circ$  (с 0,82). Обработка 1,76 г VII  $n$ - $CH_3C_6H_4SO_2Cl$  в пиридине ( $20^\circ$ , 12 час.) привела к 1,87 г 3-тозилата VII, т. пл.  $150,5-153^\circ$ ,  $[a]_D + 41^\circ$  (с 1,64), который (1,72 г) при кипячении с  $CH_3COONa$  в  $CH_3COOH$  (2 часа,  $20^\circ$ , 24 часа), омылении метанольным KOH и хроматографировании дал 580 мг VIII, т. пл.  $132,5-134^\circ$  (из ацетона- $C_5H_{12}$ ),  $[a]_D + 118^\circ$  (с 0,81), и 430 мг II, т. пл.  $197-200^\circ$  (из ацетона-эф.-птр. эф.),  $[a]_D + 81^\circ$  (с 0,9) и  $[a]_D + 99^\circ$  (с 0,8; в сп.). Все  $[a]_D$ , кроме отмеченных, определены в  $CHCl_3$  при  $15-20^\circ$ . В статье приводятся ИК-спектры I, II, IV, V, VI, VII и VIII.

А. Камерницкий

68980. Этиоаналоги прекальциферола. Веллуз, Амьяр, Гоффине (Analogues étio du précalciférol. Velluz Léon, Amiard Gaston, Goffinet Bernard, C. r. Acad. sci., 1957, 244, № 13, 1794-1796 (франц.).

Показано, что при освещении УФ-лучами  $\Delta^5,7$ -андростандиол-3 $\beta$ -этиоэргостерин (I) превращается в этиопрекальциферол (II), который при нагревании изомеризуется в этиокальциферол (III). Приготовление I проводили по описанной ранее методике (Vries, Backer, Rec., 1952, 71, 719), обработкой ацетата  $\Delta^5$ -андростенола-3 $\beta$ -N-бромсукцинимидом с последую-

щими дегидробромированием и омылением. После облучения смесь обрабатывали цитраконовым ангидридом для отделения аналогов тахистерина, нагревали для изомеризации II в III и переводили III в 4-метил-3,5-динитробензоат III (IV), т. пл.  $125^\circ$ ,  $[a]_D + 78^\circ$  (с 2; бал.). При нагревании в  $C_6H_6$  в темноте IV дает 4-метил-3,5-динитробензоат II, масло,  $[a]_D^{20} + 30^\circ$  (с 2,4; бал.).  $\Delta^5,7$ -Андростандиол-3 $\beta$ , 17 $\beta$  обрабатывают как описано выше и получают бисдинитробензоат 17 $\beta$ -экситиокальциферола, т. пл.  $155-160^\circ$ ,  $[a]_D - 26^\circ$  (с 1; бал.), и бисдинитробензоат 17-оксипрекальциферола, т. пл.  $171-172^\circ$ ,  $[a]_D + 72^\circ$  (с 0,5; бал.), при омылении которых получены соответственно 17 $\beta$ -экситиокальциферол (V), т. пл.  $110^\circ$ ,  $[a]_D + 41^\circ$  (с 1;  $CH_3OH$ ), и 17 $\beta$ -оксипрекальциферол (VI), т. пл.  $110^\circ$  (разл.),  $[a]_D + 8^\circ$  (с 0,5;  $CH_3OH$ ). Приведены данные УФ- и ИК-спектров II, III, V и VI.

М. Бурмистрова

68981. Видоизмененный синтез прогестерона из прегнандиол-3 $\alpha$ ,6 $\alpha$ -она-20. (Дополнение к желчным кислотам и стероидам. II). Такэда, Кубота (Pregnane-3 $\alpha$ , 6 $\alpha$ -diol-20-one より Progesterone の合成法改良 (胆汁酸およびステロイド・第2報・補遺), 武田健一, 久保田徳夫), 生化学, Сайкагану, J. Japan. Biochem. Soc., 1956, 28, № 8, 497-499 (японск.).

Описано получение прогестерона (I) из прегнандиол-3 $\alpha$ ,6 $\alpha$ -она-20 (II) путем окисления II N-бромсукцинимидом в прегнанол-6 $\alpha$ -дион-3,20 (III) и последующим тозилированием в 6-тозилат III, при пропускании которого через колонку с  $Al_2O_3$  образуется I. II получали из  $\alpha$ -гидеозоксиколовой к-ты по известному методу (Hoeft W. M. и сотр., J. Amer. Chem. Soc., 1946, 68, 1857) через диацетат 24,24-дифенил- $\Delta^{20}$ (22)<sup>23</sup>-холодиендиол-3 $\alpha$ ,6 $\alpha$ , т. пл.  $121-125^\circ$ ,  $[a]_D^{25} + 36,4^\circ$  (с 1,15), и 24,24-дифенил- $\Delta^{20}$ (22)<sup>23</sup>-холодиендиол-3 $\alpha$ ,6 $\alpha$ , т. пл.  $203-207^\circ$ ,  $[a]_D^{25} + 40,3^\circ$  (с 0,95). К р-ру 0,5 г II в 14 мл ацетона и 6 мл воды прибавляют 0,18 г пиридина и 0,4 г N-бромсукцинимид, оставляют на 12 час. при  $20^\circ$ , нагревают 3 часа и после обработки и хроматографирования на  $Al_2O_3$  получают из фракции бензол-эфир (1:5) III, выход 76,5%, т. пл.  $141-144^\circ$ ,  $[a]_D^{25} + 67,2^\circ$ ; из бензольной фракции выделен аллопрегнантриол-3 $\beta$ ,6,20, т. пл.  $213-221^\circ$ , и из фракции эфир- $CH_3OH$  (4:1) 4% II, т. пл.  $181-186^\circ$ . Смесь 0,3 г III, 3 мл пиридина и 0,6 г  $n$ - $CH_3C_6H_4SO_2Cl$  оставляют на 12 час. при  $20^\circ$  и после обработки получают 0,45 г 6 $\alpha$ -тозилата III, р-р которого в 20 мл смеси бензол-эфир (1:1) пропускают через колонку с 10 г  $Al_2O_3$ . После вымывания  $C_6H_6$  выделяют I, выход 70,5%, т. пл.  $127-129^\circ$ . Все  $[a]_D$  измерены в диоксане. Приведены данные УФ- и ИК-спектров полученных в-в. Сообщение II см. РЖХим, 1955, 31728.

С. Ананченко

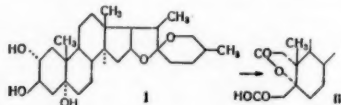
68982. Некоторые итоги исследования сапонинов флоры Казахстана. Сокольская А. М., Аптеч. дело, 1956, 5, № 6, 22-24

Исследовалось присутствие сапонинов (СП) в растениях Казахстана. Из корней *Patrinia intermedia* извлечением 80%-ным спиртом и осаждением эфиром выделен (13% от веса корней) СП состава  $C_{33}H_{58}O_{15}$ , т. пл.  $180^\circ$ ,  $[a]_D^{25} - 0,42^\circ$  (1%-ный сп.), названный патринином. При гидролизе 5%-ной  $H_2SO_4$  получают сапонин  $C_{21}H_{38}O_8$ , выход 64,13%, при этом среди редуцирующих в-в обнаружены фруктоза (17,43%) и пентозы (14,68%). Аналогично из корней *Rheum maximoviczii* A. Los. выделен (0,8%) гликозид  $C_{21}H_{38}O_{10}$  (I), т. пл.  $199^\circ$  (разл.),  $[a]_D^{25} - 72^\circ$  (1%-ный сп.), не являющийся СП. I при гидролизе 7%-ной  $H_2SO_4$  дает глюкозу, галловую к-ту и в-во состава  $C_6H_{12}O_6$ . Выделены также два СП из *Medicago sativa* L. (0,6% и 0,2%) и один — из *Gypsophila paniculata* (13,2%).

В. Конютко

68983. Положение третичной гидроксильной группы в агапантенине. Матье, Стивен (The position of the tertiary hydroxyl group in agapanthenin. Mathew G. E. A., Stephen T., Mrs), J. Chem. Soc., 1957, Jan., 1962—264 (англ.)

а-Конфигурация 5-оксигруппы агапантенина (I) доказана окислением I в 2,5-лактон 2,3-секо-22а-спиростанол-5а-диовой-2,3 к-ты (II). Ацетилирование 2,3-диацетата I (Ia) позволяет получить триацетат (I) (Ib), омыленный в 5 ацетат I (Iв). Отщеплением 5-оксигруппы получены соответствующие непредельные соединения, окисленные в окис. Восстановление последних регенерировало I. 3 г I при окислении  $\text{CrO}_3$  в  $\text{CH}_3\text{COOH}$  (20°, 45 мин.) дали II, т. пл. 250° (из  $\text{CH}_3\text{OH}$ ),  $[\alpha]_D^{20} -0,16^\circ$  (с 4,05). Кипячение 1,8 г Ia с  $\text{CH}_3\text{COCl}$  и  $\text{C}_6\text{H}_5\text{N}(\text{CH}_3)_2$  в  $\text{CHCl}_3$  (20 час.) и хромато-



графирование привели к Iб, т. пл. 202° (из  $\text{CH}_3\text{OH}$ ),  $[\alpha]_D^{20} -0,26^\circ$  (с 4,1). Омылением 1 г Iб с помощью метанольного KOH (20°, 30 мин.) получен Iв, т. пл. 230° (из  $\text{CH}_3\text{OH}$ ),  $[\alpha]_D^{20} -0,16^\circ$  (с 4,4). Обработка 4 г Ia  $\text{SOCl}_2$  в пиридине (0°45 мин.) превратила Ia в выделенный хроматографически 2,3-диацетат  $\Delta^4$ -22а-спиростендиол-2а,3б (III), т. пл. 212—214° (из  $\text{CH}_3\text{OH}$ ),  $[\alpha]_D^{20} -0,42^\circ$  (с 3,2). Аналогичная обработка Ia при 10° привела к 2,3-диацетату  $\Delta^5$ -22а-спиростендиол-2а,3б (IV), выход 60%, т. пл. 178° (из  $\text{CH}_3\text{OH}$ ), и III, выход 40%, т. пл. 212°. 3 г I обрабатывали метанольным KOH (48 час., 20°), получили  $\Delta^5$ -22а-спиростендиол-2а,3б, т. пл. 248°, идентичный с полученным путем омыления III. Обработка 1,4 г III моноацетатом к-той в эфире (35°, 7 час.) и хроматографирование привели к 2,3-диацетату 4а, 5а-эпоксиспиростендиол-2а,3б, т. пл. 222—224° (из  $\text{CH}_3\text{OH}$ ),  $[\alpha]_D^{20} -0,22^\circ$  (с 1,8), который (0,10 г) восстанавливался  $\text{LiAlH}_4$  в эфире в I, т. пл. 284°, и продукт с т. пл. 230°. Аналогично из 1,6 г IV получен 2,3-диацетат 5а,6а-эпоксиспиростендиол-2а,3б, т. пл. 204—205° (из  $\text{CH}_3\text{OH}$ ),  $[\alpha]_D^{20} -0,47^\circ$  (с 3,65), который (0,12 г) при восстановлении  $\text{LiAlH}_4$  в эфире дал I. Все  $[\alpha]_D^{20}$  определены в спирте при 22°.

А. Камерницкий  
68984. Изучение гликозидов дигиталиса. О новом гликозиде — гиторосиде. Сато, Вада, Окума-ра (ジギタリス配糖体に関する研究. 新配糖体 Gitorosid について. 佐藤大助, 和田敬之, 奥村保), 薬学雑誌, Якугаку дзасси, J. Pharmac. Soc. Japan., 1956, 76, № 11, 1334 (японск.)

Показано, что выделенное ранее из водорастворимой фракции экстракта дигиталиса пурпурного в-во (I) с т. пл. 210—216° плавится при 212—216° (из этилацетата),  $[\alpha]_D^{20} +24,9^\circ$  (с 0,4985 в сп.), и является монодигитоксидом гитоксигенина  $\text{C}_{26}\text{H}_{44}\text{O}_8 \cdot 1,5 \text{H}_2\text{O}$ . I не содержит  $\text{OCH}_3$ -групп, при гидролизе (1 час. кипячение с 3%-ным р-ром HCl в 50%-ном сп.) дает гитоксигенин (II) и дигитоксозу (III). Приведены  $\lambda_{\text{макс}}$  I, II, III и  $R_f$  II и III. Н. Швецов

68985. Гликозиды и агликоны. Сообщение 166. Гликозиды семян *Strophanthus Ledienii* Stein. Лихти, Тамм, Рейхштейн (Die Glykoside der Samen von *Strophanthus Ledienii* Stein. Glykoside und Aglykone, 166. Mitteilung. Lichti H., Tamm Ch., Reichstein T.), Helv. chim. acta, 1956, 39, № 7, 1914—1932 (нем.)

Из семян *Strophanthus Ledienii* Stein известным ранее методом Reichstein T. и др., Helv. chim. acta,

1951, 34, 1821) извлечены гликозиды: периплоцимарин (I), цимарин (II), цимарол (III) и энцимарин (IV). Кроме того, выделены в небольшом кол-ве гликозид А (V), гликозид С (VI) и гликозид F (VII), названный также лединозидом. Хроматографированием на бумаге показано присутствие восьми других соединений: гликозида D (VIII) и в-в а (IX), Е (X), G (XI), W (XII), X (XIII), Y (XIV) и Z (XV). Эти же продукты получены экстракцией семян *Strophanthus Eminii* и *Strophanthus mirabilis*. Строение V не выяснено. Как показано гидролизом в мягких условиях и хроматографированием продуктов на бумаге VI, вероятно, является  $\beta$ -D-дигитоксозидом периплоцимарина (XVI) генина, а VII —  $\beta$ -D-фукозидом XVI. Гликозиды V и VI отличаются от I или IV только отсутствием  $\text{CH}_3$ -группы у кислородного атома при  $\text{C}_3$  сахарной части. VIII, по-видимому, является  $\beta$ -D-дигиталозидом стропантинина. Смертельная доза VII при испытании на кошках —  $0,1410 \pm 0,0092$  мг/кг живого веса (внутривенно). Приведены значения  $R_f$  для выделенных в-в и данные об изменении их окраски под влиянием 84%-ной  $\text{H}_2\text{SO}_4$ . Из 150 г семян экстрагируют эфиром 1,02 г фракции А, хлороформом 2,02 г фракции Б и смесью  $\text{CHCl}_3$ -спирт (2:1) 1,81 г фракции В. Хроматографированием на  $\text{Al}_2\text{O}_3$  выделяют: из фракции А вымывают смесью  $\text{C}_6\text{H}_6$ - $\text{CHCl}_3$  (1:1) I, выход 0,107%, двойная т. пл. 126—139,5° и 198—207° (из  $\text{CH}_3\text{OH}$ -эф.),  $[\alpha]_D^{20} +32,6 \pm 1,5^\circ$  (с 1,964); из фракций А и Б вымывают  $\text{CHCl}_3$  или  $\text{C}_6\text{H}_6$ - $\text{CHCl}_3$  (1:4) II, выход 0,085%, т. пл. 125—131° (из  $\text{CH}_3\text{OH}$ -эф.),  $[\alpha]_D^{20} +40,0 \pm 1,5^\circ$  (с 1,989); из фракции А вымывают  $\text{CHCl}_3$  V, выход 0,013%, т. пл. 206—209° (из  $\text{CH}_3\text{OH}$ -эф.),  $[\alpha]_D^{20} +31,9 \pm 2^\circ$  (с 1,075;  $\text{CH}_3\text{OH}$ ); из фракций А и Б вымывают смесью  $\text{CHCl}_3$ - $\text{CH}_3\text{OH}$  (98:2) IV, выход 0,334%, т. пл. 159—162° (из  $\text{CH}_3\text{OH}$ -эф.), и двойная т. пл. 155—160° и 206—210° (из воды),  $[\alpha]_D^{20} +13,8 \pm 2^\circ$  (с 1,24;  $\text{CH}_3\text{OH}$ ); диацетат IV, т. пл. 278—279° (из  $\text{CH}_3\text{OH}$ -эф.),  $[\alpha]_D^{20} +27,5 \pm 1^\circ$  (с 2,074, хлф.); из фракции А вымывают смесью  $\text{CHCl}_3$ - $\text{CH}_3\text{OH}$  (96:4) VI, выход 0,021%, двойная т. пл. 148—150° и 205—210° (из  $\text{CH}_3\text{OH}$ -эф.),  $[\alpha]_D^{20} +27,2 \pm 3^\circ$  (с 0,678); из фракций А и Б вымывают смесью  $\text{CHCl}_3$ - $\text{CH}_3\text{OH}$  (92:8), затем хроматографируют на бумаге VIII, выход 0,077%,  $[\alpha]_D^{20} +9,6 \pm 5^\circ$  (с 0,396); из фракции Б вымывают смесью  $\text{C}_6\text{H}_6$ - $\text{CHCl}_3$ , затем хроматографируют на бумаге и на кизельгуре III, выход 0,084%, т. пл. 200—225° (из  $\text{CH}_3\text{OH}$ -эф. или ацетона-эф.),  $[\alpha]_D^{20} +36,8 \pm 2^\circ$  (с 1,438),  $+30,3 \pm 2^\circ$  (с 1,364,  $\text{CH}_3\text{OH}$ ); из фракции Б вымывают смесью  $\text{CHCl}_3$ - $\text{CH}_3\text{OH}$  (7:3) VII, выход 0,053%, т. пл. 169—175° (из  $\text{CH}_3\text{OH}$ -эф.),  $[\alpha]_D^{20} +5,2 \pm 1,5^\circ$  (с 1,131;  $\text{CH}_3\text{OH}$ ); из фракции Б вымывают смесью  $\text{CHCl}_3$ - $\text{CH}_3\text{OH}$  (96:4), затем хроматографируют на бумаге X, выход 0,037%; из фракции Б вымывают смесью  $\text{CHCl}_3$ - $\text{CH}_3\text{OH}$  (7:3) XI, выход 0,003%, идентичный в-ву А, выделенному ранее из *Strophanthus mirabilis* (РЖХим, 1955, 37407). Из объединенных остатков от фракций А и Б хроматографированием на бумаге получено IX, выход 0,0005%. Из фракции В аналогично выделяют в-ва XII—XV. Приведена кривая УФ-спектра VII. Все т-ры пл. исправлены.  $[\alpha]_D^{20}$  определены в  $\text{CHCl}_3$ . Предыдущее сообщение см. РЖХим, 1957, 60687. Г. Сегаль

68986. Гликозиды и агликоны. Сообщение 167. Гликозиды семян *Strophanthus Vanderijstii* Staner. Лихти, Тамм, Рейхштейн (Die Glykoside der Samen von *Strophanthus Vanderijstii* Staner. Glykoside und Aglykone, 167. Mitteilung. Lichti H., Tamm Ch., Reichstein T.), Helv. chim. acta, 1956, 39, № 7, 1933—1973 (нем.)

Из семян *Strophanthus Vanderijstii* Staner (после ферментации) эфиром и  $\text{CHCl}_3$  извлечена смесь (А), в кото-



рой хроматографированием на бумаге установлено наличие 19 гликозидов. Хроматографированием А (из 250 семян) на  $Al_2O_3$  выделены (т-ры плавления исправлены): сарментогенин (гликозид D) (I), выход 0,288%, т. пл. 127—133° (из  $CH_3OH$ -эф.), 149—155° (иглы, из  $CH_3OH$ -эф.), другая модификация имеет т. пл. 198—200° (из ацетона-эф.),  $[\alpha]^{24}_D - 18,9 \pm 2^\circ$  (с 1,08;  $CH_3OH$ ); квангозид (гликозид E) (II), выход 0,052%, т. пл. 212—217° (из  $CH_3OH$ -эф.),  $[\alpha]^{20}_D - 9,4 \pm 1,5^\circ$  (с 63); вандерозид (гликозид C) (III), выход 0,24%, т. пл. 217—222° (из  $CH_3OH$ -эф.), 171—175° (из воды),  $[\alpha]^{27}_D + 7,8 \pm 2^\circ$  (с 1,32); эмицимарин (IV), выход 0,492%, т. пл. 160—162° (из  $CH_3OH$ -эф.), и двойная т. пл. 152—155° и 200—203° (из воды),  $[\alpha]^{25}_D + 10,3 \pm 1^\circ$  (с 1,9); десарозид (гликозид F) (V), выход 0,088%, т. пл. 250—252° (из ацетона-эф. или  $CH_3OH$ -эф.),  $[\alpha]^{24}_D - 10,7 \pm 1^\circ$  (с 1,79),  $+5,4 \pm 2^\circ$  (с 1,25;  $CH_3OH$ ); сарновид (гликозид G) (VI), выход 0,632%, двойная т. пл. 149—154° и 220—222° (из  $CH_3OH$ -эф.),  $[\alpha]^{24}_D + 5,1 \pm 1^\circ$  (с 1,88),  $[\alpha]^{25}_D + 8,6 \pm 2^\circ$  (с 1,24;  $CH_3OH$ ). Кроме того выделены: дигитозид (гликозид а) (VII), выход 0,004%, двойная т. пл. 173—175° и 211—212° (из ацетона-эф.); одорозид H (гликозид D II), выход 0,02%, дибензоат, т. пл. 307—308° (из  $CH_3OH$ -эф.),  $[\alpha]^{22}_D + 56,8 \pm 3^\circ$  (с 0,72). Хроматографированием А на бумаге установлено присутствие гликозидов: а-I (VIII), выход 0,0004%; а-II (одорозид А) (IX), выход 0,0012%; β-одорозид B) (X), выход 0,002%; А (периплогенин-д-сарментозид) (XI), выход 0,024%; В (11-дегидросарментогенин) (XII), выход 0,016%; С II (вероятно, П-дегидросарментогенин-д-дигитозид), выход 0,004%; д-I (д-сарментозид неизвестного генина), выход 0,002%; д-III (вероятно, узаргенин-д-дигиталозид), выход 0,006%; Е I (вероятно, 16-ангидростреспезид), выход 0,0008%; Е II (д-дигиталозид неизвестного генина), выход 0,008%, и следы гликозида Н (д-дигиталозид неизвестного генина). Такая комбинация гликозидов не встречалась ранее в растениях вида *Strophanthus*. Летальная доза III О,  $2292 \pm \pm 0,0156$  мг/кг живого веса кошки, т. е. III несколько менее токсичен, чем периплоидмарин. Гидролиз VII приводит к д-сарментозе (XIII) и дигитоксигенину (XIV), т. пл. 232—238° (из  $CH_3OH$ -эф.), аналогично из смеси VII—XI с последующим хроматографированием на бумаге выделяют XIII, д-дигитозин, XIV, узаргенин и следы периплогенина (XV). Гидролизом XI получают XIII, т. пл. 67—72° (из ацетона-пентр. эф.), и XV, с многократной т. пл. 140, 160, 190, 202—203° (из  $CH_3OH$ -эф.),  $[\alpha]^{24}_D + 27,7 \pm 2^\circ$  (с 0,91;  $CH_3OH$ ). Ацетат XV имеет т. пл. 224—227° (из  $CH_3OH$ -эф.),  $[\alpha]^{23}_D + 46,5 \pm 2,5^\circ$  (с 0,87),  $+29,2 \pm 2^\circ$  (с 1,36;  $CH_3OH$ ). Гидролиз XII приводит к XIII,  $[\alpha]^{23}_D + 23 \pm 2^\circ$  (с 0,086; вода, через 48 час), XV и десарогенину (XVI), (разделены в виде бензоатов хроматографированием на  $Al_2O_3$ ). Бензоат XV, т. пл. 242—247° (из  $CH_3OH$ -эф.),  $[\alpha]^{24}_D + 53,1 \pm 3^\circ$  (с 0,751). Бензоат XVI, т. пл. 247—249° (из  $CH_3OH$ -эф.),  $[\alpha]^{25}_D + 32 \pm 11^\circ$  (с 0,188). Полученный для сравнения 3-бензоат 11-ацетата сарментогенина (XVII, генин) имеет т. пл. 232,5—233° (из ацетона-эф.),  $[\alpha]^{25}_D + 10,1 \pm 1,5^\circ$  (с 1,54). Ацетат III имеет т. пл. 195—197° (из  $CH_3OH$ ),  $[\alpha]^{24}_D + 11,6 \pm 1,5^\circ$  (с 1,64). Бензоат III, т. пл. 216—221° (из  $CH_3OH$ -эф.-пентр. эф.),  $[\alpha]^{23}_D + 11 \pm 1,5^\circ$  (с 1,46). Гидролизом III получают д-дигитозин (XVIII), т. пл. 70—76° (из эф.-пентана),  $[\alpha]^{20}_D + 63,7 \pm 3^\circ$  (с 0,8; вода, через 5—18 час.), и XV, 4,11-диацетат I, т. пл. 217—219° (из водн.  $CH_3OH$ ),  $[\alpha]^{26}_D - 24,1 \pm 1,5^\circ$  (с 1,44). Гидролиз I приводит к XIII и XVII, т. пл. 265—267° (разл.; из сл.),  $[\alpha]^{20}_D + 15,7 \pm 3^\circ$  (с 0,88; в 80%-ном сл.), 3,11-диацетат XVII, т. пл. 150—168° (из ацетона-эф.),  $[\alpha]^{25}_D + 5,4 \pm 2^\circ$  (с 1,37); 3,11-дибензоат XVII, т. пл. 280—283° (из ацетона-эф. и  $CH_3OH$ ),  $[\alpha]^{24}_D + 7,0 \pm 2^\circ$  (с 1,35). Ацетат II имеет  $[\alpha]^{21}_D - 5,9 \pm 3^\circ$  (с 0,67). Гидролизом II получают XVII и XVIII, 2',4'-

Диацетат V (XIX) имеет т. пл. 224—225° или двойную т. пл. 228 и 236° (из  $CH_3OH$ -эф.),  $[\alpha]^{21}_D - 5,7 \pm 1,5^\circ$  (с 1,73). Получена также модификация XIX с т. пл. 274—275° (из ацетона-эф.). 2',4'-триацетат VI, т. пл. 280—283° (из  $CH_3OH$ -эф.),  $[\alpha]^{26}_D + 2,0 \pm 1,5^\circ$  (с 1,59). Гидролиз VI приводит к дигиталозе, т. пл. 105—109° (из ацетона-эф.),  $[\alpha]^{24}_D + 103 \pm 3^\circ$  (с 1; вода после 15 час.) и XVII, 2',4'-диацетат IV, т. пл. 278—280° (из ацетона-эф.),  $[\alpha]^{25}_D + 26,8 \pm 2^\circ$  (с 0,89). Приведены значения  $R_f$  для полученных в-в, данные об УФ-спектрах для I и VI, кривые УФ-спектров для II, III и V и описаны цветные р-ции всех выделенных гликозидов и генинов с 84%-ной  $H_2SO_4$ .  $[\alpha]^{24}_D$  определены в  $CHCl_3$ .

Г. Сегаль

68987. Исследование алкалоидов *Veratrum*. I. Синаин, верия и рубиверин — три новых алкалоида из *Veratrum album* L. Чонга, Куку (Badania nad alkaloidami *Veratrum*. I. Synaina, weryna i rubiwerina — trzy nowe alkaloidy otrzymane z *Veratrum album* L. Cionga Emil, Coucou Viorica), Acta polon. pharm., 1957, 14, № 2, 73—76 (польск.; рец. русск., англ., франц.).

Из корня и корневища *V. album* выделена аморфная смесь алкалоидов, обладающая сильным гипотензивным действием. Для разделения смеси применен ацетон, в котором растворяются алкалоиды, обладающие гипотензивным действием, и образуется труднорастворимый осадок. Из последнего, пользуясь неодинаковой растворимостью различных солей и применяя фракционированную кристаллизацию из 70%-ного спирта, авторы выделили 3 алкалоида: синаин,  $C_{24}H_{39}ON$ , т. пл. 217—218° (разл.),  $[\alpha]^{20}_D - 31,68^\circ$  (с 1; хлф.); верия (I),  $C_{25}H_{39}O_2N$ , т. пл. 221—222° (разл.),  $[\alpha]^{18}_D - 21,12^\circ$  (с 4; хлф.); рубиверин, изомер I, т. пл. 245—247°,  $[\alpha]^{20}_D \pm 0^\circ$  (с 0,5; хлф.). Чистота всех трех в-в проверена методом хроматографии на бумаге.

В. Шпанов

68988. Некоторые гипотензивные алкалоиды из *Veratrum album*. Майерс, Глен, Морозович, Барбер, Панино-Кутюр, Грант (Some hypotensive alkaloids from *Veratrum album*. Myers Gordon S., Glen William L., Morozovitch Paul, Barber, Richard, Papineau-Couturs Gilles, Grant Gordon A.), J. Amer. Chem. Soc., 1956, 78, № 8, 1621—1624 (англ.).

Исследовались фракции алкалоидов корней и корневищ *V. album*: кристаллич. (K) и аморфная (A). Методом противоточного распределения ( $C_6H_5 - 2M$  ацетатный буфер, pH 5,5 и 6,5) выделены: из K протевратрин (I), гермитетрин (II) и вератетрин; из A — II, деацетилнеопротевратрин, неогермидин (III) и новый алкалоид, обладающий гипотензивной активностью, деацетилпротевратрин (IV)  $C_{39}H_{61}O_{12}N$ , т. пл. 191—192° (из ацетона и хлф.-эф.),  $[\alpha]^{25}_D - 15^\circ$  (с 1; пиридин); йодметилат, т. пл. 231—233° (разл.). Доказана идентичность II и гермитетрина В (РЖХим, 1954, 18133; 1954, 34205). II гидролитически расщепляется на гермин, 2  $CH_3COOH$ , α-метилмасляную (V) и низкоплавящуюся (—) α,β-диокси-α-метилмасляную (VI) к-ты (VI идентифицирована по ИК-спектру и н-фенилфенацетовому эфиру) (см. также РЖХим, 1956, 50891). Метанолиз II (Friedl J. с сотр., J. Amer. Chem. Soc., 1950, 72, 4621) дает III,  $CH_3COOH$  и три-эфир деацетилгермитетрин (VII)  $C_{39}H_{61}O_{12}N$ , т. пл. 143—149° (разл.; из ацетона-эф.),  $[\alpha]^{25}_D - 8^\circ$  (с 1;  $C_6H_5N$ ), или 2  $CH_3COOH$  и III (по ИК-спектру). При гидролизе VII образуются: гермин,  $CH_3COOH$ , V и VI. Триэфир IV образован протевратрином,  $CH_3COOH$ , V и метилэтилгликолевой к-той (гидролиз 0,3 н. NaOH в  $CH_3OH$ , 29 час.; 20°) и может быть получен при частичном гидролизе I (метанолиз; 20°; 16 час.). Приводятся кривые ИК-спектров II, IV и VII. Авторы счи-

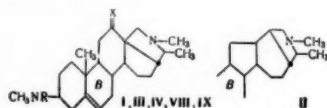
тают III и IV вторичными продуктами в экстрактах *V. album* и *V. viride*. А. Беликов

68989. Новые гликоалкалоиды в листьях *Solanum chacoense*. Кун, Лёв (Neue Alkaloidglykoside in den Blättern von *Solanum chacoense*. Kuhn Richard, Löw Irmentraut), Angew. Chem., 1957, 69, № 7, 236 (нем.).

В листьях *Solanum chacoense*, кроме соланина и хакоинина, содержится значительное кол-во гликоалкалоидов, имеющих характер биполярных ионов, легко растворимых в воде, не осаждающихся разб.  $\text{NH}_3$  (лентинины). При отщеплении кислых компонентов получены алкалоидгликозиды — лентинины, осаждающиеся разб.  $\text{NH}_3$ , они содержат глюкозу и рамнозу. Агликоп — лентинидин (найден: C 78,29, H, 10,49, N 3,54%, т. пл. 239—240°,  $[\alpha]_D^{25} - 24^\circ$  (хлф.)), осаждаются дигитонином, при гидрировании с  $\text{PtO}_2$  в  $\text{CH}_3\text{COOH}$  воспринимает моль  $\text{H}_2$ , содержит 2 OH-группы, образует дианетат, т. пл. 193—197°.  $[\alpha]_D^{25} - 36^\circ$  (хлф.), найден: C 74,78; H 9,89 и  $\text{COCH}_3$  16,83%. Л. Шахновский

68990. Голарренин из *Holarrhena congolensis* Stapf. Уффер (Holarrhenin aus *Holarrhena congolensis* Stapf. Uffer A.), Helv. chim. acta, 1956, 39, № 6, 1834—1843 (нем.).

Формула голарренина (I) изменена на  $\text{C}_{24}\text{H}_{40}\text{ON}_2$ . Гидрированием доказано наличие в I одной двойной связи, а ацетилированием и ИК-спектром — одной первичной или вторичной OH-группы. Синтезированное из I дезоксиисовариан (II)  $\text{C}_{22}\text{H}_{40}\text{N}_2$  отличается от конессина (III). Из I получен III по схеме: I → кетон (IV) → тиокеталь (V) → III. Следовательно, I является оксиконессином. Полоса в ИК-спектре IV при 5,86  $\mu$  указывает на неконъюгированный 6-членный кетон. При расщеплении I по Гофману получен триен — апо-



I R =  $\text{CH}_3$ , X = H + OH; II R =  $\text{CH}_3$ , X = H<sub>2</sub>; III R =  $\text{CH}_3$ , X = H<sub>2</sub>; IV R =  $\text{CH}_3$ , X = O; V R = CN, X = H + OH; VI R = H, X = H + OH.

голарренин (VI), УФ-спектр которого указывает на диеновую систему в кольцах A и B. Окисление VI привело к кетону (VII). УФ-спектр VII исключает сопряжение CO-группы с диеновой системой. VII не изменяется при воздействии  $\text{BF}_3$ . При получении II из I путем тозилирования с последующей обработкой  $\text{LiAlH}_4$  вероятна перегруппировка колец C и D. Указанные р-ции дают основание считать I 12β-оксиконессином. Молотую кору экстрагируют  $\text{CH}_3\text{OH}$  с 3%  $\text{NH}_3$ . Выделяют 2,5% (от веса коры) смеси оснований, которые разделяют по растворимости в петр. эфире (часть а), эфире и  $\text{CHCl}_3$ . В фракции а содержится III и I. Из смеси получают смесь оксалатов, которую растворяют в 2 н. HCl, осаждают  $\text{NH}_3$  III; из фильтрата после подщелачивания 10 н. NaOH извлекают  $\text{CHCl}_3$  I, т. пл. 190—193° (из этилацетата),  $[\alpha]_D^{25} + 9^\circ \pm 3^\circ$  (сп.),  $-4^\circ \pm 3^\circ$  (хлф.). Из I,  $(\text{CH}_3\text{CO})_2\text{O}$  в  $\text{C}_6\text{H}_5\text{N}$  при  $\sim 20^\circ$  получен О-ацетил-I, т. пл. 173—175° (из  $\text{C}_6\text{H}_{12}$ ). Дибромидат I, т. пл. 269° (из сп.-эф.); дийодметилат I, т. пл. 275—280° (разл.; из  $\text{CH}_3\text{OH}$ -ацетона). 2 г I 35 мл  $\text{C}_6\text{H}_5\text{N}$ , 2 г  $n\text{-CH}_3\text{C}_6\text{H}_4\text{SO}_2\text{Cl}$  выдерживают 20 час. при 0°, продукт р-ции восстанавливают 1 г  $\text{LiAlH}_4$  в эфирном р-е, получен II, очищен хроматографированием на  $\text{Al}_2\text{O}_3$ , т. пл. 87—88° (из ацетона),  $[\alpha]_D^{25} - 19^\circ \pm 4^\circ$  (хлф.). К р-ру 2 г I в 20 мл  $\text{C}_6\text{H}_5\text{N}$  добавляют 2 г  $\text{CrO}_3$  в 30 мл  $\text{C}_6\text{H}_5\text{N}$  при 0°, затем добавляют 10 капель воды и выдерживают 21 час при 20°, продукт р-ции

хроматографируют на  $\text{Al}_2\text{O}_3$ , эфиром вымывают IV, выход 200 мг, т. пл. 128—129°,  $[\alpha]_D^{25} + 32^\circ \pm 4^\circ$  (сп.); семикарбазон, т. пл. 193—200°; оксим, т. пл. 252—255°. К 100 мг IV в 10 мл  $\text{CHCl}_3$  добавляют 0,1 мл этилендиолгликоля, при перемешивании пропускают слабый ток HCl-газа 33 часа, выдерживают 16 час., получают 90 мг V. 90 мг V, 20 мл абс. спирта, 2 г скелетного Ni, 3 часа кипячения, продукт р-ции хроматографируют на  $\text{Al}_2\text{O}_3$ , вымывают  $\text{CH}_3\text{OH}$  30 мг III. Из I получен VI,  $\text{C}_{22}\text{H}_{35}\text{ON}$ , выход 65%, т. пл. 155—156°,  $[\alpha]_D^{25} - 87^\circ \pm 4^\circ$  (хлф.). Из 200 мг VI (аналогично IV) получен VII,  $\text{C}_{22}\text{H}_{35}\text{ON}$ , выход 120 мг, т. пл. 137—139° (из  $\text{C}_6\text{H}_{12}$ ).  $[\alpha]_D^{25} - 78^\circ \pm 4^\circ$  (хлф.); оксим, т. пл. 200—203°. К 10 г I в 200 мл абс. эфира добавляют при 0° 3,2 г  $\text{BrCN}$  в 100 мл эфира, перемешивают 5 час. при 0°, из полученного осадка выделен оксидианоизооконессим (VIII),  $\text{C}_{22}\text{H}_{37}\text{ON}_2$  выход 4,6 г, т. пл. 257—259° (из ацетона),  $[\alpha]_D^{25} + 14^\circ \pm 4^\circ$  (хлф.); О-ацетат, т. пл. 186—188° (из ацетона-эф.); йодметилат, т. пл. 265—275° (из ацетона- $\text{CH}_3\text{OH}$ ); 0,5 г VIII кипятят 48 час. с насыщ. спирт. р-ром KOH, получен оксидианоизооконессим (IX), т. пл. 189—191° (из ацетона),  $[\alpha]_D^{25} + 19^\circ$  (из сп.); хлоргидрат, т. пл. 280° (разл.); N-формат, т. пл. 215—218° (из ацетона). Л. Шахновский

68991. Термическое разложение йодида чаксина.

Бхандари, Шарма (Thermal degradation of chaksine iodide. Bhandari P. R., Sharma V. N.), J. Scient. and Industr. Res., 1957, BC16, № 2, B97 (англ.).

Полученная при разложении йодида чаксина маслянистая жидкость (I) (РЖХим, 1957, 26992), по-видимому, представляет собой нитрил. При гидролизе I дает к-ту (II),  $\text{C}_{10}\text{H}_{12}\text{O}_2$ , т. пл. 116°. Кроме I, продуктами разложения являются также  $\text{NH}_4$ -соль II и амид, т. пл. 134°.

68992. Об алкалоидах *Lochnera (Vinca) rosea* (L.) Reichb. или *Catharanthus roseus* G. Don. Жапо, Ле-Мен (Sur les alcaloïdes cristallisés du *Lochnera (Vinca) rosea* (L.) Reichb. ou *Catharanthus roseus* G. Don. Janet Maurice-Marie, Le Men Jean), C. r. Acad. sci., 1956, 243, № 22, 1789—1792 (франц.).

Из корней выделены алкалоиды: аймалицин, акуамин и алкалоид С. Последний по-видимому, идентичен лохнерину (РЖХим, 1956, 65072), содержит  $\text{C}-\text{CH}_3$ , близок к δ-нохимбину и, возможно, является О-метилсарпагином  $\text{C}_{20}\text{H}_{24}\text{O}_2\text{N}_2$ . О. Уткина

68993. Об идентичности винкамайоридина и акуаминина. Жапо, Ле-Мен, Агхорамуртхи, Робинсон (The identity of vincamajordin and akuaminine. Janet M. M., Le Men J., Aghoramurthy K., Robinson R.), Experientia, 1955, 11, № 9, 343 (англ.; рез. франц.).

Показано, что алкалоид винкамайоридин, выделенный из *Vinca major* L. (Aporaceae) (РЖХимБх, 1956, 496), идентичен алкалоиду акуамину, выделенному ранее из растений того же семейства *Picralima Klaineana* и *P. nitida* (Stapf) T. et H. Durand. Н. Лейцана

68994. Строение пинидина. Таллент, Хорнинг (The structure of pinidine. T. A. L. L. W. H., Horning E. C.), J. Amer. Chem. Soc., 1956, 78, № 17, 4467—4469 (англ.).

Установлено, что пинидин (I) является (—)-4-ис-2-метил-6-(2-пропенил)-пиперидином. Наличие группы  $\text{CH}=\text{CH}-\text{CH}_3$  подтверждается образованием  $\text{CH}_3\text{CHO}$  из I при озонлизе. I содержит группы:  $\text{NH}$  и  $2\text{C}-\text{CH}_3$ . Дегидрирование I с 20%-ным Pd/C в паровой фазе при 450—500° дало 2-метил-6-пропилиниридин (II). При окислении II  $\text{KMnO}_4$  получен пиридинокрбонная 2,6 к-та. Каталитич. восстановление II приводит в dl-4-ис-2-метил-6-пропилиниридину (III), ИК-спектр которого идентичен спектру оптически активного дигидропинидина. К р-ру  $\text{C}_6\text{H}_5\text{Li}$  (из 13,9 г Li и 157 г

$C_6H_5Br$ ) в 500 мл безводн. эфира прибавляли при размешивании 107 г 2,6-лутидина (10 мин.) и через 30 мин. 107 г  $C_2H_5Br$  по каплям при кипении, затем 50 мл  $CH_3OH$  и 1 л 1 н.  $HCl$ ; выход II 20%, т. кип. 179—180°/756 мм,  $n_D^{25}$  1,4889; хлоридат, т. пл. 193—195° (разл.; из воды). В эфирный р-р 2,6-лутидил- $Li$  пропускали 57,5 г  $CH_3CHO$  при 0—5°, добавляли  $HCl$ , получен 2-метил-6-(2-оксипропил)-пиридин (IV), выход 10%, т. кип. 78—80°/1 мм,  $n_D^{24}$  1,5158; фенилуретан, т. пл. 95—96° (из бал.-гексана). 1,48 г IV, 20 мл  $CH_3COOH$ , 1 капля 70%-ной  $HClO_4$ , гидрировали с 0,55 г 5%-ного  $PdBaSO_4$ , получен II, выход 65%, 4,5 г II в 5 мл  $CH_3COOH$  гидрировали с  $Pt$  из 0,5 г  $PtO_2$ , получен III, выход 19%, т. кип. 176—177°/752 мм,  $n_D^{25}$  1,4453; хлоргидрат, т. пл. 219—220° (из сп.-этилацетата).

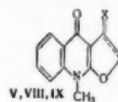
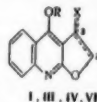
А. Великов  
68995. Расщепление карпаина. Говиндасари, Нарасимхан, Раджадурай (Some degradation studies of caprine. Govindasari T. R., Narasimhan N. S., Rajadurai S.), J. Chem. Soc., 1957, Fabr., 558—560 (англ.).

Строение карпаина (I) (РЖХим, 1954, 41246) подтверждено расщеплением I до 5-метокси-2-этилпиридина (II). 5 г хлоргидрата карпамодиола (РЖХим, 1954, 44697), 40 мл безводн.  $CHCl_3$  и 1,45 мл  $SOCl_2$  (0°, 16 час.) получили 3 г хлоркарпаина  $C_{14}H_{23}ONCl$ , т. кип. 150°/0,4 мм, который восстановили 3 г  $LiAlH_4$  до карпамола (III), выход 2,5 г, т. кип. 114°/0,4 мм. При дегидрировании III образуются с колич. выходом гексадегидро-III (IV), т. пл. 114—115° (из бал.-петр. эф.). Из 1,8 г IV в 40 мл  $CH_3OH$  и  $CH_2N_2$  в эфире получен 0-метил-IV (V), выход 1,8 г, т. кип. 168°/9 мм. 210 мг V нагревали с 300 мг  $KMnO_4$  в 250 мл воды, к-ту декарбоксилировали  $Su$ -порошком при 300°, выделен пикрат II, т. пл. 72°. II синтезировали из  $KNH_2$  (1,7 г  $K$ , 200 мг  $FeCl_3$ , 100 мл жидкого  $NH_3$ ), 3,6 г 5-метокси-2-пиколина (VI) и 4 г  $C_7H_{15}Cl$ , выход II 1,8 г, т. кип. 156°/5 мм. Проведены модельные опыты расщепления 3-метокси-2,6-лутидина (VII). 2 г VII, 1,6 г  $C_6H_5CHO$ , 300 мг безводн.  $ZnCl_2$  нагревали в запаянной трубке 6 час. при 180°, получен 3-метокси-6-метил-2-стирилпиридин (VIII); хлоргидрат, т. пл. 115° (из сп.-эф.). При окислении VIII  $Ba(MnO_4)_2$  в  $C_6H_5N$  получена к-та, при декарбоксилировании которой образуется VI; пикрат, т. пл. 135—138° (из сп.). Непосредственное окисление VIII  $KMnO_4$  в воде и последующее декарбоксилирование также привели к VI.

А. Великов  
68996. Синтез диктамина. Туппи, Бем (Synthese des Dictamnins. Tupper H., Böhm F.), Monatsh. Chem., 1956, 87, № 6, 720—734 (нем.).

Синтезирован алкалоид диктамин (I). Этиловый эфир фенилмидотетрон  $\alpha$ -карбоновой к-ты (II) (Веллау Е., Бер. 1912, 45, 3682) циклизуют в фурухинолин (III). Положение фуранового кольца доказано восстановлением III по Клемменсену до 2,4-диокси-3-этилхинолина. Обсуждается строение возможных таутомеров III. При метилировании III  $CH_2N_2$  получают 0- и N-метилированные производные (IV и V). Хлорирование IV и восстановление полученного 3-хлор-4-метоксифуро-[2,3-*b*]-хинолина (VI) приводят к I. 10 г II (т. пл. 116—117°; оксим, т. пл. > 200°; к-та, т. пл. 166—167,5°) нагревают в 100 г  $(C_6H_5)_2O$  при 270°, 40 мин. Выход неочищ. III 7,5 г. Очистку III производят непрерывной экстракцией (24 часа) эфиром и последующим извлечением нерастворившейся массы горячей водой, откуда III выпадает при охлаждении. III, т. пл. > 320°, сублимируется в высоком вакууме при 250—280°; оксим, т. пл. > 330°; диацетат, т. пл. 159,5—160,5° (из сп.). Из 1 г III, 30 мл  $POCl_3$  и 1 мл воды, 2,5 часа кипения, получен 3,4-дихлорфуро-[2,3-*b*]-хинолин (VII), выход 68%, т. пл. 178—179° (из сп.). 1 г III, 9 г  $PCl_5$ , 8 мл  $POCl_3$ , 9 час. при 100°, получен

трихлорфуро-[2,3-*b*]-хинолин, выход 1,32 г, т. пл. 151—152° (из сп.). VII гидрируют с  $Pt$  из  $PtO_2$  в  $CH_3COOH$ , получают 3-хлорфуро-[2,3-*b*]-хинолин, т. пл. 223—225°



I R —  $CH_3$ , X — H; III R — H, X — 0; IV R —  $CH_3$ , X — 0; V X — 0; VI R —  $CH_3$ , X — Cl; VII X — Cl; IX X — H; в I, VI, VIII, IX 2,3-двойная связь; в III — V — простая связь.

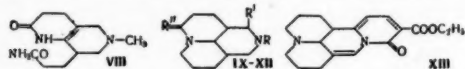
(из сп.). Суспензию 1 г III в 200 мл абс.  $CH_3OH$  постепенно смешивают с эфир. р-ром  $CH_2N_2$  (из 10 г  $NH_2CON(NO)CH_3$ ), оставляют на 30 мин. Осадок отфильтровывают, фильтрат упаривают в вакууме, остаток растворяют в 10—12 мл спирта. При охлаждении получают IV, выход 20—38%, т. пл. 159—161° (из сп.); из маточных р-ров выделяют V, т. пл. 310—313°. V получен также при метилировании III  $(CH_3)_2SO_4$ , выход колич. Через смесь из 24 мл  $POCl_3$  и 0,8 мл  $H_2O$  при охлаждении просасывают (1 час) сухой воздух, затем добавляют 350 мг IV и р-р кипятят 2,5 часа; продукт р-ции сублимируют при 110—120°/0,04 мм. Получают VI, выход 62%, т. пл. 117° (из сп.), выход 62%. При аналогичной обработке V и возникновении продукта р-ции при 120—150°/0,05 мм получен (VIII), т. пл. 189—190° (из сп.). 210 мг VI гидрируют с  $Pd/CaCO_3$  в 150 мл спирта. Продукт р-ции сублимируют при 110°/0,03 мм. Получают I, выход 81,3%. При гидрировании VIII синтезирован изодиктамин (IX), т. возг. 150—160°/0,005 мм, т. пл. 185—187° (из воды).

В. Быховский  
68997. Изыскания в области синтеза матрина. I. Полный синтез нордегидро- $\alpha$ -матринидина и дегидро- $\alpha$ -матринидина. Цуда, Саэки, Имуре, Окуда, Сато, Мисима (Studies on the synthesis of matrine. I. The total synthesis of nordehydro- $\alpha$ -matrinidine and dehydro- $\alpha$ -matrinidine. Tsuda Kyosuke, Saeki, Seitaro, Imura Shin-ichi, Okuda Shigenobu, Sato Yoshinobu, Mishima Hiroshi), J. Organ. Chem., 1956, 21, № 12, 1481—1486 (англ.).

Синтезированы *dl*-нордегидро- $\alpha$ -матринидин (II) и *dl*-дегидро- $\alpha$ -матринидин (II), структура которых установлена ранее (Kondo, Ochiai, Tsuda, Yoshida, Ber., 1935, 68, 570; Tsuda K., Murakami K., Pharm. Soc. Japan, 1937, 57, 307), при этом подтверждено наличие  $C(5) - C(11)$ -связи в матрине (III). Р-цией Манниха из этилового эфира 4-оксо-1,3,5,7-гентаметракарбоновой к-ты (IV) (Leonard, Goode, J. Amer. Chem. Soc., 1950, 72, 5404),  $CH_2O$  и  $CH_3NH_2 \cdot HCl$  получают 1-метил-3,5-диэтоксикарбонил-3,5-*бис*- (β-этоксикарбонилэтил)-4-пиперидон (V); последний полностью омыляют нагреванием с  $HCl$  и после этерификации образующейся дикарбоновой к-ты получают 1-метил-3,5-*бис*- (β-этоксикарбонилэтил)-4-пиперидон (VI), который при стоянии с водн.  $NH_3$  превращается в соединение  $C_{12}H_{19}N_3O_2$ . Его УФ- и ИК-спектры существенно идентичны с соответствующими величинами для 6-(γ-карбамидо-*n*-пропил)-3,4-дигидропипридина-2 (VII) (т. пл. 256°), полученного из этилового эфира 5-оксоазелановой к-ты (Leonard, Goode, J. Amer. Chem. Soc., 1950, 72, 5404) совершенно аналогичным методом. Исходя из этого, авторы приписывают  $C_{12}H_{19}N_3O_2$  структуру (VIII). Гидрируя VIII под давлением над  $Su-Cr$ -катализатором, получают (с 80%-ным выходом, считая на VI) водорастворимый диамин  $C_{12}H_{22}N_2$ ; очищен через моногидрат. Основываясь на совпадении ИК-спектров



диамина и хинолизида (полученного гидрированием VII в аналогичных условиях), авторы приписывают диамину структуру (IX). Иногда вместо IX образуется без видимых причин его 8-оксипроизводное (X). При гидрировании X LiAlH<sub>4</sub> образуется, как полагают авторы, стереоизомер IX (IXa). При взаимодействии IX с BrCN (аквимолярные кол-ва) получается N-цианид (XI) (62%); одновременно образуются бромметилаты IX и XI по хинолизидинному азоту, которые при обработке AgOH вновь дают IX и XI. Вторичный амин (XII), полученный нагреванием XI с HCl при дегидрировании над Pd-асбестом при 250–270° дает I, пикрат и бромгидрат которого не обнаруживают депрессии т-ры плавления при смешении с соответствующими производными природного I. Точно также совпадают ИК- и УФ-спектры и R<sub>f</sub> (0,62) бромгидрата с соответствующими природными соединениями. I метилируется в α-положение C<sub>8</sub>H<sub>5</sub>N кольца CH<sub>3</sub>Li; при этом образуется II, идентичный природному. Конденсация II с этоксиалловым эфиром в присутствии NaNH<sub>2</sub> (РЖХим, 1957, 1057), получают масло с сильной флуоресценцией, а из него желтое кристаллич. в-во с т. пл. 194–195°. Аналитич. и спектральные данные указывают на структуру (XIII). Смесь 15 г диэтилового эфира азеланиновой к-ты и 150 мл 28%-ного NH<sub>4</sub>OH оставляют на 5 дней при ~20°, иногда взрывающаяся. Аммиак отгоняют в вакууме и получают VII, выход 57%, т. пл. 255–256° (разл.; из CH<sub>3</sub>OH). 9,3 г VII гидрируют над 5,3 г CuO·CuCr<sub>2</sub>O<sub>4</sub> в 200 мл диоксана при 245° и 230 ат 1 час). Выход хинолизида 49%, т. кип. 184°; пикрат, т. пл. 197° (из ацетона); хлораурат, т. пл. 168° (из воды). Р-р 120 г IV, 51 г 30%-ного водн. CH<sub>2</sub>O, 25 г CH<sub>3</sub>NH<sub>2</sub>·HCl и 33 г KHC<sub>2</sub>O<sub>4</sub> в 70%-ном этаноле оставляют при 23–25° на 4 дня. Р-р выпаривают в вакууме (<50°), остаток растворяют в 10%-ной HCl и нерастворимый осадок удаляют эфиром; кислый водн. р-р нейтрализуют K<sub>2</sub>CO<sub>3</sub>, подщелачивают и извлекают эфиром, выход V 43%, т. кип. 180°/0,1 мм; меконат, т. пл. 149–150° (из сп.). Р-р 11 г V в смеси 33 мл воды и 87 мл 37%-ной HCl кипятят 25 час., р-ритель выпаривают в вакууме, получают хлоргидрат соответствующей дикарбоновой к-ты, выход 90%, т. пл. 187–189° (из сп.). Р-р полученного хлоргидрата (6,5 г) в 75 мл абс. этанола, содержащего 0,7 мл H<sub>2</sub>SO<sub>4</sub>, кипятят 25 час. Этанол выпаривают в вакууме, остаток



IX R = CH<sub>3</sub>, R' = R'' = H; X R = CH<sub>3</sub>, R' = H, R'' = CO; XI R = CN, R' = R'' = H; XII R = R' = R'' = H.

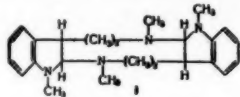
растворяют в 10%-ной HCl, подщелачивают K<sub>2</sub>CO<sub>3</sub>, экстрагируют эфиром, выход VI 90%, т. кип. 150–153°/0,1 мм, т. пл. 45–46° (из петр. эф.); пикрат, т. пл. 132° (из сп.). Смесь 19 г VI и 190 мл 28%-ного NH<sub>3</sub> встряхивают при ~20° до образования гомог. р-ра и оставляют на 1 день. NH<sub>3</sub> отгоняют в вакууме, сушат (вакуум, 120°, 30 мин.), выход аморфного VIII 15 г, т. пл. 269–270° (пластинки, разл.; из CH<sub>3</sub>OH). 15 г VIII гидрируют в 200 мл диоксана над 10 г CuO·CuCr<sub>2</sub>O<sub>4</sub> (250°, 225 ат, 1 час), выход IX 84%, т. кип. 70°/0,01 мм, т. пл. 39–40°; моногидрат, т. пл. 74–75°; хлораурат, т. пл. 210–211° (из воды); дибромгидрат, т. пл. 286° (разл.; из сп.); диникрат, т. пл. 277° (разл.; из ацетона); диникролат, т. пл. 251° (разл.; из сп.); дихлоргидрат, т. пл. 293° (разл.; из сп.); дибромгидрат, т. пл. 286° (разл.; из сп.). Гидрируют в 100 мл диоксана 28 г VIII (6,5 г CuO·CuCr<sub>2</sub>O<sub>4</sub>, 110 ат, 230–235°, 1 час), получен X, масло, т. кип. 115–119°/0,5 мм; моногидрат, т. пл. 90–91° (из сп.); пи-

крат, т. пл. 275° (разл.); хлораурат, т. пл. 215° (разл.); никролат, т. пл. 252° (разл.). Моногидрат обезвоживают нагреванием в бензоле. 280 мг безводн. X растворяют в 10 мл смеси эфира и бензола (1:1) и добавляют к р-ру 102 мг LiAlH<sub>4</sub> в 50 мл эфира, кипятят 3 часа, прибавляют к смеси 4 мл воды и отделяют эфирный слой. Водн. слой подщелачивают р-ром 3 г K<sub>2</sub>CO<sub>3</sub> в 5 мл воды и извлекают эфиром, получают IXa, т. кип. 140–150° (баня)/3 мм (очищен через перхлорат); хлораурат, т. пл. 207–208° (разл.; из воды); диникрат, т. пл. 272° (из воды); дибромгидрат, аморфный; диникролат, т. пл. 237–239° (разл.; из сп.). Безводн. IX растворяют в 70 мл абс. эфира и после охлаждения добавляют по каплям эфирный р-р 1,47 г BrCN, тут же образуется осадок. Смесь оставляют на ~12 час., выход бромметилатов IX и XI 1,5 г. Эфир упаривают и остаток фракционируют, выход XI 63%, т. кип. 140–150° (т-ра бани)/0,05 мм, т. пл. 54–55° (из бензина); пикрат, т. пл. 211° (из сп.). Описана методика превращения бромметилатов в соответствующие основания действием Ag<sub>2</sub>O. Попытка разделить XI на оптич. антиподы через дибензоил-д-тарtrat окончилась неудачей. Предполагается, что XI (а также и IX) является мезо-формой. Р-р 1,7 г XI в 20 мл 10%-ной HCl кипятят 4 часа, концентрируют в вакууме, подщелачивают KOH, экстрагируют эфиром и эфирный р-р сушат, выход 92%, т. пл. 57° (из петр. эф.) (в-во сильно гигроскопично); диникрат, т. пл. 265° (разл.; из сп.); n-нитробензоат, т. пл. 116° (из эф.). Смесь 1,4 г XII и 0,7 г 40%-ного Pd-асбеста нагревают в атмосфере азота (220–250°), выход I 68%, т. кип. 160–180° (т-ра бани)/0,1 мм, т. пл. 62–66°, т. пл. 30–31° (из биз.) (по-видимому, полиморфные формы); бромгидрат, т. пл. 275° (из ацетона); пикрат, т. пл. 221–223° (из сп.). К эфирному р-ру LiCH<sub>3</sub> (из 3 г CH<sub>3</sub>I и избытка Li) добавляют 300 мг I и 10 мл толуола и эфир выпаривают. Смесь кипятят (6 час.), разбавляют водой, подкисляют HCl и промывают эфиром, водн. слой подщелачивают и свободное основание извлекают эфиром, сразу же получая бромгидрат, который превращают в пикрат (кристаллизуется из CH<sub>3</sub>OH). Плохо растворимый пикрат I отфильтровывают, а легко растворимый пикрат II выделяют из р-ра, т. пл. 208–211°; идентичен пикрату природного II (смешанная проба, ИК-спектр). Р-р 0,1 моля II в 80 мл абс. эфира добавляют по каплям к р-ру NaNH<sub>2</sub> в жидком аммиаке, полученному из 0,1 моля Na и 150 мл жидкого NH<sub>3</sub>. К р-ру постепенно добавляют 150 мл абс. эфира и оставляют при ~20°. После перемешивания и охлаждения прибавляют (1 час) 0,1 моля этоксиаллового эфира, растворенного в 80 мл абс. эфира. Затем (2 часа) смесь обрабатывают NH<sub>4</sub>Cl, водн. слой извлекают эфиром (4 × 100 мл), получают обратно 13 г II, т. кип. 130–145° (т-ра бани)/2 мм. Остаток растворяют в 30 мл C<sub>6</sub>H<sub>6</sub> и хроматографируют (200 г Al<sub>2</sub>O<sub>3</sub>). После вымывания бензолом (1 л) получают XIII, выход 5,2%, т. пл. 194–195° (из этилацетата).

В. Быковский  
68998. Строение фолликантина. Часть II. Ходсон, Смит (The structure of folicanthine. Part II. Hodson H. F., Smith G. F.), J. Chem. Soc., 1957, April, 1877, 1880 (англ.)

Алкалоид фолликантин (I) выделен из листьев *Calycanthus occidentalis* (выход 0,14%). При восстановлении I Zn и HCl получен 1-метил-3,2'-метиламиноэтил-индолин (II). Сравнение УФ-спектров I и индолиновых алкалоидов показывает наличие в I индолиновой группировки. На основании этих и полученных ранее (см. часть I, РЖХим, 1957, 19341) результатов авторы отвергают старую (Eiter, Svierak, Monatsh. Chem., 1952, 83, 1453) и предлагают новую флу I.

К-р-у 96 мг I в 15 мл 5 н. HCl при  $\sim 100^\circ$  прибавляют 5 г гранулированного Zn за 1,5 часа, выход II 86%; диникрат, т. пл. 162—165° (из ацетона). Строение II



подтверждено синтезом из 1-метил-3,2'-метиламино-этилиндола (аналогичное восстановление Zn и HCl). Приведены кривые УФ-спектров I и II. Л. Нейман 68999. Исследования по алкалоидам. I. Алкалоид из

*Hortia arborea*. Антоначчо, Толмаскини (Estudo sobre alcalóides. I. O alcalóide da *Hortia arborea* (Rutáceas). Antonaccio Libero D. Tolmasquin E.), Anais Acad. brasil. cienc., 1956, 28, № 2, 183—188 (порт.)

Из оболочек бразильского растения *Hortia arborea* экстракцией эфиром и бензолом был выделен оптически неактивный алкалоид  $C_{22}H_{19}O_3N_3$  (I), т. пл. 136—139°; хлоргидрат, т. пл. 191—194°; пикрат, т. пл. 203—205°; 2,4-динитрофенилгидразон, т. пл. 141—142°. Р-ции I доказывают отсутствие пиридинового и индольного колец. УФ-спектр обнаруживает наличие пиридинового или пиримидинового кольца, групп NH, NCH<sub>3</sub>, кетонного CO, фенила или амида; OH отсутствует. Г. Вигдорович 69000. Изучение алкалоидов *Thalictrum Thunbergii*

DC. I. Четвертичное основание в корнях. Фудзита, Томиматсу (Studies on the alkaloids of *Thalictrum Thunbergii* DC. I. A quaternary base in the root. Fujita Eiichi, Tomimatsu Toshiaki), Pharmac. Bull., 1956, 4, № 6, 489—491 (англ.)

В корнях найден алкалоид магнофлорин (I), который ранее был выделен из растений семейств Magnoliaceae, Berberidaceae и Menispermaceae. 4,8 кг дробленого корня, собранного в октябре, экстрагировали горячим CH<sub>3</sub>OH, экстракт ушарили под вакуумом, остаток обрабатывали при 40° 5 объемами 5%-ной винной к-ты, из фильтрата удалили кислые и нейтр. в-ва эфиром, подщелачили NH<sub>3</sub>, экстрагировали эфиром, водн. р-р подкислили HCl и осадили рейнекаты четвертичных оснований, из которых выделен I в виде пикрата, выход 11 г. Л. Шаховский 69001. О структуре «окси-α-каротина» из апельсинового сока. Керл (On the structure of «hydroxy-α-carotene» from orange juice. Curl A. Laurence), Food Res., 1956, 21, № 6, 689—693 (англ.)

На основании спектроскопич. исследований окси-α-каротина (I), выделенного из апельсинового сока, а также продуктов его взаимодействия с J<sub>2</sub> и с HCl (к-той), дается его вероятная структурная ф-ла — 3-окси-α-каротин, где OH-группа связана с β-иононовым кольцом. I не является провитамином A. Содержание I по отношению к сумме каротиноидов в ряде растительных объектов порядка 1—3%. А. Дмитриевский 69002. Получение некоторых неорганических солей

тиамина. Окумура, Сакураи (ビタミン B<sub>1</sub> (Thiamine) と無機酸との塩類の調製について. 奥村健吾, 櫻井荒人), 科学研究所報告, Какаку конкюдзё хококу, Repts. Scient. Res. Inst., 1955, 31, № 2, 132—136 (японск.)

В трубку (для определения витамина B<sub>1</sub> (I)), содержащую 2 г амберлита IR-4B, выдержанного 12 час в 20 мл 10%-ной неорганич. к-ты (производное которой получают), пропускают 20—25 мл 5%-ной к-ты по 1,5—2,5 мл/мин; затем медленно и равномерно промывают 20—30 мл воды; таким образом создают монообменную колонну. Через слой смолы в колонке

пропускают для обмена 1 г хлоргидрата I (II), растворенного в достаточном кол-ве воды, по 0,15—0,35 мл/мин и медленно промывают 10—20 мл воды. Экстракт из адсорбента вместе с промывной водой упаривают в вакууме и добавлением соответствующего р-рителя осаждают полученную соль. Таким образом из II получены следующие соли и аналоги I: динитрат, 165° (все из сп.); кислый сульфат, 188—189°; йодгидрат йодида, 229°; бромгидрат бромиды, 218—219°; дитиоцианат, 175—176°; нитрат, 184°; хлорид (из I-HCl по описанному методу (Zima O., Williams R. R., Ber., 1940, 73, 941)), 120°; бромид, 161—162°; йодид, 163°; тиоцианат (из производного тиоцианата HCNS), т. пл. 187°. В случае плохо растворимых солей необходимо брать кол-во воды, обеспечивающее полноту их растворения и вымывания.

Chem. Abstrs., 1956, 50, № 1, 429.

Joshioka J. G.

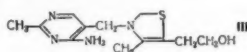
69003. Синтез и конфигурация нео-б витамина A и неоретинена-б. Орошник (The synthesis and configuration of neo-b vitamin A and neoretinene b. Oroschnik William), J. Amer. Chem. Soc., 1956, 78, № 11, 2651—2652 (англ.)

Нео-б витамин A и неоретинен-б получены синтетич. путем, которым установлена их конфигурация как 11-моно-цис-изомеров. Аллильной перегруппировкой метилвинилэтилниктарбинола (нагреванием его с умеренно крепкой к-той при 80°) получена смесь двух изомеров 3-метилпентаен-3-ин-1-ола-5 в транс-(а) и цис-(б)-положениях. Селективное каталитич. гидрирование их привело к образованию соответствующих 3-метилпентадиенолов, которые затем ацетилированы (CH<sub>3</sub>CO)<sub>2</sub>O в пиридине. Ацетат изомера а не присоединяет малеинового ангидрида при  $\sim 20^\circ$ , в то время как изомер б дает при таких же условиях 60—70% аддукта. Это доказывает, что изомер а есть цис-изомер, а не транс-изомер, как предполагали раньше, тогда как изомер б есть транс-изомер. При конденсации CHO-группы у C(14) изомера а с реактивом Гриньяра получен гликоль в 13-цис-положении, из изомера б — гликоль в 13-транс-положении. Моноацетилирование каждого гликоля с последующей дегидратацией (n-CH<sub>3</sub>C<sub>6</sub>H<sub>4</sub>SO<sub>3</sub>H в бензоле), гидролизом в мягких условиях и хроматографией на Al<sub>2</sub>O<sub>3</sub> приводит к образованию 40—50% соответствующих изомеров 11-дегидровитамина A в 13-цис- и 13-транс-положениях. Селективное каталитич. гидрирование 11-дегидро-13-транс-витамина A дает 11-моно-цис витамин A (I) с выходом (после хроматографич. очистки продукта) 40% в виде вязкого желтого масла с λ<sub>макс</sub> 321 мμ (ε 32500); УФ- и ИК-спектры I идентичны со спектрами подлинных образцов нео-б витамина A. Окислением синтетич. I двуокисью марганца получен соответствующий альдегид, идентичный неоретинену б, при конденсации которого с описанным ранее (РЖХим, 1956, 36002) был получен родопсин. В. Гуревич 69004. Изучение витамина B<sub>1</sub> и родственных соединений. LXII. Синтез гомологов аллитиамина. Юруги. LXIII. Производные типа тиола. 4. Кавасаки

LXIV. О новом производном тиамина с цистеином. Мацукава, Юруги (Vitamin B<sub>1</sub> 及び諸関係化合物の研究. 第 62 報. Allithiamine 同族體の合成. その 5. 萬木庄次郎. 第 63 報. シオール型 Vitamin B<sub>1</sub> 誘導體について. その 4. 川崎武. 第 64 報. Thiamine と Cysteine との新化合物について. 松川泰三, 萬木庄次郎), 藥學雜誌, Якугаку дзасси, J. Pharmac. Soc. Japan, 1954, 74, № 11, 1157—1161; 1189—1193; № 12, 1373—1376 (японск.; рез. англ.)

LXII. Синтезированы гомологи аллитиамина (I): тиамин-β-оксиптилдисульфид (II), т. пл. 148—149, гомотиамин-β-оксиптилдисульфид, т. пл. 123—124°, O-бензилтиамин-β-оксиптилдисульфид, т. пл. 127°. При кис-

лотном или щел. расщеплении и при восстановлении цистеином I и II получены аналогичные продукты. При термич. разложении II (150°) в отличие от I об-



разуются тиаминтиазолон и тioxром, а образование в-ва SB (III) было незначительно. Синтезированы тиаминэтиленоксиметилдисульфид, моноуксусный диуксусный и дибензильный эфиры II, однако выделить их в кристаллич. форме не удалось.

Г. Челпанова

LXIII. К 2,8 г SCH=NCCCH<sub>2</sub>CCCH<sub>2</sub>CH<sub>2</sub>OR (I R = H) в 50 мл C<sub>6</sub>H<sub>5</sub>N добавлял по каплям 3 г n-NO<sub>2</sub>C<sub>6</sub>H<sub>4</sub>COCl (II); через 12 час. C<sub>6</sub>H<sub>5</sub>N удаляют в вакууме. Остаток в C<sub>6</sub>H<sub>6</sub> промывают р-ром Na<sub>2</sub>CO<sub>3</sub>. После удаления C<sub>6</sub>H<sub>6</sub> получают 4 г (I R = n-NO<sub>2</sub>C<sub>6</sub>H<sub>4</sub>CO) (III), т. пл. 124—125°; пикрат, т. пл. 187—188°. 0,5 г бромидрата 2-метил-4-амино-5-бромометилпиримидина с 0,7 г III (130—140°, 10 мин.) дают 0,5 г бромидрата 3-(2-метил-4-амино-5-пиримидилметил)-4-метил-5-[2-(n-нитробензоилокси)-этил]-тиазолброма (IV), т. пл. 251—252° (разл., из сп.). IV (0,03 г) в 30 мл воды со свежереприготовленным AgCl (из 0,3 г AgNO<sub>3</sub>) (водяная баня, 30 мин.) дает хлоридрат тиазолброма — аналог IV (V), т. пл. 245° (разл., из сп.). 1 г хлоридрата витамина B<sub>1</sub> (VI) в 10 мл воды с добавкой 5 мл 1%-ного NaOH с 1 г II в 30 мл эфира размешивают 1 час, фильтруют, промывают водой и получают 0,5 г RN(CHO)C(CH<sub>3</sub>)=C(SR')CH<sub>2</sub>CH<sub>2</sub>OR'' (VII R = 2-метил-4-амино-5-пиримидилметил (VIII), R' и R'' = n-NO<sub>2</sub>C<sub>6</sub>H<sub>4</sub>CO (IX)), т. пл. 182—183° (разл., из бzl.). К 2 г VI в 10 мл воды добавлял 10%-ный NaOH и размешивают 10 мин. с 1 г II в 30 мл эфира; отфильтрованный осадок промывают водой и суспендируют в 20 мл 1%-ной HCl, получают 0,3 г IX, 0,4 г IV в 20 мл воды с 1 мл 10%-ного NaOH, 0,1 г II в 20 мл CH<sub>3</sub>COOC<sub>2</sub>H<sub>5</sub> (5 мин.) (р-ритель отгоняют) дают 0,2 г IX (из бzl.). 0,5 г S-(n-нитробензоил)-тиамина (VII R = VIII, R' = n-NO<sub>2</sub>C<sub>6</sub>H<sub>4</sub>CO, R'' = H) в 20 мл воды и 2 мл 10%-ного NaOH размешивают с 0,3 г II в 30 мл эфира, выход IX 0,5 г. К 5 г VI в 20 мл воды и 18 мл 10%-ного NaOH добавляют по каплям 5 мл (C<sub>2</sub>H<sub>5</sub>CO)<sub>2</sub>O. Экстрагируют CH<sub>3</sub>COOC<sub>2</sub>H<sub>5</sub>, промывают водой. Р-ритель отгоняют в вакууме, получают 1,3 г VII (R = VIII, R' и R'' = C<sub>2</sub>H<sub>5</sub>CO), т. пл. 69—70° (из петр. эф.). Маточный р-р насыщают NaCl и экстрагируют CH<sub>3</sub>COOC<sub>2</sub>H<sub>5</sub>. Выделяют 0,5 г S-бутироилтиамина (VII R = VIII, R' = C<sub>2</sub>H<sub>5</sub>CO, R'' = H), т. пл. 129—130° (разл.). Приведены данные хроматографирования этих в-в.

LXIV. Реакцию между содержащим тиольную группу тиаминном RN(CHO)CCCH<sub>2</sub>=C(CH<sub>2</sub>CH<sub>2</sub>OH)SH (где R = 2-метил-4-амино-5-пиримидилметил) и цистеином или оксидленным образцом глутатиона и р-цию между дисульфидом тиамина [RN(CHO)CCCH<sub>2</sub>=C(CH<sub>2</sub>CH<sub>2</sub>OH)S]<sub>2</sub> и цистеином или восстановленным образцом глутатиона изучали методом распределительной хроматографии на бумаге. Обе р-ции дают одну и ту же хроматограмму и в обоих случаях образуется тиаминцистеин, RN(CHO)CCCH<sub>2</sub>=C(CH<sub>2</sub>CH<sub>2</sub>OH)S — SCH<sub>2</sub>—CH(NH<sub>2</sub>)COOH или тиаминглутатион. Первая р-ция, по-видимому, имеет место в живом организме и по ней можно судить о механизме действия тиамина в человеческом организме. Сообщение LXI см. РЖХим, 1957, 23180.

Chem. Abstrs, 1955, 49, № 7, 4661; 4820. K. Kitsuta 69005. Некоторые соединения, родственные хлорометицину. Ребсток, Страттон (Some compounds related to chloromycetin. Rebstock Mildred C.,

Stratton Charlotte D.), J. Amer. Chem. Soc., 1955, 77, № 15, 4054—4058 (англ.).

Исходя из диметоксифенацетофенона, синтезирован (ср. РЖХим, 1955, 43141) 1-(2,5-диметоксифенил)-2-дихлорацетиамидопропандиол-1,3 (I), т. пл. 156—157° (из C<sub>2</sub>H<sub>4</sub>Cl<sub>2</sub>); его ацетат (II), т. пл. 137—138° (из абс. сп.). Нитрованием 9 г II в 45 мл лед. CH<sub>3</sub>COOH (4,1 мл конц. HNO<sub>3</sub>, 16—18°, 40 мин.) получен мононито-II C<sub>17</sub>H<sub>20</sub>O<sub>9</sub>N<sub>2</sub>Cl<sub>2</sub> (III), выход 9,2 г, т. пл. 142,5—143,2° (из абс. сп.). Из 9 г III в 300 мл ацетона при дезацетиляции (555 мл 0,1 н. NaOH, 1,5 часа, 0°) образуется 1-(2,5-диметокси-4-нитрофенил)-2-дихлорацетиамидопропандиол-1,3, выход 86%, т. пл. 164—164,5° (из C<sub>2</sub>H<sub>4</sub>Cl<sub>2</sub>, капилляр) и 168—169° (блок), по-видимому димерный. 4-ацетилтиазол бромирован в CCl<sub>4</sub>; полученный нестойкий α-бромметилкетон (масло) превращен в соль гексаметилентетрамина (в CHCl<sub>3</sub>, выход 78%), которая без очистки гидролизвана конц. HCl в абс. спирте (12 час., 20°); продукт р-ции (смесь хлоридрата 4-α-аминоацетилтиазола и NH<sub>4</sub>Cl) обработан CHCl<sub>3</sub>COCl в диметилформамиде, получен 4-α-дихлорацетиамидоацетилтиазол, т. пл. 119,5—120,5° (из C<sub>2</sub>H<sub>4</sub>Cl<sub>2</sub>). При оксиметилировании его образуется α-дихлорацетиамидо-β-оксипропионилтиазол (IV), т. пл. 142,5—143,5 (из C<sub>2</sub>H<sub>4</sub>Cl<sub>2</sub>). При восстановлении 5,63 г IV посредством (изо-C<sub>2</sub>H<sub>5</sub>O)<sub>3</sub>Al + AlCl<sub>3</sub> в кипящем изо-C<sub>2</sub>H<sub>5</sub>OH (4,25 часа) образуются 1-(4-тиазолил)-2-дихлорацетиамидопропандиол-1,3 (V), выход 260 мг, т. пл. 150—151,5° (из C<sub>2</sub>H<sub>4</sub>Cl<sub>2</sub>); из маточного р-ра выделен его моноα-пропиловый эфир (VI), выход 95 мг, т. пл. 157—157,5° (из изо-C<sub>2</sub>H<sub>5</sub>OH). Ацетат VI, т. пл. 139,3—139,8° (из водн. сп.). Конденсацией циклогексилбензола или изокумола с CH<sub>2</sub>BrCOBr в CS<sub>2</sub> (+ AlCl<sub>3</sub>) получены соответственно n-циклогексилфенацетилбромид, т. пл. 43—44° (из сп.), и n-изопропилфенацетилбромид, масло. Переводом их в соли гексаметилентетрамина (в C<sub>6</sub>H<sub>5</sub>Cl) с последующим гидролизом и действием CHCl<sub>3</sub>COCl (см. выше) синтезированы n-циклогексилдихлорацетиамидоацетилбензол, т. пл. 116—117,5°, и n-изопропилдихлорацетиамидоацетилбензол, т. пл. 109—110° (оба из сп.). Они (аналогично получению IV и V) превращены (оксиметилированием) соответственно в n-циклогексил-α-дихлорацетиамидо-β-оксипропионилбензол, т. пл. 137—138° и n-изопропил-α-дихлорацетиамидо-β-оксипропионилбензол, т. пл. 115—116° (оба из C<sub>2</sub>H<sub>4</sub>Cl<sub>2</sub>), и далее (восстановлением) в 1-(n-циклогексилфенил)-2-дихлорацетиамидопропандиол-1,3, т. пл. 147,5—148,5° (из сп.), и 1-(n-изопропилфенил)-2-дихлорацетиамидопропандиол-1,3, т. пл. 114—115° (из C<sub>2</sub>H<sub>4</sub>Cl<sub>2</sub>). По-видимому, оба в-ва имеют *трео*-конфигурацию. При синтезе I аналогично получены промежуточные продукты: 2,5-диметоксифенацетилбромид, т. пл. 84—85° (из сп.); 2,5-диметокси-1-дихлорацетиамидоацетилбензол, т. пл. 132—132,5° (из сп.); 2,5-диметокси-1-(α-дихлорацетиамидо-β-оксипропионил)-бензол, т. пл. 121—122° (из C<sub>2</sub>H<sub>4</sub>Cl<sub>2</sub>). При бромировании α-дихлорацетиамидо-n-нитроацетофенона (VII) в CHCl<sub>3</sub> при освещении образуется его α-бромпроизводное, т. пл. 119—121° (из CCl<sub>4</sub>); нагреванием его с водой или спиртами получены производные VII n-NO<sub>2</sub>C<sub>6</sub>H<sub>4</sub>COCH(R)NHCOSCHCl<sub>2</sub> (приводятся R, т. пл. в °C): OH, 136—137 (из C<sub>2</sub>H<sub>4</sub>Cl<sub>2</sub>); OCH<sub>3</sub>, 139,5—140; OC<sub>2</sub>H<sub>5</sub> (VIII), 147—148; OCH(CH<sub>3</sub>)<sub>2</sub> (IX), 134,5—135,5. Аналогично, из α-ацетиамидо-n-нитроацетофенона синтезированы его производные n-NO<sub>2</sub>C<sub>6</sub>H<sub>4</sub>COCH(R)NHCOSCH<sub>3</sub> (приводятся R, т. пл. в °C): Br, масло; OH, 154—155 (из этилацетата); OC<sub>2</sub>H<sub>5</sub>, 149—150. Восстановлением VIII (как IV) получен α-(n-нитрофенил)-β-дихлорацетиамидо-β-изопропилоксиэтиловый спирт, т. пл. 156,5—158°; аналогично из IX при действии (C<sub>2</sub>H<sub>5</sub>O)<sub>3</sub>Al в спирте образуется α-(n-нитрофенил)-β-дихлорацетиамидо-β-этоксиэтиловый спирт, т. пл. 152—153° (оба из C<sub>2</sub>H<sub>4</sub>Cl<sub>2</sub>). Фта-



диглицил действием  $\text{SOCl}_2$  превращается в хлорангидрид; последний (10,5 г) при взаимодействии с 10 г *DL*-трео-1-(*n*-нитрофенил)-2-аминопропандиола-1,3 (X) + 5 г  $\text{NaHCO}_3$  в 100 мл этилацетата + 100 мл воды (0°, 1,5 часа) дал *DL*-трео-1-(*n*-нитрофенил)-2-фталилглициламинопропандиол-1,3 (XI), выход 18,5 г т. пл. 218–220° (из сп.). Для удаления фталильной группы 2,2 г XI и 1 г 85%-ного  $\text{N}_2\text{H}_4 \cdot \text{H}_2\text{O}$  кипятят в 40 мл абс.  $\text{CH}_3\text{COOH}$  (2 часа) с последующим подкислением лед.  $\text{CH}_3\text{COOH}$  до pH 5; после отделения осадка фталилгидрида и добавления  $\text{NH}_4\text{OH}$  извлекают этилацетатом *DL*-трео-1-(*n*-нитрофенил)-2-глициламинопропандиол-1,3; выход 0,87 г, т. пл. 172–173° (из абс. сп.). Аналогично получены производные X *n*- $\text{C}_6\text{H}_4\text{CH}_2\text{NHCN}(\text{NHR})\text{CH}_2\text{OH}$  (приводятся R, т. пл. в °C): фталилаланил, 194–195; аланил, 156–157; фенилаланил, 139–140; дихлорацетиладоглицил, 170–171°. При кипячении (3 часа) 2 г *DL*-трео-1-(*n*-нитрофенил)-2-бромацетиладопропандиола-1,3 и 0,39 г  $\text{NaN}_3$  в смеси 25 мл спирта + 5 мл воды образуется *DL*-трео-1-(*n*-нитрофенил)-2-азидоацетиладопропандиол-1,3, выход 0,9 г, т. пл. 121–122° (из этилацетата). Ни одно из полученных в-в не имеет биологич. активности, характерной для хлоромитетина, хотя некоторые из них обладают незначительной антибактериальной активностью *in vitro*. Приведены данные УФ-спектра I.

О. Автократова

69006. Изучение гомомитина. Часть III. Присутствие инозамина в гидролизате гомомитина. Исоно, Намики, Судзуки (Studies on homomycin. III. The presence of inosamine in the hydrolysate of homomycin. Isono Kiyoshi, Namiki Mitsuo, Suzuki Saburo), J. Antibiotics, 1956, A9, № 6, 225 (англ.)

При гидролизе гомомитина 6 н. HCl получено осмысление  $\text{C}_6\text{H}_{13}\text{O}_5\text{N}$ , т. пл. 240–243° (гексаацетат, т. пл. 286–287° (из хлф.-эф.), идентичное с неонизомитином, выделенным недавно Патриком и др. (см. РЖХим, 1957, 48124).

Б. Дубинин

69007. Строение метимина. Питре (Struttura della metimicina. Pitre D.), Farmaco. Ed. scient., 1957, 12, № 4, 338–340 (итал.)

Краткий обзор. Библ. 5 назв.

В. Ш.

69008. О строении грамицидина С. IV. Дальнейшее исследование медных комплексов. Поддубная Н. А., Гаврилов Н. И., Киселев М. Н. В. Две формы грамицидина, их взаимные превращения и структура. Гаврилов Н. И., Поддубная Н. А., Акимова Л. Н., Григорьева Е. М., Ж. общ. химии, 1956, 26, № 6, 1779–1786; № 7, 2029–2035

IV. Изучены спектры поглощения  $\text{Cu}$ -комплексов (I) и проведен хроматографич. анализ (ХА) на бумаге восстановленного (ВП) и дезаминированного грамицидина С (II), а также сделана попытка исследовать гидролитич. действие щелочи и к-ты на II в условиях образования I. ХА невосстановленного гидролизованного II показал наличие орнитина (III), валина (IV), лейцина (V), фенилаланина (VI) и пролина (VII), тогда как ХА гидролизата, восстановленного II, обнаружил только III, IV и V. Эти данные подтверждают высказанное ранее предположение о том, что VI и VII входят в восстанавливающийся дикетопиперазиновый цикл. Смещение максимума поглощения I, дезаминированного II, по сравнению с II с 570 до 540 мμ соответствует переходу δ-аминогруппы III в OH-группу (глицил-глицил-треонин имеет максимум при 540 мμ), что показывает наличие свободной δ-NH<sub>2</sub>-группы в II. При стоянии с щелочью максимум поглощения для обоих II смещается в сторону красного комплекса. Такое поведение II можно объяснить гидролитич. расщеплением дикетопиперазинового цикла под влиянием щелочи, так как он не образует стабилизирующего I

наподобие пептидных цепочек, которые в присутствии  $\text{Cu}$  щелочью не гидролизуются. ВП осаждался щелочью из катодного р-ра, упаренного до полного удаления  $\text{CH}_3\text{COOH}$  и HCl, т. пл. II 292°. Хроматограммы получены в среде бутанол-вода,  $R_f$  ВП 0,8,  $R_f$  II 0,85. I готовился растворением 0,0486 г ВП в 4,8 мл 4%-ного р-ра щелочи в спирте и прибавлением нескольких капель 25%-ного спирта, р-ра  $\text{CuCl}_2$ , общий объем 5 мл,  $\lambda_{\text{макс}}$  535 мμ. После стояния и регенерации максимум и интенсивность поглощения не меняются. 0,01 г ВП гидролизовались в запаянной ампуле с 0,5 мл 22%-ной HCl (к-та) 36 час. при 105°. На хроматограмме гидролизата обнаружены III, IV, V и пятно с  $R_f$  0,05. Дезаминирование II-HCl проводилось в  $\text{CH}_3\text{COOH}$  действием  $\text{HNO}_3$ , т. пл. 193,5–196,5°, в-во не дает нингидриной р-ции. I имеет  $\lambda_{\text{макс}}$  540 мμ ХА полного гидролизата показал присутствие IV, V, VI и VII, причем последний давал более интенсивное пятно за счет циклизации δ-окси-α-аминовалериановой к-ты в VII в присутствии 20%-ной HCl. I из дезаминированного II готовился растворением 0,0986 г в-ва в смеси 4,8 мл 50%-ного спирта, 5 мл 4%-ного спирта, р-ра щелочи и нескольких капель спирта, р-ра  $\text{CuCl}_2$ . Общий объем 10 мл. Исследовано действие щелочи на II в присутствии и в отсутствие  $\text{Cu}$ , а также кислотный гидролиз (5, 10 и 20%-ные HCl на холоду не гидролизуют II).

V. Детально изучены условия регенерации II из его I в 96 и 50%-ном спиртах. Из 96%-ного спирта регенерируется мономерная «красная» форма II (KII),  $\lambda_{\text{макс}}$  535 мμ, из 50%-ного — димерная «фиолетовая» (ФII),  $\lambda_{\text{макс}}$  570 мμ. Мол. вес. KII, определенный по Баргеру, 572, при определении по Расту в камфоре происходит димеризация (мол. в. 1160) и образуется ФII. На основании этих исследований, а также литературных данных о порядке чередования аминокислот в молекуле II, предложены две формы существования II: мономерная, содержащая только аминокислотную связь, и димерная, в которой мономеры соединены при помощи амидиновой связи. Регенерация II из красного I производилась подкислением HCl, выпал II, т. пл. 278–280°. KII имеет две свободные NH<sub>2</sub>-группы, определяемые по Вильштеттеру. Сообщения III см. РЖХим, 1957, 34534

З. Нудельман

69009. Новый синтез *dl*-γ-оксирнитина. Толбот, Годри, Берленге (A new synthesis of *dl*-γ-hydroxy-or-nithine. Talbot Guy, Gaudry Roger, Berlinguet Louis), Canad. J. Chem., 1956, 34, № 7, 911–914 (англ.)

106,9 г 2,5-дихлоро-4-валеролактона (I) прибавляют к суспензии 262 г фталимида калия в 800 мл диметилформамида, нагревают 6 час. при 100° и выливают в 4 л воды, получают 252 г 2,5-дифталимидо-4-валеролактона (II), т. пл. 263° (лед.  $\text{CH}_3\text{COOH}$ ). 70 г II, 350 мл лед.  $\text{CH}_3\text{COOH}$  и 700 мл конц. HCl кипятят 24 часа. Отфильтровывают фталевую к-ту, фильтрат упаривают в вакууме, остаток растворяют в воде, обесцвечивают углем, упаривают и осаждают спиртом моногидрат дихлоргидрата 2,5-диамино-4-валеролактона (III), выход 98%, т. пл. 239° (из водн. сп.). Р-р III фильтруют через сильноосновной анионит Пермутит S-1; из элюата выделяют монохлоргидрат III не удалось. Получен мононикрат III, т. пл. 180°. При ионофореze на бумаге (pH 8,6) III движется к катоду,  $R_f$  0,24 (круговая хроматограмма, пиридин: вода, 4:1);  $R_f$  0,1 (фенол). Вместо I можно применять 2,5-дибро-4-валеролактон.

В. Степанов

69010. О диастереоизомерах β-оксиглутаминовой кислоты. Акабори, Канзю, Идзуми, Сакураи (β-Hydroxyglutamic Acid の Diastereoisomer について. 赤堀四郎, 金子武夫, 泉美治, 櫻井節二), Н

本化学雑誌, Нихон кагаку даасси, J. Chem. Soc. Japan, Pure Chem. Sec. 1954, 75, № 9, 942—947 (японск.) Из полученной ранее (РЖХим, 1956, 61682) смеси хлоргидратов β-оксиглутаминовых к-т выделяют хлоргидрат алло-изомера (I-основание). Последний получают также из хлоргидрата трео-изомера (II-основание). Для этого II превращают в диэтиловый эфир (III), бензоилируют, и полученный диэтиловый эфир N-бензоил-β-оксиглутаминовой к-ты (IV) обрабатывают  $\text{SOCl}_2$  и гидролизуют HCl (к-той), получают хлоргидрат II. *Escherichia coli* разлагает I на 83%, а II на 31—39% (в пептоно-глюкозной среде и в ацетоне). Приведены  $R_f$  хлоргидратов I и II. I, т. пл. 209—210° (из  $\text{CH}_3\text{OH}$ , из хлоргидрата выделяют пиридином); хлоргидрат, т. пл. 193° (из  $\text{CH}_3\text{COOH}$ ). II, т. пл. 202°; хлоргидрат, т. пл. 194°; III, т. пл. 173—174° (из сп.), IV, т. пл. 93—94° (из петр. эф.). Н. Швецов

69011. Ионы металлов и биологическое действие. Сообщение 35. β-Оксиптиламины аминокислот. Шейфеле, Прейс, Эрленмейер (Über Aminosäure-β-oxäthylamide. Metallionen und biologische Wirkung. 35. Mitt. Schäufele D., Prijs B., Erlenmeyer H.), Helv. chim. acta, 1955, 38, № 6, 1342—1346 (нем.)

С целью получения физиологически активных комплексообразующих в-в синтезированы β-оксиптиламиды ряда аминокислот. Глицин-β-оксиптиламид (I) получили следующим образом: p-р 21 г карбобензоксиглицина в 50 мл спирта обрабатывали диазометаном в эфире. Из образовавшегося метилового эфира кбз-глицина (т. кип. 147—151°, 0,05—0,09 мм 20 г) при 2-часовом нагревании (~100°) с 12 мл β-оксиптиламина и сгущении в вакууме получили кбз-глицин-β-оксиптиламид (II), т. пл. 115—116°. Из 10 г II гидрированием в абс. спирте (400 мл) на 5 г Pd/C получили I, т. пл. 106—108° (из сп.). Аналогично получены: кбз-DL-аланин-β-оксиптиламид, т. пл. 102—104°; DL-аланин-β-оксиптиламид, т. пл. 77—78° (из бал.-петр. эф.); кбз-DL-лейцин-β-оксиптиламид, т. пл. 93—95° (из сп.-эф.); DL-лейцин-β-оксиптиламид, т. пл. 68—70° (из бал.-петр. эф.); кбз-DL-серин-β-оксиптиламид, т. пл. 125—127° (из метанола-бал.); DL-серин-β-оксиптиламид, т. пл. 63—65° (из сп.-эф.); кбз-DL-норлейцин-β-оксиптиламид, т. пл. 98—103°; DL-норлейцин-β-оксиптиламид, т. пл. 76—78° (из этилацетата). Сообщение 34 см. РЖХим, 1957, 57294.

Р. Костяновский  
69012. Циклопентаналанин и 1-циклопентен-1-аланин — ингибиторные аналоги лейцина и фенилаланина. Ранджан-Пал, Скиннер, Деннис, Шайв (Cyclopentanealanine and 1-cyclopentene-1-alanine, inhibitory analogs of leucine and phenylalanine. Ranjan Pal Prabhat, Skinner Charles G., Dennis Robert L., Shive William), J. Amer. Chem. Soc., 1956, 78, № 19, 5116—5118 (англ.)

Показано, что циклопентаналанин (I) препятствует росту *Streptococcus lactis* 8039 и *Leuconostoc dextranicum* 8086. Лейцин уничтожает это действие при малых концентрациях I. Циклопентен-1-аланин (II) задерживает рост *L. dextranicum* 8086. Прибавление фенилаланина уничтожает действие II. Появление двойной связи в циклопентановом кольце у углеродного атома, соседнего с боковой цепью аланина, превращает соединение из антагониста лейцина в антагонист фенилаланина, вероятно, вследствие изменения пространственной конфигурации. I синтезирован конденсацией циклопентилметилбромид (III) с ацетаминомалоновым эфиром (IV) (или этиловым эфиром ацетаминонауксусной к-ты (V)). II — взаимодействием 1-циклопентен-1-метилбромид (VI) и V. α-Ацетаминно-α-циклопентилметилмалоновый эфир (VII). К p-ру Na-производного IV (1,7 г Na в 100 мл  $\text{C}_2\text{H}_5\text{OH}$  и 16 г IV) медленно прибавляют 12 г III в 25 мл  $\text{C}_2\text{H}_5$  и кипятят

20 час. Фильтрат обрабатывают Darco G-60, нейтрализуют (HCl в  $\text{C}_2\text{H}_5\text{OH}$ ) и сгущают в вакууме. Выход VII 30%, т. пл. 55° (из воды). Этиловый эфир α-ацетаминно-α-(циклопентилметил)-циануксусной к-ты (VIII). К p-ру Na-производного V (1,7 г Na в 100 мл  $\text{C}_2\text{H}_5\text{OH}$  и 7,36 г V) прибавляют 12 г III за 30 мин., кипятят 24 часа и обрабатывают Darco G-60. Фильтрат упаривают в вакууме, остаток растворяют в  $\text{CHCl}_3$  в смеси с водой. Хлороформный слой сгущают и разбавляют эфиром. Выход VIII 2,4 г, т. пл. 125° (из водн. сп.). Из фильтрата после упаривания и гидролиза 20%-ным NaOH получают 330 мг I. N-ацетилциклопентаналанин (IX). 1 г VII гидролизуют 5 мл 6 н. NaOH при нагревании 1 час, затем подкисляют конц. HCl, нагревают 20 мин. и фильтруют горячим. Выход IX 46%, т. пл. 165—167° (из водн. сп.). I получают двумя способами: А. 3,6 г VII кипятят с 75 мл 5 н. HCl до исчезновения слоев, упаривают в вакууме досуха, растворяют в воде и высаживают I конц. p-ром  $\text{NH}_4\text{OH}$  до pH 7. Выход I 68%, т. пл. 245° (с разл.).  $R_f$  0,84 (в 95%-ном  $\text{CH}_3\text{OH}$ ). Б. 1,8 г VIII кипятят 15 час, с 25 мл 3 н. NaOH. P-р фильтруют, прибавляют конц. HCl до pH 9, снова фильтруют и доводят pH p-ра до 8. Выход I 98%. N-карбамилциклопентаналанин (X). Растворяют 280 мг I и 200 мг KCN в 20 мл воды при нагревании. P-р охлаждают и прибавляют 0,15 мл лед.  $\text{CH}_3\text{COOH}$  (15 мин.) при размешивании. Смесь нагревают на пару 30 мин., охлаждают и подкисляют конц. HCl. Выход X 39%, т. пл. 210—211° (разл.; из водн. сп.). 1-циклопентен-1-метанол (XI). P-р 15 г 1-циклопентен-1-карбоксальдегида в 50 мл  $\text{CH}_3\text{OH}$  по каплям прибавляют 30 мин. при 10° к 1,9 г NaBH<sub>4</sub> в 100 мл  $\text{CH}_3\text{OH}$  при перемешивании. Смесь размешивают еще 30 мин. при ~20° и нагревают на пару 15 мин. P-р упаривают в вакууме до половины объема, подкисляют HCl и экстрагируют эфиром. Эфиры p-р фракционируют в вакууме. Выход XI 82%, т. кип. 75°/20 мм,  $n_D^{20}$  1,4760. Получение VI: К смеси 22,5 г XI и 7 мл абс. пиридина при -40° прибавляют по каплям при перемешивании 12 мл  $\text{PBr}_3$  (30 мин.). Через 12 час. (~20°) прибавляют при охлаждении воду и экстрагируют петр. эфиром. После удаления p-рителя остаток перегоняют в вакууме. Выход VI 76%, т. кип. 59—60°/15 мм. Этиловый эфир α-ацетаминно-α-(1-циклопентен-1-метил)-циануксусной к-ты (XII). 28 г VI конденсируют с 28 г V в присутствии  $\text{C}_2\text{H}_5\text{ONa}$  (1 экв) в 120 мл абс.  $\text{C}_2\text{H}_5\text{OH}$ . После удаления p-рителя выделяют XII. Выход 85%, т. пл. 107° (из воды). Получение II: 12 г XII в 150 мл 10%-ного p-ра NaOH нагревают 20 час. и подкисляют HCl до pH 6, выход II 81%, т. пл. 245° (из воды; разл.); N-бензоильное производное II, т. пл. 140°. Е. Морозова

69013. Некоторые α-аминокислоты, содержащие сульфамидную группировку. Рейснер (Some α-amino acids containing a sulfonamide group. Reisner David B.), J. Amer. Chem. Soc., 1956, 78, № 19, 5102—5104 (англ.)

Получен ряд DL-сульфамидо-α-аминокислот, которые рассматриваются как возможные антиметаболиты. Смесь 18,7 г β-бензилмеркаптоэтилхлорида, 20 г фталимида калия и 80 мл диметилформамида при перемешивании нагревают 1 час до 130° и выдерживают еще 1 час при 130°, охлаждают, прибавляют 400 мл воды и экстрагируют  $\text{CHCl}_3$ , экстракт промывают 0,2 н. NaOH и водой, упаривают в вакууме, остаток обрабатывают эфиром и  $\text{C}_5\text{H}_{12}$ . Выход N-(β-бензилмеркаптоэтил)-фталимида (I) 20,5 г, т. пл. 81—82° (из эф.). 18 г I в 200 мл  $\text{CH}_3\text{OH}$  кипятят 1 час с 7,6 мл 85%-ного гидразингидрата, прибавляют 100 мл воды, отгоняют  $\text{CH}_3\text{OH}$  в вакууме и кипятят еще 30 мин. с 100 мл конц. HCl. Охлажд. фильтрат обрабатывают 200 мл 40%-ного NaOH и экстрагируют эфиром. Выход β-бензилмеркаптоэтиламина (II) 6,1 г, т. кип. 100°/0,8 мм. В суспензию

25,7 г гидантоина гомоцистеина в 300 мл воды при перемешивании и охлаждении пропускают 80 мин.  $\text{Cl}_2$ , жидкость декантируют, осадок промывают 400 мл этилацетата, водн. р-р насыщают  $\text{NaCl}$  и экстрагируют этилацетатом, этилацетатные вытяжки упаривают до 250 мл и обрабатывают 400 мл  $\text{C}_6\text{H}_{12}$ . Выход 5-( $\beta$ -хлорсульфонил)-этилгидантоина (III) 32,1 г, т. пл. 141–142° (из этилацетата; разл.). 19 г III в 500 мл абс. эфира насыщают 45 мин.  $\text{NH}_3$  при  $\sim 20^\circ$ , осадок сушат над  $\text{H}_2\text{SO}_4$  и промывают горячим этилацетатом. Выход 5-( $\beta$ -аминоссульфонил)-этилгидантоина (IV) 7,9 г, т. пл. 182–183° (из воды). К 4,54 г III в 250 мл абс. эфира при охлаждении и перемешивании прибавляют 4,5 г этиламина в 500 мл абс. эфира. Выход 5-( $\beta$ -этиламиносульфонил)-этилгидантоина (V) 3,1 г, т. пл. 135,5–136° (из сл.). К смеси 4,5 г II, 3,7 мл триэтиламина и 100 мл абс. эфира при охлаждении и перемешивании прибавляют 6,1 г III и оставляют на 12 час. при  $-20^\circ$ . Выход 5-( $\beta$ -(N-бензилмеркаптоэтил)-аминоссульфонил)-этилгидантоина 5,2 г, т. пл. 125,5–127,5° (из воды). 3,41 г IV, 4,1 г  $\text{Ba}(\text{OH})_2$  в 50 мл воды нагревают в запаянной трубке (160°, 75 мин.), фильтрат обрабатывают 1,4 г  $(\text{NH}_4)_2\text{CO}_3 \cdot \text{H}_2\text{O}$ , фильтруют, упаривают в вакууме досуха и растирают с 3 мл воды. Выход  $\gamma$ -сульфамидо- $\alpha$ -аминомасляной к-ты (VI) 53,1%, т. пл. 247° (из воды; разл.). Аналогично получают  $\gamma$ -( $\beta$ -этиламиносульфонил)- $\alpha$ -аминомасляную к-ту из V с выходом 81%, т. пл. 226,5–227,5° (разл.), и  $\gamma$ -( $\beta$ -(N-бензилмеркаптоэтил)- $\alpha$ -аминосульфонила- $\alpha$ -аминомасляную к-ту с выходом 48,4%, т. пл. 218–219° (разл.). VI при обработке  $n$ -нитробензоилхлоридом в щел. среде дает  $\gamma$ -сульфамидо- $\alpha$ -( $n$ -нитробензамидо)-масляную к-ту (VII), выход 91,4%, т. пл. 188–189° (из этилацетата- $\text{C}_6\text{H}_{12}$ ). При гидрировании VII в абс. спирте над 5%-ным  $\text{Pd/C}$  получают с колич. выходом  $\gamma$ -сульфамидо- $\alpha$ -( $n$ -аминобензамидо)-масляную к-ту (VIII), т. пл. 133–134° (из водн. сл., в атмосфере  $\text{N}_2$ ). VIII является структурным аналогом  $n$ -аминобензоилглутаминовой к-ты и вызывает задержку роста  $T_2$  *E. coli* и размножения  $T_2$  бактериофага, но не защищает мышей, инфицированных *E. coli*. Глутамин и глутаминовая к-та конкурируют с VIII.

В. Степанов

69014. Синтез гистидилпептидов. Теодорopoulos (Synthesis of histidyl peptides. Theodoropoulos Dimitrios), J. Organ. Chem., 1956, 21, № 12, 1550–1551 (англ.).

Методом смешанных ангидридов (AM) (Boissonas R., Helv. chim. acta, 1951, 34, 847) и азидным методом (АЗМ) синтезирован ряд пептидов гистидина. Имидазольное кольцо (ИМ) защищают бензильрованием. Из дихлоргидрата метилового эфира гистидина или бензил- $\text{L}$ -гистидина и карбобензоксид-(КБЗ)- $\text{L}$ -фенилаланина синтезируют (AM) метиловый эфир кбз- $\text{L}$ -фенилаланил-ИМ-бензил- $\text{L}$ -гистидина (I), выход 65–70%. Гидролизом I щелочью получают к-ту т. пл. 140–141° (из сл.). Обработкой гидразиногидратом (100% избыток) I превращают в гидразид (II), выход 75%, т. пл. 183–186° (из 80% сл.). АЗМ сочетают II с хлоргидратом бензильового эфира  $\text{L}$ -лейцина (азид экстрагируют этилацетатом) и омылением продукта получают КБЗ- $\text{L}$ -фенилаланил-ИМ-бензил- $\text{L}$ -гистидил- $\text{L}$ -лейцин (III), выход 60%, т. пл. 163–165° (из сл.). Из III гидрированием на  $\text{Pd}$ -зернист получают трипептид, который кристаллизует из 40% сл.  $R_f$  0,33 (2-бутанол- $\text{HCOOH}$ ),  $[\alpha]_D^{20} + 30,5^\circ$  (с 1,08; в  $\text{CH}_3\text{COOH}$ ). Аналогично получают: КБЗ-ИМ-бензил- $\text{L}$ -гистидин, т. пл. 210–213°; КБЗ- $\text{L}$ -лейцил-ИМ-бензил- $\text{L}$ -гистидин, т. пл. 177–178°; КБЗ- $\text{L}$ -фенилаланил-ИМ-бензил- $\text{L}$ -гистидил- $\text{L}$ -аспарагиновая к-та, т. пл. 193–196° (разл.); трипептид-ИМ-бензил- $\text{L}$ -гистидин т. пл. 198–201°; глицил-ИМ-бензил- $\text{L}$ -гистидил- $\text{L}$ -лейцин,  $R_f$  0,17 (2-бутанол- $\text{HCOOH}$ ).

Р. Костяновский

69015. Синтез пептида структуры, подобной АКТГ. Буассона, Гутман, Вальер, Жакну (Synthesis of a polypeptide with ACTH-like structure. Boissonas R. A., Guttman St., Waller J.-P., Jaquenoud P.-A.), Experientia, 1956, 12, № 11, 446–448 (англ.; рез. нем.).

Синтезирован метиловый эфир серил-тирозил-серил-метионил-глутамил-гистидил-фенилаланил-аргинил-триптофанил-глицил-лизил-пролил-валил-лизил-лизил-аргинил-аргинил-пролил-валина (I). Этот полипептид воспроизводит последовательность первых 20 аминокислот, считая с N-конца природного полипептида — адренокортикотропного гормона (АКТГ). (В данном реф. КБЗ — карбобензоксид). В скобках указаны: выход, т-ра плавления и коэф. распределения в системах р-рителей  $R_f$ : метилэтилкетон — пиридин — вода, 65:15:20,  $R_f$ : изоамиловый спирт — пиридин — вода, 35:35:30. Все аминокислоты  $\text{L}$ -конфигурации. КБЗ — аргинин (II) конденсировался в диметилформамиде (III) с дибромгидратом метилового эфира аргинина при помощи дихлоргексилкарбодимиде (IV). Полученный с 58% выходом дибромгидрат метилового эфира КБЗ-аргинил-аргинина омылился до дибромгидрата КБЗ-аргинил-аргинина (98%), который конденсировался с бромгидратом метилового эфира пролил-валина (V) при помощи IV и трибутиламина (VI). Получен дибромгидрат метилового эфира КБЗ-аргинил-аргинил-пролил-валина (57%), действием  $\text{HBr} + \text{CH}_3\text{COOH}$  превращен в трибромгидрат метил. эфира аргинил-аргинил-пролил-валина (VII) (74%,  $R_f$  0,47 и  $R_f$  0,52). Из хлоргидрата метилового эфира  $\epsilon$ -КБЗ-лизина и триэтилглицина через смешанный ангидрид в тетрагидрофуране (VIII) получен метиловый эфир трил-глицил- $\epsilon$ -КБЗ-лизина (85%, т. разл. 75°,  $R_f$  0,79) (IX), омылением которого получен трил-глицил- $\epsilon$ -КБЗ-лизин (85%, т. пл. 110°,  $R_f$  0,41). Конденсацией последнего с метиловым эфиром  $\epsilon$ -КБЗ-лизина в VIII при помощи IV синтезирован метиловый эфир трил-глицил- $\epsilon$ -КБЗ-лизил- $\epsilon$ -КБЗ-лизина ( $R_f$  0,85) и из него трил-глицил- $\epsilon$ -КБЗ-лизил- $\epsilon$ -КБЗ-лизин (X) (79%, т. пл. 80°,  $R_f$  0,60). VII и X конденсировались с помощью IV в р-ре III. Полученный дибромгидрат метилового эфира трил-глицил- $\epsilon$ -КБЗ-лизил- $\epsilon$ -КБЗ-лизил-аргинил-аргинил-пролил-валина (45%, т. разл. 150°,  $R_f$  0,64) расщеплялся горячей  $\text{CH}_3\text{COOH}$  до моноацетата дибромгидрата метилового эфира глицил- $\epsilon$ -КБЗ-лизил- $\epsilon$ -КБЗ-лизил-аргинил-аргинил-пролил-валина (98%, т. разл. 133°,  $R_f$  0,65), который при обработке  $\text{HBr}$  превращался с 92%-ным выходом в трибромгидрат (XI). Из V и IX при помощи IV в VIII синтезировали метиловый эфир трил-глицил- $\epsilon$ -КБЗ-лизил-пролил-валина (93%, т. разл. 65°,  $R_f$  0,75), который омылился до трил-глицил- $\epsilon$ -КБЗ-лизил-пролил-валина (80%, т. пл. 100°,  $R_f$  0,65). Последний конденсировался с XI при помощи IV и VI в р-ре III. Получен дибромгидрат метилового эфира трил-глицил- $\epsilon$ -КБЗ-лизил-пролил-валил-глицил- $\epsilon$ -КБЗ-лизил- $\epsilon$ -КБЗ-лизил-аргинил-аргинин-пролил-валина (49%, т. разл. 150°,  $R_f$  0,62). Из него последовательной обработкой горячей  $\text{CH}_3\text{COOH}$ , ионитом JRA-410 и 3 экв  $\text{HCl}$  получен трихлоргидрат метилового эфира глицил- $\epsilon$ -КБЗ-лизил-пролил-валил-глицил- $\epsilon$ -КБЗ-лизил- $\epsilon$ -КБЗ-лизил-аргинил-аргинил-пролил-валина (82%, т. разл. 175°,  $R_f$  0,68) (XII); II и хлоргидрат метилового эфира триптофана с IV в р-ре III дают хлоргидрат метилового эфира КБЗ-аргинил-триптофана (84%,  $R_f$  0,55), который при действии  $\text{HBr} + \text{CH}_3\text{COOH}$  превращается в дибромгидрат метилового эфира аргинил-триптофана (XIII) (91%, т. разл. 240°,  $R_f$  0,55). Азид-КБЗ-гистидина с



метиловым эфиром фенилаланина образуют метиловый эфир КЕЗ-гистидил-фенилаланина (82%, т. пл. 108°,  $R_f$  0,75), который превращается с помощью  $\text{HBr} \cdot \text{CH}_3\text{COOH}$  в дибромгидрат метилового эфира гистидил-фенилаланина (98%, т. пл. 140°,  $R_f$  0,75). Последний подвергается триэтированию, получается метиловый эфир дитритил-гистидил-фенилаланина (91%, т. пл. 70°), омыление которого дает дитритилгистидил-фенилаланин (XIV) (90%, т. пл. 120°,  $R_f$  0,37). Конденсация XIV и XIII с помощью IV и VI в р-ре III приводит к бромгидрату метилового эфира дитритилгистидил-фенилаланил-аргинил-триптофана (89%, т. пл. 185°,  $R_f$  0,67) омылением которого получается дитритилгистидил-фенилаланил-аргинил-триптофан (XV) (88%, т. пл. 228°,  $R_f$  0,48). XV конденсируется с XII с помощью IV в р-ре III, при этом получен трихлоргидрат метилового эфира дитритилгистидил-фенилаланил-аргинил-триптофанил-глицил-ε-КЕЗ-лизил-пролил-валил-глицил-ε-КЕЗ-лизил-ε-КЕЗ-лизил-аргинил-аргинил-пролил-валина (XVI) (73%, т. пл. 200°,  $R_f$  0,65). После обработки XVI горячей  $\text{CH}_3\text{COOH}$ , а затем  $\text{HCl}$  получен пентахлоргидрат метилового эфира гистидил-фенилаланил-аргинил-триптофанил-глицил-ε-КЕЗ-лизил-пролил-валил-глицил-ε-КЕЗ-лизил-ε-КЕЗ-лизил-аргинил-аргинил-пролил-валина (XVII) (89%, т. разл. 220°,  $R_f$  0,65). Фталил-метионин конденсируется с триэтиламониевой солью γ-бензилглутаминовой к-ты в присутствии IV в фталилметионил-γ-бензилглутаминовую к-ту (XVIII). С гидразином XVIII дает хлоргидрат метионил-γ-бензилглутаминовой к-ты (26%,  $R_f$  0,63) (XIX). Из КЕЗ-тирозина и метилового эфира серина в  $\text{CHCl}_3$  в присутствии IV получен метиловый эфир КЕЗ-тирозил-серина (70%, т. пл. 151°,  $R_f$  0,90), при действии на него  $\text{HBr} + \text{CH}_3\text{COOH}$  получен бромгидрат метилового эфира тирозил-серина (XX). Из XX и КЕЗ-серина в присутствии IV и VI в III получен метиловый эфир КЕЗ-серил-тирозил-серина (XXI) (75%, т. пл. 165°,  $R_f$  0,95), XXI превращен в гидразид (68%, т. пл. 230°). Соответствующий азид в р-ре III с триэтиламониевой солью XIX дает КЕЗ-серил-тирозил-серил-метионил-γ-бензилглутаминовую к-ту (XXII) (65%, т. разл. 150°,  $R_f$  0,60). XXII и XVII в р-ре III в присутствии IV и VI превращается в хлоргидрат метилового эфира КЕЗ-серил-тирозил-серил-метионил-γ-бензилглутамил-гистидил-фенилаланил-аргинил-триптофанил-глицил-ε-КЕЗ-лизил-пролил-валил-глицил-ε-КЕЗ-лизил-ε-КЕЗ-лизил-аргинил-аргинил-пролил-валина (77%, т. разл. 200°). Хроматограмма гидролизата соответствует синтетич. смеси аминокислот. КЕЗ-группы сняты  $\text{HBr}$  в смеси уксусной к-ты и метилэтилтиозоэфира, остаток после упаривания в вакууме растворен в воде и I осажден из водн. р-ра при pH ~ 6. В. С.

**69016. Полипептиды. X. Конфигурационный и стереохимический эффекты в полимеризации N-карбоксихлоридов, инициируемой аминами. Дотти Лундберг** (Polypeptides. X. Configurational and stereochemical effects in the amine-initiated polymerization of N-carboxyanhydrides. Doty Paul, Lundberg R. D.), J. Amer. Chem. Soc., 1956, 78, № 18, 4810—4812 (англ.)

Изучалась кинетика полимеризации N-карбоксихлорида γ-бензилового эфира L-глутаминовой к-ты (L-I) в диоксане при 25°; в качестве инициирующего агента применялся гексамин (II). Скорость полимеризации измерялась по выделению  $\text{CO}_2$ . При отношении L-I/II, равном 20 и 40, наблюдается скачкообразное увеличение скорости р-ции, которое происходит тогда, когда степень полимеризации n L-I достигает ~ 8. Авторы объясняют это образованием устойчивой спиралевидной конфигурации. Ввиду того, что при  $n > 8$  полимер растет значительно быстрее, получающийся поли-γ-бензил-L-глу-

тамат (L-III) представляет смесь полимеров с сильно различающимися мол. весами. Полимеризация D, L-I протекает аналогично, но с меньшей скоростью. При полимеризации L-I, инициируемой L-III, увеличивается вращение плоскости полимеризации вправо. Этот же эффект наблюдается при полимеризации D, L-I, инициируемой L-III. Если L-III является инициатором полимеризации D-I, то оптич. активность смеси вначале возрастает во времени, затем начинает убывать, проходит через нуль и принимает отрицательное значение. Это объясняют тем, что первые молекулы D-I, присоединяясь к L-III, продолжают спираль, характерную для L-III. Затем эта конфигурация становится неустойчивой, и последующие остатки D-I укладываются по спирали, являющейся зеркальным отражением спирали L-III. Смена типов спирали приводит к задержке реакции. Сообщение X см. РЖХ им, 1957, 41283. В. Степанов

**69017. Синтетические амфотерные полипептиды. I. Синтез и свойства линейных амфотерных полипептидов. Юки Сакакибара, Тани** (Synthetic amphoteric polypeptide. I. Syntheses and some properties of linear amphoteric polypeptides. Yuki Heime, Sakakibara Shumpei, Tani Hisayasu), Bull. Chem. Soc. Japan, 1956, № 6, 654—660 (англ.)

Сополимеризацией соответствующих карбоксихлоридов с последующим восстановлением иодидом фосфония синтезированы два амфотерных линейных полипептида, состоящих из D, L-глутаминовой к-ты, D, L-лизина и D, L-фенилаланина (в соотношениях 1:1:3) (I) и L-глутаминовой к-ты, L-лизина и L-лейцина (в соотношениях 1:1:1,9) (II). Изучены свойства I и II, измерены оптич. активность и зависимость вязкости р-ров I и II от pH. Лучшим р-рителем для сополимеризации является хлорбензол. I и II выделяли из их HCl-солей количественно триэтиламинном. Использование для этой цели диализа оказалось неудобным, так как полимеры делились на 2 одинаковые по составу части: растворимую и нерастворимую в воде. I и II растворяются в разб. щелочах и минер. к-тах, но нерастворимы в интервале pH: для I 4—10,8; для II 4,5—10,2. Изучение вязкости р-ров показало, что (в пределах 1% р-ра) при 25° наблюдается линейная зависимость вязкости от конц-ии; вязкость возрастает постепенно при изменении pH в сторону изоэлектрич. точки и она относительно выше в кислой области, чем в щел. 30 г D, L-глутаминовой к-ты нагревают до 95° 0,5 часа с 30 мл конц.  $\text{HCl}$ , 12 мл воды и 300 мл бензилового спирта. Р-р нейтрализуют 30 г  $\text{NaHCO}_3$  и выделяют γ-бензиловый эфир D, L-глутаминовой к-ты (III) добавлением 500 мл эфира, выход III 54%, т. пл. 163—163,5°. Аналогично получают γ-бензиловый эфир L-глутаминовой к-ты (IV) выход 53%, т. пл. 173° (из воды),  $[\alpha]_D^{20}$  20,7° (с 6,76; лед.  $\text{CH}_3\text{COOH}$ ). В суспензию 13 г III в 260 мл диоксана пропускают  $\text{COCl}_2$  1 час, избыток  $\text{COCl}_2$  выдувают воздухом, р-р упаривают (40—50°), остаток растворяют в этилацетате и высаживают ангидрид γ-бензилового эфира N-карбокси-D, L-глутаминовой к-ты (V) петр. эфиром, выход V 77%, т. пл. 70—83°. V получают в виде смеси двух кристаллографич. модификаций с т. пл. 70—71° и 83—85°. Так же получают из IV ангидрид γ-бензилового эфира N-карбокси-L-глутаминовой к-ты (VI), выход 95%, т. пл. 93,5—94,5° (из этилацетата и петр. эф.),  $[\alpha]_D^{20}$  17,0° (с 3,65; этилацетат), а из L-лейцина — ангидрид N-карбокси-L-лейцина (VII); выход 80%, т. пл. 76,5—77,5° (из этилацетата и петр. эф.),  $[\alpha]_D^{20}$  —42,2° (с 0,95; в  $\text{C}_6\text{H}_6$ ). Ангидрид α-N-карбокси-ε-N-карбобензоксид-D, L-лизина (VIII) (выход 27%, т. пл. 103°) и ангидрид N-карбокси-D, L-фенилаланина (IX) (выход 72%, т. пл. 123°) получают при обработке соответствующей N-карбобензоксидоминускислоты  $\text{SOCl}_2$ . Встряхиванием р-ра 15 г N, N'-дихлорбензоксид-L-лизина в 20 мл диоксана и 30 мл эфира с 8,8 г  $\text{PCl}_5$  (0°, 0,5 часа) по-

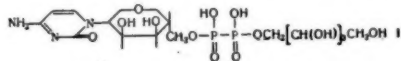
лучают ангидрид  $\alpha$ -N-карбокси- $\epsilon$ -N-карбобензоксиг-л-лизина (X), выход 80%, т. пл. 100° (из этилацетата и петр. эф.).  $[\alpha]_D^{20} -24,1^\circ$  (с 6,22; в этилацетате). Для сополимеризации нагревают смесь V и VIII (по 1,57 ммоль) и IX (4,71 ммоль) 60 час. при 70° в нитробензоле, этиловом эфире бензилуксусной к-ты или в бензоле. Полимер (XI) осаждают петр. эфиром и переосаждают из тетрагидрофурана петр. эфиром и эфиром, выход колич. 4 г XI нагревают в 100 мл лед.  $\text{CH}_3\text{COOH}$  до растворения, добавляют порциями 6 г йодида фосфония за 4,5 часа при 60–70° в токе  $\text{H}_2$ . Осадок отделяют декантацией и промывают сухим эфиром. Подгидрат I переосаждают на абс. спирта и эфира. Выход йодида I 95%. Для сополимеризации нагревают смесь VI и X (по 0,01 моля) и VII (0,019 моля) в 100 мл хлорбензола или 8 час. при 80°, или 135 час. при 60°. Полимер (XII) осаждают эфиром и петр. эфиром и переосаждают из ацетона и из петр. эфира. Выход XII 99%. Подгидрат II из XII получают как описано для I (2 г XII, 75 мл  $\text{CH}_3\text{COOH}$ , 4,2 г йодида фосфония). Выход II-HI 96%. Для получения II к р-ру 1,4 г йодида в 15 мл  $\text{CH}_3\text{OH}$  добавляют 0,75 г триэтиламина. Выход I 94%. Е. Чаман

69018. Структура и функции нуклеиновых кислот. Тодд (Nucleic acid structure and function. Todd Alexander), Advancement Sci., 1955, 12, № 46, 157–164 (англ.)

Доклад на ежегодном собрании Британского общества развития науки (см. РЖХим, 1957, 48141). Е. Чаман

69019. Цитидиндифосфат рибита из *Lactobacillus arabinosus*. Баддлэй, Бьюкенен, Карс, Маттис (Cytidine diphosphate ribitol from *Lactobacillus arabinosus*. Baddiley J., Buchanan J. G., Carss B., Mathias A. P.), J. Chem. Soc., 1956, Nov., 4583–4588 (англ.)

Второй цитозинный нуклеотид, выделенный из *Lactobacillus arabinosus* (см. РЖХим, 1957, 48143), идентифицирован как Р<sup>1</sup>-цитидин-5'-Р<sup>2</sup>-рибито-1-пирофосфат (I). При нагревании I с 1 н. HCl (100°, 15 мин.) образуется цитидин-5'-фосфат (II), рибито-1-фосфат



(III),  $\text{H}_2\text{PO}_4$  и небольшие кол-ва «ангидрорибита» (IV) и других в-в. Структура III, образующегося также при энзиматич. гидролизе I, установлена сравнением с синтетич. препаратом, энзиматич. дефосфорилированием до рибита (V), поведением при кислотном гидролизе и окислением  $\text{NaJO}_4$ . При нагревании I с водн. р-ром  $\text{NH}_3$  ( $d$  0,88; 100°, 30 мин.) образуется II и циклич. рибито-1:2-фосфат (VI). Структура VI доказана сравнением с синтетич. препаратом и поведением при кислотном гидролизе. Под действием яда *Crotalus atrox* (16 час., 37°, рН 9, 1%-ный р-р яда) I расщепляется до цитидина, III и  $\text{H}_2\text{PO}_4$ . Разработан специфич. микрометод, позволяющий отличать V от других пентитов, основанный на легком превращении V в IV. Для I–VI приводятся  $R_f$  в различных системах. К р-ру 180 мг D-рибозо-5-фосфата в 4 мл воды добавляют 23 мг  $\text{NaNH}_2$  в 2 мл воды, через 12 час. добавляют 0,3 мл  $\text{CH}_3\text{COOH}$  и затем разб. р-р  $\text{NH}_3$  до рН 8–9. Р-р разбавляют до 20 мл и пропускают через небольшое кол-во Амберлита IRA-400 (ацетатная форма), промывают водой, элюируют 1 н. р-ром  $\text{CH}_3\text{COONH}_4$  (30 мл). Катионы удаляют добавлением избытка Дауэкс-50 (H<sup>+</sup>-форма), элюат упаривают в вакууме (< 25°) досуха с добавлением воды и затем абс.  $\text{CH}_3\text{OH}$  ( $4 \times 25$  мл). Остаток растворяют в 3 мл воды, добавляют небольшой избыток 0,1 н. р-ра  $\text{Ba}(\text{OH})_2$  и кусочек твердой  $\text{CO}_2$ , упари-

вают в вакууме и добавляют равный объем  $\text{C}_2\text{H}_5\text{OH}$ . Ва-соль III очищают осаждением из воды этиловым спиртом. Р-р 35 мг Ва-соли III в 1,5 мл воды пропускают через небольшое кол-во Дауэкс-50 (H<sup>+</sup>-форма), элюат высушивают вымораживанием. Остаток, после высушивания над  $\text{P}_2\text{O}_5$  в вакууме, встряхивают с 1 мл  $(\text{CF}_3\text{CO})_2\text{O}$  (20°, 1 час), упаривают в вакууме досуха, растворяют в 1 мл воды, 1 мл р-ра  $\text{NH}_3$  ( $d$  0,88). Хроматографированием на бумаге (H-C<sub>2</sub>H<sub>5</sub>OH–водн. р-р  $\text{NH}_3$  ( $d$  0,88) — вода (6:3:1)) и электрофоретически установлено, что основным продуктом р-ции является VI.

3. Шабарова  
69020. Исследования в ряду сфинголипидов. VII. Конфигурация  $\alpha$ -окси-*n*-гексакосановой кислоты из церебрин дрожжей. Проштенник (Studies in the sphingolipids series. VII. The configuration of  $\alpha$ -hydroxy-*n*-hexacosanoic acid of yeast cerebrin. Proštenik M.), Croat. chem. acta, 1956, 28, № 4, 287–289 (англ.; рез. сербо-хорв.)

Сравнением мол. вращения функциональных производных  $\alpha$ -окси-*n*-гексакосановой к-ты (I), выделенной из церебрин дрожжей, с мол. вращением соответствующих производных D- $\alpha$ -оксикислот (D-миндальной, D-гексагидроминдальной, D-молочной, D- $\alpha$ -окси-тетракозановой) показано, что I имеет D-конфигурацию. Метиловый эфир I (II) получен 6-часовым кипячением I с насыщ. р-ром HCl в  $\text{CH}_3\text{OH}$ , т. кип. 200–202°/0,2 мм, т. пл. 69–70°,  $[\alpha]_D^{20} +1,91$  (с 6,8; пиридин). Этиловый эфир I, т. кип. 200–205°/0,2 мм, т. пл. 72–73°,  $[\alpha]_D^{20} +2,65$  (с 6,8; пиридин). Р-р 2 г II в 20 мл абс.  $\text{CH}_3\text{OH}$  насыщают при 0° сухим  $\text{NH}_3$ . Через 48 час. при ~20° отфильтровывают осадок аммиака 1, т. пл. 125° (из  $\text{CH}_3\text{OH}$ ),  $[\alpha]_D^{20} +6,12$  (с 1; пиридин). 6,2 г II кипятят 24 часа с 6 г  $\text{Ag}_2\text{O}$  и 20 мл  $\text{CH}_3\text{J}$ , разбавляют эфиром, упариванием фильтрата выделяют метиловый эфир  $\alpha$ -метокси-*n*-гексакосановой к-ты (III), выход 5,3 г, т. кип. 201–203°/0,15 мм, т. пл. 65–66°,  $[\alpha]_D^{20} +11^\circ$  (с 5; пиридин). 5 г III кипятят 1 час с 50 мл 2 п. спирт. р-ра KOH, выливают в 500 мл 1 н.  $\text{H}_2\text{SO}_4$  и экстрагируют эфиром  $\alpha$ -метоксеп-*n*-гексакосанолую к-ту, выход 3,7 г, т. пл. 98–100° (из ацетона). Сообщение VI см. РЖХим, 1957, 44731. С. Алаева

69021. Свойства и получение препаратов «вещества стенки кишечника». Фогт (Eigenschaften und Gewinnung von Darmstoffpräparaten. Vogt W. A.), Arch. exptl. Pathol. und Pharmakol., 1955, 227, № 3, 224–233 (нем.)

Из тканей кишечника лошадей и крупного рогатого скота выделен препарат в-ва (I), вызывающего возбуждение гладкой мускулатуры изолированного кишечника кролика при разбавлении в  $10^8$  раз (см. РЖХимБх, 1955, 1358). Водн. суспензию тканей кипятят, р-р извлекают бутанолом (Б), очищают противоточным распределением — сначала в системе Б– $\text{C}_6\text{H}_6$ – $\text{CH}_3\text{OH}$ –0,06 M фосфатный буфер, рН 5,8 (21:42:35:35), затем в системе метилэтилкетон (МЭК)–фосфатный буфер рН 6,2 (1:1), хроматографией на бумажном порошке из  $\text{CH}_3\text{OH}$  с вымыванием смесью МЭК–вода–диэтиламин (28:1:1) и хроматографией на бумаге (посходящий ток, р-ритель та же смесь, по при соотношении 60:26:3),  $R_f$  0,4–0,45. I устойчив при хранении или кипячении в нейтр. и щел. водн. р-рах, разрушается при кипячении с 0,1 н. HCl за 10 мин., не разрушается трипсином, химотрипсином, кнорью, вытяжками тканей, мгновенно разрушается  $\text{KMnO}_4$  в кисл. р-ре и J, адсорбируется на анионитах, вымывается из них 0,2 н. NaOH, осаждается солями Pb, Hg, Ag. При ионофореze на бумаге, при рН 6,65 передвигается к аноду, при рН 2,0–2,88 не передвигается. Приведены данные хроматографии I на бумаге с различными р-рителями. I не содержит ни

фенольных, ни  $\text{NH}_2$ -групп и не является полипептидом. По-видимому, I является органич. к-той. В. Некрасов  
 69022. Летучие вещества, образующиеся при разложении перекисей метиловых эфиров сильно ненасыщенных кислот. То яма, Судзуки (高度不飽和酸メチルエステル過酸化物の分解による揮発性物質について, 外山修之, 鈴木克人), 工業化学雑誌, Kōgō Kagaku Zasshi, J. Chem. Soc. Japan Industr. Chem. Sec., 1955, 58, № 1, 52—54 (японск.)

Две фракции метилового эфира сильно ненасыщ. к-ты, выделяемой из масла сардин, окисляли при т-ре  $\sim 20^\circ$  воздухом, и продукт длительное время разлагали при  $90-100^\circ$  в токе  $\text{N}_2$  (скорость 10 л/час). Выделяющиеся и содержащиеся в токе  $\text{N}_2$  летучие в-ва улавливали р-рами  $\text{Na}_2\text{CO}_3$ , 2,4-динитрофенилгидразина и  $\text{NaHSO}_3$  и исследовали хим. путем и путем изучения спектров поглощения. Найденны  $\text{HCOOH}$ ,  $\text{CH}_3\text{COOH}$ ,  $\text{C}_2\text{H}_5\text{COOH}$ ,  $\text{C}_3\text{H}_7\text{CHO}$ ,  $\alpha$ -гексенол, кротоновый альдегид, пентаналь-2 и гексаналь-2.

Chem. Abstrs, 1956, 50, № 5, 3221. Katsuya Iouye

69023. Строение ланцеолатина С и ланцеолатина В. Рангасвами, Састри (Constitution of lanceolatin C and lanceolatin B. Rangaswami S., Sastri R. V. Rama), Current Sci., 1955, 24, № 1, 13 (англ.)

Исследование выделенных ранее из коры *Tephrosia lanceolata* кристаллич. ланцеолатинов В (I) и С (II) (РЖХим, 1954, 21725 и 1954, 39580) показало, что при щел. деградации II дает бензойную и  $\alpha$ -метилкараневую к-ты и ацетофенон. Бензойная к-та образуется также при действии  $\text{KMnO}_4$  в нейтр. среде. Установлено, что II является  $\alpha$ -метилкараноилбензоилметаном и идентичен понгамолу, для которого установлено то же строение. (РЖХим, 1956, 43333). I дает при щел. деградации бензойную и караневую к-ты, 4-окси-5-ацетилкармарон, ацетофенон и караноилбензоилметан; при деметилировании II бромом в лед.  $\text{CH}_3\text{COOH}$  образуетс. I. Авторы считают, что I является фуран-(2',3'-7,8)-флавоном.

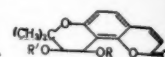
Р. Тонштейн

69024. Строение самидина, дигидросамидина и виснадина. Смит, Хосанский, Байуотер (Constitution of samidin, dihydrosamidin and visnadin. Smith Eric, Hosansky Norman, Bywater W. G.), Chemistry and Industry, 1956, № 27, 718—719 (англ.)

Предложены структурные ф-лы для самидина (I), дигидросамидина (II) и виснадина (III), выделенных из *Amni visnaga* L. (Smit E. и др., Science, 1952, 115, 520). С горячим спирт. р-ром щелочи образуют соответственно 2,2-диметилакриловую к-ту (IV), изо- $\text{C}_4\text{H}_9\text{COOH}$  и  $l$ - $\text{C}_2\text{H}_5\text{CH}(\text{CH}_3)\text{COOH}$ , а также  $\text{CH}_3\text{COOH}$  и в-во  $\text{C}_{14}\text{H}_{13}\text{O}_4(\text{CC}_2\text{H}_5)$  (V), по-видимому, идентичное с

этилкелактоном (РЖХим, 1954, 30670). Щел. гидролизом I в водн. р-ре получен диол  $\text{C}_{14}\text{H}_{14}\text{O}_5$  (VI), т. пл.

I R = COCH<sub>3</sub>, R' = COCH = C(CH<sub>3</sub>)<sub>2</sub>  
 III R = COCH<sub>3</sub>, R' = COCH(CH<sub>3</sub>)C<sub>2</sub>H<sub>5</sub>;  
 VI R = R' = H.



180—182°,  $[\alpha]_D^{25} + 13^\circ$ , а в спирт. р-ре ( $\sim 20^\circ$ ) эфир V с IV, т. пл. 91—93°,  $[\alpha]_D^{25} + 99^\circ$ . При действии HJ (к-ты) V превращается в VI. Сплавлением I со щелочью получена 3-метил- $\beta$ -резорциловая к-та. УФ-спектры I и дигидроксантотоксина близки (приведены данные).

Н. Соломонович

69025. Строение порфириловой кислоты. Эрлмат, Вахтмейстер. (The structure of porphyrillic acid. Erdtman H., Wachtmeister C. A.), Chemistry and Industry, 1956, № 36, 960 (англ.)  
 См. РЖХим, 1954, 39582.

69026. Изучение химического состава растений различных видов *Coix* III. Синтез конкосола и родственных ему соединений. Коляма, Ямато, Кубота (じゆずだま屬植物成分の研究. 第3報. Coixol及び關連化合物の合成. 小山鷹二, 大和正利, 久保田和彦), 藥學雜誌, Якугаку дзасси, J. Pharmac. Soc. Japan, 1956, 76, № 9, 1002—1005 (японск.; рез. англ.)

Конксол (6-метоксибензоксазолон) (I) синтезировали из 5-метокси-2-аминофенола (II) или хлорированного родного II путем: 1) пиролиза фенилмочевинного производного, 2) пиролиза фенилуретанового производного, 3) сочетания с фосгеном, 4) последовательного получения 6-метокси-2-тиобензоксазола, т. пл. 173,5—174, 6-метокси-2-хлорбензоксазола, т. пл. 63—65°, и гидролиза последнего. Сплавлением соответствующего хлоргидрата амина фенола с мочевиной синтезировали: 4-метоксибензоксазолон, т. пл. 194—195°; ацетат, т. пл. 122—124°, бензоат, т. пл. 142°; этоксикарбонильное производное (ЭК), т. пл. 60°; 5-метоксибензоксазолон, т. пл. 169—170°; ацетат, т. пл. 101—102°; бензоат, т. пл. 135°; этоксикарбонильное производное, т. пл. 82—83°; 7-метоксибензоксазолон, т. пл. 148—150°; ацетат, т. пл. 119—122°; бензоат, т. пл. 187—188°; ЭК производное с т. пл. 114—115,5°. Получены ацетат I с т. пл. 147,5°, бензоат I с т. пл. 162—162,5° и ЭК производное I с т. пл. 107°. Приводятся ИК-спектры I и его аналогов, характеризующиеся сильным поглощением при 5,65  $\mu$ . Сообщение II см. РЖХимБх, 1957, 3901.

М. Запроматов

См. также: Стероиды 69999—70003. Антибиотики 68191, 70006—70008. Аминокислоты 68943. Др. природы. в-ва 68148, 70236, 70260. Строение: левана 23415Бх, инсулина 23229Бх. Механизм р-ции переаминирования 23236Бх

## ХИМИЯ ВЫСОКОМОЛЕКУЛЯРНЫХ ВЕЩЕСТВ

Редакторы Х. С. Багдасарьян, Г. С. Колесников, Ю. С. Липатов

69027. Международный симпозиум по макромолекулярной химии в Израиле. Вихтерле (Mezinárodní symposium makromolekulární chemie v Izraeli. Wichterle Otto), Věst. CSAV, 1956, 65, № 9-10, 585 (чешск.)

69028. Инфракрасный анализ полимеров. Саломон (De infrarood-analyse van polymeren. Salomon G.), Plastica, 1956, 9, № 7, 396—399 (гол.; рез. англ., франц., нем.)

Популярное изложение.

Х. Багдасарьян

69029. Структура шелка яйцевых пачек *Chrysopa*. Паркер, Рудалл (Structure of the silk of chrysopa egg—stalks. Parker K. D., Rudall K. M.), Nature, 1957, 179, № 4566, 905—906 (англ.)

Рентгенографически исследованы яйцевые пачки (ЯП) мушки *Chrysopa*, представляющие собой тонкие положительно двулучепреломляющие волокна толщиной 15—20  $\mu$  и длиной  $\sim 1$  см. Рентгенограммы и ИК-спектры поглощения выявляют поперечную  $\beta$ -конфигурацию (полипептидные цепочки перпендикуляр-



ны оси волокна), сходную с той, которая возникает при термич. сокращении миокина или фибрина. На рентгенограммах нерастянутых ЯП наблюдаются реальные рефлексы типа  $h00$ ,  $h0l$  и  $00l$ , тогда как все рефлексы с  $k \neq 0$  более размыты. При растяжении ЯП в воде (в 5—6 раз) двулучепреломление усиливается, а цепочки переупаковываются в параллельную  $\beta$ -конфигурацию, т. е. ориентируются параллельно оси волокна. Свежие ЯП растягиваются лучше, так как при длительном хранении волокна становятся хрупкими. Смена конфигураций при растяжении носит характер скорее внутримолекулярного перехода, нежели переориентации полимолекулярных мицелл. Измерения поглощения в поляризованном ИК-свете подтвердили рентгенографич. данные. С. Френкель

**69030. Ценная макромолекула в гидродинамическом поле. Общая теория. Динамооптические свойства.** Серф (La macromolécule en chaîne dans un champ hydrodynamique. Théorie générale. Propriétés dynamo-optiques. Serf Roger), J. Polymer Sci., 1957, 23, № 103, 125—150 (франц.; рез. нем., англ.)

Развита общая теория гидродинамич. поведения  $p$ -ров макромолекул на основе модели цепной молекулы, состоящей из  $N$  гауссовых субмолекул. Считается, что трение молекулы о жидкость локализовано в точках соединений субмолекул. Теория учитывает как внутреннюю вязкость макромолекул, так и гидродинамич. взаимодействие между субмолекулами. Общая теория применяется для изучения динамооптич. свойств бесконечно разб. мономерного  $p$ -ра, находящегося в потоке с постоянным градиентом скорости  $G$ . Отношение константы Максвелла к характеристич. вязкости  $[\eta]$  не зависит от мол. веса для полимер-гомологич. ряда. Получено общее выражение, применимое для любых значений внутренней вязкости  $\eta_i$ , начальной кривизны  $tg \alpha$  кривой зависимости угла гашения от  $G$ . Найдено выражение для  $tg \alpha$  для двух предельных случаев:  $\eta_i \ll \eta_0$  и  $\eta_i \gg \eta_0$  ( $\eta_0$  — вязкость  $p$ -рителя). Общая форма кривой  $tg \alpha$  как функции  $\eta_0$  совпадает с аналогичной кривой, полученной из теории упругих сфер (Serf R., C. r. Acad. sci., 1948, 227, 1221, 1352; J. chim. phys. et phys.-chim. biol., 1951, 48, 59). Вид этой кривой позволяет различить эффекты ориентации и деформации макромолекул в потоке. Теория удовлетворительно согласуется с эксперим. данными по динамич. двойному лучепреломлению  $p$ -ра полистирола (мол. в.  $2 \cdot 10^5$ ) и дезоксирибонуклеиновой к-ты (мол. в.  $6 \cdot 10^6$ ). Получено ур-ние, выражающее зависимость  $[\eta]$  от  $G$ . Таким образом, настоящая теория смогла описать 2 явления, которые раньше объяснялись двумя различными теориями: теорией упругих сфер — поведение угла гашения как функции  $\eta_0$  — и теорией упругой гантели — поведение величины динамич. двойного лучепреломления. С. Котляр

**69031. О форме и размерах молекул хондроитинсерной кислоты в растворе. Бернарди (Sur la forme et les dimensions de l'acide chondroïtine-sulfurique en solution. Bernardi Georges), C. r. Acad. sci., 1957, 244, № 14, 1918—1920 (франц.)**

Критикуя работы (РЖХим, 1954, 16133; 1955, 13751; РЖХимБх, 1957, 6997), в которых на основании изучения вязкости и двойного лучепреломления  $p$ -ров хондроитинсерной к-ты (I) делается вывод, что молекулы I в  $p$ -ре имеют форму статистич. клубка. Автор показывает, что результаты цитированных работ так же хорошо могут быть объяснены, исходя из палочкообразной формы молекул I. О. Птицын

**69032. Теория разбавленных растворов высокополимеров (модель жемчужного ожерелья). Исихара, Кояма (Theory of dilute high-polymer solutions**

(the pearl necklace model). Isihara A., Koyama R.), J. Chem. Phys., 1956, 25, № 4, 712—716 (англ.)

Получено выражение для второго вирального коэф.  $A_2$  на основании теории, аналогичной теориям Флори — Кригбаума и Гримля, но более детально учитывающей взаимодействие сегментов цепи. Ур-ние для  $A_2$  находится в соответствии с экспериментально найденной зависимостью  $A_2$  от мол. веса  $A_2 = cM^{-\alpha}$ , причем теоретич. значение  $\alpha$  в обычно исследуемой области мол. весов близко к среднему эксперим. значению  $\alpha \approx 0,23$ . И. Поддубный

**69033. Седиментационное равновесие гибких цепных молекул. Манделкери, Вильямс, Уэйсберг (Sedimentation equilibrium of flexible chain molecules. Mandelkern L., Williams L. C., Weissberg S. G.), J. Phys. Chem., 1957, 61, № 3, 271—279 (англ.)**

Рассмотрена термодинамич. теория седиментационного равновесия  $p$ -ров полимеров. В идеальном  $p$ -рителе (в 0-точке) из распределения полимера в седиментационном поле может быть вычислен средневзвешенный мол. вес  $M_w$  для любых полидисперсных систем. В неидеальном  $p$ -рителе  $M_w$  может быть определен только для мономерных образцов, причем его определение требует весьма точного знания градиента конц-ии полимера в седиментационном поле, а также знания большого числа виральных коэффициентов. Для полидисперсных систем определение  $M_w$  в неидеальном  $p$ -рителе этим методом невозможно. Исследованы  $p$ -ры 4 фракций полиизобутилена (I) в  $n$ -гептане (II) при  $t$ -ре 34° (0-точка) и в изооктане (III), являющемся хорошим  $p$ -рителем для I.  $M_w$ , определенные в II при различных конц-иях с I, хорошо согласуются между собой. В III кажущийся мол. вес зависит от  $c$ , и для получения истинного значения  $M_w$  необходима экстраполяция к  $c = 0$ . Результат такой экстраполяции для высокомолекулярных фракций ( $M_w \approx 5 \cdot 10^5$ ) отличается от значения  $M_w$ , определенного в II, на 25%; для низкомолекулярных фракций ( $M_w \approx 1 \cdot 10^5$ ) различия меньше. Таким образом, существующий метод определения  $M_w$  по седиментационному равновесию в неидеальных  $p$ -рителях справедлив только для низких мол. весов.

О. Птицын  
**69034. Влияние компонентов системы на разделение фаз в смеси полимер — полимер — растворитель. Керн (Component effects in phase separation of polymer — polymer — solvent systems. Kern R. J.), J. Polymer Sci., 1956, 21, № 97, 19—25 (англ.; рез. франц., нем.)**

Рассмотрена фазовая диаграмма для тройной системы полистирол — поли- $p$ -хлорстирол — бензол в области малых конц-ий. Максимум кривой соответствует наиболее разб.  $p$ -ру, обнаруживающему разделение фаз, и наблюдается при практически равных объемах долей полимеров; такая точка обозначается как порог конц-ий. Последний был определен для полистирола и полиметилметакрилата в различных  $p$ -рителях; показано, что между плотностью когезионной энергии и растворяющей способностью  $p$ -рителя существует лишь очень приближенная связь. Разделение фаз изучалось также для различных пар полистирола и его производных в бензоле и хлороформе. Из данных по разделению фаз обнаружены изменения в степени растянутости полимерной цепи и сольватации как функции  $t$ -ры. И. Поддубный

**69035. Отклонения от беспорядочного смешения в системе полимер — жидкость. Бут, Ги, Вильямсон (Departures from random mixing in polymer-liquid systems. Booth C., Gee G., Williamson**

G. R.), J. Polymer Sci., 1957, 23, № 103, 3—8, Discuss., 7—8 (англ.; рез. франц., нем.)

Определено давление паров при 25 и 50° для системы натурального каучук—этилацетат, в которой изменением объема при смешении можно пренебречь. Показано, что существующие статистич. теории не могут количественно объяснить получаемые значения энтропии смешения; расхождения приписываются отклонениям от беспорядочного смешения по мере насыщения каучука этилацетатом. И. Поддубный

69036. Взаимодействие производных целлюлозы с растворителем. Мур (Interaction of cellulose derivatives with solvent. Moore W. R.), Chem. Age, 1956, 301—305 (англ.)

Путем изучения смесей р-ритель-осаждитель состава, соответствующего точке осаждения полимера, может быть определен так называемый «параметр растворимости» полимера  $\delta_2$ , связанный с термодинамич. параметром  $\chi$  ур-нием  $\chi = \chi_S + V_m(\delta_m - \delta_2)^2 / RT$ , где  $\chi_S$  — энтропийная составляющая  $\chi$ , принимаемая приближенно одинаковой для всех систем,  $V_m$  и  $\delta_m$  — соответственно мол. объем и уд. когезия смеси; в точке осаждения  $\chi = 0.5$ . Значения  $\delta_2$  для нитрата и ацетата целлюлозы и этилцеллюлозы рассчитаны по  $\delta_m$  смесей соответствующего состава различных кетонов, ацетатов и ряда других р-рителей с гексаном, толуолом и этиловым спиртом. Расхождения в полученных значениях  $\delta_2$  объясняются различной сольватацией полимера. Проведено сравнение методов определения растворяющей способности р-рителей. Показано, что для замещенной целлюлозы не существует прямой связи между величиной  $\chi$  и значениями параметров, определяемых из вискозиметрич. измерений ( $k'$  и  $[\eta]$ ). И. Поддубный

69037. Исследование взаимодействия между растворителем и макромолекулами посредством измерения статической диэлектрической постоянной разбавленных растворов высокополимеров. Мандель (Etude de l'interaction solvant-macromolécule par la constante diélectrique statique des solutions diluées de hauts polymères. Mandel M.), J. Polymer Sci., 1957, 23, № 103, 241—245 (франц.; рез. нем., англ.)

Изучены изменения диэлектрич. постоянной в зависимости от т-ры для 2%-ного р-ра полибутилметакрилата в толуоле. К разб. р-рам полярных полимеров в полярном р-рителе применена модель, аналогичная предложенной Фролихом для чистых жидкостей. Если деформационная поляризация может быть определена макроскопич. путем посредством измерения показателя преломления р-ра, то в первом приближении можно найти фактор корреляции и выяснить существует ли связь между ними для различных систем. Метод применим как при выборе в качестве основного элемента для расчета эквивалентной сферы макромолекулы, более или менее жесткой, так и при выборе модели статистич. цепочки по Куну. И. Поддубный

69038. Изучение растворов целлюлозы в куприэтилендиамине. Винк (Studies on cupriethylenediamine solutions of cellulose. Vink H. A. S.), Arkivkem., 1957, 11, № 1, 29—39 (англ.)

Методами вискозиметрии, седиментации, диффузии и диализа изучены р-ры целлюлозы (I) в куприэтилендиамине (II). Установлено, что при разбавлении водой эти р-ры остаются достаточно стабильными и могут быть использованы для физ.-хим. измерений. Показано, что с увеличением конц-ии II скорость окислительной деградации I возрастает благодаря окислению II в возрастающую конц-ию кислорода в р-ре. Определены зависимость плотности р-ра от весовой доли I и концентрационные зависимости констант диффузии и седиментации. Результаты этих измерений использованы для расчета мол. веса ( $M$ ) и кол-ва атомов

меди в комплексе I и II, приходящихся на один глюкозный остаток. Значения  $M$ , полученные на основе седиментационных опытов, согласуются с данными вискозиметрич. определений, рассчитанными по ур-нию Штаудингера. В. Кабанов

69039. Двойное лучепреломление в потоке умеренно концентрированных растворов полиизобутилена. Петерлин, Чопич (Streaming birefringence of moderately concentrated solutions of polyisobutylene. Peterlin A., Čopić M.), Repts. «J. Stefan» Inst., 1953, 1, 65—73 (англ.)

Вводится понятие об эффективной вязкости  $\eta^*$  среды, которая подставляется в ур-ние для вязкости р-ра полимера вместо вязкости р-рителя  $\eta_1$ . Таким образом при конечных конц-ях с вязкость р-ра  $\eta = \eta_1 + c[\eta]\eta^*$  ( $[\eta]$  — характеристич. вязкость). Это ур-ние используется для определения  $\eta^*$ , которое затем подставляется вместо  $\eta_1$  в обычные ур-ния для концентрационной зависимости величины  $\Delta n$  и угла гашения  $\chi$  динамич. двойного лучепреломления р-ра полимера. В этих ур-ниях величина  $[\eta]\eta_1$  заменяется величиной  $[\eta]\eta^* = (\eta - \eta_1)/c$ . Полученное ур-ние для  $\Delta n$  находится в хорошем согласии с эксперим. данными (Цветков В., Фрисман Э., Acta Physicochimica URSS, 1945, 20, 61), по концентрационной зависимости  $\Delta n$  различных типов полиизобутилена. Однако концентрационная зависимость  $\chi$  (см. цитир. работу) несколько отличается от теоретической. Авторы объясняют это тем, что для полярисерных образцов в  $[\eta]$  и  $\Delta n$ , с одной стороны, и  $\chi$ , с другой, входят различные усреднения. См. также РЖХим, 1957, 44749. О. Птиц

69040. Вискозиметрия полиамидов. Рыбникарж (Zur Viskosimetrie der Polyamide. Rybníkář F.), Сб. чехосл. хим. работ, 1956, 21, № 5, 1101—1107 (нем.; рез. русск.)

См. РЖХим, 1956, 65139

69041. Номенклатура в вискозиметрии. Менчик (Nomenclature in viscometry. Menčík Zdeněk), J. Polymer Sci., 1956, 20, № 96, 584 (англ.)

Учитывая размерность и природу величин, автор предлагает заменить термины «приведенная» (reduced viscosity) и «характеристическая» (intrinsic viscosity) вязкость выражениями: «вязкостный удельный объем» (viscosity specific volume) и «предельный вязкостный удельный объем» (limiting viscosity specific volume). И. Поддубный

69042. О характеристической вязкости растворов, содержащих макромолекулы различных типов. Неринг (Über die Grenzviskosität von Lösungen mit verschiedenartigen Makromolekülen. Nehrung O.), Plaste und Kautschuk, 1956, 3, № 12, 279—280 (нем.)

Для характеристич. вязкости р-ров, содержащих макромолекулы двух различных типов, предложено ур-ние  $[\eta]_m = \{[\eta]_1\alpha + [\eta]_2(1-\alpha)(1+a_1\alpha+a_2\alpha^2+\dots)\}c$ , где  $[\eta]_m$ ,  $[\eta]_1$  и  $[\eta]_2$  — соответственно характеристич. вязкости смеси и каждой из компонент,  $\alpha = c_1/(c_1+c_2)$  ( $c_1$  и  $c_2$  — конц-ии компонент),  $c = c_1+c_2$ ,  $a_1$  и  $a_2$  — константы, определяемые из опыта. Экспериментально найденная зависимость  $[\eta]_m = f(\alpha)$  в незначительном интервале  $\alpha$  позволяет определить константы  $a_1$  и  $a_2$ , а следовательно, форму всей кривой и положение максимума. И. Поддубный

69043. Характеристическая вязкость сульфата аминокетилированного поливинилового спирта в 0,1 н. растворе сернокислого калия. Мацумото, Эгучи (Intrinsic viscosity of aminoacetalized polyvinyl alcohol sulfate in 1/10 N potassium sulfate solution. Matsumoto Masakazu, Eguchi Tamotsu), J. Polymer Sci., 1957, 23, № 104, 617—634 (англ.; рез. нем., франц.)

С целью изучения влияния числа ионных заместителей на характеристики, вязкость  $[\eta]$  р-ров полиэлектролитов исследована  $[\eta]$  сульфата аминоацетилованного поливинилового спирта (I) в 0,1 н. р-ре  $K_2SO_4$ . Р-ция аминоацетилования проводилась в системе аминоацеталь + I +  $H_2SO_4$  +  $H_2O$ ; в качестве аминоацеталей использовались  $CH_3(C_6H_{11}NH)CH_2CH_2CH(OCH_3)_2$  и  $(C_6H_{11}NH)CH_2CH_2CH(OCH_3)_2$ . С ростом степени аминоацетилования величина  $[\eta]$  заметно возрастает по S-образной кривой, константа Хаггинса  $k'$  сначала падает, а затем (при  $x > 20$  мол. %) остается практически постоянной. С ростом  $x$  от 0 до 40 мол. % показатель степени  $a$  в ур-нии  $[\eta] = K \cdot P^a$  увеличивается от 0,59 до 0,9, что указывает на увеличение объема макромолекулы  $\alpha^3$  в р-ре с ростом  $x$ . Увеличение  $\alpha^3$  рассчитывалось по ур-нию Флори  $\alpha^3 = [\eta]M/[\eta]_0M_0$ , где  $M$  и  $M_0$  — мол. веса сульфата аминоацетилованного и исходного I,  $[\eta]$  — характеристич. вязкость исходного I в идеальном р-рителе (35,2% ацетона + 64,8% воды при 30°). Кривые зависимости  $(\alpha^3 - \alpha^3)/VM$  от  $x$  совпадают для всех P. Получено эмпирич. ур-ние  $[(\alpha^3 - \alpha^3)/VM]_x - [(\alpha^3 - \alpha^3)/VM]_{x=0} = Ax^{1.45}$  ( $A$  — константа). Отсюда автор заключает, что  $M/\bar{r}_0^2$  ( $\bar{r}_0^2$  — невозмущенный квадрат расстояния между концами макромолекулы) зависит от  $x$  (из-за изменения объемных эффектов и изменения  $M$ ). О. Птицын

69044. Кристаллизация гибких полимеров. Манделкерн (The crystallization of flexible polymer molecules. Mandelkern Leo), Chem. Revs, 1956, 56, № 5, 903—958 (англ.)

Обзор. Библ. 173 назв. Л. Ф.

69045. Количественное определение кристалличности полипропилена. Натта, Коррадини, Чезари (Determinazione quantitativa della cristallinità del polipropilene. Natta Giulio, Corradini Paolo, Cesari Marco), Atti Accad. naz. Lincei. Rend. Cl. sci. fis., mat. e natur., 1957, 22, № 1, 11—17 (итал.)

С помощью Г.-М.-счетчика измерено угловое распределение интенсивности рентгеновских лучей, рассеянных от образцов полипропилена различных степеней кристалличности (СК). При больших СК на кривой рассеяния в диапазоне углов  $2\theta$  от 4 до 30° видны 4 отчетливых максимума, расположенных при 14,0; 17,0; 18,8 и  $\sim 21,5^\circ$  и соответствующих индексам ( $hkl$ ) 110, 040, 130 и 111. Эти максимумы тем более резки, чем больше СК. Диффузная кривая для аморфного полипропилена характеризуется одним размытым максимумом вблизи  $16,3^\circ$ . Показано, что при любых СК можно с помощью простой графич. процедуры разделить доли интенсивности  $I_a$  и  $I_k$ , обусловленные соответственно аморфной и кристаллич. частями полимера. Тогда  $SK = J_k/J_a + KI_a$  (1). При расчете  $J_k$  и  $J_a$  по всему спектру  $K = 1$ , а в диапазоне  $2\theta$  0°—30° медленно возрастает от 0,9 до 1,1; поскольку расчет (интегральный) интенсивностей производится именно в этом диапазоне углов, можно также полагать  $K = 1$ . Достоверность ф-лы (1) подтверждена при измерениях рентгеновской дифракции от искусств. смесей полипропиленов с заранее заданными СК. С. Френкель

69046. Опыты по изучению влияния температуры на кристалличность (ориентацию) растянутых образцов неопрена. Линдгрен (Some experiments concerning the effect of temperature on the crystallinity (orientation) in elongated neoprene specimens. Lindgren P.-H.), Arkiv kemi, 1957, 11, № 1, 57—76 (англ.)

Описана рентгеновская аппаратура, позволяющая непрерывно регистрировать изменение картины дифракции при нагревании образцов. Этим методом оценены относительные значения степени кристалличности (ориентации) различных образцов растянутого на 100—500% неопренового каучука в зависимости от

т-ры; степень кристалличности оценивалась по соотношению интенсивностей рассеяния по кольцу. Опыты проводились в условиях поддержания постоянства деформации или постоянства напряжения. В 1-м случае кривая зависимости степени кристалличности от т-ры показывает заметное падение кристалличности в определенном интервале т-р и характеризуется наличием точек перегиба; после 2-й точки практически не наблюдается изменения степени кристалличности и вблизи этой точки находится определенная автором т-ра плавления. Опыты при постоянном напряжении не позволили выявить характерных точек, так как в этих условиях при повышении т-ры образец непрерывно удлинялся и степень кристалличности практически не менялась. Наблюдавшийся процесс плавления не является обратимым, что частично обусловлено неравновесностью его проведения (скорость подъема т-ры  $12^\circ$  в час). Установлено, что т-ра плавления зависит от т-ры деформации образца и условий его вулканизации. Т-ры плавления и положение точек перегиба возрастают с ростом характеристик. вязкости образцов. Ю. Липатов

69047. Вытяжка полиэтилена на холоду и при нагреве. Кайзер (Zur Kalt- und Warmverformung von Polyäthylen. Kaiser R.), Kolloid-Z., 1957, 152, № 1, 8—15 (нем.)

Методом ИК-спектроскопии исследована вытяжка полиэтилена на холоду и при нагреве. Определены коэф. поглощения  $K_{\parallel}$  и  $K_{\perp}$  для поглощения поляризованного излучения в области 13,7 и 13,9  $\mu$  и вычислена величина  $\int K_{\nu} dv$  ( $\nu$  — частота). На основании данных по характеру изменения  $K_{\parallel}$  и  $K_{\perp}$  с т-рой и степени вытяжки сделан вывод о том, что при холодной вытяжке уменьшается число кристаллитов. Вычисление величины  $n \int K_{\nu} dv = \int K_{\parallel} dv + 2 \int K_{\perp} dv$  ( $n$  — число диполей, вносящих долю  $K_0$  в величину коэф. поглощения) для полос 13,7 и 13,9  $\mu$  показало, что  $n \int K_{\nu} dv$  падает с ростом вытяжки при холодной вытяжке и возрастает для вытяжки с нагревом для полосы 13,7  $\mu$ . Эта же величина для полосы 13,9  $\mu$  с ростом вытяжки возрастает при всех т-рах. Отношение  $K = (n \int K_{\nu} dv)_{13,7} / (n \int K_{\nu} dv)_{13,9}$  является, по мнению автора, мерой кристалличности полимера и падает при холодной вытяжке, но остается постоянным при вытяжке с нагревом. Измерения степени дихроизма исследованных полос указывают на то, что ориентация кристаллич. областей наиболее сильна в случае холодной вытяжки и падает с ростом т-ры вытяжки. Ю. Липатов

69048. Метод измерения тепловых эффектов при вытяжке. Мюллер, Энгельтер (Methode zur Messung von Wärmeeffekten bei Zugverformung. Müller F. H., Engelter Ad.), Kolloid-Z., 1957, 152, № 1, 15—17 (нем.)

Предложен метод определения тепловых эффектов (порядка 0,01—0,5 кал) в ходе вытяжки малых (10—50 мг) кол-в полимера. Метод основан на том, что возникающая при деформации разность т-р в образце приводит к изменению давления газа, в среде которого проводится вытяжка. Изменение давления регистрируется дифференциальным манометром, одно колено которого соединено с электр. нагревателем, благодаря которому в ходе вытяжки разность давлений поддерживается равной нулю. Мерой теплового эффекта является изменение силы тока в нагревателе во времени. Точность метода  $10^{-4}$  кал/сек. Одновременно с записью кривой силы тока записывается кривая деформации. Исследование вытяжки полиамида показало, что до достижения максим. напряжения происходит поглощение тепла и далее тепловой поток не изме-



няется. При разгрузке образца наблюдается незначительное охлаждение. Это указывает на то, что в сокращении полимера преобладает энтропийный механизм, в то время как при вытяжке — энергетический.

Ю. Липатов

**69049. Изменение спектра диэлектрической релаксации высокополимеров при вытяжке (действие внешней пластификации).** Мюллер, Крум, Хуфф (Veränderung des dielektrischen Relaxationsspektrums von Hochpolymeren mit der Verstreckung (Auswirkung äußerer Weichmachung). Müller F. H., Krum F., Huff K.), Kolloid-Z., 1957, 152, № 1, 74—75 (нем.) Ранее было показано (РЖХим, 1956, 54656) изменение спектра времен релаксации полимеров при вытяжке. С целью установить, изменяется ли максимум диэлектрич. потерь, обусловленный самим пластификатором (П) при вытяжке пластифицированного полимера, определена температурная зависимость тангенса потерь в интервале  $t$ -р от  $-140$  до  $+40^\circ$  при частотах 1,10 и 100 кГц для пластифицированного бензилбензоатом полистирола. Не было обнаружено изменения в положении максимумов в области  $-5$  до  $+15^\circ$ , обусловленных наличием П. Отсюда следует, что подвижность молекул П и их относительная ориентация в молекулярной сетке не зависят от ориентации цепей полимера. Область концевых П была таковой, при которой, согласно Вюрстлину (Würstlin F., Kolloid-Z., 1949, 113, 18), все молекулы П должны были бы быть связаны. Полученные данные указывают на то, что молекулы П при любой концевой находятся в подвижном равновесии с молекулами полимера.

Ю. Липатов

**69050. Об изменении изотермы объема сшитого полиэфира.** Ковач (Sur la variation isotherme du volume d'un polyester réticulé. Kovacs A.), J. chim. phys. et phys.-chim. biol., 1957, 54, № 4, 285—289 (франц.)

Дилатометрически изучено изменение объема ( $v$ ) во времени при разных  $t$ -рах для полиэфира, полученного сополимеризацией стирола и эфиро малеиновой к-ты. Изученный полиэфир представляет собой смесь 3-мерной сетки и линейных цепей различной длины, играющих роль пластификатора. Оба компонента находятся в равновесии при  $\sim 80^\circ$ . Выше  $80^\circ$  линейные цепи приобретают большую подвижность и  $v$  возрастает, а при  $t$ -рах  $< 80^\circ$  происходит постепенное стеклование линейных цепей и  $v$  уменьшается. Произведен расчет полидисперсности структурных элементов сетки и показано, что самые короткие участки цепей между узлами содержат от 10 до 16 атомов углерода.

Н. Платэ

**69051. Теория вязко-упругих свойств разветвленных и сшитых полимеров.** Хэм (Viscoelastic theory of branched and cross-linked polymers. Ham Joe S.), J. Chem. Phys., 1957, 26, № 3, 625—633 (англ.)

Рассмотрено движение свободно сочлененной полимерной цепи в блоке или конц.  $p$ -ре; гидродинамич. взаимодействие сегментов цепи в этом случае отсутствует, взаимодействие цепей учитывается путем введения эффективной подвижности сегментов В. Вместо обычных разнотипных у-ний движения сегментов применено дифференциальное у-ние типа  $(1/B)X(n) = -d^2F(n)/dn^2$ , где  $X(n)$  и  $F(n)$  — соответственно координата  $n$ -го сегмента и действующая на него сила; это у-ние решено путем преобразования к нормальным координатам. Для линейной цепи получается тот же спектр времен релаксации цепи  $\tau$ , что и в прежних работах. Теория применена к разветвленным полимерным цепям различных типов, а также к сшитым полимерам. Разветвленность влияет главным образом на макс.  $\tau$ , уменьшая их. Для частного случая цепей с одной точкой ветвления и различной функциональностью вычислены отношение вязкостей разветвлен-

ной и неразветвленной цепи (при том же мол. весе), а также отношение энергий, рассеиваемых в этих цепях в стационарном потоке. Отношение вязкостей совпадает с вычисленным ранее (Zimm B. H., Stockmayer W. H., J. Chem. Phys., 1949, 17, 1301) на основе рассмотрения радиуса инерции цепей без гидродинамич. взаимодействия. Для сшитых полимеров рассмотрены различные регулярные решетки: куб., гексагон. и тетраэдрич. Распределение  $\tau$  пропорционально  $\tau^{-1/2}$ , а при больших  $\tau$  — пропорционально  $\tau^{-1}$ . Экспериментально наблюдаемые большие  $\tau$  в сшитых полимерах объясняются скоплением захлестов или разрывами цепей.

О. Птицын

**69052. Исследование макроструктуры эфиропцеллюлозных пленок.** Козлов Н. В., Коростылев Б. Н., Ж. физ. химии, 1957, 31, № 3, 653—658

Исследование механич. свойств, паропроницаемости, окрашивания пленок из триацетата целлюлозы показало зависимость этих свойств от толщины пленок (исследованы пленки толщиной 10—145  $\mu$ ). Обнаруженные зависимости объясняются неоднородностью внутренней структуры пленок, получаемых методом формирования из  $p$ -ров на твердой подложке, т. е. различием в плотности упаковки молекул в поверхностных и глубинных слоях пленки. Авторы заключают, что поверхностный слой пленки обладает наиболее плотной структурой; нижний слой, соприкасающийся с подложкой, обладает плоскостной ориентацией молекул с рыхлой упаковкой. Возникновение слоев различной структуры связывается с характером протекания релаксационных процессов в различных слоях пленки в ходе ее сушки.

Ю. Липатов

**69053. Поглощение рентгеновских лучей полистиролом и формваром в области 1—8 кХ.** Нордфоре (The X-ray absorption in polystyrene and formvar in the region 1—9 kXU. Nordfors Bertil), Arkiv fys., 1957, 11, № 6, 587—589 (англ.)

Исследована пропускная способность пленок полистирола и формвара и определены коэф. поглощения рентгеновских лучей с длиной волны 1—10 кХ в точках, соответствующих линиям  $Al = K_\alpha$  (1-й порядок),  $Mo = L_{\alpha_1}$  (1-й порядок),  $Ag = L_{\alpha_1}$  (2-й порядок),  $Ag = L_{\beta_1}$  (2-й порядок) и  $Cu = K_{\alpha_1}$  (4-й порядок). Показано, что пропускная способность с увеличением длины волны уменьшается, но даже в области около 5 кХ остается еще достаточно большой ( $\sim 70\%$  для пленок толщиной 20  $\mu$ ).

В. Кабанов

**69054. Электрические свойства полимеров.** Норман (Electrical properties of polymers. Norman R. H.), Trans. and Proc. Instn Rubber Ind., 1957, 33, № 2, 47—58. Discuss., 58—60 (англ.)

**69055. Доказательства распада высокополимеров под влиянием механического сдвига.** Бестул (Evidence for mechanical shear degradation of high polymers. Bestul A. B.), J. Phys. Chem., 1957, 61, № 4, 418—421 (англ.)

В дополнение к опубликованным ранее данным (РЖХим, 1955, 42764; 1956, 75155; 1957, 27066) приведены результаты исследования изменения мол. весов полиизобутилена при течении 10%-ного  $p$ -ра в  $n$ -гексанаде при скоростях сдвига 66 000 и 33 000  $cm^{-1}$ . Найдено, что в результате течения мол. вес уменьшается с 1 740 000 до 1 150 000—1 420 000 в зависимости от условий опыта. Исследование  $p$ -ров полученного таким образом более низкомолекулярного полимера показало отсутствие изменений мол. веса при течении  $p$ -ров в аналогичных условиях. Добавка к  $p$ -риту 5% гексана не оказала влияния на изменение мол. веса. Исследование фракций деградированного полимера с мол. в. 1 550 000 и 1 320 000 показало падение мол. веса до 1 500 000 в 1-ом случае и отсутствие изменений во 2-ом.

Фракции исходного полимера изменяли мол. вес в том случае, если он превосходил 1 млн. Аналогичная картина деградации наблюдалась также для р-ров полистирола и полиметилметакрилата в  $\alpha$ -метилнафталине. Полученные данные показывают, что существует наивысший мол. вес и миним. конц-ия р-ра, после которых при течении р-ра имеет место распад молекул. Автор считает, что процесс распада является результатом действия механич. сил, а не процессом, происходящим за счет выделения тепла при разрушении пустот в текущей жидкости. Механизм распада, очевидно, одинаков для полимеров различного хим. строения и включает конц-ию энергии активации на единичной связи за счет перенутования молекул.

Ю. Липатов  
69056. К вопросу о механизме отверждения термоактивных пластиков (пресс-порошков). Канавец И. Ф., Баталова Л. Г., Ромашова А. Г., Колонди. ж., 1957, 19, № 2, 204—218 (рез. англ.)

Изучена кинетика р-ции отверждения ряда термоактивных отечественных пластиков на основе фенолоформальдегидных смол на стадиях получения пресс-порошков и влияние на нее некоторых физ.-хим. факторов — степени конденсации, продолжительности вальцевания, т-ры и различных добавок. Показано, что важнейшими оценками качества термоактивных смол являются вязкость и полидисперсность, одноназначно связанная с продолжительностью вязкотекучего состояния, которая определяется не физ. факторами, а скоростью хим. р-ции поликонденсации низкомолекулярных компонентов этих смол, зависящей в свою очередь не только от степени конденсации исходных смол, но и от структуры пресс-порошков. Добавки типа гексаметилентетрамина, фурфурола, окиси магния, известные и т. п. вступают в хим. взаимодействие со смолами и влияют на продолжительность вязкотекучего состояния, скорость отверждения и механич. свойства получаемого продукта, а добавки типа воды, жирных органич. к-т и летучих действуют только как пластификаторы. Показано, что для получения изделий высокого качества из смол надо производить формирование за время нахождения пресс-порошка в пластичном или вязкотекучем состоянии. Н. Плата

69057. Полимеризация ненасыщенных соединений, инициированная  $\gamma$ -излучением. Лазар, Радо, Климан (Polymerizácia nenasytých zlúčenín iniciovaná gama žiarením. Lazár M., Rado R., Kliman N.), Chem. zvesti, 1957, 11, № 4, 230—235 (словацк.; рез. русск., нем.)

Обзор. Библ. 19 назв.

Х. Багдасарьян  
69058. Развитие радиохимической полимеризации. Клингер (Sviluppi e aspetti attuali della polimerizzazione radiochimica. Klinger Thomas), Poliplasti, 1957, 5, № 20, 27—30 (итал.)

Обзор. Библ. 36 назв.

Х. Багдасарьян  
69059. Скорости полимеризации этилена при высоких давлениях. Лэрд, Моррелл, Сид (The velocity of ethylene polymerization at high pressures. Laird R. K., Morrell A. G., Seed L.), Disc. Faraday Soc., 1956, № 22, 126—137. Discuss., 144—154 (англ.)

Исследована кинетика термич. полимеризации  $C_2H_4$  и полимеризация  $C_2H_4$  инициированная ацетоксимом (I), ди-*т*-мет-бутилперекисью (II), динитрилом азодизомасляной к-ты (III),  $O_2$  и  $\gamma$ -излучением при 51—264° и давл.  $P$  380—2000 атм. Скорость термич. полимеризации подчиняется ур-нию  $1,32 \cdot 10^{-3} [\exp(-30\,600/RT)] P^{1.9}$  (1200—2000 атм., 200—264°). При действии инициаторов получены ур-ния: I  $1,81 \cdot 10^7 [\exp(-31\,900/RT)] P^{2.6} C^{0.4}$  (1200—2000 атм., 180—210°), II  $2,37 \cdot 10^{11} [\exp(-29\,100/RT)] P^{2.2} C^{0.7}$  (380—1050 атм., 120—140°), III  $\alpha P^{1.2} C^{0.9}$  (400—1200 атм., 51°),  $O_2$   $\alpha P^{2.8}$  (1100—1800 атм., 230°),  $\gamma$ -

излучение  $\alpha [\exp(-3300/RT)] P^{2.0} C^{0.9}$  (473—1185 атм., 20—125°) и  $\alpha [\exp(-13\,600/RT)] P^{3.1} C^{0.8}$  (675—1375 атм., 100—200°), где  $\alpha$  — константа,  $C$  — конц-ия инициатора или мощность  $\gamma$ -источника. Если заменить в этих ур-ниях давления  $P$  на летучесть  $f$ , то последние входили в ур-ния с более низкими, чем у  $P$ , показателями: термич. полимеризация 2.1, I 1.1, II 1.6, III 0.7,  $O_2$  1.2,  $\gamma$ -излучение (20—125°) 1.3,  $\gamma$ -излучение (100—200°) 1.8. Изменение энергии активации при повышении т-ры полимеризации  $>100^\circ$  авторы объясняют вовлечением в р-цию при высоких т-рах сравнительно малореакционных радикалов.

А. Праведников  
69060. Исследование полимеризации стирола при высоких давлениях с помощью вращающегося сектора. Николсон, Норриш (Polymerization of styrene at high pressures using the sector technique. Nicholson A. E., Norrish R. G. W.), Disc. Faraday Soc., 1956, № 22, 104—113. Discuss., 144—154 (англ.)

Исследована фотополимеризация стирола при 30° и давл. 1—3000 атм; сенсibilизатор — перекись бензола. Из данных о скоростях полимеризации, мол. весах образовавшихся полимеров и средней продолжительности жизни полимерных радикалов (вращающийся сектор) рассчитаны константы скоростей ( $l$ /моль·сек) р-ций роста  $k_p$  (1-я цифра) и обрыва  $k_0 \cdot 10^{-7}$  цепи: 1 атм 72,5, 6,85; 1000 атм 108, 3,25; 2000 атм 206, 3,05; 3000 атм 400, 2,54; скорость инициирования незначительно меняется при изменении давления. Увеличение  $k_p$  авторы объясняют тем, что р-ция роста цепи является «медленной» бимолекулярной р-цией, а уменьшение  $k_0$  — увеличением вязкости полимеризационной системы при увеличении давления.

А. Праведников  
69061. Наличие кетенимидных связей в полиметакрилонитриле. Талат-Эрбен, Байуотер (The existence of ketene-imine linkages in polymethacrylonitrile. Talat-Erben M., Bywater S.), Ricerca scient., 1955, 25, Suppl., 11—17 (англ.; рез. нем., франц., итал.)

При рекомбинации радикалов, образующихся при распаде динитрила 2,2-азоизомасляной к-ты, кроме обычного продукта рекомбинации, образуется продукт, содержащий кетенимидную группу ( $>C=C=N-$ ). В образцах полиметакрилонитрила, полученного в различных экперим. условиях, при помощи ИК-спектров установлено наличие кетенимидных групп. Интенсивность поглощения кетенимидными группами уменьшается с повышением т-ры и времени полимеризации. Полимеры, прогретые при умеренной т-ре в течение длительного времени, не дают характерного для нестойких кетенимидных групп максимума поглощения при 4,95  $\mu$ .

Р. Милютинская  
69062. Окислительно-восстановительные системы для инициирования радикальных процессов. Сообщение 2. Иницирование полимеризации в водных эмульсиях под влиянием обратимых систем при температуре ниже 0° и изучение микроструктуры полимерной цепи. Белоносова Г. П., Долгопосек Б. А., Тинякова Е. И., Изв. АН СССР. Отд. хим. н., 1957, № 1, 65—69

Исследована инициирующая активность системы диоксималеновая к-та (I) — соль Мора (II) с гидроперекисями изопропилбензола, диизопропилбензола, *п*-трет-бутилдиизопропилбензола (III) и дигидроперекисью диизопропилбензола при эмульсионной полимеризации дивинила (IV) и совместной полимеризации IV со стиролом (т-ра 5°, pH 3). Наиболее эффективной является система I—II—III, активная при —25° (6 мол. % II), но при —35 и —47° даже в присутствии 15 мол. % II не инициирует полимеризацию. Эффективной при этих т-рах оказалась система с аскорбино-

вой к-той (вместо I). Исследование строения полибутадиена (V) и полиизопрена (VI), полученных при полимеризации под действием рассмотренных выше систем при  $t$ -рах от  $-47$  до  $+50^\circ$ , показало, что содержание 1,2-звеньев в V и 1,2- и 3,4-звеньев в VI практически не зависит от  $t$ -ры полимеризации, а содержание *цис*-1,4-звеньев несколько увеличивается при повышении  $t$ -ры. В V все 1,4-звенья имеют *транс*-конфигурацию при проведении полимеризации при  $-35^\circ$ ; в VI аналогичная картина наблюдается уже при  $-25^\circ$ . Авторы считают, что соотношение между *цис*- и *транс*-звеньями обусловлено *цис-транс*-изомеризацией полимерных радикалов аллильного типа в стадии роста. Рентгенографич. исследования растянутых образцов V показали, что при понижении  $t$ -ры полимеризации увеличивается содержание кристаллич. фазы в полимере. Сообщение 1 см. РИХХим, 1957, 51487.

А. Праведников  
69063. Виниловая полимеризация в водных растворах, инициированная цитратными и оксалатными радикал-ионами. Субраманьян, Сантаппа (Citrate and oxalate radical-ion initiated vinyl polymerization in aqueous solution. Subramanian R. V., Santappa M.), Macromolek. Chem., 1957, 22, № 1-2, 147-162 (англ.; рез. нем.)  
См. РИХХим, 1956, 36080; 1957, 30894. А. Праведников

69064. Полимеризация акриловой кислоты в водных растворах и влияние pH. Ито, Симидзу, Сидзуки (アクリル酸の重合ならびにそれに及ぼす pH の影響について. 伊藤博夫, 清水昭二, 鈴木重成), 工業化学雑誌, Kōgō kagaku zasshi, J. Chem. Soc. Japan. Industr. Chem. Sec., 1955, 58, № 3, 194-196 (японск.)

Скорость полимеризации акриловой к-ты (I) в водн.  $p$ -рах, инициированной  $K_2S_2O_8$  при pH 2,2-2,4 подчиняется уравнению  $kt = x/(1-x)$ , где  $x$  — глубина полимеризации за время  $t$ ,  $k$  — константа скорости, пропорциональная конц-ии I и  $K_2S_2O_8$ . При возрастании pH до 7,2  $k$  падает и затем при pH 8,6 снова возрастает, достигая почти постоянного значения при pH 9-12. Подобную зависимость от pH исходного  $p$ -ра I имеет и кажущаяся вязкость  $p$ -ров образующихся полимеров в 2 н. NaOH. Общая энергия активации равна 16,2 ккал/моль.

Chem. Abstr., 1955, 49, № 19, 14375. Katsuya Inouye  
69065. Образование дианетного водорода при полимеризации акрилонитрила. Нагао, Утида, Ямагути (アクリロニトリルの重合中における 青酸の発生. 加尾英夫, 内田盛也, 山口晃雄), 工業化学雑誌, Kōgō kagaku zasshi, J. Chem. Soc. Japan. Industr. Chem. Sec., 1956, 59, № 10, 1211-1213 (японск.)

При полимеризации акрилонитрила в водн. среде (инициаторы:  $K_2S_2O_8 + NaHSO_5$ ;  $K_2S_2O_8$  или динитрил азонизомасляной к-ты;  $t$ -ра 35 и  $70^\circ$ ) выделяется немного HCN, кол-во его увеличивается с повышением  $t$ -ры и удлинением времени полимеризации. Замена воды на  $C_6H_6$  заметно увеличивает кол-во выделяющегося HCN, особенно при использовании в качестве инициатора перекиси бензоила, так как кол-во HCN невелико, то оно не влияет на определение азота в полимерах по способу Кельдаля.

Л. Яновская  
69066. Совместная полимеризация 2-хлорбутадиена-1,3 с акрилонитрилом. Маргаритова М. Ф., Зверев М. П., Укр. хим. ж., 1957, 23, № 1, 75-78  
Из данных о составе полимеров, полученных совместной полимеризацией 2-хлорбутадиена-1,3 (I) и акрилонитрила (II) (инициатор — перекись бензоила), рассчитаны константы совместной полимеризации для этой системы  $r_1 = 6,22$  и  $r_2 = 0,15$ . Полиакрилонитрид, образующийся в результате раздельной полимеризации II после исчерпания I, оказывает на сополимер пластифицирующее действие. Вулканизаты, полученные из сополимеров I с II (состав исходной смеси

12,5% I и 87,5% II), характеризуются разрывным усилием  $158 \text{ кг/см}^2$ , относительным удлинением 240%, остаточным удлинением 34% и высокой безостойкостью.

А. Праведников  
69067. О полимеризации в вязких средах. Арбузова И. А., Ефремова В. Н., Улезло Н. К., Докл. АН СССР, 1957, 112, № 4, 645-648

Исследована фотополимеризация ( $\lambda$  3000 Å) акриламида (I), метакриламида (II) и метилметакриламида (III) в водн.  $p$ -рах и  $p$ -рах глицерина при  $40^\circ$ . В воде I и II практически не полимеризуются, в глицерине оба мономера полимеризуются со значительной скоростью. Скорость полимеризации III также выше в глицерине, причем характеристич. вязкость  $[\eta]$  образующихся при этом полимеров значительно выше  $[\eta]$  полимеров, полученных в водн. среде. При увеличении конц-ии мономера скорость полимеризации и величины  $[\eta]$  образующихся полимеров во всех случаях возрастают; увеличение  $[\eta]$  наблюдается также при снижении  $t$ -ры полимеризации (до  $1^\circ$ ). Полученные результаты авторы объясняют более низкими скоростями обрыва при полимеризации в  $p$ -ре глицерина вследствие пониженной скорости диффузии.

А. П.  
69068. Полимеризация акрилонитрила в присутствии трибутилбора. Колесников Г. С., Федорова Л. С., Изв. АН СССР, Отд. хим. н., 1957, № 2, 236-237

Найдено, что трибутилбор (I) является катализатором полимеризации акрилонитрила (II) в ксилоле, причем активатором является эфират фтористого бора. Выход полимера II достигает 82%; в отсутствие активатора выход полимера II составляет 5-6%. Авторы связывают каталитич. активность I с конфигурацией внешних электронных оболочек атома бора.

Г. Колесников  
69069. Роль необычных связей в реакциях разрушения полимеров. Грасси (The role of abnormal linkages in polymer degradation reactions. Grassie N.), Chemistry and Industry, 1957, № 18, 537-542 (англ.)

Обзор работ о роли группировок, содержащих связи с пониженной прочностью, в процессах термич. разрушения полимеров. Библ. 8 назв.

А. Праведников  
69070. Облучение полимеров вспышками высокой интенсивности. Лундберг, Нелсон (High-intensity flash irradiation of polymers. Lundberg J. L., Nelson L. S.), Nature, 1957, № 4555, 367-368 (англ.)

При облучении полиэтилена, полистирола, политетрафторэтилена, полиизобутилена, найлона 610, поливинилхлорида, регенерированной целлюлозы и ацетилцеллюлозы вспышкой света разрядной лампы (длительность вспышки  $\sim 3$  мсек., интенсивность  $9,6 \cdot 10^{19}$  квантов на вспышку при 2000-4900 Å) наблюдается локализованная в отдельных местах разрушения полимера, сопровождающаяся образованием пузырьков газа и углеродных пятен и отложением флуоресцирующих в-в вблизи места распада; вискозиметрич. мод. вес полимера при этом, однако, возрастает. Тщательная очистка полимера от загрязнений значительно снижает степень разрушения, в то время как введение в полимер сажи, графита, размоловых углей для дуговой лампы (100-120 меш), флуоресцирующей Na,  $Fe_2O_3$  и металлич. Fe заметно увеличивают ее. Полученные результаты авторы объясняют протеканием пиролизич. процессов в непосредственной близости от суспендированных в полимере частиц, нагреваемых за счет энергии излучения.

А. Праведников  
69071. У-Облучение полиметилметакрилата и полистирола. Уолл, Браун ( $\gamma$ -Irradiation of polymethyl methacrylate and polystyrene. Wall L. A., Brown

D. V.  
(англ.)  
При  
100-1  
акрил  
гии (с  
нии п  
предв  
ния п  
сниж  
шае  
образ  
распа  
дестр  
рени  
катех  
облуч  
образ  
1860-  
ние о  
ниже  
шае  
вани  
автор  
ниль  
перех  
цу д  
своб  
лов  
скол  
зван  
моле  
мов  
Резу  
о си  
скор  
данн  
ного  
этил  
сод  
облу  
указ  
визм  
стир  
пич  
а,  $\beta$ ,  $\gamma$   
→ C  
LiAl  
та  
лен  
ром  
дег  
6907  
ги  
hi  
R  
Д  
пр  
6907  
II  
S  
m  
O  
н  
обр  
тов  
дан  
обр



D. W.), J. Phys. Chem., 1957, 61, № 2, 129—136 (англ.)

При облучении предварительно прогретого при 100—120° в течение 20 час. в вакууме полиметилметакрилата число разрывов на 100 зв. поглощенной энергии ( $G$ ) равно 1,23—2,48.  $G$  возрастает при увеличении полидисперсности образца и при повышении т-ры предварительного прогрева. При проведении облучения в присутствии воздуха, бензола (до 5%) и при снижении т-ры до —196° величина  $G$  несколько уменьшается, причем при облучении на воздухе в полимере образуются, по-видимому, перекисные группировки, распад которых, а следовательно, и дополнительная деструкция полимера могут быть значительно ускорены добавкой в р-р облученного полимера трет-бутилкатола, гидрохинона или диметиланилина. При облучении полистирола энергия, необходимая для образования одной поперечной связи, составляет 1860—2200 эв, а энергия, затрачиваемая на образование одной молекулы  $H_2$ , равна 3910—4490 эв; при повышении т-ры до —196° скорость сшивания уменьшается на 35%. Более низкие выходы р-ции образования  $H_2$  по сравнению с выходом р-ции сшивания авторы объясняют участием в структурировании фенильных колец полимерных молекул в результате перехода  $\alpha$ -атома Н от полистирола к фенильному кольцу другой полимерной молекулы с последующим сшиванием полимерных молекул по месту образовавшихся свободных валентностей. Деитерирование полистиролов (поли- $\alpha$ - $\beta$ - $\beta$ ,  $\beta$ - $\beta$ ,  $\alpha$ -,  $\beta$ -,  $n$ -деитеростирола) несколько увеличивает энергию, затрачиваемую на образование одной связи, а также на образование одной молекулы  $H_2 + HD + D_2$ ; во всех случаях выход атомов Н в несколько раз превышает выход атомов D. Результаты не позволяют сделать каких-либо выводов о связи между положением атомов D в молекуле и скоростью сшивания. Сравнение с предварительными данными, полученными при радиолизе деитерированного полиэтилена (приготовленного полимеризацией этилена, содержащего 16 ат. % Н), согласно которым содержание Н в газовой смеси, образующейся при облучении этого полимера, не превышает 11—14,6%, указывает, по мнению авторов, на различие в механизме радиолиза полимеров. Деитерированные полистиролы приготовлены полимеризацией соответствующих мономеров, полученных по следующим схемам:  $\alpha$ , $\beta$ , $\beta$ -тридеитеростирол:  $CH_3COC_6H_5$  ( $NaOD + D_2O$ )  $\rightarrow$   $CD_3COC_6H_5$  ( $LiAlD_4$ , дегидратация)  $\rightarrow$   $CD_2=CHC_6H_5$ ;  $\beta$ , $\beta$ -дидеитеростирол — так же, но восстановлением  $LiAlH_4$ ;  $\alpha$ -деитеростирол:  $CH_3COC_6H_5$  ( $LiAlD_4$ , дегидратация);  $\beta$ -деитеростирол:  $CHBr=CHC_6H_5$  (DBr, отщепление  $Br_2$ )  $\rightarrow$   $CHD=CHC_6H_5$ ;  $n$ -деитеростирол:  $n$ -дигромбензол ( $Mg$ ,  $D_2O$ )  $\rightarrow$   $n$ -BrC<sub>6</sub>H<sub>4</sub>D ( $Mg$ ,  $CH_3CHO$ , дегидратация)  $\rightarrow$   $CH_2=CHC_6H_4D$ . А. Праведников

69072. Механизм действия радиации с высокой энергией на полимеры. Симха, Уолл (Mechanism of high energy radiation effects in polymers. Simha Robert, Wall Leo A.), J. Phys. Chem., 1957, 61, № 4, 425—430 (англ.)

Дана математич. обработка схемы радикальных р-ций, протекающих при радиолизе высокополимеров. А. П.

69073. Облучение полиакрилатов электронами. Шульц, Бови (Electron irradiation of polyacrylates. Shultz Allan R., Bovey Frank A.), J. Polymer Sci., 1956, 22, № 102, 485—494 (англ.; рез. франц., нем.)

Определено соотношение между гель- и золь-фракциями, образующимися при облучении различных полиакрилатов быстрыми электронами (1000 кэ). Из полученных данных рассчитаны величины энергий, необходимые для образования 1 поперечной связи ( $E_c$ ) и 1 разрыва в

главной цепи ( $E_d$ ). Для метил- (I),  $n$ -бутил- (II), втор-бутил- (III), изобутил- (IV) и трет-бутилакрилатов (V)  $E_d = 530 \pm 100$  эв;  $E_c$  для I, II и IV равны 80—90 эв, а для III и V соответственно 107 и 300 эв. Для поли-1,1-дигидроперфторбутилакрилата при дозах  $< 15$  Мрейтген  $E_c \approx 45$  эв,  $E_d \approx 450$  эв; при более высоких дозах роль процессов деструкции заметно возрастает. Полученные результаты указывают, по мнению авторов, на протекающие при облучении процессов передачи энергии к эфирным группировкам. Отмечается, что отсутствие в сложноэфирных группировках атома Н в  $\alpha$ -положении к эфирному кислороду сильно снижает скорость сшивания полимера.

А. Праведников  
69074. Исследование полимеризации и деполимеризации  $\epsilon$ -капролактама. 1. Формулировка реакции амидного обмена, теплота реакции и энергия активации. Юмото (Studies on polymerization and depolymerization of  $\epsilon$ -caprolactam polymer. 1. The formulation of amide-interchange reaction, the heat of reaction and the activation energy. Yumoto H.), Scient. Repts Toyo Rayon Co., 1956, 11, № 1, 1—20 (англ.)

См. РЖХим, 1956, 43434.

69075. Конденсация формальдегида с фенолом и его гомологами. XVIII. Хроматографический анализ. Финн, Джеймс (Formaldehyde condensations with phenol and its homologues. XVIII. Chromatographic analysis. Finn S. R., James J. W.), J. Appl. Chem., 1956, 6, № 10, 466—476 (англ.)

Описан метод хроматографич. анализа для разделения некоторых промежуточных продуктов, образующихся на разных стадиях фенолформальдегидных поликонденсаций. Часть компонентов идентифицирована путем сравнения с хроматограммами смесей известного состава, для прочих компонентов значения  $R_f$  протабулированы. Высказано предположение, что в кислой среде механизм р-ции состоит в начальном образовании метилолфенолов, которые далее последовательно присоединяются к фенолу, ди-, три-, тетра- и т. д. ядерным новолактам с образованием высокомолекулярных продуктов. Конденсация путем поочередного присоединения фенола и формальдегида маловероятна. Сообщение XVII см. РЖХим, 1957, 54625.

С. Френкель

69076. Получение полиэтилсилоксанов линейной структуры. Андрианов К. А., Зубков И. А., Красовская Т. А., Клейновская М. А., Ж. общ. химии, 1957, 27, № 2, 491—494

Описано получение новых этилсилоксановых линейных полимеров общей ф-лы  $(C_2H_5)_2SiO[Si(C_2H_5)_2O]_n$ . Si(C<sub>2</sub>H<sub>5</sub>)<sub>3</sub> октаэтилтрисилоксана (I), декаэтилтетрасилоксана (II) и додекаэтилпентасилоксана (III) путем каталитич. перегруппировки гексаэтилциклотрисилоксана (IV), октаэтилциклотетрасилоксана (V) и гексаэтилдисилоксана (VI) в присутствии алюминосиликата (VII). 20,4 г IV или V и 49,2 г нагревали до 120°, добавляли 5,6 г VII и нагревали еще 5 час. (до постоянной вязкости жидкой фазы), затем отфильтровывали от VII. Полученную смесь линейных полимеров перегоняли. Перечисляются: полимер, т. кип. °C/1 мм, выход в %,  $n_D^{20}$ ,  $d_4^{20}$ : I, 113—114, 23,5, 1,4389, 0,8940; II, 151, 15,5, 1,4415, 0,9121; III, 188—189, 2,7, 1,4445, 0,9252. VI получен гидролизом триэтилхлорсилана, т. кип. 72—73°/1 мм,  $n_D^{20}$  1,4340. Е. Кронгауз

69077. Этерификация целлюлозы метансульфохлоридом. Роберте (The esterification of cellulose with methanesulfonyl (mesyl) chloride. Roberts Richard W.), J. Amer. Chem. Soc., 1957, 79, № 5, 1175—1178 (англ.)

Изучался процесс этерификации целлюлозы (Ц)

$\text{CH}_3\text{SO}_2\text{Cl}$  (I) и *n*-толуолсульфохлоридом. Ц активировали мерсеризацией 18%-ным NaOH с последующим отмыванием абс.  $\text{CH}_3\text{OH}$  и пиридином. Оптимальная температура 28°. Получены эфиры со степенью замещения 2,95 в случае I. При действии I на *n*-толуолсульфоэфиры Ц происходит дополнительная этерификация. Установлено, что образующийся побочно метансульфонат пиридина не этерифицирует Ц. В. Рабинович 69078. Фракционирование продукта гидролиза метилцеллюлозы. Крюн, Линдберг (Fractionation of methyl cellulose hydrolysate. Croon Ingemar, Lindberg Bengt), Acta chem. scand., 1957, 11, № 1, 192—193 (англ.).

Изучено фракционирование продукта гидролиза метилцеллюлозы хроматографией на угле. Выделены глюкоза и ее 2-, 3- и 6-монометилловые, 2,3-, 2,6- и 3,6-диметилловые и 2,3,6-триметилловые эфиры, которые идентифицированы хроматографией и электрофорезом на бумаге. В. Рабинович 69079. Дальнейшее доказательство существования

трех различных свободных гидроксильных групп в ацетонорастворимой ацетилцеллюлозе. Хаскинс, Сандеруэрт (Further evidence for the existence of three different free hydroxyl groups in acetone-soluble cellulose acetate. Haskins Joseph F., Sunderwirth Stanley G.), J. Amer. Chem. Soc., 1957, 79, № 6, 1492—1493 (англ.).

Действием *n*-толуолсульфохлорида на ацетилцеллюлозу (АЦ) (37,95% ацетильных групп (АГ)) получен смешанный эфир (Э), содержащий 2,18 АГ и 0,496 толуолсульфогрупп (ТСГ) на ангидроглюкозный остаток (АГО). 6 г Э кипятят 30 час. в 60 мл сухого пирролидина, диализовали, высушили в замороженном виде. Полученное в-во содержало 0,514 пирролидиновых групп (ПГ) на АГО, не содержало ТСГ и АГ. Последующим гидролизом и хроматографией на дауекс-50

(вымывание 0,3 н. HCl (к-той)) выделены хлоргидраты трех пирролидиногексоз. Предположено, что при замещении ТСГ на ПГ происходило Вальденовское обращение. Полученным в-вом, приписывается строение 2-дезоксид-2-пирролидино-*D*-маннозы,  $[\alpha] + 47,8^\circ$ , 3-дезоксид-3-пирролидино-*D*-аллозы,  $[\alpha] + 41,3^\circ$ , и 6-дезоксид-6-пирролидино-*D*-глюкозы,  $[\alpha] - 9,76^\circ$  (для *D*-линии, в воде). Предполагаемое строение согласуется с ходом окисления периодатом. И. Лишанский 69080. О химической природе альгиновых кислот.

Шульцен (Über die chemische Natur der Algin-säuren. Schulzen Herbert), Mellandi Textilber., 1956, 37, № 9, 1087—1093 (нем.; рез. англ., франц., исп.).

Подробное изложение работы В. А. Евтушенко (см. РЖХим, 1955, 3881). Е. Алексеева

69081 К. Макромолекулярная химия. Миклашова-Подгорани (Makromolekulová chemia. Mikulášová-Podhorány Dagina. Bratislava, SVTL, 1956, 93 s., il., 4,25 Kčs.) (словацк.).

69082 К. Растворы полимеров. Томпа (Polymer solutions. Tompa Hans. London, Butterworth's Scient. Publs, 1956, xiv, 325 pp. ill., 55 sh.) (англ.).

69083 Д. Синтез мопозитилглицеролевых эфиров акриловой и метакриловой кислот и сополимеризация их с винилденхлоридом. Чжан Мань-вэй. Автореф. дисс. канд. техн. н., Моск. хим.-технол. ин-т им Д. И. Менделеева, М., 1957

См. также: разделы *Каучук натуральный и Синтетический. Резина и Синтетические полимеры. Пластмассы и рефераты: Физ. св-ва высокополимеров 68551. Строение левана 23415Бх.*

## АНАЛИТИЧЕСКАЯ ХИМИЯ

### ОБЩИЕ ВОПРОСЫ

Редакторы А. П. Бусев, Ф. П. Судакос

69084. Новые задачи и методы в аналитической химии. Бэрканеску (Probleme și metode noi în chimia analitică. Bărcănescu V.), Rev. chim., 1957, 8, № 2, 123—127 (рум.; рез. русск., нем.).

69085. Применение дисперсионного анализа для оценки результатов определений. Налимов В. В., Ж. аналит. химии, 1957, 12, № 2, 157—165 (рез. англ.).

Дисперсионный анализ может быть рекомендован как основной метод проверки степени стандартизации аналитич. методов при межлабораторном контроле, при определении методич. ошибок, изучении нестабильности результатов определения во времени, проверки степени неоднородности анализируемых материалов и эталонов, изучения действия отдельных факторов на результаты определений и пр. Для стандартизации способов оценки аналитич. ошибок необходимо выпустить спец. ГОСТ: «Аналитич. ошибки, классификация, способы обработки эксперим. материала, установление доверительных пределов». В. Сазанова 69086. Разделение катионов *II* и *III* групп методом хроматографии на бумаге. Барнабас, Барнабас (Separation of group IIb and IIIa metals by paper chromatography. Barnabas T., Barnabas J.), Naturwissenschaften, 1957, 44, № 3, 61—62 (англ.).

Выполнено разделение As, Sb и Sn на бумаге ватман № 1 (диски диам. 24 см); в качестве *p*-рителя употребляли смесь  $\text{CH}_3\text{COOH}$ -ацетилацетон- $\text{H}_2\text{O}$  (8:1,5:2,5). На бумагу наносили по 5 мл 1%-ного *p*-ра хлоридов указанных элементов, хроматограммы сушили и опрыскивали *p*-ром 0,05 г дитизола в 100 мл  $\text{CHCl}_3$ . As, Sb и Sn обнаруживались в виде соответственно желтого, оранжевого и красного пятна. Для разделения Fe, Al и Cr на бумаге ватман № 1 (диски диам. 24 см, полосы  $15 \times 15$  см) в качестве *p*-рителя употребляли смесь лед.  $\text{CH}_3\text{COOH}$ -5 н. HCl (8:2). После проявления (~5 час.) хроматограммы сушили и обнаруживали Fe и Al, соответственно, по пурпурному и красному пятнам, образующимся после обработки хроматограмм насыщ. *p*-ром ализарина в  $\text{C}_2\text{H}_5\text{OH}$  и парами  $\text{NH}_3$ , а Sn — по синему пятну, образующемуся после обработки хроматограмм *p*-ром 5 г  $\text{Na}_2\text{O}$  в 100 мл воды и *p*-ром 50 мл бензидина в 100 мл 10%-ной  $\text{CH}_3\text{COOH}$ . Т. Леви 69087. Ряд активности металлов и его применение

в качественном анализе. Гуринович М. А., Сб. научн. тр. Винницк. гос. мед. ин-та, 1957, 8, 5—13

Изучена возможность изменения последовательности взаимно вытесняющих друг друга металлов (отвечающих стандартному ряду напряжений) путем прибавления солей, способных образовывать с ионами вытесняющего металла устойчивые и мало диссоциированные комплексы. Осуществлено вытеснение Sn при помощи Pb из *p*-ров  $\text{SnCl}_2$ , конц., 2 М, содержа-

щего избыток KJ или конц., содержащего избыток  $\text{Na}_2\text{SO}_4$ ; Pb — при помощи Sn из р-ра плумбита; Sb при помощи Cu — из р-ра тиосоли и из р-ра  $\text{SbCl}_3$ , содержащего избыток  $\text{Na}_2\text{S}_2\text{O}_3$ ; Sb при помощи Sn из нейтрализованного  $\text{NH}_4\text{OH}$  до слабкокислой р-ции р-ра  $\text{SbCl}_3$ ; Sn при помощи Cu из р-ра тиосоли Sn и из р-ра  $\text{SnCl}_2$ , нейтрализованного  $\text{NH}_4\text{OH}$  до слабкокислой р-ции и содержащего избыток  $\text{Na}_2\text{S}_2\text{O}_3$ ; Zn при помощи Al из р-ра цинката. Осуществлено открытие су в лагуна путем вытеснения Ag из его аммиаката и Al и Fe в сплаве (состава Al, Fe 0,1%, Si 0,1%) путем соответственно вытеснения Zn из р-ра цинката и Pb из р-ра  $(\text{CH}_3\text{COO})_2\text{Pb}$ , с обнаружением перешедшего в р-р  $\text{Fe}^{3+}$  при помощи  $\text{NH}_4\text{SCN}$ . В сплавах, содержащих Ni, последний обнаруживают путем вытеснения Pb из р-ра  $(\text{CH}_3\text{COO})_2\text{Pb}$ , содержащего спирт, р-р диметилглиоксима.

И. Каринская  
69088. Методы гомогенного осаждения. Удазумаэа (均一沈澱法・太秦康光). 分析化学, Бунсёки катэку, Japan, Analyst, 1957, 6, № 1, 58—63 (японск.)

Обзор. Библ. 36 назв. А. Бусев  
69089. Способы концентрирования следов металлов увлечением в осадок. I. Концентрирование соосаждения. Чуйко В. Т., Ж. неорганической химии, 1957, 2, № 3, 685—695

Исследовано концентрирование Ni, Cd и Co по способу осаждения в-ва, образующего коллектор, избыток реактива (1-й способ) и концентрирование Cu по способу осаждения части макрокомпонента (МК) (2-й способ). Соосаждение Ni, Cd и Co производилось с гидроокисями Mg, Cd, Fe и Bi как образованными в соосаждаемом р-ре, так и прибавляемыми в готовом виде. По истечении суток р-р отделялся от осадка и определялось кол-во концентрируемого металла (KM) в р-ре и осадке. Ni определялся колориметрически, а Cd и Co с помощью радиоактивных изотопов  $\text{Cd}^{115}$  и  $\text{Co}^{60}$  на установке типа Б. При концентрировании Ni, Cd и Co (из р-ров, содержащих 5  $\mu\text{g}$  Ni, 5  $\mu\text{g}$  Cd и 0,01  $\mu\text{g}$  Co) по 1-му способу колич. соосаждение (> 90%) достигается в тех случаях, когда значение pH р-ров превышает величину pH осаждения гидроокиси KM независимо от того, достигнута или не достигнута величина ПР гидроокиси KM. Посторонние электролиты, различие в свойствах гидроокисей KM и МК (кристаллохим. скорость старения, растворимость и пр.), т-ра, продолжительность старения осадка МК после осаждения и порядок смешения реагентов не влияют на колич. соосаждение KM. Соосаждение Cu производилось по 2-му способу с гидроокисями Zn и Cd. Кол-во Cu в осадке и в р-ре определялось колориметрически. Колич. соосаждение Cu с осадком основной соли МК достигается лишь при осаждении определенной части МК, которая в каждом случае должна быть установлена экспериментально. Содержанье KM в осадке можно значительно увеличить путем фракционного соосаждения МК. При неполном соосаждении МК (частичным осаждением МК щелочью) последний распределяется между осадком и р-ром в соответствии с закономерностями, свойственными ионообменным процессам.

А. Немодрук  
69090. Селективное осаждение йодата тория из смеси винной кислоты и перекиси водорода. Использование при спектрофотометрическом определении тория в силикатных породах и рудах. Гримальди, Дженикс, Флетчер (Selective precipitation of thorium iodate from a tartaric acid-hydrogen peroxide medium. Application to rapid spectrophotometric determination of thorium in silicate rocks and in ores. Grimaldi F. S., Jenkins Lillie B., Fletcher Mary H.), Analyst Chem., 1957, 29, № 5, 848—851 (англ.)

Описан метод осаждения  $\text{Th}(\text{JO}_3)_4$  из  $\text{HNO}_3$ -смесей, содержащих  $\text{H}_2\text{O}_2$ , d-винную к-ту и 8-оксихинолин (винная к-та предотвращает соосаждение Zr, W, Sc и Bi;  $\text{H}_2\text{O}_2$  препятствует осаждению Ti, Nb и Ta; оксихинолин устраняет каталитич. разложение  $\text{H}_2\text{O}_2$ ). Установлено, что лучшие результаты получаются при использовании смешанного носителя  $\text{Hg}(\text{NO}_3)_2 \cdot \text{H}_2\text{O} - \text{Fe}(\text{NO}_3)_3 \cdot 6\text{H}_2\text{O}$ . Предложенный метод в сочетании со спектрофотометрич. методом определения Th с помощью торона и мезовинной к-ты успешно использован для определения 0,001% (или более)  $\text{ThO}_2$  в силикатных породах и 0,01% (или более) в монаците, торите, цирконе, торяните и других материалах.

А. Зоуля

69091. Новый универсальный индикатор для кислотно-основного титрования. Сен, Берг, Уэст (A new universal indicator for acid-base titration. Sen Buddhadev, Berg Eugene, West Philip W.), Sci. and Culture, 1957, 22, № 8, 457 (англ.)

В качестве индикатора предложено комплексное соединение  $\text{Fe}(3+)$  с 1,2-диоксисбензол-3,4-дисульфокислотой (KC). Максимум светопоглощения р-ров KC резко меняется с изменением pH. В пределах pH от 2,6 до 4,0 окраска р-ров KC изменяется от зеленоватоголубой до синей ( $\lambda$  макс.) 600 м $\mu$ ). При pH от 5,1 до 6,3 синяя окраска переходит в фиолетовую ( $\lambda$  макс.) 480 м $\mu$ ). При pH ~ 10 фиолетовая окраска изменяется на коричневую. Для приготовления р-ра KC растворяют отдельно в небольших кол-вах воды 0,05 моля  $\text{FeNH}_4(\text{SO}_4)_2 \cdot 12\text{H}_2\text{O}$  и 0,15 моля натриевой соли 1,2-диоксисбензол-3,4-дисульфокислоты, р-ры смешивают, фильтруют и разбавляют водой до 1 л. При титровании 0,01 н.  $\text{H}_2\text{SO}_4$ , 0,01 н. р-ром NaOH с применением KC в качестве индикатора получают точные результаты.

А. Немодрук

69092. Механизм адсорбционного индикаторного перехода метанилового желтого. Пунгор, Рокосиньи (Mechanism of Adsorptionindication des Metanilgelbs. Pungor E., Rokosinyi Hollos E.), Z. analyt. Chem., 1957, 156, № 3, 161—169 (нем.)

Механизм (I) исследован с помощью фотометрич. и полярографич. методов. Метаниловый желтый (I) в присутствии ионов  $\text{J}^-$  практически не адсорбируется на поверхности осадка AgI. При незначительном избытке ионов  $\text{Ag}^+$  адсорбция I становится значительной и при определенной конц-ии ионов  $\text{Ag}^+$  достигает предельного значения. Адсорбция I осадком AgI сопровождается изменением окраски, характер которой сильно зависит от pH р-ра. В нейтр. среде в присутствии ионов  $\text{J}^-$  индикатор обладает желтой окраской, а в присутствии ионов  $\text{Ag}^+$  осадок AgI окрашивается в красный цвет вследствие образования на его поверхности осадка, состоящего из Ag-соли I и недиссоциированных молекул I. При pH 10,3—10,7 красная окраска переходит в коричнево-желтую в результате образования  $\text{Ag}_2\text{O}$  на поверхности осадка. При pH 2,5—3,6 в присутствии ионов  $\text{J}^-$  наблюдается переход желтой окраски осадка AgI в голубую, в то время как переход окраски самого I имеет место только при pH 1,2—2,3. При избытке ионов  $\text{J}^-$  аминогруппа I переходит в четвертичную аммониевую группу. Изменение окраски наступает вследствие присоединения протона.

А. Немодрук

69093. Стандартные реактивы в титриметрическом анализе. Хан Цзю-кан Хуасюэ шицзе, 1957, 12, № 2, 55—58 (кит.)

Чистое металлич. серебро рекомендовано как основной стандарт, а  $\text{Na}_2\text{CO}_3$ , NaCl и  $\text{J}_2$  как рабочие стандарты.

Сун Ип-жун

69094. Подометрическое определение йодата, бромата и бихромата в присутствии меди. Сатьяна-



**раянамурти, Састри** (Iodometric determination of iodate, bromate and dichromate in the presence of copper. S. S. Sastri, S. S. Sastri, R. V. V. Sastry M. N.). J. Scient. and Industr. Res., 1957, BC16, № 2, B83—B85 (англ.)

$\text{JO}_3^-$ ,  $\text{BrO}_3^-$  и  $\text{Cr}_2\text{O}_7^{2-}$  определяют йодометрич. методом после связывания Cu в комплекс с комплексом III. Для определения  $\text{JO}_3^-$  и Cu к р-ру, содержащему 0,3—0,7 ммоль  $\text{JO}_3^-$  и 1,9—4,9 ммоль  $\text{CuSO}_4$ , добавляют 20 мл 10%-ного р-ра KJ, 2 мл  $\text{CH}_3\text{COOH}$  и р-р комплексона III ( $\geq 1$  ммоль на 1 ммоль Cu). Прозрачный р-р титруют стандартным р-ром  $\text{Na}_2\text{S}_2\text{O}_3$  по крахмалу. Для определения Cu, связанной в комплексонат, к смеси добавляют 5—10 мл HCl и через 2 мин. оттитровывают выделившийся  $\text{J}_2$ . Для определения  $\text{BrO}_3^-$  в присутствии Cu к р-ру (0,04—0,90 ммоль  $\text{BrO}_3^-$ , 0,3—1,99 ммоль  $\text{CuSO}_4$ ) добавляют 1 мл 4 н. HCl или  $\text{H}_2\text{SO}_4$ , 0,5 мл 2,5%-ного р-ра молибдата аммония, 10 мл 20%-ного р-ра KJ, 20 мл 0,1 M р-ра комплексона III и 20 мл воды. Выделившийся  $\text{J}_2$  определяют, как обычно. Результаты определения Cu описанным выше методом завышены. Для определения  $\text{Cr}_2\text{O}_7^{2-}$  к р-ру (0,08—0,80 ммоль  $\text{Cr}_2\text{O}_7^{2-}$ , 0,1—1,14 ммоль Cu) добавляют 10 мл 6 н.  $\text{CH}_3\text{COOH}$ , 20 мл 20%-ного р-ра KJ, 15 мл 0,1 M комплексона III и 20 мл воды. Выделившийся  $\text{J}_2$  определяют, как описано выше, и рассчитывают содержание  $\text{Cr}_2\text{O}_7^{2-}$ . Результаты определения Cu описанным выше методом сильно отличаются от теоретич. данных.

И. Каринская

**69095. Ванадометрия. Определение арсенита. Применение однохлористого йода и четырехокиси осмия в качестве катализаторов.** Рао, Говда, Рао (Vanadometry. Estimation of arsenite—Use of iodine monochloride and osmium tetroxide as catalysts. Rao K. Bhaskara, Gowda H. S., Rao G. C. G. G. Z. analyt. Chem., 1957, 156, № 3, 180—184 (англ.))

Определение арсенитов (I) окислением их избытком  $\text{NH}_4\text{VO}_3$  (II) в присутствии JCl в качестве катализатора с последующим титрованием избытка II р-ром  $\text{FeSO}_4$  и применением дифенилбензидина (III) в качестве индикатора в соответствии с ранее предложенным методом (Tsubaki I., J. Chem. Soc. Japan, 1945, 66, 10) оказалось невозможным, так как III в присутствии JCl не может служить индикатором и окисление I в условиях проведения р-ции не заканчивается даже через 48 час. При повышении конц-ии  $\text{H}_2\text{SO}_4$  до 8 н. окисление I заканчивается в течение 15—20 мин. при применении 1 мл 0,005 M р-ра JCl. Избыток II титруют р-ром  $\text{FeSO}_4$  с применением N-фенилантрахиноновой к-ты, на индикаторное действие которой присутствие JCl не влияет. Окисление I с помощью II катализируется также  $\text{OsO}_4$ . К анализируемому р-ру прибавляют избыток II, 1 мл  $\text{H}_2\text{SO}_4$  (1:3) и 0,2 мл 0,01 M р-ра  $\text{OsO}_4$ , разбавляют водой до 50 мл и нагревают на кипящей водяной бане. Охлаждают, прибавлением  $\text{H}_2\text{SO}_4$  (1:3) кислотность р-ра доводят до 1,0 н. и избыток II титруют р-ром  $\text{FeSO}_4$ , применяя в качестве индикатора III, индикаторному действию которого  $\text{OsO}_4$  не мешает. Ошибка определения I как с применением JCl, так и  $\text{OsO}_4$  < 0,5%.

А. Немолрук

**69096. Применение внутрикомплексных соединений для маскировки и экстракции в аналитической химии.** Киннунен (Kelaattien käyttö analyttisissa naamioimis- ja ekstrahoisimenetelmissä. Kinnunen J. J. Suomen kem., 1957, 30, № 3, A57—A67 (финск.))

Обзор.

М. Тойлка

**69097. Осаждение металлов при помощи моно- и дифениларсиновых кислот.** Пиш (Metallfällungen mit Mono- und Diphenylarsinsäure. Pietsch R.), Mikro-

chim. acta, 1957, № 2, 161—166 (нем.; рез. англ., франц.)

Изучены условия взаимодействия между моно- (I) и дифениларсиновыми (II) к-тами и рядом ионов металлов; приведены значения pH начала осаждения и отмечены окраски осадков. Осадки (за исключением полученного для Sn) с I хорошо фильтруются; осадки Cu и Ag являются кристаллич. Осадки, полученные с II, порошкообразны для  $\text{Co}^{2+}$  и  $\text{Cu}^{2+}$ , хлопьеобразны и хорошо фильтруются для W(6+),  $\text{Fe}^{2+}$ ,  $\text{Sn}^{2+}$  и  $\text{Sn}^{4+}$ , Zr, Th, Sn, Bi, Y, Cr, Ni,  $\text{Fe}^{3+}$  и In хорошо осаждаются обеими к-тами, число фенильных групп не оказывает влияния на процесс осаждения. Для Hg, Cd, Ce, Ag, Zn,  $\text{Fe}^{2+}$ , La, Cu, Ca, Mn, Co, Pb, Al и Mg введение 2-й фенильной группы ведет к повышению pH начала осаждения. Полученные результаты табулированы.

И. Каринская

**69098. Изучение взаимодействия тионалида с платиновыми металлами и применение полученных соединений в анализе.** Пшеницын Н. К., Прокофьева И. В., Ж. неорг. химии, 1957, 2, № 3, 569—575

Исследовано осаждение Rh, Ir, Pd и Pt тионалидом (I). При добавлении 1—2%-ного уксуснокислого р-ра I к р-ру хлорорида натрия, содержащему небольшое кол-во NaCl и HCl (pH 0,6), выделяется желтый осадок  $\text{Rh}(\text{C}_{12}\text{H}_{10}\text{ONS})_3$ , нерастворимый в кипящей соляной к-те, аммиаке, р-ре NaOH и спирте. Присутствие больших кол-в HCl в р-ре препятствует осаждению Rh, образующийся осадок не имеет постоянного состава и содержит переменное кол-во Cl. Из 10 н. HCl Rh не осаждается. Для колич. определения Rh удаляют HCl упариванием на водяной бане, остаток растворяют в воде, добавляют р-р I и кипятят 30 мин. Содержание Rh рассчитывают из веса осадка (коэф. пересчета 0,136) или после прокаливания взвешивают металл. Rh. Подкисление  $\text{H}_2\text{SO}_4$  или  $\text{CH}_3\text{COOH}$  (до 20%) не сказывается на результатах осаждения Rh. Для осаждения Ir из р-ров хлорорида натрия его восстанавливают до хлорорида и в отсутствие HCl осаждают добавлением р-ра I. Желтый осадок имеет состав  $\text{Ir}(\text{C}_{12}\text{H}_{10}\text{ONS})_3$ . Ir определяют взвешиванием осадка или взвешиванием металл. Ir после прокаливания осадка и восстановления. Pd с I образует желтый осадок, по составу близкий к  $\text{Pd}(\text{C}_{12}\text{H}_{10}\text{ONS})_2$ . Небольшое кол-во HCl не мешает. В отличие от других платиновых металлов Pd с I образует осадок, растворимый в бензоле. Pd определяют взвешиванием в виде металл. Pd после прокаливания осадка с последующим восстановлением. Pt с I образует светло-желтый осадок, по составу близкий к  $\text{Pt}(\text{C}_{12}\text{H}_{10}\text{ONS})_4$ . После прокаливания осадка взвешивают металл. Pt; HCl мешает. Относительная ошибка при определении Rh, Ir, Pd и Pt в среднем составляет 1—3%. А. Немолрук

**69099. Изучение кислотных и восстановительных функций гидразинсульфата в йодат-йодидной смеси.** Дешмукх, Бапат (Study of acid and reductant functions of hydrazine sulphate by iodate-iodide mixture. Deshmukh G. S., Barat M. G.), Z. analyt. Chem., 1957, 156, № 4, 269—272 (англ.)

Гидразинсульфат (I) в щел. буферном р-ре легко взаимодействует с йодом, восстанавливая его до йодида. В кислой среде I не реагирует с йодом. При взаимодействии I с избытком йодат-йодидной смеси (ИИС) в кислой среде (1—2 н.  $\text{H}_2\text{SO}_4$ ) 1 молекула I выделяет 2 атома йода (I при этом окисляется с выделением  $\text{N}_2$ ). Йод определялся титрованием р-ром  $\text{Na}_2\text{S}_2\text{O}_3$  или р-ром  $\text{As}_2\text{O}_3$  в присутствии смеси буры и борной к-ты. Этим способом было изучено взаимодействие ИИС с I при различных кислотностях. Выявлена интересная особенность I в связи с его различным отношением к ИИС и йоду, вследствие чего он

одновременно может являться как титруемым в-вом (при определении йодата в ИИС), так и титрантом (для определения йода, образующегося при взаимодействии йодата с йодидом в кислой среде). Разработаны условия применения I для титрования йода в шел. буферной смеси.

А. Немодрук  
69100. О комплексометрическом титровании. Антикайнен (Kompleksometrisen titrauksen perusteista. Antikainen P. J.), Suomen kem., 1957, 30, № 2, A27—A34 (финск.)  
Обзор.

69101. Кальцеин как индикатор при титровании кальция этилендиаминтетраацетатом. Таккер (Calcein as an indicator for the titration of calcium with ethylenediaminetetra-acetate. Tucker B. M.), Analyst, 1957, 82, № 973, 284—285 (англ.)

При титровании  $\text{Ca}^{2+}$  этилендиаминтетраацетатной к-той в присутствии кальцеина (I) (флуоресценции-комплексон) при pH > 12 флуоресценция р-ра переходит из ярко-зеленой в розовато-оранжевую, хорошо видимую при рассеянном дневном свете. Добавление тимолафталейна повышает отчетливость перехода цвета флуоресценции; рекомендуется употреблять тонко-растертую смесь 0,2 г I, 0,12 г тимолафталейна и 20 г KCl. При объеме титра 50 мл вводят 10 мг порошкообразного индикатора. Описанный порошкообразный индикатор применяли и при титровании  $\text{Mg}^{2+}$ , но конечная точка является менее отчетливой, чем при употреблении о-крезофталейнокомплексона или эриохрома черного Т. При определении  $\text{Ca}^{2+}$  в смеси с  $\text{Mg}^{2+}$  к нейтр. аликвотной порции исследуемого р-ра (~25 мл) добавляют 1 мл 20%-ного р-ра сахаразы, 2 мл 0,2 М  $\text{Na}_2\text{CO}_3$  и 1 каплю 0,05%-ного р-ра нильского голубого А, вводят по каплям 10%-ный р-р NaOH до перехода окраски в розовую плюс 2—2,5 мл р-ра NaOH. Добавляют 10 мг порошкообразного индикатора и титруют.

И. Каринская  
69102. Прибор для оптического определения конечной точки титрования кальция и магния комплексом III. Вальраф (Gerät zur optischen Endpunktbestimmung bei der Calcium- und Magnesium-Titration mit Äthylendiamintetraacetat (XDTA). Wallraf M.), Z. analyt. Chem., 1957, 156, № 5, 332—335 (нем.)

Источник света (электрич. лампа 6 в, 50 вт) помещается в фокусе двояковыпуклой линзы. Пучок света проходит через интерференционный фильтр и стакан с титруемым р-ром и падает на селеновый фотоэлемент. Фототок регистрируется зеркальным гальванометром. Перемешивание при титровании осуществляется магнитной мешалкой.

Н. Будик  
69103. Определение хрома, железа и алюминия этилендиаминтетраацетатной кислотой при одновременном присутствии всех трех катионов. Патцак, Доплер (Die Bestimmung von Chrom, Eisen und Aluminium mit Äthylendiamintetraacetat bei gleichzeitiger Anwesenheit aller drei Kationen. Patzak R., Dopler G.), Z. analyt. Chem., 1957, 156, № 4, 248—257 (нем.)

Определение  $\text{Cr}(3+)$ ,  $\text{Fe}(3+)$  и Al с помощью этилендиаминтетраацетатной к-ты (I) при их одновременном присутствии основано на достаточно большом различии в прочностях образуемых I комплексов с  $\text{Cr}(3+)$  и  $\text{Fe}(3+)$  по сравнению с комплексом Al в зависимости от pH и т-ры, а также на способности  $\text{Cr}(3+)$  вступать во взаимодействие с I практически только при нагревании. Предварительно отделяют Cu и As осажждением  $\text{H}_2\text{S}$ . Отделение от других катионов достигается осажждением р-ром  $\text{NH}_4\text{OH}$  или баритно-карбонатным методом. Полученный осадок гидролизуют  $\text{Cr}$ ,  $\text{Fe}$  и Al растворяют в возможно малом кол-ве HCl в мерной колбе (емк. 100—250 мл) разбавляют водой

до метки. К аликвотной части (АЧ) р-ра, содержащей  $\leq 20$  мг суммы  $\text{Cr}$ ,  $\text{Fe}$  и Al, добавляют 10 мл ацетатного буфера (pH 5,0) и избыток 0,01 М р-ра I. Смесь (объем которой не должен превышать 100 мл) кипятят 5 мин., охлаждают до 40° и избыток I оттитровывают 0,01—0,10 М р-ром  $\text{FeCl}_3$ . Кол-во израсходованной I соответствует содержанию суммы  $\text{Cr}$ ,  $\text{Fe}$  и Al. К такой же АЧ р-ра прибавляют 2—3 мл ацетатного буфера (pH 5,0), добавляют такое же кол-во р-ра I, как и в предыдущем случае, и кипятят 5 мин. Охлаждают до 50—60°, добавляют 10 мл монохлорацетатного буфера (pH 1,5) и при указанной т-ре титруют избыток I 0,01—0,10 М р-ром  $\text{FeCl}_3$ . По израсходованному кол-ву I определяют сумму  $\text{Fe}$  и  $\text{Cr}$ . Для определения  $\text{Fe}$  к такой же АЧ р-ра добавляют 10 мл монохлорацетатного буфера (pH 1,5), такое же кол-во р-ра I, как и в предыдущем случае, нагревают до 50° и избыток I титруют 0,01—0,10 М р-ром  $\text{FeCl}_3$ . Предложенный метод определения  $\text{Cr}$ ,  $\text{Fe}$  и Al в их смесях иллюстрирован примерами, подтверждающими высокую точность определения каждого из элементов.

А. Немодрук  
69104. О применении комплексона в анализе руд. Гундлах (Über die Verwendung von «Komplexon» in der Erzanalyse. Gundlach Heinz), Z. Erzbergbau und Metallhüttenwesen, 1957, 10, № 4, 177—182 (нем.)

Разработаны ускоренные методы определения основных составных частей ряда горных пород с применением комплексона III (I). Для устранения мешающего влияния прочих элементов при определении Ca и Mg в карбонатных породах (мел, доломит) добавляют  $\text{Na}_2\text{S}$  и KCN и р-ром I титруют сумму Ca и Mg, применяя в качестве индикатора эриохром черный Т (II). Ca титруют р-ром I в присутствии мурексида (III). Mg определяют по разности. В случае высокого содержания  $\text{Fe}$  после прибавления  $\text{Na}_2\text{S}$  выпадает обильный осадок, мешающий установлению конечной точки. Для устранения этой помехи добавляют  $\text{NH}_4\text{Cl}$  и осаждают  $\text{Fe}$  аммиаком в виде  $\text{Fe}(\text{OH})_3$ . Осадок еще раз переосаждают и в фильтрате, как выше указано, определяют содержание Ca и Mg. Для определения  $\text{Fe}$  осадок  $\text{Fe}(\text{OH})_3$  растворяют в к-те и титруют р-ром I. Для определения Zn, Pb, Fe и Cd в цинковой обманке осаждают Pb в виде  $\text{PbSO}_4$ , осадок растворяют в р-ре I, избыток которого оттитровывают р-ром  $\text{MgCl}_2$ . После отделения  $\text{Fe}$  в виде  $\text{Fe}(\text{OH})_3$  к аликвотной части (АЧ) фильтрата прибавляют  $\text{NH}_4\text{OH}$  для восстановления  $\text{Cu}(2+)$ , 1,2-диоксибензол-3,4-дисульфокислоту (для маскировки Ti и Al) и NaF (для маскировки шел.-зем. и редкоземельных элементов) и титруют сумму Zn и Cd р-ром I, применяя II в качестве индикатора. Затем прибавляют дитиокарбамат натрия для осаждения Cd. Освободившийся при этом I титруют р-ром Mg. В свинцовом блеске Pb и Fe определяют, как указано выше. Для определения Cu АЧ фильтрата титруют р-ром I при pH ~8, используя в качестве индикатора III. В присутствии Zn его титруют р-ром I совместно с Cu. К другой АЧ фильтрата прибавляют р-р тионалида, осадок тионалида меди отфильтровывают и в полученном фильтрате титруют Zn р-ром I в условиях, указанных при его определении в цинковой обманке. Содержание Cu находят по разности. Аналогично определяют Cu и Zn в медной руде.

А. Немодрук  
69105. Экстракция  $\alpha$ -нитрозо- $\beta$ -нафтолата уранила и отделение урана от ванадия и железа. А. Мари И. П., Золотов Ю. А., Ж.к. аналит. химии, 1957, 12, № 2, 176—180 (рез. англ.)

U(6+) количественно экстрагируется из водн. р-ром органич. р-рителями, не смешивающимися с водой, в виде  $\alpha$ -нитрозо- $\beta$ -нафтолата. Найденные оптимальные условия экстракции  $\alpha$ -нитрозо- $\beta$ -нафтолата уранила. Наилучшими экстрагентами для извлечения являются

изоамиловый спирт, *n*-бутиловый спирт и этилацетат; *n*-бутиловый спирт и этилацетат полностью экстрагируют U при pH 3,0—8,5, изоамиловый спирт при pH 4,5—7,5. Показана возможность отделения U от V и Fe путем экстракции U в виде  $\alpha$ -нитрозо- $\beta$ -нафтолата изоамиловым спиртом из нейтр. р-ров после добавления комплексона III.

В. Сазанова  
69106. Отделение некоторых катионов от трехвалентного железа на оксидцеллюлозах. Иванов В. И., Леншина Н. Я., Иванова В. С., Изв. АН СССР, Отд. хим. н., 1957, № 4, 518—519

На оксидцеллюлозе отделяют ионы  $Ni^{2+}$ ,  $Co^{2+}$ ,  $Cu^{2+}$ ,  $Zn^{2+}$ ,  $Pb^{2+}$ ,  $Sr^{2+}$ ,  $Mg^{2+}$ , Ca, Ba или  $Al^{3+}$ , от ионов  $Fe^{3+}$ . pH р-ра, при котором происходит полное поглощение какого-либо иона оксидцеллюлозой, лежит вблизи значения pH осаждения соответствующей гидроксиды.

В. Сазанова  
69107. Кинетика электролиза следов металлов с одновременным выделением водорода. Корну, Курсье (Cinétique d'électrolyse de traces métalliques avec dégagement simultané d'hydrogène. Coriou H., Huré J., Coursier J.), *Anal. chim. acta*, 1957, 16, № 4, 357—364 (франц.; рез. англ., нем.)

Доли катиона, извлеченного путем электролиза из сернокислого р-ра за время  $t$ , определяется ур-нием:  $\tau_i = 1 - \exp(-\lambda t)$  (1), в котором функция  $\lambda$  зависит от поверхности катода  $S$ , объема р-ра  $V$ , числа электронов, участвующих в катодном процессе  $n$ , заряда катиона  $Z$  и его подвижности  $m_i$ , от общей плотности тока, проходящего через ячейку  $I$ , от конц-ий  $H_2SO_4$  и от подвижности ионов  $H^+$  ( $m_{H^+}$ ) и  $HSO_4^-$  ( $m_-$ ). Величина  $\lambda$  определяется соотношением  $\lambda = S n F V [k + Z m_i I / (m_{H^+} m_-) - C_{H_2SO_4}]$  (2), в котором  $k$  — постоянная. При выделении Cu из р-ра с начальной конц-ией  $Cu^{2+} 10 \gamma$  мл и конц-ией  $H_2SO_4 1$  н. ур-ние (1) точно выполняется. Эксперим. точки графика зависимости  $\lg(1 - \tau_i)$  от  $t$  при электролизе с Pt- или Hg-катодом укладываются на прямую. В соответствии с ур-нием (2), величина  $1/\lambda$  линейно возрастает с увеличением  $V$  при электролизе с Pt- и Hg-катодом. С возрастанием  $I$   $\lambda$  сначала линейно увеличивается, если выделение ведется на Hg-катоде. При электролизе на Pt-катоде график  $\gamma = f(I)$  вообще не имеет линейного участка. В связи с относительно большим ростом  $m_i$  по сравнению с  $m_{H^+}$  с повышением  $t$  скорость электролитич. выделения Cu увеличивается. Повышение вязкости р-ра введением добавок глицерина замедляет выделение Cu. С возрастанием конц-ии  $H_2SO_4$   $\lambda$  несколько понижается. С увеличением скорости обновления катодной Hg  $\lambda$  возрастает до определенного предела, который в случае выделения Cu достигается при скорости обновления  $\sim 1$  мл/час. Перемешивание оказывает значительное влияние на кинетику выделения Cu только при электролизе с Hg-катодом. Н. Полянский

69108. Метод точного определения железа и окислителей. Кангро, Пипер (Eine Methode zur Präzisionsbestimmung von Eisen und von Oxydationsmitteln. Kangro W., Pieper H.), *Z. analyt. Chem.*, 1957, 155, № 3, 169—183 (нем.)

Ранее предложенное точное определение (ТО) Fe и его окислов методом внутреннего электролиза (РЯХим, 1956, 47305) применено для ТО  $Fe(3+)$  и некоторых окислителей (I). Определение основано на внутреннем электролизе галогенидов железа. Катодом служит Pt-электрод, анодом — взвешенная Ag-пластинка. Разность потенциалов, возникающая между электродами, в присутствии мол. смеси  $FeCl_3$  с  $FeCl_2$  составляет +0,55 в,  $FeBr_3$  с  $FeBr_2$  +0,70 в и  $FeI_3$  с  $FeI_2$  +0,92 в. На Pt-катоде галогенид  $Fe(3+)$  восстанавливается до галогенида  $Fe(2+)$ ; освобождающийся атом галогена образует на аноде галогенид Ag. Электролит

состоит из 150—200 мл воды (не содержащей растворенного  $O_2$ ), 2 мл конц. HCl и 2 г KJ. K нему прибавляется анализируемый р-р, содержащий 0,3—1 г  $Fe(3+)$ . Электролиз проводится в закрытом стакане под током  $CO_2$ . Конец электролиза определяется по падению силы тока во внешней цепи. Привес анода эквивалентен кол-ву  $Fe(3+)$ . Применяя точное взвешивание ( $\pm 0,02$  мг),  $Fe(3+)$  определяют со средней относительной ошибкой ( $CO$ )  $\pm 0,01\%$ . Для определения I в электролит добавляют 2 г  $FeCl_2$  и 15—25 мл анализируемого р-ра  $J_2$  (содержащего 0,4—0,7 г J и 5-кратное кол-во KJ). CO не превышает  $\pm 0,02\%$ . Для определения I ( $KMnO_4$ ,  $KBrO_3$ ,  $KJO_3$  и  $K_2Cr_2O_7$ ) к р-ру электролита, содержащему те же кол-ва KJ и  $FeCl_2$ , прибавляют аликвотную часть р-ра I. Получаемые результаты завышены. CO зависит от природы I и для каждого из них постоянна (с точностью  $\pm 0,02\%$ ). Высказано предположение, что возможным источником этой ошибки является хим. образование AgJ, частично имеющее место одновременно с его электрохим. образованием, что подтверждается кулонометрич. определением выделившегося Ag в Ag-кулометре во внешней электрич. цепи. Предложено упрощенное ТО  $Fe(3+)$ , выполняемое при помощи только одного Pt-электрода, одна половина которого покрыта Ag. CO в данном случае составляет 0,07%. Метод упрощенного ТО применим также для определения  $Fe(3+)$  в присутствии Zn, Al и Ni.

А. Немодруа  
69109. Алюминиевый индикаторный электрод в кислотно-основных потенциометрических титрованиях. Скарано (The aluminium indicator electrode in acid-base potentiometric titrations. Scarnano Elio), *Anal. chim. acta*, 1957, 16, № 4, 365—369 (англ.; рез. нем., франц.)

Электроды изготавливают из 99,99%-ной Al-жести толщиной 0,2 мм. Перед употреблением электроды предварительно обрабатывают одним из двух способов. По первому способу их погружают на глубину 2—3 см в р-р KCN (20 г/л) + NaOH (40 г/л) и при Pt-катоде в течение 5 мин. пропускают ток от источника 4,5 в. Блестящие пластинки тщательно промывают водой, на 2 мин. погружают в кипящую воду, а затем на 10—20 час. в разб. р-р бифталата калия (I). Обработка по второму способу начинается с пропускания тока в тех же условиях. Но после промывания водой электрод погружают на несколько минут в кипящий насыщ.  $Na_2HPO_4$ . Для титрования пригодны только блестящие электроды с однородной поверхностью; применяют их однократно. Эти электроды использованы при титровании I р-рами NaOH различных конц-ий (0,01—0,2 н). Полученные результаты хорошо согласуются с данными определения титра NaOH титрованием I по фенолфталеину. Поэтому автор считает возможным использовать Al-электрод в качестве индикаторного при кислотно-основных потенциометрич. титрованиях. Кривые титрования, полученные с Al-электродами после их обработки по первому способу, преобладают по форме кривые титрования с Sb-электродами. Кривые титрования с электродами, обработанными по второму способу, имеют больший наклон вблизи точки эквивалентности. Потенциал Al-электрода очень сильно меняется с pH р-ра. Так, при титровании 13 мг I 0,01 н. р-ром NaOH потенциал изменяется от —430 до —1680 мВ, т. е. в 3,67 раза больше, чем у Sb-электрода. После добавления NaOH потенциал устанавливается за 5—40 мин. Скорость перемешивания р-ра и характер предварительной обработки влияют на потенциал.

Н. Полянский  
69110. Применение цинкфосфатного электрода в потенциометрическом анализе. Иванова З. И., Коваленко П. Н., *Ж. аналит. химии*, 1957, 12, № 2, 181—184 (рез. англ.)

Соп  
фосф  
2-го  
алим  
двой  
опре  
80 м  
69111  
зов  
рид  
ten  
tas  
W.  
В  
рид  
смес  
элект  
метро  
в ка  
шущ  
в рас  
f =  
и коз  
для н  
Ур-н  
2-го  
хода  
проц  
Козф  
соот  
Хрон  
с ясн  
выпо  
69112  
Бр  
рес  
d e  
ф  
Оп  
фото  
фот  
проп  
щели  
выхо  
стри  
лини  
тома  
Перв  
посл  
полу  
равн  
69113  
ли  
la  
М  
169  
Оп  
опре  
трак  
Ti и  
лост  
69114  
фо  
по  
За  
Из  
деле  
тете  
ний  
своб  
нов



Совместно присутствующие Са и Mg титруют р-ром фосфата щел. металла с цинкфосфатным электродом 2-го рода. Показано, что обычные ошибки титрования элиминируются, если титрование ведется по методу двойных добавок. Цинкфосфатный электрод позволяет определять 35 мг/л Са с точностью от 0 до  $\pm 2,8\%$  и 80 мг/л Mg с точностью от 0 до  $\pm 1,87\%$ . В. Сазанова

**69111. Хронопотенциметрический анализ с использованием расплавленной смеси хлорида лития с хлоридом калия. Лейтинен, Фергусон** (Chronopotentiometric analysis in fused lithium chloride—potassium chloride. Laitinen H. A., Ferguson W. S.), *Analyt. Chem.*, 1957, 29, № 1, 4—9 (англ.)

Выполнено хронопотенциметрич. восстановление хлоридов Bi (3+), Cd (2+), Ag (1+) и Cu (1+) в эвтектич. смеси Li Cl—KCl при  $t_{\text{ре}} 450^\circ$ . В качестве индикаторных электродов использовали Pt-проволоку различных диаметров, в качестве рабочего электрода — Pt-фольгу, а в качестве электрода сравнения — Pt-фольгу, находящуюся в состоянии равновесия в разб. р-ре соли Pt(2+) в расплавленной р-рителе. Доказана применимость уравнения  $i^2 = nF\pi^{1/2}D^{1/2}C/2i_0$  (C и D — соответственно конц-ия и коэф. диффузии деполаризатора,  $i_0$  — плотность тока) для процесса восстановления BiCl<sub>3</sub>, CdCl<sub>2</sub>, AgCl и CuCl. Уравнение  $(\tau_1 + \tau_2)^{1/2} = n_2F\pi^{1/2}D^{1/2}C_2/2i_0$  ( $C_2$  — конц-ия 2-го деполаризатора,  $\tau_1$  и  $\tau_2$  — соответственно время перехода для 1-го и 2-го деполаризаторов) применимо для процесса восстановления смеси BiCl<sub>3</sub>=AgCl и BiCl<sub>3</sub>=CuCl. Коэф. диффузии Bi (3+), Cd (2+), Ag (1+) и Cu (1+) соответственно равны 0,6; 1,7; 2,6; и  $3,5 \cdot 10^{-5}$  см<sup>2</sup>/сек. Хронопотенциметрич. анализ в расплавленных солях с использованием указанных электродов может быть выполнен с точностью  $\pm 2,6\%$ . Т. Леви

**69112. Спектральный анализ по методу профилирования. Брекиот, Клиппелейр** (L'analyse spectrale directe par profilage. Breckpot R., Clippelleir C. de), 17-e Congr. G. A. M. S. Paris, 1954, 179—187 (франц.)

Описана методика анализа, основанная на прямой фотозаписи, регистрации контуров спектральных линий. Смещение спектра относительно выходной щели производится путем механич. перемещения входной щели. Дисперсия прибора 3,8 А/мм при 2135 А. Ширина выходной щели 20 м, входной щели 10 м. Линии регистрируются последовательно; для регистрации каждой линии требуется 20 сек. Метод применен для анализа томасовской стали на содержание Mn, C, P, Cu и Si. Первые 2 элемента определяли в искровом разряде, последние 3 — в дуговом. При определении 0,02—0,1% P получена квадратичная ошибка воспроизводимости, равная 0,0043%. В. Налимов

**69113. Применение эмиссионного спектрального анализа в агрономии. Пента** (Quelques applications de la spectrographie d'émission en agronomie. Pinta Maurice), 17-e Congr. G. A. M. S. Paris, 1954, 153—169 (франц.)

Описано применение пламенной фотометрии для определения Na, K, Ca, Mg, Li, Rb, Cs, Sr и Ba в экстрактах почв и растений. Определение Ni, Co, Mo, Zn, Ti и в некоторых случаях Fe и Al производят в дуге постоянного тока. В. Налимов

**69114. К вопросу о колориметрическом определении фосфора и кремния в виде восстановленных гетерополимолибдатов. Бабко А. К., Ентушенко Л. М.**, Заводск. лаборатория, 1957, 23, № 4, 423—427

Изучено влияние конц-ии к-ты на фотометрич. определение P и Si при восстановлении соответствующих гетерополимолибдатов при помощи Sn(2+) и Fe(2+). Нижний предел кислотности ограничен восстановлением свободного молибдата и зависит от природы восстановителя. В случае применения Sn(2+) конц-ия H<sub>2</sub>SO<sub>4</sub>

должна быть  $> 0,8$  н., а в случае применения Fe(2+)  $> 0,25$  н. Верхний предел конц-ии к-ты ограничен разложением гетерополимолибдатов и зависит от природы центрального иона. Для фосформолибденового комплекса при конц-ии H<sub>2</sub>SO<sub>4</sub>  $> 0,9$  н. заметно ослабляется интенсивность окраски независимо от вида восстановителя; кремнемолибденовый комплекс более устойчив к повышению конц-ии к-ты. Фосформолибденовый комплекс при восстановлении Sn(2+) характеризуется более сильным светопоглощением, чем при восстановлении Fe(2+), однако в первом случае необходимо создавать конц-ию к-ты в очень узком интервале. В. С.

**69115. Термохимические титрования. Титриметрическое определение энthalпии. Джордан, Аллеман** (Thermochemical titrations. Enthalpy titrations. Jordan Joseph, Alleman T. G.), *Analyt. Chem.*, 1957, 29, № 1, 9—13 (англ.)

Описано титриметрич. определение теплоты р-ции комплексообразования между катионами 2-валентных металлов (Pb<sup>2+</sup>, Cd<sup>2+</sup>, Cu<sup>2+</sup>, Ni<sup>2+</sup>, Ca<sup>2+</sup>, Zn<sup>2+</sup>, Co<sup>2+</sup> и Mg<sup>2+</sup>) и 4-замещ. натриевой солью этилендиаминотетрауксусной к-ты (I). Опыты вели с ранее описанным автоматич. аппаратом для титрования (РЖХим, 1953, 5213), модифицированным для 30-кратного повышения чувствительности сигнала, регистрирующего т-ру. При всех опытах мол. конц-ия титранта была в 100 раз больше мол. конц-ии титрата, помещенного в сосуде Дьюара (0,01 M р-р I титровали 1 M р-рами катионов).  $\Delta H$  вычисляли по ф-ле  $\Delta T/QN_m$ , где  $\Delta T$  (в °C) — изменение т-ры, соответствующее образованию  $N_m$  молей комплекса, Q — константа ячейки (в ккал на 1° C); установлено, что  $\Delta H$  (ккал/моль) для р-ции комплексообразования Pb<sup>2+</sup>, Cd<sup>2+</sup>, Cu<sup>2+</sup>, Ni<sup>2+</sup>, Ca<sup>2+</sup>, Zn<sup>2+</sup>, Co<sup>2+</sup> и Mg<sup>2+</sup> при 25° соответственно равен 12,8; —9,2; —8,2; —7,4; —5,7; —4,6; —4,2 и +5,5. Приведенные результаты удовлетворительно сходятся с данными метода, основанного на прямых колориметрич. измерениях. Для аналитич. измерений рекомендуется экстраполировать ординату кривой титрования (объем титранта — т-ра) к нулевому значению. Метод позволяет определить сумму Ca<sup>2+</sup> + Mg<sup>2+</sup> комплексомерич. титрованием и выполнить титриметрич. определение жесткости воды. Метод применим для анализа р-ров с конц-ией  $> 5 \cdot 10^{-4}$  M; воспроизводимость результатов  $\sim 3\%$ . Т. Леви

**69116. Применение дифракции электронов в химическом анализе. Ямагучи** (Ein Verfahren der Elektronenbeugung zur chemischen Analyse. Yamaguchi Shigetou), *Z. analyt. Chem.*, 1957, 154, № 1, 28—31 (нем.)

Различие в поведении пучков жестких ( $\sim 0,03$  А) и мягких ( $\sim 0,05$  А) электронов при соприкосновении с кристаллами, состоящими из атомов с высокой степенью упорядоченности или из более легких атомов, использовано для оценки различных неогранич. в-в. Опыты проводили с механич. смесями ThO<sub>2</sub>—MgO (1:1), ThO<sub>2</sub>—NaF и ThO<sub>2</sub>—NiO. Установлено, что с изменением  $\lambda$  с 0,047 до 0,028 А относительная интенсивность линии Th усиливается, а интенсивность линии Ni остается практически постоянной. Для оценки характеристик для данного элемента линий рекомендуется получать электронограммы при 2 различных  $\lambda$ . Т. Леви

**69117. Полуавтоматический прибор для анализа газов. Колобихин В. А.**, Заводск. лаборатория, 1957, 23, № 4, 500—501

Разработан полуавтоматич. прибор на базе аппарата Орса. Результаты определения олефинов на полуавтоматич. приборе и в аппарате Орса хорошо совпадают. В. Сазанова

**69118 К. Труды 17-го конгресса Объединения по разработке и развитию спектрографических методов**

анализа продуктов металлургического производства, состоявшегося 23—25 июня 1954 г. в Париже (17-е Congrès. Groupement pour l'avancement des méthodes d'analyse spectrographique des produits métallurgiques tenu les 23—25 juin 1954 à Paris. Paris, 1954, 479 p., ill.) (франц.)

Приведены следующие доклады: Жаккино (Jacquinot Pierre). Некоторые перспективы развития спектроскопической аппаратуры. Зюсман (Suessmann G.). Осветительная оптическая система в спектрографе «Новая Зеландия». Бле (Blet G.). Некоторые соображения о применении фотоэлементов в спектрографии. Бле (Blet G.). Осциллографическая регистрация спектров. Лопес-де-Аскона, Асенс-Альварес-Аренас (Lopez de Azcona J.-M., Asensi Alvarez Arenas). Влияние структурных составляющих стали на величины  $\Delta S$  (см. реф. 69186). Рикар (Ricard R.). Спектрографическое определение кремния. Руир (Rouir E.-V.). Проблема эталонов в спектрохимии. Хуттер (Hutter J.-C.). Количественный спектральный анализ глинозема; влияние добавок графита на изучение спектров примесей (см. реф. 69184). Пента (Pinta Maurice). Применение эмиссионного спектрального анализа в агрономии (см. реф. 69113). Терье (Terrien Jean). Эталоны длин волн. Брекпот, Клиппелейр (Breckpot R., Clippeleir C. de). Спектральный анализ по методу профиляка (см. реф. 69112). Жан (Jean M.). Применение спектрофотометрии для анализа различных сплавов. Марешаль (Marechal Jean R.). Применение спектрографических методов для изучения старящихся сплавов. Парио, Аршиннар (Pariaud Jean-Charles, Archinard Pierre). Наблюдение органических молекул при больших разведениях. Инфракрасные спектры поглощения ацетона и метилового спирта в газообразном состоянии. Бертон (Berton A.). Простой фотометр для инфракрасной области спектра и его применение в химическом анализе. Герен (Guérin Pierre). Новый метод фотоэлектрической спектрофотометрии с прямой регистрацией интенсивности источника в предположении постоянства распределения энергии. Фавр, Монно (Favre J., Monnot M.). Простая система регистрации для спектрофотометра Бекмана. Геле (Guert M.). Анализ бинарной смеси и характеристика гомологов методом инфракрасной спектрографии. Колмесхате (Kolmeschate J. van). Соображения о выборе денситометра.

Т. Гуревич

69119 Д. Исследования в области аналитической химии ванадия. Золотавин В. Л. Автореф. дисс. докт. хим. н., Уральский фил. АН СССР, Свердловск, 1957

См. также: Методы анализа: хроматографич. 68117, 68527, 68528, 69234; спектральные 69216, 69217; рентгеновский 68628; кормов 23128Бх, 23142Бх. Титрование: кондуктометрич. 69227, 68670; кулонометрич. 69228. Др. вопр.: аналитич. методы в фармацевтич. лабор. 69984; сахариметрия и меркуриметрия в аналитич. проблемах 23140Бх.

## АНАЛИЗ НЕОРГАНИЧЕСКИХ ВЕЩЕСТВ

Редакторы А. И. Бусев, Ф. П. Судиков

69120. О новом реактиве на натрий. Беренштейн А. В., Фрегер С. В., Почвоведение, 1957, № 2, 126—127

Mg-соль 1,8-нафтиламинсульфокислоты (I), предложенная недавно в качестве реактива на Na (РЖХим, 1953, 7113), применена для определения Na в почве. К навеске 25—100 г почвы прибавляют 10%  $\text{CaCO}_3$  и 1 л воды. Через суспензию в течение 2,5—3 час. пропу-

скают  $\text{CO}_2$  и на следующий день фильтруют. 200 мл фильтрата упаривают досуха, остаток обрабатывают горячей водой, снова фильтруют, выпаривают и еще раз повторяют эту обработку. К сухому остатку прибавляют 7 мл 12%-ного р-ра I на каждые 10 мг Na и такой же объем 96%-ного спирта. Через 2 часа фильтруют, промывают 4—5 раз спиртом, насыщ. Na-солью 1,8-нафтиламинсульфокислоты, и один раз чистым спиртом. Сушат при 105—110°. Фактор пересчета 0,09377. Результаты определения Na с применением I удовлетворительно совпадают с данными, полученными магниуранилацетатным методом.

А. Немодрук

69121. Кондуктометрическое осадочное титрование калия при помощи тетрафенилборнатрия. Яндер, Анке (Die konduktometrische Fällungstitration des Kaliums mit Natriumtetraphenylborat  $\text{Na}[(\text{C}_6\text{H}_5)_4\text{B}]$  Jander Gerhart, Anke Annemarie), Z. analyt. Chem., 1957, 154, № 1, 8—17 (нем.)

Выполнено кондуктометрич. титрование подл. р-ра KCl при 18—20° и pH 5—10 р-ром  $\text{Na}[(\text{C}_6\text{H}_5)_4\text{B}]$ . Около 3,5 г  $\text{Na}[(\text{C}_6\text{H}_5)_4\text{B}]$  растворяли при перемешивании в 100 мл воды, добавляли 1 г  $\text{Al}(\text{OH})_3$ , перемешивали 5 мин. и фильтровали через мембранный фильтр. Титрование вели в описанном ранее приборе (Jander G., Pfundt O. Die konduktometrische Maßanalyse. Stuttgart, Ferd. Enke Verl., 1945). 10 мл 0,02 н. KCl разбавляли до 40 мл; отсчеты снимали через 2 мин. после добавления титранта.  $\text{Na}^+$ ,  $\text{Ca}^{2+}$  и  $\text{Mg}^{2+}$  не мешают при соотношении KCl: добавленная соль = 1:10,  $\text{Fe}^{3+}$  — при 2-кратном избытке.  $\text{NH}_4^+$  мешает. Описанный метод применен для анализа карналита; полученные результаты практически совпадают с данными, полученными при весовом определении K в форме  $\text{K}[(\text{C}_6\text{H}_5)_4\text{B}]$  и перхлоратным методом.

Т. Левин

69122. Ускоренный метод определения калия в минералах. Гурвич И. Г., Ханаев Е. П., Изв. АН СССР. Сер. геол., 1957, № 4, 104—107

Разработан ускоренный способ разложения минералов в расплаве  $\text{CaCl}_2$ . Пробу измельчают до размера частиц 0,25—0,15 мм, навеску 0,2 г помещают в графитовый тигель (принимается схема прибора), добавляют 1,2 г  $\text{CaCl}_2$ , прогревают 20 мин. при 200°, помещают тигель в кварцевую пробирку длиной 400 мм, пробирку закрывают, помещают в охлаждающую рубашку с проточной водой, находящуюся в центре индуктора ВЧ-генератора (ЛГ 3-30), и доводят т-ру до 1500—1700°. Плав выплавляют водой, р-р фильтруют, разбавляют и используют для фотометрирования. В качестве эталонов употребляют 2 р-ра, в которых конц-ия K несколько выше и несколько ниже конц-ия K+ в испытуемом р-ре. Конц-ия K+ в испытуемом р-ре должна составлять < 40 мг/л, в противном случае концентрационная чувствительность линии (766,5; 769,9 мн) снижается. Распылитель рекомендуется оборудовать металлич. шариком, разбивающим струю распыленной жидкости. Средняя относительная погрешность определения K в мусковите < 0,97%.

И. Каринская

69123. Плазменнотометрическое определение цезия в висмуте и висмута-урановых сплавах. Уайлди (The flame photometric determination of caesium in bismuth and bismuth-uranium alloy. Wildy P. C. Repts. Atomic Energy Res. Establ., 1956, № C/R 2114, 14 pp., ill.) (англ.)

Растворяют 1 г образца висмута или Bi-N-сплав в 15 мл конц.  $\text{HNO}_3$  и разбавляют р-р до 100 мл дистил. водой. Содержание Cs определяют по интенсивности линии 8521 Å в пламени специально сконструированной горелки. Интенсивность регистрируют с помощью монохроматора типа Хильгера с фотоумножителем 1P28. Заметного влияния содержания U в пределах от 0 до 5% на интенсивность линии Cs не об-

ружено. Поэтому прибор градуируют по эталонам, приготовленным на основе обычного  $\text{Bi}$ . Из-за криволинейности градуировочного графика эталонирование производят в узких пределах, близких к определяемой конц-ии, так, чтобы показание прибора для известного образца составляло не менее 50% от всей шкалы. Для интервала конц-ии  $\text{Cs}$  от 2 до 5% по отношению к твердому в-ву ошибка определения равна ~ 5%, для 0,2—1% ~ 10%.

**69124. Определение лития, натрия и калия в смесях на пламенном фотометре фирмы EEL.** Стюарт, Симпсон, Хардвик (The determination of lithium, sodium and potassium in mixtures with the «eel» flame photometer. Stuart W. A., Simpson M., Hardwick W. H.), Analyst, 1957, 82, № 972, 200—203 (англ.)

В р-ре неизвестного состава с помощью пламенного фотометра определяют приблизительно конц-ии  $\text{Li}$ ,  $\text{Na}$  и  $\text{K}$ , не принимая во внимание взаимное влияние этих элементов. После этого разбавляют р-р так, чтобы конц-ия каждого из определяемых элементов была несколько ниже 0,001%. Если конц-ии  $\text{K}$ ,  $\text{Na}$  и  $\text{Li}$  различаются больше, чем на порядок, прибегают к нескольким разбавлениям. Исходя из грубой оценки конц-ий элементов в образце, готовят 2 эталона, которые охватывают в небольшом интервале определяемые конц-ии. Сравнивая показания прибора для этих эталонов с показаниями для разб. образцов, точно находят содержание  $\text{K}$ ,  $\text{Na}$  и  $\text{Li}$ . Ошибка определения равна ~ 1%. Авторы подчеркивают необходимость сохранения эталонных р-ров в полированных сосудах, так как стекло увеличивает содержание  $\text{Na}$  в р-ре.

**69125. Определение гидроокисей щелочных металлов в присутствии щелочных карбонатов методом осаждения.** Секереш, Бакач-Полгар (Die Bestimmung von Alkalihydroxyden neben Alkalicarbonaten nach der Fällungsmethode. Szekeres Ladislaus, Bakács-Polgár Elisabeth), Z. analyt. Chem., 1957, 156, № 3, 194—198 (нем.)

Предложено определение гидроокисей щел. металлов (ГЩМ) титрованием р-ром  $\text{ZnCl}_2$  в присутствии щел. карбонатов (ЩК) после предварительного прибавления  $\text{BaCl}_2$ . Для определения суммы ГЩМ и ЩК навеску анализируемого в-ва растворяют в воде и титруют 0,1 н.  $\text{HCl}$  в присутствии метилового оранжевого. Для определения ГЩМ навеску, соответствующую ~ 0,04 г  $\text{NaOH}$ , растворяют в воде (не содержащей  $\text{CO}_2$ ), добавляют 15—20 мл 0,1 М р-ра  $\text{BaCl}_2$ , 1—2 капли 1%-ного спирт. р-ра фенолфталеина и титруют 0,1 н. р-ром  $\text{ZnCl}_2$  до исчезновения красного окрашивания р-ра. Величина избытка  $\text{BaCl}_2$  на результат титрования не влияет. Ошибка определения как ГЩМ, так и ЩК < 1%. Лучшие результаты получают при двойном кол-ве ЩК по отношению к ГЩМ.

**69126. Новые методы отделения меди от молибдена и определения этих двух элементов.** Спаку Г., Георгиу Констанца, Хим. ж. Акад. наук РНР, 1956, 1, № 1, 15—20

Предложены два метода определения  $\text{Cu}$  и  $\text{Mo}$  в р-рах. 1. Нейтр. или слабокислый анализируемый р-р обрабатывают при 60° избытком р-ра  $\text{H}_2\text{SO}_4$ , затем избытком  $\text{NH}_4\text{SCN}$ .  $\text{Cu}_2(\text{SCN})_2$  отфильтровывают, промывают водой, подкисленной  $\text{H}_2\text{SO}_4$ , водой, спиртом и эфиром. Из фильтрата кипячением удаляют  $\text{H}_2\text{SO}_4$ , выпаривают, обрабатывают 1 мл  $\text{HNO}_3$  и избыток  $\text{HNO}_3$  удаляют нагреванием с 1 мл  $\text{H}_2\text{SO}_4$ .  $\text{Mo}$  в р-ре определяют титриметрич. методом, основанным на восстановлении  $\text{Mo}(6+)$  до  $\text{Mo}(3+)$  электролитич.  $\text{Cd}$ ; затем восстанавливают при помощи  $\text{Mo}(3+)$   $\text{Fe}(3+)$  до  $\text{Fe}(2+)$  и определяют последний титрованием  $\text{KMnO}_4$ . Возможно также определение  $\text{Mo}$  гравиметрич. методом после нейтр-ции  $\text{NH}_4\text{OH}$  по метилому красному

и осаждения в форме оксихинолината в среде  $\text{CH}_3\text{COONH}_4$ . 2.  $\text{Cu}$  осаждают в присутствии винной к-ты в форме  $[\text{CuPy}_2(\text{SCN})_2]$ ; фильтрат нейтрализуют  $\text{NH}_4\text{OH}$  в присутствии ализарина  $\text{S}$  при  $\text{pH}$  3,7—5,2 и осаждают  $\text{Mo}$  в форме оксихинолината. Описанные методы достаточно точны и применимы для анализа руд и соединений  $\text{Mo}$ .

**И. Каринская 69127. Быстрый метод определения микрограммовых количеств серебра в глете и свинцовом сурике.** Дикер, Джонсон (A rapid method for the determination of microgram quantities of silver in litharge and red lead. Dicker E. S., Johnson E. A.), Analyst, 1957, 82, № 973, 285—286 (англ.)

Для определения малых кол-в  $\text{Ag}$  в глете и свинцовом сурике, употребляемых при оценке кол-в драгоценных металлов в рудах методом купелирования, предложен колориметрич. метод, включающий использование  $n$ -диметиламинобензилденпропанамина. К навеске глета 0,5 г прибавляют 1 мл 5 н.  $\text{HNO}_3$ , 1 мл воды и 0,4 мл разб.  $\text{H}_2\text{O}_2$  (1:20), перемешивают, добавляют 5 н.  $\text{NaOH}$  до  $\text{pH}$  р-ра чуть выше 5,1 (2—4 капли р-ра  $\text{NaOH}$ ), вводят 1 н.  $\text{HNO}_3$  до  $\text{pH}$  чуть ниже 3,6, р-р переносят в пробирку Несслера, прибавляют 0,5 мл 0,02%-ного р-ра  $N$ -диметиламинобензилденпропанамина в  $\text{C}_2\text{H}_5\text{OH}$  и через 5 мин. сравнивают получаемую окраску с окраской эталонов, приготовленных разбавлением аликвотных порций до 50 мл и добавлением 0,05 мл 1 н.  $\text{HNO}_3$  и 0,5 мл реактива. Описанный метод пригоден для обнаружения 0,5  $\mu\text{g}$   $\text{Ag}$  в 0,5 г глета.

**И. Каринская 69128. Салициловая кислота как реактив для спектрофотометрического определения бериллия.** Адамович Л. П., Кравченко Т. У., Заводск. лаборатория, 1957, 23, № 4, 416—420

Изучено взаимодействие  $\text{Be}^{2+}$  и салициловой к-ты спектрофотометрич. методом в УФ-части спектра. Оптимальное значение  $\text{pH}$  для р-ции оказалось равным 9,0—9,5. Двумя независимыми методами установлено, что  $\text{Be}^{2+}$  и салициловая к-та соединяются в отношении 1:2. Константа нестойкости, определенная для комплекса  $[\text{BeOH}(\text{Sal})_2]^{2-}$ , равна  $(4,9 \pm 0,6) \cdot 10^{-10}$ . Прочность комплекса и доступность реактива позволяют рассчитывать на применение исследованной р-ции в аналитич. практике.

**В. Сазанова 69129. Определение бериллия в сплавах и концентрациях радиометрическим титрованием.** Алимарин И. П., Гибало И. М., Заводск. лаборатория, 1957, 23, № 4, 412—416

При радиометрич. титровании  $\text{Be}^{2+}$  2-замещенным фосфатом аммония в уксуснокислой среде образуется ортофосфат  $\text{Be}_2(\text{PO}_4)_2$ . Разработан быстрый титриметрич. метод определения  $\text{Be}^{2+}$  в сплавах и концентрациях. Показано, что точку эквивалентности при радиометрич. титровании можно устанавливать графически по двум точкам.

**В. Сазанова 69130. К вопросу о чувствительности открытия иона магния при помощи йода.** Бабенко А. С., Ж. аналит. химии, 1957, 12, № 2, 220—223 (рез. англ.)

Изучено влияние ионов  $\text{Ca}$ ,  $\text{Sr}$ ,  $\text{Ba}$ ,  $\text{K}$ ,  $\text{Na}$  и  $\text{NH}_4^+$  на чувствительность открытия  $\text{Mg}^{2+}$  при помощи йода, магнезона и хинализарина; найдены соответствующие предельные отношения при открытии 6  $\mu\text{g}/\text{мл}$   $\text{Mg}$ . Показано, что при открытии  $\text{Mg}^{2+}$  йодом предельные отношения в ряду  $\text{Ca}$ — $\text{Sr}$ — $\text{Ba}$  уменьшаются с увеличением растворимости соответствующих гидроокисей, а для органич. реактивов (магнезон и хинализарин) соответственно увеличиваются. Разработана методика открытия  $\text{Mg}^{2+}$  при помощи йода, позволяющая повысить чувствительность до 0,2  $\mu\text{g}/\text{мл}$   $\text{Mg}$ , а также открывать  $\text{Mg}$  в присутствии больших кол-в  $\text{NH}_4^+$ . В. Сазанова

**69131. Фотометрический метод определения магния в катодном никеле при помощи эриохрома черного.**



**Т. Поль** (Eine photometrische Methode zur Magnesiumbestimmung mit Eriochromschwarz T in Kathoden-Nickel. Pohl H.), Z. analyt. Chem., 1957, 155, № 4, 263—267 (нем.)

Метод применим для определения 0,005—0,2% Mg в катодном никеле. Навеску 0,1 г растворяют в 5 мл  $\text{HNO}_3$  (уд. в. 1,4), выпаривают, остаток растворяют в 1 мл  $\text{HCl}$  (уд. в. 1,12) и небольшом кол-ве воды, разбавляют водой (~150 мл) и добавляют 50%-ный р-р  $\text{CH}_3\text{COONa} \cdot 3\text{H}_2\text{O}$  (6—8 мл) до pH  $4,9 \pm 0,2$  и 25 мл 5%-ного р-ра 8-оксихинолина. Через 30 мин. (60—80°) фильтруют, к фильтрату добавляют 20 мл 1%-ного р-ра диэтилдитиокарбамината Na и 20 мл  $\text{CHCl}_3$  и встряхивают 2 мин. на трясучке; экстрагирование р-ром карбамината и  $\text{CHCl}_3$  повторяют 3 раза, затем экстрагируют хлороформом. К водн. фазе прибавляют 30 мл буферного р-ра  $\text{NH}_4\text{Cl}-\text{NH}_4\text{OH}$  (pH  $11,4 \pm 0,1$ ) и 5 мл 10%-ного р-ра KCN; pH поддерживают при помощи  $\text{NH}_4\text{OH}$  на уровне  $10,6 \pm 0,1$ . К р-ру (400—430 мл) добавляют 20 мл 0,05%-ного р-ра эриохрома черного Т в  $\text{CH}_3\text{OH}$ , разбавляют до 500 мл и фотометрируют (толщина слоя 40 мм) при 546 мμ. Продолжительность анализа 3 проб (+ контрольный опыт) ~ 5 час.; погрешность определения 2,5—10%.

**И. Каринская 69132.** Метод титрования для определения кальция в сыворотке с применением нового индикатора. Андерш (A titration method for the determination of calcium in serum using a new indicator. Andersch Marie A.), J. Lab. and Clin. Med., 1957, 49, № 3, 486—489 (англ.)

Новый индикатор кальция (I), специфичный для Ca в присутствии Mg (РЖХим, 1956, 75267), применен для титрования Ca р-ром динатриевой соли этилендиаминтетрауксусной к-ты (II) в кровяной сыворотке (КС). По макрометоду 2 мл КС обрабатывают 8 мл 10%-ной трихлоруксусной к-ты и фильтруют. К 5 мл фильтрата прибавляют 1,5 мл 10%-ного р-ра NaOH, 1 каплю р-ра I (2 г I растворяют в 25 мл 1 н. NaOH и разбавляют водой до 250 мл) и титруют р-ром II (0,93 г II в 1 л) до перехода желто-зеленой окраски р-ра в коричневую. Проводят также слепое титрование, при котором вместо КС берут 2 мл воды и обрабатывают ее тем же кол-вом реагентов. Полумикротитрование выполняют с  $\geq 1$  мл фильтрата, для получения которого берут те же ингредиенты, но в соответственно меньшем кол-ве. Фильтрат титруют более разб. р-ром II. Определение Ca в КС по макро- и полумикрометоду дает совпадающие результаты с методом Кларка и Коллина (Clark E. P., Collip J. B., J. Biol. Chem., 1925, 63, 461), но отличается от него значительной простотой.

**А. Немодрук 69133.** Пламеннотометрическое определение магния в растительных материалах. Кнутсон (Flame-photometric determination of magnesium in plant material. Knutson Karin E.), Analyst, 1957, 82, № 973, 241—254 (англ.)

Один грамм измельченной пробы помещают в колбу Кельдыля и обрабатывают  $\text{HNO}_3$  и  $\text{HClO}_4$ . Кремний отфильтровывают. Избыток  $\text{HClO}_4$  выпаривают, остаток растворяют в  $\text{HCl}$ , неоднократно выпаривают досуха на водяной бане, затем растворяют в 100 мл 0,02 н.  $\text{HCl}$  и фильтруют через стеклянный фильтр. Для определения отбирают 15 мл р-ра. Источником возбуждения спектра служит центральная часть кислородно-ацетиленового пламени (~55% ацетилена). Расход, равный 1 мл в мин., регулируют давлением кислорода. Давление ацетилена 0,35  $\text{кг/см}^2$ . Авторы отказались от применения спектрофотометра Бекмана из-за недостаточной чувствительности и неудобства работы с компенсационными схемами. Анализ производят на монохроматоре с кварцевой призмой при ширине выходной щели 0,03 мм. Излучение регистрируют фотоумножи-

телем типа RCO-1P28 с катодным вольтметром, схема которого приводится. Графики строят в координатах: показания катодного вольтметра в мв — конц-ия Mg в  $\mu$  по аналитич. линии Mg 2852 А. Исследовано влияние ионов  $\text{Na}^+$ ,  $\text{K}^+$ ,  $\text{Ca}^{2+}$ ,  $\text{Al}^{3+}$ ,  $\text{PO}_4^{3-}$ ,  $\text{SO}_4^{2-}$  на определение Mg. Ионы  $\text{Na}^+$ ,  $\text{K}^+$ ,  $\text{Ca}^{2+}$  на результаты анализа не влияют. Al содержится в пробах в незначительных кол-вах и определению не мешает. Присутствие Ca почти полностью исключает влияние ионов  $\text{PO}_4^{3-}$  и  $\text{SO}_4^{2-}$ . Действие этих ионов, а также  $\text{Al}^{3+}$  сильно зависит от типа пламени и уменьшается с увеличением подачи ацетилена. Ошибка определения понижается, если проба подвергается предварительной очистке на ионообменной колонке от ионов  $\text{PO}_4^{3-}$  и  $\text{SO}_4^{2-}$ . Эталонные р-ры готовят растворением в 0,02 М  $\text{HCl}$  хлоридов Mg и Ca. Интервалы используемых конц-ий: 1,15, 10—150, 50—1500  $\mu$ . Для конц-ий Mg 2—10  $\mu$  стандартная ошибка меньше 1%. Максимально достигнутая чувствительность 0,06  $\mu$ . Методика дает хорошее совпадение с весовым анализом. Л. Капорский 69134.

**Быстрый и точный метод определения окиси магния.** Герхард (Quick, accurate method for magnesia determination. Gerhard Henry E.), Rock Prod., 1957, 60, № 2, 117—118 (англ.)

Для определения  $\text{MgO}$  в порланд-цементе предложен титриметрич. метод, основанный на использовании комплексона III в качестве титранта и эритрохрома черного Т — в качестве индикатора. К фильтрату, полученному после выделения  $\text{CaO}$  в форме  $\text{CaC}_2\text{O}_4$ , прибавляют буферный р-р для установления pH р-ра на уровне 10 и р-р  $\text{H}_2\text{O}_2$ . Через 15 мин. р-р титруют. Описанный метод быстр (продолжительность определения 20 мин.), достаточно точен ( $\pm 20\%$ ) и более удобен для серийных анализов, чем метод ASTM, включающий двойное осаждение (продолжительность анализа ~1,5 дней) и метод ASTM с одним осаждением (продолжительность отстаивания ~ 8 час.). И. Каринская 69135.

**Потенциометрический метод определения малых количеств бария в сплавах на никелевой основе с применением комплексона III.** Поляк Л. Я., Ж. аналит. химии, 1957, 12, № 2, 224—229 (рез. англ.)

Показана возможность потенциометрич. определения малых кол-в  $\text{Ba}^{2+}$  (от 0,05 до 0,5%) в чистом р-ре  $\text{BaCl}_2$  титрованием 0,01 н. р-ром комплексона III. Разработан метод потенциометрич. определения малых кол-в Ba в жаропрочных сплавах на Ni-основе путем выделения  $\text{Ba}^{2+}$  в виде  $\text{BaSO}_4$ , его растворения в аммиачном р-ре комплексона III, избыток которого титруют р-ром  $\text{BaCl}_2$  с применением электродной пары Pt—W. Метод дает возможность определять  $> 0,05\%$  Ba в присутствии Ca в сложных сплавах. В. Сазанова 69136.

**Определение следов цинка в пищевых продуктах.** Франсис, Пилгрим (The determination of traces of zinc in foodstuffs. Francis A. C., Pilgrim A. J.), Analyst, 1957, 82, № 973, 289—292 (англ.)

Навеску 5 г озолют при помощи 0,5 мл конц.  $\text{H}_2\text{SO}_4$ , заканчивают озолению при 550°. Золу растворяют в 2,5 мл 5 н.  $\text{HCl}$ , добавляют 5 мл 5 н. р-ра  $\text{CH}_3\text{COONH}_4$  и разбавляют до 100 мл (pH р-ра 5,0) (р-р А). Для приближенного определения Zn к 1 мл р-ра прибавляют 1,25 мл 5 н.  $\text{HCl}$ , 4 мл 5 н. р-ра  $\text{CH}_3\text{COONH}_4$  и 5 мл воды. Перемешивают, добавляют 1 мл 10%-ного р-ра  $\text{Na}_2\text{S}_2\text{O}_3$ , 0,5 мл свежеприготовленного р-ра дитизона (0,025 г препарата в 100 мл  $\text{CHCl}_3$ ) и 10 мл  $\text{CHCl}_3$ . Встряхивают и к обработанному аналогичным образом контрольному р-ру (0,5 мл конц.  $\text{H}_2\text{SO}_4$  выпаривают, добавляют 2,5 мл 5 н.  $\text{HCl}$ , 8 мл 5 н.  $\text{CH}_3\text{COONH}_4$  и разбавляют до 100 мл) добавляют порциями по 0,1 мл стандартный р-р (10  $\mu\text{г/мл}$  Zn) до совпадения окрасок. Для получения более точных результатов к объему р-ра А, содержащего 20—100  $\mu\text{г}$  Zn (V мл), добавляют 1 мл 10%-ного р-ра  $\text{Na}_2\text{S}_2\text{O}_3$ , перемешивают, к V мл контрольного р-ра

добавляют стандартный р-р в таком кол-ве (Z мл), чтобы содержание Zn было равно содержанию Zn в объеме V. К р-ру, полученному из р-ра А, добавляют Z мл воды, к об-м р-рам добавляют р-р дитизона (при 20, 30, 40, 50, 60, 70, 80, 90  $\gamma$  Zn в V мл 1,0; 1,5; 2,0; 2,5; 3,0; 3,5; 4,0 мл), разбавляют р-р дитизона  $\text{CHCl}_3$ , встряхивают 3 мин., органич. слой сливают, промывают  $\text{CHCl}_3$ , добавляют по 0,5 мл р-ра дитизона, разбавленного 10 мл  $\text{CHCl}_3$ , и встряхивают 3 мин. Стандартный р-р Zn прибавляют 0,1-мл порциями до совпадения окрасок р-ров. Приведены примеры расчетов для четырех возможных случаев.

И. Каринская  
69137. Применение колонки с оксидом алюминия при определении ртути в форме дитизоната. Айзакс, Моррис, Стакки (Use of alumina columns in the determination of mercury as dithizonate. Isaacs M. D. J., Morris P., Stuckey R. E.), Analyst, 1957, 82, № 972, 203—206 (англ.)

Активную порцию анализируемого р-ра Hg (40—75  $\gamma$  Hg), 1—2 н. по  $\text{H}_2\text{SO}_4$ , помещают в делительную воронку, добавляют 0,5 г твердого  $\text{NH}_4\text{OH} \cdot \text{HCl}$  и 2 мл 0,05%-ного р-ра дитизона в  $\text{CHCl}_3$ , встряхивают и оставляют для разделения слоев. Сливают темно-зеленый  $\text{CHCl}_3$ -слой в хроматографич. колонку с  $\text{Al}_2\text{O}_3$ . Водн. слой в делительной воронке встряхивают с 2 мл  $\text{CHCl}_3$  и повторяют такое промывание до полного обезжелезивания  $\text{CHCl}_3$ -слоя, сливая  $\text{CHCl}_3$ -экстракты также в колонку. В верхней части колонки появляется коричневая полоса, соответствующая дитизону, а под нею — оранжевая полоса, соответствующая дитизонату Hg. Когда оранжевая полоса достигает дна колонки, собирают элюат в мерную колбу емк. 25 мл, защищенную от света. Когда элюат становится бесцветным, промывание колонки хлороформом заканчивают, элюат разбавляют до 25 мл хлороформом и фотометрируют при 490 м $\mu$ , используя в качестве р-ра сравнения р-р глухого опыта. Cu и Zn можно отделить от Hg непосредственно на колонке, а Ag необходимо удалить предварительно. Результаты определения Hg в присутствии Cu вполне удовлетворительны. Установлено, что в условиях хроматографирования наиболее устойчива кетон-форма дитизоната Hg.

Р. Моторкина  
69138. Определение субмикrogramмных количеств ртути. Рот (The estimation of sub-microgram quantities of mercury. Roth Fred J.), J. Assoc. Offic. Agric. Chemists, 1957, 40, № 1, 302—305 (англ.)

В чешуе (Ч), плантации которого обрабатывались HgCl в качестве пестицида, определялась Hg методом Элмора (Elmore J. W., J. Assoc. Offic. Agric. Chemists, 1946, 29, 387). 2—10 г Ч нагревают с 20 мл конц.  $\text{HNO}_3$  с обратным холодильником. Затем вводят смесь, состоящую из 10 мл конц.  $\text{H}_2\text{SO}_4$  и 10 мл  $\text{HNO}_3$ , и нагревают 2—3 часа. Охлаждают, споласкивают холодильник 100 мл горячей (70—80°)  $\text{HNO}_3$  (1:9), охлаждают и фильтруют. Фильтрат разбавляют водой до 300 мл, нагревают до кипения и кипятят 2—3 мин., добавляют избыток насыщ. р-ра  $\text{KMnO}_4$  и охлаждают до 30—40°. Прибавляют 10%-ный р-р  $\text{NH}_4\text{OH} \cdot \text{HCl}$  до обезжелезивания и, кроме того, еще 3 мл, подщелачивают р-ром  $\text{NH}_4\text{OH}$  (по лакмусу), затем нейтрализуют  $\text{HNO}_3$  (1:1) и сверх этого добавляют по 1 мл  $\text{HNO}_3$  на каждые 100 мл р-ра. Р-р переносят в делительную воронку и далее следуют методике Элмора. Добавлением дитизона (I) Hg связывают в экстрагируемый  $\text{CHCl}_3$  дитизон и микроколориметрич. титрованием р-ра I р-ром  $\text{Hg}(\text{NO}_3)_2$  (1  $\gamma$  мл Hg) определяют содержание Hg. Полученные результаты показывают, что Ч с плантаций, обработанных HgCl, содержит Hg. Предложенный метод обработки навески Ч позволяет полностью извлечь Hg; по методу Клейна (Klein A. K., J. Assoc. Offic. Agric. Chemists, 1952, 35, 537), Hg извлекается только на 64%.

А. Немодрук

69139. Определение следовых количеств ртути в яблоках. Абботт, Джонсон (The determination of traces of mercury in apples. Abbott D. C., Johnson E. I.), Analyst, 1957, 82, № 972, 206—208 (англ.)

Метод, предложенный ранее для определения Hg в пищевых продуктах (Klein A. K., J. Assoc. Offic. Agric. Chemists, 1952, 35, 537), модифицирован для определения Hg в яблоках. Пробу 50 г помещают в колбу с обратным холодильником, добавляют 0,1 г Se-пыли, добавляют из капельной воронки в течение 10 мин. 20 мл холодной смеси  $\text{H}_2\text{SO}_4 + \text{HNO}_3$  (3:1), нагревают до исчезновения пены, добавляют по каплям  $\text{HNO}_3$  и нагревают 3 часа. Содержимое колбы охлаждают, добавляют 10 мл 30%-ной  $\text{H}_2\text{O}_2$ , нагревают 0,5 часа, промывают холодильник водой (50 мл), охлаждают и фильтруют содержимое колбы через ватман № 541 или центрифугируют (0,5 часа со скоростью 2000 об/мин). Фильтрат разбавляют до 250 мл и титруют аликвотную порцию 1 мл 0,1 н. р-ром NaOH. Кислотность оставшегося р-ра доводят до 1 н. добавлением аммиака. Р-р переносят в делительную воронку емк. 500 мл, добавляют 5 мл 20%-ного водн. р-ра  $\text{NH}_4\text{OH} \cdot \text{HCl}$  и 10 мл хлороформного р-ра дитизона (4 мг дитизона в 1 л), встряхивают 1 мин., переносят  $\text{CHCl}_3$ -слой в делительную воронку, содержащую 25 мл 0,1 н.  $\text{HCl}$  и 5 мл р-ра  $\text{NH}_4\text{OH} \cdot \text{HCl}$ . Повторяют экстрагирование р-ром дитизона (2 раза по 5 мл), собирая экстракты во 2-ю воронку, встряхивают и сливают  $\text{CHCl}_3$ -слой в 3-ю воронку, содержащую 50 мл 0,1 н.  $\text{HCl}$ , промывают водн. слой хлороформом (2—3 мл), добавляют 2 мл 1,5%-ного свежеприготовленного водн. р-ра  $\text{Na}_2\text{S}_2\text{O}_3$ , встряхивают 1 мин. и сливают  $\text{CHCl}_3$ -слой. Водн. слой промывают хлороформом (2—3 мл), добавляют 3—5 мл 5%-ного (по Cl) р-ра NaClO, встряхивают 1 мин., добавляют 5 мл р-ра  $\text{NH}_4\text{OH} \cdot \text{HCl}$ , встряхивают 1 мин., выпускают  $\text{Cl}_2$ , встряхивают и экстрагируют 2 раза (2—3 мл) хлороформом, отбрасывая экстракты. Добавляют 3 мл 30%-ной  $\text{CH}_3\text{COOH}$ , 10 мл р-ра дитизона, хорошо встряхивают и оставляют для разделения слоев. Затем высушивают носик воронки, вставляют в него небольшой кусок ваты, сливают немного р-ра и фотометрируют при 490 м $\mu$ , используя в качестве р-ра сравнения  $\text{CHCl}_3$ . Для построения калибровочной кривой растворяют  $\text{HgCl}_2$  (0—5  $\gamma$  Hg) в 50 мл 0,1 н.  $\text{HCl}$ , добавляют 5 мл р-ра  $\text{NH}_4\text{OH} \cdot \text{HCl}$  и 3 мл  $\text{CH}_3\text{COOH}$ , насыщают хлороформом, удаляют избыток его, экстрагируют Hg р-ром дитизона (10 мл) и фотометрируют при 490 м $\mu$ , используя в качестве р-ра сравнения р-р глухого опыта. Получены удовлетворительные результаты.

Р. Моторкина  
69140. Применение анионообменивающих смол при определении бора. Вулсон, Хейс, Хилл (Applications of anion exchange resins to determination of boron. Wolszon John D., Hayes John R., Hill William H.), Analyst, Chem., 1957, 29, № 5, 829—832 (англ.)

Для концентрирования и выделения В из р-ров с небольшой солевой конц-ей можно использовать сильноосновные аниониты, которые связывают борат-ионы очень непрочно. Несколько более прочно связываются Cl-ионы, очень прочно — ионы  $\text{NO}_3^-$ ,  $\text{AsO}_4^{3-}$ ,  $\text{PO}_4^{3-}$  и  $\text{AsO}_3^{3-}$ . Об окончании элюирования борат-ионов судят по появлению ионов Cl $^-$  в элюате. Эффективное отделение борат-ионов от примесей сильных электролитов достигается совместным применением слабоосновного анионита амберлит IR-45 в гидроксильной форме и сильнокислого катионита наальтит HCR в водородной форме. Анализируемый р-р пропускают через смесь фракций смол с размером зерен 0,25—0,36 мм, элюируют борат-ион водой и определяют его алкалиметрически после добавления инвертированного сахара. Метод с успехом при-

менен для отделения В от превосходящих кол-в  $\text{Fe}^{3+}$ ,  $\text{PO}_4^{3-}$ ,  $\text{Sn}^{4+}$ ,  $\text{MnO}_4^-$ ,  $\text{Cr}_2\text{O}_7^{2-}$  и других примесей. Титрование борной к-ты мешают анионы таких слабых к-т, как муравьиная, уксусная и щавелевая, которые должны быть предварительно отделены. Для отделения В от ионов  $\text{F}^-$  метод неприменим. Точность метода определяется точностью алкалиметрич. титрования, которое является наиболее надежным способом определения В в элюате. Колориметрич. методы дают завышенные результаты. Ионнообменное отделение борат-ионов и их последующее алкалиметрич. титрование с успехом применено для определения В в стекле и образцах сталей. Метод превосходит многие другие известные способы по быстроте и простоте, обеспечивая достаточную точность. Н. П.

**69141. Об открытии иона алюминия. Золотухин В. К.,** Ж. аналит. химии, 1957, 12, № 2, 271—272 (рез. англ.)

Открытие и идентификация ионов  $\text{Al}^{3+}$  основаны на взаимодействии  $\text{Al}(\text{OH})_3$  с фторидами щел. металлов с образованием ионов  $\text{OH}^-$ , которые обнаруживают по покраснению фенолфталеина. В. Сазанова

**69142. Спектральное определение свинца в свинцовой стали. Патерсон (Spectrographic determination of lead in leaded steel. Paterson J. James E.),** *Anal. Chem.*, 1957, 29, № 4, Part 1, 526—527 (англ.)

Для устранения неравномерности распределения Pb в стали 2 г стружки образца растворяют в 20 мл  $\text{HNO}_3$  (1:1). Р-р фильтруют и производят спектральный анализ. Спектры возбуждают в разряде от генератора «Multisource» (модель 4700) при параметрах: 900 в, 15 мкф, 440 мкн. Р-р поступает в аналитич. промежуток с помощью вращающегося графитового электрода, включенного катодом при 5 об/мин. Спектры фотографируют на дифракционном спектрографе фирмы ARL на пленке для спектрального анализа № 1. Продолжительность экспозиции 30 сек., обжиг 12 сек., аналитич. промежуток 3 мн. Определяемая конц-ия (в %) и аналитич. линий (в Å): 0,1—0,5 Pb 2833,07 — Fe 2827,9 Å. Эталоны готовят синтетически из чистых препаратов Fe и Pb. Результаты спектрального и хим. анализов хорошо совпадают. Ошибка равна  $\pm 5,9\%$  при доверительном интервале 95%. Б. Львов

**69143. Фотометрическое определение свинца в резинах и наполнителях. Кресс (Absorptionmetric determination of lead in rubber products and compounding materials. Kress K. E.),** *Anal. Chem.*, 1957, 29, № 5, 803—807 (англ.)

1—10 мг резины, измельченной до получения однородного порошка (при содержании  $> 1\%$  Pb берут большую навеску), сжигают при  $550^\circ \sim 10$  мин., выдерживают 1—2 мин. при  $900^\circ$  (при мокром озонении смачивают 3—5 каплями  $\text{HClO}_4$  и 1 мл конц.  $\text{HNO}_3$ ), охлаждают, растворяют золу в 2 мл  $\text{HCl}$  1:1, размешивают, переносят в цилиндр емк. 10 мл, разбавляют до метки  $\text{HCl}$  1:1 (при влажном озонении в пробирку для разложения прибавляют 10 мл  $\text{HCl}$  1:1), и фотометрируют при 250, 270 и 289 мμ, используя  $\text{HCl}$  1:1, как нулевой р-р (анализируемый р-р разбавляют  $\text{HCl}$ , если оптич. плотность  $> 1,8$ ). Конц-ию Pb находят по ф-ле:  $\% \text{ Pb} = (\Delta A_{270}^s / \Delta A_{270}^{\text{Pb}}) (100/C (\text{мг/мл}))$ , где А — оптич. плотность анализируемого р-ра, измеренная при соответствующей длине волны,  $\Delta A_{270}^s = (A_{270} - A_{289}) - (A_{250} - A_{289})/2$ ,  $\Delta A_{270}^{\text{Pb}}$  — разность молярных коэффициентов погашения Pb в  $\text{HCl}$  1:1, измеренных при 270 и 289 мμ, С — конц-ия пробы в г/л или мг/мл при используемом разбавлении. Результаты гравиметрич. и электролитич. определения

Pb в резине хорошо согласуются с результатами фотометрич. определения. Для определения Pb в  $\text{ZnO}$  навеску последней (при содержании  $\text{PbSO}_4 < 0,005$ , 0,03, 0,1 и 1% берут соответственно 1—2, 0,4, 0,1 или 0,01 г  $\text{ZnO}$ ) растворяют в конц.  $\text{HCl}$ , разбавляют до 5 мл дистил.  $\text{H}_2\text{O}$  и доводят объем до 10 мл  $\text{HCl}$  1:1; перемешивают, фотометрируют при 250, 270 и 289 мμ и находят процент Pb, как описано выше (фактор пересчета на  $\text{PbSO}_4$  1,46). Определению не мешают Fe и большинство металлов (при указанном способе расчета); конц-ия Cu не должна превышать 0,1 конц-ии Pb. А. Зозуля

**69144. Быстрый оксидиметрический метод определения двуокиси свинца. Битшкеи (Eine schnelle oxydimetrische Methode zur Bestimmung von Bleidioxid. Bitskei Josef),** *Z. analyt. Chem.*, 1957, 154, № 4, 259—262 (нем.)

Титриметрический метод определения  $\text{ClO}^-$  на основе р-ции с  $\text{N}_2\text{H}_4$  (Bitskei J., Petrich K., Magyar kémik. lapja, 1947, 14, 231) использован для определения  $\text{PbO}_2$  взаимодействующей с  $\text{N}_2\text{H}_4$  по р-ции  $\text{N}_2\text{H}_4 + 2\text{PbO}_2 + 4\text{H}^+ = 2\text{Pb}^{2+} + 4\text{H}_2\text{O} + \text{N}_2$ . Избыток  $\text{N}_2\text{H}_4$  оттитровывают 0,1 н. р-ром  $\text{NaClO}$ . К определению кол-ву 0,1 н. р-ра  $\text{N}_2\text{H}_4 \cdot \text{H}_2\text{SO}_4$  добавляют  $\sim 10$  мл 20%-ной  $\text{HCl}$  и 1 мл р-ра катализатора (1%-ный р-р  $\text{MnCl}_2$ ; при анализе сурика вводят также 1 мл  $\text{CH}_3\text{COOH}$ ); затем вводят навеску анализируемой  $\text{PbO}_2$  (80—200 мг) или сурика (300—700 мг), разбавляют до 60—70 мл и нагревают при  $90\text{--}100^\circ$  до прекращения газовой эволюции (при анализе сурика дополнительно кипятят 2—3 мин.). Охлаждают, добавляют 1—2 капли р-ра индикатора (0,2%-ный р-р метилового красного или индикатора кармина) и титруют 0,1 н. р-ром  $\text{NaClO}$ , предварительно установленным по 0,1 н. р-ру  $\text{N}_2\text{H}_4 \cdot \text{H}_2\text{SO}_4$  (25—30 мл). Осадок  $\text{PbCl}_2$  или  $\text{PbSO}_4$  не мешает. Продолжительность анализа 5—10 мин. Погрешность определения 15—222 мг  $\text{PbO}_2$  от  $-0,31$  до  $+0,20\%$ . Т. Лева

**69145. Фотометрическое определение титана. Гёке (Die photometrische Titanbestimmung. Gökke Gerhard),** *Lab-Praxis*, 1957, 9, № 3, 28—30 (нем.)

Рассмотрены описанные в литературе различные методы фотометрич. определения  $\text{Ti}(4+)$ . Приведена сравнительная оценка каждого из них и указаны приемы устранения влияния мешающих элементов. Приведена рекомендуемая автором методика приготовления стандартных р-ров  $\text{Ti}(4+)$ . А. П.

**69146. Фотометрическое определение тория с помощью индооксина. Томи, Халифа (Photometrische Bestimmung von Thorium mit Inodoxin. Tomie E., Khalifa H.),** *Z. analyt. Chem.*, 1957, 156, № 5, 326—331 (нем.)

Описан метод фотометрич. определения  $0,1\text{--}6 \mu \text{ Th}$  в 1 мл с помощью индооксина в отсутствие посторонних ионов, за исключением катионов щел. и щел.-зем. металлов. Анализируемый р-р Th выпаривают досуха в кварцевой чашке, остаток растворяют в 2 мл 0,01 н.  $\text{HNO}_3$  и переносят в мерную колбу емк. 10 мл. Чашку смывают 1 мл  $\text{H}_2\text{O}$  и переносят р-р в колбу. Прибавляют 2 мл 0,005%-ного спирт. р-ра индооксина (в случае содержания  $> 10 \mu \text{ Th}$  прибавляют 2 мл 0,05%-ного р-ра индооксина) и доводят до 10 мл буферным р-ром  $\text{CH}_3\text{COONa} - \text{CH}_3\text{COOH}$  (рН 5,6). Измерение на спектрофотометре следует выполнять в пределах 1 часа с момента приготовления р-ра. Н. Будин

**69147. Определение тория в магниевых сплавах, содержащих цирконий. Ларраби, Грехэм (Determination of thorium in magnesium alloys that contain zirconium. Larrabee G. B., Graham R. P.),** *Z. analyt. Chem.*, 1957, 156, № 4, 258—265 (англ.)

Разработано непрямо полярографич. определение Th в магниевых сплавах (МС), содержащих Zr, Zn,



реактоземельные и другие элементы. 5 г MC растворяют в ~ 70 мл 12 M HCl, полученный р-р переносит в мерную колбу емк. 100 мл и доводят до метки 12 M HCl. Для отделения Zr 5 мл этого р-ра пропускают через ионообменную колонку (ИК) диам. 10 и высотой 100 мм, заполненную катионообменной смолой дауэкс-50 и предварительно промытую 30 мл 10 M HCl. Отделение Zr основано на образовании хлоридных комплексов Zr, адсорбируемых смолой; Th таких комплексов не образует. ИК промывают 60 мл 10 M HCl, промывную жидкость присоединяют к основному р-ру, добавляют 50 мл насыщ. р-ра м-нитробензойной к-ты (I) и затем постепенно прибавляют 37 мл 15 M р-ра  $\text{NH}_4\text{OH}$ ; дают охладиться и добавлением 7,5 M р-ра  $\text{NH}_4\text{OH}$  устанавливают pH  $2,15 \pm 0,10$ . Затем реакционную смесь нагревают ~ 15 мин. при т-ре, близкой к кипению. Образовавшийся осадок нитробензойная тория отфильтровывают, промывают горячей водой и растворяют в горячей 4 M  $\text{HClO}_4$  (объем р-ра 100 мл). Добавляют 5 мл 20%-ного водн. р-ра винной к-ты и р-р нейтрализуют из бюретки 15 M  $\text{NH}_4\text{OH}$  по мотиловому красному. Добавляют 35 мл насыщ. водн. р-ра бифталата калия, 10 капель 1%-ного р-ра  $\alpha$ -нафтола (в спирте) и водой доводят до метки. Порцию р-ра переносит в полярографич. ячейку, удаляют воздух пропусканием  $\text{N}_2$  и при 25° полярографируют. Содержание Th определяют по величине полярографич. волны восстановления I, пользуясь калибровочной кривой, полученной точно также с применением известных кол-в Th. Ошибка определения 2%.

А. Немодрук

69148. Новая капельная проба на пентавалентный ванадий. Рао, Рао (A new spot test for vanadium (V). Rao V. Pandu Ranga, Rao G. Gopala), Z. analyt. Chem., 1957, 156, № 2, 100—102 (англ.).

К 0,1 мл 0,1%-ного р-ра салицилата натрия (I) прибавляют 2 мл 20 н.  $\text{H}_2\text{SO}_4$  (или 2 мл 89%-ной  $\text{H}_3\text{PO}_4$ ) и одну каплю анализируемого р-ра (AP). В присутствии V (5+) тотчас же появляется бирюзово-голубое окрашивание, переходящее в течение 5 мин. в бледно-голубое. Чувствительность — 50  $\mu\text{V}$  V (в объеме 2 мл). Присутствие 100  $\mu\text{g}$  Fe(3+), U(6+), Cr(6+), Mn(7+) Mo(6+) и W(6+), не мешает. Ce(4+) образует с I черный осадок, после отстаивания которого голубая окраска р-ра хорошо заметна. Ti(4+) образует желтое окрашивание, существенно не мешающее р-ции. Для проведения капельной пробы 3 капли 20 н.  $\text{H}_2\text{SO}_4$  (или 3 капли 89%-ной  $\text{H}_3\text{PO}_4$ ) помещают на фарфоровую пластинку, прибавляют 1 каплю р-ра I, размешивают, вносят 1 каплю AP и снова размешивают до появления голубого окрашивания. Чувствительность 5  $\mu\text{V}$ . Предельное разбавление 1:10 000.

А. Немодрук

69149. Определение тантала в титановых сплавах спектрофотометрическим путем в ультрафиолете.

Добкина Б. М., Петрова Е. И., Заводск. лаборатория, 1957, 23, № 4, 421—422

Проведен метод определения Ta по Диннину (РЖХим, 1954, 43488) и получены практически совпадающие результаты. Воспроизводимые результаты получаются лишь при введении реактивов в определенном порядке. Приведена методика определения Ta в сплавах.

В. Сазанова

69150. Определение хрома окислением хлорной кислотой в присутствии катализатора диоксида марганца. Белогорская Н. В., Петрашень В. И., Рудой Б. З., Ж. аналит. химии, 1957, 12, № 2, 193—195 (рез. англ.).

При окислении Cr(3+) хлорной к-той в сернокислой среде без применения катализатора Cr(3+) полностью не переходит в Cr(6+). Повышение т-ры р-ции способствует восстановлению Cr(6+) до

Cr(3+). В присутствии катализатора  $\text{MnO}_2$  окисление Cr(3+) хлорной к-той в сернокислой среде происходит при значительно более низких температурах, благодаря чему не наблюдается восстановление Cr(6+) до Cr(3+).

В. Сазанова

69151. Фотометрическое скоростное определение хрома в стали при его содержании от 12 до 20%. Шейнеман, Штригер (Photometrische Schnellbestimmung von Chrom in Stahl bei Gehalten von 12 bis 20%. Scheunemann Joachim, Strieter Brigitte), Gießereitechnik, 1957, 3, № 3, 68—69 (нем.).

Скоростное определение 12—60% Cr в стали сводится к фотометрированию желтой окраски хромата, образующегося после окисления Cr(3+). 0,3 г стали растворяют в мерной колбе емк. 200 мл в 10 мл  $\text{H}_2\text{SO}_4$  (1:5), прибавляют 25 мл 0,8%-ного р-ра  $\text{AgNO}_3$  и 25 мл 33%-ного р-ра  $(\text{NH}_4)_2\text{S}_2\text{O}_8$ , нагревают до кипения и кипятят 3—4 мин. Охлаждают струей воды, прибавляют 25 мл 50%-ного р-ра KOH, 6—7 мл 30%-ного  $\text{H}_2\text{O}_2$  и хорошо встряхивают. Разбавляют водой до метки, фильтруют и фотометрируют в 5-мм кювете с применением синего светофильтра (436 м $\mu$ ), настраивая прибор по воде. Умножением полученного значения экстинкции на соответствующий фактор (26,18) получают содержание Cr в стали. Продолжительность определения ~ 30 мин. Полученные результаты хорошо совпадают с данными йодометрич. определения Cr.

А. Немодрук

69152. Спектрофотометрическое определение урана с помощью роданида в смесях бутилцелозоль-метил-изобутилкетон-вода. Ницел, Де-Сева (Spectrophotometric determination of uranium with thiocyanate in butyl cellosolve—methyl isobutyl keton—water medium. Nietzel Oscar A., De Sesa Michael A.), Analyt. Chem., 1957, 29, № 5, 756—759 (англ.).

Метод определения U в рудах и выщелачивающих щелочах состоит в отделении U от мешающих катионов экстракцией метил-изобутилкетон (I), получении комплекса U с SCN- в экстракте с использованием р-ра  $\text{NH}_4\text{SCN}$  в смеси бутилцелозоль (этиленгликольмонобутиловый эфир) (II)- $\text{H}_2\text{O}$  и последующем фотометрировании полученного р-ра. К аликвотной части анализируемого р-ра ( $\leq 3$  мл), содержащего 0,2—2,0  $\mu\text{g}$   $\text{U}_3\text{O}_8$ , прибавляют по каплям  $\text{HNO}_3$  или конц. NaOH до pH 0—3, прибавляют 15 мл р-ра  $\text{Al}(\text{NO}_3)_3$  (для приготовления последнего медленно подогревают смесь 500 мл деионизованной  $\text{H}_2\text{O}$  с 1880 г  $\text{Al}(\text{NO}_3)_3 \cdot 8\text{H}_2\text{O}$ , немного охлаждают, медленно приливают 200 мл  $\text{NH}_4\text{OH}$ , 1:1, размешивают до растворения осадка и после охлаждения до комнатной т-ры разбавляют до 2 л  $\text{H}_2\text{O}$ ); р-р  $\text{Al}(\text{NO}_3)_3$  для определения U в образцах, содержащих Ti, готовят аналогично, но перед разбавлением до 2 л прибавляют 60 г винной к-ты + 60 мл  $\text{NH}_4\text{OH}$ , 1:1, и размешивают до растворения осадка, прибавляют 20 мл I, встряхивают 2 мин. и центрифугируют до полного разделения слоев. К 10 мл органич. фазы прибавляют 15 мл р-ра реагента (46 г  $\text{NH}_4\text{SCN}$  + 2 г l-аскорбиновой к-ты растворяют в 150 мл смеси 11 ч. II + 4 ч.  $\text{H}_2\text{O}$ ), перемешивают и фотометрируют при 375 м $\mu$  (или 420 м $\mu$ , если оптич. плотность > 1); в качестве нулевого р-ра используют аналогичным образом обработанный р-р реагентов. Желтая окраска комплекса U развивается быстро, устойчива > 48 час.; оптимальный интервал конц-ий U для измерений при 375 м $\mu$  0,4—2,0  $\mu\text{g}$   $\text{U}_3\text{O}_8$  в аликвотной части р-ра пробы. Коэф. варьирования отсчетов оптич. плотности при 375 м $\mu$  0,34%. Определение не мешают Co(2+), Cr(6+), Cu(2+), Fe(3+), Mo(6+), Mn(2+), Ni(2+), Pb(2+), Th(4+); присутствие 40  $\mu\text{g}$  Zr(4+) или 20  $\mu\text{g}$  V(4+)

вызывает ошибку, эквивалентную соответственно — 0,01 мг и + 0,02 мг  $U_3O_8$ ; Ti мешает определению при содержании > 5 мг во взятой для анализа аликвотной части анализируемого р-ра.

А. Зозуля  
69153. Спектрофотометрическое определение урана при помощи тайрона. Сарма, Савариар (Spectrophotometric estimation of uranium with tiron. Sarma B., Savariar C. P.), J. Scient. and Industr. Res., 1957, B16, № 2, B80—B82 (англ.)

Описан спектрофотометрич. метод определения U (4—400  $\mu$ /мл  $U_3O_8$ ) при помощи тайрона (динатриевая соль пирокатехиндисульфокислоты) в среде хлоридно-ацетатного буферного р-ра с pH ~ 3. Установлено, что при pH 2,3 и 3,2 наблюдается максимум поглощения при 373 мμ. Комплекс  $UO_2^{2+}$  с тайроном устойчив во времени. Конц-ия  $CH_3COONa$  влияет на интенсивность окраски; рекомендуется поддерживать эту конц-ию на уровне 2%. К аликвотной порции р-ра  $UO_2^{2+}$  добавляют 5 мл 5%-ного р-ра тайрона, 5 мл 10%-ного р-ра  $CH_3COONa$ , разб. HCl до pH 3 и разбавляют до 25 мл. Фотометрируют при 373 мμ, употребляя в качестве р-ра сравнения смесь реактивов. Закон Бера выполняется при  $\leq 400 \mu$ /мл  $U_3O_8$ . Методом непрерывных изменений показано, что состав коричневого комплекса отвечает ф-ле  $UO_2R$ , где R — двухзарядный анион реагента. Fe и Ti мешают, Th и редкоземельные элементы снижают интенсивность окраски комплекса.

И. Каринская  
69154. Спектральное определение урана в рудах и продуктах их переработки. Морозова Н. Г., Ж. аналит. химии, 1957, 12, № 2, 185—192 (рез. англ.)

Описано определение U в рудах разного состава по линиям U 4090,14 — Mo 4086,025 Å при возбуждении спектра в дуговом разряде переменного тока. Для анализа руд с содержанием U 0,1% и выше пробы смешивают с порошком меди в отношении 1:9, добавляют 4% молибдата аммония и прессуют под давл. 10 000 кг/см<sup>2</sup>. Брикет зажимают в спец. держатель, охлаждаемый водой. При определении низких конц-ий пробы набивают в углубления медного диска, служащего нижним электродом. Для достижения чувствительности в 0,005% пробы прессуют в таблетки без добавления Cu. Верхний электрод — медный стержень. Спектры фотографируют на большом кварцевом спектрографе KC-55 со стеклянной оптикой при щели 0,02 мм и силе тока 6 а для брикетов и 8 а для порошков. Дуговой промежуток 2,5 мм, экспозиция 40 сек., пластинки «спектральные» типа II, чувствительностью 11 ед. ГОСТ. Брикеты изготовляют диам. 8 и высотой 4—6 мм, таблетки диам. 4 мм и толщиной 2 мм. При анализе порошков состав образцов влияет на относительную интенсивность линий, чего не наблюдается при анализе брикетов. При брикетировании эталоны готовят на основе  $SiO_2$  с добавлением Mo и Cu. При анализе порошков пробы и эталоны должны иметь сходные основы. Вероятная ошибка в воспроизводимости  $\pm 5\%$ .

Г. Кибисов  
69155. Усовершенствованный метод с формальдоксимом для определения марганца в растительном материале. Брайфилд (An improved formaldoxime method for the determination of manganese in plant material. Bradfield E. G.), Analyst, 1957, 82, № 973, 254—257 (англ.)

Навеску 1 г высушенного при 105° материала обрабатывают 25 мл конц.  $HNO_3$  при слабом нагревании, добавляют 2,5 мл 60%-ной  $HClO_4$ , нагревают до удаления паров  $HClO_4$ , добавляют 25 мл воды, фильтруют и разбавляют фильтрат до 100 мл. Аликвотную порцию р-ра, содержащую 10—50  $\mu$  Mn, разбавляют до ~ 30 мл и вводят 5 мл р-ра N-оксисэтилендиаминтриуксусной к-ты (10 г в 100 мл р-ра); нейтрализуют свободную  $HClO_4$  при помощи 10%-ного р-ра NaOH, вводят

1 мл разб. р-ра формальдоксима (20 г параформальдегида и 55 г  $(NH_4OH)_2 \cdot H_2SO_4$  растворяют в кипящей воде и разбавляют до 100 мл; разб. р-р получают из данного р-ра 10-кратным разбавлением) и через  $\leq 2$  мин. 2 мл р-ра NaOH. Смесь выдерживают 2 часа при 65°, охлаждают, разбавляют до 50 мл и фотометрируют при 450 мμ в 4-см кювете. Описанный метод не требует большей затраты времени, чем периодатный, чувствительность его в ~ 3 раз выше.

И. Каринская  
69156. Фотометрическое определение железа в форме гексароданоферрата трибутиламмония. Циглер, Глемзер, Петри (Die photometrische Bestimmung des Eisens als Tributylammonium-hexarhodano-ferrat (III). Ziegler Max Glemser Oskar, Petri Norbert), Z. analyt. Chem., 1957, 154, № 2, 81—98 (нем.)

При взаимодействии  $Fe^{3+}$  в среде ацетатного буферного р-ра с pH 3,4 с р-ром  $SCN^-$  и ацетатом трибутиламмония образуется окрашенное соединение, имеющее ф-лу  $[HN(C_4H_9)_3]_3 \cdot [Fe(SCN)_6]$ . Выделенные из лед.  $CH_3COOH$  (при 60°) кристаллы хорошо растворимы в  $CH_3OH$ , этиленхлориде,  $CHCl_3$ , нитробензоле, кетонах и этилацетате, плавятся при 94° и имеют максимум поглощения при 485 мμ. Фотометрич. метод пригоден для определения 0,1—1,5  $\mu$  и 1—20  $\mu$   $Fe^{3+}$ , в качестве экстрагента употребляют амилацетат. Определению Fe не мешают щел. и щел.-зем. металлы,  $\leq 25$  мг Zn,  $\leq 50$  мг Cd,  $\leq 2$  мг Sn,  $\leq 5$  мг Sb,  $\leq 10$  мг  $Bi^{3+}$ ,  $\leq 1,5$  мг  $Ti^{4+}$  и  $\leq 1,5$  мг NaF; мешают в незначительной степени фосфаты конц. металлов, а также  $Cr^{3+}$  и  $Mn^{2+}$  при высоких конц-иях; мешают  $Cu^{2+}$ ,  $MoO_4^{2-}$  и  $WO_4^{2-}$ . В присутствии Al к р-ру сравнения добавляют  $Al^{3+}$ ; осадок, образующийся в присутствии Pb, отфильтровывают. Определению 2,5  $\mu$   $Fe^{3+}$  не мешает 8 мг Ni, при более высоком содержании его отделяют экстрагированием в форме комплекса с пиридином и роданидом. Описано определение Fe в Al-сплавах и латуни.

Т. Левин  
69157. Фотометрический метод определения железа при помощи соли три-н-бутиламмония и 7-йод-8-оксихинолин-5-сульфокислоты. Циглер, Глемзер, Петри (Die photometrische Bestimmungsmethode des Eisens mit Tri-n-butylammoniumsalz und 7-Jod-8-oxichinolin-5-sulfosäure. Ziegler Max, Glemser Oskar, Petri Norbert), Z. analyt. Chem., 1957, 154, № 3, 170—182 (нем.)

Метод открытия  $Fe^{3+}$  в форме три-н-бутиламмониевой соли комплекса Fe (3+) с ферроном (РЖХим, 1957, 37988) модифицирован для количеств. определения  $Fe^{3+}$ ; окрашенное соединение экстрагируют амилловым спиртом. 25—50 мл умеренно кислого анализируемого р-ра, содержащего  $< 150 \mu$   $Fe^{3+}$ , смешивают с 2—5 мл ацетатного р-ра (50 г  $CH_3COONa \cdot 3H_2O$  + 500 г лед.  $CH_3COOH$  разбавляют до 1 л), 4 мл 0,1%-ного р-ра феррона и 1—2 мл ацетата трибутиламмония. Встряхивают с 5 мл амиллового спирта; через ~ 20 мин. отделяют спирт. слой, который разбавляют до 10 мл и фотометрируют при 610 мμ. При pH 2—7,5 окраска устойчива > 7 суток. Ионы щел. металлов, Mg и Ca, не мешают; в присутствии Zn и > 100  $\mu$  Ni необходимо употреблять большее кол-во реактива; Co при соотношении Fe:Co = 1:10 000 не мешает; 50, 25 и 10  $\mu$   $Fe^{3+}$  определяют с достаточной точностью соответственно при Fe:Mn (2+) = 1:100 000, Fe:Cr = 1:40 000 и Fe:Al = 1:200 000; 10-кратный избыток Ti и 100-кратный избыток Sb не мешают, при большом содержании Ti добавляют цитрат Na; обсуждены помехи за счет других катионов и ряда анионов. Т. Левин  
69158. К определению остатка железа в растворе регенерированных сернокислых солей никеля и меди. Паньшев А. С., Маслоб.-жир. пром-сть, 1957, № 4, 37

2—3 капли р-ра наносят на бумагу, покрытую слоем кальцинированной соды; образующаяся пленка карбонатов Ni и Cu (ярко-зеленого цвета) при  $> 3-5\%$  Fe меняет свою окраску за счет образования окисных соединений Fe желто-бурого цвета.

И. Каринская

**69159. Экспрессное определение никеля экстракционным методом.** Гиндин Л. М., Коуба Э. Ф., Заводск. лаборатория, 1957, 23, № 1, 19—20

Навеску гидроокиси или окиси Co ( $0,1-0,02$  г) растворяют в конц. HCl, металл. Co — в HNO<sub>3</sub> (1:1). К 25 мл р-ра (для металла 10 мл) в делительной воронке (ДВ I) добавляют 5 мл 10%-ного р-ра цитрата натрия, 2 мл конц. NH<sub>4</sub>OH, 15 мл 1%-ного р-ра диметилглиоксима в CH<sub>3</sub>OH, 20 мл CHCl<sub>3</sub> и встряхивают. Органич. слой сливают в другую делительную воронку (ДВ II). В ДВ I добавляют 10 мл CHCl<sub>3</sub>, встряхивают, органич. слой сливают в ДВ II, а водный — отбрасывают. В ДВ II добавляют 15 мл NH<sub>4</sub>OH (1:50), встряхивают и сливают органич. слой в ДВ I, отбрасывая водн. слой. В ДВ I добавляют 15 мл 0,5 н. HCl, встряхивают, сливают нижний слой в ДВ II, добавляя такое же кол-во к-ты, встряхивают и отбрасывают нижний слой. Экстракт из ДВ I и ДВ II переводят в мерную колбу (мк. 100 мл, добавляют при перемешивании 10 мл 20%-ного р-ра сегнетовой соли, 10 мл 2 н. NaOH, 10 мл 5%-ного р-ра (NH<sub>4</sub>)<sub>2</sub>S<sub>2</sub>O<sub>8</sub> и 10 мл 1%-ного р-ра диметилглиоксима в 5%-ном р-ре NaOH. Через 15 мин. доводят р-р до метки, перемешивают и колориметрируют, фоном служит контрольная проба. Работают с фотоколориметром ФЭК-М с синим светофильтром (30-мк. кювета). Калибровочную кривую строят по р-рам NiSO<sub>4</sub>.

М. Пасманик

**69160. Колориметрическое определение палладия л-нитрозодифениламином с применением неводных растворителей.** Пржевальский Е. С., Шленская В. И., Разина И. С., Вестн. Моск. ун-та. Сер. матем., механ., astron., физ., химии, 1957, № 1, 111—116

К р-ру, содержащему до 5 γ Pd, прибавляют 2 мл буферной смеси (рН 1,8), 0,5 мл 0,005%-ного водно-спиртового р-ра л-нитрозодифениламина и доводят объем водой до 10 мл. Реакционную смесь нагревают 30 сек. при 55—60°, охлаждают и экстрагируют образующееся окрашенное соединение тремя порциями н-бутилового спирта по 2 мл каждая в течение 2 мин. Оптич. плотность экстракта измеряют при 533 мμ. Не мешают Co, Ni, Fe, Cu, Pt (4+). Иг, если последний восстановить р-ром FeSO<sub>4</sub>. Относительная ошибка не превышает 2—3%. Окрашенные р-ры в н-бутиловом спирте подчиняются закону Бера при конц-ии от 0,5 до 5 γ Pd в 10 мл. Методом изомольных серий установлено, что состав образующегося соединения в н-бутиловом спирте отвечает ф-ле (C<sub>6</sub>H<sub>5</sub>NH—C<sub>6</sub>H<sub>4</sub>—NO)<sub>2</sub>·PdCl<sub>2</sub>.

В. Сазанова

**69161. Применение β-фурфуральдоксима для определения больших количеств палладия в присутствии меди и никеля.** Пшеницын Н. К., Некрасова Г. А., Ж. аналит. химии, 1957, 12, № 2, 205—207 (рез. англ.)

При помощи β-фурфуральдоксима можно успешно отделять большие кол-ва Pd от Ni и Cu. После отделения Pd β-фурфуральдоксимом в фильтрате определяют Ni и Cu при помощи салицилальдоксима. В. С.

**69162. Спектральное определение углерода в осадочных породах с применением дуги постоянного тока.** Деннен (Spectrographic determination of carbon in sedimentary rocks, using direct-current arc excitation, Dennen William H.), Spectrochim. acta, 1957, 9, № 1, 89—97 (англ.)

Углерод содержится в осадочных породах в виде карбонатов, гидрокарбонатов или графита в весьма шир-

роких пределах конц-ий. При анализе определяют отдельно углерод, связанный в виде CO<sub>2</sub> и в виде графита. Образец породы измельчают до 100 меш, высушивают при 110° и делят на 2 части. Одну часть образца смешивают с кварцем в отношении 1:1 и определяют сумму углерода. Другую часть взвешивают (p<sub>1</sub>) и обрабатывают теплой 1 н. HCl для удаления углерода, сосредоточенного в виде CO<sub>2</sub>. Остаток отфильтровывают, сушат и взвешивают (p<sub>2</sub>) смешивают с 1 ч. SiO<sub>2</sub> и определяют углерод в виде графита по полосе CN 3883 Å. Спектры возбуждают в дуге постоянного тока при 6а между медными электродами. В нижнем электроде диам. 3 мм высверливают конич. отверстие с углом при вершине 82° и набивают отверстие подготовленным образцом. Контрэлектрод имеет диам. в 1,5 мм. Для получения наибольшей чувствительности проектируют центральную часть дуги на цель спектрографа. Спектр фотографируют в течение 30 сек. на большом призмном спектрографе E-492 со стеклянной оптикой. Градуировочный график строят в логарифмич. координатах отдельно для графита и CO<sub>2</sub>. Наклон графиков совпадает и равен ~0,7. Эталоны служат образцы, анализированные хим. методом, либо синтетич. смеси графита с SiO<sub>2</sub>. При расчете конц-ий графита и углерода в виде CO<sub>2</sub> в экспериментально найденные величины интенсивностей линии CN 3883 Å ( $I_{\text{полная}}$  и  $I_{\text{остатка}}$ ) вводят поправки по ур-ниям  $I_{\text{графита}} = I_{\text{остатка}} \cdot P_1 / P_2$  и  $I_{\text{CO}_2} = I_{\text{полная}} - I_{\text{остатка}} \cdot (P_1 / P_2) \cdot 0,273 \cdot 0,85$ ; где 0,273 — коэф. пересчета от C к CO<sub>2</sub> (12/44), а 0,85 — коэф., учитывающий разницу в интенсивностях линии CN при возбуждении образцов с одинаковым кол-вом C, находящегося в виде CO<sub>2</sub>. Квадратичная ошибка, характеризующая воспроизводимость анализа, составляет ~13%.

Б. Львов

**69163. Рекомендуемые методы анализа сточных вод. Метод определения азота.** (Recommended methods for the analysis of trade effluents. Method for the determination of combined nitrogen.—), Analyst, 1957, 82, № 973, 276—284 (англ.)

Описан метод определения азота, находящегося в сточных водах в виде аммонийного, альбуминового, органических соединений, нитратов, нитритов и общего содержания неокисленного азота. Метод заключается в переводе азота в аммиак, отгонке последнего и определении содержания аммиака с реактивом Несслера или титрованием. Приведены прописи выполнения анализа для каждой из перечисленных форм азота.

Д. Васкевич

**69164. Определение нитратов в котловой воде при помощи 1,3-ксилен-1,3-ола-4 (2,4-ксиленола).** Суэйн (Determination of nitrates in boiler water by 1,3 xylene-4-ol (2,4-xyleneol). Swain J. S.), Chemistry and Industry, 1957, № 16, 479—480 (англ.)

К пробе воды (5 мл) добавляют 15 мл 85%-ной H<sub>2</sub>SO<sub>4</sub> и 1 мл 5% р-ра ксилен-1/3-ола-4 в лед. CH<sub>3</sub>COOH. Охлаждают, выдерживают 30 мин. при 35°, переносят в дистилляционную колбу со 100 мл воды и отгоняют 40 мл дистиллата в пробирку Несслера с 10 мл 2 н. NaOH. Фотометрируют с фильтром Илфорд № 601, употребляя в качестве р-ра сравнения смесь реактивов. При ≤ 300 γ/мл NaNO<sub>3</sub> закон Бера выполняется. Описанный метод применим для анализа природных вод. 50 γ/мл NaCl, Na<sub>2</sub>SO<sub>4</sub>, Na<sub>3</sub>PC<sub>4</sub> и 50 γ/мл Na<sub>2</sub>SO<sub>3</sub> не мешают.

И. Каринская

**69165. Метод микроопределения нитратов в растительных тканях и почвенных экстрактах.** Мерфи (A method for the microestimation of the nitrates in plant tissue and soil extracts. Murphy Roderick P.), J. Sci. Food and Agric., 1957, 8, № 4, 231—234 (англ.)



Нитраты в растительных и почвенных экстрактах восстанавливают с помощью Деварда в кислой среде до  $\text{NH}_3$ , который определяют микродиффузионным методом Конвея (Conway E. J. *Microdiffusion analysis and volumetric Error*. 2nd ed. London, Crosby Lockwood and Son, Ltd, 1947). Метод применен для определения нитратов в яблоневых листьях. 10 г листьев растирают с 50 мл воды и фильтруют; 2 мл экстракта вносят в пробирку, прибавляют 1 мл 3 н.  $\text{HCl}$ , 3 мл воды, 0,2 г сплава Деварда и нагревают 1 час при  $100^\circ$ . Разбавляют водой до 10 мл и 1 мл этого р-ра используют для определения  $\text{NH}_3$  в приборе Конвея. Нитраты, прибавленные к растительным и почвенным экстрактам (не содержащим  $\text{I}$ ), были точно определены предложенным методом. Продолжительность определения ~1 час.

А. Немодрук  
69166. Определение аммиака и летучих алифатических аминов косвенным полярографическим методом. Плетиха Р., Штефан В., Ж. аналит. химии, 1957, 12, № 2, 252—258 (рез. англ.).

Метод определения  $\text{NH}_3$  и аминов основан на их осаждении реактивом Несслера и полярографич. определении  $\text{Hg}$  (2+) в полученном осадке после переведения в тиосульфатный комплекс.

В. Сазанова  
69167. Капельная реакция на фосфор. Цехнер (Tüpfelreaktion auf Phosphor. Zechner S.), *Mikrochim. acta*, 1957, № 2, 159—160 (нем.; рез. англ., франц.).

Р (5+) открывают по капельной р-ции, выполняемой на фильтровальной бумаге, пропитанной хинолимолибдатным реактивом (10 г  $\text{Na}_2\text{MoO}_4 \cdot 12\text{H}_2\text{O}$  растворяют в 25 мл воды, к р-ру добавляют 11 мл конц.  $\text{HCl}$  и 10 мл конц.  $\text{HNO}_3$ ; 1,4 мг хинолина растворяют в смеси 15 мл воды, 7 мл конц.  $\text{HCl}$  и 6 мл конц.  $\text{HNO}_3$ ; р-ры смешивают и добавляют 60 мл воды). Смоченный реактивом фильтр сушат при  $60-70^\circ$ , на середину фильтра наносят 0,05 мл испытуемого р-ра, 0,1—1,6 М по  $\text{HCl}$  или  $\text{HNO}_3$ . В присутствии Р появляется сложенная желтая окраска. Открываемый минимум 1 у Р (5+). 0,1 мг  $\text{Fe}(3+)$  мешает.

И. Каринская  
69168. Уточнение ускоренного метода определения ангидрида фосфорной кислоты. Мартова Т. Г., Телентюк Е. С., Маркова Л. К., Сообщ. Сахалинск. комплексн. н.-и. ин-та. АН СССР, 1956, вып. 4, 98—101

Навеску растертого фосфорита в накрытом стакане смачивают водой и обрабатывают 50 мл царской водки. По прекращении бурной р-ции нагревают до кипения и кипятят 30 мин., периодически растирая остаток стеклянной палочкой. Затем стакан снимают с плиты, прибавляют 20—25 мл горячей воды, дают остатку отстояться и фильтруют через фильтр с синей лентой. Остаток на фильтре промывают несколько раз горячей водой, подкисленной  $\text{HNO}_3$ . Фильтрат упаривают до 5—10 мл и нейтрализуют 10%-ным  $\text{NH}_3$  до появления муты. Полученный р-р нагревают до  $40-50^\circ$  и приливают к нему тонкой струей молибденовую жидкость (150 г молибдата аммония растворяют в 1 л воды и вливают этот р-р в 1 л  $\text{HNO}_3$ , уд. в. 1,2). Осадитель берется в кол-ве, превышающем в ~10 раз требуемое ф-лой  $(\text{NH}_4)_2\text{PO}_4 \cdot 12\text{MoO}_3$  в расчете на ожидаемое содержание Р. Р-р с осадком выдерживают 2 часа. Если р-р остается желтым, то необходимо добавить еще молибденовой жидкости и дать постоять 12—24 часа. При анализе фосфоритов, в которых присутствует F-, необходимо прибавить  $\text{H}_2\text{BO}_3$ . Выпавший осадок отфильтровывают через фильтр с синей лентой, промывают его 2—3 раза промывной жидкостью (50 г  $\text{NH}_4\text{NO}_3$  и 40 мл  $\text{HNO}_3$ , уд. в. 1,153, разбавляют водой до 1 л), а затем холодным 0,25%-ным р-ром  $\text{KNO}_3$  до нейтр. р-ции промывной воды. Осадок вместе с фильтром переносят в стакан, в котором производилось

осаждение, и растворяют в избытке 0,25 н.  $\text{NaOH}$ . Р-р разбавляют водой до 120—150 мл. Избыток 0,25 н.  $\text{NaOH}$  оттитровывают 0,1 н.  $\text{HCl}$  в присутствии фенолфталеина до исчезновения розовой окраски.

В. Сазанова

69169. Об условиях фотометрического определения мышьяка в виде синей мышьяковомолибденовой кислоты. Финкельштейн Д. Н., Крючкова Г. Н., Ж. аналит. химии, 1957, 12, № 2, 196—200 (рез. англ.).

Для исключения потерь As при определении малых его кол-в необходимо дистиллят, состоящий из смеси  $\text{AsCl}_3$ ,  $\text{HCl}$ ,  $\text{HBr}$  и воды, улавливать р-ром  $\text{H}_2\text{O}_2$ , а после выпаривания дистиллята сухой остаток, содержащий  $\text{H}_2\text{AsO}_4$ , растворять в миним. кол-ве щелочи. Быстрая колич. отгонка  $\text{AsCl}_3$  из солянокислого р-ра осуществима без пропускания нейтр. газа, если конц-ия хлористого водорода в исходном р-ре не ниже 15 вес.%. Высокой устойчивостью и воспроизводимостью обладают р-ры синего гетерополикомплекса, полученные при восстановлении мышьяковомолибденовой к-ты сульфатом гидразина в сернокислой среде и при незначительной конц-ии солей. Оптич. плотность таких р-ров в пределах 0,005—0,1 мг As не изменяется более месяца.

В. Сазанова

69170. Фотометрическое определение мышьяка в техническом железе с помощью диэтилдитиокарбамата серебра. Вечера, Бибер (Photometrische Bestimmung von Arsen in technischem Eisen mit Silber-Diäthylthiokarbamat. Večera Z., Bieber B.), *Gießereitechnik*, 1957, 3, № 3, 61—64 (нем.).

Восстанавливают As до  $\text{AsH}_3$ , последний поглощают пиридиновым р-ром диэтилдитиокарбамата серебра (ДС), который в присутствии  $\text{AsH}_3$  приобретает красную окраску; интенсивность окраски пропорциональна кол-ву As. Навеску 0,1 г железа, чугуна или стали растворяют в 10—20 мл  $\text{HNO}_3$  (1:10) с добавлением 1 мл 40%-ной  $\text{H}_2\text{O}_2$  (необходимой для предотвращения потери As в виде  $\text{AsH}_3$ ). Для ускорения растворения нагревают и в несколько приемов прибавляют от 5 до 25 мл конц.  $\text{HNO}_3$ . По окончании растворения для удаления  $\text{HNO}_3$  добавляют 1 мл конц.  $\text{H}_2\text{SO}_4$  и нагревают до выделения  $\text{SO}_3$ . Затем стенки чашки смывают 10 мл воды, добавляют 1 мл конц.  $\text{H}_2\text{SO}_4$  и снова упаривают до выделения  $\text{SO}_3$ . Разбавляют 10 мл воды и переносят в прибор для восстановления (если проба содержит более 40 у As, то берут аликвотную порцию р-ра). Для восстановления As (5+) до As (3+) прибавляют 2,5 мл конц.  $\text{HCl}$ , 1 мл р-ра  $\text{SnCl}_2$  (40 г  $\text{SnCl}_2 \cdot 2\text{H}_2\text{O}$  в 100 мл конц.  $\text{HCl}$ ) и 2 мл 13%-ного р-ра  $\text{KJ}$ . Спустя 15 мин. прибавляют 5 г металлич. Zn и для поглощения образующегося  $\text{AsH}_3$  присоединяют к поглотителю, содержащему 10 мл 0,5%-ного пиридинового р-ра ДС (при этом трубку, подводящую  $\text{AsH}_3$ , возможно глубже погружают в р-р ДС). В процессе восстановления прибавляют еще от 7,5 до 10 мл конц.  $\text{HCl}$ . По окончании отгонки  $\text{AsH}_3$ , продолжающейся 1—1,5 часа, измеряют интенсивность красной окраски пиридинового р-ра ДС с помощью фотометра с зеленым светофильтром (кювета 12 мм). В качестве р-ра сравнения применяют пиридиновый р-р ДС. Точно также проводят слепую пробу. Содержание As определяют по калибровочной кривой. Ошибка определения  $\pm 0,0004\%$ . Sb мешает.

А. Немодрук

69171. Титриметрическое определение арсенита марганцовокислым калием и сульфатом четырехвалентного церия. Хлористый йод в качестве катализатора в сернокислой среде. Рао, Рао (Volumetric estimation of arsenite with potassium permanganate and ceric sulphate. Iodine monochloride catalysis in sulphuric acid medium. Rao K. Bhaskara, Rao G.

Gopala), Z. analyt. Chem., 1957, 155, № 3, 161—165 (англ.)

Мышьковитовая к-та (I) с  $\text{KMnO}_4$  (II) и  $\text{Ce}$  (4+) в сернокислых р-рах (CP) реагирует медленно, вследствие чего прямое титрование I р-ром II или  $\text{Ce}$  (4+) практически невозможно. I с II в р-рах  $\text{HCl}$  реагируют достаточно быстро, но установление конечной точки (КТ) затрудняется вследствие неустойчивости розовой окраски II в присутствии  $\text{HCl}$ . Для ускорения р-ций I с II и  $\text{Ce}$  (4+) предлагается применение  $\text{JCl}$  в качестве катализатора. 1 капля 0,005 M р-ра  $\text{JCl}$  на каждые 50 мл реакционной смеси (PC) позволяет непосредственно титровать I р-ром II в CP при комнатной т-ре. Применение  $\geq 0,5$  мл 0,005 M р-ра  $\text{JCl}$  затрудняет определение КТ вследствие появления желто-коричневой окраски свободного йода. Изменение конц-ии  $\text{H}_2\text{SO}_4$  не оказывает влияния. При титровании 0,0312—0,2492 ммоль I в 1 н.  $\text{H}_2\text{SO}_4$  в объеме 50 мл с применением 0,1 мл 0,005 M р-ра  $\text{JCl}$  0,05 н. р-ром II ошибка  $\leq 0,2\%$ . В присутствии 0,5—1 мл 0,05 M р-ра  $\text{JCl}$  на каждые 50 мл PC в CP ( $\leq 2$  н.) I непосредственно титруют р-рами  $\text{Ce}$  (4+), определяя КТ при помощи ферроина. При определении 0,0282—0,2256 ммоль I в 0,5 н.  $\text{H}_2\text{SO}_4$  ошибка  $\leq 0,4\%$ . КТ в этом случае определяется также потенциометрически (при конц-ии  $\text{H}_2\text{SO}_4 < 1$  н.) с применением 0,5—1 мл 0,005 M р-ра  $\text{JCl}$  на каждые 50 мл PC. В присутствии  $\text{JCl}$  возможно также титрование  $\text{Ce}$  (4+) р-рами I.

А. Немодрук

69172. Кулометрическое титрование сурьмы йодом, генерированным электрическим током. Линггрен, Бард (Coulometric titration of antimony with electrogenerated iodine. Lingane James J., Bard Allen J.), Analyt. chim. acta, 1957, 16, № 3, 271—273 (англ.; рез. нем., франц.)

Предложено кулометрич. титрование  $\text{Sb}$  (3+) йодом, генерированным электрич. током. Титрование производится при pH 8 в 0,1 M фосфатном буферном р-ре, содержащем 0,1 моль/л  $\text{KJ}$  и 0,025 моль/л виннокислого калия. Последний вводится для предотвращения гидролитич. осаждения сурьмы. Для титрования применяется электрич. ток постоянной силы (в пределах от 2 до 33 мА с отклонением  $\pm 0,01\%$ ). Конечная точка титрования определяется как амперометрическим, так и потенциометрическим методом. Производит также слепое титрование с тем же кол-вом реактивов и учитывают соответствующую поправку. При титровании от 0,06 до 10 мг  $\text{Sb}$  средняя ошибка составляет от 0,001 до 0,01 мг. Продолжительность титрования 100—500 сек. Возможно также визуальное определение конечной точки с применением в качестве индикатора крахмала. Точность определения в этом случае несколько меньше.

А. Немодрук

69173. Применение раствора двухвалентного хрома при определении сурьмы. Шатко П. П., Ж. анал. химии, 1957, 12, № 2, 201—204 (рез. англ.)

Ион  $\text{Cr}^{2+}$  количественно восстанавливает  $\text{Sb}$  (5+) в нейтр. или слабокислых р-рах до элементарного состояния. Ионы  $\text{As}$  не восстанавливаются. Металлическую  $\text{Sb}$  окисляют в присутствии  $\text{H}_2\text{SO}_4$  титрованным р-ром  $\text{K}_2\text{Cr}_2\text{O}_7$ , избыток  $\text{K}_2\text{Cr}_2\text{O}_7$  титруют солью Мора в присутствии фенолантравиновой к-ты. При применении в качестве индикатора дифениламина лучшие результаты получаются, если после растворения металлической  $\text{Sb}$  в титрованном р-ре  $\text{K}_2\text{Cr}_2\text{O}_7$  (в сернокислом р-ре) прибавить р-р соли Мора и избыток последней оттитровать р-ром  $\text{K}_2\text{Cr}_2\text{O}_7$  в присутствии  $\text{H}_2\text{PO}_4$ . При содержании  $> 1$  мг  $\text{Sb}$  лучше применять 0,2 н.  $\text{K}_2\text{Cr}_2\text{O}_7$ . При меньших кол-вах  $\text{Sb}$  следует применять 0,1 н.  $\text{K}_2\text{Cr}_2\text{O}_7$ . 3- и 5-валентный  $\text{As}$  не мешает. Чувствительность метода 0,05 мг  $\text{Sb}$  в 100 мл р-ра.

В. Сазанова

69174. Быстрый микроколориметрический метод определения сурьмы в крови. Цао Цзинь-хун, Лу Юн-цзюань, Тан Тэн-хань (血液中微量砷的測定法. 曹金鴻, 盧湧泉, 湯騰漢), 藥學學報, Носов скаябао, Acta pharmas. sinica, 1956, 4, № 4, 347—352 (кит.; рез. англ.)

Пробу крови 1 мл помещают в стеклянную пробирку (25 × 150 мм), прибавляют 1 мл конц.  $\text{HNO}_3$  и осторожно нагревают на слабом пламени, пока р-р не примет янтарную окраску. Прибавляют 0,5 мл конц.  $\text{H}_2\text{SO}_4$  и снова осторожно нагревают до появления густых белых паров. Если р-р получился не прозрачным, то прибавляют ~5 капель  $\text{HNO}_3$  и нагревают несколько раз до получения прозрачного бесцветного р-ра. Охлаждают, прибавляют 1 мл р-ра  $\text{NaCl}$ , 0,5 мл р-ра  $\text{NaNO}_2$ , встряхивают 2 мин. и прибавляют 1 мл р-ра мочевины. Смесь переносят в делительную воронку, содержащую 10,0 мл бензола. Промывают пробирку 3 раза по 5 мл дистил. водой, прибавляют 10 капель р-ра малахитовой зеленой и немедленно встряхивают 5 мин. Бензольный слой отбирают в центрифужную пробирку и для отделения от капель воды центрифугируют 3 мин., затем переносят в 10-см ячейку фотоколориметра и определяют экстинкцию со светофильтром Илфорд-607, применяя бензол в качестве нулевого р-ра. Описанным способом определяется 0,1—3,0 γ  $\text{Sb}$  в 1 мл р-ра, продолжительность определения 8—12 мин.

Д. Васкевич

69175. К весовому определению сульфата в форме сульфата бензидина. Готшалк, Демель (Zur gravimetrischen Sulfatbestimmung als Benzidinsulfat. Gottschalk G., Dehmel P.), Z. analyt. Chem., 1957, 155, № 4, 251—263 (нем.)

Нейтральный р-р, содержащий  $\text{SO}_4^{2-}$ , подкисляют 0,5 мл 2 н.  $\text{HCl}$  (до pH 1—2), разбавляют до 40 мл, нагревают до кипения и по каплям вводят в течение 10—15 мин. 25 мл 0,1 M р-ра хлоргидрата бензидина. Прибавляют 35 мл  $\text{C}_2\text{H}_5\text{OH}$ , перемешивают (объем р-ра ~100 мл), спустя 120 мин. фильтруют через фильтровальный тигель 63а 64, осадок промывают спиртом (2 × 3 мл) и эфиром (2 × 1 мл), просасывают 20 мин. воздух или сушат 30 мин. при 105°. Промывание  $\text{C}_2\text{H}_5\text{OH}$  и эфиром и сушку продолжают до постоянного веса осадка. Метод применим для определения 0,5—10 мг  $\text{S}$ . Мешающие катионы удаляют методом ионного обмена;  $\text{CrO}_4^{2-}$ ,  $\text{C}_2\text{O}_4^{2-}$ ,  $\text{SiF}_6^{2-}$  и  $\text{NO}_3^-$  удаляют окислением, восстановлением или ионным обменом.  $\leq 10$  мг  $\text{P}$  не мешает; при больших кол-вах  $\text{P}$  удаляют в форме  $\text{MgNH}_4\text{PO}_4$ . Среднеквадратичная погрешность (для 48 опытов) составляет  $\pm 0,0328$  мг  $\text{S}$ . Описано определение  $\text{SO}_4^{2-}$  в Ni-содержащих материалах, жести, окиси циркония, сырой воде и метиленовой голубой. Осадок сульфата бензидина по сравнению с  $\text{BaSO}_4$  обладает меньшей плотностью и соответственно большим объемом.

И. Каринская

69176. Определение сульфатов в растворах с большим содержанием хлоридов. Ланг, Пилз (Maßanalytische Bestimmung von Sulfat in Lösungen mit größeren Chlorid-Gehalten. Lang Günter, Pilz Karl), Kali und Steinsalz, 1957, 2, № 3, 100 (нем.)

Определение сульфатов (I) титрованием р-ром  $\text{BaCl}_2$  с применением алizarина  $\text{S}$  в качестве абсорбционного индикатора (РЖХим, 1955, 19036) затрудняется в присутствии больших кол-в хлоридов (II) ввиду отсутствия четкого перехода окраски индикатора. Для устранения мешающего влияния II предложено титровать I в присутствии ацетата ртути (III). Ионы  $\text{Hg}^{2+}$  связывают ионы  $\text{Cl}^-$  в практически недиссоциирующие молекулы  $\text{HgCl}_2$  и частично в комплексные ионы  $\text{HgCl}_3^-$  и  $\text{HgCl}_4^{2-}$ . Полное устранение влияния II достигается при соотношении  $\text{Hg}^{2+} : \text{Cl}^- \geq 3,5 : 10$ . Ошибка определения I в присутствии больших кол-в

II с применением III такая же ( $\pm 0,2\%$ ), как и при определении I в р-рах с низким содержанием II. Метод применен для определения I в производственных щелочах при получении едких щелочей.

А. Немодрук

**69177. Окислительное определение тиосульфатов щелочными феррицианидами с применением четырехоксида осмия в качестве катализатора.** Дешмукх, Банат (Oxidative determination of thiosulphate by alkaline ferricyanide using osmium tetroxide as a catalyst. Deshmukh G. S., Banat M. G.), Z. analyt. Chem., 1957, 156, № 2, 105—108 (англ.)

Изучено окисление тиосульфатов (I) до сульфатов щел. феррицианидами (II) в присутствии  $\text{OsO}_4$  в качестве катализатора. Наибольшая скорость окисления I имеет место в 8—10%-ных р-рах КОН. Увеличение скорости окисления I достигает таких размеров, что позволяет вести непосредственно титрование I р-рами II и наоборот. Конечную точку титрования (КТТ) определяют потенциометрически. Ошибка определения  $\sim 0,5\%$ . Возможно также фотометрич. определение КТТ с помощью фотоэлектроколориметра с голубым светофильтром (430—470 мμ), основанное на определении избытка II по их желто-зеленой окраске. Разработан также метод определения I с добавлением избытка II с последующим титрованием II щел. р-ром  $\text{As}_2\text{O}_3$  и потенциометрич. определением КТТ. Кол-во I может быть определено титрованием образующегося в эквивалентном кол-ве ферроцианида р-ром  $\text{Ce}(\text{SO}_4)_2$  в 1 н.  $\text{HCl}$  с применением Fe-фенантролинового комплекса в качестве индикатора или потенциометрически. Разработан метод йодометрич. определения ферроцианида. А. Немодрук

**69178. Исследование различных методов определения фтор-иона.** Фунасака, Каванэ, Кодзима (Investigation on several methods of determination of fluoride ion. Funasaka Wataru, Kawane Makoto, Kojima Tsuguo), Mem. Fac. Engng, Kyoto Univ., 1956, 18, № 4, 414—423 (англ.)

Проведено сравнительное изучение различных методов определения F. Из весовых и титриметрич. методов исследованы: 1) весовое определение в виде  $\text{PbFCl}$ , 2) титриметрич. — в виде  $\text{PbFCl}$ , 3) весовое — в виде  $\text{CaF}_2$ , 4) метод Оффемана (титриметрич. определение в виде  $\text{SiF}_4$ , титруемого щел. р-ром), 5) титриметрич. определение с помощью  $\text{AlCl}_3$ , 6) кондуктометрич. титрование р-ром  $\text{AlCl}_3$  и 7) титриметрич. определение посредством  $\text{Th}(\text{NO}_3)_4$ . Продолжительность каждого определения соответственно составляет (в часах): 3,5; 2,5; 6,0; 1,3; 0,3; 1,0 и 0,6. Точность каждого из методов характеризуется средним значением из 8 определений (процент найденного кол-ва F от взятого), которое составляет соответственно (методы 1—4 для больших кол-в F и методы 5—7 для малых): 98,55; 98,34; 97,29; 99,58; 98,43; 98,69 и 98,58. С учетом точности и воспроизводимости результатов, а также быстроты и легкости выполнения из весовых методов наиболее пригодным является определение в виде  $\text{PbFCl}$  и из титриметрич. — определение с помощью  $\text{AlCl}_3$  (с эрихромом черным T в качестве индикатора). Из колориметрич. методов определения F исследованы: 1) железороданидный, 2) железосалицилатный, 3) торий-ализариновый, 4) цирконий-ализариновый и 5) алюминий-гематооксилиновый. При определении F железосалицилатным методом мешают карбонаты; при железороданидном и торий-ализариновом методах — сульфаты. По точности и воспроизводимости результатов наиболее пригодными для определения F являются торий-ализариновый и цирконий-ализариновый методы для конц-ий от 0 до 5 γ F на 1 мл и железосалицилатный — при определении  $\sim 10$  γ F на 1 мл.

А. Немодрук

**69179. Прямое микроопределение фтора при помощи хлорида трифенилолова.** (Двухфазное осаждение). Балцо, Шифнер (Eine direkte mikrogravimetrische Fluorbestimmung mit Triphenylzinnchlorid. (Zweifhasenfällung). Ballczo H., Schiffner H.), Mikrochim. acta, 1956, № 12, 1829—1833 (нем.; рез. англ., франц.)

Метод 2-фазного осаждения (РЖХим, 1957, 19627) при помощи хлорида трифенилолова применен для весового определения 10—150 γ F-. К  $\sim 2$  мл исследуемого р-ра с pH 4—8 в фильтровальном стаканчике добавляют  $\sim 2$  мл р-ра хлорида трифенилолова ( $\sim 2$ -кратное кол-во по отношению к стехиометрич.) в  $\text{CHCl}_3$ , насыщ. фторидом трифенилолова (I), закрывают стаканчик спец. крышкой и начинают сначала медленное, затем быстрое (30 мин.) перемешивание при помощи магнитной мешалки. Смесь оставляют на несколько мин. (в присутствии фосфатов и боратов фильтруют немедленно) и отсасывают обе жидкие фазы. Осадок промывают водой и  $\text{CHCl}_3$ , насыщенным I, сушат осадок I при  $110^\circ$  и взвешивают. Содержание F в осадке I составляет 5,152%. Al и Fe не мешают.

Т. Левин

**69180. Амперометрическое титрование микрограммовых и субмикрограммовых количеств фторида.** Джоханнесон (The amperometric titration of microgram and submicrogram quantities of fluoride. Johannesson J. K.), Chemistry and Industry, 1957, № 16, 480—481 (англ.)

Для определения 0,25—0,5 F- в 10—20 мл р-ра предложен метод амперометрич. титрования р-ром  $\text{Th}(\text{NO}_3)_4$  с вращающимся Al-электродом и стационарным Pt-анодом. Вращающийся электрод готовят из капиллярной трубки с внешним диам. 6,65 мм; по оси трубки расположена проволока из чистого Al (диам. 1,87 мм); длина выступающего участка составляет  $\sim 6$  мм. Между Al-проволокой и трубкой помещают воск; титрование ведут в среде разб.  $\text{HClO}_4$ . К 20 мл р-ра, содержащего 1—10 γ F-, добавляют 0,3 мл  $\text{HClO}_4$ , вводят электроды (Al-электрод предварительно очищают наждаком, выдерживают в конц.  $\text{HNO}_3$  и не смывая к-ты, вводят в р-р). 0,01 н. р-р  $\text{Th}(\text{NO}_3)_4$  вводят порциями, через интервалы 60 сек. Конечную точку титрования определяют по пересечению прямолинейных участков прямой зависимости объем титранта ( $10^2$  мл) — показания гальванометра. И. Каринская

**69181. Меркуриметрическое определение хлоридов в воде.** Гришпун А. Л., Тихонов А. С., Тр. Воронежск. ун-та, 1956, 40, 45—47

Пробу профильтрованной котловой воды (10 мл) нейтрализуют  $\text{H}_2\text{SO}_4$  или  $\text{HNO}_3$  по фенолфталеину; добавляют небольшой избыток к-ты, 0,1 мл 10-ного р-ра нитропруссиды Na и титруют 0,1 н. р-ром  $\text{Hg}(\text{NO}_3)_2$  до не исчезающего помутнения (образующегося при соотношении  $[\text{Cl}^-]:[\text{Hg}^{2+}]$ , равном 2+]. Результаты описанного метода и argentометрического хорошо согласуются. В присутствии восстановителей пробу воды предварительно обрабатывают  $\text{HNO}_3$  (на 100 мл воды добавляют 15 мл 4 н.  $\text{HNO}_3$ ). При анализе воды с низким содержанием  $\text{Cl}^-$  употребляют более разб. р-р  $\text{Hg}(\text{NO}_3)_2$ .

И. Каринская

**69182. Анализ труднолетучих окислов на галоиды.** Чайка М. П., Оптика и спектроскопия, 1957, 2, № 4, 421—425

Описан метод определения F и Cl в  $\text{ThO}_2$  и  $\text{U}_3\text{O}_8$  при возбуждении спектра в полом катоде. Разрядная стеклянная трубка охлаждается водой, катод укрепляется в трубке на плите. Разряд происходит в атмосфере гелия при давл. 15 мм рт. ст., напряжение на электродах трубки во время разряда 400—500 в. Спектры фотографируют на стеклянном спектрографе ИСПИ-51 с камерой  $F = 270$  мм, фотопластинки «Инфра 700». Ана-



лиз производят по линиям фтора 7037,4, 7128,0, 6856,0 и 6902,5 Å и линиям хлора 7547,1 и 7256,6 Å. Спец. опытами показано, что галонды поступают в разряд не в результате распыления пробы, а от испарения в-ва. Поэтому труднотлетучие основы образцов не образуют в спектре линий U и Th. Основная компонента пробы не влияет на возбуждение спектра F и Cl. Присутствие хлоридов щел. металлов в кол-ве сотых долей процента не мешает анализу, но 0,2% этих в-в резко снижает интенсивность линий F. Примесь углерода действует аналогично. Катод изготовлен из стали с внутренним диам. 6,5 мм и глубиной 17 мм. Для очистки гелий непрерывно пропускают через ловушку с углем, охлаждаемую жидким воздухом. Применяют 2 типа эталонов: с труднотлетучими солями (напр.,  $\text{CaF}_2$ ) и среднетлетучими. По скорости исчезновения линий Cl и F из образцов предварительно устанавливают необходимый тип эталонов. Ошибка, характеризующая воспроизводимость, равна  $\pm 10\%$ , чувствительность анализа 10–4%. При весе образца 10 мг абс. чувствительность равна  $10^{-8}$  г.

Г. Кибисов

69183. Разложение навесок сплавлением применительно к полирографическому определению меди, цинка, свинца и кадмия. Лях А. И., Лисицина Е. В., Шистерова З. Н., Завод. лаборатория, 1957, 23, № 1, 20–23

Метод сплавления со смесью аммониевых солей (Исаков П. М., Качественный химический анализ руд и минералов методом растирания порошков. М., Госгеолтехиздат, 1955) применен для разложения навесок руд, слитков, кеков, пылей, концентратов и хвостов. Для полирографич. определения Cu навеску 0,2–0,5 г сплавляют 2–3-кратным кол-вом хлорид-нитратной смеси ( $\text{NH}_4\text{Cl}-\text{HNO}_3$ , 1:1), плав растворяют в 15 мл 1,5%-ной HCl и полирографируют на фоне  $\text{NH}_4\text{OH}-\text{H}_2\text{Cl}$  при 0,52 в (насыщ. к. э.). Для определения Zn навеску сплавляют с той же смесью, нагревают плав с 40–50 мл HCl (1:40) и цементируют Cu на Pb-пластинке; фильтрат нагревают с 8–10 каплями  $\text{H}_2\text{O}_2$  и полирографируют на том же фоне при –1,44 в (насыщ. к. э.). Сплавление с указанной смесью применяют также при определении Pb и Cd; в этом случае полирографируют соответственно при –0,46 и –0,81 в (насыщ. к. э.).

Т. Леви

69184. Количественный спектральный анализ глинозема; влияние добавок графита на излучение спектров примесей. Хуттер (Analyse spectrographique quantitative de l'alumine; influence de l'addition de graphite sur l'émission spectrale des impuretés. Hutter J.-C.), 17-e Congr. G. A. M. S. Paris, 1954, 141–151 (франц.)

Описан анализ глинозема на содержание Cr, Ca, Ti, Zn, Na, V, Ga, Pb, Mg, Mn, Fe и Si. В порошок графита вводят 0,08% Li, 0,008% Sn и смешивают с  $\text{Al}_2\text{O}_3$  в отношении 10:8. Пробу 30 мг помещают в канал угольного электрода диам. и глубиной 3 мм. Спектр возбуждают в дуге постоянного тока; пробу включают анодом. Сила тока 10 а, продолжительность экспозиции 30 сек. Спектры фотографируют на спектрографе Q-24, держатели электродов охлаждают водой. Графики строят в координатах  $I_{\text{ан}} / I_{\text{ср. lgC}}$ . Чувствительность анализа для всех элементов  $\sim 5 \cdot 10^{-4}\%$  (для Na  $1 \cdot 10^{-2}\%$ ). Для определения P и As изготовляют электрод с утоненной до 2 мм шейкой и каналом глубиной 11 мм. Воспроизводимость анализа обычно характеризуется ошибкой  $< 15\%$ , для очень малых конц-ий ошибка возрастает до 50%. Т. Гуревич

69185. Использование элеотной хроматографии в колонках с целлюлозой для систематического анализа специальных сталей. Вентурелло, Ге

(The use of elution chromatography from cellulose columns for the systematic analysis of special steels. Venturello G., Ghe A. M.), Analyst, 1957, 82, № 974, 343–352 (англ.)

Предложен метод хроматографич. разделения и микрохим. определения Mo, Co, Mn, V, Ni и Cr в спец. сталях. 0,25 г стали растворяют в HCl (1:1), окисляют  $\text{HNO}_3$ , выпаривают почти досуха, остаток растворяют в HCl (1:1) и переносят в мерную колбу емк. 5 мл. Отбирают 0,2 мл р-ра, вносят в колонку (диам. 0,5, длина 20 см) с порошкообразной беззольной бумагой (ватман). В качестве элеотов применяют последовательно: ацетилацетон (вымывает Fe и Mo), метил-н-пропилкетон (вымывает Co и Mn), смесь метил-н-пропилкетона с HCl (вымывает V), смесь  $\text{H}_2\text{O}$  и разб.  $\text{H}_2\text{SO}_4$  (вымывает Ni и Cr). В полученных элеотах содержание элементов определяют фотометрически обычными методами. Чувствительность метода 1 мг элемента в элеоте. Максим. ошибка при однократном определении Co, Ni и Cr +0,05%, Mn, Mo и V +0,02% в стали.

Н. Будяк

69186. Влияние структурных составляющих стали на величины  $\Delta S$ . Лопес-де-Аскона, Асенс-Альварес-Аренае (Influence des constituants structuraux des aciers sur les valeurs de  $\Delta S$ . Lopez de Azcona J. M., Asensi Alvarez Arenas), 17-e Congr. G. A. M. S. Paris, 1954, 101–115 (франц.)

Описаны результаты исследования сталей, содержащих 0,4–1,54% C. Образцы закалывали и отжигали в соляной ванне при различных t-рах. Спектры возбуждали в искровом разряде от генератора Фейснера при емкости 5,39 см, самоиндукции 0 и при экспозиции 1 мин. Контролектрод — Pt-проволока диам. 1 мм. Спектры фотографировали на большом спектрографе; аналитич. линии: Fe 2298,23 — C 2296,8 Å. Графики, построенные в координатах  $\Delta S$  — t-ра отжига, имеют максимумы при 400 и 700° и минимумы при 200 и 500°. Измерение твердости образцов на различных расстояниях от места, подвергнутого обжигу, показало, что изменение  $\Delta S$  определяется физ.-хим. состоянием C в образце, а не процессами, происходящими в образцах под действием искрового разряда. Установлена связь величин  $\Delta S$  с процессами образования различных структурных составляющих сталей, появление которых зависит от температурных условий закали и отжига.

Т. Гуревич

69187. Меркуриметрическое определение цинкидов в медноцианистых ваннах. Тихонов А. С., Гудис М. С., Тр. Воронежск. ун-та, 1956, 40, 49–52

Для определения общего содержания цианида (свободного CN<sup>-</sup> и связанного в комплексе  $\text{Cu}(\text{CN})_2^-$ ) в медноцианистых ваннах 10 мл электролита разбавляют до 100 мл, к 20–25 мл 0,1 н. р-ра  $\text{Hg}(\text{NO}_3)_2$  приливают 10 мл разб. электролита и 5–10 мл 6 н.  $\text{HNO}_3$ . Избыток  $\text{Hg}^{2+}$  оттитровывают 0,1 н. р-ром  $\text{NH}_4\text{SCN}$  в присутствии 1 мл насыщ. р-ра железосаммиачных красцов. Определение Cu производят йодометрич. методом или электролизом.

И. Каринская

69188. Некоторые применения спектрального анализа в лаборатории стекольного завода. Уорд, Хартли (Some applications of spectrographic analysis in a glass works laboratory. Ward W., Hartley F.), J. Soc. Glass Technol., 1956, 40, № 194, 37N–46N (англ.)

Описана схема колич. анализа песка и различных сортов стекол на основные компоненты. Измельченные пробы смешивают с угольным порошком и введением стандарт и набирают в канал угольных электродов. Спектры возбуждают в дуге постоянного тока (10 а), электрод с образцом включают катодом. Для экспозиции выделяют прикатодный участок дуго-

вого разряда. Спектры фотографируют на спектрографе Е492. Градуировочные графики строят по химически анализированным образцам. При определении только щел. элементов пробы растворяют в смеси  $\text{HF}$ ,  $\text{H}_2\text{SO}_4$  или  $\text{HClO}_4$ , р-р выпаривают досуха и остаток растворяют в воде. Затем р-р анализируют на пламенном спектрофотометре при возбуждении спектров в ацетиленовом пламени лундегардовской горелки. Описаны примеры качеств. спектрального анализа неоднородностей и включений в стеклах. Ошибка колич. определений в среднем  $\sim 1.5\%$ . Точность хим. методов для конц-ий, больших  $5-6\%$ , значительно выше спектрального анализа.

Б. Львов  
69189. Определение металлических примесей в смазочных маслах спектральным методом. Ильина Е. В., Тр. Ленингр. воен.-механ. ин-т, 1956, № 5, 68—72

С целью изучения износа деталей двигателей разработана методика определения Fe, Al, Cu, Sn, Pb и Si в масле. В тигле отвешивают 3 г масла, добавляют 2 мл олеата Ni и 1 мл олеата Ba, растворенных в бензине, и 100 мг графитового порошка. Содержимое тигля поджигают, остаток сушат при  $800^\circ$ , добавляют 200 мг графитового порошка и истирают в ступке. Спектры возбуждают в дуговом разряде переменного тока при 10 а при испарении в-ва из канала угольного электрода. Глубина канала 3 мм, диам. 4 мм, стенки канала заточкой на конус утонены до предела к концу электрода. Диам. рабочей части верхнего электрода 3 мм, дуговой промежуток 2,5 мм, продолжительность экспозиции 50 сек., пластинки «спектральные» тип II. Градуировочные графики строят в координатах  $\lg(I_{\text{ан}}/I_{\text{ср}})$ ,  $\lg C$ , наклон графиков в пределах 0,5—0,8. Аналитич. линии: Fe 2953,9 — Ni 2892,6, Al 3092,7 — Ni 3134,1, Cu 3274,0 — Ni 3134,1, Si 2881,6 — Ni 2892,6, Sn 3262,3 — Ni 3134,1, Pb 2833,1 — Ni 2892,6 А. Миним. определяемые конц-ии — тысячные доли процента. Эталоны изготавливают синтетически. Ошибка анализа  $\pm 20\%$ .

Г. Кибисов

См. также: Определение: Se 68625, Mo 69380; Cu 69383, 70054; 23169Бх; Ca 69985, 69986, 70380; Mg 23170Бх; O<sub>2</sub> 23133Бх; Fe 70302; NO<sub>2</sub>— и NO<sub>2</sub> 70542; фосфорной к-ты 23171Бх; TiO<sub>2</sub> 70286; щелочности H<sub>2</sub>O 69580; сульфидов в сульфатных черных шлаках 70265; анализ гальванических ванн 69384. Анализ минералов 68628, 68629

## АНАЛИЗ ОРГАНИЧЕСКИХ ВЕЩЕСТВ

Редакторы А. И. Бусев, Ф. П. Судяков

69190. Новый подход в определении микрограммовых количеств фосфорилирующих и ацилирующих агентов. Савилл (A new approach to the determination of microgram quantities of phosphorylating or acylating agents. Saville B.), Analyst, 1957, 82, № 973, 269—274 (англ.)

Метод основан на р-ции мононитрозоацетона (I)  $\text{CH}_3\text{COC(ON)}_2$  с органич. фторфосфорпроизводными, тетраалкилпирофосфатами, уксусным ангидридом и бензоилхлоридом в слабо-щел. среде. При этом в кол-ве, эквивалентном определяемому в-ву, выделяется цианид-ион, который превращают в хлорид, реагирующий с пиридин-пирозолоновым реактивом с образованием голубой окраски. По интенсивности окраски определяют содержание в-ва. Общий метод. Смешивают равные объемы 0,1%-ного р-ра I в боратном буферном р-ре (0,1 г I растворяют в 50 мл смеси 0,2 М р-ра  $\text{H}_2\text{BO}_3$ , 0,2 М р-ра KCl и прибавляют 50 мл 0,1 М р-ра NaOH) и определяемого в-ва, растворенного в

подходящем р-рителе, смешивающемся с водой и оставляют на время, необходимое для завершения р-ции образования эквивалентного кол-ва цианида. Прибавляют 1 объем 0,2%-ного р-ра хлорамина Т и следом пиридин-пирозолоновый реактив. Образующаяся окраска красного цвета переходит в голубую, интенсивность которой измеряют через 30—40 мин. в абсорбциометре Спиккера с оранжевым светофильтром. Содержание в-ва определяют по калибровочной кривой. Продолжительность р-ции (в мин.): в водн. среде для тетраэтилпирофосфата 25, для этилдиэтилпирофосфата 12, изопропилфторфосфата 90; в среде диоксана — для уксусного ангидрида 1, для бензоилхлорида 2, для этилхлорформата 2. Для приготовления пиридин-пирозолонового реактива нагревают 25 г фенилгидразина под давлением с 17,4 г 3-метил-1-фенил-5-пирозалона (т. пл.  $127^\circ$ ) в 100 мл 95%-ного этанола в течение 4 час. Осадок фильтруют и промывают 95%-ным этанолом. Образующийся бис-(3-метил-1-фенил-5-пирозалон) плавится при  $> 320^\circ$ . 0,1 г полученного в-ва растворяют в 100 мл аналитически чистого пиридина, фильтруют и прибавляют 500 мл насыщ. водн. р-ра 1-метил-3-фенил-5-пирозалона. Определение зарина (изопропилметилфторфосфата) в разб. водн. р-рах или в р-рах изопропанола: 1 мл исследуемого р-ра, содержащего  $\sim 60$  γ зарина, помещают в мерную колбу емк. 25 мл, прибавляют 1 мл 0,1%-ного р-ра I в боратно-буферном р-ре, закрывают пробкой и перемешивают. Оставляют на 5 мин., если зарин был растворен в воде и на 15 мин. если зарин был растворен в изопропаноле. Прибавляют 1 мл р-ра хлорамина Т и через 1 мин. разбавляют пиридин-пирозолоновым реактивом. Образовавшуюся окраску измеряют в абсорбциометре Спиккера в ячейке с рабочей гранью 1 см с светофильтром Ильфорд № 607. Одновременно ставят контрольный (холостой) опыт. Содержание зарина определяют по калибровочной кривой.

Д. Васкевич

69191. Проведение органического полумикроэлементарного анализа в макроаналитической аппаратуре. Адибек-Меликян А. И., Саркисян Р. С., Ж. аналит. химии, 1957, 12, № 2, 265—267 (рез. англ.). Показана возможность колич. определения С и Н в полумикромасштабе по принципу скоростного микрометода М. О. Коршун с использованием микроаналитич. аппаратуры. По простоте выполнения и точности результатов метод превосходит макрометод.

В. Сазанова

69192. О методе определения соединений, меченных  $\text{C}^{14}$  путем мокрого сжигания. Ручман, Шённигер (Über eine Methode zur Analyse  $^{14}\text{C}$ -markierter Verbindungen durch nasse Verbrennung. Rutschmann J., Schöninger W.), Helv. chim. acta, 1957, 40, № 2, 428—432 (нем.)

Описанный ранее метод определения соединений, меченных  $\text{C}^{14}$  (Anderson R. C. и др., Analyst. Chem., 1952, 24, 1298), модифицирован и применен, в сочетании с мокрым сжиганием по способу Ван-Слайка, для анализа твердых в-в, р-ров и биол. материалов. К анализируемому в-ву (3—5 мг) добавляют 300 мг смеси  $\text{KJO}_3\text{--K}_2\text{Cr}_2\text{O}_7$  (2:1), вводят смесь  $\text{H}_2\text{SO}_4\text{--H}_3\text{PO}_4$  (Van Slyke D. D. и др., J. Biol. Chem., 1951, 191, 299) и проводят сжигание в атмосфере  $\text{O}_2$  при нагревании до кипения (3 мин.). Перед и после анализа в-в с высокой активностью ( $\sim 15000$  мюри) рекомендуется проводить сжигание неактивных в-в; манометр калибруют по бензойной к-те. Погрешность определения 0,3%. Нитросоединения дают завышенные результаты.

И. Каринская

69193. О применении вспомогательного устройства при микроопределении азота по методу Кельдала. (Краткое сообщение). Эдер (Über eine Hilfsein-

richtung für die Mikro-Kjeldahl-Stickstoff-Bestimmung (Kurze Mitt.). Eder Kurt), Mikrochim. acta, 1957, № 2, 227—229 (нем.)

Для перевода р-ра (после обработки  $H_2SO_4$  и разбавления водой) из колбы для разложения в прибор для дистилляции рекомендуется пользоваться простым устройством, основной деталью которого является капиллярная трубка (диам. 3 мм). Между приемником и дистилляционной колбой помещают кран, закрываемый при переводе жидкости в дистилляционную колбу. Для крепления колбы для разложения рекомендуется пользоваться кольцами из латунной проволоки, прикрепленными к латунному стержню (приведены схемы).

И. Каринская

69194. Обнаружение элементарной серы на основе реакции с тиофенолятом свинца. Кребс, Фасбендер, Йоргенс (Nachweis von elementarem Schwefel durch Reaktion mit Bleithiophenolat. Krebs H., Fassbender H., Jörgens Fr.), Z. analyt. Chem., 1957, 155, № 4, 250—251 (нем.)

В присутствии свободных аминов элементарная S реагирует с  $Pb(SC_6H_5)_2$  с образованием красного полисульфида тиофенолята свинца  $PbS_x(SC_6H_5)_2$ , разлагающегося при 18—20° с образованием  $PbS$ . 40 мг  $Pb(SC_6H_5)_2$  растворяют в 5 мл пиридина и добавляют 5 мл р-ра S в  $C_6H_6$ . В присутствии 500 γ S через продолжительное время образуется черный осадок  $PbS$ ; при 50 γ S через 1 час наблюдается помутнение р-ра; при 1—5 γ S через сутки появляется муть или образуется небольшое кол-во осадка от черного до коричневого цвета (окраска осадка при контрольном опыте желтая). При 70° в присутствии 50γ S помутнение наблюдается через 5 мин., осадок образуется через ~2 часа. Р-р меркаптобензотриазола Pb в пиридине не реагирует с элементарной S даже при кипячении; при добавлении 3-кратного кол-ва триэтиламина осадок  $PbS$  медленно образуется при 18—20°. Ионы полисульфида реагируют с указанным реактивом весьма быстро, что дает возможность отличить их от элементарной S.

И. Каринская

69195. Полярография систем с сульфидрильными и дисульфидными группами. Миллен, Гершбейн (Polarography of sulfhydryl-disulfide systems. Milten Hugh M., Gershbein Leon L.), Trans. Illinois State Acad. Sci., 1956 (1957), 49, 69—72 (англ.)

Полярографически можно определить общее содержание групп SH и  $S_2$  в р-рах тиогликолята и дитиогликолята с помощью йодуксусной к-ты; но отдельно этим методом их определить невозможно, за исключением цистина и цистенина. Высота каталитич. волны, получаемой с α-меркаптопропионовой к-той, превышает волну β-производного.

М. Пасманик

69196. Полярографическое определение сульфидрильной группы. Проктор (The polarographic determination of sulfhydryl groups. Proctor Charles D.), Trans. Illinois State Acad. Sci., 1956 (1957), 49, 80—84 (англ.)

SH в аминокислотах, пептидах и протеинах определяют косвенным полярографич. методом, основанным на уменьшении высоты волны восстановления п-хлормеркурибензоата за счет колич. образования меркаптида. Дисульфиды не мешают. Снижение высоты волны пропорционально содержанию SH.

М. Пасманик

69197. Об определении йодного числа. Зеэр, Арендс (Ueber die Bestimmung der Jodzahl. Seher A., Arends W.), Mitt. Geb. Lebensmitteluntersuch. und Hyg., 1957, 48, № 1, 1—4 (нем.; рез. англ., франц.)

Проведено сравнение методов определения йодного числа по Вийсу, Штэли и Кауфману на примерах оливкового, касторового, рапсового, соевого и льняного

масел. Определение йодного числа методом Вийса, видоизмененным Штэли, дает более высокие значения, чем получаемые по методу Кауфмана. Метод Кауфмана при времени выдержки 2 часа дает значения, которые хорошо согласуются с данными, полученными методом гидрирования. При выдержке > 2 час. получаются более высокие йодные числа. При методе Кауфмана это увеличение является минимальным.

Н. Будяк

69198. Схема анализа продуктов, получаемых при синтезе из CO и  $H_2$ . Чжан Лэ-фын, Лу Пэй-чжан (自一氧化碳和氢合成液体燃料的产品分析系统. 张荣清, 虞佩章), 燃料学报, 1957, № 1, 39—51 (кит.; рез. русск.)

Приведены уточненные ф-лы для определения выхода воды и общего содержания групп  $CH_2$ , т. е. выхода углеводородов ( $G_{CH_2}$ , расч) из газов синтеза. Величина  $G_{CH_2}$  расч может служить более точным критерием активности и селективности катализатора. Для получения данных, необходимых для вычисления и исправления материального баланса, предложена схема систематич. анализа продуктов синтеза, включающая определение содержания органич. углерода в воде, функциональных групп в жидких продуктах, среднего мол. веса углеводородов  $C_n$ , бромного числа масла и экспериментально наблюдаемого выхода продуктов. Газы анализируются хим. и хроматографич. методами, которые позволяют точно определить выход метана, этана, этилена и вычислить  $G_{CH_2}$ . Расхождение между теоретич. и рассчитанным содержанием  $CH_2$ -групп обычно меньше 10 г/м<sup>3</sup> газа.

Д. Васкевич

69199. К молекулярному спектральному групповому анализу насыщенных углеводородов. Лутер, Элерт (Zur molekülspektroskopischen Gruppenanalyse gesättigter Kohlenwasserstoffe. Luther H., Oelert H.), Angew. Chem., 1957, 69, № 8, 262—266 (нем.)

Для парафиновых углеводородов вычислены коэф. поглощения для абсорбционных полос, относящихся к колебанию качания группы  $CH_2$  (720  $cm^{-1}$ ), деформационному колебанию группы  $CH_3$  (1380  $cm^{-1}$ ) и антисимметричным деформационным колебаниям групп  $CH_2$  и  $CH_3$  (между 1410 и 1510  $cm^{-1}$ ). Произведена проверка значений коэф. поглощения указанных групп для различных замещ. циклопентанов и циклогексанов. С помощью полученных данных проведены анализы смесей насыщ. углеводородов, при этом определено содержание длинно- и короткоцепочечных алкенов, метильной группы, нафтенов. Пригодность метода испытывалась на заранее составленных смесях и на чистой нефти. Полученные результаты сравнивают с результатами других структурных анализов для смесей углеводородов. Максим. ошибка ±19% относительных. Продолжительность анализа 4,5 часа. Работа проведена на 2-лучевом спектрофотометре. Перкина—Эльмера с призмой из NaCl, в кюветах по стоянной толщине. В качестве р-рителей использовались в области 680—840  $cm^{-1}$  сероуглерод для 1300—1410  $cm^{-1}$  четыреххлористый углерод и для 1410—1510  $cm^{-1}$  тетрагидротеллен.

И. Демиденкова

69200. Изучение метилбензантраценов методом спектроскопии в инфракрасной области. Жозьен, Фьюсон (An infrared spectroscopic study of the methyl benzantracenes. Summary. Josien Marie-Louise, Fuson Nelson), Acta Unio internat. contra cancerum, 1955, 11, № 6, 681 (англ., франц.)

Изучены спектры поглощения в ИК-области 12 изомерных метилбензантраценов; особое внимание уделено ИК-спектрам валентных и деформационных колебаний группы  $CH_3$ . Обсуждена взаимосвязь между по-



лученными результатами и мол. структурой изомерных метилбензотрапенов.

Т. Леви  
69201. Восстановление нитроциклогексана йодисто-водородной кислотой как метод его количественного определения. Молдавский Б. Л., Иванова И. И., Ж. аналит. химии, 1957, 12, № 2, 274 (рез. англ.).

Метод определения нитроциклогексана основан на его легкой восстанавливаемости в щел. р-рах при помощи J- до циклогександиоксида по ур-нию:  $C_6H_{10}NOOH + 2HI = C_6H_{10}NOH + J_2 + H_2O$ . В. Сазанова

69202. Анализ смесей карбоновых кислот ряда бензола с помощью метода распределительной хроматографии. Фишвик Б. (The analysis of mixtures of benzene-carboxylic acids by partition chromatography. Fishwick Brian), J. Chem. Soc., 1957, March, 1196—1199 (англ.).

В качестве сорбента для разделения карбоновых к-т ряда бензола применяют силикагель для хроматографич. целей, которым заполняют колонку (К) diam. 1,8 см и высотой не менее 40 см. В К вводят взвесь, полученную смешением 20 г сорбента, 10 мл 0,5 н.  $H_2SO_4$  и 80 мл  $CHCl_3$  (I). Затем в верхнюю часть К вводят р-р до 0,1 г анализируемой смеси к-т в 0,4 мл  $CH_3OH$  (II) и 0,6 мл I. Операцию повторяют, промывая К 10%-ным р-ром II в I и 1 мл I. Элюирование производят насыщ. водой смесями I с различными кол-вами n-бутанола (III); смеси последовательно вводят после промывания К 50 мл I. Для элюирования в К вводят смеси, содержащие 2,5; 10; 12,5; 17,5; 25; 30; 40; 50 и 70% III, в кол-ве соответственно 150; 100; 100; 100; 100; 100; 100 и 200 мл. Для поддержания определенной скорости элюирования (2—3 мл/мин) при пропускании р-ров с конц-ией III > 40% накладывают некоторое внешнее давление. К каждой фракции элюата добавляют по 50 мл воды и титруют к-ты 0,02 н. NaOH по фенолфталеину. Большинство к-т извлекается с колич. выходом, за исключением гемимеллитовой к-ты, бензол-1,2,3-5-тетракарбоновой к-ты, бензолпентакарбоновой к-ты и меллитовой к-ты. Однако на потери этих к-т, не превышающие 11%, может быть введена поправка. Объем элюата до максимума кривой элюирования сохраняет постоянное значение для всех исследованных к-т и может служить для их идентификации. Для ряда исследованных к-т описаны способы получения и приведены результаты определения т-р плавления.

Н. Полянский  
69203. Идентификация и определение уксусной кислоты по методу Дюкло. Солей, Хирт (Sur la caractérisation et le dosage de l'acide acétique, par la méthode de Duclaux. Soleil Jean, Hirt Geneviève), C. r. Acad. sci., 1957, 244, № 15, 2059—2061 (франц.).

Проверка метода Дюкло для качеств. и колич. определения  $CH_3COOH$  показала его непригодность. Полученные результаты невоспроизводимы, в 40% случаев создается впечатление присутствия смеси к-т, хотя присутствует только одна к-та; ошибка составляет 10—12%. Исследование возможности применения метода к прочим летучим к-там продолжается.

М. Пасманик  
69204. Количественное определение яблочной кислоты методом хроматографии на бумаге. Леонгр, Таннер, Ренчлер (Eine quantitative papierchromatographische Bestimmung der Apfelsäure. Leongre Geneviève, Tanner H., Rentschler H.), Mitt. Geb. Lebensmitteluntersuch. und Hyg., 1957, 48, № 1, 40—46 (нем.; рез. англ., франц.).

Смешивают 50 мл вина с 25 мг l-яблочной к-ты, растворенной в нескольких мл воды. С целью освобождения связанной с металлами яблочной к-ты р-р пропускают через катионит, который промывают водой, собирая р-р и промывные воды в мерную колбу емк.

150 мл, доводят водой до метки, отбирают 75 мл в фарфоровую чашку, выпаривают до объема 5 мл, р-р охлаждают, переносят в мерную колбу емк. 10 мл, доводят водой до метки и наносят микропипеткой ряд проб этого р-ра на бумагу в кол-вах 5, 15, 25, 40 мл. Хроматограмма проявляется в течение 13—15 час., р-рителем служит верхний слой, выделяющийся при стоянии в течение нескольких час. из смеси 7,5 ч. n-бутанола, 2,5 ч. трет-амилового спирта, 3 ч. муравьиной к-ты и 3 ч. воды. Хроматограмму высушивают в вытяжном шкафу, опрыскивают спирт. р-ром акридина, пятна, соответствующие яблочной к-те, обводят карандашом в УФ-свете ( $R_f \approx 0,4$ ), вырезают и взвешивают. Содержание яблочной к-ты определяют сравнением с графиком, построенным для р-ров яблочной к-ты известной конц-ии. Точность  $\pm 5\%$ . Метод применим к винам, содержащим до 10 г/л сахара и позволяет одновременно определять и другие органич. и неорганич. к-ты.

Н. Будяк  
69205. Количественное определение сialовой кислоты. I. Фотометрический метод с применением смеси 5-метилрезорцина и соляной кислоты (реактив Биала). Свеннерхольм (Quantitative estimation of sialic acids. I. A colorimetric method with orcinol-hydrochloric acid (Bial's) reagent. Svennerholm L. a. s.), Arkiv kemi, 1957, 10, № 6, 577—596 (англ.).

Исследовано колич. определение сialовой к-ты (оксисаминотетракарбоновой), присутствующей вместе с гекозаминами и гекозасаминами во многих протеинах млекопитающих, и ее производных: N-ацетилсialовой к-ты, N,O-диацетилсialовой к-ты и N-гликозилсialовой к-ты. 2 мл исследуемого р-ра, содержащего 10—40 γ N-ацетилсialовой к-ты или соответствующее кол-во других производных этой к-ты, помещают в трубку (18 × 200 мм) со стеклянными краями. В 2 трубки прибавляют по 2 мл 5-метилрезорцинового реактива, в 3-ю такую же трубку помещают 2 мл холостого реактива. Трубки нагревают 15 мин. при 106° в масляной бане или в кипящей водяной бане и охлаждают в проточной воде до комнатной т-ры. В каждую трубку прибавляют по 5 мл изоамилового спирта и хорошо встряхивают. Трубки помещают в ледяную воду на 10 мин., затем центрифугируют 1 мин. при 500—1000 об/мин, снова помещают в ледяную воду и сохраняют в ней до самого определения. Слой изоамилового спирта переносят в кювету 50 мм и определяют поглощение света при 575 и 680 мμ. Все определение должно быть выполнено в течение 1 часа после нагревания. Одновременно ставят холостой опыт. Содержание N-ацетилсialовой к-ты (1 мг в 5 мл) определяют по ф-ле  $[(A_s)_{575} - (A_s)_{680}] / [(a_s)_{575} - (a_s)_{680}]$ , где  $(A_s)_{575}$  и  $(A_s)_{680}$  — коэф. абсорбции при 575 и 680 мμ,  $a_s = A_s / bc$ , b — толщина слоя в кювете в см, c — конц-ия в г/л. Для приготовления реактива растворяют 0,2 г 5-метилрезорцина в 10 мл дистил. воды, прибавляют 80 мл конц. HCl, содержащей  $\leq 0,001\%$   $Fe^{3+}$ , и 1,00 мл 0,1 M р-ра  $Fe^{3+}$  или 0,25 мл 0,1 M р-ра  $Cu^{2+}$ , объем доводят до 100 мл. Реактив употребляют не позже чем через 4 часа после приготовления; в условиях хранения при 0° реактив устойчив 1 неделю. Холостой реактив готовят так же, но без 5-метилрезорцина. Изучено влияние других углеводов на получающуюся окраску. Метод дает положительные результаты при анализе биологич. материалов. Ошибка при определении 40 γ N-ацетилсialовой к-ты  $\pm 1\%$ , при анализе экстрактов из биологич. материалов  $\sim \pm 2,5\%$ .

Д. Васкевич  
69206. Количественное определение метилового и этилового эфиров салициловой кислоты. Генгринович А. Н., Кадыров Я. К., Аптеч. дело, 1957, 6, № 2, 68—69

При ацидиметрич. методе определения метил- (I) и этилсалицилатов (II) к 1 г препарата прибавляют 25 мл 0,5 н. NaOH, нагревают 5 мин. на кипящей водяной бане, охлаждают и оттитровывают избыток NaOH 0,5 н. р-ром  $H_2SO_4$  по фенофталеину. При определении I и II йодхлорометрич. методом 0,4—0,5 г препарата омыляют описанным способом, оттитрованный р-р разбавляют до 100 мл, к аликвотной порции 10 мл прибавляют 100 мл воды, 20 мл 0,1 н. р-ра JCl, через 2 мин. прибавляют 10 мл 10%-ного р-ра KJ и выделившийся  $J_2$  оттитровывают 0,1 н. р-ром  $Na_2S_2O_3$ . В описанных условиях при обработке I и II р-ром JCl образуются дийодсалициловая к-та.

И. Каринская  
69207. Количественное определение метилового эфира салициловой кислоты в лекарственных смесях. Вайсман Г. А., Бендерская С. Н., Аптечн. дело, 1957, 6, 32—36

Разработан броматометрич. метод определения метилсалицилата (I) в лекарственных смесях, включающий омыление 0,5 н. р-ром NaOH, осаждение мыла р-ром  $BaCl_2$  и бромирование образовавшегося салицилата Na. К навеске смеси, содержащей 0,3—0,4 г I, добавляют 20 мл 0,5 н. р-ра NaOH и нагревают 10—15 мин. на водяной бане. Жидкость фильтруют, фильтрат разбавляют до 100 мл. К 5—10 мл полученного р-ра добавляют 5 мл 5%-ного р-ра  $BaCl_2$ , нагревают на водяной бане 10—15 мин., охлаждают, фильтруют, осадок на фильтре промывают, к полученному фильтрату прибавляют 1 г KBr, 25 мл 0,1 н. р-ра  $KBrO_3$ , 5 мл разб. HCl и оставляют на 15 мин. в темноте. Затем прибавляют 0,1 г KJ и выделившийся  $J_2$  оттитровывают 0,1 н. р-ром  $Na_2S_2O_3$ . И. Каринская

69208. Кондуктометрическое титрование сульфамидов водными реактивами в неводных растворах. Макарович К. Г., Хим. ж. Акад. РНР, 1956, 1, № 1, 79—93

Обзор. Библ. 28 назв. И. Каринская

69209. Количественное определение стрептомицина и маннозидострептомицина в культуральной жидкости и в полупродуктах производства стрептомицина. Брунс Б. П., Карцева В. Д., Савицкая Е. М., Коробичка А. А., Ж. аналит. химии, 1957, 12, № 2, 262—264 (рез. англ.)

Стрептомицин и маннозидострептомицин отделяют от примесей, содержащихся в культуральных жидкостях, при помощи силикагеля. Затем их элюируют к-той и в элюате определяют сумму стрептомицина и маннозидострептомицина и отдельно стрептомицин фотометрич. методом. В. Сазанова

69210. Определение линалола в эфирных маслах. — (The determination of linalol in essential oils. —), Analyst, 1957, 82, № 974, 325—329 (англ.)

Для определения линалола в эфирных маслах рекомендован следующий метод Гличича: в колбу емк. 125 мл вносят 15 мл свежеприготовленного реактива (смешивают охлажденные до 0° 2 объема уксусного ангидрида и 1 объем муравьиной к-ты, смесь доводят

до 50° в течение 15 мин. и немедленно охлаждают до 0°) и при охлаждении до 0° добавляют 10 мл испытуемого масла. После выдержки в течение 72—96 час. при 20—22° смесь переносят в делительную воронку, добавляют 50 мл охлажденной до 0° воды, встряхивают и выдерживают 2 часа. Масло отделяют, промывают последовательно 50 мл холодной воды, 50 мл 5%-ного р-ра  $NaHCO_3$  и 2 раза по 50 мл воды, сушат безводн.  $Na_2SO_4$  и фильтруют. Эфир определяют методом, описанным в сообщении 13 подкомитета по эфирным маслам (Analyst, 1937, 62, 541). Процентное содержание линалола рассчитывают по ф-ле  $\frac{154,2 A}{(561 - 0,28A)}$ , где A —

эфирное число формилированного масла. Н. Будяк  
69211. Хроматография на бумаге циклитолов. Ангваль, Мак-Хью, Гилхем (The paper chromatography of cyclitols. Angual S. J., Mc Hugh D. J., Gilham P. T.), J. Chem. Soc., 1957, March, 1432—1433 (англ.)

Определены величины  $R_f$  при хроматографии на бумаге для D-глюкозы, 8 инозитов, 5 кверцитов и 8 метиловых эфиров инозитов с применением 4 проявителей: ацетон-вода, фенол-вода, бутиловый спирт- $CH_3COOH$ -вода, этиловый спирт- $NH_3$ -вода. В случае ацетона сушка бумаги требует лишь нескольких минут, для фенола и бутилового спирта бумагу оставляют на ночь. В качестве реактива рекомендуется  $AgNO_3NaOH$  (РЖХимБх, 1956, 12607) с фиксацией пятен тиосульфатом. Чувствительность падает с уменьшением числа гидроксильных групп в циклитоле и повышается при кратковременном нагревании бумаги. Р-ция с аммиачным р-ром  $AgNO_3$  менее чувствительна и вызывает потемнение всей бумаги. Для некоторых соединений более чувствительна р-ция с реактивом борат-феноловый красный (РЖХим, 1954, 10361). Реактив перманганат-периодат дает неустойчивые пятна. Б. Анхаер

69212. Полумикрометод определения целлюлозы и пентозанов в древесине. Можейко Л. Н., Яунземс В. Р., Ж. аналит. химии, 1957, 12, № 2, 259—261 (рез. англ.)

Модифицированы методы колич. определения целлюлозы по Кюршнеру и пентозанов по Толленсу применительно к полумикроанализу. Метод весьма удобен для определения целлюлозы и пентозанов в одной навеске и в одной и той же реакционной колбочке.

В. Сазанова

См. также: Определение: фенацетина 69987; кофеина 69988; рапонтина 69989; бацитрадина и неомидина 69990; эфиров в коньяках 70444; инсектицидов 69357; аминокислот 23134Бх; АДФ и АТФ 23154Бх; клетчатки, крахмала, белков 23138Бх; сахаров 23143Бх, 23144Бх, 23146Бх; холестерина в крови 23151Бх; гистохимич. опред. белковых групп 23139Бх; витаминов 23155—23160Бх; стероидов 23160—23162Бх; тиобарбитуровых к-т 23179Бх

## ОБОРУДОВАНИЕ ЛАБОРАТОРИЙ. ПРИБОРЫ, ИХ ТЕОРИЯ, КОНСТРУКЦИЯ, ПРИМЕНЕНИЕ

Редактор А. И. Сарахов

69213. Новый тип  $\beta$ -спектрометра с высоким разрешением. Вильд, Хубер (Hochauflösendes Beta-Spektrometer neuer Bauart. Wild H., Huber O.), Helv. phys. acta, 1957, 30, № 1, 3—32 (нем.; рез. англ.)

69214. Консольный компаратор-микрофотометр с высокоинтенсивным экраном и системой измерения нулевым методом. Бил, Брем, Джаррелл (Console comparator microphotometer featuring high screen intensity and a null-ratio measurement system.

Beal Harold B., Brehm Richard K., Jarrell Richard F.), J. Opt. Soc. America, 1957, 47, № 4, 306—311 (англ.)

Описана конструкция консольного компаратора-микрофотометра (К—М) для визуального наблюдения и измерения плотности почернения отдельных участков электронномикроскопич. снимков, радиограмм, автордиограмм и рентгенограмм. К—М имеет уникальную электронную систему для измерения оптич. плотности по нулевому методу. Стабильность электронной системы составляет  $\pm 0,25\%$  для отклонения на всю шкалу при колебании напряжения питания  $\pm 5$  в. Чувствительность К—М достаточна для промера площадей эмульсии  $\sim 200 \mu^2$ . А. Ложманов

69215. Простое регистрирующее двухлучевое фотометрическое приспособление для обычных спектрофотометров. Гуаланди, Серлупи-Крешенци (Semplice dispositivo fotometrico registratore, a doppio raggio, applicabile a spettrofotometri convenzionali. Gualandi G., Serlupi-Crescenzi G.), Rend. Ist. super. sanita, 1957, 20, № 1, 105—112 (итал.; рез. англ., нем., франц.)

69216. Исследования источников света для спектрального анализа. IX. Электронно-контролируемый высоковольтный (постоянного тока), широкополосный искровой источник. Бардоц (Investigations concerning light sources for spectrum analysis. IX. Electronically controlled high voltage d. c. spark source with wide frequency range. Bardocz A.), Appl. Spectroscopy, 1956, 10, № 4, 183—190 (англ.)

Описание и расчет искрового генератора, работающего в области частот 10—1100 сек<sup>-1</sup>. Часть VIII см. РЖХим, 1956, 47392. Л. Розенштейн

69217. Исследования источников света для спектрального анализа. X. Новые виды высоковольтных искровых источников света с механическим управлением. Бардоц (Untersuchungen über Lichtquellen für Spektralanalyse. X. Neuartige Hochspannungs-Funkenlichtquelle mit mechanischer Steuerung. Bardocz A.), Z. angew. Phys., 1955, 7, № 11, 523—527 (нем.)

Обзор. Библ. 28 назв.

А. Ложманов

69218. Рентгеновский спектр от трубки с бериллиевым окном. II. Преобразование Лапласа. Ван, Раридон, Крофорд (X-ray spectrum from a beryllium window tube. II. Laplace transformation. Wang P. G. S., Raridon R. J., Crawford R. C.), Brit. J. Radiol., 1957, 30, № 351, 153—157 (англ.)

Часть I см. РЖХим, 1957, 48388.

69219. Измерение цвета материалов, флуоресцирующих при дневном свете. Хиседал (On the colour measurement of daylight fluorescent materials. Hisedal B.), Optica acta, 1956, 3, № 3, 139—144 (англ.; рез. нем., франц.)

69220. Модифицированный прибор Гершберга для определения точки плавления. Дрексел (Modified Hershberg melting point apparatus. Drechsel Helmut E.), Analyt. Chem., 1957, 29, № 5, 859—860 (англ.)

Для большей безопасности и улучшения воспроизводимости результатов определения точки плавления видоизменен прибор Гершберга (Hershberg, Industr. and Engng Chem., Analyt. Ed., 1936, 8, 312), в широкое колено U-образной трубки которого, закрытое притертой пробкой, помещают 175 мл силиконового масла; к пробке присоединяют стеклянные гильзы для капилляров с исследуемым в-вом. В узком колене расположена мешалка и нихромовая спираль для нагрева. Предварительная калибровка термометров устраняет поправку на погружение и на выступающий столбик термометра. Приведена диаграмма зависимости между

т-рой, временем нагрева и напряжением питающего тока. Б. Анвар

69221. Объективный способ определения температуры плавления и области размягчения высокомолекулярных веществ. Рыбникарж Ф., Сб. чехосл. хим. работ, 1957, 22, № 1, 309—311 (рез. нем.) См. РЖХим, 1957, 1347.

69222. Простой метод моста для измерения теплопроводности газов и газовых смесей. Мадан (Simple bridge method for the measurement of thermal conductivity of gases and gas mixtures. Madan Mahendra P.), J. Franklin Inst., 1957, 263, № 3, 207—212 (англ.)

Описан метод измерения теплопроводности газов и их смесей с помощью цилиндрич. ячейки, по оси которой натянута тонкая проволока, включенная в одно из плеч термостатированного моста Уитстона. Приведена математич. теория для подсчета теплопроводности и поправок на стеночный эффект, температурный скачок и смещение проволоки от оси цилиндра. Л. Абрамович

69223. Высокотемпературная микропечь для исследования расстекловывания стекла. Бридж (A high temperature microfurnace for the study of the devitrification of glass. Bridge H.), J. Scient. Instrum., 1957, 34, № 4, 136—139 (англ.)

Описана электрич. микропечь на т-ры до 1250°. Помещенный в спец. держатель образец диам.  $\sim 1,5$  и толщиной  $\sim 0,5$  мм может быть нагрет за  $< 1$  мин. до т-ры 1200° и охлажден с 1200 до 100° за 30 сек. Измерение т-ры образца осуществляется Pt/PtRh-термопарой, изготовленной из проволоки диам. 0,012 мм. Для наблюдения за состоянием образца предусмотрена оптич. система. Автоматич. приставка позволяет производить фотографирование образца с интервалами 2—50 сек. Описанное устройство применялось для изучения роста кристаллов из расплава, быстрого вычерчивания диаграмм фазового равновесия, определения точек плавления и исследований кристаллизации в опаловых стеклах. Л. Абрамович

69224. Абсолютный метод измерения теплоты затвердевания и истинной теплоемкости металлов в твердом и жидком состоянии. Лазарев А. И. В сб.: Исследования в обл. тепловых измерений и приборов. Л., 1957, 19—29

В массивном блок-калориметре помещены исследуемый металл в оболочке и нагреватель в точно такой же оболочке. Измерения производят при охлаждении от максим. т-ры. При этом к нагревателю подводят такую мощность, чтобы разность т-р между металлич. блоком и обечими оболочками была примерно одинаковой. При соблюдении этого условия применима выведенная ф-ла для расчета истинной теплоемкости. Для измерения теплоты затвердевания в нагревателе поддерживается постоянная мощность. Измеренные теплоемкость и теплота затвердевания Zn и Al находятся в удовлетворительном согласии с литературными данными. А. Лихтер

69225. Бомбы для высокотемпературных исследований с покрытиями из драгоценных металлов. Бидуэлл, Уайкофф, Теймер, Росс (Precious-metal-coated bombs for high-temperature studies. Bidwell R. M., Wykoff W. R., Thamer B. J., Ross C. D.), Nucleonics, 1956, 14, № 10, 71—77 (англ.)

Для работы при т-рах  $> 2000^\circ$  с крепкими р-рами фосфорной к-ты и другими в-вами, разъедающими нержавеющую сталь, применяют главным образом Pt-покрытия. Описаны методы obturation и испытания бомб различных размеров. При исследовании рекомбинации водорода и кислорода, образующихся при радиолизе в р-ре ядерного горючего, применяются Au-покрытия. А. Лихтер



69226. Измерение теплопроводности угольных материалов при комнатных температурах. Ногуты, Миядзакэ (常温における炭素製品の熱傳導度測定。野口利雄。宮崎芳樹), 炭素 Тансо, Carbons, 1956, 5, № 2, 4—7 (японск.)

Описана аппаратура для измерения теплопроводности углей в области  $\lambda = (0,0001 - 0,4)$  кал/град сек см. При испытании аппаратуры получены значения  $\lambda = (0,25 - 0,32)$  для искусств. графита и  $\lambda = (0,017 - 0,029)$  для футеровочного угля. Ошибка измерений составляла  $\sim 3\%$ .

Chem. Abstrs, 1956, 50, № 17, 12447. Hideaki Chihara 69227. Усовершенствованный прибор для высококачественного кондуктометрического титрования. Купка, Слейбо (Improved instrument for high-frequency conductometric titration. Kupka Frank, Slabough W. H.), Analyst. Chem., 1957, 29, № 5, 845—848 (англ.)

Электролитическая ячейка представляет собой трубку из боросиликатного стекла, куда перекачивается исследуемый р-р из сосуда, в котором производится титрование. Электроды, помещенные снаружи ячейки, соединяются с ВЧ-генератором. Переменный ток с постоянной частотой и амплитудой после прохождения через ячейку выпрямляется с помощью германиевого диода. При изменении сопротивления р-ра в ячейке при титровании линейно изменяется ток, протекающий через диод. С помощью описанного прибора можно определять эквивалентную точку при титровании колл. р-ров в широком интервале значений электропроводности. Ю. Плесков

69228. Прибор для интегрирования тока при автоматическом кулометрическом титровании. Смайт (Integrated-current source for automatic coulometric titrations. Smythe L. E.), Analyst, 1957, 82, № 973, 228—233 (англ.)

Описан электронный прибор для интегрирования тока, позволяющий производить прямые отсчеты при кулометрии, титровании. Имеется переключение на различную чувствительность для титрования вдали и вблизи от конечной точки. Установка для титрования состоит из прибора для интегрирования, автоматич. рН-метра и кулометрии. ячейки для электрохим. образования титрующего в-ва. Работа прибора показана на примере титрования р-ра  $\text{C}_2\text{O}_4^{2-}$  при помощи электрохимически образующихся ионов  $\text{Fe}^{2+}$ . Ю. Плесков

69229. Электронный прибор для титрования и измерения рН.— (Elektronisches Gerät für pH-Messungen und Titrationen.—), Pharmaz. Ind., 1957, 19, № 4, 148—149 (нем.)

Описан электронный рН-метр, позволяющий измерять рН с точностью до 0,01 ед. рН и напряжение от  $-1200$  до  $+1200$  мВ с точностью до 1 мВ. Входное сопротивление  $> 10^{11}$  ом. Имеется приспособление для введения поправок на изменение т-ры ( $0-100^\circ$ ) и на потенциал асимметрии стеклянного электрода.

Ю. Плесков 69230. Колба с манометром Варбурга для увеличения чувствительности при определении этилена. Прайт, Грейнер (Warburg manometer flask for increased sensitivity in ethylene determinations. Pratt Harlan K., Greiner Curt W.), Analyst. Chem., 1957, 29, № 5, 862 (англ.)

При манометрич. определении  $\text{C}_2\text{H}_4$  по описанному ранее методу (Young R. E. и др., Analyst. Chem., 1952, 24, 551) объем сосуда значительно влияет на точность анализа. Для уменьшения газового пространства над жидкостью применена конич. колба, разделенная вертикальной стеклянной пластиной на 2 равные части; в каждую часть помещают по 3 мл реактива. При отсчете по манометру Варбурга с точностью до 0,5 мм и при общем объеме р-ра перхлората Hg 20 мл

с помощью прибора определяют 44 мл  $\text{C}_2\text{H}_4$  вместо 120 мл в стандартных сосудах. Б. Анвар

69231. Полевой анализатор для перекиси водорода. Чинкель, Кантрелл (Hydrogen peroxide field analyzer. Tschinkel J. G., Cantrell T. D.), Jet Propuls., 1957, 27, № 3, 290—292 (англ.)

Разработан прибор для полевого анализа  $\text{H}_2\text{O}_2$  в области конц-ий 70—90 вес.%, который работает на принципе измерения т-ры газа, выделяющегося при каталитич. разложении  $\text{H}_2\text{O}_2$ . Т-ра газа  $T$  связана с конц-ией  $\text{H}_2\text{O}_2$   $w_0$  и начальной т-рой  $\text{H}_2\text{O}_2$   $t_n$  следующим уравнением:  $T = 2540w_0 - 1545 + 2,00(t_n - 20)$ .

Исследована ошибка, вносимая несовершенством изоляции камеры разложения. Стандартная ошибка измерения не превышает 0,025 вес.%  $\text{H}_2\text{O}_2$  по отношению к данным титрования. А. Лошманов

69232. Прибор для определения бензола и растворителей в газах. Барбу, Рейнхорн (Un aparat pentru determinarea benzenului si a solventilor in gaze. Barbu I., Reinhorn Gabriela), Rev. chim., 1957, 8, № 3, 204—205 (рум.)

69233. Слянка для фильтрования без доступа воздуха с приспособлением для отбора проб фильтрата. Косма (Facon de filtrat la vid cu dispozitiv pentru cules probe din filtrat (Facon «Cosmas»). Cosma S.), Studii si cercetari stiint. Acad. RPR Fil. Cluj. Ser. I, 1955, 6, № 3-4, 137—139 (рум.; реэ. русск., франц.)

69234. Установка для одновременного анализа большого числа образцов методом восходящей хроматографии на бумаге. Шимек (Zařízení pro současnou analýzu několika vzorků vzestupnou chromatografií na papíru. Šimek Jaroslav), Chem. průmysl., 1957, 7, № 4, 191 (чешск.; реэ. русск., англ.)

Разработана компактная установка для одновременного анализа нескольких образцов, гарантирующая обычную воспроизводимость результатов. Устранена возможность обрыва больших листов бумаги вследствие пропитки их р-рителем. А. Лошманов

69235. Высоковакуумное уплотнение, допускающее прогрев. Робинсон (Bakeable high vacuum seals. Robinson N. W.), J. Scient. Instrum., 1957, 34, № 3, 121 (англ.)

Описано разборное высоковакуумное уплотнение для цельнометаллич. систем, выдерживающее прогрев до  $450^\circ$ . Герметичность достигается с помощью двух кольцевых Cu-прокладок, зажатых между плоскими фланцами и стальным вкладышем, с обеих сторон которого выточен кольцевой выступ треугольного сечения. Л. Абрамович

69236. Твердый ртутный затвор для больших перепадов давления. Флоренский К. П., Приборы и техн. эксперимента, 1957, № 1, 114

Устройство состоит из обычного Hg-затвора, нижняя часть которого погружена в сосуд Дьюара с охлаждающей смесью (жидкий азот или смесь сухого льда с ацетоном). Л. Абрамович

69237. Сварка платиновой проволоки для анализаторов. Шрейн (Svařování platinových drátků pro analyzátorů. Šrein Karel), Chem. průmysl, 1956, 6, № 12, 519 (чешск.)

Описана горелка и приспособление для сваривания Pt-проволоки при изготовлении анализаторов, основанных на измерении теплопроводности или теплоты сгорания. В. Свиридов

69238. Простой нагреватель для микрохимических работ. Браувер (Een verwarmingsstoel voor microchemisch werk. Brouwer Th.), Chem. weekbl., 1957, 53, № 17, 197—198 (гол.)

69239. Способ устранения плохой смачиваемости измерительных бюреток газоанализаторов. Ларнон и М. Н., Сообщ. Сахалинск. комплекса, п.-н, ин-та. АН СССР, 1956, вып. 4, 106—107

При анализе газов, содержащих значительные кол-ва углеводородов, смазываемость стенок бюреток газоанализаторов типа ВТИ и Орса ухудшается уже через несколько анализов после того, как бюретка тщательно промыта хромовой смесью. Предлагается добавлять к запирающей жидкости небольшое кол-во поверхностно-активного в-ва; напр. добавка 0,5 мл «керосинового контакта» (ГОСТ 463—43) на 1 л жидкости полностью ликвидирует несмазываемость.

**69240. Прецизионный прибор для нанесения жидкостей на исследуемые поверхности.** Бакхолз (A precision apparatus for applying liquids to test surfaces. Buckholz E. E.), Canad. J. Technol., 1957, 34, № 7, 399—404 (англ.)

Описан прибор для автоматич. получения капель жидкости размеров 0,3—1,6 мм. Основным элементом прибора является шприц с гиподермич. иглой. Величина капель регулируется давлением воздуха на поршне шприца. Приведены фотография, схематич. чертежи аппаратуры и данные, характеризующие размер капель в зависимости от давления воздуха.

**69241 П. Аппарат для очистки жидкости посредством осмоса.** Степанек (Driftsförfarande för apparater för rening av vätskor genom electroosmos. Stepanek J.), Швед. пат. 145382, 25.05.54

Аппарат для очистки жидкости с помощью осмоса состоит из камеры, разделенной мембраной на анодное и катодное пространство, и имеет приспособление для удаления исходной (сырой) жидкостью образовавшихся ионов или соединений. Кол-во исходной жидкости, необходимой для этой промывки, определяется

из ур-ния  $L = AK/I\sqrt{R}$ , где  $A$  — кол-во очищ. жидкости;  $I$  — объем пространства, в котором происходит очистка;  $R$  — уд. сопротивление жидкости;  $K$  — коэф. пропорциональности.

## ХИМИЧЕСКАЯ ТЕХНОЛОГИЯ.

### ХИМИЧЕСКИЕ ПРОДУКТЫ И ИХ ПРИМЕНЕНИЕ

#### ОБЩИЕ ВОПРОСЫ

Редакторы В. И. Елинек, В. Д. Матвеев, Н. А. Ширяева

**69244. Тенденции развития химической промышленности Франции, Великобритании, Бельгии и ФРГ.** Лайдлер (Aktualny stan i tendencje rozwojowe ciężkich przemysłów chemicznych we Francji, W. Brytanii, Belgii i Niemczech Zachodnich. Laidler K.), Przem. chem., 1956, 12, № 11, 599—605 (польск.)

**69245. Химическая промышленность Народной Республики Хорватия в 1956 г.** Делфин (Osvrt na kemijsku industriju NRH u 1956. godini. Delfin Stava), Kemija u industriji, 1957, 6, № 1, 19—20 (сербо-хорв.)

**69246. Современная химическая промышленность.** Фаузер (Aspetti fondamentali dell'industria chimica moderna. Fauser Giacomo), Chimica e industria, 1957, 39, № 3, 165—178 (итал.; рез. англ., нем., франц.)

Обзор важнейших проблем на примере химич. пром-сти Италии.

**69247. Неорганическая и органическая химическая промышленность Японии.** Охаси (無機化学工業と有機化学工業。大橋九萬雄), 化学と工業, Kagaku to

**69242 П. Электронный полярограф.** Веннер, Зикерт, Леман (Vollelektronischer Polarograph. Venner Harry, Sickert Arno, Lehmann Rolf). Пат. ГДР 1976, 13.08.56

Полярограф позволяет изучать катодные и анодные процессы. Наложение возрастающего потенциала на ячейку производится с любой скоростью и частотой при помощи генератора Миллеа. Полярограф снабжен приспособлением для автоматич. измерения периода каплепадения.

**69243 П. Аппарат для дистилляции воды.** Милмото (蒸餾水製造装置。宮本司郎), Японск. пат. 2360, 11.04.55

Предложен цельнометаллич. аппарат для дистилляции воды, в котором поступающая вода очищается от летучих примесей; предусмотрено легкое удаление накипи; получаемая дистил. вода дополнительно очищается ионообменной смолой. Аппарат обогревается паром.

См. также: Спектрометр со штарк-модуляцией 62202. Метод фотометрирования рентгенограмм Зеэмана, Болина и Гинье 68236. Оптич. метод изучения дифракции от несовершенного кристалла 68237. Установка для исследования диффузного рассеяния рентг. лучей вблизи узлов обратной решетки 68<sup>3</sup>39. Установка для исследования теплопроводности жидкостей 68307. Кварцевые пружинные весы 68519. Ионообменная колонка 68556. Прибор для оптич. определения конечной точки титрования 69102. Алюминиевый индикаторный электрод в кислотно-основных потенциометрич. титрованиях 69109. Полуавтоматич. прибор для анализа газов 69117. Пламенный фотометр фирмы EEL 69124. Метод амперометрич. титрования 69180. Вспомогательное устройство при опред. азота по методу Кельдаля 69193. Аппаратура для измерения краевых углов 70271. Прибор для изучения диаграмм состояния мыла 70336. Центрифуга 70655. Электродиализатор 23189Бх

когё, Chem. and Chem. Ind., 1956, 9, № 12, 557—562 (японск.)

**69248. Современное состояние и некоторые проблемы промышленности неорганических химикатов в Японии.** Сэки (無機藥品業界の現状と問題点。佐伯宗光), 日化協月報, Никкакё гэнпо, 1956, 9, № 9, 22—26, 28 (японск.)

Приводится перечень химикатов, выпускавшихся хим. пром-стью в 1954—1956 гг., и проблемы, стоящие перед пром-стью.

**69249. Химическая промышленность [Японии] в дальнейшей перспективе ее развития.** Ясима (化学工業の生産と次代への期待。矢島不二男), 化学工業 Kagaku kogё, Chem. Ind., (Japan), 1957, 8, № 1, 11—15 (японск.)

**69250. Экспортируемая продукция химической промышленности [Японии].** Хорнаи (輸出産業としての化学工業。堀合道三), 化学工業, Kagaku kogё, Chem. Ind. (Japan), 1957, 8, № 1, 26—28 (японск.)

**69251. Потребность в продукции химической промышленности.** Араи (化学工業製品の需要と定定について。新井俊郎), 化学工業, Kagaku kogё, Chem. Ind. (Japan), 1957, 8, № 1, 3—10 (японск.)

**69252. Капиталовложения, предназначенные для оборудования химической промышленности.** Насу (化学工業と設備投資。那須忠己), 化学工業,

Кагаку корё, Chem. Ind. (Japan), 1957, 8, № 1, 16—18 (японск.)

69253. Радионуклиды в химической технологии. Михалку (Radioizotopi în tehnologia chimică. Mihailescu M.), Rev. chim., 1957, 8, № 2, 100—107 (рум.; рез. русск., нем.)

Обзор. Применение изотопов в хим. пром-сти и технологии каучуков и пластмасс. Библ. 49 назв.

В. Матвеев

69254. Радиация и ее использование в химической промышленности. Робертс, Меррей (Radiation and its uses in the chemical industry. Roberts R., Murgay G. S.), Chem. Ind. and Engng, 1956, 8, № 2, 41—46 (англ.)

См. РЖХим, 1957, 16069.

69255. Применение радиоактивных индикаторов в технологии. I. Краткий обзор промышленного применения изотопов. Арлман (Toepassing van tracers in de techniek. I. Beknopt overzicht van de industriele toepassingen van radioisotopen. Arlman J. J.), Ingenieur (Nederl.), 1957, 69, № 9, 0.21—0.23 (гол.; рез. англ.)

Обзор. Приведено несколько вариантов применения изотопов для контроля производственных процессов в хим. пром-сти. Л. Херсонская

69256. Калькуляция в химическом производстве. Рыбка, Добровольный (Kalkulace v chemické výrobě. Rybka Zdeněk, Dobrovolný Pravdomil), Účetní evidence, 1957, 5, № 2, 47—49 (чешск.)

Кратко рассмотрены проблемы калькуляции произ-ва серной и азотной к-т. В. Елинек

69257 К. Общая химическая технология. Том I. Вольфович С. И., Егоров А. П., Эпштейн Д. А. Перев. с русск. (Общая химична технология в два тома. Т. I. Волфович С. И., Егоров А. П., Эпштейн Д. А. Прев. от рус. София, Наука и искусство, 1956, XI, 713 стр., ил., 2435 лв.) (болг.)

69258 К. Общая химическая технология. т. I. Технология неорганических производств. Лебензон, Вейсберг (Tehnologie chimică generală. Vol. I. Tehnologie chimică anorganică. Lebensohn M., Weissberg A. București, Ed. tehn., 1956, 439 p., ил., 10.50 lei), (рум.)

69259 К. Процессы химической технологии. Том I (Process chemistry. Vol. I. McGraw-Hill, Pergamon, 1956, 12 doll.)

## ХИМИКО-ТЕХНОЛОГИЧЕСКИЕ ВОПРОСЫ ЯДЕРНОЙ ТЕХНИКИ

Редакторы В. И. Елинек, В. Д. Матвеев,  
Н. А. Ширяева

69260. Обработка ядерного горючего. Ниси (核燃料の処理. 西朋太). 材料試験, Цзайрё сикэн, J. Japan Soc. Test. Mater., 1956, 5, № 39, 697—705 (японск.)

Обзор. Библ. 41 назв. Н. Ширяева

69261. Методы производства тяжелой воды. (Heavy-water production methods. Metody wytwarzania ciężkiej wody.—), Nuclear Power, 1956, 1, № 1, 9—16 (англ.; рез. франц., нем., исп., русск.); Nukleonika, 1957, 2, № 1, 111—129 (польск.)

Обзор способов промышленного получения тяжелой воды, основанных на процессах дистилляции, электролиза и хим. обмена. Приведены схемы некоторых производственных установок. В. Левин

69262. Производство тяжелой воды. Фельднер-Фельдегг (Die Herstellung von schwerem Wasser.

Fellner-Feldegg Hugo), Gas- und Wasserfach, 1956, 97, № 24, 1017—1019 (нем.)

Описание свойств, применения и способов получения тяжелой воды. В. Левин

69263 П. Способ получения чистого тетрафторида урана. Декроли, Импе (Verfahren zur Herstellung von reinem Urantetrafluorid. Decroly Claude, Impe Jean van) [Union minière du Haut-Katanga, Soc. congolaise à responsabilité limitée]. Пат. ФРГ, 949735, 27.09.56

UO<sub>2</sub> смешивают с NH<sub>4</sub>HF<sub>2</sub>, постепенно нагревают до 150° и выдерживают при этой т-ре 1 час. Образующийся в результате р-ции: 2UO<sub>2</sub> + 5NH<sub>4</sub>HF<sub>2</sub> = 2NH<sub>4</sub>UF<sub>6</sub> + 3NH<sub>3</sub> + 4H<sub>2</sub>O двойной фторид U обрабатывают водой, подкисленной HNO<sub>3</sub>, промывают дистил. водой и спиртом, и сушат в вакууме при 110°. NH<sub>4</sub>HF<sub>2</sub> вводят в шихту в 20—25%-ном избытке. Может применяться также NH<sub>4</sub>F, а вместо UO<sub>2</sub> другие окисные соединения U. Для получения UF<sub>6</sub> двойной фторид (очень устойчивый при нормальной т-ре) нагревают до т-ры ≤ 400°. При этом NH<sub>4</sub>UF<sub>6</sub> расщепляется по р-ции NH<sub>4</sub>UF<sub>6</sub> → UF<sub>6</sub> + NH<sub>4</sub>F. Процесс проводят в вакууме, в печи, снабженной конденсатором для NH<sub>4</sub>F. Диссоциация NH<sub>4</sub>UF<sub>6</sub> также легко осуществляется в токе инертного газа (CO<sub>2</sub>, N<sub>2</sub>). Л. Херсонская

См. также: Коррозия в ядерной аппаратуре 70596—70598

## СЕРНАЯ КИСЛОТА, СЕРА И ЕЕ СОЕДИНЕНИЯ

Редакторы В. И. Елинек, В. Д. Матвеев,  
Н. А. Ширяева

69264. Перспективы производства серы. Люкене (Sulphur producers prospects, problems. Lukens L. A.), Mag. Wall Str. and Business Analyst, 1956, 99, № 2, 80—81, 108, 110 (англ.)

Приведены данные о состоянии и перспективах развития добычи серы в США и Мексике.

Г. Рабинович

69265. Опытная обогатительная установка на рудниках Болиден [Швеция]. Хедлунд (Bolidens försöksanläggning för anrikning. Hedlund John), Tekn. tidskr., 1956, 86, № 46, 1081—1084 (швед.)

Описана установка по обогащению пиритных руд. К. Герцфельд

69266. Окисление нитрозы кислородом под давлением выше атмосферного. I. Предварительные опыты. Бретшнайдер, Кавецкий, Ридль, Яноцинский (Utleianie nitrozy tlenom pod ciśnieniem wyższym od atmosferycznego. I. Doświadczenia wstępne. Bretsznajder S., Kawecki W., Riedl W., Janociński R.), Przem. chem., 1956, 12, № 12, 674—678 (польск.; рез. русск., англ.)

Опыты по окислению нитрозилсерной к-ты (I) кислородом в водн. р-ре H<sub>2</sub>SO<sub>4</sub>, проведенные в автоклаве под давл. 52—130 ат и при 70—120°, показали что MnSO<sub>4</sub> или его смесь с AgNO<sub>3</sub> каталитич. действия на р-цию не оказывают; с повышением т-ры увеличивается степень окисления I. Повышение давления не играет большой роли. Существенное значение имеет содержание воды: смеси, содержащие < 20% воды, с кислородом не реагируют. Окисление I в HNO<sub>3</sub> протекает медленно с хорошим выходом, если проводить р-цию в течение нескольких часов. Г. Рабинович

69267 Д. Исследование процесса взаимодействия серного и углестого колчеданов с огарком. Овагина М. И. Автореф. дисс. канд. техн. н., Научн. ин-т по



удобр. и инсектофунгицидам им. Я. В. Самойлова, М., 1957

69268 П. Способ получения элементарной серы из пиритного концентрата, Ренкен (Sätt att utvinna elementärt svavel ur pyritslig. Renken H. C.) [Norranda Mines Ltd]. Шведск. пат. 153610, 6.03.56

Гранулированный пиритный концентрат (ПК) с величиной зерна 3—6 мм обжигают в слое толщиной 2,5 см; стенью окисления и скорость обжига регулируют разбавлением воздуха, просасываемого через слой ПК, газами обжига. Из газов обжига выделяют охлаждением и электростатич. осаждением отогнанную S. Обжиг производят в печи при т-ре, лежащей ниже т-ры спекания ПК.

К. Герцфельд

69269 П. Получение серы из газовых смесей, содержащих сероводород. Карлсон (Production of sulfur from gaseous mixtures containing hydrogen sulfide. Carlson Eugene C.) [Stanolind Oil and Gas Co.]. Пат. США 2742347, 17.04.56

Газовую смесь, содержащую углеводороды и  $\geq 50\%$  (оптимально 60—80%)  $H_2S$ , перемешивают с воздухом, кол-во которого составляет  $\sim 75\%$  потребного для окисления  $H_2S$  в  $S$ , и подают (сверху) в 1-ю ступень аппарата, представляющую собой теплообменник. Внутренняя поверхность трубок (изготовленных из нержавеющей или мягкой стали или из Al, покрытого Fe) теплообменника служит катализатором для р-ции окисления  $H_2S$  при 315—400°. Эту т-ру поддерживают, охлаждая трубки снаружи. К продуктам р-ции добавляют остальное кол-во воздуха, причем т-ра снижается до  $\sim 290^\circ$ , и пропускают их через 2-ю ступень со слоем катализатора: боксита, смешанного с инертным материалом, напр. отработанным катализатором, кварцем, шариками из Al или его сплавов и т. д.; кол-во инертного материала уменьшается по ходу газа. Т-ру по 2-й ступени поддерживают при 205—650° (желательно  $< 538^\circ$ ). Затем газы охлаждают для конденсации S и после ее отделения подогревают их и пропускают через 3-ю ступень с бокситовым катализатором для р-ции оставшегося  $H_2S$  с образовавшейся  $SO_2$ , причем образуется дополнительное кол-во S. Во всех вышеуказанных процессах углеводороды не окисляются, поэтому оставшиеся газы можно использовать как топливо. Приведена схема аппарата.

Г. Рабинович

69270 П. Способ сушки сернистого газа. Бустрём, Дальмульдер (Sätt vid torkning av fuktig svaveldioxid. Bostrom N. O., Dalmluder J. G.) [Handelsbolaget under firma A. Johnson & Co.]. Швед. пат. 153701, 13.03.56

$SO_2$  подают вместе с высококипящими углеводородами (веретенное или трансформаторное масло) под давлением в колонну.  $SO_2$  растворяется в углеводороде, а вода собирается внизу колонны, откуда она непрерывно отводится. Выделение  $SO_2$  из углеводородов производится нагреванием.

К. Герцфельд

69271 П. Стабильные водные растворы монохлорсерной кислоты и способ их стабилизации. Гринспан, Мак-Келлар (Sätt att stabilisera vattenlösningar av peroximonosvavelsyra, och lösning framställd enligt sättet. Greenspan F. P., MacKellar D. G.) [Food Machinery and Chemical Corp.]. Швед. пат. 153937, 3.04.56

Способ стабилизации водн. р-ров  $H_2SO_3$  (I) отличается тем, что к р-ру, содержащему 10—43% I, добавляют диникотиновую к-ту (II) в кол-ве 250—750 ч. на 1 млн. ч. р-ра, но не менее 5 ч. Прибавление II можно производить к р-ру готовой I или к реакционной смеси для получения I; вместо II можно применять ее соли со щел. металлами или двойные соли, напр.

с  $KNO_3$ . Потери I при хранении ее стабилизированных р-ров при  $30^\circ$  составили в месяц 10%, без II — 24%.

К. Герцфельд

См. также: Экономич. вопросы 69256

## АЗОТНАЯ ПРОМЫШЛЕННОСТЬ

Редакторы В. И. Елинек, В. Д. Матвеев, Н. А. Ширяева

69272. Азотная промышленность в капиталистических странах. Иванов А. Ф., Шофман Ф. М., Хим. наука и пром-сть, 1956, 1, № 6, 699—705. Обзорная статья. Библ. 49 назв. Н. Ширяева

69273. Термодинамические свойства аммиака, Мамедов А. М., Тр. Азерб. индустр. ин-та, 1956, вып. 14, 145—154 (рез. азерб.).

Приведены на графиках и таблицах вычисленные истинные и средние теплоемкости с паров  $NH_3$ , теплоты перегрева насыщ. пара в перегретый при данном давлении, энтропии перегрева, показатели адиабаты к в зависимости от давления (до 20 ат) и т-ры (до  $150^\circ$ ) и коэф. сжимаемости (давление до 14 ат, т-ра до  $150^\circ$ ).

Г. Рабинович

69274. Современное состояние производства мочевины. Гольдберг Н. А., Людковская М. А., Фридман С. Д., Заграничный В. И., Хим. наука и пром-сть, 1956, 1, № 6, 669—680. Обзор. Библ. 84 назв.

Н. Ширяева

69275 П. Контактный аппарат для сжигания аммиака с использованием тепла реакции. Лурц, Синигой (Ammoniakverbrennungssofen mit Abhitzeverwertung. Lurz Klemens, Sinigoj Josef) [Farbwerke Hoechst A.-G. vormals Meister Lucius & Brüning]. Пат. ФРГ 950547, 11.10.56

В аппарате (с выходом газов сверху) под контактной сеткой устанавливают перпендикулярно потоку газов один под другим змеевики, представляющие собой плоские спирали с расстоянием между витками менее половины диаметра трубок, занимающие все сечение аппарата. Витки соседних спиралей смещены относительно друг друга; спирали устанавливают на таком расстоянии, что свободное сечение между смежными трубками, находящимися одна под другой, равно половине свободного сечения между витками, лежащими в одной плоскости. Такое расположение змеевиков увеличивает скорость газов и коэф. теплопередачи. Аппарат может иметь одинаковое круглое сечение по всей высоте или же немного сужаться к выходу газов. Спирали могут быть объединены в пакеты (пароперегреватель, испаритель, экономайзер) посредством находящихся снаружи аппарата коллекторов; спирали и коллекторы присоединены к корпусу аппарата с помощью болтов. Часть аппарата, заключающая экономайзер, соединена с остальным аппаратом разъемно. Часть аппарата (под контактной сеткой) может работать без футеровки. Приведено 5 схем.

Г. Рабинович

69276 П. Способ выделения синильной кислоты и аммиака из газовых смесей. Азendorф (Verfahren zur Trennung von Blausäure und Ammoniak aus Gasgemischen. ASENDORF ERICH) [Deutsche Gold- und Silber-Scheideanstalt vormals Roessler.]. Пат. ФРГ 953791, 6.12.56

$NH_3$ , HCN, а также  $H_2S$  и  $CO_2$  поглощают из газовой смеси водой; из промывной воды отгоняют с помощью пара поглощенные газы и подвергают их экстрактивной дистилляции с водой при  $60—95^\circ$ ; газы подают в середину экстракционной колонны, орошаемой водой, а в куб колонны подают острый пар. HCN (98% всего

кол-ва с небольшим кол-вом  $\text{NH}_3$ ), а также  $\text{H}_2\text{S}$  и  $\text{CO}_2$  выходят из перха колонны; из этой смеси можно выделить большую часть  $\text{HCN}$  конденсацией при охлаждении. Из куба выходит слабая  $\text{NH}_3$ -вода, содержащая 99,5% всего кол-ва  $\text{NH}_3$ , которую перерабатывают известными способами.

Г. Рабинович  
69277 Ц. Способ получения сульфата гуанидина. Маккей (Förfarande för framställning av guanidinsulfat. Mackay J. S.) [American Cyanamid Co.] Швед. пат. 153855, 27.03.56

Способ получения сульфата гуанидина (I), отличный тем, что компоненты — мочевины,  $\text{SO}_2$  и  $\text{NH}_3$  — вводят в р-цию в мол. отношении 1:1,5+5:1,5+5, при т-ре 170—250 (240—240) и давл. 3,5—350 кг/см<sup>2</sup>. Процесс проводят в реакторе с внутренней поверхностью из Ti. Пример 108 г  $\text{SO}_2$ , 38 г  $\text{NH}_3$  и 42 г мочевины нагревают 2 часа до 220° в автоклаве с мешалкой, продукт р-ции извлекают водой и выделяют I фракционированной кристаллизацией; выход I соответствует 30,2 г свободного основания гуанидина или переработке 73% мочевины. В качестве компонентов р-ции можно применить и такие, которые образуют мочевины,  $\text{NH}_3$  и  $\text{SO}_2$ , напр., карбамат  $\text{NH}_4$ , циануровую к-ту,  $\text{NH}_4\text{SO}_2\text{NH}_2$ . Продукт р-ции состоит из моно- и дигуанидинсульфатов; подкислением  $\text{H}_2\text{SO}_4$  до pH 2 получают преимущественно моно-, до pH 7 — дигуанидинсульфат.

К. Герцифельд

См. также: 3-ды синтеза  $\text{NH}_3$  произ-ва  $\text{HNO}_3$  и  $(\text{NH}_4)_2\text{SO}_4$ , 69636. Получение  $\text{HCN}$  69818. Образование  $\text{HNO}_3$  в газовой фазе 68559. Экономич. вопросы 69256

## ЭЛЕМЕНТЫ. МИНЕРАЛЬНЫЕ СОЛИ. ОКИСЛЫ. КИСЛОТЫ. ОСНОВАНИЯ

Редакторы В. И. Елинек, В. Д. Матвеев,  
Н. А. Ширяева

69278. Пути интенсификации станции выпарки растворов едкого натра. Ю-Ха-Ген, Тр. Харьковск. инж.-экон. ин-та, 1956, 7, 139—142

Станция выпаривания р-ров  $\text{NaOH}$  имеет 2 трехкорпусные установки (причем вместо 3 аппаратов каждой установки работало всего 2). При переводе установки на работу по схеме «Триплекс» экономится 50% пара и повышается давление греющего пара, поступающего в 4-й корпус, до 6 ат. Конц-ию поступающего в первый корпус р-ра повышают с 98,7 кг/м<sup>3</sup> до 113 кг/м<sup>3</sup>, для чего устраняют повышенный расход известкового молока на каустификацию. Экономия пара при работе двухкорпусной выпарки составит 30%.

Н. Ширяева

69279. Титан, его получение, обработка и применение. Деппен (Om titan, dess framställning, bearbetning och användning. Deppen H.), Svetsen, 1956, 15, № 6, 117—124 (швед.)

К. Герцифельд

69280. Производство титана. Тейлор (Titanium manufacture. Taylor James), Metal Ind., 1956, 89, № 21, 429—431 (англ.)

Ввиду высокой стоимости в Англии Mg (по сравнению с Na) разработан промышленный Na-термич. способ получения Ti. Реакторы з-да рассчитаны на 1—2 т Ti. Производительность з-да 1500 т в год. Восстановление проводят в стальных реакторах. Процесс идет в основном в паровой фазе, над расплавом  $\text{NaCl}$  при т-ре > 1200°. Реактор перед вскрытием охлаждают, и реакционную массу для отделения  $\text{NaCl}$  подвергают выщелачиванию. Кратко рассмотрены методы плавки и особенности обработки металла.

Л. Херсонская

69281. Окись титана и ее применение. Ричмонд (Titanium oxide and its uses. Richmond James

T.), Export Rev. Brit. Drug and Chem. Inds, 1957, 17, № 202, 27, 29—31 (англ.)

Обзор. Л. Херсонская  
69282. Молибден. Уорринер (Le molybdene. Wariner M.), J. ind., 1956, 7, № 140, 25—27 (франц.)

Обзор. Месторождения Mo, добыча руды и ее обработка. Применение соединений Mo в химии и в хим. пром-сти.

Ю. Михайленко

69283 К. Симпозиум 1955 г. 26 докладов на годичном собрании Бюро технических советников Международного института по поташу (4 сессии), Рим 1955 г. (Symposium 1955. 26 papers read at the annual meeting of the Board of technical advisers of the International Potash Institute (4 sessions), Rome 1955. Bern, 1956. XXVIII, 613 pp., ill., 26 Sfr.) (англ.)

69284 К. Двойные сульфаты натрия и кальция и пути переработки их природных отложений. Фридман Я. Д., Зиновьев А. А., Лопина М. Д., Фрунзе, АН КиргССР, 1956, 135 стр., илл., 5 р. 95 к.

69285 С. Технические условия на ортофосфорную кислоту техническую (Specification for orthophosphoric acid, technical.), Инд. стандарт, IS: 798—1955 (англ.)

69286 П. Способ и аппарат для рекуперации химических веществ из топочных газов. Хокмут (Sätt och apparat för återvinning av kemikalier ur förbränningsgasen. Hochmuth F. W.) [Combustion Engineering-Superheater, Inc.] Шведск. пат. 154314, 2.05.56  
Способ рекуперации хим. в-в из топочных газов (ТГ) установок, сжигающих отходы, напр. сульфитный шлох, путем улавливания золы из ТГ и выщелачивания из золы  $\text{Na}_2\text{CO}_3$  и  $\text{Na}_2\text{SO}_4$ , отличается тем, что поддерживают постоянный уровень жидкости в баке, где выщелачивается зола. Переливом регулируют подачу шлоха на вальцевую сушилку, сгущающую шлох за счет тепла ТГ.

К. Герцифельд

69287 П. Способ получения основного карбоната магния. Хёбольш, Хеккер (Verfahren zur Herstellung von basischem Magnesiumcarbonat. Höbold Kurt, Häcker Walter) [Saline Lüneburg und Chemische Fabrik A.-G.] Пат. ФРГ 949563, 20.09.56

Усовершенствован способ получения основного карбоната Mg, основанный на введении  $\text{CO}_2$  в суспензию  $\text{MgO}$ . Полученный р-р  $\text{MgHCO}_3$  мгновенно нагревают до 100°, причем происходит удаление избыточного  $\text{CO}_2$  и выделение продукта состава  $5\text{MgO} \cdot 4\text{CO}_2 \cdot \text{H}_2\text{O}$ , частицы которого в среднем имеют размер 2 м. Процесс может быть непрерывным, если проводить нагревание р-ра  $\text{MgHCO}_3$  водяным паром. Рассчитанные кол-ва пара и р-ра одновременно инжектируются в реакционную камеру, где происходит мгновенный нагрев мельчайших капелек р-ра.

Л. Херсонская

69288 П. Способ и аппаратура для получения соединений металлов в тонкодисперсной форме. Схитил, Вюрт (Verfahren und Vorrichtung zur Herstellung von Metallverbindungen in feinverteilter Zustand. Schytill Franz, Würth Wilhelm) [Metallgesellschaft A.-G.] Пат. ГДР 12093, 6.09.56

Тонкодисперсные соединения металлов, в частности окислы Al, Si или Ti, получают сжиганием соответствующих металлов. Металлич. порошок поступает с потоком воздуха или  $\text{O}_2$  (0,2—1 кг порошка на м<sup>3</sup> воздуха) в камеру сжигания (КС), при входе в которую имеется камера зажигания (КЗ) с одним или несколькими постоянными высокотемпературными точечными источниками. Зажигание может осуществляться с помощью язычков газового пламени, маленьких искровых или дуговых разрядов, расположенных кольцеобразно в КЗ. КЗ представляет собой узкий канал, не

охлаждается и выполняется из нетеплопроводного материала. После зажигания высокотемпературные источники могут быть отключены. Скорость газового потока, несущего порошок, должна быть достаточно высока, в частности для Al в зависимости от крупности частиц  $50 \div 150$  м/сек. К исходному порошку Al или Si может быть добавлено некоторое кол-во окисла, напр.  $Al_2O_3$ , который за счет тепла сгорания испаряется и переходит в мелкодисперсную форму. Получаемые соединения Al и Si могут быть использованы как наполнители в резиновой промышленности.

Л. Херсонская

**69289 П.** Способ разложения бокситов раствором едкого натра. Бригге, Ленерт, Гинсберг (Verfahren zum Aufschluß von Bauxiten mit Natronlauge. Wrigge Friedrich Wilhelm, Lehnert Gerhard, Ginsberg Hans) [Vereinigte Aluminium-Werke A.-G.]. Пат. ГДР 12100, 6.09.56

Тонкоизмельченный боксит загружают в автоклав, куда затем подают (вытесняя парами) предварительно нагретый перегретым паром до  $210^\circ$  р-р NaOH ( $\sim 300$  г/л  $Na_2O$ ). Отверстие, через которое поступает р-р, расположено в нижней части автоклава, так что поток р-ра взмучивает бокситный порошок, что обеспечивает хорошее перемешивание. По окончании разложения смесь, не снижая давления, выпускают в аппарат, где происходит разбавление алюминатного р-ра горячими промывными водами с операции «мытья» и холодным маточным р-ром с операции «выкрутки». В полученном р-ре соотношение  $Na_2O : Al_2O_3$  находится в пределах 1,8—1,9, т-ра  $\sim 100^\circ$ ; соответственно с этим рассчитывают необходимые кол-ва компонентов перед смешением. Разбавляющие р-ры вводят в аппарат до или во время подачи р-ра  $NaAlO_2$ .

Л. Херсонская

См. также: Получение: гипохлорита натрия 68557;  $H_2O_2$  69775

## ПРОИЗВОДСТВО КАТАЛИЗАТОРОВ И СОРЕБЕНТОВ

Редакторы В. И. Елинек, В. Д. Матвеев,  
Н. А. Ширяев

**69290 П.** Способ топохимического получения однородных или смешанных металооксида, содержащих кремнекислоту. Шрадер (Verfahren zur topochemischen Herstellung einheitlicher oder gemischter, kieseläurehaltiger Metallsilicate. Schrader Hans). Пат. ФРГ 950063, 4.10.56

Силикаты (С) любых металлов (М), исключая щел. и щел.-зем., получают, используя топохимич. р-цию между С щел.-зем. М и р-ром соли соответствующего М, анион которого дает со щел.-зем. М растворимую соль. В случае применения смешанных р-ров солей различных М получают очень однородную смесь С с заранее определенным соотношением компонентов. Р-р соли М вводят в таком кол-ве, которое обеспечивает стехиометрич. или же несколько неполное замещение щел.-зем. М и С. Топохим. р-ция идет уже на холоду, а при повышенной т-ре — очень быстро и количественно. После завершения р-ции р-р соли щел.-зем. М может вновь применяться для получения С щел.-зем. М, если твердые продукты тщательно промывались. С щел.-зем. М с молярным соотношением окисл. М:  $SiO_2 \leq 1$  осаждают известным способом из р-ра С щел.-зем. М в некоторых случаях могут применяться непосредственно без отделения маточного р-ра. В случае необходимости С щел.-зем. М осаждают сразу на носителе, пропитывая его соответствующими р-рами, после чего носитель обрабатывают р-ром соли или смеси солей М. Окислы М входят в состав по-

лучаемых С в гидратированной форме и при прокаливании С теряют гидратную воду. При дальнейшей топом. обработке этих С водородом, р-рами сульфатов, хлоридов, хроматов и т. д. окислы М в силикатах переходят в металлы, сульфиды, хлориды М. Все производные продукты сохраняют дисперсность исходного С. Изменение дисперсности и поверхностных свойств С производится путем термообработки. С, получаемые предложенным способом, могут применяться в качестве катализаторов, а также в качестве красителей, глазури, наполнителей.

Л. Херсонская

**69291 П.** Приготовление серебряного катализатора при помощи повторной пропитки и восстановления. Карлсон, Гам (Préparation d'un catalyseur à l'argent par imprégnations et réductions répétées. Carlson George J., Gum Clarence R.) [N. V. De Bataafsche Petroleum Maatschappij]. Франц. пат. 1109426, 27.01.56

Носитель катализатора (шарики  $Al_2O_3$ ) пропитывают р-ром  $AgNO_3$  при  $20-95^\circ$ , сушат при  $150-400^\circ$  и восстанавливают  $Ag^+$  с помощью  $H_2$  при  $200-325^\circ$ ; процесс повторяют несколько раз. Пример. Шарики из  $Al_2O_3$  пропитывают 15,2%-ным по весу р-ром  $AgNO_3$  при  $25^\circ$ , сушат при  $110-120^\circ$  и нагревают до  $300^\circ$  в токе  $N_2$ . Массу охлаждают до  $230^\circ$  и затем нагревают до  $260^\circ$  в токе  $H_2$  и  $N_2$  до полного восстановления  $Ag^+$ . Полученный катализатор содержит 2,4% Ag. Процесс повторяют, применяя такое кол-во р-ра  $AgNO_3$ , чтобы катализатор содержал 4,8% Ag. Таким же образом могут быть приготовлены катализаторы, содержащие 5,3 и 12,8% Ag; в этих случаях применяют соответственно 30 и 56,7%-ный р-ры  $AgNO_3$ . Ю. Михайленко

**69292 П.** Катализатор для гидрогенизации. Дрю, Фандерберк (Hydrogenation process. Drew John, Funderburk Joe C.) [Hercules Powder Co.]. Пат. США 2739961, 27.03.56

Катализатор представляет сплав (в вес.%): Ni 45—73 (60), Si 25—50 (37,6) и Mn 0,5—10 (2). Для получения сплава в индукционную печь помещают (в вес. ч.): 3926,4 полученного электролизом Ni, 2452,3 Si (с малым содержанием Ca) и 200 Si-Mn-сплава (из 65% Mn, 20% Si и 1% C). Расплавленную смесь тщательно перемешивают, охлаждают до  $1150^\circ$  и затем сливают в чугунную изложницу. Слиток вынимают из изложницы при красном калении, дробят и активируют кипячением (45 мин.) в 25%-ном р-ре NaOH, затем промывают водой и высушивают. Катализатор не снижает свою активность при продолжительной работе и может быть применен для гидрогенизации различного типа смол и соединений, полученных из смол.

Э. Штейнер

**69293 П.** Способ получения активных окислов металлов, в частности пригодных в качестве наполнителей. Андрих (Verfahren zur Herstellung von aktiven, insbesondere als Füllstoff geeigneten Metalloxyden. Andrich Kurt) [Deutsche Gold- und Silber-Scheideanstalt vormals Roessler]. Пат. ФРГ 953254, 29.11.56

В качестве наполнителей для эластомеров рекомендуются окислы Al, Ti и Zr, полученные гидролизом паробразных хлоридов (I) соответствующих металлов при действии водян. пара и содержащие Cl в кол-ве 3—15%. Р-цию гидролиза проводят при повышенной т-ре в присутствии инертного газа-носителя и разбавителя, напр., воздуха (B). Конц-ия I составляет  $< 200$  г/м<sup>3</sup> оптимально  $10-100$  г/м<sup>3</sup> (считая на общий объем B). Водяной пар применяют в 5—50-кратном (лучше 10—30-кратном) избытке против стехиометрич. кол-ва. Процесс ведется при  $200-600^\circ$ , в основном между  $350$  и  $450^\circ$ , что достигается предварительным подогревом компонентов главным образом B. Незначительная часть общего кол-ва B, используемая для введения



в зону р-ции, не подогревается. Этот поток (П) соединяется с П горячего В лишь непосредственно перед началом р-ции. П, содержащие I и пары  $H_2O$ , до попадания в реакционную зону разделены П В. Крупность частиц получаемых окислов зависит от концентрации I и уменьшается с повышением т-ры р-ции. Время пребывания компонентов и продуктов р-ции в зоне р-ции не должно превышать 15 сек. (лучше 1—8 сек.). Выделение твердых окислов из газовой фазы осуществляется с помощью циклонов или термоустойчивых фильтров при т-ре, превышающей точку росы легко конденсирующегося продукта р-ции. В то же время эта т-ра должна быть возможно более низкой с целью получения окислов с высоким содержанием Cl. Для получения аморфного гидрата оксихлорида Al применяются т-ру р-ции порядка 300—500° (лучше 350—450°), конц-ия  $AlCl_3$  составляет 10—120 г/м<sup>3</sup>, избыток  $H_2O$  20-кратный; П обоих компонентов тщательно перемешивают. Л. Херсонская

**См. также:** Исследование применения активности катализатора 69709. Преимущества применения высокоглиноземистых катализаторов крекинга 69711. Регенерация катализатора гидроформинга 69745. Получение катализатора для ароматизации или дегидрирования углеводородов 69787. Катализатор для получения сероуглерода 69824. Применение триалкилфосфатов как дегидратационных катализаторов 68438. Природные сорбенты 70684. Катализатор для гидрогенизации жиров 70323

## УДОБРЕНИЯ

Редактор И. Л. Гофман

69294. О некоторых резервах в обеспечении потребности сельского хозяйства минеральными удобрениями. Костандов Л. А., Хим. пром-сть, 1957, № 1, 1—4

69295. Новые пути совершенствования технологии апатитового производства. Белаш Ф. Н., Ульянов Н. С., Хим. пром-сть, 1957, № 1, 13—15

Рассматривается вопрос о целесообразности перевода обогащательной ф-ки комбината «Апатит» на повышение крупности измельчения апатито-нефелиновой руды, что должно увеличить производительность шаровых мельниц и улучшить процессы флотационного извлечения апатита из руды, фильтрации и сушки концентрата. Предложена схема флотации апатита из руды более крупного помола с последующей классификацией апатитового концентрата в гидроциклоне на 2 продукта: а) с остатком 11—14% на сите 0,15 мм — для произ-ва простого суперфосфата; б) размером частиц > 0,15 мм для произ-ва обесфторенных фосфатов в экстракционной  $H_3PO_4$ . Е. Бруцкус

69296. Развитие производства фосфорных удобрений в Болгарии. Парушев (Насоки в развитии на производстве на фосфорных торове у нас. Парушев М.), Тежка пром-ст, 1957, 6, № 1, 33—34 (болг.)

69297. Гранулированный двойной суперфосфат. Инскип, Форт, Уебер (Le superphosphate triple granulé. Inskeep Gordon C., Fort William R., Weber William C.), Chimie et industrie, 1957, 77, № 4, 798—808 (франц.)

Перевод. См. РЖХим, 1957, 48519.

69298. Процесс аммонизации суперфосфата из фосфоритов Кара-Тая. Иванов Р. Н., Хим. пром-сть, 1957, № 2, 79—82

См. РЖХим, 1957, 58007.

69299 П. Способ повышения эффективности фосфорной кислоты, содержащейся в сыром или прокаленном алюминийфосфате. Хубер (Verfahren zur Erhöhung der Wirksamkeit des Phosphorsäuregehaltes in rohen oder geglühten Tonerdephosphaten. Huber Hans) [Chemische Werke Albert], Пат. ФРГ 951151, 25.10.56

Сырые или (и) прокаленные Al-фосфаты, содержащие соответственно (в %):  $P_2O_5$  28,9, 35,8;  $Al_2O_3$  30,8, 39,4; CaO 9,7, 9,7;  $Fe_2O_3$  —, 10, в частности прокаленный сенегальский фосфат, содержащий  $P_2O_5$  34,8%, смешивают с термофосфатом или плавленным фосфатом, содержащими 80—95% кальцийсиликофосфата. Напр., на 10 ч. Al-фосфата берут 90 ч. кальцийсиликофосфата. На 75 ч. сенегальского фосфата берут 25 ч. термофосфата, содержащего 16,5% общей  $P_2O_5$  и 16% цитратнорастворимой  $P_2O_5$ . Можно смешивать тонкоизмельченные компоненты или измельчать смесь. Смеси можно гранулировать. Вегетационные опыты показали, что полученные удобрения эффективнее томасшлаковой муки. Е. Бруцкус

69300 П. Способы превращения природного фосфата в растворимую форму (Procédés de solubilisation d'un phosphate naturel) [Potasse et Engrais Chimiques] Франц. пат. 1111310, 24.02.56

Смесь тонкоизмельченных природного фосфата (марокканского фосфорита), соды и песка в весовом соотношении 48 : 12 : 2,5 инжектируют сжатым воздухом в пламя газовой горелки по оси последней. Продукты р-ции, содержащие Ca-Na-фосфат, поступают в камеру, в которой с помощью засасываемого вентилятором вторичного воздуха охлаждаются, а затем подаются в циклоны, где продукт осаждается. Можно также подавать продукт из камеры в сушилку, куда загружаются также влажное удобрение, полученное другим методом, напр. азотнокислотным разложением; при этом получают сложное удобрение. Приведены 2 схемы аппаратуры. Е. Бруцкус

69301 П. Способ получения удобрения, содержащего торф. Рогген (Procédé de fabrication d'un engrais à base de tourbe. Roggen Mathieu van). Франц. пат. 1112003, 7.03.56

Способ получения удобрения из торфа, содержащего 55—60% влаги, отличается тем, что все операции (измельчение торфа, нейтрацию его добавкой  $CaCO_3$ , добавление минер. удобрений и ферментацию) проводят при влажности  $\geq 55\%$ . Приведена схема аппаратуры. Е. Бруцкус

## ПЕСТИЦИДЫ

Редакторы Ю. А. Баскаков, Н. Н. Мельников

69302. Новый закон об использовании пестицидов. Гулд (New food law enforces correct use of pesticides. Gould Wilbur A.), Food Packer, 1956, 37, № 12, 21, 38 (англ.)

Рассмотрены принятые Конгрессом США в июле 1954 г. некоторые изменения в законодательстве, регулирующие применение пестицидов — так называемая поправка Миллера, — согласно которой была проведена более совершенная классификация пестицидов по группам в соответствии со степенью опасности их использования и определен порядок последующего регулирования их применения. Законом определены также допустимые нормы остатков пестицидов. В качестве примера приведены допустимые остатки на томатах (в мг/кг): ГХЦГ 5, мышьяк ( $As_2O_3$ ) 3,5, хлордан 0,3, ДДТ 7, фтор 7, свинец 7, метоксиклор 14, никотин 2, паратион 1, ТДЭ 7, токсафен 7, цинеб 7 и цирам 7. Ю. Фадеев

69303. Опытная станция по пестицидам. — (Pesticide research station.—) Manufact. Chemist, 1956, 27, № 11, 466—467 (англ.)  
 Описана структура и деятельность опытной станции в Честерфорд-Парк (Эссекс, Англия). Ю. Фадеев
69304. О некоторых актуальных вопросах применения химических средств для борьбы с вредителями и болезнями сельскохозяйственных культур, сорной растительностью, а также применения стимуляторов роста растений. Штенберг (Citeva probleme de actualitate în legătură cu folosirea substantelor chimice pentru combaterea dăunătorilor, a bolilor plantelor agricole și a buruienilor, precum și pentru stimularea creșterii plantelor. Ștenberg A. I.), An. Rom.-Sov. Ser. igienă și organiz. sanit., 1956, 10, № 3, 65—72 (рум.)  
 См. РИХим, 1956, 22946.
69305. Потенциальные возможности производства сельскохозяйственных химикатов в Канаде. Джексон (Canada: potential giant of the farm chemicals field. Jackson D. K.), Farm Chemicals, 1956, 119, № 12, 44—47 (англ.)
69306. Насекомые и инсектициды при выращивании хлопчатника в 1955—1956 гг. Вилле (Insectos e insecticidas en la campaña algodonera 1955—1956. Wille J. E.), Vida agric., 1956, 33, № 393, 651, 653, 655, 657—666; Informe. Estac. exptl. agric. «La Molina», 1956, № 100, 18 p. (исп.)  
 Описаны насекомые-вредители хлопчатника в Перу, а также биол. и хим. меры борьбы с ними. А. Гутмахер
69307. В помощь цитрусоводу. Мёлен (New aids for the citrus nurseryman. Meulen A. van der), Citrus Grower, 1956, № 274, 1, 3, 5 (англ.)  
 Рассмотрены вопросы применения системных инсектицидов в питомниках цитрусовых и мульчирования саженцев. Ю. Фадеев
69308. Устойчивость насекомых к инсектицидам. Хан, Абеди (Resistance of insects to insecticides. Khan Nawab H., Abedi Zille Hasan), Indian J., Entomol., 1956, 18, № 2, 185—189 (англ.)  
 Обзор. Библ. 29 назв. Л. Бочарова
69309. Температура и токсичность инсектицидов. Мак-Интош (Temperature and toxicity of insecticides. McIntosh A. H.), Chemistry and Industry, 1957, № 1, 2—4 (англ.)  
 «Температурный коэффициент» действия инсектицидов на различных насекомых зависит от многих факторов, таких, как пределы температурных колебаний после обработки ядом, форма применения инсектицида, доза, время его воздействия на насекомое и, вероятно, от других, еще не изученных факторов. В связи с этим возникает возможность ошибочного определения наличия устойчивости насекомых в полевых условиях, в результате хотя бы только изменений т-ры. Ю. Фадеев
69310. Сроки опрыскивания апельсинов маслами. Рид, Уэддинг, Родригес (Timing oil spray on valencias. Riehl L. A., Wedding R. T., Rodriguez J. R.), Calif. Citrograph, 1957, 42, № 3, 75, 88 (англ.)  
 При опрыскивании апельсиновых деревьев в Южной Калифорнии минерально-масляными эмульсиями в конце лета (сентябрь — октябрь) получают плоды лучшего качества по составу сока и размеру и повышается урожай. Этот же срок является оптимальным для борьбы с щитовками. Опыскивание в другие сроки снижает урожай и качество плодов. Ю. Фадеев
69311. Борьба с жуками *Lyctidae* с помощью поверхностного применения масляных препаратов и растворителей. Смит (Lyctus powder-post beetle control by surface applications of oil preparations and solvents. Smith Richard H.), Pest Control., 1956, 24, № 4, 42, 45 (англ.)
69312. Повреждение инсектицидами различных сортов кукурузы. Александер, Клиффорд (Differential insecticide damage in maize varieties. Alexander F. E. S., Clifford H. T.), Nature, 1957, 179, № 4550, 109 (англ.)  
 Изучено влияние смеси 3 ч.  $(CH_2Cl)_2$  и 1 ч. (по объему)  $CS_2$ , применяемой для фумигации зерна в дозе 0,6 мл на 1 л объема помещения, на всхожесть и рост проростков кукурузы. Фумигант понижал всхожесть семян кукурузы и вызывал задержку роста проростков. Вредное влияние фумиганта различно для разных сортов кукурузы. Понижение всхожести и задержка роста проростков происходит не параллельно. Перед обработкой зерна указанной смесью следует определять ее влияние на посевные качества данного сорта кукурузы. К. Бокарев
69313. Устойчивость яблоневой плодожорки к опрыскиваниям ДДТ. Гамильтон (Resistance of the codling moth to DDT sprays. Hamilton D. W.), J. Econ. Entomol., 1956, 49, № 6, 866—867 (англ.)  
 При изучении устойчивости гусениц яблоневой плодожорки *Carpocapsa pomonella* L. к ДДТ из 16 линий (насекомые привезены из различных районов, где проводились обработки садов ДДТ) 3 оказались устойчивыми к ДДТ в дозах 0,56—2,24 кг 50%-ного смачивающегося порошка на 1 га. Л. Бочарова
69314. Безопасное, экономное и практическое уничтожение клеща *Argas persicus*. Ле-Ру (The safe, economical and practical destruction of *Argas persicus*, fowl tick, Tampan, Blue «bug», chicken tick or abode tick. Le Roux A. C.), World's Poultry Sci. J., 1956, 12, № 4, 285—286 (англ.)  
 В борьбе с клещом *Argas persicus* хорошие результаты дает опрыскивание кормушек, стволов деревьев и столбов заборов на территории птичника 50%-ной суспензией ДДТ. Однако при опрыскивании в отсутствие птиц клещ не погибает, так как не выходит из глубоких трещин и щелей. Ю. Фадеев
69315. К вопросу эффективности действия инсектицидов типа ДДТ и ГХЦГ. Шимусик (W sprawie skuteczności działania insektycydów typu DDT i HCH. Szumisk Z.), Przem. chem., 1956, 12, № 11, 616—619 (польск.)  
 Краткий обзор. Привыкание вредных насекомых к инсектицидным препаратам на основе ДДТ и ГХЦГ. Библ. 9 назв. С. Яворовская
69316. Запах некоторых корнеплодов при выращивании их на почвах, загрязненных пестицидами. Гилпин, Паркс, Рейнольдс (Flavor of selected vegetables grown in pesticide-contaminated soils. Gilpin Gladys L., Parks Albert B., Reynolds Howard), J. Agric. and Food Chem., 1957, 5, № 1, 44—48 (англ.)  
 Нежелательный посторонний запах моркови, турнепса и зеленой фасоли отмечен при выращивании их на почве, содержащей остатки технич. ГХЦГ или лина, которые вносились под предшествующую культуру в дозах 100—200 кг/га. Посторонний запах моркови придают также содержащиеся в почве  $\alpha$ -,  $\beta$ - и  $\delta$ -изомеры ГХЦГ. Альдрин (технич. и очищ.), дильдрин, гептахлор, дилап, токсафен, хлордан, эндрин, изодрин ТДЭ, технич. ДДТ и метоксихлор не оказывают существенного влияния на запах моркови даже при больших кол-вах остатков этих инсектицидов в почве, при расходе их до 210 кг/га. Наиболее резкое отрицательное влияние оказывает  $\delta$ -изомер. Ю. Фадеев
69317. Гранулированный эндрин в борьбе с долгоносиком белой сосны во время перезимовки. Хастингс (Granulated endrin for white-pine weevil con-

trol during hibernation. Hastings A. R.), J. Econ. Entomol., 1956, 49, № 6, 878 (англ.)

В лабор. опытах установлено, что внесение в почву гранулированного эндрина в дозах 1,12—4,5 кг/га вызывает полную гибель долгоносика *Pissodes strobi* (Peck).

**Б. Акимов 69318. Опыты по борьбе с гусеницами совки в сахарной кукурузе. Иден** (Experiments on earworm control on sweet corn. Eden W. G.), J. Econ. Entomol., 1956, 49, № 6, 822—825 (англ.)

Изучены эффективные дозы ДДТ и сроки обработки для борьбы с гусеницами совки *Heliothis zea* Bodie, повреждающей початки сахарной кукурузы. 1,12—2,8 кг/га ДДТ дает снижение поврежденных початков на 51—85%; увеличение дозы ДДТ не повышает эффекта. Смертность насекомых увеличивается при добавлении к ДДТ эмульсии минер. масла (16,5 л/га), но при этом возможны ожоги листьев.

**Л. Бочарова 69319. Борьба с некоторыми насекомыми, повреждающими сладкий картофель в полевых условиях. Кантак, Флойд** (Control of some insects which damage roots of sweet potatoes in the field. Kantack E. J., Floyd E. H.), J. Econ. Entomol., 1956, 49, № 6, 766—768 (англ.)

Препараты гентахлор, альдрин (I), дильдрин и хлордан (II) в дозах 1,9—3,6 кг/га при внесении в почву в виде суспензии, гранул или эмульсий дают хорошие результаты в борьбе с почвенными вредителями батата — *Phyllophaga* sp., *Diabrotica balteata* Lec. и *Chaetocnema confinis* Crotch. При зараженности в контроле > 50% гранулы и эмульсии дали лучшие результаты, чем суспензии, но при зараженности в контроле 100% различия в эффективности между способами внесения препаратов несущественны. Продолжительность действия препаратов I и II в дозе 3,36 кг/га не превышала 2 лет.

**Ю. Фадеев 69320. Влияние на растения накопления инсектицидов в почве. Фостер, Босуэлл, Чизом, Картер, Гилпин, Пеппер, Андерсон, Гигер** (Insecticide spray accumulations in soil on crop plants. Foster Arthur C., Boswell Victor R., Chisholm Robert D., Carter Roscoe H., Gilpin Gladys L., Pepper Bailey B., Anderson W. S., Gieger Marvin. Techn. Bull. U. S. Dept. Agric., 1956, № 1149, 36 pp.) (англ.)

При ежегодных обработках почвы препаратами альдрин, хлордан или гентахлор в дозах  $\leq 2,24$ —3,36 кг/га не происходит их накопления в опасных для развития растений количествах. Эндриин проявил тенденцию к накоплению примерно как и ДДТ. Изодриин менее стабилен, чем эндрин. Дильдрин также склонен к накоплению и должен применяться в возможно низких дозах. Токсафен накапливается в значительной мере, немного слабее ДДТ, но он более стабилен, чем ГХЦП, и применяется в дозах значительно более высоких и, следовательно, более опасен. Препараты ГХЦП, содержащие много балластных изомеров, могут накапливаться в почве в опасных для растений количествах, однако линдан вероятно является самым безопасным в этом отношении из всех перечисленных инсектицидов.

**Ю. Фадеев 69321. Устойчивость к инсектицидам проволоочника *Conoderus falli* Laue. Рид, Катберт** (Resistance of the southern potato wireworm to insecticides. Reid W. J., Jr., Cuthbert F. P., Jr.), J. Econ. Entomol., 1956, 49, № 6, 879—880 (англ.)

Через несколько лет ежегодного внесения в почву хлордана (I) для борьбы с проволоочником *Conoderus falli* Laue у последнего выработалась высокая степень устойчивости к I, а также к альдрину и гентахлору, хотя последние в этом районе в значительных размерах не применялись. Повышения устойчивости этого

вредителя к ДДТ не отмечено. Второй по экономич. значимости проволоочник — *Conoderus amplicollis* Gyll — не обнаружил тенденции к образованию устойчивости к упомянутым инсектицидам.

**Ю. Фадеев 69322. Борьба с тараканами на морских судах. Дю-Шануа** (A preliminary report on resistant cockroach control at naval installations. Du Chanois F. R.), Pest Control, 1956, 24, № 12, 9, 10, 12, 36 (англ.)

Хорошие результаты дают инсектициды: дильдрин, хлордан, ДДТ и летан 384.

**Ю. Фадеев 69323. Влияние ДДТ, токсафена и дильдрина на репродукцию фазанов. Дженелли, Радд** (Effects of DDT, toxaphene, and dieldrin on pheasant reproduction. Genelly Richard E., Rudd Robert L.), Auk, 1956, 73, № 4, 529—539 (англ.)

Изучено влияние кормления домашних фазанов диетами, содержащими ДДТ 100 и 400 мг/кг, токсафен (I) 100 и 300 мг/кг и дильдрин (II) 25 и 50 мг/кг, на яйценосность, жизнеспособность яиц и на выживаемость вылупившихся из этих яиц цыплят. Яйценосность значительно снижалась при концентрации 300 мг/кг I и при обоих концах II. Жизнеспособность отложенных яиц при 50 мг/кг II и вылупление цыплят из яиц при 300 мг/кг I существенно ниже, чем в контроле. Смертность вылупившихся цыплят во всех группах была выше, чем в контроле. На диких фазанах влияние инсектицидов не изучено, но при аналогичных в природных условиях концах инсектицидов могут быть больше, чем в данных опытах.

**Ю. Фадеев 69324. Биологическое изучение инсектицидов. II. О различиях в восприимчивости рисовой огневки к паратиону в зависимости от возраста и числа поколений. Хасидзума, Ямасина** (生物試験による殺虫剤適用上の基礎的研究。第2報。化期並びに齢期の異なるニカメイチュウ幼虫のバラチオンに對する感受性の相違について。橋爪文次, 1科啓郎), 應用昆蟲, 08 контю, J. Appl. Entomol., 1956, 12, № 3, 143—145 (японск.; рез. англ.)

При выращивании личинок рисовой огневки на среде, содержащей 1,01 мг/л паратиона, отмечено повышение устойчивости насекомых. Отношение  $LD_{50}$  для первого поколения к  $LD_{50}$  второго поколения было 1:1,94 и 1:2,06 для личинок третьего и пятого возрастов соответственно. Часть 1 см. РЖХим, 1956, 29611

**Ю. Фадеев 69325. Обработка малатионом подстилки для борьбы с земляными вшами на курах. Хардинг, Кунгли** (Litter treatment with malathion to control the chicken body louse. Harding Wallace C., Jr., Quigley George D.), J. Econ. Entomol., 1956, 49, № 6, 806—807

Для борьбы с земляными вшами *Menacanthus stramineus* Nitz. на курах применяли 4%-ный dust малатиона (I). При расходе 1 0,05 и 0,025 г/м<sup>2</sup> (dust смешивали с подстилкой в куриных гнездах) куры были свободны от насекомых в течение 5 недель. I не оказал вредного воздействия на отрождение цыплят из обработанных яиц, и в яйцах не обнаружено токсич. остатков I.

**Л. Бочарова 69326. Наследование устойчивости двупятнистыми паутиными клещами. Тейлор, Смит** (Transmission of resistance between strains of two-spotted spider mites. Taylor Edgar A., Smith Floyd F.), J. Econ. Entomol., 1956, 49, № 6, 858—859 (англ.)

Выяснялась возможность наследования паутиными клещами резистентности к малатиону (I). Клещи (♂ и ♀) первого поколения полностью унаследовали устойчивость родителей к I. Скрещивание неустойчивых ♀ с устойчивыми ♂ дало поколение ♀ и неустойчивых ♂; в результате скрещивания неустойчи-



ных ♂ с устойчивыми ♀ все следующее поколение было неустойчиво к I.

Л. Бочарова  
69327. Опыты с фосфорсодержащими инсектицидами по борьбе с розовым коробочным червем и некоторыми другими вредителями хлопчатника, 1955 г. Ричмонд (Tests with phosphorus insecticides for control of pink bollworm and some other cotton pests, 1955. Richmond Clyde A., J. Econ. Entomol., 1956, 49, № 6, 874—875 (англ.).

Против гусениц розового коробочного червя *Pectinophora gossypiella* Saund в мелкоделяночных опытах в равной степени эффективны: препарат Байер 17147 (I) (0,5—1,0 кг/га), I + ДДТ (0,6 кг + 1,2 кг на 1 га), препарат Байер 16259 (0,56 кг/га) и дильдрин + ДДТ (0,3 кг + 2,3 кг на 1 га); препараты применяли в виде водн. эмульсий. Низкую токсичность по отношению к *P. gossypiella* проявили эндрин (0,4 кг/га) и ДДВП + ароклор 5460 (хлорированный терфенил) + эндрин (0,56 кг + 2,24 кг + 0,28 кг на 1 га). I оказался эффективным также против тлей и клещей, вредящих хлопчатнику.

Л. Бочарова  
69328. Опыты с олео-препаратами эфиров кислот фосфора в 1956 г. Вильдбольц (Versuche mit den Oleo-Phosphorsäureestern — Präparaten im Jahre 1956. Wildholz Th., Schweiz. Z. Obst-und Weinbau, 1957, 66, № 2, 25—33 (нем.).

Приведены результаты зимнего опрыскивания фруктовых деревьев олео-препаратами паратиона (зофароль), фосфинона (препарат для зимнего опрыскивания Ciba), диазинона (препарат для зимнего опрыскивания Geigy), малатиона (вералин I) и желтым карболинеумом (вералин, 3, динитрокрезол, сандолин) в марте-апреле 1956 г. Препараты испытаны против зеленой яблоневой тли (*Aphis pomi*), тли *Rhopalosiphum insertum*, медяницы яблоневой, зимней пяденицы, цветоеда яблонного, клопов *Psallus ambiguus* и некоторых других вредителей. Оптимальный срок обработки — момент распускания почек. Наилучшие результаты показал зофароль. Олео-препараты можно применять в комбинации с препаратами Cu для уничтожения парши.

А. Грапов  
69329. О колебаниях восприимчивости комнатных мух *Musca domestica vicina* (Macq) к нокадаунному действию керосинового раствора α-dl-транс-аллетрина. Х.И. Нагасава (イエバエの成虫のα-dl-transallethrin 石油液の投与下仰轉効力にたいする感受性の變動について。殺虫剤の生物試験にかんする研究。第40報。長澤純夫)。防虫科学, Ботю какаку, Scient. Insect. Control, 1956, 21, № 3, 81—86 (японск.; рез. англ.).

Изучена восприимчивость к нокадаунному действию р-ров в керосине α-dl-транс-аллетрина взрослых особей комнатных мух разного возраста в течение длительного времени. Отмечено, что трудно получить мух, обладающих одинаковой восприимчивостью в течение всего времени. Чтобы следить за чувствительностью мух из отдельных разводов, рекомендовано пользоваться стандартным инсектицидом и отбирать тех, которые попадают в определенный предел восприимчивости.

Ю. Фадеев  
69330. Влияние ацетона на токсичность пиретрума и аллетрина при опрыскивании поверхностей. Герсдорф (Effect of acetone on toxicity in pyrethrum and allethrin space sprays. Gersdorff W. A.), J. Econ. Entomol., 1956, 49, № 6, 849—851 (англ.).

Сравнивалась токсичность 0,05, 0,1 и 0,2%-ных р-ров пиретрина (I) в очич. керосине (II) и в керосине + ацетон (III) на комнатной мухе *Musca domestica* L. Установлено, что добавление ацетона в кол-ве 25, 50 и 75% увеличивало соответственно токсичность р-ров I в 1,55, 2,35 и 3,75 раза по сравнению с р-рами I в одном II. Подобная зависимость выяснена также для р-ров аллетрина. Увеличение доли III в смеси

р-рителей до 90% и более не привело к дальнейшему повышению токсичности I (III в подобных опытах не давал смертности насекомым). Повышение эффективности I при добавлении в качестве р-рителя III объясняется увеличением конц-ии I в р-рах за счет быстрого испарения III.

Л. Бочарова  
69331. Действие пиретрума на американского таракана в зависимости от температуры. Блум, Кернс (Temperature and the action of pyrethrum in the American cockroach. Blum Murray S., Kearns C. W.), J. Econ. Entomol., 1956, 49, № 6, 862—865 (англ.).

При нанесении капель ацетонового р-ра хроматографически очич. пиретрума (I) на стернит таракана (T) *Periplaneta americana* L. определена LD<sub>50</sub>, равная 1 γ при 15° и 6 γ при 35° (экспозиция 24 часа). Применение I, меченного по C<sup>14</sup>, показало, что при 35° в организм T проникло кол-во инсектицида, в 2 раза большее, чем при 15°. В крови T, отравленных меченым по C<sup>14</sup> I, радиоактивности не обнаружено. T, парализованные при 15°, в условиях 35° становились нормальными; при перенесении T, находившихся при 35°, в условиях 15° паралич проявлялся быстрее, чем при постоянном пребывании T при 15°. Синергист I — пиронилбутоксид при повышенных т-рах усиливал чувствительность T к I.

Л. Бочарова  
69332. Действие некоторых акарицидов на два вида паутиных клещей на хлопчатнике. Робертсон, Арант (The effect of certain acaricides on two species of spider mites on cotton. Robertson R. L., Arant F. S.), J. Econ. Entomol., 1956, 49, № 6, 860—861 (англ.).

В мелкоделяночных опытах опыливание хлопчатника дустами арамита (3 и 5%), хлортиона (3%), малатиона (5%), метилпаратиона (3%) и паратиона (1%) в дозе 22,4 кг/га более эффективно по сравнению с опыливанием S против клещей *Tetranychus desertorum* Banks. Продолжительность действия дустов < 1 недели. Опыливание хлопчатника хлортионом, малатионом (0,56 кг/га), демеотомом, метилпаратионом, паратионом (0,28 кг/га) и овексом (2,24 кг/га) дало значительное снижение численности клещей *T. desertorum* и *T. atlanticus* McG. Для клещей *T. desertorum* токсичным оказался также геркулес AC 538 [2,3-*n*-диоксасан-*S,S*-бис-(0,0-диэтилдитиофосфат)] при расходе 0,28 кг/га технич. продукта.

Л. Бочарова  
69333. Опыты с новыми инсектицидами по борьбе с личинками зеленого июньского хруща на грядах растений табака. Скотт (Tests with new insecticides to control green June beetle larvae in tobacco-plant beds. Scott L. B.), J. Econ. Entomol., 1956, 49, № 6, 868—869 (англ.).

Против личинок *Cotinis nitida* L., повреждающих рассаду табака, испытаны паратион, малатион, ДДТ, смесь ДД, хлордан, линдан и др. Наиболее эффективным оказался паратион; расход действующего начала (в кг/га): опыливание 0,7—2,4, отравленные приманки 3,7, обильный полив почвы суспензией 61—122.

Л. Бочарова  
69334. Позднеосенняя борьба с хлопковым долгоносиком и хлопковой совкой с помощью новых инсектицидов в 1955 г. Кауан, Паренсия, Дейвис (Late-season control of the boll weevil and the bollworm with new insecticides in 1955. Cowan C. B., Jr, Parencia C. R., Jr, Davis J. W.), J. Econ. Entomol., 1956, 49, № 6, 783—785 (англ.).

Изучена эффективность дустов и эмульсий в борьбе с позднеосенним заражением хлопчатника хлопковым долгоносиком *Anthrenus grandis* Boh. и хлопковой совкой *Heliothis zea* Boddie. Прекрасные результаты против долгоносика дал препарат Байер 17147 (I) в дозах (здесь и далее в кг/га) 0,28 и 0,42. Менее эффективны I в дозе 0,14 и Байер 16259 в дозе 0,28. Даль-

дрин в дозе 0,48 эффективнее I (0,42). Хорошие результаты дает токсафен в дозе 3,0 и несколько худшие — стробан в дозе 3,0 и хлортон в дозе 0,76. Неэффективны Байер L 13/59 в дозе 0,76 и ДДВП в дозе 0,46—0,79. I в дозе 0,42 неэффективен против совки, а в дозе 0,56 менее эффективен, чем обычные рекомендуемые инсектициды. Обнадеживающие результаты в борьбе с совкой дала смесь I + ДДТ в дозе 0,42+0,56.

Ю. Фадеев

**69335. Опыты по борьбе с клещом *Vasates lycopersici* на томатах в Южной Калифорнии.** Уилкоккс, Хауленд (Experiments on control of the tomato russet mite in southern California, Wilcox J., Howland A. F.), J. Econ. Entomol., 1956, 49, № 6, 768—771 (англ.)

Блестящие результаты в борьбе с клещом получены при введении 25% S в дусты, применяемые для борьбы с помидорной совкой. Различия в эффективности дустов, содержащих 25, 50, 75 или 100% S, невелики. Обработка проводилась трижды через каждые 2 недели. Очень эффективны также токсафен (I), хлордан, дильдрин и ЭПН (II). В ограниченных опытах эффективны были также паратион (III), шпрадэн, метилпаратион (IV) и изодрин. При холодной погоде S неэффективна. В этих условиях эффективными оказались I—IV, которые рекомендуют применять в комбинации с ДДТ для одновременной борьбы с помидорной совкой.

Ю. Фадеев

**69336. Борьба с вредителями картофеля.** Слисман (Potato pest control. Slesman J. P.), Tomato, Stone Fruit and Veget. J., 1956, 10, № 292, 3—6 (англ.)

В борьбе с цикадками на картофеле хорошие результаты дает ДДТ. Против картофельных блошек ДДТ давал хорошие результаты до того, как выработалась устойчивость. Дильдрин очень эффективен против блошек, но против цикадки более эффективен ДДТ. Паратион эффективен против всех листовых вредителей картофеля. Против тлей рекомендуется паратион, ТЭПФ и диметон. Последний на 3—4 недели исключает повторное заражение тлями. В борьбе с проволочниками эффективны альдрин, гептахлор и хлордан. Против ранней гнили и фитофторы применяют бордосскую жидкость, другие соединения Cu, цинеб, набам и мапоб. Цирам эффективен против ранней гнили, но не против фитофтороза. При опрыскивании картофеля расход жидкости должен быть  $\geq 150$  л/га. Ю. Фадеев

**69337. Борьба с совкой *Acontia dacia* Druce на хлопчатнике.** Ллойд, Мартин (Control of the brown cotton leafworm, *Acontia dacia* Druce. Lloyd E. P., Martin Dial F.), J. Econ. Entomol., 1956, 49, № 6, 764—766 (англ.)

Для совки *Acontia dacia* Druce в лабор. условиях определена токсичность инсектицидов (в кг действующего начала на 1 га): паратион (I) 0,0028, Байер 17147 (II) 0,0064, эндрин (III) 0,022, малатион (IV) 0,0314, геркулес AC-528 (V) 0,072, диазинон 0,0654, хлортон (VI) 0,125, токсафен (VII) 0,378, пиразоксон 0,417. Опрыскивание хлопчатника в полевых условиях препаратами I—VII в дозах 0,07, 0,12, 0,24, 0,28, 0,36, 0,56 и 2,8 кг/га соответственно эффективно против совки в течение 6 дней после обработки. Ю. Фадеев

**69338. Борьба со шмаша скота методом втирания.** Распространение вшей в Южной Каролине. Грессетт, Гудвин (Cattle louse control with treated rubbing devices and their distribution in South Carolina. Gressette F. R., Jr. Goodwin Wm. J.), J. Econ. Entomol., 1956, 49, № 2, 236—239 (англ.)

Против вшей скота *Solenopotes capillatus* Enderlin, *Linognathus vitule* (L.) испытаны: препарат карбид и карбон BR-5 (I) (25% бутакопропиленгликоля, 25% ДДТ, 15% линдана (II)), комбинированный препарат для скота (III) (1,2% пиверонилбуктоксида, 0,35% ро-

тенона и 0,15 пиретринов), хлордан (IV), ДДТ, II, линдан — ароклор (V), малатион (VI), метоксихлор. Препараты готовили на шиферном масле в сосудах на 18—20 л и применяли в виде эмульсий: I, III, ДДТ, VI 5%, IV, V 2—5%, II, V 0,5%. Все они давали хорошие результаты при применении ранней весной в период размножения вшей. Втирание небольших кол-в VI не снижало активность холинэстеразы коров.

Е. Андреева

**69339. Влияние климатических факторов на эффективность химической борьбы с некоторыми вредителями, сосущими хлопчатник.** Мистрик, Мартин (Effect of climatic conditions on the chemical control of certain sucking pests of cotton. Mistic W. J., Jr. Martin D. F.), J. Econ. Entomol., 1956, 49, № 6, 760—763 (англ.)

Изучено влияние климатич. факторов на токсичность эмульсий ГХЦГ и паратиона (I) против хлопковой тли, а также арамита (II) и I против клещиков *Tetranychus desertorum* Banks и *T. telarius* (L.). Эффективность ГХЦГ и I против тлей выше при средней т-ре (34,5°), чем при низкой (21,1°) или высокой (41,6°). Остаточное действие I равно или выше, чем ГХЦГ. Эффективность ГХЦГ снижалась независимо от погоды. Эффективность I снижалась до некоторой степени всеми факторами — роса, дождь, ветер, высокая т-ра, солнечный свет. Против клещиков I обнаружил такую же остаточную эффективность, как и против тли. Эффективность II снижалась быстро и независимо от климатич. факторов, хотя они и ускоряли этот процесс.

Ю. Фадеев

**69340. Строение и действие некоторых органических соединений на почвенные организмы и на рост цитрусовых саженцев, посеянных на почве, на которой ранее росли цитрусовые деревья.** Може, Мартин, Бейне (Structural effect of some organic compounds on soil organisms and citrus seedlings grown in an old citrus soil. Moje William, Martin J. P., Baines R. C.), J. Agric. and Food Chem., 1957, 5, № 1, 32—36 (англ.)

Для борьбы с цитрусовой нематодой *Tylenchulus semipenetrans* (Cobb.), грибами и бактериями на цитрусовых плантациях испытаны насыщ. и ненасыщ. спирты, галоидопроизводные, к-ты, эфиры и амиды к-т и некоторые продажные фумиганты, а также определено их влияние на рост цитрусовых саженцев. Наибольшей токсичностью обладают галоидопроизводные и спирты, содержащие в  $\alpha, \beta$ -положении двойную или тройную связь. В ряду  $\text{CH}_2 = \text{CHX}$ , где  $\text{X} = \text{CH}_2\text{OH}$  (I),  $\text{CH}_2\text{Cl}$  (II),  $\text{CH}_2\text{Br}$  (III),  $\text{CH}_2\text{I}$  (IV),  $\text{COOH}$  (V),  $\text{COOCH}_3$  (VI) и  $\text{CONH}_2$  (VII) порядок токсичности для семян:  $\text{IV} > \text{I} > \text{III} > \text{II}$ , V, VI, VII; для нематод:  $\text{IV} > \text{III}$ ,  $\text{I} > \text{V}$ , VI, VII; для грибов:  $\text{IV} > \text{III} > \text{II} > \text{I} > \text{V}$ , VI, VII; для бактерий:  $\text{IV} > \text{III} > \text{II} > \text{I} > \text{V}$ , VI, VII. В ряду  $\text{CH} \equiv \text{CY}$ , где  $\text{Y} = \text{CH}_2\text{OH}$  (VIII),  $\text{CH}_2\text{Cl}$  (IX),  $\text{CH}_2\text{Br}$  (X),  $\text{COOH}$  (XI) и  $\text{COOCH}_3$  (XII) порядок токсичности для семян, нематод и грибов:  $\text{X} > \text{VIII}$ , IX, XII > XI; для бактерий:  $\text{X} > \text{VIII} > \text{IX} > \text{XII} > \text{XI}$ . Ацетиленовые производные фитотоксичнее этиленовых. В конц-ии 1000 мг/л сорбиновая и ацетилендикарбоновая к-ты стимулируют рост *Trichoderma viride*, акриловая и пропионовая *F. solani* T. viride, фурионовая бактерии вида *Penicillium* и *T. viride*, кротоновая *F. solani*. К. Швецова-Шилова

**69341. Изучение товарной устойчивости некоторых фруктов к влажному обогреву и фумигантам.** Клейнуд, Вайне (Commodity tolerance studies of deciduous fruits to moist heat and fumigants. Claypool L. L., Vines H. M.), Hilgardia, 1956, 24, № 12, 297—355 (англ.)

Для уничтожения личинок восточной плодовой мухи, *Dacus dorsalis* Hendel в различных плодах (ябло-

ки, абрикосы, виноград, персики, груши, финики, сливы) изучено применение фумигации и прогревания паром, главным образом в отношении влияния таких обработок на качество плодов. В качестве фумигантов изучены акрилонитрил (I), бромистый бензил (II), 2-бром-1-хлорпропан (III), хлорацетонитрил (IV), Шелл OS840 (55%-ный 1-хлор-3-бромпропан) (V), 1,2-дибромбутан (VI), 1,3-дихлорбутен-2 (VII), этилхлор-ацетат (VIII), хлорбромэтан (IX), дибромэтан (X),  $\text{CH}_2\text{Br}$  (XI),  $\text{CH}_3\text{I}$  (XII), 1,2-дибромпропан (XIII), три-метилбромид (XIV) и два торговых препарата — хлоразол (75% дихлорэтана и 25%  $\text{CCl}_4$ ) (XV) и Доу Фум W-85 (85% дибромэтана и 15% нефтяных фракций) (XVI). В соответствии с действием перечисленных фумигантов на плоды выделено 3 группы: 1-я, серьезно повреждает плоды или сообщает привкус в конц-ях, необходимых для LD<sub>95</sub> — I, II, III, IV, V, VI, VII, VIII; 2-я — часто повреждает плоды и сообщает привкус, но в слабой степени — XIII, XIV, XVI; 3-я, лишь слегка снижает качество плодов в дозах, уничтожающих всех насекомых — IX, X. Часть фумигантов — XI, XII, XV — занимает промежуточное положение между 2-й и 3-й группами. Описан метод определения конц-ии X в фумигационных камерах и плодах.

Ю. Фадеев  
69342. Влияние частоты фумигации сернистым газом в процессе хранения на развитие гнилей и химическое повреждение столового винограда. Харви (Effects of frequency of sulfur dioxide fumigation during storage on decay and fumigation injury in Emperor grapes. Harvey John M.), Phytopathology, 1956, 46, № 12, 690—694 (англ.)

Изучено влияние фумигации столового винограда  $\text{SO}_2$  в процессе хранения на развитие гнилей. Фумигация проводилась сразу после уборки 1%-ным  $\text{SO}_2$  в дальнейшем через 7, 14, и 21 день 0,25%-ным  $\text{SO}_2$  в течение 20 мин. В результате фумигации резко снижается развитие гнилей, но иногда, в особенности при повышении конц-ии  $\text{SO}_2$ , имеет место хим. повреждение плодов. Плоды поздней уборки сильнее повреждаются гнилями.

Ю. Фадеев  
69343. Немагон (1,2-дибром-3-хлорпропан) — почвенный фумигант. Комpton, Бенедикт (Nemagon (1,2-dibromo-3-chloropropane) a soil fumigant. Compton C. C., Benedict S. H.), Agric. Chemicals, 1956, 11, № 3, 46—47, 125—126 (англ.)

Немагон (I) эффективен против многих видов нематод, экономичен, не сообщает привкуса и запаха продукции, удобен в обращении. Однако I может вызвать повреждение табака, лука и чеснока, а в парообразном и жидком видах представляет опасность для человека при несоблюдении мер предосторожности. Эффективные дозы I: 4,7—23,5 л/га в рядок или от 11,7 до 94 л/га при сплошной обработке. При обработке деревьев I заделывают на глубину до 15—30 см.

Ю. Фадеев  
69344. О предупреждении опасности отравлений растительными пищевыми продуктами, содержащими остатки пестицидов. Трюо, Вель (Sur la prévention des risques de nocivité pouvant provenir de la présence de résidus de pesticides dans les aliments végétaux. Truhaut R., Viel G.), Phytiatr.-phytopharmac., 1956, 5, № 3, 135—162 (франц.)  
Обзор. Библ. 77 назв.

Р. Г.  
69345. Перспективы применения инсектицидов и инсектофунгицидов в ветеринарной дезинфекции. Арбузов К. Н., Чепуров К. П., Научн. тр. Узб. с.-х. ин-та, 1956, 10, 311—316

Гранозан (I) (1:1000) убивает золотистого стафилококка (3С), возбудителей рожи свиней (РС) и паратифа (П) за 10 мин. Добавка формалина (0,1%) к I увеличивает бактерицидное действие I по отношению

к возбудителям РС и П в 5 раз. Меркаптофос убивал 3С в течение 10 мин. только при конц-ии 0,5%.

А. Седых  
69346. Меркуран — препарат комплексного действия в борьбе с вредителями и болезнями хлопчатника. Порженко В. В., Подкопай И. Е., Тр. Укр. н.-и. ин-та хлопководства. Защита растений. Киев, Госсельхозиздат УССР, 1956, 120—123

Против болезней и вредителей хлопчатника в не-поливной зоне хлопководства испытаны гранозан, ГХЦГ, тиофос и комбинированный препарат меркуран (I), содержащий 2% этилмеркурхлорида и 12% γ-ГХЦГ. Наиболее эффективным оказался I при норме расхода 6 кг на 1 т семян. I способствует интенсивному развитию растений и увеличивает урожай хлоп-сырья.

Е. Андреева  
69347. Действие SR-406 на микроорганизмы почвы. Пиччи (Azione dell'SR-406 (N-Triclorometil-tetra-idroftalimide) sui microrganismi del terreno. Picci G.), Agric. ital., 1956, 56, № 10, 376—382 (итал.)

Фунгицидный препарат SR-406 (каптан) (I) в дозах 0,6—8 кг/га не влияет на микроорганизмы почвы. При испытании на агаре I тормозит рост шизомитов и дрожжей в конц-ии 0,025%, а рост большинства различных видов *Penicillium* и *Aspergillus* в конц-ии 0,025—0,01%; только *P. chrysogenum* рос на агаре, содержащем 0,02% I. Процесс аммонизации и рост *Azotobacter* были замедлены при конц-ии I 0,01%.

К. Герпфельд  
69348. Обработка почвы для борьбы с паршой картофеля в Пенсильвании. Миллер (Soil treatments for potato scab control in Pennsylvania. Miller Paul R.), Agric. Chemicals, 1956, 11, № 5, 72—73, 127 (англ.)

Суглинистая почва, искусственно зараженная возбудителем парши картофеля *Streptomyces scabies*, обработана водн. р-рами препаратов ПХНБ (75% пента-хлорнитробензола) (I) и напам (31% дигидрата N-метилдитиокарбамата Na) (II). Нормы расхода препаратов 28—112 кг/га. Картофель высаживали через 2 недели после внесения в почву ядохимикатов. В течение вегетационного периода проведено 6 опрыскиваний цинбемом и ДДТ. Разница в урожае с обработанных I и II и контрольных участков была незначительной, но оба препарата дали сильное снижение кол-ва зараженных паршой клубней. При норме 56 и 112 кг/га II значительно эффективнее I. Приводятся также данные о влиянии на зеленые растения стрептомицина (опрыскивание 0,001, 0,01 и 0,25%-ными р-рами сульфата стрептомицина в теплице).

Л. Бочарова  
69349. Новые протравители в борьбе с загниванием семян и выходов хлопчатника на Украине. Порженко В. В., Тр. Укр. н.-и. ин-та хлопководства. Защита растений. Киев, Госсельхозиздат УССР, 1956, 32—45

Против комплекса возбудителей корневой гнили семян и выходов хлопчатника испытаны методом обработки семян формалин, этилмеркурфосфат, этилмеркурхлорид, моноэтилмеркурфосфат, трихлорфенолят Cu, трихлорфенолят Zn и ГХЦГ. Наиболее эффективным оказался этилмеркурхлорид при норме расхода 10 кг на 1 т семян хлопчатника.

Е. Андреева  
69350. Сулгинат аммония и неорганические продукты, выделяющие аммиак, как фунгициды для борьбы с синезеленой плесенью, повреждающей плоды цитрусовых. Гантер, Колбезен, Блини, Стаге, Баркли, Уоккер, Клао, Ройстакер, Эль-Ани (Ammonium succinate and inorganic ammonia-producing materials as fungicides for the control of blue-green mold decay of citrus fruits. Gunther F. A., Kolbezen M. J., Blinn R. C., Staggs E. A., Barkley J. H., Wacker G. B.,



Klotz L. J., Roistacher C. N., El-Ani A., Phytopathology, 1956, 46, № 11, 632—633 (англ.)

Против плесени лимонов и апельсинов (*Penicillium italicum* Wehm. и *P. digitatum* Sacc.) во время хранения и перевозки испытано 50  $\text{NH}_4$ -солей моно-, ди- и трикарбонатов к-т и эфиров ди- и трикарбонатов к-т. Янтарнокислый  $\text{NH}_4$  в дозе 9 г на 150 плодов оказался наиболее активным,  $\text{NH}_4$ -соли адипиновой (I), азелаиновой, пимелиновой, себацовой (II), пробковой к-т и моноэфиров малеиновой, янтарной, I и II к-т оказались менее эффективными. Испытаны также смеси  $\text{NH}_4\text{Cl}$  и  $(\text{NH}_4)_2\text{SO}_4$  с CaO или MgO, приготовленные на мелкоразмолотом асбесте (III) в виде шариков весом 1 г. Наиболее эффективными оказались смеси, содержащие (в г):  $(\text{NH}_4)_2\text{SO}_4$  6 + MgO 1,82 + III 6 и  $\text{NH}_4\text{Cl}$  6 + CaO 3,14 + III 6. Е. Андреева

69351. Протравливание семян для защиты зерна и всходов кукурузы от *Bacterium stewartii* E. F. Sm. Миллер (Seed treatments to protect corn seedlings against Stewart's wilt. Miller Paul R.), Agric. Chemicals, 1956, 11, № 9, 81, 83 (англ.)

Против бактериального увядания сладкой кукурузы, вызываемого *Bacterium stewartii* E. F. Sm., испытаны антибиотики: пенициллин, стрептомицин (I), тетрациклин (II); регуляторы роста: гидразид малеиновой к-ты, 2,4-D, изопропилфенилкарбамат, N-3-хлорфенилпропилкарбамат, 2,4-дихлорфеноксиэтилсульфат (Краг-1), индолил-,  $\beta$ -нафтокси-, нафтил-, пентахлорфенокси-, 2,4,6-трихлорфеноксисукцесная к-та (III), а также глюкоза, гидразид изоникотиновой к-ты и каптан. Семена перед посевом замачивали в водн. р-рах фунгицидов с добавкой или без добавки 1 мл ацетона. Растения, полученные из таких семян, в стадии 3 листьев заражались *B. stewartii*. Эффективными оказались I и II в конц-ии 100 мг/л и III в конц-ии 50 мг/л. Е. Андреева

69352. Значение различных факторов при дезинфекции семян. Джекс (Important factors in seed disinfection. Jacks H.), N. Z. Sci. Rev., 1956, 14, № 9, 119—121 (англ.)

Против сапрофитных грибов и бактерий на поверхности семенного материала эффективны препараты Hg, хлорант и дихлор. Тирам, фербам, Zn- и Cu-содержащие препараты менее эффективны. К числу эффективных в борьбе с амбарным долгоносиком инсектицидов отнесены ДДТ, дильдрин, ГХЦГ, хлордан. Успех дезинфекции семян зависит от выбора препарата, специфичного для семян, степени зараженности болезнями и вредителями и почвенных условий. Е. Андреева

69353. Испытание протравителей семян сорго. Миллер (Sorghum seed-treatment tests. Miller Paul R.), Agric. Chemicals, 1956, 11, № 4, 89, 91, 93 (англ.)

Против головни сорго (*Sphacelotheca sorghi*) в лаборатор. и полевых условиях испытаны: церезан М (I) пурасид (II) 2-метоксиэтилмеркурацетат, меркулин, фенилмеркурацетат, паноген, фигон (III), ортоцид (IV), аразан (V), спергон и др. Высокоэффективны I и II в дозе 4 г на 1 кг семян, а также III, IV и V в дозе 8 г на 1 кг семян. Е. Андреева

69354. Проблема плесневения красок на пищевых фабриках. Джонсон (Problems of paint mildew in food factories. Johnson Fred D.), Dairy Inds, 1956, 21, № 1, 45—47 (англ.)

Указывается на успешное применение для борьбы с плесенью, образующейся на окрашенном оборудовании пищевых ф-к, фунгицидов на ртутной основе, добавляемых в краску. Рекомендуется использовать опыт бумажной пром-сти, применяющей периодич. смену фунгицидов при борьбе с плесенью грибокового характера. По этой же причине не рекомендуется пользоваться смесью фунгицидов, а применять дезинфицирующие средства того же класса, к которому

принадлежит данный фунгицид. Наиболее эффективное использование фунгицидов достигается при применении слегка пористых покрытий, напр. эмульсионных красок. В. Лукинская

69355. Пропитка шпал пентахлорфенолом. Кавамура, Яги (防腐劑 Pentachlorophenol (P. C. P.) のまくら木への注入。河村健, 八木舜治), 鉄道 業務研究資料, Тапудо гёму кэнкё сирё, J. Railway Engng Res., 1955, 12, № 2, 9—12, 1 (японск.; рез. англ.)

69356. Инсектициды, фунгициды и аппаратура для обработки. Сен-Мартен (Insecticides, fungicides et appareils de traitement. Saint-Martin D.), Bull. mens. Soc. centr. agric. Aude, 1956, 137, № 11, 265—268 (франц.)

Описаны области применения ДДТ, ГХЦГ, эфиров фосфорной к-ты и других инсектицидов и фунгицидов ( $\text{CuSO}_4$ , S, тиокарбаматы металлов, каптан и др.), а также аппаратура для опрыскивания. К. Бокарев

69357. Определение каптана. Вагнер, Уоллес, Лоренс (Determination of captan. Wagner Juanita, Wallace Volney, Lawrence John M.), J. Agric. and Food Chem., 1956, 4, № 12, 1035—1038 (англ.)

Описан чувствительный и специфич. метод определения каптана (I), основанный на взаимодействии с резорцином в р-ре  $\text{CH}_3\text{OH}$  в присутствии гидросульфита Na в щел. среде. I смыывают с пищевых продуктов  $\text{C}_6\text{H}_6$ , часть р-ра упаривают досуха и остаток растворяют в ацетоне, так, чтобы 1 мл содержал 3—30  $\gamma$  I. 1 мл ацетонного р-ра помещают в трубку для испытаний (12  $\times$  75 мм) и трубку закрывают. 15—20 мг гидросульфита Na растворяют в 2 мл 2 н. NaOH в обычной трубке, затем добавляют 2 мл р-ра резорцина (II) в  $\text{CH}_3\text{OH}$  (12,5 г II в 100 мл) и хорошо размешивают. Смесью реагентов заливают в трубку с I, закрывают и сохраняют в темноте. Поглощение определяют спектрофотометром при длине волны 447 в 500 м $\mu$ , не раньше чем через 12 мин. после смешения, но не позднее 1 часа. Нулевую точку определяют по воде. Единственный препарат, который мешает определению I, это спергон (III) (хлорант), причём 90  $\gamma$  III соответствуют по калибровочной кривой 1,5  $\gamma$  I, а 500  $\gamma$  III эквивалентно 5,5  $\gamma$  I. Метод позволяет определять 3—30  $\gamma$  I и полуколичественно оценивать 0,4  $\gamma$  I. Л. Вольфсон

69358. Влияние изменений в ацильной группировке на гербицидную активность N-замещенных  $\alpha$ -хлор-ацетамидов. Хэмм, Специале (Effect of variations in the acyl moiety on herbicidal activity of N-substituted  $\alpha$ -chloroacetamides. Hamm P. C., Speziale A. J.), J. Agric. and Food Chem., 1957, 5, № 1, 30—32

Гербицидная активность (ГА) соединений общей ф-лы  $\text{XCH}_2\text{CONR}'\text{R}''$  (I) в основном определяется ацильной группировкой и зависит от характера X и, в меньшей степени, R. I (X = H) при разнообразных R' и R'' (H,  $\text{CH}_3$ ,  $\text{C}_2\text{H}_5$ ,  $\text{C}_3\text{H}_7$ ,  $\text{C}_4\text{H}_9$ , аллил, фурфурил, циклогексил, циклопентил, 1-метилциклопентил, 3-оксоциклопентил) не обладали ГА; но после замещения в них одного атома H в  $\alpha$ -положении на Cl, Br или J приобретали высокую ГА по отношению к травам и при применении в условиях теплицы в виде ацетонных р-ров для опрыскивания почвы подавляли прорастание семян и появление всходов сорных трав (рай-граса, дикого овса и костра ржаного), посеянных вместе с кукурузой, хлопком, свеклой, гречихой, огурцами, горчицей и красным клевером. По активности соединения располагаются в ряд: I (X = Cl) > I (X = J) > I (X = Br). Избирательность действия I (X = Cl, Br или J) по отношению к травам уменьшалась в ряду Cl > Br > J; I (X = J) проявляют общую фитотоксичность, I (X = Cl, R' = R'' = аллил), I (X = Cl,

$R' = R'' = 1$ -метилциклопентил),  $I$  ( $X = Cl$ ,  $R' = R'' = 3$ -оксодиметилциклопентил) при норме расхода в 2,8 кг/га подавляют всхожесть 75–100% семян трав; при дозе в 5,6 кг/га дают такой же эффект:  $I$  ( $X = Cl$ ,  $R' = R'' = CH_3$ ),  $I$  ( $X = Cl$ ,  $R' = R'' = C_2H_5$ ),  $I$  ( $X = Cl$ ,  $R' = R'' = n-C_3H_7$ ),  $I$  ( $X = Cl$ ,  $R' = R'' =$  циклопентил), и  $I$  ( $X = Cl$ ,  $R' = H$ ;  $R'' =$  циклогексил). У этих соединений, кроме последнего, замещены в амидогруппе оба атома Н; если замещен только 1 атом Н, то ГА по приведенным данным ниже, чем у соответствующих димзамещенных.  $I$  ( $X = Cl$ ,  $R' = R'' = H$ ) ГА не проявил. Активны только монохлор- $I$ ; введение второго и третьего атома Cl в ацильную группу ведет к полной потере ГА (исключение — слабоактивный  $CH_3CCONH_2$ ). С удлинением ацильной группы ГА исчезает — исследование N-замещенные амиды  $\alpha$ - и  $\beta$ -хлор-,  $\alpha,\alpha$ - и  $\alpha,\beta$ -дихлорпропионовой к-ты  $\gamma$ -хлор- и  $\alpha,\beta$ -дихлоризомасляной к-ты показали полное отсутствие ГА. К утрате ГА ведут попытки заместить атом Cl какой-либо другой функциональной группой; напр. при замене в  $\alpha$ -хлор-N,N-диаллилацетамиде Cl группами: SCN, OH,  $OC_2H_5$ ,  $OC_6H_5$ ,  $Cl_2$ ,  $SO_3Na$ ,  $SC_2H_5$ ,  $CH_2NH_2$ ,  $SO_2CH_2CH_2NHCOC_2H_5$ ,  $NH_2$ ,  $SC_2H_5CH(NH_2)COOH$ ,  $C_6H_5CONCO-1,2$ ,  $C_6H_5CON(CH_2CONH-)CO-1,2$ ,

$C_6H_5$ , 4- $ClC_6H_4$  получены неактивные соединения. Исключение составляет группа  $SC_2H_5CH_2NHCOC_2H_5Cl$ , так как  $(CH_2=CHCH_2)NCOCH_2SC_2H_5CH_2NHCOC_2H_5Cl$  можно рассматривать как соединение ф-лы  $RNHCOC_2H_5Cl$ . Замена Cl в 1-хлорацетилипиперидине, 4-хлорацетиламорфолине и  $\alpha$ -хлордиэтилацетамиде на CN,  $SSO_3Na$ , SR,  $NH_2+X^-$ ,  $NR_2$ ,  $SO_2R$  и  $NR_3+X^-$  также приводит к полной потере ГА. Г. Швиндлерман

69359 П. Производство ДДТ. Гатри, Ноулс (Manufacture of DDT. Guthrie David B., Knowles William S.) [Monsanto Chemical Co.]. Пат. США 2766298, 9.10.56

По новой технологии, схеме произ-ва ДДТ, отличающейся способом регенерации  $H_2SO_4$ , 1 моль хлорала и 2 моля хлорбензола при т-ре от  $-10$  до  $+30^\circ$  конденсируют в присутствии 4 молей  $H_2SO_4$  или олеума (95–108%  $H_2SO_4$ ) при перемешивании в течение 12–13 час. Затем смесь нагревают и устанавливают т-ру в пределах  $35-85^\circ$  (ниже начала плавления ДДТ), перемешивают и дают отстояться ( $\sim 2$  часа); при этом слой к-ты, обычно мутный от суспендированного ДДТ, просветляется. Твердый ДДТ весь всплывает наверх и легко отделяется от к-ты. Получаемая в остатке к-та, объем которой примерно равен объему к-ты, взятому для ведения р-ции, содержит 70–90%  $H_2SO_4$ ; в нее добавляют  $SO_3$  пока содержание воды не снизится до 5–4,4% и вновь возвращают в процесс. Применение многократно регенерированной к-ты не снижает выходов и не ухудшает качество получаемого продукта. Г. Швиндлерман

69360 П. Способ получения эфиров фосфорной и тиофосфорной кислоты, содержащих сульфоксидную группу. Лоренц, Мюльман, Шрадер, Теттвейлер (Verfahren zur Herstellung von sulfoxidgruppenhaltigen Estern der Phosphor- und Thiophosphorsäure. Lorenz Walter, Mühlmann Rudolf, Schrader Gerhard, Tettweiler Karl) [Farbenfabriken Bayer A.-G.]. Пат. ФРГ 949229, 22.11.56

Содержащие сульфоксидную группу эфиры фосфорной, тионо-(I), тиол-(II) и тиотиофосфорной к-ты (III) общей ф-лы  $RS(O)R'XP(X')(OR'')_2$  ( $R$  и  $R''$  — алкилы,  $R'$  — алкилен,  $X$  и  $X'$  — O или S) получают из эфиров типа  $RSR'XP(X')(OR'')_2$  (IV) окислением сульфидной группы гипохлоритом (гипобромитом),  $Cl_2$  или  $Br_2$  в присутствии воды. Р-цию ведут при комнат-

ной т-ре, действуя галогеном на р-р IV в водн.  $CH_3OH$ , обрабатывая галогеном или гипохлоритом водн. суспензию IV, или добавляя к р-ру IV в  $CH_2Cl_2$  (или  $CCl_4$ , дихлор- и тетрахлорэтане), соответствующее кол-во воды, и для сываивания к-ты  $Na_2CO_3$  (или  $NaHCO_3$ ,  $CH_3COONa$ ,  $NaCN$ ) в последующем добавлении при перемешивании и по каплям  $Br_2$  или  $Cl_2$ . Так, из 0,2 моля О,О-диметил- $S$ -этилмеркаптоэтилового эфира III, 150 мл  $CH_2Cl_2$ , 150 мл воды, 0,6 моля  $NaHCO_3$  и 0,22 моля  $Br_2$  ( $10-15^\circ$ , после обесцвечивания) кратковременное нагревание до  $30^\circ$  получен О,О-диметил- $S$ -этилсульфинилэтиловый эфир III, выход 46%. Аналогично получены (перечислены — в-во, выход в процентах, т-ра кипения  $^\circ C/mm$ ): О,О-диметил-О-этилсульфинилэтиловый эфир I, 82,2, 95–96/0,01; О,О-диэтил- $S$ -этилсульфинилметилэтиловый эфир II, 65,5, —; О,О-диметил- $S$ -этилсульфинилэтиловый эфир III, 41,8, 105–106/0,01; О,О-диметил- $S$ -этилсульфинилэтиловый эфир II, 45,8, 105–106/0,01; О,О-диметил- $S$ -этилсульфинилэтиловый эфир II 70,4, 105–106/0,01; О,О-диэтил- $S$ -этилсульфинилэтиловый эфир II, 76,7, 108/0,01; О,О-диэтил- $S$ -этилсульфинилэтиловый эфир III, 91,5, —. Тионовые и тиотиофосфорные эфиры трудно, а тиоловые эфиры легко растворимы в воде и при получении последние отделяются с водн. слоем, который промывают петр. эф., насыщенный  $Na_2SO_4$  и продукт извлекают затем  $CH_2Cl_2$ . Полученные эфиры являются системными инсектицидами длительного действия.

Г. Швиндлерман  
69361 П. Способ получения триэфиров тиотиофосфорной кислоты. Шрадер (Verfahren zur Herstellung von Thio-thiophosphorsäuretriestern. Schrader Gerhard) [Farbenfabriken Bayer A.-G.]. Пат. ФРГ 951717, 31.10.56

Триэфиры получают взаимодействием О,О-диалкилхлортиофосфатов с  $\beta$ -аминозамещ. алифатич. меркаптанами или их щел. солями при повышенной т-ре в среде инертного р-рителя ( $C_6H_6$ , толуол, метилэтилкетон); если взяты не соли, а меркаптаны, необходимо связывать образующуюся к-ту щел. карбонатами. К взвеси 23 г Na в 300 мл  $C_6H_6$  добавляют по каплям 133 г  $\beta$ -меркаптоэтилдиэтиламина (35–45°, перемешивание), после растворения Na при  $50^\circ$  вводят 190 г О,О-диэтилхлортиофосфата, затем выдерживают 3 часа при  $30^\circ$ , отделяют NaCl и получают О,О-диэтил- $S$ -( $\beta$ -диэтиламиноэтил)-дитиофосфат; выход 61%, т. кип.  $136^\circ/1$  мм. Г. Швиндлерман

69362 П. Способ получения фосфорорганических соединений. Перков (Verfahren zur Herstellung organischer Phosphorverbindungen. Perkow Werner) [Norddeutsche Affinerie]. Пат. ФРГ 941972, 26.04.56

Соединения с сильными инсектицидными свойствами получают взаимодействием алкильных эфиров фосфористой к-ты с соединениями алифатич. или ароматич. ряда, имеющих два атома галогена у атома С соседнего с карбонильной группой, и последующей р-цией полученных продуктов с фенолами, замещ. фенолами или их фенолатами. К р-ру 16,7 г ( $C_2H_5O$ ) $_2$ P в 25–30 мл толуола (I) прибавляют р-р 18,9 г о,о-дихлорацетофенона в 18,9 г сухого I, если необходимо, немного нагревают (при удалении I в вакууме, получают с хорошим выходом в-во, т. кип.  $158-160^\circ/1$  мм). К реакционной смеси, не отгоняя I, прибавляют 17,6 г нитрофенолята K (II), слабо кипятят 3 часа, охлаждают, фильтруют, отгоняют I, получают вязкое в-во. К р-ру 12,7 г  $\alpha,\alpha$ -дихлорацетона в 25,4 мл сухого I прибавляют постепенно при встряхивании 16,7 г ( $C_2H_5O$ ) $_2$ P, удаляют в вакууме I, получают 21 г в-ва состава  $C_7H_{14}O_4PCl$  с т. кип.  $108-110^\circ/5$  мм, к 11,4 г которого добавляют 8,7 г II и 25 мл I, кипятят 2,5 часа, обрабатывают как описано выше.

Г. А. Швехгеймер

69363 П. Способ получения галоидированных эфиров фосфорной кислоты. Вильмс, Байер, Веглер (Verfahren zur Herstellung von halogenierten Phosphorsäureestern. Wilms Hugo, Bayer Otto, Wegler Richard) [Farbenfabriken Bayer A.-G.]. Пат. ФРГ 949948, 27.09.56

Галоидированные эфиры фосфорной к-ты получают взаимодействием галоидангидридов  $\alpha$ -галоидкарбоновых к-т или их замещ. с алкилфосфитами или их солями по схеме:  $RX_2CC(=O)X + 2P(OR')_3 \rightarrow (R'O)_2P(=O)OC(=CXH) - PO(OR')_2$  (X — галоид; R — H, алкил или галоид; R' — алкил). Р-ция проходит с выделением тепла и отщеплением галоидалкила. К 33 г триэтилфосфита (I) при перемешивании и охлаждении прикапывают 36,4 г трихлорацетилхлорида (II) и затем нагревают 1 час на водяной бане. Получено 36 г (выход 91,4%) бесцветного масла с т. кип. 100—110°/0,05 мм, вызывающего в 0,001%-ной конц-ии 100%-ную смертность мух за 6 мин. Аналогично из 54,8 г I и 44 г дихлорацетилхлорида получено 56 г (86%) продукта с т. кип. 120—130°/0,07 мм. Из 31,2 г триэтилфосфита и 30 г I после отгонки легкокипящих продуктов в вакууме (водоструйный насос) получено светло-желтое масло, 0,02%-ная конц-ия которого убивает тлю на 100%. Л. Волкова

69364 П. Составы для предохранения древесины от термитов и бактерий, вызывающих гниение. Тигэда, Хидзикуро (ヒゲタ 氏 及び 木材腐朽菌予防剤 除菌剤 〇 千代田三郎, 熊黒友三). Японск. пат. 4950. 9.08.54 1. 200 г смеси стеблей и листьев (CCJ) *Houttynia cordata* экстрагируют 7—10 дней 500 г  $o$ - $Cl_2C_6H_4$  при 30°. 2. К 400 г CCl<sub>4</sub> *H. cordata* добавляют 100 г 1%-ного р-ра  $Cl_2C_6H_4ON$  в  $o$ - $Cl_2C_6H_4$  и 100 г 1%-ного р-ра ДДТ в  $o$ - $Cl_2C_6H_4$ , затем 1% парафинового масла и 400 г 2%-ного р-ра креозотового масла в дипентене.

Н. Швецов  
69365 П. Способ изготовления гербицида с пониженной огнеопасностью, содержащего хлорат (Verfahren zur Herstellung von Chlorat enthaltenden Unkrautvergiftungsmitteln mit verringerter Feuergefährlichkeit) [Borax Consolidated Ltd.]. Пат. ФРГ 945963, 19.07.56  
Для получения гербицидного препарата, содержащего хлорат Na (I) и водорастворимое в-во, которое обладает гербицидным действием и придает огнестойкость (бораты, напр. бура (II),  $NaB_2O_5 \cdot 5H_2O$ ,  $NaBO_2 \cdot 4H_2O$  (III)), компоненты смешивают в порошкообразном виде в соотношениях  $\geq 1,5$  ч. бората к 1 ч. I. Смесь нагревают током теплого воздуха в течение нескольких минут до удаления части кристаллизационной воды, затем охлаждают и превращают в порошок. Можно прибавлять другие в-ва, придающие огнестойкость, или в-ва, выделяющие воду, или другие гербициды. Добавляемые в-ва не должны реагировать с I. Предлагаемые гербицидные препараты можно применять как в сухом виде, так и в водн. р-ре. Т-ра нагревания смеси зависит от применяемого бората. В случае употребления II смесь нагревают при 42°, смесь, содержащую III, при 43—54°. Огнестойкий гербицид можно приготовить также нагреванием при несколько более высокой т-ре смеси I, бората и  $H_2BO_3$ , взятых в определенных соотношениях.

К. Бокарев  
См. также: Инсектициды: синтез 68765; химия 68686. биохимич. действие и хроматографич. исследование дарагона и его аналогов 23184Бх; профпродности при работе с «экатокс-20» 70758. Бактерициды и фунгициды: синтез 68809, 68845, 68897; в-ва фунгицид. и гербицид. действия 70012; предохранение тканей 69923; бактерицид., фунгицид. покрытия 70642, 70758. Регуляторы роста: синтез 68798, 68854; хим. строение 68180; произ-во 69829.

## ЭЛЕКТРОХИМИЧЕСКИЕ ПРОИЗВОДСТВА. ЭЛЕКТРООСАЖДЕНИЕ. ХИМИЧЕСКИЕ ИСТОЧНИКИ ТОКА

Редактор М. М. Мельникова

69366. Никель-кадмиевые аккумуляторы. II. Пропитка положительных электродов путем термического разложения водного раствора нитрата никеля. Бурго, Лейк, Кейси, Дюбуа (Nickel-cadmium batteries. II. Impregnation of positive plates by thermal decomposition of aqueous nickel nitrate. Bourgault P. L., Lake Phyllis E., Casey E. J., Dubois A. R.), Canad. J. Technol., 1957, 34, № 8, 495—502 (англ.).

Разработан термич. метод пропитки положительных электродов безамальгамных Ni-Cd-аккумуляторов. В то время как электролитич. способ пропитки состоит из 12 операций, предлагаемая технология ограничивается пятью. 1) Обезжиривание электрода в теплом ацетоне. 2) 10-минутная вакуумная пропитка при 115°. 3) Термич. разложение при 230° в течение 1 часа в печи. 4) Погружение в р-р KOH при 75—85° в течение 1 часа. 5) Промывка и сушка. Суть метода заключается в том, чтобы термич. разложение остановилось на предполагаемом промежуточном продукте по ур-нию:  $2Ni(NO_3)_2 \cdot 6H_2O \rightarrow 2Ni(OH)NO_3 + 2NO_2 + 5H_2O + \frac{1}{2}O_2$  и не было доведено до появления неактивного NiO. Получаемые этим способом электроды по емкостным характеристикам и сроку службы не уступают приготовленным обычным способом заводским. Часть I см. РЖХим, 1957, 31408.

Б. Герчиков  
69367. Утилизация отходов хлора. — (Save that valuable chlorine.—), Industr. and Engng Chem., 1957, 49, № 4, 87A—88A (англ.).

Описан способ извлечения хлора из отходящих газов произв-ва хлора (содержащих 20—50% хлора). Метод заключается в поглощении хлора из смеси газов р-ром  $CCl_4$  при низких т-рах (—15°) и выделении его в виде конц. газа при нагревании р-ра в регенерационной башне, работающей по принципу ректификационной колонны. Компримирование газа (до 7 атм) позволяет извлечь из него часть хлора в виде жидкости до процесса абсорбции.

В. Ельцов  
69368. Микроосаждающая способность. Лефлер, Лейдхейсер (Microthrowing power. A literature search. Leffler Esther B., Leidheiser Henry, Jr), Plating, 1957, 44, № 4, 388—396 (англ.).

Рассматривается терминология микроосаждающей способности, влияние условий электролиза на электроосаждение металла в порах и углублениях поверхности и теоретич. обоснование явления сглаживания поверхности при электроосаждении. Библи. 46 назв.

З. Соловьева  
69369. Строение гальванических осадков сплавов (XI). Сплавы никель-цинк. Рауб, Эльзер (Der Aufbau galvanischer Legierungsniederschläge (XI). Die Nickel-Zink-Legierungen. Raub E., Elser F.), Metalloberfläche, 1957, 11, № 5, 165—168 (нем.).

Изучено влияние добавок Zn к Ni-электролиту на катодную поляризацию (КП), состав и структуру осадка в зависимости от D, т-ры, перемешивания, состава электролита. Показано, что добавки Zn к электролиту Уотта повышают КП при 20° и почти не влияют при 50°. По сравнению с Zn-сернистой ванной катодное осаждение, Zn из Ni-электролита происходит при более отрицательном потенциале. Zn ведет себя как более благородный металл, осаждающийся преимущественно перед Ni. Повышение D и перемешивание электролита снижает, а повышение т-ры — увеличивает содержание Zn в Ni-осадке. Повышение



конц-ия Zn в электролите повышает КП и содержание Zn в осадке. Рентгенографически показано, что при одновременном осаждении Zn и Ni в зависимости от состава осадка образуются сплав смешанных  $\alpha$ -кристаллов, кубич. гранецентрированных,  $\gamma$ -фаза и Zn.  $\beta$ - и  $\delta$ -фазы отсутствуют. Сплав  $\gamma$ -фазы имеет рыхлую форму и темную окраску, поэтому при содержании Zn в р-ре или D, благоприятствующих образованию  $\gamma$ -фазы, качество Ni-осадков ухудшается. Предыдущее сообщение см. РЖХим, 1956, 62187. З. Соловьева

**69370. Пористость гальванических осадков. Одекеркен** (Piqures ou porosités des dépôts galvanostériques. Leurs remèdes dans des cas déterminés. Odekerken J. M.), Corros. et anticorros., 1956, 4, № 11, 403—407 (франц.)  
См. РЖХим, 1957, 55008.

**69371. Методы очистки металлической поверхности. Спенсер** (Proper cleaning methods pay dividends. Spencer Lester F.), Metal Finish., 1957, 55, № 4, 56—61 (англ.)

**69372. Обработка поверхности титана. Ришо** (Les traitements de surface du titane. Richaud H.), Corros. et anticorros., 1956, 4, № 11, 400—402 (франц.)  
См. РЖХим, 1957, 41803.

**69373. Методы отделки деталей из магниевых сплавов, полученных литьем под давлением. Стрит** (Finishing methods for magnesium alloy pressure die-castings. Street A. C.), Prod. Finish., 1957, 10, № 1, 50—58 (англ.)

**69374. Исследование вторичной структуры анодных пленок на алюминии методом окрашивания. I. О двух лежащих друг над другом главных слоев. Скулкидис, Каралис, Ментояннис** (Untersuchung der Sekundärstruktur von anodischen Deckschichten auf Aluminium durch Farbstoffaufnahmen. I. Über zwei aufeinander liegenden Hauptdeckschichten. Skulikidis Th., Karalis S., Mentoianannis P.), Kolloid-Z., 1956, 149, № 1, 6—10 (нем.)

Исследовалась вторичная структура анодных пленок на Al методом окрашивания органич. красителем. Анодирование Al (99.98%) производилось в 15%-ном р-ре  $H_2SO_4$  при т-ре 30° и напряжении формовки 18 в. Для окрашивания анодных пленок применялся 0.35%-ный р-р красителя «Ороханал RL» (Ciba); т-ра красильной ванны составляла 30°. Кол-во адсорбированного красителя определялось с помощью фотометра. При анодировании Al в  $H_2SO_4$  после компактного неокрашивающегося основного слоя образуется слой  $x_1-Al_2O_3$ , который находится в зоне так называемого главного слоя и является пористым. После прохождения более 8580  $к/дм^2$  начинается образование  $x_2-Al_2O_3$ . Слой  $x_2-Al_2O_3$ , находящийся также в зоне главного слоя, является компактным и кристаллографически идентичным с  $x_1-Al_2O_3$  (оба слоя состоят из  $\gamma-Al_2O_3$  и их можно поэтому обозначить как  $\gamma_1-Al_2O_3$  и  $\gamma_2-Al_2O_3$ ). Для слоя  $x_1-Al_2O_3$  действительно у-ние  $x^2 = K \cdot t_{окисл}$ , в котором  $x$  — кол-во поглощенного красителя после 2 мин. крашения,  $t$  — продолжительность анодирования и  $K$  — константа скорости, которая пропорциональна плотности тока. Для слоя  $x_2-Al_2O_3$  кол-во поглощенного красителя после 2 мин. не зависит от времени оксидирования и плотности тока. В присутствии  $x_2-Al_2O_3$   $x_1-Al_2O_3$  не окрашивается. П. Шиголов

**69375. Обнаружение химических защитных пленок на алюминии и его сплавах. Раффалович, Файрстон** (Detection of chemical protective films on aluminum and aluminum alloys. Raffalovich A. J., Firestone S.), Metal Finish., 1957, 55, № 4, 65, 67 (англ.)

Предложен метод обнаружения пленок на Al и его сплавах, полученных различными хим. способами (хроматные, фосфатные и окисные пленки), состоящий в том, что капля 2 н.  $SnCl_4$  р-ра наносится на предварительно обезжиренную органич. р-рителем металлическ. поверхность. В случае отсутствия искусства пленки энергичная р-ция начинается через 1—7 сек.; в результате р-ции появляется темное пятно в течение ~ 20 сек. При наличии пленки р-ция начинается, по крайней мере, через 20 сек., а время до образования на месте капли черного пятна составляет  $\geq 1$  мин. Если «химическая» пленка на Al служила в качестве грунтовки для лакокрасочных покрытий, то в этом случае лакокрасочная пленка предварительно удаляется органич. р-рителем или механич. путем, и затем на поверхность образца наносится капля указанного р-ра. П. Шиголов

**69376. Способ определения толщины анодной пленки. Предложено** А. С. Цега, Д. А. Дмитриева и В. Ф. Лихачева. Пром. энергетика, 1957, № 4, 19—20

Толщина анодной пленки определяется по величине пробивного напряжения. Приведена схема прибора и градуировочная кривая. Точность измерения  $\pm 1 \mu$ . М. Мельникова

**69377. Об анодном окислении меди и ее сплавов. Эднер** (Über die anodische Oxydation von Kupfer und Kupferlegierungen. Edner Hans), Metallw.-Ind. und Galvanotechn., 1957, 48, № 4, 157—159 (нем.)

Рассматриваются различные методы чернения поверхности Cu и ее сплавов и описан способ анодного окисления в щел. р-ре [150 г/л NaOH + 1 г/л  $Na_2WO_4$  или  $(NH_4)_2WO_4$ , т-ра 80—100°,  $D = 1-0.2$  а/дм<sup>2</sup>], дающий окисный слой толщиной до 3  $\mu$ , легко полирующийся и термостойкий до 200°. З. Соловьева

**69378. Покрытия титана способом погружения. Миллер, Джеффрис, Прей** (Conversion coatings for titanium. Miller P. D., Jefferys R. A., Pray H. A.), Metal Progr., 1956, 69, № 5, 61—64 (англ.)

При наличии скользкого контакта Ti с другими металлами наблюдается заедание, для предотвращения которого применяются два нижеописываемых способа обработки поверхности Ti. Наиболее удовлетворительное анодное покрытие получается в 5%-ном р-ре NaOH при т-ре 90°,  $D = 5.4$  а/дм<sup>2</sup>, время 20 мин. Для хим. покрытия сплавов Ti разработано 3 состава (в г/л), дающие хорошие результаты: 1)  $Na_3PO_4 \cdot 12H_2O$  50, KF  $\cdot 2H_2O$  20, р-р HF 11.5 (50, 3 вес. %), т-ра 85°, pH р-ра 5.1—5.2, время 10 мин; 2)  $Na_3PO_4 \cdot 12H_2O$  50, KF  $\cdot 2H_2O$  20, р-р HF 26 (50.3 вес. %), т-ра 26°, pH < 1.0 время 1—2 мин; 3)  $Na_2B_4O_7 \cdot 10H_2O$  40, KF  $\cdot 2H_2O$  18, р-р HF 16 (50.3 вес. %), т-ра 85°, pH 6.3—6.6, время 20 мин. Состав покрытия, полученного из ванны 1 (в %): фторид 39, фосфат 3, калий 25, Ti в виде комплексного соединения 17. Большое значение имеет время погружения и значение pH. Я. Лаппи

**69379. Окрашивание металлов. Хельтген** (Metallfärbungen. Hoeltgen Rolf), Metallwaren-Ind. und Galvanotechn., 1957, 48, № 5, 214, 215 (нем.)

Описано окрашивание железа в различные цвета. Состав р-ра (в г на 1 л  $H_2O$ ) для окрашивания в черно-коричневый цвет: NaOH 600,  $NaNO_2$  15,  $NaNO_3$  15, т-ра 140°. Для окрашивания в черный цвет: спирт 30,  $HNO_3$  20,  $FeCl_3$  75,  $CuSO_4$  50; добавляется смачивающее в-во. Для окрашивания в голубой цвет служит расплав  $NaNO_3$  при 320°. М. Мельникова

**69380. Фотометрическое определение молибдена в цинковом цианидном электролите. Лефтин** (The photometric determination of molybdenum in zinc cyanide plating solutions. Leftin J. P.), Plating, 1957, 44, № 4, 380—382 (англ.)

Описан улучшенный способ фотометрич. определения, отличающийся быстротой и точностью.

З. Соловьева

69381. Производство электролитического цинка в Австралии.— (Electrolytic Zinc Company of Australasia Ltd.—); Australas. Engr, 1956, 49, Dec., 98—100, 141—142 (англ.)

69382. Раствор для электроосаждения иридия. Овенден (An iridium plating solution. Ovensden P. J.), Nature, 1957, 179, № 4549, 39, Prod. Finish., 1957, 10, № 3, 62 (англ.)

Осаждение Ir на стальную проволоку производится из электролита состава (в г):  $\text{NH}_4\text{F}$  1,4,  $(\text{NH}_4)_2\text{BO}_3$  0,6, хлористый иридий 1,  $\text{H}_2\text{O}$  100 мл. После добавления этанола (0,5 мл) р-р кипятят, пока не исчезнет запах этанола. После фильтрования к р-ру добавляют конц.  $\text{NH}_4\text{OH}$  (0,1 мл) и объем р-ра доводят до 100 мл. Т-ра комнатная,  $D_n$  — 20  $\text{мг/см}^2$ . Анод — графит, электролизер имеет два отделения — анодное и катодное. Перед осаждением иридия сталь подвергается анодному травлению и на нее наносят Cu-подслой. Осадок — черный, хорошо сцепленный с основой, после полировки имеет темно-серый цвет.

З. Соловьева

69383. Определение меди в никелевых растворах. Дауни (The determination of copper in nickel solutions. Downey Thomas A.), Plating, 1957, 44, № 4, 383—385 (англ.)

Описано применение колориметрич. метода определения Cu (с 2,9-диметил-1,10-фенантролином) для анализа Ni электролитов на содержание Cu. Показано, что обычные загрязнения Ni-электролитов (Al, Cd, Cr, Co, Fe, Pb, Mn, Zn) и органич. бескислородователи не влияют на точность метода. Точность метода при содержании Cu 1  $\text{мг/л}$   $> \pm 5\%$ .

З. Соловьева

69384. Исследования гальванических ванн (для никелирования и хромирования). Гархёфер [Untersuchung galvanischer Bäder (Nickelbäder und Chrombäder). Garhöfer W.], Metallwaren-Ind. und Galvanotechn., 1957, 48, № 5, 205—206 (нем.)

Описаны методы анализа электролитов: определение Ni, Cu, Zn в  $\text{H}_2\text{SO}_4$ .

М. Мельникова

69385. Саморегулирующаяся ванна для массового хромирования деталей. Винтер (Selbstregulierende Chromelektrolyt in Massenverchromungsanlagen. Winter Hans-Joachim), Maschinenmarkt, 1957, 63, № 31-32, 116, 118 (нем.)

Описано применение саморегулирующейся хромовой ванны для массового хромирования мелких деталей в колоколах с автоматич. поддержанием постоянства состава электролита за счет установления хим. равновесия между солью в р-ре и на дне ванны.

З. Соловьева

69386. Аноды для хромовой ванны. Анодный материал, его поведение и устойчивость в ваннах для блестящего и твердого хромирования. Демель (Anoden für Chrombäder. Anodenmaterial, sein Verhalten und seine Beständigkeit in Glanz- und Hartchrombädern. Dehmel Günter), Metallwaren-Ind. und Galvanotechn., 1957, 48, № 4, 153—156, 164 (нем.)

Рассматриваются поведение и применение в ваннах блестящего и твердого хромирования анодов из различных металлов и сплавов (Pb, сплав Pb с 10% Sn, Pb + 3—6% Sb).

З. Соловьева

69387. Новый хромовый завод.— (New chrome plant completed.—), Industr. Finish., 1957, 9, № 106, 515 (англ.)

Описан гальванич. з-д для хромирования.

З. Соловьева

69388. Применение ионного обмена на современном заводе гальванических покрытий.— (Ion exchange in

a modern nickel-chromium plating plant.—), Electroplating and Metal Finish., 1957, 10, № 4, 116—118 (англ.)

Описана обработка электролитов для хромирования, меднения и никелирования.

З. Соловьева

69389. Окончательная обработка никеля и сплавов с высоким содержанием никеля. Спенсер (Finishing nickel and high nickel alloys. Spencer Lester F.), Metal Finish., 1957, 55, № 3, 50—55, 61 (англ.)

Рассматриваются различные виды механич. обработки изделий из Ni, монеля и никонеля (шлифовка, крацевание, матирование, полировка, голтовка).

С. Вячеславов

69390. Отделка мелких деталей на предприятии фирмы Адамс Райт. Клоз (How Adams Rite finishes small parts. Close Gilbert C.), Finish, 1956, 13, № 10, 36—38, 56 (англ.)

Описана технология покрытия и окончательной отделки мелких скобяных изделий и фиттингов для авиастроения на одном из з-дов в Глендале (США) (способы покрытия, толщины, методы обработки поверхности после покрытия и т. п.).

Я. Лапин

69391. Фильтрация в гальванотехнике. Штёккер (Die Filtration in der Galvanotechnik. Stöcker Erich), Metallwaren-Ind. und Galvanotechn., 1956, 47, № 10, 430—437 (нем.)

Предыдущее сообщение см. РЖХим, 1957, 8914.

69392. Применение монеля в гальванотехнике. Типман (Monel in der Galvanotechnik. Tippmann), Metalloberfläche, 1957, 11, № 6, 210 (нем.)

Описано применение монеля (63—72% Ni, 28—37% Cu и небольшие кол-ва Fe и Mn) для гальванич. обораудования.

М. Мельникова

69393 К. Цветное анодирование алюминия и его сплавов (свойства, установки и применение). Масеоз-Гро [Anodizado y coloreado del aluminio y sus aleaciones (Propiedades, instalación y aplicaciones). 2 ed. ampl. y puesta al día. Massuet Grau Vicente. Barcelona, Cedel, 1956, 108 p., 48,00 ptas] (исп.)

69394 К. Практика хромирования. Дарле. Перев. (Práctica del cromado. Darlay Andrés. Trad. Barcelona, Cedel, 1956, 84 p., 48,00 ptas) (исп.)

69395 П. Электролит для щелочных аккумуляторных элементов. Мурто (蓄性アルカリ電解液・武蔵雄雄). Японск. пат. 4363, 27.06.55

К водн. р-ру KOH или NaOH добавляют силикаты щел. металлов,  $\text{Na}_2\text{B}_4\text{O}_7 \cdot 10\text{H}_2\text{O}$  и какие-либо водорастворимые соединения хлора, напр.  $\text{ZnCl}_2$ , и все это хорошо перемешивают. Примеры: 1)  $2\text{KOH} + \text{ZnCl}_2 = \text{Zn}(\text{OH})_2 + 2\text{KCl}$ ; 2)  $2\text{KOH} + \text{ZnO} + 2\text{HCl} = \text{Zn}(\text{OH})_2 + 2\text{KCl} + \text{H}_2\text{O}$ . Использование в качестве электролита р-ров одних лишь едких щелочей хотя и дает возможность получать ток большой силы при непрерывной разрядке элементов, но при перемежающейся разрядке сила разрядного тока падает с каждым разом. Добавление же к щел. электролитам хлористых соединений хотя и не дает возможности при непрерывной разрядке получать сильный разрядный ток, но зато дает возможность усилить разрядный ток при перемежающейся разрядке. В этом случае образующиеся газы во время прекращения разряда поглощаются графитом или другими углеродистыми в-вами и тем самым тормозится образование комплексных солей, что в свою очередь задерживает в какой-то мере увеличение внутреннего сопротивления элемента и, следовательно, дает возможность использовать в полной мере мощность элемента.

З. Завьялов

69396 П. Электролитический конденсатор с нитридом титана (Titanium nitride electrolytic condenser)

[Standard Telephones & Cables, Ltd]. Англ. пат. 730160 18.05.55

Патентуется электролитич. конденсатор с Ti-электродом, покрытым путем обработки  $N_2$  при  $800^\circ$  слоем Ti-нитрида. Ti-электрод отделен от Al-электрода слоем бумаги, пропитанной боратами триэтилоламина и гликоля. Электродный пакет запрессован в оболочку из бумаги, пропитанной стиролом. Если т-ра при образовании нитрида  $\leq 800^\circ$ , слой получается достаточно прочным, чтобы выдержать процесс запрессовки в оболочку.

**Б. Герчиков**  
69397 П. Герметизация и конструкция борнов электролитических устройств. Бреннан (Closure and terminal construction for electrolytic devices. Brennan J. B.). Англ. пат. 734863, 10.08.55

В горловину цилиндрич. бачка, которая по периметру имеет желоб, вставлены два эластичных (резиновых) желобчатых кольца, прижатых к желобу горловины крышкой. Борны в виде тонких лепестков или полосок металла пропущены между этими уплотняющими кольцами и зажаты ими так, что бачок полностью герметизирован.

**Б. Герчиков**  
69398 П. Анодное травление металлов. Грюсс (Anodisches Maßbeizen von Metallen. Grüß Heinz). [Siemens-Schuckertwerke A.-G.]. Пат. ФРГ 953757, 6.12.56

Способ анодного травления металлов отличается составом р-ра, который, кроме к-ты, содержит соль обрабатываемого металла и основной к-ты при конц-ии, в несколько раз превышающей конц-ию к-ты, или при конц-ии насыщения. В частности, для травления Fe применяются р-ры, содержащие 50 см<sup>3</sup> конц.  $H_2SO_4$  и 400 г  $FeSO_4$  на 1 л.  $D$  к 0,5—5 а/дм<sup>2</sup>. Преимущество способа заключается в равномерном и независимом от состава металла травлении и в простоте согласования скорости травления и скорости следующего за травлением гальванич. процесса (регулируемостью).

**З. Соловьева**  
69399 П. Способ электрохимической обработки металлических изделий с целью снятия поверхностных слоев. Рёйсс, Бек (Verfahren zur elektrochemischen Behandlung von Metallkörpern zwecks Abtragens von Oberflächenschichten. Reuss Victor, Beck Richard). [Dynamisator G. m. b. H.]. Пат. ФРГ 885333, 29.11.56

Процесс электрохим. травления и полирования металлич. поверхностей перед последующим покрытием отличается тем, что между процессами катодного обезжиривания в щел. р-ре и анодной обработки в кислом р-ре изделие подвергается действию переменного тока низкой частоты в кислом р-ре, после чего следует анодная обработка. Частота переменного тока ниже 100 периодов. Время обработки 0,5—5 мин. Процесс дает высокую степень очистки поверхности и пригоден для всех металлов.

**З. Соловьева**  
69400 П. Получение фтора электролизом расплавленных солей (Production of fluorine by the electrolysis of fused salts). [Imperial Chemical Industries, Ltd]. Англ. пат. 731066, 1.06.55

Процесс получения  $F_2$  электролизом жидкой смеси одного из фторидов K, Rb или Cs и HF отличается тем, что  $F_2$  отводится через угольный анод, имеющий внутри полость. Поверхность угля, опущенная в электролит, работает как анод, причем скорость образования  $F_2$  на аноде соответствует общему кол-ву  $F_2$ , способному проходить через анод. Общая пропускная способность угольного анода соответствует пределу от 0,0327 до 327 дм<sup>3</sup> воздуха в 1 мин. на 1 дм<sup>2</sup> поверхности при толщине стенки 2,54 см и давлении воды 5 см. Верхняя часть анода изолируется цементом. Проницаемость  $F_2$  через анод может быть увеличена путем применения угля большой проницаемости,

уменьшения толщины стенок анода, увеличения гидростатич. давления на поверхность анода, применением положительного давления со стороны электролита или отрицательного давления изнутри анода.

**З. Соловьева**

**См. также:** Плотности тока, потенциалы и весовые потери металлов в гальванич. элементах с акцепторами электронов  $H_2O^+$  и  $O_2$  68497. Электрокристаллизация Cd 68483. Электролиз расплавов  $CaO-SiO_2-Al_2O_3$  68495. Определение Mg в катодном Ni 69131. Меркуриметрич. определение цианидов в медноцианистых ваннах 69187. Механизм: электрополировки 68487; образования хлоратов 68493. Электроокисление о-толуолсульфамида до имида о-сульфобензойной к-ты 69857. Электроанный рН-метр 69229. Автоматизация процессов электропокрытий 70733. Коррозия в цехах электролиза 70600. Сточные воды гальванич. цехов 69612—69615

## КЕРАМИКА.

### СТЕКЛО. СТРОИТЕЛЬНЫЕ МАТЕРИАЛЫ

#### Общие вопросы

Редакторы П. П. Будников, С. И. Горелкина, А. С. Пантелеев

69401. Определение линий ликвидуса при  $1600^\circ$  и  $1700^\circ$  в стабильных полях  $CaO-2Al_2O_3$  и  $Al_2O_3$  системы  $CaO-Al_2O_3-SiO_2$ . Лангенберг, Чипман (Determination of  $1600^\circ$  and  $1700^\circ$  Liquidus lines in  $CaO-2Al_2O_3$  and  $Al_2O_3$  stability fields of the system  $CaO-Al_2O_3-SiO_2$ . Langenberg Frederick C., Chipman John). J. Amer. Ceram. Soc., 1956, 39, № 12, 432—433 (англ.)

Производилась проверка линий ликвидуса при  $1600^\circ$  и  $1700^\circ$ , определенных Ранкином и Райтом, в стабильных полях  $CaO-2Al_2O_3$  и  $Al_2O_3$  системы  $CaO-Al_2O_3-SiO_2$ . Равновесие достигалось через 8 час. при введении стержня из  $Al_2O_3$  в расплавленный состав (при  $1600^\circ$  или  $1700^\circ$  соответственно). Равновесные составы подвергались хим. анализу по всем трем окисным компонентам. На основании эксперим. данных проведены изотермы  $1600^\circ$  (I),  $1700^\circ$  (II), пограничная кривая III между стабильными полями  $CaO-2Al_2O_3$  и  $Al_2O_3$  и определены точки пересечения I и II с линией  $CaO-Al_2O_3$  (IV); III с I и II, а также I и II с IV. Установлено, что расположение изотермы  $1700^\circ$  несколько отличается от описанного ранее; по изотерме  $1600^\circ$  получено хорошее совпадение с литературными данными.

**Г. Заводная**  
69402. Исследование металлокерамических материалов в системе Cr—Ti—O. Арбитер (Preparation and evaluation of Cr-Ti-O compositions. Arbitr William). Powder Metallurgy Bull., 1956, 7, № 3-6, 65—68 (англ.)

Предварительные исследования бинарных интерметаллич. соединений в системе Cr—Ti показали на перспективность соединения  $Cr_2Ti$ , однако его жаропрочность оказалась относительно низкой. Было проведено дополнительное, рекогносцировочное исследование влияния O-содержащих добавок на свойства металлокерамич. материалов в системе Cr—Ti—O. Образцы готовили из порошковых материалов в виде  $Cr_2O_3$ ,  $TiO_2$  или  $TiO$ . Смеси порошков предварительно обжигали в среде очищ.  $H_2$  или Ag или в вакууме  $10^{-4}$  мм, измельчали до получения зерен размером в среднем  $\sim 5 \mu$ ; прямоугольные образцы  $25 \times 10 \times 5$  мм готовились методом горячего прессования в графитовых формах. Хим. состав варьировался в пределах (в ат.



%) : Cr 15,7—92,9, Ti 3,9—47,4, O<sub>2</sub> 2,5—40,1. Фазовый состав определяли по результатам хим. и рентгеноструктурных анализов; в зависимости от хим. состава в образцах были обнаружены в различных комбинациях и соотношениях следующие фазы:  $\beta$  — богатый Cr твердый р-р Cr-Ti,  $\gamma$  — тройное соединение  $Ti_3Cr_2O_5$ ,  $\epsilon$  — бинарное соединение  $Cr_2Ti$  и  $TiO$ . Даны электрофиз. характеристики образцов различных составов. Исследование показало, что некоторые составы в системе Cr—Ti—O обладают хорошей жаропрочностью, однако ввиду низкой ударной вязкости их применение в реактивных двигателях, по-видимому, неосуществимо. Поскольку проведенная работа носила поисковый характер и испытанные составы были выбраны произвольно, предполагается, что дополнительное исследование приведет к получению более многообещающих результатов.

**В. Злочевский**  
**69403. Изучение веществ, имеющих структуру ильменита. I. Физические свойства керамики из синтезированных  $FeTiO_3$  и  $NiTiO_3$ . Исикава, Савада** (The study on substances having the ilmenite structure. I. Physical properties of synthesized  $FeTiO_3$  and  $NiTiO_3$  ceramics. Ishikawa Yoshikazu, Sawada Shozo), J. Phys. Soc. Japan, 1956, 11, № 5, 496—501 (англ.)

Приведен синтез  $NiTiO_3$  спеканием  $NiO + TiO_2$  (I) и  $FeTiO_3$  спеканием  $Fe_2O_3 + TiO_2 + Fe$  (II). Из-за склонности к окислению синтез  $FeTiO_3$  проводился в вакууме, причем получались образцы двух видов: медленно охлажденные и закаленные. Измерялись коэф. линейного расширения, электропроводность, эффект Зеебека, диэлектрич. постоянная, магнитная восприимчивость в широком температурном интервале. Найдено, что электрич. и магнитные свойства спеченного II сильно отличаются от таковых I, а свойства закаленного II ближе к свойствам I. Отсюда ясно, что свойства I являются типичными для структуры ильменита. При обсуждении результатов внимание обращается на связь между структурой ильменита и ее магнитными свойствами и на механизм электропроводности. Показано, что в решетке ильменита не может быть взаимодействия спинов  $Fe^{+2}$  и  $Ti^{+4}$ , так как  $Ti^{+4}$  имеет нулевой спин, чем объясняется низкая точка Кюри и другие магнитные свойства, в противоположность  $\alpha$ -гематиту, где спины  $Fe^{+3}$  могут взаимодействовать, приводя к спонтанному намагничиванию. Приведен механизм проводимости посредством  $d$ -электронов и показана роль ионов  $Ti^{+4}$  в качестве разбавителя взаимодействия  $d$ -электронов 2-валентных металлов (в случае  $NiTiO_3$  — полное разбавление).

**Г. Заводная**  
**69404. Применимость метода вычисления площадей пиков для количественного дифференциального термического анализа. Жослен-де-Понг** (Verification of use of peak area for quantitative differential thermal analysis. Josselin de Jong G. de), J. Amer. Ceram. Soc., 1957, 40, № 2, 42—49 (англ.)

Для колич. интерпретации диаграмм дифференциального термич. анализа путем измерения площадей пиков необходимо вводить фактор калибровки применяемой аппаратуры. Ф-лы Берса позволяют вычислять этот фактор, учитывая наиболее важные причины ошибок: изменчивость распределения тепла в образцах и потери тепла через спай термпары. Автор проверил экспериментально эти ф-лы при помощи в-в с известными теплотами р-ций. Измерялась величина площадей пиков цилиндров, образцов разных диаметров и высот: наибольший пик соответствовал образцу 11 мм диам. и 10 мм высоты. Оптимальное отношение радиуса спая к радиусу образца 0,2. Потери тепла через спай термпары способны уменьшить в 5 раз площадь пиков. Последняя определяется не столь общим

кол-вом в-ва, как плотностью образца вблизи спая. Необходимо, чтобы объем и плотность образца оставались постоянными. Нужно смешивать испытуемое в-во с инертным, чтобы приблизить теплопроводность и плотность упаковки образца к таковым инертного в-ва и избежать влияния усадки, спекания или плавления.

**А. Говоров**  
**69405. Некоторые методы дисперсионного анализа для оценки тонины керамических исходных материалов. Джонсон** (Some sedimentation methods of assessing fineness of ceramic raw materials. Johnson R.), Trans. Brit. Ceram. Soc., 1956, 55, № 4, 237—266 (англ.)

Описаны методы дисперсионного анализа. Недостатком пипеточного метода Андреазена является его зависимость от частоты отбора проб и от конструкции прибора, в связи с чем этот метод не может применяться в качестве арбитражного. Метод, основанный на светорассеянии, позволяет быстро производить сравнение дисперсности разных образцов, однако получаемые результаты неточны и метод неприемлем для определения зернового состава. Поплавковые приборы наиболее широко применяются, по-видимому, в пром-сти глиняных изделий; в Британской ассоциации керамических исследований (БАКИ) успешно применяется метод, основанный на замере уровня погружения в исследуемую суспензию тарированных стеклянных шариков, наполненных Fe-порошком, и этот метод дает сходящиеся показания с поплавковыми приборами. Седиментометрич. взвешивание применяется в центробежном методе БАКИ для определения зернового состава тонких материалов; метод гравитационной седиментации, хотя и является сложным, однако существует более удобные и быстрые методы. Косвенный гидростатич. метод недостаточно удобен и неточен; прямой гидростатич. метод более удобен, но не дает стабильных результатов.

**В. Злочевский**  
**69406. Развитие неоднородных потоков в условиях электроосмоса в насыщенных глинистых минералах. Роллинс** (The development of non-homogeneous flow condition during electro-osmosis in a saturated clay mineral. Rollins Ralph L.), Highway Res. Board. Proc. 35. Washington, 1956, 686—692 (англ.)

**69407. Разделение сыпучих материалов на фракции в воздушном потоке. Шубле** (Kristalle- und Kornklassierungen auf strömungstechnischem Wege. Schuble K.), Keram. Z., 1956, 8, № 11, 557—558; Pharmaz. Ind., 1957, 19, № 1, 28—30 (нем.)

Описание промышленного воздушного сепаратора для разделения сыпучих материалов на фракции 0—3 мм и 3—6 мм. Вполне удовлетворительные результаты были получены при фракционировании кварца, песка и т. п.

**Л. Плотиных**  
**69408. О значении глинистых субстанций и глин для естественных и технических наук. Лангер-Кузнярова** (O znaczeniu ilow i glin dla nauk przyrodniczych i technicznych. Langier-Kuźniarowa Anna), Przegl. geol., 1957, 5, № 3, 102—105 (польск.)

Поставлен вопрос о необходимости более детального изучения для естественных наук в пром-сти ПНР глинистых субстанций, пластичных и тощих глин. К пластич. мелкозернистым автор относит породы с размером зерен > 0,05 мм, к пелитам — водонепроницаемые глины, килы, с размером частиц 0,05—0,005 мм, а к глинистой субстанции — породы с частицами < 0,005 мм. Дана краткая характеристика указанных 3 групп пород, перечислены глинистые минералы и важнейшие области использования дисперсных глинистых пород (напр., для получения  $Al_2O_3$  вместо использования для этой цели дефицитных бокситов).

**С. Глебов**

69409. Бентонитовые глины Каракалпакии и Восточного Приаралья. Сагунов В. Г., Изв. АН КазССР. Сер. геол., 1956, № 25, 48—56 (рез. каз.).

Приведены свойства поглощающих монтмориллонитовых бентонитовых глин состава (в %):  $\text{SiO}_2$  50—89,  $\text{Fe}_2\text{O}_3$  1,5—2,0,  $\text{Al}_2\text{O}_3$  15—24,  $\text{CaO}$  0,75—3,  $\text{MgO}$  1,8—4,  $\text{SO}_3$  0,3—3,  $\text{Na}_2\text{O} + \text{K}_2\text{O}$  3; п. п. н. ~ 10, залегающих на значительной площади в районе р. Аму-Дарьи. Эти глины можно использовать также для очистки и осветления нефтепродуктов для рафинирования масел и как наполнитель в резиновой и бумажной пром-сти. Л. Плотников

См. также: Образование кристаллич. алюмосиликатов 68538

### Керамика

Редакторы С. В. Глебов, С. И. Горелкина, В. В. Клыкова

69410. Библиографическая классификация по керамической промышленности (комментарии). Альм, Лануэж (Classification bibliographique pour l'industrie céramique. (Commentaires). Halm L., m-lle, Laroujède P., m-me), Ind. céram., 1957, № 484, 73—78 (франц.).

Излагается разработанная технич. и научной комиссией Федерации производства огнеупорных изделий во Франции новая система классификации керамич. библиографии, доложенная Международному керамическому конгрессу в сентябре 1956 г. в Вене. С. Туманов

69411. Определение количества пластичных и отощающих материалов в керамических массах. Гамбург С. С., Стекло и керамика, 1957, № 3, 27—28

Для данной массы п. п. п. пропорциональны содержанию в ней пластичных материалов. За основу принимаются расчетные п. п. п. данной массы, которые соответствуют заданному кол-ву пластичных. С ними сравниваются действительные п. п. п. массы, соответствующие действительному содержанию в ней пластичных. Отощающие получают по разности от 100%. Г. Масленникова

69412. Зависимость электрического напряжения высоковольтного фарфора от его пористости. Моргенштерн (Die elektrische Beanspruchung von Hochspannungsporcellan unter Berücksichtigung der Poren im Isolierstoff. Morgenstern Gerhard), Silikattechnik, 1957, 8, № 1, 7—10, 23 (нем.; рез. англ., русск.).

Рассматривается механизм возникновения разрядов в порах высоковольтного фарфора, приводящих к пробой изоляции и являющихся причиной повреждения линий передачи. Показано, что особо важную роль в этом механизме играют процессы, протекающие в порах фарфора. Поэтому тщательная проверка пористости изоляторов (напр., с помощью ультразвука) в связи с увеличением напряжений на линиях передачи приобретает все большее значение. Г. Масленникова

69413. Изготовление монолитных фарфоровых изоляторов на 220 кВ. Шнейдер (Die Herstellung einheitlicher großer Porzellan-Körper bis 220 kV. Schneider W.), Sprechsaal Keramik, Glas, Email, 1957, 90, № 7, 151—152 (нем.).

Для изготовления полых крупногабаритных изоляторов предлагается новый метод оформления полуфабриката — вытяжка цельнотянутых цилиндров. заготовок с помощью вертикального вакуум-пресса и последующая обточка этих заготовок. Этим методом

изготовлены в полуфабрикате фарфоровые изоляторы на 220 кВ (размеры полуфабриката: длина 2,95 м, внутренний диам. 530 мм, наружный 880 мм). Новый метод оформления изоляторов позволяет получать более качествен. изоляторы и дает возможность механизировать и рационализировать производственный процесс. Г. Масленникова

69414. Старение диэлектрических свойств поликристаллического титаната бария. Плеснер (Ageing of the dielectric properties of barium titanate ceramics. Plessner K. W.), Proc. Phys. Soc., 1956, B69, № 12, 1261—1268 (англ.).

Исследовано изменение в зависимости от времени (t) диэлектрич. проницаемости (ε) и фактора потерь (tg δ) титаната Ва и некоторых его твердых р-ров. Показано, что оба свойства уменьшаются линейно с log t, при этом явление старения выражается более четко у состава (90%  $\text{BaTiO}_3$  + 10%  $\text{SrTiO}_3$ ) + 0,5%  $\text{MgF}_2$ , чем у чистого  $\text{BaTiO}_3$ . Приведены частотные характеристики tg δ до и после старения. Предложена теория, постулирующая, что как ε, так и tg δ находятся в большой зависимости от смещения доменных стенок и что доменные стенки, вследствие термич. обработки образца, постепенно смещаются в более устойчивые и менее поляризуемые состояния. А. Черепанов

69415. Опыт производства санитарной керамики за границей. Томан (Zkušenosti z výroby zdravotní keramiky v zahraničí. Toman Antonín), Sklár a keramik, 1957, 7, № 2, 46—47 (чешск.).

Описано произ-во санитарной керамики на 2 заводах Швейцарии. С. Глебов

69416. Кристаллизация расплава золы кукурерита. Кийлер М. А., ЭстССР. Сер. техн. и физ.-матем. н., 1956, 5, № 4, 267—275 (рез. эст., англ.).

Выяснилась возможность применения расплавленной сланцевой золы для каменного литья. Образцы золы нагревались в платиновых тиглях при t-рах от 1260 до 1100° и выдерживались от 20 мин. до 2 час. Петрографич. исследование показало, что кристаллизация расплава начинается при 1255°, причем сначала выделяются кристаллы меллита. При 1200° появляются псевдоволастонит и воластонит. Залатка образцов при 1210° вызывает образование скелетных форм кристаллов меллита. Наиболее интенсивная кристаллизация расплава происходит в интервале t-р 1100—1150°. Добавка к расплаву 1% хромитового порошка снижает t-ру отжига на 80—100°. Хим. стойкость закристаллизованного сланцевого камня очень низкая (~ 80% по ГОСТ 473-53). Повышение хим. стойкости достигается путем плавки более кислой смеси (напр., 70% золы кукурерита и 30% диэтиленового сланца); при кристаллизации этого расплава получается материал с кислотостойкостью 93%. Эти расплавы кристаллизуются медленно. Л. Плотников

69417. Ферриты и их промышленное применение. Казн (Les ferrites, leurs applications industrielles. Cahen L.), Techn. mod., 1957, 49, № 1, 9—14 (франц.). Обзор. Б. Сомия

69418. Сорбционное увлажнение некоторых местных неорганических строительных материалов. Полозов Л. Г., Изв. АН ЭстССР. Сер. техн. и физ.-матем. н., 1956, 5, № 4, 255—266 (рез. эст., нем.).

Описан процесс сорбции водяного пара капиллярно-пористыми кол. сорбентами. Приведена схема и описание установки для определения равновесной влажности материалов динамич. методом. Изложены гипотезы, объясняющие явление сорбционного гистерезиса. В циклах сорбции — десорбции испытывался пенобетон, изготовленный на сланцевольных вяжущих в-вах. Дан расчет изотерм сорбции — десорбции для различных t-р по одной изотерме на основании теории Поляни. Установлено, что сорбционное увлажнение сланце-

зольных и известково-песчаных строительных материалов мало меняется в зависимости от т-ры.

Л. Плотников

69419. Применение декарбонизации углекислого бария при изучении процессов формирования черепка кирпича. Соколов Я. А. В сб.: 15-я науч. конференция Ленингр. инж.-строит. ин-та, Л., 1957, 467—468. За изменениями минералогич. состава, происходящими в керамич. массе во время ее обжига, можно проследить по связыванию специально введенного в состав массы шпателя, напр.  $\text{BaCO}_3$ . При этом выделение  $\text{CO}_2$  может служить критерием связывания  $\text{BaO}$  глиной.

Т. Ряховская

69420. Эффективное средство повышения качества кирпича. Сергеев Г., Строит. материалы, 1956, № 12, 27—28.

На основании результатов эксперим. работ, проведенных на 4 з-дах, рекомендуются мероприятия по устранению свилеватой структуры кирпича при формовке на вакуум-прессе. Разработана методика определения коэф. структурности изделий, позволяющая любой заводской лаборатории в короткие сроки установить оптимальную шихту. Коэф. структурности является отношением миним. прочности на разрыв сырьца к максим. Для достижения коэф. структурности, близкого к 1, предлагается соблюдать следующие условия. Глубину разрежения в вакуум-камере держать  $\geq 680$ —700 мм рт. ст., подавать в вакуум-камеру возможно меньшие куски глины и пользоваться отощителем с миним. кол-вом зерен размером  $< 0,5$  мм. Приведены таблицы зависимости коэф. структурности от величины вакуума и кол-ва отощающего материала. Д. Шапиро

69421. Результаты испытания ползучести (крипа) насадочного кирпича для воздухонагревателей. Барон (Résultats d'essais de fluage sur rüchages d'appareils Cowpers. Bar on J.), Silicates industr., 1956, 21, № 10, 397—404. Discuss. 404 (франц.)

Исследована ползучесть (П) при сжатии 3 марок шамотного насадочного кирпича (Н1, Н2, Н3). Н1 и Н2 были изготовлены методом пластичного формования, Н3 — полусухого прессования. Содержание  $\text{Al}_2\text{O}_3$  (у Н1, Н2 и Н3 соответственно): 39,9, 33,6, 41,8; кажущаяся пористость: 30, 26,3, 19%; огнеупорность: 1720, 1690, 1720°; газопроницаемость: 0,11—0,15, 0,04—0,14, 0,010—0,020 ед. CGS; т-ра 0,5%-ного сжатия 1270, 1235, 1435°. П определяли на видоизмененном приборе для определения деформации под нагрузкой при 1150, 1200 и 1250° для Н1 и Н2 и при 1250, 1300 и 1350 для Н3, под нагрузками 0,5, 1 и 2 кг/см<sup>2</sup>; точность поддержания т-ры  $\pm 1^\circ$ . Размеры образцов диам. 34, высота 50 мм, длительность испытания 50—100 час. При 1250° деформация под нагрузкой 2 кг/см<sup>2</sup> через 50 час. у Н1, Н2, Н3 составляла соответственно 3,56, 2,34 и 0,22%. Эти данные показывают, что ползучесть Н1 больше, чем у Н2, несмотря на более высокую огнеупорность и повышенное содержание  $\text{Al}_2\text{O}_3$  у Н1. Это явление объяснено повышенной пористостью Н1. Незначительная П Н3 также объясняется малой пористостью и высокой степенью однородности образца, что характеризуется малым разбросом значений газопроницаемости. Испытание материала на П при сжатии обеспечивает получение в лабор. условиях данных, наиболее полно характеризующих эксплуатационные свойства огнеупоров. Структура, пористость и газопроницаемость влияют на П в большей степени, чем огнеупорность. Результаты испытаний подтвердили, что П шамотных огнеупоров подчиняется ур-нию:  $\Delta = A \cdot Z^a \cdot P^b \cdot e^{cT}$ , где  $Z$  — время,  $P$  — нагрузка,  $T$  — абс. т-ра,  $A, a, b, c$  — константы материала. В. Злочевский

69422. Опыт перевода кольцевой печи и камерной сушилки на совмещенную работу по принципу единого

теплого потока. Дмитриевич А. Д., Сб. научн. работ. Н.-и. ин-т стройматериалов М-ва пром-сти строит. материалов БССР, 1957, № 5, 154—177.

Приведены теплотехнич. испытания кольцевой печи и камерной сушилки на Могилевском кирпичном з-де. Описана методика испытаний. Представлены схемы расположения газовых каналов, графики обжига и тепловые балансы печи и сушилки до и после перевода участка на единый тепловой поток. В результате проведенных исследований доказана целесообразность совместной работы печи и сушилки. В результате этого достигается более равномерный обжиг, снижается брак, сокращаются сроки сушки (на 23%) и сроки обжига (на 34%) и расход топлива снижается на 30—40%. Отпадает необходимость в сооружении спец. подтопков для получения агента сушки, в связи с чем сокращается рабочая сила, упрощается схема каналов и создаются более благоприятные санитарно-гигиенич. условия труда при садке и выгрузке. Библ. 10 назв.

Д. Шапиро

69423. Рациональные садки кирпича для туннельных печей. Дмитриевич А. Д., Сб. научн. работ. Н.-и. ин-т стройматериалов М-ва пром-сти строит. материалов БССР, 1957, № 5, 24—40.

Обзор по вопросу интенсификации обжига кирпича. Для достижения более совершенных процессов внешнего и внутреннего теплообмена проверены различные типы садок при обжиге кирпича в туннельных печах, из которых отобраны наиболее рациональные. Дается метод расчета конструкции садки при наличии температурных расслоений газового потока по сечению обжигательного канала печи. Библ. 14 назв. Д. Шапиро

69424. Организация труда при работе кольцевых печей на двух огнях. Горюхинов И., Строит. материалы, 1957, № 4, 32—33.

Описывается режим работы на двух огнях 4 кольцевых печей Черемушкинского кирпичного з-да (20- и 26-камерных), позволивших получить средний сьем с 1 м<sup>3</sup> обжигательного канала в 2620 шт. кирпичей в месяц. Указываются основные мероприятия, обеспечивающие высокий сьем (на каждый огонь один обжигальщик, садку ведут два садчика, используя электрооткатку с помощью передаточной тележки и карусельные вагоны, точное соблюдение режима, садка — сплошной «елкой», плотностью 190—200 шт. кирпича на 1 м<sup>3</sup> печного объема, равномерность подачи сырья и выгрузки кирпича, которая осуществляется применением поддонов и тележки Шаркова). Для точного соблюдения режима обжига в цеховом журнале регистрируются подробные сведения, система зарплат предусматривает заинтересованность обслуживающего персонала как в кол-ве, так и качестве продукции. В глину добавляют опилки в кол-ве 20—25 об. % и подмосковного угля или котельного шлака 1,5—3% в зависимости от рода изделия (стандартный кирпич, дырчатый, керам-блоки).

М. Степаненко

69425. Определение условий обжига средневековых печных изразцов по найденным образцам. Дума (Középkori kályhacsempe égetési körülményeinek utólagos meghatározása. Duma György), Építőanyag, 1956, 8, № 9, 344—349 (венг.)

При подготовительных работах по восстановлению дворца на Вархед (Будапеште) были найдены печные изразцы XV века. Были произведены опыты по определению состава черепка и покрывающей его глазури. Для установления т-ры и продолжительности обжига глазури было использовано явление образования при обжиге промежуточного слоя вследствие взаимодействия глазури керамич. черепка. На очищ. и отшлифованную поверхность старого изразца наносился слой глазури, снятый предварительно с изразцов, и производился обжиг. Другой изразец покрывался обычной



современной гончарной глазури. В обоих случаях оптимальная т-ра обжига 800°. При этой т-ре начинается взаимодействие глазури с черепком и образование промежуточного слоя, которое достигает полной меры при обжиге при той же т-ре в течение 4 час. Наряду с этим в течение 1 часа производится обжиг старого глазурированного изразца. Промежуточный слой имел тот же характер и цвет. Таким образом на образование промежуточного слоя влияет только продолжительность обжига. В XV веке обжиг глазури производился при 800° в течение 2,5—3 час.; обжиг черепка производился при т-ре ~960°.

**69426. Установка и пуск в ход автоматической энергетической группы на одном заводе огнеупоров. Ардуэн** (Installation et mise en route d'un groupe de secours entièrement automatique dans une usine de produits réfractaires. Ardouin J.), Silicates industr., 1957, 22, № 3, 145—150 (франц.)

С целью предохранения оборудования особенно горелок туннельной печи в случае перерывов в подаче электроэнергии на одном з-де огнеупоров была сконструирована аварийная энергетич. группа. Группа состоит из аккумуляторной батареи и автоматич. электрич. пускового механизма, который включает в действие двигатель дизеля с электрич. генератором, подачу охлаждающей воды, подогрев мазута и прочие устройства за время  $\leq 30$  сек. после включения. В случае несрабатывания пускателя предусмотрены 2 реле времени, которые автоматич. включают другие пускатели. Установка безотказно работает в течение 2 лет. Приведены электрич. схема устройства и распределительного щита.

**69427. Об унифицировании размеров капсул. Вассилер** (Върху унифициране размерите на капсулите. В а с и л е р П.), Лека промишленост, 1957, 6, № 1, 14—18 (болг.)

Для увеличения срока службы капсул, снижения их веса и более полной загрузки печи предлагается: уменьшить размеры капсул, изменить их конфигурацию, скругляя острые углы и ребра. Это значительно снижает себестоимость фарфоровых изделий.

**69428. Свойства нагревателей из карбида кремния и их применение в технике. Бюхлер** (Die Eigenschaften von Glühstäben aus Siliziumkarbid und ihre Anwendung in der Technik. Büchler H.), Elektrizitätsverwertung, 1957, 31, № 12, 332—337 (нем.; рез. англ., франц.)

Описаны свойства и области применения карбидных нагревателей (КН), получивших широкое применение в технике электронного нагрева. Рабочая т-ра печей с КН 1000—1450°, кратковременно до 1550°. Срок службы КН (1000—10 000, в отдельных случаях до 18 000 час.) обусловлен скоростью их старения, т. е. повышения электросопротивления вследствие окисления SiC в службе. Свойства КН: об. в. 3,2—3,3 г/см³, твердость 9,5—9,7, уд. электрич. сопротивление 1000—5000 ом мм²/м; СО, N₂, H₂ почти не действуют на КН, СО₂ действует лишь при очень высокой т-ре. Воздух начинает окислять КН > 850°. O₂ более активен. Пары и расплавы щелочей, сульфитов, сульфидов, боратов, многих солей, перегретый водяной пар, расплавленные металлы разрушают КН. Электрич. сопротивление КН в холодном состоянии выше, чем в нагретом. Разница между начальным и максим. током может достигать 40—60%, между максим. и номинальным 20%. При разогреве от 750 до 1450° и выше электросопротивление снова повышается и КН автоматич. регулируют потребляемую мощность. Старение КН ускоряется с повышением т-ры. Практич. пределом службы КН является увеличение их электросопротивления в 4 раза, после чего наступает перегорание. Полное использование КН требует резерва на-

пряжения в трансформаторах. По способу оформления концов различают 3 типа КН: 1) состоящие из 3 ч.: собственно нагревателя и 2 керамич. контактов с низким электросопротивлением; срок службы последних > в 2—5 раз, чем нагревателя; 2) с муфтами на концах (силитовые) с приваренными низкоомными керамич. контактными выводами.

**69429. Повышение производительности ленточного пресса КРОК-3 (Первого заводского выпуска). Скрыльников С. П.**, Новая техн. и передов. опыт в стр-ве, 1957, № 3, 17—18

Для повышения производительности пресса КРОК-3 первого выпуска более чем в два раза рекомендуется его реконструкция (замена в цилиндр, части пресса прерывного шнека непрерывным и приварка полос на внутреннюю рубашку конич. части цилиндра). Скорость вращения шнекового вала увеличивается до 24—27 об/мин. при потребляемой мощности 38—40 квт. Приведены чертежи реконструкции.

**69430. Новый вакуум-пресс для изготовления электрофарфоровых изделий. Коган С. Б.**, Строит. и доп. машиностр., 1957, № 2, 12—13

Описываются основные узлы вакуум-пресса СМ-241, предназначенного для изготовления полых труб-заготовок изоляторов из фарфоровой массы пониженной влажности (17—19%). Средняя производительность пресса 8 т фарфоровой массы в 1 час. Потребляемая мощность 55 квт. Устойчивый и постоянный вакуум составляет 96—97%. Вакуум-пресс СМ-241 успешно эксплуатируется на одном из изоляторных з-дов, где на нем формируются заготовки диам. 810—500 мм, длиной 1700 мм и диам. 520—300 мм, длиной 1000 мм.

**69431. Ленточный вакуум-пресс для лабораторий керамических заводов. Прибыл** (Snekový vakuový lis pro laboratoře keramických závodů. Příbyl Miroslav), Sklář a keramik, 1957, 7, № 1, 19 (чешск.)

Описан сконструированный и пущенный в произ-во в Чехословакии ленточный вакуум-пресс: внутренний диаметр кожуха шнека 110 мм, число оборотов (регулируется) 8—32 в мин., производительность пресса 100—200 кг массы в час, потребляемая мощность 3 квт, максим. разрежение 720 мм рт. ст. Пресс снабжен собственным вакуум-насосом.

**69432. Оценка работы сушильных установок. Рамбауек** (Die Beurteilung von Trockenanlagen. Rambauek Leo), Silikattechnik, 1957, 8, № 3, 107—108 (нем.; рез. русск., англ.)

Указывается на влияние теплоизлучения, свойств сырья, теплопроводности материала на интенсификацию и экономичность сушки. Сопоставлением расчетов данных при эксплуатации сушильных камер (СК) с подводом горячего воздуха сверху или снизу при нижнем отводе отработанного воздуха и сушильных установок, у которых для подогрева воздуха используется пар и горячая вода, доказано преимущество вторых. Для уменьшения теплотеря при использовании СК с подводом горячего воздуха рекомендуется (если позволяют физ. свойства сырья) повышать т-ру входящего воздуха. Для изделий грубой керамики, где может быть использовано для сушки тепло от остывающей после обжига продукции, остаются незаменимыми в теплотехнич. отношении СК с подводом горячего воздуха.

**69433. Выравнивание температуры в туннельных печах. Мир** (Temperatenausgleich in Tunnelöfen. Miehre Wilhelm), Keram. Z., 1956, 8, № 12, 612—614 (нем.)

Описаны конструктивные мероприятия по устранению температурного перепада главным образом в зонах предварительного нагревания и обжига туннельных печей различных конструкций.

69434. Теплоизоляция в конструкции современных печей. Туайн (Heat insulation in modern furnace design. Twine J. K.), Light Metals, 1957, 20, № 228, 95 (англ.)

Отмечены роль и значение теплоизоляции в конструкциях печей и приведены данные о свойствах легковесных шамотных огнеупоров, диатомитового кирпича и асбестовых плит.

В. Злочевский  
69435. Электротермия в промышленности. Зоренхт (Elektrowärme in der Industrie. Sorgenicht Wilhelm), Industriekurier. Wochenausg. Techn. und Forsch., 1957, 10, № 9, 112—113 (нем.)

Описаны различные промышленные электрич. печи (сопротивления, индукционные, высокочастотные). Приведены примеры современных туннельных и кольцевых (с вращающимся подом) печей для обжига керамики изделий с т-рой обжига: до 1250° с металлическими и до 1500° с силикатными нагревательными элементами, а также автоматизированных отжигательных туннельных печей для телевизионных трубок с высокочастотным обогревом.

М. Степаненко

69436 П. Способ изготовления силикатов щелочно-земельных металлов и продуктов из них (Procédé de production de silicates alcalino-terreux et produits en résultant) [Farbenfabriken Bayer A.-G.]. Франц. пат. 1116833, 14.05.56

Патентуется способ изготовления силикатов щел.-зем. металлов, частицы которых имеют размер 300 Å и менее, а уд. поверхность 89 м<sup>2</sup>/г и более. Способ изготовления заключается во взаимодействии при перемешивании р-ра силиката щел. металла с р-рами хлоридов щел.-зем. металлов. Р-ция должна протекать возможно быстрее. Для ее осуществления предлагается использовать оборудование типа кол. мельницы или мешалки, вращающаяся часть которой делает большое число оборотов и придает продуктам р-ции повышенную тангенциальную скорость.

И. Смирнова  
69437 П. Способ измерения роста или усадки огнеупорных изделий в обжиге. Отто (Verfahren zum Messen der beim Brennen von feuerfesten Steinen eintretenden Längenänderungen. Otto Karl-Viktor) [Dr. C. Otto & Co. G. m. b. H.]. Пат. ФРГ 945191, 5.07.56

При изготовлении огнеупорных изделий (преимущественно динаса) предложено выпрессовывать на верхней их поверхности на точно заданном расстоянии (200—300 мм) два конусообразных углубления. Измерение расстояния между нанесенными отметками после обжига изделий при помощи циркуля с нулевым дает точный отсчет изменения размеров изделий в обжиге.

Т. Ряховская

См. также: Конференция по полупроводникам 68272

### Стекло

Редакторы О. К. Ботвинкин, С. П. Горелкина, С. И. Иофе

69438. Стекла в системе  $Al_2O_3 - B_2O_3 - P_2O_5$ . Кумар (Glasses in the system  $Al_2O_3 - B_2O_3 - P_2O_5$ . Kumar S.), Centr. Glass and Ceram. Res. Inst. Bull., 1956, 3, № 4, 183—187 (англ.)

Стекла (С) сплавлялись из х. ч. материалов: ортофосфата борной к-ты, фосфорной к-ты и фосфата аммония; при высоком содержании  $P_2O_5$  вместо ортофосфата применяли метафосфат. Шихта подвергалась 24-часовому помолу в шаровой мельнице; затем фриттовалась в фарфоровых тиглях при медленном нагреве до 100° с выдержкой при этой

т-ре в течение 10 час. Спекшаяся масса размалывалась и перемешивалась в шаровой мельнице в течение 4 час., после чего плавилась в фарфоровых тиглях при т-рах до 1400° и 1500°. С отжигались при 600°. Получены С, содержащие (в мол. %):  $P_2O_5$  34—61,  $B_2O_3$  45—15,  $Al_2O_3$  16—22. С, содержащие  $Al_2O_3 > 22$  мол. %, не удалось сварить при т-ре 1600°. С, содержащие  $> 45,0$  мол. %  $B_2O_3$ , обладают большой склонностью к растрескиванию и весьма легкоплавки. Повышение содержания  $P_2O_5$  выше указанного невозможно из-за его летучести при высоких т-рах. С бесцветны и однородны, плотность С составляет 2,4147—2,6011; показатель преломления  $n_D$  1,4990—1,5340.

Была вычислена мол. рефракция  $B^{3+}$ ,  $P^{5+}$ ,  $Si^{4+}$ ,  $Al^{3+}$  и кислорода ( $R_0$ ). Установлено, что ионная рефракция кислорода в С мало влияет на уплотнение решеток С. При замещении  $P^{5+}$  на  $B^{3+}$  —  $R_0$  сравнительно мало изменяется, а  $P^{5+}$  и  $B^{3+}$  на  $Al^{3+}$  —  $R_0$  значительно уменьшается. В С, содержащих  $> 40$  мол. %  $B_2O_3$ , величина  $R_0$  незначительна, что, возможно, обусловлено образованием  $(BO_3)^{3-}$  вместо  $(BO_4)^{4-}$ .

А. Полинковская

69439. О взаимодействии расплавленных борнобариевого и борнонатриевого стекол с сернистым газом. Славянский В. Т., Ж. физ. химии, 1956, 30, № 9, 2046—2050

Изучалось взаимодействие с борнобариевым и борнонатриевым стеклами сернистого газа, барботируемого через расплав при т-рах от 870 до 1290°. Опыты проводились при постоянной т-ре в лабор. печи с Pt-нагревателем, при концн  $SO_2$  в печи 15—20 об. %. Установлено, что в присутствии воздуха  $SO_2$  активно поглощался обоими стеклами с образованием сульфатов Ba и Na. Кривая содержания  $SO_2$  в борнобариевом стекле показывает максимум при 1200° независимо от продолжительности опыта; из этого следует, что при т-рах  $> 1200^\circ$   $BaSO_4$  в стекле разлагается. При длительном (~2 час.) пропускании  $SO_2$  через стекло состава  $Na_2O \cdot 3,7B_2O_3$  при 975° выделяется вторая жидкая фаза —  $Na_2SO_4$ . Сульфат Na, растворенный в борном стекле, при т-рах опыта не подвергается термич. разложению, но растворимость его понижается по мере повышения т-ры.

В. Поляк

69440. Причины образования сульфатных камней в стекле. Панасюк В. И., Легкая пром.-сть, 1956, № 11, 21—23

Анализируются возможные причины образования сульфатных камней («щел. пузырей») в стеклянных изделиях, вырабатываемых механизированным способом, при фидерном питании стеклоформирующих машин. Установлено, что основным источником названного порока является испарение сульфата Na при т-ре  $> 1400^\circ$ , занесение паров  $Na_2SO_4$  в фидер, их конденсация на холодных поверхностях, отрыв и падение конденсата  $Na_2SO_4$  и его расплавление на зеркале стекломассы с образованием «фидерного щелока». Другим источником «щелока» является взаимодействие между  $SO_2$  и  $O_2$  дымовых газов и ионами Na в поверхностном слое стекла. «Щелок» увлекается плунжером в каплю стекла и затвердевает, образуя сульфатные «камни». Для предотвращения этого порока рекомендуется поддерживать в газовом пространстве печи и фидера нейтр. давление, регулярно очищать поверхности патрона плунжера, кух и трубы фидера от налетов сульфата, обеспечивать в фидере постоянную т-ру  $\leq 1100^\circ$  и не допускать образования «щелока» в печи и повышения уровня стекломассы сверх нормального. Библ. 6 назв.

В. Поляк

69441. Подготовка и дозировка сырьевых материалов в стекольной промышленности. Табари (La manutention et le dosage des matières premières dans

l'industrie du verre. Tabary M.), Manutention, 1956, № 31, 141—146 (франц.)

Описываются принципиальные схемы механизированных составных цехов стекольных заводов Франции. Перечисляются оборудование, наиболее часто применяющееся для транспортировки материалов и шихты, и приводятся рекомендации по выбору типов питателей (вибрационных) и автоматич. весов. Описывается последовательность операций по автоматич. отвешиванию материалов и их подаче в смеситель. Из различных способов транспортировки готовой шихты к печи рекомендуется подача с помощью ленточного транспортера, вызывающая наименьшее расслаивание.

В. Поляк

69442. Чешские фонолиты и их применение в производстве стекла. Кукла (Fonolity české i ich zastosowanie do výroby szkla. Kukla Jiří), Przgl. geol., 1957, 5, № 3, 111—117 (польск.)

Месторождения фонолитов (Ф) сосредоточены в Среднегорье Чехии, запасы их составляют много млрд. т. Приводятся данные о минералогич. и хим. составе и генезисе месторождений. Они используются как дорожный щебень, как калийные удобрения (лейцитовые Ф) и в произ-ве бутылочного стекла. Последнее выгодно вследствие высокой щелочности Ф и низкого содержания железа (2,5—3% Fe<sub>2</sub>O<sub>3</sub>). Высокое содержание глинозема в Ф (20—21%) способствует повышению вязкости стекла. Т-ра плавления Ф 1150°. В бутылочное стекло вводят до 50% Ф, в оконное 6%. Поляша обладает 1 месторождением Ф (Ясна Гура), по свойствам близкого к чешским, но содержащего меньше щелочей и больше Fe.

Е. Стефановский

69443. Новый завод по переработке песка фирмы Оуэнс-Иллинойс в шт. Калифорния. — (Historic California area site of new silica plant of Owens-Illinois.-); Pit and Quarry, 1956, 49, № 5, 130—132 (англ.)

Описан технологический процесс.

В. Левман

69444. Новый метод оценки водоустойчивости стекла. Черкесов А. И., Аккурин Г. С., Тр. Астрахан. техн. ин-та рыбн. пром-сти и х-ва, 1956, вып. 3, 75—79

Ускоренный метод определения водоустойчивости стекла (С) путем обработки стеклянного порошка насыщ. р-ром гексанитрогидразобензола пригоден для качеств. и колич. оценки С. Колич. определение состоит в том, что после 5 мин. взбалтывания и 10 мин. отстаивания отбирают 5—8 мл водн. окрашенного р-ра и определяют его светопоглощение на фотометре. Отклонения при параллельных пробах незначительны. Для испытания С можно брать любую навеску и характеризовать его качество граммовой экстинкцией. Последняя составляет для кварцевого С 0,68, для оконного 6,09. Экстинкцию можно определять и на обычном колориметре. Продолжительность определения водоустойчивости С описанным методом составляет 10—15 мин.

А. Полинковская

69445. Ограниченность концепции фиктивной температуры. Ритленд (Limitations of the fictive temperature concept. Ritland H. N.), J. Amer. Ceram. Soc., 1956, 39, № 12, 403—406 (англ.)

Для проверки справедливости концепции «фиктивной т-ры», характеризующей влияние термич. обработки стекла на его свойства, были проведены опыты по изучению влияния термич. прошлого стекла на электрич. сопротивление, линейное расширение и некоторые другие свойства. Изучалось поведение стекла боросиликатного типа с верхней т-рой отжига 555° и т-рой образования нити 528°. Были применены два типа отжига: а) выдерживание при постоянной т-ре в области трансформации до установления равновесия и последующее быстрое охлаждение до комнатной

т-ры и б) переход через область трансформации и дальнейшее охлаждение с постоянной скоростью. Образцы имели форму цилиндрич. стержней длиной 5 см и диам. 4,8 мм для определения электрич. сопротивления и вдвое большую длину для определения термич. расширения. Полученные данные показывают, что концепция «фиктивной т-ры» имеет ограниченное значение. Сравнение образцов, отожженных при различных скоростях охлаждения, с образцами, отожженными при постоянной т-ре, указывает на то, что единый параметр («фиктивная т-ра») не является специфичным для всех физ. свойств. Для данной плотности изменение физических свойств с изменением термич. прошлого такого же порядка, как изменение плотности с изменением типа тепловой обработки.

Н. Павлушкин

69446. Релаксация напряжений в стекле. Апати (Feszültségnyhülés az üvegben. Apáti Attila), Épitőanyag, 1956, 8, № 10, 375—385 (венг.)

На основании проведенных измерений автор делает вывод, что ур-ние Максвелла не совпадает с результатами практич. измерений. Для первоначального периода, когда еще имеются значительные структурные изменения, хорошие результаты получаются по

эмпирич. ф-ле:  $P = 10^3/(at^k + b) = 10^3/(a\sqrt{t} + b)$ , где  $a$  и  $b$  — константы. Эмпирич. ф-ла Адамса — Виллиамсона дает хорошие результаты тогда, когда структурные изменения уже прекратились. Д. Пюшпек

69447. Повышение прочности стекла посредством высокотемпературного длительного отжига. Китайгородский Н. И., Бережной А. И.,

Стекло и керамика, 1956, № 6, 7—12

Исследовалось влияние высокотемпературного длительного отжига на прочность при статич. изгибе  $\alpha_{изг}$  и при ударном изгибе  $W$ , модуль Юнга  $E$ , микротвердость при вдавливании алмазной пирамиды  $H$ , микропрочность на отрыв  $R$ , показатель преломления  $n_D$  и поверхностную хим. устойчивость листового стекла состава (в вес. %): SiO<sub>2</sub> 72,2, R<sub>2</sub>O<sub>3</sub> 1,5, CaO 7,7, MgO 3,2, Na<sub>2</sub>O 15,0, SO<sub>3</sub> 0,4 и стекла непрерывного проката состава: SiO<sub>2</sub> 71,90, R<sub>2</sub>O<sub>3</sub> 1,12, CaO 10,57, MgO 2,07, Na<sub>2</sub>O 13,70, SO<sub>3</sub> 0,61. Образцы имели форму прямоугольных пластинок длиной 120 мм, шириной 22—23 мм и толщиной 4,5—5,7 и 7,0 мм. В результате примененной термич. обработки прочность стекла была повышена в среднем в 2—2,5 раза.

$\alpha_{изг}$  приближалась к  $\sigma_{изг}$  закаленного стекла и была равна 2000—2100 кг/см<sup>2</sup>. Наиболее значительное увеличение прочности было обнаружено у полированного стекла непрерывного проката. В отдельных термически обработанных образцов стекла увеличилась в 3—5 раз. Полученный эффект упрочнения авторы объясняют совокупным действием нескольких факторов: устранением опасных напряжений сжатия и растяжения между отдельными участками стекла, заплавлением поверхностных микротрещин в результате огневой полировки и возможными структурными изменениями в стекле. Е отожженных образцов стекла уменьшался в среднем на 1,5—11%, а максим. деформация при разрушении увеличивалась в 2 раза. Наибольшей  $\sigma_{изг}$  образцов стекла соответствовало максим. значение  $R$ .  $H$  стекла непрерывного проката с увеличением времени отжига незначительно уменьшалась. Поверхностная хим. устойчивость стеклянных пластинок после термич. обработки их несколько повышалась. Разработанный метод упрочнения стекла после проверки его в промышленных условиях авторы рекомендуют применить для повышения прочности шлифованного и полированного стекла. Отжиг стекла предлагается осуществлять в течение



3—7,5 час. при максимально допустимой высокой т-ре, исключаяющей, однако, деформацию изделия.

**А. Бережной**  
69448. Упругие свойства стекла.— (Az üveg rugalmassági tulajdonságai.—), Műszaki élet, 1956, 11, № 1, 31—33 стр. обл. (венг.)

Описаны опыты по определению упругости стекла и приведены результаты этих определений. Определения проводили статич. и акустич. методами. Первый метод дает точность до  $\pm 150$  кг/мм<sup>2</sup>, а второй до  $\pm 140$  кг/мм<sup>2</sup>.

**Д. Пюшпеки**  
69449. Влияние химического состава стекла на его закалку. **Бартенев Г. М., Колбасникова А. И.**, Стекло и керамика, 1957, № 3, 1—5

Исследовано влияние окислов группы щел.-зем. металлов на закалку стекла. Состав исходного 2-компонентного стекла был тот же, что и в работе Гельгофа и Томаса (Zs. techn. Phys., 1926, 6, 261). Варка 3-компонентных стекол производилась в газовой высокотемпературной печи в Pt-тигле с Pt-мешалкой. Состав стекла варьировался путем замещения SiO<sub>2</sub> оксидами группы щел.-зем. металлов: Mg, Ca, Sr и Ba. Замещение велось в кол-ве 1,5, 5, 7,5, 10, 15, 20%. В результате исследования зависимости максим. степени закалки от содержания добавок при разных условиях охлаждения установлено, что степень закалки меняется в соответствии с расположением металлов в периодической системе элементов Менделеева (чем ниже расположен элемент, тем ниже степень закалки). При замене SiO<sub>2</sub> в исходном стекле оксидами MgO, CaO, SrO и BaO в кол-ве до 20% степень закалки увеличивается примерно вдвое.

**Н. Павлушкин**  
69450. Электропроводность стекла. II. Электропроводность Li-Na-, Na-K-, K-Li-стекол. **Лендъел, Бокшан** (Az üveg elektromos vezetőképessége. II. Li-Na, Na-K, K-Li elegyüvegek vezetőképessége. Lengyel Bela, Boksay Zoltan), Magyar tud. akad. kém. tud. oszt. közl., 1955, 6, № 1-2, 129—134 (венг.)

Сообщение I см. РЖХим, 1956, 19968.

**69451. Изучение полировки стекла пирекс. II. Полирующие круги и полирующие жидкости. Иманакэ, Ивасаки** (パイレックスガラスのラップ仕上げの研究. 第2報. ラップおよびラップ液について. 今中治, 岩崎昌平) 電気試験所彙報, Дэнки сикэнсё ихо, Bull. Electrotechn. Lab., 1955, 19, № 8, 613—620 (японск.; рез. англ.)

Часть I см. Дэнки сикэнсё ихо, Bull. Electrotechn. Lab., 1954, 18, 922.

**И. Михайлова**  
69452. Опыты по изготовлению прочных стеклянных деталей. **Клейтейх** (Erfahrungen beim Aufbau teststehender Glasteile. Kleinteich Rudi), Glas-Email-Keramo-Technik, 1956, 7, № 12, 485—488 (нем.)

Дается ряд указаний для стеклодува по спайиванию отдельных стеклянных деталей при изготовлении сложных установок для пищевой, хим. и фармацевтич. пром.-сти. Стекло применяется также в ряде учебных и демонстрационных аппаратов в медицине. Следует выбирать легко обрабатывающее стекло с хорошими выдувными свойствами. Для ряда установок, подвергающихся нагреванию, стекло должно быть термически устойчивым. Стекло, применяемое для установок с большим кол-вом жестких и коротких соединений, должно иметь очень малый коэф. термич. расширения. Для облегчения спайивания трубки должны быть толстостенными и иметь совершенно ровные и гладкие края. При спайивании одна из деталей должна быть закреплена, а другая подвижна. Для устранения напряжений, возникающих в местах спаив, следует отжигать места соединений. Для предотвра-

щения образования конденсированной воды спаиваемые детали должны быть совершенно сухими.

**В. Мейтина**  
69453. Опыт получения стеклянных облицовочных плиток на базе шлаков Минской ТЭЦ № 2. **Макаревич Г. А.**, Сб. студ. научн. работ. Белорусск. политехн. ин-та, 1957, вып. 3, 160—161

Исследовано 20 составов шихт, содержащих шлак с различными кол-вами добавок песка, соды, мела и их сочетаний. Изучены варочные и выработочные свойства стекол, их хим. устойчивость, склонность к кристаллизации, твердость и выбраны составы, обладающие удовлетворительными свойствами. Показано, что шлак ТЭЦ может явиться основным сырьевым материалом для произ-ва черного архитектурно-строительного стекла. Лучшие результаты получены при введении добавок соды.

**Н. Павлушкин**  
69454. Впайивание металлов в стекло. **Клейтейх** (Die Glas-Metall-Verschmelzung. Kleinteich Rudi), Glas-Email-Keramo-Technik, 1956, 7, № 9, 355—357 (нем.)

Описываются способы впайивания в стекло различных металлов. Часть I см. РЖХим, 1957, 20074.

**Ю. Шмидт**  
69455. Новые виды стекла. **Йокота** (新しいガラス. 横田良助) 科学, Kagaku, 1957, 27, № 4, 175—179 (японск.)

Описаны спец. виды стекол: фоточувствительное, оптическое, стекловолокно, стекла, обладающие электропроводностью, и некоторые др. Библ. 11 назв.

**И. Михайлова**

69456. Реакции в твердом состоянии при образовании глазури; скорость реакций, их механизм и образование новых фаз. **Крёгер** (Über die Geschwindigkeit, den Mechanismus und die Phasenneubildung bei den unter Schmelzbildung ablaufenden Festkörperreaktionen. Kröger Carl), Glastechn. Ber., 1957, 30, № 2, 42—52 (нем.; рез. англ., франц.)

Скорость р-ции в твердом состоянии смесей из соды и кварца, соды, известняка и кварца, а также силикатов натрия и известняка, в инвариантных точках основных систем скачкообразно повышается. Рассматривается воздействие добавок, ускоряющих образование глазури. Отмечается, что замена натрия калием или литием смещает инвариантное равновесие основной системы Na<sub>2</sub>O—CaO—SiO<sub>2</sub> при образовании глазури в сторону более низких т-р, в то время как при замене извести магнием это смещение не имеет места. Предполагается, что замена соды поташем или карбонатом лития, а также добавка соединений бора, повысят скорость р-ции. Указывается также на катализирующий эффект воды, особенно в начале р-ции. Рассматривается влияние величины и формы зерен реагирующих твердых компонентов на скорость р-ции.

**Г. Копелянский**  
69457. Пигменты для глазурей и влияние отдельных окислов на цвет. **Лейхтхейзер** (Die Färbemittel im Glasurereich und die Wirkung der einzelnen Oxyde auf die Farbe. Lehnhäuser W.), Euro-Ceramic, 1957, 7, № 1, 7—9 (нем.; рез. франц.)

NiO и NiCO<sub>3</sub> в обычных глазурях дают грязновато-желтые тона, в В- и Zn-содержащих — более яркие. При введении в Zn-содержащие и Pb-содержащие глазури различных кол-в соединений Ni получается ряд цветов от светло-зеленого до розового. Цвет зависит от содержания Al<sub>2</sub>O<sub>3</sub> и SiO<sub>2</sub>, от общей кислотности глазури, от соотношений окислов группы RO. Соединения селена применяются для получения красных и желтых цветов взамен дефицитных урановых соединений. При окрашивании соединениями селена глазурь не должна содержать BaO и ZnO, в присутствии которых получается серое окрашивание. Т-ра

не должна превышать 1000°. Соединения Ag применяются для изготовления люстровых окрасок. Одновременно с AgCl или AgNO<sub>3</sub> полезно вводить соли Bi, способствующие восстановлению Ag. Кремнезем определяет плавкость, хим. стойкость глазури. При получении медных рубинов добавляют 0,5—2% SiC или чистый Si для восстановления Cu. Предыдущее сообщение см. РЖХим, 1956, 26380. М. Серебрякова

69458. Автоматические установки для покрытия глазурью керамических изделий. Пэтрашку, Самсон (Maşini automate pentru glazurarea produselor ceramice. Pătraşcu Al., Samson Fl.), Ind. usoara, 1956, 3, №11, 468—472 (рум.; рез. русск., нем.)

Описываются установки для нанесения глазури способом автоматич. pulverизации. Приводятся характеристики 2 систем, применяемых в США: прямой и карусельной. В системе с прямолинейным движением изделий не всегда удается качественно нанести глазурь. Карусельная система требует больших площадей, но при этом возможно более равномерно наносить глазурь, особенно при работе с маленькими прессованными изделиями. Уд. вес применяемой глазури 1,7—2,0. Pulverизация производится сжатим воздухом в камерах через солено пистолет-распылителя, выполненного из нержавеющей стали. Число pulverизаторов в установках различно: для мелких деталей достаточно 2—3 шт., для тарелок 6—8 и для крупных изделий (при трехстороннем нанесении) 12 шт. Пористые фаянсовые и фарфоровые изделия до и после нанесения глазури не подогреваются и не сушатся, изделия же, не абсорбирующие глазури, подвергаются этим операциям. Подогрев обычно осуществляется газовыми горелками, огонь которых непосредственно направляется на изделия. Карусельная установка, на которой применяется метод погружения, используется для глазуровки определенной марки изоляторов и производит прессовку, обмазку декстрином, глазуровку, pulverизацию нижней части изделия и др. Вспомогательная установка применяется для нанесения цветного покрытия на одну из сторон изделия, напр., тарелки; производительность ее 900 шт. в час. Часть изделия, не подлежащая окраске, автоматически прикрывается. Г. Самохин

69459. Новые глазури. Болл (The these new glazes. Ball F. Carlton, Ceramic Ind., 1957, 68, № 1, 162—163 (англ.))

Сообщаются составы борносвинцовых и бессвинцовых глазурей на SK-04a (1020°), дающие с углекислой Cu красивые бирюзовые и синие окраски, полевшпатовые глазури на SK-6 (1180—1200°), дающие с окисью Fe в восстановительном обжиге зеленые и серо-зеленые окраски, а также прозрачные и матовые глазури на SK-10 (1300°), дающие с окислами Co, Ni и Fe различные окраски. С. Туманов

69460. Метод определения сопротивления на изгиб эмалированных сталей. Гонауэй (A method of determining the sag resistance of porcelain enameling steels. Gonauey H. L.), Metal Prod. Manufact., 1957, 14, № 3, 32—33 (англ.)

Изучались 5 методов закрепления пластин образцов при испытании на изгиб: на двух постоянных опорах, на одной постоянной и одной вертикальной подвижной опорах; на двух вертикально подвижных опорах, на двух подвижных в одной точке опорах и на закрепленной в одной точке опоре. Лучшие результаты показал способ испытания на двух вертикально подвижных опорах. Он дает хорошую воспроизводимость результатов, опоры не искажают результатов, деформация одинаково равномерно распределяется по всей длине образца и при увели-

чении нагрузки образец не соскальзывает с опор.

С. Туманов  
69461. Исследования в области эмалирования. Альдингер (Neuere Erkenntnisse auf dem Emailgebiet. Aldinger Richard), Techn. Mitt., 1955, 48, № 1, 13—16 (нем.)

Обзор по вопросам эмалирования стали и чугуна. Приведены некоторые характеристики циркониевых, сурьмяных, титановых и титаноборных эмалей. Указывается на преимущество титановых эмалей.

С. Горелкина  
69462. Влияние плавления шихты на сопротивление истиранию (абразивные свойства) технических эмалей, приготовленных по сухому способу. Спангенберг (Effect of smelting treatment on the abrasion resistance of commercial dry-process enamel. Spangenberg W. C.), Amer. Ceram. Soc. Bull., 1955, 34, № 8, 245—247 (англ.)

Установлено, что сопротивление истиранию кислотоупорных эмалей, изготовленных по сухому способу, улучшается с удлинением процесса плавления. Найдено, что осветление эмалевой шихты при различных процессах произ-ва и точная установка в плавильной печи т-ры может дать определенные улучшения абразивных свойств эмалей.

С. Горелкина  
69463. Химическая кинетика в реакциях образования фарфоровидных эмалей. Спригс (Chemical kinetics in porcelain enamel reactions. Spriggs Richard Moore), Amer. Ceram. Soc. Bull., 1956, 35, № 7, 280—285 (англ.)

Изучались р-ции порошкообразных Fe и Co с фриттой, содержащей ионы Cu. Кол-во восстановленных до металла ионов Cu при р-ции с Fe и Co определялось рентгенографически, уд. скорость р-ции вычислялась. Установлено: 1) для определения кол-ва восстановленного в стекле металла. иона при р-ции с порошкообразными металлами может применяться рентгенографич. метод; 2) уд. скорости р-ции эмаль-металл могут быть вычислены из ур-ния кинетики для р-ции 2-го порядка; 3) увеличение добавляемых кол-в порошкообразных Fe и Co, длительности обжига и т-ры увеличивают процент восстановления иона Cu; 4) большее восстановление Cu получается при р-ции с Fe, чем с Co при 760° в течение 8 мин., при 815°—5 мин. и при 926°—2 мин.; 5) отмеченное в работе снижение скорости р-ции с увеличением длительности согласуется с общей теорией хим. кинетики; 6) изученные р-ции следуют ур-нию Аррениуса, показывая линейную зависимость lg уд. скорости р-ции от абс. т-ры.

С. Туманов  
69464. Пороки при производстве эмалированных изделий. Меркер (Fehler beim Emailieren. Märker Rudolf), Silikattechnik, 1955, 6, № 9, 403—404 (нем.)

Предлагается на обсуждение классификация пороков при эмалировании изделий. В. Клыкова

69465. Об экономичности использования «газового тепла» в производстве эмали. Вильке (Wirtschaftsgut «Gaswärme» in Emailierbetrieben. Wilke Heinz), Sprechsaal, Keramik, Glas, Email, 1955, 88, № 19, 417—421 (нем.)

Предыдущее сообщение см. РЖХим, 1956, 47774.

69466. Реверсивная электропечь для обжига эмалированных изделий. Виганд (Ein elektrisch beheizter Umkehr-Emailierofen. Wiegand Heinz), Glas-Email-Keramo-Technik, 1955, 6, № 2, 46—48 (нем.; рез. англ., франц.)

Печь непрерывного действия состоит из туннеля с нагревательным и охлаждающим каналами. Т-ра в печи легко регулируется. Экономия тепла и исключительное качество эмалированных изделий делает эту печь весьма удобной для обжига. С. Горелкина

**69467. Газозащитное прокаливание как способ для обработки жести перед эмалированием.** Петцольд (Die Schutzgasglühung als Verfahren zur Blechvorbehandlung in der Emailindustrie. Petzold A.), Fertigungstechnik, 1955, 5, № 6, 271—273 (нем.).  
Обычный способ обработки жести для эмалирования, особенно процесс прокаливания и травления, является часто причиной появления дефектов на эмалевых покрытиях. Во избежание дефектов при удалении загрязняющих поверхность жести в-в таких, как жиры, нефть, ржавчина и др., рекомендуется производить очистку в присутствии газов следующих составов (в %):  $H_2$  0—25;  $CO$  0—15;  $CH_4$  0—1;  $CO_2$  3—11;  $O_2$  0. Примерный состав газов (в %):  $H_2$  18;  $CO$  10;  $CO_2$  4,  $CH_4$  0,1, остаток  $0,15 \text{ г/м}^3$ . Т-ра нагрева должна быть настолько высока ( $\sim 750\text{--}900^\circ$ ), чтобы выгорели все органич. загрязнения и окислы железа восстановились. При использовании в данном случае разлагающегося  $NH_3$  т-ра должна быть  $900^\circ$ .

С. Горелкина

**69468. Стекловидные эмалевые покрытия на легких металлах.** Бихлер, Мени-де-Полен (Vitreous enamel coatings on light metals. Biechler F. J., Meynis de Paulin J. J.), Metal Ind., 1955, 87, № 15, 303—305 (англ.).

Описываются исследования стекловидных эмалевых покрытий на алюминий и алюминиевые сплавы. Приведены составы эмалей. Описана технология приготовления и приведены характеристики эмалевых покрытий.

С. Горелкина

**69469. Применение никелирования при эмалировании листовой стали.** Андерс (Anwendung der Tauchvernickelung beim Emaillieren von Stahlblech. Anders Heinz), Sprechsaal Keramik, Glas, Email, 1955, 88, № 5, 93—94 (нем.).

Описывается способ нанесения эмали на листовую сталь, которую предварительно погружали в высококонц. р-р соли  $Ni$  с  $pH \sim 3$ . Во время обработки таким р-ром на стали образуется тонкий слой  $Ni$  по р-ции:  $NiSO_4 + Fe = FeSO_4 + Ni$ . Этот слой повышает прочность связывания с металлом и предохраняет от образования цика и отскакивания эмалей. Приведены две теории, объясняющие эти явления.

С. Горелкина

**69470. Обжиги при эмалировании чугуна.** Меркер (Fehler beim Emaillieren von Gußeisen. Märker Rudolf), Glas-Email-Keramo-Technik, 1956, 7, № 11, 416—418 (нем.).

Для обеспечения высококачеств. покрытия эмалью чугуна необходима предварительная тщательная очистка его поверхности от шлака, песка и окислов железа, так как эти примеси при обжиге реагируют с эмалью и в результате образуются пузыри, поры и булавочные наколы. Узоры, заусенцы, горбины должны удаляться с помощью камня. Зачищенные места должны опескоструиваться, чтобы на них оставался нормальный слой глазури. После чистки необходимо во избежание окисления изделий их тут же покрывать грунтовой эмалью и быстро сушить. При наличии на поверхности изделий легкой ржавчины, грунтовая эмаль при обжиге шлакуется и не прочно держится на изделии. Перед нанесением грунтовой эмали все язвочки и дырочки на поверхности изделий рекомендуется замазать густой грунтовой эмалью. Важно грунтовую эмаль наносить слоем равномерной толщины. Длительность обжига грунтовой эмали в зависимости от величины изделий должна быть в пределах 10—22 мин. При длительности обжига  $< 10$  мин. эмаль недостаточно оплавляется, а  $> 22$  мин. переходит в стекло, которое при дальнейшем покрывном обжиге будет давать пузыри. Перед нанесением покрывной эмали для лучшего ее держания грунтованная поверхность увлажняется. Приво-

дятся обычные составы покрывных эмалей на чугун и грунтовых и покрывных эмалей для эмалирования чугунных ванн. Начало см. РЖХим, 1957, 31526.

С. Туманов

**69471. О фритте фарфоровидных эмалей для алюминия.** Ханперт (What is the frit situation for porcelain enameling aluminum? Huppert Paul A.), Ceramic Ind., 1957, 68, № 2, 56—57 (англ.).

Дана краткая характеристика фритт, применяемых для эмалирования  $Al$ . Приведены составы наиболее типичных фритт для покрытия алюминия и его сплавов. Так, одна из проверенных свинцовых фритт содержит (в %):  $PbO$  42,9,  $SiO_2$  28,4,  $Li_2O$  2,5,  $Na_2O$  10,0,  $K_2O$  6,1,  $TiO_2$  9,9, бессвинцовая фритта —  $Li_2O$  11,1,  $Na_2O$  22,2,  $Na_2F_2$  11,1,  $Al_2O_3$  18,5,  $B_2O_3$  9,3,  $P_2O_5$  27,7. Основными особенностями фритт для  $Al$  являются легкоплавкость (плавятся при т-ре на  $260\text{--}316^\circ$  меньше, чем фритты для стали), низкий коэф. термич. расширения.

В. Баландина

**69472. Кристаллообразование в титановых эмалях, обожженных непосредственно на стали.** Линч, Фридберг (Distribution of crystals in titania enamels fired directly on steel. Lynch E. D., Friedberg A. L.), J. Amer. Ceram. Soc., 1955, 38, № 8, 257—263 (англ.).

Описываются новые исследования кристаллообразования в обожженных титановых эмалях, нанесенных на сталь. Установлено, что различие в кристаллич. природе эмалевых покрытий заключается в присутствии кристаллов  $FeO$  на поверхности раздела стали и хорошо связанной эмали и отсутствие кристаллов  $FeO$  на поверхности раздела в случае плохо связанной эмали с поверхностью стали. Описывается влияние некоторых процессов обработки на образование  $FeO$ .

С. Горелкина

**69473. Красители для эмалей.** Меркер (Emailfarbkörper. Märker Rudolf), Silikattechnik, 1955, 6, № 2, 69—71 (нем.).

Приведены составы красителей различных цветов: черный, серый, коричневый, красно-бурый, красный, желтый, зеленый, синий, фиолетовый.

В. Клыкова

**69474. Достижения промышленности по производству эмалей за 30 лет.** Штегмайер (30 Jahre Fortschritt in der Emailindustrie. Stegmaier W.), Sprechsaal Keramik, Glas, Email, 1957, 90, № 1, 15—20 (нем.).

Обзор достижений в области произ-ва эмалей и техники эмалирования, главным образом в Германии с 1926 по 1956 г.

А. Бережной

**69475. Защитные керамические покрытия на стеклянной посуде.** Эманьюэль (Protective uses of ceramic coatings on glassware. Emanuel E. C.), Glass Packer, 1956, 35, № 10, 52, 54—55 (англ.).

Для защиты содержимого стеклянных сосудов от действия света на их поверхность наносятся методами распыления окрашенные боросиликатные свинцовые стекла, которые затем нагреваются до т-ры  $\sim 500^\circ$ . После расплавления окрашенного покрывного слоя т-ра медленно понижается, чтобы обеспечить отжиг как самого стекла, так и его покрывного слоя. Приведена таблица, показывающая защитные свойства таких пленок толщиной 10  $\mu$ . Указанные покрытия в области длин волн 300—700  $m\mu$  для стекла типа флинта уменьшают прозрачность до 23,4—0%, а для стекол желтоватого оттенка — до 9,8—0%.

Н. Павлушкин

**69476 К. Металлические формы для стекольной промышленности** [Сб. перев. статей]. М., Гизлегпром, 1957, 95 стр., илл., 2 р. 30 к.



69477 К. Газы в стекле. Славянский В. Т. М., Оборонгиз, 1957, 142 стр., илл., 6 р. 85 к.

69478 П. Способ и установка для гнутья листов стекла (Procédé et dispositifs pour bomber les feuilles de verre) [Soc. An. des Manufactures des Glaces et Produits Chimiques de Saint-Gobain, Chauny & Cirey]. Франц. пат. 1112708, 19.03.56

Предложен способ произ-ва гнутого листового стекла, позволяющий добиться весьма значительной кривизны изделий и заключающийся в том, что нагретый лист стекла изгибают в вертикальном положении на жесткой выпуклой матрице с помощью пуансона, выполненного из гибкого жаростойкого материала (асбестового полотна или стеклянной ткани). Материал пуансона натянут на 2 вертикальных валика, которые перемещаются по горизонтали, сближаясь друг с другом, или вращаются вокруг своих осей. Натяжка обеспечивается пружинами или контргрузами. Способ позволяет также получать изделия двойной кривизны путем использования в качестве гибкого пуансона резиновой ленты, защищенной жаростойкими ребрами, или металлич. сетки; эти материалы наматываются на металлич. валики, покрытые толстым резиной или надувной резиновой обкладкой. В процессе гнутья поддерживающие валики, вначале сближенные в центре изделия, по мере прессования расходятся, прокатываясь по поверхности листов стекла на матрице до краев последней, что обеспечивает полное соответствие заданным шаблонам.

В. Поляк

69479 П. Станок для шлифовки или полировки листов стекла или подобных ему материалов (Appareil pour le doucissage ou le polissage des feuilles de verre ou matières analogues) [Société An. des Manufactures de Glaces et Produits Chimiques de Saint-Gobain, Chauny & Cirey]. Франц. пат. 1109936, 3.02.56

Описывается усовершенствованная конструкция суппорта для феррас по шлифовке и полировке стекла, обеспечивающая непрерывный контакт их с материалом, используемым при механич. обработке стекла.

В. Поляк

69480 П. Приспособление для извлечения стеклянных изделий из форм и их последующей транспортировки (Machine de démoulage et de transfert pour pièces de verrerie) [Verreries Pochet et du Courval et Gaston Beaudoin]. Франц. пат. 1109360, 25.01.56

Описывается пневматич. приспособление для извлечения стеклянных изделий из форм и их перестановки на стол или конвейер при ручной прессовке изделий.

В. Поляк

69481 П. Печь для отжига стекла. Кнюдд (Four pour la recuisson du verre. Snudde Maurice F.) [Travaux et Métallurgie (S. A.)]. Франц. пат. 1111432, 27.02.56

Предлагаемая конструкция отжигательного лера «конвекционного» типа без зоны охлаждения характеризуется интенсивным теплообменом и использованием тепла, выделяемого одной партией изделий, для отжига другой. Лер по длине разделен на 2 части, в которых движение отжигаемых изделий, помещенных на конвейер, происходит в противоположных направлениях. В поперечном сечении лера как бы состоит из ряда парных камер, сообщающихся через систему верхних и нижних боровов. Каждая пара камер снабжена вентиляторами, из которых один установлен под дном одной из камер, а второй — над сводом другой камеры. Оба вентилятора создают непрерывную циркуляцию воздуха по часовой стрелке или в противоположном направлении, замкнутую в пределах каждой пары камер. Направление цирку-

ляции меняется в каждой последующей паре камер по длине лера. Над изделиями под сводом установлены электрич. нагреватели. Поскольку в лере непрерывно перемещаются 2 партии изделий в противоположных направлениях, тепло, отбираемое от охлаждаемой партии, по замкнутому циклу передается партии, отжиг которой только что начался. Вследствие непрерывного изменения направлений воздушных потоков при переходе из одной пары камер в другую изделия охлаждаются равномерно.

В. Поляк

69482 П. Усовершенствование стеклянных кирпичей и конструктивных элементов, закрепляемых с помощью железобетонных соединений. Дивора (Perfectionnements aux briques en verre, ou éléments de construction similaires, assemblées au moyen de joints en béton armé. Divorne Edouard). Франц. пат. 1110025, 6.02.56

Патентуется конфигурация стеклянных кирпичей и подобных им конструктивных элементов, облегчающая их смену в стенах или других ограждениях. Предлагается придавать внешней и внутренней части кирпича различную толщину. Профиль боковых сторон кирпичей таков, что при сборке между ними образуется пространство, сечение которого представляет собой две трапеции неравной площади, имеющие общее меньшее основание.

И. Смирнова

69483 П. Связывание эмали с помощью мышьяка. Крайг (Enamel bonding by the use of arsenic. Craig Bruce G.) [A. O. Smith Corp.]. Пат. США 744843, 8.05.56

Стекловидные эмали на металле обжигаются в пределах 700—870°; достижение в таких условиях эффективной связи между этими разнородными материалами встречает определенные трудности. Применяемая в качестве возбудителя адгезии  $\text{CoO}$  является сравнительно дорогим и дефицитным материалом и сообщает стеклам синюю, не всегда желательную окраску. В качестве усилителя связи вместо  $\text{CoO}$  предлагается применять  $\text{As}_2\text{O}_3$ , которая не вызывает окраски стекла. Поверхность очищ. металлич. изделия покрывается окунованием его в водн. р-р мышьяковой к-ты (конц-ия 2,5—5%), сушится, промывается водой для удаления местных скоплений мышьяка, сушится вторично; на поверхности металла при этом образуется прочный нерастворимый слой мышьяковистого Fe. Для усиления этого слоя и вместе с этим адгезии рекомендуется производить двойное окунование изделия в р-р мышьяковой к-ты. При последующем плавлении стекловидной эмали последняя со слоем мышьяковистого Fe образует прочный промежуточный слой между эмалью и металлом.

С. Туманов

См. также: Спектральный анализ в лабор. стеклыно-го з-да 69188. Микропечь для исследования растекловывания стекла 69223. Термические превращения в щел.-боросиликатных стеклах 68317. Оптика в объемная релаксация в стеклах 68318. Определение отражательной способности стекла 68319. Система  $\text{Na}_2\text{O}-\text{Al}_2\text{O}_3-\text{SiO}_2$  68373. Коррозия 70599. Автоматизация произ-ва 70734. Проф. вредности в произ-ве 70763.

#### Вязущие материалы, бетон и другие строительные материалы

Редакторы Ю. М. Бутт, А. С. Пантелеев

69484. Повышение качества обожженной известки за счет улучшения подготовки исходного известняка. Бибер (Güteverbesserung des Schachtofenkalkes durch bessere Aufbereitung des Rohsteines. Bieber

Carl), Silikattechnik, 1957, 8, № 3, 102 (нем.; рез. англ., русск.)

Рассматриваются вопросы целесообразности применения установок для промывки известняка.

И. Михайлова

69485. Небольшое предприятие, работающее по самой современной схеме. Гутшик (This small plant uses big plant ideas. Gutschick K. A.), Rock Prod., 1957, 60, № 2, 92—93, 132 (англ.)

Работа в небольшом известняковом карьере организована с применением новых технич. усовершенствований. Для борьбы с пылью у дробилок установлены сопла, через которые порода орошается смесью воды и смачивающей добавки. Подача воды регулируется автоматическими с помощью соленоидных клапанов. Карьер оборудован тремя дробилками с 2 вибростами. Управление ими централизовано и производится из контрольного пункта. Кроме того, каждый агрегат имеет собственное кнопочное управление и индивидуальный контрольный амперметр. Производительность карьера 200 т/час.

Б. Левман

69486. Повышение производительности известкожигательных шахтных печей, работающих на коксе. Эйген (Erhöhung der Leistung des koksbeheizten Kalkschachtfens. Eigen H.), Zement-Kalk-Gips, 1957, 10, № 3, 99—102, Zucker, 1957, 10, № 6, 129—132 (нем.; рез. англ., франц.)

Производительность шахтных печей (ШП) с длинной зоной (З) обжига в т на м<sup>2</sup> сечения почти вдвое больше, чем в обыкновенных ШП, что объясняется большим кол-вом тепла в верхней части З обжига. В связи с этим, автор предлагает комбинировать в ШП сжигание кокса и генераторного газа, располагая зону горения газа ниже зоны горения кокса. Автором предложен ряд расчетных ф-л, характеризующих производительность печи в зависимости от длины З обжига (или З подогрева, или З охлаждения) и длительности нахождения камня (известия) в этих зонах. Однако производительность ШП по существу ограничивается лишь длиной З обжига, и поэтому практич. значение имеет лишь ур-ние:  $E = 22,8 \cdot h_0 / t_0$ , где  $E$  — производительность ШП,  $h_0$  — длина З обжига и  $t_0$  — длительность пребывания камня в ней. Автор считает, что производительность ШП, работающей на коксе, может быть повышена только при наличии добавочного сжигания газа, что дает возможность удлинить зону сжигания кокса при уменьшении его расхода и одновременно сократить длительность обжига.

Е. Штейн

69487. Из опыта освоения производства пеносиликатных изделий на Оршанском силикатном заводе. Градович В. А., Иванов В. И. В сб.: Крупно-размерн. силикаты и пеносиликаты. Издания. М., Гос. изд-во лит. по стр-ву и архитект., 1956, 200—219

Освоен опыт освоения произ-ва пеносиликатных изделий с использованием гидратационного твердения молотой известки-кипелки на Оршанском силикатном заводе. Применяемый мелкий песок (предельная крупность 3 мм, зерен крупностью 0,15—0,3 мм — 77,8%) подвергается мокрому размолу (28—33% воды) в шаровой мельнице СМ-14 до остатка на сите № 0085 в 10—15%. В качестве пенообразователя применяется клеканинофольная эмульсия. При эксплуатации з-да установлено следующее: перекачка песчаного шлама растворонасосами возможна (без образования пробок) при придании шламопроводам уклона в 1/5—1/6; форма шламового бассейна должна быть шестигранной или восьмигранной; крупные блоки (размер 1500 × 900 × 300 мм и более) возможно запаривать без появления трещин лишь при наличии в них пустот; изделия с об. весом ниже 1000 кг/м<sup>3</sup> следует изготавливать на смешанном известково-цементном вяжущем с расхо-

дом извести от 120 до 200 кг/м<sup>3</sup> и цемента от 100 до 120 кг/м<sup>3</sup>; точность дозирования воды должна находиться в пределах 1—1,5%; изделия следует выдерживать до запаривания при активности извести 50—60% 2—3 час., а при менее активной извести до 6—8 час.; влажность неомассы должна быть 35—38%.

Г. Копелянский

69488. О расширении производственных мощностей заводов силикатного кирпича. Головинцев М., Строит. материалы, 1957, № 3, 14—17

На з-дах силикатного кирпича имеются неиспользованные резервы во всех звеньях технологич. процесса. Средний сьем извести с 1 м<sup>3</sup> печей составлял в 1955 г. по предприятиям Главсиликатпрома 797 кг при возможном сьеме в 2000 кг. При применении более тонкого помола извести и повышения ее активности, добавлений в шихту глины, улучшении техники дозирования и смешения возможно уменьшить расход извести. Желателен переход на изготовление пустотелого кирпича хотя бы с двумя пустотами диаметром по 50 мм, что позволит уменьшить расход сырья на 12%. Возможно значительное повышение производительности прессов за счет уменьшения простоев и применения механич. сьемщиков кирпича; производительность прессы при механизированном сьеме может достигнуть 4500 шт. сырца за 1 час. Целесообразно применение автоклавных вагонеток конструкции автора емк. 1300 шт. сырца вместо ныне имеющейся емк. 900 шт. Расход пара можно уменьшить путем устройства изоляции автоклавов, паропроводов и крышек и при использовании тепла конденсата, в частности, на гашение извести в гасильных барабанах.

Г. Копелянский

69489. О возможности применения летучей золы от сжигания угольной пыли. Смит, Эренбург (Enige mogelijkheden tot verwerking van poederkoolvliesgas in bouwmaterialen. Smit G. B., Ehrenburg J. P.), Electro-techn., 1957, 35, № 7, 141—146 (гол.; рез. англ.)

Строительный камень на основе извести и золы более порист, поэтому менее теплопроводен, чем силикатный кирпич. В сухом состоянии коэф. теплопроводности силикатного кирпича равен 0,86, камня — 0,19; увлажненных до 10% соответственно 0,80 и 0,40; прочность на сжатие указанных материалов примерно одинакова. Содержание золы как отощающей добавки может доходить до 85%.

К. Герцфельд

69490. Получение ксилолита из доломита. Шербан (Xilolit din dolomită. Şerban M. A.), Ind. construcţiilor şi mater. constr., 1956, № 12, 750—755 (рум.; рез. русск., нем.)

Исследованы свойства магнезиального вяжущего — каустич. доломита с целью установления возможности его использования для произ-ва ксилолита вместо каустич. магнезита. Опыты показали, что румынские магнезиты типа А и В могут давать магнезиальное вяжущее, отвечающее требованиям, предъявляемым к этим видам материалов.

А. Матлис

69491. Влияние свойств гипсового камня на качество варочного гипса. Ипатьева В., Строит. материалы, 1957, № 3, 33—34

Предложено характеризовать качество гипсового камня результатами хим. и термич. анализа. Проба гипсового камня, размолотого до проходимости через сито 900 отв/см<sup>2</sup>, помещается в стеклянный стаканчик в термостат при 180—200°. В центре испытуемой пробы помещают термометр, по показаниям которого строят термограмму. По характеру эндотермич. эффекта судят о качестве гипсового камня. Оптимальная т-ра варки устанавливается на основании физ.-мех. испытаний и результатов анализа проб, отобранных при разных т-рах.

М. Майяц

69492. Химический анализ гипсового камня по американскому и германскому стандартам. Соболев

ский, Вайда (Analiza chemiczna kamienia gipsowego według norm amerykańskich i niemieckich. Sobolewski T., Wajda P.), Cement. Wapno. Gips, 1957, 13, № 3, 52—57 (польск.)

При хим. анализе экспортного польского гипсового камня в некоторых странах выявились расхождения, особенно с точки зрения содержания  $\text{CaSO}_4 \cdot 2\text{H}_2\text{O}$ . Для проверки образцы гипсового камня были подвергнуты хим. анализу по американскому стандарту ASTM C 26-52 и германскому DIN 1168. Полученные результаты показали значительное совпадение в содержании  $\text{CO}_2$ ,  $\text{MgO}$  и  $\text{NaCl}$ . Сумма полуторных окислов, полученная по обоим методам, показывает небольшое расхождение. Более существенная разница обнаружена в отношении содержания связанной и гигроскопич. воды,  $\text{CaO}$ ,  $\text{SO}_3$  и  $\text{SiO}_2$ .

Б. Левман  
69493. Месторождения гипса и ангидрита в Хорватии. Толич (Nalazišta sadre i anhidrita u Hrvatskoj. Tolić Ljubomir), Kemija u industriji, 1957, 6, № 1, N-83—N-92 (сербо-хорв.; рез. нем.)

Приведены основные характеристики и данные о запасах А, В и С месторождений гипса ( $\text{CaSO}_4 \cdot 2\text{H}_2\text{O}$ ) и ангидрита ( $\text{CaSO}_4$ ) в Хорватии. Несмотря на наличие всех условий для развития крупной гипсовой промышленности и производства  $\text{H}_2\text{SO}_4$ , разработка месторождений до настоящего времени незначительна.

С. Типольт  
69494. Модернизация гипсового завода. Бригс (Modernizing a gypsum plant. Briggs Marion L.), Rock Prod., 1957, 60, № 2, 98—102, 128 (англ.)

Проведена модернизация гипсового рудника и 3-д гипсовых изделий. В настоящее время при добыче гипса вместо деревянных креплений применяются стойки из углеродистой стали, которые устанавливаются спец. крепильной машиной. Взрыв породы двухстадийный, окончательный размер кусков  $\leq 30 \times 75$  см. Добытая порода вывозится на поверхность в вагонетках емк. до 2 т, дробится в 2 стадии и подается в центробежные роликовые мельницы. Гипс обжигается в 10-т котлах производительностью 30 т/час, отапливаемых углем. 3-д выпускает различные виды гипсовой штукатурки и изоляционных стеновых плит.

Б. Левман  
69495. Влияние добавки сульфитно-спиртовой барды на распыление гранул при обжиге портланд-цементного клинкера. Мусалик, Дыбел (Wplyw dodatku ługu posiarzynowego na pylenie granul przy produkcji klinkru portlandzkiego. Musialik Mięczyński, Dybel Jan), Cement. Wapno. Gips, 1957, 13, № 3, 49—51 (польск.)

Добавка сульфитно-спиртовой барды (ССБ) при мокром способе произ-ва цемента понижает вязкость сырьевого шлама и тем самым улучшает и интенсифицирует процесс обжига. Специально проведенными опытами с образцами шлама 2 польских цементных заводов установлено, что добавка 3% ССБ, кроме снижения влажности шлама, повышает прочность гранул и уменьшает пылеобразование в печи. Распыление гранул из более пластичного шлама уменьшается на 41%, а из менее пластичного — на 21%. Таким образом есть основание полагать, что добавка ССБ к сырьевой смеси может оказаться полезной и при сухом способе произ-ва, так как позволяет значительно уменьшить образование и унос пыли.

Б. Левман  
69496. Радиоактивные изотопы в исследованиях процессов обжига и помола клинкера. Банит Ф., Толчкова М., Тулякова В., Строит. материалы, 1957, № 3, 32

С помощью радиоактивного  $\text{Fe}^{59}$  установлено, что время прохождения материала через печь длиной 127,5 м составляет в среднем 200 мин. Время прохождения измельчаемого клинкера через мельницу в среднем 24 мин.

М. Степанова

69497. Повышение эффективности мокрого размала цементного клинкера. Азелицкая Р. Д., Гайджуров П. П., Бюл. строит. техники, 1957, № 3, 12—15

Электролиты, вводимые в качестве добавки при мокром помоле цементного клинкера, понижают твердость размалываемого материала. Наиболее подвержены такому воздействию  $3\text{CaO} \cdot \text{SiO}_2$  и  $3\text{CaO} \cdot \text{Al}_2\text{O}_3$ .

М. Степанова

69498. Опаловая брекчия как добавка к сырьевым материалам для производства высококачественного портланд-цемента. Георгиевский (Opalska breča kao dodatak sirovini za proizvodnju kvalitetnog portland cementa. Georgievski Hristo), Kemija u industriji, 1957, 6, № 2, 33—43 (сербо-хорв.; рез. англ., нем., франц.)

Хим. состав опаловой брекчии дает возможность использовать ее в качестве добавки к сырьевым материалам и при помоле клинкера.

М. Степанова

69499. Новый способ охлаждения цемента. Клаусен (Here's a new way to make cool cement. Clausen C. F.), Rock Prod., 1957, 60, № 2, 104—105, 108—109, 112, 114, 162 (англ.)

При помоле цемента в шаровых мельницах т-ра его значительно повышается. Одним из источников аккумуляции тепла и нагрева цемента являются мелющие тела. Автор предлагает изменить конструкцию мельницы таким образом, чтобы из нее вместе с цементом непрерывно удалялась часть мелющих тел. После отделения от цемента эти тела охлаждаются воздухом и вновь возвращаются в мельницу. Это позволит поддерживать т-ру в мельнице на более низком уровне и повысить производительность, так как прекратится налипание частиц цемента на мелющие тела. Предлагаются различные схемы удаления мелющих тел из мельницы для их охлаждения. Автором получено несколько патентов на предложенный способ охлаждения цемента, в частности на использование его для систематич. сортировки мелющих тел и перегрузки мельниц.

Б. Левман

69500. Способ ускоренного определения прочности портланд-цемента. — (Ein Verfahren zur beschleunigten Prüfung der Portlandzemente auf ihre Festigkeitentwicklung.—), Schweiz. Arch. angew. Wiss. und Techn., 1957, 23, № 3, 65—70 (нем.; рез. франц.)

Проведена проверка автоклавного испытания различных портланд-цементов как ускоренного метода определения прочности. На основе многочисленных опытов установлено, что этот метод позволяет с достаточной точностью предсказать динамику роста прочности портланд-цемента в нормальных условиях твердения. Испытывались образцы — призмы  $4 \times 4 \times 16$  см из стандартного р-ра по следующему режиму: хранение в стандартных условиях 24 часа, подъем давления в автоклаве до 12 атм 1 час, выдержка при этом давлении 3 часа, спуск давления и т-ры (до 90°) 3 часа, охлаждение образцов до комнатной т-ры 1 час. Во всех случаях получены результаты, свидетельствующие об удовлетворительном совпадении показателей прочности при автоклавном и нормальном твердении. Отношение  $R_{авт.} : R_{н.}$  лежит в пределах 0,9—1,1, а для ряда цементов в еще более узких пределах 0,95—1,05. Величина этого отношения не зависит от колебаний в содержании  $\text{MgO}$  (в пределах, допускаемых стандартом) и тонкости помола.

Б. Левман

69501. Ускоренный химический анализ портланд-цементного клинкера. Чоарэ, Попович, Мухат, Билой, Андриеш, Челя (Contribuții la analiza chimică rapidă a clincherului de ciment portland. Cioară A., Popovici Elena, Mușat Mihaela, Biloiu Constanța, Andrieș I., Celea Vir-



ginia), Ind. construcțiilor și mater constr., 1957, № 1, 48—54 (рум.; рез. русск., нем.)

Применение рекомендуемых методов позволяет сократить продолжительность анализа до 8 час.

**М. Степанова**  
69502. Исследование потенциала на контакте желез — цемент. Николь (Observations et remarques sur le potentiel de contact fer-ciment. Nicoll L., Rev. mater. constr. et trav. publics, 1956, № 488, 103—108, № 489, 133—140 (франц.))

Исследовалось влияние длительного твердения цементного камня на изменение потенциала на контакте цемент — нержавеющая сталь при использовании различных цементов. Образцы хранились в воде при  $t = 17-18,5^\circ$  и pH 6—7. Потенциал замерялся до 228 дней. С течением времени величина потенциала уменьшается. Она изменяется в зависимости от окружающей среды. Если, напр., образец имеет сухую поверхность, потенциал равен 40 мВ, а по погружении образца в воду потенциал возрастает до 175 мВ. Изучалась зависимость между величиной потенциала на контакте желез — цемент и коррозией стального стержня, заделанного в образец. Образцы-кубы хранили погруженными в воду полностью и наполовину. Наблюдения велись в течение 700 дней. С течением времени абсолютная величина потенциала уменьшается, и он становится менее положительным или отрицательным. Для данного срока хранения образца напряжение уменьшается по мере уменьшения увлажнения. Во всех случаях потенциал более положительный в случае заделки стержня из обычной стали по сравнению со стержнем из нержавеющей стали. При соединении двух образцов цементного камня с помощью арматурного стержня возникают гальванич. пары, напряжение в которых может доходить до 500 мВ. Точно также пары могут возникать при соприкосновении образцов или частей сооружений с различной степенью увлажнения. Предыдущее сообщение см. РЖХим, 1957, 5296.

**И. Смирнова**  
69503. Выпуск цемента в Южной Калифорнии. Атли (Cement-producing capacity soars in Southern California. Utley Harry F.), Pit and Quarry, 1956, 49, № 1, 75, 78—79, 82 (англ.)

69504. К вопросу об определении удельной поверхности порошка прибором Блейна. Виланд (Betrachtungen zur Bestimmung der spezifischen Oberfläche eines Pulvers mit dem Blaine-Gerät. Wieland W.), Zement-Kalk-Gips, 1957, 10, № 3, 81—89 (нем.; рез. англ., франц.)

В результате теоретич. и эксперим. исследований ф-лы Блейна и ряда других ур-ний, применяемых при определении уд. поверхности (УП) порошков, установлено, что при УП цементов до 3000 см<sup>2</sup>/г указанная ф-ла может быть использована в практике контроля цементного произ-ва. УП по Блейну зависит от пористости слоя материала. Закон аддитивности не соблюдается для смеси порошков. Автором найдено эмпирич. ур-ние для определения УП цементных порошков с УП от 200 до 12 000 см<sup>2</sup>/г.

**М. Маянц**  
69505. Упаковка цемента для морских перевозок. Прибыль (Zámofské balení cementu. Příbyl J.), Stavivo, 1957, 35, № 3, 103—104 (чешск.; рез. русск., англ., нем., франц.)

69506. Влияние термической обработки на пуццолановую активность ангреской опки. Рахматуллин Ф. А., Уч. зап. Кирг. гос. заоч. пед. ин-та, 1956, вып. 2, 3—6

Обжиг (О) ангреской опки при 700—1000° понижает ее пуццоланов. активность (ПА), определенную как методом поглощения СаО, так и выщелачиванием активного кремнезема 5%-ным р-ром соды. С повышением  $t$ -ры ПА падает. Для брянского трепела ПА па-

дает лишь в случае О при 1000°. Испытания в смеси с портланд-цементом также указали на отрицательное влияние О на ПА трепела и опки. Лишь в смеси с гашеной известью опка и трепел, обожженные при 900—1000°, показали значительное увеличение прочности по сравнению с необожженным материалом, что объясняется устранением при О вредного влияния глины и приданием ей пуццоланов. свойств. **В. Довжик**  
69507. Получение огнеупорного цемента на основе доломита и алунита. Джинчарадзе Н. Г., Кутателадзе К. С., Сообщ. АН ГрузССР, 1957, 18, № 1, 31—38

На основе доломита и алунита получен огнеупорный бетон, который может применяться при  $t$ -рах до 1700°, а в сильно напряженных условиях до 1300—1400°.

**М. Маянц**  
69508. Комплексный метод получения окиси алюминия, серной кислоты и цемента путем обжига до спекания глинистого сырья в присутствии ангидрита. Акерман, Жмудзинский, Орман, Мусенко (Kompleksowa metoda otrzymywania tleniu glinu, kwasu siarkowego i cementu przez spiekanie surowców glinonowych z anhydrytem. Akerman Karol, Zmudziński Bronisław, Orman Zofia, Musienko Zdzisław), Arch. hutn., 1956, 1, № 4, 319—339 (польск.; рез. русск., англ.)

При спекании в цилиндрич. печи ангидрита (или гипса) с высокоглиноземистыми алюмосиликатами (напр., аргиллитом) происходит диссоциация сульфата Са. Сернистый газ, улетучивающийся вместе с продуктами горения, может быть использован для получения серной к-ты, а оставшийся спек является полупродуктом для произ-ва цемента и глинозема. Проведенные исследования имели целью установить оптимальный режим обжига для обеспечения необходимой концентрации SO<sub>2</sub> в отходящих газах и получения саморассыпавшегося спека, соответствующего по составу цементной сырьевой шихте. Опытные обжиги проводились во вращающейся печи длиной 17 м и diam. 1,2 м. Вместо аргиллита применялись также сырой сланец и магнетитовые отходы обожженного сланца. Опыты показали, что полная диссоциация ангидрита (на 99%) в присутствии высокоглиноземистых материалов происходит при относительно низкой  $t$ -ре (1290—1320°). Оставшийся спек рассыпается на 90% и при обработке содовым р-ром дает выход глинозема до 80%. Остаток после выщелачивания при обжиге дает высококачеств. клинкер. Замазывания печи и образования колец не наблюдалось. Параметры процесса: атмосфера в печи — нейтр. или слабо восстановительная; тонкость помола сырья — 80—90% зерен размером  $\leq 0,06$  мм; весовое отношение глинистого сырья к ангидриту 1:3,2—1:4,2; содержание кокса 7,5% (по отношению к ангидриту). При применении сырого сланца расход кокса уменьшается.

**Б. Левман**  
69509. Новый латекс-цемент для тампонирувания скважин. Роллинс, Дейвидсон (New latex-cement solves special well problems. Rollins J. T., Davidson R. D.), Petrol. Engr, 1957, 29, № 2, B48, B50, B51 (англ.)

Рассматривается новый вид тампонажного цемента, состоящего из портланд-цемента, добавки латекса и поверхностно-активного в-ва. Изготовленный из него р-р для тампонирувания нефтяных скважин твердеет так же, как и р-р из обыкновенного цемента, но имеет следующие преимущества: 1) образует лучшее сцепление с поверхностью, смоченной водой или нефтью; 2) не растрескивается при перфорации; 3) стоек против загрязнений; 4) обладает малым водоотделением и низкой усадкой; 5) более долговечен. Кроме того, р-р из латекс-цемента свободен от ложного схватывания. Описывается опыт применения нового латекс-цемента

при тампонировании и ремонте скважин в Западном Техасе. Б. Левман

**69510. От доменного шлака к цементу. I. Танака** (From blast furnace slag to cement. Part I. Tanaka T. a. G., Rock Prod., 1957, 60, № 3, 100, 102, 104, 106 (англ.))

Исследовалось влияние хим. состава гранулированного доменного шлака на способность к твердению и хрупкость сульфатно-шлаковых цементов. Опыты проводились с искусственно изготовленными синтетич. стекловидными шлаками. В опубликованной первой части статьи подробно описываются состав и методика получения синтетич. шлаков, а также состав цементов, изготовленных на их основе. Шлаки содержали различное кол-во  $\text{CaO}$  (40—52%),  $\text{SiO}_2$  (26—40%) и  $\text{Al}_2\text{O}_3$  (14—30%). При этом учитывалось, что гидравлич. активность стекловидных шлаков зависит от свойств самого стекла, а не от минералов, выкристаллизовавшихся в состоянии равновесия (в частности, геленита и  $\text{C}_2\text{S}$ ). Б. Левман

**69511. К вопросу гидратации доменных гранулированных шлаков и твердения шлаковых цементов. Стрелков М. И.** В сб.: Доменные шлаки в стр-ве. Киев, Гостройиздат УССР, 1956, 101—115

Рассмотрены вопросы строения доменных гранулированных шлаков и механизм твердения шлаковых цементов. Опыты показали, что, вопреки установившемуся мнению, шлаки в известковом и известково-гипсовом р-ре обладают резко выраженной способностью к набуханию, иногда даже более значительной, чем активные кислые гидравлич. добавки. Сделан вывод, что в доменных шлаках нормальной грануляции геленит как определенное соединение не может присутствовать в значительных кол-вах. Опыты, проведенные автором, показали, что сульфид Са не всегда может оказывать положительное влияние на вяжущие свойства шлака. С. Круглов

**69512. Гидратация шлаковых вяжущих. Сиверцев Г. Н.** В сб.: Доменные шлаки в стр-ве. Киев, Гостройиздат УССР, 1956, 85—100

Рассматривается гидролиз шлаков, их способность активироваться («возбуждаться») при действии извести, гипса и некоторых других добавок, анализируется механизм щел. и сульфатного возбуждения шлаков. Общими стадиями процесса гидратации являются: начальная стадия — обогащение среды ионами извести ( $\text{Ca}^{++}$  и  $\text{OH}^-$ ); адсорбционная стадия, когда на поверхности частиц имеются (у гидравлич. добавок, кислых шлаков) или появляются в результате гидродитич. отщепления извести (у основных шлаков и клинкера) отрицательно заряженные участки, адсорбирующие известь; стадия новообразований — появление мицелл и их сольватация (гидратация). С. Круглов

**69513. Активация шлака из гор. Трмиче мокрым помолотом. Матоушек, Покорный** (Aktivace trmické škvrý mokřým mletím. Matoušek M., Pokorný A. G.), Stavivo, 1957, 35, № 3, 108—109 (чешск.; рез. русск., англ., нем., франц.)

**69514. Контроль пламени во вращающихся печах. Дерсна** (Flame control in rotary kilns. Dersnah W. R.), Pit and Quarry, 1956, 49, № 1, 149, 154, 156, 158, 160, 162—163, 166—167 (англ.)

Рассмотрены практика контроля процесса горения на з-дах, влияние на работу печей конструкции горелок, характеристики факела, кол-ва и т-ры первичного и вторичного воздуха, коэф. избытка воздуха, а также указаны причины образования колец. И. Смирнова

**69515. О работе вращающихся печей на газообразном топливе при высоком давлении. Арефьев В.** Строит. материалы, 1957, № 4, 20—21

Предлагается вместо форсунок, используемых в настоящее время на з-дах, работающих на газе с высоким давлением, поставить трубу с наконечником-рассекателем, создающим конусообразный факел, который заполнит собой все сечение печи. Использование форсунок такого типа обеспечивает хорошие условия смешения газа с воздухом и достаточно высокую скорость горения. М. Степанова

**69516. Вопросы службы огнеупорной футеровки в зоне обжига вращающейся цементной печи. Хаггетт** (Rotary cement kiln linings refractory problems in the burning-zone. Huggett L. G.), Trans. Brit. Ceram. Soc., 1957, 56, № 3, 87—106. Discuss., 107—109 (англ.)

В зоне обжига огнеупорная футеровка работает в очень тяжелых условиях. На высокоосновной футеровке нередко наблюдаются трещины. Для футеровки целесообразно применять очень чистые высокотемпературные алюмосиликатные огнеупоры с малой пористостью и высоким содержанием  $\text{Al}_2\text{O}_3$ . Однако основные огнеупоры более устойчивы против хим. коррозии, чем высокоглиноземистые. Магнезитовые кирпичи, очевидно, обладают большей устойчивостью, чем хромомагнезитовые. Недостаточно ясен вопрос о том, в какой степени физ. свойства огнеупоров зависят от явления оплавления. Б. Левман

**69517. Изучение циркуляции щелочей в цементно-обжигательной вращающейся печи, работающей по мокрому способу, с помощью радиоактивного изотопа  $\text{K}^{42}$ . Леман, Плазмман** (Feststellung der Alkalizirkulation mit Hilfe des Radioisotops  $\text{K}^{42}$  in einem langen Naßdrehofen. Lehmann W. S., Plasmann E.), Zement-Kalk-Gips, 1957, 10, № 3, 89—93 (нем.; рез. англ., франц.)

Для изучения циркуляции щелочей во вращающейся печи при обжиге клинкера был применен радиоактивный изотоп  $\text{K}^{42}$ , вводившийся в шихту в виде  $\text{K}_2\text{CO}_3$  (I) и мусковита  $\text{KAl}_2(\text{OH}, \text{F})_2 \cdot \text{AlSi}_3\text{O}_{10}$  (II), подвергнутых предварительному облучению в ядерном реакторе. Активность  $\text{K}^{42}$  в I составляла около 100 мюри, а во II — 30 мюри. Период полураспада в обоих случаях составил 12,4 часа, при распаде  $\text{K}^{42}$  выделялось  $\beta$ -излучение двух спектров с максим. величинами энергий 3,58 Мэв (75%), и 2,04 Мэв (25%), а также  $\gamma$ -излучение с энергией 1,51 Мэв. Для замера активности шихты по длине печи, в особенности в зоне спекания, были установлены Г.—М.-счетчики собственной конструкции. Установлено, что калий испаряется на расстоянии 125—130 м от места входа шлама в печь. В течение 110—120 мин. наблюдалось пять периодов испарения. Это означает, что примерно 80% калия, испаряясь и захватываясь потоком газов, вновь конденсируется на участке 30—55 м от точки, в то время как остальные 20% входят в обожженный клинкер. М. Маянц

**69518. Применение высококачественных сплавов и срок службы цементных печей. Шюффер** (High alloy castings extend life of cement kilns. Schoeffer E. A.), Rock Prod., 1957, 60, № 3, 80—83, 132 (англ.)

Для защиты огнеупорной футеровки вращающейся цементной печи от действия высоких т-р в загрузочном и разгрузочном концах применяются подпорные сегментные кольца из спец. жароупорных сплавов, содержащих от 19 до 32% Cr и от 8 до 22% Ni. Эти сплавы обладают повышенной стойкостью и ковкостью в условиях высоких т-р, хорошо ведут себя при переменных циклах нагрузки и т-ры и могут быть применены в восстановительной и окислительной средах, а также в атмосфере сернистых газов. Кроме того, они отличаются хорошей прочностью на истирание, что важно для разгрузочного конца печи. Сегменты крепятся болтами заподлицо. 60 печей, оборудованных этими кольцами, работают длительное время без ре-

монта. Из этого же сырья изготавливаются колосники и цепи для клинкерных холодильников. Б. Левман 69519. Приводы для мельниц сухого помола. Уэстбрук (Transmission drives for dry grinding mills. Westbrook Francis A.), Plant, 1957, 15, № 2, 68—69 (англ.)

Описываются некоторые новейшие механич. передаточные устройства, устанавливаемые на мельницах различных типов и размеров. Б. Левман 69520. Самый северный завод на континенте. Питерсен (Inland's new Edmonton plant most northerly on this continent. Petersen Peter S.), Pit and Quarry, 1956, 49, № 1, 88—89, 92—94, 97—100 (англ.)

Описан цементный з-д, расположенный в Канаде вблизи г. Эдмонта. Годовая производительность его 153 тыс. т. З-д работает по мокрому способу. Обжиг клинкера производится во вращающейся печи  $3,3 \times 102$  м, отапливаемой природным газом. Клинкер, выходящий из печи, подвергается резкому охлаждению. Подробно рассмотрена технология дробильно-помольных операций. И. Смирнова 69521. Устойчивость поверхности бетона против отслаивающего действия веществ, применяемых для удаления льда. Тиммс (Resistance of concrete surfaces to scaling action of ice-removal agents. Timms Albert G.), Highway Res. Board Bull., 1956, № 128, 20—50 (англ.)

Описываются методика и результаты многолетних исследований, посвященных влиянию на поверхность бетона хлористого Са и других в-в, способствующих удалению льда. Изучалось влияние повышенного воздухоудержания, а также  $\text{CaCl}_2$ , NaCl и парафина на такие свойства бетона, как прочность, усадка и сопротивление попеременному замораживанию и оттаиванию. Были исследованы соответствующие свойства бетонов, подвергавшихся вакуумированию. В испытаниях, проводившихся на открытом воздухе, изучалось действие указанных в-в на бетоны, приготовленные на разных цементах и с различными (по крупности) заполнителями, а также на бетоны с воздухововлекающими добавками. Испытания позволили сделать следующие основные выводы: 1) устойчивость бетонов против отслаивающего действия  $\text{CaCl}_2$  и др. в-в зависит, в первую очередь, от кол-ва вовлеченного воздуха; 2) бетонные изделия, покрытые во время пропаривания защитным слоем минер. масла, показывают более высокую устойчивость против отслаивания; 3) повышению устойчивости против отслаивания способствует вакуумирование смеси; 4) наиболее низкую устойчивость против отслаивания показали бетоны, в которых в качестве заполнителя применялась золунос; 5) режим тепловлажностной обработки не оказывал серьезного влияния на устойчивость против отслаивания. С. Круглов 69522. Проектирование состава и контроль качества бетона с воздухововлекающими добавками. Уокер, Блом (Design and control of air-entraining concrete. Walker Stanton, Bloom Delmar L.), Cement Lime and Gravel, 1957, 31, № 9, 442—450 (англ.)

Описаны методы проектирования состава ячеистых бетонов с воздухововлекающими добавками. Рекомендуется с повышением воздухоудержания в бетоне уменьшать расход воды. Отмечается влияние качества и расхода цемента, гранулометрич. состава заполнителя, консистенции смеси, времени перемешивания, т-ры бетонной смеси при перемешивании на кол-во вовлеченного воздуха. Описываются методы контроля воздухоудержания. Наиболее широко применялся в исследованиях так называемый весовой метод, заключающийся в определении веса бетона, абс.

объема смеси и затем объема воздуха путем вычитания величины абс. объема смеси из величины относительного объема. Другой метод определения воздухоудержания основан на законе Бойля, согласно которому при постоянной т-ре объем массы газа изменяется обратно пропорционально давлению. Однако этот метод не может быть использован для бетонов с легкими или пористыми заполнителями. В этих случаях для определения воздухоудержания рекомендуется пользоваться пикнометром. С. Круглов 69523. Влияние вовлеченного воздуха на прочность и долговечность бетона с заполнителями различной крупности. Кайгер (Effect of entrained air on strength and durability of concrete with various sizes of aggregates. Klieger Paul), Highway Res. Board Bull., 1956, № 128, 1—19 (англ.)

Приводятся результаты опытов по установлению влияния вовлеченного воздуха на основные свойства бетона — прочность и долговечность. Установлено, что при постоянном содержании цемента и постоянной консистенции смеси с уменьшением максим. размера зерен заполнителя вовлечение воздуха вызывает меньшее падение прочности. В смеси данной консистенции при вовлечении воздуха прочность понижается незначительно при уменьшении содержания цемента, так как в более тощих смесях значительно сокращается водосодержание. Как при влажном, так и при воздушном твердении воздухововлечение не оказывает серьезного влияния на объем и вес бетона. Во всех случаях вовлечение воздуха способствовало повышению морозостойкости бетона, причем морозостойкость повышалась с уменьшением максим. размера зерен заполнителя. С. Круглов 69524. Влияние гидрофобизирующих добавок на свойства легких бетонов. Попов Н. А., Татишвили А. З. Сообщ. АН ГрузССР, 1957, 18, № 1, 59—65

Изложены результаты изучения влияния гидрофобизирующих добавок, в частности мылоафта, на свойства легких бетонов. Установлено, что введение гидрофобных добавок повышает морозостойкость легких бетонов. Образцы с добавками выдержали без следов повреждений от 85 до 100 и более теплосмен (при расходе цемента в  $200 \text{ кг/м}^3$ ), аналогичные образцы без добавок (при расходе цемента  $280 \text{ кг/м}^3$ ) выдерживали лишь 45—55 циклов попеременного замораживания и оттаивания. Повышение морозостойкости бетонов с добавками можно объяснить благоприятным влиянием добавки на капиллярный подсос, замедлением миграции влаги в капиллярах бетона, а также улучшением его структуры. С. Круглов 69525. Усовершенствованный счетчик воздуха высокого давления для определения воздухоудержания в затвердевшем бетоне. Линдси (Illinois develops high pressure air meter for determining air-content of hardened concrete. Lindsay J. D.), Highway Res. Board. Proc. 35. Washington, 1956, 424—434, discuss, 434—435 (англ.)

Описывается усовершенствованный аппарат для определения воздухоудержания в затвердевшем бетоне, конструкция которого базируется на применениях закона Бойля. Дается методика пользования аппаратом, который обеспечивает высокую точность контроля. С. Круглов 69526. Определение модуля упругости бетона. Тейге (Sonické zjišťování konstant elasticity v pevných prostředích. Teige K.), Vodní hospodářství, 1957, № 3, 63—78 (чешск.; рез. русск., нем., англ.)

Описан ультразвуковой способ определения модуля упругости бетона в гидросооружениях. М. Степанова 69527. Дополнение к статье: Тейге «Определение модуля упругости бетона». Тараба (Sonické zjišťování konstant elasticity v pevných prostředích. Taraba



О.), *Vodní hospodářství*, 1957, № 3, 79 (чешск.; рез. русск., нем., англ.)  
Сообщаются дополнительные сведения об ультразвуковом приборе. См. предыдущий реферат.

М. Степанова  
**69528. Ускорение твердения бетона с помощью электрического тока.** Лятомский (Przyręczenie dojrzewania betonu za pomocą prądu elektrycznego. Latoński Teodor), *Przegl. budowl.*, 1956, 28, № 2, 77—78; № 10, 423—424 (польск.)

I. На основе советского опыта в Институте организации и механизации строительства начаты работы по применению электронагрева бетона. Исследуются бетоны различной пластичности, изготовленные на основе польских цементов разных марок. Опыты проводятся в лабор. и полевых условиях. Особое внимание уделяется выбору эффективных и безопасных электроприборов, пригодных для полевых работ.

II. Описываются опыты по электронагреву бетона при изготовлении лестничного марша длиной 3,35 и шириной 0,57 м. Нагрев производился до  $t_{\text{ры}}$  60—70°. Через 6 час. прочность изделия составила ~ 50% от  $R_{\text{б}}$ . Полный цикл нагрева продолжался 16 час. Приводятся подробные данные о принятом режиме электронагрева и ходе опыта. Затраты на энергию составляют ~ 74% затрат на уголь при применении пропаривания бетона. Дальнейшие исследования показали, что продолжительность электрообработки изделия может быть сокращена до 14 час. при сохранении прочности, необходимой для транспортировки.

Б. Левман  
**69529. Жароупорный бетон — для футеровки туннельных вагонеток.** Эпштейн С., Катунин А., *Строит. материалы*, 1957, № 3, 33

Для футеровки туннельных вагонеток был использован жароупорный бетон следующего состава (в %): портланд-цемент марки «400» 18, лесса 18, шпатного заполнителя крупностью 5—50 мм 64. Полугодовая эксплуатация вагонеток показала хорошее качество футеровки.

М. Маяц  
**69530. Производство шлаковой пемзы и возможность ее применения в качестве заполнителя легкого бетона для теплоизоляции и изготовления конструктивных элементов.** Сринский (Strusková pemma a možnost jejího použití pro lehčené izolace konstrukční betony. Srnský L.), *Stavivo*, 1957, 35, № 2, 45—49 (чешск.; рез. русск., англ., нем., франц.)

**69531. Применение литого бетона при строительстве туннелей.** Сондереггер (Applications du béton projeté pour la construction de tunnels. Sonderegger A.), *Bull. ciment.*, 1957, 25, № 14, 6 p. (франц.)

**69532. Новый заполнитель для легкого бетона.** Наричный В., Артемцев В., *Строит. материалы*, 1957, № 3, 34

Описана технология изготовления вспученного ячеистого материала на основе менилитовых сланцев — «карпазита» (К). Обжиг К производился в печи периодич. действия, работающей по режиму коротких вращающихся печей, а также в туннельной печи при 1200—1240°. Полученный таким образом К применялся в качестве заполнителя для бетона. Об. в. 1400—1700 кг/м³ прочность в 2-дневном возрасте после пропарки 42—130 кг/см².

М. Маяц  
**69533. Активированный шлакопенобетон.** Малуг И. И., Арабкерцева М. А. В сб.: Доменные шлаки в стр-ве. Киев, Госстройиздат УССР, 1956, 173—183. Отмечается целесообразность использования активированного («пробужденного») шлакобетона для получения стеновых камней, монолитных ленточных фундаментов, канализационных труб, бордюрных камней, легкого стенового материала в виде шлакопенобетона. Активированный бетон с течением времени интенсифи-

но повышает свою прочность и значительно увеличивает морозостойкость. Его можно получать на базе доменных отвалных и гранулированных шлаков. Бесцементные и малощемятные «пробужденные» бетоны весьма чувствительны к тепловой обработке и требуют спец. режима пропаривания. В противном случае на изделиях появляются трещины. Приводятся параметры оптимального режима пропаривания свежизготовленных изделий из «пробужденного» бетона. Описаны опыты по получению активированного пенобетона на основе доменного отвалного шлака.

С. Круглов  
**69534. Добыча щебня в холмистой местности.** Ленхарт (Mining a gravel mountain. Lenhart Walter B.), *Rock Prod.*, 1957, 60, № 2, 86—89, 138 (англ.)

Описывается новое предприятие по произ-ву заполнителей для бетона: щебня и песка, производительностью 400—500 т/час. Все производственные здания и установки имеют малую высоту, что позволяет свести до минимума кол-во подъемных механизмов. В целях борьбы с шумом одна дробилка установлена практически под землей, а другую намечается заключить в звуконепроницаемую оболочку. Бункеры для сухого материала прикрыты и пыленепроницаемы. Для первичного дробления установлен агрегат новой конструкции производительностью 200—250 т/час. Дробление производится до размера кусков < 10 см. Для переборки материалов широко применяются различные транспортеры, а вывозка готовой продукции производится автосамосвалами. Весовые и погрузочные устройства оборудованы кнопочным управлением. Диспетчер из центрального пункта одновременно осуществляет распределение, взвешивания и погрузку готовой продукции, а также следит за работой забойных и питающих транспортеров.

Б. Левман  
**69535. Огнеупорный бетон в жилищном строительстве.** (Исследования и рекомендации). Дутковский (Beton ognioodporny w budownictwie mieszkaniowym. (Badania i zalecenia). Dutkowski Józef), *Przegl. budowl.*, 1956, 28, № 6, 246—249 (польск.)

Исследовались некоторые физ. свойства огнеупорных бетонов (ОБ). Проводились испытания прочности образцов огнеупорных бетонов (ОБ) при сжатии и устойчивости под действием резких или постепенных изменений  $t_{\text{ры}}$  (в пределах до 700°), а также огнеупорности под нагрузкой и сопротивлению усадке (в пределах  $t_{\text{р}}$  100—700°). Образцы подвергались пропариванию или автоклавной обработке. Автоклавные ОБ обладают более высокой устойчивостью при повышенных  $t_{\text{рах}}$ , чем пропаренные. Рекомендуется состав ОБ на основе польских цементов марки «350» с расходом вяжущего 300 кг/м³.

Б. Левман  
**69536. Теплоизоляционные бетоны для высоких температур.** Янкелев Л. Ф., *Энергох-во за рубежом*, 1957, № 1, 53—54

Приводятся технология изготовления легких заполнителей и свойства теплоизоляционных бетонов.

М. Степанова  
**69537. Морозостойкость бетона с повышенными добавками хлористых солей.** Защепин А. Н., Овчаров В. И., *Бетон и железобетон*, 1956, № 12, 432—434

Исследовалась морозостойкость (М) бетонов (Б) состава 1:2,13:4,3 при В/Ц 0,55—0,53 на Воскресенском и Белгородском цементных заводах с добавками NaCl и CaCl₂. М оценивалась по потере в весе и прочности (при сжатии и изгибе) образцов, хранившихся в морозильной камере или в естественных зимних условиях после 50—260 циклов замораживания и оттаивания. При добавлении более 16% солей к воде затворения Б имеют пониженную М. Б с добавкой одного NaCl имеют более низкую М, чем Б с добавкой CaCl₂ или совместной добав-

кой обеих солей. Наибольшую М показали Б на Белгородском цементе с малым содержанием солей ( $\text{CaCl}_2$  или совместная добавка  $\text{NaCl}$  и  $\text{CaCl}_2$ ). В. Довжик 69538.

**Перспективы применения высокопрочных бетонов из жестких бетонных смесей. Скрамтаев Б. Г., Сорокер В. И., Бетон и железобетон, 1956, № 12, 417—421**

69539. **Ускоренный способ определения прочности бетона. Акройд, Смит-Гандер (Accelerated curing of concrete test cubes. Akroyd T. N. W., Smith-Gander R. G.), Engineering, 1956, 181, № 12, 417—421 (англ.)**

Предлагается ускоренный способ определения прочности бетона. Сформованные обычным способом бетонные образцы после хранения в комнатных условиях от 15 мин. до 4 час. помещаются в воду (т-ра 50—70°). Затем вода доводится до кипения. Образцы рекомендуются испытывать сразу же по окончании тепловой обработки и не позднее часовой выдержки. Приведены опытные данные, показывающие влияние на прочность образцов длительности выдерживания их до и после тепловой обработки, длительности цикла тепловой обработки и т-ры воды. П. Зильберфарб 69540.

**Настоящее и будущее легких заполнителей. Роуэн (Lightweight aggregate-present and future. Rowen Allen R.), Mining Engng, 1956, 8, № 11, 1103—1104 (англ.)**

Рассматривается вопрос о перспективах произ-ва в США различных легких заполнителей (ЛЗ). Применяются два агрегата для изготовления искусств. ЛЗ: вращающаяся печь и спекательная решетка. До сих пор преобладал первый агрегат, однако экономически более выгоден второй, поскольку спекательная решетка отличается высокой термич. эффективностью, дает до 2000 г ЛЗ в день и обслуживается 1 рабочим. Расход энергии одинаков при обоих способах.

Большое кол-во ЛЗ идет на изготовление монолитного бетона. Намечается новая область использования ЛЗ — дорожный асфальтобетон. Б. Левман 69541.

**Можно ли усовершенствовать перемешивание бетона? Шор (Concrete mixing-can it be improved? Shore William J.), Rock Prod., 1957, 60, № 3, 171, 182, 186 (англ.)**

Описан метод перемешивания бетонных смесей, обеспечивающий быстрое и равномерное распределение цемента по всей смеси. С. Круглов 69542.

**Методы испытаний бетонной кровельной плитки и технические требования к ней. Бергстрём (Synpunkter på provningsmetoder och kvalitetskrav för betongtakpannor. Bergström Moje. Medd. Statens provningsanstalt, 1957, № 120, 12 s.) (шведск.; рез. англ.)**

Изложены результаты испытаний бетонных кровельных плиток. Рекомендуется испытывать кровельные плитки на водонепроницаемость, механич. прочность (изгиб) и в отдельных случаях на морозостойкость. К. Герцфельд 69543.

**Из опыта применения доменных отвалных шлаков в строительстве. Пухальский Г. В., Доляновский В. К., Строит. пром-сть, 1957, № 3, 34—37**

При применении в качестве крупного заполнителя рядового шлакового щебня с об. в. 1,28, содержащего ~30% пористых зерен, и при нормальном расходе цемента могут быть получены бетоны удовлетворительных марок. Т. Риховская 69544.

**Механическая прочность блоков из ячеистых бетонов и кладки из них. Левин Н. И., Бюл. строит. техники, 1957, № 3, 4—8**

Описываются исследования, проведенные ЦНИПС, по изучению основных механич. свойств ячеистых бетонов. Установлено, что зависимость между марками ячеистых

бетонов и сопротивлением изгибу, срезу и растяжению может быть выражена ф-лами:  $R_{\text{изг}} = 0,22R_{\text{сж}}^{\text{куб}}$ ;  $R_{\text{срез}} = 0,2R_{\text{сж}}^{\text{куб}}$ ;  $R_{\text{раст}} = 0,11R_{\text{сж}}^{\text{куб}}$  (где  $R_{\text{изг}}$ ,  $R_{\text{срез}}$ ,  $R_{\text{раст}}$  — сопротивление образцов изгибу, срезу и растяжению;  $R_{\text{сж}}^{\text{куб}}$  — предел прочности при сжатии кубов в воздушно-сухом состоянии. Исследованиями доказано, что марка р-ра оказывает решающее влияние на начальный модуль упругости кладки из крупных пенобетонных блоков. Опыты показали, что применение ячеистых бетонов в конструкциях, сочетающих несущие и теплоизоляционные функции, является наиболее эффективным. С. Круглов 69545.

**Изготовление блоков из пробужденного на бегунах шлакобетона и применение их на строительстве. Вольф, Леонидович, Вежицкий (Opis wykonania bloków z żużlobetonu wzbudzonego na gniotowniku obiegowym wbudowanych w budynek doświadczalnym. Praga II. Wolf Józef, Leonowicz Roman, Wierzbicki Jerzy), Przegl. budowl., 1956, 28, № 1, 42—46 (польск.)**

Были изготовлены 18 больших опытных блоков из пробужденного на бегунах шлакобетона (ШБ) для испытания их на строительстве здания, осуществляемого индустриальными методами. В качестве вяжущего был взят портланд-цемент трех разных з-дов. Расход цемента 112—135 кг/м³ бетона. Результаты испытаний подтвердили целесообразность применения в строительстве блоков из ШБ, изготовленных с соблюдением технологич. норм. Б. Левман 69546.

**Изготовление сборных элементов для опытного дома в районе Праги. Колодко (Přefabrikace elementů došvědčalného budynku na Pradze. Kolodko Włodzimierz), Przegl. budowl., 1956, 28, № 1, 12—20 (польск.)**

Описывается процесс изготовления сборных крупно-размерных элементов для строительства опытного дома в районе Варшавы — Праге. Для выпуска крупных деталей на з-де выделен спец. цех, оборудованный двумя стендами 4,2 × 9,0 м. Детали изготавливаются из шлакобетона с расходом цемента 300 кг/м³. Бетонная смесь подвергается поверхностной вибрации. В отдельных случаях применяются глубинные вибраторы. Формы для стеновых блоков изготовлены из листового железа толщиной 3 мм. Режим пропаривания составляет (в час.): предварительная выдержка 4, подогрев до 35° — 3, подогрев от 35 до 80° — 3, выдержка при 80° — 5, охлаждение до нормальной т-ры — 5. Б. Л. 69547.

**О повышении прочности бетона в сборных деталях, изготавливаемых с пропариванием. Капкин М. М., Бетон и железобетон, 1956, № 11, 405—407**

Опыты по изучению влияния пропаривания (П) на прочность бетонов, изготовляемых на сульфатостойком портланд-цементе марки «400» с содержанием  $\text{C}_3\text{S}$  48%,  $\text{C}_2\text{S}$  29%,  $\text{C}_3\text{A}$  5% и  $\text{C}_4\text{AF}$  18%, проводились на смесях с расходом цемента 370—270 кг/м³ и В/Ц 0,3—0,6. Были изучены 5 режимов П продолжительностью 22 и 10 час. с различной скоростью подъема и спуска т-ры и длительностью изотермич. прогрева. Наилучшие результаты дали режимы (в час.) 8—10—4 и 4—14—4, при которых прочность бетона после П равнялась прочности бетона нормального 28-дневного твердения и превышала ее при последующем твердении в течение 28 дней. В 3-месячном возрасте прочность пропаренных образцов также превышала прочность образцов 3-месячного нормального твердения. По сравнению с нормальным твердением при П по оптимальному режиму повышается коэф. эффективности использования сульфатостойкого цемента в бетоне. В. Довжик 69548.

**Устаревшее оборудование для пропаривания — причина отставания производства бетонных блоков. Шор (Moderne block making hampered by**

antiquated curing equipment. Shore William J.), Pit and Quarry, 1956, 49, № 1, 311—312, 317 (англ.)

Камеры пропаривания не подвергались усовершенствованию с 1930 г. Расход топлива в неизолированных камерах в 2,5 раза больше, чем в изолированных. Для получения одинакового эффекта пропаривания нагрев в неизолированной камере должен составлять 77°, а в изолированной 63°, а расход пара соответственно 375 и 250 кг/час. Установлено, что сравнительно более низкая т-ра и высокая относительная влажность положительно влияют на прочность бетона.

И. Смирнова

**69549. Теплотехнические характеристики шлаковых материалов и изделий.** Эпштейн А. С. В сб.: Доминные шлаки в стр-ве. Киев, Госстройиздат УССР, 1956, 380—386

Коэф. теплопроводности (КТ) бетонов зависит от вида вяжущего. Замена портланд-цемента шлакопортландским или шлаковым бесклнкерным цементом снижает значение КТ соответственно на 21 и 38%.

М. Маянц

**69550. Гидравлическая самоустанавливающаяся опора.** Картер (Hydraulic self-aligning seating. Carter A. C.), Engineer, 1956, 202, № 5247, 232—234 (англ.)

Прочность материалов, особенно неоднородных, напр. бетона, зависит от условий испытания. Для равномерной передачи нагрузки на бетонные образцы при их испытании на сжатие пресс снабжают шаровой опорой. Исследование показывает, что при нагрузках до 200 т шаровая опора должна иметь diam. 450 мм и высокую точность обработки. Автор предлагает конструкцию более простой гидравлич. опоры и U-образного уплотнительного кольца для нее. Приведены сравнительные результаты испытания бетонных образцов на прессах, оборудованных шаровой и гидравлич. опорами.

И. Смирнова

**69551. Усадка и термические напряжения в кладке из бетонных блоков.** Коппленд (Shrinkage and temperature stresses in masonry. Copeland R. E.), J. Amer. Concrete Inst., 1957, № 8, 28, 769—780 (англ.)

На основе эксперим. данных даются рекомендации по уменьшению усадки и температурных трещин бетонной кладки: 1) сокращение остаточной деформации от усадки путем применения жестких смесей при изготовлении блоков; 2) уменьшение образования трещин с помощью различных способов армирования; 3) соединение стеновых деталей таким образом, чтобы в кладке не возникало напряженное состояние. Подробно описаны методы контроля деформаций от усадки и термич. напряжений.

С. Круглов

**69552. Качество цемента и предварительно напряженный бетон.** Детко (Jakość cementu a beton wstępnie sprężony. Detko Władysław), Cement. Wapno, Gips, 1957, 13, № 2, 25—30 (польск.)

Излагаются основные положения, касающиеся изготовления предварительно напряженного бетона (ПНБ). Польский стандарт на железобетон установлен верхний предел расхода цемента в 550 кг/м³. Применение быстротвердеющего и высокопрочного цемента позволит получить высококачеств. ПНБ с меньшим расходом вяжущего. Для этой цели могут быть использованы польские цементы «350» и «400», расход которых при изготовлении ПНБ не превышает 400—450 кг/м³. Однако исследования, проводившиеся в этой области, еще недостаточны для разработки норм и рекомендаций. В первую очередь необходимо изучить вопрос о поведении быстротвердеющего цемента в изделиях из ПНБ.

В. Левман

**69553. К вопросу об усталости бетона при многократных циклах чередующихся воздействий окру-**

жающей среды. Попов Н. А., Невский В. А., Сб. Моск. инж.-строит. ин-та, 1957, № 15, 73—90

При циклич. изменениях т-ры и влажности окружающей среды в бетоне возникают физ.-хим. изменения, определяющие протекание двух противоположных процессов: уплотнения и упрочнения бетона или отдельных его зон новообразованиями и возникновением дефектов в структуре бетона. Общим физ. признаком преобладания деструктивных процессов является накопление необратимых деформаций расширения. Применение напряженной арматуры повышает стойкость поверхностных слоев бетонных сооружений.

М. Маянц

**69554. Исследование трещиностойкости железобетона.**— (Control of cracks in reinforced concrete.—), Indian Concrete J., 1957, 31, № 1, 26—27 (англ.)

Описывается исследование, проведенное Национальным бюро стандартов (Вашингтон), с целью изучения трещиностойкости под нагрузкой железобетонных балок и плит. Испытания в целом показали, что трещиностойкость железобетона повышается при увеличении числа арматурных стержней. При повышении сцепления между бетоном и арматурой (путем профилирования стержней или увеличения связывающей способности бетонной смеси) трещиностойкость может быть повышена на 20—40%.

С. Круглов

**69555. Об улучшении свойств асфальтового бетона добавками поверхностноактивных веществ.** Рыбьев И. А., Сб. Моск. инж.-строит. ин-та, 1957, № 15, 153—167

Добавки поверхностноактивных в-в улучшают сцепление минер. составляющих асфальто-бетона с битумом. Изложены результаты исследований по гидрофобизации минер. материалов. Наиболее активными гидрофобизаторами являются: мыла, мыльные растворы, метилсиликат, ферронафт и олеиновая к-та. В производственных условиях целесообразно вводить активные добавки в битум.

М. Маянц

**69556. Ремонт дорожных бетонных покрытий.** Фелт (Resurfacing and patching concrete pavements with bonded concrete. Felt Earl J.), Highway Res. Board. Proc. 35. Washington, 1956, 444—469 (англ.)

Описывается способ восстановления верхнего слоя старых бетонных покрытий шоссе дорог. Основные факторы, которые следует учитывать при ремонте дорожных покрытий: 1) прочность старого бетона и 2) чистота его поверхности. Бетон, применяемый для ремонта, должен обладать высоким содержанием цемента и хорошей удобоукладываемостью. Описываются технич. способы достижения хорошего сцепления старого бетона со свежесложенным.

С. Круглов

**69557. Гравийно-эмульсионное покрытие как средство улучшения дорог путем защиты несущего гравийного слоя с помощью битума.** Гертнер (Die Kies-Emulsionsdecke als einfache Straßenbefestigung und bituminöse Sicherung von Kiestragschichten. Gärtner Fritz), Strassen- und Tiefbau, 1957, 11, № 3, 136—138 (нем.)

Описан опыт улучшения дорог с использованием местных материалов и битумной эмульсии, содержащей 60% битума.

М. Маянц

**69558. Физические свойства асфальта в тонких пленках.** Мак (Physical properties of asphalts in thin films. Mack Charles), Industr. and Engng Chem., 1957, 49, № 3, Part 1, 422—427 (англ.)

Измерялась прочность пленок асфальта, являющегося связующим в дорожных покрытиях из черных вяжущих. Прочность пленки линейно увеличивается с ее толщиной до максимума и затем уменьшается. Прочность также возрастает с увеличением поверхностного натяжения. Оптимальная толщина пленки увеличивается с возрастанием вязкости асфальта.



Так как последняя изменяется с т-рой, оптимальная толщина пленки зависит от т-ры. При толщине пленки 0,02—0,007 см асфальт ведет себя как твердое в-во. Максимальная прочность асфальтовой пленки составляет 15 кг/см<sup>2</sup> и пленки из каменноугольной смолы 19,4 кг/см<sup>2</sup>. Оптимальная толщина пленки в асфальто-песчаной смеси для исследованных асфальтов составляет 0,0039 и 0,00532 см. И. Смирнова

**69559. Влияние добавок на долговечность цементных растворов при знакопеременных напряжениях.** Кузнецов А. П., Изв. Куйбышевск. с.-х. ин-та, 1957, 12, 191—209

Добавка (Д) к цементу опилки или нейтрализованной воздухововлекающей смолы (препарат «СНВ») повышает ударную вязкость цементно-песчаного р-ра. Для каждого вида Д существуют определенные В/Ц, при которых их применение целесообразно, причем внутри этого интервала каждому В/Ц соответствует оптимальная дозировка Д. М. Маянц

**69560. Улучшение водонепроницаемости цементно-песчаного раствора.** I. Dogra, Уппал, Канур (Waterproofing cement-sand mortar—I. Dogra R. N., Uppal I. S., Kanur B. P.), Indian Concrete J., 1957, 31, № 1, 9—11 (англ.)

Наряду с известными гидрофобными добавками, как стеараты и олеаты кальция, аммония, алюминия и натрия, авторы применили для получения водонепроницаемой цементно-песчаной штукатурки натриевое мыло (НМ). Изучалось влияние добавки НМ на капиллярный подсос, водонепроницаемость и прочность р-ров различного состава (Ц:П — от 1:2 до 1:6). Сухое НМ вводилось в воду затворения и добавлялось к р-ру в дозировках от 0,1 до 1,0% (от веса цемента). Р-р изготовлялся из обыкновенного портланд-цемента и песка с МК = 1,17. Водонепроницаемость более жирных р-ров достигалась при добавке 0,25% НМ. Для толщин р-ров дозировка НМ до 1,0% недостаточна. Даже малые дозировки НМ (0,25—0,5%) прекращают капиллярный подсос во всех р-рах. Прочность р-ров при введении НМ понижается. Более чувствительны в этом отношении толщине р-ры. Сверх определенного предела (0,5% НМ для жирных р-ров и 0,25% НМ — для толщин) добавка практически перестает снижать прочность на сжатие. Б. Левман

**69561. Изменение свойств цементных растворов при воздействии многократных увлажнений — высушиваний.** Горшков П. С., Сб. Моск. инж.-строит. ин-т, 1957, № 15, 91—102

Многократные циклы увлажнения — высушивания вызывают в цементных р-рах как деструктивные изменения, связанные с возникновением знакопеременных напряжений в поверхностном слое материала, так и конструктивные изменения в результате дальнейшей гидратации цементных зерен, образования карбонатной пленки, уплотнения и перекристаллизации продуктов гидратации и т. д. Одной из основных причин преимущественного развития деструктивных процессов является быстрое старение гелевой составляющей цементного камня. М. Маянц

**69562. О требованиях к качеству асбестоцементных изделий.** Обзор иностранных стандартов. Фезельбаум В., Строит. материалы, 1957, № 3, 35—36

Приведены требования стандартов США, Англии, Венгрии, Австрии, Чехословакии, Голландии и ряда других стран на волнистые асбестоцементные листы и напорные трубы. М. Маянц

**69563 Д. Выбор рациональной конструкции смесителя для приготовления жестких бетонных смесей.** Исаченко А. М. Автореф. дисс. канд. техн. н. Ленингр. инж.-строит. ин-т, JL, 1957

**69564 П. Методы кондиционирования и обработки извести.** Корсон (Methods of conditioning and treating lime and product thereof. Corson Bolton L.), [G. and W. H. Corson, Inc.] Канад. пат. 517577, 18.10.55

Патентуется способ изготовления сухой гидратированной извести, обладающей улучшенными свойствами и в том числе повышенной пластичностью. Гидратация производится при т-ре выше 100°, повышенном давлении и в присутствии большого избытка жидкой фазы, который обеспечивает полную гидратацию. Избыток воды удаляется при помощи его мгновенного испарения за счет выделяющейся теплоты гидратации. И. Смирнова

**69565 П. Метод кальцинирования ила, содержащего известь.** Томпсон (Method of calcining lime bearing sludges. Thompson Robert B.) [Dorr-Oliver Inc.]. Пат. США 2738182, 13.03.56

Патентуется способ получения гранул извести заданной величины путем кальцинации ила в реакторе в «кипящем» слое (в восходящем токе горячего газа). В качестве промотора, облегчающего образование гранул, может служить в-во, т-ра плавления которого ниже т-ры разложения обрабатываемого материала. И. Смирнова

**69566 П. Способ изготовления безводного силиката кальция и продукты, полученные этим способом.** (Procédé de préparation de silicate de calcium anhydre et produits obtenus par ce procédé) [Owens-Illinois Glass Co.]. Франц. пат. 1111210, 23.02.56

Способ заключается в нагревании пористого силиката  $5\text{CaO} \cdot 5\text{SiO}_2 \cdot \text{H}_2\text{O}$  до т-ры  $\geq 760^\circ$  в течение времени, достаточного для выделения свободной и связанной воды. Получаемый продукт имеет состав, отвечающий ф-ле  $\text{CaO} \cdot \text{SiO}_2$ . Он обладает пористой кристаллич. структурой. Объем пор превышает объем кристаллов. Предлагается способ получения пористого кристаллич. материала, отвечающего по составу ф-ле  $5\text{CaO} \cdot 5\text{SiO}_2 \cdot \text{H}_2\text{O}$ . Реагирующая смесь состоит в основном из извести, кремнезема и воды. Кол-во воды равно 4,5—0,75-кратному весу твердой фазы, соотношение между  $\text{CaO}$  и  $\text{SiO}_2$  равно 1:1. Смесь подвергается давл.  $> 8,8 \text{ кг/см}^2$  и нагреву выше  $173^\circ$ . И. Смирнова

**69567 П. Составы из штукатурного гипса с большим расширением.** Хейуэрт (High expansion plaster compositions. Haworth Holly G.) [Certainteed Products Corp.]. Пат. США 2741562, 10.04.56

Патентуются составы быстросхватывающегося и сильно расширяющегося штукатурного гипса, содержащие (в вес. %) высокопрочный штукатурный гипс 96—99, порошкообразный костяной клей (0,30—0,90), порошкообразный  $\text{NaF}$  (0,20—0,35) и тонкоизмельченный схватившийся гипс (0,50—4,00). И. Смирнова

**69568 П. Способ охлаждения и обработки цементного клинкера.** Оберг, Хьюме (Cooling method and apparatus for processing cement clinker. Oberg Bertil Nils, Humes William Y. Conn) [Monolith Portland Cement Co.]. Пат. США 2721806, 25.10.55

Патентуется технологич. схема и оборудование для подачи цементного клинкера из печи на конвейер, для охлаждения клинкера за счет косвенного теплообмена с охлаждающей жидкостью на конвейере, для дробления клинкера, смешения его с гипсом, для транспортирования и охлаждения цемента. И. Смирнова

**69569 П. Усовершенствование формования магниезиальных цементов.** Вердье-Дюфур (Perfectionnement au moulage des ciments magnésiens. Verdier-Dufour Jean - François - Marie). Франц. пат. 1110331, 10.02.56

Патентуется способ формования изделий, состоящих из инертной основы (дерева и др.) и покрытых магне-

зальным цементом, в формах под давлением порядка 100 кг/см<sup>2</sup> при  $t$ -ре до 100—120°. И. Смирнова

**69570 П. Армированные цементные изделия и способ их изготовления.** Бифелд, Брисли (Reinforced cement products and method of making the same. Biefeld Lawrence P., Brisley Frank O.) [Owens-Corning Fiberglas Corp.]. Пат. США 2738285, 13.03.56

Патентуется способ изготовления изделий из неорганич. гидравлич. вяжущего, армированного стекловолокном (8—18 вес.%) и коротковолокнистым асбестом (10—15 вес.%). Последний вводится для предотвращения свивания стекляных волокон и образования шариков. И. Смирнова

**69571 П. Теплообменник с чашей** (Echangeur de température à cuve) [Miag Mühlenbau und Industrie G. m. b. H.]. Франц. пат. 1108627, 16.01.56

Предлагаемые конструкции теплообменников непрерывного действия для твердых материалов основаны на теплообмене между газом и твердым в-вом в противотоке. В качестве теплоносителя могут служить отходящие газы печи. Теплообменники могут быть применены для изготовления гранул в цементном произ-ве и в произ-ве извести. И. Смирнова

**69572 П. Способ и состав для нанесения покрытий на стены и полы** (Procédé pour poser directement sur les murs et les planchers des matériaux de revêtement, composition permettant la mise en oeuvre de ce procédé et revêtement obtenu par ce procédé) [Revetlux]. Франц. пат. 1108016, 9.01.56

Предлагается способ быстрого и непосредственного нанесения тонким слоем спец. клея, состоящего из цемента, извести и казеина, на керамич., фаянсовую, стеклянную или эмалированную плитку, которая затем накладывается на стену или пол и находится под давлением 20—30 мин., после чего остатки клея счищаются. Этот клей представляет собой белый порошок, замешиваемый на воде и содержащий (в вес. ч.): цемента 5—10, извести 2—8, меловой краски 0,5—2. Клей быстро схватывается, высыхает и обладает хорошей герметичностью. С. Иофе

**69573 П. Способ изготовления нового бетона и изделий из него.** Хаджян (Procédé de fabrication d'un nouveau béton et produit industriel en résultant. Nasyan Migirdic). Франц. пат. 1111075, 22.02.56

Патентуется способ изготовления долговечного, непроницаемого бетона с блестящей поверхностью. Для этой цели 1/4 вес. ч. мелкого заполнителя нагревают до 80° и помещают в бетономешалку, куда добавляют расплавленный парафин из расчета 20 г на 1 кг заполнителя и производят перемешивание. Затем обработанный заполнитель охлаждают, добавляют к остальной порции заполнителя, изготавливают бетонную смесь обычным способом и формуют изделия. Через 2 месяца изделия нагревают до 80°, погружают в расплавленный парафин, нагретый до 100°, и выдерживают до полной пропитки. Поверхность пропитанных и охлажд. изделий очищают полностью. И. Смирнова

**69574 П. Легкий плавающий бетон.** Берк (Light weight flowable concrete composition. Burke William T.). Пат. США 2721805, 25.10.55

Способ заключается во введении в камеру смешения гранулированного водой доменного шлака с высоким содержанием извести и легкого шлакового заполнителя. Кол-во гранулированного шлака должно составлять не более половины кол-ва шлакового заполнителя. К указанной смеси добавляются портланд-цемент и вода, и производится перемешивание. И. Смирнова

**69575 П. Строительные детали и способ их формовки.** Эйзенхут, Робит, Зигль (Structural elements and process of forming the same. Eisenhut Franz,

Gobiet Viktor, Siegl Adolf) [Gelsenkirchener Bergwerks A.-G.]. Пат. США 2738287, 13.03.56

Патентуется способ изготовления строительных деталей, которые являются атмосферостойкими и кислотостойкими, а также устойчивыми против воздействия бактерий, насекомых и против прорастания. Эти детали изготавливаются из обычных порошкообразных строительных материалов в качестве наполнителя и битумного вяжущего. Наполнитель смешивается с водн. эмульсией битума, суспензией глины и эмульсией полицикл. ароматич. углеводорода (имеющего  $\leq 3$  колец) в кол-ве  $\geq 0,5\%$  от веса эмульсии. Из перемешанной однородной массы формуют изделия. И. Смирнова

См. также: Определение MgO в цементе 69134

## ПОЛУЧЕНИЕ И РАЗДЕЛЕНИЕ ГАЗОВ

Редактор В. Г. Фастовский

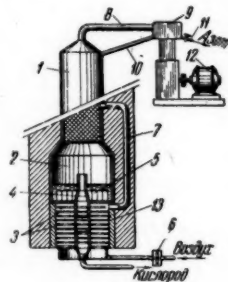
**69576. Разделение газовых смесей методом термодиффузии.** Томас, Уоткинс (The separation of common gases by thermal diffusion. Thomas W. J., Watkins S. B.). Chem. Engng Sci., 1956, 5, № 1, 34—49 (англ.; реф. франц.)

В четырех термодиффузионных колонках (ТК) концентрич. типа исследован процесс разделения бинарных смесей  $H_2CO_2$ ;  $H_2 - CO$ ;  $CO - CO_2$ ;  $O_2 - N_2$ . Три ТК имели длину  $L = 1,83$  м каждая и кольцевые зазоры, соответственно равные 3,58 см, 1,8 см, 0,48 см, четвертая ТК имела длину  $L = 4,57$  м и ширину кольцевого зазора  $W = 2,15$  см. Разность  $t$ -р  $\Delta T$  в опытах не превышала 355°K для всех смесей. Исследовано влияние на эффективность разделения размеров ТК, разности  $t$ -р поверхностей, кон-ции и скорости отбора. Установлено, что ур-ния, полученные при изучении процесса разделения изотопич. смесей в определенных пределах, применимы также к разделению обычных газовых смесей. Турбулизация потока в ТК уменьшает обогащение, но это уменьшение компенсируется увеличением степени разделения за счет уменьшения эффективной ширины кольцевого зазора. Р. Артым

**69577 П. Ректификационная колонна** (Colonne à rectifier) [N. V. Philips' Gloeilampenfabrieken]. Франц. пат. 1110314, 10.02.56

Воздухоразделительная установка состоит из пасадочной ректификационной колонны 1, в нижней части которой находится испаритель 2. Непосредственно к 2 примыкает теплообменник, выполненный в виде ряда плоских металлич. дисков 3 с отверстиями, находящихся в термич. контакте с центральной трубой 4, которая служит для вывода газообразного  $O_2$  из 2.

С 4 связана также металлич. ребристая поверхность 5, погруженная в жидкий  $O_2$  и служащая нагревательным элементом для испарения  $O_2$ . Атмосферный воздух подается воздушной 6 в теплообменник, где происходит его охлаждение при омывании холодных 3 до  $t$ -ры  $-182^\circ$ ; при этом тепло расходуется на испарение жидкого  $O_2$  в 2 и нагревание продукционного газообразного  $O_2$ . Одновременно происходит очистка воздуха от влаги и



углекислоты, которые вымерзают на 3. Охлажд. воздух по трубе 7 вводится в 1, где происходит его ректификация. Для образования азотной флегмы газообразный  $N_2$  выводится из 1 сверху по трубе 8 и поступает в теплообменник газовой холодильной машины 9 (РЖХим, 1956, 11799, 42040), где может быть получена т-ра  $-200^\circ$  и ниже; происходит сжижение  $N_2$ , который возвращается по трубе 10 на орошение 1 и выводится в виде жидкости по трубе 11 как продукт. Машина приводится в действие электродвигателем 12. Для периодич. очистки 3 от льда и твердой углекислоты снижается кожух 13. Ю. Петровский 69578 П. Способ отогрева газоразделительных установок. Шиллинг (Method for defrosting gas separation systems. Schilling Clarence J.) [Air Products Inc.], Канада, пат. 523891, 17.04.56

Описывается способ отогрева воздухоразделительной установки для удаления из нее отложившихся на холодных поверхностях твердой углекислоты и влаги. Отогрев производится воздухом (В), который сжимается и проходит через переключающиеся теплообменники, охлаждаясь при этом до такой т-ры, при которой из него выделяется практически вся влага. Затем В направляется в отогреваемую установку, а выходя из нее поступает в переключающиеся теплообменники, где нагревается, вызывая охлаждение сжатого В. Для поддержания на входе в теплообменники постоянной т-ры обратного потока В часть сжатого охлажд. В поступает в детандер, где т-ра его понижается; расширенный холодный В смешивается с обратным потоком В на входе в теплообменник, обеспечивая получение нужной т-ры. Кол-во В, направляемое для расширения в детандер, регулируется в зависимости от т-ры обратного В, идущего в теплообменник. Ю. Петровский

См. также: Ур-ние состояния реальных газов 68290

## ПОДГОТОВКА ВОДЫ. СТОЧНЫЕ ВОДЫ

Редактор М. И. Лапшин

69579. Качественная характеристика естественных вод по электропроводности. Воробьев Н. И., Тр. Саратовск. автомоб.-дор. ин-та, 1956, № 14, 417—426

Метод основан на различном изменении эквивалентной электропроводности различных солей при разбавлении. Воды кальциево-магниевые-сульфатного типа при разбавлении вдвое дают наибольшее изменение эквивалентной электропроводности (порядка 7—8%), воды натриево-хлоридного типа — наименьшее (порядка 2—3%), смешанные воды — среднее. По двукратному измерению электропроводности можно судить о типе воды. В водах, содержащих ионы  $HCO_3^-$  в конц-ии  $> 25\%$  от суммы всех анионов, необходимо определять их конц-ию и вносить соответствующие поправки, значение которых приведено в работе. М. Жукова

69580. Определение щелочности воды с метиловым пурпурным взамен метилового оранжевого. Фрей (Methyl purple vs methyl orange in alkalinity titrations. Frey Ralph W.), Water and Sewage Works, 1956, 103, 15 June, 495 (англ.)

Сравнительные опыты по титрованию природных вод и СВ с метиловым пурпурным (МП) и метиловым оранжевым (МО) показали, что переход окраски МП в конечной точке титрования более резкий, чем у МО. МП рекомендуется в качестве индикатора при определении щелочности воды. А. Смирнов

69581. Исследование загрязнения рек. Определение самоочищающей способности. Леклер, Божан,

Девламинк (Étude de la pollution des rivières. Calcul et mesure de la capacité d'autoépuration à l'égard des matières organiques fermentescibles. Leclerc Edm., Beaujean P., Devlaminck F.), Rev. techn. luxembourg., 1956, 48, № 3, 174—177 (франц.)

Краткое изложение существующих теорий.

Н. Ваксберг 69582. Опыты по определению токсичности комплексных цианидов в отношении рыб. Дудоров (Some experiments on the toxicity of complex cyanides to fish. Doudoroff Peter), Sewage and Industr. Wastes, 1956, 28, № 8, 1020—1040 (англ.)

Исследовано влияние процесса образования комплексных цианидов  $Zn^{2+}$ ,  $Cd^{2+}$ ,  $Ni^{2+}$ ,  $Cu^{2+}$  и  $Fe^{2+}$  на токсичность (Т)  $CN^-$ . При больших значениях константы нестойкости (КН) комплексных ионов процесс комплексообразования очень мало влияет на Т исходных р-ров (цианиды  $Zn^{2+}$  и  $Cd^{2+}$ ). Образование цианида  $Ni^{2+}$ , имеющего меньшую величину КН, в щел. среде резко снижает Т исходных р-ров. В кислой среде цианид  $Ni^{2+}$  разрушается и его Т может возрасти в  $\sim 10$  раз при изменении рН с 7,8 до  $\sim 7,5$ . Разбавление, повышая диссоциацию комплексных ионов, повышает их Т. Показано, что на обезвреживание исходных р-ров, помимо КН комплексных ионов, сильно влияет кинетика их образования.  $[Fe(CN)_6]^{4-}$  в конц-ии  $10 \text{ мг/л}$  (в расчете на  $CN^-$ ) безвредны, р-р же с конц-ией  $CN^-$  0,33  $\text{мг/л}$ , к которому добавлен незначительный избыток (против теоретич.)  $Fe^{2+}$ , оказался сильнотоксичным даже после 3-часового стояния до посадки в него рыб. Влияние кинетики образования особенно заметно в сильноразб. р-рах. Указывается на возможность использования процесса образования комплексных цианидов для обезвреживания СВ, содержащих как  $CN^-$ , так и токсичные ионы тяжелых металлов ( $Cu^{2+}$ ). М. Лапшин

69583. Случайное загрязнение октиловым спиртом источников водоснабжения в Северной Каролине. Блейсделл (Accidental pollution of North Carolina water supply by octyl alcohol. Blaisdell F. Rodwell), J. Amer. Water Works Assoc., 1956, 48, № 8, 1052—1054 (англ.)

Опрокинутый во время ж.-д. катастрофы вагон с 3000 л октилового спирта вызвал загрязнение источников водоснабжения, которое было обнаружено по появлению запаха и вкуса. Описаны мероприятия по предохранению населения от употребления загрязненной воды. Е. Дианова

69584. Графическое изображение ионного состава и предполагаемого сочетания анионов и катионов в естественных водах. Воробьев Н. И., Тр. Саратовск. автомоб.-дор. ин-та, 1956, № 14, 427—430

Предложен метод графич. изображения солевого состава природных вод. На одной стороне квадрата откладывают процент  $\text{мг-экв}$  различных катионов; на перпендикулярной —  $\text{мг-экв}$  анионов. Площади, выделяемые пересечением соответствующих ординат и абсцисс, отвечают процентному содержанию различных гипотетич. солей. М. Жукова

69585. Проблемы проектирования и эксплуатации небольших водопроводных станций. Лейтроп (Design and operating problems in small plants. Lathrop Thomas R.), Water and Sewage Works, 1956, 103, 15 June, 483—484 (англ.)

Отмечаются следующие особенности небольших (производительность  $< 2000 \text{ м}^3/\text{сутки}$ ) станций. Наличие медленных фильтров, промывка которых часто осуществляется вручную с предварительным разрыхлением поверхности песка. Необходимость механич. перемешивания воды в камерах р-ции. Применение



для обеззараживания воды хлорной известью. При подаче воды непосредственно в сеть насосом, необходимо включать последний иногда каждую минуту с единовременной работой 10—15 сек. О. Болотина 69586. Вопросы экономики строительства водопроводных станций с осветлителями и без осветлителей.

Фоснот, Уилкокс (High-rate and conventional water treatment plants. Foston H. R., Wilcox A. L.), Southwest Water Works J., 1956, 38, № 5, 10—16 (англ.)

Приведен анализ строительной стоимости 10 водопроводных станций производительностью до ~40 000 м³/сутки. Во всех случаях стоимость станций, имеющих осветлители, меньше, чем стоимость станций с обычной схемой очистки воды: смеситель, камера р-ции, отстойники, фильтры. Л. Фальковская 69587. Теоретические основы коагуляции в процессах водообработки. Хейни (Principles of flocculation related to water treatment. Haney Paul D.), J. Hydraul. Div. Proc. Amer. Soc. Civil Engrs, 1956, № 4, 1036-1—1036-11 (англ.)

Приведены условия применения и ур-ния гидролиза различных коагуляторов. Рассмотрены факторы, влияющие на процесс коагуляции: величина pH, содержание воды, т-ра, время, наличие вспомогательных в-в, обменная емкость удаляемых глинистых частиц, интенсивность перемешивания. Перемешивание обычно производят со скоростью 0,27—0,46 м/сек. Оптимальные условия процесса устанавливают опытным коагулированием. О. Мартынова 69588. Экспериментальное определение коагулируемости и кинетики коагуляции в поверхностных водах. Новак (Experimentelle Bestimmung der Koagulation und ihrer Kinetik in Oberflächenwässern. Novák Zdeněk), Wasserwirtschaft-Wassertechnik, 1956, 6, № 5, 146—149, 158 (нем.)

Эффект коагуляции может оцениваться по показателям: 1) физ. (цветность, мутность, прозрачность и электропроводность); 2) физ.-хим. (pH, понижение полярографии, кислородного максимума); 3) хим. (окисляемость, БПК<sub>5</sub>, остаточные конц-ии коагуляторов); 4) биологич. и бактериологич. или 5) основываться на спец. методах (электромикроскопия, спектрография, кондуктометрия, электродиализ, радиоактивность). Опыты, проведенные на водопроводной станции г. Брно, показали наличие оптимальных доз коагуляторов  $Al_2(SO_4)_3$ ,  $Fe(SO_4)Cl$ , при которых значения показателей, характеризующих качество воды (мутность, цветность, окисляемость), достигают минимума. Для большинства вод эти дозы лежат в пределах 20—120 мг/л и только для сильнозагрязненных поверхностных вод > 120 мг/л. Оптимум значений pH при коагуляции  $Al_2(SO_4)_3$  5,9—6,2  $Fe(SO_4)Cl$  6,4—6,8. Кинетику пер-и ортоквинетич. коагуляции удобно проследить по кривой изменения во времени полярографии, кислородного максимума. О. Мартынова 69589. О применении силиката натрия для ускорения процесса коагуляции. Литвинов Н., Жилкоммун. х-во, 1956, № 5, 29

В случае сильноокрашенных вод, имеющих незначительную мутность, добавление  $Na_2SiO_3$ , обработанного  $H_2SO_4$ , не улучшает хлопьеобразования. При употреблении смешанного коагулятора  $Al_2(SO_4)_3 + FeCl_3$  добавление  $Na_2SiO_3$  ухудшает процесс хлопьеобразования. Для окрашенных вод при низких т-рах наиболее эффективна обработка смешанным коагулятором. М. Жукова 69590. Проектирование камер реакции. Коничек, Кроупа (Navrhování vložkovacích nádrží. Koníček Z., Kroupa P.), Voda, 1956, 35, № 7, 194—197 (чешск.)

Описана методика расчета, основанная на учете продолжительности пребывания воды в камере р-ции, скорости течения и числа оборотов мешалок. Е. С. 69591. Водоснабжение и практические методы обеззараживания воды. Каменитца (Despura aprovizionarea cu apă și metode practice pentru sterilizarea apei. Camenitza Alexandru), Rev. ind. aliment. prod. vegetale, 1956, № 5, 6—8 (рум.)

Описана установка для хлорирования воды с помощью  $CaOCl_2$ , действующая с 1947 г. Установка состоит из стеклянного сосуда, в который ежедневно заливается р-р  $CaOCl_2$  и из которого он самотеком поступает во второй стеклянный сосуд, запирающийся притертой стеклянной пробкой, связанной с поплавком. Из нижней части второго сосуда р-р поступает через стеклянный трубопровод в резервуар с водой. Регулирование поступления р-ра  $CaOCl_2$  производится при помощи кранов. Я. Матлис 69592. Автоматизация процесса фторидирования воды. Ноултон (Fluoridation by automatic control. Knowlton Kenneth F.), Water and Sewage Works, 1956, 103, 15 Jun 221—223 (англ.)

Описана аппаратура для автоматич. контроля конц-ии F- в обрабатываемой воде и дозирования  $Na_2SiF_6$ , основанного на измерении электропроводности воды. А. Смирнов 69593. Удаление из воды солей железа и марганца. Норделл (Elimination du fer et du manganèse dans les eaux potables de distribution. Nordell Eskel), Techn. eau, 1956, 10, № 114, 33—37 (франц.)

См. также РЖХим, 1957, 24088 69594. Исследование некоторых вопросов противоточного катионирования. Воскресенский И. И., Геллер З. И., Тр. Грозненск. нефт. ин-та, 1956, № 19, 162—172

На лабор. катионитном фильтре (диам. 100 мм) проведены замеры гидравлич. сопротивлений фильтра при различных значениях высоты слоя катионита (0,2—2,2 м), скорости фильтрования (3,4—34 м/час) и различных направлениях движения воды (сверху вниз или снизу вверх). Сравнение полученных данных показывает, что сопротивление фильтра при прямоточном катионировании значительно выше, чем при противоточном. Отмечен более высокий эффект умягчения воды при противотоке. Н. Субботина 69595. К вопросу о расчете потребного количества реагентов для сордерегенеративных водоумягчителей. Шапкин И. Ф., Энерг. бюл., 1956, № 10, 30—32

Дается методика расчета потребного кол-ва щел. реагентов, применяемых в твердом виде и в виде р-ров для сордерегенеративных водоумягчителей, а также методика расчета очистки сырой воды, направляемой через Na-катионитные фильтры в сордерегенеративные водоумягчители. А. Смирнов 69596. Метод расчета установок по удалению из воды сероводорода. Каастальский А. А., Водоснабжение и сан. техника, 1956, № 9, 13—17

Приведены кривые растворимости  $H_2S$  в воде в зависимости от т-ры и pH. Предложен метод расчета дегазатора, заполненного пасадкой и вентилируемого воздухом, подтвержденный результатами опытов на модели. Даны численные значения расчетных коэф. Г. Крушель 69597. Обработка воды для питания паровых котлов. Обзор. Тернер (Boiler water treatment: a general review. Turner T. Henry), Corros. Prevent and Control, 1956, 3, № 9, 37—40 (англ.)

69598. Исследование растворимости хлористого натрия в перегретом водяном паре высокого давления. Цхвирашвили Д. Г., Сообщ. АН ГрузССР, 1956, 17, № 8, 731—736 (рез. груз.)

Проведено эксперим. исследование растворимости NaCl в перегретом паре давл. 180, 140, 100 и 30 кг/см<sup>2</sup>. Установлено, что для каждого давления повышение т-ры перегретого пара вызывает сначала уменьшение, а затем увеличение растворимости. Миним. растворимость NaCl при давл. 180 кг/см<sup>2</sup> соответствует т-ре 500° и составляет 23 мг/кг, тоже для давл. 140 кг/см<sup>2</sup> (соответственно) 475° и 18 мг/кг. Для обоих случаев минимум растворимости лежит при т-ре, превышающей т-ру кипения насыщ. р-ра на ~100°. Сопоставление полученных данных с соответствующими данными Шпильнера и Штрауба показывает, что более надежными следует считать данные Штрауба. Самым радикальным средством уменьшения солевых отложений в паровом тракте паросиловой установки автор считает метод промывки пара.

Н. Субботина  
69599. Десять лет борьбы с накипеобразованием. [Обзор]. Вельти (10 Jahre Bekämpfung des Kesselsteins bei der SNCF. Welti O.), Techn. Rundschau, 1956, 48, № 40, 11, 13, 15 (нем.)

69600. Предупреждение образования медных накипей введением гексаметафосфата натрия. Манькина Н. Н., Логинов М. Д., Сашина Т. А., Теплоэнергетика, 1956, № 10, 33—36

На котле типа ТМ-200 (давл. 35 ат), для которого ранее была установлена зависимость процесса образования медных отложений от величины тепловой нагрузки (РЖХим, 1956, 10560), проведены опыты для изучения влияния комплексобразователей на вышеуказанный процесс. Лучшие результаты были получены с (NaPO<sub>3</sub>)<sub>6</sub>, р-р которого вводился в котел насосом-дозатором с таким расчетом, чтобы конц-ия фосфатов в котловой воде была ~10—15 мг/л (в пересчете на PO<sub>4</sub><sup>3-</sup>). Состав котловой воды по прочим показателям был обычным. При этих условиях кол-во отложений на экранных трубах резко уменьшилось (с 5—7 мг/см<sup>2</sup> до 0,3 мг/см<sup>2</sup> в месяц), распределение отложений по длине труб стало более равномерным, состав отложений изменился. Если при обработке воды Na<sub>2</sub>PO<sub>4</sub> основной составляющей накипи была металлич. медь (~70—80%), то при применении (NaPO<sub>3</sub>)<sub>6</sub> меди стало ~5%, SiO<sub>2</sub> 5—10%, окислов железа ~60—80%. Характерные отложения металлич. меди в виде бурчиков были обнаружены только на участках с большими тепловыми нагрузками (> 400 · 10<sup>3</sup> ккал/м<sup>2</sup> час).

Н. Субботина  
69601. Аммиачная обработка питательной воды электростанций высокого давления. Аколзин П. А., Зайцева З. И., Электр. станции, 1956, № 9, 14—17

Наличие свободной CO<sub>2</sub> в питательной воде (0,5—0,7 мг/л; pH = 6,2—6,5) и конденсате (1—1,2 мг/л; pH 6,1) электростанций высокого давления Ленэнерго вызвало сквозное разедание дисков питательных насосов; наблюдались отложения окислов Fe и Cu на внутренних поверхностях нагрева барабанных и проточных котлов и вынос из котлов и отложение в проточной части турбин Fe<sub>3</sub>O<sub>4</sub>. Для устранения этих явлений на станциях в течение 2 лет успешно применяется обработка воды NH<sub>3</sub>. Ввод 0,1—0,3%-ного р-ра NH<sub>3</sub> в питательную воду производится плунжерными насосами-дозаторами. Конц-ия NH<sub>3</sub> в питательной воде поддерживается 0,3—0,6 мг/л, pH ≥ 8,3—9,5. Конц-ия полуторных окислов в питательной воде уменьшилась с 0,19 до 0,09 мг/л, CuO — с 0,015 до 0,005 мг/л; в конденсате водоподогревателей теплосети (соответственно) с 0,50 до 0,1 мг/л и с 0,2 до 0,02 мг/л. Вынос продуктов коррозии стали на лопатки турбин резко уменьшился. Замена Na<sub>2</sub>PO<sub>4</sub>, ранее применявшегося для подщелачивания воды, аммиаком позволила использовать питательную воду для регулирования т-ры перегрева пара методом впрыска.

А. Мамет

69602. Подавление развития водорослей в производственных водах. Вильямс (Control of Algae in industrial waters. Williams A. E.), Export Rev. Brit. Drug and Chem. Ind., 1956, 17, № 196, 38—41 (англ.)

В воде циркуляционных охлаждающих систем обильно развиваются водоросли и микроорганизмы, образующие осадки в трубах. Для подавления их рекомендуется пентахлорфенолят Na. Описаны его свойства и установка для его дозирования. Е. Дианова

69603. Проблема обработки воды в открытых системах водяного охлаждения. Полсен (Water treatment problems in open-type recirculating cooling systems. Paulsen Grover C., Jr.), Nat. Engr., 1956, 60, № 8, 26—27, 39 (англ.)

Описаны явления образования отложений, коррозии и обрастания в системах охлаждения. Приведены общие рассуждения о методах борьбы с ними. Г. Крушель

69604. Разрешение проблемы коррозии градирен путем подбора надлежащих материалов. Ризенфельд, Блом (Proper materials selection can prevent cooling tower corrosion problems. Riesenfeld F. C., Blohm C. L.), Petrol. Engr., 1956, 28, № 3, D64, D66—D71, D72, D74 (англ.)

Большинство градирен до сих пор выполняется из дерева. Главной причиной разрушения дерева является его делигнификация, происходящая под действием щел. вод. Процесс не возникает, если pH воды ≈ 6,5—7,5 и конц-ия Cl<sub>2</sub> < 1 мг/л. Биологич. разрушение градирен происходит главным образом под действием грибов, развитие которых ускоряет делигнификация. Срок службы дерева удлиняет пропитка его креозотом, пентахлорфенолом или двойная последовательная пропитка CuSO<sub>4</sub> и Na<sub>2</sub>CrO<sub>4</sub>. При этом на дереве образуется нерастворимый осадок хромата Cu, защищающий его от микроорганизмов. Г. Крушель

69605. Подготовка воды для нужд целлюлозно-бумажной промышленности. Нил (Upflow coagulation for process waters in the pulp and paper industries. Kneale John S.), Pulp and Paper Mag. Canada, 1956, 57, № 7, 145 (англ.)

Рекомендуется коагулирование с пропуском воды через слой взвешенного осадка. А. Смирнов

69606. Ионы магния и натрия при декарбонизации воды. Рейхельт (Magnesium- und Natriumionen bei der Entkarbonisierung des Wassers. Reichelt H.), Brauwelt, 1956, B96, № 68, 1169—1172 (нем.)

Вода, используемая для приготовления светлого пива, должна быть декарбонизована, иметь незначительную магниевую жесткость, низкую конц-ию Na<sup>+</sup> и pH ~ 7. Из рассмотренных 7 способов декарбонизации наиболее пригодным считается Н-катионирование воды с применением сильнокислотных катионитов и последующая нейтр-ция минер. к-т известковой водой. Л. Фальковская

69607. Очистка сточных вод методом биологической коагуляции в г. Риджвуде. Худ, Шпор (Ridgewood, N. J., Biologisches Koagulationsverfahren. Hood John W., Spohr Günter W.), Gesundh.-Ingr., 1956, 77, № 17—18, 270—274 (нем.)

Опыт эксплуатации аэротенков показывает, что уже в месте впуска в них СВ происходит интенсивная адсорбция органич. примесей активным илом (АИ), сопровождающаяся осветлением СВ и резким снижением БПК<sub>5</sub>. Для дальнейшего поддержания нормального процесса окисления необходимо постоянно подачи воздуха, времени пребывания СВ и нагрузки на сооружение. При высокой конц-ии растворенного O<sub>2</sub> и небольшой конц-ии органич. примесей происходит их «переокисление», результатом чего является плохое осажение АИ. Показано, что на этой стадии конц-ия растворенного O<sub>2</sub> должна быть ≤ 1 мг/л. Основываясь

на результатах лабор. опытов на вновь построенной в Риджвуде станции, процесс очистки СВ ведется в трех сооружениях: 1) в биологич. коагуляторе, где в течение 10—15 мин. при аэрировании происходит снижение БПК<sub>5</sub> на 90—98%; 2) в сепараторе, рассчитанном на время пребывания СВ 60 мин., в котором происходит отделение АИ; 3) в регенераторе, где происходит регенерация АИ (60 мин.), после чего он возвращается в коагулятор. Новый метод сокращает объем очистных сооружений в несколько раз. Проведение процессов адсорбции и нитрификации в отдельных сооружениях предотвращает влияние на АИ изменения конц-ии и кол-ва СВ.

С. Конобеев  
69608. Проектирование станций очистки сточных вод активным илом. Хазелтайн (Design of activated sludge plants. Haseltine T. R.), Water and Sewage Works, 1956, 103, 15 June, 271—272, 274—276, 278—281 (англ.)

Приводятся данные, характеризующие работу 45 станций. Расход СВ 4000—3 000 000 м<sup>3</sup>/сутки, конц-ия грубодисперсных примесей 73—315 мг/л, БПК<sub>5</sub> 74—332 мг/л, возраст ила 0,23—8,15 суток, расход воздуха на 1 кг снижения БПК 27—100 м<sup>3</sup>, процент возвратного активного ила 7,0—83, время аэрирования 1,7—16,4 часа, процент очистки по БПК<sub>5</sub> 45—95. Приведенная кривая зависимости между затратой воздуха на 1 кг снижения БПК<sub>5</sub> и снижением БПК<sub>5</sub>, приходящимся на 100 кг возвратного активного ила (по сухому в-ву): оптимальная величина 35 м<sup>3</sup>. В. Разнощик

69609. Затруднения в работе станций очистки сточных вод при больших недогрузках. Крам (Low flows plague underloaded air force base sewage plants. Kram Harry J., Jr), Wastes Engng, 1956, 27, № 8, 368—370 (англ.)

При нагрузках, составляющих 10—15% от проектной (станции баз военно-воздушных сил), из-за малой скорости протока СВ наблюдается загнивание их в канализационных трубах и в отстойниках, вызывающее загрязнение воздуха H<sub>2</sub>S. В качестве мер борьбы рекомендуются увеличение кратности рециркуляции СВ на биофильтрах и хлорирование СВ. В. Разнощик

69610. Новая станция очистки сточных вод в Ольденбурге. Дурстхофф (Die neue Abwasserreinigungs-anlage Oldenburg. Dursthoff W.), Wasser und Boden, 1956, 8, № 9, 300, 302, 303 (нем.)

69611. Применение нейтрализационных фильтров для обезвреживания кислых промышленных сточных вод. Кухарекий (Z prac nad zastosowaniem złoż zasadowych do unieszkodliwiania kwaśnych ścieków przemysłowych. Kucharski J.), Przem. chem., 1956, 12, № 5, 290—291 (польск.)

Изложен метод расчета высоты фильтров, предложенный Вознесенским, Евлановой и Суворовой (Ж. прикл. химии, 1938, 11, 1179). Г. Крушель

69612. Сточные воды гальванических цехов и загрязнение рек. Висневский (Plating wastes and stream pollution. Wisniewski Theodor F.), Plating, 1956, 43, № 4, 494—496 (англ.)

СВ могут нарушать биологич. процессы в очистных сооружениях и водоемах. Массовая гибель рыб наблюдалась в результате аварийного сброса СВ при конц-ии CN<sup>-</sup> в речной воде ~2 мг/л. Неудовлетворительная работа биофильтров имела место при наличии в бытовых СВ (мг/л): Cr 3,4; Cu<sup>2+</sup> 2,6; Zn<sup>2+</sup> 2,9; Pb<sup>2+</sup> 0,07; CN<sup>-</sup> 0,1—2,5. Описаны меры надзора за работой установок и организации очистки СВ на предприятиях. М. Губарь

69613. Указания по выбору ионитов для использования в водном хозяйстве цехов гальванических покрытий. Эйбраме (A guide to the selection of ion exchangers for applications in the plating industry. Abrams I. M.), Plating, 1956, 43, № 8, 1012—1017 (англ.)

Для обработки СВ цехов гальванич. покрытий сильно-кислотные сульфополистирольные катиониты находят большее применение, чем слабокислотные карбоксил-содержащие катиониты. Умереннокислотные катиониты, содержащие остаток фосфорной к-ты, готовятся пока в небольших масштабах. По данным лабор. испытаний катиониты этого типа избирательно адсорбируют некоторые многовалентные катионы, эффективно извлекают Cu из р-ров сульфата аммония при pH ~6,3—6,5. Сильноосновные аниониты, содержащие триалкилamine группы, обычно применяются в случаях, когда необходимо практически полностью удалить примеси; сильноосновные аниониты, содержащие диалкилэтанолamine группы, не дают такой глубокой очистки, имеют меньший срок службы, но требуют, как правило, меньших расходов NaOH на регенерацию. Выбор тех или иных анионитов определяется технико-экономич. соображениями. Умеренно- и слабоосновные аниониты еще не нашли широкого применения. Н. С. 69614. Экономичное повторное использование сточных вод цехов гальванических покрытий путем снижения расхода промывных вод. Одланд, Хеслер (Profitable recovery of plating wastes by recondition of reduced volume rinses. Odland K., Hessler J. C.), Plating, 1956, 43, № 8, 1022—1025 (англ.)

Противоточная промывка сокращает объем СВ, что позволяет применить испарительные установки для СВ кадмирования, меднения и серебрения. Приводится ф-ла для подсчета конц-ии примесей при противоточной промывке. Получающийся конденсат используется в произ-ве, сконцентрированные р-ры идут для приготовления гальванич. ванн. Л. Милованов

69615. Обработка цианосодержащих и хромосодержащих сточных вод. Бремсер (Treating cyanide and chromium wastes at Maytag Co. plant, Newton, Ia. Bremser L. W.), Wastes Engng, 1956, 27, № 9, 432—433 (англ.)

Промывные цианосодержащие СВ обрабатываются жидким Cl<sub>2</sub> в щел. среде. Окисление ведется в 2 ступени. Процесс контролируется по автоматич. pH-метру и по окислительно-восстановительному потенциалу. СВ, содержащие CrVI, обрабатываются газообразным SO<sub>2</sub> в кислой среде с последующей нейтр-цией Ca(OH)<sub>2</sub>. Осадок обезвреживается на вакуум-фильтре или центрифугированием. Л. Милованов

69616. Коагулирование сточных вод от промывки углей. Кук (Traitement des eaux de lavoirs par flocculation. Koeck H.), Ann. mines Belgique, 1956, Num. spec. juin, 114—121 (франц.)

Частицы угля и сланцев диам. > 50 м осаждаются без коагуляции; 20—50 м — очень медленно; < 20 м — оседают. В 2 последних случаях необходима их коагуляция. Наиболее эффективен коагулятор из смеси Ca(OH)<sub>2</sub> (или NaOH) и крахмала. Рекомендуется прибавлять сначала известковое молоко (150—300 г/м<sup>3</sup>), затем без перемешивания через 20 сек. вливать тонкой струей р-р крахмала (несколько г/м<sup>3</sup>). Скорость оседания зависит от конц-ии взвешенных в-в, степени их дисперсности и величины pH. Описана схема очистки СВ на одной из угольных шахт. Н. Ваксберг

69617. Процессы осветления сточных вод от промывки угля и влияние на них синтетических осветлителей. Дрекслер (Vorgänge bei der Klärung des Waschwassers und ihre Beeinflussung durch synthetische Klärmittel. Drexler F.), Glückauf, 1956, 92, № 35—36, 1023—1028 (нем.)

Приведены краткие сведения о хим. природе синтетич. осветлителей, являющихся высокомолекулярными полимерами, получающимися в качестве промежуточных продуктов при изготовлении искусств. волокон и синтетич. смол. Рассмотрен механизм коагуляции кол.



и грубодисперсных примесей СВ от промывки угля под действием обычных коагуляторов и синтетич. осветлителей.

**М. Лапшин**  
69618. Лабораторные и производственные опыты осветления сточных вод от промывки угля. **Тейхман** (Versuche und Betriebsergebnisse mit flockenden Klärmitteln bei lettenreichem Kohlenwaschwasser. **Teichmann Eberhard**, Glückauf, 1956, 92, № 35—36, 1033—1041 (нем.)

СВ от промывки газопламенных углей содержат 190—270 г/л грубодисперсных примесей (ГДП), преимущественно глинистых частиц. По крупности ~50% составляют частицы с диам.  $\leq 0,042$  мм; уд. в.  $\approx 1,6$ . Оседание ГДП при отстаивании СВ происходит очень медленно. Были проведены опыты по коагулированию СВ с применением в качестве коагуляторов: 1) различных сортов крахмала и близких к нему продуктов; 2) щелочей, к-т и солей ( $\text{NaOH}$ ,  $\text{Ca}(\text{OH})_2$ ,  $\text{HCl}$ ,  $\text{ZnCl}_2$ ,  $\text{FeSO}_4$ ); 3) синтетич. осветлителей, представляющих собой карбоксиметилцеллюлозу, полиакриловую к-ту, производные малеиновой к-ты (**Sedipur A**, **Sedipur U**; **PK 3**; **EkoFan**; **DT 120**; **Aerofloc 548**; **Aerofloc 552**; **Aerofloc 3000**; **Serapan 2610**). Коагуляторы последней группы по своей эффективности значительно превосходят остальные. Особенно эффективны **DT 120**, **EkoFan**, **Aerofloc 548** и **552**, **Serapan 2610**, применение которых возможно уже в конц-ии 1 мг/л. Процесс коагуляции в основном заканчивается за 25 мин., после чего наблюдается только уплотнение осадка (уменьшение объема за 1 час в ~3 раза; при этом при высоте слоя жидкости 35,4 см объем осадка равен 10%; после 24 час. объем осадка становится практически постоянным). Эффект осветления очень высокий. С повышением конц-ии осветлителей эффект осветления несколько возрастает, но не пропорционально дозе осветлителя. При еще большем увеличении конц-ии наблюдается стабилизация взвеси (для **Aerofloc** при 4, для **Serapan** при 40 мг/л). Повышение т-ры способствует коагуляции. При повышении конц-ии ГДП до 100, 200, 300 и 400 г/л объем осадка возрастает соответственно до 300, 440, 530 и 600 мл/л. С уменьшением размеров частиц ГДП объем осадка увеличивается. Проверка в производственных условиях показала, что для достижения нужного осветления СВ в радиальном отстойнике потребны следующие дозы осветлителей (мг/л): **Serapan 2610** 1,5; **DT 120** 1—2; **Aerofloc 548** 2,8; **PK 3** 6—7; **EkoFan** 6,5—8,5. Объем выделяемого осадка увеличился при этом на 117%.

**М. Лапшин**  
69619. Биохимическое окисление фенольных сточных вод. **Мак-Рей, Росс, Шеннард** (Biological oxidation of phenolic waste water. **McRae Alex D.**, **Ross William K.**, **Sheppard Alan A.**, **Oil and Gas J.**, 1956, 54, № 68, 223—227 (англ.)

При биохим. очистке разрушение фенолов может достигать >99,9%. Необходимо предварительное удаление из СВ масел и снижение конц-ии сульфидов до 50 мг/л. Очистку рекомендуется проводить в аэротенках, а не на биофильтрах. Приведено краткое описание двух установок для очистки фенолосодержащих СВ нефтеперерабатывающих з-дов.

**Ц. Роговская**  
69620. Выделение фенолов из фенолосодержащих экстрактов. **Бемман** (Über die Entölung von Phenolsolvenextrakten. **Bemann Rudolf**, **Freiberger Forschungsh.**, 1956, A, № 51, 89—105, diskuss. 105—108 (нем.)

В колонну с насадкой, работающую при давл. 5—10 ат (т-ра ~180°), сверху подается р-р  $\text{Na}_2\text{CO}_3$ . В среднюю часть колонны вводится фенолосодержащий экстракт. Снизу из куба колонны противотоком подается острый пар (или производится обогрев глухим паром). В этих условиях происходит образование фенолятов натрия:  $2\text{R}-\text{OH} + \text{Na}_2\text{CO}_3 \rightleftharpoons 2\text{R}-\text{ONa} + \text{CO}_2 +$

$+\text{H}_2\text{O}$ , р-р которых стекает в куб колонны. С водяным паром отгоняются нейтр. масла, которые конденсируются и отделяются от воды в разделителе. Несконденсированные газы ( $\text{CO}_2$ ) могут быть использованы для последующей карбонизации фенолятов, собирающихся в кубе колонны.

**С. Конобеев**  
69621. Удаление фенолов из фенолосодержащих экстрактов. **Бемман** (Über die Entölung von Phenolsolvenextrakten. **Bemann Rudolf**, **Chem. Technik**, 1956, 8, № 10, 578—579 (нем.)

Сокращенное изложение. См. предыдущий реферат.

**М. Лапшин**  
69622. Дискуссия по статье: **Кухарский** «Определение необходимой степени очистки промышленных сточных вод». **Вольский** (Zagadnienie ustalenia niezbędnego stopnia oczyszczania ścieków przemysłowych z przemysłu rolno-spożywczego. **Wolski T.**, **Przem. chem.**, 1956, 35, № 5, вкладка (польск.)  
**К РИХИМ**, 1956, 36876.

69623. К вопросу очистки сточных вод заводов по переработке молока при помощи *Oospora lactis*. **Свобода, Шалихта** (Poznámky k čištění odpadních vod mlékárenských pomocí *Oospora lactis*. **Svoboda Miloslav**, **Salplachta Jaromír**, **Ceskosl. mikrobiol.**, 1956, 1, № 4, 176—182 (чешск.; рус., англ.)

Применение *Oospora lactis* (I) для разложения лактозы в СВ за-дов по переработке молока не дало ожидаемого эффекта. Этот процесс обусловливается деятельностью других находящихся в воде микроорганизмов. I только разрушает к-ту, образующуюся при окислении лактозы этими микроорганизмами. **Е. Дианова**

69624 **К.** Водоснабжение и сброс сточных вод. **Фэр, Гейер** (Water supply and waste-water disposal. **Fair Gordon Maskew**, **Geyer John Charles**, **New York, Wiley, London, Chapman and Hall**, 1954, XII, 973 pp., tables, diagrs., Z 6 (англ.)

69625 **П.** Процесс ионирования (Ion exchange) [Montecatin]. **Австрал. пат.** 201088, 29.03.56

Воду пропускают через несколько ионитных фильтров, каждый из которых регенерируется поочередно после его полного истощения; вода же пропускается через остальные фильтры.

**А. Мамет**  
69626 **П.** Обработка воды, содержащей масла. **Браун, Фишер, Джонсон** (Treatment of oil-containing water. **Brown James S.**, **Fischer Paul W.**, **Johnson Leslie C.**) [Union Oil Co. of California]. **Пат. США** 2730190, 10.01.56

Предложен способ флотационного разделения масла и воды, осуществляемый в спец. аппаратах, рассчитанных на давление от 1 до 70 ат и время пребывания от 1 до 60 мин. Расход газа ( $\text{N}_2$ ,  $\text{CO}_2$ , воздух, природный газ и др.) зависит от конц-ии и природы примесей и составляет 0,6—6,5 м³ на 1 м³ обрабатываемой воды. Процесс может осуществляться в несколько ступеней (обычно 3), чем достигается повышение эффекта обезмасливания. При исходной конц-ии масла ~30 мг/л остаточная конц-ия составляет 1,5—2 мг/л, при исходной конц-ии ~5000 мг/л соответственно 8—10 мг/л. Одновременно с обезмасливанием происходит освобождение воды от грубодисперсных примесей и растворенных газов. Для интенсификации процесса в отдельных случаях может потребоваться добавка хим. реагентов, напр.  $\text{KMnO}_4$  (в кол-ве 0,001—1,0%).

**Н. Субботина**  
69627 **П.** Приспособление для предотвращения разложения в фильтре, работающем между двумя насосами. **Крецигмар** (Standrohr für den Einbau in die Druck- und Saugleitungen zweier Pumpensätze unter Zwischenschaltung von Filtern. **Kretschmar A-**

fred) [Forschungsgesellschaft der WABAG Wasserreinigungsbau m. b. H.]. Пат. ФРГ 946977, 9.08.56

После фильтра (перед откачивающим насосом) устанавливается уравнительная труба (УТ) — вертикальный цилиндр, сосуд малого диаметра. Вода из фильтра поступает в УТ на уровне поверхности фильтрующего слоя. Конец всасывающей трубы откачивающего насоса погружен почти до дна заглубленной нижней части УТ. В верхней части УТ расположен автоматич. прибор для впуска и выпуска воздуха. Изменением уровня воды в УТ, изменяет высоту всасывания откачивающего насоса и его производительность и выравнивает ее с нагрузкой фильтра. Одна УТ может обслуживать несколько фильтров. А. Мамет

69628 П. Способ доочистки обеззараженных жидкостей, например воды. Фогт (Verfahren zur Nachbehandlung entkeimter Flüssigkeiten, z. B. Wasser. Vogt Hugo) [Deutsche Katadyn Ges. m. b. H.]. Пат. ФРГ 940875, 29.03.56

Для уничтожения запаха и привкуса хлорированной питьевой воды ее обрабатывают восстановителями, напр.  $\text{SO}_2$ , а избыток восстановителя удаляют окислителем, напр. перекисью водорода или ее производными. Н. Баскина

69629 П. Процесс и установка для получения хлорноватистой кислоты, применяемой для обеззараживания воды. Крое (Verfahren und Vorrichtung zur Herstellung von unterchloriger Säure, insbesondere für die Entkeimung und Reinigung von Wasser. Kroe Rudolf) [Chlorator G. m. b. H.]. Пат. ФРГ 919819, 4.11.54 [Chem. Zbl., 1955, 126, № 23, 5391—5392 (нем.)]

Емкость загружается мраморной крошкой или другим нейтрализующим к-ты материалом. Загрузка заливается водой и обрабатывается  $\text{Cl}_2$ . Загрузка непрерывно восполняется свежей. И. Марьясин

69630 П. Получение воды для питания паровых котлов путем сжигания газа (метана) (Procédé et appareillage pour l'obtention d'une eau très pure utilisable pour l'alimentation de chaudières à vapeur obtenue par combustion du gaz naturel (méthane).) [Montecatini, Soc. Gen. per l'Industria Mineraria e Chimica]. Франц. пат. 1097117, 29.06.55 [Chaleur et Industrie, 1956, 37, № 371, D82 (франц.)]

Предлагается конденсировать водяные пары, образующиеся при сжигании  $\text{CH}_4$  в топках, и применять получаемый конденсат для питания паровых котлов. Содержащиеся в конденсате следы  $\text{SiO}_2$  могут быть удалены ионированием. З. Хайнский

69631 П. Устройство для отстаивания сточных вод. Лёфлер (Dispositif anti-reflux à double obturateur pour eaux d'égouts, notamment pour caissons de décantation de caves. Löffler Walther). Франц. пат. 1109049, 20.01.56

Отстойник-ловушка для осветления СВ от мытья полов, аппаратов и т. п. отличается тем, что под трапом, через который СВ поступают в отстойник, имеется 1-я камера с корзиной для удаления осадка, отделенная от 2-й камеры глухой перегородкой. Во время чистки 1-й камеры 2-я камера перекрывается сверху крышкой. В. Клячко

69632 П. Щеточный вал для аэрирования и очистки воды и сточных вод. Шрамм, Фехтер (Bürstenwalze zur Belüftung und Reinigung von Wasser bzw. Abwasser. Schramm Paul, Fechter Leonhard) [Passavant-Werke]. Пат. ФРГ 937160, 26.01.56

Предлагается конструкция полого вала, изготовленного из легкого металла. Щетки в виде гребней, направленных вдоль вала, изготавливаются из легкого металла и зажимаются между продольными металлическими колодками, расположенными вокруг вала. Колодки могут лежать на упругих подкладках и подтягиваются

болтами к стенкам вала. Конструкция позволяет легко заменять щетки при их поломке. С. Конобева

69633 П. Процесс очистки сточных вод. Хендел (Waste disposal process. Hendel Frank J.) [Wigton-Abbott Corp.]. Пат. США 2737298, 6.03.56

Для очистки СВ, содержащих  $\text{CN}^-$ , рекомендуется добавлять эквивалентные кол-ва галогенидов щел. металлов ( $\text{NaCl}$ ) и доводить pH р-ра до 8,5. При последующем электролизе происходит полное разрушение  $\text{CN}^-$ . И. Ерусалимчик

См. также: Определение: азота в сточных водах 69163; нитратов в котловой воде 69164. Св-ва примесей: взаимодействие  $\text{CaCO}_3$  с р-ром  $\text{NaOH}$  68381; кривые титрования  $\text{H}_2\text{CO}_3$  и  $\text{H}_3\text{PO}_4$  едким баритом 68470; адсорбция катионов пенной анионоактивных в-в 68524; теория строения грубодисперсных систем 68549; изучение органич. в-в природных вод 68662. Иониты: обзор 70127, 70128; избирательная адсорбция катионов 68530; равновесие обмена:  $\text{H}^+$ /катионы щелочных металлов 68531; сорбция фенолов анионитами 68533. Коррозия 70619. Утилизация и удаление отходов: обработка оборотных вод от углеобогащения 69648; сточные воды крахмального произ-ва 70392. Аппаратура и КИП: водопроводные трубы из пластмассы 70070. КИП при водо-подготовке 70731, 70732. Реагенты: кинетика самоокисления гипохлоритов 68405; разложение  $\text{NaClO}_2$  68439; термический распад  $\text{MgCO}_3$  68422. Подготовка воды 70619, 70685

## ПЕРЕРАБОТКА ТВЕРДЫХ ГОРЮЧИХ ИСКОПАЕМЫХ

Редакторы И. Ф. Богданов, М. О. Хайкин

69634. Основные задачи коксохимической промышленности в 1957 году. Шелков А. К., Кокс и химия, 1957, № 1, 3—4

69635. Международная классификация каменных углей. Радмахер (Die internationale Klassifikation der Steinkohle. Radmacher W.). Z. Erzbergbau und Metallhüttenwesen, 1955, 8, № 1, 32—35 (нем.)

Комитетом по уголю Экономич. комиссии ООН для Европы разработана единая классификация каменных углей, пригодная для месторождений всех стран мира. Каждый сорт угля характеризуется 3-значным числом, цифры которого обозначают последовательно класс, группу и подгруппу угля. Класс характеризует содержание летучих в-в на органич. массу угля: всего 11 классов (0, 1А, 1В, 2, 3 до 9) с границами содержания летучих последовательно для первых 6 классов (%): 0—3; 3—6,5; 6,5—10; 10—14; 14—20; 20—30. Последующие 5 классов характеризуются кроме содержания летучих, также теплотворностью (ккал/кг) соответственно: 30—36, свыше 8450; 30—41, 8450—7750; 33—44, 7750—7200; 35—50, 7200—6100; 42—50, <6100. Группа характеризует спекаемость угля: всего четыре группы (0, 1, 2, 3). Качеств. оценка и количеств. оценка спекаемости угля по стандартному способу определения степени спекаемости (в зависимости от формы коксового королька) и способу Roga соответственно для четырех групп составляют: (0) неспекающийся, 0—1½; 0—5; (1) слабо спекающийся, 1—2, 5—20; (2) удовлетворительно спекающийся, 2½—4, 20—45; (3) сильно спекающийся, 4½—9 > 45. Подгруппа характеризует коксуемость угля; качеств. и количеств. оценка коксуемости угля осуществляется dilatометрич. способом (увеличение объема в %) и способом Crau-King (по его индексам) соответственно для всех 6 подгрупп (0, 1 до 5): 0) не коксующийся, размягчения нет, группа А; 1) очень слабо коксующийся, небольшая усадка, группы В до Д; 2) слабо коксующийся, вспучивание 0, группы 0, Е до G; 3) удовлетворительно коксующийся,

вспучивание 0—50%, группы G<sub>1</sub> до G<sub>4</sub>; 4) хорошо коксующийся, вспучивание 50—140%, G<sub>5</sub> до G<sub>8</sub>; 5) превосходно коксующийся, > 140%, выше G<sub>8</sub>. Предложена также торговая классификация углей, по которой все виды каменного угля разделяются дополнительно на 40 торговых групп.

В. Майков

69636. Химическая промышленность на базе угольного сырья в Голландии. Ваес (The chemical industry of the Dutch State Mines. Waes J. P. M. van), J. Inst. Fuel, 1955, 28, № 173, 271—278 (англ.)

Обзор развития и современного состояния добычи угля, произ-ва кокса и химпродуктов на базе угольного сырья. Добыча угля в 1953 г. составила на 4 государственных рудниках 7,5 и на частных 4,8 млн. т. Даво описание государственных коксогозовых заводов — старого с печами Колпа и Отто и нового с печами Вильшутта (две батареи по 75 печей), завода синтеза NH<sub>3</sub>, произ-ва азотной к-ты и сульфата аммония. Из органич. в-в на базе коксохимич. сырья производятся этиловый спирт гидратацией этилена с H<sub>2</sub>SO<sub>4</sub>, фталевый ангидрид (2 тыс. т в год) и капролактан (6 тыс. т в год) из бензола через промежуточное получение сульфобензола, фенола, циклогексанола, циклогексанона и циклогексанонаоксида.

В. Загребельная

69637. Контроль и регулирование процессов углепереработки. Гёдде (Messen und Regeln, einige ausgewählte Probleme. Gödde Franz), Techn. Mitt., 1955, 48, № 5, 261—267 (нем.)

Общая характеристика приборов, применяемых при переработке углей для замеров т-ры и давления, измерения кол-ва газов, регулирования процессов и предупреждения взрывов.

Б. Энглин

69638. Качество углей новых районов Карагандинского бассейна. Штеменко О. В., Кокс и химия, 1957, № 1, 5—7

Описаны вновь открытые жирные и коксово-жирные угли Карагандинского бассейна, дающие металлургич. кокс повышенной прочности, как при самостоятельном коксовании, так и в сочетании с углями пониженной спекаемости. Приводятся результаты техн. анализа, содержание S<sub>общ.</sub>, P<sub>c</sub>, данные по усадке и пластич. слою обогащенного угля, а также результаты полупромышленного коксования. Освоение новых угольных участков даст возможность использовать карагандинские угли с ценными технологич. свойствами не только как присадочные, но и для самостоятельного коксования.

Н. Лапидес

69639. Угли Кольчугинской свиты Кузнецкого бассейна как сырье для коксования. Пермитина К. С., Фришберг В. Д., Кокс и химия, 1957, № 4, 3—8

Приводятся данные о петрографич. составе, физ.-хим. и технологич. свойствах указанных углей, а также результаты полузаводских и промышленных коксований различных шихт, барабанных испытаний и проб на сбрасывание полученного кокса. Установлено, что свойства кокса из Кольчугинских углей, в основном, соответствуют маркирующим показателям последних: толщине пластич. слоя и выходу летучих в-в. Отмечаются особенно высокие коксующие свойства жирных углей Осиновского, Чертинского и Байдаевского месторождений. Определяются направления развития угля и шахтного строительства, необходимость более широкого использования газовых и жирных углей, а также разработки технологии их подготовки, урседнения и коксования.

А. Шахов

69640. Истираемость английских углей. Лабораторное исследование. Фиттон, Хьюз, Херли (The grindability of British coals—a laboratory examination. Fitton A., Hughes T. H., Hurley T. F.), J. Inst. Fuel, 1957, 30, № 193, 54—65 (англ.)

Истираемость (И) исследовалась в шаровой мельнице и на машине «Хардгроу». Между показателями И, полученными на обоих аппаратах, наблюдалось соответствие. Установлена зависимость между показателем И и свойствами угольного в-ва по классификации Сайлера. Найдена также зависимость между И и выходом летучих в-в, содержанием С и Н. Наиболее тесная связь имеется между И и спекаемостью. Испытано влияние влажности в пределах от 0 до 11%. Подсушенный коксующийся уголь с низким содержанием летучих в-в и некоксующийся с высоким — обладали большей И, чем влажный. Для коксующихся углей влажность не влияла на И. Доля золы в измельченной части угля зависела от соотношения твердой угольной в-ва и породы. Обогащение угля не всегда повышает его И. Удаление мелочи в процессе измельчения в шаровой мельнице повышает И порою.

У. Андрес

69641. Исследование процесса самовозгорания твердых топлив. Шагалова С. Л., Тр. Всес. н.-и. ин-та торф. пром-сти, 1957, вып. 15, 116—119

В лабор. условиях исследован процесс окисления пыли кокса, антрацита, различных каменных, бурых углей, торфов, древесных опилок. Установлено, что самовозгорание топлив при т-ре > 70° происходит в результате окисления летучей части топлива. На основании рассмотрения теплового баланса процесса при т-рах 80—280° определены кинетич. характеристики K<sub>0</sub> и E, находящиеся во взаимосвязи с хим. составом топлива. Предложены ф-лы и номограммы для определения времени воспламенения пыли. Наличие инертных тел внутри слоя пыли замедляет процесс окисления вплоть до его затухания; построена номограмма для определения критич. величины потерь тепла, при которой самовозгорание в данных условиях невозможно, а также для определения времени до момента самовоспламенения пыли. С увеличением влажности пыли период индукции увеличивается за счет дополнительного расхода тепла на сушку.

Н. Кельцев

69642. Новые исследования по химической структуре угля. Драйден (Neue Erkenntnisse über den chemischen Aufbau der Kohle. Dryden J. G. C.), Brennstoff-Chemie, 1955, 36, № 5-6, 80—85 (нем.)

Описаны успехи, достигнутые в течение последних 5 лет в области изучения хим. структуры угля. Установлено, что мол. веса угольных экстрактов колеблются от нескольких сот до 40 000 и выше, молекулы имеют склонность к агрегации и не дают идеальных р-ров. Фракционирование угольных экстрактов путем разделительной хроматографии еще полностью не удалось. ИК-спектры этих фракций показывают значительную идентичность основной структуры. По спектрам 12 витритов с содержанием углерода 78—94% в области длины волны 2—15 м были выяснены изменения конденсирования кольчатой структуры, ароматич. и алифатич. водорода, а также O-соединений. Эти результаты сравниваются с новыми результатами исследований с помощью рентгеновских лучей и групповыми анализами. Подтверждаются полученные ранее результаты об усложнении конденсированных кольчатых систем в угле. Колебания в результатах измерений внутренней поверхности угля объясняются тем, что при низких т-рах некоторые внутренние поверхности становятся недоступными для смачивания или проявляются себя как адсорбирующие молекулы.

З. Черная

69643. О расщеплении эфирных кислородных связей керогена эстонского горючего сланца. Аарна А. Я., Липинмаа Э. Т., Ж. прикл. химии, 1957, 30, № 2, 312—315



Целью исследования было установление природы эфирной связи керогена (К). Предварительными опытами показано, что наиболее эффективным реагентом для разложения К служит безводн.  $AlBr_3$ . Содержание в К фенольной гидроксильной группы составляет 0,42 экв/100 г, а просто-эфирного О, связанного с ароматич. циклом, 0,30 экв/100 г. Составлен баланс кислорода в К по функциональным группам. Преимуществом примененного метода является отсутствие восстановительных р-ций.

В. Загребельная

69644. Исследование степени дисперсности торфа. Воларович М. П., Чураев Н. В., Коллойд ж., 1955, 17, № 3, 200—206; Тр. Моск. торф. ин-та, 1955, вып. 3, 33—58

Исследована дисперсность торфа (Т) ситовым, седиментометрич. и электрооскопич. методами фракций с размерами частиц, соответственно:  $> 250 \mu$ ,  $250-1 \mu$ , и  $< 1 \mu$ . При седиментометрич. анализе изучена истинная плотность оседающих частиц и установлена ее зависимость от размеров частиц. Даны кривые распределения по размерам частиц различных видов Т и установлено наличие двух максимумов, связанных с разнородностью состава Т. Показано влияние диспергирования Т и степени его разложения на степень дисперсности. Изучена форма частиц высокодисперсной фракции Т при помощи электронного микроскопа.

В. Кельцев

69645. Тенденции в области обогащения угля в Индии и вопросы обогащения в Индии. Гуха (The trend of coal washing in U. K. and India's problems. Guha A. B.), Indian Mining J., 1956, 4, № 9, 19—21 (англ.)

Дан краткий очерк развития обогащения угля в Англии; отмечена тенденция к строительству крупных обогатительных ф-к производительностью 400—800 т/час, располагающих различными видами спец. оборудования. Индийские угли высокозольны и трудно обогатимы, а добыча их производится в многочисленных мелких шахтах, где обогащение сводится к породоборке. Первоочередные задачи: определение типов подлежащих строительству обогатительных ф-к и разрешение вопросов транспортировки угля и подготовки кадров.

А. Шахов

69646. Влияние погрешностей определения выходов продуктов флотации углей на качество и количество этих продуктов. Радек (Vliv chybných výnosů v úpravnických strojích na jakost a množství požadovaných produktů úpravy. Radek Oskar), Uhli, 1955, 5, № 5, 176—181 (чешск.; рез. русск., англ., франц., нем.)

Рассмотрен принятый на конгрессе в Париже в 1950 г. способ определения выходов продуктов при флотации углей по диаграмме Тромпа; оценены погрешности этого метода в зависимости от характеристики углей и условий процесса обогащения. Предложено распространить этот способ на процессы сортировки и кон-ции в-в; показана возможность изменения системы координат указанной диаграммы для уточнения выходов продуктов обогащения по качеству и кол-ву.

К. З.

69647. Технич.-экономические показатели обогащения шлама и пыли коксуемых углей методом флотации. Левин С. А., Сект П. Е., Тр. Харьковск. инж.-экон. ин-та, 1956, 7, 37—43

В условиях Донецкого бассейна наиболее целесообразно флотировать весь шлам и всю пыль. При флотации на обогатительной ф-ке только шлама капитальные затраты (в млн. руб.) составляют 7,3, а годовая экономия 4,3; соответственно при флотации шлама и 50% пыли затраты составят 14,0, а годовая экономия 6,5; при флотации шлама и всей пыли затраты составят 19,3, а годовая экономия 8,8. Для Донбасса

эффективность флотации пыли возрастает в связи с более высокой ее зольностью; кроме того, флотация повышает спекаемость углей отдельных марок, что позволяет расширить сырьевую базу коксохим. пром-сти. Себестоимость флотации 1 т шлама на одной из передовых ф-к Донбасса в 1955 г. составила 14 р. 80 к.

У. Андрес

69648. Осаждение шлама при мокром обогащении угля с помощью гуминовых веществ. Водичка (Sedimentace kalů z uhelných prádel pomocí huminových látek. Vodička Jiří), Uhli, 1956, 6, № 12, 411—413 (чешск.; рез. русск., англ., нем., франц.)

Для ускорения седиментации воды суспензий пустой породы, образующихся при мокром обогащении угля, использована способность шл. гуматов осаждаться из водн. р-ров под действием многовалентных металлич. ионов. Показано, что благодаря введению гуматов скорость седиментации возрастает в несколько раз по сравнению со скоростью в присутствии обычно применяемых осаждающих агентов.

М. Лицев

69649. Испытание промышленной установки для обогащения углей в минеральной суспензии. Циперович М. В., Кокс и химия, 1956, № 8, 15—18

В результате пробной эксплуатации установки для обогащения угля в тяжелой суспензии на углеобогатительной ф-ке при шахте 13-бис Советская установлен ряд недостатков: суспензия главного циркуляционного потока загрязнялась шламом и процесс приходилось останавливать; отделение утяжелителя (пиритные огарки) от угольного шлама, содержащегося в промывных водах, и получение суспензии из отделенного утяжелителя с заданным уд. весом проходили неудовлетворительно. Нормальная эксплуатация установки из-за отмеченных недостатков и ненормальностей в работе оборудования не была осуществлена.

И. Марьясин

69650. Углеобогатительная фабрика в Нэнтгаре (Англия).— (Coal preparation plant at Nantgarw.), Gas World, 1955, 142, № 3704, 368—372 (англ.)

69651. Угледоготовительная фабрика в Джорджтауне (США). Грайндрод (Hanna's Georgetown operations. Grindrod John), Colliery Engng, 1957, 34, № 397, 93—100 (англ.)

Приводятся данные по эксплуатации компанией «Ганна» крупнейшей в мире открытой разработки угля, его первичной подготовке и обогащению. С. Г.

69652. Углеобогатительная фабрика при угольном руднике в Лайнмауфе (Англия). Вальтер (Dense-medium cleaning in Great Britain's largest plant. Walter Leo), Coal Age, 1956, 61, № 4, 74—76 (англ.)

Описана самая большая в Англии углеобогатительная ф-ка с проектной мощностью 800 т в 1 час. Обогащают отдельно 3 фракции угля: в магнетитовой суспензии с уд. в. 1,4—1,7 фракции от 200 до 38 мк, гравитационным методом в промывных шлюзах фракции от 3,8 до 0,5 мм и пенной флотацией материал  $< 0,5 \text{ мм}$ . Контроль плотности суспензии осуществляется автоматически. Приведены схема обогащения и описания отдельных агрегатов.

М. Лицев

69653. Влияние температуры нагрева на спекающие свойства некоторых углей Кузнецкого бассейна. Геблер И. В., Смольянинова Н. М., Кокс и химия, 1957, № 3, 21—24

Для оценки спекающих свойств использован метод, основанный на определении кол-ва песка, связанного размягченной угольной массой, проникающей в промежутки между его зернами под давлением груза. Кол-во песка  $\times 100$  дает индекс спекаемости, называемый «числом мягкости» — М. Величина М для жирного угля особенно сильно возрастает с 3-рой нагрева и дает резкий максимум при 475—500°; это объясняется усиливающимся разложением органич. в-ва угля,

в результате чего все больше накапливаются «пластич.» продукты. Отлогое снижение кривой при т-ре нагрева выше максимума характеризует термич. стойкость «пластич.» продуктов разложения. Более метаморфизованные угли, напр. ТС, имеют температурные кривые М без резко выраженного максимума с малым углом наклона. Эти кривые позволяют судить о качестве получаемого кокса и дают возможность подбора шихт.

**В. Загребельная**  
69654. Исследование реакционной способности топлива типа кокса по отношению к водяному пару. Франсуа (Contribution à l'étude de la réactivité des combustibles du type coke vis-à-vis de la vapeur d'eau. François Jean), Chaleur et ind., 1956, 37, № 374, 259—266 (франц.)

Дана эксперим. и теоретич. разработка метода упрощенного расчета реакционной способности топлива по данным процесса на азото-паровом дутье путем сравнения кол-ва тепла, фактически затраченного, к кол-ву, которое было бы затрачено при доведении р-ции  $H_2O + C = CO + H_2$  до конца. Расчет проводится по данным анализа полученного сухого газа (Г) на  $CO$ ,  $H_2$ ,  $CO_2$  и  $N_2$  (по разности). В приложении приводятся диаграммы и инструкция, позволяющие находить: 1) по составу Г низшую и высшую теплотворность его; 2) по составу Г и степени разложения пара — константу равновесия и соответствующую т-ру; 3) по составу Г и т-ре равновесия — кол-во разложенного пара; 4) по составу Г и кол-ву разложенного пара реакционную способность и кол-во затраченного тепла; 5) по т-рам равновесия — состав и характеристику газа, кол-во разложенного пара и реакционную способность системы.

**Н. Гаврилов**  
69655. Получение прочного кокса из бурых и неокисляющихся каменных углей. IV часть. Те й н и ц к и й, К у н ц (Výroba tvrdého koksu z hnědých a černých neokisujících uhlí. IV. část. Tejnický B., Kunc J.), Paliva, 1955, 35, № 10, 297—302 (чешск.; рез. русск., нем.)

Приведены результаты лабор. опытов по получению прочного кокса из углей бассейнов Кладно, Мост и Соколов (Часть III см. РЖХим, 1957, 45412). Исследовано влияние величины зернения, влажности и скорости повышения т-ры при коксовании на качество кокса.

**Н. Кальцев**  
69656. Вопросы выгрузки коксового пирога из камер коксовых печей. Феррара (Il potere spingente dei carboni da coke. Ferrara Emilio), Termotecnica, 1955, 9, № 11, 569—578 (итал.)

69657. Непрерывное определение реактивности коксов по углекислоте. Бастик, Герен (Sur la détermination continue de la carboxyactivité spécifique des cokés. Bastick Marthe, Guérin Henri) C. r. Acad. sci., 1955, 240, № 2, 198—200 (франц.)

Проводилась непрерывная оценка уд. реактивности (УР) кокса путем определения потери веса образца за счет р-ции  $C + CO_2 = 2CO$ . Навеску 0,8 г кокса, проходящего через сито с отверстиями 0,83 мм, помещали в корзиночку из платиновой сетки и нагревали в печи при т-ре  $\sim 1000^\circ$ , продувая в течение 1,5 час.  $N_2$  для удаления летучих, а затем пропускали ток  $CO_2$  со скоростью 18 л в 1 час. По кривой, вычерчиваемой балансовыми весами, находили потерю в весе р за время  $t$  и определяли скорость газификации  $dp/dt$ , а затем УР по величине  $dp/pdt$ . Кривые для 6 различных коксов показали значительные колебания в величине УР.

**Н. Кондуков**  
69658. Изыскание способов химической переработки масел от перегонки каменноугольной смолы с водяным паром. Фотухи (Recherches sur les traitements chimiques applicables aux huiles d'entraînement des brais de houille par la vapeur d'eau.

Fotouhi Davoud), Chimie et industrie, 1955, 74, № 1, 71—78 (франц.)

Каменноугольная смола с т. размягч.  $63^\circ$  подвергнута перегонке (в кол-ве 2 и 3 кг) на спец. установке с перегретым до  $390-455^\circ$  паром в течение  $2\frac{3}{4}-3\frac{1}{2}$  час. Конденсаты при  $360-380^\circ$  и  $320-355^\circ$  — коричневое и красное масла (общий выход их  $50-57,6\%$ ) освобождены от фенолов и оснований и разогнаны на фракции при  $17-20$  мм. С отдельными фракциями проведены опыты хлорметилирования действием параформальдегида и конц.  $HCl$  в присутствии уксусной и фосфорной к-т, а также непосредственно хлорметилового эфира в присутствии  $SnCl_4$  и без него. Продукты р-ции в зависимости от условий содержали  $5-14,5\%$  Cl. Для выяснения возможности использования масел в лакокрасочной пром-сти намечено дальнейшее изучение их галогенирования, сульфирования и нитрования.

**И. Богданов**  
69659. Высокотемпературное гидрирование бурого угля легкого масла при среднем давлении. Шмидт, Гюнтер (Hochtemperatur-Mitteldruckhydrierung von Braunkohlenleichtöl. Schmidt Rudolf, Günther Gerhardt), Chem. Technik, 1955, 7, № 6, 316—324 (нем.)

На опыте работы комбината «Отто Гротеволь» в Блене (ГДР) рассмотрены теоретич. вопросы гидрирования смол, описаны катализаторы и условия процесса, даны выходы продуктов и их характеристики.

**И. Богданов**  
69660. Аппаратура для улавливания бензольных углеводородов. Ясунага, Манабэ (軽油回収装置について. 安永和民, 眞鍋恒忠), 燃料協会誌, Нэнрё кёкайси, J. Fuel. Soc. Japan, 1954, 33, № 328, 402—407 (япон.; рез. англ.)

Описание автоматизированной аппаратуры для улавливания бензольных углеводородов в э-дских условиях.

**В. Щекин**  
69661. Механические способы удаления отложений нафталина из газопроводов. Ланге (Entfernung von Naphthalinansätzen aus Gasrohrleitungen auf mechanischem Wege. Lange F.), Energietechnik, 1957, 7, № 2, 81—84 (нем.)

Отложения  $C_{10}H_8$  могут быть удалены путем испарения его, промывки газопровода р-рителями (ксилол, спирт), либо механически. В одном из газопроводов после того, как т-ра газа в течение 12 суток составляла  $50-70^\circ$ , а нафталиновый промыватель был отключен, наряду с большим кол-вом конденсата обнаружены значительные отложения  $C_{10}H_8$ . Почти полная закупорка газопровода вынудила прибегнуть к способу, применяемому для очистки сильно инкрустированных водопроводов. Стенки газопровода были очищены при помощи спец. устройства со скребками, передвигаемого давлением воды; снятые отложения  $C_{10}H_8$  удалены последующей промывкой водой. В дальнейшем очистка успешно проводилась цилиндром скребковым устройством с электрич. приводом. Особое внимание следует обращать на сток конденсата.

**В. Загребельная**  
69662. Промышленное полукоксование с газовым носителем. — (Large-scale carrier gas carbonisation in the North Thames Gas Board.—), Gas Times, 1955, 83, № 846, 224—226, 228 (англ.)

Описываются опыты по промышленному полукоксованию угля в непрерывнодействующих вертикальных ретортных печах на з-де в Боу Коммон (Англия) с подачей в основание печи полукоксового, водяного или смешанного газа, улучшающего теплообмен и охлаждающего полукokes.

**Н. Лапидес**  
69663. Опыт изучения органического вещества прибалтийских сланцев. Семенов С. С., Изв. АН ЭССР, 1954, 3, № 3, 391—401

Доказано наличие следующих функциональных групп в керогене прибалтийских сланцев: карбоксильной, гидроксильной, карбонильной, омыляемых — сложнэфирных и ангидридных группировок, метоксильных групп. Доминирующее значение имеют кислые группировки. Расчет числа углеродных связей в органич. в-ве сланца, произведенный по теоретич. ур-нию, выведенному автором, свидетельствует о наличии циклич. ароматич. структур (20—25% общего С). Последние представлены в виде фенолсодержащих структур, с боковыми цепями, преимущественно нормального строения. При окислении этих структур  $\text{KMnO}_4$  образуются одно- и двусосновые к-ты нормального строения. При окислительной деструкции в первую очередь происходит разрыв гидроксилсодержащего ароматич. ядра с образованием карбоксила со стороны цикла; дальнейшему окислению подвергаются гетероатомные окончания боковых цепей с образованием двусосновых к-т нормального строения.

Б. Энглин

**69664. Исследование влияния верхнего предела крупности технологического сланца на процесс полукоксования в туннельных печах «Кивинли».** Шелоумов В. В., Эпштейн С. Л., Тр. Всес. н.-и. ин-та по переработке сланцев, 1956, вып. 5, 189—196

Исследована полнота процесса полукоксования в зависимости от granulометрич. состава сланца, и высоты загрузки вагона. Показано, что верхний предел крупности сланца составляет 100 мм; при большем размере кусков сланцев не успевает прогреться, что приводит к большой потере продуктов в полукоксе, а при очень небольших размерах кусков сланцевая пыль засоряет циркуляционную систему печи. Нижняя часть загрузки полукоксуется полнее, чем верхняя.

Н. Лавидес

**69665. Использование ретортной сланцевой смолы.** Торн (Retort oil shale for chemicals. Thorn H. M.), Petrol. Refiner, 1956, 35, № 7, 155—160 (англ.)

Проведено исследование состава сланцевых смол, полученных различными способами. Дан подробный хим. состав фенольной фракции и ароматич. углеводородов, а также выход и состав газов, получаемых при перегонке сланцев.

З. Векслер

**69666. О природе нейтральных кислородных соединений легкой фракции сланцевой смолы.** Кыль А. Т., Дегтерева З. А., Изв. АН ЭССР, 1954, 3, № 4, 553—562

Проведено исследование нейтр. кислородных соединений (НКС) легкой фракции сланцевой смолы, представлявшей собой смесь 20% газового бензина, 20% печного бензина и 60% дистиллата легкого масла, освобожденную от кислых и основных соединений и отогнанную до 200°. Наиболее эффективным методом удаления НКС, позволяющим почти полностью освободить углеводородную часть от кислорода, является метод адсорбции на силикагеле; содержание НКС во фракции до 200°, определенное этим методом, составило 9,4%. Показано, что НКС состоят из карбонильных (54%), сложнэфирных (17%) и гидроксильных (29%) соединений. Метанольные и цел. экстракты, полученные из легкой фракции, содержат до 30% НКС. Выделением карбонильных соединений через их кристаллич. соединения — семикарбазоны, полученные фракции, соответствующие кетонам с длиной цепи  $\text{C}_6$ — $\text{C}_{10}$ .

Б. Энглин

**69667. Газификация прибалтийского сланца в кипящем слое.** Письмен М. К., Ермаков В. Г., Белянин Ю. И., Газ. пром-сть, 1957, № 3, 5—8

Газификация эстонских и ленинградских сланцев в кипящем слое проводилась на полупромышленном газогенераторе, производительностью 50 т в сутки,

диам. 1,5 м и высотой 9,5 м. При изменении уд. расхода воздуха от 0,7 до 1,4  $\text{м}^3/\text{кг}$  теплотворность газа ленинградского сланца менялась от 1670 до 800  $\text{ккал}/\text{м}^3$  (с учетом газбензина). Выход газа изменялся при этом от 0,84 до 1,77  $\text{м}^3/\text{кг}$ ; к. п. д. газификации оставался 53—56%, а тепловой к. п. д. снижался с 80% до 68%. Содержание углерода в золе 4—5%. При газификации эстонского сланца на паро-воздушном дутье увеличение содержания горючего в сланце вызывало увеличение уд. расхода воздуха. Опыты показали возможность газификации сланцевой мелочи в кипящем слое для получения отопительного газа на газогенераторах, не отличающихся от применяемых для газификации бурых углей.

И. Марьясин

**69668. Рационализация производства на газовом заводе.** Трутновский (Pünf Jahre Rationalisierung in einem mittleren Gaswerk. Trutnovsky Hans), Gas, Wasser, Wärme, 1956, 10, № 12, 309—317 (нем.)

Описаны усовершенствования, осуществленные на одном из австрийских газовых з-дов, построенном в 1945 г.

И. Марьясин

**69669. Применение карбюрированного водяного газа в районе Северной Темзы.** Бернс (Carburetted water gas in the North Thames area. Burns J.), Gas Times, 1954, 79, № 823, 549—551, 564 (англ.)

Предыдущее сообщение см. РЖХим, 1956, 69396.

**69670. О возможности применения неспекающихся, в частности, бурых углей на газовых заводах.** Коларж, Зайдль (K možnosti použití nespékavých uhlí včetně uhlí hnědých v karbonizačních plynnárnách. Kolář Miloslav, Saidl Jaroslav), Paliva, 1955, 35, № 4, 99—103 (чешск.; рез. русск., нем.)

По материалам лабор. исследования рассмотрена возможность введения в шихту камерных печей газовых з-дов до 30—50% бурого угля.

К. З.

**69671. Применение обогащенного кислородом воздуха при газификации лигнитов.** Бартолини, Ламанна (Uso di aria surossigenata nella utilizzazione di ligniti xiloidi. Bartolini Italo, Lamanna Gaetano), Calore, 1955, 26, № 6, 259—268 (итал.)

Рассмотрены типы газогенераторов, состав получаемых газов и экономика газификации углей на обогащенном дутье. Приведены данные об опыте газификации лигнитов в Италии. В газогенераторе Коллера при газификации мелочи 25 + 30 мм с влажностью 30% и зольностью 20—30% получен газ состава в %:  $\text{CO}$  37;  $\text{CO}_2$  19;  $\text{H}_2$  35—36;  $\text{N}_2$  6—7;  $\text{CH}_4$  1—2;  $\text{C}_2\text{H}_6$  0,2—0,3. По расчетам авторов, стоимость 1 кал тепла в газе, полученном в газогенераторе Винклера, является миним. при газификации лигнитов.

З. Б.

**69672. Изучение кинетики процесса газификации.** Роль диффузии и режима потока в реакциях газификации. Эргюн (Flow experiments in studying kinetics. Role of diffusion and influence of flow pattern in gasification reaction. Ergun Sabri), Industr. and Engng Chem., 1955, 47, № 10, 2075—2080 (англ.)

Изучено влияние диффузии и скорости газового потока (СГП) на скорость р-ции  $\text{CO}_2$  с активированным углем и металлургич. коксом при т-рах 900 и 1100°. Опыты проводились в вертикальной фарфоровой трубке 2,22 см внутреннего диаметра и 56 см длиной по проточной методике в стационарном и в кипящем слоях углеродистых материалов (УМ) с размером зерен 0,86—0,60 мм и 0,080—0,074 мм; навески УМ брали в кол-ве 3,0 и 8,0 г. В опытах по изучению роли диффузии  $\text{CO}_2$  разбавляли  $\text{He}$  или  $\text{N}_2$ . В стационарном слое при СГП 480  $\text{см}^3$  в 1 мин. степень конверсии  $\text{CO}_2$  активированным углем не зависела от парц.



давления  $\text{CO}_2$  и падала с увеличением конц-ии  $\text{CO}_2$  при СГП  $180 \text{ см}^3$  в 1 мин. В кипящем слое повышение СГП увеличивало скорость р-ции до известного предела за счет снижения эффекта перемещения по длине канала, а затем наступало уменьшение скорости р-ции за счет чрезмерного псевдооживления. Приведен расчет максим. скорости массопередачи и скорости р-ции  $\text{H}_2\text{O}$  с коксом при  $1200^\circ$  (навеска 5,0 г, размер зерен 0,35–0,25 мм) и показано, что скорость диффузии в условиях опыта превышает скорость газификации более, чем в сотни раз. Н. Дабагов

69673. О выносе горючих компонентов из кислородной зоны. Китаев Б. И. В сб.: Газифик. твердого топлива. М., Гостоптехиздат, 1957, 286–290

Обсуждаются результаты эксперим. изучения структуры горячих факелов при ламинарном и турбулентном режимах, имеющие важное значение для теории и практики газификации на паро-кислородном дутье. Б. Энглин

69674. Некоторые особенности генераторного газа как моторного топлива. Величкин И. Н. В сб.: Газифик. твердого топлива. М., Гостоптехиздат, 1957, 319–327

При исследовании процесса сгорания генераторного газа в газогенераторном тракторном двигателе Г-58 выяснилось влияние состава рабочей смеси на стабильность сгорания, общий коэф. наполнения (ОКН) и индикаторный к. п. д. двигателя. Работа двигателя Г-58 характеризуется пониженной стабильностью процесса сгорания, являющейся одной из причин уменьшения мощности двигателя. Показано, что при значительном обеднении смеси наблюдается увеличение индикаторного к. п. д. и ОКН газогенераторных двигателей, что создает особо благоприятные условия для применения качественно-количественного регулирования горючей смеси в этих двигателях и повышения их экономичности. Б. Энглин

69675. Удешевление газа путем применения способа «Rochdale». Никлин, Редман (The «Rochdale» process — a way to cheaper gas? Nicklin T., Redman N.). Gas Times, 1954, 78, № 815, 358–359, 362–364, 369 (англ.)

С целью увеличения производительности реторт и снижения стоимости бытового газа, получаемого при полукоксовании угля в непрерывнодействующих вертикальных ретортных печах с внешним обогревом, был исследован процесс получения бытового газа в тех же печах с дополнительной подачей холодного газа (водяного, полукоксового или смеси их) в основание печи, благодаря чему полукokes охлаждался и мог выгружаться без предварительного охлаждения паром. Нагретый газ, проходя через уголь, увеличивал теплообмен. Производительность печи по углю возрастала. Благодаря отсутствию подачи пара при выгрузке полукокса, удлинялся срок службы огнеупоров печи. Из приводимых результатов опытов видно, что путем применения подачи холодного газа в печь можно достигнуть значительного снижения стоимости газа, увеличения производительности печи при наименьших капитальных затратах, большей гибкости процесса по производительности и выходу кокса, возможности использования низкосортных углей и угольной мелочи и получения полукокса, более пригодного для бытовых целей. Н. Лапидес

69676. Первая промышленная установка, работающая по способу «Rochdale». Берд, Хардман (The «Rochdale» process. Commissioning the first commercial scale plant. Bird J. P., Hardman F.), Gas Times, 1955, 83, № 846, 213–215 (англ.)

Сообщение об опыте работы промышленной коксоговой установки по скоростному непрерывному произ-ву каменноугольного газа, с газовым теплоно-

сителем. Скорость коксования и выход газа (водяной) при этом способе были вдвое выше, а выход по тепло-творности такой же, как при обычном процессе. Тепло-творность полученного газа  $4000 \text{ ккал/м}^3$ . Н. Кельцев 69677. Исследование и усовершенствование генера-торов водяного газа. Махорин К. Е. В сб.: Газифик. твердого топлива. М., Гостоптехиздат, 1957, 111–122

Приведены результаты исследований процесса получения водяного газа в газогенераторах диам. 1,9, 2,5 и 3,4 м из антрацита АК и коксика Енакиевского з-да. Предложен метод расчета оптимальной продол-жительности цикла при заданном характере измене-ния интенсивности образования водяного газа в тече-ние цикла. Рекомендуется для повышения интенсив-ности газификации и предотвращения растрескивания антрацита проводить предварительную термич. обра-ботку его в шахтной печи, установленной между бун-кером и газогенератором. Н. Кельцев

69678. Газ из бурого угля на новом заводе в Австра-лии. Часть 1. Процесс газификации. Кеннеди (Gas from brown coal... The Morwell project. Part 1. The gasification process. Kennedy G. L.), Chem. Engng and Mining Rev., 1956, 49, № 2, 41–48 (англ.) Завод вырабатывает городской газ из буроугольных брикетов на парокислородном дутье в газогенераторах Лурги под давл. 28 ат; дано описание технологич. схе-мы и отдельных операций процесса, включая получе-ние кислорода. В. Кельцев

69679. Торфяные двухзонные газогенераторы Укра-инского. Ямпольский Н. Г. В сб.: Газифик. твердого топлива. М., Гостоптехиздат, 1957, 351–357

Даны схема установки и конструкция газогенера-тора для работы на высокосольном влажном торфе, без предварительной подсушки. Воздух в зону горения подается через решетку вставных фурм, чем дости-гается выравнивание теплового напряжения по сече-нию шахты и предохраняется кладка генератора от шлакования при газификации торфа, дающего легко-плавкую золу. Приведены результаты эксплуатации этих генераторов на электростанциях. Н. Кельцев

69680. Изготовление газогенераторов. Полинков Н. Т. В сб. Газифик. твердого топлива. М., Гостоп-техиздат, 1957, 198–201

Описание конструкций и технич. характеристик газогенераторов, изготавливаемых Южно-Уральским ма-шиностроительным з-дом. Н. Кельцев

69681. Подземное хранение газа. Дельсоль (Le stockage souterrain du gaz. Delsol R.), Rev. Inst. franç. pétrole, 1956, 11, № 11, 1391–1405 (франц.; рез. англ., исп.)

Приведены геологич. характеристики куполообраз-ной структуры, подготовленной в районе Парижа для подземного хранения коксового газа. При первой оче-реди (конец 1956 г.) в это хранилище будет закачи-ваться 400–500 тыс.  $\text{м}^3$  газа в сутки, с доведением общего кол-ва хранимого здесь газа до 30 млн.  $\text{м}^3$ . Описаны трудности, встретившиеся при решении про-блемы хранения коксового газа в водонасыщенных пластах; даны краткие сведения о наземных соору-жениях и газопроводах для закачки и отбора газа из хранилища и о графике потребления газа в Париже после введения его в эксплуатацию. К. З.

69682. Адсорбционная очистка коксового газа от ор-ганических сернистых соединений и тяжелых угле-водородов. Сообщение 1. Лабораторное исследование адсорбции бензола, тиофена и нафталина активиро-ванным углем. Зельвенский Я. Д., Грузи-цева А. Н., Тр. Гос. н.-и. проект. ин-та азотн. пром-сти, 1954, вып. 3, 109–138

В результате лабор. исследования для очистки кок-сового газа от тяжелых углеводородов и органич.

**S-соединений** рекомендуются гранулированные активированные угли марки AP-3 или E. Определены изотермы адсорбции (A) тиафена в интервале конций 140—650 мг/м³ и C<sub>6</sub>H<sub>6</sub> в интервале 1000—4000 мг/м³ из влажного газа при t-ре 8—25°. Установлено, что A тиафена из влажного газа в присутствии C<sub>6</sub>H<sub>6</sub> сокращается вдвое при конции последнего 1000 мг/м³ и в 5 раз при конции C<sub>6</sub>H<sub>6</sub> 4000 мг/м³. При A C<sub>6</sub>H<sub>6</sub> и тиафена наблюдается небольшое обогащение адсорбированной фазы тиафеном. Опыты по динамике A подтвердили, что проскок C<sub>6</sub>H<sub>6</sub> происходит несколько раньше, чем проскок тиафена. Понижение t-ры A заметно увеличивает емкость по C<sub>6</sub>H<sub>6</sub>. Активированный уголь полностью очищает газ от паров нафталина. Обычный режим регенерации угля водяным паром при 120—150° обеспечивает удаление лишь части адсорбированного нафталина; более полное удаление нафталина из угля может быть достигнуто путем повышения t-ры регенерации до 300°. В. Загребельная 69683. Удаление углекислоты из газа водой под давлением. Пилек (Vypírání kysličníku uhličitého z tlakového plynu vodou. Jilek J.), Paliva, 1957, 37, № 2, 46—56 (чешск.; рез. русск., нем.)

Проведен расчет процесса очистки газа на CO<sub>2</sub> в насадочном скруббере водой под давл. 20 ата; рассмотрены и установлены расчетные зависимости эффективности процесса от физ. параметров: скорости газа, расхода воды, диаметра и высоты скруббера, поверхности насадки, t-ры и давления, степени улавливания CO<sub>2</sub> и др., с сопоставлением расчетных данных с практически наблюдаемыми в производственных условиях. Выведены оптимальные условия процесса. К. З. 69684. Тонкая очистка магистрального газа. Кукук (Feinreinigung von Ferngas. Kuckuk W.), Techn. Mitt., 1955, 48, № 5, 249—255 (нем.)

Для коксового газа (Г), предназначенного для дальнейшего газоснабжения, установлены высокие требования: точка росы ≤ 5°; содержание нафталина (I) не выше 5 г/л в 100 м³, где P — давление в ата на входе Г в газопровод; содержание NO ≤ 0,5 см³/м³. Описаны методы, обеспечивающие тонкую очистку Г. NO удаляется окислением в NO<sub>2</sub> при давл. ≥ 2 ата и t-ре 60—90° содержанием в Г O<sub>2</sub> в кол-ве ≥ 0,2 об.% с последующим поглощением NO<sub>2</sub>. Для сушки Г и выделения I применяют методы абсорбции, адсорбции и охлаждения. Лучшим поглотителем для I является тетралин (даны техно-экономич. показатели двух установок мощностью 25 000 и 60 000 м³ в 1 час). Лучшим поглотителем влаги является силикагель. Приведены схемы и описания применяющихся в пром-сти различных способов очистки Г от I и осушки. Н. Кельцев 69685. Опыт замены воздуха кислородом при сухой сероочистке газа. Кейлор («Operation oxugen». Keillor Geo E. H.), Gas Times, 1953, 77, № 803, 27—28, 30, 32 (англ.)

См. также РЖХим, 1954, 45448

69686. О сжигании рейнских сырых бурых углей в пылеугольных топках. Ленкевич (Über die Verbrennung rheinischer Rohbraunkohle in Staubfeuerungen. Lenkewitz H.), Braunkohle, 1955, 7, № 11/12, 242—248 (нем.)

Обсуждается вопрос о выборе топок для сжигания высокосольного рейнского бурого угля (БУ). Рассматриваются причины зашлаковывания топочных устройств. Изучалось влияние t-ры и газовой среды на образование CaS. В окислительной атмосфере образуется только CaSO<sub>4</sub>, который при 1200° диссоциирует с образованием CaO. В среде CO:CO<sub>2</sub> = 2:1 вначале образуется CaSO<sub>4</sub>, однако при 800—1000° значительная часть его восстанавливается в CaS. При дальнейшем повышении t-ры CaS переходит в CaO. Для уменьшения зашлаковывания горячих поверхностей при

сжигании рейнского БУ необходимо снизить t-ру горения. Реконструкцией топочного пространства котла (приводится схема и распределение t-р в топочном пространстве) удалось снизить t-ру горения с 1300 до 1050°, что позволило удлинить время работы с 1600 до 13 000 час. Дана общая характеристика котлов высокого давления с большой паропроизводительностью (450 т/час и выше) с различными точными устройствами, работающими на БУ. Б. Энглин 69687. Ситовой состав шихты — важнейший показатель ее качества. Эйдельман Е. Я., Кокс и химия, 1957, № 1, 8—10

Замечания к статье С. Г. Аронова и В. А. Кулисова (РЖХим, 1956, 48033). Предлагается оценивать ситовой состав шихты по остаткам на ситах с отверстиями 3 и 1 мм и по выходу класса 0,2—0 мм, так как принятая в настоящее время оценка ситового состава шихты по выходу класса < 3 мм недостаточна. Необходимо разработать режимы дробления и внести в конструкцию дробильных устройств соответствующие изменения для предотвращения усиленного истирания частиц и уменьшения содержания класса 0,2—0 мм. Для характеристики ситового состава шихты, получаемой при набирательном измельчении, предложен индекс, вычисляемый по размерам отверстий в ситах, через которые проходит соответственно 5, 25, 50, 75 и 95% угля. Г. Стельмах

69688 П. Аппарат для быстрой промывки угля и пород, в частности для контроля работы отседающих машин, предназначенных для мелкого угля. Гроссенбах (Schnellabschwimmgerät für Kohle und Berge, insbesondere zur Überwachung des Betriebs von Feinkohlensetzmaschinen. Grossenbach Otto). Пат. ФРГ 924441, 3.03.55

Аппарат снабжен двумя отделениями для наполнения тяжелым р-ром, в котором разделение легких и тяжелых составных частей достигается с помощью сита, запирающего отделение. Запирающее сито находится в р-ре и доступно снаружи. Аппарат изготовлен совместно с сосудом-подставкой. Приводятся схема и описание аппарата. Б. Энглин 69689 П. Газификация пылевидных и мелкозернистых топлив. (Gasification of granular to pulverulent fuels) [Badische anilin & Soda-Fabrik]. Англ. пат. 717812, 3.11.54 [Fuel. Abstrs, 1955, 17, № 4, 31 (англ.)]

В газогенераторе газифицирующая среда с интервалами проходит через топливный слой снизу вверх и сверху вниз. При нисходящем движении среды топливный слой находится в статич. состоянии, при восходящем топливо турбулизуется. Часть топлива, поступающего на газификацию, вводится в генератор во время нисходящего движения среды, поэтому она распределяется непосредственно над статич. топливным слоем. О. Кальницкий 69690 П. Устройство для определения и регулирования температуры и толщины слоя золы в газогенераторах и других аналогичных аппаратах. (Device for determining and regulating the temperature and depth of ash in gas-producers and like furnaces.) [Gaz. de Grance (G. D. F.) Service National]. Англ. пат. 694350, 15.07.53

Предложено регулировать режим газогенераторов или других аппаратов, работающих на твердом топливе, с помощью одной или нескольких термпар, установленных в слое золы или остатка в нижней части аппарата. Термпары связаны с релейным устройством; с помощью последнего производится пуск, остановка и изменение скорости мотора, приводящего во вращение колосниковую решетку. Даны электр. и монтажные схемы. Н. Кельцев

69691 П. Метод и аппаратура для конверсии и метанирования генераторных газов. Ширенбек (Verfahren und Vorrichtung zur Konvertierung und Methanisierung von Generatorgasen. Schierenbeck Julius). Пат. ФРГ 927686, 16.05.55

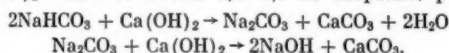
Метод конверсии и метанирования характеризуется тем, что оба процесса взаимосвязаны и тепло одной р-ции используется для другой. Газы конверсии из конвертора поступают на метанирование с нужной т-рой, а тепло метанирования используется прямо или косвенно для получения с помощью теплообменников пара, добавляемого к газу, идущему на конверсию. Дана схема конвертора, метанизатора и теплообменников.

69692 П. Сменяемый короб в трубчатых аппаратах по сухой сероочистке газов (Panier amovible d'épurateurs tubulaires pour la désulfuration à sec des gaz) [Didier-Kogag Hinselmann Koksofenbau und Gasverwertung A.-G.]. Франц. пат. 1082176, 27.12.54 [Genie chim., 1955, 73, № 6, 178 (франц.)]

Непроницаемая для газа крышка короба имеет конич. форму; сужение цилиндрич. формы корпуса возможно как сверху, так и снизу.

69693 П. Сероочистка промышленных газов, содержащих двуокись углерода. Эма, Мурата (炭酸瓦斯を含む工業瓦斯の脱硫方法。江間源三, 村田幹雄), [別府化学工業株式会社] Баппу кагаку когё кабусики кайся. Японск. пат. 436, 27.01.55

При очистке содовым р-ром (СР) промышленных газов, содержащих  $\text{CO}_2$  (опыты проводились с газом, содержащим до 8,5%  $\text{CO}_2$ ), от S-соединений предложено к части СР, подлежащего регенерации, добавлять  $\text{Ca}(\text{OH})_2$  — оптим. кол-во 1,2—1,5 от теоретич. р-ции:



Другая часть СР подвергается обычной регенерации продувкой воздуха. Затем обе части смешиваются, что сопровождается р-цией  $\text{NaHCO}_3 + \text{NaOH} \rightarrow \text{Na}_2\text{CO}_3 + \text{H}_2\text{O}$ ; конц-ия соды в виде  $\text{Na}_2\text{CO}_3 \geq 0,7\%$  (в этом случае степень очистки 82%). При дальнейшем ее снижении резко падает степень очистки газа. Выпадающий в осадок  $\text{CaCO}_3$  способствует быстрому осаждению взвешенной в р-ре S. Метод позволяет значительно снизить расход соды и упростить технологию процесса.

Ю. Ермаков

## ПЕРЕРАБОТКА ПРИРОДНЫХ ГАЗОВ И НЕФТИ. МОТОРНОЕ ТОПЛИВО. СМАЗКИ

Редакторы И. М. Руденская, М. О. Хайкин

69694. Всесоюзное межвузовское совещание по химии нефти. Хромов С. И., Вести. Моск. ун-та, Сер. матем., механ., астрон., физ., химии, 1957, № 1, 205—206

69695. Новый нефтеперерабатывающий завод. Унбер (New refinery studied. Weber George), Oil and Gas J., 1955, 54, № 4, 56—57 (англ.)

Описывается новый нефтеперерабатывающий з-д производительностью ~ 5000 м<sup>3</sup> в сутки, строительство которого предполагается закончить в 1957 г. в г. Портсмуте (Род Айланд США). З-д будет иметь 5 установок каталитич. конверсии: крекинга, реформинга, алкилирования, полимеризации и гидрирования. В основном, з-д будет производить высокооктановый бензин (55—60% на сырье), с октановым числом до 100. Предусматривается, в зависимости от необходимости, производить также в различных кол-вах дизельное топливо, тяжелое остаточное топливо, кокс и т. д.

Н. Ланидее

69696. О константах равновесия головных углеводородов нефтей. Старобинцев И. С., Парниев А., Изв. АН ТуркмССР, 1957, № 1, 101—103

Экспериментально определены константы равновесия газообразных углеводородов нефтей одного месторождения Туркменской ССР. Глубинные пробы, отобранные при давлении на забое выше давления насыщения, выдерживались в спец. бомбе до установления термодинамич. равновесия и затем подвергались многоступенчатому разгазированию при определенных давлениях и т-ре. Газ отбирался через каждые 10—20 атм падения давления до атмосферного, после чего из жидкой фазы отгонялась фракция до 122° и в выделенных газе и бензине определялось содержание отдельных углеводородов. Константы равновесия рассчитывались по ф-ле  $K = Y/X$ , где X и Y — мольные доли отдельных углеводородов соответственно в газовой и жидкой фазах в момент равновесия, K — константа равновесия, и сравнивались с литературными данными. Показано, что газообразные углеводороды нефтегазовой смеси ведут себя термодинамически как индивидуальные углеводороды, и их константы равновесия близки литературным данным.

Э. Левина

69697. Исследование спектров люминесценции фракций нефти. Мамедов Х. И. В сб.: Люминесцентный анализ. Минск, АН БССР, 1956, 47—53. Дискус., 51—53

Исследованы спектры флуоресценции узких керосиновых фракций нефти в ближайшей УФ-области. УФ-спектры люминесценции фотографировали на диапозитивную фотоластинку с марками почернения при помощи кварцевого спектрографа ИСП-66. В качестве источника света применяли кварцевую лампу ПРК-4. Исследованы следующие составные части керосиновой фракции: суммарная ароматика, деароматизированный, депарафинизированный, деароматизированно-депарафинизированный керосин и нормальные парафины из керосиновой фракции. Показано, что флуоресценция нефти (керосина) преимущественно обуславливается ароматич. соединениями, входящими в их состав. В керосине флуоресценция в ближней УФ-области в основном вызывается конденсированными ароматич. соединениями, в частности нафталином и его гомологами. Видимая флуоресценция керосиновой фракции нефти может быть вызвана присутствием производных антрацена.

И. Р.

69698. Нефтеперерабатывающая промышленность в Италии. Стелла (L'industria della raffinazione del petrolio in Italia. Stella Tullio), Rassegna chim., 1956, 8, № 5, 3—6 (итал.)

В 1954 г. в Италии на 36 з-дах общей проектной мощностью 21,8 млн. т переработано ~ 16 млн. т нефти, что составляет 74% производительности установок; 55% всей производственной мощности приходится на Северную Италию. Из 36 з-дов 7 имеют мощность до 100 тыс. т в год; 8 101—200, 9 201—500, 4 501—1000, 6 до 1500, 1 1700 и 1 2800 тыс. т. Всего вырабатывалось (в % на перерабатываемую нефть) бензина 17,4 (2814 тыс. т), керосина 6,4 (967 тыс. т), газойля 19,5 (3163 тыс. т), жидких, тяжелых топлив 48,7 (7875 тыс. т). Внутреннее потребление составляло (тыс. т): бензина 1175, керосина 221, газойля 1417, тяжелых топлив 5291. Рост экспорта нефтепродуктов характеризуется следующими данными (тыс. т): 1950 г. 996, 1951 г. 1425, 1952 г. 2895, 1953 г. 5156, 1954 г. 6000.

В. Щекин

69699. Характеристика асфальто-смолистых веществ из восточных нефтей и распределение их при технологических процессах производства масел. Велязарева Н. И., Жердева Л. Г. В сб.: Хим. состав и эксплуатац. свойства смазочн. масел. М., Гостоптехиздат, 1957, 113—125

17\*



Исследованы асфальто-смолистые в-ва, содержащиеся в сернистых и малосернистых нефтях, с применением современных методов разделения (пропан, фенол, силикагель, перегонка в глубоком вакууме) и анализа (гидрирование, оптич. методы). Показано, что смолы, выделенные из нефтей, представляют собой широкую гамму фракций с различными мол. весом и степенью ненасыщенности. Значение  $x$  в ф-ле среднего ряда смол  $C_nH_{2n-x}$  для отдельных фракций их изменяется от 10 до 34 и более. Кол-во смол, выделенных пропаном, меньше кол-ва силикагелевых смол. Смолы, выделенные пропаном, имеют больший мол. вес, большее содержание Н и меньшее содержание N и S по сравнению с силикагелевыми смолами. При обработке остаточного сырья пропаном не растворяются асфальтены и смолы с высоким мол. весом (~700—800), высокой степенью ненасыщенности (ф-ла среднего ряда порядка  $C_nH_{2n-32}$ ) и высокой коксуемостью (~20%). Растворяются в пропане и остаются в деасфальтированном сырье смолы более низкого мол. веса (~470—580), с меньшей ненасыщенностью (ф-ла среднего ряда порядка  $C_nH_{2n-14}$  или  $C_nH_{2n-20}$ ) и с меньшей коксуемостью (~8—12%). При обработке смол фенолом растворяются главным образом низкомолекулярные смолы (мол. в. 470—550) с большой плотностью (~1,07), высоким суммарным содержанием S, N и O (~11%) и низким содержанием Н (8,7%). Смолы, не растворимые в феноле, характеризуются высоким мол. весом (830—870), меньшей плотностью (~1) и большим содержанием Н (~10%). Методами каталитич. гидрирования и кольцевого анализа смол из сернистых и малосернистых нефтей, растворимых в пропане, а также смол, содержащихся в дистиллятах показано, что исследованные смолы являются полициклич. соединениями, содержащими S, N и O; средние молекулы состоят из 4—6 колец. В средней молекуле смол, помимо ароматич., содержится также в значительном кол-ве (до 50%) нафthenовые кольца и парафиновые цепи (40—50%), в основном короткие. И. Р.

**69700. Состав и свойства высокомолекулярных соединений нефти.** Сергиенко С. Р., Давыдов Б. Э., Делоне И. О., Тетерина М. П. В сб.: 4-й Междунар. нефт. конгресс. 6. М., Гостоптехиздат, 1956, 22—37

Сообщение о результатах работ по изучению хим. состава и свойств смол трех нефтей (Туймазинской, Ромашкинской, Бавлинской) Урало-Волжского нефтяного района. Б. Энглин

**69701. О характере ароматич. и смол, содержащихся в высококипящих фракциях нефтей.** Жердева Л. Г., Сидляров Ф. Г., Велизарьева Н. И., Химия и технология топлива, 1956, № 1, 17—26

С применением фракционирования р-рителями, молекулярной перегонки, адсорбционного разделения, ИК-спектроскопии, каталитич. гидрирования и т. п. исследовано строение и свойства ароматич. продуктов (АП) (углеводороды, O, S и N-содержащие органич. соединения) и смол, содержащихся в парафиновых сернистых (ПС) и малопарафиновых малосернистых (ММ) нефтях. Во фракции АП, выделенных из ПС с повышением мол. веса (с 390 до 1100), возрастает содержание Н (с 10,76 до 11,87%), несмотря на увеличение цикличности (с 3 до 5 циклов в средней молекуле); содержание парафиновых цепей также возрастает (с 53 до 60%). В средней молекуле преобладают ароматич. циклы (от 36 до 24%); нафthenовых колец содержится от 11 до 6,7%. С повышением мол. веса соотношение кольцо:цепь уменьшается, обуславливая соответствующее изменение физ.-хим. свойств фракции. Фракции не содержат O и N, а содержание S в них с повышением мол. веса падает с 3,2 до 2,45%.

Для фракции АП, выделенных из ММ, установлены те же закономерности: повышение мол. веса сопровождается увеличением содержания в средней молекуле Н (с 10,5 до 11,86%), парафиновых цепей (с 48,5 до 57%), нафthenовых циклов (с 15,5 до 24,4%) и уменьшением содержания ароматич. колец с 36,1 до 18,5%. Большая цикличность АП из ММ дает низкие и отрицательные индексы вязкости у ее фракций. Фракции смол, выделенные из ПС, имеют мол. в. 280—800, содержат S 3,59—4,72%, O 3,13—4,61%, H 9,35—9,85; N 0,59—1,3% и имеют полициклич. характер. Смолы из ММ близки по содержанию Н, N и O к смолам из ПС, но содержат меньше S (0,74—1,54%). Содержание ароматич. колец в смолах выше, чем нафthenовых; парафиновых цепей содержится 40—50%; S и O входят, по-видимому, в состав циклов. Гидрированием ароматич. фракций показано, что коэф. Флюгера для них должен быть принят равным 0,5, вместо обычно применяемого 0,85. В. Щекин

**69702. Химический состав и эксплуатационные свойства дизельных масел из сернистых нефтей.** Жердева М. Г., Кроль Б. Б. В сб.: Хим. состав и эксплуатац. свойства смазочных масел. М., Гостоптехиздат, 1957, 46—60

Характеризовано качество масел из сернистых нефтей и изучено их поведение при работе в двигателе, причем для исследования взяты летнее и зимнее дизельные масла (ДМ) селективной очистки, полученные из смеси бавлинской, туймазинской, зольненской и покровской нефтей; летнее ДМ — смесь дистиллятного и остаточного масел, зимнее — дистиллятное масло. Для сравнения изучалось товарное масло из бакинских нефтей (ГОСТ 5304-50). В результате исследования хим. состава исходных ДМ и тех же масел после 100 и 900 час. испытаний их в чистом виде и с присадками азини-4, цинтам-339 и азини-цинтам-1 на серийных двигателях показано, что ДМ из сернистых нефтей с присадкой азини-4 должно применяться наравне с маслом ГОСТ 5304-50, а с присадкой цинтам-339 наравне с маслом ГОСТ 5304-54. Особенности хим. состава ДМ из сернистых нефтей: высокое содержание ароматич. углеводородов и наличие S-соединений обуславливают хорошие противознасные свойства; нафthenовые углеводороды характеризуются малым содержанием циклов в молекуле и высоким содержанием парафиновых цепей, что обеспечивает хорошие вязкостно-температурные свойства масел. ДМ из сернистых нефтей должны применяться с моющими присадками; эффективной моющей присадкой является цинтам-339. Установлено, что в процессе работы в двигателе в первую очередь изменяются тяжелые ароматич. фракции с отрицательными значениями индекса вязкости; заметное снижение их содержания в масле после работы сопровождается повышением содержания смолистых в-в. Содержание нафthenовых углеводородов и ароматич. фракций с положительными значениями индекса вязкости в отработанных и исходных ДМ близки между собой. А. Нагаткина

**69703. Пути улучшения качества химических реагентов.** Матвеев Е. И., Нефт. х-во, 1957, № 3, 14—16

При получении углекислотных реагентов для хим. обработки глинистых р-ров рекомендовано совмещение процесса нагрева (при 70—80°) и механич. перемешивания. И. Руденская

**69704. Автоматизация в нефтяной промышленности.** Легран (Application de l'automatisme dans l'industrie des pétroles. Legrand G.), Organ. scient., 1956, 30, № 8-9, 194—196 (франц.)

Кратко освещаются основные принципы и значение автоматизации предприятий нефтяной пром-сти. В. Щекин

69705. Каталитический крекинг в движущемся слое. Аккияма (流動接觸分解法・秋山忠明), 化学工業, Karaku kōgō, Chem. Ind. (Tokyo), 1955, 6, № 7, 602—604 (японск.)

Описана работающая в Японии установка Standard Oil Development Co., Модель IV, производительностью 2000 м<sup>3</sup> в день. Установка дает высокооктановый бензин, в газе содержится много углеводородов C<sub>3</sub>—C<sub>4</sub>, особенно олефинов.

69706. Процесс каталитического крекинга в две ступени. Хелдман, Кунрейтер, Маршалл, Ребейн (Cat cracking now in two stages. Heldman J. D., Kunreuther F., Marshall J. A., Rehbein C. A.), Petrol. Refiner, 1956, 35, № 5, 166—170 (англ.)

Описаны результаты работы по новому процессу Shell Oil Co. двух опытных и одной промышленной установок. Процесс (с применением псевдоожиженного Al—Si-катализатора (K)) состоит в следующем: сырье поступает в реактор 1-й ступени, где поднимается снизу вверх вместе с регенерированным K. В реакторе 1-й ступени т-ры выше, время пребывания сырья меньше и сырье лучше контактируется с K, чем в реакторах обычного типа, благодаря чему достигаются лучший выход бензина и меньшее коксоотложение. После реактора 1-й ступени пары продукта и K разделяются, первые идут во фракционную колонну, а K поступает в реактор 2-й ступени обычного типа, питаемый газойлем с низа колонны. Двухступенчатость (или многоступенчатость) позволяет вести крекирование селективно и выводить из зоны р-ции образовавшийся бензин, не допуская его дальнейшего значительного крекинга.

А. Равикович  
69707. Рекреформинг. Эванс (Rexforming. A new refining process. Evans J.), Petroleum, 1955, 18, № 11, 419—421, 424 (англ.)

Описан процесс каталитич. переработки бензинов с целью получения высокооктанового продукта. Сырье в первичной фракционной колонне разделяют на легкую, среднюю и тяжелые части. Среднюю часть подвергают ароматизации на установке платформинга. Из продукта платформинга после охлаждения в сепараторе выделяют газ, богатый H<sub>2</sub>, часть которого возвращают в реактор платформинга. Жидкий продукт дебутанизируют, после чего в экстракционной колонне из него выделяют высокооктановые компоненты, ароматич. и низшие парафиновые углеводороды. Верхний продукт экстракционной колонны (высокомолекулярные низкооктановые компоненты) возвращают на повторную переработку; растворенные углеводороды отпаривают из р-рителя. Платформинг в мягких температурных условиях дает продукт с октановым числом (ОЧ) 75—85, содержащий 35—45% ароматич. углеводородов. После экстракции получают продукт, имеющий ОЧ ~ 100, содержащий 56—60% ароматич. углеводородов. Исследование продукта платформинга показало, что при общем ОЧ продукта 95—100, неароматич. часть имеет ОЧ 20—40, причем основное снижение ОЧ объясняется присутствием высококипящих парафиновых углеводородов. Установлено, что снижение давления наряду с увеличением выхода ароматич. углеводородов снижает качество неароматич. части продукта, вследствие чего для одинакового ОЧ продукта содержание ароматич. углеводородов в продукте должно быть при низком давлении выше приблизительно на 5—8%. В то же время конция ароматич. углеводородов в продукте с ОЧ 96 может быть понижена на 10%, если ОЧ неароматич. части продукта повышается с 50 до 65. Поэтому в процессе рекреформинга стадия платформинга проводится в таких условиях, чтобы ароматизация сопровождалась селективной переработкой высококипящих парафиновых углеводородов; при этом должен сохраняться баланс между р-циями гид-

прокрекинга и дегидроциклизации, что позволяет избежать побочных р-ций, приводящих к повышенному выходу кокса и газа. Приведена поглотительная способность селективного р-рителя для выделения высокооктанового продукта по углеводородам различного класса и разной т-ры кипения. Выход газа из сепаратора составляет 154—195 м<sup>3</sup> на 1000 л сырья, газа после дебутанизации жидкого продукта 44—53 м<sup>3</sup> на 1000 л сырья, дебутанизованного продукта 77—83 об.%, бензина после добавки бутанов до упругости паров 520 мм рт. ст. 85—92%.

Н. Кельцер  
69708. Октановые числа канадских бензинов приближаются к уровню США. Нависон, Крейн (Canadian octanes approach United States levels. Navison J. A., Crane H. R.), Oil and Gas J., 1956, 54, № 68, 234—236, 238, 240 (англ.)

В 1955—1956 гг. октановые числа (ОЧ) первосортного бензина в Канаде были всего на 1—2 ед. ниже, чем в США. Для получения моторного бензина с ОЧ 100 предложено низкооктановые продукты каталитич. реформинга подвергать термич. реформингу или отделять низкооктановую часть реформата и пускать ее на рециркуляцию. Если отогнать 50% от реформата с ОЧ 83 (без ТЭС), то ОЧ оставшейся части повышается до 91 и даже до 100, если отогнать 80% и оставить только 20%. Легкая часть в первом случае имеет ОЧ 75. Смесь остатка реформата с крекинг-бензином и небольшим кол-вом бутана дает бензин с ОЧ 100,1 (с ТЭС). 40% изо-C<sub>5</sub>H<sub>12</sub>, 57% остатка реформата и 3% бутана дают смесь с ОЧ 101,6 (с ТЭС). Приведены графики и таблицы по качеству сырья и продуктов каталитич. реформинга для получения смесей с высокими ОЧ, а также составы этих смесей.

Ю. Коган  
69709. Переработка лигроинов над катализатором платформинга. Влияние серы на срок службы катализатора. Мирботт, Черри, Лимбак, Арнольд (Naphtha processing over platforming catalyst. Meerhott William K., Cherry Alan H., Limbach John N., Jr, Arnold Burton W.), Industr. and Engng Chem., 1957, 49, № 4, 650—655 (англ.)

На лабор. установке исследовано изменение активности катализатора (K) в зависимости от содержания S в исходном сырье в процессе платформинга лигроинов. Опыты велись при 482—510°, давл. 28—46 ат, объемной скорости 3 об./об. час и молярном отношении H<sub>2</sub> к углеводородам 6,0—7,5. Падение активности K для сырья с содержанием S 0,01; 0,07 и 0,17 вес.%, выражается соответственно 0,95; 1,90 и 9,1 об.% дебутанизованного продукта при переработке 1 т сырья с 1 кг K. При переработке высокосернистого сырья резкое падение активности наступает после пропуска 3,1 т лигроинов с 1 кг K; при этом в первый период работы K содержание S в сырье незначительно влияет на выход продукта. При деактивации K в процессе работы его дегидрогенизационная активность снижается и для получения продукта устойчивых качеств необходимо повышать т-ру реактора, в связи с чем усиливается гидрокрекинг, повышается выход газа со снижением выхода жидкого продукта. Установлено, что выход жидкого продукта из лигроинов с содержанием S 0,01 вес.% на 1,5 об.% выше при 35—32 ат, чем при 45—42 ат, однако после переработки 6,7 т сырья на 1 кг K преимущество низкого давления в отношении выхода отпадает. Рекомендуется при промышленном осуществлении процесса реформинга для увеличения срока службы K очищать лигроины до содержания S ≤ 0,07 вес.%.  
Н. Кельцер

69710. Низкотемпературное выделение водорода из газов нефтепереработки. Палаццо, Шрайнер,

**Сканердае** (Low temperature recovery of hydrogen from refinery gases. Palazzo D. F., Schreiner W. C., Skaperdas G. T.), *Industr. and Engng Chem.*, 1957, 49, № 4, 685—688 (англ.)

Описана технологич. схема з-да по очистке водорода, получаемого в процессе реформинга, от углеводородов, CO, CO<sub>2</sub>, N<sub>2</sub> и S-соединений комбинированным методом охлаждения и абсорбции жидким пропаном при низких т-рах и давл. 22,4 ат. Сырой газ, содержащий 60—95% H<sub>2</sub>, пропускается через Al<sub>2</sub>O<sub>3</sub> — осушающую установку, где точка росы снижается до —73°; затем газ охлаждается последовательно в теплообменниках до —84, —107, —130 и —170°, с выделением после каждой ступени в сепараторах жидкой фазы, после чего освобождается от остатков углеводородов в абсорбционной колонне жидким пропаном. Насыщ. сорбент подвергается регенерации путем снижения давления до 1,5 ат, подогрева до —143° и отдувки примесей частью H<sub>2</sub> (10—17% от кол-ва очищ. H<sub>2</sub>). Полученный газ, сконденсированные продукты и газ десорбции используются для последовательного охлаждения поступающего газа, а также сорбента. После очистки H<sub>2</sub> содержит < 0,05% CH<sub>4</sub>. Установка производительностью 280 000 м<sup>3</sup> очищ. H<sub>2</sub> в сутки состоит из холодильного блока шириной 2,7 и длиной 4,5 м, включающего теплообменную и газоразделительную секции, причем первая имеет 3,3 м в длину и 4,5 м в высоту, а вторая — 1,2 м в длину и 8,1 м в высоту. Оборудование и аппаратура выполнены из алюминия и легированных сталей. Приводятся данные по капиталоотложениям, эксплуатационным расходам и себестоимости водорода. Н. Кельцев

**69711. Премущества применения высокоглиноземистых катализаторов крекинга.** Вундерлих, Причард, Айви (High-alumina catalyst gets high score in test. Wunderlich O. A., Prichard J. J., Ivey F. Emerson, Jr.), *Oil and Gas J.*, 1955, 54, № 24, 121—125 (англ.)

Описаны результаты испытания катализатора крекинга, содержащего 25% Al<sub>2</sub>O<sub>3</sub>, на промышленной установке в сравнении с данным для обычного катализатора, содержащего 13% Al<sub>2</sub>O<sub>3</sub>. Новый катализатор стабилен в работе, устойчив к отравлению металлами и дает примерно одинаковый с обычным катализатором выход продуктов при сниженных на 60% добавках его в реактор. В. Шекин

**69712. Высокотемпературный пиролиз газообразных и жидких нефтепродуктов.** Морина П. Н. В сб.: Хим. переработка нефт. углеводородов. М., АН СССР, 1956, 88—96

Исследован высокотемпературный пиролиз пропана, бутана, керосина и крекин-остатков на этилен (I) и ацетилен (II). Показана технич. возможность интенсификации и упрощения схем пиролиза нефтепродуктов на I, а также возможность совместного получения I и II из углеводородных газов, при использовании труб из жаростойкого сплава № 2. Для пиролиза пропана с целью получения I т-ра процесса может быть повышена до 900°, вместо 760—780° в существующих печах пиролиза. Повышение т-ры, с одновременным снижением продолжительности контакта, дает увеличение степени превращения пропана за один проход практически до 100%, а также увеличение выхода I до 44—45% против 33%, при одновременном снижении выхода пропилена. Пиролиз пропана при 1100° дает одновременно до 50% I и II, с выходом I 28 вес. % и выходом II 22 вес. %. Процесс высокотемпературного пиролиза керосина проходит значительно интенсивнее, причем выход I увеличивается в 3 раза против получаемого при 650—700°. И. Р.

**69713. Облагораживание сырья и остатков.** Мак-Афи, Монтгомери, Саммерс, Херш, Хорн

(Upgrading crudes and residues. McAfee Jerry, Montgomery C. W., Summers C. R., Jr., Hirsch J. H., Horne W. A.), *Oil and Gas J.*, 1955, 54, № 2, 196—200, 202, 204 (англ.)

Процесс Gulf H. D. S. с целью конверсии тяжелых остаточных фракций в низкокипящие дистиллатные продукты при одновременном обессеривании всех фракций остаточного сырья идет под умеренным давлением. Катализатор механически прочный, сложный, металлич. на носителе. Первоначальная отработка процесса шла в лабораторий и на опытной установке в течение 5 лет. Приведена схема установки и ее описание, а также показатели качества сырья и полученных продуктов. Кол-во остатка, полученного из кувейтского сырья и кипящего > 354°, снижается с 49,4 об. % на сырье до 20,4 об. % на получаемые продукты. Повышается качество остатка и октановое число бензина. Обессеривание всех фракций проходит на 80—85%. Кол-во коксовых отложений в остатке снижается до 1%, что дает возможность использовать его на каталитич. крекинге. Расход H<sub>2</sub> 35,6—89,0 м<sup>3</sup>/м<sup>3</sup> сырья; для остаточного сырья 71,2—214 м<sup>3</sup>/м<sup>3</sup>; т-ра процесса 371—482°; для остаточного сырья 427—454°. Давл. 35—70 атм; скорость 0,25—4,0 объемов сырья на 1 объем катализатора в 1 час. Для остаточного сырья 0,5—2,0 объема на 1 объем катализатора в 1 час. Оптимальная продолжительность процесса 4—24 часа. Кол-во рециркулирующего газа 446—1781 м<sup>3</sup>/м<sup>3</sup> сырья. Ю. Коган

**69714. Получение высокооктанового топлива из тяжелого сырья на двух заводах в Калифорнии.** Дил (How Union gets top octanes from two California plants... from heavy crude base stock. Deal John M.), *Oil and Gas J.*, 1956, 54, № 46, 195, 197—198, 201—202, 205—206 (англ.)

Тяжелую калифорнийскую нефть (уд. вес 0,966, содержание S 5,3% вес. %) перерабатывают на двух установках (У) з-да в Санта Мария. Каждая У сочетает процессы прямой гонки и замедленного коксования. Камеры замедленного коксования (по две на каждую У) работают поочередно, циклами по 12 час. Производительность каждой У по сырью ~ 1700 м<sup>3</sup> в сутки. Получаемые продукты: смесь бензиновых дистиллатов прямой гонки и коксования 41 об. % от сырья (39—254°, уд. вес 0,786, содержание S 1,95 вес. %); смесь газойлевых дистиллатов прямой гонки и коксования 39 об. % от сырья (251—393°, уд. вес 0,916, содержание S 3,85 вес. %); кокс 14 вес. % от сырья (летучих 12%, S 5,3%). Газ коксования после очистки диэтаноламином используют как топливо. Из H<sub>2</sub>S абсорбированного при очистке вырабатывают ~ 44 т в сутки серы. Бензиновые и газойлевые дистиллаты з-да Санта Мария передаются на з-д «Олеум». Газойлевые дистиллаты перерабатываются на У термич. крекинга. Смесь бензиновых дистиллатов прямой гонки, коксования и термкрекинга является сырьем У Юнифайнинг — Платформинг. В результате процессов каталитич. обессеривания и реформинга получают компонент высокооктанового топлива с октановым числом 97 (исслед. метод, с ТЭС). Приведены схемы установок. С. Розенер

**69715. Гидрокрекинг мазутов.** Стевенсон, Хейнеманн (Residuum hydrocracking. Stevenson D. H., Heinemann Heinz), *Industr. and Engng Chem.*, 1957, 49, № 4, 664—667 (англ.)

Приведены результаты испытаний опытной установки гидрокрекинга для переработки 300—600 л/сутки нефтяных остатков с т. кип. > 540° в бензин и газойль в присутствии катализатора (К). Условия процесса: давл. 250 ат, т-ра 440°, объемная скорость 1,5 об./об. час, мол. отношение водород:сырье 12:1. Без разбавителя реактор через 20—30 час. работы закоксуывается, при



добавлении же легкого углеводорода (35%  $C_4H_{10}$ ) после 300 час. работы падения активности К не замечено. Фракция полученного продукта с т. кип. > 210° характеризуется коксумостью по Конрадсону при работе без К 11,8, с К без разбавителя 5,7, с К и разбавителем 3,8—4,2%. Природа разбавителя (изобутан, декалин, лигроин с т. кип. 205—260°) не оказывает заметного влияния на процесс. Выход бензина с октановым числом (ОЧ) 60—70 составляет до 30 об.%, газойля с концом кипения < 540°—65—70 об.%, газа — до 4 вес.%. Расход водорода 1,8 м<sup>3</sup>/л сырья. Качество полученного бензина мало зависит от глубины процесса, а также от присутствия разбавителя. Рекомендуются три типа К: 2% NiO на алюмосиликате, в процессе гидрокрекинга превращающегося в NiS, 10% NiS на алюмосиликате и промышленный кобальт-алюмо-молибденовый К; последний обладает наибольшей гидрогенизационной и обессеривающей активностью. Включение в схему каталитич. реформинга позволяет переработать низкооктановый бензин с выходом 85 об.% в бензин с ОЧ 86, с добавкой ТЭС 0,8 см<sup>3</sup>/л — 95. Газойль, имеющий насыщ. характер, идет на каталитич. крекинг или из него отгоняются дизельные и другие фракции. Н. Кельцев

69716. Гидрогенизация битума для получения жидких топлив. Гунн, Хейнрик, Гофман, Манн, Мейер, Миллер, Торп (Hydrogenation of asphalt for fuel products. Gwin G. T., Heinrich R. L., Hoffmann E. J., Manne R. S., Meyer H. W. H., Miller J. R., Thorpe C. L., Industr. and Engng Chem., 1957, 49, № 4, 668—672 (англ.).)

Рассматривается процесс гидрогенизации нефтяного битума с целью обессеривания и получения сырья для каталитич. крекинга. Работа ведется при 380—440°, давл. 27—55 атм, объемной скорости по жидкому сырью 0,5—2 час<sup>-1</sup>, скорости подачи  $H_2$  260—800 м<sup>3</sup> на 1 м<sup>3</sup> жидкого сырья, с катализатором — Со-молибдат на  $Al_2O_3$ . Расход  $H_2$  60—180 м<sup>3</sup> на 1 м<sup>3</sup> сырья. Катализатор может работать 500 час. без регенерации, срок службы его ≥ 6 месяцев (4000 час., в течение которых проводилось 25 регенераций воздухом, разбавленным  $N_2$  до конц-н  $O_2$  1%). При гидрогенизации Зап.-Техасских битумов получены выходы в вес.% от исходного сырья: сухого газа (до  $C_3$  включительно) 2,3; бензина (от  $C_4$  до кипящих при 220°) 9—12,1; керосина (220—340°) 13,7—16,4; газойля (340—540°) 31,2—42,9; остатка (>540°) 38,5—45,2. Степень обессеривания продукта составляет ~80%. Фракции содержат (в вес.%): бензиновая ( $C_5$ —220°) S 0,03—0,2, ароматика 20—40, олефинов 2—34; керосиновая (220—340°) S 0,02—0,9, ароматика 25—64; газойль (340—540°) S 0,3—1,7, кокса по Конрадсону 0,4—3,1. Газойль вполне пригоден для каталитич. крекинга. Остаток (выше 540°) в смеси с 37,8 об.% керосиновой фракции каталитич. крекинг дает стандартное котельное топливо марки «Бункер С». Приводится краткое описание опытных установок, на которых проведены эксперим. работы. В. Кельцев

69717. Получение синтез-газа неполным окислением. Истман (Synthesis gas by partial oxidation. Eastman DuBois), Industr. and Engng Chem., 1956, 48, № 7, 1118—1122 (англ.).)

Кратко изложены теоретич. представления о процессе получения синтез-газа неполным окислением углеводородов кислородом без катализаторов, под давлением. Приведены данные работы опытных и эксперим. установок по получению синтез-газа из природного газа, мазута и каменноугольной смолы, включая материальные и тепловые балансы. При переработке природного газа на установке производительностью 900 м<sup>3</sup> в 1 час (работающей при условиях: расход  $O_2$  750 м<sup>3</sup> в 1 час, т-ра подогрева  $O_2$  100° и газа

440°, давл. 15,3 атм) получалось 2830 м<sup>3</sup> в 1 час синтез-газа, состава (в об.%):  $CO$  38,02;  $CO_2$  2,19;  $H_2$  59,54;  $N_2$  0,15;  $CH_4$  0,10, с тепловым к. п. д. (отношение теплотворностей полученных ( $CO + H_2$ ) и исходных углеводородов) 81,86%. При переработке мазута на установке производительностью 194 кг в 1 час; при режиме: расход  $O_2$  147 м<sup>3</sup> в 1 час и пара 74 кг в 1 час, подогрев мазута 380°, давление в реакторе 23 атм, получалось 610 м<sup>3</sup> в 1 час синтез-газа состава (в об.%):  $CO$  47,97;  $CO_2$  3,65;  $H_2$  47,45;  $N_2$  0,22;  $CH_4$  0,26;  $H_2S$  0,44;  $COS$  0,02. При переработке на той же установке 188 кг в 1 час тяжелой каменноугольной смолы при давл. 24 атм, расходе  $O_2$  129 м<sup>3</sup> в 1 час и пара 99 кг в 1 час, подогреве смолы 400°, получалось 530 м<sup>3</sup> в 1 час синтез-газа состава (в об.%):  $CO$  54,36;  $CO_2$  5,69;  $H_2$  38,87;  $N_2$  0,82;  $CH_4$  0,07;  $H_2S$  0,18;  $COS$  0,01. Тепловой к. п. д. при переработке мазута 83,89 и смолы 86,41%. В. К.

69718. Случай загрязнения установки для подготовки сырья. Билл, Маддок (The case of the fouled feed preparation unit. Biehl James A., Maddock William T.), Petrol. Process., 1956, 11, № 11, 98—101 (англ.).)

На установке каталитич. гидроочистки тяжелого лигроина (ТЛ), фракция 116—204°, уже через несколько дней работы резко ухудшилась теплопередача и возросли потери напора в теплообменниках. Через 4 недели в связи со значительным уменьшением производительности установка была остановлена для чистки теплообменников, трубчатой печи и реактора, работавших при 121—371° и 30 атм. Причиной их загрязнения явилось окисление соединений S, содержащихся в сырье, что подтверждается анализом осадка, отложившегося в теплообменниках и реакторе (%): общая S 14,7; свободная S 2,23; соединения, растворимые в хлороформе 26,26; связанный S 17,92;  $N_2$  0,24; остаток после прокалывания 19,81; Fe 7,57. Окисление происходит при хранении ТЛ в резервуарах с конич. крышей при содержании  $O_2$  в парах над уровнем ТЛ 18,5%. Подкачкой в резервуары газа, не содержащего  $O_2$  и  $H_2S$ , достигнуто снижение содержания  $O_2$  в паровом пространстве до 0,5—1,0%. Подача газа регулируется сверхчувствительным регулятором, установленным на давл. 22 мм вод. ст. При этом способе хранения ТЛ установка проработала непрерывно 7 месяцев и была остановлена для ремонта и осмотра. Во время этого пробега содержание  $O_2$  составляло (%): в лигроине 0,2—0,6, в газовой фазе 0,5—1,0. С. Розеноер

69719. Повышение эффективности технологического оборудования. Рисен (Getting more out of processing equipment. Resen F. Lawrence), Oil and Gas J., 1955, 54, № 4, 99, 101, 103 (англ.).)

Описаны усовершенствования на з-де Magnolia Petroleum Co. (Техас): регулирование работы компрессора холодильной установки, уменьшение расхода электроэнергии, автоматич. отключение паровой линии, уменьшение потерь активированного угля.

С. Розеноер  
69720. Испытание пригодности очищенных масел для приготовления буровой жидкости. Хендрик-сон, Фостер, Розен (Investigation of various refined oils for formation fracturing. Hendrickson A. R., Foster G. L., Rosene R. B.), J. Petrol. Technol., 1955, 7, № 12, 39—42 (англ.).)

К газовому парафино-нафтеновому маслу добавляли различные кол-ва асфальта (остаток от перегонки с т. кип. > 360°/10 мм), парафина (осажден ацетоном) и асфальтенов (выделены пентаном). Путем определения вязкости, потери текучести и скорости оседания песка выясняли пригодность полученных композиций в качестве масел для бурения нефтескважин. Авторы пришли к выводу о нецелесообразности внесения указанных добавок. З. Векслер

**69721. Гидроочистка сырья для крекинга. Эберлайн, Вильсон, Ларсон** (Hydrotreating cracking stocks. Eberline C. R., Wilson R. T., Larson L. G.), Industr. and Engng Chem., 1957, 49, № 4, 661—663 (англ.)

Рассмотрен процесс легкого гидрирования сернистых газойлей с целью улучшения сырья для каталитич. крекинга. Приведена схема опытной установки и результаты гидроочистки газойлей с содержанием S 2,66, 0,72 и 0,51 вес.%. Условия работы: давл. 34 атм, т-ра 400°, объемная скорость по жидкому продукту 1 час<sup>-1</sup>, скорость подачи H<sub>2</sub> 850—350 м<sup>3</sup> на 1 м<sup>3</sup> сырья (повышенные скорости H<sub>2</sub> применялись при более высоком содержании S); катализатор Со-молибдат на Al<sub>2</sub>O<sub>3</sub> или боксите работал без регенерации 100—250 час. Расход H<sub>2</sub> составляет 20—50 м<sup>3</sup> на 1 м<sup>3</sup> обрабатываемого сырья, повышаясь с повышением содержания S в исходном продукте. В результате удаляется 78—92% S и 50—55% N; коксовое число продукта снижается на 26—30%, понижается содержание тяжелых металлов (V, Ni). В. Кельцев

**69722. Обессеривание в процессе гидроочистки. Сатерленд, Уитли** (Desulfurizing by hydrofining «Down under». Sutherland D. A., Wheatley F. W.), Petrol. Engng., 1956, 28, № 3, C37—C40, C42, C44 (англ.)

Описана новая установка на 3-де в Квинане (Австралия) по обессериванию газойля (Г), производительностью 700 т Г в сутки. Смесь Г и H<sub>2</sub> (720 мм<sup>3</sup> H<sub>2</sub> на 1 м<sup>3</sup> Г) при 405—420° и давл. 35—70 кг/см<sup>2</sup> проходит сверху вниз вертикальный реактор, содержащий неподвижный слой катализатора (Со-Мо на Al<sub>2</sub>O<sub>3</sub>), таблетированного в виде шариков диам. 12,7 или 25,4 мм при скорости 6—8 объемов Г на 1 объем катализатора в час. Г с 1—1,2% S дает продукт с 0,05—0,1% S, применяемый как дизельное топливо, выход 98%. На обессеривание 1 м<sup>3</sup> прямогонного Г расходуется ~27 мм<sup>3</sup> H<sub>2</sub>. Катализатор легко регенерируется отжигом в токе воздуха. Реактор и все оборудование, работающее при т-рах > 260° и в контакте с H<sub>2</sub>S, выполнено из нержавеющей стали. А. Равикович

**69723. Применение комплексов мочевины в переработке нефти. Боранич** (Primjena ureaadukata u preradi nafte. Boranič Vilim), Nafta (Jugosl.), 1956, 7, № 7, 216—218 (сербо-хорв.). Популярная статья. Библ. 5 назв.

**69724. Взрывная конверсия метана. Сообщение 1. Кобозев Н. И., Казарновский Я. С., Менделевич И. И. Сообщение 2. Казарновский Я. С., Деревянко И. Г., Стежикский А. И., Кобозев Н. И. Сообщение 3. Казарновский Я. С., Кобозев Н. И., Стежикский А. И., Торбан Б. С., Деревянко И. Г.** В сб. Хим. переработка нефт. углеводородов. М., АН СССР, 1956, 133—141; 142—152, 153—166

При изучении взрывной конверсии CH<sub>4</sub> в СО и H<sub>2</sub> в двигателе внутреннего сгорания мощностью 7 л. с. конверсии подвергались метановая фракция («богатый газ» коксовых кабин аммиачного цеха) и коксовый газ в смеси с обогащенным кислородом воздухом с 56—92%-ным содержанием O<sub>2</sub>. В полученном конвертированном газе остаточные конц-ии CH<sub>4</sub>, C<sub>2</sub>H<sub>4</sub> и O<sub>2</sub> составляли (в об. %) CH<sub>4</sub> 0,7; C<sub>2</sub>H<sub>4</sub> 0,2; O<sub>2</sub> 0,3. В испытанном интервале конц-ий O<sub>2</sub> работа двигателя не сопровождалась возникновением детонации и выделением сажи. Указывается на перспективность метода взрывной конверсии с целью получения синтез-газа для синтезов моторного топлива, аммиака и спиртов, с одновременным получением механич. работы. В опытах по взрывной конверсии CH<sub>4</sub> и O<sub>2</sub> в СО и H<sub>2</sub> в двигателе внутреннего сгорания мощностью 300 л. с., проводимых в тех же условиях, что и в двигателе мощностью 7 л. с.,

производительность двигателя по конвертированному газу составляла 830 м<sup>3</sup>/час, конц-ия остаточного CH<sub>4</sub> в газе 0,5—0,7 об.%. Конц-ия O<sub>2</sub> в исходной газовой смеси изменялась в пределах 20,8—72 об.%, при этом возникновение детонации и образование углерода не наблюдалось, эффективный к. п. д. установки составил 0,19. На 1 м<sup>3</sup> получаемой смеси СО + H<sub>2</sub> при выработке газа, пригодного для синтеза NH<sub>3</sub>, расходовалось (в м<sup>3</sup>): CH<sub>4</sub> 0,41, воздуха 0,38, O<sub>2</sub> 0,26; выработка энергии составляла 0,2 квч. На основании результатов проведенных опытов по взрывной конверсии CH<sub>4</sub> в двигателе внутреннего сгорания сделаны термодинамич. расчеты процесса, показавшие, что конечное состояние системы представляет равновесие р-ции водяного газа при т-ре 1400°. Существенной характеристикой процесса является коэф. «а», пропорциональный отношению O<sub>2</sub> к углеводородам в исходной газовой смеси. На основании термодинамич. расчетов выведены ур-ния для вычисления по коэф. а выхода СО и H<sub>2</sub>, теплового эффекта р-ции и кол-ва энергии, вырабатываемой двигателем. Обработка индикаторных диаграмм двигателя показала, что в условиях испытаний средняя скорость распространения пламени в цилиндрах двигателя не зависит от величины а и составляет ~13 м/сек. В. Кельцев

**69725. Растворимость и теплота растворения метана в углеводородных маслах. Миягава, Онда, Сада, Сибата** (メタンの炭化水素油中への溶解度および溶解熱について. 宮川一郎, 田格三郎, 佐田三三, 柴田只男), 化学工業. Kagaku kagaku, Chem. Engng (Japan), 1956, 20, № 12, 671—677 (японск.; рез. англ.)

Для расчета абсорберов экспериментально найдены зависимости между летучестью р-ра CH<sub>4</sub> и кол-вом CH<sub>4</sub>, растворенным в керосинах при давл. 1—50 ат и т-рах 0—30°. Показано, что в этом интервале давлений сохраняется закон Генри: мол. доля растворенного CH<sub>4</sub> пропорциональна его летучести; с изменением т-ры логарифм константы Генри (ln h) обратно пропорционален т-ре (1/T); исходя из этих зависимостей получены ур-ния для CH<sub>4</sub>, растворенного в любом абсорбенте. По углу наклона прямой (ln h — 1/T) определены теплоты растворения CH<sub>4</sub> в любом р-рителе; по эксперим. данным Даниэля по растворимости CH<sub>4</sub> в n-гексане и n-гептане построены аналогичные прямые, позволяющие рассчитать теплоты растворения CH<sub>4</sub> в этих углеводородах; установлено, что с увеличением числа атомов углерода в углеводороде теплота растворения CH<sub>4</sub> в нем уменьшается. Н. Кельцев

**69726. О разделении углеводородных газов конденсационно-ректификационным способом при низком давлении. Гольдберг Н. А.** В сб.: Хим. переработка нефт. углеводородов. М., АН СССР, 1956, 211—217. Изложены теоретич. основы и произведен тепловой расчет процесса разделения углеводородных газов конденсационно-ректификационным методом с целью показа возможности осуществления процесса в установках, работающих при низком давлении. Для получения холода предлагается применить следующий холодильный цикл рабочего в-ва (N<sub>2</sub>): сжатие до 6 ат, охлаждение сжатого газа в водяном холодильнике и в насадочном регенераторе холода; расширение охлажд. газа в турбодетандере до 1,3 ат; отдача холода разделяемому газу и охлаждение насадки регенератора. Расчетами показано, что усовершенствованием холодильного цикла низкого давления можно достигнуть энергетич. равноценности установок высокого и низкого давления. В. Кельцев

**69727. Состояние и задачи научных исследований в области разделения углеводородных газов. Соколов В. А., Фастовский В. Г.** В сб.: Хим. переработка нефт. углеводородов. М., АН СССР, 1956, 179—189

Обзор современных физ. методов разделения газовых смесей применительно к углеводородным газам. Рассмотрены методы: абсорбционный, фракционирование при низких т-рах, экстрактивная дистилляция, адсорбционный и диффузионный. Изложены основные задачи научных исследований в этих областях.

В. Кельцев

69728. Холодильная экстракционная установка в США.— (Record throughput for TGT's refrigerated extraction plant.—), Flow Line, 1956, 15, № 2, 2—10 (англ.)

Описание завода по выделению этана и более высокомолекулярных углеводородов из природного газа в шт. Кентукки, США, методом глубокого охлаждения газа; пропускная способность з-да 26 млн. м<sup>3</sup> газа в сутки, холодопроизводительность эквивалентна произ-ву 12 000 т льда в сутки. Из конденсата (1450 000 л/сутки) выделяют сжиженный газ, газлин и этан. Поступающий газ осушается в 10 периодических работающих адсорбционных колоннах высотой 6 м, заполненных Al<sub>2</sub>O<sub>3</sub>; затем газ охлаждается до -75° при 37,6 ат с выделением 5,5 мол. % конденсата, после чего сухой газ дожимается до 41,5 ат и возвращается в газовую магистраль. Охлаждение газа производится последовательно отходящим газом, сжиженным этаном и легкими углеводородами (в основном метаном), конденсирующимися в сепараторе высокого давления, по обычной этанопропановой схеме каскадного типа: циркулирующий в замкнутой системе этан конденсируется, охлаждаясь пропаном, а конденсация пропана, также циркулирующего в самостоятельной замкнутой системе, достигается охлаждением водой. Выделенный из газа конденсат подвергается двухступенчатой дегидратации.

Н. Кельцев

69729. Состав отложений в газопроводе Мост—Кладно—Прага. Ридль, Холинский, Фоусек (Složení usazenin v plynovém potrubí Most—Kladno—Praha, Riedl R., Cholinský F., Fousek V.), Paliva, 1957, 37, № 2, 58—60 (чешск.)

При эксплуатации газопровода в 1956 г. возникли осложнения, вызванные образованием вязких отложений, забивавших редукционные клапаны и задвижки. Отбор проб конденсата и их анализ показали, что эти отложения явились результатом растворения битумной изоляции внутренней поверхности труб газопровода бензолными углеводородами, которые вводили в магистраль с газом из коксохим. з-да в промежуточном пункте газопровода; этот газ не был достаточно очищен от бензола и H<sub>2</sub>S.

К. З.

69730. Производство синтетических жидких топлив. Басак, Нийоги (Production of synthetic liquid fuels. Basak G. C., Niyogi Shri N. G.), Indian Constr. News, 1956, 5, № 12, 51—52 (англ.)

Кратко описаны основы процесса Фишера—Тропша и рассмотрены перспективы его развития в Индии.

В. Щекин

69731. Влияние химического состава нефтяных масел на их эксплуатационные свойства. Крейн С. Э. В сб.: Хим. состав и эксплуат. свойства смазочн. масел. М., Гостехиздат, 1957, 79—99

Методом абсорбционного анализа выделены и изучены отдельные группы углеводородов и их производных, входящих в состав масел (в основном дизельных масел) и определяющих их свойства. Установлена связь между хим. составом масел и их эксплуатационными свойствами (ЭС). Основные компоненты масел—нафтенопарафиновые и малоциклич. ароматич. углеводороды—в чистом виде не обеспечивают необходимых ЭС (моющих, антикоррозионных, антиокислительных и т. д.) и нуждаются в стабилизаторах. Полициклич. ароматич. углеводороды и некоторые смолистые в-ва выполняют роль естественных стабилизато-

ров масла и улучшают его ЭС. Так добавлением к нафтенно-парафиновым фракциям ароматич. углеводородов в нужном соотношении можно получить масла с более высокими ЭС, чем масла МК-22 и МС-20, при этом нафтенно-парафиновые фракции могут служить (при соответствующей вязкости) ценной основой для произ-ва высококачественных масел. Оптимальное содержание полициклич. ароматич. углеводородов в дизельных маслах 10—15%, смол ≥ 2—3%.

А. Нагаткина

69732. Смазочные масла для подшипников скольжения. Фейгхофен (Schmieröle für Gleitlagerungen. Feighofen H.), Maschinenmarkt, 1957, 63, № 1—2, 20—23 (нем.)

Смазочными материалами автор считает только минер. масла и консистентные смазки, а твердые материалы, напр. графит и MoS<sub>2</sub>, не удовлетворяющие законам, лежавшим в основе гидродинамич. теории трения,—в-вами, уменьшающими шероховатость металлич. поверхностей за счет большого сродства с ними. Предложена простая ф-ла, позволяющая при известном объеме и числе оборотов подшипника определить предельно-допускаемую нагрузку при различной динамич. вязкости масла. В целях упрощения выбора масла для эксплуатации приведены вязкостно-температурные кривые ряда масел шести фирм для средне- и высоконагруженных подшипников.

Э. Левина

69733. Синтез смазочных масел. Цой Сам Ер (송한유의 합성 의 상설) Квахва к-ка кисуль, 1955, № 2, 44—53 (кор.)

Обзор основных видов синтетич. смазочных масел. Подробно указаны методы получения синтетич. смазочных масел из полимеров углеводородов, галоидоуглеводородов, сложных эфиров, полиалкиленоксидов.

Дё

69734. Огнестойкие жидкости для гидравлических систем. Эмерсон (Fire-resistant hydraulic fluids can save \$1 million/year. Emerson Charles), Amer. Machinist, 1956, 100, № 28, 82—86 (англ.)

Нефтепродукты в гидравлич. системах часто необходимо заменять огнестойкими жидкостями. Таковыми могут служить так называемые «неводн. жидкости» (НЖ): эфиры фосфорной к-ты, хлорированные углеводороды и т. п., жидкости на водн. основе (ВЖ), приготовленные из воды, гликоля или полигликоля, загустителя и антикоррозионной и противозаносной присадок, а также эмульсии нефтепродуктов (ЭН) типа вода в масле или масло в воде. НЖ обладают наименьшей т-рой самовоспламенения, хорошей смазывающей способностью, стабильны в системе, хорошо работают под давлением до 350 ат, но дороги, разрушают обычные уплотнительные материалы, растворяют масла и краски. Их использование требует большей герметичности системы, более частой фильтрации и применения спец. уплотнителей. ВЖ дешевы, обладают высоким индексом вязкости, применимы в системах, работающих под давл. 35—175 ат, но при т-ре ≤ 65% разрушают красочные покрытия и дают несколько повышенный износ. ЭН работают при т-ре ≤ 65° в системах с нежестким режимом, обладают хорошими смазочными свойствами.

Э. Левина

69735. О количественном определении содержания твердых парафинов в нефтях. Гуцалюк В. Г., Казакова Н. Д., Рафиков С. Р., Изв. АН КазССР, Сер. хим., 1956, вып. 10, 91—95

Проведена работа, позволяющая сравнить результаты, полученные различными методами, и высчитать факторы (т-ра, кол. р-рителя), влияющие на точность определения парафина (П) в нефти. Показано, что обычно применяемые методы (с деструкцией, Гольдберг—Абезгауза и др.) дают заниженные результаты, что вызвано крекингом части П или неполным экс-



осаждением. Предложена модифицированная методика, дающая результаты, близкие к действительному содержанию П, и заключающаяся в предварительном освобождении нефти от смол при помощи силикагеля и последующим осаждением П смесью бензола и дихлорэтана, соответственно 2:14 и 1:14 на 1 г нефти. Колич. определение П при помощи смеси бензол-дихлорэтана (2:14:1 и 1:14:1) и бензол-аcetона (10:5:1) дает близкие результаты. А. Нагаткина 69736. Метод оценки химической стабильности этилированных авиационных бензинов. Рожков И. В., Шимонаев Г. С., Корнилова Е. Н., Потехин Б. А., Химия и технол. топлива и масел, 1957, № 1, 59—66

Для оценки хим. стабильности этилированных авиационных бензинов предложен спец. показатель, период стабильности (ПС) и разработан метод его определения. Метод отличается от применяемых для аналогичных целей в США и Англии тем, что определение проводится при атмосферном (начальном) давлении и в качестве окисляющего агента применяется атмосферный воздух. Прибор для определения ПС представляет собой воздушный термостат. Окисление бензина проводится в стеклянных герметически закрывающихся колбах (с внутренним объемом 140 мл  $\pm$  5%). Метод определения ПС авиационных бензинов заключается в следующем: в каждую две стеклянные колбы при т-ре 18  $\pm$  2° наливают по 25 мл испытуемого бензина, герметически закрывают колбы и вставляют в термостат. Прибор включают в электросеть, через 10—15 мин. в нем достигается рабочая т-ра (100 и 110°). Этот момент фиксируют как начало испарения. Затем через каждые 30 мин. визуально проверяют прозрачность бензина в колбах, не вынимая их из термостата. Помутнение бензина фиксируют как конец определения для данной колбы. Расхождение между параллельными определениями не превышает 1—2 час. Метод позволяет правильно предвидеть поведение этилированных авиационных в условиях реального хранения. А. Н. 69737. Количественное определение полиизобутилена в загущенных маслах. Щеголев Н. В., Семенидо Е. Г., Химия и технол. топлива и масел, 1957, № 3, 62—64

Полиизобутилен высаживался из бензольных р-ров масел 95—96%-ным этиловым спиртом при весовом соотношении масло: р-ритель: осадитель = 1:5:5 с последующим переосаждением при соотношении 1:10:10. Спиртобензол отделялся при 140° и 2—3 мл рт. ст. до получения постоянного веса. При анализе отработанных масел их предварительно очищали энергичным перемешиванием 2 часа с 5 вес. % отбеливающей земли при 120—130° и последующей 2-кратной фильтрацией через бумажный фильтр. Точность определения в свежих маслах, не содержащих многофункциональных присадок,  $\pm$  1,5%, в маслах же с такими присадками — 2%. Э. Левина

69738 К. Стандартные методы испытаний нефти и нефтепродуктов (исключая моторные методы оценки топлива). Изд. 16-е (Standard methods for testing petroleum and its products (excluding engine test methods for rating fuels). 16th ed. London, Inst. Petrol., 1957, XXIII, 772 pp., ill., 40 sh.) (англ.)

69739 П. Способ разрушения нефтяных эмульсий. Де-Гроуте, Шэнь Гуан-дин (Process for breaking petroleum emulsions. De Groote Melvin, Kwan-Ting Shen) [Petrolite Corp.]. Пат. США 2723241, 8.11.55

Разрушение нефтяных эмульсий типа «вода в масле» производят при помощи деэмульгатора (ДЭ), в состав которого входит синтетич. гидрофильные продукты, получаемые при р-ции между мономерным, не смолистым N-содержащим соединением (АС), с  $\geq$  1 активным атомом Н (напр., этиламин, диизопропиламин, триэтилентетрамин, анилин, N-метиланилин, фурфуриламины, бензиламин, бензолсульфамид, дибутилмочевина, 2-аминопиридин, диэтиоламин, триэтиоламин, n-аминофенол, или продуктом р-ции 1 моля триэтиоламина и 3—36 молей окиси пропиленов) и фенольными полиоксидными соединениями (ЭС), не содержащими других реакционноспособных групп кроме эпокси- и оксигрупп. ЭС являются мономерами или низкомолекулярными полимерами не выше тетрамеров, в молекулу которых входят фенольные ядра, соединенные по два непосредственно или через углеводородный двухвалентный радикал (остаток кетона или альдегида), образующийся после удаления атома кислорода, а также  $-\text{SO}_2-$ ,  $-\text{H}_2\text{C}-\text{CH}_2-$ ,  $-\text{C}(=\text{O})-$ ,  $-\text{S}-$ ,  $-\text{CH}_2-\text{S}-\text{CH}_2-$ ,  $-\text{S}-\text{S}-$ . Фенолы, входящие в ЭС, имеют состав  $\text{HOC}_6\text{H}_3(\text{R}')(\text{R}'')(\text{R}''')$ , где  $\text{R}'$ ,  $\text{R}''$ ,  $\text{R}'''$  — Н или углеводородный радикал с числом атомов  $\text{C} \leq 18$ . В частности, ЭС имеет ф-лу  $\text{OCH}_2-\text{CH}(\text{CH}_2\text{OR}_1)$

$(\text{R})_n \text{R}_1\text{OCH}_2\text{CH}(\text{OH})\text{CH}_2\text{OR}_1$ , где  $\text{R}_1\text{OCH}_2\text{CH}-\text{CH}_2\text{O}$ , где  $\text{R}$  — двухвалентный соединительный радикал,  $\text{R}_1\text{O}$  — остаток фенола после удаления Н из ОН и Н из ядра,  $n = 0$  или 1,  $n'$  — от 0 до 3. АС и ЭС должны представлять собой растворимую в р-рителях жидкость или низкоплавкое твердое тело и не затвердевать при нагревании. ДЭ должен быть способен к р-циям окислакилирования или ацилирования. Р-цию между АС и ЭС проводят при т-ре ниже т-р разложения реагирующих в-в и продукта р-ции. Соотношение между АС и ЭС может быть взято таким, чтобы приходилось  $\geq$  1 активного Н в АС на одну 1,2 эпоксигруппу в ЭС или 2 моля АС на 1 моль ЭС. А. Равинович 69740 П. Регулирование давления ретроградной конденсации. Тракт (Adjusting the retrograde condensation pressure of hydrocarbon compositions. T. R. Joseph H.), [Gulf Research & Development Co.]. Пат. США 2720265, 11.10.55

Предложен метод повышения выходов жидких углеводородов из газоконденсатной скважины, заключающийся в направлении из продуктивной скважины потоков, содержащих  $\text{H}_2\text{S}$ , в зону редуцированного давления, которое ниже давления ретроградной конденсации, для извлечения сжиженных углеводородов; газовый поток из этой зоны поступает затем в зону очистки для удаления кислых компонентов, включая  $\text{H}_2\text{S}$ ; часть очист. от кислых компонентов газового потока компримируется и к нему добавляется такое кол-во  $\text{H}_2\text{S}$ , выделенного при очистке, чтобы обеспечить более высокую конц-ию  $\text{H}_2\text{S}$  в компримированном газе, чем в потоке из скважины; эта часть компримированного газа с  $\text{H}_2\text{S}$  закачивается снова в пласт. Н. Богаевский

69741 П. Выделение нефти из нефтеносных песков и ее крекинг. Хензель (Separating and cracking of oil from oil-bearing sands. Haensel Vladimir) [Universal Oil Products Co.]. Пат. США 2733193, 31.01.56

Для одновременного извлечения углеводородов из измельченных частиц нефтеносного песка (ЧП) и катализит. крекинга их ЧП вместе с поднимающимся потоком углеводородных паров (УП) (образование их описано ниже) и с нагретыми частицами предварительно тонкоизмельченного легкого катализатора вводят в нижнюю часть зоны перегонки и крекинга. Частицы катализатора имеют меньшую плотность и размеры, чем ЧП. Поток паров и измельченные частицы

проходят через эту зону снизу вверх, при этом происходит контактирование в условиях псевдооживленного слоя (ПС) между этими частицами и УП и крекинг паров. Образующиеся в результате контактирования УП выводятся из верхней части зоны крекинга. Твердые частицы (катализатор и отработанный ЧП) выводятся из ПС, и они проходят под действием силы тяжести через зону отпаривания, находящуюся ниже зоны перегонки и крекинга. В зоне отпаривания эти частицы в условиях противотока контактируют с нагретым инертным отпаривающим агентом. Частицы катализатора и ЧП после отпарки поступают непрерывным потоком под действием силы тяжести в среднюю часть зоны регенерации и разделения (РР). В нижнюю часть этой зоны вводят газ, содержащий свободный  $O_2$ , в таком кол-ве и при такой скорости, чтобы поддерживалось псевдооживленное состояние отпаренных частиц и одновременно происходило выгорание по крайней мере большей части углеродистых в-в с частиц катализатора и ЧП. Одновременно происходит разделение частиц катализатора и ЧП. Легкие частицы тонкоизмельченного катализатора поддерживаются главным образом в верхнем слое над ПС более тяжелых ЧП. Образующиеся дымовые газы выводятся из верхней части зоны РР. Поток, состоящий главным образом из частиц песка, выводится из нижней части ПС частиц, поддерживаемого в зоне регенерации. Нагретый поток, состоящий главным образом из частиц катализатора, непрерывно выводится из верхней части ПС частиц, поддерживаемого в зоне РР. Этот поток смешивается с потоком УП, содержащим по крайней мере часть потока УП, образовавшихся в результате крекинга и выходящих из верхней части, находящейся наверху зоны перегонки и крекинга. Одновременно происходит смешение УП и частиц регенерированного катализатора с измельченными ЧП. Смесь, образующую поднимающийся поток, вводят в нижнюю часть зоны перегонки и крекинга, как описано выше. К потоку катализатора и УП можно прибавлять часть потока ЧП, выводимого из нижней части слоя из зоны РР. При этом в зону перегонки и крекинга поступает добавочное кол-во нагретых частиц. В эту же зону непрерывно прибавляют частицы свежего тонкоизмельченного катализатора, чтобы поддержать в ней желаемое соотношение катализатора и ЧП при подходящих условиях крекинга.

**М. Павловский**  
**69742 П. Метод регулирования реакций в горячих реакционных газовых смесях. Эванс, Форд, Мур, Гротенхейс** (Method for controlling reactions in hot gaseous reaction mixtures. Evans Edgar Charles, Ford Hugh, Moore Nolan Peter William, Grootenhuis Peter) [National Research Development Corp.]. Пат. США 2727932, 20.12.55

Патентуется процесс пиролиза насыщ. углеводородов в насыщ. углеводороды при непрерывной подаче газообразной загрузки, содержащей насыщ. углеводород и молекулярный  $O_2$ , в камеру сгорания газовой турбины внутреннего сгорания. Кол-во  $O_2$  достаточно, чтобы произошло сгорание только части углеводорода. При этом т-ра смеси повышается до такого уровня, чтобы началась конверсия остальной части углеводорода в газообразные ненасыщ. углеводороды. Усовершенствование заключается в том, что газообразную реакционную смесь (образованную в результате частичного сгорания и конверсии) немедленно подвергают адиабатич. расширению в ступени расширения указанной турбины внутреннего сгорания, что вызывает быстрое охлаждение, предупреждающее дальнейшую нежелательную конверсию образовавшихся газообразных ненасыщ. углеводородов. **М. Павловский**  
**69743 П. Способ превращения насыщенных и циклических углеводородов в высокомолекулярные па-**

**рафиновые и парафиноподобные углеводороды или их производные, содержащие кислород. Кельбел, Аккерман** (Verfahren zur Umwandlung von gesättigten Ketten- und Ringkohlenwasserstoffen in höhermolekulare paraffin- bis wachsartige Kohlenwasserstoffe oder deren Sauerstoffverbindungen. Këlbel Herbert, Ackermann Paul) [Rheinpreußen A.-G. für Bergbau und Chemie]. Пат. ФРГ 914374, 1.07.54 [Chem. Zbl., 1955, 126, № 32, 7548 (нем.)]

Насыщенные и циклич. углеводороды нагревают в присутствии щел. катализатора (К) при 150—300° и давл. 20 атм вместе с газами, содержащими СО и  $H_2$ . К представляют собой элементы VIII группы периодической системы. Содержание металла в К, в пересчете на окисел, составляет 1—10%. Р-цию лучше проводить в жидкой фазе. Целесообразно непрерывно или периодически разделять продукт р-ции на твердую (кипящую при 450°, при 5 мм рт. ст. > 310°) и жидкую части и последнюю возвращать в процесс. **Н. Щеголев**  
**69744 П. Метод и аппаратура для контактирования паров с псевдооживленными твердыми катализаторами. Ребейн** (Un método y aparato para poner en contacto un fluido gaseoso con sólidos fluidificados. Rehbein Charles A.) [N. V. Bataafsche Petroleum Maatschappij]. Мексик. пат. 55010, 3.01.55 См. РЖХим, 1955, 53153.

**69745 П. Гидроформинг в псевдооживленном слое. Горновский, Рич** (Fluid hydroforming. Gornowsky Edward J., Rich Wilson C. Jr) [Esso Research and Engineering Co.]. Пат. США 2725341, 29.11.55

Процесс гидроформинга (ГФ) лигроинов проводят в системе, состоящей из зоны р-ции и зоны регенерации катализатора (К), который находится в этих зонах в виде плотного псевдооживленного слоя и представляет собой окисл металла VI группы, отложенную на  $Al_2O_3$ . Лигроин в зоне р-ции перерабатывается в присутствии К и добавочного  $H_2$  при т-ре и давлении ГФ. К регенерируют обработкой  $O_2$ -содержащим газом, в результате чего выделяется тепло. В зоне регенерации поддерживается т-ра 590—635°. Усовершенствование заключается в переносе тепла из зоны регенерации в зону ГФ смешением пылевидных зерен (ПЗ) с К, подвергающимся регенерации. В результате этого ПЗ получают часть тепла. ПЗ изготавливают из меди, железа, нержавеющей стали, монель-металла, муллита,  $Al_2O_3$  или  $TiO_2$ . Смесь ПЗ и регенерированного К выводят из зоны регенерации и направляют в отдельную нагревательную зону. К, находящийся в реакторе, удаляют из зоны ГФ и смешивают в нагревательной зоне с регенерированным К и ПЗ. В результате этого К, выведенный из зоны ГФ, получает тепло без контакта с газами регенерации, содержащими  $O_2$ . Нагретый К отделяют от ПЗ и возвращают в зону ГФ, а ПЗ возвращают в зону регенерации. Размер частиц катализатора 40—150 м, размер ПЗ 400—600 м. На 1 вес. ч. К, поступающего из реактора в отдельную нагревательную зону, приходится 1—3 вес. ч. ПЗ и 4—6 вес. ч. регенерированного К.

**М. Павловский**  
**69746 П. Гидроформинг. Хеммингер** (Hydroforming. Hemminger Charles E.) [Esso Research and Engineering Co.]. Пат. США 2737473, 6.03.56

При непрерывном многоступенчатом процессе гидроформинга лигроина (Л) (смеси прямогонного и крекинга лигроина) в каждой ступени (С) проводят процесс в слое псевдооживленного катализатора (К), представляющего собой: металл Рг-группы, нанесенный на активный  $Al_2O_3$ , содержащий галоидное соединение. На 1-ую С подаются одновременно подогретый Л и  $H_2$ -содержащий газ в кол-ве < 890 мм<sup>3</sup>  $H_2$  на 1 м<sup>3</sup> Л. Во всех С давл. 7—28 кг/см<sup>2</sup>, т-ры относительно низкие, напр., в 1-й С ~ 455°, во 2-й С ~ 480—510°. К после

работы в зоне р-ции 1-й С в течение 0,25—1 часа поступает в зону регенерации, расположенную под слоем К 1-й С, где обрабатывается  $H_2$ -содержащим газом в течение 0,25—1 часа и возвращается в зону р-ции 1-й С. Продукты р-ции после 1-й С нагревают не менее, чем на  $42^\circ$  выше т-ры 1-й С, и подают во 2-ю С, после которой из них извлекают целевой продукт. К после работы в 1-й С можно направлять для работы во 2-ю С при одновременном выводе такого же кол-ва К из 2-й С в зону регенерации 1-й С. Л до поступления в 1-ю С можно обрабатывать  $H_2$  в условиях, позволяющих удалять по крайней мере часть непрерывных углеводородов. В сырьѐ обеих С может добавляться HF для поддержания конц-ии фторида в К. Пример: Сырьѐ — смесь 25 об. % крекинг-Л и 75 об. % прямогонного Л пропускают над К — (вес. %) Pt 0,5; HF 1,0;  $Al_2O_3$  98,5 в реакторе 1-й С при  $441^\circ$ , давл.  $12,3 \text{ кг/см}^2$ , объемной скорости  $4 \text{ кг/час/кг К}$ . Рециркулирующий газ подают в кол-ве  $445 \text{ мм}^3/\text{м}^3$  свежего сырья, отношение К:Л равно 3. Соответствующие величины для реактора 2-й С —  $510^\circ$ ,  $10,5$ ,  $2 \text{ кг/час/кг К}$ ,  $445 \text{ мм}^3/\text{м}^3$ , отношение 1,3. Качества сырья и продукта гидроформинга, соответственно, —  $d_{15,6}^{15,6}$  0,767 и 0,775, т. кип.  $93-204^\circ$  и  $71-210^\circ$ , нефтяных 40 и 4 вес.%, ароматич. 27 и 69 вес.%, парафиновых 33 и 27 вес.%, октановое число (исследователским методом) 57 и 96, выход 90%. А. Равникович

**69747 П. Гидроформинг углеводородов (Hydroformation des hydrocarbones)** [Standard Oil Development Co.], Франц. пат. 1108002, 9.01.56

Усовершенствование процесса гидроформинга углеводородов контактированием последних с псевдооживленным катализатором (К) гидроформинга включает следующие операции, применяемые в комбинации или отдельно: поток частиц К, потерявших активность, непрерывно переводят из зоны р-ции в зону регенерации, где из них выжигают углистые отложения. Регенерированный К переводят из зоны регенерации потоком воздуха и подают в колонну, где он встречает поток воздуха, поддерживающий т-ру  $593-650^\circ$ . Затем К переводят нисходящим потоком в колонну, где компримируют, все же оставляя в псевдооживленном состоянии, вводят в него малое кол-во  $N_2$  для вытеснения  $O_2$  и снова подают в зону р-ции. Предварительно К подогревают в отдельной зоне дополнительной обработки газом, содержащим  $H_2$ , при т-ре, близкой к т-ре р-ции ( $482-677^\circ$ ) в течение 2—100 сек. (или  $< 10$  сек.). Кол-во  $H_2$  составляет при этом 75—200% кол-ва, теоретически необходимого для восстановления окислов металлов К в низший окисел, каталитически более активный. Е. Покровская

**69748 П. Обезвреживание газов, содержащих окис углерода (Rendering carbon monoxide-containing gases non-toxic)** [Chemische Werke Bergkamen A.-G.], Англ. пат. 733333, 13.07.55

Для обезвреживания топливные газы, содержащие СО, предварительно освобождают от  $H_2S$ , органич. S-соединений и смолообразующих в-в и затем пропускают над Со-катализатором при  $120-180^\circ$ , лучше  $120-160^\circ$  и объемной скорости, дающей миним. образование  $CH_4$  (напр.,  $12,3 \text{ л}$  в час на  $100 \text{ г}$  катализатора при  $140^\circ$ ); образующиеся на катализаторе твердые продукты (парафин) периодически экстрагируют р-рителем; жидкие продукты отделяют конденсацией, а летучие продукты — абсорбцией. Процесс можно вести при высоком давлении и газы пропускать над катализатором в несколько ступеней. В. Шекин

**69749 П. Способ гидрокаталитического обессеривания сырых нефтей. Портер, Айситт (Verfahren zur hydrokatalytischen Entschwefelung von rohem Erdöl. Porter Frederick William Betram,**

Isitt John Shute) [The British Petroleum Co. Ltd.], Пат. ФРГ 945467, 12.07.56

При гидрокаталитич. обессеривании сырой нефти (СН) обработкой при повышенных т-рах и давлениях в присутствии  $H_2$  и катализатора, состоящего из окислов Со и Мо или их смесей, СН пропускают через катализатор, нанесенный на  $Al_2O_3 \cdot 3H_2O$  при таких т-рах, в пределах  $399-454^\circ$ , и таких давлениях, в пределах  $36-106 \text{ кг/см}^2$ , при которых разложение СН ограничивается гидрированием органич. соединений с образованием  $H_2S$  и низкокипящих углеводородов. Катализатор нагревают до  $550^\circ$  минимум 2 часа и после нагрева он имеет поверхность  $> 120-125 \text{ м}^2/\text{г}$ . Содержание Мо в катализаторе в пересчете на  $MoO_3$  должно составлять 1—15 вес. %, предпочтительно 5—12 вес. %, а Со в пересчете на СоО — 0,2—3 вес. %, предпочтительно 1—2,5 вес. %. Пример приготовления катализатора: боксит два часа обжигают при  $550^\circ$  и охлаждают в отсутствие влаги. После этого его при  $30^\circ$  в течение  $1\frac{1}{2}$  часа пропитывают 300 мл р-ра, содержащего  $66 \text{ г}$   $(NH_4)_6Mo_7O_{24} \cdot 4H_2O$  и  $56,4 \text{ г}$   $Co(NO_3)_2 \cdot 6H_2O$  в  $127,5 \text{ г}$  дистил. воды и  $134,2 \text{ г}$  водн. аммиака (уд. в. 0,88), отфильтровывают, высушивают  $64$  часа при  $150^\circ$  и, наконец, прокалывают при  $550^\circ$  в течение 2 час. Приведены результаты исследования активности катализаторов, приготовленных на различных бокситах и  $Al_2O_3$ . Б. Энглин

**69750 П. Способ обессеривания нефтей и нефтяных остатков гидрированием под давлением. Пир, Эттингер (Verfahren zur Entschwefelung von Rohölen oder deren Rückständen durch raffinierende Druckhydrierung. Pier Matthias, Oettinger Willi)** [Badische Anilin- & Soda-Fabrik A.-G.], Пат. ФРГ 937840, 19.01.56

Нефти или нефтяные остатки вместе с  $H_2$  (в кол-ве  $< 1,2 \text{ м}^3$  на  $1 \text{ кг}$  сырья) при повышенном давлении (напр.,  $5-300 \text{ ат}$ ) и т-ре  $300-500^\circ$  пропускают в реактор, заполненный на  $\geq 40\%$  (предпочтительнее на  $60-70\%$ ) телами, имеющими большую поверхность, а затем при более высокой т-ре и более высоком или том же давлении над катализатором (К) — силикатами металлов VIII группы периодической системы, практически не содержащими Al и Mg. К можно готовить, осаждавая сначала металл группы Fe до начала образования геля. К может содержать совместно с силикатом металла группы Fe небольшое кол-во соединения (напр., окисла) металла VI группы. Пример: нефть, содержащая 61% фракций, кипящих до  $350^\circ$ , и 1,4% S, пропускают вместе с  $0,8 \text{ м}^3$   $H_2$  на  $1 \text{ кг}$  нефти под давл.  $50 \text{ ат}$  в 1-й реактор, заполненный глиняными кольцами Рашига. Т-ра продуктов в 1-м реакторе  $395^\circ$ , а на выходе из него  $350^\circ$ . После 1-го реактора продукты подогревают до  $365^\circ$ , направляют во 2-й реактор с К ( $0,5 \text{ кг}$  нефти на  $1 \text{ л К}$ ), где подогревают до  $440^\circ$ . Приготовление К:  $590 \text{ г}$  Ni-карбоната ( $49,5\%$  Ni) растворяют в  $550 \text{ мл}$   $98\%$ -ной  $H_2SO_4$  и  $3 \text{ л}$  воды и все разбавляют водой до  $7 \text{ л}$ .  $1050 \text{ мл}$  жидкого стекла ( $36 \text{ об. \% SiO}_2$ ) разбавляют водой до  $7 \text{ л}$ . После быстрого смешения обоих р-ров и добавления  $10\%$ -ного р-ра соды до pH 9—10 осаждается светлый гель, который промывают, высушивают при  $80-100^\circ$ , формуют, прогревают при  $400^\circ$ , пропитывают р-ром  $NH_4$ -молибдата из расчета содержания  $10\%$   $MoO_3$  в К и прогревают при  $400^\circ$ . Обессеривание нефти достигает 68%. Через  $180$  час. работы К регенерируют воздухом. А. Р.

**69751 П. Очистка углеводородов каталитическим гидрированием. Пир, Фре, Фюннер (Verfahren zur raffinierenden Hydrierung von Kohlenwasserstoffen. Pier Mathias, Free Gerhard, Funer Wilhelm von)** [Badische Anilin- & Soda-Fabrik A.-G.], Пат. ФРГ 915330, 19.07.54 [Chem. Zbl. 1955, 126, № 34, 8069 (нем.)]



При очистке углеводородов каталитич. гидрированием с использованием катализаторов, указанных в пат. ФРГ 886897 (РЙХХим, 1957, 1978) процесс проводят при 200—475° и повышенном давлении. Очистке подвергают S-содержащие нефти, смолы, минер. масла, бензины крекинга и бензины, полученные гидрированием угля, смолы и масел. В процессе не происходит существенных изменений свойств продукта. Пример: в бензине термич. крекинга с пределами выкипания 44—190°, содержанием S 0,2%, ароматич. углеводородов 16,2%, анилиновой точкой 38, йодным числом 90 и октановым числом 65 (при добавке 0,04% ТЭС марки 73) после каталитич. обработки при 300°, давл. 50 ат и подаче  $H_2$  400 л на 1 л бензина в час содержание S снижалось до 0,03%, кол-во ароматич. углеводородов ~ 17% и октановое число 62 (при добавке 0,04% ТЭС марки 73). Кривая разгонки не изменилась. Катализатор состоит из 75%  $Al_2O_3$  и 25%  $Fe_2O_3$ , полученных из сульфатов осаждением  $NH_4OH$  при 90°, в среде с pH 8—8,5, с последующей промывкой, сушкой, обработкой HF, формованием и прокаливанием при 400°. Производительность по катализатору 0,5 л бензина на 1 л катализатора. Н. Щеголев

**69752 П.** Удаление меркаптанов из нефти с применением ионного обмена. Кунрадт, Лиман (Ion exchange removal of mercaptans from petroleum. Coonradt Harry L., Leaman Wilbur K.) [Socony Mobil Oil Co., Inc.] Пат. США 2730486, 10.01.56

Для регенерации насыщ. меркаптанами ионообменной смолы (ИОС), применявшейся для их выделения из сернистого бензина, предложено промывать ее водн. р-ром гидроокиси щел. металла, содержащим 0,25—15 вес. %, лучше 2—10% щелочи, с одновременным пропусканием через слой ИОС при т-ре ниже т-ры ее разложения,  $O_2$ -содержащего газа (воздуха) для превращения меркаптанов в полисульфиды. Продуваемый воздух может быть предварительно промыт для удаления  $CO_2$ . Регенерированную ИОС отделяют от регенерирующего р-ра, промывают водой, низкомолекулярным спиртом (напр.,  $CH_3OH$ ,  $C_2H_5OH$  и т. п.) или органич. р-рителем, растворяющим полисульфиды (напр., бензином) и применяют вновь. Регенерирующий р-р после отделения полисульфидов используют для регенерации новой партии ИОС. В. Щекин

**69753 П.** Обессеривание высококипящих углеводородов. Гилберт, Мак-Налти, Монтгомери (Desulfurization of high boiling hydrocarbons. Gilbert William I., McNulty John G., Montgomery Charles W.) [Gulf Research & Development Co.] Пат. США 2733189, 31.01.56

Высококипящую нефтяную фракцию (НФ) контактируют в основном в паровой фазе с  $H_2$  при 400—480° и 18—140 ат в присутствии катализатора гидрирования (КГ) — Ni, Co, W, Mo или их оксидов, нанесенных на тугоплавкий носитель (напр., вольфрамат Ni или молибденат Co на  $Al_2O_3$ ); КГ периодически регенерируют прокаливанием в токе воздуха или  $O_2$ -содержащего газа, разбавленного инертным газом или паром; после чего снова контактируют с НФ; из обессеренной НФ отгоняют низкокипящие компоненты (бензин и фракции до 200—215°); остаток нагревают (лучше в токе инертного газа или пара) до 190—260° в течение периода от 15 мин. до 4 час. для удаления оставшихся после гидрообессеривания сернистых компонентов в виде  $H_2S$ . Процесс гидрообессеривания может быть каталитич. типа, с превращением сернистых компонентов в  $H_2S$  и удалением его из паров продукта р-ции при конденсации, либо абсорбционного или контактного типов, включающих связывание  $H_2S$  на КГ; последний может быть в форме таблеток и может применяться в виде неподвижного или

псевдооживленного слоя. 1 ч. КГ может обессеривать 1—16 ч. НФ. Приведены примеры гидрообессеривания трех НФ из нефтей Западного Техаса, Кувейта и Бахстервила. Г. Марголина

**69754 П.** Стабилизация каталитически крекированного бензина (Stabilization of catalytically cracked gasoline) [Standard Oil Development Co.] Англ. пат. 723025, 02.02.55

Газойлевое сырье, выкипающее при >204° и содержащее >0,5% S, подвергают каталитич. крекингу, продукт фракционируют, выделяя из него фракцию, соответствующую по т. кип. бензину (БФ), которая не содержит  $H_2S$ , но содержит значительное кол-во меркаптанов (в основном ароматич., напр., тиофенолы, тиокрезолы или тиоксенолы), олефины и диолефины. БФ контактируют с реагентом (Р), содержащим  $CuCl_2$  в отсутствие  $O_2$ . После контактирования БФ отделяют от отработанного Р. Р может быть  $CuCl_2$ , нанесенная в кол-ве 10—15 вес. % на глину, боксит, пемзу или кизельгур. Можно применять 10—15%-ный (по весу) водн. р-р  $CuCl_2$ . В р-р можно добавлять  $CuSO_4$ ,  $NH_4Cl$  или NaCl. Контакт с твердым Р осуществляют в стационарном слое, когда БФ проходит через Р со скоростью 1 объемн. ч. на 1 об. ч. в час или смешением 1 объемн. ч. Р с 4—5 объемн. ч. БФ. Содержание  $H_2O$  в твердом Р поддерживают 5—25 вес. % (обычно 10—20 вес. %). Обработку р-ром  $CuCl_2$  производят при 21—54° в соотношении 10—50% р-ра на 1 объемн. ч. БФ  $CuCl_2$  регенерируют обработкой недостаточным кол-вом  $O_2$  или воздуха, так что остаются небольшие кол-ва  $CuCl_2$ ; применением избытка  $O_2$  и удалением неизрасходованного  $O_2$  продувкой инертного газа через Р; применением теоретически требуемого кол-ва  $O_2$  или его избытка с последующим смешением с определенным кол-вом отработанного Р. Продукт после крекирования дистиллируют и из него выделяют часть с концом кипения 205°; последнюю после удаления неконденсирующихся газов обрабатывают Р, после чего Р выделяют и регенерируют. Можно добавлять деактиватор меди, напр.,  $N,N'$ -дисульфид-1,2-диаминопропан в кол-ве 15,7 г на 1000 л. Перед добавлением деактиватора БФ можно обработать  $Na_2S$  или ZnS на инертном носителе. Н. Кельцев

**69755 П.** Применение веществ, образующих внутрикомплексные соединения, для улучшения и стабилизации цвета нефтяных дистиллятов. Старк (Use chelating agents to improve color and color stability of petroleum distillate. Stark Christopher P.) [Phillips Petroleum Co.] Пат. США 2723222, 8.11.55

Для улучшения и стабилизации цвета, а также уменьшения содержания S в нестабильных дистиллятах нефти 100 объемн. ч. последнего подвергают обработке 1—10 объемн. ч. водн. р-ра в-ва, образующего внутрикомплексные соединения (концентрация 10—75 вес. %, лучше 30—40 вес. %), а затем контактируют с абсорбентом, после чего отделяют обработанный дистиллят от водн. р-ра, содержащего воднорастворимое внутрикомплексное соединение окрашенных в-в. В-ва, образующие внутрикомплексные соединения, представляя собой поликарбоновые аминокислоты или щел. металлы, соли, напр. На-соль этилендиамина-N,N'-тетрауксусной к-ты, пропилен-1,2-диамин-N,N'-тетрауксусную к-ту, гексаметилендиамин-N,N'-тетрауксусную к-ту или диэтилентриамин-N,N'-тетрауксусную к-ту. И. Руденская

**69756 П.** Способ уменьшения содержания  $Na_2S$  и меркаптанов в водных растворах щелочей. Гофман (Verfahren zum Vermindern des Natriumsulfids und Mercaptangehaltes von wäßrigen Alkalilösungen. Hofmann Paul) [Gelsenberg Benzin A.-G.] Пат. ФРГ 936088, 7.12.55

Для регенерации водн. р-ров (Р) щелочей, применяемых при очистке нефтяных дистиллатов от сернистых соединений Р, содержащие  $H_2S$  и меркаптаны, обрабатывают  $O_2$  или  $O_2$ -содержащими газами, предпочтительно воздухом, в присутствии катализатора (К), представляющего собою соли или гидроксиды Mn и Ni или их смеси, нанесенные на каменноугольный, буроугольный, нефтяной кокс или активированный уголь, в кол-ве 0,1—20 г, предпочтительно 5 г на 100 см<sup>3</sup> Р. Кол-во солей в К составляет 0,01—10% (лучше 0,05—5%). Т-ра регенерации 10—90° (лучше 20°), продолжительность обработки 1—48 час., предпочтительно 4—24 часа. Газы, поступающие на продувку Р, не должны содержать слабых к-т, напр.  $CO_2$  или  $H_2S$ . Газы подают в Р распылением и предварительно насыщают водяными парами до влажности, соответствующей т-ре р-ции.

Н. Щеголев  
69757 П. Регенерация водных щелочно-меркаптидных растворов при помощи кислорода и жидкого углеводорода. Мегерян, Стэлли (Regeneration of aqueous caustic-mercaptide solutions with oxygen and a liquid hydrocarbon. Meguerian Garbis H., Stanley William E., Jr) [Standard Oil Co.]. Пат. США 2740749, 3.04.56

Для очистки нефтяных дистиллатов от активных S соединений сырье контактируют с водн. р-ром, содержащим щелочь (5—50%) и, в большинстве случаев, промотор растворимости меркаптанов (фенольного типа, напр., крезол и ксиленол). Отработанный щелочно-меркаптидный р-р (Р) регенерируют контактированием его (при 10—121°, преимущественно при 27—54°) со свободным  $O_2$  в присутствии жидкого углеводорода (У) (10—100% считая на Р) до превращения 50—80% меркаптанов в дисульфиды. В качестве У можно применять нефтяную фракцию с т. кип. < 371° (керосин или дистиллат каталитич. крекинга с т. кип. 216—316°). После регенерации водн. р-р отделяют от отстоявшегося слоя У и применяют для новой очистки. Для ускорения регенерации в Р можно добавлять катализатор окисления меркаптанов — гидрохинон (пирогаллол, галловую к-ту, таннин). При мер: растворением *n*-бутилмеркаптана в 4%-ном водн. NaOH приготовлен щелочно-меркаптидный Р, как катализатор добавлена галловая к-та (0,005%). После контактирования Р с  $O_2$  в течение 39 мин. содержание окисленного меркаптана составляло: без прибавления У 50%, с добавлением 10% дистиллата 74%, с 10% *n*-октана 85%.

А. Равикович  
69758 П. Процесс разделения эмульсий, образующихся при нейтрализации очищенных кислотой нефтяных фракций, путем частичного обезвоживания и отстоя. Кейе (Process for breaking emulsions formed in the neutralization of acid treated petroleum fractions by partial dehydration and settling. Gase Everett N.) [Sinclair Refining Co.]. Пат. США 2734038, 7.02.56

Процесс служит для выделения масла и нефтяного сульфоната из указанных эмульсий (Э) и заключается в удалении из Э выпариванием части воды (не менее ~30% ее первоначального содержания). В результате повышается конц-я солей в остатке, что позволяет отделять при отстаивании слой масла и сульфоната и слой солевого р-ра. Повышение конц-и солевого р-ра Э при выпаривании не должно превышать предела, при котором происходит выпадение солей. Выпаривание воды можно вести в отдельном эвапораторе (напр., при помощи паровых смесивков), после чего остаток Э перекачивают в емкость-отстойник, где сверху откачивают слой масла и сульфоната, а снизу спускают солевой р-р. Процесс можно вести путем циркуляции Э между эвапоратором и отстойником при одновременной подкачке свежей Э, подкачка прерыв-

ается при заполнении емкости эвапоратора и отстойника. Циркуляцию можно регулировать так, чтобы за один проход испарялось ~50% воды и чтобы отстой продолжался ~24 час. при т-ре ~93°, или при содержании в Э воды ~20%, циркуляцию останавливают и отстаивают Э за 4—6 час.

А. Равикович  
69759 П. Растворитель для выделения олефинов из углеводородных смесей. Франсис (Separation of olefins from hydrocarbon mixtures, and solvent therefor. Francis Alfred W.) [Socony Mobil Oil Co.]. Пат. США 2735878, 21.02.56

Для выделения олефинов с 2—6 атомами С в молекуле из их смеси с парафинами предложена обработка смеси безводн. р-рителем из группы спиртов, глицерин, эфиралкоголей, галогидринов или к-т, имеющих ≤ 4 атомов С и не ≤ 2 групп OH в молекуле, и содержащим растворенные в нем CuCl и безводн. HCl (HBr). Указано применение р-ра, содержащего 48,5 вес. %  $CH_3OH$ , 34,2% CuCl и 17,3% HCl. Последний добавляют в кол-ве, достаточном для растворения CuCl. При обработке происходит экстракция олефинов из углеводородной смеси. Экстракт отделяют и выделяют из него олефины. Напр.: жидкую или газообразную смесь, содержащую олефин ( $C_2H_4$  или  $C_3H_6$ ), обрабатывают указанным р-ром противоточно при 0° и давл. 35 ат для  $C_2H_4$  (или 3,5 ат для  $C_3H_6$ ). Нерастворившиеся углеводороды отделяют и сорбированный олефин десорбируют из р-ра при снижении давления.

В. Шекин  
69760 П. Аппарат для отделения масла от парафина. Самюэл (Apparatus for separating oil from wax. Samuel Frank Burnette) [Esso Research and Engineering Co.]. Пат. США 2730242, 10.01.56

Аппарат состоит из двух пустотелых конусов (К), вставленных один в другой так, что стенки обоих К расположены параллельно и образуют кольцевое пространство (КП). На каждом конце последнего имеется но непроницаемому для жидкости салнику, который допускает продольное относительное движение К. Стенки по крайней мере одного К перфорированы и покрыты со стороны КП фильтровальным материалом. Один из К неподвижен, второй подвижен. Масло, содержащее парафин, нагнетается в один конец КП, фильтруется через фильтровальный материал и расширяет КП, сдвигая подвижный К, чему противодействуют упругие приспособления К (напр., пружины), благодаря чему в КП создается высокое давление, выталкивающее отфильтрованный обезмасляющий парафин ко второму концу КП, где он удаляется через вентиль, регулирующий течение парафина в КП. Отфильтрованное масло выводится по трубам. Аппарат может быть снабжен приспособлением для вращения одного из К. Расположение оси К может быть горизонтальным или вертикальным. Указано, что парафин в КП для лучшего обезмасливания можно продувать воздухом, а также нагревать до плавления у выхода.

А. Равикович  
69761 П. Способ переработки кислых гудронов. Гросскинский, Хук, Клемп (Verfahren zur Aufarbeitung von Säureteer. Grosskinsky Otto, Huck Georg, Klempt Walter) [Bergwerksverband zur Verwertung von Schutzrechten der Kohlentechnik G. m. b. H.]. Пат. ФРГ 943853, 1.06.56

Вначале кислый гудрон нагревают с водой в автоклаве при 110—130°, затем маслосмоляную фазу отделяют и нагревают в смеси с водой при 140—170° до полного разделения маслосмоляной и водн. фаз. Водн. р-р, отделенный после 2-й ступени, используют для первоначальной обработки кислого гудрона. При подаче на 2-ю ступень кислый гудрон смешивают с 15—30% воды; водн. слой 2-й ступени представляет собой  $H_2SO_4$  с уд. вес. 1,1—1,2. Нагревание проводят острым

перегретым паром. Процесс ведут непрерывно, используя змеевики высокого давления, устойчивые к действию  $H_2SO_4$ . Н. Щеголев

**69762 П.** Сухая масса для удаления из углеводородов кислот и сложных эфиров. Любен (Trockenmasse für die Entsäuerung und Entesterung von Kohlenwasserstoffen. Lüben Robert) [Ruhchemie A.-G.] Пат. ФРГ 944578, 24.06.56

Предлагается сухая масса для удаления к-т и сложных эфиров из углеводородов, имеющих высокую т-ру затвердевания, в частности из твердого парафина, состоящая из окиси Mg, осажденной на носителе, напр. кизельгуре, отбеливающей земле, активированном угле или аналогичных капиллярно-активных в-вах. MgO и носитель берут в равных кол-вах; MgO взмучивают с 5—6 ч. воды и смешивают с носителем. Пример: 160 кг твердого парафина, полученного из СО и  $H_2$  (т-ра затвердевания +100°, число нейтр-ции 1,5; число омыления 2,5), обрабатывают при 150° 150 кг сухой массы, приготовленной, как указано выше. Смесь отделяют от осадка фильтрованием. В. Энглин

**69763 П.** Растворители для битуминозных, кристаллических, смолистых и аморфных органических составляющих продуктов перегонки угля и нефти, а также для асфальтов и асфальтитов. Фер (Lösungsmittel für bituminöse kristalline harzige und organische amorphe Bestandteile der Destillationsprodukte von Kohle und Erdöl sowie für Asphalte und Asphaltite. Fehr Karl) Пат. ФРГ 952983, 22.11.56

В качестве р-рителя для указанных продуктов предложены жидкие эвтектич. смеси, полученные при сплавлении галондированных ароматич. соединений каменноугольного дегтя. Пример: смесь равных частей хлорнафталина и (или) трихлорнафталина и (или) тетрахлорнафталина при сплавлении с хлорфенантеном дает маслянистую жидкость, которая растворяет пек каменноугольного дегтя. При фильтровании этого р-ра остается 1—5% остатка.

Е. Покровская

**69764 П.** Горючие жидкости. Янсене (Fluide combustible. Janssens Roger—Gabriel). Франц. пат. № 111291, 24.02.56

Горючие жидкости представляют собой эмульсии жидкого минер. топлива, воды и воздуха. Эмульсия на основе мазута предназначена для топки печей и котлов, на основе газойля для котлов малой мощности и двигателя внутреннего сгорания, на основе керосина и бензина для двигателей внутреннего сгорания.

Е. Покровская

**69765 П.** Аминонитрилы как присадки к крекин-бензинам, образующие комплексы с металлами. Шилдс, Томпсон, Ноулс (Amino nitriles as metal complexing agents in cracked gasoline. Shields Donald J., Thompson John W., Knowles M. B.) [Eastman Kodak Co.] Пат. США 2735218, 21.02.56

К крекин-бензину, обработанному Cu-реагентом для удаления активных S-соединений, прибавляют для деактивации металла 0,0001—0,1 вес. % аминонитрила (АН) строения  $NCC(R)(R_1)N(R_2)[X]_{n-1}N(R_3)C(R_4)(R_5)CN$  или  $NCC(R)(R_1)N(R_2)[CH_2CH_2N(R_3)]_dC(R_4)(R_5)CN$  или  $R_6N(R_7)C(R_3)(R_5)CN$ , где  $R, R_1, R_2, R_3, R_4, R_5, R_6, R_7, R_8 = H$ , низкомолекулярный алкил или моноциклич. арил,  $R_6 =$  моноциклич. арил,  $X =$  алкилен или фениден,  $n = 1$  или 2,  $d = 1,2$  или 3. Примеры АН:  $\alpha, \alpha'$ -*n*-фенилендиамин-бис-(изобутиронитрил),  $\alpha, \alpha'$ -этилендиамин-бис-(изобутиронитрил). АН могут быть получены конденсацией амина или полиамина с альдегидом или кетоном в присутствии HCN по Ульриху и др. А. Р.

**69766 П.** Стабилизация цвета антиокислительных присадок ариламинового типа при помощи гидро-

хинона и его производных. Томпсон, Шилдс (Color stabilization of arylamine antioxidants employing hydroquinone and derivatives thereof. Thompson John W., Shields Donald J.) [Eastman Kodak Co.] Пат. США 2739131, 20.03.56

Композиция антиокислительной присадки к бензину представляет собой р-р в бензоле или других р-рителях, напр. низших алифатич. спиртах,  $NN'$ -ди-*втор*-бутил-*л*-фенилендиамин (I) (~0,5 об. %) и 2,5-ди-*трет*-бутилгидрохинона (II) (0,1—10 вес. % на I). Присадки типа I при хранении темнеют и портят цвет бензина, добавление к ним II улучшает стабильность цвета бензина. А. Равикович

**69767 П.** Противоокислительные композиции. Кеннерли, Хук, Кеннерли, Кристофер (Antioxidant compositions. Kennerly George W., Hook Edwin O., Kennerly George W., Christopher George L. M.) [American Cyanamid Co.] Пат. США 2739122, 2739123, 20.03.56

Минеральные и синтетич. смазочные масла, подверженные окислению атмосферным  $O_2$ , стабилизируются добавкой противоокислительной композиции из 0,001—5% 2,4,6-трехзамещ. фенола общего вида  $R_1R_2R_3C_6H_2OH$  где  $R_1$  — *трет*-аралкильный радикал с 4—12 атомами C, а  $R_2$  и  $R_3$  — аралкильные и алкильные радикалы с 1—5 и с 1—12 атомами C и из 0,001—5% Zn-соли двухзамещ. циклоалкильными или алкильными радикалами эфира дитиофосфорной к-ты. Пример: К 300 г минер. масла добавляли 2,6-ди-*трет*-бутил-4-метилфенол (I) и цинк-ди-(4-метилпентил-2)-дитиофосфат (II), нагревали в токе  $N_2$  до 155° и затем со скоростью 200 мл/сек пропускали воздух. Отмечали период индукции (ПИ) — время до начала абсорбции  $O_2$ . Без добавок ПИ в часах был <1; с 0,0067% I — 3,7; с 0,025% II — 12,7 и со смесью I + II в указанных кол-вах — 60,1. В качестве другого антиоксиданта для композиций рекомендована добавка 2,2'-алкилиден-бис-(4,6-двузамещ. фенола), напр. 2,2-метил-бис-(4-метил-6-трет-бутилфенола) (III). ПИ с 0,0033% III был 6 час., а со смесью 0,025% II и 0,0033% III — 47 час. С. Гордон

**69768 П.** Метод получения добавок, улучшающих свойства смазочных масел. Энгель, Кристман, Зимон (Verfahren zur Herstellung von Schmierölverbesserungsmitteln. Engel Hans, Christmann Fritz, Simon Walter) [Badische Anilin- & Soda-Fabrik A.-G.] Пат. ФРГ 922533, 17.01.55

К растворимым в масле сульфоновым к-там или в их нейтр. или кислым солям тяжелых металлов прибавляют такое кол-во щел.-зем. соединений алкилфенолсульфидов, чтобы конечный продукт имел щел. р-цию. Пример. Изобутилфенолсульфид смешивают с эквимольным кол-вом метилата Ca, полученного растворением металлич. Ca в большом избытке  $CH_3OH$ , избыток которого затем отгоняют. Полученный продукт (2 ч.) смешивают при 70° с 3 ч. р-ра сульфоната Zn, приготовленного растворением алкилбензолсульфоновой к-ты с 12—18 атомами C в алкиле в двукратном кол-ве масла, нагреванием до 120—140° с избытком ZnO. Смесь тщательно перемешивают и фильтруют или центрифугируют. Продукт — хороший детергент. Проба, извлеченная горячим  $CH_3OH$ , окрашивает фенолфталеин. Добавку лучше применять с ингибиторами, напр. бариевыми производными продукта из стearилового спирта и пентасернистого фосфора. А. Мосин

См. также: Типы нефтей 68669. Свойства углеводородов 68745. Свойства битумов 68540, 68541. Свойства катализаторов: крекинга 68519, синтеза 68437. Природные и синтетич. контакты для очистки и крекинга нефтепродуктов 68439. Обессеривание нефти 69777. Гурение топлива 68416. Анализ нефтепродуктов 69189. Борь-



ба с загрязнением атмосферы на нефтеперерабат. з-дах  
70770. Коррозия аппаратуры нефтяной пром-сти  
70593, 70620, 70634

## ПРОМЫШЛЕННЫЙ ОРГАНИЧЕСКИЙ СИНТЕЗ

Редакторы С. З. Тайц, Б. П. Фабричный

69769. Дисперсия натрия. Комацу (ソジウムスパー  
ジョン 小松信一郎), 高分子化学, Кобунши кага-  
ку, 1957, 6, № 58, 58—60 (японск.)

Обзор применения в р-циях органич. технологии.  
Библ. 15 назв. А. Б.

69770. Растворители для тонкой химической про-  
мышленности. 2, 3. Марден (Solvents for the fine  
chemical industry. 2, 3. Marsden C.), Chem. Prod.,  
1955, 18, № 3, 102—104; № 4, 139—140 (англ.)

2. Применение изопропилового спирта (I) в каче-  
стве промежуточного продукта для синтеза ацетона,  
сложных эфиров I, диизопропилового эфира и кумола,  
а также использование I в качестве экстрагирующего  
средства, реакционной среды и р-рителя; получение I  
при крекинге нефти и при непосредственном катали-  
тич. окислении природных газов, содержащих про-  
пан; физ. свойства I, в частности давление насыщ.  
пара при различной т-ре, т-ра замерзания и уд. веса  
водн. р-ров; сорта технич. продукта; физиол. свой-  
ства; вопросы хранения. В. Уфимцев

3. Краткий обзор методов получения *n*-бутанола  
(ферментативный, синтетич. из  $\text{C}_2\text{H}_5\text{CHO}$  и оксо-метод  
из  $\text{C}_2\text{H}_6$ ), его физ. показателей, в том числе упру-  
гости паров в пределах 20—117°, совместности с водой  
(взаимной растворимости) в пределах 1—120°, а также  
его физиол. действия, условий обращения с ним,  
хранения и транспортировки. Часть 1, см. РЖХим,  
1956, 66139. Я. Кантор

69771. Безопасный органический растворитель.  
Эберт (Ein ungefährliches organisches Lösungsmittel.  
E. Ebert A.), Chem. Rundschau, 1955, 8, № 8, 168  
(нем.)

Органич. р-ритель—2-диметил-4-оксиметил-1,3-диокса-  
лан  $\text{C}(\text{CH}_3)_2\text{OCH}(\text{CH}_2\text{OH})\text{CH}_2\text{O}$  (I), выпущен для тех-  
нич. целей под маркой «Имнулит». Основные физ.  
свойства его:  $n_D^{20}$  1,4383;  $d_4^{20}$  1,064; мол. в. 132; т. кип.  
82—83°/10—11 мм; число испарения ~ 600 (эфир-1):  
т. воспл. ~ 90°; вязкость 11 *спуз*/20°. I не обладает не-  
достатками, присущими большинству органич. р-рителей.  
I бесцветен, почти не имеет запаха и вкуса, слабо  
испаряется, обладает большой растворяющей способно-  
стью, не горюч при обычной т-ре, смешивается с во-  
дой и другими обычными р-рителями, давая прозрач-  
ный р-р. I служит р-рителем для различных смол (ме-  
ламиновых, мочевиновых, фенольных, глифталевых и  
др.), производных целлюлозы, поливинилацетата, ди-  
бутилфталата, трикрезилфосфата, касторового масла,  
природного и синтетич. воска и др. I применяется в  
пром-сти эфирных масел и синтетич. душистых и  
вкусовых в-в для растворения ментола, кумарина,  
мускуса, ванилина, гелиотропа, энантола, терпинеола,  
изоборнилацетата, дифенилоксида, ундекалактона и др.  
I используется, как диспергирующее и эмульгирующее  
средство для инсектицидов и фунгицидов, серы, сажи,  
а также в пром-сти каучука, для флотации руд, зем-  
ель и пр. Для медицинских целей I приготовлен в  
чистом виде под названием Золькеталь чистый. Опы-  
ты воздействия I на животных показали его незначи-  
тельную вредность. I не оказывает воздействия на  
кожу. Введение I в организм (внутривенное или под-  
кожное) показывает токсичность, подобную  $\text{C}_2\text{H}_5\text{OH}$ .

Ц. Гельфер

69772. Новые успехи в производстве этилена. 2.  
Шервуд (New advances in ethylene production. 2.  
Sherwood P. W.), Petroleum, 1956, 19, № 9,  
309—312 (англ.)

Рассматриваются преимущества и недостатки раз-  
личных способов произ-ва этилена (пиролиз с тепло-  
носителем, с перегретым водяным паром, крекинг в  
регенеративных печах, частичное окисление этана), а  
также методы его очистки. Ч. 1. см. РЖХим, 1957,  
42167. В. Щенин

69773. Пропилен как исходный продукт для синтеза.  
Оива (プロピレン誘導体について. 大岩哲夫), 化学工業,  
Kagaku kōgi, Chem. Ind. 1956, 7, прилож. № 2,  
245—249 (японск.)

Обзор по использованию пропилена для промышлен-  
ного синтеза изопропанола, превращению изопропа-  
нола в ацетон, использованию последнего для синте-  
за диацетонного спирта, ацетонциангидрина, окиси  
меантила и метилизобутилкетона и по синтезу гли-  
церина из пропилена. Приведены таблицы и схемы  
р-ций. Библ. 21 назв. Л. Яновская

69774. Спирт из этилена. Олсон (Alcohol from ethy-  
lene. Olson Lavonne), Cornell Engr, 1953, 19,  
№ 2, 13—15, 38 (англ.)

Производство синтетич. этилового спирта (I) состав-  
ляло в США в 1952 г. 57% всей выработки I.  $\text{C}_2\text{H}_4$  пре-  
вращают в I 2 способами: прямой гидратацией (з-д  
Shell Chemical, Texas Eastman и др.) и сернокислотным  
способом. Р-ция гидратации благоприятствует низкая  
т-ра, высокое давление и сравнительно высокое со-  
отношение  $\text{C}_2\text{H}_4$ :  $\text{H}_2\text{O}$ . Наиболее активный катализатор  
 $\text{Al}_2\text{O}_3$ , при т-рах > 350° часть  $\text{C}_2\text{H}_4$  полимеризуется.  
В оптимальных условиях конверсия  $\text{C}_2\text{H}_4$  не превы-  
шает 25%, что делает необходимыми рециркуляцию  
непрореагировавшего  $\text{C}_2\text{H}_4$ . Преимущество этого спо-  
соба, несмотря на низкий выход, состоит в том, что  
он не требует применения коррозионностойкой аппа-  
ратуры, что значительно снижает капиталовложения.  
По сернокислотному способу  $\text{C}_2\text{H}_4$  обрабатывают  
97%-ной  $\text{H}_2\text{SO}_4$  при высоком давлении и высокой  
конц-ии к-ты. Наиболее активный катализатор  $\text{Ag}_2\text{SO}_4$ ;  
выход спирта — порядка 90%. Согласно технологи-  
ческому процессу, принятому на з-де Shell Chemical в Хью-  
стоне, 32,01%-ный  $\text{C}_2\text{H}_4$  под давл. 14—35 ат пропуска-  
ют при 82° через орошаемый 97,5%-ной  $\text{H}_2\text{SO}_4$  (2 кг  
к-ты на 1 кг I) абсорбер с внутренним охлаждением.  
Утечивающийся из абсорбера газ, после прохожде-  
ния через орошаемый водн. NaOH скруббер, могут  
быть использованы как горючее. Жидкий продукт, со-  
державший моно- и диэтилсульфаты, после смешения с  
водой, поступает в камеру гидролиза, где смесь нагре-  
вают для испарения I и понижения образования эфи-  
ра, после чего поступает в отпарную колонну, где I  
эфир отгоняются с паром (от укрепления отработан-  
ной  $\text{H}_2\text{SO}_4$ ), а отработанная к-та направляется на  
укрепление. Пары I и эфира, после орошения их р-ром  
NaOH и конденсации, поступают в эфирную колонну,  
где с помощью пара низкого давления отгоняется  
эфир; спиртоводную смесь направляют на ректифика-  
цию и получают 95—96° I. Отработанную  $\text{H}_2\text{SO}_4$   
(50%-ной конц-ии) укрепляют до 97,5%, упаривая сна-  
чала до 70% (пар поступает в отпарную колонну), а  
потом в 2-ступенчатой вакуум-системе: в 1-й при давл.  
0,2 ат до 89%, во 2-й при давл. 0,3 ат до 97,5%. Приве-  
дена технологич. схема. Кратко описаны также пере-

работка  $\text{C}_2\text{H}_4$  на  $\text{CH}_2\text{CH}_2\text{O}$  с помощью водн.  $\text{HNO}_3$  с по-  
следующей обработкой этиленхлоргидрина известью  
при высокой т-ре (выход ~ 80%) или же пропусканием  
смеси 95%-ного  $\text{C}_2\text{H}_4$  с воздухом над порошкообраз-  
ным серебром при 200—300° (конверсия ~ 40%), а

также получение этиленгликоля гидролизом  $\text{CH}_2\text{CH}_2\text{O}$  в присутствии следов  $\text{H}_2\text{SO}_4$  (катализатор). Я. Кантор

69775. Методы синтеза глицерина. Блезе (Nouvelle synthèse de la glycérine, Blaizot P.), Oléagineux, 1955, 10, № 12, 829—933 (франц.)

Обзор синтетич. методов получения глицерина, в том числе из акролена гидратацией и последующим гидрированием, а также различных методов получения  $\text{H}_2\text{O}_2$ . Библ. 13 назв. Я. Кантор

69776. Изомасляный альдегид. Получение, свойства, применение. Бедюно (Isobutyraldehyde. Préparation — propriétés — emplois. Beduneau H.), Rev. prod. chim., 1955, 58, № 1209, 1—6 (франц.)

Обзор по применению изо- $\text{C}_3\text{H}_7\text{CHO}$  в произ-ве пластификаторов, искусств. смол (в том числе в качестве модификатора), полиуретанов (для пропитки тканей и трикотажа), сложных полиэфиров, эфиров целлюлозы, р-рителей, аминокислот (пантотеновой, валина, лейцина и др.), инсектицидов, отдушек и эфирных масел, ингибиторов коррозии, гидравлич. жидкостей и смазочных в-в, добавок для авиационного бензина и др. Библ. 33 назв. Предыдущее сообщение см. РЖХим, 1956, 1727. Я. К.

69777. Метилмеркаптан. Производство и области применения. Бедюно (Le méthylmercaptop. Fabrication et emplois. Beduneau H.), Rev. prod. chim., 1955, 58, № 1214, 221—225 (франц.)

Краткий обзор промышленных методов синтеза гидрированием  $\text{CS}_2$  (катализатор Фриделя — Крафца), р-цией  $\text{CH}_3\text{OH}$  с  $\text{H}_2\text{S}$  (катализатор  $\text{Th}(\text{OH})_3$  на пемзе) и р-цией  $\text{CH}_3\text{Cl}$  с  $\text{NaSH}$  и  $\text{H}_2\text{S}$  под давлением, а также промышленных методов получения из  $\text{CH}_3\text{SH}$  и акролеина: метионина (пат. США 2485236, англ. пат. 630139), метилмеркаптопропионового альдегида (пат. США 2523633 и 2584496) и оксиметилмеркаптонитрила (пат. США 2542768.). Приведены также методы извлечения  $\text{CH}_3\text{SH}$  из нефти. Я. Кантор

69778. Тиокарбонилтетрахлорид — свойства и применение. Мур (Thiocarbonyl-Tetrachlorid-Eigenschaften und Verwendung. Muhr Alfred), Chem. Rundschau, 1955, 8, № 1, 3 (нем.)

Обзор способов получения и свойств тиокарбонилтетрахлорида ( $\text{Cl}_3\text{CSCl}$ -перхлорметилмеркаптана) и его применения как фунгицида, для синтеза гуанидина, изо-тиоцианатов, эфиров ортоугольной к-ты, тиофосгена, красящих в-в ряда триариларозанилина. Библ. 18 назв. Л. Фрейдкин

69779. Левулиновая кислота как основное химическое сырье. Леонард (Levulinic acid as a basic chemical raw material. Leonard Reid H.), Industr. and Engng Chem., 1956, 48, № 8, 1334—1341 (англ.)

Подробный обзор общих свойств левулиновой к-ты (I), ее производных  $\alpha$ - и  $\beta$ -лактонов ангеликовой к-ты и их производных и гетероциклич. соединений — производных I. Замена части ацетильных групп в ацетилцеллюлозе и в смолах, содержащих винилацетат, I повышает прочность материалов. Один из простейших продуктов, получаемых из I —  $\alpha$ -лактон ангеликовой к-ты — можно легко превратить в ряд производных псевдолевулиновой к-ты, 3-хлорлевулиновую к-ту, в  $\beta$ -лактон ангеликовой к-ты и  $\gamma$ -лактон валериановой к-ты. Все 3 лактона и получаемый из I диметилпирролон являются хорошими р-рителями. По мнению автора, высокая реакционная способность I и ее лактонов и доступность исходного сырья для ее получения (гексозы) должны обеспечить широкое применение I в качестве хим. сырья. Ю. Вендельштейн

69780. Дегидрогенизация этилбензола на хромовым окислом цинке. Сергеев С. Р., Поваров Л. С., Тр. Ин-та нефти АН СССР, 1955, 6, 40—52

Пары этилбензола (I) пропускали через трубчатую печь над катализатором (K) состава 53%  $\text{ZnCrO}_4$  + 47%  $\text{ZnO}$  (длина слоя 17,5 см, объем 45 мл), полученным из смеси  $\text{ZnCl}_2$  +  $\text{ZnO}$  добавкой р-ра  $\text{K}_2\text{CrO}_4$ . Постоянная скорость подачи I обеспечивалась применением бюретки с припаянным поршнем, объем образовавшегося газа замерялся через каждую минуту с точностью до 0,2 мл в спец. бюретках. При скорости 0,11 объемов I на объем K в час и т-рах 550, 600 и 650° найдены соответственно: потери на газообразование — 7,2; 33,2 и 43,4 вес. %; содержание  $\text{H}_2$  и  $\text{CH}_4$  (в скобках) в газе — 87,2 (11,3); 78,6 (18,2) и 62,9 (32,3) об. % и стирола (II) в катализате — 22,4; 25,0 и 16,3 вес. %. K после 28 час. работы при 600° содержал 25% кокса; при т-рах ниже 600° коксообразование меньше. Увеличение скорости подачи при 600° от 0,22 до 0,55 вызвало изменение скорости выделения газа от 16 до 31 мл в 1 мин.; кол-ва газа от 200 до 155 мл на 1 мл пропущенного I и содержания II в катализате от 27,9 до 29,7%. Регенерация K — продувкой воздуха при 500° в течение 2—3 час. Энергия активации дегидрогенизации найдена 26 530 кал/моль. И. Богданов

69781. Безнасадочная отдувочная колонна в цехе производства фенола. Моргунов А. П., Сб. докладов по экон. электр. и тепл. энергии, премир. на 9-м Всес. конкурсе, М.—Л., 1955, 227—228

Для очистки фенолятов Na от примесей предложена безнасадочная отдувочная колонка (БК). Указывается, что БК значительно эффективнее колонны с насадкой. Увеличение эффективности БК достигается резким повышением поверхности контакта за счет достижения мелкодисперсного состояния очищаемых фенолятов в БК. Распыление фенолятов в БК производится спец. разбрызгивающим устройством. Отмечается уменьшение размеров БК по сравнению с насадочной колонной при сохранении необходимой производительности. С. Крашенинников

69782. Синтез мезитилена из ацетона. Роб, Херт (Synthesis of Mesitylene from Acetone. Kobe Kenneth A., Hirth Leo J.), Petrol. Process., 1954, 9, № 1, 92—93, 96 (англ.)

Непрерывный метод получения мезитилена (I) осуществляется конденсацией ацетона (II) над катализатором (III) (натуральный боксит, активированный нагреванием при 900° в течение 1 часа) при 73 атм, 370° и средней объемной скорости 0,35 мл II на 1 мл III, считая на пропущенный II, выход I с т. кип. 155—170° составляет за один проход 21%. Часть II (25—35%) не реагирует и может быть снова пущена в цикл вместе с промежуточными продуктами. Выход I заметно уменьшается при снижении т-ры активации, применении в качестве III боксита, обработанного фосфорной к-той, понижении или повышении указанной рабочей т-ры, повышении объемной скорости; изменение давления в пределах 50—73 атм не сказывается резко на выходе. I-сырец очищается металлич. На с выходом 50% от сырья и получается с т. кип. 163—167°,  $n_D^{20}$  1,4890. Описана аппаратура опытной установки, приведены в таблице результаты опытов. Я. Ротштейн

69783. N-окис пиридина. Сайлак (Pyridine-N-oxide. Cislak F. E.), Industr. and Engng Chem., 1955, 47, № 4, 800—802 (англ.)

Обзор возможных путей использования для получения производных пиридина — N-окиси пиридина (I), выпущенной в промышленном масштабе в 1954 г. Нитрование I протекает в обычных условиях, давая 90%-ный выход N-окиси 4-нитропиридина; хлорирование I получают 2- и 4-хлорпиридины. 2-пиридон получают с почти колич. выходом, нагреванием I с  $(\text{CH}_3\text{CO})_2\text{O}$ . N-окис-2-пикололина реагирует с  $\alpha$ -толуол-

сульфохлоридом, образуя с хорошим выходом 2-(хлорметил)-пиридин; аналогично получают 4-пиридилметанол из N-окис-4-пиколина и  $\text{CH}_3\text{COOH}$ . Действием  $\text{Ag}_2\text{O}$  на четвертичные соли I получают соответствующие пиридин и альдегид. Библ. 32 назв. Н. С.

**69784 П. Разделение органических смесей.** Гаррисон, Сомерс (Separation of organic mixtures. Harrison James M., Somers Allen E.) [Gulf Research & Development Co.]. Пат. США 2704272, 15.03.55

Для разделения смеси метилэтилкетона (I), масляного альдегида (II) и воды, в которой II находится в избытке против кол-ва, необходимого для образования его азеотропа с водой, состоящего из ~88% II и ~12% воды и кипящего при 68°/760 мм, в концентрационной колонне из указанной смеси отгоняют азеотроп, который направляют в сепаратор, где он разделяется на 2 фазы — нижнюю, богатую водой, и верхнюю, богатую II, из которой, после отгонки воды (в отдельной колонне), получают свободный от примесей II. Донный продукт из концентрационной колонны, состоящий из I и II, смешивают в другой колонне с водой, в кол-ве, необходимом для образования азеотропа с II, отгоняют азеотроп (который присоединяют к азеотропу из 1-й колонны) и получают в виде донного продукта свободный от воды I. Приведена технологич. схема.

**69785 П. Способ получения кислородосодержащих производных углеводородов** (Procédé pour la préparation de composés hydrocarbonés contenant de l'oxygène) [Metallgesellschaft A.-G.]. Франц. пат. 1072363, 13.09.54 [Chimie et industrie, 1955, 73, № 5, 956 (франц.)]

Патентуется 3-ступенчатый процесс получения спиртов, состоящий в том, что газы, содержащие CO и  $\text{H}_2$ , пропускают (между 550 и 700°) над катализаторами, свободными от соединений каталитически активных металлов группы Fe и содержащими невосстанавливаемые или слабовосстанавливаемые кислородные соединения металлов II—VII группы периодической системы, в результате чего образуются ненасыщ. углеводороды, иногда с примесью кислородосодержащих соединений. Во 2-й стадии реакционную смесь пропускают при весьма низких т-рах над катализаторами, содержащими металлы группы Fe, в частности Co, в результате чего образуются альдегиды, которые в 3-й стадии восстанавливают в спирты с помощью  $\text{H}_2$ -содержащих газов.

**69786 П. Экстрактивная перегонка органических кислородных соединений.** Моррелл, Стюарт, Карлсон (Extractive distillation of oxygenated organic compounds. Morrell Charles E., Stewart Joseph, Carlson Carl S.) [Esso Research and Engineering Co.]. Пат. США 2706707, 19.04.55

Способ разделения близко кипящих органич. кислородных соединений отличается тем, что смесь этих в-в, имеющую растворимость < 10 мл/100 мл воды и т. кип. ≤ 50°, подвергают экстракционной перегонке.

Р-ителем служит водн. смесь, содержащая 20 вес. % гидротропного органич. р-ителя, основным компонентом которого является соль органич. циклич. соединения (по крайней мере с одной группой, обуславливающей растворимость). В процессе перегонки летучесть нигрегентов смеси изменяется, и соединения, ставшие более летучими, отделяются от менее летучих.

**69787 П. Способ (катализатор для) ароматизации или дегидрирования углеводородов.** Трамм, Шписке, Коллинг, Роттинг (Verfahren zur Aromatisierung oder Dehydrierung von Kohlenwasserstoffen. Tramm Heinrich, Spiske Franz, Kolling Helmut, Rottig Walter) [Rührche-

mie A.-G.]. Пат. ФРГ, 914885, 9.08.54 [Chem. Zbl., 1955, 126, № 11, 2575—2576 (нем.)]

Патентуется катализатор и способ его получения. Из р-ра алюмината Na или K, содержащего ~80%-ный избыток щелочи против ф-лы  $\text{NaAlO}_2$  (или  $\text{KAlO}_2$ ), при определенной конц-ии щелочи и т-ре (от 10% при 10° до 3% при 40°) действием к-ты, в частности  $\text{CO}_2$ , быстро осаждают  $\text{Al}_2\text{O}_3$ . Осадок частично отмывают от щелочи и кальцинируют (напр., 2 часа при ~700°). Полученный продукт обрабатывают кристаллогидратом  $\text{Cr}(\text{NO}_3)_3$ , содержащим некоторое кол-во к-ты, замешивают и формуют при добавлении определенного кол-ва щелочи и, медленно нагревая до 600°, окончательно кальцинируют. Осаждение алюминатного р-ра, содержащего 5% NaOH, проводится  $\text{CO}_2$  при 25—30°. Состав готового катализатора: 80%  $\text{Al}_2\text{O}_3$ , 20%  $\text{Cr}_2\text{O}_3$  и 2—7 молей щелочи на каждые 100 молей  $\text{Al}_2\text{O}_3$  +  $\text{Cr}_2\text{O}_3$ . М. Колосова

**69788 П. Способ проведения реакций хлорирования.** Фольман (Verfahren zur Durchführung von Chlorierungsreaktionen. Vollman Heinrich) [Farbenfabriken Bayer A.-G.]. Пат. ФРГ 928344, 31.05.55

В качестве агентов хлорирования органич. соединений (напр., фталоцианинов) предлагаются октахлорциклопентен (I) т. пл. 38—39° и перхлориндан (т. пл. 135—136°), которые, не отщепляя  $\text{Cl}_2$  при т-рах до ~300°, даже в присутствии катализаторов хлорирования (напр.,  $\text{FeCl}_3$ ), в присутствии акцептора Cl отдают по 1 молю  $\text{Cl}_2$ : первый при т. кип. (280°), второй при 200—280°, переходя соответственно в гексахлорциклопентадиен-2,4 (II), т. пл. 0° и перхлоринден, т. пл. 132°; последние под действием  $\text{Cl}_2$  в присутствии небольшого кол-ва  $\text{FeCl}_3$  вновь переходят в исходные соединения. Хлорирование может быть проведено в присутствии катализаторов ( $\text{FeCl}_3$ ) с одновременным применением свободного  $\text{Cl}_2$ , а также смесями I + II в перхлориндан + перхлоринден. Так, 115 г  $\text{Cu}$ -фталоцианина и 2 г  $\text{FeCl}_3$  нагревают с 2 кг I (с обратным холодильником и перемешиванием) до кипения, кипятят до полного завершения р-ции хлорирования (4—8 час.), охлаждают до 40—50°, отсасывают перхлормедьфталоцианин, промывают его  $\text{CCl}_4$  и высушивают; выход 210—212 г. Фильтрат, состоящий из смеси II и некоторого кол-ва I, может быть разделен дробной перегонкой или путем обработки  $\text{Cl}_2$  при 180—220° в присутствии  $\text{FeCl}_3$  и переведен целиком в I для повторного использования. При одновременном хлорировании свободным  $\text{Cl}_2$  процесс протекает быстрее, а фильтрат после отделения перхлорфталоцианина состоит целиком из I. Я. Кантор

**69789 П. Способ получения кротил-бромид.** Гольдхан, Хак (Verfahren zur Herstellung von Grotlylbromid. Goldhahn Hanns, Haack Erich) [VEB Chemische Fabrik von Heyden]. Пат. ГДР, 10745, 14.11.55

Пропускают равномолекулярные кол-ва бутadiена и НВГ-газа над активированным углем при т-ре < 50°. Напр., равномолекулярные кол-ва бутadiена и НВГ-газа пропускают в верхнюю часть вертикальной трубы, наполненной зернистым активированным углем, охлаждаемой снаружи до 10—15°; из нижней части трубы получают технически чистый кротил-бромид, выход ~ 100%. Никакие отработанные газы не выделяются. В. Уфимцев

**69790 П. Производство фтороуглеводородов** (Production of fluorinated hydrocarbons) [Imperial Chemical Industries Ltd.]. Австрал. пат. 160751, 10.02.55

Фтороуглероды получают при взаимодействии фтора (I) или смеси I и инертного газа с мелко размельченным (обладающим большой удельной поверхностью), твердым полиэтиленом (II). Р-ция контактируется металлом (III), инертным в условиях р-ции к воздействию I и HF. III должен находиться в хорошем термич.



контакте с II и одновременно не препятствовать свободному доступу I к поверхности II. Т-ра р-ции — не менее 20°. На всех стадиях реагирующие в-ва должны быть в твердой фазе. Факторы, обуславливающие степень отвода тепла р-ции (т-ра, давление, конц. I, скорость подачи I и скорость отвода газообразных продуктов р-ции, степень измельчения II, взаимное расположение друг по отношению к другу II и III), регулируются таким образом, чтобы избежать деполимеризации, сгорания или обугливания II. Я. Штейнберг

**69791 П. Получение спиртов** (Preparation of alcohols) [Soc. des Usines Chimiques Rhone-Poulenc]. Англ. пат. 712300, 21.07.54 [J. Appl. Chem., 1955, 5, № 2, 1233 (англ.)]

Эфиры карбонových к-т превращают в спирты восстановлением боргидридом Na или K в присутствии ~1 моля хлорида, йодида, сульфита или нитрата Li, лучше в среде инертного р-рителя, напр. диоксана, тетрагидрофурана или формалина гликоли. Патентуется получение:  $n\text{-C}_{12}\text{H}_{25}\text{OH}$ ,  $\text{C}_6\text{H}_5\text{CH}_2\text{OH}$ , 1-тетрагидрофурилпропанола,  $\text{C}_{11}\text{H}_{23}\text{OH}$ ,  $n$ -нитробензилового спирта и 3-фенилпропанола-1. Так, напр., 10 г мелкоизмельченного LiCl добавляют к смеси 12 г 93%-ного технич. KBr, 30 г  $\text{C}_6\text{H}_5\text{COOC}_2\text{H}_5$  и 120 мл тетрагидрофурана. Реакционную массу кипятят в течение 4 час., обрабатывают водой и экстрагируют эфиром, после разгонки высушенного экстракта получают 19 г  $\text{C}_6\text{H}_5\text{CH}_2\text{OH}$ .

**69792 П. Получение высших алифатических спиртов.** Зульцбахер (Process for the preparation of higher aliphatic alcohols. Sulzbacher M.) [Whaling N. Ltd]. Англ. пат. 712043, 14.07.54 [J. Appl. Chem., 1955, 5, № 2, 1234 (англ.)]

Первичные или вторичные одноатомные алифатич. спирты, содержащие 9—20 (n) атомов C (напр., смесь с т. кип. > 250° растительного или животного происхождения), с  $\text{CH}_2$ -группой, примыкающей к гидроксильному C, нагревают при 250—300° в присутствии технич. KOH (I) и  $\text{B}_2\text{O}_3$  (II) или эфира борной к-ты. При этом получают спирт, содержащий 2n C. Так, смесь 240 г цетилового спирта (III), 18,5 г I и 10,5 г II нагревают в течение 5 час. при 300°, затем охлаждают до 90°, размешивают с водой и фильтруют при ~20°. После разгонки получают 48 г непрореагировавшего III и 183 г (79,2%) спирта с т. кип. 245—250°/0,2 мм, содержащего 32 атома C. Я. Штейнберг

**69793 П. Способ получения алкоголей щелочных и щелочно-земельных металлов и алюминия.** Видман, Гримме (Verfahren zur Herstellung von Alkoholen der Alkalien, Erdalkalien und des Aluminiums. Wiedmann Helmut, Grimme Walter) [Rheinpreußen A.-G. für Bergbau und Chemie]. Пат. ФРГ, 930087, 11.07.55

Способ основан на р-ции металлов или их сплавов со спиртом в присутствии активаторов. Р-цию проводят в аппарате с промежуточным холодильником, при помощи которого спирт отделяют от  $\text{H}_2$  и возвращают в р-цию, и уравнильным сосудом, в который передается спирт, если выделение  $\text{H}_2$ , контролируемое регулирующим вентилем, превзойдет установленное кол-во. Выделяющийся  $\text{H}_2$  через промежуточный холодильник вводится в верхнюю часть уравнильного сосуда; регулируя удаление из него  $\text{H}_2$  (напр., при помощи редукционного вентиля), удается контролировать давление в аппарате, а следовательно, и т-ру р-ции. Таким образом проводят получение алкоголей при т-ре, превышающей т-ру кипения спирта при нормальном давлении. Приведена схема аппаратуры и примеры получения Al-изопропилата из 100 кг Al-стружки, 30 кг  $\text{HgCl}_2$  и 1000 кг изопропилового спирта (или с применением Al-Cu-Si-сплава) и Na-бутилата из Na и бутилового спирта.

В. Уфимцев

**69794 П. Способ получения метилтриметилметана.** Кассано (Verfahren zur Herstellung von Methyltrimethylmethan. Cassano Francesco Serradi) [Bombrini Parodi-Delfino Soc. An.]. Пат. ФРГ 938614, 2.02.56

Метилтриметилметан  $\text{CH}_3\text{—C—(CH}_2\text{OH)}_3$  (пента-глицерин) получают конденсацией 1-метил-2-этилакролеина с соответствующим кол-вом  $\text{CH}_2\text{O}$ , упариванием реакционной смеси, кристаллизацией и обезвоживанием влажного продукта. 1 моль 1-метил-2-этилакролеина конденсируют с 6 молями  $\text{CH}_2\text{O}$  при нагревании в водн. р-ре в присутствии щел. средств, напр. NaOH, соды, CaO, после чего разб. р-р с предварительным подкислением или без него сгущают и выкристаллизовывают из р-ра метилтриметилметан, содержащий кристаллизационную воду, которую удаляют обезвоживанием и сушкой продукта; выход ~70—80%, т. пл. 199°.

**69795 П. Производство оксиацетиленовых соединений** (Fabrication de composés hydroxyacétyléniques) [Imperial Chemical Industries Ltd]. Франц. пат. 1081283, 17.12.54. [Chimie et industrie, 1955, 74, № 6, 1205—1206 (франц.)]

Указанные в-ва получают взаимодействием  $\text{C}_2\text{H}_2$  (при т-ре между 60 и 120° и давления  $\text{C}_2\text{H}_2$  предпочтительно между 10 и 30 ат) с кетоном в присутствии анионитной смолы гидроокиси четвертичного аммониевого основания.

**69796 П. Способ получения ненасыщенных эфиров.** Хоглин, Херш (Process for making unsaturated ethers. Hoaglin Raymond I, Hirsh Donald H.) [Union Carbide and Carbon Corp.]. Канад. пат. 515101, 26.07.55

1-Алкениловые эфиры получают пропусканием газовой смеси из алкенилового эфира первичного насыщ. алифатич. одноатомного спирта, содержащего только атомы C, H и O (или соответствующего диалкилацетата ацетальдегида) вместе с насыщ. алифатич. монооксисоединением с 6—12 атомами C, отличающимися от вышеуказанного спирта и содержащими атомы C, H и O и спиртовую оксигруппу, связанную с атомом C, в свою очередь связанным не больше чем с 2 другими атомами C, при 250—450° над катализатором, после чего выделяют полученный 1-алкениловый эфир указанного монооксисоединения. В качестве катализаторов применяют: пористые глины, Ni, Ag, Pd, Pt, Th, Al, синюю окись W, окись Mn, фуллерову землю, обожженную кирпичную глину, силикагель, асбест, полевой шпат, цеолиты, природные и искусств. алюмосиликаты и диатомовые земли, дающие щел. водн. вытяжку. В частности, указано: а) получение виниловых эфиров пропусканием газообразной смеси диалкилацетата ацетальдегида с первичным насыщ. алифатич. одноатомным спиртом, содержащим не больше 4 атомов C; вместе с насыщ. алифатич. монооксисоединением; и б) 1,3-диметилбутилвинилового эфира пропусканием над катализатором из диатомовой земли при 250—350° газообразной смеси винилэтилового эфира и 4-метилпентанола-2.

**69797 П. Способ получения альдегидов.** Хаген, Хейбер (Verfahren zur Herstellung von Aldehyden. Hagen Werner, Häuber Hans) [Badische Anilin- & Soda-Fabrik A.-G.]. Пат. ФРГ 932124, 25.08.55

Способ касается получения мономерных альдегидов методом оксо-синтеза, проводимым таким образом, что применяют циркулирующий синтез-газ с содержанием CO, значительно превышающим содержание  $\text{H}_2$ , а потребный для р-ции  $\text{H}_2$  вводят в систему в виде свежего газа из почти равных кол-в CO и  $\text{H}_2$ . В частности, процесс ведут таким образом, чтобы содержание  $\text{H}_2$  в циркулирующем синтез-газе было < 40% (предпочтительно < 20%) по отношению к CO, а кол-во цирку-

лирующего синтез-газа превышало в 2—5 раз кол-во вводимого свежего газа. В этих условиях значительно повышается выход альдегидов и понижается гидрирование олефина. В качестве катализаторов предпочтительны газообразные карбонильные соединения  $\text{Co}$ , которые вводят вместе со свежим газом, но применимы и твердые  $\text{Co}$ -катализаторы и  $\text{p-ry}$   $\text{Co}$ -солей. Так, в снабженную паровой рубашкой трубу высокого давления длиной 5 м и diam. 120 мм, имеющую внешний обогрев паром с  $\text{t-рой}$   $180^\circ$ , вводят ежекасно через газовое смесительное сопло: 1) 22,6 кг жидкой смеси из 84%  $\text{C}_3\text{H}_6$  и 16%  $\text{C}_2\text{H}_4$ ; 2) 16,3 м<sup>3</sup> смеси 57%  $\text{CO}$  и 43%  $\text{H}_2$  + 2 г/м<sup>3</sup>  $\text{Co}$  в виде  $\text{Co}(\text{CO})_5\text{H}$  (свежий газ), сжатый до 250 ат и нагретый до  $160^\circ$ ; 3) 70 м<sup>3</sup> смеси 69%  $\text{CO}$ , 11%  $\text{H}_2$  и 20% инертного газа, напр.  $\text{C}_2\text{H}_6$ ,  $\text{CH}_4$  или  $\text{N}_2$  (циркулирующий синтез-газ), также сжатой до 250 ат и нагретой до  $160^\circ$ . По выходе из нижней части трубы реакционная смесь поступает в необогреваемый отстойник, в котором отделяются жидкие  $\text{C}_3$ -альдегиды. Таким образом, из введенных в систему 19 кг  $\text{C}_3\text{H}_6$  в р-цию вступают 18,1 кг (95,4%), давая 22 кг жидкого продукта, на ~90% состоящего из  $n$ - и  $изо$ - $\text{C}_3\text{H}_7\text{CHO}$ . При этом лишь 0,3 кг (1,7%)  $\text{C}_3\text{H}_6$  превращаются в  $\text{C}_2\text{H}_4$ , который вместе с 0,6 кг непрореагировавшего  $\text{C}_2\text{H}_6$  находятся в растворенном виде в альдегидной смеси. При повышении содержания  $\text{CO}$  в циркулирующем синтез-газе до 11-кратного по отношению к  $\text{H}_2$  гидрирование  $\text{C}_3\text{H}_6$  понижается на 0,4%. Я. Кантор

**69798 П. Каталитическое гидрирование альдегидов, полученных оксо-синтезом. Смит** (Catalytic hydrogenation of oxo aldehydes. Smith Warren M.) [Esso Research and Engineering Co.]. Пат. США 2713073, 12.07.55

В способ получения спиртов  $\text{p-цией}$  олефинов с  $\text{CO}$  и  $\text{H}_2$  и дальнейшего гидрирования полученного оксо-продукта, вводится усовершенствование, состоящее в присутствии катализатора из активированного угля с нанесенным на него меньшим кол-вом  $\text{Mo}$ -сульфида, промотированного меньшим кол-вом  $\text{P}$  (по отношению к  $\text{Mo}$ -сульфиду). Этот катализатор готовят пропиткой шариков из активированного угля  $\text{p-ром}$   $\text{NH}_4$ -молибдата, содержащим  $\text{P}_2\text{O}_5$ , сухой пропитанных шариков и сульфидированием высушенного продукта в струе газообразного сульфидирующего средства при  $\sim 370^\circ$  и давл.  $\sim 210$  атм. Приведена схема технологич. процесса. В. Уфимцев

**69799 П. Концентрирование растворов формальдегида. Мак-Лейн** (Concentration of formaldehyde solutions. McLean Alexander F.) [Camille Dreyfus]. Канад. пат. 505529, 31.08.54

Водные  $\text{p-ры}$   $\text{CH}_2\text{O}$  с конц-ей выше 9% концентрируют испарением  $\text{p-ра}$ , быстрой конденсацией части паров (не больше ~85%) при давлении ниже атмосферного, удалением несконденсировавшейся части паров и последующей конденсацией их с образованием воды.  $\text{p-ра}$   $\text{CH}_2\text{O}$  с конц-ей выше, чем в исходном  $\text{p-ре}$ . Испаряют 9,8%-ный  $\text{p-р}$   $\text{CH}_2\text{O}$ , конденсируют ~77,4% паров при давлении ~125 мм рт. ст., конденсацией остатка паров получают 27,1%-ный  $\text{p-р}$   $\text{CH}_2\text{O}$ . Аналогично, из 10,4%-ного  $\text{p-ра}$   $\text{CH}_2\text{O}$  конденсацией ~58% паров при 312 мм рт. ст. получают 17,1%-ный  $\text{p-р}$   $\text{CH}_2\text{O}$ , а из 19,2%-ного  $\text{p-ра}$   $\text{CH}_2\text{O}$  конденсацией ~73,2% паров при 125 мм рт. ст. получают 43,3%-ный  $\text{p-р}$   $\text{CH}_2\text{O}$ . В. Уфимцев

**69800 П. Способ получения кетонов. Мекорни, Гертнер** (Method for producing ketones. McCorney John W., Gaertner George W.) [Shell Development Co.]. Канадск. пат. 510556, 1.03.55

Высшие кетоны получают  $\text{p-цией}$  алифатич. насыщ. вторичных спиртов с алифатич. насыщ. кетонами в паровой фазе, в присутствии алюмомедного катализатора, при максим.  $\text{t-ре}$   $240$ — $300^\circ$  и давл.  $12$ — $28$  ат.

В частности, указано: а) пропускание в паровой фазе смеси этих спиртов и кетонов непрерывным путем через реактор, содержащий катализатор, состоящий в основном из глинозема, 2—20%  $\text{Cu}$  и не больше 30% окислов  $\text{Zn}$ ,  $\text{Mn}$ ,  $\text{Fe}$ ,  $\text{Ca}$  и  $\text{Mg}$ ; причем активность катализатора поддерживают на сравнительно высоком уровне в течение длительного периода непрерывного процесса пропусканием вводимой смеси при указанных выше условиях  $\text{t-ры}$  и давления; б) применение в качестве исходного сырья алифатич. насыщ. вторичных спиртов с 3—7 атомами  $\text{C}$  и алифатич. насыщ. кетонов с 3—7 атомами  $\text{C}$  и указанного катализатора; этот катализатор готовят пропиткой глинозема  $\text{p-ром}$   $\text{Zn}$ -соли, обжигом для превращения в  $\text{ZnO}$ , а затем пропиткой  $\text{p-ром}$   $\text{Cu}$ -соли и последующим обжигом для превращения в  $\text{CuO}$ , после чего  $\text{CuO}$  восстанавливают до металлического  $\text{Cu}$ , поддерживая максим.  $\text{t-ру}$  катализатора в пределах  $240$ — $300^\circ$ ; в) применение в качестве исходного сырья смеси, содержащей метилэтилкетон и вторичный бутиловый спирт; эту смесь непрерывно вводят в реактор с объемной скоростью  $0,5$ — $8$  в час. В. Уфимцев

**69801 П. Способ получения оксидокетонов. Окане, Мотидзуки, Като** (ヒドロキシケトンの製造法. 岡野茂, 望月雅郎, 加藤武明), [住友化学工業株式会社. Сумитома кагаку когё кабусики кайсэ]. Японск. пат. 5074, 23.07.55

Метилглиоксаль (I) вводят в  $\text{p-цию}$  с солями  $\beta$ -кетокрбонных  $\text{k-т}$  общей ф-лы  $\text{RCH}_2\text{COCCH}_2\text{COOH}$  ( $\text{R}$  — алкил, алкенил или фурфурил) и  $\text{Na}_2\text{S}_2\text{O}_4$  или  $\text{Na}_2\text{SO}_3$ , после чего выделяют полученные оксидокетоны общей ф-лы  $\text{RCH}_2\text{COCCH}_2\text{CHONCOSH}_2$ . Смесь 71 г 3-оксо-6-гептеновой  $\text{k-ты}$  (II) и 100 мл воды при охлаждении льдом нейтрализуют водн.  $\text{p-ром}$  диэтиламина, прибавляют 21 г  $\text{Na}_2\text{S}_2\text{O}_4$  и по окончании  $\text{p-ции}$  приливают 200 мл  $\text{C}_6\text{H}_6$ . К этой смеси при размешивании в течение ~2 час. приливают 136 г 35%-ного водн.  $\text{p-ра}$  технич. I, нагревают ~2 час. при  $36$ — $40^\circ$  и оставляют на ночь, реакционную массу насыщают  $\text{NaCl}$ , отделяют бензольный слой и удалением  $\text{p-рителя}$  при нагревании выделяют 64,7 г 3-оксис-8-нонендиона-2,5 (III), выход 76%, т. кип.  $83$ — $88^\circ/0,03$  мм,  $n_D^{25}$  1,4660, 42,5 г III подвергают циклизации обработкой водн.  $\text{p-ром}$  щелочи по обычному способу и получают 26,5 г 2-аллил-4-оксис-3-метилциклопентенона-1, выход 70%, т. кип.  $96$ — $104^\circ/0,06$  мм,  $n_D^{30}$  1,5106. Аналогично 39,5 г  $\beta$ -оксокаприловой  $\text{k-ты}$  дают 34 г 3-оксидека-2,5-диона, выход 73%, т. кип.  $85$ — $90^\circ/0,03$  мм,  $n_D^{25}$  1,4501; 91 г 4-фурфурил-3-оксомасляной  $\text{k-ты}$  дают 70,2 г фурфурилтексан-3-ол-2,5-диона, выход 67%, т. кип.  $130$ — $132^\circ/0,07$  мм,  $n_D^{31}$  1,4930. В. Уфимцев

**69802 П. Карбоксалкилирование кетонов. Банкерт** (Carboxyalkylation of ketonic compounds. Bankert Ralph A.) [The B. F. Goodrich Co.]. Пат. США 2705243, 29.03.55

Реакцией насыщ. алифатич.  $\beta$ -лактона в присутствии  $\text{p-ра}$  металла в спирт.  $\text{p-рителе}$ , в качестве катализатора, с дикарбонильным соединением общей ф-лы  $(\text{RCO})_2\text{R}'$  (где  $\text{R}$  — алкил или алкоксил;  $\text{R}'$  — алкилиден, у которого по крайней мере 1 активный  $\text{H-атом}$  связан с  $\text{C-атомом}$ , смежным с  $\text{C-карбонильной}$  группы) и последующим подкислением реакционной смеси получают  $\text{в-во}$ , у которого по крайней мере 1 активный  $\text{H-атом}$  карбонильного соединения замещен на карбоксалкильную группу. В. Уфимцев

**69803 П. Винил-трет-оксикетоны. Уилдер, Герман** (Vinyl T-Hydroxy ketones. Wilder Richard S., Herman Daniel F.) [Publinter Industries Inc.]. Канадск. пат. 511255, 22.03.55

Винил-трет-оксикетоны общей ф-лы  $\text{R(R')C(OH)-OS-CH=CH}_2$ , у которых кето- и трет-оксигруппы находятся при 1 и 2 атомах  $\text{C}$  от винильной группы

соответственно (R и R' — алкил, арил или алкил или вместе с атомом C, содержащим оксигруппу, образуют циклолифатич. кольцо), получают пиролизом N-диамет. амина-трет-оксикетонной общей ф-лы  $R(R')C(OH)-CO-CH_2CH_2N(R^2)R^3$  (R<sup>2</sup> — алкил или арил; R<sup>3</sup> — алкил; или R<sup>2</sup> + R<sup>3</sup> вместе с атомом N замкнуты в морфолиновое или пиперидиновое кольцо) при т-ре практически  $\leq 200^\circ$  при пониженном давлении. В частности, указано получение 2-метил-пентен-4-ол-2-она-3 или 4-метилгексен-1-ол-4-она-3 пиролизом 4-метил-1-диэтиламинопентанол-4-она-3 или 4-метил-1-диэтиламиногексанол-4-она-3 соответственно. В. Уфимцев 69804 П. Синтез метилового эфира муравьиной кислоты из метилового спирта и окиси углерода. Хата-но (メチルアルコールと一酸化炭素より蟻酸メチルエステルを合成する方法. 泰野 拓也) [工業技術院長, Корё кудзюцу интё]. Японск. пат. 1272, 11.03.54

В реакционную трубу высотой 2 м и диам. 10 см вводят 1 л  $CH_3OH$  и в качестве катализатора 2% натрия, трубу нагревают до  $70^\circ$  и под давл. 100–200 атм через дырчатый стеклянный фильтр с нижней части трубы мелкими пузырьками пропускают окись углерода (80 л в 1 час). Метилмуравьиный эфир через клапан пониженного давления стекает из трубы в сепаратор, куда под давл. 2–10 атм в кол-ве 80 л в 1 час. пропускают СО. При  $70^\circ$  эфир испаряется и вместе с газом поступает в конденсатор, откуда получают 200 г конденсата в 1 час. Р-р метилового спирта, выделенный из эфира в сепараторе, поступает в отстойник, где из него выпадает осадок формата и карбоната натрия, далее в жидкость добавляют  $CH_3OH$  и она снова поступает в реакционную трубу.

В. Гужавин 69805 П. Способ перегруппировки О-ацетилацетоуксусного эфира в С-ацетилацетоуксусный эфир. Рёйсе (Verfahren zur Umlagerung von O-Acetylacessigester in C-Acetylacessigester. Reuss Fritz) [Wacker-Chemie G. m. b. H.]. Пат. ФРГ 926129, 7.04.55

Перегруппировку чистого О-ацетилацетоуксусного эфира (I) или смешанного с С-ацетилацетоуксусным эфиром (II) в II проводят при помощи поташа в отсутствие р-рителя или суспендирующего средства (при т-ре  $< 40^\circ$ , преимущественно при  $30-35^\circ$ ). 1720 г смеси из 79,6% I и 20,4% II постепенно смешивают с 2070 г сухого поташа при  $\leq 30^\circ$ , перемешивают еще 3 часа при  $35^\circ$  и оставляют лежать тонким слоем при  $30-35^\circ$  в течение  $\sim 15$  час. Затвердевшую массу измельчают и растворяют в  $\sim 6$  л воды, отделяют масляный слой, а водн. слой подкисляют до кислой р-ции на лакмус  $\sim 2,5$  л разб.  $CH_3COOH$ . Выделившийся слой отделяют и перегонкой выделяют 777–955 г чистого II, конц-ия 92–93%, т. кип.  $92-102^\circ/12$  мм.

В. Уфимцев 69806 П. Способ нейтрализации и полного удаления солей перед перегонкой сырых высококипящих сложных эфиров. Джеффе (Method of neutralizing and completely removing salts before distilling crude high boiling esters. Jeffs Albert W.) [American Cyanamid Co.]. Канадск. пат. 510894, 15.03.55

Реакционную смесь, получаемую в результате непосредственной этерификации к-т спиртами и содержащую сырой эфир, кислотный катализатор, спирт и кислые примеси, обрабатывают водн. р-ром слабощел. соли щел. металла в кол-ве, достаточном лишь для нейтр-ции катализатора, после чего отгоняют низкокипящие продукты, в том числе спирт и воду, остаток вновь обрабатывают указанным р-ром щел. соли в кол-ве, достаточном для полной нейтр-ции остатка, отделяют образовавшиеся щел. соли от сырого эфира, последний высушивают, в частности в вакууме при повышенной т-ре, и удаляют из него следы солей. Так,

реакционную смесь, полученную в результате этерификации алилового спирта фталевым ангидридом в присутствии кислотного катализатора ( $CH_3C_6H_4SO_3H$ ) и состоящую из сырого диаллилфталата, алилового спирта, диаллилового эфира, катализатора и моноаллилфталата, обрабатывают указанным р-ром щел. соли ( $Na_2CO_3$ ) сначала в кол-ве, достаточном для нейтр-ции катализатора, потом, после отгонки алилового спирта, диаллилового эфира и воды при  $\sim 140^\circ/100$  мм, дополнительным кол-вом того же р-ра до полной нейтр-ции остаточной смеси, отделяют (центрифугированием) образовавшиеся щел. соли ( $CH_3C_6H_4SO_3Na$  и  $CH_2=CHCH_2OCOC_6H_4COONa$ ), сырой диаллилфталат высушивают (воздухом при  $180^\circ$ ) и, после освобождения от следов солей (центрифугированием или фильтрованием), перегоняют в вакууме. Я. Кантор 69807 П. Способ получения формата или ацетата алюминия в твердом виде. Цизе (Verfahren zur Herstellung von Aluminiumformiat oder-acetat in fester Form. Ziese Walter) [Badische Anilin- & Soda-Fabrik A.-G.]. Пат. ФРГ 922230, 10.01.55

Конц. водн. р-ры  $AlCl_3$  обрабатывают щел. форматом или конц. водн. р-ры основного  $AlCl_3$ , вводят в р-цию с одной  $HCOOH$  или смесью  $HCOOH$  или  $CH_3COOH$  и щел. формата или ацетата с последующим отделением полученной Al-соли кристаллизацией или осторожным высушиванием в случае  $(HCOO)_3Al$  и осторожным лишь высушиванием в случае  $(CH_3COO)_3Al$ . Исходными р-рами могут служить легко доступные р-ры глинозема или боксита в  $HCl$  (к-те). В случае р-ров, содержащих  $Fe^{2+}$ , достаточно промывать кристаллы  $(HCOO)_3Al$  или  $(CH_3COO)_3Al$  водой, разб.  $HCOOH$  или совместным с водной органич. р-рителем и высушивать; в случае р-ров, содержащих  $Fe^{3+}$ , необходима повторная перекристаллизация полученной Al-соли из воды или разб.  $HCOOH$  или  $CH_3COOH$  для получения чистой или бедной железом Al-соли. Так, 500 г горячего р-ра  $AlCl_3$ , содержащего 133,4 г  $AlCl_3$  и 4,25 г  $FeCl_2$  и полученного растворением чистой глины в  $HCl$  (к-те), обрабатывают 210 г  $HCOONa$ . При охлаждении р-р застывает в кристаллич. кашку, которую отсасывают и отмывают 30%-ной  $HCOOH$  от  $NaCl$  и остатков маточного р-ра и высушивают. Проба полученного  $(HCOO)_3Al$  (после растворения 0,3 г его в 15 мл воды, добавления разб.  $HCl$  и окисления  $Fe^{2+}$  небольшим кол-вом  $Br$  в  $Fe^{3+}$ ) дает с 10%-ным р-ром  $K_4Fe(CN)_6$  слабое синее окрашивание, тогда как 0,3 мл маточного р-ра, обработанного таким же образом, дает сильный осадок берлинской лазури. Я. К. 69808 П. Получение уксусной кислоты из метилового спирта. Томас, Стотхард, Олкок (Production of acetic acid from methanol. Thomas Edward Boaden, Stothard Thomas Hall, Alcock Edmund Harry) [British Celanese Ltd]. Пат. США 2727064, 13.12.55

Непрерывный процесс состоит в р-ции СО с  $CH_3OH$  в паровой фазе в присутствии активированного угля, пропитанного  $NiI_2$ , в качестве катализатора. СО пропускают через последовательно расположенные зоны с катализатором, поддерживая пригодную скорость введения его в реактор и периодически меняя направление тока реагентов.  $CH_3OH$  вводят так, что он проходит мимо 1-й и последней зоны с активированным углем в направлении тока реагентов, поддерживая т-ру выше т-ры конденсации  $CH_3COOH$ , но ниже т-ры р-ции так, что  $CH_3OH$  абсорбирует  $Ni$  из уходящих паров без конденсации  $CH_3COOH$ , а при изменении направления потока отдает  $Ni$  входящему газу. В. У. 69809 П. Метод производства уксусной кислоты и метанола из метилового эфира уксусной кислоты. Накао, Кавамити, Тэсима, Мацуда (蟻酸メチルエステルより蟻酸及メタノールを製造する方法.



中尾新大, 川道計太郎, 手島達郎, 松田彦松 [日本カーバイド工業株式会社, Нихон карбайдо когэ кабусики кайся]. Японск. пат. 1273, 11.03.54

Метилацетат (I), образующийся в качестве побочного продукта при получении поливинилового спирта для произ-ва винилона, гидролизом превращают в  $\text{CH}_3\text{COOH}$  (II) и  $\text{CH}_3\text{OH}$  (III). В качестве катализатора вместо неорганич. к-т предлагается использовать сульфоновые катиониты, что удешевляет произ-во, предохраняет аппаратуру и делает процесс непрерывным. 15 кг метилацетата, 20 кг воды нагревают отдельно до  $130^\circ$  под давл. 8 атм, сливают вместе и при той же т-ре пропускают через колонну с 2 л сульфоновых катионообменных смол, затем охлаждают, понижают давление до атмосферного и получают II 7,3 кг, воды 17,8 кг, III 3,9 кг, I < 6,0 кг. Оставшийся метилацетат снова может быть использован в р-ции. В. Гужавин

69810 П. Способ получения безводных карбоновых кислот, в частности уксусной кислоты в смеси с ее ангидридом или эфирами. Фридрих (Verfahren zur Herstellung von wasserfreien Carbonsäuren, insbesondere Essigsäure im Gemisch mit deren Anhydrid oder ihren Estern. Friederich Herbert) [Badische Anilin & Soda-Fabrik A.-G.]. Пат. ФРГ 921938, 7.01.55

Насыщенные спирты, в частности  $\text{CH}_3\text{OH}$  (I), подвергают при  $150\text{--}200^\circ$  и давл.  $400\text{--}800$  ат действию  $\text{CO}$ , которая может содержать до 80%  $\text{H}_2$ . Связывание находящейся в реакционной смеси воды осуществляется прибавлением к спирту 20—100% соответствующего простого или сложного эфира. В качестве катализаторов рекомендуют галогениды карбонил-образующих металлов, особенно их комплексные окисные, напр. третичные или четвертичные аммониевые, фосфониевые, арсониевые и стибониевые соединения (кол-во катализатора 0,2—2% от веса исходного в-ва, считая на  $\text{Co}$  или  $\text{Ni}$ ). Р-рителем может служить  $\text{CH}_3\text{COOH}$  (II),  $(\text{CH}_3\text{CO})_2\text{O}$  (III), а также диметилацетамид или N-метилпирролидон (IV). Действием смеси 95 об.%  $\text{CO}$  и 5 об.%  $\text{H}_2$  на смесь из 200 ч. I, 100 ч.  $(\text{CH}_3)_2\text{O}$  (V), 9 ч.  $(\text{CH}_3\text{COO})_2\text{Co}$  и 25 ч.  $(\text{C}_2\text{H}_5)_3\text{NJ}$  (VI) при  $185^\circ$  и 700 ат получают за 20 час. 48 ч.  $\text{CH}_3\text{COOCH}_3$  (VII), 410 ч. лед. II и 59 ч. III. Аналогично смесь 150 ч. IV, 150 ч. I 30 ч. V, 10 ч.  $\text{CoBr}_2$ , 10 ч. VI и 31 ч. трифенилбутилфосфоний бромида при  $190^\circ$  и 700 ат дает за 19 час. 16 ч. VII и 304 ч. лед. II. Если исходить из 150 ч. I, 150 ч. VII, 10 ч.  $\text{NiJ}_2$  и 5 ч.  $\text{C}_2\text{H}_5\text{J}$  получают за 24 часа 218 ч. лед. II и 135 ч. III, а из 150 ч. I, 100 ч. V, 75 ч. VII, 8 ч.  $\text{H}_2\text{O}$  и 33 ч. бис-(тетраэтиламоний)-кобальт-дибромид-диоксида за 17 час. получают 353 ч. лед. II и 119 ч. III.

К. Хайкина  
69811 П. Получение аконитовой кислоты. Гранстон (Manufacture of aconitic acid. Cranston Hoy A.) [Daniel F. Kelly]. Пат. США 2727066, 13.12.55

Смесь, содержащую 2,25 молей моносulfокислоты метана, этана или n-пропана, 0,5—1 моль лимонной к-ты и 1—1,5 моля воды на каждый моль лимонной к-ты, нагревают до образования гомогенного р-ра, а затем в течение не больше 24 час. поддерживают т-ру выше указанной, но ниже  $120^\circ$ , до окончания выделения кристаллич. аконитовой к-ты, после чего выделяют ее из реакционной смеси. В. Уфимцев

69812 П. Сложные гликолевые эфиры двусосновых кислот. Смит (Dibasic acid esters of glycols. Smith Paul V., Jr) [Esso Research and Engineering Co.]. Пат. США 2703811, 8.03.55

Патентуется соединение, имеющее строение:  $\text{R}'\text{OOCR}''\text{COOR}'''\text{OOCR}'''\text{COOR}'$ , где  $\text{R}''$  представляет собой прямые углеводородные цепи с содержанием до 8 атомов C каждый,  $\text{R}'$  — разветвленная алифатич. углеводородная цепь, содержащая 4—20 атомов C каждая, при

этом по крайней мере одна из упомянутых групп содержит по меньшей мере один атом кислорода и серы в эфирной связи,  $\text{R}'''$  — радикал, имеющий строение  $-(\text{CH}_2\text{CH}_2\text{O})_n-$ , при этом  $n = \text{от } 1 \text{ до } 26$ . Заместители подбираются таким образом, чтобы мол. вес по крайней мере равнялся 300. М. Лимоник

69813 П. Способ получения алифатических комплексообразующих диамино-N,N'-тетрауксусных кислот (Verfahren zur Herstellung einer aliphatischen complexbildenden Diamino-N,N'-tetraessigsäure) [J. R. Geigy A.-G.]. Швейц. пат. 294554, 294555, 1.02.54 [Chem. Zbl., 1954, 125, № 47, 10850 (нем.)]

Этиленгликоль-бис-(β-аминоэтилового эфира)-N,N,N',N'-тетрауксусная к-та в кристаллич. виде получается р-цией этиленгликоль-бис-(β-аминоэтилового эфира) и хлоруксусной к-ты в NaOH. Аналогично получается β,β'-диаминодитилсульфид-N,N,N',N'-тетрауксусная к-та в виде белого порошка. Эти соединения употребляются как вспомогательные в-ва в текстильной пром-сти. П. Ч.

69814 П. Способ получения двусосновых карбоновых кислот, содержащих тиомочевинные группы. Мюнх (Verfahren zur Herstellung von Thioharnstoffgruppen enthaltenden Dicarbonsäuren. Münch Werner) [Thüringisches Kunstfaserwerk «Wilhelm Pieck» Schwarz VEB]. Пат. ГДР 8370, 13.10.54

Для получения двусосновых карбоновых к-т общей ф-лы  $\text{HOOCR}''\text{NHCSSNH}(\text{R}'\text{NHCSSNH})_n\text{R}'''\text{COOH}$ , содержащих одну или несколько тиомочевинных групп ( $\text{R}'$ ,  $\text{R}''$  и  $\text{R}'''$  могут быть циклоалифатич., ароматич. или гетероциклич. остатками или остатками алифатич. цепи, разделенными между собой одним или несколькими атомами O, S и Se или NH-группами, а  $n = 0$  или целое число), вводят в р-цию в цел. среде или в органич. р-рителе аминокислоты общей ф-лы  $\text{HOOC}-\text{R}-\text{NH}_2$  с карбоновыми к-тами, содержащими родоаные и сульфогетановые группы или соли дитиокарбаминкарбоновой к-ты. В качестве аминокислотных к-т могут быть применены: аминокислоты и другие алифатич. аминокислоты или аминокислоты других классов. В качестве карбоновых к-т с активными S-содержащими группами: родануксусная, изосульфогетан-этилендиомочевинпропионовая и другие к-ты, содержащие подобные активные группы. 2,5 моля K-соли гликоля в спирт. р-ре вводят в р-цию с 1 молем  $\text{CS}_2$  и получают дитиокарбаминовокислый гликоколь. Спирт отгоняют, причем происходит сильное выделение  $\text{H}_2\text{S}$ . Затем нагревают еще 2 часа на водяной бане и из остатка выделяют подкислением симметричную тиомочевиндиуксусную к-ту.

О. С.  
69815 П. Получение четвертичных аминов из третичных аминов и β-лактонов. Фидорек (Preparation of quaternary amines from tertiary amines and beta-lactones. Fiedorek Fred T.) [The B. F. Goodrich Co.]. Канадск. пат. 517154, 4.10.55

При взаимодействии насыщ. алифатич. β-лактонов

общей ф-лы  $(\text{R})_2\text{C}-\text{C}(\text{R})_2-\text{COO}$  ( $\text{R} = \text{H}$  или низший алкил) с третичными аминами (I) в жидкой фазе происходит р-ция присоединения с образованием четвертичного амина, в котором β-углеродный атом β-лактона образует связь с атомом N I. В частности, приведены: а) р-ция β-пропиолактона (II) с I общей ф-лы  $\text{N}(\text{R}^1)(\text{R}^2)\text{R}^3$  ( $\text{R}^1$ ,  $\text{R}^2$  и  $\text{R}^3 = \text{алкилы}$ ) при т-ре от  $-30^\circ$  до  $100^\circ$  с образованием четвертичного амина общей

ф-лы  $\text{R}^1(\text{R}^2)(\text{R}^3)\text{N}-\text{CH}_2-\text{CH}_2-\text{COO}-$ ; б) проведение в условиях, указанных в предыдущем пункте, р-ции II с I, содержащим, по крайней мере, один оксидный остаток, связанный с атомом N аминогруппы; в) проведение р-ции I с метилдиэтаноламином с образованием бетанина 2-оксиэтилового эфира β-ди-(2-окси-

этил)-амино]-пропионовой к-ты ф-лы  $(\text{HOCH}_2\text{CH}_2)_2\text{N}^+\text{CH}_2\text{CH}_2\text{COO}^-$ . В. Уфимцев

69816 П. Выделение диэтанолamina и солей. Полсен, Холцкло, Мак-Намара (Recovery of diethanolamine and salts. Paulsen Henry C., Holtzclaw John B., McNamara Thomas P.) [Standard Oil Development Co.]. Пат. США 2701750, 8.02.55

Для удаления  $\text{H}_2\text{S}$  и органич. к-т содержащие их газы пропускают через р-р этаноламина (I), причем  $\text{H}_2\text{S}$  и органич. к-ты задерживаются р-ром I. Полученный р-р I перегоняют с паром; при этом  $\text{H}_2\text{S}$  выделяется из р-ра. Отделяют по крайней мере часть перегнанного р-ра и обрабатывают ее щел. р-ром, напр. КОН или NaOH (~5–30 вес. %), для связывания в виде солей в основном всех органич. к-т и для регенерации почти всего I; удаляют 80–95% воды и обезвоженную массу обрабатывают ~0,5–3 объемами спирта (<6 атомов C) для избирательного растворения I. Отделяют соль от спирто-этанолaminового р-ра и перегоняют последний для отделения спирта от I. О. С. 69817 П. Получение нитрилов. Диксон (Preparation of nitriles. Dixon James K.) [American Cyanamid Co.]. Канадск. пат. 517087, 4.10.55

В способ получения нитрилов нагреванием  $\text{C}_6\text{H}_6$ , галлобензолов, алкилароматич. производных и алифатич. нитрилов, содержащих способный к замещению атом H, с  $\text{ClCN}$  или  $\text{BrCN}$  при  $t \geq 525^\circ$  вводится улучшение, заключающееся во введении в реакционную массу перегретых инертных паров, благодаря чему т-ра реакционной массы поднимается с 525 до  $800^\circ$ . В частности, приведены: а) получение фенилацетонитрила р-цией толуола с  $\text{ClCN}$  и получение малонитрила р-цией ацетонитрила с  $\text{ClCN}$ , которые проводят, по крайней мере, частично с подогревом при помощи перегретого водяного пара; и б) применение при 1-й р-ции  $\text{ClCN}$  в избытке над стехиометрич. количеством по отношению к толуолу; получаему при этом смесь фенилацетонитрила и фенилмалонитрила разделяют фракционной перегонкой. В. Уфимцев

69818 П. Способ получения цианитриловодородной кислоты. Клейн (Verfahren zur Herstellung von Cyanwasserstoff. Klein Hans.) [Badische Anilin- & Soda-Fabrik A.-G.]. Пат. ФРГ, 931590, 11.08.55

Предложен способ получения HCN с высокими выходами (97% и более на прореагировавший  $\text{NH}_3$ ) из  $\text{NH}_3$  и CO в присутствии окисножелезных катализаторов. Объемное соотношение  $\text{NH}_3 : \text{CO} = 1 : 8\text{--}12$ . Катализаторы получают пропиткой тел с развитой поверхностью, напр. активной  $\text{Al}_2\text{O}_3$ , обожженного кирпича, клинкера или легкого шамота, р-ром Fe-соли с последующим осаждением окиси железа щелочью; в случае применения р-ров Fe-солей, анионы которых разлагаются при нагревании, напр.  $\text{Fe}(\text{NO}_3)_3$  или  $(\text{HCOO})_2\text{Fe}$ , достаточно пропитанное тело подвергать нагреву. Весьма активные катализаторы получают обработкой носителя  $\text{NH}_3$ -газом с последующей пропиткой р-ром Fe-соли. Можно также прессовать окись железа в пористые формованные тела. Продолжительность действия катализаторов — несколько месяцев. Отработанные катализаторы легко регенерируют окислением их воздухом, предпочтительно воздухом, разб. индифферентным газом или водяным паром. Целесообразно исходную смесь предварительно нагревать. Для обливки внутренних стенок реактора предпочтительны кварц или фарфор, но применимы также  $\text{Fe}_2\text{O}_3$ -содержащие глины и алюмосиликаты, напр. шамоты, а также термостойкие Fe-сплавы, напр. хромовые стали. Р-ция хорошо протекает при  $t$ -ре несколько выше  $450^\circ$ ; редко требуется  $t$ -ра  $> 560^\circ$ . Так, 630 г активной  $\text{Al}_2\text{O}_3$  величиной зерна 3–5 мм погружают

в р-р 50 г кристаллич.  $\text{Fe}(\text{NO}_3)_3$  в 1 л воды и после слива избыточного р-ра массу высушивают на огне в открытой чашке при непрерывном перемешивании. 29 г этой массы обрабатывают при  $480^\circ$  в кварцевой трубке внутреннего диам. 12 мм смесью 20 л  $\text{N}_2 + 10$  л CO в 1 час, в результате чего нитрат переходит в  $\text{Fe}_2\text{O}_3$ . После этого через трубку пропускают смесь 1,59 л  $\text{NH}_3 + 13$  л CO в 1 час при  $485^\circ$ . Выход HCN составляет 0,362 г/час, что соответствует 99–100% на прореагировавший  $\text{NH}_3$ ; при  $540^\circ$  выход HCN составляет 1,07 г/час или ~98% на прореагировавший  $\text{NH}_3$ . После 3-месячной работы катализатора активность его остается неизменной. Я. Кантор

69819 П. Получение β-амино- или β-алкиламиноадипонитрила. Такаги, Итикава (β-アミノ又はβ-アルキルアミノ-アデポニトリルの製造方法。高木鋭一, 市川公) [三菱化成工業株式会社, Мицубиси касэй когё кабусики кайся]. Японск. пат. 5773, 18.08.55

Процесс получения сводится к р-ции между 1,4-дицианобутоном-(1) или-(2) и аммиаком или первич. алкиламинами. Р-ция может быть проведена в спиртовых р-рах (метанол, этанол и т. д.), что ограничивает возникновение побочных р-ций и образование побочных продуктов; последние окрашивают получаемый продукт и делают его нестойким, поэтому рекомендуется поддерживать т-ру до  $30^\circ$ . Если вместо  $\text{NH}_3$  проводить р-цию с первич. алкиламином, то полученный β-алкиламиноадипонитрил при повышении т-ры легко полимеризуется и получение его в чистом виде с помощью дистилляции затруднительно, поэтому, применяя гидролиз, получают β-алкиламиноадипиновую к-ту. Патентуемые соединения могут быть получены в промышленных масштабах и использованы как промежуточные продукты в фармацевтич. промышленности или в произ-ве искусств. волокон. 1,4-дицианобутоном-(2) 10,6 г, конц. аммиачную воду (28%) 70 мл, 95%-ный этиловый спирт 20 мл помещают в плотно закрытый сосуд и, покачивая в течение 2 час., полностью растворяют 1,4-дицианобутоном. После 1–2-дневного стояния при обычной т-ре фракционируют в вакууме при низкой т-ре и оставшееся маслянистое в-во дистиллируют при пониженном давлении; при этом получают 6,5 г β-аминоадипонитрила — бесцветные кристаллы с т. кип.  $157^\circ/1$  мм,  $n_D^{20}$  1,4739,  $d_4^{20}$  1,0457; кислый тартрат, т. пл.  $144^\circ$ ; 1,4-дицианобутоном-(1) 10,6 г 30%-ного водн. р-ра метиламина 70 мл, 95%-ного метанола 20 мл обрабатывают в описанных условиях. Затем при низкой т-ре с помощью фракционирования удаляют водн. р-р метиламина и получают маслянистое в-во, полимеризующееся при повышении т-ры даже под давл. 1 мм рт. ст.; поэтому его гидролизуют с помощью водн. р-ра  $\text{Ba}(\text{OH})_2$ , нейтрализуют  $\text{H}_2\text{SO}_4$ , отфильтровывают  $\text{BaSO}_4$ , концентрируют фильтрат и получают кристаллич. в-во. Его перекристаллизовывают из воды и получают 2,5 г β-метиламиноадипиновой кислоты. В. Гужавин

69820 П. Способ обработки реакционных продуктов, образующихся при получении нитрила акриловой кислоты из ацетилена и синильной кислоты. Келлер, Кейснер, Мюнстер, Пфафф (Verfahren zur Aufarbeitung der bei der Herstellung von Acrylsäurenitril aus Acetylen und Blausäure anfallenden Reaktionsprodukte. Keller Rudolf, Keyssner Ernst, Münster Alfred, Pfaff Peter) [Badische Anilin- & Soda-Fabrik A.-G.]. Пат. ФРГ 928229, 26.05.55

Реакционная смесь, образующаяся при р-ции  $\text{CH}\equiv\text{CH}$  (I) с HCN под действием водн. р-ра  $\text{Cu}_2\text{Cl}_2$ , выходящая из реакционной колонны (PK) с т-рой  $75\text{--}95^\circ$  и состоящая из 580 ч. в 1 час I, 240 ч. в 1 час акрилонитрила (II), 360 ч. в 1 час воды, 40–50 ч.

в 1 час побочных продуктов р-ции и небольшого кол-ва  $N_2$ , поступает в холодильник (ХЛ), где орошается 4000 ч. в 1 час воды ( $35-40^\circ$ ). Введением острого пара в нижнюю часть ХЛ поднимают т-ру выходящей из него жидкости до  $95-100^\circ$ . Часть этой жидкости (360 ч. в 1 час), свободной от II, выводит из циркуляции, а основное ее кол-во (4000 ч. в час), после охлаждения до  $20-30^\circ$  подают в верхнюю часть промывной колонны (ПК). Смесь газов из ХЛ поступает в экстрактор (Э), где промывается встречным потоком II (2500 ч. в 1 час). Т-ра в верхней части Э  $\sim 8^\circ$ . Выходящую из Э смесь (580 ч. в 1 час I, 60 ч. в 1 час II) подают в нижнюю часть ПК, где промывают ее охлад. р-ром, поступающим из ХЛ. Вытекающая из ПК жидкость нагревается в теплообменнике до  $35-40^\circ$  и снова поступает в ХЛ, а выходящий из верхней части ПК газ (I) возвращается в р-цию. Выделенный в Э II, содержащий еще подобные продукты р-ции, очищают отгонкой легко кипящих в-в (I, ацетальдегид, моновинилацетилен и небольшое кол-во воды) и дистилляцией в вакууме. В качестве органич. экстрагирующего в-ва кроме II могут быть применены и др., напр. бутанол или другие одно- или многовалентные спирты, а также несмешивающиеся с водой в-ва, такие, как толуол, ксилол, тетрагидронафталин. В этом случае для ХЛ и ПК должны быть применены вместо воды высшие одноатомные спирты. Приведены аналогич. примеры, где в качестве циркулирующей жидкости применена вода, а в качестве экстрагирующего в-ва — амилловый спирт и соответственно керосиновая фракция с т. кип.  $180-225^\circ$  и толуол. Приведена аппаратурная схема. А. Евдокимов-Скопинский

#### 69821 П. Способ получения алюминийтриалклов.

Пиглер, Позель (Verfahren zur Herstellung von Aluminiumtrialkylen. Ziegler Dr. E. h. Karl, Josef Kurt). Пат. ФРГ 916167, 5.08.54 [Chem. Zbl., 1955, 126, № 21, 4933 (нем.)]

Вещества общей ф-лы  $AlX_2V$  (X — алкил, V — галогид) нагревают при  $\leq 180^\circ$  с тонкоизмельченным Mg или Mg-сплавом. Особенно рекомендуется применение Mg-Al-сплавов состава от  $Al_2Mg_3$  до  $AlMg_2$ . 100 ч. этилалюминийсесквихлорида нагревают в атмосфере  $N_2$  и постепенно смешивают с 20 ч. тонкой Mg-стружки, причем т-ра должна подниматься не выше  $180^\circ$ , затем нагревают при  $160^\circ$ , пока проба р-ра, осветленная центрифугированием после разложения водой и  $HNO_3$ , не будет оставаться прозрачной при приливании р-ра  $AgNO_3$ ; перегонкой в вакууме выделяют  $Al(C_2H_5)_3$ , выход 80—90%. В. Уфимцев

#### 69822 П. Получение метилоловянной кислоты.

Эберли, Бест (Preparation of methylstannic acid. Eberly Kenneth C., Best Chris E.) [Firestone Tire and Rubber Co.]. Канад. пат. 516937, 27.09.55

Водный р-р станиита щел. металла ( $Na_2SnO_2$ ), содержащий избыток в 0,5—2,5 молей (в частности 1,5 молей) едкой щелочи (NaOH) на 1 моль станиита, обрабатывают жидким  $CH_3Cl$  при  $0-85^\circ$  с доведением pH р-ра до  $\leq 3,5$  и осаждают метилоловянную к-ту повышением pH р-ра до 5—7 (5,5—6,0). Я. Кантор

69823 П. Способ получения продуктов конденсации, содержащих азот, серу и хлор. Граф (Verfahren zur Herstellung von Stickstoff, Schwefel und Chlor enthaltenden Kondensationsprodukten. Graf Roderich) [Farbwerke Hoechst A.-G. vormals Meister Lucius & Brüning]. Пат. ФРГ 931225, 4.08.55

Эти продукты получают конденсацией хлорангидрида N-карбонилсульфаминовой к-ты (I) ф-лы  $OS=N-SO_2Cl$  при т-ре ниже  $100^\circ$  с в-вами, содержащими не меньше одной карбоксильной группы. К  $142^\circ$  ч. I приливают 60 ч.  $CH_3COOH$ , при происходящем подъеме т-ры (при  $\sim 40^\circ$ ) происходит отщепление  $CO_2$ , охлаждением удерживают т-ру при  $90-100^\circ$ , после

чего получают хлорангидрид N-ацетилсульфаминовой к-ты, т. пл.  $98-99^\circ$ . Аналогично из  $142^\circ$  ч. I и 200 ч. лауриновой к-ты получают хлорангидрид N-лаурилсульфаминовой к-ты, т. пл.  $81-82^\circ$ ; из 14,6 ч. адипиновой к-ты и 120 ч. I — дихлорангидрид N,N'-адипилдисульфаминовой к-ты ф-лы  $(CH_2CH_2CONHSO_2Cl)_2$ , т. пл.  $115^\circ$  (разл.). К  $122^\circ$  ч.  $C_6H_5COOH$  приливают  $142^\circ$  ч. I, после повышения т-ры до  $50^\circ$  приливают  $120^\circ$  ч.  $C_6H_6$  и кипятят при  $80^\circ$  до окончания выделения  $CO_2$ , отгонкой р-рителя выделяют хлорангидрид N-бензоилсульфаминовой к-ты, т. пл.  $112-113^\circ$  (разл., нагревание быстрое, из бал.). Аналогично из  $100^\circ$  ч.  $\beta$ -диметилакриловой к-ты в 200 ч. эфира и  $142^\circ$  ч. I получают  $(CH_3)_2C=CH-CO-NH-SO_2Cl$ , т. пл.  $93-95^\circ$ ; из  $148^\circ$  ч. коричной к-ты и 500 мл эфира и  $141,5^\circ$  ч. I получают  $C_6H_5CH=CH-CO-NH-SO_2Cl$ , т. пл.  $117-120^\circ$  (разл.). Полученные в-ва очень реакционноспособны и могут применяться в качестве промежуточных продуктов для получения текстильных вспомогательных в-в, красителей, лекарственных в-в и средств для борьбы с вредителями. В. Уфимцев

69824 П. Способ и катализатор для получения сероуглерода реакцией углеводородов с парами серы. Фолкинс, Миллер (Process and catalysts for the production of carbon disulfide by reaction of hydrocarbons and sulfur vapor. Folkins Hillis O., Miller Elmer) [Food Machinery and Chemical Corp.]. Канад. пат. 507177, 9.11.54

Углеводородный газ, богатый метаном, вводят при  $550-700^\circ$  в р-цию с S в соотношении примерно стехиометрич. для образования  $CS_2$  или с избытком до 15%. Р-цию ведут в присутствии циркониевого катализатора (K), содержащего 5 моль %  $ZrO_2$  — геля на геле  $SiO_2$ . K готовят сосаждением кремниевой к-ты и  $ZrO_2$  из р-ра, содержащего силикат и  $ZrO(NO_3)_2$ , и последующей активацией K нагревом с предохранением его от спекания. А. Б.

69825 П. Получение тиомочевны. Куртье (Preparation of thiourea. Courtier Armand J.) [Soc. An. des Manufactures des Glaces et Produits Chimiques de Saint-Gobain, Chauny & Cirey]. Канад. пат. 506666, 19.10.54

Раствор цианамиды в органич. р-рителе, не смешивающемся во всех отношениях с водой (напр., этилацетат), смешивают при т-ре  $< 70^\circ$  с насыщ. водн. р-ром  $H_2S$  и водн.  $(NH_4)_2S$ . Насыщают 10 л продажного водн. р-ра  $NH_3$  при  $50^\circ$   $H_2S$ , добавляют р-р 12 кг цианамиды в этилацетате (300 г/л) и пропускают  $H_2S$  с такой скоростью, чтобы не было потери газа, затем охлаждают массу и выделяют тиомочевину. А. Б.

69826 П. Способ получения органических сульфонов и сульфатов. Баниэл (Procédé de préparation de sulfonates et sulfates organiques. Baniel A.) [Israel Mining Industries]. Франц. пат. 1071071, 24.08.54 [Chimie et industrie, 1955, 73, № 3, 555 (франц.)]

Органические сульфонаты и сульфаты получают действием бисульфитов щел. металлов на соответствующие гидроперекиси в водн. р-ре. Ю. В.

69827 П. Способ получения тиураммоносульфидов. Робшоу (Verfahren zur Herstellung von Thiurammonosulfiden. Robshaw Walter Arnold) [Monsanto Chemicals Ltd]. Пат. ФРГ 930635, 21.07.55

Соль  $(NH_4)_2$  щел. металла или органич. N-основания) дитиокарбаминовой к-ты общей ф-лы  $R^1R^2NCSSH$  или  $R^1R^2NCSSH$  (где  $R^1$  и  $R^2$  — H-атомы, алкилы, циклоалкилы, а  $R^3$  — гетероцикл. радикал, в гетероцикл. кольцо которого входит приведенный в ф-ле атом N) обрабатывают при  $15-100^\circ$  в водн. или водно-спирт. среде водорастворимым окислителем — персульфатом, перборатом, перкарбонатом или перфосфа-



том  $\text{NH}_4$  или щел. металла, кислым р-ром  $\text{H}_2\text{O}_2$ , азотистой к-той, галогеном, феррицианидом, гипохлоритом или гипобромитом — в присутствии  $\text{NH}_4\text{CN}$  или цианида щел. или щел.-зем. металла в кол-ве, соответствующем по меньшей мере: равенству  $(-\text{SH})_2 + \text{MCN} + \text{O} \rightarrow \text{MCNS} + \text{H}_2\text{O} + \text{S}$ , причем исходный дитиокарбамат может быть получен в процессе производства тиураммоносульфида (и немедленно переработан в последний). 0,25 моля  $(\text{CH}_3)_2\text{NH}$  в виде 25%-ного водн. р-ра разбавляют 20 мл воды, к р-ру добавляют 0,25 моля  $\text{NaOH}$  в виде 30%-ного водн. р-ра и 0,25 моля  $\text{CS}_2$  (образование диметилдитиокарбамата); затем добавляют р-р 7,5 г 95%-ного  $\text{NaCN}$  (24,4%-ный избыток) в 67 мл воды и р-р 31 г  $\text{NH}_4$ -персульфата в 124 мл воды (повышение т-ры до  $50^\circ$ ) и отфильтровывают желтый кристаллич. осадок тетраметилтиураммоносульфида, который промывают и высушивают при  $70^\circ$ ; выход 90% (теор.), т. пл.  $108^\circ$ . Аналогично получают дипентаметилтиураммоносульфид, т. пл.  $97^\circ$  (из воды), ди(этоксизтилен)тиураммоносульфид, т. пл.  $123^\circ$ .

Я. Кантор

69828 П. Производные тетраэтилтиурамдисульфида. Халль, Гад (Tetraethylthiuram disulphide derivatives. Hald Jens, Gad Inger) [Averst, McKenna and Harrison, Ltd]. Канад. пат. 513886, 21.06.55

Псевдоморфную форму тетраэтилтиурамдисульфида (I) получают нагреванием до т-ры р-ции смеси кристаллич. I с тетрагалогидным углеродом ( $\text{CCl}_4$  или  $\text{CCl}_2$ ), причем образуется комплексное соединение, содержащее 2 моля их на 1 моль I, после чего полученный комплекс разлагают и выделяют псевдоморфную форму I. Указано нагревание 1 моля I с 2 молями тетрагалогидного углерода с образованием того же смеси и выделение при ее охлаждении указанного комплексного соединения. Приведены кристаллографич. схемы кристаллов I.

В. Уфимцев

69829 П. Способ получения ксантогенатов металлов. Фишбак (Verfahren zur Herstellung von Metall-xanthogenaten. Fischback Bryant C.) [The Dow Chemical Co.]. Пат. ФРГ 936570, 15.12.55

Ксантогенаты металлов общей ф-лы  $[\text{RO} - (\text{C}_m\text{H}_{2m}\text{O})_n - \text{C}(\text{S})\text{S}]_p\text{M}$  ( $\text{R}$  — галогидрированный арил;  $\text{M}$  — атом металла;  $m$  и  $n = 2$  или 3;  $p$  — валентность металла) получают р-цией  $\text{CS}_2$ , гидроокиси металла и моноэфира галогидарилполнаклетилглюколя общей ф-лы  $[\text{RO} - (\text{C}_m\text{H}_{2m}\text{O})_n]\text{H}$ , после чего водн. р-р полученного ксантогената можно обработать молярным избытком растворимой в воде щел.-зем. или тяжелого металла. При получении ксантогената применяют  $\text{CS}_2$  и моноэфир в молярных кол-вах, отвечающих валентности металла в его гидроокиси; р-цию проводят при  $20-40^\circ$  или при т-ре кипения реакционной смеси. К смеси 244,6 г 4-хлорфеноксипропоксипропилового спирта, 62,3 г 90%-ного  $\text{KOH}$  в порошкообразной форме и 2500 мл безводн. эфира приливают 83,7 г  $\text{CS}_2$  и размешивают ~ 3 часа при охлаждении обратного холодильника сухим льдом; фильтрованием выделяют 4-хлорфеноксипропоксипропилаксантогенат К, т. пл.  $162-175^\circ$  (из ацетона). Аналогично получают следующие в-ва (в скобках приведены т. пл. в  $^\circ\text{C}$ ): 4-хлорфеноксипропоксипропоксипропилаксантогенат К (124-136) и Са, 4-хлор-2-метилфеноксипропоксипропилаксантогенат К (172-178) и Na, 2,4-дихлорфеноксипропоксипропилаксантогенат К (140-143) и Na, 2-[2-(2,4-дихлорфенокси)-этоксизтилен]ксантогенат К (167-169) и Na, 2-[2-(2,4,5-трихлорфенокси)-этоксизтилен]ксантогенат Na, 2-хлорфеноксипропоксипропилаксантогенат Са, 2-[2-(4-хлор-2-метилфенокси)-этоксизтилен]ксантогенат Na, 2,4-дибромфеноксиэтоксизтиленксантогенат Na, 4-бром-2-метилфеноксипропоксипропилаксантогенат К, 2,4,5-трибромфеноксиэтоксизтиленксантогенат

К и 2,4-дибромфеноксипропоксипропилаксантогенат Na. Водн. р-р 1,25 моля  $\text{ZnCl}_2$  приливают к водн. р-ру 2 молей 2,4-дихлорфеноксипропоксипропилаксантогената К и испарением части воды выделяют соответствующий ксантогенат Zn в кристаллич. форме. Описан также общий метод получения исходных в-в (в скобках даны т. кип. в  $^\circ\text{C}/\text{мм}$ ): 2-[2-(2,4-дихлорфенокси)-этоксизтилен]овый спирт, 183/7; 2-[2-(2,4,5-трихлорфенокси)-этоксизтилен]овый спирт, 160/0,3; 2-[2-(4-хлор-2-метилфенокси)-этоксизтилен]овый спирт, 145-147/0,8; 2-хлорфеноксипропоксипропиловый спирт, 135/1; 4-хлорфеноксипропоксипропиловый спирт, 165-170/3; 2,4-дихлорфеноксипропоксипропиловый спирт, 140-145/0,5; 4-хлор-2-метилфеноксипропоксипропиловый спирт, 165-170/3; 4-хлорфеноксипропоксипропиловый спирт, 150-154/2.

В. Уфимцев

69830 П. Органические соединения фосфора. Дай (Organic phosphorus compounds. Dye William T., Jr) [Monsanto Chemical Co.]. Пат. США 2703813, 8.03.55

Реакцией гексахлорбутадиена с  $\text{P}[\text{N}(\text{алкил})_2]_3$ , у которого алкил содержит 1-4 атома С, получают соответствующий продукт присоединения.

В. Уфимцев

69831 П. Способ переработки смесей, получаемых при окислении гидроароматических или алифатических соединений азотной кислотой до дикарбоновых кислот. Небе, Бём (Verfahren zur Aufarbeitung der bei der Oxydation hydroaromatischer oder aliphatischer Verbindungen mit Salpetersäure oder Dicarbonsäuren entstehenden Reaktionsgemische. Nebe Erich, Böhm Otto) [Badische Anilin- & Soda-Fabrik A.-G.]. Пат. ФРГ 920788 [Chem. Zbl., 1955, 126, № 22, 5178 (нем.)]

Смеси дикарбоновых к-т, получаемые при окислении  $\text{HNO}_3$  гидроароматич. или алифатич. в-в, перерабатывают следующим образом: после отделения продуктов, выпадающих при охлаждении и упаривании, жидкость упаривают досуха в вакууме, остаток нагревают при  $100-200^\circ$  до окончания отщепления окислов азота и полученную массу очищают кристаллизацией или перегонкой. Способ особенно пригоден для переработки продуктов окисления циклогексанола, представляющих смесь цис- и транс-изомеров, глутаровой и адипиновой к-т. Непосредственной этерификацией этой смеси получают пластификатор или связующее для линолеума.

В. Уфимцев

69832 П. 9-Оксодегидроабетиновая кислота и ее эфиры. Ритчи (9-Oxo-dehydroabietic acid and esters. Ritchie Paul F.) [Hercules Powder Co.]. Пат. США 2703796, 8.03.55

Эфиры 1,2,3,4,4а,9,10,10а-октагидро-7-изопропенил-1,4а-диметил-9-оксо-1-фенантренкарбоновой к-ты получают обработкой эфиров 14-окси-9-оксодегидроабетиновой к-ты дегидратирующим средством при т-ре от  $-10$  до  $+150^\circ$ .

В. Уфимцев

69833 П. (Триорганически-замещенный силан)-циклопентеноны. Соммер (Triorganosilylcyclopentenones. Sommer Leo H.) [Dow Corning Corp.]. Пат. США 2698859, 4.01.55

Соединения общей ф-лы  $\text{R}_3\text{SiCH}_2-\text{C}=\text{C}(\text{CH}_3)-\text{CH}_2-\text{CH}_2-\text{CO}$  (I) ( $\text{R}$  — насыщ. алифатич. алкил или одно- или двухзамещенный арил) получают по схеме:  $\text{R}_3\text{SiCH}_2\text{CH}_2\text{COCH}_3 \rightarrow \text{R}_3\text{SiCH}_2\text{CH}_2\text{COCH}_2\text{COOC}_2\text{H}_5 \rightarrow \text{R}_3\text{SiCH}_2\text{CH}_2\text{COCH}_2\text{COCH}(\text{COOC}_2\text{H}_5)\text{CH}_2\text{COCH}_3 \rightarrow \text{I}$ .

В. У.

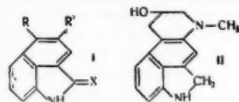
69834 П. Способ получения производных антрахинона (Verfahren zur Herstellung einer Anthrachinon-Verbindung) [CIBA A.-G.]. Швейц. пат. 298031-33, [Chem. Zbl., 1955, 126, № 21, 4943 (нем.)]

В доп. к швейц. пат. 295999 (РЖХим, 1956, 24776), из антрахинон-2-метилсульфона при нитровании

смесью  $\text{HNO}_3$  и  $\text{H}_2\text{SO}_4$  при 80—100° получают 1-нитроантрахинон-6- и 7-метилсульфон. При кипячении 1-нитроантрахинон-6-метилсульфона с  $\text{NaHS}$  в воде получают 1-амино-6-меркаптоантрахинон. Из  $\text{Na}$ -соли последнего и  $\text{CH}_3\text{I}$  получают 1-амино-6-метилмеркаптоантрахинон, красно-коричневые кристаллы. Аналогично получают: 1-амино-7-меркаптоантрахинон, 1-амино-7-метилмеркаптоантрахинон, 1-нитроантрахинон-6-изопропилсульфон, и 1-аминоантрахинон-6-изопропилсульфон, красные иголки, т. пл. 218—220°. В. Уфимцев 69835 П. Получение  $\alpha$ -аминоантрахинона. Мак-Шихи, Реймонд (Preparation of  $\alpha$ -amino anthraquinone. McSheehy Justin A., Raimond William A.) [American Cyanamid Co.], Канадск. пат. 513244, 31.05.55

Улучшение в способе получения  $\alpha$ -аминоантрахинона из  $\alpha$ -антрахинонсульфоната состоит в приготовлении реакционной смеси из  $\alpha$ -антрахинонсульфоната и 3—8% (5—6%-ного)  $\text{NH}_4\text{OH}$  в небольшом избытке над мол. эквивалентом, после чего проводят р-цию (в течение 8—15 час.) при размешивании (150—185°) и выделяют полученный  $\alpha$ -аминоантрахинон. Указано также прибавление  $\text{H}_2\text{BO}_3$  в кол-ве 0,25—0,33 от веса  $\alpha$ -антрахинонсульфоната. В. Уфимцев 69836 П. Восстановление нафтостирилов алюминидридом лития и получаемые продукты. Штоль, Петржилка, Ручман (Reduction of naphthostyryls with  $\text{LiAlH}_4$  and products obtained thereby. Stoll Arthur, Petrzilka Theodor, Rutschmann Jung) [Sandoz A.-G.], Канадск. пат. 517006, 27.09.55

Бенз-(cd)-индолины общей ф-лы (I,  $\text{X}=\text{H}_2$ ) (одна R или R'—H, другой H или пиперидиновая группа, или R+R' вместе представляют кольцо 3-оксипиперидина или 3-оксиметил-N-метилпиперидина) по-



лучают обработкой  $\text{LiAlH}_4$  соответствующих нафтостирилов общей ф-лы (I,  $\text{X}=\text{O}$ ; R и R' в отдельности, как указано выше, или R+R' вместе представляют сконденсированное кольцо 3-оксипиперидина или 3-карбоксив-N-метилпиперидина). При этой обработке СО-группа нафтостирила превращается в  $\text{CH}_2$ -группу. В частности, приведены: а) бенз-(cd)-индолин и б) в-во ф-лы (II). В. Уфимцев 69837 П. Способ получения аценафтилена. Бройх, Штейнлехнер (Verfahren zur Herstellung von Acenaphthylen. Broich Franz, Steinlechner Ernst) [Chemische Werke Hüls A.-G.], Пат. ФРГ 921989, 7.09.55

Смесь паров аценафтена (I) и инертного р-рителя, напр. 20%-ный р-р I в бзл., толуоле, ксилоле или изопропилбензоле пропускают при т-ре 600—650° над одним из обычных катализаторов дегидрирования или окисления, напр. состоящим из 69%  $\text{ZnO}$ , 17%  $\text{Al}_2\text{O}_3$ , 10%  $\text{CaO}$  и 4%  $\text{K}_2\text{O}$  или  $\text{V}_2\text{O}_5$ . Выходное отверстие печи находится под водой с т-рой 95°, причем присутствие в реакционной массе р-рителя предотвращает образование в аппаратуре пробок из кристаллич. I и образующегося аценафтилена и устраняет потери I с отходящими газами. Р-ритель регенерируют вакуум-отгонкой. Выход I 90—95%. Г. Челпанова 69838 П. Способ и устройство для получения моноалкилароматических углеводородов. Шмидт (Verfahren und Vorrichtung zur Erzeugung monoalkylierter aromatischer Kohlenwasserstoffe. Schmidt Albert Wolfgang) [Krupp Kohlechemie G. m. b. H.], Пат. ФРГ 922164, 10.01.55

Моноалкилароматич. углеводороды (I) получают конденсацией галоалкилов (II) с ароматич. углеводородами (III) в присутствии металлич. Al или Zn с непрерывной циркуляцией реакционной смеси и отводом продуктов р-ции. Соотношение III к II > 1, лучше от 5 до 20. Реакционную смесь подают в одну из труб реактора (состоящего из нескольких охлаждаемых труб), содержащую Al-стружки (предварительно обработанные  $\text{AlCl}_3$ ); образуется два слоя, из которых один более тяжелый, содержащий  $\text{AlCl}_3$ -комплекс, выводят из реактора и подают в сборник, где далее разлагают водой для получения I. Легкий слой, содержащий растворимые в III продукты р-ции и неиспользованный II, вновь подают в реактор с добавкой необходимого кол-ва исходных II и III. Отдельные трубы реактора могут отключаться для очистки и наполнения Al. Смесь 100 ч.  $\text{C}_6\text{H}_6$  и 10 ч. пропиленхлорида (IV) подают при 16° и времени контакта 7 мин. в реактор. После разделения образующихся слоев и разложения комплекса получают 70% пропиленбензола (V) на израсходованный IV. Расход Al составляет 6% на полученный V. В. Щекни 69839 П. Способ разделения смесей изомеров ксилола. Толбот (Verfahren zum Trennen von Gemischen aus Xylol-Isomeren. Talbot James L.) [California Research Corp.], Пат. ФРГ 925948, 4.04.55

Способ основан на том, что ортоксилон (или) параксилон образует комплекс с HF и  $\text{BF}_3$ . Смесь эквимолекулярных кол-в  $\text{BF}_3$  и жидкого ксилола, состоящего, в основном из орто- (или) параксилола, вводят в тесный контакт с мол. избытком HF при т-ре от —45,5 до +49°. Смесь углеводородной фазы, богатой орто- и параксиолом и кислой фазы, состоящей из HF,  $\text{BF}_3$  и метаксилола, разделяют, и кислую фазу перегоняют для отделения HF и  $\text{BF}_3$  от метаксилола. Углеводородную фазу подвергают фракционированной перегонке для разделения пара- и ортоксилолов; фракцию, богатую параксиолом, охлаждают и выделяют из нее твердый параксилон. Приведены также другие приемы выделения параксилола, основанные на различной относительной стойкости указанных комплексов, а также подробные аппаратные схемы с описанием процесса образования и разложения комплексов и разделения изомерных ксилолов. О. Славина 69840 П. Способ получения трифенилметанового производного, содержащего сульфогруппу (Verfahren zur Herstellung eines neuen sulfongruppenhaltigen Triphenylmethanabkömmlings) [Farbenfabriken Bayer A.-G.], Швейц. пат. 304038, 1.03.55 [Chimia, 1955, 9, № 8, 193 (нем.)]

Реакцией 2,2'-диокси-3,5,3',5'-пентахлортрифенилметан-6''-сульфокислого Na (I) с дигалоидметаном получают метиленовый эфир I. В. Уфимцев 69841 П. Способ замены диазогруппы на водород. Цервек, Шуберт, Флейшхауэр (Verfahren zum Ersatz der Diazogruppe durch Wasserstoff. Zerkew Werner, Schubert Max, Fleischhauser Richard) [Gassela Farbwerke Mainkur A.-G.], Пат. ФРГ 905014, 25.02.54 [Chem. Zbl., 1955, 126, № 5, 1143 (нем.)]

Диазогруппу заменяют на H по способу пат. ФРГ 901175 (РХХим, 1956, 13997), причем на амин, диазотированный при помощи диазотирующих средств (напр., окислы N,  $\text{NOCl}$ ), действуют производными  $\text{HCOOH}$  (солями, эфирами или амидами). Напр., 32 ч. 2,5-дихлоранилина растворяют в 50 ч. диметилаформамида и приливают при 30—40° 30 ч. бутилнитрита, причем выпадает тетрахлордизаминабензол, который нагревают при 50°, причем с выделением  $\text{N}_2$  образуется прозрачный р-р, из которого отгонкой с водяным паром выделяют чистый п-дихлорбензол. В. У.

69842 П. Каталитическая изомеризация метилфенолов (Catalytic conversion of methyl phenols) [Pittsburgh Consolidation Coal Co.]. Австрал. пат. 166402, 12.01.56

Метилфенолы, содержащие  $\leq 3$  метильных групп, превращают в продукты изомеризации и фенол путем пропускания паров метилфенолов в паровой фазе при 230–370° над элюмосиликатным катализатором, содержащим С, отложенный на катализаторе в кол-ве  $\geq 5\%$  от веса катализатора, и собирают пары продуктов изомеризации.

В. Уфимцев

69843 П. Ацилоксизамещенные глицидные полиэфиры двухатомных фенолов. Шокал, Мей (Acyloxy substituted-glycidyl polyethers of dihydric phenols. Shokal Edward C., May Clayton A.) [Shell Development Co.]. Пат. США 2728781, 27.12.55

Эпоксифир получают нагреванием ангидрида монокарбоновой к-ты с 2–18 атомами С, с содержащим спирт, оксигруппы глицидным эфиром 2-атомного фенола при одновременной отгонке свободной карбоновой к-ты по мере ее образования, в результате чего этерифицируются спирт. группы полиэфира без заметного разрушения эпоксидных групп. В частности, ацилоксиэфиры получают нагреванием ангидрида к-ты с 2–4 атомами С со смесью полиэфиров общей ф-лы  $R'(OROSCH_2CHONCH_2)_nOR''$ , где  $n = 0-15$ , R' — углеводородный остаток 2-атомного фенола, содержащего  $\leq 2$  конденсированных ядер, а R' и R'' — остатки ангидридного спирта, а также 2,3-диокси- или 3-хлор-2-оксипропиловые остатки (большинство групп R' и R'' — остатки ангидридного спирта), причем в полученном эпоксифире  $\geq 90\%$  радикалов R' и R'' — глицидные радикалы, а  $\geq 90\%$  спирт. оксигруппы превращены в ацилоксигруппы с 2–4 атомами С. Я. К.

69844 П. Способ получения сложных эфиров 2,4,6-трибромфенола. Сакаи, Сато, Сайто (2, 4, 6-トリブロムフェノールのエステル類の製造法. 酒井純雄, 佐藤和彦, 齊藤佐作) [株式会社科学研究所, Кабуши кайся какаку кэнзэс]. Японск. пат. 2174 23.04.54

Сложные эфиры 2,4,6-трибромфенола (I) получают р-цией I с хлорангидридами масляной, капроновой, каприловой, пеларгоновой, каприновой, ундециленовой и лауриновой к-т и других аналогичных алифатич. к-т, содержащих  $< 12$  атомов С. 30 г I и 20 г хлорангидрида *n*-масляной к-ты постепенно нагревают в 3-горлой колбе с выделением HCl-газа, затем нагревают в течение 1 часа до 120° и 2 часа при 120° на масляной бане и перегонкой выделяют 30,5 г *n*-масляного эфира I, выход 86,8%, т. кип. 170–174°/6 мм. Аналогично из 330 г I и 142 г хлорангидрида *n*-капроновой к-ты (1 час. до 120° и 2 часа при 120°) получают 364 г *n*-капронового эфира I, выход 85,1%, т. кип. 213–214°/14 мм, а из 20 г I и 15 г *n*-пеларгоновой к-ты (3 часа при 150–200°) — 19 г *n*-пеларгонового эфира I, выход 84,8%, т. кип. 175–177°/9 мм.

В. Уфимцев

69845 П. Способ получения  $\alpha$ -замещенных коричных кислот. Краусе, Оле (Verfahren zur Herstellung von  $\alpha$ -substituierten Zimtsäuren. Krauss Wilhelm, Ohle Heinz). Пат. ГДР 10506, 20.09.55

$\alpha$ -Арилзамещ. коричные к-ты общей ф-лы  $R'-C_6H_4-CH=CH-C(R)COOH$  (R — фенил или замещ. фенил; R' — алкил, галоген, нитро-, диалкиламино- или оксигруппа, ацилированная или этерифицированная оксигруппа) получают превращением фенилуксусной к-ты (I) или ее замещенных в фенильном остатке, в соответствующий ангидрид и конденсацией последнего с замещ.  $C_6H_5CHO$  в присутствии безводн. Na-ацетата и  $(CH_3CO)_2O$ , в качестве р-рителя, после чего полученный смешанный ангидрид из незамещ. или замещ. I и замещ.  $\alpha$ -фенилкоричной к-ты расщепляют нагреванием с разб. HCl. В частности, указано: а) на 1 моль

альдегида применяют 1 моль ангидрида I, а I, полученную после расщепления смешанного ангидрида, извлекают из маточных р-ров несмешивающихся с водой р-рителем и б) все три стадии можно проводить без выделения промежуточных продуктов. 3,5 кг I кипятят 2 часа с 5,2 л  $(CH_3CO)_2O$ , охлаждают до  $\sim 95^\circ$ , прибавляют к смеси 1,2 кг безводн. Na-ацетата и 2 кг *n*-нитробензальдегида, нагревают опять 45–60 мин. при 95°, в течение 1 часа приливают 5 л 3 н. HCl (в начале бурная р-ция!), нагревают еще 10–15 мин. и при 90° в течение 30 мин. разбавляют 5 л воды, нагревают еще 15 мин. и по охлаждению отфильтровывают  $\alpha$ -фенил-*n*-нитрокоричную к-ту, выход  $\sim 80\%$ , т. пл. 213–215°. Из маточного р-ра извлекают 4 л  $C_6H_6$  и перегоняют в высоком вакууме остаток I.

В. Уфимцев

69846 П. Способ получения терефталевой кислоты. Рекке (Verfahren zur Herstellung von Terephthal-säure. Raeecke Bernhard) [Henkel & Cie G. m. b. H.]. Пат. ФРГ 936036, 1.12.55

Терефталевую к-ту (I) и ее производные получают нагреванием ди-К-соли фталевой к-ты (II) при высокой т-ре в присутствии  $CO_2$ . В частности, перегруппировку II в I проводят под давлением при 340° в присутствии инертных в-в и катализаторов. Автоклав, содержащий 50 г ди-К-соли II, заполняют  $CO_2$  при 30 атм, нагревают в течение 1 часа до 350–354° и выдерживают при этой т-ре и макс. давл. 69 атм в течение 6 час. По охлаждению смесь растворяют в 200 мл горячей воды, фильтруют и подкисляют разб. HCl (к-той). Осадок отфильтровывают, промывают небольшим кол-вом воды и сушат при 120° 14 час. Выход I 8,3%. Из фильтрата выделяют II. Смесь 80 г ди-К-соли II и 20 г  $K_2CO_3$  нагревают в автоклаве под давлением  $CO_2$  (первоначальное давл. 30 атм, макс. 82 атм) при 350–354° 6 час. Выход I 10,7%. Диметилловый эфир I, т. пл. 139–140°, диэтиловый эфир I, т. пл. 44°, дихлорид I, т. пл. 77–78°. Аналогично получают I в следующих условиях (указаны кол-во ди-К-соли II в г, кол-во  $K_2CO_3$  или других в-в в г, продолжительность выдержки в час, т-ра в °C, макс. давление  $CO_2$  в атм, выход в %): 50, 50, 6, 350–354, 67, 7,3; 80, 20, 30, 350–354, 70, 27; 80, 20 (+4 г HgCl), 6, 350–354, 72, 14; в медной трубке, 160, 40, 7,5, 400–425; в токе  $CO_2$  без давления (БД), следы; 150 (0,5% влаги). — 6, 400–402, 72, 56,2; 150, 19, 6, 400–404; 70,5 50,8; 150, —, 1, 450, 30, 46,5; 500, —, 6, 400–402, 223, 54,8; 150, 150 г  $K_2SO_4$ , 6, 400–403, 79, 55,4; 150, 150 г KCl, 6, 400–403, 79, 58,7 (запах бензола); 150, —, 6, 450, 248 атм  $N_2$ , 36%; 150, —, 6, 450, 148 атм  $N_2$ , 0; 150, —, 6, 450, 148, 27; 150, —, 8, 400, 5, 29,5; 300, 15 г  $K_4P_2O_7$ , 8, 400, 151, 54,4; 300, 15 г  $Fe_2O_3$ , 4, 400, в токе  $CO_2$  БД, 18,9; 50, 50 г песка и 1 г  $Fe_2O_3$ , 2,5, 400, в токе  $CO_2$  БД, 26; 300 и 15 г фталата свинца, —, 3, 410, в токе  $CO_2$  БД, 19,5; 300 и 15 г фталата свинца, —, 3,430, в токе  $CO_2$  БД 28,5; 300 и 15 г фталата свинца, —, 6, 400, 108, 70,8; 300 и 10 г фталата железа, —, 6, 400, 108, 61,1; 300 и 10 г фталата железа, —, 6, 400, в токе  $CO_2$  БД, 28,1; 300, 100 г сплава (36 ч. Pb, 64 ч. Sn), —, 3, в токе  $CO_2$  БД, 29,6; 300 и 100 г сплава (34 ч. Pb, 16 ч. Sn, 50 ч. Bi), —, 5, 400, в токе  $CO_2$  БД, 36,4; 300 и Bi, —, 5, 400, в токе  $CO_2$  БД, 43,2; 300 и 4 г свиногового глета, —, 5, 400, в токе  $CO_2$  БД, 40,8; 150 и 10 г  $PbCl_2$ , —, 20 мин., 410°, в токе  $CO_2$  БД, 37,9.

А. Евдокимов-Скопинский

69847 П. Производство терефталевой кислоты (Fabrication de l'acide téréphthalique) [Imperial Chemical Industries Ltd. Франц. пат. 1054693, 12.02.54 [Chimica, 1954, 30, № 10, 341 (итал.)]

Окисляют *n*-кислот, при т-ре  $> 100^\circ$  пропусканием  $O_2$ , воздуха или других содержащих  $O_2$  газовых смесей через жидкий *n*-кислот, содержащий в качестве катализатора окисления небольшое кол-во масляраствори-



мого соединения Со. Выделяют перегонкой остаток после окисления и окисление выделенного остатка проводят разб. азотной кислотой.

**А. Б. 69848 П. Способ получения сложных эфиров. Василеску** (Veresterungsverfahren. Vasilescu Virgiliu). Пат. ГДР 10808, 28.11.55

Способ заключается в непрерывном пропускании смеси компонентов (к-т, сп. или фенолов) через несколько реакционных камер, наполненных искусств. смолы, содержащей кислотные группы, при нагревании (не выше т-ры разложения ионита). Смесь технич. жирных к-т с 7—9 атомами С, получаемую в качестве побочного продукта при окислении парафинов, смешивают со 150% теоретич. кол-ва  $C_4H_9OH$  и полученную смесь с КЧ 217 (КЧ — кислотное число) при 130—150° пропускают сверху вниз через колонну, наполненную кислотным органич. ионитом с размером зерен 1—2 мм, состоящим из фенолформальдегидной смолы, содержащей сульфогруппы. Из головной части колонны отгоняют смесь паров воды и бутлового спирта, остающаяся жидкая часть подвергается этерификации и из колонны получают продукт р-ции с КЧ 10—15. При повторном пропускании через 2-ю аналогичную колонну КЧ снижается до ~ 5 и получаемый продукт подвергают ректификации. Длительность этерификации ~ 1,5 часа, коэф. наполнения колонны и пропускная способность ~ 0,4. Аналогично этерифицируют смесь жирных к-т с 10—16 атомами С  $C_4H_9OH$  или циклогексанолом. Смесь 148 ч. фталевого ангидрида и 184 ч.  $C_2H_5OH$  пропускают через несколько колонных аппаратов, наполненных кислотным ионитом из фенольной искусств. смолы, обогреваемых масляной баней на 110°; после каждого прохода через колонну к реакционной смеси прибавляют ~ 50 ч.  $C_2H_5OH$ , при этом получают диэтиловый эфир фталевой к-ты. Аналогично проводят р-цию салициловой к-ты с  $CH_3OH$  при 95—100°. При пропускании смеси 100 ч. 80%-ной  $H_2PO_4$  с 300 ч. технич. крезоло при 150° в 1-й колонне КЧ снижается с 215 до 16, во 2-й колонне получают практически нейтр. трикрезилфосфат.

В. Уфимцев

**69849 П. Способ получения сложных эфиров основного характера. Боте, Вундерлих** (Verfahren zur Darstellung von basischen Estern. Bothe Horst, Wunderlich Helmut). Пат. ГДР 10617, 15.10.55

Указанные эфиры общей ф-лы  $C_6H_5-CH(R')-COOR''$  [ $R'—H$ , алкил или арил;  $R''—$ остаток спирта основного характера, напр.,  $-CH_2CH_2N(C_2H_5)_2$ ] получают при одновременном протекании р-ций отщепления и этерификации из незамец., алкилзамец. или арилзамец. диалкильных эфиров фенолмалоновой к-ты со спиртами основного характера в присутствии (в качестве катализатора) следов металлич. Na,  $C_2H_5ONa$  или другого подходящего Na-алкоголята, обладающего основным характером. 29 г диэтилового эфира фенолмалоновой к-ты, 117 г диэтиламиноэтилового спирта и 0,3 г Na в 100 мл абс. спирта кипятят 16 час. при 150—160° с нисходящим холодильником, отгоняют в вакууме диэтиламиноэтиловый спирт, остаток обрабатывают водой и эфиром, эфирный слой извлекают HCl (к-той), солянокислый р-р подщелачивают и вновь извлекают эфиром. Перегонкой эфира выделяют диэтиламиноэтиловый эфир фенолуксусной к-ты, выход 55—60%, т. кип. 133°/0,9—1 мм. Аналогично из 33 г дибутилового эфира фенилпропималоновой к-ты, 117 г диэтиламиноэтилового спирта и 0,3 г Na в 50 мл абс.  $C_2H_5OH$  получают диэтиламиноэтиловый эфир фенилвалерпановой к-ты, выход 65%, т. кип. 163—167°/12 мм [оксалат, т. пл. 105—107° (из сп.+эф.)]; из 30 г дибутилового эфира фенилмалоновой к-ты, 130 г пиперидиноэтилового спирта и 0,3 г Na в 50 мл абс.  $C_2H_5OH—$

пиперидиноэтиловый эфир  $\alpha$ -фенилуксусной к-ты, выход 64%, т. кип. 138—143°/0,8 мм.

**В. Уфимцев 69850 П. Получение бесцветных солей аци-нитросоединений. Шик, Ридль** (Production of colorless salts of aci-nitro compounds. Schickh Otto von, Riedl Hans-Joachim) [Badische Anilin- und Soda-Fabrik A.-G.]. Канад. пат. 516902, 27.09.55

В способ получения почти бесцветных прозрачных р-ров солей аци-нитросоединений, растворимых в воде, путем растворения вторичных циклоалифатич. нитроуглеводородов в водн. р-рах гидроокисей щел. или щел.-зем. металлов или  $NH_3$ , вводится стадия, заключающаяся в прибавлении ~ 0,1—10% гидроксил-амин или растворимого в воде сульфата или бисульфата. В частности, приведено получение бесцветного прозрачного водн. р-ра Na-соли аци-нитроциклогексана путем растворения технич. нитроциклогексана при т-ре ~ 20° в водн. р-ре NaOH, содержащем 0,1—10%  $Na_2SO_3$ . Аналогично получают K-соль аци-нитроциклооктана из технич. нитроциклооктана, KOH и  $K_2SO_3$  и  $NH_4$ -соль аци-нитроциклопентана из технич. нитроциклопентана,  $NH_4OH$  и  $NH_4$ -сульфата.

В. Уфимцев

**69851 П. Способ восстановления ароматических нитросоединений и соответствующих аминов, особенно нитробензола в анилин. Уинстром** (Verfahren zur Reduktion von aromatischen Nitro-Verbindungen, insbesondere Nitrobenzol, zu den entsprechenden Aminen, insbesondere Anilin. Winstrom Leon Oscar). Пат. ФРГ 927508, 9.05.55

Восстановление  $H_2$  проводится на катализаторе, состоящем из NiS и активного и (или) аморфного глинозема. Катализатор получают пропиткой активного глинозема при т-ре ниже 800° или без нагревания р-ром Ni-соли и последующим осеребрением. Его получают также осеребрением Ni-Al-гидрата. Восстановление проводят в паровой фазе при 250—350° с 1,5—5-кратным кол-вом  $H_2$  от теории. 465 ч.  $Ni(NO_3)_2 \cdot 6H_2O$  и 300 ч. активированного глинозема (величина частиц 1,65—3,33 мм) нагревают 1 час до 90° и пропитывают попеременно при 1 мм и при 760 мм рт. ст., затем нагревают во вращающемся барабане до 200°, 1 час в токе воздуха при 300°, 2 час. до 450° и 1 час при 450°. Охлаждают до 20° и насыщают  $H_2S$ , поднимая т-ру до 450°, и при этой т-ре выдерживают 1 час. До употребления катализатор сохраняют в атмосфере, не содержащей  $O_2$ . Смесь нитробензола (I) с 9 молями  $H_2$  пропускают над катализатором при 300° (300 г I на 1 л катализатора). Продукт р-ции охлаждают, отделяют от водн. слоя и перегоняют вначале при 760 мм, затем при 50 мм. Выход анилина (II) 97%. Продолжительность работы катализатора до падения его активности 450 час. Катализатор регенерируют продуванием воздуха и водяных паров при 400° и затем продуванием  $H_2$  при 400°. Продолжительность годности катализатора более 4500 час. 300 ч. активированного глинозема (величина частиц 2,36—3,33 мм) пропитывают при 60° р-ром 50 ч.  $Ni(C_2H_5O_2)_2 \cdot 4H_2O$ , 30 ч. лед.  $CH_3COOH$  в 400 ч. воды попеременно при 760 и 50 мм насыщают  $H_2S$ , смешивают с 90 ч. р-ра  $NH_4OH$ , снова насыщают  $H_2S$ , сушат и восстанавливают  $H_2$  при 350° в течение 1 часа. Смесь I с 10,2 молями  $H_2$  пропускают над катализатором при 300° (480 г I на 1 л катализатора). Выход II — колич. Р-р 665 ч.  $(NH_4)_2CO_3 \cdot H_2O$  в 3850 ч. воды смешивают при 5° с р-ром 291 ч.  $Ni(NO_3)_2 \cdot 6H_2O$  в 300 ч. воды и р-ром 750 ч.  $Al(NO_3)_3 \cdot 9H_2O$  в 700 ч. воды; перемешивают 30 мин., фильтруют, промывают 3 раза по 4000 ч. воды, сушат при 100°, измельчают до величины частиц 1,65—3,33 мм. Обрабатывают  $H_2S$  при 300° в течение 45 мин., затем смесью  $H_2S + H_2$  (1:1) при 345° 15 мин. Восстановление ведут со скоростью 300 г I на 1 л катализатора

при 300° в течение 700 час., затем регенерируют катализатор. Выход II 99% 430 ч.  $(\text{NH}_4)_2\text{CO}_3 \cdot \text{H}_2\text{O}$  в 2550 ч. воды смешивают при 5° с р-ром 291 ч.  $\text{Ni}(\text{NO}_3)_2 \cdot 6\text{H}_2\text{O}$  в 300 ч. воды и р-ром 375 ч.  $\text{Al}(\text{NO}_3)_3 \cdot 9\text{H}_2\text{O}$  в 350 ч. воды; фильтруют, промывают водой, взмучивают в 4-кратном кол-ве воды, выдерживают 18 час. при 100°, фильтруют, сушат в токе воздуха и измельчают до величины частиц 2,36—3,33 мм. Нагревают в токе воздуха 1 час при 300°, поднимают т-ру в течение 2 час. до 450° и выдерживают при этой т-ре 1 час. Охлаждают до 20° и обрабатывают  $\text{H}_2\text{S}$  1 час при 300° и 1 час при 450°; восстановление количественное.

А. Евдокимов-Скопинский  
69852 П. Способ получения нитрофенола. Хак, Карстене (Verfahren zur Darstellung von Nitrophenol. Haack Eirch, Carstene Ernst) [VEB Chemische Fabrik von Heyden]. Пат. ГДР 10561, 15.10.55

Н-нитрофенол (I) получают обработкой н-нитрохлорбензола в спирт. р-ре водн. конц. NaOH (лучше ~ 50%-ной конц-ии), причем кол-во NaOH берут ниже эквивалентного; после выделения продукта из маточного р-ра удаляют воду азеотропной перегонкой и после добавления недостающего кол-ва исходных материалов вновь вводят в р-цию. В 650 мл 96%-ного спирта растворяют 235 г н-нитрохлорбензола, прибавляют 5 г  $\text{K}_2\text{SO}_3$  или  $\text{Na}_2\text{SO}_3$  и нагревают до 60°, в течение 30 час. (возможно по частям) вводят 58 мл 52%-ного р-ра NaOH так, чтобы конц-ия свободного NaOH не превышала 0,2 н. По окончании загрузки нагревают еще 20 час., причем т-ру постепенно через 5° повышают до 80°. Охлаждают до 30°, отделяют I и промывают небольшим кол-вом спирта и водой. К маточному р-ру прибавляют  $\text{C}_6\text{H}_6$  и удаляют воду азеотропной перегонкой, а остаток используют для загрузки на следующие операции. При таком режиме работы почти не образуется азоксисоединения, а I получают с выходом ~ 100%.

В. Уфимцев  
69853 П. Производные арилметиламина. Фанчер, Олин (Arylmethylamine derivatives. Fancher Otis E., Olin Stephen M.) [Miles Lab. Inc.]. Канадск. пат. 516796, 20.09.55

Арилметиламины общей ф-лы  $\text{R}-\text{CH}_2-\text{NR}'$  [R — 2-дифенолсульфид или 2-флуоренил;  $\text{NR}'$  — морфолино-, пиперидино-, диалкиламино-, ди-(оксалкил)-амино-, алкил-(оксалкил)-амино- или алкил-(хлоралкил)-аминогруппа] получают галондметилированием R и последующим аминированием обработкой вторичным амином полученного галондметильного производного. Патентуются также получаемые обычным путем соли этих арилметиламинов, являющиеся твердой растворимой в воде формой этих в-в.

В. Уфимцев  
69854 П. н-Фенилендиамины (p-Phenylene diamines) [Imperial Chemical Industries Ltd]. Австрал. пат. 163222, 23.06.55

Диамины ф-лы  $\text{n-RR'NC}_6\text{H}_4\text{NHR}''$  (R—H, алкил или арил, R' — алкил или арил, а R'' — алкил с  $\geq 3$  атомами C, который связан с атомом N аминогруппы не через конечный атом C и который может быть замещен фенильной группой и в этом случае состоять из  $\geq 2$  атомов C) получают восстановительным алкилированием нитрозаминных ф-лы  $\text{n-RR'NC}_6\text{H}_4\text{NO}$  путем гидрирования в присутствии соответствующего кетона.

Я. Кантор  
69855 П. Фенилтиазолилпропиламин и его производные. Нисидзе, Фукуда (Phenylthiazolylpropylamine and its derivatives. Nishige Shigeo, Fukuda Chotaro) [Sumitomo Chemical Industries Co.]. Японск. пат. 1588, 15.04.53 [Chem. Abstrs, 1954, 48, № 20, 12180—12181 (англ.)]

28 г  $(\text{CH}_3)_2\text{NCH}_2\text{CH}_2\text{CH}(\text{C}_6\text{H}_5)\text{CSNH}_2$  в 80 мл бензола обрабатывают по каплям 16 г  $\text{CH}_3\text{COCH}_2\text{Cl}$ , кипятят

с обратным холодильником 2 часа, взбалтывают с водой, водн. слой подщелачивают NaOH, экстрагируют бензолом и из экстракта отгоняют бензол, выход 26,3 г  $(\text{CH}_3)_2\text{NCH}_2\text{CH}_2\text{CH}(\text{C}_6\text{H}_5)\text{R}$  (R — 2-тиазолил), т. кип. 158—159°/6,5 мм; сукцинат, т. пл. 120—121°; малеат, т. пл. 98,5—99,5°.

Я. Кантор  
69856 П. Способ получения производных тиомочевин. Эрхарт, Рушиг, Аумюллер (Verfahren zur Herstellung von Thioharnstoffabkömmlingen. Ehrhart Gustav, Ruschig Heinrich, Aumüller Walter) [Farbwerke Hoechst A.-G. vormals Meister Lucius & Brüning]. Пат. ФРГ 924864, 21.04.55

Производные тиомочевин (I) получают р-цией эфира н-карбоксии-м-оксифенилгоричного масла (II) с вторичными основаниями. 3 г метиланилина смешивают с 6,3 г н-карбометокси-II; после разогревания и обработки застывшей массы  $\text{CH}_3\text{OH}$  получают сырой N-метил - N-фенил-N'-(н-карбозокси - м-оксифенил)-I 8,3 г; т. пл. 140—141° (из сн.). Аналогично получают N-этил-N-фенил-N'-(н-карбозокси-м-оксифенил)-I нагреванием 6,7 г н-карбозокси-II с 3,6 г моноэтиланилина; выход 8,4 г, т. пл. 128° из  $\text{CH}_3\text{OH}$ , N,N-пентаметил-N'-(н-карбозокси-м-оксифенил)-I из 6,69 г н-карбозокси-II и 2,55 г пиперидина, выход 6,7 г, т. пл. 160—161° (из  $\text{CH}_3\text{OH}$  и  $\text{CH}_3\text{COOH}$ ) и N,N-диэтил-N'-(н-карбометокси-м-оксифенил)-I (нагревание на водяной бане 1 г н-карбометокси-II с 0,35 г диэтиламина), выход 0,8 г, т. пл. 97° (из  $\text{CH}_3\text{OH}$ ).

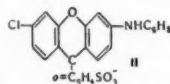
Г. Челпанова  
69857 П. Способ электрохимического окисления о-толуолсульфамида до имида о-сульфобензойной кислоты на свинцовых или содержащих свинец анодах. Дюркес (Verfahren zur elektrochemischen Oxydation von o-Toluolsulfamid zu Benzoesäuresulfimid bei Verwendung von Blei-oder bleihaltigen Anoden. Dürkes Karl) [Farbwerke Hoechst A.-G. vormals Meister Lucius und Brüning]. Пат. ФРГ 924147, 28.02.55

Электрохимическое окисление о-толуолсульфамида до имида о-сульфобензойной к-ты проводят, избегая значительного накопления растворенной  $\text{CO}_2$  в слое жидкости, окружающей свинцовые или Pb-содержащие аноды. Для этого из слоя жидкости удаляют  $\text{CO}_2$  при помощи механич. или физ. средств, напр. продуванием электрфлота струей сжатого воздуха или добавлением свободных щелочей; электролиз проводят при pH не выше ~ 9,8. Пример: электрохим. окисление о-толуолсульфамида проводят в 2 н.  $\text{Na}_2\text{CO}_3$  на формованных Pb-анодах при 50—55° при плотности тока 0,75 а/дм<sup>2</sup> при сильном размешивании и продувании 150 л/час сжатого воздуха через пористую стеклянную пластинку (размеры анодов 18 × 22 см, поверхность электродов 4 дм<sup>2</sup>, расстояние между электродами 6,5 см, объем электролита 4 л и верхняя поверхность его 1,15 дм<sup>2</sup>). При этом в течение 24 час. не наблюдается никакой коррозии электродов, выход по току 68%.

В. Уфимцев  
69858 П. Способ получения несимметричных производных ксантения. Бестан, Шефер, Квинт (Verfahren zur Herstellung von unsymmetrischen Xantheniumverbindungen. Bestian Herbert, Schäfer Gustav, Quint Ferdinand) [Farbwerke Hoechst A.-G.]. Пат. ФРГ 915128, 15.07.54 [Chem. Zbl., 1954, 126, № 5, 1147—1148 (нем.)]

Асимметричные производные ксантения (ПК) получают взаимодействием производных 9-фенилксантгидрол-2'-сульфокислоты, содержащих в положениях 3 и 6 замещаемый атом или группу и могущих содержать в фенильном остатке другие заместители, при низкой и несколько повышенной т-ре с первичными или вторичными ароматич. аминами, причем последние

после этого могут быть еще сульфированы. ПК можно получить в весьма чистом состоянии и с высокими выходами. Низкая т-ра, разбавление реагентов р-рителями (в особенности водой или низшими спиртами) и применение меньшего избытка основания благоприятствуют образованию продуктов односторонней конденсации; прибавление в-в, связывающих к-ту, облегчает взаимодействие и делает его более полным. ПК применяют в качестве исходных продуктов для получения красителей, или, после дополнительного сульфиро-



рования, их можно непосредственно употреблять в качестве красителей. 8,1 ч. внутренней соли 3,6-дихлор-9-фенилксантгидрол-2'-сульфокислоты (I) размешивают 15 мин. в 75 ч.  $\text{CH}_3\text{OH}$  при 20°, быстро приливают 4,65 ч. анилина и размешивают еще 1 час, получают 9,17 ч. коричневатого-красного кристаллич. порошка, в-ва ф-лы (II). Аналогично получают другие соединения; напр., из I и: *n*-анилидина, блестящие кристаллы (K); *n*-нитранилина, коричневый порошок (П); 2-нитро-4-толуидина, кирпично-красный П; диэтиламида 2-метоксианилин-5-сульфокислоты, яркий кирпично-красный П; *n*-аминоацетанилида, темно-коричневый П раствором в горячем гликоле; 3-амино-*N*-этилкарбазола, черный П; *n*-аминофенил- $\beta$ -оксиэтилсульфона, красно-коричневый КП (3-амино-4-метоксифенил) -  $\beta$ -оксиэтилсульфона, бордо-красный П; 4-амино-3,5-диметил- $\beta$ -оксиэтилсульфона, коричневый П; 1-амино-2-окси-3-бензойной к-ты, кирпично-красный П; 2,6-диметилаанилина, кирпично-красный П, легко растворим в  $\text{CH}_3\text{OH}$  и  $\text{C}_2\text{H}_5\text{OH}$ ; 2,4,6-триметилаанилина (III), яркие кирпично-красные рыхлые К; 1-метиламино-2,5-диметилбензола, кирпично-красный П; 1-метиламино-2-метилбензола (IV), коричнево-красный П, легко растворим в  $\text{CH}_3\text{OH}$  и  $\text{C}_2\text{H}_5\text{OH}$ ; 2-метил-6-хлоранилина, кирпично-красный грубокристаллич. П; 2-трифторметилаанилина, яркие желто-красные К с черным бронзовым блеском; 1-амино-2-метил-4-циклогексилбензола, коричнево-красный П; 4-амино-3,2'-диметилазобензола, коричнево-красный П; 1-(4'-аминофенил)-3-метилпиразолона-5, оливково-зеленый бронзирующий П, растворим в разб. щелочах; дегидро-*n*-толуидинсульфокислого Na, фиолетовый П, окрашивающий хлопок в красно-фиолетовый цвет; Na-соль 4-аминодифениламин-2-сульфокислоты, темные К, окрашивает шерсть и шелк в серый и черный цвет, прочный против света и мытья; Na-соли метаноловой к-ты, кирпично-красные К; 1-амино-2-окси-5-сульфо-3-бензойноукислого Na, темно-красный П; 1-амино-4-окси-3-сульфо-5-бензойноукислого Na, темно-коричневый П; 1-этиламино-2-метилбензола или бутилаанилина, темно-коричневый П; этиламинобензола (V); красно-коричневый П. Аналогичные в-ва получены взаимодействием внутренних солей: 3,6-дихлор-9-фенилксантгидрол-2'- $\beta$ -дисульфокислоты (VI) с анилином, коричневый П, растворим в разб. щелочах. VI с IV, кирпично-красный П; VI с III, яркий оранжевый П; 3,6-дихлор-9-фенилксантгидрол-4'-метокси-2'-сульфокислоты с *n*-толуидином, красный П; 3,6-дихлор-9-фенилксантгидрол-4'-карбокси-2'-сульфокислоты с *n*-фенетином, красный П; 3,6,4'-трихлор-9-фенилксантгидрол-2'-сульфокислоты (VII) с V, красно-коричневый П; VII с Na-солью 4-аминодифенилоксид-2-сульфокислоты, черно-коричневый продукт конденсации.

В. Уфимцев

69859 П. Производство замещенных дигидропиридинов, Глусанкемп, Патрик (Production of sub-

stituted dihydropyridines. Gluesenkamp Earl W., Patrick Tracy M. Jr.) [Monsanto Chemical Co.]. Пат. США 2704759, 22.03.55

Смесь альдимида ф-лы  $\text{RCH}=\text{NR}'$  (I) с альдегидом ф-лы  $\text{R}''\text{CH}_2\text{CHO}$  (II) ( $\text{R}$  — алкил, содержащий от 2 до 6 атомов C;  $\text{R}'$  — углеводородный радикал, лишенный ненасыщенности не бензольного характера и содержащий до 8 атомов C, а  $\text{R}''$  — радикал ф-лы  $(\text{C}_n\text{H}_{2n})\text{H}$ , где  $n = 0-6$ ) при молярном соотношении П и I, по крайней мере, в  $\sim 2$ , нагревают в жидкой фазе до т-ры кипения смеси, затем выделяют продукт р-ции — замещ. дигидропиридин. И. Горбовицкий

69860 П. Каталитическая дегидрогенизация пиперидина (Catalytic dehydrogenation of piperidine) [Imperia Chemical Industries Ltd]. Австрал. пат. 200971, 15.03.56

Пиперидин (I) дегидрируют в пиридин, пропуская пары I и  $\text{H}_2$  над Pt- или Pd-катализатором, нанесенным на силикагель. О. Магидсон

69861 П. Способ получения соединений с основными свойствами. Эрхарт, Бестман (Verfahren zur Herstellung von basischen Verbindungen. Ehrhart Gustav, Bestman Walter) [Farbwerke Hoechst A.-G. vormals Meister Lucius & Brünig]. Пат. FRG 922824, 27.01.55

Соединения общей ф-лы  $\text{R}'\text{R}''\text{CHNCHXCHXN} < (\text{R}' - \text{замещ. или незамещ. ароматич. или гетероцикл. кольцо, R}'' - \text{замещ. или незамещ. гетероцикл. кольцо, X} - \text{H или CH}_3, \text{ а N} < \text{третично связанный атом N})$  получают действием 1 моля ацетонитрила, замещ. в  $\alpha$ -положении арильным или гетероцикл. остатком, на 1 моль гетероцикл. соединения  $\text{C} \geq 1$  галогенных атомов при ядре в присутствии 2 молей амида щел. металла ( $\text{NaNH}_2$ ) при низкой т-ре, предпочтительно между  $-10$  и  $+10^\circ$ , с последующей обработкой (при  $35-40^\circ$ ) полученного щел. соединения димамец. ацетонитрила соединением общей ф-лы  $\text{JCHXCHXN} < (\text{X}$  имеет вышеуказанные значения, а J — галоген) или эфиром сульфокислоты, спиртового остаток которого отвечает ф-ле  $-\text{CHXCHXN} <.$  Замещение CN на водород осуществляют известным образом, предпочтительно кипячением со спирт. едкой щелочью, или же 70%-ной  $\text{H}_2\text{SO}_4$  в случае наличия в конечном нитриле чувствительных к едкой щелочи групп. Выходы достигают  $\sim 90\%$  (теор.) от арилацетонитрила. Так, смесь 117 вес. ч. бензиланида 160 ч.  $\alpha$ -бромпиперидина и 500 объемн. ч. бензола охлаждают при хорошем перемешивании до  $-10^\circ$  и прибавляют 30 вес. ч.  $\text{NaNH}_2$ . Р-ция начинается через 5—10 мин., причем смесь окрашивается в темный цвет и т-ра ее поднимается до  $+20^\circ$ . Смесь вновь охлаждают до  $-5^\circ$  и при т-ре от  $-5$  до  $+5^\circ$  в нее вводят постепенно  $\text{NaNH}_2$  пока общее кол-во его в смеси не достигнет 80 вес. ч.; перемешивают еще 1 час при  $5-10^\circ$ , нагревают в течение 2 час. до  $50-60^\circ$  для завершения р-ции (при более высокой т-ре — сильное осмоление), охлаждают до  $25^\circ$  и при  $25-30^\circ$  добавляют в течение 10 мин. 113 вес. ч. диметиламиноэтилхлорида. Перемешивают 3 часа при  $35-40^\circ$ , нагревают в течение 2 час. до  $80^\circ$  для завершения р-ции, охлаждают до  $\sim 20^\circ$ , добавляют  $\sim 250$  объемн. ч. воды, отделяют бензольный р-р и упаривают, в остатке получают 275 вес. ч. сырого  $\alpha$ -фенил- $\alpha$ -пиперидил-(2)- $\gamma$ -диметиламинобутиронитрила. Последний слабо кипит на масляной бане 4 часа при перемешивании со 175 вес. ч. КОН и 450 объемн. ч.  $\text{C}_2\text{H}_5\text{OH}$ , после чего отгоняют последний в небольшом вакууме, остаток обрабатывают водой, экстрагируют нерастворимое масло эфиром, вытяжку высушивают, упаривают, остаток перегоняют и получают 217,5 вес. ч. (90,6% теор.) 1-фенил-1-пиперидил-(2)-3-диметиламинопропана, т. кип.  $128-132^\circ/0,3$  мм, маленат, т. п.



104,5—105,5°, *n*-аминосалицилат, т. разл. 144°. Описано также получение: 1-фенил-1-(5-бромпиридил)-(2)-3-диметиламинопропана, т. кип. 158—162°/0,7 мм, маленнат, т. пл. 117—118° (из  $\text{CH}_3\text{COOH}$ ), *n*-аминосалицилат, т. разл. 133—134°; 1-тенил-(2)-1-пиридил-(2)-3-диметиламинопропана, т. кип. 135—140°/0,7 мм, *n*-аминосалицилат, т. разл. 142—143°; 1-(*n*-хлорфенил)-1-пиридил-(2)-3-диметиламинопропана, т. кип. 121—125°/0,1 мм, маленнат, т. пл. 128—129°.

Я. Кантор

См. также: Анализ продуктов оксисинтеза 69198. Определение  $\text{CH}_3\text{COOH}$  69203. Определение алкилсалицилатов 69206, 69207. Хим. пром-сть на базе угольного сырья в Голландии 69636. Свободнорадикальные процессы в пром-сти 68394, 68396, 68400, 68403, 68404. Пиролиз углеводородов 68399. Парофазная этерификация  $\text{CH}_3\text{COOH}$  и серн. эфира 68436. Виниловые эфиры 68760. Получение ксилотов алкилированием 68786. Синтез ароматич. углеводородов с заданным строением 68837. Гидролиз хлорбензола 68435, 68709. Влияние органич. соединений S на синтез над Fe-катализатором 68437.

## ПРОМЫШЛЕННЫЙ СИНТЕЗ КРАСИТЕЛЕЙ

Редактор Н. А. Медыжовская

69862. Развитие производства и мировой торговли синтетическими красителями. За к (Evolution de la production et des échanges mondiaux de matières colorantes. Sack Ernest A.), Teintex, 1957, 22, № 3, 173, 175—176, 179 (франц.)

Приведены данные о мировом произ-ве, экспорте и импорте синтетич. красителей в 1953—1955 гг. В. У.

69863. Влияние пространственных факторов на свойства красителей, содержащих ядро бифенила. V. Окраска и субстантивность бисазокрасителей из 2,6-диметилбензидина и нафтидина. Красовицкий Б. М., Серова Т. А., Укр. хим. ж., 1956, 22, № 3, 368—372

Исследовано влияние строения на окраску и субстантивность дисазокрасителей, полученных сочетанием 2,6-диметилбензидина (I) или нафтидина (II) с АП-кислотой (III) в щел. среде (сами красители, полученные сочетанием с III, в этом и последующих случаях обозначаются прибавлением буквы «а» к шифру дисазосоставляющей). При сравнении с аналогичными красителями из бензидина (IV), 2-метилбензидина (V) и 2,2'-диметилбензидина (VI) оказалось, что у VIa две метильные группы в орто-положении к дифенильной связи создают большие пространственные затруднения: VIa (в противоположность IVa и Va) мало субстантивен и мало меняет окраску при переходе из р-ра на целлофан. Ia и IIa еще меньше субстантивны, чем VIa; Ia значительно меньше Va углубляет окраску при фиксации на целлофане, что говорит о больших пространственных затруднениях в молекуле Ia. IIa окрашен значительно глубже моноазокрасителя из  $\alpha$ -нафтиламина (VII) и III вследствие заметного взаимодействия между 2 положениями IIa, несмотря на наличие пространственных затруднений. Приведены результаты испытаний красителей (указаны шифр красителя,  $\lambda_{\text{макс}}$  в воде и на целлофане в мк. субстантивность в %): Ia, 565 мк, 585 мк, 12; IIa, 595, 625, 31; Va, 560, 605, 57; VIa, 550, 565, 24; VIIa, 540, 550, —. Часть IV, см. РЖХим, 1957, 8010.

В. Уфимцев

69864. О субстантивности некоторых азосоединений, полученных из  $\alpha$ -диаминов. Модена (Su qualche aspetto della sostantività di alcuni azoici da  $\alpha$ -diamine. Modena Giorgio), Ricerca scient., 1956, 26, № 6, 1853—1858 (итал.; рез. англ., франц. нем.)

По методу Петерса и Викарстаффа (Peters, Vickerstaff. Proc. Roy. Soc., 1948, A192, 292) исследована субстантивность дисазосоединений нафтиновой к-ты  $\rightarrow (\text{NH}_2-\text{C}_6\text{H}_4)_2\text{X}$ , где X —  $\text{CH}_2$ , S, O, Se,  $\text{SO}_2$ , и сделано сравнение ее с бензидиновым красителем конго красным.

Б. Бруа

69865. Новые фурановые красители. Бис-ацетилацетариламы производные 2,5-фурандикарбоновой кислоты в качестве азосоставляющих. Модена (Nuovi coloranti furanici. Bis-acil-acetarilidi dell'acido 2,5-furan-dicarbonico come copulanti per azoici a sviluppo. Modena Giorgio), Boll. scient. Fac. chim. industr. Bologna, 1956, 14, № 1, 17—21 (итал.)

В продолжение предшествующих исследований (РЖХим, 1957, 45734) приготовлены бис-фуранлацетариламы общей ф-лы (I)  $\text{RHN}-\text{CO}-\text{CH}_2-\text{OC}-\text{C}=\text{CH}-\text{CH}=\text{C}(\text{CO}-\text{CH}_2-\text{CO}-\text{NHR})-\text{O}$  (R — арил),

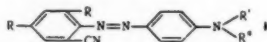
пригодные в качестве азосоставляющих для получения желтых окрасок. Крашение хлопковых волокон с применением этих ариламинов дает хорошие результаты (прочности к сильной стирке, поту и щелочи 5), в особенности при применении ариламинов полизамещ. или гетероцикл. оснований (прочности к хлору 4—5 и к свету 4—5): R p-ру 9,65 г хлорангидрида 2,5-фурандикарбоновой к-ты и 13 г ацетоксуксусного эфира в 50 мл  $\text{C}_6\text{H}_6$  постепенно при сильном размешивании при 30—35° прибавляют 200 мл 1 н.  $\text{Na}_2\text{CO}_3$ , поддерживая слабощел. р-цию, отделяют бензольный слой, а водн. фазу подкисляют разб. HCl и извлекают эфиром, сушат, эфир испаряют, а остаток обрабатывают 150—200 мл 20%-ного р-ра  $\text{NH}_4\text{Cl}$  в конц.  $\text{NH}_4\text{OH}$ , избегая разогревания, и через 36 час. фильтруют; осадок растворяют в воде, подкисляют разб. HCl и извлекают  $\text{C}_6\text{H}_6$ , удалением р-рителя получают бис-фуранлаксусноэтиловый эфир, выход 65%. Масло. Конденсацией 0,01 моля этого эфира с 0,02 моля различных аминов при кипячении 2—3 часа в 10—12 мл ксилола в присутствии следов пиперидина получают соответствующие I [приведены R и т-ра плавления в °C (из р-рителя)]: о-толил, 223 [из пиридина (II)]; л-толил, 245 (II); о-метоксифенил [из ксилола (III)]; л-метоксифенил, 236 (II); о-хлорфенил, 165 (III); л-хлорфенил, 250 (II); 2,5-дихлорфенил, 222 (III); о-нитрофенил, 191 [из хлорбензола (IV)]; м-нитрофенил, 207 (II); л-нитрофенил, 227 (II);  $\alpha$ -нафтил, 238 (II); 2-метил-4-хлорфенил, 225 (II); 2-метил-5-хлорфенил, 238 (II); 2,5-диэтоксифенил, 173 (III); 2,5-диэтоксид-4-хлорфенил, 150 (из сл.); 2,4-диметоксид-5-хлорфенил, 225 (IV); 2-тиазолил, 243 (II); 2-бензотиазолил, 221 (II); 3-бензофурано, 250 [из нитробензола (V)]. Сочетанием 0,01 моля I в щел. среде с 0,021 моля диазотированного амина получают соответствующие красители общей ф-лы  $\text{ZC}=\text{CH}-\text{CH}=\text{C}(\text{Z})-\text{O}$  (IV) (Z есть  $\text{CO}-\text{CH}(\text{N}=\text{NR}')\text{CO}-\text{NHR}$  (R' — остаток дисазосоставляющей)). Получены следующие VI [приведены R, R', т-ры плавления в °C (из р-рителя),  $\lambda_{\text{макс}}$  в мк и lg  $\epsilon$ ]: 2,5-дихлорфенил, о-метоксифенил, 305 (V), 416—420, 4,57; 2-метил-4-хлорфенил, о-метоксифенил, 296 (V), 418—420, 4,52; 2,5-диэтоксид-4-хлорфенил, фенил, 246 (бал.), 386—398, 4,58; 2,5-диэтоксид-4-хлорфенил, о-метоксифенил, 257 (бал.), 416—420, 4,59; 2,4-диметоксид-5-хлорфенил, фенил, 287 (IV), 396—404, 4,54; 2,4-диметоксид-5-хлорфенил, о-метоксифенил, 303, (IV), 420—426, 4,56; 2-бензотиазолил, фенил, 278 (IV), 398—404, 4,61; 3-бензофурано, фенил, 291 (IV), 394—402, 4,59; 3-бензофурано, о-метоксифенил, 316 (V), 418—422, 4,21.

В. Уфимцев

69866 П. Способ получения нерастворимых в воде моноазокрасителей. Крукенберг (Verfahren

zur Herstellung von wasserunlöslichen Monoazofarbstoffen. Kruckenberg Winfried) [Farbenfabriken Bayer A.-G.]. Пат. ФРГ 942221, 26.04.56

Не растворимые в воде моноазокрасители общей ф-лы (I) (один R — H, другой R — CN; R' — оксипил; R'' — алкил или оксипил) получают диазотированием дигидроанилина, преимущественно, 2,4-дигидроанилина (II), который может содержать в ядре алкил и (или) галоген, и последующим сочетанием с ароматич. амином, сочетающимся в пара-положение к аминогруппе, общей ф-лы A — N(R')R'', составляющие красители не должны содержать карбоксильных или сульфогрупп. Полученные красители образуют на волокнах полиамидов (IIA) или

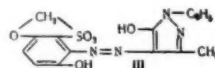


ацетатного шелка (АШ) одинаковые или почти одинаковые окраски от красного до бордо цвета, обладающие хорошими прочностями к свету и мокрым обработкам. Р-р 14,3 г. II в 50 объемах. ч. конц. HCl диазотируют при перемешивании и охлаждении 35 ч. 20%-ного р-ра NaNO<sub>2</sub> фильтруют, фильтрат частично нейтрализуют разб. NaOH или р-ром соды до слабосильной р-ции на конго и сочетают с р-ром 19,5 ч. N, N-ди-(оксипил)-3-метиланилина (III) в разб. HCl, сочетание заканчивают прибавлением Na-ацетата, краситель окрасивает АШ и ПА в яркий синева-красный цвет. Аналогично получают следующие красители (приведены состав красителя и окраски им АШ и ПА): II → N-бутил-N-(3-оксипил)-3-метиланилин (IV), синева-красный, синева-красный; II → N-этил-N-(3-оксипил)-анилин, красный, красный; II → N, N-ди-(3-оксипил)-анилин, желтовато-красный желтовато-красный; II → N-бутил-N-(3-оксипил)-анилин, красный, синева-красный; 2,4-дигидро-6-метиланилин (V) → III, синева-красный, рубиново-красный; V → N-этил-N-(3-оксипил)-анилин, желтовато-красный, красный; V → IV, синева-красный, рубиново-красный; 2,4-дигидро-3,6-диметиланилин → III, красный, бордо-красный; 2,4-дигидро-3,6-диметиланилин → IV, синева-красный, бордо-красный; 2,6-дигидро-4-хлоранилин → III, желтовато-красный, синева-красный; 2,4-дигидро-6-хлоранилин → IV, красный, бордо-красный. В. Уфимцев

69867 П. Способ получения азокрасителей, образующих металлосоединения. Дитмар, Пюттер, Зукфюль (Verfahren zur Herstellung von metallkomplexbildenden Azofarbstoffen. Dittmar Gerhard, Pütter Rolf, Suchfüll Fritz) [Farbenfabriken Bayer A.-G.]. Пат. ФРГ 940483, 22.03.56

Азокрасители, образующие металлосоединения, получают: а) сочетанием диазо-, диазоазо- или бисдиазо соединений, содержащих в орто-положении к диазогруппе группы, способные к образованию металлосоединений, с азосоединениями — производными 1,4-диоксипилола или -нафталина, одна оксигруппа которого с соседней SO<sub>2</sub>-группой образует циклич. эфирсульфон, конденсированный с алифатич. или ароматич. остатком; б) диазотированием производного 1,4-диоксипилола или -нафталина, содержащего в орто-положении к свободной оксигруппе диазотирующуюся аминогруппу и одна оксигруппа которого с соседней SO<sub>2</sub>-группой образует циклич. эфирсульфон, конденсированный с алифатич. или ароматич. остатком, и последующим сочетанием с азосоединением, содержащим в орто-положении к группе, образующей азогруппу, группу, способную к образованию металлосоединения. Полученные азокрасители превращают непосредственно или на волокне в их металлосоединения. Красители и их комплексы пригодны для крашения волокон природной или регенерированной целлюлозы, волокон животного происхождения или полиамидных; окраски отличаются яркими

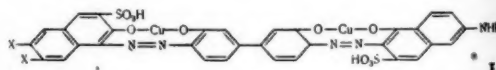
тонами и хорошими прочностями. К р-ру 20,1 вес. ч. аминогидрохинонметилсульфонэфира [I; полученного нитрованием синтезированного по пат. ФРГ 913177 (РХХим, 1957, 20620) гидрохинонметилсульфонэфира (II) и последующим восстановлением] в 150 вес. ч. воды с 12 вес. ч. р-ра NaOH уд. в. 1,355 прибавляют 6,9 вес. ч. NaNO<sub>2</sub> и полученную смесь выливают по каплям в 250 вес. ч. 10%-ной H<sub>2</sub>SO<sub>4</sub>, подерживая прибавлением льда т-ру ≤ 5°. Диазораствор прибавляют к р-ру 17,4 ч.



1-Фенил-3-метилпиразолона-5 в водн. р-ре соды, прибавлением NaCl высаливают и отфильтровывают краситель ф-лы (III). III растворяют при нагревании в 500 вес. ч. воды с прибавлением 12 вес. ч. р-ра NaOH, на кипу по каплям приливают р-р из 100 вес. ч. воды, 22 вес. ч. р-ра основного Cr-сульфата (содержащего 18,3% Cr<sub>2</sub>O<sub>3</sub>), 14 вес. ч. (COOH)<sub>2</sub> и 15 вес. ч. р-ра NaOH, затем кипятят еще 5 час. и прибавлением небольшого кол-ва NaCl, высаливают Cr-комплекс, окрашивающий шерстяные волокна из слабосильной ванны в чистый бордо-красный цвет. Приведены примеры получения металлосоединений аналогичных моноазокрасителей (указан состав моноазокрасителя, комплексобразующий металл и цвет окраски комплексом шерстяных волокон): I → трет-бутилфенол, Cr, красновато-синий; I → 2-нафтол, Cr, красновато-синий; I → 1-нафтол-5-сульфокислота, Cr, синий; 2-метокси-5-хлоранилин → II, Cr, красновато-синий; 2-окси-5-хлоранилин (IV) → 1,4-нафтогидрохинонметилсульфонэфир (V), Cr, синий; сульфаниловая к-та → о-ацетиламинофенол (гидролиз) → V, Cr, оливковый, метиловый эфир антрапиновой к-ты → II (гидролиз), Cr, коричнево-фиолетовый; аминогидрохинонметилсульфонэфиросульфокислота (VI) → 2-нафтол, Cr, зеленовато-синий; VI → V, Cr, зеленовато-синий; 2-окси-3,5-динитроанилин → V, Cr, оливково-зеленый; 2-оксанилин-5-сульфамид → V, Co, фиолетовый; V → 4,4'-диаминодифенил-3,3'-бис-(оксипилоксисная к-та) → V, Cu, зеленовато-синий; IV → смесь нафтогидрохинонметилсульфонэфира-6- и -7-сульфокислот (VII), Cr, синий; VII → диангидрин → VII, Cu, чистый синий; IV → VII, Cr, прочный синий; 2-оксанилин-5-сульфамид → этиловый эфир VII, Cr, прочный синий; анилин-4-сульфо-2-карбоновая к-та → смесь нафтогидрохинон-4'-нитрофениленсульфонэфира-6- и -7-сульфокислот, синева-красный. Указаны другие промежуточные продукты, пригодные для получения аналогичных красителей.

В. Уфимцев  
69868 П. Дисазокрасители (Matières colorantes disazoïques) [Imperial Chemical Industries Ltd]. Франц. пат. 1108003, 9.01.56

Дисазокрасители, отвечающие в форме свободных к-т общей ф-ле (I): (один X — сульфогруппа, второй X — H; R — H, бензоил, замещ. или незамещ. галогеном,



метилом, трифторметилом или алкоксилем, или фенилом, замещ. или незамещ. галогеном, метилом, трифторметилом или алкоксилем; напр., X в положении 6 — сульфогруппа и R — 4-метоксифенил) получают из соответствующего дисазосоединения, замещ. в положениях 3 и 3' дифенильного остатка метокси- или этокси группами (X и R имеют вышеуказанное значение), обработкой его Cu-отдающим средством в условиях, способствующих расщеплению орто-алкильной группы с образованием Cu-комплекса. Растворяют 24,4 ч. 4,4'-диамино-3,3'-диметоксидифенила (I) в смеси 50,7 ч.

ес. ч.  
инного  
13177  
эффра  
воды  
ес. ч.  
аплем  
еннем  
7,4 ч

[illegible]

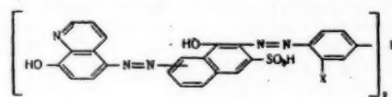
ОДНЫХ  
второй  
ОБДОМ.

—NH—

или  
и, три-  
жении  
лучают  
в по-  
и- или  
значе-  
в усло-  
ильной  
г 24,4 ч.  
50,7 ч.

36%-ной HCl и 700 ч. воды, охлаждают до 10—15°, диазотируют р-ром 13,8 ч. NaNO<sub>2</sub> в 100 ч. воды, охлаждают смесь до 5—10° и нейтрализуют содой до почти нейтр. р-ции по конго; прибавляют р-р 36,5 ч. Na<sub>2</sub>-соли 2-нафтол-3,6-дисульфокислоты (II) и 10,6 г. соды в 420 ч. воды, размешивают 30 мин., прибавляют при 5—10° р-р 40,2 ч. Na-соли 2-бензоиламино-5-нафтол-7-сульфокислоты (III) в смеси 320 ч. воды, 56,3 ч. NH<sub>4</sub>OH (уд. в. 0,88) и 600 ч. пиридина и размешивают 16 час., высаливают 300 ч. NaCl и отфильтровывают краситель. Затем его смешивают с 2000 ч. воды, прибавляют смесь 60 ч. CuSO<sub>4</sub>·5H<sub>2</sub>O, 210 ч. NH<sub>4</sub>OH (уд. в. 0,88), 220 ч. диэтиламина и 200 ч. воды, нагревают 18 час. при 85 ± 2°, высаливают 250 ч. NaCl и отфильтровывают Cu-комплекс красителя. Для очистки его растворяют в 2000 ч. воды, прибавляют 100 ч. NaCl, затем 800 ч. спирта, фильтруют, промывают и сушат, получают темный порошок, окрашивающий волокна регенерированной целлюлозы в красновато-синий цвет с превосходной прочностью к свету и очень хорошей к противосмываемым обработкам, напр., мочевино-формальдегидными смолами. Аналогичные красители получают при замене II на 36,5 ч. 2-нафтол-3,7-дисульфокислоты (IV) или при замене III на 47,3 ч. Na-соли 2-(3'- трифторметилбензиламино) - 5-нафтол-7-сульфокислоты, 28,7 ч. Na-соли 2-амино-5-нафтол-7-сульфокислоты, 40,4 ч. Na-соли 2-(4'-метоксифениламино)-5-нафтол-7-сульфокислоты, 37,1 ч. 2-фениламино-5-нафтол-7-сульфокислоты, 38,6 ч. Na-соли 2-(2'-метилфениламино)-5-нафтол-7-сульфокислоты, 44 ч. Na-соли 2-(4'-хлорбензиламино)-5-нафтол-7-сульфокислоты, 43,5 ч. Na-соли 2-(4'-метоксибензиламино)-5-нафтол-7-сульфокислоты или 41,7 ч. Na-соли 2-(4'-метилбензиламино)-5-нафтол-7-сульфокислоты; при замене II на 38,3 ч. Na<sub>2</sub>-соли IV, а III на 40,4 ч. Na-соли 2-(4'-метоксифениламино)-5-нафтол-7-сульфокислоты или 28,7 ч. Na-соли 2-амино-5-нафтол-7-сульфокислоты. О. Славина 69869 П. Тетракисазокрасители и их получение (Nouveaux colorants tétrakisazoïques et leur préparation) [Ciba (Soc. An.)]. Франц. пат. 1108661, 16.01.56

Тетракисазокрасители ф-лы (I) (X—OCH<sub>2</sub>COOH или COOH и все азогруппы связаны с нафталиновым ядром в β-положении) получают бисдиазотированием диаминодиазокрасителя и сочетанием с 2 молями 8-оксихинолина (II). Бисдиазотируют 27,2 ч. 4,4'-диаминодифенил-3,3'-дикарбоновой к-ты (III) и сочетают в содовой среде с 51,2 г. 2-амино-5-нафтол-7-сульфо-



кислоты (IV) при 20°, полученное симметричное диазосоединение высаливают, отфильтровывают и промывают разб. р-ром NaCl и далее снова растворяют в 1000 ч. воды при 80°, прибавляют 14,5 г. 2 н.  $\text{NaNO}_2$  и полученную смесь вливают при 0—5° в р-р 60 об.м. ч. 30%-ной HCl в 300 ч. воды, поддерживая т-ру 0—5° прибавлением льда; после длительного размешивания отфильтровывают диазосоединение и суспендируют в воде; суспензию прибавляют к разб. р-ру 29 ч. семисульфата II (полученного растворением II в 300 ч. воды в присутствии  $\text{H}_2\text{SO}_4$ ), смесь понемому подщелачивают  $\text{NaHCO}_3$  и выделяют краситель, окрашивающий целлюлозные волокна с последующей обработкой Cu-солями в темно-синий цвет, прочный к стирке и свету. Аналогичный краситель получают при замене IV на 83 ч. 2-(4'-аминофениламино)-5-нафтол-7,3'-дисульфокислоты (IVa). Аналогично получают красители (указаны исходные в-ва и цвет выкраски на целлюлозных волокнах после обработки Cu-солями): из

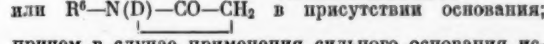
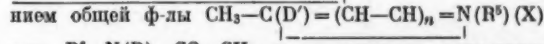
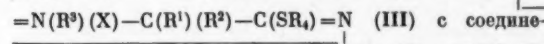
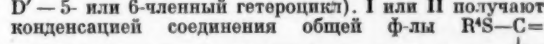
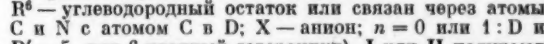
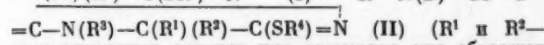
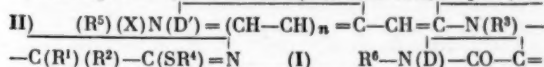
27,2 ч. III, 51,2 ч. 2-амино-8-нафтол-6-сульфокислоты (V) и II, от серого до черного; из 27,2 ч. III, смеси 25,6 ч. V и 25,6 ч. IV и II, темно-синие; из 33,2 ч. Na-соли 4,4'-диаминодифенил-3,3'-дигликолевой к-ты, 51,2 ч. IV и 29 ч. II, темно-синие; при замене в последнем красителе IV на V, зеленовато-черный. В красильную ванну, содержащую в 4000 ч. воды 3 ч. красителя [из III, IV (или IVa, или V) и II] и 2 ч. безводн. соды вводят при 50° 100 ч. хлопка, в течение 20 мин. нагревают до 90—95°, прибавляют 40 ч.  $\text{Na}_2\text{SO}_4 \cdot 10\text{H}_2\text{O}$ , красят 30 мин. при 90—100°, охлаждают до 70°, при нейтр. р-ции прибавляют 2 ч.  $\text{CuNa}$ -соли винной к-ты, нагревают 30 мин. при 80° и промывают холодной водой, получают темно-синюю окраску с хорошей прочностью к стирке и свету. О. Славина

69870 П. 1-амино-2-трифторметил-4-фениламиноантрахиноны. Дикки, Таун (1-amino-2-trifluoromethyl-4-phenylaminoanthraquinone compounds. Dickey Joseph B., Towne Edmund B.) [Eastman Kodak Co.]. Пат. США 274716. 22.11.55

**Зеленоватое-синие антрахиноновые красители для ацетилцеллюлозных волокон**, являющиеся 1-амино-2-трифторметил-4-анилиноантрахинонами, у которых фенольный остаток замещен группой —(OCH<sub>2</sub>CH<sub>2</sub>)<sub>n</sub> OH ( $n = 3, 4, 5$  или 6), получают обработкой 1-амино-2-трифторметил-4-бромантрахинона (I) первичными арилиaminaми общей ф-лы NH<sub>2</sub>-C<sub>6</sub>H<sub>4</sub>-(OCH<sub>2</sub>CH<sub>2</sub>)<sub>n</sub>OH. Смесь 6,4 г I, 5,7 г n-(2-оксиэтокситоксикислуктокси)-анилина, 2 г К-ацета и 0,2 г CuSO<sub>4</sub> · 5H<sub>2</sub>O в 32 мл бутилового спирта кипятят 3,5 часа, охлаждают и при размешивании выливают в 1 л холодной воды, фильтруют, сушат и кристаллизуют из кипящего ксилола, получают 1-амино-2-трифторметил-4-[n-(2-оксиэтокситоксикислуктокси)-анилино]-антрахинон, т. пл. 99—103°. Аналогично из I и соответствующих оксалкоксидинов получают следующие красители: 1-амино-2-трифторметил-4-[n-(2-оксиэтокситоксикислуктокси)-анилино]-антрахинон, т. пл. 12—17°; 1-амино-2-трифторметил-4[o-(2-оксиэтокситоксикислуктокси)-анилино]-антрахинон, т. пл. 127—132°; 1-амино-2-трифторметил-4[n-(2-оксиэтокситоксикислуктокси)-анилино]-антрахинон, 1-амино-2-трифторметил-4[m-(2-оксиэтокситоксикислуктокси)-анилино]-антрахинон, 1-амино-2-трифторметил-4[о-(2-оксиэтокситоксикислуктокси)-анилино]-антрахинон.

В. Уфимцев  
69871 П.  
**Цианиновые красители** (Cyanine dyes)  
Ilford, Ltd). Ангд. пат. 734792. 10.08.55

Патентуются цианиновые красители общих ф-л (I и



причем в случае применения сильного основания исходные в-ва берут в эквимолекулярных соотношениях. Вместо четвертичной соли иминазолинина ф-лы III можно применить его основание вместе с эквивалент-



ным кол-вом  $R^3X$ , а в случае монометинового красителя ф-лы I может быть применено свободное основание гетероциклич. соединения, содержащего  $CH_3$ -группу, вместе с 2 молями  $R^3X$  (если  $R^3 = R^2$ ).  $R^1$  и  $R^2$  являются, преимущественно,  $CH_3$  или  $C_2H_5$ , но могут также быть бензил или фенил или совместно образуют циклопентаметиленовое кольцо.  $R^3$  и  $R^4$  — преимущественно, оба  $CH_3$  или оба  $C_2H_5$ .  $R^5$  — преимущественно, алкил или фенил.  $D^1$  может составлять часть кольца тиазола, бензотиазола, бензоксазола, бензселеназола, нафтоотиазола, хинолина, индолина или тиазолина, карбоциклич. кольца которых могут содержать заместители, напр. алкил, арил, алкоксил или галонд. D может составлять часть кольца роданина, пиразолона-5 или тиазолидонола или вместе с  $R^6$  образовать 2,3-(бензимидазо-2',1')-4-тиазазидиноновое кольцо. В дополнительном описании указано также получение цианиновых красителей общих ф-л (IV или V), соответствующих ф-лам (I или II), но в которых группы  $>N-R^3$  и  $>C(R^1)R^2$  обменяны местами. Для ф-л IV и V дополнительно к прежним вышеупомянутым обозначениям указано:  $R^3$  и  $R^4$  — углеводородные остатки;  $R^5$  — аларкил, оксикал или карбоксиалкил;  $D^1$  — часть кольца тиазола, оксазола, селеназола и их бензольных, нафталиновых, аценафтоновых и антраценовых гомологов, пиридина и его полициклич. гомологов, диазинов, диазолов, оксазолинов, селеназолинов или пиразолинов, которые могут быть замещены амино-, окси- или метилendioксигруппами; D — оксироданин, оксидолы, гидантоин, тигидантоин, псевдигидантоин или псевдотигидантоин. Найдено, что тиоэфирная группа, находящаяся в положении 2 в-ва ф-лы III является неактивной, а в положении 4 — реакционной. Красители ф-л I, II, IV и V применяются для сенсibilизации фотографич. галондосеребряных эмульсий. 5,5-диметил-2,4-диметилтиоиминазолины получают обработкой р-ра 5,5-диметилдитиогидантоина в водн. NaOH диметилсульфатом и извлечением эфирам; полученное основание кипячением с  $CH_3I$  превращают в соответствующую четвертичную соль. Аналогично получают следующие основания и их соли: 5,5-диэтил-, 5,5-циклопентаметилен-, 5,5-циклотетраметилен-, 5-бензил-5-метил-, и 5,5-дифенил-2,4-диметилтиоиминазолины и 5,5-диметил-2,4-диэтилтиоиминазолины.

В. Н. Уфимцев

См. также: Поляризующиеся азокрасители: красители со скрепленными поглощающими системами 68184. Цианиновые красители 68900, 68901.

## КРАШЕНИЕ И ХИМИЧЕСКАЯ ОБРАБОТКА ТЕКСТИЛЬНЫХ МАТЕРИАЛОВ

Редакторы О. В. Матеева, А. И. Матеецкий

69872. Связь между строением модификаций целлюлозы хлопка и качеством хлопчатобумажных изделий. Скотт (Conséquences des modifications de structure de la cellulose de coton sur les qualités des produits cotonniers. Scott Walter M.), Monit. text., 1956, 18, № 1, 27, 29, 31, 33, 35, 37; № 2, 52, 55, 57, 59, 61 (франц.)

Обзор. Библ. 38 назв. Д. К. 69873. Действие химических реагентов на текстильные волокна. Часть I (А). Целлюлозные волокна. Хаунт (The chemical attack of textile fibres. Part I (A). Cellulosic fibres. Howitt F. O.), J. Text. Inst. Proc., 1956, 47, № 11, P909—P933 (англ.)

Рассматривается взаимодействие целлюлозы с: 1) к-тами (гидролитич. действие, образование сложных эфиров к-т:  $HNO_3$ ,  $H_2SO_4$ ,  $H_3PO_4$ ,  $HCOOH$ ,  $CH_3COOH$ , высших жирных к-т, других органич. к-т); 2) щело-

чами (NaOH, KOH,  $NH_4OH$ ,  $[(CH_3)_4N]OH$  и другими четырехзамещенными аммониевыми основаниями, медноаммиачным р-ром и др.); 3) окислителями (гипохлоритами, солями йодной к-ты, перекисями, бихроматом; 4) восстановителями; 5) р-рами солей; 6) органич. р-рителями; 7) другими реагентами (образование простых эфиров и аминопроводных целлюлоз). Кратко затрагивается вопрос о кристаллич. и аморфном строении целлюлозы.

С. Светов 69874. Распознавание джута и других растительных волокон по содержанию ацетиловых групп. Сутар, Брайден (Differentiation of jute and other vegetable fibres by acetyl content. Sutar T. H., Bryden Margaret), J. Text. Inst., 1955, 46, № 8, T521—T528 (англ.)

Анализ различных растительных волокон показал, что между содержанием в них ацетиловых групп (АГ) и гемцеллюлозы существует прямолинейная зависимость, что может быть использовано для целей их распознавания. Так, содержание АГ составляет (в м-эка  $CH_3COOH$  на 100 г сухого волокна): для джута 92; для волокон *Hibiscus* 98 (нижний предел). Возможно также по этому показателю отличать разновидности джута *Corchorus olitorius* и *Corchorus capsularis*, так как для первой из них характерно значительно большее содержание АГ. На основании определения этого показателя (для чего приводится описание уточненной методики) можно также установить, подвергался ли исследуемый джут щел. обработкам. А. Я. 69875. Связь между прочностью лубяных волокон и их физическими и химическими свойствами. Бетрабет (Intrinsic strength of bast fibres in relation to their physical and chemical properties. Betrabet S. M.), J. Scient. and Industr. Res., 1956, (B—C) 15, № 11, 671—672 (англ.)

Сопоставлены величины разрывного напряжения в эдене, удлинения при разрыве, длины элементарной клетки  $l$ , ее диаметра  $d$  и соотношения  $l/d$  с одной стороны, и зольности, содержания целлюлозы, лигнина, жиров и восков, азота — с другой стороны, для 16 разновидностей индийских лубяных волокон. Предварительное суждение о прочности волокон может быть составлено по величине  $l/d$ : большее значение этого соотношения соответствует большей прочности. Как правило, возрастанию прочности соответствует увеличение  $l$ , повышение  $l/d$ , увеличение содержания целлюлозы и уменьшение содержания жиров, восков и азота.

Л. Бельский 69876. Исследование волокон шерсти овец, пораженных глистам. Часть I. Химические свойства. Симидзу, Кобаяси (肝蛭(カンテツ)に犯された綿羊の毛質に関する研究. 第1報. 化学的知見について. 清水周, 小林尚一), 纖維學會誌, Санъи гаккайси, J. Soc. Text. and Cellulose Ind. Japan, 1956, 12, № 10, 727—731 (японск.; рез. англ.)

Сопоставление результатов хим. исследования образцов 13 видов японской шерсти (I) и австралийской мериносовой шерсти (II) показало, что в I содержание жира меньше, чем во II. I отличается также относительно меньшим содержанием общего азота и азота диаминокислот и большим содержанием амидного азота и азота моноаминокислот. Содержание серы в I несколько меньше, а кол-во тирозина составляет 3,3—6,4%.

А. Матеецкий 69877. Новые данные о дифференцированном окрашивании шерсти в результате ее двухстворчатого строения. Дьюсенберн, Ко (Differential dyeing as an indicator of bilateral structure in wool: new findings. Dusenbury Joseph H., Coe Arthur B.), Text. Res. J., 1955, 25, № 4, 354—358 (англ.)

Новые данные об отличиях в реакционной способности орто- и паракортеса шерстяного волокна подтвер-

ждают, что первый окрашивается в большей степени, чем второй, как кислотными, так и основными красителями. Это объясняется большей доступностью ортокортекса для реагентов, а не отличиями в числе групп, способных к взаимодействию с красителями, как это предполагалось ранее.

Е. Токарь  
69878. Некоторые наблюдения над поглощением щелочи кератином шерсти из водных растворов карбоната и бикарбоната натрия. Харкер (Some observation on the absorption of alkali by wool keratin from aqueous solutions of sodium carbonate and bicarbonate. Harker R. P.), J. Soc. Dyers and Colourists, 1957, 73, № 1, 17—20, 21—23 (англ.).

Образцы шерсти после спец. подготовки обрабатывали в р-рах  $\text{Na}_2\text{CO}_3$  и  $\text{NaHCO}_3$  до равновесия в условиях, близких к производственным. Результаты оценивали по pH воды. Вытяжек из исследуемых образцов шерсти после щел. обработок. Результаты измерений pH сопоставляли с данными pH, подсчитанными теоретически. Графически представлено влияние на pH воды. Вытяжек: 1) модуля равновесного р-ра; 2) т-ры; 3) времени погружения; 4) конц-ии р-ра. А. Болденко

69879. Взаимодействие 1,5-дифтор-2,4-динитробензола и шерсти с образованием поперечных мостиков и идентификация продуктов реакции. Цан, Мейенхофер (Brückentreaktion von 1,5-Difluor-2,4-dinitrobenzol mit Wolle und Identifizierung der Reaktionsprodukte. Zahn H., Meienhofer J.), Melland Textilber., 1956, 37, № 4, 432—433 (нем.; рез. англ., франц., исп.).

Установлено, что р-ция дифтординитробензола с шерстью является лишь в некоторой части монокфункциональной, а в основном характеризуется как бифункциональная. Впервые хим. методами с помощью хроматографии показано, что при этом образуются поперечные мостики между остатками лизина и тирозина.

А. Матецкий  
69880. Атмосферные и другие окислительные воздействия в процессах шерстяного производства. II, III. — (Atmospheric and other oxidation effects in wool processing. II, III.—), Wool Rec. and Text. World, 1955, 87, № 2385, 241—242; № 2386, 272—273 (англ.).

Появление желтого оттенка на шерсти через некоторое время после отбелики  $\text{SO}_2$  может быть вызвано окислением загрязнений имевшихся на волокне и обесцвеченных в процессе отбелики, или полимеризацией остатков замасливателя. При обработке шерстяных изделий хлористым сульфуром для придания безусадочности отмечено каталитич. действие сопутствующего окислительного процесса. Обработка является мало эффективной по обезжиренной и свободной от мыла шерсти. Напр. необработанный образец дает усадку в валке 43%, обезжиренный и свободный от мыла дает усадку 25%, после обработки хлористым сульфуром усадка составляла 3%, а у образца, предварительно обработанного oleиновой к-той и затем хлористым сульфуром, эффект безусадочности заключался в увеличении после валки длины на 7%.

Часть I см. РЖХим, 1956, 79319. Е. Токарь  
69881. Влияние атмосферных условий на гардинные ткани. Олденрот (Atmosphärische Einflüsse auf Vorhangstoffe. Oldenroth O.), Wäscherei-Techn. und Chem., 1957, 10, № 2, 106 (нем.).

Прочность освещенной части гардин (Г) уменьшается в ~4 раза по сравнению с неосвещенной. На прочность Г влияют также находящиеся в воздухе серосодержащие соединения, превращающиеся на Г в  $\text{H}_2\text{SO}_4$ . Исследования воды. Вытяжек из Г после экспозиции показали, что они имеют сильно кислую р-цию. Поэтому не следует относить наблюдаемое частое разрушение Г за счет повреждений при их стирке.

Ф. Неволин

69882. Научный прогресс и современная текстильно-химическая технология. Жердик (Napredak znanosti i moderna tekstilno-kemijska tehnologija. Žerdik Mladen), Tekstil, 1956, 5, № 9, 729—736 (сербохорв.; рез. нем., англ., франц.).

69883. Новые достижения в Англии в области производства технических текстильных изделий. Лейниган (Producing textiles for industry Recent technological advances in England. Lanigan Hector), Indian Text. J. 1956, 66, № 790, 609—611 (англ.).

В Англии из общих ресурсов текстильных волокон 40% перерабатывают в технич. изделия, 40% для одежды и остальные 20% для декоративных целей. За счет развития новых принципов конструирования тканей и широкого использования новых разновидностей искусств. и синтетич. волокон созданы новые типы технич. изделий. Приведен ряд примеров.

Н. Цветков  
69884. Новые достижения в шерстяной промышленности. Картер (Les récents progrès réalisés dans l'industrie lainière. Carter), Teintex, 1956, 21, № 3, 195, 196, 199, 201, 202 (франц.).

Приведено краткое описание новинок на выставке в Париже (январь 1956 г.): вымывающаяся при мойке краска для таврения овец, составы и способы для антистатич. обработки шерсти, способы резервирования шерсти для получения двухцветных эффектов при крашении, способы придания несвойлачиваемости и снижения усадки.

А. Матецкий  
69885. Шерстяное производство в США и в Европе. Стейнер (Wool processing here and abroad. Steiner F. G.), Amer. Dyestuff Reporter, 1955, 44, № 7, P212—P215 (англ.).

В Европе крашение проводят преимущественно в ленте, в США — в пряже. Значительный интерес представляют применяемые в Европе методы крашения при т-ре свыше 100°, а также новые группы красителей типа иргалановых и цибалановых.

Е. Токарь  
69886. Исследования в области технологии шерстяного производства в Австралии. Цан (Einiges über die australische Wollforschung. Zahn Helmut), Textil — Praxis, 1956, 11, № 8, 748—755 (нем.).

Сведения о н.-н. учреждениях и их тематике. Обзор некоторых докладов, прочитанных на проведенной в 1955 г. в Австралии международной конференции.

А. Матецкий  
69887. Прспективы развития в Народной Польше красильно-отделочного производства. Розенталь (Perspektywy rozwojowe wykończalnictwa w Polsce Ludowej. Rozenal S.), Przem. włókienniczy, 1954, 8, № 4, 114—116 (польск.).

Обзор состояния красильно-отделочного произ-ва в ПНР и направлений дальнейшего его развития (применение хлорирования, упрочнения окрасок, однокромового метода крашения, цветных резервов кубовыми красителями под черной анилин, спец. методов аппретирования, печатания пигментными и сернистыми красителями и др.).

W. Tuszk  
69888. Значение атмосферной влаги и производственной воды в текстильной промышленности. Парикх (Place of water in textile industry. Parikh J. D.), Digest, 1957, 17, № 3, 161—165 (англ.).

69889. Перекись водорода и белиние текстильных волокон. Капрои (L'eau oxygénée et le blanchiment des fibres textiles. Capron Gustave), Rev. textilis, 1956, 12, № 8, 11—12, 14, 16—17, (франц.).

$\text{H}_2\text{O}_2$  получают действием к-т на перекиси Na или Ba и электролитич. методом. На устойчивость  $\text{H}_2\text{O}_2$  при белинии влияют: т-ра и pH р-ра, хим. природа стабилизатора и обрабатываемых волокон, качество воды, материал оборудования. Повышенная т-ра и значения pH > 8 способствуют разложению  $\text{H}_2\text{O}_2$ . Хорошими стаби-

лизаторами являются силикат и пирофосфат Na. Большинство металлов активизирует разложение  $H_2O_2$ . Для изготовления оборудования для белины  $H_2O_2$  рекомендуются кислотоупорная сталь с 18% Ni и алюминий. Выпускаются также препараты  $H_2O_2$  в твердом виде (лапидрол, гиперол, пергидрит, ортисон и другие), напр. следующего состава (в %):  $H_2O_2$  34; мочевины 65,92; лимонной к-ты 0,08.

Ф. Неволли  
69890. Проблема материалов для аппаратуры при белины хлоритами. Дёрфель (Werkstoffprobleme bei der Chloritbleiche. Dörfel E.), Melland Textilber., 1957, 38, № 3, 285—289 (нем.; рез. англ., франц., исп.).

Для покрытия отжимных валов при белины хлоритами (I) рекомендуется миполам (сополимер винил-акрилата и винилхлорида), проявляющий устойчивость к I, высокую мех. прочность и способность приклеиваться. Имеется и ряд других синтетич. смол, применимых для этой цели, напр. тефлоны (политетрафторэтилен), а также полиэферы с наполнителями (асбест, стеклянное волокно и др.). Нержавеющие стали (18% Cr, 10% Ni с Mo или без него) корродируют под действием I, причем сталь V4A корродирует меньше, чем V2A. Введение в р-ры I фосфатов не устраняет коррозии, но в результате комплексобразования снижает вредное каталитич. действие Fe. Коррозия минимальна, если активирование I производится HCOOH в присутствии  $Na_2HPO_4$ ; несколько худшие результаты достигаются при использовании добавки  $NaNO_3$ . В. Штутцер  
69891. Эластические свойства хлопчатобумажных пряжи и тканей, мерсеризованных без натяжения. Голдтуэйт, Мерфи (Special elastic properties of cotton yarn and cloth mercerized without tension. Goldthwait Charles F., Murphy Alton L.), Text. Res. J., 1955, 25, № 1, 47—57 (англ.).

Мерсеризация без натяжения (МБН) вызывает значительную усадку при повышении растяжимости и эластичности. Эти изменения проявляются в наибольшей мере в тканях открытого переплетения при малых нагрузках. Процесс МБН особо важен в произ-ве эластичной марли, бинтов, а также тяжелых тканей, служащих подкладкой для различных эластичных покрытий.

З. Панфилова  
69892. Химические методы получения котонина в котлах без давления. Слухоцкая (Chemiczne metody otrzymywania kotoniny w kotłach bezciśnieniowych. Słuchowska Zofia), Prace Inst. przem. włókien łukow., 1956, 4, № 2, 14—20 (польск.; рез. русск., англ.).

Исследовано влияние на процесс котонизации пакли льна-долгунца и масляного льна применения: NaOH,  $NaHSO_3$ , ионов  $Na^+$ ,  $Zn^{2+}$ ,  $Al^{3+}$ ,  $Cu^{2+}$ ,  $Fe^{3+}$  и поверхностноактивных в-в. Выявлено положительное влияние  $NaHSO_3$  и мыла. Рекомендуется применение р-ра с содержанием в расчете на 1 кг волокна: 150—200 г NaOH; 25—30 г  $NaHSO_3$ ; 1—3 г мыла при длительности обработки 60—90 мин.

И. Фодиман  
69893. Химические методы производства котонина в котлах под давлением. Ях (Metody chemiczne produkcji kotoniny w kotłach ciśnieniowych. Jach Konrad), Prace Inst. przem. włókien łukow., 1956, 4, № 2, 21—24; Przew. włókienniczy, 1956, 10, № 3, Biul. Inst. Przem. włókien. łukowych, 5—6 (польск.; рез. русск., англ.).

Лабораторное исследование процесса котонизации пакли зеленого луба, льна обычной биохим. обработки, угаров из-под кардной машины показало, что лучшие результаты дает обработка под давл. 2—3 атм при расходе на 1 кг сырья: NaOH 60—125 г, мыла 2—10 г,  $ZnCl_2$  1 г. Для зеленого луба целесообразно добавлять  $Na_2S$ . Исследованы и даны оптимальные условия белины котонина действием NaClO.

И. Фодиман

69894. Шлихтование пряжи, выработанной из штапельного волокна на хлопкопрядильном оборудовании. Бадбери (The sizing of spun yarns containing man-made fibres spun on the cotton system. Bradbury E.), J. Text. Inst. Proc., 1956, 47, № 8, P619—P637 (англ.).

Шлихты на основе крахмала (K) удаляются с ткани при действии ферментов тем легче и полнее, чем быстрее проведена сушка после шлихтования, так как при медленной сушке идет старение K. Разница в скорости средних и крайних нитей основы в ряде случаев порождает неравномерность их натяжения, что для тканей из вискозного волокна может приводить к более слабому окрашиванию кромочных участков ткани по сравнению с серединой. Тамариндовый порошок из *Tamarindus indica*, недавно вошедший в употребление вместо крахмала, облегчает расшлихтовку, что важно для тканей из вискозного волокна. Шлихты на основе K обладают недостаточной адгезией к нити. Адгезию можно увеличить, добавляя к K полиакриловую к-ту или поливиниловый спирт, удаляемые к тому же с ткани легче, чем K. В шлихту для нейлона полезно вводить замасливатели и лучше всего 8% спермацета.

В. Штутцер  
69895. Экстрагирование шерсти летучими растворителями. Кюнель (Über die Extraktion der Rohwolle mit flüchtigen Lösemitteln. Kühnel K.), Textil-Praxis, 1956, II, № 5, 477—480 (нем.; рез. англ., франц., исп.).

При сопоставлении имеющихся данных о технологич. особенностях и масштабах использования обычно применяемого метода мыльно-щелочной мойки шерсти и ее экстрагирования органич. р-рителями выявляется, что, хотя в последние годы созданы два новых способа экстрагирования шерсти (в Австралии и в Швеции), ранее существовавшие в США установки подобного типа не эксплуатируются.

А. Матецкий  
69896. Вещества для замасливания шерсти. Чичич (Sredstva za mašćenje vune. Čičić Sulejman), Tekstil. ind., 1955, 3, № 4—5, 17—24 (серб.-хорв.; рез. англ., франц., нем.).

Обзор.  
З. Б.  
69897. Новый опыт применения коллоидного силиката в камвольном прядении. Салаи (Ujabb tapasztalatok a szilikát-kolloid féfűstonodai alkalmazása körül. Szalai Pál), Magyar textiltechn., 1956, № 7, 255—256 (венг.).

При применении в замасливание смесей в камвольном прядении (0,022 вес. %) препарата юлипона (колл.  $SiO_2$ ) число обрывов пряжи (с содержанием 70% шерсти) уменьшилось: в прядении — на величины от 9,3% (пряжа № 44/2) до 25,6% (№ 40/2), в трощении — от 25,2% до 41,3%. Прочность пряжи повысилась на величины от 2,6% (№ 44/2) до 9,3% (№ 28/2).

Г. Юдкович  
69898. Фотохимическое окисление шерсти в присутствии флуоресцирующих веществ. Грехэм, Стейтем (The photochemical oxidation of wool in the presence of fluorescent compounds. Graham D. R., Statham K. W.), J. Soc. Dyers and Colourists, 1956, 72, № 9, 434—438 (англ.).

Шерсть, отбеленная  $H_2O_2$  или  $SO_2$  в присутствии флуоресцирующих в-в (ФВ), приобретает под действием солнечного света желто-коричневую окраску, причем степень проявления и скорость этих изменений заметно превышает наблюдаемые для экспонированных образцов шерсти неотбеленной или отбеленной в отсутствие ФВ. Серией проведенных опытов показано, что окрашивание шерсти связано с окислением содержащегося в ней триптофана (Т) и не зависит от разновидности ФВ. Р-ция, по-видимому, протекает в 2 стадии. Сначала Т под действием УФ-лучей, уси-



ливаемым в присутствии ФВ, переводится в более активное состояние за счет выделения Т в виде свободной аминокислоты или пептидов. Это происходит в результате передачи части энергии ФВ, возбужденного УФ-облучением, непосредственно шерсти вблизи участков расположения в цепях триптофановых остатков. Действие  $H_2O_2$  вызывает затем окисление Т и появление окраски. А. Болденко

69899. Зависимость между валкоспособностью шерсти и свойствами одиночного волокна. Вегт, Схюринга (The relation between wool felting and single — fiber properties. *Vegt A. K. van der, Schuringa G. J.*, *Text. Res. J.*, 1956, 26, № 1, 9—16 (англ.))

Образцы шерстяной пряжи были подвергнуты валке после ряда хим. обработок, изменяющих в различной степени коэф. трения волокон. В другой серии опытов валка проводилась в спец. подбираемых водн. р-рах, изменяющих жесткость волокон. Установлено, что, если действующие на волокна силы меньше величины трения волокон при их движении в направлении расположения чешуек, то усадки не происходит. При обратном соотношении указанных сил наблюдаемая за определенное время усадка прямо пропорциональна разности между величинами приложенного усилия и трения волокон и обратно пропорциональна показателю модуля Юнга волокон. В случаях, когда механич. воздействие на волокна превосходит по величине трение волокон при движении в направлении, противоположном расположению чешуек, усадка почти независима от величины усилия. А. Матецкий

69900. Влияние крашения на постоянное фиксирование волокон шерсти. Часть I. Влияние кислотных красителей. Окадзима, Кикуты (羊毛のパーマメントセッットに及ぼす染色の影響。I. 酸性染料による染色の影響。岡島三郎, 菊池京子), *纖維學會誌*, Сэнъи гаккайси, *J. Soc. Text. and Cellulose Ind., Japan*, 1956, 12, № 12, 899—902 (японск.; рез. англ.)

На основании исследования образцов шерсти, окрашенных красителями кислотным антрацен красным 3ВЛ и бриллиантализарином синим прочным к валке G, установлено, что крашение оказывает лишь незначительное влияние на эффект фиксирования волокон шерсти, подвергнутых тщательной промывке после крашения и заварке в воде при pH 9,2. А. Матецкий

69901. Теория крашения. II. Процессы крашения в действии. Терниер (Theories of dyeing. II. Dyeing processes in action. *Turner H. A.*, *J. Soc. Dyers and Colourists*, 1955, 71, № 2, 96—104 (англ.))

Обзор современных физ.-хим. представлений о процессах крашения. Рассмотрена динамика крашения: скорость окрашивания, диффузия красителя в окрашиваемый материал, понятие о потенциальном барьере и его преодолении. Сообщение I см. РЖХим, 1957, 20674. Л. Бельский

69902. Крашение при высокой температуре. Теоретические основы. Доминго-Ферре (Tintura a alta temperatura. *Sus fundamentos teóricos. Domingo Ferré D. Manuel*, *Ingeniería text.*, 1955, 22, № 117, 503, 505, 507—511, 513, 515, 516 (исп.))

Высокая (100—120°) т-ра при крашении способствует адсорбции красителя, ускоряет процесс и способствует выравниванию. Высокотемпературное крашение (ВТК) проводят в водн. р-ре, находящемся в замкнутой системе под давлением, создаваемом парным насосом. Давление и циркуляция красящего р-ра должны быть строго постоянными, модуль ванны — невысоким. Образование свободных каналов в окрашиваемом материале недопустимо. Для ВТК применяют красители: прямые (некоторые > 100° разрушаются; время крашения для всех должно быть как можно короче); кубовые (устойчивость зависит от восстановительного

потенциала ванны и с повышением т-ры падает); кислотные и хромовые. Из волокон наиболее устойчив при высоких т-рах хлопок, наименее — шерсть (требуется т-ры не выше 105°, pH 3,3—3,5, крашение не дольше 20—25 мин.). Вискозное и ацетатное волокна при 100—120° чувствительны к щел. р-рам (деградируют, теряют блеск). Для найлона возможно использование  $HCOOH$  и  $CH_3COOH$ , но не  $H_2SO_4$  и не  $Na_2PO_4$ , а орлон и дакрон требуют предварительной стабилизации при т-ре на 10—15° выше т-ры крашения.

З. Бобырь  
69903. Крашение целлюлозных волокон при температуре выше 100°. Вила-Бакез (La tintura de fibras celulósicas a temperatura superior a 100°C. *Vila Baqués D. Juan*, *Ingeniería text.*, 1955, 22, № 117, 517—519, 521, 523—527, 531—534 (исп.))

Исследованы в условиях крашения природных и искусств. целлюлозных волокон прямыми и кубовыми красителями (К) при значениях т-ры > 100° устойчивость К, прочность волокон, факторы, влияющие на крашение (pH ванны, длительность обработки, характер электролита). Для прямых К (диазминовых, купрофиксных, резеофиксных) установлено, что их устойчивость при высокой т-ре зависит от pH, для снижения которого рекомендуется добавка  $(NH_4)_2SO_4$ ; прочность волокна в отсутствие окислителей не изменяется при 120°; наибольшее выравнивание отмечается при 90—130°. Большинство прямых К дает вполне удовлетворительную окраску. Из кубовых К лишь немногие устойчивы при 90—120°; такие К вводят в ванну при 120° в виде тонко диспергированного пигмента, эта т-ра поддерживается 5—10 мин., затем медленно снижается до 50—60°. Для вискозного волокна опасность деградации больше, чем для природного. Высокотемпературное крашение особенно пригодно для очень плотных бобин, туго скрученных нитей и т. д., когда обычные методы крашения не дают хороших результатов.

З. Бобырь  
69904. Новое в крашении прямыми красителями по непрерывному методу. Вегман (Neuere Aspekte in der Continuéfärberei mit substantiven Farbstoffen. *Wegmann J.*, *SVF Fachorgan Textilveredlung*, 1956, 11, № 4, 176—190 (нем.))

Содержащие Si полиазокрасители образуют с некоторыми аминями нестойкие комплексные соединения, легко диффундирующие и равномерно распределяющиеся на ткани в условиях крашения по непрерывному способу. При фиксации красителей запариванием указанные комплексные соединения разрушаются, амины при промывке удаляются с волокна и в результате достигается требуемая окраска ткани.

Н. Абрамова

69905. Влияние на окраски прямыми красителями катионактивных упрочняющих препаратов. Шенрок (Einfluss kationaktiver Farbstoff — Fixiermittel auf substantiv Färbungen. *Schönrock Günter*, *Textil — Praxis*, 1956, 11, № 3, 275—278 (нем.; рез. англ., франц., исп.))

Катионактивные упрочняющие препараты (УП) неодинаково повышают прочность к мокрым обработкам окрасок прямыми красителями (К) различных марок. При использовании смесей следует подбирать К, примерно в равной степени упрочняемые применяемым УП. Следует учитывать также возможность изменения оттенка окрасок отдельных К при их упрочнении. Все катионактивные УП вызывают снижение прочности окрасок к свету.

Н. Абрамова  
69906. Устранение свободного анилина из рецентов, применяемых при крашении и печатании тканей анилиновым черным. Асцьдик (Usunięcie wolnej aniliny z przepisów używanych przy barwieniu i drukowaniu tkanin czernią anilinową. *Aścik Kazi-*

mierz), Przem. włóknieniczny, 1956, 10, № 5, 253—256 (польск.).

Для устранения свободного анилина (I) из р-ров анилинового черного из-за его летучести при сушке и в зрелище разработан рецепт, в котором свободный I заменяют неоктоламином 2R (II). Рецепт (в г): анилиновой соли 70, хлората натрия 28, ферроцианида калия 50; II с глицерином в отношении 1:1—25, воды 827. Состав II (в г): *n*-фенилендиамина 100, *m*-фенилендиамина 80, роданида аммония 300, воды 520. Полупроизводственные опыты дали положительные результаты (потеря прочности ткани лишь 4,4%).

M. Kowalski

**69907. Влияние основности красителя и кислоты на крашение шерсти.** Леви (Wool dyeing-effect of dye and acid valence. Levy Joseph B.), Amer. Dyestuff Reporter, 1956, 45, № 8, 223—226 (англ.)

Результаты лабор. крашения ряда образцов очищ. шерстяной ленты кислотными красителями (K) калкоид аллазириновыми синими SE и SAPX с содержанием соответственно одной и двух сульфогрупп в присутствии HCl и NaCl, а также H<sub>2</sub>SO<sub>4</sub> и Na<sub>2</sub>SO<sub>4</sub> показали, что основность к-ты оказывает большее влияние на скорость процесса, чем основность K. Наибольшее выделение K наблюдается при максим. величине соотношения, основностей K и к-ты (напр. при 2-основном K и одноосновной к-те). Наибольшая скорость крашения достигается в случае, когда величина произведения значений основности K и к-ты наименьшая, напр. при одноосновных к-те и K. Подтверждена применимость к процессу крашения шерсти кислотными K закона диффузии Фика при стационарном потоке.

C. Светов

**69908. Исследование фотохимии красителей на протеинах и других субстратах.** Камминг, Джэйлс, Мак-Ичран (A study of the photochemistry of dyes on proteins and other substrates. Cumming J. W., Giles C. H., McEachran A. E., Miss), J. Soc. Dyers and Colourists, 1956, 72, № 8, 373—381 (англ.)

Для проверки окислительно-восстановительного механизма процесса выцветания кислотных и основных красителей (K) в водн. р-рах и на пленках желатин и метилэтилцеллюлозы подвергнуты выцветанию препараты 17 окисл. K (13 кислотных — сульфированные оксиазокрасители, дифенилнфталиметановые, трифенилметановые и 4 основных — трифенилметановые и ксантеновые) при экспозиции на лампе «Osira», 400 вт. Для выяснения роли отдельных белков в пленки метилэтилцеллюлозы вводились гистидин, триптофан и тирозин. Механизм р-ции контролировался путем определения скорости фотохим. деградации, сравнения спектров поглощения облученных K и соответствующих продуктов их окисления и восстановления и хроматографич. исследования продуктов деградации, экстрагированных из пленок после экспозиции. Подтверждены литературные данные о том, что нормальный процесс выцветания на непротенновых субстратах представляет фотохим. окисление с участием K, воды и кислорода. Фотохим. деградация субстрата протекает параллельно и независимо от K. Показано, что на белковых субстратах, по крайней мере, в начальных стадиях, выцветание характеризуется наличием фотохим. восстановления, в котором принимают непосредственное участие отдельные компоненты белков (напр., боковые цепи гистидина). Определены относительные скорости выцветания кислотных и основных K и исследована роль отдельных заместителей (—OCH<sub>3</sub>, —Cl, —NO<sub>2</sub> и т. д.) в орто- и пара-положениях.

Л. Белевский

**69909. Крашение шерсти и ее смесей при температурах свыше 100°. Вила-Бакес (La tintura de la**

lana y de sus mezclas a temperatura superior a 100° C. Vila Baqués D. Juan), Ingeniería text., 1955, 22, № 117, 554—555, 557—559, 561—566 (исп.)

Лабораторные и производственные опыты показывают, что крашение шерсти при *t*-ре > 100° вполне возможно и значительно ускоряет процесс. При этом нужно избегать нейтр. и слишком кислых ванн, удерживая pH возможно ближе к изоэлектрич. точке шерсти (~4,8); поддерживать *t*-ру < 108° и не затягивать крашения дольше 45 мин. Крашение смесей шерсти с искусств. волокнами мало изучено и для них рекомендуется *t*-ра не выше 100°. Для смесей с целлюлозными волокнами нужно подбирать смесь прямых и кислотных красителей в слабосильной ванне; для смесей с полиамидными волокнами рекомендуются кислые красители и выравниватель резольн-В, способствующие однотонному окрашиванию обоих компонентов, а также смесь метометаксировых и ланазинных красителей. Для смесей шерсти с шерстяной *t*-ра > 100° вообще недопустима.

З. Бобыр

**69910. Способ непрерывного крашения ленты.** Кларк (Continuous ribbon dyeing. Clarke L. J.), J. Soc. Dyers and Colourists, 1955, 71, № 1, 26—28 (англ.)

Разработан непрерывный способ крашения ленты путем введения питающего р-ра через сопла, расположенные по ширине ванны. Этим достигается турбулентное движение красильного р-ра с большой скоростью и выравнивание конц-ии по всему его объему, что влияет на диффузию красителя в волокно и на связывание его с волокном и, следовательно, на скорость крашения и равномерность окраски.

**69911. Крашение шерстяного лоскута.** Хорнунг, Секер (Térs előtt vagy után színezzük a gyapjúrongyokat. Hornung József, Székér Kálmán), Magyar textiltechn., 1956, № 6, 225—227 (венг.)

Расхождения между показателями прочности и растяжимости пряжи из шерстяного лоскута, окрашенного параллельно до и после разработки на вальцах, не превышают ошибки опыта. Штапельные диаграммы волокон также не обнаруживают существенного отличия. Поэтому при выборе места крашения лоскута следует основываться на данных экономики.

Г. Юдкович

**69912. Предварительная обработка и крашение лоскута.** Фриш (Vorbehandlung und Färben von Reißwollmaterial. Frische Julius), Textil- und Faserstofftechnik, 1955, 5, № 5, 319—321 (нем.)

Лоскут, направляемый на переработку в регенерированную шерсть, предварительно тщательно промывают (2—3 г/л вофалона АН конц. и 0,5—1 мл/л NH<sub>4</sub>OH; 45—50°), обесцвечивают (3—4% декролина и 1—2% HCOOH), а затем окрашивают. Для крашения применяют преимущественно вегановые, вегановые прочные или веганметаксировые красители.

Е. Токар

**69913. Хорошо выравнивающиеся, прочные к свету кислотные красители для шерсти.** Вебер (Die hochlichtechten Egalisierungsfarbstoffe für Wollfärbungen. Weber Franz), Prakt. Chem., 1956, 7, № 3, 98—99 (нем.)

Указывается на красители: антралановые, супраценовые, ксиленсветопрочные, базолановые, китоновые, карболоновые фенолановые.

А. Матецкий

**69914. Крашение шерсти хромсодержащими красителями и его влияние на сохранность волокон.** Робинс, Михайлидис (Teinture aux colorants chromifères et préservation de la laine. Robinet M., Michailidis N. J.), Teintex, 1956, 21, № 3, 187, 189, 190, 193, 195 (франц.)

Сравнительные испытания образцов шерсти (*p*-ция Крайса, Марка, Фиртеля; определение работы расти-

жения отдельных волокон на 30%, динамометрирование пряжи до и после крашения по различным режимам) показали, что крашение в присутствии 4—8%  $H_2SO_4$  в течение 2—4 час. вызывает повреждение шерсти, степень которого возрастает при увеличении концентрации  $H_2SO_4$  и длительности обработки. А. Матецкий 69915. Новые красители для шерстяной промышленности. Гандев (Нови багрила за вълнената индустрия. Гандев И.), Лека промышленност, 1955, 4, № 12, 11—15 (болг.)

Значительный интерес для крашения шерстяных и смешанных изделий представляют красители: иргалазовые (ИК), цибаляновые (ЦК), ланазиновые (ЛК) и тетраминовые (ТК). ИК требуют нейтр. или слабощелочной среды (рН 5—7), дают чистые оттенки, хорошо проникают даже в плотную ткань или пряжу, позволяют сократить время крашения; пригодны для крашения шелка и полиамидных волокон. ЦК применяют при рН 6—7 и т-ре до 85°. ТК окрашивают по однованному методу шерсть, хлопок, шелк, ацетатное и гидратцеллюлозные волокна. Некоторые марки ТК поддаются хромированию. Преимущества новых красителей заключается в экономии времени и пара, в пригодности для широкого использования в смесях, в нечувствительности к жесткой воде и к солям металлов.

З. Бобрь 69916. Прочное крашение полшерстяных тканей. Цимбауэр Postojano bojadisanje poluvune. Zimbauer Karl, Tekstil. ind., 1955, 3, № 10-11, 12—14 (серб.)

Для крашения смешанных изделий из шерсти и целлюлозных, искусств. или синтетич. волокон применяют спец. красители (полшерстяные прочные, купрофениловые). Для лучшего выравнивания рекомендуется добавлять препарат иргазаль, для повышения прочности окраски — катионит тинофикс. З. Бобрь 69917. К вопросу крашения полиамидных волокон при высоких температурах. — (Zur Hochtemperaturfärberei von Polyamidfasern.—), Ciba-Rundschau, 1956, № 126, 52—53 (нем.)

Приведены список красителей (цибацетовых, кислотных, неонилловых и цибаляновых), рецептура и режим крашения. Н. Соколова

69918. Исследование крашения нейлона кислотными красителями. Часть II. Кинетика процесса. Атертон, Питере (Studies of the dyeing of nylon with acid dyes. Part II: Kinetics of the process. Atherton E., Peters R. H.), Text. Res. J., 1956, 26, № 7, 497—517 (англ.)

Проведены определения скорости присоединения нейлоном 9 кислотных красителей (К) и 21 смеси (из двух К в каждой) при 75° и рН 3. Результаты обработаны на основе ур-ния диффузии при допущении, что скорость продвижения К в волокне пропорциональна градиенту его активности. Установлено, что при бесконечно большом модуле ванны соотношение скоростей присоединения двух К не зависит от времени, а определяется конц-ей р-ра, коэф. диффузии К, их основностью и средством к волокну. Выявлено совпадение для каждого из двух совместно применяемых К показателей средства, полученных расчетным путем и в результате сорбции, за исключением данных для К с различной основностью, что объясняется стeric. факторами. Результаты работы указывают пути изучения поведения К в смесях в условиях практического крашения, что обеспечит обоснованный подбор рецептуры крашения. Часть 1 см. РЖХим, 1957, 20675.

Н. Цветков 69919. Применение кубовых красителей для крашения акрила и смесей его с вискозой. Смит, Хиндл (The application of vat dyes to acrilan and to acrilan-rayon blends. Smith Edgar D., Hind-

le Walter H.), Amer. Dyestuff Reporter, 1956, 45, № 13, P413—P415 (англ.)

При правильном режиме крашения кубовые красители (КК) дают на акрилане (А) более прочные к свету и стирке окраски, чем на хлопке или вискозе. Для крашения А, напр., в синий цвет на основе лабор. опытов разработан следующий рецепт: 5% кубового индигоидного, 10%  $Na_2CO_3$ , 10% формальдегидсульфоксилата Na, 2% мыла монополь при модуле ванны 20:1. Т-ру крашения поднимают постепенно от 20 до 95°, затем в течение 15 мин. до 110°. Крашение при 110° проводят в течение 30—45 мин., после чего ванну охлаждают до т-ры кипения при нормальном давлении и спускают. Окрашенное волокно затем промывают горячей проточной водой. Для антрахиноновых КК не восстанавливающихся иногда в этих условиях, требуется добавление гидросульфита Na и NaOH, а также  $NaHCO_3$  для снижения рН до 10. Окисление КК на А требует высокой т-ры и может быть совмещено с промывкой. Рекомендуется обработка 0,1%  $NaBO_3$  в течение 10 мин. при 70° с последующим добавлением 0,5% моющего в-ва и повышением т-ры до 93—95°, при которой обработка продолжается еще 20 мин. На смесях А с вискозой ровную окраску дают смеси индигоидных красителей (для А) и антрахиноновых или сернистых (для вискозы). Крашение проводят так же, как и для А, но для лучшего выбора красителя вискозой целесообразно охлаждать ванну до 60° в конце крашения, а также давать холодную промывку 20%-ным р-ром NaCl для уменьшения расхода красителя с вискозы. О. Славина

69920. Сандокриловый способ крашения полиакрилонитрильных волокон. Шмитт, Салфранк, Уокер (The sandocryl process for the dyeing of polyacrylonitrile fibers. Schmitt C. H. A., Saalfrank C. W., Walker H. R.), Amer. Dyestuff Reporter, 1955, 44, № 26, P904—P907 (англ.)

Описанный в литературе сандокриловый способ крашения полиакрилонитрильных волокон отличается введением в красильный р-р в качестве восстановителя металлич. Cu для получения иона  $Cu^+$ . Проверено влияние на выбор красителя волокном кол-ва Cu, к-ты,  $CuSO_4$ , а также времени и т-ры крашения. З. П.

69921. Печатание стойкими солями (базами) по нафтолам типа AS. Кейль (Der Echtfärbesalz-(Basen-)Aufdruck auf Naphtol AS. Keil Heinz), Textil-Praxis, 1956, 11, № 3, 263—269 (нем.; реф. англ., франц., исп.)

Рекомендуется применять нафтолы с малой или умеренной субстантивностью к волокну, так как высокосубстантивные продукты плохо вымываются, загрязняя белый фон. В печатную краску (ПК) добавляют диспергатор, способствующий растворению стойкой соли, повышению стабильности ПК и вымыванию избыточного красителя, а также  $CH_3COOH$  для растворения стойкой соли и связывания избытка щелочи, нанесенной с нафтолом. Загустки следует выбирать с возможно меньшим содержанием сухого в-ва, слабо удерживающие диазосоединение и легко удаляемые при промывке. Парадиол (10—30 г/кг) и двухзамещ. гексахлорстаннат аммония (4—8 г/кг) стабилизируют ПК. При новом методе в р-р нафтола вводят  $NaNO_2$  (20—30 г/л). В состав ПК вводят повышенное кол-во органич. к-т (30—80 г/кг  $HCOOH$  и 15—40 г/кг винной к-т). Диазотирование базы происходит непосредственно перед сочетанием на волокне. Н. Абрамова

69922. Специальные виды отделки тканей из природной целлюлозы. Рюменс (Zum Problem der Hochveredlung von Geweben aus nativer Zellulose. Rümens Wilhelm), Melliand Textilber, 1956, 37, № 4, 441—449; № 8, 445 (нем.; реф. англ., франц., исп.)

При проведении спец. обработок хлопчатобумажных



тканей для придания несминаемости, малоусадочности, тисненых и пласматических эффектов и др. наилучший эффект достигается на мерсеризированных тканях. Для придания несминаемости рекомендуются продукты предварительной конденсации типа Каури-тов W (этерифицированная метилмочевина) и KFR (смесь моно- и диметилмочевин). Условия их применения и выбор катализатора зависят от вида ткани и предъявляемых требований. Для получения устойчивых тисненых, серебристых и гляцевых эффектов применяют препараты, способные легко образовывать поперечные связи с гидроксильными группами целлюлозы, напр. фексантрет CP, не вызывающий к тому же снижения прочности прямых красителей к свету. Сушку обработанной ткани следует вести осторожно во избежание частичной конденсации смол, вызывающей повреждения волокон при каландрировании. При всех видах отделки термич. обработку следует проводить на следующий день после пропитки ткани препаратами. Приведен табличный материал.

К. Маркузе

**69923. Противогнилостные пропитки вискозного волокна. I. Обработка вискозного волокна формальдегидом и формальдегидсодержащими смолами. Белл, Рамзи, Хьюэлл (The rotproofing of viscose rayon I—treatment of viscose rayon with formaldehyde and formaldehyde-containing resins. Bell J. W., Ramsey Margaret M., Whewell C. S.), J. Soc. Dyers and Colourists, 1955, 71, № 11, 660—667 (англ.)**

Галогенизированные фенопласты и смолы из бром-фенола и  $\text{CH}_2\text{O}$  (I) более эффективны, чем мочевино- и фенолформальдегидные смолы (II) в качестве в-в, придающих вискозным тканям противогнилостные свойства. Для хорошей защиты от загнивания достаточно (I) 5% от веса ткани, тогда как ткани, обработанные даже 15—20% (II), не выдерживают длительного испытания.  $\text{CH}_2\text{O}$  как таковой является противогнилостным в-вом средней эффективности. Для оценки достигаемой степени противогнилостности требуется проведение испытаний не по одному, а параллельно по нескольким методам из числа опробованных и описанных в работе.

З. Панфилова

**69924. Несминаемость тканей. I. Опытное изготовление прибора для оценки несминаемости. Го, Судзуки, Хаба (織物の防皺性について. 第1報. 試験機の試作とその結果について. 吳拓吉, 鈴木惠, 羽場清人), 高分子化学, Кобунси кагаку, Chem. High Polym., 1956, 13, № 139, 484—490 (японск.; рез. англ.)**

Из числа имеющихся приборов для оценки несминаемости наиболее пригоден прибор типа Монсанто, но его недостатком является необходимость передвижения испытываемого образца вручную. Сконструирован усовершенствованный прибор этого типа с устранением отмеченного недостатка.

Н. Цветков

**69925. Защита шерсти от повреждений в процессах отделки и применяемые для этого препараты. Ульмер (Faserschutz und Faserschuttmittel in der Wollveredlung. Ulmer Wolfgang), Prakt. Chem., 1956, 7, № 7, 205—208 (нем.)**

К числу препаратов, применяемых для защиты шерсти от повреждений в процессах отделки и крашения, относятся: 1) растворимые белки или продукты их распада; 2) сернистые эфиры и сульфонаты жирных к-т; 3) в-ва типа дубителей. Оценка эффективности их действия производится либо соответствующими технологиями, испытаниями, либо хим. методами, определения поврежденности шерсти (растворимость в щелочи, интенсивность окрашивания красителя лактофенолсиним для хлопка).

А. Матецкий

**69926. Определения pH водных вытяжек из шерсти. Булер, Цан (pH measurements of wool extracts.**

Buhler Hans-Heinrich, Zahn Helmut), Text. J. Australia, 1956, 31, № 8, 974—976 (англ.)

Проведено сопоставление трех методов приготовления воды, вытяжек из шерсти для последующего определения pH с помощью стеклянного электрода. Стандартный метод (СМ) предусматривает обработку параллельно трех образцов шерсти по 2 г в каждом путем встряхивания их в 100 мл дистил. воды в течение 1 часа при  $\sim 20^\circ$ . При ускоренном методе (УМ) такой же обработке подвергают 1 навеску в 3 г, увеличивая объем воды до 150 мл. При методе с нагреванием (МН) обрабатывают навеску шерсти в 3 г в 90 мл дистил. воды при  $90^\circ$ . Наиболее точным оказывается СМ. Технически более прост и более удобен в употреблении УМ, но он менее точен. МН дает ошибку при применении щел. р-ров вследствие улетучивания аммиака из горячих р-ров и буферного действия продуктов распада кератина.

А. Болденко

**69927. Доклад Комитета Американского общества химиков — колористов (AATCC research — progress report of the Standard Soils Committee), Amer. Dyestuff Reporter, 1956, 45, № 26, 946—950 (англ.)**

Разработана методика стирки и исследования тканей, содержащих стандартные загрязнения, для оценки свойств детергентов, и проведена статистич. обработка результатов, полученных при стирке тканей унифицированным методом в нескольких лабораториях. Применена стирка в ландрометре при  $90^\circ$  для хлопка и  $70^\circ$  для других (дайнея, дакрон, акрила, вискоза, ацетатное волокно, шелк, орлон, нейлон) волокон с определением коэф. яркости белых и загрязненных образцов до и после стирки. Испытания производились в дистил. воде и в 0,25%-ном р-ре детергента (алкил-арил-сульфонат; мыло). Сходимость показаний для хлопка в пределах одной лаборатории составила  $\pm 9\%$  для 20 параллельных определений и  $\pm 12,5\%$  для 10 параллельных определений. Для разных лабораторий сходимость составила  $\pm 12,5\%$  при 20 параллельных определениях. Комитет не считает возможным предложить одну стандартную загрязненную ткань для различных испытаний.

Л. Бельский

**69928 П. Приготовление белильного раствора. Судзуки, Фукунага (晒液製造方法. 鈴木脩, 岡永富雄), [鶴見曹達株式会社, Цуруми сода кабусики кайся], Японск. пат. 4320, 24.06.55**

При добавлении в суспензию белильной извести небольшого кол-ва в-ва, получаемого в результате обработки крахмала р-ром едкой щелочи, взвешенные элементы быстро коагулируют и выпадают в виде осадка, оставляя чистый прозрачный белильный р-р. Пример. В 1000 мл воды добавляют 5 г бататового крахмала п, размешивая, нагревают до  $80^\circ$  в течение 5 мин. В загустевшую массу вводят 15 мл 1%-ного р-ра едкой щелочи, размешивают и получают прозрачный состав бледно-коричневого цвета. К 250 мл суспензии, полученной пропусканием хлора через известковое молоко, добавляют 2 мл описанного р-ра, размешивают и на 30 мин. помещают в градуированный цилиндр на 250 мл, в результате получают 180 мл чистого прозрачного р-ра.

В. Гужавин

**69929 П. Усовершенствованный способ отделки материалов растительного происхождения. Гузен, Петров, Петери (Perfectionnements aux procédés de blanchiment des matières végétales. Gouzen Pierre, Petroff Georges, Peteri Robert) (Régie Industrielle de la Cellulose Coloniale), Франц. пат. 1105482, 6.07.55 [Bull. Inst. text. France, 1956, № 60, 149 (франц.)]**

Способ предусматривает предварительную обработку для превращения большей части лигнина в органич.

хлорпроизводные, удаляемые растворением в р-рах NaOH, а затем вторую обработку NaClO в течение 15—30 мин. при  $\sim 20^\circ$  и конц-ии р-ра 20—30%. Значение pH отбеливаемого материала перед хлорированием должно быть доведено до 2.

О. Славина  
69930 П. Белиние кокосовых волокон (Bleaching of coconut fibres) [Naamloze Vennootschap Amsterdamse Maatschappij Tot Exploitatie Van Octrooien]. Англ. пат. 722597, 26.01.55

После отделения от склеивающих в-в и пыли, волокна отбеливают водн. р-ром гидросульфита, напр.  $\text{Na}_2\text{S}_2\text{O}_4$  при  $70-90^\circ$ ; кроме того, можно дать дополнительно обработку при  $70-80^\circ$  водн. р-ром  $\text{HClO}_2$ .

З. Панфилова

69931 П. Белиние кокосовых волокон (Werkwijze voor het bleken van cocosvezels) [N. V. Vezelindustrie «Nederland»]. Гол. пат. 75330, 15.07.54 [Chem. Abstrs, 1955, 49, № 9, 6617 (англ.)]

Кокосовые волокна содержат танниновую к-ту, которая под действием воздуха окисляется в флавофены, в результате чего волокна приобретают темно-коричневый цвет и грубеют. Для предупреждения окисления волокон их обрабатывают непосредственно после освобождения от оболочки горячим р-ром  $\text{Na}_2\text{S}_2\text{O}_4$ . После такой обработки волокна отбеливаются и могут окрашиваться в светлые цвета. Когда требуется, можно дополнительно проводить повторное белиние р-ром хлорита. Пример. Волокна после снятия оболочки обрабатывают 15 мин. 1—2%-ным р-ром  $\text{Na}_2\text{S}_2\text{O}_4$  при  $70-90^\circ$ , после чего следует промывка и сушка. Получаются волокна палевого цвета. Для дальнейшей отбелики можно применять водн. р-р хлорита с содержанием 4 г/л  $\text{ClO}_2$ .

С. Светов

69932 П. Способ облагораживания волокнистых материалов. Аккерман (Verfahren zum Veredeln von Faserstoffen. Ackermann Franz) [Ciba A.-G.]. Пат. FRG 923422, 14.02.55

Для облагораживания волокнистых материалов (напр. шерсти, шелка, ацетатного волокна, синтетич. волокон), повышения белизны или чистоты окраски их обрабатывают в любой стадии отделки в-вами, обнаруживающими при дневном или УФ-свете голубовато-фиолетовую флуоресценцию и отечающими общей ф-ле  $\text{A}-\text{C}(\text{R})=\text{C}(\text{R}')-\text{COO}$  (A — содержащее

замещ. аминогруппу бензольное ядро, у которого два соседних атома C входят в ненасыщ. лактонное кольцо, R и R' — H, или замещ. алкильный или аралкильный остаток). Напр., шерсть обрабатывают (при модуле ванны 1:40) 15 мин. при  $40-50^\circ$  в р-ре, содержащем в 1 л 0,1 г 4-метил-7-этиламинокумарина, предварительно растворенного в 50 г 2%-ной  $\text{H}_2\text{SO}_4$ . Затем волокно промывают и сушат. Можно применять также 4-метил-7-диметиламинокумарина и заменять  $\text{H}_2\text{SO}_4$  бисульфатом Na или винным камнем. А. Пахшвер

69933 П. Освобождение грязной шерсти от примесей (Process for removing foreign materials from raw wool) [Pacific Flush Tank Co.]. Англ. пат. 730037, 18.05.55

Грязную шерсть подвергают воздействию образующих метан микроорганизмов, разлагающих органич. в-ва примесей, не влияя на шерстяное волокно. Шерсть вводят в жидкость, зараженную микроорганизмами, напр., из отстойника для сточных вод или специально приготовленными культурами; жидкость при обработке шерсти поддерживают в анаэробных условиях при  $t\text{-ре} \sim 35^\circ$ . Легкое помешивание жидкости и шерсти способствует выделению газа, который можно собрать и использовать для обогрева барки с очищаемой шерстью. По окончании ферментативного процесса шерсть выгружают, после стекания жидкости центрифугируют, прополаскивают и сушат. С. Светов

69934 П. Устройство для мокрых обработок тканей по непрерывному способу в расправленном состоянии без натяжения. Менде (Vorrichtung zum kontinuierlichen spannungslosen Breitaßbehandeln von Gewebestoffen. Mende Emil). Пат. FRG 933922, 3.10.55 [Textil-Praxis, 1956, 11, № 6, 611 (нем.)]

Устройство снабжено вращающимся барабаном (Б) с одним или несколькими отделениями для приема свободной, сложенной складками, ткани. Предусмотрено перекрытие этих отделений по окружности Б, который разделяется на отделения радиально (до перфорированной полой оси). Для перекрытия применяют бесконечное, пропускающее жидкость полотно, навиваемое по окружности Б. Скорость вращения Б регулируют так, чтобы при постоянной скорости подачи можно было варьировать кол-во ткани, загружаемой в каждое отделение Б.

О. Славина

69935 П. Устройство для отжима жидкости из текстильного полотна. Кюстере (Vorrichtung zum Abquetschen der Feuchtigkeit von Textilbahnen und Verfahren zur Herstellung dieser Vorrichtung. Küsters Eduard). Швейц. пат. 304364, 16.03.55 [Textil-Praxis, 1956, 11, № 6, 610 (нем.)]

Применяемые для отжима ткани валы имеют diam.  $\leq 150$  мм и нагружены в отдельных участках по длине. Валы могут быть покрыты эластичным покрытием. Валы состоят из дисков, изготовленных из запрессованных волокон, пропитанных связующим в-вом, с покрытием в форме тонкой плотно прилегающей пленки из искусств. в-в, отвержденных после наложения.

О. Славина

69936 П. Обработка текстильных материалов, содержащих синтетические волокна, антистатическими препаратами (Treatment of textile materials containing synthetic polymeric fibres to obtain an anti-static finish) [Monsanto Chemical Co.]. Англ. пат. 730210, 18.05.55

Препараты представляют собой водн. р-ры или дисперсии солей четвертичного фосфония с добавлением 0,1—5 вес.% минер. или растительного масел (исходных или сульфированных), бутилстеарата, или смеси этих в-в, сорбита или глицерина. Другими специфич. добавками могут быть: эфир сорбита и лауриновой к-ты, продукты конденсации окиси этилена с алкилмеркаптанами, имеющими  $\geq 8$  атомов C, бутиловый спирт, моноэтиловые простые эфиры этиленгликоля или диэтиленгликоля. Четвертичные фосфониевые соединения могут быть следующего состава: 1)  $\text{XP}(\text{R}_1)(\text{R}_2)$ , где:  $\text{R}_1$  — арилалкил или алкил с 6—24 атомами C;  $\text{R}_2$  — алкил с 1—4 атомами C;  $\text{X} = \text{Cl}, \text{Br}, \text{I}$  или алифатич. монокарбоксилат с 8—24 атомами C. 2)  $\text{XP}(\text{R})[\text{N}(\text{R}_1)_2]$ , где:  $\text{R}$  — алкил с 6—22 атомами C,  $\text{R}_1$  — алкил с 1—4 атомами C,  $\text{X}$  — то же что в (1). 3)  $\text{Y}(\text{Y}_1)-\text{C}_6\text{H}_5-\text{CH}_2-\text{P}(\text{X})[\text{N}(\text{R}'')_2]$ , где  $\text{Y}$  и  $\text{Y}_1 = \text{Cl}, \text{Br}$  или H, или алкил с 1—5 атомами C;  $\text{R}''$  — алкил с 1—4 атомами C;  $\text{X}$  — то же, что в (1) и (2). Алифатич. монокарбоксилаты четвертичного фосфония нормально растворимы в масле и не растворимы в воде, но могут быть диспергированы в ней с помощью диспергирующих агентов.

С. Светов

69937 П. Способ снижения способности шерстяных и смешанных изделий к свойлачиванию и усадке при валке (Process for improving the felting shrinkage resistance of wool or wool-containing textile materials) [British Industrial Plastics, Ltd.]. Англ. пат. 727660, 6.04.55

Для снижения способности шерстяных и смешанных изделий к свойлачиванию и усадке при валке их обрабатывают кислым водн. р-ром компонентов, способных образовывать смолы, и (или) растворимых продуктов частичной конденсации смол, проводя эту обработку при  $t\text{-ре}$  от  $80^\circ$  до  $t\text{-ры}$  кипения р-ра. Обычно

пользуются мочевино- или меламинальдегидными смолами. Кислая среда создается предварительным или последующим введением к-ты (серной, фосфорной, щавелевой и др.) или аммиачных солей, выделяющих к-ту в соответствующих условиях. В качестве альдегидов применяют параформальдегид или гексамин; в качестве продуктов частичной конденсации — триметил- или тетраметилмеламин, или диметилмочевину. Иногда в р-р вводят также смачиватель. После пропитки и отжима проводят сушку. Р-р может быть повторно использован, для чего его нейтрализуют при высокой т-ре  $\text{NH}_4\text{OH}$  или  $\text{NaOH}$ , а затем подкрепляют соответствующими добавками. Иногда в р-р вводят также кислотные или кислотно-хромовые красители с требующимися для них добавками  $[(\text{NH}_4)_2\text{SO}_4, \text{K}_2\text{Cr}_2\text{O}_7]$ . А. Матецкий

**69938 П.** Машина для крашения и промывки тканей в виде жгута или полотна (Machine à teindre et laver des tissus en forme de corde ou de fil) [Mezzera Soc.]. Франц. пат. 1079822, 2.12.54 [Bull. Inst. text. France, 1955, № 54, 161 (Франц.)]

Эта машина содержит 2 цилиндрич. ребристых вала, вращающихся в противоположных направлениях и расположенных над 2 барками (Б), снабженными 2 скатами, пригнанными к одинаково наклоненным стенкам, и переходящими почти в горизонтально расположенное дно. Каждая Б снабжена спускным устройством, регулируемым с помощью ручного маховика, позволяющего менять уровень жидкости, и нагревающим устройством. Между 2 Б расположена емкость, разделенная на 2 части, в которых присоединены трубы для питания Б. Форма Б позволяет пользоваться лишь небольшими объемами красильного р-ра, причем при накоплении ткани на дне Б совершенно устраняются препятствия и запутывание зусков, что делает возможным увеличение скорости движения ткани до 180 м/мин. Расстояния между ребрами валов подогнаны так, чтобы ткань располагалась по линии, почти касательной к вписанному внутреннему кругу. Таким образом участки ткани между ребрами отбрасываются к стенкам вала, что вызывает ударное действие, которое, разбрызгивая жидкость по всем направлениям, ускоряет проникание красителя внутрь ткани или удаление загрязнений при промывке. О. Славина

**69939 П.** Усовершенствование вращающихся мешалок в барках для крашения тканей (Perfectionnements aux moulins ou tourniquets des bacs à teindre les pièces de tissus.) [Clermont-Bontel]. Франц. пат. 1076903, 3.11.54 [Bull. Inst. text. France, 1955, № 54, 161 (Франц.)]

Лопасты мешалок состоят из арматуры U-образной формы, на которой укреплены пластинки из каучука или пластмассы; при этом ткань плотно прилегает к каучуковой пластинке, препятствующей ее скольжению. О. Славина

**69940 П.** Устройство для передвижения раствора относительно погруженного в него материала в процессе обработки. Раудсус (Method of and device for producing relative movements between a liquid and articles immersed therein. Раудсзус О.). Англ. пат. 710713, 16.04.54

В аппарат для крашения текстильных изделий непрерывно подают газ, образующий в красильном р-ре пузырьки. Одновременно при помощи электромагнитного устройства создают звуковую ВЧ-вибрацию. Напр., может быть использован красильный аппарат, описанный в англ. пат. 680418, к которому (см. рис.) приспособлена полая жесткая деталь 1, связанная трубой 2, с якорем 3 электромагнита. Труба 2 поддерживается путем крепления к диафрагмам 4 и 5, приспособленным к корпусу 6. Перегородка 7 имеет отверстия

8, которые перекрываются эластичными дисками 9, образующими клапаны. При вибрации диафрагмы 5 воздух засасывается в корпус 6 через отверстия 10 и 11 в трубе 2, а также в жидкость через отверстие 12. Возможна также подача воздуха или другого газа в р-р при помощи насоса или под давлением. Может быть применен также способ образования газа путем добавления в р-р, напр. смеси  $\text{NaHCO}_3, \text{Na}_2\text{CO}_3$  или  $\text{K}_2\text{CO}_3$  и винной к-ты.

А. Матецкий

**69941 П.** Патрон для наматки пряжи, подвергаемой обработке водными растворами, в частности крашению. Селъе (Support de fils pour la teinture ou le traitement en général de ceux-ci. Sellier C. M.). Франц. пат. 1103656, 4.11.55 [Teintex, 1956, 21, № 6, 519 (Франц.)]

Новый патрон для пряжи состоит из ряда групп концентричных звеньев, причем в каждую группу входит не менее двух звеньев. Отдельные группы соединены между собой эластично, напр., с помощью витков спиральной пружины. Элементы, соединяющие группы звеньев, расположены в плоскости, продольной оси патрона, и сдвинуты относительно элементов, связывающих отдельные звенья. И. Фодиман

**69942 П.** Устройство для отбора пробных образцов [текстильного материала] из находящегося под давлением автоклава (Vorrichtung zum Herausziehen von Probenmaterial aus einem unter Druck stehenden Autoklaven [Scholl A.-G.]). Швейц. пат. 305092, 16.04.55 [Textil-Praxis, 1956, 11, № 6, 611 (нем.)]

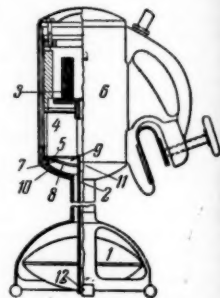
Устройство состоит из шлюза с вентилем, установленным на автоклаве, и промежуточного канала, соединяющего вентиль с отключающим приспособлением. Пробу материала, предварительно прикрепленную к нити, вытаскивают с помощью последней через канал при открытом вентиле и закрытом отключающем приспособлении. О. Славина

**69943 П.** Способ крашения целлюлозных текстильных материалов (Process for dyeing cellulose-containing textile materials) [Ciba, A.-G.]. Англ. пат. 737806, 5.10.55

При крашении прямыми красителями, образующими с металлами умеренно растворимые комплексные соединения, рекомендуется вводить в красильную ванну соединения Ni или Cu в виде сульфатов, щелочно-никелевых или щелочно-медных полифосфатов (напр., триполифосфат Na и Cu, гексаметафосфат Na и Cu). Красильная ванна должна иметь р-цию от нейтр. до щел., не содержать аминов, содержать анион фосфорной к-ты общей ф-лы  $\text{H}_{m+2} \text{P}_m \text{O}_{3m+1}$ , где  $m$  — целое число  $> 1$  (напр., тетранатрийпирофосфат). Соединения металлов можно добавлять в красильную ванну как с начала крашения, так и после того, как большая часть красителя сорбируется волокном. В красильной ванне могут содержаться также  $\text{Na}_2\text{SO}_4, \text{Na}_2\text{CO}_3$ , мочевины, декстрины, сахароза. Применяют также последующую обработку окрасок продуктом р-ции  $\text{CH}_2\text{O}$  с цианамидом, дицианамидом, дициандиамином или меламином. З. Панфилова

**69944 П.** Способ крашения. Хардинг (Dyeing. Harding Arthur J. I.). Канад. пат. 519099, 6.12.55

Для получения меланжевого эффекта на шерсти ее обрабатывают водой, р-ром или пастой с содержанием: 1) в-в, частично или полностью резервирующих





шерсть, взаимодействуя с аминокислотами кератина; 2) к-т ( $\text{pH} < 5,5$ ) или их аммонийных солей ( $\text{pH} < 6,2$ ) при соотношении  $2:1 \geq 1:0,3$ ; 3) красители для шерсти, имеющие в молекуле  $\geq 2$  сульфогрупп. 1 представляет собой продукты конденсации альдегида (предпочтительно  $\text{CH}_2\text{O}$ ) с ароматич. сульфокислотой или ее солью, водорастворимым продуктом конденсации мочевино- или меламиноформальдегидной смолы, танином, таниновой к-той или ароматич. сульфокислотой, содержащей  $\geq 3$  сульфогрупп в молекуле (фенол- или крезолсульфокислотой) или их водорастворимыми солями. В качестве 2 могут быть применены к-ты: уксусная, соляная, серная, муравьиная, форменная, молочная.

3. Панфилова 69945 П. Способ крашения смесей шерсти и полиамидных волокон. Хове (Verfahren zum Färben von Mischungen aus Wolle und Polyamidfasern. Hovt Hugh vom) [Inventa A.-G. für Forschung & Patentverwertung]. Пат. ФРГ 948970, 13.09.56

Для однотонного крашения смесей шерсти (Ш) и полиамидных волокон (ПВ) в красильную ванну вводят вспомогательные препараты типа нафталинсульфонатов, напр. дибутилнафталинсульфонат, и проводят окрашивание ПВ в щел. среде (добавка  $\text{NH}_4\text{OH}$ ) и Ш в кислой среде (добавка  $\text{CH}_3\text{COOH}$ ), осуществляя эти стадии процесса в той или другой последовательности. Примеры I. В р-р, содержащий 10% дибутилнафталинсульфоната Na и доведенный добавкой  $\text{NH}_4\text{OH}$  до pH 8, загружают смешанное изделие и после короткой обработки при  $50^\circ$  вводят красители для ПВ (металлсодержащие) и для Ш (кислотные). Р-р медленно нагревают до кипения и красят в кипящем р-ре 45 мин., охлаждают до  $70^\circ$  и вводят частями 2%  $\text{HCOOH}$  (85%-ный), снова нагревают до кипения и красят в кипящем р-ре еще 45 мин.; после обработки изделия в р-ре при pH 8 и т-ре  $50^\circ$  вводят краситель для ПВ, затем нагревают до кипения и красят в кипящем р-ре 45 мин., охлаждают до  $70^\circ$ , вводят краситель для Ш и 2%  $\text{HCOOH}$ , снова нагревают до кипения и красят в кипящем р-ре 45 мин.

А. Матецкий 69946 П. Способ получения устойчивых к повторному крашению окрасок на волокнах из ацетилцеллюлозы, а также из линейных полиамидов или полиуретанов. Фишер, Эльснер (Verfahren zur Erzeugung überfärbecchter Färbungen auf Fasergut aus Acetylcellulose sowie linearen Polyamiden oder Polyurethanen. Fischer Ernst, Elsner Gerhard) [Farbwerke Hoechst A.-G. vormals Meister Lucius & Brünig]. Пат. ФРГ 935964, 1.12.55

Волокна обрабатывают водн. р-ром диалкильных эфиров аминоталевой к-ты и щел. соединениями ариламидов 2,3-оксинафтойной к-ты, содержащими в ариламидном остатке алкоксигруппу, затем проводят диазотирование на волокне и проявление в нагретом р-ре. Крашение проводят в присутствии моно- или диэтаноламина, высокомолекулярных жирных к-т и продуктов распада белка, аммиака и поваренной соли; проявление — в присутствии олеилметилтаурина и ацетата натрия. Приведены рекомендуемые азо- и диазосоставляющие для получения окрасок от оранжевого до ярко-красного цветов. Пример. 1 кг пряжи из ацетилцеллюлозы обрабатывают 60–80 мин. при  $75^\circ$  в р-ре, содержащем в 30 л воды р-р 17,1 г натриевой соли 1-(2'-3'-оксинафтиламино)-2-метоксибензола и 14,2 г диэтилового эфира 4-аминофталевой к-ты в 150 мл диэтаноламина и 18 мл воды, 90 г продукта конденсации высокомолекулярных жирных к-т и продуктов распада белка, 30 мл 25%-ного  $\text{NH}_4\text{OH}$  и 600 г  $\text{NaCl}$ . Затем проводят диазотирование (30 мин. без подогрева) действием р-ра 30 г  $\text{NaNO}_2$  и 150 мл  $\text{HCl}$  в 30 л воды и проявление обработкой р-ром 30 г олеилметилтаурина, 120 г  $\text{CH}_3\text{COONa}$  и 3 мл  $\text{NH}_4\text{OH}$  в 30 л

воды при  $60^\circ$ – $80^\circ$  с последующей промывкой. Окрашенная по этому способу пряжа пригодна для использования в качестве эффектных нитей в шерстяных и смешанных тканях.

3. Панфилова 69947 П. Способ крашения тканей, содержащих акрилонитрильные волокна. Ранкин (Process for dyeing acrylonitrile-containing textile articles. Rankin William W.) [Union Carbide and Carbon Corp. Канад. пат. 519546, 13.12.55]

Для крашения тканей и других изделий из полиакрилонитрила и сополимеров акрилонитрила водорастворимыми и диспергируемыми в воде красителями их обрабатывают  $\geq 10$  мин. при т-ре от  $80^\circ$  до т-ры несколько ниже т-ры размягчения смолы р-ром, содержащим не менее одного диспергируемого в воде красителя типа применяемых для ацетатных волокон и одного водорастворимого красителя типа кислотных, прямых или водорастворимых для ацетатного волокна. pH р-ра поддерживается 2–7, т-ра — в вышеуказанных пределах. Постепенно, небольшими порциями, вводят р-р, содержащий ион  $\text{Cu}^+$  или р-р с ионом  $\text{Cu}^{2+}$  и восстановителем (гидроксиламинсульфатом) в кол-ве, достаточном для образования в р-ре  $\geq 0,04\%$  иона  $\text{Cu}^+$ , пока волокно не получит требуемой окраски.

3. Панфилова 69948 П. Способы получения прочных окрасок при крашении и печатании. Кирст, Краккер, Шмитт (Verfahren zur Herstellung echter Färbungen und Drucke. Kirst Werner, Kracker Herbert, Schmitt Robert) [Farbwerke Hoechst A.-G. vormals Meister Lucius & Brünig]. Пат. ФРГ 918636, 30.09.54 [Chem. Abstrs, 1955, 49, № 4, 2747 (англ.)]

Яркие окраски от бордо до алых при крашении и печатании целлюлозных волокон получают при сочетании на волокне диазотированных 4-амино-3'-нитро-2,5-диметоксиназобензола (I) и (или) 4-амино-4'-нитро-2,5-диметоксиназобензола (II) с 1-ацетоацетиамидо-2,5-диметилбензолом (III). Хлопчатобумажную ткань плюсюют жидкостью, приготавливаемой растворением в кипящей воде пасты, состоящей из 12 ч. III, 20 мл 50%-ного ализаринового масла и 8 мл водн. р-ра  $\text{NaOH}$  (уд. в. 1,357) при доведении объема до 1 л. На высушенную ткань наносят печатную краску, приготовленную смешиванием 40 г двойной соли диазотированного соединения I с  $\text{ZnCl}_2$ , смешанной с сульфатом Al и  $\text{Na}_2\text{SO}_4$  (при содержании I 20%) и 500 г водн. крахмально-трагантовой загустки, и доведением веса краски до 1 кг. После высушивания и промывки получают прочные алые окраски. Замена соединения (I) соединением (II) приводит к образованию окрасок цвета бордо.

Н. Соколова 69949 П. Усовершенствование сетчатых шаблонов для набивки тканей и других материалов. Массон (Perfectionnements aux cadres d'impression sur étoffes et analogues. Masson C.) [Франц. пат. 1080684, 13.12.54 [Bull. Inst. text. France, 1955, № 54, 155 (франц.)]

Сетчатый шаблон состоит из металлич. арматуры в форме желоба, в который вставляют деревянную рамку. Стенки желоба наклонены друг к другу так, что верхнее отверстие уже, чем дно. Величина деревянной рамки соответствует ширине дна желоба, вследствие чего она может быть вставлена только с усилием; металл должен обладать упругостью, достаточной, чтобы обеспечить устойчивость смонтированного шаблона.

Р. Р. 69950 П. Машина для непрерывного печатания тканей порошками с помощью сетчатых шаблонов. Фонтен (Machine d'impression continue au cadre pour tissus poudrés. Fontaine G. M.) [Франц. пат. 1077076, 4.11.54 [Bull. Inst. text. France, 1955, № 54, 154 (франц.)]

Ткань, раскатываясь с ролика, поступает через направляющие и приводной валики на печатный стол пятиугольной формы. Этот стол, вращающийся синхронно с сушилкой той же формы, приводится в движение электрич. мотором посредством редуктора. На столе на ткань наносят лаки, а затем пропускают ее через решетку и металлич. стол, покрытый порошком, который с помощью генератора направляют на решетку при напряжении в 40 000 в и фиксируют на ткани. Спец. устройство возвращает избыток порошка на стол. Ткань затем сушат сначала электрич. или ИК-излучением, затем в сушилке и, наконец, накатывают на ролик. О. Славина

**69951 П. Распылитель красок. Соннино** (Farbzerstäuber. Sonnino Bruno) [Manta Soc. an]. Пат. ФРГ 921742, 30.12.54 [Textil-Praxis, 1955, 10, № 4, 399 (нем.)]

Приспособление для разбрызгивания жидких красок, применяемых, в частности, для набивки сетчатыми шаблонами, присоединено к резервуару с красильной жидкостью и на заднем конце имеет воронкообразное разбрызгивающее сопло, передвигаемое вдоль длинной оси. В установленном таким образом приспособлении красильная жидкость делится на 2 части и подводится к основному остроконечному соплу в 2 приема уже смешанной с помощью разбрызгивающего сопла с разбрызгивающим средством, напр. со сжатым воздухом. О. Славина

**69952 П. Способ получения резервов под нерастворимые азокрасители. Штаб** (Verfahren zur Erzeugung von Reservaten unter unlöslichen Azofarbstoffen. Staab Walter) [Farbwerke Hoechst A.-G. vormalig Meister Lusiund Brüning]. Пат. ФРГ 937225, 29.12.55

Белые резервы получают путем нанесения на ткань, оплюсованную р-ром азосоставляющей, печатной краски, содержащей наряду со щелочно-реагирующими солями или щел. гидроксидами в-ва общей ф-лы  $X-C_6H_4-Y$  (X и Y — окси-, amino- или замещ. аминогруппа, находящиеся в орто- или пара-положении друг к другу; бензольное ядро может содержать другие заместители), затем ткань сушат и на непечатанных местах проявляют путем сочетания с диазосоставляющей по обычному способу; по окончании сочетания удаляют с волокон последующей горячей обработкой остатки печатной краски и избыток азосоставляющей. Возможно проводить проявление в р-ре диазосоставляющей или наносить диазосоставляющую в форме диазосульфоната совместно с азосоставляющей на ткань, напечатанную печатной краской, содержащей резерв, или для получения цветных резервов вводить в печатную краску, помимо резервирующего в-ва, еще соли эфиров лейкосоединений кубовых красителей. В этих случаях после образования азокрасителя путем сочетания с диазосоединениями проводят окисление соли эфиров лейкосоединений по обычному способу. Для получения белого резерва по ткани, оплюсованной водн. р-ром содержащим в 1 л 14 г о-толуидида I (1,2,3-оксинафталиновая к-та), ~20 г 50%-ного р-ра Na-соли сульфированного касторового масла и 21 мл 33%-ного NaOH, ее печатают печатной краской, содержащей 100 г л-аминофенола, 100 г  $Na_2CO_3$ , 300 г горячей воды и 500 г нейтр. крахмально-трагантовой загустки 60/1000 или аналогичными красками с применением в качестве активной составной части следующих в-в: 72,5 г л-метиламинофенола, 111 г л-оксидифениламина, 91,5 г или 113 г 4-оксанилин-3-карбонной к-ты или 100 г N-(4-оксифенил)-аминоуксусной к-ты (II). После сушки ткань проводят через р-р диазотированного хлоргидрата 2-метил-5-хлоранилина, отжимают, окисляют на воздухе, промывают, подвергают мыльной обработке, промывают и сушат. Для получения цветного резерва по той же

ткани применяют печатные краски с содержанием: 60 г сернокислого эфира лейкосоединения 5,5'-дибром-4,4'-дихлориндиго (или 80 г сернокислого эфира лейкосоединения 2,2'-диметоксидибензантраона), 50 г дигликоля, 100 г II, 75 г  $Na_2CO_3$ , 50 г мочевины, 40 г  $NaNO_2$ , 500 г нейтр. крахмально-трагантовой загустки 60/1000 и воды до 1 кг, получают синюю (или зеленую, соответственно) расцветку на красном фоне. Приведены примеры получения белого резерва, совместно с оранжевым, приготовленным по другому способу из 65 г 20%-ного препарата двойной Zn-соли хлористого 2-хлор-5-трифторметилдиазония в 1 кг, а также резерва, приготовленного с применением л-аминофенола, по ткани, оплюсованной л-анизидидом I и проявляемой р-ром нафталиндисульфоната диазотированного 2-метокси-4-нитроанилина. Пасты с применением II пригодны для получения резервов по фону, оплюсованному о-толуидидом I и проявляемому диазотированным 2-метил-5-хлоранилином, а также полученных с применением других компонент (указаны азо- и диазосоставляющие: о-анизидид I, м-хлор-, 2-хлор-5-трифторметил-, 2-метил-4-нитро- или 2-нитро-4-хлор-анилин; о-толуидид I, 5-трифторметил-2-этилсульфон- или 2,5-диэтоксид-4-бензоиламино-анилин; л-анизидид I, 4,4'-дихлор-2'-аминодифениловый эфир; 2-метил-4-метоксанилид I, 2-метил-4-хлоранилин; анилид I, 2-нитро-4-метоксанилид, 4-амино-2,5-диметокси-4'-нитроазобензол или 4-амино-2-метокси-5-метил-2'-нитро-4'-метилазобензол; л-хлоранилид 2-оксикарбазол-3-карбонной к-ты, 2-метил-4-нитроанилин; 2,5-диметоксанилид 3-оксидифениленоксид-2-карбонной к-ты, 2-метил-4-хлоранилид, 2-нафтол, л-нитроанилин. При их применении получают белые резервы по фону, окрашенному от оранжевого и красного до синего, коричневого и черного цветов. Приведены составы резервов для фонов, получаемых с применением других азо- и диазосоставляющих, в состав которых в качестве активной части входит о- или л-фенилендиамин, гидрохинон, о-или л-аминофенол. В. Уфимцев

**69953 П. Способ обработки тканей** (Procédé de traitement des tissus) [Ets Pascal — Valluit, Colas Silvestre & Cie]. Франц. пат. 1116876, 14.05.56. [Ind. text., 1956, № 836, 537—538 (франц.)]

При обычных способах нанесения рисунка на ткань по цветному фону требуется предварительное ее окрасивание; при этом обязательно получается одинаковый оттенок окраски лица и изнанки ткани, что исключает всякую возможность получения ткани с двойным лицом, т. е. имеющей разные оттенки на правой и левой стороне. Предлагается наносить на всю поверхность ткани предварительно, одновременно или после печатания в-ва, способные изменять оттенок окраски. Нанесение такого в-ва, которое может быть красителем для подцветывания окраски или продуктом для обесцвечивания, или смесью продуктов обоих типов проводят с помощью вращающегося вала, типа применяемых при печатании или плюсовании. Эти валики гравированы в зависимости от желаемого результата, нанесено на их поверхность мелкозернистый или густой точечный рисунок, тонкие, плотно расположенные штрихи, а иногда несколько более грубую гравировку, позволяющую получать крапчатый фон и т. п. О. Славина

**69954 П. Печатание кубовыми индигоидными красителями. Флейшер** (Printing with indigoid vat dyes and compositions therefor. Fleischer Maurice H.) [Allied Chemical & Dye Corp.]. Пат. США 2705668, 5.04.55

Для предупреждения потускнения медных валов печатных машин при соприкосновении их с печатной краской, содержащей кубовые индигоидные красители и щел. ронгалит, в печатную краску вводят небольшие кол-ва комплексных соединений Cu с соответствующими

способ  
аминно  
лов, п  
азота  
69955  
ден  
лах  
siege  
ähn  
sche  
til-H  
Уст  
скают  
с уста  
для п  
Прис  
лов, р  
рез к  
и от н  
валов  
валов  
на ва  
внутр  
го для  
полот  
окруж  
69956  
céde  
les  
Фр  
1954  
Для  
тетич  
терес  
леним  
дегид  
плюс  
минн  
или г  
ракти  
ходим  
рид, п  
при 1  
тому  
р-ром  
форм  
69957  
цел  
час  
ting  
fab  
На  
Пат  
Пол  
го ко  
тасто  
способ  
заним  
а дру  
содер  
отдел  
50%-  
щих  
медн  
при 1  
ного  
0,25—  
зуют  
69958  
соб  
ted

способным к образованию комплексов поликарбоксаминном, имеющим  $\geq 2$  карбоксиметильных радикалов, непосредственно связанных с основным атомом азота через углерод связанной группы. З. Панфилова 69955 П. Устройство для сушки, полимеризации, конденсации и т. п. на тканях и аналогичных материалах. Кифер (Vorrichtung zum Trocknen, Polymerisieren, Kondensieren u. dgl. von Gevebahnen und ähnlichen Guthabnen. Kiefer Erich) [Lufttechnische Anlagen K. G.] Пат. ФРГ 934166, 10.10.55 [Textil-Praxis, 1956, 11, № 6, 611 (нем.)]

Устройство состоит из камеры, через которую пропускают обрабатываемое в-во в виде газа или паров, с установленным в ней неподвижным приспособлением для пропуска ткани, направляемой через спец. щели. Приспособление состоит из 2 групп вращающихся валов, расположенных в виде концентрических колец, через которые попеременно пропускают полотно ткани и от которых приводится в движение часть внутренних валов. Боковые поверхности между обеими группами валов закрыты кольцевыми дисками, а наружная группа валов окружена кольцом с соплами. Пространство внутри группы валов служит для подачи применяемого для обработки в-ва, проходящего между петлями полотна и выпускаемого через щелевые сопла на окружности приспособления. О. Славина

69956 П. Способ нанесения на ткани покрытий (Procédé de fabrication de enduits) [Comptoir des Textiles Artificiels, Viscose Française & Givet—Izieux]. Франц. пат. 1106707, 27.07.55. [Bull. Inst. text. France, 1956, № 60, 157 (франц.)]

Для нанесения на ткани покрытий применяют синтетич. смолы, напр. на основе поливинилхлорида. Интересные результаты получены с помощью полиэтиленimina и катионактивных смол (мочениноформальдегидных). Напр., вискозную ткань пропитывают на плюсовке воды, р-ром, содержащим 25 г/л полиэтиленимина, отжимают, сушат при  $100^\circ$  на сушильной раме или на барабанах, а затем на нее наносят с помощью ракля несколько слоев состава, содержащего в необходимых соотношениях следующие в-ва: поливинилхлорид, диоктиловый эфир фталевой к-ты, пигменты или наполнители, стабилизатор. Покрытие затвердевает при  $120^\circ$  и конденсация завершается при  $180^\circ$ . По другому способу ткань предварительно обрабатывают водой, р-ром, содержащим 30 г/л катионактивной (мочениноформальдегидной) смолы. О. Славина

69957 П. Способ придания шерстистости изделиям из целлюлозно-кислотно-азотистого комплекса и получаемые изделия. Бабьяж, Холл (Process for imparting wool-like finish to cellulose-acid-nitrogen complex fabrics and product thereof. Babiarz Raymond S., Hall William P.) [Joseph Bancroft & Sons Co.]. Пат. США 2709638, 31.05.55

Получают изделия из целлюлозно-кислотно-азотистого комплекса, состоящего из основного органич. азотистого соединения и к-ты, содержащей  $\geq 2$  кислотных, способных замещаться атомов Н, причем один из указанных атомов Н замещен азотистым соединением, а другой — целлюлозой, через ее ОН-группу (комплекс содержит 1,5—15 вес. % к-ты и 0,5—6 % N). В процессе отделки указанный комплекс пропитывают 0,25—50%-ным водн. р-ром одного или смеси в-в, вызывающих набухание целлюлозы, напр. р-ром NaOH, щел. медноаммиачным р-ром или щел. р-ром цинката Na, при т-ре от  $-10$  до  $+20^\circ$ , в течение времени, достаточного для снижения содержания N в комплексе до 0,25—1%, после чего изделие промывают и нейтрализуют. Ю. Вендельштейн

69958 П. Дублированные полужесткие ткани и способ их изготовления. Уорд (Manufacture of laminated semi-stiff fabrics and articles made therefrom.

Ward L. E.) [Ward, Brooke & Co., Ltd., formerly Horta & Ward, Ltd]. Англ. пат. 732979, 6.07.55

Две ткани с прослойкой между ними, содержащей производные целлюлозы, погружают в смесь из денатурированного спирта и уксусноэтилового эфира и затем подвергают горячему прессованию для склеивания слоев. Полученную дублированную ткань обрабатывают флуоресцирующим, придающим блеск в-вом, которое фиксируют  $\text{Na}_2\text{SO}_4$ , и затем высушивают и прессуют. Промежуточная прокладка может быть подсинена ультрафиолетом. Для прессования могут быть применены рифленые каландры для тиснения на поверхности ткани определенного рисунка. С. Светов

69959 П. Способ приготовления из целлюлозных волокон прочных, выдерживающих стирку, войлокообразных изделий без применения процессов прядения и ткачества. Эйзенхут (Verfahren zur Herstellung fester, waschbarer, gewebeähnlicher, verfilzter Stoffe aus Cellulosefasern ohne Spinnen und Weben. Eisenhut Otto) Пат. ФРГ 921826, 16.05.55 [Textil Praxis, 1955, 10, № 10, 1053 (нем.)]

В порядке усовершенствования метода, описанного в пат. 902427 (см. РЖХим, 1957, 10126), предлагается наносить на хлопковую ватку (напр., путем погружения в р-р или обрызгивания) дозированное кол-во NaOH. Затем проводят кислотку, промывку и сушку. При пропитывании NaOH полуфабрикат пропускают под большим давлением через р-р, помещая его между двумя сетками, или перфорированными лентами из щелоустойчивого материала, или перфорированными отсасывающими барабанами. Дозирование производится с помощью спец. валиков. С. Зеликман

69960 П. Электростатический способ нанесения на ткань ворса из волокистых материалов. Шварц, Гросс (Electrostatic flocking procedures and apparatus. Schwartz Samuel M., Gross Daniel) [Velveray Corp.]. Пат. США 2715585, 16.08.55

Ткань пропускают между двумя электрически заряженными металлич. пластинами, расположенными горизонтально друг под другом, причем верхняя пластина — решетчатая. Пластины служат электродами со статич. зарядами высокого напряжения. Ворс, рассеиваемый над верхним электродом, проходит через его отверстия и осаждается на соответствующих участках ткани. С. Светов

69961 П. Способ обработки волокистых материалов. Армстронг (Method for treating fibrous material. Armstrong Bruce) [Jackson and Church Co.]. Пат. США 2717195, 6.09.55

Способ обработки неориентированных волокон в массе состоит в пропуске этой массы через зону, где они механически отделяются друг от друга, и затем через вторую зону, куда в месте наибольшей степени разделения волокон вводят применяемое для обработки в-во, равномерно диспергирующееся в массе волокна, после чего следует выгрузка. О. Славина

69962 П. Способ облагораживания пористых изделий, приготовленных путем пропитки волокнистой массы. Ноттебом (Verfahren zum Veredeln von durch Imprägnieren von Faservliesen erzeugten porösen Flächengebilden. Nottebohm Carl Ludwig) [Carl Freudenberg Kommanditgesellschaft auf Aktien]. Пат. ФРГ 918776, 4.10.54 [Chem. Zbl., 1955, 126, № 14, 3268 (нем.)]

Для улучшения свойств (в частности мягкости) пористых изделий, получаемых пропиткой волокнистой массы склеивающими в-вами, напр., дисперсиями каучука или искусств. смол и, иногда, наполнителями, эти изделия подвергают короткой обработке органич. р-р-телями, напр.,  $\text{CHCl}_3$  или  $\text{CCl}_4$ . О. Славина

69963 П. Способ облагораживания текстильных материалов и придания им несминаемости. Цёркен-



**дорфер, Эндерс** (Verfahren zur Hochveredlung, insbesondere zum Knitterfestmachen von Textilien Zörkendorfer Rolf, Enders Heinz) [Chemische Fabrik Pfersee G. m. b. H.]. Пат. ФРГ 930924, 28.07.55

Способ отличается от описанного в пат. 927871 (см. РЖХим, 1956, 72928) тем, что вместо аммонийных солей слабых к-т в качестве катализаторов отверждения предконденсатов  $\text{CH}_2\text{O}$  с N-содержащими соединениями применяют соответствующие Na- или K-соли (ацетаты, карбонаты, бикарбонаты). Регулирование значений pH р-ра достигается изменением кол-ва вводимого катализатора, а также применением смеси солей Na и K слабых к-т с солями аммония сильных к-т. О. Славина

**69964 П. Обработка изделий из тканей** (Treatment of articles made from fabrics) [Bradford Dyer's Association, Ltd.]. Англ. пат. 734587, 3.08.55

При изготовлении из тканей изделий стабильных размеров (напр., воротничков), с нанесением на них несмываемого аппрета, в одной операции совмещают усадку ткани и превращение аппретирующих в-в из исходной формы, в которой они наносятся на ткань, в фиксированный на ткани аппрет. Ткани могут быть одно- и многослойные. Аппретирующие в-ва включают продукты начальной стадии конденсации термопластичных или термореактивных смол или полимеры, наносимые на ткань в виде воды, р-ров или дисперсий или в порошкообразном виде. Перед стадией конденсации аппрета и усадки ткани изделие может быть пропитано аппретирующим в-вом и высушено при т-ре, ниже требующейся для термич. обработки. Пример: ткань пропитывают водой, дисперсией карбоксиметилцеллюлозы и высушивают. На внутреннюю поверхность воротничка, выкраиваемого из такой ткани, наносят р-р из 50 ч. эпоксидной смолы и 1,75 ч. этилендиамина в 98,25 ч. смеси (50:50) спирта и толуола; аппрету дают высохнуть, после чего воротничок механически усаживают и подвергают термич. обработке пропусканием через валик, нагретый до 140°.

С. Светов

**69965 П. Способ матирования текстильных изделий из высокомолекулярных линейных полимеров. Крайнхёфнер, Крайнхёфнер** (Způsob dodatečného matování textilních materiálů z vysokomolekulárních lineárních polymerů. Kráinhöfner Rudolf, Kráinhöfner Otmar). Чехосл. пат. 85543, 15.02.56

Для матирования текстильных изделий из высокомолекулярных линейных полиамидов на них наносят загущенный р-р  $\text{ZnCl}_2$  (с добавлением для равномерности нанесения инертного пигмента, напр.  $\text{TiO}_2$ ) с осаждением на волокне в результате последующего гидролиза  $\text{ZnO}$ . Напр., применяют р-р (в %):  $\text{ZnCl}_2$  20—50, неокаля 2, глицерина 50, загустителя 248—268 (колорозин ДКЛ 30:1000, трагант 65:1000), остальное до 1000 вода. Затем проводят сушку (15—30 мин., 60—100°), промывку в слабощел. р-ре мыла при 40° и в чистой воде и последующие обычные обработки.

Л. Песин

**69966 П. Способ устойчивого к мыльной обработке матирования текстильных материалов, в частности искусственного шелка. Нидерхейзерн** (Verfahren zum seifechten Mattieren von Textilgut, insbesondere Kunstseide. Niederhäusern Georges v. o.) [Durand & Huguenin A.-G.]. Пат. ФРГ 936086, 7.12.55

На материал наносят водн. дисперсии белого матирующего пигмента, содержащие также альбумин, жидкий или плавящийся при средних т-рах углеводород (или галондированный углеводород) и (или) жирное масло, а также диспергатор и, в случае надобности, защитный коллоид. При этом вызывают одним из обыч-

ных способов, напр. запариванием, коагуляцию на ткани альбумина, а затем проводят мыльную обработку. Дисперсии могут также содержать краситель, а ткань может быть обработана не сплошь, а в определенных участках по рисунку. Пример: 2 ч. яичного альбумина, 3 ч.  $\text{TiO}_2$  тонкоизмельченного, 38 ч. воды смешивают с предварительно приготовленной эмульсией из 25 ч.  $\text{H}_2\text{O}$ , 2,3 ч. марсельского мыла, 28,6 ч. высококипящего нафтенного углеводорода и 1,1 ч. касторового масла. Полученная дисперсия имеет консистенцию печатной краски. Ею печатают вязкую ткань, которую затем сушат, запаривают 8 мин., промывают и, в случае надобности, обрабатывают мылом 3 мин. при 60°. Те же в-ва могут входить в состав плюсовочной жидкости. Аналогичные эффекты дают эмульсии из стеариновой к-ты, триглицерида и воды, смешанные с дисперсией яичного альбумина и  $\text{TiO}_2$  в воде. Цветные блестящие эффекты по матированному фону получают, предварительно набивая ткань печатной краской, напр., из 2 ч. хромцитронина R, 22 ч. воды, 70 ч. гуммиарабика (1:1), 1,2 ч. ацетата  $\text{Cr}$ , по возможности, не содержащего минер. к-ты, 3 ч. формата Na и 1,8 ч. мочевины, с последующим после сушки и запаривания в течение 8 мин. плюсованием жидкостью, состоящей из смеси эмульсии 0,2 ч. мыла, 2,6 ч. воды, 3 ч. керосина и 0,2 ч. касторового масла с дисперсией из 2 ч. яичного альбумина (1:1), 2 ч.  $\text{TiO}_2$  (1:1) и 90 ч. воды; далее следует сушка, запаривание (8 мин.) и обработка мылом (5 мин. при 60°).

О. Славина

**69967 П. Придание молеСТОЙКОСТИ растворимыми дигидроамидами. Глейснер, Надь** (Mothproofing with soluble dicyanamides. Gleissner Bruce D., Nagy Daniel E.) [American Cyanamid Co.]. Пат. США 2732277, 24.01.56

Для придания кератиновым материалам молеСТОЙКОСТИ их обрабатывают 2—8%-ным водн. р-ром дигидроамидных солей общей ф-лы  $\text{Me}[\text{N}(\text{CN})_2]_x$  (I), где Me — аммоний, шел. или шел.-зем. металл, а x — соответствует валентности металла. I осаждают на изделиях в кол-ве 2—4% от их веса. Напр., в 200 мл 4%-ного р-ра  $\text{NH}_4[\text{N}(\text{CN})_2]$  (II) погружают образец (22,5 × 57,5 см) шерстяной фланели, затем его отжимают, оставляя на ткани кол-во р-ра, содержащее 4% II от ее веса. Сушат при 40—160° (оптимальные условия 9 мин. при 160°). Обработку можно совмещать с процессом крашения кислотными красителями, причем придаваемая молеСТОЙКОСТЬ сохраняется после последующей карбонизации и нескольких стирок.

К. Швецова-Шилова

**69968 П. Процесс обработки пряжи из синтетического волокна. Бойвал** (Process of treating synthetic yarns. Boyaval Robert E.) [Masarel Worsted Mills, Inc.]. Канадск. пат. 513833, 14.06.55

Процесс состоит в раздельном скручивании двух нитей в противоположном направлении, затем предварительной стабилизации их в условиях, не вызывающих усадку, далее нагревания при более высокой т-ре с тем, чтобы обеспечить усадку пряжи. После этого обе нити полностью раскручиваются, соединяются вместе и снова подвергаются крутке при соответствующем натяжении во избежание сукрутин. Вследствие такой сложной крутки пряжа приобретает свойство волнистости. После скручивания двух нитей вместе, пряжа может быть подвергнута термич. стабилизации при 76° в течение 3 мин. при натяжении. С целью усадки, нити подвергают термич. обработке сначала при 76° в течение 3 час., а затем при 120°—40 мин. После этого обе нити полностью раскручиваются и под натяжением снова подвергаются совместной крутке из расчета 20—80 витков на метр. Затем производится тепловая фиксация при 76° в течение 3 мин., при том же натяжении и пряжа свободно навивается на патрон. Л. С.

69969 П. (Hers Golds При (РЖХим) силиконы тывают же бак При м оксанон амина вес. ч. лученн ткань

ВЗРЬ СОСТ

69970 П.

сели (Am m e s Inds Вазь ла и Н степен чешуй ния, о ли три такой через отвер 2400 м лем N к тако деляе равна шенн лущи

69971 П.

ди d i Ph Зап ния дейст 99,5— 69972 П.

хло tho ve гер 273 Дл возду щих обра твер; (NH гося при кото ние та а нолла Обра торо духе

69969 П. Производство полировочных тканей. Аренс (Herstellung von Poliertüchern. Arens Hugo) [Th. Goldschmidt A.-G.]. Пат. ФРГ 941309, 5.04.56

При применении получаемой согласно пат. 900018 (РЖХим, 1956, 23922) эмульсии полисилоксана для силиконизирования текстильных изделий, их обрабатывают предварительно бактерицидными в-вами или же бактерициды вводят заранее в состав эмульсии. Пример. Смешивают (в вес. ч.) 12 метилполисилоксанового масла, 6 изопропилового спирта, 7 триэтиламина и 1 олеиновой к-ты и смесь выливают в 175 вес. ч. 1%-ного водн. р-ра хлоркрезолового мыла. В полученную эмульсию погружают хлопчатобумажную ткань на 15 мин. и сушат на воздухе. О. Славина

## ВЗРЫВЧАТЫЕ ВЕЩЕСТВА. ПИРОТЕХНИЧЕСКИЕ СОСТАВЫ. СРЕДСТВА ХИМИЧЕСКОЙ ЗАЩИТЫ

Редактор М. С. Фишбейн

69970 П. Безопасное порошкообразное аммиачно-селитренное взрывчатое вещество. Тейлор, Рид (Ammonitratwettersprengstoffpulver. Taylor James, Reid Thomas James) [Imperial Chemical Inds Ltd]. Пат. ФРГ 945011, 28.06.56

Взрывчатое в-во состоит из  $\text{NH}_4\text{NO}_3$ , тринитротолуола и  $\text{NaCl}$  (в кол-ве  $\geq 35\%$ ) с частицами определенной степени измельчения. К смеси, содержащей 11,9 ч. чешуйчатого тринитротолуола и 53,1 ч. нитрата аммония, обработанного с поверхности 0,1% натриевой соли трисульфат- $\alpha$ -розианилина, добавляют 35%  $\text{NaCl}$  с такой степенью измельчения, что 100% его проходит через сито с отверстиями 0,252 мм и 58% через сито с отверстиями 0,1245 мм. Скорость его детонации 2400 м/сек. Передача детонации, инициируемой капсюлем № 3 от патрона длиной 76,2 мм и диам. 31,75 мм к такому же патрону того же взрывчатого в-ва, определяется расстоянием 25,4 мм. Работоспособность его равна 1,15 г/см<sup>3</sup> при давл. 1,4 кг/см<sup>2</sup>. Свободно подвешенный патрон его весом 169,8 г не воспламеняет воздушную смесь, содержащую 9 об.% метана.

М. Фишбейн

69971 П. Иницирующее взрывчатое вещество. Ноддин, Спейт (Blasting initiator composition. Noddin George Adelbert, Spaeth Charles Philip). Пат. США 2717204, 6.09.55

Запатентован инициирующий состав для изготовления электрокапсулей-воспламенителей замедленного действия, содержащий 0,5—3,0% аморфного бора и 99,5—97,0% свинцового сурика.

И. Левин

69972 П. Метод диспергирования паров дифенилхлорарсина и других веществ. Стивенсон (Method of dispersing vaporized diphenylchlorarsine. Stevenson Reston) [United States of America as represented by the Secretary of War]. Пат. США 2730482, 10.01.56

Для получения аэрозолей путем диспергирования в воздухе дифенилхлорарсина (I) и других маскирующих и раздражающих в-в газообразные продукты образующиеся при горении горючих материалов, напр. твердых порохов, пропускают через рыхлый слой  $(\text{NH}_4)_2\text{CO}_3$  или какого-либо другого, легко испаряющегося или разлагающегося материала. Образующаяся при этом газообразную смесь охлаждают до т-ры, при которой происходит только испарение, но не разложение I, и пропускают их через рыхлый слой I и стеарата аммония, диануксусной к-ты или 2,4,6-трибромфенола, испаряющихся при более низких т-рах, чем I. Образующиеся в результате пары диспергируют эжектором в виде лентообразной струи, создающей в воздухе тонкие аэрозоли.

М. Фишбейн

## ЛЕКАРСТВЕННЫЕ ВЕЩЕСТВА. ВИТАМИНЫ. АНТИБИОТИКИ

Редактор Н. А. Медызовская

69973. Вклад китайских химиков в фармахимию. Часть I. Естественные лекарственные вещества. Сюй Чжи-фан (中國化學家對於藥物化學的貢獻. I. 天然藥物. 許植方), 化學世界. Хуасюэ шицзе, 1955, № 8, 350—358 (кит.)

Обзор. Библ. 124 назв. Предыдущее сообщение см. РЖХим, Бх, 1956, 3972.

69974. Получение наркотина из соломы мака. Людвицкий, Гурецкий (Otrzymywanie narkotyny ze slomy makowej. Ludwicki Henryk, Górecki Piotr), Acta polon pharmac., 1956, 13, № 6, 447—452 (польск.; рез. русск., англ.)

Разработан метод полного выделения наркотина из соломы мака, применяемой для получения алкалоидов. Содержание наркотина в указанном сырье составляет ~0,01%.

Н. М.

69975. Получение концентратов витамина А методом хроматографии. Вендт В. П. В сб.: Технол. и применение витамина А и каротина, М., 1956, 69—73

Хроматографич. способ получения концентратов витамина А (I) из малоактивного, но имеющегося в больших кол-вах в СССР сырья предусматривает предварительный частичный щел. гидролиз печени, омыление жира и вымораживание стеринов, причем в процессе гидролиза и омыления жира прибавляют небольшое кол-во  $\text{Na}_2\text{S}$ , препятствующее окислению и увеличивающее выход I на 15—20%. Хроматографирование проводят под давлением  $\text{CO}_2$  на  $\text{Al}_2\text{O}_3$ . Через колонку фильтруют дихлорэтановый экстракт, освобожденный вымораживанием от большей части стеринов и элюируют чистым дихлорэтаном, собирая элюаты отдельно по содержанию I, устанавливаемому р-цией с  $\text{SbCl}_5$ . Р-тель отгоняют в токе  $\text{CO}_2$ . Исходным сырьем служила печень скатов *Trigon pastinaca*; получены 3 вида препаратов с активностью 1,2 млн., 0,72 млн. и 0,416 млн. и. е. I (большая часть с 1,2 млн. и. е.) с выходом 83,5%. Указанный метод целесообразно сочетать с предварительной молекулярной дистилляцией, обеспечивающей продукт с активностью 200 000 и. е. I на 1 г, из которого омылением и хроматографированием неомыляемой фракции получены концентраты с активностью 1,5—1,8 млн. и. е. I на 1 г с выходом I 90%. Для получения препаратов с большей активностью необходимо более тщательное удаление стеринов.

Ю. Вендельштейн

69976. Усовершенствование технологии производства каротина из моркови и тыквы. Штайдман Л. О. В сб.: Технол. и применение витамина А и каротина, М., 1956, 30—38

Работы, проведенные ВНИВИ, показали эффективность новой технологии произ-ва каротина (I) путем термич. обработки (паровой бланшировки) сырья, прессования, высушивания жома на вальцовых сушилах и экстракции I дихлорэтаном; масло, полученное после отгонки р-рителя, содержащее I, каротиноиды и другие жирорастворимые в-ва, перерабатывают на кристаллич. I или разбавляют растительным маслом до нужной конц-ии. Заводские испытания показали общий выход I в сухом жоме 77,2% к введенному с замороженной морковью и тыквой и 79,2% I к введенному с свежей тыквой; приведены таблицы баланса I и сухих в-в. Общий выход I из тыквы 95,9%, из моркови — 79%. Приведена технологич. схема произ-ва I методом термич. обработки сырья. Полупроизводственные испытания экстракции I из коагулята растительным маслом в 6-членной батарее дали выход I 86—88% при неопределенных потерях I 3,7—5,2%.

Батарейная экстракция рекомендована для промышленного применения. Для снижения потерь I (главный фактор распада I — воздух) рекомендуется во всех стадиях произ-ва I исключить продувку сжатым воздухом, а при расфасовке препаратов I оставлять недолив только с учетом коэфф. расширения масла и производить деаэрацию концентратов I перед укупкой пропускаям  $\text{CO}_2$  или  $\text{N}_2$  в течение 15 мин. при 20°.

Ю. Вендельштейн  
69977. Растительные экстракты, обогащенные витамином С. Симеонов (Обогащение растительных экстрактов на витамин С. Симеонов Симеон Петров). Науч. тр. Висш. ин-т хранит. и вкус. пром-ст — Пловдив, 1955, 2, 5—8 (болг.; рез. русск.)

В некоторых сортах гладиолусов найдено высокое содержание витамина С (I) — до 3800 мг% (от сухого в-ва). Экстракция I лучше всего протекает при подкислении HCl (к-та) до pH 3.5. Экстракты достаточно устойчивы: за 15 дней потеря составляет ~ 6% I от общего содержания I. В лабор. условиях экстрагируют ~ 60% I. Концентраты, полученные сгущением экстрактов пригодны для хранения, за 4 месяца они теряют ~ 33% своей активности. О. Магидсон

69978. Об окислении фитостерина, полученного из отходов после очистки винного камня. Моделли, Верчеллоне (Nota sull'ossidazione della fitosterina ottenuta dalle fecce del cremor tartaro. Modeli Renato, Vercellone Alberto), *Chimica e industria*, 1956, 38, № 5, 403—406 (итал.; рез. англ., нем., франц.)

Описывается метод определения стигмастерина в присутствии других фитостеринов, основанный на свойстве ацетилгидроксиацетилстигмастерина противостоять окислению в условиях, когда другие ацетилгидроксипроизводные стеринов окисляются. И. Скурихин

69979. Получение настоек и сухих экстрактов из *Radix Ipecacuanhae Semen Strychni* и *Cortex cinchonae* по методу ускоренной эвакуации. Ольшевский, Деркачова (Otrzymywanie nalewek i wyciągów suchych z radix Ipecacuanhae, Semen Strychni i Cortex Cinchonae metoda ewakuacji przyspieszonej. Olszewski Z., Derkaczowa M.), *Acta polon. pharm.*, 1956, 13, № 2, 147—153 (польск.; рез. русск., англ.)

Сравнительное исследование способов экстракции вышеуказанного растительного сырья показало, что: 1) при перколяции высота массы обрабатываемого материала оказывает положительное влияние на содержание активных в-в в жидком экстракте; 2) эвакуация (фильтрация при пониженном давлении), как способ экстракции растительного сырья, дает более полное выщелачивание этих в-в, чем перколяция в тех же условиях; 3) ускоренная эвакуация (24-часовое выщелачивание с помощью прибора Кесслера) не только значительно сокращает время экстракции, но также дает лучшее выщелачивание активных в-в. Из данных жидких экстрактов дальнейшей обработкой можно получить настойки или сухие экстракты.

И. Михельсон  
69980. Некоторые замечания о лакричном корне. Хамперль (Neke napomene o rodu Glycyrrhiza. Hamperl Josip Zvonimir), *Farmac glasnik*, 1956, 12, № 1-2, 1—10 (сербо-хорв.; рез. нем.)

Обзор данных о распространении солодки и продукции лакричного корня в разных странах. Библ. 29 назв. А. Травин

69981. Опыты получения кардиолипина и пригодного для серологических целей лецитина. Варшань, Ульман (Kísérletek cardiolipin és szerológiai célra megfelelő lecitin hazai előállítására. Varsányi Dénes, Ullmann Agnes), *Kísérlet. orvostud.*, 1956, 8, № 3, 255—264 (венг.; рез. русск., нем.)

Описаны опыты получения кардиолипина (I) из сердца крупного рогатого скота и лецитина (II) из того же сырья и из яичного желтка. Для получения I разработаны некоторые модификации известных методов. Стабильные препараты II, пригодные для серологич. целей, приготовлены при применении особым образом активированной  $\text{Al}_2\text{O}_3$ . А. Травин

69982. Масса для суппозитория «Массупол». Зое, Кастель (Die Suppositorienmasse «Massupol». Soose E., Kastel A.), *Österr. Apoth.-Ztg.*, 1956, 10, № 14, 224—225 (нем.)

Исследованы свойства «Массупола» (I), препарата для изготовления суппозитория. Во многих отношениях (консистенция, зависимость т-ры застывания от степени перегрева, влияние повторного плавления на время застывания, способность смешиваться с водн. р-рами лекарственных в-в и т. д.) I имеет преимущества перед наиболее употребительным для данной цели маслом какао. А. Травин

69983. Об антисептических и дезинфицирующих аэрозолях в стеклянной аппаратуре. Минна (Glass aerosols for antiseptics and disinfectants. Minna Francis A.), *Glass Packer*, 1955, 34, № 8, 33—34 (англ.)

Описаны двух- и трехфазные системы для пульверизации антисептиков и дезинфицирующих в-в при низких давлениях, позволяющих применять стеклянную аппаратуру. Показано, что, кроме отсутствия коррозионных явлений, одним из преимуществ таких систем является устойчивость препаратов при хранении. А. Травин

69984. Физические методы в фармацевтическом анализе. Проктор (Physical methods in pharmaceutical analysis. Proctor K. A.), *Export Rev. Brit. Grug. and Chem. Ind.*, 1956, 17, № 196, 31—37 (англ.)

Описан опыт применения в фармацевтич. лабораториях методов: спектрографии, полукристаллического анализа, спектрографии, исследования твердых в-в и р-ров, пламенной фотометрии, спектроскопии в УФ- и ИК-лучах и флуориметрии. А. И. Травин

69985. Количественный анализ применяемых в терапии препаратов кальция при помощи катодного. Ясеницкий, Марцинковская (Analiza ilościowa preparatów wapniowych stosowanych w lecznictwie za pomocą kationitu. Jasiński Tadeusz, Marcinkowska Krystyna), *Dissert. pharm.*, PAN, 1956, 8, № 3, 477—180 (польск.; рез. англ., русск., нем.)

Проведено колич. определение кальция в растворимых и нерастворимых в воде терапевтич. препаратах при помощи сульфированного польского угля. Н. М.

69986. Влияние содержания кальция на липкость раствора арабийской камеди. Борковский, Ольшевский (Wpływ zawartości wapnia na lepkość roztworów gumy arabskiej. Borkowski B., Olszak), *Acta polon. pharm.*, 1956, 13, № 1, 53—56 (польск.; рез. русск., англ.)

Показано, что содержание Ca в арабийской камеди не может служить основанием для оценки качества последней, так как между содержанием Ca в камеди и вязкостью ее р-ров не обнаружено прямой зависимости. Проверена точность метода определения Ca при помощи комплексона III. А. Травин

69987. Способ быстрого определения фенацетина в присутствии ацетилсалициловой кислоты, кофеина и коденна. Фалекс (A rapid method for the determination of phenacetin in the presence of acetylsalicylic acid, caffeine and codeine. Falex O.), *Australas. J. Pharmacy*, 1956, 37, № 433, 7—8 (англ.)

Предложен метод быстрого определения фенацетина (I), основанный на кислотном гидролизе I и диазотировании *n*-фенетидина. Смесь 0,5 г I и 30 мл 10%-ой



$\text{H}_2\text{SO}_4$  кипятят 1 час, прибавляют 10 мл  $\text{HCl}$  (к-та) и титруют при  $15-20^\circ$  и энергичном перемешивании 0,1 М р-ром  $\text{NaNO}_2$  до появления в реакционном р-ре свободной  $\text{HNO}_2$ . 1 мл 0,1 М р-ра  $\text{NaNO}_2$  отвечает 0,01792 г  $\text{I}$ .

А. Травин  
69988. Хроматографическое исследование таблеток, содержащих аспирин, фенацетин и кофеин. Goldstein S. W., Sanders D. P., Drug Standards, 1955, 23, № 5, 180 (англ.)

Для определения фенацетина (I) и кофеина (II) в таблетках, в смесях с аспирином (III) исследуемые образцы растворяют в хлф., р-р фильтруют, фильтр промывают хлф., из фильтрата удаляют III промыванием 4%-ным р-ром  $\text{NaHCO}_3$ , а I и II в промывной воде хлороформенном р-ре хроматографически разделяют по методу Бейнса (см. РЖХим, 1956, 79391). Указанным способом определяется 93,2–101,2% исходного II и 95,0–100,7% исходного I.

Ю. Вендельштейн  
69989. Определение рапонтина в корне ревеня методом хроматографии на бумаге, при подожрении на фальсификацию корня. Патак (Důkaz rhabarbarinu papírovou chromatografií při porušování Radix Rhei. Paták Miloslav), Českosl. farm., 1956, 5, № 1, 36–37 (чешск.; реф. русск., англ., нем.)

Предложен способ открытия малых кол-в рапонтина (I) в корне ревеня. Экстракт из 0,2 г корня, приготовленный нагреванием с 2,5 мл ацетона и 2,5 мл воды на водяной бане, наносят на бумагу (ватман № 1) и оставляют на 20 мин. в вакуум-экстракторе. Хроматограмму проявляют при  $19 \pm 1^\circ$  смесью  $\text{CHCl}_3$  и ацетона (69:23), насыщ. водой, и просматривают в ультрафиолетовом свете;  $R_f = 0,25$ . Описанным методом может быть обнаружено 0,5% I.

А. Травин  
69990. К вопросу об определении бацитрацина и неомицина в комбинированных препаратах. Линггау, Махен (Ein Beitrag zur Bestimmung von Bacitracin und Neomycin in Kombinationspräparaten. Linggau J., Machek G.), Scientia pharm., 1955, 23, № 4, 234–240 (нем.)

Комбинированный препарат (таблетки, мазь, порошок и т. п.), содержащий бацитрацин (I) и сульфат неомицина (II), встряхивают в чистом этаноле, отделяют нерастворившийся II. Растворенный в этаноле I разбавляют 0,1 М фосфатным буфером (рН 6,0), а затем определяют биологич. методом (тест-микроб *Micrococcus flavus*). Нерастворенный II растворяют в 0,1 М фосфатном буфере (рН 8,0) и определяют при помощи *Bacillus subtilis*.

Л. Хаскин

69991 Д. Количественное определение симпатомиметических аминов с применением ионообменных смол. Винсент (Quantitative determination of sympathomimetic amines through the use of ion exchange resins. Vincent Muriel Celeste. Doct., diss. Univ. Washington, 1955), Dissert. Abstr., 1955, 15, № 9, 1502 (англ.)

69992 П. Способ получения N-этил- $\alpha,\alpha$ -диметилсукцинимид (Fremgangsmåde til fremstilling af N-aetyl- $\alpha,\alpha$ -dimethylsuccinimid) [Parke Davis & Co.]. Дат. пат. 79705, 15.08.55

N-этил- $\alpha,\alpha$ -диметилсукцинимид (I) получают, действуя  $\alpha,\alpha$ -диметилянтарной к-той (II) или ангидридом II по крайней мере на 1 экв  $\text{C}_2\text{H}_5\text{NH}_2$  (лучше применять избыток  $\text{C}_2\text{H}_5\text{NH}_2$ ) и нагревая полученный промежуточный продукт при  $100-350^\circ$  ( $190-210^\circ$ ) в течение  $\sim 1$  часа. 10 г II понемногу прибавляют к 20 г 50%-ного водн.  $\text{C}_2\text{H}_5\text{NH}_2$ ; воду и избыток амина отгоняют, нагревая остаток до  $200^\circ$ . Полученный I перегоняют в вакууме, т. кип.  $76-77^\circ/5$  мм, выход 76%.

20 Химия, № 21

10 г ангидрида II постепенно прибавляют к 10 г 50%-ного спирт. р-ра  $\text{C}_2\text{H}_5\text{NH}_2$ , спирт и избыток амина отгоняют, остаток нагревают до  $210^\circ$ , пока не прекратится выделение  $\text{C}_2\text{H}_5\text{NH}_2$ . Перегонкой выделяют I, выход 79%. I обладает противосудорожным действием и может применяться при лечении эпилепсии.

Б. Фабричный

69993 П. Способ получения трео-N-ацетил- $\beta$ -n-нитрофенилсерина (Verfahren zur Herstellung von threo-N-Acetyl- $\beta$ -p-nitrophenylserin) [Parke, Davis & Co.]. Швейц. пат. 301438, 16.11.54 [Chem. Zbl., 1955, 126, № 39, 9150 (нем.)]

При взаимодействии этилового эфира dl-эритро- $\beta$ -n-нитрофенилсерина с хлоридом ацетимидоэтилового эфира в спирте получают dl-эритро-2-метил-4-карбэтокси-5-n-нитрофенилоксазолин (т. пл.  $135-136^\circ$ ), который омыляют нагреванием с разб. р-ром  $\text{NaOH}$ , упаривают, подкисляют конц.  $\text{HCl}$  до кислой р-ции на конго, подщелачивают р-ром  $\text{NaOH}$  и обрабатывают  $\text{HCl}$  (к-той); получают трео-N-ацетил- $\beta$ -n-нитрофенилсерин, т. пл.  $194-196^\circ$ , являющийся промежуточным продуктом при синтезе левомицетина.

А. Травин  
69994 П. Способ получения 1-(3',4'-диоксифенил)-1-оксо-2-аралкиламиноэтанов (Fremgangsmåde til fremstilling af 1-(3',4'-dioksyfenyl)-1-okso-2-aralkylamino-actaner) [Tropenwerke Dinklage & Co.]. Дат. пат. 79169, 25.04.55

Соединения общей ф-лы  $3,4-(\text{OH})_2\text{C}_6\text{H}_3\text{COCH}_2\text{NHC}_6\text{H}_5$  (R — 2-валентный углеводородный остаток с цепью, содержащей 2–4 атома C, напр.,  $-\text{CH}_2\text{CH}_2\text{CH}_2-$ ,  $-\text{CH}(\text{CH}_3)\text{CH}_2-$  или  $-\text{CH}(\text{CH}_3)\text{CH}_2\text{CH}_2-$ ; аралкильная группа бензольного ядра может содержать заместителями углеводородные остатки — алкилы) получают р-цией  $\alpha$ -галогидоацетофенонов общей ф-лы  $3,4(\text{OR}')_2\text{C}_6\text{H}_3\text{COCH}_2\text{X}$  (R' — H или остаток карбоновой к-ты, X — галогид) с аралкиламинами ф-лы  $\text{H}_2\text{N}-\text{R}-\text{C}_6\text{H}_5$ .  $3,4-(\text{OH})_2\text{C}_6\text{H}_3\text{COCH}_2\text{Cl}$  встряхивают при  $t \sim 20^\circ$  с избытком ( $\sim 9$  молей)  $\gamma$ -фенилпропиламина до получения р-ра. Этот р-р подкисляют при охлаждении льдом 20%-ной  $\text{HCl}$ , свободной от Fe, через некоторое время отделяют хлоридат 1-(3',4'-диоксифенил)-2-( $\gamma$ -фенилпропиламино)-1-оксоэтана, т. пл.  $224-226^\circ$  (из  $\text{CH}_3\text{OH}$ ). Из водн. р-ра хлоридата прибавлением слабой щелочи, напр. разб. водн.  $\text{NH}_3$ , выделяют свободное основание.  $3,4(\text{OH})_2\text{C}_6\text{H}_3\text{COCH}_2\text{Cl}$  вводят в р-цию с  $\text{H}_2\text{NCH}(\text{CH}_3)\text{CH}_2\text{CH}_2\text{C}_6\text{H}_5$ , как указано выше. Получают хлоридат 1-(3',4'-диоксифенил)-2-( $\alpha$ -метил- $\gamma$ -фенилпропиламино)-1-оксоэтана, т. пл.  $225-226^\circ$ . Продукты обладают бронхоспазмолитич. действием и могут применяться при лечении астмы.

Б. Фабричный

69995 П. Способ получения молекулярного соединения 1-фенил-2,3-диметил-4-диметиламинопиразолона-5. Бодендорф (Verfahren zur Herstellung einer Molekülverbindung des 1-Phenyl-2,3-dimethyl-4-dimethylamino-5-pyrazolons. Bodendorf Kurt) [C. F. Boehringer & Soehne G. m. b. H.]. Пат. ФРГ 939929, 8.03.56

Патентуемое молекулярное соединение 1-фенил-2,3-диметил-4-диметиламинопиразолона-5 (I) с 1 молекул. салициламида-0-уксусной к-ты (II) получают обычной р-цией обмена. Неактивный сам по себе II придает мол. соединению ярко выраженное жаропонижающее, анальгетич. и противовоспалит. действие, а также препятствует повышению т-ры. Соединение легко переносится при пероральном и парентеральном применении и обладает половинной токсичностью пиразолоновых соединений. Пример: смесь 19,5 г II, 23 г I и 50 мл воды нагревают 15 мин. на водяной бане, прозрачный р-р, упаривают в вакууме и получают соединение с т. пл.  $156-158^\circ$ , легко растворимое в воде.

Ю. Вендельштейн

69996 П. Фенотиазиновые спазмолитики. Уэстон (Phenothiazine antispasmodics. Weston Arthur W.) [Abbott Lab.]. Канад. пат. 515653, 16.08.55

Патентуются спазмолитики фенотиазинового ряда  $RCOSR'NR''$ , где  $H$  — фенотиазинил-10,  $R'$  — алкильный радикал  $C_2-C_4$ ,  $R''$  и  $R'''$  — низшие алкилы, содержащие до 4 атомов  $C$  включительно (или  $NR''R'''$  — содержащий азот гетероцикл), и способ их получения, заключающийся во взаимодействии галоидангидридов фенотиазин-10-карбоновой к-ты с меркаптосоединениями  $HSR'NR''$ .

А. Травин  
69997 П. Способ получения 1-( $n$ -оксифенил)-1-оксид-2-( $\alpha$ -алкиламино)-пропанов (Fremgangsmåde til fremstilling af 1-( $n$ -oksifeny)-1-oks-2-( $\alpha$ -alkylamino)-propaner) [K. G. Tironwerke Dinklage & Co.]. Датск. пат. 78537, 6.12.54

Соединения общей ф-лы  $n-HOC_6H_4CH(OH)CH(CH_3)_2NHRC_6H_5$ , где  $R$  — 2-валентный алифатич. углеводородный радикал с 2—5 атомами  $C$ , не содержащий заместителей или имеющий в качестве заместителя одну  $CH_3$ -группу, получают, гидрируя в присутствии  $Pd$ -катализатора в-ва общей ф-лы  $n-R'OC_6H_4CH(OH)CH(CH_3)_2NHRC_6H_5$ , где  $R'$  — фенилметильная группа, 2,8 г бензоилового эфира 1-( $n$ -оксифенил)-2-( $\alpha$ -метил- $\gamma$ -фенилпропиламино)-пропанола, т. пл. 135—136° (из  $CH_3OH$ ), встряхивают со смесью равных кол-в  $C_2H_5OH$  и  $CH_3OH$  в присутствии 1 г  $Pb(OH)_2/BaSO_4$ -катализатора в атмосфере  $H_2$ . Через 30 мин. поглощается 1 моль  $H_2$  на 1 моль исходного в-ва и образуется 1-( $n$ -оксифенил)-2-( $\alpha$ -метил- $\gamma$ -фенилпропиламино)-пропанол-1, который после выделения и очистки имеет т. пл. 110—112°. Продукты обладают терапевт. действием, они пригодны для регулирования кровяного давления и предотвращения нарушений кровообращения.

Б. Фабричный  
69998 П. Способ получения 1-фенил-1-(5-метилтиазолил-2)-3-диметиламинопропанов. Сунагава, Окада, Дунюра, Накадзава (1-フェニール-1-(5-メチル-2-チアゾリール)-3-ジメチルアミノプロパンの製造法。砂川玄俊、岡田清治、檀浦共之、中澤準一) [三共株式会社, Санкё кабусики кайся]. Японск. пат. 2971, 29.05.54

Взаимодействием фенилацетонитрила и его парaproизводных с диметиламиноэтилхлоридом (I) в присутствии  $NaNH_2$  получают соответствующие  $\alpha$ -фенил- $\alpha$ -( $\beta$ -диметиламиноэтил)-ацетонитрилы, р-цией последних с 2-хлор-5-метилтиазолом (II) в присутствии  $NaNH_2$  получают  $\alpha$ -фенил- $\alpha$ -(5-метилтиазолил-2)- $\alpha$ -( $\beta$ -диметиламиноэтил)-ацетонитрилы, гидролизом которых получают  $\alpha$ -фенил- $\alpha$ -(5-метилтиазолил-2)- $\gamma$ -диметиламинопропаны. К р-ру 0,1 моля фенилацетонитрила и 0,1 моля I в 50 мл толуола прибавляют 0,1 моля  $NaNH_2$  и кипятят несколько часов, смесь разлагают лед. водой и отгонкой толуола выделяют  $\alpha$ -фенил- $\alpha$ -( $\beta$ -диметиламиноэтил)-ацетонитрил, т. кип. 135—137°/4 мм. Р-цией последнего с II и  $NaNH_2$  получают  $\alpha$ -фенил- $\alpha$ -(5-метилтиазолил-2)- $\alpha$ -( $\beta$ -диметиламиноэтил)-ацетонитрил, т. кип. 175—179°/2 мм, который гидролизуют ~4-кратным кол-вом 50—80%-ной  $H_2SO_4$  в течение нескольких часов, разбавляют водой, подщелачивают, извлекают  $C_6H_6$  и отгонкой  $C_6H_6$  и перегонкой выделяют 1-фенил-1-(5-метилтиазолил-2)-3-диметиламинопропан, т. кип. 148—150°/1 мм; пикрат, т. пл. 109—110°. Аналогично из 0,1 моля  $n$ -хлорфенилацетонитрила, 0,1 моля I, 0,1 моля II в 50 мл толуола и 0,2 моля  $NaNH_2$  получают  $\alpha$ -( $n$ -хлорфенил)- $\alpha$ -(5-метилтиазолил-2)- $\alpha$ -( $\beta$ -диметиламиноэтил)-ацетонитрил, т. кип. 166—171°/1 мм, а из него — 1-( $n$ -хлорфенил)-1-(5-метилтиазолил-2)-3-диметиламинопропан, т. кип. 152—153°/1 мм; малеат, т. пл. 128—129°. Полученные соединения пригодны в качестве лекарственных средств.

В. Уфимцев

69999 П. Способ получения стерина из стеринсодержащих веществ. Оверхофф, Хакман (Processes of producing sterols from materials containing same together with other substances. Overhoff Johan, Hackmann Johannes T.) [N. V. Veenendaalse Sajat-en Viischahfabriek voorheen Wed. D. S. van Schuppen and Zoon]. Канадск. пат. 519754, 20.12.55

Предложен способ получения продуктов присоединения стерина из стеринсодержащих материалов, взаимодействием последних с солями, способными образовывать продукты присоединения с низшими алифатич. спиртами и с моно- или поливалентными фенолами, напр. с солями металлов II, VI и VII группы периодической системы. После выделения из реакционной смеси образовавшегося продукта присоединения его разлагают водой на соль и стерин. Приводится частный случай применения в качестве названных солей  $MnCl_2 \cdot 4H_2O$ : стеринсодержащий материал нагревают с солью  $Mn$  в присутствии небольшого кол-ва воды (0,5—2,5%).

Е. Зиллер

70000 П. Инъекционные препараты нестероидных гормонов (Injection preparations of non-steroids). [Schering A.-G.]. Австрал. пат. 166206, 22.12.55

Способ приготовления высококонцентрированных инъекционных препаратов нестероидных гормонов (I) состоит в том, что I превращают в их производные (или смесь производных), обладающие настолько низкой т-рой плавления, что их можно употреблять для инъекции непосредственно или в смеси с небольшим кол-вом р-рителя в расплавленном состоянии, не причиняя ожога клеткам ткани.

А. Травин

70001 П. Стероиды (Steroids) [Upjohn Co.]. Англ. пат. 720429, 22.12.54

Патентуются эфиры 14 $\alpha$ ,17 $\alpha$ ,21-триоксипрегнен-4-диола-3,20 (I) и карбоновых к-т и способ их получения взаимодействием I с ацилирующим агентом, напр. ангидридом карбоновой к-ты. В качестве этерифицирующих агентов можно применять уксусный и пропионовый ангидриды и хлорангидриды триметилуксусной,  $\beta$ -циклопентилпропионовой и бензойной к-т; I получают окислением 17 $\alpha$ ,21-диоксипрегнен-4-диола-3,20 с помощью культуры гриба *Helicostylum piriforme*.

Ю. Вендельштейн

70002 П. Стероиды (Steroids) [Upjohn Co.]. Англ. пат. 716676, 13.10.54

Патентуется 3 $\beta$ -окси-5-прегнентрион-7,11,20 и способ его получения окислением 3 $\beta$ ,7,11 $\alpha$ -триокси-5-прегнена-20 или 3 $\beta$ -11 $\alpha$ -диокси-5-прегнендиола-7,20 при помощи  $CrO_3$ ,  $KMnO_4$  или  $N$ -бромсукцинимиды, в присутствии связывающих к-ты агентов. Кол-во окислителя и продолжительность р-ции окисления определяются таким образом, чтобы окислить спиртовые группы в положениях 7 и 11, не затрагивая спиртовой группы в положении 3.

А. Травин

70003 П. Стероиды (Steroids) [Upjohn Co.]. Англ. пат. 723159, 2.02.55

6-ацетокси-11-кетопрогестероны получают действием на 6-окси-11-кетопрогестерон этерифицирующего агента, напр. ангидрида органич. карбоновой к-ты. В примерах описано получение производных 11-кетопрогестерона (I): 6-ацетокси-I, 6-формилокси-I, 6-пропионилокси-I, 6-бензокси-I, и 6-( $\beta$ -карбокиспропионилокси)-I; 6,11 $\alpha$ -диоксипрогестерон (II) получают окислением прогестерона культурой гриба *Rhizopus arrhizus*; 6-окси-I образуется при окислении II  $H_2CrO_4$  в р-ре  $CH_3COOH$ .

Ю. Вендельштейн

70004 П. Препараты адренкортикотропного гормона с протрагирующим действием и способ их получения. Вермерен (Preparations of the adrenocorticotrophic hormone having a protracted effect and

method for producing same. Vermehren T. L. M.).  
Англ. пат. 736385, 7.09.55

Препарат АКГГ с протрагирующим действием представляет собой продукт р-ции гормона с растворимым в воде простым эфиром целлюлозы (I), содержащим свободную карбоксильную группу, напр. метил-I, Na-карбоксиметил-I, оксиэтил-I. Предпочтительны простые эфиры спиртов, содержащие в добавление к спиртовой группе кислотную группу, напр. гликолевой к-ты. Препарат применяют в виде водн. р-ра, содержащего 0,5—5% простого эфира I, в виде соли, напр. Na-соли, при содержании гормона 20 м. е./моль.

Ю. Вендельштейн  
70005 П. Способ получения циркуляторного гормона, калликрина (Procédé de production de l'hormone circulatoire kallikréine) [Farbenfabriken Bayer A.-G.]. Франц. пат. 1092335, 20.04.55 [Prod. Pharm., 1955, 10, № 11, 706 (франц.)]

К р-ру, содержащему мочу или экстракт калликрина из мочи (а также к термолизату или автолизату поджелудочной железы), прибавляют водн. р-р соли Pb или Zn; получают адсорбаты, из которых при помощи р-рителей вымывают активное в-во.

А. Травин  
70006 П. Соединения пенициллина с эфиром 4-аминобензойной кислоты (4-aminobenzoic acid ester compounds of penicillin) [Farbwerke Hoechst A.-G., Vorm. Meister, Lucius & Brüning]. Англ. пат. 721477, 5.01.55

Патентуемые соединения общей ф-лы  $n\text{-H}_2\text{N}-\text{O}-\text{RC}_6\text{H}_4\text{COOCH}_2\text{CH}_2\text{N}(\text{C}_2\text{H}_5)_2\text{R}'$  (I) ( $\text{R}-\text{NH}_2$  или низший алкил, содержащий до 3 атомов C, а  $\text{R}'$ -пенициллин в виде к-ты) получают р-цией соли (напр., хлоргидрата) основного эфира замещ. 4-аминобензойной к-ты общей ф-лы  $n\text{-NH}_2-\text{O}-\text{RC}_6\text{H}_4\text{COOCH}_2\text{CH}_2\text{N}(\text{C}_2\text{H}_5)_2$  (II) с солью пенициллина (напр., Na-солью) в водн. среде, или р-цией указанного выше свободного основного эфира ф-лы II с пенициллином в присутствии органич. р-рителя, напр. эфира, этилацетата, бутилацетата или их смесей. В примерах описано получение соединений ф-лы I, где R — аминогруппа и метил.

Ю. Вендельштейн  
70007 П. Способ получения соли пенициллина с N-метил-N-(1,2-бис-п-метоксифенил-2-оксиэтил)-амином. Янг (Förförande för framställning av penicillinsalter av N-metyl-N-(1,2-bis-p-metoxifenyl-2-hydroxyetyl)-amin. Young V. V.) [Commercial Solvents Corp.] Швед. пат. 151037, 9.08.55

Для получения указанной соли, действующей на патогенные микроорганизмы, водорастворимые соли пенициллина вводят в р-цию с N-метил-N-(1,2-бис-п-метоксифенил-2-оксиэтил)-амином. Б. Фабричный

70008 П. Способ получения 2-хлорпрокаиновой соли пенициллина (Fremgangsmåde til fremstilling af 2-klorprokainsaltet af penicillin) [Eli Lilly and Co.]. Датск. пат. 79338, 6.60.55

2-хлорпрокаиновую соль пенициллина (I — пенициллин) получают, смешивая I или соль I с р-ром 2-хлорпрокаина (II) или соли II в р-рителе, относительно плохо растворяющем 2-хлорпрокаиновую соль I. 40 г очищ. Na-соли бензилпенициллина (III — бензилпенициллин) растворяют в 5 л воды при 5°. К р-ру добавляют  $\text{H}_2\text{SO}_4$  до pH ~ 2,2; кислый р-р экстрагируют 5 л амилацетата. К экстракту постепенно добавляют холодный р-р 32 г II в 500 мл амилацетата. Выпавшие кристаллы 2-хлорпрокаиновой соли III отфильтровывают, промывают ацетоном и сушат в вакууме. К р-ру 5 г очищ. К-соли III в 100 мл холодной воды постепенно прибавляют при перемешивании р-р 4,5 г хлоргидрата II в 100 мл воды. Выпадает кристаллич. 2-хлорпрокаиновая соль III. К 500 мл водн. р-ра, содержащего смесь Na-солей пе-

нициллина -G, -F, дигидропенициллина-F, и пенициллина-K (общее кол-во ~ 20 г), прибавляют р-р ~ 22 г сульфата II в 200 мл воды. Выпадает 2-хлорпрокаиновая соль I. Эта соль очень мало растворима в воде и обычных органич. р-рителях, растворимость в воде 2-хлорпрокаиновой соли III составляет 0,25 вес.% при 29°. Очищ. 2-хлорпрокаиновая соль III имеет т. пл. 92—99°, 2-хлорпрокаиновые соли пенициллина-F или дигидропенициллина-F плавятся примерно в тех же пределах.

Б. Фабричный  
70009 П. Способ получения пенициллиновых препаратов с продолжительным действием, пригодных для перорального применения. Херольд, Ржеца (Fremgangsmåde til fremstilling af et peroralt virksomt penicillinpræparat med protraheret virkning. Herold Milos, Reza Josef) [Penicillin Narodni Podnik]. Датск. пат. 79045, 28.03.55

Водорастворимую соль пенициллина, напр., прокаинпенициллин или дибензилэтилендиаминпенициллин в сухом состоянии (или в виде р-ра в водн. ацетоне или разб. спирте), смешивают с диметиламинофенилдиметилпиразолом (I). 1000 г прокаинпенициллина смешивают с 500 г I и превращают в таблетки, желатиновые капсулы, водн. суспензии и т. д. Получаемое в-во может быть растворено в водн. ацетоне (70 ч. чистого ацетона и 30 ч. воды). Р-р фильтруют и упаривают досуха. 200 г дибензилэтилендиаминпенициллина смешивают с 150 г I и превращают в таблетки и т. п. Водн. р-р 400 г пиперидинобензгидрилового эфира пенициллина смешивают с р-ром 400 г I и 600 мл  $\text{C}_2\text{H}_5\text{OH}$ , смесь упаривают досуха в вакууме, остаток превращают в препараты, пригодные для перорального применения.

Б. Фабричный  
70010 П. Способ очистки антибиотика 106-7. Бюе, Ньюстед, Треннер (Verfahren zur Reinigung des Antibiotikums 106-7. Buhs Rudolph Paul, Newstead Edwin Gerald, Trenner Nelson Richard) [Merck & Co., Inc.]. Пат. ФРГ 934542, 27.10.55

Ферментационную жидкость или водн. р-р неочищ. антибиотика 106-7 (I) обрабатывают кислым катионитом (Амберлит JR 120 (II), Дауэкс 50, Дуолит С-10), применяемым в форме соли (предпочтительно натриевой), адсорбат вымывают основанием (предпочтительно  $\text{NH}_4\text{OH}$ ) и из элюата обычным образом получают I с повышенной активностью. В 5-литровый ферментатор загружают 3,2 л водн. среды, содержащей 3% соевой муки, 2% декстрозы, 0,75% растворимых составных частей барды и 0,25% NaCl, стерилизуют при 120° (1,5 часа), вносят по охлаждению 200 мл культуры *Streptomyces* 106-7 и ферментируют 96 час. при 28,5° с аэрацией и размешиванием; после фильтрации получают 2,57 л ферментационной жидкости с активностью 100 стрептомициновых единиц в 1 мл (~ 5 ед. в 1 мг сухого в-ва). К 100 мл этой жидкости добавляют 4 мл 2,5 н. HCl (до pH 1,5), пропускают со скоростью 25 мл в 1 час через колонку с ~ 6 г II (в виде Na-соли), промывают 50 мл воды и вымывают 0,1 н.  $\text{NH}_4\text{OH}$ . Почти всё активное в-во (50—122 ед/мг) содержится в 20 мл элюата, полученного при значениях pH от 6 до 10. Ферментационную жидкость, содержащую неочищ. I, для отделения от мицелл фильтруют, обрабатывают активированным углем, снова фильтруют и высушивают при замораживании, получают твердый неочищ. I с низкой активностью (10—27 ед/мг). Описана очистка последнего кислыми катионитами. Активность очищ. I достигает 140—170 ед/мг.

А. Травин  
70011 П. Способ очистки растворов инсулина от силикатных примесей. Сампсон (Procédé de séparation d'impuretés siliceuses à partir de solutions d'insuline. Sampson G.) [Armour and Co.] Франц.



пат. 1093324, 3.05.55 [Prod. Pharmac., 1955, 10, № 11, 706 (франц.)]

Реакцию р-ра инсулина, содержащего примеси соединений кремневой к-ты, доводят до pH 7,5—8,5 и отделяют выпавшие в виде хлопьевидного осадка загрязнения. А. Травин

**70012 П. Трихлорметилтиоцианат.** (Trichlormethyl thiocyanate formulations) [Sharples Chemicals Inc.].  
Австрал. пат. 164335, 11.06.55

Предложены составы, содержащие в качестве терапевтически активного в-ва трихлорметилтиоцианат, обладающие нематоцидным, фунгицидным, бактерицидным или гербицидным действием. Л. Михельсон

**70013 П. Терапевтические препараты, содержащие гидразид изоникотиновой кислоты, и их применение (Therapeutic preparations containing isonicotinic acid hydrazide and their application) [Geigy A.-G., J. R.].**  
Англ. пат. 734155. 27.07.55

Терапевтический препарат для лечения туберкулеза, содержащий 4—15 ч. гидразида изоникотиновой к-ты и 1—3 ч. тиосемикарбазона пиридин-3-альдегида, предпочтительно в смеси с фармацевтич. носителем. Активные ингредиенты можно применять в виде свободных оснований или солей с кислотами, напр. хлоргидрата, сульфата, фосфата или этандисульфата. Применяют таблетки по 10—200 мг, содержащие комбинированные активные ингредиенты, лактозу, тальк, крахмал и желатин. Ю. Вендельштейн

**70014 П. Рентгеноконтрастное средство** (X-ray-medium) [Ortho pharmaceutical Corp.]. Австрал. пат. 164206. 4.08.55

В качестве рентгеноконтрастного средства для введения в полости органов и тканей патентуется водн. р-р поливинилпирролидона, с мол. в. 15 000—80 000 (в среднем 20 000—40 000) и коэф. вязкости 20—33, и соли йодированного органич. соединения, принадлежащего к алифатич., ароматич. или гетероцичлч. ряду. Р-р имеет вязкость после стерилизации 50—300 *спуз* при 37° и содержит в 1 г 150—325 мг йода. А. Трапезин

70015 П. Ушные капли. Рабинович (Ear drops. Rabinovitch J.) Англ. пат. 727035, 30.03.55

Патентуемые ушные капли состоят из р-ра одного или нескольких дихлорбензолов (в кол-ве 15—35 вес.% от веса всей смеси) в терпене, напр. в пинене или скинидаре. Необязательными составными частями являются: растительное масло, напр. оливковое или масло земляного ореха, анагетик, напр. бензокаин или хлорбутанол и дезинфицирующее в-во — соединение четвертичного аммония, напр. хлорид или бромид цетилапирдиния.

Ю. Вендельштейн  
70016 П. Дезинфицирующие и дезодорирующие сме-  
си. Траслер (Disinfecting and deodorizing compos-  
sions. Trusler Ralf B.) [The Davies-Young Soap  
Co] База пат. 543904. 21.06.55.

Со.л. Канад. пат. 313904, 21.06.55  
Патентуются в качестве дезинфицирующих и дезо-

дорирующих средств смеси 1,3-дихлор-5,5'-диметилгидантоина (I), или 1,3-дибром-5,5'-диметилгидантоина (II) с нафталином, *n*-дихлорбензолом, камфорой, гексахлорэтаном, 4,4'-диметилбензофеноном или *o*-дифенилбензолом. Вторые компоненты смеси — твердые, не растворимые в воде, легко испаряющиеся в-ва, служат как замедлители, задерживающие разложение I или II в присутствии влаги. А. Травин

**См. также:** Общие вопросы: профессиональные заболевания в хим.-фармацевтич. пром-сти 70740. Органич. лекарств. в-ва 68755, 68778, 68814, 68815, 68876, 68894, 68938. Алкалоиды 68507, 68987—68989, 68992, 68996, 68998—69000. Глюкозиды 68984—68986. Витаминами.

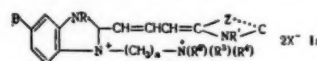
ны 69001, 69003, 69004. Гормоны 68942, 68981, 68978.  
Антибиотики 68191, 69005—69008. Методы анализа  
69207, 69209

## ФОТОГРАФИЧЕСКИЕ МАТЕРИАЛЫ

Редактор *В. С. Чельцов*

70017 П. Способ сенсibilизации фотографических галогосеребряных эмульсий (Verfahren zur Sensibilisierung photographischer Halogensilberemulsionen) [Agfa A.-G. für Photofabrikation]. Пат. ФРГ 934084, 13.10.55

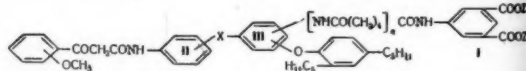
Патентуется способ сенсибилизации галоидосеребряных эмульсий несимметричными включающими бензимидазольное кольцо карбоцианинами строения (I), где R, R<sup>1</sup>, R<sup>2</sup>, R<sup>3</sup>, R<sup>4</sup> — одинаковые или различные алкильные группы; X — кислотный остаток; В — N или атом хлора; Z — атомы для замыкания гетеро-



циклич. колец, входящих в состав цианиновых красителей;  $n$  — целое число  $> 1$ . I имеют повышенную растворимость в воде и не придают фотографии, слою нежелательной окраски после обычной обработки. I получают нагреванием 1-диалкил-аминоалкил-2-метилбензимидазолов с 2 молями алкилирующего агента и конденсацией образовавшейся двучетвертичной соли с N-алкил-2-формилметиленовым производным гетероциклич. основания. Приведено 9 примеров I ( $n = 3$ ) с остатками тиазолина, индоленина и безселенолаза, сенсibiliзирующих эмульсию до 515—585 м $\mu$  с максимумами при 495—560 м $\mu$ . I могут применяться в смеси с другими карбоцианинами; особенно пригодны смеси I с ортохроматич. сенсibiliзаторами типа псевдоцианиновых. С. Бонгаас

70018 П. Фотографические цветные компоненты (Photographic colour couplers) [Kodak, Ltd.]. Англ. пат. 733119, 6.07.55

Галодосеребряный эмульсионный слой содержит претпугу компонентон флы (I), где X — NHC(=CH<sub>2</sub>)<sub>p</sub>CONH, OCH<sub>2</sub>CONH, O(CH<sub>2</sub>)<sub>3</sub>CONH или CH=CHCONH *p* — от 0 до 4; Z — алкильная группа или щол. металл; *n* = 0 или 1; в остатке II X находится в мета- или пара-положении, а заместители в остатке III в орто- или пара-положении к X. Примеры 4'-[5''(3''),5''-дикарбаметоксифенилкарбамил]-2''-(2''),4''-ди-трет-амилфенокси) фенил) карбамилметоксифенил 4-метоксифенилуксусной к-ты получаю р-цией 4-метоксифенилуксусной эфира и диметилового эфира 5-[3'-(4''-аминофенокси)ацетамин]-4'-(2'',4''-



ди-*трет*-амилфенокси) бензамидо]изофталевой к-ты (IV). Аналогичное соединение получают из 2-метоксibenзоилуксусного эфира (V) и IV. 4'-[3'-(3'', 5''-дикарбметоксифенилкарбамилвалерониамидо) - 6''-(2''-4''-ди-*трет*-амилфенокси)]бензамидо анид 2-метоксibenзоилуксусной к-ты образуется из 4'-[3'-амино-6''-(2''-4''-ди-*трет*-амилфенокси)] бензамидо]анилида 2-метоксibenзоилуксусной к-ты и 3,5-дикарбметоксифенилкарбамилвалеронилхлорида (VI); эфирная группа при этом омыляется р-ром NaOH. IV получают восстановлением соответствующего 4-нитросоединения (VII), H<sub>2</sub> в присутствии Реней-никеля. VII образуется при действии *n*-нитрофеноксиацетилхлорида

№ 21  
(VIII)  
фенол  
Вмест  
хлорид  
россею  
амин  
чают  
соеди  
4-(2',4'  
диамет  
VI с  
к-ты.  
бензас  
образ  
зон-1  
ни-5)  
нения  
Fe в  
уксус  
роани  
эфир  
щел.  
р-ра,  
донер  
вводи  
70019  
ОК  
то  
ten  
ар  
а  
Ра  
Па  
держ  
общ  
=СН  
или  
с ост  
пой  
Дих.  
чают  
и 80  
Обра  
эфир  
с к  
163—  
луча  
13,8  
уксус  
цней  
и а  
фен  
50%  
(V)  
и 20  
N-  
ами  
1-ок  
дик  
паф  
149.  
нил  
бен  
3-4  
бом  
до)  
апе  
поль  
лик

(VIII) на диметилловый эфир 5-[4'-2''-4'''-ди-трет-амилфенокси]-3'-аминобензамидо] изофталевой к-ты (IX). Вместо VIII применяют также *n*- и *m*-нитробензоилхлорид или хлоранидид *m*-нитрокоричной к-ты. Нитросоединение восстанавливают в соответствующее аминосоединение и р-цией с V получают I. IX получают при восстановлении соответствующего 3-нитросоединения (X) в  $\text{CH}_3\text{COOH}$ . X получают р-цией 4-(2'-4'-ди-трет-амилфенокси)-3-нитробензоилхлорида с диметилловым эфиром 5-аминоизофталевой к-ты. VI образуется обработкой  $\text{SOCl}_2$  соответствующей к-ты. 4'-[6''-(2''-4'''-ди-трет-амилфенокси)-3'-нитробензамидо]анилид 2-метоксibenзоилуксусной к-ты (XI) и 2-(2'-4'-ди-трет-амилфенокси)-5-нитробензоилхлорида: полученное нитросоединение восстанавливают в соответствующее аминосоединение Fe в  $\text{CH}_3\text{COOH}$ . XI получают восстановлением Fe в  $\text{CH}_3\text{COOH}$ . 4'-нитроанилида 2-метоксibenзоилуксусной к-ты, который образуется при р-ции *n*-нитроанилина и V. V получают при р-ции метилового эфира 2-метоксibenзойной к-ты и этилацетата. Воднощел. р-р соли компоненты, а также ее эфир в виде р-ра, напр. в  $\text{o-C}_6\text{H}_4(\text{OCH}_3)_2$ , или распределенный в водонерастворимом эфире целлюлозы либо масле вводят в галодисеребряную эмульсию. Н. Широкова

70019 П. Новые соединения, содержащие изоталилоксиацетамидные группы, и их применение в фотографии. Лориа, Пеш (Nouveaux composés contenant un groupe isophtaloyloxycetamide et leurs applications, notamment en photographie. Loria Anthony, Pesh Edward Thomas) [Kodak Pathé]. Франц. пат. 1109670, 31.01.56

Патентуется получение цветных компонент, содержащих изоталилоксиацетамидный остаток,

общей ф-лы  $\text{Z}-\text{NHCOCH}(\text{R})-\text{O}-\text{C}=\text{CHC}(\text{COOR}')=$

$=\text{CHC}(\text{COOR}')=\text{CH}$ , где R—H или алкил; R'—H, метил или цел. металл; Z—ароматич. ядро, связанное с остатком пиразолона, фенольной группой или группой с открытой кетометиленовой цепью. Пример. Дихлорангидрид 5-оксизофталевой к-ты (I) получают нагреванием 156 г 5-оксизофталевой к-ты и 800 мл тионилхлорида с выходом 187 г (100%). Обработкой I абс. метанолом получают диметилловый эфир 5-оксизофталевой к-ты (II) с выходом 138 г с кристаллизацией из 2 л сухого ксилола; т. пл. 163—165°. 3,5-дикарбометоксисулфусную к-ту (III) получают нагреванием метилата Na, полученного из 13,8 г Na и 300 мл абс. метанола, 63 г II и 41,7 г бромуксусной к-ты в 100 мл абс. метанола с кристаллизацией из ксилола; т. пл. 164—165°. Аналогично из II и  $\alpha$ -броммасляной к-ты получают  $\alpha$ -дикарбометоксифеноксимасляную к-ту (IV) с кристаллизацией из 50% водного спирта; т. пл. 149—152°. Хлорангидрид III (V) получают 14-час. нагреванием суспензии 26,8 г III и 200 мл хлористого тионила. Нагреванием V и 1-оксид-N- $\beta$ -[2'-(2''-4'''-ди-трет-амилфенокси)-5'-аминобензамидо]-этил-2-нафтамида в лед.  $\text{CH}_3\text{COOH}$  получают 1-оксид-N- $\beta$ -[2'-(2''-4'''-ди-трет-амилфенокси)-5'-[ $\alpha$ -(3,5-дикарбометоксифенокси)-ацетамидо] бензамидоэтил]-2-нафтамин (VI) с кристаллизацией из метанола; т. пл. 149—151°. Аналогично VI взаимодействием V и 1-фенил-3-[3'-(2''-4'''-ди-трет-амилфенокси)-5'-аминобензамидо]-бензамидо-пиразолона получают 1-фенил-3-(3'-2''-4'''-ди-трет-амилфенокси)-5''-[ $\alpha$ -(3,5-дикарбометоксифенокси)-ацетамидо] бензамидо-бензамидо-пиразолон (VII) с кристаллизацией из смеси ацетонитрила и пропанола; т. пл. 149—150°. Описано получение 6-[2'-(2''-4'''-ди-трет-амилфенокси)-5''-[ $\alpha$ -(3,5-дикарбометоксифенокси)-бутирамидо]-бензамидо]-2,4-

дихлор-3-метилфенола; т. пл. 194—196° (из ацетонитрила), 6-[4-(2''-4'''-ди-трет-амилфенокси)-3-[ $\alpha$ -(3,5-дикарбометоксифенокси)-ацетамидо]-бензамидо]-2,4-дихлор-3-метилфенола; т. пл. 208—210° (из *n*-бутанола),  $\alpha$ -(4-[ $\alpha$ -(3,5-дикарбометоксифенокси)-ацетамидо] бензоил)-2-(2,4-ди-трет-амилфенокси)ацетанилида; т. пл. 287—289° (из ацетонитрила) и 6-[ $\alpha$ -(4-[ $\alpha$ -(3,5-дикарбометоксифенокси)-*n*-бутирамидо]-фенокси)-ацетамидо]-2,4-дихлор-3-метилфенола; т. пл. 185—187° (из сн.) И. С.

70020 П. Компоненты цветного проявления для цветной фотографии (Colour couplers for colour photography) [Kodak Ltd]. Англ. пат. 738138, 5.10.55. Описаны голубые компоненты, имеющие пурпурную окраску, ф-лы  $\text{C}_6\text{H}_5-\text{N}=\text{N}-\text{C}_{10}\text{H}_7(\text{OH}-n)[\text{m}-\text{CONH}-\text{C}_6\text{H}_4(\text{X}-o)]$  (I), где X—атом галогена, алкокси- или феноксигруппа; другое фенильное ядро может быть замещено. Пример. 1-оксид-2',5'-ди-*n*-бутоксид-4-фенилазид-2-нафтамин получают из фенилового эфира 1,2-оксинафтойной к-ты и ди-*n*-бутилового эфира 2-аминогидрохинона при 150—200°. Аналогично из соответствующих аминов получают 1-оксид-4'-втор-амил-2'-хлор-1-оксид-5'-карбоксид-2'-(2''-4'''-ди-трет-амилфенокси)-1-оксид-2'-(2''-4'''-ди-трет-амилфенокси)-5'-(3''-5''-дикарбометоксифенилкарбамидо)-2-нафтаминид. 4-втор-амил-2-хлоранилин получают гидролизом соответствующего ацетанилида, получаемого хлорированием 4-втор-амил-ацетанилида. 2-(2'-4'-ди-трет-амилфенокси)-5-(3''-5''-дикарбометоксифенилкарбамидо)анилин получают восстановлением соответствующего нитросоединения, которое получают из 4-(2'-4'-ди-трет-амилфенокси)-3-нитробензоилхлорида с диметилловым эфиром 5-аминоизофталевой к-ты. 3-амино-4-(2'-4'-ди-трет-амилфенокси)-бензойную к-ту получают каталитич. восстановлением соответствующего нитросоединения. Фенилазидогруппа может содержать заместители: метильную трет-амилную, метокси-, этокси-, буюкси-, нитро-, циано-, диэтиламино-, ацетамидо-, карбоксиметильную, сульфогруппу или атом хлора. И. Соловьева

См. также: Скрытое изображение 68448, 68452. Сенсибилизация 68450, 68451, 68453. Сенсибилизаторы 69871. Фотохимия красителей 69908. Ядерная фотография 68447

## ДУШИСТЫЕ ВЕЩЕСТВА. ЭФИРНЫЕ МАСЛА. ПАРФЮМЕРИЯ И КОСМЕТИКА

Редактор В. П. Белов

70021. Проблемы анфлеража. Созио (Les problèmes de l'enflurage. Sozio Henri), Parfums, cosmét., savons, 1956, № 130, 51—54 (франц.)

Подробно описан метод анфлеража, дающий высококачеств. эфирные масла, и рассмотрены перспективы его применения. Е. Смольникова

70022. Экстракция бутаном. Менье (L'extraction par le butane. Meunier E. P.), Parfums, cosmét., savons, 1956, № 130, 62—66 (франц.)

Указывается на значительное улучшение качества эфирных масел (ЭМ) ландыша, жасмина, туберозы, листьев фиалок, дубового мха, флердоранжа, сирени, выделенных экстракцией бутаном, по сравнению с ЭМ, выделенными экстракцией петр. эфиром. Дано описание некоторых компрессоров особой конструкции, применяемых при экстракции бутаном. Е. С.

70023. Применение поверхностноактивных веществ для экстракции. Ровести (Utilisation des tensioactifs dans l'extraction (isolsation). Rovesti Paolo), Parfums, cosmét., savons, 1956, № 130, 78—80 (франц.)

Описано применение этого метода для получения эфирных масел, хлорофилла, каротиноидов, масел, жи-

ров и алкалоидов из растительного и животного сырья. В качестве поверхностноактивных в-в (ПВ) применяют 5%-ный р-р оксиэтиленолеинового спирта или 3-4%-ный р-р американского продукта Renex. Т-ра экстракции 30—50°, жидкую фазу периодически перемешивают. При применении измельченных продуктов время экстракции 1—2 часа. Экстракционную жидкость фильтруют и добавляют 10—15%  $\text{Na}_2\text{SO}_4$  или  $\text{NaCl}$ . После отстаивания отделяют ПВ, экстракт высушивают в вакууме для полного удаления влаги и экстрагируют хлористым метилом или петр. эфиром. После отгона р-рителя получают экстракт и ПВ, которое снова применяют для экстракции. Достоинства метода: применение сырья без предварительной сушки, использование значительно меньших кол-в р-рителя (потери меньше), простота оборудования, большая производительность. Выход эфирного масла из корнев ветиверии, полученного описанным методом, — 0,85%; (0,7% при дистилляции с паром); из листьев пачули — 4,2% (3,9% при дистилляции). Аналогичные данные приведены для других эфирных масел, а также для хлорофилла, каротиноидов, масел, жиров и алкалоидов.

И. Вольфензон

**70024. Определение содержания цитронеллала в эфирном масле *Eucalyptus citriodora*. Нейберг, Коппе (L'huile essentielle d'*Eucalyptus citriodora* évaluation de la teneur en citronellal. Neybergh A.-G., Corpet A.), Inds parfum., 1955, 10, № 11, 461—462 (франц.)**

Для эфирного масла *Eucalyptus citriodora* показано существование зависимости между  $d_{20}^{20}$  и содержанием цитронеллала  $a$  (в %):  $a = 1507,98 - 1659,55 d_{20}^{20}$ ;  $n_D^{20} = 0,468 d_{20}^{20} + 1,046$ . Содержание цитронеллала (в пределах 50—100%) может быть вычислено по этим ф-лам с точностью  $\pm 2\%$ . Е. Смольянинова

**70025. Прогресс в парфюмерных материалах. Часть I. Бедукиан (Progress in perfumery materials. Part I. Bedoukian Paul Z.), Amer. Perfumer and Arom., 1957, 69, № 2, 34—37 (англ.)**

Обзор работ за 1956 г. в области запаха и отдушек, цветочных масел, анализа душистых в-в, и в-в с запахом мускуса и амбры. Библ. 66 назв. И. Вольфензон

**70026. Исследования в области косметики. Лауффер (The sphere of research. Lauffer Paul G. J.), Drug and Cosm. Ind., 1956, 79, № 1, 40—41, 124—129 (англ.)**

**70027. Успехи в области применения основных веществ для кожных кремов. Лейдериц (Stufen und Fortschritte auf dem Gebiet der Hautcreme-Grundstoffe. Leideritz Hans), Parfüm. und Kosmetik, 1956, 37, № 4, 184—186, 189 (нем.; рез. англ., франц.)** Описаны свойства и применение цетилового спирта, холестерина, диэтилолестеарата, лецитина, казеина (К). Продажный К растворяют в воде, содержащей небольшое кол-во соды, фильтруют через влажную ткань, нейтрализуют разб.  $\text{HCl}$ , сильно разбавляют водой (при 65°) и при перемешивании добавляют разб.  $\text{HCl}$  до содержания ее в р-ре 1%. Спустя 2—3 часа осадок отделяют и промывают. К получают также непосредственно из молока с выходом до 10—15%. К не рекомендуется вводить в крем, содержащий щелочь или буру. А. Войцеховская

**70028. Обзор по применению силиконовых масел в мазях и кремах. Эрнст (Eine Übersicht über die Verwendungsmöglichkeiten von Siliconölen zu Salben und Cremes. Ernst Günther), Seifen-Öle-Fette-Wachse, 1956, 82, № 19, 543—546 (нем.; рез. англ., франц., исп.)**

**70029. Мазь на основе спиртов шерстяного воска. Нейвальд (Wollwachsalkoholsalbe. Neuwald Fritz), Österr. Apoth.-Ztg., 1955, 9, № 11, 168—170 (нем.)**

Мази на основе спиртов шерстяного воска нейтральны, устойчивы, почти без запаха, не раздражают кожу, обладают большой глубиной проникновения в кожу и способностью поглощать и отдавать лекарственные в-ва. Эта основа с водой образует стабильную эмульсию типа «вода в масле», которая готовится двумя способами: 1) мазь растирают в ступке, добавляя небольшими порциями равное кол-во воды; 2) 50 ч. мази расплавляют на водяной бане, добавляют 50 ч. нагретой до той же т-ры воды, перемешивают смесь до охлаждения. Приведены рецепты основы и ряда мазей, ее включающих. Н. Фрумкина

**70030. Водные аэрозоли. Калланс, Гризуолд (Water based aerosols. Callans Lee D., Griswold John), Soap and Chem. Specialties, 1957, 33, № 1, 68—69, 71, 73, 75 (англ.)**

Обзор.

**70031. Парфюмерные аэрозоли. Демейс, Гутцац (Contribution à l'étude du parfumage des aérosols. Demeilliers A., Gutsatz Y.), Parfums, cosmét., savons, 1956, № 121, 92—94 (франц.)**

Для применения аэрозольной упаковки парфюмерных продуктов необходимо выбрать в-во, при помощи которого осуществляется кондиционирование. Это в-во должно быть не воспламеняющимся, без запаха, не должно разъедать материал флакона и клапана и не подвергаться гидролизу. Такими в-вами могут быть галонированные углеводороды. Флаконы лучше всего применять стеклянные, правильной формы, без острых углов или покрытые пластмассой. Е. Кабошина

**70032. Бутан. Монне (Le butane. Monnet M.), Parfums, cosmét., savons, 1956, № 121, 44—45 (франц.)**

Предлагается применять в качестве распылителя в аэрозолях как чистый  $n$ -бутан (I), так и смесь его с хлорфторпроизводными углеводородов.

Е. Смольянинова

**70033. Стеаратные кремы. Ротеман (Stearatcremes. Rothemann Karl), Seifen-Öle-Fette-Wachse, 1957, 83, № 3, 59—60 (нем.; рез. англ., франц., исп.)**

Приводятся рецептуры и способ приготовления ночных и дневных косметич. кремов, содержащих стеариновые эфиры, пропиленгликоль и др. («Tegin», «Tegacid», «Dragil», «Dragil P», «Vanicol», «Sedotols») и в качестве эмульгатора эфир сорбита и его полиоксидиленовые производные («Arlacel», «Tween»). Последние безвредны и не раздражают кожу. Рекомендуется в состав этих кремов вводить эпидермин, перестрон, экстракт плаценты и азулен.

А. Войцеховская

**70034. Кожа и средства для кожи. Шварц (Haut und Hautmittel. Schwarz Hans), Riechstoffe und Aromen, 1956, 6, № 11, 346—347 (нем.)**

Рассмотрено действие на кожу некоторых в-в. Серу применяют в щел. среде, для чего используют известковую воду. В готовый препарат, содержащий серу, вводят 5% жира для предотвращения высыхания серы на поверхность. Хорошее действие на кожу оказывают препараты, содержащие витамин А (кожный витамин), ксантофилл, салициловую к-ту. Средство, применяемое при акнах, содержащее салициловую к-ту, готовят расплавлением 100 г основы «Ханс Шварц», растворением 2 г камфарной и 4 г салициловой к-т. Полученную смесь постепенно вносят в чашку при нагревании на водяной бане, где предварительно тщательно растерто 2 г осажденной серы. Основа «Ханс Шварц» состоит из 100 г белого воска DAB6, 100 г спермацета DAB6, 800 г масла земляного ореха и консерванта нипагалина. А. Войцеховская

**70035. Кожное действие некоторых гидролизатов протеинов. Сообщение 2. Гидролизаты кератина, соединительной ткани и плазмы. Лоди, Ровести (Azione cutanea di alcuni idrolisati di proteine. Nota II. Idrolisati di cheratina, di tessuto connettivo, di**



pelle e di plasma. Lodi Vera, Rovesti Paolo), Riv. ital. essenze profumi, piante offic., olii veget. saponi, 1955, 37, № 10, 540—543 (итал.)

Испытывалось косметич. действие гидролизатов кератина, соединительной ткани, кожи и плазмы, оптимальное кол-во которых в композиции доходило до 5%. Наибольшее положительное действие показали гидролизаты кератина, затем кожи. Гидролизат протеинов молока наименее активен. Сообщение 1 РЖХИмБх, 1956, 3858. Л. Фрейдкин

**70036. Новый метод измерения жесткости кератина.** Пек, Глик (A new method for measuring the hardness of keratin. Peck Samuel M., Glick Arthur W.), J. Soc. Cosmetic Chemists, 1956, 7, № 6, 530—540 (англ.)

Описаны приборы: дуrometer и тонометр, позволяющие проводить *in vitro* и *in vivo* измерения жесткости кератина (I). Найдено, что полностью дегидратированный I является очень жестким и ломким. Безвод. ланолин, минер. и соевое масла и др. не смягчают дегидратированный I, глицерин делает его более ломким. Присутствие воды способствует смягчению I, степень мягкости зависит от степени регидратации I. Отмечено, что тонометр может применяться для измерения эластичности кожи. И. Вольфензон

**70037. Токсичность моноэтаноламинтиогликолята.** Уитман, Брукни (Toxicity of monoethanolamine thioglycolate. Whitman Ross, Brookins Martin G.), Drug and Cosm. Ind., 1956, 79, № 3, 326—327, 402—412 (англ.)

Изучена относительная токсичность применяемых в косметике моноэтаноламинтиогликолята (I) и аммонийтиогликолята (II). 12-недельные испытания на кожном покрове кроликов показало отсутствие разницы между I и II; в обоих случаях наблюдалось раздражение кожи и гистопатологич. изменения печени, почек и адrenaльных желез. При испытаниях на кожном покрове человека показана равноценность I и II в отношении токсичности, но I вызывает меньшее раздражение кожного покрова. Показано, что моноэтаноламин менее токсичен, чем аммиак. Е. Смольянинова

**70038. Вопросы упаковки для аэрозольных препаратов.** Генцш (Abpackungsmöglichkeiten in Aerosolform. Genzsch Erwin O.), Seifen-Öle-Fette-Wachse, 1957, 83, № 1, 13—14 (нем.; рез. англ., франц., исп.)

**70039. Поливинилхлорид в качестве упаковочного материала.** Джонсон (Polyvinyl chloride as a packaging material. Johnson K. G.), J. Soc. Cosmetic Chemists, 1956, 7, № 4, 384—392 (англ.)

**70040. Пластмассы в качестве упаковочного материала.** Булл (Plastics for packaging. Bull L. F.), J. Soc. Cosmetic Chemists, 1956, 7, № 4, 374—383 (англ.)

См. также: Определение линалоола в эфирных маслах 69210; эфирные масла 23580Бх, 23582Бх

## КАУЧУК НАТУРАЛЬНЫЙ И СИНТЕТИЧЕСКИЙ РЕЗИНА

Редактор Д. М. Сандомирский

**70041. Структура и вязкость латекса гевеи.** I. Верхар (The structure and viscosity of Hevea latex. I. Verhaar G.), Rubber Chem. and Technol., 1956, 29, № 4, 1474—1483; Proc. 3-rd Rubber Technol. Conf., 1954, 77—86 (англ.)

На вязкость (В) натурального латекса (Л) сильно влияет наличие в нем вискоидов (лугтоидов) (I) студнеобразных тел неправильной формы размером 5—

200 м. В определялась ротационным вискозиметром Брукфильда. Свежий Л обладает структурной В, связанной с наличием системы, образованной гидратированными глобулами и агрегатами I. В свежем Л не наблюдается отчетливой зависимости В от конц-ии. При разбавлении свежего Л В сначала возрастает (15—20% H<sub>2</sub>O), а затем вновь падает. Это обусловлено образованием комплексов I за счет их агрегирования при ослаблении сил отталкивания и набуханием при проникновении в них воды из серума. В агрегаты I могут быть включены каучуковые глобулы. В свежего Л не связана с его конц-ией, так как Л является гетерог. смесью глобул и I. При добавлении NH<sub>3</sub> (до 0,05%) агрегаты I распадаются до частиц той же величины, что и глобулы и Л превращается в гомог. смесь глобул и I. При этом снижается В и появляется зависимость В от конц-ии. Дальнейшее добавление NH<sub>3</sub> не ведет к падению В. Добавление вместо NH<sub>3</sub> Na<sub>2</sub>SO<sub>3</sub> (0,3%) дает менее резкое падение В, а зависимости ее от конц-ии не появляется. Распад агрегатов I идет лишь частично и не приводит к получению гомог. смеси. CH<sub>2</sub>O не вызывает существенного изменения В, не влияет на размер и форму I и приводит к понижению стабильности Л. Связи между кол-вом CH<sub>2</sub>O, В и размерами I не найдено. Возможно взаимодействие CH<sub>2</sub>O с белками I. Введение химикалий, агломерирующих I, в том числе и H<sub>2</sub>O, ведет к скрытой коагуляции, а любое изменение, способствующее распаду агрегатов I, — к увеличению устойчивости Л.

И. Шмурак

**70042. Преждевременное старение каучука, подвергающегося ионизирующей радиации.** Смит (Premature ageing of rubber exposed to ionising radiations. Smith D. A.), Trans. and Proc. Instn Rubber Ind., 1957, 33, № 1, 11—21 (англ.)

Приведены различные случаи изменения эластомеров в изделиях, работающих в радиоактивных средах под действием O<sub>2</sub>, образующегося в результате радиоактивного воздействия. Резины из НК под действием O<sub>2</sub> дают мелкие трещины, в которых скопляется радиоактивная пыль, что затрудняет обезжиривание изделия после употребления. Поэтому изделия из НК или покрывают поливинилхлоридом (ПВХ) (0,1 мм) или заменяют изделиями из ПВХ (0,25 мм) или из СК. Кислотопроводы рекомендуются изготовлять из бутилкаучука совместно с ПВХ; они хорошо сохраняются в промежутках между работами. При очень интенсивной радиации необходимо применение хайпалона. Для воздухопроводов в умеренно радиоактивных условиях пригодны формованные изделия из НК, при усилении радиации — покрываемые лаком из вулкапрена (полиуретан) или хайпалона с эпиксидными смолами. Сделана также попытка заменить хайпалоновыми маканые сапоги из натурального латекса. Для тяжелых работ применяют перчатки из НК или неопрена (латексные) усиленные нейлоном. Перчатки для герметичных шкафов для работы с радиоактивными в-вами делают преимущественно из НК, лучше сопротивляющегося проколам, в промежутках между работой перчатки покрывают защитными мешками из ПВХ. Для работы с радиоактивными маслами и другими в-вами, проникающими через НК, перчатки делают из неопренового латекса, или перчатки из НК покрывают полностью или частично слоем неопрена, что обеспечивает хорошие механич. свойства и маслястойкость; для работы с ароматич. в-вами пригодны перчатки из нитрильного каучука, но они имеют небольшую озоностойкость; перчатки из бутилкаучука имеют плохие механич. свойства. После электростатич. пылеудовлетелей лучше всего ставить воздухопроводы из бутилкаучука (содержание O<sub>2</sub> в воздухе 0,7·10<sup>-6</sup>). В жестких кислотопроводах хорошо работают уплотнения из

бутилкаучука, часть которых, соприкасающаяся с к-той, покрыта силиконовым маслом, устраняющим смачивание прокладки. В. Кулезнев

**70043. Об аминировании хлоркаучука. Кабанов В.А., Михайлов М., Каранова Хр., Докл. АН СССР, 1957, 112, № 2, 267—270**

Хлоркаучук марки «Пергут-S-90» обрабатывали 26%-ным водн. р-ром  $\text{NH}_3$  при 95—145° и мол. отношении  $\text{NH}_3$  к Cl 10:1. В продуктах р-ции определяли содержание N и Cl и ионообменную способность. С повышением т-ры продукты обедняются Cl вследствие интенсивности протекания процессов аминирования и дегидрохлорирования. Зависимость степени замещения цепей азотом и активным в процессе ионного обмена азотом от т-ры имеет максимум, равный соответственно 13,6 при 125° и 2,8 при 115—125°. При 95—105° стерич. затруднения уменьшаются вследствие протекания внутримолекулярного дегидрохлорирования, т. е. незначительное сшивание цепей не компенсирует интенсивного уменьшения степени замещения хлором. При 105—135° с возрастающей скоростью происходит межмолекулярное дегидрохлорирование, вследствие чего стерич. затруднения увеличиваются. Выше 135° интенсивное уменьшение степени замещения хлором начинает преобладать над сшиванием, что приводит к уменьшению стерич. затруднений. Продукт аминирования хлоркаучука (38,8% Cl) обладает монообменной способностью 2,25 мг-экв/г (в отношении 0,05 н. HCl). И. Тугорский

**70044. Карбоксилатные каучуки из отходов резины. Грин, Свердруп (Caoutchoucs carboxyliques obtenus à partir de déchets de caoutchouc vulcanisé. Green Joseph, Sverdrup Edward F.), Rev. gén. caoutchoucs, 1957, 34, № 1, 25—32, 57, 62, 63, 64 франц.; рез. исп., итал., англ., нем.)**

Измельченные и просеянные через сито 30 меш отходы резины из НК или бутадienstирольного каучука, освобожденные от тканей, подвергают одновременно нагреванию, механич. обработке и хим. действию 4—6% ненасыщ. соединений, напр. малеинового или ятарного ангидрида, лимонной, фумаровой, акриновой и других н-т, диатил- и дибутилмалеата и других в-в. Обработка осуществляется ~3 мин. в обычной аппаратуре для регенерации при 162—232°. Отходы сначала смешивают с агентами регенерации, потом загружают реактивы в виде порошков, кристаллов и т. п. Продукты р-ции, «Бизониды 400, P-400, 1600 и 1630», обладают повышенными физ.-мех. свойствами сравнительно с обычным регенератом и рядом новых свойств: маслостойкостью, клейкостью и др. в зависимости от природы активных компонентов р-ции. Подобно карбоксилатным каучукам они вулканизуются окислами 2-валентных металлов, иногда с небольшой добавкой S, моно- и диаминами и гликолями, что указывает на наличие в них карбоксильных групп. Вулканизаты отличаются твердостью и высоким модулем, хорошим старением, пониженным бензолным экстрактом, повышенными гистерезисными потерями. Эти свойства наряду с невысокой стоимостью делают Бизониды интересными в промышленном отношении. Ю. Марголина

**70045. От модифицированных каучуков к привитым полимерам. Ле-Бра (Des caoutchoucs modifiés, aux polymères greffés. Le Bras Jean), Rev. gén. caoutchoucs, 1957, 34, № 1, 33—39, 57, 62, 63, 64 (франц.; рез. англ., нем., исп., итал.)**

Обзорная статья. Библи. 52 назв. Ю. М.

**70046. Промышленность синтетического каучука.**

Д'Ианни (Look again at the synthetic rubber industry. D'Ianni J. D.), Petrol Refiner, 1956, 35, № 12, 164—168 (англ.)

Обзор.

В. Ш.

**70047. Первый британский завод синтетического каучука.**— (First British synthetic rubber plant.), Industr. Chemist, 1957, 33, № 384, 68—72; Engineer, 1957, 203, № 5272, 222—223 (англ.)

См. РЖХим, 1957, 52857.

**70048. Влияние конверсии на физические и механические свойства сополимеров бутадиена с акрилонитрилом. Свобода, Бобек (Vliv konverze na fyzikální a mechanické vlastnosti kopolymerů butadienu s akrylonitrilem. Svoboda Václav, Bábek Miroslav), Chem. průmysl, 1957, 7, № 2, 97—102 (чешск.; рез. русск., англ.)**

Изучали изменение сопротивления разрыву, относительного удлинения, твердости по Шору, модуля вулканизатов, пластичности и характеристик вязкости сополимеров в зависимости от величины конверсии. Иницирующая система: пиросульфат K с диэтиламинном, модификатор — диизопронилксантогендиисульфид (дипроксид). Сопротивление разрыву максимально в случае 70—75% конверсии для сополимеров различного состава, пластичность по Дефо в этом случае — 600—800. Остальные физ.-мех. свойства такие же, как и у полимеров, получаемых в пром.-сти. Характеристики вязкости (измеренная на вискозиметре Убеллоде при 30° в толдуольном р-ре) меняются в зависимости от конверсии по кривой с максимумом при 70% для полимера с составом исходной смеси: бутадиен: акрилонитрил = 74:26. В молекуле азеотропа число звеньев акрилонитрила, чередуясь с остальными группами, отвечает 93,5%-ному коэфф. полимеризации, число звеньев бутадиена — 40%. В. Кулезнев

**70049. Применения инфракрасной спектроскопии. Некоторые применения инфракрасной спектроскопии к структурным проблемам в резиновой промышленности. Дейвисон (Applications of infrared spectroscopy. Some applications of infrared spectroscopy to structural problems in the rubber industry. Davison W. H. T.), Chemistry and Industry, 1957, № 5, 131—135 (англ.)**

Обзор работ по структуре мономеров и модельных соединений каучука, структуре и р-циям полидиенов и других эластомеров (хайпалон, полиметилвинилкетон, полиуретановые каучуки), кристалличности и конфигурации эластомеров. Библи. 36 назв.

И. Тугорский

**70050. Применение нефтяных продуктов в качестве мягчителей. Курц (Petroleum products. Kurtz Stewart S., Jr.), Rubber Age, 1957, 80, № 4, 673—674 (англ.)**

Мягчители (М) могут содержать (по кол-ву С), ароматики 0—50%, нафтенов 20—45%, парафинов 20—75%. Предложена классификация М по соотношению вязкости (пропорциональна мол. весу) в сантистоксах и вязкостно-весовой постоянной (функция строения) (ВВП). Парафиновые М (ВВП 0,790—0,820) не изменяют цвета резины и придают хорошую морозостойкость, но медленно вводятся в резиновую смесь. Нафтеновые М (ВВП 0,750—0,900) — М общего назначения. М с относительно малым содержанием ароматики (ВВП 0,900—0,950) применимы для получения масляных каучуков. Ароматич. М (ВВП 0,950—1,000) нестойки к окислению и либо слишком летучи, либо слишком вязки при низких т-рах. Рекомендуются для неопрена WHV. В. Шершев

**70051. Применение в качестве мягчителей продуктов переработки древесины. Амберг (Pine products. Amberg L. O.), Rubber Age, 1957, 80, № 4, 674—675 (англ.)**

Сосновая смола, канифоль, терпены дают продукты, которые при гидрогенизации, диспропорционировании или полимеризации могут быть стабилизированы и использованы как антиоксиданты и наполнители

каучука. (Белые боковины покрышек, покрытие полов, пористые резины). Нерастворимые в бензине продукты (винол) совместимы с нитрильными каучуками, повышают теплоустойчивость и снижают стоимость изделий, в которых не существенны морозостойкость и стойкость к светостарению. Терпены улучшают распределение ингредиентов и используются при регенерации. В. Шершнев

**70052. Применение в качестве мягчителей продуктов переработки каменного угля и полимеризации. Пауэрс** (Coal tar and polymerized products. Powers P. O.), Rubber Age, 1957, 80, № 4, 676 (англ.)

Ароматические мягчители из каменноугольного дегтя пригодны для нитрильных каучуков и неопрена. Ароматич. и нафтенные (политерпеновые) смолы применяют для НК и бутадиенильных каучуков. Первые сообщают резинам большее, по сравнению со вторыми, сопротивление разрыву и разрастанию порезов. Политерпены применяют там, где требуется сохранение цвета. Полностью неароматич. смолой является Пикопал. В. Шершнев

**70053. Применение в качестве пластификаторов сложных эфиров. Поллак** (Ester plasticizers. Pollack Maxwell A.), Rubber Age, 1957, 80, 676—677 (англ.)

Пластификаторы (II) типа сложных эфиров применимы для полярных каучуков, так как благодаря взаимному притяжению полярных групп II и каучука не имеет места выпотевание II. Чтобы II не улетучивались при смешении и эксплуатации резин, мол. вес их должен быть  $\leq 300$ , для теплоустойчивых резин  $\sim 400$ , для резин, стойких к р-телям  $\geq 2000$ . Морозостойкость резин тем лучше, чем меньше вязкость II. При этом, если II совместим с каучуком, его поведение в резине не зависит от т-ры замерзания чистого II. Особенно подходящи для этой цели дибутилсебаднат, диоктиладнат, дибутилфталат, бутилолеат, диизобутиладнат, пластификаторы SC; TP-90-B и Харфлекс-500. В. Шершнев

**70054. Медь в технологии резины. Колориметрическое количественное определение. Кирдеску, Чамис, Лэзреску** (Cuprul în tehnologia cauciucului. Considerații asupra determinării cantitative colorimetric. Kirișescu Al., Ceamăș M., Lăzărescu I.), Ind. usoara, 1956, 3, № 12, 500—504 (рум.; рез. русск., нем.)

Описано колориметрич. определение малых кол-в Cu в латексе, сыром каучуке, вулканизате и ингредиентах по интенсивности желтой окраски р-ра комплексного соединения диэтилдитиокарбамата Cu. В. Шершнев

**70055 II. Способ крепления силиконового каучука, в частности к натуральному или синтетическому каучуку, к металлам, сплавам или пластмассам. Штегеман, Гюнтер** (Verfahren zum festen Verbinden von Silikonkautschuk mit festen Körpern, insbesondere mit natürlichem oder künstlichem Kautschuk sowie mit Metallen oder deren Legierungen, wie auch mit Kunststoffen. Stegmann Walter, Günther Gottfried), [Phoenix Gummiwerke A.-G.] Пат. ФРГ, 952921. 22.11.56

Перед прессованием поверхность силиконового каучука (I) предварительно обрабатывают продуктом р-ции невулканизованного НК или СК с органогалогеном, алкил- или арилсиланом или их смесью. Продукты превращения получают при т-ре до  $350^\circ$  под давлением в присутствии катализатора — алкил-, ацил- или арилперекиси. После обработки поверхность I подвергают тепловой обработке. В качестве добавочного клеящего средства применяют полиизоцианат. Пример. В автоклав емк. 2 л помещают 190 г латекса,

162 г трихлорсилана (0,5 моля силана на двойную связь) и 600 г бал. Автоклав нагревают 16 час. до  $300^\circ$ , при этом давление достигает 60 атм. Продукт р-ции представляет собой бурную маслянистую жидкость с зеленоватой флуоресценцией. Его нагревают в вакууме при  $200^\circ$  для удаления непрореагировавшего трихлорсилана, затем разбавляют бал. (в отношении 2:1). Р-ром покрывают нагретую пластину из I. После сушки (30 мин. при  $100^\circ$ ) на нее накладывают слой невулканизованной резиновой смеси, на которую предварительно наносят 20%-ный р-р триизоцианата в метилхлориде, и спрессовывают оба слоя вместе при  $143^\circ$  в течение 30 мин. М. Лурье

**70056 II. Способ изготовления эластомеров на основе органополисилоксанов. Ницше, Вик** (Verfahren zur Herstellung von Elastomeren auf Organopolysiloxan-Grundlage. Nitzsche Siegfried, Wick Manfred) [Wacker-Chemie G. m. b. M.] Пат. ФРГ 954292, 13.12.56

Эластомеры на основе органополисилоксанов получают вулканизацией при нагревании смесей бифункциональных вулканизующихся силоксанов с вулканизующими агентами и наполнителями в присутствии небольших кол-в (0,1—2% от веса силоксанов) оловянных солей органич. к-т или других органооловянных соединений. Оловянными соединениями пропитывают вводимые в силоксан наполнители. Пример. 100 г диметилсилоксана вязкостью  $\sim 3$  млн. сст, полученного полимеризацией диметилсилоконового масла (вязкость 100 сст) с  $\text{PnCl}_2$  (соответственно пат. ФРГ 930481, РХХим, 1956, 76387), смешивают на вальцах с 50 г  $\text{SiO}_2$  с насыщенным весом  $< 100$  г/л, 40 г  $\text{TiO}_2$  и 3 г перекиси бензоила. Затем к смеси прибавляют р-р 0,4 г полимерного дибутилксидолова в 3 мл метилхлорида. После тщательного смешения полученную пластич. массу прессуют 10 мин. при  $125^\circ$  под давл.  $50 \text{ кг/см}^2$ ; полученный силиконовый каучук имеет относительное удлинение 380%, остаточное удлинение 40%, без соединения Sn соответственно 180% и 65%. М. Лурье

**70057 II. Наполнитель для каучука и пластмасс. Нвейтцер** (Füllmittel für Kautschuk und plastische Massen. Schweitzer Otto) [Deutsche Gold- und Silber-Scheideanstalt vorm. Roessler.] Пат. ФРГ 953010, 22.11.56

В качестве наполнителя для НК, СК, пластмасс или их смесей применяют высокодисперсные окиси металлов или металлоидов, природные или синтетич. силикаты, с размером частиц  $< 250 \cdot 10^{-7}$  см. предпочтительно  $< 150 \cdot 10^{-7}$  см, обработанные, по крайней мере, частично органич. соединениями (спиртами, альдегидами, кетенами или алкиленоксидами), способными образовывать с гидроксильными группами простые или сложные эфиры или ацетали. Исходные материалы для наполнителей получают: 1) пирогенетически из соединений, предпочтительно галогенных, частично гидролизированных окислов металлов или металлоидов, напр.  $\text{SiO}_2$ ,  $\text{TiO}_2$ ,  $\text{Al}_2\text{O}_3$ ; 2) окиси могут быть получены из растворенных или взвешенных соединений осаждением металлом I—IV группы периодической системы; 3) в качестве исходных материалов можно применять природные силикаты; особенно галонит, каолин, монтмориллонит или воластонит, обработанные вначале хлорирующими средствами. М. Лурье

**70058 II. Способ наполнения каучука глиноземом. Франц** (Verfahren zum Füllen von Kautschuk mit Tonerde. Franz Werner) [Süd-Chemite A.-G.] Пат. ФРГ 953011, 22.11.56

В качестве активного наполнителя для каучука применяют глиноземный гель, получаемый при переработке сырой глины в отбеливающую землю. Гель осаждают из отходящих вод  $\text{HCl}$  или  $\text{HCl}$  с  $\text{H}_2\text{SO}_4$ . В отсут-



ствие  $H_2SO_4$  используют растворимый сульфат с р-ром карбоната щелочи при pH 5,8. Пример. В 9 м³ конц. р-ра соды (17° Вэ) насосом подают в течение 1 часа 20 м³ отходящих вод, получаемых при переработке глины в отбеливающую землю и содержащих в 1 л 17,62 г  $Al_2O_3$ , 4,26 г  $Fe_2O_3$  и 20,53 г  $SO_4$ . Содержание  $SO_4$  регулируют прибавлением технич. сульфата Na. При сильном перемешивании сильно выделяется  $CO_2$ , доводит pH до 7. Конечную величину pH по прибавлению 20 м³ отходящих вод доводят до 5,3. После фильтрования, промывки, сушки при t-ре  $\leq 110^\circ$  и измельчения осадка в тонкий порошок получают 420 кг бурого глиноземного геля следующего состава (в %):  $Al_2O_3$  51,43;  $Fe_2O_3$  6,96;  $SiO_2$  1,83;  $SO_4$  12,60, потери при прокаливании 36,18. Насыпной вес 100 г/л. М. Лурье

См. также: Латекс, изготовление подошв 70159. Обработка волокнистых материалов 70182. Неопрен, кристаллизация 69046. Силиконовый каучук 70101. Полиизобутилен 69033, 69039, 69055, 69070, 70075. Соплимер хлорбутилена с акрилонитрилом 69066. Электрич. свойства каучуков 69054. НК, набухание в этилацетате 69035. Клеи 70129. Тиурам, получение 69827. Определение Pb в резинах и наполнителях 69143. Применение изотопов 69253. Наполнители для эластомеров 69293. Влияние состава целлюлозы на св-ва шинного корда 70230. Гигиена труда в резиновой пром-сти 70740.

## СИНТЕТИЧЕСКИЕ ПОЛИМЕРЫ. ПЛАСТМАССЫ

Редакторы А. А. Жданов, Н. С. Лескина

**70059. Пластмассы в 1956 г.**— (Plastics in '56: 4 billion.—), Chem. Engng, 1956, 63, № 5, 262, 264 (англ.)  
Данные о выпуске основных типов пластмасс в США за 1954 и 1955 гг. Прогноз дальнейшего развития произ-ва (ожидается, что в 1956 г. общий выпуск превысит 1800 000 т). Произ-во пенопластов будет в 2—3 раза больше, слоистых пластиков на 50% больше, полиэтилена на ~ 50% больше, чем в 1955 г.).

Л. Песин

**70060. Пластмассы в Испании.** Инфьеста (Les plastiques en Espagne. Ynfiesta J.), Ind. plast. mod., 1956, 8, № 6, 14—15 (франц.)

Краткий очерк. Приведены сведения о числе предприятий, изготавливающих различные виды пластиков, и предприятий, перерабатывающих пластики.

Л. Песин

**70061. Промышленность пластических масс в Швейцарии.** Мейнер (L'industrie suisse des matières plastiques. Meiner H. N.), J. ind., 1956, 7, № 123, 19, 21 (франц.)

Краткий очерк. Приведены сведения о выпускаемых видах пластмасс, о развитии произ-ва экспорта и импорта.

Л. Песин

**70062. Промышленность пластмасс в Аргентине.** Масхуан (Argentina: restrictions lifted. Masjuan Francisco), Mod. Plastics, 1956, 33, № 10, 192—194 (англ.)

В Аргентине пром-сть пластмасс выпускает почти исключительно термореактивные пластики (фенольные, мочевиновые и меламиновые). Термопласты до сих пор импортировались. В 1956—1957 гг. проектируется организация произ-ва полистирола, полиэтилена и др. Переработка пластмасс в изделия осуществлялась в Аргентине в 1955 г. на ~ 2459 прессах, 615 литевых машинах и 147 червячных прессах и 5 каландрах.

Л. Песин

**70063. Сырье в промышленности пластмасс в период 1945—1965 гг.** Корбетт (Raw materials in the plastics industry 1945—1965. Corbett T. C.), Trans.

and J. Plast. Inst., 1956, 24, № 56, 113—123, Discuss. 123—124 (англ.)

Дан обзор состояния сырьевой базы пром-сти пластмасс в Англии и развития выпуска термореактивных пластмасс и термопластов с 1945 до 1955 гг. Приведены соображения о перспективах увеличения выпуска пластмасс в период с 1955 до 1965 гг., согласно которым выпуск термореактивных пластиков в Англии достигнет до 100 000 т (прирост ~ 20% против 1954—1955 гг.), а термопластов до 600 000 т (увеличение в 5 раз против 1954—1955 гг.). Приведена дискуссия. Л. Песин

**70064. Пластмассы.** Хехтлен (Kunststoff-Rohstoffe. Höchtlen A.), VDI-Zeitschrift, 1956, 98, № 10, 439—442 (нем.)

Обзор. Описаны методы получения и свойства полиэтилена (полученного под высоким давлением и под низким давлением, подвергнутого радиоактивному облучению и хлорсульфированию), полистирола, поливинилхлорида, поливинилиденхлорида, фторсодержащих пластмасс, полиметакрилатов, полиэфиров терефталевой к-ты, ненасыщ. полиэфиров, феноластов, эпоксидных смол, силиконов, полиуретанов. Библ. 42 назв. Л. Песин

**70065. Применение излучений в промышленности пластмасс.** Дуглас (L'utilisation des radiations dans l'industrie plastique. Douglas R.), Plast. Inform., 1956, 7, № 129, 1—3, 8 (франц.)

Виды радиоактивных излучений; действие  $\alpha$ -,  $\beta$ -частиц и  $\gamma$ -лучей на мономеры и полимеры; применение радиоактивных изотопов. Л. Песин

**70066. Трубы из пластмасс в химической и пищевой промышленности.** Тенмлер, Лучай (Rury i tworzyw sztucznych w chemiznym i spozywczym przemysle przetworczym. Tenmлер E., Luczaj J.), Techn. przem. spozywcz., 1956, 5, № 8, 292—294 (польск.)

Обзор свойств и применения в хим. и пищевой пром-сти труб из пластмасс, изготовленных из полиэтилена, ацетобутирата целлюлозы, поливинилиденхлорида, поливинилхлорида, сополимера стирола с акрилонитрилом и стеклотекстолита на основе полиэфирных смол. Л. Песин

**70067. Применение пластмасс для гидроизоляции.** Бов (Les plastiques dans l'étanchéité. Bove Pierre), Mines, 1956, 11, № 2, 143—147 (франц.)

Описаны гидроизоляционные и кровельные материалы, применяемые для покрытия плоских крыш. Отмечено, что одним из наиболее эффективных является многослойный материал, из пленки высокополимера и битума. Л. Песин

**70068. Применение пластмасс в архитектуре.** Паркер (Plastics in architecture. Parker E. C.), Pract. Plastics, 1956, 7, № 5, 7—9, 27 (англ.)

Общее рассмотрение вопроса. Л. Песин

**70069. Необходимость стандартизации и классификации пластмасс.** Рыбак (The need for plastic material standardization and classification. Rybak Richard A.), Plastics Technol., 1956, 2, № 3, 166—167 (англ.)

Обосновывается необходимость унификации методов испытания и введения единой системы в обозначения и маркировку пластмасс. Л. Песин

**70070. О вязко-эластической модели для анализа напряжений в пластмассах.** Бланд, Ли (On the determination of a viscoelastic model for stress analysis of plastics. Bland D. R., Lee E. H.), Paper Amer. Soc. Mech. Engrs, 1956, №-APM-26, 5 pp., ill. (англ.)

Описан метод изучения поведения напряженных пластмасс при помощи 4-элементной модели. Л. Песин

**70071. Влияние атмосферных условий на пластические массы.** Гуза, Барто (Weathering of plastics. Gouza J. J., Bartoe W. F.), Mod. Plastics, 1956, 33, № 9, 157—158, 160, 162, 244—245 (англ.)

Исследованы жесткие, прозрачные пластич. массы (в основном полиметакрилат), находящиеся под постоянной нагрузкой и под влиянием атмосферных условий (состояние поверхности, пластич. деформации образцов и длительность нахождения под нагрузкой до разрушения). Приведены подробная методика и результаты испытаний, проводившихся в шт. Пенсильвания (США).

Е. Хургин  
70072. Рефрактометрический метод определения концентрации мочевиновых смол. Забродкин А. Г., Деревообработ. пром-сть, 1956, № 3, 8—10

Разработан и описан способ определения конц-ии мочевиновых и фенольных смол, формалина, спирта, едкого натра. Приведены таблицы зависимости коэф. рефракции смол марок: М-4 (конц-ии от 42,5 до 59,9%), МС (конц-ии 47,5—66,45%) и МФ-17 (конц-ии от 48,9 до 66,5%) от их конц-ии, а также для формалина 33—40%-ной конц-ии.

Л. Песин  
70073. Испытания на эрозию пластмасс, применяемых в скоростной авиации. (Erosion tests on plastics for high-speed aircraft.), *Plastics Technol.*, 1956, 2, № 4, 256 (англ.)

Кратко описан прибор для испытания пластмасс на эрозию в условиях, имитирующих натуральные (скорость 800 км/час, дождевание каплями диам. 1,9 мм), и приведены результаты испытания.

Л. Песин  
70074. Прибор для измерения ползучести пластических материалов. Персо (Machine de fluage des plastiques. Persoz B.), *Rech. aéronaut.*, 1956, № 49, 57—59 (франц.)

Описан прибор для измерения ползучести пластич. материалов, применяемых в авиационной пром-сти в условиях постоянной т-ры и влажности. На приборе автоматически получается кривая деформации как функции времени.

Е. Хургин  
70075. Пластмассы для облагораживания упаковочной бумаги и картона. Оль (Kunststoffe zur Veredelung von Papier und Pappe für Verpackungszwecke. Ohl Fritz), *Kunststoff-Rundschau*, 1956, 3, № 5, 157—160 (нем.)

Обзор. Описаны методы нанесения термопластов, преимущественно полиэтилена и полиизобутилена, а также поливинилхлорида и сарана на бумагу и картон с целью улучшения ее упаковочных свойств (уменьшения проницаемости, намокаемости, увеличения прочности и др.).

Л. Песин  
70076. Трубы из пластмасс для водопровода питьевой воды. Тидеман (Plastic pipe found suitable for potable water supply. Tiedeman Walter D.), *Municip. Utilities Mag.*, 1956, 94, № 4, 36, 38—43 (англ.)

Приведены результаты исследования пригодности труб из пластмасс (полиэтилена, полистирола, модифицированного кучуком, поливинилхлорида и сополимера винилхлорида и винилиденхлорида, ацетобутирата целлюлозы).

Л. Песин  
70077. К организации производства политена в Австралии. Гудинг (I. C. I. A. N. Z. Ltd. to manufacture polythene in Australia. Gooding R. T.), *Chem. Ind. and Engng.*, 1956, 6, № 6, 35—38 (англ.)

Обзор применения полиэтилена в кабельной пром-сти, телевидении, упаковочном деле, для изготовления труб, в строительстве, быту и с-х.

Л. Песин  
70078. Полиэтиленовые смолы. Проблема номенклатуры. Робертсон (The polyethylene resins. A nomenclature problem. Robertson N. F.), *Industr. and Engng Chem.*, 1957, 49, № 4, A51—A54 (англ.)

Получение новых типов полиэтилена привело к появлению ряда новых терминов, которые создают путаницу. Одним из возможных решений проблемы является разделение всего класса полиэтиленовых смол на группы по некоторому легко определяемому показате-

лю, напр. плотности, содержанию СН<sub>3</sub>-групп или др. Рассмотрены перспективы применения полиэтилена разных типов.

В. Пахомов  
70079. Полиэтилен. Трандафиреску, Георгиу (Polietilena. Trandafirescu Gh., Gheorghiu C.), *Rev. chim.*, 1956, 7, № 5, 268—274 (рум.; рез. русск.)

Рассмотрены методы полимеризации этилена под высоким и низким давлением. Приведено сравнение физ.-мех., термич. и диэлектрич. свойств полиэтилена низкого и высокого давления, а также области их применения.

Л. Песин  
70080. Механизм реакции полимеризации этилена. Кирмайер (Mecanismul reactiei de polimerizare a etilenei. Kirmaier S.), *Ind. usoaia*, 1956, 3, № 8, 319—320 (рум.; рез. русск., нем.)

Рассмотрены возможные механизмы и условия протекания р-ции полимеризации этилена при атмосферном давлении на Al-катализаторах, а также хим. характеристики органич. соединений алюминия.

К. Зарембо  
70081. Характеристика и применение полиэтилена низкого давления. Берти, Буа (Caratteristiche e applicazioni di polietilene ottenuti a bassa pressione. Berti Lamberto, Bua Ettore), *Chimica e industria*, 1956, 38, № 6, 466—473 (итал.; рез. англ., нем., франц.)

Подробно описаны физ.-хим., механич. и электрич. свойства полиэтилена низкого давления, выпускаемого в Италии по видоизмененному методу Циглера под маркой Rotene (I). Отмечено, что у I (мол. в. 100 000 и 200 000) кривая поглощения O<sub>2</sub> по времени в темпоте при 100° проходит значительно ниже, чем у полиэтилена высокого давления (мол. в. 30 000). Описаны параметры переработки I в изделия методом литья под давлением и нанесения покрытий из I методом газопламенного напыления.

Л. Песин  
70082. Модификация пластмасс путем облучения. Леууен (Modificatie van kunststoffen door bestraling. Leeuwen J. van), *Plastica*, 1956, 9, № 4, 210—213, 186; № 5, 272—274 (голл.; рез. англ., франц., нем.)

1. Рассмотрены хим. р-ции, вызываемые радиоактивным облучением высокополимеров, и происходящие при этом изменения их свойств. 2. Приведены практически используемые источники радиоактивного облучения (атом. реакторы, рентгеновские трубки, ускорители электронов). Обсуждена экономич. целесообразность использования атомной энергии для облучения пластмасс.

Л. Песин  
70083. Бутылки тубного типа из пластмасс. Хантер («Squeeze-bottle» plastic. Hunter Daniel R.), *Cornell Engr.*, 1956, 21, № 5, 18—21 (англ.)

Описаны свойства и применение полиэтилена (высокого и низкого давления) для изготовления бутылок и других видов тары тубного типа.

Л. Песин  
70084. Общие свойства пластмасс. Либьон (Les propriétés générales des matières plastiques. Libion R.), *Bull. hort.*, 1956, 11, № 2, 37—40 (франц.)

Описаны свойства полиэтиленовой пленки и пленки из пластифицированного поливинилхлорида толщиной 0,04—0,5 мм, применяемых в садоводстве.

Л. Песин  
70085. Синтетические смолы в упаковочной технике. Балестриери (Synthetische Harze in der Verpackungsindustrie. Balestrieri Gerardo), *Verpackungs-Wirtsch.*, 1957, 5, № 1, 6—9 (нем.)

Обзор свойств и применения в произ-ве упаковочных материалов поливинилацетата, сополимеров винилацетата с другими мономерами и поливинилового спирта.

Л. Песин  
70086. Виниловые пластмассы. Ноуле (Versatile vinyl plastics. Knowles James B.), *Yale Scient. Mag.*, 1956, 30, № 8, 8—10, 13—14 (англ.)

Описана технология вальцевания и каландрирования жесткого поливинилхлоридного пластика, а также отливки пленочного и листового поливинилхлоридного пластика. Приведена технология набивки и вакуумформования поливинилхлоридных пластмасс.

Л. Песин

**70087. Композиции на основе поливинилхлорида для шприцевания.** Бретт (P. V. C. extrusion compounds. Brett H. D.), *Plastics*, 1956, 21, № 222, 15—17 (англ.)

В состав композиций для шприцевания входят: поливинилхлорид, пластификаторы, стабилизаторы, смазка, наполнители, пигменты. Выбор рода компонентов и их кол-ва определяется условиями службы готового шприцованного изделия, техникой произ-ва и экономич. соображениями. Приведены составы композиций (общего назначения, для изоляции кабелей, морозостойкой, теплостойкой, жаростойкой, прозрачной) и даны технологич. указания по составлению композиций (дозировка полимера и пластификатора, смешивание, корректировка цвета и др.).

Е. Хургин

**70088. Применение пластмасс в быту.** Ле-Риш (A woman looks at plastics. Le Riche Kathleen), *Rubber and Plast. Age*, 1956, 37, № 6, 424 (англ.)

Описано применение термопластов (в частности виниловых пластиков) в качестве плиточного настила пола, для изготовления полировочных мастик; поливинилхлоридного пластика для изготовления рулонного настила пола путем покрытия джута; ковровых материалов, негорючих и стойких против моли и др.

Л. Песин

**70089. Камеры для мячей из пластмасс.**— (Ballons en matière plastique.—), *Plast. inform.*, 1956, 7, № 137, Suppl., 11, 14 (франц.)

Описаны методы получения камер для спортивных мячей (футбольных, ватер-поло, баскетбольных и др.) из виниловых пастообразных композиций «экавинил».

Л. Песин

**70090. Роль правильного процесса переработки пластмасс.** Пейерле (The fabricator's role. Peierls Edgar S.), *Yale Scient. Mag.*, 1956, 30, № 8, 21—22, 24, 27—28 (англ.)

На примере переработки политетрафторэтилена и политрифторхлорэтилена показано значение правильного ведения процесса переработки для качества изделий.

Л. Песин

**70091. Температурная зависимость фотоэластичных констант пластиков.** Бхагавантам, Мурти (Temperature dependence of photo-elastic constants in plastics. Bhagavantam S., Murty Y. Krishna), *Proc. Indian Acad. Sci.*, 1956, A43, № 4, 203—209 (англ.)

У образцов, вырезанных из листов полиметилметакрилата (I) и полистирола (II), подвергнутых закалке при  $t$ -ре  $90^\circ \sim 40^\circ \text{C}$ , измерялось компенсатором Бабинне при различных  $t$ -рах двойное лучепреломление (ДЛ), возникающее в образцах под действием механич. напряжений. Приведены графики ДЛ в зависимости от  $t$ -ры в пределах от  $30$  до  $90^\circ$  для I при усилии  $100 \text{ кг/см}^2$  и для II — при  $60 \text{ кг/см}^2$ . У напряженного I ДЛ положительное, у II — отрицательное. С повышением  $t$ -ры ДЛ у I увеличивается, а у II уменьшается. У I имеется точка перехода при  $62^\circ$  и у II — при  $70^\circ$ . При каждой  $t$ -ре оценивались относительные константы усилии — оптическое напряжение с учетом изменений коэф. преломления I и II в зависимости от  $t$ -ры. С. Шипкин

**70092. Применение пластмасс для изготовления искусственных костей.** Кодама, Насу (義骨への應用。兒玉俊夫、那須幸二), *プラスチック*, Пурасуттикуссу, Japan Plastics, 1956, 7, № 11, 1—7 (японск.)

Обзор работ по применению полиметилметакрилата. Библ. 29 назв.

В. Иоффе

**70093. Применение полиакрилатов для уличного освещения.** Коллинс (Acrylics for street lighting. Collins P. H.), *Plastics*, 1956, 21, № 226, 149—152 (англ.)

Показана целесообразность применения полиакрилатов в качестве рефлекторов (отражателей) для ламп дневного света. Приведены примеры конструкций отражателей.

Л. Песин

**70094. Сведения об эпоксидных смолах для машиностроителей и электротехников.** Киёно (機械電気技術者のためのエポキシ樹脂。清野繁夫), *プラスチック*, Пурасуттикуссу, Japan Plastics, 1956, 7, № 8, 46—52 (японск.)

Дана общая характеристика применяемых в настоящее время эпоксидных смол и реагентов для их отверждения. Указаны области и условия применения эпоксидных смол.

В. Иоффе

**70095. Применение ненасыщенных полиэфирных смол в технике.** Клема (Die Verwendung ungesättigter Polyesterharze in der Technik. Klement Friedrich), *Seifen-Öle-Fette-Wachse*, 1956, 82, № 13, 367—369 (нем.; рец. англ., франц., исп.)

Обзор физ.-мех. свойств полиэфирных смол и стеклопластиков на их основе. Описано применение их в автомобилестроении, мелком судостроении, машиностроении, произ-ве труб, спортивных изделий, в строительстве, электротехнике, самолетостроении, лаковой пром-сти, в качестве заливочного материала.

Л. Песин

**70096. Полиамидноэпоксидные смолы.** Флойд, Уорд, Минарик (Polyamide-epoxy resins. Floyd Don E., Ward William J., Minarik W. L.), *Mod. Plastics*, 1956, 33, № 10, 238, 240, 242, 247—248, 250 (англ.)

Приведены характеристики покрытий, клеев, слоистых пластиков, заливок и штампов из эпоксидных смол, отвержденных полиамидами, синтезированными из к-т растительных масел и полиамминов.

Л. Песин

**70097. Изготовление инструмента из литых пластиков для обработки металлов.**— (Making cast plastics tools for metal working.—), *Machinery (Engl.)*, 1956, 89, № 2284, 446—457 (англ.)

Описаны методы изготовления инструмента (штампов и др.) из эпоксидных смол с наполнителем (сланцевая мука, асбестовое волокно, стекловолокно, кварцевый песок, тальк, каолин) и различными отвердителями для обработки металлов.

Е. Хургин

**70098. Инструмент из пластмасс в США.** Диккинсон (Plastics tooling in America. Dickinson T. A.), *Plastics*, 1956, 21, № 225, 126—128 (англ.)

Для изготовления инструмента — штампов для холодной вытяжки металла в автомобилестроении, приспособлений для вакуумного формования стеклотекстолита и др. в последнее время широко применяют эпоксидные смолы (потребление в США в 1956 г. 4000 т) и в меньших размерах этилцеллюлозные композиции («этоцелл»), литые фенольные смолы и полиэфирные.

Л. Песин

**70099. Полимеры на основе изоцианатов.** Мерриман (Isocyanate-base polymers. Merriman P.), *Research*, 1956, 9, № 7, 254—259 (англ.)

Описаны методы получения, свойства и применение полимеров на основе изоцианатов, в частности эластомерных пенопластов.

Л. Песин

**70100. Связующее для литейных стержней.** Хроц (Kunstharz-Kernbinder. Chroszcz L.), *Gießertechnik*, 1956, 2, № 4, 90—92 (нем.)

Описаны резольные фенолформальдегидные смолы и их применение (расход смол 2—2,5%,  $t$ -ра в печи для стержней  $180$ — $300^\circ$ ; длительность выдержки в печи меньше, чем при работе с другими связующими).

Е. Хургин



**70101.** Сведения для работников машиностроительной и электротехнической промышленности о кремнийорганических соединениях. Инаба (機械および電気技術者のためのシリコン・稲葉榮也), プラスチックス, Пурасутикуссу, Japan Plastics, 1956, 7, № 5, 46—56 (японск.)

Описаны хим., физ. и мех. свойства и области применения силиконовых лаков и эмалей, силиконового каучука и силиконовых смазок.

**70102.** Изучение реакций конденсации 4,4'-диоксифенилсульфона с формальдегидом и сульфитом натрия. Беркман Я. П., Шутер Л. М., Науч. зап. Львовск. политехн. ин-та, 1956, вып. 22, 113—119

Изучены 2 стадии процесса получения водорастворимых продуктов конденсации 4,4'-диоксифенилсульфона (I) с  $\text{CH}_2\text{O}$  (II) и  $\text{Na}_2\text{SO}_3$  (III): 1) получение сульфаноальдегидной смолы (IV); 2) введение метилсульфокислых групп конденсацией IV с II и III. Попытки осуществить синтез IV без применения давления оказались безуспешными. Применение в качестве катализаторов 1 стадии р-ции  $\text{HCl}$ ,  $\text{H}_2\text{SO}_4$ ,  $\text{H}_3\text{PO}_4$ ,  $(\text{COOH})_2$ ,  $\text{NaOH}$ ,  $\text{NH}_4\text{OH}$  и III показало, что выбор катализатора не имеет существенного значения для 2 стадии. Наиболее удобным катализатором является III, поскольку он применяется в качестве реагента во 2 стадии. Катализ в присутствии III осуществляется не только за счет действия самого III, но и благодаря образующейся щелочи:  $\text{HOC}_6\text{H}_4\text{SO}_2\text{C}_6\text{H}_4\text{OH} + \text{CH}_2\text{O} + \text{Na}_2\text{SO}_3 \rightarrow \text{HOC}_6\text{H}_4\text{SO}_2\text{C}_6\text{H}_4(\text{OH})(\text{CH}_2\text{SO}_3\text{Na}) + \text{NaOH}$ . Исследование влияния на р-цию соотношения II:I ( $120^\circ$ , 4 часа, 0,12 моля катализатора) показало, что для получения хорошо растворимых конечных продуктов первичная конденсация не должна быть глубокой. Продукты с устойчивой растворимостью получают, когда первую стадию проводят при соотношении II:I = 0,5:1. Если в 1 стадии наряду с увеличением кол-ва II возрастает и кол-во III, то полученные смолы сохраняют способность растворяться в щелочах и давать при вторичной конденсации водорастворимые, хотя и несколько менее устойчивые продукты. Определение кол-ва III, необходимого для успешного течения 2 стадии, показало, что для получения продуктов с устойчивой растворимостью необходимо, чтобы одна сульфогруппа приходилась на 3 ароматич. ядра. При мол. соотношении III:I, равном 1:1, кол-во несвязанного в р-ции III остается почти постоянным ( $\sim 0,1$  моля); при увеличении этого соотношения кол-во несвязанного III быстро возрастает. Авторы предполагают, что во 2 стадии, в случае присутствия значительных кол-в III, остающийся избыточный II не образует междуядерных мостиков, а связывается с I в виде оксиметленовых групп, повышающих устойчивость р-ров дубителя. При двухступенчатой конденсации I с II и III можно получать устойчиво растворимые в воде продукты при различных соотношениях I, II и III, тем самым изменяя в широком диапазоне свойства получаемых продуктов.

**70103.** Испытания труб из пластических масс при низких температурах. Минтон (Tests predict performance of plastic pipe at low temperatures. Minton J. W.), Gas. (USA), 1956, 32, № 3, 60—62 (англ.)

Описаны испытания, проведенные с целью установления физ. свойств труб из ацетобутирата целлюлозы в области т-р от  $24^\circ$  до  $-40^\circ$ : на удар (свободно падающим грузом), на разрыв от внутреннего давления (средняя величина для 2-дюймовых труб  $45,5 \text{ кг/см}^2$ ). Результаты испытаний показали, что различные условия произ-ва при одном и том же материале приводят к различным значениям прочности.

**70104.** Пластификаторы. Исиги (最近の可塑劑・石井義郎), 化学と工業, Катаку то коге, Chem. and Chem. Ind., 1955, 8, № 11, 454—459 (японск.)

Обзор по произ-ву пластификаторов в Японии и США за 1951—1954 гг. и характеристика пластификаторов, выпускаемых в настоящее время. Библ. 56 назв.

**70105.** Наполнители и армирующие материалы для пластмасс. Льюбин (Fillers and reinforcements. Lubin George), Prod. Engng, 1955, 26, № 13, 178—182 (англ.)

Для повышения механич. прочности применяются стекловолнистые материалы в виде тканей различного переплетения и матов. Приведены данные о зависимости прочности стеклопластиков от длины волокна и вида переплетения; для армирования применяются стекломаты весом  $0,225\text{—}1,80 \text{ кг/м}^2$ . Асбестовые волокна дают жесткие пластики, обладающие такой же прочностью и плотностью, как и стеклопластики, но имеющие модуль упругости на 50% выше; максимумы прочности и модули упругости асбестопластиков наблюдаются при содержании асбеста  $\sim 60\%$ . В целях улучшения качества поверхности слоистых пластиков применяются порошковые наполнители (Н) или покровные листы в виде тонких матов, которые могут окрашиваться в различные цвета. Усадка пластиков определяется кол-вом тепла, выделяемым при полимеризации в процессе прессования (чем выше т-ра полимеризации, тем больше усадка). Тиксотропия композиций с полиэфирными смолами определяется в основном типом и кол-вом порошкового Н. Приведены кривые, показывающие изменение вязкости и скорости сдвига при изменении конц-ии различных Н в полиэфирной смоле. Описаны условия отверждения и свойства пластиков в зависимости от типа и кол-ва Н. Дана краткая характеристика показателей технологич. параметров армированных стеклопластиков: декоративного, высокопрочного, водостойкого, погодоустойчивого с высококачественной отделкой и погодоустойчивого окрашенного. Наиболее дешевые пластики получают на основе смолы. Описаны условия формования и отверждения отдельных видов слоистых пластиков.

**70106.** Новый высококачественный пресспорошок «Акмелит 100». — (アクメライト-100. 新しい高性能合成樹脂成型粉) プラスチックス, Пурасутикуссу, Japan Plastics, 1956, 7, № 8, 44 (японск.)

Пресспорошок «Акмелит 100» обладает высокими физ.-мех. (уд. в. 1,7; сопротивление на изгиб  $8,5 \text{ кг/мм}^2$ , твердость по Бринеллю 35, уд. ударная вязкость  $4,0 \text{ кг/см/см}^2$ , водопоглощение  $10 \text{ мг/100 см}^2$ ; усадка 0,005) и электр. свойствами, а также повышенной химстойкостью к действию щелочей, масел и р-рителей. Прессование ведут при давл.  $150\text{—}200 \text{ кг/см}^2$  в течение 2—5 мин. при  $160\text{—}170^\circ$  (мелкие изделия) и 7—10 мин. при  $140\text{—}150^\circ$  (крупные изделия).

**70107.** Зависимость механических показателей образцов прессматериалов от формы таблеток. Пик И. Ш., Ермакова А. И., Хим. пром-сть, 1955, № 8, 484—485

В результате исследования механич. прочности образцов из волокниста (I) и пресспорошка марки K-18-2 (II) в зависимости от формы таблеток найдено, что наиболее высокие величины показателей для брусков, отпрессованных из I, получены при предварительном таблетировании I в прессформе для бруска, т. е. не имеющих никаких стыков. Несколько худшие показатели имели бруски, отпрессованные из нетаблетированного I. Наиболее низкую механич. прочность имели бруски, отпрессованные из волокниста с нарушенной длиной волокна, т. е. из таблеток-брусков, разрезанных на 2, 3 и 6 примерно равных частей. Для II наиболее низкую механич. прочность имеют бруски, отпрессованные из таблеток-брусков, разрезанных на 2 части. Остальные бруски из II независимо от формы таблеток имеют примерно одинаковые механич. пока-

затели. Предварительный ВЧ-подогрев таблеток несколько увеличивает механич. прочность брусков, в меньшей степени для целых и в большей степени для разрезанных на 2 части.

**70108.** Шприцевание листового материала для формования под вакуумом. — (Extruded sheet for vacuum forming. —), *Plastics*, 1956, 21, № 224, 74—75 (англ.)

Описан агрегат для произ-ва листового материала из полистирола, предназначенного для формования изделий под вакуумом. Агрегат состоит из червячного пресса (диаметр червяка 114 мм, длина цилиндра равна 20-кратному диаметру червяка, 5 зон нагрева), полировальных и ламинирующих вальцов, гильотинных ножниц и автоматич. укладчика. Для питания машины на полу установлены два бункера: один для свежего полистирола, другой для отходов. Подается материал пневматически. Имеются два приспособления (на каждой трубе из бункеров) для обеспечения определенного соотношения между свежим и вторично перерабатываемым полистиролом. В бункере червячного пресса материал подсушивается и подогревается струей теплого воздуха. Миним. и максим. толщина листового материала — 0,51 и 3,56 мм.

**70109.** Литье под давлением изделий из ацетилцеллюлозы, обеспечивающей стабильность размеров. Лемари (Injection d'une poudre d'acétate de cellulose de bonne stabilité dimensionnelle. Leymarie M.), *Ind. plast. mod.*, 1956, 8, № 7, 8, 11—12 (франц.)

При литье под давлением ацетилцеллюлозы марки Rhodiale S, отличающейся недеформируемостью отличных из нее изделий в условиях жаркого и влажного климата, особое внимание следует уделить т-ре материала при заливке, которая должна быть выше т-ры, при которой изделие начинает становиться гладким и блестящим. Каналы литниковой системы должны быть по возможности короткими и с большим сечением: миниатюрные впуски недопустимы. Т-ра прессформы при изделиях с тонкими и большими поверхностями должна быть порядка 45°. Приведены указания о месте расположения впуска, давления литья, скорости заполнения прессформы, длительности допрессовки, изложены общие принципы литья под давлением (расплавление пластик. массы, т-ра и давление) и даны кривые изменения различных свойств в зависимости от т-ры материала при заливке.

**70110.** Производство статуэток из ацетилцеллюлозы. — (La fabrication des figurines en acétate. —), *Plast. inform.*, 1956, 7, № 137, Suppl., 9, 13 (франц.)

Приведены примеры (изготовление — литьем под давлением).

**70111.** Формование под вакуумом в негативных и позитивных формах. Саутер (Vacuum forming and drape moulding. Sauter P. A.), *Industr. Progr. and Develop.*, 1955, 16, № 6, 880—881 (англ.)

Описаны преимущества формования под вакуумом с применением позитивных форм в сравнении с работой негативных форм: размер листа, из которого формируется изделие, может быть значительно больше; толщина стенки изделия получается больше, ввиду меньшей вытяжки; углы и ребра получают наиболее прочными частями изделия, а не наименее прочными; благодаря меньшей вытяжке получают меньшие искажения при формовании из листового материала, отпечатанного предварительно в красках. Для успешного формования на позитивных формах необходимо, чтобы сьем изделия с формы происходил легко и при этом без искажения (после того как изделие станет достаточно твердым). Для этого сьем должен быть автоматизирован с применением реле.

**70112.** Формование под вакуумом изделий из пленок пластических материалов. Браун (Vakuum-Verformung von Kunststoff-Folien. Braun Hans-

Joachim), *Verpackungsrundschau*, 1956, 7, № 5, 271—272 (нем.)

Приведены практич. советы (подбор форм изделия для данного метода произ-ва; выбор машины для произ-ва; вырубка изделий из пленки; выбор материала для изделий и др.).

**70113.** Завод слоистых пластиков в Дордоне. Фонтене (L'usine de panneaux stratifiés inaugurée par M. Lacoste, en Dordogne, est un bel exemple de conversion industrielle. Fontenay Jacques), *Algérie industr. et commerc.*, 1956, 3, № 29, 11, 13 (франц.)

Описан современный 3-д облицовочных слоистых пластиков (сердцевина — крафт-целлюлоза, пропитанная фенольной смолой, покровные листы из декоративной бумаги, пропитанной меламино-формальдегидной смолой) производительностью 1 000 000 м<sup>2</sup> в год листов размерами 3 × 1,22 м.

**70114.** Применение пластиков для отделки поверхности. Расман (Plastics surfacing heralds an era. Rasmann George C.), *Gen. Electr. Rev.*, 1956, 59, № 2, 32—33, 36, 37 (англ.)

Описано применение слоистых декоративных пластиков и их ассортимент по цветам.

**70115.** Армирование стеклопластиков. Асплунд (Lasikuituvahvisteiset muovit. Asplund Alfons), *Tekn. kemian aikakauslehti*, 1956, 13, № 4, 107—110 (фин.; рез. англ.)

Дан краткий обзор по стеклопластикам, изготовляемым в Финляндии. В качестве связующих применяются полиэфирные, фенольные, эпоксидные и винилные смолы. Стекловолокно (из кальциево-алюмо-боросиликатного стекла) импортируется в Финляндию из заграницы. Формование производится в прессформах или в резиновых мешках, в зависимости от размера изделий и от объема произ-ва. Описаны свойства стеклопластиков и приведены примеры их применения.

**70116.** Механическая прочность и химическая стойкость стеклопластиков. Ярай (The mechanical and chemical strength of glass fibre reinforced plastics. Jaray F. F.), *Corros. Prevent. and Control*, 1956, 3, № 2, 29—35 (англ.)

Описаны свойства, предъявляемые к армированным материалам (напр., к железобетону) и стеклопластикам (СП), которые рассматриваются так же, как армированные материалы. Приведены свойства стеклянного волокна, действующего в СП как арматура. Указано на чрезвычайно большое значение связующих для максим. использования особенностей стекловолокна в СП. Хим. стойкость полиэфирной и эпоксидной смолы резко снижается при повышенных т-рах, а свойства СП на основе этих смол сильно ухудшаются при длительной эксплуатации. Фурановые смолы обладают высокой хим. стойкостью при т-рах до 150—158°, но они сравнительно дороги, а механич. прочность слоистых пластиков на основе их в 2—3 раза ниже, чем на основе полиэфирных смол. Описан метод получения высокопрочных, химически стойких СП, состоящий в сочетании СП на основе фурановых смол с полиэфирными и эпоксидными.

**70117.** Влияние воды на прочность конструктивных пластиков. Шарп, Уйбер (Effect of water on strength of structural plastics. Sharp W. H., Weber M. K.), *Corrosion*, 1956, 12, № 2, 27—34 (англ.)

Изучено влияние воды на механич. свойства стеклопластиков. При кратковременном погружении образцов в воду с последующим измерением прочности в воздухе изменений не наблюдалось. При измерении же механич. прочности в воде при повышенной т-ре и под нагрузкой в условиях, наиболее приближающихся к производственным, установлено, что происходит уменьшение прочности. Приведены данные о влиянии воды на стеклопластики, изготовленные на основе поли-

эфирных и эпоксидных смол. Указано также, что на прочность пластиков в мокром состоянии влияют: тип смолы, отверждающий агент, и режим отверждения. Уменьшение прочности при воздействии воды испытывают термопласты: непластифицированный поливинилхлорид, сополимер стирола и ацетобутират целлюлозы; они теряют в воде прочность в 1,7—9,6 раза больше, чем в воздухе при тех же условиях. Значительное улучшение прочности в мокром состоянии достигается при дополнительной термич. обработке.

Т. Фабрикант

**70118. Электроизоляционные свойства стеклопластиков, изготовленных на основе полиэфирных смол.** Сообщение I. Огата, Фунайма (ポリエステル系樹脂積層材の絶縁性。第1報。尾形秀人, 船山一郎), 鉄道業務研究資料, Тэндо гёму кэнкю сирё, J. Railway Engng. Res., 1956, 13, № 6, 1—2, 9—17 (японск.; рез. англ.)

Проведено исследование электроизоляционных свойств и влагопоглощаемости стеклопластиков для установления возможности их применения в качестве конструкционного материала на железных дорогах. Изучены также зависимость электроизоляционных свойств от водопоглощаемости.

В. Иоффе

**70119. Некоторые данные о применении армированных волоком пластиков в самолетостроении.** Шликельман (Einige Ergebnisse der Anwendung faserverstärkter Kunststoffe im Flugzeugbau. Schlieckelman R. J., Jr), Luftfahrttechnik, 1956, 2, № 6, 113—119 (нем.)

Описаны результаты исследований, проводившихся с 1950 г. на голландских авиационных з-дах Фоккера, по применению стеклопластиков (СП) и асбопластиков (АП) при постройке самолета Fokker F. 27. Особое внимание уделено исследованию физ.-мех. характеристик СП и АП: прочности на растяжение и изгиб, уд. прочностей и уд. модулей упругости, зависимости величин этих свойств от содержания волокна и смолы в СП и АП, жесткости СП и АП, уд. весов этих материалов по сравнению с дуралюмином. Приведены некоторые данные о способах формирования и переработки СП и АП, о креплении деталей из них при помощи заклепок и болтов, а также об экономичности применения этих материалов по сравнению с легкими металлами. Показано, какие детали самолета изготавливаются из СП и АП и их расход на одну машину (300—450 кг).

С. Иоффе

**70120. Применение теплостойких стеклопластиков в самолетостроении.** Кол (Are fibre-glass plastics. The best bet to beat the heat? Cole A. L.), Canad. Aviat., 1956, 29, № 5, 50—51 (англ.)

В самолетостроении применяют стеклопластики (СП) трех видов: армированные термопластичные смолы, армированные асбестом термореактивные смолы, армированные стекловолокном термореактивные смолы. В целях лучшего использования преимуществ СП при конструировании из них придерживаются следующих основных принципов: изготовление конструкций целиком из СП, расположение материала в соответствии с направлением максим. напряжений, изменение толщины изделия в нужных местах, упрочнение поверхностей с максим. напряжением при помощи выступов, ребер и т. п. При этом следует учесть низкий модуль упругости, небольшую прочность на сжатие по сравнению с прочностью на разрыв, неомогенность структуры, обусловленную технологией формирования слоистых СП. Прочность конструкций из СП определяется высокой механич. прочностью элементарного стеклянного волокна и высокой клеящей способностью отвержденной термореактивной смолы. Приведены механич. свойства СП, полученных на основе полиэфирной эпоксидной и кремнийорганич. смол. Указаны условия

применения различных видов стекловолокнистых материалов в зависимости от создаваемых конструкций.

С. Иоффе

**70121. Симпозиум по применению стеклопластиков в автостроении.** (Symposium-plastics for truck bodies.), SAE Trans., 1955, 63, 752—776 (англ.)

Симпозиум состоялся 14 января 1955 г. в Детройте (США). Приведены доклады (цифры указывают №№ страниц в оригинале): 1. О применении пластмасс для произ-ва автомобильных кузовов. Мак-Канн (McCann Hiram), 752—754. 2. Применение армированных стеклопластиков для произ-ва цистерн. Браун (Brown David), 754—756. 3. Пластмассы для автоприцепов. Вулц (Wulc Stanley S.), 756—760. 4. Армированные стеклопластики для закрытых кузовов автомашин. Херферт (Herfurth Walter R.), 760—762. 5. Ремонт автомашин. Дженнингс (Jennings Henry), 762—766. Приведены материалы дискуссии: 1. О дальнейшем изучении стеклопластиков. Шульц (Schultz Waldemar), 766—768. 2. Современное развитие стеклопластиков. Картер (Carter A. J.), 768. 3. Описание произ-ва отдельных деталей легковой машины «Corvette». Премо (Premo E.), 768—775. 4. Прочность сборных конструкций из стеклопластиков. Эймс (Ames Robert S.), 775—776. 5. Устная дискуссия. Симкинс (Simkins Murray), 776.

С. Иоффе

**70122. Пластические массы в качестве конструкционных материалов.** Бьоркстен (Plastics as mechanical-engineering materials. Bjorksten Johan A.), Mech. Engng, 1956, 78, № 4, 337—340 (англ.)

Описаны свойства и применение (для инструмента, труб, шестерен и т. д.) стеклопластиков на основе феноло-, меламиноформальдегидных, полиэфирных и эпоксидных смол. Приведены свойства синтетич. волокон, применяемых вместо стекловолокна, напр. орлона. Отмечено, что в технике не использовано свойство пластич. масс приобретать (после резкого охлаждения их с т-ры, близкой к точке плавления) свойства легкой формовости, вытягиваемости, сохраняющиеся в течение нескольких часов, что позволило бы штамповать из них изделия столь же быстро, как из металла.

Е. Хургин

**70123. Бумага с покрытием из пластмасс.** Шох (Kunststoff-beschichtete Papiere. Schöch Walter), Kunststoffe, 1956, 46, № 6, 238—243 (нем.; рез. англ., франц., исп.)

Описаны методы нанесения пленки термопластов или дисперсии термопластов на бумагу, свойства бумаги с покрытием из пластмасс и ее применение.

Л. Песин

**70124. Пенопласты.** Бреннер (Foam plastics. Brenner Walter), Mater. and Methods, 1956, 43, № 6, 143—158 (англ.)

Обзор физ. и механич. свойств, методов переработки и промышленного применения пенопластов на основе уретановых, виниловых, полиэтиленовых, полистирольных, силиконовых, мочевиновых, эпоксидных, ацетатцеллюлозных и фенольных смол.

С. Каменская

**70125. Полиуретановые пенопласты.** Райт, Уоткинс (Polyurethane foams. Wright J. M., Watkins W. H.), Pract. Plastics, 1956, 7, № 5, 13—15; 28—29 (англ.)

Описаны произ-во, классификация, структура, свойства и применение полиуретановых пенопластов (жестких и эластичных).

Л. Песин

**70126. Мембраны из поливинилхлоридного поро-пласта.** Кума, Ого (多孔性ポリ塩化ビニール皮膜に関する研究。久米泰三, 小郷良明), 徳島大学工学部研究報告, Токусима дайгаку когакубу кэнкю хококу, Scient. Papers Fac. Engng. Tokushima Univ. 1955, № 6, 34—37 (японск.; рез. англ.)

Изготовлен порошлат из поливинилхлорида со специально полимеризации 2000 (I), пластифицированного



трикрезилфосфатом (II) в присутствии динитрозо-пентаметилентетрамина (III) в качестве вспенивающего агента. Для изготовления 16 образцов поропласта для мембран брали 5 г I, 2,5—13 г II, 0,5—1,5 г III, 0,5 г термостабилизирующего агента. Поропласт готовили при 160° в течение 10—15 мин. В ряде опытов, помимо II, добавляли 2,5 г диоктилфталата. Полученную мембрану толщиной 1 мм подвергали испытаниям на электропроводность. Диаметр пор ( $r$ ) вычисляли по формуле  $r = \sqrt{8\lambda \eta QR/P}$ , где:  $\lambda$  — электропроводность, проходящего через мембрану р-ра KCN,  $\eta$  — константа вязкости р-ра (в данном случае вода),  $Q$  — кол-во р-ра, прошедшего через мембрану за единицу времени,  $R$  — сопротивление р-ра, проходящего через мембрану,  $P$  — статич. давление р-ра. Установлено, что размер пор составлял  $41-71 \times 10^{-4}$  см. В. Иоффе

**70127. Ионообменные смолы.** Ода (イオン交換樹脂) 小田良平), 化学, Kagaku, Chemistry (Japan), 1957, 12, № 1, 12—14 (японск.)  
Обзор. Библ. 30 назв. См. РЖХим, 1957, 58726.

**70128. Применение ионообменных смол.** Часть I, II. Симидзу (イオン交換樹脂の應用とその1, 2) 清水博), 化学工学, Kagaku kokagaku, Chem. Engng (Japan), 1956, 20, № 5, 259—263; № 6, 302—308 (японск.)

I. Описано применение ионообменных смол в фармацевтич. пром-сти, для очистки и умягчения воды и др.  
II. Рассмотрено применение ионообменных смол в сахарной пром-сти, для очистки к-т (хромовой, фосфорной, соляной и др.), для извлечения урана и очистки воды, применяемой в атомных реакторах, в медицине и других областях. В. Иоффе

**70129. Склеивание неметаллических материалов.** Часть I. Вислицкий (Klejenie niemetalii. Część I. Wiślicki Tadeusz), Techn. lotnicza, 1956, 11, № 2, 51—59 (польск.)

Даны общие сведения о процессах склеивания и приведены физ.-хим. характеристики наиболее употребительных клеев (казеиновых (I), на основе каучука, на основе производных целлюлозы, фенолальдегидных (II), мочевиноформальдегидных (III), фурфурольных (IV), карбинольных и др.), применяемых в авиационной пром-сти. В самолетостроении СССР, США и Германии широкое применение находят I, II, III, IV клеи. С. Яворовская

**70130. Поливинилацетатные клеи для склейки древесины.** Херст (Polyvinyl acetate woodworking glues. Hirst K.), Austral. Timber J., 1956, 22, № 3, 285—286, 289—290 (англ.)

Обзор. Рассмотрены методы синтеза винилацетата, методы полимеризации его, свойства поливинилацетатных клеев (в сравнении с животными и казеиновыми клеями) и их применения для склейки древесины. Л. Песин

**70131. Приклейка тканей из сарана.** Беллингер (Spezialverklebung von Sarangewebe. Bellinger), Hansa, 1956, 93, № 9-10, 422 (нем.)

Описан метод приклейки тканей из сарана к жестким пластикам, металлам, текстилю и коже при помощи спец. синтетич. клеев «бостик» и «боскодур». Л. Песин

**70132. Получение клеящих фенолформальдегидных смол, практически не содержащих свободного фенола.** Темкина Р. З., Ж. прикл. химии, 1956, 29, № 9, 1442—1444

С целью использования резольных смол в произ-ве пищевой тары разработаны условия получения смол, практически не содержащих свободных фенола (I) и формальдегида (II). Метод получения смолы заключается в том, что на каждый моль I добавляют 2 моля II и р-ции конденсации проводят в три стадии: кристаллич. I растворяют в 40%-ном р-ре NaOH и к фено-

ляту Na добавляют 75% исходного кол-ва II, а оставшуюся часть добавляют после окончания первой стадии нагревания, смесь нагревают 2 часа при 50° с последующим кипячением реакционной смеси в течение 45 мин. и выдержкой 10—60 мин. при 70° до получения смолы, необходимой вязкости. К продукту р-ции, полученному после окончания третьей стадии конденсации, прибавляли мочевины (15% от веса образовавшейся смолы) и резорцин (1%) для последующей доконденсации свободных I и II. Готовая смола содержит  $\leq 0,17\%$  I и  $0,27\%$  II. С. Каменская

**70133. Условия склеивания 40%-ными пенообразующими мочевиноформальдегидными клеями.** Лендзён, Журовский (Warunki klejenia spienionymi 40% proc. klejami mocznikowymi. Lendzion A., Żurowski J.), Przem. drzewny, 1956, 7, № 9, 13—17 (польск.)

Описаны преимущества (на 30—50% уменьшен расход клея, уменьшено кол-во случаев пробития клея на лицевую сторону шпона, лучшая прочность клеевого шва при влажном склеивании и во многих случаях при сухой клейке) пенообразующих клеев и их недостатки (сложная технология, необходимость точного контроля, возможность применения исключительно в крупных произ-вах). Приведена технология склеивания пенообразующими клеями, проверенная в полупроизводственном масштабе на мебельных ф-ках. Дан состав применяемых клеев: 40,3—72,5% 40%-ной мочевиноформальдегидной смолы; 18,1—30,3—40% ржаной или картофельной муки или же обеих вместе, 1,2—3,0—5% пенообразователи и 4,0—7,2% отвердители. Лучшими пенообразователями являются: некалин С и В. S. Chudzyński

**70134. Клеящие карбамидные смолы с наполнителями.** Темкина Р. З., Михайлов А. Н., Иранова И. Р., Ячина Т. В., Деревообрабат. пром-сть, 1956, № 11, 9—12

Описаны условия получения невакуумированных мочевиноформальдегидных смол (НМС) путем конденсации (вес. ч.) 100 мочевины, 200—216 формалина 40%-ного в присутствии наполнителей. Наиболее полно смолы совмещаются с наполнителями, обладающими кислотными свойствами (соевая мука, белковые дрожжи, гидролизный лигнин). Отмечено, что свойства готовой смолы с наполнителями зависят от метода введения наполнителя в конденсируемую массу, от свойств наполнителей, рН среды и др. По технологии применения и клеящим свойствам НМС аналогичны вакуумированным смолам. Однако фанера, склеенная НМС, менее стойка при хранении и использовании ее в условиях повышенной т-ры воздуха. Применение НМС экономически эффективно вследствие исключения сушки смол и снижения конции, обеспечивающей экономию расхода сырья. З. Иванова

**70135. Вклейка стеклянных пластинок в прессованные корпуса измерительных приборов.** Яно (Einkleben von Glasscheiben in Preßstoffgehäuse. Jahn W.), Plaste und Kautschuk, 1956, 3, № 6, 132—133 (нем.)

Описан способ крепления при помощи эпоксидной смолы, обеспечивающий прочное и эластичное соединение. С. Иоффе

**70136. Применение термопластичных клеев для этикеток.** Вернер (Thermoplastische Klebeetiketten. Werner R.), Verpackungs — Wirtsch., 1957, 5, № 1, 10—11 (нем.)

**70137. Применение пластмасс в электропромышленности.** Фату (Los plásticos en la industria eléctrica. Fato Jose M. G.), Metalurgia, y electr., 1957, 21, № 234, 97—99, 101—103, 105—107 (исп.)

Обзор. Библ. 28 назв.

70138. Старение поливинилхлоридных пластикаторов и кабельных оболочек в атмосферных условиях. Коробков П. А., Тр. н.-и. ин-та кабельной пром-сти, 1956, вып. 1, 116—131

Исследовали процесс старения (С) пластикаторов (П) поливинилхлорида и кабельных оболочек в атмосферных условиях в г. Москве, Ленинграде, Томске, Ташкенте и Ереване, а также на лабор. установках (дуговой везерометр, лампы ПРК-4). Исследовали П в виде дуэсторонних лопаток и образцы некоторых типов кабелей. В основном изучали действие на образцы света и тепла, интенсивность С рассматривали в зависимости от основного фактора — кол-ва энергии световой радиации. Степень С определяли по изменению физ.-мех. и электр. свойств (временное сопротивление разрыву, относительное удлинение, морозостойкость, содержание растворимой в спиртобензоле части, потери в весе при С, вязкость циклогексановых р-ров, электр. сопротивление, диэлектр. потери и т. д.). Временем полного С (Т) считался период С, за который удлинение при разрыве снижалось до нуля. Для определения продолжительности С в атмосферных условиях по данным испытаний в дуговом везерометре предлагается ф-ла:  $\varepsilon = T_a/T_b$ , где  $\varepsilon$  — везерометрич. константа,  $T_a$  и  $T_b$  — полные периоды С П соответственно в атмосферных условиях и в везерометре. При С в атмосферных условиях расчет времени С производился в условных солнечных часах  $t_0$  (порция энергии — 42 кал, которую получает 1 см<sup>2</sup> горизонтальной поверхности при напряжении радиации  $q \geq 0,7$  кал/см<sup>2</sup>·мин). Испытания показали, что С П в Ташкенте происходит в 2,3 раза быстрее, чем в Москве. В процессе С вследствие улетучивания пластификаторов и продуктов деструкции, вес образцов уменьшается, электр. характеристики изменяются мало, процесс разрушения верхних слоев П протекает более интенсивно. При естественном и искусств. С П выделяется HCl, причем изменение физ.-мех. свойств П прямо пропорционально кол-ву выделившегося хлора. Кол-во растворимой в спирто-бензоле части при С увеличивается. Содержащиеся в П синие и черные красители, поглощая поверхностными слоями радиацию, защищают материал от разрушения. В везерометрах процессы С идут быстрее и несколько иначе, чем в атмосферных условиях. При искусств. С происходит не только деструкция, но и структурчирование.

70139. Измерение удельного объемного сопротивления пластифицированного поливинилхлорида. Балмер, Конайн (The measurement of volume resistivity of plasticized polyvinyl chloride. Balmer C. E., Conyne R. F.), Rubber Age, 1956, 79, № 1, 105—108 (англ.)

Разработана хорошо воспроизводимая методика определения уд. объемного сопротивления ( $S_v$ ) пластикатора поливинилхлорида (П). Для испытания готовились образцы (размером 152×152×1,9 мм) путем перемешивания П с пластификатором (в соотношении 65:35), наполнителем, стабилизатором сначала вручную, затем на вальцах при 163°, при этом материал раскатывался до толщины ~2,3 мм, затем он формовался в 4-гнездной прессформе. Для измерений применяли электроды diam. 60 мм, покрытые серебряной краской. При определении  $S_v$  использовали электрометр Кейтлея. Измерения производили при: а) 25° и 50% относительной влажности после выдержки ( $\geq 24$  час.); б) 90° после выдержки в течение 1 часа при 90°; в) 60° после 20-часовой выдержки в воде при 60°, просушивания фильтровальной бумагой и сушки 15 мин. в вентилируемом сушильном шкафу при 60°. Были также изготовлены образцы пластикаторов I не-

скольких промышленных рецептур. Эти образцы испытывались при: а) ~20°; б) 60° после выдержки 1 час. при 60° и в) после 20-часовой выдержки в воде с последующей сушкой по режиму, описанному выше. Эти же пластикаторы применяли для изолирования проводов. Сопротивление изоляции этих проводов измеряли при: а) ~20° после выдержки в воде в течение 5 мин.; б) 60° после выдержки в воде при 60° в течение 5 мин.; в) 60° после выдержки в воде при 60° в течение 20 час. В результате установлено, что сопротивление изоляции пластиката I в виде образцов пластин и сопротивление изоляции проводов, изготовленных с применением такого же пластиката, находятся в соответствии между собой.

70140. Гидравлика в литьевых машинах для переработки термопластов. Блумер (Die Hydraulik im Thermoplast-Spritzgußmaschinenbau. Blumer A.), Kunststoffe, 1956, 46, № 5, 204—207 (нем.; рез. англ., франц., нел.); Österr. Plastic-Rundschau, 1956, № 1-2, 6—12; Plaste und Kautschuk, 1956, 3, № 12, 287—289 (нем.)

На основе подробного описания технологич. процесса литья термопластов под давлением установлена необходимость обеспечить бесступенчатую регулировку давлений и скоростей на разных фазах процесса путем применения гидропривода. При сравнении преимуществ и недостатков воды и масла в качестве «гидравлической» жидкости предпочтение отдается маслу, так как оно не требует уплотнений (сальники, манжеты) в насосах, клапанах, цилиндрах прессов, совершенно необходимых при пользования водой, хотя масло требует время от времени менять, а также охлаждать его в процессе работы. Приведены преимущества привода с аккумулятором, позволяющего иметь насос меньшей производительности, легче регулировать давление и скорость и делать отбор гидравлич. жидкости для вспомогательных операций.

Е. Хургин  
70141. Конструкция червяка в червячном прессе, работающем под вакуумом. Бернхардт (The vacuum extruder screw. Bernhardt Ernest C.), S. P. E. Journal., 1956, 12, № 3, 40—41, 57 (англ.)

Описана конструкция червяка, которая позволяет удалять летучие из термопластичных материалов в процессе их переработки; благодаря этому отпадает необходимость в оборудовании для предварительной сушки материала, в дополнительной транспортировке его. Червяк имеет 4 зоны (зону питания, дозирующую, экстракционную и подающую зоны), которые отличаются в основном глубиной витков червяка. Летучие удаляются из экстракционной зоны. Глубина витков в экстракционной зоне в 4 раза больше, чем в предшествующей ей дозирующей зоне, и в 2,7 раза больше, чем в последующей, подающей зоне. В таком же соотношении зоны подают материал. Экстракционная зона получает из дозирующей зоны в 4 раза меньше материала, чем она способна переместить. Поэтому она не будет заполнена материалом полностью и конец ее перед подающей зоной остается совсем свободным от материала. В этом месте червяк снабжается отверстием, которое доходит до канала, просверленного в червяке и соединенного с системой вакуума. Подающая (последняя) зона перед мундштуком будет полностью заполнена в передней части у мундштука в результате сопротивления, оказываемого последним. Таким образом, экстракционная зона изолируется от окружающей среды с обеих сторон: со стороны дозирующей зоны, так как ее витки полностью заполнены материалом (первая зона питания подает больше материала, чем его может переместить дозирующая зона; часть этого материала в зоне питания возвращается назад, с тем чтобы потом вновь поступить вперед),

и со стороны подающей зоны, как указано выше. При постановке такого червяка на обычный червячный пресс производительность последнего уменьшается на 20—30% вследствие сокращения длины зоны нагрева. Такие червяки могут быть поставлены на червячные прессы, у которых отношение длины цилиндра к диаметру  $\geq 18$ . Приведены указания, как запустить и как остановить червячный пресс, оснащенный таким червяком.

Е. Хургин  
70142. Резьба в пластмассах. Бишофф (Gewinde in Duroplasten. Bischoff H.), Plaste und Kautschuk, 1956, 3, № 4, 91—93 (нем.)

Приведены соображения о наиболее целесообразных резьбах в изделиях из термореактивных пластиков.

Л. Песин  
70143. Сварка пленок из пластических масс токами высокой частоты. Кифель (Das Hochfrequenz-Schweißen von Kunststoff-Folien. Kiesel Paul), Masch. und Werkzeug-Europa Technic., 1956, 57, № 12, 5—6 (нем.)

Общие сведения о сварке ВЧ-токами; кратко описаны прессы (на 200, 500 и 1200 кг) и генераторы ВЧ-токов с выходной мощностью 1—5 квт. Е. Хургин

70144. Отделка изделий из пластических масс в гольтовочных барабанах. Эмсли (Barrel finishing methods for plastics. Emslie E. C.), Plastics, 1956, 21, № 222, 28—31; Brit. Plast., 1956, 29, № 1, 22—25 (англ.)

Для удаления наружного гратта при гольтовке изделий из пластик. масс рекомендуется применять 8-гранные барабаны с сетчатыми стенками. Отмечено, что при частых сетках лучше обрабатываются места присоединения гратта, но гратт задерживается в барабане и приводит к повреждению поверхности изделий (царапаний). Гольтовка в воде, содержащей моющее средство, в герметич. барабанах предохраняет поверхность изделий от повреждений граттом. Для снятия внутреннего гратта добавляются шарики соответствующих размеров в кол-ве 2—3 ч. на 1 ч. изделий. Для фенолформальдегидных изделий применяют стальные шарики, а для мочевиноформальдегидных изделий из гранита. Полировка также производится в 8-гранных барабанах вухом с добавлением шариков из различных восков, обрезков кожи, но главным образом деревянных колышков или кубиков, пропитанных полирольной мастикой. Приведены размеры колышков, их предварительная подготовка, соотношение между кол-вом колышков и изделий, скорости вращения барабана, очистка колышков, производимая через 25—30 загрузок и др.

Е. Хургин

70145 К. Полиэфиры и их применение (Polyesters and their applications. Reinhold; Chapman, 1956, 618 pp., 10 doll., 80 sh.) (англ.)

70146 С. Пластические массы. Определение содержания ацетонорастворимых веществ в прессизделиях из фенопластов (Matières plastiques. Mesure de l'extract acétonique des pièces moulées a base de phénoplastes). Франц. стандарт, NFT 51—004, 1956

70147 П. Суспензии полихлортрифторэтилена. Спринг (Suspensions of polymeric chlorotrifluoroethylene. Sprung Murray M.) [General Electric Co.]. Пат. США 2732357, 24.01.56

Способ изготовления стабильных суспензий заключается в том, что мелкоиздробленный полихлортрифторэтилен с размером частиц 0,2—25 м (лучше 0,5—15 м) смешивают с дисперсионной средой, состоящей из 5—90% (лучше 5—49%) органич. жидкого в-ва, растворяющего полимер при повышенной т-ре, но ниже т-ры кипения, и 10—95% (лучше 51—95%)

жидкого кислородсодержащего разбавителя, имеющего т. кип.  $> 50^\circ$  и не растворяющего полимер. Смесь затем размалывают для получения стабильной суспензии. В качестве р-рителя используют жидкие алифатич. фторхлоруглероды, содержащие 3—4 атома С и  $\geq 2$  атомов Cl и имеющие т. кип.  $> 110^\circ$  или жидкие низкомолекулярные полимеры хлортрифторэтилена со степенью полимеризации 4—16 и т. кип.  $> 110^\circ$ . Разбавителями могут быть простые алифатич. эфиры (диизопропиловый, ди-*n*-бутиловый, 1,2-ди-*n*-бутоксигетан), алифатич. одноатомные спирты (изобутиловый, *n*-амиловый, *n*-бутиловый), сложные насыщ. алифатич. эфиры (метил- или этилацетат, этиленгликоляцетат, метилактат), алифатич. кетоны (ацетон, метилацетон), алифатич. ацетали (диметилацеталь), смесь насыщ. алифатич. одноатомных спиртов и двухатомных спиртов. Суспензия полихлортрифторэтилена может быть использована для нанесения электроизоляционных покрытий на проводах, пропитки стеклянной или асбестовой ткани при изготовлении слоистых пластиков для смещения со слюдой в произв-ве прессовочных композиций, для получения пленок. В покрытия можно вводить пигменты и наполнители — бентонит, слюдяную пыль,  $\text{TiO}_2$ ,  $\text{SiO}_2$ , силикат или титанат Pb. Материалы на основе полихлортрифторэтилена применяют до т-р 240—270°.

Б. Киселев  
70148 П. Способ производства полимеров (Process for the production of polymers) [Ruhrc Chemie A.-G.]. Англ. пат. 723501, 9.02.55

Жидкие или твердые полимеры простых алкенил-алкиловых эфиров (пропенилпропилового или пропенилбутилового эфира), содержащих  $\geq 3$  атомов С в алкениловом радикале, получают полимеризацией эфира в присутствии катализатора Фриделя — Крафта ( $\text{BF}_3$ ) при т-ре  $\leq 0^\circ$ . Эфиры получают ацетилизацией альдегида спиртом, полученным при каталитич. гидрировании CO, или гидроформилированием олефинов с последующим разложением ацетала. Полимеризацию проводят в блоке, р-ре (в гексане) или эмульсии.  $\text{BF}_3$  можно использовать также в виде продуктов присоединения к этиловому или амиловому эфирам или к анизолу.

Б. Киселев

70149 П. Производство листового полиметилметакрилата (Production of polymethyl methacrylate sheet materials) [Imperial Chemical Industries, Ltd]. Англ. пат. 736620, 14.09.55

Для получения листового материала метилметакрилат полимеризуют в блоке в присутствии азоинициаторов и 0,01—0,1% незнач. алкантиолов (этил-, амил-, октил- или додецилмеркаптанов или 1,10-декандитиола). Полимеризация происходит при нагревании или облучении светом. Готовый лист обрабатывают при 115—135° в течение 3—12 час. для повышения т-ры размягчения. В качестве инициаторов используют  $\alpha, \alpha'$ -азодизобутиронитрил,  $\alpha, \alpha'$ -азо-*bis*-( $\alpha, \gamma$ -диметилвалеронитрил), диметил- и диэтил- $\alpha, \alpha'$ -азодизобутират, 1,1-азоциклогексанкарбонитрил,  $\alpha, \alpha'$ -азо-*bis*-( $\alpha$ -этилбутиронитрил) и  $\alpha, \alpha'$ -азодизобутилкарбонамид.

Б. Киселев

70150 П. Способ улучшения свойств волокон и других изделий из поливинилового спирта. Мей (Method of improving the properties of fibres and other shaped articles of polyvinyl alcohol. May P.) [Kurashiki Rayon Kabushiki Kaisha, Kurashiki Rayon Co., Ltd]. Англ. пат. 732934, 29.06.55

Изделия (волокна, трубы, пленки) из поливинилового спирта и сополимеров, содержащих  $\geq 80\%$  связанного винилового спирта, обрабатывают диальдегидами, кетоальдегидами и их ацеталами. Для обработки используют глюкосаль, янтарный, малоновый, адипиновый,  $\alpha$ -оксиадипиновый, пировиноградный альдегиды и их ацетали, фталевый, изофталевый, терефта-



левый, хлор- или нитрозамец. терефталевый, фенил-малоновый и формилоксикоричный альдегиды, мезити-дентриальдегид, фенилглиоксаль или диальдегиды дифенила и дифенилсульфида, их смеси друг с другом или с другими альдегидами (формальдегидом). Обработку другими альдегидами можно проводить до или после обработки диальдегидами. Обработку проводят парами или р-рами в воде или в органич. р-рителях в присутствии 0,5–25% кислого катализатора или в присутствии 5–25% к-т и неорганич. солей при 30–90°. Наиболее желательно обрабатывать изделия из поливинилового спирта, волокна на основе которого имеют усадку  $\leq 5\%$  в воде при 80°. Изделия до обработки диальдегидами могут подвергаться термич. обработке и после действия диальдегидов могут обрабатываться соединениями, взаимодействующими с карбонильными группами, напр. аминами или фенолом.

Б. Киселев

**70151 П. Производство формованных изделий** (Manufacture of moulded articles) [Peterlite Products, Ltd]. Англ. пат. 738487, 12.10.55

Формованные изделия (линзы, самолетные фонари) изготовляют из смеси частично полимеризованных мономеров, один или несколько из которых образует термопластичный (метил-, этил-, пропил-, изопропил-метакрилат или стирол), а другой — термореактивный (аллилметакрилат) полим-р. При частичной полимеризации мономеров получают листы и блоки, которые можно хранить и использовать для формования сложных изделий под давлением и при нагревании для завершения полимеризации и образования неплавкого материала. Вместо нагревания можно использовать частично или полностью облучение  $\text{Co}^{60}$ . Напр., сироп, полученный нагреванием смеси равных частей метил- и аллилметакрилата с перекисью бензоила, выливают в форму, образованную параллельными стеклянными листами, и нагревают при 35–40° в течение 40–50 час. Полученный жесткий лист нагревают предварительно при 95–105° и затем формуют под давлением при 150°.

Б. Киселев

**70152 П. Способ получения сополимеров акрилонитрила** (Procédé de production de copolymères de l'acrylonitrile) [Farbenfabriken Bayer A.-G.], Франц. пат. 1102287, 18.10.55 Teintex, 1956, 21, № 5, 431 (франц.)

Сополимеры акрилонитрила, хорошо окрашивающиеся в яркие тона обычными красителями, получают сополимеризацией избытка акрилонитрила с продуктами р-ции малеинового ангидрида с первичными и вторичными аминами, в частности с этилендиамином, N-диалкилэтанолaminaми, N-диалкилалкилендиаминами, N-пропиламиноморфолином, оксиэтилморфолином, моно-, ди- и триэтанолaminaми, бутоксипропиламино или метилциклогексиламином. Эти соли предпочтительно применять в кол-ве, соответствующем 5–10 вес.% малеинового ангидрида. Я. Кантор

**70153 П. Дисперсии полимеров** (Polymer dispersions) [Celanese Corp. of America]. Англ. пат. 733601, 13.07.55

Сополимер акрилонитрила и N-винилактама (N-винилпирролидона или N-винилвалеролактама) диспергируют в смеси р-рителя (диметилформамида, бутиролактона, этиленкарбоната, серной к-ты или воды, р-ре тиоцианата Na) и в-в, нерастворяющихся сополимеров (воды, метанола, изопропанола, этиленгликоля, глицерина, ацетона или диэтилового эфира). Дисперсия может быть получена разбавлением р-ра сополимера нерастворяющимися в-вами. Дисперсию используют для клеев, покрытий и изделий, получае-мых окунанием. Б. Киселев

**70154 П. Получение и применение растворов полиакрилонитрила** (Production and use of solutions of

acrylonitrile polymers) [British Celanese, Ltd]. Англ. пат. 738759, 19.10.55

Р-ры полиакрилонитрила и сополимеров акрилонитрила с небольшими кол-вами других ненасыщ. соединений (винилацетата,  $\beta$ -морфолиноэтилвинилового эфира, стирола, метил- или фенилакрилатов, винил- и винилиденхлорида, винилпиридина и 2-винил-5-метилпиридина) получают растворением полимера при 20–40° в конц. р-ре соли в гомог. смеси, состоящей из воды и  $\geq 20\%$  спирта (метанола, этанола, пропанола, изопропанола). Соли способны диссоциировать в воде с образованием ионов  $\text{CNS}$ ,  $\text{ClO}_4$ ,  $\text{NO}_3$ ,  $\text{Cl}$ ,  $\text{Br}$ ,  $\text{J}$  и в качестве катионов содержит  $\text{Li}$ ,  $\text{Na}$ ,  $\text{K}$ ,  $\text{Ca}$ ,  $\text{Zn}$ ,  $\text{Cd}$  или  $\text{Al}$ . Р-р полимера коагулируют в ванне, содержащей смесь воды ( $\geq 50\%$ ), спирта и гликоля или глицерина, и используют для произ-ва пленки и волокна.

Б. Киселев

**10155 П. Поливиниловые смолы** (Polyvinyl resins) [Kodak, Ltd]. Англ. пат. 723481, 9.02.55

Смолы, применяемые в качестве протравы для кислотных красителей в фотографии и для изготовления фильтров, получают при взаимодействии поливинил-алкил-(метил-, этил-, пропил-, бутил-, или амил), аралкил- или арил-(бензил-, фенил-) сульфонов с аминопиридинами ф-лы  $\text{C}_5\text{H}_4-\text{m}(\text{NH}_2)$  ( $\text{R}'$ ), где  $m = 0,1$  или 2,  $\text{R}'$  — алкил с 1–5 атомами С и  $\text{NH}_2$ -группа занимает в ядре положение 2 или 4. Положение  $\text{R}'$  безразлично. Поливинилсульфонаты получают из поливинилового спирта по пат. США 2531468, 2531469. Р-цию проводят в разбавителях (хлороформе или ацетоне); продукты для очистки осаждают водой, повторно растворяют в метаноле, подщелачивают до рН 9 и осаждают водой, эфиром или этанолом. Для получения смол используют 2-амино-, 4-амино-, 2-амино-3-метил-, 2-амино-4-метил-, 2-амино-5-метил-, 2-амино-6-метилпиридин, соответствующие 4-аминометилпроизводные, 2-амино-6-этил-, бутил- или -амилпроизводные, 4-амино-2,6-диметил-, 2-амино-3-этил-4-метил- и 2-амино-4,6-диметилпиридин.

Б. Киселев

**70156 П. Сополимеры винилиденцианида с  $\alpha$ -замещенными эфирами акриловой кислоты**. Фолт, Гилберт (Copolymers of vinylidene cyanide with  $\alpha$ -substituted esters of acrylic acid. Folt Vernon L., Gilbert Harry) [B. F. Goodrich Co.]. Канад. пат. 519715, 20.12.55

Винилиденцианид смешивают с  $\alpha$ -замещ. алкилакрилатом ф-лы  $\text{CH}_2=\text{CX}-\text{COOR}$  ( $\text{X}$  — галогид или  $\text{CN}$ -группа и  $\text{R}$  — алкил) и полимеризуют в присутствии перекисного инициатора. Патентуются также полученные сополимеры, напр. сополимер винилиденцианида с метилхлоракрилатом.

Б. Киселев

**70157 П. Термореактивные сополимеры стирола** (Thermoset styrene copolymers) [Canadian Industries (1954), Ltd. and Du Pont Co. of Canada, Ltd.]. Англ. пат. 730869, 1.06.55

Термореактивные, неплавкие и нерастворимые продукты получают при нагревании сополимеров, полученных из  $> 50\%$  стирола,  $\geq 5\%$  акриловой (галоид-акриловой, метакриловой или кротоновой) к-ты и 0–20% этиленовых ненасыщ. соединений (метил-, этил-, пропил-, бутил-, октил-, метоксиметил- или хлор-этилакрилатов метакрилатов или -хлоракрилатов, акрилонитрила, винил- и винилиденхлорида или -фторида, винилацетата, -хлорацетата, -пропионата, -стеарата, винилнафталина или метилвинилкетона) с глицидным эфиром дифенилолпропана при 150° в присутствии катализатора ( $\geq 0,5\%$  от веса сополимера) — амина (пиридина, пиперидина, диметиламина, диэтилентриамин) или четвертичных аммониевых солей (тетраметиламмонийхлорида или триметиламин-этиламмонийацетата). Исходные сополимеры можно

получать в р-ре этил- или амилацетата, метилэтилкетона, толуола, ксилола, в присутствии перекиси бензоила. В состав композиции можно вводить пигменты ( $\text{TiO}_2$ ) красители, пластификаторы или упрочняющие в-ва (10%-ный р-р полиэтилена в толуоле). Р-ры сополимеров используют в качестве клеев, связующих для слоистых пластиков, и защитных покрытий.

Б. Киселев

**70158 П. Смешанные полимеры винилхлорида, Вулф** (Inherently processable interpolymers of vinyl chloride. Wolf Robert J.) [B. F. Goodrich Co.]. Канад. пат. 519712, 20.12.55

Смешанные полимеры получают при водно-эмульсионной полимеризации смеси, состоящей из 35—90 вес. % винилхлорида, 5—50 вес. % алкиловых эфиров акриловой к-ты (н-октилакрилата, 2-этилгексилкрилата, 6-метилгептилкрилата), в которых алкильный радикал содержит 5—10 атомов С и 2—50 вес. % моноизоолефинов, содержащих < 8 атомов С (изобутилена).

Б. Киселев

**70159 П. Термопластичные композиции** (Thermoplastic compositions) [Imperial Chemical Industries, Ltd.]. Англ. пат. 738875, 19.10.55

Вулканизируемая композиция, применяемая в прошивке обуви, состоит из смеси сополимера, полученного из бутадиена и 75—95% метилметакрилата, и НК или СК (полибутадиена, сополимеров бутадиена со стиролом, акрилонитрилом или метилметакрилатом). Соплимер может содержать небольшие кол-ва третьего сополимеризующегося соединения, напр. стирола. Содержание сополимера в композиции составляет 5—95 ч. (лучше 30—50 ч.) на 100 ч. НК. Композицию получают смешением дисперсии сополимера с каучуковым латексом при содержании в смеси ≤ 10% каучука и высушивают распылением.

Б. Киселев

**70160 П. Производство термопластичных композиций** (Production of thermoplastic compositions) [Semtex, Ltd.]. Англ. пат. 738322, 12.10.55

Термопластичные композиции, применяемые в качестве связующих, состоят из смеси каменноугольного пека с 40—60% поливиниловых соединений, полученных полимеризацией в-в ф-лы  $\text{CH}_2=\text{CHR}$ , где R —галлонд, арил или алифатич. ацильный радикал (напр., полистирола поливинилхлорида или -ацетата, сополимера винилхлорида и -ацетата или поливинилацетата). Композицию получают путем смешения мелко-раздробленного полимера с нагретым пеком или одновременным вальцеванием компонентов, или путем полимеризации мономеров или частично полимеризованных соединений в смеси с пеком в присутствии инициаторов; композицию можно получать в виде дисперсии. В состав композиции вводят измельченную пробку или (при использовании ее для уплотнения вертикальных соединений) диалкилфталат и гашеную известь.

Б. Киселев

**70161 П. Получение полиэфиров** (Preparation of polyesters and polymers thereof) [Office National d'Etudes et de Recherches Aeronautiques]. Англ. пат. 737091, 21.09.55

Полиэфиры, сополимеризующиеся со стиролом, получают из α-ненасыщ. α,β-дикарбоновых к-т и насыщ. спиртов (гликолей или глицерина) конденсацией в присутствии ингибиторов — природных таннидов до получения полимера с мол. в 4000—30 000. К применяемым таннидам относятся таннин дубильного орешка, танниды дуба, каштана, квебрахо, катеху. Напр.: малеиновый ангидрид, диэтиленгликоль и 0.1% дубильных к-т нагревают при 180° в токе инертного газа до получения полимера с кислотным числом 1—2; аналогично, малеиновую к-ту, диэтиленгликоль (с 5%-ным избытком) и 0.01 спирт. р-ра таннина нагревают до

210° в течение 6—8 час. и затем при 180°. Дальнейшую полимеризацию или сополимеризацию полиэфиров со стиролом осуществляют в присутствии инициаторов и ускорителей: перекиси бензоила и аминосартов, перекиси циклопентанона и линолеатов, олеатов, абиеатов или нафтенатов Co, Mn, Pb, Zn. В полиэферы можно вводить наполнители —  $\text{ZnO}$ ,  $\text{TiO}_2$ , каолин, тальк, карборунд, этил- или ацетилцеллюлозу, асбест или синтетич. волокна. Полимеризацию можно проводить при малом давлении и 20°. Напр., смесь 65—70% высокомолекулярного диэтиленгликольмалеината и 35—30% стирола сополимеризуют в присутствии перекиси бензоила и ди- или триэтанолamina. Следы моноэтанолamina оказывают сильное влияние на полимеризацию.

Б. Киселев

**70162 П. Герметизация открытой части контейнера с использованием смолы** (Sealing of an open end of a container by the use of resin) [Electric & Musical Industries, Ltd.]. Англ. пат. 723642, 9.02.55

Металлич. контейнер электрич. аппаратуры открытым концом погружают в форму, в которой находится полиарилэпоксидная смола с отвердителем — ангидридом многоосновной к-ты. Смолу нагревают в форме до отверждения.

Б. Киселев

**70163 П. Получение фенольных смол типа III (из 3,5-замещенных фенолов). Шепард** (Type III phenolic resins and their preparation. Shepard Alvin F.) [Hooker Electrochemical Co.]. Пат. США 2732368, 24.01.56

Патентуются смолы, получаемые конденсацией 3,5-дизопропилфенола (I) и альдегида ( $\text{CH}_2\text{O}$ , бензальдегида, кротонового альдегида, фурфурола, ацетальдегида), содержащие > 1 моля связанного альдегида на 1 моль I и сохраняющие после нагревания пластичность и растворимость в ацетоне и бензоле. Р-цию смолообразования проводят с кислотой или щел. катализатором или без него. Напр., смешивают 0.14 моля I, 0.21 моля  $\text{CH}_2\text{O}$  (конц-ия 37 вес. %) и 0.25 г 96%-ной  $\text{H}_2\text{SO}_4$  и кипятят с обратным холодильником 20 мин. Получается вязкая смола, содержащая 0.14 моля связанного  $\text{CH}_2\text{O}$ . Нейтрализуют смолу  $\text{CaO}$ , декантируют водн. слой, обезвоживают в вакууме и получают хрупкую, растворимую в ацетоне смолу с т. пл. 110°. При дальнейшем нагревании до 160—170° с обычными отвердителями (параформальдегидом, щавелевой к-той,  $\text{CaO}$ , гексаметилентетрамино) смола делается более вязкой и ее т-ра плавления повышается, но она остается плавкой и растворимой в бензоле и ацетоне.

Ю. Васильев

**70164 П. Стержни и формы из песка для литья металлов** (Sand cores and moulds for the casting of metals) [Coneygre Foundry, Ltd.]. Англ. пат. 730178, 18.05.55

Стержни и формы из песка для литья металлов изготовляют из массы, содержащей песок, связующее на основе природных или синтетич. (мочевино- или фенолформальдегидных термореактивных) смол. Песок имеет гидрофобное покрытие из воска. Напр., 4.5 кг кварцевого песка смачивают р-ром 22 г монта-воска в 200 мл бензина. Песок высушивают, смешивают с 0.153 кг водн. р-ра метилолмочевины, формуют и запекают.

Б. Киселев

**70165 П. Способ получения высокополимеров. Бунге, Пюттер, Зукфюль, Цервас** (Verfahren zur Herstellung von Hochpolymeren. Bunge Wilhelm, Pütter Rolf, Suckfüll Fritz, Zervas Paul) [Farbenfabriken Bayer A.-G.]. Пат. ФРГ 891742, 1.10.53 [Chem. Zbl., 1955, 126, № 11, 2549—2550 (нем.)]

Доп. к пат. ФРГ 880485 (РЛХим, 1956, 62923). Способ увеличения мол. веса полимеров, имеющих группы, способные образовывать соединения, путем взаимо-

действия с полифункциональными алкилирующими в-вами, отличается тем, что в качестве исходных полимеров используют продукты взаимодействия полиэфигов с концевыми изоцианатными группами и диоксисоединений, содержащих группы, способные образовывать оиевые соединения. Напр., продукт р-ции гексаметилендиизоцианата и линейного полиэфира адипиновой к-ты и гликоля, содержащий концевые изоцианатные группы, смешивают при 50° с метилдиэтаноломином и 1,4-дибромбутаном. Вместо дибромбутана можно взять 1,3-диметил-4,6-дихлорметилбензол или 1,5-дихлорметилнафталин. Получаемые продукты подобны каучуку или смолам.

Ю. Васильев  
70166 П. Отвердители для полиорганосилоксановых смол (Agent de durcissement pour résines de silico-nes) (Wacker Chemie G. m. b. H.). Франц. пат. 1111390, 27.02.56

Патентуются ускорители отверждения кремнийорганич. смол, являющиеся сернистыми производными, в которых атом Н, непосредственно связанный с атомом S, замещен металлом. Напр., толуольный р-р полиметилсилоксановой смолы с отношением R/Si 1,5, содержащий необходимое кол-во ускорителя, наносят в виде пленки толщиной 0,09—0,12 мм на подложку, высушивают при 250° и нагревают при этой же т-ре до появления трещин. Приведены: тип ускорителя, его кол-во в процентах от смолы, время сушки в часах при 250°, время до появления трещин при 250°, в часах: этилфенилдитиокарбамат Zn, 0,4, 3, 600; фенилмеркаптан Zn, 0,6, 3, 432; этилксантогенат Co, 0,3, 4, 336; без ускорителя, 24, 264; стеарат Zn, 0,2, 8, 72; каприлат Co, 0,3, 6, 48; нафтенат Pb, 0,2, 3, 36; ацетилацетонат Fe, 0,05, 2, 36.

А. Жданов  
70167 П. Смолы и их получение. Гудуин (Perfectionnement dans les résines et leur fabrication. Goodwin John T.) (Dow Corning Corp.). Франц. пат. 1060898, 7.04.54 [Chem. Zbl., 1955, 126, № 30, 7098 (нем.)]

Термостойкие алкидные смолы получают переэтерификацией диалкиловых эфиров тере- или изофталевой к-ты глицерином или пентаэритритом. Продукты переэтерификации затем обрабатывают органосиланами, напр., метил- или фенилтриэтоксисилоном, фенилметил-, дифенил- или диметилдиэтоксисилоном, триметилхлорсиланом, тетрафенил- или тетракрезилсиликатом. Во второй стадии наиболее желательны полиэфиры, содержащие избыток OH-групп. Смолы применяют для произ-ва электрич. изоляции и в качестве лаков. Напр., 41,4 г глицерина, содержащего 4,85% воды, и 50 г диэтилтерефталата нагревают 4 часа с 0,18 г ZnO и 0,18 г CaO при 194° в токе CO<sub>2</sub>. К полученной вязкой жидкости добавляют при 90° 94,5 г фенилметилдиэтоксисилана, нагревают 35 мин. при 170°, отгоняя летучие, выдерживают 15 мин. при 182°, вводят 80 г циклогексанона и фильтруют. Полученный р-р образует прозрачную твердую пленку после 2 час. сушки при 135°.

А. Жданов  
70168 П. Получение полимерных титанорганических соединений. Хаслам (Preparation of polymeric titanium organic compounds. Haslam John H.) [E. I. du Pont de Nemours and Co.]. Пат. США 2708203, 10.05.55

Ацидолиз полимерных ацилатов металлов IV группы ф-лы R<sup>n</sup>O<sub>n</sub>M(OCOR)(OCOR')O—, R<sup>n</sup> проводят р-цией их с карбоновыми к-тами. В ф-ле R и R'—H, алкил, циклоалкил, арил, алкенил или алкарил, R<sup>n</sup> и R'—алкил или ацил, M—атом Ti или Zr и n > 1.

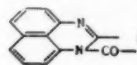
В. Уфимцев  
70169 П. Полиэфиры (Multiple esters) [Distillers Co., Ltd.]. Англ. пат. 732913, 29.06.55

Полиэфиры, служащие пластификаторами для винилхлорида, получают этерификацией к-ты X (COOH),

большим избытком гликоля ф-лы HO(CH<sub>2</sub>)<sub>n</sub>O(CH<sub>2</sub>)<sub>n</sub>OH при повышенной т-ре, в отсутствие катализатора; полученное диоксисоединение затем этерифицируют к-той ф-лы RCOOH. В ф-лах X—полиметленовая цепь, имеющая 4—8 атомов C, R—алкил нормального строения с 1—17 атомами C, x равно 0—25 и n = 2—6. Для р-ции применяют адипиновую, пимелиновую, субериновую, азелаиновую, себаценовую или фталеновую к-ты и гликоли—этиленгликоль, три-, тетра-, пента- или гексаметиленгликоль, диэтилен- и бис-триметиленгликоль. Из монокислот применяют уксусную, пропионовую, масляную, валериановую, капроновую, каприловую, каприновую, лауриновую, миристиновую, пальмитиновую или стеариновую (предпочтительны к-ты, имеющие 6, 8 и 12 атомов C). Могут применяться также смеси к-т и их ангидриды. Напр., адипиновую и себаценовую к-ты этерифицируют диэтиленгликолем и продукты р-ции этерифицируют смесью карбоновых к-т, имеющих 6—12 атомов C при среднем мол. в. 152 и каприловой к-той.

Ю. Васильев  
70170 П. Крашение пластических материалов. Джонс (Colouration of plastic materials. Jones L. E.) [Compagnie Francaise des Matieres Colorantes]. Англ. пат. 730692, 25.05.55

Фенол-, мочевино-, тиомочевино- или меламиноформальдегидные смолы, полиамиды, полиэфиры, полиэтилентерефталат, полистирол, полиэтилен, полиакрилаты и сополимеры винил- и винилиденхлорида окрашивают введением (напр., в расплав) одного или



нескольких соединений, содержащих группу ф-лы I. Смолы могут содержать также и другие красители, пластификаторы (трикрезилфосфат), наполнители (целлюлозу) и ускорители и могут применяться в виде пресспорошков или перерабатываться на волокно и листы.

Я. Кантор  
70171 П. Пластики или ленты для записи с микроборозками (Micro-groove disc record or band) [Dynamit A.-G. Vorm. A. Nobel & Co.]. Англ. пат. 725472, 2.03.55

Синтетическая смоляная композиция, пригодная для изготовления пластинок и лент для записи с микроборозками, состоит из поливинилхлорида, сополимера винилхлорида с винилиденхлоридом, винилацетатом или малеатом, пластифицированных каменноугольным пеком или твердыми битумами. Композиция содержит также стеарат Pb, сажу, воск и монофенилмочевину.

Б. Киселев  
70172 П. Производство оболочковых форм для литья (Production of shell moulds for casting) [General Motors Corp.]. Англ. пат. 725456, 2.03.55

Оболочковые формы или стержни из смеси кварцевого песка и смолы (фенол- или меламиноформальдегидной) для удаления летучих нагревают в течение 15—90 мин. при 149—760° в атмосфере природного газа, метана, гелия или окиси углерода. Нагревание осуществляют после спекания формы и снятия ее с модельной плиты, но можно также нагревать форму, не снимая ее с модельной плиты.

Б. Киселев  
70173 П. Способ получения из пластмасс материалов с бактерицидными свойствами. Кирмсер (Verfahren zum Herstellen von Gegenständen, vorzugsweise aus Kunststoffen mit permanent-bakteriellen Eigenschaften. Kirmser Willi) [Vereinigte Deutsche Metallwerke A.-G.]. Пат. ФРГ 925494, 24.03.55

В пластмассу вводят два металла или два сплава металлов, значительно удаленных друг от друга в



электрохим. ряду напряжений. Наряду с металлами в композицию можно вводить соли этих металлов и силикагель, обеспечивающие постоянную влажность. Некоторые металлы (Al, Zn), сплавы (Al-Zn, Al-Mg), соли (сульфаты Al и Zn) и силикагель вводят в состав композиции до полимеризации или конденсации. Другие металлы (Cu, Ag, Pt, Au) или соли этих металлов и серной или соляной к-ты, смешивают с уже готовыми размолотыми смолами, перед их переработкой шприцеванием, прессованием или литьем. Из материала изготавливают плоские облицовочные материалы для стен и полов медицинских учреждений. Б. Киселев

**70174 П. Способ нанесения покрытий на волокна, пряжи и волокнистые материалы.** Суонн (Method of coating fibers, threads, and/or filamentary material. Swann Carl C.). Пат. США 2730455, 10.01.56

В способе непрерывного получения стекловолокниста стеклянные нити, волокна, пряжи или ровница, непрерывно сматываясь с катушек, попадают в ванну с р-рителем, служащим для удаления замасливателя, и затем в камеру с нагретым газом, где происходит испарение р-рителя и высушивание волокна; высушенные волокна попадают в ванну, содержащую связующее, и затем в камеру, обогреваемую газом, в первом отделении которой происходит высушивание связующего, а во втором — частичное его отверждение. При выходе из ванны излишек связующего из волокон удаляют с помощью отжимного ножа. Пропитанные волокна нарезают на куски определенной длины в спец. приспособлении. Для обеспечения равномерной пропитки отдельных волокон пряжи или ровница перед пропиткой проходят около положительно заряженного электрода с потенциалом в 6000—70 000 в; благодаря этому отдельные волокна, отталкиваясь друг от друга, разделяются, после чего их опрыскивают через спец. сопло связующим. Волокна затем проходят около отрицательно заряженного электрода и поступают в пропиточную ванну. Для пропитки волокна используют водн. дисперсии полистирола, мономеры или частично полимеризованные производные акриловой к-ты, или р-р ацетата целлюлозы в ацетоне. Стекловолокнист применяют для произ-ва деталей методом литьевого формования. Б. Киселев

**70175 П. Получение синтетических пленок.** Крукс (Production of artificial films. Crooks Charles Hampden) [Imperial Chemical Industries Ltd]. Пат. США 2728944, 3.01.56

Аппарат для произ-ва пленок состоит из двух рядом расположенных валцов, вращающихся в противоположные стороны. Пленку шприцуют вниз в промежутке между валцами, причем одновременно в этот промежуток подают жидкость для охлаждения пленки. Аппарат имеет приспособления для отбора жидкости с обеих сторон пленки и регулирования кол-ва отбираемой жидкости, а также приспособление для охлаждения жидкости в промежутке между валцами в виде отсасывающих или охлаждающих трубок, расположенных параллельно оси валцов по обе стороны пленки. Приведен схематич. чертеж устройства.

Е. Хургин

**70176 П. Упаковка распылением (Spray packaging)** [Imperial Chemical Industries, Ltd]. Англ. пат. 733779, 20.07.55

Композиция, применяемая в качестве упаковочного материала, наносимого методом распыления, представляет собой смесь хлорированного поливинилхлорида и нонилового эфира фталевой к-ты, предпочтительно растворенную в бензоле, толуоле, ксилоле, сольвент-нафте или их смесях. Композиция может содержать также минер. масло и пасту из 65% Al-порошка в уайт-спирите. Я. Кантор

**70177 П. Способ получения пенополивинилхлорида.** Спрейг, Скантиберн (Method of making an expanded or cellular polyvinyl chloride composition. Sprague George R., Scantlebury Frank M.) [B. F. Goodrich Co.]. Пат. США 2737503, 6.03.56

Способ состоит в том, что порошкообразный поливинилхлорид смешивают с пенообразователем, выделяющим  $N_2$  при т-ре прессования, и летучим пластификатором, смесь помещают в форму, прессуют при повышенной т-ре и давлении так, чтобы выделяющийся газ растворялся в полимере, охлаждают, извлекают заготовку из формы и вновь нагревают для вспенивания, причем летучий пластификатор оказывает пластифицирующее действие на полимер при нагревании и затем испаряется. В качестве летучих пластификаторов используют кетоны, смесь ацетона с бензином, или в-ва, способные полимеризоваться при нагревании, напр., метилметакрилат или стирол. Смесь может также содержать обычные пластификаторы, в частности трикрезилфосфат. Напр., смешивают (в вес. ч.): 100 поливинилхлорида, 30 динитроэозентаметилентетрамина, 30 бензила, 70 ацетона, 12 основного силиката Pb, 3 светостабилизатора, 5 стеарата Zn, 5 порошкообразного сополимера бутадиена с акрилонитрилом, 15 салциловой к-ты, 20 полиэфирного пластификатора (из гликоля), 10 трикрезилфосфата и 10 диоктилфталата. Смесь прессуют в цилиндрич. форме диам. 156 мм и длиной 1500 мм при 150° в течение 40 мин. Форму охлаждают до ~20°, извлекают заготовку и нагревают ее в шкафу 48 час. при 82°. После вспенивания заготовка имеет диам. 325 мм, длину 3000 мм и уд. в. ~0,07 г/см<sup>3</sup>. А. Идланов

**70178 П. Способ склейки (Adhesive bonding method)** [Imperial Chemical Industries, Ltd]. Англ. пат. 738824, 19.10.55

Клей состоит из хлорированного поливинилхлорида, летучего органич. р-рителя (метилэтилкетона, ацетона, этилацетата или смеси последнего с бензолом), смолы и пластификатора. В качестве смолы используют дамару, канифоль и ее эфиры или продукты конденсации формальдегида с фенолом, крезолом, *n*-октилфенолом, *n*-трет-бутилфенолом, *n*-фенилфенолом или ксиленолом. В качестве пластификатора применяют хлорированный парафин, дибтилфталат, трикрезилфосфат или трихлорэтилфосфат. Б. Киселев

**70179 П. Приклеивание подошвы.** Брамли, Купер, Вуде (Attaching shoe bottom members to shoes. Bramley A., Cooper I. R., Woods A. D.) [B. V. Chemical Co., Ltd]. Англ. пат. 714691, 1.09.54

В процессе приклеивания подошвы к кожаному или текстильному верху обуви с помощью нитроцеллюлозного клея один из высохших слоев клея смачивают жидкой композицией, состоящей из р-рителя для нитроцеллюлозы, разбавителя и 0,5—15% нитроцеллюлозы. Склеивание производится под прессом, также при нагревании ИК-лучами. Прочность склейки при контакте склеиваемых поверхностей 20 сек. составляет  $\geq 2,8$  кг/см<sup>2</sup>. В качестве р-рителя рекомендуется ацетон (20—45 объемн. ч.), а в качестве разбавителей — бензол, толуол, ксилол, хлорбензол, трихлорэтилен или этиловый эфир (напр., 55—80 объемн. ч. бал.). Можно также применять смесь метилацетата (или окиси пропилен) с теми же разбавителями, а также с циклогексаном или бензином в соотношении от 90:10 до 25:75. Другими сочетаниями могут быть этилацетат или метилэтилкетон — толуол или бензол, бутилацетат — бензол или толуол и тетрагидрофуран — бензол, толуол. Для предупреждения появления белесости при высыхании к мягчителю добавляет бутилацетат, заменяя им часть р-рителя. Содержание р-рителя в мягчителе должно составлять 15% от наименьшего кол-ва, при котором не происходит разделения компо-

зиции на две фазы. Кожаную подошву зачищают по краям, наносят на кромку р-р нитроцеллюлозы и высушивают. Нижнюю часть ботинка также смазывают по краю р-ром нитроцеллюлозы и нагревают. На высушенное покрытие наносят р-р 4 вес. % нитроцеллюлозы в смеси ацетона и бензола в объемном соотношении 45 : 55. Заготовки складывают и держат 20 сек. под прессом.

Ю. Васильев  
70180 П. Синтетические клеи (Synthetic resin adhesives) [Bakelit, Ltd]. Англ. пат. 723884, 16.02.55

Клей для фанеры и других материалов состоит из водн.-щел. продукта конденсации фенола с формальдегидом и растительных дубильных в-в, содержащих флобатаниды. В качестве дубильных в-в используют квебрахо, мимозу, гамбир. Таниды можно вводить в виде твердого в-ва, водн. или водн.-щел. р-ра в кол-ве 10—100 ч. на 100 ч. сухой смолы либо в конце р-ции смолообразования, либо в готовый щел. р-р смолы. В клей можно также вводить параформальдегид или муку из скорлупы кокосового ореха.

Б. Киселев  
70181 П. Слоистые изделия и их производство (Laminated articles and their manufacture) [Farbenfabriken Bayer Akt.-Ges.]. Англ. пат. 731181, 1.06.55

Клей для приклейки материалов к эластомерам или термoplastичным материалам через промежуточный слой ткани состоит из продукта взаимодействия полиэфира (из адипиновой к-ты и этиленгликоля с ОН-числом 50—60) с 1,5-нафтиленидиозоцианатом. К продукту взаимодействия добавляют 1,4-бутиленгликоль. Полиэфирная смола может быть модифицирована *n*-фениленидиозоцианатом.

Б. Киселев  
70182 П. Способ изготовления многослойного пористого листового материала. Ноттебо́м (Process for the production of multi-layered porous sheet material. Nottebohm C. L.) [Freudenberg Kommandit-Ges. Auf Aktien, Co.]. Англ. пат. 716228, 29.09.54 [J. Appl. Chem., 1955, 5, № 4, 1645 (англ.)]

Покрывать тканью неплотный слой беспорядочно смешанных тонких волокон пропитывают равномерно клеем в виде стабильной пены, способной проникать в волокнистый слой под давлением, и высушивают. Для придания устойчивости волокнам, их поверхность до пропитки обрабатывают небольшим кол-вом аглутинирующего в-ва (каучуковой эмульсией), причем небольшим кол-вом этого в-ва можно также обрабатывать и внутреннюю, прилегающую к волокнам поверхность ткани. В качестве волокон и ткани применяют материалы, описанные в англ. пат. 716178 (РХХИМ, 1957, 55807).

Я. Кантор

См. также: раздел *Химия высокомолекулярных в-в и рефераты: методы испытания* 69221. Полимеризационные смолы 69809. Эпоксидные смолы 69964. Фенолформальд. смолы 69923. Кремнийорганич. соединения 68913. Пластификаторы 69831. Ионообменные смолы 68533—68535, 69140, 69848. Применение изотопов 69253. Пластмассы для упаковки пищевых продуктов 70557. Техника безопасности 70759, 70761

## ЛАКИ. КРАСКИ. ЭМАЛИ. ОЛИФЫ. СИККАТИВЫ

Редактор М. Ф. Сорокин

70183. Развитие промышленных лаков за последние десятилетия. Шайбер (Zur Entwicklung der Industriellacke in den letzten Jahrzehnten. Scheiber J. H.), Industrie-Lackier-Betrieb, 1957, 25, № 1, 3—6 (нем.)

70184. Процессы «эмалирования». Дюрхольт (Die «Emaille» — Prozesse. Dürholt Werner), Farbe und Lack, 1957, 63, № 1, 37—40 (нем.)

Описана история появления слов «эмаль», «эмалировка», «эмалировать».

Г. Цейтлин  
70185. Акриловые смолы и их употребление в качестве сырья для лаков. Зейферт (Über Acrylharze und deren Verwendung als Lackrohstoffe. Seifert Ernst), Farbe und Lack, 1957, 63, № 1, 17—24 (нем.)

Краткий обзор методов получения акрилов метакриловой (I) и акриловой (II) к-т и свойств их полимеров, применяемых в лаках. Свойства и возможности применения рассматриваются для I и II сравнительно.

Г. Цейтлин

70186. Эпоксидация и применение эпоксидных смол для покрытий. Часть I. Приготовление эпоксидных соединений. Часть II. Пластификаторы, стабилизаторы и механизм их действия. Часть III. Эпоксидные пластификаторы и стабилизаторы. Часть IV. Эпоксидные смолы, их реакции и применение. Суэрн (Epoxidation and uses of epoxides in coatings. Part I. Preparation of epoxy compounds. Part II. Plasticizers, stabilizers and mechanism of their action. Part III. Epoxy plasticizers and stabilizers. Part IV. Epoxy resins, reactions and uses of epoxides. Swern Daniel), Paint and Varnish Prod., 1956, 46, № 5, 27—31, 97; № 6, 29—36, 99; № 7, 35—38; № 8, 32—36, 96 (англ.)

I. Методы получения эпоксидных соединений, особенно соединений с длинными цепями, применяемых в качестве пластификаторов и стабилизаторов поливинилхлорида, а также методы получения и использования органич. надкислот, имеющие (или могущие иметь) практич. значение.

II. Обсуждаются общие вопросы оценки и назначения различных пластификаторов, их действия и отмечается большой рост их выпуска за последние годы. Рассматриваются назначение, применение и действие разных стабилизаторов для пластинок, преимущественно для поливинилхлорида и его сополимеров.

III. Описано применение и приведена оценка эпоксидных соединений, как пластификаторов и стабилизаторов поливинилхлорида, а также свойства винило-35% сополимеров, пластифицированных в размере до 35% эпоксидными эфирами.

IV. Описание получения и применения эпоксидных смол (I), р-ций эпоксидных соединений. I выпускается с консистенцией вязких жидкостей, или в виде высокопластичных (150°) твердых смол, с мол. в. 300—4000. Немодифицированные I могут взаимодействовать с термореактивными смолами, могут отверждаться с помощью аминов и к-т и могут быть этерифицированы жирными к-тами для произ-ва связующих лакового типа. У отвержденных I имеется сочетание таких свойств, как хорошие гибкость, адгезия, хим. стойкость, диэлектрич. и физ. свойства и низкая усадка.

Б. Шемякин

70187. Новое о покрытиях на основе эпоксидных смол. Корфхаге (Neues über Epoxiharz-Anstriche. Korfhage L.), Fette, Seifen, Anstrichmittel, 1956, 58, 3, 186—189 (нем.; рез. англ., франц., исп.)

Сообщение о применении покрытий на основе эпоксидных смол в качестве грунтовочных и покрывных лаков для стиральных, моечных машин, холодильников и в качестве эмалевой краски для полов. Б. Шемякин  
70188. Новый лак для пропитки электрообмоток, вращающихся с наибольшей окружной скоростью. Хейнер (Neuer Tränklack für umlaufende Wicklungen mit höchsten Umfangsgeschwindigkeiten. Heiner H.), Chem. Rundschau, 1957, 10, № 5, 116 (нем.)

Разработан новый лак на синтетич. смоле, модифицированной маслом. Подробно описаны свойства лака и его пленки, состав лака не указан.

Б. Шемякин

70189. Модифицированные каменноугольные лаки. Искра Е. В., Кокс и химия, 1957, № 3, 47—49

Приведены характеристики модифицированных лаков и установлено, что введение в них кумароновой смолы, альбертоля и афира гарниуса не улучшает их свойств, но введение этиолевого, перхлорвинилового и винилиденхлоридного лаков способствует быстрому высыханию, улучшению малярных свойств, позволяет применять их при  $t_{\text{ре}} -20^{\circ}$ , способствует высокой водостойкости, хорошей адгезии и противокоррозионным свойствам; рекомендуется введение 50% этиолевого лака или лака ВХЛ. Модифицированные лаки применимы для окраски как надводных, так и подводных частей судов; они заменяют масляные краски черного цвета, приводя к экономии растительных масел.

Б. Шемякин

**70190. Современные поливинилацетатные латексы.**

Ризе (Moderne Polyvinylacetat-Latexes — PVA-Latexes. Riese W.), Farbe und Lack, 1957, 63, № 1, 24—26 (нем.)

Покртия из поливинилацетатных латексных красок (I) отличаются светостойкостью, щелоче-жироустойчивостью, не ядовиты, не стареют, быстро сохнут и обладают отличной адгезией. Небольшие добавки нитрата натрия и бензоата натрия предохраняют свинец от коррозии. В I можно вводить как неорганич., так и органич. пигменты. Оптимальное соотношение — 1,5 ч. пигмента на 1,0 ч. дисперсии. Описаны методы получения и свойства, пути повышения качества I.

Г. Цейтлин

**70191. Новые красочные составы. Сагалович И., Строитель, 1957, № 3, 3—4**

Для строительных работ предложены масляно-известково-пастовые составы, позволяющие получать значительную экономию олифы, белил и густотертых красок. 100 кг состава приготавливают из 12—15 кг олифы оксоль, 35—40 кг густотертых белил, 5—7 кг густотертых красок, 25 кг известкового теста, 12 кг меловой пасты, 2,5—3 кг скипидара и 2,5 кг сиккатива. Материалы тщательно перемешивают, выдерживают одни сутки и пропускают через жерновую краскотерку. Соотношение между белилами и красками определяется требуемым цветом. Консистенция, вязкость, водостойкость и эластичность составов подобны обычным масляным краскам, но через 4—5 суток загустевают и требуют добавления олифы и повторения перетирки. Наносятся механически или вручную, высыхают при  $20^{\circ}$  в течение 28—30 час. Покртия равномерны по толщине, матовые или полуматовые, не имеют морщин и пузырьков.

Б. Шемякин

**70192. Льяное масло в строительной окраске. Эльм (L'huile de lin dans le bâtiment. Helme J.-P.), Trav. peint., 1957, 12, № 1, 4—8. Discuss., 8—9 (франц.)**

См. также РЖХим, 1957, 28663.

**70193. Мягкие смолы и пластификаторы. Киттель (Weichharze und Weichmacher. Kittel H.), Dtsch. Farben-Z., 1956, 10, № 2, 46—47 (нем.)**

Известные сведения о мягких смолах и пластификаторах.

Г. Цейтлин

**70194. Трикрезилфосфат. Тиннус (Das Trikrezyolphosphat. Thinius Kurt), Dtsch. Farben-Z., 1956, 10, № 9, 327—334 (нем.)**

Обзор областей применения трикрезилфосфата (I). Для снижения токсичности (для общеупотребительных изделий) рекомендуется удаление из I о-изомера. Отмечается, что достижение оптимальной морозостойкости возможно лишь при комбинации ТКФ с нежелатилирующими пластификаторами. Благодаря хорошей перетираемости пигментов на I, он успешно применяется в эмалях на хлор- и перхлорвиниловых смолах в кол-ве 40% (на смолу), а также в лаках на хлоркаучуке, в эмульсионных красках на поливинилацетате, с поликарблатами и др. Отмечается, что ТКФ парализует стабилизирующее действие Pb-содержащих соединений в

ПХВ — покрытиях. Предыдущее сообщение см. РЖХим, 1957, 32603. К. Беллева

**70195. О защитных покрытиях против ржавчины.**

Этерен-Панхейзер (Ausführung von Rostschutzanstrichen. Oeteren-Panhäuser K. A. van), Dtsch. Farben-Z., 1956, 10, № 10, 372—374 (нем.)

Общие вопросы защиты против ржавчины и окраски железных и стальных конструкций. Б. Шемякин

**70196. Окраска древесины распылением и сушка лакового покрытия (с точки зрения вопросов вентиляции и теплотехники). Фессель (Spritzen und Trocknen von Holzlacken; Luft- und wärmetechnische Betrachtungen. Fessel F.), Allgem. Wärmetechnik, 1956, 7, № 8, 166—172 (нем.)**

Приведены основные требования по сантехнике и технологии, предъявляемые к вентиляционным установкам в цехах для окраски методом распыления. Указаны места подачи свежего воздуха в помещения и т-ры его нагрева в зависимости от принятых скоростей в рабочих зонах. Обсуждана необходимость увлажнения воздуха в кабине для предупреждения влагоотдачи древесины в процессе ее окраски. Рекомендованы нормы скоростей отсасывания воздуха в зоне распыления, в окнах кабины и у рабочего места. Дан пример экономич. расчета целесообразности частичного возврата отсасываемого воздуха в кабину и указана предельная взрывобезопасная конц-я паров р-рителя в воздухе. Приведен схематич. чертеж помещения для окраски ж.-д. вагонов с распределением воздушных потоков. Н. Гардения

**70197. Покртия из пластмасс по металлу. Вертмюллер (Kunststoffüberzüge auf Metallen. Werthmüller L.), Techn. Rundschau, 1956, 48, № 24, 2—3, 5, 7 (нем.)**

Дано краткое описание аппаратуры и техники нанесения на металлы, поверхности покрытий из высокополимеров методом газопламенного напыления и спекания в псевдооживленном слое. Приведены характеристики и условия нанесения покрытий из полиэтилена и смесей его с полиизобутиленом (5 типов), полиакрилата, полиамидов, эпоксидных смол, политрифтормонохлорэтлена, полиуретанов, полистирола, сополимера акрилонитрила и стирола, битумов. Л. Песия

**70198. Применение аэрозольной техники в лакокрасочной промышленности. Гофман (Die Anwendung der Aerosoltechnik in der Lackindustrie. Hoffmann B. n. d. Bern d.), Farbe und Lack, 1957, 63, № 1, 13—17 (нем.)****70199. Новые внутренние покрытия. Тейс (How new internal coatings are proving their worth. Theis William T.), Oil and Gas J., 1956, 54, № 41, 151—153 (англ.)**

Успешным оказался опыт эксплуатации на нефтепромыслах водопроводных труб с внутренним покрытием из эпоксидных смол воздушной сушки с аминами в качестве отвердителей. После года работы покрытия во всех без исключения проверенных трубах оказались в хорошем состоянии (пленки оставались гибкими и были прочно связаны со стенками труб).

Л. Песия

**70200. Лакирование зеркал. Кемпф (Das Lackieren von Spiegeln. Kempf Robert), Industrie-Lackier-Betrieb, 1957, 25, № 1, 17—21 (нем.)**

Защитная лаковая пленка на серебряном зеркальном слое (имеющем толщину 0,0001—0,0015 мм) не должна содержать в-в, химически действующих на зеркальный слой, должна быть беспористой и стойкой к воздействию внешней среды. Описаны методы лакирования (кистью, распылением, лакировочными вальками).

Н. Гардения

**70201. Применение растворителей. Гиллис (Solve that problem with solvents. Gillies D. J.), Canad.**



Paint and Varnish Mag., 1956, 30, № 6, 24, 52, 56—57 (англ.)

При лакировке дерева быстросохнущими нитролаками в сухом и жарком помещении на поверхности покрытия образуется корка, под которой остается жидкий лак, проникающий в поры дерева и вытесняющий имеющийся в них воздух. Последний проходит через пленку и образует на ней мельчайшую сыпь. При лакировке во влажном помещении может произойти побеление пленки. Оба дефекта устраняются добавкой к лаку медленно испаряющихся р-рителей, напр. диэтилобутикетона или его смеси с ксилолом. При нанесении алкидно-меламинных эмалей горячей сушки при повышенном давлении очень толстым слоем или во влажной атмосфере наблюдается плохой розлив и сморщивание пленки. Это устраняется введением 5% диэтилобутилкарбинола.

К. Беляева

70202. Новые декоративные покрытия. Беррелл (A survey of novelty finishes. Burrell Harry), Organ Finish., 1956, 17, № 1, 16-23; № 3, 12-14 (англ.)

Покртия, имеющие вид перламутра (I), содержат мельчайшие частицы перламутрового слоя устричных раковин или кристаллы гуанина из чешуи серебристых рыб в лаковом р-рителе или пластификаторе. В качестве добавок в I вводят пленкообразователи: нитро-, этил-, ацетилацеллюлозу, винилные смолы, полиметилметакрилат. Искусств. I содержат соли:  $HgCl_2$ ,  $PbJ_2$ ,  $Pb_2(PO_4)_2$ ,  $BaS_2O_3$ ,  $BiOCl$ ,  $ZnOCl$ ,  $Zn$ . I наносят окунанием. Их применение ограничивается мелкими предметами, главным образом декоративными. Покртия, имитирующие полированный металл, можно получить, пользуясь чешуйчатым ультрадисперсным Al-пигментом, введенным в масляно-смоляные лаки на основе кумароновых, фенольных, силиконовых смол, смол, полученных из производных канифоли, нефтяных продуктов, жирных алкидов с Со-сиккативом. Многоцветные покрытия получают из смеси водонепроницаемого лака, эмали или краски с водой, содержащей стабилизатор (метилцеллюлозу или поливинилловый спирт), нанося смесь распылением. Описано также получение покрытий, подобных поверхностям ворсистых тканей, плюша, вельвета, войлока, путем приклеивания к поверхности (бумаги, металла, стекла, пластика) очесов, т. е. коротких натуральных или синтетич. волокон различных тканей. Эти покрытия рекомендуют для декоративных целей, защиты поверхности от истирания и заглушения звука.

Б. Брейтман

70203. Отделка поверхности пленки нитролаков и полиэфирных лаков в деревообрабатывающей промышленности.— (Die Oberflächenbearbeitung der Nitro- und Polyesterlacke in der Holzverarbeitenden Industrie.—), Industrie-Lackier-Betrieb, 1957, 25, № 1, 22—23 (нем.)

70204. Окраска трубопроводов. Брайфорд (Soon you may be spraying or painting coatings on pipe lines. Bradford Robert), Petrol. Engr, 1956, 28, № 7, D19—D20 (англ.)

Отмечается успешное применение для защиты от коррозии наружных и внутренних поверхностей труб и цистерн покрытия на основе смеси каменноугольного пека и эпоксидной смолы, отверждаемой аминами. Указанное покрытие обладает хорошей адгезией, стойкостью к 10%-ному р-ру NaOH, 10%-ному HCl и  $H_2S$  к колебанию т-р в пределах +240 и -25° и выдерживает прямой контакт с ксилолом в течение 36 час. без изменений.

К. Беляева

70205. Поведение лаков горячей сушки в печах с конвекционным и радиационным обогревом. Биле, Клингер (Das Verhalten von Einbrennlacken im Konvektions- und Strahlungsöfen. Biele M., Klinger H. J.), Fertigungstechnik, 1956, 6, № 12, 560—562 (нем.)

Изложены методы сушки лаков. Отмечено преимущество сушки лаков ИК-лучами 2,5—8 м по сравнению с лучами 0,6—2 м.

Н. Гарденин

70206. Проблемы применения хромовой и цинковой зеленей, содержащих наполнители. Гёб (Probleme bei verschnittenen Chrom- und Zinkgrünen. Goeß August), Farbe und Lack, 1957, 63, № 2, 76 (нем.)

Хромовая и цинковая зелень, в зависимости от условий произ-ва, обладают непостоянной укрывистостью, что не дает уверенности в качестве краски без надлежащего испытания.

Н. Гарденин

70207. Об идентификации и анализе смол на основе поливинилацетата. Цамбрини (Note sul riconoscimento e conferma di resine a base di polivinilacetale. Zambrini Anna Maria), Pitture e vernici, 1957, 13, № 1, 51—54 (итал.)

Описаны методы определения числа омыления, содержания Cl, N, S и P, растворимости и запаха в поливинилацетатах (I), а также способ распознавания I в лаковых композициях с помощью цветной р-ции (реактив: 10 вес. ч. 50%-ной  $CH_3COOH$  и 5 вес. ч. р-ра KJ, приготовленного из 1 вес. ч. KJ, 0,9 вес. ч.  $J_2$  и 40 вес. ч. воды, содержащей 2 вес. ч. глицерина), дающей специфич. окрашивание с I разного типа: при содержании  $\leq 3\%$  поливинилацетатных звеньев и  $\leq 15\%$  звеньев поливинилового спирта (II) — желтое окрашивание, 15—28% II — зеленое окрашивание, 28—40% II — синезеленое окрашивание и при содержании II > 40% — синее окрашивание.

Л. Песин

70208. Новое в области механических испытаний материалов [в частности красок]. Джиблинг (Recent developments in the mechanical testing of materials. Jobling A.), Paint Technol., 1955, 19, № 214, 228 (англ.)

70209. Современные методы определения укрывистости белых красок. Мунк (Über den derzeitigen Stand der Bestimmung des Deckvermögens von Weißfarben. Munk Franz), Dtsch. Farben-Z., 1957, 11, № 1, 43—46 (нем.)

Описаны два метода («ASTM» и Mitton'a) определения укрывистости белых красок, основанные на фотометрии, измерениях.

Н. Гарденин

70210. О количественном соотношении частиц различных размеров в пигментах. Гёб (Über die Korngrößen-Verteilung von Pigmenten. Goeß A.), Fette, Seifen, Anstrichmittel., 1956, 58, № 12, 1070—1073 (нем.)

Рекомендовано определять характер дисперсности пигмента скоростью оседания его зерен в жидкой среде и описаны седиментационные весы для этих определений. Приведены микрофотография распределения зерен в различных пигментах, кривые скорости их оседания и диаграммы количеств. соотношения различных размеров.

Н. Гарденин

70211. Сравнительное атмосферное и ускоренное искусственное испытание старения некоторых белых нитроэмалей и эмалей на синтетических смолах на приборе ASSER и везерометре ATLAS. Герет (Vergleichende Wetterprüfung und Schnellbewitterungsprüfung im ASSER-Gerät und ATLAS Weather-O-Meter an einigen handelsüblichen Kunstharz- und Nitro-Weißemalmen. Geret H.), Schweiz. Arch. angew. Wiss. und Techn., 1956, 22, № 3, 97—101 (нем.)

В результате испытания 13 образцов белых нитроэмалей и 15 эмалей на основе синтетич. смол промышленного выпуска в условиях: а) естественной экспозиции и б) ускоренного старения на двух приборах искусств. климата с последующим определением внешнего вида установлено отсутствие в большинстве случаев достаточно точного соответствия между данными естественной и искусств. экспозиции. Приборы искусств. климата дают достаточно надежные результаты только при серийном контроле лаковой продукции оди-

накового типа. Наиболее надежную картину старения при естественной экспозиции дает измерение падения эластичности на приборе Эриксона.

**70212. Микроскопические методы исследования дефектов поверхности мебели.** Плат (Mikroskopische Methoden zur Untersuchung von Oberflächenschäden an Möbeln. Plath Lore), Mikroskopie, 1956, 11, № 5/6, 155—162 (нем.; рез. англ.)

Для исследования причин дефектов лакированной поверхности микроскопич. методы незаменимы. Соответствующие методы окрашивания микросрезов усиливают контрастность окраски различных перерабатываемых материалов и значительно облегчают отыскание источника ошибок. Приведены примеры и микрото, иллюстрирующие обнаружение недостатков поверхности, которые лучше воспроизводятся при помощи техники контрастирующей черно-белой окраски или еще лучше — путем цветного репродуцирования.

**70213. Поведение покрытий с различными белыми пигментами в пяти различных климатических условиях.** Герет (Versuche über das Verhalten von Anstrichen mit verschiedenen Weißpigmenten an fünf klimatisch verschiedenen Standorten. Geret H.), Schweiz. Arch. angew. Wiss. und Techn., 1956, 22, № 3, 102—104 (нем.)

Проверялась атмосферостойкость белых покрытий на основе  $\text{TiO}_2$  (рутил) и двух типов связующих: алкидных смолах 50%-ной жирности (на к-тах льняного масла) и штандолах. Экспозиция производилась в условиях высокогорного, морского, индустриального, жаркого и средней полосы климатов. После 4 лет наблюдения установлено, что покрытия штандолевыми красками обладают большей атмосферостойкостью по сравнению с алкидными эмалями. Оптимальной пигментной частью является смесь  $\text{TiO}_2$  (рутил) с окисью сурьмы и  $\text{ZnO}$  при содержании пигмента 20% (в расчете на сухое связующее). Наибольшая стойкость к плесени наблюдалась у покрытий, содержащих одну  $\text{ZnO}$ , обладающую, очевидно, фунгицидными свойствами. Отмечается, что наиболее жесткими условиями испытаний являются климаты: индустриальный, жаркий и средней полосы, наиболее мягкими — высокогорный. Проводимые параллельно ускоренные испытания в везерометрах не дали совпадения с результатами натурных испытаний. Необходимо тщательно выбирать циклы с одновременным испытанием эталонного покрытия, срок службы которого в атмосфере известен. Для определения начала разрушения покрытия рекомендуется производить периодич. замеры эластичности по Эриксену.

**70214. Диэлектрические свойства электроизоляционных лаков.** Потхофф, Вее (Dielektrische Eigenschaften von Isolierlacken. Potthoff Karl, Vees Roland), Elektrotechn. Z., 1956, A77, № 3, 65—69 (нем.)

Изучалось тепловое старение покрытий по графитированным проводам различными электроизоляционными лаками с целью подразделения их по признаку стабильности при 120, 130 и 155° на 3 группы. Отмечается возможность получения ориентировочных данных по стабильности при определении потери в весе, однако окончательное суждение о поведении покрытий электроизоляционными лаками должно быть сделано по  $\lg$  угла потерь и диэлектрич. постоянной. Приведены кривые зависимости указанных показателей от т-ры и времени выдержки для силиконовых, винилфлексовых, фенолформальдегидных и полиуретановых лаков.

**70215. Смычки для удаления старых лакокрасочных покрытий.** Воробьев в А., Автомоб. транспорт, 1957, № 1, 22

Для увеличения эффективности смысков марок СД (обычная), СД (спец.) и АФТ-1 предлагается, особенно при удалении многослойных, масляных, глифтаевых и перхлорвиниловых покрытий, а также лака № 170, добавлять в них незначительное кол-во органич. и неорганич. к-т. Наилучшие результаты получены с фосфорной к-той (уд. в. 1,7). Рецептуры новых смысков: 1) смыска С-77 состоит из 1000 мл смыски СД, 15 мл фосфорной к-ты, 30 г этилцеллюлозы, 5 г парафина; 2) смыска на базе АФТ-1: 1000 мл смыски АФТ-1 и 15 мл фосфорной к-ты. При пользовании смысками 1 и 2 время, затрачиваемое на снятие краски, в 4—5 раз меньше, чем при пользовании уже известными смысками.

**70216. О международном стандарте на типографские и офсетные краски для трех- и четырехцветной печати.** Гросс (International ink standards? A report from Stresa on standards for three- and four-colour letterpress and offset. Gross Karl), Process, 1956, 63, № 754, 380—383 (англ.)

Сравниваются стандарты на печатные краски, принятые в Англии со стандартами других стран.

**70217. Изыскание средств повышения закрепления термочернил на оттисках.** Мултановская Н. С., Сб. науч. работ Всес. н.-и. ин-та полигр. пром-сти и техн., 1956, вып. 7, 103—119

Термочернила для глубокой печати на основе монтановоска и парафина (при содержании последнего 30—35%) недостаточно прочно закрепляются на оттисках. Уменьшение содержания парафина до 20% несколько увеличивает вязкость коричневых, синих и зеленых красок (вязкость черных красок падает в связи с уменьшением содержания сажи), закрепление красок на оттисках несколько улучшается, хотя полное закрепление происходит только через 16—123 дня. Поэтому термочернила рекомендуют только для массовых изданий (журналы, плакаты). Сплавление монтановоска со связующим глетом для повышения твердости пленки, сплавление парафина с церезином, замена парафина церезином, окисленным парафином, каменноугольным парафином, стеарином и стеаратом  $\text{Pb}$ , добавки смол (канифоли, смол на основе триэтанолламинов и гексаметилоламина и др.), водн. р-ров поливинилового спирта, карбоксиметилцеллюлозы, восков (монтан-воск отбеленный марки «А» и «Б», искусств. воск, реланит (гидрогенизированное кастровое масло), обесмоленный и отбеленный темнотурый и светлый монтан-воски и др.), окисленного скипидара не улучшают закрепления красок на оттисках.

Б. Брейтман

**70218 П. Алкидные смолы, модифицированные лецитином.** Ангер (Lecithin modified alkyd varnishes. Unger Maynard B.), [The Sherwin-Williams Co.], Пат. США 2738337, 13.03.56

Метод улучшения смачивания пигментов при перетире на алкидных смолах (I), а также устранения загустевания тертых красок, в особенности на желтом фоне, состоит во введении в I в процессе синтеза при т-ре 204—260° (перед началом охлаждения перед заливкой р-тителя) 0,5—5% (в расчете на I) соевого лецитина. I в данном случае могут быть изготовлены на различных многоатомных спиртах и многоосновных к-тах и модифицированы как свободными жирными к-тами, так и различными маслами. Оптимальная жирность I равна 50—85%. Часть многоатомного спирта при синтезе I может быть заменена соответствующим кол-вом амина канифоли, полученной при замене карбоксила абиетиновой к-ты метиламиной группой. Пример: 344 ч. соевого масла, перетираются при 230° 33 ч. пентаэритрита в присутствии  $\text{PbO}$  при т-ре 230°

в течение 45 мин., после чего вводят 120 ч. фталевого ангидрида и 100 ч. амина канифоли. Реакционную массу выдерживают при 227° в течение 1 часа, после чего т-ру поднимают до 274°, пропускают ток  $\text{CO}_2$  и выдерживают 1 час. Затем добавляют 6 ч. лецитина, тщательно распределяют его в горячей основе и через 5–10 мин. заливают уайт-спирит (до содержания 90% сухого остатка). К. Беляева

**70219 П. Водонепроницаемый состав.** Колвин, Креймер (Waterproofing composition. Colvin Wilbur Fay, Cramer Solomon L.). Пат. США 2742372, 17.04.56

Способ получения состава (I), наносимого на крыши и стены с целью предупреждения просачивания воды, заключается в расплавлении 50 вес.% асфальта (т. пл. 85–99°) и введении в него при т-ре 120–260° и перемешивании 5%  $\text{SiO}_2$ . По охлаждении I заливается 20% керосина и 25% смеси льняного масла, скипидара и белого креозота. В зависимости от консистенции, I наносится кистью или шпателем. К. Беляева

**70220 П. Производство титановых пигментов.** Уэрнер (Production of titanium pigments. Werner Alfred J.). [E. I. du Pont de Nemours and Co.]. Пат. США 2737460, 6.03.56

Метод улучшения качества рутильной  $\text{TiO}_2$  путем сухого размола на струйной мельнице с добавками 0,005–0,5% (на  $\text{TiO}_2$ ) триэтанолamina (I) и 0,05–5% аэрогеля (II). При этом получается повышение степени дисперсности, интенсивности, кроющей способности пигмента, уменьшение оседания его в красках, а также улучшение светостойкости и блеска покрытий. Метод рассчитан на  $\text{TiO}_2$ , полученную окислением  $\text{TiO}$ , но может применяться также для  $\text{TiO}_2$ , полученной гидролизом сернокислого Ti. Для более равномерного смачивания, I может вводиться в виде водн. р-ра и должен содержать не > 20% примесей ди- и моноэтанолamines, так как они ухудшают цвет пигмента. II обеспечивает не только улучшение диспергирования, но и уменьшает разрушение внутренней поверхности корпуса мельницы. В качестве II могут применяться силико- и алюмогели с уд. поверхностью не < 500  $\text{м}^2/\text{г}$ . К. Беляева

**70221 П. Лакокрасочные материалы, содержащие хлорированные углеводороды.** Роджерс (Organic halogen compound — containing coating composition. Rogers Edmund) [The Engine Parts Manufacturing Co.]. Пат. США 2739953, 27.03.56

Патентуются аэрозольные составы, содержащие Фреон 12 ( $\text{CCl}_2\text{F}_2$ ) и Фреон 11 ( $\text{CCl}_3\text{F}$ ). Эмаль на основе полиметилметакрилата в р-ре ксилола (с сухим остатком ~20%) содержит смесь (50:50) Фреонов 12 и 11 в кол-ве 1:1 (к эмали) и 2–10 объемн.%  $\text{CCl}_4$ . К. Беляева

**70222 П. Процесс получения термически полимеризованных высыхающих масел с ускорителем — полиэтиленовым воском.** Гирхарт, Краули (Process of heat bodying drying oils with polyethylene wax as a bodying agent. Gearhart William M., Crowley James D.). [Eastman Kodak Co.]. Пат. США 2739975, 27.03.56

Патентуется метод ускорения термич. полимеризации высыхающих масел типа льняного, путем введения 1% полиэтиленового воска (I) с мол. в. 1000–5000. При проведении процесса при 288°, 1% I дает нарастание вязкости за 1 час 40 мин., идентичное возрастанию вязкости у масла с 1% антрахинона при 2 час. 15 мин. и у масла без добавок при 6 час. выдержке. Помимо этого, I обеспечивает получение масла с тиксотропными свойствами, не образующего пленок на поверхности, при хранении даже в открытом сосуде, и дающего покрытие, быстрее восстанавливающие прозрачность после побеления от пребывания в воде. К. Беляева

**70223 П. Способ отверждения синтетических смол, отверждающихся с помощью кислот** (Procédé pour le durcissement de mat ières artificielles durcissables par des acides) [Cassella Farbwerke Mainkur]. Франц. пат. 1066730, 9.06.54

В качестве ускорителей отверждения синтетич. смол применяют соединения, содержащие галоидметиленовые группы, атом галоида которых подвижен под влиянием других отрицательных заместителей, напр.,  $\text{NH}_4$ -соль пентахлортриметилентрисульфата, фенолхлорацетата Na,  $\alpha,\alpha'$ -дихлор- или дибромадипинат Na. Напр., дерево покрывают лаком из 100 ч. предварительно конденсированной диметилмочевинны и 2,5 ч. фенолхлорацетата Na в водн. р-ре; лак через несколько суток образует твердое водостойкое покрытие. При обычной т-ре ускоритель действует медленно, но при 80–100° — быстро. М. Альбам

**70224 П. Составы для окраски или пропитки днищ судов, подводных сооружений и т. п.** Любке (Anstrich- und Imprägniermittel für Schiffsböden, Unterwasserbauten u. dgl. Lübke Alfred) [Schering A.-G.]. Пат. ФРГ 937368, 5.01.56

Составы (I) служат для торможения процесса обрастания растительными или животными организмами подводных поверхностей. I содержит выделяющиеся при очистке  $\alpha,\alpha$ -бис-( $n$ -хлорфенил-)  $\beta,\beta$ -трихлорэтана (ДДТ) маслянистые остатки, к которым можно также добавить смачивающие и склеивающие в-ва и (или) эмульгаторы и (или) другие защитные в-ва, пигменты или красители. В большинстве случаев I вводят в лаки или краски, напр., на базе фенолформальдегидных, кумароновых и глифталевых смол в кол-ве 10–30%, для нанесения в качестве верхнего слоя при окраске защищаемых деталей. Можно также пропитывать материал для подвода, сооружений р-ром или суспензией I, напр., в минер. масле. М. Альбам

**70225 П. Этилцеллюлоза и композиции на ее основе.** Асафф, Донелсон (Ethyl cellulose and resinous composition. Asaff Annis G., Donelson William W.). [Callaghan Hession Corp.]. Канадск. пат. 517543, 18.10.55

Шпаклевочная масса содержит этилцеллюлозу и растворимый в спирте пластифицирующий состав, получаемый из канифоли и пластификатора. В качестве р-рителя применяют смесь 60–90 вес.% низкокипящего алифатич. спирта (этилового, пропилового или изопропилового) и 10–40 вес.% ароматич. углеводорода (бензола, толуола или ксилола). Р-ритель также содержит 5–10 вес.% воды; последняя несколько снижает растворяющее действие спирта по отношению к этилцеллюлозе, но не вызывает ее осаждения, и улучшает нанесение массы. В частности, р-ритель для шпаклевки состоит из 30% ароматич. углеводорода и 70% спирта и содержит 2–6 вес.% воды, сверх имеющейся в спирте. Во всех случаях количество воды указано в весовых процентах от готовой массы. А. Жданов

**70226 П. Метод покрытия изделий.** Борущко (Method for coating objects. Borushko Michael J.). Пат. США 278686, 27.12.55

Метод нанесения на изделие пленкоподобного покрытия, образующегося из жидкой основы (I) покрытия состава, содержащего летучий р-ритель (II) и диспергированное в нем пленкообразующее в-во. Метод состоит из следующих операций: а) очистка изделий в парах II, образующихся над жидким II, подогретым до т-ры, близкой к кипению; при этом изделия подогреваются до той же т-ры; б) немедленное погружение изделий в I на время, достаточное для смачивания поверхности; в) удаление изделий из I и г) сушка вследствие испарения II за счет тепла, сохранявшегося в изделии. М. Гольдберг



**70227 П. Метод удаления краски и применяемый состав. Вайталис** (Paint removing process and composition. Vitalis Emil A.) [American Cyanamid Co.]. Пат. США 2721848, 25.10.55

Смывка для удаления высохшей краски с различных поверхностей (дерево, металл, кирпич, штукатурка, шерстяные, хлопчатобумажные, вискозные и нейлоновые ткани, сети, а также различное оборудование, применяемое при изготовлении лакокрасочных покрытий) содержит (в вес. %): 50—98 летучих углеводородов, кипящих < 260°, 42—50 растворенных в них продуктов конденсации окиси этилена и гуанидинового производного (I) карбаминной к-ты, содержащего при N алифатич. радикалы с 4—18 атомами C (или смеси 50—70 I, 50—30 алифатич. амина I). Полученный продукт конденсации содержит окись этилена в пределах 1—25 молей на каждый моль амина карбамата или карбаматной соли. М. Ваньян

**70228 П. Дезактиваторы красок. Арнолд** (Paint killer. Arnold Orlan M.) [Ajem Lab., Inc.]. Пат. США 2739903, 27.03.56

В воду, циркулирующую в гидрофилтрах распылительных кабин для улавливания красочного тумана, вводят в-ва (I), роль которых состоит в образовании поверхностной пленки вокруг отдельных частиц краски, которая исключает их слипание и последующее оседание плотной массой на дно ванны гидрофилтра. В качестве I, названных дезактиваторами, рекомендуют анионоактивные и неионогенные поверхностноактивные в-ва, а именно:  $\text{Na}_3\text{R}_5(\text{P}_2\text{O}_{10})_2$  (где R — 2-этилгексилловый, октиловый-2, изоктиловый, n-бутиловый, изомамидовый, 1-гептиловый и каприловый радикалы) и триполифосфаты  $\text{Na}_4\text{KP}_3\text{O}_{10}$ ,  $\text{Na}_3\text{K}_2\text{P}_3\text{O}_{10}$ ,  $\text{Na}_5\text{P}_3\text{O}_{10}$ , в смеси с минер. маслами и анти вспенивающими добавками. Введение небольших кол-в I эффективно для всех видов лакокрасочных материалов, обеспечивает их флотацию и возможность легкого удаления с поверхности воды. К. Беляева

**70229 П. Переводная диэлектрическая краска на электропроводной бумаге. Клайн, Роддин** (Auf elektrisch leitende Papiere (Bildübertragungsformulare) übertragbare dielektrische Farbe. Kline Bernard Leh, Roddin Daniel Patrick) [International Standard Electric Corp.]. Пат. ФРГ 943831, 21.06.56

Патентуется состав переводной диэлектрич. краски на электропроводной бумаге, получаемый сплавлением (в вес. ч.): 19—21 стеариновой к-ты (I), 9—11 карнаубского воска (II), 11—13 минер. масла (III) и 14—16 пигмента; особенно рекомендуется состав из 20 дважды отпрессованной I, 10 II (степень очистки 3), 12 III и 15 вес. ч.  $\text{ZnS}$  или  $\text{PbCrO}_4$ . Ю. Вендельштейн

См. также: Макромолекулярная химия (симпозиум) 69027. Синтетич. смолы: алкиды 70167; полиэфирные 70145; из замещенных фенолов 70163, термореактивные полистирольные 70157, ненасыщенные полиэфирные 70095. Конденсация фенола с  $\text{CH}_2\text{O}$  69075. Ацил-оксизамещенные глицидные полиэфирные 69843. Красители для эмалей 69473. Фунгицидные краски 69935. Краски для кожи 70582. Антикоррозионные краски 70615—70617. Применение  $\text{TiO}_2$  69281. Техника безопасности в пром-сти лаков 70762. Рецептура эмульсионных лаков 68552.

## ЛЕСОХИМИЧЕСКИЕ ПРОДУКТЫ. ЦЕЛЛЮЛОЗА И ЕЕ ПРОИЗВОДНЫЕ, БУМАГА

Редактор А. П. Хаванская

**70230. О быстром определении «твердости» древесины при помощи прибора Цейдлера. Зандерман,**

**Шварц** (Über die Schnellbestimmung der «Härte» von Hölzern mit dem Schaukelhärteprüfer. Sander mann Wilhelm, Schwarz Eckhard), Holzforschung, 1956, 10, № 2, 48—50 (нем.; реа. англ.)

Для определения твердости древесины предлагается измерительный прибор Цейдлера (Fette u. Seifen, 1950, 52, 219—225), применяемый в лакокрасочной и бумажной пром-сти. При испытании древесины разных сортов получены воспроизводимые результаты. Определение этим прибором проще и быстрее, чем по Бригеллю. Измерения производили перпендикулярно направлению волокон. Н. Рудакова

**70231. Влияние влажности на некоторые физические свойства древесины и изделий из нее. Нараянамурти, Матхур** (The influence of psychrometric conditions on some physical properties of wood and composite wood. Narayanamurti D., Mathur R. P.), Appl. Scient. Res., 1955, A5, № 2-3, 81—107 (англ.)

Сведения о влиянии изменения т-ры и влажности на гигроскопичность, усушку, набухание, сопротивление сжатию, модуль упругости, сопротивление разрыву и ряд других физ. свойств древесины лиственных и хвойных пород, произрастающих в Индии (*Dysoxylum malabaricum*, *Tectona grandis*, *Canarium strictum*, *Cedrela toona*, *Machilus macrantha* и *Picea morinda*), и изготовленной из древесины фанеры. Большую часть измерений проводили при разных относительных влажностях в температурных пределах от 0 до 60°.

Н. Рудакова

**70232. Исследование толщины и плотности коры шести древесных пород, используемых в целлюлозно-производстве. Хейл** (Thickness and density of bark Trends of variation for six pulpwood species. Hale J. D.), Pulp and Paper Mag. Canada, 1955, 56, № 13, 113—117 (англ.)

Исследована зависимость между толщиной, весом коры и ее внутренним диаметром на различной высоте стволов и ветвей у канадской пихты, черной и серебристой ели, осины, сосны и белой березы.

Л. Михеева

**70233. Определение зависимости между объемом коры и теплотворной способностью. Милликин** (Determination of bark volumes and fuel properties. Millikin D. E.), Pulp and Paper Mag. Canada, 1955, 56, № 13, 106—108 (англ.)

Результаты проведенных по тщательно разработанной программе определений веса и плотности коры, ее хим. состава и теплотворной способности хвойных, и отчасти лиственных пород сведены в таблицу.

Г. Брашман

**70234. Некоторые химические свойства альфа-целлюлозы Канадской пихты. Снайдер, Таймелл** (Some chemical properties of balsam fir alpha-cellulose. Snyder J. L., Timell T. E.), Indian Pulp and Paper, 1956, 10, № 9, 435—439 (англ.)

Фракционированной экстракцией 17,5%-ным р-ром  $\text{NaOH}$  древесины, обработанной  $\text{ClO}_2$ , не было достигнуто полного отделения целлюлозы (II) от гемицеллюлоз. Аналогичные результаты были получены при фракционированном осаждении нитрованной древесины, а также при применении указанных методов и искусств. смеси Ц и маннана пальмового ореха и их нитратов, что говорит о недостаточности данных методов разделения для решения вопроса о существовании хим. связей между Ц и гемицеллюлозами.

В. Высотская

**70235. Присутствие азота в лигнине джута. Чаттерджи** (Nitrogenous contamination of jute lignin. Chatterjee H.), Sci. and Culture, 1955, 21, № 5, 268—269 (англ.)

Волн азоти с 2%- было экстракционные телли.  $\text{NaOH}$  (раты) (0,06—0,26% ном г шалос) 70236. grou № 4 В п устан л-окс щени до 33 друк при 2 р-ра к-та и к-ты, ИК-сп на, Д эфир 70237. А с hem Che (II) для экстракты ми ш бензо жасце лоза превр при г хара: 2,3-ди шени Выде кисла метил щий тилгл вост 2,3,4,6 с мен вател три-О струк под в прим в бол 70238. вес tion № Обс работ тов по сп отхол 70239. при

Волокна джута (Д) содержали до 0,2% N в виде азотистых в-в. 70% N терялось при кипячении волокон с 2%-ным р-ром едкого щелочи в течение 4 час.; ~10% было найдено в виде  $\text{NH}_3$  при отгонке с паром щел. экстракта. Все препараты лигнина (Л) — изолированные 72%-ной  $\text{H}_2\text{SO}_4$  из Д обезжиренного, последовательно обработанного горячей водой и разбавленным  $\text{NaOH}$  и  $\text{HCl}$ , обработанного 10%-ным  $\text{NaOH}$ , и препараты щел. Л — содержали N. Отношение N лигнина (0,06—0,09% от веса Д) к N исходного волокна (0,17—0,26%) было постоянным (~1/3). При жестком кислотном гидролизе содержание N в Л значительно уменьшалось.

М. Чочнева  
70236. Эфирные группы лигнина. Смит (Ester groups in lignin. Smith D. C. C.), Nature, 1955, 176, № 4475, 267—268 (англ.)

В природном лигнине (Л) сахарного тростника установлено присутствие замещ. эфирных групп л-оксикоричной к-ты. Максимум спектрального поглощения Л в н.  $\text{NaOH}$  в течение 4 час. смещается с 355 до 330 мμ; в последующий период следует смещение двух максимумов при 300 и 330 мμ в один максимум при 290 мμ. В конце первого периода превращения из р-ра экстракцией эфиром выделена л-оксикоричная к-та и обнаружены небольшие кол-ва л-оксибензойной к-ты, ванилиновой, сиреневой и феруловой к-т. УФ- и ИК-спектры поглощения Л пшеничной соломы, каштана, Дугласовой пихты подтверждают наличие в Л эфирных групп.

Л. Михеева

70237. Строение гemicеллюлоз пшеничной соломы. Аспиналл, Мик (The constitution of a wheat straw hemicellulose. Aspinall G. O., Meek Eric G.), J. Chem. Soc., 1956, Oct., 3830—3834 (англ.)

Для предотвращения разложения полисахаридов (П) в процессе хлоритной делигнификации авторы экстрагировали гemicеллюлозу (Г) из пшеничной соломы щелочью, непосредственно после обработки смесью бензола и метанола. В результате гидролиза П, содержащего ~3% остатков уроновой к-ты, получены кислоты (I) и арабиноза (II) в отношении 11:1. Кислота превращена в полностью метилированное производное, при гидролизе которого найдены метилированные сахара: 2,3,5-три-О-метил-L-II, 2,3,4-три-О-метил-D-I, 2,3-ди-О-метил-D-I и 2-О-метил-D-I (в примерном отношении 3:1:41:4) и небольшое кол-во 3-О-метил-D-I. Выделены 2,3,4-три-О-метил-D-глюкуроновая к-та и кислая фракция, содержащая тетра-О-метил-альдоглюкуроновую к-ту (III). Восстановление производного метилового эфира метилглюкозида  $\text{LiAlH}_4$  и последующий гидролиз привели к образованию 2,3,4-три-О-метилглюкозы и 3-О-метил-I. Дальнейшее метилирование восстановленной кислотной фракции и гидролиз дали 2,3,4,6-тетра-О-метилглюкозу и 3,4-ди-О-метил-I вместе с меньшим кол-вом 2,3,4-три- и моно-О-метил-I. Следовательно, упомянутая П является 3-О-метил-2-О-(2,3,4-три-О-метилглюкуронозил)-I. Обсуждается вопрос о структуре Г, о возможности искажения результатов под влиянием методов исследования и о необходимости применения более мягких способов экстрагирования П и более эффективных методов их фракционирования.

Ю. Вендельштейн  
70238. Химическое использование древесины и древесных отходов. Лок (Review of chemical utilization. Locke Edward G.), Forest Prod. J., 1957, 7, № 2, 61—67 (англ.)

Обзор по вопросу использования коры, опилок, отработанных щелоков целлюлозного произ-ва, продуктов терпентинно-канифольного произ-ва, лигнина, по способам варки целлюлозы и гидролизу древесных отходов. Библ. 129 назв.

А. Х.  
70239. Исследование импрегнированной древесины при помощи электронного микроскопа. Д'Анс,

Шульце (Elektronenmikroskopische Untersuchungen an imprägnierten Hölzern. D'Ans Anna Maria, Schulze Bruno), Holz Roh- und Werkstoff, 1956, 14, № 7, 252—256 (нем.)

Изучено при помощи электронного микроскопа распределение в древесине (Д) частиц консервантов. Густота распределения частиц  $\text{ZnSiF}_6$ ,  $\text{KFHF}$  и  $\text{HgCl}_2$  уменьшалась по мере удаления от поверхности. В более влажную Д консерванты проникают более глубоко; они отлагаются в Д в виде кристаллов и их агрегатов.

Н. Рудакова

70240. Диффузия хлористого натрия в древесине, волокнистых плитах и фанере. Юхансен, Кумар (Diffusion of sodium chloride in wood fibre boards and plywood. Johansen O. L., Kumar V. B.), Norsk skogind., 1955, 9, № 8, 282—288 (англ.; рез. норв.)

Исследовали диффузию (Д) р-ра  $\text{NaCl}$  через древесину разных сортов, волокнистые плиты (ВП) и фанеру. Для ВП Д зависит от сорта волокнистого материала и от проклеивающего в-ва. Проклейка кровяным альбумином с сульфитным щелоком не влияла, проклейка парафином понижала Д. Необработанное дерево имело в тангентальном направлении более низкий коэф. Д, чем ВП. Буковая фанера по Д сходна с ВП. Обработка древесных материалов с поверхности парафином и полиэтиленом давала вначале хорошие показатели, но с течением времени их защитные свойства уменьшались. Обработка воды, эмульсии поливинилацетата и бакелитовыми лаками обеспечивала хорошую защиту против Д  $\text{NaCl}$ . Асфальт, полистирол и мочевиноформальдегидная смола недостаточно защищали против Д.

М. Нагорский

70241. Консервирование многослойной древесины. Перкитный (Konservierung von Lagenholz. Perkitny), Holzindustrie, 1956, № 5, 129—131 (нем.)

Описан способ консервирования многослойной древесины (Д). В подлежащих склеиванию досках делают желобки, шириной и глубиной в 5 мм. После проклейки и прессования брус погружают в нагретый до 165° консервант, который поступает в отверстия и пропитывает Д. Предлагается создавать внутри Д «запасы» консервантов, введением их в каналы вместе с пористыми материалами (стружкой, пенькой, пастой) или введением в твердую Д клиньев из пропитанной антисептиком заболони.

Н. Рудакова

70242. Структура волокон некоторых трав, применяемых в индийской бумажной промышленности. Дешпанде (Structure of the fibres of some important grasses used in Indian Paper Industry. Deshpande P. R.), Indian Pulp and Paper, 1956, 11, № 3, 154—157 (англ.)

В бумажной пром-сти Индии находят широкое применение различные травы — «Sabai» (*Eulaliopsis binata*), «Bhabar» (*Ischomum angustifolium*, „Muni“ (*Saccharum munja*), гигантские травы *Anthistirla gigantea* и *Cymbopogon coloratus*. Приведена характеристика волокон этих трав, багассы и эспарто.

А. Сафьян

70243. Сульфитный процесс с высоким выходом целлюлозы. Бельвикен, Герц (Framställning av sulfittmassor i högt utbyte. Belviken A., Giertz H. W.), Norsk skogind., 1956, 10, № 10, 344—348 (шведск.; рез. англ.)

Высокий выход целлюлозы (Ц) (~65%) получают при варке еловой или сосновой древесины (Д) в течение 4—5 час. при 170° со щелоком, содержащим 6—8% связанного  $\text{SO}_2$  и 4—5% свободного  $\text{SO}_2$  (по отношению к Д). Ц слабо окрашена, легко подвергается размолу и дает бумагу (Б) хорошего качества. Сопротивление разрыву, растяжению и изгибу Б не

сколько выше по сравнению с Б из обычной сульфитной Ц.

70244. О рентабельности вторых абсорбционных башен при сульфитном процессе. Гаврилеску (Despre rentabilitatea funcției —ării treptei a doua a turnurilor pentru fabricarea soluției acide bisulfite brute. Gavrilescu G.h.), Ind. Iernă. celul. și hirt., 1956, 5, № 6, 335—336 (рум.).

Использование вторых абсорбционных башен (Б) не рентабельно при конц-ии  $\text{SO}_2$  в выходящих из первой Б газах менее 0,06%. Более выгодно применение низкой т-ры ( $< 10^\circ$ ) воды, питающей 1-ую Б, что понижает конц-ию  $\text{SO}_2$  до значения  $< 0,01\%$ . Интенсивная работа Б уменьшает потери  $\text{SO}_2$ . Д. Матлис

70245. Предварительные исследования получения целлюлозы из *tangile* [*Shorea polysperma* (Blanco) Merr.], *mayapis* [*Shorea squamata* (Turcz.) Dyer] и *bagtikan* [*Parashorea plicata* Brandis] при различных концентрациях  $\text{NaOH}$  и разной продолжительности варки. Эстевиш (Preliminary studies on the pulping of *tangile* [*Shorea polysperma* (Blanco) Merr.] *mayapis* [*Shorea squamata* (Turcz.) Dyer] and *bagtikan* [*Parashorea plicata* Brandis] using variable concentrations of sodium hydroxide and time element. Esteves Honorato D.), Philippine J. Forest., 1955 (1956), 11, № 1-2, 67—77 (англ.).

Описывается варка древесины деревьев «tangile», «mayapis» и «bagtikan», распространенных на Филиппинских островах, с р-рами  $\text{NaOH}$  различной конц-ии в открытом сосуде при различной продолжительности. Максим. выход целлюлозы (Ц) из «tangile» и «bagtikan» составлял 74% и 74,4% при конц-ии  $\text{NaOH}$  9% (в течение 1 часа), из «mayapis» 76,1% Ц при конц-ии  $\text{NaOH}$  10% (в течение 0,5 часа). С увеличением конц-ии  $\text{NaOH}$  и продолжительности варки сверх оптимума выход Ц уменьшался. А. Сафьян

70246. Получение и отбелка сульфатной целлюлозы из *Eucalyptus rostrata*, произрастающего в Израиле. Левин, Лендзел (Preparation of pulps by the sulphate process from *Eucalyptus rostrata* grown in Israel, and their bleaching. Lewin M., Lengyel A.), Bull. Res. Council Israel, 1956, C5, № 2-3, 181—214 (англ.).

Изучены условия варки *E. rostrata* из различных местностей Израиля, расход  $\text{NaOH}$ , свойства сульфатной целлюлозы (СЦ), влияние начальной щелочности на общий выход, парманганатное число, вязкость и механич. свойства СЦ. Изучена 3- и 4-стадийная отбелка СЦ с различным кол-вом активного  $\text{Cl}$ . Добавление бромид в последней стадии ускоряет отбелку, снижает расход  $\text{NaOH}$ , повышает вязкость и белизну СЦ. Ю. Вендельштейн

70247. Свойства еловой сульфатной целлюлозы в зависимости от биологического состояния древесины. Яйме, Колер, Хае (Eigenschaften von Fichtensulfatzellstoffen im biologischen Erhaltungszustand. Jayme Georg, Kohler Lisbeth, Haas Wilhelm L.), Das Papier, 1956, 10, № 21-22, 495—504 (нем.; рез. англ., франц.).

Набухание сухой древесины приводит к более низкому содержанию лигнина, повышению белизны получаемой целлюлозы и экономии реактивов при варке и отбеливании. При варке древесины сухой (I) или подвергнутой замачиванию в течение 10 дней (II), свежесрубленной (III), или свежесрубленной и высушенной в течение 14 дней до 86,9% сухого в-ва (IV) или IV после замачивания в воде в течение 6 недель и 10 дней до содержания сухого в-ва 31,95% (V) лучшие результаты были получены с II и V по наиболее низкому содержанию лигнина, расходу  $\text{Cl}$  и наиболее высокой степени белизны. Начальная прочность целлюлозы во влажном состоянии была наиболее высокой

у III и повышенной у II и V сравнительно с I и IV. Ю. Вендельштейн

70248. Роль щелочности и сульфидности варочного щелока при крафт-варке. Регнфос, Стокман (How to define alkalinity and sulphidity? Effect of chemical/wood ratio on the kraft cook. Regnfors Lars, Stockman Lennart), Svensk papperstidn., 1956, 59, № 14, 509—520 (англ.; рез. швед., нем.).

Авторы полагают, что  $\text{Na}_2\text{S}$  в белом щелоке гидролизуется до  $\text{SH}^-$ , но не далее и что в ф-лу активной щелочности (АЩ) надо включать  $\frac{1}{2}$  кол-ва сульфида:  $\text{АЩ} = \text{NaOH} + \frac{1}{2} \text{Na}_2\text{S}$ . Щелочность = АЩ/вес абс.-сух. древесины. Сульфидность =  $\frac{1}{2} \text{Na}_2\text{S}/\text{АЩ}$ . Выход, хлорное число, вязкость и белизна целлюлозы зависят главным образом от АЩ. Изменения сульфидности при некоторой данной АЩ оказывают на процесс меньшее влияние. Приведены результаты эксперим. исследования. Библ. 21 назв. С. Иванов

70249. Предварительное исследование возможности использования древесины «ipil-ipil» (*Leucaena glauca* (L.) Benth.) для производства целлюлозы путем полухимического процесса с каустической содой в открытом сосуде. Альмонте (Preliminary study on the possibility of using ipil-ipil [*Leucaena glauca* (L.) Benth.] for paper pulp by the semichemical process-with soda in open vessel. Almonte Benjamin D.), Philippine J. Forest., 1955 (1956), 11, № 1-2, 135—161 (англ.).

При полухим. процессе получения целлюлозы (Ц) из древесины (Д) «ipil-ipil» выход Ц зависит от возраста Д, конц-ии  $\text{NaOH}$  и продолжительности обработки. Максим. выход (81,8%) получен при варке 6-летней Д в течение 1 часа при конц-ии  $\text{NaOH}$  8%. Миним. выход 70,6% получен при варке однолетней Д в течение 1 часа при конц-ии щелочи 14%. Длина волокон составляла из однолетней Д — 0,991 мм, 15-летней — 1,18 мм. Диаметр волокон изменялся от 0,019 до 0,024 мм. Доказана пригодность Д «ipil-ipil» для произ-ва бумаги, особенно в комбинации с длинно-волокнистыми материалами, такими как бамбук. А. Сафьян

70250. Процесс производства полуцеллюлозы для гофры. Кнехтгес (Semi-chemical pulp for corrugating. Knechtges Richard G.), Paper Mill News, 1956, 79, № 1, 12—13 (англ.).

Описано произ-во полуцеллюлозы непрерывным нейтр. сульфитным способом. Технологич. процесс, за исключением работы рафиниров, контролируется и управляется от общего щита управления. Приведены основные характеристики процесса. Е. Гурвич

70251. Теоретические аспекты отбеливания целлюлозы. Пеккем (Theoretical aspects of bleaching. Peckham John R.), Paper Ind., 1955, 37, № 7, 646—647; Indian Pulp and Paper, 1956, 10, № 9, 440—442 (англ.).

Сообщение о докладах на конференции Комитета исследований ТАРПИ (Технич. ассоциация целлюлозной и бумажной пром-сти) о поведении хлорлигнина, механизме р-ции хлорирования, хим. р-циях при отбеливании, окислении гемичеселлюлоз, роли pH при отбеливании, определении степени делигнификации с помощью фотомикрографии, реверсии окраски и о намеченных направлениях для исследований. Ю. Вендельштейн

70252. Промышленное применение перекисного белизнения. Роулансон (Mill application of peroxide bleaching. Rowlandson G.), Pulp and paper Mag. Canada, 1955, 56, № 8, 121—123 (англ.).

Описан непрерывный способ белизнения сульфатной массы перекисью натрия (солозон), применяемый в целлюлозной ф-ке в Терес Бей в Америке для белизны массы при переработке смеси сосны и ели в от



ношении 60:40. Перекисная обработка заменяет в системе белины вторую щел. экстракцию, что обусловлено: 1) конструкцией соответствующей башни и 2) тем, что применение перекиси в указанной стадии дает больший белиющий эффект, чем в конечной стадии. Р-р солозона приготавливают в бетонном танке с добавлением  $MgSO_4 \cdot 7H_2O$  и  $Na_2O \cdot SiO_2$  для стабилизации р-ра и обезвреживания металл. катализаторов (солей железа, никеля, меди). Процесс белины начинается в двухъярусном смесителе, где нагревая до 78—80° масса смешивается с белищим р-ром, и заканчивается в башне, которую масса проходит за 70 мин. При этом перекись  $Na$  поглощается на 90—85%. Отбеленная масса имеет высокую белизну (80—86%), высокую необратимость белизны (вдвое больше обычной) и крепость, равную получаемой при белинии гипохлоритом.

**70253. Регулирование подачи химических реагентов при отбелке бумажных полуфабрикатов. Шаффер, Дрейк** (Solving low capacity flow control problems in paper pulp bleaching. Shaffer G. E., Jr., Drake W. W.), Paper Ind., 1955, 37, № 7, 648—651 (англ.)

Приведены схемы расположения насосов с регулируемым объемом при отбелке хлором, гипохлоритом, перекисью водорода и двухокисью хлора. Они обеспечивают подачу р-ров от 3 мл до 5 м<sup>3</sup> в 1 час с точностью  $\pm 1\%$ .

**70254. Молекулярные свойства целлюлозы молочая. Таймелл, Снайдер** (Molecular properties of milkweed cellulose. Timell T. E., Snyder J. L.), Text. Res. J., 1955, 25, № 10, 870—874 (англ.)

Исследован состав пуха семян молочая (*Asclepias syriaca* L.), получившего некоторые технич. значение в США во время второй мировой войны как мягкий, блестящий и плохо смачиваемый материал с малой плотностью, особенно пригодный для изготовления спасательных поясов и т. п. В составе пуха найдено 39,6%  $\alpha$ -целлюлозы, 35,3% пентозанов (главным образом ксилана) и 15,1% лигнина. Фракция  $\alpha$ -целлюлозы состоит полностью из структурных единиц ангидроглюкозы, фракция гемицеллюлоз — из ангидроксилозы. Сырой материал содержит также меньшие кол-ва арабинозы и остатков уроновой к-ты. Прямое нитрование необработанного материала дает нитроцеллюлозу с выходом, отвечающим 29% целлюлозы в исходном материале. Средняя величина степени полимеризации (СП), определенной вискозиметрически, 5800. Фракционированное осаждение нитроцеллюлозы проведено уксусом и водой. Низкий предел СП 2500, высший 8000. Кривая распределения длины цепей показывает единственный пик при значении СП  $\sim 4000$ .

**70255. Влияние высокой температуры и времени хранения на деструкцию целлюлозы. Усманов Х. У., Сухович Т. И.**, Докл. АН УзССР, 1956, № 10, 21—24 (рез. узб.)

В результате 2-час. прогрева в глицерине (в вакуированных ампулах) при 240° элементарный состав целлюлозы не изменяется, но степень полимеризации (СП) понижается в 3—3,5 раза (хлопок с 4600 до 1320 и вискозный шелк с 300 до 100). Деструкция усиливается при увеличении длительности прогрева, а также при наличии влаги в образце. Определение СП на ряде образцов хлопка, хранившихся с XIX столетия, показало, что СП снижается на 100 ед. за каждые 10 лет хранения. Все же время оказывает на деструкцию целлюлозы меньшее влияние, чем т-ра.

**70256. Молекулярные свойства природной целлюлозы канадской пихты. Снайдер, Таймелл** (Molecular properties of native balsam fir cellulose. Snyder J. L., Timell T. E.), Svensk papperstidn., 1955, 58, № 23, 851—859 (англ.; рез. швед.)

Нитрованием древесины канадской пихты (*Abies balsamea*) были получены нитрованные полисахариды с 48%-ным выходом. В древесной целлюлозе (I) при нитровании в течение 100 час. при +17° не происходило деструкции. Степень полимеризации (СП) нитрованных производных по вискозиметрич. определению при постоянной скорости истечения составляла в среднем 4500. Эта величина была несколько ниже, чем в необработанном хлопке и I льна, и выше, чем в I белой ели. Фракционированное осаждение нитрата I р-рами ацетона определялось тремя свойствами цепей — их длиной, степенью замещения и составом мономеров. Кривая распределения в-ва по длине цепи имела два максимума: один при СП-1000 (25% в-ва) и второй при СП-2500. Величины СП менялись от 1000 до 5500. Распределение по длине цепи было подобным с природной I белой ели или березы. В-ва, образующие первый максимум, имели тот же хим. состав, что и остаток. Библ. 47 назв.

**70257. Мерсеризация целлюлозы. IV. Исследования фазового перехода технических древесных целлюлоз и хлопкового пуха. Ронбю, Марк** (The mercerization of cellulose. IV. Phase transition studies on technical wood pulps and cotton linters. Rånby Bengt G., Mark Herman F.), Svensk papperstidn., 1955, 58, № 10, 374—382 (англ.; рез. нем., швед.)

В основу исследования мерсеризации положено учение о фазовом переходе. Результат обработки целлюлоз едким натром при 0° в конц-ях от 4 до 16% контролировали измерениями сорбции и десорбции воды и рентгенографич. анализом. Области конц-ий едкого натра, вызывающих мерсеризацию, составляли: для сульфитных целлюлоз от 6 до 9%, для сульфатных — от 7 до 10% и для линтера — от 8 до 11%. Происхождение целлюлоз из хвойной или лиственной древесины не оказывало заметного влияния на результаты.

**70258. Проблемы оценки абсорбционной способности листовой целлюлозы по отношению к щелочи. Суайнхарт, Масберг** (Problems in the evaluation of caustic absorbency of pulp sheets. Swinehart Richard W., Maasberg Albert T.), Tappi, 1954, 37, № 9, 412—416 (англ.)

Однородность целлюлозного материала имеет особое важное значение при произ-ве непрерывного полотна (П) алкалицеллюлозы процессом фирмы Dow Chemical Co. Процесс регулируют скоростью движения П, длиной его пути по ванне, конц-ией NaOH и т-рой ванны. Поглощение NaOH может быть регулируемо отпрессованием П. Дана диаграмма зависимости характеристики обработанных целлюлоз (Ц) от соотношения: Ц:NaOH:вода. Для получения хороших результатов наиболее важным показателем является однородность отлива П. Пропитывание Ц NaOH определяется с индикатором, насыщ. р-ром тропеолина 0 в ацетоне. Поглощаемость NaOH зависит от плотности и логарифма пористости Ц; плотность повышается с содержанием  $\alpha$ -Ц. Испытанные образцы Ц при предельном пропитывании поглощали NaOH более, чем это необходимо для эффективной этерификации. Тонко размолотая Ц с высоким содержанием  $\alpha$ -Ц при технич. реальном времени погружения, поглощала приблизительно требующееся кол-во NaOH. При конц-ии NaOH > 50% некоторые лигнерные и все древесные Ц требовали отпрессовки избытка р-ра. Наиболее подходящая плотность Ц 0,42—0,49 г/мл, пористость по Гэрли 10—30 сек., вес 1 м<sup>2</sup> 430—485 г, толщина от 0,1015 до 0,1144 см. Равномерный и одинаковый наклон кривых отношения пористости по Гэрли к плотности — условия хорошего поглощения NaOH Ц.

Водопоглощение листами Ц с весом 442—495 г/м<sup>2</sup> и при видимой плотности 0,420—0,490 г/мл должно соответствовать капиллярному поднятию в полоске Ц на 114,3 мм в течение 400—600 сек. Поглощаемость NaOH определяли по времени впитывания капли 50%-ного р-ра. Удовлетворительно время впитывания линтером 7—12 сек., древесными Ц 20—100 сек. После пропитывания NaOH Ц должны обладать сопротивлением продавливанию в ~ 3,9 кг на 1 см<sup>2</sup>. Показание прибора Эльмендорфа на 16 листов в продольном направлении 175—225 г и в поперечном 230—280 г. Оптимальная влажность Ц 5—7%. М. Нагорский

**70259. Природа и физико-химические свойства растворов целлюлозы в медьсодержащих растворителях.** Грален, Линдерот (The nature and physico-chemical properties of solutions of cellulose in cupreous solvents. Gralén Nils, Linderot Jan), Svensk papperstidn., 1956, 59, № 1, 14—18 (англ.)

Измерения световой абсорбции показали, что Cu-целлюлозный комплекс (МЦК) в р-рах целлюлозы (Ц) в Cu-этилендиамине (I) имеет вероятный состав:  $[Cu\ 2\ 2\ 2 + (Cu(C_6H_5O_5)_2)]_2$  (где  $2\ 2\ 2$  — этилендиамин), соответствующий МЦК в Cu-аммоний (II). Опыты осаждения и диффузии в I показали, что прибавление соли  $(NH_4SCN)$  не пригодно для понижения действия заряда, так как вызывает агломерацию молекул Ц. Действие заряда при осаждении и диффузии, вследствие слабой диссоциации МЦК весьма мало. Парц. уд. объем Cu-целлюлозного аниона в I 0,532, во II 0,508, мол. вес Ц в обоих р-рителях одинаков.

**70260. Восстановление альдегидных групп в гидроцеллюлозе боргидридом натрия.** Хед (The reduction of the aldehyde groups in hydrocelluloses by sodium borohydride. Head Frank S. H.), J. Text. Inst., 1955, 46, № 9, 584—586 (англ.)

Исследовано восстановление 0,01—2,0 н. р-рами боргидрида натрия (I) и калия различных препаратов гидроцеллюлоз (ГЦ), полученных обработкой очищ. хлопка р-ром HCl (200 г/л) при 20 и 40°. Наибольшая скорость восстановления наблюдалась при действии не забуференного р-ра I, наименьшая — при pH 8,3—9,3 (быстрое разложение I при указанных pH). Применение незабуференных р-ров I, увеличение концентрации р-ра I и времени р-ции обеспечивает полное восстановление альдегидных групп ГЦ без заметной потери в весе образцов. Во всех случаях медное число исходной ГЦ значительно понижается, при соответствующих условиях обработки, почти до 0. Потери в весе после обработки 0,25 н. NaOH при 100° падает до величины, близкой к таковой для исходного хлопка.

**70261. Выпаривание и сжигание сульфитных щелоков с кальциевым основанием. 1. Удаление кальция из нейтрализованных щелоков обработкой  $Na_2CO_3$ .** Сэгэнди, Мита 亞硫酸パルプ廢液の濃縮焙焼處理にかんする研究. 第1報. 炭酸ソーダ處理による中和廢棄のカルシウム除, 去について. 生源寺廷, 御田昭雄), 液京工業試験所報告, Tokai kogyo shikensho hokoku, Repts Govt Chem. Industr. Res., 1956, 51, № 5, 179—188, XV—XVI (японск.; рез. англ.)

Способ обработки сульфитного щелока (I)  $Na_2CO_3$  для удаления Ca, последующего выпаривания осевшего I с натриевым основанием (без образования накипи) и сжигания его в крафт-плавильной печи с регенерацией тепла и восстановлением  $Na_2CO_3$  из плава карбонизацией дымовыми газами. Для выпаривания без образования накипи необходимо содержание солей Ca в I (CaO) — менее 0,05% и для последующего сжигания содержание солей Na ( $Na_2O$ ) не более 25% от сухого остатка I. М. Чудаков

**70262. Удаление кальция из отработанного сульфитного щелока, содержащего кальциевое основание, при помощи ионообменных смол.** Робинсон (The removal of calcium from calcium-base sulphite spent liquor by ion exchange resins. Robinson Lawrence E.), Tappi, 1956, 39, № 3, A182—A185 (англ.)

Предложен метод удаления Ca из отработанного сульфитного щелока при помощи ионообменных смол. Найдено, что 215 мл пермутита Q (сульфонируемая полистироловая смола) может удалить весь Ca из 1200 мл отработанного сульфитного щелока с содержанием Ca 7,8 г/л (в виде CaO). Р-ция обмена была почти мгновенной. Пермутит H-70 не давал эффекта.

**70263. Использование стандартных эталонов при контроле производства целлюлозы.** Брин (Standard reference sample as a monitor. Breen J. K.), Canad. Pulp and Paper Ind., 1955, 8, № 1, 8—10 (англ.)

Стандартные эталоны (Э) при контроле целлюлозно-бумажного произ-ва используются для учета отклонений в качестве продукции в течение определенного периода времени (сутки, смена, неделя), а также как средство контроля за точностью выполнения анализов аналитиками. Отбор Э рекомендуется при определении вязкости и белизны целлюлозы, процентного содержания в ней α-целлюлозы, золы, пентозанов, ионов — железа, меди, алюминия. Л. Михеева

**70264. Определение и проверка выхода небеленой сульфитной целлюлозы.** Горем (The determination and verification of unbleached sulphite yield. Goham A. B.), Pulp and Paper Mag. Canada, 1955, 56, № 3, 159—162 (англ.)

Обсужден метод контроля выхода целлюлозы (I) путем ежемесячного подведения материального баланса варочного котла. Сравниваются кол-ва всех сухих в-в, поступающих в варочный котел и выходящих из него. Устанавливается соотношение между сухими в-вами отработанных сульфитных щелоков и выходом I. Для определения выхода I надо учитывать влажность щепы, измерять остаток I в котле, учитывать I в тюках, отбросы сучков, следить за точностью взвешивания щепы. Осуществление указанного контроля предусматривает оснащение всех станций произ-ва контрольными приборами, в том числе автоматически действующими, в частности приспособлениями для систематич. отбора проб от сырья и отработанных щелоков через определенные промежутки времени.

**70265. О полярографическом и потенциометрическом определении сульфида в сульфатных черных щелоках.** Антони (On polarographic and potentiometric determination of sulphide in kraft black liquors. Anthoni Berndt), Papperi ja puu, 1956, 38, № 3, 71—77 (англ.; рез. финск.)

Установлена возможность определения ионов сульфида (С) в сульфидных р-рах путем косвенной полярографии с помощью р-ра, содержащего кадмий (состав р-ра приводится). Полярографич. метод (ПМ) дает более высокие значения содержания С в черных щелоках, чем потенциометрич.; пересчет с помощью эмпирически установленных коэф. дает возможность получать результаты, соответствующие получаемым при потенциометрич. титровании. При серийных анализах ПМ имеет преимущество, как более быстрый в выполнении. М. Б.

**70266. Соотношение между текучестью водной суспензии целлюлозной массы и ее свойствами.** Дерст (A correlation of pulp stock flow data with properties of the pulp stock. Durst Richard E.), Pulp and Paper Mag. Canada, 1956, 57, № 3, 255—262 (англ.)

Течение воды, суспензий целлюлозы по трубам изучали в вискозиметре по напряжению сдвига в зависимости от скорости вращения ротора вискозиметра. Выведена ф-ла:  $f = U^2 \rho / (D) (sv)$ , где  $f$  — коэф. трения,  $U$  — средняя линейная скорость,  $\rho$  — кон-ция массы,  $D$  — диаметр трубы и  $(sv)$  — напряжение сдвига.

М. В. Нагорский  
70267. Новый процесс воздушного формирования полотна бумаги, волокнистых плит и картона. Андерсон, Кларк (A new air-felting process for making tissues, batts and boards. Anderson Bror E., Clark James d'A.), Tappi, 1956, 39, № 1, 1—4 (англ.)

Полотно (П) формируется осаждением волокна (В) из его воздушной суспензии на сетку машины (СМ). Суспензирование В создается вихревым движением В в цилиндрич. камере (К), куда сопловым устройством подают В и воздух под давл. 3,5—8,8 кг/см<sup>2</sup> с образованием в К воздушных струй диам. 0,5—1,8 мм. Внизу К, непосредственно над СМ, вмонтирован решетчатый сепаратор, изготовляемый с учетом типа В. В проходной решетку сепаратора и попадают на СМ, под которой поддерживается некоторый вакуум. Последовательное расположение ряда К по ходу СМ позволяет изменять условия формирования. Метод обеспечивает использование В обычной длины и В длиной 9,5—19 мм, с получением равномерного П, лишенного ориентированности В в машинном направлении. Связующие вводят в виде термопластич. В или опрыскивают П жидкостями. Даны схемы и описание конструкций и принципа работы устройств для формирования и пропитывания П. В США выдано свыше 15 пат. на усовершенствование процесса. Детали изложены в англ. пат. 668216 и 668217.

М. Белецкая  
70268. Производство бумаги и значение pH. Небе (Papier und pH. Nebe E.), Das Papier, 1956, 10, № 7-8, 155—156 (нем.)

70269. Хроматографическое исследование процесса проклеивания бумаги. Клингелхёффер (Chromatographische Untersuchung des Verklebungsvorganges bei Papieren. Klingelhöffer Hans), Z. angew. Phys., 1956, 8, № 4, 171—175 (нем.)

70270. Характеристика покрытий из каолина и пигментов при обработке бумаги. Райс (Varnishing characteristics of coating clays and pigments. Rice John C.), Tappi, 1956, 39, № 1, 43—46 (англ.)

Для покрытий, устойчивых к лакированию, желательное применение тонкодиспергированных глин. Лоск таких покрытий достигает максимума при 15—18% вяжущего. Белизна покрытия падает с увеличением кол-ва вяжущего сверх 17,5%. Самой высокой белизмой отличается двуокись титана, благодаря ее высокому показателю преломления. Восприимчивость к краске падает при содержании вяжущего более 10%. Для получения высокой восприимчивости к краске наиболее пригодны белые пигменты и грубые каолины.

А. Сафьян  
70271. Измерение и интерпретация краевых углов смачивания водой поверхности бумаги. Бак, Лундин (Mätning och innebörd av kontaktvinklar vatten mot papper. Back Ernst, Lundin Börje), Svensk papperstidn., 1955, 58, № 20, 758—763 (шведск.; рез. англ., нем.)

Обзор теоретич. положений о значении краевых углов смачивания (I) на шероховатых и химически неоднородных поверхностях. Рассматриваются I между водой и поверхностью бумаги (B). Поверхность клееной B характеризуется как шероховатая, состоящая из гидрофобных (частицы канифоли или смоляно-кислого алюминия) и гидрофильных (волокон) частиц. Описана усовершенствованная аппаратура для измерения I.

М. Белецкая

70272. Свойства мелованных бумаг и влияние на процесс и качество литографской печати. Рид (Coated paper properties and their relation to printability and print quality in lithography. Reed Robert F.), Tappi, 1955, 38, № 11, 648—651 (англ.)

Обзорная статья. Е. Гурвич  
70273. Облагораживание бумаги на основе крахмала и производных карбоксиметилцеллюлозы. Мюллер (Papierveredlungsmittel auf Stärke- und CMC-Basis. Müller Martin), Allgem. Papier Rundschau, 1956, № 9, 440—442 (нем.)

В бумажном произ-ве используются растворимым картофельным крахмалом (К). Распространение получили так называемые набухающие К, изготовленные оклейстериванием К в малом кол-ве воды, отпрессовыванием тонкими слоями между горячими плитами под большим давлением, быстрым высушиванием и размолом в тонкий порошок. Ретроградацию К можно предупредить введением побочных групп в его молекулу с образованием, напр., простых или сложных эфиров. Эфиры К образуют стабильные р-ры в холодной воде, дают блестящие прозрачные пленки, пригодны для проклейки массы и поверхности готовой бумаги и для грунтовки бумаги перед лакировкой. К заменяют целлюлозой и эфирами целлюлозы (ЭЦ). Особенно пригодны ЭЦ, содержащие на конце группу  $\text{OCH}_2\text{COONa}$  (производные карбоксиметилцеллюлозы) ЭЦ легко образуют в холодной воде стабильные прозрачные р-ры. Производные карбоксиметилцеллюлозы обладают высокой клеящей способностью.

Г. Брахман  
70274. Крахмал в производстве картона. Грехэм (Starch in paperboard. Graham George P.), Pulp and Paper Mag. Canada, 1955, 56, № 11, 118—121 (англ.)

Методы применения крахмала (К) в произ-ве картона, физ.-хим. и технологич. свойства р-ров К. Описана установка для непрерывной варки К.

Е. Г.  
70275. Использование дициандиамида в бумажных покрытиях. Ритсон, Ландес (Use of dicyandiamide in paper coatings. Ritson D. D., Landes C. G.), Tappi, 1955, 38, № 5, 300—303 (англ.)

Сведения о применении дициандиамида («dicy») при изготовлении клеящих в-в, при покрытии бумаги и при изготовлении огнеустойчивых покрытий для изоляционного картона и обоев.

М. Нагорский  
70276. Крашение бумажной бумаги. Корнели (Das Färben von Löschpapier. Cornely B.), Allgem. Papier-Rundschau, 1955, № 23, 1020—1025 (нем.)

Изложены общие принципы крашения бумажной бумаги и методов испытания ее качества. Приведен перечень красителей.

М. Нагорский  
70277. Органолептические качества упаковочных материалов из бумаги и пластиков. Келли, Картрайт (Odor and flavor quality of paper-plastics combinations. Kelly P. H., Cartwright L. C.), Tappi, 1956, 39, № 3, A188—A190 (англ.)

Сочетания бумаги и пластиков широко применяются в виде обертки, упаковки и сосудов. Упаковочные материалы (УМ) для пищевых, аптекарских и т. п. продуктов не должны обладать запахом или неприятным вкусом. Отсутствие этих качеств в УМ не гарантирует отсутствия неблагоприятного влияния на органолептич. качества упакованных продуктов, так как свойства УМ могут меняться при воздействии кислорода, влаги, микроорганизмов. УМ из бумаги с пластиком нужно испытывать в условиях, приближающихся к практическим.

Ю. Сафьян  
70278. Бумажные оболочки для карандашей. Матежу, Климеж (Pláště pro versatilové tužky z papíru. Matěju Josef, Klimeš Miroslav), Papír a celulóza, 1955, 10, № 5, 93—95 (чешск.)



Разработана прочная и теплоустойкая оболочка из прессованной бумаги на казеиновом клее весом 9,9 г (по сравнению с 11,5 г у оболочки из полихлорвинила).

Л. Песня

**70279. Исследование пористости фильтров для папироз. Корте** (Beitrag zur Porositätsanalyse dargestellt am Beispiel einer Untersuchung von Zigarettenfiltern. Corte Heinz), Das Papier, 1955, 9, № 13-14, 290—295 (нем.; рез. англ., франц.)

Фильтрующие свойства бумажных фильтров для папироз определяются пористостью фильтра (Ф), а не структурой волокон, и характеризуются отношением  $W_1:R$ , где  $W_1$  — сопротивление прохождению воздуха через Ф и  $R$  — объемный вес Ф. Хорошую адсорбцию никотина (АН) дает бумага с высокой степенью крепирования (Кр), выражаемую равенством:  $K = \text{длина до Кр} - \text{длина после Кр/длина до Кр}$ . Другие технологич. свойства бумаги мало влияют на АН.

М. Нагорский

**70280. Разработка упаковок из гофрированного картона, стойких к проникновению насекомых. Райс** (The development of an insect resistant folding carton. Rice Richard J.), Tappi, 1955, 38, № 6, 333—336 (англ.)

Обработка пиретрином и пиперонилбутиловым эфиром (I) упаковок из гофрированного картона снижает порчу насекомыми упакованных продуктов. Проникновение насекомых происходит по неплотностям упаковки, а не сквозь картон. Обработка инсектицидом в кол-ве меньшем, чем 0,59 г на 1 м<sup>2</sup> недостаточна. Установлена миграция I с поверхности упаковки в упакованные продукты в кол-вах, не превышающих допустимых.

М. Нагорский

**70281. Гофрированный картон, изготавливаемый формованием. Неттл** (Pays-bas. Le pillo pak: dans cet ondulé, les cannelures sont moulées. Netti Guido). Emballages, 1955, 25, № 157, 140—143 (франц.)

Особенность произ-ва гофрированного картона (ГК) заключается в получении гофра одновременно с отливом листа на цилиндре, имеющем коаксиальные углубления. Цилиндр снабжен вакуумными устройствами и резиновыми прессующими валами. Произ-во формованного ГК осуществлено в Голландии и США. Формованный ГК обладает повышенной прочностью.

М. Нагорский

**70282. Сухой процесс производства многослойного картона. Кларк** (A new dry process, multi-ply board. Clark James D'A), Tappi, 1955, 38, № 11, A183—A187 (англ.)

Новый способ произ-ва картона (К) из тонкой древесной щепы длиной ~5 см и толщиной ~0,7 мм, уменьшающейся до нуля на концах. К проклеивают 1,5% фенольной смолы (ФС) и отделяют поверхность 7% ФС. Прочность К на разрыв ~2,9 кг на 1 мм<sup>2</sup>. Стоимость ф-ки производительностью 60—70 т К в сутки ~3 млн. руб.

М. Нагорский

**70283. Непрерывное измерение влажности на быстросходных широких бумажных машинах. Описание конструкции и действия современной измерительной аппаратуры. Феттер** (Kontinuerlig fuktighetsmätning på snabbgående, breda pappersmaskiner. Konstruktions- och funktionsbeskrivning av en modern mätapparat. Fetter Karl), Svensk papperstidn., 1956, 59, № 2, 61—65 (шведск.; рез. нем.)

Аппаратура «Supertest» действует по принципу электрич. конденсатора, у которого роль диэлектрич. среды играет вода. Точность измерений может достигать ±0,1% содержания воды в бумаге, но практически — в зависимости от сорта волокна, его помола, наполнителей, веса м<sup>2</sup> и т. п., ошибка измерения ~±0,5%. Возможны измерения влажности в поперечном и про-

дольном направлениях полотна. Аппаратура комбинируется с регулятором влажности.

**70284. Применение отпечатков на полистироле для исследования поверхности бумаг. Хайме, Хардере-Штейнхейзер** (Anwendung des Polystyrolabdruckverfahrens zur Beurteilung von Papieroberflächen. Jaume Georg, Harders-Steinhäuser Marianne), Das Papier, 1955, 9, № 17-18, 437—439 (нем.; рез. англ., франц.)

Негативные отпечатки с поверхности бумаг на полистирольных пластинках рассматривают в обычном микроскопе при увеличении 300:1. Описано изготовление отпечатков.

**70285. Определение пригодности тряпичной бумаги для печатания документных бумаг. Бейн** (Evaluation of rag papers for security printing and similar uses. Buyn K. E. C.), Tappi, 1955, 38, № 9, A169—A171 (англ.)

Документные бумаги должны противостоять влиянию времени, износу при эксплуатации и сохранять необходимый внешний вид. Защита волокна от разрушения достигается введением стойких связующих в-в, напр. меламиновых и мочевино-формальдегидных смол. Стабильность определяют ускоренным старением, т. е. влиянием т-ры 100° в течение 72 час. на устойчивость при сгибании и «медное число» бумаги. Рассмотрены различные методы оценки качества бумаги. Е. Гурвич

**70286. Быстрый способ количественного определения двуокиси титана в бумаге по Бриллю. Дунлоп** (Das Brill'sche Schnellverfahren zur quantitativen Bestimmung von Titandioxyd in Papier. Dunlop R. S.), Wochenbl. Papierfabr., 1956, 84, № 7, 223—225 (нем.)

Содержание TiO<sub>2</sub> определяют по степени непрозрачности бумаги (Б) после ее пропитывания парафином или маслом в сравнении с экспериментально установленными для каждого сорта непропитанной Б кривыми соотношения «непрозрачность / % содержания TiO<sub>2</sub>». Непрозрачность Б измеряют стандартным методом Тарпи — стандарт T425 м—44.

**70287. Критические замечания по методам анализа канифольного клея. Ледвох** (Kritische Betrachtungen zur Harzleimanalyse. Ledwoch K. D.), Das Papier, 1956, 10, № 17-18, 420—421 (нем.; рез. англ., франц.)

При анализе канифольного клея по методу Dreher'a и методу «часового стекла» результаты анализа зависят от испарения летучих компонентов и от окисления канифоли при анализе. Автор полагает, что второй метод дает более надежные результаты.

М. Белецкая

**70288 II. Концентрирование водных растворов жирных кислот и извлечение их азеотропной дистилляцией. Нейтан, Рейн** (Concentration of fatty acids in aqueous solution and the recovery of said acids from aqueous solutions thereof by azeotropic distillation. Nathan W. S., Rayne T. A.) [British Petroleum Co., Ltd]. Англ. пат. 735867, 31.08.55

Концентрирование и извлечение низкомолекулярных к-т C<sub>1</sub>—C<sub>4</sub> дистилляцией в непрерывнодействующей колонне (К) в присутствии летучего углеводорода и алифатич. кетона, имеющего 4—7 атомов С в молекуле. Пары воды, кетона и углеводорода конденсируют, неводящую фазу возвращают в верхнюю часть К, водяную фазу дистиллируют в другой К для получения конц. р-ра кетона, который смешивают с р-ром к-т, поступающим в 1-ю К. При применении кетона C<sub>2</sub> предпочтительны метилциклогексан и n-гептан, при применении бутанола — бензол и циклогексан (I). Даны схема процесса и пример укреплений водн. р-ра уксусной и муравьиной к-т с применением метилэтилкетона (II) и I, в К, соответствующей 40 теоретич. тарелкам. Конц. смесь к-т содержала воду <0,32% и II <0,25%. И. В.

**70289 П.** Способ и аппаратура для гидролиза в гомогенной фазе триацетата целлюлозы. Робен, Клеви (Förfarande och apparat för hydrolys i homogen fas av cellulosa — triacetat. Robin J., Clevy R.) [Soc. Rhodiaceata]. Шведск. пат. 149740, 26.04.55

При гидролизе в гомог. фазе триацетата целлюлозы гидролизуемый р-р непрерывно проходит через аппарат, состоящий из цилиндрич. колонн, разделенных внутри по высоте несколькими круглыми, вращающимися днищами, имеющими приблизительно такие же диаметры, что и колонны; каждое из днищ снабжено одним или несколькими отверстиями, в разных днищах смещенными одно по отношению к другому на некоторый угол; среднее время пребывания р-ра в аппарате 3—10 час., при т-ре р-ра 40—80°.

**70290 П.** Способ предотвращения образования инкрустирующего остатка при нагревании, выпаривании или перегонке отработанных сульфитных щелоков или сульфитной барды. Вагнер, Бенцингер (Verfahren zum Verhindern der Bildung inkrustierender Rückstände beim Erhitzen, Eindampfen oder Destillieren von Sulfitalblaugen oder Sulfitschlempen. Wagner Josef, Benzinger Paul) [Zellstoffabrik Waldhof]. Пат. ФРГ 939724, 1.03.56

Для осаждения новоо  $\text{SO}_2$  — к отработанным сульфитным щелокам или сульфитной барде прибавляют, предпочтительно при 100°, вычисленное стехиометрически кол-во  $\text{BaCO}_3$  и одновременно или последовательно 50—75% стехиометрич. кол-ва  $\text{HCl}$ , рассчитанного на впитый  $\text{BaCO}_3$ , и адсорбирующие в-ва, напр. волокна клетчатки (1 г на 1 л щелока). Способ допускает быстрое отделение осадка, чем предотвращается образование камня в перегонных колоннах и других аппаратах, напр. при получении дубильных экстрактов.

**70291 П.** Бумага, проклеенная полимеризованными алкилениминами. Ландес, Рейнольдс (Sized paper comprising a polymerized alkylenimine. Landes Chester G., Reynolds Walter F., Jr) [American Cyanamid Co.]. Пат. США 2698793, 4.01.55

При произ-ве проклеенных целлюлозных листов с повышенной стойкостью к воде и типографской краске к водн. суспензии целлюлозных волокон (ЦВ) добавляют ( $1/2$ —5%) органич. катионоактивное водонерастворимое гидрофобное проклеивающее в-во (ПВ) в форме водн. дисперсии его соли. Массу выдерживают до полной адсорбции ПВ. Из ПВ формуют листы, которые сушат и нагревают при т-ре 105—150° в течение  $1/2$ —3 мин. для выявления проклеивающих свойств ПВ. Способ характеризуется отдельным добавлением к ЦВ в указанной среде водн. р-ра гидрофильной катионоактивной алкилениминовой смолы (АС) в  $1/10$ —4-кратном кол-ве от веса указанного щел. ПВ; массу выдерживают до полной адсорбции АС. АС получают при полимеризации алкиленимина, содержащего не более 4 атомов С.

**70292 П.** Покрывание для бумаги, содержащее оптически-белящий компонент. Траслер (Paper coating composition containing an optical brightener. Trusler Ralf B.) [The Davies Young Soap Co.]. Пат. США 2710285, 07.06.55

Предложены рецепты способа изготовления лака, напр., 100 г очищ. карнаубского воска расплавляют и нагревают с 15 г олеиновой к-ты до 100—110°; 6 г изопропаноламина растворяют в 10 мл горячей воды и при помешивании добавляют к расплавленному воску. К прозрачной массе порциями по 10 мл добавляют горячую воду до заметного разжижения и при слабом кипении массы вносят 1 г  $\alpha$ -бензил- $\beta$ -метил-умбеллиферона. По растворении содержание горячей воды при помешивании доводят до 900 мл и охлаждают смесь. Приведен ряд рецептов композиций, содержащих дру-

гие компоненты, напр.: моноэтаноламин, триэтаноламин, этилэтаноламин,  $\beta$ -метил-умбеллиферон, шеллак, парафин (Grade Sun Oil Co), стеариновую к-ту, 4-метил-7-диэтиламинокумарин, гидрированное касторовое масло (т. пл. 85°), аммиак, казеин, буру, Na-соль 4,4-дибензоиламин-стилбен-2,2-дисульфокислоты. Дана схема обработки указанными композициями, обеспечивающими повышенный блеск поверхности бумаги.

**70293 П.** Способ нанесения покрытия на бумагу (Coated paper and method of making same) [Paper Patents Co.]. Англ. пат. 737433, 28.09.55

Бумагу (Б) для рототравурной и другой печати покрывают эмульсией, содержащей углевод, напр. зерновой, обработанный ферментом, хлорированный или превращенный в декстрины крахмал, альгинаты, простые или сложные эфиры целлюлозы (напр., карбоксиметилцеллюлоза), сахара (напр., глюкоза или инвертированный сахара), гуммиарабик, 10—100% синтетич. латекса на основе каучуковых полимеров, напр. бутадинакрилонитрильного, стирольного, хлоропренового, изопреинизобутиленового, хлорбутадиенового или винильного типа с размером частиц 0,2—0,5  $\mu$ , пигмент (П) (напр., каолин,  $\text{CaCO}_3$ ) и 0,05—2% от веса П стабилизирующее в-во (напр., казеин, полиакрилат или мыла). Можно вводить в-ва, способствующие диспергированию П, напр. глазирующий полифосфат и в-ва против пылеобразования, напр. стеараты Ca, Na и др. Б изготавливают из натронной, жесткой древесной или высококачеств.  $\alpha$ -целлюлозной массы и вводят в нее, до формирования листов, лаурилстеарат, четвертичный амин или продукты конденсации нафтенной к-ты для ослабления связи между волокнами. Значение pH Б ~4—7, pH эмульсии 7—10,5.

**70294 П.** Чувствительная к нагреванию копировальная бумага. Кларк, Миллер (Heat-sensitive copying paper. Clark Bryce L., Miller Carl S.) [Minnesota Mining & Manufacturing Co.]. Пат. США 2710263, 7.06.55

Патентуется способ изготовления чувствительной к нагреванию копировальной бумаги. На прозрачный целлюлозный слой, пропускающий ИК-лучи, наносят суспензию частичек прозрачного твердого в-ва (I) в р-ре прозрачного пленкообразующего связующего в-ва (II). Летучий р-ритель удаляют без плавления или растворения частичек I и получают непрозрачный, но пропускающий ИК-лучи и чувствительный к нагреванию слой. На этот слой наносят непрозрачный защитный поверхностный слой из красителя, пропускающего ИК-лучи, в р-ре связующего в-ва, и высушивают его. I плавится без улетучивания и разложения при т-ре 60—115°, имеет хорошие смачивающие свойства по отношению к II и коэф. преломления, приблизительно равный коэф. преломления II.

**70295 П.** Бумага для дублирующих трафаретов (Method of producing stencils) [Dick Co., A-B.]. Англ. пат. 737170, 21.09.55

Листы бумаги для дублирующих трафаретов, непригодные для типографской краски, делают из смеси разбухающих под воздействием тепла волокон (I), напр. целлюлозной пухлясы сульфитного типа и 3—40% (преимущественно 20%) устойчивых к нагреванию волокон, напр. стеклянного или искусств. волокна, асбеста и др. I можно применять непосредственно или в смеси с пенькой, с шерстяными, хлопковыми, шелковыми волокнами или волокнами из искусств. смол типа найлона, района, винилацетатвинилхлорида и поливинилхлорида; листы могут содержать наполнители, напр. тонкомолотый кремнезем, кизельгур,  $\text{TiO}_2$  или мел, и быть каландрированы или уплотнены. Напр., листы могут иметь толщину 0,05 мм, и содержать 90% волокон крафтцеллюлозы и 10% стеклянной ваты с дил-

ной волокон  $\sim 3,2$  мм; можно применять стеклянное. волокно с длиной  $\sim 1,5-12,7$  мм. Для понижения т-ры разрушения I в состав листов или типографской краски можно вводить 0,1—10% активаторов — HCl,  $H_2SO_4$ , хлориды Al, Bi, Fe, Cu или Sn, сульфаты Cu, Fe, аммония, Cr, K или Hg, бисульфат калия, персульфат аммония, перекиси, перхлориды или нитраты, органич. к-ты, напр. лимонную, соляно-, азотнокислый или другие анилины, органич. сульфокислоту, 1-нафталин, 4-сульфокислоту, индофенол, тиоцианид аммония вместе с  $FeCl_3$  или смеси этих в-в. Пример листового состава: 20% стеклянного волокна, 80% пульпы и 1%  $FeCl_3$ .

Б. В. Шемякин

**70296 П. Асфальтовый рулонный кровельный материал.** Бирли (Asphalt coated sheet. Bierly Lester A.) [Presque Isles Lab. & Manufacturing, Inc.]. Пат. США 2718479, 20.09.55

Для приготовления огнестойкого кровельного материала на листовую основу наносят асфальтовое покрытие (I), гибкое в холодном и горячем состоянии, способное к пластификации до подвижно-жидкого состояния. I содержит 20—70% наполнителя, состоящего из гашеной извести, 3—22,3% и минер. волокна 4,7—29,4% от I.

В. Кельцев

**70297 П. Способ получения пористых волокнистых плит** (Fremgangsmåde til fremstilling af taveprodukter, især porøse taveplader) [Skogsägarnas Industri Aktiebolag]. Датск. пат. 79191, 25.04.55

Получение волокнистых изделий (ВИ), напр. плит из волокнистой массы (ВМ), получаемой варкой соломы с известью,  $Na_2CO_3$  или другой щелочью без давления не выше 100°. ВИ формируют из смеси измельченных материалов мха, торфа или т. п. с кол-вом ВМ 10—50%, предпочтительно 20—40% от веса сухого в-ва; до 25% торфяных волокон может быть заменено волокнами древесины, тростника, соломы, лыка, травы или коры. ВИ применяют для теплоизоляции.

В. Пахомов

**70298 П. Способ производства изоляционного материала из соломы.** Лильмао (Verfahren und Vorrichtung zur Herstellung von Isolationsmaterial aus Stroh. Liljamao Yrjö). Пат. ФРГ 929575, 30.06.55

Солому ржаную, пшеничную и др., нарезанную соломорезкой, подвергают продольному расщеплению с помощью вальцев с зубчатой поверхностью, вращающихся в одном или в противоположных направлениях. Расщепленный материал сортируют и применяют по сортам или в смесях для изоляционных плит и т. п. Частицы материала превосходно схватываются связующими материалами, не образуя пустот при прессовании и дают трудно воспламеняющиеся плиты, в большинстве случаев не нуждающиеся в пропитывании огнестойкими в-вами, и устойчивые против воды.

Ю. Вендельштейн

См. также: Строение гемицеллюлозы туи разнолистной 68959. Определение целлюлозы и пентозанов в древесине 69212. Исследование терпенов 68961, 68964—68967. Исследование скипидаров индийской и флоридской сосны 68963. Производные целлюлозы 69036, 69038, 69077, 69078. Смолы для облагораживания бумаги и картона 70075, 70170. Пропитка шпал 69355. Предохранение древесины от гниения 69364. Вода для целлюлозно-бумажн. пром-сти 69605. 25-летие Центрального н.-и. лесохимич. ин-та 68101.

## ИСКУССТВЕННЫЕ И СИНТЕТИЧЕСКИЕ ВОЛОКНА

Редактор В. А. Деревицкая

**70299. О перспективах развития синтетических волокон.** Сакурада (合成繊維の将来について。櫻田一郎), 繊維學會誌, Сэнгъи гаккайси, J. Soc. Text.

and Cellulose Ind. Japan, 1956, 12, № 3, 144—145 (японск.)

Приведены данные по произ-ву природных и хим. волокон с 1946 г. по 1954 г. и произ-ву синтетич. волокон по странам мира и различным видам волокна; области применения различных волокон. В Японии предполагается развивать в основном произ-во волокна нейлон и волокна из поливинилового спирта.

Ким Хван

**70300. Деполимеризация поликапролактама в присутствии карбонатов щелочных металлов.** П. Вихтерле, Краличек, Шебенда, Халуупна (Über die Depolymerisation von Polycaprolactam durch Alkalicarbonat. P. Wichterle Oto, Kralicek Jaroslav, Sebenda Jan, Chalupna Alena), Faserforsch. und Textiltechnik, 1956, 7, № 9, 393—397 (нем.; рез. русск., англ.)

Показано, что при деполимеризации поликапролактама в присутствии  $NaHCO_3$ , повышение конц-ии катализатора и степени его измельчения, а также понижение давления способствуют увеличению скорости процесса и получению капролактама лучшего качества. Скорость деполимеризации и качество получаемого капролактама практически не зависят от кол-ва воды в системе и от мол. веса полимера и снижаются в случае примесей в полимере (напр., в случае отходов поликапролактама). Часть I см. РЖХим, 1956, 56404.

А. Волохина

**70301. К вопросу образования тритиокарбоната при реакции ксантогенирования.** Вронский (Zur Frage der Trithiokarbonatbildung bei der Xanthogenatreaktion. Wronski Mieczyslaw), Faserforsch. und Textiltechnik, 1957, 8, № 1, 32—34 (нем.)

Автор предлагает метод быстрого полного анализа вискозы путем объемного определения  $NaOH$ ,  $Na_2CO_3$ ,  $Na_2S$ ,  $Na_2S_2O_3$  и ксантогената и определения  $Na_2CS_3$  с помощью фотометра Пульфриха. Общее содержание S, определенное с  $H_2O_2$ , соответствует рассчитанному по результатам полного анализа. Изучен процесс гидролиза  $CS_2$  в щел. среде. Исходя из данных исследования кинетики различных р-ций, протекающих при щел. гидролизе  $CS_2$ , автор приходит к выводу, что монотиокарбонат и дитиокарбонат могут быть в вискозе только в очень незначительных кол-вах.

Р. Нейман

**70302. О комплексометрическом определении железа в целлюлозах.** Филипп, Хойме (Zur komplexometrischen Eisenbestimmung in Zellstoffen. Philipp Burkart, Hoyme Horst), Faserforsch. und Textiltechnik, 1957, 8, № 1, 34—35 (нем.)

Авторы предлагают заменить распространенный колориметрич. метод определения железа в целлюлозе объемным, так называемым комплексометрич. способом титрования Эрделя и Флашка (микротитрование с этилендиаминтетрауксусной к-той). Приводятся описание анализа целлюлозы и результаты проверки метода параллельно с весовым и колориметрич. определениями. Преимуществами метода являются быстрота выполнения, более простое аппаратное оформление, большая точность и лучшая воспроизводимость; относительные отклонения составляют 1,9% сравнительно с 3,3% — при колориметрич. определении. Метод может найти применение при анализе мерсеризационной и отжимной щелочей.

Р. Нейман

**70303. Получение ацетатного шелка ацетилированием вискозного шелка парами уксусного ангидрида.** XXII. Скорость переацетилирования, растворимость и абсорбция воды частично ацетилированными волокнами. Сакурада, Сакагати, Наган (ビスコース法人造絹糸の氣相法酢化による酢酸人造絹糸の造製. 第22報. 部分酢化絹糸の再酢化速度, 溶解性並びに吸水性. 櫻田一郎, 坂口康義, 永井一弘), 繊維學會



誌, Сэнъя гаккайси, J. Soc. Text. and Cellulose Ind. Japan, 1956, 12, № 12, 855—860 (японск.; рез. англ.)

Измерение скорости переацетилирования, растворимости и абсорбции воды частично ацетилированными волокнами показало, что эти величины зависят не только от средней степени ацетилирования, но также и от условий ацетилирования. Следует полагать, что различное распределение ацетильных групп обусловлено условиями ацетилирования. Омыленные волокна, по-видимому, сохраняют некоторую степень первоначальной внутренней структуры. Приводятся дискуссии механизма процесса ацетилирования с сохранением волокнистой структуры. Сообщение XXI см. РЖХим, 1956, 63432.

А. Яшунская  
70304. Объемное волокно акрила. Дейвис (Hibulk acrilan. Davis S. Jack), Amer. Dyestuff Reporter, 1956, 45, № 19, 682—684 (англ.)  
См. РЖХим, 1956, 66841.

70305. Термообработка волокна винилон. Сакурада (ビニロンの熱処理. 櫻田一郎), 化学, Kagaku, Chemistry (Kyoto), 1955, 10, № 7, 52—53 (японск.)

Обычное волокно винилон, полученное из поливинилового спирта с последующим ацетилированием  $\text{CH}_3\text{CO}$ , не растворяется в кипящей воде, но дает большую усадку. Для получения волокна с низкой усадкой формуруют волокно из р-ра поливинилового спирта в водн. р-р  $\text{Na}_2\text{SO}_4$  и затем подвергают термообработке при  $210^\circ$ , а затем ацетируют. Полученное волокно нерастворимо в воде и дает усадку 2—3%, его называют винилином. Если у волокна, не подвергнутого термообработке, кристалличность составляет 20%, то после термообработки 60%.

Ким Хван  
70306. Свойства склеенных тканей. Эллиотт (Intrinsic advantages of bonded fabrics. Elliott G. H.), Skinner's Silk and Rayon Rec., 1957, 31, № 1, 60—64 (англ.)

Быстрое развитие произ-ва тканей, склеенных по основе различными в-вами, объясняется их широким применением в произ-ве искусств. цветов, тканей для книжных переплетов, для изготовления текстильной обуви, защиты электропроводов, изготовления чехлов, изделий из искусств. кожи и спец. фильтровальных тканей: склеенные ткани отличаются повышенной прочностью в продольном и поперечном направлении и дешевой изгот. Для склеивания предлагают термопластичные волокна, вискоза или склеивающие в-ва типа латекса из натурального или искусств. каучука.

А. Пакшвер

70307 П. Обработка синтетического волокна. Катаяма (合成繊維の後処理. 法片山將道) [日東紡績株式会社, Ниттобосэки кабусики кайся]. Японск. пат. 8514, 24.11.55

При формировании волокна из р-ра полиакрилонитрила в диметилформамиде в  $\text{C}_4\text{H}_9\text{OH}$  наблюдается неполная коагуляция полимера. Предлагается формировать волокно в  $\text{CH}_3\text{OH}$  или смесь  $\text{CH}_3\text{OH} + \text{C}_4\text{H}_9\text{OH}$ , или волокно после формирования обрабатывать указанными реагентами. Напр., свежеформованная нить проходит через две пары роликов и поступает на бобину. Между первым и вторым дисками нить вытягивается в 1,7 раза. Скорость прядения 40 м/мин, скорость приема нити 55 м/мин. Затем бобины с волокном поступают в отделочные ящики, куда подают  $\text{C}_4\text{H}_9\text{OH}$  (обработка 1 час), а затем  $\text{CH}_3\text{OH}$  (30 мин.). Затем волокно сущат, пропускают теплый воздух (т-ра  $65^\circ$ ), а  $\text{CH}_3\text{OH}$  регенерируют.

Ким Хван

70308 П. Способ производства объемного, шерстеподобного, извитого искусственного волокна (Verfahren zum Herstellen von voluminösen, wollähn-

lichen, krausen Kunstseidefäden od. dgl.) [Leo Ubbe-lohde]. Пат. ФРГ 949302, 20.09.56

Для получения искусств. волокна с хорошим устойчивым извитком к прядильному р-ру добавляют в-ва, полимеризующиеся в кислой среде и при нагревании. В случае вискозы можно добавлять 2% (от веса целлюлозы) предконденсат (резол) из 1 моля  $\text{C}_6\text{H}_5\text{OH}$  и 3 молей  $\text{CH}_2\text{O}$ . Волокно формуют по сухому или мокрому способу, одно- или двухванному, при сильной крутке нити, что достигается увеличением числа оборотов прядильной кружки или применением вращающихся фильер, с последующими обработками нити в куличе. Фиксация крутки и извитости происходит при завершении процесса поликонденсации предконденсата в процессе сушки или особой обработки при нагревании. Затем нить раскручивают до желаемого показателя по величине и направлению крутки в готовой нити.

Р. Нейман

См. также: Сырье для получения волокон 70154. Обработка готового волокна 69965, 69968, 70150. Техника безопасности в произ-ве 70749.

## ЖИРЫ И МАСЛА. ВОСКИ.

## МЫЛА. МОЮЩИЕ СРЕДСТВА. ФЛОТОРЕАГЕНТЫ

Редактор А. А. Зиновьев

70309. Исследование хлопковых технических семян (сообщение 1). Подольская М. З., Ган А. И., Масл.-жир. пром-сть, 1957, № 1, 5—9

Исследованы 132 образца хлопковых семян наиболее распространенных селекционных сортов средневолокнистого и тонковолокнистого хлопчатника по показателям опушенности, засоренности, содержанию ядра и абс. весу 1000 семян. С понижением промышленного сорта семян их опушенность и общая засоренность повышаются, а содержание ядра и абс. вес. 1000 семян уменьшаются. Семена с частичным развитием ядра (щуплые) резко отличаются от нормальных семян значительно меньшим (почти в 3 раза) содержанием ядра, а также низкой маслянистостью и меньшим абс. весом семян, поэтому авторы считают необходимым относить их к масляной примеси, а не к здоровым семенам, как это предусмотрено действующим стандартом.

Г. Фрид

70310. Установка для дистанционного замера температур и определения содержания углекислого газа. Копейковский В. М., Щербаков В. Г., Масл.-жир. пром-сть, 1957, № 3, 7—9

Описана конструкция электротермометрич. установк., широко применяемой в элеваторных хранилищах зерна и использованной для определения т-ры масляных семян, хранящихся в силосах. Метод измерения т-ры основан на изменении омич. сопротивления проводника с изменением его т-ры. Установкой предусматривается также возможность отбора проб воздуха с помощью вакуум-насоса из межсеменных пространств различных слоев хранившихся семян. Обнаружение повышенного содержания  $\text{CO}_2$  в результате роста интенсивности дыхания семян позволяет установить начало самосогревания значительно раньше повышения т-ры в данной точке.

Г. Фрид

70311. Новые усовершенствования в конструкции шнековых прессов. Бернер (Recent developments in screw-press operations. Burner A. H.), J. Amer. Oil Chemists' Soc., 1957, 34, № 1, 4—7 (англ.)

70312. Жирные кислоты масла семян *Pongamia glabra*. Патхак, Дей (Fatty acids of the seed fat of *Pongamia glabra*. Pathak S. P., Dey L. M.), J. Chem. Soc., 1957, April, 1917 (англ.)

Найдено, что смесь жирных к-т масла семян *Pongamia glabra*, полученного экстракцией горячим ацетоном (выход 39,4%, кислотное число 2,4; сапонификационный эквивалент 289,3, йодное число 79,4), состоит (в %) из к-т: пальмитиновой 6,3; стеариновой 8,9; арахидиновой 2,2; бегеновой 5,3; лигноцеридиновой 2,0; гексадекановой 0,6; олеиновой 46,2; линолевой 18,1; эйкозеновой 9,5; к-ты  $C_{22}$ (-2H) 0,2;  $C_{24}$ (-2H) 0,2, неомыляемых 0,5.

**70313. Химическое исследование жирного масла из семян *Seseli indicum*. Фарук, Сиддика (Chemische Untersuchung des Samenfetts von *Seseli indicum*. F. A. G. Siddiqui M. S.), Fette, Seifen, Anstrichmittel, 1954, 56, № 11, 918—920 (нем.; рез. франц., англ., исп.)**

Найдено, что в масле семян *Seseli indicum* содержится кумарин. Состав жирных к-т масла (в %): 6,18 пальмитиновой (т. пл. 59—61°), 30,96 олеиновой, 46,06 петрозелиновой (т. пл. 29—30°, ИЧ 89,5), 13,8 линолевой (тетрабромид, т. пл. 113—114°), 3 смоляной к-ты. Линолевова к-та не обнаружена. В. Кашников

**70314. Содержание фосфора в рафинированном соевом масле как критерий его качества. Бил, Ланкастер, Брекке (The phosphorus content of refined soybean oil as a criterion of quality. Beal R. E., Lancaster E. B., Brekke O. L.), J. Amer. Oil Chemists' Soc., 1956, 33, № 12, 619—624 (англ.)**

В полупромышленных условиях исследована зависимость между условиями рафинации гидратированного и негидратированного соевого масла и качеством конечного продукта — дезодорированного масла (ДМ). Показано, что цветность рафинированного или отбеленного масла не является надежным критерием для предопределения качества конечного продукта — ДМ. Цветность ДМ и его стойкость против окисления находятся в тесной связи с содержанием в нем фосфора (Р). Лучшее качество ДМ достигается при наличии в нем  $\geq 0,0002\%$ , но  $\leq 0,002\%$  Р. Меньшее содержание Р (при применении большего избытка щелочи и, следовательно, воды) оказывает отрицательное влияние на стойкость и — хотя и в меньшей степени — также на цветность ДМ. Превышение указанного максимума содержания Р оказывает более резкое влияние на цветность ДМ и в меньшей степени на его стойкость. Между содержанием золы и Р существует связь, что указывает на то, что в рафинированном масле Р находится в виде Na-соли и не улетучивается в ходе анализа при сжигании испытуемого образца; содержание золы может служить контрольным показателем содержания Р в ДМ, по крайней мере, при его содержании  $\leq 0,002\%$ . Кол-во токоферола, удаляемого в процессе нейтр-ции, зависит от кол-ва примененной щелочи, причем слабые щелочи удаляют меньше токоферола, что противоположно поведению Р при соответствующей обработке щелочью; небольшие кол-ва железа снижают стойкость масла, однако влияние железа существенно меньше в присутствии Р.

Г. Фрид

**70315. Оборудование для непрерывного производства дегидратированного касторового масла. Заточил (Zařízení na kontinuální výrobu ricinového oleje dehydratovaného. Zatočil Gustav), Průmysl potravin, 1956, 7, № 11, 498—503 (чешск.; рез. русск., англ., нем.)**

Обсуждаются основные принципы непрерывного процесса дегидратации (дозировка катализатора, температурный режим, удаление продуктов р-ции и др.) с точки зрения его экономичности и качества готового продукта. Описаны конструкция оборудования по патенту автора, технологич. режим и его контроль, использование паров Даутерма в качестве теплоносителя, схемы размещения оборудования. Приведены

производственные данные, анализы образцов готового продукта и их технологич. оценка.

Г. Фрид

**70316. О рафинации форпрессового и экстракционного черных хлопковых масел, полученных из хлопковых семян Краснодарского края. Павлов Г. М., Аришева Е. А., Тр. Краснодарск. ин-та пищ. пром-сти, 1956, вып. 13, 15—21**

В лабор. условиях исследовано влияние предварительной гидратации на щел. рафинацию форпрессового (ФМ) и экстракционного (ЭМ) черных хлопковых масел, а также влияние кон-ти щелочи и ее избытка. Предварительная гидратация ЭМ и ФМ не улучшает эффекта щел. рафинации по цветности РМ и снижает выход последнего. Отбелка позволяет довести масло по цветности до первого сорта. Рафинация ЭМ при различных кон-ти щелочи дала низкий выход и высокую цветность РМ. Опыты рафинации смесей ФМ и ЭМ в соотношениях 9:1; 7,5:2,5 и 5:5 показали, что только при высокой кон-ти щелочи (400 г/л) и большом ее избытке (300%) можно получить более светлое РМ, но при этом значительно снижается его выход, так что смешение ФМ и ЭМ нельзя считать целесообразным.

Г. Фрид

**70317. Способ бескислородного получения топленого свиного жира. Матеранская Н., Мясная индустрия СССР, 1957, № 1, 48—51**

Указано, что для предохранения свиного жира от окислительной порчи во время длительного хранения необходимо не только хранение, но и вытапливание производить в атмосфере  $CO_2$ . Хранение образцов жира проводилось при 4, 18 и 40° в течение от 10 дней до 8 месяцев. На качество жира, вытопленного в атмосфере  $CO_2$ , не влияет т-ра хранения (18—40°), что позволяет исключить расход холода.

Н. Соловьева

**70318. Некоторые вопросы витаминизации жира.**

**Кадыков Б. И. В сб.: Витаминизация пищ. продуктов. М., Пищепромиздат, 1956, 16—18**

Добавление к жиру небольших кол-в некоторых в-в (фосфатиды, рибофлавин, смесь моно- и диглицеридов стеариновой к-ты, оксиполимеризованное масло) оказывает существенное влияние на процессы пищеварения, всасывания и использования жира организмом. Добавление в рацион рибофлавина, синтезируемого в процессе молочнокислого брожения, оказывает более благоприятное влияние на рост животных, чем добавление синтетич. рибофлавина. Молочнокислые закваски синтезируют также никотиновую к-ту (500—600  $\mu$  при содержании в исходном молоке 80—100  $\mu$ ). Лецитин, токоферол и фосфатиды рекомендуются добавлять в рафинированные растительные масла.

А. Войцеховская

**70319. Колебания цветности и активности витамина А жиров боенских животных в зависимости от времени года. Дале (Jahreszeitliche Schwankungen der Farbe und der Vitamin A-Wirkung der Schlachttierfette. Dahl Olle), Z. Lebensmittel-Untersuch. und-Forsch., 1957, 105, № 3, 180—188 (нем.)**

Исследовано изменение цветности говяжьего и конского жиров в зависимости от характера корма (а значит и от времени года) при исключении влияния других факторов (индивидуальных особенностей животного, возраста, пола, породы, упитанности и способа извлечения жира). Показано, что интенсивность цветности указанных жиров, измеренная фотоколориметрически, быстро возрастает в течение 1,5—2 месяцев после начала их пастьбы, достигает максимума в период август — октябрь, а затем начинает медленно уменьшаться. Максим. интенсивность цветности почти на 50% превышает ее миним. значение. Цветность конского жира интенсивнее цветности говяжьего. Активность витамина А, установленная по приросту молодых крыс в сравнении с активностью ацетата ви-

тамина А (транс-, транс-формы), как стандартного препарата, также выше у конского жира, нежели у говяжьего, и даже в большей степени, чем этого можно ожидать из сравнительной интенсивности цветности этих жиров.

Г. Фрид  
70320. Проблема использования говяжьего жира.

Витка (Zum Problem der Verwertung des Rindertalg. Wittka F.), Seifen-Öle-Fette-Wachse, 1956, 82, № 25, 737—740 (нем.; рез. англ., франц., исп.)

Говяжий жир не находит достаточного сбыта как пищевой продукт вследствие высокой т-ры плавления и плохих вкусовых качеств. Рекомендуется добавлять его к комбинированным кормам для животных, что широко практикуется в США. Указано, что обработкой жира можно получить пищевой продукт с т-рой плавления 37° и лишенный всех недостатков, присущих натуральному жиру.

Ф. Неволин  
70321. Открытие антиоксидантов методом хроматографии на бумаге. II. Гандер (Papierchromatographischer Nachweis von Antioxydantien. II. Gander K. F.), Fette, Seifen, Anstrichmittel, 1956, 58, № 7, 506 (нем.)

Указано, что метод хроматографии на бумаге неприменим для доказательства наличия антиоксидантов (бутилоксианизола) в неочищ. растительных жирах из-за присутствия в них природных антиоксидантов. Положительная р-ция с дихлорхинонхлорамидом на бутилоксианизол в неочищ. растительных жирах служит доказательством того, что они содержат неизвестные фенольные соединения. Часть I см. РЖХим, 1957, 21065.

Т. Рудольфи  
70322. Замечания по йодометрическому методу определения перекисного числа в пищевых жирах.

Хадорн, Бифер, Зутер (Bemerkungen über die jodometrischen Verfahren zur Bestimmung der Peroxydahl in Speiseölen. Hadorn H., Briefer K. W., Suter H.), Z. Lebensmittel-Untersuch. und Forsch., 1956, 104, № 5, 316—323 (нем.)

Сравнивались различные методы определения перекисного числа (ПЧ) (Велера, Сулва (Sulv), Хадорна и Юнгкунца). Указано, что метод Хадорна и Юнгкунца для масел с ПЧ > 20 дает заниженные результаты по сравнению с другими методами. Большое влияние на результаты оказывает степень измельчения применяемого в анализе КЖ. Наиболее точные результаты дает применение независимого от кол-ва (0,1—1%) тонкоизмельченного КЖ. См. РЖХим, 1956, 79847.

А. В.  
70323. Указания по производству катализатора для гидрогенизации жиров. Гурияк (Wytuczne dla produkcji katalizatora do utwardzania tłuszczów. Górnjak Jan), Przem. spożywczy, 1956, 10, № 4, 169—171 (польск.)

Гидрогенизация масел на з-дах Польши осуществляется на Ni-катализаторе, который получается пиролизом формата никеля, диспергированного в масле. Для характеристики активности катализатора введено так называемое «число активности», выражаемое понижением йодного числа гидрируемого масла в отношении к числу граммов Ni, применяемого в качестве катализатора.

К. Betzecka  
70324. О кислотах, получающихся при производстве жирных спиртов. Варламов В. С., Спеева З. В., Маслоб.-жир. пром-сть, 1957, № 3, 21—22

Приведены данные о жирных к-тах (ЖК), образующихся в процессе окисления фракции синтина, выкипающей в пределах 245—320°, до жирных спиртов по методу, разработанному в Институте нефти АН СССР. Выделенные из возвратного синтина, маслянистого дистиллята и кубового остатка ЖК имеют следующие показатели: кислотное число (КЧ) 213, эфирное число 4,5, йодное число (ЙЧ) 39,3, карбонильное

число (КРЧ) 43,5, неомыляемых — 9,6%. Выход дистиллированных при 1 мм рт. ст. ЖК (на израсходованный синтин) 11,5%, в том числе мыловяренных ЖК — 8,2%. Выход кубового остатка 9,1% с КЧ 2,1; ПЧ 57,6; КРЧ 94,8; гидроксильным числом 12,9.

И. Вольфензон  
70325. Хроматографическое разделение жирных кислот на колонке для аналитических целей. Капител (Die Säulenchromatographische Trennung von Fettsäuren für analytische Zwecke. Kapitel W.), Fette, Seifen, Anstrichmittel, 1956, 58, № 2, 91—94 (нем.; рез. англ., франц., исп.)

Для разделения жирных к-т при помощи хроматографии применяется хроматографич. колонка, в которой находится кизельгур, пропитанный дихлордиметилсилианом и насыщенный парафином. В рубашку колонки подают воду с т-рой 35°. Вымывающий р-р фильтруется по 2 мл в сосуд, откуда он передается в титровальный стакан и титруется в токе N<sub>2</sub> водн. 0,01 н. NaOH по бромтимолсинему. Титровальный стакан освобождают при помощи вакуума и засасывают вновь щел. р-р. Смесь жирных к-т (пальмитиновой и стеариновой) наносят в верхнюю часть колонки и вымывают р-ром смеси ацетон — вода, насыщенной парафином (содержание ацетона в смеси 20—85% в зависимости от длины углеродной цепи к-ты). Таким образом отделяют ненасыщ. к-ты (олеиновую, линолевую, линоленовую) друг от друга и от насыщ. (стеариновой). Олеиновая и пальмитиновая к-ты не разделяются. При разделении небольших кол-в жирных спиртов в фильтрате произведено их окисление CrO<sub>3</sub> в р-ре CH<sub>3</sub>COOH в соответствующие жирные к-ты.

Т. Р.  
70326. Графическое изображение изменения веса материалов, находящихся в виде тонких слоев посредством фильмографа. Кауфман (Die graphische Darstellung der Gewichtsveränderung dünner Schichten mit Hilfe eines Filmographen. Kaufmann H. P.), Fette, Seifen, Anstrichmittel, 1956, 58, № 10, 844—847 (нем.)

Свежее сливочное масло с нормальной влажностью теряет 4,5% влаги в течение 2—3 час. при пропускании воздуха со скоростью 5 л/час (20°). Остаточная влажность (14%) прочно удерживается в масле. В тех же условиях сливочное масло с влажностью 36% теряет 21% влаги в течение 6 час. и остаточная влажность также ~ 14%, несмотря на продолжавшееся пропускание воздуха. Такие же определения проведены со свежим маргарином и с маргарином, хранившимся 10 месяцев в холодильной камере. Определения прироста веса в процессе самоокисления высыхающих масел (тунгового, льняного), не подвергнутых предварительной обработке, также после их предварительной термич. обработки в присутствии воздуха и азота, показали, что прирост веса необработанных масел происходит быстрее, нежели у полимеризованных масел. При этом образование пленки у необработанного льняного масла обнаружено после прироста веса на 16%, а у полимеризованного — после прироста веса на 6%. Проведены также определения убыли веса от потери влаги туалетным и ядровым мылом, кремом, стиральными порошками и прироста веса глицерином вследствие гигроскопичности. Подробно описана конструкция прибора (фильмографа).

Г. Фрид  
70327. Современные установки для непрерывной дезодорации жиров. Файнберг Е. Е., Товбин И. М., Маслоб.-жир. пром-сть, 1957, № 3, 18—20

Приведены схемы и описание установки Гирдлера для полунепрерывной дезодорации жиров и непрерывнодействующей дезодорационной установки Олье.

Г. Фрид  
70328. Мероприятия для экономии пара в непрерывном дезодораторе. Вернуа (Baßnahmen zur



Dampfersparris bei kontinuierlichen Dämpfern. Ver-  
nois G.), Seifen-Öle-Fette-Wachse, 1957, 83, № 3,  
54—55 (нем.; рез. англ., франц., исп.)

Для экономии пара при дезодорации масел рекомен-  
дуется непрерывный дезодоратор, работающий по  
принципу противотока, снизу которого подается пар,  
сверху масло. Дезодоратор представляет колонну из  
двух, лежащих одна на другой частей, между кото-  
рыми находится пароструйный компрессор. Рекомен-  
дуется в нижней части колонны держать вакуум  
~ 4—6 мм рт. ст., в верхней части ~ 20 мм рт. ст.;  
т-ру паров для затвердевающих растительных масел  
204—246°. В непрерывном дезодораторе по сравнению  
с периодическим продолжительность пропарки при  
равных т-рах уменьшается в 10,7 раз. Н. Фрумкина

70329. Технический прогресс в области производства  
туалетных мыл. Цильске (Technische Fortschritte  
auf dem Gebiete der Feinseifen-Herstellung. Zilske  
H.), Fette, Seifen, Anstrichmittel, 1956, 58, № 9,  
792—795 (нем.)

Обсуждаются преимущества новой конструкции пи-  
лировочных валцов и шнекпресса фирмы Miag. Рас-  
смотрены различные факторы, влияющие на качество  
туалетного мыла. Ф. Неволлин

70330. Новые виды мыла. Люринг (Reform-Seife.  
Lüring W.), Seifen-Öle-Fette-Wachse, 1955, 81,  
№ 22, 633—635 (нем.; рез. англ., франц., исп.)

Новый вид мыла, соответствующий современному  
оборудованию, должен обладать удобством для ручной  
стирки, высоким пенообразованием, неспособностью  
к значительному образованию Са-солей, и в особен-  
ности, свойством плавающего мыла. Такими свойства-  
ми обладает охлажденное не пилированное мыло с до-  
бавками. Образование порошкообразных солей на  
мыле предупреждают уменьшением влажности, под-  
ходящим жировым составом, быстрым охлаждением  
и наполнением мыла воздухом для сообщения одно-  
временно способности плавать. Этим достигается та-  
же связность, пластичность, меньшая усушка, луч-  
шая фиксация отдушек, меньшая истираемость и  
размягчаемость в горячей воде (уменьшение тепло-  
проводности) и более светлая окраска мыла из-за  
изменившихся благодаря воздуху условий светопро-  
ломления. Из подсушенной мыльной основы с фосфа-  
тами можно изготовить мыло «люкс» с 50% жирных  
к-т. (77 ч. 65%-ного мыла смешивают с 23 ч. добавок,  
жидких при нагревании, способных кристаллизироваться  
в микрокристаллы при быстром охлаждении). Г. Ш.

70331. Как варить хорошую основу. Франке (Wie  
siede ich eine gute Grundseife? Franke Bern-  
hard), Seifen-Öle-Fette-Wachse, 1956, 82, № 24,  
717 (нем.)

70332. Заменители кокосового масла. Трамази,  
Бхатти (Coconut oil substitutes. Tramazi Sul-  
tan Ahmad, Bhatti Anwar Ali), Soap and  
Chem. Specialties, 1956, 32, № 10, 43—45, 201 (англ.)

Изучена возможность замены кокосового масла  
(KM) в произ-ве туалетных мыл (М) другими расти-  
тельными маслами. Образцы М были изготовлены  
холодным способом с различным содержанием KM  
в рецептуре. Показано, что для обеспечения хорошей  
пенообразующей и моющей способности М они долж-  
ны содержать 50% KM в жировой основе, а остальные  
50% могут состоять из арахисового, кунжутного и  
касторового масел. В этом случае М содержит незна-  
чительные кол-ва свободной щелочи и нейтр. жира  
при содержании жирных к-т в требуемых пределах.  
М, полученное холодным способом, уступает пили-  
рованному М по содержанию влаги и жирных к-т:  
в первом случае содержание влаги 9,6—14,6%, а жи-  
рных к-т 65,27—69,25%, а в пилированном М содер-  
жание влаги 6,72—7,49% и жирных к-т 79,91—81,23%.

При хранении образцов М в течение года отмечено  
снижение влажности с 9,6—14,6% до 8,1—10,8%, на-  
менения содержания нейтр. жира, свободной щелочи  
и жирных к-т не обнаружено. Г. Фрид

70333. Микробиологическое образование пятен на  
мыле. Холло (Mikrobielle Fleckenbildung bei Sei-  
fen. Holló J.), Fette, Seifen, Anstrichmittel, 1956,  
58, № 9, 739—740 (нем.)

При хранении мыла в дождливую весеннюю и лет-  
нюю погоду на нем образуются темные пятна. Эти  
пятна обусловлены присутствием аэробных микробов,  
развивающихся только на поверхности мыла. Они  
размножаются при относительной влажности воздуха  
≥ 90% и растут только на слишком влажной поверх-  
ности. Анализ стружки мыла, снятой с поверхности  
кусков мыла (с пятнами и без пятен), показал, что  
она содержит соответственно (в %): воды 42,5 и 25,8;  
свободных жирных к-т 5,80 и 0,67; нелетучих жи-  
рных к-т 1,43 и 0,23. 1 кг мыла с пятнами содержит  
160 мг железа, а мыло без пятен 80—40 мг. Пятна  
появляются при отсутствии свободной едкой щелочи  
на поверхности мыла. Высокое содержание железа  
способствует прогорканию мыла и тем самым исчез-  
новению свободной щелочи. В присутствии соедине-  
ний серы, напр. 0,1% гидросульфата Na или 0,2% тио-  
сульфата Na, не происходит образования темных  
пятен. Ф. Неволлин

70334. Медицинские мыла. Тум (Medizinische Sei-  
fen. Tum Joh.), Seifen-Öle-Fette-Wachse, 1956, 82,  
№ 20, 565 (нем.)

Вводимые в мыла медицинские препараты должны  
быть сначала смешаны с пережиривающими средства-  
ми, а затем уже добавлены к мылу перед его механич.  
обработкой. Мыла из насыщ. жирных к-т (ЖК) обла-  
дают высокой дезинфицирующей способностью (ДС),  
а мыла из ненасыщ. ЖК почти не обладают ДС. ДС  
мыла из насыщ. ЖК повышается с возрастанием мол.  
веса ЖК, за исключением того, что мыло из пальми-  
тиновой к-ты обладает большей ДС, чем мыло из сте-  
ариновой к-ты. Ф. Неволлин

70335. О значении величины pH мыла. Бич (How  
important is your soap's pH. Beach Willis J.), Sa-  
fety, Maintain, and Prod., 1956, 111, № 6, 50—52 (англ.)

Обсуждается влияние мыла на кожный покров. Ука-  
зано, что гидролитич. щелочность мыла не оказывает  
существенного влияния на кожу, после смывания  
мыла водой на коже очень скоро устанавливается нор-  
мальная величина pH (5,5—6,5). Большее значение  
имеют щелочи, входящие в моющие средства в ка-  
честве наполнителей. Более раздражающее действие  
на кожу оказывают мыла низкомолекулярных к-т,  
имеющие меньшую величину pH, чем мыла высоко-  
молекулярных к-т с более высоким pH. Ф. Неволлин

70336. Лабораторный метод определения диаграмм  
состояния мыла по Мак-Бену. Лурри (Laborato-  
riumsmethode zur Bestimmung der Seifen-Diagramme  
nach McBain. Loury M.), Fette, Seifen, Anstrich-  
mittel, 1956, 58, № 9, 741—747 (нем.)

Приводится подробное описание методов работы,  
анализа и аппаратуры по определению различных фаз  
мыла. Ф. Неволлин

70337. О некоторых тенденциях на рынке синтетиче-  
ских моющих средств. Брусе (Some market trends  
in synthetic detergents. Bruce C. F.), Chem. Prod.,  
1957, 20, № 2, 53—55 (англ.)

70338. Возможности производства синтетических  
моющих средств в Индии. Бхаттачария (Possi-  
bilities of manufacturing syndets in India. Bhatta-  
charya R.), Indian Soap J., 1956, 22, № 6, 123—125  
(англ.)

Рекомендуется организовать произ-во синтетич.  
моющих средств на основе продуктов переработки

касторового масла (ундециленовая к-та, гентиловый альдегид, себациновая к-та и др.).

**70339. Возможность развития промышленности синтетических моющих средств в Индии; технологические процессы.** Бисواس (Immediate possibilities of development of syndets industry in India, with indications of manufacturing processes. Biswas A. K.), Indian Soap J., 1956, 22, № 6, 130—133 (англ.)

В Индии практически пром-сть синтетич. моющих средств (МС) не существует, ежегодно вырабатывается только 6000 т сульфированного касторового масла. Потребность текстильной пром-сти в МС выражается в 5000—10 000 т ежегодно. Ввиду отсутствия достаточных ресурсов нефтепродуктов рекомендуется развивать пром-сть МС на жировой основе (сульфированные моноглицериды, жирные спирты). Ф. Неволлин

**70340. Возможность срочного развития промышленности синтетических моющих средств в Индии; процесс производства.** Годреж (Immediate possibilities of development of syndets industry in India with indication of manufacturing process. Godrej B. P.), Indian Soap J., 1956, 22, № 6, 134—137 (англ.)

Индия в настоящее время должна импортировать алкилбензол для произ-ва синтетич. моющих средств. Сульфирование алкилбензола и последующие операции могут производиться в Индии. Указано, что синтетич. моющие средства найдут применение преимущественно в пром-сти, а в домашнем быту сохранит свое значение мыло, так как в Индии в большинстве мест вода мягкая, мыло стоит дешевле и сырье для произ-ва мыла имеется внутри страны. Ф. Неволлин

**70341. Особенности промышленности синтетических моющих средств.** Кане (Some features of the syndet industry. Kane J. G.), Indian Soap J., 1956, 22, № 6, 138—140 (англ.)

Указывается различие в исходном сырье и технологии изготовления мыла и синтетич. моющих средств. В Индии начинается развиваться произ-во синтетич. моющих средств на импортном сырье (хлорангидриды жирных к-т, жирные спирты, этаноламины и окись этилена). Сульфирование, нейтр-ция и последующие операции производятся на местных предприятиях.

**70342. Непрерывный процесс приготовления паст синтетических моющих средств.** Хьюбер, Бейкер, Шмидт (A continuous process for synthetic detergent slurries. Huber Harold E., Jr, Baker Peter J., Schmidt P. B., Jr), J. Amer. Oil Chemists' Soc., 1956, 33, № 2, 57—60 (англ.)

Описаны сульфирование алкилбензола 20%-ным олеумом и последующие операции. Сульфирование проводят в спец. реакторе. Алкилбензол проходит через кольцевое пространство и поступает в зону р-ции. К-та инжектируется через ряд отверстий, расположенных на различной высоте на оси, или проходит через охлаждающую рубашку. В 1-й зоне подается только  $\frac{1}{4}$  потребной к-ты, и р-ция здесь проходит при большом избытке алкилбензола, служащим разбавителем. Благодаря этому и интенсивному перемешиванию исключаются резкое повышение т-ры и местные перегревы. Через отверстие, расположенное на  $\frac{1}{4}$  высоты реакционной зоны, вводится еще  $\frac{1}{4}$  потребной к-ты и на  $\frac{1}{2}$  высоты добавляют остальное кол-во к-ты. Глубина сульфирования достигает 85—95% в зависимости от т-ры р-ции и соотношения к-ты к алкилату. Оптимальной т-рой считают  $\sim 25^\circ$ . Чтобы повысить глубину сульфирования до 98—99%, необходима дополнительная выдержка без перемешивания и нагревания в течение 40 мин. Разбавление сульфированного продукта водой производят в аппарате, аналогичном с сульфуратором. Т-ра при этом процессе  $55^\circ$ . Отстаивание происходит в спец. баке в течение 4 час.

при  $55^\circ$ . Верхний слой содержит 86—88% сульфокислот, а отработанная к-та имеет конц-ию 82—83%. Нейтр-цию производят в таком же аппарате, как и сульфуратор при охлаждении водой ( $20^\circ$ ). После нейтр-ции получают пасту, содержащую 0,3% несulfированного продукта, 45,5% сульфоната натрия, 6,6%  $\text{Na}_2\text{SO}_4$  и 47,6% воды. Ф. Неволлин

**70343. Непрерывное сульфирование при производстве синтетических моющих средств.**—(Continuous detergent sulfonation.—), Soap and Chim. Specialties, 1957, 33, № 1, 119, 121, 123 (англ.)

Олеум и алканы непрерывно инжектируют в 1-й реактор, который снабжен эжектирами и мешалкой. Олеум и алканы поступают в сульфированный продукт, благодаря чему теплота р-ции поглощается большой массой и тем самым исключаются местные перегревы и упрощается система охлаждения, что дает возможность вести р-цию при более высокой т-ре ( $\sim 50^\circ$ ). В 1-м реакторе глубина сульфирования достигает 95%. Из 1-го реактора масса перетекает во 2-й, где производится дополнительное перемешивание при т-ре на  $5\text{--}10^\circ$  выше, чем в 1-м реакторе. Из 2-го реактора смесь поступает в 3-й, где производится непрерывное разбавление смеси водой, после чего она поступает в 4-й реактор, где происходит непрерывное разделение сульфокислот и разб.  $\text{H}_2\text{SO}_4$ . В 5-м реакторе происходит непрерывная нейтр-ция сульфокислот, причем они поступают уже в нейтрализованную массу, благодаря чему теплота р-ции поглощается большой массой продукта и устраняется резкое местное повышение т-ры. Ф. Неволлин

**70344. Моющие и дезинфицирующие средства типа четвертичных аммониевых соединений.** Боровский (Quaternary ammonium type detergent-sanitizers. Borowsky Harry H.), Soap and Chem. Specialties, 1956, 32, № 3, 157, 159, 161, 165 (англ.)

Четвертичные аммониевые соединения (АС) обладают хорошей бактерицидной способностью, но плохим моющим действием. В целях получения продукта, который бы одновременно мыл и дезинфицировал, АС смешивают с неионогенными моющими средствами (МС). Последние способствуют также введению в композицию щел. солей. Бактерицидное действие АС увеличивается с повышением величины рН. Для повышения рН вводят фосфорные соли, которые одновременно служат и водосмягчающими средствами. Продукты подобного рода выпускают либо в жидком виде, либо в виде порошков. Жидкие продукты содержат 10% АС и 10—20% МС. В таких продуктах растворяется  $\leq 3\%$  фосфатов. В порошкообразных продуктах содержится 5% АС, 5% МС. Примерная рецептура порошкообразного продукта: АС (50%-ное) 10 ч., МС 5 ч., тетрапирофосфат натрия 50 ч., сода 3 ч., бикарбонат натрия 31 ч., краска и отдушка < 1 ч.

**70345. Дезинфицирующие, дезодорирующие и чистящие средства.**—(Disinfectants, deodorants, fumigants and cleaners.—), Bull. Amer. Railway Engng Assoc., 1956, 58, № 532, 415—422 (англ.)

**70346. Специальные моющие средства для автомобилей.** Дейвидсон (Specialties for the motorist. Davidsohn A.), Soap, Perfum. and Cosmetics, 1956, 29, № 9, 1017—1021 (англ.)

Рекомендованы рецептуры спец. препаратов: для мытья кузовов автомобилей, для полировки автомобилей, для очистки стекол автомобилей, против запотевания стекол автомобилей и безводн. моющего средства для рук. Ф. Неволлин

**70347. Исследование процесса стирки.** Вак, Ван Нюффел (La recherche scientifique dans la domaine de la blanchisserie. Vaack S. V., Van Nuffel J. A.), Soap and Chem. Specialties, 1956, 32, № 3, 157, 159, 161, 165 (англ.)

fel A.), Ind. chim. belge, 1956, 21, № 4, 359—368 (франц.; рез. флам., англ., нем.)

Указано на неудовлетворительность оценки результатов стирки по отражательной способности выстиранной ткани, выраженной в процентах к отражательной способности чистой ткани. Рекомендуется оценивать результаты стирки по конц-ии загрязнений, пользуясь ф-лой Кубелки — Мунк. Для определения зависимости удаления загрязнений от продолжительности стирки предлагается пользоваться ур-нем Бэкона — Смита. Процесс удаления загрязнений подчиняется одним и тем же законам, независимо от способа механич. воздействия. Влияние силы механич. воздействия на скорость удаления загрязнений не велико, за исключением первых минут стирки. Процесс повторного отложения загрязнений на ткань также зависит от величины механич. воздействия, оно не должно быть слишком большим. Чем дольше продолжается стирка и чем меньше воды, тем в большей степени происходит повторное отложение загрязнений, поэтому две последовательные стирки лучше удаляют загрязнения, чем одна стирка при той же общей продолжительности. Удаление загрязнений наиболее быстро происходит в первые минуты стирки.

Ф. Неволлин  
70348. Физическая характеристика моющих средств применительно к их практической оценке. Мухерджи (The physical characteristics of detergents in relation to their practical performance. Mukherjee S. K.), Indian Soap J., 1956, 22, № 6, 126—129 (англ.)

70349. Анализ моющих средств. Валле (Zur Analyse der Reinigungsmittel. Vallée J.), Fette, Seifen, Anstrichmittel, 1956, 58, № 9, 740—741 (нем.)

Краткое изложение некоторых усовершенствований в методах анализа поверхностноактивных в-в.

Ф. Неволлин  
70350. Реакции воды, содержащей железо со щелочами, фосфатами и синтетическими моющими веществами. Ольденрот (Verhalten von eisenhaltigem Wasser gegen Alkalien, Phosphate und konfektionierte Waschmittel. Oldenroth O.), Fette, Seifen, Anstrichmittel, 1955, 57, № 4, 225—229 (нем.; рез. англ., франц., исп.)

Одной из причин недостаточной белизны ткани после стирки является адсорбция ею железа (I) из воды. Бельевые загрязнения также содержат до 32 мг I на 1 штуку нижнего белья. Для связывания I в процессе стирки поставлены лабор. опыты с применением воды, содержащей 2 мг/л I без или с добавлением порознь р-ров соды (3 г/л), метасиликата (2 г/л), триполифосфата (2 г/л), пиррофосфата (2 г/л). Образцы ткани обрабатывают 20 раз при 30, 60 и 90° (по 15 мин.). Найдено, что наибольшее пожелтение вызывает вода с добавлением соды, затем вода без добавок и вода с метасиликатом. Фосфаты, особенно пиррофосфат, дают значительно меньшее пожелтение. При отбелке ткани в-вами с активным кислородом отмечено вредное действие I, содержащегося в воде на прочность ткани, в особенности при 90°. Добавление фосфатов связывает I и сводит деполимеризацию волокон до ничтожных размеров. Исследование действия фосфатов в р-рах  $H_2O_2$  в щел. среде показало, что они ускоряют отщепление кислорода вопреки литературным данным об их стабилизирующем действии на  $H_2O_2$ . Наибольшей способностью связывать I в мягкой воде обладает  $Na_4P_2O_7$ ,  $Na_5P_3O_{10}$  проявляет свое действие при конц-ях 0,5—1 г/л. В жесткой воде лучшие результаты достигнуты при конц-ии фосфатов 3 г/л. При вытеснении I из специально обработанной хлопковой пряжи наибольшей связывающей

способностью обладают р-ры фосфатов без добавок соды при pH 9,2—9,7. Лабор. и практич. опыты связывания I в мягкой и жесткой воде с применением продажных смягчающих и моющих препаратов, дают различные результаты в зависимости от состава, жесткости воды и пр.

Г. И. Шураев  
70351. Применение меченых атомов для оценки моющей способности. Манос (Radioactive tracer techniques in fabric washing studies. Manos Christos), Soap and Chem. Specialties, 1956, 32, № 7, 31—32, 46 (англ.)

Очень небольшое кол-во радиоактивного углерода смешивают с небольшим кол-вом минер. масла и этой смесью натирают поверхность кружочка ткани. Последняя операция выполняется спец. машиной. Радиоактивное загрязнение на каждом кружочке ткани измеряют счетчиком Гейгера. Для стирки каждого кружочка берут 7 мл моющего р-ра. Стирка производится в спец. стиральной машине. Выстиранные кружочки ткани отжимают в течение 5 мин. между листами фильтровальной бумаги, затем сушат, после чего с помощью счетчика Гейгера измеряют кол-во оставшегося радиоактивного загрязнения. Ф. Неволлин

70352. Усовершенствование метода определения моющей способности. Часть I. Смит, Тейлор (Development of a detergent test. Part I. Smith W. B., Taylor A.), J. Soc. Cosmetic Chemists, 1955, 6, № 2, 96—107 (англ.)

Для определения моющей способности пользуются методом мытья загрязненных тарелок. Загрязнение может быть естественным или искусственным. Моющий эффект выражается числом вымытых тарелок при полном исчерпании моющего средства (до прекращения пенообразования). Описывается организация проведения опытов и обработка эксперим. данных.

Ф. Неволлин  
70353. Усовершенствование, оценка и сбыт шампуней. Пауэрс (Development, evaluation and marketing of shampoos. Powers D. H.), Drug and Cosm. Ind., 1956, 79, № 6, 768—769, 849—851 (англ.)

Определение пенообразовательной способности и пеноустойчивости шампуней, приготовленных из мыла и различных синтетич. моющих средств, следует производить как в мягкой, так и жесткой воде, а также в присутствии в-в, обычно находящихся на волосах (жир, пот и т. д.).

Ф. Неволлин  
70354. Оценка чистящих средств для унитазов. Швейцер, Багшоу (Evaluation of toilet bowl cleaners. Schweitzer Paul, Bagshaw Jay F.), Soap and Chem. Specialties, 1956, 32, № 11, 129—131, 174, 185 (англ.)

Испытания проводят на фарфоровых пластинках (на которые в качестве загрязнения наносятся р-р хлорного железа) измерением отражательной способности до и после чистки.

Ф. Неволлин  
70355. Бактериологические исследования с поверхностноактивными моющими средствами. Дёлль (Bakteriologische Untersuchungen mit oberflächenaktiven Waschmitteln. Döll W.), Fette, Seifen, Anstrichmittel, 1956, 58, № 9, 778—779 (нем.)

Установлено, что синтетич. моющие средства: а) смесь первичных алкилсульфатов и алкилбензолсульфоната; б) смесь алкиларилсульфоната и сульфированного продукта конденсации жирных к-т при конц-ии 0,025 и 0,25% активного в-ва подавляют рост грамположительных бактерий и не действуют на грамотрицательные.

Ф. Неволлин  
70356 П. Способ очистки и обесцвечивания растительных масел, экстрагированных из жмыха растворителями (Procédé de purification et de décoloration d'huiles végétales extraites des tourteaux par des



solvents) [Montecatini (Soc. Gen. per l'Industria Mineraria e Chimica). Франц. пат. 1115293, 23.04.56]

Масла, особенно оливковое масло из выжимок, полученное экстракцией р-рителями, напр.  $\text{CS}_2$ , содержащее до 65% свободных к-т и примеси неомыляемых в-в, растворяют при т-ре  $\sim 20^\circ$  в подходящих р-рителях, напр.  $\text{CH}_3\text{OH}$  и (или)  $\text{C}_2\text{H}_5\text{OH}$  и (или) их гомологах, отфильтровывают нерастворимые в-ва, прибавляют глицерин (I) в отношении 1:1 к кол-ву взятого масла и нагревают с обратным холодильником 1—2 часа при т-ре кипения спирта. Отделяют выделившиеся нерастворимые примеси, отгоняют спирт и отделяют нижний слой I. Масло обесцвечивают известным способом, напр. 4%-ным р-ром  $\text{H}_2\text{O}_2$  и этерифицируют I. В. Красева

**70357 П. Рафинация мисцеллы. Фолзенлоген** (Miscella refining. Folzenlogen Robert G.) [The Procter & Gamble Co. of Canada]. Канадск. пат. 509520, 25.01.55

В процессе рафинации мисцеллы перемешивание ее с води. р-ром щелочи рекомендуется проводить в присутствии по крайней мере одного недиссоциирующего компонента (НК), жидкого при  $27^\circ$  (неполного простого эфира многоатомного спирта с 2—3 гидроксильными и 2—8 атомами С), напр. полигликоля с  $\geq 2$  остатками гликоля, каждый из которых содержит 2—4 атома С, или полипропиленгликоля с мол. в.  $\sim 400$ . Водородные атомы обоих гидроксильных полигликолей могут быть замещены алкильными группами с 1—18 атомами С. В. Белобородов

**70358 П. Способ обработки жмыхов для извлечения из них масла с низкой кислотностью. Фабер** (Procédé de traitement des grignons frais et autres pour l'obtention d'une huile lampante peu acide. Fabre René). Франц. пат. 1115253, 23.04.56

Жмыхи (Ж) или другие содержащие жир твердые материалы помещают в экстрактор (Э), установленный над испарителем, из которого пары р-рителя поступают в верхнюю часть Э, над которым находится охлаждающий змеевик. Горячий конденсат протекает через слой Ж и вместе с извлеченным маслом стекает в испаритель. После 2—3 час. работы аппарата масло, содержащееся в Ж, полностью экстрагируется. Для удаления р-рителя, пропитывающего Ж, в верхнюю часть Э подают пар, который выдувает р-ритель в испаритель. Вся операция занимает в 4 раза меньше времени, чем при применении обычных методов, позволяет лучше использовать тепло, сокращает потери р-рителя и позволяет избежать соприкосновения с воздухом. В. Красева

**70359 П. Способ получения твердых восков** (Procédé pour la préparation de cires dures) [Badische Anilin- & Soda-Fabrik A.-G.]. Франц. пат. 1108977, 19.01.56

Твердые воска получают этерификацией смесей высокомолекулярных жирных к-т с многоатомными спиртами, имеющими  $\geq 3$  гидроксильных групп. Этерификацию проводят так, чтобы осталась свободная OH-группа, которую затем вводят в р-цию с соединением, имеющим 2 функциональные группы, разделенные  $\geq 2$  атомами С, не содержащими двойных связей, лучше двусоединными к-тами или их производными и (или) диизоцианатами. Примеры. 1. 760 ч. к-т, полученных окислением хромовой смесью буроугольного воска, 134 ч. триметилпропана и 0,9 ч.  $\text{H}_2\text{SO}_4$  в виде 20%-ного водн. р-ра нагревают при  $120^\circ$  до тех пор, пока кислотное число (КЧ) не станет постоянным. Охлаждают до  $90^\circ$ , вводят при перемешивании 80 ч. гексаметилендиизоцианата и оставляют на 1 час при  $120$ — $130^\circ$ . Получают очень твердый прозрачный воск с т. плавл.  $76^\circ$ . 2. Нагревают 1080 ч.

смеси к-т, полученных из отвержденного рапсового масла с 136 ч. пентаэритрита при  $200^\circ$  до постоянного КЧ продукта. Охлаждают до  $150^\circ$ , прибавляют 75 ч. адипиновой к-ты и нагревают при  $150$ — $170^\circ$  до постоянного небольшого КЧ. Получают твердый прозрачный воск с т. капл.  $69^\circ$ . 3. 760 ч. к-т, полученных окислением хромовой смесью буроугольного воска, 106 ч. бутантриола-1,2,4 и 0,8 ч.  $\text{C}_6\text{H}_5\text{SO}_3\text{H}$  нагревают при  $120^\circ$  до установления постоянного КЧ. Охлаждают до  $90^\circ$ , прибавляют 80 ч. гексаметилендиизоцианата и нагревают 1 час при  $120$ — $130^\circ$ . Получают очень твердый бесцветный воск с т. капл.  $80^\circ$ . Вместо к-т из буроугольного воска можно применять соответствующее кол-во смеси к-т, полученных окислением парафина с т. кип.  $350^\circ$  и повышенной т-рой плавления. В. Красева

**70360 П. Детергенты. Грифо** (Détersifs. Grifo Richard A.) [General Aniline & Film Corp.]. Франц. пат. 1083752 12.01.55 [Teintex, 1955, 20, № 7, 589 (франц.)]

Новый детергент содержит соединение общей ф-лы  $\text{RO}(\text{CH}_2\text{CH}(\text{X})\text{O})_n\text{SO}_3\text{M}$ , где R — алкирил или алкил, содержащий  $\geq 10$  атомов С и имеющий несколько боковых цепей, X — Н или  $\text{CH}_3$ , М — одновалентный солибилизирующий катион,  $n = 1$ —8. Таким в-вом может быть  $\text{NH}_4$ -соль сернокислого эфира в-ва, полученного конденсацией 1 моля тридеканола с 2 молями окиси этилена или 1 моля изеокил- или нонилфенола с 4 молями окиси этилена. Кроме того, детергент содержит 5—50 вес.% одной или нескольких водорастворимых солей многовалентного металла, напр. бромид, хлорид, сульфат или нитрат Mg, Ca, Al или Fe. В. Красева

**70361 П. Твердые смеси, содержащие мочевины и полиоксипропиленовые эфиры смоляных спиртов.** Баркер (Solid compositions containing urea and polyoxyethylene ethers of resin alcohols. Barker George E.) [Atlas Powder Co.]. Пат. США 2724700, 22.11.55

Патентуется смесь, представляющая собой твердый продукт взаимодействия 30—90 ч. мочевины и 10—70 ч. полиоксипропиленового эфира смоляного спирта (гидроабетиленового спирта), содержащего  $\geq 4$  (лучше от 8 до 20) оксипропиленовых групп, связанных с 1 молекулой спирта, и имеющего жидкую или воскоподобную консистенцию. Смоляные спирты входят в состав копалов, экстракционной или живичной капрофилы и получают преимущественно гидрированием. Полиоксипропиленовые эфиры смоляных спиртов получают при непосредственном добавлении окиси этилена под давлением при повышенной т-ре в присутствии катализатора к спиртам. Способ получения смеси заключается в перемешивании твердой молотой или расплавленной мочевины с эфиром, смешивании мочевины с эфиром и водой; содержание воды составляет 50% от смеси, образующей гранулы при высушивании разбрызгиваемой пасты. Охлажд. твердая масса может быть отпрессована. Твердая смесь может быть получена в форме гранул при смешивании эфира с  $\geq 50\%$  щел. моющих в-в; фосфатов, силикатов, боратов или карбонатов Na. Содержание смеси эфира и мочевины в этом случае  $\geq 3\%$ . Напр., 50 г мелкораздробленной мочевины смешивают при  $40$ — $50^\circ$  с 50 г полиоксипропиленового эфира, полученного добавлением 60 ч. окиси этилена к 100 ч. продажного гидроабетиленового спирта. Смесь образует компактную массу, через 24 часа масса становится твердой и может быть превращена в хлопья. В. Киселев

**70362 П. Твердые составы, содержащие простые полиоксипропиленовые тиоэфиры и мочевины.** Баркер (Solid compositions containing polyoxyethylene

thioethers and urea. Barker George E.) [Powder Co.]. Пат. США 2724699, 22.11.55

Твердый детергент состоит из мочевины и  $\geq 10\%$  жидкого или воскоподобного полиоксиэтиленового тиоэфира ф-лы  $RS(CH_2CH_2O)_nH$  ( $R$  — незамещ. алкил с 12—20 атомами  $C$ ,  $n$  — число, равное  $\frac{2}{3}$  от кол-ва атомов  $C$  в  $R$ ); в частности детергент содержит 30—90 ч. мочевины и соответственно 70—40 ч. тиоэфира указанной ф-лы, в которой  $R$  — трет-додецил и  $n \geq 8$ . Детергент может также содержать  $\geq 50\%$  цел. моющего средства (фосфата, силиката, бора или карбоната  $Na$ ) и  $\geq 3\%$  указанной смеси мочевины с тиоэфиром. Для изготовления детергента тиоэфир вводят в расплавленную мочевины, смешивают и охлаждают до затвердевания или же смешивают компоненты в присутствии воды и высушивают р-р в распылительных сушильках.

А. Жданов  
70363 П. Синтетические моющие средства в форме кусков на основе жирных спиртов (Pain détergent à base d'alcool gras) [Sinnova on Sadic]. Франц. пат. 1111670, 2.03.56

Синтетические моющие средства в форме кусков готовят из смеси сульфированных жирных спиртов группы  $C_{12}-C_{14}$  (50—90%) и группы  $C_{16}-C_{18}$  (50—10%). Содержание влаги в конечном продукте  $\leq 7\%$ . Обработку производят на обычных машинах для произ-ва туалетного мыла.

Ф. Неволин  
70364 П. Смачивающие вещества (Wetting agents) [Durand and Huguenin A.-G.]. Англ. пат. 730461, 25.05.55

Водные эмульсии, обладающие высокой смачивающей способностью, получают из смачивающего в-ва, представляющего собой смесь водонерастворимого нейтр. триалкил- или триалкоксиалкилового эфира фосфорной к-ты и водорастворимого поверхностно-активного в-ва (соли алкиларилсульфокислоты с 3—14 атомами  $C$  в алкильной цепи; соли сульфокислот эфиров органич. поликарбонатов к-т; соли сульфатов жирных спиртов или олефинов, содержащих 8—18 атомов  $C$  в цепи; соли продуктов конденсации жирных к-т с 11—17 атомами  $C$  в цепи, где карбоксильная группа блокирована этерификацией или амидированием окси- или аминосоединениями, содержащими сульфо- или карбоксильную группу; соли производных сульфированного имидазола, содержащего алифатич. радикал с 8—18 атомами  $C$ , присоединенный к кольцу в положении 2; соли четвертичных аммониевых соединений, содержащих 8—18 атомов  $C$  в цепи; соли аминов с 17 атомами  $C$  в цепи). Пример: 100 ч.  $N:N$ -диэтил- $N$ -метил- $N'$ -олеил-этилендиаминметилсульфата или 2-гептадецилбензилмидазолсульфоната смешивают с 40 ч. воды и 20 ч. трибутилфосфата.

Ф. Неволин  
70365 П. Способ получения поверхностноактивных продуктов сульфирования. Пюшель (Verfahren zur Herstellung oberflächenaktiver Sulfonierungszeugnisse. Püschel Fritz). Пат. ГДР 11825, 25.06.56

Поверхностноактивные в-ва получают обработкой тетрагидрофуриламинов жирных, смоляных, нафтеновых к-т или их смесей сульфлирующими агентами, содержащими связывающую воду добавку, с последующей нейтр-цией продуктов р-ции органич. или неорганич. основаниями. Напр., 250 г тетрагидрофуриламинов жирных к-т кокосового масла, полученных нагреванием соответствующих к-т с тетрагидрофуриламином до  $160^\circ$  с одновременной отгонкой воды, сплавляют при  $45^\circ$  и перемешивании с 320 г  $ClSO_3H$  (при  $\leq 45^\circ$  в начале и  $\leq 35^\circ$  к концу прибавления  $ClSO_3H$ ). Перемешивание при  $35-40^\circ$  продолжают 1 час, нейтрализуют смесь 500 г 45%-ного водн. р-ра  $NaOH$  и 350 г льда и устанавливают слабощел.

р-цию по фенолфталеину. Продукт р-ции обладает хорошими моющими свойствами в конц-ии 0,5 г/л и устойчив к жесткой воде. Аналогично могут быть обработаны также и тетрагидрофуриламины нафтеновых к-т и синтетич. жирных к-т с 10—16 атомами  $C$ , полученных окислением парафинов.

Б. Дяткин  
70366 П. Способ получения неионогенных поверхностноактивных соединений. Амэнде (Verfahren zur Herstellung nichtionogener, grenzflächenaktiver Verbindungen. Amende Joachim) [Chemische Werke Hüls A.-G.]. Пат. ФРГ 952800, 22.11.56

Патентуется способ получения неионогенных поверхностноактивных соединений конденсацией органич. диаминов, содержащих первичную и третичную аминогруппы, с высокомолекулярными карбоновыми к-тами, с последующей р-цией присоединения полученного амида к-ты и окиси этилена или пропилена. В качестве таких аминов рекомендуют асимметричный диалкилэтилендиамин, диалкилпропилендиамин, диалкилфенилендиамин, диалкилциклогексилдиамин, аминопиридин, морфолиэтиламин, морфолилпропиламин, морфолилбутиламин и т. д. В качестве высокомолекулярных карбоновых к-т употребляют природные и синтетич. высшие жирные к-ты, нафтеновые к-ты, смоляные к-ты. В результате получают масло- или водорастворимое соединение, обладающее превосходной диспергирующей способностью. Напр., 1 моль морфолиэтиламина нагревают до  $150^\circ$  с 1 моль олеиновой к-ты до отщепления воды. Полученный амид к-ты присоединяют к 7 молям окиси этилена при  $180^\circ$ .

Н. Фрумкина

См. также: Синтетич. моющее средство 68102. Состав жира кита 23614Бх; исслед. жиров водных беспозвоночных 23607Бх.

## УГЛЕВОДЫ И ИХ ПЕРЕРАБОТКА

Редактор М. С. Гарденин

70367. Экономика использования сахарозы. Хасс, Ламборн (Economics of sucrose. Hass H. B., Lamborn Ody H.). Industr. and Engng Chem., 1955, 47, № 7, 1392—1397 (англ.)

Изучение вопросов мировой выработки и потребления сахара позволило прийти к выводу, что имеются экономич. возможности использовать сахарозу не только для пищевых целей, но и как сырье для органич. синтеза с получением ряда продуктов, выпускаемых в настоящее время из более дефицитных исходных материалов и в первую очередь из жиров. Из сахарозы можно получить высокополимерные соединения, р-рител, детергенты, эмульгаторы, маннит, сорбит и их производные. Библи. 17 назв.

Г. Бения  
70368. На сахарных заводах Дании и Голландии. Еппинг А. С., Сахарная пром-сть, 1956, № 8, 61—71

Описаны схемы установок для улавливания и переработки хвостиков и боя свеклы на сахарных з-дах Саксёуборг (Дания) и Туренки (Финляндия) и непрерывнодействующий диффузионный аппарат системы Брюнихе-Олсена, работу которого автор наблюдал на сахарных з-дах Дании; приведены результаты работы трех установок. Кроме того, описана лабор. однопериодная диффузионная установка Брюнихе-Олсена, признанная стандартной установкой для лабор. исследований по выщелачиванию свекловичной стружки.

Г. Бения  
70369. Изучение кристаллов сахарозы. Пауэре (Sucrose crystal studies. Powers H. E. C.), Internat. Sugar J., 1956, 58, № 693, 246—248, 249 (англ.)

Опыты показали, что в кристаллах чистой сахарозы содержится вода, причем с увеличением размеров кристалла повышается и содержание воды; в кристаллах нормального рафинированного сахара с размером 0,25 мм внутренней воды находится 0,01%, а в кристаллах 25 мм — 0,4%. Для установления распределения воды и несахаристых в-в в кристаллах сахарозы проведены наблюдения микроструктуры сколотых плоскостей кристаллов различной величины с помощью электронного микроскопа. Так как микрофотографии больших и малых кристаллов показали небольшую разницу, то при дальнейших опытах пользовались кристаллами, выращенными при строго определенных условиях (высокий и низкий коэф. пересыщения маточного р-ра, различная скорость вращения одиночных кристаллов в р-ре, рост кристаллов в вязкой среде с применением агара). Наблюдения над ростом кристаллов под микроскопом не подтвердили дендритного характера этого роста; фотографии показали послойное отложение сахарозы на кристаллах с наличием мест включения жидкости; высказаны также предположения о возникновении зародышей кристаллов.

Г. Бенин  
70370. О диффузии некоторых электролитов через свекловичную ткань. Вендер (O difuzi některých elektrolytů řepnou tkání. Vender Milan), Listy cukrovarn., 1955, 71, № 9, 220—222 (чешск.; рез. русск.)

Исследована скорость диффузии некоторых электролитов через свекловичную ткань в зависимости от температуры и вязкости среды. Описана методика. Установлено, что диффузия электролитов через свекловичную ткань при поперечном срезе выше, чем при продольном; диффузия солей зависит от их аниона. Для солей калия выявлена скорость диффузии согласно ряду:  $Cl^- > NO_3^- > SO_4^{2-} > CH_3COO^-$ , а для солей натрия —  $Cl^- > SO_4^{2-} > NO_3^- > CH_3COO^-$ . Экспериментально выявлена зависимость диффузии KCl и NaCl от концентрации сахарного р-ра (вязкость среды); в диффузионной батарее выщелачивание из стружки электролитов отличается от выщелачивания сахара. Наибольшее кол-во солей Ca и Mg переходит в сок при соприкосновении его со свежей стружкой. Соли K и Na диффундируют из опаренной стружки; при соприкосновении сока со свежей стружкой, несмотря на большую концентрацию K и Na в стружке, концентрация их в соке уменьшается, что объясняется новообразованием и адсорбцией их свекловичной тканью.

Е. Шнайдер  
70371. Новые результаты эксплуатации и испытания непрерывнодействующего диффузионного аппарата датской конструкции. Ламуш (Nouveaux résultats d'exploitation et d'essais sur une diffusion continue danoise. Lamouche Henri), Inds aliment. et agric., 1956, 73, № 5, 337—341 (франц.; рез. англ.)

Кратко описаны конструкция непрерывнодействующего диффузионного аппарата «Брюнхе — Олсен» (Дания) и расчет его производительности. Показано влияние на работу аппарата качества и размеров свекловичной стружки. Описана схема регулирования работы аппарата. Приведены результаты его эксплуатации на сахарном з-де «Сент-Эмили» (Франция).

Д. Бронштейн  
70372. Удаление пены из диффузионного сока. Гамоус (Odpeňování difusní šťávy. Hamous Josef), Listy cukrovarn., 1956, 72, № 11, Příloha, 32 (чешск.)

Установлено, что плотность диффузионного сока, освобожденного от пены на 0,05—0,5 Бр. выше чем обычного (с пеной). Поскольку в произ-ве пересчет объема откачиваемого сока в весовые проценты

к весу свеклы производится по плотности сока освобожденного от пены, то этим несколько увеличиваются неопределенные потери сахара на диффузии. При разнице в плотности в 0,25 Бр. уменьшение неопределенных потерь на диффузии составит 0,02%. Рекомендуется откачиваемый диффузионный сок завешивать. Предыдущее сообщение см. РЖХим, 1957, 21309.

Е. Шнайдер

70373. Изучение возможностей производства высококачественной мелассы. Анчета (A study of the possibilities of high test molasses production. Ancheta Teofilo R.), Sugar News, 1956, 32, № 11, 591—599 (англ.)

Высококачественная меласса, содержащая ~85% сухих в-в, 60% инвертного сахара и 25% сахарозы, может быть получена на тростниковосахарном з-де одним из трех способов: 1) переработкой мелассы с инвертированным сиропом, 2) переработкой мелассы с инвертированным р-ром сахара-сырца, 3) непосредственным инвертированием сиропа. Рассмотрены особенности и выгодность каждого способа в зависимости от цен на высококачественную мелассу и возможностей сбыта сахара-сырца в условиях филиппинского рынка.

Г. Бенин

70374. Экономические соображения о производстве высококачественной мелассы. Доминго (Economic aspects of the manufacture of Hi-test molasses. Domingo Jose P. Sto.), Sugar News, 1956, 32, № 12, 652—656 (англ.)

70375. Уменьшение расхода карборфина на рафинадных заводах. Клейнгерман А. С., Либкинд Л. И., Сахарная пром-сть, 1957, № 4, 29—30

Опыты, проведенные в рафинадном цехе Красноярского сахарного з-да, показали, что добавление в колеровочный котел-смеситель зеленой патоки первого рафинада 0,1% карборфина (K) и 0,5% отхода костеугольной крупки, предварительно просеянной через сито с отверстиями 1 мм, дает такой же эффект обезбачивания, как и добавление K в кол-ве 0,2% к весу сахара в патоке. Для снижения расхода K рекомендуется применять комбинированный адсорбент (K и отходы крупки) на з-дах, применяющих фильтрацию с K рафинадных сиропов.

Г. Бенин

70376. О концентрации и качестве заливаемого клерса. Зеликман И. Ф., Сахарная пром-сть, 1957, № 3, 20—23

Рекомендуется при прессовом способе произ-ва рафинада применять заливающий клерс, концентрация которого близка к концентрации насыщ. сахарного р-ра при т-ре пробелки (70—72% сухих в-в). Заливающий клерс следует готовить из высококачественных продуктов — отходов разделочного цеха, лучших сахарных песков, отбора рафинадных фильтров.

Г. Бенин

70377. Разгрузить лаборатории рафинадных заводов от лишних анализов. Зеликман И. Ф., Сахарная пром-сть, 1956, № 11, 14—16

В целях сокращения затрат труда на работы по учету и отчетности в сахарной пром-сти предлагается пересмотреть производственные инструкции по химико-технологич. контролю и учету произ-ва. Приводятся примеры, показывающие ненужность ряда анализов сырья и продуктов произ-ва.

Г. Бенин

70378. Адсорбция ионообменными материалами сахаров, растворенных в смесях этанола с водой. Рюккерт, Самюэльсон (Adsorption of sugars on ion exchangers from ethyl alcohol-water solutions. Rückert Heinz, Samuelson Olof), Svensk kem. tidskr., 1954, 66, № 12, 337—344 (англ.)

Даны результаты изучения адсорбции глюкозы и сахарозы ионообменными смолами Дауэкс-50 и Дауэкс-2, «заряженными» разными катионами и анионами.

А. Кононов



**70379. Критерий качества пластинчатой свекловичной стружки.** Сичевой П. С., Сахарная пром-сть, 1957, № 2, 53—56

Вместо существующего способа оценки качества свекловичной стружки (по длине 100 г) рекомендуется новый критерий, в основу которого положено измерение толщины, сжимаемости и проницаемости стружки.

Г. Бенин

**70380. Полярографический и полярометрический (амперометрический) методы определения кальция в сахарных соках при помощи комплексонов.** II. Вальтер, Чиж (Polarografické a polarometrické stanovení vápníku v cukrných šťávách pomocí komplexonů. II. Valter Vladimír, Čiž Karel), Listy cukrovarn., 1956, 72, № 4, 85—87 (чешск.; рез. русск., нем.)

Проведены сравнительные опыты определения Са в продуктах сахарного произ-ва (соке, сиропе, утфеле, мелассе) полярографич. и амперометрич. методами. Методика полярографич. определения: 2 мл сока + 0,5 мл желатина + 3 мл 0,1 Zn-комплексоната и после доведения конц.  $\text{NH}_4\text{OH}$  до 10 мл полярографировали от 0,8 в до 1,6 в. Жесткость сока выражали в мг% СаО на 100 Бр. Амперометрич. определение: 2 мл сока + 1 мл 0,5% желатина + 3 мл 0,01 М  $\text{Zn}(\text{NO}_3)_2$ , доводили конц.  $\text{NH}_4\text{OH}$  до 10 мл и титровали из микробюретки 0,01 М комплексом II при 1,5 в, пользуясь каломельным и капельно-ртутным электродами. 1 мл реактива соответствовал 28 мг% СаО. Установлено, что полярографич. метод определения Са<sup>++</sup> дает завышенные результаты по сравнению с амперометрич. или классическими (весовой, объемный). Для определения Са<sup>++</sup> в темных продуктах сахарного произ-ва наиболее пригодным является амперометрич. метод. Часть I см. РЖХим, 1956, 70168.

Е. Шнайдер

**70381. Быстрые методы определения влаги в жоме.** Бенин Г. С., Цируль В. А., Сахарная пром-сть, 1956, 12, 51—53

Экспериментально установлена возможность применения прибора Чижовой (прогревание исследуемого материала в тонком слое термозлучением) для определения влажности жома; при навеске жома в 2 г и т-ре 145° продолжительность определения составляет 5 мин. Также пригоден метод открытой дистилляции с применением парафина, при котором все операции (взвешивание, нагрев и дистилляция) занимают 25—30 мин.

Г. Бенин

**70382. Об истощении мелассы.** Мирцев (O wyczerpaniu melasy. Mircev A.), Gaz. cukrown., 1956, 58, № 5, 102 (польск.)

По хим. анализу мелассы (М) невозможно судить о правильности проведенного процесса кристаллизации и истощении мелассы (М). Изучение М сахарных з-дов Чехословакии показало зависимость между достижимой степенью истощения М, вязкостью М, доброкачественностью и др. Показано, что М, полученная в один и тот же период произ-ва на разных з-дах, поразному поддается истощению. «Нормальные М» в СССР и Чехословакии определяются различными методами, в связи с их разными плотностями.

Д. Бронштейн

**70383. Количественное определение бактерий в промежуточных продуктах тростниковосахарных заводов.** Шукла, Капур (A quantitative bacteriological examination of sugar factory products incident to manufacturing process. Shukla J. P., Kapoor B. D.), J. Scient. Soc., 1955, 4, 34—38 (англ.)

Приведены результаты колич. определения бактерий, дрожжей, плесневых грибов и других микроорганизмов на тростниковосахарных з-дах Индии, начиная от сока из отстойников и кончая упакованным

сахаром. Определения велись по методике Южно-Африканского Бюро стандартов.

Г. Бенин

**70384. Опыт переработки тростникового сахара-сырца.** Рострипенко И. А., Сахарная пром-сть, 1957, № 4, 25—28

На основании производственного опыта рекомендуется уточнение технологич. схемы; в частности исключение решоферов для подогрева колеровок перед дефекацией, сокращение времени дефекации до 4—5 мин., аффинация сырца в течение 45 мин. при 45° и плотности утфеля 89—90% сухих в-в, применение четырехпродуктовой схемы варки утфелей и расходование на дефекацию 2,5—3,0% извести.

Г. Бенин

**70385. Расчет аппаратуры и установок сахарного завода. Диффузионная батарея. Подгородецки (Obliczenie aparatury i urządzeń cukrowni. Bateria dyfuzyjna. Podgorodecki Jan), Gaz. cukrown., 1956, 58, № 6, 138—141 (польск.)**

Изложена методика расчета типовой диффузионной батареи. Приведены основные ф-лы и пример.

Я. Штейнберг

**70386. Регулирование выпарки по способу проф. П. М. Силина.** Труб И. А., Сахарная пром-сть, 1957, № 1, 44—47

В схему регулирования выпарки по способу П. М. Силина рекомендуется взамен редукционного клапана включить пароструйный компрессор.

Г. Бенин

**70387. Автоматизация центрифуг в сахарном производстве.** Вотава (Automatisace cukrovarnických odstředivek. Votava Libor), Elektrotechnik, 1955, 10, № 5, 160—164 (чешск.)

Подробно описаны приспособления для автоматизации центрифуг (1450 об/мин.) на сахаро-рафинадном з-де и схема автоматизации.

Е. Шнайдер

**70388. Микроорганизмы, встречающиеся в производстве крахмала.** Дивиш (Mikroorganismy vyskytující se při výrobě škrobu. Diviš Antonín), Listy cukrovarn., 1955, 71, № 8, 197—200 (чешск.)

Описаны микроорганизмы: поступающие в з-д с картофелем и поражающие в основном клубни; вредные для оборудования; ухудшающие качество крахмала, а также наличие которых в крахмале недопустимо с точки зрения здравоохранения; находящиеся в сточных водах крахмальных з-дов.

Е. Шнайдер

**70389. Получение белка из соковой воды картофеля.** Байер (Die Eiweißgewinnung aus dem Fruchtwasser der Kartoffel. Baier Ernst), Lebensmittel-Ind., 1956, 3, № 9, 281—282 (нем.)

Рассмотрены различные методы извлечения белка из соковой воды картофеля. Наиболее эффективным признан способ Майзена, заключающийся в выделении из картофельной кашки клеточного сока с миним. разбавлением на центрифугах и в упаривании этого сока при т-ре < 65° до 30° Вб (45—50% сухих в-в). Полученный концентрат сушат отдельно или в смеси с картофельной мезгой; в последнем случае получают корм с 20% белка.

Н. Баканов

**70390. Новый вид агара из водорослей фуцеллярии.** Хацкевич В. Г., Гемп К. П., Кирсва М. С., Грюнер В. С., Рыби. х-во, 1957, № 5, 47—50

Намечена схема произ-ва агара из багряной водоросли фуцеллярии, произрастающей у латвийского побережья Балтики: 1) сортировка, 2) отвешивание, 3) мойка, 4) выпаривание в течение 2—3 час. с добавлением  $\text{NH}_4\text{Cl}$  (10% к весу водорослей),  $\text{KCl}$  (5%) или  $\text{CaCl}_2$  (30%), 5) слив отвара, 6) вторичное выпаривание, 7) слив отвара, 8) охлаждение и желирование отвара, 9) резка студия и промывание пластин в проточной воде, 10) очистка расплавленного студия с помощью активированного угля (~100% к весу сухих в-в агара) и отделение угля. Возможно отбеливание

р-ром хлорной извести (0,2—0,5% хлора) с промыванием водой, 11) обезвоживание отваров. Г. Новоселова 70391. О крахмале багряных водорослей типа флоридей. Сообщение II. К вопросу о получении крахмала из водорослей типа флоридей. Киршнинк (Über Florideenstärken. II. Mitt. Zur Frage der Gewinnung von Florideenstärken (Florideae Starches). Kirschninck Heinz), Stärke, 1956, 8, № 4, 73—78 (нем.)

Обзорная статья о методах переработки водорослей для получения агар-агара и других составных частей и совершенствовании этих методов. Библ. 27 назв. Часть I см. РЖХим, 1956, 45334. Н. Баканов 70392. Очистка сточных вод крахмального производства путем использования отходов производства.

Мальхер (Reinigung der Abwässer der Stärkeerzeugung durch Verwertung der Erzeugungsreste. Malcher J.), Stärke, 1956, 8, № 10, 246—252 (нем.; рез. англ.)

Описывается метод использования отходов крахмального произ-ва на близрасположенных спиртовых заводах. При этом значительно упрощается схема произ-ва крахмала и повышается его качество. Крахмал из соковых и промывных вод и мезга со значительным содержанием крахмала подвергаются сбраживанию на спиртовом з-де и дают конц. бражку. Получаемая при этом барда обладает более высокими питательными свойствами, чем при непосредственной переработке картофеля, и является ценным кормовым средством. Комбинирование произ-ва позволяет использовать до 95% сухих в-в, картофеля, при этом эффект очистки сточных вод достигает 75%. Кроме того, отходы крахмального произ-ва могут также применяться в произ-ве ацетона и бутилового спирта, а высушенная мезга — в бродильной пром-сти в качестве носителя для препаратов плесени, что приводит к экономии пшеничных отрубей и солода, применяющихся для этой цели. М. Старосельская 70393. Исследование химического состава пакистанского меда. Латиф, Хафиз-Абдул-Кайум, Манзур-ул-Хак (Researches on the composition of Pakistan honey. Latif Abdul, Hafiz Abdul Qayyum, Manzoor-ul-Haq), Pakistan J. Sci. Res., 1956, 8, № 4, 163—166 (англ.)

Мед с пасек западного Пакистана значительно отличается по окраске и аромату, что зависит от состава нектара медоносных растений. Установленное кол-во сахарозы указывает на то, что большинство рыночного меда фальсифицировано сахарозой. Мед, продюцированный культурными и дикими пчелами, различается по содержанию влажности, редуцирующих сахаров и НСООН. Максимум содержания редуцирующих сахаров и миним. содержание НСООН имеет место в меде культурной пчелы *Apis indica*. В. Гурни 70394 К. Пектиновые вещества. Химия, производство и применение. Караколев, Огнянов, Маринов (Пектинови вещества. Химия, производство и приложение. Караколев Г., Огнянов И., Маринов М. София, Наука и изкуство, 1956, 160 стр., ил., 6.80 лв.) (болг.)

70395 С. Картофельная крахмальная мука. Крахмальные продукты (Kartoffelstärkemehl. Stärkezeugnisse). Ст. ГДР, TGL, № 3069: 1956 (нем.)

70396 П. Процесс непрерывной гидрогенизации сахаров. Кейсхейген (Process for continuous hydrogenation of sugar. Kasehagen Leo) [Atlas Powder Co.] Канадск. пат. 514303, 5.07.55

Непрерывная гидрогенизация редуцирующих сахаров (глюкозы, мальтозы и инвертного сахара) и получение из них многоатомных спиртов осуществляется

на вертикальных автоклавах-реакторах, через нижнюю часть которых, при определенных т-ре и давлении, непрерывно подают суспензию тонкодисперсного гидрогенизирующего катализатора в р-ре редуцирующего сахара и водород, кол-во которого не должно быть ниже критич. границы, определяемой в единицах объема газа, проходящего в час через единицу поперечного сечения реактора. Продукт гидрогенизации непрерывно удаляется через верхнюю часть реактора. Дана схема установки и ф-ла, определяющая скорость подаваемого водорода. Н. Баканов 70397 П. Очистка водных сахарных растворов.

Смит (Reinigung von wäßrigen Zuckerlösungen. Smit Pieter) [N. V. Octrooien Maatschappij Activit]. Пат. ФРГ 923720, 21.02.55

Патентуемый метод обессоливания сахарных р-ров (диффузионных соков из сахарной свеклы, отпрессованных соков сахарного тростника, меласс, р-ров рафинадного произ-ва и др.) состоит в последовательной или совместной обработке адсорбентами, состоящими из: 1) С-содержащих катионитов (имеющих группы SO<sub>3</sub> или CO<sub>3</sub> или OH), обработанных H<sub>2</sub>SO<sub>4</sub> или другим водоотнимающим в-вом при t-ре < 300°, с последующей промывкой водой и 2) анионитов из синтетич. смол, имеющих основной характер. Приведены особенности регенерации адсорбентов и примеры обработки сахарных р-ров различного происхождения. Л. Шапиро 70398 П. Реактор-отстойник для осветления сока.

Суонсон (Sugar juice clarifier. Swanson Jalmor E.) [Graver Tank & Mfg. Co. Inc.]. Пат. США 2728694, 27.12.55

Патентуется реактор-отстойник, представляющий собой прямоугольный чан с прямыми торцовыми и боковыми стенками, скошенными в нижней своей части, со шнеком внизу для удаления осадка. Внутри, вдоль боковых стенок устроены перегородки, не доходящие до низа и отделяющие внутреннюю обширную зону реагирования и осветления от двух боковых узких зон удаления пены; обе указанные зоны внизу соединяются между собою. Вверху под крышью реактора устроены: в узкой зоне коагуляции — трубы для подвода грязного, подлежащего осветлению сока, и в широкой зоне реагирования — трубы для удаления из реактора осветленного сока. М. Гарденин 70399 П. Приспособление для удаления ботвы, соломы и т. п. из гидравлических транспортеров для свеклы. Бамман (Vorrichtung zum Entfernen von Kraut, Stroh u. dgl. aus Rübenschwemmrinnen. Bammann Heinrich) [«Elfa» Apparate-Vertriebs-G. m. b. H.]. Пат. ФРГ 952790, 22.11.56

Патентуется установка в дне гидравлич. транспортера. Перед обычным механизмом для улавливания плавающих соломы, ботвы и т. п. устанавливается ряд поперечных трубок с просверленными отверстиями, в которые подается сжатый воздух. Проходя через движущийся поток, воздух поднимает на поверхность легкие примеси, которые при этом значительно полнее удаляются улавливающим механизмом. Дана схема устройства. Н. Баканов 70400 П. Производство декстраназы. Цугия, Джинс, Бриккер, Уилем (Production of dextranase. Tsuchiya Henry M., Jeanes Allene R., Bricker Helen M., Wilham Carl A.) [United States of America as represented by the Secretary of Agriculture]. Пат. США 2742399, 17.04.56

Декстраназа (фермент, гидролизующий декстран) производится культивированием в течение 3—6 дней микроорганизмов из группы *Penicillium lilacinum*, *P. funiculosum*, *P. verruculosum* и *Spicaria violacea* в среде, имеющей pH 4—9 и содержащей 0,5—5% декстрана и 0,25—3% питательных азотистых в-в. После

отделения мицелля от культурального р-ра 15—20% последнего смешивают с 2—10% р-ром декстрана, который и гидролизуются при pH 3—6:5 и 30—50° в течение 2—6 час. Продукт гидролиза выделяется из р-ра. Пример. Среда, составленная из 2% декстрана и 3% сухого в-ва кукурузного экстракта, после стерилизации, была засеяна микроорганизмами. Культивирование продолжалось 5 дней при 30° и начальном pH 5,2. Отделенную от мицелля жидкость (5 мл) смешивали с 10 мл р-ра ацетата натрия (0,15 м) и 250 мг декстрана, смесь имеющую pH 5,2 выдерживали 2 часа при 40°. По результатам гидролиза декстрана подсчитывали кол-во единиц декстраназы, продуцированных различными видами микроорганизмов. Из 11 проверенных видов максим. кол-во декстраназных единиц дал *P. verruculosum* NRRL 2313 (42,9 ед.) и миним. — *P. funiculosum* NRRL 1768 (25,5 ед.).

Н. Баканов  
70401 П. Процесс получения аллилсахарозы. Гриффин, Синнамон, Уиллард (Process for preparation of allylsucrose. Griffin Edward L., Sinamon Howard L., Willard Miles J., Jr.). Пат. США 2719970, 4.10.55

Процесс получения чистой аллилсахарозы отличается тем, что побочные примеси в виде щел. соли галлоидоводородной к-ты и избытка щелочи, находящиеся в смеси после р-ции сахарозы с избытком аллилгаллоидных соединений и щелочи, удаляются сперва промывкой, а затем путем отгонки с паром и отделения водного слоя, в котором находится значительная часть окрашенных примесей; оставшаяся после перегонки с паром и удаления водного слоя аллилсахароза подвергается обработке фосфорной к-той для нейтр-ции щелочи, высушиванию под вакуумом и отделению из высушенной аллилсахарозы оставшихся примесей.

Г. Бенин  
70402 П. Производство продуктов гидролиза крахмала. Штеркле, Мейер (Production of Starch Conversion Products. Staerkle Max A., Meier Emil) [Blattman & Co.]. Пат. США 2698818, 4.01.55

В процессе получения продуктов гидролиза тонкоизмельченный крахмал помещают в реактор и, при непрерывном перемешивании, создав разрежение, выпускают HCl (газ) для подкисления массы; затем нагревают под вакуумом до  $t$ -ры  $< 130^\circ$  до тех пор, пока влажность понизится  $< 1\%$ . Далее повышают  $t$ -ру нагрева и поддерживают ее в пределах  $130—180^\circ$  в зависимости от требуемой степени гидролиза столько времени, чтобы получить желаемый продукт, который охлаждают также под вакуумом.

М. Гарденин  
70403 П. Способ получения маннита из растительных экстрактов (Process for obtaining mannitol from plant-extracts) [Koninklijke Industriële Maatschappij Voorheen Noury & Van Der Lande N. V.]. Англ. пат. 729677, 11.05.55

Экстракт, полученный из морских водорослей, обрабатывают в щел. среде солью меди для получения комплексного соединения маннита с медью, которое затем разлагают при  $80—90^\circ$  органич. к-той, содержащей  $\geq 6$  атомов С в присутствии воды. При этом получают две фазы: р-р медной соли в органич. к-те и водн. р-р, из которого затем выделяют маннит. Процесс можно вести, добавляя несмешивающийся с водой органич. р-ритель к комплексному соединению и органич. к-те в присутствии или отсутствии воды. Медная соль и свободная органич. к-та переходят при этом в органич. р-ритель. Пригодна любая органич. к-та, содержащая  $\geq 6$  атомов С, медная соль которой растворима в этой органич. к-те и (или) несмешивающемся с водной органич. р-рителем (бэл., пиробензол или хлф.). Пригодны: насыщ. жирные к-ты; продажные смеси жирных к-т, обычно содержащие ненасыщ. жирные к-ты, напр., смеси линолевой и олеиновой к-т с при-

месью насыщ. жирных к-т; нафтеновые к-ты. Медную соль можно регенерировать из органич. фазы, промывая ее к-той, напр.  $H_2SO_4$ , причем медь переходит в слой этой к-ты в виде ее медной соли, а органич. к-та освобождается и остается в органич. фазе. Целесообразно из экстракта удалять йод, напр., обрабатывая окислителем и удаляя йод отгонкой или обрабатывая экстракт в кислой среде медной солью с добавлением сульфита или свободной сернистой к-ты и отделяя йодид меди фильтрованием или центрифугированием. Пример: водоросли обрабатывают разб. HCl, добавляя  $CuSO_4$  (в щел. среде), осаждают комплексное соединение, которое для регенерации и маннита сублимируют в воде и обрабатывают избытком: 1) смеси жирных к-т арахисового масла при  $50^\circ$  или 2) этилгексановой к-той при  $50^\circ$  или 3) технич. стеариновой к-той при  $90^\circ$  или 4) смесью равных кол-в уайт-сприта и продажной смеси нафтеновых к-т или 5) смесью таллового масла и бензола. Процесс можно вести, промывая комплекс, высушивая, размалывая до получения тонкого порошка, нагревая с избытком этилгексановой к-ты и отделяя маннит от жидкости фильтрованием или центрифугированием.

Г. Новоселова  
См. также: Определение содержания крахмала в картофеле 68122

## БРОДИЛЬНАЯ ПРОМЫШЛЕННОСТЬ

Редакторы А. М. Емельянов, Г. А. Новоселова

70404. Дрожжи в природе. Лунн (Yeasts in nature. Lund Aage), Wallerstein Labs Commun., 1956, 19, № 66, 221—236 (англ.)

Пивоваренные дрожжи как низовые, так и верховые, не встречаются в природе. М. Плевако

70405. Изучение несбраживающихся сахаров. XII. Ионифорез сахаров. Асо, Хамада (非糖性糖に關する研究第12報. 糖類のIonophoresisについて. 麻生清, 濱田茂雄), 醸酵工學雜誌, Хакко кокагу дзасси, J. Ferment. Technol., 1955, 33, № 2, 45—47 (японск; рез. англ.)

На основе анализа сахаров, в частности дисахаридов-глюкопираноз (сокращенно — глюкобиоз), методом ионифореза на бумаге, по значениям  $M_G$  каждого из них, установлены 3 группы различных глюкобиозов: 1) со связями 1,6 и 1,3; 2) со связями 1,4 и 1,2; 3) со связью 1,1. Эти данные подтвердили предположение о том, что сакебиоза (содержащаяся в саке) и койбиоза (содержащаяся в экстракте койи) являются соответственно 1,2-α- и 1,3-α-глюкобиозами. Сообщение XI см. РЖХим, 1957, 59410.

В. Гурин  
70406. Вопросы перемешивания, в частности, в спиртовой промышленности. Рипе (Einiges über Rühren, besonders in der Alkoholindustrie. Riepe Wilhelm), Chemiker-Ztg., 1957, 81, № 8, 244—247 (нем.). Рассматриваются существующие способы и приспособления для размешивания: газов в жидкости, жидкостей между собой и твердых в-в в жидкости. Кратко описан способ перегонки с применением размешивателя карусельного типа. Приведено 26 схем различных размешивающих приспособлений.

Г. Ошмян  
70407. Порог ощущения. Часть 3. Этиловый спирт. Като, Тадзима. Часть 4. Кислотность. Кавасима, Накамура, Иноуэ (刺激テスト. 第3報. アルコールについて. 加藤善夫, 田島修. 第4報. 酸味について. 川島宏, 中村欽一, 井上博), 日本醸造協會雜誌, Нихон дзэдо кёкай дзасси, J. Soc. Brew. Japan, 1956, 51, № 11, 775—774; № 12, 889—884 (японск; рез. англ.)

3. Миним. конц-ия спирта, обнаруженная по вкусу и запаху его р-ров 11 квалифицированными дегуста-



торами, колебалась в пределах от  $0,05 \times 10^{-2}$  до  $32 \times 10^{-2}$  М. Наиболее точная оценка концентрации спирта большинством дегустаторов наблюдалась при концентрации  $\geq 32 \times 10^{-2}$  М.

4. Приведены результаты оценки степени кислотности испытываемых образцов в сравнении с р-рами соляной, янтарной и молочной к-т. Часть 2 см. РЖХим, 1957, 56492.

Г. Ошмян  
70408. Факторы, влияющие на скорость окисления спирта. Форсандер (On factors influencing the oxidation velocity of alcohol. Forsander Olof), Suomen kem., 1957, 30, № 4, B99—B100 (англ.)

Этиловый спирт (I) окисляется, давая ацетальдегид (II), а затем  $\text{CO}_2$  и воду. Окисление I → II есть р-ция, которая определяет скорость всего процесса окисления. Эта р-ция катализируется алкогольдегидразой с дифосфопиридиннуклеотидом в качестве кофермента. Скорость окисления увеличивается в присутствии акцепторов водорода, способствующих окислению кофермента.

Г. Новоселова  
70409. Новые методы исследования растворимых углеводов спиртовых бражек. Деккенброк (Neue Methoden zur Untersuchung von Brennerreimaischen auf lösliche Kohlenhydrate. Deckenbrock Walter), Brauweinwirtschaft, 1957, 79, № 10, 193—196 (нем.)

Обоснована целесообразность применения методов хроматографии на бумаге для качеств. и колич. определения сахаров в спиртовых заторах и бражках. Описываются отдельные способы хроматографич. анализа, причем отдается предпочтение радиальной хроматографии.

Г. Ошмян  
70410. Получение кормового вещества, содержащего  $\text{B}_{12}$ , из спиртовой барды. Дитрих (Die Erzeugung  $\text{B}_{12}$ -haltiger Beifuttermittel aus Brennerreischlempen. Dietrich K. R.), Brauweinwirtschaft, 1957, 79, № 10, 196—198, 200 (нем.)

Обзор. Библ. 12 назв.  
Г. Ошмян  
70411. Изучение искусственного сахара. IV. Сырье. Очистка крахмала. В. Угледовы, Сакамото (合成清酒に関する研究. 第 4 報. 糖質原料に就いて. 其の 1 澱粉の精製. 第 5 報. 糖質原料に就いて. 其の 2 坂本政義), 醸造工學雜誌, Хакко когаку данси, J. Ferment Technol., 1955, 33, № 8, 357—362; № 9, 388—392 (японск.; рез. англ.)

Из неочищ. крахмала получается низкокачеств. сакэ. Очистку крахмала рекомендуется производить обработкой 2%-ной молочной к-той для снижения зольности, обработкой 0,2%-ным р-ром КОН и 0,03%-ным р-ром  $\text{Ca}(\text{OH})_2$  для удаления белков и жиров, обработкой р-рителями (напр., 85%-ным метаном и диоксидом) для удаления жиров. Высшего качества сакэ получается из жидкой глюкозы и жидкого и порошкообразного декстрина. Сообщение III см. РЖХим, 1957, 53188.

Г. Ошмян  
70412. Аналитические показатели виски, потребляемого на Канарских островах. Рош (Constantes analíticas de los «whiskey» de consumo ordinario en las islas Canarias. Roig J. M.), An. bromatol., 1956, 8, № 4, 409—414 (исп.; рез. англ.)

Приводятся показатели образцов виски из Испании и Шотландии: уд. вес при  $15^\circ$  0,9427—0,9552; содержание (в %): спирта 38,1—45,5; экстракта — 0,100—0,365; общих к-т (в пересчете на уксусную к-ту) 0,0150—0,0378; эфироз (в пересчете на этилацетат) — 0,149—0,176; хлораминный индекс — 14,5—27,0.

Г. Ошмян  
70413. О значении сульфгидрильных групп в образовании белковой мути в пиве. Кнопп (Über die Bedeutung der Sulfhydrylgruppen für die Eiweißtrübungen des Bieres. Knorr Fritz), Brauwelt, 1957, B97, № 43—44, 711—714 (нем.; рез. англ., франц.)

Обзор. Библ. 13 назв.

70414. Влияние загрязнения пивоваренных дрожжей *Flavobacterium proteus* на процесс сбраживания пива. Страндесков, Боккелман (Effect of brewers yeast strain on *Flavobacterium proteus* contaminants of brewery fermentations. Strandkov F. B., Bockelmann J. B.), Wallerstein Labs Communs, 1956, 19, № 67, 313—321 (англ.; рез. франц., исп., нем.)

См. также РЖХим, 1957, 49912.  
70415. Значение ячменной шелухи в технологии пивоварения. Краусе (Die brautechnologische Bedeutung der Gerstenspelze. II. Einige Versuchssude mit Schrot von verschiedenem Spelzengehalt. Krauss G.), Brauwelt, 1956, B96, № 8, 93—100 (нем.)

Проведены 2 серии опытных варок пива из помолы солода с различным содержанием оболочек. Использованы 2 партии обычного пивоваренного солода, отличающиеся по содержанию последних. Для опытов взят помол солода: 1) с нормальным содержанием оболочек, 2) при удалении из помолы 50% оболочек, 3) с добавлением 5 и 10% оболочек по отношению ко всей засыпке, предназначенной на затор. В результате до и после кипячения с хмелем определены: общее кол-во азотистых в-в, коагулируемый азот, фракция азота по Лундину, горькие в-ва, цветность. В пиве до и после пастеризации определены: спирт, экстракт, кол. стойкость, устойчивость пены, органолепич. показатели. Установлено, что добавление 10% оболочек к помолу солода оказывает малое влияние на все перечисленные показатели качества сусла и пива, и, хотя различия во вкусе были небольшие, все же повышенное их кол-во сообщает пиву более грубый вкус. Начало см. РЖХим, 1957, 25166.

С. Сташко  
70416. Приготовление солода из пшеницы. Нечипоренко А. А., Спирт. пром-сть, 1957, № 3, 33—36

Установлено, что послеуборочное месячное хранение обеспечивает достаточную всхожесть зерен (89,8—92,8%); последняя резко повышается с незначительным снижением влажности зерна. Эффективное поглощение влаги при воздушно-водяном замачивании пшеницы происходит в течение первых 6 час.; влажность зерна возрастает с повышением т-ры. Нарастание влажности при водяном замачивании без аэрации происходит значительно медленнее, особенно вначале, чем при воздушно-водяном замачивании. Рекомендуется замачивать пшеницу последним способом при т-ре смеси воды и зерна  $14^\circ$  в осенне-зимнее и  $18^\circ$  в весенне-летнее время в течение 6 час., доводя зерно до влажности 35—36%. В опытах с 10-суточным выращиванием пшеничного солода установлена оптимальная т-ра прорастания зерна ( $18^\circ$ ), полученные данные по простоту  $\text{CO}_2$ , выделяемой зерном при дыхании, при повышении т-ры до  $40^\circ$ , а также в зависимости от периода ращения солода. Предложен температурный режим проращивания солода. Отмечено улучшение качества ржаного солода при совместном проращивании с пшеничным.

А. Емельянов  
70417. Аскорбаты как антиоксиданты для пива. Стоун, Грей (Ascorbates as antioxidants for beer. Stone Irwin, Gray Philip P.), Wallerstein Labs Communs, 1956, 19, № 67, 287—305 (англ.; рез. франц., исп., нем.)

Рассмотрены ранее опубликованные данные о применении солей аскорбиновой к-ты для стабилизации пива против окисления. Обсуждены хим. и физ. свойства этих соединений и механизм поглощения ими кислорода при добавлении к пиву на разных стадиях его произ-ва. Применение аскорбатов предупреждает образование мути при окислении, изменение вкусовых качеств, излишнее пенообразование, потемнение и покраснение пива. Для предупреждения появления мути, образующейся в пиве при охлаждении, эффективно

совместное применение аскорбатов и препаратов ферментов. Библ. 47 назв. А. Емельянов

**70418. О соотношении различных соединений кальция в пиве. II. Содержание оксалатов. Бургер, Гленнистер, Беккер** (Supplementary work and observation on calcium: oxalate relationships. II. Oxalate studies on beer. Burger Martin, Glenister Paul R., Becker Kurt), *Brewers Digest*, 1957, **32**, № 1, 48—52, 55 (англ.)

В 31 образце пива определено содержание Са, в пересчете на  $\text{CaSO}_4$ , и оксалата, в пересчете на  $\text{CaC}_2\text{O}_4$ . Вычислено содержание «свободного» Са, как часть Са, которая не может быть связана с щавелевой к-той. Отношение свободного Са к оксалату (I) названо «отношением свободного Са» (ОСК). Анализ показал, что существует зависимость между содержанием I, ОСК и фва. стабильностью пива. При  $\text{ОСК} \leq 0,25$  и содержании I 50 ч. на 1 млн. ч. пива, последнее достаточно стабильно (при  $\text{ОСК} = 0,25-5$  и кол-ве I 20 ч. на 1 млн. оно нестабильно).  $\text{ОСК} 5-13$  и содержание I 15—20 ч. на 1 млн. характеризует относительно стабильное пиво.  $\text{ОСК} > 13$  и содержание I < 15 ч. на 1 млн. характеризует очень стабильное пиво. Исследование в течение ряда лет образцов пива, «убегающего» в результате быстрого всенивания, показывает, что все они относятся к первым двум группам. Обсуждены методы определения в пиве  $\text{Ca}^{++}$  и  $\text{C}_2\text{O}_4^{--}$  и вопрос о растворимости  $\text{CaC}_2\text{O}_4$  в пиве. Полузаводские опыты показали, что осаждение I добавлением солей Са в воду для варки сусла или непосредственно в чан с суслом дает одинаково хорошие результаты, но в первом случае пиво содержит больше растворимого белка и меньше Са и Р. Сообщение I см. *Brewer Digest*, 1950, **25**, 55. А. Кононов

**70419. О содержании в чистоте пивных бутылках. Влчек** (Problém čistoty pivních láhví. Vlček V.), *Kvasný průmysl*, 1955, **1**, № 8, 183—185 (чешск.; рез. русск., нем., англ., франц.)

**70420. Некоторые факторы, влияющие на анализ солода. Симе** (Some factors affecting malt analysis. Sims R. C.), *J. Inst. Brew.*, 1957, **63**, № 1, 9—19 (англ.)

Приведены примеры неоднородности ячменя и солода, в связи с чем указано на важность правильной отбора и хранения образцов для анализа. Изучены условия сушки для применения быстрого метода определения влажности ячменя и солода. Показано, что при определении экстрактивных в-в правильной собирать фильтрат по времени, а не по объему. Предложен метод приготовления экстракта для быстрого определения цвета солода. Показано влияние непроросших зерен ячменя и т-ры сушки солода на экстракт. Иллюстрировано применение ф-лы Бишоп для подсчета экстракта из солода на основании анализа ячменя и солода при разных способах приготовления последнего. А. Кононов

**70421. Усовершенствование методики исследования микробиологической инфекции пива. Лыготский** (Pokroky v metodice vyšetřování biologických infekcí piva. Lhotský A.), *Kvasný průmysl*, 1955, **1**, № 4, 91—92 (чешск.)

Обычно для определения микробиологич. инфекции в пиве в качестве питательной среды применяют стерильное пивное сусло (без  $\text{CO}_2$ ). Результаты такого определения не дают представления о возможной инфекции в произ-ве, где субстратом, в основном, является пиво. Поэтому Деклерк рекомендовал применять светлое пастеризованное пиво. В 2 склянки отбирают по 10 мл пастеризованного пива, добавляют по 10 мл исследуемого р-ра и помещают в термостат при 20—25°. Через неделю под микроскопом исследуют одну пробу, а через 3 недели — вторую. Е. Шнайдер

**70422. Использование остаточных дрожжей для производства пищевых продуктов. Вильямсон** (Con-

verts waste yeast to profitable products. William-son George), *Food Engng*, 1956, **28**, № 2, 64—65, 154—155 (англ.)

Ежегодно в Дании получают 2500 т остаточных пивных дрожжей, из которых 1500 т используют для получения 300 т сухеных — для кормовых дрожжей и для медицинских целей. Остальные 1000 т идут для произ-ва суповых экстрактов, порошков и суповых кубиков. Произ-во сухеных дрожжей осуществляется на вальцовый сушилке производительностью ~50 кг/час, высушенные дрожжи измельчают в порошок и упаковывают в пакеты по 20 кг. Приведено краткое описание производственного процесса получения дрожжевого экстракта в кол-ве 360 т в год с упаковкой его полуавтоматами в пивные бутылки. При использовании дрожжевого экстракта для приготовления суповых порошков и кубиков его выпаривают, получают пасту, которую смешивают с солью, сахаром, приправой и ядрами и в течение 2—3 час. высушивают при 105° в тонком слое, затем измельчают в порошок, который отсушивается как таковой или в виде кубиков по 4 г.

Е. Плевако

**70423. Об естественном содержании кальция и магния в мальц-экстрактах. Бенк** (Natürlicher Kalzium- und Magnesiumgehalt von Malzextrakten. Benk E.), *Zucker- und Süßwaren-Wirtsch.*, 1957, **10**, № 8, 289 (нем.)

Приведены результаты определения содержания Са и Mg в пяти образцах ячменного мальц-экстракта, приготовленного в лаборатории, в шести торговых образцах и в двух образцах мальц-экстракта, предназначенного для хлебопечения. Кол-во Са определяли в уксуснокислом р-ре осаждением щавелевокислым аммонием, Mg — в форме  $\text{Mg}_2\text{P}_2\text{O}_7$ . Найдено соответственно (в %): Са 0,031—0,046; 0,016—0,039; 0,029—0,032; Mg 0,057—0,065; 0,048—0,073; 0,083—0,084. Соотношение Mg:Са соответствует, примерно, естественному содержанию этих элементов в ячмене. А. Емельянов

**70424. Из практики освоения нового способа водно-тепловой обработки сырья и приготовления солодового молока на заторе. Забродский А. Г., Черешневый Г. Н.**, *Тр. Киевск. фил. Всес. н.-п. ин-та спирт. и ликеро-водоч. пром-сти*, 1956, вып. 3, 67—78

Заводские испытания по переработке ржи и картофеля подтвердили эффективность и целесообразность широкого применения на спиртовых з-дах нового технологич. режима водно-тепловой обработки сырья с приготовлением солодового молока на заторе. Разваривание производилось с добавлением воды в кол-ве 3,1—3,2 л на 1 кг зерна (вместо 2,6 л на 1 кг по обычному способу) и 0,3—0,38 л на 1 кг картофеля (вместо разваривания без добавления воды). Выход спирта повысился на 0,7—1,0 дкл на 1 т ржи и на 1,28 дкл на 1 т картофеля. Приведены практич. указания по освоению нового способа произ-ва, описаны оборудование и технологич. режим. Г. Опмян

**70425. Транспортабельность и лежкость некоторых столовых сортов винограда. Коробкина З. В.**, *Виноделие и виноградарство СССР*, 1957, № 3, 38—42

Изучены причины потерь винограда узбекистанских сортов при транспортировке и хранении. Наиболее транспортабельны Кишмиш розовый, Тайфи розовый, Кишмиш белый, Ишдаки, Джанджал кара. Посредственную транспортабельность показали Нимранг, Катта-Курган. Непригодны для длительной перевозки Паркент, Ичкимар, Султани, Хусайне. Хорошую транспортабельность имеют новые селекционные сорта Октябрьский и Победа и завезенные в Узбекистан сорта Карманный, Италия, Карабурну. Описаны рациональные способы упаковки винограда. Г. Новоселова

**70426. Биохимическая характеристика сортов винограда Одесской области и продуктов их переработки.**

Марх А. Т., Фельдман А. Л., Виноделие и виноградарство СССР, 1957, № 3, 15—18

Исследованные сорта винограда Одесской области в незрелом состоянии содержат довольно активные окислительные ферменты, активность которых понижается по мере созревания винограда. Содержание каталазы в мезге, выжимках, соке зависит от сорта и особенно велико в мезге (максим. у сорта Шасла белая, миним. у сорта Мускат Гамбургский). Вытяжки содержат больше пероксидазы, чем средняя проба сырья. Активность полифенолоксидазы максим. в мезге, почти исчезает в соке и иногда без изменений в выжимках. Непастеризованный сок после 6-месячного хранения при  $-18^{\circ}$  полностью сохранял активность пероксидазы и терял ее через 27 месяцев на 20—40%. После 6-месячного хранения непастеризованного сока при  $-3^{\circ}$  активность пероксидазы сохранялась на 60—75% и полифенолоксидазы на 40—50%. Через 1 год остаточная активность пероксидазы была 40—50% и полифенолоксидазы 35—40%. Некоторые образцы пастеризованного сока после 6 месяцев хранения при  $-3^{\circ}$  проявляли пероксидазную активность. Г. Новоселова

70427. К вопросу о технологии производства столовых полусладких вин. Осипов Н. В., Брусилковский С. А., Виноделие и виноградарство СССР, 1957, № 3, 4—7

70428. Опыт приготовления столовых полусладких вин в Узбекистане. Туманьянц Л. И., Виноделие и виноградарство СССР, 1957, № 3, 53—54

Установлено, что на базе местных сортов Буаки, Спитани (Джаус), Юмалане, Паркентский розовый и европейских сортов Семильон, Ркацители возможно произ-во столовых полусладких вин. Г. Н.

70429. Микроэлементы в виноградарстве и виноделии. Добрылюбский О. К., Виноделие и виноградарство СССР, 1957, № 3, 19—22

70430. Активность окислительных ферментов при переработке шампанских сортов винограда. Родопуло А. К., Виноделие и виноградарство СССР, 1957, № 3, 12—13

В процессе переработки винограда на прессах активность полифенолоксидазы и пероксидазы повышается. Шампанские виномастеры из окисленного сусла имеют грубый негармоничный вкус. Виноград для шампанских виномастеров следует прессовать возможно быстрее для предотвращения повышения содержания дубильных в-в и окислительных ферментов.

Г. Новоселова  
70431. Брожение сусла из винограда поздно обработанного «каптаном». Мишель, Марисаль (La fermentation des vendanges traitées tardivement au «Captane». Michel A., Marichal M.), Progr. Agric. et vitic., 1956, 145, № 18, 245—254; Vigne et vins, 1956, № 46, 2—7 (франц.)

Брожение виноградного сусла задерживает *н-трихлорметилнитротетрагидрофталмид* (I) («каптан» или «ЭССО 406»), применяющийся для борьбы с виноградными вредителями: мильдью (ложная мухнстая роса винограда (*Plasmopara viticola*) и серой гнилью (*Botrytis cinerea*). Влияние I уже сказывается при брожении сусла из винограда, обработанного за 42 дня до сбора р-ром, содержащим 500 г I на 500 гл  $H_2O$ . I несколько уменьшает окраску вина, полученного при нагревании. Ю. Михайленко

70432. Влияние энтанина и дрожжевого автолизата на букет вина. Политова-Совзенко Т. К., Виноделие и виноградарство СССР, 1957, № 3, 8—11

Установлено, что энтанин улучшает букет виномастерала при брожении сусла и при шампанзации.

Г. Н.  
70433. Влияние различных приемов ведения подвального хозяйства на созревание белых вин. Сообщение

2. Кратковременное нагревание вина. Кох, Гейсе (Der Einfluss verschiedener keller technischer Massnahmen auf den Ausbau der Weissweine. II. Mitteilung. Die Kurzzeiterhitzung der Weine. Koch J., Geiss E.), Z. Lebensmittel-Untersuch. und Forsch., 1955, 100, № 1, 15—24 (нем.)

Исследовалось влияние нагревания  $>40^{\circ}$  на состав азотистых в-в и муты необработанного вина, а также комбинированного воздействия нагревания и охлаждения на белковые в-ва вина. Опыты проводились с необработанным рислингом, нагреваемым до  $40-80^{\circ}$  и выдерживаемым в течение 7 дней для образования муты, отделяемой центрифугированием. В образцах обработанного таким образом вина определяли общий N, N по Фойту, формольный N, общую кислотность и pH. Осадок муты исследовали на содержание белковых и дубильных в-в, а также на редуцирующие в-ва. Те же определения проводили в образцах вина и муты после нагревания и охлаждения. Установлено, что в вине при кратковременном нагревании происходит изменения в содержании азота (определяемого по Фойту и формольным методом). Муть, образующаяся при нагревании вина, является комплексным соединением, редуцирующим после гидролиза Фелингову жидкость. Белковая часть этого соединения составляет 44%, железа в нем не содержится. Комбинацией нагревания (2 мин. при  $68^{\circ}$ ) и немедленного охлаждения (до  $-4^{\circ}$ ) вина с выдержкой его при этой т-ре с перемешиванием в течение 5—7 дней достигают необходимой стабилизации вина. Обработка вина должна производиться не ранее 8 недель после начала брожения. Сообщение I см. РЖХим, 1957, 46566.

А. Е.  
70434. К вопросу о розливостойкости. Москаленко Р. И., Виноделие и виноградарство СССР, 1957, № 3, 54—55

70435. Аскорбиновая кислота и монообменные смолы. Черутти (Sul comportamento dell'acido ascorbico in soluzioni sottoposte a scambio ionico. Cerutti Giuseppe), Alimentazione, 1956, 6, № 7, 19—20 (итал.)

Опытами обработки вин установлено, что анионообменные смолы (напр., амберлит IR-120) интенсивно адсорбируют аскорбиновую к-ту, но очень слабо аскорбат натрия. Катионообменные смолы (напр., амберлит IR-4B) действуют обратно. К. Герцфельд

70436. О применении рапида в энологии. Франке (A proposito dell'impiego del rapid in enologia. Franke G.), Riv. viticolt. e enol., 1956, 9, № 4, 117—118 (итал.)

Уточняется, что при применении рапида происходит одна р-ция  $6ZnSO_4 + 4K_4Fe(CN)_6 \rightarrow 6K_2SO_4 + 3Zn_2Fe(CN)_6$ .  $K_4Fe(CN)_6$  с образованием нерастворимого осадка. При применении рапида в рекомендованном кол-ве (РЖХим, 1957, 59450) происходит осаждение в вине только 51 мг сульфата калия на 1 л. Предположение о том, что в осветленном вине осаждаются высокие дозы цинка не обосновано. Н. Славина

70437. Оценка сортов винограда для коньячного производства и определение времени сбора на переработку. Нилов В. И., Малтабар В. М., Тр. Всес. н.-и. ин-т виноделия и виноградарства, 1957, вып. 5, 5—16

Установлено, что ароматич. в-ва различных сортов винограда резко отличаются по оттенкам запаха, различаясь по составу, поэтому не все сорта пригодны для произ-ва высококачеств. коньячных спиртов (КС), что необходимо учитывать при отборе сортов винограда. Уборка урожая при кислотности 7—9‰ (перид полной зрелости и максим. накопления ароматич. в-в) повышает выход КС и его качество. Сорта Изабелла, Мускат (со специфич. ароматом) и красные сорта мало пригодны для произ-ва КС. Гибриды — при-



мые производители — пригодны только для получения ординарных коньяков, причем уборку их лучше производить при некотором перезревании для снижения неприятных тонов.

Г. Новоселова

**70438. Состав и качество коньячных спиртов. Малтабар В. М.,** Тр. Всес. н.-и. ин-т виноделия и виноградарства, 1957, вып. 5, 17—31

Установлено, что существующие методы фракционирования погона не обеспечивают должного качества коньячного спирта (КС). Следует вести перегонку по графику с учетом состава исходных материалов и КС, с применением дозатора для отделения головной фракции (0,6—1,5% к объему загрузки куба). Изменяя скорость перегонки, можно регулировать состав средней фракции. Можно сократить длительность второй дистилляции до 25% для увеличения производительности аппаратов. Для аппаратов с дефлегмационными тарелками емк. 63—100 дкл оптимальная длительность перегонки 6—8 г. Описан новый метод перегонки КС.

Г. Новоселова

**70439. Влияние условий выдержки коньячных спиртов на их состав и качество. Малтабар В. М.,** Тр. Всес. н.-и. ин-т виноделия и виноградарства, 1957, вып. 5, 134—138

Проведено сравнительное изучение качества коньячных спиртов при выдержке на открытой площадке и в полуподвальном помещении. Установлено, что в спиртах, выдержанных в полуподвальном помещении, хим. изменения протекают медленнее, чем на открытой площадке, но уже к концу 2-го года спирты приобретают коньячные тона, тонкий и сложный аромат, усиливающийся к концу 3-го года (слабее дубовые тона). Спирты, выдерживаемые на открытой площадке, быстро изменяются, интенсивнее окрашиваются, но не приобретают достаточной гармонии во вкусе, ощущается грубоватость, дубовый привкус, коньяки из них напоминают армоянки. Выдержка на открытой площадке не обеспечивает получения качеств. продукции и приводит к повышению потерь.

Г. Новоселова

**70440. О коэффициентах испарения некоторых летучих примесей коньячного спирта. Фальковский Ю. Е.,** Тр. Всес. н.-и. ин-т виноделия и виноградарства, 1957, вып. 5, 56—58

Установлено, что коэф. перегонки уксусного альдегида, ацетата, свиного масла, фурфурола и метилового спирта находятся в функциональной зависимости от содержания этилового спирта в исходной смеси. Эта зависимость может быть выражена уравнением показательной функции вида  $K = ae^{bx} + c$ , где:  $K$  — коэф. испарения примеси;  $e$  — основание натурального логарифма;  $x$  — содержание этилового спирта в исходной жидкости;  $a$ ,  $b$  и  $c$  — эмпирич. коэф., специфичные для каждой примеси.

Г. Новоселова

**70441. Эфиры коньяка. Короткевич А. В.,** Тр. Всес. н.-и. ин-т виноделия и виноградарства, 1957, вып. 5, 138—144

Установлено, что содержание эфиров в коньячном спирте и коньяке (обычно ~100 мг/100 мл абс. сп.) зависит от условий перегонки и кол-ва эфиров в вине и не зависит от процессов этерификации. Кол-во эфиров в общей композиции коньячного букета должно быть умеренно.

Г. Новоселова

**70442. Влияние окисленного дубового экстракта и танина дуба на качество коньячного спирта. Лаши А. Д.,** Тр. Всес. н.-и. ин-т виноделия и виноградарства, 1957, вып. 5, 112—116

Установлено, что содержание окисленного дубового экстракта (ОЭ) до 3,7% улучшает вкус коньячного спирта (КС), избыток ОЭ ухудшает вкус КС. Окисленный танин положительно влияет на вкус спирта. Положительное влияние танина усиливается по мере

его окисления прямо пропорционально интенсивности цвета и снижается с падением ее.

Г. Новоселова

**70443. К термической обработке коньячных спиртов. Короткевич А. В., Бекиров У. Н., Бекирова Л. М.,** Тр. Всес. н.-и. ин-т виноделия и виноградарства, 1957, вып. 5, 129—134

Термич. обработка коньячных спиртов в течение 2—3 месяцев при 45—60° в дубовых бочонках ~ 20 л равноценна 4—5 годам обычной выдержки. На солнечной площадке в течение 3 месяцев равноценна ~ 2 годам обычной выдержки. Увеличение качества при выдержке сопровождается увеличением содержания экстракта, летучих к-т, летучих эфиров, альдегидов, фурфурола, танина и уменьшением содержания высших спиртов. Термич. обработку рекомендуют для широкого производственного испытания, а также для ускоренной оценки коньячных спиртов.

Г. Новоселова

**70444. Уточнение определения эфиров в коньячных спиртах. Фальковский Ю. Е., Киселева Ю. Ф., Овчинникова И. Т.,** Виноделие и виноградарство СССР, 1957, № 3, 14—15

При определении летучих эфиров  $SO_2$  завышает действительное содержание эфиров особенно в головной и средней фракциях. При определении содержания летучих эфиров методом отгонки из нейтрализованного виноматериала с последующим омылением едкой щелочью необходимо в отгоне определять (йодометрич. методом) кол-во связанной  $SO_2$  и вычитать его из видимого содержания эфиров. Таким методом установлено, что эфиры переходят главным образом в головную фракцию (легколетучие: уксусноэтиловый, уксусометиловый, муравьиноэтиловый) и в несколько меньшем кол-ве в хвостовую (более высокомолекулярные летучие эфиры с коэф. ректификации < 1). В средней фракции кол-во эфиров ниже, чем в хвостовой.

Г. Новоселова

**70445 К. Ароматные спирты и настои для производства ликероводочных изделий. Трусова С. А., Фертман В. К. М.,** Пищепромиздат, 1957, 143 стр., илл., 4 р. 25 к.

**70446 К. Технология солода и пива. Т. I. Производство солода. Билек Вацлав, Блатный Цибор, Брожек Карл, Догнал Людвиг, Главачек Франтишек, Лготский Алонс, Махат Франтишек, Мазал Ярослав, Освальд Владимир, Ружичка Моймир, Салач Вацлав, Тркан-Мирошлав, Жила Владимир.** Авториз. перев. с чешск. М., Пищепромиздат, 1957, 286 стр., илл., 13 р. 60 к.

**70447 Д. Изучение образования вторичных продуктов при спиртовом брожении. Лафон (Contribution à l'étude de la formation des produits secondaires de la fermentation alcoolique. Lafon Madeleine. Thèse doct. Fac. sci. Bordeaux, Paris, Inst. nat. reclin. agron., 1956, 120 p.), Bibliogr. France, 1956, 145, № 21, 485 (франц.)**

**70448 П. Установка для сушки солода (Darreinrichtung, insbesondere für Malz) [Miag Vertriebs. Ges. M. b. H.], Швейц. пат. 298492, 16.07.54 [Chem. Zbl., 1955, 126, № 24, 5676 (нем.)]**

Сушку солода производят в сушилке башенного типа с расположенными друг под другом решетками, снабженной теплообменниками, обогреваемыми отходящим горячим воздухом и горячей водой.

С. Сташко

**См. также:** Колич. определение яблочной к-ты в вине хроматографией на бумаге 69204. Вода для пивоварения пром.-сти 69606.

## ПИЩЕВАЯ ПРОМЫШЛЕННОСТЬ

Редакторы А. М. Емельянов, Г. А. Новоселова,  
А. Л. Прогорович

70449. Влияние способов обработки на пищевую ценность пищевых продуктов. Сен-Ра (Le raffinage des produits alimentaires s'effectue-t-il au détriment de leur qualité nutritive? Saint-Rat Louis de), *Inds aliment. et agric.*, 1957, 74, № 1, 7—12; № 2, 95—99 (франц.)

Информация о конференции комитета экспертов Западной Европы, состоявшейся в Вагенингене, и о II симпозиуме (Амстердам) по вопросу о посторонних веществах в пищевых продуктах и восстановлении их физиологич. ценности путем добавления к ним различных в-в. См. РЖХим, 1957, 39838. В. Грязнов

70450. Пищевая микробиология и здравоохранение. Общие положения. Вильсон (Symposium on food microbiology and public health: general conclusions. Wilson G. S.), *J. Appl. Bacteriol.*, 1955, 18, № 3, 629—630 (англ.)

В связи с ростом значения общественного питания в Англии и повышением спроса на готовые кулинарные изделия и полуфабрикаты, обсуждается необходимость повсеместного введения строгого и расширенного бактериологич. контроля. Основная задача заключается в профилактич. бактериологич. контроле произв-ва и полуфабрикатов. Т. Сабурова

70451. О микробиологической порче пищевых продуктов. Полони (A mikroorganizmusok által okozott élelmiszerromlások táplálkozás-tani jelentősége. Polonyi Pál), *Élelm. ipar*, 1956, 10, № 5, 151—153 (венг.; рез. русск., нем., англ.)

Отмечается, что ядовитые в-ва, продуцируемые сапрофитами, развивающимися на пищевых продуктах, вызывают поражение печени при биологич. пробе на животных. Их действие может быть уменьшено тепловой обработкой продукта при 100°. Установлены нормы бактериологич. обсемененности для 70 пищевых продуктов. А. Прогорович

70452. Влияние специфической и неспецифической микрофлоры на пищевые продукты животного происхождения. Петрович (Uticaj specifične i nespecifične bakterijske mikroflore na namirnice životinjskog porekla. Petrović Mihajlo P.), *Poljopr. Vojvod.*, 1956, 4, № 11, 29—35 (серб.-хорв.)

70453. Роль микробиологии в развитии быстрого замораживания. Мунх-Петерсен (Microbiology can boost quick freezing. Munch-Petersen E.), *Refrig. J.*, 1956, 10, № 5, 9, 11—15 (англ.)

Рассмотрено влияние т-ры и скорости замораживания пищевых продуктов на гибель микроорганизмов. Т-ра —3,9° более губительна для большинства микроорганизмов чем —15°. Жиры и сахар, содержащиеся в продукте, оказывают на бактерии защитное действие при замораживании и оттаивании продукта. Перечислены микроорганизмы, в том числе патогенные, которые найдены в замороженных продуктах. Даны практич. указания для охлаждения, замораживания и хранения молока, масла, сыра, рыбы, мяса, плодов и овощей. А. Кононов

70454. Стерилизация пищевых продуктов понижающим облучением. Рейтер (The sterilization of foods by irradiation. Reuter F. H.), *Refrig. J.*, 1956, 9, № 8, 13, 15—16 (англ.)

Описаны преимущества холодной стерилизации понижающим облучением баковых консервов, зараженного долгоносиком зерна и трихинеллезной свинины по сравнению с обычной тепловой обработкой. Обсуждается необходимость проведения большого

кол-ва опытов для доказательства безвредности облученных атомной радиацией пищевых продуктов.

В. Гурни  
70455. Симпозиум по мгновенной стерилизации. — (Symposium over de kort-hoog sterilisatie.—), *Conserva*, 1956, 5, № 5, 130—144 (гол.)

70456. Общие основы мгновенной стерилизации пищевых продуктов. Моссел (De algemene grondslagen van de kort-hoog sterilisatie van voedingsmiddelen. Mossel D. A. A.), *Conserva*, 1956, 5, № 5, 130—133 (гол.)

70457. Технологический аспект мгновенной стерилизации. Ленигер (Technologische aspecten van kort-hoog sterilisatie. Leniger H. A.), *Conserva*, 1956, 5, № 5, 133—140 (гол.)

70458. Практическое применение мгновенной стерилизации при производстве консервов. Глерум (De praktische toepassing van kort-hoog sterilisatie. Glerum J. A.), *Conserva*, 1956, 5, № 5, 141—144 (гол.)

70459. Применение силиконов в консервной промышленности. Ксалабардер (Las siliconas y su aplicación a la industria conservera. Xalabarder Roberto), *Inform. conserv.*, 1957, 5, № 40, 21—22 (исп.)

70460. Стерилизация воды препаратом Cumasina-NC в пищевой промышленности. Вальтер (Wasser-Entkeimung mit CUMASINA-NC in der Lebensmittel-industrie. Walter Heinz), *Lebensmittel-Ind.*, 1957, 4, № 4, 131—132 (нем.)

Краткое описание бактерицидных свойств Ag-содержащего препарата Cumasina-NC, применяемого для стерилизации воды на пищевых предприятиях. Препарат убивает кишечную палочку, паратифозные и брюшнотифозные бактерии после 6—12 час. воздействия.

В. Гурни  
70461. Документация и ее значение для пищевой промышленности. Пиох, Дюверт, Штрюбинг (Die Dokumentation und ihre Bedeutung für die Lebensmittelindustrie. Pioch L., Düwert K., Strübing E.), *Lebensmittel-Ind.*, 1957, 4, № 5, 155—156 (нем.)

Научно-исследовательским ин-том питания в Потсдаме — Ребрикке разработана классификация пищевых в-в, сырья, полуфабрикатов и пищевых продуктов, методов анализа и прочих вопросов, относящихся к пище и питанию. В. Гурни

70462. О подготовке зерна к помолу. Молилари (Préparation des blés à la mouture. Molinari C.), *Techn. meunière*, 1957, № 60, 3—6 (франц.)

70463. Новый лабораторный кондиционер для зерна. Вермейлен (Un nouveau conditionneur de laboratoire. Vermeulen J.), *Bull. Ecole meunerie belge*, 1955, 17, № 1, 1—5 (франц.)

70464. Изменение белков клейковины при прогреве. Фазунина З. Ф., Попадич И. А., Хлебопек и кондитерск. пром-сть, 1957, № 4, 6—9

Исследовано изменение карбоксильных, аминных и сульфгидрильных групп белковых в-в клейковины пшеницы, а также способности последних к связыванию амилотитич. ферментов, в зависимости от нагревания. Опыты проведены с сырой и сухой клейковиной, отмытой от товарной пшеничной муки 1-го сорта среднего хлебопекарного достоинства. Определялось изменение способности прогретой (20—100°) сырой клейковины связывать основные и кислотные красители (метиленовый синий, сафранин, кислотный хром бордо, кислотный антрахиноновый) и изменение йодпродуцирующей способности клейковины при ее прогреве. Кроме того, определялось изменение адсорбционной способности белков по отношению к амилотитич. ферментам, в частности к β-амилазе, при прогреве клейковины. Установлено, что с повышением т-ры нагревания заметно увеличивается сродство клейковины к

основным красителям, что свидетельствует о повышении реакционной способности карбоксильных групп. Сродство клейковины к кислотным красителям сначала уменьшается, а затем при  $t_{\text{ре}} > 90^\circ$  несколько возрастает, что указывает на уменьшение реакционной способности аминных групп при прогреве клейковины (до  $90^\circ$ ). Подредуцирующая способность белков клейковины увеличивается с ее нагревом, следовательно, повышается реакционная способность сульфидрильных групп. Кривая изменения способности клейковины к связыванию ферментов в зависимости от времени и  $t_{\text{ре}}$  нагрева имеет волнообразный характер.

А. Емельянов

**70465. Качество кукурузной муки различных помолов. Ионеску, Ивнеску** (Valoarea făinurilor de porumb de diferite grade de extracție. Nota preliminară. Ionescu Mircea, Ivănescu Magda), *Comun. Acad. RPR*, 1956, 6, № 10, 1205—1210 (рум.; рез. русск., франц.)

Фракционированием кукурузной муки получают продукты помола, содержащие меньше крахмала и больше жиров и минер. в-в при уменьшении выходов. Пользуясь этим, можно получить два типа муки: 1) с выходом до 30%, содержащую  $\leq 63,19\%$  крахмала,  $\geq 3,37\%$  минер. в-в,  $\leq 8,01\%$  жиров и 2) с выходом 31—100%, содержащую  $\leq 77,99\%$  крахмала, 0,59—1,5% минер. в-в и 2,29—3,35% жиров. Мука 1-го типа имеет большую питательную ценность, 2-го — предназначена для произ-ва крахмала, спирта, бутанола и в качестве корма для свиней.

А. Емельянов

**70466. Технология производства ячменных хлопьев. Освальд** (Die Technologie der Gerstenflockenanlage. Osswald Gerhard), *Lebensmittel-Ind.*, 1957, 4, № 3, 94—96 (нем.)

При использовании мелкого и кормового ячменя в качестве добавочного несоложенного материала в пивоварении требуется регулирование содержания в нем дубильных в-в, достигаемое удалением оболочек, снижение кол-ва белка и подготовка крахмала, содержащегося в клетках зерна, к осахариванию. Приводятся схема и описание установки для произ-ва с этой целью ячменных хлопьев, производительностью 20 т/сутки.

А. Емельянов

**70467. Определение влажности зерна и продуктов его переработки. Гильбо** (La détermination de la teneur en eau des céréales et des produits de mouture. Guilbot A.), *Meunerie franc.*, 1957, № 122, 31—34 (франц.)

Рассмотрены официальные методы определения влажности в зерне и муке, принятые в США и европейских странах, и их недостатки. Рекомендуются производить высушивание продукта до постоянного веса при  $45\text{--}50^\circ$  в безводн. атмосфере (давление водяных паров порядка  $10\text{--}5$  мм рт. ст. при  $20^\circ$ , высушивание воздуха  $\text{P}_2\text{O}_5$ ). Во избежание погрешностей при измельчении зерна предлагается предварительно подсушивать его в вакууме до  $10\text{--}30\%$  влажности в течение 1,5—2 час., а затем размельчать при  $20^\circ$  и относительной влажности воздуха в лаборатории 55—70% для окончательного высушивания.

А. Емельянов

**70468. Определение минеральных примесей в муке. Братерский Ф., Мельничук М.**, Хлебопек. и кондитерск. пром-сть, 1957, № 4, 41

Предлагается для определения примесей в муке, дающих хруст при разжевывании, 100 г муки из среднего образца обрабатывать 4—5 раз водой при  $\sim 20^\circ$ , после чего из остатка выделять минер. примесь (галька, земля, песок).

А. Емельянов

**70469. Влияние обработки  $\text{ClO}_2$  на свойства пшеничной муки. IV. Биологические свойства муки, не обработанной и обработанной различными дозами  $\text{ClO}_2$ . Фрейзер, Хикман, Саммонс, Шар-**

**патт** (Studies on the effects of treatment with chlorine dioxide on the properties of wheat flour. IV.—The biological properties of untreated, normally treated and over-treated flours. Franzer A. C., Hickman J. R., Sammons H. G., Sharratt M.), *J. Sci. Food and Agric.*, 1956, 7, № 7, 464—470 (англ.)

Проверялась биол. ценность муки, обработанной при нормальной дозировке  $\text{ClO}_2$  (0,0027%) и увеличенной в 10 раз. Контролем служила мука, не обработанная  $\text{ClO}_2$ . Опытами, проведенными с крысами, не установлено вредного действия на последних муки, обработанной  $\text{ClO}_2$ , а также не обнаружено снижения пищевой ценности такой муки. Сообщение III см. РЖХим, 1957, 49943.

В. Базарнова

**70470. Технологические схемы переработки пшеничной муки с пониженными хлебопекарными качествами. Збарский Н. Ш., Гиммерверт Р. В.**, Хлебопек. и кондитерск. пром-сть, 1957, № 4, 39—41

Рассмотрены результаты массовых опытных выпечек пшеничных батонов из муки с повышенной диастатич. активностью (350—460 ед.), полученной из зерна, подвергнутого самосогреванию или сушке при неправильном тепловом режиме. Опыты проводились с опарным и безопарным ведением теста. Лучшие результаты в 1-м случае получены при добавлении в опару 16% сброженной мучной болтушки или 5—6,5% спелого теста. В 2-м случае добавление в тесто 30% мучной сброженной болтушки дало нарезные батоны (0,4 кг) лучшего качества на хлебозаводе, оборудованном агрегатами системы Рабиновича. Описана рецептура и технологич. режим тестоведения опарным и безопарным способом с добавлением мучной болтушки и спелого теста.

А. Емельянов

**70471. О связи градуса кислотности с величинами pH муки, теста и хлеба. Вутцель** (Über Beziehungen zwischen Säuregrad und pH-Wert bei Mehl, Teig und Brot. Wutzel N.), *Brot. und Gebäck*, 1957, 11, № 5, 101—106 (нем.)

Обсуждается значение измерения pH для контроля хлебопечения. Для уменьшения вредного влияния проросших зерен тесто ведут при pH 4,5—4,6; для защиты от тягучей болезни при pH 5,0—5,2. Оптимальный pH для пшеничного теста равен 5. Описан метод измерения pH и электрометрич. определения кислотности в тесте. Проведенными опытами установлено, что буферность теста зависит от помола муки. По одному определению кислотности муки и теста нельзя создать условий, предупреждающих снижение качества хлеба при пользовании мукой из проросших зерен или зараженной тягучей болезнью.

А. Емельянов

**70472. Микробиологические исследования ржаных заквасок, приготовленных в лабораторных условиях. Косевская** (Mikrobiologische badania zakwasów żytnich wyprodukowanych w warunkach laboratoryjnych. Kosewska Lidia), *Przem. spożywczy*, 1956, 10, № 6, 243—246 (польск.; рез. русск., англ.)

Определен колич. и качеств. состав микрофлоры заквасок, а также титр кишечной палочки. Сделана попытка определения оптимального отношения бактерий к дрожжам в заквасках. Установлено отсутствие уксуснокислых бактерий в закваске, следовательно, слегка осяутыми запах уксусной к-ты в заквасках является результатом деятельности молочнокислых бактерий.

А. Прогорювич

**70473. О химическом методе рыхления теста. Ротч** (Über ein chemisches Teiglockerungsverfahren. Rotsch A.), *Zucker- und Süßwaren-Wirtsch.*, 1957, 10, № 6, 196—197 (нем.)

Описан предложенный Селманом метод рыхления теста кислородом, выделяющимся при распаде  $\text{H}_2\text{O}_2$  под катализ. влиянием ферментов, и более ранние способы рыхления теста кислородсодержащими в-вами.



Приведены результаты сравнительных опытов рыхления теста методом Селмана с обычным дрожжевым.

Н. Гарденин

**70474. Изучение хлебопечения (XV). Механизм размягчения теста тиаголиковой кислотой. Мацумото, Симода. (XVI). Стимуляторы брожения теста. Мацумото, Ива, Минами (パン酵母に関する研究. 第15報. Thioglycolic acid of Dough 軟化機構について. 松本博, 伊田ミチ. 第16報. Dough 酵醒促進物質について. 松本博, 岩越江, 南裕子), 松酵工學雜誌, Хакко когаку дзасси, J. Ferment. Technol., 1956, 34, № 9, 410—414; 414—419, 29—30 (японск.; рез. англ.)**

XV. Степень размягчения теста под действием тиаголиковой к-ты (I), применяемой в кол-вах от 0,5 до 5 мг%, определялась фаринграфом, экстенсографом и пластометром. По мере увеличения кол-ва I, при консистенции теста, соответствующей 500 ед. Брабендера, ширина фаринграммы уменьшалась, водоуплотнительная способность, время тестообразования, размягчение теста после 20-минутного замеса увеличивались. Релаксация теста при установленной нагрузке, фиксируемая экстенсограммой, также увеличивалась; кривая релаксации понижалась. Вязкость теста понижалась: скорость истечения по пластометру увеличивалась. Опыты амперометрич. титрования, показавшие повышение кол-ва SH-групп во взвеси клейковины в 0,1 н.  $\text{CH}_3\text{COOH}$  при р-ции с I, приводят к выводу, что размягчение теста происходит вследствие восстановления действия I на S—S-связи клейковины.

XVI. Исследовалось влияние на брожение компонентов муки — крахмала и клейковины, фосфатов и источников N. Определялась скорость газообразования (СГ): а) мучного, крахмального и синтетич. теста, состоящего из смеси очищ. крахмала и клейковины, замешиваемых на сложной среде Аткина (ССА), содержащей  $\text{NaH}_2\text{PO}_4$ ,  $\text{MgSO}_4 \cdot 7\text{H}_2\text{O}$ , KCl, аспарагин (II), тиамин (III), пиридоксин, янцион, в качестве буферного р-ра — цитрат натрия, сахар; б) мучного теста, замешиваемого с заменой ССА водой, содержащей сахар в кол-ве, равном содержанию его в ССА, и с ССА, при последующем исключении из нее II и III; в) крахмального теста, замешиваемого с ССА и также при последовательном исключении из нее II, III и фосфата; г) крахмального теста, приготовляемого с ССА и с заменой в ней II мочевиной,  $(\text{NH}_4)_2\text{SO}_4$  или  $\text{NH}_4\text{Cl}$  в кол-вах, равных по содержанию N, с применением различного сорта дрожжей. Во всех случаях брожение длилось 3 часа при 30° и одинаковом кол-ве дрожжей. Установлено: 1) СГ крахмального и синтетич. теста достигала уровня мучного теста; 2) составными частями ССА, ускоряющими газообразование мучного теста, являются II и III; 3) сравнение СГ мучного и крахмального теста, замешиваемых на ССА и на ССА с исключением из нее II, III или фосфата, показывает, что III, фосфаты и источники N, содержащиеся в муке, ускоряют СГ, но кол-во их, за исключением фосфата, недостаточно для достижения максим. СГ; 4) максим. СГ в крахмальном тесте, в зависимости от источника N, при разных дрожжах изменялась, в одном случае она была больше в присутствии мочевины, в другом — II. Сообщение XII см. РЖХим, 1957, 59527.

В. Базарнова

**70475. Значение кислорода при замешивании теста. Хоторн, Тодд (Effetti dell'ossigeno nella preparazione della pasta di panificazione. Hawthorne J., Todd J. P.), Dolciaria internaz., 1956, 6, № 12, 289—295 (итал.) Transl.—Biscuit Maker and Plant Baker 1956, 7, № 4, 271**

См. РЖХим, 1956, 70308.

**70476. Рецепт сдобных хлебных изделий из дрожжевого теста. Харкин (Some yeast goods for the**

pastrycook. Harkin Wm.), Australas. Baker and Millers' J., 1957, 60, № 2, 75, 77—78 (англ.)

**70477. Улучшение качества хлеба при выпечке в автоматических печах. Эккардт (Die Verbesserung der Brotqualität beim Backen in automatischen Öfen. Eckardt), Bäcker und Konditor, 1957, 11, № 4, 17 (нем.)**

Описано устройство для предварительного пропекания теста применительно к конвейерным печам. Для сформованного ржаного теста, напр., такую обработку проводят в течение 4 мин. при 450°. Предварительное пропекание повышает качество хлеба и улучшает условия образования корки, увеличивает производительность хлебопекарных печей и обеспечивает выпечку хлеба хорошего качества из более жидкого теста.

А. Емельянов

**70478. О добавлении воды к муке при проведении испытаний на альвеографе Шопена. Маес, Пиротт (L'alvéographie de Chopin; hydratation constante ou variable? Maes E., Pirotte A.), Bull. Ecole meunerie belge, 1956, 28, № 6, 118—123 (франц.)**

См. РЖХим, 1957, 53258

**70479. Способы изготовления кондитерских изделий. Донк (Handleiding bij de fabricage van suikerwerk. XXIII. Donk A. B.), Cacao, chocolade, suikerwerken, 1957, 25, № 5, 177—178 (гол.)**

Части XIII—XXII см. РЖХим, 1957, 67789.

**70480. Аппарат для быстрой поджарки зерен в производстве драже. Блашке (Der Schnellröster im Drageebetrieb. Blaschke Heinr.), Zucker- und Süsswaren-Wirtsch., 1957, 10, № 6, 214—215 (нем.)**

Для поджаривания миндаля, арахисовых и лесных орехов при произ-ве драже рекомендуется использование, вместо применяемых противней и обжарочных печей, аппарата для быстрой поджарки кофейных зерен. Применение этого аппарата значительно повышает производительность и улучшает качество продукта. Описан технологич. процесс произ-ва драже.

Н. Гарденин

**70481. Бисквитная фабрика в Нанте. Ронсье (La biscuiterie nantaise. Roncier M.), Techn. meunière, 1956, № 59, 6—10 (франц.)**

**70482. Хранение плодов. Буш (How to store fruit. Bush Raymond), Country Life (London), 1955, 118, № 3063, 664—665 (англ.)**

Описано устройство подвалов для хранения яблок и груш в течение зимы. Подвалы оборудованы многоярусными стеллажами, отдельные помолоч. сорта плодов размещают на разных полках. Лучших результатов достигают при завертывании плодов (каждого экземпляра в отдельности) в газетную или вощеную бумагу и укладке их на картонные подносы со спец. углублениями, размеры которых соответствуют диаметру плодов. Дана рекомендация способов подготовки подвалов к хранению.

В. Гурин

**70483. Хранение в контролируемой атмосфере.**

Джонс (C. A. storage comes West. Jones George W.), West. Fruit Grower, 1957, 11, № 2, 59—61 (англ.)

Опыты показали, что хранение плодов при низких т-рах в спец. газонепроницаемых помещениях при строгом регулировании содержания  $\text{CO}_2$  и  $\text{O}_2$  в воздухе (низкое содержание  $\text{O}_2$  и высокое содержание  $\text{CO}_2$ ) удлиняет сроки хранения, сохраняя качество продукта. Установлено, что конц-ии 3—5%  $\text{O}_2$  и 5—10%  $\text{CO}_2$  обеспечивают максим. длительность хранения. Требуется устройство спец. камер, снабженных газоанализаторами. Приложена схема установки, регулирующей содержание  $\text{CO}_2$  и  $\text{O}_2$  в камере хранения. Хранение плодов в полиэтиленовой упаковке также дало положительные результаты, но регулируемый режим более эффективен.

Г. Малышкина

**70484.** Хранение в транспортировании плодов и овощей в Австралии. Хикс (Some engineering aspects of fruit and vegetable handling. Hicks E. W.), Food Technol. Austral., 1956, 8, № 12, 655, 657, 659, 661, 669 (англ.)

**70485.** Изменение цвета и пигмента в мякоти яблок сорта McIntosh после выгрузки из хранилища. Франсис, Харни, Балстрод (Color and pigment changes in the flesh of McIntosh apples after removal from storage. Francis F. J., Harney Patricia M., Bulstrode Pamela C.), Proc. Amer. Soc. Hort. Sci. 65, Ithaca, N. Y., 1955, 211—213 (англ.)

**70486.** Хранение цветной, брюссельской и спаржевой капусты. Сайкс, Тинсли (Preservation of brassicas. Sykes S. M., Tinsley I. J.), Refrig. Cold Storage and Air Condit., 1956, 27, № 1, 24, 26, 30 (англ.)

Краткий обзор способов обработки, упаковки и хранения капусты. Перед замораживанием капусту охлаждают воздухом или водой, чистят, моют, бланшируют паром (3—5 мин. спаржевую и 5—7 мин. брюссельскую), охлаждают, упаковывают в металлические формы и замораживают. Г. Малышкина

**70487.** Консервирование плодов и овощей. Дикинсон (Fruit and vegetable canning. Dickinson Denis), Food Manufacture, 1957, 32, № 3, 112—114 (англ.)

Краткое изложение докладов на Третьем международном конгрессе работников консервной пром-сти.

**70488.** Влияние состава сахарного сиропа на вкус и консистенцию консервированных компотов из персиков с неотделяющейся косточкой. Джоселин, Леонард, Хинрейнер, Филиче (Effect of sirup composition on flavor and texture of canned clingstone peaches. Joslyn M. A., Leonard Sherman, Hinreiner Elly, Filice Bruno), Food Technol., 1957, 11, № 3, 170—176 (англ.)

Изучено влияние на вкус и консистенцию персиков в консервированных компотах частичной замены в заливочном сиропе сахарозы патокой. Опыты проводили с несколькими сортами персиков с неотделяющейся косточкой. Сироп содержал 40% сахарозы. Сахарозу частично заменяли кристаллич. глюкозой и различными сортами патоки. Показано, что при замене 25% сахарозы кукурузной патокой плоды в компоте заметно уплотняются. Плотность плодов тем выше, чем большее кол-во сахарозы заменено патокой и чем выше содержание солей Са в патоке. Увеличение содержания кальция в патоке на 0,001% заметно влияет на увеличение плотности консистенции персиков. При замене 50% сахарозы патокой плоды приобретают жесткую резиновую консистенцию. При замене 25% сахарозы патокой или кристаллич. глюкозой вкус компотов из персиков не меняется, при дальнейшем увеличении кол-ва добавляемой патоки балльная оценка компотов при дегустации снижается.

**70489.** Значение pH при консервировании плодов хлебного дерева (*Artocarpus integrifolia*); влияние добавления кислоты или других плодов к консервируемому продукту. Бхатия, Сиддаппа, Лал (Role of pH in the canning of jack fruit (*Artocarpus integrifolia*): effect of adding acid of other fruits to the canned product. Bhatia B. S., Siddappa G. S., Lal Girdhari), J. Sci. Food and Agric., 1956, 7, № 8, 531—534 (англ.)

Плоды хлебного дерева имеют pH 5,0—5,8. Для повышения эффективности стерилизации консервов в кипящей воде рекомендуется добавлять к заливочному сиропу 0,75—1,0% лимонной к-ты, что понижает зна-

чение pH до < 4,5, или консервировать плоды хлебного дерева в смеси с другими более кислыми плодами: манго *Bangalora*, манго *Raspuri* или ананасами.

**70490.** Сохранение активности млечного сока плодов дынного дерева при консервировании. Юэ (Note sur la conservation de l'activité du latex de papaye au cours du stockage. Huet R.), Fruits, 1956, 11, № 4, 168—170 (франц.)

Изучено влияние метода сушки и хранения млечного сока плодов дынного дерева на сохранение активности содержащегося в нем папаина (I). Млечный сок высушивали в простом сушильном и вакуум-сушильном шкафу при 48° и 50° без добавления и с добавлением 2% и 0,5% гипосульфита натрия. Полученные высушенные образцы хранили в открытом сосуде на воздухе, в эксикаторе и в вакууме во влажной атмосфере. Показано, что лучше всего активность I сохраняется в эксикаторе. При хранении на воздухе и во влажной атмосфере активность I быстро падает. При прочих равных условиях стойкость I при хранении зависит от индивидуальных свойств образца. Образцы, высушенные в вакууме, лучше сохраняют свою активность, чем образцы, высушенные при атмосферном давлении. Добавление 2% гипосульфита снижает активность I. Добавление 0,5% гипосульфита способствует лучшему сохранению активности фермента, только при условии хранения образца в эксикаторе. Для получения и сохранения активного препарата рекомендуется высушить млечный сок в вакуум-сушильном шкафу при 50° и хранить без доступа влаги.

**70491.** Влияние различных способов варки на сохранение окраски овощной фасоли и содержание в ней аскорбиновой кислоты. Нобл, Гордон (Ascorbic acid and color retention in green beans cooked by different methods. Noble Isabel, Gordon Joan), J. Amer. Diet. Assoc., 1956, 32, № 2, 119—122 (англ.)

**70492.** Об определении дифенила. Бенк (Über die Erkennung von Diphenyl. Benk E.), Seifen-Öle-Fette-Wachse, 1957, 83, № 7, 157 (нем.)

Описываются получение, свойства и различные методы определения дифенила, нашедшего в настоящее время применение для консервирования плодов.

**70493.** Влияние условий хранения на процесс сушки картофеля. Пазоурек (Vliv skladování na ztrátu vody bramborových fízků. Pazourek J.), Průmysl potravin, 1956, 7, № 9, 408—412 (чешск.; рез. русск., англ., нем.)

Установлено, что: 1) скорость высыхания ломтиков не зависит от длительности хранения картофеля, 2) при высушивании ломтиков при  $t_{ре} < 50^\circ$  нет заметной разницы в скорости сушения; при 60, 70 и 80° скорость сушения почти одинакова для достижения удаления воды на 100%; при удалении воды на 50% скорость высушивания пропорциональна  $t_{ре}$ , 3) содержание сухих в-в в клубнях до апреля почти не изменяется, а с июля повышается. При хранении картофеля в оксигумалите скорость высушивания его идет медленнее, чем у обычно хранимого картофеля, и этот препарат задерживает скорость сушки. Содержание сухих в-в в картофеле в конце хранения меньше, чем у картофеля, сохраняемого без оксигумалита.

**70494.** Метод защиты поверхностей некоторых материалов при сушке сублимацией. Меллор (A method for protecting the surfaces of some materials in freeze drying. Mellor J. D.), Vacuum, 1954 (1957), 4, № 3, 341 (англ.; рез. франц.)

Сушка методом сублимации (лиофилизация) продуктов с большим содержанием сахара, напр. абрикосо-

вого и персикового пюре, не дает однородно высушенного продукта. Пюре перед загрузкой в сублиматор замораживали на противнях. Давление в сублиматоре понижали до 0,1 мм рт. ст. в течение 50 мин. На поверхности пюре образовалась клейкая пленка, затрудняющая сушку: пюре прилипало к дну противня. Следующий способ устраивал недостатки. В противень, помещенный при  $-20^{\circ}$ , наливали дистилл. воду при  $1^{\circ}$  и замораживали ее, получая слой льда в 2,5—3,2 мм толщиной. На слой льда наливали пюре при  $1^{\circ}$  слоем 6,4—9,5 мм. Поверхность пюре выравнивали потряхиванием и постукиванием противня. На поверхности пюре в сублиматоре образуется слой льда, толщиной 2,5—3,2 мм. Продукт, высушенный таким способом, однороден и не прилипает к противню. А. Кононов 70495.

**Сгущенное и сухое кокосовое молоко. Сиддха, Бхатия, Лал** (Coconut milk concentrate and powder. Siddappa G. S., Bhatia B. S., Lal Girdhari), Bull. Centr. Food Technol. Res. Inst. Mysore, 1956, 5, № 13, 311 (англ.).

Измельченную мякоть спелого кокосового ореха обрабатывают 3—4-кратным кол-вом воды при  $50^{\circ}$  и прессуют. Экстракт охлаждают для отделения масла, кокосовое молоко сгущают под вакуумом до 68—70° Бр. Сгущенное молоко белого цвета слегка солоноватого вкуса с приятным запахом кокосового ореха быстро восстанавливает натуральные свойства при добавлении воды, в виде баночных консервов хорошо сохраняется до 3 лет. После добавления сахара концентрат сушат для получения сухого молока. Молочный порошок легко растворяется в воде, давая опалесцирующий р-р желтоватого оттенка и приятного вкуса. Оба продукта могут быть использованы в кондитерской пром-сти и кулинарии. Приведен хим. состав сгущенного молока. В. Гурни 70496.

**Современные методы концентрирования соков кислых плодов. Ашоне** (I moderni orientamenti nella concentrazione dei succhi di agrumi. Ascione Gustavo), Calore, 1956, 27, № 4, 161—172 (итал.). Обзор. Библи. 14 назв.

**70497. Факторы, увеличивающие возможный срок хранения замороженного концентрата апельсинового сока. Рауз, Аткинс, Мур** (Factors contributing to the storage life of frozen concentrated orange juice. Rouse A. H., Atkins C. D., Moore E. L.), Food Technol., 1957, 11, № 4, 218—221 (англ.).

Концентрат (К) плотностью 42° Бр., содержащий 50 мг пектина на 100 г центрифугата при  $4^{\circ}$ , сохраняет стойкость консистенции в течение 50 суток, тогда как К, содержащий 29 мг пектина на 100 г, сохраняет свою консистенцию только в течение 10 суток. Активность пектинэстеразы (ПЭ) в обоих К составляла ~4 ед. Пробы с высоким или низким содержанием пектина, но с активностью ~18,5 ед. сохраняли свою консистенцию в течение 3,5 и 1,5 суток соответственно. Поэтому при одинаковой активности ПЭ пробы апельсинового К с высоким содержанием пектина дольше сохраняют свою консистенцию, чем пробы с низким содержанием пектина. Возможный срок хранения К с одинаковым содержанием пектина зависит от активности ПЭ. Продукт с высокой активностью ПЭ менее стоек, чем с низкой. В процессе хранения при  $4^{\circ}$  содержание водорастворимого пектина снижается с уменьшением мутности К. Водорастворимый пектин и тонкодисперсные белые взвешенные частицы несут отрицательные заряды, а хроматофоры — положительные заряды. Хроматофоры полностью выпадают в виде хлопьев при явном осветлении К. Г. Новоселова 70498.

**Микробиологическая обсемененность, как показатель санитарного состояния замороженных цитрусовых продуктов. Вон, Мердок** (Sanitary significance of microorganisms in frozen citrus products.

Vaughn Reese H., Murdock D. I.), Amer. J. Public Health, 1956, 46, № 7, 886—894 (англ.).

Установлено, что микроорганизмы кишечной группы часто присутствуют на поверхности и внутри плодов, находящихся на дереве, и не могут быть полностью удалены при мойке апельсинов. Эти микроорганизмы не развиваются и быстро погибают в свежем апельсиновом соке и в соке, полученном разведением цитрусовых концентратов, но хорошо выживают в замороженных цитрусовых концентратах. Споры *Clostridium parvabotulinum* могут присутствовать, но не прорастают в цитрусовых продуктах. Дрожжи и плесени не могут достаточно быстро развиваться и вызвать порчу продукта в нормальных условиях произ-ва апельсиновых концентратов. Наибольшую опасность представляют молочнокислые бактерии и уксуснокислые бактерии, хорошо развивающиеся в свежих апельсиновых соках и частично сгущенных концентратах. Необходим строгий производственно-санитарный контроль оборудования для своевременного обнаружения очагов размножения указанных микробов. Тщательная мойка сырья с применением моющих средств и последующее промывание хлорированной водой снижает обсемененность поступающего сырья на 80—99%. Кратковременное нагревание (15 сек.) при 65—85° для стабилизации консистенции сока также значительно снижает обсемененность соков. Присутствие микроорганизмов кишечной группы не отражает санитарного состояния и доброкачественности замороженных цитрусовых концентратов. Т. Сабурова 70499.

**Изучение приготовления сока цитрусового плода натуэмикан (XIX). Механизм потемнения сока (7). N-глюкозид. Номура** (夏蜜柑果汁製造に關する基礎的研究. 第19報. 果汁の褐變機構について (其の7) (窒素配糖體. 野村男次), 醸酵工學雜誌, Хакко когаку дааси, J. Ferment. Technol., 1955, 33, 279—281 (японск.; рез. англ.).

Изучено влияние N-глюкозида на потемнение сока. Установлено, что р-ция между глюкозой и глицином протекает с образованием большого числа соединений. Из семи выделенных в-в N-глюкозид, образующийся в результате р-ции между редуцирующими сахарами и аминокислотами, является одним из наиболее важных промежуточных продуктов, обуславливающих потемнение сока. Предыдущее сообщение см. РЖХим, 1957, 53307.

**В. Гурни 70500. Исследование сока красной и черной смородины методом хроматографии. I. Анализ красящих веществ хроматографией на бумаге. Мелитц, Матцик** (Über Untersuchungen an roten und schwarzen Johannisbeersäften. 1. Mitt. Papierchromatographische Untersuchungen der Farbstoffe von roten und schwarzen Johannisbeersäften. Melnitz A., Matzik B.), Flüssiges Obst, 1957, 24, № 3, 7—9 (нем.). См. РЖХим, 1957, 43263.

**70501. Молочная промышленность Швеции. Цывинский, Глудзь** (Mleczarstwo w Szwecji. Cywinski T., Glódź M.), Przegl. mleczarski, 1957, 5, № 5, 3—8 (польск.).

**70502. Применение ультразвука в молочной промышленности. Пельтола** (Ultraääniäallot ja maitotöns. Peltola Erkki), Karjantuote, 1956, 39, № 24, 753—757 (финск.).

Обзор. Библи. 6 назв. А. П. **70503. Мгновенная стерилизация молочных продуктов. Галеслот** (Steriliseren van zuivelprodukten door middel van verhittingen op zeer hoge temperaturen gedurende zeer korte tijd. Galeslout Th. E.), Conserva, 1956, 5, № 5, 140—141 (гол.).

**70504. Пастеризация молока. Вольтер** (Die Sicherung der Milcherhitzung. Wolter Hans), Dtsch. Milchwirtsch., 1955, 2, № 9, 200—202 (нем.).



Пастеризаторы для молока недостаточно обеспечивают уничтожение патогенных, в частности туберкулезных бактерий, из-за неточного соблюдения миним. т-р пастеризации и недостаточно точных показаний термометров. Предлагается применить автоматич. установку для пастеризации молока. Колебания т-ры пастеризации молока должны быть в пределах  $\pm 0,5^\circ$ . В случае отклонения т-ры установка должна переключаться автоматически в течение 3 сек. Система, регулирующая т-ру, должна выравнивать колебания т-ры протекающего молока, кол-во поступающего молока, давление и т-ру пара. В. Фавстова

**70505. Обогащение молока эргокальциферолом.** Фрагнер, Мозингер (Obolacování mléka ergocalciferolem. Fragner Jifi, Mosinger B.), Průmysl potravin, 1956, 7, № 11, 514—517 (чешск.; рез. русск., англ., нем.)

В производственном масштабе проведены опыты по витаминизации молока эргокальциферолом. А. П.

**70506. Изменения температуры пастеризованного молока при разливе в бутылки, хранении и реализации.** Радлафф (Observations on temperature changes in pasteurized milk during bottling, storage and distribution. Ratzlaff Alfred), J. Milk and Food Technol., 1955, 18, № 8, 495—499 (англ.)

**70507. Санитарно-гигиенический контроль при обработке потребительского молока.** Ос (Hygienekontroll ved meieribehandlingen av konsummelk. Aas Gunnar), Mejeritietell. Aikakausk., 1955, 17, № 1, 134—148. Discuss., 148—168 (шведск., датск.); Meieriposten, 1955, 44, № 31, 667—673; № 32, 692—699 (норв.)

Указан единый порядок контроля качества молока в Норвегии (через 48 час. хранения при т-ре  $17^\circ$  производится проба молока на вкус и через 24 часа хранения при той же т-ре определение титра кишечной палочки и редуказная проба) с детальным изложением новых упрощенных и усовершенствованных методов отбора пробы и анализов, а также аппаратуры. Предложен проект единой стандартной схемы оценки качества потребительского молока и сливок: а) определение кол-ва микроорганизмов и титра кишечной палочки (рекомендуемая норма: 30 000 бактерий в 1 мл и отсутствие кишечной палочки в 0,1 мл) до помещения молока в термостат при т-ре  $17^\circ$ , б) через 24 часа хранения в термостате при т-ре  $17^\circ$  органолептика, оценка (в баллах), определение кол-ва микроорганизмов и редуказная проба, в) через 48 час. повторная органолептика, оценка, определение кислотности и редуказная проба. Л. Кондратьева

**70508. Об обнаружении разбавления молока водой.** Берд, Истгор (Some aspects of the detection of watering in milk. Bird E. W., Ystgaard O. M.), J. Dairy Sci., 1955, 38, № 4, 435—456 (англ.)

Эксперим. проверка показала, что наиболее точные данные о кол-ве воды, добавленной в молоко, получаются по ф-ле Элдсона и Штуба: % добавленной воды =  $[(T - T_1)/T] \cdot (100 - TS)$ , где  $T$  — средняя т. зам. нормального молока, равная  $-0,550^\circ$ ,  $T_1$  — т. зам. исследуемого молока,  $TS$  — содержание сухих в-в в молоке. Общее содержание сухих в-в можно достаточно точно определить по модифицированной ф-ле Херингтона:  $TS = 1,2537 F + [286 (L + 3)/(L + 1000)] - 0,15$ , где  $F$  — содержание жира,  $L$  — показания лактометра при т-ре молока  $30^\circ$ . А. Орлов

**70509. О редуказной пробе.** Стургорде (Synpunkter på reduktasprovet. Storgårds Torsten), Hvg. revy, 1955, 44, № 6, 269—274 (шведск.)

Обзор исследований по редуказной пробе, применяемой для оценки качества молока, поставляемого на приемные молочные пункты. Подтверждена надежность и быстрота этого метода для практич. целей и

его преимущество перед методом определения бактериальной обсемененности. Л. Кондратьева

**70510. О пробе на пероксидазу для обнаружения нагревания молока.** Биндер (Über die Peroxydaseprobe als Hochehrhitzungsnaachweis. Binder W.), Österr. Milchwirtsch., 1955, 10, № 13, 173—174 (нем.)

Обсуждается вопрос пригодности пробы на пероксидазу для обнаружения высокой пастеризации молока. Признано, что р-ция на пероксидазу пригодна только при контроле молока, отобранного непосредственно из пастеризатора, и следует совершенно отказаться от нее при установлении пастеризации молока, находящегося уже в торговой сети. При длительном хранении молока, пастеризованного при  $88-90^\circ$ , снова обнаруживается положительная р-ция на пероксидазу, вследствие ее регенерации. При добавлении небольшого кол-ва сырого молока, а также после самопроизвольного сквашивания р-ция на пероксидазу вновь становится отрицательной. Лучшим контролем высокой пастеризации является температурная диаграмма, а для обнаружения добавления сырого молока — фосфатазная проба, с помощью которой можно открыть примесь 0,5% сырого молока. См. также РЖХим, 1956, 53042; 1957, 6684. Н. Брю

**70511. Состав и микроструктура молюзива.** Тиников Г. Г., Тр. Моск. технол. ин-та мяс. и молочн. пром-сти, 1955, вып. 5, 37—47

**70512. Определение лактозы в молоке, изменившемся вследствие ферментации лактозы; условия количественного гидролиза лактозы в сыворотке.** Сазне-Ласкано-Руне (Le dosage du lactose dans les laits altérés par fermentation lactique; les conditions d'hydrolyse quantitative du lactose dans un lactosérum. (Suite). Saenz Lascano Ruiz J. M-me), Ann. falsific. et fraudes, 1954, 47, № 547—548, 285—305 (франц.)

Начало см. РЖХим, 1956, 80073.

**70513. Автоматический контроль специфических параметров некоторых молочных продуктов в потоке.** Вайнберг А. Я., Тр. Всес. н.-и. ин-т молочн. пром-сти, 1956, вып. 16, 62—76

Разработан способ контроля специфич. параметров некоторых молочных продуктов измерением их электрич. сопротивления. Лабор. исследования и производственные испытания этого способа показали практич. возможность автоматич. контроля содержания жира в высокожирных сливках, сухих в-в в сгущенном молоке с сахаром. Подтверждена возможность применения для этой цели промышленных кондуктометров с соответствующими электродными ячейками проточного типа. Е. Богданова

**70514. Доставка проб молока для определения содержания жира на автоцистерне в летнее время.** Рагдейл, Кук, Зиммерман, Шани (Handling butterfat samples on tank trucks in summer temperatures. Ragsdale H. L., Cook Earl W., Zimmermann Albert F., Shupp B. A.), Amer. Milk Rev., 1955, 17, № 7, 66, 68—104 (англ.)

Среднесуточное содержание жира в свежих образцах молока незначительно отличалось от содержания жира в объединенных образцах, собранных в течение 15 дней и хранившихся в спец. шкафу автоцистерны при  $3-9^\circ$ . Пробы молока консервировали сулемой.

**70515. Полиэтиленованная бумага для молочной тары.** Часть II. Бозони (La carta politenata per i contenitori del latte. Parte II. Bosoni A. G.), Mater plastiche, 1955, 21, № 9, 753—755 (итал.)

Молочная посуда из полиэтиленованной бумаги (ППБ) имеет значительные преимущества перед стеклянной в санитарно-бактериологич. отношении. В молоке, разлитом в ППБ, лучше сохраняются аскорбино-

вая к-та (I) и рибофлавин. Содержание I в молоке в стеклянной посуде при действии прямого солнечного света через 10 мин. снижается на 70%, в молоке в ППБ через 1 час на 8—15%; под влиянием рассеянного света через 6 час. кол-во I соответственно уменьшается на 70—85% и 0—10%. ППБ успешно применяется в ряде западно-европейских стран. Часть I см. РЖХим, 1957, 53324. Л. Песин

**70516. Кисломолочный продукт из молока верблюдицы (чал).** Киселева Н., Молоч. пром-сть, 1956, № 7, 31—33

На основании изучения микрофлоры чала и различных способов его приготовления установлено, что в состав микрофлоры завокос должны входить молочнокислые палочки (группа *B. casei*), молочнокислые стрептококки (*Str. thermophilus*) и дрожжи, образующие лактозу. Для равномерного развития молочнокислого и спирт. брожения соотношение дрожжей и молочнокислых бактерий должно быть 3:1. Закваски следует вносить не более 10%, заквашенное молоко выдерживать 8 час. при 25° (до сквашивания), а затем 16 час. при 20° для замедления молочнокислого брожения и создания условий для образования спирта. Для приготовления чала из пастеризованного молока последнее следует пастеризовать при 65° в течение 30 сек. А. Прогоревич

**70517. Йогурт и другие кисломолочные продукты, приготовляемые на чистых культурах.** Часть II. Дэйвис (Yoghurt and other cultured milks. Part II. Davis J. G.), J. Soc. Dairy Technol., 1956, 9, № 3, 117—122 (англ.)

Рассматривается влияние технологич. режима произ-ва йогурта на его качество. Лучшую консистенцию продукта получают при пастеризации молока при 80—85° 15—30 мин., при 95° 2—3 мин. или при мгновенном нагревании до 130—135°. Гомогенизация при 175 ат также действует положительно. Молоко сквашивают культурами *Str. thermophilus* и *L. bulgaricus* при 43—46° (но не ниже 40°). Аромат йогурта связан с образованием ацетальдегида, главным образом *L. bulgaricus*. Описаны методы контроля кислотности и консистенции. Часть I, РЖХим, 1957, 21440. Н. Баранов

**70518. Усовершенствование в производстве чистых молочнокислых культур.** Теплый (Technická zdokonalení ve výrobě čistých mlékařských kultur. Teplý Miloš), Průmysl potravin, 1956, 7, № 6, 252—255 (чешск.; рез. русск., англ., нем.)

Обзор. Библ. 6 назв. А. П.  
**70519. Разработка единых микробиологических методов контроля качества мороженого.** Стыблова (Výpracování jednotných mikrobiologických metod pro zraženou smetanový krém. Stýblová Anna), Průmysl. potravin, 1956, 6, № 10, 514 (чешск.)

Уточнена техника разведения и посева, а также выбор подходящей питательной среды для культивирования микроорганизмов. Наиболее быстрое таяние образца происходит в водяной бане при 40°. На точность определения влияет т-ра воды, используемой для разбавления (35—40°). Из 7 исследованных питательных сред лучшие результаты получены при посеве на мясопептонный агар с лактозой или сахарозой при 72-часовой инкубации. Б. Адамец

**70520. Подогущение молока на первичных заводах — способ увеличения производства молочных консервов.** Орлова Л., Штальберг С., Молоч. пром-сть, 1956, № 4, 27—29

Изучалось влияние 4-кратной термич. обработки молока, условия хранения и стойкость подогущенного молока (ПМ). Установлено, что подогущение молока следует производить до конц-ии ≤45% сухих в-в, при этом вязкость изменяется незначительно, а повышение кислотности не влияет на качество готового продукта.

ПМ следует охлаждать до +3°. Срок хранения при этой т-ре до 2 месяцев. При изготовлении сухого молока из смеси цельного и ПМ в смесь следует добавлять ≤45% ПМ (в расчете на сухое в-во смеси). Сухое молоко из такой смеси не отличается от обычного сухого молока. Сгущенное молоко с сахаром, вырабатываемое из смеси с ПМ, отличается хорошим качеством, но имеет несколько повышенную вязкость. Применение ПМ увеличивает мощность молочноконсервных з-дов при произ-ве сгущенного молока с сахаром на 25—30% и повышает коэф. использования мощности цехов сушки на 35—40%. А. Прогоревич

**70521. Непрерывно-поточный способ производства сгущенного молока с сахаром.** Страхов В. В., Тр. Всес. н.-и. ин-т молочн. пром-сти, 1956, вып. 16, 5—28

Разработан непрерывно-поточный способ произ-ва сгущенного молока с сахаром, характеризующийся: 1) непрерывным выпариванием смеси молока с сахаром в 2-ступенчатой вакуум-выпарной установке, при использовании принудительной циркуляции с промежуточным подогреванием сгущаемой жидкости и кондуктометрич. метода контроля конц-ии сухих в-в в потоке; 2) непрерывным процессом охлаждения — кристаллизации продукта с применением вакуум-охлаждения и затравки. Способ повышает производительность установок и качество продукции, сокращает расход пара на 25—30%, расход воды на 20—25%, производственные площади на 15%. Е. Богданова

**70522. К вопросу стабилизации солевого состава молока в производстве сгущенного стерилизованного молока.** Чекуниев Л. В., Тр. Вологодск. молочн. ин-т, 1956, вып. 14, 207—216

На-цитрат, как стабилизатор, удерживает рН молока при сгущении на более высоком уровне и этим повышает тепловую стабильность молока, а также способствует отстою жира; поэтому гомогенизация молока является обязательной в произ-ве сгущенного стерилизованного молока. На-цитрат можно вносить в пастеризованное молоко до сгущения в вакуум-аппарате, что делает возможным выработку сгущенного стерилизованного молока непрерывно-поточным методом.

А. Прогоревич  
**70523. Система автоматического контроля и регулирования процесса выпаривания влаги при производстве сгущенного молока с сахаром.** Вайнберг А. Я., Страхов В. В., Тр. Всес. н.-и. ин-т молочн. пром-сти, 1956, вып. 16, 29—40

Разработана система автоматич. контроля и регулирования процесса сгущения молока с сахаром в потоке, обеспечивающая возможность ведения ритмичного непрерывно-поточного процесса с автоматич. выдачей стандартного продукта. Определены технич. требования как на отдельные приборы регулирования и контроля технологич. процесса, так и на автоматизацию в целом. Система проверена на эксперим. вакуум-выпарной установке. Е. Богданова

**70524. Прибор для автоматического регулирования содержания сухих веществ при производстве сгущенного молока с сахаром.** Вайнберг А. Я., Тр. Всес. н.-и. ин-т молочн. пром-сти, 1956, вып. 16, 41—53

Прибор основан на применении автоматич. электронного моста. Он совмещает автоматич. регулирование с элементами автоматич. показывающего, записывающего и сигнализирующего контроля содержания сухих в-в. Даны метод расчета оптич. параметров и конструкция измерительной ячейки с элементами автоматич. термокомпенсации. Прибор проверен на ползаводской вакуум-выпарной установке. Е. Богданова

**70525. Дополнение к ареометрическому методу определения химического состава сгущенного обезжиренного молока с сахаром.** Чеботкевич В., Молоч. пром-сть, 1957, № 3, 42—43

Предложены таблицы для определения содержания влаги, сухих в-в и сахара ареометрич. методом в сгущенном обезжиренном молоке и в смывах из вакуум-аппарата, используемых в следующих варках, при соотношении сухих в-в молока и сахара 1:1,65. Для определения плотности отвешивают 50 г сгущенного молока и приливают 300 мл воды.

**А. Прогорвич 70526.** Сравнительная оценка форсуночного и центробежного метода сушки по теплотехническим показателям и физико-химическим свойствам молока. Кивенко С. Ф., Страхов В. В., Тр. Всес. н.-и. ин-т молочн. пром-сти, 1956, вып. 16, 118—126

Для сравнительной оценки форсуночного и центробежного методов сушки были испытаны форсуночная сушилка ОСР НИИПродмаша производительностью 50 кг испаренной влаги в час и сушилка Лурги — Краузе производительностью 300 кг испаренной влаги в час. Цельное молоко перед сушкой сгущали до конц-ии сухих в-в 40,7—46,1%, обезжиренное — до 36,0—38,2%. Установлено, что по основным теплотехнич. показателям распылительные сушилки обоих типов являются примерно равноценными (с учетом производительности). Растворимость сухого цельного молока центробежного распыления выше на 1,49% и сухого обезжиренного молока на 0,56% по сравнению с молоком форсуночного распыления. Объемный насыщенный вес молока форсуночного распыления выше, его частицы имеют почти идеальную форму шара, что и обуславливает более плотное прилегание частиц друг к другу. Остальные физ.-хим. показатели тождественны.

Е. Богданова

**70527.** Получение сладкосливочного масла в маслоизготовителях из нержавеющей стали в Ирландии. О'Се, Каддихи (The manufacture of Irish sweet-cream butter in a stainless steel churn. O'Se Michael, Cuddihy T.), Irish. Agric. and Creamery Rev., 1955, 18, № 263, 4—6 (англ.)

Описаны преимущества использования маслоизготовителей *Kubus* из нержавеющей стали: 1) маслоизготовитель легко загружать и выгружать, мыть и стерилизовать, 2) вода и соль равномерно распределяются в масле, 3) улучшаются консистенция и вкус масла, 4) тонкое распределение влаги в масле препятствует выделению капель воды, 5) масло легко формируется в прямоугольные бруски и не увлажняет пергаментной бумаги. Начало см. РЖХим, 1957, 67812.

В. Гурни

**70528.** Система комплексной автоматизации поточной линии производства сливочного масла. Вайнберг А. Я., Тр. Всес. н.-и. ин-т молочн. пром-сти, 1956, вып. 16, 54—61

Описана схема автоматич. регулирования и контроля технологич. процесса произ-ва масла поточным способом. Автоматизированы следующие процессы: нагревание исходных сливок, получение высокожирных сливок, охлаждение масла. Испытания показали, что автоматич. регулирование процесса нагревания сливок обеспечивает постоянство т-ры в пределах +2°, автоматич. контроль жирности сливок в потоке в 70% анализом дал расхождения  $\pm 0,5\%$ , постоянная т-ра охлаждения продукта достигалась автоматич. регулированием кол-ва хладагента, поступающего в охладитель.

Е. Богданова

**70529.** Влияние освещения на качество масла. Мальм, Хильдингсон (Kylskibelysnings inverkan på smörets kvalitet. Malm Börje, Hildingson Bengt), Svenska mejeritidn., 1955, 47, № 32, 469—471 (шведск.)

Изучено влияние освещения (обычные лампы накаливания, неоновые трубки голубовато-белого и молочного-белого свечения) на качество масла спец. посола (содержание соли 1,5%) и обычного посола (соли

1,4%), упакованного только в пергаментную бумагу, а также дополнительно упакованного в алюминиевую фольгу толщиной 0,012 мм, в течение 14 суток при т-ре +7°. Существенной разницы в степени изменения масла при освещении тремя различными типами ламп не отмечено. Изменение качества масла, упакованного только в пергаментную бумагу, наступало после 1 часа облучения. Алюминиевая фольга полностью защищала масло от влияния света. Различные способы посола не оказывали заметного влияния на изменение масла от действия света. Под действием освещения ухудшается качество масла только в верхнем слое толщиной до 1 см.

Л. Кондратьева

**70530.** Созревание твердых сыров. Стургорде (Hårdostarnas mogning. Storgårds Torsten), Svenska mejeritidn., 1955, 47, № 34, 497—500, 503—504 (шведск.)

Методами электрофореза и хроматографии изучен процесс созревания твердых сыров. 43% общего содержания азота составляли высокомолекулярные пептиды (мол. в. 13 000), не диализовавшие, но выпадавшие в осадок при действии этилового спирта. Кол-во свободных аминокислот в сыре увеличивается с его возрастом; зрелый сыр может содержать до 20 аминокислот, причем в сыре не всегда содержатся аминокислоты в таком же кол-ве, как в казеине; в сыре в большем кол-ве содержатся те аминокислоты, которых меньше в казеине: природа этого явления подлежит дальнейшему изучению. В мягких, а также в некоторых зеленых сырах происходит дальнейший распад аминокислот до  $\text{NH}_3$ . Созревание сыра при слишком низкой т-ре тормозит процесс протеолиза, что придает сыру неприятный горьковатый вкус. Процесс протеолиза нарушается также применением для обработки сыра окисляющих солей.

Л. Кондратьева

**70531.** Опыты по устранению белых пятен на корке швейцарского сыра. Мальм, Магнуссон, Хильдингсон (Försök rörande ytfelet vita fläckar i röthall. Malm B., Magnusson F., Hildingson B.), Mejeritekn. medd., 1955, 16, № 4, 97—105 (шведск.)

Изучено происхождение белых пятен на корке швейцарского сыра и разработаны способы предупреждения этого порока. Неравномерное распределение сывортки в сыре не является причиной образования белых пятен на корке сыра. Самокол, образующийся при непрерывном подогреве сырной массы в ванне, может способствовать развитию плесени. Белые пятна образуются в результате развития бактерий на корке сыра на ранней стадии созревания; повышенный распад белков в местах поражения сыра способствует развитию плесени. *Mucor* и *Penicillium* вызывают сильное поражение сыра белыми пятнами после 3 недель созревания. Заражение плесенью возможно, начиная от сырной ванны до выхода сыра из-под пресса. Наиболее эффективным способом предупреждения появления белых пятен является посол сыра в рассоле. Рекомендуется обработка сыров фунгицидными препаратами на ранней стадии созревания.

Л. Кондратьева

**70532.** Об относительной жирности и о выходе рассольных сыров кавказской группы. Магакиан А. Т., Тр. Ин-т животноводства АрмССР, 1955, 5, 151—162 (рез. арм.)

Степень использования жира молока при выработке 40%-ных сыров в среднем составляет 85,5%, полножирных — 85—83%. С повышением жирности молока степень использования жира у первых не изменяется, у вторых понижается. Отход жира в сывортку у полножирных сыров выше, чем у 40%-ных, и увеличивается с повышением жирности молока. Потери жира при выработке сыров составляют ~1,5%, потери при созревании — 2,6%. При выработке полножирных сыров с повышением жирности молока выход сыра и его



сухого в-ва на единицу жира молока уменьшается. Выход 40%-ных сыров значительно выше.

**70533. Витаминизированный сыр.** А. Прогорович, Молочн. пром-сть, 1957, № 2, 19

Разработана новая технология произ-ва витаминизированного сыра, содержащего 7,5 мг % тиамина. 25—30 г сыра достаточно для удовлетворения суточной потребности человека в витаминах группы В.

**70534. Выработка сыра в порошок.** А. Прогорович, Молочн. пром-сть, 1956, № 7, 16—17

Сырьем для произ-ва советского сыра в порошке является терочный сыр типа советского 30—40%-ной жирности, вырабатываемый из пастеризованного молока, заквашенного бактериальной закваской молочнокислых палочек и стрептококков. Т-ра свертывания 30—35°, продолжительность 30 мин. Величина зерна 2—3 мм, время постановки его 10—12 мин. Т-ра второго нагревания 56—57°, продолжительность 20—25 мин. После посолки сыр выдерживают 45 суток в подвале при 18—20° и влажности воздуха 90—92% и затем 6 месяцев при 11—13° и влажности 85—88%, после чего парафинируют и в тех же условиях выдерживают еще 6 месяцев. Созревший сыр размельчают на терочной машине, смешивают с 1,5—2% соли и сушат при 38—42° в течение ~6 час. до влажности ~10%. Продукт упаковывают в коробки емк. 100 г.

**70535. Измерение вязкости плавящихся сыров при помощи вискографа Брабендера.** Беккер, Клемменс (Viskositätsmessungen an Käseschmelzen im Brabender-Viskographen. Becker Ewald, Clemens Wegner, Milchwissenschaft, 1955, 10, № 8, 258—266 (нем.; рез. англ., франц., исп.))

Установлено, что вискограф Брабендера может быть использован для изучения влияния на процесс плавления сыра исходного сырья, вида и кол-ва солей-плавителей, т-ры и продолжительности плавления и других факторов. Вискограф Брабендера, снабженный механич. мешалкой и регулятором т-ры, может служить для приготовления плавленного сыра из небольшого кол-ва опытного материала (200—250 г).

**70536. Новый режим шпарки свиных туш.** Войнова П., Солицева Г., Герцова Х., Мясная индустрия СССР, 1957, № 1, 8—10

Рекомендуется свиной, забиваемых в апреле—сентябре, шпарить при 56° в течение 3—5 мин., а перерабатываемых в октябре—феврале, при 58° в течение 5—7 мин. Для регулирования т-ры и времени шпарки необходимо применять терморегуляторы, поддерживающие заданную т-ру с точностью до  $\pm 0,5^\circ$ , и механизмы, подающие туши в скребашину через определенные промежутки времени после шпарки.

**70537. Сбор пищевой крови на Шауляйском мясокомбинате.** Крылова Н., Комарова В., Спичка П., Филиппов Т., Мясная индустрия СССР, 1957, № 1, 21—22

Опыты по сбору пищевой крови крупного рогатого скота и свиной показали, что при строгом соблюдении ветеринарно-санитарных правил и правильной организации труда на средних и малых мясокомбинатах, не имеющих спец. линий для переработки животных в вертикальном положении, выход пищевой крови крупного рогатого скота (молодняка) может составлять 3,5% и свиной (беконных) — 2,9%. Лучший выход пищевой крови от свиной получается после оглушения электротоком и немедленного последующего обескровливания.

**70538. Контроль за качеством упакованной замороженной птицы.** Херн (Quality control in packing

frozen poultry. Hearn Charles), Frosted Food Field, 1956, 23, № 1, 46 (англ.)

Рассмотрена необходимость санитарного контроля за качеством птицы, поступающей в переработку, а также в процессе переработки, замораживания и хранения.

**70539. Проблемы санитарной техники хранения мяса.** Бриво (Les problèmes de technique sanitaire posés par la commercialisation des viandes depuis l'abattage jusqu'à la vente. Brevet M. G.), Technicien sanit. France, 1957, 33, № 2, 5—16 (франц.)

**70540. Определение степени свежести некоторых пищевых субпродуктов (печень, почки).** Корнилов В. Е., Тр. Моск. вет. акад., 1956, 17, 67—78

Изучены наиболее характерные изменения, происходящие в субпродуктах при порче. Конция Н+ в печени и почках в первые часы после убоя увеличивается в результате накопления кислых продуктов автолиза. В период с 2 до 4 час. после убоя конция Н+ несколько уменьшается в связи с коллоидно-хим. перестройкой белковых в-в. Структурные изменения в клетках печени и почек (нарушение хроматиновой структуры ядра, глубокая зернистость протоплазмы, сглаживание контуров клетки) обнаруживаются через 24 часа хранения. Для определения степени свежести рекомендуется комплекс лабор. методов: определение аминок-аммиачного азота и кол-ва летучих к-т, проба с реактивом Несслера, проба с 10%-ным р-ром  $\text{CuSO}_4$  и бактериоскопия.

**70541. Применение запарочного агрегата ЗК-1,0 для варки субпродуктов.** Рейшис В., Калызин Н., Абрамова М., Мясная индустрия СССР, 1957, № 1, 53—54

На Боровичском мясокомбинате для варки субпродуктов приспособлен запарочный агрегат поверхность нагрева 6 м<sup>2</sup> и давл. 0,25 атм, состоящий из котла и 2—3 запарочных баков, емкостью по 400 кг субпродуктов. Цикл варки 4 часа. В запарнике также можно вытапливать костный жир из костей и варить колбасные изделия. Разгрузка баков механизирована. Применение запарочного агрегата для варки субпродуктов улучшило санитарное состояние произ-ва и дало экономию в расходе топлива, воды и пара около 20 тыс. рублей в год. Приведен эскиз агрегата.

**70542. Определение нитратов и нитритов в рассолах полиграфическим методом.** Шпаньяр, Кевет, Кисел (Páclevek nitrit- és nitrát-tartalmának meghatározása egymás mellett polarografias módszerrel. Spanyár Pal, Kevei Jánosné, Kiszél Józsefné), Elelm. ipar, 1956, 10, № 3, 68—72 (венг.; рез. русск., нем., англ.)

Разработан метод определения содержания нитратов (I) и нитритов (II) в рассолах. Первоначально определяют общее содержание I и II в рассоле, уже известным полиграфич. методом, затем из рассола удаляют II при действии  $\text{HCl}$  в присутствии спирта,  $\text{HNO}_2$ , образующаяся из II, дает этилнитрит, который удаляют потоком нейтр. газа) и определяют полиграфически содержание I. По разности находят кол-во II. Метод дает возможность определить I и II при общей конц-ии 50—150  $\mu/0,5$  мл с точностью  $\pm 8\%$ .

**70543. Антисептическая сушка кишок, используемых для колбасных изделий.** Цюн А. А., Сб. научн. тр. Ивановск. с.-х. ин-та, 1956, вып. 15, 247—265

Исследован метод комбинированного действия высокой т-ры и копильного дыма — антисептич. сушки. Кишки, обработанные этим методом, обладают: 1) более глянцевитой и ярко окрашенной поверхностью; 2) не имеют неприятного запаха, присущего соленым кишкам; 3) не подвергаются порче в результате прогара жира при длительном хранении; 4) могут

быть отмочены в течении нескольких минут, вместо 12—16 час. по стандарту; 5) в 6—7 раз легче соленых и не требуют для хранения дорогостоящей тары; 6) безопасны (в отношении инфекции) при подготовке и шпиритовке; 7) могут быть использованы кишки от животных, больных бруцеллезом, ящуром и другими заболеваниями. Метод антисептич. сушки позволяет получить почти полностью стерильную кишечную оболочку и способствует автоматизации колбасного произ-ва.

В. Долговский  
70544. Холодильник для мяса (компания «Дзинко-куку тикусан»). Мацуо (全國畜産株式会社畜肉冷蔵 庫・松尾紀), 冷凍, Refrigeration, Райто, 1957, 32, № 352, 42—45 (японск.)

70545. Применение пластинчатого пастеризатора в производстве яичного меланжа. Панкова Ф., Прокофьева Т., Лютикова П., Мясная индустрия, СССР, 1957, № 1, 31

На Воронежском яйцесушильном з-де смонтирована линия пастеризации меланжа, состоящая из пластинчатого пастеризатора, производительностью 625 л/час, выдерживателя, цилиндрич. фильтра, бойлера, перепускного бачка и насосов. Кратко описана работа линии. Для предупреждения оседания частиц меланжа на поверхности пластин пастеризатора принята т-ра пастеризации 59—61° при обогреве горячей водой (65—68°); продолжительность выдержки 30 сек.; охлаждение меланжа до 14—16°. Пастеризация уничтожает 98—99% микрофлоры меланжа и значительно понижает титр кишечной палочки.

В. Долговский  
70546. О повышении качества рыбных продуктов. Лефтереску (Să ridicam continuu calitatea produselor pescărești. Lefterescu M.), Rev. ind. aliment. prod. animale, 1957, № 1, 15—16 (рум.)

70547. Применение холода и соблюдение гигиенических условий при производстве и перевозке рыбных продуктов. Салерни (Igiene e freddo dalla produzione alla distribuzione dei prodotti ittici. Salerni Amedeo), Freddo, 1955, 9, № 5, 21—28, 31—36 (итал.)

Обзорная статья. Н. С.  
70548. Промышленное консервирование тунца в США. Дутр (L'industrie de la conserve de thon aux Etats-Unis. Dautre), Rev. trav. Inst. pêches marit., 1956, 20, № 4, 449—474 (франц.)

Кратко описаны местоположение, общий вид и схема консервного з-да, организация отдельных этапов произ-ва, производительность на различных технолог. процессах, данные о механизации производственных процессов и о технологич. режимах отдельных операций.

В. Гржино  
70549. Изучение рыбного студня. I. Определение эластических свойств. Мияка, Хоригути, Хаяси (煉製品に關する研究. I. 足の維現方法について. 三宅正人・堀口吉穂・村松市郎), 日本水産學會誌, Нихон суйсан гаккайси, Bull. Japan. Soc. Scient. Fish., 1956, 21, № 12, 1241—1243 (японск.; рез. англ.)

Приведена схема прибора и результаты сделанных с его помощью измерений эластич. свойств рыбного студня (прочность, нежность, крошчивость и хрупкость). Прибор позволяет получить данные, наиболее полно характеризующие эластич. свойства различных видов рыбного студня.

С. Елманов  
70550. Жир, мука и другие продукты переработки рыбы. Нутевари (Olje, mel og andre industriprodukter av fisk. Nutevarp Olav), Tekn. ukebl., 1956, 103, № 32, 721—733; Timarit Verkfraedingsfælgs Islands, 1956, 41, № 4, 3—15 (норв.)

Отмечается преимущество консервирования сельди, предназначенной для переработки на муку и жир, действием  $\text{NaNO}_2$  0,1—0,2%  $\text{NaNO}_2$  (к весу сельди) достаточно для ее сохранения в течение 2—3 мес. при

т-ре ~5°. Мука, изготовленная из такой сельди, равноценна муке, изготовленной из обычной сельди. Содержание  $\text{NaNO}_2$  в рыбной муке, предназначенной для экспорта, должно быть ≤0,005%, для внутреннего рынка до 0,02%. Для повышения содержания в рыбной муке белков и витаминов отпрессованную жидкость предварительно выпаривают и затем смешивают с плотной частью, полученной после прессования, для последующей сушки.

Л. Кондратьева  
70551. О подготовке рыбоконсервного завода в Констанце к производственной кампании 1957 г. Анкуца (Fabrica de conserve de pește din Constanța s-a pregătit pentru producția anului 1957. Ancuța Maria), Rev. ind. aliment. prod. animale, 1957, № 1, 28 (рум.)

70552. Физико-механические свойства байхового чая и рационализация процесса сортировки полуфабриката. Эджиян Л. В., Бюл. Всес. н.-п. ин-та чая и субтропич. культур, 1956, № 4, 40—54

На основе изучения физ.-мех. и аэродинамич. свойств составных частей полуфабриката байхового чая (размерности, уд. веса, объемного веса, критич. угла изгиба, коэф. трения, скорости витания чайнок) разработана схема сортировки полуфабриката, предусматривающая фракционную сортировку с комбинированным использованием различных принципов разделения и позволяющая осуществить полный цикл сортировки за один проход.

В. Гурни  
70553. Напитки. Микроскопический анализ пищевых продуктов. Сообщение 10. Эссекс, Шелтон (Beverages. Food microscopy. 10. Essex C. D., Shelton J. H.), Food, 1956, 25, № 301, 381, 382, 388 (англ.)

Описание чайного растения и дерева *Plex paraguayensis*, из высушенных листьев которого готовится напиток матэ (мексиканский чай). Приведена сравнительная характеристика формы, анатомич. строения и микроскопич. исследования их листьев. Освещены приемы фальсификации чая добавлением: 1) «спитого чая» после скручивания и высушивания разваренного листа, 2) чрезмерного кол-ва стеблевых частей, 3) листьев посторонних растений (бука, березы, бузины, вяза, тополя, розы, терна, ивы), 4) в-в вяжущего вкуса (обычно высушенного водн. экстракта листьев и побегов катеху). Приведены методы распознавания примеси. Сообщение 9 см. РЖХим, 1957, 43318.

В. Гурни  
70554. Определение в кофейном экстракте некоторых посторонних добавок. Дюл (Détection des aromes synthétiques, de la chicorée et des caramels dans les extraits de café. Dool H. van den), Ann. falsific. et fraudes, 1957, 50, № 577, 23—29 (франц.)

Спектрометрич. методом установлено, что добавка в кофейный экстракт синтетич. ароматич. в-в (меркаптанов), экстракта цикория и карамели соответственно изменяет характер кривых поглощения световых лучей, что дает возможность обнаруживать добавление этих в-в.

В. Реутов  
70555. О применении химикатов в пищевых продуктах. Тейфель (Über die Verwendung von Chemikalien bei Lebensmitteln. Täufer K.), Lebensmittel-Ind., 1957, 4, № 5, 156—157 (нем.)

Отмечается, что посторонние хим. в-ва могут быть добавлены к пищевым продуктам: 1) если они оказывают положительный эффект на внешний вид и вкусовые качества последних или способствуют их хранению или технологии изготовления (консерванты, стабилизаторы эмульсий, сорбит как антикристаллизатор и др.); 2) если добавление их вызывает физиологич. или экономич. соображениями (напр., улучшители хлебопекарных качеств муки); 3) если они повышают пищевую ценность продукта и являются со-

ставл  
в-ва  
зисл  
ких л  
доза  
70556  
в С  
réa  
lag  
70557  
Из  
пл  
Г  
рас  
Ku  
ein  
sch  
Ku  
фр  
Из  
иден  
масл  
тучи  
в пл  
водо  
90° з  
Этой  
зали  
лету

70558  
лек  
195  
70559  
cor  
il,  
70560  
пр  
(С  
an  
101  
70561  
joc  
ge  
70562  
по  
М  
ml  
pri  
sl  
(ч  
70563  
K  
18  
70564  
П  
R  
(ф  
70565  
кр  
ва  
Ч.  
Ra  
70566  
со  
Ма  
13  
Пр  
муки

ставной частью его (напр., витамины). Добавляемые в-ва должны быть безвредны для человека, их физиол. действие должно быть проверено на нескольких поколениях подопытных животных, используемая доза должна быть минимальной.

**70556. Новое в области упаковки пищевых продуктов в США.**— (Quoi de nouveau aux États-Unis? Quelques réalisations remarquables à Atlantic-City.—), Emballages, 1956, 26, № 161, 35, 37—41, 43 (франц.)

**70557. Пластмассы для упаковки пищевых продуктов. Изучение растворимости поливинилденхлоридной пленки американского происхождения. Робинзон-Гёрхардт** (Kunststoffe in der Lebensmittelverpackung. Studie über das Löslichkeitsverhalten von Kunststoff-Erzeugnissen, durchgeführt am Beispiel eines Polyvinylidenchloridpolymerischen amerikanischen Herkunft. Robinson-Görnhardt L.), Kunststoffe, 1957, 47, № 5, 265—267 (нем.; рез. англ., франц., исп.)

Изучена растворимость американской поливинилденхлоридной пленки в воде, эфире и растительных маслах при 20—90° и убыль в весе за счет потери летучих в-в при нагревании до 20—50°. Установлено, что в пленке содержится ~7,8% эфирорастворимых, 2,4% водорастворимых, ~1,3% жирорастворимых в-в. При 90° за 5 час. масло извлекает > 50% пластификатора. Этой способностью обладает, напр., плавящийся сыр, заливаемый в пленку в горячем виде. Потеря пленкой летучих в-в при 90° за 2 часа 0,9%, за 26 дней 7,5%.

В.Гурни

**70558 К. Микроб ботулизма в консервной промышленности. Матрозова Р. Г. М.,** Пищепромиздат, 1957, 119 стр., илл., 4 р.

**70559 К. Сбор и консервирование плодов** (Récolte et conservation des fruits. Paris, Flammarion, 1956, 31 pp., ил., 100 fr.) (франц.)

**70560 К. Химия и технология цитрусовых плодов, продуктов их переработки и побочных продуктов** (Chemistry and technology of citrus, citrus products, and byproducts. Washington, Govt. Print. Office, 1956, 101 pp., ил., 50 с.) (англ.)

**70561 К. Содержание йода в молоке. Биннерт** (Het jodiumgehalte van melk. Binnerts W. T. Wageningen, H. Veeman & Zonen. 154 bl., 6,85 h. fl.) (гол.)

**70562 К. Чистые молочнокислые культуры и их использование в молочной промышленности. Кнез, Машек, Макеа, Теплый, Ведлих** (Čisté mlékařské kultury a jejich použití v mlékařském průmyslu. Vyrac. Kněz Václav, Mašek Jaroslav, Maša Věroslav, Teplý Miloš, Vedlich Miloslav. Praha, SNTL, 1956, 223 s., ил., 14,05 Kčs.) (чешск.)

**70563 К. Производство сыра. Кнез** (Výroba sýrů. Kněz Václav. Praha, SNTL, 1956, 284 s., ил., 18,40 Kčs.) (чешск.)

**70564 К. Колбасное производство во Франции. Том 2. Паллю** (La charcuterie en France. Tome 2. Pallu René. Paris, René Pallu, 1956, 297 p., 2500 fr.) (франц.)

**70565 Д. Электрометаллизационные защитные покрытия и возможности их применения для оборудования пищевой промышленности. Якимавичус Ч. С.** Автореф. дисс. канд. техн. н., Лит. с.-х. акад., Каунас, 1956

**70566 П. Способ обработки муки, ускоряющий ее созревание** (Verfahren zum Reifen von Mehl) [Food Machinery and Chemical Corp.]. Пат. ФРГ 953962, 13.12.56

Предлагается применять для ускорения созревания муки порошкообразный пергидрат с величиной частиц

< 20 м (10<sup>7</sup> частиц в 1 г), который смешивают с мукой в соотношении < 500 вес. ч. на 1 млн. вес. ч. муки и выдерживают смесь до полного использования H<sub>2</sub>O<sub>2</sub>. Напр., берут 100 г пергидрата Na<sub>2</sub>CO<sub>3</sub> на 1 млн. вес. ч. муки, измельченного до размера < 10 м, равномерно перемешивают с мукой. Периодически делают пробу на H<sub>2</sub>O<sub>2</sub>, через 3 часа проба дает отрицательный результат. Из муки приготавливают обычным способом тесто и хлеб. Качество последнего в отношении объемного выхода и структуры мякиша заметно улучшается.

А. Емельянов

**70567 П. Аппарат для варки карамельной массы. Тюрлинге** (Apparatus for boiling a sugar mass. Thürlings Hermann). Пат. США 2732009, 24.01.56

Аппарат для варки карамельной массы в кондитерском произ-ве отличается тем, что он состоит из трех частей: паровой камеры со змеевиком в ней для улавливания, промежуточной камеры с пружинным клапаном и выгрузочного котла. Сахарный р-р непрерывно подается насосом в змеевик, открытый конец которого входит в промежуточную камеру; кипящая сахарная масса поступает в камеру, откуда через отверстие, закрытое клапаном с пружиной, в выгрузочный котел. Промежуточная камера и выгрузочный котел раздельно могут быть соединены с вакуум-насосом и с атмосферой, что дает возможность работать при любом давлении, причем разном в промежуточной камере и выгрузочном котле.

Г. Бенни

**70568 П. Получение кристаллического сычужного фермента. Оэда** (結晶性レンネットの製造法. 大條芳義). Японск. пат. 5296, 29.07.55

В р-р, содержащий фермент, полученный после dialиза сычужного экстракта, добавляют к-ту и получают осадок фермента. Осадок извлекают, растворяют в слабой к-те, добавляют соли этой же к-ты и оставляют при ~20° до выпадения кристаллов. Кристаллы извлекают, промывают р-ром, близким по структуре к исходному, и сушат. Пример. 1-й этап. Выделение осадка фермента из сычужного экстракта. Экстрагируют слизистую оболочку сычуга теленка или козленка, сушат и измельчают до порошка. Порошок (10—20%) смешивают с 10—20%-ным р-ром CaCl<sub>2</sub>, винной к-той или любой другой, доводят pH до 4,8—5,2, выдерживают 1—3 суток при 30—40°, фильтруют и получают сычужный экстракт. Экстракт диализируют катафорез. методом, освобождают от солей и фильтруют. В фильтрат по каплям вводят к-ту (обычно CH<sub>3</sub>COOH), при pH 4,6 осаждают фермент и собирают осадок. 2-й этап. Кристаллизация осадка. Осадок растворяют в малом кол-ве (1—10-кратном) 0,01—0,5 н. HCl, отделяют нерастворившиеся в-ва, добавляют насыщ. р-р CaCl<sub>2</sub> (10 : 0,3—0,6) и оставляют при ~20°. Через несколько часов начинается выпадение кристаллов. 3-й этап. Извлечение кристаллов. Кристаллы извлекают центробежным способом, трижды промывают в р-ре, структурно близком к исходному, и сушат.

В. Гужавин

**70569 П. Способ сохранения цвета мяса при замораживании. Ясуда** (冷凍中に於ける獸肉の變色防止法. 安田誠一) [大洋漁業株式会社. Тоё гёё кабусики кайся]. Японск. пат. 1382, 27.02.56

Патентуется способ предупреждения потемнения китового мяса, говядины, свинины и другого мяса. Гемин мяса обрабатывают сильными восстановителями, напр. Na<sub>2</sub>S, Na<sub>2</sub>SO<sub>3</sub>, NaHSO<sub>3</sub>. Одновременно для предохранения от окисления жира рекомендуется обрабатывать мясо Na-цитратом, этилгаллатом, пропилгаллатом, тиомочевой, гликолом. Для этого готовят слабый смешанный р-р этих в-в (0,1—0,5%), погружают в него мясо, после чего замораживают. Обработанный продукт может сохраняться 6 лет, не изменяя цвета. При и-



мер: в 0,5%-ный р-р  $\text{Na}_2\text{S}$  и  $\text{Na}$ -цитрата (1:1), охлажденного до  $3^\circ$ , погружают на очень короткое время 15 кг китового мяса и замораживают до появления ледяного покрова.

В. Гужавин  
70570 П. Способ консервирования озерно-речной рыбы со съедобной морской травой. Накагава (昆布巻モノの罐詰法. 中川七男) [近江罐詰株式会社, Оми кандаэме кабусики кайся]. Японск. пат. 1380, 27.02.56

Патентуется способ консервирования мелкой пресноводной рыбы (голавль, плотва, карп и др.) в целом виде с сохранением ее специфич. вкуса. Свежепойманную рыбу немедленно помещают в р-р таннина в слегка соленой воде, где ее кости размягчаются, затем рыбу поджаривают на сильном огне в течение короткого времени, завертывают в морскую траву, укладывают в банки и заливают соусом, состоящим из спирта, сладкого сиропа, уксуса, соевого масла, после чего банки пастеризуют под давлением. Пример: 10 кг мелкой рыбы (голавль, плотва) на 10—15 мин. помещают в р-р дубильной к-ты (2500 г) в слегка подсоленной воде (20 л), затем рыбу поджаривают при  $190\text{--}200^\circ$  в течение 20—30 сек. и сушат, что укрепляет чешую; обертывают каждую рыбу слоем морской травы и укладывают в банки. Рыбу в банках заливают ароматич. соусом, состоящим из 1560 г сахара, 525 г сладкого сиропа, 0,27 л спирта, 1 л уксуса, банки герметически закрывают и стерилизуют 60 мин. при  $108,4^\circ$  под давл. 0,35 ат.

В. Гужавин  
70571 П. Способ сушки рыбы. Нагасима (乾魚製造方法. 長島銀藏). Японск. пат. 1383, 27.02.56

Свежую рыбу на 5—10 сек. погружают в горячую воду ( $85\text{--}100^\circ$ ) или обрабатывают паром, инертным газом ( $\text{N}_2$ ,  $\text{CO}_2$ ), горячим воздухом при той же т-ре, воздействуя на белковые в-ва и коллаген, расположенные между кожей и мясом рыбы. В результате обработки кожа легко отделяется от мяса, последнее варят и сушат (или сушат непосредственно без варки). Такая обработка одновременно обеспечивает в значительной степени обезжиривание рыбы, что создает возможность ее длительного хранения. Пример: сардины или сельдь обезглавливают и потрошат, на 8 сек. погружают в горячую воду ( $90^\circ$ ), снимают кожу и подкожный слой жира, мясо снова варят 5 мин. при  $80^\circ$  и сушат.

В. Гужавин  
70572 П. Способ приготовления рыбного блюда. Мацубара (魚肉練製品製造法. 松原英郷). Японск. пат. 1384, 27.02.56

Измельчают мясо рыбы, добавляют щел. в-ва для придания массе клейкости, воду, сухую рыбную муку и измельченное вареное мясо рыбы, регулируют степень густоты массы, тщательно перемешивают и формируют. Пример. К 100 г измельченного мяса рыбы добавляют 0,05—0,3 г каустич. соды или КОН, перемешивают и получают клейкую массу. Добавляют 200 г сухой рыбной муки или 400 г измельченного вареного мяса рыбы, перемешивают, раскатывают и сушат.

В. Гужавин  
70573 П. Улучшение способа добавления фтора в пищевую соль (Perfectionnements à l'adjonction de fluor aux sels alimentaires) [Société commerciale des sels «Socoles»]. Франц. пат. 1109273, 24.01.56

Для предупреждения кариеса зубов к пищевой поваренной соли прибавляют смесь  $\text{CaF}_2$  и  $\text{CaCO}_3$  (или  $\text{MgCO}_3$ ). Приготовляют смесь  $\text{CaF}_2$ ,  $\text{CaCO}_3$  и  $\text{NaCl}$  в соотношениях  $1 \times 10 \times 39$  вес. ч., затем 1 вес. ч. смеси перемешивают с 19 вес. ч.  $\text{NaCl}$ , что составляет  $\sim 1$  г F/1 кг соли. Размеры частиц ингредиентов и готового продукта не должны превышать 0,1 мм.

А. Марин  
70574 П. Метод облагораживания табака. Кобер (Verfahren zur Veredelung von Tabak. Kober Bru-

no). Швейц. пат. 300581, 16.10.54 [Chem. Zbl., 1955, 126, № 18, 4234—4235 (нем.)]

Листья табака погружают ненадолго в водн. р-р кремневой к-ты, который может содержать электролиты, напр.  $\text{KCl}$ , затем обмывают водой и сушат. Обработка снижает содержание в табаке неприятных раздражающих в-в и никотина.

Г. Диккер  
70575 П. Упаковка, покрытая парафином и продуктом полимеризации циклопентадиена. Трамм, Рёлен (Package coated with paraffin and a polymerized product of a cyclopentadiene. Tramm Heinrich, Roelen Otto) [Ruhchemie A.-G.]. Пат. США 2731370, 17.01.56

Стерилизуемую бумажную упаковку для твердых и жидких пищевых продуктов покрывают парафином (т. пл.  $90^\circ$ ) с добавлением 2—70%, предпочтительно 5—20%, рафинированных продуктов полимеризации циклопентадиена (I) и дициклопентадиена (II) или гидрированных продуктов их полимеризации. Пример. Нагревают II  $\sim 10$  час. при  $200^\circ$ . Полученный продукт гидрируют при  $140\text{--}150^\circ$ , небольшим давлением и Ni-катализаторе. Продукт полимеризации растворяют в горячем бензоле, фильтрованием отделяют от нерастворимых в-в и при охлаждении фильтрата выделяют гидрированный пентамер I в виде белого порошка с т. пл.  $290\text{--}310^\circ$ . Составляют смесь из 90 вес. ч. твердого парафина и 10 вес. ч. пентамера I с т. замерзания  $185^\circ$ . В расплав погружают бумажную упаковку, после чего ее выдерживают длительное время в сушильной камере при  $120^\circ$ . При наполнении готовой упаковки красящим в-вом и обработкой струей водяного пара при  $110^\circ$  покрытие совершенно непроницаемо и р-р красителя не просачивается сквозь упаковку.

В. Гурин

См. также: Определение жирных к-т в молоке 23150Бх. Методы исследования 69136, 69139. Ферменты при хлебопечении 23225Бх. Хим. средства консервирования 23441Бх. Синтетич. сладкие в-ва 68785. Повышение активности микроорганизмов брожения, произв. 23399Бх. Сточные воды 69623. Автоматизация пищевой пром-сти 70735—70737. Трубы из пластмасс 70066. Фунгицидные краски для оборудования 69354.

## КОЖА. МЕХ. ЖЕЛАТИНА. ДУБИТЕЛИ. ТЕХНИЧЕСКИЕ БЕЛКИ

Редактор О. В. Матвеева

70576. Увеличение площади кож для верха обуви — важное технико-экономическое достижение. Исэй-лэ (Măireza suprateței pieilor de fete, o importantă realizare tehnico-economică. Isăilă N.), Ind. usoara, 1956, 3, № 10, 400—406 (рум.; рез. русск., нем.)

Рассмотрены теоретич. основы усадки кожи (К) в процессе сушки, зависящей от хим. состава К, ее строения и способа сушки; дан подробный анализ физ. и хим. факторов, обуславливающих удержание влаги в макро- и микропорах К.

Г. Маркус  
70577. Применение параклорметахрезол в качестве консервирующего и дезинфицирующего средства в кожевенной промышленности. Дворжанек, Бартак (Parachlormetakresol jako konservativní a desinfekční prostředek v kožedělnství. Dvořánek Ladislav, Barták Vladimír). Věda a výzk. v průmyslu kožeděln., 1956, 1, 97—102 (чешск.; рез. русск., англ.)

Показано, что  $\text{p-Cl-м-крезол}$  является хорошим консервирующим и дезинфицирующим средством, которое не оказывает неблагоприятного влияния на отдельные технологич. процессы кожевенного производства.

О. М.



тяжение при первых 10 кг нагрузки, напр. 0,37 мм/кг; нагрузка при прорыве шариком должна быть возможно выше, уменьшение толщины при сжатии небольшое, какущийся уд. вес высокий (напр., 0,64). Качество валяной кожи определяется ее компактностью, которая зависит от стойкости, прочности и малой тягучести. Сырье для этих кож должно быть плотным, число продуба и кол-во водорастворимых низким. Плохие кожи содержат больше жира. Лучшие кожи имеют упорядоченное переплетение полных, прямых, хорошо расщепленных волокон. Плохие кожи имеют беспорядочно расположенные пучки с тонкими волокнами.

И. Этингоф

**70584. Взаимодействие полупродуктов и окислителей при крашении меха.** Чацкий П. И., Легкая пром-сть, 1956, № 12, 30—34

Исследовалось взаимодействие полупродукта с окислителями: 1)  $H_2O_2$  и двухромовая к-та (I) (свободная и связанная с волосным покровом); 2) Опыты проводили на овчинах пикельно-хромовой выделки, обезжиренных дихлорэтаном, при pH 4,7, 6,2 и 8,5, т-ре 32° и длительности процесса 6 час. Периодически анализировали изменение конц-ии полупродукта и окислителей. При крашении в присутствии  $H_2O_2$  меха, протравленного двухромовой к-той, окислителем служит только  $H_2O_2$ . Насыщ. окраску обеспечивает окисление полупродукта в среде, близкой к нейтр., и в щел. среде. Понижение pH волоса сокращает кол-во продуктов окисления в волосе. Непрокрашен волоса при крашении меха с высоким содержанием I обусловлено отсутствием достаточного кол-ва окислителя. Перекись водорода целесообразно добавлять после начала процесса крашения. I, связанная с волосом, без участия  $H_2O_2$  не способна в достаточной степени окислить полупродукт.

Р. Колчина

**70585. Водные растворы комплексных соединений сернокислого хрома.** Музыка П. Д., Легкая пром-сть, 1956, № 12, 34—37

Исследованы две системы дубящих солей хрома: 1)  $[Cr_2(OH)_2SO_4]SO_4$ ;  $Na_2SO_4$ ;  $H_2O$  (I), 2)  $[Cr_2(OH)_2SO_4]SO_4$ ;  $C_6H_4(COONa)_2$ ;  $H_2O$  (II). Р-ры готовили так, чтобы суммарная молярная конц-ия р-ра оставалась постоянной, а изменялась лишь конц-ия (от нуля до 100%) одного из компонентов. Эти р-ры исследовали методом электропроводности (по принципу изомолярных конц-ий), фотометрич. методом (измерением оптической плотности); кроме того, определяли изменение кол-ва  $SO_4^{2-}$ -ионов в зависимости от состава системы при помощи солянокислого бензидина. Изотермы удельной электропроводности системы I практически имели прямолинейный характер так же, как и кривая коэф. мол. поглощения. Это свидетельствует об отсутствии хим. взаимодействия между  $Na_2SO_4$  и сернокислой солью хрома. В исследуемом р-ре основной сернокислый хром находится не в виде мономерных форм ( $CrOH_2SO_4$ ), часть сульфатных групп находится во внутренней координационной сфере. Система II изучалась по изменению кол-ва ионов  $SO_4^{2-}$  в зависимости от состава бензидиновым методом и фотометрически. Вначале протекает процесс ионного обмена с вытеснением из внутренней сферы группы  $SO_4^{2-}$ ; затем образование нейтр. молекул основного фталата хрома, что сопровождается выпадением осадка. Дальнейшее увеличение относительной конц-ии фталат-иона приводит к образованию анионных комплексов хрома. В этой области осадки не образуются даже при кипячении.

С. Бреслер

**70586. Еловая кора химической окорки в качестве сырья для производства дубильных экстрактов.** Бинко, Коларж, Мюллер (Srnková kůra se stromů umrtvých chemickými zásahy jako surovina na výrobu tříslených výtažků Binko Ivan, Kolář

Jaroslav, Müller Karel), Věda a výzk. v průmyslu kožeděln., 1956, 1, 27—46 (чешск.; рез. русск., англ.)

При хим. окорке еловой коры содержание экстрагируемых водой танинов снижается с 10—13% до 4,5—6,5% вследствие конденсационных процессов, протекающих в коре. При экстрагировании слабыми р-рами NaOH общее кол-во извлеченных в-в составляет 40%, из них танинов ~20% (по методу фильтрования) и ~15% (по методу забалтывания). При этом диффузионные соки загрязняются продуктами распада пектинов и др. Такие экстракты непригодны для дубления. При значительном сульфитировании в процессе экстракции выход танинов повышается, но качество экстракта при этом снижается.

О. Матвеева

**70587. Экономичные рецептуры костного клея с активными наполнителями.** Спасский Н. А., Сб. науч. работ Всес. н.-и. ин-та полигр. пром-сти и техн., 1956, вып. 7, 154—167

Исследовано влияние следующих минер. наполнителей на качество костного клея для склеивания полупластиков брошировочно-переплетного произ-ва: талька, каолина, литопона, часов-ярской глины, цинковых белил, бентонита, «белой сажи». Установлена прямая зависимость между хим. активностью наполнителя, определяемой кол-вом связываемого им NaOH в мг/г, и вязкостью р-ров клея. Лучшим наполнителем для костного клея является каолин, который при смешивании с водой (1:1) образует однородную льющуюся суспензию, легко смешивающуюся с р-ром клея и не оседающую из него. Каолин повышает вязкость и липкость р-ра клея и эластичность клеевой пленки. При введении каолина в клей в кол-ве 10% получается экономия костного клея в 20—25%.

И. Этингоф

**70588. Обводненность костяного шпота и получение из него клея.** Вирник Д., Мясная индустрия СССР, 1956, № 6, 21—24

При обезвоживании оссеина (I) органич. р-рителями удаляется основная масса воды, что приводит к необратимым изменениям I. Превращение обезвоженного I в клей происходит медленно; клей получается низкого качества. Для получения высококачественного клея необходима высокая обводненность клейдающих материалов перед варкой. Для подавления развития микроорганизмов при обводнении костяного шпота необходимо применять холодную, часто сменяемую воду или добавлять антисептики (сернистую к-ту, бисульфит натрия и др.). Изыскание и внедрение способов обезжиривания кости, исключающих обезвоживание ее, а также новых, более эффективных методов обводнения костяного шпота позволят расширить ассортимент и повысить качество костяного клея. Р. Колчина

**70589. Изучение влияния казеина, феноляльдегидной смолы и наполнителей на физико-механические свойства полиметилакриловых пленок.** Плотников И. В., Научно-исслед. тр. Центр. н.-и. ин-та заменителей кожи, 1956, сб. 8, 42—65

Введение казеина в полиметилакриловые эмульсии значительно повышает прочность пленок. При этом как в пленках, так и в образцах заменителя кожи с увеличением содержания (оптимально 20% от веса полимера) казеина повышаются паропроницаемость и сопротивление истиранию, коэф. трения снижается, приближаясь к показателям натуральной кожи. Применение в метилакриловых дисперсиях наполнителей не повышает значительно их прочность. Совмещение полиметилакриловых эмульсий с синтетич. латексами повышает физ.-мех. свойства последних. Введение в смешанные дисперсии казеина, сажи, каолина (до 20% от веса полимера) повышает прочность пленок на разрыв, а в образцах кирзы стойкость к истиранию.



Более полную пропитку кизры, высокую эластичность и прочность на истирание обеспечивает метилакриловая смола низкой степени полимеризации (380). Более скользкую поверхность обеспечивает смола высокой степени полимеризации (780). Целесообразно выпустить производственные партии заменителя юфти с применением подметилакриловых и поливинилацетатных эмульсий как для пропитки, так и лицевой от-

делки кизры, а также смеси полиметилакриловых эмульсий с латексами ДВХВ-70, СВХ и Л-3. Р. Колчина

См. также: Определение азота по методу Кьельдаля 69193. Заменители кожи 70159. Техника безопасности 70741. Коррозия в кожевенной пром-сти 70605. Бактериол. мягчение кож 23401Бх

## КОРРОЗИЯ. ЗАЩИТА ОТ КОРРОЗИИ

Редактор И. Я. Климов

70590. Борьба с коррозией. Ламбер (De l'anticorrosion à l'anticorrosion. Lambert M.), Trav. peint., 1957, 12, № 2, 54—60 (франц.)

70591. Окисление двойных сплавов при повышенных температурах. Моро (Oxydation des alliages binaires aux températures élevées. Moreau J.), Rev. nickel, 1956, 22, № 4, 79—86 (франц.)

Изучение свойства образующихся окисных пленок при высокой т-ре на двойных сплавах Fe = Cr, Ni = Cr показало, что их состав неидентичен составу сплава. Методом электронной дифракции обнаружено, что окисная пленка сплава Fe = Ni (Ni < 30%) вначале состоит в основном из окислов Fe, а в окисных пленках сплавов Fe = Cr (Cr < 30%) и Ni = Cr (Cr < 20%) содержание Cr значительно выше, чем в сплаве. Это объясняется избирательным окислением компонентов сплава в зависимости от их сродства к кислороду. При образовании стойкого окисла скорость окисления сплава падает и таким образом Cr, в частности, улучшает жаростойкость Fe или Ni. Одновременное обогащение металла малоокисляющимися компонентом благоприятно при нестойкости окисла. Так действует примесь Ni в Fe. У двойных сплавов, кроме Cr = Ni, с ростом пленки изменяется ее состав вследствие р-ции между ее компонентами, идущих на границе металл/окисел и в толще пленки. В первом случае возможны: а) образование твердого р-ра окислов (напр., FeO = NiO или Fe<sub>2</sub>O<sub>3</sub> = Cr<sub>2</sub>O<sub>3</sub> = Al<sub>2</sub>O<sub>3</sub>), зависящего от состава сплава, или нового соединения, как, напр., ферриты, хромиты; б) вторичная р-ция между окислами, как, напр., у сплава Fe = Ni в результате р-ции FeO с NiO остается лишь FeO. С ростом пленки у сплавов металлов переменной валентности на границе с металлом находятся окислы с миним. валентностью, а во внешних слоях — с максимальной. Так, у сплава Fe = Cr (4,6% Cr) вблизи металла — смесь FeO и FeCr<sub>2</sub>O<sub>4</sub>, по мере роста пленки образуется шпинель [Fe<sub>1-x</sub><sup>3+</sup> Fe<sub>2+</sub> · Cr<sub>x</sub><sup>3+</sup>]O<sub>4</sub>, переходящий на поверхности в [Fe<sub>1-x</sub><sup>3+</sup> · Cr<sub>x</sub><sup>3+</sup>] · 1/2 · O<sub>2</sub>. Разность состава и строения пленки увеличивается также из-за различной скорости диффузии отдельных компонентов сплава. У сплавов Fe = Cr, Ni = Cr, Al = Cr под достаточно толстой пленкой образуется зона внутреннего окисления, состоящая из зерен окисла, диспергированных в сплаве, обедненном окисленным металлом. Так, сплав Ni = Cr с 4,6% Cr имеет следующие слои, начиная с поверхности: 1) NiO, 2) NiCr<sub>2</sub>O<sub>4</sub>, 3) Ni + Cr<sub>2</sub>O<sub>3</sub>, 4) чистый сплав: Ni + 4,6% Cr. Т. Шалаева

70592. Исследование методом дифракции электронов избирательного окисления отдельных компонентов в сплавах медь-алюминий. Ватанабэ, Огава, Кимура (Electron diffraction study on the selective oxidation of copper-aluminum alloys. Watanabe Denjiro, Ogawa Shiro, Kimura Takashi), Sci. Repts Res. Insts Tohoku Univ., 1953, A5, № 3, 238—253 (англ.)

Образцы сплавов Cu = Al при содержании Al от 1 до 10%, подвергнутые механич. шлифовке и полировке, помещались в H<sub>2</sub>-струю, насыщ. парами воды, при различных т-рах от 500 до 850°. В результате такой обработки происходило избирательное окисление поверхностного слоя образцов: в зависимости от т-ры струи и состава сплава окислялся тот или иной компонент сплава. На поверхности образцов образовывалась пленка, природа которой (хим. состав и структура) исследовалась методом дифракции электронов. Установлено, что при т-рах 500—600° и при содержании Al 1—2% поверхностный слой состоит из Cu и окисла Cu. При 600° и при содержании Al до 6%, а также при т-рах 700—800° при любом содержании Al на поверхности образовывалось соединение с куб. решеткой, имеющей параметр  $a = 8,3\text{Å}$ . Это в-во — разновидность  $\gamma = \text{Al}_2\text{O}_3$ , оно аналогично в-ву, полученному Харрингтоном при нагревании электролитически полированной поверхности Al. Окись Cu при этом не обнаруживалась. Механизм избирательного окисления состоит в следующем: атомы O, ставшие свободными при термич. распаде водяного пара, окисляют поверхность сплава. При этом возникает и растет Al<sub>2</sub>O<sub>3</sub> благодаря большой подвижности атомов Al при высокой т-ре, а также благодаря большей активности между атомами O и Al. Окись Cu не образуется вследствие малого кол-ва O<sub>2</sub> и избытка H<sub>2</sub>. Подвергая поверхность окисленных образцов действию различных к-т, т. е. испытывая хим. стойкость пленки, было установлено, что в-во, образующееся при т-ре 600° и выше, покрывает тонким слоем всю поверхность, а соединение, образованное при 500°, покрывает толстым слоем лишь отдельные участки. А. Урусовская

70593. Сероводородная коррозия в «соваформерах». Баккенето, Дру, Влахов (H<sub>2</sub>S corrosion in sovaformers. Backeneto E. B., Drew R. D., Vlachos J. N.), Petrol. Process., 1956, 11, № 10, 64—68 (англ.)

Испытания, проведенные в лабор. и заводских условиях в аппаратах для риформинга (в «соваформерах»), показали, что в газе, содержащем 0,018—0,04 об. % H<sub>2</sub>S, скорость коррозии (СК) хромистых сталей (до 9% Cr) не зависит от содержания хрома и не отличается от СК углеродистой стали; в результате этого аппараты забиваются продуктами коррозии (К). Углеродистая сталь и стали с 1,25% Cr подвержены межкристаллитному разрушению. При содержании в стали 12 и 16% Cr СК замедляется. Наибольшей стойкостью из испытанных сталей обладает нержавеющая сталь типа 18-8. Хорошую коррозионную стойкость показали алитированные образцы. При т-рах > 425° при содержании H<sub>2</sub>S > 0,03 об. % даже нержавеющая сталь типа 18-8 уже не является удовлетворительной, так как в этих условиях ее СК превышает 0,25 мм/год, кол-во образующихся продуктов коррозии велико. Основным мероприятием в деле борьбы с сероводородной К в установках типа «соваформер» яв-

ляется обессеривание сырья до содержания  $S < 0,002$  вес%. При этих условиях в установках типа «соваформер» К углеродистых и низкохромистых сталей ничтожна. Приводятся данные о сталях, применяющихся для установок для обессеривания.

И. Левин

**70594. Коррозия алюминиевого сплава под напряжением.** Мартин (Stress-corrosion of an aluminium alloy. Martin A. J.), Metal Ind., 1956, 89, № 25, 511—515 (англ.)

Результаты исследования влияния термообработки на склонность к коррозии под напряжением (КПН) Al-сплава, содержащего (в %): Zn 5,95; Mg 2,69; Cu 1,31; Fe 0,34; Mn 0,28; Si 0,19; Cr 0,11; Ti 0,06, в условиях разбрызгивания 3%-ного р-ра NaCl при т-ре 23—24° (применялись образцы после закалки с 465° и старения в течение 6—192 час. при т-ре 50—200°) показали, что с увеличением продолжительности старения наблюдаются сложные изменения в коррозионном поведении металла. Это связано с изменением характера разрушения участков границ зерен, вызывающее в свою очередь изменение склонности сплава к КПН. При этом было установлено 3 вида коррозионного разрушения сплава, связанных с различием в т-ре и продолжительности старения. 1. Происходит интенсивное растрескивание при КПН с разрушением границ зерен на ненапряженных участках, наблюдающееся при старении сплава при 70, 90 и 110°. 2. Не происходит разрушения границ зерен в сплаве; сплав не склонен к КПН и обладает высокой пластичностью. Этот вид коррозии имеет место после длительного старения при 110° или непродолжительного старения при 130 и 150°. После продолжительного старения при 130, 150 и 200° происходят дальнейшие изменения в структуре сплава, границы зерен вновь становятся анодными и разрушаются. 3. Сплав мало склонен или совсем не подвержен КПН.

М. Кристаль

**70595. Исследование коррозии нержавеющей стали, содержащей 13% Cr и 8% Ni, в кислотах и смесях кислот.** Маху, Фуад (Untersuchungen über die Korrosion eines nichtrostenden Stahles mit 13% Cr und 8% Ni in Säuren und Säuregemischen. Machu Willi, Fouad M. G.), Arch. Eisenhüttenwesen, 1957, 28, № 3, 157—165 (нем.)

Приведены результаты исследования коррозионной стойкости (КС) нержавеющей стали (I), содержащей 0,12% C, 13,2% Cr, 8,8% Ni в HCl, H<sub>2</sub>SO<sub>4</sub>, H<sub>3</sub>PO<sub>4</sub> различных конц-ий и их смесях, а также влияния органич. и неорганич. замедлителей коррозии (ЗК) (хитина, формальдегида, SnCl<sub>2</sub>, SnSO<sub>4</sub>, K<sub>2</sub>Cr<sub>2</sub>O<sub>7</sub>, желатин) на КС I в минер. к-тах. Установлено, что КС I в H<sub>2</sub>SO<sub>4</sub> и HCl очень велика. В H<sub>3</sub>PO<sub>4</sub> почти не наблюдается коррозии I. Смеси указанных к-т при низких конц-иях действуют так, как если бы основным фактором, влияющим на КС I, являлась активность H<sup>+</sup>. Способность H<sub>3</sub>PO<sub>4</sub> образовывать защитную пленку на I проявляется в ее смесях с H<sub>2</sub>SO<sub>4</sub> и HCl только при высоких конц-иях H<sub>3</sub>PO<sub>4</sub>. Замедление скорости коррозии I в этом случае происходит независимо от одновременного возрастания активности H<sup>+</sup>. Добавление к к-там органич. и неорганич. ЗК оказывает различное влияние на КС I в к-тах. В частности, K<sub>2</sub>Cr<sub>2</sub>O<sub>7</sub> увеличивает скорость коррозии I в HCl (к-та) и ее смеси с H<sub>2</sub>SO<sub>4</sub>, но полностью предотвращает коррозию I в H<sub>2</sub>SO<sub>4</sub>. В ряде случаев смеси двух ЗК сильнее тормозят коррозию I, чем каждый из них в отдельности. Установлено, что основную роль при замедлении коррозии с помощью ЗК играет способность каждого из них образовывать защитные пленки. Основное действие при замедлении процесса коррозии ЗК оказывают не на р-цию  $H + H \rightarrow H_2$ , а на замедление диффузионных процессов.

М. Кристаль

**70596. Коррозия циркония и его сплавов в воде при высоких температурах.** Томас (Aqueous corrosion of zirconium and its alloys at elevated temperatures. Thomas D. E.), Progr. Nuclear Energy, 1956, Ser. 4, I, 352—365 (англ.)

Изучение скорости коррозии (СК) Zr и его сплавов в воде при 316° и в паре при 400° показало, что в начальный период СК снижается во времени, затем наступает «перегиб», после чего СК резко возрастает. Подобное поведение объясняется образованием в первой стадии плотной и хорошо сцепленной с поверхностью окисной пленки, во второй стадии достигается критич. толщина указанной пленки и начинается ее отслоение с поверхности. Для чистого Zr  $\Delta m = kt^n$ , где  $\Delta m$  — увеличение веса на единицу поверхности,  $t$  — время,  $k$  и  $n$  — постоянные. Для чистого Zr наступление «перегиба» сильно зависит от примесей C, Ti, Al, Cu, Mg, Cl, Si и Pb, которые уменьшают коррозионную стойкость Zr; особенно опасным является N<sub>2</sub>. Добавление Sn к Zr улучшает качество пленки после «перегиба» и значительно снижает вредное действие N<sub>2</sub> и других примесей. Fe, Ni и Cr уменьшают СК Zr только при добавках до 0,5 вес.%. Тройные сплавы Zr = Sn с Fe, Ni или Cr показали повышенную коррозионную стойкость. Для цирконоя-2 «перегиб» при 360° приводит к линейной зависимости СК от времени, но так как продукты коррозии плотно сцеплены с поверхностью, СК невелика.

В. Лукинская

**70597. Металлургическое изучение жидкого висмута и висмутовых сплавов, применяемых в качестве реакторного горючего и теплоносителя.** Викс (Metallurgical studies on liquid bismuth and bismuth alloys for reactor fuels or coolants. Weeks John R.), Progr. Nuclear Energy, 1956, Ser. 4, I, 378—408 (англ.)

Обсуждается проблема контактирования конструкционных материалов с расплавом Bi и жидким U-Bi-сплавом, применяемых в качестве ядерного горючего. Отмечается, что U и Bi реагируют с графитом, образуя при повышенных т-рах твердый карбид U. Эта р-ция может быть предотвращена добавлением к жидкому металлу небольших кол-в Zr. Влияние продуктов коррозии сталей с низким содержанием Cr на растворимость U в Bi незначительно. Ni и Mg (добавляемые как восстановители) снижают растворимость U. Рассматривается характер эрозии стали жидкими Bi и U-Bi-сплавом. Наблюдается особенно сильная коррозия Ni-нержавеющих сталей благодаря избирательному растворению Ni. Добавка Zr к расплавленному Bi значительно снижает коррозию низкохромистых сталей. Приведена р-ция взаимодействия ингибиторов с поверхностью стали, механизмом этого процесса и роль азота в процессе ингибирования. Рассматривается влияние Zr на растворимость Fe и Cr в Bi.

В. Лукинская

**70598. Коррозия алюминия.** Дрейли (Corrosion of aluminium. Drayley E.), Progr. Nuclear Energy, 1956, Ser. 4, I, 333—351 (англ.)

Рассматриваются вопросы коррозии Al и его сплавов в ядерной технике с точки зрения возможности применения их в качестве покрытия в водноохлаждаемом реакторе и приводятся основные взгляды на механизм коррозионного поведения Al главным образом при т-рах < 400°. Описание механизма образования окисной пленки и вероятности анодного торможения коррозии в результате образования этой пленки. Исследование коррозии Al и большого кол-ва промышленных сплавов при т-рах > 200° показало, что поверхность металла покрывается пузырями и диффузия водорода в эти дефектные участки металла является причиной коррозии. Отмечается, что анодная защита или Ni-покрытие предотвращают образование пузырей.

Al-Ni-сплавы показывают прекрасную коррозионную стойкость даже при  $t$ -ре 350°. Cu, Co, Fe, Pt также улучшают коррозионную стойкость Al; Si вреден. Рассматриваются также влияние pH, скорости потока воды и действие некоторых замедлителей коррозии. Делается вывод, что сплавы Al можно применять в высокотемпературных реакторах с водяным охлаждением.

**В. Лукинская 70599.** О механизме коррозии железных и угловых электродов электрических печей варки стекла. На чаджан С. О., Изв. АН АрмССР, Физ.-матем., естеств. и техн. н., 1956, 9, № 10, 3—12 (рез. арм.). Указывается, что основным фактором, вызывающим коррозию железных и угловых электродов в условиях варки стекла в электрич. печах, является электролиз переменным током. Электролиз является следствием диффузии продуктов электрохим. р-ций. Полагая, что таким продуктом катодной р-ции является газ, диффундирующий от электрода со скоростью, пропорциональной его адсорбции, автор приходит к общему выражению выхода по току ( $n$ ) в зависимости от средней плотности и частоты переменного тока, указывая, в частности, что с повышением  $t$ -ры  $n$  возрастает. На аноде происходят следующие р-ции:  $xSiO_2 \cdot yO^{2-} \rightarrow xSiO_2 + yO + 2ye$ ;  $Fe \rightarrow Fe^{2+} \rightarrow (Fe^{3+}) + 2e$  с последующим окислением С до CO. Металлы, выделяющиеся на катоде, в свою очередь взаимодействуют во вторичных восстановительных процессах со стекломассой, содержащей  $O_2$ ,  $CO_2$ ,  $SO_2$ ,  $SiO_2$  и т. д.

**А. Шаталов 70600.** Электрокоррозия металлических и железобетонных сооружений в цехах электролиза. Притула В. А., Корнфельд И. А., Симон А. Р., Хим. пром.-ств., 1957, № 1, 33—35

Указывается, что опасность коррозии металлов и железобетонных сооружений блуждающими токами в цехах электролиза подтверждается как электроизмерениями на существующих конструкциях отдельных э-дов, так и лаборатор. испытаниями. Обследованном ряде электролизных установок было установлено, что в хлорных цехах наиболее интенсивной коррозии подвергались стойки рассолопроводов в местах их соединения с резиновой трубкой, идущей к питателям. Блуждающие токи также были обнаружены на внутрицеховых серийных рассолопроводах и щелокопроводах, причем градиент потенциала на расстоянии 20 м доходил до 1,5 в. Мерами борьбы с блуждающими токами и разрушением ими строительных конструкций и материалопроводов могут быть: замена токопроводящих материалов строительных конструкций и коммуникаций непроводящими материалами, ликвидация случайных утечек тока, предупреждение увлажнения бетона и железобетона, замена в отдельных конструкциях железобетона бетоном, электроизоляция железобетонных фундаментов. При проектировании электролизных цехов следует предусматривать защиту конструкций от коррозии блуждающими токами.

**В. Притула 70601.** Служба свайных конструкций из стальных листов в прибрежных условиях Атлантики (США). Рейнер (Life of steel sheet pile structures in Atlantic Coastal States. Rayner Albert C.), Proc. 3rd Conf. Coastal Engng Cambridge, Mass. Oct. 1952, Berkeley, Calif., 1953, 209—216 (англ.)

10-летние наблюдения за поведением стальных свайных конструкций, расположенных вдоль Атлантического побережья США и Флориды, показали, что уменьшение толщины этих конструкций составляет 0,2 мм в год. Коррозия портовых и береговых свай в северных штатах меньше, чем в южных, причем уменьшение толщины портовых и прибрежных свай значительно больше в зонах, находящихся выше среднего уровня прилива, чем на участках поверхности,

находящихся в воде при приливах и отливах. Защита свай от коррозии может осуществляться засыпкой их песком и землей и окрашиванием.

**М. Кристаль 70602.** Предупреждение коррозии котлов водяного отопления при переводе их на природный газ. Кирюхин В., Жил.-комму. х-во, 1957, № 3, 5

Продукты сжигания природного газа содержат большое кол-во водяных паров и поэтому имеют сравнительно высокую точку росы. Это явление вызывает сильную коррозию хвостовых частей водогрейных секционных котлов Ревокатова, Стреля и др., так как поступающая сюда вода из обратных трубопроводов отопительных установок имеет  $t$ -ру ниже точки росы дымовых газов, особенно при низких  $t$ -рах наружного воздуха. Одним из мероприятий, позволяющих предотвратить коррозию водяных котлов является использование вышеупомянутых котлов в качестве паровых. Конденсат пара, нагревающего воду в спец. теплообменнике или в змеевике, расположенном в паросборнике, возвращается в котел самотеком, не требуя дополнительной установки питательных насосов.

**А. Мамет 70603.** Устойчивость материалов против фтора. Лингнау (Das Verhalten der Werkstoffe gegenüber Fluor. Lingnau E.), Werkstoffe und Korrosion, 1956, 7, № 11, 634—641 (нем.; рез. англ., франц.)

Обзор современного состояния вопроса об устойчивости различных материалов в среде  $F_2$ . Против  $F_2$  устойчивы Ni и его сплавы с содержанием до 30% Cu, а также легированная сталь, Cu и Al в среде сухого  $F_2$ . Угле-графитовые материалы могут применяться в качестве электродов при электролитич. получении  $F_2$ . Керамич. материалы и кислотоупорные замазки устойчивы, стекло и кварц в среде сухого газа и при довольно высоких  $t$ -рах почти не разрушаются. Органич. в-ва, в общем, являются неустойчивыми.

**Я. Лапин 70604.** Коррозия металлов в боржомской минеральной воде. Лерган А. Э., Стажадзе Т. Г., Пачуашвили Е. М., (ლიტონების კოროზია ბორჯომის მინერალურ წყალში. ლეგრან ა. ე., სტაჯაძე თ. გ., ფაჩუაშვილი ე. მ.), სსრკ. პოლიტექნ. ინ-ტის შრომები, Тр. Груз. политехн. ин-та, 1956, № 5(46), 128—136 (груз.; рез. русск.)

Для установления коррозионной стойкости металлов в естественной и газированной боржомской минер. воде испытаны следующие металлы и сплавы: сталь СТ-3, нержавеющие стали 2Х13 и 1Х17 Н 9, серый чугуны, никель Н 1, олово О 2, медь М 1, бронза ОПС и ОПСН, латунь Л 62, цинк Ц 3, свинец С 2, алюминий А 1 и А 2, дуралюминий и силумин. В боржомской минер. воде нестойки: алюминий, дуралюминий, цинк, обыкновенная сталь, серый чугуны и силумин. Особенно сильно корродируют алюминий и дуралюминий, которые характеризуются неравномерной коррозией. Остальные исследованные материалы стойки и по возрастанию коррозионной стойкости располагаются в следующий ряд: бронза, латунь, свинец, медь, олово, никель, нержавеющая сталь 1Х18 Н 9, нержавеющая сталь 2Х13. Олово, никель и нержавеющие стали сохраняют декоративные свойства. Коррозия во времени несколько уменьшается, так как продукты коррозии обладают некоторыми защитными свойствами. Исключение составляет олово, коррозия которого во времени растет. В газированной воде коррозия более интенсивна: исключение составляют медь и латунь.

**Резюме автора 70605.** Метод защиты строительных сооружений кожаной промышленностью от коррозии. Флирский (Korozja urządzeń budowlanych w przemyśle garbarskim oraz środki jej zwalczania. Flirski Władysław), Przegl. skórzan., 1957, 12, № 3, 75—80 (польск.)

Приводятся основные данные по коррозии (К) строи-



тельных материалов (камень, известковые составы, цемент, бетон, кирпич и т. п.) применительно к кожаной пром-сти. Причиной К являются: для складов сырья — поваренная соль и сода, применяемые для консервирования кож; при р-ции  $\text{Na}_2\text{CO}_3$  с известью образуется  $\text{NaOH}$ , который реагирует с содержащимся в цементе  $\text{Al}(\text{OH})_3$  и разрушает его. Отмечается преимущество применения  $\text{CaSO}_4$  и  $\text{MgSO}_4$ . При мокрой обработке кож (вымачивание проводится в щел. и кислых р-рах солей) рекомендуется применять в-ва, которые не вызывают заметной К и не разрушают портландцемент и бетон. Известкование рекомендуется проводить не в деревянных емкостях, а в сооружениях из портландцемента и бетона. При очистке кож от извести, в случае отмывки  $\text{HCl}$  (к-той),  $\text{H}_2\text{SO}_4$  или  $\text{HCOOH}$ , необходимо применять футеровку бетонных резервуаров. В некоторых произ-вах к-ты заменяют  $(\text{NH}_4)_2\text{SO}_4$ , однако он также вызывает К бетона. Окисловка проводится в кислых, чаще всего сернокислых р-рах с  $\text{pH} \sim 2$ , которые вызывают К бетонных и деревянных сооружений. При применении кирпичной футеровки происходит разрушение швов кладки. Отмечается, что при дублинии наименьшую К вызывают р-ры с  $\text{pH} \sim 6$ . При рассмотрении методов защиты от К отмечается необходимость защиты фундаментов от действия грунтовых вод. Рекомендуется применение для кислых сред плотного бетона и цементов с миним. содержанием извести. Швы должны быть дополнительно защищены; в щел. и слабокислых средах лучшей стойкостью обладает портландцемент; изоляция стен должна быть выполнена на кислотоупорном цементе; бетонные фундаменты и полы защищают битумом; сборники, ванны, чаны и т. п. кислотное оборудование футеруют плиткой, винилпластом и т. п. Ф. Слюмянская 70606.

**Защита силовых кабелей алюминиевой броней.** Фарнем (Aluminum armor protects power cables. Farnham D. M.), Corrosion, 1956, 12, № 11, 17 (англ.)

На подводных силовых кабелях металл. броня обычно применяется для механич. защиты Pb-оболочки. Для указанной цели используют немагнитные материалы высокой проводимости, такие как Al. Al применялся для этой цели еще 20 лет назад и не показывал заметной коррозии при работе в морских условиях. На основании спец. испытаний было установлено, что Al-сплав 57 S имеет высокую коррозионную стойкость в морской воде и пригоден для бронирования кабеля, так как обладает необходимой электропроводностью и механич. прочностью. Легкость Al позволяет изготовлять непрерывный подводный кабель длиной в 42 км. Указанный сплав был применен для бронирования кабеля длиной в 56,3 км при прокладке его через реку Св. Лаврентия. Каждый из 4 кабелей состоял из Cu-проводника, имеющего бумажную изоляцию, пропитанную маслом, и Pb-оболочку толщиной 2,66 мм. Поверх Pb-оболочки напоялась изоляция и 26 проволок из Al-сплава diam. 7,45 мм, образующих броню. На береговых концах кабеля Al-броня была электрически соединена с Pb-оболочкой кабеля и заземлена. Проверка состояния кабеля после 2 лет работы не показала признаков коррозии брони. В. Притула 70607.

**Коррозия металлов, соприкасающихся с цементноводной суспензией.** Матоушек (Korrosion an Metallen durch Zement-Wasser Aufschlämmungen. Matoušek F.), Zement-Kalk-Gips, 1957, 10, № 4, 124—127 (нем.; рез. англ., франц.)

Исследована степень коррозии стали, хромоникелевой стали, Sn, Zn, Cu, латуни, Mg и Al-Mg-сплавов, Pb, Al и Al-сплавов (Al-Mg-сплавы, пералюмина и авнонала) после их пребывания до 360 суток в цементноводной суспензии (1:4 по весу). Установлено, что первые 3 металла являются коррозионностойкими. Mg и Mg-

сплавы, латунь и Pb сильно корродируют и их применение при соприкосновении с цементными р-рами или бетонами не рекомендуется. Al и Al-сплавы в щел. среде значительно растворяются; возникают также новообразования с выделением водорода. Г. Копелянский 70608.

**Травление и удаление ржавчины.** Фофф (Petráňovače rzi — odrezovače. Foff Josef), Dopravní techn., 1956, 4, № 7, 185—187 (чешск.)

Описано травление железных деталей в  $\text{H}_3\text{PO}_4$  при 20—30° (с замедлителями и без них) и применение травящих грунтовок. И. Елинек 70609.

**Новый эффективный метод удаления ржавчины.** Труншиц (Das Flammstrahlen. Ein neueres rationelles Entrostungsverfahren. Trunschitz Valentin), Stahlbau Rundschau, 1956, 2, № 2, 24—27, 34 (нем.; рез. англ.)

Описан огневой способ удаления ржавчины с поверхности металл. изделий и рассмотрены преимущества этого способа. На неочищ. поверхность действующим кислородно-ацетиленовым пламенем обычной кислородной горелки с перфорированным наконечником. После обработки пламенем продукты окисления счищают щеткой; очист. сухая, нагретая до 50—80°, поверхность окрашивается. При толстых слоях ржавчины требуется вторичная обработка, причем между операциями должен быть перерыв  $\geq 10$  мин. При этом методе поверхность не изменяет своих свойств, ржавчина полностью удаляется, не требуется больших затрат на транспорт; нет пылеобразования. Метод применяется во все времена года и при любой погоде. Применяют горелки шириной 20—100 мм, с диаметром отверстий 0,5 мм и интервалом между ними 3 мм. Пламя направляют под углом 30°. Такая горелка может быть использована при толщине листа  $> 4$  мм. При меньшей толщине возможно коробление конструкции. Данный метод может служить не только для восстановления поврежденных покрытий, но и для предварительной обработки только что изготовленных конструкций. Р. С. 70610.

**Роль кадмия в гальванотехнике.** Рупп (Welche Rolle spielt das Cadmium in der galvanischen Industrie? Rupp N.), Metalloberfläche, 1957, 11, № 3, 98—99 (нем.)

Указывается, что наиболее эффективно Fe защищается от коррозии электроотрицательными гальванич. покрытиями, такими как Zn и Cd. Хотя Cd дороже Zn, но он имеет ряд преимуществ для гальванотехники: Cd коррозионно более стоек, чем Zn; меньшая разность потенциалов в паре Cd-Fe по сравнению с Zn-Fe уменьшает скорость коррозии Cd; легче получить беспримесные покрытия; Cd имеет серебристый цвет и лучше блестит, чем Zn. Рекомендуемый электролит для кадмирования имеет следующий состав (в кг на 100 л р-ра): сульфат кадмия 1, пирофосфат Na 0,5, едкий натр 1, цианид Na 2, декстрин 0,2. Достаточная толщина осадка 5 м достигается при 1,5 а/дм<sup>2</sup> за 15—20 мин. В. Машовец 70611.

**Механизация процесса металлизации.** Пластер (Mechanisation of the metal spraying process. Plaster H. J.), Electroplating and Metal Finish., 1956, 9, № 10, 323—328 (англ.)

Описываются газовые установки для металлизации различных изделий. А. Рябой 70612.

**Получение наиболее коррозионностойкого покрытия методом горячего цинкования.** (La galvanisation a chaud comment assurer sa meilleure efficacité dans la lutte contre la corrosion.—), Zinc, cadmi. et alliages, 1956, № 8, 20—26 (франц.)

Изучены следующие факторы, влияющие на коррозионную стойкость покрытия. 1. Хим. состав (Zn — при двустороннем слое, весом 650 г/м<sup>2</sup>, из металла 99,95%-ной чистоты покрытие устойчиво в течение 800 час.). Обычно встречающиеся примеси: 1% Pb сни-

жает стойкость до 180 час., 0,02% Fe — до 240 час., 0,1% Cu — до 650 час., 1% Sn — до 140 час., 0,3% Cd — слегка увеличивает, а 0,1% Al не влияет на стойкость покрытия. 2. Толщина слоя Zn: при весе двустороннего покрытия 630 г/м<sup>2</sup> начало коррозии обнаруживается через 90 час., а при 990 г/м<sup>2</sup> — через 200 час. Толщина слоя возрастает с увеличением т-ры ванны, времени погружения и скорости извлечения изделий из ванны. 3. Примеси некоторых металлов также увеличивают толщину слоя Zn. Однако а) увеличение веса покрытия, вызываемое Pb, Sn, Fe, не может компенсировать снижение коррозионной стойкости, б) Cu снижает и вес и коррозионную устойчивость, в) Cd увеличивает вес одновременно с увеличением коррозионной стойкости, г) Al только снижает вес покрытия. 4. Т-ра ванны влияет на коррозионную стойкость независимо от качества Zn и толщины покрытия. Рекомендуется проверять стойкость покрытия в камере с солевым туманом из 20% NaCl с pH 6,5—7,2 при 35 ± 1° при непрерывном трении покрытия щетками до появления пятен окислов Fe.

Т. Шалаева

**70613. Простой способ удаления ржавчины и грунтовка деталей машин.** Хебберлинг (Einfaches Entrosten und Grundieren von Maschinen. Hebbeling Hans), Ind. Anz., 1956, 78, № 101, 1512—1513 (нем.)

Рассматривается огневой способ удаления ржавчины в пламени ацетиленово-кислородной горелки. При этом ржавчина легко счищается. Остатки старой краски также отжигаются. Эта операция производится при любой погоде, так как металл остается всегда сухим. Первичная грунтовка деталей машин, работающих в закрытых помещениях при постоянной т-ре, производится хроматом Zn или поливинилбутиралем с добавкой из смачивающих или обезжиривающих в-в («реакционная» или «пассивная» грунтовка). Эта грунтовка наносится тонким слоем. Во всех других случаях грунтовка осуществляется свинцовым суриком «V 40» (на 100 вес. ч. готового продукта 40 вес. ч. тонкоразмолотого тяжелого шпата). В качестве связующего в-ва может применяться фталатова смола.

Л. Черняк

**70614. Пассивирование при окраске.** Хебберлинг (Passivierung durch Farbenanstrich. Hebbeling H.), Metalloberfläche, 1957, 11, № 3, 97 (нем.)

Общие данные по применению Pb<sub>3</sub>O<sub>4</sub> для покрытий. Для окраски стали рекомендуется свинцовый сурик «V 40», который на 100 вес. ч. готового продукта содержит 40 вес. ч. тонкоразмолотого шпата. М. Кристалль

**70615. Защита от коррозии модифицированной краской, содержащей свинцовый сурик.** Аудиковский (Schutz gegen Rost durch modifizierte Bleimenigeanstriche. Audykowski T.), Chem. Rundschau, 1957, 10, № 5, 109—111 (нем.)

Исследовалась возможность повышения защитных технологий, и физ.-мех. свойств грунтов, содержащих Pb-соли, дополнительным введением пигментов, обладающих свойствами замедлителей коррозии. Кроме того, определялась целесообразность замены олифы хлоркаучуком, алкидными смолами и другими смесями, обеспечивающими быстрое высыхание слоя окраски. Испытаниями установлено, что наиболее качественным является покрытие на основе олифы, Pb<sub>3</sub>O<sub>4</sub> и спец. пигментов — замедлителей коррозии (так называемой «модифицированной окраски»). Эти покрытия обладают высокой пассивирующей способностью, они эластичны и их механич. свойства не меняются после длительной эксплуатации в промышленной атмосфере. Отмечается отсутствие пористости и хорошая стойкость модифицированных покрытий на основе хлоркаучука. Указывается на стойкость в морской атмосфере покрытий, содержащих пилумбаты Са.

Ф. Слюмянская

**70616. Защита от коррозии окраской композициями**

на основе цинковой пыли. Хирши (Korrosionsschutz durch Zinkstaubanstriche. Hirschi Th.), Techn. Rundschau, 1956, 48, № 25, 25 (нем.)

Описан процесс защиты от коррозии окраской Zn-композициями, которые обеспечивают электрохим. защиту. Кол-во Zn-пыли в покрытии должно составить 92—95% от суммы пигмент + связка. Получаемые покрытия более пористы, чем нанесенные гальванич. путем или распылением. Однако при «старении» осадков пористость исчезает, так как поры заполняются продуктами коррозии (гидроокиси, карбонаты); при этом снижается электропроводность пленки и улучшаются ее механич. свойства. Большинство Zn-красок в качестве связующего содержат органич. в-ва — полистирол, хлоркаучук, поливинилацетат и др. Покрытие хорошо сохраняется под водой, после 2—3 месяцев не корродирует в р-рителях. Большую роль играет подготовка поверхности перед покрытием. Zn-краски применяются для защиты стальных конструкций, мачт, мостов, деталей машин во влажной атмосфере, на пивоваренных з-дах, красильнях и др.

Я. Лаппи

**70617. Влияние ультрафиолетового облучения на защитные свойства антикоррозионных лаковых покрытий.** Кошуриков Г. С. В сб.: Расчет и исследование в оптич. приборостр. Л., ЛГУ, 1956, 126—128

При отверждении защитных лаковых пленок при высокой т-ре пленки претерпевают деформацию вследствие различия в коэф. термич. расширения металла и пленки, в результате чего появляются микротрещины. Замена термообработки, проводимая при 150°, УФ-облучением при 43° дала хорошие результаты. Контроль производится по следующей методике. Образцы, покрытые защитной пленкой, помещают на предметный столик микроскопа. На поверхность пленки наносят капли 10%-ной HCl. В результате проникновения ионов водорода через пленку и взаимодействия с металлом, спустя некоторое время на поверхности образца можно наблюдать появление пузырьков водорода. Время, прошедшее с момента появления первого пузырька водорода, принималось за критерий проницаемости защитного покрытия. В таблице представлены данные для 3 материалов.

Т. Фабрикант

**70618. Эбонитовые покрытия в качестве защиты металлических поверхностей от коррозии.** Сойнинен (Kovakumi korroosion estoaineena. Soinin A.), Tekn. kem. aikakauslehti, 1957, 14, № 3, 67—68 (финск; рез. англ.)

Описаны хим. и физ. свойства эбонита. Благодаря хим. стойкости во влажном хлоре при т-рах < 80° в 40%-ной H<sub>2</sub>O<sub>2</sub> и 50%-ных р-рах гипохлоритов щел. металлов при т-рах < 100° эбонит может применяться в качестве конструкционного материала в аппаратуре для отбеливания и для гуммирования хлорных электролизеров.

В. Левинсон

**70619. Борьба с коррозией котельных труб путем удаления из воды кислорода.** Фридсам, Вудуорд (Oxygen scavenger combats boiler tube corrosion. Friedsam A. John, Woodward Eric R.), Heat, Piping and Air Cond., 1957, 29, № 1, 164—166 (англ.)

Указывается, что удаление растворенного кислорода из питательной воды путем добавки к ней гидразина (I) резко уменьшило коррозию котлов, применяющихся для отопления домов, а также облегчило их эксплуатацию по сравнению с ранее применявшимся методом обработки питательной воды. Наличие I в воде повышает ее pH до ~10. При этом содержание твердых в-в не увеличивается в воде; содержание же Fe в воде благодаря такой добавке уменьшается. Так как 85%-ный р-р I легко воспламеняется, рекомендуется применение его в виде 35%-ного р-ра. I может быть применен и для защиты от коррозии охлаждающих систем с циркулирующей водой, в частности в ком-

прессорах, газовых двигателях и в системах для кондиционирования воздуха.

**70620. Предотвращение коррозии под действием сырой нефти. Применение поверхностноактивных агентов.** Бассе (Preventing corrosion by crude. The use of surface-active agents. Bass D.), Petroleum, 1957, 20, № 4, 139—142 (англ.)

Проведены лабор. и промышленные испытания замедлителей коррозии (ЗК) для защиты от разрушения оборудования нефтеперерабатывающих заводов, нефтяных скважин и трубопроводов. Эти ЗК-поверхностноактивные в-ва — представляют собой четвертичные аммониевые соли — производные природных жиров и жирные амины с длинной цепью и их соли. Они устойчивы в р-рах с низким значением pH; препятствуют развитию бактерий и водорослей. Степень торможения коррозии достигала 95—99% при дозе ЗК 6—10 мг/л.

А. Мамет

**70621. Явления поверхностной активности и химические методы защиты металлов от коррозии.** Тортель (Les phénomènes de tensio-activité et les traitements chimiques de protection des métaux contre la corrosion. Tortel R.), Ingers et techniciens, 1957, № 97, 63, 65 (франц.)

Рассмотрена роль поверхностноактивных в-в (ПАВ) в различных операциях гальванотехники. Установлено, что толщина жидкой пленки, покрывающей поверхность металла, детали в контакте с жидкостью, зависит от сцепления и изменяется пропорционально поверхностному натяжению жидкости. Отмечается, что понижение поверхностного натяжения способствует уменьшению кол-ва жидкости, увлеченной с обрабатываемыми деталями; расхода применяемых химикатов и загрязнения одних р-ров другими. При удалении с поверхности деталей омыляемых жирных в-в обезжиривающие воды, р-ры с добавками ПАВ более эффективны, чем щел. в-ва без этих добавок. В операциях травления, декапирования, пассивации ПАВ способствуют понижению поверхностного натяжения, а следовательно, увеличению скорости р-ции между соответствующим р-ром и металлом. При электрохим. осаждении металлов введение ПАВ устраняет необходимость применения окислителей и предотвращает точечную коррозию покрытия. Введение ПАВ также улучшает защитные свойства различных антикоррозионных смазок, применяемых при консервации деталей, и благоприятствует распределению в жидкой фазе мелкодисперсного твердого пигмента при изготовлении лакокрасочных продуктов.

И. Шварц

**70622. Консервация металлоизделий.** Чернышева

Т. М., Автомоб. и тракт. пром-сть, 1957, № 1, 36—38

Изучение коррозионной стойкости подшипников из малолегированной стали ШХ и углеродистой стали 1010 с применением в качестве защитных смазочных материалов трансформаторного масла, индустриального масла 12, турбинного масла, технич. вазелина, пушесмазки и петролатума показало, что защитные свойства масляных пленок очень низки. Лучшей защитной смазкой является петролатум. В нормальных складских и в полевых условиях, полностью исключающих попадание воды, коррозионная стойкость изделий, смазанных петролатумом, может быть гарантирована в течение 3 лет. Смазанные и упакованные изделия могут храниться при относительной влажности, не превышающей 70%, и при колебаниях т-ры в пределах 10—30°. При хранении и транспортировке в условиях повышенной влажности (> 70%) и тропич. климате необходима дополнительная обработка смазанных и упакованных изделий в парафинированную бумагу расплавленной смесью из петролатума и церезина. Присадка 10% гидрофобной жидкости (продукт № 8 — типа полиалкиламиносилонов) к пропиточной массе упаковочных ма-

териалов и к минер. маслам, технич. вазелину, петролатуму увеличивает их антикоррозионные свойства в условиях высокой влажности в 10—20 раз.

А. Вячеславова

**70623. О причинах и предотвращении коррозии упакованных металлоизделий.** Гёрлинг (Über Ursachen und Verhütung der Korrosion bei verpackten Metallgegenständen. Görling Paul), Verpack. Rundschau, 1957, 8, № 1, Beil. 2—8 (нем.)

Рассмотрены общие вопросы коррозии, в частности атмосферной, решающими факторами которой являются крит. относительная влажность воздуха (75%) и наличие в нем загрязнений, особенно SO<sub>2</sub>. Рассмотрены условия, определяющие относительную влажность атмосферы внутри упаковки, с учетом колебаний т-ры, наличия и отсутствия гигроскопич. свойств упаковочного материала, целесообразности устройства вентиляционных отверстий в упаковке и т. д. Изложены методы защиты от коррозии упакованных деталей путем применения активных влагопоглотителей (силикагель, активная Al<sub>2</sub>O<sub>3</sub>, бентонит, сорбент); очистки поверхности деталей от загрязнений органич. р-рителями, щел. р-рами или эмульсиями, механич. и хим. способами; временными защитными покрытиями, большей частью на основе минер. масел, а также легко снимаемыми пленками пластмасс; с помощью летучих замедлителей коррозии, в частности нитрата дициклогексиламмония, в виде порошка или путем пропитывания ими упаковочного материала. Летучие замедлители коррозии защищают большинство металлов, но не все одинаково, а коррозия Cd при этом усиливается.

А. Мамет

**70624. Исследование веществ, сочетающих свойства антиокислителей и замедлителей коррозии, при воздействии олеиновой кислоты на железо.** Сисле, Лур, Дефромон (Recherche de substances cumulant les propriétés antioxygène et inhibitrice de corrosion, vis-à-vis de l'oléine et du fer. Sisley J. P., Louy M., Defromont C.), Rev. franç. corps gras, 1957, 4, № 3, 149—154 (франц.)

При воздействии олеиновой к-ты (I) на Fe, помимо коррозионных явлений, вызываемых I в связи со склонностью I к автоокислению, образуются низшие и средние жирные к-ты (CH<sub>3</sub>COOH и др.), которые усиливают коррозию Fe. С целью борьбы с коррозией следует добавлять в I такие в-ва, которые одновременно являлись бы и замедлителями коррозии и антиокислителями. Исходя из того, что антиокислительные свойства вызываются функциональными фенольными и аминными группами, а предполагаемая причина торможения коррозии лежит в осаждении на поверхности металла некоторых комплексов, образующихся из полифункциональных молекул, было найдено два антиокислителя: дифениламин и фенил-β-нафтиламин, которые после соответствующей обработки образуют соответственно дифенил-л-фенилендиамин и ди-β-нафтил-л-фенилендиамин — продукты, относительно малорастворимые в I и сочетающие в себе свойства антиокислителей и замедлителей коррозии Fe.

Т. Фабрикант

**70625. Способы повышения коррозионной стойкости арматуры железобетонных конструкций.** Москвич

В. М., Алексеев С. Н., Бетон и железобетон, 1957, № 1, 28—29

Указывается, что для арматуры является очень опасным снижение щелочности водн. пленок, при которой pH < 9,5. Это явление может иметь место вследствие карбонизации непосредственно прилегающих к арматуре слоев цементного р-ра, а также при автоклавной обработке изделий и др. С целью защиты арматуры от коррозии было предложено несколько способов (обмазка цементным тестом, окраска стержней арматуры битумом или кузбасским лаком и др.), однако эти спо-



собы не оказались эффективными. Отмечается, что одним из наиболее перспективных способов защиты железной арматуры от коррозии в бетонах, не обладающих достаточными защитными свойствами при определенных условиях (напр., высокой влажности), является пассивация поверхности арматуры. Из всех испытанных пассиваторов наилучшим оказался  $\text{NaNO}_2$ , который будучи введенным в бетонную смесь в кол-ве 2—3% от веса цемента, полностью предохранял арматуру от коррозии во всех применявшихся в работе видах и составах бетонов. Добавка  $\text{NaNO}_2$  в бетон в указанном кол-ве не оказывает влияния на физ.-мех. свойства бетонной смеси и затвердевшего бетона. Удорожание бетона при этом не превышает 4—6 руб. на 1 м<sup>3</sup>.

Ф. Орлова

**70626. Борьба с коррозией трубопроводов в Польше. Попельский, Навара (Zwalczanie korozji rurociągów w Polsce. Popielski Wacław, Nawara Leopolda), Gaz, woda, techn. sanit., 1956, 30, № 10, 385—393 (польск.)**

Описаны явления коррозии трубопроводов и их защиты электрохим. способами. В. Левинсон

**70627. Катодная защита судов. Хопвуд (Cathodic protection during fitting-out. Hopwood P. H.), Corros. Technol., 1957, 4, № 1, 24 (англ.)**

Приводятся некоторые указания, которым следует руководствоваться при оформлении катодной защиты судов, находящихся в доках. Общая схема катодной защиты судна зависит от площади смачиваемой поверхности корпуса, обработки поверхности металла, характера агрессивной среды и намечаемой длительности работы системы. После оборудования судна должны проводиться измерения созданного потенциала корпуса при помощи неполяризуемого хлорсеребряного электрода. Естественный потенциал стали в морской воде равен  $-0,6$  в по хлорсеребряному электроду. Вблизи кормы этот потенциал может заметно изменяться из-за присутствия разноименных металлов. На корпусе могут возникнуть также блуждающие токи при работе сварочных агрегатов и кранов, находящихся поблизости. Защитным потенциалом стального корпуса считается  $-0,78$  в по хлорсеребряному электроду. Иногда для регулирования защиты применяют балластные сопротивления, но монтаж анодов настолько прост, что вместо регулирования может быть осуществлена смена анодов. Катодная защита обеспечивает также очистку поверхности от ржавчины и окислы.

В. Притула

**70628. Защита от коррозии кабелей высокого напряжения, помещенных в стальные напорные трубопроводы. Шангарнье, Роллен (La protection contre la corrosion des câbles haute tension en tube acier sous pression de fluide. Chagnarnier J., Rollin J.), Corros. et anticorros., 1957, 5, № 1, 2—9 (франц.)**

Описана защита от коррозии кабелей высокого напряжения с полиэтиленовой оболочкой и Си-броней. Стальные трубы, в которые помещаются кабели, имеют внешнее покрытие, состоящее из одного слоя лака холодного наложения, перекрытого слоем битума толщиной 4 мм, усиленного шелковой и стеклянной тканью. Сопротивление такой изоляции составляет 3000—80 000 ом/м<sup>2</sup>. Применяются также другие покрытия из пластмассы, мастики «Сомастик» и т. п. Может быть также применена катодная защита при помощи наложенного тока и гальванич. анодов, а также различные системы электр. дренажа. Приводятся краткое описание защитных электр. систем различных магистральных кабелей. Так, один кабель напряжением 220 кВ был защищен Mg-анодами. В другом случае применялся наложенный ток при напряжении 3 в и 500 мА защитного тока. Такая защита создавала

защитный потенциал на трубопроводе в  $-1,8$  в по медносульфатному электроду. Миним. защитным потенциалом считался  $-850$  мВ по медносульфатному элементу. Защита во многих случаях осуществлялась при наличии блуждающих токов.

В. Притула

**70629. Катодная защита плавающих судов с применением буксируемых анодов, покрытых платиной. Прейзер, Кук (Cathodic protection of an active ship using a trailing platinum-clad anode. Preiser H. S., Cook F. E.), Corrosion, 1957, 13, № 2, 55—61 (англ.)**

Недостатки существующих систем катодной защиты корпуса судов (большой вес анодов, неравномерное распределение тока и др.) могут быть устранены в случае применения новой системы с буксируемым с кормы судна небольшим анодом, покрытым Pt. Буксируемый анод изготавливается из штампованного Ag-стержня диам. 6,35 мм и длиной 1219 мм, который покрывается слоем сплава Pt-Pd 90—10 толщиной 0,127 мм. Анод буксируется с кормы судна при помощи лебедки и гибкого одножильного кабеля длиной 61 м. Сопротивление растеканию анода составляет 0,2 ом. Испытания указанной системы проводились на буксире с площадью смачиваемой поверхности корпуса 167 м<sup>2</sup> и площадью винта из марганцовистой бронзы 8,4 м<sup>2</sup>. Для поляризации указанной поверхности до миним. защитного потенциала в  $-0,85$  в, по отношению к хлорсеребряному электроду сравнения, для судна на стоянке требовался ток в 2,1 а, а при скорости хода судна в 12 узлов — ток в 4,2 а. Проведенные испытания показали полную успешность применения системы катодной защиты малых судов с буксируемыми Pt-анодами. Отмечается важность расположения электрода сравнения для получения правильных значений измеряемого защитного потенциала, так как могут изменяться показания прибора на величину до 50 мВ.

В. Притула

**70630. Катодная защита железа. Прайор (Cathodic protection of iron. Pryor M. J.), Nature, 1956, 178, № 4544, 1245—1246 (англ.)**

Приведены данные по изучению механизма катодной защиты наложенным током при инертном аноде путем измерения потенциала (П) образцов Fe во времени в 1 н. р-ре NaCl с pH 6,2 при плотностях тока (D) 20 и 40 мА/см<sup>2</sup> и в 1 н. р-ре NaCl при pH 8,9 и D 20 мА/см<sup>2</sup>. Установлено, что при D 20 мА/см<sup>2</sup> при начальных значениях pH 6,2 и 8,9 кривые П — время для катодно поляризованного Fe очень неустойчивы, даже если П Pt-анода остается вполне устойчивым.

В. Притула

**70631. Электролиз кабеля Париж — Лион, проложенного в железном канале, и способы защиты кабеля от коррозии. Вьяларон (Etude des dangers d'électrolyse des câbles Paris — Lyon sur voie ferrée, et des moyens de protection. Vialaron M.), Câbles et transm., 1957, 11, № 1, 74—83 (франц.)**

Одним из наиболее эффективных методов защиты от электрохим. коррозии кабелей, проложенных вдоль электрич. ж. д., считалось секционирование линии при помощи изолирующих муфт. Проведенные спец. испытания для установления эффективности различных методов защиты кабелей от электрокоррозии и опасности коррозии блуждающими токами показали, что разрушение Pb идет при потенциалах выше  $-700$  мВ по медносульфатному электроду и что при потенциалах около  $-2$  в и ниже возможно возникновение катодной коррозии Pb. Было также сделано заключение, что изолирующие муфты не устраняют опасности коррозии. В случае применения поляризованного дренажа может иметь место катодная коррозия. Указывается на возможность применения катодной защиты для предупреждения коррозии кабеля.

В. Притула

**70632. Новый способ непосредственного микроскопического исследования коррозионных и электролитических процессов.** Фукс, Бауман (Uj módszer a korróziós és elektrolitikus folyamatok közvetlen mikroszkopos megfigyelésére. Fuchs Erik, Baumann Tibor), Kohász. lapok, 1956, 11, № 3, 107—112 (венг.; рез. нем.)

Описано употребление металломикроскопа Reichert MeF для непосредственного микроскопич. исследования коррозионных и электролитич. процессов.

Н. Сурков

**70633. Применение специального коррозионного индикатора для наблюдений за разрушением обратных конденсаторов.** Берк (Use of the bureau of mines condensate-corrosion tester for the survey of return-line deterioration. Berk A. A., Paper Amer. Soc. Mech. Engrs, 1956, № A-179, 7 pp., ill.) (англ.)

Разработан спец. прибор (индикатор) для определения скорости коррозии металла обратных конденсаторов и оценки эффективности защитных покрытий. Прибор представляет собой набор из 3 ниппелей, соединенных 2 муфтами на резьбе. Во внутрь каждого ниппеля вставлено по 6 обточенных и тщательно отшлифованных колец. Внутренняя поверхность ниппелей обработана таким же образом, и зазор между ниппелем и кольцами не превышает 0,025 мм. Четыре средних кольца маркируются, очищаются и взвешиваются перед испытанием. Крайние кольца не являются опытными и играют вспомогательную роль. Эти дешевые приборы устанавливаются за конденсаторо-водчиками или аналогичными устройствами, на горячем конденсате, обычно — на участках, где отмечается коррозия металла. Интенсивность коррозии оценивается по потере веса и поведению колец (утонение, смачиваемость слоя окислов, испытание на устойчивость окисной пленки при нанесении капель 1—2%-ного р-ра HCl и т. д.). Продукты коррозии удаляются обработкой 5%-ной  $\text{CH}_3\text{COOH}$  с замедлителем коррозии при 60° в течение 30 мин. При этом выявляется также наличие язв, канавок и других местных повреждений.

А. Мамет

**10634 К. Присадки кремния к стали для борьбы с коррозией нефтезаводской аппаратуры.** Касумзаде Н. Г. Баку, Азнефтеиздат, 1957, 113 стр., илл., 3 р. 80 к.

**70635 К. Защита конструкционной стали.** Симпозиум, организованный группой коррозии Общества химической промышленности. 1955 г. (The protection of structural steel; symposium organiz. Corrosion Group Soc. Chem. Ind. March 31, Apr. 1, 1955. London, 1956, 141 pp., ill., 30 sh.) (англ.)

**70636 К. Химические стойкие неметаллические материалы.** Поляков К. А. Перев. с русск. (Nekovové chemicky odolné materiály. Poljakov K. A. Překl. z rušt. Praha, SNTL, 1956, 420 s., il., 27,50 Kčs.) (чешск.)

**70637 П. Бронзовые порошки и промышленные процессы их обработки.** Халберштадт (Bronze powders and manufacturing process therefor. Halberstadt Joseph) [Canadian Bronze Powder Works Ltd.] Канадск. пат. 513666, 14.06.55

Патентуется способ промышленной обработки первоначально жирносмазанного чешуйчатого бронзового (на медной основе) порошка (П). Для придания П стойкости против потускнения и изменения цвета П помещают в замкнутое газовое пространство и обрабатывают при  $t > 300^\circ$  (но ниже  $t$ -ры спекания отдельных частиц П). Нагревание продолжают до тех пор, пока первоначальная жирная смазка не превратится в твердую прозрачную бесцветную пленку, по-

крывающую отдельные частицы П. Упомянутая атмосфера может состоять из следующих газов: газообразных углеводородов,  $\text{N}_2$ ,  $\text{He}$ ,  $\text{CO}$  или  $\text{CO}_2$  в присутствии паров органич. в-ва.

А. Лепки

**70638 П. Метод изготовления некоробящихся металлических коррозионностойких обкладок для различных резервуаров.** Бальдус, Холлер (Verfahren zur Herstellung verzugsfreier Auskleidungen von Behältern aller Art mit korrosionsfesten, metallischen Baustoffen. Baldus Rudolf, Holler Hermann) [Fa. Munk & Schmitz K. G.] Пат. ГДР 12304, 29.10.56

Предлагается метод изготовления некоробящихся металлич. коррозионностойких обкладок (КО) для защиты от коррозии различных металлич. (напр., железных) и неметаллич. (напр., деревянных) резервуаров, бункеров и т. п. сооружений. КО в виде тонкой жести или фольги сваривается односторонней точечной сваркой по стыковым кромкам со стенками сооружения или со вставленными в эти стенки подкладками или рейками. Поэтому КО не несет нагрузки. Отмечается, что подкладки и рейки изготавливаются из того же материала, что и КО, причем они могут быть сплошными или перфорированными, а также могут иметь шпунтовое соединение. КО может крепиться к стенке защищаемого сооружения болтами.

Ф. Сломьянская

**70639 П. Метод получения изолирующего хорошо сцепленного промежуточного покрытия на мягкой листовой стали, устойчивого против коррозии, при штамповке и при действии горячей воды.** Баур (Verfahren zur Herstellung korrosionsschützender, stanz- und kochfester, haftvermittelnder Isolierüberzüge auf Weichstahlblechen. Baur Paul) [Paul Baur, Westfalenhütte A.-G.] Пат. ФРГ 946213, 26.07.56

Метод заключается в нанесении промежуточного покрытия (грунта), состоящего из смеси поливинилацетатной смолы, растворенной в летучем р-рителе и  $\text{H}_2\text{PO}_4$ , и отличается тем, что сушка протекает при  $t$ -ре 220—260° и даже 400°. Связующее содержит вжимаемый пигмент. Р-ритель для грунта содержит водопоглощающее в-во в виде спирта или хлорированные углеводороды. На поверхности грунта наносят один или несколько слоев покрытий, высушиваемых на воздухе или в печи. Грунт и поверхностные покрытия могут наноситься также одновременно. Предлагаемое покрытие отличается эластичностью и может быть использовано для консервных банок, а также в качестве упаковочного материала для фармацевтич. и пищевых продуктов.

Я. Матлис

**70640 П. Процесс отделки поверхности металлов посредством диффузионной обработки.** Новак (Process for imparting an improved finish to the surface of metals by means of diffusion treatment. Nowak Rudolf). Пат. США 2739907, 27.03.56

Рекомендуется способ диффузионной обработки основного металла (Fe, Cu, Sn) посредством воздействия на него паробразных галлоидных соединений таких элементов, которые способны химически замещать защищаемый металл (Si, Ti, Cr, Al и др.) в присутствии достаточного кол-ва паров свободного галлоида. Это обеспечивает высокую скорость процесса диффузии. Подробно рассматривается процесс силицирования Fe с использованием регенерированных паров  $\text{SiCl}_4$ .

А. Вячеславов

**70641 П. Обмазка поверхностей.** Хитчинс (Plastering surfaces. Hitchens J. W.) [Exfoliators (Vermiculite), Ltd.] Англ. пат. 713327, 11.08.54

Обмазка поверхностей производится путем одновременного распыления пористого порошка или вермикулита и связующего, напр. р-ра силиката Na. Вермикулит может распыляться через центральное сопло,

а связующее — из ряда сопел, оси которых расположены параллельно центральному соплу. Е. Зарецкий 70642 П. Наружные покрытия для железных или стальных труб (External coverings for iron or steel pipes) [Stewarts & Lloyds, Ltd]. Англ. пат. 714756, 1.09.54

Покрытие для стальных и железных труб, обладающее антикоррозионными свойствами к действию микроорганизмов, состоит из стеклянного волокна и пасты, в состав которой входят битумная эмульсия и инертный наполнитель, напр. асбест или шифер. При приготовлении пасты может применяться вода, содержащая смачивающую добавку. рН пасты должен быть  $\geq 10$ . Паста может входить в состав ткани, войлочных листов или лент или наноситься на эти материалы до или после покрытия ими труб. Е. Зарецкий 70643 П. Пластичные антикоррозионные покрытия (Holdbare plastiskblivende masser som sikrer mot korrosjon av metaller) [Chemieprodukte G. m. b. H.]. Норв. пат. 85044, 21.02.55

Пластичные антикоррозионные покрытия состоят из углеводородов или смесей таковых с битумом и отличаются тем, что содержат небольшие кол-ва бактерицидных, фунгицидных или инсектицидных в-в. Пример. К смеси 100 ч. оксидированного битума, 55—60 ч. кабельного вазелина добавляют 3—6 ч. смеси хлорнафталина и камфары или пентахлорфенола или др. бактерицидные и фунгицидные соединения ароматич.

тич. ряда и затем в смесь добавляют 60 ч. наполнителя. К. Герпфельд

70644 П. Препарат для чистки металлов, не вызывающий их потемнения. Хаззард (Rengöringsmedel med nedsatt tendens att svärta vissa metaller och legeringar. Hazzard B. J.) [Unilever N. V.]. Шведск. пат. 153874, 27.03.56

В состав препарата входят органич. поверхностно-активное в-во, водорастворимый фосфат и продукт, получаемый нагревом дициандиамида до 150—300°, тиоцианата аммония до 200—300° или меламина до 300—320°, причем гидратированный продукт нагрева этих соединений должен дать характерную рентгенограмму. Пример: 0,5 ч. нерастворимого остатка от экстракции горячей водой продукта, полученного нагреванием дициандиамида в течение 20 мин. при 195—210°, добавляють к смеси 25 ч. продукта конденсации 1 моля *n*-тетроктилкрезола с 8 молями окиси этилена, 25 ч.  $\text{Na}_2\text{P}_2\text{O}_7$  и 50 ч.  $\text{Na}_2\text{SO}_4$ ; 0,4%-ный р-р такого препарата при действии на нейзильбер в течение 60 мин. при 70° не вызвал его потемнения.

К. Герпфельд

См. также: Анодное растворение Fe 68484, 68485. Защита от коррозии 70195, 70204; проблема материалов для аппаратуры при белинии хлоритами 69890. Коррозия градилен 69604. Трубы из пластмасс 70066. Стеклопластики 70116

## ПРОЦЕССЫ И ОБОРУДОВАНИЕ ХИМИЧЕСКИХ ПРОИЗВОДСТВ

### ПРОЦЕССЫ И АППАРАТЫ ХИМИЧЕСКОЙ ТЕХНОЛОГИИ

Редакторы В. А. Жужиков, В. Г. Лукьянов, В. Г. Фастовский

70645. О критерии подобия горизонтальных и наклонных медленно движущихся потоков. Поздняков И. Т., Научн. тр. Ленингр. инж.-строит. ин-та, 1957, № 25, 59—62

70646. Исследование гидравлического сопротивления при движении жидкостей в стальных и чугунных трубах. Ермоленко В. П., Тр. Моск. ин-та инж. ж.-д. трансп., 1957, № 88/9, 14—41

Приводятся расчетные ур-ния для определения коэф. внешнего трения при движении жидкостей в новых стальных и чугунных трубах и в новых стальных трубах со сварными соединениями для различных интервалов изменения Re. С. Крашенинников

70647. О потерях энергии при движении неоднородных жидкостей по напорным трубопроводам. Федоров Н. Ф., Научн. тр. Ленингр. инж.-строит. ин-та, 1957, № 25, 5—13

70648. Гидравлический расчет разветвления трубопроводов. Часть II. Винтер (Beitrag zum hydraulischen Verzweigungsproblem. II. Teil. Winter H.), Österr. Ingr-Arch., 1956, 10, № 4, 317—328 (нем.)

Рассмотрен гидравлич. расчет трубопроводов при объединении 2 потоков в общий поток. Приведены ур-ния для расчета скоростей и потерь давления, а также ур-ния для расчета коэф. местных сопротивлений с учетом соотношения поперечных сечений трубопроводов. Часть I см. РЖХим, 1956, 53289.

В. Реутский

70649. Стандартные фланцевые соединения для вакуумных линий. Уэйди (Proposed system of standard vacuum flanges. Wadey W. G.), Rev. Scient. Instrum., 1956, 27, № 5, 322—323 (англ.)

Даны краткие сведения о двух типах стандартных фланцевых соединений для вакуумных линий с высокой степенью разряжения (остаточное давление порядка  $10^{-7}$  мм рт. ст.), разработанных американским Комитетом по вакуумной технике. В. Реутский

70650. Новые пути улучшения работы механических пылеуловителей. I. Зольбах (Neue Wege zur Verbesserung der mechanischen Staubabscheidung. I. Solbach Werner), Tonind.-Ztg., 1956, 80, № 3-4, 38—41 (нем.)

Приводится сравнительная оценка эффективности работы электрофильтров и циклонов. Указывается, что эффективность циклонов можно значительно увеличить не только изменением конструкции аппарата, но и изменением свойств пыле-газовой смеси, а также времени пребывания ее в аппарате. При этом можно достичь таких условий работы циклонов, при которых они будут работать эффективнее, чем электрофильтры.

Я. Дозорец

70651. Результаты исследования пылеулавливающих фильтров из искусственных материалов. Вальтер (Versuchsergebnisse an kunststoffbestückten Staubfiltern. Walter E.), Staub, 1957, № 48, 14—34 (нем.; рез. англ., франц.)

Изучалась структура наружной поверхности и поперечных разрезов, а также сопротивление потоку воздуха некоторых фильтрующих тканей, изготовленных из искусств. материалов. Приведены микрофотографии тканей из полиамида, диолона, полиакрилонитрила, виледона, искусств. шелка, применяемых для изготовления тканевых фильтров при очистке газов от пыли, работающих в химически активных средах при повышенных *t*-рах (до 100°). Приведены данные о работе ряда производственных пылеулавливающих установок с тканевыми фильтрами: улавливание содовой пыли перлоновым фильтром, пыли красителей и искусств. смол виледоновым фильтром. Описан процесс регенерации отработанных фильтров и даны рекомендации



по конструированию фильтрующих установок с тканевыми фильтрами. Н. Баскина

**70652. Применение фильтрующих тканей из стекловолокна в цинкобелитном производстве.** Гинзбург С. С., Корелицкая О. М., Хим. пром-сть, 1956, № 7, 429—430

Для изготовления фильтрующих тканей, служащих для отделения твердых частиц от воздуха в цинкобелитных производствах, предложено использовать вместо хлопчатобумажной, шерстяной или капроновой ткани ткань из стеклянного (алюмоборосиликатного бесщелочного) волокна. Такая ткань отличается высокой механич. прочностью и термостойкостью, что позволяет в несколько раз увеличить срок ее службы. Недостатком ткани из стекловолокна является ее меньшая, по сравнению с бязью, проницаемость для воздуха. Целесообразность применения стеклянной ткани подтверждена лабор. исследованиями и производственными испытаниями. В. Реутский

**70653. Реконструкция основных элементов горизонтального двухпольного электрофильтра Ц-13.** Савельев А. С., Цемент, 1956, № 6, 14—18

**70654. Акустическая очистка газов.** Буше (L'épuration acoustique des gaz. Boucher R. M. G.), Mines, 1956, 11, № 6, 497—516 (франц.)

Описаны акустич. генераторы и оборудование, применяемые для коагуляции аэрозолей, а также теоретич. основы процесса. Кратко перечислены новые области применения ультразвука: псевдооживление, очистка коксового газа от смолы, увеличение тепловой нагрузки пылеугольных топок, интенсификация катализа, и абсорбционных процессов, улучшение флотации, сушка синтетич. смол. З. Хаимский

**70655. Новая ультрацентрифуга и новые лабораторные центрифуги.** Видеман (Eine neue Ultrazentrifuge und neue Laboratoriumszentrifugen. Wiedemann E.), Chem.-Ing.-Technik, 1956, 28, № 4, 263—269 (нем.; рез. англ., франц.)

Излагаются основы расчета процесса центрифугирования и кратко описываются различные типы ультрацентрифуг, а также последние усовершенствования в этой области. Сообщается о создании нового типа автоматизированной ультрацентрифуги, обладающей спокойным ходом и нечувствительной к изменению нагрузки при очень высоких ускорениях (до 300 000 g). Описывается конструкция привода и мотора (мощность мотора 1,5 л. с., максим. число оборотов 65 000 в 1 мин). На лабор. центрифугах достигается ускорение в 40 000 g; емкость корзины составляет 500 см<sup>3</sup>, скорость вращения равна 20 000 об/мин. Н. Баскина

**70656. Расход энергии на перемешивание в сосуде без перегородок.** Ояма, Эндо (Power consumption of agitation in unbaffled tank. Oyama Yoshitoshi, Endo Kazuo), J. Scient. Res. Inst., 1956, 50, № 1430—1435, 164—174 (англ.)

Приведены результаты эксперим. определения расхода энергии мешалками с 4 и 6 плоскими лопастями в цилиндрич. плоскостенных сосудах диам. 14 и 20 см при перемешивании жидкостей различной вязкости. Диаметр мешалок  $d$  составлял  $\frac{1}{12}$  от диаметра сосуда. Найдено, что образующаяся вокруг вала мешалки воронка достигает лопастей при определенном критич. числе оборотов  $n_{кр}$ . Для геометрич. подобных систем значения критериев Фруда ( $Fr = n_{кр}^2 d/g = \epsilon$ ), соответствующие этой скорости, приблизительно одинаковы и зависят от физ. свойств жидкости. Расход энергии не зависит от Re и определяется только Fr, если  $Fr > \epsilon$ . Влияние Fr на расход мощности становится тем более заметным, чем больше лопастей имеет мешалка. М. Панфилов

**70657. Использование экспериментальных данных при выборе насоса для вязких жидкостей и бумажной массы.** Швандт (Latest research data give seven steps to easy choice of pumps for thick liquids and paper stock. Schwandt E.), Power, 1955, 99, № 10, 124—127, 208 (англ.)

Приведены графич. зависимости, полученные на основе эксперим. работ и облегчающие выбор центробежных насосов, расчет их характеристик (производительность, к. п. д., развиваемый напор) и потерь напора на трение при перекачивании вязких жидкостей и бумажной массы. Графики для определения потерь напора составлены для различных расходов бумажной массы при различных конц-ях и для различных диаметров трубопроводов (100—500 мм). Для определения потерь напора при перекачивании других жидкостей или суспензий приведены таблицы поправочных коэф. В. Реутский

**70658. О параллельной работе насосов.** Прегер Е. А., Научн. тр. Ленингр. инж.-строит. ин-та, 1957, № 25, 51—58

**70659. Конструкции дозирующих насосов.** Баррон, Шин (Design of controlled volume pumps. Barron John T., Sheen Robert T.), Industr. and Engng Chem., 1956, 48, № 5, 882—884 (англ.)

Рассмотрены конструкции основных узлов современных дозирующих плунжерных насосов, создающих давление до 3400 ат. Эти насосы могут быть использованы для подачи только таких жидкостей, которые одновременно являются смазочным материалом, так как в противном случае происходит слишком быстрый износ уплотнительных колец сальникового устройства. В. Реутский

**70660. Теплоотдача при ламинарном движении в вертикальных трубках с равномерно распределенными внутренними источниками тепла при одновременном действии принудительной и свободной конвекции.** Холман (Combined forced and free-laminar heat transfer in vertical tubes with uniform internal heat generation. Hallman T. M.), Trans. ASME, 1956, 78, № 8, 1831—1840, Discuss. 1840—1841 (англ.)

Предполагается, что поток жидкости (Ж) ламинарен и симметричен относительно оси трубы. Свойства Ж принимаются постоянными по всей длине потока, за исключением плотности, которая изменяется только вследствие температурных изменений. Составлена система исходных дифференциальных ур-ний с применением безразмерных параметров: скорости  $u = u/u_m$ , где  $u$  и  $u_m$  — скорости Ж в данной точке и средняя по сечению; разности между т-рами Ж и стенки  $\Theta = 16\lambda \cdot \theta / (Q \cdot D^2)$ , где  $\lambda$  — теплопроводность Ж,  $\theta = t - t_{ст}$ ,  $t$  и  $t_{ст}$  — т-ры в данной точке и стенки,  $Q$  — тепловой поток на единицу объема Ж,  $D$  — диаметр трубы; интенсивности источника тепла  $F = \rho g \cdot u_m c_p A / Q$ , где  $\rho$  и  $c_p$  — плотность и теплоемкость Ж,  $A$  — температурный градиент вдоль оси трубы,  $g$  — ускорение силы тяжести. Решение исходных ур-ний представлено графически в виде изменения безразмерных критериев вдоль радиуса трубы при различных значениях критерия Релея ( $0 < Ra < 10\,000$ ). В результате обработки эксперим. данных по течению воды в вертикальной трубке при давл. 140 ат получено ур-ние  $Nu = 1,45 Ra^{0,27}$ , охватывающее область  $100 < Ra < 10\,000$ . Показано, что с усилением свободной конвекции в потоке (увеличение  $Ra$ )  $\Theta$  уменьшается, а  $Nu$  увеличивается. Усиление свободной конвекции изменяет также градиент давления вдоль трубы, причем характер этого изменения зависит от интенсивности потока тепла и его направления (величины и знака  $F$ ). Найдено, что учет свободной конвекции в соответствии с полученными соотношениями позволяет значительно лучше описывать эксперим. данные, чем это достигается

ур-ниями, учитывающими только принудительную конвекцию.

**А. Ровинский 70661. Теплоотдача при конденсации движущегося пара в горизонтальном трубном пучке.** Фукс С. Н., Теплоэнергетика, 1957, № 1, 35—38

Экспериментально исследована конденсация водяного пара на горизонтальном пучке из расположенных в шахматном порядке 72 латунных трубок с наружным диаметром  $d = 19$  мм и активной длиной 522 мм; шаг между трубками составлял 28 и 24 мм. Пар поступал в пучок сверху. Опыты проводились при давлении насыщ. пара  $P_n = 0,047 \div 1,052$  атм (т-ра пара  $t_n = 31,5 \div 100,5^\circ$ ), при скорости пара перед первым рядом трубок  $w_n \gamma_n = 0,3 \div 2,9$  кг/м<sup>2</sup> сек, что соответствует  $Re = 500 \div 6000$ , и при разности т-р (пар—стенка)  $\Phi = 2,5 \div 15^\circ$ . Эксперим. данные описываются критериальным ур-нием  $\alpha/\alpha_n = 28,3 P_n^{0,08} Nu_n^{-0,58}$ , где  $\alpha$  и  $\alpha_n$  — коэф. теплоотдачи при движущемся и неподвижном паре,  $P_n = w_n^2 \gamma_n \alpha_n / (g \lambda_n \gamma_n)$ ,  $Nu_n = \alpha_n d / \lambda_n$ ,  $w_n$  и  $\gamma_n$  — скорость и уд. вес пара,  $\lambda_n$  и  $\gamma_n$  — теплопроводность и уд. вес конденсата  $g$  — ускорение силы тяжести. Отклонение основной массы опытных точек от рассчитанных по этому ур-нию, составляет  $\sim 10\%$ . Из полученного ур-ния следует, что  $\alpha$  изменяется пропорционально  $w_n^{0,16}$ . В меньшей степени  $\alpha$  зависит от  $\Phi$  ( $\alpha$  пропорционален  $\Phi^{-0,125}$  в то время, как  $\alpha_n$  пропорционален  $\Phi^{-0,25}$ ); в исследованной области  $Re$  течение пара автомодельно относительно  $Re$ . Проведены спец. опыты для выяснения влияния стекающего по трубкам конденсата на  $\alpha$  и установлено, что это влияние довольно слабое; это позволяет использовать предложенное ур-ние для условий (геометрич. характеристики пучков, гидравлич. нагрузок), отличающихся от имевших место в опытах.

**А. Ровинский 70662. Исследование теплообмена при кипении в стальной трубе.** Святлов П. А., Сб. научн. тр. Ивановск. энерг. ин-та, 1957, № 7, 68—86

Экспериментально исследовано влияние скорости циркуляции и кажущегося уровня жидкости, а также теплового потока  $q$  и давления  $p$  на коэф. теплоотдачи  $\alpha$  при кипении воды в стальной трубе. Опыты проводились в замкнутой циркуляционной системе;  $q$  определялся по кол-ву конденсата греющего пара, т-ры жидкости и стенки трубы измерялись медь-константановыми термопарами. Установлено, что при  $q = \text{const}$  повышение кажущегося уровня и скорости циркуляции приводит к увеличению  $\alpha$ . При переменном  $q$  и постоянном уровне получено ур-ние:  $\alpha = 470 q^{0,22}$  для  $q = 10^4 \div 10^5$  ккал/м<sup>2</sup> час и  $\alpha = 235 q^{0,28}$  для  $q = 10^5 \div 2,5 \cdot 10^5$  ккал/м<sup>2</sup> час, где  $\alpha$  в ккал/м<sup>2</sup> час град. При переменном давлении установлено, что  $\alpha = 470 q^{0,22} p^{0,139}$  (для  $q = 10^4 \div 10^5$  ккал/м<sup>2</sup> час и  $p = 1 \div 6$  атм).

**Р. Артым 70663. Влияние скорости течения на критические плотности теплового потока при кипении воды.** Кутателадзе С. С., Боринский В. М., Энергомашиностроение, 1957, № 2, 10

Экспериментально определено влияние скорости течения потока на 1-ю и 2-ю крит. плотности теплового потока  $q_1$  и  $q_2$  при кипении воды на графитовой поверхности нагревания. Опыты проводились при  $P = 1$  атм. Установлено, что как  $q_1$ , так и  $q_2$  возрастают с увеличением скорости движения.

**Р. Артым 70664. Исследование теплоотдачи при сушке тонких материалов.** Баженов А. П., Тр. Моск. энерг. ин-та, 1956, вып. 28, 147—156

Экспериментально исследован теплообмен при сушке гладких тканей и тканей с большой ворсистостью. Опыты проводились на лабор. установке, с устойчивой

циркуляцией потока воздуха стабильной т-ры. Т-ра поверхности измерялась с точностью до  $0,1^\circ$ , кол-во испаряемой влаги определялось на аналитич. весах. Опыты проделаны при  $Re = 15\,000 \div 75\,000$ ; получены критериальные ур-ния для определения коэф. теплоотдачи при сушке тканей. Показано, что при сушке тонкого материала каждой т-ре соответствует определенная скорость воздуха, превышение которой не оказывает заметного влияния на эффективность сушки. Значительное ускорение сушки и большой экономич. эффект достигаются при применении радиационно-конвективного теплообмена. Для полной гарантии от перегрева материала, особенно опасного при сушке тканей органич. происхождения, следует сушить ткань излучением только в период постоянной скорости сушки, а в период падающей скорости досушивать ее в конвективной части сушилки. Опыты по радиационной сушке в период постоянной скорости описываются ур-нием  $Nu = 0,9 \cdot Re^{0,5} \cdot (T_c / T_m)^2 \cdot (T_{\text{взд}} / T_c)^{0,42}$ , где  $T_c$ ,  $T_m$  и  $T_{\text{взд}}$  — т-ры среды, ткани и излучателя.

**А. Ровинский 70665. Теплоотдача радиацией от пламени.** Шерман (Heat transfer by radiation from flames. Sherman R. A.), Paper. Amer. Soc. Mech. Engrs, 1956, № A-411, 1—16 (англ.)

Выполнены обширные работы по исследованию теплоотдачи радиацией от пламени, полученного при сжигании жидкого и газообразного топлива. Выполнены две серии исследований, одна из которых имела целью получение характеристик, необходимых для правильного проектирования и эксплуатации аналогичных промышленных печей, а другая — изучение процесса сжигания и теплоотдачи радиацией. Изучалось влияние следующих факторов: 1) различных сортов жидкого (нефтепродукты) и газообразного (железистый газ чистый и с добавками пропана) топлива; 2) интенсивности тепловой нагрузки; 3) рода и кол-ва агентов, распыляющих топливо (воздух или водяной пар); 4) пяти различных конструкций горелок; 5) избытка воздуха; 6) т-ры воздуха и др. Кратко изложены результаты исследований и приведены опытные данные в виде графиков, отображающих влияние указанных выше факторов на интенсивность излучения по длине камеры сгорания.

**Ю. Петровский 70666. Средняя разность температур в одно-, двух- и трехходовых теплообменниках с перекрестным током.** Стивенс, Фернандес, Вулф (Mean-temperature difference in one, two and three-pass cross-flow heat exchangers. Stevens R. A., Fernandez J., Woolf J. R.), Trans. ASME, 1957, 79, № 2, 287—296. Discuss. 296—297 (англ.)

Дано решение задачи о вычислении средней разности т-р ( $\Delta t_m$ ) в теплообменниках при следующих предположениях: 1) общий коэф. теплопередачи ( $U$ ) постоянен по всей теплообменной поверхности; 2) величина теплообменной поверхности для всех секций (ходов) одинакова; 3) не происходит изменения агрегатного состояния теплообмениваемых потоков; 4) теплоемкость жидкостей ( $C_p$ ) остается постоянной; 5) условия стационарны. Рассмотрены процессы при условии перемешивания жидкости на входе в каждую из секций или при отсутствии его. Результаты представлены в виде 20 графиков, соответствующих различным условиям теплообмена и позволяющих определить поправочные коэф., на которые должна умножаться средняя разность т-р, вычисленная для процессов при противотоке или протокотке.

**Ю. Петровский 70667. К вопросу о новых теплоносителях.** Робин В. А., Тр. Ленингр. ин-та киноинженеров, 1956, вып. 4, 206—211

Для смеси  $AlCl_3$  и  $AlBr_3$  приведены результаты эксперим. исследования термич. стойкости, коррозионной активности, теплоотдачи при кипении в условиях вынужденной и естественной конвекции при изменении тепловой нагрузки  $7 \cdot 10^3$ — $425 \cdot 10^3$  ккал/м<sup>2</sup>·час. Даны физ. свойства смеси, а также схемы нагревания технологич. аппаратуры новым теплоносителем. Указаны его преимущества по сравнению с водяным паром и высококипящим органич. теплоносителем. Р. А. 70668. Опазот 4. Купер (Opazote 4. Cooper A.), World Refrig., 1957, 8, № 2, 93—100 (англ.)

Приведены свойства нового материала для теплоизоляции холодильных камер, выпускаемого под названием опазот, отличающегося крайне низкой адсорбционной способностью по влаге, малой влагопроводностью и капиллярностью, а также незначительной проницаемостью для газов, в частности для  $CO_2$ , что очень важно для хранения фруктов и некоторых других продуктов. При применении опазота отпадает необходимость в покрытии изоляции слоем битума.

А. Ровинский

70669. Вопросы техники сжигания нефтяных продуктов. Кюперт (Verbrennungstechnische Fragen der Ölfeuerung und Bedeutung der Ergebnisse für die Praxis. Kühnert Fr.), Heiz., Lüft., Haustechn., 1957, 8, № 3, 67—69 (нем.)

Приводятся ур-ния и графики для определения конц-ий  $CO_2$ ,  $O_2$  и  $H_2O$  в дымовых газах, полученных при сжигании нефтяных продуктов. По этим графикам конц-ии определяются в зависимости от отношения содержания водорода к углероду в топливе. На каждом из графиков нанесен ряд кривых для различных коэф. избытка воздуха в пределах 1—3.5. Приводятся ур-ния для определения потерь тепла вследствие неполноты сгорания и графич. зависимость между т-рой отходящих газов и потерями тепла с отходящими газами при различных коэф. избытка воздуха.

Н. Баскина

70670. Охлаждение при массопередаче в ламинарном граничном слое с постоянными свойствами среды. Хартнетт, Эккерт (Mass-transfer cooling in a laminar boundary layer with constant fluid properties. Hartnett J. P., Eckert E. R. G.), Trans. ASME, 1957, 79, № 2, 247—254 (англ.)

Охлаждение пористых поверхностей при протекании сквозь поры потока газа или жидкости, воспринимающего выделяющееся тепло, применяется в реактивной технике и в газовых турбинах (охлаждение лопастей). Охлаждение с помощью жидкости более эффективно, так как происходит испарение ее с поверхности с отводом кол-ва тепла, соответствующего скрытой теплоте испарения. На основании данных, имеющихся в литературе, рассмотрен простейший случай охлаждения при движении сквозь поры того же газа, который движется вдоль охлаждаемой плоской поверхности с постоянной и меняющейся скоростями. Выводы распространены на более сложный случай, когда свойства охлаждающей среды и омывающего газа различны. Получены выражения, позволяющие рассчитать т-ру охлаждаемой поверхности при протекании сквозь поры газа и жидкости в условиях, когда скорость потока, омывающего эту поверхность, относительно невелика. При высоких скоростях в полученных выражениях термодинамич. т-ры заменяются т-рами адиабатически заторможенного потока.

Ю. Петровский

70671. Температурные поля по обе стороны поверхности воды при испарении. Хэйслер (Über die Temperaturprofile beiderseits einer verdunstenden Wasseroberfläche. Häußler Werner), Wiss. Z. Techn. Hochschule Dresden, 1955—1956; 5, № 3, 435—450; Technik, 1957, 12, № 1, 3—6; № 2, 66—74 (нем.)

Исследовались температурное поле в слое воздуха над нагретой или охлажд. поверхностью воды и температурное поле прилегающего к ней слоя воды. Описаны эксперим. установка, спец. термометр сопротивления для измерения т-ры в тонких горизонтальных слоях и методика постановки опытов. Приведены результаты измерений и графики температурных полей для различных скоростей движения воздуха над поверхностью воды при разных т-рах. Выяснены причины отклонения эксперим. результатов предсказывавших исследований в области испарительного охлаждения от закона Льюиса. Рассмотрена практич. применимость введенных Киршбаумом линий постоянного адиабатич. состояния в  $i$ — $d$ -диаграмме влажного воздуха.

Э. Нигин

70672. Влияние снеговой шубы на характеристики холодильника для воздуха. Стоккер (How frost formation on coils affects refrigeration systems. Stoecker W. F.), Refrig. Engng, 1957, 65, № 2, 42—46 (англ.)

В начале образования снеговой шубы на ребристой поверхности происходит возрастание коэф. теплопередачи  $U$  на 5—6%; это объясняется увеличением поверхности теплопередачи и повышением скорости воздуха в пучке вследствие уменьшения проходного сечения. При дальнейшем нарастании снеговой шубы отмечается монотонное убывание  $U$ , что объясняется возрастающим термич. сопротивлением слоя снега, обладающего низкой теплопроводностью. Аэродинамич. сопротивление возрастает сначала медленно, а затем весьма интенсивно. В условиях эксплуатации выгоднее холодильники для воздуха из труб с меньшим числом ребер: при вымерзании влаги из воздуха они дают возможность работать с меньшими разностями т-р воздуха и хладагента, что увеличивает периоды между оттаиваниями снеговой шубы; аэродинамич. сопротивление пучков из таких трубок значительно ниже.

Ю. Петровский

70673. Тепло- и массообмен в холодильнике для воздуха с поперечным током при наличии инея на охлаждающей поверхности. Принс (Wärme- und Stoffübertragung in einem querangeströmten, bereifenden Luftkühler. Prins L.), Kältetechnik, 1956, 8, № 6, 182—187 (нем.)

Экспериментально установлено весовое распределение слоя инея и изменение коэф. теплоотдачи по периметру пучка труб холодильника. Обнаружено, что тепловое сопротивление слоя инея через несколько часов после начала опыта достигает максимума и затем остается постоянным, как и коэф. теплопередачи. Полученные ранее теоретич. ур-ния (предыдущее сообщение см. РИХИМ, 1957, 21661) хорошо согласуются с опытными данными.

Р. Артым

70674. Влияние загрязнений на работу фреоновых холодильных установок. Буши (ASRE research task force reports on contaminants. Bushey A. H.), Refrig. Engng, 1957, 65, № 2, 47—48, 78, 80, 82—84, 86, 88 (англ.)

Рассмотрены причины загрязнения холодильных установок, работающих на фреонах-12 и 22. Загрязнения обычно связаны с коррозией отдельных деталей холодильных установок под влиянием различных факторов (чрезмерного повышения т-ры вследствие ненормального режима работы компрессора, разложения масла, а также хладагента в присутствии влаги, разрушения электр. изоляции в герметизированных системах). Сопоставлены физ.-хим. свойства и стабильность фреонов-12 и 22 и рассмотрены некоторые характерные особенности при использовании их в холодильных установках (взаимодействие с маслами, явления омеднения металлич. поверхностей), а также методы сушки в циркуляционной системе. Намечены



направления исследовательских работ в области компрессионных холодильных машин. Ю. Петровский

70675. Особенности регенеративного цикла фреоновых машин. Мельцер Л., Холодильная техника, 1957, № 1, 37—39

Фреоновые холодильные машины работают с циркуляцией масла в системе, вследствие чего при расчете регенеративного цикла следует учитывать влияние растворимости фреона в масле. С возрастанием конц-ии масла в масло-фреоновом р-ре т-ра кипения его повышается при неизменном давлении. Применение регенеративного теплообменника, в котором осуществляется переохлаждение жидкости за счет перегрева пара, идущего из испарителя, позволяет сохранить практически постоянной т-ру кипения с уменьшением интервала дегазации в испарителе, но без резкого уменьшения полезной холодопроизводительности фреона. Степень регенерации определяется конц-ией масла во фреоне перед регулирующим вентилем: даже при небольших конц-иях масла осуществимо полное переохлаждение жидкости до начальной т-ры кипения. При одинаковом переохлаждении жидкости т-ра пара, выходящего из регенератора, ниже, чем при работе на чистом хладагенте; при расчетном определении этой т-ры исходят из начальной конц-ии р-ра и допустимой высшей т-ры испарения. Регенерация положительно сказывается на рабочих характеристиках компрессора и величине теоретич. объемной холодопроизводительности. Ю. Петровский

70676. О теплопередаче и массопередаче в слоях неподвижной и псевдоожиженного катализаторов. Вакао (固定層、流動層の傳熱、物質移動について、若尾法昭), 化學工學, Гакаку когаку, Chem. Engng (Japan), 1957, 21, № 1, 41—48 (японск.)

Обзор. Библ. 44 назв. Г. Фонарева

70677. Насадочная термодиффузионная колонна. Саливан, Раппел, Уиллингем (Packed thermal diffusion columns. Effect of changes in annular spacing and packing density. Sullivan Lloyd J., Ruppel Thomas C., Willingham Charles B.), Industr. and Engng Chem., 1957, 49, № 1, 110—113 (англ.)

Экспериментально исследовано разделение органич. жидкостей в термодиффузионной колонне, состоящей из наружной и внутренней трубы с кольцевым зазором (КЗ), заполненным стеклянн. ватой. Ширина КЗ изменялась посредством применения внутренних труб различных диаметров. Т-ра наружной трубы поддерживалась при 100°, внутренней при 20°. Исследована смесь равных по объему кол-в цис- и транс-декагидронафталина. Установлено, что с уменьшением пористости стеклянн. ваты в КЗ увеличивается термодиффузионное разделение и время установления стационарного состояния. Р. Артым

70678. К вопросу о расчете упругости паров сырого бензола. Гвоздев В. Л., Научн. тр. Новочеркас. политехн. ин-та, 1956, 27 (41), 215—227

Упругость паров сырого бензола предлагается определять по ур-нию:  $P = P_0 \cdot t^m$ , где  $P$  — упругость паров сырого бензола, мм рт. ст.;  $P_0 = 23$  мм рт. ст.;  $m = 0,0564 - 0,0002127 \cdot t$  ( $t$  — т-ра). Ур-ние получено для следующего состава (в %): бензола ~ 70, толуола ~ 16,2, ксилолов ~ 2,0 и справедливо в интервале т-р 0—40°. Р. Артым

70679. Исследование процесса дистилляции с водяным паром. Сийрде Э. К., Тр. Таллинск. политехн. ин-та, 1957, А, № 84, 63 стр., илл.

Рассмотрено влияние кинетич. параметров на процесс перегонки с водяным паром. Установлено влияние на коэф. насыщения  $\phi$  и на коэф. массопередачи  $K$  безразмерных кинетич. параметров (числа Фруда,

критерия состава  $G_a M_a / C_b M_b$  и геометрич. симплексов). Рассмотрены гидродинамич. режимы, возникающие при барботаже пара через слой перегоняемой жидкости. Г. Фонарева

70680. Усреднение скоростей массопередачи. Тур (Averaging of mass transfer rates. Toor H. L., A. I. Ch. E. Journal, 1956, 2, № 4, 578, 9D—10D (англ.))

Выводятся ур-ния, определяющие среднюю скорость абсорбции, отнесенную к единице поверхности, для случаев постоянных и переменных смоченного периметра и скорости движения жидкости в трубке со смоченными стенками. Для усреднения скорости абсорбции в насадочных колоннах используется понятие «время обновления поверхности», связь которого с временем контакта выражается функцией распределения. Во всех случаях принимается, что скорость абсорбции пропорциональна коэф. диффузии в степени 0,5. В. Коган

70681. Влияние перемешивания на кинетику поглощения углекислого газа растворами едкого кали. Кишиневский М. Х., Ж. прикл. химии, 1957, 30, № 2, 185—194

Поглощение  $CO_2$  производилось в стальном цилиндре, сосуде емк. 0,5 л с пропеллерной мешалкой, который помещался в водяной термостат, обеспечивающий постоянство т-ры в пределах  $\pm 0,1^\circ$ . Установленный в сосуде диффузор препятствовал образованию воронок при вращении мешалки. Скорость абсорбции  $q$  определялась по уменьшению давления, которое измерялось водяным U-образным манометром. Число оборотов мешалки  $n = 200, 450, 850$  и 1400 об/мин. Опытные данные представлены графически в виде зависимости  $q$  от конц-ии р-ра КОН и парц. давления (Р)  $CO_2$  при  $n = const$ . Из анализа опытных данных следует, что в условиях низкой турбулентности жидкой фазы влияние Р на кинетику процесса значительно меньше, чем в условиях высокой турбулентности: при слабом перемешивании жидкой фазы увеличение конц-ии  $CO_2$  в газе не приводит к значительной интенсификации процесса; главным кинетич. фактором является конц-ия абсорбента. В условиях высокой турбулентности жидкой фазы наиболее существенное влияние оказывает величина Р: значения  $q$  пропорциональны Р при всех конц-иях абсорбента, что полностью соответствует теоретич. выводам. Ю. Петровский

70682. Испытание низкотемпературной абсорбционной установки производительностью 100 тыс. ккал/час. Данилов Р., Холодильная техника, 1957, № 1, 10—15

Приведены схема абсорбционной установки с номинальной холодопроизводительностью  $Q = 100$  тыс. ккал/час при т-ре испарения  $t_{исп} = -35^\circ$  и технич. данные об основных аппаратах установки. При испытании опытного агрегата получена  $Q = 90 \div 125$  тыс. ккал/час при т-ре конденсации  $33,5^\circ$  и  $t_{исп}$  от  $-28$  до  $-34^\circ$ . Холодопроизводительность в сильной степени зависит от кратности циркуляции р-ра  $n$ : при изменении  $n$  от 11,3 до 15,4  $Q$  изменялась от 125 до 90 тыс. ккал/час. Коэф. теплопередачи  $k$  отдельных аппаратов установки составлял: в кожухотрубном генераторе затопленного типа  $k = 550$  ккал/м<sup>2</sup> час град, абсорбере (при скорости воды 0,65 м/сек)  $k = 270$  ккал/м<sup>2</sup> час град и в теплообменнике (при скорости слабого р-ра 0,65—0,72 м/сек и скорости крепкого р-ра 0,25—0,27 м/сек)  $k = 700 \div 850$  ккал/м<sup>2</sup> час град. А. Ровинский

70683. Применение трубки Вентури для удаления газов из жидкостей. Райт, Оликкер (Cavitating venturi degassifies liquids. Wright B. S., Olicker S. D.), Chem. Engng, 1956, 63, № 12, 220, 222 (англ.)

Предложено использовать трубку Вентури (ТВ) для удаления из сравнительно небольших объемов жидко-

стей растворенных в них газов. При работе ТВ в режиме кавитации в ее суженной зоне происходит расщепление струи жидкости на жидкое ядро и охватывающий ядро кольцевой слой, состоящий из паров и газов. Эти пары и газы могут быть удалены из ТВ при помощи их отсасывания под вакуумом через отводящую трубку, установленную в суженной зоне ТВ. Для того чтобы ТВ работала в режиме кавитации необходимо, чтобы между диаметром ТВ и параметрами, характеризующими поток жидкости и ее свойства, имело место соотношение:  $D = 0,413 \sqrt{W / [(P - P_v) \rho]^{1/4}}$ , где  $D$  — диаметр горловины ТВ в футах;  $W$  — расход жидкости в фунт/сек;  $P$  — давление на входе в ТВ в фунт/кв. фут;  $P_v$  — давление паров жидкости в фунт/кв.фут; и  $\rho$  — уд. вес жидкости в фунт/куб. фут.

В. Реутский

**70684. Очистка газов от органических соединений активированными глинами месторождений Грузинской ССР.** Сарисвили И. Г., Зельвенский Я. Д., Тр. Гос. н.-и. и проекти. ин-та азотн. пром-сти, 1956, вып. 5, 239—248

Экспериментально исследовалась применимость суббентонитовых глин — асканглина (А) и гумбрина (Г) в качестве адсорбентов для очистки промышленных газов от основных органич. соединений — тиофена (I) и сероуглерода (II). Опыты проводились с природным Г, а также с несколькими сортами А и Г, активированными минер. к-тами; приведены основные св-ва примененных адсорбентов. Емкость (статич. активность) А и Г определена при 20° в интервале конц-ий I от 50 до 200 мг/м³ и II — от 200 до 700 мг/м³, которые охватывают возможные конц-ии этих в-в в промышленных газах. Найдено, что изотермы адсорбции могут быть описаны ур-ниями Фрейндлиха и Ленгмюра; приведены значения всех констант этих ур-ний. Теплоты адсорбции активированными сорбентами составляют: в среднем для I 4560 ккал/г-моль и для II 2970 ккал/г-моль. Проведены опыты с увлажненными газами (40, 60 и 80% относительной влажности) и обнаружено значительное уменьшение адсорбционной емкости глин. Динамика адсорбции изучалась при различных скоростях газа (18—106 мм/сек) и конц-ях I и II в очищаемом газе при высоте слоя сорбента от 10 до 40 мм. Найдено, что для этих адсорбентов характерна одинаковая зависимость степени насыщения от скорости газа, т. е. кинетика адсорбции не зависит от свойств адсорбента и определяется внешней диффузией. Исследовались условия регенерации отработанных адсорбентов нагретым воздухом и найдено, что при т-ре 100—150° и скорости воздуха 53 мм/сек обеспечивается полное отделение адсорбированных в-в.

А. Ровинский

**70685. Способы проведения ионообмена. Часть III. Расчеты на теоретической основе.** Беккер-Бост (Verfahrenstechnik des Ionenaustausches. III. Teil: Projektierung auf theoretischer Grundlage. Becker-Boost Erich H.), Chem. Ingr-Techn., 1956, 28, № 8-9, 532—542 (нем.; реф. англ., франц.)

Приведенные в II части (РЖХим, 1957, 25528) дифференциальные ур-ния и критерияльные зависимости статистики и кинетики ионообмена использованы для расчетов ионообменных процессов; проведено сравнение различных методов расчета. Дан анализ величин, влияющих на скорость ионообмена (в частности, эквивалентной высоты теоретич. тарелки) и позволяющих определять высоту слоя ионообменных материалов и конц-ию р-ров на выходе из ионообменника. Даны ур-ния для расчета степени использования слоя ионообменного материала (отношение фактич. ионообменной способности к максимально возможной). Описаны расчеты ионообменников для устранения жесткости воды и натрий-водородного обмена.

В. Реутский

**70686. Уравнения кинетики реакций в реакторах.** Блэк, Райт, Коулл (Correlating kinetic data in reactors. Black J. H., Wright J. H., Coull James), A. I. Ch. E. Journal, 1956, 2, № 4, 572—573 (англ.)

Изучены каталитич. гомог. и гетерог. р-ции дробного порядка, протекающие с изменением объема. Выведены дифференциальные и интегральные ур-ния для определения высоты слоя неподвижного катализатора. Эксперим. исследования каталитич. дегидратации третичного бутанола (порядок р-ции 0,615) показали, что в широком диапазоне т-р и объемных скоростей опытные данные находятся в хорошем соответствии с теоретическими.

Б. Сумм

**70687. Расчет изменений состава продукта, циркулирующего в реакторе непрерывного действия с высокой степенью рециркуляции.** Зелинский, Якубович (Obliczanie zmian składu produktu krążącego w reaktorze pracującym w sposób ciągły z wysoką recyrkulacją. Zieliński A. Zb., Jakubowicz A.), Przem. chem., 1956, 12, № 11, 637—639 (польск.; реф. русск., англ.)

В реакторе, работающем с высокой степенью рециркуляции жидкости или газа, изменение конц-ий продукта р-ции  $V$  вызывает изменение конц-ий этого же компонента как в реакционной массе  $W$ , так и в приемнике  $Z$ . Описывается метод расчета для определения  $W/Z$ ,  $V/Z$  и  $V/W$  в зависимости от соотношения  $X$  между выводимым излишком реагента и объемом реактора. Приведены график и таблица числовых величин, облегчающих расчет. Даны 2 примера расчета р-ций при получении четыреххлористого этана.

Ю. Скореецкий

**70688. Исследование вынужденной конвекции при выделении теплоты реакции в пограничном слое.** Рибо, Валантен (Etude de la convection forcée de la chaleur, avec libération d'énergie calorifique par réaction chimique dans la couche limite. Ribaud Gustave, Valentin Pierre), C. r. Acad. sci., 1956, 243, № 5, 463—466 (франц.)

Исследовано распределение т-р и конц-ий в пограничном слое газа, движущегося вдоль нагретой горизонтальной платиновой пластины со скоростью 7 м/сек, на расстоянии 30 мм от лобовой поверхности. Опыты проводились со смесями воздуха (В) и водорода ( $H_2$ ) (с начальными конц-иями  $C_0 = 4,7$  и 2,9%  $H_2$ ) и с чистым В; в опытах со смесями происходило хим. взаимодействие  $H_2$  с кислородом, содержащимся в В, что сопровождалось выделением теплоты р-ции. Установлено, что характер процесса зависит от т-ры поверхности ( $t_n$ ): при  $t_n = 960^\circ$  сжигание  $H_2$  уже полностью заканчивается на расстоянии 1 мм от поверхности, т. е. оно целиком происходит в газовой фазе, а кривая  $t = f(y)$  существенно отличается от аналогичной кривой для чистого В вследствие выделения теплоты р-ции; при  $t_n = 480^\circ$  происходит диффузия  $H_2$  к поверхности и взаимодействие его с кислородом на самой поверхности; зависимость  $t = f(y)$  такая же, как и для чистого В. При  $t_n = 700^\circ$  наблюдается промежуточный процесс, в котором сжигание  $H_2$  в газовой фазе идет значительно менее интенсивно, чем при  $t_n = 960^\circ$ . Здесь:  $t$  — т-ра, измеренная на расстоянии  $y$  в поперечном направлении к пограничному слою.

Ю. Петровский

**70689. Проектирование реактора для осуществления каталитических реакций.** Части I, II. Корриган, Милс (Reactor design for catalytic reactions.—I, II. Corrigan T. E., Mills W. C.), Chem. Engng, 1956, 63, № 4, 197—202; № 5, 203—206 (англ.)

Изложены вопросы, связанные с проектированием реакторов, предназначенных для проведения каталитических реакций.

тич.  
реакт  
пере  
схем  
собы  
вани  
зат  
ской  
сече  
вани  
рабо  
7069  
дро  
ко  
не  
ka  
un  
luf  
tec  
193  
Ра  
дези  
мола  
дукт  
ност  
теор  
= со  
каю  
сти;  
при  
кус  
для  
20—  
рост  
и п  
при  
дан  
раз  
раз  
рас  
уст  
мол  
шае  
охл  
дых  
Рас  
мы  
и п  
Нав  
мен  
кри  
чен  
лев  
пы  
лю  
нос  
это  
в 2  
шен  
спе  
об  
кул  
ног  
про  
про  
вае  
в-в,  
же  
нов  
ны  
мел  
25

тич. р-ций в паровой фазе. Отмечены преимущества реакторов с псевдооживленным слоем катализатора перед реакторами с неподвижным слоем и приведены схемы различных типов реакторов. Рассмотрены способы преодоления трудностей, связанных с использованием реактора с псевдооживленным слоем катализатора (определение опытным путем на полуавтоматической установке минимально допустимого поперечного сечения трубок с катализатором и установка в основании трубок диафрагм для стабилизации режима работы реактора). В. Реутский

**70690. О физических закономерностях при ударном дроблении, воздушной сепарации и движении потоков воздушно-пылевой смеси и техническое применение этих закономерностей.** Румпф (Über physikalische Gesetzmäßigkeiten bei der Schlagzerkleinerung, der Windsichtung und der Strömung von Staub-luftgemischen und ihre Anwendung zur Entwicklung technischer Geräte. Rumpf H.), Dechema Monogr., 1955, 24, № 283—292, 58—104 (нем.)

Рассматриваются возможности усовершенствования дезинтегратора (Д) с целью увеличения тонины помола и устранения забивки его размалываемым продуктом. Приводится ур-ние, отражающее закономерности ударного дробления, выведенное с применением теории подобия и анализа размерностей:  $\sigma_{\text{макс}}^{n+1}/E^n = \text{const } \rho V^2$ , где  $\sigma_{\text{макс}}$  — максим. напряжение, возникающее в соударяющихся телах;  $E$  — модуль упругости;  $\rho$  — плотность материала;  $V$  — скорость кусков при соударении;  $n$  — величина, зависящая от формы куска; для шара  $n = 2/3$ . Ур-ние применимо только для грубого дробления, проводимого при скоростях 20—40 м/сек. Приведены кривые распределения скоростей в потоке воздушно-пылевой смеси для прямого и изогнутого участков канала, а также для слоя, прилегающего к стенке канала. Рассмотрена схема и дано описание конструкции Д, предназначенного для размала нетермостойких и налипавших продуктов. Размольное пространство окружено так называемой расширительной камерой, снабженной отклоняющим устройством. Здесь поток частиц, выходящих из размольного пространства со скоростью 100 м/сек, уменьшает свою скорость до 5 м/сек, при этом происходит охлаждение и интенсивное выпадение из потока твердых частиц. Излагаются теоретич. основы сепарации. Рассмотрен процесс движения частиц различной формы в воздушном потоке под действием силы тяжести и центробежной силы. Приведено решение ур-ния Навье — Стокса для чистого воздушного потока применительно к спиралеобразным каналам различной кривизны, и сделаны попытки распространить полученные результаты на случай движения воздушно-пылевой смеси. Дана схема и описание спирального пылеотделителя с вращающимися стенками, позволяющего отделять частицы до 2 м при производительности 100 кг/час по твердому продукту. Отделители этого типа выпускаются также с производительностью в 2000 и 5000 кг/час и соответственно для наименьшего диаметра отделяемых частиц 10 и 50 м. Для спец. целей (переработка больших кол-в продукта, объединение сепарации с помолом) применяют циркуляционный пылеотделитель, состоящий из спирального сепаратора с вращающимися стенками, высокопроизводительного циклона для отделения тонкого продукта и вентилятора. Приводится схема и описывается принцип действия сепаратора для разделения в-в, обнаруживающих склонность к налипанию, а также спиральной струйной мельницы и размольной установки со спиральной струйной мельницей и спиральным сепаратором. Кратко описывается охлаждаемая мельница, предназначенная для размала методом

ударного действия нетермостойких в-в. Максим. повышение т-ры при измельчении составляет 17°. Мельница снабжена спец. устройством для продувки воздухом размольного пространства. На ней удаётся произвести размол полиэтилена до размера частиц 0,5—1 мм. Н. Баскина

**70691. Определение характеристик измельченного материала.** Гебелейн (Beiträge zum Problem der Kornverteilungen. Gebelien Hans), Chem.-Ingr.-Techn., 1956, 28, № 12, 773—782 (нем.; рез. англ., франц.)

Рассмотрено применение графич. метода для определения различных характеристик измельченных материалов и их изменения в зависимости от диаметра частиц. Сущность метода состоит в том, что для определения различных характеристик данные ситового анализа наносятся на диаграмму, в которой координатами служат значения интеграла вероятности и логарифмы диаметра частицы; полученные при этом зависимости выражаются прямыми. Подробно описаны преимущества данного метода по сравнению с методом, предложенным Розиным, Рамлером и Шперлингом. В. Реутский

**70692. Прибор для измерения удельной поверхности деформирующихся материалов.** Фридрих (Gerät zur Messung der spezifischen Oberfläche empfindlicher Güter. Friedrich W.), Chem.-Ingr.-Techn., 1957, 29, № 2, 104—107 (нем.; рез. англ., франц.)

Описывается прибор для быстрого определения уд. поверхности тонкоизмельченных материалов, легко деформирующихся и не допускающих спрессовывания (пластмассы, уголь). С помощью дифференциального манометра измеряется сопротивление столбика стандартной высоты насыпанного продукта. В приборе измеренное сопротивление фиксируется как время прохождения ( $T$ ) мениска жидкости между двумя отметками. Уд. поверхность ( $O$ ) определяется по ф-ле  $O = C \sqrt{T} \text{ см}^2/\text{г}$ , где  $C$  — константа прибора. Дается график для определения константы прибора в зависимости от высоты слоя продукта в измерительном цилиндре прибора для различных уд. весов продукта (от 1,2 до 1,6). Прибор предназначен для контроля тонины помола на размольных установках и может быть использован для определений при диаметре частиц  $\leq 0,5 \text{ мм}$  и уд. внешней поверхности продуктов  $> 500 \text{ см}^2/\text{г}$ . Н. Баскина

**70693. Разгрузочные устройства для бункеров, снабженные электромагнитными вибраторами.** Таубман (Austragsorgane und Austragshilfen für Bunker unter besonderer Berücksichtigung elektromagnetischer Vibratoren. Taubman Harro), Chem.-Ingr.-Technik, 1956, 28, № 4, 250—257 (нем.; рез. англ., франц.)

Рассматривается процесс движения сыпучих материалов в бункерах. Приводятся ур-ния для расчета давления, оказываемого материалом на вертикальные и наклонные стенки бункеров. Дается обзор различных типов транспортных устройств, применяемых для разгрузки бункеров: шнековый, ленточный, пластинчатый, цепной и качающийся транспортеры. Описываются конструкции и указываются области применения различных питателей. Излагается метод расчета качающегося питателя с электромагнитным вибратором. Рассматриваются различные типы вспомогательных устройств, предотвращающих забивание бункера. Н. Баскина

**70694 Д. Баланс энергии и расчет водоструйных аппаратов.** Кирилловский Ю. Л. Автореф. дисс. канд. техн. н., Моск. высш. техн. уч-ще им. Баумана, М., 1957



**70695 Д.** Исследование процесса хемосорбции  $\text{CO}_2$  растворами  $\text{NaOH}$  и  $\text{KOH}$  в насадочных колоннах. Сводный И. П. Автореф. дисс. канд. техн. н., Моск. хим.-технол. ин-т им. Менделеева, М., 1957

**70696 П.** Центрифуга непрерывного действия. Буавинне (Method and apparatus for continuous centrifugal separation. Boivin Jean H.) [Compagnie de Produits Chimiques et Electrometallurgiques Alais Froges et Camargue]. Канад. пат. 510327, 22.02.55

Центрифуга непрерывного действия для выделения твердых частиц из суспензий состоит из ротора (Р) и радиально расположенных вокруг него полых конусов, обращенных вершинами в сторону, противоположную оси вращения Р. Поступающая суспензия по каналам Р подается внутрь конусов, где происходит отделение твердых частиц, которые, скапливаясь в их вершинах, непрерывно удаляются потоком вспомогательной жидкости; во избежание смещения с суспензией эта жидкость подается непосредственно в вершину каждого конуса. Суспензия твердых частиц во вспомогательной жидкости непрерывно отводится по радиально направленным трубам, соединяющим вершину каждого конуса с отводящим каналом в Р. Жидкость из внутреннего пространства каждого конуса также отводится через соответствующие каналы.

**В. Реутский**  
**70697 П.** Электрофильтр (Electrofiltre) [Metallgesellschaft A.-G.]. Франц. пат. 1110172, 7.02.56

У современных вертикальных пластинчатых электрофильтров для очистки от пыли газов, содержащих  $\text{SO}_2$ , кожуха аппаратов изготавливаются из листовой стали, покрытой снаружи термозоляцией для защиты от потери тепла и предотвращения конденсации влаги. На практике, несмотря на эту изоляцию, на внутренних стенках кожуха и соседних с ними осадительных электродах происходит коррозия стали. Для устранения этого недостатка в работе электрофильтра предлагается применять осадительные электроды, непосредственно примыкающие к стенкам кожуха электрофильтра и изготовленные в виде сетки или решетки. Это дает возможность горячему газу проходить через осадительный электрод в стенке кожуха, предохраняя последнюю от охлаждения и сопутствующей конденсации.

**Ю. Скорецкий**  
**70698 П.** Метод разделения по удельному весу. Ракковский (Method of gravity separation. Rakowsky Victor). Пат. США 2726763, 13.12.55

Непрерывный процесс разделения смесей твердых частиц с различным уд. весом состоит в том, что разделяемую суспензию пропускают через гидрориклон, описанный ранее (см. РЖХим, 1956, 73839), где происходит разделение частиц на тяжелую и легкую фракции. Каждая из полученных фракций в отдельности подвергается промывке. Воды, собранные в результате промывок и представляющие собой разбавленные суспензии, вновь возвращаются в цикл, при этом воды от каждой фракции предварительно подвергаются очистке в аппарате, описанном ранее (см. РЖХим, 1957, 21699).

**В. Реутский**  
**70699 П.** Электростатическое сепарационное устройство для мелких порошков. Каная (微粉の電気的選別装置. 金谷一秀), Японск. пат. 2603, 14.05.54

Порошок, состоящий из смеси частиц различного размера, поступает на правую половину верхней части бесконечной ленты. Эта часть ленты движется между двумя электродами, находящимися выше и ниже ее. В направлении, перпендикулярном движению ленты над порошком, передвигаются диэлектрики цилиндрич. формы (эбонит или бакелит). Вследствие электролиза диэлектриков наиболее мелкие

частицы порошка притягиваются к ним и переносятся с правой половины ленты на левую. Полученные 2 фракции порошка поступают с ленты в бункер, разделенный на 2 части перегородкой.

**М. Гусев**  
**70700 П.** Приспособление для смешения жидких, пастообразных, порошкообразных, зернистых или волокнистых материалов. Вейданц (Vorrichtung zum Mischen von flüssigen, breiigen, pulverförmigen, körnigen oder faserförmigen Gütern. Weydanz Wilhelm) [Penicillin-Ges. Daulsberg & Co.]. Пат. ФРГ 937705, 12.01.56

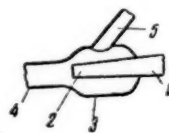
Приспособление представляет собой вращающийся сосуд в форме трехгранной пирамиды или тетраэдра со скругленными углами и краями. Ось вращения проходит через центр тяжести сосуда и направлена параллельно одной из его сторон. Такое положение оси вращения способствует наилучшему перемешиванию материала. На пути движения сосуда размещают качающиеся в виде маятников тела, о которые сосуд ударяется при своем движении. Сотрясение, возникающее при ударах, также способствует перемешиванию материала. Внутренняя поверхность сосуда покрыта слоем в-ва, препятствующего налипанию продукта на стенки.

**Н. Баскина**  
**70701 П.** Устройство для ввода твердых материалов в жидкость, протекающую по трубе. Пиккард (Means for the addition of solids to liquids flowing in pipes. Pickard Joseph A.) [The Metafiltration Co. Ltd.]. Канад. пат. 513317, 31.05.55

Описано устройство для ввода нерастворимых измельченных твердых материалов (ТМ) в поток жидкости. На горизонтальном трубопроводе установлен тройник, в вертикальном колене которого, служащем для присоединения к питательному бункеру, имеется кран с шаровым запирающим приспособлением. Под краном в тройнике расположена вертикальная поперечная перегородка, обеспечивающая изменение направления потока жидкости и ее турбулизацию в месте ввода ТМ. Устройство предназначено для работы на ТМ с уд. весом меньше, чем у жидкости.

**Б. Сумм**  
**70702 П.** Метод перемешивания ионообменного слоя в колонке. Киёмидзу (イオン交換装置に於けるイオン交換層の混合方法. 清水博), Японск. пат. 8014, 7.12.54

Обрабатываемая жидкость по трубопроводу 1 через сопло 2 поступает в расширенную часть 3 трубопровода 4, из которого она затем направляется в ниж-



нюю часть колонны, заполненной ионообменным материалом. При выходе из 2 жидкость увлекает воздух, поступающий в 3 по трубопроводу 5. Смесь жидкости и воздуха обеспечивает хорошее перемешивание ионообменного материала.

**М. Гусев**  
**70703 П.** Выпарной аппарат, нагреваемый отработанными газами. Сасакура (廢氣熱を利用する蒸気器. 笹倉彰五郎) 株式会社荏原機械製作所, Кабуши кайса сасакура кикай сэйдзосё, Японск. пат. 5611, 13.08.55

Аппарат предназначен для выпаривания морской воды и нагревается выхлопными газами двигателя внутреннего сгорания. Аппарат снабжен наклонными трубками, в которых происходит циркуляция выпари-

ваемой жидкости, дополнительным электронагревающим устройством, сепаратором, регулятором уровня жидкости и соответствующей арматурой.

**70704 П. Многокорпусная выпарная установка, работающая под вакуумом.** Сумия (多量効用真空蒸發装置. 隅谷信三), Японск. пат. 7461, 15.11.54

Предложено увеличить высоту трубок кипятильника второго корпуса и соответственно уменьшить их кол-во, что приводит к увеличению скорости движения жидкости в трубках, возрастанию коэф. теплопередачи и улучшению распределения полезной разности т-р между корпусами (см. японск. пат. 651, 1951).

**70705 П. Метод контактирования с газами и перемещения катализатора в виде мелких шариков.** Кассел (Method for contacting and transporting subdivided contacting material. Kassel Louis S.) [Universal Oil Products Co.]. Пат. США 2726995, 13.12.55

Предложен метод непрерывной конверсии газообразных органич. в-в, в частности углеводородов, в слое движущегося катализатора (К) в виде мелких шариков. Описываемая установка состоит из расположенных один над другим сепараторов, регенератора и реактора (Р). В вертикальный трубопровод, соединяющий Р и регенератор, подается пар или горячий инертный газ, нагревающий К до т-ры р-ции. К ссыпается в Р, в верхнюю часть которого вводится обрабатываемый газ. Продукты р-ции в нижней части Р отделяются от К. Сепарация осуществляется с помощью ряда горизонтальных труб, объединенных в коллектор. В нижней части труб имеются отверстия, закрытые козырьками, препятствующими попаданию твердых частиц К. Отработанный К ссыпается из Р в пневмотранспортную трубу, в которую концентрично введен коллектор продуктов р-ции. Благодаря такой системе смешивание газового потока с К в начале пневмотранспортной линии происходит без завихрений, чем значительно снижается истираемость К. Если пневмотранспорт осуществляется частью газов, образующихся при конверсии, то излишек газов отводится из коллектора через регулирующий клапан. Для употребляемого при крекинге К, состоящего из  $\text{SiO}_2$  с примесью окислов  $\text{ZnO}$ ,  $\text{MgO}$ ,  $\text{Al}_2\text{O}_3$ , рекомендуемый размер шариков 2—5 мм. Окончательная сепарация и регенерация К производится обычными методами.

**70706 П. Загрузочное устройство.** Картер (Filling machine. Carter Clarence F.). Пат. США 2720375, 11.10.55

Описано устройство для весового дозирования и загрузки пылевидных материалов в контейнеры. Загрузочное устройство состоит из последовательно установленных одна над другой воронок, находящихся на весах. Материал из первой воронки засасывается в следующую воронку под небольшим вакуумом в избыточном кол-ве. Затем под несколько повышенным вакуумом перемещается в следующую воронку, где избыток материала удаляется. Поступая в последнюю воронку, работающую под еще более повышенным вакуумом, материал подвергается контрольному взвешиванию и затем засыпается в контейнер.

В. Реутский

См. также: Гидродинамич. процессы: очистка коксового газа активированным углем 69682; очистка газа от  $\text{CO}_2$  водой 69683; фильтрация масел 69768. Тепловые процессы: теплообмен в слое кокса 69654. Механич. процессы: перемешивание в жидкой фазе 70406. Процессы массопередачи: безнасадочная колонна для перегонки фенолов 69781; разгонка азеотропных сме-

сей 69784; экстрактивная дистилляция 69786. Прочие вопросы: трубопроводы из пластмасс 70103.

## КОНТРОЛЬНО-ИЗМЕРИТЕЛЬНЫЕ ПРИБОРЫ. АВТОМАТИЧЕСКОЕ РЕГУЛИРОВАНИЕ

Редакторы А. М. Дробиз, Н. Я. Феста

**70707. Автоматизация в химической промышленности.** Линфорд (Automation techniques in the chemical industry. Linford A.), Chem. Age, 1957, 77, № 1973, 755—756 (англ.)

При современном состоянии автоматизации хим. пром-сти управление процессом ведется с центрального щита управления, помещенного в спец. помещение отдельно от хим. аппаратуры. Основным экономич. эффектом автоматизации является улучшение качества продукции и повышение производительности. Уменьшение обслуживающего персонала дает ничтожную экономию. Современная измерительная и регулирующая аппаратура строится по агрегатному принципу, позволяющему подбирать наиболее выгодную для данного случая комбинацию. Обычно применяют датчики, которые помещаются около контролируемой точки и преобразуют сигнал измерения в давление сжатого воздуха ( $0,2-1 \text{ кг/см}^2$ ). Вторичные приборы одинаковы для всех измеряемых параметров, что позволяет уменьшить кол-во запасных элементов и упрощает эксплуатацию приборов и регуляторов. В последнее время начинают применять электронную систему передачи сигнала, позволяющую автоматич. запись всех параметров на одном листе и дающую возможность значительного удлинения линий связи между точкой измерения и щитом.

И. Ихлов

**70708. Стоимость систем пневматического регулирования.** Томас (Cost of pneumatic control systems. Thomas E. I.), Instrum. and Automat., 1957, 30, № 3, 464—469 (англ.)

Приводится подробная смета стоимости монтажа приборов, регуляторов и вспомогательного оборудования систем пневматич. регулирования и управления. Показывается влияние выбора материала пневматич. линий и размеров вторичных приборов на общую стоимость установки. Наиболее дешевым является установка малогабаритных вторичных приборов со слепыми датчиками и пластмассовыми линиями в виде «кабелей». При этом стоимость щитовой комнаты сокращается в 3 раза, каркаса щита — в 4 раза, вырезки панелей — в 3,3 раза, монтажа — в 1,7 раза, магистрали сжатого воздуха — в 4,7 раза, соединительных линий в 2,5 раза по сравнению с применением приборов нормального размера и металл. линий.

И. Ихлов

**70709. Применение изотопов в химической промышленности.** Бурк (Zastosowanie izotopów w przemyśle chemicznym. Burk H.), Chemik, 1956, 9, № 12, 359—360 (польск.)

Обзор приборов для измерения давления, расхода, уровня жидкости и др., основанных на использовании радиоактивных изотопов.

Ю. Скорецкий

**70710. Указатели уровня жидкости.** (Les indicateurs de niveau de liquides.—), Mesures et contrôle industr., 1957, 22, № 237, 149—152 (франц.)

Даны краткие описания и сравнительная оценка различных типов уровнемеров. Предельные расстояния между датчиком и указателем: 500 м — для пневматич., 20—30 м — для механич. и до 10 км — для электрических.

С. Щедровицкий

**70711. Электронные указатели и регуляторы уровня.** Томас, Уайатт (Electronic level control and

indication. Thomas V., Wyatt J.), Instrum. Practice, 1957, 11, № 4, 361—366 (англ.)

Фирма Fielden Electronics Ltd. выпустила новые приборы для контроля и регулирования уровня жидкостей и сыпучих материалов. 2-позиционный регулятор (сигнализатор) уровня типа «Тектор» работает с емкостным датчиком по принципу изменения анодного тока ВЧ-генератора под действием изменения емкости датчика при изменении уровня. Так как не требуется непосредственного контакта электродов датчика с измеряемой средой, эти электроды могут быть покрыты защитным коррозионноустойчивым покрытием. Прибор типа «Телстор» работает по такому же принципу и предназначен для непрерывного указания уровня. На вторичном приборе имеются предельные контакты для сигнализации миним. и максим. значений уровня. Прибор типа «Акватрол» является обычным электродным индикатором уровня и предназначен для 2-позиционного регулирования и сигнализации предельных значений уровня жидкости. Показаны примеры применения вышеуказанных приборов в различных областях промышленности.

И. Ихлов

**70712 «Почти автоматический» испытатель счетчиков. Ричардсон** («Almost automatic» meter tester. Richardson David B.), Amer. Gas J., 1957, 184, № 2, 22 (англ.)

Сообщение о стенде для быстрой проверки счетчиков-расходомеров.

И. Ихлов

**70713. Ротаметры. Фельш** (Rotametry. Felsz Jerzy), Pomiary, automat., kontrola, 1956, 2, № 11, 419—422 (польск.)

Приведена общая характеристика ротаметров (Р), содержащая 15 основных требований к их устройству и правильному функционированию. Даны теоретич. основы работы Р, ф-лы расчета и график калибровки Р для жидкостей различной кинематич. вязкости и уд. веса. Рассмотрены конструктивные отличия наиболее распространенных Р: лабор. переносных; промышленных стеклянных и металлических; дистанционных; байпасных, работающих совместно с измерительным сужением; судовых, рассчитанных на работу в условиях толчков и вибраций.

Ю. Скорецкий

**70714. Измерение расхода жидких удобрений. Манкин** (Liquid fertilizer measurement. Mankin Paul), Farm Chemicals, 1957, 120, № 1, 46—49 (англ.)

Измерение расхода жидких удобрений желательно производить объемными расходомерами. Приводятся описание принципа действия некоторых объемных расходомеров и рекомендации по их выбору, установке и эксплуатации.

И. Ихлов

**70715. Оптическое измерение температуры. Герстнер** (Optische Temperaturmessung. Gerstner Richard), Giesserei-Nachr., 1957, 4, № 1, 9, 11, 13—14 (нем.)

Сравнение методов измерения т-ры при помощи пирометров полного излучения, частичного излучения и цветных. Наименьшей погрешностью обладают последние, хотя они более сложны в изготовлении и обслуживании.

И. Ихлов

**70716. Регулятор температуры для печей с платиновой обмоткой. Ньюман** (An economical resistance-type controller for platinum-wound furnaces. Newman R. J.), Platinum Metals Rev., 1957, 1, № 2, 58—61 (англ.)

Разработан регулятор т-ры, в котором в качестве чувствительного элемента используется Pt-обмотка печи. Для этой цели последовательно с обмоткой печи включается трансформатор тока. Выпрямленный ток с этого трансформатора сравнивается с выпрямлен-

ном током непосредственно из сети и разность этих токов управляет чувствительным реле, контакты которого размыкают ток питания печи при равенстве этих двух токов. Таким образом т-ра в печи достигает заданного значения, после чего начинает падать. Реле времени, состоящее из неоновой лампы и конденсатора, периодически производит через вторую обмотку реле включение тока, чем поддерживается постоянство т-ры печи с точностью до 2° при т-ре 1500° и с большей точностью при меньших т-рах. На работу регулятора влияют: 1) изменение напряжения питающей сети (1° на 1 в); 2) изменение формы кривой питающего тока; 3) старение печи (испарение проволоки обмотки; 1° за 500 час. работы печи). Кроме того, рекомендуется подбирать выпрямители с одинаковой характеристикой во времени. В схеме предусмотрено устройство для ограничения скорости нагрева печи во избежание теплового удара. И. Ихлов

**70717. Двойной регистрирующий мост для измерения относительной влажности. Шёмецлер** (Registrierende Doppelmeßbrücke zum Messen der relativen Feuchtigkeit. Schömeizler Gustav), Elektronik, 1957, 6, № 5, 141—142 (нем.)

Для измерения относительной влажности воздуха разработан прибор, в котором абс. влажность измеряется чувствительным элементом, состоящим из металлического цилиндра, покрытого стеклянной пружинкой, пропитанной р-ром LiCl, и обмотанного двумя проволоками из Ag. Эти проволоки присоединены к источнику переменного тока, в результате чего через р-р проходит ток, испаряющий из него воду, которую р-р абсорбирует из проходящего около него исследуемого воздуха. При этом устанавливается равновесное состояние между влажностью воздуха и т-рой р-ра, которая измеряется термометром сопротивления, включенным в плечо неравновесного моста переменного тока. В другое плечо этого же моста включен другой термометр сопротивления, который измеряет т-ру воздуха. В другой мост, питаемый от того же источника, включен еще один термометр сопротивления, который также измеряет т-ру воздуха. Напряжение измерительной диагонали первого моста и часть напряжения второго моста подаются на реохорд электронного компенсатора, где сравниваются с напряжением от делителя, связанного с этим реохордом. В результате положение реохорда и связанного с ним пера регистратора соответствует относительной влажности воздуха. Точность прибора соответствует 1° точки росы. Время прохождения пером диаграммы 1 сек.

И. Ихлов

**70718. Упрощенный регулятор влажности газа.**

**Ханна** (A simplified dew point controller. Hanna Ralph), Industr. Heat, 1956, 23, № 12, 2585—2586, 2588 (англ.)

Фирма Surface Combustion Corp. разработала новый регулятор влажности газа. Чувствительным элементом регулятора является фитиль, пропитанный гигроскопич. р-ром и обмотанный 2 параллельно расположенными проволоками. Эти проволоки присоединены к источнику переменного тока. Ток, проходя через р-р, нагревает его и испаряет воду, в результате чего сопротивление р-ра возрастает, и ток уменьшается. В равновесном состоянии т-ра р-ра устанавливается в зависимости от влажности газа, омывающего фитиль. Т-ра р-ра измеряется термометром сопротивления, включенным в дифференциальную схему. При соответствии влажности газа заданной величине напряжение разбаланса измерительной схемы равно нулю. В противном случае получается сигнал, амплитуда и фаза которого зависят от того, на сколько и в какую сторону отклонилась величина влажности газа. Этот сигнал усиливается и через реле управляет

мотор  
щего  
ной р  
элемен  
газа, п  
цели ч  
ность  
но хо  
стое с  
соотве  
±1°.  
70719.  
лич  
gleic  
Pho  
80,  
Рас  
пред  
р-ров  
лучев  
нико  
(6 в,  
пружи  
налуч  
волн  
рядк  
ваку  
няют  
толщ  
извод  
тороп  
эксти  
не п  
от л  
При  
приб  
в те  
70720.  
ка  
ga  
Р.  
Пр  
ных  
затр  
мето  
сосу  
адес  
шог  
газо  
дву  
100°  
Рас  
регу  
рам  
2-ст  
дву  
вы  
все  
на,  
20—  
вре  
слу  
707  
н  
Р  
J  
1  
по  
ст  
Да  
бол



моторным исполнительным механизмом регулирующего клапана и сигнальными лампами. Для правильной работы регулятора необходимо чувствительный элемент поддерживать при  $t$ -ре выше точки росы газа, но ниже миним. возможной  $t$ -ры  $p$ -ра. Для этой цели чувствительный элемент термостатируется с точностью  $\pm 0,3^\circ$ , причем для его охлаждения установлено холодильное устройство. Регулирование прерывистое с циклом 2 мин. 45 сек. Точность регулирования соответствует постоянству точки росы в пределах  $\pm 1^\circ$ .

**70719. Сравнительные измерения с помощью различных колориметров и фотометров. Поль** (Vergleichsmessungen mit verschiedenen Kolorimetern und Photometern. Pohl Heinz), Chemiker-Ztg, 1956, 80, № 23, 819—822 (нем.; рез. англ., франц., итал.)  
Рассматриваются две модели фотокolorиметров, предназначенных для исследования окрашенных  $p$ -ров органич. и неорганич. в-в, работающие по односторонней схеме прямого измерения. В качестве источников излучения используются лампы накаливания (6 а, 1 а), включаемые в сеть через стабилизатор напряжения. Набор 5 светофильтров позволяет получить излучение с максимумом, приходящимся на длины волн 420, 500, 520, 570, 650 м $\mu$  с пириной полосой порядка 30—80 м $\mu$ . Приемниками радиации служат вакуумные щел. фотоэлементы. В приборах применяются или прямоугольные, или цилиндрич. кюветы толщиной 6—30 мм с объемом 0,5—3 см $^3$ . Отсчет производится по зеркальному гальванометру, шкала которого отградуирована в % абсорбции и в величинах экстинкции. Дрейф нуля при различных измерениях не превышает 0,5—1,5% шкалы. Ввиду нагрева кювет от лампы накаливания измерения длятся  $\leq 30$  сек. Приводятся таблицы сравнительной оценки обоих приборов при анализе одной и той же смеси на одних и тех же длинах волн.

**70720. Установки для точного смещения газов при калибровке газоанализаторов. Шнелл** (A precision gas mixer for calibrating analyzers. Schnelle P. D.), ISA Journal, 1957, 4, № 4, 128—133 (англ.)  
При калибровке газоанализаторов, предназначенных для определения малых конц-ий, возникают затруднения при составлении газовых смесей. Статич. метод составления смесей в баллонах или других сосудах зачастую бывает невозможен вследствие адсорбции и выделения газа стенками сосуда и большого времени, требуемого для полного смещения газов. Разработана установка для динамич. смещения двух газов, с возможностью получения конц-ий от 100% до  $10^{-9}$  с точностью до 2% относительных. Расход газа поддерживается постоянным при помощи регуляторов давления и устанавливается по ротаметрам при помощи микрокранов. Разбавление газа 2-ступенчатое. Предусмотрены спец. краны для продувки системы чистым приборным воздухом. Для повышения скорости установления газового равновесия все детали установки выполнены из стекла и тефлона, что позволяет получить равновесную смесь через 20—30 мин. При применении нержавеющей стали это время удлинняется до нескольких дней, а в некоторых случаях равновесие вообще не наступает.

**70721. Моделирующие установки общего назначения. Вильямс, Джонсон** (The general-purpose analog computer. Williams Theodore J., Johnson Clarence L.), Chem. Engng Progr., 1956, 52, № 11, 457—462 (англ.)  
Приводится краткое изложение основных принципов электронного моделирования, а также возможности и области применения моделирующих установок. Даются пояснения по установке наилучших масштабов времени и амплитуды и рекомендации по выбору

электронной моделирующей установки для работы в хим. пром-сти.

**70722. Моделирование системы регулирования уровня на электронной моделирующей установке. I. Уэрли** (Simulation of a liquid level control system with an analog computer. Part 1. Worley Charles W.), Computers and Automat., 1957, 6, № 2, 30—31 (англ.)

Приводится схема системы регулирования уровня в резервуаре под атмосферным давлением. Регулирующий клапан установлен на линии стока. Составлена структурная схема этой системы.

**70723. Влияние гистерезиса на регулирование с предварением. Бойд** (The effects of hysteresis on derivative control. Boyd David M.), ISA Journal, 1957, 4, № 4, 136—140 (англ.)

При пуске нефтеперерабатывающего з-да в Рок-Айленде выявились значительные преимущества электронных регуляторов (ЭР), установленных на этом з-де, перед обычными пневматич. регуляторами (ПР). Снятые частотные характеристики этих регуляторов показали, что ЭР только немного превосходят ПР. Для выяснения причин исключительной работы ЭР были проведены тщательные проверки системы регулирования  $t$ -ры. Сравнительные испытания чувствительности ЭР и ПР показали, что ЭР довольно хорошо следит за входным сигналом в 1 мс, между тем как ПР с электронным потенциометром плохо воспроизводит сигналы в 8 мс. Дальнейшие испытания обоих регуляторов на модельной установке показали, что если при отсутствии зоны нечувствительности введение сигнала предвращения резко повышает стабильность регулирования, значительно уменьшает диапазон дросселирования, амплитуду и время успокоения, то наличие нечувствительности в 0,5% делает процесс регулирования нестабильным. Отсюда делается вывод, что для точного регулирования следует избегать механич. передач в регуляторах.

**70724. Позиционеры для мембранных исполнительных механизмов. Бирд** (Positioners for diaphragm actuators. Beard C. S.), Instrum. and Automat., 1956, 29, № 9, 1782—1788 (англ.)

Рассматриваются области применения и конструкции позиционеров для мембранных исполнительных механизмов. Отмечается необходимость установки позиционеров для улучшения регулирования в случаях: большой величины перепада на клапане (4 кг/см $^2$ ); регулирования с большой неравномерностью (предел пропорциональности 100%); больших условных расходов клапанов (> 100 м $^3$ ) при необходимости полностью использовать гидравлич. характеристику клапана; большого статич. давления регулируемой среды и сильно затянутого сальника; пропуска через клапан шлама или наличия твердых частиц в виде суспензии; нетипового диапазона давления в мембранном исполнительном механизме или нетипового диапазона изменения давления воздуха на выходе из регулятора; частичного использования предела давления на выходе из регулятора; клапанов обратного действия; необходимости увеличения скорости перемещения клапана; управления перемещением поршневого исполнительного механизма или беспружинного привода клапана. Приводятся схемы и конструкции 2 основных типов позиционеров, работающих по принципу компенсации силы и компенсации перемещения. В качестве позиционеров, работающих по принципу компенсации перемещения, приведены конструкции фирм: Bristol, Minneapolis-Honeywell, Foxboro и Taylor. Позиционеры, действующие по принципу компенсации силы, выпускаются фирмами Fisher, Mason-Neilan и Moore Products.

**70725.** Достижения в конструкции соленоидных клапанов. Ривс (Recent developments in solenoid valves. Reeves Frank E.), Instrum. and Automat., 1956, 29, № 9, 1800—1806 (англ.)

Обзор современных конструкций соленоидных клапанов. Уточняется терминология. Описываются конструкции и работа соленоидных клапанов: 1) с управляющим иглообразным клапаном и поршневым затвором; 2) с управляющим плоским клапаном и мембранным затвором с мембраной, выполненной из синтетич. материалов (Nusar, Buna-N); 3) с управляющим клапаном в байпасе, позволяющим при малой электрич. мощности (10 вт) управлять основным клапаном (32—76 мм) при давлениях порядка  $13 \text{ кг/см}^2$  (перепад давления в этих клапанах  $\sim 1/2 \text{ кг/см}^2$ ); 4) с двумя управляющими клапанами, позволяющими осуществить при двух положениях сердечника соленоид последовательный перепуск воздуха или жидкости в 2 выходных отверстия. Приводится конструкция миниатюрного соленоидного клапана 3-ходового типа, в котором переключения потока осуществляются непосредственно сердечником соленоидов. В качестве последних достижений отмечается появление 3-ходового соленоидного клапана с мембраной для переключения потока. Для управления поршневым исполнительным механизмом двойного действия применяются 4-ходовые соленоидные клапаны. Приведено 17 схем соленоидных клапанов различных конструкций. Л. Байш

**70726.** Регулирующий клапан для работы в условиях узких диапазонов изменения расхода. Селдорф (Control valves for narrow flow range. Selldorff John T.), Chem. Engng, 1956, 63, № 5, 208 (англ.)

Описана конструкция клапана с плунжером профильного типа, на поверхность которого профрезеровано три V-образных канала. Р. Торнер

**70727.** Электронный таймер. Бареш (Elektronkové časové spínače. Baroš M.), Chem. průmysl, 1957, 7, № 3, 140—141 (чешск.)

Описание электронного таймера, рассчитанного на установку периодов от 0 до 3 мин. с точностью  $\pm 1,5\%$ . Е. Стефановский

**70728.** «Ксатрон» — электропривод с переменной скоростью и электронным управлением для целей регулирования процессов. Хамфри (The Xatron — a variable speed electronic drive for process control. Humphrey A. J.), IRE Trans. Industr. Electronics, 1957, March, 68—75 (англ.)

Электропривод обычно состоит из мотора постоянного тока и источника тока для питания возбудителя этого мотора. Применение для питания возбудителя электронного выпрямителя с регулируемым напряжением значительно упрощает схему электропривода по сравнению с питанием от машинного генератора. Приведены схемы электропривода с электронным управлением для моторов малой и большой мощности. Основой этих схем является «ксатрон» — выпрямительная лампа типа тиратрона. И. Ихлов

**70729.** Коррозионностойкие трубки для пневматики. Томсон Пайпер (Chemical engineering forum. Thomson A. K. G., Piper D. B.), Chem. Ind. and Engng, 1956, 8, № 1, 37—41 (англ.)

В Австралии выпущены спец. «кабели» (K) для пневматич. линий передачи и систем регулирования. В одном таком K собраны от 1 до 19 трубок диам.  $1/4"$  или  $3/8"$  из отожженной Cu или из Mg-Al-сплава. По особому заказу выпускаются K из 40 трубок. K выпускаются длиной от 92 до 152 м и покрыты оболочкой из полихлоропрена или полихлорвинила, обеспечивающих защиту от коррозионных воздействий атмосферы и почвы. И. Ихлов

**70730.** Автоматическое регулирование вторичного воздуха в процессе горения. Перри (Automatic control of secondary air in combustion. Perry M. G.), Steam Engr, 1956, 26, № 301, 39—43 (англ.) См. РЖХим, 1957, 18000.

**70731.** Техника измерений при водоподготовке. Лиеневег (Meßtechnik in der Wasseraufbereitung. Lieneweg K.), Arch. techn. Messen, 1956, № 244, R 45—R 48 (нем.)

Обзор. Для измерения жесткости умягченной воды применяют автоматич. фотоэлектрич. прибор под названием «Диорометр», в котором каждые 3 мин. отбирается проба воды, смешиваемая с буферным р-ром и индикатором, чувствительным к ионам Ca и Mg. Изменение окраски р-ра измеряется при помощи фотоэлектрич. схемы. Шкала прибора от 0,01 до 0,03 нем. град. жесткости. Аналогичный прибор «Силикометр» служит для определения содержания в воде  $\text{SiO}_2$ . Шкала прибора от 0 до 0,5 мг/л  $\text{SiO}_2$ . В этом приборе фотоэлектрически отсчитывается кол-во капель титрующего р-ра, необходимых для изменения окраски образца. Момент конца титрования определяется при помощи фотореле. Для измерения мутности воды применяют нефелометры. При помощи пламенного фотометра можно определять содержание K- и Na-ионов. Приведен пример оборудования установки для обработки воды. Начало см. РЖХим, 1956, 70692. И. Ихлов

**70732.** Автоматическое регулирование работы установок для фторидирования. Бальдассини (Regolazione automatica degli impianti di fluorurazione. Industria: trattamento acque. Baldassini Luciano), Misure e regolaz., 1956, 4, № 6, 295—296 (итал.)

Описание прибора для автоматич. регулирования процесса фторидирования питьевой воды, основанного на измерении разности электропроводности воды с помощью 2 кондуктометрич. ячеек, помещенных до и после дозатора фторида. Е. Стефановский

**70733.** История электроавтоматизации электропокрытий. Тейлор (The history of automation in electroplating. Taylor D. W.), Process Control and Automat., 1956, 3, № 11, 388—394 (англ.)

Некоторые методы автоматизации транспортировки деталей и времени их пребывания в различных ваннах в процессе электропокрытия. И. Ихлов

**70734.** Комплексная механизация и автоматизация процессов производства оконного стекла. Гутто В. Г., Бережковская М. П., Элькинсон Л. З., Стекло и керамика, 1957, № 3, 6—11

Приведена принципиальная схема автоматич. контроля и регулирования режима стекловаренной печи с каналом для выработки оконного стекла способом вертикального вытягивания. Автоматич. контроль с регистрацией охватывает уровень стекломассы, т-ру по длине печи, состав дымовых газов, давление в пламенном пространстве. Автоматически контролируется расход топлива и воздуха, т-ра и давление точных газов, параметры, характеризующие режим регенераторов, дымоходов, трубы. По каналу контролируется тепловой и гидравлич. режим камер, кольдесавов, рекуператоров и выработочных машин, а также давление и расход генераторного газа на канал. Автоматически регулируется подача шихты и боя в печь, постоянство расхода газа, постоянство соотношения расхода топлива и воздуха, постоянство давления в пламенном пространстве печи. С 1955 г. начато освоение новой автоматич. системы отрезки, отломки и транспортировки листового стекла. Рассматривается схема запрограммированной линии подготовки и обогащения песка, имеющей взаимно сблокированное и автоматически управляемое оборудование или ди-

станц  
схема  
подгот  
для п  
нито-  
и нам  
скапо  
70735.  
в  
(Au  
lars  
spoz  
На  
Октяб  
рассм  
мели,  
гич.  
репеш  
уделе  
устро  
сти к  
массы  
70736.  
вои  
aut  
(K.)  
Соос  
швион  
водит  
работ  
щаю  
ния,  
70737  
Лен  
Ж  
тех  
Оп  
задан  
чи х  
рассм  
холод  
мери

70738  
В  
К.)  
33  
Кр  
Н, Р  
сти  
7074  
ко  
В  
Аг  
Е  
12  
Ус  
проф  
маде  
един  
ные  
галл  
лакт  
лон

станционное управление с центрального пульта, и схема автоматич. отбора, дозировки, перемешивания подготовленных и обогащенных сырых компонентов для получения стекольной шихты. Приводятся технико-экономич. показатели работы стекольных э-дов и намечаются пути создания завода-автомата, выпускающего оконное стекло.

Г. Людмирская  
70735. Автоматизация производственных процессов в карамельном производстве. Кайданский (Automatyzacja procesów produkcyjnych w karmelarni. Kajdański Edward), Techn. przem. spożywc., 1956, 5, № 6, 203—206 (польск.).

На примере советских кондитерских ф-к «Красный Октябрь» в Москве и им. А. И. Микояна в Ленинграде рассматриваются поточные линии для произ-ва карамели, обеспечивающие полную механизацию технологич. процесса, автоматич. регулирование согласно рецептуре и дозировку сырья, вкусовых добавок, к-т, ароматичных масел и красителей. Основное внимание уделено советским вакуум-выпаркам, снабженным устройством для автоматич. регулирования влажности карамельной массы и для циклич. выгрузки этой массы на формовочные машины.

Ю. Скореецкий  
70736. Автоматизация холодильного хозяйства пивоваренного завода. Мамби (Liquid handling with automatic control in brewery cold store. Mumby K.), Mech. Handling, 1956, 43, № 12, 730—738 (англ.).

Сообщается о реконструкции и автоматизации пивоваренного э-да, построенного 80 лет назад. Приводится описание производственных помещений, работ, выполненных при реконструкции э-да, сообщаются данные о новом оборудовании и его размещении, подробно описан технологич. процесс. Б. Вольтер

70737. Автоматизация холодильной установки на Ленинградском холодильнике Главмясорыбторга. Жуковский М., Гинбург М., Холодильная техника, 1957, № 1, 5—10

Описываются системы автоматич. поддержания заданной т-ры холодильных камер и автоматич. подачи холодильного агента к отделителям жидкости, рассматривается способ автоматич. распределения холодильного агента из отделителя жидкости в камерные батареи и 2 варианта работы схемы автома-

тики аммиачных трубопроводов. Защитная автоматика, предупреждающая аварии, предусматривает: защиту компрессора от гидравлич. удара, защиту установки от опасного повышения давления конденсации, защиту компрессора от опасного повышения т-ры нагнетания, защиту электродвигателей от перегрузок, защиту подшипников компрессора и электродвигателей от опасного повышения т-ры. Приводится схема защитной автоматики.

Г. Людмирская

70738 П. Прибор для измерения содержания СО в атмосфере, содержащей кислород. Черри (Instrument for measuring carbon monoxide in oxygen bearing atmosphere. Cherrey Robert H.) [United States Secretary of the Navy]. Пат. США 2743167, 24.04.56

Предлагается переносный термохим. газоанализатор (Г) с измерением тепла р-ции окисления СО на насыщенном катализаторе типа гопкалит. Г предназначен для применения на самолетах и подводных лодках. Г отличается от других термохим. приборов тем, что в нем исследуемый газ разветвляется на 2 параллельных потока, из которых один проходит через камеру (К) с катализатором, а другой — через К с неактивным поглотителем. Термочувствительные сопротивления намотаны поверх тонкостенных К. Для повышения стабильности работы Г К термостатированы, и газ перед тем, как попасть в них, проходит через теплообменник. Абс. давление газа в К поддерживается постоянным при помощи регулятора прямого действия. Разность т-р обеих К, являющаяся мерой концентрации СО, измеряется неравновесным мостом Уитстона и отсчитывается по встроенному прибору. Шкала Г 0—0,05% СО.

И. Ихлов

Ст. также: Устройство для определения и регулирования т-ры и толщины слоя золы в газогенераторах 69690. рН-метр 69229. Прибор для определения бензола и р-лей в газах 69232. Прибор для определения Н<sub>2</sub>О<sub>2</sub> 69231. Автоматизация в нефтяной пром-сти 69704. Автомат. контроль в молочной пром-сти 70513, 70523, 70524 70528. Дистанц. измерение т-р 70310. Регулирование произ-ва полуцеллюлозы 70250.

## ТЕХНИКА БЕЗОПАСНОСТИ. САНИТАРНАЯ ТЕХНИКА

Редакторы Н. Ф. Кононов, И. В. Саноцкий

70739. Обращение с химическими материалами. Вюльферт (Umgang mit kjemikalier. Wülfert K.), Farg. og kjemikal., 1956, 5, № 9, 327—328, 330—332, 335—336, 339—340, 343 (норв.). Кратко описано вредное действие Sn, Pb, Ti, Zr, Th, N, Р и их соединений, а также меры предосторожности при работе с ними.

К. Герцфельд  
70740. Изучение профессиональной экземе в химико-фармацевтической промышленности. Райка, Винце (Erfahrungen über Berufsektzeme in der Arzneimittelindustrie. Rajka Georg, Vincze Elisabeth), Berufs-Dermatosen, 1956, 4, № 3, 124—137 (нем.; рез. англ.).

Установлено, что аллергенами (А), вызывающими профессиональные дерматозы у работников хим.-фармацевтич. пром-сти, являются ароматич. нитрозосоединения (напр., n-нитрозодиметиламин), производные фенолгизина (особенно галоидпроизводные), галогенизированные кетоны (напр., ацетохлорбутиролактон в произ-ве витамина В<sub>1</sub>), n-нитробромацетофенон — полупродукт хлорметицина, гетероциклич. со-

единения с одним гетероатомом (изониазид), производные тиазола (пенициллин), гидроароматич. соединения (стрептомицин) и др. Одним из условий сенсibilизации наиболее сильными А является кратковременный массивный контакт. Некоторые из А вызывают сверхчувствительность к целой группе родственных в-в; некоторые — только к одному определенному в-ву, причем даже незначительные изменения структуры имеют следствием резкую разницу в сенсibilизирующем действии. Сверхчувствительность не зависит от действующего А; она сохраняется в течение длительного времени. Факторами, предрасполагающими к сенсibilизации, являются: летнее время (увеличенная перспирация, действие света), пониженная сопротивляемость кожи, предшествовавшее раздражения кожи, в некоторых случаях — предшествовавшее лечение тем же или родственными лекарственным в-вом. Диагностика осуществляется путем накожных и внутрикожных проб. Приведены меры профилактики и терапии аллергич. поражений к жи.

Д. Подгаецкая



**70741. Техника безопасности и гигиена труда в химических лабораториях кожаной промышленности.** Перковский (Bezpieczeństwo i higiena pracy w chemicznych laboratoriach przemysłu skórzanego. Perkowski Stanisław, Przegl. skórzan, 1955, 10, № 10, 245—248 (польск.))

**70742. Защита от излучения при работе с радиоактивными веществами.** Шиллер (Ochrana pred žiarením pri práci s rádioaktívnymi látkami. Schiller Pavol, Techn. práca, 1957, 9, № 2, 89—91 (словацк.))

Кратко описано действие ионизирующей радиации на человека и меры защиты от нее: экраны из свинцовых кирпичей или бетона, защитная одежда из соответствующих материалов, респираторы для защиты верхних дыхательных путей, щитки из плексигласа, дистанционные манипуляторы. Т. Бржевская

**70743. Защитные мероприятия при работе с закрытыми источниками излучения.** Кнёрцер (Schutzmassnahmen beim Umgang mit geschlossenen Strahlern. Knoerzer Gerhard, Atomwirtschaft, 1957, 2, № 3, 95—97, A 34, A 36 (нем.; рез. англ., франц.))

Рассмотрены вопросы защиты при работе с источниками излучения, содержащими герметически закрытые радиоактивные изотопы. Приведены данные по распадам от источников разной активности  $\text{Co}^{60}$ ,  $\text{Cs}^{137}$  и  $\text{Pu}^{239}$ , а также по толщине свинцовой защитной стенки для  $\text{Co}$  и  $\text{Cs}$ , необходимым для работы в безопасных условиях. В. Левин

**70744. Промышленное использование фтора и его соединений и связанная с этим опасность для рабочих и населения.** Кевовилле (Les utilisations industrielles du fluor et de ses dérivés, leurs dangers pour le personnel et le voisinage. Quévaullier André, Chimie et industrie, 1957, 77, № 4, 143—157 (франц.))

Описаны физ., хим и биол. свойства F и его неорганич. и органич. соединений. Указаны способы хранения и транспортировки, изложен характер токсич. действия. Подробно описаны способы предупреждения несчастных случаев и меры борьбы с ними: индивидуальные профилактич. мероприятия (защитная одежда из резины или неопрена, пластмассовые очки, спец. предохранительные маски), очистка воздуха рабочих помещений от F-содержащих газов и паров (поглощение р-рами щелочей или соды). В случае разливания жидких F-соединений их нейтрализуют известью или известковым молоком. При ожогах применяют насыщ. водн. р-р  $\text{MgSO}_4$  или 70° спирт, охлажденный до нуля, а также подкожные инъекции 10%-ного р-ра глюковоксилого Са. При отравлении парами или газами рекомендуется вдыхание кислорода или воздуха с 40%  $\text{O}_2$ . Искусств. дыхание в этих случаях не показано. Библ. 18 назв. С. Яворовская

**70745. Отравления нитрозными газами и их предупреждение.** Стоякова (Otravy nitrosními plyny a jejich prevence. Stojánková M., Chem. průmysl, 1957, 7, № 2, 83—84 (чешск.))

Описаны 4 случая отравления (1 смертельный) нитрозными газами, выделяющимися при сварке кислородно-ацетиленовой горелкой. Описаны симптомы и методы лечения. Предельно допустимая конц-ия нитрозных газов в воздухе рабочих помещений в Чехословакии 0,035 мг/л, в США — 25 мг/м<sup>3</sup>, в СССР — 0,005 мг/л. Т. Бржевская

**70746. Несколько замечаний к вопросу о применении смеси кислорода и двуокиси углерода (карбон, пневмотоксид) при острых отравлениях окисью углерода.** Навратил (Několik poznámek k otázce užívání směsi kyslíku a kyslíčniku uhličitého (karbo-

gen, pneumotoxyd) při akutních otravách CO. Navrátil Miroslav, Pracovní lékař, 1957, 9, № 1, 50—51 (чешск.))

Установлено, что при тяжелых острых отравлениях CO «карбон» (1) является мощным стимулятором дыхательного центра. Если пострадавший дышит самостоятельно, необходимо применять ингаляции I или  $\text{O}_2$ . Приборы для искусств. дыхания следует применять только при глубоком бессознательном состоянии. I противопоказан при очень тяжелых отравлениях CO с явлениями клинич. смерти. Т. Бржевская

**70747. Остаточные явления после отравления окисью углерода.** Сато (急性一酸化炭素中毒の後遺症一例佐藤勲), Японский журнал, Нихон ика дайгаку дзасси, J. Nippon Med. School, 1956, 23, № 3, 389—391 (японск.)

**70748. К вопросу о гигиенической характеристике воздуха по содержанию в нем двуокиси углерода.** Никберг Н. И., Сб. тр. Молд. н.-и. ин-та эпидемиол., микробиол. и гигиены, 1956, вып. 2, 163—166

Анализ воздуха крупного промышленного центра на разных расстояниях от источника загрязнения (металлургич. комбинат) по микрометоду Рибера — Винокурова показали, что содержание  $\text{CO}_2$  в атмосферном воздухе не является постоянным и может достигать 1,0 об. % (средняя конц-ия была 0,4 об. %), превышая предельно допустимую конц-ию. При санитарно-гигиенич. оценке воздуха в производственных помещениях необходимо учитывать фактич. содержание  $\text{CO}_2$  в атмосферном воздухе. Т. Бржевская

**70749. Гигиена и безопасность труда в промышленности искусственного волокна в Польше.** Соболевский М. (Higiena i bezpieczeństwo pracy w przemyśle włókien sztucznych w Polsce. Sobolewski M., Przem. chem., 1957, 13, № 3, 150—155 (польск.))

Описаны необходимые мероприятия по технике безопасности на польских ф-ках искусств. волокна: улавливание  $\text{CS}_2$  из воздуха рабочих помещений и возвращение его в производственный процесс путем конденсирования, герметизация процесса прядения, капсуляция оборудования, усиленная вентиляция, установка абсорбционных башен для абсорбции  $\text{CS}_2$  и  $\text{H}_2\text{S}$ , отвод и очистка сточных вод, медико-санитарное наблюдение за трудом и бытом рабочих. Т. Бржевская

**70750. Состояние здоровья рабочих на производстве кордного волокна.** Пиндржихова (Zdravotní stav pracujících při výrobě kordových vláken. Jindřichová Jifina, Pracovní lékař, 1957, 9, № 1, 10—17 (чешск.; рез. русск., англ.))

Обследовано 183 рабочих, занятых на произ-ве кордного волокна и подвергающихся воздействию  $\text{CS}_2$ . Средняя конц-ия  $\text{CS}_2$  в зоне дыхания прядильщиков достигала 200  $\mu\text{g}/\text{l}$  (предельно допустимая конц-ия — 100  $\mu\text{g}/\text{l}$ ). Отмечено 110 случаев хронич. отравления  $\text{CS}_2$  в течение 1953—1956 гг. У больных установлен неврастенич. синдром, потеря веса (до 10 кг за 2 месяца), изменения психики, нарушения функции органов пищеварения, снижение роговичных рефлексов, болезненность икр и др. В периферич. крови изменений не обнаружено. Наличие  $\text{CS}_2$  в моче свидетельствовало лишь о его воздействии. Предложен ряд профилактич. мероприятий: сокращение рабочего дня до 6 час., модернизация оборудования, недопущение учеников на работу в кордовое произ-во, соблюдение особой осторожности при повышении производительности труда без технич. прогресса, усиление медико-санитарного контроля, предоставление рабочим санаторис-курортного лечения в профилактич. целях. Т. Бржевская

**70751. Опасность при работе с хлористым метилом.** Фукс (Risiko při práci s metylchloridem. Fuchs A., Bezpečn. a hyg. práce, 1957, 7, № 2, 45—46 (чешск.))

Установлено, что хлористый метил (I) при вдыхании вызывает поражение нервной системы (повышенная утомляемость, тошнота, головные боли, чувство опьянения). Часто наблюдаются психич. изменения, требующие длительного спец. лечения. Рекомендуются следующие меры по охране здоровья рабочих: усиленная вентиляция рабочих помещений, предварительный медицинский отбор (работа с I противопоказана лицам с нервными и психич. заболеваниями), периодич. медицинские осмотры 2 раза в год, санитарно-просветительная работа, соблюдение правил личной гигиены. Для контроля утечки I предложена спец. лампа.

Т. Бржевская  
70752. Морфологическая картина крови у рабочих, занятых в производстве синтетических жирных кислот и жирных спиртов. Непочатых А. П., Сб. тр. Курск. мед. ин-та, 1956, вып. 11, 11—12.

У 194 рабочих главного корпуса и цеха жирных спиртов 3-да синтетич. жирных к-т (I) и жирных спиртов (II) проведено исследование периферич. крови. У значительного числа обследованных обнаружено некоторое снижение содержания гемоглобина, уменьшение кол-ва эритроцитов и лейкоцитов, резко выраженная нейтропения. У 37,3% в 1954 г. и у 46,8% в 1955 г. обследованных по главному корпусу отмечен относительный лимфоцитоз. 223 исследования РОЭ показали ускорение у женщин в 19,3% случаев и у мужчин в 19,0%. Замедление РОЭ отмечалось у женщин в 44—78% случаев. Считают, что тенденция к резко выраженной анемизации с замедлением РОЭ и лейкопения с относительным лимфоцитозом являются одним из ранних признаков интоксикации газообразными продуктами произ-ва I и II.

Т. Бржевская  
70753. К вопросу о профессиональных кожных заболеваниях у рабочих, занятых в производстве лимонной кислоты. Леонов В. А., Боков А. Н., Сб. тр. Курск. мед. ин-та, 1956, вып. 11, 15—18.

При обследовании 119 рабочих, занятых в произ-ве лимонной к-ты (более половины имели стаж до 4 лет), у 45% обнаружены поражения кожи (в 83% — на стопах и кистях), которые чаще наблюдались у рабочих термостатного и бродильного цеха (у 39 из 77 обследованных). У рабочих хим. цеха и хим. лабораторий поражения кожи обнаружены в 15 случаях из 42. В первых двух цехах установлено наличие на полу слоя воды, иногда содержащей хлорную известь и формальдегид, рабочие имели контакт с горячей водой, этиловым спиртом, имело место заражение грибами. В хим. цехе рабочие соприкасались с сухой лимонной к-той или ее р-рами. Дерматиты рук и ног не носили стойкого характера, быстро исчезали после прекращения действия на кожу производственных факторов. Проведение ряда профилактич. мероприятий (улучшение снабжения спецодеждой — резиновыми сапогами и перчатками, усиление работы медпункта по выявлению и лечению дерматитов) привело через полгода к уменьшению заболеваемости на 30%.

Т. Бржевская  
70754. Необычный случай отравления трихлорэтиленом. Хаасман (Neobvyklý případ otravy trichloroethylenem. Hassman Pavel), Pracovní lékař., 1957, 9, № 2, 142—144 (чешск.; рез. русск., англ.)

Описан случай отравления при хим. чистке одежды и регенерации растворителя, проводившихся в домашних условиях.

Т. Бржевская  
70755. Выводы из 10 000 гемограмм при изучении воздействия бензола. Пардон (Enquête sur 10.000 numérations pour risque benzolique. Pardon N.), Arch. malad. profess., 1956, 17, № 5, 434—439 (франц.)

На основании изучения 10 000 гемограмм лиц, работавших с бензолом, сделаны выводы о степени действия его паров. 9882 гемограмм не показали отклонений от нормы. В 0,6% случаев установлено уменьшение в крови кол-ва эритроцитов < 3 500 000 в мл в 0,1% случаев — лейкопения. Ни одна из изученных гемограмм не указывала на наличие профессионального отравления.

С. Яворовская  
70756. Гигиеническая оценка бензина, полученного путем гидрогенизации каменного угля. Григорьев З. Э., Гигиена труда и проф. заболевания, 1957, № 2, 34—37

В опытах на белых мышах установлено, что миним. конц-ия бензина гидрогенизации (I), вызывающая боковое положение животных, оказалась (в мг/л) 24,5 (для бензина «Галоша» (II) — 30), миним. смертельная конц-ия 21,8 (для II — 60), абс. смертельная конц-ия не была достигнута (предельное насыщение воздуха парами I не превышало 44,51). По резорбтивному действию I токсичнее II, стоит ближе к бензину «Гудри». При действии I возбуждения не наблюдалась, перед гибелью наступало боковое положение и наркоз (при II — сильное возбуждение, судороги). Токсич. действие I проявляется медленнее (наркоз через 75 мин., гибель через 89 мин.), чем у II (наркоз через 45 мин., гибель через 55 мин.). Опыты на крысах показали, что пары I в конц-ии (в мг/л) 0,2 не вызвали нарушения условных рефлексов, при 0,4 удлинялось время р-ции, при 2,62 нарушалась дифференцировка в 55% случаев. Пороговая конц-ия I, действующая на ЦНС, лежит в пределах 0,4—0,75, для II — в пределах 0,5—1 мг/л. Местное действие I на кожу кроликов и человека более выражено, чем II. Сделано заключение, что I может применяться в пром-сти наряду с нефтяными бензинами. Предельно допустимая конц-ия последних должна быть распространена и на I.

Т. Бржевская  
70757. К вопросу о бензиновых пневмониях. Племенов А. А., Трудлер Н. Д., Сб. тр. Курск. мед. ин-та, 1956, вып. 11, 235—237

Описаны пневмонии у лиц, вдыхавших бензин (3 случая) и керосин (1 случай).

Т. Бржевская  
70758. По поводу обрызгивания сахарной свеклы препаратом Экатокс 20. Кемка, Валентинова (Skúsenosti z postrekovania cukrovej repy Ekatoxom 20. Kemka Rudolf, Valentínova Ingrid), Pracovní lékař., 1957, 9, № 2, 144—146 (словац.; рез. русск., англ.)

У 4-х рабочих, занятых обрызгиванием сахарной свеклы препаратом «Экатокс 20» (I) (фосфорорганич. инсектицид), через 4—36 дней работы наблюдалось понижение активности холинэстеразы (II) плазмы на 8,4—39,8%, у 2-х — понижение активности II эритроцитов на 7,2 и 13,1%, у 4-х — понижение активности II плазмы и эритроцитов соответственно на 10,3—28,5 и на 20,6—29,7%. Особенно сильное снижение активности II наблюдалось у рабочего, облившегося I — на 28,5% в плазме и на 29,7% — в эритроцитах. Через 15 дней активность II у этого рабочего осталась пониженной соответственно на 9,2 и 21,1%, несмотря на отсутствие контакта с I. Рекомендуются некоторые технич. усовершенствования распылителей I и контроль за активностью II в крови рабочих, занятых обрызгиванием I.

Т. Бржевская  
70759. Гигиена и безопасность труда в производстве клеев. Пётровский (Higiena i bezpieczeñstwo pracy w klejarniach przemysłu sklejkowego. Piotrowski Sylwester), Technik drzew., 1957, № 1, 10—12 (польск.)

Изложены требования техники безопасности при изготовлении различных клеев (казеиново-альбуминовых, мочевиновых, бакелитовых и др.). Кратко описана

аппаратура произ-ва, необходимые гигиенич. мероприятия.

**70760.** Вопросы гигиены труда на заводе резино-технических изделий. Рудченко А. В., Боков А. Н., Варфоломеева А. Г., Белоконов А. Н., Данилова В. И., Горяинова Е. Ф., Сб. тр. Курск. мед. ин-та, 1956, вып. 11, 5—7

Приводятся данные санитарного обследования 3-да резино-технич. изделий. Обнаружено загрязнение воздуха рабочих помещений парами бензина и этилацетата, применяемых как растворители (в ряде случаев их концентрации превышали предельно допустимые), а также пылью (в отделениях просеивания, развешивания, смешения и загрузки порошкообразных ингредиентов) с величиной 91—99% частиц  $< 2 \mu$ , содержащей  $\text{SiO}_2$  в связанном состоянии. В некоторых производственных помещениях отмечена высокая т-ра (+23,0°, +30,4°) летом и низкая (+13,0°, +11,5°) зимой. Полученные данные послужили основанием для проведения оздоровительных мероприятий.

**70761.** Пластмассы как материалы, представляющие интерес для инженеров по технике безопасности и врачей промышленно-санитарной инспекции. Вандеберг (Kunststoffe, eine für Sicherheitsingenieure und Betriebsärzte interessante Werkstoffgruppe der modernen Industrie-Anwendung. Wandenberg E. r. i. c. h.), Kunststoff-Rundschau, 1956, 3, № 7, 276—278 (нем.)

Дано описание рекомендуемых мероприятий по охране труда и технике безопасности в произ-вах фенопластов, аминопластов, кремнийорганич. смол, пластмасс и каучуков, полиамидов, поливинилхлоридных пластиков, эпоксидных смол, полиизоцианатных пластмасс и лаков, полиакрилатов, полиэфиров, полиэтлена, политетрафторэтилена, политрифторэтилена, а также в произ-вах изделий из вышеперечисленных полимеров.

**70762.** Опасность при работе с лаками на основе искусственных смол. Шейбер (Akute oder latente Gefahren bei der Verarbeitung von Kunstharzlacken insbesondere chemischer Reaktionslacke. Scheiber Hans Ernst), Industrie-Lackier-Betrieb, 1956, 24, № 7, 157—162 (нем.)

Описаны правила безопасного обращения. Для предотвращения возгорания при отверждении смол лаки должны храниться в жидком состоянии в закрытых сосудах, пролитые лаки и смолы смываются нитролаковым разбавителем; отходы должны собираться в особый бак, до половины наполненный водой; система вентиляционных воздуховодов должна своевременно очищаться от пыли. Указывается, что соприкосновение затвердевающих лаков и смол с Zn, Cu, Ni, бронзой и др. может привести к взрыву. И. Ковалевич

**70763.** Профессиональные заболевания полости рта у работников стекольной промышленности. Иовчев (Професионални увреждания в областта на устата при работниците от стъкларската индустрия. Иовчев И. в.), Стоматология (Бълг.), 1956, № 5, 316—319 (болг.)

У стеклодувов стеклольной ф-ки «В. Коларов» отмечены частые заболевания полости рта, которые возникают под воздействием термич., механич. и хим. факторов (желто-зеленая и черная окраска зубной эмали, вследствие действия железных мундштуков стеклодувных инструментов, выраженный отпечаток от инструмента на деснах и зубах в результате плохой шлифовки мундштука, гингивит, амфодонтоз). Установлено, что в полость рта стеклодувов попадает вода, содержащая 0,6% солей ( $\text{NaCl}$ ,  $\text{Na}_2\text{CO}_3$  и др.), что увеличивает кислотность слюны. У рабочих со стажем до 5 лет гингивит дает богатую клинич. картину, а при стаже 5—10 лет заболевание утихает и переходит

в ярко выраженную форму амфодонтоза. Авторами предлагается новая модель стеклодувного инструмента с мундштуком из плексигласа, что устраняет механич. и хим. раздражения. Новый инструмент не пропускает вредные пары и газы в полость рта. Рекомендуются общее улучшение условий труда стеклодувов, дальнейшее усовершенствование существующих инструментов, санитарно-просветительная работа.

**70764.** Профилактика профессиональных поражений глаз в условиях химического (анилокрасочного) производства. Тартаковская А. И., Вестн. офтальмологии, 1957, № 2, 47—53

Проводились систематич. наблюдения за зрением 1050 рабочих, имевших контакт с амидо- и нитропроизводными бензола и толуола, сернистыми газами, окислами азота, аммиаком, хлором, к-тами, щелочами и др. Хронич. конъюнктивит и понижение чувствительности роговицы обнаружены у 60% обследованных. Анестезия роговой оболочки оказалась стойкой, чувствительность не восстанавливалась через много лет после прекращения работы. Изменения нарастали с увеличением трудового стажа. Рекомендовано ношение защитных очков, при горячих процессах — со спец. подбором корректирующих стекол с открытой оправой. Необходима полная автоматизация и герметизация оборудования, медико-профессиональный отбор рабочих.

**70765.** Еще один случай отложения пыли сернокислого бария в легких. Розманит И. Кнепфельмахер Е. (Další případ záprášení plic síranem baritým. Rosmanith J., Knöpfelmacher E.), Pracovní lékař., 1957, 9, № 2, 140—142 (чешск.; русск., англ.)

У 53-летнего рабочего, работавшего 11 лет в цехе по произ-ву литопона (содержит 70%  $\text{BaSO}_4$ ), была обнаружена начальная форма эмфиземы легких, расширение правой половины сердца, рентгеноскопически — признаки пневмокониоза. После прекращения контакта с  $\text{BaSO}_4$  наступило полное выздоровление с восстановлением нормальной рентгенологич. картины легких. Сделан вывод, что  $\text{BaSO}_4$  вызывает только функциональные изменения. Рекомендуются систематич. медицинские осмотры рабочих, имеющих контакт с  $\text{BaSO}_4$ .

**70766.** Опыт экспериментального исследования действия некоторых видов производственной пыли на организм животных. Ушков Н. П., Позднякова Ю. Г., Сб. научн. студ. работ, Курский мед. ин-т, 1956, вып. 3, 103—110

**70767.** Потребление жидкого топлива и проблема чистого воздуха. Самбрук (Fuel oil and clean air. Sambrook K. H.), Smokeless Air, 1957, 27, № 101, 194—198 (англ.)

**70768.** Роль нефтепродуктов в загрязнении воздуха. Рост (The contribution of petroleum products to air pollution. Roast C. A.), Smokeless Air, 1957, 27, № 101, 198—200 (англ.)

Рассмотрение продуктов сгорания применяемых в Англии топлив нефтяного происхождения (керосина, моторного бензина, дизельного топлива), показало, что доля участия нефтепродуктов в загрязнении атмосферы весьма мала по сравнению с долей твердого топлива.

**70769.** Очистка дымовых газов. Вуорелайнен (Savukaasujen puhdistus. Vuorelainen O.), Tekn. aikakauslehti, 1956, 46, № 9, 221—225 (финск.; рус. англ.)

Излагаются вопросы, связанные с очисткой дымовых газов (ДГ) от летучей золы, частиц несгоревшего угля, сажи и  $\text{SO}_2$ . Рассматриваются: хим. состав ДГ; хим. и дисперсный состав твердой фазы ДГ, влияние топоч-

ного р  
ческий  
конц-и  
сообра  
сываю  
метры  
жало  
и эле  
ур-ни  
аглом  
70770.  
Р. и  
Re  
107  
На и  
прове  
ния а  
чают  
газов  
ую м  
водн.  
чения  
дит к  
до SO  
катал  
→ а<sub>2</sub>  
ных  
устан  
зател  
70771  
ног  
зап  
NB  
195  
Изу  
чих и  
и др.  
в час  
спосо  
стран  
личн  
70772  
вер  
воп  
VF  
фр  
По  
в-в,  
лины  
неза  
вани  
орга  
70773  
М  
13  
Па  
зв  
мыш  
а та  
отвр  
при  
в во  
но в  
70774  
мо  
М  
и  
sc  
Т  
19



ного режима на окраску ДГ; действие ДГ на человеческий организм и строительные сооружения; нормы концентрации взвесей в ДГ на выходе из дымовых труб; соображения по выбору газоочистных устройств. Описываются принципы действия, конструкции и параметры работы разных аппаратов для очистки ДГ: жалюзийных решеток, ротоклонов, мультициклонов и электрофильтров. Приведены теория и расчетные урны процессов электроосаждения и ультразвуковой агломерации взвешенных в газе частиц. Ю. Скорецкий

**70770. Борьба с загрязнением воздуха в Хаустоне.** Ридел (Air-pollution control in Houston area. Reidel John C.), Oil and Gas J., 1955, 54, № 18, 107—109 (англ.)

На нефтеперерабатывающих з-дах в Хаустоне (США) проведены мероприятия по предотвращению загрязнения атмосферы газовыми выбросами, которые включают строительство установки по очистке отходящих газов от  $H_2S$  и каталитич. конверсии  $H_2S$  в элементарную S. Очистка газов от  $H_2S$  производится 20%-ным водн. р-ром диэтанолamina. На установке для получения серы, производимостью 30 т/сутки, происходит контролируемое сжигание  $\sim 1/2 H_2S$  с воздухом до  $SO_2$ :  $2H_2S + 3O_2 \rightarrow 2SO_2 + 2H_2O$ . Далее  $SO_2$  реагирует каталитически с остальным кол-вом  $H_2S$ :  $2H_2S + SO_2 \rightarrow aS_2 + bS_8 + cS_8 + H_2O$  (a, b, c — число молей различных мол. форм серы). Приведены технологич. схемы установки для очистки и конверсии и технич. показатели процессов. Ю. Скорецкий

**70771. Научно-исследовательские работы Национального бюро стандартов США по изучению методов защиты от пожаров.** (Fire protection research at NBS. —), Nat. Bur. Standards Techn. News Bull., 1957, 41, № 3, 40—44 (англ.)

Изучались условия воспламенения некоторых горючих материалов (в том числе древесины, целлюлозы и др.), методы обнаружения уже возникших пожаров, в частности по тепловому или световому излучениям, способы тушения пожаров и меры защиты от распространения огня (применение огнепреградителей различных систем). М. Фишбейн

**70772. О морозостойкости растворов пенообразующих веществ.** Фридрих (Über die Frostbeständigkeit von verdünnten Schaummitteln. Friedrich Max), VFDB-Zeitschrift, 1957, 6, № 1, 6—8 (нем.; рез. англ., франц.)

Показано, что добавка к водн. р-ру пенообразующих в-в, применяемых для тушения пожаров (в %) : мочевины 10, гликоля 10 и метилового спирта 7, делает их незамерзающими при  $-15^\circ$ , предохраняет от образования шламообразного осадка и от действия микроорганизмов, но усиливает их коррозионное действие. М. Фишбейн

**70773. Борьба со взрывами в промышленности.** Майхилл (Explosion risks in industry. Myhill A. R.), Chem. and Process Engng, 1957, 38, № 4, 135—138, 144 (англ.)

Рассмотрены причины промышленных взрывов, вызываемых в основном загоранием легковоспламеняемых материалов, и способы их предупреждения, а также тушение уже возникших пожаров. Для предотвращения распространения огня рекомендуется применять спец. пламягасители или суспендировать в воздухе инертные пылеобразные материалы (особенно в шахтах). М. Фишбейн

**70774. Аппарат для определения пределов взрываемости смесей паров горючих жидкостей с воздухом.** Микус, Таранчевский (Apparat zur Bestimmung der Explosionsgrenzen von Dampf/Luft-Gemischen brennbarer Flüssigkeiten. Micus Gerhard, Taranzewski Bernhard), Chem.-Ing.-Tech., 1957, 29, № 4, 275—277 (нем.; рез. англ., франц.)

Описан способ определения пределов взрываемости смесей и конструкция аппарата. Приведены значения нижних пределов взрываемости смесей воздуха с парами этил-, метил- и бутилацетатов, уксусной к-ты первичного бутилового спирта и хлорбензола. М. Фишбейн

**70775. Предотвращение взрывов ацетилена.** Эберт (Zur Verhütung von Azetylenexplosionen. Ebert A.), Schweiz. techn. Z., 1956, 53, № 24, 505—508 (нем.) См. РЖХим, 1957, 36646.

**70776. Не допускать нагревания сосудов со сжиженными газами.** Белик А. Е., Ильин Б. В., Безопасность труда в пром-сти, 1957, № 4, 23

Обращается внимание на то, что при заполнении сосудов сжиженными газами необходимо строго руководствоваться существующими правилами и не переполнять сосуды. В переполненных сосудах давление (при т-ре выше  $20^\circ$ ) увеличивается приблизительно на 0,5 атм при повышении т-ры сосудов на  $1^\circ$ , что может даже при небольшом нагревании привести к взрыву сосудов. М. Фишбейн

**70777. Вентиляция.** Молер (Ventilation. Mohler J. B.), Metal Finish., 1956, 54, № 7, 57—60 (англ.)

Сообщается о применении пенных покрывающих слоев из смачивающих реагентов на поверхности электролитич. ванн в целях резкого уменьшения выделения щел. тумана при травлении алюминия. Приведены схемы экономич. аспирационных устройств для отсоса образующейся над ваннами смеси тумана и воздуха с последующим отделением жидкостного компонента смеси. В числе схем описана «пушпунная» система аспирации-вентиляции, позволяющая вчетверо снизить объемы засасываемого воздуха. Даны детали конструкции воздухопроводов, вентиляторов и выхлопных труб. Начало см. РЖХим, 1957, 25632. Ю. Скорецкий

**70778. Об улавливании взвешенных частиц.** Людвиг (Über die Abscheidung von Schwebstoffteilchen. Ludwig B.), Kälte, 1957, 10, № 3, 95—96 (нем.)

Приводится описание новых типов сухих пакетных фильтров для воздуха, заполненных искусств. или естественным волокнистым материалом. Обычные вискозные фильтры улавливают частицы  $> 1 \mu$ . В сухих пакетных фильтрах для воздуха типа Дельбаг Микро-сорбан плита площадью  $\sim 0,25 \text{ м}^2$  имеет поверхность фильтрации  $\sim 2,5 \text{ м}^2$  и может очистить 500  $\text{м}^3/\text{час}$  воздуха. Фильтр состоит из слоя искусств. волокон толщиной  $\leq 1 \mu$  и улавливает частицы 0,1—1  $\mu$ . Улавливание частиц обуславливается фильтрующей способностью волокон (пористость  $\sim 99,5\%$ ). Я. Дозорен

**70779. Фильтрация воздуха в текстильной промышленности.** Часть III. Блондель, Бюффе (La filtration de l'air dans l'industrie textile. III. Blondel, Büffet), Ind. text., 1955, № 826, 667—669 (франц.)

Краткое изложение принципов подбора системы фильтрации воздуха для разных цехов прядильных ф-к. Описаны системы фильтрации воздуха, в частности, для шпиктовального цеха. Часть II см. РЖХим, 1957, 46833. В. Кольцов

**70780. Предупреждение аварий холодильных установок.** — (Prevention of refrigeration plant failures. —), Industr. Refrig., 1957, 132, № 2, 23—24, 26—27, 37—39 (англ.)

Отмечается большое значение инструкций по эксплуатации холодильных установок для предотвращения аварий и неполадок; приведена инструкция по эксплуатации системы холодильных установок крупного пивоваренного з-да, включающего установку для очистки, сжижения, осушки и испарения углекислоты, образующейся в процессе ферментации. Ю. Петровский

70781. «Биологические перчатки». Хохлов Ю., Промысл. кооперация, 1957, № 4, 31

Приводятся рецепты защитных масел для предохранения рук рабочих от вредного действия нитрокарбонатов, органич. р-рителей и разбавителей, к-т, щелочей, от продолжительного действия воды, мазута, металл. пыли, смазочных масел. Мази наносятся на руки перед работой и, застыв, покрывают кожу защитной пленкой. Описанные мази рекомендуются для кожаной и хим. пром-сти.

70782. Дезинфекция атмосферы на заводах триэтилглицолев. Герайнова, Стодола (Desinfekce ovzduší triethylglykolem. Hegerajnová L., Stodola J.), Farmácia (Ceskosl.), 1957, 26, № 1, 17—20 (чешск.)

70783 К. Окись углерода (появление, использование, методы определения, гигиеническая оценка рабочего места, физиологическое действие, клиника острых и хронических заболеваний). Берка, Кадлец (Kyslíčnický uhelnatý. (Výskyt, použití, metody stanovení, hygienický profil pracovišť, fyziologické účinky, klinika akutních a chronických otrav). Berka Ivan, Kadlec Karel. Praha, SZdN, 1956, 160 s., 21,05 Kčs.) (чешск.)

См. также: Борьба с запыленностью: заборники пыли 68553; пылеуловители 70650—70652. Сантехника в цехах для окраски распылением 70196. Неочищенный гербицид 69265. Определение р-рителей в газах 69232. Безопасный р-ритель 69771.

## НОВЫЕ КНИГИ, ПОСТУПИВШИЕ В РЕДАКЦИЮ

Столетие Французского химического общества (1857—1957).— (Centenaire de la Société Chimique de France (1857—1957) Paris, Masson et Cie, 1957, 251 p.) (франц.)

Сборник, посвященный столетнему юбилею Французского химического общества (Société chimique de France, основанное 4 июня 1857 г., преобразованное в 1906 г. в Société chimique de France).

Сборник состоит из двух частей. Первая часть посвящена первому пятидесятилетнему юбилею общества. Воспроизведены следующие материалы, относящиеся к юбилею, который отмечался в 1907 г.

1. Доклад Армана Готье (Armand Gautier, президент общества в 1906 г.), от 17 мая 1907 г. на тему «Состояние химических наук ко времени основания общества».

2. Труды ученых, состоявших последовательно президентами общества в 1857—1907 гг. (краткие очерки).

3. Труды, представленные обществу его членами, которые не были президентами в течение первого пятидесятилетия (краткие обзоры по разделам: минеральная химия; органическая химия; биологическая химия; общая химия).

Вторая часть посвящена второму пятидесятилетнему юбилею общества; она содержит:

1. Общие доклады о трудах, напечатанных в 1907—1957 гг. в журнале общества Bulletin de la Société chimique de France (обзоры по разделам: общая химия; минеральная химия; органическая химия; биологическая химия; фармацевтическая химия; химическая промышленность).

2. Труды ученых, состоявших последовательно президентами и почетными президентами общества в 1907—1957 гг. (краткие очерки).

Д. Тумаркин  
Обменная адсорбция в теории и на практике. Общая часть. Грисебах (Austauschadsorption in Theorie und Praxis. Allgemeiner Teil. Griessbach Robert. Berlin, Akad.-Verl., 1956, XIV, 450 S., ill.) (нем.)

Настоящая книга, выпущенная как первая часть двухтомной монографии по ионообменным сорбентам, должна явиться, по мысли автора, самостоятельным руководством по физической химии ионообменных процессов (вторая часть будет посвящена всевозможным применениям ионитов).

В книге даны исторический очерк и обзор способов синтеза ионообменивающих материалов; главная же ее часть посвящена систематическому изложению современного состояния теории гетерогенных процессов ионного обмена. Отдельная глава посвящена спо-

собам изготовления и применению ионообменных мембран.

В главе об ионообменном равновесии дается систематическое изложение термодинамической теории ионообменного сродства в двух известных ее аспектах: как осмотической теории, связывающей избирательность сорбции ионов с максимальной работой набухания ионитов (Грегор и его школа), и как новой главы теории электролитов, рассматривающей взаимодействие ионов в гетерогенной системе, одна из фаз которой рассматривается как высококонцентрированный раствор с фиксированными (недиффундирующими) ионами и свободно диффундирующими противоионами, и являющейся дальнейшим развитием теории мембранного равновесия Доннана (Бауман и Эйхгорн, Бойд и Сольдаво, Дункан, Глюкауф и др.).

Автор проводит четкое различие между понятиями «избирательности» (Selektivität) и «специфичности» (Spezifität) сорбции ионов ионитами.

Под избирательностью понимается величина, характеризующая относительную сорбируемость в ряду ионов, обусловленную различием их зарядов, размеров, степени гидратации, в конечном счете — их электростатическими параметрами.

К специфическим относятся все остальные факторы, влияющие на сорбируемость, как-то: наличие некулоновских обменных сил, поляризации электронных оболочек, образования координационных связей и т. п.

Одна из больших глав книги озаглавлена: «Отдельные факторы и аномалии при ионном обмене». В этой главе рассматриваются влияние структуры ионитов, их набухаемости, влияние моно- или полифункциональности, гидратируемости солевых форм, окислительно-восстановительных реакций, pH среды, старения гелей смол-ионитов, наличия гистерезиса и других проявлений необратимости.

В разделе «Кинетика», помимо анализа относительной роли внешней и внутренней диффузионных стадий гетерогенного процесса ионного обмена, излагается краткий очерк теории хроматографии, в основном по трудам Майера и Томпкинса.

Особые главы отведены общеадсорбционным процессам и действию ионитов, как «молекулярного сита», используемому при разделении смесей крупных органических молекул, и применению ионитов в качестве катализаторов и носителей для катализаторов.

В первой дополнительной главе изложены оригинальные идеи автора о принципах подбора (на основе развитых в книге представлений об избирательности ионообменных сорбентов) условий опыта и адсорбентов для осуществления различных практических за-

дач: 1  
ных 2  
элект  
Втор  
практ  
Лит  
чител  
Патен  
литер  
Лит  
знач  
справ  
и про  
Рени  
tiup  
lars  
Moi  
sique  
Пос  
крыт  
пии,  
топов  
прост  
ных  
опре  
Не  
важно  
этого  
ства,  
лени  
непи  
Лит

Рук  
ту  
ре  
sé  
Et  
46  
Кн  
sed  
Com  
Кн  
чешск  
вани  
прим  
мож  
прип  
стои  
Гл  
возд  
Гл  
таю  
Гл  
двух  
Гл  
пие  
Гл

дач: разделения электролитов, отделения молекулярных электролитов от коллоидов, электролитов от неэлектролитов и разделения смесей неэлектролитов.

Вторая дополнительная глава посвящена методам практических испытаний ионообменных материалов.

Литература, в основном, охвачена по 1955 г. включительно; есть отдельные ссылки на статьи 1956 г. Патентная литература освещена по 1954 г. Советская литература освещена недостаточно.

Авторский и обстоятельный предметный указатели значительно облегчают пользование книгой в качестве справочника по вопросам физической химии ионитов и процессов ионного обмена.

**В. Анохин**  
**Рений и технеций. Трибала (Rhenium et technetium. Tribalat S., m-lle. Paris, Gauthier — Villars, 1957, 172 p., 3300 fr.) (франц.)**

Монография из серии «Monographies de chimie physique».

После краткого введения, посвященного истории открытия рения, следует описание методов его экстракции, физических и химических свойств, а также изотопов рения. Основной раздел посвящен рассмотрению простых и комплексных соединений рения в различных степенях окисления и методам аналитического определения рения.

Несколько меньший объем посвящен менее исследованному технецию. Рассмотрены история открытия этого элемента, его физические и химические свойства, соединения технеция в различных степенях окисления, а также методы выделения и определения технеция.

Литература охвачена по 1956 г. включительно.

**А. Нейдинг**

**Руководство по сжатому воздуху. Составлено Институтом сжатого воздуха и сжатых газов в США. Перев. с англ. (Manuel de l'air comprimé. Ouvrage réalisé par l'Institut de l'air et des gaz comprimés des Etats — Unis. Trad. de l'angl. Paris, Ed. Eyrolles, 1957, 469 p., ill., 5780 fr.) (франц.)**

Книга представляет собой перевод издания Compressed air handbook, выпущенного в США институтом Compressed Air and Gas Institute.

Книга содержит (в доступном изложении) теоретические и практические данные в области конструирования, изготовления, монтажа, испытания, выбора и применения пневматических машин, а также всевозможных приборов, инструментов и приспособлений, приводимых в действие сжатым воздухом. Она состоит из шести глав.

Глава I. Важнейшие области применения сжатого воздуха и сжатых газов.

Глава II. Переносные орудия и инструменты, работающие на сжатом воздухе. Бурильные механизмы.

Глава III. Распределительная сеть для сжатого воздуха.

Глава IV. Компрессоры (поршневые и ротационные).

Глава V. Газодувки.

Глава VI. Приемные испытания. Справочные таблицы.

Книга может служить справочным руководством для широкого круга лиц, соприкасающихся с вопросами компримирования воздуха и других газов и использования сжатого воздуха и сжатых газов. **В. Ж. Силиконы и их применение. Мак-Грегор. Перев. с англ. (Les silicones et leurs emplois. Mac Gregor Rob Roy. Trad. et adapté de l'angl. Paris, Ed. Eyrolles, 1955, 307 p., ill., 2665 fr.) (франц.)**

Книга (адаптированный перевод с американского издания 1953 г.) посвящена свойствам и применению в промышленности кремнийорганических полимеров и материалов на их основе.

В первой части книги (главы 1—2) кратко изложена история развития химии кремнийорганических высокомолекулярных соединений и основные реакции образования мономерных и полимерных кремнийорганических продуктов.

Вторая часть книги (главы 3—10) содержит описание свойств различных промышленных сортов полисилоксановых жидкостей, паст, смазок, смол и каучуков.

В конце книги имеется сводная таблица по применению кремнийорганических материалов в различных отраслях промышленности.

Приводимые в книге данные имеют в основном описательный характер; в некоторых случаях при изложении свойств приведены фирменные названия материалов или же условные обозначения продуктов.

В целом книга представляет собой справочное издание по общим вопросам применения силиконов.

**А. Жданов**

**Вентиляторы и их применение. Тен (Les ventilateurs et leurs application. Thin Daniel. Paris, Ed. Eyrolles, 1956, 152 p., ill., 4540 fr.) (франц.)**

Монография из серии, издаваемой Промышленным научно-техническим комитетом по отопительному и вентиляционному оборудованию.

В книге рассматривается широкий круг вопросов, относящихся к данной теме: терминология, характеристики, выбор и применение, установка и пуск, эксплуатация, ремонт, техника безопасности. **В. Ж. Насосы и их применение. Тен (Les pompes et leurs applications. Thin Daniel. Paris, Ed. Eyrolles, 1955, 255 p., ill., 2300 fr.) (франц.)**

Монография из серии, издаваемой Промышленным научно-техническим комитетом по отопительному и вентиляционному оборудованию.

В книге рассматриваются вопросы терминологии, классификации, характеристики, расчета, конструирования, производства, выбора и применения, эксплуатации, ремонта, техники безопасности.

Книга состоит из трех частей.

Часть I. Центробежные насосы.

Часть II. Поршневые и ротационные насосы.

Часть III. Пуск насосов, их испытание и эксплуатация.

**В. Жукинов**



# АВТОРСКИЙ УКАЗАТЕЛЬ

## А

Аарна А. Я. 69643  
Абов Ю. Г. 68252  
Абрамов В. С. 68918  
Абрамова М. 70541  
Абрамович Ю. М. 68621  
Абс 68805, 68806  
Авгуль Н. Н. 68513  
Адамов М. Н. 68151  
Адамович Л. П. 69128  
Адыбек-Меликян А. И. 69191  
Азелицкая Р. Д. 69497  
Анабори 69010  
Акимов Л. Н. 69008  
Акияма 69705а  
Акольян П. А. 69601  
Анопов Е. К. 68375, 68385  
Ануленок Е. М. 68280  
Акучурина Г. С. 69444  
Алабышев А. Ф. 68369  
Александров А. Д. 68075  
Александров Н. В. 68552  
Алексадрова Е. М. 68551  
Алексеев С. Н. 70625  
Алиев Ф. С. 68671 Д  
Алимарин И. П. 69105, 69129  
Аменицкая Р. В. 68329  
Амирасланов А. М. 68308  
Андреев В. М. 68784  
Андреевская О. В. 68588  
Андрианов К. А. 69076  
Аникина Г. Н. 68786  
Антипина Т. В. 68513  
Арабкерпева М. А. 69533  
Араи 69251  
Арабаев С. А. 68122  
Арбузов К. Н. 69345  
Арбузова И. А. 69067  
Арефьев В. 69515  
Аришева Е. А. 70316  
Артемьев В. 69532  
Асо 70405  
Африкиян В. Г. 68800  
Ахрем А. А. 68794, 68844  
Ахремчик Ф. В. 68121

## Б

Бабенко А. С. 69130  
Бабко А. К. 69114

Бабушкин А. А. 68513  
Багдасаров Х. С. 68280  
Багров А. А. 68542  
Баженов А. П. 70664  
Бажулин П. А. 68197  
Балавдин А. А. 68513  
Баллод А. П. 68513  
Бальян Х. В. 68750  
Банит Ф. 69496  
Баранецкая Н. К. 68678  
Бартенева Г. М. 69449  
Баталова Л. Г. 69056  
Бекиров У. И. 70443  
Бекирова Л. М. 70443  
Белаш Ф. Н. 69295  
Белик А. Е. 70776  
Белов Н. В. 68227  
Белова Е. Н. 68227  
Белогорская Н. В. 69150  
Белоконов А. Н. 70760  
Беловоноская Г. И. 69062  
Бельневич П. И. 68420  
Белянин Ю. И. 69667  
Бендерская С. Н. 69207  
Бенин Г. С. 70381  
Бергман А. Г. 68371, 68375, 68376  
Бережковская М. И. 70734  
Бережной А. И. 69447  
Березина С. И. 68479  
Беренштейн А. В. 69120  
Берестнева З. Я. 68513, 68538  
Беркман Я. П. 70102  
Бинова Н. 68894  
Билек В. 70446 К  
Бланко Ф. 68858  
Блатный П. 70446 К  
Бобриков В. П. 68284  
Богданов А. А. 68605  
Боник Г. В. 68641  
Бомов А. Н. 70753, 70760  
Бонштедт-Куллетская Э. М. 68631  
Борисов А. Е. 68906  
Боршманский В. М. 70663  
Бостанджиян А. К. 68374  
Брагин С. В. 68858  
Братерский Ф. 70468  
Братолюбов А. И. 68121  
Брожен К. 70446 К  
Бруно Е. П. 69209

Брусиловский С. А. 70427  
Бурис Е. В. 68583  
Бурштейн Л. Л. 68212  
Бурштейн Р. Х. 68513  
Бусаров Ю. П. 68576  
Быков В. Т. 68513  
Быков Г. В. 68153  
Быняева М. К. 68405  
Бычкова-Шульга Н. А. 68376

## В

Вада 68984  
Вайнберг А. Я. 70513, 70523, 70524, 70528  
Вайнштейн Б. К. 68229  
Вайсман Г. А. 69207  
Вакао 70676  
Варламов В. С. 70324  
Варфоломеева А. Г. 70760  
Василев П. 69427  
Васильев А. М. 68100  
Васильев С. С. 68454  
Вахрушев В. А. 68635  
Веденева Н. Е. 68513  
Венклова Ф. И. 68656  
Велизарьева Н. И. 69699, 69701  
Величинин И. Н. 69674  
Венедиктова Р. В. 68588  
Веселовская Т. К. 68857  
Веселовский В. С. 68513  
Вилков Л. В. 68224  
Вирник Д. 70588  
Власов К. П. 69412  
Войнова П. 70536  
Войтович Б. А. 68393  
Воларович М. П. 69644  
Волфович С. И. 69257 К  
Волькенгау Н. А. 68906  
Воробьев А. 70215  
Веробьев Н. И. 69579, 69584  
Воскресенский И. И. 69594  
Выхованец В. В. 68754

## Г

Гаврилов Н. И. 69008  
Гайдуков П. П. 69497  
Галущкина Н. А. 68082  
Гамбург С. С. 69411  
Ган А. И. 70309

Гандев И. 69915  
Ганиев А. 68591 Д  
Гвоздев В. Л. 70678  
Гебски Я. 68864  
Геллер И. В. 69653  
Геллер З. И. 69594  
Гемп К. П. 70390  
Генринович А. Н. 69206  
Георгию К. 69126  
Герлинг Э. К. 68615  
Герцова Х. 70536  
Гисало И. М. 69129  
Гильденгершель Х. И. 68585  
Гилларов В. А. 68920  
Гиммерверт Р. В. 70470  
Гинбург М. 70737  
Гиндин Л. М. 69159  
Гинзбург С. С. 70652  
Главачев Г. 70446 К  
Глебовская Н. С. 68767  
Глебовский Д. Н. 68924  
Глуховцев В. Г. 68913  
Го 69924  
Головинцев М. 69488  
Гольдберг Н. А. 69274, 69276  
Гольдин Л. Л. 68129  
Горшков А. И. 68253  
Горшков П. С. 69561  
Горяга Г. И. 68309  
Горяинов И. 69424  
Горяинова Е. Ф. 70760  
Гофман А. Д. 68700  
Гохштейн Я. П. 68504  
Градович В. А. 69487  
Греков А. П. 68698, 68699, 68701, 68702  
Гренишин С. Г. 68452  
Григорьев З. Э. 70756  
Григорьева Е. И. 69008  
Гринберг А. А. 68585  
Грицаденко Г. С. 68253  
Гришпун А. Л. 68181  
Грузинцева А. Н. 69682  
Грюнер В. С. 70390  
Грязев Н. Н. 68513  
Грязнов И. А. 68858  
Гудис М. С. 69187  
Гуллева Ш. Д. 68758  
Гурвич А. М. 68578  
Гурвич И. Г. 69122  
Гуревич Я. М. 68550

Гуринович М. А. 69087  
Гуцалюк В. Г. 69735

## Д

Давыдов Б. Э. 69709  
Данилов Р. 70682  
Данилова В. И. 70760  
Дашко В. Г. 68662  
Дашневич В. Н. 68742  
Дашневич Л. Е. 68937  
Деандерев Г. П. 68479  
Дейч А. Я. 68380  
Делимарский Ю. К. 68496  
Делове И. О. 69700  
Дербенцева Н. А. 68664  
Деревянко И. Г. 69724  
Дерягин В. В. 68513  
Джелепов В. С. 68131  
Джигичарадзе Н. Г. 69507  
Дистамов Г. К. 68122  
Дмигрияев Д. А. 69376  
Дмитрович А. Д. 69422, 69423  
Добкина Б. М. 69149  
Добровольский Г. В. 68654  
Добролюбовский О. К. 70429  
Добрынина Т. А. 68391  
Добычин Д. П. 68317, 68513  
Догнал Л. 70446 К  
Долгопосок Б. А. 69062  
Доляновский В. К. 69543  
Домнин Н. А. 68767  
Дубинин М. М. 68513  
Дубовенко Л. И. 68590 Д  
Дунельский В. М. 68141  
Дунтура Т. 69998 П  
Дон Жуль-саян 68944 Д

## Е

Евтушенко Л. М. 69114  
Егоров А. П. 69257 К  
Епшин А. С. 70368  
Епштейн Д. А. 69257 К  
Ермаков В. Г. 69667  
Ермаков А. И. 70107  
Ермоленко В. П. 70646  
Ермолин Г. М. 6861  
Ерофеев В. В. 68421—68423, 68429

- Еселисон Б. Н. 68332  
Есин О. А. 68495  
Ефремова В. Н. 69067
- Ж**
- Жданов С. П. 68513  
Желтов В. П. 70579  
Желязов Л. 68894  
Жердева Л. Г. 69699,  
69701, 69702  
Жила В. 70446 К  
Жилеников Н. В. 68513  
Жилич А. Г. 68263, 68264,  
68286  
Жуковская О. А. 68817  
Жуковский М. 70737  
Жуковский Н. Н. 68131
- З**
- Забродкин А. Г. 70072  
Забродский А. Г. 70424  
Заграничный В. И. 69274  
Зайцева З. И. 69601  
Заморзаев А. М. 68226,  
68228  
Занина А. С. 68837  
Захарова А. И. 68748  
Захарова Н. А. 68560  
Захарова Н. А. 68735 Д  
Защепин А. Н. 69537  
Збарский Н. Ш. 70470  
Зверев М. П. 69066  
Зелигман Н. А. 68103  
Зелинман И. Ф. 70376,  
70377  
Зельвенский Я. Д. 69682,  
70684  
Зиколова С. 68894  
Зиновьев А. А. 68560,  
69284 К  
Золотавин В. Л. 69119 Д  
Золотов Ю. А. 69105  
Золотухин В. К. 69141  
Зубков И. А. 69076  
Зульфугаров З. Г. 68439  
Зыков Е. А. 68640
- И**
- Ива 70474  
Иван 68967  
Иванов А. Ф. 69272  
Иванов В. И. 69106,  
69487  
Иванов Р. Н. 69298  
Иванова В. И. 68900  
Иванова В. С. 69106  
Иванова З. И. 69110  
Иванова И. И. 69201  
Иванова О. С. 68824  
Ивасани 69451  
Издуми 69010  
Израилева И. Р. 70134  
Илларионов В. В. 68370  
Ильин Б. В. 65813, 70776  
Ильина Е. В. 69189  
Ильясов И. И. 68374  
Иманана 69451  
Инаба 70101  
Иноуэ 68686  
Иноуэ 70407  
Инуи 68255
- Иовчев И. 70763  
Ипатьева В. 69491  
Ипполитов Е. Г. 68330  
Исагулянц В. И. 68752  
Исаченко А. М. 69563  
Исибаси 68503  
Исибаси 68867  
Исини 70104  
Искра Е. В. 70189  
Итикава К. 69819 П  
Ито 69064
- И**
- Понота 69455
- К**
- Кабанянов В. 70043  
Кабачник М. И. 68920  
Кавамити К. 69809 П  
Кавамура 69355  
Кавана 69178  
Кавасани 69004  
Кавасима 70407  
Каверин С. В. 68250  
Кавтарадзе Н. Н. 68513  
Кадыков Б. И. 70318  
Кадыров Я. К. 69206  
Казанова Н. Д. 69735  
Казаковский Я. С. 69724  
Калино М. А. 68513  
Калияни Н. 70541  
Камай Г. 68922  
Каминская В. И. 68639  
Канадец И. Ф. 69056  
Канаи 68269  
Каная К. 70699 П  
Кандзани 68967  
Канюко 69010  
Капкин М. М. 69547  
Карамов Г. 70394 К  
Каранова Х. 70043  
Каргин В. А. 68538  
Карцева В. Д. 69209  
Кастальский А. А. 69596  
Касуммаде Н. Г. 70634 К  
Катама М. 70307 П  
Като 68836  
Като 70407  
Като Т. 69801 П  
Катунин А. 69529  
Кейга И. 68864  
Кивенно С. Ф. 70526  
Киёмидзу Х. 70702 П  
Киёно 70094  
Кийлер М. А. 69416  
Кикучи 69900  
Кильдишева Е. В. 68370  
Киприанов А. И. 68901  
Киреева М. С. 70390  
Кирилловский Ю. Л.  
70694 Д  
Кирюхин В. 70602  
Киселев А. В. 68513  
Киселев М. И. 69008  
Киселева Н. 70516  
Киселева Н. Н. 68317  
Киселева Ю. Ф. 70444  
Кислинский А. Н. 68786  
Китаев Б. И. 69673  
Китайгородский И. И.  
69447
- Кишиневский М. Х. 70681  
Клейнерман А. С. 70375  
Клейновская М. А. 69076  
Кобаяси 69876  
Кобозев Н. И. 69724  
Коваленко И. 68087  
Коваленко М. 68087  
Коваленко П. Н. 68379,  
69110  
Кове К. А. 69782  
Коган З. Е. 69430  
Кодема 70092  
Кодзима 69178  
Козлов Н. С. 68761  
Козлов П. В. 69052  
Коваловский М. И. 68285  
Койман Е. С. 68396  
Колбасникова А. И.  
69449  
Колесников Г. С. 69068  
Колитовская Я. Г. 68558  
Колобихин В. А. 69117  
Колотыркин В. М. 68156  
Колчин О. И. 68425  
Комаров А. Г. 68612  
Комарова В. 70537  
Комуцу 69769  
Кондо 68969  
Кондратьев Л. Н. 68129  
Константинопольская  
М. Б. 68538  
Копейковский В. М.  
70310  
Копрова Н. А. 68658  
Корецкая О. М. 70652  
Корнилов Б. Е. 70540  
Корнилова Е. Н. 69736  
Корнфельд И. А. 70600  
Коробишная А. А. 69209  
Коробина З. В. 70425  
Коробков П. А. 70138  
Корольков А. В.  
68670 Д  
Коростылев Б. Н. 69052  
Коротневич А. В. 70441,  
70443  
Коршунов И. А. 68329  
Кост А. Н. 68859  
Костандов Л. А. 69294  
Костин В. И. 68904  
Котляровский И. Л.  
68837  
Коуба Э. Ф. 69159  
Ковман А. Н. 68389  
Кохомская В. В. 68844  
Кочетков Н. К. 68782  
Копурников Г. С. 70617  
Кояма 69026  
Кравченко Т. У. 69128  
Краснова Б. И. 68473  
Красовицкий Б. М.  
69863  
Красовская Т. А. 69076  
Крейс С. Э. 69731  
Кроль Б. Б. 69702  
Крупатник И. Л. 68384  
Крупник Л. И. 68155  
Крылова Н. 70537  
Крючкова Г. Н. 69169  
Кубота 68981  
Кубота 69026  
Кузнецов А. П. 69559
- Кульба Ф. Я. 68563  
Куме 70126  
Курбатов Л. Н. 68513  
Куришко А. М. 68754  
Курсава 68796  
Курсанов Д. Н. 68678  
Кутателадзе К. С. 69507  
Кутателадзе С. С. 70663  
Кучеров В. Ф. 68784  
Кылль А. Т. 69666
- Л**
- Лаварев А. И. 69224  
Лакиская Н. М. 68537 Д  
Ланге Н. Н. 68089  
Ларионов М. Н. 69239  
Лашкова Л. П. 68588  
Лашхи А. Д. 70442  
Лготский А. 70446 К  
Лебедев К. Б. 68586  
Левин С. А. 69647  
Левин Н. И. 69544  
Левина Р. Я. 68904  
Левитская А. В. 68587  
Легран А. Э. 70604  
Леншина Н. Я. 69106  
Леонов В. А. 70753  
Лепнев Г. П. 68326  
Лесных Д. С. 68371  
Либкинд Л. И. 70375  
Липович В. Г. 68837  
Липина Э. Т. 69643  
Лисицина Е. В. 69183  
Литвин Д. Ф. 68252  
Литвиненко Л. М. 68698—  
68702  
Литвиненко Н. 69589  
Литяну К. 68461  
Лихачева В. Ф. 69376  
Лобов В. А. 68660  
Логинов М. Д. 69600  
Лопина М. Д. 69284 К  
Лопина М. А. 68483  
Лужновский В. Г. 68258  
Лу Пей-чан 69198  
Лудный А. Е. 68298  
Лу Юн-цзюань 69174  
Лынова А. В. 68472  
Лысенко Ю. А. 68385  
Людновская М. А. 69274  
Лютникова П. 70545  
Лях А. И. 69183  
Лященко Б. Г. 68252
- Маргаритова М. Ф.  
69066  
Маринков М. 70394 К  
Марк Л. В. 68483  
Маркова Л. К. 69168  
Маркова С. В. 68197  
Мартинен Н. В. 68084  
Мартова Т. Г. 69168  
Марх А. Т. 70426  
Матвеев Е. И. 69703  
Матераская Н. 70317  
Матростова Р. Г. 70558 К  
Мехат Ф. 70446 К  
Махорин К. Е. 69677  
Мацубара Х. 70572 П  
Мацуи 68805  
Мацунава 69004  
Мацумото 70474  
Мацуо 70544  
Мелков В. Г. 68618  
Мельничуи М. 70468  
Мельнер Л. 70675  
Менделевич И. И. 69724  
Меньков А. А. 69349  
Мерсон Г. А. 68425  
Милеская И. С. 68151  
Мимур 68255  
Минами 70474  
Миронов В. Е. 68563  
Миронов В. Ф. 68913  
Миропольская М. А.  
68962  
Мирская Г. Г. 68390  
Мита 70261  
Михайлов А. Н. 70134  
Михайлов Г. П. 68212  
Михайлов М. 70043  
Михайлов Н. В. 68540,  
68541  
Михеев В. И. 68629  
Мицневич Н. И. 68423  
Миягава 69725  
Миядзани 69226  
Мияни 68845  
Мияно 70549  
Миямото С 69243 П  
Миджоян А. Л. 68600,  
68940 К  
Монейко Л. Н. 69212  
Мониевский В. А. 68279  
Молдавский Б. Л. 69201  
Молчанов И. В. 68408  
Морачевский А. Г. 68369  
Моргунов А. П. 69781  
Мори 68972  
Морина И. Н. 69712  
Мороз 68961  
Морозова Н. Г. 69154  
Москаленко Р. И. 70434  
Москвин В. М. 70625  
Мотидзуки М. 69801 П  
Мотов Д. Л. 68392  
Музовская О. А. 68437  
Музына И. Д. 70585  
Мултановская Н. С. 70217  
Мурата М. 69693 П  
Мурашов Г. М. 68748  
Мури А. Н. 68320  
Мусабеков Ю. С. 68086  
Мута 68666  
Мута Т. 69395 П

- Н**
- Наган 68493  
Наган 70303  
Нагао 69065  
Нагасава 69329  
Нагасима Г. 70571 П  
Назаренко Г. Д. 68496  
Назаров И. Н. 68784, 68794, 68844  
Накабаяси 68718  
Накагава С. 70570 П  
Накада 68268  
Накадзава Д. 69998 П  
Накадзима 68874  
Накамур 70407  
Накао С. 69809 П  
Налимов В. В. 69085  
Налчадян С. О. 70599  
Нариний В. 69532  
Насу 69252  
Насу 70092  
Невский В. А. 69553  
Недоев В. Г. 68131  
Некрасова Г. А. 69161  
Непочатых А. П. 70752  
Несмеянов А. Н. 68906  
Несмеянов А. Н. 68330, 68348  
Нефедов В. Д. 68326  
Нечипоренко А. А. 70416  
Нии 68269  
Никберг И. И. 70748  
Никитин Ю. С. 68513  
Никитина Е. А. 68583  
Никифорова Н. В. 68734 Д  
Нилов В. И. 70437  
Ниси 69260  
Новиков И. И. 68295  
Новикова Г. И. 68129  
Новоселова А. В. 68349  
Новторов Н. Ф. 68329  
Ногуты 69226  
Номура 70499
- О**
- Овагина М. И. 69267 Д  
Овчарова В. И. 69537  
Овчинникова И. Т. 70444  
Оганесян А. Н. 68800  
Огата 70118  
Огнянов И. 70394 К  
Ого 70126  
Ода 68111  
Ода 70127  
Озеров Р. И. 78370  
Окя 69773  
Окс 68836  
Онада К. 69998 П  
Онадзима 69900  
Онао С. 69801 П  
Они 68967  
Окумура 68984  
Окумура 69002  
Окя 69725  
Окикура 68653  
Ою 68686  
Ою 68969  
Орлова Л. 70520  
Осанова Н. А. 68947 Д  
Освальд В. 70446 К
- Осипов Н. В. 70427  
Осипов О. А. 68385  
Осю К. 70568 П  
Ота 68895  
Охаси 69247
- П**
- Павинский П. П. 68264  
Павлов Г. М. 70316  
Панасюк В. И. 69440  
Паннова Ф. 70545  
Панова В. Е. 68573  
Панышев А. С. 69158  
Парпиев А. 69696  
Парушев М. 69296  
Пачуашвили Е. М. 70604  
Пашалы Н. В. 68659  
Пашинкин А. С. 68349  
Переве Ф. Я. 68924  
Переудов Г. В. 68197  
Периштина К. С. 69639  
Петрашень В. И. 69150  
Петров А. А. 68750  
Петров А. Д. 68913  
Петрова Е. И. 69149  
Пик И. Ш. 70107  
Писнер З. Г. 68250  
Писмен М. К. 69667  
Пишмамазде Б. Ф. 68758  
Пичимуна П. С. 68817  
Плаксия И. Н. 68526  
Плате А. Ф. 68197  
Племенов А. А. 70757  
Плетиха Р. 69166  
Плотников И. В. 70589  
Поваров Л. С. 69780  
Поддубная Н. А. 69008  
Подкопай И. Е. 69346  
Подольская М. З. 70309  
Поздняков И. Т. 70645  
Позднякова Ю. Г. 70766  
Политова-Совзенио Т. К. 70432  
Полников Н. Т. 69680  
Полозова Л. Г. 69418  
Полторак О. М. 68430  
Поляк Л. Я. 69135  
Пономарев В. Д. 68586  
Понадич И. А. 70464  
Попов Н. А. 69524, 69553  
Попова Н. М. 68489  
Порженко В. В. 69346, 69349  
Порфирьева Ю. И. 68750  
Поталов В. М. 68681  
Потехин Б. А. 69736  
Прегар Е. А. 70658  
Преображенский Н. А. 68962  
Прижевальский Е. С. 69160  
Прытула В. А. 70600  
Прокофьева И. В. 69098  
Прокофьева Т. 70545  
Протас И. Р. 68453  
Протаскин В. А. 68422  
Протопопова Т. В. 68756  
Промосов П. С. 68640  
Пруднов А. Н. 68916  
Пузей И. Н. 68252  
Пукальский Г. В. 69543  
Пхалагова Д. М. 68668 К
- Пшеницын Н. К. 69098, 69161
- Р**
- Разина И. С. 69160  
Разумихина Н. С. 68551  
Рапопорт И. В. 68437  
Рафинов С. Р. 69735  
Рахматуллин Ф. А. 69506  
Ребиндер П. А. 68541  
Решис В. 70541  
Рипан Р. 68461  
Робин В. А. 70667  
Родионов В. М. 68857, 68858  
Родопуло А. К. 70430  
Рожков И. В. 69736  
Ромашова А. Г. 69056  
Рострипенко И. А. 70384  
Ротинян Л. А. 68549  
Рубина Т. Д. 68850  
Рудой Б. З. 69150  
Рудченко А. В. 70760  
Ружична М. 70446 К  
Рыбинский Ф. 69221  
Рыбьев И. А. 69555
- С**
- Сабиров Н. 68123  
Савельев А. С. 70653  
Савинский Е. М. 69209  
Сагалович И. 70191  
Сагунов В. Г. 69409  
Сада 69725  
Сазонов Л. А. 68348  
Сайто Г. 69844 П  
Санагуты 70303  
Санаи С. 69844 П  
Санамото 70411  
Санурада 70299  
Санурада 70303  
Санурада 70305  
Санураи 69002  
Санураи 69010  
Салач В. 70446 К  
Самохвалов Г. И. 68962  
Саринский И. С. 70684  
Саркисян Р. С. 69191  
Сасакура Т. 70703 П  
Сато 68806  
Сато 68984  
Сато 70747  
Сато К. 69844 П  
Сашина Т. А. 69600  
Саки 69248  
Светкина Л. И. 68742  
Светов П. А. 70662  
Севрюгина М. Н. 68483  
Сёгэнди 70261  
Сент П. Е. 69647  
Семенидо Е. Г. 69737  
Семенов С. С. 69663  
Семенова А. К. 68371  
Сергеев Г. 69420  
Сергеев А. Н. 68592 Д  
Сергеев С. Р. 68725, 69700, 69780  
Серебренникова О. В. 68381  
Серова Т. А. 69863  
Сетина В. Н. 68678  
Сибата 69725
- Сиверцев Г. Н. 69512  
Сидляков Ф. Г. 69701  
Сидоренко Г. А. 68643  
Сийде Э. К. 70679  
Сильвестрова И. М. 68259  
Симеонов С. П. 69977  
Симидзу 68145  
Симидзу 69064  
Симидзу 69876  
Симидзу 70128  
Симола 70474  
Симон А. Г. 70600  
Синица П. 70537  
Синцова Е. Н. 68326, 68406  
Сиота 68972  
Сипеева З. В. 70324  
Сичевой П. С. 70379  
Скворцова Е. В. 68746  
Скодинов А. П. 68756  
Скрамтаев Б. Г. 69538  
Скрыльников С. П. 69429  
Славянский В. Т. 69439, 69447  
Спасаренко Ф. А. 68513  
Слободина Э. А. 68701  
Слободянин И. П. 70695 Д  
Смирнов Б. И. 68238  
Смирнова А. В. 68672 Д  
Смирнова И. В. 68513  
Смолянинова Н. М. 69653  
Снопова Е. В. 68587  
Соколов Ю. П. 68129  
Соколов В. А. 69727  
Соколов В. М. 68141  
Соколов Е. И. 68228  
Соколов Н. Д. 68513  
Соколов Я. А. 69419  
Сокольская А. М. 68982  
Соколовский Д. В. 68489  
Сопица Г. 70536  
Сопов Н. П. 68774  
Соронер В. П. 69538  
Соснина И. Е. 68781  
Спаку Г. 69126  
Спаский Н. А. 70587  
Спицын И. 68582  
Срысов А. А. 68823, 68824  
Станадзе Т. Г. 70604  
Старков С. П. 68823  
Старобинец И. С. 68669 Д, 69696  
Старчин Л. П. 68526  
Стежковский А. И. 69724  
Стеченко А. В. 68900, 68991  
Стецкий И. 68356  
Страхов В. В. 70521, 70523, 70526  
Стрелков М. И. 69511  
Стулов Н. Н. 68096  
Судариков В. Н. 68576  
Судзуй 69022  
Судзуй 69064  
Судзуй 69924  
Судзуй С. 69928 П  
Султанов А. Д. 68547  
Сумия Н. 70704 П  
Сунгава К. 69998 П  
Сусевич Т. И. 70255  
Сущинский М. М. 68225
- Сыч Е. Д. 68901  
Суй Чин-фан 69973
- Т**
- Тадзима 70407  
Такади Э. 69819 П  
Танава 68981  
Танги 68493  
Тани 68867  
Тан Тон-хань 69174  
Тартаковская А. И. 70764  
Тартаковский В. А. 68904  
Татишвили А. З. 69524  
Текучева И. А. 68907  
Телентон Е. С. 69168  
Темкин М. И. 68432  
Темкина Р. З. 70132, 70134  
Теодорович Г. И. 68661  
Тепляков П. А. 68168  
Теренин А. Н. 68513  
Терентьева А. П. 68859, 68861  
Терентьева Е. М. 68197  
Тетерина М. П. 69700  
Тиба 68435  
Тиде М. 69364 П  
Тиянов Г. Г. 70511  
Тиянова Е. И. 69062  
Тихомиров М. В. 68156  
Тихонов А. С. 69181, 69187  
Тихнова В. Н. 68752  
Товбин И. М. 70327  
Тогель Я. М. 68155  
Толрес-Селектор З. В. 68677  
Толмачев Ю. М. 68588  
Толочнова М. 69496  
Топчев А. В. 68513, 68786  
Топчиева К. В. 68513  
Торбан Б. С. 69724  
Торина 68790  
Торонова М. А. 68326, 68328  
Тояма 69022  
Трапезников А. А. 68510  
Трифонов А. 68505  
Триан М. 70446 К  
Троицкая Н. В. 68250  
Труб И. А. 70386  
Трудлер Н. Д. 70757  
Трусова С. А. 70446 К  
Тулянова В. 69496  
Туманянц Л. И. 70428  
Тунцкий Н. Н. 68156  
Тузова-Полян М. В. 68781  
Тясина Т. 69809 П  
Тюрникова В. И. 68326
- У**
- Удзума 69088  
Удобенко В. В. 68386  
Уклонский А. С. 68606  
Улановская М. А. 68085  
Улялов И. К. 69067  
Ульянов Н. С. 69295  
Усманов Х. У. 70255  
Усов Ю. Н. 68746  
Утида 69065





- Bartolini I. 60671  
 Bartsch W. 68825  
 Basak G. C. 69730  
 Bass D. 70620  
 Bastick M. 69657  
 Batres E. 68978  
 Batten J. J. 68403, 68404  
 Baudet J. 68150  
 Bauer L. 68804  
 Baulch D. J. 68321  
 Baumann T. 70632  
 Baumgarte U. 68674  
 Baur P. 60639 II  
 Bavin P. M. G. 68832  
 Bayer O. 69363 II  
 Bazant V. 68717, 68912  
 Beach W. J. 70335  
 Beal H. B. 69214  
 Beal R. E. 70314  
 Bear J. L. 68821  
 Beard C. S. 70724  
 Beattie I. R. 68676  
 Beaujean P. 69581  
 Beavers D. J. 68838  
 Beavers L. E. 68839, 68866  
 Beck R. 69399 II  
 Becker E. 70535  
 Becker K. 70418  
 Becker W. E. 68211  
 Becker-Boost E. H. 70685  
 Beckmann R. B. 68434  
 Beckwith A. L. J. 68720  
 Bedoukian P. Z. 60025  
 Beduneau H. 69776, 69777  
 Bell J. W. 69923  
 Bellinger 70131  
 Bemmann R. 69620, 69621  
 Benedict S. H. 69343  
 Benjamins E. 68343  
 Benk E. 70423, 70492  
 Benson S. W. 68345, 68519  
 Benzing P. 70290 II  
 Berg E. 69091  
 Berg G. 68899  
 Berger R. S. 68930  
 Berggren A. 68667  
 Bergström M. 69542  
 Berk A. A. 70633  
 Berka I. 70783 K  
 Berkowitch J. 68711  
 Berkowitz A. E. 68361  
 Berlinguet J. 69009  
 Bernardi G. 69031  
 Bernels K. 68509  
 Bernhardt E. C. 70141  
 Bernstein H. J. 68185  
 Benson J. A. 68692  
 Berthier G. 68150  
 Berti G. 68809  
 Berti L. 70081  
 Berton A. 69118  
 Bertrand M. 68749  
 Best C. E. 69822 II  
 Bestian H. 69858 II  
 Bestian W. 69861 II  
 Bestul A. B. 69055  
 Betrabet S. M. 69875  
 Beun J. A. 68273  
 Beyer H. 68899  
 Bhagavantam S. 70091  
 Bhandari P. R. 68991  
 Bhargava P. N. 68896  
 Bhatia B. S. 70489, 70495  
 Bhatnagar P. L. 68294  
 Bhattacharya R. 70338  
 Bhattacharyya S. K. 68760  
 Bhatti A. A. 70332  
 Bhimasenachar J. 68458  
 Bidwell R. M. 69225  
 Bieber B. 69170  
 Biecher C. 69484  
 Biechler F. J. 69468  
 Biedermann G. 68468  
 Biefield J. P. 69570 II  
 Bieker K. W. 70322  
 Biegl J. A. 69718  
 Bieleński A. 68428  
 Biele M. 70205  
 Bierly L. A. 70296 II  
 Bilolu C. 69501  
 Binder W. 70510  
 Binko I. 70586  
 Binnerts W. T. 70561 K  
 Bird E. W. 70508  
 Bird J. P. 69676  
 Bischoff C. 68899  
 Bischoff H. 70142  
 Biswas A. K. 70339  
 Bitskel J. 69144  
 Bjorksten J. A. 70122  
 Black J. H. 70686  
 Bláha K. 68797  
 Blaisdell F. R. 69583  
 Blaizot P. 69775  
 Blanc D. 68616  
 Bland R. 70070  
 Blaschke H. 70480  
 Blet G. 69118  
 Blinn R. C. 69350  
 Blisnakov G. 68281  
 Block F. 68216  
 Bloem D. L. 69522  
 Bloembergen N. 68276  
 Blohm C. L. 69604  
 Blondel 70779  
 Blum M. S. 69331  
 Blumer A. 70140  
 Bobtelsky M. 68581  
 Bockelmann J. B. 70414  
 Bodendorf K. 69995 II  
 Bodot H. 68712, 68713  
 Bognár R. 68095  
 Böhm F. 68996  
 Böhm O. 69831 II  
 Boissonnas R. A. 69015  
 Boivin J. H. 70696 II  
 Bojarska-Dahlig H. 68861  
 Boksay V. 69540  
 Bolviken A. 70243  
 Bonhoeffer K. T. 68484, 68485  
 Bonner O. D. 68530  
 Bonner W. H. 68710  
 Bonnet V. 68685  
 Boord C. E. 68726  
 Booth C. 68035  
 Boranić V. 69723  
 Bordwell F. G. 68822  
 Borisov A. E. 68687  
 Borkowski B. 69986  
 Borowsky H. H. 70344  
 Borushko M. J. 70226 II  
 Bosoni A. G. 70515  
 Boström N. O. 69270 II  
 Boswell V. R. 69320  
 Bother H. 69849 II  
 Bottini A. T. 68709  
 Boucher R. M. G. 70654  
 Bourgault P. L. 69366  
 Boutan P. J. 68822  
 Bove P. 70067  
 Bovey F. A. 69073  
 Bowen N. L. 68373  
 Bowers A. 68977  
 Bowie S. H. U. 68630  
 Bowman R. E. 68347  
 Bowman R. S. 68715  
 Boyaval R. E. 69968 II  
 Boyd D. M. 70723  
 Boyer J. H. 68875  
 Bozman W. R. 68137  
 Bradbury E. 69894  
 Bradford E. G. 69155  
 Bradford R. 70204  
 Bradley D. C. 68469  
 Bradsher C. K. 68838—68840, 68866, 68897  
 Brady J. D. 68710  
 Bramley A. 70179 II  
 Brannock K. C. 68848  
 Brannon H. R. 68614  
 Braude E. A. 68771  
 Braun H. J. 70112  
 Brauner B. 68090  
 Breck W. G. 68465  
 Breckpot R. 69112  
 Breedeweld H. 68192  
 Breenn J. K. 70263  
 Brehm R. K. 69214  
 Brekke O. L. 70314  
 Bremser L. W. 69615  
 Brennan J. 69397 II  
 Brenner W. 70124  
 Bretznajder S. 69266  
 Brett H. D. 70087  
 Brevot M. G. 70539  
 Bricker H. M. 70400 II  
 Bridge H. 69223  
 Briggs M. L. 69494  
 Brisley F. O. 69570 II  
 Broich F. 69837 II  
 Brookins M. G. 70037  
 Brouwer T. 79238  
 Brown D. S. 60121  
 Brown D. W. 69071  
 Brown F. C. 68449, 68840, 68897  
 Brown H. 68593  
 Brown H. A. 68928  
 Brown H. C. 68710  
 Brown J. S. 69626 II  
 Brown T. L. 68220  
 Bruce C. F. 70337  
 Brunisolz G. 68383  
 Bryce-Smith D. 68676  
 Bryden M. 69874  
 Bua E. 70081  
 Buchanan J. C. 69019  
 Buchanan T. J. 68215  
 Buchler H. 69428  
 Buckholz E. E. 69240  
 Buckles R. E. 68743  
 Bues W. 68190  
 Buffet 70779  
 Buhler H. H. 69926  
 Buhs R. P. 79010 II  
 Bull L. F. 70040  
 Bullock M. W. 68854  
 Bulstrode P. C. 70485  
 Bunce S. C. 68105  
 Bunge W. 70165 II  
 Bunton C. A. 68703  
 Burger A. 68819  
 Burger M. 70418  
 Burgers J. 68807  
 Burk H. 70709  
 Burke R. P. 68434  
 Burke W. T. 69574 II  
 Burner A. H. 70311  
 Burns J. 69669  
 Burrell H. 70202  
 Burton H. 68827 68828  
 Bush R. 70482  
 Bushey A. H. 70674  
 Busing W. R. 68234  
 Buss J. H. 68345  
 Buttery R. G. 68217  
 Buu-Hoi N. P. 68842, 68887  
 Buyn K. E. C. 70285  
 Bywater S. 69061  
 Bywater W. G. 69024  

C

 Čadek J. 68625  
 Cahen L. 69417  
 Caillière S. 68247  
 Calas R. 68221  
 Call F. 68353  
 Callans L. D. 70030  
 Camentita A. 69591  
 Campbell H. 68833  
 Campbell H. 68831, 68873  
 Campbell W. J. 68628  
 Canjar L. N. 68434  
 Cantrell T. D. 69231  
 Capron G. 69889  
 Carboni R. A. 68714  
 Carboni S. 68809  
 Carl H. F. 68628  
 Carlson C. S. 69786 II  
 Carlson E. C. 69269 II  
 Carlson G. J. 69291 II  
 Carrelli A. 68315  
 Carss B. 69019  
 Carstens E. 69852 II  
 Carter 69884  
 Carter A. C. 69550  
 Carter A. J. 70121  
 Carter C. F. 70706 II  
 Carter F. L. 68567  
 Cater P. T. 68344  
 Carter R. H. 69320  
 Cartwright L. C. 70277  
 Case E. N. 69758 II  
 Casey E. J. 69366  
 Cassano F. S. 69794 II  
 Cassebaum H. 68830  
 Cate W. E. 68644  
 Cathala J. 68559  
 Cattapan D. 68802  
 Cava M. P. 68968  
 Cavalca L. 68245  
 Ceamis M. 70054  
 Celea V. 69501  
 Cerf R. 69030  
 Cerutti G. 70435  
 Cesari M. 69045  
 Chakravarti S. K. 68536  
 Chalupná A. 70300  
 Changarnier J. 70628  
 Chao Tai Siang 68182  
 Charles E. J. 68388  
 Charlesworth E. H. 68833  
 Charpentier M. 68688  
 Chasanov M. G. 68533  
 Chatterjee H. 70235  
 Cheng Chao-Shing 68890  
 Cherry A. H. 69709  
 Cherry R. H. 70738 II  
 Chiltz G. 68400  
 Chiotti P. 68367  
 Chipman J. 69401  
 Chisholm R. D. 69320  
 Cholinsky F. 69729  
 Christmann F. 69768 II  
 Christopher G. L. M. 69767 II  
 Chroszcz L. 70100  
 Cicčić S. 68996  
 Ciganek E. 68831  
 Cioară A. 69501  
 Clonga E. 68987  
 Cislak F. E. 69783  
 Číž K. 70380  
 Clapp L. B. 68410  
 Clark B. L. 70294 II  
 Clark J. A. 70267  
 Clark J. D. A. 70282  
 Clark J. R. 68888  
 Clarke A. J. 68751  
 Clarke L. J. 69910  
 Clark-Lewis J. W. 68862  
 Clausen C. F. 69499  
 Claypool L. L. 69341  
 Clemens W. 70535  
 Clevy R. 70289 II  
 Clifford H. T. 69312  
 Clippeleir C. 69112  
 Close G. C. 69390  
 Cluzel R. C. T. 68941 II  
 Cnudde M. F. 69481 II  
 Coe A. B. 69877  
 Coggeshall N. D. 68673 II  
 Cohen J. A. 68881  
 Cohen S. 68929  
 Cole A. L. 70120  
 Collins D. 68902  
 Collins P. H. 70093  
 Colonge J. 68772  
 Colvin W. F. 70219 II  
 Combe A. 68399  
 Compton C. C. 69343  
 Conabere G. O. 70583  
 Conn J. J. 68833  
 Conyne R. F. 70139  
 Cook E. W. 70514  
 Cook F. E. 70629  
 Cook H. F. 68215  
 Cook M. A. 68418  
 Cook M. W. 68358

- Coonradt H. L. 69752 II  
 Coope P. J. 68171  
 Cooper A. 70668  
 Cooper I. R. 70179 II  
 Copeland R. E. 69551  
 Copet A. 70024  
 Čoplić M. 69039  
 Corbett T. C. 70063  
 Corbier M. 68826  
 Cordella G. 68818  
 Corlou H. 69107  
 Cornelissen J. 68300, 68314  
 Cornely B. 70276  
 Cornforth J. W. 68892  
 Cornforth R. H. 68892  
 Corradini P. 69045  
 Corrigan T. E. 70669  
 Corson B. L. 69564 II  
 Corte H. 70279  
 Coryell C. D. 68117  
 Cosma S. 69233  
 Cottin M. 68442  
 Coucou V. 68987  
 Coull J. 70686  
 Coulon R. 68218  
 Coursier J. 69107  
 Courtier A. J. 69825 II  
 Courty C. 68512  
 Cowan C. B. 69334  
 Cox J. D. 68359  
 Craig B. G. 69483 II  
 Cramer S. L. 70219 II  
 Crane H. R. 69708  
 Crangle J. 68240  
 Cranston H. A. 69811 II  
 Crawford B. 68200  
 Crawford R. C. 68218  
 Crombie L. 68751  
 Crooks C. H. 70175 II  
 Croon I. 69078  
 Crouzat Reynes G. 68548  
 Crowley J. D. 70222 II  
 Cruse K. 68474  
 Császár J. 68459  
 Cuddihy T. 70527  
 Clier P. 68447  
 Cumming J. W. 69908  
 Curl A. L. 69001  
 Cuthbert F. P. 69321  
 Cywifski T. 70501
- D**
- Dabard R. 68707, 68708  
 Dahl O. 70319  
 Dahn H. 68694  
 Dalgarno A. 68289  
 Dalmulder J. G. 69270 II  
 Dannenberg H. 68194  
 D'Ans A. M. 70239  
 Darlay A. 69394 K  
 Dat-Xuong N. 68887  
 Daub G. H. 68841  
 Daughtry A. C. 68614  
 David H. A. 68321  
 Davidsohn A. 70346  
 Davidson R. D. 69509  
 Davion M. 68362  
 Davis C. F. 68274  
 Davis D. S. 68352  
 Davis J. G. 70517
- Davis J. W. 69334  
 Davis S. J. 68815, 70304  
 Davison W. H. T. 70049  
 Davison J. W. 68233  
 Day J. N. E. 68703  
 Deal J. M. 69714  
 De Bock A. 68120  
 Deckenbrock W. 70409  
 Decker B. F. 68244  
 Decroly C. 69263 II  
 De Fazi R. 68809  
 Defromont C. 70624  
 De Groote M. 69739 II  
 Dehmel G. 69386  
 Dehmel P. 69175  
 De Klerk D. 68273  
 Delaby R. 68872  
 De la Mare H. F. 68395  
 Delfin S. 69245  
 Dell R. M. 68516  
 Delsol R. 69681  
 Demelliers A. 70031  
 Deming M. E. 68644  
 Dempsey M. 70583  
 Dennen W. H. 69162  
 Dennis K. 68553  
 Dennis R. L. 69012  
 Deorha D. S. 68803  
 Depken H. 69279  
 Deren J. 68428  
 Derkaczowa M. 69979  
 Dermer O. C. 68719  
 Dersnah W. R. 69514  
 Deschamps J. 68221  
 De Sesa M. A. 69152  
 Deshmukh G. S. 69099, 69177  
 Deshpande P. R. 70242  
 De Smedt J. 68120  
 Detko W. 69552  
 Dev S. 68691  
 Devlaminck F. 69581  
 Dewar M. J. S. 68832  
 Dewull G. 68319  
 Dey B. B. 68494  
 Dey L. M. 70312  
 D'Ianni J. D. 70046  
 Dicker E. S. 69127  
 Dickey J. B. 69870 II  
 Dickinson D. 70487  
 Dickinson T. A. 70098  
 Dietrich K. R. 70410  
 Dietz J. 68863  
 Dimakopoulou E. 68243  
 Di Marco A. 68809  
 Di Paco G. 68755  
 Disselinkötter H. 68440  
 Dittmar G. 69867 II  
 Diviš A. 70388  
 Divorne E. 69482 II  
 Dixon J. K. 69817 II  
 Djerassi C. 68977  
 Doan A. S. 68545  
 Dobeneck H. 68853  
 Dobovišek B. 68363  
 Dobrovolný P. 69256  
 Dodsworth P. G. 68164  
 Dogra R. N. 69560  
 Dole M. 68119  
 Doležal J. 68625  
 Doll W. 70355
- Domingo J. P. S. 70374  
 Domingo Ferri D. M. 69902  
 Doñahoe F. J. 68361  
 Donaldson M. M. 68966  
 Donelson W. W. 70225 II  
 Donk A. B. 70479  
 Donol H. 70554  
 Doppler G. 69103  
 D'Or L. 68159  
 Dörfel E. 69890  
 Dornow A. 68825  
 Doty P. 69016  
 Doudoroff P. 69582  
 Douglas H. W. 68543  
 Douglass I. B. 68759  
 Doutre 70548  
 Downey T. A. 69383  
 Drake W. W. 70253  
 Draley J. E. 70598  
 Drechsel H. E. 69220  
 Dreux J. 68772  
 Drew J. 69292 II  
 Drew R. D. 70593  
 Drexler E. 69617  
 Drössler H. G. 68674  
 Druey J. 68954  
 Dryden I. G. C. 69642  
 Drysdale J. J. 68917  
 Dub M. 68888  
 Dubey V. S. 68132  
 Dubois A. R. 69366  
 Du Chanois F. R. 69322  
 Duff R. E. 68415  
 Duffaut N. 68221  
 Dulou R. 68753  
 Duma G. 69425  
 Duncan J. F. 68321  
 Dupont G. 68753  
 Dupuis T. 68188  
 Duran-Dran R. 68788  
 Dürholt W. 70184  
 Dürkes K. 69857 II  
 Durst R. E. 70266  
 Dursthoff W. 69610  
 Dusenbury J. H. 69877  
 Dusoilel S. 68400  
 Dutkowski J. 69535  
 Dutton G. G. S. 68959  
 Düwert K. 70461  
 Dvořák L. 70577, 70582  
 Dybel J. 69495  
 Dye W. T. 69830 II  
 Dzurus M. L. 68572
- E**
- Eaborn C. 68705  
 Eastman D. B. 69717  
 Eberline C. R. 69721  
 Eberly K. C. 69822 II  
 Ebert A. 69771, 70775  
 Eckardt 70477  
 Eckert E. R. G. 70670  
 Eden W. G. 69318  
 Eder K. 69193  
 Edmison M. T. 68719  
 Edwards J. O. 68574  
 Egerton A. 68098  
 Eggert J. 68451  
 Eguchi T. 69043  
 Ehrenburg J. P. 69489
- Eherhart G. 69856 II, 69861 II  
 Eigen H. 69486  
 Eigen M. 68475  
 Eisele J. A. 68340  
 Eisenhut F. 69575 II  
 Eisenhut O. 69959 II  
 Eisenstadter J. 68581  
 Eitel M. J. 68547  
 Elliott G. H. 70306  
 Elliott R. B. 68634  
 Elmore K. L. 68644  
 Elser F. 69369  
 Elsner G. 69946 II  
 Elston C. T. 68833  
 Emanuel E. C. 69475  
 Emerson C. 69734  
 Emmons W. D. 58891  
 Emslie E. C. 70144  
 Enders H. 69963 II  
 Endoh K. 70656  
 Engel H. 69768 II  
 Engel J. 68399  
 Engelter A. 96048  
 Engle R. R. 68977  
 Englund B. E. 68783  
 Epelboin I. 68486  
 Erdey L. 68499  
 Erdtman H. 69025  
 Ergun S. 69672  
 Erlenmeyer H. 69011  
 Ernst G. 70028  
 Eskola S. 68780  
 Essex C. D. 70553  
 Esteves H. D. 70245  
 Euler H. 68952  
 Evans E. C. 69742 II  
 Evans J. 69707  
 Everest A. A. 68466  
 Ewald D. H. 68402
- F**
- Farbe C. 68787  
 Fabre R. 70358 II  
 Fair G. M. 69624  
 Falex O. 69987  
 Fancher O. E. 69853 II  
 Farnham D. M. 70606  
 Farooq M. O. 70313  
 Farte P. 68189  
 Fassbender H. 69194  
 Fatou J. M. G. 70137  
 Fauser G. 69246  
 Favre J. 69118  
 Fechter L. 69632 II  
 Fehr K. 69763 II  
 Feighofen H. 69732  
 Feldmann E. G. 68960  
 Feliu S. 68487  
 Fellner-Feldegg H. 69262  
 Felsz J. 70713  
 Felt E. J. 69556  
 Ferguson W. S. 69111  
 Fernandez J. 70666  
 Ferrara E. 69656  
 Ferrari A. 68245  
 Fessel G. 70196  
 Fetter K. 70283  
 Feuer H. 68776  
 Fiedorek F. T. 69815 II  
 Fiekers B. A. 68114
- Field F. H. 68157  
 Field J. E. 68580  
 Fierens P. J. 68711  
 Fieschl R. 68176  
 Fielbert R. B. 68347  
 Filice B. 70488  
 Finar I. L. 68877  
 Fink H. L. 68342  
 Finn S. R. 69075  
 Fiosin M. I. 68736  
 Firestone S. 69375  
 Fischback B. C. 69829 II  
 Fischer E. 69946 II  
 Fischer E. O. 68506  
 Fischer F. 68682  
 Fischer H. 68451, 68481, 68482  
 Fischer P. W. 69626 II  
 Fishwick B. 69202  
 Fitton A. 69640  
 Fitzpatrick T. J. 68851  
 Flatt R. 68383  
 Fleischer M. 68622  
 Fleischhauer R. 69841 II  
 Fletcher M. H. 69090  
 Fleysher M. H. 69954 II  
 Filirski W. 70605  
 Flowers R. H. 68703  
 Floyd D. E. 70096  
 Floyd E. H. 69319  
 Fodor G. 68679  
 Foff J. 70608  
 Folkins H. O. 69824 II  
 Folley S. J. 68092  
 Folt V. L. 70156 II  
 Folzenlogen R. G. 70357 II  
 Fontaine G. M. 69950 II  
 Fontenay J. 70113  
 Ford H. 69742 II  
 Ford M. C. 68849  
 Forsander O. 70408  
 Fort W. P. 69297  
 Foshag W. F. 68632  
 Fosnot H. R. 69586  
 Foster A. C. 69320  
 Foster G. L. 69720  
 Foster M. R. 68205  
 Fotouhi D. 69658  
 Fouad M. G. 70595  
 Fousek V. 69729  
 Fowler W. A. 68594  
 Foye W. O. 68960  
 Fragner J. 70505  
 Francis A. C. 69136  
 Francis A. W. 69759 II  
 Francis F. J. 70485  
 Francis J. E. 68932  
 Franck E. U. 68303  
 François J. 69654  
 Franke B. 70331  
 Franke G. 70436  
 Franklin A. D. 68361  
 Franklin J. L. 68157  
 Franz W. 70058 II  
 Frazer A. C. 70469  
 Free G. 69751 II  
 French E. P. 68417  
 Freund T. 68517  
 Frey R. W. 69580  
 Friedberg A. L. 69472  
 Friedel J. 68278  
 Friederich H. 69810 II



- Friedrich M. 70772  
Friedrich W. 70692  
Friedsam A. J. 70619  
Frische J. 69912  
Froelich E. 68878  
Froese C. 68135  
Frondel C. 68620  
Fry E. M. 68881  
Fuchs A. 70751  
Fuchs E. 70632  
Fujita E. 69000  
Fujita S. 68291  
Fukuda C. 69855 II  
Funderburk J. C. 69202 II  
Funer W. 69751 II  
Furlani C. 68506  
Fürst H. 68863  
Fuson N. 69200
- G**
- Gad I. 69828 II  
Gaertner G. W. 69800 II  
Gaeta F. S. 68315  
Galatry L. 68218  
Galesloot T. E. 70503  
Gander K. F. 70321  
Gans F. 68319  
Garhöfer W. 69384  
Gärtner F. 69557  
Gaudemar M. 68744  
Gaudry R. 69009  
Gavrilescu G. 70244  
Gay R. 68221  
Gayer K. H. 68382  
Gaze R. 68469  
Gearhart W. M. 70222 II  
Gebelein H. 70691  
Gebhardtshauer H. G. 68893  
Gedeon T. G. 68648  
Gee G. 69035  
Gehrke H. W. 68190  
Geiger E. 68964  
Geiss E. 70433  
Geissler D. 68460  
Genelly R. E. 69323  
Genzsch E. O. 70038  
Georgievski H. 69498  
Geret H. 70211, 70213  
Gerhard H. E. 69134  
Gerrard W. 68910  
Gersdorff W. A. 69330  
Gershbein L. L. 69195  
Gerstner R. 70715  
Geyer J. C. 69624  
Ghe A. M. 69185  
Gheorghiu C. 70079  
Ghione M. 68809  
Glaugue W. F. 68455  
Gieger M. 69320  
Giertz H. W. 70243  
Gilbert H. 70156 II  
Gilbert M. 68411  
Gilbert W. I. 69753 II  
Giles C. H. 69908  
Gilham P. T. 69211  
Gill L. J. 68367  
Gillies D. J. 70201  
Gilman H. 68914  
Gilpin G. L. 69316, 69320  
Ginsberg H. 69289 II  
Ginsburg D. 68779
- Girard M. 68196  
Glasner B. D. 69967 II  
Glemaer O. 69156, 69157  
Glen W. L. 68988  
Glenister D. R. 70418  
Glerum J. A. 70458  
Glick A. W. 70036  
Glöds M. 70501  
Gluesenkamp E. W. 69859 II  
Goblet V. 69575 II  
Gödde F. 69637  
Godrej B. P. 70340  
Goeb A. 70206, 70210  
Goes M. 68762, 68763  
Goffinet B. 68980  
Goffton P. F. 68771  
Goheen G. E. 68795  
Göke G. 69145  
Goldfinger P. 68400  
Goldhahn H. 69789 II  
Goldstein S. W. 69988  
Goldthwait C. F. 69891  
Golike R. C. 68200  
Gonaway H. L. 69460  
Gooding R. T. 70077  
Goodman L. 68147  
Goodwin J. T. 70167 II  
Goodwin W. J. 69338  
Googin J. M. 68324  
Gordon J. 70491  
Gordon S. 68378  
Gore P. H. 68835  
Görecki P. 69974  
Gorham A. B. 70264  
Gorham E. 68665  
Görting P. 70623  
Górniak J. 70323  
Gornowski E. J. 69745 II  
Gorter C. J. 68273  
Gottschalk G. 69175  
Goubreau J. 68908  
Gould W. A. 69302  
Gouza J. J. 70071  
Gouze P. 69929 II  
Govindachari T. R. 68995  
Gowda H. S. 69095  
Graf R. 69823 II  
Graham D. R. 69898  
Graham G. P. 70274  
Graham R. P. 69147  
Gralén N. 70259  
Grammaticakis P. 68889  
Granger R. 68826  
Granier J. 68162  
Grant E. H. 68215  
Grant G. A. 68988  
Grass I. 68886  
Grassie N. 69069  
Gray P. P. 70417  
Graymore J. 68902  
Grayson M. 68710  
Green G. H. 70580  
Green J. 70044  
Green J. H. S. 68078  
Greene F. D. 68697  
Greenslade J. 68619  
Greenspan F. P. 69271 II  
Gregor H. P. 68884  
Greiner C. W. 69230  
Gressette F. R. 69338  
Griffin E. L. 70401 II
- Grifo R. A. 70360 II  
Grimaldi F. S. 69900  
Grimme W. 69793 II  
Grindrod J. 69651  
Griswold J. 70030  
Grohn H. 68076  
Groobenhuis R. 69742 II  
Gross D. 69960 II  
Gross K. 70216  
Gross M. E. 68342  
Grossenbach P. 69688  
Grosskinsky O. 69761 II  
Grund H. 68181  
Grüb H. 69398 II  
Gualandi G. 69215  
Guepet M. 69118  
Guérin H. 69657  
Guerin P. 69118  
Guglas R. 70065  
Guha A. B. 69645  
Guilbot A. 70467  
Gum C. R. 69291 II  
Gundlach H. 69104  
Gunther F. A. 69350  
Günther G. 69659  
Günther G. 70055 II  
Guthrie D. 69359 II  
Gutierrez Kios E. 69531  
Gutmann F. 68480  
Gutowaky H. S. 68204  
Gutsatz J. 70031  
Gutschick K. A. 69485  
Guttmann S. 69015  
Gwin G. T. 69716
- H**
- Haack E. 69789 II, 69852 II  
Haas W. L. 70247  
Haber J. 68428  
Habib-Labbib G. 68801  
Häcker W. 69287 II  
Hackmann I. T. 69999 II  
Hacyan M. 69573 II  
Hadler H. I. 68939  
Hadorn H. 70322  
Haensel V. 69741 II  
Hafiz Abdul Qayyum 70393  
Hagen W. 69797 II  
Haissinsky M. 68441  
Halberstadt J. 70637  
Hald J. 69828 II  
Hale J. D. 70232  
Hall E. O. 68240  
Hall G. R. 68323  
Hall L. A. R. 68917  
Hall R. H. 70583  
Hall W. P. 69957 II  
Hallgren B. 68683  
Hallman T. M. 70660  
Halm L. 69410  
Ham A. C. 68511  
Ham G. 68710  
Ham J. S. 69051  
Hameka H. F. 68149  
Hamilton D. W. 69313  
Hamm P. C. 69358  
Hammer C. L. 68879  
Hamonis J. 70372  
Hamperl J. Z. 69980  
Hand J. J. 68854  
Handlos A. E. 68518
- Haney P. D. 69587  
Hanna R. 70718  
Hansen W. W. 68290  
Hanson D. N. 68358  
Hanson W. E. 68673 II  
Harders-Steinhäuser M. 70284  
Harding A. J. I. 69944 II  
Harding W. C. 69325  
Hardman F. 69676  
Hardwick W. H. 69124  
Harker R. P. 69878  
Harkin W. 70476  
Harlass E. 68604  
Harney P. M. 70485  
Harrison J. C. 68466  
Harrison J. M. 69784 II  
Hartingsveldt W. 68807  
Hartley F. 69188  
Hartmann H. 68172  
Hartnett J. P. 70670  
Harva O. 68314  
Harvey J. M. 69342  
Haseltine T. R. 69608  
Haskins J. F. 69079  
Haslam J. H. 70168 II  
Hass H. B. 70367  
Hasselquist H. 68952  
Hassman P. 70754  
Hastings A. R. 69317  
Hasseldine R. N. 68722  
Hatem S. 68571  
Häuber H. 69797 II  
Hauffe K. 68427  
Haul R. A. W. 68514  
Hause J. L. 68331  
Häufler W. 70671  
Haworth H. G. 69667 II  
Howthorne J. 70475  
Hayes J. R. 69140  
Hazard B. J. 70644 II  
Head F. S. H. 70260  
Hearn C. 70538  
Heberling H. 70613, 70614  
Hedlund J. 69265  
Heinemann H. 69715  
Heiner H. 70188  
Heinrich R. L. 69716  
Heldman J. D. 69706  
Heller W. 68544  
Helme J. P. 70192  
Helmkamp G. K. 68567  
Heminger C. E. 69746 II  
Hemmitt F. O. 69873  
Hendel F. J. 69633 II  
Hendrickson A. R. 69720  
Hénin S. 68247  
Hennig G. R. 68572  
Henriques A. 68638  
Herañová L. 70782  
Herbert M. 68935  
Herfurth W. R. 70121  
Herington E. F. G. 68359  
Herman D. F. 69803 II  
Hermodsson Y. 68249  
Herold M. 70009 II  
Herrmann G. 68327  
Hervé J. 68210  
Hesler J. C. 69614  
Heusler K. E. 68484, 68485  
Hey D. H. 68768
- Heyns H. 68159  
Heyrovsky J. 68500-68502  
Hickam J. R. 70460  
Hicks E. W. 70484  
Hijmans J. 68335  
Hidahl J. T. 68777  
Hidingson B. 60529, 70531  
Hill W. H. 69140  
Hindle W. H. 69919  
Hine J. 68410  
Hinreiner E. 70488  
Hirsch J. H. 69713  
Hirschi T. 70616  
Hirsh D. H. 69796 II  
Hirst K. 70130  
Hirt G. 69203  
Hirth L. J. 69782  
Hisdal B. 69219  
Hitchins J. W. 70641 II  
Hoaglin R. I. 69796 II  
Hoarau J. 68221  
Höbold K. 59287 II  
Hochmuth F. W. 69287 II  
Höchtlen A. 70064  
Hodrová J. 68791  
Hodson H. F. 68998  
Hoeltgen R. 69379  
Hoffman J. 68726  
Hoffmann B. 70198  
Hoffmann E. J. 69716  
Hoffmann F. W. 68926  
Hofmann P. 69756 II  
Hogg J. A. 68975  
Holler H. 70638 II  
Holló J. 70333  
Holmdult H. E. 68783  
Holoway C. 68974  
Holtzclaw J. B. 69816 II  
Hood J. W. 69607  
Hook E. O. 69767 II  
Hooge F. N. 68219  
Hopwood P. H. 70627  
Horne W. A. 69713  
Horning E. C. 68994  
Hornung E. W. 68455  
Hornung J. 69914  
Hosansky N. 69024  
Hotz R. 68383  
Hough L. 68950  
Houtermans F. 68610  
Hove H. 69945 II  
Howell L. J. 68372  
Howitt F. O. 69873  
Howland A. F. 69335  
Hoyme H. 70302  
Hromatka O. 68886  
Huang H. L. 68721  
Hubbard W. D. 69545  
Huber G. 68954, 68956  
Huber H. 69299 II  
Huber H. E. 70342  
Huber O. 69213  
Huber R. 68474  
Huck G. 69761 II  
Huet H. 70490  
Huff K. 69049  
Huffman E. O. 68644  
Hugel G. 68787  
Huggett L. G. 69516  
Hughes T. H. 69640  
Hughes V. W. 68128

- Huisgen R. 68695  
Huitenga J. R. 68322  
Hulme A. R. 68745  
Humes W. V. C. 69568 II  
Humphrey A. J. 70728  
Humphrey J. N. 68267  
Hünig S. 68184  
Hunter D. R. 70083  
Huppert P. A. 69471  
Huré J. 69107  
Hurley T. E. 69640  
Husband R. M. 68953  
Hutter G. J. 69184
- I**  
Ibers J. A. 68230  
Ikeda K. 68292  
Impe J. 69263 II  
Imura S. 68997  
Ingelman B. 68667  
Innas Ali M. 68214  
Innes R. F. 70583  
Inskip G. C. 69297  
Ionescu M. 70465  
Irving H. 68870, 68871  
Isaacs M. D. J. 69137  
Isaia N. 70576  
Ishikawa M. 68936  
Ishikawa A. 68288, 69032  
Isitt J. S. 69749 II  
Isano K. 69006  
Ito J. 68620  
Ivănescu M. 70465  
Ivey F. E. 69711  
Izgarisev N. A. 68736
- J**  
Jaap E. 69497  
Jach K. 69893  
Jacks H. 69352  
Jackson D. K. 69305  
Jackson L. C. 68511  
Jacobson A. E. 68930  
Jacquinot P. 69118  
Jahns W. 70135  
Jakubowicz A. 70687  
James J. W. 69075  
Jander G. 69121  
Janicki J. 70578  
Janocinski R. 69266  
Janot M. M. 68992, 68993  
Janssens R. G. 69764 II  
Jaquenoud P. A. 69015  
Jaray F. F. 70116  
Jarrell R. F. 69214  
Jarry R. L. 68305  
Jasinski T. 69985  
Jayne G. 70247, 70284  
Jean M. 69118  
Jeanes A. R. 70400 II  
Jeah C. 68601  
Jefferies P. R. 68843  
Jefferys R. A. 69378  
Jeffs A. W. 69806 II  
Jenkins E. N. 68325  
Jenkins L. B. 69090  
Jennings H. 70121  
Jibril A. O. 68921  
Jilek J. 69683  
Jindrichová J. 70750  
Jobling A. 70208
- Johannesson J. K. 69180  
Johannin P. 68304  
Johansen O. J. 70240  
Johnson A. W. 68733 K  
Johnson C. L. 70721  
Johnson E. A. 69127  
Johnson E. I. 69139  
Johnson F. D. 69354  
Johnson K. G. 70039  
Johnson L. C. 69626 II  
Johnson R. 69405  
Johnson R. G. 68743  
Johnson W. K. 68942 II  
Jonassen H. B. 68580  
Jones G. W. 70483  
Jones J. L. N. 68955  
Jones J. E. 70170 II  
Lones W. M. 68692  
Jordan J. 69115  
Jørgens F. 69194  
Jørgensen C. K. 68462  
Jørgensen K. 68169  
Jorissen W. P. 68083  
Joshi B. S. 68675  
Joshi S. 68803  
Josien M. L. 78221, 69200  
Joslyn M. A. 70488  
Josselin de Jong G. 69404  
Joussot-Dubien J. 68221  
Jucys A. 68134, 68136  
Jukio-Markušić T. 68507  
Julia S. 68685  
Julien J. 68712  
Jullien J. 68713  
Jungers J. C. 68431
- K**  
Kadlec K. 70783 K  
Kagan H. B. 68973  
Kahl R. J. 68778  
Kahn M. 68118  
Kaiser R. 69047  
Kajdaniški E. 70735  
Kaluszyner A. 69929  
Kane J. G. 70341  
Kangro W. 69108  
Kantack E. J. 69319  
Kanwisser J. 68602  
Kapitel W. 70325  
Kapoor B. D. 70383  
Kapur B. P. 69560  
Karalis S. 69374  
Kasehagen L. 70396 II  
Kasper J. S. 68244  
Kassel K. S. 70705  
Kastel A. 69982 II  
Kaufman J. J. 68401  
Kaufmann H. P. 70326  
Kauzmann W. 68622  
Kawecki W. 69266  
Kearns C. W. 69331  
Keffler F. 68340  
Keil H. 69921  
Keillor G. E. H. 69685  
Keller R. 69820 II  
Keller W. E. 68346  
Kelley P. H. 70277  
Kellogg H. H. 68372  
Kelly R. B. 68684, 68955  
Kemka R. 70758  
Kern R. J. 69034  
Kerr E. C. 68313
- Kemp P. H. 68589  
Kempf R. 70200  
Kennedy G. L. 68678  
Kenner J. 68724  
Kennerly G. W. 69767 II  
Keulen J. 68807  
Kevel J. 70542  
Keyssner E. 69820 II  
Khalifa H. 69146  
Khan N. A. 68689  
Khan N. H. 69308  
Khanna S. N. 68521  
Kiefel P. 70143  
Kiefer E. 69955 II  
Kilpatrick M. 68468  
Kimber R. W. L. 68843  
Kimura T. 70592  
Kinnunen L. 69096  
Kinsley D. A. 68855  
Kirjtescu A. 70054  
Kirkova E. 68281  
Kirmaier S. 70080  
Kirmser W. 70173 II  
Kirry R. J. 68331  
Kirsch W. B. 68580  
Kirschnick H. 70391  
Kirst W. 69948 II  
Kishita M. 68160  
Kiszel J. 70452  
Kittel H. 70193  
Klein H. 69818 II  
Klein M. J. 68338  
Kleinteich R. 69452, 69454  
Klema F. 70095  
Klempner D. F. 68516  
Klempert W. 69761 II  
Klepfel H. H. 68367  
Klieger P. 69523  
Kliman N. 69057  
Klimeš M. 70278  
Kline B. L. 70229 II  
Klingelhöfer H. 70269  
Klinger T. 69058  
Klingner H. J. 70205  
Klotz L. J. 69350  
Klyne W. 68979  
Kneale J. S. 69605  
Knechtges R. G. 70250  
Knell M. 68810  
Kněz V. 70562 K, 40563 K  
Knight H. T. 68415  
Knoerzer G. 70743  
Knöpfelmacher E. 70765  
Knorr F. 70413  
Knotz P. 68919  
Knowles J. 70086  
Knowles M. B. 69765 II  
Knowles W. S. 69359 II  
Knowlton K. F. 69592  
Knutson K. E. 69183  
Kober B. 70574 II  
Koch J. 70433  
Koeck H. 69616  
Koeppe W. 68341  
Kohler F. 68355  
Kohler L. 70247  
Kolář J. 70586  
Kolář M. 69670  
Kölbel H. 79743 II  
Kolbenen M. J. 69350  
Kölliker P. 68183
- Kolling H. 69787 II  
Kollontsch J. 68737  
Kolmeschate J. 69118  
Kolodko W. 69546  
Komarek E. 70581  
El Komoss S. G. 68221  
Kondritzer A. A. 68930  
Konček Z. 69590  
Kooyman E. C. 68904  
Korfhage L. 70187  
Korsching H. 68747  
Korte F. 68934  
Kosewaka L. 70472  
Koshar R. J. 68926  
Koski W. S. 68401  
Kovacs A. 69050  
Koyama R. 68288, 69032  
Kracker H. 69948 II  
Krainhöfner O. 69965 II  
Krainhöfner R. 69965 II  
Krassovsky V. I. 68599  
Kratky O. 68235  
Kraus M. 68717  
Krauss G. 70415  
Krauss W. 68181  
Krauss W. 69845 II  
Krausz A. 68235  
Krdliček J. 70300  
Krebs H. 69194  
Krehbiel R. E. 69529  
Kress K. E. 69143  
Kretschmar A. 69627 II  
Krishna Murti G. S. R. 68248  
Kröger C. 69456  
Kröger C. F. 68899  
Kroke R. 69629 II  
Kroll H. 68810  
Kroupa P. 69590  
Krouskop N. C. 68745  
Kruckenberg W. 69866 II  
Krüger K. E. 68757  
Kruger P. 68117 II  
Krum P. 69040  
Krum H. J. 69609  
Kubo M. 68160  
Kucharski J. 69611  
Kuckuk W. 69684  
Kudielka H. 68243  
Kuhn R. 68852, 68989  
Kühnel K. 68995  
Kühnert F. 70669  
Kukla J. 69442  
Kulp J. L. 68613, 68624  
Kumar V. B. 70240  
Kumar S. 69438  
Kumarkrishna Rao V. N. 68456  
Kunc J. 69655  
Kunin R. 68533  
Kunreuther F. 69706  
Kunzler J. E. 68455  
Kupka F. 69227  
Kushner L. M. 68545  
Küstner E. 69935 II  
Kvasnicka E. A. 68792  
Kyame J. J. 68333
- L**  
Lacher J. R. 68925, 68927  
Laferrriere A. L. 68574  
Laffitte E. 68221  
Lafon M. 70447 II  
Laidler K. 69244  
Laird R. K. 69059  
Laitinen H. A. 6911  
Lake P. E. 69366  
Kakshmana Rao S. K. 68294  
Lal G. 70489, 70495  
Lamanna G. 69671  
Lambert M. 70590  
Lamborn O. H. 70367  
Lamouche H. 70371  
Lancaster E. B. 70314  
Landes C. G. 70275, 70291 II  
Lang G. 69176  
Lang M. 68236  
Lange G. 68327  
Lange W. 69661  
Langenbeck R. 68830  
Langenberg D. C. 69401  
Langford P. B. 68410  
Langier-Kuźniażowa A. 69408  
Lanigan H. 69883  
Lapoujade P. 69410  
Lappert M. F. 68910  
Lappin G. R. 68948  
Lăzărescu I. 70054  
Larini G. 68802  
Larrabee G. B. 69147  
Larson L. G. 69721  
Lathrop T. R. 69585  
Latif A. 70393  
Latomaki T. 69528  
Lau C. 68192  
Laufer P. G. I. 70026  
Launay B. 68310  
Laurent P. A. 68189  
Lauterbur P. C. 68206  
Laviron R. 68706, 68708  
Lavit D. 68842  
Lawrence A. E. 68109  
Lawrence J. M. 69357  
Lazár M. 69057  
Leake P. H. 68840  
Leaman W. K. 69752 II  
Lebensohn M. 69258 K  
Le Bras J. 70045  
Leclerc E. 69581  
Lecomte J. 68196  
Ledwoch K. D. 70287  
Lee E. H. 70070  
Leeuwen J. 70082  
Leffler E. B. 69368  
Leffler J. E. 68732 K  
Lefterescu M. 70546  
Leftin J. P. 69380  
Legrand G. 69704  
Lehmann R. 69242  
Lehmann W. S. 69517  
Lehner W. 68853  
Lehnert G. 69289 II  
Lehnhäuser W. 69457  
Lehongre G. 69204  
Lehotai L. 68489  
Leider H. 68382  
Leideltz H. 70027  
Leidheiser H. 69368  
Leitch L. C. 68931, 68932

- Lemanceau B. 68221  
 Le Men J. 68992, 68993  
 Lemieux R. U. 68956  
 Lendzion A. 70133  
 Lengyel A. 70246  
 Lengyel B. 69450  
 Lenhart W. B. 69534  
 Leniger H. A. 70457  
 Lenkewitz H. 69686  
 Leonard R. H. 69779  
 Leonard S. 70488  
 Leonowicz R. 69545  
 Lerer M. 68787  
 Le Riche K. 70088  
 Le Roux A. C. 69314  
 Lestina G. 68696  
 Letort M. 68999  
 Lettré H. 68816  
 Levine R. 68860  
 Levy H. A. 68234  
 Levy J. B. 69907  
 Lewin M. 70246  
 Lewis J. E. 68357  
 Ley K. 68723  
 Leymarie M. 70109  
 Lhotský A. 70421  
 Liblon R. 70084  
 Licht H. 68985  
 Liebenberg W. R. 68617  
 Lieber E. 68182  
 Lieneweg K. 70731  
 Liljamo Y. 70298 II  
 Limb H. R. 68282  
 Limbach J. N. 69709  
 Lindberg B. 69078  
 Lindenberg W. 68387  
 Linderot J. 70259  
 Lindgren P. H. 69046  
 Lindsay J. D. 69525  
 Lindstrom P. 68619  
 Linford A. 70707  
 Lingane J. J. 68492, 69172  
 Lingnau E. 70603  
 Lingnau J. 69990  
 Lippert E. 68175  
 Liquri A. M. 68149  
 Lloyd E. P. 69337  
 Locke E. G. 70238  
 Lodi Y. 70035  
 Loewe L. 68694  
 Löffler W. 69631 II  
 Lombard R. 68964  
 Long D. A. 68201  
 Longuet-Higgins H. C. 68296  
 Lopez de Azcona J. M. 69186  
 Lorenz W. 69360 II  
 Loria A. 70019 II  
 Loter A. 68888  
 Louis H. 68611  
 Loury M. 70336, 70624  
 Lovreček B. 68507  
 Löw I. 68989  
 Low W. 68203  
 Lowe G. 68771  
 Lüben R. 69762 II  
 Lubin G. 70105  
 Lübke A. 70224 II  
 Lucas H. J. 68567  
 Luczaj J. 70066  
 Ludwicki H. 69974  
 Ludwig B. 70778  
 Lukens L. A. 69264  
 Lukeš R. 68797  
 Lumbroso N. 68221  
 Lund A. 70404  
 Ludberg J. L. 69070  
 Lundberg R. D. 69016  
 Lundin B. 70271  
 Lüring W. 70330  
 Lurz K. 69275 II  
 Lusinchi X. 68872  
 Luther H. 69199  
 Luzzati V. 68232  
 Lynch E. D. 69472  
 Lynn N. 68289  
 M  
 Maasberg A. T. 70258  
 McAfee J. 69713  
 McCall D. W. 68207  
 McCann H. 70121  
 McCarthy W. C. 68778  
 McCasland G. E. 68953  
 McCullough J. P. 68342  
 McEachran A. E. 69908  
 Macfarlane T. G. 68344  
 McGarvey F. 68533  
 Machek G. 69990  
 Machu W. 70595  
 McHugh D. J. 69211  
 McIntosh A. H. 69309  
 Mack C. 69558  
 Mackay D. 68849  
 Mackay J. S. 69277 II  
 MacKellar D. J. 69271 II  
 McLaughlin R. R. 68792  
 McLean A. F. 69799 II  
 McMahon R. E. 68938  
 McNamara J. H. 68690  
 McNamara T. P. 69816 II  
 McNeil J. F. 68282  
 McNulty J. G. 69753 II  
 McRae A. D. 69619  
 MacRae D. 68116  
 McSheehy J. A. 69835 II  
 Madan M. P. 69222  
 Maddock W. T. 69718  
 Maes E. 70478  
 Maeyer L. 68475  
 Maerlein B. J. 68975  
 Magnusson F. 70531  
 Majury T. G. 68354  
 Malcher J. 70392  
 Maltson I. 68318  
 Malm B. 70529, 70531  
 Mancera O. 68978  
 Măndăscu L. 68814  
 Mandel M. 69037  
 Mandelkern L. 69033, 69044  
 Mandell L. 68769  
 Mandeville C. E. 68132  
 Manenc J. 68239  
 Mangini A. 68177  
 Mankin P. 70714  
 Manne R. S. 69716  
 Manos C. 70351  
 Manzoor-ul-Haq. 70393  
 Maraghini M. 68488  
 Marble F. E. 68414  
 Marchand A. 68221  
 Marcinkowska K. 69985  
 Marechal J. R. 69118  
 Marichal M. 70431  
 Mark H. F. 70257  
 Märker R. 69464, 69470, 69473  
 Markin T. L. 68323  
 Maronny G. 68477  
 Marriott R. 68139  
 Marsden C. 69770  
 Marshall D. 68799  
 Marshall J. A. 69706  
 Martel C. S. 68515  
 Mertel J. 68971  
 Martens G. 68400  
 Martin A. J. 70594  
 Martin D. F. 69337, 69339  
 Martin J. P. 69340  
 Martinez Cordón J. L. 68905  
 Martišius J. 68134, 68136  
 Marty N. 68130  
 Mašek T. 68438, 70562 K  
 Masjuan F. 70062  
 Masson C. 69949 II  
 Massuet Grau V. 69393  
 Matéju J. 70278  
 Mathew G. E. A. 68983  
 Mathews D. H. 68522  
 Mathias A. P. 69019  
 Mathur R. P. 70231  
 Matlow S. L. 68148  
 Matouschek P. 70607  
 Matoušek M. 69513  
 Matsui M. 68765  
 Matsumoto M. 69043  
 Mattinson B. J. H. 68722  
 Matzik B. 70500  
 Mauza E. 68134  
 Maxa V. 70562 K  
 Maxwell K. H. 68498  
 May C. A. 69843 II  
 May P. 70150 II  
 Meakins G. D. 68193  
 Mechoulam R. 68929  
 Mecorney J. W. 69800 II  
 Meda F. 68191  
 Meek E. G. 70237  
 Meerbott W. K. 69709  
 Meerwein H. 68440  
 Meguerian G. H. 69757 II  
 Mehlitz A. 70500  
 Meienhofer J. 69879  
 Meier E. 70402 II  
 Meiner H. H. 70061  
 Meldau R. 68365  
 Mellor J. D. 70494  
 Memelink O. W. 68360  
 Menčík Z. 69041  
 Mende E. 69934 II  
 Mentoglannis P. 69374  
 Merriman P. 70099  
 Messerly J. P. 68342  
 Meulen A. 69307  
 Meunier E. P. 70022  
 Meyer H. W. H. 69716  
 Meynis de Paulin J. J. 69468  
 Mezzera Soc. 69938  
 Mlarka S. V. 68804  
 Michailidis N. J. 69914  
 Michel A. 70431  
 Micus G. 68427  
 Micus G. 70774  
 Mühr W. 69433  
 Miescher E. 68163  
 Mihall G. 68575  
 Mihalovic M. L. 68868  
 Mihalcu M. 69253  
 Mihama K. 68426  
 Mikulášová-Podhorányi D. 69081  
 Millen H. M. 69195  
 Miller A. D. 68860  
 Miller C. S. 70294 II  
 Miller D. M. 68180  
 Miller E. 69824 II  
 Miller J. R. 69716  
 Miller P. D. 69378  
 Miller P. R. 69348, 69351, 69353  
 Miller W. F. 68138  
 Millikin D. E. 70233  
 Milman M. 68443—68446  
 Milner D. C. 68201  
 Mills A. P. 68211  
 Mills I. M. 68200  
 Mills W. C. 70689  
 Mina F. A. 69983  
 Minarik W. L. 70096  
 Minton J. W. 70103  
 Mircev A. 70382  
 Mishima H. 68997  
 Mialow K. 68680  
 Mistrle W. J. 69339  
 Mitra R. P. 68470  
 Miura Y. 68936  
 Miyake S. 68251  
 Miyano M. 68765  
 Modelli R. 69978  
 Modena G. 69864, 69865  
 Mohamed Kamel 68829  
 Mohler J. B. 70777  
 Moherle J. 68562  
 Moje W. 69340  
 Mollinari C. 70462  
 Moll' F. 68175  
 Momigny J. 68159  
 Monnet M. 70032  
 Monnot M. 69118  
 Montaldi E. 68176  
 Montanari F. 68178  
 Montgomery C. W. 69713, 69753 II  
 Moore E. L. 70497  
 Moore N. P. W. 69742 II  
 Moore W. R. 69036  
 Moreau J. 70591  
 Morgan L. O. 68209  
 Morgenstern G. 69412  
 Morlock G. 68482  
 Morrell A. G. 69059  
 Morrell C. E. 69786 II  
 Morris P. 69137  
 Morozovitch P. 68988  
 Morton F. 69388  
 Mosinger B. 70505  
 Mossel D. A. 70456  
 Motard R. L. 68434  
 Moulton W. N. 68773  
 Mousseron M. 68712  
 67813, 68770  
 Mueller C. R. 68357  
 Muetterties E. L. 68909  
 Mühlmann R. 69360 II  
 Muhr A. 69778  
 Mukalbo T. 68450  
 Mukherjee S. K. 70348  
 Mulcahy M. F. R. 68403  
 Müller E. 68723  
 Müller E. W. 68254  
 Müller P. H. 69048, 69049  
 Müller J. 68208  
 Müller K. 70586  
 Müller M. 70273  
 Müller N. 68206  
 Mumby L. 70736  
 Münch W. 69814  
 Munch-Petersen E. 70433  
 Munday D. A. 68827, 68828  
 Munk F. 70209  
 Münster A. 69820 II  
 Murdock D. I. 70498  
 Murphy A. L. 69891  
 Murphy R. P. 69156  
 Murray G. S. 69254  
 Murty Y. K. 70091  
 Muşat M. 69501  
 Musgrave O. C. 68911  
 Musialik M. 69495  
 Musienko Z. 69508  
 Myer M. P. 68521  
 Myer Y. P. 68520  
 Myers G. S. 68988  
 Myers T. C. 68921  
 Myhill A. R. 70773  
 Mysels K. J. 68113  
 N  
 Nachlas M. M. 68890  
 Naerland A. 68194  
 Nagel K. 68478  
 Nagy D. E. 69967 II  
 Nakamichi M. 68812  
 Namiki M. 69006  
 Nantka-Namirski P. 68861  
 Narasimhan N. S. 68995  
 Narasimha Rao D. V. G. L. 68213  
 Narasinga Rao M. M. 68456  
 Narayanamurti D. 70231  
 Narayanan V. V. 68764  
 Nathan W. S. 70288 II  
 Natta G. 69045  
 Nau P. 68826  
 Nauta W. T. 68811  
 Navrátil M. 70746  
 Nawara L. 70626  
 Nchring O. 69042  
 Nebe E. 69831 II  
 Nebe E. 70268  
 Nelson L. S. 69070  
 Nenitescu C. D. 68731 K  
 Nesmeyanov A. N. 68687  
 Nette G. 70281  
 Neuwald F. 70029  
 Neuwirth O. 68741  
 Nevison J. A. 69708  
 Newman P. 68680  
 Newman R. J. 70716

Newm  
 Newst  
 Neybe  
 Nichol  
 Nickla  
 Niclau  
 Nico  
 Nieder  
 Nietze  
 Niewi  
 Nikiti  
 Nilaso  
 Nilaso  
 Ninom  
 Nishij  
 Nitszo  
 Nixon  
 Nixon  
 Nyog  
 Noble  
 Noddi  
 Noguc  
 Nolle  
 Norde  
 Nordf  
 Norm  
 Norm  
 Norri  
 Nort  
 Noste  
 Notte  
 701  
 Novak  
 Novak  
 Novak  
 Nowo  
 Oberp  
 O'Co  
 Odeko  
 Odlat  
 Oeler  
 Oeter  
 701  
 Oetti  
 Ogaw  
 Ohl  
 Ohle  
 Obta  
 Oita  
 Oka  
 Okan  
 Okud  
 Older  
 701  
 Ollich  
 Olin  
 Olson  
 Olisz  
 Olisz  
 Orce  
 Orm  
 Oros  
 Osbe  
 O S  
 Osol  
 Osaw  
 Osaw  
 Oste  
 Ostw



- Newman S. R. 68739  
Newstead E. G. 70010 II  
Neybergh A. G. 70024  
Nicholson A. E. 69060  
Nicklin T. 69675  
Nielaue M. 68399  
Nicol L. 69502  
Niederhäusern G. 69966 II  
Nietzel A. O. 69152  
Niewiarowicz A. 70578  
Nikitine S. 68221  
Nilsson R. 68667  
Nilsson R. O. 68570  
Ninomiya M. 68161  
Nishijo S. 69855 II  
Nitzsche S. 70056 II  
Nixon A. 68518  
Nixon H. L. 68651  
Niyogi S. N. C. 69730  
Noble I. 70491  
Noddin G. A. 69971 II  
Noguchi T. 68936  
Nolle A. W. 68209  
Nordell E. 69593  
Nordfors B. 69053  
Norman R. H. 69054  
Normant H. 68903  
Norris R. G. W. 69060  
Norton F. J. 68301  
Nottevarp O. 70550  
Nottebohm C. L. 69962 II,  
70182 II  
Novak Z. 69588  
Novara E. 68802  
Nowak R. 70640 II  
Nowotny H. 68243
- O**
- Oberg B. N. 69568 II  
O'Connor T. L. 68525  
Odekerken J. M. 69370  
Odland K. 69614  
Oelert H. 69199  
Oetere-Panhäuser K. A.  
70195  
Oettinger W. 69750 II  
Ogawa S. 70592  
Ohl F. 70075  
Ohle H. 69845 II  
Ohtani N. 68490  
Otta K. 68914  
Oka S. 68450  
Okamoto Y. 68710  
Okuda S. 68997  
Oldenroth O. 69881,  
70350  
Olicker S. D. 70683  
Olin S. M. 69853 II  
Olson L. 69774  
Olzak 69986  
Olzewski Z. 69979  
Orcel J. 68247  
Orman Z. 69508  
Orosnik W. 69003  
Osberghaus O. 68158  
O Sé M. 70527  
Osol A. 68104  
Oswald G. 68852  
Oswald G. 70466  
Ostergaard A. 68124  
Ostwalden P. 68865
- Otto K. V. 69437 II  
Ovenden P. J. 69382  
Overbeek J. T. G. 68093  
Overhoff J. 69999 II  
Oyama Y. 70656
- P**
- Pácal Z. 68623  
Pacault A. 68221  
Palazzo D. F. 69710  
Pallu R. 70564 K  
Pancrazio G. 68766  
Paneth F. A. 68600  
Pani S. 68923  
Panouse J. J. 68173  
Panson G. S. 68834  
Papineau-Couture G. 68988  
Pardon N. 70755  
Parencia C. R. 69334  
Parham W. E. 68773  
Parlaud J. C. 69118  
Pariikh J. D. 69888  
Park J. D. 68925, 68927  
Park K. T. 68976  
Parker E. C. 70068  
Parker K. D. 69029  
Parker P. M. 68277  
Parks A. B. 69316  
Pascal M. 68566  
Pascal P. 68221  
Passavant-Werke. 69632  
Passerini R. 68177,  
68178, 68818  
Paták M. 69989  
Paterson J. E. 69142  
Pathak S. P. 70312  
Pătrașcu A. 69458  
Patrick T. M. 69959 II  
Pattanaik R. K. 68923  
Paty M. 68221  
Patzak R. 69103  
Paulsen G. C. 69603  
Paulsen H. C. 69816 II  
Pazourek J. 70493  
Peacock T. E. 68146  
Peck S. M. 70036  
Pecker C. 68596  
Pecker J. C. 68596  
Peckham J. R. 70251  
Peierls E. S. 70090  
Peltola E. 70502  
Pepper B. B. 69320  
Perelman M. 68976  
Perkitny 70241  
Perkow W. 69362 II  
Perkowski S. 70741  
Perry 68614  
Perry M. G. 70730  
Person W. B. 68200  
Persoz B. 70074  
Pesche E. T. 70019 II  
Pestell L. 68167  
Pestell P. 68165—68167  
Peters R. 69929 II  
Peterlin A. 69039  
Peters R. H. 69918  
Petersen P. S. 69520  
Petri N. 69156, 69157  
Petroff G. 69929 II  
Petrović M. C. 70452  
Petrzika T. 69836 II
- Petzold A. 69467  
Pfaff P. 69820 II  
Pfeifer H. 68460  
Phadke R. J. 68557  
Philipp B. 70302  
Phillips C. 68527  
Phillips G. 68325  
Picci G. 69347  
Pichat L. 68935  
Pickard J. A. 70701 II  
Pickert Q. E. 68798  
Pieper H. 69108  
Pier M. 69750 II,  
69751 II  
Pietsch R. 69097  
Pilgrim A. J. 69136  
Pilz K. 69176  
Pineau R. 68788  
Pinnington A. R. 68870,  
68871  
Pino Vazquez C. 68531  
Pinta M. 69113  
Ploch L. 70461  
Plotrowski S. 70759  
Piper D. B. 70729  
Pirotte A. 70478  
Pitrè D. 69007  
Plant S. G. P. 68855  
Plassmann E. 69517  
Plaster H. J. 70611  
Plath L. 70212  
Platzman R. L. 68138  
Plessner K. W. 69414  
Pohl H. 69131, 70719  
Pohland A. 68938  
Pokorný A. G. 69513  
Pokras L. 68468  
Poldervaart A. 68608,  
68645  
Poljakov K. A. 70636 K  
Pollack M. A. 70053  
Polonyi P. 70451  
Popielski W. 70626  
Pople J. A. 68296  
Popovici E. 69501  
Porter F. W. B. 69749 II  
Porter W. L. 68851  
Portis A. M. 68275  
Potthof K. 70214  
Potts W. J. 68179  
Powers D. H. 70353  
Powers H. E. C. 70369  
Powers J. 68810  
Powers P. O. 70052  
Pratt H. K. 69230  
Pray H. A. 69378  
Preiser H. S. 70629  
Prekajski P. 68868  
Premo E. J. 70121  
Přibyl J. 69505  
Přibyl M. 69431  
Prichard J. J. 69711  
Prijs B. 69011  
Prins L. 70673  
Probst W. J. 68743  
Proctor C. D. 69196  
Proctor L. A. 69984  
Proell W. 68595  
Proštenik M. 69020  
Pryor M. J. 70630  
Pullman A. 68154  
Pullman B. 68150
- Pungor E. 69092  
Puri B. R. 68520, 68511  
Püschel F. 70365 II  
Pütter P. S. 68334  
Putter R. 69867 II,  
70165 II
- Q**
- Quarterman L. A. 68216  
Quecke K. 68080  
Quelet R. 68788  
Quevauviller A. 70744  
Quigley G. D. 69325  
Quint F. 69858 II
- R**
- Rabinovich J. 70015 II  
Radek O. 69646  
Radell J. 68953  
Radmacher W. 69635  
Rado R. 69057  
Raecke B. 69846 II  
Raffalovich A. J. 69375  
Ragsdale H. L. 70514  
Raha C. R. 68939  
Raimond W. A. 69835 II  
Rajadurai S. 68995  
Rajka G. 70740  
Rakowsky V. 70698 II  
Ramachandra Rao C.  
68846  
Ramachandra Rao C. N.  
68182  
Raman P. S. 68813  
Ramaseshan S. 68231  
Ramhausek K. 69432  
Ramberg H. 68609  
Ramirez F. 68865  
Ramsey M. M. 69923  
Rånby B. G. 70257  
Rangaswami S. 69023  
Ranjan P. P. 69012  
Rankin W. W. 69947 II  
Rao G. G. 69095, 69148,  
69171  
Rao K. B. 69095, 69171  
Rao V. P. R. 69148  
Rao R. V. 68199  
Rappen F. 68440  
Raridon R. J. 69218  
Rassman G. C. 70114  
Rastogi R. P. 68457  
Ratzlaff A. 70506  
Raub E. 69369  
Raudszus O. 69940 II  
Raut H. K. 68126  
Rayne T. A. 70288 II  
Rayner A. C. 70601  
Rebstock M. C. 69005  
Rebstock T. L. 68856,  
68879  
Redman N. 69675  
Reed R. F. 70272  
Rees A. H. 68847  
Reeve W. 68798  
Reeves F. E. 70725  
Refigullah A. K. 68214  
Regnfors L. 70248  
Regnier S. 68221  
Rehbein C. A. 69706,  
69744 II  
Reichelt H. 69606
- Reichstein T. 68985  
Reid T. J. 69970 II  
Reid W. J. 69321  
Reinhorn G. 69232  
Reiser H. J. 68481  
Reisner D. B. 69013  
Remers W. A. 68697  
Renker H. C. 69268 II  
Rentschler H. 69204  
Repa J. 70009 II  
Requardt K. 68184  
Resen F. L. 69719  
Reuf F. 69805 II  
Reuss V. 69399 II  
Reuter B. 68266  
Reuter F. H. 70454  
Reuther H. 68366  
Reynolds H. 69316  
Reynolds R. D. 68692  
Reynolds W. F. 70291 II  
Ribaud G. 70688  
Ricard R. 69118  
Rice J. C. 70270  
Rice R. I. 70280  
Rich W. C. 69745 II  
Richardson D. B. 70712  
Richardson R. L. 68519  
Richard H. 69372  
Richmond C. A. 69327  
Richmond J. T. 69281  
Richtmyer N. K. 68948  
Ridley S. 68979  
Ried W. 68893  
Riedl H. J. 69850 II  
Riedl R. 69729  
Riedl W. 69266  
Riehl L. A. 69310  
Riepe W. 70406  
Riese W. 70190  
Riesefeld F. C. 69604  
Reidel J. C. 70770  
Ringold H. J. 68978  
Rintelen H. 68440  
Ritchie P. F. 69832 II  
Ritland H. N. 69445  
Ritson D. D. 70275  
Rivière-Larramona H.  
68808  
Rix T. R. 68789  
Roast C. A. 70768  
Roberts J. D. 68709,  
68714  
Roberts R. 69254  
Roberts R. W. 69077  
Robertson H. F. 70078  
Robertson R. L. 69332  
Robin J. 68218  
Robin J. 70289 II  
Robinet M. 69914  
Robinson L. E. 70262  
Robinson M. T. 68569  
Robinson N. W. 69235  
Robinson R. 68993  
Robinson-Görnhardt L.  
70557  
Robshaw W. A. 69827 II  
Rocca M. 78152  
Roček J. 68464  
Roddin D. P. 70229 II  
Rodney W. 68318  
Rodriguez J. R. 69310  
Roelen O. 70575 II

- Roger F. 68221  
Roger P. 68107  
Rogers E. 70221 II  
Rogers M. T. 68220  
Roggen M. 69301 II  
Rohde W. 68674  
Rohwiddler K. H. 68908  
Roig J. M. 70412  
Roistacher C. N. 69350  
Rokosinyi H. E. 69092  
Rollin J. 70628  
Rollins J. F. 69509  
Rollins R. L. 69406  
Roncier M. 70481  
Rondevedt C. S. 68815  
Rosenbaum E. 68366  
Rosenberg A. J. 68515  
Rosene R. B. 69720  
Rosenkranz G. 68978  
Rosmanith J. 70765  
Ross C. D. 69225  
Ross I. G. 68147  
Ross W. K. 69619  
Rossini F. D. 68745  
Roth F. J. 69138  
Rothemann K. 70033  
Rothman M. A. 68132  
Rothrock H. S. 68783  
Rotsch A. 70473  
Rottenberg W. 68471  
Rottig W. 69787 II  
Rouir E. Y. 69118  
Rouse A. H. 70497  
Rowesti P. 70023, 70035  
Rowen A. R. 69540  
Rowlandson G. 70252  
Rowley M. 68532  
Roy G. L. 68574  
Roy S. 68637  
Roy Chaudhuri D. K. 68760  
Rozental S. 69887  
Rüchardt C. 68695  
Rückert H. 68534, 68535, 70378  
Ruddall K. M. 69029  
Rudd R. L. 69323  
Rudman P. S. 68241  
Ruff E. E. 68524  
Rümens W. 69922  
Rumpf H. 70690  
Runt C. 68785  
Rupp N. 70610  
Ruppel T. C. 70677  
Ruschig H. 69856 II  
Russi S. 68958  
Rutman J. L. 68127  
Rutschmann J. 69192, 69836 II  
Rybak R. A. 70069  
Rybka Z. 69256  
Rybníkář F. 69040
- S  
Saalfank C. W. 69920  
Sacco A. 68579  
Sack E. A. 69862  
Sack R. A. 68125  
Saeki S. 68997  
Sáenz A. W. 68297  
Saenz Lascano Ruiz I. 70512
- Saidl J. 69670  
Saint-Martin D. 69356  
Saint-Rat L. 70449  
Sakakibara S. 69017  
Salerni A. 70547  
Sa-le Thi Thuan 68775  
Salomon G. 69028  
Salplachta J. 69623  
Sambrook K. H. 70767  
Sammons H. G. 70469  
Samples W. R. 68553  
Sampson G. 70011 II  
Samson F. 69458  
Samuel F. B. 69760 II  
Samuelson O. 68534, 68535  
Samuelson O. 70378  
Sandermann W. 70230  
Sanders D. P. 69988  
Santappa M. 69063  
Santhamma V. 68198  
Sargent L. J. 68876  
Sarma B. 69153  
Sarma K. I. R. 68456  
Sastry B. V. 69023  
Sastry M. N. 69094  
Sastry M. S. 68896  
Sato Y. 68997  
Satyanarayanamurthy R. V. 69094  
Sauter F. 68886  
Sauter P. A. 70111  
Savarari C. P. 69153  
Savides C. 68776  
Saville B. 69190  
Sawada S. 69403  
Scanlon W. W. 68267  
Scantlebury F. M. 70177 II  
Scarano E. 69109  
Schäfer G. 69858 II  
Schäfer J. T. 68373  
Schäufele D. 69011  
Scheibel H. E. 70762  
Scheiber J. 70183  
Schenk J. 68311  
Scheunemann J. 69151  
Schick O. 69850 II  
Schierenbeck J. 69691 II  
Schiffner H. 69179  
Schiller P. 70742  
Schilling C. J. 69578 II  
Schläfer H. L. 68172  
Schlechte G. 68723  
Schleyer P. R. 68966  
Schlichting E. 68652  
Schliekelman R. J. 70119  
Schlögl K. 68882  
Schlosser R. G. 68427  
Schmidt A. W. 69838 II  
Schmidt P. B. 70342  
Schmidt R. 69659  
Schmitt C. H. A. 69920  
Schmitt W. 69948  
Schneider W. 69413  
Schnelle P. D. 70720  
Schoch W. 70123  
Schoefer E. A. 69518  
Schönmeyer G. 70717  
Schöneman H. 68568  
Schöniger W. 69192
- Schönrack G. 69905  
Schradler G. 69360 II, 69361 II  
Schradler H. 69290 II  
Schramm P. 69632 II  
Schreiner W. C. 69710  
Schreyer J. M. 68378  
Schubert M. 69841 II  
Schuble K. 69407  
Schulte K. E. 68762, 68763  
Schultz L. H. 68745  
Schultz W. 70121  
Schulz H. 68674  
Schulze B. 70239  
Schulzen H. 69080  
Schumacher H. J. 68561  
Schuringa G. J. 69899  
Schwab G. M. 68409, 68433, 68741  
Schwabe K. 68523  
Schwandt E. 70657  
Schwartz S. M. 69960 II  
Schwarz E. 70230  
Schwarz H. 68184, 70034  
Schweitzer O. 70057 II  
Schweitzer P. 70354  
Schytil F. 69288 II  
Scott L. B. 69333  
Scott R. H. 68554  
Scott W. M. 69872  
Scrocco P. 68191  
Searles S. 68216  
Sebenda J. 70300  
Seed L. 69059  
Seffl R. J. 68925  
Seher A. 69197  
Seidel G. R. 68077  
Seifert E. 70185  
Seipt M. 68482  
Seligman A. M. 68890  
Sell H. 68856  
Sell H. M. 68879  
Selldorff J. T. 70726  
Selliez M. 69941 II  
Sen B. 69091  
Sen S. N. 68760  
Sense K. A. 68347  
Serban M. A. 69490  
Serlupi-Crescenzi G. 69215  
Serra M. 68487  
Setinek K. 68912  
Shaffer G. E. 70253  
Sharma V. N. 68991  
Sharp W. H. 70117  
Sharpe A. G. 68564  
Sharratt M. 70459  
Shaw D. J. 68543  
Shaw P. F. D. 68443—68446  
Sheel P. 68703  
Sheen R. T. 70659  
Shelton J. H. 70553  
Shen Kwan-Ting 69739 II  
Shepard A. 70163 II  
Shepherd J. W. 68776  
Sheppard A. A. 69619  
Sherman R. A. 70665  
Sherwin-Williams Co. 70218  
Sherwood P. W. 69772
- Shibata S. 68160  
Shields D. J. 69765 II, 69766 II  
Shine H. J. 68821  
Shive W. 69012  
Shokal E. C. 69843 II  
Shore W. J. 69541, 69548  
Shukla J. P. 70383  
Shull H. 68147  
Shultz A. R. 69073  
Shupp B. A. 70514  
Sickert A. 69242  
Sicre J. E. 68561  
Siddappa G. S. 70489, 70495  
Siddiqui M. S. 70313  
Sidman J. W. 68174  
Siegbahn K. 68667  
Siegl A. 69576 II  
Signer R. 68509  
Sillen L. G. 68468  
Silver H. B. 68910  
Silverman L. 68553  
Šimek J. 69234  
Simha R. 69072  
Simkin J. 68305  
Simkins M. 70121  
Simmonds A. B. 68877  
Simmons T. C. 68926  
Simon A. 68236  
Simon D. M. 68413  
Simon W. 69768 II  
Simonian J. 68810  
Simons L. H. 68614  
Simons L. M. 68480  
Simpson I. B. 68445  
Simpson M. 69124  
Simpson O. J. 68108  
Simpson W. T. 68144  
Sims R. C. 70420  
Sinclair E. F. 68897  
Singh H. 68470  
Singh K. 68419  
Sinigoj J. 69275 II  
Sinnamon H. L. 70401 II  
Sisley J. P. 70624  
Skaperdas G. T. 69710  
Skell P. S. 68690  
Skinner C. G. 69012  
Skullidis T. 69374  
Slabaugh W. H. 69227  
Slade P. E. 68580  
Sleesman J. P. 69336  
Slowata S. S. 68546  
Sluchocka Z. 69892  
Smit G. B. 69489  
Smit P. 68081  
Smit P. 70397 II  
Smith D. A. 70042  
Smith D. C. C. 68951, 70236  
Smith E. 69024  
Smith E. D. 69919  
Smith F. 68959  
Smith F. F. 69326  
Smith G. F. 68998  
Smith G. G. 68716  
Smith H. A. 68324  
Smith L. 68730 K  
Smith L. L. 68530  
Smith P. V. 69812 II  
Smith R. H. 69311
- Smith W. B. 70352  
Smith W. M. 69798 II  
Smith-Gander P. G. 69539  
Smythe L. E. 69228  
Snyder K. L. 70234, 70254, 70256  
Soboczenski E. J. 68964  
Sobolewski M. 70749  
Sobolewski T. 69492  
Soininen A. 70618  
Solbach W. 70650  
Soleil J. 69203  
Somers A. E. 69784 II  
Sommer L. H. 69838 II  
Sommer R. C. 68372  
Sondak N. E. 68351  
Sonderegger A. 59531  
Sonniño B. 69951 II  
Soos E. 69982  
Sorgenicht W. 69435  
Sorm F. 68912  
Sosnowski L. 68256  
Soutar T. H. 69874  
Sozio H. 70021  
Spacu G. 68575  
Spaent C. P. 69971 II  
Spalthoff W. 68303  
Spangenberg W. C. 69482  
Spanyár P. 70542  
Spence R. D. 68208  
Spencer L. F. 69371, 69389  
Speziale A. J. 69358  
Spinks J. W. T. 68529  
Spinner S. 68318  
Splake F. 69787 II  
Spitzer M. 68302  
Spoerri P. E. 68884  
Spohr G. W. 69707  
Sprague G. R. 70177 II  
Spriggs R. M. 69463  
Sprung M. M. 70147 II  
Šrein K. 69237  
Srivastava K. P. 68287  
Srivastava S. N. 68140  
Srnský L. 69530  
Staab H. A. 68880  
Staab W. 69952 II  
Stachiw D. L. 68833  
Stacy I. F. 68115  
Staerkle M. A. 70402 II  
Staggs E. A. 69350  
Stair R. 68598  
Stanley W. E. 69757 II  
Stannmyer J. L. 68819  
Stanton R. L. 68642  
Staritzky E. 68242  
Stark C. P. 69755 II  
Staskun B. 68869, 68883  
Statham K. W. 69898  
Steenland M. J. 68273  
Stefanović G. 68868  
Stegemann W. 70055 II  
Stegmaier W. 69474  
Steijn R. P. 68361  
Stein A. 68884  
Stein R. 68266  
Steiner F. G. 69885  
Steinlechner E. 69837 II  
Stella T. 69698

- Stelt C. 68811  
Stenberg A. I. 69304  
Stepanek J. 69241  
Stephen A. M. 68957  
Stephen E. 68898  
Stephen H. 68883, 68898  
Stephen T. 68983  
Stephens C. W. 68917  
Stevens D. R. 68715  
Stevens J. I. 68795  
Stevens R. A. 70666  
Stevenson D. H. 69715  
Stevenson R. 69972 II  
Stewart C. C. 68556  
Stewart J. 69786 II  
Stewart S. S. 70050  
Stirling C. J. M. 68768  
Stöcker E. 69391  
Stockman F. 70248  
Stodola J. 70782  
Stoecker W. F. 70672  
Stolcescu-Crivetz L. 68814  
Stojankova M. 70745  
Stoll A. 69836 II  
Stone F. S. 68516  
Stone I. 70417  
Stone R. W. 68347  
Storgards T. 70509, 70530  
Stothard T. H. 69808 II  
Strandberg B. 68249  
Strandberg M. W. P. 68274  
Strandskov F. B. 70414  
Strassmann F. 68327  
Stratton C. D. 69005  
Strauss U. P. 68546  
Street A. C. 69373  
Streiff A. J. 68745  
Strieter B. 69151  
Strohmeier M. 68409  
Strübing E. 70461  
Stuart W. A. 69124  
Stuckey R. E. 69137  
Stýblová A. 70519  
Subrahmanyam S. V. 68458  
Subramanian R. V. 69063  
Suckfüll F. 69867 II, 70165 II  
Suesmann G. 69118  
Sugihara J. M. 68739  
Sugurovas V. 68136  
Sullivan H. R. 68938  
Sullivan L. J. 70677  
Sulzbacher M. 69792 II  
Summerbell R. K. 68696  
Summers C. R. 69713  
Sumrell G. 68795  
Sundara Rao R. V. G. 68231  
Sunderwirth S. G. 69079  
Sundheim B. R. 68476  
Superceanu C. 68636  
Suryanarayana V. 68199  
Suter H. 70322  
Sutherland D. A. 69722  
Sutherland M. D. 68963  
Suzuki K. 68584  
Suzuki S. 69006  
Svatos G. F. 68206  
Svennerholm L. 69205  
Sverdrup E. F. 70044  
Svoboda M. 69623  
Svoboda V. 70048  
Swain J. S. 69164  
Swami D. R. 68456  
Swann C. C. 70174 II  
Swanson J. E. 70398 II  
Swart E. R. 68514  
Sweeney W. M. 69927  
Swern D. 70186  
Swinehart R. W. 70258  
Switzer G. 68632  
Sykes S. M. 70486  
Szalai P. 69897  
Szekér K. 69911  
Szekeres K. 69125  
Szepeszy G. L. 68459  
Szucs M. 68094  
Szymusik Z. 69315  
Thiers M. 68772  
Thinius K. 70194  
Thirak H. R. 68498  
Thistlethwaite W. P. 68171  
Thodos G. 68351  
Thomas A. G. 68201  
Thomas D. E. 70596  
Thomas E. A. 68663  
Thomas E. B. 69808 II  
Thomas E. I. 70708  
Thomas J. D. R. 68704  
Thomas L. C. 68195  
Thomas V. 70711  
Thomas W. J. 69576  
Thompson J. W. 69765 II, 69766 II  
Thompson M. J. 68862  
Thompson R. B. 69565 II  
Thomson A. K. G. 70729  
Thorne H. M. 69665  
Thornton J. L. 68524  
Thorpe C. L. 69716  
Thring M. W. 68416  
Thürlings H. 70567 II  
Tiedeman W. D. 70076  
Tiers G. V. D. 68928  
Timell T. E. 70234, 70254, 70256  
Timms A. G. 69521  
Tinsley I. J. 70486  
Tiollais R. 68728  
Tippmann 69392  
Tiroulet J. 68707—68708  
Todd A. 69018  
Todd J. P. 70475  
Tokura N. 68839  
Tolić L. 69493  
Tolmasquin E. 68999  
Toman A. 69415  
Tomie E. 69146  
Tomimatsu T. 69000  
Tomba H. 69082 K  
Toor H. L. 70680  
Tortel R. 70621  
Towne E. B. 69870 II  
Tracht J. H. 69740 II  
Tramazi S. A. 70332  
Tramm H. 69787 II, 70515 II  
Trandafirescu G. 70079  
Trapp F. 68283  
Traxler M. D. 68693  
Trees R. E. 68137  
Trenner N. R. 70010 II  
Trojānek J. 68797  
Trombe F. 68555  
Truchlik S. 68438  
Truhaut R. 69344  
Trunschitz V. 70609  
Trusler R. B. 70016 II, 70292 II  
Trutnovsky H. 69668  
Tsatsas G. 68872  
Tschinkel J. G. 69231  
Tsou Kwan-Chung. 68890  
Tsuboi M. 68187  
Tsuchiya H. M. 70400 II  
Tsuda K. 68997  
Tucker B. M. 69101  
Tucker J. A. 68745  
Tum J. 70334  
Tuppy H. 68996  
Turekian K. K. 68624  
Turner H. A. 69901  
Turner R. B. 68976  
Turner T. H. 69597  
Twine J. K. 69434  
Tymon B. T. 70734  
U  
Udupa H. V. K. 68494  
Uebersfeld J. 68221  
Uffer A. 68990  
Uffmann H. 68674  
Uhlig H. H. 68525  
Ullmann A. 69981  
Ulmer W. 69925  
Unger M. B. 70218 II  
Unser M. J. 68878  
Uppal I. S. 69560  
Urbaniski T. 68102  
Urey H. C. 68597, 68607  
Uson Lacal R. 68738  
Utley H. F. 69503  
Uyeda R. 68251  
V  
Vaack S. V. 70347  
Valensi G. 68477  
Valentin P. 70688  
Valentinová I. 70758  
Vallée J. 70349  
Valter V. 70380  
Vandael C. 68467  
Vander Auwera D. 68400  
Van Nuffel A. 70347  
Van Rysselberghe P. 68488  
Van Sciver W. 68261  
Varma K. T. R. 68457  
Varsányi D. 69981  
Varshni Y. P. 68140  
Vasilescu V. 69848 II  
Vaughan G. A. 68528  
Vaughan W. E. 68395  
Vaughn R. H. 70498  
Vavruška M. 68717  
Večera Z. 69170  
Vedlich M. 70562 K  
Vees R. 70214  
Vegt A. K. 69699  
Velluz L. 68971, 68990  
Vender M. 70370  
Venkatasubramanian V. S. 68299, 68626  
Venkateswari V. 68846  
Venner H. 69242  
Venturello G. 69185  
Vercellone A. 69978  
Verdier-Dufour J. F. M. 69569 II  
Vergnes M. 68130  
Verhaar G. 70041  
Verkade P. E. 68807  
Vermehren T. L. M. 70004 II  
Vermeylen J. 70463  
Vernois G. 70328  
Verrijn Stuart A. A. 68192  
Vialaron M. 70631  
Vickery R. C. 68170  
Viel G. 69344  
Villa Baqués D. J. 69903, 69909  
Vinas J. 68826  
Vincent M. C. 69991 II  
Vincze E. 70740  
Vines H. M. 69341  
Vink H. 69038  
Visser H. 68807  
Vita J. 68737  
Vitalis E. A. 70227 II  
Vlachos J. N. 70593  
Vlček V. 70419  
Vloed H. 68440  
Vodár B. 68218  
Vodička J. 69648  
Voet A. 68539  
Vogt H. 69628 II  
Vogt W. 69021  
Vollmann H. 69788 II  
Votava L. 70387  
Vuorelainen O. 70769  
W  
Wachmeister C. A. 69025  
Wacker G. B. 69350  
Waddington G. 68342  
Wadey W. G. 70649  
Waes J. P. M. 69636  
Wagner J. 69357  
Wagner J. 70290 II  
Wagner K. 68523  
Wagner P. 68413  
Wahl W. H. 68182  
Waight E. S. 68771  
Wainfan N. 68448, 68449  
Waite H. 68696  
Wajda P. 69492  
Walker H. R. 69920  
Walker S. 69522  
Wall F. T. 68547  
Wall L. A. 69071, 69072  
Wallace V. 69357  
Waller J. P. 69015  
Walling C. 68524  
Wallraf M. 69102  
Walter E. 70651  
Walter H. 70460  
Walter L. 69652  
Wanderberg E. 70761  
Wandinger L. 68433  
Wang P. K. S. 69218  
Wansink D. H. N. 68312  
Ward L. E. 69958 II  
Ward W. 69188  
Ward W. J. 70096  
Wardlaw W. 68469  
Warrant J. 68971  
Warner G. H. 68759  
Warriner M. 69282  
Watanabe D. 70592  
Waterman H. I. 68300, 68314  
Waters W. A. 68720  
Watkins S. B. 69576  
Watkins W. H. 70125  
Watson H. B. 68704



- Wauquier J. P. 68431  
Weber F. 69913  
Weber G. 69695  
Weber M. K. 70117  
Weber W. C. 69297  
Webster G. L. 68812  
Wedding R. T. 69310  
Weedon B. C. L. 68764  
Weeks J. R. 70597  
Wegler R. 69363 II  
Wegmann J. 69904  
Weichert J. 68791  
Weil T. 68779  
Weill C. E. 68834  
Weinreich G. 68559  
Weir A. H. 68651  
Weir C. 68318  
Weissberg A. 69258 K  
Weissberg S. G. 69033  
Weißmantel C. 68525  
Weller L. E. 68856  
Wells J. W. 68963  
Welti O. 69599  
Wepster B. M. 68807  
Werbin H. 68974  
Wergeland H. 68339  
Werner A. J. 70220 II  
Werner R. 70136  
Werthmüller L. 70197  
West P. W. 69091  
Westbrook F. A. 69519  
Weston A. W. 69996 II  
Westö G. 68933  
Westrum E. F. 68343  
Weydanz W. 70700 II  
Weydang F. 68727  
Wexzel W. H. 68716  
Wheatley F. W. 69722  
Whevell C. S. 69923  
Whidt R. R. 68112  
Whitaker W. W. 68614  
White D. 68528  
White R. W. 68180  
Whiting M. C. 68193  
Whitman R. 70037  
Wichterle O. 69027  
Wichterle O. 70300  
Wick K. 68816  
Wick M. 70056 II  
Wickert K. 68497  
Widmark G. 68965  
Wiedemann E. 70655  
Wiedmann H. 69793 II  
Wiegand H. 69466  
Wiehr H. 68497  
Wieland W. 69504  
Wiemann J. 68775  
Wierzbicki J. 69545  
Wiklander L. 68652  
Wilcox A. L. 69586  
Wilcox J. 69335  
Wild H. 69213  
Wildholz T. 69328  
Wilder R. S. 69803 II  
Wildy P. C. 69123  
Wiles L. A. 68195  
Wilham C. A. 70400 II  
Wilhe H. 69465  
Wilhoit R. C. 68350  
Willard M. K. 70401 II  
Wille J. E. 69306  
Williams A. E. 69602  
Williams G. A. 68204  
Williams G. H. 68768  
Williams L. C. 69033  
Williams M. 68614  
Williams T. J. 70721  
Williamson G. 70422  
Williamson G. R. 69035  
Willingham C. B. 70677  
Willis B. T. M. 68237  
Wilms H. 69363 II  
Wilmschurst J. K. 68186  
Wilson G. S. 70450  
Wilson J. W. 68697  
Wilson R. T. 69721  
Winczakiewicz A. 68079  
Wing J. 68322  
Winstrom L. O. 69851 II  
Winter H. 70648  
Winter H. J. 69385  
Winternitz F. 68770  
Wiślicki T. 70129  
Wisniewski T. F. 69612  
Wittka F. 70320  
Wizinger R. 68183  
Woldich H. 68882  
Wolf J. 69545  
Wolf R. J. 70158 II  
Wolfenden J. H. 68088  
Wolfeord L. T. 68875  
Wolfson M. L. 68953  
Wolski T. 69622  
Wolszon J. D. 69140  
Wolter H. 70504  
Wood J. L. 68703  
Woods A. D. 70179 II  
Woods W. G. 68714  
Woodward E. R. 70619  
Woolf J. R. 70666  
Worley C. W. 70722  
Wrench E. 68793  
Wrigge F. W. 69289 II  
Wright B. S. 70683  
Wright G. F. 68907  
Wright J. H. 70686  
Wright J. M. 70125  
Wroński M. 70301  
Wrzesińska A. 68260  
Wulc S. S. 70121  
Wulfert K. 70739  
Wunderlich H. 69849 II  
Wunderlich O. A. 68711  
Würth W. 69288 II  
Wutzl H. 70471  
Wyatt J. 70711  
Wykoff W. R. 69225  
X  
Xalabarder R. 70459  
Y  
Yagishita K. 68970  
Yamada K. 68450  
Yamaguchi S. 69116  
Yamasaki K. 68584  
Yarnus L. 68202  
Yasuda M. 68584  
Yates H. W. 68603  
Ynflesta J. 70060  
Young Y. V. 70007 II  
Ystgaard O. M. 70508  
Yuki H. 69017  
Yumoto H. 69074  
Z  
Zahn H. 69879, 69886, 69926  
Zambrini A. M. 70207  
Zandan J. M. 68789  
Zander M. 68899  
Zatočil G. 70315  
Zechner S. 69167  
Zeeman P. B. 68164  
Zerdik M. 69882  
Zervas P. 70165 II  
Zerweck W. 69841 II  
Ziegler E. K. 69621 II  
Ziegler M. 69156, 69157  
Zielinski A. Z. 70687  
Ziese W. 69807 II  
Zilske H. 70329  
Zimbauer K. 69916  
Zimmerman A. F. 70514  
Zimmerman H. E. 68693  
Zimmerman J. R. 68205  
Ziock K. 68142  
Zissis E. 68948  
Zmerli A. 68165, 68167  
Zmudzinski B. 69508  
Zorkendorfer R. 69963 II  
Zorkovský B. 68650  
Zosef K. 69821 II  
Zuckerbraun A. 68773  
Zukoski E. E. 68414  
Zurowski J. 70133

სეკრანი ა. ე. 70604 სტაჟიკი თ. გ. 70604 ფაჩუაშვილი ე. გ. 70604

- 三宅正人 70540  
三村安 68255  
三田寛幹 68895  
上田ミチ 70474  
中川七男 70570 II  
中田一郎 68268  
中村欽一 70407  
中林武 68718  
中尾新六 69809 II  
中澤準一 69998  
久米泰三 70126  
久保田和彦 69026  
久保田徳夫 68981  
井上博 70407  
井上雄三 69686  
今中治 69451  
仲嶋正一 68874  
伊立奥特 68368  
伊藤博夫 69064  
佐田榮三 69725  
佐伯宗光 69248  
佐藤七平 68806  
佐藤大助 69884  
佐藤和彦 69844 II  
佐藤勲 70747  
兒玉俊夫 70092  
内山修男 68653  
内田盛也 69065  
八木舜治 69355  
加藤武明 69801 II  
加藤信八郎 68836  
加藤幹夫 70407  
千代田三郎 69364 II  
千葉善陸 68435  
南裕子 60474  
吳弼吉 69924  
和田敏之 68984  
坂口康義 70303  
坂本政義 70411  
堀口吉重 70549  
堀合道三 69250  
外山修之 69022  
大木英二 68967  
大田正樹 68895  
大石康博 68836  
大和正利 69026  
大岩哲夫 69773  
大條方義 70568 II  
大野鶴 68686  
大橋九萬雄 69247  
太泰康光 69088  
奥村健 68984  
奥村健吾 69002  
守和子 68972  
安田誠一 70669 II  
安永和民 69660  
宮川一郎 69725  
宮本高明 68845  
宮本司郎 69243 II  
宮崎芳樹 69226  
小山慶二 69026  
小田良平 70127  
小田榮 68111  
小松信一郎 69769  
小林尚一 69876  
小野綾緒 68969  
小郷良明 70126  
尾形秀人 70118  
山口晃雄 69065  
山中敏裕 68718  
山本成一郎 68805, 68806  
山岸三郎 68845  
山科裕郎 69324  
山崎太郎 68820  
岡田清治 69998 II  
岡島三郎 69900  
岡野茂 69801 II  
岩井一成 68967  
岩崎昌平 69457  
岩幾江 70474  
川島宏 70407  
川崎文 69004  
道川計太郎 68909 II  
市川公 69819  
廣池和夫 68293  
張榮禮 69198  
御田昭雄 70261  
恩田格三郎 67725  
手島達郎 69809 II  
新井俊郎 69251  
旋士元 68257  
曹金鴻 69174  
邇月雅郎 69801 II  
村田壽雄 69693 II  
林孝市郎 70549  
松川泰三 69004  
松井和夫 68805  
松本博 70474  
松田彦松 69809 II  
酸尾紀 70544  
松原英輝 70572 II  
柴田只男 69725  
橋爪文次 69324  
横田良助 69455  
櫻井芳 69002  
櫻井節二 69010  
櫻田一郎 70299, 70303, 70305  
武井武 68493  
武田健一 69881  
武藤猛雄 69395 II  
武藤寛 68666  
永井一弘 70303  
永井隆 68493  
江間源三 69693 II  
河村肇 69355  
泉美治 69010  
酒井純雄 69844 II  
清水一宏 68145  
清水周 69876  
清水昭二 69064  
清水博 70128, 70702 II  
清野繁夫 70094  
篤藤漢 69174  
濱田茂雄 70405  
片山將道 70307 II  
犬井鉄郎 68255  
生源寺廷 70261  
田島修 70407  
盧郁章 69198  
盧湧泉 69174  
眞鍋恒忠 69660  
矢島不二男 69249  
石井義郎 70104  
石橋雅義 68503  
石橋健一 68867  
砂川玄俊 69998 II  
神崎敬治 68967  
福永富雄 69928 II  
秋山忠明 60705

栗野拓也 69804 II  
稻葉榮也 70101  
雀倉鉄五郎 70703 II  
羽場清人 69924  
藍黒友三 69364 II  
緒山一郎 70118  
若尾法昭 70676  
菊池京子 69900  
高木庄次郎 69004

藤永太一郎 68503  
袋井忠夫 68271  
西朋太 69260  
許植方 69973  
緒江近男 68961  
谷千秋 68867  
赤堀四郎 69010  
長藤三郎 68969  
那須享二 70092

那須忠己 69252  
郷元漢 68368  
野口利雄 69226  
野村男次 70499  
金子武夫 69010  
金谷一秀 70699 II  
釘實夫 68718  
鈴木克人 69022  
鈴木重成 69064

鈴木脩 69928 II  
鈴木恵 69924  
長尾英夫 69065  
長島銀蔵 70571 II  
長澤純夫 69329  
阿部久二 68805, 68806  
隅谷信三 70704 II  
高木就 68819 II

島海武雄 68790  
鳩山道夫 768270  
鹽田三千夫 68972  
藤生清 70405  
黒澤悦郎 60796  
齊藤伍作 69844 II  
メルコフ V. G. 68618  
최 상 원 69733

# УКАЗАТЕЛЬ ДЕРЖАТЕЛЕЙ ПАТЕНТОВ

Abbott Lab. 69996  
Agfa Akt. Ges. für Photofabrikation 70017  
Air Products Inc. 69578  
Ajem Lab., Inc. 70228  
Allied Chemical & Dye Corp. 69851, 69954  
American Cyanamid Co. 69277, 69767, 69806, 69817, 69835, 69967, 70227, 70291  
Armour and Co. 70011  
Atlas Powder Co. 70361, 70362, 70396  
Ayerst, McKenna and Harrison, Ltd. 69828  
Badische Anilin- & Soda Fabrik Akt. Ges. 69689, 68750, 69751, 69768, 69797, 69807, 69810, 69818, 69820, 69831, 69850, 70359  
Bakelit, Ltd. 70180  
Bancroft J. & Sons Co. 69957  
B. B. Chemical Co., Ltd. 70179  
Bergwerksverband zur Verwertung von Schutzrechten der Kohlentechnik G.m.b.H. 69761  
Blattman & Co. 70402  
Boehringer C. F. & Soehne G. m. b. H. 69995  
Bombrini Parodi-Delfino Soc. Anon. 69794  
Borax Consolidated Ltd. 69365  
Borushko M. J. 70226  
Bothe H. 69849  
Bradford Dyer's Association, Ltd. 69964  
Brennan J. B. 69397  
British Celanese Ltd. 69808, 70154  
British Industrial Plastics, Ltd. 69937  
British Petroleum Co. Ltd. 69749, 70288  
Burke W. T. 69574  
California Research Corp. 69839  
Callaghan Hession Corp. 70225  
Canadian Industries, Ltd. 70157  
Canadian du Pont Co. Ltd. 70157  
Carter C. F. 70706  
Cassella Farbwerke Mainkur Akt. Ges. 69841, 70223  
Celanese Corp. of America. 70153

Certainteed Products Corp. 69567  
Chemieprodukte G. m. b. H. 70643  
Chemische Fabrik von Heyden. 69789, 69852  
Chemische Fabrik Pforsee G. m. b. H. 69963  
Chemische Werke Albert 69299  
Chemische Werke Bergkamen Akt. Ges. 69748  
Chemische Werke Gils Akt. Ges. 69837, 70366  
Chlorator G. m. b. H. 69629  
Ciba Akt. Ges. 69834, 69869, 69932, 69943  
Clermont-Bonte 69939  
Co. Française des Matières Colorantes 70170  
Colas Silvestre & Cie. 69953  
Colvin W. F. 70219  
Combustion Engineering-Superheater, Inc. 69286  
Commercial Solvents Corp. 70007  
Coneygre Foundry, Ltd. 70164  
Co. de Produits Chimiques et Electrometallurgiques Alais Froges et Camargue. 70696  
Corning Corp. 69833, 70167  
Corson G. and W. H., Inc. 69564  
Davies-Young Soap Co. 70016, 70292  
Deutsche Gold und Silber-Schmeldeanstalt vormals Roessler 69276, 69293, 70057  
Deutsche Katadyn Ges. m. b. H. 69628  
Dick A. B. Co. 70295  
Didier-Kogag-Hinselmann Koksofenbau und Gasverwertung Akt. Ges. 69692  
Distillers Co. Ltd. 70169  
Divorine E. 69482  
Dorr-Oliver Inc. 69565  
Dow Chemical Co. 69829  
Dreyfus C. 69799  
Du Pont de Nemours E. I. and Co. 70168, 70220  
Durand & Huguenin Akt. Ges. 69966, 70364  
Dynamisator G. m. b. H. 69399  
Dynamit Akt. Ges. Vormals A. Nobel & Co. 70171

Eastman Kodak Co. 69765, 69766, 69870, 70222  
Eisenhut O. 69959  
Elektric & Musical Industries, Ltd. 70162  
„Elfa“ Apparate-Vertriebs-G. m. b. H. 70399  
Angine Parts Manufacturing Co. 70221  
Esso Research and Engineering Co. 69745, 69746, 69750, 69786, 69798, 69812  
Exfoliators (Vermiculite), Ltd. 70641  
Fabre R. 70358  
Farbenfabriken Bayer Akt. Ges. 69360, 69361, 69363, 69436, 69788, 69840, 69866, 69867, 70005, 70152, 70165, 70181  
Farbwerke Hoechst Akt. Ges. vormals Meister Lucius & Brüning. 69275, 69823, 69856—69858, 59861, 69946, 69948, 69952, 70006  
Fehr K. 69763  
Firestone Tire and Rubber Co. 69822  
Firma Munk & Schmitz K. G. 70638  
Fontaine G. M. 69950  
Food Machinery and Chemical Corp. 69271, 69824, 70566  
Forschungsgesellschaft der WABAG Wasserreinigungsbau m. b. H. 69627  
Freudenberg C. Kommandit Akt. Ges. auf Aktien 69962, 70182  
Geigy J. R. Akt. Ges. 69813, 70013  
Gelsenberg Benzin Akt. Ges. 69756  
Gelsenkirchener Bergwerks Akt. Ges. 69575  
General Aniline & Film Corp. 70360  
General Electric Co. 70147  
General Motors Corp. 70172  
Goldschmidt Akt. Ges. 69969  
Goodrich B. F. Co. 69802, 69815, 70156, 70158, 70177  
Graver Tank & Mfg. Co. Inc. 70398  
Griffin E. L. 70401  
Gulf Research & Development

Co. 68673, 69740, 69753, 69784  
Hacyan M. 69573  
Handelsbolaget under firma A. Johnson & Co. 69270  
Harding A. J. I. 69944  
Henkel & Cie G. m. b. H. 69846  
Hercules Powder Co. 69292, 69832  
Hooker Electrochemical Co. 70163  
Ilford, Ltd. 69871  
Imperial Chemical Industries, Ltd. 69400, 69790, 69795, 79847, 69854, 69860, 69868, 69970, 70149, 70159, 70175, 70176, 70178  
International Standard Electric Corp. 70229  
Inventa Akt. Ges. für Forschung & Patentverwertung 69945  
Israel Mining Industries. 69826  
Jackson and Church Co. 69961  
Janssens R. G. 69764  
Kelly D. F. 69811  
Koher B. 70574  
Kodak-Pathé 70019  
Kodak, Ltd. 70018, 70020, 70155  
Koninklijke Industriële Maatschappij Voorheen Noury & Van Der Lande N. V. 70403  
Krainhöfner R. 69965  
Krauss W. 69845  
Krupp Kohlechenie G. m. b. H. 69838  
Kurashiki Rayon Co., Ltd. 70150  
Kurashiki Rayon Habushiki Kaisha 70150  
Küstner E. 69935  
Liljamo Y. 70298  
Lilly E. and Co. 70008  
Löffler W. 69631  
Lufttechnische Anlagen K. G. 69955  
Manta Soc. Anon. 69951  
Masson C. 69949  
Masarel Worsted Mills Inc. 69968  
Mende E. 69934  
Merck & Co., Inc. 70010  
Metafiltration Co. Ltd. 70703

# Указатель держателей патентов

Metallgesellschaft Akt. Ges. 69288, 69785, 70697	Otto C. & Co. G. m. b. H. 69437	Sandoz Akt. Ges. 69836	Thürings H. 70567
Miag Mühlenbau und Industrie G. m. b. H. 69571	Owens-Corning Fiberglass Corp. 69570	Schering Akt. Ges. 70000, 70224	Travaux et Métallurgie 69481
Miag Vertriebs G. m. b. H. 70448	Owens-Illinois Glass Co. 69566	Schierenbeck J. 69691	Troponwerke Dinklage & Co. 69994, 69997
Miles Lab. Inc. 69853	Pacific Flush Tank Co. 69933	Scholl Akt. Ges. 69942	Ubbelohde L. 70308
Monolith Portland Cement Co. 69568	Paper Patents Co. 70293	Selliez M. 69941	Unilever N. V. 70644
Monsanto Chemical Co. 69359, 69827, 69830, 69859, 69936	Parke, Davis & Co. 69992, 69993	Semtex, Ltd. 70160	Union Carlide and Carbon Corp. 69796, 69947
Montecatini 69625	Penicillin Narodni Podnik 70009	Sharples Chemicals Inc. 70012	Union minière du Haut-Ka- tanga, Soc. Congolaise à r. l. 69263
Montecatini (Soc. Gen. per.) l'Industria Mineraria e Chimica. 69630, 70356	Penicillin-Ges. Daubelsberg & Co. 70700	Shell Development Co. 69800, 69843	Union Oil Co. of California 69626
Munnesota Mining & Manufac- turing Co. 70294	Peterlite Products, Ltd. 70151	Siemens-Schuckertwerke Akt. Ges. 69398	Universal Oil Products Co. 69741, 70705
National Research Develop- ment Corp. 69742	Petrolite Corp. 69739	Sinclair Refining Co. 69758	Upjohn Co. 70001—70003
Noddin G. A. 69971	Phillips Petroleum Co. 69755	Sinnova ou Sadic. 70363	USA, Secretary of Agricul- ture 70400
Noranda Mines Ltd. 69268	Phoenix Gummiwerke Akt. Ges. 70055	Skogsägarnas Industri AB 70297	USA, Secretary of the Navy 70738
Nordduetsche Affinerie. 69362	Pittsburgh Consolidation Coal Co. 69842	Smith A. O. Corp. 69483	USA, Secretary of War. 69972
Nowak R. 70640	Potasse et Engrais Chimiques 69300	Soc. Anon des Manufactures des & Glaces et Produits Chimiques de Saint-Gobain, Chauny & Cirey 69478, 69479, 69825	Vasilescu V. 69848
N. V. De Battaafse Petro- leum Maatschappij 69291, 69744	Presque Isles Lab. & Manu- facturing, Inc. 70296	Soc. commerciale des sels «Socotel» 70573	Velvaray Corp. 69960
N. V. Octrooien Maatschappij Activit 70397	Procter & Gamble Co. of Ca- nada. 70357	Socony Mobil Cil. Co., Inc. 69752, 69759	Verdier-Dufour J. F. M. 69569
N. V. Philips Gloeilampen- fabrieken 69577	Publicker Industries Inc. 69803	Soc. Rhodiaceta. 70289	Vereinigte Aluminium-Werke Akt. Ges. 69289
N. V. Veenendaalse Sijet- en Vischachtfabriek voorheen. Wed D. S. van Schuppen & Zoon. 69999	Püschel F. 70365	Soc. des Usines Chimiques Rhone Poulenc 69791	Vermehren T. L. M. 70004
N. V. Vezelindustrie «Neder- lands». 69931	Rabinovitch J. 70015	Standard Oil. Co. 69757	Verreries pochet et du Couwal et Gaston Beaudoin 69480
Office National d'Etudes et de Recherches Aeronauti- ques 70161	Rakowsky V. 70698	Standard Oil Development Co. 69747, 69754, 69816	Viscose Francaise & Givet- Izieux 69956
Ortho Pharmaceutical Corp. 70014	Raudszus O. 69940	Standard Telephones & Cables, Ltd. 69396	Wacker-Chemie G. m. b. H. 69805, 70056, 70166
	Régie Industrielle de la Cellulose Coloniale 69929	Stanolid Oil and Gas Co. 69269	Ward, Brooke & Co. Ltd. 69958
	Revetlux 69572	Stewards & Lloyds, Ltd. & 70642	Westfahlenhütte Akt. Ges. 70630
	Rheinpreußen Akt. Ges. für Bergbau und Chemie. 69743, 69793	Süd-Chemie Akt. Ges. 70058	Whaling H. Ltd. 69792
	Ruhrchemie Akt. Ges. 69762, 69787, 70148, 70575	Sumitomo Chemical Indust- ries Co. 69855	Wigton-Abbott Corp. 69633
	Saline Lüneburg und Chemische Fabrik Akt. Ges. 69287	Swann C. C. 70174	Zellstoffabrik Waldhof 70290
			Ziegler E. K. 69821

Воплу нагану коге набусики  
кайся 69693  
Кабусики Кайся Кагану Кен-  
носё 69844  
Кабусики Кайся Сасакура Ки-  
кай Сёйдзосё 70703  
Каная К. 70699  
Когё Кудзюцу Интё 69804

Маруяма Масатанё 70702  
Мацубара X. 70572  
Мицубиси Касёй Когё Ка-  
бусики Кайся 69819  
Мутё Т. 69395  
Нагасима Т. 70571  
Нитто Босен Кабусики Кай-  
ся 70307

Нихон Кабайдо Когё Кабу-  
сини Кайся 69809  
Оми Кандаумё Кабусики Кай-  
ся 70570  
Осю К. 70568  
Санкё Кабусики Кайся 69998  
Сумитомо Кагану Когё Ка-

бусики Кайся 69801  
Сумия Н. 70704  
Тидё С. 69364  
Тоо Тёгё Кабусики Кайся  
70569  
Цуруми сода набусики кайся  
69928

Технический редактор Р. М. Денисова

Подписано к печати 3.XII.1957 г.  
Печ. л. 42,23.

Тираж 4600.  
Бум. л. 12 1/2.

Формат бумаги 84×108 1/16. Зак. 2147  
Уч.-изд. л. 77,1.

2-я тип. Издательства АН СССР. Москва, Шубинский пер., д. 10



101

Don

Ka-  
A

nia

Co.

lul-

avy

72

569

ke

l-

wal

480

st-

H.

958

0630

90

tion

tion

80

Цена 28 руб. 80 коп.

Printed in the USSR

